

This is a digital copy of a book that was preserved for generations on library shelves before it was carefully scanned by Google as part of a project to make the world's books discoverable online.

It has survived long enough for the copyright to expire and the book to enter the public domain. A public domain book is one that was never subject to copyright or whose legal copyright term has expired. Whether a book is in the public domain may vary country to country. Public domain books are our gateways to the past, representing a wealth of history, culture and knowledge that's often difficult to discover.

Marks, notations and other marginalia present in the original volume will appear in this file - a reminder of this book's long journey from the publisher to a library and finally to you.

Usage guidelines

Google is proud to partner with libraries to digitize public domain materials and make them widely accessible. Public domain books belong to the public and we are merely their custodians. Nevertheless, this work is expensive, so in order to keep providing this resource, we have taken steps to prevent abuse by commercial parties, including placing technical restrictions on automated querying.

We also ask that you:

- + Make non-commercial use of the files We designed Google Book Search for use by individuals, and we request that you use these files for personal, non-commercial purposes.
- + Refrain from automated querying Do not send automated queries of any sort to Google's system: If you are conducting research on machine translation, optical character recognition or other areas where access to a large amount of text is helpful, please contact us. We encourage the use of public domain materials for these purposes and may be able to help.
- + Maintain attribution The Google "watermark" you see on each file is essential for informing people about this project and helping them find additional materials through Google Book Search. Please do not remove it.
- + Keep it legal Whatever your use, remember that you are responsible for ensuring that what you are doing is legal. Do not assume that just because we believe a book is in the public domain for users in the United States, that the work is also in the public domain for users in other countries. Whether a book is still in copyright varies from country to country, and we can't offer guidance on whether any specific use of any specific book is allowed. Please do not assume that a book's appearance in Google Book Search means it can be used in any manner anywhere in the world. Copyright infringement liability can be quite severe.

About Google Book Search

Google's mission is to organize the world's information and to make it universally accessible and useful. Google Book Search helps readers discover the world's books while helping authors and publishers reach new audiences. You can search through the full text of this book on the web at http://books.google.com/



Über dieses Buch

Dies ist ein digitales Exemplar eines Buches, das seit Generationen in den Regalen der Bibliotheken aufbewahrt wurde, bevor es von Google im Rahmen eines Projekts, mit dem die Bücher dieser Welt online verfügbar gemacht werden sollen, sorgfältig gescannt wurde.

Das Buch hat das Urheberrecht überdauert und kann nun öffentlich zugänglich gemacht werden. Ein öffentlich zugängliches Buch ist ein Buch, das niemals Urheberrechten unterlag oder bei dem die Schutzfrist des Urheberrechts abgelaufen ist. Ob ein Buch öffentlich zugänglich ist, kann von Land zu Land unterschiedlich sein. Öffentlich zugängliche Bücher sind unser Tor zur Vergangenheit und stellen ein geschichtliches, kulturelles und wissenschaftliches Vermögen dar, das häufig nur schwierig zu entdecken ist.

Gebrauchsspuren, Anmerkungen und andere Randbemerkungen, die im Originalband enthalten sind, finden sich auch in dieser Datei – eine Erinnerung an die lange Reise, die das Buch vom Verleger zu einer Bibliothek und weiter zu Ihnen hinter sich gebracht hat.

Nutzungsrichtlinien

Google ist stolz, mit Bibliotheken in partnerschaftlicher Zusammenarbeit öffentlich zugängliches Material zu digitalisieren und einer breiten Masse zugänglich zu machen. Öffentlich zugängliche Bücher gehören der Öffentlichkeit, und wir sind nur ihre Hüter. Nichtsdestotrotz ist diese Arbeit kostspielig. Um diese Ressource weiterhin zur Verfügung stellen zu können, haben wir Schritte unternommen, um den Missbrauch durch kommerzielle Parteien zu verhindern. Dazu gehören technische Einschränkungen für automatisierte Abfragen.

Wir bitten Sie um Einhaltung folgender Richtlinien:

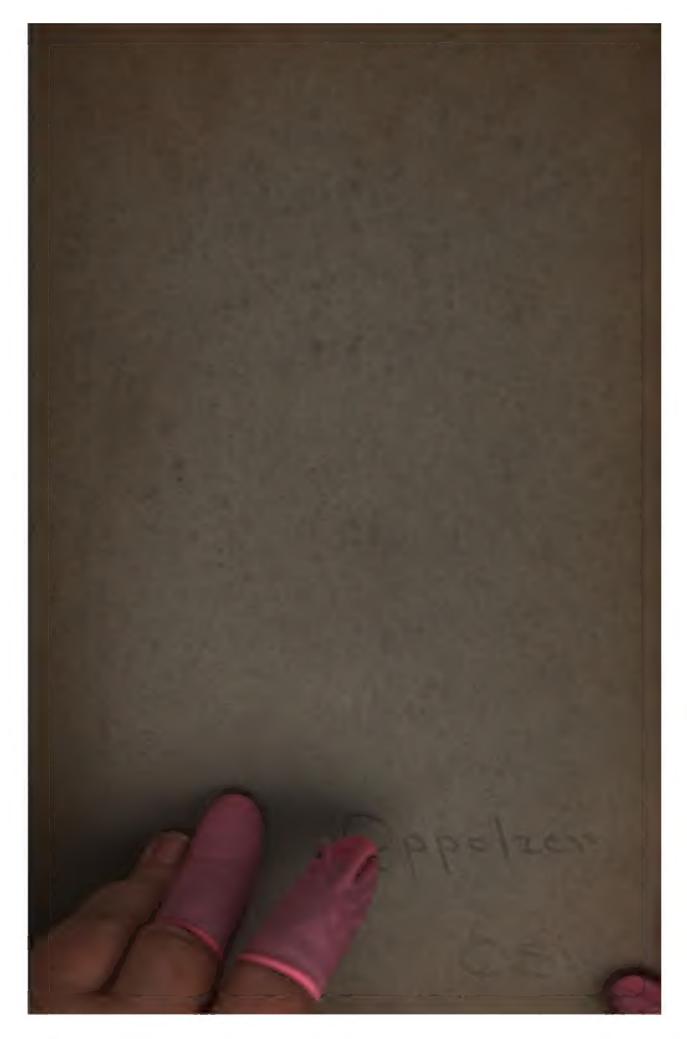
- Nutzung der Dateien zu nichtkommerziellen Zwecken Wir haben Google Buchsuche für Endanwender konzipiert und möchten, dass Sie diese Dateien nur für persönliche, nichtkommerzielle Zwecke verwenden.
- + Keine automatisierten Abfragen Senden Sie keine automatisierten Abfragen irgendwelcher Art an das Google-System. Wenn Sie Recherchen über maschinelle Übersetzung, optische Zeichenerkennung oder andere Bereiche durchführen, in denen der Zugang zu Text in großen Mengen nützlich ist, wenden Sie sich bitte an uns. Wir fördern die Nutzung des öffentlich zugänglichen Materials für diese Zwecke und können Ihnen unter Umständen helfen.
- + Beibehaltung von Google-Markenelementen Das "Wasserzeichen" von Google, das Sie in jeder Datei finden, ist wichtig zur Information über dieses Projekt und hilft den Anwendern weiteres Material über Google Buchsuche zu finden. Bitte entfernen Sie das Wasserzeichen nicht.
- + Bewegen Sie sich innerhalb der Legalität Unabhängig von Ihrem Verwendungszweck müssen Sie sich Ihrer Verantwortung bewusst sein, sicherzustellen, dass Ihre Nutzung legal ist. Gehen Sie nicht davon aus, dass ein Buch, das nach unserem Dafürhalten für Nutzer in den USA öffentlich zugänglich ist, auch für Nutzer in anderen Ländern öffentlich zugänglich ist. Ob ein Buch noch dem Urheberrecht unterliegt, ist von Land zu Land verschieden. Wir können keine Beratung leisten, ob eine bestimmte Nutzung eines bestimmten Buches gesetzlich zulässig ist. Gehen Sie nicht davon aus, dass das Erscheinen eines Buchs in Google Buchsuche bedeutet, dass es in jeder Form und überall auf der Welt verwendet werden kann. Eine Urheberrechtsverletzung kann schwerwiegende Folgen haben.

Über Google Buchsuche

Das Ziel von Google besteht darin, die weltweiten Informationen zu organisieren und allgemein nutzbar und zugänglich zu machen. Google Buchsuche hilft Lesern dabei, die Bücher dieser Welt zu entdecken, und unterstützt Autoren und Verleger dabei, neue Zielgruppen zu erreichen. Den gesamten Buchtext können Sie im Internet unter http://books.google.com durchsuchen.

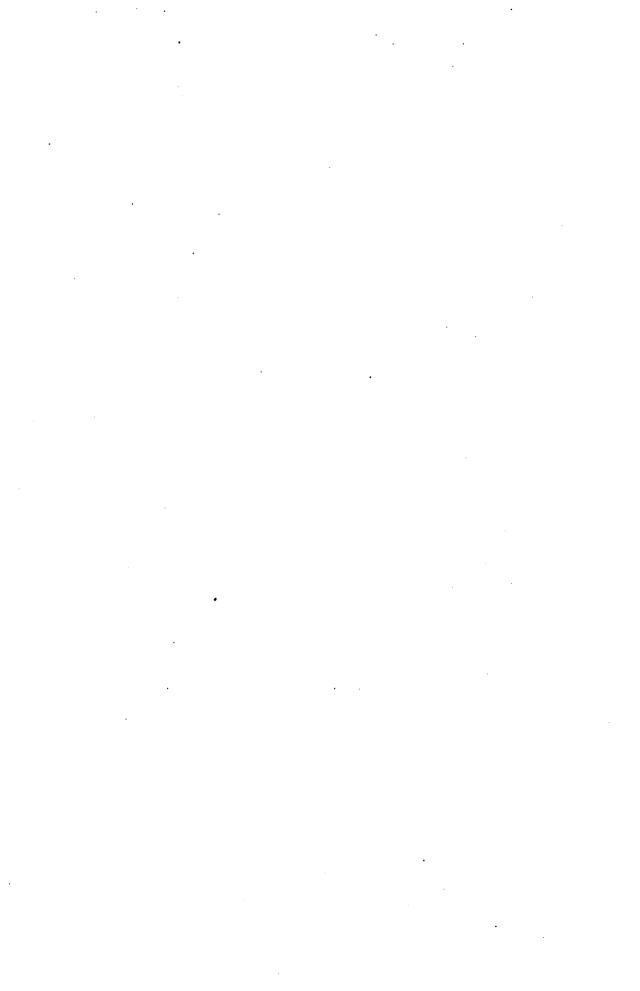






	•		

•				
			,	•



-100 E

.

.

•



LEHRBUCH

ZUR

BAHNBESTIMMUNG

DER

KOMETEN UND PLANETEN.

ERSTER BAND.



LEHRBUCH

ZUR

BAHNBESTIMMUNG

DER

KOMETEN UND PLANETEN

VON

THEODOR R. v. OPPOLZER

DR. MED. UND PROFESSOR DER ASTRONOMIE AN DER UNIVERSITÄT WIEN.

ERSTER BAND

ZWEITE UND VÖLLIG UMGEARBEITETE AUFLÄGE

LEIPZIG
VERLAG VON WILHELM ENGELMANN
1882.





Druck von Breitkopf & Hartel in Leipzig.

VORREDE.

Das Bedürfnis nach einer zweiten Auflage des ersten Bandes meines Lehrbuches für Bahnbestimmungen gab mir die erwünschte Gelegenheit, die vielfachen Mängel, welche diesem Theile in seiner ersten Auflage anhaften, zu beseitigen und durch entsprechende Umarbeitung dessen Brauchbarkeit zu erhöhen; die vorgenommenen Änderungen sind aber so durchgreifender Natur, dass die vorliegende zweite Auflage als neues Werk betrachtet werden darf, von dem ich hoffe, dass es sich, wie sein Vorgänger, Freunde erwerben werde. Es soll hier auf einige der wesentlichsten Zusätze hingewiesen werden.

Eine umfassende Bearbeitung hat der Abschnitt über die Änderungen der Fundamentalebenen erfahren, indem auf Grundlage der Le-Verrier'schen Werthe für die Lageveränderungen der Ekliptik ein vollkommen consequentes System der Präcessionsausdrücke aufgestellt und hierbei die Glieder dritter Ordnung vollständig mitgenommen wurden. Die Resultate, welche sich auf pag. 202 und 203 des vorliegenden Bandes zusammengestellt finden, weichen in einigen wenigen Fällen um eine Einheit der letzten Stelle von jenen Werthen ab, die ich in Nr. 2387 der Astronomischen Nachrichten veröffentlicht habe; die hier mitgetheilten Zahlen, die also innerhalb der Unsicherheitsgrenze der Rechnung mit jenen stimmen, verdienen jedoch den Vorzug. Auf Grundlage dieser Zahlen sind Tafeln (Tafel XII) in grosser Vollständigkeit gegeben, welche die Berechnung der Säcularvariation und des sogenannten dritten Gliedes wesentlich erleichtern. Die Ausdrücke für die Nutation sind weiter entwickelt, als es sonst geschehen ist, und zu deren Berechnung wie auch zur Bestimmung der für die Reduction auf den scheinbaren Ort nöthigen Hilfsgrössen ausführliche und bequeme Tafeln (Tafel X) beigegeben; bei der Aberration ist durchaus das kleine, sonst meist vernachlässigte, von der Erdbahnexcentricität abhängige Glicd mitgenommen worden, ohne dass in den Endformeln irgend eine weitere Complication zum Vorschein kommt.

Bei der Bahnbestimmung der Kometen wird neben der Olbersschen Methode jene ausführlich auseinandergesetzt, welche ich für den Ausnahmsfall in Vorschlag gebracht habe; wenn auch die letztere in ihren Grundzügen sich nicht wesentlich von der in der ersten Auflage veröffentlichten unterscheidet, so erscheint doch die gesammte Rechnung

durch die vorgenommenen Transformationen wesentlich vereinfacht und in eine übersichtliche Form gebracht. Die durch Herrn Strobl berechnete, von 10" zu 10" vorschreitende Barker'sche Tafel wird wohl allseitig mit Befriedigung aufgenommen werden.

Bei der Bahnbestimmung der Planeten habe ich mich auf die Darlegung der von mir in Vorschlag gebrachten Methoden beschränkt, da deren vielfache Anwendung mich überzeugt hat, dass dieselben gegen die sonst üblichen den entschiedensten Vorzug verdienen. Als wesentlicher Zusatz findet sich jenes Verfahren auseinandergesetzt, welches man in der Anwendung auf Kometen zu befolgen hat; überdies hat die Methode der Bahnbestimmung aus vier Orten durch Zuhilfenahme weiterer Glieder in der Entwicklung für die Verhältnisse der Sectoren zu den Dreiecken eine bedeutende Steigerung in der Convergenz erfahren, und es ist der Nachweis geführt worden, dass die bisher hierbei angewandten Methoden im Allgemeinen keine hinreichende ('onvergenz hatten.

Die zum Vortrag gebrachten Formeln sind stets durch ausführliche Beispiele erläutert und die numerische Ausführung ist so vorgenommen worden, dass die letzte Stelle den angewandten Hilfsmitteln entsprechend genau bestimmt ist; es kamen bei den siebenstelligen Rechnungen die Tafeln von Bruhns und Zech, bei sechsstelligen jene von Bremiker in Verwendung. Bei den Beispielen ist, wenn nicht eine Verwechslung zu befürchten war, als Eingang der entsprechende Formelausdruck angesetzt, gleichgiltig ob die beigesetzten Ziffern der Zahl oder dem Logarithmus entsprechen.

Auf die Correctheit des Satzes wurde eine besondere Sorgfalt verwendet, bei der Revision der Aushängebogen sind jedoch noch einige Fehler entdeckt worden, von denen die wesentlichsten sich auf pag. 684 dieses Bandes zusammengestellt finden.

Der zweite Band des vorliegenden Werkes enthält mehrfache Rückbeziehungen auf den ersten in seiner früheren Gestalt; um nun die diesbezüglichen Citate auf das vorliegende Werk anwenden zu können, habe ich am Schlusse des Inhaltsverzeichnisses (pag. XII) die entsprechenden Parallelstellen neben einander gesetzt.

Schliesslich habe ich der werkthätigen Unterstützung der Herren F. Anton, F. K. Ginzel, F. Kühnert, H. Freiherrn von Rüling und R. Schram anerkennend zu gedenken, welche mir dieselben bei der Herstellung der Tafeln, der Beispiele und der Correctur des Satzes angedeihen liessen und die allein mir gestattet hat, im Verlauf einer verhältnismässig kurzen Zeit den vorliegenden Band zum Abschluss zu bringen.

Wien im Mai 1882.

Der Verfasser.

Inhaltsverzeichnis.

Einleitung	Seite
Erster Theil (präparatorischer Theil).	
I. Die Coordinaten in ihrem gleichzeitigen Verhalten zu einander	3
1. Eintheilung der Himmelskugel und Definition der Coordinaten	
Verwandlung von Bogenmass in Zeitmass und umgekehrt	
2. Transformation der Coordinaten	
a. Der Anfangspunkt des Coordinatensystems bleibt unverändert	
Ältere und Gauss'sche Zählweise der Elemente i und n	
a. Transformation der Bahnlage	
β. Transformation der ekliptikalen Coordinaten in äquatoreale und umge	kehrt 12
γ. Berechnung der Sonnencoordinaten	
d. Berechnung der heliocentrischen Äquatorcoordinaten	
b. Der Anfangspunkt des Coordinatensystems wird geändert	
a. Heliocentrischer und geocentrischer Ort	
β. Parallaxe	
Verwandlung der Sternzeit in mittlere und umgekehrt	25
Ableitung zweier Lagrange'schen Reihen	
Parallaxe in Rectascension und Declination	34
Locus fictus	36
Anhang. Correction wegen Sonnenbreite	41
II. Die Coordinaten in ihrem Verhältnisse zur Zeit	42
1. Kepler's Gesetze aus dem Newton'schen Attractionsgesetze abgeleitet	42
Über die Constante des Sonnensystems	49
Über die Relation zwischen der Geschwindigkeit und der Gattung des Kegelsch	nittes 50
2. Die Relationen zwischen der Zeit und dem Orte in der Bahn	50
a. Ellipse	
Das Kepler'sche Problem	54
Herz' Verfahren zur Auffindung der excentrischen Anomalie	
Berechnung der wahren Anomalie aus der excentrischen und Aufstellung e wichtiger für die Ellipse geltender Relationen	iniger 57
b. Parabel	
Berechnung der wahren Anomalie durch direkte Auflösung einer cubischen chung	58
Berechnung der wahren Anomalie mittelst der Barker'schen Tafel	59
Berechnung der wahren Anomalie im Falle sehr grosser Anomalieen ohne tafeln	Hilfs- 62
Berechnung der wahren Anomalie im Falle sehr grosser Anomalieen mittelst tafeln	Hilfs-
c. Hyperbel	
d. Nahezu parabolische Bahnen	65
Formeln zur Berechnung der wahren Anomalie und des Radius vector in r parabolischen Bahnen	ahezu
3. Relationen zwischen mehren Orten in der Bahn	
a. Die Euler'sche Gleichung und deren Transformation nach Encke	
Beispiel	80

		Seite
	b. Bestimmung des Verhältnisses zwischen dem Sector und dem Dreieck	81
	Zusammenstellung der Formeln nach Gauss	89
	Näherungsformeln nach Hansen	91
	Specialfall der Parabel	93
	c. Bestimmung des Verhältnisses der Dreiecksflächen für kleine heliocentrische Be-	
	wegungen	94
	d. Bestimmung der Bahnelemente aus zwei heliocentrischen Orten	101
	Bestimmung der Bahnlage und des Arguments der Breite	102
	a. Bahnen mit mässiger Excentricität	104
	β. Bahnen von nahezu parabolischer Gestalt	107
	γ. Parabolische Bahnen	109
4.	Aberration	110
	a. Fixsternaberration	110
	α. Tägliche Aberration	111
	β. Jährliche Aberration	112
	Einfluss des meist vernachlässigten kleinen aus der Erdbahnexcentricität	
	resultirenden Aberrationsgliedes auf den Ort eines Fixsternes	115
	Erklärung der Hilfstafeln zur Berechnung der Aberration	119
	b. Planetenaberration	121
5.	Anderungen der Fundamentalebenen im Raume	124
	Numerische Grundlagen der Entwicklungen und Aufstellung der Definitionen	124
	A. Theoretische Bestimmung der Ausdrücke für die Präcession und Nutation	126
	a. Die Euler'schen Differentialgleichungen der Rotationsbewegung	126
	Bestimmung der Cosinus der Winkel, welche die instantane Drehungsachse	407
	mit den Hauptachsen der Trägheit einschliesst	127
	Bestimmung der anologen Grössen in Bezug auf ein fixes Coordinatensystem 5. Ersetzung der neun Cosinusfunctionen durch Functionen dreier von einander	136
	unabhängiger Bogen	136
	γ . Transformation der Momentsummen	139
	d. Entwicklung des Potentials V und seiner partiellen Differentialquotienten .	142
	ε. Zurückführung der Differentialgleichungen für die Bewegung der Erdachse	
	auf Quadraturen	146
	Über die hierbei auftretenden Integrationsconstanten	150
	Über die Änderungen der Polhöhe	150
	5. Die Bewegungen der Rotationsachse der Erde	155
	η. Numerische Entwicklung der partiellen Differentialquotienten des Potentials	158
	ι . Integration der Differentialgleichungen für ϵ' und ψ , Aufstellung der nu-	450
	merischen Werthe für die Präcession und Nutation	179
	Mondglieder bezogen auf die feste Ausgangsekliptik	183
	Sonnenglieder bezogen auf die feste Ausgangsekliptik	185
	Ekliptik	186
	Übertragung der Präcessionsausdrücke auf eine beliebige feste Ekliptik	187
	Numerische Werthe der letzteren	197
	B. Präcession	198
	Dies reductus	198
	Die Länge des tropischen Jahres	200
	Einführung des tropischen Jahres statt des julianischen in den Präcessions-	200
	ausdrücken	200
	Berechnung des tropischen Jahresanfanges	201
	Numerische Formeln für die Präcessionsausdrücke nach Einführung des tropischen Jahres	202
	Formeln und numerische Constanten zur Übertragung der Bahnelemente .	206
	Beispiele hierzu	207
	Formeln hierzu, wenn Näherungswerthe bekannt sind, nebst Beispiel	208
	Die Präcessionsänderungen der Elemente nach Potenzen der Zeit nebst Beispiel	-
	Einfluss der Präcession anf den Ort eines Himmelskörpers	213
	Formeln und Beispiele für die Ekliptik	215
	Formeln und Beispiele für den Äquator	216
	Über den Einfluss der Eigenbewegung auf die Präcessionswerthe und dieser	
	auf iene	217

.

	Seite
Beispiel	220
Der Einfluss der Präcession auf den Ort eines Himmelskörpers nach Po-	201
tenzen der Zeit entwickelt	221 223
Variatio saecularis und Benützung der Tafel XII zu deren Berechnung Correction der Variatio saecularis wegen Eigenbewegung	223
Formeln zur Berechnung des dritten Gliedes und Benützung der Tafel XII	220
zu seiner Berechnung	224
Correction des dritten Gliedes wegen Eigenbewegung	225
Durch Variation der Eigenbewegung kann eine Veränderung in der Prä-	
cessionsconstante der Hauptsache nach berücksichtigt werden	225
Ausführliches Beispiel zu den vorstehenden Formeln.	226
Berechnung der Präcessionsausdrücke, wenn Näherungen für diese bekannt sind, nebst Beispiel	230
Systematische Correction der Sternkataloge	231
Berechnung der Eigenbewegung	232
Der Einfluss der Präcession auf die rechtwinkligen Coordinaten	233
Numerische Werthe für die ekliptikalen Coordinaten	235
Numerische Werthe für die äquatorealen Coordinaten	236
C. Nutation. Die Hauptglieder der Nutation in Länge	237
Die Hauptglieder der Nutation in der Schiefe	238
Tabulirung derselben und Erklärung der Einrichtung der Tafel X .	2 39
Beispiel hierzu	243
Der Einfluss der Nutation auf die Rectascension und Declination	245
D. Reduction der Coordinaten auf verschiedene Äquinoctien	246
a. Ekliptik	246
b. Äquator	247
Ermittlung der Bessel'schen Hilfsgrössen	248
Berechnung derselben mit Hilfe der Tafel X	249
grössen	249
Einfluss der jährlichen Parallaxe auf den Sternort	250
Reduction mittlerer polarer Coordinaten auf wahre	251
Reduction mittlerer rechtwinkliger Coordinaten auf wahre	252
Zweite Form der Bessel'schen Hilfsgrössen (Sternephemeriden	253
Berechnung derselben mit Hilfe der Tafel X	254
Beispiel hierzu	25 5
Klinkerfues'sche Hilfsgrössen nebst Beispiel	256
Fabritius' Verfahren zur Berechnung der Reduction polnaher Sterne	258
Formeln zur Berechnung der Glieder erster und zweiter Ordnung nach Fabritius	259
Auflösung derselben in die gewöhnlich übliche Form	261
Ausführliches Beispiel zur Berechnung der Ephemeride eines polnahen Sternes Anhang. Berechnung der Oppositionszeit, Helligkeit und Lichtstärke eines kleinen Pla-	262
neten	264
Über den Einfluss der Exstinction des Lichtes auf die Grössenschätzung	266
·	
Zweiter Theil (Bahnbestimmung).	
Allgemeines und Aufstellung der Bedingungsgleichungen der Bahnebene	267
Formeln für die parallactisch veränderten ekliptikalen Polarcoordinaten der Sonne	273
•	
I. Bestimmung parabolischer Elemente	
1. Aufstellung einer Relation zwischen den geocentrischen Distanzen aus der Bedingung der Ebene	274
2. Einführung der Näherungsausdrücke für die Verhältnisse der Dreiecksflächen	277
Über das Mass der Genauigkeit, mit dem die Verhältnisse der Dreiecksflächen einge-	
führt werden müssen	278
3. Wahl des die mittlere Beobachtung ersetzenden grössten Kreises	282
Olbers' Methode (der grösste Kreis geht durch den mittleren Kometen- und Sonnen-	283
Ort)	285
Kriterium für die Wahl des grössten Kreises	287
4. Lösung des Problems durch Einführung der Euler'schen Gleichung	290
a. Der grösste Kreis geht durch den mittleren Kometen- und Sonnen-Ort.	290

		tion der Formeln zur Erleichterung der versuchsweisen Auflösung	291				
		formeln hierfür	294				
	Genäherte Berücksichtigung der Planetenaberration						
	überschri	tten werden	297				
	hältnisse	Verbesserung der zu Grunde gelegten Näherungen für die Verder Dreiecksflächen und Angabe der Methoden zur Verbesserung im Elemente	298				
β. 1	l)er grösste	Kreis hat die für die Genauigkeit der Bahnbestimmung gün-					
	Transforma	age	303				
		formeln hierfür	304 305				
1	Genäherte :	Berücksichtigung der Planetenaberration	306				
		Lösungen des Problems	308				
		ci positive Wurzeln für die geocentrische Entfernung	309				
	-	le	310				
Komet .	111. 1881.	Vorbereitung der Beobachtung für die Bahnbestimmung	311 317				
		Grundlagen der Bahnbestimmung	317				
		Verbesserung der ersten Annahmen über M	323				
		Ephemeride	327				
		Bildung eines Normalortes	328				
Komet 1	III. 1869.	Vorbereitung der Beobachtungen für die Bahnbestimmung	329				
		Grundlagen der Bahnbestimmung	331				
		Berechnung der Elemente bei günstigster Wahl der Lage des grössten Kreises	331				
		ecksflächen	337				
Komet	III. 1881.	Bestimmung der Bahnelemente unter Voraussetzung vorhandener Näherungen	337				
		Vorbereitung der Beobachtungen	338				
		Grundlagen der Bahnbestimmung	339				
		Beispiel für die Überschreitung der μ -Tafel	342				
		Ermittlung der wahrscheinlichsten Elemente durch Variation von M	343				
		nn eines Sternschnuppenschwarmes aus seinem Radiationspunkte	345				
Beispiel .		er hierzu nöthigen Formeln	350 351				
		elemente ohne bestimmte Voraussetzung über die Ex-	352				
		postimmung aus drei vollständigen Beobachtungen	352				
	• •	chungen zur Bestimmung der geocentrischen Distanzen	352				
Über die	Ordnung de	es Coëfficienten K und über das Mass der Genauigkeit, mit dem er Dreiecksflächen eingeführt werden müssen	355				
		les Problems	357				
Darstellur	ng der Ra	ne der Glieder dritter Ordnung	358 359				
		ntuell angesetzte Sonnenbreiten	360				
		Lösungen des Problems	364				
		Sicherheit der Bahnbestimmung	366				
		centrischen Distanzen	369				
Über die	Lösung der	r auftretenden Gleichung und Erleichterung derselben durch die atieller Änderungen	370				
Die Gröss	sen Γ , und	Γ_m sind in der ersten Näherung der Null gleich zu setzen	371				
Transform	ation der	ssen Γ , und Γ_{m} , wenn Näherungen für die Elemente bekannt sind Ausdrücke zur bequemen Berechnung des heliocentrischen Ab-	371				
		i äusseren Orte aus den goocentrischen Distanzen	373 376				
		htigung der Planetenaberration	378				

	Seite
4. Anwendung der vorstehend entwickelten Methode auf die Bestimmung einer Kometen-	
bahn	379
5. Beispiele	
Planet (27) Eudora. Vorbereitung der Beobachtungen für die Bahnbestimmung	382
Grundlagen der Bahnbestimmung	383
Ableitung der Elemente	383
Darstellung des mittleren Ortes	390
Ephemeride	392
Planet (i) Ceres. Parallelbeispiel zur Theoria motus	393
Komet I 1866. Grundlagen der Rechnung	400
Ableitung der Elemente	401
Über ein besonderes Verfahren bei Auflösung der auftretenden höhe- ren Gleichungen	403
Verändertes Verfahren bei Auflösung der auftretenden höheren Glei-	400
chungen	406
1. Aufstellung der Gleichungen zur Bestimmung der geocentrischen Distanzen	413
Über den Grad der Annäherung, mit dem die Verhältnisse der Dreiceksflächen substi-	410
tuirt werden müssen	415
Über die bei Kometenbahnen eintretenden Modificationen	420
2. Bestimmung der geocentrischen Distanzen	420
Die hierbei mit Vortheil benutzten Differentialausdrücke	421
Abänderungen für Kometenbahnen	422
Berücksichtigung der Planetenaberration	424
Über die Wahl der grössten, die mittleren Beobachtungen ersetzenden Kreise	426
Beispiele	427
Planet (4) Angelina. Vorbereitung der Beobachtungen für die Bahnbestimmung	427
Grundlagen der Bahnbestimmung	428
Rechnung der Elemente	429
Planet (4) Vesta. Parallelbeispiel zur Theoria motus	435
Komet I 1866. Grundlagen der Rechnung	440
Bahnbestimmung	441
III. Ermittlung einer Kreisbahn	447
Beispiel nebst Ephemeride	449
Tafeln	453
I. Verwandlung der mittlern Zeit in Sternzeit	454
II. Verwandlung der Sternzeit in mittlere Zeit	455
III. Tafeln zur Berechnung der Parallaxe	456
IV. Barker'sche Tafel	458
V. Ergänzung der Barker'schen Tafel für grosse wahre Anomalien	546
VI. Tafeln zur Berechnung der wahren Anomalien in nahezu parabolischen Bahnen	547
VII. Encke's μ-Tafel	559
VIII. Gauss'sche Hilfstafel zur Berechnung des Verhältnisses Sector: Dreieck	562
IX. Gauss' &-Tafel	567
X. Hilfstafeln zur Berechnung der Reductionselemente für die Präcession, Nutation und Aberration	569
XI. Mittlere Schiefe und Präcessionswerthe von zehn zu zehn Jahren für den Zeitraum 1600—2100	629
XII. Hilfstafeln zur Berechnung der Variatio säcularis und des dritten Gliedes	630
XIII. Hilfstafeln zur Auflösung der bei der Bahnbestimmung aus drei Orten auftretenden höheren Gleichung	654
Anhang	
Zusammenstellung der für Bahnbestimmungen nöthigen Formeln	657
Berichtigungen und Zusätze	684

Pag. des Citates im zweiten Bande.	Rückbeziehung auf die erste Auflage des ersten Bandes.	Rückbezichungen auf die zweite Auflage des ersten Bandes.
pag. 70	pag. 40	pag. 44
n 72	» 40	» 44, I)
» 73	» 40	* 44, 1)
» 82	» 88	» 247, I)
» 83	» 81 und 17	» 206, 24) und 18, 13)
» 84	» 84 ₋	» 213
» 86	» 77 und 81	verfällt und pag. 202
» 88	n 12	pag. 12 7)
» 92	» 44	» 50
» 93 » 105	» 41, 159 und 16 » 81	» 44, 2), 348, 13) und 17
» 105 » 141	••	» 206, 24) » 51, 1)
» 158	» 43 » 12	" 12, 7)
» 159	» 28	» 29 ff.
» 160	» 81	» 206, 24
» 162	» 12 und 16	» 17 und 18, 14)
» 182	» 49	» 54 ff.
» 228	» 8i und 9	n 206, 24; und 9, 2;
» 230	» 27 und 28	» 29 ff.
" 257	u 42	» 44, I)
» 258	» 42 und 45	" 45, 7) und 51, 1;
» 377	_ » 71 und 32	23 und 35, 30)
» 378	" 32 " » 88	* 35, ₆ 30)
" 379 » 381	*	" 247 ff.
» 381 » 383	" 89 » 16	» 251 » 17
» 384	» 31	» 33
» 386	" 45 und 46	" 54, 17) und 56, 23)
» 392	» 28	» 29 ff.
» 394	» g	" 9, 2)
» 397	» 60 ff.	Die bez. Formeln fehlen und sind durch
» 398	» 61 ff. }	Entwicklungen, die sich auf 1) pag. 65
» 402	» 61 ff.	gründen lassen, zu ersetzen.
» 429	» 108	pag. 98, 15)
» 430	* 45	» 51, 1)
» 434	» 31	» 33
» 457 » 464	» II	" 11, 5) " 77, 5) und 57, 28), 29)
» 464 » 465	» 101 und 48 » 48	
» 466	, 40 , 48	» 57, 27) » 57, 25) und 26)
» 468	» 191 und 101 § 4	* 84, 18) und 77 ff.
» 469	» 103 (Tafel VIII)	» 78 ff. (Tafel VII)
» 472	» 221, 226 und 142	» 102 ff.
» 473	» 45 und 195	» 49 und 89, 26
· » 474	» 191, 189, 218 ff.	» 84, 18), 85, 19) und 104 ff.
» 47 <u>5</u>	» 190	» 83, 16)
* 476	» 48	» 104, 8)
» 478	» 55 ff. und 60	» 72 und 65, 1)
» 479 » 480	» 143 und 188 » 146 § 11	» 109, 42) und 81, 4)» 300 und 301
" 488 " 488	" 146 y 11 " 146	» 301
» 49I	» 127	» 291, 5) und 292, 10) und 295
a 492	» 105	» 292, 10)
» 495	» 143 und 144	» 109, 40) 41) und 42)
» 497	» 150	» 290, 23)
v	ergleichende Übersicht der Tafeln	
	Tafel I und II fel	zweiten Auflage: hlen, sind durch Tafel XIX des weiten Bandes ersetzt.
	» III	. Tafel I
	» IV	. a II
	» fehlt	. • III
	» <u>V</u>	. » IV
	» VI	. • V
	» VII	· » VI
	» VIII	. » VII
	» IX	. » VIII . » IX
	n XI	. » fehlt
	» fehlen	. " X, XI, XII und XIII.
		an, and, and will didli.

EINLEITUNG.

Die Bestimmung der Bahn eines Himmelskörpers kann nicht sofort mit der grössten Genauigkeit durchgeführt werden, man ist gezwungen, wie dies in den meisten Fällen der Naturforschung statt hat, sich der Wahrheit nur stufenweise zu nähern; dem entsprechend ist auch die Anordnung dieses Werkes getroffen. erste Band enthält die vorläufige Lösung des Problems, nämlich die erste Bahnbestimmung. Die Natur der Aufgabe bringt es mit sich, dass diese Lösung nur dann möglich ist, wenn die heliocentrische Bewegung des Körpers innerhalb des Zeitraumes, auf den die zur Rechnung verwendeten Beobachtungen vertheilt sind, nicht zu gross ist; ferner wird man hierbei ganz von den störenden Einflüssen der übrigen Planeten absehen müssen. Der Inhalt des zweiten Bandes wird der weiteren Verbesserung der so gefundenen Elemente gewidmet sein; man wird in der Lage sein, die Elemente beliebig vielen Beobachtungen den Principien der Wahrscheinlichkeit nach anzuschliessen und die störenden Einflüsse der Planeten auf die Bewegung des zu berechnenden Himmelskörpers zu ermitteln. Die Störungen selbst kommen unter einem zweifachen Gesichtspunkte in Betracht; man geht entweder von einem bestimmten Punkte der Bahn aus, verfolgt Schritt für Schritt die störenden Einflüsse der Planeten und integrirt mit Hilfe der mechanischen Quadraturen die so für bestimmte Zeitmomente erhaltenen Differentialquotienten (specielle Störungen) oder man führt die Integration nach der unbestimmt gelassenen Zeit analytisch aus (allgemeine Störungen). Die Behandlung der Störungen auf die zuletzt angegebene Weise schliesse ich vorläufig aus und werde im zweiten Bande nur die Methoden der speciellen Störungen berücksichtigen.

Die Lösung der hier in Betracht kommenden Aufgaben setzt gewisse Kenntnisse voraus, ohne deren Beihilfe das Verständnis der nothwendigen Ableitungen entweder schwer oder gar nicht erlangt wird; ich habe deshalb in beiden Bänden für jede einzelne Disciplin deren theoretische Grundlagen an geeigneter Stelle und in der erforderlichen Ausdehnung behandelt; diese Erläuterungen sind für den Anfänger durchaus nöthig; ich meine aber, dass es auch dem erfahrenen Astronomen oft angenehm ist, alles Zusammengehörige übersichtlich angeordnet vorzufinden.

Häufig ist die Darstellungsweise und manche der zum Vortrag gebrachten Methoden neu; der erfahrene Leser wird dies bei einer oberflächlichen Durchsicht sofort erkennen. Ich habe stets diejenigen Methoden auszuwählen mich bestrebt, welche die grösste Sicherheit in Erlangung des Zieles gewähren; es war demnach bei der Auswahl derselben nicht immer die Kürze massgebend.

Ermittlung der Bahnelemente eines Himmelskörpers des Sonnensystems aus drei oder vier Beobachtungen.

Erster Theil.

(Präparatorischer Theil.)

I. Abschnitt. Die Coordinaten in ihrem gleichzeitigen Verhalten zu einander.

1. Eintheilung der Himmelskugel.

Der Ausgangspunkt der Untersuchung über die wahre Bahn eines Himmelskörpers ist die scheinbare Bahn, welche letztere man durch die Beobachtungen mindestens näherungsweise kennen lernt. Die Beobachtung gibt für eine bestimmte Zeit
den scheinbaren Ort dieses Körpers, auf die Himmelskugel projicirt, an. Um nun diese
Ortsangabe nach bestimmten Normen ausführen zu können, muss irgend eine Annahme über ein Coordinatensystem, welches als Ausgangspunkt der Zählung dient,
gemacht werden; es ist im Allgemeinen gleichgiltig, welches Coordinatensystem in
Anwendung kommt, doch sind aus praktischen Gründen nur gewisse wenige Systeme
in Gebrauch gekommen; ich kann mich daher im Folgenden auf die Betrachtung
dieser beschränken.

Ein Punkt auf der Erdoberfläche beschreibt einen Weg im Raume, der das Resultat dreier wesentlich verschiedener Bewegungen ist: die erste ist bedingt durch die Rotation der Erde um ihre Achse, ihre Periode ist ein Tag; die zweite hängt ab von dem Fortschreiten der Erde in ihrer Bahn um die Sonne, hier ist die Periode das Jahr; die dritte folgt aus der Bewegung der Sonne im Raume, an der alle Körper im Sonnensysteme, mithin auch die Erde, Theil nehmen. Über die Richtung und das Mass dieser letzteren Bewegung ist wenig mit Sicherheit ermittelt, allein sie ist für den vorliegenden Zweck ohne Belang, da es hier nur auf die relative Bewegung der Himmelskörper gegen das Sonnencentrum ankommt; die ersteren Bewegungen jedoch sind von besonderem Interesse, da dieselben die beiden wichtigsten Coordinatensysteme bedingen.

Legt man parallel der täglichen Bewegung des Erdortes eine Ebene oder, was damit übereinkommt, eine solche, welche senkrecht auf der Rotationsachse der Erde steht, so ist der Durchschnitt dieser Ebene mit der Himmelskugel der Äquator, der nothwendig ein grösster Kreis ist. Der Äquator theilt die Himmelskugel in zwei

Hemisphären; man bezeichnet diejenige, gegen welche der Nordpol der Erde gerichtet ist, als die nördliche, die andere als die südliche und verbindet meist mit ersterer als Symbol das positive Zeichen, mit letzterer das negative.

Legt man parallel der jährlichen Bewegung der Erde eine Ebene, so ist der Durchschnitt dieser Ebene mit der Himmelskugel die Ekliptik; auch diese theilt als grösster Kreis die Himmelskugel in zwei Hemisphären; in der nördlichen (positiven) liegt der Nordpol, in der südlichen (negativen) der Südpol des Äquators.

Der Äquator und die Ekliptik als grösste Kreise schneiden sich in zwei Punkten, den Äquinoctialpunkten, die 180° von einander entfernt liegen. In beiden grössten Kreisen gilt der eine Tag- und Nachtgleichenpunkt und zwar derjenige, in welchem die Ekliptik, in der Bewegungsrichtung der Erde beschrieben gedacht, aus der südlichen Äquatorhemisphäre in die nördliche ansteigt, als Anfangspunkt der Zählung; man nennt diesen Punkt den Frühjahrs-Tag- und Nachtgleichenpunkt oder kürzer den Frühjahrspunkt und die Neigung der Ekliptik gegen den Äquator die Schiefe der Ekliptik, für welche in dem vorliegenden Werke das Symbol ε gewählt wird.

Es sind durch die eben angestellten Betrachtungen zwei Coordinatensysteme erlangt, die vom Standpunkte des Beobachters völlig unabhängig sind; es kann demnach jedes dieser Systeme ohne einen weiteren Zusatz zur Bestimmung der Lage eines Punktes benützt und diese Bestimmung entweder durch die polaren oder rechtwinkligen Coordinaten vermittelt werden. Die in der Praxis eingeführte Zählart der polaren Äquatorcoordinaten ist die folgende: die eine Coordinate wird in der Ebene des Äquators vom Frühjahrspunkte im Sinne der Erdrotation (von West über Süd nach Ost), also im umgekehrten Sinne zur scheinbaren täglichen Bewegung der Gestirne gezählt. Man nennt diese Coordinate die gerade Aufsteigung oder Rectascension α ; dieselbe wird entweder in Bogen- oder Zeitmass angesetzt; erstere Massbestimmung gründet sich darauf, dass man die Peripherie in 360 Grade theilt, welche wieder im Verhältnisse von 1 zu 60 in Bogenminuten und Bogensekunden zerfällt werden; die letztere, welche für die nothwendige Verbindung der Beobachtung mit der Zeit besonders bequem ist, theilt die Peripherie in 24 Stunden und diese wieder im Verhältnisse von 1 zu 60 in Zeitminuten und Zeitsekunden. Es sind demnach:

$$15^{\circ} = 1^{h}$$
 $1^{\circ} = 4^{m}$
 $15' = 1^{m}$ $1' = 4^{s}$
 $15'' = 1^{s}$, $1'' = 0^{s}0666...$

Der Übergang vom Bogenmass auf das Zeitmass geschieht also durch die Division mit 15 und der umgekehrte Übergang durch Multiplication mit derselben Zahl. Diese Transformation kann mittelst Hilfstafeln, welche sich in fast allen astronomischen Tafelsammlungen vorfinden, leicht genug durchgeführt werden; doch bietet die Anwendung dieser Tafeln keinen Vortheil gegen das eben zu beschreibende Verfahren, zumal, wenn dasselbe durch einige Übung dem Rechner geläufig geworden ist. Es sei ein gegebener Bogen in Zeitmass zu verwandeln: man dividirt die Grade durch 15 und erhält, wenn man den Rest vorläufig ausser Acht lässt, die Anzahl Stunden, die man sofort anschreibt; die Division des Restes durch 15 geschieht einfach,

indem man denselben im Kopfe mit 4 multiplicirt und das Resultat als in Zeitminuten ausgedrückt betrachtet; diese Zahl erfährt eine Correction (stets kleiner als 4 Einheiten), wenn die zu verwandelnden Bogenminuten der Zahl nach mehr als 15 sind; man dividirt dann, wie das mit den Graden geschehen ist, die angesetzten Bogenminuten mit Ausserachtlassung des Restes durch 15 und fügt den Quotienten zu den durch den Rest in den Graden erhaltenen Zeitminuten hinzu. Der Rest in den Bogenminuten wird durch Multiplication mit 4 in Zeitsekunden verwandelt und zu diesen der Quotient addirt, der sich aus der Division der angesetzten Bogensekunden durch 15 ergibt. Bei einiger Übung wird man diese Transformation so schnell auszuführen im Stande sein, als man überhaupt Zahlen anzuschreiben vermag. Ich werde hier ein Beispiel ansetzen und die im Kopfe auszuführenden Rechnungen der Übersichtlichkeit wegen ebenfalls anschreiben. Es sei zu verwandeln:

$$350^{\circ}$$
 48' 33"78;
man hat:
 350° : 15 = 23^{h} + 5 × 4 Zeitminuten
48': 15 = $+3^{m}$ + 3 × 4 Zeitsekunden
 $33''78$: 15 = $+2^{5}252$
 23^{h} 23^{m} $14^{5}252$.

Aus dem eben mitgetheilten Verfahren wird sich leicht das inverse ableiten lassen, um eine in Zeitmass angesetzte Rectascension in Bogenmass zu verwandeln. Man verwandelt die Stunden durch die Multiplication mit 15 in Grade und sieht nach, wie viel mal die vorgelegten Zeitminuten durch 4 theilbar sind; das Resultat addirt man mit Ausserachtlassung des Restes zu den bereits gefundenen Graden und setzt die Summe als Grade an; den in den Bogenminuten erhaltenen Rest (der niemals grösser als 3 sein kann) multiplicirt man mit 15 und addirt hierzu die Zahl, welche die Division der vorgelegten Zeitsekunden durch 4 ohne Rücksicht auf den Rest ergibt, die Summe sind die anzusetzenden Bogenminuten. Den bei der Division der Zeitsekunden mit 4 erhaltenen Rest verwandelt man durch Multiplication mit 15 in Bogensekunden. Es sei zu verwandeln:

$$23^{h} 23^{m} 14^{s}252;$$
man hat:
$$23^{h} \times 15 = 345^{\circ}$$

$$23^{m} : 4 = 5^{\circ} + 3 \times 15 \text{ Bogenminuten}$$

$$14^{s}252 : 4 = 3' + (2^{s}252) \times 15 \text{ Bogensekunden}$$

$$350^{\circ} 48' 33''78.$$

Die zweite polare Äquatorealcoordinate ist die Abweichung oder Declination; diese wird in der Richtung vom Äquator zu den Polen gezählt und zwar positiv in der nördlichen, negativ in der südlichen Hemisphäre. Es ist also, wenn man mit δ die Declination bezeichnet, stets $\delta \leq \pm 90^{\circ}$. Bisweilen zählt man diese zweite Coordinate von dem Nordpole über den Äquator zum Südpole hin bis 180° und nennt dieselbe dann die Nordpolardistanz; man kann aber auch als Ausgangspunkt der Zäh-

lung den Südpol wählen und erhält so die Südpolardistanz. Die Relationen zwischen diesen verschiedenen Zählweisen sind demnach, wenn man mit π_n die Nordpolardistanz und mit π_n die Südpolardistanz bezeichnet:

$$\delta = 90^{\circ} - \pi_n = \pi_s - 90^{\circ}$$

 $\pi_n = 90^{\circ} - \delta = 180^{\circ} - \pi_s$
 $\pi_s = 90^{\circ} + \delta = 180^{\circ} - \pi_n$.

Für die analytische Behandlung ist aber oft die Einführung der rechtwinkligen Coordinaten statt der polaren vorzuziehen; bezeichnet man mit ϱ den Radius der Himmelskugel, so wird: $x' = \varrho \cos \delta \cos \alpha$

 $y' = \rho \cos \delta \sin \alpha$ $z' = \rho \sin \delta$.

Man sieht aus diesen Gleichungen sofort, dass die positive X-Achse durch den Frühjahrspunkt gelegt ist, die positive Y-Achse die Himmelskugel in der Rectascension $90^{\circ} = 6^{h}$ trifft und die positive Z-Achse durch den Nordpol geht.

In dem Coordinatensysteme der Ekliptik wird die der Rectascension analoge Coordinate Länge λ genannt und im Sinne der Bewegungsrichtung der Erde vom Frühjahrs-Tag – und Nachtgleichenpunkte aus gezählt; die in diesem Coordinatensysteme der Declination in Zählweise völlig analoge Coordinate ist die Breite β ; für die rechtwinkligen Coordinaten ist wieder:

$$x = \varrho \cos \beta \cos \lambda$$

 $y = \varrho \cos \beta \sin \lambda$
 $z = \varrho \sin \beta$,

woraus sofort die Lage der Coordinatenachsen erkannt wird.

Ausser den bisher hervorgehobenen Systemen kommen noch zwei weitere in Betracht, die vom Standorte des Beobachters abhängig sind. Das eine (Azimuth und Höhe), welches bei den geodätischen Bestimmungen von Wichtigkeit ist, kann als unwesentlich für das vorliegende Werk von der Betrachtung ausgeschlossen werden; das andere (Stundenwinkel und Declination) ist aber bei der Berechnung der Parallaxe sehr wichtig; das Coordinatensystem des Stundenwinkels ist fast völlig identisch mit dem des Äquators, nur bezüglich des Ausgangspunktes und der Zählungsrichtung der einen Coordinate unterscheiden sie sich von einander. Die Declination δ ist beiden Systemen gemeinsam, die andere Coordinate aber zählt man vom Meridiane des Beobachtungsortes aus in der der Rectascensionszunahme entgegengesetzten Richtung, also im Sinne der scheinbaren täglichen Bewegung der Himmelskugel und nennt diese Coordinate den Stundenwinkel t. Der Stundenwinkel des Frühjahrspunktes wird Sternzeit θ genannt. Es ist also:

$$\theta - t = \alpha$$
 $t = \theta - \alpha$:

für die rechtwinkligen Coordinaten ist wieder:

$$x'' = \varrho \cos \delta \cos t$$

$$y'' = \varrho \cos \delta \sin t$$

$$z'' = \varrho \sin \delta;$$

die positive X-Achse trifft die Himmelskugel in dem sichtbaren (über dem Horizonte befindlichen) Durchschnittspunkte des Meridians und Äquators, die positive Y-Achse ist gegen den Westpunkt gerichtet, die positive Z-Achse gegen den Nordpol.

2. Transformation der Coordinaten.

a. Der Anfangspunkt der Coordinaten bleibt unverändert.

Die bislang betrachteten Coordinatensysteme haben einen gemeinschaftlichen Anfangspunkt. Es sollen nun die Relationen ermittelt werden, welche zwischen den verschiedenen Coordinatensystemen bestehen; hierbei bietet sich zur Betrachtung hauptsächlich die Transformation der Äquatorcoordinaten in ekliptikale und umgekehrt dar; das Wenige, was über die Beziehungen des Stundenwinkels zur Rectascension zu sagen nöthig ist, wurde schon im vorausgehenden Kapitel (pag. 6) erledigt. Die zuerst bemerkte Transformation kommt bei Bahnbestimmungen sehr häufig vor, da die Beobachtungen mit seltenen Ausnahmen fast stets auf den Äquator als Fundamentalebene bezogen sind, während bei ersten Bahnbestimmungen die Wahl der Ekliptikalcoordinaten viele Vortheile gewährt. Bei diesen Transformationen kommen jedoch zwei wesentlich verschiedene Aufgaben in Betracht; es ist entweder die Lage eines grössten Kreises (Ebene), die für das eine System bekannt ist, auf das andere zu beziehen, oder es sind die Coordinaten eines Punktes zu transformiren. Ich werde zunächst die erstere Aufgabe behandeln.

Die Lage zweier grösster Kreise gegen einander wird, sobald der eine zu einer Fundamentalebene gehört, gewöhnlich durch zwei Angaben bestimmt: durch den Abstand eines ihrer beiden Durchschnittspunkte (Knoten) vom Anfangspunkte der Zählung und durch die gegenseitige Neigung i; um aber hierbei Alles unzweideutig bestimmen zu können, muss man gewisse Regeln festhalten. Vorerst hat man, weil sich zwei grösste Kreise stets in zwei um 180° von einander entfernten Punkten schneiden, zwei Knoten; da der vorliegende grösste Kreis in den hier in Betracht kommenden Fällen fast stets der Bahnebene eines Himmelskörpers entspricht, so ist derjenige Knoten als der aufsteigende zu bezeichnen, in welchem der in der Bewegungsrichtung des Himmelskörpers gezogene grösste Kreis, um aus der südlichen in die nördliche Hemisphäre zu gelangen, die Fundamentalebene schneidet; der andere Knoten, in dem der Himmelskörper aus der nördlichen Hemisphäre in die südliche tritt, ist der niedersteigende. In der Knotenlinie liegt nach den gemachten Annahmen der Sonnenmittelpunkt und zerfällt diese in zwei Theile; der eine, welcher den aufsteigenden Knoten enthält, bildet mit der nach dem Frühjahrspunkte gezogenen Linie einen Winkel, der in der Richtung der Längen gezählt, als Länge des aufsteigenden Knotens bezeichnet und durch das Symbol Ω dargestellt wird. Für die in ähnlicher Weise zu definirende Länge des absteigenden Knoten wählt man das Symbol ${ \mathfrak G }$. Als Neigung wird man denjenigen Winkel bezeichnen, welchen die beiden grössten Kreise, in der Richtung der Zählung und Bewegung gezogen gedacht, beim aufsteigenden Knoten einschliessen; die Neigung ist sonach innerhalb der Grenzen o° und 180° eingeschlossen. Bei Kometen zählt man häufig genug, aber sehr unzweckmässig, die Neigung nur bis 90° und bezeichnet äbnlich wie früher denjenigen Knoten als den aufsteigenden, von welchem aus der grösste Kreis (Bahnebene), in der Richtung der Bewegung des Himmelskörpers gezogen gedacht, aus der südlichen in die nördliche Hemisphäre ansteigt; ist diese Richtung mit der Bewegungsrichtung der Erde gleichsinnig nehmen die heliocentrischen Längen zu), so hezeichnet man dies durch den Beisatz die Bewegung ist direct; ist dieselbe aber entgegengesetzt (nehmen die heliocentrischen Längen ab so hezeichnet man die Bewegung des Kometen als retrograd. In ersterem Falle wird die Neigung wie früher gezählt, in letzterem aber setzt man als Neigung denjenigen Winkel an, welchen beim aufsteigenden Knoten der in der Bewegungsrichtung des Kometen gezogen gedachte, die Bahnlage bestimmende grösste Kreis mit demjenigen der Fundamentalebene, letzteren in der zur Zählung umgekehrten Richtung gezogen gedacht, bildet, also das Supplement der Neigung. In der Folge werde ich, wenn nicht ausdrücklich das Gegentheil bemerkt ist, unter Neigung stets die zuerst definirte Grösse verstehen. Diese Zählweise wurde von Gauss vorgeschlagen und sollte als die einzig richtige allgemein in Anwendung gebracht werden.

An diese Betrachtungen schliesst sich unmittelbar die Erklärung eines weiteren Elementes, welches bei Bahnbestimmungen auftritt und von der Wahl der Fundamentalebene theilweise abhängig ist. Durch den Knoten und die Neigung ist zwar die Bahnebene ihrer Lage nach bestimmt, doch die Bahn des Himmelskörpers kann als solche innerhalb dieser Ebene beliebig gedreht erscheinen; um nun auch in dieser Beziehung Alles unzweideutig bestimmen zu können, ninmt man einen ganz bestimmten Punkt in der Bahn heraus, dessen Lage in dem grössten Kreise der Bahnebene durch den Abstand vom aufsteigenden Knoten fixirt wird; hierzu wählt man denjenigen Punkt des grössten Kreises, in welchem sich der Himmelskörper, von der Sonne aus gesehen, dann befindet, wenn er dieser am nächsten ist und pflegt in solchen Fällen zu sagen, dass er im Perihele sei. Der Abstand dieses Punktes vom aufsteigenden Knoten, in der Bewegungsrichtung des Himmelskörpers gezählt, wird dann der Abstand des Perihels vom Knoten ω und die Summe der Bögen:

$$\omega + \Omega = \pi$$
,

die Länge des Perihels genannt. Die ältere Zählweise, in welcher zwischen directer und retrograder Bewegung unterschieden wird, bezeichnet den zwischen dem Perihel und dem aufsteigenden Knoten eingeschlossenen und in der Bewegungsrichtung der Erde gezählten Bogen als Abstand des Perihels vom Knoten und wieder die Summe dieses Bogens und der Länge des aufsteigenden Knotens als Länge des Perihels. Es ist also, wenn man die nach der älteren Zählweise angesetzten Elemente mit dem Index o versieht:

$$i = 180^{\circ} - i_{\circ} \quad \omega = 360^{\circ} - \omega_{\circ} \quad - \omega_{\circ}$$

$$\Omega - \Omega_{\circ} \quad \pi = 2\Omega_{\circ} - \pi_{\circ},$$
oder umgekehrt:
$$i_{\circ} = 180^{\circ} - i \quad \omega_{\circ} = 360^{\circ} - \omega - \omega$$

$$\Omega_{\circ} = \omega \quad \pi_{\circ} = 2\Omega - \pi.$$

Zur Erläuterung will ich die nach der Gauss'schen Zählweise angesetzten Elemente des Kometen III 1862 nach den obigen Vorschriften umsetzen; man wird finden:

a. Transformation der Bahnlage.

Es seien i, Ω und ω in Bezug auf die Ekliptik gegeben; man habe die analogen Grössen in Beziehung auf den Äquator, i' Ω' und ω' , zu suchen. Betrachtet man das sphärische Dreieck zwischen Äquator, Ekliptik und der Bahn und bezeichnet mit ε die Schiefe der Ekliptik, mit σ die dem Winkel ε gegenüberliegende Seite, so ergeben sofort die Gauss'schen Gleichungen zur geforderten Transformation:

$$\cos \frac{1}{2} i' \sin \frac{1}{2} (\Omega' + \sigma) = \cos \frac{1}{2} (i - \varepsilon) \sin \frac{1}{2} \Omega$$

$$\cos \frac{1}{2} i' \cos \frac{1}{2} (\Omega' + \sigma) = \cos \frac{1}{2} (i + \varepsilon) \cos \frac{1}{2} \Omega$$

$$\sin \frac{1}{2} i' \sin \frac{1}{2} (\Omega' - \sigma) = \sin \frac{1}{2} (i - \varepsilon) \sin \frac{1}{2} \Omega$$

$$\sin \frac{1}{2} i' \cos \frac{1}{2} (\Omega' - \sigma) = \sin \frac{1}{2} (i + \varepsilon) \cos \frac{1}{2} \Omega.$$

Der Abstand des Perihels vom Knoten wird transformirt nach:

und es ist weiter:

$$\omega' = \omega + \sigma$$

$$\pi' = \omega' + \Omega'.$$

Man kann aber auch andere Formeln aufstellen, die, wenn eine Controle wünschenswerth erscheint, sich zu einer solchen eignen. Aus demselben sphärischen Dreiecke findet sich nämlich leicht:

$$\sin i' \cos \Omega' = \sin \epsilon \cos i + \cos \epsilon \sin i \cos \Omega$$

 $\sin i' \sin \Omega' = \sin i \sin \Omega$
 $\cos i' = \cos \epsilon \cos i - \sin \epsilon \sin i \cos \Omega$
 $\sin i' \cos \sigma = \cos \epsilon \sin i + \sin \epsilon \cos i \cos \Omega$
 $\sin i' \sin \sigma = \sin \epsilon \sin \Omega$.

Setzt man also, um die eben aufgestellten Formeln für die logarithmische Rechnung bequem zu gestalten:

$$\begin{array}{c}
\sin a \sin A = \sin i \cos \Omega \\
\sin a \cos A = \cos i \\
\sin b \sin B = \sin i \\
\sin b \cos B = \cos i \cos \Omega,
\end{array}$$

in welchen Formeln es gestattet sein wird, sowohl sin a als auch sin b positiv anzuneh-

men, so wird:
$$\sin i' \sin \Omega' = \sin i \sin \Omega$$

 $\sin i' \cos \Omega' = \sin a \sin (A + \epsilon)$
 $\sin i' \sin \sigma = \sin \epsilon \sin \Omega$
 $\sin i' \cos \sigma = \sin b \sin (B + \epsilon)$
 $\cos i' = \sin a \cos (A + \epsilon)$
 $\omega' = \omega + \sigma$
 $\pi' = \omega' + \Omega'$

Ein Zweifel, in welchen Quadranten die Winkel anzunehmen seien, kann weder im ersteren noch im letzteren Rechnungsschema entstehen, da i' stets kleiner als 180° ist; es ist demnach sin ¼ i', cos ¼ i' und sin i' stets positiv.

Um vorstehende Vorschriften durch ein Beispiel zu erläutern, werde ich die oben angesetzten Elemente des Kometen III 1862, die sich auf die Ekliptik beziehen, in äquatoreale umwandeln; die anzuwendende Schiefe der Ekliptik ist $\varepsilon = 23^{\circ} 27' 26'' 12$ Ich werde zu der Transformation zuerst die Gauss'schen Gleichungen benützen: die Rechnung stellt sich dann, wie folgt:

Zur theilweisen Prüfung der Richtigkeit dieser Berechnung kann nachgesehen werden, ob die für sin 4 i' und cos 4 i' gefundenen Werthe zu demselben Winkel gehören.

Will man die zweite Gruppe der oben angeführten Formeln zur Verwandlung benützen, so wird man finden:

$\sin \epsilon$	9.599 9538	$\cos (A + \varepsilon)$	9 ,,0 96 6059
$\sin \Omega$	9.830 0736	sin a	9.894 7438
sin i	9.962 1664	$\sin (A + \epsilon)$	9 n 996 5851
cos Ω	9 _n 867 3026	$\sin i' \cos \Omega'$	9 n 891 3289
cos i	9n601 9191	sin oder $\cos \Omega'$	9 _n 893 4258
sin oder cos A	9n934 7252	$\sin i' \sin \Omega'$	9.792 2400
$\sin a \sin A$	9 n 829 4690	sin i'	9.997 9031
A	239° 22′ 1″35	$\sin (B + \epsilon)$	9.997 8928
$(A + \varepsilon)$	262 49 27.47	$\sin b$	9.983 5137
$\sin b \cos B$	9.469 2217	$\sin i' \cos \sigma$	9.981 4065
$\sin \operatorname{oder} \cos B$	9.978 6527	$\sin \operatorname{oder} \cos \sigma$	9.983 5034
В	72° 10′ 56″04	$\sin i' \sin \sigma$	9.430 0274
$(B + \epsilon)$	95 38 22.16	σ	15° 41′ 32″74
Ω'	141° 28′ 49″21	ω	152 45 37.82
i'	95 37 32.24	$\sin i'$	9.997 9031
ω'	168 27 10.56	$\cos i'$	8 _n 991 3497.
π'	309 55 59.77		

Für die Lösung der umgekehrten Aufgabe, nämlich die Ermittlung der Ekliptikalelemente aus den äquatorealen, werden sich ganz ähnliche Hilfsmittel finden lassen. Das sphärische Dreieck zwischen der Ekliptik, dem Äquator und der Bahn

wird geben:

$$\sin \frac{1}{2} i \sin \frac{1}{2} (\Omega + \sigma) = \sin \frac{1}{2} (i' + \varepsilon) \sin \frac{1}{2} \Omega'$$

$$\sin \frac{1}{2} i \cos \frac{1}{2} (\Omega + \sigma) = \sin \frac{1}{2} (i' - \varepsilon) \cos \frac{1}{2} \Omega'$$

$$\cos \frac{1}{2} i \sin \frac{1}{2} (\Omega - \sigma) = \cos \frac{1}{2} (i' + \varepsilon) \sin \frac{1}{2} \Omega'$$

$$\cos \frac{1}{2} i \cos \frac{1}{2} (\Omega - \sigma) = \cos \frac{1}{2} (i' - \varepsilon) \cos \frac{1}{2} \Omega',$$

und es ist, ganz ähnlich wie früher:

$$\omega = \omega' - \sigma$$

$$\pi = \omega + \Omega.$$

Will man die Einführung der halben Winkel umgehen, so wird man setzen:

$$\sin a' \sin A' = \sin i' \cos \alpha'$$

$$\sin a' \cos A' = \cos i'$$

$$\sin b' \sin B' = \sin i'$$

$$\sin b' \cos B' = \cos i' \cos \alpha'$$

$$\sin i \sin \alpha = \sin i' \sin \alpha'$$

$$\sin i \cos \alpha = \sin a' \sin (A' - \epsilon)$$

$$\sin i \cos \sigma = \sin b' \sin (B' - \epsilon)$$

$$\cos i = \sin a' \cos (A' - \epsilon)$$

$$\omega = \omega' - \sigma; \quad \pi = \omega + \alpha.$$

Zur Erläuterung der eben angesetzten Formeln nehme ich das oben gewählte Beispiel vom Kometen III 1862 wieder vor. Die äquatorealen Elemente, im Mittel aus den Resultaten der beiden oben vorgeführten Methoden, sind:

$$\Omega' = 141^{\circ} 28' 49''21$$
 $\pi' = 309^{\circ} 55' 59''76$
 $i' = 95 37 32 \cdot 22$ $\omega' = 168 27 10 \cdot 55$

Mit dem bereits angeführten Werthe für die Schiefe der Ekliptik wird sich nach 5) finden: $1 i' 47^{\circ} 48' 46''$ II sin $1 i \sin 1 (\Omega + \sigma)$ 0.010 4022

ien :	1 1	47°	48'	46″11
	1 €	II	43	43.06
1/2 (i'	$+\epsilon$)	59	32	29.17
1/2 (i'	— ε)	36	5	3.05
	₫Ω′	70	44	24.61
sin ½ (i'	$+\epsilon$)	9.9	935	5053
sir	ı 1/2 Ω'	9.0	974	9869
cos 1/2 (i'	+ ε)	9.	704	9353
$\sin \frac{1}{2} (i')$	— ε)	9.	770	0956
co	s ‡ Ω′	9.	518	3199
$\frac{\cos \frac{1}{2}}{i}$	— ε)	9.0	907	4933
sir	$1\frac{1}{2}i$	9.9	22	5289
CO	8] i	9.	738	6076
	1 i	56	° 4 <u>7</u>	′6″12

9.910 4922
9.987 9633
9.288 4155
76° 34′ 21″37
9.679 9222
9·941 314 6
9.425 8132
60° 52′ 48″67
150 41' 32"70
168 27 10.55
1370 27' 10"04
113 34 12-24
152 45 37.85
290 12 47.89.

Nach dem zweiten Formelschema 6) stellt sich die Berechnung so: $\cos (A' - \varepsilon)$ sin ε 9 599 9538 9n707 1752 $\sin a'$ sin Ω' 9.894 7439 9.794 3369 $\sin (A' - \varepsilon)$ sin i' 9.997 9032 9,934 7252 $\sin i \cos \Omega$ cos Q' 9,893 4258 9,829 4691 cos i' 8_n991 3495 $\sin \operatorname{oder} \cos \Omega$ 9,867 3026 sin oder cos A' 9,996 5851 $\sin i \sin \Omega$ 9.792 2401 $\sin a' \sin A'$ 9,891 3290 sin i 9.962 1665 A' 2620 49' 27"49 $\sin (B' - \epsilon)$ 9.946 4807 $(A' - \epsilon)$ 239 22 1.37 $\sin b'$ 9.999 1891 $\sin b' \cos B'$ $\sin i \cos \sigma$ 8.884 7753 9.945 6698 $\sin \operatorname{oder} \cos B'$ 9.998 7141 \sin oder \cos σ 9.983 5034 B' 85° 35' 35"02 $\sin i \sin \sigma$ 9.394 2907 $(B' - \epsilon)$ 62 8 8.90 Ω 137° 27′ 10″00 150 41' 32"74 ω' 168 27 10.55 i 113 34 12.26 $\sin i$ 9.962 1664 ω 152 45 37·81 cos i 9,601 9191. π 200 12 47·81

β. Transformation der ekliptikalen Coordinaten in üquatoreale und umgekehrt.

Hat man die Coordinaten eines Punktes zu transformiren und bezeichnet die rechtwinkligen Ekliptikalcoordinaten mit x' y' z', so wird sein :

Die Richtigkeit dieser Relationen leuchtet sofort ein, wenn man bedenkt, dass das Coordinatensystem der Ekliptik aus dem des Äquators dadurch entsteht, dass man, die X-Achse als Drehungsachse angenommen, das Coordinatensystem des Äquators um den Winkel ε (Schiefe der Ekliptik) dreht. Für den umgekehrten Fall wird man leicht aus dem Obigen finden:

$$x = x'$$

$$y = y' \cos \varepsilon + z' \sin \varepsilon$$

$$z = -y' \sin \varepsilon + z' \cos \varepsilon.$$

Die eben aufgestellten Formeln werden auch zur Transformation der polaren Coordinaten dienen können. Setzt man statt der rechtwinkligen Coordinaten nach den im vorausgehenden Kapitel (pag. 6) erhaltenen Relationen die polaren ein, so wird sich, nachdem man durchaus mit ϱ dividirt hat, nach den ersteren Formeln finden:

$$\cos \alpha \cos \delta = \cos \lambda \cos \beta$$

$$\sin \alpha \cos \delta = \sin \lambda \cos \beta \cos \epsilon - \sin \beta \sin \epsilon$$

$$\sin \delta = \sin \lambda \cos \beta \sin \epsilon + \sin \beta \cos \epsilon.$$
8a)

Die letzteren Formeln geben für den inversen Fall:

$$\cos \lambda \cos \beta = \cos \alpha \cos \delta$$

$$\sin \lambda \cos \beta = \sin \alpha \cos \delta \cos \epsilon + \sin \delta \sin \epsilon$$

$$\sin \beta = -\sin \alpha \cos \delta \sin \epsilon + \sin \delta \cos \epsilon.$$
8b)

Wendet man Additions- und Subtractionslogarithmen an, so kann man, ohne Hilfswinkel zu benützen, die Transformation in der unveränderten Form durchführen; ein Zweifel, in welchen Quadranten die Winkel zu nehmen sind, kann, da $\cos \delta$ beziehungsweise $\cos \beta$ immer positiv sein muss, nicht entstehen.

Durch die Einführung von Hilfswinkeln können die Formeln 8a) in folgender Weise für die gewöhnliche logarithmische Rechnung umgestaltet werden:

$$m \sin M = \sin \beta$$

$$m \cos M = \sin \lambda \cos \beta$$

$$\sin \alpha \cos \delta = m \cos (M + \epsilon)$$

$$\cos \alpha \cos \delta = \cos \lambda \cos \beta$$

$$\sin \delta = m \sin (M + \epsilon).$$

Diese Formeln werden stets mit Sicherheit angewendet werden können. Um die Richtigkeit der Rechnung zu prüfen, kann man entweder die Formeln 8a) unter Anwendung von Additions- und Subtractionslogarithmen oder, was noch zweckmässiger ist, die von Tietjen im Berliner astr. Jahrbuche für 1879 vorgeschlagenen Prüfungsgleichungen benützen. Multiplicirt man nämlich die erste Gleichung in 8b) mit — sin α, die zweite mit cos α und addirt, so wird:

$$\cos \beta \sin (\lambda - \alpha) = -2 \cos \alpha \sin \alpha \cos \delta \sin \frac{1}{2} \epsilon^2 + \cos \alpha \sin \delta \sin \epsilon$$

$$= 2 \sin \frac{1}{2} \epsilon \cos \alpha m \sin (M + \frac{1}{2} \epsilon).$$

Da $(\lambda - \alpha)$ in der Regel ein mässiger Bogen sein wird, so genügt die eben entwickelte Form dem praktischen Bedürfnisse. Subtrahirt man von der dritten Gleichung in 8a) die dritte in 8b) so findet sich:

$$(\sin \delta - \sin \beta)(1 + \cos \epsilon) = m \sin \epsilon \{\cos M + \cos (M + \epsilon)\},\$$

oder, wenn man von den bekannten trigonometrischen Transformationsformeln Gebrauch macht:

$$\sin \frac{1}{2} (\delta - \beta) = \sec \frac{1}{2} (\delta + \beta) m \sin \frac{1}{2} \epsilon \cos (M + \frac{1}{2} \epsilon).$$

Die Prüfungsgleichungen sind demnach:

$$\sin (\lambda - \alpha) = 2 \cos \alpha \sec \beta \quad m \sin \frac{1}{2} \epsilon \sin (M + \frac{1}{2} \epsilon)
\sin \frac{1}{2} (\delta - \beta) = \sec \frac{1}{2} (\delta + \beta) \quad m \sin \frac{1}{2} \epsilon \cos (M + \frac{1}{2} \epsilon).$$
10)

Um die Anwendung dieser Formeln zu erläutern, soll hier ein Beispiel vollständig durchgeführt werden. Es sei gegeben:

$$\lambda = 258^{\circ} 58' 31'' \circ 3$$
, $\beta = +12^{\circ} 48' 18'' \circ 8$, $\epsilon = 23^{\circ} 27' 22'' \circ 9$

dann stellt sich die Rechnung nach 9) wie folgt:

Die Prüfungsrechnung nach 10) ergibt:

$$\frac{1}{4} \varepsilon \quad 11^{0} \quad 43' \quad 41'' \quad 495 \qquad \cos \alpha \quad 9_{n} \quad 277 \quad 5892$$

$$M + \frac{1}{4} \varepsilon \quad 178 \quad 41 \quad 26 \cdot 025 \qquad 2 \cos \alpha \quad 9_{n} \quad 578 \quad 6192$$

$$\sin \frac{1}{4} \varepsilon \quad 9 \cdot 308 \quad 0714 \qquad m \sin \frac{1}{4} \varepsilon \sin \left(M + \frac{1}{4} \varepsilon\right) \quad 7 \cdot 659 \quad 3103$$

$$\sin \left(M + \frac{1}{4} \varepsilon\right) \quad 8 \cdot 358 \quad 9243 \qquad \sec \beta \quad 0 \cdot 010 \quad 9375$$

$$m \sin \frac{1}{4} \varepsilon \quad 9 \cdot 300 \quad 3860 \qquad \sin \left(\lambda - \alpha\right) \quad 7_{n} \quad 248 \quad 8670$$

$$\cos \left(M + \frac{1}{4} \varepsilon\right) \quad 9_{n} \quad 999 \quad 8866 \qquad \left(\lambda - \alpha\right) \quad \text{Probe} \quad -0^{\circ} \quad 6' \quad 5'' \quad 84$$

$$\frac{1}{2} \left(\delta + \beta\right) \quad 1^{\circ} \quad 17' \quad 7'' \quad 82 \quad \left(\lambda - \alpha\right) \quad \text{directe Rechng} \quad -0 \quad 6 \quad 5 \cdot 83$$

$$\sec \frac{1}{2} \left(\delta + \beta\right) \quad 0 \cdot 000 \quad 1093$$

$$m \sin \frac{1}{2} \varepsilon \cos \left(M + \frac{1}{2} \varepsilon\right) \quad 9_{n} \quad 300 \quad 2726$$

$$\frac{1}{2} \left(\delta - \beta\right) \quad -11^{\circ} \quad 31' \quad 10'' \quad 27$$

$$\left(\delta - \beta\right) \quad \text{Probe} \quad -23^{\circ} \quad 2' \quad 20'' \quad 54$$

$$\left(\delta - \beta\right) \quad \text{directe Rechnung} \quad -23 \quad 2 \quad 20 \cdot 54.$$

Die Proben stimmen gut, da aber der aus der Probe resultirende Werth für α in Bezug auf Genauigkeit den Vorzug verdient, so wird man als Resultat der Verwandlung annehmen:

$$\alpha = 259^{\circ} 4' 36''87; \qquad \delta = -10^{\circ} 14' 2''46.$$

Für die viel häufiger nothwendige Verwandlung der Rectascension und Declination in Länge und Breite wird man ganz ähnliche Transformationen benützen und erhalten:

$$n \sin N = \sin \delta$$

$$n \cos N = \sin \alpha \cos \delta$$

$$\sin \lambda \cos \beta = n \cos (N - \epsilon)$$

$$\cos \lambda \cos \beta = \cos \alpha \cos \delta$$

$$\sin \beta = n \sin (N - \epsilon).$$
Zur Probe:
$$\begin{cases} \sin (\lambda - \alpha) = 2 \cos \alpha \sec \beta & n \sin \frac{1}{2} \epsilon \sin (N - \frac{1}{2} \epsilon) \\ \sin \frac{1}{2} (\delta - \beta) = \sec \frac{1}{2} (\delta + \beta) & n \sin \frac{1}{2} \epsilon \cos (N - \frac{1}{2} \epsilon). \end{cases}$$

Als Beispiel der Anwendung dieser Formeln sei gegeben:

$$\alpha = 81^{\circ} 48' 42''4, \quad \delta = 68^{\circ} 27' 59''5, \quad \varepsilon = 23^{\circ} 27' 25''53.$$

Die Verwandlung in Länge und Breite nach den Formeln 11) stellt sich demnach in der folgenden Weise:

Prüfungsrechnung:

Die Prüfungsrechnungen stimmen in diesem Falle vollständig.

y. Berechnung der Sonnencoordinaten.

Bei der Berechnung der Ephemeriden der Planeten und Kometen ist die Kenntnis der rechtwinkligen äquatorealen Sonnencordinaten von Wichtigkeit; man kann dieselben leicht aus der Länge, Breite und Entfernung der Sonne mit Hilfe der früher angesetzten Transformationsformeln ableiten. Ist L, B und R beziehungsweise die geocentrische Länge, Breite und Entfernung der Sonne, so ist vorerst:

$$X' = R \cos L \cos B$$

 $Y' = R \sin L \cos B \cos \varepsilon - R \sin B \sin \varepsilon$
 $Z' = R \sin L \cos B \sin \varepsilon + R \sin B \cos \varepsilon$.

Da aber die tropische Breite der Sonne im Maximum den Werth von etwa einer Bogensekunde erreichen kann, so wird mit hinreichender Genauigkeit gesetzt werden können:

$$X' = R \cos L$$
 $Y' = R \sin L \cos \varepsilon - R \sin \varepsilon \cdot B \text{ arc } 1''$
 $Z' = R \sin L \sin \varepsilon + R \cos \varepsilon \cdot B \text{ arc } 1''$.

Die zweiten Glieder in den Ausdrücken für Y' und Z' können als Correctionsglieder betrachtet werden; man wird bei der Kleinheit derselben für R stets die Einheit einsetzen dürfen und, da sin ϵ und cos ϵ sehr geringen Änderungen unterworfen sind, so können beide Functionen von ϵ in diesen Gliedern als constant angesehen werden. Nimmt man $\epsilon = 23^{\circ}$ 27' 20", so wird man, um die Correctionen in Einheiten der siebenten Decimale zu finden, schliesslich mit ausreichender Schärfe setzen dürfen:

$$X' = R \cos L$$

$$Y' = R \sin L \cos \varepsilon - 19.3 B$$

$$Z = R \sin L \sin \varepsilon + 44.5 B.$$

wobei B in Bogensekunden anzunehmen ist. Diese äquatorealen Sonnencoordinaten finden sich in den meisten astronomischen Ephemeridensammlungen.

8. Berechnung der heliorentrischen Äquatorcoordinaten.

Weiters ist bei der Berechnung der Ephemeriden die Kenntnis der heliocentrischen Äquatorealcoordinaten des Himmelskörpers nöthig. Da aber die Elemente meist auf die Ekliptik bezogen werden, so ist es gewöhnlich leichter, die Ekliptikalcoordinaten zu erlangen; dieselben müssen dann erst für den Äquator transformirt werden; hat man aber viele derartige Transformationen auszuführen, wie dies bei der Berechnung einer Ephemeride der Fall ist, so wird die Anwendung einiger Hilfsgrössen die Arbeit wesentlich abkürzen und erleichtern.

Aus den Elementen wird man r, die Entfernung des Himmelskörpers von der Sonne und v, den heliocentrischen zwischen dem Perihel und dem Orte des Himmelskörpers eingeschlossenen, in der Richtung der Bewegung gezählten Bogen erhalten. Bezeichnet man wie oben mit ω den Abstand des Perihels vom Knoten. so ist der Abstand des Himmelskörpers vom aufsteigenden Knoten u (Argument der Breite), in derselben Richtung gezählt, durch:

$$u = v + \omega$$

bestimmt. Legt man nun ein Coordinatensystem so, dass die XY-Ebene mit der Ekliptik zusammenfällt, die positive X-Achse die Himmelskugel in der Länge des Knotens trifft, so wird man für die rechtwinkligen Coordinaten haben:

$$x_0 = r \cos u$$

$$y_0 = r \sin u \cos i$$

$$z_0 = r \sin u \sin i$$

Dreht man dieses Coordinatensystem um die Z-Achse so, dass die positive X-Achse mit dem Frühjahrspunkte zusammenfällt, so werden die rechtwinkligen Coordinaten sein:

$$x = x_0 \cos \Omega - y_0 \sin \Omega$$

$$y = x_0 \sin \Omega + y_0 \cos \Omega$$

$$z = z_0$$

oder durch Substitution der früher gefundenen Werthe:

$$x = r \{ \cos u \cos \Omega - \sin u \sin \Omega \cos i \}$$

 $y = r \{ \cos u \sin \Omega + \sin u \cos \Omega \cos i \}$
 $z = r \sin u \sin i$.

Verwandelt man diese Ekliptikalcoordinaten mit Hilfe der Relationen 7) (pag. 12) in äquatoreale, so wird man leicht finden:

$$x' = r \{ \cos u \cos \Omega - \sin u \sin \Omega \cos i \}$$

$$y' = r \{ \cos u \sin \Omega \cos \varepsilon + \sin u \cos \Omega \cos i \cos \varepsilon - \sin u \sin i \sin \varepsilon \}$$

$$z' = r \{ \cos u \sin \Omega \sin \varepsilon + \sin u \cos \Omega \cos i \sin \varepsilon + \sin u \sin i \cos \varepsilon \}.$$

Setzt man:

$$\sin a \sin A = \cos \Omega$$

 $\sin a \cos A = -\sin \Omega \cos i$
 $\sin b \sin B = \sin \Omega \cos \varepsilon$
 $\sin b \cos B = \cos \Omega \cos i \cos \varepsilon - \sin i \sin \varepsilon$
 $\sin c \sin C = \sin \Omega \sin \varepsilon$
 $\sin c \cos C = \cos \Omega \cos i \sin \varepsilon + \sin i \cos \varepsilon$

so ziehen sich die obigen Ausdrücke in die folgenden zusammen:

$$x' = r \sin a \sin (A + u)$$

$$y' = r \sin b \sin (B + u)$$

$$z' = r \sin c \sin (C + u).$$

Die Berechnung der Constanten b, B, c und C kann durch die Einführung weiterer Hilfsgrössen etwas vereinfacht werden. Setzt man nämlich:

$$n \sin N = \sin i$$

$$n \cos N = \cos \Omega \cos i,$$

so wird:

$$\sin b \cos B = n \cos (N + \epsilon)$$

 $\sin c \cos C = n \sin (N + \epsilon)$.

Man wird sin a, sin b und sin c stets positiv annehmen können und danach die Quadranten, in denen A, B und C liegen, bestimmen. Zur Controle der richtigen Berechnung der Constanten wird man auf folgende Weise einen geeigneten Ausdruck erhalten. Durch entsprechende gegenseitige Multiplication der Ausdrücke für die Hilfswinkel ergibt sich:

$$\sin b \sin c \sin C \cos B = \sin \Omega \sin \epsilon \{\cos \Omega \cos i \cos \epsilon - \sin i \sin \epsilon \}$$

$$\sin b \sin c \cos C \sin B = \sin \Omega \cos \epsilon \{\cos \Omega \cos i \sin \epsilon + \sin i \cos \epsilon \};$$

die Subtraction dieser Gleichungen lässt finden:

$$\sin b \sin c \sin (C - B) = -\sin \Omega \sin i;$$

nun ist aber auch gesetzt worden:

$$\sin a \cos A = -\sin \alpha \cos i$$

demnach gilt auch die Gleichung:

$$\operatorname{tg}\,i = \frac{\sin\,b\,\sin\,c\,\sin\,\left(C - B\right)}{\sin\,a\,\cos\,A},$$

welche als Prüfungsgleichung benützt werden kann.

Oppolzer, Bahnbestimmungen. I. 2. Auflage.

In den zuletzt aufgestellten Ausdrücken für die rechtwinkligen Coordinaten wird es zweckmässig sein, das Argument der Breite u in $v + \omega$ aufzulösen und ω mit den Constanten A, B und C zu vereinigen. Es wird dann sein:

$$A' = A + \omega$$
 $x' = r \sin a \sin (A' + v)$
 $B' = B + \omega$ $y' = r \sin b \sin (B' + v)$
 $C' = C + \omega$ $z' = r \sin c \sin (C' + v)$.

Sind die Elemente auf den Äquator als Fundamentalebene bezogen, so gestaltet sich die Berechnung der Constanten viel einfacher. Man wird in den obigen Ausdrücken ε gleich Null setzen und erhalten:

$$\begin{array}{lll}
\sin a \sin A_a = \cos \alpha' & A' = A_a + \omega' \\
\sin a \cos A_a = -\sin \alpha' \cos i' & B' = B_a + \omega' \\
\sin b \sin B_a = \sin \alpha' & C' = \omega' \\
\sin b \cos B_a = \cos \alpha' \cos i' & x' = r \sin a \sin (A' + v) \\
\sin c = \sin i' & y' = r \sin b \sin (B' + v) \\
C_a = 0 & z' = r \sin c \sin (C' + v).
\end{array}$$

Ich stelle nun die Formeln, die zur Berechnung der Äquatorconstanten aus den Ekliptikalelementen dienen, übersichtlich zusammen:

$$\sin a \sin A = \cos \Omega \qquad \qquad \sin b \sin B = \sin \Omega \cos \varepsilon$$

$$\sin a \cos A = -\sin \Omega \cos i \qquad \sin b \cos B = n \cos (N + \varepsilon)$$

$$n \sin N \qquad = \sin i \qquad \sin c \sin C = \sin \Omega \sin \varepsilon$$

$$n \cos N \qquad = \cos \Omega \cos i \qquad \sin c \cos C = n \sin (N + \varepsilon)$$

$$A' = A + \omega \qquad \qquad x' = r \sin a \sin (A' + v)$$

$$B' = B + \omega \qquad \qquad y' = r \sin b \sin (B' + v)$$

$$C' = C + \omega \qquad \qquad z' = r \sin c \sin (C' + v);$$

$$zur \text{ Probe :}$$

$$\text{tg } i = \frac{\sin b \sin c \sin (C - B)}{\sin a \cos A}.$$

Es können aber diese Constanten auch dadurch erhalten werden, dass man vorerst die ekliptikalen Elemente in äquatoreale verwandelt und dann nach den oben angesetzten sehr einfachen Formeln 13) die Äquatorconstanten ermittelt. Man kann dieses Verfahren zur Controle benützen.

Als Beispiel der Berechnung der Äquatorconstanten wähle ich die oben (pag. 9) angeführten Elemente des Kometen III 1862; man hat für dieselben anzunehmen:

$$\Omega = 137^{\circ} \ 27' \ 10''02, \quad i = 113^{\circ} \ 34' \ 12''24, \quad \omega = 152^{\circ} \ 45' \ 37''82, \quad \varepsilon = 23^{\circ} \ 27' \ 26''12$$

$$\cos \varepsilon \ 9.962 \ 5385 \qquad \sin i = n \sin N \quad 9.962 \ 1664$$

$$\sin \varepsilon \ 9.599 \ 9538 \qquad \sin oder \cos N \quad 9.978 \ 6527$$

$$\sin \Omega \ 9.830 \ 0736 \qquad n \cos N \quad 9.469 \ 2217$$

$$\cos i \ 9_n601 \ 9191 \qquad N \quad 72^{\circ} \ 10' \ 56''04$$

$$\cos \Omega = \sin a \sin A \quad 9_n867 \ 3026 \qquad N + \varepsilon \quad 95 \quad 38 \quad 22 \cdot 16$$

$$\sin a \cos A \quad 9.431 \ 9927 \qquad n \quad 9.983 \ 5137$$

$$A \quad 290^{\circ} \ 9' \ 14''98 \qquad \sin (N + \varepsilon) \quad 9.997 \ 8928$$

$$\sin a \quad 9.894 \ 7439$$

sin
$$b \sin B$$
 $9.792 \ 6121$
 sin $c \sin C$
 $9.430 \ 0274$

 sin oder $\cos B$
 $9.995 \ 0068$
 sin oder $\cos C$
 $9.983 \ 5034$

 sin $b \cos B$
 $8_{m}975 \ 9294$
 sin $c \cos C$
 $9.981 \ 4065$
 B
 $98^{\circ} \ 40' \ 18'' 25$
 C
 $15^{\circ} \ 41' \ 32'' 74$

 sin b
 $9.797 \ 6053$
 sin c
 $9.997 \ 9031$

Es ist also:

$$x' = r$$
. $9.8947439 \sin (82^{\circ} 54' 52''80 + v)$
 $y' = r$. $9.7976053 \sin (251^{\circ} 25' 56''07 + v)$
 $z' = r$. $9.9979031 \sin (168^{\circ} 27' 10''56 + v)$

Probe:

$$\sin b \sin c$$
 9.795 5084 $\cos A$ 9.537 2488 $\sin (C - B)$ 9,896 7314 $\sin a \cos A$ 9.431 9927 $\sin b \sin c \sin (C - B)$ 9,8792 2398 $tg i$ 0,360 2471 i 113° 34′ 12″30,

welcher Werth von i mit dem Ausgangswerthe genügend übereinstimmt.

Zur Probe kann man auch die oben ausgeführte Verwandlung der ekliptikalen Elemente in äquatoreale benützen. Setzt man wie oben (pag. 11) die Mittelwerthe der nach den zwei verschiedenen Methoden erhaltenen Elemente an, nämlich:

$$\Omega' = 141^{\circ} 28' 49''21, \quad i' = 95^{\circ} 37' 32''22, \quad \omega' = 168^{\circ} 27' 10''55,$$

so stellt sich die Rechnung nach dem Formelsystem 13) wie folgt:

$$\sin \alpha'$$
 9.794 3369 $\sin b \sin B_a$ 9.794 3369 $\cos i'$ 8_n991 3495 $\sin b \cos B_a$ 9.996 7314 $\cos \alpha' = \sin a \sin A_a$ 9_n893 4258 $\sin b \cos B_a$ 8.884 7753 $\sin a \cos A_a$ 8.785 6864 B' 251 25 56.07 A_a 274° 27′ 42″26 $\sin b$ 9.797 6055 A' 82 54 52.81 $\sin i' = \sin c$ 9.997 9032 $\sin a$ 9.894 7440 $\omega' = C'$ 168° 27′ 10″55,

welche Werthe mit den früher erhaltenen gut übereinstimmen.

Die eben angegebenen Formeln können jedoch nach der Natur der Bahn auch zweckmässig abgeändert werden. Findet nämlich die Bewegung in einer Parabel statt, so ist, wenn man mit q den Perihelabstand bezeichnet, wie später (pag. 58) gezeigt wird: $r = q \sec \frac{1}{2} v^2,$

man wird demnach in obigen Formeln einsetzen:

$$\left.\begin{array}{l}
q \sin a = m \\
q \sin b = n \\
q \sin c = p,
\end{array}\right\} \quad 15$$

und erhalten:

$$x' = m \sin (A' + v) \sec \frac{1}{2} v^{2}$$

$$y' = n \sin (B' + v) \sec \frac{1}{2} v^{2}$$

$$z' = p \sin (C' + v) \sec \frac{1}{2} v^{2}.$$

Für vom Kreise wenig verschiedene Bahnen (Planetenbahnen) werden sich nachstehende Transformationen obiger Ausdrücke empfehlen. Es wird im zweiten Abschnitte (pag. 57) gezeigt werden, dass zur Berechnung von v ein Hilfswinkel E nöthig ist, der die excentrische Anomalie genannt wird und mit v und r durch die beiden Relationen:

$$r \sin v = a \sin E \cos \varphi$$

 $r \cos v = a \cos E - a \sin \varphi$

verbunden ist; a und φ sind Constanten, deren Bedeutung ebenfalls im zweiten Abschnitte erörtert wird. Schreibt man zunächst für die Werthe der Coordinaten die aufgelöste Form hin, so resultirt:

$$x' = r \sin a \sin A' \cos v + r \sin a \cos A' \sin v$$

$$y' = r \sin b \sin B' \cos v + r \sin b \cos B' \sin v$$

$$z' = r \sin c \sin C' \cos v + r \sin c \cos C' \sin v.$$

Setzt man für die Werthe $r \sin v$ und $r \cos v$ die oben angeführten Relationen und weiters:

$$l' \sin L' = a \sin a \sin A' \qquad m' \sin M' = a \sin b \sin B'$$

$$l' \cos L' = a \sin a \cos \varphi \cos A' \qquad m' \cos M' = a \sin b \cos \varphi \cos B'$$

$$l' = -\sin \varphi l' \sin L' \qquad \mu' = -\sin \varphi m' \sin M'$$

$$n' \sin N' = a \sin c \sin C'$$

$$n' \cos N' = a \sin c \cos \varphi \cos C'$$

$$\nu' = -\sin \varphi n' \sin N'$$

so wird man als neue Form für die rechtwinkligen Äquatorcoordinaten erhalten:

$$x' = l' \sin (E + L') + \lambda'$$

 $y' = m' \sin (E + M') + \mu'$
 $z' = n' \sin (E + N') + \nu'$, 18)

welche Form bei der Berechnung einer umfangreicheren Planetenephemeride wesentliche Vortheile darbietet.

b. Der Anfangspunkt des Coordinatensystemes wird geändert.

a. Heliocentrischer und geocentrischer Ort.

Die Coordinaten eines Himmelskörpers, bezogen auf den Erdmittelpunkt, werden geocentrische genannt, verlegt man aber den Anfangspunkt des Coordinatensystems in das Sonnencentrum, so bezeichnet man die auf diesen Punkt bezogenen Coordinaten des Himmelskörpers als heliocentrische. Nennt man X, Y und Z die geocentrischen Coordinaten der Sonne, ξ , η und ζ die geocentrischen Coordinaten des Himmelskörpers und endlich x, y und z die heliocentrischen Coordinaten desselben, so ist offenbar:

$$\begin{cases}
\xi = x + X \\
\eta = y + Y \\
\zeta = z + Z.
\end{cases}$$

Die Berechnungsart der Grössen x, y, z, X, Y und Z ist im vorausgehenden Kapitel angedeutet worden, es ist daher mit Hilfe der eben aufgestellten Relationen die Eruirung von ξ, η und ζ ermöglicht; will man sofort die geocentrischen polaren Coordinaten kennen, so wird man unter der Voraussetzung äquatorealer Coordinaten, wenn mit ϱ die geocentrische Entfernung bezeichnet wird, haben:

$$\left. \begin{array}{l} \varrho \cos \alpha \cos \delta = x + X \\ \varrho \sin \alpha \cos \delta = y + Y \\ \varrho \sin \delta = z + Z. \end{array} \right\} \ \ _{2})$$

Diese Form des Überganges auf geocentrische Coordinaten wird besonders bei der Ausführung von Ephemeriden Anwendung finden; bei ersten Bahnbestimmungen jedoch, wo fast ausschliesslich die Ekliptik als Fundamentalebene gewählt wird, werden etwas abgeänderte Formeln mit Vortheil benützt. Die Breite der Sonne kann als sehr klein meist vernachlässigt werden, soll dieselbe aber mit in Rechnung gezogen werden, so gestatten die weiter unten mitgetheilten Methoden eine strenge Eliminirung der Sonnenbreiten; man wird daher die Z-Coordinate der Sonne der Null gleich setzen können. Bezeichnet man mit l, b und r die heliocentrische Länge, Breite und Entfernung (Radius vector) des Himmelskörpers, mit L und R die geocentrische Länge und Entfernung der Sonne (die Breite wird dem eben Angeführten gemäss der Null gleich angenommen), mit λ , β und ϱ die geocentrische Länge, Breite und Entfernung des Himmelskörpers, so wird, wenn man statt der rechtwinkligen Coordinaten sofort die polaren hinschreibt:

$$\begin{array}{c} \varrho \cos \lambda \cos \beta = r \cos l \cos b + R \cos L \\ \varrho \sin \lambda \cos \beta = r \sin l \cos b + R \sin L \\ \varrho \sin \beta = r \sin b. \end{array}$$

Diese Formeln können von Fall zu Fall wesentlich vereinfacht werden; zählt man die Längen von einem Punkte aus, dessen Länge gleich L angenommen wird, so erhält man aus diesen Gleichungen:

$$\left. \begin{array}{l} \varrho \, \cos \, (\lambda - L) \, \cos \, \beta = r \, \cos \, (l - L) \, \cos \, b \, + \, R \\ \varrho \, \sin \, (\lambda - L) \, \cos \, \beta = r \, \sin \, (l - L) \, \cos \, b \\ \varrho \, \sin \, \beta = r \, \sin \, b. \end{array} \right\} \ \, 4)$$

Wählt man als Ausgangspunkt die Länge l, so wird:

$$\begin{array}{c} \varrho \, \cos \, (\lambda - l) \, \cos \, \beta = r \, \cos \, b \, + \, R \, \cos \, (L - l) \\ \varrho \, \sin \, (\lambda - l) \, \cos \, \beta = R \, \sin \, (L - l) \\ \varrho \, \sin \, \beta = r \, \sin \, b. \end{array} \right\} \ \, 5)$$

Zählt man, wie dies beim Übergang auf den heliocentrischen Ort vortheilhaft ist, alle Längen von λ aus und setzt der geforderten Transformation entsprechend die Formeln um, so wird man haben:

$$\begin{array}{c} r\cos{(l-\lambda)}\cos{b} = \varrho\cos{\beta} - R\cos{(L-\lambda)} \\ r\sin{(l-\lambda)}\cos{b} = - R\sin{(L-\lambda)} \\ r\sin{b} = \varrho\sin{\beta}. \end{array} \right\} \ \ 6)$$

Will man aus den Elementen direct die georentrische Länge. Breite und Entfernung des Himmelskärpers berechnen, wo empfiehlt es sich, alle Längen vom aufsteigenden Knozen 2 der Bahn zu zählen; es findet sich dann:

$$\varrho \cos (\lambda - \beta), \cos \beta = r \cos (1 - \beta) \cos b + R \cos (L - \beta)$$
 $\varrho \sin (\lambda - \beta) \cos \beta = r \sin (1 - \beta) \cos b + R \sin (L - \beta)$
 $\varrho \sin \beta = r \sin b.$

Ersetzt man nun die heliocentrischen Längen und Breiten durch das Argument der Breite und die Neigung der Bahn, so folgt aus dem in Betracht kommenden rechtwinkligen sphärischen Dreiecke:

$$\cos u = \cos T - 2 \cos b$$

$$\sin u \cos i = \sin T - 2 \cos b$$

$$\sin u \sin i = \sin b.$$

und man erhält die zur Anwendung höchst bequeme Form:

$$\varrho \cos (\lambda - 2) \cos \beta = r \cos u + R \cos L - 2$$

$$\varrho \sin (\lambda - 2) \cos \beta = r \sin u \cos i + R \sin L - 2$$

$$\varrho \sin \beta = r \sin u \sin i.$$
7

β. Parallaxe.

Ein mit der eben vorgetragenen Transformation der Coordinaten sehr verwandtes, ja identisches Problem ist das der Parallaxe, nur verlangt die Art der Ermittlung derselben als Correctionsgrösse eine etwas verschiedene Lösung der Aufgabe.

Die Beobachtungen werden an der Erdoberfläche erhalten, es ist aber für die meisten Berechnungen von Vortheil und in vielen Fällen geboten. die Reduction auf den Erdmittelpunkt oder auf einen durch die Verhältnisse bestimmten Punkt (locus fictus, auszuführen. Durch diese Verrückung des Anfangspunktes des Coordinatensystems entstehen Änderungen in den beobachteten Coordinaten; den Unterschied der Richtungen einer vom Beobachter aus zum beobachteten Objekte gezogenen Geraden gegen eine solche, welche dieses Objekt mit dem Erdmittelpunkte verbindet, bezeichnet man mit dem Namen der Parallaxe. Die Parallaxe eines Himmelskörpers kann auch so definirt werden, dass man dieselbe als den scheinbaren Abstand zwischen dem Beobachter und dem Erdmittelpunkte, vom Himmelskörper aus gesehen, bezeichnet. Das vorliegende Kapitel fasst aber diese Bezeichnung etwas weiter, indem in dasselbe die mit der Parallaxe verwandten Reductionen einbezogen werden.

Die zu berechnenden Reductionen sind Functionen der Erddimensionen und es ist nothwendig, vorerst diese näher zu betrachten. Die Erde gleicht nahezu einem Rotationsellipsoid, dessen kleine Achse durch die Pole der Erde gelegt ist. Ist a die halbe grosse Achse und b die halbe kleine Achse, so ist die Abplattung der Erde bestimmt durch die Relation:

$$\frac{a-b}{a}$$
.

Die Größen a und b müssen aus entsprechend angestellten Beobachtungen (Gradmes-

sungen) abgeleitet werden. Bessel hat durch genaue Discussion der vorhandenen Gradmessungen gefunden:

$$a = 3272 \text{ } 077 \cdot 14 \text{ } \text{Toisen} = 6377 \text{ } 397 \cdot 15 \text{ } \text{Meter}$$

 $b = 3261 139 \cdot 33 \quad \text{a} = 6356 078 \cdot 96 \quad \text{a} \quad \text{,}$

woraus sofort folgt:

Abplattung =
$$\frac{1}{299 \cdot 153}$$
.

Bei Messungen auf der Erde mögen allenfalls a oder die oben angesetzten Längenmasse (Toise, Meter) oder andere verwandte (Meilen, Klafter etc.) als Einheit genügen; bei astronomischen Berechnungen aber wird die Anwendung derselben unbequem sein und man hat sich dahin geeinigt. besonders sobald es sich um Entfernungen innerhalb des Sonnensystems handelt, die halbe grosse Achse der Erdbahn als Einheit einzuführen (über den eigentlich in Betracht kommenden Werth für diese Einheit vgl. Abschnitt II, Kapitel I pag. 40). Es muss deshalb, soll der Übergang von der einen Einheit auf die andere ausgeführt werden, das Verhältnis dieser bekannt sein, welches wieder nur durch Beobachtungen erlangt werden kann. Die Kleinheit der Erde im Verhältnisse zu ihrer Entfernung von der Sonne macht aber diese Bestimmung sehr schwierig und es bedarf besonderer Methoden, um genügende Resultate zu erlangen; die Auseinandersetzung derselben gehört aber nicht hierher und ich werde hier nur im Anschluss an eine Arbeit über diesen Gegenstand von S. Newcomb eine Zusammenstellung der durch die verschiedenen Methoden erlangten Resultate geben. Bezeichnet man den Winkel, unter dem der Äquatorhalbmesser der Erde von der Sonne in der Entfernung 1 gesehen erscheint, als die Sonnenparallaxe z, so ergeben sich für diese Grösse folgende Werthe:

- 1. Aus den Meridianbeobachtungen des Mars im Jahre 1862, ausgeführt nach dem Plane Winnecke's, fand sich $\pi = 8''855 \pm 0''020$.
- 2. Die Marsbeobachtungen desselben Jahres mit Hilfe von an Refractoren angebrachten mikrometrischen Apparaten ergaben $\pi = 8''842 \pm 0''040$.
- 3. Durch Powalky's neue Discussion des Venusdurchganges von 1769 wird $\pi = 8''86 \pm 0''04$.
- 4. Die paralläktische Ungleichheit des Mondes gibt mit Rücksicht auf Einzelnwerthe, die Hansen, Stone und Newcomb gefunden haben $\pi = 8''838 \pm 0''025$.
- 5. Aus der Mondgleichung der Erde, die nach vierzehnjährigen Greenwicher, fünfjährigen Washingtoner Beobachtungen und Le Verrier's Bestimmung abgeleitet ist, wird $\pi = 8''809 \pm 0''054$.
- 6. Foucault's Bestimmung der Lichtgeschwindigkeit ergibt $\pi = 8''86 \pm ?$ Newcomb zieht aus diesen sechs Bestimmungen als wahrscheinlichsten Werth für die Sonnenparallaxe: $\pi = 8''848 \pm 0''013$.

welcher Werth für π in diesem Werke durchaus adoptirt ist.

Seit der Publication der Newcomb'schen Arbeit sind mehrfache Bestimmungen der Sonnenparallaxe unter Anwendung verschiedener Methoden vorgenom-

men worden, welche die obigen Werthe sehr nahe bestätigen. So finden Campbell und Neison aus der parallaktischen Ungleichheit des Mondes mit Benützung der Greenwicher Beobachtungen zwischen den Jahren 1862 und 1876 inclusive den Werth $\pi = 8''848 \pm 0''007$; Maxwell Hall aus in Jamaica bei verschiedenen Zenithdistanzen angestellten Marsbeobachtungen 8"789 ± 0"060; Gill auf Ascension durch dieselbe Methode 8"78 ± 0"012; Michelson und Todd aus neuen sehr genauen Bestimmungen über die Fortpflanzungsgeschwindigkeit des Lichtes 8"808 ± 0"006, welcher Werth durch eine neue und genauere Beobachtungsreihe Michelson's fast völlig bestätigt wird. Ferner wäre noch zu erwähnen, dass zu den bisher benützten Methoden der Parallaxenbestimmung eine neue hinzugetreten ist, nämlich die von Galle in Vorschlag gebrachte: die Parallaxe jener kleinen Planeten, welche der Erde verhältnismässig nahe kommen, im Falle günstiger Oppositionen direct zu bestimmen und daraus, wie bei Mars, einen Schluss auf die Sonnenparallaxe zu ziehen. Galle leitet aus den Flora-Beobachtungen des Jahres 1873 den Werth 8"873 ± 0"043 ab. Schliesslich könnte noch hervorgehoben werden, dass die vorläufig bekannt gewordenen wenig befriedigenden Resultate des Venusdurchganges des Jahres 1874 im Allgemeinen Werthe ergeben, die nicht viel von 8"8 zu sein scheinen. Man könnte die angeführten Bestimmungen dazu verwerthen, den von Newcomb angegebenen Werth der Sonnenparallaxe zu verbessern; da jedoch der letztere nunmehr nahezu allgemein den Rechnungen zu Grundegelegt wird und durch das Hinzuziehen der neueren Beobachtungen keine wesentliche Änderung erfahren würde, so werde ich denselben unverändert in der Folge in Anwendung ziehen.

Bezeichnet man mit h die Entfernung des Beobachtungsortes vom Erdmittelpunkte, ferner mit θ und φ' seine geocentrische Rectascension und Declination, so sind die rechtwinkligen Äquatorcoordinaten desselben in Bezug auf den Erdmittelpunkt:

$$\xi = h \cos \varphi' \cos \theta$$

 $\eta = h \cos \varphi' \sin \theta$
 $\zeta = h \sin \varphi'$.

Es stellt sich die Aufgabe, h, φ' und θ aus den Daten der Beobachtung (Beobachtungsort und Zeitangabe) zu ermitteln. Ich nehme zuerst die Bestimmung der letzteren Grösse vor.

 θ ist offenbar mit der Zeit veränderlich, da sich im Verlaufe eines Tages die Erde um ihre Achse dreht; diese Umdrehung wird in Rücksicht auf ein festes Coordinatensystem in einem Sterntage vollendet. Die Rectascension des Beobachtungsortes wird für den Erdmittelpunkt o^h sein, wenn mit dem Erdorte der Frühjahrspunkt culminirt, es ist in diesem Augenblicke für den Erdort ebenfalls o^h Sternzeit. Culminirt ein anderer Punkt, dessen Rectascension θ sein mag, gleichzeitig mit dem Erdorte, so ist θ die Rectascension des Erdortes, aber auch gleichzeitig der Stundenwinkel des Frühjahrpunktes für diesen Ort, oder die Sternzeit; es ist demnach θ identisch mit der Sternzeit des Ortes. Eine jede Beobachtung muss stets die Angabe enthalten, wann dieselbe angestellt ist; diese Zeitangabe ist gewöhnlich in mittlerer Zeit des Beobach-

tungsortes oder eines bestimmten anderen Meridians angegeben. Es stellt sich demnach vorerst die Aufgabe, aus der mittlern Zeit die zugehörige Sternzeit zu berechnen. Mit Hilfe der Angaben der Ephemeriden wird dies leicht ausgeführt werden können. Dieselben geben für jeden mittleren Mittag des Normalmeridians, für den das Jahrbuch berechnet ist, den Unterschied Sternzeit — mittlere Zeit, d. h. die Sternzeit im mittleren Mittag; kennt man die mittlere Zeit, die seit diesem mittleren Mittag des festen Meridians verflossen ist, und verwandelt diese in Sternzeit, so wird die Summe dieser Zeit und der Sternzeit im mittlern Mittag die gesuchte Sternzeit sein.

Ein in Sternzeit ausgedrücktes Zeitintervall kann leicht in mittlere Zeit umgewandelt werden, wenn man bedenkt, dass im Verlaufe eines tropischen Jahres ein Sterntag mehr sein muss, als in demselben mittlere Tage enthalten sind. Nun ist das tropische Jahr gleich $365 \cdot 2422$ mittleren Sonnentagen, es sind also in demselben $366 \cdot 2422$ Sterntage enthalten; daraus ergeben sich zur gegenseitigen Transformation eines Intervalles Sternzeit (J_*) in ein Intervall mittlere Zeit (J_{\odot}) die Relationen:

$$J_* = \frac{366 \cdot 2422}{365 \cdot 2422} J_{\odot} = f J_{\odot},$$

und umgekehrt:

$$J_{\odot} = \frac{365 \cdot 2422}{366 \cdot 2422} J_* = \frac{1}{f} J_*,$$

wobei:

$$\log f = 0.001 1874,$$

angenommen ist.

Zu dieser Umwandlung gewähren die vorhandenen Ephemeriden und Sammlungen astronomischer Tafeln sehr geeignete Hilfsmittel. Die bequemste Tafel, die mit dem Argumente mittlere Zeit sofort die Reduction auf Sternzeit angibt, findet sich in der Warnstorff'schen Tafelsammlung; man nennt diese Reduction die Acceleration der Fixsterne. Das Intervall des Argumentes in dieser Tafel ist so gewählt, dass die Reduction von o' zu o' vorschreitet; ich habe einen Auszug der Tafel als Tafel I in das vorliegende Werk aufgenommen, mich aber begnügt, die Reduction von Sekunde zu Sekunde vorschreiten zu lassen, da bei Parallaxenrechnungen die Abkürzung der Zeit auf volle Sekunden gestattet ist. Die Anwendung ist einfach genug. Will man zu einem gegebenen Zeitintervalle mittlerer Zeit das zugehörige Sternzeitintervall auf volle Sekunden genau finden, so geht man mit dem Argumente mittlere Zeit in die Tafel ein, nimmt zu dem der gegebenen mittleren Zeit zunächst liegenden Argumente die Reduction und addirt diese zu dem gegebenen Zeitintervalle. z. B. zu verwandeln 16^h 57^m 4^s mittlere Zeit in das entsprechende Sternzeitintervall. Die Tafel I gibt mit dem Argumente 16^h 56^m 36^s (das zunächst liegende Argument) die Reduction + 2^m 47^s; die Rechnung gibt als:

Wollte man eine grössere Genauigkeit erlangen, so müsste man durch lineare Interpolation den genaueren Werth der Acceleration ermitteln; in solchem Falle ist aber die in diesem Werke aufgenommene Tafel nicht bequem. Für das gewählte Beispiel würde sich durch Interpolation ergeben:

Hat man jedoch keine Hilfstafeln zur Hand und ist eine Genauigkeit von einer halben Sekunde in der Ermittlung der Acceleration ausreichend, so genügt das folgende höchst einfache von Herrn R. Schram benützte Verfahren, dessen Berechtigung sich leicht aus den hier geltenden Zahlenverhältnissen ergibt. Man dividire die Stunden mittlerer Zeit durch sechs und setze den Quotienten als Minuten, den Rest als Zehnersekunden an; die Einheiten der Sekunden ergeben sich aus der Division der gegebenen mittleren Zeitminuten durch sechs, vermindert um die Anzahl der Accelerationsminuten. Das obige Beispiel gibt:

$$16:6 = 2^{m} 40^{s}$$

$$(57:6) - 2\cdot 7 = \frac{7}{2^{m} 47^{s}}.$$
demnach die Acceleration: $2^{m} 47^{s}$.

Hat man sich derart die seit dem mittleren Mittag verslossene Sternzeit aus der entsprechenden Angabe der mittleren Zeit verschafft, so ist einfach dieser gefundene Werth zu der Sternzeit, die im mittleren Mittag statt hat, zu addiren, und man erhält so die gesuchte Sternzeit. Der geforderte Werth: Sternzeit weniger mittlere Zeit im mittleren Mittag, sindet sich aber in den Ephemeriden nur für gewisse Meridiane z. B. im englischen Nautical almanac für Greenwich, im Berliner astr. Jahrbuch für Berlin etc., für andere Meridiane muss aus den Angaben der Ephemeriden der verlangte Werth erst berechnet werden. Von einem mittleren Mittag bis zum nächsten, also in einem mittleren Tage eilt die Sternzeit der mittleren Zeit um 3^m 56^s555 Sternzeit voran. Nun tritt für einen beliebigen Meridian der mittlere Mittag um den Längenunterschied l (früher bei östlicher, später bei westlicher Länge), der östlich negativ, westlich positiv gezählt wird, verändert ein; drückt man also diesen Längenunterschied in Einheiten der Stunde aus, so ist die Correction (in Zeitsekunden), die man an die Angabe des Jahrbuches für die Sternzeit des mittleren Mittags anzubringen hat, bestimmt durch:

Corr. =
$$\frac{236^2555}{24}$$
 $l = 9^28565$ l .

So liegt z. B. die Sternwarte Wien-Josefstadt 11^m 50^s4 östlich von Berlin und 1^h 5^m 25^s3 östlich von Greenwich; es ist demnach die Correction, die man für diese Sternwarte an die Angaben der Jahrbücher anzubringen hat.

ŀ

In der Tafel III sind neben der Länge die diesbezüglichen Reductionen für alle im Berliner astr. Jahrbuche für 1883 angeführten Sternwarten für den Berliner Meridian geltend angesetzt, ausserdem für einige Observatorien, die jetzt nicht mehr bestehen, von denen sich aber aus dem Anfange des gegenwärtigen Jahrhunderts zahlreiche

Beobachtungen vorfinden. Ich werde nun auch ein Beispiel anführen. Es sei die Sternzeit zu suchen für: 1867 Oktob. 1 11^h 26^m 29^s80 m. Zt. Josefstadt.

Berl. Jahrbuch —
$$\frac{1^{8}94: 12 \ 38 \ 49\cdot 15}{0^{h} \ 7^{m} \ 11^{s}72}$$
 Sternzeit Josefstadt.

Auf diese Weise ist es, wenn die Zeitangabe der Beobachtung gemacht ist, nicht schwierig, das verlangte θ zu berechnen; doch kann man auch auf eine etwas andere, in vielen Fällen bequemere Weise diese Transformation vornehmen. Häufig ist es ohnedies nöthig, die Ortszeit auf einen bestimmten Meridian, der in einem Jahrbuche als massgebend angenommen ist, zu übertragen. Man addirt die Angabe des Jahrbuches für den Mittag des Normalmeridians zur Ortszeit, berechnet aber die Acceleration der Fixsterne nicht für diese, sondern für die auf den Normalmeridian übertragene Beobachtungszeit. Die Richtigkeit dieser Regel ergibt sich leicht aus dem Vorstehenden, oder wenn man berücksichtigt, dass die Differenz der mittleren und Sternzeiten für zwei verschiedene Orte gleich dem Längenunterschiede ist, wie dies auch für die Differenz der wahren Zeit gilt. Im obigen Beispiel ist:

Dieses letztere Verfahren wird besonders dann mit Vortheil gebraucht, wenn man Beobachtungen mit einer für den Normalmeridian gerechneten Ephemeride zu vergleichen hat.

Aus dem bisher Vorgetragenen wird man auch die Regeln für das umgekehrte Verfahren, nämlich zu einer gegebenen Sternzeit die mittlere zu finden, ableiten können. Die Lösung dieser Aufgabe wird auch bei Bahnbestimmungen bisweilen in Betracht kommen. Manche Beobachter theilen die Meridianbeobachtungen ohne Angabe der Beobachtungszeit mit, bei solchen ist aber die angesetzte Rectascension unmittelbar die Sternzeit der Beobachtung. Will man dieselbe in mittlere Ortszeit verwandeln, so wird man zunächst durch Addition des Längenunterschiedes die Sternzeit des Normalmeridians ermitteln, subtrahirt man hiervon die für den mittleren Mittag geltende Sternzeit, so erhält man die seit dem Mittag verflossene Zeit in Sternzeit ausgedrückt; die Tafel II gibt mit diesem Argumente die Reduction dieses Zeitintervalls auf mittlere Zeit in derselben Anordnung wie Tafel I. Durch Subtraction dieser Reduction nebst der für oh mittlere Zeit des Normalmeridians geltenden Sternzeit des Beobachtungsdatums von der beobachteten Rectascension findet sich unmittelbar die Beobachtungszeit in mittlerer Ortszeit. Es wurde die Rectascension des Planeten Eunomia am Meridianinstrumente zu Bonn beobachtet: 1866 Jan. 1. 5^h 53^m 0^s $32 = 6^h$ 18^m 11^s 94 Berliner Sternzeit. Man hat als Argument, da nach dem Berliner Jahrbuch für 1866 Jan. 1. die Sternzeit im mittl. Mittag 18h 43m 29s45 ist, den Werth 11h 34m 42s; es ist demnach:

$$\alpha = 5^{h} 53^{m} 0^{s}32$$
Tafel II = - 1 53.81
Sternzeit 1. Januar = - 18 43 29.45
mittl. Zeit Bonn = 11^h 7^m 37^s06.

Hat man den Werth 9^58565 l berechnet, der für Bonn, da $l = +25^m$ 11⁵6 ist, $+4^5$ 14 gefunden wird, so wird es bei einer grösseren Zahl derartiger Verwandlungen bequemer sein, diese Quantität zur Berechnung der Sternzeit für den mittleren Mittag von Bonn zu verwenden. Das Verfahren erläutert sich durch die Durchführung des eben gewählten Beispieles nach dieser zweiten Methode:

$$\alpha = 5^{h} 53^{m} 0^{5}3^{2}$$
Berl. Jahrb. 1. Jan. 1866 + 4⁵14 = 18 43 33·59
Sternzeit seit 0^h = 11 9 26·73

Tafèl II = 1 49·67
mittl. Zeit Bonn = 11^h 7^m 37⁵06.

Wendet man keine Hilfstafeln an und genügt eine Annäherung auf eine halbe Sekunde, so kann das oben aufgeführte Schram'sche Verfahren in ganz gleicher Weise zur Ermittlung der Retardation benützt werden.

Die zur Berechnung der Coordinaten des Beobachtungsortes nothwendige Grösse θ kann man demnach als bekannt voraussetzen und nun an die Ermittlung der Grössen h und φ' schreiten, welche, da die Erde als regelmässiges Rotationsellipsoid betrachtet werden kann, nur Functionen der Polhöhe oder der geographischen Breite des Beobachtungsortes sind.

Wäre die Erde eine Kugel, so würde h stets dem Äquatorhalbmesser gleich sein, der für die folgenden Untersuchungen als Einheit angenommen wird, und φ' (die geocentrische Polhöhe) mit der Polhöhe φ zusammenfallen, indem die Polhöhe eines Beobachtungsortes mit dem Winkel identisch ist, den das Loth mit der Äquatorebene bildet. Die allerdings geringe Abplattung aber veranlasst, dass h mit der Annäherung an die Pole kleiner wird und dass das Loth nicht gegen das Erdcentrum gerichtet ist. Es stellt sich also die Aufgabe, h und φ' als Functionen von φ darzustellen.

Denkt man sich durch die Erdachse eine Ebene gelegt, so wird der Durchschnitt dieser Ebene mit der Erdoberfläche einen Meridian bilden und legt man in diese Ebene ein Coordinatensystem so, dass der Anfangspunkt mit dem Erdmittelpunkte zusammenfällt, die X-Achse nach dem Äquator, die positive Y-Achse nach dem Nordpol gerichtet ist, so wird auf dieser Ebene der Durchschnitt mit der Erdoberfläche als Ellipse erscheinen; φ' wird der Winkel sein, den die durch den Ermittelpunkt und den Beobachtungsort hindurch gelegte Linie mit der X-Achse einschliesst, φ der Winkel, den die Normale mit der Abscissenachse bildet. Bezeichnet man die Coordinaten des Beobachtungsortes durch x und y, so wird sein:

$$\text{tg } \varphi' = \frac{y}{x} \\
 \text{tg } \varphi = -\frac{dx}{dy}$$

Aus diesen beiden Gleichungen in Verbindung mit den Gleichungen, die für die Ellipse gelten, wird man φ' als Funktion von φ darstellen können. Die Gleichung der Ellipse gibt, wenn man mit a und b die grosse und kleine Halbachse bezeichnet:

$$b^2x^2 + a^2y^2 = a^2b^2;$$
 1)

durch Differentiation nach x und y wird zunächst:

 $b^2x\,dx+a^2y\,dy=0,$

oder:

$$\frac{y}{x} = -\frac{b^2}{a^2} \frac{dx}{dy}.$$

Mit Rücksicht auf die oben angesetzten Relationen für φ und φ' ist sofort:

$$\operatorname{tg} \ \varphi' = \frac{b^2}{a^3} \ \operatorname{tg} \ \varphi, \qquad \qquad 2)$$

wodurch φ' als Function von φ dargestellt ist. Um nun h ebenfalls als Function von φ darzustellen, wird man sich der Relationen:

$$x = h \cos \varphi', \qquad y = h \sin \varphi',$$

bedienen. Quadrirt man dieselben und setzt sie in die Gleichung 1) ein, so wird erhalten: $h^2\cos\varphi'^2\left\{1+\frac{a^2}{b^2}\operatorname{tg}\varphi'^2\right\}=a^2;$

für diese Gleichung kann man aber setzen:

$$h^2 \cos \varphi'^2 \{ 1 + \text{tg } \varphi \text{ tg } \varphi' \} = a^2,$$

somit ist:

$$h = a \sqrt{\frac{\sec^2 \varphi'}{(1 + \lg \varphi \lg \varphi')}} = a \sqrt{\frac{\cos \varphi}{\cos \varphi' \cos (\varphi' - \varphi)}}.$$
 3)

Wiewohl die Bestimmung von φ' und h durch die Formeln 2) und 3) sehr einfach geschieht, so ist es, da der Unterschied ($\varphi'-\varphi$) niemals gross werden und ebenso h nur um ein Geringes von der Einheit verschieden sein kann, doch meist von Vortheil, zur Bestimmung von φ' und h Reihen mit dem Argumente φ zu entwickeln, welche die eben angeführten Unterschiede unmittelbar angeben.

Vorerst sollen aber zwei Lagrange'sche Reihen abgeleitet werden, welche die Lösung des vorgelegten Problems in höchst einfacher Weise vermitteln. Es sei gegeben eine Relation von der Form:

$$tg x = n tg y. 4)$$

Man kann den Unterschied (x-y) nach einer periodischen Reihe, die nach dem Sinus der geraden Vielfachen des Bogens φ fortschreitet, entwickeln. Es ist zunächst:

$$\operatorname{tg} x - \operatorname{tg} y = (n-1) \operatorname{tg} y \quad \operatorname{oder} \quad \frac{\sin (x-y)}{\cos x \cos y} = (n-1) \frac{\sin y}{\cos y},$$

woraus folgt:

$$\sin (x - y) = (n - 1) \sin y \cos [(x - y) + y].$$

Bestimmt man daraus tg (x - y) und schreibt abkürzend:

$$m = \frac{n-1}{n+1},$$
 5)

so erhält man statt der Relation 4) die Form:

$$\operatorname{tg} (x - y) = \frac{m \sin 2y}{1 - m \cos 2y}.$$

Nun ist aber nach bekannten imaginären Beziehungen, wenn mit i die imaginäre Einheit und mit e die Basis der natürlichen Logarithmen bezeichnet wird:

$$\sin \alpha = \frac{1}{2i} \left\{ \begin{array}{l} ai & -ai \\ e - e \end{array} \right\}$$

$$\cos \alpha = \frac{1}{2} \left\{ \begin{array}{l} e + e \end{array} \right\}$$

$$\tan \alpha = \frac{1}{2i} \left\{ \begin{array}{l} e - i \\ \frac{2ai}{2ai} \end{array} \right\}.$$

$$e + 1$$

Führt man diese Relationen in 6, ein. so folgt unmittelbar:

$$\frac{e - 1}{2x - y, i} = \frac{xyi - 2yi}{x \{e - e\}}$$

$$\frac{e - 1}{2x - y, i} = \frac{x\{e - e\}}{2yi - 2yi}$$

$$\frac{2yi - 2yi}{2 - x\{e + e\}}$$

$$\frac{-2yi}{e} = \frac{1 - me}{2yi}.$$
8;

oder:

Schreibt man diese Gleichung logarithmisch und erinnert sich der bekannten logarithmischen Reihe:

$$\log \, \operatorname{nat} \, (1-z) = -z - \frac{1}{4} \, z^2 - \frac{1}{4} \, z^3 - \cdots$$

so findet sich ohne Schwierigkeit:

$$x-y=m_{\frac{1}{2i}}\left\{\begin{array}{c} 2yi & -2yi \\ e-e \end{array}\right\} + \frac{1}{2}m^2\frac{1}{2i}\left\{\begin{array}{c} 4yi & -4yi \\ e-e \end{array}\right\} + \frac{1}{3}m^3\frac{1}{2i}\left\{\begin{array}{c} 6yi & -6yi \\ e-e \end{array}\right\} + \cdots,$$

und mit Rücksicht auf die ersten Relationen in 7):

$$x-y = m \sin 2y + \frac{1}{4} m^2 \sin 4y + \frac{1}{4} m^3 \sin 6y + \cdots$$
 10)

Das Resultat dieser Transformationen lässt sich also dahin aussprechen, dass Ausdrücke von der Form 4) oder 6) sich in Reihen von der eben hingeschriebenen Gestalt entwickeln lassen.

Ausdrücke von der Form:

$$\beta^2 = 1 + \gamma^2 - 2\gamma \cos 2y, \qquad 11)$$

lassen ebenfalls elegante Reihen für $\log \beta$ finden, die nach dem Cosinus der geraden Vielfachen des Bogens y angeordnet sind. Es ist mit Rücksicht auf die zweite Relation in 7):

$$\beta^2 = (1 - \gamma e^{2yi}) (1 - \gamma e^{-2yi}),$$

daher mit Benützung der Reihe o):

$$\frac{2 \log \beta}{\text{Mod.}} = -\gamma e^{2yi} - \frac{1}{2} \gamma^{2} e^{-\frac{1}{2} \gamma^{3} e^{\frac{6yi}{2}}} - \cdots - \frac{1}{2} \gamma^{2} e^{-\frac{1}{2} \gamma^{2} e^{-\frac{1}{2} \gamma^{3} e^{-\frac{6yi}{2}}}} - \gamma e^{-\frac{1}{2} \gamma^{2} e^{-\frac{1}{2} \gamma^{3} e^{-\frac{1}{2} \gamma^{$$

momit nach der zweiten Gleichung in 7):

$$\log \beta = - \text{Mod.} \{ \gamma \cos 2y + \frac{1}{4} \gamma^2 \cos 4y + \frac{1}{4} \gamma^3 \cos 6y + \cdots \}.$$
 12)

Um nun von den Reihen 10) und 12) für das vorgelegte Problem Gebrauch machen zu können, erübrigt für die Bestimmung von $\varphi' - \varphi$ nichts, als die Bestimmung von m. Nun ist aber nach 5) (pag. 29):

$$m = \frac{n-1}{n+1} = \frac{\frac{b^2}{a^2}-1}{\frac{b^2}{a^2}+1} = \frac{(b-a)(b+a)}{a^2+b^2}.$$
 13)

Setzt man die oben (pag. 23) angegebenen numerischen Werthe für a und b ein und drückt die Coëfficienten in Einheiten der Bogensekunde aus, so erhält man nach 10) die Relation:

$$\varphi' - \varphi = -11' 30''65 \sin 2\varphi + 1''16 \sin 4\varphi + \cdots ; 14$$

die übrigen Glieder dieser Reihe werden unmerklich, weil der Coëfficient von sin 6 φ nur —0"003 beträgt.

Soll der Ausdruck 12) für die Bestimmung von log h verwerthet werden, so bedarf es einiger Transformationen der Form 3); man hat:

$$\begin{split} h^2 &= \frac{a^2 \sec \varphi'^2}{1 + \text{tg } \varphi \text{ tg } \varphi'} = \frac{a^4 + b^4 \text{ tg } \varphi^2}{a^2 + b^3 \text{ tg } \varphi^2} = \frac{a^4 + b^4 + (a^4 - b^4) \cos 2\varphi}{a^3 + b^2 + (a^2 - b^2) \cos 2\varphi} \\ &= \frac{(a^2 + b^3)^2 + (a^2 - b^2)^2 + 2 (a^2 + b^3) (a^2 - b^2) \cos 2\varphi}{(a + b)^2 + (a - b)^2 + 2 (a + b) (a - b) \cos 2\varphi} \,, \end{split}$$

oder:

$$\left(\frac{h}{a}\right)^2 = \left(\frac{a^2 + b^2}{a(a+b)}\right)^2 \frac{1 + \left(\frac{a^2 - b^2}{a^2 + b^2}\right)^2 + 2\left(\frac{a^2 - b^2}{a^2 + b^2}\right)\cos 2\varphi}{1 + \left(\frac{a - b}{a + b}\right)^2 + 2\left(\frac{a - b}{a + b}\right)\cos 2\varphi}.$$
 15)

Setzt man abkürzend:

$$m = \frac{b^2 - a^2}{a^2 + b^2}, \qquad p = \frac{b - a}{a + b},$$
 16)

und beachtet, dass im ersten Coëfficienten geschrieben werden kann:

$$\frac{a^2 + b^2}{a + b} = \frac{\frac{1}{a + b}}{\frac{1}{a^2 + b^2}} = \frac{\frac{2a}{a + b}}{\frac{2a}{a^2 + b^2}},$$

so ist:

$$\frac{1}{a} \cdot \frac{a^2 + b^2}{a + b} = \frac{\frac{2a}{a + b}}{\frac{2a^2}{a^2 + b^2}} = \frac{1 - p}{1 - m}, \quad 17)$$

und die Gleichung 15) nimmt die Form an

$$\left(\frac{h}{a}\right)^2 = \left(\frac{1-p}{1-m}\right)^2 \frac{1+m^2-2m\cos 2\varphi}{1+p^2-2p\cos 2\varphi}.$$
 18)

Bildet man den Logarithmus dieses Ausdruckes, nämlich:

$$\log \frac{h}{a} = \log (1 - p) - \log (1 - m) + \frac{1}{4} \log (1 + m^2 - 2m \cos 2\varphi) - \frac{1}{4} \log (1 + p^2 - 2p \cos 2\varphi),$$

und wendet auf die ersteren beiden Glieder die Reihe 9), auf die letzteren die Reihe 12) unter Berücksichtigung der Ausgangsform 11) an, so findet sich:

$$\log \frac{\lambda}{a} = \operatorname{Mod} \left\{ \frac{(m-p) + \frac{1}{2} (m^2 - p^2) + \frac{1}{2} (m^3 - p^3) + \dots}{-(m-p) \cos 2\varphi - \frac{1}{2} (m^2 - p^2) \cos 4\varphi - \frac{1}{2} (m^3 - p^3) \cos 6\varphi \dots} \right\}$$
 (9)

oder mit Einführung der numerischen Werthe:

$$\log h = 9.999 \ 2747 + 0.000 \ 7271 \cos 2\varphi - 0.000 \ \cos 4\varphi.$$

Das Berliner astr. Jahrbuch gibt seit dem Jahre 1868 in dem Verzeichnisse der Sternwarten für jede derselben die geocentrische Breite φ' und $\log h$.

Noch bequemer gestaltet sich die Rechnung durch Einführung der von Hansen zuerst benützten excentrischen Polhöhe. Schreibt man die Gleichung der Ellipse in der Gestalt:

$$\frac{x^2}{a^2} + \frac{y^2}{b^2} = 1$$
,

und setzt cos $\varphi_1 = \frac{x}{a}$, was wegen x < a unter allen Umständen gestattet ist, so wird in Folge der eben hingeschriebenen Gleichung für die Ellipse nothwendig:

$$\sin \varphi_1 = \frac{y}{b} \operatorname{oder} y = b \sin \varphi_1.$$
 20)

Es bestehen daher die Relationen:

$$\frac{x}{a} = \frac{h}{a}\cos\varphi' = \cos\varphi_1$$
, $\frac{y}{b} = \frac{h}{b}\sin\varphi' = \sin\varphi_1$;

daraus folgt:

$$\operatorname{tg} \varphi_1 = \frac{a}{h} \operatorname{tg} \varphi',$$

und in Verbindung mit 2) (pag. 29):

$$\operatorname{tg}\,\varphi_i=\frac{b}{a}\operatorname{tg}\,\varphi.\quad 21)$$

Macht man wieder von der Reihe 10) Gebrauch und setzt wie oben (Gl. 16) pag. 31):

$$p = \frac{b-a}{a+b}, \qquad 22)$$

so wird sein:

$$\varphi_1 - \varphi = p \sin 2\varphi + \frac{1}{2} p^2 \sin 4\varphi + \frac{1}{3} p^3 \sin 6\varphi + \dots$$
 23)

oder numerisch in Einheiten der Bogensekunde:

$$\varphi_1 - \varphi = -5' 45''33 \sin 2\varphi + 0''29 \sin 4\varphi - \dots$$
 24)

Der Coëfficient des nächsten Gliedes beträgt nur — o"0003. Drückt man die Coordinaten in Einheiten des Äquatorhalbmessers a aus, so wird:

$$x = \cos \varphi_1$$

$$y = b \sin \varphi_1$$

$$\log b = 9.998 5458.$$
25)

Die bisherigen Entwicklungen haben die Möglichkeit geboten, mit Hilfe der Beobachtungszeit und der geographischen Breite des Beobachtungsortes seine Coordinaten zu finden und es kann nun an die Lösung der eigentlichen Aufgabe geschritten werden, die jedoch in zwei wesentlich verschiedenen Formen durchgeführt werden werden, je mechdem die Entfernung des Gestirns von der Erde (mindestens näherungsweisen, bekannt oder völlig unbekannt ist. Ist die Entfernung des Gestirns bekannt, wie im zweichmäßigsten, die Beobachtung selbst vom Einflusse der Parallaxe zu inspesien. Ab. dieselbe auf das Erdeentrum zu reduciren. Da die Beobachtungen sich

meist auf den Äquator als Fundamentalebene beziehen, so dürfte es für den vorliegenden Zweck hinreichend sein, den Einfluss der Parallaxe in Rectascension und Declination abzuleiten und nur die ersten Potenzen der Änderungen mitzunehmen; denn die Parallaxe kommt nur bei solchen Himmelskörpern in Betracht, die sich ausserhalb der Attractionssphäre der Erde befinden, kann also nur kleine Werthe erreichen. Sind α , δ und ϱ die geocentrischen Coordinaten des Himmelskörpers, α' , δ' und ϱ' aber dieselben Coordinaten in Bezug auf den Beobachtungsort, so erhält man durch die Transformation der Coordinaten zunächst:

$$\varrho' \cos \delta' \cos \alpha' = \varrho \cos \delta \cos \alpha - h \cos \varphi' \cos \theta$$
 $\varrho' \cos \delta' \sin \alpha' = \varrho \cos \delta \sin \alpha - h \cos \varphi' \sin \theta$
 $\varrho' \sin \delta' = \varrho \sin \delta - h \sin \varphi'.$

Bei diesen Relationen ist zu beachten, dass h, ϱ und ϱ' in derselben Einheit auszudrücken sind. Betrachtet man der oben angeführten Voraussetzung gemäss h als eine im Verhältnis zu ϱ und ϱ' kleine Grösse erster Ordnung, und demnach die Unterschiede $\alpha - \alpha'$, $\delta - \delta'$ und $\varrho - \varrho'$ ebenfalls als solche, so wird man setzen können:

$$\begin{array}{l}
-h\cos\varphi'\cos\theta = dx \\
-h\cos\varphi'\sin\theta = dy \\
-h\sin\varphi' = dz.
\end{array}$$

Durch Differentiation der Ausdrücke:

$$x = \varrho \cos \delta \cos \alpha$$
$$y = \varrho \cos \delta \sin \alpha$$
$$z = \varrho \sin \delta,$$

wird erhalten:

$$dx = -\varrho \cos \delta \sin \alpha \, d\alpha - \varrho \cos \alpha \sin \delta \, d\delta + \cos \delta \cos \alpha \, d\varrho$$

$$dy = \varrho \cos \delta \cos \alpha \, d\alpha - \varrho \sin \alpha \sin \delta \, d\delta + \cos \delta \sin \alpha \, d\varrho$$

$$dz = \varrho \cos \delta \, d\delta + \sin \delta \, d\varrho.$$

Multiplicirt man die erste Gleichung mit — $\sin \alpha$, die zweite mit $\cos \alpha$, so wird nach Addition beider:

$$d\alpha = -\frac{\sin \alpha}{\varrho \cos \delta} dx + \frac{\cos \alpha}{\varrho \cos \delta} dy;$$

multiplicirt man aber die erste mit cos α , die zweite mit sin α und addirt, so folgt:

$$\cos \alpha \, dx + \sin \alpha \, dy = \cos \delta \, d\varrho - \varrho \sin \delta \, d\delta.$$

Multiplicirt man diese Gleichung mit — $\sin \delta$ und addirt dazu den für dz gegebenen Werth, nachdem derselbe mit $\cos \delta$ multiplicirt worden ist, so wird gefunden:

$$d\delta = -\frac{\cos \alpha \sin \delta}{\varrho} dx - \frac{\sin \alpha \sin \delta}{\varrho} dy + \frac{\cos \delta}{\varrho} dz.$$

Für manche Zwecke ist auch die Kenntnis von $d\varrho$ wünschenswerth; den Ausdruck hierfür wird man leicht aus den beiden Gleichungen erhalten, die zur Bestimmung von $d\delta$ gedient haben, wenn man die eine statt mit — sin δ mit cos δ , die andere statt mit cos δ mit sin δ multiplicirt und addirt. Es findet sich dann:

$$d\varrho = \cos \alpha \cos \delta dx + \sin \alpha \cos \delta dy + \sin \delta dz$$
.

Setzt man für dx, dy und dz die in 26 erhaltenen Werthe ein für h, um dasselbe in Einheiten des Erdbahnhalbmessers auszudrücken, $h\pi$ wo π die Sonnenparallaxe und schreibt ausserdem :

$$d\alpha = \alpha' - \alpha$$
 $d\delta = \delta' - \delta$ $d\varrho = \varrho' - \varrho$.

so werden die Correctionen, welche an die Beobachtung anzubringen sind. um diese auf den Erdmittelpunkt zu beziehen:

$$\alpha - \alpha' = \frac{\pi h \cos \varphi' \frac{\sin (\theta - \alpha)}{\theta}}{\theta}$$

$$\delta - \delta' = \frac{\pi h}{\theta} \left[-\sin \delta \cos \varphi' \cos (\theta - \alpha) + \cos \delta \sin \varphi' \right]$$

$$\theta - \theta' = \pi h \left[\cos \delta \cos \varphi' \cos (\theta - \alpha) + \sin \delta \sin \varphi' \right]$$

$$\theta - \theta' = \pi h \left[\cos \delta \cos \varphi' \cos (\theta - \alpha) + \sin \delta \sin \varphi' \right]$$

Die Kenntnis von $\varrho - \varrho'$ wird in den seltensten Fällen in Betracht kommen, die Berechnung dieser Grösse daher wohl stets weggelassen werden können.

Die eben mitgetheilten Formeln eignen sich in dieser Gestalt besonders dazu. die Bestimmung der Parallaxe durch Tafeln, welche für jede Sternwarte gesondert berechnet werden müssen, zu erleichtern, ohne dass dieselben einen übermässig grossen Umfang erheischen würden. Berechnet man für eine gegebene Sternwarte den Ausdruck:

 $\pi h \sin \varphi' = \pi \, \frac{b}{a} \sin \varphi_1 = D_2,$

und bringt mit dem Argumente Stundenwinkel die Werthe:

$$A = \pi h \cos \varphi' \sin (\theta - \alpha) = \pi \cos \varphi_1 \sin (\theta - \alpha)$$

$$D_1 = -\pi h \cos \varphi' \cos (\theta - \alpha) = -\pi \cos \varphi_1 \cos (\theta - \alpha),$$

$$28$$

in eine Tafel, so berechnet sich die Correction für Parallaxe nach der Form:

$$\alpha - \alpha' = \frac{A}{\varrho \cos \delta}$$

$$\delta - \delta' = \frac{D_1}{\varrho} \sin \delta + \frac{D_2}{\varrho} \cos \delta.$$
29)

Wollte man auch die Correction der Distanz kennen, so würde für diesen Fall sein:

$$\varrho - \varrho' = -D_1 \cos \delta + D_2 \sin \delta.$$

Man wird bemerken, dass man für A und D_1 dieselbe Tafel benützen kann, da beide Werthe nur insofern sich unterscheiden, als das Argument von D_1 um — 90° von jenem für A verschieden ist. Tafeln für mehre Sternwarten, nach diesen Formeln berechnet, finden sich in der Inauguraldissertation von H. Kreutz "Über die Bahn des grossen Kometen von 1861, Bonn 1880.«

Stehen keine derartigen Hilfstafeln zu Gebote, so wird man die obigen Formeln durch Einführung eines Hilfswinkels für die Rechnung bequemer zurecht legen. Setzt man:

$$\sin \varphi' = g \sin \gamma$$

$$\cos \varphi' \cos (\theta - \alpha) = g \cos \gamma.$$

so wird die Berechnung der Correction für Parallaxe, da:

$$g = \frac{\sin \varphi'}{\sin \gamma}.$$

ist, durch die folgenden Formeln bewerkstelligt werden können:

$$tg \gamma = \frac{tg \varphi'}{\cos (\theta - \alpha)}$$

$$\alpha - \alpha' = \frac{A}{\varrho} \frac{\sin (\theta - \alpha)}{\cos \theta} \qquad A = \frac{\pi h \cos \varphi'}{15}$$

$$\delta - \delta' = \frac{D}{\varrho} \frac{\sin (\gamma - \delta)}{\sin \gamma} \qquad D = \pi h \sin \varphi'.$$

Da die Rechnung nach diesen Formeln, wenn nur die Logarithmen der Werthe tg φ' , A und D für jede einzelne Sternwarte gegeben sind, kaum mehr Zeit in Anspruch nimmt, als jene nach den obigen Ausdrücken mit Anwendung besonderer Hilfstafeln, so habe ich unter Benützung der Newcomb'schen Sonnenparallaxe (pag. 23) in der Tafel III, welche auch die Längen und die Reductionen der Sternzeit im mittl. Mittag enthält (vergl. pag. 26), die diesbezüglichen Logarithmen für alle im Berliner astr. Jahrbuch für 1883 angeführten Sternwarten auf vier Decimalen angesetzt; dieselbe ist von Ginzel siebenstellig berechnet worden. Die Division des Ausdruckes πh cos φ' durch 15, welche den Coëfficienten A ergibt, erklärt sich daraus, dass die Rectascensionen meist in Zeitmass angesetzt sind; die obigen Formeln geben die Parallaxencorrection für die Rectascension in Zeitsekunden, für die Declination in Bogensckunden.

Wollte man $\varrho - \varrho'$ ebenfalls bestimmen, so findet sich leicht in Einheiten des Radius: $\varrho - \varrho' = D \frac{\cos{(\gamma - \delta)}}{\sin{\gamma}} \text{ arc } 1''.$

Die Grössen tg φ' , A und B können ebenfalls leicht durch die excentrische Polhöhe ausgedrückt werden, man erhält:

$$\operatorname{tg} \varphi' = \frac{b}{a} \operatorname{tg} \varphi_1, \quad A = \frac{\pi}{15} \cos \varphi_1, \quad D = \pi \frac{b}{a} \sin \varphi_1.$$

Ich werde nun ein Beispiel vollständig durchführen. Der Komet III 1862 wurde in Clinton am 31. Juli 1862 wie folgt beobachtet:

1862 Juli 31. 11^h 26^m 24^s4 mittl. Z. Clinton. $\alpha = 5^h 55^m$ 11^s12, $\delta = + 73^o$ 10' 6"7, Es war für diese Zeit log $\varrho = 0.0237$. Aus der Tafel III findet sich für Clinton:

$$\log \operatorname{tg} \cdot \varphi' = 9.9676$$

$$\log \frac{\pi h \cos \varphi'}{15} = 9.6352 = \log A$$

$$\log \pi h \sin \varphi' = 0.7788 = \log D.$$

Zuerst ermittelt man, indem die Acceleration mit dem Argument: Beobachtungszeit + Länge (vergl. pag. 27), aus der Tafel I entnommen wird, die Sternzeit und den Stundenwinkel:

mittl. Zeit
$$11^h 26^m 24^s$$
 $\theta = 20^h 4^m 31^s$
Acc. für $17^h 21^m 6$ $+ 2 51$ $\theta - \alpha = 14 9 20$
Sternzt. Juli $31 \cdot 0$ 8 35 16 $= 212^0 20'0$.

Die weitere Rechnung stellt sich so:

Die Beobachtung, reducirt auf den Erdmittelpunkt, ist demnach:

$$\alpha = 5^h 55^m 10^s 37$$
 , $\delta = +73^o 10' 13'' 3$.

Die Berechnung von de habe ich als nicht nöthig übergangen.

Bei Meridianbeobachtungen, für welche der Stundenwinkel $(\theta - \alpha)$ je nachdem die obere oder untere Culmination stattfindet, gleich o° oder 180° wird, gestaltet sich die Berechnung der Parallaxe höchst einfach; indem die oben aufgestellten Formeln die folgende Gestalt annehmen:

Obere Culmination:
$$\alpha - \alpha' = 0$$

$$\delta - \delta' = \frac{\pi h}{\varrho} \sin (\varphi' - \delta)$$

$$\varrho - \varrho' = \pi h \cos (\varphi' - \delta) \text{ arc 1".}$$
Untere Culmination:
$$\alpha - \alpha' = 0$$

$$\delta - \delta' = \frac{\pi h}{\varrho} \sin (\varphi' + \delta)$$

$$\rho - \varrho' = -\pi h \cos (\varphi' + \delta) \text{ arc 1".}$$

Wesentlich anders muss das Problem behandelt werden, wenn die Distanz des Himmelskörpers von der Erde nicht bekannt ist, ein Fall, der bei ersten Bahnbestimmungen eintritt; man kann nun nicht mehr die Beobachtung für Parallaxe corrigiren, wondern man muss den Erdort, der aus den Ephemeriden entlehnt wird und für den Mittelpunkt gilt, entsprechend dem Beobachtungsorte ändern; da aber in der Regel die Sonnenorte der Rechnung zu Grunde gelegt werden, so werde ich die Formeln namittelbar so stellen, dass man den Sonnenort dem Standpunkte des Beobachters entsprechend verbessert. Wird der Äquator als Fundamentalebene gewählt, was allerdings bei ersten Bahnbestimmungen selten mit Vortheil geschieht, so wird man am bersten das folgende Verfahren einschlagen. Man entlehnt die auf ein bestimmtes Aquinoctium bezogenen Längen, Breiten und Entfernungen der Sonne aus der Ephemeride und berechnet auf die früher (pag. 16) gezeigte Weise die rechtwinkligen Constituten in Bezug auf den Beobachtungsort:

$$X - \xi$$

$$Y - \eta$$

$$Z - \zeta.$$

Besselvelinet man die für Parallaxe corrigirte Rectascension, Declination und Entterming der Honne mit A_0 , D_0 und R_0 , so wird sein:

$$\mathcal{H}_{0} \iff A_{0} \iff D_{0} = R \cos L - \pi h \cos \varphi' \cos \theta \text{ arc } 1''$$

$$\mathcal{H}_{0} \iff A_{0} \iff D_{0} = R \sin L \cos \varepsilon - 19 \cdot 3 B'' - \pi h \cos \varphi' \sin \theta \text{ arc } 1''$$

$$\mathcal{H}_{0} \iff D_{0} = R \sin L \sin \varepsilon + 44 \cdot 5 B'' - \pi h \sin \varphi' \text{ arc } 1''$$

Un die Vade nur unbedeutende Abweichungen aus der Ebene der Ekliptik macht, whallt die auf diese senkrechte Coordinate ihrer Kleinheit wegen entweder ganz

fortgelassen werden kann oder durch Anbringung von kleinen Correctionen leicht in voller Strenge berücksichtigt wird, so wählt man bei ersten Bahnbestimmungen mit Vortheil die Ekliptik als Fundamentalebene. Die Genauigkeit der jetzigen Beobachtungen wird es gerechtfertigt erscheinen lassen, die aus der Berücksichtigung der Sonnenbreiten entstehenden Correctionen wenigstens bei Planetenbahnbestimmungen mitzunehmen, da durch das folgende von Gauss in Vorschlag gebrachte Verfahren die Sonnenbreiten, mit der Parallaxe vereinigt, leicht in Rechnung gezogen werden können: diese Methode ist jedoch nicht anwendbar, wenn die Breite des beobachteten Objectes der Null gleich ist. Gauss führt nämlich statt des Beobachtungsortes einen andern Ort, den locus fictus, ein, den er dadurch bestimmt, dass in demselben die Sehlinie (die Verbindungslinie zwischen Beobachter und Himmelskörper) die Ekliptik schneidet. Wie man sieht, ist die Breite dieses locus fictus der Bestimmung gemäss gleich Null und projicirt sich der Himmelskörper vom locus fictus und dem Beobachtungsorte aus auf dieselbe Stelle der Himmelskugel. Da das Licht eine bestimmte Zeit braucht, um vom Beobachtungsorte zum locus fictus zu gelangen, so wird dem entsprechend bei Übertragung der Beobachtung auf den neuen Ort an die Zeit derselben eine Correction berücksichtigt werden müssen, über welche das Nöthige weiters beigebracht werden soll.

Die Fundamentalebene ist nun die Ekliptik und es müssen die geocentrischen Coordinaten des Beobachtungsortes auf dasselbe Coordinatensystem bezogen werden. Da man θ als geocentrische Rectascension und φ' als Declination des Beobachtungsortes auffassen kann, so wird man einfach diese Coordinaten nach den bekannten Vorschriften in Länge und Breite umsetzen. Diese Berechnung kann mit vier- oder fünfstelligen Tafeln durchgeführt werden. Man hat hierfür (vergl. 11) pag. 14):

$$n \sin N = \sin \varphi'$$
 $n \cos N = \cos \varphi' \sin \theta$
 $\cos b \sin l = n \cos (N - \epsilon)$
 $\cos b \cos l = \cos \varphi' \cos \theta$
 $\sin b = n \sin (N - \epsilon)$,

in welchen Formeln l und b die geocentrische Länge und Breite des Zenithes des Beobachtungsortes (Nonagesimus) sind; h bleibt natürlich ungeändert. Nennt man L_0 , B und R_0 die geocentrischen Coordinaten der Sonne, L und R die Coordinaten der Sonne vom locus fictus aus gezählt, und sind λ und β die beobachteten Längen und Breiten, ϱ_0 die Entfernung des Himmelskörpers vom Beobachter, ϱ die Entfernung des ersteren vom locus fictus, so sind die heliocentrischen rechtwinkligen Coordinaten des locus fictus:

 $-R\cos L$ $-R\sin L.$

die heliocentrischen rechtwinkligen Coordinaten des Erdcentrums:

- $-R_0 \cos L_0 \cos B$ $-R_0 \sin L_0 \cos B$
- $-R_0 \sin B$,

die geocentrischen Coordinaten des Beobachtungsortes:

 $h \cos l \cos b$ $h \sin l \cos b$ $h \sin b$

wobei aber bemerkt werden muss, dass h, sobald dasselbe in Einheiten des Äquator-halbmessers der Erde ausgedrückt wird, um die Coordinaten homogen zn machen, mit sin π multiplicirt werden muss. Endlich sind die Coordinaten des Beobachtungs-ortes vom locus fictus aus:

$$(\varrho - \varrho_{o}) \cos \lambda \cos \beta$$

 $(\varrho - \varrho_{o}) \sin \lambda \cos \beta$
 $(\varrho - \varrho_{o}) \sin \beta$.

Zwischen diesen Coordinaten bestehen aber offenbar die Relationen:

$$-R\cos L = -(\varrho - \varrho_0)\cos \lambda\cos \beta - R_0\cos L_0\cos B + h\sin \pi\cos l\cos b
-R\sin L = -(\varrho - \varrho_0)\sin \lambda\cos \beta - R_0\sin L_0\cos B + h\sin \pi\sin l\cos b
\circ = -(\varrho - \varrho_0)\sin \beta - R_0\sin B + h\sin \pi\sin b.$$
33)

Multiplicirt man die erste dieser Gleichungen mit sin $L_{\rm o}$, die zweite mit — $\cos L_{\rm o}$ und addirt beide, ferner die erste mit — $\cos L_{\rm o}$, die zweite mit — $\sin L_{\rm o}$ und addirt ebenfalls, so erhält man, nachdem für $(\varrho - \varrho_{\rm o})$ der Werth aus der dritten Gleichung substituirt worden ist, sofort:

$$R\sin(L-L_{\rm o}) = \frac{R_{\rm o}\sin B}{\operatorname{tg}\beta}\sin\left(L_{\rm o}-\lambda\right) + h\sin\pi\left[\cos b\sin\left(L_{\rm o}-l\right) - \frac{\sin b}{\operatorname{tg}\beta}\sin\left(L_{\rm o}-\lambda\right)\right] \\ R\cos(L-L_{\rm o}) = R_{\rm o}\cos B - \frac{R_{\rm o}\sin B}{\operatorname{tg}\beta}\cos(L_{\rm o}-\lambda) - h\sin\pi\left[\cos b\cos(L_{\rm o}-l) - \frac{\sin b}{\operatorname{tg}\beta}\cos(L_{\rm o}-\lambda)\right],$$
34)

aus welchen Gleichungen R und $(L-L_0)$ bestimmt werden können. Im Allgemeinen wird der Bogen $L-L_0$ und der Unterschied $R-R_0$ klein sein und es wird genügen, nur die ersten Potenzen dieser Grössen in Rechnung zu zichen; dem entsprechend sind die weiter folgenden Transformationen durchgeführt. Für sehr kleine Werthe von β können die aus der Einführung des locus fictus entstandenen Correctionen sehr merklich werden; in diesen Fällen wird also die Berechnung nach den strengen Formeln 34) nothwendig. Wird $\beta=0$, so verliert das Verfahren seine Brauchbarkeit und man muss auf seine Benützung verzichten. Um nun für die gewöhnliche Anwendung geeignete Formeln zu erhalten, entwickelt man aus 34) leicht mit Berücksichtigung der ersten Potenzen der kleinen Grössen:

$$\begin{split} L &= L_{\rm o} + \frac{\sin{(L_{\rm o} - \lambda)}}{\lg{\beta}} \left[B - \frac{h\pi}{R_{\rm o}} \sin{b} \right] + \frac{h\pi}{R_{\rm o}} \cos{b} \sin{(L_{\rm o} - l)} \\ R &= R_{\rm o} - R_{\rm o} \frac{\cos{(L_{\rm o} - \lambda)}}{\lg{\beta}} \left[B - \frac{h\pi}{R_{\rm o}} \sin{b} \right] - h\pi \cos{b} \cos{(L_{\rm o} - l)} \} \arg{1}''. \end{split}$$

Da $\log R_0$ aus den Ephemeriden unmittelbar entnommen wird, so ist die Kenntnis von $d \log R_0$ wünschenswerther als diejenige von $d R_0$. Die auf pag. 30 angegebene logarithmische Reihe gibt, wenn man:

$$\frac{R}{R_0} = 1 - m,$$

setzt, zunächst:

$$\log \frac{R}{R_0} = M \{ -m - \frac{1}{3} m^2 - \frac{1}{3} m^3 - \cdots \}.$$

und, indem man bei den ersten Potenzen stehen bleibt und den oben für m gefundenen Werth substituirt:

$$\log R = \log R_{\rm o} - M \left\{ \frac{\cos (L_{\rm o} - \lambda)}{\lg \beta} \left[B - \frac{h\pi}{R_{\rm o}} \sin b \right] + \frac{h\pi}{R_{\rm o}} \cos b \cos (L_{\rm o} - l) \right\}$$

wobei, wenn die Correction des briggischen Logarithmus von R_0 in Einheiten der siebenten Decimale gefunden werden soll, zu setzen ist:

$$\log M = 1.32336.$$

Es erübrigt noch, die Zeit zu bestimmen, welche das Licht braucht, um vom Beobachtungsorte zum locus fictus zu gelangen. Aus der dritten Gleichung 33) findet man mit Berücksichtigung der ersten Potenzen:

$$\varrho - \varrho_{\rm o} = \frac{R_{\rm o}}{\sin \beta} \left[\frac{h\pi}{R_{\rm o}} \sin b - B \right] \text{ arc } 1''.$$

Da das Licht nach Nyrén's Aberrationsconstante 498.65 Zeitsekunden braucht, um die Entfernung 1 zu durcheilen, so wird die Correction der Beobachtungszeit:

$$dt = \frac{R_0}{\sin \beta} \left[\frac{h\pi}{R_0} \sin b - B \right] 498^{5}65 \text{ arc } 1''.$$

Will man diese Correction in Einheitendes mittleren Sonnentages haben, so wird anzunehmen sein:

$$dt = \frac{R_0}{\sin \beta} \left[B - \frac{h\pi}{R_0} \sin b \right] C$$
$$\log C = 2_{n}44686 - 10.$$

Die zur Berechnung des locus fictus nöthigen Formeln sind also , übersichtlich zusammengestellt:

$$L = L_{o} + \frac{\sin{(L_{o} - \lambda)}}{\lg{\beta}} \left[B - \frac{h\pi}{R_{o}} \sin{b} \right] + \frac{h\pi}{R_{o}} \cos{b} \sin{(L_{o} - l)}$$

$$\log{R} = \log{R_{o}} - M \left\{ \frac{\cos{(L_{o} - \lambda)}}{\lg{\beta}} \left[B - \frac{h\pi}{R_{o}} \sin{b} \right] + \frac{h\pi}{R_{o}} \cos{b} \cos{(L_{o} - l)} \right\}$$

$$dt = \frac{R_{o}}{\sin{\beta}} \left[B - \frac{h\pi}{R_{o}} \sin{b} \right] C$$

$$\log{M} = 1.32336$$

$$\log{C} = 2_{n}44686 - 10.$$

Die Correction von $\log R_0$ wird in Einheiten der siebenten, die von dt in Einheiten des mittleren Sonnentages erhalten.

Als Beispiel wähle ich die Reduction einer Beobachtung des Planeten Elpis auf den locus fictus; die Grundlage der Rechnung bildeten nachstehende Werthe:

1868 Mai 18 10^h 33^m 9^s mittl. Zeit Josefstadt = Mai 18-43 1465*) mittl. Zeit Berlin

$$\begin{array}{lll} \lambda = 258^{\circ} \ 58'5 & \beta = + \ 12^{\circ} \ 48'3 \\ L_{o} = \ 58^{\circ} \ 9' \ 2''10 & B = - \ 0''36 & \log R_{o} = 0.005 \ 2850 \\ \theta = 215^{\circ} \ 7'5 & \varphi' = 48^{\circ} \ 1'5 & \log h\pi = 0.9460. \end{array}$$

Die Bestimmung der Länge und Breite des Zenithes des Beobachtungsortes gab:

$$l = 185^{\circ} 57'$$
 $b = 56^{\circ} 38'$.

^{*)} Für die Verwandlung der in Stunden, Minuten und Sekunden angesetzten Beobachtungszeit wird man den zweiten Theil der Tafel XIX im zweiten Bande mit Vortheil benützen können.

Es fand sich weiter:

$$\log \frac{h\pi}{R_o} \text{ o.9407} \quad \sin \left[L_o - \lambda\right] \text{ 9.5508} \qquad L_o - l \text{ 232° 12°0}$$

$$\sin b \text{ 9.9217} \qquad \cot g \text{ fo.6434} \quad \sin \left[L_o - l\right] \text{ 9n8977}$$

$$\cos b \text{ 9.7404} \quad \cos L_o - \lambda \text{ 9n9706} \quad \cos \left[L_o - l\right] \text{ 9n7874}$$

$$\frac{h\pi}{R_o} \sin b \text{ + 7"285} \quad \log dL_1 \text{ 1n0776} \quad \log dL_{11} \text{ 0n5788}$$

$$B - \frac{h\pi}{R_o} \sin b \text{ - 7"645} \qquad dL_1 \text{ - 11"957} \qquad dL_{11} \text{ - 3"792}$$

$$\log \left[B - \frac{h\pi}{R_o} \sin b\right] \text{ on8834} \quad \log d \log R_1 \text{ 2n8208} \quad \log d \log R_{11} \text{ 1.7919}$$

$$\log \frac{h\pi}{R_o} \cos b \text{ 0.6811} \qquad d \log R_1 \text{ - 661.9} \qquad d \log R_{11} \text{ + 61.9}$$

$$\frac{h}{L_o - \lambda} \text{ 159° 10'5} \qquad \mathcal{I} L_o \text{ - 15"75} \qquad \mathcal{I} \log R_o \text{ - 600.}$$

Die Correction. welche an die Beobachtungszeit anzubringen ist, findet man:

cosec
$$\beta$$
 0.654
$$\log \frac{dt}{C} \quad I_{n}543$$

$$dt \quad + 0.000 \text{ oot}$$

also so klein, dass dieselbe ohne Nachtheil vernachlässigt werden könnte. Man hat dem zufolge anzuwenden:

$$T = 1868$$
 Mai 18.43 1400
 $L = 58^{\circ}$ 8' 46"35
 $\log R = 0.005$ 2250.

Anhang.

Ein mit der Parallaxencorrection sehr verwandtes Problem, welches sich bei Bahnbestimmungen häufig darbietet, ist die Wegschaffung der Sonnenbreite aus der Rechnung, wenn die Distanzen ϱ genähert bekannt sind; wie dies ohne Kenntnis des Abstandes auf eine strenge Weise geschieht, ist eben gezeigt worden. Wird die Sonnenbreite, wie früher, B genannt, so ist der verticale Abstand des Erdmittelpunktes von der Ekliptik — R sin B. Legt man nun durch den Erdmittelpunkt und das beobachtete Object vertical auf die Ekliptik eine Ebene und nimmt in derselben ein Coordinatensystem an, dessen Anfangspunkt der Erdmittelpunkt ist, und dessen X-Achse in der Durchschnittslinie dieser Ebene mit der Ekliptik liegt, so ist die x- und y-Coordinate des beobachteten Objectes, dessen geocentrische Breite mit β bezeichnet sei:

$$x = \varrho \cos \beta, \qquad y = \varrho \sin \beta.$$

Die Coordinaten des auf die Ekliptik projicirten Erdmittelpunktes, auf welchen die Beobachtung bezogen werden soll, sind:

$$x' = 0,$$
 $y' = R \sin B,$

daher die Coordinaten des beobachteten Objectes in Bezug auf den Projectionspunkt:

$$x'' = \varrho'' \cos (\beta + d\beta) = x = \varrho \cos \beta$$

$$y'' = \varrho'' \sin (\beta + d\beta) = y - y' = \varrho \sin \beta - R \sin B.$$

Multiplicirt man die erste Gleichung mit — $\sin \beta$, die zweite mit $\cos \beta$ und addirt, so findet sich sofort:

$$\varrho'' \sin (d\beta) = -R \cos \beta \sin B.$$

Bei der Kleinheit von B wird es aber genügen, die ersten Potenzen der Änderungen mitzunehmen, man wird daher haben:

$$d\beta = -\frac{RB}{\varrho}\cos\beta. \quad 1$$

Die Länge bleibt natürlich ungeändert. Da R stets wenig von der Einheit verschieden ist, so kann mit hinreichender Genauigkeit die Reduction der beobachteten Breite berechnet werden nach:

$$d\beta = -\frac{\cos \beta}{\varrho} B.$$
 2)

Man wird ohne Schwierigkeit bemerken, dass die stets unbedeutende Änderung der Distanz keinen merkbaren Einfluss auf die Beobachtungszeit ausüben kann.

II. Abschnitt. Die Coordinaten in ihrem Verhältnisse zur Zeit.

1. Kepler's Gesetze.

Die bisherigen Erfahrungen lehren, dass jeder Körper im Raume auf jeden anderen eine Fernwirkung ausübt, welche sich als eine Anziehung äussert. Nach Newton's den Erscheinungen im Allgemeinen genügender Hypothese über das Mass dieser Kraft, wirkt dieselbe proportional der Masse des Körpers und umgekehrt proportional dem Quadrate der Entfernung. Es soll nicht untersucht werden, in wie weit diese Annahme über das Bild der Kraft berechtigt ist, ich führe hier nur an, dass diese Voraussetzungen selbst bei den genauesten Untersuchungen sich auf das Beste erproben; es ist also das Resultat der Kraft mindestens der Hauptsache nach richtig erfasst.

Das Problem der Bahnbestimmung muss demnach davon ausgehen, die Gesetze abzuleiten, welche sich für die Bewegung der Himmelskörper aus dem Newtonschen Attractionsgesetze ergeben. Vorläufig soll die Untersuchung auf den einfachsten Fall, das Problem zweier Körper, beschränkt werden: diese Einschränkung ist in Rücksicht auf die Massenvertheilung in unserem Sonnensysteme bei ersten Bahnbestimmungen gestattet; ferner können die Körper wegen ihrer nahezu sphärischen Gestalt als materielle Punkte betrachtet werden. Diese letztere Annahme wird überdies später bei den für die Untersuchung der Präcession und Nutation nöthigen Entwicklungen näher begründet werden.

Da die zu lösende Aufgabe dem Sonnensysteme angehört, so kann man, um für die in Betracht kommenden Kräfte ein Mass festzusetzen, als Einheit die Wirkung der Sonne einführen, welche als eine wesentlich positive Grösse durch k^2 bezeichnet werden soll. Weil nun die Kraft durch ihre Wirkung in einer gewissen Zeit gemessen wird, gleichzeitig aber auch eine Function der Entfernung ist, so muss bestimmt werden, zu welcher Entfernung die Wirkung in der Zeiteinheit gehört. Man hat sich geeinigt, unter k^2 die Wirkung der Sonne zu verstehen, die sie im Verlaufe der Zeiteinheit (mittlerer Sonnentag) in der Entfernung I (mittlere Entfernung der Erde von der Sonne) ausübt. Über die Bestimmung dieser Grösse aus den Beobachtungen und die hierbei zu berücksichtigenden Voraussetzungen wird das Nöthige weiter unten folgen.

Um die Differentialgleichungen für die Bewegung zweier Massenpunkte M und m zu erhalten, soll ein festes rechtwinkliges Coordinatensystem angenommen werden; die Coordinaten des Massenpunktes M seien ξ' , η' und ζ' , die von m aber ξ , η , ζ ; die Entfernung beider Massenpunkte r wird dann offenbar bestimmt sein durch: $r^2 = (\xi' - \xi)^2 + (\eta' - \eta)^2 + (\zeta' - \zeta)^2,$

mit welcher Kraft beide Körper sich einander zu nähern streben. Um nun das d'Alembert'sche Princip anwenden zu können, nach welchem die bewegende Kraft dem Producte der bewegten Masse in die Beschleunigung gleich gesetzt werden muss, wird man vorerst die Gesammtkraft in die Componenten nach den Achsen zu zerlegen haben. Bezeichnet man mit (xr), (yr) und (zr) die Winkel, welche die von M nach m gezogen gedachte Linie r mit den positiven Coordinatenachsen einschliesst und deren Cosinus offenbar durch:

$$\cos(xr) = \frac{\xi - \xi'}{r}, \qquad \cos(yr) = \frac{\eta - \eta'}{r}, \qquad \cos(zr) = \frac{\zeta - \zeta'}{r},$$

bestimmt sind, so erhält man der Reihe nach die auf den Massenpunkt M wirkenden Kraftcomponenten:

$$\begin{array}{l} \frac{m\,M}{r^2}\cos\left(xr\right) = \frac{m\,M}{r^3}\,\left(\xi - \xi'\right) \\ \frac{m\,M}{r^2}\cos\left(yr\right) = \frac{m\,M}{r^3}\,\left(\eta - \eta'\right) \\ \frac{m\,M}{r^2}\cos\left(zr\right) = \frac{m\,M}{r^3}\,\left(\zeta - \zeta'\right), \end{array}$$

welche nach dem d'Alembert'schen Principe den Ausdrücken:

$$M\frac{d^2\xi'}{dt^2}, \qquad M\frac{d^2\eta'}{dt^2}, \qquad M\frac{d^2\zeta'}{dt^2},$$

gleich zu setzen sind, also für die Bewegungsgleichungen des Massenpunktes M die Ausdrücke:

$$\frac{d^2\xi'}{d\ell^2} = \frac{m}{r^3} \left(\xi - \xi'\right), \qquad \frac{d^2\eta'}{d\ell^2} = \frac{m}{r^3} \left(\eta - \eta'\right), \qquad \frac{d^2\zeta'}{d\ell^2} = \frac{m}{r^3} \left(\zeta - \zeta'\right).$$

Um die Bewegungsgleichungen für den zweiten Massenpunkt zu erhalten, wird man zu beachten haben, dass die Anziehung in der Richtung von m nach M wirkt, daher bei der Zerlegung nach den Componenten die oben benützten Cosinusfactoren mit umgekehrtem Zeichen einzuführen sind. Man gelangt dann durch den früher gezogenen ganz ähnliche Schlüsse zu den folgenden für m geltenden Bewegungsgleichungen:

$$\frac{d^3\xi}{dt^2} = \frac{M}{r^3} (\xi' - \xi), \qquad \frac{d^3\eta}{dt^2} = \frac{M}{r^3} (\eta' - \eta), \qquad \frac{d^2\zeta}{dt^2} = \frac{M}{r^3} (\zeta' - \zeta).$$

Führt man nun ein rechtwinkliges Coordinatensystem ein, welches seinen Anfangspunkt in *M* hat und dessen Coordinaten durch:

$$\xi - \xi' = x, \quad \eta - \eta' = y, \quad \zeta - \zeta' = z,$$

dargestellt werden und berücksichtigt, dass:

$$\frac{d^{2}\xi}{dt^{2}} - \frac{d^{2}\xi'}{dt^{2}} = \frac{d^{2}x}{dt^{2}}, \quad \frac{d^{2}\eta}{dt^{2}} - \frac{d^{2}\eta'}{dt^{2}} = \frac{d^{2}y}{dt^{2}}, \quad \frac{d^{2}\zeta}{dt^{2}} - \frac{d^{2}\zeta'}{dt^{2}} = \frac{d^{2}z}{dt^{2}},$$

$$r^{2} = x^{2} + y^{2} + z^{2}.$$

wird, so gibt die Subtraction der obigen Bewegungsgleichungen, wenn man statt M, der obigen Definition entsprechend k^2 , demnach für m den Werth mk^2 einsetzt, also m in Theilen der Sonnenmasse ausdrückt, die Bewegungsgleichungen des Himmelskörpers in Bezug auf den Sonnenmittelpunkt wie folgt:

$$\begin{cases} aur & den Sonnenmittelpunkt wie \\ \frac{d^2x}{dt^2} + k^2(1+m) \frac{x}{r^3} = 0 \\ \frac{d^2y}{dt^2} + k^2(1+m) \frac{y}{r^3} = 0 \\ \frac{d^3z}{dt^2} + k^2(1+m) \frac{z}{r^3} = 0. \end{cases}$$

Die nun vorzunehmende Integration dieser drei linearen Differentialgleichungen zweiter Ordnung wird auf sechs willkürliche Constanten führen, welche die Elemente der Bahn sind und aus den Beobachtungen bestimmt werden müssen.

Multiplicirt man die erste Gleichung mit — y, die zweite mit x und addirt, so erhält man sofort einen Ausdruck, der als ein vollständiges Differential erscheint; es wird nämlich:

$$x\frac{d^2y}{dt^2}-y\frac{d^2x}{dt^2}=\frac{d\left\{x\frac{dy}{dt}-y\frac{dx}{dt}\right\}}{dt}=0.$$

Multiplicirt man dann die erste Gleichung mit z, die dritte mit — x und addirt, und verbindet ebenso die zweite und dritte Gleichung in 1) nach Multiplication der ersten mit — z, der letzten mit y, so finden sich nach der Integration folgende drei Gleichungen:

$$x \frac{dy}{dt} - y \frac{dx}{dt} = k_1$$

$$z \frac{dx}{dt} - x \frac{dz}{dt} = k_2$$

$$y \frac{dz}{dt} - z \frac{dy}{dt} = k_3;$$
2)

 k_1 , k_2 und k_3 stellen Integrationsconstanten vor. Werden nun die Gleichungen 2) der Reihe nach mit z, y und x multiplicirt und addirt, so erhält man sofort:

$$k_1z + k_2y + k_3x = 0.$$
 3

Diese Gleichung gehört einer Ebene an, welche durch den Anfangspunkt der Coordinaten (Sonnenmittelpunkt) geht, drückt also in analytischer Form das erste Kepler'sche Gesetz aus, welches lautet: Ein um die Sonne als Attractionscentrum sich bewegender Himmelskörper beschreibt seine Bahn in einer Ebene, die durch den Sonnenmittelpunkt geht. Da bei Ableitung dieser Relation die das Attractionsgesetz enthaltenden zweiten Glieder in den Gleichungen 1) links vom Gleichheitszeichen eliminirt wurden, so ist das erste Kepler'sche Gesetz allen Centralbewegungen eigen. Der Gleichung 3) kann die Form

$$z + C_1 y + C_2 x = 0, \qquad 4$$

ertheilt werden, weshalb offenbar zur Definirung der Bewegungsebene zwei willkürliche Integrationsconstanten genügen, die in jedem speciellen Fall aus den Beobachtungen bestimmt werden müssen. Für die weiteren Integrationen wird es sich als zweckmässig erweisen, von dem Resultate der Gleichung 3) Gebrauch zu machen und sofort die Bahnebene als die XY Ebene in die Gleichungen 1) einzuführen; dann sind z und dessen Ableitungen gleich Null zu setzen. Es liegen demnach für die weitere Behandlung die folgenden beiden Differentialgleichungen vor:

$$\begin{cases} \frac{d^2x}{dt^2} + k^2 (1 + m) \frac{x}{r^3} = 0 \\ \frac{d^2y}{dt^2} + k^2 (1 + m) \frac{y}{r^3} = 0, \end{cases}$$
 5)

welche bei der Integration nunmehr auf vier willkürliche Integrationsconstanten führen werden. In der That sind zwei von den sechs ursprünglichen Integrationsconstanten in der Gleichung 4) aufgetreten.

Behandelt man die beiden letzten Gleichungen wie früher, so resultirt:

$$x\frac{dy}{dt} - y\frac{dx}{dt} = C_3, \qquad 6$$

wobei C_3 die dritte Integrationsconstante ist. Weil das Differential des Sectors dS, je nachdem man polare oder rechtwinklige Coordinaten benützt, ausgedrückt ist durch:

$$2 dS = r^2 dv = x dy - y dx,$$

so folgt sofort aus 6):

$$2 dS = r^2 dv = x dy - y dx = C_3 dt. \qquad 7$$

Die Integration ergibt, wenn durch S eine Sectorfläche dargestellt wird:

$$2S = C_3t + C_4;$$
 8)

 C_4 ist die vierte Integrationsconstante. Diese Gleichung spricht das zweite Kepler'sche Gesetz aus, welches aus denselben Gründen wie das erste von dem Attractionsgesetze unabhängig und demnach allen Centralbewegungen eigen ist, nämlich:
Die durch den Radius vector eines bestimmten Himmelskörpers beschriebenen Flächen
sind den Zeiten, in welchen sie überstrichen werden, direct proportional. Die Integrationsconstante C_4 kann als jene doppelte Sectorfläche aufgefasst werden, die zwischen einem als fixe Ausgangslinie zu wählenden und dem für die Zeit t = 0 stattfindenden Radius vector eingeschlossen ist.

Aus den Gleichungen 5) können noch andere Relationen abgeleitet werden, welche die restlichen zwei Integrationen ausführen lassen; indem man die erste mit 2 dx : dt, die zweite mit 2 dy : dt multiplicirt, erhält man nach der Addition der Producte:

$$2\left\{\frac{dx}{dt}\frac{d^2x}{dt^2}+\frac{dy}{dt}\frac{d^2y}{dt^2}\right\}+\frac{2k^2(1+m)}{r^3}\left\{x\frac{dx}{dt}+y\frac{dy}{dt}\right\}\stackrel{!}{=}0.$$

Nun folgt aber aus der Gleichung:

$$r^2=x^2+y^2,$$

durch Differentiation:

$$r\frac{dr}{dt} = x\frac{dx}{dt} + y\frac{dy}{dt}, \qquad (9)$$

daher man leicht findet:

$$\frac{d\left\{\left(\frac{dx}{dt}\right)^2 + \left(\frac{dy}{dt}\right)^2\right\}}{dt} + \frac{2k^2(1+m)}{r^2} \cdot \frac{dr}{dt} \stackrel{\text{def}}{=} 0$$

Wird nun mit dt multiplicirt, so gibt die Integration dieses Ausdruckes:

$$\left(\frac{dx}{dt}\right)^2 + \left(\frac{dy}{dt}\right)^2 - \frac{2k^2(1+m)}{r} = C_5, \quad 10$$

womit die fünfte Integrationsconstante eingeführt erscheint. Man wird beachten, dass die zwei ersten Glieder zusammen das Quadrat der Geschwindigkeit darstellen; bezeichnet man dieselbe mit g, so resultirt aus 10):

$$g = \sqrt{C_5 + \frac{2k^2(1+m)}{r}},$$
 11)

welche Gleichung später eine interessante Folgerung gestatten wird. Die Elimination des Quadrates der Geschwindigkeit aus 10) durch Benützung des Quadrates der Gleichung 6) (pag. 45) lasst zunächst für das letztere:

$$C_3^2 = x^2 \left(\frac{dy}{dt}\right)^2 + y^2 \left(\frac{dx}{dt}\right)^2 - 2xy \frac{dx}{dt} \cdot \frac{dy}{dt} = (x^2 + \dot{y}^2) \left\{ \left(\frac{dx}{dt}\right)^2 + \left(\frac{dy}{dt}\right)^2 \right\} - \left\{ x \frac{dx}{dt} + y \frac{dy}{dt} \right\}^2,$$
und nach 9) (pag. 45):

$$\left(\frac{dx}{dt}\right)^2 + \left(\frac{dy}{dt}\right)^2 - \left(\frac{dr}{dt}\right)^2 = \frac{C_3^2}{r^2},$$

finden; subtrahirt man dieses Resultat von der Gleichung 10), so ist die gewünschte Elimination erreicht und man hat:

$$\left(\frac{dr}{dt}\right)^2 = \frac{1}{r^2} \left\{ C_5 r^2 + 2 k^2 (1 + m) r - C_3^2 \right\},$$

oder:

$$\pm dt = \frac{r dr}{\sqrt{C_5 r^2 + 2 k^2 (1 + m) r - C_3^2}}, \quad 12)$$

wobei das Doppelzeichen durch die Radicirung auftritt. Die Gleichung 12) kann offenbar in geschlossener Form integrirt werden, und würde dann die sechste und letzte Integrationsconstante einführen: weil jedoch die hieraus resultirenden Ausdrücke anderweitig bequemer erlangt werden können, so soll diese Integration hier nicht vorgenommen werden. Will man durch die sechste Integration sogleich die Gestalt der Curve, welche der Himmelskörper beschreibt, erhalten, so wird man dv als Function von r und dr darstellen müssen.

Aus der Gleichung 7) (pag. 45) folgt:

$$dt = \frac{r^2 dv}{C_2},$$

somit gibt die Gleichung 12) die Relation:

$$\pm dv = \frac{C_3 dr}{\sqrt{C_5 r^2 + 2 k^2 (1 + m) r - C_3^2}}, \quad 13$$

aus welcher durch die letzte Integration die Form der Curve erhalten werden kann; hierbei wird auch die Zweideutigkeit des Zeichens wegfallen. Um die Integration leichter ausführen zu können, wird es sich empfehlen, die Constanten C_3 und C_5 durch zwei andere Grössen, a und e, zu ersetzen, welche mit den ersteren in folgender Verbindung stehen sollen:

$$C_5 = -\frac{k^2(1+m)}{a}, \qquad C_3^2 = a(1-e^2)k^2(1+m).$$
 14)

Die Substitution dieser Grössen in 13) lässt leicht finden:

$$\pm \ dv = \frac{a \sqrt{1 - e^2} \ dr}{r \sqrt{2ra - r^2 - a^2} (1 - e^2)}$$

Multiplicirt man Zähler und Nenner mit $\frac{\sqrt{1-e^2}}{e^r}$, so erhält man

$$\pm dv = \frac{\frac{a(1-e^2)}{er^2} dr}{\sqrt{1-\left\{\frac{a(1-e^2)}{er}-\frac{1}{e}\right\}^2}}.$$

Setzt man nun:

$$x = \frac{a(1-e^2)}{er} - \frac{1}{e}$$
, also: $dx = -\frac{a(1-e^2)}{er^2} dr$, 15)

so ergibt sich:

$$\pm dv = -\frac{dx}{\sqrt{1-x^2}} = d (\operatorname{arc} \cos x).$$

Hieraus folgt durch Integration:

$$\pm v = \arccos x \mp \lambda,$$
 16)

welche Gleichung in λ die sechste und letzte Integrationsconstante enthält. Letztere wurde, mit dem doppelten Vorzeichen versehen, angesetzt; es ist dies in der That gestattet, wenn man für einen speciellen Fall eine diesbezügliche feste Wahl trifft. Aus der Gleichung 16) folgt:

$$\cos (v + \lambda) = x = \frac{1}{e} \left\{ \frac{a(1 - e^2)}{r} - 1 \right\},$$
 17)

wobei aber das Doppelzeichen weggelassen wurde, da:

$$\cos (v + \lambda) = \cos (-v - \lambda),$$

ist. Bestimmt man aus der Relation 17) den Werth von r, so findet sich:

$$r = \frac{a \left(1 - e^2\right)}{1 + e \cos\left(v + \frac{1}{2}\right)}.$$
 18)

Dieser Ausdruck ist aber die allgemeine Gleichung der Kegelschnitte in den polaren Coordinaten, deren Anfangspunkt in einem Brennpunkte liegt; r stellt den Radiusvector vor, $(v + \lambda)$ den Winkel, welchen die grosse Achse mit dem Leitstrahle r einschliesst; hierbei ist derjenige Theil der grossen Achse für die Zählung massgebend, welcher zwischen dem Anfangspunkte der Coordinaten und dem zunächstliegenden Scheitel des Kegelschnittes (Perihel) eingeschlossen ist.

Die Gleichung 18) drückt das dritte Kepler'sche Gesetz aus, nämlich: die Bahnen der Himmelskörper sind Kegelschnittslinien, in deren einem Brennpunkte die Sonne sich befindet. Kepler hat dasselbe in der Beschränkung auf Ellipsen ausgesprochen.

a ist die halbe grosse Achse und e die Excentricität des Kegelschnittes, der Parameter p ist bestimmt durch:

$$p = a (1 - e^2).$$

Derjenige Brennpunkt, welcher im Sonnencentrum liegt, bildet den Anfangspunkt des Coordinatensystems. Die Gerade, welche mit der grossen Achse des Kegelschnittes zusammenfällt, wird als die Apsidenlinie, die zwei Durchschnittspunkte dieser Geraden mit der Bahn werden je nach der grösseren oder kleineren Entfernung vom Sonnenmittelpunkte als Aphel oder Perihel bezeichnet; ist q der lineare Abstand des Perihels vom Sonnenmittelpunkte, so besteht die Relation:

$$p = q (1 + e).$$
 20)

Zählt man den Winkel v vom Perihel aus, so ist die in 18) auftretende Integrationsconstante λ der Null gleich; in diesem Falle erhält v den Namen der wahren Anomalie und die Gleichung 18) nimmt die Gestalt an:

$$r = \frac{p}{1 + e \cos v}.$$
 21)

Anlässlich dieser Definition kann man anführen, dass bis zum Anfange des jetzigen Jahrhunderts die wahre Anomalie in elliptischen Bahnen vom Aphel gezählt wurde; die jetzt allgemein angenommene von Gauss in der Theoria motus eingeführte Zählweise vom Perihel ist vermöge ihrer gleichmässigen Anwendung auf alle Kegelschnitte consequenter.

Mit Rücksicht auf die nunmehr erlangte Kenntnis der Bahngestalt wird das Integral 8) (pag. 45) eine einfache Bestimmung der Constante k gestatten, sobald man für die Zeit- und Masseinheit bestimmte Annahmen macht; über die Masseneinheit (Sonnenmasse = 1) ist bereits verfügt. Ist T die aus den Beobachtungen abzuleitende Umlaufszeit eines Planeten, die in mittleren Sonnentagen ausgedrückt werden soll (hiermit ist der mittlere Sonnentag als Zeiteinheit fixirt), ferner a und b die halbe grosse und kleine Achse seiner Bahn, so beschreibt der Radius vector r in der Zeit T die ganze Ellipsenfläche; dieselbe ist aber bekanntlich:

$$ab\pi = \pi a^2 \sqrt{1 - e^2}. \qquad 22$$

Nun gibt das Integral 8) (pag. 45) für die Zeit t, und t2 die Werthe:

$$2 S_1 = C_3 t_1 + C_4$$
$$2 S_2 = C_3 t_2 + C_4.$$

Entspricht der Zeitunterschied $t_2 - t_1$ einem Umlaufe T, so ist auch $S_2 - S_1$ die gesammte Ellipsenfläche und man hat, wenn für C_3 der Werth nach Gleichung 14) (pag. 46) eingeführt wird:

$$2\pi a^2 \sqrt{1-e^2} = \sqrt{a} \sqrt{1-e^2} k \sqrt{1+m} T,$$

oder:

$$k = \frac{2 a^{3/2}\pi}{T\sqrt{1+m}} \cdot \qquad 23)$$

Entlehnt man T und m den Elementen der Erdbahn und setzt hierbei die halbe grosse Achse der Erdbahn der Einheit gleich, womit die Masseinheit fixirt wird, so ist k vollständig bestimmt durch: $k = \frac{2\pi}{T\sqrt{(1+m)}}.$ ²⁴

Für k gelten demnach die folgenden Einheiten gleichzeitig:

Einheit der Zeit: der mittlere Sonnentag.

Einheit des Weges: die mittlere Entfernung der Erde von der Sonne.

Einheit der Masse: die Sonnenmasse.

Gauss hat in der Theoria motus die Bestimmung der Grösse k, die man als Attractionsconstante bezeichnen kann, unter den Annahmen:

$$T = 365.256 3835$$
 mittlere Sonnentage $m = 1:354 710$,

nach der Formel 24) durchgeführt und gefunden:

$$k = 0.017 \ 202 \ 098 \ 95$$

 $\log k = 8.235 \ 581 \ 441 \ 4 - 10$
 $\log k'' = 3.550 \ 006 \ 574 \ 6$;

hierbei ist gesetzt:

$$k'' = \frac{k}{\text{arc } 1''}$$

Über T und m könnten gegenwärtig voraussichtlich genauere Annahmen gemacht werden, welche allerdings die Grösse k nur in geringem Masse abändern würden. Diese Variabilität von k hätte jedoch manche Unzukömmlichkeiten im Gefolge, weshalb man sich dahin geeinigt hat, an dieser Grösse keine Abänderungen vorzunehmen, sondern sie als absolute Constante gelten zu lassen; um aber mit der Gleichung 23) nicht in Widerspruch zu gerathen, bestimmt man die mittlere Entfernung der Erde von der Sonne nach:

$$a = \left(\frac{k T \sqrt{1+m}}{2 \pi}\right)^{2/8},$$

welche Grösse sich somit in Etwas von der Einheit unterscheiden wird. So findet sich z. B., wenn man nach Le Verrier die mittlere siderische Bewegung der Erde in einem julianischen Jahre (365·25 mittlere Sonnentage) = 1295977'' 4427 annimmt und die Masse $m = 1\cdot330$ 000 setzt:

$$\log a = 0.000 000 000 9.$$

Infolge dieser Festsetzung gilt daher nicht mehr die mittlere Entfernung der Erde von der Sonne als Einheit der Entfernung, sondern diese erscheint durch die Gauss'sche Attractionsconstante festgelegt und würde als jene mittlere Entfernung bezeichnet werden müssen, in welcher unter der Annahme des obigen Attractionsgesetzes ein Massenpunkt von der Masse 1: 354 710 in 365.2563 835 mittleren Sonnentagen um die Sonne geführt würde. Diese Definition lässt sich aber wesentlich vereinfachen, wenn man die Umlaufszeit entsprechend der gemachten Massenannahme modificirt; man hat dann:

$$T' = T\sqrt{1+m}$$
, oder: $T' = \frac{2\pi}{k}$.

und ich wäre geneigt, für die Einheit der Entfernung im Sonnensysteme die folgende Bestimmung festzustellen: Als Einheit der Entfernung hat man den Radius einer Kreisbahn zu betrachten, in welcher ein Punkt von unendlich kleiner Masse unter der Annahme des numerischen Werthes der Gauss'schen Attractionsconstante k den Umlauf in $\frac{2\pi}{k}$ mittleren Sonnentagen vollenden würde; hierbei ist anzunehmen:

$$\log k = 8.235581441400000$$

$$\log \frac{2\pi}{k} = \log T = 2.562598426958115$$

$$T = 365.256898400519 \text{ mittl. Sonnentage.}$$

Diese strange Definition der Masseinheit wird in der Folge durchaus festgehalten werden. Der allgemein übliche und auch im vorliegenden Werke gebrauchte Ausdrusk, dass die mittlere Entfernung der Erde von der Sonne als Masseinheit gilt, wird in dem Sinne der durch die obige Definition festgestellten Einheit zu verstehen sein.

Die Gleichung 23, pag. 48 erlaubt unmittelbar die Ableitung des vierten und letzten Kepler'schen Gesetzes. Da die Constante k für alle Planeten identisch gefunden werden muss, so wird auch die Gleichung:

oder:

$$\frac{a^{3/2}}{T\sqrt{1+m}} = \frac{a_1^{3/2}}{T_1\sqrt{1+m_1}}.$$

$$T_1^2: T^2 = \frac{a_1^3}{1+m}: \frac{a^3}{1+m}.$$

bestehen. Setzt man hier die in unserem Sonnensysteme kleinen Grössen m und m_1 der Null gleich, so erhält man das vierte Kepler sche Gesetz in der von Kepler aufgestellten Fassung, nämlich: Die Quadrate der Umlaufszeiten verhalten sich wie die Würfel der grossen Achsen. Kepler hat also durch sein letztes Gesetz nur einen Näherungsausdruck gefunden, der aber bei der Kleinheit der Planetenmassen nicht allzu sehr von der Wahrheit verschieden ist.

Die Gleichung 11) (pag. 46) gestattet, wie schon oben bemerkt wurde, eine sehr interessante Folgerung. Setzt man für C_5 den Werth nach 14) (pag. 46), so resultirt für die Geschwindigkeit des Himmelskörpers der Ausdruck:

$$g = k \sqrt{1+m} \sqrt{\frac{2}{r} - \frac{1}{a}}. \qquad 25)$$

Weil nun $\frac{1}{a}$ positiv für die Ellipse, Null für die Parabel, negativ für die Hyperbel ist, so wird die Bahn eine Ellipse, Parabel oder Hyperbel sein, jenachdem die Geschwindigkeit kleiner, gleich oder grösser ist als:

$$k\sqrt{1+m}\sqrt{\frac{2}{r}}$$

Wegen des geringen Unterschiedes zwischen dem Factor $\sqrt{1+m}$ und der Einheit wird man auch sagen dürfen, dass die Gattung des Kegelschnittes durch die Geschwindigkeit in der Entfernung r bestimmt ist. Die Bahn wird also sein:

eine Ellipse, wenn
$$g < k \sqrt{\frac{2}{r}}$$

» Parabel » $g = k \sqrt{\frac{2}{r}}$

» Hyperbel » $g > k \sqrt{\frac{2}{r}}$

welche Relationen von der Richtung der Bewegung unabhängig sind.

2. Die Relationen zwischen der Zeit und dem Orte in der Bahn.

Die Hilfsmittel, um für eine beliebige Zeit den Ort eines Himmelskörpers in der Bahn berechnen zu können, sind zwar durch die bezüglichen im vorigen Kapitel ausgeführten sechs Integrationen vollständig gegeben, aber noch nicht in eine Form gebracht, die dem praktischen Bedürfnisse entsprechen würde. Die für die folgenden Untersuchungen massgebende Gleichung 7) (pag. 4:) wird sich mit Rücksicht auf Gleichung 14) (pag. 46) schreiben lassen:

$$r^2dv = k \sqrt{p(1+m)} dt.$$

Nun ist aber nach dem Resultate der Gleichung 21) (pag. 48), weil die Curve ein Kegelschnitt ist:

 $r^2 = \frac{p^2}{(1 + e \cos v)^2};$

schreibt man der Kürze halber:

$$(k) = k \sqrt{1 + m},$$

und integrirt rechts vom Gleichheitszeichen in der Gleichung 1), so findet sich sofort:

$$\frac{(k) t}{n^{3/2}} = \int_{(1 + e \cos v)^{2}}^{dv},$$
 2)

welchem Ausdrucke nach erfolgter Integration noch eine Constante hinzuzufügen ist, welche die Constante C_4 gewissermassen ersetzt. Die nächste Aufgabe besteht in der Ausführung der in der Gleichung 2) angezeigten Integration; um diese in übersichtlicher Weise für alle Kegelschnittsgattungen durchführen zu können, sollen mit dem Ausdrucke unter dem Integral einige Transformationen vorgenommen werden. Setzt man:

$$\tau = \operatorname{tg} \frac{1}{2} v, \quad d\tau = \frac{dv}{2 \cos \frac{1}{2} v^2} = \frac{1 + \tau^2}{2} dv,$$

$$\cos v = \frac{1 - \tau^2}{1 + \tau^2}, \quad dv = \frac{2 d\tau}{1 + \tau^2},$$
3)

so wird:

$$\frac{(k) \ t}{2 \ p^{3/2}} = \int_{\{1 \ + \ e \ + \ t^2 \ (1 \ - \ e)\}^2}^{(1 \ + \ t^2) \ dt}.$$

Schreibt man überdies:

$$\varepsilon = \frac{1 - e}{1 + e},\tag{4}$$

und multiplicirt beiderseits mit $(1 + e)^2$, so erhält man:

$$\frac{(k) t (1 + \epsilon)^2}{2 p^{3/2}} = \int_{(1 + \epsilon \tau^2)^2}^{d\tau} + \int_{(1 + \epsilon \tau^2)^2}^{\tau^2 d\tau} + \int_{(1 + \epsilon \tau^2)^2}^{(1 + \epsilon \tau^2)^2}$$
 5)

Die Integration dieser Gleichung ist sofort durchführbar, wenn ϵ der Null gleich ist, was mit der Annahme e = 1 übereinkommt; für die Parabel nimmt sie somit die Gestalt an:

$$\frac{(k) t}{q^{3/2} \sqrt{2}} = \tau + \frac{1}{3} \tau^3 + J, \tag{6}$$

wobei durch J die Integrationsconstante dargestellt ist.

Ehe ich aber die Integration für den allgemeinen Fall vornehme, will ich einige Reductionsformeln entwickeln, deren man zur Zurückführung des Ausdruckes 5) auf das Grundintegral:

 $\int_{1}^{\frac{d\tau}{1+\varepsilon\tau^2}},$

bedarf. Es ist offenbar:

$$\int \frac{x^2 dx}{(a+bx^2)^2} = \int \frac{-2bx dx}{(a+bx^2)^2} \cdot \frac{x}{-2b},$$

Wendet man auf den letzteren Ausdruck die Integration durch Theilung an und beachtet, dass

$$d\frac{1}{a+bx^2} = \frac{-2 bx dx}{(a+bx^2)^2},$$

ist, so wird sofort gefunden:

$$\int \frac{x^2 dx}{(a+bx^2)^2} = -\frac{x}{2b(a+bx^2)} + \frac{1}{2b} \int \frac{dx}{a+bx^2}, \quad 7$$

womit das zweite Glied des Ausdruckes 5) leicht auf das obige Grundintegral reducirt werden kann. Zur Reduction des ersten Gliedes beachte man, dass:

$$d\,\frac{^2\,bx}{a+bx^2} = -\,\frac{^{(2\,bx)^2}\,dx}{(a+bx^2)^2} + \frac{^2\,b\,dx}{a+bx^2},$$

ist; schreibt man im ersten Gliede:

$$(2 bx)^2 = 4 (a + bx^2) b - 4 ab$$

so hat man auch:

$$d_{a} + \frac{2bx}{a+bx^2} = -\frac{2bdx}{a+bx^2} + 4ab\frac{dx}{(a+bx^2)^2}$$

Hieraus findet sich leicht durch Integration:

$$\int \frac{dx}{(a+bx^2)^2} = \frac{x}{2 \ a \ (a+bx^2)} + \frac{1}{2 \ a} \int \frac{dx}{a+bx^2}, \qquad 8)$$

womit die Reduction des ersten Gliedes in 5) auf das obige Grundintegral auch erreicht ist. Demselben kann aber die Form:

$$\int_{\overline{a}} \frac{dx}{+bx^2} \quad \text{oder} \quad \int_{\overline{a}} \frac{dx}{-bx^2},$$

ertheilt werden. Stellt man sich unter a und b positive Grössen vor, so führt jede dieser Formen auf verschiedene analytische Ausdrücke; im ersten Falle hat man zu setzen:

$$\frac{dx}{a+bx^2} = \frac{\sqrt{\frac{b}{a}} dx}{\sqrt{ab} \left(1 + \frac{b}{a} x^2\right)};$$

führt man nun eine neue Variable ein durch :

$$\sqrt{\frac{\overline{b}}{a}} x = y$$
 , $\sqrt{\frac{\overline{b}}{a}} dx = dy$,

so ist:

$$\frac{dx}{a+bx^2} = \frac{dy}{\sqrt{ab} (1+y^2)} = \frac{1}{\sqrt{ab}} d \operatorname{arc} \operatorname{tg} y,$$

oder:

$$\int_{\overline{a} + bx^2}^{\overline{d}x} = \frac{1}{\sqrt{ab}} \operatorname{arc} \operatorname{tg} \left\{ x \sqrt{\frac{b}{a}} \right\}.$$
 9)

Ist der Coëfficient von x^2 negativ, so hat man:

$$\frac{dx}{a-bx^2} = \frac{\sqrt{\frac{b}{a}}\,dx}{\sqrt{ab}\left(1+\sqrt{\frac{b}{a}}\,x\right)\left(1-\sqrt{\frac{b}{a}}\,x\right)} = \frac{\sqrt{\frac{b}{a}}\,dx}{2\sqrt{ab}}\left\{\frac{1}{1-\sqrt{\frac{b}{a}}\,x}+\frac{1}{1+\sqrt{\frac{b}{a}}\,x}\right\}.$$

Führt man hier, wie oben, die Variable y ein, so wird:

$$\frac{dx}{a-bx^2} = \frac{dy}{2\sqrt{ab}} \left\{ \frac{1}{1-y} + \frac{1}{1+y} \right\} = \frac{1}{2\sqrt{ab}} \left\{ d \log \operatorname{nat} \left(1 + y \right) - d \log \operatorname{nat} \left(1 - y \right) \right\},\,$$

oder:

$$\int \frac{dx}{a - bx^2} = \frac{1}{2\sqrt{ab}} \log \operatorname{nat} \left\{ \frac{\sqrt{a} + \sqrt{b} \cdot x}{\sqrt{a} - \sqrt{b} \cdot x} \right\}.$$
 10)

So vorbereitet hat die Integration der Gleichung 5) (pag. 51) keine Schwierigkeit. Man erhält zunächst durch die Anwendung der Formeln 7) und 8):

$$\frac{(k) t (1+e)^2}{p^{3/2}} = \frac{t}{1+\epsilon t^2} \left(1-\frac{1}{\epsilon}\right) + \left(1+\frac{1}{\epsilon}\right) \int_{1+\epsilon t^2}^{\infty} dt$$

Nun ist aber:

$$1 - \frac{1}{\epsilon} = -\frac{2\epsilon}{1 - \epsilon} \qquad 1 + \frac{1}{\epsilon} = \frac{2}{1 - \epsilon},$$

daher auch:

$$\frac{(k) \ t \ (1+\epsilon)^2 (1-\epsilon)}{p^{3/2}} = -\frac{2 \ e \ \tau}{1+\epsilon \tau^2} + 2 \int \frac{d\tau}{1+\epsilon \tau^2}.$$
 11)

Ist ε positiv, also e < 1, demnach die Bahn eine Ellipse, so wird man zur Integration die Formel 9) anzuwenden haben und erhalten:

$$\frac{(k) t (1+\epsilon)^2 (1-\epsilon)}{t p^{3/2}} = -\frac{2 \epsilon \tau}{1+\epsilon \tau^2} + \frac{2}{\sqrt{\epsilon}} \operatorname{arc} \operatorname{tg} (\tau \sqrt{\epsilon}) + J, \quad 12$$

wobei J die Integrationsconstante darstellt. Ist aber ε negativ, also e > 1, somit die Bahn eine Hyperbel, so setzt man zunächst in 11)

$$-\varepsilon = \eta = \frac{\varepsilon - 1}{\varepsilon + 1}, \qquad 13)$$

und erhält durch die Anwendung von 10) sogleich:

$$\frac{(k) t (1+e)^2 (1-e)}{p^{3/2}} = -\frac{2 e \tau}{1-\eta \tau^2} + \frac{1}{\sqrt{\eta}} \log \operatorname{nat} \left\{ \frac{1+\tau \sqrt{\eta}}{1-\tau \sqrt{\eta}} \right\} + J. \quad 14$$

Die Gleichungen 6), 12) und 14) enthalten also die allgemeine Lösung des Problems, die Zeit mit der wahren Anomalie zu verbinden. Die Gleichungen 12) und 14) werden jedoch für die numerische Rechnung sehr unbequem und unsicher, wenn sich die Excentricität wenig von der Einheit unterscheidet; man wird demnach die obigen Gleichungen der Reihe nach unter der Annahme einer Ellipse, Parabel, Hyperbel und einer nahezu parabolischen Bahn näher betrachten und die wichtigsten Relationen, von denen in der Folge vielfach Gebrauch gemacht wird, entwickeln müssen.

a. Ellipse.

Die Gleichung 12) gibt, wenn man beiderseits mit $V_{\bar{\epsilon}}$ multiplicirt, und sich der Relation $p = a \ (1 - e^2)$ erinnert:

$$\frac{(k)\,t}{\pi^{3/2}} = -\frac{2\,\epsilon\,\tau\,V_{\varepsilon}^{-}}{1+\epsilon\tau^{2}} + 2\,\mathrm{arc}\,\mathrm{tg}\,(\tau\,V_{\varepsilon}^{-}) - M_{\mathrm{o}}\,,$$

in welchem Ausdrucke M_0 die Integrationsconstante vorstellt. Setzt man nun, um denselben der Rechnung zugänglicher zu machen:

$$\tau \sqrt{\overline{\epsilon}} = \operatorname{tg} \frac{1}{2} v \sqrt{\frac{1-\epsilon}{1+\epsilon}} = \operatorname{tg} \frac{1}{2} E, \qquad 15)$$

so wird man die Wurzelgrösse $\sqrt[l]{\frac{1-e}{1+e}}$ stets positiv wählen können: knüpft man an die Winkel v und E die Bedingung, dass dieselben stets kleiner als 360° seien, so ist v durch E und umgekehrt unzweideutig bestimmt. Aus dieser Relation folgt aber:

$$\frac{(k)t}{a^{3/2}} = -\frac{2 \epsilon \lg \frac{1}{4} E}{1 + \lg \frac{1}{4} E^{2}} + E - M_{0}.$$

und da bekanntlich:

$$\sin \alpha = \frac{2 \operatorname{tg} \frac{1}{2} \alpha}{1 + \operatorname{tg} \frac{1}{2} \alpha^2},$$

ist, so wird, wenn man abkürzend:

$$\mu = \frac{k\sqrt{1+m}}{2/2}, \qquad 16$$

einführt, erhalten:

$$E - e \sin E = M_0 + \mu t = M, \qquad 17$$

welche Gleichung das Kepler'sche Problem darstellt. μ wird die tägliche mittlere siderische Bewegung genannt, M ist die mittlere Anomalie, die zur Zeit t gehört, M_0 ist die mittlere Anomalie für die Ausgangsepoche der Zählung der Zeit t und ist durch die Elemente gegeben; E wird die excentrische Anomalie genannt, aus der mit Rücksicht auf die Gleichung 15) die wahre Anomalie v berechnet werden kann. e ist die Excentricität und wird bei elliptischen Bahnen häufig durch den sogenannten Excentricitätswinkel φ dargestellt; letztere beiden Grössen sind durch die Relation:

$$\sin \varphi = e, \qquad 18$$

verbunden. Sind demnach M_0 und μ durch die Elemente einer vorgelegten Bahn gegeben, so hat die Berechnung der mittleren Anomalie M für eine beliebige Zeit t keine Schwierigkeit; t ist die seit der Epoche, zu der M_0 gehört, verflossene Zeit in mittleren Sonnentagen. Aus der mittleren Anomalie M hat man nach der Gleichung 17) die excentrische Anomalie zu bestimmen; da diese Gleichung eine transcendente ist, so muss sie, wenn zur mittleren Anomalie die zugehörige excentrische E gefunden werden soll, durch Versuche gelöst werden; sind die letzteren zweckmässig geleitet, so wird das Ziel stets um so rascher zu erreichen sein, je mässigere Werthe der Excentricität zukommen.

Ist einmal ein Näherungswerth von E bekannt, so wird die Rechnung nach der Formel 17) für M einen Werth finden lassen, der sich wenig von dem vorgelegten unterscheiden wird; hierbei wird man, da E und M Bogengrössen sind, zweckmässig nach der Form:

$$M = E - \frac{\epsilon}{\text{arc } 1''} \sin E = E - \epsilon'' \sin E, \qquad 19$$

rechnen, in welcher für die Bögen die Bogensekunde als Einheit gilt. Bezeichnet man den erhaltenen Näherungswerth von E mit E_1 , den daraus resultirenden Werth der mittlern Anomalie mit M_1 , so wird die Differenz $M-M_1$ sofort das Hilfsmittel bieten, eine wesentlich genauere Annahme über E zu machen. Begnügt man sich mit den ersten Potenzen der Änderungen, so wird durch Differentiation der Gleichung 19) leicht gefunden:

$$E_2 = E_1 + \frac{M - M_1}{1 - e \cos E_1}.$$
 20)

War der Fehler $M - M_1$ klein, so wird E_2 dem wahren Werthe sehr nahe entsprechen

und eine fortgesetzte Anwendung der Formeln 19) und 20) das vorgesteckte Ziel erreichen lassen. Ist sonst keine Näherung bekannt, so kann man allenfalls $E_1 = M$ setzen, doch wird das Encke'sche, durch N. Herz (astr. Nachr. No. 2354) wesentlich erweiterte Verfahren meist so genäherte Werthe für E_1 ergeben, dass eine einmalige Wiederholung des eben beschriebenen Verfahrens zum Ziele führt. Ich werde die diesbezüglichen Vorschriften hier entwickeln.

Die Kepler'sche Gleichung kann, wenn man:

$$x = E - M$$

setzt, wie-folgt geschrieben werden:

$$x = e \sin (M + x) = e \sin M \left\{ 1 - \frac{1}{2} x^2 + \frac{1}{24} x^4 - \frac{1}{720} x^6 + \ldots \right\} + e \cos M \left\{ x - \frac{1}{6} x^3 + \frac{1}{120} x^5 - \frac{1}{5040} x^7 + \ldots \right\},$$

oder auch:

$$x = \frac{e \sin M}{1 - e \cos M} \cdot \frac{1 - \frac{1}{4} x^2 + \frac{1}{24} x^4 - \frac{1}{120} x^6 + \dots}{1 + \frac{e \sin M}{1 - e \cos M} \cot M \left(\frac{1}{6} x^2 - \frac{1}{120} x^4 + \frac{1}{5040} x^6 - \dots \right)}.$$

Setzt man der Kürze halber:

$$\operatorname{tg} y = \frac{e \sin M}{1 - e \cos M},$$

nimmt die Glieder siebenter Ordnung in Bezug auf die Excentricität mit und beachtet dabei, dass x und tg y Grössen erster Ordnung sind, so erhält man zunächst:

$$x = \operatorname{tg} y - \frac{1}{2} x^2 \operatorname{tg} y - \frac{1}{6} \operatorname{cotg} M x^2 \operatorname{tg} y^2 + \frac{1}{24} x^4 \operatorname{tg} y + \frac{1}{120} \operatorname{cotg} M x^4 \operatorname{tg} y^2 - \frac{1}{720} x^6 \operatorname{tg} y + \frac{1}{36} \operatorname{cotg} M^2 x^4 \operatorname{tg} y^3 - \dots,$$

oder durch Umkehrung:

$$x = \operatorname{tg} y - \frac{1}{4} \operatorname{tg} y^3 - \frac{1}{6} \operatorname{cotg} M \operatorname{tg} y^4 + \frac{1}{24} \operatorname{tg} y^5 + \frac{51}{120} \operatorname{cotg} M \operatorname{tg} y^6 + \frac{1}{4} \operatorname{cotg} M^2 - \frac{541}{240} \operatorname{tg} y^7 + \dots$$

Entwickelt man nach Potenzen von $\eta = \sin y$ und bedenkt, dass:

$$tg \ y = \frac{\sin y}{\sqrt{1-\sin y^2}} = \eta + \frac{1}{2} \eta^3 + \frac{2}{8} \eta^5 + \frac{5}{16} \eta^7 + \dots,$$

ist, so wird man, wenn die Glieder siebenter Ordnung, die schon etwas mehr zusammengesetzt sind, weggelassen werden, erhalten:

$$x = \eta - \frac{1}{6} \cot g M \eta^4 + \frac{1}{6} \eta^5 + \frac{11}{180} \cot g M \eta^6$$

welcher Ausdruck, so lange die Excentricität nicht allzu gross ist, in einfacher Weise einen sehr genauen Werth für die excentrische Anomalie liefert. Will man x in Bogensekunden erhalten, so sind die Coëfficienten durch arc 1'' zu dividiren. Die zur Rechnung nöthigen Formeln sind zusammengestellt:

$$tg \ y = \frac{e \sin M}{1 - e \cos M}$$

$$\eta = tg \ y \cos y$$

$$x'' = \alpha \ \eta + \beta \cot g \ M \ \eta^4 + \gamma \ \eta^5 + \delta \cot g \ M \ \eta^6$$

$$\log \alpha = 5 \cdot 314 \ 4251 \qquad \log \beta = 4_n 536 \ 274$$

$$\log \gamma = 4 \cdot 536 \ 27 \qquad \log \delta = 4 \cdot 2766$$

$$E_1 = M + x''$$

$$M_1 = E_1 - \alpha \ e \sin E_1 = E_1 - e'' \sin E_1$$

$$E_2 = E_1 + \frac{M - M_1}{1 - e \cos E_1}$$

Hierbei sind alle Bögen in Einheiten der Bogensekunde verstanden. E_2 wird mit seltenen Ausnahmen stets der Wahrheit hinreichend nahe kommen, meist sogar der Werth E_1 schon genügen. Sollte sich aber der Werth von E_2 noch nicht hinreichend genau erweisen, so rechne man:

$$M_2 = E_2 - e'' \sin E_2 \ E_3 = E_2 + \frac{M - M_2}{1 - e \cos E_2}$$

und setze dieses Verfahren fort, bis die genügende Übereinstimmung hergestellt ist. Um die Kürze und Bequemlichkeit der Methode anschaulich zu machen, setze ich hier ein Beispiel vollständig an.

Es sei $M = 332^{\circ}$ 28' 54"77 und log e = 9.389 7262 gegeben, also log e'' = 4.7041513; man habe die zugehörige excentrische Anomalie zu suchen. Die Rechnung nach 21) (pag. 55) stellt sich, wie folgt:

Der Werth von M_1 stimmt also bereits völlig mit dem vorgelegten Werthe von M, so dass die Berechnung von E_2 nicht mehr erforderlich und der strenge Werth von E schon durch E_1 erlangt ist. Man wird beachten, dass der hier für e angenommene Werth für eine Planetenbahn schon recht beträchtlich ist; die obigen Formeln werden selbst für die extremsten Fälle unseres Planetensystems E_1 dem wahren Werthe von E bis auf wenige Bogensekunden nahe bringen, so dass mit der Berechnung von E_2 die Versuche stets als beendigt betrachtet werden dürfen.

Da nach dem Bisherigen E als bekannt vorausgesetzt werden kann, so wird es nun angemessen erscheinen, in Kürze die wichtigsten Relationen abzuleiten, welche zwischen der excentrischen Anomalie E, der wahren Anomalie v und dem Radius vector r bestehen.

Man wird zu diesem Zwecke die früher entwickelten Gleichungen 21) (pag. 48) und 15) (pag. 47) benützen. Dieselben sind:

$$r = \frac{a \ (1 - e^2)}{1 + e \cos v}$$

$$\tau = tg \frac{1}{2} \ v = tg \frac{1}{2} \ E \sqrt{\frac{1 + e}{1 - e}} = tg \ (45 + \frac{1}{2} \ \varphi) \ tg \frac{1}{2} \ E.$$

Es soll zunächst aus diesen beiden Gleichungen eine wichtige Relation erlangt werden, aus der alle übrigen leicht abgeleitet werden können. Macht man ähnliche Transformationen wie früher 3) (pag. 51) und schreibt:

$$r = \frac{a (1 - e^2)}{1 + e^{\frac{1}{1 + \tau^2}}} = \frac{a (1 - e^2) (1 + \tau^2)}{1 + e + (1 - e) \tau^2},$$

dividirt überdies im letzteren Ausdruck den Zähler und Nenner durch (1 + e) und führt für $\frac{1-e}{1+e} \tau^2$ den Werth nach der zweiten Gleichung in 23) (pag. 56) ein, so findet sich: $r = \frac{a(1-e)\sec\frac{1}{2}v^2}{1+\lg\frac{1}{2}E^2} = a(1-e)\frac{\cos\frac{1}{2}E^2}{\cos\frac{1}{2}v^2}.$ 24)

Aus dieser Gleichung resultirt:

$$\sqrt{r}\cos\frac{1}{2}v=\sqrt{a(1-e)}\cos\frac{1}{2}E,$$
 25)

wobei man an die Wurzelgrössen die Bedingung knüpfen kann, dass beide stets positiv zu nehmen sind (vgl. Bemerkung zu 15) pag. 54). Multiplicirt man diese Gleichung beiderseits mit der zweiten in 23), so wird erhalten:

$$V\overline{r}\sin\frac{1}{4}v=V\overline{a(1+e)}\sin\frac{1}{4}E.$$
 26)

Die Gleichungen 25) und 26) gestatten in bequemer und einfacher Weise die Bestimmung der wahren Anomalie v und des Radius vector r aus E. Quadrirt man diese Gleichungen und addirt, so findet sich leicht:

$$r = a \ (\mathbf{I} - e \cos \mathbf{E}), \qquad \qquad 27)$$

welche Relation unmittelbar die Berechnung des Radius vector aus der excentrischen Anomalie gestattet. Die Quadrirung der Gleichungen 25) und 26) und die Subtraction derselben ergibt: $r \cos v = a \; (\cos E - e); \qquad 28)$

die Multiplication dieser Gleichungen dagegen:

$$r\sin v = a\cos\varphi\sin E. \qquad 29$$

Die Gleichungen 28) und 29) leisten dasselbe, was die Gleichungen 25) und 26) ergeben, nur bieten sie den Vortheil, dass die Bestimmung von v und r aus E bei der numerischen Ausführung in wesentlich genauerer Weise ausfällt. Weiters ergibt die Division der Gleichung 28) durch 27):

$$\cos v = \frac{\cos E - \epsilon}{1 - \epsilon \cos E}, \qquad 30)$$

und aus dieser Gleichung resultirt, wenn man dieselbe nach cos E auflöst:

$$\cos E = \frac{\cos v + e}{1 + e \cos v}.$$
 31)

Multiplicirt man die Gleichung 25) mit sin $\frac{1}{4}$ E und subtrahirt das Resultat von der Gleichung 26), nachdem die letztere mit cos $\frac{1}{4}$ E multiplicirt worden ist, so folgt:

$$\sin \frac{1}{2} (v - E) = \sqrt{\frac{a}{r}} \left\{ \frac{\sqrt{1 + \sin \varphi} - \sqrt{1 - \sin \varphi}}{2} \right\} \sin E = \sin \frac{1}{2} \varphi \sqrt{\frac{a}{r}} \sin E, \quad 32)$$

durch welche Gleichung bei einer mässigen Excentricität der Unterschied zwischen der wahren und der excentrischen Anomalie mit grosser Genauigkeit bestimmt werden kann.

Die Gleichung 28) lässt die geometrische Bedeutung des Winkels E leicht darlegen. Beschreibt man aus dem Mittelpunkte der Ellipse, deren grosse Achse 2a sei, mit dem Radius a einen Kreis, fällt von irgend einem Punkte der Ellipse ein Perpendikel auf die grosse Achse und verlängert dasselbe nach rückwärts, bis es den früher beschriebenen Kreis trifft, so ist der Winkel, den der Radius nach diesen Schnittpunkt mit dem gegen das Perihel gerichteten Abschnitte der grossen Achse bildet, die excentrische Anomalie; dies leuchtet sofort aus der oben angezogenen Gleichung ein, wenn man beachtet, dass der Abstand des Mittelpunktes der Ellipse vom Brennpunkte ae ist.

b. Parabel.

In der Parabel wird e = 1, somit erhält die Gleichung für den Radius vector die Form:

 $r = \frac{2 q}{1 + \cos v} = \frac{q}{\cos \frac{1}{2} v^2}.$

Zur Berechnung der wahren Anomalie dient die Gleichung 6) (pag. 51); dieselbe wird, wenn man die Zeit vom Perihel aus zählt, wodurch die Integrationsconstante Null ist, geschrieben werden können:

$$\frac{k t}{\sqrt{2} q^{3/2}} = tg \frac{1}{2} v + \frac{1}{3} tg \frac{1}{2} v^3.$$
 2)

Hierbei ist $(k) = k\sqrt{1+m}$ mit k identificirt, weil für die Kometen bisher keine merkliche Masse nachgewiesen werden konnte. Sollte aber die Berücksichtigung derselben jemals nöthig werden, so wird man in den folgenden Formeln statt t überall $t\sqrt{1+m}$ zu setzen haben. Ich werde in der Folge den Factor $\sqrt{1+m}$ für die Parabel stets der Einheit gleich annehmen.

Die cubische Gleichung 2) kann für jeden speciellen Fall direct, oder was bequemer ist, mit Hilfe entsprechend construirter Tafeln gelöst werden. Hat man eine solche nicht zur Hand, so wird man sich mit Vortheil des folgenden Verfahrens bedienen können. Setzt man etwa:

$$tg \, \tfrac{1}{2} \, v = 2 \cot g \, 2 \, \gamma = \cot g \, \gamma - tg \, \gamma \, .$$

so ist:

$$tg \frac{1}{2} v^3 = -3 tg \frac{1}{2} v + \cot y^3 - tg y^3;$$

somit nimmt die Gleichung 2) die Gestalt an:

$$\cot y^3 - \operatorname{tg} \gamma^3 = \frac{3 \, kt}{\sqrt{2} \, a^{3/2}}.$$

Setzt man weiter:

$$\cot \gamma = \sqrt[3]{\cot \frac{1}{2}\beta},$$

so wird auch:

$$\cot \beta = \frac{3 kt}{(2q)^{3/2}}.$$

Bezeichnet man den Werth des constanten Factors:

$$\frac{2^{3/2}}{3 \ k}$$
,

mit c, so ist die Berechnung der wahren Anomalie in der Parabel in dem folgenden Formelsystem enthalten:

$$\log c = 1.738 8423$$

$$\operatorname{tg} \beta = \frac{c}{t} q^{3/2}$$

$$\operatorname{tg} \gamma = \sqrt[3]{\operatorname{tg} \frac{1}{2} \beta}$$

$$\operatorname{tg} \frac{1}{2} v = 2 \operatorname{cotg} 2 \gamma.$$

Hierbei ist zu beachten, dass als Ausgangspunkt für die Zählung der Zeit die Perihelzeit gilt und dass in der Parabel die Anomalie vor dem Perihel negativ, nach demselben positiv angesetzt wird.

Zur Erläuterung der vorstehenden Formeln soll das folgende Beispiel vorgenommen werden. Es sei t = -36.553 97, $\log q = 9.519$ 0730 gegeben, man habe hierfür die wahre Anomalie und den Radius vector in der parabolischen Bahn zu suchen. Die Rechnung nach 3) stellt sich wie folgt:

Bei weitem bequemer ist es, bei der Rechnung von den für diesen Fall construirten Tafeln Gebrauch zu machen. Die bekannteste derselben ist die Barker'sche Tafel, welche mit dem Argumente v den Werth:

$$M = 75 \text{ tg } \frac{1}{4} v + 25 \text{ tg } \frac{1}{4} v^3$$

tabulirt enthält; hier ist demnach zu setzen:

$$M = C \frac{t}{q^{3/2}}$$

$$\log C = 9.960 \text{ 1277.}$$

Der Werth von C ist offenbar:

$$C = \frac{75 \ k}{\sqrt{2}}$$

Die zu dieser Rechnung erforderlichen Tafeln`finden sich von 100" zu 100" in Olbers' Werk über die Bestimmung einer Kometenbahn (zweite von Encke besorgte Ausgabe) und von 1' zu 1' in Watson's Theoretical Astronomy. Es erscheint aber zweckmässiger, statt der Constante C die Einheit selbst einzuführen und demnach den Werth:

$$M = \frac{V_2^-}{k} \operatorname{tg} \frac{1}{2} v + \frac{1}{3} \frac{V_2^-}{k} \operatorname{tg} \frac{1}{2} v^3 = \frac{t}{q^{3/2}}$$

in Tafeln zu bringen; eine solche ist diesem Werke als Tafel IV angeschlossen. Dieselbe gibt von 10" zu 10" den Werth von M und zwar für die ersten zehn Grade von v den Werth selbst, von 10° angefangen bis 176° den Logarithmus von M, und ist von

J. Strobl mit grosser Sorgfalt und seltener Ausdauer durchaus zehnstellig berechnet worden. In den ersten zehn Graden, welche den Werth von M selbst angeben, sind die Tafeln auf sechs Decimalen, in den übrigen Graden, bei denen sich log M tabulirt findet, auf sieben Decimalen abgekürzt und wird die letzte Stelle stets so weit richtig gegeben, als dies durch eine sorgfältige zehnstellige Rechnung geleistet werden kann. Dieser Rechnung war auf Vorschlag von R. Schram die folgende Formel zu Grunde gelegt worden, die sich leicht aus dem obigen Ausdrucke für M findet:

$$M = \frac{\sqrt{2}}{k} \frac{\sin \frac{1}{2} v}{3 \cos \frac{1}{2} v^3} \{2 + \cos v\};$$

hierdurch kann nach einer einmaligen Interpolation in der zehnstelligen Tafel der Werth von $\log M$ ermittelt werden. Die Werthe von $\cos v$ wurden dem Thesaurus mathematicus von Pitiscus (Francofurti 1613) entlehnt, die Logarithmen der Zahlen aus Vega's sehr verlässlichem Thesaurus logarithmorum (Leipzig 1794), die trigonometrischen Functionen bis $v=10^{\circ}$ ebenfalls dem Thesaurus, für die weiteren Grade aber den wesentlich genaueren Tafeln von Gellibrand (Trigonometria britannica. Goudae 1633); bei Benützung dieser Tafel wurde die elfte Decimale in Rechnung genommen. Die Tafel ist nur bis 176° ausgedehnt, da die Interpolation in den letzten Graden schon schwierig, bei 180° aber unthunlich wird; es wird später ein Verfahren angegeben werden, wie man für die in der Anwendung allerdings seltenen Fälle einer die Grösse von 180° nahezu erreichenden wahren Anomalie mit Bequemlichkeit v und r zu berechnen im Stande ist.

Ich werde den Gebrauch der Tafel IV kurz erläutern. Dieselbe gibt für die positiven Werthe von v und zwar von o^o bis 10^o für jede zehnte Sekunde die Werthe von M, von 10^o bis 176^o den briggischen Logarithmus von M; für die negativen Werthe von v hat man sich M mit dem negativen Vorzeichen versehen zu denken. Jede Seite enthält zwei Grade und am Fusse einige Proportionaltheile; in keinem Theile der Tafel wird es nöthig sein, bei der Interpolation auf zweite Differenzen Rücksicht zu nehmen. Sind t und q gegeben, so berechnet man:

$$M = \frac{t}{q^{3/2}}, \qquad 4)$$

und erhält, mit dem Werthe M in die Tafel eingehend, durch eine einfache Interpolation den Werth von v. Sind aber v und q gegeben, und soll daraus t bestimmt werden, so entlehnt man mit dem Argumente v der Tafel IV den Werth von M und hat:

$$t = Mq^{3/2}. \qquad 5)$$

Einige Beispiele werden zur Erklärung dienen. Es sei $\log q = 9.519$ 0730 gegeben und für die Zeitmomente, welche 36.55397, 0.99927 Tage vor und 10000.0 Tage nach dem Periheldurchgange liegen, die wahre Anomalie zu bestimmen; man hat nach 4):

$$\log q^{3/2} = 9.2786095$$

I II III

$$t - 36.55397 - 0.99927 + 10000.00$$
 $\log t \ 1_{n}562\ 9345 \ 9_{n}999\ 6828 \ 4.000\ 0000$
 $\log M \ 2_{n}284\ 3250 \ 0_{n}721\ 0733 \ 4.721\ 3905$
 $M - 5.261\ 060 -$
 $v - 109^{\circ}\ 15'\ 55''76 - 7^{\circ}\ 18'\ 47''76 \ 170^{\circ}\ 44'\ 32''554.$

Für den umgekehrten Fall können diese Beispiele wieder verwerthet werden. Es seien die drei eben berechneten wahren Anomalien und die oben angeführte Periheldistanz gegeben, dann stellt sich die Rechnung nach 5) wie folgt:

$$v - 109^{\circ} 15' 55''76$$
 $- 7^{\circ} 18' 47''76$ $170^{\circ} 44' 32''554$
 $M - 5\cdot 261 061$ $\log M \ 2_{n}284 \ 3250$ $0_{n}721 \ 0734$ $4\cdot 721 \ 3905$
 $\log t \ 1_{n}562 \ 9345$ $9_{n}999 \ 6829$ $4\cdot 000 \ 0000$
 $t - 36\cdot 55397$ $- 0\cdot 99927$ $+ 10000\cdot 00.$

Man wird bemerken, dass in dem dritten Beispiele die wahre Anomalie genauer angesetzt ist, als in den beiden vorhergehenden, um seiner Zeit, wenn man den Radius vector nach der Formel:

$$r = \frac{q}{\cos \frac{1}{2} v^2}, \qquad \qquad 6)$$

berechnet, den Logarithmus von cos ½ v mit genügender Genauigkeit zu erhalten; zwar würde in dem gewählten Beispiele die Mitnahme der Hunderttheile der Sckunde fast ausreichen, doch ist bei noch grösseren Anomalien das Ansetzen weiterer Decimalen der Bogensekunde geboten.

Die Anwendung der Barker'schen Tafel wird, wie schon oben erwähnt, in den Fällen, wo die wahre Anomalie nahe 180° ist, wegen der Interpolation mit höheren Differenzwerthen sehr unbequem, für den Grenzfall selbst unmöglich. Ich will daher die Methode auseinandersetzen, die man im Falle sehr grosser Anomalie mit Vortheil in Anwendung ziehen kann.

Der Gleichung 2) (pag. 58) kann die Form:

$$\frac{2kt}{(2q)^{3/2}} = \frac{1}{3} \operatorname{tg} \frac{1}{2} v^{3} (1 + 3 \cot \frac{1}{2} v^{2}), \quad 7)$$

ertheilt werden. Setzt man abkürzend:

$$x = \cot \frac{1}{2} v, \quad y = \frac{\sqrt{2} q}{\sqrt[3]{6 kt}}, \quad 8)$$

so ergibt sich aus 7) leicht:

$$x = y (1 + 3 x^2)^{1/3} = y \{1 + x^2 - x^4 + \frac{5}{3} x^6 - \frac{1}{3} x^6 + \ldots \}.$$
 9)

Kehrt man diese Reihe um, so dass sich x nach steigenden Potenzen von y ergibt, so findet man:

$$x = y \{1 + y^2 + y^4 + \frac{9}{3} y^6 + oy^8 + \ldots \}.$$
 10)

Will man Grössen sechster Ordnung von y übergehen, so kann gesetzt werden:

$$x=\frac{y}{1-y^2};$$

bestimmt man nun aus y den Bogen w durch:

$$y = \sin w$$

so hat man die von Nicolai (Astr. Nachr. Nr. 79) gegebene Näherungsform:

$$\cot g \, \frac{1}{2} \, v = \frac{\sin w}{\cos w^2};$$

bestimmt man aber aus 10) den Ausdruck für $\log x$, so findet sich, wenn man alle Glieder bis zur achten Ordnung mitnimmt:

$$\log x = \log y + \text{Mod } \{y^2 + \frac{1}{2} y^4 - \frac{5}{12} y^8 + \ldots \}.$$

Die Glieder sechster Ordnung verschwinden und man hat demnach den folgenden bis auf Grössen achter Ordnung richtigen Ausdruck:

$$\log \cot \frac{1}{2} v = \log y + \text{Mod } y^2 (1 + \frac{1}{2} y^2)$$
 II)

Für log $y = 9 \cdot 1802$, welcher Werth der wahren Anomalie = 162° 23' entspricht, beträgt der Fehler dieses Ausdrucks nur eine halbe Einheit der siebenten Decimale; letzterer kann demnach bis zu dieser Grenze mit Sicherheit in Anwendung gebracht werden; da aber die Benützung der Barker'schen Tafel selbst bei 165° noch hinreichend bequem ist, so wird durch das Verfahren der fehlende Theil der Barker'schen Tafel in einfacher Weise ersetzt.

Für die umgekehrte Rechnung bedarf es keiner besonderen Formeln; der Ausdruck 7) (pag. 61) in einer für diesen Fall geeigneteren Form geschrieben, ergibt:

$$t = \frac{(2 \ q)^{3/2}}{6 \ k} \cdot \frac{1 + 3 \cot \frac{1}{2} v^2}{\cot \frac{1}{2} v^3}.$$
 12)

Hierbei wird es gewöhnlich von Wichtigkeit sein, den Radius vector möglichst genau darzustellen, weshalb man in ersterem Falle zur Berechnung anwendet:

$$r = \frac{q}{\cot x + v^2} (1 + \cot y + v^2),$$
 13)

in letzterm Fall, da der Radius vector durch anderweitige Angaben bestimmt ist, wird man behufs Anwendung der Formel 12) aus dieser die Cotangente der halben wahren Anomalie bestimmen und zu diesem Zwecke rechnen:

$$\cos \frac{1}{2} v = \sqrt{\frac{r}{q}}, \quad \cot \frac{1}{2} v = \frac{\cos \frac{1}{2} v}{\sin \frac{1}{2} v}; \quad 14)$$

der zu cos $\frac{1}{4}v$ gehörige Werth von sin $\frac{1}{4}v$ kann, da $\frac{1}{4}v$ nicht viel von 90° verschieden ist, mit Bequemlichkeit aus der logarithmischen Tafel entlehnt werden.

Die Formeln 11) und 13) sollen nun durch ein Beispiel-erläutert werden. Ich werde zu diesem Zwecke die bezüglichen Ausdrücke zusammenstellen und dann die Zahlen des obigen Beispieles III (pag. 61) zur Anwendung vornehmen:

$$\begin{cases} y < 9.18 \\ y = \gamma \sqrt[V]{q} & \log \gamma = 0.479\ 2708 \\ \log \cot \frac{1}{2} v = \log y + \operatorname{Mod} y^{2} (1 + \frac{1}{2} y^{2}); & \log \operatorname{Mod} = 9.637\ 7843 \\ r = \frac{q}{\cot \frac{1}{2} v^{2}} (1 + \cot \frac{1}{2} v^{2}). \end{cases}$$

Die Rechnung nach diesen Formeln stellt sich wie folgt:

Noch bequemer lässt sich die Rechnung gestalten, wenn man geeignet construirte Hilfstafeln benützt. Setzt man:

$$\left.\begin{array}{l}
\cot q \, \frac{1}{2} \, v = x \\
\sin w = 2 \, y = \frac{2\sqrt{2} \, q}{\sqrt[3]{6} \, \overline{k} t} \\
\sin v = \sin w \, \sqrt[3]{b} \, ,
\end{array}\right\} \quad (6)$$

so ist mit Rücksicht auf 8) und 9) (pag. 61):

$$\sqrt[3]{b} = \frac{\left(1 + 3 \, x^2\right)^{1/3}}{1 + x^2}; \qquad 17)$$

die Formel 7) (pag. 61) kann leicht auf die Form gebracht werden:

$$\frac{-2kt}{(2q)^{3/2}} = \frac{1}{3} \operatorname{tg} \frac{1}{2} v^3 \left(1 + \operatorname{cotg} \frac{1}{2} v^2\right)^3 \frac{1 + 3 \operatorname{cotg} \frac{1}{2} v^2}{\left(1 + \operatorname{cotg} \frac{1}{2} v^2\right)^3};$$

der letzte Factor ist hier b, für den ersten Factor wird erhalten:

$$\frac{1}{3} \operatorname{tg} \frac{1}{2} v^{3} \left(1 + \operatorname{cotg} \frac{1}{2} v^{2} \right)^{3} = \frac{1}{3} \left(\operatorname{tg} \frac{1}{2} v + \operatorname{cotg} \frac{1}{2} v \right)^{3} = \frac{8}{3 \sin v^{3}}$$

Entwickelt man nun log $b^{-1/3}$ mit Hilfe der logarithmischen Reihe in :

$$\log b^{-1/3} = \operatorname{Mod} \left\{ \frac{3-1}{2} x^4 - \frac{3^2-1}{3} x^6 + \frac{3^3-1}{4} x^8 - \ldots \right\}, \quad 18)$$

und nennt den Werth dieser Reihe: — 1 log sin w, so ist:

$$\log \sin v = \log \sin w + \Delta \log \sin w.$$

Die Rechnung dieser Correction des log sin w kann aber ohne Schwierigkeit zu jedem beliebigen Werthe von log sin w ausgeführt werden, denn sin w = 2 y wird zu einem gegebenen Werthe von t und q nach 16) berechnet werden können; x findet sich mit Hilfe des eben gefundenen Werthes von y durch die Reihe 10); ist x bekannt, so gibt die Reihe 18) unmittelbar Δ log sin w.

Will man für den umgekehrten Fall aus r und v in Verbindung mit dem bekannten Werthe von q die Zeit finden, so bedarf es allerdings keiner Hilfstafeln, denn die Formeln 12) und 13) gewähren eine hinreichend bequeme Rechnung, doch wird diese durch eine Hilfstafel etwas vereinfacht.

Sind v, r und q gegeben, so wird es im allgemeinen in diesen Fällen vortheilhafter, sin v aus:

 $\sin v = 2 \sin \frac{1}{2} v \sqrt{\frac{q}{r}},$

zu berechnen, mit welchem Werthe man $x = \cot \frac{1}{2} v$ und daraus mit Hilfe der Reihe 18) $\Delta \log \sin v$ erhält, so dass sein wird:

 $\log \sin w = \log \sin v + \Delta \log \sin v;$

die Zeit t findet sich dann bestimmt durch:

$$t = \frac{8\sqrt{2}}{3k} \left(\frac{\sqrt{q}}{\sin w}\right)^3.$$

Die Berechnung dieser Ausdrücke von Fall zu Fall mit Benützung der obigen Reihen wäre sehr unbequem. Um diesen Nachtheil zu beheben sind durch A. Palisa Tafeln auf zehn Stellen genau berechnet worden, welche, auf sieben Decimalen abgekürzt, diesem Werke als Tafel Va) und Vb) angefügt sind; die erste gibt mit dem Argumente log sin w den Werth Δ log sin w in Einheiten der siebenten Decimale, die zweite mit dem Argumente log sin v die Correction Δ log sin v in derselben Einheit. Die Formeln sind zusammengestellt, folgende:

$$t$$
 und q gegeben:
 $\sin w = \alpha \frac{\sqrt[q]{q}}{\sqrt[q]{t}}, \qquad \log \alpha = 0.780 \ 3008$
 $\log \sin v = \log \sin w + \Delta \log \sin w$

 $\Delta \log \sin v = \log \sin w + \Delta \log \sin w$ $\Delta \log \sin w \text{ mit Argument log sin } w \text{ aus Tafel Va}$

$$r = 4q \left(\frac{\sin \frac{1}{2} v}{\sin v}\right)^2$$

r und q gegeben (eventuell v):

$$\sin v = 2 \sin \frac{1}{2} v \sqrt{\frac{q}{r}}$$

$$\sin w = \log \sin v + \Delta \log \sin v$$

$$\Delta \log \sin v \text{ mit Argument log sin } v \text{ aus Tafel V b}$$

$$t = \alpha^3 \left(\frac{\sqrt{q}}{\sin w}\right)^3, \quad \log \alpha^3 = 2.340 9023.$$

Ich will noch, um die Anwendung der Formeln 19) zu erläutern, das oben gewählte Beispiel vornehmen:

log t 4.000 0000 \triangle log sin w —0.000 0183 aus Tafel Va, Argument: $\lg \sin w$ $\frac{1}{3} \log t$ 1.333 3333 $\sin v$ 9.206 4857 v 170° 44′ 32″55 $\sin w$ 9.206 5040 $\sin \frac{1}{3} v$ 9.998 5812 $\sin \frac{1}{3} v$: $\sin v$ 0.792 0955

$$(\sin \frac{1}{2} v : \sin v)^2 = 1.584 1910$$

 $\log r$ 1.705 3240.

c. Hyperbel.

Multiplicirt man die Gleichung 14) (pag. 53) beiderseits mit $-\sqrt{\eta}$ und lässt die Integrationsconstante unter der Bedingung, dass die Zeit vom Perihel aus gezählt werde, weg, so findet sich:

$$\frac{(k)t}{(-a)^{3/2}} = \frac{2e\tau V_{\eta}^{-}}{1-\eta \tau^{2}} - \log \operatorname{nat} \frac{1+\tau V_{\eta}}{1-\tau V_{\eta}}.$$

Setzt man nun:

$$\tau V_{\eta}^{-} = \operatorname{tg} \frac{1}{2} F, \qquad 2)$$

so wird:

$$\frac{1+\tau \sqrt{\eta}}{1-\tau \sqrt{\eta}} = \operatorname{tg} (45^{\circ} + \frac{1}{2} F) , \qquad \frac{2\tau \sqrt{\eta}}{1-\eta \tau^{2}} = \operatorname{tg} F. \quad 3$$

Multiplicirt man die Gleichung 1), um die gewöhnlichen Logarithmentafeln bequem in Anwendung ziehen zu können, beiderseits mit dem Modul der briggischen Logarithmen und substituirt in dieselbe den Winkel F nach den eben entwickelten Formeln, so erhält man:

 $\frac{\text{Mod } (k)t}{(-a)^{3/2}} = (e \text{ Mod}) \text{ tg } F - \log \text{ tg } (45^{\circ} + \frac{1}{2}F), \quad 4)$

aus welcher transcendenten Gleichung, wenn a, e und t gegeben sind, F durch Versuche zu bestimmen ist. Ist einmal der Werth von F bekannt, der der Gleichung 4) Genüge leistet, so findet sich nach 2) die wahre Anomalie:

und aus v in bekannter Weise der Radius vector.

Da die Anwendung dieser Formeln für alle jene Fälle, in welchen sich e wenig von der Einheit unterscheidet, sehr unsicher wird, dies aber gerade diejenigen sind, welche in unserem Sonnensysteme praktische Bedeutung haben, so kann die weitere Verfolgung der für die Hyperbel geltenden Ausdrücke und Relationen übergangen werden.

d. Nahezu parabolische Bahnen.

Zur Bestimmung der wahren Anomalie in nahezu parabolischen Bahnen kann man die Gleichung 5) (pag. 51) vornehmen. Nachdem dieselbe nach steigenden Potenzen von ετ² entwickelt ist, gibt die Integration ohne Schwierigkeit:

In dieser Gleichung habe ich wieder statt $(k) = k \sqrt{1 + m}$ unmittelbar k gesetzt, weil die Massen der in diesem Falle in Betracht kommenden Körper unmerklich sind; müssten dieselben jemals berücksichtigt werden, so würde man für t einfach $t \sqrt{1 + m}$ einzuführen haben; t muss, da die Integrationsconstante der Null gleich gesetzt ist. von der Zeit der Perihelpassage an gezählt werden.

Ich führe in das Problem zunächst zwei Unbekannte x und f ein, zu deren Bestimmung nothwendig zwei Bedingungen gegeben sein müssen. Die eine Bedingung wähle ich so, dass der Gleichung:

$$\frac{kt\sqrt{1+e}}{2q^{3/2}} = x + \frac{1}{3}f^2x^3, \qquad 2$$

genügt wird. Multiplicirt man beiderseits mit f, so erhält die Gleichung rechter Hand 'jene Form, die in parabolischen Bahnen zur Bestimmung der wahren Anomalie dient, nur tritt statt $tg \frac{1}{4}v$ die Unbekannte fx ein; man kann daher, sobald f bekannt ist, zur Bestimmung der Grösse fx die Barker'sche Tafel benützen, da der links vom Gleichheitszeichen in z) stehende Ausdruck in einem gegebenen Falle einen bestimmten numerischen Werth annimmt. Als zweite Bedingung für die Bestimmung der Unbekannten nehme ich an, dass zwischen x und x die Relation bestehe:

$$\tau = x \left\{ 1 + A_1 \varepsilon x^2 + A_2 \varepsilon^2 x^4 + A_3 \varepsilon^3 x^6 + \cdots \right\}, \quad 3$$

in welchen Ausdrücken A_1 , A_2 , $A_3 \cdot \cdot \cdot \cdot$ ausschliesslich Functionen von ε sein sollen, deren Bestimmung weiter unten vorgenommen werden wird. Bildet man nach 3) die positiven ungeraden Potenzen von τ , so wird man erhalten:

$$\tau^{3} = x^{3} \left\{ 1 + B_{1} \varepsilon x^{2} + B_{2} \varepsilon^{2} x^{4} + B_{3} \varepsilon^{3} x^{6} + \cdots \right\}
\tau^{5} = x^{5} \left\{ 1 + C_{1} \varepsilon x^{2} + C_{2} \varepsilon^{2} x^{4} + C_{3} \varepsilon^{3} x^{6} + \cdots \right\},$$
4)

in welchen Gleichungen die durch grosse lateinische Buchstaben dargestellten Coëfficienten Functionen von ε sein werden; die Darstellung der B, C, D, Coëfficienten als Functionen von A_1 , A_2 , A_3 · · · mit Hilfe des polynomischen Satzes wird keinen Schwierigkeiten unterworfen sein. Substituirt man die Ausdrücke 3) und 4) in die Gleichung 1) und ordnet nach den ungeraden Potenzen von x, so ergibt sich sofort mit Rücksicht auf 2):

$$x+x^{3}\{(A_{1}-\frac{2}{3})\varepsilon+\frac{1}{3}\}+x^{5}\{(A_{2}-\frac{2}{3}B_{1}+\frac{2}{3})\varepsilon^{2}+(\frac{1}{3}B_{1}-\frac{2}{3})\varepsilon\}+\cdots=x+\frac{1}{3}f^{2}x^{3}.$$

Vergleicht man die zu gleichen Potenzen von x gehörigen Coëfficienten, so finden sich zur Bestimmung der auftretenden Unbekannten die Relationen:

$$f^{2} = 1 + 3\varepsilon \left(A_{1} - \frac{2}{3}\right) \\
 -\frac{1}{3}B_{1} = -\frac{2}{3} + \varepsilon \left(A_{2} - \frac{2}{3}B_{1} + \frac{2}{3}\right) \\
 -\frac{1}{3}B_{2} = -\frac{2}{3}C_{1} + \frac{2}{7} + \varepsilon \left(A_{3} - \frac{2}{3}B_{2} + \frac{2}{3}C_{1} - \frac{4}{7}\right) \\
 -\frac{1}{3}B_{3} = -\frac{2}{3}C_{2} + \frac{2}{7}D_{1} - \frac{4}{9} + \varepsilon \left(A_{4} - \frac{2}{3}B_{3} + \frac{2}{3}C_{2} - \frac{4}{7}D_{1} + \frac{5}{9}\right).$$

Es ist also f ebenfalls eine Function von ϵ . Die Gleichungen 5) enthalten die Lösung des Problems, da dieselben die Bestimmung der A_1 , A_2 , A_3 . Coëfficienten nach steigenden Potenzen von ϵ gestatten.

Die Durchführung der für diese Bestimmung nöthigen Operationen ist keine geringe Arbeit und nimmt mit Berücksichtigung der höheren Potenzen von ε in ausserordentlicher Weise zu; R. Schram und F. K. Ginzel haben die hierfür nöthigen numerischen Operationen bis zu den Grössen achter Ordnung von ε durchgeführt; der erstere hat sich die Rechnung in folgender Weise zurecht gelegt.

In den Gleichungen 5) wurden, da A_1 A_2 A_3 \cdots B_1 B_2 B_3 \cdots C_1 C_2 C_3 \cdots Reihen nach steigenden Potenzen von ε sind, eingeführt:

und nach Einsetzung dieser Reihen in die vorgelegten Gleichungen die Coëfficienten der gleichen Potenzen von & einander gleich gesetzt. Man erhielt so aus jeder Gleichung ein System von Bedingungsgleichungen:

$$B_{10} = +\frac{2}{5} \qquad B_{20} = -\frac{2}{7} + 2 C_{10}$$

$$B_{11} = -\frac{2}{5} - A_{20} + 2 B_{10} \qquad B_{21} = +\frac{1}{7} + 2 C_{11} - A_{30} + 2 B_{20}$$

$$B_{12} = -A_{21} + 2 B_{11} \qquad B_{22} = +2 C_{12} - A_{31} + 2 B_{21} - 3 C_{11}$$

$$B_{13} = -A_{22} + 2 B_{12} \qquad \cdots$$

$$B_{30} = +\frac{1}{5} + 2 C_{20} - 3 D_{10}$$

$$B_{31} = -\frac{5}{5} + 2 C_{21} - 3 D_{11} - A_{40} + 2 B_{30} - 3 C_{20} + 4 D_{10}$$

$$B_{32} = +2 C_{22} - 3 D_{12} - A_{41} + 2 B_{31} - 3 C_{21} + 4 D_{11}$$

$$B_{40} = -\frac{5}{11} + 2 C_{30} - 3 D_{20} + 4 E_{10}$$

$$B_{41} = +\frac{6}{11} + 2 C_{31} - 3 D_{21} + 4 E_{11} - A_{50} + 2 B_{40} - 3 C_{30} + 4 D_{20} - 5 E_{10}$$

$$B_{42} = +2 C_{32} - 3 D_{22} + 4 E_{12} - A_{51} + 2 B_{41} - 3 C_{31} + 4 D_{21} - 5 E_{11}$$

Diese konnten nicht zur Bestimmung der Unbekannten ausreichen, sondern man musste sich aus der Abhängigkeit der Grössen B, C, D, E · · · · von A ein weiteres Gleichungssystem verschaffen. Es ist nach dem polynomischen Satze, wenn man:

$$(A_0 + A_1 x + A_2 x^2 + A_3 x^3 + \cdots)^n = N_0 + N_1 x + N_2 x^2 + N_3 x^3 + \cdots$$

setzt:

setzt:
$$N_{m} = \sum_{\alpha \mid \beta \mid \gamma \mid \cdots} A_{a}^{\alpha} A_{b}^{\beta} A_{c}^{\gamma} \cdots,$$
mit den Bedingungen:
$$\alpha + \beta + \gamma + \cdots = n$$

$$\alpha + \beta b + \gamma + \cdots = m$$
8)

Ist nun aber:

$$A_a{}^\alpha = \{A_{a_0} + A_{a_1}y + A_{a_2}y^2 + A_{a_3}y^3 + \cdots\}^\alpha,$$

so ist der Coëfficient von y' gleich:

$$\sum_{\alpha'!} \frac{\alpha!}{\beta'! \gamma'! \cdots} A_{aa'}^{\alpha'} A_{ab'}^{\beta'} A_{ac'}^{\gamma'} \cdots,$$
mit den Bedingungen:
$$\alpha' + \beta' + \gamma' + \cdots = \alpha$$

$$\alpha'a' + \beta'b' + \gamma'c' + \cdots = r,$$

ebenso für:

$$A_b{}^{\beta} = \{A_{b_0} + A_{b_1}y + A_{b_2}y^2 + A_{b_3}y^3 + \cdots\}^{\beta},$$

der Coëfficient von y's gleich:

$$\sum_{a''' \mid \beta'' \mid \gamma'' \mid \cdots} \frac{\beta!}{a_{ba''}} A_{ba''}^{\alpha''} A_{bb''}^{\beta''} A_{bc''}^{\gamma''} \cdots,$$

$$\alpha'' + \beta'' + \gamma'' + \cdots = \beta$$
10)

mit den Bedingungen:

Setzt man die Werthe aus 9) und 10) in 8) ein, so wird, wenn:

$$r+s=p$$
,

ist, gefunden:

$$N_{mp} = \sum_{lpha'!\,eta'!\,eta'!\,eta'',eta'',eta''',\eta'''',\eta''',\eta''',\eta''',\eta''',\eta''',\eta''',\eta''',\eta''',\eta''',\eta''',\et$$

mit den Bedingungen:

$$\alpha' + \beta' + \gamma' \cdots + \alpha'' + \beta'' + \gamma'' \cdots + \alpha''' + \beta''' + \gamma''' + \cdots = n$$

$$\alpha'a + \beta'a + \gamma'a \cdots + \alpha''b + \beta''b + \gamma''b \cdots + \alpha'''c + \beta'''c + \gamma'''c + \cdots = m$$

$$\alpha'a' + \beta'b' + \gamma'c' \cdots + \alpha''a'' + \beta''b'' + \gamma''c'' \cdots + \alpha'''a''' + \beta'''b''' + \gamma'''c''' + \cdots = p.$$

Da nun:

3 B_{mp} ein Coëfficient in der Entwicklung zur 3ten Potenz,

5
$$C_{mp}$$
 ,, ,, ,, ,, ,, 5ten ,, 7 D_{mp} ,, ,, ,, ,, ,, ,, ,, ,, ,, ,, ,,

ist, so wird man haben:

$$B_{mp} = \sum_{\alpha \mid \beta \mid \gamma \mid}^{2!} A^{\alpha}_{aa'} A^{\beta}_{bb'} A^{\gamma}_{cc'},$$

mit den Bedingungen:

$$\alpha + \beta + \gamma = 3$$

$$\alpha a + \beta b + \gamma c = m$$

$$\alpha a' + \beta b' + \gamma c' = p;$$

weiters:

$$C_{mp} = \sum_{\alpha', \overline{ad'}, \gamma', \overline{d'}, \varepsilon'} A^{\alpha}_{aa'} A^{\beta}_{bb'} A^{\gamma}_{cc'} A^{\delta}_{dd'} A^{\varepsilon}_{ee'},$$

mit den Bedingungen:

$$\alpha + \beta + \gamma + \delta + \epsilon = 5$$

$$\alpha a + \beta b + \gamma c + \delta d + \epsilon e = m$$

$$\alpha a' + \beta b' + \gamma c' + \delta d' + \epsilon e' = p$$

Jede dieser Gleichungen liefert ein System von Bedingungsgleichungen:

$$B_{20} = A_{20} + A_{10}^{2} \qquad C_{20} = A_{20} + 2A_{10}^{2}$$

$$B_{21} = A_{21} + 2A_{11} A_{10} \qquad C_{21} = A_{21} + 4A_{11} A_{10}$$

$$B_{22} = A_{22} + 2A_{12} A_{10} + A_{11}^{2} \qquad C_{22} = A_{22} + 4A_{12} A_{10} + 2A_{11}^{2}$$

$$\vdots \qquad \vdots \qquad \vdots \qquad \vdots \qquad \vdots$$

$$B_{30} = A_{30} + 2A_{20} A_{10} + \frac{1}{3} A_{10}^{3} \qquad D_{20} = A_{20} + 3A_{10}^{2}$$

$$B_{31} = A_{31} + 2A_{21} A_{10} + 2A_{20} A_{11} + A_{11} A_{10}^{2} \qquad D_{21} = A_{21} + 6A_{11} A_{10}$$

$$\vdots \qquad \vdots \qquad \vdots \qquad \vdots \qquad \vdots$$

ausserdem bestehen wegen:

$$A_{00} = 1$$
, $A_{01} = A_{02} = A_{03} \cdots = 0$,

die Gleichungen:

$$B_{10} = C_{10} = D_{10} = E_{10} \cdot \cdot \cdot = A_{10}$$

 $B_{11} = C_{11} = D_{11} = E_{11} \cdot \cdot \cdot = A_{11}$
 $B_{12} = C_{12} = D_{12} = E_{12} \cdot \cdot \cdot = A_{12}$

Diese Gleichungen in Verbindung mit 7) gestatten nun eine successive Bestimmung der Grössen A_{10} A_{11} A_{12} . . . A_{20} A_{21} A_{22} A_{30} A_{31} . . .

Um die auf diese Weise erhaltenen Resultate einer durchgreifenden Controle zu unterziehen, wurden die Coëfficienten der f^2 Reihe nach einer ganz anderen Methode nochmals gerechnet. Setzt man nämlich zwischen x und τ eine Relation von der Form:

$$x = \tau \left\{ 1 + A'_{1} \varepsilon \tau^{2} + A'_{2} \varepsilon^{2} \tau^{4} + \ldots \right\}$$

und: $x^{3} = \tau^{3} \left\{ 1 + B'_{1} \varepsilon \tau^{2} + B'_{2} \varepsilon^{2} \tau^{4} + \ldots \right\},$

voraus, so werden die B' Coëfficienten völlig bestimmte Functionen der A' Coëfficienten sein und jeder dieser Coëfficienten wird durch eine Reihe nach steigenden Potenzen von ε dargestellt werden können. Substituirt man diese Reihen in die Gleichung 2) (pag. 66), ersetzt aber den links vom Gleichheitszeichen stehenden Ausdruck durch die Relation 1) (pag. 65), so wird, wenn für f^2 eine Function von der Form:

$$rac{1}{3}f^2=arphi_0+arphi_1\;arepsilon+arphi_2\;arepsilon^2+\ldots,$$
 : $A'_1=A'_{10}+A'_{11}arepsilon+A'_{12}arepsilon^2+A'_{13}arepsilon^3+\ldots$

und für A' und B':

$$A'_{2} = A'_{20} + A'_{21}\varepsilon + A'_{22}\varepsilon^{2} + A'_{23}\varepsilon^{3} + \dots$$

$$\vdots$$

$$\frac{1}{3}B'_{1} = B'_{10} + B'_{11}\varepsilon + B'_{12}\varepsilon^{2} + B'_{13}\varepsilon^{3} + \dots$$

$$\frac{1}{3}B'_{2} = B'_{20} + B'_{21}\varepsilon + B'_{22}\varepsilon^{2} + B'_{23}\varepsilon^{3} + \dots$$

eingeführt wird, die Gleichsetzung der Coëfficienten der gleichen Potenzen sofort ergeben:

$$\varphi_{0} = \frac{1}{3}$$

$$\varphi_{1} = -\frac{3}{3} - A'_{10}$$

$$\varphi_{2} = -A'_{11}$$

$$\varphi_{3} = -A'_{12}$$

$$\vdots$$

$$B'_{21} = -3 \varphi_{1} B'_{20} - A'_{30} - \frac{1}{4}$$

$$B'_{22} = -3 \varphi_{1} B'_{21} - 3 \varphi_{2} B'_{20} - A'_{31}$$

$$\vdots$$

$$\vdots$$

$$B'_{10} = -\frac{2}{3}$$

$$B'_{11} = -3 \varphi_{1} B'_{10} - A'_{20} + \frac{2}{3}$$

$$B'_{31} = +\frac{5}{2} - 3 \varphi_{1} B'_{30} - A'_{40}$$

$$B'_{12} = -3 \varphi_{1} B'_{11} - 3 \varphi_{2} B'_{10} - A'_{21}$$

$$B'_{32} = -3 \varphi_{1} B'_{31} - 3 \varphi_{2} B'_{30} - A'_{41}$$

$$\vdots$$

$$\vdots$$

Diese Gleichungen in Verbindung mit dem Gleichungssystem 11) gestatten aber, die Grössen φ_0 φ_1 φ_2 . . . in völlig unabhängiger Weise zu bestimmen, und da in der

früher erläuterten Methode alle späteren Coëfficienten bei der Berechnung der f^2 Coëfficienten auftreten, so erscheint die ganze Entwicklung durchgreifend controlirt.

Die folgenden Coëfficienten sind nach den eben beschriebenen beiden Methoden gerechnet und geprüft worden, die Zahlen für jede der beiden Methoden überdies durch eine doppelte Rechnung controlirt, indem sowohl Schram als Ginzel unabhängig von einander die bezüglichen sehr umfassenden Rechnungen durchgeführt haben. Da also die erhaltenen numerischen Werthe gleichsam durch eine vierfache Rechnung geprüft erscheinen, so kann an der Richtigkeit der folgenden Angaben um so weniger gezweifelt werden, als die Resultate der Entwicklung an mehren Beispielen durch eine genaue zehnstellige Rechnung eine vollständige Bestätigung erfahren haben. Es fand sich, indem die Entwicklung bis zu den achten Potenzen von einclusive durchgeführt wurde:

$$A_{1} = \frac{2}{5} - \frac{2}{175} \varepsilon - \frac{52}{7875} \varepsilon^{2} + \frac{13375}{3031875} \varepsilon^{3} - \frac{632832}{197071875} \varepsilon^{4} - \frac{2302525440}{931164609375} \varepsilon^{5} - \frac{15679608160}{79148991796875} \varepsilon^{6} - \frac{946239939256320}{578974874994140625} \varepsilon^{7} - \dots$$

$$A_{2} = \frac{37}{175} - \frac{128}{7875} \varepsilon - \frac{26665}{3031875} \varepsilon^{2} - \frac{1105918}{197071875} \varepsilon^{3} - \frac{3677736960}{931164609375} \varepsilon^{4} - \frac{234632816640}{79148991796875} \varepsilon^{5} - \frac{1347692975124480}{578974874994140625} \varepsilon^{8} - \dots$$

$$A_{3} = \frac{920}{7875} - \frac{47805}{3031875} \varepsilon - \frac{1560226}{197071875} \varepsilon^{2} - \frac{4463842215}{931164609375} \varepsilon^{3} - \frac{257171191200}{79148991796875} \varepsilon^{4} - \frac{1373122204587225}{578974874994140625} \varepsilon^{5} - \dots$$

$$A_{4} = \frac{198285}{3031875} - \frac{2555834}{197071875} \varepsilon - \frac{5582712015}{931164609375} \varepsilon^{2} - \frac{271236337740}{79148991796875} \varepsilon^{3} - \frac{1291566156007785}{578974874994140625} \varepsilon^{4} - \dots$$

$$A_{5} = \frac{7250264}{197071875} - \frac{9064008855}{931164609375} \varepsilon - \frac{325397795760}{79148991796875} \varepsilon^{2} - \frac{1227657780431350}{578974874994140625} \varepsilon^{3} - \dots$$

$$A_{6} = \frac{19310697825}{931164609375} - \frac{545876711100}{79148991796875} \varepsilon - \frac{1528051031511075}{578974874994140625} \varepsilon^{2} - \dots$$

$$A_{7} = \frac{926120631240}{79148991796875} - \frac{2720305768808895}{578974874994140625} \varepsilon - \dots$$

$$A_{8} = \frac{3824106664843950}{578974874994140625} - \dots$$

Hiermit erscheint das Problem völlig gelöst, denn nach der ersten Gleichung in 5) (pag. 66) ist f eine einfache Function von A_1 , kann also für eine gegebene Excentricität leicht berechnet werden, die Bestimmung von fx mit Hilfe der Barker'schen Tafel ist aber bei der Gleichung 2) (pag. 66) näher erläutert worden, die Ermittlung des Werthes $\tau = tg \frac{1}{2}v$ mit Hilfe der Gleichung 3) (pag. 66) hat daher keine andere Schwierigkeit, als die einer ziemlich ausgedehnten numerischen Operation. Es erübrigt nur noch die Aufgabe, die letztere durch zweckmässig construirte Hilfstafeln auf ein möglichst geringes Mass zurückzuführen.

Die Tabulirung von f als Function von ε ist leicht genug auszuführen: die Tafel VIa enthält nebst einer sofort zu erläuternden Grösse E die diesbezüglichen Hilfsmittel. Wollte man aber aus x nach Gleichung 3) den Werth von τ unmittelbar mit Hilfe einer Tafel rechnen, so würde diese sehr umfangreich und mit doppeltem Eingange versehen sein müssen. Dieser Ausdruck wurde demnach noch weiter umgeformt, so dass die schliesslich nothwendige verhältnismässig kleine Tafel mit doppeltem Eingange nur ganz geringfügige und so kleine Correctionen ergibt, dass sie für eine siebenstellige Rechnung in den praktisch wichtigen Fällen verschwinden. Macht man:

 $E = \S A_1, \qquad 15$

so wird sofort mit Rücksicht auf die numerischen Werthe in 14) E als Function von ε darzustellen sein: die numerischen Werthe von log E sind in die Tafel VIa aufgenommen. Setzt man weiter:

$$\begin{cases}
 n = \varepsilon E x^2 \\
 G = 1 + \frac{3}{5} n + \frac{37}{175} n^2 + \frac{930}{7875} n^3 + \dots,
\end{cases}$$
(6)

in welcher Reihe die Coëfficienten von n die Anfangsglieder beziehungsweise der Reihen A_1 A_2 A_3 . . . sind, so wird man τ auf die Form :

$$\tau = xGH, \qquad \qquad 17)$$

bringen können, in welcher H offenbar einen Werth annehmen wird, der sich von der Einheit nur um eine Grösse dritter Ordnung von ε unterscheiden kann, und überdies, wie die Entwicklung zeigt, mit einem kleinen numerischen Coëfficienten multiplicirt ist; es wird also $\log H$ selbst innerhalb der Grenzen der hier entwickelten Methode als eine kleine Correctionsgrösse erscheinen, die eine Function von ε und n ist. Die Grösse G erscheint als Function von n und hat mit diesem Argumente in der Tafel VIb Aufnahme gefunden; die Correctionsgrösse $\log H$ wurde in die mit doppeltem Eingange versehene Tafel VIc gebracht; das horizontale Argument ist ε , das vertikale n, die Correctionen sind in Einheiten der siebenten Decimale verstanden, und auf der linken Seite die für die Hyperbel, auf der rechten die für die Ellipse geltenden enthalten; für die erstere sind beide Argumente positiv, für die letztere negativ.

Die explicite Entwicklung der Grösse $\log H$ als Function, von ε und n würde ziemlich weitläufige Operationen veranlassen; ich habe es deshalb vorgezogen, dieselbe dadurch zu ermitteln, dass die nach der Formel 3) (pag. 66) neunstellig berechneten strengen Werthe für τ mit den ebenso genau berechneten von x G verglichen wurden; die Differenz der beiden logarithmischen Werthe ist die gesuchte Correction. Die nothwendigen Tafeln sind mit grosser Sorgfalt von F. K. Ginzel durchaus neunstellig und zwar innerhalb so weit ausgedehnter Grenzen berechnet worden, dass diese von den periodischen Kometen kurzer Umlaufszeit wol nur in den seltensten Fällen überschritten werden. Die ermittelten Werthe sind in den Tafeln VIa, VIb und VIc auf sieben Stellen abgekürzt mitgetheilt, die letzte Stelle ist daher, mit Rücksicht auf die neunstellig geführte Rechnung, nahezu verbürgt. Um die neunte Stelle überall annähernd richtig zu erhalten, war es bei den Grenzwerthen in einigen Fällen nöthig,

mehr Glieder zu berücksichtigen, als durch die obigen Entwicklungen bekannt sind; es bot aber gar keine Schwierigkeit, durch Induction die folgenden Coëfficienten mit hinreichender Annäherung anzugeben. Was die Grenzen der erwähnten Tafeln anbelangt, so sind diese weiter gezogen, als es durchaus nöthig ist, denn schon vor Eintritt der Grenzfälle bieten die gewöhnlichen Methoden zur Bestimmung der wahren Anomalie ohne Anwendung ausgedehnter logarithmischer Tafeln die nöthige Sicherheit.

Es erübrigt noch, den Gebrauch der Tafeln zu erläutern und die Formeln zusammen zustellen, deren man bei der Rechnung bedarf. Zunächst wird man die für
einen bestimmten Kometen als constant auftretenden Grössen ermitteln. Ist e die
Excentricität, so wird man berechnen:

$$\varepsilon = \frac{1-e}{1+e}$$
.

Mit dem Argumente ϵ entlehnt man der Tafel VIa die Logarithmen von f und E und bildet:

 $\alpha = \frac{f}{a^{3/2}} \sqrt{\frac{1+e}{2}}, \quad \beta = \varepsilon E,$

wobei q den Perihelabstand vorstellt. Die Berechnung der Grössen ε , α und β ist für gegebene Elemente nur einmal durchzuführen und kann den vorbereitenden Rechnungen angeschlossen werden. Ist t die seit der Perihelpassage verflossene Zeit in Einheiten des mittleren Sonnentages, so bildet man das Argument M für die Barker'sche Tafel IV nach: $M = \alpha t$.

und entlehnt damit aus derselben den Winkel v, der aber mit w bezeichnet werden soll, da derselbe die wahre Anomalie nicht darstellt. Benützt man die Luther'sche Tafel, welche Encke in der zweiten Auflage der berühmten Olbers'schen Abhandlung »Über die leichteste und bequemste Methode, die Bahn eines Kometen zu berechnen« publicirt hat oder Watson's Tafel, so hat man anstatt α zu setzen: α C, wobei log C = 9.960 1277 anzunehmen ist.

Es findet sich nun x und weiters das Argument n nach:

$$x = \frac{\operatorname{tg} \cdot w}{f}, \qquad n = \beta x^2.$$

Aus der Tafel VIb wird hierauf mit dem Argumente n der Logarithmus von G entlehnt, aus Tafel VIc mit den Argumenten n und ε die Correctionsgrösse log H, welche in Einheiten der siebenten Decimale verstanden ist und in der Regel unmerklich sein wird; es ist dann schliesslich:

$$tg_{\frac{1}{2}}v = xGH,$$

womit die gesuchte wahre Anomalie bestimmt erscheint. Den Radius vector r berechnet man nach: $\theta = \varepsilon \operatorname{tg} \frac{1}{4} v^2$

$$r = \frac{q}{\cos \frac{1}{4} v^2 (1+\theta)} = \frac{q (1+ \log \frac{1}{4} v^2)}{1+\theta}$$

welch' letztere Formel bei Anwendung von Additionslogarithmen bequemer und sicherer ist. Die Formeln zusammengestellt sind also:

Vorbereitende Rechnungen:
$$\epsilon = \frac{1-\epsilon}{1+\epsilon}, \quad \alpha = \frac{f}{q^{3/2}} \sqrt{\frac{1+\epsilon}{2}}, \quad \beta = \epsilon E$$
für jeden Ort:
$$M = \alpha t, \quad x = \frac{\operatorname{tg} \frac{1}{2} w}{f}, \quad n = \beta x^{2}$$

$$\operatorname{tg} \frac{1}{2} v = xGH$$

$$\theta = \epsilon \operatorname{tg} \frac{1}{2} v^{2}$$

$$r = \frac{q (1 + \operatorname{tg} \frac{1}{2} v^{2})}{1 + \theta}.$$

Ich werde nun noch die bei dieser Methode nöthigen Rechnungen durch drei Beispiele erläutern und wähle hierzu als die beiden ersten die von Gauss in der »Theoria motus« bei demselben Problem angeführten Zahlen.

Es sei (Theoria motus, Artikel 43):

$$e = 0.96764567$$
, $\log q = 9.7656500$, $t = 63.54400$.

Vorbereitende Rechnung:

Die weitere Rechnung gestaltet sich für die Zeit t wie folgt:

Der Radius vector findet sich:

Man sieht aus diesem Beispiele, welches von Gauss dem Halley'schen Kometen entlehnt wurde, dass die Correction wegen log H völlig verschwindet.

In Anwendung der obigen Formeln auf hyperbolische Bahnen sei (Theoria motus, Art. 46 II):

Diese beiden der Theoria motus entlehnten Beispiele zeigen, dass in der überwiegenden Anzahl der Fälle ohne Bedenken t=xG gesetzt werden kann: es soll nun an einem extremen Beispiele die Leistungsfähigkeit dieser Methode dargethan und hierfür Bahnelemente gewählt werden, die dem Faye'schen Kometen entlehnt sind. Die Excentricität überschreitet in diesem Falle wenig den Werth o 5 und die gewöhnlichen für die Ellipse geltenden Methoden sind hier ohne besondere Schwierigkeit anwendbar, doch glaube ich, dass der hier in Vorschlag gebrachte Rechnungsmechanismus für die kleinern Anomalien bequemer ist als jene. Es ist:

$$e = 0.5549454$$
, $\log q = 0.2304435$.

Damit ergeben sich die Constanten:

$$\epsilon = + 0.286 \ 2187 \qquad \log \alpha \quad 9.542 \ 2560 \\
\log f \quad 9.942 \ 5786 \qquad \log \beta \quad 9.452 \ 3956,$$

für t = 260 stellt sich die Rechnung wie folgt:

Rechnet man dasselbe Beispiel mit den für die Ellipse entwickelten geschlossenen Formeln, so ergibt sich zunächst der Logarithmus der mittleren täglichen siderischen

Bewegung in Bogensekunden log $\mu=2.676~9613$ und damit die mittlere Anomalie für die vorgelegte Zeit $M=34^{\circ}~19'~36''14$. Die excentrische Anomalie findet sich durch Versuche (log e''=5.058~6754) $E=62^{\circ}~32'~25''77$, woraus in vollkommener Übereinstimmung mit dem obigen auf viel bequemere Weise erhaltenen Werthe resultirt:

log tg
$$\frac{1}{4}$$
 E 9.783 4022
log $\sqrt{\frac{1+e}{1-e}}$ 0.271 6510
log tg $\frac{1}{4}$ v 0.055 0532.

Es erübrigen noch einige Bemerkungen betreffs des umgekehrten Problems, nämlich der Ermittlung der Zeit aus der wahren Anomalie. Man kann der Gleichung 1) (pag. 65) ohne Schwierigkeit die Form geben:

$$t = \frac{q^{3/2}}{\sqrt{1+e}} \{ P_1 \operatorname{tg} \frac{1}{2} v + P_3 \operatorname{tg} \frac{1}{2} v^3 \},$$

wobei die Werthe von P_1 und P_3 mit dem Argumente:

$$\theta = \frac{1-e}{1+e} \operatorname{tg} \frac{1}{2} v^2,$$

in Tafeln gebracht werden können; solche finden sich als Tafel XVIII im zweiten Bande dieses Lehrbuches; die dazu nöthigen Erläuterungen sind auf pag. 479 desselben Werkes gegeben.

3. Relationen zwischen mehren Orten in der Bahn.

a. Die Euler'sche Gleichung und deren Transformation.

Verbindet man die Endpunkte zweier zu derselben Bahn gehörenden Radien vectoren durch eine Gerade, welche die Sehne genannt werden soll, so lassen sich zwischen diesen Grössen und der Zwischenzeit einige sehr wichtige Relationen aufstellen. Die Lösung in ihrer Allgemeinheit führt auf die Lambert sche Gleichung, welche jedoch erst im zweiten Bande abgeleitet wird; hier soll nur jene von Euler entwickelte Lösung vorgenommen werden, welche für die Parabel gilt. Seien t, und t_m die zu den Radien vectoren r, und r_m gehörenden, vom Perihel aus gezählten Zeiten, so kann man mit Benützung der Gleichung 2, (pag. 58) leicht die beiden Relationen ableiten:

$$k t, V_2 q = 2 q^2 (\text{tg} \frac{1}{2} v, + \frac{1}{3} \text{tg}^3 \frac{1}{2} v,)$$

 $k t_m V_2 q = 2 q^2 (\text{tg} \frac{1}{2} v_m + \frac{1}{3} \text{tg}^3 \frac{1}{2} v_m)$

Durch Subtraction dieser Gleichungen wird erhalten:

$$k(t_m-t_1) \sqrt{2} q = 2 q^2 \{ tg \frac{1}{4} v_m - tg \frac{1}{4} v_1 + \frac{1}{4} (tg^3 \frac{1}{4} v_m - tg^3 \frac{1}{4} v_1) \}.$$

In dieser Gleichung ist nun q zu eliminiren, v, und v_m sind als Functionen von r,

r,, und s der Sehne zwischen dem ersten und dritten Kometenorte auszudrücken. Vorerst kann man obige Gleichung folgendermassen transformiren:

$$k (t_{m} - t_{i}) \sqrt{2 q} = 2 q^{2} \{ \operatorname{tg} \frac{1}{2} v_{m} - \operatorname{tg} \frac{1}{2} v_{i} \} \{ 1 + \frac{1}{3} \operatorname{tg} \frac{1}{2} v^{2}_{m} + \frac{1}{3} \operatorname{tg} \frac{1}{2} v_{m} \operatorname{tg} \frac{1}{2} v_{i} + \frac{1}{3} \operatorname{tg} \frac{1}{2} v_{m} \operatorname{tg} \frac{1}{2} v_{i} + \frac{1}{3} \operatorname{tg} \frac{1}{2} v_{m} \operatorname{tg} \frac{1}{2} v_{m} \operatorname{tg} \frac{1}{2} v_{i} \} \{ 1 + \frac{1}{3} (\operatorname{tg} \frac{1}{2} v_{m} - \operatorname{tg} \frac{1}{2} v_{i})^{2} + \operatorname{tg} \frac{1}{2} v_{m} \operatorname{tg} \frac{1}{2} v_{i} \}.$$

Bedenkt man, dass:

$$r = q \sec \frac{1}{2} v^2,$$

ist, und setzt abkürzend ein:

$$\{v_{m}-v_{n}\}=f,$$

so wird geschrieben werden können:

$$1 + \lg \frac{1}{2} v_m \lg \frac{1}{2} v_r = \frac{\cos \frac{1}{2} v_m \cos \frac{1}{2} v_r + \sin \frac{1}{2} v_r \sin \frac{1}{2} v_m}{\cos \frac{1}{2} v_r \cos \frac{1}{2} v_m} = \frac{\cos f \sqrt{r_r} r_m}{q}$$

ferner:

$$\operatorname{tg} \frac{1}{2} v_{m} - \operatorname{tg} \frac{1}{2} v_{r} = \frac{\sin \frac{1}{2} v_{m} \cos \frac{1}{2} v_{r} - \cos \frac{1}{2} v_{m} \sin \frac{1}{2} v_{r}}{\cos \frac{1}{2} v_{r} \cos \frac{1}{2} v_{m}} = \frac{\sin f \sqrt[3]{r}, r_{m}}{q},$$

wodurch man erhält:

$$k (t_m - t_i) \sqrt{2} q = 2 r_i r_m \sin f \cos f + \frac{3}{3} \frac{(r_i r_m)^{3/2} \sin f^3}{q}$$

oder auch:

$$k (t_m - t_r) = \frac{\sin f \cos f r_r r_m \sqrt{2}}{\sqrt{q}} + \frac{\sin f^3 (r_r r_m)^{3/2} \sqrt{2}}{3 q^{3/2}}$$
 1)

Wie man sieht, sind die wahren Anomalien nun fortgeschafft und an ihrer Stelle findet sich die Differenz der Anomalien, eine Grösse, die leicht durch s ausgedrückt werden kann. Zuerst wird es aber nothwendig sein, zu zeigen, dass die Fortschaffung der Unbekannten q möglich ist. Es wird:

$$\sin f^{2} = \sin \frac{1}{4} v_{m}^{2} \cos \frac{1}{4} v_{r}^{2} - 2 \sin \frac{1}{4} v_{r} \cos \frac{1}{4} v_{r} \sin \frac{1}{4} v_{m} \cos \frac{1}{4} v_{m} + \sin \frac{1}{4} v_{r}^{2} \cos \frac{1}{4} v_{m}^{2}$$

$$= \frac{q}{r_{r}} + \frac{q}{r_{m}} - 2 \cos \frac{1}{4} v_{r} \cos \frac{1}{4} v_{m} (\cos \frac{1}{4} v_{r} \cos \frac{1}{4} v_{m} + \sin \frac{1}{4} v_{r} \sin \frac{1}{4} v_{m})$$

$$= \frac{q}{r_{r}} + \frac{q}{r_{m}} - 2 \cos f \frac{q}{\sqrt{r_{r} r_{m}}};$$

daraus leitet sich ab:

$$\sin f^2 = \frac{q}{r_1 r_m} (r_1 + r_m - 2 \cos f V r_1 \overline{r_m}).$$
 2)

Dieser Werth, in 1) für sin f substituirt, macht sofort q verschwinden, doch wird es zweckmässiger sein, diese Substitution nicht sogleich auszuführen. Man kann f durch die Sehne s und die Radien vectoren r, und r_m ersetzen. Man hat:

$$s^{2} = r^{2} + r^{2} - 2r^{2}, r^{2} \cos 2f$$

= $(r^{2} + r^{2})^{2} - 4r^{2}, r^{2} \cos f^{2};$

demnach ist:

$$\cos f = \pm \sqrt{\frac{(r_{t} + r_{m})^{2} - s^{2}}{4 r_{t} r_{m}}} = \frac{\pm m n}{2 \sqrt{r_{t} r_{m}}}, \qquad 3)$$

wobei der Kürze halber gesetzt wurde:

$$(r, + r_m + s)^{1/2} = m$$

 $(r, + r_m - s)^{1/2} = n.$ 4)

Die Bedeutung des Doppelzeichens in 3) wird durch die Erwägung klar, dass das positive Zeichen gilt, wenn die heliocentrische Bewegung des Kometen kleiner ist als 180° , $(f < 90^{\circ})$, das negative hingegen, wenn $f > 90^{\circ}$.

Die Gleichung 2) ergibt:

$$\frac{\sin f \sqrt{r_{n}r_{m}}}{\sqrt{q}} = \left\{r_{n} + r_{m} - 2\cos f \sqrt{r_{n}r_{m}}\right\}^{1/2},$$

wobei das Zeichen des Wurzelausdruckes stets positiv gewählt werden muss, da sin f nur dieses Vorzeichen besitzen kann Führt man nun den für $\cos f$ in 3) gefundenen Werth ein und bedenkt, dass nach 4) gesetzt werden kann:

$$r_1 + r_2 = \frac{1}{2} (m^2 + n^2),$$

so wird:

$$\frac{\sin f \sqrt{r_{,r_{m'}}}}{\sqrt{q}} = \left\{\frac{1}{2} (m^2 + n^2) \mp mn\right\}^{1/2},$$

oder auch:

$$\frac{\sin f V \frac{2 r_i r_m}{V q} = m \mp n.$$

Geht man wieder auf die Gleichung 1) zurück, so wird mit Rücksicht auf die bisherigen Entwicklungen:

 $k(t_m - t_i) = \cos f(m \mp n) \sqrt{r_i r_m} + \frac{1}{6} (m \mp n)^3 = \pm \frac{1}{2} mn(m \mp n) + \frac{1}{6} (m \mp n)^3,$ woraus folgt:

$$6k(t_{m}-t_{r})=m^{3}\mp n^{3}=(r_{r}+r_{m}+s)^{3/2}\mp (r_{r}+r_{m}-s)^{3/2}.$$

Es gilt das obere Zeichen, wenn die heliocentrische Bewegung kleiner, das untere, wenn dieselbe grösser als 180° ist. Bei ersten Bahnbestimmungen hat demnach das obere Zeichen allein praktische Bedeutung.

Die Gleichung 5) ist unter dem Namen des Lambert'schen Theorems bekannt, ist aber zuerst von Euler aufgestellt worden; Lambert hat diese Form auf Ellipsen und Hyperbeln erweitert, indem er den eben aufgestellten Ausdrücken noch weitere Glieder hinzufügte, die mit den negativen Potenzen von a (der halben grossen Achse) multiplicirt erscheinen, also für die Parabel verschwinden; die Ableitung dieser allgemeinen Gleichung wird erst im zweiten Bande dieses Werkes vorgenommen.

Die Euler'sche Gleichung in der eben aufgestellten Form ist besonders in der Anwendung auf erste Bahnbestimmungen, in welchen s nothwendig klein ist, wenig bequem, da der rechte Theil der Gleichung 5) aus der Differenz zweier nahe gleich grosser Werthe bestimmt werden muss. Encke (Berl. astr. Jahrb. 1833) hat eine sehr zweckmässige Ümstellung derselben vorgeschlagen. Setzt man nämlich:

$$\frac{s}{r_{*}+r_{**}}=\sin\gamma,$$

so kann die Euler'sche Gleichung, wenn mit t die Zwischenzeit ($t_m - t$) bezeichnet wird, geschrieben werden:

$$\frac{6 kt}{(r_1 + r_{11})^{3/2}} = (1 + \sin \gamma)^{3/2} \mp (1 - \sin \gamma)^{3/2};$$

sin γ wird der Natur des Problems nach stets positiv sein und man wird daher $\gamma < 90^{\circ}$ annehmen können. Es ist aber:

$$(\cos \frac{1}{2} \gamma \pm \sin \frac{1}{2} \gamma)^2 = 1 \pm \sin \gamma.$$

Da die Bedingung $\gamma < 90^{\circ}$ besteht, so ist im Ausdrucke:

$$\cos \frac{1}{2} \gamma \pm \sin \frac{1}{2} \gamma = \pm \sqrt{1 \pm \sin \gamma}$$

nur das obere positive Zeichen der Wurzel zu berücksichtigen, und man hat:

$$\frac{6 kt}{(r_{1} + r_{10})^{3/2}} = (\cos \frac{1}{2} \gamma + \sin \frac{1}{2} \gamma)^{3} \mp (\cos \frac{1}{2} \gamma - \sin \frac{1}{2} \gamma)^{3}. \quad 7)$$

Aus dieser Gleichung kann, sobald $r_{r} + r_{m}$ gegeben ist, γ ermittelt werden, und man hat dann:

$$s = (r, + r_m) \sin \gamma, \qquad 8)$$

so dass die Sehne für eine bestimmte Annahme über r, +r, und die Zwischenzeit t nach der Euler'schen Gleichung bestimmt ist. Bei Aufsuchung des Winkels γ kann man noch die Rechnung wesentlich erleichternde Transformationen einführen. Nimmt man zuerst in dem Ausdrucke 7) das obere Zeichen vor, so erhält man:

$$\frac{6kt}{(r_t + r_m)^{3/2}} = 6\sin \frac{1}{2} \gamma - 4\sin \frac{1}{2} \gamma^3,$$

oder:

$$\frac{6kt}{z^{3/2}(r_{*}+r_{***})^{3/2}}=3\frac{\sin\frac{1}{2}\gamma}{\sqrt{2}}-4\left(\frac{\sin\frac{1}{2}\gamma}{\sqrt{2}}\right)^{3}.$$
 9)

Es kann sin $\frac{1}{2} \gamma : \sqrt{2}$ und ebenso später cos $\frac{1}{2} \gamma : \sqrt{2}$ einem Sinus gleich gesetzt werden, weil nothwendig beide Grössen kleiner als die Einheit sein müssen. Setzt man also in dem vorliegenden Falle:

 $\frac{\sin\frac{1}{2}\gamma}{\sqrt{2}}=\sin\,\alpha,$

und beachtet, dass die Relation:

$$\sin 3\alpha = 3 \sin \alpha - 4 \sin \alpha^3$$

besteht, so wird man mit Rücksicht auf die Form der Gleichung 9) die Annahme machen dürfen, dass die Grösse:

$$\frac{6\,kt}{2^{3/2}\,(r_{*}+r_{***})^{3/2}},$$

stets kleiner als die Einheit sei, was:

$$\frac{6 kt}{2^{3/2} (r_r + r_m)^{3/2}} = \sin \theta$$
 10)

zu schreiben gestattet, und es folgt unmittelbar:

$$\sin \frac{1}{2} \gamma = \sin \frac{1}{3} \theta \sqrt{2}.$$

Diese Gleichungen lassen, da θ kleiner als 90° angenommen werden muss, nur eine Auflösung zu, denn es ist:

$$\sin \frac{1}{2} \gamma \leq \frac{\sqrt{2}}{2}$$
, also: $\sin \frac{1}{2} \theta \leq \frac{1}{2}$.

Es soll nun in der Gleichung 7) der zweite Fall, in welchem das Zeichen des zweiten Theiles positiv ist, betrachtet werden. Man erhält:

$$\frac{6 kt}{a^{3/2} (r_{*} + r_{***})^{3/2}} = 3 \frac{\cos \frac{1}{2} \gamma}{\sqrt{2}} - 4 \left(\frac{\cos \frac{1}{2} \gamma}{\sqrt{2}} \right)^{3},$$

und wird setzen können:

$$\cos \frac{1}{4} \gamma = \sin \frac{1}{4} \theta \sqrt{2}.$$

Der Werth von cos $\frac{1}{2}$ γ ist innerhalb der Grenzen 1 und 1 : $\sqrt{2}$ eingeschlossen, also :

$$\cos \frac{1}{2} \gamma \geq \frac{\sqrt{2}}{2};$$

daraus folgt:

$$\sin \frac{1}{2}\theta \ge \frac{1}{2}$$
, $\frac{1}{2}\theta \ge 30^{\circ}$.

Aus dem Grenzwerthe $\cos \frac{1}{2} \gamma = 1$ ergibt sich aber:

$$\sin \frac{1}{3} \theta \leq \frac{\sqrt{2}}{2}, \quad \frac{1}{3} \theta \leq 45^{\circ},$$

d. h. θ ist innerhalb der Grenzen 90° und 135° eingeschlossen.

Vergleicht man die eben gewonnenen Resultate mit denjenigen, welche der erste Fall (negatives Zeichen) darbot, so sieht man auf den ersten Blick, dass. sobald:

$$\sin \theta < \frac{\sqrt{2}}{2}$$

wird, nur eine Lösung möglich ist, die dem ersten Falle entspricht; ist aber:

$$\sin\,\theta > \frac{\sqrt{2}}{2},$$

so geben beide Fälle eine entsprechende, doch verschiedene Lösung, je nachdem man für θ den Werth im ersten oder zweiten Quadranten annimmt.

Ich nehme nun wieder den ersten für das vorliegende Problem wichtigeren Fall vor. Die Gleichung 8) lässt sich zunächst umsetzen in:

$$s = (r_1 + r_m) 2 \sin \frac{1}{2} \gamma \sqrt{1 - \sin \frac{1}{2} \gamma^2},$$

oder auch nach 11):

$$s = (r_1 + r_{10})^{2/2} \sin \frac{1}{3} \theta \sqrt{\cos \frac{1}{3}} \theta.$$

Nimmt man nun für die Summe der Radien vectoren aus 10) den entsprechenden Werth, so findet sich zunächst:

$$(r, + r_{"}) = \frac{6kt}{2^{3/2} \sqrt{r_{r} + r_{"}}} \csc \theta$$

und man erhält schliesslich, wenn man den von θ abhängigen Factor mit μ bezeichnet:

$$s = \frac{2kt}{\sqrt{r_r + r_{mr}}} \cdot \frac{3\sin\frac{1}{2}\theta}{\sin\theta} \sqrt{\cos\frac{2}{3}\theta} = \frac{2kt}{\sqrt{r_r + r_{mr}}} \mu. \qquad 12)$$

Bei ersten Bahnbestimmungen wird θ eine kleine Grösse sein, also μ nahezu der Einheit gleich werden und log μ sich bequem in eine Tafel bringen lassen; dieser Logarithmus ändert sich in dem vorliegenden Falle mit Rücksicht auf den Winkel θ nur sehr langsam. Ginzel hat nun eine Tafel auf zehn Stellen berechnet, welche auf

sieben Decimalen abgekürzt, als Tafel VII im Anhange aufgenommen ist und mit dem Argumente:

 $\eta = \frac{2kt}{(r_r + r_m)^{3/2}}, \quad \log 2k = 8.5366114,$

sofort den Werth von $\log \mu$ angibt. Dieselbe erstreckt sich für das Argument η von o bis 0.8 und es wird bei ersten Bahnbestimmungen selten der Fall eintreten, dass die Grenzen derselben überschritten werden; geschieht dies, so wird man ohne Nachtheil die Euler'sche Gleichung in ihrer unveränderten Form anwenden können, oder für den gegebenen Fall μ direkt berechnen, indem $\sin \theta$ nach der Gleichung 10) ($\log \frac{6k}{2^3/2} = 8.562$ 1877) bestimmt wird. Mit dem Werthe von θ findet sich dann μ durch:

$$\mu = \frac{3 \sin \frac{1}{3} \theta}{\sin \theta} \sqrt{\cos \frac{2}{3} \theta}.$$

Die Berechnung der Sehne nach Encke's Umformung stellt sich also wie folgt: Ist ein Werth für $(r, + r_m)$ angenommen, so berechnet man zunächst das Argument η nach:

 $\eta = \frac{2kt}{(r_{*} + r_{**})^{8/2}}, \quad \log 2k = 8.536 6114,$

entlehnt mit diesem aus der Tafel VII den Werth von $\log \mu$ und bestimmt dann die Sehne s nach:

 $s = \frac{2kt}{\sqrt{r_{\prime} + r_{\prime\prime\prime}}} \mu.$

Der Grenzwerth von η (sin $\theta = 1$) ist offenbar $\frac{3}{3}$ $\sqrt{2}$, jener von μ dagegen $\frac{3}{2\sqrt{2}}$.

Es sollen nun die vorstehenden Formeln durch ein Beispiel erläutert werden. Es sei gegeben:

$$t = 25.81286$$
, $\log r_{1} = 9.9940030$, $\log r_{2} = 9.6570750$.

Die Rechnung stellt sich wie folgt:

Nimmt man an, der Werth von μ hätte in diesem Beispiele die Grenzen der vorgelegten Tafel überschritten, so berechnet sich derselbe wie folgt:

$\log \frac{6 kt}{2^{3/2}}$	9.974 0238	log 3	0.477	1213
$\sin \theta$	9.736 3410	$\sin \frac{1}{3} \theta$	9.280	8575
$\boldsymbol{\theta}$	33° 1′ 11″67	$\operatorname{\mathbf{cosec}} heta$	0.263	6590
$\frac{1}{2}\theta$	11 0 23.89	$\frac{1}{2}\log \frac{2}{3}\theta$	9.983	5626
$^2/_3 \theta$	22 0 47.78	$\log \mu$	0.005	2004.

b. Bestimmmung des Verhältnisses zwischen dem Sector und dem Dreieck.

Bezeichnet man in einer vorgelegten Bahn den Winkel, welchen die beiden Radien vectoren r und r' am Sonnencentrum einschliessen, mit 2f, so wird:

$$2f = v' - v$$

gleich dem Unterschiede der wahren Anomalien v' und v sein; führt man für die doppelte Dreiecksfläche, welche diese zwei Radien vectoren mit der Sehne s einschliessen, das Symbol:

[r r'],

ein, so ist offenbar:

$$[rr'] = rr'\sin 2f = 2rr'\sin f\cos f.$$

Nennt man ferner die doppelte Fläche, welche die Bahncurve mit den Radien vectoren einschliesst, also die doppelte Sectorfläche, 2 S, so ist, wenn die Zwischenzeit, multiplicirt in die für die Masse des betreffenden Himmelskörpers corrigirte Constante des Sonnensystems, durch τ bezeichnet wird, mit Rücksicht auf die Gleichungen 8) (pag. 45) und 14) (pag. 46):

 $2 S = \tau \sqrt{p}; \qquad 2)$

es ist also:

$$\tau = (t'-t) k \sqrt{1+m}.$$

Bezeichnet man mit dem Buchstaben η das Verhältnis des Sectors zum Dreieck, so ist dasselbe offenbar dargestellt durch:

$$\eta = \frac{\text{Sector}}{\text{Dreieck}} = \frac{\tau V \overline{p}}{2rr'\sin f \cos f},$$
4)

welcher Ausdruck mit Vortheil zur Berechnung dieses Verhältnisses benützt werden kann, falls τ und f nicht gar zu kleine Grössen sind.

Es werden für diesen Ausdruck indessen auch andere Relationen, deren man bei der Bahnbestimmung bedarf, aufgestellt werden müssen. Es ist nämlich klar, dass man η nur berechnen kann, wenn das Element p gegeben ist; bei Bahnbestimmungen wird es aber nöthig werden, dieses letztere durch andere Grössen zu ersetzen, welche man sich ohne Kenntnis der Elemente mittels geeigneter Hilfsmittel verschaffen kann. Zu diesem Ende sollen die Gleichungen 25) und 26) (pag. 57) vorgenommen werden. Bezeichnet man ähnlich wie früher mit E die zum ersten Orte, mit E' die zum letzten gehörende excentrische Anomalie, so bestehen die Gleichungen:

$$\frac{\sqrt{r} \cos \frac{1}{2} v}{\sin \frac{1}{2} v} = \sqrt{a(1-e)} \cos \frac{1}{2} E = A$$

$$\sqrt{r} \sin \frac{1}{2} v = \sqrt{a(1+e)} \sin \frac{1}{2} E = B$$

$$\sqrt{r'} \cos \frac{1}{2} v' = \sqrt{a(1-e)} \cos \frac{1}{2} E' = C$$

$$\sqrt{r'} \sin \frac{1}{2} v' = \sqrt{a(1+e)} \sin \frac{1}{2} E' = D$$

Werden nun die Summen und Differenzen der halben Winkel eingeführt:

$$F = \frac{1}{2} (v' + v)$$
 $G = \frac{1}{2} (E' + E)$
 $f = \frac{1}{2} (v' - v)$ $g = \frac{1}{2} (E' - E)$,

11

so wird, wenn man die erste der obigen Gleichungen mit der dritten, die zweite mit der vierten multiplicirt und die Resultate addirt, erhalten:

$$AC + BD = \sqrt{rr'}\cos f = a\cos g - ae\cos G;$$
 5)

dagegen durch Subtraction:

$$AC - BD = V \overline{rr'} \cos F = a \cos G - ae \cos g.$$
 6)

Diese Ausdrücke kann man etwas umgestalten, um später die Summen der Winkel bequemer eliminiren zu können. Es findet sich zunächst, indem man $e \cos G$ und $e \cos F$ nur durch die Differenzen der Winkel ausdrückt:

$$e\cos G = \cos g - \frac{\sqrt{rr'}}{a}\cos f,$$
 7)

und durch Substitution dieses Werthes in die zweite Gleichung 6):

$$e\cos F = \frac{a(1-e^2)}{\sqrt{rr'}}\cos g - \cos f;$$

da aber:

$$p = a (1 - e^2),$$

ist, so kann etwas kürzer geschrieben werden

$$e\cos F = \frac{p}{\sqrt{rr'}}\cos g - \cos f.$$
 8)

Es lässt sich F durch p auch auf eine andere Weise darstellen, denn die Polargleichung für die Kegelschnitte gibt:

$$\frac{p}{r} = 1 + e \cos v$$

$$\frac{p}{r'} = 1 + e \cos v';$$

addirt man beide Gleichungen und führt statt der Summe der Cosinus die entsprechenden Werthe ein, so wird:

 $p\frac{r+r'}{rr'}=2+2e\cos F\cos f,$

oder:

$$e\cos F = \frac{p}{2} \cdot \frac{r+r'}{rr'\cos f} - \frac{1}{\cos f}$$

Bestimmt man aus dieser Gleichung und aus der Gleichung 8) den Werth von p, nachdem $e \cos F$ eliminirt worden ist, so findet sich:

$$p = \frac{2rr'\sin f^2}{r + r' - 2\cos g\cos f\sqrt{rr'}}.$$
 9)

Hier treten ausser den Radien vectoren nur die Differenzwerthe der wahren und der excentrischen Anomalien auf. Setzt man den Werth von p in die Gleichung 4) (pag. 81), nachdem dieselbe quadrirt wurde, so findet sich:

$$\eta^2 = \frac{z^2}{2 \, rr' \cos f^2 \, (r + r' - 2 \cos g \cos f \sqrt[V]{rr'})} \, . \tag{10}$$

Die eben gefundene Relation, welche die beiden Unbekannten η und g enthält, ist für die Rechnung keineswegs bequem, und da unter Umständen eine Lösung durch Versuche nöthig wird, so wird es ganz zweckentsprechend sein, den obigen

Ausdruck in eine für die Anwendung geschmeidigere Form überzuführen. Setzt man zunächst:

$$m = \frac{r^2}{(2\cos f \sqrt[V]{rr'})^3},$$

so wird:

$$\eta^{2} = \frac{4 m \cos f \sqrt{rr'}}{r + r' - 2 \cos g \cos f \sqrt{rr'}} = \frac{m}{\frac{r + r'}{4 \cos f \sqrt{rr'}} - \frac{1}{2} \cos g}.$$

Nimmt man nun mit Gauss:

$$l=\frac{r+r'}{4\cos f\, vrr'}-\tfrac{1}{2},$$

an, so ist:

$$\eta^2 = \frac{m}{l + \sin\frac{1}{2}g^2}.$$

Die Berechnung von l lässt sich noch etwas vereinfachen; denn für:

wird:

$$tg (45^{\circ} + \omega) = \sqrt[4]{\frac{r}{r}},$$

$$\frac{r + r'}{Vrr^{-1}} = \sqrt[4]{\frac{r'}{r}} + \sqrt[4]{\frac{r}{r'}} = tg (45^{\circ} + \omega)^{2} + \cot g (45^{\circ} + \omega)^{2}$$

$$= 2 + \{tg (45^{\circ} + \omega) - \cot g (45^{\circ} + \omega)\}^{2} = 2 + 4 tg 2 \omega^{2},$$

und:

$$l = \frac{\sin\frac{1}{2}f^2 + \log 2\omega^2}{\cos f}.$$
 13)

Ich kehre nun wieder zu der Gleichung 11) mit der Bemerkung zurück, dass dieselbe zwei Unbekannte η und g enthält; um eine Bestimmung dieser beiden Grössen zu erhalten, wird die Aufstellung einer weiteren Gleichung nöthig, was auf die folgende Weise geschehen kann. Zählt man die Zeiten vom Perihel ab, so wird für die mittlere Anomalie sein:

$$M = \frac{k}{a^{\frac{1}{2}}} t = E - e \sin E$$

$$M' = \frac{k}{a^{\frac{1}{2}}} t' = E' - e \sin E',$$

oder durch Subtraction der ersten Gleichung von der zweiten und Einführung der Winkelgrössen g und G (vergl. pag. 81):

$$\frac{z}{a^{\frac{3}{2}}} = 2g - 2e \sin g \cos G.$$
 14)

Für e cos G ist bereits in 7) ein Ausdruck gefunden worden, der aber noch die Grösse a enthält, welche auch in 14) erscheint; dieselbe muss jedoch, da sie unbekannt ist, eliminirt werden. Nach Gleichung 27) (pag. 57) ist:

$$\frac{r}{a} = 1 - e \cos E$$

$$\frac{r'}{a} = 1 - e \cos E',$$

woraus durch Addition und Transformation gefunden wird:

$$\frac{r+r'}{a}=2-2e\cos g\cos G,$$
 15)

welche Gleichung mit Rücksicht auf 7) geschrieben werden kann :

$$\frac{1}{a} = \frac{2 \sin g^2}{r + r' - 2 \cos g \cos f \, V_{rr'}}.$$
 16)

Setzt man nun für den Nenner dieses Ausdruckes den Werth nach 10) ein, so findet sich:

 $\frac{1}{a} = \left(\frac{2 \eta \sin g \cos f}{\tau}\right)^2 r r'.$ 17)

Die Gleichung 14) ergibt, wenn man in dieselbe e cos G nach 7) substituirt:

$$\frac{1}{a^2} = 2g - \sin 2g + 2\frac{\sqrt{rr'}}{a} \sin g \cos f.$$

Ersetzt man a in dieser Gleichung durch die Werthe aus 17), so wird, wenn man wie oben:

 $m = \frac{r^2}{(2\cos f \sqrt[V]{rr'})^3},$

annimmt, erhalten:

$$\frac{\eta^3}{m} - \frac{\eta^2}{m} = \frac{2g - \sin 2g}{\sin g^3}.$$

Hiermit erscheint die zweite Gleichung zwischen η und g in transcendenter Form. Die Auflösung der vorgelegten Aufgabe ist demnach auf die beiden Grundgleichungen zurückgeführt:

 $\eta^2 = \frac{m}{l + \sin\frac{1}{2}g^2}$ $\frac{\eta^3}{m} - \frac{\eta^2}{m} = \frac{2g - \sin 2g}{\sin g^3}.$

Die Gleichung:

$$\eta = \frac{\imath \sqrt{p}}{rr'\sin \imath f},$$

zeigt, dass, sobald 2f grösser wird als 180° , η einen negativen Werth erhält; dieser Fall wird jedoch bei ersten Bahnbestimmungen, bei welchen der heliocentrische Bogen stets innerhalb mässiger Grenzen liegen muss, ausgeschlossen bleiben, und die später folgenden Betrachtungen werden nur unter der Annahme, dass die heliocentrische Bewegung mässig (etwa $< 60^{\circ}$) ist, ihre Anwendung finden. Ist aber die heliocentrische Bewegung klein, so wird die hinreichend genaue Berechnung des Ausdruckes $\frac{2g - \sin 2g}{\sin g^3}$ mit Hilfe der gewöhnlichen logarithmischen Tafeln nicht möglich, es müssen demnach für eine versuchsweise Auflösung der obigen Gleichungen 18) besondere Hilfsmittel geschaffen werden, auf welche in den folgenden Seiten eingegangen wird.

Rechnet man aus zwei_in Bezug auf die excentrische Anomalie sehr entfernten heliocentrischen Orten die Bahn, so wird man stets schon Näherungswerthe kennen und die versuchsweise Auflösung der Gleichung 18) niemals auf Schwierigkeiten stossen, wenn man sich vergegenwärtigt, dass, sobald sin 2f negativ wird, η^3 negativ anzunehmen ist. Die Kenntnis von η wird aber in diesem Falle nicht von Belang sein und nur der Werth g für die weitere Rechnung nöthig; man wird deshalb η zweckmässig eliminiren. Dividirt man die erste Gleichung in 18) in die zweite, so wird, wenn man zur Abkürzung setzt:

$$\frac{2g - \sin 2g}{\sin g^3} = \alpha$$

$$l + \sin \frac{1}{2}g^2 = \beta,$$

erhalten:

$$\eta = \alpha \beta + 1$$
.

Quadrirt man diesen Ausdruck und eliminirt mit Hilfe der ersten Gleichung in 18) η^2 , so wird gefunden: $m = (\alpha \beta + 1)^2 \beta$.

Diese Gleichung enthält nur mehr die Unbekannte g, doch würde die Bestimmung der letzteren aus dieser Gleichung im allgemeinen sehr schwierig werden. dem hier vorausgesetzten Falle werden in der Regel genäherte Werthe von g bekannt sein; man wird demnach mit dem wahrscheinlichsten Werthe von g und zwei beliebig abgeänderten (q - y) und (q + y) die Rechnung für α und β durchführen. man den Werth von g nur ziemlich nahe kennt, so ist es, um sicher den wahren Werth innerhalb der Grenzen (g-y) und (g+y) einzuschliessen, besser, y zu gross als zu klein anzunehmen. Die angenommenen Werthe von g werden drei verschiedene Resultate für m geben, deren Vergleichung mit dem wahren Werthe von m den genauen Werth von q und zwar mit um so grösserer Schärfe finden lassen wird, wenn man, da drei Werthe bekannt sind, die Interpolation mit Rücksicht auf die zweiten Differenzen durchführt; ist auch die Berücksichtigung dieser nicht mehr ausreichend, so wird mit dem verbesserten Werthe die Rechnung zu wiederholen und neuerdings durch Interpolation der wahre Werth zu suchen sein; ist aber g sehr nahe richtig bekannt, so wird man y nicht so gross zu nehmen brauchen, dass die Berücksichtigung der zweiten Differenzen nothwendig wird.

Viel wichtiger und schwieriger wird die Behandlung des Problems, wenn g klein ist. Vor allem wird es nöthig, den Ausdruck:

$$\frac{2g-\sin 2g}{\sin a^3}=\alpha,$$

so zu transformiren, dass die Berechnung desselben leicht durchgeführt werden kann, und man wird sich deshalb die Aufgabe stellen müssen, α in eine Reihe nach steigenden Potenzen einer kleinen Grösse aufzulösen. Gauss wählt hierfür:

$$\sin \frac{1}{2}g^2 = w.$$

Der Grenzwerth von α wird für ein unendlich kleines g gleich $\frac{1}{3}$; denn löst man im Zähler sin 2g in eine Reihe nach steigenden Potenzen des Bogens 2g auf, so wird:

$$\alpha = \frac{\frac{(2 \ g)^3}{2 \cdot 3} - \frac{(2 \ g)^5}{2 \cdot 3 \cdot 4 \cdot 5} \cdot \cdot \cdot}{\sin g^3},$$

woraus unmittelbar der oben angegebene Grenzwerth gefunden wird. Man wird daher der Reihe, welche für α entwickelt werden soll, zweckmässig die Form geben:

$$\alpha = \frac{4}{3} \{ 1 + \alpha' w + \beta' w^2 + \gamma' w^3 + \delta' w^4 + \cdots \},$$

deren Coëfficienten dadurch bestimmt werden können, dass man die Reihe für $2g - \sin 2g$ durch die Reihe für $\sin g^3$ dividirt und nach steigenden Potenzen von w entwickelt; jedoch tritt dann das Gesetz der Fortschreitung der Coëfficienten nicht klar zu Tage. Um dasselbe zu erhalten, kann man sich des folgenden Verfahrens bedienen. Differentiirt man die gegebene Gleichung:

$$\alpha \sin g^3 = 2g - \sin 2g,$$

so findet sich:

$$3\alpha\cos g\sin g^2 + \sin g^3 \frac{d\alpha}{dg} = 4\sin g^2$$

woraus abgeleitet wird:

$$\frac{d\alpha}{dg} = \frac{4 - 3 \alpha \cos g}{\sin g}.$$

Anderseits erhält man aus der Gleichung:

$$w=\sin \frac{1}{4}g^2,$$

durch Differentiation:

$$\frac{dw}{da} = \frac{1}{2}\sin g.$$

Es ist aber:

$$\frac{d\alpha}{dw} = \left(\frac{d\alpha}{dy}\right)\left(\frac{dy}{dw}\right) = \frac{8 - 6\alpha\cos g}{\sin g^2} = \frac{4 - 3\alpha(1 - 2w)}{2w(1 - w)},$$

demnach auch:

$$2 (w - w^2) \frac{d\alpha}{dw} = 4 - (3 - 6 w) \alpha.$$

Substituirt man nun für α in diesem Ausdrucke die obige Reihe und ebenso für $\frac{d\alpha}{dw}$ das Differential derselben nach w, so wird gefunden:

woraus man schliesst:

$$\frac{\$}{\$} \alpha' = 8 - 4 \alpha'$$

$$\frac{\$}{\$} (2 \beta' - \alpha') = 8 \alpha' - 4 \beta'$$

$$\frac{\$}{\$} (3 \gamma' - 2 \beta') = 8 \beta' - 4 \gamma'$$

$$\frac{\$}{\$} (4 \delta' - 3 \gamma') = 8 \gamma' - 4 \delta'$$

oder ausgeführt:

$$\alpha' = \S$$
, $\beta' = \S$ α' , $\gamma' = \S$ β' , $\delta' = \S$ $\gamma' \cdot \cdots$

so dass das Gesetz des Vorschreitens klar ist; es wird nämlich:

$$\alpha = \frac{4}{3} + \frac{4 \cdot 6}{3 \cdot 5} w + \frac{4 \cdot 6 \cdot 8}{3 \cdot 5 \cdot 7} w^2 + \frac{4 \cdot 6 \cdot 8 \cdot 10}{3 \cdot 5 \cdot 7 \cdot 9} w^3 + \frac{4 \cdot 6 \cdot 8 \cdot 10 \cdot 12}{3 \cdot 5 \cdot 7 \cdot 9 \cdot 11} w^4 + \cdots 20$$

Diese Reihe wird für kleine Werthe von g rasch convergiren, da, wenn man g als kleine Grösse erster Ordnung annimmt, w zweiter Ordnung wird. Setzt man nun:

$$\alpha = \frac{1}{\frac{3}{2} - \frac{9}{10} (w - \xi)}, \qquad 21)$$

so ist ξ eine Grösse vierter Ordnung, die überdies mit einem kleinen numerischen Factor multiplicirt erscheint, denn es ist:

$$\alpha = \left[\frac{3}{4} - \frac{9}{10} (w - \xi)\right]^{-1} = \frac{4}{3} + \frac{5}{5} (w - \xi) + \frac{45}{25} (w - \xi)^{2} + \cdots$$

Subtrahirt man diesen Ausdruck von 20), so erhält man für das Anfangsglied der Entwicklung von ξ den Werth:

Führt man in die Gleichung 21) für w den Werth ein, welcher aus der ersten Gleichung in 18) folgt, nämlich:

$$\sin \frac{1}{2}g^2 = w = \frac{m}{\eta^2} - l,$$
 22)

und multiplicirt in 21) Zähler und Nenner mit 🔑, so wird:

$$\alpha = \frac{\Psi}{\frac{5}{6} + l + \xi - \frac{m}{\eta^2}}$$

Multiplicirt man beiderseits mit m, dividirt rechter Hand vom Gleichheitszeichen Zähler und Nenner durch $\frac{1}{2} + l + \frac{1}{2}$ und setzt abkürzend:

$$h = \frac{m}{\frac{1}{2} + l + \xi'},$$
 23)

so wird:

$$\alpha m = \frac{\sqrt[4]{h}}{1 - \frac{h}{\eta^2}}, \text{ oder: } \frac{\alpha m}{\eta^2} = \frac{\sqrt[4]{h}}{\eta^2 - h},$$

Nun ist aber nach der zweiten Gleichung in 18) (pag. 84):

$$\eta - 1 = \alpha \, \frac{m}{n^2}$$

somit wird:

$$\eta - 1 = \frac{\frac{19}{9}h}{n^2 - h} \cdot 24)$$

Bestimmt man hieraus h, so findet sich sofort:

$$h = \frac{(\eta - 1) \eta^2}{\eta + \frac{1}{6}} = \frac{m}{\frac{1}{6} + \frac{1}{6} + \frac{\xi}{5}}.$$
 25)

Wäre ξ bekannt, so würde der Werth von h völlig bestimmt und η durch die kubische Gleichung: $n^3 - n^2 - h n - \frac{1}{2} h = 0.$

zu erhalten sein. Diese hat nothwendig nur eine positive Wurzel, weil, h als positiv vorausgesetzt, in der Gleichung nur ein Zeichenwechsel und zwei Zeichenfolgen enthalten sind. Gauss hat nun eine Tafel berechnet, die mit dem Argumente h sofort den Werth $\log \eta^2$ gibt. Ich habe dieselbe im Anhange als Tafel VIII aufgenommen; deren Anwendung bedarf keiner besonderen Erklärung, nur soll die Bemerkung eingeschaltet werden, dass, falls h > 0.036 wird, von welchem Werthe an die Tafel in grösseren Intervallen fortschreitet, um der siebenten Decimale sicher zu sein, eine Interpolation mit Rücksicht auf zweite Differenzen nothwendig ist. Um einen Näherungswerth von h zu bekommen, wird es genügen:

$$h=\frac{m}{\frac{1}{l!}+l},$$

zu setzen und demnach η^2 zu berechnen. Es ist dann :

$$w=\frac{m}{n^2}-l,$$

wodurch ein genäherter Werth für w ermittelt ist. Gelingt es nun, ξ als Function von w darzustellen, so wird dieser Näherungswerth von w einen nahe richtigen Werth von ξ ergeben, mit welchem man jetzt die Rechnung wiederholt und:

$$h=\frac{m}{\frac{1}{2}+l+\xi},$$

findet. Man wird dieses Verfahren so lange fortsetzen, bis keine weitere Abänderung der Zahlen eintritt; doch wird eine mehrfache Wiederholung dieser Operation selten

nöthig werden, da mindestens für Planetenbahnen, in welchen ξ bei mässiger heliocentrischer Bewegung merkbar ist, sich ein Hilfsmittel angeben lässt, wodurch selbst bei grösseren Bogen auch die einmalige Wiederholung der Rechnung gespart werden kann. Ich werde aber vorerst die Bestimmung von ξ vornehmen. Es ist:

$$\frac{1}{\pi} = \frac{3}{4} - \frac{9}{10} (\omega - \xi),$$

also:

$$\xi = \frac{10}{9\alpha} - \frac{5}{6} + w = \frac{\alpha w - \frac{1}{6}\alpha + \psi}{\alpha} = \frac{Z}{\alpha}.$$

Setzt man in Z für α die Reihe ein, die oben gefunden wurde, so wird sich ergeben:

$$Z = w^2 \left\{ \frac{4 \cdot 6}{3 \cdot 5} - \frac{4 \cdot 8}{3 \cdot 7} \right\} + w^3 \left\{ \frac{4 \cdot 6 \cdot 8}{3 \cdot 5 \cdot 7} - \frac{4 \cdot 8 \cdot 10}{3 \cdot 7 \cdot 9} \right\} + w^4 \left\{ \frac{4 \cdot 6 \cdot 8 \cdot 10}{3 \cdot 5 \cdot 7 \cdot 9} - \frac{4 \cdot 8 \cdot 10 \cdot 12}{3 \cdot 7 \cdot 9 \cdot 11} \right\} + \cdots,$$

oder auch:

$$Z = \frac{1}{3\cdot 5\cdot 7} \left\{ 4 \ w^2 \ (6\cdot 7 - 5\cdot 8) + \frac{4\cdot 8}{9} \ w^3 \ (6\cdot 9 - 5\cdot 10) + \frac{4\cdot 8\cdot 10}{9\cdot 11} \ w^4 \ (6\cdot 11 - 5\cdot 12) + \cdots \right\}$$

Bezeichnet man mit i die Potenz von w, so ist der zugehörige Factor innerhalb der runden Klammern:

$$6(2i+3)-5(2i+4)=2(i-1),$$

demnach hat man auch:

$$Z = \frac{8}{105} w^2 \left\{ 1 + \frac{2 \cdot 8}{9} w + \frac{3 \cdot 8 \cdot 10}{9 \cdot 11} w^2 + \frac{4 \cdot 8 \cdot 10 \cdot 12}{9 \cdot 11 \cdot 13} w^3 + \cdots \right\} = \frac{8}{105} w^2 A.$$

A kann für ein gegebenes w nach dieser Reihe ohne Schwierigkeit berechnet werden. Es ist dann:

$$\xi = \frac{8}{108} w^2 \frac{A}{\alpha},$$

in welchem Ausdrucke nur noch α zu bestimmen ist. Es ist aber:

$$\alpha w - \frac{1}{2}\alpha + \frac{10}{2} = \frac{3}{13} x A w^2$$

also:

$$\alpha = \frac{\frac{4}{3} (1 - \frac{12}{175} A w^2)}{1 - \frac{5}{3} w}$$

demnach schliesslich:

$$\xi = \frac{\frac{2}{35} A w^2 (1 - \frac{6}{5} w)}{1 - \frac{1}{12} A w^2}$$

Die Berechnung dieses Ausdruckes von Fall zu Fall würde recht unbequem sein, deshalb hat Gauss eine Tafel construirt, die mit dem Argumente w den Werth ξ angibt. Ich habe dieselbe als Tafel IX im Anhange aufgenommen; sie gibt den Werth von ξ in Einheiten der siebenten Decimale und dehnt sich auch auf negative Werthe von w aus, während nach dem bisherigen:

$$w=\sin \frac{1}{4}g^2,$$

 ω stets nur eine positive Grösse sein kann. Es wird nämlich für die Hyperbel, weil $\sin \frac{1}{2}g$ imaginär wird, ω negativ; für die Parabel ist ω nothwendig der Null gleich. Dieser Umstand kann die allgemeine Giltigkeit der vorangehenden Entwicklungen nicht in Frage stellen, da das Imaginäre im Endresultate verschwunden ist und man bekanntlich mit den imaginären Grössen alle Operationen mit derselben Berechtigung durchführen kann, wie mit den reellen. Die bisher bekannten hyperbolischen

Bahnen unterscheiden sich wenig von der Parabel, ξ wird daher stets eine sehr kleine Grösse werden. Wie man sieht, gestaltet sich die Rechnung für η ganz gleichmässig, wie immer geartet der Kegelschnitt ist. Die Bahn wird

eine Ellipse sein, wenn
$$w = \frac{m}{\eta^2} - l$$
 positiv,
,, Parabel ,, ., $w = \frac{m}{\eta^2} - l = 0$,
,, Hyperbel ,, ., $w = \frac{m}{\eta^2} - l$ negativ wird.

Ist die Bahn nicht sehr excentrisch (Planetenbahn), so wird vor Beginn der ersten Lösung mit grosser Annäherung gesetzt werden können:

$$w \doteq \sin \frac{1}{2} f^2,$$

mit welchem Werthe von w aus Tafel IX ein Näherungswerth von ξ genommen wird. Die Durchführung der Rechnung wird einen neuen genaueren Werth finden lassen, der aber meist so wenig von dem Eingangs angenommenen verschieden sein wird, dass eine Wiederholung der Rechnung unterbleiben kann. Man wird bemerken, dass auch die Voraussetzung $\xi = 0$ die Convergenz der Versuche nicht sehr wesentlich beeinträchtigt. Die Berechnung von w und η ist demnach in den folgenden Formeln enthalten:

$$m = \frac{\{k(t'-t)\}^2}{\{2\cos f \sqrt{rr'}\}^3}$$

$$\int_{r}^{4/r'} = \operatorname{tg} (45^{\circ} + \omega)$$

$$l = \frac{\sin \frac{1}{2} f^2 + \operatorname{tg} 2\omega^2}{\cos f}$$

$$h = \frac{m}{\frac{5}{6} + l + \frac{1}{6}}, (\xi \text{ mit dem Argum. } w \text{ aus Tafel IX})$$

$$\eta^2, (\text{mit dem Argum. } h \text{ aus Tafel VIII})$$

$$w = \frac{m}{r^2} - l,$$

wobei das Zeichen von w den Aufschluss über die Gattung des Kegelschnittes gibt.

Die vorstehenden Formeln sollen durch ein Beispiel erläutert werden. Ich wähle hierzu ein solches, welches die in der Anwendung vorkommenden Grenzen weit überschreitet, und benütze, da die Bahn einem Planeten angehört, für den ersten Versuch die Näherung $w = \sin \frac{1}{4} f^2$.

$$t'-t = 259.88477, \ \log r = 0.428\ 2788, \ \log r' = 0.406\ 2006, \ v'-v = 62^{\circ}\ 55'\ 17''21$$

$$f \ 31^{\circ}\ 27'\ 38''605 \qquad \frac{1}{3}f \ 15^{\circ}\ 43'\ 49''302$$

$$\log (t'-t) \ 2.414\ 7809 \qquad \log (r':r) \ 9.977\ 9218$$

$$\log x \ 0.650\ 3623 \qquad \frac{1}{3}\log (r':r) \ 9.994\ 4804$$

$$\log 2 \ 0.301\ 0300 \qquad \omega \ -0^{\circ}\ 21'\ 50''71$$

$$\log \cos f \ 9.930\ 9481 \qquad 2\omega \ -0\ 43\ 41.42$$

$$\forall rr' \ 0.417\ 2397 \qquad \log tg\ 2\omega^2 \ 6.208\ 270$$

$$\log Nenn. \ 0.649\ 2178 \qquad \log tg\ 2\omega^2 \ 6.208\ 270$$

$$\log Nenn. \ 1.947\ 6534 \qquad Add. \ 0.000\ 9534$$

$$2\log x \ 1.300\ 7246 \qquad \log Z\ ahl. \ 8.867\ 2462$$

$$\log m \ 9.353\ 0712 \qquad \log l \ 8.936\ 2981$$

$$\frac{5}{6} + l \quad 0.919 \quad 6904$$

$$\frac{5}{1} \qquad 3225 \quad (\text{mit Arg. } w = \sin \frac{1}{2} f^2)$$

$$\log \left(\frac{5}{6} + l + \xi_1\right) \quad 9.963 \quad 7939$$

$$h + 0.245 \quad 0628$$

$$\log \eta_1^2 \quad 0.172 \quad 2222 \quad (\text{Taf. VIII})$$

$$m : \eta_1^2 + 0.151 \quad 6523$$

$$l + 0.086 \quad 3571$$

$$w_1 + 0.065 \quad 2952$$

$$\xi_2 \qquad 2532 \quad (\text{Taf. IX})$$

Mit diesem Werthe von 5 stellt sich die weitere Rechnung:

$$\log (\frac{5}{8} + l + \xi_2) \circ 9 \circ 3 \cdot 7612$$

$$h + 0 \cdot 245 \cdot 0812$$

$$\log \eta_2^2 \circ 172 \cdot 2320$$

$$m : \eta_2^2 + 0 \cdot 151 \cdot 6489$$

$$w_2 + 0 \cdot 065 \cdot 2918$$

$$\xi_3 + 2532.$$

Der Werth von ξ_3 ist mit dem früher erhaltenen von ξ_2 identisch, so dass man die Zahlen der letzten Rechnung als Endwerthe betrachten darf. Es ist demnach $\log \eta = 0.086$ 1160.

Die Anwendung der obigen strengen Formeln wird aber keineswegs stets nöthig sein, und man kann sich mit Vortheil des Hansen'schen Verfahrens bedienen, welches bis auf Grössen sechster Ordnung von sin $\frac{1}{4}g$ richtige Werthe liefert. Hansen setzt nämlich $\xi = 0$; ξ ist, wie dies oben gezeigt wurde, vierter Ordnung, m selbst zweiter Ordnung; führt man daher in der Formel 23) (pag. 87) $\xi = 0$ ein, so begeht man in der Bestimmung der Grösse h, die selbst zweiter Ordnung ist, nur einen Fehler sechster Ordnung.

Um das Hansen'sche Verfahren zu erläutern, nehme ich die Gleichung 24) (pag. 87) vor. Setzt man in derselben:

so wird:

$$\lambda = \frac{h}{\eta^2 - h},$$

$$\eta = 1 + \frac{10}{9} \lambda$$

$$h = \lambda (\eta^2 - h).$$
27)

In dem letzteren Ausdrucke darf man, da λ zweiter Ordnung ist, ohne mehr als Glieder sechster Ordnung zu übergehen, für η^2 den Werth:

$$\eta^2 = 1 + \frac{20}{9} \lambda,$$

und innerhalb der Klammer λ statt h setzen und hat demnach:

$$h = \lambda \left(1 + \frac{1}{9} ^{1} \lambda \right). \tag{28}$$

Es ist also, wenn man λ in einen Kettenbruch auflöst:

$$\lambda = \frac{h}{1 + \frac{1}{9} h}$$

$$1 + \frac{1}{9} h$$

$$1 + \cdots,$$

welcher Ausdruck sehr leicht mit Hilfe der Additionslogarithmen berechnet werden kann. Die Bestimmung von η — 1 durch das Hansen'sche Verfahren geschieht also nach folgenden Formeln:

$$m = \frac{\{k(t'-t)\}^2}{\{2\cos f \ Vrr'\}^3} \qquad \sqrt[4]{\frac{r'}{r}} = \operatorname{tg}(45^{\circ} + \omega)$$

$$l = \frac{\sin \frac{1}{2} f^2 + \operatorname{tg} 2\omega^2}{\cos f} \qquad h = \frac{m}{\frac{5}{8} + l}$$

$$\eta - 1 = \frac{10}{11} \cdot \frac{{}^{1}_{1} h}{1 + {}^{1}_{1} h} \qquad \log \frac{10}{11} = 9.958 6073$$

$$\frac{1 + {}^{1}_{1} h}{1 + \cdots} \qquad \log \frac{1}{9} = 0.087 1502.$$

Man wird leicht beurtheilen können, bis zu welchen Grenzen dieses Näherungsverfahren ausreichend genaue Resultate liefern wird. Hierbei genügt es, ganz rohe Annahmen zu machen und die Bahn kreisförmig vorauszusetzen, da das Hansen'sche Verfahren auf Planetenbahnen angewendet gedacht wird. Für ξ findet sich oben, wenn man beim ersten Gliede der Entwicklung stehen bleibt:

$$\xi = \frac{2}{35} \sin \frac{1}{2} g^4 = \frac{1}{4180} (v' - v)^4.$$

Die Änderung von h durch ξ wird, da l zweiter Ordnung ist, ausgedrückt werden können durch:

$$-dh = \frac{36}{35} m \xi = \frac{9}{38000} m (v'-v)^4 = -d\lambda; \quad 30$$

ferner wäre in der Relation 28), wenn man die Glieder sechster Ordnung mitnimmt, zu setzen gewesen:

$$h - \frac{100}{81} \lambda^3 + \frac{11}{9} \lambda^3 = \lambda (1 + \frac{11}{9} \lambda),$$

demnach die hieraus resultirende Correction von λ :

$$d\lambda = -\frac{1}{81} \lambda^3 = -\frac{8}{375} m^3.$$

Vereinigt man nun hiermit die in 30) angesetzte Correction, so findet sich:

$$d\lambda = -\frac{9}{38000} m (v'-v)^4 - \frac{8}{375} m^3.$$

Nun ist aber, wenn man in dem Ausdrucke für m eine Kreisbahn und $\cos f$ der Einheit gleich annimmt:

$$m = \frac{1}{8} \left(\frac{k(t'-t)}{a^{3/2}} \right)^2 = \frac{(v'-v)^2}{8};$$

daher wird, da nach 27):

$$d\eta = \frac{1}{9}0 d\lambda,$$

ist, der Fehler der Hansen schen Näherung:

$$d\eta = -\frac{1}{120960} (v'-v)^6.$$
 31)

Es beträgt demnach der Fehler dieser Methode weniger als.

eine Einheit der 7ten Decimale, wenn $v'-v < 18^{\circ}4$

,, ,, ,, 6ten ,, ,,
$$v'-v < 27.0$$

,, ,, 5ten ,, ,, $v'-v < 39.7$.

Diese Näherungsmethode wird für die überwiegende Anzahl der Fälle ausreichen, sich aber für das obige Beispiel, in welchem v'-v nahezu 63° ist, nicht mehr eignen;

man kann indessen die Zahlen dieses Beispiels immerhin vornehmen, um die Anwendung der Zech'schen Tafel in diesem Falle zu zeigen und den Fehler nach der obigen Näherungsformel 31) zu berechnen; es ist klar, dass eine nur ganz beiläufige Übereinstimmung erwartet werden darf, da die Formel selbst für Kreisbahnen die hier wirkenden Coëfficienten achter und höherer Ordnung nicht enthält:

Hieraus findet sich $\eta = 1 \cdot 2194252$, während das obige strenge Verfahren $\eta = 1 \cdot 2193152$ ergab: der Fehler beträgt also — 1100 Einheiten der 7ten Decimale, die Formel 31) gibt dafür — 1595.

Wollte man den Ausdruck 19) (pag. 85) unter der Annahme, dass ξ klein sei, dazu verwenden, um für $w = \sin \frac{1}{2} g^2$ einen Werth zu finden, der bis auf Grössen vierter Ordnung exclusive richtig ist, so wird man denselben in folgender Weise erhalten können. Der Ausdruck 19) gibt durch eine einfache Umstellung:

$$\frac{m}{\alpha^2} = \beta^3 + \frac{2\beta^2}{\alpha} + \frac{\beta}{\alpha^2}.$$

Setzt man (vgl. 21) pag. 86) genähert:

$$\frac{1}{a} = \frac{3}{4} - \frac{9}{10} w$$

$$\frac{1}{a^2} = \frac{9}{16} - \frac{27}{20} w + \frac{81}{100} w^2$$

$$\beta = l + w,$$

entwickelt nach Potenzen von w und lässt überall die Glieder mit w^2 fort, so findet sich: $(m-l) = \{ l^2 - \sqrt{r} l^3 \}$

 $w = \frac{(m-l) - \frac{8}{3} l^2 - \frac{16}{9} l^3}{1 + \frac{44}{14} l + \frac{12}{12} m + \frac{32}{12} l^2},$

welcher Ausdruck bei sehr excentrischen Bahnen und grosser heliocentrischer Bewegung mit Vortheil zur Bestimmung von w verwendet werden kann.

Im Specialfall der Parabel lassen sich sehr elegante geschlossene Formeln für das Verhältnis des Sectors zum Dreieck aufstellen. Es wird für die Parabel g = 0, somit $\xi = 0$ und man hat für η (vgl. 10) pag. 82):

$$\eta = \frac{\tau}{\cos f \, V_{2rr'} \, V_{r+r'-2 \cos f \, V_{rr'}}}.$$
 32)

Nach 3) (pag. 76) ist:

$$\cos f = \pm \frac{(r + r') \sqrt{1 - \frac{s^2}{(r + r')^2}}}{2 \sqrt{rr'}},$$

wobei das obere Zeichen gilt, wenn die heliocentrische Bewegung kleiner, das untere, wenn dieselbe grösser als 180° ist.

Setzt man:
$$\sin \gamma = \frac{s}{r + r'}, \qquad 33$$

wobei an den Hilfswinkel γ die Bedingung geknüpft werden soll, dass er im ersten Quadranten genommen werde, wenn für $\cos f$ das positive Zeichen zu nehmen ist, dagegen im zweiten, wenn das negative gilt, so wird sich die obige Gleichung für $\cos f$ schreiben lassen:

$$\cos f = \frac{r + r'}{2\sqrt{rr'}}\cos\gamma. \tag{34}$$

Das Doppelzeichen ist nunmehr durch die eben getroffene Bestimmung verschwunden. Für τ gibt aber die Gleichung 5) (pag. 77) die Relation:

$$\tau = \frac{1}{8} (r + r' + s)^{3/2} \mp \frac{1}{8} (r + r' - s)^{3/2}.$$
 35)

Substituirt man nun diesen Werth von τ in die Gleichung 32) und ersetzt in derselben cos f durch die Relation 34), so findet sich:

$$\eta = \frac{V_2}{6} \frac{(1 + \sin \gamma)^{3/2} \mp (1 - \sin \gamma)^{3/2}}{\cos \gamma V_1 - \cos \gamma}.$$
 36)

Es ist aber bekanntlich:

$$(\cos \frac{1}{2} \gamma + \sin \frac{1}{2} \gamma)^2 = 1 + \sin \gamma,$$

 $(\cos \frac{1}{2} \gamma - \sin \frac{1}{2} \gamma)^2 = 1 - \sin \gamma.$

Zieht man aus diesen Ausdrücken die Wurzel, so ist in der ersten Gleichung, da γ jedenfalls kleiner als 180°, stets nur das positive Zeichen zu wählen, in der zweiten aber hat man das positive Zeichen zu nehmen, wenn γ im ersten, das negative, wenn γ im zweiten Quadranten liegt. Die Einführung dieser Ausdrücke in 36) bewirkt daher mit Rücksicht auf die obige Bestimmung, dass:

$$\gamma$$
 im ersten Quadranten zu nehmen ist, wenn $v'-v < 180^{\circ}$, γ ,, zweiten ,, ,, ,, $v'-v > 180^{\circ}$

ist. Man hat sonach:

$$\eta = \frac{(\cos\frac{1}{2}\gamma + \sin\frac{1}{2}\gamma)^3 - (\cos\frac{1}{2}\gamma - \sin\frac{1}{2}\gamma)^3}{6\cos\gamma\sin\frac{1}{2}\gamma} = \frac{1}{\cos\gamma} - \frac{2}{3}\frac{\sin\frac{1}{2}\gamma^2}{\cos\gamma} = \frac{1}{3\cos\gamma}\{2 + \cos\gamma\},$$

also schliesslich:

$$\eta = \frac{1+2\sec\gamma}{3}.$$
 37)

Dieser Ausdruck für η hat allgemeine Geltung für die Parabel, sobald man den Winkel γ , der durch die Gleichung:

$$\sin \gamma = \frac{s}{r+r'},$$

bestimmt ist, im ersten Quadranten wählt, wenn die heliocentrische Bewegung kleiner, im zweiten, wenn sie grösser als 180° ist.

So elegant der eben entwickelte Ausdruck auch ist, so hat derselbe doch eine für die Rechnung nicht sehr bequeme Form, da in der Regel zunächst die Differenz der wahren Anomalie 2f gegeben ist und aus dieser in Verbindung mit den Werthen r und r' die Sehne s abgeleitet werden muss nach $s^2 = r^2 + r'^2 - 2 rr' \cos 2f$. Man kann aber entweder aus diesem Ausdruck oder, was viel leichter ist, auf Grundlage des Ausdruckes 18) (pag. 84) eine andere Form herstellen, die sich in der Anwendung bequemer erweist. Da nämlich in der Parabel g = 0 wird, so nimmt in dem Ausdrucke:

 α seinen Grenzwerth $\frac{4}{3}$ an, β wird mit Rücksicht auf die Bedeutung von l, diesem gleich (vergl. pag. 84) und man erhält sofort im Falle der Parabel:

$$3\eta = \frac{r+r'}{\cos f \sqrt{rr'}} + 1.$$
 38)

Will man die Zwischenzeit τ selbst in den Ausdruck einführen, so kann man auch von der Gleichung 10) (pag. 82) Gebrauch machen; dieselbe gibt für die Parabel

$$\eta^2 = \frac{\tau^2}{2rr'\cos f^2(r + r' - 2\cos f V r r')}.$$
 39)

wobei η das Zeichen von $\cos f$ erhalten wird.

Die vorstehenden Formeln sollen durch Beispiele erläutert und alle Grössen, deren man in denselben bedarf, mitgetheilt werden.

$$\log r = 0.097 6836$$
, $\log r' = 9.950 5083$, $\log s = 9.958 3915$, $f = 156^{\circ} 45' 23''22$, $\log x = 0.048 4948$.

Man erhält nach.

c. Bestimmung des Verhältnisses der Dreiecksflächen für kleine heliocentrische Bewegungen.

Die Entwicklung der Coordinaten nach den Potenzen der Zeit und die Ersetzung des Verhältnisses der Dreiecksflächen durch die Zwischenzeiten wird im Allgemeinen nur dann mit Vortheil angewendet werden können, wenn die heliocentrische Bewegung des Himmelskörpers eine mässige ist. Die Lösung der vor-

gelegten Aufgabe hat daher nur eine sehr beschränkte Anwendbarkeit, wird aber für das Problem der ersten Bahnbestimmungen von hoher Wichtigkeit, da die Lösung des letzteren nur unter der eben gemachten Voraussetzung gelingt.

Zählt man die Zeit von dem Augenblicke, für den die rechtwinkligen Coordinaten x_0 , y_0 und z_0 gelten und setzt:

$$\tau = k \sqrt{1 + m} t$$

$$d\tau = k \sqrt{1 + m} dt,$$

legt weiter den Anfangspunkt des Coordinatensystems in den Sonnenmittelpunkt, so dass die Gleichung:

$$r_0^2 = x_0^2 + y_0^2 + z_0^2$$

besteht, so werden die Coordinaten Functionen der constanten Elemente und der Variablen t oder $kt\sqrt{1+m}=\tau$ sein. Die letztere Grösse nimmt der getroffenen Bestimmung gemäss zur Zeit, für welche die Coordinaten x_0 , y_0 und z_0 gelten, den Werth Null an; ertheilt man derselben das Increment τ , so gibt der Mac-Laurin'sche Lehrsatz für die zur Zeit τ stattfindenden Coordinaten die Reihen:

$$x = x_{0} + \frac{dx_{0}}{dt} \tau + \frac{d^{2}x_{0}}{dt^{2}} \frac{\tau^{2}}{1 \cdot 2} + \frac{d^{3}x_{0}}{dt^{3}} \frac{\tau^{3}}{1 \cdot 2 \cdot 3} + \frac{d^{4}x_{0}}{dt^{4}} \frac{\tau^{4}}{1 \cdot 2 \cdot 3 \cdot 4} + \cdots$$

$$y = y_{0} + \frac{dy_{0}}{dt} \tau + \frac{d^{2}y_{0}}{dt^{2}} \frac{\tau^{2}}{1 \cdot 2} + \frac{d^{3}y_{0}}{dt^{3}} \frac{\tau^{3}}{1 \cdot 2 \cdot 3} + \frac{d^{4}y_{0}}{dt^{4}} \frac{\tau^{4}}{1 \cdot 2 \cdot 3 \cdot 4} + \cdots$$

$$z = z_{0} + \frac{dz_{0}}{dt} \tau + \frac{d^{2}z_{0}}{dt^{2}} \frac{\tau^{2}}{1 \cdot 2} + \frac{d^{3}z_{0}}{dt^{3}} \frac{t^{3}}{1 \cdot 2 \cdot 3} + \frac{d^{4}z_{0}}{dt^{4}} \frac{\tau^{4}}{1 \cdot 2 \cdot 3 \cdot 4} + \cdots$$

Nun ist aber nach der Gleichung 1) (pag. 43).

$$\frac{d^2x_0}{dt^2} = -\frac{x_0}{r_0^3}, \quad \frac{d^2y_0}{dt^2} = -\frac{y_0}{r_0^3}, \quad \frac{d^2z_0}{dt^2} = -\frac{z_0}{r_0^3}.$$

Aus diesen Ausdrücken erhält man leicht die weiteren Derivationen der Coordinaten als Functionen derselben und ihrer Geschwindigkeiten. Ich werde jene hier nur für die x-Coordinate ausschreiben, da sich die übrigen leicht durch Einsetzung der Buchstaben y und z statt x ergeben. Es findet sich:

$$\begin{split} \frac{d^3x_o}{di^3} &= \frac{3\,x_o}{r_o^4}\,\frac{dr_o}{dt} - \frac{1}{r_o^3}\,\frac{dx_o}{dt} \\ \frac{d^4x_o}{dt^4} &= x_o\left\{\frac{1}{r_o^6} - \frac{1^2}{r_o^5}\left(\frac{dr_o}{dt}\right)^2 + \frac{3}{r_o^4}\left(\frac{d^2r_o}{dt^2}\right)\right\} + \frac{6}{r_o^4}\,\frac{dr_o}{dt} \cdot \frac{dx_o}{dt} \\ \frac{d^5x_o}{dt^5} &= x_o\left\{-\frac{1^2}{r_o^7}\left(\frac{dr_o}{dt}\right) + \frac{60}{r_o^6}\left(\frac{dr_o}{dt}\right)^3 - \frac{36}{r_o^5}\left(\frac{d^2r_o}{dt^2}\right)\left(\frac{dr_o}{dt}\right) + \frac{3}{r_o^4}\,\frac{d^3r_o}{dt^3}\right\} + \\ &+ \frac{dx_o}{dt}\left\{\frac{1}{r_o^6} - \frac{36}{r_o^5}\left(\frac{dr_o}{dt}\right)^2 + \frac{9}{r_o^4}\,\frac{d^2r_o}{dt^2}\right\}. \end{split}$$

Setzt man also:

$$\alpha = 1 - \frac{1}{2} \frac{t^{2}}{r_{0}^{3}} + \frac{1}{2} \frac{t^{3}}{r_{0}^{4}} \left(\frac{dr_{0}}{dt} \right) + \frac{t^{4}}{24} \left\{ \frac{1}{r_{0}^{5}} - \frac{12}{r_{0}^{5}} \left(\frac{dr_{0}}{dt} \right)^{2} + \frac{3}{r_{0}^{4}} \left(\frac{d^{2}r_{0}}{dt^{2}} \right) \right\} + \frac{t^{5}}{40} \left\{ - \frac{4}{r_{0}^{7}} \left(\frac{dr_{0}}{dt} \right) + \frac{20}{r_{0}^{6}} \left(\frac{dr_{0}}{dt} \right)^{3} - \frac{12}{r_{0}^{5}} \left(\frac{d^{2}r_{0}}{dt^{2}} \right) \left(\frac{dr_{0}}{dt} \right) + \frac{1}{r_{0}^{4}} \frac{d^{3}r_{0}}{dt^{3}} \right\} + \cdots \right\}$$

$$\beta = \tau - \frac{1}{6} \frac{t^{3}}{r_{0}^{3}} + \frac{1}{4} \frac{t^{4}}{r_{0}^{4}} \left(\frac{dr_{0}}{dt} \right) + \frac{t^{6}}{120} \left\{ \frac{1}{r_{0}^{6}} - \frac{36}{r_{0}^{5}} \left(\frac{dr_{0}}{dt} \right)^{2} + \frac{9}{r_{0}^{4}} \left(\frac{d^{2}r_{0}}{dt^{2}} \right) \right\} + \cdots,$$

so kann man den Gleichungen 1) die folgende Form ertheilen:

$$x = \alpha x_{o} + \beta \frac{dx_{o}}{d\tau}$$

$$y = \alpha y_{o} + \beta \frac{dy_{o}}{d\tau}$$

$$z = \alpha z_{o} + \beta \frac{dz_{o}}{d\tau}$$
3)

Ehe auf die Verwerthung dieser Gleichungen für die Bestimmung der Verhältnisse der Dreiecksflächen eingegangen wird, soll der Zusammenhang von β mit der im vorigen Paragraphen eingeführten Grösse η , die das Verhältnis des Sectors zum Dreiecke darstellt, nachgewiesen werden. Es ist offenbar, wenn man die xy-Ebene mit der Bahnebene identificirt, die doppelte Dreiecksfläche zwischen dem Anfangspunkte der Coordinaten und den beiden Punkten, welche durch die Coordinaten x, y und x_0 , y_0 bestimmt sind, dargestellt durch:

es ist also:

$$x_{o}y - xy_{o};$$

$$\eta = \frac{\tau \, V_p^-}{x \cdot y - x y}.$$

Setzt man im Nenner die Ausdrücke aus 3) ein, nämlich:

$$x_{0}y - xy_{0} = \beta \left\{ x_{0} \frac{dy_{0}}{d\tau} - y_{0} \frac{dx_{0}}{d\tau} \right\}$$

so wird (vergl. Gleichung 6) pag. 45 und 14) pag. 46) geschrieben werden können:

$$x_0y - xy_0 = \beta \sqrt{p}$$
;

daraus resultirt die wichtige Relation:

$$\beta = \frac{\tau}{\eta}.$$

Es sollen nun für α und β jene geschlossenen Ausdrücke entwickelt werden, welche Kühnert (Astr. Nachr. Nr. 2266) für dieselben gegeben hat. Belässt man die Bahnebene als die xy-Ebene und legt die positive x-Achse in das Perihel, so ist:

$$x = r \cos v = a (\cos E - e)$$

$$y = r \sin v = a \cos \varphi \sin E.$$
5)

Weiter ist:

$$dM = \mu dt$$

somit nach Gleichung 20) (pag. 54), der die Form $dE = \frac{a}{r} dM$ ertheilt werden kann

$$\frac{dE}{d\tau} = \frac{1}{\tau Va},$$

also auch:

$$\frac{dx}{d\tau} = -\sin E \frac{\sqrt{a}}{r}$$

$$\frac{dy}{d\tau} = \cos \varphi \cos E \frac{\sqrt{a}}{r}.$$
6)

Substituirt man die Ausdrücke 5) und 6), mit dem entsprechenden Index versehen, in die Gleichungen 3), so findet sich:

$$\begin{array}{c} \cos E - \cos E_{\rm o} = (\alpha - 1) \; (\cos E_{\rm o} - e) - \beta \; \frac{\sin E_{\rm o}}{r_{\rm o} \; Va} \\ \sin E - \sin E_{\rm o} = (\alpha - 1) \; \sin E_{\rm o} + \beta \; \frac{\cos E_{\rm o}}{r_{\rm o} \; Va} \end{array} \right\}. \label{eq:energy_energy}$$

Multiplicirt man die erste Gleichung mit cos E_0 , die zweite mit sin E_0 und addirt, so erhält man:

$$\cos (E - E_0) - 1 = (\alpha - 1) (1 - e \cos E_0) = (\alpha - 1) \frac{r_0}{a}$$

Setzt man, wie im vorangehenden Kapitel (pag. 104):

$$2g = E - E_0$$

so findet sich aus der eben hingeschriebenen Form leicht:

$$\alpha = 1 - \frac{2a}{r_0} \sin g^2.$$
 8)

Der Factor $a \sin g^2$, der für alle Kegelschnitte nothwendig positiv ist, spielt besonders bei der Bestimmung nahezu parabolischer Elemente eine wichtige Rolle. Ersetzt man denselben aus der Gleichung 17) (pag. 84), so erhält man mit Benützung der Relation 4) (pag. 96):

$$\alpha = 1 - \frac{r^2}{2 \, rr_0^2 \cos f^2 \, \eta^2} = 1 - \frac{\beta^2}{2 \, rr_0^2 \cos f^2}, \quad 9)$$

so dass zwischen α und β ein einfacher Zusammenhang hergestellt erscheint.

Um nun β ähnlich wie α durch α und g auszudrücken, multiplicire man die erste der Gleichungen 7) mit sin E_0 und die zweite mit cos E_0 ; die Subtraction ergibt:

$$\sin (E - E_0) = (\alpha - I) e \sin E_0 + \frac{\beta}{r V_a},$$

oder:

$$\beta = \{\sin 2g - (\alpha - 1)e \sin E_0\} r_0 \sqrt{a}.$$

Die Substitution des Werthes $(\alpha - 1)$ aus der Gleichung 8) ergibt, wenn man r durch die excentrische Anomalie ausdrückt:

$$\beta = a^{3/2} \sin 2g - 2 e a^{3/2} \sin g \cos \frac{1}{2} (E + E_0),$$

wofür auch geschrieben werden kann:

$$\beta = a^{3/2} \{ \sin 2g - e \sin E + e \sin E_0 \} = a^{3/2} \{ \sin 2g + (M - E) - (M_0 - E_0) \}.$$

Bedenkt man aber, dass:

$$M-M_0=t\mu=rac{\tau}{a^{3/2}}$$

ist, so findet sich für β :

$$\beta = \tau - a^{3/2}(2g - \sin 2g).$$
 10)

Dieser für die Rechnung sehr bequeme geschlossene Ausdruck hätte auch aus den Entwicklungen des vorangehenden Kapitels erhalten werden können. Schliesslich kann man durch Vergleichung des Ausdruckes 10) mit 4) die Bestimmung des Verhältnisses des Sectors zum Dreieck ableiten, nämlich:

$$\frac{1}{\eta} = 1 - \frac{a^{3/2}}{\tau} (2g - \sin 2g) = 1 - \frac{2g - \sin 2g}{M - M_0}, \quad II)$$

welche Form bisweilen mit Vortheil zur Ermittlung von η verwendet werden kann.

Es sollen nun die Eingangs dieses Kapitels gemachten Entwicklungen in einer die erste Bahnbestimmung vorbereitenden Weise weiter durch

Oppolzer, Bahnbestimmungen, I. 2. Auflage.

man die xy-Ebene mit der Bahnebene zusammenfallend an und legt den Anfangspunkt der Coordinaten in den Sonnenmittelpunkt, so werden sich die drei Orte durch die Coordinaten x, y,, x_n , y_n und x_m , y_m bestimmen. Es sollen die drei Orte der Reihe nach als erster, zweiter und dritter Ort und die zu denselben gehörenden Radien vectoren mit r, r, und r bezeichnet werden; ferner sei:

die doppelte Dreiecksfläche zwischen dem 1. und 2. Orte durch
$$[r, r_m]$$
,, ,, ,, ,, $[r, r_m]$
,, ,, ,, ,, $[r, r_m]$

ausgedrückt, dann ist offenbar:

$$[r, r_n] = x, y_n - x_n y, [r, r_m] = x, y_m - x_m y, [r_n r_m] = x_n y_m - x_m y_n.$$

Setzt man für die mit der Constante des Sonnensystems multiplicirte

Zwischenzeit zwischen dem 1. und 2. Orte:
$$\tau_{m}$$
, , , , , 2. ,, 3. ,, τ_{r} , , , , , 1. ,, 3. ,, τ_{m}

wobei nothwendig:

$$\tau_{r} + \tau_{m} = \tau_{r}$$

ist, so kann man mit Hilfe der Gleichungen 3) (pag. 96) die Coordinaten des ersten und dritten als Functionen der Coordinaten des zweiten Ortes darstellen; will man die Zwischenzeiten als absolute Grössen stets positiv nehmen, so wird man auch die Gleichungen 3) schreiben dürfen:

$$x_{n} = \alpha_{n} x_{n} - \beta_{n} \frac{dx_{n}}{dt}, \qquad x_{m} = \alpha_{m} x_{n} + \beta_{m} \frac{dx_{n}}{dt},$$

$$y_{m} = \alpha_{m} y_{n} + \beta_{m} \frac{dy_{n}}{dt}, \qquad y_{m} = \alpha_{m} y_{n} + \beta_{m} \frac{dy_{n}}{dt},$$

$$15)$$

wobei den α und β Coëfficienten nach 2) (pag. 95) mit Rücksicht darauf, dass für den ersten statt τ der Werth — τ_m , für den dritten aber + τ , einzusetzen ist, die folgende Bedeutung zukommt:

$$\alpha_{n} = 1 - \frac{1}{2} \frac{\tau_{m}^{2}}{r_{n}^{3}} - \frac{1}{2} \frac{\tau_{m}^{3}}{r_{n}^{4}} \left(\frac{dr_{n}}{d\tau} \right) + \frac{\tau_{m}^{4}}{24} \left\{ \frac{1}{r_{n}^{6}} - \frac{12}{r_{n}^{5}} \left(\frac{dr_{n}}{d\tau} \right)^{2} + \frac{3}{r_{n}^{4}} \left(\frac{d^{2}r_{n}}{d\tau^{2}} \right) \right\} + \cdots$$

$$\beta_{n} = \tau_{m} - \frac{1}{6} \frac{\tau_{m}^{3}}{r_{n}^{3}} - \frac{1}{4} \frac{\tau_{m}^{4}}{r_{n}^{4}} \left(\frac{dr_{n}}{d\tau} \right) + \frac{\tau_{m}^{5}}{120} \left\{ \frac{1}{r_{n}^{6}} - \frac{36}{r_{n}^{5}} \left(\frac{dr_{n}}{d\tau} \right)^{2} + \frac{9}{r_{n}^{4}} \left(\frac{d^{2}r_{n}}{d\tau^{2}} \right) \right\} + \cdots$$

$$\alpha_{m} = 1 - \frac{1}{2} \frac{\tau_{n}^{2}}{r_{n}^{3}} + \frac{1}{2} \frac{\tau_{n}^{3}}{r_{n}^{4}} \left(\frac{dr_{n}}{d\tau} \right) + \frac{\tau_{n}^{4}}{24} \left\{ \frac{1}{r_{n}^{6}} - \frac{12}{r_{n}^{5}} \left(\frac{dr_{n}}{d\tau} \right)^{2} + \frac{3}{r_{n}^{4}} \left(\frac{d^{2}r_{n}}{d\tau^{2}} \right) \right\} + \cdots$$

$$\beta_{m} = \tau_{n} - \frac{1}{6} \frac{\tau_{n}^{3}}{r_{n}^{3}} + \frac{1}{4} \frac{\tau_{n}^{4}}{r_{n}^{4}} \left(\frac{dr_{n}}{d\tau} \right) + \frac{\tau_{n}^{5}}{120} \left\{ \frac{1}{r_{n}^{6}} - \frac{36}{r_{n}^{5}} \left(\frac{dr_{n}}{d\tau} \right)^{2} + \frac{9}{r_{n}^{4}} \left(\frac{d^{2}r_{n}}{d\tau^{2}} \right) \right\} + \cdots$$

Substituirt man nun die Coordinaten nach 15) in die Gleichungen 13), so findet sich leicht:

$$\begin{aligned} |r, r_{n}| &= \beta_{n} \left\{ x_{n} \frac{dy_{n}}{d\tau} - y_{n} \frac{dx_{n}}{d\tau} \right\} \\ [r_{n} r_{m}] &= \beta_{m} \left\{ x_{n} \frac{dy_{n}}{d\tau} - y_{n} \frac{dx_{n}}{d\tau} \right\} \\ [r, r_{m}] &= \left\{ \alpha_{n} \beta_{m} + \alpha_{m} \beta_{n} \right\} \left\{ x_{n} \frac{dy_{n}}{d\tau} - y_{n} \frac{dx_{n}}{d\tau} \right\}. \end{aligned}$$

Nun ist aber (vergl. Gleichung 6) pag. 45, 14) pag. 46):

$$xdy - ydx = r^2dv = k \sqrt{p} dt = \sqrt{p} d\tau$$

demnach auch:

$$[r, r_m] = \beta, \sqrt{p}$$

$$[r_m r_m] = \beta_m \sqrt{p}$$

$$[r, r_m] = (\alpha, \beta_m + \alpha_m \beta_n) \sqrt{p}.$$

 β , und β_m erscheinen durch die Gleichungen 16) bereits in einer nach Potenzen der Zeit entwickelten Form, die hierfür geltenden Ausdrücke sind unten in der ersten und zweiten Gleichung 18) aufgenommen. Multiplicirt man aber die in 16) enthaltenen Werthe mit einander entsprechend dem Ausdrucke α , $\beta_m + \alpha_m \beta_n$, ordnet nach Potenzen der Zeit und erinnert sich dabei, dass:

$$\tau_{"}=\tau_{.}+\tau_{"},$$

so findet man ohne Schwierigkeit auch die dritte Gleichung in 18). In den folgenden Gleichungen habe ich die Glieder fünfter Ordnung fortgelassen und erhalten:

$$[r, r_n] = \tau_m \sqrt{p} \left\{ 1 - \frac{1}{6} \frac{\tau_m^2}{r_n^3} - \frac{1}{4} \frac{\tau_m^3}{r_n^4} \frac{dr_n}{d\tau} + \cdots \right\}$$

$$[r, r_m] = \tau, \sqrt{p} \left\{ 1 - \frac{1}{6} \frac{\tau_n^2}{r_n^3} + \frac{1}{4} \frac{\tau_n^3}{r_n^4} \frac{dr_n}{d\tau} + \cdots \right\}$$

$$[r, r_m] = \tau_n \sqrt{p} \left\{ 1 - \frac{1}{6} \frac{\tau_n^2}{r_n^3} + \frac{1}{4} \frac{\tau_n^2}{r_n^4} \frac{(\tau_n - \tau_m)}{d\tau} \frac{dr_n}{d\tau} + \cdots \right\}.$$

Bei ersten Bahnbestimmungen bedarf man verschiedener Verhältnisse zwischen den Dreiecksflächen; dividirt man demnach die eben erhaltenen Ausdrücke in den sechs möglichen Combinationen, so erhält man, wenn man sofort wieder die Entwicklung nach steigenden Potenzen der Zeit ausführt:

$$\frac{[r, r_n]}{[r, r_m]} = \frac{\tau_m}{\tau_r} \left\{ 1 - \frac{1}{6} \frac{\tau_m^2 - \tau_r^2}{r_n^3} - \frac{1}{4} - \frac{\tau_r^3 + \tau_m^3}{r_r^4} \cdot \frac{dr_n}{d\tau} + \cdots \right\}
\frac{[r, r_m]}{[r, r_m]} = \frac{\tau_m}{\tau_n} \left\{ 1 + \frac{1}{6} \frac{\tau_n^2 - \tau_m^2}{r_n^3} - \frac{1}{4} \frac{\tau_r (\tau_n \tau_r - \tau_m^2)}{r_n^4} \cdot \frac{dr_n}{d\tau} + \cdots \right\}
\frac{[r_n r_m]}{[r, r_n]} = \frac{\tau_r}{\tau_m} \left\{ 1 - \frac{1}{6} \frac{\tau_r^2 - \tau_m^2}{r_n^3} + \frac{1}{4} - \frac{\tau_r^3 + \tau_m^3}{r_n^4} \cdot \frac{dr_n}{d\tau} + \cdots \right\}
\frac{[r_n r_m]}{[r, r_m]} = \frac{\tau_r}{\tau_n} \left\{ 1 + \frac{1}{6} \frac{\tau_n^2 - \tau_r^2}{r_n^3} + \frac{1}{4} \frac{\tau_m (\tau_n \tau_m - \tau_r^2)}{r_n^4} \cdot \frac{dr_n}{d\tau} + \cdots \right\}
\frac{[r_r r_m]}{[r, r_m]} = \frac{\tau_n}{\tau_m} \left\{ 1 - \frac{1}{6} \frac{\tau_n^2 - \tau_n^2}{r_n^3} + \frac{1}{4} \frac{\tau_r (\tau_n \tau_r - \tau_m^2)}{r_n^4} \cdot \frac{dr_n}{d\tau} + \cdots \right\}
\frac{[r_r r_m]}{[r_r r_m]} = \frac{\tau_n}{\tau_n} \left\{ 1 - \frac{1}{6} \frac{\tau_n^2 - \tau_r^2}{r_n^3} - \frac{1}{4} \frac{\tau_m (\tau_n \tau_m - \tau_r^2)}{r_n^4} \cdot \frac{dr_n}{d\tau} + \cdots \right\}.$$

Den Gleichungen 19) kann aber auch eine andere Form ertheilt werden, welche dieselben für das Problem der ersten Bahnbestimmungen besonders geeignet macht. Entwickelt man nämlich, wie es oben für die Coordinaten x, y und z in den Gleichungen 1) (pag. 95) geschehen, den Radius vector nach Potenzen von τ , so erhält man ohne Schwierigkeit:

$$r_{n} = r_{n} - \tau_{m} \frac{dr_{n}}{d\tau} + \frac{\tau_{m}^{2}}{1 \cdot 2} \frac{d^{2}r_{n}}{d\tau^{2}} - \cdots$$

$$r_{m} = r_{n} + \tau_{n} \frac{dr_{n}}{d\tau} + \frac{\tau_{n}^{2}}{1 \cdot 2} \frac{d^{2}r_{n}}{d\tau^{2}} + \cdots$$

$$13^{\circ}$$

Addirt man beide Gleichungen, so findet sich:

$$2r_n = r_n + r_m + (r_m - r_n) \frac{dr_n}{dr} - \frac{r_m^2 + r_n^2}{1 \cdot r_n^2} \frac{d^2r_n}{dr^2} + \dots$$

Subtrahirt man dagegen, so resultirt:

$$r_m-r_r=r_m\frac{dr_m}{dz}+\frac{r_m(z_r-z_m)}{1\cdot z}\frac{d^2r_m}{dz^2}.$$

Da in den Gleichungen 19) r_n in Bezug auf τ mit Gliedern zweiter Ordnung, $\frac{dr_n}{d\tau}$ aber mit Gliedern dritter Ordnung verbunden ist, so darf man, ohne mehr als die bisher vernachlässigten Glieder dritter Ordnung wegzulassen, setzen:

$$\frac{dr_{n}}{d\tau} = \frac{r_{m} - r_{r}}{\tau_{n}}$$

$$r_{n} = \frac{1}{2} (r_{r} + r_{m}) + \frac{1}{2} \frac{(\tau_{m} - \tau_{r})}{\tau_{n}} (r_{m} - r_{r})$$

$$\frac{1}{r_{n}^{3}} = \frac{8}{(r_{r} + r_{m})^{3}} - 24 \frac{\tau_{m} - \tau_{r}}{\tau_{n}} \frac{r_{m} - r_{r}}{(r_{r} + r_{m})^{4}}$$

$$\frac{1}{r_{n}^{4}} \frac{dr_{n}}{d\tau} = \frac{16}{(r_{r} + r_{m})^{4}} \frac{r_{m} - r_{r}}{\tau_{n}}.$$

Führt man nun diese Relationen in 19) ein, so findet man nach einigen ganz leichten Reductionen für die Verhältnisse der Dreiecksflächen folgende Ausdrücke:

$$\frac{[r, r_n]}{[r_n, r_m]} = \frac{\tau_m}{\tau_i} \left\{ 1 - \frac{1}{3} \frac{\tau_m^2 - \tau_i^2}{(r_i + r_m)^3} - 4 \tau_i \tau_m \frac{(r_m - r_i)}{(r_i + r_m)^4} + \cdots \right\}
\frac{[r_i, r_n]}{[r_i, r_m]} = \frac{\tau_m}{\tau_n} \left\{ 1 + \frac{1}{3} \frac{\tau_n^2 - \tau_m^2}{(r_i + r_m)^3} - \frac{4 \tau_i \tau_m^2}{\tau_n} \frac{(r_m - r_i)}{(r_i + r_m)^4} + \cdots \right\}
\frac{[r_n, r_m]}{[r_i, r_n]} = \frac{\tau_i}{\tau_m} \left\{ 1 - \frac{1}{3} \frac{\tau_i^2 - \tau_m^2}{(r_i + r_m)^3} + 4 \tau_i \tau_m \frac{(r_m - r_i)}{(r_i + r_m)^4} + \cdots \right\}
\frac{[r_n, r_m]}{[r_i, r_m]} = \frac{\tau_i}{\tau_n} \left\{ 1 + \frac{1}{3} \frac{\tau_n^2 - \tau_i^2}{(r_i + r_m)^3} + \frac{4 \tau_m \tau_i^2}{\tau_n} \frac{(r_m - r_i)}{(r_i + r_m)^4} + \cdots \right\}
\frac{[r_i, r_m]}{[r_i, r_m]} = \frac{\tau_n}{\tau_m} \left\{ 1 - \frac{1}{3} \frac{\tau_n^2 - \tau_m^2}{(r_i + r_m)^3} + \frac{4 \tau_i \tau_m^2}{\tau_n} \frac{(r_m - r_i)}{(r_i + r_m)^4} + \cdots \right\}
\frac{[r_i, r_m]}{[r_n, r_m]} = \frac{\tau_n}{\tau_i} \left\{ 1 - \frac{1}{3} \frac{\tau_n^2 - \tau_i^2}{(r_i + r_m)^3} - \frac{4 \tau_m \tau_i^2}{\tau_n} \frac{(r_m - r_i)}{(r_i + r_m)^4} + \cdots \right\}$$

Es wird zweckmässig sein, für diese Reihen abkürzende Symbole einzuführen. Bezeichnet man mit Ψ die mit $(r, +r_m)^3$ multiplicirten Summen der Glieder der obigen Reihen vom zweiten Gliede inclusive angefangen und versieht den Buchstaben mit zwei Indices, so kann man setzen:

$$\Psi''' = -\frac{4}{3} (\tau_{m}^{2} - \tau_{r}^{2}) - 4 \tau, \tau_{m} \frac{(r_{m} - r_{r})}{(r_{r} + r_{m})} + \cdots$$

$$\Psi'''' = +\frac{4}{3} (\tau_{n}^{2} - \tau_{m}^{2}) - 4 \frac{\tau_{r} \tau_{m}^{2} (r_{m} - r_{r})}{\tau_{n} (r_{r} + r_{m})} + \cdots$$

$$\Psi'''' = -\frac{4}{3} (\tau_{r}^{2} - \tau_{m}^{2}) + 4 \tau, \tau_{m} \frac{(r_{m} - r_{r})}{(r_{r} + r_{m})} + \cdots$$

$$\Psi'''' = +\frac{4}{3} (\tau_{n}^{2} - \tau_{r}^{2}) + 4 \frac{\tau_{m} \tau_{r}^{2} (r_{m} - r_{r})}{\tau_{n} (r_{r} + r_{m})} + \cdots$$

$$\Psi'''' = -\frac{4}{3} (\tau_{n}^{2} - \tau_{r}^{2}) - 4 \frac{\tau_{m} \tau_{r}^{2} (r_{m} - r_{r})}{\tau_{n} (r_{r} + r_{m})} + \cdots$$

$$\Psi''' = -\frac{4}{3} (\tau_{n}^{2} - \tau_{r}^{2}) - 4 \frac{\tau_{m} \tau_{r}^{2} (r_{m} - r_{r})}{\tau_{n} (r_{r} + r_{m})} + \cdots$$

Die Indices von Ψ sind so gewählt, dass der obere dem Index von τ im Zähler, der untere jenem im Nenner des gemeinsamen Factors in 22) entspricht. Ginge

man in der Annäherung nicht weiter als auf Glieder dritter Ordnung inclusive, so könnte man setzen:

$$\Psi''' = -\Psi'''$$
 $\Psi''' = -\Psi'''$
 $\Psi'' = -\Psi''$

doch soll vorerst auf diese Vereinfachung nicht Rücksicht genommen werden. Substituirt man die Werthe aus 23) in 22) und setzt:

$$x = (r_1 + r_{11})^{-3}, 24$$

so erhält man:

$$\frac{[r_{l} r_{n}]}{[r_{n} r_{m}]} = \frac{\tau_{m}}{\tau_{l}} \{1 + x \Psi_{l}^{"}\}, \quad \frac{[r_{n} r_{m}]}{[r_{l} r_{n}]} = \frac{\tau_{l}}{\tau_{m}} \{1 + x \Psi_{m}^{"}\}, \quad \frac{[r_{l} r_{m}]}{[r_{l} r_{m}]} = \frac{\tau_{l}}{\tau_{m}} \{1 + x \Psi_{m}^{"}\}, \quad \frac{[r_{l} r_{m}]}{[r_{l} r_{m}]} = \frac{\tau_{l}}{\tau_{l}} \{1 + x \Psi_{l}^{"}\}, \quad \frac{[r_{l} r_{m}]}{[r_{l} r_{m}]} = \frac{\tau_{l}}{\tau_{l}} \{1 + x \Psi_{l}^{"}\}.$$

Mit Hilfe der im vorhergehenden Kapitel angegebenen Methode zur Bestimmung des Verhältnisses des Sectors zur Dreiecksfläche lassen sich die verschiedenen Ausdrücke von Ψ leicht durch die betreffenden Verhältnisse streng ersetzen. Bezeichnet man analog den Zwischenzeiten:

mit η' das zum 2ten und 3ten Orte gehörende Verhältnis (Sector: Dreieck)

,,
$$\eta''$$
 das ,, iten ,, 3ten ,, ,, (Sector: Dreieck)

so wird zunächst:

$$\frac{[r, r_n]}{[r_n, r_m]} = \frac{\tau_m}{\tau_n} \cdot \frac{\eta_n}{\eta_m}, \qquad \frac{[r_n, r_m]}{[r, r_n]} = \frac{\tau_n}{\tau_m} \cdot \frac{\eta_m}{\eta_n}, \qquad \frac{[r, r_m]}{[r, r_m]} = \frac{\tau_n}{\tau_m} \cdot \frac{\eta_m}{\eta_n}, \\
\frac{[r, r_n]}{[r, r_m]} = \frac{\tau_n}{\tau_n} \cdot \frac{\eta_n}{\eta_m}, \qquad \frac{[r_n, r_m]}{[r, r_m]} = \frac{\tau_n}{\tau_n} \cdot \frac{\eta_n}{\eta_n}, \qquad \frac{[r, r_m]}{[r_n, r_m]} = \frac{\tau_n}{\tau_n} \cdot \frac{\eta_n}{\eta_n},$$
26)

somit, indem man sofort eine für die genaue Berechnung geeignete Form einführt:

$$x \Psi'''_{,''} = \frac{(\eta_{,''-1}) - (\eta_{,'''-1})}{\eta_{,''}}, x \Psi''_{,''} = \frac{(\eta_{,''-1}) - (\eta_{,''-1})}{\eta_{,}}, x \Psi''_{,''} = \frac{(\eta_{,''-1}) - (\eta_{,''-1})}{\eta_{,''}}, x \Psi''_{,''} = \frac{(\eta_{,''-1}) - (\eta_{,''-1})}{\eta_{,''}}, x \Psi''_{,''} = \frac{(\eta_{,''-1}) - (\eta_{,''-1})}{\eta_{,''}}.$$

Wendet man zur Bestimmung von η das Hansen'sche Näherungsverfahren (vergl. pag. 90) an, so erhält man ohnehin zuerst den Werth von η — 1, bei Benützung der strengen Gauss'schen Rechnungsvorschriften aber (vergl. pag. 85 u. ff.) wird man aus der Formel 25) (pag. 87) zur genauen Bestimmung des Überschusses von η über die Einheit leicht ableiten:

$$\eta - 1 = \frac{h}{\eta^2} \left(\eta + \frac{1}{\theta} \right). \tag{28}$$

d. Bestimmung der Bahnelemente aus zwei heliocentrischen Orten.

Sind die heliocentrischen Coordinaten zweier Punkte gegeben nebst den Zeitmomenten, für welche dieselben gelten, so wird man, wenige Specialfälle ausgenommen, stets die sechs Elemente der Bahn bestimmen können; hierbei ist die Masse des Himmelskörpers als so klein vorausgesetzt, dass man dieselbe im Verhältnis zur Sonnenmasse vernachlässigen darf; letztere Annahme wird in der Folge bei den ersten Bahnbestimmungen stets festgehalten werden.

Die heliocentrischen Coordinaten können in sehr verschiedener Weise angesetzt sein; ich werde annehmen, dass für das vorgelegte Problem die heliocentrischen Längen l, und l_m , die Breiten b, und b_m und die Radien vectoren r, und r_m gegeben seien.

Die erste Aufgabe besteht in der Aufsuchung der Bahnlage; dieselbe wird durch den grössten Kreis bestimmt, welcher durch die beiden heliocentrischen Orte des Himmelskörper gelegt gedacht ist. Bezeichnet man die Länge desjenigen Schnittpunktes dieses grössten Kreises in der Ekliptik, in welchem derselbe, in der Bewegungsrichtung des Himmelskörpers beschrieben gedacht, aus der südlichen Hemisphäre der Ekliptik in die nördliche übertritt, mit dem Zeichen des aufsteigenden Knotens Qund nennt den Winkel, den dieser grösste Kreis am aufsteigenden Knoten mit der Ekliptik (ersteren in der Richtung der Bewegung des Himmelskörpers, letztere im Sinne der Bewegungsrichtung der Erde gezogen gedacht) (vergl. pag. 7) bildet, die Neigung i, so ergeben sich leicht, wenn man sich von den Orten des Himmelskörpers sphärische Perpendikel auf die Ekliptik gefällt denkt, aus der Betrachtung der bezüglichen rechtwinkligen sphärischen Dreiecke die Relationen:

tg
$$b_n = \text{tg } i \sin (l_n - \Omega)$$

tg $b_m = \text{tg } i \sin (l_m - \Omega)$.

Schreibt man statt $l_m - \Omega$ den Werth $(l_m - l_i) + (l_i - \Omega)$, so erhält man:

$$tg i sin (l, -\Omega) = tg b,$$

$$tg i cos (l, -\Omega) = \frac{tg b_m - tg b_i cos (l_m - l_i)}{sin (l_m - l_i)},$$

aus welchen Gleichungen Ω und *i* unzweideutig bestimmt werden können, indem das Zeichen von tg *i* (*i* im ersten oder zweiten Quadranten zu nehmen) mit dem der heliocentrischen Bewegung in Länge übereinkommt; nehmen die heliocentrischen Längen zu, so ist tg *i* positiv ($i < 90^{\circ}$), nehmen sie dagegen ab, so ist tg *i* negativ ($90^{\circ} < i < 180^{\circ}$).

Nach der Ermittlung von Ω und i kann an die Berechnung der Argumente der Breite u, und u_m geschritten werden, d. h. jener Bögen, welche die Abstände des Himmelskörpers vom aufsteigenden Knoten, gezählt in der Bewegungsrichtung desselben, messen. Die eben betrachteten rechtwinkligen spärischen Dreiecke liefern die Relationen:

$$\cos (l, -\Omega) \cos b, = \cos u, \qquad \cos (l_m - \Omega) \cos b_m = \cos u_m
\sin (l, -\Omega) \cos b, = \sin u, \cos i
\sin b, = \sin u, \sin i, \qquad \sin b_m = \sin u_m \cos i$$

$$\cos (l_m - \Omega) \cos b_m = \cos u_m
\sin (l_m - \Omega) \cos b_m = \sin u_m \cos i
\sin b_m = \sin u_m \sin i,$$
2)

aus denen u, und u_m bestimmt werden können, doch wird diese Bestimmung, um dieselbe möglichst genau zu gestalten, je nachdem sin i klein oder nahezu der Einheit gleich ist, verschieden vorgenommen werden müssen, nämlich:

$$\begin{array}{ll}
\sin i < 1 : \sqrt{2} & \sin i > 1 : \sqrt{2} \\
\operatorname{tg} u_{i} = \frac{\operatorname{tg}(l_{i} - \Omega)}{\cos i} & \operatorname{tg} u_{i} = \frac{\operatorname{tg} b_{i}}{\cos (l_{i} - \Omega) \sin i} \\
\operatorname{tg} u_{m} = \frac{\operatorname{tg}(l_{m} - \Omega)}{\cos i}, & \operatorname{tg} u_{m} = \frac{\operatorname{tg} b_{m}}{\cos (l_{m} - \Omega) \sin i}.
\end{array}\right\} \quad 3)$$

Der Quadrant, in dem u, und u_m zu nehmen sind, bestimmt sich leicht aus dem Zeichen der Tangente und den in den dritten Gleichungen 2) enthaltenen Bedingungen, dass sin b, und sin b_m wegen des stets positiven Werthes von sin i beziehungsweise mit sin u, und sin u_m gleich bezeichnet sein müssen. Man kann aber auch solche Formeln ableiten, welche unter allen Umständen mit Sicherheit anwendbar sind. Multiplicirt man die zweiten Gleichungen in 2) mit cos i, die dritten mit sin i, addirt beide und dividirt deren Summe durch die erste Gleichung, so erhält man:

$$\operatorname{tg} u_{n} = \frac{\sin (l_{n} - \Omega) \cos i + \operatorname{tg} b_{n} \sin i}{\cos (l_{n} - \Omega)} \\
\operatorname{tg} u_{m} = \frac{\sin (l_{m} - \Omega) \cos i + \operatorname{tg} b_{m} \sin i}{\cos (l_{m} - \Omega)}.$$

Der Quadrant, in dem u, und um zu nehmen sind, bestimmt sich aus der Bedingung, dass der Sinus mit dem Zähler, der Cosinus mit dem Nenner gleich bezeichnet sein muss. Die Rechnung nach diesen letzteren Formeln scheint weniger bequem, als jene nach 3), doch macht sich dieselbe mit Hilfe von Additions- und Subtractionslogarithmen recht einfach, weil für beide Zähler dasselbe Argument, nämlich tg i² oder cotg i² als Eingang in diese Tafeln dient.

Ist die Rechnung so weit vorgeschritten, so kann man sie einer theilweisen Controle unterziehen. Die Differenz der wahren Anomalien $2 f_n$ ist offenbar bestimmt durch: $2 f_n = u_m - u_r.$ 5)

Der Winkel f kann aber auch aus den heliocentrischen Orten selbst abgeleitet werden; die Relation:

 $\cos 2f_n = \sin b, \sin b_m + \cos b, \cos b_m \cos (l_m - l_n),$

gibt sofort :

$$\sin \frac{1}{4}(u_m - u_i)^2 = \sin f_n^2 = \sin \frac{1}{4}(l_m - l_i)^2 \cos b_i \cos b_m + \sin \frac{1}{4}(b_m - b_i)^2$$
. 6)

Da übrigens in diesem Falle neben den Radien vectoren häufig die Sehne s gegeben ist, so können auch diese Grössen zur Prüfung verwendet werden, denn das ebene Dreieck gibt:

$$\mathcal{L} = \frac{1}{2} (r, + r_m + s)$$

$$\operatorname{tg} f^2 = \frac{\left(1 - \frac{r_r}{\Sigma}\right) \left(1 - \frac{r_m}{\Sigma}\right)}{\left(1 - \frac{s}{\Sigma}\right)}, \qquad 7)$$

wobei die Formeln so angesetzt sind, dass sie sich bei der Anwendung von Subtractionslogarithmen bequem gestalten.

Die Berechnung der übrigen Bahnelemente wird in verschiedener Weise vorgenommen werden müssen, je nachdem die Bahn ihrer Gestalt nach sich mehr dem Kreise oder der Parabel nähert: für den Specialfall der Parabel werden die Formeln ganz besonders bequem. Hierbei wird nur auf den bei ersten Bahnbestimmungen stattfindenden Fall Rücksicht zu nehmen sein, dass der heliocentrische Bogen zwischen den beiden Orten ein mässiger ist; für jene Fälle, in welchen dies nicht mehr stattfindet, enthält der zweite Band dieses Werkes (pag. 472 und ff.) die nöthigen Anleitungen. Als gemeinsame Grundlagen für die weitere Berechnung der Elemente dürfen

die Zwischenzeit $(t_m - t_i)$, die beiden Radien vectoren r, und r_m und der Winkel, welchen dieselben an der Sonne einschliessen, $2 f_m$ oder die denselben ersetzende Angabe der Sehne s als bekannt vorausgesetzt werden.

a. Bahnen müssiger Excentricität.

Aus r, und r_m , $(t_m - t_i)$, $2 f_n$ oder s können die Grössen:

$$w_{"}=\sin\,\tfrac{1}{4}\,g_{"}^{2}\,\mathrm{und}\,\,\eta_{"},$$

nach den Formeln 26 (pag. 89) berechnet und daher für die folgenden Entwicklungen als bekannt angenommen werden.

Die Gleichungen 25) und 26) (pag. 57) geben für die beiden Orte die Relationen:

$$\sin \frac{1}{2} v, \quad \sqrt{\frac{r_{r}}{a}} = \sin \frac{1}{2} E, \quad \sqrt{1 + e} = \sin \frac{1}{2} E, \quad (\cos \frac{1}{2} \varphi + \sin \frac{1}{2} \varphi) \\
\cos \frac{1}{2} v, \quad \sqrt{\frac{r_{r}}{a}} = \cos \frac{1}{2} E, \quad \sqrt{1 - e} = \cos \frac{1}{2} E, \quad (\cos \frac{1}{2} \varphi - \sin \frac{1}{2} \varphi) \\
\sin \frac{1}{2} v_{m} \quad \sqrt{\frac{r_{m}}{a}} = \sin \frac{1}{2} E_{m} \sqrt{1 + e} = \sin \frac{1}{2} E_{m} \quad (\cos \frac{1}{2} \varphi + \sin \frac{1}{2} \varphi) \\
\cos \frac{1}{2} v_{m} \quad \sqrt{\frac{r_{m}}{a}} = \cos \frac{1}{2} E_{m} \sqrt{1 - e} = \cos \frac{1}{2} E_{m} \quad (\cos \frac{1}{2} \varphi - \sin \frac{1}{2} \varphi),$$
8)

aus welchen vier andere dadurch abgeleitet werden sollen, dass man die vorstehenden vier Gleichungen der Reihe nach mit zweckmässig gewählten Factoren multiplicirt und die Producte addirt. Den vier verschiedenen Fällen entsprechend, wird man als Factoren wählen:

in welchen Ausdrücken:

$$F_{n} = \frac{1}{2} (v_{m} + v_{r}) f_{n} = \frac{1}{2} (v_{m} - v_{r}) g_{n} = \frac{1}{2} (E_{m} - E_{r}),$$
 10)

gesetzt ist; überdies soll:

$$G_{\prime\prime}=\frac{1}{2}\left(E_{\prime\prime\prime}+E_{\prime}\right),$$
 II)

eingeführt werden. Es ist also:

$$\frac{1}{2} E_{n} = \frac{1}{2} G_{n} - \frac{1}{2} g_{n}$$

$$\frac{1}{2} E_{n} = \frac{1}{2} G_{n} + \frac{1}{2} g_{n}.$$

Bevor jedoch das Resultat der Transformation angesetzt wird, sind noch zwei Reductionen auszuführen, die im Verlaufe der Rechnungen sich nothwendig erweisen werden. Als Factoren erscheinen nämlich die Grössen:

$$V^{\overline{r_{in}}}_{a} - V^{\overline{r_{i}}}_{a}, \qquad V^{\overline{r_{in}}}_{a} + V^{\overline{r_{i}}}_{a},$$

welche sich aber durch den bereits (pag. 83) eingeführten Hilfswinkel ω in sehr bequeme logarithmische Formen überführen lassen. Setzt man nämlich:

tg
$$(45^{\circ} + \omega_{"}) = \sqrt[4]{\frac{r_{"}}{r_{*}}},$$
 12)

so wird:

$$\sqrt{\frac{r_{m}}{a}} - \sqrt{\frac{r_{r}}{a}} = \sqrt{\frac{r_{r}r_{m}}{a}} \left\{ \sqrt{\frac{r_{m}}{r_{r}}} - \sqrt{\frac{r_{r}}{r_{m}}} \right\} =$$

$$= \sqrt{\frac{r_{r}r_{m}}{a}} \left\{ \text{tg } (45^{\circ} + \omega_{n}) - \cot g (45^{\circ} + \omega_{n}) \right\} = 2 \sqrt{\frac{r_{r}r_{m}}{a}} \text{ tg } 2 \omega_{y}$$

$$\sqrt{\frac{r_{m}}{a}} + \sqrt{\frac{r_{r}}{a}} = \sqrt{\frac{r_{r}r_{m}}{a}} \left\{ \sqrt{\frac{r_{m}}{r_{r}}} + \sqrt{\frac{r_{r}}{r_{m}}} \right\} =$$

$$= \sqrt{\frac{r_{r}r_{m}}{a}} \left\{ \text{tg } (45^{\circ} + \omega_{n}) + \cot g (45^{\circ} + \omega_{n}) \right\} = \frac{2}{\cos 2 \omega_{n}} \sqrt{\frac{r_{r}r_{m}}{a}}.$$

Multiplicirt man nun die Gleichungen 8) der Reihe nach mit den Factoren der ersten Gruppe in 9), addirt die Resultate und macht von der ersten Relation in 13) Gebrauch, so wird man, unter der Erwägung, dass:

 $\cos \left(\frac{1}{2}F_{"}-\frac{1}{2}G_{"}-g_{"}\right)-\cos \left(\frac{1}{2}F_{"}-\frac{1}{2}G_{"}+g_{"}\right)=2\sin \frac{1}{2}\left(F_{"}-G_{"}\right)\sin g_{"},$ ist, die Gleichung:

$$\cos \frac{1}{2} (f_n + g_n) \text{ tg 2 } \omega_n = \cos \frac{1}{2} \varphi \sin g_n \sin \frac{1}{2} (F_n - G_n) \sqrt[4]{\frac{a a}{r_n r_n}}$$

erhalten. Verfährt man ähnlich mit den übrigen Gruppen, so erhält man leicht die folgenden Gleichungen:

$$\gamma^{2} = \sqrt[4]{\frac{a \ a}{r_{1} r_{m}}} \sin g_{m}$$

$$\sin \frac{1}{2} (F_{n} - G_{n}) \cos \frac{1}{2} \varphi \gamma^{2} = \cos \frac{1}{2} (f_{n} + g_{n}) \operatorname{tg} 2 \omega_{n}$$

$$\cos \frac{1}{2} (F_{n} - G_{n}) \cos \frac{1}{2} \varphi \gamma^{2} = \sin \frac{1}{2} (f_{n} + g_{n}) \operatorname{sec} 2 \omega_{n}$$

$$\sin \frac{1}{2} (F_{n} + G_{n}) \sin \frac{1}{2} \varphi \gamma^{2} = \cos \frac{1}{2} (f_{n} - g_{n}) \operatorname{tg} 2 \omega_{n}$$

$$\cos \frac{1}{4} (F_{n} + G_{n}) \sin \frac{1}{2} \varphi \gamma^{2} = \sin \frac{1}{4} (f_{n} - g_{n}) \operatorname{sec} 2 \omega_{n}.$$

Es ist ersichtlich, dass man aus diesen vier Gleichungen sicher und unzweideutig F_n , G_n und φ bestimmt, denn $\cos \frac{1}{4} \varphi \gamma^2$ und $\sin \frac{1}{4} \varphi \gamma^2$ müssen nothwendig positiv sein, so dass die Quadranten, in denen $\frac{1}{4} (F_n - G_n)$ und $\frac{1}{4} (F_n + G_n)$ zu nehmen sind, nicht zweifelhaft sein können. Die Division der zweiten Gleichung in die erste führt zur Kenntnis von $\frac{1}{4} (F_n - G_n)$, die der vierten in die dritte von $\frac{1}{4} (F_n + G_n)$; dann bestimmt man in bekannter Weise die Ausdrücke:

$$\gamma^2 \cos \frac{1}{2} \varphi \text{ und } \gamma^2 \sin \frac{1}{2} \varphi$$
;

deren Division zur Kenntnis des Werthes φ führt. Den Werth für γ^2 kann man zweckmässig zur Prüfung der ausgeführten Rechnung verwenden; es ist nach Gleichung 17) (pag. 84):

$$\frac{1}{a} = \left(\frac{2 \eta_n \sin g_n \cos f_n}{\tau_n}\right)^2 r_n r_m;$$

hierbei ist $\tau_n = k (t_m - t_n)$ angenommen. Aus dieser Relation leitet man ab:

$$\sin g_n \frac{\sqrt{a}}{\sqrt[4]{r, r_m}} = \frac{\tau_n}{2 \eta_n \cos f_n (r, r_m)^3/4}$$

Oppolzer, Bahnbestimmungen. I. 2. Auflage.

Auf pag. 83 ist eine Bestimmung der Grösse m durchgeführt worden, deren man zur Ermittlung von η_n und g_n bedurfte; es war daselbst gesetzt worden:

$$m_{\prime\prime} = \frac{\tau_{\prime\prime}^2}{(2\cos f_{\prime\prime}\sqrt{r_{\prime}\,r_{\prime\prime\prime}})^3}.$$

Demnach ist:

$$\gamma^2 = \frac{\sqrt{2 m_n \cos f_n}}{\eta_n}.$$
 15)

Man könnte als Probe auch die Relationen:

$$\operatorname{tg} \frac{1}{2} v_{r} = \operatorname{tg} (45^{\circ} + \frac{1}{2} \varphi) \operatorname{tg} \frac{1}{2} E_{r}$$

$$\operatorname{tg} \frac{1}{2} v_{m} = \operatorname{tg} (45^{\circ} + \frac{1}{2} \varphi) \operatorname{tg} \frac{1}{2} E_{m},$$
16)

benützen. Die grosse Halbachse a findet sich aus:

$$a = \frac{\gamma^4}{\sin g^2} \sqrt{r_r r_m} \,. \tag{17}$$

oder auch, indem man zuerst den Parameter (vergl. Gleichung 14) pag. 81) nach:

$$p = \left(\frac{\eta_n \, r_i \, r_m \, \sin \, 2 \, f_n}{\tau_m}\right)^2, \qquad \qquad 18)$$

bestimmt:

$$a = \frac{p}{\cos \varphi^2}.$$

Aus a findet sich die bezügliche mittlere siderische Bewegung μ durch:

$$\mu = \frac{k}{a^{3/2}}, \quad \log k = 3.550 \text{ oo}66,$$
 20)

 $\log k$ ist so angesetzt, dass μ in Bogensekunden erhalten wird. Hier wird abermals eine Prüfung erhalten werden können; für die mittleren Anomalien M, und M_m erhält man:

$$e'' = \frac{\sin \varphi}{\arctan \pi}$$
 $M_{m} = E_{m} - e'' \sin E_{m}$
 $M_{mm} = E_{mm} - e'' \sin E_{mm}$

Es wird auch sein müssen:

$$\mu = \frac{M_{\prime\prime\prime} - M_{\prime}}{t_{\prime\prime\prime} - t_{\prime}}.$$

Es sind demnach die Elemente: die mittlere Anomalie zur Zeit einer Epoche, die Excentricität und die mittlere tägliche siderische Bewegung bekannt, Ω und i, sowie u, und u_m wurden durch die Formeln des vorangehenden Kapitels gefunden, das sechste und letzte Element, nämlich den Abstand des Perihels vom Knoten ω oder die Länge des Perihels π wird man erhalten durch:

$$\omega = \mathbf{u}, -\mathbf{v}, = \mathbf{u}_{m} - \mathbf{v}_{m}$$

$$\pi = \Omega + \omega.$$

$$23)$$

Beispiele für die Anwendung der vorstehenden Formeln werden bei der Bahnbestimmung selbst gegeben werden.

B) Bahnen von nahezu parabolischer Gestalt.

Für die folgende Entwicklung können wie oben:

$$w_{"}=\sin \frac{1}{2}g_{"}^{2} \text{ und } \eta_{"},$$

als gegeben vorausgesetzt werden. Bestimmt man aus sin $\frac{1}{2}g_n^2$ den Werth cos g_n , indem man: $\cos g_n^2 = 1 - \sin g_n^2 = 1 - 4 \sin \frac{1}{2}g_n^2 \cos \frac{1}{2}g_n^2,$

setzt und hieraus:

$$\cos g_n = V \frac{1}{1 - 4 w_n (1 - w_n)}, \qquad 24$$

ableitet, so gibt die Gleichung 16) pag. 83, wenn der Kürze halber:

$$z = a \sin g_{"}^{2}, \qquad \qquad 25)$$

somit eine Grösse, die unter allen Umständen positiv ist, eingeführt wird, die Relation:

$$2z = r_1 + r_{11} - 2\cos g_{11}\cos f_{11}\sqrt{r_1,r_{11}}$$
. 26)

Mit Hilfe der Grösse z wird sich der Parameter p leicht bestimmen lassen. Bildet man in den Gleichungen 8) pag. 104 das Product der ersten und vierten Gleichung und subtrahirt hiervon das Product der zweiten und dritten, so findet sich:

$$a \sin g_{\parallel} \sqrt{1 - e^2} = \sqrt{r_{\parallel} r_{\parallel}} \sin f_{\parallel} = \sin g_{\parallel} \sqrt{a} \sqrt{p}$$

woraus mit Rücksicht auf 25) folgt:

$$p = \frac{r_r r_m \sin f_m^2}{z}.$$
 27)

Als Controle findet sich aber auch nach Gleichung 18) (pag. 106):

$$p = \left(\frac{\eta_n r_n r_m \sin 2f_n}{\tau_n}\right)^2.$$
 28)

Die folgenden zur Ermittlung der Elemente nöthigen Entwicklungen sind im zweiten Bande pag. 477 ff. aufgenommen; um jedoch alles Zusammengehörige vereinigt vorzuführen, sollen dieselben auch hier behandelt werden.

Nach der bekannten Polargleichung der Kegelschnitte ist:

$$\frac{1}{r_{i}} = \frac{1 + e \cos v_{i}}{p}, \qquad \frac{1}{r_{ii}} = \frac{1 + e \cos v_{ii}}{p};$$
 29)

setzt man wieder wie oben:

$$F_{"}=\frac{1}{2}(v_{+}+v_{"}),$$

so erhält man durch Addition und Subtraction der Gleichungen 29):

$$\begin{cases} \frac{1}{r_{n}} - \frac{1}{r_{m}} = \frac{2e}{p} \sin f_{n} \sin F_{n} \\ \frac{1}{r_{n}} + \frac{1}{r_{m}} = \frac{2}{p} + \frac{2e}{p} \cos f_{n} \cos F_{n}. \end{cases}$$

30)

Ersetzt man den Parameter in der ersten Gleichung durch die Relation 27) so findet sich: $2ez \sin F_{n} = (r_{m} - r_{n}) \sin f_{n}.$

Multiplicirt man die zweite Gleichung in 30) beiderseits mit - - - fn, ersetzt im

letzten Gliede cos f_n^2 durch 1 — sin f_n^2 und führt in demselben für sin f_n^2 : p den Werth nach 27) ein, so findet sich:

$$2 e z \cos F_n = -(r_1 + r_m) \cos f_n + \frac{2 (\cos f_n + e \cos F_n)}{p} r_1 r_m.$$
 31)

Nun ist aber nach der Gleichung 8):

$$\cos f_n + e \cos F_n = \frac{p}{\sqrt{r_n r_m}} \cos g_n,$$

somit:

$$2ez \cos F_n = 2 \cos g_n \sqrt{r_r r_m} - (r_r + r_m) \cos f_n.$$
 32)

Man hat demnach zur Berechnung von F und 2ez die Gleichungen 31) und 32) zu benützen; da 2ez stets positiv ist, so kann in Bezug auf die Wahl des Quadranten für F niemals eine Unbestimmtheit eintreten. Sind F und e gegeben, so berechnet man weiter:

$$\left\{ \begin{array}{ll}
 v_{,} = F_{n} - f_{n} & v_{m} = F_{n} + f_{n} \\
 \pi = u_{,} + \Omega - v_{,} & \pi = u_{m} + \Omega - v_{m} \\
 q = \frac{p}{1 + e},
 \end{array} \right\} \quad (33)$$

und hat somit die Elemente: Excentricität e, Perihelabstand q, Länge des Perihels n und durch die Rechnungen des vorangehenden Kapitels Ω und i gegeben. Die Zeit der Perihelpassage T findet sich aus v, und v_m nach den oben (pag. 75) bereits mitgetheilten Formeln; man wird zu diesem Ende für jede der beiden Anomalien v, und v_m

$$\theta = \frac{1-e}{1+e} \operatorname{tg} \frac{1}{2} v^2 \tag{34}$$

berechnen und mit demselben als Argument aus der Tafel XVIII des zweiten Bandes $\log P_1$ und $\log P_3$ entlehnen; dann ist

$$T = t - \frac{q^{3/2}}{\sqrt{1+e}} \{ P_1 \operatorname{tg} \frac{1}{2} v + P_3 \operatorname{tg} \frac{1}{2} v^3 \}.$$
 35)

Aus v, und v_m wird für T je ein Werth erhalten; die Übereinstimmung beider innerhalb der Unsicherheit der logarithmischen Rechnung wird eine gute Prüfung für die Richtigkeit der gefundenen Zahlen abgeben. Ein ausführliches Beispiel hierzu findet man unten bei der Durchführung der Bahnbestimmung des Kometen I, 1866.

Man kann übrigens zur Bestimmung von e und v, sich auch anderer sehr einfach abzuleitender Formeln bedienen, welche in der Anwendung kaum weniger bequem sind als die oben mitgetheilten. Die Polargleichung der Kegelschnitte gibt sofort die Relationen:

$$e \cos v_{r} = \frac{p}{r_{r}} - 1, \quad e \cos v_{m} = \frac{p}{r_{m}} - 1;$$

setzt man nun:

$$v_{m}=v_{n}+2f_{m},$$

so findet sich zur Bestimmung von e und v, aus diesen beiden Gleichungen leicht:

$$e \sin v_{r} = \left(\frac{p}{r_{r}} - 1\right) \cot 2f_{r} - \left(\frac{p}{r_{m}} - 1\right) \csc 2f_{r}$$

$$e \cos v_{r} = \frac{p}{r_{r}} - 1.$$

y. Parabolische Bahnen.

Für die Bestimmung parabolischer Bahnelemente hat man in den vorstehenden Formeln überall g = 0 zu setzen; die Bestimmung von η_n und g_n nach den Formeln des obigen Kapitels b. pag. 81 ist daher nicht nöthig. Die Formeln 31) und 32) werden für diesen Fall ergeben:

$$2z \sin F_{w} = (r_{m} - r_{n}) \sin f_{w}$$

$$2z \cos F_{w} = 2\sqrt{r_{n}} r_{m} - (r_{n} + r_{m}) \cos f_{m}$$

$$q = \frac{r_{n} r_{m} \sin f_{m}^{2}}{2z}.$$
37)

In diesen Formeln ist 2z stets positiv, also die Bestimmung des Quadranten von F_w unzweifelhaft. Zur Controle kann entweder 2z nach 26) berechnet werden, nämlich:

$$2z = (r_1 + r_{11}) - 2\cos f_{11}\sqrt{r_1 r_{11}},$$
 38)

oder man bestimmt den Perihelabstand q mittelst der Formeln (vergl. pag. 93):

$$\sin \gamma = \frac{s}{r_r + r_m}$$

$$\eta_m = \frac{1 + 2 \sec \gamma}{3}$$

$$2 q = \left(\frac{\eta_m r_r r_m \sin 2 f}{r_m}\right)^2,$$
39)

was, da die Sehne s durch vorangegangene Rechnung gegeben ist, als eine ebenfalls durchgreifende Prüfung erscheint.

Aus F_n bestimmt man:

$$v_{i} = F_{ii} - f_{ii}, \quad v_{iii} = F_{ii} + f_{ii},$$
 (40)

und wird die Zeit der Perihelpassage mit Hilfe der Barker'schen Tafel (vergl. pag. 59) leicht nach:

$$T = t_{r} - M_{r} q^{3/2} = t_{rr} - M_{rr} q^{3/2}$$
41)

finden, wobei die Übereinstimmung der Werthe eine gute Controle für die Rechnung abgibt, die dem Wesen nach schon durch die Prüfungsgleichungen 39) ausgedrückt ist.

Die Bestimmung von q und v, kann leicht in noch anderer Weise vorgenommen werden, wodurch sich die Rechnung fast noch bequemer gestaltet. Die beiden Gleichungen:

$$\frac{\cos\frac{1}{2}v_{r}}{\sqrt{q}} = \frac{1}{\sqrt{r_{r}}}, \quad \frac{\cos\frac{1}{2}v_{m}}{\sqrt{q}} = \frac{1}{\sqrt{r_{m}}},$$

geben, wenn man:

$$\frac{1}{2}v_{m} = \frac{1}{2}v_{r} + f_{r}$$

einführt, sofort:

$$\frac{1}{\sqrt{q}} \sin \frac{1}{2} v_{r} = \frac{\cot g f_{rr}}{\sqrt{r_{r}}} - \frac{\csc f_{rr}}{\sqrt{r_{rr}}}$$

$$\frac{1}{\sqrt{q}} \cos \frac{1}{2} v_{r} = \frac{1}{\sqrt{r_{r}}}.$$

$$42)$$

4. Aberration.

Die Erscheinungen der Aberration erklären sich aus dem Umstande, dass die Geschwindigkeit des Lichtes im Verhältnisse zu jener der Bewegung der Himmelskörper nicht unendlich gross ist. Diese Thatsache veranlasst zwei wesentlich verschiedene Phänomene. Vorerst wird ein Beobachter, der auf der Erde alle Bewegungen gemeinschaftlich mit dieser ausführen muss, den Lichtstrahl nicht in seiner wahren Richtung erkennen, weil die beobachtete Richtung durch die relative Bewegung des Lichtstrahles gegen den Beobachter bedingt ist; die durch diese relative Bewegung veranlasste scheinbare Änderung der Richtung des Lichtstrahles bezeichnet man mit dem Namen der Fixsternaberration, zum Unterschiede von dem zweiten Erscheinungscomplexe, der dadurch verursacht wird, dass man den Körper nicht an der Stelle sieht, an welcher er sich zur Zeit der Beobachtung befindet, sondern an einer Stelle, wo er sich befand, als die wahrgenommenen Lichtwellen von demselben ausgingen; man nennt dies die Planeten-Aberration.

Es sollen beide Arten der Aberration gesondert behandelt werden.

a. Fixsternaberration.

Die Fixsternaberration ist, wie erwähnt, wesentlich durch die Bewegung bedingt, welche der Beobachter gemeinsam mit der Erde macht; diese ist der Hauptsache nach eine dreifache: 1) die Bewegung der Erde um ihre Achse, 2) um die Sonne und endlich 3) die Bewegung der Erde mit der Sonne; letztere Bewegung muss, als zu wenig erforscht, ausser Acht gelassen werden, wird aber den Ort eines Fixsternes nur um eine constante Grösse beeinflussen. Den mit der Aberration behafteten Ort nennt man den scheinbaren Ort, während die von Aberration befreite Position als die wahre bezeichnet wird.

Stellen $\frac{dx}{dt}$, $\frac{dy}{dt}$ und $\frac{dz}{dt}$ die nach den rechtwinkligen Coordinaten zerlegten Geschwindigkeiten vor, mit denen der Beobachtungsort sich im Raume fortbewegt, μ den Weg, den das Licht in der Zeiteinheit zurücklegt und α und δ die zugehörigen polaren Coordinaten, welche die Richtung des Lichtstrahles bestimmen, so sind, da der Lichtstrahl in dem zur Fortpflanzungsrichtung entgegengesetzten Sinne wahrgenommen wird, die Coordinaten eines Punktes in der Entfernung μ :

$$\xi = -\mu \cos \delta \cos \alpha$$

 $\eta = -\mu \cos \delta \sin \alpha$
 $\zeta = -\mu \sin \delta$.

Bezeichnet man nun die durch die Aberration veränderten Werthe mit Accenten, so wird sein:

$$\xi' = -\mu' \cos \delta' \cos \alpha'$$

 $\eta' = -\mu' \cos \delta' \sin \alpha'$
 $\zeta' = -\mu' \sin \delta'$,

oder nach dem Princip der relativen Bewegung:

$$\mu' \cos \delta' \cos \alpha' = \mu \cos \delta \cos \alpha + \frac{dx}{dt}$$

$$\mu' \cos \delta' \sin \alpha' = \mu \cos \delta \sin \alpha + \frac{dy}{dt}$$

$$\mu' \sin \delta' = \mu \sin \delta + \frac{dz}{dt}$$

Es sind aber, wie auf pag. 33 nachgewiesen wurde, die Änderungen der polaren Coordinaten durch diejenigen der rechtwinkligen nach den folgenden Gleichungen bestimmt, welche übrigens dem vorliegenden Falle angepasst sind:

$$d\alpha = \alpha' - \alpha = -\frac{\sin \alpha \sec \delta}{\mu} \frac{dx}{dt} + \frac{\cos \alpha \sec \delta}{\mu} \frac{dy}{dt}$$

$$d\delta = \delta' - \delta = -\frac{\cos \alpha \sin \delta}{\mu} \frac{dx}{dt} - \frac{\sin \alpha \sin \delta}{\mu} \frac{dy}{dt} + \frac{\cos \delta}{\mu} \frac{dz}{dt}.$$

Hieraus ergeben sich, sobald die Ausdrücke $\frac{dx}{dt}$, $\frac{dy}{dt}$ und $\frac{dz}{dt}$ bekannt sind, unmittelbar die Werthe für die Aberration.

Setzt man für diese Differentiale die durch die tägliche Bewegung der Erde um ihre Achse bewirkten Änderungen ein, so erhält man nach den obigen Formeln die Wirkung der täglichen Aberration auf den Ort der Gestirne. Führt man dagegen in denselben die Bewegung der Erde in ihrer Bahn um die Sonne ein, so erhält man durch die obigen Gleichungen den Betrag der jährlichen Aberration.

a. Die tügliche Aberration.

Wiewohl bei Bahnbestimmungen die Beobachtungen niemals wegen der täglichen Aberration zu corrigiren sind, so soll dieselbe doch der Vollständigkeit halber hier in Betracht gezogen werden. Nimmt man den Äquator als Fundamentalebene an, ist λ der Abstand des Beobachtungsortes vom Erdmittelpunkte, φ' die geocentrische Polhöhe, θ die Ortssternzeit, so sind die Coordinaten des Beobachtungsortes und deren Differentiale nach der Zeit bestimmt durch:

$$x = h \cos \varphi' \cos \theta,$$
 $\frac{dx}{dt} = -h \cos \varphi' \sin \theta \frac{d\theta}{dt}$
 $y = h \cos \varphi' \sin \theta,$ $\frac{dy}{dt} = -h \sin \varphi' \cos \theta \frac{d\theta}{dt}$
 $z = h \sin \varphi',$ $\frac{dz}{dt} = 0.$

Setzt man diese Werthe in die obigen Formeln ein und der Kürze halber:

$$c = \frac{h}{\mu} \frac{d\theta}{dt}, \qquad 2)$$

so wird die durch die tägliche Aberration bewirkte Änderung des Ortes des Himmelskörpers, wenn c durch den numerischen Werth ausgedrückt wird, sein:

$$\begin{array}{l} \alpha' - \alpha = o''_{322} \cos \varphi \cos (\theta - \alpha) \sec \delta \\ \delta' - \delta = o''_{322} \cos \varphi \sin (\theta - \alpha) \sin \delta. \end{array} \} \quad \ \ _{3}$$

Über den numerischen Werth der Constante c wäre folgendes zu erwähnen: Nach Nyrén (vergl. pag. 114) legt das Licht die Wegeinheit (Erdbahnhalbmesser) in 498 s 65

zurück, demnach ist in den obigen Formeln für h eigentlich h sin π einzusetzen, wobei dann h der Einheit gleich angenommen ist, da in der That das Produkt der Abplattung in die tägliche Aberration übergangen werden kann. Der numerische Werth von $\frac{d\theta}{dt}$ ist bereits oben (pag. 25) als Factor f angegeben worden. Setzt man für die Sonnenparallaxe den Newcomb'schen Werth, so ist:

$$c = 498^{5}65 \times \sin 8''848 \times f \times 15.$$

Die Multiplication mit 15 erklärt sich daraus, dass als Zeiteinheit die Zeitsekunde oder 15 Bogensekunden angenommen werden.

β. Die jährliche Aberration.

Nimmt man den Äquator als Fundamentalebene an, so sind, wenn man mit \odot die Sonnenlänge, mit R die Entfernung der Sonne von der Erde und mit ε die Schiefe der Ekliptik bezeichnet, die rechtwinkligen heliocentrischen Coordinaten der Erde mit Vernachlässigung der Sonnenbreiten:

$$egin{aligned} x &= -R\cos\odot \ y &= -R\sin\odot\cos\epsilon \ z &= -R\sin\odot\sin\epsilon. \end{aligned}$$

Würde man die Ekliptik als Fundamentalebene annehmen, so wäre ε der Null gleich zu setzen, von welcher Bemerkung bei Ableitung der Formel 20) (pag. 120) Gebrauch gemacht wird.

Nennt man v die wahre Anomalie der Sonne, π' die Länge des Perigäums, die als Constante vorausgesetzt wird, so ist, da die Sonnenbreite = 0 angenommen wird:

$$0 = \pi' + v$$

$$\frac{d0}{dt} = \frac{dv}{dt},$$

und demnach:

die Relation:

Um nun $\frac{dR}{dt}$ und $\frac{dv}{dt}$ von der grossen Achse der Erdbahn oder vielmehr von ihrer täglichen mittlern siderischen Bewegung und dem Orte in der Bahn abhängig zu machen, müssen dv und dR als Functionen von dM dargestellt werden. Die bekannte Gleichung:

$$r^2dv = k \sqrt{1 + m} \sqrt{p} dt,$$

gibt in Verbindung mit dem Differentiationsresultate der Gleichung:

$$M = M_0 + \mu t = M_0 + \frac{k \sqrt{1+m}}{a^{3/2}} t,$$

$$dv = \frac{a^2 \cos \varphi}{a^3} dM.$$
5)

Die Differentiation von:

$$r=\frac{p}{1+e\cos p}$$

lässt finden:

$$dr = \frac{r^2}{p} e \sin v \, dv = a \operatorname{tg} \varphi \sin v \, dM. \tag{6}$$

Die Formeln 5) und 6) für den vorliegenden Fall (a = 1) übertragen, ergeben:

$$\frac{dv}{dt} = \frac{\cos \varphi}{R^2} \frac{dM}{dt}
\frac{dR}{dt} = \operatorname{tg} \varphi \sin v \frac{dM}{dt}.$$
7)

Setzt man die eben gefundenen Ausdrücke in die früher aufgestellten Relationen 4) ein und bedenkt, dass nach:

$$R = \frac{p}{1 + e \cos p},$$

sich leicht findet:

$$\frac{\cos \varphi^2}{R} = 1 + \sin \varphi \cos v,$$

so wird man für die Geschwindigkeiten haben:

$$\begin{split} \frac{dx}{dt} &= \frac{1}{\cos \varphi} \frac{dM}{dt} \left\{ \sin \odot + \sin \varphi \sin \pi' \right\} \\ \frac{dy}{dt} &= -\frac{1}{\cos \varphi} \frac{dM}{dt} \cos \varepsilon \left\{ \cos \odot + \sin \varphi \cos \pi' \right\} \\ \frac{dz}{dt} &= -\frac{1}{\cos \varphi} \frac{dM}{dt} \sin \varepsilon \left\{ \cos \odot + \sin \varphi \cos \pi' \right\}. \end{split}$$

Diese Werthe sind nun in die Gleichungen 1) (pag. 111) einzusetzen, da aber diese als gemeinschaftlichen Factor $\frac{1}{\mu}$ enthalten, so kann man mit letzterem auch die übrigen als gemeinschaftliche Factoren auftretenden Grössen zweckmässig vereinigen; setzt man noch zur Abkürzung:

$$\nu = \frac{1}{\mu \cos \varphi} \frac{dM}{dt},$$

so erhält man:

$$\alpha' - \alpha = -\nu \left\{ \sin \odot \sin \alpha + \cos \odot \cos \alpha \cos \epsilon \right\} \sec \delta$$

$$-\sin \varphi \nu \left\{ \sin \pi' \sin \alpha + \cos \pi' \cos \alpha \cos \epsilon \right\} \sec \delta$$

$$\delta' - \delta = \nu \left\{ \cos \odot \left(\sin \alpha \sin \delta \cos \epsilon - \cos \delta \sin \epsilon \right) - \sin \odot \cos \alpha \sin \delta \right\}$$

$$+\sin \varphi \nu \left\{ \cos \pi' \left(\sin \alpha \sin \delta \cos \epsilon - \cos \delta \sin \epsilon \right) - \sin \pi' \cos \alpha \sin \delta \right\}.$$

Die Grösse ν kann auf zweifache Weise ermittelt werden, entweder durch geeignete Beobachtungen der Fixsterne, wodurch dieselbe unmittelbar bekannt wird, oder durch directe Bestimmung der Lichtgeschwindigkeit μ in Verbindung mit den bekannten Bahnelementen der Erde.

Nyrén (Die Polhöhe von Pulkowa. Mémoires de l'acad. imp. des sciences de St. Pétersbourg) hat durch sorgfältige Discussion mehrer Beobachtungsreihen, die wohl zu den genauesten bisher angestellten gezählt werden müssen,

$$\nu = 20''481 \pm 0''008$$

gefunden. Um aus diesem Werthe μ berechnen zu können, entlehne ich aus Le-Verrier's Sonnentafeln:

die mittlere tägliche siderische Bewegung der Erde = 59'8"193

die Excentricität der Erdbahn in Bogenmass: $\frac{e}{arc_1 r'} = 3459''28$.

Danach findet sich die Zeit (in Sekunden), welche das Licht braucht, um die Entfernung 1 zu durcheilen:

Lichtzeit =
$$\nu \frac{\cos \varphi}{dM}$$
 86400 = 498⁵65.

Diese letztere Zahl währe noch um o³14 zu vermindern, wenn man auf die Verzögerung der Fortpflanzungsgeschwindigkeit des Lichtes in unserer Atmosphäre Rücksicht nehmen wollte; diese die Beobachtungen nicht merklich beeinflussende Correction werde ich in der Folge nicht weiter beachten.

De lambre hat nach der zweiten Methode direct die Lichtzeit aus den Verfinsterungen der Jupitersatelliten berechnet und für dieselbe 493°15 gefunden, während Glasenapp aus neueren Beobachtungen den wesentlich abweichenden Werth 500°8*) erhält. Es ist sehr schwer, die gegenseitige Genauigkeit dieser beiden Resultate abzuwägen, da die wahrscheinliche Unsicherheit, die dem Delambre'schen Werthe anhaftet, nicht bekannt ist; doch wird man gewiss nicht fehl gehen, wenn man dem Glasenapp'schen den Vorzug gibt und demselben das doppelte Gewicht ertheilt; dann findet sich die Lichtzeit aus beiden Angaben:

Lichtzeit (aus Jupitersatellitenverfinsterungen) = 498⁵25,

mit der aus der Aberrationsconstante abgeleiteten gut übereinstimmend. Doch wird man dem früher angegebenen Werthe 498⁵65 den Vorzug geben, da derselbe aus wesentlich genaueren Beobachtungen abgeleitet wurde, und der hier und da gemachte Einwurf, dass die durch obige Formel hergestellte Verbindung der Aberrationsconstante und der Lichtzeit nicht hinlänglich begründet sei, hinfällig ist. Aus dem obigen Mittelwerthe für die Lichtzeit würde für die Aberrationsconstante der Werth 20"465 resultiren; doch ist diese nahe Übereinstimmung mit dem Nyrén'schen Werthe nur zufällig, eine wesentlich andere Gewichtsvertheilung zwischen dem Delambre'schen und Glasenapp'schen Werthe würde dieselbe sofort minder günstig gestalten.

Der constante Factor $\nu \sin \varphi$ findet sich aus den obigen Angaben unter Annahme des Werthes von Nyrén:

$$\nu\sin\varphi=o''343.$$

Wie man sieht, ist der Coëfficient ν sin φ sehr klein und wird gewöhnlich in den Aberrationsformeln ganz weggelassen, was bei Fixsternen mit um so grösserer Berechtigung geschehen kann, als für einen bestimmten Stern (wofern man von den kleinen Veränderungen absieht, welche die Grössen α , δ , ε und π' mit der Zeit erfahren, und die übrigens nur unmerkliche Glieder zweiter Ordnung veranlassen)

^{*)} Diese Zahl ist Gill's Mittheilung über die Marsparallaxe (Monthly notices Vol. XII, pag. 324) entlehnt; Winnecke theilt mir aus Glasenapp's Magisterschrift die Zahl 497°46 ± 1.08, die aber nach demselben auf 497°44 richtig zu stellen ist.

dieses zweite Glied der Aberration constant wird, also dem Orte desselben anhaftet; will man aber einen gegebenen Ort vollständig von der Aberration befreien, wie dies z. B. bei Bahnbestimmungen gefordert wird, so wäre dieses zweite Glied zu berücksichtigen; doch ist dasselbe so klein, dass man es wol auch ganz übergehen kann.

Die Berechnung des ersten Gliedes der Aberration nach den Formeln 8) (pag. 113) wird durch die Hilfsmittel, welche die Ephemeridensammlungen gewähren, wesentlich erleichtert. Setzt man nämlich:

$$\begin{array}{ccc}
 - \nu \cos \odot \cos \varepsilon = h \sin H = C \\
 - \nu \sin \odot &= h \cos H = D \\
 h \sin H \operatorname{tg} \varepsilon = i,
\end{array}$$

so kann man den ersten Theil der Aberration berechnen nach:

$$\begin{aligned} (\alpha' - \alpha)_1 &= h \sin \left(H + \alpha \right) \sec \delta &= cC + dD \\ (\delta' - \delta)_1 &= h \cos \left(H + \alpha \right) \sin \delta + i \cos \delta = c'C + d'D \\ c &= \cos \alpha \sec \delta & c' = \cos \delta \operatorname{tg} \varepsilon - \sin \delta \sin \alpha \\ d &= \sin \alpha \sec \delta & d' = \sin \delta \cos \alpha. \end{aligned}$$

Die Hilfsgrössen h, H und i einerseits und die Grössen C und D andrerseits sind nur von der Zeit abhängig, können daher leicht mit diesem Argument in die Ephemeriden aufgenommen werden und finden sich auch in denselben mitgetheilt; die ersteren wird man mit Vortheil benützen, wenn die Aberration für einen oder wenige Orte berechnet werden soll; hat man aber für einen gegebenen Stern, für den die Grössen c, d, c' und d' constant sind, eine Ephemeride zu berechnen, so wird es wesentlich bequemer sein, die Hilfsgrössen C und D zu benützen.

Will man aber den vollständigen Ausdruck für die Aberration berechnen, so bedürfen die Gleichungen 10) noch der Hinzufügung der zweiten Glieder der Aberration. Setzt man nämlich:

so wird für den zweiten Theil der Aberration resultiren:

$$\begin{array}{lll} (\alpha'-\alpha)_{\rm II} = h_{\rm o} \sin \; (H_{\rm o}+\alpha) \; {\rm sec} \; \delta & = c \; C_{\rm o} + d \; D_{\rm o} \\ (\delta'-\delta)_{\rm II} = h_{\rm o} \; {\rm cos} \; (H_{\rm o}+\alpha) \; {\rm sin} \; \delta + i_{\rm o} \; {\rm cos} \; \delta = c' C_{\rm o} + d' D_{\rm o}. \end{array} \right\} \quad \ \ ^{\rm 12a)}$$

Nimmt man nach Le-Verrier für die durch die Aberration verminderte Länge des Perigäums der Sonne den Werth:

$$\pi' = 280^{\circ}21'21'' + 61''70 (t_0 - 1850),$$

an, so wird in den Formeln 12 a) einzuführen sein:

Es lässt sich aber auch, ohne die Rechnung der Aberration irgendwie zu compliciren, der vollständige Einfluss derselben berechnen und muss als besonders wünschenswerth bezeichnet werden, dass dem entsprechend die Angaben der Ephemeriden in Zukunft abgeändert würden*). Setzt man nämlich unmittelbar:

in welchen Gleichungen aber die Hilfsgrössen h, H, i, C und D eine gegen früher abgeänderte Bedeutung haben, so ist der vollständige Ausdruck der Aberration:

$$(\alpha' - \alpha) = h \sin (H + \alpha) \sec \delta = cC + dD$$

$$(\delta' - \delta) = h \cos (H + \alpha) \sin \delta + i \cos \delta = c'C + d'D.$$

Die Grössen h, H, i, C und D können leicht in Tafeln gebracht werden, die weiter unten ausführlich zur Erläuterung kommen werden; hier sollen vorerst jene Transformationen angeführt werden, deren man sich bedienen kann, um diese Hilfsgrössen ausschliesslich von einer mit der Zeit proportional veränderlichen Grösse, nämlich der mittleren Länge der Sonne, welche später als Argument I eingeführt wird, abhängig zu machen. Die wahre Länge der Sonne \odot , die Excentricität $e = \sin \varphi$, die Länge des Perigäums π' und die Schiefe der Ekliptik ϵ , sind mit Rücksicht auf die ersten Potenzen der Veränderungen der letzteren drei Grössen mit der Zeit und von den Störungen, deren Produkte in die Aberration unmerklich sind, abgesehen, in Le-Verrier's Sonnentafeln auf die Form

$$I = L_0 + L_1 t + L_2 t^2$$

$$e = e_0 + e_1 t$$

$$\pi' = \pi'_0 + \pi'_1 t$$

$$\varepsilon = \varepsilon_0 + \varepsilon_1 t$$

$$\odot = I + (f_1 + f_1' t) \sin(I - \pi') + (f_2 + f_2' t) \sin 2 (I - \pi')$$

$$+ (f_3 + f_3' t) \sin 3 (I - \pi') + \dots,$$
where die Indices von f den Hinweis auf die Potenz von e enthalten:

gebracht, wobei die Indices von f den Hinweis auf die Potenz von e enthalten; es soll nirgend über Grössen dritter Ordnung der Excentricität hinausgegangen werden. Setzt man:

Erinnert man sich der bekannten Formeln:

$$sin a sin b = \frac{1}{2} cos (a - b) - \frac{1}{2} cos (a + b)
sin a cos b = \frac{1}{2} sin (a + b) + \frac{1}{2} sin (a - b)
cos a sin b = \frac{1}{2} sin (a + b) - \frac{1}{2} sin (a - b)
cos a cos b = \frac{1}{2} cos (a + b) + \frac{1}{2} cos (a - b),$$

^{*)} Das gegen diese Abänderung zu erhebende Bedenken, dass die vorhandenen Sternkataloge in ihren Positionen bereits das dem Wesen nach constante Glied enthielten, ist nicht wesentlich, indem, falls man darauf Rücksicht nehmen wollte, dies leicht mit Hinzuziehung einer Tafel bei der Reduction auf ein bestimmtes System, von dem später die Rede sein wird, ohne wesentliche Mehrarbeit geleistet werden kann.

von denen in der Folge mehrfach Gebrauch gemacht wird, so wird zunächst:

$$F^{2} = \frac{1}{4} F_{1}^{2} + F_{1} F_{2} \cos (I - \pi') - \frac{1}{4} F_{1}^{2} \cos 2 (I - \pi') - F_{1} F_{2} \cos 3 (I - \pi')$$

$$F^{3} = \frac{3}{4} F_{1}^{3} \sin (I - \pi') - \frac{1}{4} F_{1}^{3} \sin 3 (I - \pi'),$$

oder:

$$\cos \odot = (\mathbf{I} - \frac{1}{4} F_1^2) \cos \mathbf{I} - (\frac{1}{2} F_1 + \frac{1}{4} F_1 F_2 - \frac{1}{16} F_1^3) \cos \pi' + (\frac{1}{2} F_1 - \frac{1}{4} F_1 F_2 - \frac{1}{16} F_1^3) \cos (2 \mathbf{I} - \pi') + (\frac{1}{2} F_2 + \frac{1}{8} F_1^2) \cos (3 \mathbf{I} - 2 \pi') + (\frac{1}{2} F_2 - \frac{1}{8} F_1^2) \cos (2 \pi' - \mathbf{I}) + (\frac{1}{4} F_1 F_2 + \frac{1}{48} F_1^3 + \frac{1}{2} F_3) \cos (4 \mathbf{I} - 3 \pi') + (\frac{1}{4} F_1 F_2 - \frac{1}{48} F_1^3 - \frac{1}{4} F_3) \cos (3 \pi' - 2 \mathbf{I}).$$

Für sin o findet man ganz denselben Ausdruck, nur ist überall statt der Cosinusfunction die Sinusfunction einzusetzen.

Entwickelt man nun nach Potenzen der Zeit, so findet sich leicht, wenn man die Glieder zweiter Ordnung fortlässt:

$$cos \odot = \{1 - \frac{1}{4} f_1^2 - \frac{1}{2} f_1 f_1' t\} cos I$$

$$+ \{-\frac{1}{2} f_1 - \frac{1}{4} f_1 f_2 + \frac{1}{16} f_1^3 + [-\frac{1}{2} f_1' - \frac{1}{4} f_1 f_2' - \frac{1}{4} f_2 f_1' + \frac{3}{16} f_1^2 f_1'] t\}$$

$$\{cos \pi_0' - \pi_1' t sin \pi_0'\} +$$

$$+ \{\frac{1}{2} f_1 - \frac{1}{4} f_1 f_2 - \frac{1}{16} f_1^3 + [\frac{1}{4} f_1' - \frac{1}{4} f_1 f_2' - \frac{1}{4} f_2 f_1' - \frac{3}{16} f_1^2 f_1'] t\}$$

$$\{cos \pi_0' cos 2I + sin \pi_0' sin 2I - \pi_1' t sin \pi_0' cos 2I + \pi_1' t cos \pi_0' sin 2I\} +$$

$$+ \{\frac{1}{2} f_2 + \frac{1}{8} f_1^2 + [\frac{1}{2} f_2' + \frac{1}{4} f_1 f_1'] t\} \{cos 2\pi_0' cos 3I + sin 2\pi_0' sin 3I -$$

$$- 2\pi_1' t sin 2\pi_0' cos 3I + 2\pi_1' t cos 2\pi_0' sin 3I\} -$$

$$- \{\frac{1}{2} f_2 - \frac{1}{8} f_1^2 + [\frac{1}{2} f_2' - \frac{1}{4} f_1 f_1'] t\} \{cos 2\pi_0' cos I + sin 2\pi_0' sin I -$$

$$- 2\pi_1' t sin 2\pi_0' cos I + 2\pi_1' t cos 2\pi_0' sin I\} +$$

$$+ \{\frac{1}{4} f_1 f_2 + \frac{1}{48} f_1^3 + \frac{1}{2} f_3 + [\frac{1}{4} f_1 f_2 + \frac{1}{4} f_2 f_1' + \frac{1}{16} f_1^2 f_1' + \frac{1}{2} f_3'] t\}$$

$$\{cos 3\pi_0' cos 4I + sin 3\pi_0' sin 4I - 3\pi_1' t sin 3\pi_0' cos 4I +$$

$$+ 3\pi_1' t cos 3\pi_0' sin 4I\} +$$

$$+ \{\frac{1}{4} f_1 f_2 - \frac{1}{48} f_1^3 - \frac{1}{2} f_3 + [\frac{1}{4} f_1 f_2' + \frac{1}{4} f_2 f_1' - \frac{1}{16} f_1^2 f_1' - \frac{1}{2} f_3'] t\}$$

$$\{cos 3\pi_0' cos 2I + sin 3\pi_0' sin 2I - 3\pi_1' t sin 3\pi_0' cos 2I +$$

$$+ 3\pi_1' t cos 3\pi_0' sin 2I\}.$$

Für den Sinus erhält man ganz analoge Ausdrücke, nur werden die zweiten Factoren der Reihe nach die Formen:

 $\begin{array}{l} \sin I \\ \{\sin \pi_{0} + \pi_{1}' \ t \cos \pi_{0}\} \\ -\sin \pi_{0}' \cos 2I + \cos \pi_{0}' \sin 2I - \pi_{1}' \ t \cos \pi_{0}' \cos 2I - \pi_{1}' \ t \sin \pi_{0}' \sin 2I \\ -\sin 2\pi_{0}' \cos 3I + \cos 2\pi_{0}' \sin 3I - 2\pi_{1}' \ t \cos 2\pi_{0}' \cos 3I - 2\pi_{1}' \ t \sin 2\pi_{0}' \sin 3I \\ \sin 2\pi_{0}' \cos I - \cos 2\pi_{0}' \sin I + 2\pi_{1}' \ t \cos 2\pi_{0}' \cos I + 2\pi_{1}' \ t \sin 2\pi_{0}' \sin I \\ -\sin 3\pi_{0}' \cos 4I + \cos 3\pi_{0}' \sin 4I - 3\pi_{1}' \ t \cos 3\pi_{0}' \cos 4I - 3\pi_{1}' \ t \sin 3\pi_{0}' \sin 4I \\ \sin 3\pi_{0}' \cos 2I - \cos 3\pi_{0}' \sin I + 3\pi_{1}' \ t \cos 3\pi_{0}' \cos 2I + 3\pi_{1}' \ t \sin 3\pi_{0}' \sin 2I \\ \end{array}$

annehmen. Setzt man nach Le-Verrier, indem man mit t die seit dem Jahre 1900 verflossenen julianischen Jahrhunderte bezeichnet:

$$e = + 0.016750 - 0.0000424t \qquad e = 23^{\circ} 27' 8'' - 47''6t$$

$$\pi_{0}' = 281^{\circ} 12' 47'' \qquad \qquad \pi_{1}' = + 6170''$$

$$f_{1} = + 6910'' \qquad \qquad f_{1}' = - 17''5$$

$$f_{2} = + 72'' \qquad \qquad f_{2}' = - 0''4$$

$$f_{3} = + 1'' \qquad \qquad \nu = 20''481,$$

so findet sich, wenn man alle Glieder mitnimmt, die eine halbe Einheit der vierten Decimale der Bogensekunde erreichen:

Weiter ist:

$$\begin{aligned}
\nu e \cos \pi' &= + \text{ o''0667} + \text{ o''0099 } t \\
\nu e \sin \pi' &= - \text{ o·3365} + \text{ o·0029 } t \\
\cos \varepsilon &= \overline{9.962555} + \text{ o·000092 } t \\
\sin \varepsilon &= \overline{9.599866} - \text{ o·000212 } t,
\end{aligned}$$

wobei die überstrichenen Zahlen Logarithmen sind; es ist daher schliesslich:

$$C = h \sin H = -18"7845 \cos I$$

$$-0.0003 \sin I -0"0019 t \cos I$$

$$-0.0012 \cos 2I -0.0091 t \cos 2I$$

$$+0.3086 \sin 2I -0.0026 t \sin 2I$$

$$+0.0054 \cos 3I -0.0001 t \cos 3I$$

$$+0.00022 \sin 3I +0.0004 t \sin 3I$$

$$+0.0001 \cos 4I$$

$$-0.0001 \sin 4I$$

$$D = h \cos H = -0"0003 \cos I$$

$$-20.4747 \sin I$$

$$-0.3364 \cos 2I +0"0029 t \cos 2I$$

$$-0.00667 \sin 2I -0.0099 t \sin 2I$$

$$-0.0024 \cos 3I -0.0004 t \cos 3I$$

$$+0.0001 \cos 4I$$

$$+0.0001 \cos 4I$$

$$+0.0001 \sin 4I$$

$$1 = -8"1491 \cos I$$

$$-0.0025 \cos 2I -0.0039 t \cos 2I$$

$$+0.0005 \sin 2I -0.001 t \sin 2I$$

$$+0.0001 \sin 4I$$

$$1 = -0.0001 \sin 4I$$

$$1 = -0.0001 \sin 4I$$

$$1 = -0.0001 \sin 4I -0.0001 t \sin 2I$$

$$-0.0001 \sin 4I -0.0001 t \sin 2I$$

$$+0.0001 \sin 4I -0.0001 t \sin 2I$$

$$+0.0001 \sin 4I -0.0001 t \sin 2I$$

$$+0.0001 \sin 4I -0.0001 t \sin 2I$$

Die Tabulirung dieser Ausdrücke mit dem Argumente I hat nun keine Schwierigkeit und die Tafel X bietet hierzu die geeigneten Hilfsmittel. Dieselbe enthält eine Reihe weiterer Werthe, die für die nächsten Zwecke nicht nöthig sind und später ihre Erklärung finden, hier sollen nur die für die Berechnung der Aberrationscoëfficienten nöthigen Columnen näher erklärt werden.

Die Tafel X_A (Jahrestafel) gibt für Januar 0.0 mittlere Greenwicher Zeit der vorgeschriebenen gemeinen Jahre, für Januar 1.0 der Schaltjahre in der dritten, mit I_A überschriebenen Columne die von dem constanten Theil der Aberration befreiten, mittleren Sonnenlängen für den Zeitraum 1600 — 2199 nach Le-Verrier's Sonnentafeln. Bezeichnet man mit t die seit der Ausgangsepoche (1900 Januar 0.0 mittlere Greenwicher Zeit) verflossene Zeit in Einheiten des Julianischen Jahres, so hat man nach der genannten Tafel hierfür:

$$279^{\circ} 41' 48''8 + (360^{\circ} + 27''6895) t + 0''000 11073 t^{2}$$

In der Tafel selbst ist aber die gewöhnliche Gradeintheilung nicht beibehalten worden, sondern es erscheint die Peripherie in hundert Theile getheilt, so dass bei der Addition der Jahresargumente mit den Tagesargumenten (Tafel XB) die eventuell auftretenden Hunderter einfach wegzulassen sind. Die Tagestafel Tafel XB gibt in der Columne Ia die für den betreffenden Tag geltenden Correctionen des Jahresargumentes, die stets additiv mit Weglassung der eventuell auftretenden Hunderter anzubringen sind. Man hat hierbei für Schaltjahre besonders auf den Doppeleingang in den Monaten Januar und Februar Acht zu geben. Die so erhaltenen Argumente gelten für o^h mittlere Greenwicher Zeit des zugehörigen Tages. Will man die Rechnung für Greenwicher Mitternacht oder für einen anderen Normalmeridian für oh oder 12h desselben ausführen, so geben die am Fusse der Jahrestafel (XA) angegebenen Zahlen die an die Argumentwerthe anzubringenden Correctionen, welche man wohl am zweckmässigsten mit dem Jahresargumente vereinigt; um die Rechnung für eine beliebige Epoche durchführen zu können, wozu wol selten das Bedürfnis vorhanden sein wird, wurden am Fusse derselben Tafel die Änderungen der Argumente für jeden Zehntheil des Tages angefügt. Da die diessbezüglichen Rechnungen meist ephemeridenartig geführt werden, so wird es sich empfehlen, das eventuell für die gewählte Epoche corrigirte Jahresargument auf den untern Rand eines Zettels zu schreiben; durch entsprechendes Rücken desselben über das gewünschte Tagesargument wird die nothwendige Addition wesentlich vereinfacht.

Hat man das Argument I den gegebenen Regeln entsprechend gebildet, so gibt die Tafel X_c in den letzten fünf Columnen durch entsprechende Interpolation die Aberrationscoëfficienten C, D, $\log h$, H und i; jede dieser Hauptcolumnen ist in zwei Subcolumnen getheilt, aus der ersten wird der für 1900 geltende Werth erhalten, die zweite gibt dessen Änderung in einem Jahrhundert in Einheiten der letzten Decimale des Hauptwerthes. Die Werthe dieser zweiten Subcolumnen sind also mit:

$$t = \frac{t_0 - 1900}{100}$$
.

zu multipliciren und dieses Product zu den Hauptwerthen zu addiren; t_0 stellt die Jahreszahl des vorgelegten Datums dar. Die Mitnahme der t Glieder wird in Folge ihrer Kleinheit ausserordentlich einfach.

Da in den astronomischen Ephemeriden diese Aberrationscoëfficienten meist von Tag zu Tag mitgetheilt werden, und sowol die Bildung der Argumente als die Interpolation der zugehörigen Werthe so einfach geschieht, wird es sich empfehlen, alle Werthe direct zu berechnen. Es soll für den Anfang des Jahres 1883 eine solche von Tag zu Tag fortschreitende Ephemeride als Beispiel hier durchgeführt werden und zwar für 12^h mittlere Berliner Zeit. Man schreibt auf den unteren Rand eines Papieres das Jahresargument, welches mit Rücksicht auf die Correctionen am Fusse der Tafel XA:

Is = 77.726 + 0.127 = 77.853

anzunehmen sein wird, während t den Werth — 0·17 erhält. Rückt man jene Zahl der Reihe nach über die Werthe der Tafel XB vom Januar o angefangen und schreibt das so erhaltene Argument in die zweite Columne des folgenden Schemas, in dessen erster das Datum Aufnahme gefunden hat, so wird man leicht, wenn man die kleinen aus den säcularen Gliedern entstehende Correctionen sofort bei der Interpolation berücksichtigt, erhalten:

1883 12^h mittl. Berl. Zeit Arg. I C D log h H i

Januar 0 77.853
$$-3''402 + 20''491$$
 1.31748 350°34′3 $-1''476$

1 78.127 $-3.731 + 20.424$ 1.31725 349 38.8 -1.619

2 78.401 $-4.059 + 20.349$ 1.31701 348 43.2 -1.760

3 78.674 $-4.384 + 20.268$ 1.31675 347 47.7 -1.902

4 78.948 $-4.708 + 20.181$ 1.31646 346 52.0 -2.043

Man hat zu beachten, dass die hier ermittelten Coëfficienten den vollständigen Betrag der Aberration ergeben, also das sonst vernachlässigte Glied, welches aus dem Producte der Aberration in die Excentricität der Erdbahn entsteht, in sich schliessen.

Zu den Werthen C und D wird man nachträglich, um dieselben in die Ephemeriden aufzunehmen, die vierstelligen Logarithmen aufschlagen, bei $\log h$ wird man dann auch die fünfte Decimale, bei H die Decimaltheile der Minute, bei i die dritte Decimale der Bogensekunden weglassen dürfen.

Für die Ekliptik werden die Formeln einfacher; setzt man in 8) (pag. 113) statt α und δ die Werthe λ und β und nimmt, wie die Transformation dies fordert, $\varepsilon = 0$ an, so wird:

wobei aber die geringe säculare Abnahme der Excentricität der Erdbahn nicht berücksichtigt ist, welcher Fehler übrigens selbst für ferne Epochen nicht merklich hervortritt: für die Sonne selbst wird, da man deren Breite der Null gleich setzen kann:

$$\lambda' \odot - \lambda \odot = -20''481 - 0''343 \cos(\pi' - 0).$$
 21)

Statt dieser Formel kann man aber leicht aus den obigen für $v\cos \odot$ und $v\sin \odot$ (pag. 118) mitgetheilten Werthen, in Verbindung mit der ebenfalls oben angeführten Länge des Sonnenperigäums und deren säcularer Änderung, den folgenden auch die säculare Änderung der Excentricität berücksichtigenden Ausdruck für die Sonnenaberration in Abhängigkeit vom Argumente I erhalten:

$$\lambda'_{\odot} - \lambda_{\odot} = -20''4753 + 0''3364 \sin I - 0''0028 t \sin I - 0.0667 \cos I - 0.0099 t \cos I + 0.0022 \sin 2I + 0.0004 t \sin 2I + 0.0053 \cos 2I - 0.0001 \sin 3I.$$

Die dem vorliegenden Ausdrucke entsprechenden Werthe sind in der Tafel Xamit dem Argumente I in der mit "Aberration" überschriebenen Columne tabulirt; die erste Subcolumne enthält die für 1900 geltenden Werthe, die zweite Subcolumne gibt deren Änderungen in einem Jahrhundert in Einheiten der letzten Decimale des Hauptwerthes, also in Einheiten der dritten Decimale der Bogensekunde. Man hat daher die Werthe dieser zweiten Subcolumne, wenn durch t_0 die Jahreszahl des vorgelegten Datums bezeichnet wird, mit:

$$t=\frac{t_0-1900}{100},$$

zu multipliciren und dieses Product zu dem Hauptwerthe zu addiren.

Als Beispiel soll für den Anfang des Jahres 1883 von zehn zu zehn Tagen eine Ephemeride berechnet werden, geltend für o^h mittlere Berliner Zeit; hierbei ist:

$I_{A} \Rightarrow 77.5$	t = 0.05	t=-0.17,	
o^h mittl. Berl. Zeit	Argument I	Sonnenaberration	
1883 Jan. o	77-716	20"824	
,, 10	80.454	20.820	
,, 20	83.192	 20·804	
,, 30	85.930	20.780	
Febr. 9	88.668	— 20.746.	

Bei der Aufnahme dieser Zahlen in eine Ephemeride kann die dritte Decimale der Bogensekunde fortgelassen werden.

b. Planetenaberration.

Seien x, y und z die heliocentrischen Coordinaten des Himmelskörpers im Momente, in welchem das Licht denselben verlässt, und die zugehörigen heliocentrischen Erd-Coordinaten X, Y und Z, ferner die letzteren zur Zeit als das Licht zur Erde gelangt, X_0 , Y_0 und Z_0 und überdies die geocentrischen Coordinaten des Himmelskörpers in Bezug auf diese beiden Erdorte beziehungsweise ξ , η , ζ , und ξ , η' , ζ' , so bestehen die Relationen:

$$x = X + \xi = X_o + \xi'$$

 $y = Y + \eta = Y_o + \eta'$
 $z = Z + \zeta = Z_o + \zeta';$

Oppolser, Bahnbestimmungen. I. 2. Atflage.

fasst man die Unterschiede $X_0 - X$, $Y_0 - Y$, und $Z_0 - Z$ als differentielle Grössen auf und schreibt dafür dx, dy und dz, so wird:

$$\xi' = \xi - dx$$

$$\eta' = \eta - dy$$

$$\zeta' = \zeta - dz$$

oder durch Einführung der polaren Coordinaten:

$$\varrho' \cos \alpha' \cos \delta' = \varrho \cos \alpha \cos \delta - dx$$
 $\varrho' \sin \alpha' \cos \delta' = \varrho \sin \alpha \cos \delta - dy$
 $\varrho' \sin \delta' = \varrho \sin \delta - dz.$

Daraus ergibt sich ganz so, wie dies für die Fixsternaberration ausgeführt worden ist:

$$\alpha' - \alpha = -\frac{1}{\varrho} \left\{ -\sin\alpha \sec\delta dx + \cos\alpha \sec\delta dy \right\}
\delta' - \delta = -\frac{1}{\varrho} \left\{ -\cos\alpha \sin\delta dx - \sin\alpha \sin\delta dy + \cos\delta dz \right\}.$$
23)

Man kann diese Unterschiede als parallaktische Verschiebung, veranlasst durch die Bewegung der Erde von X, Y, Z nach X_0 , Y_0 , Z_0 , auffassen; dx, dy und dz werden je nach der Zeit, welche das Licht braucht, um vom Himmelskörper zum Beobachter zu gelangen, sehr verschieden gross sein; das Zeitintervall (Lichtzeit) mit dt bezeichnet ist aber bestimmt durch:

$$dt=\frac{\varrho}{\mu},$$

in welcher Formel μ ebenso wie bei der Fixsternaberration die Fortpflanzungsgeschwindigkeit des Lichtes in der Zeiteinheit bedeutet.

Sind $\frac{dx}{dt}$, $\frac{dy}{dt}$, $\frac{dz}{dt}$ die Geschwindigkeiten in den Coordinaten, also: $\frac{dx}{dt}$ dt, $\frac{dy}{dt}$ dt, $\frac{dz}{dt}$ dt die in der Zeit dt, welche in diesem Falle durch $\frac{\varrho}{\mu}$ bestimmt ist, zurückgelegten Strecken, so werden, weil in den Formeln 23):

$$dx = \frac{dx}{dt} \frac{\varrho}{\mu}$$

$$dy = \frac{dy}{dt} \frac{\varrho}{\mu}$$

$$dz = \frac{dz}{dt} \frac{\varrho}{\mu}$$

zu setzen sind, diese sich in:

$$\alpha' - \alpha = -\frac{1}{\mu} \Big\} - \sin \alpha \sec \delta \frac{dx}{dt} + \cos \alpha \sec \delta \frac{dy}{dt} \Big\}$$

$$\delta' - \delta = -\frac{1}{\mu} \Big\} - \cos \alpha \sin \delta \frac{dx}{dt} - \sin \alpha \sin \delta \frac{dy}{dt} + \cos \delta \frac{dz}{dt} \Big\},$$

transformiren, welche Ausdrücke in der Form denjenigen gleichen (vgl. 1) pag. 111), welche für die Fixsternaberration erhalten wurden, nur dass das Zeichen entgegengesetzt ist, woraus der Schluss folgt: die durch die Planetenaberration bedingte parallaktische Verschiebung ist der Fixsternaberration gleichwerthig, das Vorzeichen aber ist verschieden.

Man kann mit Beziehung auf das eben Abgeleitete drei Methoden angeben, nach welchen man den Ort eines Kometen oder Planeten vom Einflusse der Aberration befreien kann. Nennt man die Zeit der Beobachtung t, die Zeit, zu welcher das Licht vom Himmelskörper ausging, T, so ist:

$$dt = t - T = 498^{5}65 \, \varrho$$

Für die erste Methode ergibt sich die folgende Vorschrift: Man zieht von der beobachteten Zeit t, dt (Lichtzeit für die Entfernung ϱ) ab, dann ist der wahre Ort zur Zeit T identisch mit dem scheinbaren zur Zeit t; denn zur Zeit der Beobachtung kompensirt die Fixsternaberration die Planetenaberration (parallaktische Verschiebung) völlig, so dass die scheinbare Sehlinie parallel der Verbindungslinie des Himmelskörpers und des Erdortes zur Zeit T wird. Diese Methode kann man anwenden, wenn man Beobachtungen mit Ephemeriden, die stets wahre Orte geben, vergleicht; man wird mit Hilfe der Distanz die Lichtzeit berechnen, dieselbe von der Beobachtungszeit abziehen, mit der so corrigirten Zeit den Ephemeridenort interpoliren und diesen mit der Beobachtung vergleichen. Wenn die Distanz des Himmelskörpers bekannt ist, so wird die eben erläuterte Methode die bequemste sein.

Die zweite Methode ist eine unmittelbare Folge der ersten; will man nämlich die Beobachtungszeit t selbst beibehalten und nicht auf die Zeit T zurückgehen, so beachte man, dass alle Änderungen vermöge ihrer Kleinheit linear vorausgesetzt, der wahre Ort zur Zeit t mit dem scheinbaren zur Zeit t+dt identisch ist. Man berechne also mit Hilfe einer Ephemeride die scheinbare Bewegung des Himmelskörpers in der Zeit dt, addire diese zur Beobachtung und hat so den wahren Ort zur Zeit t. Diese Methode ist bei weitem weniger zu empfehlen als die vorangehende und einer Beschränkung deshalb unterworfen, weil dieselbe ausser der Distanz die scheinbare Bewegung als bekannt voraussetzt, während die erste Methode nur die Kenntnis der Distanz erfordert. Man würde sie nur dann mit Vortheil anwenden, wenn die Forderung vorläge, eine Ephemeride zu berechnen, die den scheinbaren und nicht den wahren Ort des Himmelskörpers angibt.

Die dritte Methode endlich, welche mit Vortheil bei ersten Bahnbestimmungen benützt wird, besteht darin, dass man die zur Zeit t beobachteten Coordinaten von der Fixsternaberration vollständig (also mit Berücksichtigung der von der Erdbahnexcentricität abhängigen Glieder) befreit, und die so corrigirte Beobachtung als wahren Ort des Himmelskörpers zur Zeit T, gesehen von dem zur Beobachtungszeit t gehörigen Erdorte, annimmt. Diese Methode eignet sich besonders für erste Bahnbestimmungen, weil der Erdort und die aus demselben abgeleiteten Hilfsgrössen ungeändert bleiben.

5. Änderungen der Fundamentalebenen im Raume.

Die Lage der Fundamentalebenen (Äquator und Ekliptik) ist säcularen und periodischen Störungen unterworfen. Die säcularen Änderungen fasst man unter dem Namen der Präcession zusammen, die periodischen werden in den Begriff der Nutation einbezogen. Eine Folge dieser Störungen ist, dass die Lage des Äquinoctialpunktes ebenfalls Änderungen erleidet. Befreit man eine Beobachtung vom Einflusse der Aberration und den periodischen Änderungen der Fundamentalebenen (Nutation), so sagt man, dass diese Beobachtung auf das mittlere Äquinoctium der Zeit der Beobachtung bezogen ist. Durch Anbringen der Präcession kann man die Reduction auf ein beliebiges anderes mittleres Äquinoctium ausführen. Befreit man die auf das scheinbare Äquinoctium bezogene Beobachtung nur von dem Einflusse der Aberration, so ist diese Beobachtung auf das wahre Äquinoctium reducirt.

Die säcularen Veränderungen, welche die Lage der Ekliptik erfährt, sind durch den störenden Einfluss der Planeten des Sonnensystems bedingt; die periodischen Veränderungen, welche durch diesen verursacht werden, bringt man als Störungen in der Breite gesondert in Rechnung, dieselben sind daher von der vorliegenden Untersuchung auszuschliessen. Wählt man eine fixe Ekliptik als Fundamentalebene, so kann man die Lage einer andern Ekliptik durch die Länge des aufsteigenden Knotens (Π) und ihre Neigung (π) gegen die fixe definiren. Den Gleichungen, welche diese beiden Grössen bestimmen, kann man, da, wie schon oben erwähnt, die periodischen Störungen anderweitig in Rechnung gezogen werden, die Form ertheilen:

$$\begin{array}{l}
\operatorname{tg} (\pi) \sin (\Pi) = p_1 \ t + p_2 \ t^2 + p_3 \ t^3 + \cdots \\
\operatorname{tg} (\pi) \cos (\Pi) = q_1 \ t + q_2 \ t^2 + q_3 \ t^3 + \cdots
\end{array} \right\} \quad \text{1a}$$

Zählt man die Zeit in Einheiten des julianischen Jahrhunderts = 36525 mittlere Sonnentage von der Epoche 1850,0, so hat man nach Le-Verrier's Sonnentafeln (Annales de l'observatoire de Paris IV pag. 49 und 50) mit Rücksicht auf die in demselben Bande pag. 96 gegebenen Massencorrectionen ($\nu' = + 0.004$, $\nu''' = -0.105$) anzunehmen*):

$$p_1 = + 5''841$$
, $p_2 = + 0''1964$, $p_3 = -0''00023$
 $q_1 = -47''594$, $q_2 = + 0''0568$, $q_3 = + 0''00054$.

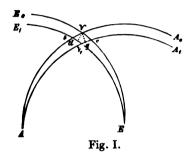
Die Glieder p_3 und q_3 finden sich zwar in den Sonnentafeln nicht angeführt, ich habe dieselben jedoch nach Le-Verrier's Untersuchungen über die Säcularstörungen (Annales de observatoire de Paris II p. 162) genähert berechnet; der Einfluss dieser Glieder ist selbst für sehr entfernte Epochen nicht bedeutend und verschwindet fast gegen die anderweitig bestehenden Unsicherheiten.

Die Lageveränderungen der Ebene des Erdäquators sind hauptsächlich durch die Wirkung des Mondes und der Sonne auf den abgeplatteten Erdkörper bedingt;

^{*)} Diese Annahmen sind nicht die besten, die man gegenwärtig zu machen in der Lage ist, doch glaube ich. dass es wegen der Conformität mit den in Verwendung kommenden Sonnentafeln erwünscht sei, die obigen Zahlenwerthe zu wählen.

diese Veränderungen, welche wesentlich grösser sind als jene der Ekliptik, sollen in dem vorliegenden Werke aus dem Attractionsgesetze vollständig ermittelt werden. Um diese Aufgabe in allgemein verständlicher Weise lösen zu können, müssen noch einige vorbereitende Entwicklungen vorgenommen und diesen die Erläuterung der bei der Präcession und Nutation auftretenden Bogen und ihrer Bezeichnungen vorangeschickt werden.

Die periodischen Änderungen der Lage des Äquinoctialpunktes in der Ekliptik bezeichnet man als Nutation in Länge, jene in der Neigung der Ekliptik gegen den Äquator als Nutation der Schiefe der Ekliptik. Um die säcularen Änderungen der Fundamentalebene zu erläutern, nehme ich eine Figur zu Hilfe, welche diejenige Lage der grössten Kreise, in der dieselben, vom Centrum der Himmelskugel aus gesehen, erscheinen, darstellt. Zeichnet man die Durchschnitte einer Ebene mit der



Himmelskugel als Kreise, so kann die beistehende Figur (Fig. I) als Schema dienen; die in derselben gezogenen Kreise repräsentiren grösste Kreise auf der Himmelskugel; EE_0 sei ein Bogen der als fix angenommenen mittleren Ekliptik zur Zeit t=0; die Lage des derselben Zeit angehörigen mittleren Äquators sei durch den Bogen AA_0 dargestellt, der Durchschnittspunkt beider Kreise γ ist demnach der mittlere Früh-

jahrspunkt zur Zeit der Ausgangsepoche und der Winkel $E_0 \gamma A$ die mittlere Schiefe der Ekliptik für denselben Moment. Der Umstand, dass die Trägheitsmomente des Erdkörpers bezogen auf drei auf einander senkrechte Achsen verschieden sind, bedingt: dass die vereinigte Attraction des Mondes und der Sonne eine Lageveränderung des Äquators bewirkt, während die Lage der Ekliptik hiedurch nicht beeinflusst wird, und zwar weicht der Äquator mit nahezu constanter Neigung auf der Ekliptik zurück, in der Zeit t wird er etwa die Lage AA_1 einnehmen, der Durchschnittspunkt des beweglichen Äquators auf der fixen Ekliptik wird durch den Punkt c dargestellt. Der Bogen γc , um welchen Betrag der bewegliche Äquator auf der fixen Ekliptik zurückgewichen ist, wird die lunisolare Präcession genannt, der Winkel $E_0 c A$ ist die Schiefe der fixen Ekliptik gegen den beweglichen Äquator, welcher Winkel in der Folge mit ϵ' bezeichnet werden soll.

Wie schon erwähnt, erfährt durch den störenden Einfluss der Planeten die mittlere Ekliptik ebenfalls säculare Änderungen; nimmt man an, dass zur Zeit t die so veränderte Ekliptik durch den Bogen E_1E dargestellt sei, so wird der Frühjahrspunkt zur Zeit t durch V_1 bezeichnet sein; der Winkel EV_1A ist, wenn der Bogen AA_1 dem mittleren Äquator angehört, die zu dieser Zeit gehörende mittlere Schiefe der Ekliptik, die mit ε bezeichnet werden soll; den Bogen cV_1 , dessen Entstehung durch die störende Wirkung der Planeten veranlasst wird, nennt man die Präcession durch die Planeten. Denkt man sich den Bogen VE seiner Grösse nach auf dem Bogen E_1E von E aus aufgetragen, so dass gewissermassen E als Drehungspunkt erscheint, so wird das Ende desselben auf den Punkt d treffen, welcher in der

Zeichnung mit dem Punkte γ durch eine punktirte Linie verbunden erscheint; der Bogen $d\gamma_1$ wird, wenn wieder durch AA_1 der mittlere Äquator dargestellt ist, die allgemeine Präcession genannt und ist diejenige Grösse, um welche die Längen durch die vereinigte Wirkung der Planeten einerseits und des Mondes und der Sonne auf das Erdellipsoid anderseits zunehmen. Diese Definition für die allgemeine Präcession soll in dem vorliegenden Werke festgehalten werden.

Nachdem so die Nomenclatur festgestellt ist, sollen nunmehr die Bewegungen des Äquators gegen die fixe Ekliptik als Folge der Anziehung des Mondes und der Sonne auf das Erdellipsoid dargelegt werden; hierbei wird die Erde als ein absolut starrer Körper betrachtet werden, eine Annahme, der immerhin berechtigte Zweifel entgegengebracht werden können; man wird sich daher gegenwärtig halten müssen, dass die Richtigkeit der folgenden Resultate von dieser einschränkenden Bedingung abhängig ist.

A. Theoretische Bestimmung der Ausdrücke für die Präcession und Nutation.

a. Die Euler'schen Differentialgleichungen der Rotationsbewegung.

Bei der Betrachtung der Bewegung eines starren Körpers kann man sich dieselbe stets in zwei Bewegungen zerlegt denken, nämlich eine für alle Theile des starren Körpers gemeinschaftlich fortschreitende und eine rotirende, die um einen Punkt, der für diese letztere Bewegung als fest gedacht werden kann, stattfindet. Den starren Körper kann man sich aus den Massenelementen m_1, m_2, m_3, \cdots bestehend vorstellen, an welche die den Coordinatenaxen parallelen Kraftcomponenten beziehungsweise $X_1, Y_1, Z_1; X_2, Y_2, Z_2; \cdots$ angreifen; die Coordinaten dieser Punkte sollen dargestellt sein:

für
$$m_1$$
 durch: $x_1 + x_1$, $y_1 + y_1$, $z_1 + z_1$
,, m_2 ,, $x_1 + x_2$, $y_1 + y_2$, $z_1 + z_2$
,, m_3 ,, $x_1 + x_3$, $y_1 + y_3$, $z_1 + z_3$

Wie man sieht, ist jede Coordinate in zwei Theile zerfällt und zwar: in einen für alle Coordinaten derselben Achse constanten Theil und einen mit dem Massenpunkte veränderlichen. Diese Zerfällung erweist sich für die Folge vortheilhaft, indem durch dieselbe an die Coordinaten $x_1, y_1, z_1; x_2, y_2, z_2; \cdots$ Bedingungen geknüpft werden können, welche die zu benützenden Gleichungen wesentlich einfacher gestalten.

Soll der starre Körper im Gleichgewichte sein, so müssen bekanntlich die Gleichungen:

$$\Sigma X = 0, \qquad \Sigma \{(x, + x) Y - (y, + y) X\} = 0
\Sigma Y = 0, \qquad \Sigma \{(z, + z) X - (x, + x) Z\} = 0
\Sigma Z = 0, \qquad \Sigma \{(y, + y) Z - (z, + z) Y\} = 0$$
1)

bestehen, in welchen die Summen sich auf alle Massenelemente $m_1, m_2, m_3 \cdots$ des starren Körpers beziehen, demnach für die diesbezüglichen Kräfte und Coordinaten

unter dem Summenzeichen keine Indices geschrieben wurden. Nach dem d'Alembert'schen Princip erhält man, nachdem die mit der Masse multiplicirte Beschleunigung der wirkenden Kraft gleich gesetzt wurde, die Relationen:

$$\Sigma \left\{ X - m \left(\frac{d^{2}x_{i}}{dt^{2}} + \frac{d^{2}x}{dt^{2}} \right) \right\} = 0$$

$$\Sigma \left\{ Y - m \left(\frac{d^{2}y_{i}}{dt^{2}} + \frac{d^{2}y}{dt^{2}} \right) \right\} = 0$$

$$\Sigma \left\{ Z - m \left(\frac{d^{2}z_{i}}{dt^{2}} + \frac{d^{2}z}{dt^{2}} \right) \right\} = 0$$

$$\Sigma \left\{ [x_{i} + x_{i}] \left[Y - m \left(\frac{d^{2}y_{i}}{dt^{2}} + \frac{d^{2}y}{dt^{2}} \right) \right] - [y_{i} + y_{i}] \left[X - m \left(\frac{d^{2}x_{i}}{dt^{2}} + \frac{d^{2}x}{dt^{2}} \right) \right] \right\} = 0$$

$$\Sigma \left\{ [x_{i} + x_{i}] \left[X - m \left(\frac{d^{2}x_{i}}{dt^{2}} + \frac{d^{2}x}{dt^{2}} \right) \right] - [x_{i} + x_{i}] \left[Z - m \left(\frac{d^{2}z_{i}}{dt^{2}} + \frac{d^{2}z}{dt^{2}} \right) \right] \right\} = 0$$

$$\Sigma \left\{ [y_{i} + y_{i}] \left[Z - m \left(\frac{d^{2}z_{i}}{dt^{2}} + \frac{d^{2}z}{dt^{2}} \right) \right] - [z_{i} + z_{i}] \left[Y - m \left(\frac{d^{2}y_{i}}{dt^{2}} + \frac{d^{2}y}{dt^{2}} \right) \right] \right\} = 0.$$

In diesen Gleichungen ist offenbar weder eine bestimmte Annahme über die Lage des fix gedachten Coordinatensystems noch über die Coordinaten z., y. und z., gemacht; man kann über dieselben willkürlich verfügen. Es sollen nun diese Coordinaten so gewählt werden, dass für die mit den Massenelementen veränderlichen Coordinaten:

$$\sum mx = 0, \quad \sum my = 0, \quad \sum mz = 0,$$

wird, welche Annahme offenbar unter allen Umständen gestattet ist; beachtet man, dass das Summenzeichen sich nur auf die verschiedenen Massenelemente bezieht, also die Coordinaten x_i , y_i , und z_i , von demselben unabhängig sind, so dass man allgemein schreiben darf:

$$\Sigma \varphi(x, y, z) f(x, y, z) = f(x, y, z) \Sigma \varphi(x, y, z),$$

und setzt überdiess:

$$M = \Sigma m = m_1 + m_2 + m_3 + \cdots, \qquad a)$$

so verwandeln sich zunächst die ersten drei Gleichungen in 2) in:

$$M rac{d^2x_i}{dt^2} = \Sigma X$$
 $M rac{d^2y_i}{dt^2} = \Sigma Y$
 $M rac{d^2z_i}{dt^2} = \Sigma Z,$
 $4a)$

da offenbar nach 3) auch gesetzt werden kann:

$$\sum m \frac{d^2x}{dt^2} = 0, \qquad \sum m \frac{d^2y}{dt^2} = 0, \qquad \sum m \frac{d^2z}{dt^2} = 0.$$

Die Reduction der anderen Gleichungen gestaltet sich ebenfalls sehr einfach. Denkt man sich die Klammern unter den Summenzeichen aufgelöst und beachtet, dass unter den Annahmen über x_i , y_i und z_i :

$$\frac{d^2x}{dt^2} \sum m \ x = 0,$$

$$\frac{d^2y}{dt^2} \sum m \ y = 0,$$

$$x, \sum m \frac{d^2x}{dt^2} = 0,$$

$$y, \sum m \frac{d^2y}{dt^2} = 0,$$

$$\begin{aligned} x, \Sigma \left\{ Y - m \left(\frac{d^2 y}{d t^2} + \frac{d^2 y}{d t^2} \right) \right\} &= 0, & y, \ \Sigma \left\{ X - m \left(\frac{d x^2}{d t^2} + \frac{d^2 x}{d t^2} \right) \right\} &= 0, \\ x, \Sigma \left\{ Z - m \left(\frac{d^2 z_r}{d t^2} + \frac{d^2 z}{d t^2} \right) \right\} &= 0, & y, \ \Sigma \left\{ Z - m \left(\frac{d^2 z_r}{d t^2} + \frac{d^2 z}{d t^2} \right) \right\} &= 0, \\ \frac{d^2 z_r}{d t^2} \ \Sigma \ m \ z &= 0 \\ z, \ \Sigma \ m \ \frac{d^2 z}{d t^2} &= 0 \\ z, \ \Sigma \left\{ X - m \left(\frac{d^2 x_r}{d t^2} + \frac{d^2 x}{d t^2} \right) \right\} &= 0, \\ z, \ \Sigma \left\{ Y - m \left(\frac{d^2 y_r}{d t^2} + \frac{d^2 y}{d t^2} \right) \right\} &= 0, \end{aligned}$$

ist, so erhält man leicht:

$$\Sigma m \left(x \frac{d^2y}{dt^2} - y \frac{d^2x}{dt^2} \right) = \Sigma \left(xY - yX \right)$$

$$\Sigma m \left(z \frac{d^2x}{dt^2} - x \frac{d^2z}{dt^2} \right) = \Sigma \left(zX - xZ \right)$$

$$\Sigma m \left(y \frac{d^2z}{dt^2} - z \frac{d^2y}{dt^2} \right) = \Sigma \left(yZ - zY \right).$$
4b)

Die Gleichungen 4a) und 4b) bilden zusammen ein System von Differentialgleichungen, welches die Bewegung eines starren Körpers vollständig beschreibt; sieht man ab von den Kräften X, Y und Z, die im Allgemeinen wohl Functionen von x_i , y, und z_i , und den je nach den Massenelementen mit verschiedenen Indices zu bezeichnenden Coordinaten x, y und z sind, so enthalten die Gleichungen 4a) nur die durch die Bedingungen 3) bestimmten Coordinaten, 4b) aber nur die relativen Coordinaten der Massenelemente gegen den durch x_i , y_i und z_i , definirten Punkt. Die ersteren Gleichungen beschreiben also die allen Theilen des starren Körpers gemeinsame fortschreitende Bewegung; man nennt den durch die Coordinaten x_1 , y_2 , und z_3 , bezeichneten durch die Gleichungen 3) Die letzteren Gleichungen, nämlich 4b), bedefinirten Punkt den Schwerpunkt. stimmen die Rotationsbewegung; man hat sich hierbei zu erinnern, dass in diesen der Anfangspunkt des Coordinatensystems in den Schwerpunkt verlegt gedacht ist, dass aber die Lage der Achsen ihrer Richtung nach sonst völlig willkürlich ist. Die Gleichungen 4a), welche die Bewegung des Schwerpunktes darstellen, sind bereits oben (pag. 43) verwendet worden, als die Bewegung eines Planeten um die Sonne, beide Himmelskörper als materielle Punkte betrachtet, in Rechnung gezogen wurde; für die folgenden Untersuchungen wird nur das Gleichungssystem 4b) in Betracht kommen.

Führt man in die Gleichungen 4b) statt eines festen Coordinatensystems ein bewegliches ein, welches mit dem rotirenden Körper fest verbunden gedacht ist, und dessen Anfangspunkt mit dem Schwerpunkte zusammenfällt, so werden die Coordinaten des Massenpunktes m_1 in diesem Systeme in der Folge durch x_1' , y_1' und z_1' zu bezeichnen, ebenso die Coordinaten der übrigen Massenelemente m_2 , m_3 , .. mit den entsprechenden Indices zu versehen sein. Unmittelbar aber dürfen diese Coordinaten in die Gleichungen 4b) nicht eingeführt werden, weil die oben angesetzten auf das d'Alembert'sche Princip gegründeten Differentialgleichungen im Allgemeinen für ihre Giltigkeit ein festes Coordinatensystem voraussetzen; auf diesen Umstand

muss desshalb später gehörig Rücksicht genommen werden. An diese neuen Coordinaten x', y' und z' soll vorerst die Bedingung geknüpft werden, dass sie den Gleichungen:

 $\sum mx'y' = 0$, $\sum mx'z' = 0$, $\sum my'z' = 0$, 5)

genügen, wobei das Summenzeichen sich wieder auf die verschiedenen Massenpunkte und deren Coordinaten bezieht. Die Berechtigung dieser Bedingungen muss aber besonders nachgewiesen werden, weil dieselbe nicht so offenkundig zu Tage liegt, wie die durch die Gleichungen 3) (pag. 127) eingeführten Annahmen.

Denkt man sich irgend ein rechtwinkliges Coordinatensystem und durch den Anfangspunkt desselben eine Gerade gezogen, welche mit der X, Y und Z-Achse beziehungsweise die Winkel α , β und γ einschliesst, so wird der Abstand Δ eines durch die Coordinaten x, y und z definirten Punktes von dieser Linie bestimmt sein durch:

$$\Delta^{2} = x^{2} + y^{2} + z^{2} - (x \cos \alpha + y \cos \beta + z \cos \gamma)^{2}.$$

Die Richtigkeit dieser Relation leuchtet sofort ein, wenn man bedenkt, dass der Anfangspunkt des Coordinatensystems, der in Betracht gezogene Massenpunkt und der Fusspunkt des vom Massenpunkte auf die vorgelegte Gerade gefällten Perpendikels ein rechtwinkliges Dreieck einschliessen, dessen eine Kathete Δ , die andere $z\cos\alpha+y\cos\beta+z\cos\gamma$ ist, während das Quadrat der Hypothenuse offenbar durch $z^2+y^2+z^2$ dargestellt wird. Aus dieser Gleichung folgt aber sofort:

$$\mathcal{A}^2 = x^2 \sin \alpha^2 + y^2 \sin \beta^2 + z^2 \sin \gamma^2 - 2xy \cos \alpha \cos \beta - 2xz \cos \alpha \cos \gamma - 2yz \cos \beta \cos \gamma. 6$$

Betrachtet man nun alle Massenpunkte des starren Körpers und bildet die Summe:

$$\sum m \Delta^2$$

so nennt man diesen Werth das Trägheitsmoment des starren Körpers in Bezug auf die in Betracht gezogene Gerade. Für einen gegebenen speciellen Fall werden aber, gleichgiltig in welcher Richtung man sich die Gerade durch den Anfangspunkt der Coordinaten gezogen denkt, die Summen:

$$\Sigma mx^2 = T_x,$$
 $\Sigma my^2 = T_y,$ $\Sigma mz^2 = T_z,$
 $\Sigma myz = P_x,$ $\Sigma mxz = P_y,$ $\Sigma mxy = P_z,$

Constanten sein. Multiplicirt man demnach 'die Gleichung 6) beiderseits mit dem zu Δ gehörenden Werthe von m und bildet dann die Summe für alle Massenelemente, so erhält man das Trägheitsmoment des starren Körpers in Bezug auf die in Betracht gezogene durch die Winkel α , β und γ bestimmte Gerade ausgedrückt durch:

$$\tau = T_x \sin \alpha^2 + T_y \sin \beta^2 + T_z \sin \gamma^2 - 2 P_x \cos \beta \cos \gamma - 2 P_y \cos \alpha \cos \gamma - 2 P_z \cos \alpha \cos \beta.$$
 7)

Es kann das Trägheitsmoment niemals Null werden, sobald Massentheile vorhanden sind, die nicht in der gezogenen Geraden allein liegen; man kann demnach für das vorliegende Problem annehmen, dass τ stets ein positiver Werth zukommt. Trägt man demnach die stets endliche Grösse $i: \sqrt{\tau}$ auf der Geraden vom Anfangspunkte der

Coordinaten auf, so werden die Coordinaten dieses Endpunktes ξ , η und ζ bestimmt sein durch:

 $\xi = \frac{\cos a}{\sqrt{\tau}}, \quad \eta = \frac{\cos \beta}{\sqrt{\tau}}, \quad \zeta = \frac{\cos \gamma}{\sqrt{\tau}}.$

Setzt man die aus diesen Relationen sich ergebenden Werthe in die Gleichung 7) ein und erinnert sich, dass die Gleichung:

$$\cos \alpha^2 + \cos \beta^2 + \cos \gamma^2 = 1$$

besteht, somit auch:

$$\sin \alpha^2 = \cos \beta^2 + \cos \gamma^2$$

$$\sin \beta^2 = \cos \alpha^2 + \cos \gamma^2$$

$$\sin \gamma^2 = \cos \alpha^2 + \cos \beta^2$$

ist, so erhält man:

$$1 = (T_y + T_z) \, \xi^2 + (T_x + T_z) \, \eta^2 + (T_x + T_y) \, \zeta^2 - 2 \, P_x \, \eta \, \zeta - 2 \, P_y \, \xi \, \zeta - 2 \, P_z \, \xi \, \eta.$$

Denkt man sich dieselbe Operation für alle möglichen Lagen der Geraden ausgeführt, so werden, weil $V\tau$ ein stets endlicher Werth zukommt, die Endpunkte der Abschnitte $1:V\tau$ eine geschlossene Fläche bilden; diese ist nach der letzten Gleichung ein dreiachsiges Ellipsoid. Das oben betrachtete Coordinatensystem hat seinen Anfangspunkt den gemachten Voraussetzungen nach im Schwerpunkte, die Achsen selbst sind bezüglich ihrer Lage nicht näher bestimmt; legt man aber dieselben so, dass die Achsen mit den drei Achsen des Ellipsoids zusammenfallen, so nimmt die vorliegende Gleichung die Gestalt:

$$\mathbf{I} = (T_y + T_z) \, \xi^2 + (T_x + T_z) \, \eta^2 + (T_x + T_y) \, \zeta^2,$$

an, woraus man schliessen kann, dass durch diese Wahl der Lage der Coordinatenachsen P_x , P_y und P_z der Null gleich sind, somit nach der Bedeutung dieser Grössen:

 $\Sigma myz = 0, \qquad \Sigma mxz = 0, \qquad \Sigma mxy = 0$ wird.

Aus dieser Betrachtung leitet man einige wichtige Schlüsse ab, zunächst die Richtigkeit der oben (Gleichung 5) pag. 129) geforderten Bedingung, dass die Summen aus den Producten je zweier Coordinaten in das zugehörige Massenelement der Null gleich gesetzt werden können. Ist das gewählte Coordinatensystem diesen Bedingungen gemäss bestimmt, so nennt man die diesbezüglichen Achsen die Hauptachsen der Trägheit; die auf diese Hauptachsen bezogenen Trägheitsmomente werden die Hauptträgheitsmomente genannt; zu deren Berechnung dienen die allgemein giltigen Formeln:

$$A = \sum m (y'^2 + z'^2) B = \sum m (x'^2 + z'^2) C = \sum m (x'^2 + y'^2).$$
 8)

Ferner kann man aus der obigen Gleichung schliessen, dass jeder wie immer zusammengesetzte Körper stets drei Hauptachsen der Trägheit hat, die auf einander senkrecht stehen; man kann sich daher, wenn man nur die Bewegungsverhältnisse des starren Körpers selbst in Betracht ziehen will, denselben durch ein homogenes dreiachsiges Ellipsoid ersetzt denken, welches durch Poinsot den Namen Centralellipsoid erhalten hat.

Aus der Combination der vorstehenden Gleichungen wird man leicht schliessen, dass: $T_y + T_z = A$, $T_x + T_z = B$, $T_x + T_y = C$,

ist, demnach wird die Gleichung des Centralellipsoids lauten:

$$Ax^2 + By^2 + Cz^2 = 1.$$

Diese letzteren und weitere sich daran knüpfende Betrachtungen sind für den zunächst vorliegenden Zweck nicht nöthig.

Stellt man in der Gleichung 4b) (pag. 128) die Forderung, dass in derselben ein Coordinatensystem eingeführt wird, welches als Achsen die Hauptachsen der Trägheit hat, so wird man durch entsprechende Transformationen statt der Coordinaten x, y, z die Coordinaten x', y', z' einzuführen haben.

Seien x', y' und z' die auf die Hauptachsen der Trägheit bezogenen Coordinaten des Massenpunktes m, und x, y, z die für das feste Achsensystem geltenden Coordinaten, so werden zur Transformation der Coordinaten zunächst die bekannten Relationen:

bestehen. In diesen Gleichungen stellen die Buchstaben a, b, c, a', b', c', a'', b'', c'' Cosinus von Winkeln dar und wird, wenn man die Winkel durch die einschliessenden Achsen bezeichnet, wobei die accentuirten Buchstaben den Achsen des beweglichen, die nicht mit einen Accente versehenen jenen des festen Systems angehören, sein:

$$a = \cos(XX')$$
 , $a' = \cos(YX')$, $a'' = \cos(ZX')$
 $b = \cos(XY')$, $b' = \cos(YY')$, $b'' = \cos(ZY')$
 $c = \cos(XZ')$, $c' = \cos(YZ')$, $c'' = \cos(ZZ')$

Zwischen diesen neun Cosinusfunctionen bestehen bekanntlich gewisse Relationen, welche, weil in der Folge vielfach nöthig, hier übersichtlich zusammengestellt werden:

$$\begin{vmatrix}
a^{2} + a'^{2} + a''^{2} = 1 \\
b^{2} + b'^{2} + b''^{2} = 1 \\
c^{2} + c'^{2} + c''^{2} = 1
\end{vmatrix}$$

$$\begin{vmatrix}
a^{2} + b^{2} + c^{2} = 1 \\
c^{2} + c'^{2} + c''^{2} = 1
\end{vmatrix}$$

$$\begin{vmatrix}
a^{2} + b^{2} + c^{2} = 1 \\
a'^{2} + b'^{2} + c'^{2} = 1
\end{vmatrix}$$

$$\begin{vmatrix}
a^{2} + b^{2} + c^{2} = 1 \\
a''^{2} + b''^{2} + c''^{2} = 1
\end{vmatrix}$$

$$\begin{vmatrix}
a^{2} + b^{2} + c^{2} = 1 \\
a''^{2} + b''^{2} + c''^{2} = 1
\end{vmatrix}$$

$$\begin{vmatrix}
a^{2} + b^{2} + c^{2} = 1 \\
a''^{2} + b''^{2} + c''^{2} = 1
\end{vmatrix}$$

$$\begin{vmatrix}
a^{2} + b^{2} + c^{2} = 1 \\
a''^{2} + b''^{2} + c''^{2} = 1
\end{vmatrix}$$

$$\begin{vmatrix}
a^{2} + b^{2} + c^{2} + c^{2} = 1 \\
a''^{2} + b''^{2} + c'^{2} = 1
\end{vmatrix}$$

$$\begin{vmatrix}
a^{2} + b^{2} + c^{2} + c$$

Aus diesen Relationen sollen einige Folgerungen abgeleitet werden, welche die späteren Entwicklungen möglichst kurz gestalten. Die Differentiation der Gleichungen ei

nach t ergibt, wenn alle neun Cosinusfunctionen als mit t variabel gedacht sind, unter Einführung der abkürzenden Bezeichnungen r, q und p:

$$b da + b'da' + b''da'' = - \{a db + a'db' + a''db''\} = r dt a dc + a'dc' + a''dc'' = - \{c da + c'da' + c''da''\} = q dt c db + c'db' + c''db'' = - \{b dc + b'dc' + b''dc''\} = p dt.$$
 k)

Die Differentiation der Gleichungen c) ergibt aber:

$$a da + a'da' + a''da'' = 0 b db + b'db' + b''db'' = 0 c dc + c' dc' + c'' dc'' = 0.$$

Um die in der Folge nöthigen Operationen ohne allzuviel erklärende Worte in möglichst übersichtlicher Weise ausführen zu können, sollen die Gleichungen k) und l) symbolisch geschrieben werden, nämlich:

$$K_1^{(1)} = K_1^{(2)} = r dt$$
 , $l_1 = 0$
 $K_2^{(1)} = K_2^{(2)} = q dt$, $l_2 = 0$
 $K_3^{(1)} = K_3^{(2)} = p dt$, $l_3 = 0$;

die Vergleichung dieser beiden Systeme mit den obigen k) und l) lässt die Bedeutung der Symbole ohne Schwierigkeit erkennen. Führt man nun die Operationen, welche in den linker Hand stehenden Gliedern der folgenden Gleichungen angedeutet sind, durch, so wird man mit Rücksicht auf die früher gesammelten Relationen leicht finden: $a K_2^{(1)} - b K_3^{(2)} + c l_3 = dc = (a q - b p) dt$

$$\begin{array}{l} a \ K_{2}^{(1)} - b \ K_{3}^{(2)} + c \ l_{3} = dc = (a \ q - b \ p) \ dt \\ a' K_{2}^{(1)} - b' K_{3}^{(2)} + c' \ l_{3} = dc' = (a' q - b' p) \ dt \\ a'' K_{2}^{(1)} - b'' K_{3}^{(2)} + c'' \ l_{3} = dc'' = (a'' q - b'' p) \ dt \\ c \ K_{3}^{(1)} - a \ K_{1}^{(2)} + b \ l_{2} = db = (c \ p - a \ r) \ dt \\ c' K_{3}^{(1)} - a' K_{1}^{(2)} + b' \ l_{2} = db' = (c' p - a' r) \ dt \\ c' K_{3}^{(1)} - a'' K_{1}^{(2)} + b'' \ l_{2} = db'' = (c'' p - a'' r) \ dt \\ b \ K_{1}^{(1)} - c \ K_{2}^{(2)} + a \ l_{1} = da = (b \ r - c \ q) \ dt \\ b' K_{1}^{(1)} - c' K_{2}^{(2)} + a' \ l_{1} = da' = (b'' r - c' \ q) \ dt \\ b'' K_{1}^{(1)} - c'' K_{2}^{(2)} + a'' \ l_{1} = da'' = (b''' r - c'' \ q) \ dt \end{array} \right\} p)$$

Die Gleichungen m), n) und p) geben die Differentiale der neun Cosinusfunctionen an; multiplicirt man dieselben entsprechend dem im nächsten Gleichungssysteme q), links vom Gleichheitszeichen stehenden Ausdruck untereinander und addirt die zusammengehörigen Produkte, so findet sich mit Rücksicht auf die Relationen e) und c):

Differentiirt man die Gleichungen k) nochmals nach t, so erhält man, die eben angeführten Relationen q) beachtend, ohne Schwierigkeit:

$$b \frac{d^{2}a}{dt^{2}} + b' \frac{d^{2}a'}{dt^{2}} + b'' \frac{d^{2}a''}{dt^{2}} = \frac{dr}{dt} + pq; \quad -\left\{a \frac{d^{2}b}{dt^{2}} + a' \frac{d^{2}b'}{dt^{2}} + a'' \frac{d^{2}b''}{dt^{2}}\right\} = \frac{dr}{dt} - pq$$

$$a \frac{d^{2}c}{dt^{2}} + a' \frac{d^{2}c'}{dt^{2}} + a'' \frac{d^{2}c''}{dt^{2}} = \frac{dq}{dt} + pr; \quad -\left\{c \frac{d^{2}a}{dt^{2}} + c' \frac{d^{2}a'}{dt^{2}} + c'' \frac{d^{2}a''}{dt^{2}}\right\} = \frac{dq}{dt} - pr$$

$$c \frac{d^{2}b}{dt^{2}} + c' \frac{d^{2}b'}{dt^{2}} + c'' \frac{d^{2}b''}{dt^{2}} = \frac{dp}{dt} - qr; \quad -\left\{b \frac{d^{2}c}{dt^{2}} + b' \frac{d^{2}c'}{dt^{2}} + b'' \frac{d^{2}c''}{dt^{2}}\right\} = \frac{dp}{dt} - qr.$$

Aus den Gleichungen m), n) und p) folgt schliesslich noch:

$$p da + q db + r dc = 0 p da' + q db' + r dc' = 0 p da'' + q db'' + r dc'' = 0.$$
 s)

Mit Hilfe der eben entwickelten Relationen wird nun die in den Gleichungen 4b) (pag. 128) vorzunehmende Transformation der Coordinaten verhältnismässig einfach durchzuführen sein; man hat in denselben die Coordinaten x, y und z durch die Coordinaten x', y' und z' zu ersetzen. Bedenkt man, dass:

$$\frac{d^{2}x}{dt^{2}} = x' \frac{d^{2}a}{dt^{2}} + y' \frac{d^{2}b}{dt^{2}} + z' \frac{d^{2}c}{dt^{2}}$$

$$\frac{d^{2}y}{dt^{2}} = x' \frac{d^{2}a'}{dt^{2}} + y' \frac{d^{2}b'}{dt^{2}} + z' \frac{d^{2}c'}{dt^{2}}$$

$$\frac{d^{2}z}{dt^{2}} = x' \frac{d^{2}a''}{dt^{2}} + y' \frac{d^{2}b''}{dt^{2}} + z' \frac{d^{2}c''}{dt^{2}}$$

sein muss, weil das bewegliche Coordinatensystem fest mit dem rotirenden Körper verbunden gedacht ist. also die Derivationen x', y' und z' nach der Zeit t nothwendig der Null gleich sein müssen, so findet man, wenn die nach den beweglichen Achsen zerlegten Kräfte mit X', Y' und Z' bezeichnet werden, zunächst:

Diese Gleichungen lassen sich sofort einfacher schreiben; löst man nämlich zunächst linker Hand vom Gleichheitszeichen unter den Summensymbolen, von denen offenbar die Cosinusfunctionen und deren Derivationen unabhängig sind, die Klammern auf, so werden vermöge der Gleichungen 5) (pag. 129), welche die Hauptachsen der Trägheit als Coordinatenachsen einführen, alle jene Glieder verschwinden, in denen die Producte x'y'. x'z' und y'z' auftreten; rechter Hand wird die Auflösung der Klammern und die Benützung der in g), h), und i) enthaltenen Relationen die folgenden wesentlich einfacheren Formen ergeben:

$$\begin{split} \Sigma \, m \, \Big\{ x' x' \Big(a \, \frac{d^2 a'}{dt^2} - a' \, \frac{d^2 a}{dt^2} \Big) + y' y' \Big(b \, \frac{d^2 b'}{dt^2} - b' \, \frac{d^2 b}{dt^2} \Big) + z' z' \Big(c \, \frac{d^2 c'}{dt^2} - c' \, \frac{d^2 c}{dt^2} \Big) \Big\} &= \\ &= \Sigma \, \left\{ c'' \, (x' \, Y' - y' \, X') + b'' \, (z' \, X' - x' \, Z' \, + a'' \, (y' \, Z' - z' \, Y') \right\} \\ \Sigma \, m \, \Big\{ x' x' \Big(a'' \, \frac{d^2 a}{dt^2} - a \, \frac{d^2 a''}{dt^2} \Big) + y' y' \Big(b'' \, \frac{d^2 b}{dt^2} - b \, \frac{d^2 b''}{dt^2} \Big) + z' z' \Big(c'' \, \frac{d^2 c}{dt^2} - c \, \frac{d^2 c''}{dt^2} \Big) \Big\} &= \\ &= \Sigma \, \left\{ c' \, (x' \, Y' - y' \, X') + b' \, [z' \, X' - x' \, Z', + a' \, [y' \, Z' - z' \, Y') \right\} \\ \Sigma \, m \, \Big\{ x' x' \Big(a' \, \frac{d^2 a''}{dt^2} - a'' \, \frac{d^2 a'}{dt^2} \Big) + y' y' \Big(b' \, \frac{d^2 b''}{dt^2} - b'' \, \frac{d^2 b'}{dt^2} \Big) + z' z' \Big(c' \, \frac{d^2 c''}{dt^2} - c'' \, \frac{d^2 c'}{dt^2} \Big) \Big\} &= \\ &= \Sigma \, \left\{ c \, [x' \, Y' - y' \, X', + b \, (z' \, X' - x' \, Z', + a \, (y' \, Z' - z' \, Y') \right\}. \end{split}$$

Multiplicirt man nun diese Gleichungen der Reihe nach mit c'', c' und c und bildet deren Summe, so erhält man mit Rücksicht auf die Gleichungen 8) (pag. 130) und r) (pag. 132) und auf das obige Relationstableau (pag. 131) die erste der unten angesetzten Gleichungen 10). Operirt man in analoger Weise, indem man die Gleichungen 9) mit b'', b' und b multiplicirt, so wird man zur zweiten Relation in 10) gelangen; die Multiplication mit a'', a' und a führt zur dritten.

$$C \frac{dr}{dt} = (A - B) pq + \Sigma (x'Y' - y'X')$$

$$B \frac{dq}{dt} = (C - A) pr + \Sigma (z'X' - z'Z')$$

$$A \frac{dp}{dt} = (B - C) qr + \Sigma (y'Z' - z'Y').$$

Dieses Gleichungssystem stellt die Euler'schen Differentialgleichungen für die Rotationsbewegung dar; wie man sieht, spielen in diesen Gleichungen die oben eingeführten Hilfsgrössen p, q und r (Gleichung k) pag. 132) eine wichtige Rolle, weshalb es vortheilhaft sein wird, auf die Bedeutung derselben näher einzugehen.

Bezeichnet man mit δ den Winkel, den zwei durch den Anfangspunkt der Coordinaten gezogene Gerade mit einander einschliessen, mit α_1 , β_1 und γ_1 die Winkel, welche die eine Linie mit den festen Coordinatenachsen, mit α_2 , β_2 und γ_2 die Winkel, welche die andere Linie mit denselben einschliesst, so gilt bekanntlich die Relation:

$$\cos \delta = \cos \alpha_1 \cos \alpha_2 + \cos \beta_1 \cos \beta_2 + \cos \gamma_1 \cos \gamma_2. \qquad \text{11}$$

Betrachtet man nun das mit dem starren Körper rotirende Coordinatensystem in zwei nur durch das unendlich kleine Zeitintervall dt getrennten Lagen und bezeichnet die Coordinatenachsen für den ersten Fall mit X'_1 , Y'_1 und Z'_1 , für den zweiten mit X_2' , Y_2' , Z_2' , die Cosinus der Winkel, welche die X_1' -Achse mit den festen Coordinatenachsen X, Y und Z einschliesst, beziehungsweise mit a, a' und a'', die analogen Grössen für die Y_1' -Achse mit b, b' und b'', für die Z_1' -Achse mit c, c' und c'', wobei die Buchstaben in derselben Bedeutung wie früher genommen sind, während für die zweite Lage des beweglichen Coordinatensystems beziehungsweise die Grössen a + da, a' + da', a'' + da''; b + db, b' + db', b'' + db''; c + dc, c' + dc', c'' + dc'' gelten, so findet sich, wenn man die durch die Achsen der beiden beweglichen Systeme eingeschlossenen Winkel durch die sie bildenden Achsen bezeichnet, mit Rücksicht auf die Fomel 11):

$$\cos (X_1'X_2') = a(a+da) + a'(a'+da') + a''(a''+da'')$$

$$\cos (X_1'Y_2') = a(b+db) + a'(b'+db') + a''(b''+db'')$$

$$\cos (X_1'Z_2') = a(c+dc) + a'(c'+dc') + a''(c''+dc'')$$

$$\cos (Y_1'X_2') = b(a+da) + b'(a'+da') + b''(a''+da'')$$

$$\cos (Y_1'Y_2') = b(b+db) + b'(b'+db') + b''(b''+db'')$$

$$\cos (Y_1'Z_2') = b(c+dc) + b'(c'+dc') + b''(c''+dc'')$$

$$\cos (Z_1'X_2') = c(a+da) + c'(a'+da') + c''(a''+da'')$$

$$\cos (Z_1'Y_2') = c(b+db) + c'(b'+db') + c''(b''+db'')$$

$$\cos (Z_1'Z_2') = c(c+dc) + c'(c'+dc') + c''(c''+dc'')$$

Betrachtet man die Incremente als unendlich klein, so erhält man mit Rücksicht auf die Relationen c), e), l) und k) (pag. 131 und 132) sofort

$$\cos (X_1' X_2') = 1
\cos (X_1' Y_2') = adb + a'db' + a''db'' = -r dt
\cos (X_1' Z_2') = adc + a'dc' + a''dc'' = q dt
\cos (Y_1' X_2') = bda + b'da' + b''da'' = r dt
\cos (Y_1' Y_2') = 1
\cos (Y_1' Z_2') = bdc + b'dc' + b''dc'' = -p dt
\cos (Z_1' X_2') = cda + c'da' + c''da'' = -q dt
\cos (Z_1' Y_2') = cdb + c'db' + c''db'' = p dt
\cos (Z_1' Z_2') = 1.$$

Projicirt man den Winkel $(Y_1'X_2')$ auf die $(X_1'Y_1')$ Ebene, so wird derselbe nicht geändert, denn die beiden Ebenen schliessen mit einander einen Winkel erster Ordnung ein, demnach entstehen durch die Projection nur Änderungen zweiter Ordnung:
es ist also der Winkel zwischen der X_1' - und X_2' - Achse am Anfangspunkte der
Coordinaten, wenn man die Drehung um die Z'- Achse im Zeitelemente dt von der
positiven X'- Achse nach der positiven Y'- Achse gezählt mit rdt bezeichnet:

$$rdt = 90^{\circ} - (X_2' Y_1'),$$

oder mit Rücksicht darauf, dass die Verschiebungen unendlich klein sind, also der Bogen (90° — $X_2'Y_1'$), dem Sinus gleich gesetzt werden kann :

$$rdt = \cos\left(X_2'Y_1'\right);$$

r ist demnach das Mass der Drehung des starren Körpers um die momentane Z'-Achse des mit dem starren Körper fest verbundenen Systems, welche, von der positiven Seite der Z'-Achse aus gesehen in dem Gange des Uhrzeigers entgegengesetztem Sinne stattfindet; r ist also die momentane Winkelgeschwindigkeit der Z'-Achse. Ähnliche Schlüsse führen zu dem Resultate, dass p und q beziehungsweise die momentanen Winkelgeschwindigkeiten der X'- und Y'-Achse darstellen, alle in demselben Sinne positiv gezählt, nämlich, von der positiven Seite der Drehungsachse gesehen, umgekehrt wie die Bewegung des Uhrzeigers.

Da Rotationsbewegungen nach denselben Gesetzen wie Kräfte vereinigt oder zerlegt werden können, so werden sich die drei Rotationen p, q und r zu einer einzigen vereinigen lassen, deren Grösse bestimmt ist durch:

$$\omega = \sqrt{p^2 + q^2 + r^2}.$$
 12)

Diese Gleichung ist somit der Ausdruck für die Rotationsbewegung des starren Körpers um eine Achse, welche man, da dieselbe im Allgemeinen mit der Zeit veränderlich ist, als die instantane Drehungsachse bezeichnet. Die Winkel α' , β' und γ' , welche diese instantane Drehungsachse mit den Hauptachsen der Trägheit X', Y' und Z' beziehungsweise einschliesst, sind bestimmt durch:

$$\cos \alpha' = \frac{p}{\sqrt{p^2 + q^2 + r^2}}$$

$$\cos \beta' = \frac{q}{\sqrt{p^2 + q^2 + r^2}}$$

$$\cos \gamma' = \frac{r}{\sqrt{p^2 + q^2 + r^2}},$$
13)

so dass, sobald die Euler'schen Grössen p, q und r bekannt sind, die Bestimmung der Lage der instantanen Drehungsachse gegen das mit dem rotirenden Körper fest verbundene System ohne Schwierigkeit vorgenommen werden kann. Will man die Lage der instantanen Drehungsachse auf ein fixes Coordinatensystem beziehen, so benützt man hierzu die Gleichung 11) (pag. 134); man wird unter δ der Reihe nach den Winkel verstehen, welchen die instantane Drehungsachse mit der fixen X, Y und Z-Achse bildet; die Cosinus der Winkel, welche die feste X-Achse mit den beweglichen Achsen X' Y' und Z' der Reihe nach einschliesst, sind, wie oben (pag. 131) durch a, b, c bezeichnet, jene der festen Y-Achse mit denselben durch a', b' und c', jene der Z-Achse mit a'', b'' und c''; nennt man also die Winkel, welche die instantane Drehungsachse der Reihe nach mit den fixen Achsen X, Y und Z einschliesst, α'' , β'' und γ'' , so hat man nach 11) (pag. 134) die Relationen:

$$\cos \alpha'' = a \cos \alpha' + b \cos \beta' + c \cos \gamma'$$

$$\cos \beta'' = a' \cos \alpha' + b' \cos \beta' + c' \cos \gamma'$$

$$\cos \gamma'' = a'' \cos \alpha' + b'' \cos \beta' + c'' \cos \gamma'.$$

Die Substitution der Ausdrücke 13) (pag. 135) in diese Gleichungen ergibt:

$$\cos \alpha'' = \frac{a p + b q + c r}{\sqrt{p^2 + q^2 + r^2}}$$

$$\cos \beta'' = \frac{a' p + b' q + c' r}{\sqrt{p^2 + q^2 + r^2}}$$

$$\cos \gamma'' = \frac{a'' p + b'' q + c'' r}{\sqrt{p^2 + q^2 + r^2}},$$
14)

womit die Lage der instantanen Drehungsachse gegen das feste Coordinatensystem ohne Schwierigkeit bestimmt werden kann.

β. Ersetzung der neun Cosinusfunctionen durch Functionen dreier von einander unabhüngiger Bogen.

Für die weiteren Operationen ist es förderlicher, statt der neun Cosinusfunctionen, zwischen denen sechs Bedingungsgleichungen bestehen, drei unabhängig Variable einzuführen; die Lösung dieser Aufgabe reducirt sich auf eine einfache Transformation der Coordinaten, mittelst welcher das eine Coordinatensystem durch drei passend gewählte Drehungen in das andere übergeführt wird; es soll, um für den Sinn der Drehung eine feste Regel zu haben, die Bestimmung getroffen werden, dass jener positiv gedacht wird, wenn die Drehung, vom positiven Ende der Drehungsachse aus gesehen, in der dem Gange des Uhrzeigers entgegengesetzten Richtung stattfindet. Es falle das feste Coordinatensystem für eine bestimmte Epoche mit der Ekliptik zusammen, die positive X-Achse wird nach dem Frühjahrspunkte, die positive Y-Achse nach einem Punkte, dessen Länge 90° ist, gerichtet sein; die positive Z-Achse trifft den Nordpol der Ekliptik. Das bewegliche Achsensystem gehört einer beliebigen Zeit an, der aufsteigende Knoten des demselben entsprechenden Äquators auf der festen Ekliptik wird nicht im Herbstpunkte liegen, sondern in einem Punkte, dessen Länge mit

180° + ψ bezeichnet werden soll; ψ ist demnach die Länge des absteigenden Knotens und wird ein kleiner Bogen sein, so lange der Zeitunterschied der beiden Epochen ein mässiger bleibt. Mit umgekehrtem Zeichen genommen wird also ψ (vergl. pag. 125) denjenigen Bogen ausdrücken, welcher die um die Nutation in Länge vermehrte lunisolare Präcession darstellt. Die Schiefe der Ekliptik ist bekanntlich die Neigung der Ekliptik gegen den Äquator, für welchen Winkel der Buchstabe ε' gewählt werden soll; dieser Winkel findet sich an dem Punkte ψ vor, wo in der That der Voraussetzung nach der aufsteigende Knoten der Ekliptik im Äquator liegt. oben gegebenen Definition entsprechend ist also ε' die Schiefe der festen Ekliptik gegen den jeweiligen beweglichen Äquator. Der Winkel, welchen die positive X'-Achse des beweglichen Systems mit der durch ψ gelegten Knotenlinie einschliesst, soll mit φ bezeichnet werden; derselbe wird positiv im Sinne der Rotationsrichtung der Erde gezählt und daher, wenn man sich die positive X'-Achse in den Meridian eines gegebenen Ortes gelegt denkt, sehr nahe mit der Sternzeit dieses Ortes identisch sein. Die positive bewegliche Y'-Achse trifft die Himmelskugel im Äquator, im Abstande 90° + φ vom Punkte ψ , die bewegliche Z'-Achse ist nach dem Nordpol des Äquators gerichtet.

Dreht man das oben als fest angenommene Coordinatensystem um die Z-Achse, und zwar im positiven Sinne um den Winkel ψ , so werden die Coordinaten eines Punktes in diesem neuen Systeme ξ_1 , η_1 und ζ_1 mit den ursprünglichen Coordinaten x, y und z durch die Relationen:

$$\begin{cases} \xi_1 = x \cos \psi + y \sin \psi \\ \eta_1 = y \cos \psi - x \sin \psi \end{cases}$$

$$\zeta_1 = z,$$

verbunden sein. Die positive X-Achse dieses neuen Systems trifft einen Punkt, dessen Länge ψ ist; um nun die XY Ebene dieses neuen Systems, welche mit der Ebene der Ekliptik zusammenfällt, durch eine Drehung in die des beweglichen Äquators zu verwandeln, muss man die X-Achse als Drehungsachse betrachten und, die oben gemachte Definition über den Sinn der positiven Drehung festhaltend, eine Drehung im Betrage von $360^{\circ} - \varepsilon'$ ausführen. Die Relationen zwischen den Coordinaten dieses neuen Systems ξ_2 , η_2 und ζ_2 und den Coordinaten ξ_1 , η_1 und ζ_1 sind danach:

$$\begin{cases}
\xi_2 = \xi_1 \\
\eta_2 = \eta_1 \cos \varepsilon' - \zeta_1 \sin \varepsilon' \\
\zeta_2 = \zeta_1 \cos \varepsilon' + \eta_1 \sin \varepsilon'.
\end{cases}$$
2)

Die neue Z-Achse als Drehungsachse betrachtet, wird man endlich durch eine Drehung um den Winkel φ das Zusammenfallen der neuen Coordinatenachsen mit den Hauptachsen der Trägheit bewirken; die bestehenden Relationen sind:

$$x' = \xi_2 \cos \varphi + \eta_2 \sin \varphi$$

$$y' = \eta_2 \cos \varphi - \xi_2 \sin \varphi$$

$$z' = \zeta_2.$$

$$3)$$

Substituirt man nun successive die Coordinaten x, y, z in die Gleichungen 2) und 3), so findet man durch Vergleichung der so gewonnenen Werthe mit den GleichunOppolzer, Bahnbestimmungen. I. 2. Ausge.

gen a) (pag. 131) sofort die daselbst eingeführten Cosinusfunctionen durch Functionen von ψ , ϵ' und φ ausgedrückt; die Ausführung der angezeigten Operationen ergibt:

$$a = -\sin \varphi \sin \psi \cos \varepsilon' + \cos \varphi \cos \psi$$

$$a' = +\sin \varphi \cos \psi \cos \varepsilon' + \cos \varphi \sin \psi$$

$$a'' = -\sin \varphi \sin \varepsilon'$$

$$b = -\cos \varphi \sin \psi \cos \varepsilon' - \sin \varphi \cos \psi$$

$$b'' = +\cos \varphi \cos \psi \cos \varepsilon' - \sin \varphi \sin \psi$$

$$b'' = -\cos \varphi \sin \varepsilon'$$

$$c = -\sin \psi \sin \varepsilon'$$

$$c' = +\cos \psi \sin \varepsilon'$$

$$c'' = +\cos \varepsilon'$$

Hiermit sind wohl die gewünschten Relationen erreicht; es wird jedoch zweckmässig sein, noch auf die differentiellen Verhältnisse Rücksicht zu nehmen. Die Differentiation der Gleichungen 4) ergibt, wenn man rechter Hand vom Gleichheitszeichen φ , ψ und ε' als variabel betrachtet und sofort die aus denselben Gleichungen sich ergebenden Relationen einführt:

$$da = + bd\varphi - c \sin \varphi \, d\epsilon' - a'd\psi$$

$$da' = + b'd\varphi - c' \sin \varphi \, d\epsilon' + ad\psi$$

$$da'' = + b''d\varphi - c'' \sin \varphi \, d\epsilon'$$

$$db = -ad\varphi - c \cos \varphi \, d\epsilon' - b'd\psi$$

$$db' = -a'd\varphi - c' \cos \varphi \, d\epsilon' + bd\psi$$

$$db'' = -a''d\varphi - c'' \cos \varphi \, d\epsilon'$$

$$dc = + (a \sin \varphi + b \cos \varphi) \, d\epsilon' - c'd\psi$$

$$dc' = + (a' \sin \varphi + b' \cos \varphi) \, d\epsilon' + cd\psi$$

$$dc'' = + (a'' \sin \varphi + b'' \cos \varphi) \, d\epsilon'.$$

Denkt man sich diese Differentiationen nach der Zeit t durchgeführt und in die Gleichungen k) (pag. 132) eingesetzt, so wird man pdt, qdt und rdt ohne Schwierigkeit als Functionen von $d\varphi$, $d\psi$ und $d\varepsilon'$ erhalten. Mit Rücksicht auf die Reductionsformeln c) und i) (pag. 131) und die Gleichungen 4) (pag. 138) wird dann gefunden:

$$rdt = + d\varphi + \cos \varepsilon' d\psi$$

$$qdt = -\cos \varphi \sin \varepsilon' d\psi + \sin \varphi d\varepsilon'$$

$$pdt = -\sin \varphi \sin \varepsilon' d\psi - \cos \varphi d\varepsilon'.$$

$$6)$$

Aus diesen Gleichungen folgt durch entsprechende Multiplication mit sin φ und $\cos \varphi$ und nachherige Addition :

$$-\sin \varepsilon' d\psi = +\sin \varphi \ p \ dt + \cos \varphi \ q \ dt
d\varepsilon' = -\cos \varphi \ p \ dt + \sin \varphi \ q \ dt
d\varphi = +r \ dt - \cos \varepsilon' \ d\psi = r \ dt + \sin \varphi \cot \xi' \ p \ dt + \cos \varphi \cot \xi' \ q \ dt,$$

woraus, wenn p, q und r durch irgend ein Verfahren bestimmt sind, sofort die Änderungen der Grössen ψ , ε' und φ , die sich auf das feste System beziehen, ermittelt werden können.

y. Transformation der Momentsummen.

Die Euler'schen Differentialgleichungen 10) (pag. 134) enthalten die Summe der Momente, nämlich:

$$\left. \begin{array}{l} L = \Sigma \left(y' \, Z' - z' \, Y' \right) \\ M = \Sigma \left(z' X' - x' \, Z' \right) \\ N = \Sigma \left(x' \, Y' - y' \, X' \right). \end{array} \right\} \qquad \text{I})$$

Nimmt man nun an, ein materieller Punkt von der Masse M, *) wirke auf den starren Körper nach dem Newton'schen Attractionsgesetze, seine auf die Hauptachsen der Trägheit bezogenen Coordinaten seien x', y', und z', und setzt der Kürze halber:

$$r^2 = (x, '-x')^2 + (y, '-y')^2 + (z, '-z')^2,$$
 2)

so sind die nach den Achsen zerlegten Kräfte (vergl. pag. 43), welche auf das Element m des starren Körpers wirken, bestimmt durch:

$$\begin{array}{l}
 X' = \frac{M,m}{r^3} (x,'-x') \\
 Y = \frac{M,m}{r^3} (y,'-y') \\
 Z' = \frac{M,m}{r^3} (z,'-z'),
 \end{array}$$

3)

welche Relationen übrigens für ein beliebiges Coordinatensystem gelten. Danach werden die Drehungsmomente in 1), wenn man, um die Gesammtwirkung auf den starren Körper zu erhalten, wieder das Summenzeichen einführt:

$$L = \Sigma \frac{M,m}{r^3} (y' z,' - z' y,')$$

$$M = \Sigma \frac{M,m}{r^3} (z' x,' - x' z,')$$

$$N = \Sigma \frac{M,m}{r^3} (x' y,' - y' x,').$$
4)

Da M_i , x_i , y_i und z_i von dem Summenzeichen nicht beeinflusst werden, so kann man dieselben als constante Factoren vor dasselbe bringen; ferner werden die folgenden Ausdrücke der gemachten Bemerkung gemäss Null sein, nämlich:

$$y,' \Sigma z,' \frac{M,m}{r^3} - z,' \Sigma y,' \frac{M,m}{r^3} = 0$$

$$z,' \Sigma x,' \frac{M,m}{r^3} - x,' \Sigma z,' \frac{M,m}{r^3} = 0$$

$$x,' \Sigma y,' \frac{M,m}{r^3} - y,' \Sigma x,' \frac{M,m}{r^3} = 0.$$

Denkt man sich diese Nullwerthe zu den entsprechenden Gleichungen 4) addirt, so erhält man ohne Schwierigkeit für die Drehungsmomente die Ausdrücke:

^{*)} Drückt man die Masse in Einheiten der Sonnenmasse und die durch die Kraft erzeugten Beschleunigungen in Einheiten der mittleren Entfernung der Erde von der Sonne aus, so ist für M, eigentlich zu setzen M,k², wobei als Zeiteinheit der mittlere Sonnentag vorausgesetzt ist (vergl. pag. 49).

$$L = z,'M, \Sigma \frac{y' - y,'}{r^3} m - y,'M, \Sigma \frac{z' - z,'}{r^3} m$$

$$M = x,'M, \Sigma \frac{z' - z,'}{r^3} m - z,'M, \Sigma \frac{x' - x,'}{r^3} m$$

$$N = y,'M, \Sigma \frac{x' - x,'}{r^3} m - x,'M, \Sigma \frac{y' - y,'}{r^3} m,$$

welche sich mittelst der Einführung des Potentials V einfacher schreiben lassen; es ist, wenn man:

$$V=M, \Sigma \frac{m}{r},$$

und gemäss 2) (pag. 139):

$$\left(\frac{dr}{dx'}\right) = \frac{x,'-x'}{r}, \qquad \left(\frac{dr}{dy,'}\right) = \frac{y,'-y'}{r}, \qquad \left(\frac{dr}{dz,'}\right) = \frac{z,'-z'}{r}, \quad \{6\}$$

setzt, offenbar:

Die Gleichungen 5) erhalten somit die Form:

$$L = z' \left(\frac{dV}{dy,'} \right) - y' \left(\frac{dV}{dz,'} \right)$$

$$M = x' \left(\frac{dV}{dz,'} \right) - z' \left(\frac{dV}{dx,'} \right)$$

$$N = y' \left(\frac{dV}{dx,'} \right) - x' \left(\frac{dV}{dy,'} \right).$$

Es lassen sich aber die Drehungsmomente auch als Functionen der partiellen Differentialquotienten des Potentials nach den im vorigen Capitel eingeführten unabhängig Variablen φ , ψ und ε' darstellen; diese Transformation soll hier vorgenommen werden, weil dieselbe für die Folge wesentliche Vortheile bietet. Die oben eingeführte Kräftefunction enthält die auf das gewählte bewegliche, mit den Hauptträgheitsachsen zusammenfallende Coordinatensystem bezogenen Coordinaten der Massenelemente m_1, m_2, m_3, \ldots , welche nach der Wahl dieses Coordinatensystems constant sind; dieselben sind von den Winkeln φ , ψ und ε' völlig unabhängig, ihre Ableitungen nach φ , ψ und ε' somit der Null gleich. Man kann daher die partiellen Differentialquotienten des Potentials nach φ , ψ und ε' , da dasselbe als von φ , ψ und ε' abhängige Grössen nur die Coordinaten x_i' , y_i' und z_i' enthält, vollständig darstellen durch:

$$\begin{pmatrix} dV \\ d\varphi \end{pmatrix} = \begin{pmatrix} \frac{dV}{dx_{i}'} \end{pmatrix} \begin{pmatrix} dx_{i}' \\ d\varphi \end{pmatrix} + \begin{pmatrix} \frac{dV}{dy_{i}'} \end{pmatrix} \begin{pmatrix} \frac{dy_{i}'}{d\varphi} \end{pmatrix} + \begin{pmatrix} \frac{dV}{dz_{i}'} \end{pmatrix} \begin{pmatrix} \frac{dz_{i}'}{d\varphi} \end{pmatrix}$$

$$\begin{pmatrix} dV \\ d\psi \end{pmatrix} = \begin{pmatrix} \frac{dV}{dx_{i}'} \end{pmatrix} \begin{pmatrix} dx_{i}' \\ d\psi \end{pmatrix} + \begin{pmatrix} \frac{dV}{dy_{i}'} \end{pmatrix} \begin{pmatrix} \frac{dy_{i}'}{d\psi} \end{pmatrix} + \begin{pmatrix} \frac{dV}{dz_{i}'} \end{pmatrix} \begin{pmatrix} \frac{dz_{i}'}{d\psi} \end{pmatrix}$$

$$\begin{pmatrix} \frac{dV}{d\epsilon'} \end{pmatrix} = \begin{pmatrix} \frac{dV}{dx_{i}'} \end{pmatrix} \begin{pmatrix} \frac{dx_{i}'}{d\epsilon'} \end{pmatrix} + \begin{pmatrix} \frac{dV}{dy_{i}'} \end{pmatrix} \begin{pmatrix} \frac{dy_{i}'}{d\epsilon'} \end{pmatrix} + \begin{pmatrix} \frac{dV}{dz_{i}'} \end{pmatrix} \begin{pmatrix} \frac{dz_{i}'}{d\epsilon'} \end{pmatrix}$$

$$= \begin{pmatrix} \frac{dV}{dz_{i}'} \end{pmatrix} \begin{pmatrix} \frac{dz_{i}'}{d\epsilon'} \end{pmatrix} + \begin{pmatrix} \frac{dV}{dy_{i}'} \end{pmatrix} \begin{pmatrix} \frac{dy_{i}'}{d\epsilon'} \end{pmatrix} + \begin{pmatrix} \frac{dV}{dz_{i}'} \end{pmatrix} \begin{pmatrix} \frac{dz_{i}'}{d\epsilon'} \end{pmatrix}$$

$$= \begin{pmatrix} \frac{dV}{d\epsilon'} \end{pmatrix} \begin{pmatrix} \frac{dz_{i}'}{d\epsilon'} \end{pmatrix} + \begin{pmatrix} \frac{dV}{dz_{i}'} \end{pmatrix} \begin{pmatrix} \frac{dy_{i}'}{d\epsilon'} \end{pmatrix} + \begin{pmatrix} \frac{dV}{dz_{i}'} \end{pmatrix} \begin{pmatrix} \frac{dz_{i}'}{d\epsilon'} \end{pmatrix}$$

Sind die auf die fixe Ekliptik bezogenen Coordinaten des materiellen Punktes x_i , y_i und z_i , so bestehen nach Gleichung a) und b) (pag. 131) die Relationen:

wobei den neun Cosinusfunctionen die durch die Gleichungen 4) (pag. 138) festgestellten Bedeutungen zukommen; es ist danach, wenn man von den partiellen Differential-quotienten, welche die Gleichungen 5) (pag. 138) ergeben, mit Rücksicht auf die Gleichungen 9a) und 9b) und i) (pag. 131) Gebrauch macht:

$$\frac{dx_{,'}}{d\varphi} = bx_{,} + b'y_{,} + b''z_{,} = y_{,'}$$

$$\frac{dy_{,'}}{d\varphi} = -(ax_{,} + a'y_{,} + a''z_{,}) = -x_{,'}$$

$$\frac{dz_{,'}}{d\varphi} = 0,$$
10)

$$\frac{dx,'}{d\psi} = ay, \quad a'x, = y,'(ab' - ba') + z,'(ac' - ca') = c''y,' - b''z,'
\frac{dy,'}{d\psi} = by, \quad b'x, = x,'(ba' - ab') + z,'(bc' - cb') = a''z,' - c''x,'
\frac{dz,'}{d\psi} = cy, \quad -c'x, = x,'(ca' - ac') + y,'(cb' - bc') = b''x,' - a''y,',$$
11)

$$\frac{dx,'}{ds'} = -\sin\varphi (cx, + c'y, + c''z,) = -\sin\varphi z,'$$

$$\frac{dy,'}{ds'} = -\cos\varphi (cx, + c'y, + c''z,) = -\cos\varphi z,'$$

$$\frac{dz,'}{ds'} = \sin\varphi (ax, + a'y, + a''z,) + \cos\varphi (bx, + b'y, + b''z,) = \sin\varphi x,' + \cos\varphi y,'.$$

Die Substitution dieser partiellen Differentialquotienten in 8) (pag. 140) ergibt:

Führt man nun in diese Ausdrücke die Werthe nach 7) (pag. 140) ein und ersetzt die Cosinusfunctionen a'', b'' und c'' nach den Gleichungen 4) (pag. 138), so erhält man ohne Schwierigkeit:

$$\begin{pmatrix} \frac{dV}{d\varphi} \end{pmatrix} = N$$

$$\begin{pmatrix} \frac{dV}{d\psi} \end{pmatrix} = -\sin\varphi\sin\epsilon' L - \cos\varphi\sin\epsilon' M + \cos\epsilon' N$$

$$\begin{pmatrix} \frac{dV}{d\epsilon'} \end{pmatrix} = \sin\varphi M - \cos\varphi L.$$

Bestimmt man hieraus L, M und N, so findet sich leicht:

$$L = \frac{\sin \varphi}{\sin \varepsilon} \left\{ \cos \varepsilon' \begin{pmatrix} dV \\ d\varphi \end{pmatrix} - \begin{pmatrix} dV \\ d\overline{\psi} \end{pmatrix} \right\} - \cos \varphi \begin{pmatrix} dV \\ d\varepsilon' \end{pmatrix}$$

$$M = \frac{\cos \varphi}{\sin \varepsilon'} \left\{ \cos \varepsilon' \begin{pmatrix} dV \\ \overline{d}\varphi \end{pmatrix} - \begin{pmatrix} dV \\ d\psi \end{pmatrix} \right\} + \sin \varphi \begin{pmatrix} dV \\ d\overline{\varepsilon'} \end{pmatrix}$$

$$N = \begin{pmatrix} dV \\ \overline{d}\overline{\varphi} \end{pmatrix},$$
13)

welche Werthe der durch die Gleichungen 1) (pag. 139) bestimmten Bedeutung der

Buchstaben L, M und N gemäss in die Euler'schen Gleichungen 10) (pag. 139) eingesetzt, diesen die folgende Gestalt ertheilen:

$$A \frac{dp}{dt} + (C - B) qr = \frac{\sin \varphi}{\sin \varepsilon'} \left\{ \cos \varepsilon' \left(\frac{dV}{d\varphi} \right) - \left(\frac{dV}{d\psi} \right) \right\} - \cos \varphi \left(\frac{dV}{d\varepsilon'} \right)$$

$$B \frac{dq}{dt} + (A - C) pr = \frac{\cos \varphi}{\sin \varepsilon'} \left\{ \cos \varepsilon' \left(\frac{dV}{d\varphi} \right) - \left(\frac{dV}{d\psi} \right) \right\} + \sin \varphi \left(\frac{dV}{d\varepsilon'} \right)$$

$$C \frac{dr}{dt} + (B - A) pq = \left(\frac{dV}{d\varphi} \right).$$

8. Entwicklung des Potentials V und seiner partiellen Differentialquotienten.

Für das vorgelegte Potential wurde oben (pag. 140) die Form:

$$V = M, \sum \frac{m}{n},$$

gefunden und hierbei:

$$r^2 = (x, '-x')^2 + (y, '-y')^2 + (z, '-z')^2,$$
 2)

gesetzt. Führt man, entsprechend den früheren Annahmen, die Hauptachsen der Trägheit ein, so bestehen (vergl. 3) pag. 127 und 5) pag. 129) die Gleichungen:

$$\Sigma m x' = 0 , \quad \Sigma m y' = 0 , \quad \Sigma m z' = 0
\Sigma m x'y' = 0 , \quad \Sigma m x'z' = 0 , \quad \Sigma m y'z' = 0.$$

Aus den Relationen (vergl. a) pag. 127 und 8) pag. 130):

$$M = \sum m , \quad B = \sum m \, x'^2 + \sum m \, z'^2$$

$$A = \sum m \, y'^2 + \sum m \, z'^2 , \quad C = \sum m' x'^2 + \sum m \, y'^2 ,$$

$$4)$$

wobei *M* die Gesammtmasse des starren Körpers vorstellt und nicht mit der Momentsumme *M* (vergl. 1) pag. 139) verwechselt werden darf, folgt:

$$\begin{array}{l} \Sigma \ m \ x'^2 = \frac{1}{2} \ (B + C - A) \ , \ \Sigma \ m \ z'^2 = \frac{1}{2} \ (A + B - C) \\ \Sigma \ m \ y'^2 = \frac{1}{2} \ (A + C - B) \ , \ \Sigma \ m \ (x'^2 + y'^2 + z'^2) = \Sigma \ m \ r'^2 = \frac{1}{2} \ (A + B + C), \end{array} \right\} \ 5) \end{array}$$

in welchen Gleichungen für $x'^2 + y'^2 + z'^2$ der Kürze halber r'^2 gesetzt ist. Bezeichnet man aber in analoger Weise mit r'^2 den Werth $x'^2 + y'^2 + z'^2$, so resultirt aus der Gleichung 2) sofort:

$$r^2 = r'^2 + r'^2 - 2(x'x' + y'y' + z'z').$$
 6)

In dem vorliegenden Falle werden die Dimensionen des starren Körpers im Vergleiche mit der Entfernung des anziehenden Punktes vom Schwerpunkt r, klein sein, weshalb man mit Vortheil von einer Entwicklung nach steigenden Potenzen des Verhältnisses r': r, Gebrauch machen kann; es ist zunächst:

$$\frac{1}{r} = \frac{1}{r'} \left\{ 1 - \frac{2}{r'^2} \left(x'x, ' + y'y, ' + z'z, ' \right) + \left(\frac{r'}{r'} \right)^2 \right\}^{-1/2}.$$

Das Mittelglied des Klammerausdruckes ist in Bezug auf das oben genannte Verhältnis erster, das letzte zweiter Ordnung. Führt man die Entwicklung dieses Klammerausdruckes nach dem binomischen Satze durch, so finden sich die Glieder:

oter Ordnung: 1

1 ter ,, :
$$\frac{1}{r,'^2} \{ x'x,' + y'y,' + z'z,' \}$$

2 ter ,, : $\frac{3}{2r,'^4} \{ x'x,' + y'y,' + z'z,' \}^2 - \frac{1}{2} \left(\frac{r'}{r,'} \right)^2$

3 ter ,, : $\frac{5}{2r,'^6} \{ x'x,' + y'y,' + z'z,' \}^3 - \frac{3r'^2}{2r,'^4} \{ x'x,' + y'y,' + z'z,' \}$

u. s. f. . . .

Multiplicirt man diese Ausdrücke mit $\frac{M,m}{r,'}$ und setzt jedem einzelnen das Summenzeichen vor, um alle Elemente m und deren Coordinaten x', y' und z' in Betracht zu ziehen, so findet man die Glieder nullter Ordnung:

$$M, \Sigma \frac{m}{r'} = \frac{M, M}{r'}.$$
 8)

Die Glieder erster Ordnung verschwinden nach den ersten in der Gleichung 3) (pag. 142) eingeführten Bedingungen. Für die Glieder zweiter Ordnung denke man sich zunächst die Quadrirung der Klammerausdrücke ausgeführt, dann werden die Summen der doppelten Producte wegen der zweiten Gleichungen in 3) (pag. 142) verschwinden; die restirenden Quadrate geben mit Rücksicht auf die Relationen 5) (pag. 142) sofort:

$$\frac{3}{4} \frac{M_{i}}{r_{i}^{-6}} \{x_{i}^{\prime 2} (B + C - A) + y_{i}^{\prime 2} (A + C - B) + z_{i}^{\prime 2} (A + B - C_{i})\} - \frac{M_{i}}{4r_{i}^{\prime 3}} (A + B + C_{i} \cdot g)$$

Man könnte diese Ausdrücke auch zusammenziehen, wenn man das letzte Glied mit:

$$\frac{x_{r'2}}{r_{r'2}} + \frac{y_{r'2}}{r_{r'2}} + \frac{z_{r'2}}{r_{r'2}}$$

multipliciren würde, welcher Factor offenbar der Einheit gleich kommt; dann würde das Glied zweiter Ordnung sich schreiben lassen:

$$\frac{M_{t}}{2T_{t}^{5}}\left\{z^{2}(B+C-2A)+y^{2}(C+A-2B)+z^{2}(A+B-2C)\right\};$$

doch ist die erstere Form für die vorliegende Aufgabe bequemer. Es wird gut sein zu bemerken, dass die bisher entwickelten Glieder von der Gestalt des angezogenen Körpers gewissermassen unabhängig und nur die Trägheitsmomente massgebend sind.

Die Glieder dritter Ordnung lassen sich nicht mehr auf so einfache Formen zurückführen, doch gewinnt man leicht die Einsicht, dass dieselben völlig verschwinden müssen, sobald man voraussetzt, die Erde sei aus Schichten zusammengesetzt, welche in Bezug auf den Schwerpunkt symmetrisch sind. Führt man nämlich die Summation in Bezug auf die mit dem Massenelement multiplicirten Coordinaten aus und beachtet, dass die Summe der Exponenten in jedem Gliede für die Coordinaten z', y' und z' gleich drei sein muss. so wird, falls der starre Körper in Bezug auf den Schwerpunkt symmetrisch ist, jeder positiven eine negative Combination von derselben Grösse entsprechen, deren Summe im Resultate verschwindet. Da die Erde wol sehr nahe symmetrisch ist die Pendelbeobachtungen ergaben bislang keine entschiedene Asymmetrie, und die Glieder dritter Ordnung an sich klein sind.

begeht man durch die Vernachlässigung der letzteren nur einen Fehler dritter Ordnung in die gewiss kleine Asymmetrie der Erde. Man kann demnach die Behauptung aufstellen, dass die Summe der Gleichungen 8) und 9) (pag. 143) bereits das Potential in sehr bedeutender Annäherung darstellt.

Für die oben entwickelten Formeln der störenden Kräfte bedarf man aber nur gewisser partieller Differentialquotienten des Potentials und zwar der partiellen Derivationen nach φ , ψ und ε' . Da die Massen M und M, die Trägheitsmomente A, B, C und endlich die Entfernung r, auf welche Grössen die Drehung des Coordinatensystems durchaus keinen Einfluss nehmen kann, von den Winkeln φ , ψ und ε' , welche in den Coordinaten x, y, und z, enthalten sind, nicht abhängen, so kann man für die vorliegenden Zwecke alle jene Glieder des Potentials weglassen, welche die eben genannten Coordinaten nicht in sich schliessen; es fällt somit das Glied erster Ordnung 8) (pag. 143) und der zweite Theil in dem Ausdrucke für die Glieder zweiter Ordnung 9) (pag. 143) weg. Ausserdem wird es erlaubt sein, da die Gestalt der Erde sehr nahe einem Rotationskörper entspricht:

$$A = B$$
.

zu setzen; diese Annahme ist um so mehr gerechtfertigt als, wenn auch recht merkliche Unterschiede zwischen \mathcal{A} und \mathcal{B} beständen, die übrigens bisher mit Sicherheit noch nicht nachgewiesen sind, aus derselben nur unmerkliche Glieder sehr kurzer Periode hervorgehen würden. Es würden daher für die partiellen Differentialquotienten des Potentials die folgenden Glieder in demselben zu berücksichtigen sein:

$$\frac{3}{4}\frac{M}{r.'^5}\{(x,'^2+y,'^2)\ C+z,'^2\ (2A-C)\}.$$

Addirt und subtrahirt man in der Klammer den Werth:

$$z'^2C$$
.

so nimmt der Klammerausdruck, ohne seinen Werth zu ändern, die Gestalt:

$$(x,'^2 + y,'^2 + z,'^2) C + 2z,'^2 (A - C) = r,'^2 C + 2z,'^2 (A - C)$$

an. Das Glied r'^2C ist aber den oben gemachten Bemerkungen gemäss von φ , ψ und ε' unabhängig; bezeichnet man daher mit F jene Glieder des Potentials, die allein Beiträge für die geforderten partiellen Differentialquotienten liefern, so erhält man hierfür:

$$F = \frac{3 M_{i}}{2 r_{i}^{\prime 5}} (A - C) z_{i}^{\prime 2}, \qquad 10$$

wobei aber sein wird.

somit auch:

٠,

$$\begin{pmatrix} dV \\ d\varphi \end{pmatrix} = \begin{pmatrix} dF \\ d\varphi \end{pmatrix}, \begin{pmatrix} dV \\ d\overline{\psi} \end{pmatrix} = \begin{pmatrix} dF \\ d\overline{\psi} \end{pmatrix}, \begin{pmatrix} dV \\ \overline{d}\varepsilon' \end{pmatrix} = \begin{pmatrix} dF \\ d\overline{\varepsilon'} \end{pmatrix},$$

$$\begin{pmatrix} dV \\ \overline{\psi} \end{pmatrix} = \frac{3M_{i}}{7} \left(A - C \right) z_{i}' \begin{pmatrix} dz_{i}' \\ \overline{\psi} \end{pmatrix}$$

$$\begin{pmatrix} \frac{dV}{d\varphi} \end{pmatrix} = \frac{3M_{t}}{r_{t}^{'5}} (A - C) z_{t}^{'} \left(\frac{dz_{t}^{'}}{d\varphi} \right)$$

$$\begin{pmatrix} \frac{dV}{d\psi} \end{pmatrix} = \frac{3M_{t}}{r_{t}^{'5}} (A - C) z_{t}^{'} \left(\frac{ds_{t}^{'}}{d\psi} \right)$$

$$\begin{pmatrix} \frac{dV}{d\epsilon^{'}} \end{pmatrix} = \frac{3M_{t}}{r_{t}^{'5}} (A - C) z_{t}^{'} \left(\frac{dz_{t}^{'}}{d\epsilon^{'}} \right).$$

$$12)$$

Um z, durch x, y, und z, auszudrücken, welche Coordinaten des anziehenden materiellen Punktes sich auf ein festes Coordinatensystem beziehen, also von φ , ψ und ε unabhängig sind, wird man sich der dritten Relation in 9a) (pag. 140) bedienen, dieselbe liefert:

z'=cx,+c'y,+c''z,

und ersetzt man hierin die Cosinusfunctionen c, c' und c'' durch die Gleichungen 4) (pag. 138), so findet sich:

$$z' = -\sin\psi\sin\varepsilon'x + \cos\psi\sin\varepsilon'y + \cos\varepsilon'z$$
.

Bildet man nun die partiellen Differentialquotienten von z', nach φ , ψ und ε' , so sieht man sofort, dass, da z', den Winkel φ nicht enthält (die Coordinaten x_n , y, und z, sind den obigen Bemerkungen nach ebenfalls von φ , ψ und ε' unabhängig), die Ableitung nach φ verschwindet; es ist also:

$$\left(\frac{dV}{d\varphi}\right) = 0. 14$$

Dieses Resultat ist für die weiter unten folgenden Integrationen von hoher Wichtigkeit und erklärt sich aus dem Umstande, dass A = B gesetzt wurde.

Bezeichnet man die auf die feste Ekliptik bezogenen geocentrischen polaren Coordinaten des anziehenden Massenpunktes mit l', b' und seine Entfernung mit r', so wird sein:

$$x_{r} = r'_{r} \cos l' \cos b'$$

$$y_{r} = r'_{r} \sin l' \cos b'$$

$$z_{r} = r'_{r} \sin b'_{r}$$

daher mit Rücksicht auf 13):

$$F = -\frac{3M, (C-A)}{2r'^3} \left\{ \sin \varepsilon' \cos b' \sin (l'-\psi) + \cos \varepsilon' \sin b' \right\}^2,$$

und man hat schliesslich

The first semiession:
$$\begin{pmatrix}
\frac{dV}{d\psi} \end{pmatrix} \frac{dt}{\sin \varepsilon' nC} = \frac{3M_{r}(C-A)}{n C r_{r}^{'3}} \left\{ \sin \varepsilon' \cos b' \sin (l'-\psi) + \cos \varepsilon' \sin b' \right\} \times \\
\times \left\{ \cos b' \cos (l'-\psi) \right\} dt \\
\left(\frac{dV}{d\varepsilon'} \right) \frac{dt}{\sin \varepsilon' nC} = -\frac{3M_{r}(C-A)}{n C r_{r}^{'3}} \left\{ \sin \varepsilon' \cos b' \sin (l'-\psi) + \cos \varepsilon' \sin b' \right\} \times \\
\times \left\{ \cot \varepsilon' \cos b' \sin (l'-\psi) - \sin b' \right\} dt.$$
15)

Die Intégration dieser Ausdrücke führt, wie später gezeigt werden wird, zur Kenntnis der Werthe ψ und ε' ; zwar enthalten dieselben die zu suchenden Grössen ψ und ε' selbst, doch sieht man wol sogleich ein, dass dieser Umstand der bis auf Grössen zweiter Ordnung exclusive richtigen Integration kein wesentliches Hindernis bietet, da ψ von der Ordnung der störenden Kräfte, ε' aber bis auf Grössen derselben Ordnung constant ist; die Resultate dieser ersten Integration werden ausreichend genau sein, um die zweite Näherung durchzuführen u. s. f.; es wird sich aber zeigen, dass auf Grundlage der vorhandenen Untersuchungen von diesen successiven Annäherungen Umgang genommen werden kann. Schliesslich wird es gut sein, sich zu erinnern, dass die vorliegende Untersuchung den Erdkörper als starr voraussetzt, welcher Annahme wesentliche Zweifel entgegengesetzt werden können.

E. Zurückführung der Differentialgleichungen für die Bewegung der Erdachse auf Quadraturen.

Die Integration der oben (pap. 142) entwickelten Differentialgleichung für die Bewegung der Erdachse soll in etwas anderer, wenn auch weitläufigerer Weise, als dies sonst üblich ist, durchgeführt werden, weil das hier einzuschlagende Verfahren zur klaren Beurtheilung der auftretenden Umstände besonders geeignet erscheint und zu strenge Ausdrücken führt.

Setzt man in den Gleichungen 14) (pag. 142), wie dies schon bei der Entwicklung des Potentials geschehen ist, A = B, was mit der Annahme zusammentrifft, dass die Erde ein Rotationskörper sei, und benützt die aus derselben Voraussetzung resultirende Relation:

$$\left(\frac{dV}{d\varphi}\right) = 0$$
,

die als Gleichung 14) (pag. 145) angeführt ist, so gestalten sich die bezüglichen Differentialgleichungen für die Rotationsbewegung des starr gedachten Erdkörpers, wie folgt:

$$\begin{split} A\,\frac{dp}{dt} + \left(C - A\right)q\,r &= -\frac{\sin\varphi}{\sin s'} \left(\frac{d\,V}{d\psi}\right) - \cos\varphi\left(\frac{d\,V}{ds'}\right) \\ A\,\frac{dq}{dt} - \left(C - A\right)p\,r &= -\frac{\cos\varphi}{\sin s'} \left(\frac{d\,V}{d\psi}\right) + \sin\varphi\left(\frac{d\,V}{d\tilde{e'}}\right) \\ C\,\frac{dr}{dt} &= \mathrm{o.} \end{split} \right\} \quad \mathrm{I}) \end{split}$$

Die Integration der dritten Gleichung liefert sofort:

$$r = \text{Constante} = n.$$
 2)

Die Rotationsgeschwindigkeit der Erde um ihre kleine Achse ist demnach constant und muss als willkürliche Integrationsconstante aus den Beobachtungen bestimmt werden. Mit Rücksicht auf dieses Resultat können die beiden ersten Gleichungen in 1) nunmehr wie folgt geschrieben werden:

$$A \frac{dp}{dt} + (C - A) nq = -\frac{\sin \varphi}{\sin e^{i}} \left(\frac{dV}{d\psi} \right) - \cos \varphi \left(\frac{dV}{de^{i}} \right)$$

$$A \frac{dq}{dt} - (C - A) np = -\frac{\cos \varphi}{\sin e^{i}} \left(\frac{dV}{d\psi} \right) + \sin \varphi \left(\frac{dV}{de^{i}} \right).$$

$$3)$$

Denkt man sich diese Gleichungen unter der Annahme, dass keine äusseren Kräfte wirken, zur Integration vorgelegt, was mit der Bedingung zusammenfällt, dass die Glieder rechter Hand vom Gleichheitszeichen Null sind, so wird man finden, dass denselben für p und q die folgenden Formen:

$$p = \xi \cos \left(n \frac{C - A}{A} t\right) + \eta \sin \left(n \frac{C - A}{A} t\right)$$

$$q = \xi \sin \left(n \frac{C - A}{A} t\right) - \eta \cos \left(n \frac{C - A}{A} t\right),$$
4)

genügen, in denen ξ und η die willkürlichen Integrationsconstanten darstellen; betrachtet man aber diese ebenfalls als mit der Zeit veränderlich, so wird man durch

Variation derselben den Gleichungen 3) und 4) genügen können. Differentiirt man unter dieser Voraussetzung die Gleichungen 4), so ergibt sich:

$$\frac{dp}{dt} = -\frac{C-A}{A}qn + \cos\left(n\frac{C-A}{A}t\right)\frac{d\xi}{dt} + \sin\left(n\frac{C-A}{A}t\right)\frac{d\eta}{dt}$$

$$\frac{dq}{dt} = \frac{C-A}{A}pn + \sin\left(n\frac{C-A}{A}t\right)\frac{d\xi}{dt} - \cos\left(n\frac{C-A}{A}t\right)\frac{d\eta}{dt}.$$
5)

Die Substitution der Werthe von p und q aus den Gleichungen 4) und 5) in die Gleichungen 3) lässt, wenn man abkürzend schreibt:

$$\mu = n \frac{C - A}{A}, \tag{6}$$

finden:

$$A \left| \cos \mu t \, \frac{d\xi}{dt} + \sin \mu t \, \frac{d\eta}{dt} \right| = - \frac{\sin \varphi}{\sin \varepsilon} \left(\frac{dV}{d\psi} \right) - \cos \varphi \left(\frac{dV}{d\varepsilon'} \right)$$

$$A \left| \sin \mu t \, \frac{d\xi}{dt} - \cos \mu t \, \frac{d\eta}{dt} \right| = - \frac{\cos \varphi}{\sin \varepsilon'} \left(\frac{dV}{d\psi} \right) + \sin \varphi \left(\frac{dV}{d\varepsilon'} \right),$$

woraus für $d\xi$ und $d\eta$ leicht die Ausdrücke:

$$A\frac{d\xi}{dt} = -\frac{\sin(\mu t + \varphi)}{\sin \epsilon'} {dV \choose d\psi} - \cos(\mu t + \varphi) {dV \choose d\epsilon'}$$

$$A\frac{d\eta}{dt} = +\frac{\cos(\mu t + \varphi)}{\sin \epsilon'} {dV \choose d\psi} - \sin(\mu t + \varphi) {dV \choose d\epsilon'},$$

$$7)$$

resultiren, deren Integration zu folgenden Gleichungen führt:

$$\xi = \xi_{0} - \int \left\{ \frac{\sin(\mu t + \varphi)}{\sin s' A} \binom{dV}{d\psi} + \frac{\cos(\mu t + \varphi)}{A} \binom{dV}{ds'} \right\} dt$$

$$\eta = \eta_{0} + \int \left\{ \frac{\cos(\mu t + \varphi)}{\sin s' A} \binom{dV}{d\psi} - \frac{\sin(\mu t + \varphi)}{A} \binom{dV}{ds'} \right\} dt.$$
8)

 ξ_0 und η_0 sind die Integrationsconstanten und hängen von den Anfangszuständen ab; auf die nähere Bedeutung jener und die durch dieselben bewirkten Bewegungen wird weiter unten ausführlicher eingegangen werden.

Denkt man sich die partiellen Differentialquotienten von V als Functionen der Zeit entwickelt, so werden die angezeigten Integrationen die Kenntnis der Grösse φ als Function der Zeit erfordern; nun ist aber nach der Gleichung 7) (pag. 138):

$$d\varphi = rdt - \cos \varepsilon' d\psi,$$

sonach mit Rücksicht auf 2) (pag. 146):

$$\varphi = \varphi_0 + nt - \int \cos \varepsilon' \, \frac{d\psi}{dt} \, dt.$$

Die Integrationsconstante φ_0 kann beliebig gewählt werden, da die Erde als Rotationskörper vorausgesetzt ist; man kann sich demnach die positive X'-Achse in den Meridian eines bestimmten Erdortes gelegt denken und die Integrationsconstante φ_0 der Null gleich annehmen. φ tritt bei der Integration stets in Verbindung mit μ auf, woraus sich der Bedeutung dieses Buchstabens gemäss (vergl. Gleichung 6) (pag. 147) leicht findet:

$$\mu t + \varphi = \frac{C}{A} n t - \int \cos \varepsilon' \frac{d\psi}{dt} dt$$

$$\mu + \frac{d\varphi}{dt} = \frac{C}{A} n - \cos \varepsilon' \frac{d\psi}{dt} = \mu'.$$

 μ' wird man selbst bei den genauesten Rechnungen mit $\frac{C}{A}n$ identificiren können.

denn wählt man als Einheit den Sterntag, so wird n mit 1296000" anzunehmen sein, während das Hauptglied des zweiten Theiles von μ' kaum o"12 erreicht; jedenfalls wird man in der ersten Näherung dieses zweite Glied weglassen, für die weiteren Annäherungen das Resultat der vorangehenden benützen, und da das Hauptglied von $\frac{d\psi}{dt}$ nahezu constant ist, ohne merklichen Fehler dasselbe für μ' voraussetzen und daher $(\mu'-\mu)$ $t=\varphi$ annehmen können. Es stehen somit den in den Gleichungen 8) angezeigten Integrationen so lange keine wesentlichen Hindernisse entgegen, als die störenden Kräfte so klein sind, dass eine Entwicklung nach steigenden Potenzen derselben eine genügende Convergenz darbietet.

Substituirt man die in 4) (pag. 146) erhaltenen Werthe für p und q in die Gleichungen 7) (pag. 138), so findet sich leicht:

$$\frac{\frac{ds'}{dt} = -\xi \cos(\mu t + \varphi) - \eta \sin(\mu t + \varphi)}{-\sin \epsilon' \frac{d\psi}{dt} = \xi \sin(\mu t + \varphi) - \eta \cos(\mu t + \varphi)}$$

$$\frac{d\varphi}{dt} = n + \cot \epsilon' \xi \sin(\mu t + \varphi) - \cot \epsilon' \eta \cos(\mu t + \varphi),$$
10)

in welchen Ausdrücken ξ und η nach den Gleichungen 8) (pag. 147) bestimmt werden können; die Integration der Gleichungen 10) liefert sofort die verlangten Quantitäten durch Quadraturen, nämlich:

$$\begin{split} \varepsilon' &= \varepsilon_{\rm o}' - \int \{\xi \cos{(\mu t + \varphi)} + \eta \sin{(\mu t + \varphi)}\} dt \\ -\psi &= -\psi_{\rm o} + \int \{\frac{\xi}{\sin{s'}} \sin{(\mu t + \varphi)} - \frac{\eta}{\sin{s'}} \cos{(\mu t + \varphi)}\} dt \\ \varphi &= \varphi_{\rm o} + nt + \int \{\cot{g} \, \varepsilon' \, \xi \sin{(\mu t + \varphi)} - \cot{g} \, \varepsilon' \, \eta \cos{(\mu t + \varphi)}\} dt, \end{split} \right\} \quad \text{11}$$

in welchen Ausdrücken ϵ_0' , — ψ_0 und φ_0 die willkürlichen Integrationsconstanten darstellen. Die in 8) und 11) auftretenden Integrale enthalten theilweise die zu bestimmenden Incremente selbst, doch stets in Verbindung mit den störenden Kräften, weshalb der Ermittlung dieser Integrale durch successive Näherungen keine Schwierigkeiten entgegenstehen. Wiewol die Berechnung mit Hilfe der Quadraturen in 8) und 11) wenig an Bequemlichkeit zu wünschen übrig lässt, so werden sich doch noch anderweitige Formeln aufstellen lassen, die bei der thatsächlichen Anwendung den Vorzug verdienen, besonders wenn man, wie dies im folgenden Kapitel geschieht, die Bewegungen der instantanen Drehungsachse verfolgt. Differentiirt man die ersten beiden Formeln in 10) nach der Zeit, so wird man finden:

$$\begin{split} \frac{d}{dt} \left(\frac{d \varepsilon'}{dt} \right) &= - \; \mu' \sin \varepsilon' \; \frac{d \psi}{dt} - \cos \left(\mu \, t \, + \, \varphi \right) \; \frac{d \xi}{dt} - \sin \left(\mu \, t \, + \, \varphi \right) \; \frac{d \eta}{dt} \\ \frac{d}{dt} \left(- \; \sin \varepsilon' \; \frac{d \psi}{dt} \right) &= - \; \mu' \; \frac{d \varepsilon'}{dt} + \sin \left(\mu \, t \, + \, \varphi \right) \; \frac{d \xi}{dt} - \cos \left(\mu \, t \, + \, \varphi \right) \; \frac{d \eta}{dt} \end{split}$$

Ersetzt man in dieser Gleichung die Differentialquotienten von ξ und η durch die entsprechenden Relationen in 7) (pag. 147), so findet sich, wenn man das Resultat der zweiten Gleichung zuerst ansetzt:

Führt man nun für μ' seinen Werth nach 9) (pag. 147) ein, so erhält man:

nun für
$$\mu'$$
 seinen Werth nach 9) (pag. 147) ein, so erhält man:
$$\frac{d\varepsilon'}{dt} = \frac{A}{nC} \frac{d}{dt} \left(\sin \varepsilon' \frac{d\psi}{dt} \right) - \frac{1}{\sin \varepsilon' n C} \left(\frac{dV}{d\psi} \right) + \frac{A \cos \varepsilon'}{n C} \frac{d\psi}{dt} \cdot \frac{d\varepsilon'}{dt}$$

$$- \frac{d\psi}{dt} = \frac{A}{\sin \varepsilon' n C} \frac{d}{dt} \left(\frac{d\varepsilon'}{dt} \right) - \frac{1}{\sin \varepsilon' n C} \left(\frac{dV}{d\varepsilon'} \right) - \frac{A \cos \varepsilon'}{n C} \frac{d\psi}{dt} \cdot \frac{d\psi}{dt} \cdot$$
13)

Bedenkt man, dass geschrieben werden kann:

$$\frac{1}{\sin s'} \frac{d}{dt} \left(\frac{ds'}{dt} \right) = \frac{d}{dt} \left(\frac{1}{\sin s'} \frac{ds'}{dt} \right) + \frac{\cot g \, s'}{\sin s'} \frac{ds'}{dt} \frac{ds'}{dt}.$$

so ergibt die Integration der Gleichungen 13):

$$\begin{split} \varepsilon' &= \varepsilon_{\rm o}' \, - \int\! \left(\!\frac{dV}{d\psi}\!\right) \frac{dt}{\sin \varepsilon' n \, C} + \frac{A \sin \varepsilon'}{n \, C} \frac{d\psi}{dt} + \int\! \frac{A \cos \varepsilon'}{n \, C} \frac{d\psi}{dt} \frac{d\varepsilon'}{dt} \, dt \\ \psi &= \psi_{\rm o} + \int\! \left(\!\frac{dV}{d\varepsilon'}\!\right) \frac{dt}{\sin \varepsilon' n \, C} - \frac{A \csc \varepsilon'}{n \, C} \frac{d\varepsilon'}{dt} + \int\! \frac{A \cos \varepsilon'}{n \, C} \left. \left\{\!\frac{d\psi}{dt} \frac{d\psi}{dt} - \frac{1}{\sin \varepsilon'^2} \frac{d\varepsilon'}{dt} \right\} \, dt, \end{split} \right\}^{14)} \end{split}$$

welche Gleichungen, da keine Vernachlässigungen eingeführt sind, völlig streng sind. Das letzte Glied in jeder dieser Gleichungen ist offenbar zweiter Ordnung, kann daher in der ersten Annäherung übergangen werden, doch bleiben diese Glieder stets so klein, dass sie selbst bei den genauesten Rechnungen ohne wesentlichen Nachtheil fortgelassen werden können. Die dritten Glieder, von denen das eine mit dem Differential quotienten von ψ , das andere mit dem von ε' multiplicirt erscheint, bedürfen besonderer Berücksichtigung. Dieselben werden gewöhnlich mit der Bemerkung abgefertigt, dass sie als nothwendig klein fortgelassen werden dürfen; wie sich jedoch im Verlaufe der Untersuchung zeigen wird, geben ganz andere Gründe, die man gewöhnlich nicht angeführt findet, die Berechtigung, bei der Ermittlung der Präcession und Nutation von diesen Gliedern abzusehen; bei der Integration der vorliegenden Gleichungen hingegen wird deren Mitnahme jedenfalls empfohlen werden müssen. Das Vorhandensein derselben zeigt, dass in den Gleichungen 14) die Zurückführung der Differentialgleichungen auf Quadraturen, die durch die Gleichungen 8) (pag. 147) und 11) (pag. 148) geleistet wird, nicht vollständig erreicht ist; doch kann diese leicht mit Hilfe der eben angeführten Gleichungen bewerkstelligt werden; es ist nämlich nach denselben:

$$\frac{d\epsilon'}{dt} = -\xi_0 \cos(\mu t + \varphi) + \frac{\cos(\mu t + \varphi)}{A} \int \left\{ \frac{\sin(\mu t + \varphi)}{\sin \epsilon'} \left(\frac{dV}{d\psi} \right) + \right\} \\
+ \cos(\mu t + \varphi) \left(\frac{dV}{d\epsilon'} \right) dt \\
- \eta_0 \sin(\mu t + \varphi) - \frac{\sin(\mu t + \varphi)}{A} \int \left\{ \frac{\cos(\mu t + \varphi)}{\sin \epsilon'} \left(\frac{dV}{d\psi} \right) - \right\} \\
- \sin(\mu t + \varphi) \left(\frac{dV}{d\epsilon'} \right) dt \\
\sin \epsilon' \frac{d\psi}{dt} = -\xi_0 \sin(\mu t + \varphi) + \frac{\sin(\mu t + \varphi)}{A} \int \left\{ \frac{\sin(\mu t + \varphi)}{\sin \epsilon'} \left(\frac{dV}{d\psi} \right) + \right\} \\
+ \cos(\mu t + \varphi) \left(\frac{dV}{d\epsilon'} \right) dt \\
+ \eta_0 \cos(\mu t + \varphi) + \frac{\cos(\mu t + \varphi)}{A} \int \left\{ \frac{\cos(\mu t + \varphi)}{\sin \epsilon'} \left(\frac{dV}{d\psi} \right) - \right\} \\
- \sin(\mu t + \varphi) \left(\frac{dV}{d\epsilon'} \right) dt.$$

Die in diesen Gleichungen auftretenden Integrale werden der Null gleich, wenn keine störenden Kräfte vorhanden sind, während die Grössen ξ_0 und η_0 als willkürliche Integrationsconstanten aus den Beobachtungen bestimmt werden müssen. Es sollen zunächst die Wege angedeutet werden, auf welchen das Vorhandensein dieser Glieder nachgewiesen werden kann. Nimmt man, um die Lage der instantanen Drehungsachse gegen die kleine Achse des Erdellipsoids zu bestimmen, die Gleichungen 13) (pag. 135) vor, so erhält man mit Rücksicht auf die Gleichungen 2) und 4) (pag. 146) sofort:

$$\cos \alpha' = \frac{\xi \cos \mu t + \eta \sin \mu t}{\sqrt{n^2 + \xi^2 + \eta^2}}$$

$$\cos \beta' = \frac{\xi \sin \mu t - \eta \cos \mu t}{\sqrt{n^2 + \xi^2 + \eta^2}}$$

$$\cos \gamma' = \frac{n}{\sqrt{n^2 + \xi^2 + \eta^2}}.$$
16)

Die hierdurch angezeigten Veränderungen in der relativen Lage der beiden Achsen werden sich als Variationen der Polhöhe darstellen, da die Polhöhe eines Ortes durch die Neigung des Lothes gegen die auf der instantanen Drehungsachse senkrechte Ebene bestimmt ist. Die nördliche Fortsetzung der Erdachse und der instantanen Drehungsachse werden die Himmelskugel in zwei Punkten treffen, die um den Bogen γ' von einander abstehen; legt man durch diese beiden Punkte einen grössten Kreis, so wird dieser jenen grössten Kreis, welchen die auf der Erdachse senkrechte X' Y' Ebene im Durchschnitte mit der Himmelskugel bildet (Äquator), in einem Punkte schneiden, dessen Winkelabstand von der positiven X'-Achse, im Sinne der Rectascensionen gezählt, durch Γ bezeichnet werden soll; dann wird sein:

$$\cos \alpha' = \sin \gamma' \cos \Gamma = \frac{\xi \cos \mu t + \eta \sin \mu t}{V n^2 + \xi^2 + \eta^2}$$

$$\cos \beta' = \sin \gamma' \sin \Gamma = \frac{\xi \sin \mu t - \eta \cos \mu t}{V n^2 + \xi^2 + \eta^2}$$

$$\cos \gamma' = \frac{n}{V n^2 + \xi^2 + \eta^2}.$$

Sind keine äusseren Kräfte vorhanden, so reduciren sich die Ausdrücke für ξ und η auf die Werthe der Integrationsconstanten ξ_0 und η_0 (vergl. 8) (pag. 147) und der Nenner nimmt den constanten Werth:

$$\omega_{\rm o} = \sqrt{n^2 + \xi_{\rm o}^2 + \eta_{\rm o}^2}, \quad 18$$

an, somit wird auch y' constant, und setzt man weiter:

so wird:

Hatten also ξ_0 und η_0 im Anfangszustande angebbare Werthe, so wird die instantane

Drehungsachse um die Erdachse eine Kegelfläche mit dem durch:

$$\sin \gamma_0' = \frac{m}{\omega_0},$$

bestimmten Öffnungswinkel γ_0 beschreiben, und zwar, weil μ positiv ist, im Sinne der Erdrotation; der Umlauf wird in der Zeit $\frac{2\pi}{\mu}$ stattfinden. Für μ ist oben gesetzt worden:

 $\mu=n\,\frac{C-A}{A},$

so dass, da n die Rotationsgeschwindigkeit der Erde in der Zeiteinheit vorstellt, μ dem Wesen nach von dem Unterschiede des Verhältnisses der Trägheitsmomente (C:A) gegen die Einheit abhängig ist. Es wird sich im Verlaufe der folgenden Untersuchung die Gelegenheit bieten, diesen Coöfficienten aus den Beobachtungen abzuleiten (vergl. pag. 182); die Resultate derselben lassen:

$$\mu = 0.0206141$$
,

in Einheiten des Radius und die Periode der Bewegung:

$$\frac{2\pi}{\mu} = 304.80$$
 mittlere Sonnentage,

finden. Es wird am Platze sein, gleich hier zu erwähnen, dass diesem Resultate eine beträchtliche Unsicherheit anhaftet und die so bestimmte Periode wohl um Tage fehlerhaft sein kann.

C. A. F. Peters hat es zuerst versucht, den Öffnungswinkel γ_0 aus den Beobachtungen zu bestimmen und in der That einen scheinbar reellen Werth für denselben, nämlich o"079 gefunden. Nyrén kommt durch viel umfassendere Untersuchungen in seinen Abhandlungen über die Nutation der Erdachse und über die Polhöhe von Pulkowa zu einem im Durchschnitte mit Peters nahe stimmenden Resultate. und Downing gelangt durch die Discussion zehnjähriger (1868-77) Greenwicher Polarsternbeobachtungen zu ähnlichen Werthen, so dass es in der That scheint, den Grössen ξ_0 und η_0 müssten etwas von Null verschiedene Werthe zugeschrieben werden; kämen aber auch ξ_0 und η_0 grosse Werthe zu, so würden nach den Ergebnissen der voranstehenden Untersuchungen in den Polhöhen doch nur periodische Veränderungen von nahezu zehnmonatlicher Periode auftreten. Die Kleinheit der Werthe ξ_0 und η_0 zeigt, dass im Anfangszustande die Rotationsachse mit der instantanen Drehungsachse sehr nahe zusammengefallen ist; die hier und da gemachte Bemerkung, dass ξ_0 und η_0 im Verlaufe der Zeit klein geworden sind, muss vorläufig, so lange nicht die Kräfte nachgewiesen sind, welche diese Verkleinerung bewirkt haben, als nicht zutreffend bezeichnet werden.

Setzt man mit Rücksicht auf die Gleichungen 10) (pag. 148) die Ausdrücke 19) (pag. 150) in die dritten Glieder der Gleichungen 14) (pag. 149) ein, so erhält man jenen Antheil derselben, welcher von dem Anfangszustande abbängig ist; man wird finden:

$$\begin{split} &\left(\frac{A\sin s'}{n\,C}\cdot\frac{d\psi}{dt}\right)_{0}=-\frac{m\,A}{n\,C}\sin\left(\mu\,t+\,\varphi\,-\,\sigma\right)\\ &-\left(\frac{A\cos c\,s'}{n\,C}\,\frac{ds'}{dt}\right)_{0}=\frac{m\,A}{\sin \epsilon'\,n\,C}\cos\left(\mu\,t+\,\varphi\,-\,\sigma\right). \end{split}$$

Da, wie dies der obige numerische Werth von μ zeigt, C:A in diesen kleinen Gliedern der Einheit gleich gesetzt, ferner, ohne mehr als Glieder dritter Ordnung zu vernachlässigen, ω_0 mit n identificirt werden kann, so findet sich mit Benützung des oben angegebenen von Peter's ermittelten Werthes von γ_0 ' numerisch:

Durch diese Glieder werden also in ψ und ε' periodische Glieder entstehen, deren Periode wegen der Grösse φ nahezu die eines Tages sein wird; dieselben würden verschwinden, wenn die Rotationsachse mit der kleinen Achse des Erdellipsoids oder richtiger mit der Hauptträgheitsachse Z' zusammenfiele, welche Annahme jedoch nach den obigen Beobachtungsresultaten kaum völlig gerechtfertigt wäre.

Um nun den Antheil zu bestimmen, den die störenden Kräfte an den dritten Gliedern der Gleichungen 14) (pag. 149) haben, könnten dieselben leicht gesondert entwickelt werden; um aber die Integration nach den Formeln 8) (pag. 147) zu erläutern, will ich diese hier in Anwendung ziehen, wiewohl dadurch das Verfahren etwas weitläufiger wird. Um zu den numerischen Werthen der betreffenden Glieder zu gelangen, wird es nöthig sein, den späteren Untersuchungen vorgreifend, die grössten Störungsglieder hier anzusetzen; man wird mit Benützung der weiter unten mitgetheilten Zahlen leicht finden:

$$\frac{1}{A \sin s'} \left(\frac{dV}{d\psi} \right) = \frac{nC}{A} \left\{ + 1490'' \sin \left(2g + 2\omega + 2\Omega \right) + 689'' \sin \left(2g' + 2\omega' + 2\Omega \right) + 285'' \sin \left(3g + 2\omega + 2\Omega \right) - 312'' \sin \Omega + 308'' \sin \left(2g + 2\omega + \Omega \right) \right\},$$

$$\frac{1}{A} \left(\frac{dV}{d\varepsilon'} \right) = \frac{nC}{A} \sin \varepsilon' \left\{ - 5037'' - 569'' \cos g + 3433'' \cos \left(2g + 2\omega + 2\Omega \right) + 1587'' \cos \left(2g' + 2\omega' + 2\Omega \right) + 658'' \cos \left(3g + 2\omega + 2\Omega \right) - 583'' \cos \Omega + 577'' \cos \left(2g + 2\omega + \Omega \right) \right\}.$$

Die in den Klammern stehenden Ausdrücke sind offenbar beziehungsweise mit $-\frac{de'}{dt}$ und $\frac{d\psi}{dt}$ identisch.

In diesen Ausdrücken ist, was für die Bestimmung von n von Bedeutung ist, als Zeiteinheit das julianische Jahrhundert zu verstehen; es ist demnach für n mit hinreichender Annäherung zu setzen:

weiter stellt vor: $n = 2\pi \cdot 36624$;

g: die mittlere Anomalie des Mondes,

g': die mittlere Anomalie der Sonne,

ω: den Abstand des Mondperigäums von dem aufsteigenden Mondknoten,

ω': den Abstand des Sonnenperigäums von dem aufsteigenden Mondknoten,

Ω: die Länge des aufsteigenden Mondknotens.

Setzt man nun für & den Werth 23°27'5, so erhält man sofort:

$$\frac{A}{nC} \frac{\left|\sin \mu' t}{\sin \epsilon' A} \left(\frac{dV}{d\psi}\right) + \frac{\cos \mu' t}{A} \left(\frac{dV}{d\epsilon'}\right)\right\} = -2005'' \cos \mu' t - \\
-113'' \cos (\mu' t - g) + 1428'' \cos (\mu' t - 2g - 2\omega - 2\Omega) - 62'' \cos (\mu' t + 2g + 2\omega + 2\Omega) \\
-113'' \cos (\mu' t + g) + 660'' \cos (\mu' t - 2g' - 2\omega' - 2\Omega) - 28'' \cos (\mu' t + 2g' + 2\omega' + 2\Omega) \\
+ 273'' \cos (\mu' t - 3g - 2\omega - 2\Omega) - 11'' \cos (\mu' t + 3g + 2\omega + 2\Omega) \\
- 272'' \cos (\mu' t - \Omega) + 40'' \cos (\mu' t + \Omega) \\
+ 269'' \cos (\mu' t - 2g - 2\omega - \Omega) - 39'' \cos (\mu' t + 2g + 2\omega + \Omega).$$

Für:

$$\frac{A}{nC}\left|\frac{\cos\mu't}{\sin\epsilon'A}\left(\frac{dV}{d\psi}\right) - \frac{\sin\mu't}{A}\left(\frac{dV}{d\epsilon'}\right)\right|,$$

findet sich ganz derselbe Ausdruck wie 22), nur sind durchaus die Zeichen umzukehren und statt der Cosinusfunctionen die Sinusfunctionen zu setzen.

Die Integration kann in diesem Falle in sehr einfacher Weise durchgeführt werden; da nämlich die Bewegung des Argumentes $\mu't$, welches nahezu die
Periode eines Tages hat, gegen die Bewegung der anderen Argumente überwiegend
gross ist, so darf man bei der Kleinheit der in Betracht kommenden Glieder
ohne erheblichen Fehler als den gemeinsamen Integrationsdivisor μ' setzen, wofür
mit mehr als genügender Genauigkeit nach 9) (pag. 147) Cn:A angenommen werden
kann, welcher Coëfficient sich dann mit dem links vom Gleichheitszeichen stehenden gemeinsamen Factor zur Einheit abkürzt. Integrirt man nun entsprechend die
Gleichungen 8) (pag. 147), so erhält man sofort die Werthe von ξ und η , welche
durch n dividirt und auf drei Decimalen der Bogensekunde angesetzt, wie folggefunden werden:

$$\frac{\xi}{n} = \frac{\xi_0}{n} + o'' \cos \sin \mu' t \qquad , \quad \frac{\eta}{n} = \frac{\eta_0}{n} - o'' \cos \cos \mu' t \\ + o'' \cos \cos \sin (\mu' t - g) \qquad - o'' \cos \cos (\mu' t - g) \\ + o'' \cos \cos \sin (\mu' t + g) \qquad - o'' \cos \cos (\mu' t + g) \\ - o'' \cos \sin (\mu' t - 2g - 2\omega - 2\Omega) \qquad + o'' \cos \cos (\mu' t - 2g - 2\omega - 2\Omega) \\ - o'' \cos \sin (\mu' t - 2g' - 2\omega' - 2\Omega) \qquad + o'' \cos \cos (\mu' t - 2g' - 2\omega' - 2\Omega) \\ - o'' \cos \sin (\mu' t - 3g - 2\omega - 2\Omega) \qquad + o'' \cos \cos (\mu' t - 3g - 2\omega - 2\Omega) \\ + o'' \cos \sin (\mu' t - \Omega) \qquad - o'' \cos \sin (\mu' t - 2g - 2\omega - \Omega) \qquad + o'' \cos \cos (\mu' t - 2g - 2\omega - \Omega).$$

Mit Benützung der Formeln 10) (pag. 148) und Hinzunahme der Resultate der Gleichungen 21) (pag. 152), erhält man für die dritten Glieder in den Gleichungen 14):

$$\begin{split} \frac{A \sin s'}{nC} \frac{d\psi}{dt} &= -\frac{A}{C} \left\{ \frac{\xi}{n} \sin \mu' t - \frac{\eta}{n} \cos \mu' t \right\} \\ &= -o'' \circ 79 \sin (\mu' t - \sigma) - o'' \circ \circ 9 \\ &+ o'' \circ \circ 1 \cos g \\ &+ o'' \circ \circ 6 \cos (2g + 2\omega + 2\Omega) \\ &+ o'' \circ \circ 3 \cos (2g' + 2\omega' + 2\Omega) \\ &+ o'' \circ \circ 1 \cos (3g + 2\omega + 2\Omega) \\ &- o'' \circ \circ 1 \cos \Omega \\ &+ o'' \circ \circ 1 \cos (2g + 2\omega + \Omega) \end{split}$$

$$-\frac{A \operatorname{cosec} \varepsilon'}{nC} \frac{d\varepsilon'}{dt} = \frac{A}{C \sin \varepsilon'} \left\{ \frac{\xi}{n} \cos \mu' t + \frac{\eta}{n} \sin \mu' t \right\}$$

$$= + o'' 198 \cos (\mu' t - \sigma) + o'' 016 \sin (2g + 2\omega + 2\Omega)$$

$$+ o'' 008 \sin (2g' + 2\omega' + 2\Omega)$$

$$+ o'' 003 \sin (3g + 2\omega + 2\Omega)$$

$$- o'' 003 \sin \Omega$$

$$+ o'' 003 \sin (2g + 2\omega + \Omega).$$

Wie man sieht, sind diese Glieder nicht ganz unmerklich, doch darf man dieselben bei der Berechnung der Präcession und Nutation übergehen, wofür in dem folgenden Kapitel die Gründe angeführt werden.

Die in 23) für ξ und η aufgestellten Ausdrücke werden die Möglichkeit an die Hand geben, mit Hilfe der Gleichungen 17) (pag. 150), in denen der Nenner mit n identisch angenommen werden darf, die durch die störenden Kräfte bewirkten Polhöhenänderungen zu bestimmen. Man wird für die Bestimmung der Lage der Rotationsachse gegen die kleine Achse des Erdellipsoids die folgenden Ausdrücke erhalten, in welchen die von den Anfangszuständen abhängigen Coëfficienten (vergl. Gleichung 21) pag. 152) ebenfalls Aufnahme gefunden haben:

Denkt man sich die positive X'-Achse in den Meridian eines bestimmten Erdortes gelegt, so wird $(180^{\circ}-\Gamma)$ sehr nahe den Stundenwinkel des Nordpols der kleinen Achse des Erdellipsoids in Bezug auf den Nordpol der instantanen Drehungsachse (vergl. pag. 150 über die Bedeutung des Winkels Γ), φ sehr nahe (vergl. pag. 137) die Ortssternzeit darstellen; wählt man in den folgenden Formeln statt φ den oben (pag. 24) für die Sternzeit gewählten Buchstaben θ , bezeichnet mit φ' die veränderliche, mit φ_0 die mittlere Polhöhe, so findet sich mit Berücksichtigung der Glieder erster Ordnung leicht:

$$\varphi' = \varphi_0 + \sin \gamma' \cos \Gamma$$

und es ergeben sich, wenn man die nur aus den Beobachtungen selbst ableitbaren ersten Glieder in 25) fortlässt, die theoretisch zu erschliessenden Variationen der Polhöhe wie folgt:

$$\begin{split} \varphi' &= \varphi_{0} + o'' \cos \sin \theta - o'' \cos \sin (\theta - 2g - 2\omega - 2\Omega) \\ &- o'' \cos 3 \sin (\theta - 2g' - 2\omega' - 2\Omega) \\ &- o'' \cos 1 \sin (\theta - 3g - 2\omega - 2\Omega) \\ &+ o'' \cos 1 \sin (\theta - \Omega) \\ &- o'' \cos 1 \sin (\theta - 2g - 2\omega - \Omega). \end{split}$$

Der Einfluss auf den Längenunterschied zweier Orte verschwindet, auch wenn man denselben durch die Winkelbewegung um die instantane Drehungsachse bestimmt, fast völlig. Man könnte die in 24) und 25) aufgeführten Resultate, was die von den störenden Kräften abhängigen Glieder anbelangt, auch erhalten, wenn man die oben (pag. 152) für $\frac{de'}{dt}$ und $\frac{d\psi}{dt}$ gegebenen Werthe in die Ausdrücke:

$$\frac{p}{n} = -\frac{\sin\varphi\sin\varepsilon'}{n}\frac{d\psi}{dt} - \frac{\cos\varphi}{n}\frac{d\varepsilon'}{dt}, \qquad \frac{q}{n} = -\frac{\cos\varphi\sin\varepsilon'}{n}\frac{d\psi}{dt} + \frac{\sin\varphi}{n}\frac{d\varepsilon'}{dt},$$

einführen würde (vergl. 6) pag. 138, 13) pag. 135, 17) pag. 150).

ζ. Die Bewegungen der Rotationsachse der Erde.

Vor Allem muss man sich gegenwärtig halten, dass den Beobachtungen der Äquator als Fundamentalebene zu Grunde liegt, und dass dieser durch die Ebene bestimmt ist, welche vertical auf der instantanen Drehungsachse steht; die aus den Beobachtungen abgeleiteten Werthe von ψ und ε' beziehen sich daher eigentlich auf die Drehungsachse und nicht auf die kleine Achse des Erdellipsoids; hätten beide Achsen eine beträchtliche Neigung gegen einander, so müsste bei der Ableitung der Formeln des vorangehenden Kapitels auf diese Differenz Rücksicht genommen werden. Bezeichnet man daher wie früher (vergl. Gleichung 14) pag. 136) mit α'' , β'' und γ'' die Winkel, welche die instantane Drehungsachse mit den fixen Coordinatenachsen einschliesst, so müsste (vergl. Gleichung 4) pag. 138) eigentlich gesetzt werden:

$$\cos \alpha'' = -\sin \psi \sin \epsilon'$$

 $\cos \beta'' = \cos \psi \sin \epsilon'$
 $\cos \gamma'' = \cos \epsilon'$,

wenn man unter ε' und ψ die aus den Beobachtungen abgeleiteten Werthe versteht; es sollen jedoch, um Irrthümern vorzubeugen, für letztere Grössen die Buchstaben ε' , und ψ , gewählt werden. Um nun die Differentialgleichungen für diese letzteren Bogen zu erhalten, kann man die Gleichungen 14) (pag. 136) vornehmen und ihnen die Form:

$$\cos \alpha'' \sqrt{n^2 + p^2 + q^2} = \omega \cos \alpha'' = ap + bq + cn$$

$$\cos \beta'' \sqrt{n^2 + p^2 + q^2} = \omega \cos \beta'' = a'p + b'q + c'n$$

$$\cos \gamma'' \sqrt{n^2 + p^2 + q^2} = \omega \cos \gamma'' = a''p + b''q + c''n,$$

ertheilen, deren Differentiation mit Rücksicht auf die Gleichungen s) (pag. 133) ergibt:

$$d(\omega \cos \alpha'') = a dp + b dq$$

$$d(\omega \cos \beta'') = a' dp + b' dq$$

$$d(\omega \cos \beta'') = a'' dp + b'' dq.$$

$$2)$$

Andrerseits bestehen die Gleichungen:

$$\left.\begin{array}{ll}\omega\cos\alpha''=-\omega\sin\psi,\sin\varepsilon,'\\\omega\cos\beta''=&\omega\cos\psi,\sin\varepsilon,'\\\omega\cos\gamma''=&\omega\cos\varepsilon,',\end{array}\right\}$$

deren Differentiation mit Rücksicht auf 2) (pag. 155) ergibt:

$$-\sin\psi, \sin\varepsilon', \frac{d\omega}{dt} - \omega\sin\psi, \cos\varepsilon', \frac{d\varepsilon'}{dt} - \omega\cos\psi, \sin\varepsilon', \frac{d\psi}{dt} = a \frac{dp}{dt} + b \frac{dq}{dt}$$

$$\cos\psi, \sin\varepsilon', \frac{d\omega}{dt} + \omega\cos\psi, \cos\varepsilon', \frac{d\varepsilon'}{dt} - \omega\sin\psi, \sin\varepsilon', \frac{d\psi}{dt} = a' \frac{dp}{dt} + b' \frac{dq}{dt}$$

$$\cos\varepsilon', \frac{d\omega}{dt} - \omega\sin\varepsilon', \frac{d\varepsilon'}{dt} = a'' \frac{dp}{dt} + b'' \frac{dq}{dt}.$$

Setzt man rechter Hand für a, a', a'', b, b' und b'' die Werthe nach 4) (pag. 138) ein und bestimmt durch entsprechende Elimination $d\psi$, $d\varepsilon$, und $d\omega$, so findet sich:

$$\begin{split} -\omega \sin \varepsilon, & \frac{d\psi}{dt} = \left\{ \sin \varphi \cos \varepsilon' \sin \left(\psi, -\psi \right) + \cos \varphi \cos \left(\psi, -\psi \right) \right\} \frac{dp}{dt} + \\ & + \left\{ \cos \varphi \cos \varepsilon' \sin \left(\psi, -\psi \right) - \sin \varphi \cos \left(\psi, -\psi \right) \right\} \frac{dq}{dt} \\ \omega \frac{d\varepsilon'}{dt} &= \left\{ \sin \varphi \left[\cos \varepsilon' \cos \varepsilon, '\cos \left(\psi, -\psi \right) + \sin \varepsilon' \sin \varepsilon, ' \right] - \cos \varphi \sin \left(\psi, -\psi \right) \cos \varepsilon, ' \right\} \frac{dp}{dt} + \\ & + \left\{ \cos \varphi \left[\cos \varepsilon' \cos \varepsilon, '\cos \left(\psi, -\psi \right) + \sin \varepsilon' \sin \varepsilon, ' \right] + \sin \varphi \sin \left(\psi, -\psi \right) \cos \varepsilon, ' \right\} \frac{dq}{dt} \\ \frac{d\omega}{dt} &= \left\{ \sin \varphi \left[\cos \varepsilon' \sin \varepsilon, '\cos \left(\psi, -\psi \right) - \sin \varepsilon' \cos \varepsilon, ' \right] - \cos \varphi \sin \left(\psi, -\psi \right) \sin \varepsilon, ' \right\} \frac{dp}{dt} + \\ & + \left\{ \cos \varphi \left[\cos \varepsilon' \sin \varepsilon, '\cos \left(\psi, -\psi \right) - \sin \varepsilon' \cos \varepsilon, ' \right] + \sin \varphi \sin \left(\psi, -\psi \right) \sin \varepsilon, ' \right\} \frac{dq}{dt}. \end{split}$$

Da p und q von der Ordnung der Störungen und der Neigung der instantanen Drehungsachse gegen die Erdachse sind, so kann man deren Differentialquotienten als Grössen erster Ordnung auffassen, deren Producte in die fast unmerklichen Unterschiede: ψ , — ψ und ε , '— ε ' unbedenklich übergangen werden können, man erhält unter dieser Voraussetzung aus den vorstehenden Gleichungen das Resultat:

$$-\omega \sin \varepsilon, \frac{d\psi,}{dt} = \cos \varphi \frac{dp}{dt} - \sin \varphi \frac{dq}{dt}$$

$$\omega \frac{ds,'}{dt} = \sin \varphi \frac{dp}{dt} + \cos \varphi \frac{dq}{dt}$$

$$\frac{d\omega}{dt} = 0.$$
5)

Dem zu Folge ist innerhalb der gesetzten Genauigkeitsgrenze ω als eine Constante anzunehmen; da aber nach 1) (pag. 155) gesetzt werden kann:

$$\omega = n + \frac{1}{2} \frac{p^2 + q^2}{n^2} + \cdots,$$

so darf, ohne mehr.als Fehler dritter Ordnung zu begehen, statt 5) geschrieben werden:

$$-\sin \varepsilon, \frac{d\psi,}{dt} = \frac{\cos \varphi}{n} \frac{dp}{dt} - \frac{\sin \varphi}{n} \frac{dq}{dt}$$

$$\frac{d\varepsilon,'}{dt} = \frac{\sin \varphi}{n} \frac{dp}{dt} + \frac{\cos \varphi}{n} \frac{dq}{dt}.$$

Ersetzt man die Werthe der Differentialquotienten von p und q nach den Gleichungen 3) (pag. 146) und berücksichtigt dann die Gleichungen 7) (pag. 138), so erhält man:

$$\frac{d\varepsilon'}{dt} = -\frac{1}{\sin \varepsilon' n A} \left(\frac{dV}{d\psi} \right) + \frac{C - A}{A} \left(p \cos \varphi - q \sin \varphi \right) = -\frac{1}{n \sin \varepsilon' A} \left(\frac{dV}{d\psi} \right) - \frac{C - A}{A} \frac{d\varepsilon'}{dt}$$

$$\sin \varepsilon' \frac{d\psi}{dt} = \frac{1}{n A} \left(\frac{dV}{d\varepsilon'} \right) + \frac{C - A}{A} \left(p \sin \varphi + q \cos \varphi \right) = \frac{1}{n A} \left(\frac{dV}{d\varepsilon'} \right) - \frac{C - A}{A} \sin \varepsilon' \frac{d\psi}{dt}.$$

Substituirt man nun für $\frac{ds'}{dt}$ und $\frac{d\psi}{dt}$ die aus den Gleichungen 13) (pag. 149) resultirenden Werthe, so findet sich:

$$\frac{d\varepsilon_{i}'}{dt} = -\frac{1}{\sin \varepsilon' n C} \begin{pmatrix} dV \\ d\psi \end{pmatrix} - \frac{C - A}{n C} \frac{d}{dt} \left(\sin \varepsilon' \frac{d\psi}{dt} \right) - \frac{C - A}{n C} \cos \varepsilon' \frac{d\psi}{dt} \frac{d\varepsilon'}{dt} \right)$$

$$\sin \varepsilon_{i}' \frac{d\psi_{i}}{dt} = \frac{1}{n C} \left(\frac{dV}{d\varepsilon'} \right) + \frac{C - A}{n C} \frac{d}{dt} \left(\frac{d\varepsilon'}{dt} \right) - \frac{C - A}{n C} \sin \varepsilon' \cos \varepsilon' \frac{d\psi}{dt} \frac{d\psi}{dt} \right)$$
7)

Vergleicht man die zweiten und dritten Glieder in den vorliegenden Ausdrücken mit jenen, welche die Gleichungen 13) (pag. 149) ergeben, so wird man dieselben bis auf den einen gemeinsamen Factor identisch finden, dieser ist in den vorliegenden Ausdrücken $-\frac{C-A}{C}$, während er in jenen $\frac{A}{C}$ ist. Diese Glieder haben aber nach der Integration (vergl. Gleichung 24) pag. 153) in den Gleichungen 13) (pag. 149) nur Werthe finden lassen, welche mit:

$$\frac{A-C}{A} = -0.00327188*),$$

multiplicirt, völlig verschwindende Coëfficienten ergaben und wenn man die vierte Decimale der Bogensekunde noch mitnimmt, so finden sich die Ausdrücke:

$$\frac{A-C}{nC} \sin \varepsilon' \frac{d\psi}{dt} = + o'' \cos \sin (\mu' - \sigma)
- \frac{A-C}{nC} \csc \varepsilon' \frac{ds'}{dt} = - o'' \cos \cos (\mu' - \sigma),$$
8)

welche Glieder man ohne Bedenken übergehen kann, und die übrigens nur von dem erst in neuerer Zeit als vorhanden erwiesenen Unterschiede zwischen der instantanen Drehungsachse und der Hauptachse der Trägheit Z (vergl. pag. 151) abhängen; die von den störenden Kräften abhängigen Glieder sind innerhalb der gestellten Genauigkeitsgrenzen verschwindend.

Die Integration der Differentialgleichungen 7) ergibt daher, wenn man nun wieder statt ε ,' und ψ , die Buchstaben ε ' und ψ setzt, mit Rücksicht auf die gemachten Bemerkungen ein selbst für die genaueste Ermittlung der Präcession und Nutation ausreichendes, von Poisson zuerst aufgestelltes Resultat:

$$\begin{cases}
\epsilon' = \epsilon_{o}' - \int \left(\frac{dV}{d\psi}\right) \frac{dt}{\sin|\epsilon'|nC} \\
\psi = \psi_{o} + \int \left(\frac{dV}{d\epsilon'}\right) \frac{dt}{\sin \epsilon' nC}
\end{cases}$$
9)

Es ist nun, worauf schon in dem vorausgehenden Kapitel hingewiesen wurde, dargelegt, weshalb man mit der vorliegenden sehr einfachen Form der Quadraturen ausreicht; nicht die Kleinheit der zweiten und dritten Glieder in den Gleichungen 13) (pag. 149) ist entscheidend, denn dieselben erhalten, wie dies oben nachgewiesen wurde, Werthe, die weit innerhalb der sonst bei dem Probleme gewählten Genauigkeitsgrenzen fallen, sondern der Umstand, dass sich die Beobachtungen der durch die Präcession und Nutation erzeugten Bewegungen auf die instantane Drehungsachse beziehen.

^{*)} Über diesen numerischen Werth vergl. pag. 182.

η. Numerische Entwicklung der partiellen Differentialquotienlen des Potentials.

Zur Auswerthung der in 9) (pag. 157) auftretenden Integrale müssen die Gleichungen 15) (pag 145) nunmehr in integrable Formen übergeführt werden. Zu diesem Ende müssen zunächst die Ausdrücke I, b' und r,' entsprechend aus den Mond- und Sonnentafeln entlehnt werden; den Einfluss der übrigen Planeten des Sonnensystems kann man als unmerklich vernachlässigen. Die durch die astronomischen Tafeln gegebenen polaren Sonnen- und Mondcoordinaten beziehen sich auf das zugehörige wahre Äquinoctium, während hier alles auf die fixe mittlere Ekliptik der Ausgangsepoche bezogen verlangt wird. Zuerst soll an die Lösung der Aufgabe geschritten werden, aus den Tafelwerthen l,' und b,', die sich auf das wahre Äquinoctium beziehen, die Werthe l' und b' zu finden. Da diese Grössen bei ihrer Verwendung zur Ermittlung der Präcession und Nutation mit Störungsgliedern multiplicirt werden, so wäre für die vorliegenden Zwecke eine Entwicklung der Coordinaten bis auf Glieder zweiter Ordnung inclusive ausreichend, wenn man im Resultate die Glieder dritter Ordnung richtig finden will; um jedoch später Transformationen für die Präcessionsformeln bis auf Glieder dritter Ordnung inclusive ohne Mühe ableiten zu können, soll die Entwicklung etwas weiter geführt werden, als dies für die nächsten Zwecke nöthig ist.

Nimmt man die Figur I (pag. 125) zu Hilfe, so kann man sich unter dem Bogen AA_i den wahren Äquator vorstellen; γc wird dann der Bogen — ψ sein, der Winkel AcE_0 aber die hier mit ε' bezeichnete Schiefe der festen Ekliptik gegen den wahren Äquator. Bezeichnet man den Bogen $c\gamma_1$, der den Namen "die Präcession durch die Planeten" führt, mit a, den Bogen $E\gamma_1$ mit b, die dritte Seite in dem in Betracht gezogenen sphärischen Dreiecke, weil bei E der absteigende Knoten der beweglichen Ekliptik in der fixen ist, mit 180° — (II), den Winkel $cE\gamma_1$ mit (π) , (vergl. über die Bedeutung der Grössen (II) und (π) die Gleichungen 1a) pag. 124), so ist nach den Napier'schen Gleichungen in dem vorgelegten sphärischen Dreiecke $cE\gamma_1$:

Man kann gleich hier die Bemerkung einschalten, dass die allgemeine Präcession (l) mehr der Nutation in Länge (N) bestimmt ist durch den Bogen:

$$(l) + (N) = 180^{\circ} - (II) - b.$$
 2)

Wendet man auf die Gleichungen 1) die pag. 32 durchgeführte Reihenentwicklung an, nach welcher Ausdrücke von der Gestalt:

$$tg\,\varphi'=n\,tg\,\varphi\,,$$

auf die Form:

$$\varphi' = \varphi + m \sin 2\varphi + \frac{1}{3} m^2 \sin 4\varphi + \frac{1}{3} m^3 \sin 6\varphi + \cdots,$$

gebracht werden können, in welcher Reihe:

$$m=\frac{n-1}{n+1},$$

gesetzt ist, so wird man, einmal:

$$m = \operatorname{tg} \frac{1}{2} (\pi) \operatorname{cotg} \frac{1}{4} \varepsilon',$$

das anderemal:

$$m = -\operatorname{tg} \frac{1}{4}(\pi)\operatorname{tg} \frac{1}{4}\varepsilon',$$

annehmend, ohne Schwierigkeit nach 1) finden:

$$\frac{1}{2}(b+a) = \frac{1}{2}(180^{\circ} - (\Pi) + \psi) + \{tg\frac{1}{2}(\pi)\cot g\frac{1}{2}\varepsilon'\}\sin((\Pi) - \psi) - \frac{1}{2}\{tg\frac{1}{2}(\pi)\cot g\frac{1}{2}\varepsilon'\}^{2}\sin 2((\Pi) - \psi) + \frac{1}{2}\{tg\frac{1}{2}(\pi)\cot g\frac{1}{2}\varepsilon'\}^{3}\sin 3((\Pi) - \psi) - \cdots \}$$

$$\frac{1}{2}(b-a) = \frac{1}{2}(180^{\circ} - (\Pi) + \psi) - \{tg\frac{1}{2}(\pi)tg\frac{1}{2}\varepsilon'\}\sin((\Pi) - \psi) - \frac{1}{2}\{tg\frac{1}{2}(\pi)tg\frac{1}{2}\varepsilon'\}^{2}\sin 2((\Pi) - \psi) - \frac{1}{2}\{tg\frac{1}{2}(\pi)tg\frac{1}{2}\varepsilon'\}^{3}\sin 3((\Pi) - \psi) - \cdots \}$$

$$- \frac{1}{3}\{tg\frac{1}{2}(\pi)tg\frac{1}{2}\varepsilon'\}^{3}\sin 3((\Pi) - \psi) - \cdots \}$$

Die Addition beider Ausdrücke führt zur Kenntnis von b, die Subtraction zu der von a. Um nun die Bogen nach Potenzen der Zeit, der Präcession und Nutation zu entwickeln, wird man, von den Ausdrücken 1a (pag. 124) Gebrauch machend, ohne in 3) mehr als Glieder vierter Ordnung zu übergehen, setzen dürfen:

$$\begin{array}{lll}
\operatorname{tg} \frac{1}{2}(\pi) &= \frac{1}{2}\operatorname{tg}(\pi) - \frac{1}{8}\operatorname{tg}(\pi)^{3}, & \operatorname{tg} \frac{1}{2}(\pi)^{2} &= \frac{1}{4}\operatorname{tg}(\pi)^{2}, & \operatorname{tg} \frac{1}{2}(\pi)^{3} &= \frac{1}{8}\operatorname{tg}(\pi)^{3} \\
\cos \psi &= 1 - \frac{1}{2}\psi^{2}, & \cos 2\psi &= 1, & \cos 3\psi &= 1 \\
\sin \psi &= \psi, & \sin 2\psi &= 2\psi, & \sin 3\psi &= 3\psi.
\end{array} \right\} \quad 4)$$

Ferner werden, wenn man die bekannten Formeln:

$$tg\,\tfrac{1}{3}\,\epsilon'=\tfrac{1-\cos\epsilon'}{\sin\epsilon'},\qquad\cot g\,\tfrac{1}{3}\,\epsilon'=\tfrac{1+\cos\epsilon'}{\sin\epsilon'},$$

benützt, wegen der später auftretenden Combinationen dieser beiden Werthe die folgenden Relationen zu beachten sein:

$$\begin{aligned}
\cot g_{\frac{1}{3}} \varepsilon' &+ t g_{\frac{1}{2}} \varepsilon' &= \frac{2}{\sin \varepsilon'}, & \cot g_{\frac{1}{2}} \varepsilon' &= 2 \cot g \varepsilon' \\
\cot g_{\frac{1}{3}} \varepsilon'^2 &- t g_{\frac{1}{2}} \varepsilon'^2 &= \frac{4 \cot g \varepsilon'}{\sin \varepsilon'}, & \cot g_{\frac{1}{2}} \varepsilon'^2 &+ t g_{\frac{1}{2}} \varepsilon'^2 &= 2 \frac{1 + \cos \varepsilon'^2}{\sin \varepsilon'^2} \\
\cot g_{\frac{1}{3}} \varepsilon'^3 &+ t g_{\frac{1}{2}} \varepsilon'^3 &= \frac{2 + 6 \cos \varepsilon'^2}{\sin \varepsilon'^3}, & \cot g_{\frac{1}{2}} \varepsilon'^3 &- t g_{\frac{1}{2}} \varepsilon'^3 &= \frac{(6 + 2 \cos \varepsilon'^2) \cos \varepsilon'}{\sin \varepsilon'^3}.
\end{aligned} \right\}$$

Die Grösse ϵ' selbst ist keine Constante, sondern erfährt durch die Präcession und Nutation Veränderungen; bezeichnet man die für die Ausgangsepoche geltende mittlere Schiefe mit ϵ_0 , so soll gesetzt werden:

$$\epsilon' = \epsilon_0 + \Delta \epsilon$$

wobei $\Delta \varepsilon$ vorerst als erster Ordnung anzusehen sein wird. Sollen die Endresultate alle Glieder dritter Ordnung enthalten, so hat man zu schreiben:

$$\frac{\frac{2}{\sin \varepsilon'} = \frac{2}{\sin \varepsilon_0} - 2 \frac{\cos \varepsilon_0}{\sin \varepsilon_0^2} \mathcal{I} \varepsilon + \frac{1 + \cos \varepsilon_0^2}{\sin \varepsilon_0^3} \mathcal{I} \varepsilon^2,}{2 \frac{1 + \cos \varepsilon'^2}{\sin \varepsilon'^2} = 2 \frac{1 + \cos \varepsilon_0^2}{\sin \varepsilon_0^2} - 8 \frac{\cot \varepsilon_0}{\sin \varepsilon_0^2} \mathcal{I} \varepsilon$$

$$2 \cot \varepsilon = 2 \cot \varepsilon_0 - \frac{2}{\sin \varepsilon_0^2} \mathcal{I} \varepsilon + \frac{2 \cot \varepsilon_0}{\sin \varepsilon_0^2} \mathcal{I} \varepsilon^2, \qquad \frac{2 + 6 \cos \varepsilon'^2}{\sin \varepsilon'^3} = \frac{2 + 6 \cos \varepsilon_0^2}{\sin \varepsilon_0^3}$$

$$\frac{4 \cot \varepsilon'}{\sin \varepsilon'} = \frac{4 \cot \varepsilon_0}{\sin \varepsilon_0} - \frac{4 (1 + \cos \varepsilon_0^2)}{\sin \varepsilon_0^3} \mathcal{I} \varepsilon, \qquad \frac{(6 + 2 \cos \varepsilon'^2) \cos \varepsilon'}{\sin \varepsilon'^3} = \frac{6 + 2 \cos \varepsilon_0^2}{\sin \varepsilon_0^3} \cos \varepsilon_0.$$

Schliesslich wird man mit demselben Genauigkeitsgrade im Resultate annehmen können:

$$\sin ((\boldsymbol{\Pi}) - \psi) = \sin (\boldsymbol{\Pi}) - \psi \cos (\boldsymbol{\Pi}) - \frac{1}{2} \psi^2 \sin (\boldsymbol{\Pi}) \cdot \cdot
\sin 2 ((\boldsymbol{\Pi}) - \psi) = \sin 2 (\boldsymbol{\Pi}) - 2 \psi \cos 2 (\boldsymbol{\Pi}) \cdot \cdot \cdot
\sin 3 ((\boldsymbol{\Pi}) - \psi) = \sin 3 (\boldsymbol{\Pi}) \cdot \cdot \cdot .$$

und danach haben:

Die Ausdrücke für a und b werden in ziemlich zusammengesetzter Form auftreten, weshalb die Glieder gleicher Ordnung einzeln angesetzt werden sollen; zerfällt man nämlich a und b in der Weise:

$$a = a_1 + a_2 + a_3 + \cdots$$

 $b = b_0 + b_1 + b_2 + b_3 + \cdots$

wobei der Index den Hinweis auf die Ordnung des Gliedes enthält, so findet sich : .

Findex den Hinweis auf die Ordnung des Gliedes enthält, so findet
$$a_{1} = \frac{p_{1}}{\sin \varepsilon_{o}} t$$

$$a_{2} = \left\{\frac{p_{2}}{\sin \varepsilon_{o}} - \frac{\cot g \varepsilon_{o}}{\sin \varepsilon_{o}} p_{1} q_{1}\right\} t^{2} - \frac{q_{1}}{\sin \varepsilon_{o}} \psi t - \frac{\cot g \varepsilon_{o} p_{1}}{\sin \varepsilon_{o}} \Delta \varepsilon t$$

$$a_{3} = \left\{\frac{p_{3}}{\sin \varepsilon_{o}} - \frac{1}{4} \frac{p_{1}}{\sin \varepsilon_{o}} (p_{1}^{2} + q_{1}^{2}) - \frac{\cot g \varepsilon_{o}}{\sin \varepsilon_{o}} (p_{1} q_{2} + p_{2} q_{1}) + \frac{1}{4} \frac{3 \cos \varepsilon_{o}^{2}}{\sin \varepsilon_{o}^{3}} (\frac{1}{4} q_{1}^{2} p_{1} - \frac{1}{12} p_{1}^{3})\right\} t^{3} +$$

$$+ \left\{\frac{\cot g \varepsilon_{o}}{\sin \varepsilon_{o}} (q_{1}^{2} - p_{1}^{2}) - \frac{q_{2}}{\sin \varepsilon_{o}}\right\} \psi t^{2} +$$

$$+ \left\{\frac{1 + \cos \varepsilon_{o}^{2}}{\sin \varepsilon_{o}^{3}} p_{1} q_{1} - \frac{\cot g \varepsilon_{o}}{\sin \varepsilon_{o}} p_{2}\right\} \Delta \varepsilon t^{2} +$$

$$+ \left\{\frac{1 + \cos \varepsilon_{o}^{2}}{\sin \varepsilon_{o}^{3}} p_{1}\right\} \Delta \varepsilon^{2} t +$$

$$+ \left\{\frac{\cot g \varepsilon_{o}}{\sin \varepsilon_{o}} q_{1}\right\} \Delta \varepsilon \psi t,$$
er:
$$180^{\circ} - (II) + \psi$$

und weiter:

$$\begin{array}{l} b_{0} = 180^{0} - (\Pi) + \psi \\ b_{1} = \cot g \, \varepsilon_{0} \, p_{1} \, t \\ b_{2} = \{\cot g \, \varepsilon_{0} \, p_{2} - \frac{1}{2} \, \frac{1 + \cos \varepsilon_{0}^{2}}{\sin \varepsilon_{0}^{2}} \, p_{1} \, q_{1}\} \, t^{2} - \cot g \, \varepsilon_{0} \, q_{1} \, \psi \, t - \frac{p_{1}}{\sin \varepsilon_{0}^{2}} \, \varDelta \varepsilon \, t \\ b_{3} = \{\cot g \, \varepsilon_{0} \, p_{3} - \frac{1}{4} \cot g \, \varepsilon_{0} \, p_{1} \, (p_{1}^{2} + q_{1}^{2}) - \frac{1}{2} \, \frac{1 + \cos \varepsilon_{0}^{3}}{\sin \varepsilon_{0}^{2}} \, (p_{1} \, q_{2} + p_{2} \, q_{1}) + \\ + \frac{3 + \cos \varepsilon_{0}^{2}}{\sin \varepsilon_{0}^{3}} \cos \varepsilon_{0} \, (\frac{1}{4} \, q_{1}^{2} \, p_{1} - \frac{1}{12} \, p_{1}^{3})\} \, t^{3} + \\ + \left\{ \frac{1 + \cos \varepsilon_{0}^{2}}{2 \sin \varepsilon_{0}^{2}} \, (q_{1}^{2} - p_{1}^{2}) - \cot g \, \varepsilon_{0} \, q_{2} \right\} \, \psi \, t^{2} + \\ + \left\{ - \frac{1}{2} \cot g \, \varepsilon_{0} \, p_{1} \right\} \, \psi^{2} \, t + \\ + \left\{ 2 \, \frac{\cot g \, \varepsilon_{0}}{\sin \varepsilon_{0}^{2}} \, p_{1} \, q_{1} - \frac{p^{2}}{\sin \varepsilon_{0}^{2}} \right\} \, \varDelta \varepsilon \, t^{2} \\ + \left\{ \frac{\cot g \, \varepsilon_{0}}{\sin \varepsilon_{0}^{2}} \, p_{1} \right\} \, \varDelta \varepsilon^{2} \, t \\ + \left\{ \frac{q_{1}}{\sin \varepsilon_{0}^{2}} \, \mathcal{L} \varepsilon \, \psi \, t \right. \end{array}$$

Es wird hier der richtige Ort sein, noch eine Entwicklung durchzuführen, die zwar für die nächsten Zwecke nicht nöthig ist, von der aber später Gebrauch gemacht werden wird; in dem hier in Betracht gezogenen sphärischen Dreiecke cEV_1 (Figur 1 pag. 125) ist der Winkel bei V_1 nicht bestimmt worden. Bezeichnet man den Winkel E_1V_1A , der die wahre Schiefe der Ekliptik darstellt, mit ε , so gibt eine Fundamentalrelation der sphärischen Trigonometrie, den Ausdruck:

$$\sin \varepsilon = \frac{\sin (180^{\circ} - (II) + \psi)}{\sin b} \sin \varepsilon'.$$

Setzt man vorerst:

$$\frac{\sin{(180^{\circ}-(H)+\psi)}}{\sin{b}}=1+r,$$

so wird sein:

$$\sin \varepsilon - \sin \varepsilon' = r \sin \varepsilon' = 2 \sin \frac{1}{2} (\varepsilon - \varepsilon') \cos [\varepsilon' + \frac{1}{2} (\varepsilon - \varepsilon')],$$

oder, indem man nach Potenzen von $\varepsilon - \varepsilon'$ entwickelt:

$$(\varepsilon - \varepsilon') - \frac{1}{3} \operatorname{tg} \varepsilon' (\varepsilon - \varepsilon')^2 - \frac{1}{6} (\varepsilon - \varepsilon')^3 = r \operatorname{tg} \varepsilon'.$$

Die Umkehrung dieser Reihe gibt aber:

$$\varepsilon - \varepsilon' = r \operatorname{tg} \varepsilon' + \frac{1}{2} r^2 \operatorname{tg} \varepsilon'^3 + \frac{1}{2} r^3 \operatorname{tg} \varepsilon'^3 (\operatorname{tg} \varepsilon'^2 + \frac{1}{3}). \quad II)$$

Es soll nun vorerst der Coëfficient r näher entwickelt werden; wenn man die obige Entwicklung (vergl. Gleichung 10) pag. 160) für b heranzieht, so erhält man, wenn abkürzend:

$$\beta=b_1+b_2+b_3\,,$$

gesetzt wird:

$$r = \frac{\sin{(180^{\circ} - (II) + \psi)} - \sin{(180^{\circ} - (II) + \psi + \beta)}}{\sin{(180^{\circ} - (II) + \psi + \beta)}} =$$

$$= -\frac{\beta \cos{(180^{\circ} - (II) + \psi)} - \frac{1}{2}\beta^{2} \sin{(180^{\circ} - (II) + \psi)} - \frac{1}{6}\beta^{3} \cos{(180^{\circ} - (II) + \psi)} + \cdots}{\sin{(180^{\circ} - (II) + \psi)} + \beta \cos{(180^{\circ} - (II) + \psi)} - \frac{1}{2}\beta^{2} \sin{(180^{\circ} - (II) + \psi)} + \cdots}.$$

Will man bei dieser Entwicklung wie früher alle Glieder dritter Ordnung mitnehmen, so wird man zu setzen haben:

$$\cos (180^{\circ} - (\Pi) + \psi) = \cos (180^{\circ} - (\Pi)) - \psi \sin (180^{\circ} - (\Pi)) - \frac{1}{2} \psi^{2} \cos (180^{\circ} - (\Pi)) + \cdots$$

$$\sin (180^{\circ} - (\Pi) + \psi) = \sin (180^{\circ} - (\Pi)) + \psi \cos (180^{\circ} - (\Pi)) - \frac{1}{2} \psi^{2} \sin (180^{\circ} - (\Pi)) + \cdots,$$

und es wird:

$$-r = \cot \left(180^{\circ} - (II)\right) \frac{\beta - (\beta \psi + \frac{1}{2}\beta^{2}) \operatorname{tg} \left(180^{\circ} - (II)\right) - (\frac{1}{2}\beta \psi^{2} + \frac{1}{2}\beta^{2}\psi + \frac{1}{8}\beta^{3}\right)}{1 + (\psi + \beta) \cot \left(180^{\circ} - (II)\right) - \frac{1}{2}(\beta + \psi)^{2}},$$

oder bis auf Grössen dritter Ordnung inclusive:

$$r = -\beta \cot (180^{\circ} - (\mathbf{\Pi})) + + (\beta \psi + \frac{1}{2}\beta^{2}) + (\beta \psi + \beta^{2}) \cot (180^{\circ} - (\mathbf{\Pi}))^{2} + - (\beta \psi^{2} + 2\beta^{2}\psi + \frac{5}{6}\beta^{3}) \cot (180^{\circ} - (\mathbf{\Pi})) - (\beta^{3} + 2\beta^{2}\psi + + \beta \psi^{2}) \cot (180^{\circ} - (\mathbf{\Pi}))^{3}.$$

Um nun cotg (180° — (II)) zu erhalten, hat man nach 1a) (pag. 124):

$$\cot \left({{\scriptstyle 1\,80^{\rm{O}}} - \left(\Pi \right)} \right) = - \frac{{{q_1}\,t + {q_2}\,{t^2} + {q_3}\,{t^3}}}{{{p_1}\,t + {p_2}\,{t^2} + {p_3}\,{t^3}}} = - \frac{{{q_1}}}{{{p_1}}} \cdot \frac{{1 + \frac{{{q_2}}}{{{q_1}}}\,t + \frac{{{q_3}}}{{{q_1}}}\,{t^2}}}{{1 + \frac{{{p_2}}}{{{p_1}}}\,t + \frac{{{p_3}}}{{{p_1}}}\,{t^2}}},$$

Oppolzer, Bahnbestimmungen. I. 2. Auflage.

oder wieder innerhalb der für das Resultat geforderten Genauigkeitsgrenzen:

$$\cot g \left(180^{\circ} - (II)\right) = -\frac{q_1}{p_1} \left\{1 + \left(\frac{q_2}{q_1} - \frac{p_2}{p_1}\right)t + \left(\frac{p_2^2}{p_1^2} + \frac{q_3}{q_1} - \frac{p_3}{p_1} - \frac{q_2 p_2}{q_1 p_1}\right)t^2\right\}. \quad 13$$

Führt man diese Relationen in 12) ein, so ergibt sich, wenn gleichzeitig $\beta = b_1 + b_2 + b_3$ nach 10) (pag. 160) eingeführt wird:

$$r = \cot \varepsilon_{0} q_{1} t + \\ + t^{2} \left\{ -\frac{1}{2} q_{1}^{2} + \frac{1}{2} \cot \varepsilon_{0}^{2} p_{1}^{2} + \cot \varepsilon_{0} q_{2} \right\} + \psi t \left\{ \cot \varepsilon_{0} p_{1} \right\} - \\ - \mathcal{L} \varepsilon t \left\{ \frac{1}{\sin \varepsilon_{0}^{2}} q_{1} \right\} + \\ + t^{3} \left\{ -\frac{1}{2} \cot \varepsilon_{0} q_{1}^{3} - q_{1} q_{2} + \cot \varepsilon_{0} q_{3} - \frac{\cot \varepsilon_{0}}{2} (2 + \cot \varepsilon_{0}^{2}) p_{1}^{2} q_{1} + \\ + \cot \varepsilon_{0}^{2} p_{1} p_{2} \right\} + \\ + \psi t^{2} \left\{ -\frac{1}{\sin \varepsilon_{0}^{2}} q_{1} p_{1} + \cot \varepsilon_{0} p_{2} \right\} + \\ + \psi^{2} t \left\{ -\frac{1}{2} \cot \varepsilon_{0} q_{1} \right\} + \\ + \mathcal{L} \varepsilon t^{2} \left\{ -\frac{\sin \varepsilon_{0}^{2}}{\sin \varepsilon_{0}^{2}} q_{1} \right\} + \\ + \mathcal{L} \varepsilon \psi t \left\{ -\frac{1}{\sin \varepsilon_{0}^{3}} p_{1} \right\}.$$

Diese Relation wäre in 11) (pag. 161) einzuführen, man hat aber zu beachten, dass in dieser Gleichung wie früher gesetzt werden muss:

$$\epsilon' = \epsilon_0 + \Delta \epsilon$$
,

wo ε_0 die mittlere Schiefe zur Zeit der Ausgangsepoche darstellt; es ist danach:

$$\operatorname{tg} \varepsilon' = \operatorname{tg} \varepsilon_0 + \frac{\varDelta \varepsilon}{\cos \varepsilon_0^2} + \frac{\operatorname{tg} \varepsilon_0}{\cos \varepsilon_0^2} \varDelta \varepsilon^2,$$

also:

$$\varepsilon = \varepsilon_{0} + \Delta \varepsilon + r \operatorname{tg} \varepsilon_{0} + \left. + \frac{r}{\cos \varepsilon_{0}^{2}} \Delta \varepsilon + \frac{1}{2} r^{2} \operatorname{tg} \varepsilon_{0}^{3} + \right. \\ \left. + r \frac{\operatorname{tg} \varepsilon_{0}}{\cos \varepsilon_{0}^{2}} \Delta \varepsilon^{2} + \frac{3}{2} r^{2} \frac{\operatorname{tg} \varepsilon_{0}^{2}}{\cos \varepsilon_{0}^{2}} \Delta \varepsilon + \frac{1}{2} \operatorname{tg} \varepsilon_{0}^{3} (\operatorname{tg} \varepsilon_{0}^{2} + \frac{1}{3}) r^{3}, \right\}$$
15)

wobei innerhalb der vorgesetzten Genauigkeitsgrenzen zu setzen sein wird:

$$r^{2} = \cot g \, \varepsilon_{0}^{2} \, q_{1}^{2} \, t^{2} + t^{3} \left\{ -\cot g \, \varepsilon_{0} \, q_{1}^{3} + \cot g \, \varepsilon_{0}^{3} \, q_{1} \, p_{1}^{2} + 2 \cot g \, \varepsilon_{0}^{2} \, q_{1} \, q_{2} \right\} \\ + \psi \, t^{2} \left\{ 2 \cot g \, \varepsilon_{0}^{2} \, q_{1} \, p_{1} \right\} - \varDelta \, \varepsilon \, t^{2} \left\{ 2 \frac{\cot g \, \varepsilon_{0}}{\sin \, \varepsilon_{0}^{2}} \, q_{1}^{2} \right\}$$

$$r^{3} = \cot g \, \varepsilon_{0}^{3} \, q_{1}^{3} \, t^{3}.$$

Die Substitution des Ausdruckes 14) und der Relationen 16) in die Gleichung 15) ergibt schliesslich:

$$\begin{split} \varepsilon &= \varepsilon_{0} + \mathcal{A}\varepsilon + q_{1} t \\ &+ t^{2} \quad \{ \frac{1}{2} \cot g \varepsilon_{0} p_{1}^{2} + q_{2} \} + \psi t \{ p_{1} \} \\ &+ t^{3} \quad \{ -\frac{1}{2} q_{1}^{3} - \frac{1}{2 \sin \varepsilon_{0}^{2}} q_{1} p_{1}^{2} + \cot g \varepsilon_{0} p_{1} p_{2} + q_{3} \} \\ &+ \psi t^{2} \quad \{ -\cot g \varepsilon_{0} q_{1} p_{1} + p_{2} \} \\ &+ \psi^{2} t \quad \{ -\frac{1}{2} q_{1} \} \\ &+ \mathcal{A}\varepsilon t^{2} \{ -\frac{1}{2 \sin \varepsilon_{0}^{2}} p_{1}^{2} \}. \end{split}$$

Mit Hilfe des oben (Gleichung 10) pag. 160) entwickelten Ausdruckes für b wird es nicht schwer sein, die Relation zwischen den auf das wahre Äquinoctium bezogenen Coordinaten l', und b', und den für die feste Ekliptik der Ausgangsepoche geltenden l' und b' herzustellen. Legt man die positive X-Achse eines Coordinatensystems in den absteigenden Knoten der beweglichen Ekliptik in der fixen und die XY-Ebene einmal in die feste, das anderemal in die bewegliche Ekliptik, so hat man zur Verwandlung der Coordinaten die Relationen:

$$\cos b' \cos (l' + 180^{\circ} - (II)) = \cos b' \cos (l' + b)$$

$$\cos b' \sin (l' + 180^{\circ} - (II)) = \cos b' \sin (l' + b) \cos (\pi) + \sin b' \sin (\pi)$$

$$\sin b' = -\cos b' \sin (l' + b) \sin (\pi) + \sin b' \cos (\pi).$$

Multiplicirt man die erste Gleichung mit $\cos (180^{\circ} - (II) + \psi)$, die zweite mit $\sin (180^{\circ} - (II) + \psi)$ und bildet deren Summe, dann dieselben Gleichungen mit $-\sin (180^{\circ} - (II) + \psi)$ und $\cos (180^{\circ} - (II) + \psi)$ und addirt wieder, so findet sich:

$$\cos b' \cos (l' - \psi) = \cos b', \{\cos (l' + b) \cos (180^{\circ} - (II) + \psi) + \sin (l' + b) \sin (180^{\circ} - (II) + \psi) \cos (\pi)\} + \sin b', \sin (180^{\circ} - (II) + \psi) \sin (\pi)$$

$$\cos b' \sin (l' - \psi) = \cos b', \{-\cos (l' + b) \sin (180^{\circ} - (II) + \psi) + \sin (l' + b) \cos (180^{\circ} - (II) + \psi) \cos (\pi)\} + \sin b', \cos (180^{\circ} - (II) + \psi) \sin (\pi)$$

$$\sin b' = -\cos b', \sin (l' + b) \sin (\pi) + \sin b', \cos (\pi).$$

Hiermit sind die in den partiellen Differentialquotienten des Potentials auftretenden Functionen auf die den Tafeln zu entlehnenden Coordinaten reducirt; doch wird es zweckmässig sein, auf die rechts vom Gleichheitszeichen stehenden Ausdrücke Reihenentwicklungen anzuwenden, wobei aber die Annäherung auf Glieder zweiter Ordnung inclusive beschränkt werden kann, da diese Coöfficienten in den bezüglichen Ausdrücken mit Gliedern von der Ordnung der Störungen multiplicirt erscheinen: dieser Bemerkung gemäss sind die folgenden Substitutionen und Transformationen durchzuführen.

Der Coëfficient von cos b,' in der ersten Gleichung in 18) kann geschrieben werden:

$$\cos{(l'_1+b_1-180^{\circ}+(II)-\psi)} = 2\sin{(l'_1+b_1)}\sin{(180^{\circ}-(II)+\psi)}\sin{\frac{1}{2}(\pi)^2};$$

lässt man alle Glieder dritter Ordnung fort, so wird derselbe:

$$\cos(l'_{1} + \cot g \varepsilon_{0} p_{1} t + \cot g \varepsilon_{0} p_{2} t^{2} - \frac{p_{1}}{\sin \varepsilon_{0}^{2}} \varDelta \varepsilon t - \cot g \varepsilon_{0} q_{1} \psi t - \frac{1}{2} \frac{1 + \cos \varepsilon_{0}^{2}}{\sin \varepsilon_{0}^{2}} p_{1} q_{1} t^{2}) + \frac{1}{4} \sin(l'_{1} - (II)) \sin(II) tg(\pi)^{2},$$

somit auch:

$$\cos l, \{1 - \frac{1}{2} \cot g \epsilon_0^2 p_1^2 t^2\} - \sin l, \{\cot g \epsilon_0 p_1 t + \cot g \epsilon_0 p_2 t^2 - \frac{p_1}{\sin \epsilon_0^2} \mathcal{A} \epsilon t - \cot g \epsilon_0 q_1 \psi t - \frac{1}{2} \frac{1 + \cos \epsilon_0^2}{\sin \epsilon_0^2} p_1 q_1 t^2\} - \frac{1}{2} \cos l, p_1^2 t^2 + \frac{1}{2} \sin l, p_1 q_1 t^2.$$
19)

Der Coëfficient von sin b,' in der ersten Gleichung 18) kann innerhalb der gesteckten Genauigkeitsgrenzen geschrieben werden:

$$\sin (\Pi) \operatorname{tg}(\pi) - \cos (\Pi) \operatorname{tg}(\pi) \psi = \{ p_1 t + p_2 t^2 - q_1 \psi t \}.$$
 20)

Die Addition der Ausdrücke 19) und 20) ergibt:

Der Coëfficient von cos b,' in der zweiten Gleichung in 18) (pag. 163) lässt sich ähnlich transformiren, derselbe ist zunächst:

$$\sin(l' + b - 180^{\circ} + (II) - \psi) - 2\sin(l' + b)\cos(180^{\circ} - (II) + \psi)\sin\frac{1}{2}(\pi)^{2}$$
, oder:

$$\sin \{l' + \cot g \, \varepsilon_0 \, p_1 \, t + \cot g \, \varepsilon_0 \, p_2 \, t^2 - \frac{p_1}{\sin \varepsilon_0^2} \, \varDelta \, \varepsilon \, t - \cot g \, \varepsilon_0 \, q_1 \, \psi \, t - \frac{1}{2} \, \frac{1 + \cos \varepsilon_0^2}{\sin \varepsilon_0^2} \, p_1 \, q_1 \, t^2 \} - \frac{1}{2} \sin (l' - (\Pi)) \cos (\Pi) \, tg \, (\pi)^2,$$

es wird demnach:

$$\cos b' \sin (l' - \psi) = \cos b', \sin l', \{1 - \frac{1}{2}(\cot g \varepsilon_0^2 p_1^2 + q_1^2) t^2\} + \\ + \cos b', \cos l', \{\cot g \varepsilon_0 p_1 t + \cot g \varepsilon_0 p_2 t^2 - \frac{1 + \cos 2\varepsilon_0}{2 \sin \varepsilon_0^2} p_1 q_1 t^2 - \\ - \frac{p_1}{\sin \varepsilon_0^2} \mathcal{L} \varepsilon t - \cot g \varepsilon_0 q_1 \psi t\} + \\ + \sin b', \{-q_1 t - p_1 \psi t - q_2 t^2\}.$$

In ganz ähnlicher Weise findet sich:

$$\sin b' = \cos b' \sin l' \left\{ q_1 t + q_2 t^2 + \psi p_1 t + \cot g \varepsilon_0 p_1^2 t^2 \right\} + + \cos b' \cos l' \left\{ -p_1 t - p_2 t^2 + \psi q_1 t + \cot g \varepsilon_0 p_1 q_1 t^2 \right\} + + \sin b' \left\{ 1 - \frac{1}{2} (p_1^2 + q_1^2) t^2 \right\}.$$
23)

In der Entwicklung der partiellen Differentialquotienten des Potentials (vergl. Gleichung 15) pag. 162) kommt überdies $\cos b' \sin (l' - \psi)$ einmal in Verbindung mit $\sin \varepsilon'$, das anderemal mit $\cot \varepsilon \varepsilon'$ vor, ferner erscheint $\sin b'$ einmal allein, dann in Verbindung mit $\cos \varepsilon'$; man hat aber:

$$\sin \varepsilon' = \sin \varepsilon_0 + \cos \varepsilon_0 \varDelta \varepsilon - \frac{\sin \varepsilon_0}{2} \varDelta \varepsilon^2$$

$$\cot \varepsilon' = \cot \varepsilon_0 - \frac{1}{\sin \varepsilon_0^2} \varDelta \varepsilon + \frac{\cot \varepsilon_0}{\sin \varepsilon_0^2} \varDelta \varepsilon^2$$

$$\cos \varepsilon' = \cos \varepsilon_0 - \sin \varepsilon_0 \varDelta \varepsilon - \frac{\cos \varepsilon_0}{2} \varDelta \varepsilon^2.$$

Mit Rücksicht auf diese Relationen und die Gleichungen 21), 22) und 23) erhält man daher für die in den Differentialquotienten des Potentials auftretenden Factoren (vergl. Gleichung 15) pag. 162):

$$\sin \varepsilon' \cos b' \sin (l' - \psi) + \cos \varepsilon' \sin b' =$$

$$= \cos b', \sin l', \{\sin \varepsilon_0 + \cos \varepsilon_0 q_1 t + \cos \varepsilon_0 \Delta \varepsilon + \frac{1}{2} (\cot g \varepsilon_0 \cos \varepsilon_0 p_1^2 - \sin \varepsilon_0 q_1^2 +$$

$$+ 2 \cos \varepsilon_0 q_2) t^2 + \cos \varepsilon_0 p_1 \psi t - \sin \varepsilon_0 q_1 \Delta \varepsilon t - \frac{1}{2} \sin \varepsilon_0 \Delta \varepsilon^2 \} +$$

$$+ \sin b', \{\cos \varepsilon_0 - \sin \varepsilon_0 q_1 t - \sin \varepsilon_0 \Delta \varepsilon - (\sin \varepsilon_0 q_2 + \frac{1}{2} [p_1^2 + q_1^2] \cos \varepsilon_0) t^2 -$$

$$- \sin \varepsilon_0 p_1 \psi t - \cos \varepsilon_0 q_1 \Delta \varepsilon t - \frac{1}{2} \cos \varepsilon_0 \Delta \varepsilon^2 \};$$

$$\cot g \varepsilon' \cos b' \sin (l' - \psi) - \sin b' =$$

$$= \cos b', \sin l', \{\cot g \varepsilon_0 - q_1 t - \frac{\Delta \varepsilon}{\sin \varepsilon_0^2} - p_1 \psi t - (\cot g \varepsilon_0 p_1^2 + q_2 + \frac{1}{2} \cot g \varepsilon_0^3 p_1^2 +$$

$$+ \frac{1}{2} \cot g \varepsilon_0 q_1^2) t^2 + \frac{\cot g \varepsilon_0}{\sin \varepsilon_0^2} \Delta \varepsilon^2 \} +$$

$$+ \cos b', \cos l', \{\frac{p_1 t}{\sin \varepsilon_0^2} + (p_2 - \cot g \varepsilon_0 p_1 q_1) \frac{t^2}{\sin \varepsilon_0^2} - \frac{q_1 \psi t}{\sin \varepsilon_0^2} - \frac{2 \cot g \varepsilon_0}{\sin \varepsilon_0^2} p_1 \Delta \varepsilon t \} +$$

$$+ \sin b', \{-1 - \cot g \varepsilon_0 q_1 t + \frac{q_1 \Delta \varepsilon t}{\sin \varepsilon_0^2} - \cot g \varepsilon_0 p_1 \psi t + (\frac{1}{2} p_1^2 + \frac{1}{2} q_1^2 - \cot g \varepsilon_0 q_2) t^2 \}.$$

Hierdurch erscheinen in Verbindung mit der Gleichung 21) (pag. 164) die Factoren in den Differentialquotienten des Potentials, so weit dieselben von der säcularen Bewegung der Ekliptik abhängig sind, entwickelt. Diese Ausdrücke enthalten die zu suchende Grösse ψ selbst, aber nur in den Gliedern zweiter Ordnung, während $\Delta \varepsilon$ ausser periodischen Gliedern nur solche Glieder enthält, die mit zweiten und höheren Potenzen von t multiplicirt sind; man müsste, wenn diese Grössen nicht anderweitig genähert bekannt wären, dieselben in der ersten Näherung der Null gleich setzen und dann das so erlangte Integrationsresultat für ψ und $\Delta \varepsilon$ in die vorstehenden Ausdrücke in der zweiten Annäherung einführen; da jedoch für ψ und $\Delta \varepsilon$ durch anderweitige Untersuchungen bereits Näherungswerthe bekannt sind und für den angestrebten Zweck eine ganz beiläufige Kenntnis derselben ausreicht, so sollen die entsprechenden Werthe entlehnt und hier eingeführt werden. Berücksichtigt man blos die grössten Glieder, so hat man, wenn für t das julianische Jahrhundert = 36525 mittlere Sonnentage als Zeiteinheit genommen wird, nach Le-Verrier's Sonnentafeln:

$$\psi = -5037''1 t + 17''3 \sin \Omega + 1'''3 \sin 20$$

$$\Delta \varepsilon = 9''2 \cos \Omega + 0''0719 t^{2}$$

$$\varepsilon_{0} = 23^{0}27'31''83,$$
26)

wobei die Symbole Ω und \odot beziehungsweise die mittlere Länge des aufsteigenden Mondknotens und jene der Sonne darstellen; $\Delta \varepsilon$ enthält kein mit der ersten Potenz der Zeit proportionales Glied. Durch Einführung dieser numerischen Werthe in die Gleichungen 21) (pag. 164) und 25) (pag. 165) erhält man, wenn die constanten Glieder in Einheiten des Radius (die überstrichenen Zahlen sind logarithmisch zu verstehen), die rein periodischen Glieder auf zwei Decimalen und, was mehr als ausreichend ist, die mit t und t^2 multiplicirten Coöfficienten auf vier Decimalen der Bogensekunde angesetzt werden, die folgenden Werthe:

$$\cos b' \cos (l' - \psi) = \cos b' \cos l' \{1 - o'' \cos 5t^2\} + \cos b' \sin l' \{-13'' 4598 t + 2'' 2172 t^2 + o'' \cos 16 t \cos \Omega - o'' \cos 2 t \sin \Omega - o'' \cos 7 t \sin 20\} + \sin b' \{+5'' 8410 t - o'' 9659 t^2 + o'' \cos 40 t \sin \Omega + o'' \cos 3 t \sin 20\}$$

$$\sin \varepsilon' \cos b' \sin (l' - \psi) + \cos \varepsilon' \sin b' = \cos b' \sin l' (9.599982 - 43''6601 t - 0''0148 t^2 + 8''44 \cos \Omega + 0''0008 t \cos \Omega + 0''0004 t \sin \Omega) + 10''0148 t^2 + 8''44 \cos \Omega + 0''0008 t \cos \Omega + 0''0004 t \sin \Omega) + 10''0019 t \cos \Omega - 0''0002 t \sin \Omega)$$

$$\cot \varepsilon' \cos b' \sin (l' - \psi) - \sin b' = \cos b' \cos l' (+ 36''8573 t - 6''0752 t^2 - 0''0076 t \cos \Omega + 0''0252 t \sin \Omega + 0''0019 t \sin 20) + 100 t \cos 0 t \sin 0 t \cos 0 t \sin 0 t \cos 0 t \sin 0 t \cos 0$$

Bildet man nun die durch die partiellen Differentialquotienten des Potentials geforderten Producte und lässt die kleinen ganz irrelevanten mit $\ell^2 \cos \Omega$ multiplicirten Glieder fort, so findet sich (vergl. 15) pag. 145):

$$\frac{1}{r_{r}^{73}}\{\cos b'\cos (l-\psi)\}\{\sin \epsilon'\cos b'\sin (l-\psi)+\cos \epsilon'\sin b'\} = \left(\frac{d^{V}}{d\psi}\right)\frac{1}{3M_{r}(C-A)\sin s'} = \frac{1}{r_{r}^{73}}\cos b',\cos b',\sin b',\left\{0.599982 - 43''6601\ t - 0''0150\ t^{2} + 8''44\cos\Omega + + 0''0008\ t\cos\Omega + 0''0001\ t\sin\Omega\} + + \frac{1}{r_{r}^{73}}\cos b',\cos b',\sin b',\left\{9.962533 + 18''9467\ t - 0''0001\ t^{2} - 3''66\cos\Omega + + 0''0010\ t\cos\Omega - 0''0002\ t\sin\Omega\} + \frac{1}{r_{r}^{73}}\cos b',\sin b',\sin b',\left\{-5''3582\ t + 0''8855\ t^{2} + 0''0010\ t\cos\Omega - - 0''0037\ t\sin\Omega - 0''0003\sin20\} + + \frac{1}{r_{r}^{73}}\cos b',\sin b',\sin b',\left\{-10''0221\ t + 1''6469\ t^{2} + 0''0019\ t\cos\Omega - - 0''0068\ t\sin\Omega - 0''0005\sin20\} + + \frac{1}{r_{r}^{73}}\sin b',\sin b',\left\{+5''3582\ t - 0''8855\ t^{2} - 0''0010\ t\cos\Omega + 0''0037\ t\sin\Omega + + 0''0003\sin20\} \right\} = - \left(\frac{d^{V}}{ds'}\right)\frac{1}{3M_{r}(C-A)\sin s'} =$$

Man könnte in den obigen Ausdrücken die dritten Glieder mit den fünften zusammenziehen und als gemeinsamen Factor $(\cos b', \sin l')^2 - \sin b'^2$ herausheben, doch habe ich es vorgezogen, die Glieder getrennt stehen zu lassen.

Nunmehr stellt sich die Aufgabe, die Grössen r,', l,' und b,' entsprechend den astronomischen Tafeln in integrabler Form zu entwickeln. Für die Mondcoordinaten habe ich Hansen's Tafeln, für die Sonnencoordinaten Le-Verrier's Tafeln benützt und hierbei eine solche Genauigkeit angestrebt, dass im Allgemeinen die Coordinaten bis auf die fünfte Decimale richtig erhalten werden. Nach Hansen's Mondtafeln würden bei Berücksichtigung aller Glieder, welche eine Einheit der fünften Decimale betragen können, nur mit Ausschluss der etwas zweifelhaften Venusglieder, für die Länge des Mondes die folgenden in Einheiten des Radius angesetzten Werthe, in welchen:

g: die mittlere Anomalie des Mondes,

g': die mittlere Anomalie der Sonne,

 ω : den Abstand des Mondperigäums von dem aufsteigenden Mondknoten,

 ω' : den Abstand des Sonnenperigäums von dem aufsteigenden Mondknoten,

Q: die Länge des aufsteigenden Mondknotens,

t: die seit 1850-0 verflossene Zeit in Einheiten des julianischen Jahrhunderts darstellt, in Betracht kommen:

```
+0.00003 \sin (g - 4g' + 2\omega - 2\omega')
I_{c} = g + \omega + \Omega
                                                    +0.00004 \sin(2 g - 4 g' + 2 \omega - 2 \omega')
    + 0.10976 \sin g
                                                    +0.00015\sin(2g-4g'+4\omega-4\omega')
    + 0.00373 \sin 2g
                                                    +0.00019 \sin (3g - 4g' + 4\omega - 4\omega')
    + 0.00017 \sin 3 q
                                                    + 0.00007 \sin (4g - 4g' + 4\omega - 4\omega')
    + 0.00004 \sin (-2g - g')
    + 0.00053 \sin (-g - g')
                                                    -0.00019\sin(g+2\omega)
    + 0.00324 \sin (-g')
                                                    -0.00198,8 \sin(2g + 2\omega)
    + 0.00072 \sin(g - g')
                                                    -0.00022 \sin (3g + 2\omega)
    + 0.00005 \sin(2 g - g')
                                                    + \circ \circ \circ \circ \circ \sin (-g + 2g' + 2\omega')
    + 0.00004 \sin (-2g')
                                                    -0.00027 \sin(2g' + 2\omega')
    -0.00014 \sin(g-g'+2\omega-2\omega')
                                                    -0.00004 \sin(3g-2g'+4\omega-2\omega')
                                                    -0.00003 \sin (4g - 2g' + 4\omega - 2\omega')
    -0.00012 \sin(2g-g'+2\omega-2\omega')
    + 0.00006 \sin (-g - 2g' + 2\omega - 2\omega')
                                                    + \circ \circ \circ \circ \circ \sin (g + \omega - \omega')
                                                    -\circ \circ \circ \circ \circ \circ \sin (-g' + \omega - \omega')
    + 0.00103 \sin(-2g' + 2\omega - 2\omega')
    + 0.02223 \sin (g - 2g' + 2\omega - 2\omega')
                                                    -- \circ \circ \circ \circ \circ \circ \sin(2g - g' + \omega - \omega')
    + 0.01149 \sin(2g - 2g' + 2\omega - 2\omega')
    + 0.00093 \sin(3g - 2g' + 2\omega - 2\omega')
                                                    — 0.00004 sin Ω.
    + 0.00007 \sin(4g - 2g' + 2\omega - 2\omega')
                                                    + \circ \circ \circ \circ \circ \circ \circ \sin \left( - 3g' + 2\omega - 2\omega' \right)
    + 0.00100 \sin (g - 3g' + 2\omega - 2\omega')
                                                    -\infty 0.0000010 t \sin(g-g')
    + 0.00080 \sin(2g - 3g' + 2\omega - 2\omega') - 0.0000024 t \sin(g - 3g' + 2\omega - 2\omega')
    + 0.00007 \sin (3g - 3g' + 2\omega - 2\omega') - 0.0000019 t \sin (2g - 3g' + 2\omega - 2\omega').
```

Der Sinus der Mondbreite ergab sich innerhalb derselben Genauigkeitsgrenzen aus denselben Tafeln:

```
\sin b' = -\cos \alpha \sin (g' + \omega)
                                                                       + 0.00017 \sin(2g - 2g' + \omega - 2\omega')
              -\circ \circ \circ \circ \circ \circ \circ \sin (g+g'+\omega)
                                                                       + o \cdot 00001 \sin(3g - 2g' + \omega - 2\omega')
              -0.00003 \sin(2g+g'+\omega)
                                                                       + 0.00004 \sin(-3g' + \omega - 2\omega')
              - \circ \circ \circ \circ \circ \circ \circ \sin (-g + \omega)
                                                                       + 0.00014 \sin (g - 3g' + \omega - 2\omega')
                                                                       -0.00002\sin(g+2g'+\omega+2\omega')
              --0.00484 \sin \omega
            + 0.08942 \sin (g + \omega)
                                                                       -0.00001 \sin (g - 2g' + 3\omega - 2\omega')
                                                                       +0.00097 \sin(2g-2g'+3\omega-2\omega')
              + 0.00491 \sin(2 g + \omega)
              + \circ \circ \circ \circ \circ \circ \circ \sin (3g + \omega)
                                                                       +0.00057 \sin (3g-2g'+3\omega-2\omega')
              + 0.00002 \sin (4g + \omega)
                                                                       + 0.00006 \sin (4g - 2g' + 3\omega - 2\omega')
              -0.00002 \sin(2q + 3\omega)
                                                                       + 0.00004 \sin(2g - 3g' + 3\omega - 2\omega')
              + \circ \circ \circ \circ \circ \sin (-g' + \omega)
                                                                       +0.00003 \sin (3g - 3g' + 3\omega - 2\omega')
              + \circ \circ \circ \circ \circ \circ \sin (g - g' + \omega)
                                                                       + 0.00004 \sin(2g - 4g' + 3\omega - 4\omega')
                                                                       + 0.00003 \sin(3g - 4g' + 3\omega - 4\omega')
              + \circ \circ \circ \circ \circ \circ \sin (2g - g' + \omega)
              -.0.00005 \sin (g-g'+\omega-2\omega')
                                                                       + \circ \circ \circ \circ \circ \sin (4g - 4g' + 5\omega - 4\omega')
                                                                       -0.00002 \sin(2g-g'+2\omega-\omega')
              + \circ \circ \circ \circ \circ \circ \sin \left( -g - 2g' + \omega - 2\omega' \right)
              + \circ \circ \circ \circ \circ \circ \sin (g' + \omega')
              + 0.00303 \sin (g - 2g' + \omega - 2\omega')
                                                                       -\circ \circ \circ \circ \circ \circ \circ \sin (g + \omega + \Omega).
```

Der Sinus der Parallaxe wurde nach Hansen's Mondtafeln so genau abgeleitet, dass die zweite Decimale der Bogensekunde auf wenige Einheiten richtig erhalten wurde.

```
\sin \pi = + 3422''06
                                                                +3 \cdot 09 \cos(3g - 2g' + 2\omega - 2\omega')
           + 186.54 \cos q
                                                                + 0.28 \cos(4g - 2g' + 2\omega - 2\omega')
                                                                + 0.01 \cos (5 g - 2 g' + 2 \omega - 2 \omega')
           + 10.16\cos 2q
                                                                — 0.01 \cos (-g - 3g' + 2\omega - 2\omega')
           +0.63\cos 3g
                                                                -0.02\cos(-3g'+2\omega-2\omega')
           + 0.03 \cos 4g
           -- \circ \circ \circ \circ \circ (-- \circ g - g')
                                                                + 1.45 \cos (g - 3g' + 2\omega - 2\omega')
                                                                + 1.92 \cos (2g - 3g' + 2\omega - 2\omega')
           - \circ \circ \circ \circ \cos (-g - g')
                                                                +0.22\cos(3g-3g'+2\omega-2\omega')
           -0.40\cos(-g')
           + 1 \cdot 16 \cos(g - g')
                                                                + 0.01 \cos (4g - 3g' + 2\omega - 2\omega')
           + \circ \cdot 12 \cos(2g - g')
                                                                + 0.05 \cos (g - 4g' + 2\omega - 2\omega')
                                                                + \circ \circ \circ \cos (2g - 4g' + 2\omega - 2\omega')
           -- \circ \circ \circ \cos (-- g -- 2g')
           -- \circ \circ \circ \cos (-- 2g')
                                                                -- 0.01 cos (3g -- 3g' + 4\omega -- 4\omega')
           + \circ \circ \circ \cos (g - 2g')
                                                                + \circ \circ \circ \cos (g - 4g' + 4\omega - 4\omega')
           -0.02\cos(g+2\omega-2\omega')
                                                                + 0.36 \cos (2g - 4g' + 4\omega - 4\omega')
           -0.23\cos(g-g'+2\omega-2\omega')
                                                                + 0.59 \cos (3g - 4g' + 4\omega - 4\omega')
           -0.29\cos(2g-g'+2\omega-2\omega')
                                                                + 0.25 \cos (4g - 4g' + 4\omega - 4\omega')
           -0.04\cos(3g-g'+2\omega-2\omega')
                                                                + 0.02 \cos (5g - 4g' + 4\omega - 4\omega')
           - o \cdot o i \cos (- 2g - 2g' + 2\omega - 2\omega')
                                                                + 0.03\cos(2g - 5g' + 4\omega - 4\omega')
           -0.12\cos(-g-2g'+2\omega-2\omega')
                                                                + \circ \circ 7 \cos (3g - 5g' + 4\omega - 4\omega')
                                                                + 0.03 \cos (4g - 5g' + 4\omega - 4\omega')
           -- \circ 3 \circ \cos \left(-- 2 g' + 2 \omega - 2 \omega'\right)
           +34\cdot30\cos(g-2g'+2\omega-2\omega')
                                                                 + \circ \circ \circ \cos(4g - 6g' + 6\omega - 6\omega')
           + 28.23 \cos(2g - 2g' + 2\omega - 2\omega')
                                                                 -0.71\cos(g+2\omega)
```

Um nun aus l' die Ausdrücke sin l' und cos l' zu erhalten, wurde von den Relationen:

$$\sin l'_{\ell} = \sin (g + \omega + \Omega) \cos p + \cos (g + \omega + \Omega) \sin p$$

$$\cos l'_{\ell} = \cos (g + \omega + \Omega) \cos p - \sin (g + \omega + \Omega) \sin p,$$

Gebrauch gemacht, in welchen der Bogen p die Summe der periodischen Störungen in $I_{\mathcal{C}}$ darstellt; es genügte für die hier gesteckten Genauigkeitsgrenzen zu setzen:

$$\cos p = 1 - \frac{1}{2}p^2$$
, $\sin p = p - \frac{1}{6}p^3$.

Da die Ausdrücke für $\sin l_{\zeta}$ und $\cos l_{\zeta}$ durchaus die gleichen numerischen Coëfficienten erhalten, die im ersteren Falle mit dem Sinus, im letzteren Falle mit dem Cosinus des Argumentes verbunden werden, so habe ich dem entsprechend die folgenden Werthe in eine einheitliche Tafel gebracht, zu der ich nur bemerke, dass, um das Anschreiben allzuvieler Nullen zu vermeiden, die mit t multiplicirten Glieder in Einheiten der fünften Decimale angesetzt sind:

sin	ţ	7 _
CO8	ſ	, (

Coëfficient	sin (cos (Coëfficient	sin (
0.00001	$-2g + \omega + \Omega$	+ 0.00004	$-g+g'-\omega+2\omega'+\Omega$
0.00037	$-g+\omega+\Omega$	+ 0.00006	$g'-\omega+2\omega'+\Omega$
– 0·05496	$\omega + \Omega$	o·oooo1	$ -2g'+3\omega-2\omega'+\Omega $
+ 0.99684	$g + \omega + \Omega$	0.00010	$\int g - 2g' + 3\omega - 2\omega' + \Omega$
+ 0.05462	$2y + \omega + \Omega$	+ 0.01080	$2g-2g'+3\omega-2\omega'+\Omega$
+ 0.00335	$3g + \omega + \Omega$	+ 0.00631	$3g-2g'+3\omega-2\omega'+\Omega$
+ 0.00021	$4g + \omega + \Omega$	+ 0.00081	$4g-2g'+3\omega-2\omega'+\Omega$
+ 0.00017	$-g'+\omega+\Omega$	+ 0.00007	$5g-2g'+3\omega-2\omega'+\Omega$
+ 0.00161	$g-g'+\omega+\Omega$	0.00001	$-3g+2g'-\omega+2\omega'+\Omega$
+ 0.00044	$ 2g - g' + \omega + \Omega $	- 0.00015	$ -2g+2g'-\omega+2\omega'+\Omega $
+ 0.00004	$3g-g'+\omega+\Omega$	— o·oo515	$-g+2g'-\omega+2\omega'+\Omega$
— 0·00028	$g' + \omega + \Omega$	0.01136	$2g'-\omega+2\omega'+\Omega$
— o·oo163	$g+g'+\omega+\Omega$	- 0.00114	$g + 2g' - \omega + 2\omega' + \Omega$
— o·ooo35	$2g+g'+\omega+\Omega$	— o∙oooog	$2g + 2g' - \omega + 2\omega' + \Omega$
— o.oooo4	$3g + g' + \omega + \Omega$	+ 0.00050	$2g-3g'+3\omega-2\omega'+\Omega$
+ 0.00002	$g-2g'+\omega+\Omega$	+ 0.00044	$3g-3g'+3\omega-2\omega'+\Omega$
— o·oooo2	$g + 2g' + \omega + \Omega$	+ 0.00005	$4g-3g'+3\omega-2\omega'+\Omega$
0∙00008	$2g-g'+3\omega-2\omega'+\Omega$	— o.oooo1	$-2g+3y'-\omega+2\omega'+\Omega$
o.oooo8	$ 3g-g'+3\omega-2\omega'+\Omega $	— o∙ooo36	$-g+3g'-\omega+2\omega'+\Omega$

Coëfficient	sin (cos (Coëfficient	sin (
- 0.00050 - 0.0004 + 0.0001 + 0.0002 - 0.0002 - 0.0001 + 0.0001 + 0.0001 - 0.0001	$3g' - \omega + 2\omega' + \Omega$ $g + 3g' - \omega + 2\omega' + \Omega$ $2g - 4g' + 3\omega - 2\omega' + \Omega$ $3g - 4g' + 3\omega - 2\omega' + \Omega$ $- g + 4g' - \omega + 2\omega' + \Omega$ $4g' - \omega + 2\omega' + \Omega$ $3g - 4g' + 5\omega - 4\omega' + \Omega$ $4g - 4g' + 5\omega - 4\omega' + \Omega$ $5g - 4g' + 5\omega - 4\omega' + \Omega$ $- 3g + 4g' - 3\omega + 4\omega' + \Omega$ $- 2g + 4g' - 3\omega + 4\omega' + \Omega$ $- 2g + 4g' - 3\omega + 4\omega' + \Omega$ $- 2g + 4g' - 3\omega + 4\omega' + \Omega$ $- 2g + 5g' - 3\omega + 4\omega' + \Omega$ $- 2g + 5g' - 3\omega + 4\omega' + \Omega$ $- 2g + 2g' - 3\omega + 2\omega' + \Omega$ $2g + 3\omega + \Omega$ $3g + 3\omega + \Omega$ $4g - 2g' + 5\omega - 2\omega' + \Omega$ $- 2g - \omega + \Omega$ $- 2g - \omega + \Omega$ $- 2g - \omega + \Omega$ $- 2g' + \omega + 2\omega' + \Omega$ $g - 2g' + \omega - 2\omega' + \Omega$	- 0.00001 - 0.00002 - 0.00001 + 0.00002 - 0.00002 - 0.00003 - 0.00003 - 0.00004 - 0.00004 - 0.00001 + 0.00006 - 0.00002 - 0.00002 - 0.00002 - 0.01 t - 0.11 t - 0.11 t - 0.01 t - 0.00 t - 0.000 t -	$2g - 2g' + \omega - 2\omega' + \Omega$ $4g - 2g' + 5\omega - 2\omega' + \Omega$ $5g - 2g' + 5\omega - 2\omega' + \Omega$ $5g - 2g' + 5\omega - 2\omega' + \Omega$ $- 3g + 2y' - 3\omega + 2\omega' + \Omega$ $g - g' + 2\omega - \omega' + \Omega$ $2g - g' + 2\omega - \omega' + \Omega$ $3g - g' + 2\omega - \omega' + \Omega$ $2g + 2\omega - \omega' + \Omega$ $2g + 2\omega - \omega' + \Omega$ $\omega' + \Omega$ $-g + g' + \omega' + \Omega$ $g + g' + \omega' + \Omega$ $g + g' + \omega' + \Omega$ $g + \omega + 2\Omega$ $g + \omega$ $- g' + \omega + \Omega$ $g + \omega + \Omega$ $g + g' + \omega + \Omega$ $2g - g' + \omega + \Omega$ $2g - g' + \omega + \Omega$ $2g + g$

Aus sin b'_{ζ} leitet man cos b'_{ζ} mit genügender Genauigkeit nach:

$$\cos b' = 1 - \frac{1}{3} \sin b' \zeta^2,$$

ab, woraus sich die folgenden numerischen Werthe ergeben:

Die dritte Potenz von $\sin \pi$ fand sich, indem man den Coëfficienten 3422''06 als gemeinsamen Factor heraushob und r' in Einheiten des Erdäquatorhalbmessers sich ausgedrückt denkt:

$$\{3422''06 r'\zeta\}^{-3} = + 1.00473 + 0.00007 \cos 4g + 0.16442 \cos g + 0.00013 \cos (-2g - g') + 0.01344 \cos 2g + 0.00083 \cos (-g - g') + 0.00108 \cos 3g + 0.00031 \cos (-g')$$

```
+ 0.00102 \cos (g - g')
                                 + 0.00050 \cos(2g - 4g' + 4\omega - 4\omega')
                                 + 0.00080 \cos (3g - 4g' + 4\omega - 4\omega')
+ 0.00017 \cos(2g - g')
+ 0.00038 \cos (4g - 4g' + 4\omega - 4\omega')
— 0.00001 \cos (-g - 2g')
                                 + 0.00004 \cos(2 g - 5 g' + 4 \omega - 4 \omega')
— 0.00001 \cos \left( -2 g' \right)
                                 + 0.00008 \cos(3 g - 5 g' + 4 \omega - 4 \omega')
+ 0.00001 \cos(q - 2q')
-- 0.00002 cos (g + 2\omega - 2\omega')
                                 -0.00020\cos(g-g'+2\omega-2\omega')
                                 + 0.00002 \cos (4g - 6g' + 6\omega - 6\omega')
-- 0.00003 cos 2 ω
-0.00006\cos(3g-g'+2\omega-2\omega')
                                 -0.00001\cos(-2g-2g'+2\omega-2\omega')
                                 -0.00001\cos(-g-2g'+2\omega-2\omega')
                                 + 0.00146 \cos (-2g' + 2\omega - 2\omega')
                                 + 0.03147 \cos(g - 2g' + 2\omega - 2\omega')
                                 + 0.02658 \cos(2g - 2g' + 2\omega - 2\omega')
                                 + 0.00419 \cos (3g - 2g' + 2\omega - 2\omega')
                                 -0.00002\cos(2g-2g'+4\omega-2\omega')
+ 0.00050 \cos (4g - 2g' + 2\omega - 2\omega')
                                 -0.00002\cos(3g-2g'+4\omega-2\omega')
+ 0.00003\cos(5g - 2g' + 2\omega - 2\omega')
                                -0.00001\cos(-g-3g'+2\omega-2\omega')
                                 + 0.00135 \cos(g - 3g' + 2\omega - 2\omega')
                                 -0.00004\cos(-g'+\omega-\omega')
                                 + 0.00177 \cos(2g - 3g' + 2\omega - 2\omega')
-0.00015\cos(2g-g'+\omega-\omega')
                                 + 0.00004 \cos(g - 4g' + 2\omega - 2\omega')
                                 -0.00004\cos(2g-3g'+3\omega-3\omega')
-0.00001\cos(3g - 3g' + 4\omega - 4\omega')
                                + \circ \circ \circ \circ \circ \circ \circ (g - 4g' + 4\omega - 4\omega')
```

Multiplicirt man die hier gegebenen Ausdrücke entsprechend mit einander, so erhält man für die in den partiellen Differentialquotienten des Potentials auftretenden Factoren die folgenden numerischen Werthe:

```
\cos b' \cos l' \cos b' \sin l' =
       {3422"06 r'C}3
                                                          +0.00152\sin(2g-g'+2\omega+2\Omega)
-0.00001 \sin(2\omega+2\Omega)
                                                          + o \cdot \cos \alpha \sin (3g - g' + 2\omega + 2\Omega)
-0.01397 \sin(g+2\omega+2\Omega)
                                                          +0.00019 \sin(4g-g'+2\omega+2\Omega)
+0.49402\sin(2g+2\omega+2\Omega)
                                                          +0.00001 \sin(5g-g'+2\omega+2\Omega)
+0.09462\sin(3g+2\omega+2\Omega)
                                                          -0.00006\sin(g+g'+2\omega+2\Omega)
+0.01254\sin^{4}(4g+2\omega+2\Omega)
+0.00141 \sin(5g+2\omega+2\Omega)
                                                          -0.00172\sin(2g+g'+2\omega+2\Omega)
+0.00013\sin(6g+2\omega+2\Omega)
                                                          -\circ \circ \cos 8\circ \sin (3g+g'+2\omega+2\Omega)
+0.00003\sin(g-g'+2\omega+2\Omega)
                                                          -0.00017 \sin(4g+g'+2\omega+2\Omega)
                                                                                          22 *
```

```
-0.00001 \sin(5g+g'+2\omega+2\Omega)
                                                         -0.00001 \sin(-2g+4g'-2\omega+4\omega'+2\Omega)
-0.00001 \sin(g'+2\omega'+2\Omega)
                                                         +0.00002 \sin(-g+4g'-2\omega+4\omega'+2\Omega)
+0.00001 \sin(g+g'+2\omega'+2\Omega)
                                                         -0.00001 \sin(g+4g'-2\omega+4\omega'+2\Omega)
-0.00001\sin(2g+g'+2\omega'+2\Omega)
                                                         +0.00004 \sin(4g-5g'+6\omega-4\omega'+2\Omega)
+0.00002 \sin(2g-2g'+2\omega+2\Omega)
                                                         +0.00006 \sin(5g-5g'+6\omega-4\omega'+2\Omega)
-0.00002 \sin(2g+2g'+2\omega+2\Omega)
                                                         +0.00003 \sin(6g-5g'+6\omega-4\omega'+2\Omega)
+0.00002\sin(-g+2g'+2\omega'+2\Omega)
                                                         +0.00001 \sin(-2g+5g'-2\omega+4\omega'+2\Omega)
+0.00036\sin(2g'+2\omega'+2\Omega)
                                                         +0.00001\sin(2g+4\omega+2\Omega)
-0.00364\sin(g+2g'+2\omega'+2\Omega)
                                                         -0.00035\sin(3g+4\omega+2\Omega)
-0.00151\sin(2g+2g'+2\omega'+2\Omega)
                                                         -0.00008\sin(4g+4\omega+2\Omega)
-0.00029 \sin(3g+2g'+2\omega'+2\Omega)
                                                         +0.00002\sin(6g+4\omega+2\Omega)
-0.00003\sin(4g+2g'+2\omega'+2\Omega)
                                                         +0.00017\sin(-g+2\Omega)
-0.00001 \sin(-2g+3g'+2\omega'+2\Omega)
                                                         +0.00202,7 sin 2Q
+0.00002 \sin(3g'+2\omega'+2\Omega)
                                                         +0.00020\sin(g+2\Omega)
-0.00020\sin(g+3g'+2\omega'+2\Omega)
                                                         -0.00001 \sin(g+2g'+2\omega+2\omega'+2\Omega)
-0.00007 \sin(2g+3g'+2\omega'+2\Omega)
                                                         -0.00024 \sin(2g+2g'+2\omega+2\omega'+2\Omega)
-0.00001 \sin(3g+3g'+2\omega'+2\Omega)
                                                         -0.00008 \sin(3g+2g'+2\omega+2\omega'+2\Omega)
+0.00001 \sin(2g-g'+4\omega-2\omega'+2\Omega)
                                                         +0.00003 \sin(-2g+2g'-2\omega+2\omega'+2\Omega)
-0.00018\sin(3g-g'+4\omega-2\omega'+2\Omega)
                                                         +0.00003 \sin(-g+2g'-2\omega+2\omega'+2\Omega)
-0.0002 \text{ i} \sin(4g-g'+4\omega-2\omega'+2\Omega)
                                                         +0.00003 \sin(g-2g'+2\omega-2\omega'+2\Omega)
-0.00004 \sin(5g-g'+4\omega-2\omega'+2\Omega)
                                                         +0.00008 \sin(2g-2g'+2\omega-2\omega'+2\Omega)
+0.00001 \sin(-2g'+4\omega-2\omega'+2\Omega)
                                                         -0.00001 \sin(3g-2g'+2\omega-2\omega'+2\Omega)
-0.00001 \sin(g-2g'+4\omega-2\omega'+2\Omega)
                                                         -0.00001 \sin(2g-g'+3\omega-\omega'+2\Omega)
-0.00027 \sin(2g-2g'+4\omega-2\omega'+2\Omega)
                                                         -0.0005 i \sin(3g-g'+3\omega-\omega'+2\Omega)
+0.01797 \sin(3g-2g'+4\omega-2\omega'+2\Omega)
                                                         -0.00013\sin(4g-g'+3\omega-\omega'+2\Omega)
+0.01512\sin(4g-2g'+4\omega-2\omega'+2\Omega)
                                                         +\circ \circ \circ \circ \circ \sin(3g+3\omega-\omega'+2\Omega)
+0.00368 \sin(5g-2g'+4\omega-2\omega'+2\Omega)
                                                         -0.00001 \sin(g+\omega+\omega'+2\Omega)
+0.00059\sin(6g-2g'+4\omega-2\omega'+2\Omega)
                                                         -0.00001 \sin(g'+\omega+\omega'+2\Omega)
+0.00006 \sin(7g-2g'+4\omega-2\omega'+2\Omega)
                                                         + \circ \circ \circ \circ \circ \circ \sin(g+g'+\omega+\omega'+2\Omega)
-0.00002 \sin(2g-3g'+4\omega-2\omega'+2\Omega)
                                                         + \circ \circ \circ \circ \circ \sin(2g + g' + \omega + \omega' + 2\Omega)
+0.00084 \sin(3g-3g'+4\omega-2\omega'+2\Omega)
                                                         + \circ \circ \circ \circ \circ \sin(3g+g'+\omega+\omega'+2\Omega)
+0.00104\sin(4g-3g'+4\omega-2\omega'+2\Omega)
                                                         -0.00001 \sin(4g-3g'+5\omega-3\omega'+2\Omega)
+0.00024 \sin(5g-3g'+4\omega-2\omega'+2\Omega)
                                                         -0.00001 \sin(3g'-\omega+3\omega'+2\Omega)
+0.00002 \sin(6g-3g'+4\omega-2\omega'+2\Omega)
                                                         -0.00002\sin(2g+2\omega+3\Omega)
+0.00002 \sin(3g-4g'+4\omega-2\omega'+2\Omega)
                                                         + \circ \circ \circ \circ \circ \circ \sin(2g + 2\omega + \Omega)
+0.00004 \sin(4g-4g'+4\omega-2\omega'+2\Omega)
                                                         -0.06 t \sin(g-g'+2\omega+2\Omega)
+0.00001\sin(6g-2g'+6\omega-2\omega'+2\Omega)
                                                         -0.41 t \sin(2g-g'+2\omega+2\Omega)
+0.00046 \sin(4g-4g'+6\omega-4\omega'+2\Omega)
                                                         -0.16 t \sin(3g-g'+2\omega+2\Omega)
+0.0007 \cdot \sin(5g-4g'+6\omega-4\omega'+2\Omega)
                                                         -0.02 t \sin(4g-g'+2\omega+2\Omega)
+0.00035\sin(6g-4g'+6\omega-4\omega'+2\Omega)
                                                         -\infty or t\sin(g'+2\omega+2\Omega)
+0.00007 \sin(7g-4g'+6\omega-4\omega'+2\Omega)
                                                         +0.07 t \sin(g+g'+2\omega+2\Omega)
-0.00001 \sin(-3g+4g'-2\omega+4\omega'+2\Omega)
                                                         +0.42 t \sin(2g+g'+2\omega+2\Omega)
```

```
+ 0.14 t \sin(3g + g' + 2\omega + 2\Omega)
                                                                  -0.01 t \sin(5g-3g'+4\omega-2\omega'+2\Omega)
+ 0.01 t \sin(4g + g' + 2\omega + 2\Omega)
                                                                  +\cos t\sin(-g+3g'+2\omega'+2\Omega)
                                                                  + o \cdot 10 t \sin(3g' + 2\omega' + 2\Omega)
+ o \cdot o \cdot t \sin(3g - g' + 4\omega - 2\omega' + 2\Omega)
+ 0.01 t \sin(4g - g' + 4\omega - 2\omega' + 2\Omega)
                                                                  + o \cdot i + t \sin(g + 3g' + 2\omega' + 2\Omega)
                                                                  +\cos 2t\sin(2g+3g'+2\omega'+2\Omega).
-0.14 t \sin(3g-3g'+4\omega-2\omega'+2\Omega)
-0.12 t \sin(4g - 3g' + 4\omega - 2\omega' + 2\Omega)
cosb'c cosl'c sinb'c ....
    {3422"06 F'C 3
--0·00002 \sin(--3g+\Omega)
                                                                  -0.00060\sin(-2g+2g'-2\omega+2\omega'+\Omega)
-0.00070\sin(-g+2g'-2\omega+2\omega'+\Omega)
                                                                  -0.00003 \sin(2g'-2\omega+2\omega'+\Omega)
-\infty \cos 2\sin(g-3g'+2\omega-2\omega'+\Omega)
--- o·04487 sin Ω
                                                                  +0.00001 \sin(2g-3g'+2\omega-2\omega'+\Omega)
-0.00372 \sin(g+\Omega)
                                                                  -0.00003 \sin(-2g+3g'-2\omega+2\omega'+\Omega)
-0.00024 \sin(2g+\Omega)
                                                                  --0.00003 \sin(-g+3g'-2\omega+2\omega'+\Omega)
--0.0000 t \sin(3g+\Omega)
                                                                  -0.00001 \sin(2g-4g'+4\omega-4\omega'+\Omega)
+ \circ \circ \circ \circ \circ \sin(-g - g' + \Omega)
-- o · o o o o ó sin (--g'+\Omega)
                                                                  + \circ \circ \circ \circ \circ \sin(3g - 4g' + 4\omega - 4\omega' + \Omega)
--\circ \circ \circ \circ \circ \sin(g-g'+\Omega)
                                                                  + \circ \circ \circ \circ \circ \sin(4g - 4g' + 4\omega - 4\omega' + \Omega)
                                                                  -0.00001 \sin(-4g+4g'-4\omega+4\omega'+\Omega)
-- \circ \circ \circ \circ \circ \circ \circ \sin(--g+g'+\Omega)
                                                                  -0.00002 \sin(-3g+4g'-4\omega+4\omega'+\Omega)
+ o \cdot o \circ \circ \circ \sin(g' + \Omega)
+ \circ \circ \circ \circ \circ \circ \sin(g + g' + \Omega)
                                                                  -0.00002 \sin(2g-2g'+4\omega-2\omega'+\Omega)
                                                                  +0.00162\sin(3g-2g'+4\omega-2\omega'+\Omega)
-0.00007 \sin(2\omega + \Omega)
-0.00123 \sin(g+2\omega+\Omega)
                                                                  +0.00136\sin(4g-2g'+4w-2w'+\Omega)
+0.04438\sin(2g+2\omega+\Omega)
                                                                  +0.00033 \sin(5g-2g'+4w-2w'+\Omega)
+ \circ \circ \circ \circ \circ \sin(6g - 2g' + 4\omega - 2\omega' + \Omega)
+0.00112 \sin(4g+2\omega+\Omega)
                                                                  +\circ \circ \circ \circ \circ \circ \circ \circ \sin(3g-3g'+4\omega-2\omega'+\Omega)
                                                                  + o \cdot 00007 \sin 4g - 3g' + 4\omega - 2\omega' + \Omega
+0.00013\sin(5g+2\omega+\Omega)
                                                                  + \circ \circ \circ \circ \circ \sin(4g - 4g' + 6\omega - 4\omega' + \Omega)
-0.00003 \sin(3g+4\omega+\Omega)
                                                                  + \circ - \circ \circ \circ \circ \sin(5g - 4g' + 6\omega - 4\omega' + \Omega)
-0.00002 \sin(-3g-2\omega+\Omega)
                                                                  + 0.00002 \sin 6g - 4g' + 6\omega - 4\omega' + \Omega
--0.00009 \sin(--2g-2\omega+\Omega)
                                                                  -0.00001\sin(-2g+4g'-2\omega+4\omega'+\Omega)
+0.00002\sin(-g-2\omega+\Omega)
+0.00007 \sin(2g-g'+2\omega+\Omega)
                                                                  -0.00002 \sin(-g+4g'-2\omega+4\omega'+\Omega)
+ \circ \cdot \circ \circ \circ \circ \circ \sin(3g - g' + 2\omega + \Omega)
                                                                  -0.00002 \sin(2g+2g'+2\omega+2\omega'+\Omega)
-\circ \circ \circ \circ \circ \circ \sin(2g+g'+2\omega+\Omega)
                                                                  -- \circ \circ \circ \circ \circ \circ \circ \circ \sin(2g + 2\omega + 2\Omega)
-- 0.00006 \sin(3g+g'+2\omega+\Omega)
                                                                  + \circ \circ \circ \circ \circ \circ \circ \sin(g' + 2\omega' + \Omega)
                                                                  -0.00012 \sin -g + 2g' + 2\omega' + \Omega
--\circ \circ \circ \circ \circ \circ \circ \sin(2g-g'+2\omega-2\omega'+\Omega)
                                                                  -0.00124\sin(2g'+2\omega'+\Omega)
-0.00006\sin(-2g'+2\omega-2\omega'+\Omega)
                                                                  -0.00038\sin(g+2g'+2\omega'+\Omega)
-0.00078\sin(g-2g'+2\omega-2\omega'+\Omega)
                                                                  -0.00011 \sin 2g + 2g' + 2\omega' + \Omega
+0.00066 \sin(2g-2g'+2\omega-2\omega'+\Omega)
+ 0.00015 \sin(3g - 2g' + 2\omega - 2\omega' + \Omega)
                                                                  -\infty \cos \sin (3g+2g'+2\omega'+\Omega)
+0.00002 \sin(4g-2g'+2\omega-2\omega'+Q)
                                                                  -\circ \circ \circ \circ \circ \circ \sin(3g'+2\omega'+\Omega)
-0.00009 \sin(-3g+2g'-2\omega+2\omega'+\Omega)
                                                                  -\circ \circ \circ \circ \circ \circ \circ \circ \sin(g+3g'+2\omega'+\Omega)
```

```
-\cos t\sin(2g-g'+2\omega+\Omega)
+ \circ \circ \circ \circ \circ \sin(-2g' - 2\omega' + \Omega)
+ \circ \cdot \circ \circ \circ \circ \circ \circ \circ \sin(g - g' + \omega - \omega' + \Omega)
                                                       + \circ \circ 2t\sin(2g + \dot{g}' + 2\omega + \Omega)
                                                       + o \cdot o \cdot t \sin(g - 3g' + 2\omega - 2\omega' + \Omega)
+ \circ \circ \circ \circ \circ \circ \circ \sin(-g+g'-\omega+\omega'+\Omega)
                                                       -\cos t\sin(3g-3g'+4\omega-2\omega'+\Omega)
-0.00004 \sin(3\dot{g}-g'+3\omega-\omega'+\Omega)
                                                       -\cos t \sin(-g + 3g - 2\omega + 2\omega' + \Omega)
+ o \cdot o \cdot t \sin(-g + \Omega)
-0.02 t \sin(g'+\Omega)
                                                       + o \cdot o \cdot t \sin(g + 3g' + 2\omega' + \Omega).
cosb'C sin l'C cosb'C sin l'C
      {3422"067'€}8
                                                       +0.00018\cos(4g-4g'+4\omega-4\omega')
+0.50035
                                                        +0.00002 \cos 5g - 4g' + 4\omega - 4\omega'
+0.08189 cos g
                                                       + o \cdot o o o o o c o o (3g - 5g' + 4\omega - 4\omega')
+0.00669 cos 2g
                                                       +0.00002\cos(4g-5g'+4\omega-4\omega')
+ 0.00054 cos 3g
                                                       +0.00001\cos(4g-6g'+6\omega-6\omega')
+0.00002 cos 4g
                                                       --- φ·00003 cos(2ω)
-- 0-00006 cos(---2g--g')
                                                        -0.00038\cos(g+2\omega)
-0.00041 cos(-g-g')
                                                       +0.00196\cos(2g+2\omega)
--0.00014\cos(--g')
                                                       +0.00039\cos(3g+2\omega)
+0.00049\cos(g-g')
                                                       +0.00007\cos(4g+2\omega)
+ 0.00007 \cos(2g-g')
                                                       -0.00005\cos(-g+2g'+2\omega')
-0.00001\cos(g+2\omega-2\omega')
                                                        --0.00017\cos(2g'+2\omega')
-0.00008\cos(g-g'+2\omega-2\omega')
                                                       -0.00008\cos(g+2g'+2\omega')
-0.00015\cos(2g-g'+2\omega-2\omega')
                                                       + \circ \cdot \circ \circ \circ \circ \circ \circ \circ \circ (g + \omega - \omega')
-0.00003 \cos(3g-g'+2\omega-2\omega')
-0.00001\cos(-g-2g'+2\omega-2\omega')
                                                       + o \cdot cocoi \cos(2g + \omega - \omega')
                                                       +0.00073\cos(-2g'+2\omega-2\omega')
                                                       -0.00042 \cos(g-g'+\omega-\omega')
+0.01570\cos(g-2g'+2\omega-2\omega')
                                                       -0.00005 \cos(2g-g'+\omega-\omega')
+0.01334\cos(2g-2g'+2\omega-2\omega')
                                                        -- 0-00002 cos(2g-3g'+3\omega-3\omega')
+0.00211\cos(3g-2g'+2w-2w')
+0.00024\cos(4g-2g'+2\omega-2\omega')
                                                       +0.00001 \cos(2\omega + 2\Omega)
                                                       +0.01397\cos(g+2\omega+2\Omega)
+ 0.00001 \cos(5g - 2g' + 2\omega - 2\omega')
                                                       -0.49402\cos(2g+2\omega+2\Omega)
+0.00004\cos(-3g'+2\omega-2\omega')
+0.00067\cos(g-3g+2\omega-2\omega')
                                                       -0.09462\cos(3g+2\omega+2\Omega)
+0.00088\cos(2g-3g'+2\omega-2\omega')
                                                       --0.01254\cos(4g+2\omega+2\Omega)
                                                        -0.00141 \cos(5g+2\omega+2\Omega)
+0.00014\cos(3g-3g'+2\omega-2\omega')
                                                       -0.00013\cos(6g+2\omega+2\Omega)
+0.00001\cos(4g-3g'+2\omega-2\omega')
                                                       --0.00003\cos(g-g'+2\omega+2\Omega)
+0.00002\cos(g-4g'+2\omega-2\omega')
                                                       --0.00152\cos(2g-g'+2\omega+2\Omega)
+0.00004\cos(2g-4g'+2\omega-2\omega')
                                                       -0.00091\cos(3g-g'+2\omega+2\Omega)
-0.00001\cos(2g-2g'+4\omega-2\omega')
                                                       -0.00019\cos(4g-g'+2\omega+2\Omega)
+0.00006\cos(3g-2g'+4\omega-2\omega')
+0.00006\cos(4g-2g'+4\omega-2\omega')
                                                       -0.00001\cos(5g-g'+2\omega+2\Omega)
                                                       + 0.00001 \cos(g - 4g' + 4\omega - 4\omega')
                                                        +0.00172\cos(2g+g'+2\omega+2\Omega)
+0.00025\cos(2g-4g'+4w-4w')
                                                        + 0.00041 \cos(3g - 4g' + 4\omega - 4\omega')
```

$+0.00017\cos(4g+g'+2\omega+2\Omega)$	$+0.00001\cos(-3g+4g'-2\omega+4\omega'+2\Omega)$
$+ \circ \circ$	$+0.00001 \cos(-2g+4g'-2\omega+4\omega'+2\Omega)$
$+ \circ \circ \circ \circ \circ \circ \circ \circ (g' + 2\omega' + 2\Omega)$	$-0.00002\cos(-g+4g'-2\omega+4\omega'+2\Omega)$
$-0.00001 \cos(g+g'+2\omega'+2\Omega)$	$+0.00001\cos(g+1g'-2\omega+4\omega'+2\Omega)$
$+ o \cdot o o o (2g + g' + 2\omega' + 2\Omega)$	$-0.00004\cos(4g-5g'+6\omega-4\omega'+2\Omega)$
$-0.00002\cos(2g-2g'+2\omega+2\Omega)$	$-0.00006\cos(5g-5g'+6\omega-4\omega'+2Q)$
$+0.00002\cos(2g+2g'+2\omega+2\Omega)$	$-0.00003\cos(6g-5g'+6\omega-4\omega'+2\Omega)$
$-0.00002\cos(-g+2g'+2\omega'+2\Omega)$	$-0.00001\cos(-2g+5g'-2\omega+4\omega'+2\Omega)$
$-0.00036\cos(2g'+2\omega'+2\Omega)$	$-0.00001\cos(2g+4\omega+2\Omega)$
$+0.00364\cos(g+2g'+2\omega'+2\Omega)$	$+ \circ \cdot \circ \circ \circ 35 \cos(3g + 4\omega + 2\Omega)$
$+0.00151\cos(2g+2g'+2\omega'+2\Omega)$	$+ \circ \cdot \circ $
$+0.00029\cos(3g+2g'+2\omega'+2\Omega)$	$- \circ \cdot \circ $
$+0.00003\cos(4g+2g'+2\omega'+2\Omega)$	$0.00017\cos(g+2\Omega)$
$+0.00001\cos(-2g+3g'+2\omega'+2\Omega)$	0·00202,7 cos 2♀
$-0.00002\cos(3g'+2\omega'+2\Omega)$	$-0.00020\cos(g+2\Omega)$
$+0.00020\cos(g+3g'+2\omega'+2\Omega)$	$+0.00001\cos(g+2g'+2\omega+2\omega'+2\Omega)$
$+0.00007\cos(2g+3g'+2\omega'+2\Omega)$	$+0.00024\cos(2g+2g'+2\omega+2\omega'+2\Omega)$
$+0.00001\cos(3g+3g'+2\omega'+2\Omega)$	$+ \circ \cdot \circ $
$-0.00001\cos(2g-g'+4\omega-2\omega'+2\Omega)$	$-0.00003\cos(-2g+2g'-2\omega+2\omega'+2\Omega)$
$+0.00018\cos(3g-g'+4\omega-2\omega'+2\Omega)$	$\circ \cdot \circ $
$+0.00021 \cos(4g-g'+4\omega-2\omega'+2\Omega)$	$-0.00003\cos(g-2g'+2\omega-2\omega'+2\Omega')$
$+0.00004\cos(5g-g'+4\omega-2\omega'+2\Omega)$	$-0.00008\cos(2g-2g'+2\omega-2\omega'+2\Omega)$
$-0.00001\cos(-2g+4\omega-2\omega'+2\Omega)$	$+0.00001\cos(3g-2g'+2\omega-2\omega'+2Q)$
$+0.00001\cos(g-2g'+4\omega-2\omega'+2\Omega)$	$+ \circ \circ$
$+0.00027\cos(2g-2g'+4\omega-2\omega'+2\Omega)$	$+ \circ \cdot \circ $
$-0.01797\cos(3g-2g'+4\omega-2\omega'+2\Omega)$	$+ \circ \cdot \circ $
$-0.01512\cos(4g-2g'+4\omega-2\omega'+2\Omega)$	$-\cdot \circ \cdot \circ \circ$
$0.00368\cos(5g-2g'+4\omega-2\omega'+2\Omega)$	$+ \circ \cdot \circ \circ \circ \circ \circ \circ (g + \omega + \omega' + 2\Omega)$
$-0.00059\cos(6g-2g'+4\omega-2\omega'+2\Omega)$	$+ \circ \circ$
$-0.00006\cos(7g-2g'+4\omega-2\omega'+2\Omega)$	$ \circ \cdot \circ \circ \circ \circ \circ \circ (g+g'+\omega+\omega'+2\Omega)$
$+0.00002\cos(2g-3g'+4\omega-2\omega'+2\Omega)$	$0.00007\cos(2\mathbf{g}+\mathbf{g}'+\mathbf{\omega}+\mathbf{\omega}'+2\Omega)$
$-0.00084\cos(3g-3g'+4\omega-2\omega'+2\Omega)$	$-\cos(3g+g'+\omega+\omega'+2\Omega)$
$-0.00104\cos(4g-3g'+4\omega-2\omega'+2\Omega)$	$+0.00001\cos(4g-3g'+5\omega-3\omega'+2\Omega)$
$0.00024\cos(5g-3g'+4\omega-2\omega'+2\Omega)$	$+ \circ \cdot \circ $
$-0.00002\cos(6g-3g'+4\omega-2\omega'+2\Omega)$	$+ \circ \circ$
$-0.00002\cos(3g-4g'+4\omega-2\omega'+2\Omega)$	$-0.00002\cos(2g+2\omega+\Omega)$
$-0.00004\cos(4g-4g'+4\omega-2\omega'+2\Omega)$	-0.0015t
$- \circ \cdot \circ $	$ \circ \circ i t \cos(g')$
$0.00046\cos(4g-4g'+6\omega-4\omega'+2\Omega)$	$+ \circ \circ i t \cos(2g - g')$
$-0.00071 \cos(5g-4g'+6\omega-4\omega'+2\Omega)$	$-0.02 t \cos(-3g'+2\omega-2\omega')$
$-0.00035\cos(6g-4g'+6\omega-4\omega'+2\Omega)$	$+ \circ \circ \circ t \cos(g - g' + 2\omega + 2\Omega)$
$-0.00007\cos(7g-4g'+6\omega-4\omega'+2\Omega)$	$+0.41 t \cos(2g-g'+2\omega+2\Omega)$

```
+0.16t\cos(3g-g'+2\omega+2\Omega)
                                                  -0.01 t\cos(4g-g'+4\omega-2\omega'+2\Omega)
     +0.02 t \cos(4g-g'+2\omega+2\Omega)
                                                  +0.14 t \cos(3g-3g'+4\omega-2\omega'+2\Omega)
     +0.01 t \cos(g'+2\omega+2\Omega)
                                                  +0.12 t \cos(4g-3g'+4\omega-2\omega'+2\Omega)
     -0.07 t \cos(g+g'+2\omega+2\Omega)
                                                  + \circ \circ i t \cos(5g - 3g' + 4\omega - 2\omega' + 2\Omega)
     -0.42 t\cos(2g+g'+2\omega+2\Omega)
                                                  -0.01 t \cos(-g+3g'+2\omega'+2\Omega)
     -0.14 t \cos(3g+g'+2\omega+2\Omega)
                                                  -0.10 t \cos(3g'+2\omega'+2\Omega)
     -0.01 t \cos(4g+g'+2\omega+2\Omega)
                                                  -0.14 t \cos(g+3g'+2\omega'+2\Omega)
     -0.01 t\cos(3g-g'+4\omega-2\omega'+2\Omega)
                                                  -0.02 l \cos(2q+3q'+2\omega'+2Q).
\frac{\sin b' (\sin b' (\cos b'))}{(3422''06r')^3} = +0.00404
                                                      +0.00004\cos 2g
                                                     +0.00002\cos(-2g'+2\omega-2\omega')
                +0.00013\cos(g-2g'+2\omega-2\omega')
                + 0.00002 \cos 2\omega
                -0.00012\cos(2g-2g'+2\omega-2\omega')
                -0.00400\cos(2g+2\omega)
                                                     -0.00002\cos(3g-2g'+2\omega-2\omega')
                --0.00077\cos(3g+2\omega)
                                                      -0.00001\cos(2g-3g'+2\omega-2\omega')
                -0.00010\cos(4g+2\omega)
                                                     +0.00001\cos(2g-2g'+4\omega-2\omega')
                                                      -0.00015\cos(3g-2g'+4\omega-2\omega')
                -- 0.00001 \cos(5g+2\omega)
                +0.00002\cos(-g+2g'+2\omega')
                                                      -0.00014\cos(4g-2g'+4\omega-2\omega')
                +0.00023\cos(2g'+2\omega')
                                                      -0.00002\cos(5g \cdot 2g'+4\omega-2\omega').
cos b' \(\sin l' \(\sin b' \(\sin \)
   {3422"06 r'C}3
    --0.00002
                                                  -0.00013\cos(5g+2\omega+\Omega)
    +0.00002\cos(-3g+\Omega)
                                                  +0.00028\cos(-2g+\Omega)
                                                  + \circ \cdot \circ \circ 368 \cos(-g + \Omega)
                                                  + \circ \circ \circ \circ \circ \circ \cos(-2g - 2\omega + \Omega)
    +0.04487 cos Ω
                                                  +0.00372\cos(g+\Omega)
                                                  -0.00007\cos(2g-g'+2\omega+\Omega)
                                                  --0.00007\cos(3g-g'+2\omega+\Omega)
    +0.00024\cos(2g+\Omega)
                                                  + o \cdot \cos(2g + g' + 2\omega + \Omega)
    + \circ \cdot \circ \circ \circ \circ \circ \circ \cos(3g + g' + 2\omega + \Omega)
    +0.00002\cos(2g-g'+2\omega-2\omega'+\Omega)
                                                  + \circ \cdot \circ \circ \circ \circ \circ \cos(-2g' + 2\omega - 2\omega' + \Omega)
     +0.00078\cos(g-2g'+2\omega-2\omega'+\Omega)
                                                  -0.00066\cos(2g-2g'+2\omega-2\omega'+\Omega)
    -- \circ \cdot \circ \circ \circ \circ \circ \circ \circ (g' + \Omega)
    -0.00015\cos(3g-2g'+2\omega-2\omega'+\Omega)
    +0.00007\cos(2\omega+\Omega)
                                                  -0.00002\cos(4g-2g'+2\omega-2\omega'+\Omega)
                                                  +0.00009\cos(-3g+2g'-2\omega+2\omega'+\Omega)
    +0.00123\cos(g+2\omega+\Omega)
    -0.04438\cos(2g+2\omega+\Omega)
                                                  +0.00060\cos(-2g+2g'-2\omega+2\omega'+\Omega)
                                                  +0.00070\cos(-g+2g'-2\omega+2\omega'+\Omega)
    -0.00850\cos(3g+2\omega+\Omega)
     -0.00112\cos(4g+2\omega+\Omega)
```

```
+0.00002\cos(g-3g'+2\omega-2\omega'+\Omega)
                                                  +0.00002\cos(2g+2w+2Q)
-0.00001\cos(2g-3g'+2\omega-2\omega'+\Omega)
                                                  -0.00002\cos(q'+2\omega'+\Omega)
+0.00003\cos(-2g+3g'-2\omega+2\omega'+\Omega)
                                                  +0.00012\cos(--g+2g'+2\omega'+\Omega)
+0.00003\cos(-g+3g'-2\omega+2\omega'+\Omega)
                                                  +0.00124\cos(2q'+2\omega'+\Omega)
+0.00001\cos(2g-4g'+4\omega-4\omega'+\Omega)
                                                  +0.00038\cos(q+2q'+2\omega'+Q)
-0.00003\cos(3g-4g'+4\omega-4\omega'+\Omega)
                                                  +0.00011\cos(2g+2g'+2\omega'+\Omega)
-0.00003 \cos(4g-4g'+4\omega-4\omega'+\Omega)
                                                  +0.00003\cos(3g+2g'+2\omega'+\Omega)
+0.00001\cos(-4g+4g'-4\omega+4\omega'+\Omega)
                                                  +0.00005\cos(3g'+2\omega'+\Omega)
+0.00002\cos(-3q+4q'-4\omega+4\omega'+Q)
                                                  +0.00002\cos(q+3q'+2\omega'+\Omega)
+0.00002\cos(2g-2g'+4\omega-2\omega'+\Omega)
                                                  -0.00001\cos(-2g'-2\omega'+\Omega)
-0.00162\cos(3g-2g'+4\omega-2\omega'+\Omega)
                                                  -0.00002\cos(g-g'+\omega-\omega'+\Omega)
-0.00136\cos(4g-2g'+4\omega-2\omega'+\Omega)
                                                  -0.00002\cos(-g+g'-\omega+\omega'+\Omega)
-0.00033\cos(5g-2g'+4\omega-2\omega'+\Omega)
                                                  +0.00004\cos(3g-g'+3\omega-\omega'+\Omega)
-0.00003\cos(6g-2g'+4\omega-2\omega'+\Omega)
                                                  -\cos t \cos(-g'+\Omega)
-0.00007\cos(3g-3g'+4\omega-2\omega'+\Omega)
                                                  + 0.02 t \cos(q' + \Omega)
-0.00007 \cos(4g-3g'+4\omega-2\omega'+\Omega)
                                                  +0.02 t \cos(2g-g'+2\omega+\Omega)
-0.00003\cos(4g-4g'+6\omega-4\omega'+\Omega)
                                                  -0.02 t \cos(2q+q'+2\omega+\Omega)
-0.00006\cos(5g-4g'+6\omega-4\omega'+\Omega)
                                                  -0.01 t \cos(g-3g'+2\omega-2\omega'+\Omega)
-0.00002\cos(6g-4g'+6\omega-4\omega'+\Omega)
                                                  +0.01 t \cos(3g-3g'+4\omega-2\omega'+\Omega)
+0.00001\cos(-2g+4g'-2\omega+4\omega'+\Omega)
                                                  + 0.01 t \cos(-g + 3g' - 2\omega + 2\omega' + \Omega)
                                                  -\cos(g+3g'+2\omega'+\Omega).
+0.00002\cos(-g+4g'-2\omega+4\omega'+\Omega)
+0.00002\cos(2g+2g'+2\omega+2\omega'+\Omega)
```

Hiermit sind die Entwicklungen für die Berechnung der durch den Mond veranlassten Störungscoëfficienten vollendet. Für die Sonne erhält man, wenn die plauetarischen Störungen fortgelassen werden, nach Le-Verrier's Sonnentafeln:

$$I'_{\odot} = g' + \omega' + \Omega + 6918'' 3 \sin g' \qquad - 17'' 51 t \sin g' + 72'' 5 \sin 2 g' \qquad - 0'' 375 t \sin 2 g' + 1'' 1 \sin 3 g' \qquad - 0'' 0564 t^2 \sin g' - 17'' \sin \Omega - 1'' \sin(2 g' + 2 \omega' + 2 \Omega) + 6'' \sin(g - g' + \omega - \omega').$$

$$b'_{\odot} = 0.$$

$$R'_{\odot} = 1.000141 - 0.016769 \cos g' \qquad + 0.00000071 t \cos 2 g' - 0.000141 \cos 2 g' \qquad - 0.0000000139 t^2 - 0.00000071 t \qquad + 0.00000001368 t^2 \cos g' + 0.00000071 t \qquad + 0.000000014 t^2 \cos 2 g' + 0.00000042 43 t \cos g'.$$

Vergleicht man den hier für R'_{\odot} gegebenen Ausdruck mit den Le-Verrier'schen Sonnentafeln (pag. 103 Tom. IV. Annales de l'obs. de Paris). so wird man in den mit t multiplicirten Gliedern wesentliche Unterschiede finden. die mit t^2 verbun-

denen Glieder hat Le-Verrier fortgelassen. Die erwähnten Unterschiede erklären sich daraus, dass, wie dies schon C. M. Stürmer in seinen nach Le-Verrier's Elementen berechneten Sonnentafeln (Würzburg 1875) bemerkt hat, Le-Verrier aus Versehen die der älteren ungenaueren Massenbestimmung entsprechende säculare Änderung der Excentricität in die Tafeln eingeführt hat; die Säcularvariation der Tafel XXXII in den Sonnentafeln ist dem entsprechend zu corrigiren. Aus diesen Angaben erhält man durch die bereits oben angedeuteten Operationen und entsprechende Multiplication, wenn man, was für die Folge wohl zu beachten, die mittlere Entfernung der Erde von der Sonne als Einheit einführt:

```
\cos b' \odot \sin l' \odot \cos b' \odot \cos l' \odot 
-0.00420\sin(g'+2\omega'+2\Omega)
                                                  + \circ \circ \circ \circ \circ \sin (g + g' + \omega + \omega' + 2\Omega)
+ 0.49965 \sin(2g' + 2\omega' + 2\Omega)
                                                  -0.00001\sin(-g+3g'-\omega+3\omega'+2\Omega)
+ 0.02934 \sin(3g' + 2\omega' + 2\Omega)
                                                   + o \cdot 0 0 0 0 1 0 6 t \sin(g' + 2\omega' + 2\Omega)
+ 0.00120 \sin(1g' + 2\omega' + 2\Omega)
                                                  + 0.0000017 t \sin(2g' + 2\omega' + 2\Omega)
+ 0.00004 \sin(5 g' + 2 \omega' + 2 \Omega)
                                                   -0.0000741 t \sin(3g' + 2\omega' + 2\Omega)
+ \circ \circ \circ \circ \circ \circ \circ \sin (2g' + 2\omega' + \Omega)
                                                  -0.0000061 t \sin(4g' + 2\omega' + 2\Omega)
-0.00004 \sin(2g' + 2\omega' + 3\Omega)
                                                  - \circ \circ \circ \circ \circ \circ \circ \circ \circ t \sin \left( 5 g' + 2\omega' + 2\Omega \right).
\cos b' \odot \sin l' \odot \cos b' \odot \sin l' \odot 
                                                  -0.00001\cos(g+g'+\omega+\omega'+2\Omega)
+ 0.50021
+ 0.02516 \cos g'
                                                  + 0.00001 \cos(-g + 3g' - \omega + 3\omega' + 2\Omega)
+ 0.00063\cos 2g'
                                                  -- 0.000001068 t
                                                  + 0.00002\cos 3g'
+ 0.00420 \cos(g' + 2\omega' + 2\Omega)
                                                  --0.0000032 t \cos 2g'
-0.49965\cos(2g'+2\omega'+2\Omega)
                                                  -- 0.00000000200t^2
-0.02934\cos(3g'+2\omega'+2\Omega)
                                                  -0.0000106 t \cos(g' + 2\omega' + 2\Omega)
-0.00120\cos(4g'+2\omega'+2\Omega)
                                                  -0.0000017 t \cos(2g' + 2\omega' + 2\Omega)
-0.00004\cos(5g'+2\omega'+2\Omega)
                                                  + 0.0000741 t \cos(3g' + 2\omega' + 2\Omega)
+ 0.0000061 t \cos(4g' + 2\omega' + 2\Omega)
+ o \cdot 00004 \cos(2g' + 2\omega' + 3\Omega)
                                                  + o \cdot 0 0 0 0 0 0 2 t \cos(5 g' + 2 \omega' + 2 \Omega).
```

Die mit sin b'_{\odot} multiplicirten Producte verschwinden der Voraussetzung nach. Die Multiplication der oben gegebenen für den Einfluss des Mondes und der Sonne geltenden Werthe mit den in den Gleichungen 28) und 29) (pag. 166) erscheinenden Klammerausdrücken führt, abgesehen von gewissen constanten Factoren, zur Kenntnis der numerischen Werthe der Differentialquotienten von ε' und ψ , deren Integration in dem folgenden Kapitel vorgenommen werden wird.

i. Integration der Differentialgleichungen für ε' und ψ und Aufstellnng der numerischen Werthe für die Präcession und Nutation.

Führt man die am Schlusse des vorangehenden Kapitels angedeuteten Multiplicationen durch, lässt aber alle jene Glieder weg, welche aus Producten von t^2 in periodische Glieder bestehen, so werden zunächst Glieder von der Form:

$$c$$
, c_1t , c_2t^2 , $\gamma\cos\alpha t$, $\sigma\sin\alpha t$, $\gamma't\cos\beta t$, $\sigma't\sin\beta t$.

auftreten, deren Integration keiner Schwierigkeit unterliegt. Die Integrale dieser Ausdrücke werden nämlich mit Weglassung der Integrationsconstanten der Reihe nach sein:

$$ct, \frac{1}{4}c_1t^2, \frac{1}{4}c_2t^3, \frac{\gamma}{\alpha}\sin\alpha t, -\frac{\sigma}{\alpha}\cos\alpha t, \frac{\gamma't}{\beta}\sin\beta t + \frac{\gamma'}{\beta^2}\cos\beta t, -\frac{\sigma't}{\beta}\cos\beta t + \frac{\sigma'}{\beta^2}\sin\beta t.$$

In völliger Strenge würde die Zeit unter den Cosinus- und Sinus-Zeichen eigentlich in der Form $\alpha t + \alpha' t^2 + \alpha'' t^3 + \cdots$ auftreten, weil die mittleren Bewegungen der Argumente g, g', ω , ω' und Ω säculären Änderungen unterworfen sind, doch sind die durch diese letzteren bedingten Variationen so gering, dass man unbedenklich die Coëfficienten α' , α'' der Null gleich setzen darf. Die in Einheiten des Radius mit dem arc 1" multiplicirte Bewegung der Argumente in hundert julianischen Jahren ist nach Hansen's Mond- und Le-Verrier's Sonnen-Tafeln, wie folgt, gefunden worden:

Bewegung von
$$g$$
 : $+$ 0.040 3786
,, ,, g' : $+$ 0.003 0461
,, ,, ω : $+$ 0.000 50797
., ,, ω' : $+$ 0.000 16380
,, ,, Ω : $-$ 0.000 16366,

mit welchen Zahlen nun die Integration ohne Schwierigkeit vorgenommen werden kann. Die numerischen Werthe der Störungen aber lassen sich vorerst nicht angeben, da zu deren Bestimmung die Kenntnis der beiden constanten Factoren:

$$M_{\mathbb{C}} \frac{3(C-A)}{nC}$$
, $M_{\mathbb{O}} \frac{3(C-A)}{nC}$,

nöthig ist, in welchen $M_{\mathbb{C}}$ die Mondmasse, $M_{\mathbb{C}}$ die Sonnenmasse, C und A die Trägheitsmomente der Erde und n die Rotationsgrösse der Erde in der Zeiteinheit (julianisches Jahrhundert) darstellen. Die theoretische Bestimmung des von den Verhältnissen der Trägheitsmomente abhängigen Factoren (C-A):C bietet bei der mangelhaften Kenntnis der Massenvertheilung im Erdinnern unüberwindliche Schwierigkeiten; es ist demnach am angemessensten, durch die Beobachtung der Bewegungen der Rotationsachse selbst einen Schluss auf die obigen Factoren zu machen. Das grösste Glied der Nutation in der Schiefe erscheint mit dem Factor cos Ω multiplicirt und ist nur von den Elementen der Mondbahn abhängig; dasselbe entsteht aus dem in den Ausdrücken (pag. 173) für:

$$\frac{\cos b' (\cos l' (\sin b'))}{\{3422''06 r'()^3},$$

mit sin Ω multiplicirten Gliede. Dieser Coëfficient ist vermöge des Ausdruckes 28) (pag. 166) mit cos ε_0 zu multipliciren; die Integration ergibt, ohne Rücksicht auf das Vorzeichen des Integrals (vergl. Gleichung 9) (pag. 157), wenn man den unbekannten Factor der Einheit gleich setzt:

$$\frac{0.04487\cos\epsilon_0}{0.00016366}\cos\Omega = -251''505\cos\Omega,$$

wobei also zu beachten ist, dass der Coëfficient in Folge der Annahme über den Integrationsdivisor in Bogensekunden verstanden ist, übrigens noch wegen der Annahme der Einheit für r' (Äquatorhalbmesser der Erde) mit $(3422''06 \text{ arc 1''})^3$ zu multipliciren wäre. Der Coëfficient von $\cos \Omega$ für 1850.0 geltend ergibt sich aber nach Nyrén's Abhandlung »Bestimmung der Nutation der Erdachse« (Mémoires de l'académie impériale de St. Pétersbourg Tom. XIX Nr. 2 pag. 30) aus den Beobachtungen:

$$N = 9''2365$$
;

es ist demnach der Coëfficient, mit dem man, um den hier gewählten Einheiten entsprechend die Resultate in Bogensekunden zu erhalten, alle Glieder, welche die Veränderungen der Rotationsachse durch den Mond ergeben, nach deren Integration zu multipliciren hat:

$$-\frac{3MC(C-A)}{nC}(3422''06)^3 = -\frac{9''2365}{251''505} = -0.0367\ 248.$$
 1)

Wollte man aus irgend welchen Gründen einem anderen Werth für die Nutationsconstante, nämlich: $N_1 = N(1 + i)$.

den Vorzug geben, so wird der Factor (i + i), mit welchem alle von dem Einflusse des Mondes abhängigen Glieder zu multipliciren wären, bestimmt sein durch:

$$\frac{N_t}{N} = (1 + i) \text{ oder } i = \frac{N_1 - 9'' 2365}{9'' 2365};$$

die Multiplication mit i allein gibt sofort die erforderlichen Correctionen der hier berechneten Glieder, welche aber, da der Werth der Nutationsconstante bereits sehr genau bestimmt ist, wohl nur in den grössten mit sin Ω und cos Ω multiplicirten Nutationsgliedern merkliche Änderungen hervorbringen werden.

Berechnet man nun mit den oben in 1) gegebenen Coëfficienten den durch den Mond allein veranlassten Präcessionsantheil, so findet sich dieser:

$$\psi_{\rm C} = -3448''518.$$
 2)

Als Constante der allgemeinen Präcession nehme ich für 1850 nach Bessel:

$$l = 5023''572$$

hauptsächlich aus dem Grunde an, weil Le-Verrier diesen Werth auch bei seinen Sonnen- und Planeten-Tafeln benützt hat; O. Struve's Untersuchungen über diese Constante geben etwas grössere, Nyrén's Bestimmungen wesentlich kleinere Werthe. Die für 1850 geltende lunisolare Präcession ist aber mit Benützung der Formel 2) (pag. 158) und 10) (pag. 160):

$$\psi = -l - b_1 = -l - \cot g \epsilon_0 p_1 t = -5037''032.$$

Vergleicht man diesen Werth mit 2), so ist sonach der durch die Sonne bewirkte Beitrag zu der lunisolaren Präcession bestimmt durch:

$$\psi_{\odot} = -1588''514.$$
 3)

Diesen Werth kann man nun dazu benützen den Factor 3 $M_{\odot}(C-A)$: nC zu ermitteln. Setzt man denselben vorerst bei der Integration der Einheit gleich, so erhält man für das mit t multiplicirte Glied den Werth: 94646"6 t; es ist sonach der Factor, mit dem die von dem Einfluss der Sonne abhängigen Integrale zu multipliciren sind, mit Rücksicht auf die gewählten Einheiten:

$$-\frac{3 M_{\odot}(C-A)}{nC} = -\frac{1588 \cdot 514}{94646 \cdot 6} = -0.0167836.$$
 4)

Will man den Einfluss bestimmen, welchen die den Bestimmungen der Constanten der Nutation und Präcession anhaftenden Fehler auf die Werthe der Sonnenglieder nehmen, so findet sich leicht, wenn mit P die einzuführende lunisolare Präcession bezeichnet und:

$$\zeta = \frac{P - 5037''032}{5037''032},$$

gesetzt wird, der Factor, mit dem die unten ermittelten Sonnenglieder zu multipliciren sind:

$$(1 + 3.17 \zeta - 2.17 i).$$

Mit Hilfe der Factoren i und ζ wird es demnach möglich sein, die weiter unten folgenden numerischen Werthe der Nutation und Präcession auf beliebig gewählte Constanten dieser Grössen zu reduciren.

Den Factor 4) kann man dazu verwerthen, um den bereits oben (pag. 151) benützten Coëfficienten:

$$\mu=n\,\frac{C-A}{A},$$

zu bestimmen. Für die Grösse M_{\odot} wäre, wie dies schon früher (pag. 139) in der Anmerkung hervorgehoben wurde, k^2 zu setzen, wobei, der mittlere Sonnentag als Einheit angenommen, k die Gauss'sche Constante ist; mit Rücksicht jedoch, dass in der vorstehenden Untersuchung das julianische Jahrhundert als Zeiteinheit gilt, hat man:

$$\frac{C-A}{C} = \frac{0.0167836}{3k^2(36525)^2} n.$$
 5)

Hierbei ist auf den Umstand, dass die Integrationsdivisoren mit arc 1" multiplicirt waren, nicht weiter zu achten, weil die bestimmende Constante ebenfalls im Bogenmasse angesetzt war: n ist die Rotationsgrösse der Erde in der Zeiteinheit. Bedenkt man, dass die Erde, wenn die für die vorliegenden Zwecke unmerkliche Präcession des Äquinoctialpunktes ausser Acht gelassen wird, eine Umdrehung 2π in einem Sterntage vollendet, so ist, da hier das julianische Jahrhundert als Einheit gilt, für n zu setzen:

$$n = 2\pi \cdot 36525 \cdot f,$$

in diesem Ausdruck ist f der früher (pag. 25) ermittelte Factor, welcher das Verhältnis der Dauer des mittleren Tages zum Sterntage angibt; man hat also:

$$\frac{C-A}{C} = \gamma = \frac{0.0167836 \cdot 2\pi \cdot f}{3 \cdot k^2 \cdot 36525} = + 0.00326121.$$
 6)

Daraus leitet man leicht ab:

$$\frac{C-A}{A} = \frac{\gamma}{1-\gamma} = +0.00327188.$$
 7)

Dieser Werth ist bereits oben (pag. 157) vorgreifend benützt worden. Um nun den früher benützten Werth von μ (pag. 151) zu finden, hat man zu beachten, dass dort als Zeiteinheit der mittlere Sonnentag gewählt war, es ist danach:

$$\mu = 2\pi f \cdot \frac{\gamma}{1 - \gamma} = + 0.0206141.$$
 8)

Bedenkt man, dass die Nutationsconstante um wenige Hunderttheile der Bogensekunde, die hundertjährige Präcession um einige Bogensekunden falsch sein kann, so wird sofort die grosse Unsicherheit des obigen Resultates einleuchten; in der That kann die vierte Decimale in dem numerischen Werthe von μ nicht als verbürgt bezeichnet werden.

Einschaltend kann man hier erwähnen, dass die Ermittlung der beiden Coëfficienten 1) (pag. 180) und 4) (pag. 181) die Möglichkeit an die Hand gibt, die Mondmasse zu bestimmen. Die Division beider Coöfficienten ergibt, da wegen des Factors 3422"06 in 1) (pag. 180), um die gleichen Längeneinheiten zu haben, in 4) die mittlere Sonnenparallaxe 8"848 (pag. 23) als Factor eingeführt werden muss:

$$\frac{M_{\odot}}{M_{\bullet}} = 26440000.$$

Nimmt man die Erdmasse mit 1:330000 der Sonnenmasse an, was den letzten Le-Verrier'schen Bestimmungen sehr nahe kommt, so wird die Mondmasse:

der Erdmasse betragen. Dieses Resultat ist hauptsächlich wegen der Unsicherheit in der Bestimmung der Erdmasse sehr zweifelhaft und kann der Nenner um einige Einheiten fehlerhaft sein.

Es sollen nun die Resultate der vorgenommenen Integration, der die oben angegebenen Factoren als Grundlage dienen, hier angeführt werden; dieselben ergeben die Bewegung des Äquators auf der festen Ekliptik 1850-0 und t stellt die seit dieser Epoche verflossenen julianischen Jahrhunderte dar; über die Bedeutung der Argumente vergl. pag. 167. Ich führe zuerst die durch den Mond bewirkten Glieder an. dieselben wären eventuell mit dem Factor (1+i) zu multipliciren, die folgenden Sonnenglieder eventuell mit $(1+3\cdot17\zeta-2\cdot17i)$; über die Bedeutung dieser Factoren geben die oben (pag. 180 und 181) gemachten Bemerkungen den nöthigen Aufschluss; die mit einem Sternchen versehenen Coëfficienten sind in Folge kleiner Integrationsdivisoren nicht auf die letzte Stelle zu verbürgen.

Mondglieder.

Präcession und Nutation in der Länge:

```
+3448''518t - 0''7413t^2 - 0''00119t^3, (-0''0044 \sin(3g+2\omega+\Omega))
 + o''o678 \sin g
                                                       - 0"0004 \sin(4g+2\omega+\Omega)
                                                       -0''0001 \sin(-2g-2\omega+\Omega)
 + o''oo28 \sin 2g
 + o''ooo2 \sin 3g
                                                       - 0"0001 \sin(2g-g'+2\omega+\Omega)
                                                         + o'' \cos i \sin (2g + g' + 2\omega + \Omega)
 + o''ooo_3 \sin(-g-g')
                                                       -0''0007 \sin(-2g'+2\omega-2\omega'+\Omega)
 + o''oo15 sin (-g')
                                                         + o''0014 \sin(g-2g'+2\omega-2\omega'+\Omega)
 + o''ooo4 \sin(g-g')
 - o''cooi \sin(g-g'+2\omega-2\omega')
                                                         -0''0006 \sin(2g-2g'+2\omega-2\omega'+\Omega)
 -0''0001 \sin(2q-q'+2\omega-2\omega')
                                                         -o''0001 \sin(3g-2g'+2\omega-2\omega'+\Omega)
                                                         -0''0005 \sin(-2g+2g'-2\omega+2\omega'+\Omega)
 -0''0045 \sin(-2g'+2\omega-2\omega')
 + o''o150 \sin(g-2g'+2\omega-2\omega')
                                                         -o''ooi3 \sin(-g+2g'-2\omega+2\omega'+2)
 + o'' \cos \alpha \sin (2g - 2g' + 2\omega - 2\omega')
                                                         + o''0004 \sin(2g'-2\omega+2\omega'+\Omega)
 + o'' o o o o sin (3g - 2g' + 2\omega - 2\omega')
                                                         - o"oooi \sin(-g+3g'-2\omega+2\omega'+\Omega)
 + o''0001 \sin(4g-2g'+2\omega-2\omega')
                                                         - o"coog sin (3g-2g'+4\omega-2\omega'+\Omega)
 -0''0002 \sin(-3g'+2\omega-2\omega')
                                                         -0''0005 \sin(4g-2g'+4w-2w'+\Omega)
 + o'' \cos 7 \sin (g - 3g' + 2\omega - 2\omega')
                                                         - o"ooo: \sin(5g-2g'+4\omega-2\omega'+\Omega)
 + o''0004 \sin(2g-3g'+2\omega-2\omega')
                                                         - o''0004 \sin(g'+2\omega'+\Omega)
 + o''0001 \sin(2g-4g'+4\omega-4\omega')
                                                         -0''0002 \sin(-g+2g'+2\omega'+\Omega)
 + o'' \cos i \sin (3g - 4g' + 4\omega - 4\omega')
                                                         + o''_{0125} \sin(2g' + 2\omega' + \Omega)
*— 0"0016 sin 2ω
                                                         + o''0005 \sin (g+2g'+2\omega'+\Omega)
                                                         + o'' \cos i \sin (2g + 2g' + 2\omega' + \Omega)
 -- o"0004 \sin(g+2\omega)
                                                         + o'' \circ \circ \circ \sin (3g' + 2\omega' + \Omega)
 + o''0024 \sin(2g+2\omega)
                                                         + o'' \circ \circ \circ \sin(-2g' - 2\omega' + \Omega)
 + o'' \cos 3 \sin (3g + 2\omega)
                                                        *+ o"\infty05 sin (2\omega+2\Omega)
 -0''0021 \sin(2g'+2\omega')
 - o''ooot \sin(q+2g'+2\omega')
                                                         + o''0115 \sin(g+2\omega+2\Omega)
 + o'' \circ \circ \circ \circ \sin (-g' + \omega - \omega')
                                                         -0''2044 \sin(2g+2\omega+2\Omega)
 - 0''0004 \sin(g-g'+\omega-\omega')
                                                         -0''0262 \sin(3g+2\omega+2\Omega)
 - o"0002 sin (-2g+\Omega)
                                                         - 0"0026 sin (4g+2\omega+2\Omega)
 - 0"0057 \sin(-g+\Omega)
                                                         - o"0002 sin (5g+2\omega+2\Omega)
 - 17"2740 sin Ω
                                                         - o'' \cos 7 \sin (2g - g' + 2\omega + 2\Omega)
                                                         - o'' o o o 3 \sin (3g - g' + 2\omega + 2\Omega)
 + o"ooo3 cos Ω
                                                         + o''0007 \sin(2g+g'+2\omega+2\Omega)
 + o'' \cos 58 \sin (g + \Omega)
 + o'' \cos 2 \sin (2g + \Omega)
                                                         + o''ooo_2 \sin(3g+g'+2\omega+2\Omega_1)
 -00012 \sin(-g'+\Omega)
                                                         + 0"0001 \sin(g'+2\omega'+2\Omega)
                                                         -0''0020 \sin(2g'+2\omega'+2\Omega)
 + o"ooo1 \sin(g-g'+\Omega)
                                                         + o'' \cos 26 \sin (g + 2g' + 2\omega' + 2\Omega)
 - o"oo15 \sin(g'+\Omega)
                                                          + o''0006 \sin(2g+2g'+2\omega'+2\Omega)
* + 0"0052 \sin(2\omega + \Omega)
                                                         + o'' \cos i \sin (3g + 2g' + 2\omega' + 2\Omega)
 + o"oo19 \sin(g+2\omega+\Omega)
                                                          - o'' \circ \circ \circ \sin (3g' + 2\omega' + 2\Omega)
 - o"0343 \sin(2g+2\omega+\Omega)
```

```
+ o'' \cos i \sin (g + 3g' + 2\omega' + 2\Omega)
                                                           -0''0002 \sin(q+2\Omega)
 + o'' \cos i \sin (3g - g' + 4\omega - 2\omega' + 2\Omega)
                                                          + o''oooi \sin(2g+2g'+2\omega+2\omega'+2\Omega)
 + o'' \cos i \sin (-2g' + 4\omega - 2\omega' + 2\Omega)
                                                           + o'' \cos i \sin (3g - g' + 3\omega - \omega' + 2\Omega)
 + o''ooo1 \sin(2g-2g'+4\omega-2\omega'+2\Omega)
                                                           + 0"0001 \sin (g'+\omega+\omega'+2\Omega)
 -0''0052 \sin(3g-2g'+4\omega-2\omega'+2\Omega)
                                                           - o"oooı \sin(g+g'+\omega+\omega'+2\Omega)
 -0''0032 \sin(4g-2g'+4\omega-2\omega'+2\Omega)
                                                           \rightarrow o"oooo3 t \sin g
 - 0"0006 \sin (5g-2g'+4\omega-2\omega'+2\Omega)
                                                           -0''00001 t \sin(g-2g'+2\omega-2\omega')
 -0''0001 \sin(6g-2g'+4\omega-2\omega'+2\Omega)
                                                           — o"oo852 t \sin \Omega
 -0''0002 \sin(3q-3q'+4w-2w'+2\Omega)
                                                           — o"oo165 t \cos \Omega
                                                           - 0"00002 t \sin (2g+2\omega+\Omega)
 -0''0002 \sin(4g-3g'+4\omega-2\omega'+2\Omega)
 -0''0001 \sin(4g-4g'+6\omega-4\omega'+2\Omega)
                                                           + 0"00001 t \sin(2g'+2\omega'+\Omega)
 -0''0001 \sin (5g-4g'+6\omega-4\omega'+2\Omega)
                                                           + o'' 00000 t \sin(2g + 2\omega + 2\Omega)
 - o'' \circ o \circ i \sin (6g - 4g' + 6\omega - 4\omega' + 2\Omega)
                                                           -- 0"00002 t \cos(2g+2\omega+2\Omega)
 + o'' \cos i \sin (3g + 4\omega + 2\Omega)
                                                           + 0"00001 t \sin (3g+2\omega+2\Omega)
 + o''oooi \sin(-g+2\Omega)
                                                           — o"oooog t \sin 2\Omega
*+ 0"2005 sin 2Q
                                                           + 0"00002 t \cos 2\Omega.
```

Präcession und Nutation in der Schiefe:

```
+ o''o_488 t^2 - o''oo_538 t^3
                                                         + o'' \cos(-g + 2g' + 2\omega' + \Omega)
                                                         -0''0067 \cos(2g'+2\omega'+2)
 + o''0001 \cos(-2g + \Omega)
                                                          -0''0003 \cos(q+2q'+2\omega'+2)
 + o'' \cos i \cos (-g + \Omega)
 + 9"2365 cos Ω
                                                         -0''0002 \cos(3g'+2\omega'+\Omega)
 -o''oo31 \cos(g+\Omega)
                                                          - o''oooi cos(-2g'-2\omega'+\Omega)
 - 0"0001 \cos(2g+\Omega)
                                                        *— 0"0002 \cos(2\omega + 2\Omega)
 + o'' \cos \cos (-g' + \Omega)
                                                         -0''0050 \cos(g+2\omega+2\Omega)
 + o'' \cos \cos (g' + \Omega)
                                                         + o''o887 \cos(2g+2\omega+2\Omega)
*— o"0028 \cos(2\omega + \Omega)
                                                         + o''_{0114} \cos (3g + 2\omega + 2\Omega)
 - 0"0010 \cos(g+2\omega+\Omega)
                                                          + o''ooii cos(4g+2\omega+2\Omega)
 + o'' o 183 \cos(2g + 2\omega + \Omega)
                                                         + o''0001 \cos(5g + 2\omega + 2\Omega)
 + o''oo23 \cos(3g + 2\omega + \Omega)
                                                          + o''0003 \cos(2g-g'+2\omega+2\Omega)
 + o''0002 \cos(4g + 2\omega + \Omega)
                                                         + o''0001 \cos(3g-g'+2\omega+2\Omega)
 + o''0004 \cos(-2g' + 2\omega - 2\omega' + \Omega)
                                                          - o''0003 \cos(2g+g'+2\omega+2\Omega)
 - 0"0008 cos (g-2g'+2\omega-2\omega'+\Omega)
                                                         -0''0001 \cos(3g+g'+2\omega+2\Omega)
 + o'' \cos 3 \cos (2g - 2g' + 2\omega - 2\omega' + \Omega)
                                                          + o''0000 \cos(2g' + 2\omega' + 2\Omega)
 + o'' \cos 3 \cos (-2g + 2g' - 2\omega + 2\omega' + \Omega)
                                                         -0''''' \cos(g+2g'+2\omega'+2\Omega)
 + o''0007 \cos(-g+2g'-2\omega+2\omega'+\Omega)
                                                          -0''0003 \cos(2g+2g'+2\omega'+2\Omega)
 - 0"0002 cos (2g'-2w+2w'+Q)
                                                         -0''0001 \cos(g+3g'+2\omega'+2\Omega)
 + o'' \cos (3g - 2g' + 4\omega - 2\omega' + \Omega)
                                                          -0''0001 \cos(2g-2g'+4w-2w'+2\Omega)
 + o''0003 \cos(4g-2g'+4w-2w'+\Omega)
                                                         + o''oo23 cos (3g-2g'+4\omega-2\omega'+2\Omega)
 + o'' \cos i \cos (5g - 2g' + 4\omega - 2\omega' + \Omega)
                                                         + o''0014 \cos(4g-2g'+4\omega-2\omega'+2\Omega)
 + o'' \circ \circ \circ \circ \cos(g' + 2\omega' + \Omega)
                                                          + o'' \circ o \circ 3 \cos (5g - 2g' + 4\omega - 2\omega' + 2\Omega)
```

$$\begin{array}{lll} + \ 0''0001 \ \cos (3g - 3g' + 4w - 2w' + 2\Omega) & + \ 0''00092 \ t \cos \Omega \\ + \ 0''0001 \ \cos (4g - 3g' + 4w - 2w' + 2\Omega) & - \ 0''00049 \ t \sin \Omega \\ + \ 0''0001 \ \cos (5g - 4g' + 6w - 4w' + 2\Omega) & - \ 0''00005 \ t \cos (2g + 2w + 2\Omega) \\ - \ 0''0001 \ \cos (-g + 2\Omega) & - \ 0''00001 \ t \sin (2g + 2w + 2\Omega) \\ + \ 0''0001 \ \cos (g + 2\Omega) & + \ 0''00005 \ t \cos 2\Omega \\ - \ 0''0001 \ \cos (3g - g' + 3w - w' + 2\Omega) & + \ 0''00001 \ t \sin 2\Omega . \end{array}$$

Sonnenglieder.

Präcession und Nutation in der Länge:

```
+ 1588''514 t - 0''3445 t^2 - 0''00055 t^3
+ o'' 1272 \sin g'
                                                          *+ o"0009 sin Ω
+ o''oo 16 \sin 2g'
                                                           - o"ooo 38 t \sin g'
+ o''0212 \sin(g' + 2\omega' + 2\Omega)
                                                           — o"oooo t \sin 2q'
-1''2627 \sin(2g' + 2\omega' + 2\Omega)
                                                           - o'' o o o o o t \sin(g' + 2\omega' + 2\Omega)
                                                           + o'' 00054 t \sin(2g' + 2\omega' + 2\Omega)
-0''0494 \sin(3g' + 2\omega' + 2\Omega)
-0''0015 \sin(4g' + 2\omega' + 2\Omega)
                                                           -0''00010 t \cos(2g' + 2\omega' + 2\Omega)
-0''0001 \sin(2g'+2\omega'+\Omega)
                                                           + o'' \circ \circ \circ \circ \circ \circ t \sin (3g' + 2\omega' + 2\Omega)
+ o'' \cos i \sin (2g' + 2\omega' + 3\Omega)
                                                           + o'' \circ \circ \circ \circ t \sin(4g' + 2\omega' + 2\Omega).
```

Präcession und Nutation in der Schiefe:

```
\begin{array}{lll} & + \text{ o''o225 } t^2 - \text{ o''oo248 } t^3, \\ & - \text{ o''oo92 } \cos (g' + 2\omega' + 2\Omega) & + \text{ o''ooo3 } t \cos (g' + 2\omega' + 2\Omega) \\ & + \text{ o''5480 } \cos (2g' + 2\omega' + 2\Omega) & - \text{ o''ooo29 } t \cos (2g' + 2\omega' + 2\Omega) \\ & + \text{ o''o215 } \cos (3g' + 2\omega' + 2\Omega) & - \text{ o''oooo4 } t \sin (2g' + 2\omega' + 2\Omega) \\ & + \text{ o''ooo7 } \cos (4g' + 2\omega' + 2\Omega) & - \text{ o''oooo7 } t \cos (3g' + 2\omega' + 2\Omega). \\ & + \text{ o''ooo1 } \cos (2g' + 2\omega' + \Omega) \end{array}
```

Wie schon oben erwähnt wurde, beziehen sich die durch diese Ausdrücke bestimmten Lageveränderungen des beweglichen Äquators auf die fixe Ekliptik 1850-0; will man dieselben aber auf die bewegliche Ekliptik beziehen, so gibt der Ausdruck 2) (pag. 158) und 10) (pag. 160):

$$(l) + (N) = -\psi - b_1 - b_2 - b_3,$$

sofort die verlangten Relationen; setzt man nämlich, da — ψ die hier angeführte Präcession und Nutation darstellt, in die Ausdrücke für b_1 , b_2 , b_3 (vergl. Gleichung 10) pag. 160) die gefundenen Werthe für $\Delta \varepsilon$ und ψ ein, so erhält man zunächst Glieder. in denen die Potenzen der Zeit, theils mit constanten Factoren, theils mit periodischen Gliedern multiplicirt sind; die ersteren stellen die allgemeine Präcession (l) dar. von den letzteren brauchen nur die mit der ersten Potenz von t verbundenen mitgenommen zu werden; sie geben jene Änderung der Nutation in Länge, welche

man an die obigen Ausdrücke anzubringen hat, um die Nutation in Bezug auf die bewegliche Ekliptik zu erhalten. Man wird, da die lunisolare Präcession (l') nach den obigen Zahlenwerthen:

$$(l') = 5037''032t - 1''0888t^2 - 0''00174t^3,$$
 9)

beträgt, die allgemeine Präcession:

$$l = 5023''572 t + 1''1291 t^2 + 0''00032 t^3,$$
 10)

finden, und die Correctionen des obigen Nutationsausdruckes:

$$\begin{array}{lll} - \text{ o''oooo1 } t \sin g & + \text{ o''oooo1 } t \sin (3g + 2\omega + 2\Omega) \\ - \text{ o''oooo1 } t \sin (g - 2g' + 2\omega - 2\omega') & - \text{ o''ooo11 } t \sin 2\Omega \\ + \text{ o''oooo2 } t \sin \Omega & + \text{ o''oooo2 } t \cos 2\Omega; \\ - \text{ o''oooo2 } t \sin (2g + 2\omega + \Omega) & - \text{ o''oooo7 } t \sin g' \\ - \text{ o''oooo1 } t \sin (2g' + 2\omega' + \Omega) & - \text{ o''oooo1 } t \sin (g' + 2\omega' + 2\Omega) \\ - \text{ o''oooo1 } t \sin (2g + 2\omega + 2\Omega) & + \text{ o''oooo1 } t \cos (2g' + 2\omega' + 2\Omega) \\ + \text{ o''oooo2 } t \cos (2g + 2\omega + 2\Omega) & - \text{ o''oooo3 } t \sin (2g' + 2\omega' + 2\Omega) \\ - \text{ o''oooo3 } t \sin (2g' + 2\omega' + 2\Omega) & + \text{ o''oooo3 } t \sin (2g' + 2\omega' + 2\Omega). \end{array}$$

Bezieht man daher die Nutation auf die bewegliche Ekliptik zur Zeit t, so bleiben die von t freien Glieder ungeändert, weshalb dieselben hier nicht mehr angeführt werden; statt der in der obigen Zusammenstellung mit t multiplicirten periodischen Glieder wird man in dem Ausdrucke für die Nutation in der Länge zu setzen haben:

$$+ o''oooo1 t \sin g$$

$$- o''o1770 t \sin \Omega$$

$$- o''oooo1 t \sin (2g + 2\omega + \Omega)$$

$$+ o''oooo2 t \sin (2g' + 2\omega' + \Omega)$$

$$- o''oooo5 t \sin (g' + 2\omega' + 2\Omega)$$

$$- o''oooo1 t \sin (g + 2\omega + 2\Omega)$$

$$- o''oooo2 t \sin (2g + 2\omega + 2\Omega)$$

$$+ o''oooo2 t \sin (2g + 2\omega + 2\Omega)$$

$$+ o''oooo1 t \sin (3g' + 2\omega' + 2\Omega)$$

$$+ o''oooo1 t \sin (4g' + 2\omega' + 2\Omega)$$

$$+ o''oooo1 t \sin (4g' + 2\omega' + 2\Omega)$$

Um nun eine ähnliche Transformation für die Schiefe zu erhalten, wird man in ganz analoger Weise die Gleichung 17) (pag. 162) benützen. Zunächst erhält man durch Addition für die lunisolare Schiefe der Ekliptik bezogen auf die fixe Ekliptik 1850.0:

$$(\varepsilon') = \varepsilon_0 + o'' \circ 7 13 t^2 - o'' \circ 0786 t^3.$$
 12)

Die mit der Zeit multiplicirten Glieder finden sich nach der Formel 17) (pag. 162) und geben zu ε_0 addirt die mittlere Schiefe der Ekliptik zur Zeit t wie folgt:

$$\varepsilon = \varepsilon_0 - 47''594 t - 0''0143 t^2 + 0''00204 t^3.$$
 13

Die periodischen Glieder werden, wenn man wie oben die in t2 multiplicirten weglässt:

+ 0"00049
$$t \sin \Omega$$

- 0"00001 $t \sin 2\Omega$
+ 0"00001 $t \sin (2g + 2\omega + 2\Omega)$
+ 0"00004 $t \sin (2g' + 2\omega' + 2\Omega)$.

Es bleiben demnach wieder die auf die bewegliche Ekliptik bezogenen Nutationsglieder, die frei von dem Factor t sind, unverändert, dagegen sind statt der obigen Zeitglieder zu setzen:

Behandelt man nun in ähnlicher Weise das Formelsystem 9) (pag. 160), so gelangt man von den periodischen Änderungen absehend zur Kenntnis des Bogens a, den man gewöhnlich die Präcession durch die Planeten nennt; diese findet sich in Bezug auf die Ekliptik 1850-0:

(a) =
$$14''673 t - 2''4184 t^2 - 0''00212 t^3$$
. 15)

Die in diesem Bogen durch die Nutation bewirkten Änderungen, von denen übrigens in der Folge kein Gebrauch gemacht werden wird, erhält man:

$$\begin{array}{lll} - \text{ o''oooo2 } t \sin g & + \text{ o''oooo2 } t \sin \left(3g + 2\omega + 2\Omega\right) \\ - \text{ o''oooo1 } t \sin \left(g - 2g' + 2\omega - 2\omega'\right) & - \text{ o''oooo1 } t \sin 2\Omega \\ + \text{ o''o1001 } t \sin \Omega & + \text{ o''oooo1 } t \cos 2\Omega \\ - \text{ o''oooo2 } t \sin \left(2g + 2\omega + \Omega\right) & - \text{ o''oooo1 } t \sin \left(g' + 2\omega' + 2\Omega\right) \\ - \text{ o''oooo1 } t \sin \left(2g' + 2\omega' + \Omega\right) & - \text{ o''oooo1 } t \sin \left(g' + 2\omega' + 2\Omega\right) \\ + \text{ o''oooo1 } t \sin \left(g + 2\omega + 2\Omega\right) & + \text{ o''oooo3 } t \sin \left(2g' + 2\omega' + 2\Omega\right) \\ - \text{ o''oooo1 } t \cos \left(2g + 2\omega + 2\Omega\right) & + \text{ o''oooo3 } t \sin \left(3g' + 2\omega' + 2\Omega\right) \\ - \text{ o''ooooo1 } t \cos \left(2g + 2\omega + 2\Omega\right) & + \text{ o''oooo3 } t \sin \left(3g' + 2\omega' + 2\Omega\right). \end{array}$$

Es stellt sich nun die Aufgabe, ähnlich wie dies bereits für die Nutation geschehen ist, die von der Präcession abhängigen Ausdrücke, welche durchaus nach steigenden Potenzen der von 1850-0 gezählten Zeit entwickelt sind, auf solche Formen überzuführen, dass der Ausgangspunkt der Zählung auf eine beliebige Anfangsepoche verlegt werden kann; hieraus erwachsen für die späteren Untersuchungen und Entwicklungen wesentliche Vortheile. Diese Entwicklungen sollen durchaus auf Glieder dritter Ordnung inclusive durchgeführt werden. Um aber diese Formen übersichtlicher zu gestalten, soll geschrieben werden:

$$\begin{aligned} &(l) = \lambda_{1} t + \lambda_{2} t^{2} + \lambda_{3} t^{3} \\ &(l') = \lambda_{1}' t + \lambda_{2}' t^{2} + \lambda_{3}' t^{3} \\ &(a) = \alpha_{1} t + \alpha_{2} t^{2} + \alpha_{3} t^{3} \\ &\varepsilon = \varepsilon_{0} + \eta_{1} t + \eta_{2} t^{2} + \eta_{3} t^{3} \\ &(\varepsilon') = \varepsilon_{0} + \eta'_{2} t^{2} + \eta'_{3} t^{3}, \end{aligned}$$

in welchen Ausdrücken die numerische Bedeutung der neu eingeführten Symbole durch Vergleichung mit den Formeln 9), 10), 15), 13) und 12) (pag. 186 und 187) leicht erkannt werden kann.

Es soll für die Folge unter t_1 die für die neue Ausgangsepoche geltende Zeit verstanden werden, wobei als Einheit wie früher das julianische Jahrhundert zu nehmen ist; t1 ist demnach der zeitliche Abstand der neuen Anfangsepoche von 1850.0. Die von dieser durch t₁ bezeichneten Epoche in Einheiten des julianischen Jahrhunderts zu zählende Zeit wird mit 7 bezeichnet; ferner soll gesetzt werden:

$$t_2 = t_1 + \tau, 18)$$

so dass t2 das auf 1850-o bezogene Zeitintervall der zweiten Epoche ist; es stellt sich sonach die Aufgabe, die Präcessionsausdrücke nach steigenden Potenzen von τ zu entwickeln.

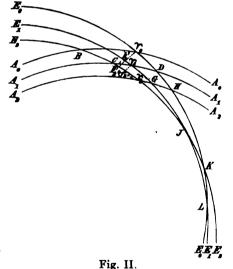
Ganz einfach wird sich die geforderte Transformation für die jeweilige mittlere Schiefe der Ekliptik & gestalten, da diese Grösse sich bereits auf den mit der Zeit veränderlichen Zustand bezieht: es ist nämlich für die beiden Zeitmomente t_1 und t_2 :

 $\left. \begin{array}{l}
\epsilon_1 = \epsilon_0 + \eta_1 t_1 + \eta_2 t_1^2 + \eta_3 t_1^3 \\
\epsilon_2 = \epsilon_0 + \eta_1 t_2 + \eta_2 t_2^2 + \eta_3 t_2^3
\end{array} \right\}$ 19)

und die Subtraction und Einführung der Grösse r nach 18) ergibt:

$$\varepsilon = \{\varepsilon_0 + \eta_1 t_1 + \eta_2 t_1^2 + \eta_3 t_1^3\} + \{\eta_1 + 2\eta_2 t_1 + 3\eta_3 t_1^2\} \tau + \{\eta_2 + 3\eta_3 t_1\} \tau^2 + \eta_3 \tau^3. \ 20\}$$

Minder einfach gestaltet sich die vorgelegte Aufgabe für die übrigen in 17) aufgeführten Präcessionsausdrücke. Es soll, um dieses Problem vorwurfsfrei zu lösen, eine neue Figur (Fig. II) zu Hilfe genommen werden, welche der Figur I (pag. 125) ganz ähnlich construirt ist, nur erscheint eine Z dritte Ekliptik und ein dritter Äquator in dieselbe eingezeichnet. Die Bogen E_0E_0 , E_1E_1 , E_2E_2 stellen beziehungsweise die Ekliptik zur Zeit der Ausgangsepoche 1850.0, zur Zeit t1 und t2 vor; die dazu gehörigen mittleren Äquatoren sind durch die Bogen A_0A_0 , A_1A_1 und A_2A_2 angegeben; betrachtet man die Zeit t_1 der Voraussetzung nach als Ausgangsepoche, so wird für die Zeit $t_2 - t_1 = \tau$ die lunisolare Präcession l' dem Bogen \mathcal{V}_1G , die allgemeine Präcession l dem Bogen $f_2 \gamma_2 = \gamma_1 J - \gamma_2 J$ gleich kommen*). Um zunächst den Bogen \mathcal{V}_1G



nach Potenzen von τ zu entwickeln, wird man von der Relation:

$$l' = \gamma_1 G = \gamma_1 L - GL \qquad \qquad 21)$$

ausgehen. Der Bogen \mathcal{V}_1L wird offenbar jene Grösse sein, die früher (pag. 158) mit dem Buchstaben b bezeichnet wurde; ihr Werth wird sich sofort ergeben, wenn in die Gleichung 10) (pag. 160) für t der Werth t, eingeführt wird und überdies

^{*)} Der Construction nach (vergl. die pag. 126 gegebene Definition der allgemeinen Präcession) ist nämlich $f_2J = \gamma_1J$.

für ψ und $\Delta \varepsilon$, welche dort die durch die lunisolare Präcession und Nutation bewirkten Änderungen darstellen, nur die von der Präcession abhängigen Werthe eingesetzt werden; da $\Delta \varepsilon$ bei dieser Entwicklung sofort mit dem Anfangsgliede $\eta'_2 t^2$ eintritt, so wird man die in den Gliedern dritter Ordnung von b auftretenden mit $\Delta \varepsilon$ multiplicirten Producte fortlassen dürfen. Der Bogen GL wird sich ebenfalls leicht auf Grundlage der für b gegebenen Entwicklungen auffinden lassen. Geht man nämlich auf die Formeln 1) (pag. 158) zurück, so werden dieselben, wenn die beiden Seiten GH und GL des sphärischen Dreieckes GHL mit a_2 und b_2 bezeichnet werden, unverändert gelten, wenn nur an die Stelle von a und b die Seiten a_2 und b_2 treten; für ψ und ε' sind in diesen Formeln offenbar die für die Zeit t_2 geltenden Werthe einzuführen, (n) und (H) bleiben unverändert und beziehen sich wie dort auf t_1 ; es ist sonach in den Formeln 10) (pag. 160), um den Bogen GL zu erhalten, statt t, welches durch die Einführung der Grössen (n) und (H) eintritt, t_1 zu schreiben, für ψ und $\Delta \varepsilon$ wird mit Rücksicht auf t_2) (pag. 187) zu setzen sein:

$$\begin{array}{c} (l)'_{2} = - \ \psi_{2} = \lambda_{1}'t_{2} \ + \ \lambda_{2}'t_{2}^{2} + \lambda_{3}'t_{2}^{3} \\ \mathcal{\Delta}\varepsilon_{2} = \eta_{2}'t_{2}^{2} + \eta_{3}'t_{2}^{3} \end{array} \right\}$$

um GL, dagegen:

um $\gamma_1 L$ zu erhalten. Es ist somit nach 21) (pag. 188) mit Benützung der vorstehend gemachten Bemerkungen zunächst:

$$\begin{split} l' &= \lambda_1' (t_2 - t_1) + \lambda_2' (t_2^2 - t_1^2) + \lambda_3' (t_2^3 - t_1^3) - \\ &- \cot g \, \epsilon_0 \, q_1 \, t_1 \, \{ \lambda_1' (t_2 - t_1) + \lambda_2' (t_2^2 - t_1^2) \} + \frac{p_1}{\sin \epsilon_0^2} \, t_1 \, \eta_2' (t_2^2 - t_1^2) + \\ &+ \{ \frac{1 + \cos \epsilon_0^2}{2 \sin \epsilon_0^2} (q_1^2 - p_1^2) - \cot g \, \epsilon_0 \, q_2 \} \, \lambda_1' \, t_1^2 (t_2 - t_1) + \frac{1}{2} \cot g \, \epsilon_0 \, p_1 \, \lambda_1'^2 \, t_1 \, (t_2^2 - t_1^2). \end{split}$$

Führt man nun mit Rücksicht auf 18) (pag. 188) τ ein und ordnet nach Potenzen desselben, so erhält man einen Ausdruck von der Gestalt:

$$l' = L_1'\tau + L_2'\tau^2 + L_3'\tau^3, \qquad 24)$$

in welchem:

$$L_{1}' = \lambda_{1}' + \{2 \lambda_{2}' - \cot g \, \epsilon_{0} \, q_{1} \, \lambda_{1}'\} \, t_{1} + \{3 \, \lambda_{3}' - 2 \cot g \, \epsilon_{0} \, q_{1} \, \lambda_{2}' + \frac{2p_{1}}{\sin \epsilon_{0}^{2}} \, \eta_{2}' + \frac{1 + \cos \epsilon_{0}^{2}}{2 \sin \epsilon_{0}^{2}} (q_{1}^{2} - p_{1}^{2}) \, \lambda_{1}' - \cot g \, \epsilon_{0} \, q_{2} \, \lambda_{1}' + \cot g \, \epsilon_{0} \, p_{1} \, \lambda_{1}'^{2}\} \, t_{1}^{2}$$

$$L_{2}' = \lambda_{2}' + \{3 \, \lambda_{3}' - \cot g \, \epsilon_{0} \, q_{1} \, \lambda_{2}' + \frac{p_{1}}{\sin \epsilon_{0}^{2}} \, \eta_{2}' + \frac{1}{2} \cot g \, \epsilon_{0} \, p_{1} \, \lambda_{1}'^{2}\} \, t_{1}$$

$$L_{3}' = \lambda_{1}'.$$

vorstellt.

Durch ganz ähnliche Entwicklungen wird man zur Kenntnis der lunisolaren Schiefe in Bezug auf die für t_1 geltende Ekliptik gelangen. Bezeichnet man den Winkel $E_1 \gamma_1 A_1$ (vergl. Figur II pag. 188) mit ϵ_1 , den Winkel $E_1 G A_2$ mit ϵ_2 , so wird die Änderung der lunisolaren Schiefe auf der Ekliptik der Epoche t_1 dargestellt sein durch: $\Delta \epsilon' = \epsilon_2' - \epsilon_1'.$

In diesem Ausdrucke wird ε_1 ' die mittlere Schiefe der Ekliptik zur Zeit t_1 sein, die leicht nach dem Ausdrucke 13) (pag. 186) oder, was für die folgende Ableitung bequemer erscheint, nach 17) (pag. 162) berechnet werden kann, wenn in dieser Formel statt t, ψ und $\Delta \varepsilon$ die Buchstaben t_1 , ψ_1 und $\Delta \varepsilon_1$ (vergl. 23) pag. 189) geschrieben werden; dieselbe Formel wird ε_2 ' liefern, wenn in derselben statt t, ψ und $\Delta \varepsilon$ die Werthe t_1 , ψ_2 und $\Delta \varepsilon_2$ (vergl. 22) pag. 189) eingesetzt werden. Diese Vorschrift erklärt sich leicht, wenn man die der Formel 21) (pag. 188) nachfolgenden Auseinandersetzungen mutatis mutandis hier in Anwendung zieht; es wird sonach:

$$\begin{split} \varDelta \varepsilon' &= \eta_2' \left(t_2{}^2 - t_1{}^2 \right) + \eta_3' \left(t_2{}^3 - t_1{}^3 \right) - p_1 \, t_1 \, \left\{ \lambda_1' \left(t_2 - t_1 \right) + \lambda_2' \left(t_2{}^2 - t_1{}^2 \right) \right\} + \\ &+ \left\{ \cot g \, \varepsilon_0 \, q_1 \, p_1 - p_2 \right\} \, \lambda_1' \, t_1{}^2 \left(t_2 - t_1 \right) - \frac{1}{4} \, q_1 \, \lambda_1'{}^2 t_1 \, \left(t_2{}^2 - t_1{}^2 \right). \end{split}$$

führen, denn da der Ausdruck 28) (pag. 166), der abgesehen von gewissen constanten Factoren, das Differential von de': dt darstellt, niemals ein constantes Glied enthält, weil die Factoren $\cos b_1' \cos l_1' \cos b_1' \sin l_1' : r_1'^3$ und $\cos b_1' \cos l_1' \sin b_1' : r_1'^3$ (vergl. die diesbezüglichen Ausdrücke pag. 171 und 173) mag man die Ausgangsepoche wie immer wählen, kein solches enthalten, so kann man streng schliessen, dass bei einer derartigen Entwicklung das mit τ multiplicirte Glied, welches der Analogie nach mit H_1' bezeichnet werden müsste, verschwindet; in der That bestätigt dies auch die numerische Substitution in den für H_1' folgenden Ausdruck:

$$H_1^2 = (2 \eta_2' - p_1 \lambda_1') t_1 + \{3 \eta_3' - 2 p_1 \lambda_2' - p_2 \lambda_1' + \cot g \epsilon_0 q_1 p_1 \lambda_1' - q_1 \lambda_1'^2\} t_1^2.$$

Man sieht daher, dass man wohl auch die früher auf ganz andere Weise durch die Integration erhaltenen Coëfficienten η_2 und η_3 hätte berechnen können nach:

$$\eta_{2}' = \frac{1}{4} p_{1} \lambda_{1}'
\eta_{3}' = \frac{3}{4} p_{1} \lambda_{2}' + \frac{1}{4} p_{2} \lambda_{1}' + \frac{1}{4} q_{1} \lambda_{1}'^{2} - \frac{1}{4} \cot g \varepsilon_{0} q_{1} p_{1} \lambda_{1}',$$

womit eine theilweise Controle der vorstehenden Entwicklungen erlangt ist, da in der That in völliger Übereinstimmung mit 12) (pag. 186):

$$\eta_2' = + o''o713, \qquad \eta_3' = - o''oo786,$$

gefunden wird. Für H_2' und H_3' erhält man weiter:

$$H_{2}' = \eta_{2}' + \{3 \eta_{3}' - p_{1} \lambda_{2}' - \frac{1}{2} q_{1} \lambda_{1}'^{2}\} t_{1}$$

$$H_{3}' = \eta_{3}'.$$

Es ist somit:

$$\varepsilon' = (\varepsilon_0 + \eta_1 t_1 + \eta_2 t_1^2 + \eta_3 t_1^3) + H_2' \tau^2 + H_3' \tau^3.$$
 28)

Um für die Präcession durch die Planeten ähnliche Ausdrücke zu erhalten, bemerke man (Figur II pag. 188), dass der Bogen $G\mathcal{N}_2$ dieselbe für die Zwischenzeit $t_2-t_1=\tau$ vorstellt, wenn man die zur Zeit t_1 stattfindende Ekliptik als feste Ausgangsebene wählt; nun ist aber:

$$G\Upsilon_2 = \Upsilon_2 H - GH.$$
 29)

Der Bogen GH ist aber sofort durch a (vergl. Gleichung 9) pag. 160) bestimmt, wenn man in den diesbezüglichen Formeln statt t überall t_1 setzt, für ψ und $\Delta \varepsilon$ dagegen die durch 22) (pag. 189) bestimmten Werthe ψ_2 und $\Delta \varepsilon_2$; der Bogen $\gamma_2 H$ ist aber, wenn man als feste Ekliptik jene der Hauptepoche 1850 0 wählt, die für die Zeit t_2 geltende Präcession durch die Planeten, welche demnach gefunden wird, wenn man in den Formeln 9) (pag. 160) statt t, ψ und $\Delta \varepsilon$ die Werthe t_2 , ψ_2 und $\Delta \varepsilon_2$ schreibt. Setzt man abkürzend:

$$\begin{split} \gamma_{1}' &= \frac{p_{1}}{\sin s_{0}}, \ \gamma_{2}' = \frac{p_{2}}{\sin s_{0}} - \frac{\cot s_{0}}{\sin s_{0}} q_{1} p_{1}, \quad \Gamma = \left\{ \frac{q_{2}}{\sin s_{0}} - \frac{\cot s_{0}}{\sin s_{0}} (q_{1}^{2} - p_{1}^{2}) \right\} \lambda_{1}' \\ \gamma_{3}' &= \frac{p_{3}}{\sin s_{0}} - \frac{1}{4} \frac{p_{1}}{\sin s_{0}} (p_{1}^{2} + q_{1}^{2}) - \frac{\cot s_{0}}{\sin s_{0}} (p_{1} q_{2} + p_{2} q_{1}) + \frac{1 + 3 \cos s_{0}^{2}}{\sin s_{0}^{3}} (\frac{1}{4} q_{1}^{2} p_{1} - \frac{1}{12} p_{1}^{3}), \end{split}$$

so findet sich zunächst der Ausdruck für die Präcession durch die Planeten a bestimmt durch:

$$a = \gamma_1' (t_2 - t_1) + \gamma_2' (t_2^2 - t_1^2) + \gamma_3' (t_2^3 - t_1^3) + \frac{q_1}{\sin \epsilon_0} (\lambda_1' t_2 + \lambda_2' t_2^2) (b_2 - t_1) - \frac{\cot \epsilon_0}{\sin \epsilon_0} p_1 \eta_2' t_2^2 (t_2 - t_1) + \Gamma' t_2 (t_2^2 - t_1^2) - \frac{p_1}{2 \sin \epsilon_0} \lambda_1'^2 t_2^2 (t_2 - t_1),$$

der nach Potenzen entwickelt, die Gestalt:

$$a = A_1'\tau + A_2'\tau^2 + A_3'\tau^3,$$
 31)

annimmt; die A-Symbole haben mit Rücksicht auf die dritte Gleichung in 17) (pag. 187) die folgende Bedeutung:

$$A_{1}' = \alpha_{1} + \left\{2\gamma_{2}' + \frac{q_{1}}{\sin \varepsilon_{0}}\lambda_{1}'\right\}t_{1} + \left\{3\gamma_{3}' + \frac{q_{1}\lambda_{2}'}{\sin \varepsilon_{0}} - \frac{\cot \varepsilon_{0}}{\sin \varepsilon_{0}}p_{1}\eta_{2}' + 2\Gamma' - \frac{p_{1}}{2\sin \varepsilon_{0}}\lambda_{1}'^{2}\right\}t_{1}^{2}$$

$$A_{2}' = \alpha_{2} + \left\{3\gamma_{5}' + \frac{2q_{1}\lambda_{2}'}{\sin \varepsilon_{0}} - 2\frac{\cot \varepsilon_{0}}{\sin \varepsilon_{0}}p_{1}\eta_{2}' + 3\Gamma' - \frac{p_{1}}{\sin \varepsilon_{0}}\lambda_{1}'^{2}\right\}t_{1}$$

$$A_{3}' = \alpha_{3}.$$

Die Gleichungen 1a) (pag. 124) werden für die folgenden Untersuchungen mit Vortheil auf eine Form gebracht werden können, die ebenfalls die Ausgangsepoche für die Zeitzählung willkürlich lässt. Zuvörderst sollen aber für die Winkel (π) und (H) die nach den Potenzen von t entwickelten Ausdrücke ermittelt werden; stellt man sich vor, diese Entwicklung sei geleistet, so hat man offenbar für diese Grösse die folgenden Formen:

$$(\pi) = s_1 t + s_2 t^2 + s_3 t^3 + \cdots (\Pi) = \Pi_0 + S_1 t + S_2 t^2 + \cdots,$$
 33

zu erwarten. Bedenkt man, dass innerhalb der vorgesetzten Genauigkeitsgrenzen gesetzt werden darf:

$$\begin{aligned} & \operatorname{tg} \left[\pi \right] = s_1 \, t + s_2 \, t^2 + \left(s_3 + \frac{1}{3} \, s_1^3 \right) t^3 \\ & \sin \left(H \right) = \sin H_0 + S_1 \cos H_0 t + \left(S_2 \cos H_0 - \frac{1}{2} \, S_1^2 \sin H_0 \right) t^2 \\ & \cos \left(H \right) = \cos H_0 - S_1 \sin H_0 t - \left(S_2 \sin H_1 + \frac{1}{2} \, S_1^2 \cos H_1 \right) t^2 , \end{aligned} \right\} \quad 34)$$

so ergibt die Substitution dieser Ausdrücke in die Gleichungen 1a) (pag. 124) durch Gleichsetzen der zu denselben Potenzen von t gehörenden Coëfficienten zunächst:

$$p_{1} = s_{1} \sin \Pi_{0}$$

$$p_{2} = s_{2} \sin \Pi_{0} + s_{1} S_{1} \cos \Pi_{0}$$

$$p_{3} = (s_{3} + \frac{1}{3} s_{1}^{3} - \frac{1}{2} s_{1} S_{1}^{2}) \sin \Pi_{0} + (s_{2} S_{1} + s_{1} S_{2}) \cos \Pi_{0}$$

$$q_{1} = s_{1} \cos \Pi_{0}$$

$$q_{2} = s_{2} \cos \Pi_{0} - s_{1} S_{1} \sin \Pi_{0}$$

$$q_{3} = (s_{3} + \frac{1}{4} s_{1}^{3} - \frac{1}{2} s_{1} S_{1}^{2}) \cos \Pi_{0} - (s_{2} S_{1} + s_{1} S_{2}) \sin \Pi_{0};$$

$$35)$$

aus denen folgt:

$$\begin{aligned}
&\operatorname{tg} \, \boldsymbol{\Pi}_{o} = \frac{p_{1}}{q_{1}}, & s_{1} = \sqrt{p_{1}^{2} + q_{1}^{2}} \\
s_{1} \, S_{1} = p_{2} \cos \boldsymbol{\Pi}_{o} - q_{2} \sin \boldsymbol{\Pi}_{o}, & s_{2} = p_{2} \sin \boldsymbol{\Pi}_{o} + q_{2} \cos \boldsymbol{\Pi}_{o} \\
s_{1} \, S_{2} = p_{3} \cos \boldsymbol{\Pi}_{o} - q_{3} \sin \boldsymbol{\Pi}_{o} - s_{2} \, S_{1}, & s_{3} = p_{3} \sin \boldsymbol{\Pi}_{o} + q_{3} \cos \boldsymbol{\Pi}_{o} + \frac{1}{4} s_{1} S_{1}^{2} - \frac{1}{8} s_{1}^{3}.
\end{aligned}\right\}^{36a}$$

Die numerische Bestimmung lässt finden:

$$\Pi_{0} = 173^{\circ} \text{ o'} 12'', \qquad s_{1} = +47''951
S_{1} = -868''3, \qquad s_{2} = -0''0325
S_{2} = +0''11, \qquad s_{3} = -0''00014.$$
36b)

Man könnte leicht in den Ausdrücken 36a) alle Coëfficienten von den verschiedenen q und p Grössen allein abhängig machen, doch gestaltet sich die Rechnung nach den Formeln 36a), in welchen die Resultate in recurrenter Weise erhalten werden, wesentlich einfacher.

Bezeichnet man in dem sphärischen Dreiecke JKL (Figur II pag. 188) den Winkel bei L mit $(\pi)_1$, bei K mit 180 — $(\pi)_2$ und bei J mit π , ferner die diesen Winkeln gegenüberliegenden Seiten beziehungsweise mit γ , β und $(\Pi)_2$ — $(\Pi)_1$, so ergeben die Napier'schen Gleichungen auf das vorliegende Dreieck angewandt:

$$\begin{aligned}
\operatorname{tg}_{\frac{1}{2}}(\beta + \gamma) &= \frac{\sin_{\frac{1}{2}}\{(\pi)_{2} + (\pi)_{1}\}}{\sin_{\frac{1}{2}}\{(\pi)_{2} - (\pi)_{1}\}} \operatorname{tg}_{\frac{1}{2}}\{(\Pi)_{2} - (\Pi)_{1}\} \\
\operatorname{tg}_{\frac{1}{2}}(\beta - \gamma) &= \frac{\cos_{\frac{1}{2}}\{(\pi)_{2} + (\pi)_{1}\}}{\cos_{\frac{1}{2}}\{(\pi)_{2} - (\pi)_{1}\}} \operatorname{tg}_{\frac{1}{2}}\{(\Pi)_{2} - (\Pi)_{1}\},
\end{aligned}$$

in welchen offenbar mit Rücksicht auf 33) (pag. 191) geschrieben werden kann:

$$(\pi)_{1} = s_{1} t_{1} + s_{2} t_{1}^{2} + s_{3} t_{1}^{3} + \cdots
(\pi)_{2} = s_{1} t_{2} + s_{2} t_{2}^{2} + s_{3} t_{2}^{3} + \cdots
(\Pi)_{1} = \Pi_{0} + S_{1} t_{1} + S_{2} t_{1}^{2} + \cdots
(\Pi)_{2} = \Pi_{0} + S_{1} t_{2} + S_{2} t_{2}^{2} + \cdots)$$

$$(38)$$

Da der Bogen $(\Pi)_2 - (\Pi)_1$ innerhalb der gesetzten Genauigkeitsgrenzen nur bis auf Glieder zweiter Ordnung inclusive genau gefunden werden kann, so wird man für die Bögen β und γ keiner grösseren Annäherung bedürfen, daher setzen können.

$$(\beta + \gamma) = \frac{(\pi)_2 + (\pi)_1}{(\pi)_2 - (\pi)_1} \{ (\Pi)_2 - (\Pi)_1 \}$$
$$(\beta - \gamma) = (\Pi)_2 - (\Pi)_1 ,$$

oder auch:

$$\beta = \frac{(\pi)_2}{(\pi)_2 - (\pi)_1} \{ (\mathbf{H})_2 - (\mathbf{\Pi})_1 \}$$

$$\gamma = \frac{(\pi)_1}{(\pi)_2 - (\pi)_1} \{ (\mathbf{\Pi})_2 - (\mathbf{\Pi})_1 \}.$$
39)

Führt man nun in diesen Relationen die Werthe nach 38) (pag. 192) ein, setzt wie früher $t_2 - t_1 = \tau$ und entwickelt nach Potenzen von τ , so findet sich:

$$\beta = S_1 t_1 + (2 S_2 - \frac{s_2}{s_1} S_1) t_1^2 + \{S_1 + (3 S_2 - \frac{s_2}{s_1} S_1) t_1\} \tau + S_2 \tau^2$$

$$\gamma = S_1 t_1 + (2 S_2 - \frac{s_2}{s_1} S_1) t_1^2 + \{S_2 - \frac{s_2}{s_1} S_1\} t_1 \tau.$$

$$(40)$$

Bezeichnet man mit Π den aufsteigenden Knoten der beweglichen Ekliptik in der fixen zur Zeit t_1 , so ist offenbar der Bogen $J\gamma_1$ bestimmt durch:

$$J\gamma_1 = \gamma_1 L - JL = 180^{\circ} - \Pi; \qquad 41$$

hierbei ist JL mit β identisch, während $\gamma_1 L$ den Bogen b (vgl. Gleichung 10) pag. 160) zur Zeit t_1 darstellt, wenn in diesen Formeln statt ψ und $\Delta \varepsilon$ die durch die Gleichungen 23) (pag. 189) bestimmten Bogen ψ_1 und $\Delta \varepsilon_1$ eingeführt werden; man erhält sonach:

$$\Pi = 180^{\circ} - b + \beta; \qquad 42)$$

da aber nach 2) (pag. 158), wenn man die Nutation, wie es hier vorausgesetzt ist, fortlässt: $(l)_1 = 180 - (II)_1 - b,$

ist, so kann wohl auch geschrieben werden:

$$\Pi = (\Pi)_1 + (l)_1 + \beta;$$

durch Einsetzen der ersten Formeln in 17) (pag. 187) und 40) (pag. 193) wird für II die Form:

$$\Pi = (\Pi_0 + \Sigma_0) + \Sigma_1 \tau + \Sigma_2 \tau^2, \tag{43}$$

erhalten, in welcher:

$$\Sigma_{0} = (\lambda_{1} + 2S_{1}) t_{1} + (\lambda_{2} + 3S_{2} - \frac{s_{2}}{s_{1}}S_{1}) t_{1}^{2}$$

$$\Sigma_{1} = S_{1} + (3S_{2} - \frac{s_{2}}{s_{1}}S_{1}) t_{1}$$

$$\Sigma_{2} = S_{2},$$

$$44)$$

bedeuten, und womit für Π der für jede beliebige Ausgangsepoche t_i geltende Ausdruck aufgestellt erscheint.

Die Kenntnis des Winkels π wird ebenfalls leicht mit Hilfe der Napier'schen Gleichungen aus demselben sphärischen Dreiecke JKL (Figur II pag. 188) erhalten werden; es findet sich nämlich leicht:

Will man hier die Entwicklung bis auf Glieder dritter Ordnung inclusive treiben, so wird man, da die Tangenten selbst erster Ordnung sind, in den Cosinus nur die Glieder zweiter Ordnung mitnehmen müssen und zu setzen haben:

$$\cos \frac{1}{2}(\gamma - \beta) = 1 - \frac{1}{8}S_1^2\tau^2, \quad \cos \frac{1}{2}(\gamma + \beta) = 1 - \frac{1}{8}S_1^2(2t_1 + \tau)^2$$
: Oppolzer, Bahnbestimmungen. I. 2. Auflage.

andrerseits hätte man für den Übergang von den Tangenten auf die Bogen die diesbezüglichen Glieder dritter Ordnung mitzunehmen, da aber die Entwicklung des Bruches die Einheit als Anfangsglied enthält, so ist es klar, dass diese beiden Glieder dritter Ordnung rechts und links vom Gleichheitszeichen gleich werden und sich gegenseitig aufheben; man kann daher auch, ohne die gesetzten Genauigkeitsgrenzen zu verletzen, schreiben:

$$\pi = \frac{1 - \frac{1}{8} S_1^2 \tau^2}{1 - \frac{1}{8} S_1^2 (2t_1 + \tau_1^2)} \left\{ (\pi)_2 - (\pi)_1 \right\}. \tag{45}$$

Die Substitution der Werthe $(\pi)_2$ und $(\pi)_1$ aus 38) (pag. 192) ergibt für π einen nach Potenzen von τ geordneten Ausdruck von der Gestalt:

$$\pi = \sigma_1 \tau + \sigma_2 \tau^2 + \sigma_1 \tau^3 + \cdots, \qquad \qquad 46$$

in welchem Ausdrucke nun zu setzen ist:

$$\sigma_{1} = s_{1} + 2 s_{2} t_{1} + (3 s_{3} + \frac{1}{2} s_{1} S_{1}^{2}) t_{1}^{2}
\sigma_{2} = s_{2} + (3 s_{3} + \frac{1}{2} s_{1} S_{1}^{2}) t_{1}
\sigma_{3} = s_{3}.$$
47)

Man kann nun auch die allgemein giltigen Ausdrücke für $tg \pi \sin \Pi$ und $tg \pi \cos \Pi$ aufstellen und sich hierzu der Relationen 35) (pag. 192) sofort bedienen, wenn man nur in diesen einsetzt:

dann erhält man in Rücksicht auf die die Schreibweise vereinfachenden Relationen 35) (pag. 192) sofort:

$$tg \pi \sin \Pi = [p_1 + \{2p_2 + s_1\lambda_1 \cos \Pi_0\}t_1 + \{3p_3 - \sin \Pi_0(s_1^3 + 2s_1\lambda_1S_1 + \frac{1}{2}s_1\lambda_1^2) + \\
+ \cos \Pi_0(2s_2\lambda_1 + s_1\lambda_2)\}t_1^2]\tau + \\
+ [p_2 + \{3p_3 - \sin \Pi_0(s_1^3 + s_1\lambda_1S_1) + \cos \Pi_0s_2\lambda_1\}t_1]\tau^2 + p_3\tau^3$$

$$tg \pi \cos \Pi = [q_1 + \{2q_2 - s_1\lambda_1 \sin \Pi_0\}t_1 + \{3q_3 - \cos \Pi_0(s_1^3 + 2s_1\lambda_1S_1 + \frac{1}{2}s_1\lambda_1^2) - \\
- \sin \Pi_0(2s_2\lambda_1 + s_1\lambda_2)\}t_1^2]\tau + \\
+ [q_2 + \{3q_3 - \cos \Pi_0(s_1^3 + s_1\lambda_1S_1) - \sin \Pi_0s_2\lambda_1\}t_1]\tau^2 + q_3\tau^3.$$

Es wird nun ganz leicht sein, auch den Ausdruck der allgemeinen Präcession für die willkürliche Aufangsepoche t_1 aufzustellen. In der Figur II (pag. 188) ist der Construction nach $\mathcal{N}_1 J = f_2 J$, somit die allgemeine Präcession l für die Zeit τ dargestellt durch:

$$l = f_2 \mathcal{N}_2 = \mathcal{N}_1 J - \mathcal{N}_2 J = \mathcal{N}_1 L - \mathcal{N}_2 K - (\beta - \gamma).$$

Nun sind die Bogen \mathcal{V}_1L und \mathcal{V}_2K die für die Zeiten t_1 und t_2 geltenden Werthe

von b (vergl. 10) pag. 160), bezeichnet man daher die Summen $b_1 + b_2 + b_3$ für die erstere Zeit mit B_1 , für die letztere mit B_2 , so ist offenbar:

$$l = 180^{\circ} - (\Pi)_1 + \psi_1 + B_1 - \{180 - (\Pi)_2 + \psi_2 + B_2\} - (\beta - \gamma),$$

oder auch:

$$l = (\Pi)_2 - (\Pi)_1 - (\psi_2 - \psi_1) + B_1 - B_2 - (\beta - \gamma).$$

Der Bogen: $(\Pi)_2 - (\Pi)_1 - \beta + \gamma$ lässt sich aber leicht bis auf Grössen dritter Ordnung inclusive richtig angeben; die zweite Gleichung in 37) (pag. 192) nämlich lässt sich, da die Entwicklung des die Cosinusfunctionen enthaltenden Factors mit der Einheit als Anfangsglied beginnt, innerhalb der gesetzten Genauigkeitsgrenzen schreiben:

$$(\beta - \gamma) = \frac{\cos \frac{1}{2} \{(\pi)_2 + (\pi)_1\}}{\cos \frac{1}{2} \{(\pi)_2 - (\pi)_1\}} \{(\Pi)_2 - (\Pi)_1\};$$

man hat sonach:

$$l = \psi_1 + B_1 - (\psi_2 + B_2) + \{(\Pi)_2 - (\Pi)_1\} \left\{ 1 - \frac{\cos \frac{1}{2} \{(\pi)_2 + (\pi)_1\}}{\cos \frac{1}{2} \{(\pi)_2 - (\pi)_1\}} \right\},\,$$

wofür aber mit Rücksicht auf 2) (pag. 158) und 38) (pag. 192) auch geschrieben werden darf:

$$l = \lambda_1 \, t_2 + \lambda_2 \, t_2^2 + \lambda_3 \, t_2^3 - (\lambda_1 \, t_1 + \lambda_2 \, t_1^2 + \lambda_3 \, t_1^3) + \frac{1}{4} \{ (\Pi)_2 - (\Pi)_1 \} (\pi)_1 (\pi)_2 .$$

oder nach Potenzen von r entwickelt:

$$l = L_1 \tau + L_2 \tau^2 + L_3 \tau^3, 49$$

wobei zu setzen ist:

$$L_{1} = \lambda_{1} + 2\lambda_{2}t_{1} + (3\lambda_{3} + \frac{1}{2}s_{1}^{2}S_{1})t_{1}^{2}$$

$$L_{2} = \lambda_{2} + (3\lambda_{3} + \frac{1}{2}s_{1}^{2}S_{1})t_{1}$$

$$L_{3} = \lambda_{3}.$$
50)

Hiermit erscheint die Entwicklung jener Hilfsgrössen beendet, die bei Berechnungen, denen die Ekliptik als Fundamentalebene zu Grunde gelegt wird, von Wichtigkeit sind: es sollen aber noch einige Entwicklungen vorgenommen werden. welche analoge Hilfsgrössen für den Äquator ergeben. Hierbei kommt das sphärische Dreieck γAc Figur I pag. 125 in Betracht. Bezeichnet man

die Seite:
$$\gamma A$$
 mit: $P = 90^{\circ} - p$. den Winkel: $\gamma c A$ mit: $\epsilon_0' + \Delta \epsilon$.
... $c A$., $Q = 90^{\circ} - q$, ., $c \gamma A$.. $180^{\circ} - \epsilon_0'$.
... γc ,, $\gamma A c$,, n ,

von welchen Bezeichnungen sich die der beiden ersten Seiten aus dem Umstande erklärt. dass die Bogen P und Q vermöge der nahe parallelen Fortschiebung des Äquators auf der Ekliptik nahezu den Werth eines rechten Winkels erhalten, sonach die Bogen P und Q kleine Grössen werden, so ist I die lunisolare Präcession, deren Ausdruck die Gleichung 24) pag. 189 ergibt. ε_0 die lunisolare Schiefe (vergl. Gleichung 28 pag. 190) zur Zeit der beliebig zu wählenden Ausgangsepoche t_1 , $\Delta \varepsilon$ das Increment der letzteren in der Zeit $(t_2-t_1)=\tau$. Bei A ist der auf-

weglichen Äquators in Bezug auf den fixen, n ist die gegenseitige Neigung; man wird daher wie oben zu setzen haben:

$$\begin{array}{l} l' = L_{1}'\tau + L_{2}'\tau^{2} + L_{3}'\tau^{3} \\ \varepsilon' = \varepsilon_{0}' + H_{2}'\tau^{2} + H_{3}'\tau^{3}. \end{array}$$
 51)

Die Napier'schen Gleichungen auf das oben erwähnte sphärische Dreieck angewandt ergeben:

 $\begin{aligned}
\operatorname{tg}_{\frac{1}{2}}(p+q) &= -\frac{\sin\frac{1}{2}\Delta\varepsilon}{\sin\left(\varepsilon_{0}' + \frac{1}{2}\Delta\varepsilon\right)\operatorname{tg}_{\frac{1}{2}}l'} \\
\operatorname{tg}_{\frac{1}{2}}(p-q) &= \frac{\cos\left(\varepsilon_{0}' + \frac{1}{2}\Delta\varepsilon\right)}{\cos\frac{1}{2}\Delta\varepsilon}\operatorname{tg}_{\frac{1}{2}}l'.
\end{aligned}$

Für die erstere Gleichung ist wegen des im Nenner erscheinenden Factors tg $\frac{1}{2}$ l' mit Hilfe der vorhandenen Coëfficienten eine Entwicklung nur bis auf Grössen zweiter Ordnung inclusive genau möglich, während die zweite Gleichung die Bestimmung bis auf Grössen dritter Ordnung inclusive gestattet; für die folgenden Entwicklungen wird diese Genauigkeit auch nöthig sein. Denkt man sich in der Zeichnung (Fig. I, pag. 125) den Bogen $A\gamma$ auf den Bogen Aa_1 von A aus aufgetragen, so wird der Endpunkt etwa bei g liegen, es ist demnach:

$$\gamma A = gA$$
.

Der Bogen $g \gamma_1$ spielt demnach im Äquator eine ähnliche Rolle wie die allgemeine Präcession in der Ekliptik und wird deshalb die allgemeine Präcession im Äquator genannt. Dieser Bogen, der durch m bezeichnet werden soll, wird sich leicht bestimmen lassen, denn es ist, wenn man bedenkt, dass $c \gamma_1$ die Präcession durch die Planeten a ist, offenbar der Construction nach:

$$m = Q - P - a = p - q - a.$$
 53)

Wie man sieht, werden bei der Bestimmung von p-q in der That die Glieder dritter Ordnung nöthig. Den Winkel n wird man leicht mit Hilfe der Relation:

$$\sin n = \frac{\sin(\varepsilon_0' + \Delta \varepsilon)}{\sin P} \sin l' = \frac{\sin(\varepsilon_0' + \Delta \varepsilon)}{\cos P} \sin l', \quad 54a$$

oder auch nach:

$$tg \frac{1}{2}n = tg \left(\varepsilon_0' + \frac{1}{2} \Delta \varepsilon\right) \frac{\sin \frac{1}{2} (p-q)}{\cos \frac{1}{2} (p+q)}, \qquad 54b)$$

finden können. Entwickelt man nun die Ausdrücke 52), 53) und 54) nach steigenden Potenzen von τ , so findet sich mit Rücksicht auf 31) (pag. 191):

$$p + q = -\frac{2 H_{2'}}{L_{1}' \sin \varepsilon_{0}'} \tau + \frac{2 H_{2'} L_{2'} - 2 H_{3'} L_{1'}}{L_{1'}^{2} \sin \varepsilon_{0}'} \tau^{2},$$

$$p - q = \cos \varepsilon_{0}' L_{1}' \tau + \cos \varepsilon_{0}' L_{2'} \tau^{2} + \{\cos \varepsilon_{0}' L_{3}' - \frac{1}{2} \sin \varepsilon_{0}' H_{2}' L_{1}' + \frac{1}{2} \cos \varepsilon_{0}' \sin \varepsilon_{0}'^{2} L_{1}'^{3}\} \tau^{3},$$

$$n = \sin \varepsilon_{0}' L_{1}' \tau + \sin \varepsilon_{0}' L_{2'} \tau^{2} + \{\sin \varepsilon_{0}' L_{3}' + \frac{1}{2} \cos \varepsilon_{0}' H_{2'} L_{1'} + \frac{1}{2} \frac{H_{2'}^{2}}{L_{1'} \sin \varepsilon_{0}'} - \frac{1}{24} \sin \varepsilon_{0}' \cos \varepsilon_{0}'^{2} L_{1}'^{3}\} \tau^{3}$$

$$P = 90^{\circ} + \{\frac{H_{2'}}{L_{1'} \sin \varepsilon_{0}'} - \frac{1}{2} \cos \varepsilon_{0}' L_{1'}'\} \tau + \{\frac{H_{3'} L_{1'} - H_{2'} L_{2'}}{L_{1'}^{2} \sin \varepsilon_{0}'} - \frac{1}{2} \cos \varepsilon_{0}' L_{2}''\} \tau^{2}$$

$$m = \{\cos \varepsilon_{0}' L_{1'} - A_{1'}'\} \tau + \{\cos \varepsilon_{0}' L_{2'} - A_{2'}'\} \tau^{2} + \{\cos \varepsilon_{0}' L_{3'} - \frac{1}{2} \sin \varepsilon_{0}' H_{2'} L_{1'} + \frac{1}{12} \cos \varepsilon_{0}' \sin \varepsilon_{0}'^{2} L_{1'}^{3} - A_{3'}'\} \tau^{3}.$$

Bei der numerischen Rechnung hat man wohl zu beachten, dass für ϵ_0 nach 28) (pag. 190) zu setzen ist:

$$\varepsilon_0' = \varepsilon_0 + \eta_1 t_1 + \eta_2 t_1^2 + \eta_3 t_1^3$$
:

es wird daher anzunehmen sein:

$$\cos \varepsilon_{0}' = \cos \varepsilon_{0} - \sin \varepsilon_{0} \eta_{1} t_{1} - (\sin \varepsilon_{0} \eta_{2} + \frac{1}{2} \cos \varepsilon_{0} \eta_{1}^{2}) t_{1}^{2}$$

$$\sin \varepsilon_{0}' = \sin \varepsilon_{0} + \cos \varepsilon_{0} \eta_{1} t_{1} + (\cos \varepsilon_{0} \eta_{2} - \frac{1}{2} \sin \varepsilon_{0} \eta_{1}^{2}) t_{1}^{2}$$

$$\frac{1}{\sin \varepsilon_{0}'} = \frac{1}{\sin \varepsilon_{0}} - \frac{\cot \varepsilon_{0}}{\sin \varepsilon_{0}} \eta_{1} t_{1}.$$
56)

Die folgende Zusammenstellung enthält die Resultate der numerischen Substitution in den diesbezüglichen Formeln gleichzeitig mit dem Hinweis auf die betreffende Formel:

(vergl. 49) pag. 195)
$$l = \{+5023"572 + 2"2582 t_1 + 0"00093 t_1^2\}\tau + + \{+1"1291 + 0"00093 t_1\}\tau^2 + 0"00093 t_1^3\}\tau + + \{+1"1291 + 0"00093 t_1\}\tau^2 + 0"00093 t_1^3\}\tau + + \{-17"594 - 0"0287 t_1 + 0"00143 t_1^2 + 0"00204 t_1^3\} + + \{-47"594 - 0"0287 t_1 + 0"00012 t_1^2\}\tau + + \{-0"0143 + 0"00612 t_1\}\tau^2 + 0"00204 \tau^3.$$
(vergl. 24) pag. 189) $l' = \{+5037"032 + 0"5007 t_1 + 0"00001 t_1^2\}\tau + + \{-1"0888 - 0"00177 t_1\}\tau^2 - 0"00174 \tau^3.$
(vergl. 28) pag. 190) $\epsilon' = \{23^027'31"83 - 47"594 t_1 - 0"0143 t_1^2 + 0"00204 t_1^3\} + + \{0"0713 - 0"00936 t_1\}\tau^2 - 0"00786 \tau^3.$
(vergl. 31) pag. 191) $a = \{+14"673 - 1"9173 t_1 - 0"00081 t_1^2\}\tau + + \{-2"4184 - 0"00261 t_1\}\tau^2 - 0"00212 \tau^3.$
(vergl. 43) pag. 193) $H = \{173^00'12" + 3287"0t_1 + 0"87 t_1^2\} + + \{-868"3 - 0"26 t_1\}\tau + 0"11\tau^2.$
(vergl. 46) pag. 194) $\tau = \{+47"951 - 0"0650 t_1 + 0"00000 t_1^2\}\tau + + \{-0"0325 + 0"00000 t_1\}\tau^2 - 0"00023 \tau^3.$
(vergl. 48) $\tau = \{-47"594 - 0"0287 t_1 + 0"00014 t_1^3\}\tau + + \{+0"1964 + 0"0069 t_1\}\tau^2 - 0"00023 \tau^3.$
(vergl. 49) $\tau = \{-47"594 - 0"0287 t_1 + 0"0014 t_1^3\}\tau + + \{+0"0568 - 0"0316 t_1\}\tau^2 + 0"00054 \tau^3.$
(vergl. 55) pag. 196) $\tau = \{-47"594 - 0"0287 t_1 + 0"00014 t_1^3\}\tau + + \{+0"1964 + 0"00088 t_1^3\}\tau^2 + 0"00054 \tau^3.$

Zu dieser Zusammenstellung wäre in Erinnerung zu bringen, dass t_1 die beliebig zu wählende Ausgangsepoche darstellt, τ die seit jener verflossene Zeit; t_1 und τ werden in Einheiten des julianischen Jahrhundertes auszudrücken sein, und zwar wird t_1 von der Ausgangsepoche 1850-0 gezählt.

B. Präcession.

Die säcularen Änderungen der Fundamentalebenen und die durch dieselben veranlassten Präcessionserscheinungen lassen sich, wie dies die vorstehenden Entwicklungen zeigen, durch die Form:

$$p' = at + bt^2 + ct^3 + \cdots$$

darstellen, d. h. nach steigenden Potenzen der Zeit entwickeln. Bei den Untersuchungen des vorangehenden Kapitels wurde als Zeiteinheit das julianische Jahrhundert gewählt, es erweist sich aber für die Rechnung der Präcession als vortheilhafter, das tropische Jahr als Einheit einzuführen. Der Anfang des tropischen Jahres wird nach Bessel's Vorgange mit dem Augenblicke zusammenfallend gedacht, in welchem die mittlere Länge der Sonne mehr dem constanten Theile der Aberration (- 20"48) den Werth 280°, gezählt vom zugehörigen mittleren Äquinoctium, Die in den Ephemeriden enthaltenen Reductionsgrössen zur Übertragung vom mittleren Äquinoctium des Jahresanfanges auf das scheinbare gelten für den eben definirten Jahresanfang (dies reductus). Es wird sich daher die Aufgabe stellen, die Relation zwischen dem julianischen Jahr j und dem tropischen zu ermitteln. Für die mittlere tropische Länge der Sonne, die mit L' bezeichnet werden soll und bis auf den constanten Theil der Aberration mit dem Symbole $q' + \omega' + \Omega$ des vorangehenden Abschnittes identisch wird, hat man nach Le-Verrier's Sonnentafeln mit Benützung der oben (vergl. Gleichung 10) pag. 186) angegebenen Präcessionswerthe anzunehmen:

$$L' = 280^{\circ}46'43''51 + 1296027''6784j + 0''00011072j^{2} + 0''0000000032j^{3}$$
, 1a)

wofür in den folgenden Entwicklungen gesetzt werden soll:

$$L' = a_0 + a_1 j + a_2 j^2 + a_3 j^3.$$
 1b)

In diesem Ausdrucke stellt j die seit der Epoche 1850 Januar 1.0 mittlere Pariser Zeit verflossene Zeit in Einheiten des julianischen Jahres dar. Um nun diejenigen Werthe von j zu finden, welche die Eigenschaft haben, $L'=280^{\circ}$ zu machen und daher auch die Zeitmomente des Anfanges des tropischen Jahres nach der obigen Definition anzugeben, soll das folgende Verfahren eingeschlagen werden. Es sei J_0 ein Werth, welcher der Gleichung:

$$a_0 + a_1 J_0 - x \cdot 360^0 = 280^0,$$
 2)

genügt, hierbei soll x eine positive oder negative ganze Zahl, die Null mit eingeschlossen, darstellen. J_0 würde nur dann dem Werthe von j streng entsprechen, wenn die Änderung von L' durchaus linear wäre, thatsächlich ist der Fehler dieser letzteren Voraussetzung sehr gering und setzt man:

so wird i innerhalb der in Betracht kommenden Zeiträume stets als eine sehr kleine Grösse zu betrachten sein. Die Substitution des Werthes 3) in 1b) ergibt für die Bedingung des Jahresanfanges:

$$a_0 + a_1 (J_0 + i) + a_2 (J_0 + i)^2 + a_3 (J_0 + i)^3 - x \cdot 360^0 = 280^0.$$
 4)

Subtrahirt man nun von dieser Gleichung die Gleichung 2) und setzt in beiden Fällen denselben Werth von x voraus, was durch die Annahme über die Kleinheit von i gerechtfertigt erscheint, so erhält man einen Ausdruck von der Gestalt:

$$i = m_1 + m_2 i^2 + m_3 i^3,$$
 5)

in welchem zu setzen ist

$$-m_{1} = \frac{a_{2}J_{0}^{2} + a_{3}J_{0}^{3}}{a_{1} + a_{2}J_{0} + 3a_{3}J_{0}^{2}}, -m_{2} = \frac{a_{2} + 3a_{3}J_{0}}{a_{1} + a_{2}J_{0} + 3a_{3}J_{0}^{2}},$$

$$-m_{3} = \frac{a_{3}}{a_{1} + a_{2}J_{0} + 3a_{3}J_{0}^{2}}.$$

Denkt man sich nun i nach steigenden Potenzen von J_0 entwickelt, und bleibt bei der dritten Potenz inclusive stehen, so ist i, wie dies der Ausdruck m_i in 6) lehrt, sofort zweiter Ordnung in Bezug auf J_0 , man kann daher in 5) schon das zweite Glied als vierter Ordnung weglassen und erhält sonach:

$$i = m_1 = -\frac{a_2}{a_1}J_0^2 + \left\{2\left(\frac{a_2}{a_1}\right)^2 - \frac{a_3}{a_1}\right\}J_0^3 + \cdots$$
 7)

Die Zeit T, zu welcher das Argument L' den Werth 280° erreicht, ist daher bestimmt durch:

$$T = J_0 + i = \frac{360^{\circ}}{a_1}x + \frac{280^{\circ} - a_0}{a_1} - \frac{a_2}{a_1}J_0^2 + \left\{2\left(\frac{a_2}{a_1}\right)^2 - \frac{a_3}{a_1}\right\}J_0^3 + \cdots$$

hierbei ist für die erste Potenz von J_0 der Werth nach 2) (pag. 198) eingesetzt: benützt man denselben zur Eliminirung von J_0^2 und J_0^3 und setzt abkürzend:

$$\alpha_{0} = \frac{280^{\circ} - a_{0}}{a_{1}} , A_{0} = \alpha_{0} (1 + \alpha_{0}\alpha_{2} + \alpha_{0}^{2}\alpha_{3}) 365 \cdot 25$$

$$\alpha_{1} = \frac{129 6000''}{a_{1}} , A_{1} = \alpha_{1} (1 + 2\alpha_{0}\alpha_{2} + 3\alpha_{0}^{2}\alpha_{3}) 365 \cdot 25$$

$$\alpha_{2} = -\frac{a_{2}}{a_{1}} , A_{2} = \alpha_{1}^{2} \{\alpha_{2} + 3\alpha_{0}\alpha_{3}\} 365 \cdot 25$$

$$\alpha_{3} = 2 \left(\frac{a_{1}}{a_{1}}\right)^{2} - \frac{a_{3}}{a_{1}}, A_{3} = \alpha_{1}^{3}\alpha_{3} \cdot 365 \cdot 25,$$

$$(1 + \alpha_{0}\alpha_{2} + \alpha_{0}^{2}\alpha_{3}) 365 \cdot 25$$

$$\alpha_{3} = 2 \left(\frac{a_{1}}{a_{1}}\right)^{2} - \frac{a_{3}}{a_{1}}, A_{3} = \alpha_{1}^{3}\alpha_{3} \cdot 365 \cdot 25,$$

so erhält man die Bestimmung der Zeit T, zu welcher das Argument L' der Null gleich wird. in Einheiten des mittleren Sonnentages gezählt von der Ausgangsepoche 1850 Januar 1.0 mittlere Pariser Zeit durch:

$$T = A_0 + A_1 x + A_2 x^2 + A_3 x^3 + \cdots, 108$$

in diesem Ausdrucke stellt x eine beliebige positive oder negative ganze Zahl, die Null mit eingeschlossen, dar: x bezeichnet auch die seit dem tropischen Jahresanfange des Jahres 1850 verflossenen tropischen Jahre und wird in dieser Deutung jeden beliebigen Zahlenwerth annehmen dürfen.

Die numerische Substitution ergibt:

für das erste Glied wird man, als Ausgangspunkt der Zählung den ersten Januar 1850 mittlere Greenwicher Zeit annnehmend, zu setzen haben: — 0·796586, hierbei ist der Längenunterschied zwischen Paris und Greenwich nach den neuesten Bestimmungen 9^m21^s02 angesetzt worden; wenn man dagegen den Berliner Meridian (Berlin 44^m13^s88 Ost von Paris) als Normalmeridian wählt, hätte man für das erste Glied — 0·759 377 anzunehmen.

Mit Hilfe der Gleichung 10a) wird es nun nicht schwer sein, die in den Präcessionsausdrücken auftretende Grösse t, welche als Einheit das julianische Jahrhundert hat, durch das tropische Jahrx zu ersetzen; man wird nämlich, wenn man das durch t angezeigte Zeitintervall in Tagen ansetzt, um dieser neuen Einheit (Tag) entsprechend, nichts an den Präcessionsausdrücken zu ändern, die diesbezüglichen Coëfficienten je nach der Potenz von t mit 36525, $(36525)^2$ und $(36525)^3$ zu dividiren haben; nun ist aber das Zeitintervall in Tagen ausgedrückt durch 10a) (pag. 199), man hat sonach in den Präcessionsformeln zu setzen:

$$t = \frac{1}{36525} (A_0 + A_1 x + A_2 x^2 + A_3 x^3).$$
 11)

In denjenigen Ausdrücken aber, für welche als beliebige Ausgangsepoche die Zeit t_1 gesetzt wurde und in welchen die von dieser Epoche an gezählte Zeit $\tau = t_2 - t_1$ eingeführt wird, treten die beiden Zeitgrössen t_1 und τ auf; setzt man nun in analoger Weise für die Ausgangsepoche x_1 und für das Zeitintervall $x_2 - x_1 = \xi$, so wird man, um die Übertragung auf das tropische Jahr zu bewerkstelligen, in den obigen Präcessionsausdrücken 57) (pag. 197) zu setzen haben:

$$t_{1} = \frac{1}{36525} \left\{ A_{0} + A_{1} x_{1} + A_{2} x_{1}^{2} + A_{3} x_{1}^{3} \right\}$$

$$\tau = \frac{1}{36525} \left\{ A_{1} \xi + 2 A_{2} \xi x_{1} + A_{2} \xi^{2} + 3 A_{3} \xi^{2} x_{1} + 3 A_{3} \xi x_{1}^{2} + A_{3} \xi^{3} \right\}.$$

Bevor jedoch die Resultate dieser Transformation mitgetheilt werden, soll noch die häufig benützte Relation des tropischen Jahresanfanges gegen den Januar o des zugehörigen gregorianischen Jahres abgeleitet werden. Schreibt man die Jahreszahl des gregorianischen Jahres t_g in der Form:

$$t_g = (4\sigma + \varrho) 100 + (4q + r),$$

wobei an r die Bedingung geknüpft wird, dass dasselbe nur die Zahlenwerthe 1, 2, 3 oder 4 (niemals Null, was in den Jahren, deren beide Endziffern oo sind, besonders zu beachten ist), ϱ aber nur die Werthe o, 1, 2, 3 annehmen darf und 4q+r das Jahr im Säculum darstellt, so sind die zwischen dem Januar o des Jahres 1850 und dem Januar o des Jahres t_g verflossenen Tage bestimmt durch:

$$365.25(t_g-1850)-1r+\{14.5-3\sigma-\varrho\};$$
 13

das letzte in der Klammer eingeschlossene Glied ist für jedes Säculum constant und wird z. B. für das gegenwärtige Jahrhundert den Werth 0.5, von 1901 ab den Werth -0.5 annehmen. Subtrahirt man nun den Ausdruck 13) von 10b), nachdem der letztere auf den Meridian von Greenwich reducirt ist, setzt $x = (t_g - 1850)$ und bezeichnet mit r den Rest aus der Division der Jahreszahl durch 4, welcher jedoch im Falle der Theilbarkeit nicht 0 sondern 4 zu nehmen ist, so erhält man den tropischen Jahresanfang:

$$\begin{array}{l} [\{+ \circ \cdot 2\circ 341 - 14\cdot 5 + 3\sigma + \varrho\} - \circ \cdot \circ \circ 78\circ 4x - \circ \cdot \circ 312 \left(\frac{x}{1\circ \circ \circ}\right)^2 - \\ - \circ \cdot \circ \circ \circ \left(\frac{x}{1\circ \circ \circ}\right)^3 + \frac{1}{4}r] \text{ Januar mittlere Greenwicher Zeit.} \end{array}$$

Die Berechnung dieses einfachen Ausdruckes kann umgangen werden, indem man von der später zu erläuternden Tafel XA Gebrauch macht; dieselbe gibt in der mit IA überschriebenen Columne die mittlere Länge der Sonne für den Januar 0.0 mittlere Greenwicher Zeit, wenn jedoch das zugehörige Jahr ein Schaltjahr ist, für Januar 1.0; dieselbe ist in einem Masse verstanden, dessen Einheit ein Hunderttheil der Peripherie ist und enthält nicht den constanten Theil der Aberration. Mit Rücksicht auf diese Umstände wird demnach die Umsetzung des Argumentes I in Tagesbruchtheile mit Hilfe der folgenden Tafel vorgenommen werden können und Resultate liefern, deren Fehler höchstens wenige Einheiten der dritten Decimale des Tages betragen können, was eine für die vorliegenden Zwecke genügende Genauigkeit ist.

	Januar mittlere Greenwicher Zeit			P. p.		
Argument. I	gemeines Jahr	Schaltjahr		365	366	
77:4	+ 1·386 _{— 366}	$+2.386_{-366}$	1	36.5	36.6	
77.5	+1.020 -365	+2.020	2	73.0	73.2	
77.6	+0.655 - 365	+1.655 - 365	3	109.5	109.8	
77.7	+0.290	+ 1.290	4	146∙0	146.4	
77.8	— 0·075 — 366	+0.925	5	182.5	183∙0	
7 7·9	— 0·441	+ 0.559	6	219.0	219.6	
78·o	-0.806	+0.194	7	255.5	256.2	
78· 1	— I·I7I — 365	-0.171	8	292.0	292.8	
78.2	-1.536	-0.536	9	328.5	329.4	

Es sei z. B. der tropische Jahresanfang zu suchen für:

	2173		
Tafel XA. S 77.909		77.935	
1	+ o·559	— o·441	
{	+ 0.559 o - 0.032.8	- 0·109·5	
Į.	— o·o32·8	— o·o18·2	
Jahresanfang: Januar + 0.526		Januar — 0·569	
die Formel 14) gibt:	+0.527	— o·569.	

Oppolser, Bahnbestimmungen. I. 2. Auflage.

Ersetzt man nun in den Formeln 57) (pag. 197) t_1 und τ nach den Formeln 12) (pag. 200), und schreibt dann statt x das Symbol t_0 — 1850, statt ξ aber t_1 — t_0 , so erhält man die folgenden Ausdrücke, in denen also t_0 —1850 die seit dem tropischen Jahresanfang 1850 verflossenen tropischen Jahre darstellt und t_0 daher die gewählte Ausgangsepoche bezeichnet, während t_1 — t_0 die seit letzterer verflossenen tropischen Jahre ausdrückt. Zur Vermeidung einer übrigens nicht wahrscheinlichen Verwechslung sei noch bemerkt, dass das hier gebrauchte t_1 mit jenem des vorangehenden Capitels nicht identisch ist.

$$\begin{split} I &= \{+50^\circ 23465 + 0^\circ 0002\ 2580\ (t_0 - 1850) + \\ &+0^\circ 0000\ 0000\ 3)\ (t_0 - 1850)^2\}\ (t_1 - t_0) + \\ &+\{+0^\circ 0001\ 1290 + 0^\circ 0000\ 0000\ 3)\ (t_0 - 1850)\}\ (t_1 - t_0)^2 + \\ &+0^\circ 0000\ 0000\ 201\ (t_0 - 1850)^3 + \\ &+0^\circ 0000\ 0000\ 204\ (t_0 - 1850)^3 + \\ &+\{-0^\circ 47593 - 0^\circ 0000\ 287\ (t_0 - 1850) + \\ &+0^\circ 0000\ 0000\ 612\ (t_0 - 1850)^2\}\ (t_1 - t_0) + \\ &+\{-0^\circ 0000\ 0143 + 0^\circ 0000\ 0000\ 612\ (t_0 - 1850)\}\ (t_1 - t_0)^2 + \\ &+0^\circ 0000\ 0000\ 204\ (t_1 - t_0)^3, \end{split}$$

$$\begin{split} I' &= \{+50^\circ 36924 + 0^\circ 0000\ 5006\ (t_0 - 1850) + \\ &+0^\circ 0000\ 0000\ 01\ (t_0 - 1850)^2\}\ (t_1 - t_0) + \\ &+\{-0^\circ 0001\ 0888 - 0^\circ 0000\ 0000\ 177\ (t_0 - 1850)\}\ (t_1 - t_0)^2 - \\ &-0^\circ 0000\ 0000\ 174\ (t_1 - t_0)^3, \end{split}$$

$$\varepsilon' &= 23^0\ 27'\ 31''83 - 0^\circ 47593\ (t_0 - 1850) - 0^\circ 0000\ 0143\ (t_0 - 1850)^2 + \\ &+0^\circ 0000\ 0000\ 204\ (t_0 - 1850)^3 + \\ &+\{0^\circ 0000\ 0000\ 204\ (t_0 - 1850)^3 + \\ &+\{0^\circ 0000\ 0000\ 212\ (t_0 - 1850)^2\}\ (t_1 - t_0) + \\ &+\{-0^\circ 0000\ 212\ (t_1 - t_0)^3, \end{split}$$

$$u &= \{+0^\circ 14673 - 0^\circ 0001\ 9172\ (t_0 - 1850) - \\ &-0^\circ 0000\ 0000\ 212\ (t_1 - t_0)^3, \end{split}$$

$$u &= \{+0^\circ 14673 - 0^\circ 0001\ 9172\ (t_0 - 1850) - \\ &-0^\circ 0000\ 0000\ 212\ (t_1 - t_0)^3, \end{split}$$

$$u &= \{+0^\circ 14673 - 0^\circ 0001\ 9172\ (t_0 - 1850) + \\ &+\{-0^\circ 0000\ 212\ (t_1 - t_0)^3, \end{bmatrix}$$

$$u &= \{+0^\circ 14673 - 0^\circ 0000\ 0000\ 212\ (t_1 - t_0)^3, \end{bmatrix}$$

$$u &= \{+0^\circ 14673 - 0^\circ 0000\ 0000\ 0000\ 212\ (t_1 - t_0)^3, \end{bmatrix}$$

$$u &= \{+0^\circ 47950 - 0^\circ 0000\ 0000\ 0000\ (t_0 - 1850)\}\ (t_1 - t_0)^2 - \\ &-0^\circ 0000\ 0000\ 0000\ (t_0 - 1850)^2\}\ (t_1 - t_0) + \\ &+\{-0^\circ 0000\ 0000\ 0000\ (t_0 - 1850)^2\}\ (t_1 - t_0) + \\ &+0^\circ 0000\ 0000\ 0000\ (t_0 - 1850)^2\}\ (t_1 - t_0) + \\ &+0^\circ 0000\ 0000\ 0000\ (t_0 - 1850)^2\}\ (t_1 - t_0) + \\ &+0^\circ 0000\ 0000\ 0000\ (t_0 - 1850)^2\}\ (t_1 - t_0) + \\ &+0^\circ 0000\ 0000\ 0000\ (t_0 - 1850)^2\}\ (t_1 - t_0) + \\ &+0^\circ 0000\ 0000\ 0000\ (t_0 - 1850)^2\}\ (t_1 - t_0) + \\ &+0^\circ 0000\ 0000\ 0000\ (t_0 - 1850)^2\}\ (t_1 - t_0) + \\ &+0^\circ 0000\ 0000\ 0000\ 0000\ 0000\ 0000\ (t_0 - 1850)^2\}\ (t_1 - t_0)^2 - \\ &-0^\circ 00000\ 0000\ 0000\ 0000\ 0000\ 0000\ 0000\$$

Durch die eben gegebenen Werthe wird es möglich sein, den Einfluss der säcularen Änderungen der Fundamentalebenen auf die Bahnlage und auf den Ort

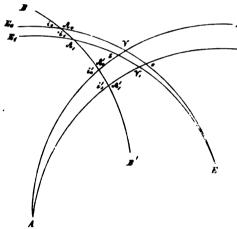


Fig. III.

der Gestirne zu bestimmen. Es sei in Fig. III ganz die in Fig. I (pag. 125) gewählte Bezeichnung beibehalten und der neu hinzugekommene Bogen BB' stelle ein Stück des grössten Kreises vor, den die vorgelegte Bahnebene im Durchschnitte mit der Himmelskugel bildet. Bei Ω_o und Ω_1 sind beziehungsweise die aufsteigenden Knoten in der zur Zeit t_o und t_1 stattfindenden Ekliptik; die Winkel $E_o\Omega_oB$ und $E_1\Omega_1B$ sind die zugehörigen Neigungen i_o und i_1 . Die Neigungen werden hierbei nach der pag. 7 und 8 auseinander-

gesetzten Gauss'schen Zählweise zu nehmen sein, und es wird auf die sonst noch übliche sehr unzweckmässige Unterscheidung von directer und retrograder Bewegung keine Rücksicht genommen. Der Bogen:

$$\Omega_0 \Omega_1 = \Delta \omega = \omega_1 - \omega_0$$

stellt die Änderung des Abstandes des Perihels vom Knoten dar, so weit diese von der Präcession abhängig ist. Bezeichnet man die anologen Grössen für den Äquator durch Accente, so hat man für die Ekliptik und den Äquator beziehungsweise die beiden sphärischen Dreiecke:

$$\Omega_{0} E \Omega_{1}$$
 und $\Omega_{0}' A \Omega_{1}'$,

zu betrachten; es sind in denselben für:

die Ekliptik:

Seiten

Winkel

Seiten

Winkel

$$\Omega_{0} + 180^{\circ} - \Pi$$
 $\Omega_{1} + 180^{\circ} - \Pi - l$
 $\Omega_{0} + 180^{\circ} - \Pi - l$

Die Napier'schen Gleichungen, auf das erstere sphärische Dreieck angewendet, führen zu den folgenden Relationen:

$$\begin{array}{ll}
\operatorname{tg} \frac{1}{2} \{\Omega_{1} - \Pi - l + \Delta \omega\} &= & \frac{\cos \frac{1}{2} (i_{0} + \pi)}{\cos \frac{1}{2} (i_{0} - \pi)} \operatorname{tg} \frac{1}{2} (\Omega_{0} - \Pi) \\
\operatorname{tg} \frac{1}{2} \{\Omega_{1} - \Pi - l - \Delta \omega\} &= & \frac{\sin \frac{1}{2} (i_{0} + \pi)}{\sin \frac{1}{2} (i_{0} - \pi)} \operatorname{tg} \frac{1}{2} (\Omega_{0} - \Pi) \\
\operatorname{tg} \frac{1}{2} (i_{1} - i_{0}) &= & \frac{\cos \frac{1}{2} (\Omega_{0} + \Omega_{1} - 2\Pi - l)}{\cos \frac{1}{2} (\Omega_{0} - \Omega_{1} + l)} \operatorname{tg} \frac{1}{2} \pi,
\end{array} \right\}$$
16)

während das letztere sphärische Dreieck die Gleichungen:

$$\begin{aligned}
\operatorname{tg}_{\frac{1}{2}}\{\Omega_{1}'-P-m+\varDelta\omega'\} &= \frac{\cos\frac{1}{2}(i_{0}'+n)}{\cos\frac{1}{2}(i_{0}'-n)}\operatorname{tg}_{\frac{1}{2}}(\Omega_{0}'-P) \\
\operatorname{tg}_{\frac{1}{2}}\{\Omega_{1}'-P-m-\varDelta\omega'\} &= \frac{\sin\frac{1}{2}(i_{0}'+n)}{\sin\frac{1}{2}(i_{0}'+n)}\operatorname{tg}_{\frac{1}{2}}(\Omega_{0}'-P) \\
\operatorname{tg}_{\frac{1}{2}}(i_{1}'-i_{0}') &= -\frac{\cos\frac{1}{2}(\Omega_{0}'+\Omega_{1}'-2P-m)}{\cos\frac{1}{2}(\Omega_{0}'-\Omega_{1}'+m)}\operatorname{tg}_{\frac{1}{2}}^{\frac{1}{2}}n,
\end{aligned} \right\} 17)$$

liefert. Vergleicht man diese sechs Gleichungen, so sieht man, dass die für die Ekliptik geltenden Formen mit den für den Äquator sich ergebenden identisch sind; man kann sich deshalb bei der weiteren Entwicklung nur auf die Betrachtung der einen Fundamentalebene beschränken, da man sofort die für die Ekliptik gefundenen Ausdrücke durch geeignete Änderung der Buchstaben auf den Äquator übertragen kann; man wird nämlich bei dieser Transformation zu setzen haben:

Auch ohne Ansicht der Formeln ist dieses Wechselverhältnis ersichtlich, da die hier gegenübergestellten Bezeichnungen Analoga sind.

Die dritte Gleichung in 16) (pag. 204) gibt sofort die in der Neigung durch die Präcession bewirkten Änderungen, ist also zur genauen Berechnung derselben geeignet; dieser Vortheil kommt aber den beiden ersteren Gleichungen in 16) nicht zu; es wird daher wünschenswerth sein, durch Anwendung geeigneter Reihenentwicklungen bequemere Formen herzustellen. Zu diesem Ende wird man die oben entwickelten Lagrange'schen Reihen (Gleichungen 4), 5) und 10) (pag. 29, 30)) in Verwendung ziehen, bei der Transformation der

ersten Gleichung 16): zweiten Gleichung 16):
$$x = \frac{1}{2} (\Omega_1 - \Pi - l + \Delta \omega) , \qquad x = \frac{1}{2} (\Omega_1 - \Pi - l - \Delta \omega)$$

$$y = \frac{1}{2} (\Omega_0 - \Pi) , \qquad y = \frac{1}{2} (\Omega_0 - \Pi)$$

$$n = \frac{\cos \frac{1}{2} (i_0 + \pi)}{\cos \frac{1}{2} (i_0 - \pi)} , \qquad n = \frac{\sin \frac{1}{2} (i_0 + \pi)}{\sin \frac{1}{2} (i_0 - \pi)}$$

$$m = \frac{n - 1}{n + 1} = - \operatorname{tg} \frac{1}{2} i_0 \operatorname{tg} \frac{1}{2} \pi , \qquad m = \operatorname{cotg} \frac{1}{2} i_0 \operatorname{tg} \frac{1}{2} \pi ,$$

zu setzen haben, und erhalten:

$$\frac{1}{2} \frac{(\Omega_1 - \Omega_0) + \frac{1}{2} \Delta \omega = \frac{1}{2} l + T}{\frac{1}{2} (\Omega_1 - \Omega_0) - \frac{1}{2} \Delta \omega = \frac{1}{2} l + C}$$
19)

wobei der Kürze halber geschrieben ist:

$$T = -\left\{ tg \frac{1}{2} i_0 tg \frac{1}{2} \pi \right\} \sin \left(\Omega_0 - \Pi\right) + \frac{1}{2} \left\{ tg \frac{1}{2} i_0 tg \frac{1}{2} \pi \right\}^2 \sin 2(\Omega_0 - \Pi) - \frac{1}{2} \left\{ tg \frac{1}{2} i_0 tg \frac{1}{2} \pi \right\}^3 \sin 3(\Omega_0 - \Pi) + \cdots \right\}$$

$$C = + \left\{ \cot g \frac{1}{2} i_0 tg \frac{1}{2} \pi \right\} \sin \left(\Omega_0 - \Pi\right) + \frac{1}{2} \left\{ \cot g \frac{1}{2} i_0 tg \frac{1}{2} \pi \right\}^2 \sin 2(\Omega_0 - \Pi) + \cdots \right\}$$

$$+ \frac{1}{4} \left\{ \cot g \frac{1}{2} i_0 tg \frac{1}{2} \pi \right\}^3 \sin 3(\Omega_0 - \Pi) + \cdots \right\}$$

Es ist sonach:

$$\begin{array}{c} \Omega_1 = \Omega_0 + l + T + C \\ \omega_1 = \omega_0 + T - C \\ \mathrm{tg} \, \frac{1}{2} \, (i_1 - i_0) = - \frac{\cos\{\Omega_0 - H + \frac{1}{2} \, (T + C)\}}{\cos \frac{1}{2} \, (T + C)} \, \mathrm{tg} \, \frac{1}{2} \, \pi. \end{array} \right\} \ \, _{218})$$

Begnügt man sich, was wohl für die überwiegende Anzahl der Fälle ausreicht, mit den Gliedern zweiter Ordnung, so wird man bei der Rechnung, wenn Alles in Bogensekunden erhalten werden soll, statt 20a) verwenden dürfen:

$$\begin{split} T &= -\tfrac{1}{2}\pi \, \mathrm{tg} \, \tfrac{1}{2} \, i_{\mathrm{o}} \sin \left(\Omega_{\mathrm{o}} - \Pi\right) \, + \tfrac{1}{8} \, \pi^2 \, \mathrm{arc} \, \mathbf{1}'' \, \mathrm{tg} \, \tfrac{1}{2} \, i_{\mathrm{o}}^2 \sin 2 \left(\Omega_{\mathrm{o}} - \Pi\right) \\ C &= -\tfrac{1}{2}\pi \, \mathrm{cotg} \, \tfrac{1}{2} \, i_{\mathrm{o}} \sin \left(\Omega_{\mathrm{o}} - \Pi\right) + \tfrac{1}{8} \, \pi^2 \, \mathrm{arc} \, \mathbf{1}'' \, \mathrm{cotg} \, \tfrac{1}{2} \, i_{\mathrm{o}}^2 \sin 2 \left(\Omega_{\mathrm{o}} - \Pi\right), \end{split} \right\} \, 2\mathrm{ob}) \end{split}$$

und weiter haben:

$$\begin{split} &\Omega_1 = \Omega_0 + l + T + C \\ &\omega_1 = \omega_0 + T - C \\ &i_1 = i_0 - \pi \cos \{\Omega_0 - \Pi + \frac{1}{2}(T + C)\}, \end{split}$$
 21b)

doch sind die dadurch bewirkten Vereinfachungen nicht sehr wesentlich, weshalb von denselben in der Folge kein Gebrauch gemacht werden wird.

Schliesslich kann darauf aufmerksam gemacht werden, dass als Element gewöhnlich die Länge des Perihels, welches hier, um Verwechslungen vorzubeugen, mit $[\pi]$ bezeichnet werden soll, und nicht der Abstand des Perihels vom Knoten ω angesetzt wird; da aber: $|\pi| = \omega + \Omega,$

ist, so wird sofort:

$$[\pi]_{l} = [\pi]_{0} + l + 2T.$$
 22)

Um die analogen Ausdrücke für den Äquator zu erhalten, hat man nur die oben (Gl. 18) pag. 204) angegebene Abänderung der gebrauchten Buchstaben einzuführen, doch wird es zweckmässig sein, statt P den Werth 90° — p einzusetzen; man findet dann:

$$T' = + \{ \operatorname{tg} \frac{1}{2} i_0' \operatorname{tg} \frac{1}{2} n \} \cos(\Omega_0' + p) - \frac{1}{2} \{ \operatorname{tg} \frac{1}{2} i_0' \operatorname{tg} \frac{1}{2} n \}^2 \sin 2(\Omega_0' + p) - \frac{1}{3} \{ \operatorname{tg} \frac{1}{2} i_0' \operatorname{tg} \frac{1}{2} n \}^3 \cos 3(\Omega_0' + p) + \cdots \}$$

$$C' = - \{ \cot \frac{1}{2} i_0' \operatorname{tg} \frac{1}{2} n \} \cos(\Omega_0' + p) - \frac{1}{2} \{ \cot \frac{1}{2} i_0' \operatorname{tg} \frac{1}{2} n \}^2 \sin 2(\Omega_0' + p) + \cdots \}$$

$$+ \frac{1}{3} \{ \cot \frac{1}{2} i_0' \operatorname{tg} \frac{1}{2} n \}^3 \cos 3(\Omega_0' + p) + \cdots \}$$

$$[\pi]'_1 = [\pi]_0' + m + 2T'$$

$$\Omega_1' = \Omega_0' + m + T' + C'$$

$$\operatorname{tg} \frac{1}{2} (i_1' - i_0') = -\frac{\sin \{\Omega_0' + p + \frac{1}{2} (T' + C')\}}{\cos \frac{1}{2} (T' + C')} \operatorname{tg} \frac{1}{2} n.$$

Die vorstehenden Formeln geben in Verbindung mit den in 15) (pag. 202 und 203) aufgeführten numerischen Werthen die Möglichkeit an die Hand, die durch die Präcession bewirkten Änderungen in den Bahnelementen zu bestimmen. Es erscheint zweckmässig, alles Zusammengehörige übersichtlich neben einander zu stellen, weshalb hier zwei Zusammenstellungen, die eine für die Ekliptik, die andere für den Äquator geltend, gegeben werden. Die Zeit t_0 entspricht der angenommenen Ausgangsepoche, für welche die Elemente vorgelegt sind, t_1 ist die Epoche, auf welche das Elementensystem übertragen werden soll, t_0 und t_1 sind in tropischen Jahren und deren Bruchtheilen anzusetzen.

Ekliptik:

$$\begin{split} \Pi &= 173^{\circ} \text{ o' } 12'' + 32''869 \ (t_{0} - 1850) + 0''000 087 \ (t_{0} - 1850)^{2} + \\ &+ \{-8''683 - 0''000 026 \ (t_{0} - 1850)\} \ (t_{1} - t_{0}) + 0''000 011 \ (t_{1} - t_{0})^{2}, \\ \pi &= \{+0''47950 - 0''0000 0550 \ (t_{0} - 1850) + \\ &+ 0''0000 0000 000 \ (t_{0} - 1850)^{2}\} \ (t_{1} - t_{0}) + \\ &+ \{-0''0000 0325 + 0''0000 0000 000 \ (t_{0} - 1850)\} \ (t_{1} - t_{0})^{2} - \\ &- 0''0000 0000 014 \ (t_{1} - t_{0})^{3}, \\ l &= \{+50''23465 + 0''0002 2580 \ (t_{0} - 1850) + \\ &+ 0''0000 0000 033 \ (t_{0} - 1850)\} \ (t_{1} - t_{0})^{2} + \\ &+ 0''0000 0000 032 \ (t_{1} - t_{0})^{3}, \\ \tau &= -tg\frac{1}{2}i_{0}tg\frac{1}{2}\pi, \qquad \gamma &= \cot g\frac{1}{2}i_{0}tg\frac{1}{2}\pi \\ T &= \frac{\tau}{\arctan''}\sin(\Omega_{0} - \Pi) + \frac{\tau^{2}}{\arctan''}\sin 2(\Omega_{0} - \Pi) + \frac{\tau^{3}}{\arctan''}\sin 3(\Omega_{0} - \Pi) + \cdots \\ C &= \frac{\gamma}{\arctan''}\sin(\Omega_{0} - \Pi) + \frac{\gamma^{2}}{\arctan''}\sin 2(\Omega_{0} - \Pi) + \frac{\gamma^{3}}{\arctan''}\sin 3(\Omega_{0} - \Pi) + \cdots \\ \Omega_{1} &= \Omega_{0} + l + T + C \\ [\pi]_{1} &= [\pi]_{0} + l + 2T \\ tg\frac{1}{2}(i_{1} - i_{0}) &= -\frac{\cos\{\Omega_{0} - \Pi + \frac{1}{2}(T + C)\}}{\cos\frac{1}{2}(T + C)} \ tg\frac{1}{2}\pi. \end{split}$$

Äquator:

$$\begin{array}{ll} p &= \{+\ 23''030+0''000142\ (t_0-1850)\}\ (t_1-t_0)+0''000031\ (t_1-t_0)^2,\\ n &= \{+\ 20''05150-0''0000\ 8669\ (t_0-1850)-\\ &\quad -0''0000\ 0000\ 048\ (t_0-1850)^2\}\ (t_1-t_0)+\\ &\quad +\{-\ 0''0000\ 4334-0''0000\ 0000\ 048\ (t_0-1850)\}\ (t_1-t_0)^2-\\ &\quad -0''0000\ 0004\ 182\ (t_1-t_0)^3,\\ m &= \{+\ 46''05931+0''0002\ 8391\ (t_0-1850)+\\ &\quad +0''0000\ 0000\ 88\ (t_0-1850)^2\}\ (t_1-t_0)+\\ &\quad +\{0''0001\ 4195+0''0000\ 0000\ 088\ (t_0-1850)\}\ (t_1-t_0)^2+\\ &\quad +0''0000\ 0003\ 657\ (t_1-t_0)^3\\ \tau' &= \ tg\ \frac{1}{2}i_0'\ tg\ \frac{1}{2}n \ ,\qquad \gamma' = \ cotg\ \frac{1}{2}i_0'\ tg\ \frac{1}{2}n,\\ T' &= \frac{\tau'}{\arctan''}\ cos\ (\Omega_0'+p) - \frac{\tau'^2}{\arccos^2}\ sin\ 2\ (\Omega_0'+p) - \frac{\tau'^3}{\arccos^2}\ cos\ 3\ (\Omega_0'+p) + \cdots,\\ C' &= -\frac{\gamma'}{\arctan''}\ cos\ (\Omega_0'+p) - \frac{\gamma'^2}{\arccos^2}\ sin\ 2\ (\Omega_0'+p) + \frac{\gamma'^3}{\arccos^2}\ cos\ 3\ (\Omega_0'+p) + \cdots,\\ \Omega_1' &= \ \Omega_0'+m+T'+C',\\ [\pi]_1' &= \ [\pi]_0'+m+2T',\\ tg\ \frac{1}{2}(i_1'-i_0') &= -\frac{\sin\ \{\Omega_0'+p+\frac{1}{2}\ (T'+C')\}}{\cos\frac{1}{2}\ (T'+C')}\ tg\ \frac{1}{2}n. \end{array}$$

Um die für die Ekliptik geltenden, vorstehenden Formeln durch ein Beispiel zu erläutern, werde ich die Elemente des Kometen III 1862, welche pag. 9 mitgetheilt worden sind und für das mittlere Äquinoctium 1862 gelten, auf das mittlere Äquinoctium 2012 0 übertragen; es ist also $t_0 = 1862$, $t_1 = 2012$. Weiter ist anzunehmen:

$$\Omega_0 = 137^{\circ} 27' 10'' 02$$
 $[\pi]_0 = 290^{\circ} 12' 47'' 84$
 $i_0 = 113 34 12 \cdot 24$ $\omega_0 = 152 45 37 \cdot 82$.

Die Rechnung gestaltet sich nach den Formeln 24) wie folgt:

Es sind demnach die auf die mittlere Ekliptik 2012-0 übertragenen Elemente:

$$\Omega_1 = 139^{\circ}33' 6''27$$
 $[\pi]_1 = 292^{\circ}19' 29''37$
 $\dot{\tau}_1 = 113 33 13.61$ $\omega_1 = 152 46 23.10$.

Als Beispiel für die Übertragung äquatorealer Elemente nehme ich denselben Kometen vor und benütze die auf pag. 10 mitgetheilten Zahlen, die sich auf den mittlern Äquator 1862-0 beziehen; dieselben sind:

sollen diese Elemente auf den mittlern Äquator des Jahres 2012.0 übertragen werden, so gestaltet sich die Rechnung wie folgt:

Die auf den mittlern Äquator 2012-0 übertragenen Elemente sind demnach:

$$\Omega_{1}' = 143^{\circ}20' 17''96$$
 $[\pi]_{1}' = 311^{\circ} 7' 35''74$
 $i_{1}' = 95 6 58 \cdot 20$ $\omega_{1}' = 167 47 17 \cdot 78$.

Man kann sich durch Benützung der Formeln 2) (pag. 9) leicht überzeugen, dass die obigen, auf 2012 0 bezogenen ekliptikalen Elemente bei Benützung des Werthes $\varepsilon = 23^{\circ}26'$ 14"70 auf die eben ermittelten äquatorealen Elemente führen.

Hat man eine genäherte Kenntnis der durch die Präcession bewirkten jährlichen Änderungen der Elemente Ω , i oder Ω' , i', welche beziehungsweise durch $\frac{d\Omega}{dt}$, $\frac{di}{dt}$, $\frac{d\Omega'}{dt}$, $\frac{di'}{dt}$ bezeichnet werden sollen, so wird man, falls man sich auf die Glieder zweiter Ordnung inclusive beschränken will, viel einfacher rechnen. Man kann sich nämlich die vorgelegten Functionen nach Potenzen der Zeit entwickelt denken, so dass dieselben die allgemeine Form haben:

$$f = F + t \frac{df}{dt} + \frac{t^2}{2} \frac{d^2f}{dt^2} + \cdots$$

Rechnet man nun die Zeit t von einer Epoche, die in der Mitte zwischen t_0 und t_1 liegt, und bezeichnet $\frac{1}{2}(t_1 - t_0)$ mit t, so wird man für die Epochen t_0 und t_1 die Werthe:

 $f_0 = F - t \frac{df}{dt} + \frac{t^2}{2} \frac{d^2f}{dt^2} - \cdots$ $f_1 = F + t \frac{df}{dt} + \frac{t^2}{2} \frac{d^2f}{dt^2} - \cdots$

haben, deren Subtraction, wenn man die Glieder dritter Ordnung fortlässt, ergibt:

$$f_1 - f_0 = (t_1 - t_0) \frac{df}{dt}.$$

Der Differentialquotient $\frac{df}{dt}$ wird sich für jedes der Elemente mit Hilfe der obigen Formeln leicht berechnen lassen, wenn die für die Mitte der Zeit geltenden Elemente genähert bekannt sind; bezeichnet man die letzteren beziehungsweise durch Ω_m , i_m , Ω_m' und i_m' , so erhält man:

Ekliptik:

$$\Pi = 173^{\circ} \circ' 12'' + 32''869 \left[\frac{t_1 + t_0}{2} - 1850 \right] \\
\pi = \left\{ + 0''47950 - 0''0000 0650 \left[\frac{t_1 + t_0}{2} - 1850 \right] \right\} (t_1 - t_0) \\
l = \left\{ + 50''23465 + 0''0002 2580 \left[\frac{t_1 + t_0}{2} - 1850 \right] \right\} (t_1 - t_0) \\
\Omega_1 = \Omega_0 + l + \cot j_m \pi \sin (\Omega_m - H) \\
[\pi]_1 = [\pi]_0 + l - \cot j_m \pi \sin (\Omega_m - H) \\
i_1 = i_0 - \pi \cos (\Omega_m - H).$$
26)

Äquator:

$$m = \left\{ + 46''05931 + 0''0002 \, 8391 \left[\frac{t_1 + t_0}{2} - 1850 \right] \right\} (t_1 - t_0)$$

$$n = \left\{ + 20''05150 - 0''0000 \, 8669 \left[\frac{t_1 + t_0}{2} - 1850 \right] \right\} (t_1 - t_0)$$

$$\Omega_1' = \Omega_0' + m - \cot g \, i'_m \, n \cos \Omega'_m$$

$$[\pi]_1' = [\pi]_0' + m + \operatorname{tg} \frac{1}{2} i'_m \, n \cos \Omega'_m$$

$$i_1' = i_0' - n \sin \Omega'_m.$$

Zur Erläuterung der eben angeführten Näherungsformeln soll nach denselben die früher bis auf Grössen dritter Ordnung inclusive ausgeführte Übertragung der Elemente des Kometen III 1862 vom Äquinoctium 1862 o auf 2012 o vorgenommen werden. Es seien die genähert bekannten jährlichen Änderungen des Knotens und der Neigung beziehungsweise + 50"375 und — 0"391, dennach für die Ekliptik:

Die Übereinstimmung mit den Resultaten der Rechnung nach den strengen Formeln ist innerhalb der gesetzten Genauigkeitsgrenzen vollständig.

Die Übertragung der äquatorealen Elemente stellt sich wie folgt.

In diesem Beispiele treten bereits die Glieder dritter Ordnung etwas merklich hervor, so dass diese Näherungsresultate in den Bruchtheilen der Bogensekunde von den strengen Werthen abweichen.

. Es kann wohl noch erwünscht sein, die in den Elementen durch die Präcession bewirkten Änderungen nach Potenzen der Zeit unmittelbar entwickelt zu erhalten; die hierfür nöthigen Formeln werden sich ergeben, wenn man die in 24) und 25) (pag. 206) aufgestellten Ausdrücke nach Potenzen der Zeit auflöst. Setzt man zunächst:

$$l = \lambda_1(t_1 - t_0) + \lambda_2(t_1 - t_0)^2 + \lambda_3(t_1 - t_0)^3$$

$$\pi = s_1(t_1 - t_0) + s_2(t_1 - t_0)^2 + s_3(t_1 - t_0)^3$$

$$\Pi = H_0 + S_1(t_1 - t_0) + S_2(t_1 - t_0)^2,$$

in welchen Aus lrücken die eingeführten Coëfficienten im Allgemeinen selbst noch Functionen von (/o — 1850) sein werden und bezeichnet der Übersichtlichkeit halber:

so wird man ohne erhebliche Schwierigkeit finden für die

Ekliptik:

$$\begin{split} \Pi_{\rm o} &= 173^{\rm o} \,{\rm o}' \, 12'' + 32''869 \, (t_{\rm o} - 1850) + {\rm o}''0000 \, {\rm o}87 \, (t_{\rm o} - 1850)^2 \\ A_{\rm o} &= + 50'' \, 23465 + {\rm o}''0002 \, 2580 \, (t_{\rm o} - 1850) + {\rm o}''0000 \, {\rm o}000 \, {\rm o}33 \, (t_{\rm o} - 1850)^2 \\ A_{\rm 1} &= + {\rm o}'' \, 47950 - {\rm o}''0000 \, {\rm o}650 \, (t_{\rm o} - 1850) + {\rm o}''0000 \, {\rm o}000 \, {\rm o}000 \, (t_{\rm o} - 1850)^2 \\ B_{\rm o} &= + {\rm o}''0001 \, 1290 + {\rm o}''0000 \, {\rm o}000 \, {\rm o}03 \, (t_{\rm o} - 1850) \\ B_{\rm 1} &= + {\rm o}''0000 \, {\rm o}325 - {\rm o}''0000 \, {\rm o}000 \, {\rm o}00 \, (t_{\rm o} - 1850) \\ B_{\rm 2} &= + {\rm o}''0000 \, 2019 - {\rm o}''0000 \, {\rm o}000 \, {\rm o}01 \, (t_{\rm o} - 1850) \\ B_{\rm 3} &= + {\rm o}''0000 \, {\rm o}028 - {\rm o}''0000 \, {\rm o}000 \, {\rm o}001 \, (t_{\rm o} - 1850) \end{split}$$

Für den Äquator wird man ganz analoge Ausdrücke erhalten, wenn man von der schon mehrfach benützten Buchstabenversetzung (vergl. 18) pag. 204) Gebrauch macht; dieselben sind:

Äquator:

$$\begin{array}{l} A_0' = +\ 46''05931 + 0''0002\ 8391\ (t_0-1850) + 0''0000\ 0000\ 088\ (t_0-1850)^2 \\ A_1' = +\ 20''05150 - 0''0000\ 8669\ (t_0-1850) - 0''0000\ 0000\ 048\ (t_0-1850) \\ B_0' = +\ 0''0001\ 4195 + 0''0000\ 0000\ 048\ (t_0-1850) \\ B_1' = +\ 0''0000\ 4334 + 0''0000\ 0000\ 048\ (t_0-1850) \\ B_2' = +\ 0''0022\ 3880 + 0''0000\ 0000\ 412\ (t_0-1850) \\ B_3' = +\ 0''0004\ 8731 - 0''0000\ 0000\ 421\ (t_0-1850) \\ C_0' = +\ 0''0000\ 0003\ 657 \quad , \qquad C_4' = +\ 0''0000\ 0010\ 882 \\ C_1' = +\ 0''0000\ 0015\ 101 \quad , \qquad C_5' = +\ 0''0000\ 0015\ 579 \\ C_2' = +\ 0''0000\ 0000\ 183 \quad , \qquad D_1' = +\ 0''0000\ 0003\ 158; \end{array}$$

Wendet man diese Formeln auf die Elemente des Kometen III. 1862 an, für welche die auf pag. 207 und 208 durchgeführten Beispiele gelten, so findet man:

```
 Q_1 = 137^{\circ} \ 27' \ 10'' 02 + 50'' 3593 \ (t_1 - 1862) + 0'' 0001 \ 046 \ (t_1 - 1862)^2 + 0'' 0000 \ 0000 \ 03 \ (t_1 - 1862)^3 
 [\pi]_1 = 290^{\circ} \ 12' \ 47'' 84 + 50'' 6642 \ (t_1 - 1862) + 0'' 0000 \ 844 \ (t_1 - 1862)^2 - 0'' 0000 \ 0000 \ 0000 \ (t_1 - 1862)^3 
 i_1 = 113^{\circ} \ 34' \ 12'' 24 - 0'' 3895 \ (t_1 - 1862) - 0'' 0000 \ 092 \ (t_1 - 1862)^2 + 0'' 0000 \ 0000 \ 06 \ (t_1 - 1862)^3 
 Q_1' = 141^{\circ} \ 28' \ 49'' 21 + 44'' 5175 \ (t_1 - 1862) + 0'' 0004 \ 920 \ (t_1 - 1862)^2 + 0'' 0000 \ 0001 \ 93 \ (t_1 - 1862)^3 
 [\pi]_1' = 309^{\circ} \ 55' \ 59'' 76 + 28'' 7542 \ (t_1 - 1862) - 0'' 0007 \ 810 \ (t_1 - 1862)^2 + 0'' 0000 \ 0012 \ 68 \ (t_1 - 1862)^3 
 i_1' = 95^{\circ} \ 37' \ 32'' 22 - 12'' 4871 \ (t_1 - 1862) + 0'' 0017 \ 199 \ (t_1 - 1862)^2 + 0'' 0000 \ 0010 \ 46 \ [t_1 - 1862)^3
```

Die oben entwickelten Transformationen der beiden ersten Gleichungen in 16) und 17) (pag. 204) können in jenen Fällen misslich werden, wo i, beziehungsweise i', sehr nahe an o' oder 180' ist, da dann eines der Producte tg \(\frac{1}{4}i\) itg \(\frac{1}{2}i\) der cotg 1/2 i tg 1/2 \pi oder der analogen für den Äquator geltenden der Forderung der Kleinheit nicht genügt. Man kann in solchen Fällen sich der strengen Formeln 16) und 17) (pag. 204) bedienen oder die Elemente auf die andere Fundamentalebene übertragen, welche diesem Nachtheile nicht unterworfen sein wird, für die letztere die durch die Präcession bewirkten Änderungen ermitteln und nach Anbringung derselben wieder auf die ursprüngliche Fundamentalebene zurückkehren; doch wird man kaum jemals nöthig haben, von dieser Abänderung Gebrauch zu machen, weil man mit Berücksichtigung der Glieder dritter Ordnung selbst für entfernte Epochen und bei ungünstigen Verhältnissen eine grosse Genauigkeit erreicht und allenfalls mit Fractionirung des Zeitintervalles sich behelfen kann. Schliesslich wäre noch zu bemerken, dass man, wenn eine Übertragung der Elemente auf sehr entfernte Epochen (über tausend Jahre) auszuführen ist, im Allgemeinen genauere Resultate durch die für die Ekliptik geltenden Formeln erreichen wird, da in diesen die Glieder

höherer Ordnung aus leicht begreiflichen Gründen weniger merkbar sind, als in jenen, die für den Äquator Anwendung finden.

Um den Einfluss der Präcession auf den Ort eines Himmelskörpers zu bestimmen, wird es sich empfehlen, zunächst die strengen Formeln zu entwickeln und dann aus denselben die Näherungsausdrücke, mit denen man in den meisten Fällen ausreicht, abzuleiten. Die strengen Formeln wird man in der Regel anwenden müssen, sobald der Übergang auf sehr entfernte Äquinoctien ausgeführt werden soll, doch wird deren Benützung in jenen Fällen, wo der Ort nahe dem Pole liegt, selbst bei mässigen Zwischenzeiten nothwendig werden. Vorerst sollen dieselben für die Änderungen der ekliptikalen Coordinaten entwickelt werden; eine einfache Buchstabenvertauschung, nach 18) (pag. 204) durchgeführt, wird sofort ohne Mühe die für den Äquator geltenden Ausdrücke finden lassen.

Legt man ein Coordinatensystem so, dass seine XY-Ebene mit der mittleren Ekliptik der Epoche t_0 zusammenfällt und seine positive X-Achse durch einen Punkt geht, dessen Länge gleich H ist, so werden die rechtwinkligen Coordinaten eines auf der mit der Einheit als Radius beschrieben gedachten Himmelskugel gelegenen Punktes, für welchen die Länge λ_0 und die Breite β_0 gilt, bestimmt sein durch:

$$\begin{aligned} x_{o} &= \cos \beta_{o} \cos (\lambda_{o} - II) \\ y_{o} &= \cos \beta_{o} \sin (\lambda_{o} - II) \\ z_{o} &= \sin \beta_{o} . \end{aligned}$$
 30)

 Π wird die Länge des aufsteigenden Knotens der mittleren Ekliptik zur Zeit t_1 in jener der Epoche t_0 bezeichnen, π die gegenseitige Neigung darstellen. Bezeichnet man aber die rechtwinkligen Coordinaten desselben Punktes in Bezug auf die Ekliptik, die zur Zeit t_1 gehört, mit x_1 , y_1 und z_1 , so werden, wenn die neue X-Achse in dem aufsteigenden Knoten belassen wird, zwischen den rechtwinkligen Coordinaten offenbar die Relationen:

$$x_1 = x_0$$

$$y_1 = y_0 \cos \pi + z_0 \sin \pi$$

$$z_1 = -y_0 \sin \pi + z_0 \cos \pi$$

bestehen; nennt man die Länge und Breite des Punktes in Bezug auf die neue Ekliptik λ_1 und β_1 , so wird sein:

$$x_1 = \cos \beta_1 \cos (\lambda_1 - \Pi - l)$$

$$y_1 = \cos \beta_1 \sin (\lambda_1 - \Pi - l)$$

$$z_1 = \sin \beta_1;$$

man hat daher als Relation zwischen den polaren Coordinaten die Ausdrücke:

$$\cos \beta_1 \cos (\lambda_1 - \Pi - l) = \cos \beta_0 \cos (\lambda_0 - \Pi)
\cos \beta_1 \sin (\lambda_1 - \Pi - l) = \cos \beta_0 \sin (\lambda_0 - \Pi) \cos \pi + \sin \beta_0 \sin \pi
\sin \beta_1 = \sin \beta_0 \cos \pi - \cos \beta_0 \sin (\lambda_0 - \Pi) \sin \pi,$$
31)

für welche auch geschrieben werden kann:

Um für die Rechnung bequemere Ausdrücke zu erhalten, wird es sich empfehlen. Transformationen vorzunehmen, welche auf die Differenzen der Werthe λ_1 und β_1 gegen λ_0 und β_0 hinführen, da diese im Allgemeinen selbst für dem Pole sehr nahe Sterne mässige Bogen sind. Zu diesem Ende multiplicire man die erste Gleichung mit cos $\lambda_0 = H$, die zweite mit sin $(\lambda_0 = H)$, und bilde deren Summe, ferner die erste Gleichung mit $-\sin(\lambda_0 = H)$, die zweite mit cos $\lambda_0 = H$) addire und setze der Kürze halber:

$$q = \sin \pi \{ \operatorname{tg} \beta_0 - \sin (\lambda_0 - II) \operatorname{tg} \frac{1}{4} \pi \}, \qquad 33$$

dann erhält man die Relationen:

$$\cos \beta_1 \cos (\lambda_1 - \lambda_0 - l) = \cos \beta_0 + q \cos \beta_0 \sin (\lambda_0 - H) \cos \beta_1 \sin \lambda_1 - \lambda_0 - l) = q \cos \beta_0 \cos (\lambda_0 - H),$$
34)

deren Division ergibt:

$$tg(\lambda_1 - \lambda_0 - l_1) = tg L = \frac{q \cos \lambda_0 - H_1}{t + q \sin \lambda_0 - H_2};$$
 35)

sonach ist:

$$\lambda_1 = \lambda_0 + l + L.$$

Es wird wohl kaum je ein Zweisel darüber entstehen, in man L, einen in der Regel nur massigen Bogen, zu nehmen Gleichungen 34, dass der Sinus von L das Zeichen des Zä Cosinus das Zeichen des Nenners erhalt. Um für $\beta_1 - \beta_0$) be erhalten, werden sich die folgenden Transformationen empfehle facher durch die Anwendung der Napierischen Gleichungen ausphärische Dreieck erhalten würden. Multiplicirt man die erste mit cos $\frac{1}{4}L$, die zweite mit sin $\frac{1}{4}L$, so findet sich nach deren

$$\cos\beta_1 = \cos\beta_0 + q\cos\beta_0 \frac{\sin\lambda_0 - H + \frac{1}{2}L}{\cos\frac{1}{2}L},$$

oder:

$$2\sin\frac{1}{2}\beta_1+\beta_0\sin\frac{1}{2}\beta_1-\beta_0, = -q\cos\beta_0\frac{\sin(\lambda_0+H+\frac{1}{4}L}{\cos\frac{1}{4}L}$$

Die dritte Gleichung in 32 |pag. 214) ergibt aber:

$$z\sin\frac{1}{2}(\beta_1+\beta_0)\cos\frac{1}{2}(\beta_1-\beta_0)=q\cos\beta_0\cot\frac{1}{2}A,$$

welcher Ausdruck in 37) dividirt, sofort die Relation:

finden läset.

Trägt man somit die für die strenge Bestimmung der Präcession in Länge und Breite erforderlichen Ausdrücke zusammen, so hat man das folgende Formelsystem, dem die für die numerischen Berechnungen nothwendigen Coëfficienten beigefügt wurden:

$$\begin{split} \Pi &= 173^{\circ} \text{ o' } 12'' + 32''869 (t_{0} - 1850) + 0''000 087 (t_{0} - 1850)^{2} + \\ &+ \{-8''683 - 0''000 026 (t_{0} - 1850)\} (t_{1} - t_{0}) + 0''000 011 (t_{1} - t_{0})^{2} \\ \pi &= \{+ 0''47950 - 0''0000 0650 (t_{0} - 1850) + \\ &+ 0''0000 0000 000 (t_{0} - 1850)^{2}\} (t_{1} - t_{0}) + \\ &+ \{- 0''0000 0325 + 0''0000 0000 000 (t_{0} - 1850)\} (t_{1} - t_{0})^{2} - \\ &- 0''0000 0000 014 (t_{1} - t_{0})^{3} \\ l &= \{+ 50''23465 + 0''0002 2580 (t_{0} - 1850) + \\ &+ 0''0000 0000 093 (t_{0} - 1850)^{2}\} (t_{1} - t_{0}) + \\ &+ \{+ 0''0001 1290 + 0''0000 0000 093 (t_{0} - 1850)\} (t_{1} - t_{0})^{2} + \\ &+ 0''0000 0000 032 (t_{1} - t_{0})^{3} \\ q &= \sin \pi \{ \operatorname{tg} \beta_{0} - \sin (\lambda_{0} - \Pi) \operatorname{tg} \frac{1}{2} \pi \} \\ \operatorname{tg} L &= \frac{q \cos (\lambda_{0} - \Pi)}{1 + q \sin (\lambda_{0} - \Pi)}, \qquad \lambda_{1} = \lambda_{0} + l + L \\ \operatorname{tg} \frac{1}{2} (\beta_{1} - \beta_{0}) &= -\frac{\sin (\lambda_{0} - \Pi + \frac{1}{2} L)}{\cos \frac{1}{2} L} \operatorname{tg} \frac{1}{2} \pi. \end{split}$$

Die vorstehenden Formeln sollen durch ein dem Polarstern entlehntes Beispiel erläutert werden. Es sei:

$$\lambda_{\rm o} = 86^{\rm o} \, 55' \, 50'' 41, \qquad \beta_{\rm o} = + \, 66^{\rm o} \, 5' \, 15'' 33,$$

welche Angaben auf die mittlere Ekliptik 1883 \cdot 0 = t_0 bezogen gedacht sind; man habe diesen Ort auf die mittlere Ekliptik 1755 \cdot 0 = t_1 zu übertragen. Es ist sonach:

 $t_0 - 1850 = +33$, $(t_1 - t_0) = -128$

$$\begin{split} \Pi &= 173^{\circ} \text{ o' } 12'' + 18' \text{ 4''8} + 18' \text{ 31''6} + \text{ o''2} = 173^{\circ} \text{ 36' } 48''6 \\ \pi &= -61''349 - \text{ o''053} = -61''402 \\ l &= -1^{\circ} 47' \text{ 10''989} + 1''850 - \text{ o''001} = -1^{\circ} 47' \text{ 9''140} \\ & \lambda_{o} - \Pi \quad 273^{\circ} 19' \text{ 1''8} \qquad q \cos(\lambda_{o} - \Pi) \quad 5n589 \text{ 337} \\ \cos(\lambda_{o} - \Pi) \quad 8.762 \text{ 402} \qquad \qquad L \quad -8''007 \\ \sin(\lambda_{o} - \Pi) \quad 9n999 \text{ 272} \qquad \qquad \frac{1}{2}L \quad -4''0 \\ & - tg\frac{1}{2}\pi & 6.172 \text{ 728} \qquad (\lambda_{o} - \Pi + \frac{1}{2}L) \quad 273^{\circ} 18' 57''8 \\ - tg\frac{1}{2}\pi \sin(\lambda_{o} - \Pi) \quad 6n172 \text{ 000} \qquad \sin(\lambda_{o} - \Pi + \frac{1}{2}L) \quad 9n999 \text{ 272} \\ & tg\beta_{o} \quad 0.353 \text{ 206} \qquad \sec\frac{1}{2}L \quad 0.000 \text{ 000} \\ & Add: \quad 9.999 \text{ 971} \qquad tg\frac{1}{2}(\beta_{1} - \beta_{o}) \quad 6n172 \text{ 000} \\ & tg\beta_{o} - tg\frac{1}{2}\pi \sin(\lambda_{o} - \Pi) \quad 0.353 \text{ 177} \qquad \frac{1}{2}(\beta_{1} - \beta_{o}) \quad -30''650 \\ & \sin\pi \quad 6n473 \text{ 758} \qquad (\beta_{1} - \beta_{o}) \quad -1' \text{ 1''30} \\ & q \quad 6n826 \text{ 935} \qquad \lambda_{1} \quad 85^{\circ} 8' \text{ 33''26} \\ & q \sin(\lambda_{o} - \Pi) \quad 0.000 \text{ 291} \\ \end{split}$$

Für den Äquator erhält man sofort mit Berücksichtigung der Buchstabenversetzung (18) pag. 204), wenn überdies statt λ und β beziehungsweise α und δ geschrieben wird:

$$p = \{+23''030 + 0''000 \ 142 \ (t_0 - 1850)\} \ (t_1 - t_0) + 0''000 \ 031 \ (t_1 - t_0)^2 \}$$

$$n = \{+20''05150 - 0''0000 \ 8669 \ (t_0 - 1850) - 0''0000 \ 0000 \ 048 \ (t_0 - 1850)^2\} \ (t_1 - t_0) + 0''0000 \ 0000 \ 4334 - 0''0000 \ 0000 \ 048 \ (t_0 - 1850)\} \ (t_1 - t_0)^2 - 0''0000 \ 0004 \ 182 \ (t_1 - t_0)^3$$

$$m = \{+46''05931 + 0''0002 \ 8391 \ (t_0 - 1850) + 0''0000 \ 0000 \ 088 \ (t_0 - 1850)\} \ (t_1 - t_0)^2 + 0''0000 \ 0003 \ 657 \ (t_1 - t_0)^3$$

$$q' = \sin n \{ \operatorname{tg} \delta_0 + \cos (\alpha_0 + p) \ \operatorname{tg} \frac{1}{2} n \}^* \}$$

$$\operatorname{tg} L' = \frac{q' \sin (\alpha_0 + p)}{1 - q' \cos (\alpha_0 + p)}, \quad \alpha_1 = \alpha_0 + m + L'$$

$$\operatorname{tg} \frac{1}{2} (\delta_1 - \delta_0) = \frac{\cos (\alpha_0 + p + \frac{1}{4} L')}{\cos \frac{1}{4} L'} \operatorname{tg} \frac{1}{2} n.$$

Die auf den mittleren Äquator 1883-0 bezogenen Coordinaten des Polarsternes:

$$a_0 = 18^{\circ} 57' 58''18, \quad \delta_0 = +88^{\circ} 41' 5''90,$$

seien auf den mittlern Äquator 1755-0 zu übertragen. Man wird finden:

Wie man sieht, sind die durch die Präcession in diesem Falle bewirkten Änderungen so bedeutend, dass man eigentlich die Rechnung siebenstellig durchführen müsste, um die Hunderttheile der Bogensekunde, besonders in α_1 , zu verbürgen;

^{*)} Über die Berücksichtigung der Eigenbewegung vergl. Formel 46) pag. 219.

bei einer Lage in der Nähe des Poles hat aber eine merkliche Unsicherheit in der Rectascension eine geringe Bedeutung, da dieselbe mit $\cos \delta$ multiplicirt werden muss, um sie auf diejenige im grössten Kreise, das ist auf den thatsächlichen Fehler, zu reduciren.

Hat man Übertragungen auf sehr entfernte Epochen (über tausend Jahre) auszuführen, so wird man, da in den für die Ekliptik geltenden Grössen die Glieder dritter und höherer Ordnung wesentlich kleiner sind als in jenen für den Äquator, im Allgemeinen genauere Resultate erhalten, wenn man das erste Formelsystem 39) (pag. 215) anwendet; man wird also für die Zeit t_0 aus den äquatorealen Coordinaten die ekliptikalen ableiten, letztere auf t_1 übertragen und mit der für t_1 geltenden Schiefe auf die ersteren zurückkehren oder auch nach den strengen Formeln (vergl.

pag. 196):

$$tg\frac{1}{2}(p-q) = \frac{\cos(\epsilon_0' + \frac{1}{2}\Delta\epsilon)}{\cos\frac{1}{2}\Delta\epsilon} tg\frac{1}{2}l'$$

$$tg\frac{1}{2}(p+q) = \frac{-\sin\frac{1}{2}\Delta\epsilon}{\sin(\epsilon_0' + \frac{1}{2}\Delta\epsilon)} \cot\frac{1}{2}l'$$

$$tg\frac{1}{2}n = \frac{\sin\frac{1}{2}(p-q)}{\cos\frac{1}{2}(p+q)} tg(\epsilon_0' + \frac{1}{2}\Delta\epsilon)$$

$$m = n - q - q$$

die Grössen m, n und p aus den Präcessionswerthen, die für die Ekliptik gelten, ermitteln.

Bei derartigen Transformationen, die man bei Bahnbestimmungen wohl nur gelegentlich der Reduction der Vergleichsterne, also für den Äquator auszuführen haben wird, bedarf die Berücksichtigung der Eigenbewegung der Sterne einer besonderen Aufmerksamkeit; man sieht ein, dass man dieselbe leicht in Rechnung ziehen kann, wenn man statt α_0 und δ_0 die durch die Eigenbewegung veränderten Coordinaten in die obigen Formeln einführt. Bezeichnet man mit $\Delta\alpha_0$ und $\Delta\delta_0$ den auf den mittlern Äquator t_0 bezogenen Betrag der Eigenbewegung in Rectascension und Declination in dem Zeitraume (t_1-t_0) , so wird man in den Formeln 40) (pag. 216) α_0 und δ_0 durch die Grössen $(\alpha_0+\Delta\alpha_0)$ und $(\delta_0+\Delta\delta_0)$ zu ersetzen haben, um sofort die mit Rücksicht auf Eigenbewegung geltenden Coordinaten für den mittlern Äquator zur Zeit t_1 zu erhalten; die Bestimmung der Beträge $\Delta\alpha_0$ und $\Delta\delta_0$ bedarf aber einiger Vorsicht, sobald die Sterne nicht weit vom Pole stehen. Bezeichnet man die jährliche Eigenbewegung in Rectascension und Declination für die Epoche t_0 beziehungsweise mit:

$$\mu$$
 und μ' ,

und setzt, wie man dies im Allgemeinen zu thun gezwungen ist, die Bewegung des Sternes als gleichförmig im grössten Kreise sich vollziehend voraus, so wird der Winkel G_0 , den dieser grösste Kreis mit dem Parallel bildet und die jährliche Bewegung in dem ersteren $\frac{du}{dt}$ bestimmt sein durch:

$$\begin{array}{ccc} \frac{du}{dt} \sin G_{\rm o} = \mu' \\ \frac{du}{dt} \cos G_{\rm o} = \mu \cos \delta_{\rm o}, \end{array} \right) \quad (41)$$

wobei man den Quadranten von G_0 so bestimmen kann, dass $\frac{du}{dt}$ stets positiv wird. Betrachtet man nun das sphärische Dreieck zwischen dem Pole des Äquators, der zur Zeit t_0 stattfindet, dem auf denselben Äquator bezogenen und dem durch die Eigenbewegung geänderten Orte, so wird in diesem Dreiecke der Winkel am Pole Δa_0 , am ungeänderten Orte $90^0 - G_0$, an dem durch die Eigenbewegung bedingten Orte $90^0 + G_1$ sein, wenn man den mit G_0 analogen Winkel mit G_1 bezeichnet; die gegenüberliegenden Seiten werden beziehungsweise Δu , $90^0 - \delta_0 - \Delta \delta_0$ und $90^0 - \delta_0$ sein. Es stellt sich daher vorerst die Aufgabe, Δa_0 und $\Delta \delta_0$ aus G_0 , $\Delta u = \frac{du}{dt} (t_1 - t_0)$ und der bekannten Coordinate δ_0 zu bestimmen; die Grundformeln der sphärischen Trigonometrie auf dieses Dreieck angewandt, lassen leicht finden:

$$\cos (\delta_{0} + \Delta \delta_{0}) \sin \Delta \alpha_{0} = \cos G_{0} \sin (\Delta u)$$

$$\cos (\delta_{0} + \Delta \delta_{0}) \cos \Delta \alpha_{0} = \cos \delta_{0} \cos (\Delta u) - \sin \delta_{0} \sin G_{0} \sin (\Delta u)$$

$$\cos (\delta_{0} + \Delta \delta_{0}) \cos G_{1} = \cos \delta_{0} \cos G_{0}$$

$$\cos (\delta_{0} + \Delta \delta_{0}) \sin G_{1} = \cos \delta_{0} \sin G_{0} \cos (\Delta u) - \sin \delta_{0} \sin (\Delta u)$$

$$\sin (\delta_{0} + \Delta \delta_{0}) = \sin \delta_{0} \cos (\Delta u) + \cos \delta_{0} \sin G_{0} \sin (\Delta u).$$

Die Division der beiden ersten Gleichungen ergibt:

$$\operatorname{tg} \Delta \alpha_{0} = \frac{\cos G_{0} \sec \delta_{0} \operatorname{tg} (\Delta u)}{1 - \sin G_{0} \operatorname{tg} \delta_{0} \operatorname{tg} (\Delta u)}; \tag{43}$$

aus den letzten drei Gleichungen, die vollkommen so gebaut sind wie die Gleichungen 31) (pag. 213), erhält man sofort die Resultate, wenn man in den Gleichungen 35), 36) und 38) (pag. 214) schreibt:

$$\begin{array}{lll} \mathrm{statt} \ \beta: \delta_\mathrm{o} + \varDelta \delta_\mathrm{o} & \mathrm{statt} \ \pi: - \varDelta u \\ & , , & (\lambda_1 - \varPi - l): G_1 & , , & (\lambda_\mathrm{o} - \varPi): G_\mathrm{o}. \\ & , , & \beta_\mathrm{o}: \delta_\mathrm{o} & \end{array}$$

Es wird:

$$r = -\sin(\mathcal{L}u)\{\operatorname{tg}\delta_{0} + \sin G_{0}\operatorname{tg}\frac{1}{2}(\mathcal{L}u)\}$$

$$\operatorname{tg}M = \frac{r\cos G_{0}}{1 + r\sin G_{0}}$$

$$\operatorname{tg}\frac{1}{2}(\mathcal{L}\delta_{0}) = \frac{\sin(G_{0} + \frac{1}{2}M)}{\cos\frac{1}{2}M}\operatorname{tg}\frac{1}{2}(\mathcal{L}u)$$

$$G_{1} = G_{0} + M,$$

$$44)$$

wodurch in Verbindung mit den Gleichungen 41) (pag. 217) und 43) (pag. 218) $\Delta\alpha_0$ und $\Delta\delta_0$ genau ermittelt werden kann. Bei der Kleinheit der meisten Eigenbewegungen und der Unsicherheit, die denselben anhaftet, wird man selbst für sehr entfernte Epochen auch bei polnahen Sternen nicht genöthigt sein, von den strengen Formeln Gebrauch zu machen und eine Entwicklung nach steigenden Potenzen der Zeit mit Vortheil anwenden. Geht man bis zu den Gliedern dritter Ordnung exclusive vor, so findet sich aus 43) und 44) (pag. 218):

$$\Delta \alpha_{0} = \mu t + \mu \mu' \operatorname{tg} \delta_{0} \operatorname{arc} i'' t^{2} + \cdots$$

$$\Delta \delta_{0} = \mu' t - \frac{1}{4} \mu^{2} \sin 2 \delta_{0} \operatorname{arc} i'' t^{2} + \cdots$$

$$\left. \right\} \qquad (45)$$

Die Berücksichtigung des ersten Gliedes allein ist wohl ausreichend und man hat sich bis jetzt fast stets damit begnügt. Durch $\Delta \alpha_0$ und $\Delta \delta_0$ sind jene Veränderungen

bestimmt, welche sich auf den mittlern Äquator zur Zeit t_0 beziehen; will man bei der Übertragung der Coordinaten auf den zu t_1 gehörenden mittleren Äquator dieselben berücksichtigen, so hat man statt der Formeln 40) (pag. 216) anzuwenden:

$$p = \{+23''030 + 0''000 \ 142 \ (t_0 - 1850)\} \ (t_1 - t_0) + 0''000 \ 031 \ (t_1 - t_0)^2$$

$$n = \{+20''05150 - 0''0000 \ 8669 \ (t_0 - 1850) -$$

$$-0''0000 \ 0000 \ 048 \ (t_0 - 1850)^2\} \ (t_1 - t_0) +$$

$$+\{-0''0000 \ 4334 - 0''0000 \ 0000 \ 048 \ (t_0 - 1850)\} \ (t_1 - t_0)^2 -$$

$$-0''0000 \ 0004 \ 182 \ (t_1 - t_0)^3$$

$$m = \{+46''05931 + 0''0002 \ 8391 \ (t_0 - 1850) +$$

$$+0''0000 \ 0000 \ 088 \ (t_0 - 1850)^2\} \ (t_1 - t_0) +$$

$$+\{+0''0001 \ 4195 + 0''0000 \ 0000 \ 088 \ (t_0 - 1850)\} \ (t_1 - t_0)^2 +$$

$$+0''0000 \ 0003 \ 657 \ (t_1 - t_0)^3$$

$$q' = \sin n \ \{tg \ (\delta_0 + \Delta \delta_0) + \cos (\alpha_0 + \Delta \alpha_0 + p) \ tg \ \frac{1}{2} n\}$$

$$tg \ L' = \frac{q' \sin (\alpha_0 + \Delta \alpha_0 + p)}{1 - q' \cos (\alpha_0 + \Delta \alpha_0 + p)}, \qquad \alpha_1 = \alpha_0 + \Delta \alpha_0 + m + L'$$

$$tg \ \frac{1}{2} \{\delta_1 - (\delta_0 + \Delta \delta_0)\} = \frac{\cos (\alpha_0 + \Delta \alpha_0 + p + \frac{1}{2} L')}{\cos \frac{1}{2} L'} \ tg \ \frac{1}{2} n.$$

Man darf aber nicht glauben, dass die Producte der Eigenbewegung in die Präcession unmerklich sind; in der That werden die durch die Eigenbewegung bedingten jährlichen Änderungen für verschiedene Zeiten wesentlich geänderte Werthe annehmen, besonders, sobald der in Betracht gezogene Ort dem Pole nahe liegt. Will man die jährlichen Änderungen auf dem für die Zeit t_1 geltenden mittleren Äquator kennen, so wird es zweckmässig sein, durch Differentiation der Ausgangsgleichungen 31) (pag. 213), welche durch die entsprechende Buchstabenversetzung (vergl. 18) (pag. 204) und Einführung von $\alpha_0 + \mathcal{A}\alpha_0$ und $\delta_0 + \mathcal{A}\delta_0$ statt λ und β auf den Äquator übertragen, die Gestalt:

$$\cos \delta_{1} \sin (\alpha_{1} + p - m) = \cos (\delta_{0} + \Delta \delta_{0}) \sin (\alpha_{0} + \Delta \alpha_{0} + p)$$

$$\cos \delta_{1} \cos (\alpha_{1} + p - m) = \cos (\delta_{0} + \Delta \delta_{0}) \cos (\alpha_{0} + \Delta \alpha_{0} + p) \cos n - \sin (\delta_{0} + \Delta \delta_{0}) \sin n$$

$$\sin \delta_{1} = \cos (\delta_{0} + \Delta \delta_{0}) \cos (\alpha_{0} + \Delta \alpha_{0} + p) \sin n + \sin (\delta_{0} + \Delta \delta_{0}) \cos n,$$

$$(3)$$

annehmen, die diesbezüglichen Variationen von α_1 und δ_1 zu ermitteln. Man erhält, indem man das in der Folge nicht nöthige Differential der dritten Gleichung der Vollständigkeit halber anschreibt:

$$\cos(\alpha_{1} + p - m)\cos\delta_{1}\mu_{1} - \sin(\alpha_{1} + p - m)\sin\delta_{1}\mu_{1}' =$$

$$= \cos(\alpha_{0} + \Delta\alpha_{0} + p)\cos(\delta_{0} + \Delta\delta_{0})\mu_{0} -$$

$$- \sin(\alpha_{0} + \Delta\alpha_{0} + p)\sin(\delta_{0} + \Delta\delta_{0})\mu_{0}',$$

$$- \sin(\alpha_{1} + p - m)\cos\delta_{1}\mu_{1} - \cos(\alpha_{1} + p - m)\sin\delta_{1}\mu_{1}' =$$

$$= -\sin(\alpha_{0} + \Delta\alpha_{0} + p)\cos(\delta_{0} + \Delta\delta_{0})\cos n\mu_{0} -$$

$$- \{\cos(\alpha_{0} + \Delta\alpha_{0} + p)\sin(\delta_{0} + \Delta\delta_{0})\cos n +$$

$$+ \cos(\delta_{0} + \Delta\delta_{0})\sin n\}\mu_{0}',$$

$$\cos\delta_{1}\mu_{1}' = -\sin(\alpha_{0} + \Delta\alpha_{0} + p)\cos(\delta_{0} + \Delta\delta_{0})\sin n\mu_{0} -$$

$$- \{\cos(\alpha_{0} + \Delta\alpha_{0} + p)\sin(\delta_{0} + \Delta\delta_{0})\sin n\mu_{0} -$$

$$- \{\cos(\alpha_{0} + \Delta\alpha_{0} + p)\sin(\delta_{0} + \Delta\delta_{0})\sin n\mu_{0} -$$

$$- \cos(\delta_{0} + \Delta\delta_{0})\cos n\}\mu_{0}';$$

die rechten Theile der beiden ersten Gleichungen können mit Benützung der Relationen 47) (pag. 219) auch in der folgenden Form geschrieben werden:

$$\begin{cases}
\cos (\alpha_1 + p - m) \cos \delta_1 \cos n + \sin \delta_1 \sin n \} \mu_0 - \\
- \sin (\alpha_1 + p - m) \cos \delta_1 \operatorname{tg} (\delta_0 + \Delta \delta_0) \mu_0', \\
- \sin (\alpha_1 + p - m) \cos \delta_1 \cos n \mu_0 - \\
- \left\{\cos (\alpha_1 + p - m) \cos \delta_1 \operatorname{tg} (\delta_0 + \Delta \delta_0) + \sec (\delta_0 + \Delta \delta_0) \sin n \right\} \mu_0'.
\end{cases}$$
49)

Multiplicirt man den ersten dieser Ausdrücke mit $\cos{(\alpha_1 + p - m)}$, den zweiten mit $-\sin{(\alpha_1 + p - m)}$, addirt und führt mit den linken Theilen der beiden ersten Gleichungen in 48) (pag. 219) dasselbe aus, und wiederholt dieselben Operationen, indem man als Factoren bezüglich $-\sin{(\alpha_1 + p - m)}$ und $-\cos{(\alpha_1 + p - m)}$ benützt, so gelangt man, wenn bei der letzteren Transformation die aus den beiden letzten der Gleichungen 47) (pag. 219) resultirende Relation:

$$\sin \left(\delta_{0} + \Delta \delta_{0}\right) = \sin \delta_{1} \cos n - \cos \left(\alpha_{1} + p - m\right) \cos \delta_{1} \sin n$$

beachtet wird, leicht zu den folgenden Ausdrücken:

für den Winkel $\alpha_1 + p - m$ kann auch $\alpha_0 + \Delta \alpha_0 + p + L'$ geschrieben werden.

Die Formeln 45) (pag. 218), 46) (pag. 219) und 50) (pag. 220) sollen nun durch ein Beispiel erläutert und hierzu das oben (pag. 216) durchgeführte, den Polarstern betreffende Beispiel verwendet werden. Wird die für 1883 o geltende Eigenbewegung:

$$\mu_0 = + 1''821$$
, $\mu_0' = + 0''005$,

angesetzt, so resultirt nach 45) (pag. 218), da t = -128 anzunehmen ist:

$$\Delta \alpha_0 = -233''088 + 0''032 = -3'53''06$$

 $\Delta \delta_0 = -0''640 - 0''003 = -0''64$

Nach 46) (pag. 219) stellt sich die Rechnung wie folgt:

Um nun die für den mittleren Äquator 1755-0 geltende jährliche Eigenbewegung zu erhalten, hat man nach 50) (pag. 220):

Es sollen nun die Gleichungen 46) (pag. 219) nach steigenden Potenzen der Zeit entwickelt und hierbei die Glieder dritter Ordnung mitgenommen werden; nur in den von der Eigenbewegung abhängigen Gliedern genügt es, sich auf die in den Ausdrücken 45) angesetzten zweiten Potenzen zu beschränken, welch letztere ohnedies schon nicht sehr merklich hervortreten können. Es wird sich zeigen, dass man in der Regel, besonders in den Fällen, in welchen das Glied dritter Ordnung berechnet werden muss, das Resultat weit rascher und sicherer durch die Anwendung der strengen Formeln erhält, als durch die folgenden Reihenentwicklungen. Wendet man auf tgL' die oben [Gleichung 4) 6) 10) (pag. 29, 30)] gegebenen Reihenentwicklungen an, so findet sich zunächst:

 $L' = q' \sin(\alpha_0 + \Delta \alpha_0 + p) + \frac{1}{2} q'^2 \sin 2(\alpha_0 + \Delta \alpha_0 + p) + \frac{1}{3} q'^3 \sin 3(\alpha_0 + \Delta \alpha_0 + p) + \cdots$ oder auch:

Andrerseits erhält man, wenn abkürzend:

$$n = n_1 t + n_2 t^2 + n_3 t^3 + \cdots$$

$$m = m_1 t + m_2 t^2 + m_3 t^3 + \cdots$$

$$p = p_1 t + p_2 t^2 + p_3 t^3 + \cdots$$

$$\Delta \delta_0 = \Delta_1 t + \Delta_2 t^2 + \cdots$$

$$\Delta \delta_0 = R_1 t + R_2 t^2 + \cdots$$

gesetzt wird, wobei die Bedeutung dieser Buchstaben leicht durch Vergleich mit den drei letzten Formeln 15) (pag. 202) und 45) (pag. 218) erkannt wird, mit Berücksichtigung der Glieder dritter Ordnung:

$$\begin{aligned} q' &= \{n_1 t + n_2 t^2 + (n_3 - \frac{1}{6} n_1^3) t^3\} \{ \operatorname{tg} \delta_0 + \frac{\varDelta \delta_0}{\cos \delta_0^2} + \frac{\varDelta \delta_0^2}{\cos \delta_0^2} \operatorname{tg} \delta_0 + \\ &+ [\cos \alpha_0 - (\varDelta \alpha_0 + p) \sin \alpha_0] [\frac{1}{6} n_1 t + \frac{1}{6} n_2 t^2] \}, \end{aligned}$$

und geordnet nach Potenzen der Zeit:

$$q' = n_1 \operatorname{tg} \delta_0 t + \{n_2 \operatorname{tg} \delta_0 + \frac{1}{2} n_1^2 \cos \alpha_0 + \frac{\Delta_1 n_1}{\cos \delta_0^2}\} t^2 + \\ + \{(n_3 - \frac{1}{6} n_1^3) \operatorname{tg} \delta_0 + n_1 n_2 \cos \alpha_0 - \frac{1}{2} n_1^2 (p_1 + R_1) \sin \alpha_0 + \\ + \frac{\Delta_2 n_1}{\cos \delta_0^2} + \frac{\Delta_1^2 n_1}{\cos \delta_0^2} \operatorname{tg} \delta_0 + \frac{n_2 \Delta_1}{\cos \delta_0^2}\} t^3 + \cdots$$

$$q'^2 = n_1^2 \operatorname{tg} \delta_0^2 t^2 + \{2n_1 n_2 \operatorname{tg} \delta_0^2 + n_1^3 \cos \alpha_0 \operatorname{tg} \delta_0 + \frac{2n_1^2 \Delta_1}{\cos \delta_0^2} \operatorname{tg} \delta_0\} t^3$$

$$q'^3 = n_1^3 \operatorname{tg} \delta_0^3 t^3.$$

Es wird sonach, wenn man ähnlich wie früher für t die Bezeichnung t_1-t_0 einführt, überdies die von der Eigenbewegung abhängigen Glieder nach 45) (pag. 218) durch die Grössen μ_0 und μ_0 ausdrückt und überall, weil eine Verwechslung in diesem Falle nicht möglich ist und sich diese letzteren Grössen auf das Äquinoctium der Epoche der Sternposition beziehen, bei α , δ , μ und μ' den Null-Index fortlässt:

$$\begin{array}{ll} \alpha_{1} = & \alpha + A_{1}(t_{1} - t_{0}) + A_{2}(t_{1} - t_{0})^{2} + A_{3}(t_{1} - t_{0})^{3} \\ A_{1} = & m_{1} + n_{1} \sin \alpha \operatorname{tg} \delta + \mu \\ A_{2} = & m_{2} + \frac{1}{4}n_{1}^{2} \sin 2\alpha + \mu' n_{1} \sin \alpha + \operatorname{tg} \delta \{n_{2} \sin \alpha + (p_{1} + \mu)n_{1} \cos \alpha + \mu\mu'\} + \\ & + \operatorname{tg} \delta^{2} \{\frac{1}{2}n_{1}^{2} \sin 2\alpha + \mu' n_{1} \sin \alpha\} \\ A_{3} = & m_{3} + \frac{1}{2}n_{1}n_{2} \sin 2\alpha + \frac{1}{2}n_{1}^{2}(p_{1} + \mu) \cos 2\alpha + n_{2}\mu' \sin \alpha + n_{1}\mu'(p_{1} + \mu) \cos \alpha + \\ & + \operatorname{tg} \delta \{[n_{3} + \frac{1}{12}n_{1}^{3} - \frac{n_{1}}{2}(p_{1} + \mu)^{2} - \frac{n_{1}}{2}\mu^{2} + n_{1}\mu'^{2}] \sin \alpha + [n_{2}(p_{1} + \mu) + \\ & + n_{1}p_{2}] \cos \alpha + n_{1}^{2}\mu' \sin 2\alpha + \frac{1}{4}n_{1}^{3} \sin 3\alpha\} + \\ & + \operatorname{tg} \delta^{2} \{n_{1}n_{2} \sin 2\alpha + n_{1}^{2}(p_{1} + \mu) \cos 2\alpha + (p_{1} + 2\mu)\mu' n_{1} \cos \alpha + n_{2}\mu' \sin \alpha\} + \\ & + \operatorname{tg} \delta^{3} \{\frac{1}{3}n_{1}^{3} \sin 3\alpha + n_{1}\mu'^{2} \sin \alpha + n_{1}^{2}\mu' \sin 2\alpha\}. \end{array} \right\}$$

Für die Declination ergibt sich aus der letzten Gleichung in 46) (pag. 219) durch ähnliche Transformationen:

$$\delta_{1} = \delta + D_{1}(t_{1} - t_{0}) + D_{2}(t_{1} - t_{0})^{2} + D_{3}(t_{1} - t_{0})^{3}
D_{1} = n_{1} \cos \alpha + \mu'
D_{2} = n_{2} \cos \alpha - n_{1}(p_{1} + \mu) \sin \alpha - \frac{1}{4} \mu^{2} \sin 2\delta - \frac{1}{2} n_{1}^{2} \sin \alpha^{2} \operatorname{tg} \delta
D_{3} = \cos \alpha \{n_{3} - \frac{1}{6} n_{1}^{3} \sin \alpha^{2} - \frac{1}{2} n_{1}(p_{1} + \mu)^{2}\} - \sin \alpha \{n_{2}(p_{1} + \mu) + n_{1} p_{2} + \frac{1}{2} \mu' n_{1}^{2} \sin \alpha\} - \operatorname{tg} \delta \sin \alpha \{n_{1}^{2}(p_{1} + \mu) \cos \alpha + n_{1} n_{2} \sin \alpha + n_{1} \mu \mu'\} - \operatorname{tg} \delta^{2} \sin \alpha^{2} \{\frac{1}{2} n_{1}^{3} \cos \alpha + \frac{1}{4} n_{1}^{2} \mu'\},$$

$$53b)$$

in welchen Ausdrücken zu setzen ist [vergl. 52) pag. 221 mit 15) pag. 202]:

$$m_{1} = +46''05931 + 0''00028391(t_{0}-1850) + 0''00000000000088(t_{0}-1850)^{2}$$

$$n_{1} = +20''05150 - 0''00008669(t_{0}-1850) - 0''00000000000048(t_{0}-1850)^{2}$$

$$p_{1} = +23''030 + 0''000142(t_{0}-1850)$$

$$m_{2} = +0''00014195 + 0''0000000000088(t_{0}-1850)$$

$$n_{2} = -0''00004334 - 0''000000000048(t_{0}-1850)$$

$$p_{2} = +0''0000031$$

$$m_{3} = +0''000000003657$$

$$n_{3} = -0''000000004182.$$

In den Ausdrücken für A_2 , A_3 und D_2 , D_3 hat man bei der Rechnung darauf zu achten, Alles homogen zu erhalten, daher, um Alles in Bogensekunden auszudrücken,

die Glieder zweiter Dimension mit arc 1", jene dritter Dimension mit (arc 1")2 zu multipliciren.

Die Gleichungen 53a), 53b), 53c) (pag. 222) enthalten somit die Lösung des Problems, mit Rücksicht auf die Eigenbewegung die Präcession nach Potenzen der Zeit bis zu den Gliedern dritter Ordnung inclusive zu berechnen. Hat man eine solche Übertragung nur für einen oder wenige Zeitmomente auszuführen, so wird die Benützung der strengen Formeln 46) (pag. 219) das Ziel rascher und sicherer erreichen lassen, während die Anwendung der obigen Formeln 53abc) wesentliche Vortheile bieten wird, sobald viele Orte für verschiedene mittlere Äquinoctien zu ermitteln sein werden. Die Rechnung nach denselben lässt sich aber durch geeignete Hilfstafeln sehr wesentlich vereinfachen; sondert man zunächst jene Glieder, welche von der Eigenbewegung abhängen, so lassen sich die mit dem Quadrate der Zeit multiplicirten Glieder auf die Form:

$$\begin{cases} \frac{200}{15} A_2 = a_2^0 + a_2^1 \operatorname{tg} \delta + a_2^2 \operatorname{tg} \delta^2 \\ 200 D_2 = d_2^0 + d_2^1 \operatorname{tg} \delta \end{cases}$$
 54a)

bringen, wobei offenbar gesetzt wurde:

$$a_{2}^{o} = \frac{200}{15} \{ m_{2} + \frac{1}{4} n_{1}^{2} \sin 2\alpha \}$$

$$a_{2}^{1} = \frac{200}{15} \{ n_{2} \sin \alpha + p_{1} n_{1} \cos \alpha \}$$

$$a_{2}^{2} = \frac{200}{15} \{ \frac{1}{2} n_{1}^{2} \sin 2\alpha \}$$

$$d_{2}^{0} = 200 \{ n_{2} \cos \alpha - n_{1} p_{1} \sin \alpha \}$$

$$d_{2}^{1} = 200 \{ -\frac{1}{2} n_{1}^{2} \sin \alpha^{2} \}.$$

$$54b$$

Die Multiplication mit 200 bewirkt, dass man dadurch unmittelbar die Änderung des ersten Gliedes der Präcession in hundert Jahren erhält, welche man Variatio säcularis nennt; die Division mit 15 in den Rectascensions-Gliedern wird bewirken, dass die Säcularvariation in der Rectascension sofort in Zeitsekunden erhalten wird. Die von der Eigenbewegung abhängigen Glieder werden, wenn man dieselben ebenfalls beziehungsweise mit $\frac{200}{15}$ und 200 multiplicirt, die durch jene Grösse bewirkte Correction der Säcularvariation ergeben. Man wird finden:

$$\Delta \alpha_2 = \left\{ \frac{200}{15} n_1 \cos \alpha \operatorname{tg} \delta \right\} \mu + \left\{ \frac{200}{15} n_1 \frac{\sin \alpha}{\cos \delta^2} \right\} \mu' + \frac{200}{15} \operatorname{tg} \delta \mu \mu'
\Delta \delta_2 = -200 n_1 \sin \alpha \mu - 50 \sin 2\delta \mu^2,$$

$$54c)$$

in welchen Formeln μ und μ' in Bogensekunden angesetzt gedacht sind.

Die Glieder $a_2^{\,\text{o}}$, $a_2^{\,\text{l}}$, $a_2^{\,\text{l}}$, $a_2^{\,\text{o}}$ und $d_2^{\,\text{l}}$ lassen sich leicht in Tafeln bringen, die mit dem Argumente: Rectascension, von Zeitminute zu Zeitminute tabulirt sind. Die Tafel XII gibt entsprechend den Überschriften die diesbezüglichen Coëfficienten und zwar in zwei Columnen, deren erste die für 1850 geltenden Hauptwerthe, deren zweite die Säcularänderung der Hauptwerthe in Einheiten der letzten Decimale derselben enthält, weshalb, wenn mit t die Jahreszahl des vorgelegten Datums bezeichnet wird, die Zahlen der zweiten Columne mit $\tau = \frac{1}{100} (t - 1850)$ multiplicirt als Correctionen an die Hauptwerthe anzubringen sind. Es wäre in mancher Beziehung

bequemer gewesen, statt der Zahlenwerthe der a_2^1 , a_2^2 und d_2^1 Coëfficienten sofort die Logarithmen in die Tafel einzusetzen, doch war der Umstand, dass die Interpolation dann nicht in allen Theilen der Tafel möglich wird, massgebend, die Zahlen selbst aufzunehmen. In der Tafel wurden einige Stellen mehr angesetzt, als dies z. B. bei der von Menten construirten Tafel geschehen ist, um selbst für dem Pole recht nahe stehende Sterne, für welche tg δ zu beträchtlichen Werthen anwächst, hinreichend genaue Ausdrücke erhalten zu können; ist aber tg δ in einem speciellen Falle kleiner als die Einheit, so wird man ohne Nachtheil sich nur auf die ersten vier Decimalstellen beschränken dürfen.

Drückt man μ in Zeitsekunden, μ' in Bogensekunden aus, so wird man zur Berechnung der Correction der Säcularvariation für Eigenbewegung mit Benützung der hier entwickelten numerischen Präcessionscoëfficienten haben:

Therefore in the entwicker is numerischen Pracessions coefficient en haben:
$$\tau = \frac{t - 1850}{100}$$

$$\Delta \alpha_2 = (8 \cdot 28875 - 0 \cdot 000 19 \tau) \cos \alpha \operatorname{tg} \delta \mu + (7 \cdot 11266 - 0 \cdot 000 19 \tau) \frac{\sin \alpha}{\cos \delta^2} \mu' + (6 \cdot 9866) \operatorname{tg} \delta \mu \mu'$$

$$\Delta \delta_2 = (9_0 46484 - 0 \cdot 000 19 \tau) \sin \alpha \mu + (8_0 7367) \sin 2\delta \mu^2.$$

Die überstrichenen Coëfficienten sind logarithmisch angesetzt, wobei der für die Charakteristik erforderliche Zusatz — 10 fortgelassen ist; die mit τ multiplicirten Glieder geben die Änderung dieser Logarithmen in 100 Jahren, von der Epoche 1850 an gezählt. In Auwers' Fundamental-Catalog für die Zonenbeobachtungen finden diese von der Eigenbewegung abhängigen Glieder ihre Berücksichtigung durch die Angabe einer veränderlichen Eigenbewegung, in Newcomb's Fundamentalcatalog der Zeitsterne sind dieselben mit der Säcularvariation vereinigt, gewöhnlich wird aber diese oft nicht ganz unbeträchtliche Correction vernachlässigt.

Um die dritten Glieder der Präcession bequem berechnen zu können, wird man nach Abtrennung der von der Eigenbewegung abhängigen Glieder setzen können:

$$\left.\begin{array}{l} \frac{(100)^3}{15} A_3 = a_3^{\,0} + a_3^{\,1} \operatorname{tg} \delta + a_3^{\,2} \operatorname{tg} \delta^2 + a_3^{\,3} \operatorname{tg} \delta^3 \\ (100)^3 D_3 = d_3^{\,0} + d_3^{\,1} \operatorname{tg} \delta + d_3^{\,2} \operatorname{tg} \delta^2, \end{array}\right\}$$
 55a)

wobei wieder zur Abkürzung geschrieben ist :

$$a_{3}^{0} = \frac{(100)^{3}}{15} \left\{ m_{3} + \frac{1}{2} n_{1} n_{2} \sin 2\alpha + \frac{1}{2} n_{1}^{2} p_{1} \cos 2\alpha \right\}$$

$$a_{3}^{1} = \frac{(100)^{3}}{15} \left\{ (n_{3} - \frac{1}{6} n_{1}^{3} - \frac{1}{2} n_{1} p_{1}^{2}) \sin \alpha + (n_{2} p_{1} + n_{1} p_{2}) \cos \alpha + n_{1}^{3} \cos \alpha^{2} \sin \alpha \right\}$$

$$a_{3}^{2} = \frac{(100)^{3}}{15} \left\{ n_{1} n_{2} \sin 2\alpha + n_{1}^{2} p_{1} \cos 2\alpha \right\}$$

$$a_{3}^{3} = \frac{(100)^{3}}{15} \left\{ \frac{1}{3} n_{1}^{3} \sin 3\alpha \right\}$$

$$d_{3}^{0} = (100)^{3} \left\{ (n_{3} - \frac{1}{2} n_{1} p_{1}^{2}) \cos \alpha - \frac{1}{6} n_{1}^{3} \cos \alpha \sin \alpha^{2} - (n_{2} p_{1} + n_{1} p_{2}) \sin \alpha \right\}$$

$$d_{3}^{1} = (100)^{3} \left\{ -n_{1}^{2} p_{1} \sin \alpha \cos \alpha - n_{1} n_{2} \sin \alpha^{2} \right\}$$

$$d_{3}^{2} = (100)^{3} \left\{ -\frac{1}{4} n_{1}^{3} \cos \alpha \sin \alpha^{2} \right\},$$

welche Werthe in der Tafel XII Aufnahme gefunden haben; der Gebrauch der

letztern ist schon oben (pag. 223) bei der Berechnung der Variatio säcularis auseinandergesetzt worden, weshalb ich in dieser Beziehung auf die dort gemachten Bemerkungen verweise. Zu den Säculargliedern wäre zu bemerken, dass die vollständige Entwicklung derselben mit Hilfe der vorhandenen Präcessionscoëfficienten nicht möglich ist, indem diese eigentlich Glieder vierter Ordnung darstellen; die merklich werdenden Coëfficienten dieser Gattung lassen sich aber ohne Schwierigkeit aus den vorhandenen in 53c) (pag. 222 aufgeführten Zahlen berechnen und haben in der Tafel XII ihre Aufnahme gefunden.

Die von der Eigenbewegung abhängigen Correctionen der dritten Glieder in der Präcession, welche bisher keine Berücksichtigung gefunden haben und in der That in den meisten Fällen kaum merklich hervortreten, finden sich nach den Formeln 53a) und 53b) (pag. 222) nach einigen leichten Transformationen wie folgt:

$$\Delta a_{3} = \frac{(100)^{3}}{15} \left\{ \mu \left[n_{1}^{2} \cos 2 \, a \, \left(\frac{1}{2} + \mathrm{tg} \, \delta^{2} \right) + \left(n_{2} \cos \alpha - n_{1} \, p_{1} \sin \alpha \right) \, \mathrm{tg} \, \delta \right] + \right. \\
\left. + \mu' \left[n_{2} \, \frac{\sin \alpha}{\cos \delta^{2}} + n_{1}^{2} \sin 2 \, \alpha \, \frac{\mathrm{tg} \, \delta}{\cos \delta^{2}} + p_{1} \, n_{1} \, \frac{\cos \alpha}{\cos \delta^{2}} \right] + \right. \\
\left. + \mu \mu' \left[2 \, n_{1} \cos \alpha \, \left(\frac{1}{2} + \mathrm{tg} \, \delta^{2} \right) \right] + \right. \\
\left. + \mu^{2} \left[- n_{1} \sin \alpha \, \mathrm{tg} \, \delta \right] + \right. \\
\left. + \mu'^{2} \left[n_{1} \sin \alpha \, \frac{\mathrm{tg} \, \delta}{\cos \delta^{2}} \right] \right\}$$

$$\Delta \delta_{3} = - \frac{(100)^{3}}{(100)^{3}} \left\{ \mu \left[n_{1} \, p_{1} \cos \alpha + n_{2} \sin \alpha + \frac{1}{2} \, n_{1}^{2} \sin 2 \, \alpha \, \mathrm{tg} \, \delta \right] + \right. \\
\left. + \mu' \left[\frac{1}{2} \, n_{1}^{2} \, \frac{\sin \alpha^{2}}{\cos \delta^{2}} \right] + \mu^{2} \left[\frac{1}{2} \, n_{1} \cos \alpha \right] + \mu \mu' \left[n_{1} \sin \alpha \, \mathrm{tg} \, \delta \right] \right\},$$

oder numerisch, wenn μ in Zeitsekunden, μ' in Bogensekunden angenommen und die Coëfficienten in derselben Weise wie oben (pag. 224) logarithmisch angesetzt werden:

$$\Delta \alpha_{3} = \{ 7.6744 \cos 2\alpha + \frac{1}{6} \cos 3225 \cos \alpha + \frac{1}{8} \cos 356 \sin \alpha \} \operatorname{tg} \delta + \frac{1}{7} \cos 2\alpha \operatorname{tg} \delta^{2} \} \mu \\
+ \{ 5 \sin 464 \frac{\sin \alpha}{\cos \delta^{2}} + \frac{1}{6} \cdot 8595 \frac{\cos \alpha}{\cos \delta^{2}} + \frac{1}{6} \cdot 7994 \sin 2\alpha \frac{\operatorname{tg} \delta}{\cos \delta^{2}} \} \mu' + \\
+ \{ 6 \cdot 6733 \cos \alpha + 6 \cdot 9743 \cos \alpha \operatorname{tg} \delta^{2} \} \mu \mu' + \\
+ \{ 7 \sin 8494 \sin \alpha \operatorname{tg} \delta \} \mu^{2} + \\
+ \{ 5 \cdot 4972 \sin \alpha \frac{\operatorname{tg} \delta}{\cos \delta^{2}} \} \mu'^{2}$$

$$\Delta \delta_{3} = [9 \cos 2\pi \operatorname{tg} \delta^{2}] \mu' + \{ 8 \cos 2\pi \operatorname{tg} \delta^{2} \} \mu' + \{ 7 \cos 2\pi \operatorname{tg} \delta^{2} \} \mu' + \\
+ \{ 7 \cos 2\pi \operatorname{tg} \delta^{2} \} \mu' + \{ 8 \cos 2\pi \operatorname{tg} \delta^{2} \} \mu'^{2} + \{ 7 \cos 2\pi \operatorname{tg} \delta^{2} \} \mu'' + \{ 8 \cos 2\pi \operatorname{tg} \delta^{2} \} \mu'' + \{ 7 \cos 2\pi \operatorname{tg} \delta^{2} \} \mu'' + \{ 8 \cos 2\pi \operatorname{tg} \delta^{2} \} \mu'' + \{ 7 \cos 2\pi \operatorname{tg} \delta^{2} \} \mu'' + \{ 8 \cos 2\pi \operatorname{tg} \delta^{2} \} \mu' + \{ 8 \cos 2\pi \operatorname{tg} \delta^{2} \} \mu'' + \{ 8 \cos 2\pi \operatorname{tg} \delta^{2} \} \mu'' + \{ 8 \cos 2\pi \operatorname{tg} \delta^{2} \} \mu'' + \{ 8 \cos 2\pi \operatorname{tg} \delta^{2} \} \mu'' + \{ 8 \cos 2\pi \operatorname{tg} \delta^{2} \} \mu' + \{ 8 \cos 2\pi \operatorname{tg} \delta^{2} \} \mu' + \{ 8 \cos 2\pi \operatorname{tg} \delta^{2} \} \mu' + \{ 8 \cos 2\pi \operatorname{tg} \delta^{2}$$

Schliesslich wäre noch hervorzuheben, dass man durch eine entsprechende Veränderung der jährlichen Eigenbewegung eines Sternes leicht den Übergang von der im vorliegenden Werke benützten Bessel'schen Präcessionsconstante auf die gegenwärtig ziemlich häufig benützte Struve'sche bewerkstelligen kann. Da nämlich die säcularen Änderungen der Struve'schen Präcessionscoöfficienten auf Massen beruhen, die den Le-Verrier'schen Annahmen, welche den vorstehenden Entwicklungen zu Grunde gelegt wurden, sehr nahe kommen, so sind in der That die

Glieder zweiter und höherer Ordnung als identisch anzusehen; man hat daher nur die ersten Glieder der obigen Werthe von m und n (pag. 203) beziehungsweise um 0"01724 und 0"00489 zu vermehren, um den Übergang auf die Struve'schen Constanten der Hauptsache nach herzustellen. Es ist somit, wenn auf diese Unterschiede nur in den Gliedern erster Ordnung in den Formeln 53a) und 53b) (pag. 222) Rücksicht genommen wird, zu setzen:

$$\mu_B = \mu_S + o^{5}00115 + o^{5}00033 \sin \alpha \, \text{tg} \, \delta \mu'_B = \mu'_S + o''0049 \cos \alpha,$$
 56)

in welchen Formeln μ_S und μ'_S die mit Struve's Werthen erhaltenen Beträge der Eigenbewegungen vorstellen, μ_B und μ'_B dagegen diejenigen sind, welche man bei Benützung der im vorliegenden Werke entwickelten Präcessionscoëfficienten anzuwenden hätte. Man kann auch, ohne der Genauigkeit allzusehr Eintrag zu thun, statt der obigen Werthe setzen:

$$\mu_B = \mu_S + 0^{5}00040 + \frac{1}{41} \frac{\text{jährl. Präcess. in AR.}}{100}$$

$$\mu'_B = \mu'_S + \frac{1}{41} \frac{\text{jährl. Präcess. in Decl.}}{100}.$$

Als Beispiel der Anwendung der vorstehenden Formeln nehme ich den Stern Camelop. 23 Hev. vor, dessen Ort sich auf pag. 72 von Auwers', Fundamental-Catalog für die Zonenbeobachtungen' findet. Man hat danach für das mittlere Äquinoctium 1875 o für diesen Stern anzunehmen:

$$\alpha = 6^h 24^m 51^s 823$$
 $\delta = + 79^o 41' 36'' 52$
 $\mu_s = -0^s 0230$ $\mu'_s = -0'' 658$.

Zunächst soll die angeführte Position für das vernachlässigte, von der Erdbahnexcentricität abhängige Glied (vergl. pag. 115 ff.) corrigirt werden; man findet nach Formel 12a) (pag. 115):

$$(\alpha' - \alpha)_{II} = + o^{s}_{127}$$
 $(\delta' - \delta)_{II} = + o''_{02},$

um welche Beträge die obigen Coordinaten zu vermindern sind, hat also anzunehmen:

$$\alpha = 6^h 24^m 51^s 696 = 96^o 12' 55''44$$

 $\delta = + 79^o 41' 36''50;$

für die Eigenbewegung ist, da Auwers' Catalog sich auf Struve's Präcessionsconstanten gründet, nach 56) (pag. 226) zu verwenden:

$$\mu = -0^{5}0230 + 0^{5}00295 = -0^{5}02005$$

 $\mu' = -0^{6}058 - 0^{6}0005 = -0^{6}0585$

welche Werthe den folgenden Rechnungen zu Grunde zu legen sind. Es soll nun das Glied erster Ordnung nach den Formeln 53a) und 53b) (pag. 222) berechnet werden. Man hat für 1875, nach 53c) (pag. 222) anzunehmen oder erhält, was be-

quemer ist, aus der Tafel XI, welche von zehn zu zehn Jahren für den Zeitraum 1600—2100 die Präcessionscoëfficienten für die zugehörigen Jahre gibt:

$$m_1 = 3^507109$$

 $\log \frac{1}{15} n_1 = 0.126008$
 $\log n_1 = 1.302100$.

Damit stellt sich die Rechnung der Glieder erster Ordnung, wenn man die Präcession in Rectascension im Zeitmasse erhalten will, wie folgt:

$$\sin \alpha \quad 9.997 \quad 440$$
 $\cos \alpha \quad 9_n \circ 3 + 49.1$
 $\cot \delta \quad 0.740 \quad 290$ $n_1 \quad 1.302 \quad 100$
 $\frac{1}{15}n_1 \quad 0.126 \quad 008$ $n_1 \cos \alpha \quad -2^n \quad 1.707$
 $\frac{1}{15}n_1 \cot \delta \sin \alpha \quad + \quad 7^s \quad 306.98$ $\mu' \quad -0^s \quad 65.85$
 $m_1 + \mu \quad + \quad 3^s \quad 505.104$ $D_1 \quad -2^s \quad 82.92$.
 $A_1 \quad + \quad 10^s \quad 35.802$

Die Rechnung der Variatio säcularis, soweit dieselbe von der Eigenbewegung unabhängig ist, ergibt nach der Formel 54a) (pag. 223) mit Benützung der Tafel XII und gehöriger Berücksichtigung der Säcularglieder:

$$a_2^{\circ} = + 0^{\circ}00050 \qquad d_2^{\circ} = -0^{\circ}4442,$$

$$a_2^{\circ} = -0^{\circ}003800 \qquad d_2^{\circ} = \begin{cases} -0^{\circ}19263 \\ +4 \end{cases}$$

$$a_2^{\circ} = \begin{cases} -0^{\circ}0027973 \\ +6 \end{cases}$$

$$\log d_2^{\circ} = 9_n28463 \qquad \log a_2^{\circ} \cdot 7_n44665$$

$$\log tg \delta = 0\cdot 74029 \qquad \log tg \delta^2 = 1\cdot 48058$$

$$\log a_2^{\circ} \cdot 7_n58047$$

$$a_2^{\circ} tg \delta = -0^{\circ}02093$$

$$a_2^{\circ} tg \delta^2 = -0^{\circ}08457 \qquad d_2^{\circ} tg \delta = 1^{\circ}0591$$

$$a_2^{\circ} tg \delta^2 = -0^{\circ}10500 \qquad 200D_2 = 1^{\circ}5033.$$

Die für $^{909}_{15}A_2$ und 200 D_2 gefundenen Werthe stellen also die Variatio säcularis dar, soweit dieselbe von der Eigenbewegung unabhängig ist; der Einfluss der letzteren findet sich aber nach 54d) (pag. 224), wobei die mit τ multiplicirten und von dem Quadrate der Eigenbewegung abhängigen Glieder kaum etwas merkliches ergeben, wie folgt:

Es ist somit die Variatio säcularis mit Rücksicht auf die Eigenbewegung:

in Rectascension =
$$-0^{5}13121$$

in Declination = $-1^{2}4975$.

Für die Berechnung des dritten Gliedes liefert die Tafel XII mit dem Argumente: Rectascension, die Coëfficienten:

sion, the Coefficients:

$$a_3^{\circ} = -o^{\circ}0046 \qquad d_3^{\circ} = +o''023$$

$$a_3^{1} = -o^{\circ}01298 \qquad d_3^{1} = +o''0276$$

$$a_3^{2} = \begin{cases} -o^{\circ}014108 & d_3^{2} = +o''01014. \end{cases}$$

$$a_3^{3} = \begin{cases} -o^{\circ}0039899 & +13 \end{cases}$$

Man hat also nach 55a) (pag. 224):

womit für den gewählten Stern das dritte Glied in Rectascension und Declination, soweit dasselbe von der Eigenbewegung unabhängig ist, ermittelt erscheint. Der Einfluss der Eigenbewegung auf dieses Glied ergibt sich nach 55d) (pag. 225) wie folgt:

Coëfficient von μ	in $\Delta \alpha_3$	Coëfficient von	$\alpha \mu'$ in $\Delta \alpha_3$
2α 192° 26′ t	g δ ² 1·4806	sec δ ² 1·4947	$\mu'_{\rm III}$ — 0.02330
$\cos 2\alpha g_n g 8 g 7 \cos 2\alpha t$	$g \delta^2 I_{n4703}$	$\sin \alpha \sec \delta^2 \cdot 1.4921$	$\mu'_{\rm II}$ —0.00245
$\log \mu_{1.7n}6641 \qquad \log$	$\mu_{\text{III}} 9_{n}4457$	$\log \mu'_1 6_n 6385$	μ'_{1} —0.00043
$\cos \alpha g_{n} \circ 345$	$\mu_{\rm III} = 0.2791$	$\cos \alpha \sec \delta^2 \circ_{n} 5292$	Coëff.v.μ′ —0.02618
sin α 9·9974	$\mu_{\text{II}} = 0.0592$	$\log \mu'_{\text{II}} 7_n 3887$	\log_{10} , 8_{n4} 180
1 tes Glied 5.3570	$\mu_{\rm I} = 0.0046$	sin 2α 9 _n 3330	log <i>u'</i> 9 n 8186

Es ist also:

$$\Delta\delta_3 = +$$
 0"094,

 $\Delta \delta_3^{(4)}$ o"ooo.

und somit das dritte Glied mit Rücksicht auf die Eigenbewegung:

 $\Delta\delta_3^{(3)}$ o"ooo

$$\frac{100^3}{15} A_3 + \Delta \alpha_3 = -1^5 1395$$

$$100^3 D_3 + \Delta \delta_3 = +0''576.$$

Die Zusammenstellung der Resultate ergibt sonach für den Stern Camelop. 23 Hev. für 1875·0:

Mittlerer Ort:
$$\alpha_0 = 6^h 24^m 51^s 696$$
, $\delta_0 = +79^o 41' 36'' 50$

Jährliche Präcession $\begin{cases} +10^s 37807 & -2'' 1707 \\ -0.02005 & -0.6585 \end{cases}$

Variatio säcularis $\begin{cases} -0^s 10500 & -1'' 5033 \\ -0.02621 & +0.0058 \end{cases}$

Drittes Glied $\begin{cases} -1^s 1659 & +0'' 482 \\ +0.0264 & +0.094 \end{cases}$

Der Einfluss der Glieder dritter und höherer Ordnung wird, falls der Sternort dem Pole nicht nahe ist, selbst für recht entfernte Epochen wenig merklich hervortreten und man kann sich in diesem Falle auf die Berücksichtigung der Glieder zweiter Ordnung beschränken, welche, wenn ein genäherter Werth für die Präcession bekannt ist, leicht in einer der Formel 24) (pag. 206) entsprechenden Weise mitgenommen werden können. Man berechnet nämlich mit Hilfe der genähert bekannten Präcession die für die Mitte der Zeit $\frac{1}{4}(t_1+t_0)$ geltenden Coordinaten α_m und δ_m , entnimmt der Tafel XI, welche die Präcessionswerthe innerhalb des Zeitraumes von 1600 — 2100 von 10 zu 10 tropischen Jahren angibt, durch Interpolation die für diese Mittelepoche geltenden Werthe von m_m und n_m , ermittelt mit diesen Werthen die jährliche, durch die Präcession bewirkte Änderung, wobei nur die ersten Glieder in den Ausdrücken 53a) und 53b) (pag. 222), mit denen man eventuell die Werthe der jährlichen Eigenbewegung verbindet, in Betracht kommen und hat somit:

welche Ausdrücke den Betrag der Präcession innerhalb des Zeitraumes $t_1 - t_0$ bis auf Glieder dritter Ordnung exclusive genau geben.

Es sei der für 1875·0 geltende Ort von α Ceti:

$$\alpha_{0} = 2^{h} 55^{m} 44^{s}780$$
 $\delta_{0} = + 3^{o} 35' 52''72$
 $\mu_{m} = -0''070,$

auf das mittlere Äquinoctium 1800 o zu übertragen; genäherte Präcessionswerthe seien: + 3³13 und + 14"4. Es ist daher:

$$\frac{1}{3}(t_1 + t_0) = 1837 \cdot 5 \quad \log(t_1 - t_0) = 1_n 875061$$

$$\alpha_m = 2^h 55^m 44^5 78 - 37 \cdot 5 (3^s 13) = 43^o 26' 51''$$

$$\delta_m = + 3^o 35' 52'' 7 - 37 \cdot 5 (14''3)^*) = + 3^o 26' 56'';$$
Tafel XI: $m_m = 3^s 070384$, $\log n_m = 1 \cdot 302170$, $\log \frac{1}{15}n = 0 \cdot 126079$,
$$(t_1 - t_0) n_m \quad 3_n 177 \ 231 \qquad \Delta \delta_0 \quad -18' \ 11''87 \qquad \log \Delta \alpha_2 \quad 0_n 618 \ 614$$

$$\cos \alpha_0 \quad 9 \cdot 860 \ 939 \quad (t_1 - t_0) \mu'_m \quad + 5'' 25 \qquad \Delta \alpha_2 \quad -4^{3} 155$$

$$\sin \alpha_0 \quad 9 \cdot 837 \ 392 \qquad \Delta \delta \quad -18' \ 6'' 62 \qquad (t_1 - t_0) m_m \quad -3^m 50^s 279$$

$$(t_1 - t_0) \frac{1}{15} n_m \quad 2_n 001 \ 140 \qquad \qquad (t_1 - t_0) \mu_m \quad + 0^s 127$$

$$tg \delta_0 \quad 8 \cdot 780 \ 082 \qquad \Delta \alpha \quad -3^m 54^s 307$$

$$1800 \begin{cases} \alpha = 2^h 51^m 50^s 473 \\ \delta = + 3^o \ 17' \ 46'' 10 \end{cases}$$

Ganz ähnliche Formeln erhält man für die Übertragung der ekliptikalen Polarcoordinaten; beschränkt man sich in den strengen Formeln 39) (pag. 215) auf die Glieder erster Ordnung und berücksichtigt die Glieder zweiter Ordnung wie früher durch den Übergang auf die Mittelepoche, so findet sich leicht:

^{*)} Hierbei ist auf die Eigenbewegung Rücksicht genommen.

zu welchen Formeln eventuell die aus der Eigenbewegung resultirenden Correctionen hinzuzulegen wären; die Grössen l_m , π_m und Π_m werden aus der Tafel XI für die Mittelepoche zu entlehnen sein.

Als Beispiel soll das für die Anwendung der strengen Formeln gebrauchte (pag. 215) gewählt werden. Der grosse Zeitraum und die relativ grosse Breite lassen zwar die Benützung der Näherungsformeln 58) nicht gerathen erscheinen, doch soll durch dieses Beispiel gezeigt werden, welche bedeutende Annäherung die Ausdrücke selbst unter ungünstigen Umständen gestatten.

$$\lambda_{m} = 86^{\circ} 2' 12'' \qquad \beta_{m} = + 66^{\circ} 4' 35'' \qquad \frac{1}{2} (l_{1} + l_{0}) = 1819$$
Tafel XI: $l_{m} = 50'' 22765 \qquad \pi_{m} = 0'' 47970 \qquad \Pi_{m} = 172^{\circ} 43' 13''$

$$\log \pi_{m} \quad 9 \cdot 680 970 \qquad \log \Delta \lambda_{2} \qquad 0_{n}903 457$$

$$(l_{1} - l_{0}) \quad 2_{n}107 210 \qquad \Delta \lambda_{2} \qquad - 8'' 007$$

$$- \sin (\lambda_{m} - \Pi_{m}) \quad 9 \cdot 999 \ 272 \qquad (l_{1} - l_{0}) l_{m} \qquad 1^{\circ} 47' \ 9'' 139$$

$$(l_{1} - l_{0}) \pi_{m} \quad 1_{n}788 \ 180 \qquad \Delta \lambda_{1} \qquad - 1 \quad 47 \quad 17 \cdot 15$$

$$\cos (\lambda_{m} - \Pi_{m}) \quad 8 \cdot 762 \ 300 \qquad \Delta \beta \qquad - 1 \quad 1 \cdot 30.$$

$$tg \beta_{m} \quad 0 \cdot 352 \ 977$$

Diese Resultate sind mit jenen der strengen Formeln völlig identisch.

Von den vorstehend entwickelten Formeln wird man bei Bahnbestimmungen häufig genug Gebrauch machen, besonders, wenn dem Rechner die Aufgabe gestellt wird, die Reduction der bei den Beobachtungen benützten Vergleichsterne selbst auszuführen. Man ist in diesem Falle genöthigt, die Positionen der Sterne den Sternkatalogen zu entlehnen und dieselben von der Epoche des Jahresanfanges, auf welchen der Katalog bezogen ist, auf die des Beobachtungsjahres zu reduciren; hat man mehre derartige Verwandlungen für denselben Katalog und für dasselbe Beobachtungsjahr auszuführen, so wird die wiederholte Benützung der in diesem Falle constanten Werthe:

$$m_m(t_1 - t_0)$$
, $\log(t_1 - t_0) n_m$ und $\log(t_1 - t_0) \frac{1}{15} n_m$,

die Rechnung wesentlich abkürzen.

Die Erfahrung hat gelehrt, dass die Angaben der verschiedenen Kataloge für die Sternorte mit mehr oder minder erheblichen systematischen Fehlern behaftet sind, die im Allgemeinen vor Benützung der Positionen in Rechnung gebracht werden sollten. Doch hat bei der gegenwärtigen Sachlage die strenge Reduction der verschiedenen Kataloge, hauptsächlich in Folge der mangelhaften Kenntnis der Eigenbewegungen, immerhin etwas missliches, so dass genaue Angaben über diese Reductionsgrössen für die älteren Kataloge derzeit nicht gemacht werden können; ich verweise in Bezug auf die eventuell anzubringende Correctionen auf die Arbeiten von Argelander (7ter Band der Bonner Beobachtungen) und Auwers (astr. Nachr. No. 1536 und Fundamental-Katalog für die Zonenbeobachtungen, pag. 7 — 12). Bruhns gibt in No. 2381 der astr. Nachr. eine Zusammenstellung dieser auf der Leipziger Sternwarte benützten Quantitäten.

Würde von den in diesem Lehrbuche entwickelten Aberrationscoëfficienten Gebrauch gemacht, so wäre zu beachten, dass die bisher publicirten Sternkataloge das kleine, aus dem Producte der Aberration in die Erdbahnexcentricität entstehende Glied nicht enthalten; man hätte daher die diesbezüglichen Positionen für dasselbe zu corrigiren, also die Katalogspositionen [vergl. 12a) und 12b) pag. 115] um die Beträge:

zu verbessern, welche Correctionen leicht mit den Reductionen der Kataloge auf ein bestimmtes System vereinigt werden können.

Hat man die Positionen eines Sternes aus mehren Katalogen entlehnt und auf dasselbe mittlere Äquinoctium reducirt, so weichen die so erlangten Positionen häufig weiter von einander ab, als man dies nach der Genauigkeit der Beobachtungen erwarten sollte; zeigen diese Fehler einen der Hauptsache nach mit der Zeit fortschreitenden Gang, so wird die Ursache dieser Abweichungen wohl in einer Eigenbewegung des Sternes zu suchen sein; sollte eine solche schon bei der Reduction berücksichtigt worden sein, so kann man schliessen, dass dieselbe noch einer Verbesserung bedürfe. Wenn man von einer bestimmten Epoche t_0 ausgeht, für welche z. B. für die Rectascension der Werth α_0 angenommen wurde und wenn die Kataloge für die Epochen der Beobachtungen $t_1, t_2, t_3 \cdots$, für die man meist ohne erheblichen Fehler die Hauptepoche des betreffenden Katalogs ansetzen darf*), die auf das gemeinsame Äquinoctium reducirten Rectascensionen beziehungsweise $\alpha_1, \alpha_2, \alpha_3 \cdots$ geben, so kann man Bedingungsgleichungen von der Form:

$$\alpha_1 - \alpha_0 = \Delta \alpha_0 + \left(\frac{d\alpha_0}{dt}\right)(t_1 - t_0)$$

$$\alpha_2 - \alpha_0 = \Delta \alpha_0 + \left(\frac{d\alpha_0}{dt}\right)(t_2 - t_0)$$

aufstellen. Setzt man abkürzend:

$$x = \Delta a_0 \qquad y = \frac{d\alpha_0}{dt}$$

$$(\alpha_1 - \alpha_0) \ V \overline{g_1} = n_1 \qquad V \overline{g_1} = a_1 \qquad (t_1 - t_0) \ V \overline{g_1} = b_1$$

$$(\alpha_2 - \alpha_0) \ V \overline{g_2} = n_2 \qquad V \overline{g_2} = a_2 \qquad (t_2 - t_0) \ V \overline{g_2} = b_2$$

$$\cdots \qquad \cdots \qquad \cdots \qquad \cdots$$

in welchen Gleichungen g_1 g_2 · · · die Gewichte darstellen, die man den Resul-

^{*)} Bei beträchtlicher Eigenbewegung wird man so weit als thunlich die genaue Epoche der Beobachtung zu ermitteln trachten.

taten der verschiedenen Kataloge in einem vorgelegten Falle zu ertheilen Veranlassung hat, so nehmen die obigen Bedingungsgleichungen die Gestalt an:

$$n_1 = a_1 x + b_1 y$$

$$n_2 = a_2 x + b_2 y$$

Der wahrscheinlichste Werth findet sich dann, wenn man, dem zweiten Bande dieses Lehrbuches vorgreifend, die dort bei der Methode der kleinsten Quadrate ausgeführten Entwicklungen benützt:

$$x = \frac{[bb][an] - [ab][bn]}{[aa][bb] - [ab][ab]} \qquad y = \frac{[aa][bn] - [ab][an]}{[aa][bb] - [ab][ab]},$$

wobei abkürzend:

$$[an] = a_1n_1 + a_2n_2 + a_3n_3 + \cdots = g_1(\alpha_1 - \alpha_0) + g_2(\alpha_2 - \alpha_0) + g_3(\alpha_3 - \alpha_0) + \cdots$$

$$[bn] = b_1n_1 + b_2n_2 + b_3n_3 + \cdots = (t_1 - t_0)g_1(\alpha_1 - \alpha_0) + (t_2 - t_0)g_2(\alpha_2 - \alpha_0) + (t_3 - t_0)g_3(\alpha_3 - \alpha_0) + \cdots$$

$$[aa] = a_1a_1 + a_2a_2 + a_3a_3 + \cdots = g_1 + g_2 + g_3 + \cdots$$

$$[ab] = a_1b_1 + a_2b_2 + a_3b_3 + \cdots = (t_1 - t_0)g_1 + (t_2 - t_0)g_2 + (t_3 - t_0)g_3 + \cdots$$

$$[bb] = b_1b_1 + b_2b_2 + b_3b_3 + \cdots = (t_1 - t_0)^2g_1 + (t_2 - t_0)^2g_2 + (t_3 - t_0)^2g_3 + \cdots$$

gesetzt ist. Man kann aber die Rechnung wesentlich vereinfachen, wenn man für t_0 die Zeit nimmt, welche durch:

$$t_0 = \frac{t_1 g_1 + t_2 g_2 + t_3 g_3 + \cdots}{g_1 + g_2 + g_3 + \cdots},$$

bestimmt ist; dann wird, da [ab] in diesem Falle nothwendig der Null gleich ist:

$$x = \Delta \alpha_0 = \frac{(\alpha_1 - \alpha_0) g_1 + (\alpha_2 - \alpha_0) g_2 + (\alpha_3 - \alpha_0) g_3 + \cdots}{g_1 + g_2 + g_3 + \cdots} = \frac{[an]}{[aa]}$$

$$y = \frac{d\alpha_0}{dt} = \frac{[bn]}{[bb]}.$$

Der Werth von t_0 wird im Allgemeinen nicht mit der Epoche des gemeinsamen Äquinoctiums zusammenfallen, mit Hilfe des Werthes von y wird es jedoch nicht schwer sein, die für t_0 geltende Rectascension auf diese Epoche zu übertragen. Ein auf dieselben Principien gegründetes Verfahren wird man zur Bestimmung der Eigenbewegung in Declination anwenden können.

Nachdem in den bisherigen Entwicklungen der Einfluss der Präcession auf die Elemente der Bahnlage und auf die polaren Coordinaten eines Ortes ermittelt worden ist, erscheint es nun wünschenswerth, die Wirkung der Präcession auf die rechtwinkligen Coordinaten und zwar zuerst für die Ekliptik zu bestimmen, weil nach Vollendung dieser Entwicklungen die Resultate in bekannter Weise für den Äquator verwendet werden können.

Multiplicirt man die Gleichungen 31) (pag. 213) beiderseits mit der Grösse e und führt statt der polaren die rechtwinkligen Coordinaten (vergl. pag. 6) ein, so findet sich:

$$x_{1} \cos(\Pi + l) + y_{1} \sin(\Pi + l) = + x_{0} \cos\Pi + y_{0} \sin\Pi$$

$$- x_{1} \sin(\Pi + l) + y_{1} \cos(\Pi + l) = - x_{0} \sin\Pi \cos\pi + y_{0} \cos\Pi \cos\pi + z_{0} \sin\pi$$

$$z_{1} = + x_{0} \sin\Pi \sin\pi - y_{0} \cos\Pi \sin\pi + z_{0} \cos$$

Oppolzer, Bahnbestimmungen. I. 2. Auflage.

aus welchen Gleichungen sofort resultirt:

$$\begin{split} x_1 &= x_0 \left\{ \cos \Pi \cos (\Pi + l) + \sin \Pi \sin (\Pi + l) \cos \pi \right\} + \\ &+ y_0 \left\{ \sin \Pi \cos (\Pi + l) - \cos \Pi \sin (\Pi + l) \cos \pi \right\} - z_0 \sin (\Pi + l) \sin \pi \\ y_1 &= x_0 \left\{ \cos \Pi \sin (\Pi + l) - \sin \Pi \cos (\Pi + l) \cos \pi \right\} + \\ &+ y_0 \left\{ \sin \Pi \sin (\Pi + l) + \cos \Pi \cos (\Pi + l) \cos \pi \right\} + z_0 \cos (\Pi + l) \sin \pi \\ z_1 &= x_0 \sin \Pi \sin \pi - y_0 \cos \Pi \sin \pi + z_0 \cos \pi. \end{split}$$

Statt dieser Gleichungen können die folgenden geschrieben werden:

$$\begin{cases}
 x_{1} = x_{0} + X_{x}x_{0} + Y_{x}y_{0} + Z_{x}z_{0} \\
 y_{1} = y_{0} + X_{y}x_{0} + Y_{y}y_{0} + Z_{y}z_{0} \\
 z_{1} = z_{0} + X_{z}x_{0} + Y_{z}y_{0} + Z_{z}z_{0},
 \end{cases}$$
60)

in welchen offenbar gesetzt worden ist:

$$X_{x} = -2 \left\{ \sin \frac{1}{2} l^{2} + \sin \Pi \sin (\Pi + l) \sin \frac{1}{2} \pi^{2} \right\}$$

$$Y_{x} = -\sin l + 2 \cos \Pi \sin (\Pi + l) \sin \frac{1}{2} \pi^{2}$$

$$Z_{x} = -\sin (\Pi + l) \sin \pi$$

$$X_{y} = +\sin l + 2 \sin \Pi \cos (\Pi + l) \sin \frac{1}{2} \pi^{2}$$

$$Y_{y} = -2 \left\{ \sin \frac{1}{2} l^{2} + \cos \Pi \cos (\Pi + l) \sin \frac{1}{2} \pi^{2} \right\}$$

$$Z_{y} = +\cos (\Pi + l) \sin \pi$$

$$X_{z} = +\sin \Pi \sin \pi$$

$$Y_{z} = -\cos \Pi \sin \pi$$

$$Z_{z} = -2 \sin \frac{1}{2} \pi^{2}.$$
61a)

Nimmt man in diesen Ausdrücken nur die Glieder dritter Ordnung in Bezug auf die Zeit mit und setzt:

$$l = \{\lambda_1 + \lambda_1'(t_0 - 1850) + \lambda_1''(t_0 - 1850)^2\}(t_1 - t_0) + \\ + \{\lambda_2 + \lambda_2'(t_0 - 1850)\}(t_1 - t_0)^2 + \lambda_3(t_1 - t_0)^3$$

$$tg \pi \sin \Pi = \{\sigma_1 + \sigma_1'(t_0 - 1850) + \sigma_1''(t_0 - 1850)^2\}(t_1 - t_0) + \\ + \{\sigma_2 + \sigma_2'(t_0 - 1850)\}(t_1 - t_0)^2 + \sigma_3(t_1 - t_0)^3$$

$$tg \pi \cos \Pi = \{\gamma_1 + \gamma_1'(t_0 - 1850) + \gamma_1''(t_0 - 1850)^2\}(t_1 - t_0) + \\ + \{\gamma_2 + \gamma_2'(t_0 - 1850)\}(t_1 - t_0)^2 + \gamma_3(t_1 - t_0)^3,$$

in welchen Formeln die numerische Bedeutung der Coëfficienten durch Vergleichung mit den entsprechenden Ausdrücken in 15) (pag. 202) ersichtlich ist, so wird innerhalb der gesteckten Genauigkeitsgrenzen:

$$\begin{split} X_x &= - \left\{ \frac{1}{2} \left(\lambda_1^2 + \sigma_1^2 \right) + \left(\lambda_1 \lambda_1' + \sigma_1 \sigma_1' \right) \left(t_0 - 1850 \right) \right\} \left(t_1 - t_0 \right)^2 - \\ &\qquad \qquad - \left\{ \lambda_1 \lambda_2 + \sigma_1 \sigma_2 + \frac{1}{2} \sigma_1 \gamma_1 \lambda_1 \right\} \left(t_1 - t_0 \right)^3 \\ Y_x &= - \left\{ \lambda_1 + \lambda_1' \left(t_0 - 1850 \right) + \lambda_1'' \left(t_0 - 1850 \right)^2 \right\} \left(t_1 - t_0 \right) + \left\{ \left(- \lambda_2 + \frac{1}{2} \sigma_1 \gamma_1 \right) + \right. \\ &\qquad \qquad + \left. \left(- \lambda_2' + \frac{1}{2} \left[\sigma_1 \gamma_1' + \gamma_1 \sigma_1' \right] \right) \left(t_0 - 1850 \right) \right\} \left(t_1 - t_0 \right)^2 + \\ &\qquad \qquad + \left\{ \frac{1}{6} \lambda_1^3 - \lambda_3 + \frac{1}{2} \left[\gamma_1 \sigma_2 + \sigma_1 \gamma_2 + \lambda_1 \gamma_1^2 \right] \right\} \left(t_1 - t_0 \right)^3 \\ Z_x &= - \left\{ \sigma_1 + \sigma_1' \left(t_0 - 1850 \right) + \sigma_1'' \left(t_0 - 1850 \right)^2 \right\} \left(t_1 - t_0 \right) - \left\{ \left(\sigma_2 + \lambda_1 \gamma_1 \right) + \right. \\ &\qquad \qquad + \left. \left(\sigma_2' + \lambda_1 \gamma_1' + \gamma_1 \lambda_1' \right) \left(t_0 - 1850 \right) \right\} \left(t_1 - t_0 \right)^2 + \\ &\qquad \qquad + \left\{ - \sigma_3 - \lambda_1 \gamma_2 - \gamma_1 \lambda_2 + \frac{1}{2} \sigma_1 \left[\lambda_1^2 + \sigma_1^2 + \gamma_1^2 \right] \right\} \left(t_1 - t_0 \right)^3 \end{split}$$

$$X_y = + \{\lambda_1 + \lambda_1' (t_0 - 1850) + \lambda_1'' (t_0 - 1850)^2\} (t_1 - t_0) + \{(\lambda_2 + \frac{1}{2}\sigma_1\gamma_1) + \\ + (\lambda_2' + \frac{1}{2}[\sigma_1\gamma_1' + \gamma_1\sigma_1']) (t_0 - 1850)\} (t_1 - t_0)^2 + \\ + \{-\frac{1}{6}\lambda_1^3 + \lambda_3 + \frac{1}{2}[\gamma_1\sigma_2 + \sigma_1\gamma_2 - \lambda_1\sigma_1^2]\} (t_1 - t_0)^3$$

$$Y_y = - \{\frac{1}{2}(\lambda_1^2 + \gamma_1^2) + (\lambda_1\lambda_1' + \gamma_1\gamma_1') (t_0 - 1850)\} (t_1 - t_0)^2 + \\ + \{-\lambda_1\lambda_2 - \gamma_1\gamma_2 + \frac{1}{2}\sigma_1\gamma_1\lambda_1\} (t_1 - t_0)^3$$

$$Z_y = + \{\gamma_1 + \gamma_1' (t_0 - 1850) + \gamma_1'' (t_0 - 1850)^2\} (t_1 - t_0) + \{(\gamma_2 - \lambda_1\sigma_1) + \\ + (\gamma_2' - \lambda_1\sigma_1' - \sigma_1\lambda_1') (t_0 - 1850)\} (t_1 - t_0)^2 + \\ + \{\gamma_3 - \lambda_1\sigma_2 - \sigma_1\lambda_2 - \frac{1}{2}\gamma_1[\lambda_1^2 + \sigma_1^2 + \gamma_1^2]\} (t_1 - t_0)^3$$

$$X_z = + \{\sigma_1 + \sigma_1' (t_0 - 1850) + \sigma_1'' (t_0 - 1850)^2\} (t_1 - t_0) + \\ + \{\sigma_2 + \sigma_2' (t_0 - 1850)\} (t_1 - t_0)^2 + \\ + \{\sigma_3 - \frac{1}{2}\sigma_1[\sigma_1^2 + \gamma_1^2]\} (t_1 - t_0)^3$$

$$Y_z = - \{\gamma_1 + \gamma_1' (t_0 - 1850) + \gamma_1'' (t_0 - 1850)^2\} (t_1 - t_0) - \\ - \{\gamma_2 + \gamma_2' (t_0 - 1850)\} (t_1 - t_0)^2 + \\ + \{-\gamma_3 + \frac{1}{2}\gamma_1[\sigma_1^2 + \gamma_1^2]\} (t_1 - t_0)^3$$

$$Z_z = - \{\frac{1}{2}(\sigma_1^2 + \gamma_1^2) + (\sigma_1\sigma_1' + \gamma_1\gamma_1') (t_0 - 1850)\} (t_1 - t_0)^2 - \\ - \{\sigma_1\sigma_2 + \gamma_1\gamma_2\} (t_1 - t_0)^3 .$$

Die numerische Substitution in diesen Ausdrücken ergibt, wenn man die Resultate in Einheiten der zehnten Decimale ansetzt, für die Transformation der rechtwinkligen Coordinaten:

$$\begin{array}{l} X_x = \{-296 \cdot 570 - 0 \cdot 002665 \, (t_0 - 1850)\} \, (t_1 - t_0)^2 + \{-0 \cdot 001333\} \, (t_1 - t_0)^3 \\ Y_x = \{-2435445 - 10 \cdot 948 \, (t_0 - 1850) - 0 \cdot 000045 \, (t_0 - 1850)^2\} \, (t_1 - t_0) + \\ + \{-5 \cdot 477 - 0 \cdot 000041 \, (t_0 - 1850)\} \, (t_1 - t_0)^2 + \{+0 \cdot 024066\} \, (t_1 - t_0)^3 \\ Z_x = \{-2832 + 3 \cdot 715 \, (t_0 - 1850) - 0 \cdot 000004 \, (t_0 - 1850)^2\} \, (t_1 - t_0) + \\ + \{+4 \cdot 667 + 0 \cdot 000026 \, (t_0 - 1850)\} \, (t_1 - t_0)^2 + \{+0 \cdot 000041\} \, (t_1 - t_0)^3 \\ X_y = \{+2435445 + 10 \cdot 948 \, (t_0 - 1850) + 0 \cdot 000045 \, (t_0 - 1850)^2\} \, (t_1 - t_0) + \\ + \{+5 \cdot 471 + 0 \cdot 000049 \, (t_0 - 1850)\} \, (t_1 - t_0) + \{-0 \cdot 024062\} \, (t_1 - t_0)^3 \\ Y_y = \{-296 \cdot 596 - 0 \cdot 002667 \, (t_0 - 1850)\} \, (t_1 - t_0)^2 + \{-0 \cdot 001333\} \, (t_1 - t_0)^3 \\ Z_y = \{-23074 - 0 \cdot 139 \, (t_0 - 1850) + 0 \cdot 000298 \, (t_0 - 1850)^2\} \, (t_1 - t_0) + \\ + \{-0 \cdot 414^*) + 0 \cdot 000748 \, (t_0 - 1850)\} \, (t_1 - t_0)^2 + \{+0 \cdot 000477\} \, (t_1 - t_0)^3 \\ X_z = \{+2832 - 3 \cdot 715 \, (t_0 - 1850) + 0 \cdot 00004 \, (t_0 - 1850)^2\} \, (t_1 - t_0) + \\ + \{+0 \cdot 952 + 0 \cdot 000033 \, (t_0 - 1850)\} \, (t_1 - t_0)^2 + \{-0 \cdot 000011\} \, (t_1 - t_0)^3 \\ Y_z = \{+23074 + 0 \cdot 139 \, (t_0 - 1850) - 0 \cdot 000298 \, (t_0 - 1850)^2\} \, (t_1 - t_0) + \\ + \{-0 \cdot 275 + 0 \cdot 000153 \, (t_0 - 1850)\} \, (t_1 - t_0)^2 + \{-0 \cdot 000026\} \, (t_1 - t_0)^3 \\ Z_z = \{-0 \cdot 027 + 0 \cdot 000001 \, (t_0 - 1850)\} \, (t_1 - t_0)^2 + \{-0 \cdot 000000\} \, (t_1 - t_0)^3. \end{array}$$

Um die Formeln für die Transformation der äquatorealen Coordinaten x_0' , y_0' , z_0' , die sich auf den mittleren Äquator zur Zeit t_0 beziehen, in die Äquator-coordinaten x_1' , y_1' , z_1' , für welche als Fundamentalebene der mittlere Äquator zur Zeit t_1 gilt, zu erhalten, braucht man nur in den Ausdrücken 61a) statt:

l zu schreiben: m

$$\vec{n}, , , , \\
\vec{n}, , , P = 90^{\circ} - p.$$

^{*)} Der numerische Werth dieses Coëfficienten ist im 2. Bande (1. Aufl.) pag. 87 unrähbete augegeben; statt — 0.69 sollte mit den dort gebrauchten Präcessionsconstanten -

Man erhält sofort:

$$\begin{aligned} x_{1}' &= x_{0}' + X_{x}' x_{0}' + Y_{x}' y_{0}' + Z_{x}' z_{0}' \\ y_{1}' &= y_{0}' + X_{y}' x_{0}' + Y_{y}' y_{0}' + Z_{y}' z_{0}' \\ z_{1}' &= z_{0}' + X_{z}' x_{0}' + Y_{z}' y_{0}' + Z_{z}' z_{0}', \end{aligned}$$

wobei anzunehmen sein wird:

$$X_{x}' = -2 \left\{ \sin \frac{1}{2} m^{2} + \cos p \cos (m - p) \sin \frac{1}{2} n^{2} \right\}$$

$$Y_{x}' = -\sin m + 2 \sin p \cos (m - p) \sin \frac{1}{2} n^{2}$$

$$Z_{x}' = -\cos (m - p) \sin n$$

$$X_{y}' = +\sin m - 2 \cos p \sin (m - p) \sin \frac{1}{2} n^{2}$$

$$Y_{y}' = -2 \left\{ \sin \frac{1}{2} m^{2} - \sin p \sin (m - p) \sin \frac{1}{2} n^{2} \right\}$$

$$Z_{y}' = -\sin (m - p) \sin n$$

$$X_{z}' = +\cos p \sin n$$

$$Y_{z}' = -\sin p \sin n$$

$$Z_{z}' = -2 \sin \frac{1}{2} n^{2}.$$

Lässt man die Glieder vierter Ordnung weg, so kann auch geschrieben werden:

$$\begin{array}{lll} X_{x}' = -\frac{1}{2}m^2 - \frac{1}{2}n^2 & , & X_{y}' = m - \frac{1}{6}m^3 - \frac{1}{2}(m-p)n^2, & X_{z}' = n - \frac{1}{6}n^3 - \frac{1}{2}np^2 \\ Y_{x}' = -m + \frac{1}{6}m^3 + \frac{1}{2}pn^2 & , & Y_{y}' = -\frac{1}{2}m^2 & , & Y_{z}' = -np \\ Z_{x}' = -n + \frac{1}{6}n^3 + \frac{1}{2}n(m-p)^2, & Z_{y}' = -(m-p)n & , & Z_{z}' = -\frac{1}{2}n^2. \end{array}$$

Setzt man:

$$m = (\mu_1 + \mu_1'\tau + \mu_1''\tau^2) T + (\mu_2 + \mu_2'\tau) T^2 + \mu_3 T^3$$

$$n = (\nu_1 + \nu_1'\tau + \nu_1''\tau^2) T + (\nu_2 + \nu_2'\tau) T^2 + \nu_3 T^3$$

$$p = (\varphi_1 + \varphi_1'\tau) T + \varphi_2 T^2,$$

und beachtet, dass $\varphi_1 = \frac{1}{2}\mu_1$ und $\varphi_1' = \frac{1}{2}\mu_1'$ angenommen werden kann, so ist innerhalb der gesteckten Genauigkeitsgrenzen:

$$\begin{split} X_{x}' &= \{ -\frac{1}{2} (\mu_{1}^{2} + \nu_{1}^{2}) - (\mu_{1}\mu_{1}' + \nu_{1}\nu_{1}') \tau \} T^{2} + \{ -(\mu_{1}\mu_{2} + \nu_{1}\nu_{2}) \} T^{3} \\ Y_{x}' &= \{ -\mu_{1} - \mu_{1}' \tau - \mu_{1}'' \tau^{2} \} T + \{ -\mu_{2} - \mu_{2}' \tau \} T^{2} + \{ -\mu_{3} + \frac{1}{6} \mu_{1}^{3} + \frac{1}{4} \mu_{1}\nu_{1}^{2} \} T^{3} \\ Z_{x}' &= \{ -\nu_{1} - \nu_{1}' \tau - \nu_{1}'' \tau^{2} \} T + \{ -\nu_{2} - \nu_{2}' \tau \} T^{2} + \{ -\nu_{3} + \frac{1}{6} \nu_{1}^{3} + \frac{1}{8} \nu_{1} \mu_{1}^{2} \} T^{3} \\ X_{y}' &= \{ \mu_{1} + \mu_{1}' \tau + \mu_{1}'' \tau^{2} \} T + \{ \mu_{2} + \mu_{2}' \tau \} T^{2} + \{ +\mu_{3} - \frac{1}{6} \mu_{1}^{3} - \frac{1}{4} \mu_{1} \nu_{1}^{2} \} T^{3} \\ Y_{y}' &= \{ -\frac{1}{2} \mu_{1}^{2} - \mu_{1}\mu_{1}' \tau \} T^{2} - \mu_{1}\mu_{2} T^{3} \\ Z_{y}' &= \{ -\frac{1}{2} \mu_{1}\nu_{1} - (\frac{1}{2} \mu_{1}\nu_{1}' + \frac{1}{2} \mu_{1}'\nu_{1}) \tau \} T^{2} + \{ \varphi_{2}\nu_{1} - \mu_{2}\nu_{1} - \frac{1}{2} \mu_{1}\nu_{2} \} T^{3} \\ X_{z}' &= \{ \nu_{1} + \nu_{1}' \tau + \nu_{1}'' \tau^{2} \} T + \{ \nu_{2} + \nu_{2}' \tau \} T^{2} + \{ \nu_{3} - \frac{1}{6} \nu_{1}^{3} - \frac{1}{8} \nu_{1}\mu_{1}^{2} \} T^{3} \\ Y_{z}' &= \{ -\frac{1}{4} \nu_{1}\mu_{1} - (\frac{1}{2} \mu_{1}\nu_{1}' + \frac{1}{2} \mu_{1}'\nu_{1}) \tau \} T^{2} + \{ -\nu_{1}\varphi_{2} - \frac{1}{2} \mu_{1}\nu_{2} \} T^{3} \\ Z_{z}' &= \{ -\frac{1}{4} \nu_{1}^{2} - \nu_{1}\nu_{1}' \tau \} T^{2} - \nu_{1}\nu_{2} T^{3}. \end{split}$$

Die numerische Substitution ergibt, wenn man die Resultate in Einheiten der zehnten Decimale ansetzt, für die in 62) auftretenden Transformations-Coëfficienten:

$$X_{x'} = \{-296.570 - 0.002665 (t_0 - 1850)\} (t_1 - t_0)^2 + \{-0.001333\} (t_1 - t_0)^3$$

$$Y_{x'} = \{-2233018 - 13.765 (t_0 - 1850) - 0.000043 (t_0 - 1850)^2\} (t_1 - t_0) + \{-6.882 - 0.000043 (t_0 - 1850)\} (t_1 - t_0)^2 + \{+0.022060\} (t_1 - t_0)^3$$

$$Z_{x'} = \{-972124 + 4.203 (t_0 - 1850) + 0.000023 (t_0 - 1850)^2\} (t_1 - t_0) + \{+2.101 + 0.000023 (t_0 - 1850)\} (t_1 - t_0)^2 + \{+0.009618\} (t_1 - t_0)^3$$

$$X_{y}' = \{+2233018 + 13.765(t_{0} - 1850) + 0.000043(t_{0} - 1850)^{2}\}(t_{1} - t_{0}) + \\ + \{+6.882 + 0.000043(t_{0} - 1850)\}(t_{1} - t_{0})^{2} + \{-0.022060\}(t_{1} - t_{0})^{3}\}(t_{1} - t_{0})^{2} + \\ -249.319 - 0.003074(t_{0} - 1850)\}(t_{1} - t_{0})^{2} + \{-0.001537\}(t_{1} - t_{0})^{3}\}(t_{1} - t_{0}$$

C. Nutation.

Wie schon oben bemerkt wurde, fasst man die periodischen Änderungen der Fundamentalebene unter dem Namen der Nutation zusammen; da diese durch die Änderungen der Lage des Äquators allein bedingt ist, so werden die Breiten eines Himmelskörpers durch dieselbe nicht verändert. Oben (pag. 183—186) finden sich die vollständigen Ausdrücke für die Nutation in Länge und Schiefe; nimmt man alle jene Glieder mit, deren Coëfficienten in der Länge 0"005, in der Schiefe 0"0025 überschreiten, ferner jene kleineren, die sich mit den vorhandenen Argumenten leicht berechnen lassen, und gruppirt dieselben nach den Argumenten, so wird der Ausdruck für die Nutation, das Jahr 1900 als Ausgangsepoche genommen, sein:

in der Länge:

+ 0"1255 $\sin g'$ - 0"00031 $\left(\frac{t_1-1900}{100}\right) \sin g'$ + 0"0016 $\sin 2g'$ - 0"00001 $\left(\frac{t_1-1900}{100}\right) \sin 2g'$ $+ o''o213 \sin(g' + 2\omega' + 2\Omega) - o''occo5 \left(\frac{t_1 - 19\infty}{100}\right) \sin(g' + 2\omega' + 2\Omega)$ $- 1''2648 \sin(2g' + 2\omega' + 2\Omega) - o''ccoo13 \left(\frac{t_1 - 19\infty}{100}\right) \sin(2g' + 2\omega' + 2\Omega)$ $- o''o494 \sin(3g' + 2\omega' + 2\Omega) + o''ccoo12 \left(\frac{t_1 - 19\infty}{100}\right) \sin(3g' + 2\omega' + 2\Omega)$ $- o''ccoo15 \sin(4g' + 2\omega' + 2\Omega) + o''cccoo1 \left(\frac{t_1 - 19\infty}{100}\right) \sin(4g' + 2\omega' + 2\Omega)$ - 17"2819 sin Ω + 0"0003 cos Ω - 0"01770 $\left(\frac{l_1-1900}{190}\right)$ sin Ω $+ o''_{2095} \sin 2\Omega + o''_{00002} \left(\frac{t_1 - 1900}{100}\right) \sin 2\Omega$ $-0''2044 \sin(2g + 2\omega + 2\Omega)$ } Arg. III $+ o''0678 \sin g + o''0028 \sin 2g + o''0002 \sin 3g$ } Arg. IV - 0"0343 $\sin(2g + 2\omega + \Omega)$ } Arg. V $-0''0262 \sin(3g + 2\omega + 2\Omega)$ } Arg. VI $+ o'' \circ 150 \sin(g - 2g' + 2\omega - 2\omega') + o'' \circ 0001 \sin(2g - 4g' + 4\omega - 4\omega')$ Arg. VII $+ o''_{0125} \sin(2g' + 2\omega' + \Omega)$ } Arg. VIII + o''0115 $\sin (g + 2\omega + 2\Omega)$ } Arg. IX $+ o''oo61 \sin(2g - 2g' + 2\omega - 2\omega')$ Arg. X $+ o'' \cos 8 \sin (g + \Omega)$ } Arg. XI - o"co57 $\sin (-g + \Omega)$ } Arg. XII + 0"0052 $\sin(2\omega + \Omega)$ Arg. XIII

Arg. XIV

 $- o''oo52 \sin(3g - 2g' + 4\omega - 2\omega' + 2\Omega)$

in der Schiefe:

$$\begin{array}{llll} & - \text{o}'' \text{coo} 2 & \cos \left(g' + 2\omega' + 2\Omega\right) + \text{o}'' \text{coo} 3 \left(\frac{t_1 - 1900}{100}\right) \cos \left(g' + 2\omega' + 2\Omega\right) \\ & + \text{o}'' 5488 & \cos \left(2g' + 2\omega' + 2\Omega\right) - \text{o}'' \text{coo} 29 \left(\frac{t_1 - 1900}{100}\right) \cos \left(2g' + 2\omega' + 2\Omega\right) \\ & + \text{o}'' 0215 & \cos \left(3g' + 2\omega' + 2\Omega\right) - \text{o}'' \text{coo} 07 \left(\frac{t_1 - 1900}{100}\right) \cos \left(3g' + 2\omega' + 2\Omega\right) \\ & + \text{o}'' 0007 & \cos \left(4g' + 2\omega' + 2\Omega\right) \\ & + \text{o}'' 0305 & \cos \Omega + \text{o}'' \text{coo} 092 \left(\frac{t_1 - 1900}{100}\right) \cos \Omega \\ & - \text{o}'' 0905 & \cos 2\Omega + \text{o}'' 00005 \left(\frac{t_1 - 1900}{100}\right) \cos 2\Omega \\ & + \text{o}'' 0887 & \cos \left(2g + 2\omega + 2\Omega\right) \\ & + \text{o}'' 0183 & \cos \left(2g + 2\omega + 2\Omega\right) \\ & + \text{o}'' 0114 & \cos \left(3g + 2\omega + 2\Omega\right) \\ & - \text{o}'' 0067 & \cos \left(2g' + 2\omega' + \Omega\right) \\ & - \text{o}'' 0067 & \cos \left(g + 2\omega + 2\Omega\right) \\ & - \text{o}'' 0050 & \cos \left(g + 2\omega + 2\Omega\right) \\ & - \text{o}'' 0031 & \cos \left(g + \Omega\right) \\ & + \text{o}'' 0031 & \cos \left(g + \Omega\right) \\ & + \text{o}'' 0028 & \cos \left(2\omega + \Omega\right) \\ & + \text{o}'' 0023 & \cos \left(3g - 2g' + 4\omega - 2\omega' + 2\Omega\right). \end{array}$$

$$\text{Arg. XII} \\ + \text{o}'' 0023 & \cos \left(3g - 2g' + 4\omega - 2\omega' + 2\Omega\right).$$

$$\text{Arg. XIV}$$

Die Berechnung dieser Ausdrücke von Fall zu Fall würde recht beschwerlich werden, auch wenn man sich, wie dies gewöhnlich geschieht, auf die zu den Argumenten I und II gehörenden Glieder allein beschränken würde; es ist deshalb wünschenswerth, Tafeln zu besitzen, welche in einfacher und zweckmässiger Weise die Ermittlung der Nutationswerthe gestatten; solche sind in diesem Werke aufgenommen. Es soll vorerst auf die Argumente und dann auf die Einrichtung dieser Tafeln eingegangen werden. Nach Hansen's Mondtafeln ist, wenn t_1 in julianischen Jahren angetzt ist und als Ausgangspunkt der Zählung 1800 Jan. 0.0 Greenwicher Zeit gilt:

$$g = 110^{\circ} 19' 33''64 + (13 \times 360^{\circ} + 331158''3715)(t_{1} - 1800) + \\ + 49'' 435 \left(\frac{t_{1} - 1800}{100}\right)^{2} + 0''050073 \left(\frac{t_{1} - 1800}{100}\right)^{3}$$

$$\omega = 192^{\circ} 7' 21''91 + 216115''2207(t_{1} - 1800) - 44''323 \left(\frac{t_{1} - 1800}{100}\right)^{2} - \\ - 0''043759 \left(\frac{t_{1} - 1800}{100}\right)^{3}$$

$$\Omega = 33^{\circ} 16' 31''15 - 69629''3961(t_{1} - 1800) + 8''189 \left(\frac{t_{1} - 1800}{100}\right)^{2} + 0''007159 \left(\frac{t_{1} - 1800}{100}\right)^{3},$$

nach Le-Verrier's Sonnentafeln, denen die Epoche 1850 Jan. 1.0 mittl. Pariser Zeit zu Grunde liegt:

$$g' + \omega' + \Omega = 280^{\circ} 46' 43''51 + 1296027''6784(t_1 - 1850) + 1''1073(\frac{t_1 - 1850}{100})^2$$

$$\omega' + \Omega = 280^{\circ} 21' 21''5 + 61''6995(t_1 - 1850) + 1''823(\frac{t_1 - 1850}{100})^2.$$

Die Le-Verrier'schen Tafeln geben die mittlere Länge und die Länge des Peri-

gäums, vermehrt um den constanten Theil der Aberration, es wird $(g' + \omega' + \Omega)$ und $(\omega' + \Omega)$ demnach um 20"48 zu vermehren sein.

Reducirt man Alles auf die Epoche 1900 Januar 0.0 mittl. Greenwicher Zeit und lässt die Glieder dritter Ordnung fort, so erhält man aus den vorstehenden Zahlen die folgenden Ausdrücke:

$$g = 296^{\circ}7'6''3 + (13 \times 360^{\circ} + 331159''3617)(t_{1} - 1900) + 49''437 \left(\frac{t_{1} - 1900}{100}\right)^{2}$$

$$\omega = 75^{\circ}8'47''9 + 216114''3329(t_{1} - 1900) - 44''324 \left(\frac{t_{1} - 1900}{100}\right)^{2}$$

$$\Omega = 259^{\circ}10'50''4 - 69629''2321(t_{1} - 1900) + 8''189 \left(\frac{t_{1} - 1900}{100}\right)^{2}$$

$$\omega' + \Omega = 281^{\circ}13'7''2 + 61''7177(t_{1} - 1900) + 1''823 \left(\frac{t_{1} - 1900}{100}\right)^{2}$$

$$g' + \omega' + \Omega = 279^{\circ}41'48''8 + (360^{\circ} + 27''6895)(t_{1} - 1900) + 1''1073 \left(\frac{t_{1} - 1900}{100}\right)^{2}.$$

Wie man sieht, ist das Argument $\omega' + \Omega$ (Länge des Sonnenperigäums) verhältnismässig geringen Änderungen mit der Zeit unterworfen, weshalb man, da bei Berechnung der Nutation für sehr ferne Epochen niemals die grösste Schärfe nöthig sein wird:

 $\omega' + \Omega = \pi_0 + \alpha \left(\frac{t_1 - 1900}{100} \right) = 281^{\circ} 13' 7'' 2 + 6171'' 77 \left(\frac{t_1 - 1900}{100} \right),$

setzen und den unter dem Arg. I zusammengefassten Argumenten die Form:

$$g' = (g' + \omega' + \Omega) - \pi_0 - \alpha \left(\frac{t_1 - 1900}{100}\right)$$

$$2g' = 2(g' + \omega' + \Omega) - 2\pi_0 - 2\alpha \quad ,,$$

$$g' + 2\omega' + 2\Omega' = (g' + \omega' + \Omega) + \pi_0 + \alpha \quad ,,$$

$$3g' + 2\omega' + 2\Omega' = 3(g' + \omega' + \Omega) - \pi_0 - \alpha \quad ,,$$

$$4g' + 2\omega' + 2\Omega' = 4(g' + \omega' + \Omega) - 2\pi_0 - 2\alpha \quad ,,$$

ertheilen darf. Hierauf sind die unter dem Sinus- und Cosinus-Zeichen auftretenden mit der Zeit multiplicirten Grössen nach Potenzen derselben zu entwickeln, wobei man sich aber auf die Berücksichtigung der ersten Potenzen beschränken, demnach alle Glieder dieser Gruppe von dem Argumente $(g'+\omega'+\Omega)=I$ abhängig machen kann. Es ist hier Arg. I dieselbe Grösse, welche bei der Aberration (pag. 116) benützt wurde. Man erhält schliesslich für die dem Arg. I angehörenden Nutationsglieder den Ausdruck:

in Länge:

$$+ o'' 1022 \cos I + o'' 0285 \sin I + \{-o'' 00086 \cos I + o'' 00424 \sin I \} \begin{pmatrix} t_1 - 1900 \\ 1000 \end{pmatrix}$$

$$+ o'' 0006 \cos 2I - 1'' 2663 \sin 2I + \{+o'' 00009 \cos 2I - o'' 00008 \sin 2I \} \quad , ,$$

$$- o'' 0485 \cos 3I - o'' 0006 \sin 3I + \{+o'' 00041 \cos 3I - o'' 00143 \sin 3I \} \quad , ,$$

$$- o'' 0006 \cos 4I + o'' 0014 \sin 4I + \{-o'' 00008 \cos 4I - o'' 00004 \sin 4I \} \quad , ,$$

$$in Schiefe:$$

$$- o'' 0018 \cos I - o'' 00090 \sin I + \{-o'' 00026 \cos I + o'' 00008 \sin I \} \begin{pmatrix} t_1 - 1900 \\ 100 \end{pmatrix}$$

$$+ o'' 5488 \cos 2I \quad + \{-o'' 00029 \cos 2I \quad \} \quad , ,$$

$$+ o'' 0042 \cos 3I - o'' 0211 \sin 3I + \{+o'' 00062 \cos 3I + o'' 00020 \sin 3I \} \quad , ,$$

$$- o'' 0006 \cos 4I - o'' 0003 \sin 4I + \{+o'' 00002 \cos 4I - o'' 00004 \sin 4I \} \quad , ,$$

Die hier mitgetheilten zum Argumente I gehörigen Werthe und die oben angeführ-

ten (pag. 237 und 238) von den andern Argumenten abhängigen Ausdrücke sind, in hinreichend engen Intervallen berechnet, in der Tafel X aufgenommen, die Argumente selbst in einem Masse angesetzt, von welchem hundert Einheiten der Peripherie gleich kommen, es können also an dieselben beliebige Vielfache von Hundert additiv oder subtractiv angebracht werden. Zur Bildung der Argumente finden sich die Ausgangswerthe in der angegebenen Einheit für Januar 0.0 mittl. Greenwicher Zeit der gemeinen Jahre, für Januar 1.0 der Schaltjahre in Tafel XA, welche ausserdem die um 10"5 verminderte Schiefe der Ekliptik für dieselben Epochen enthält. Letztere Grösse sowie die Argumente I und II sind vom Jahre 1600 bis 2199 mitgetheilt, die übrigen Argumente aber nur für den Zeitraum 1800 - 1999, da das Bedürfnis nach genauer Ermittlung der Nutation für andere Zeiträume gegenwärtig nicht vorhanden ist. Am Fusse der Tafel XA finden sich auch jene Correctionen der Argumente, die man anzubringen hat, wenn man die Rechnung für andere Hauptmeridiane oder andere Epochen ausführen will; die Art der Anwendung dieser Zusatztafel ist wohl selbstverständlich. Ausserdem habe ich die Änderungen der Argumente für jeden Zehntheil des Tages aufgenommen, um eventuell die Rechnung für eine beliebige Epoche ausführen zu können.

Die Tafel XB gibt jene Correctionen der Schiefe und der Argumente, welche man an die Werthe der Jahrestafel anbringen muss, um die Argumente des angesetzten Tages zu erhalten; dieselbe gilt für oh Greenw. Zeit, die erforderliche Änderung für eine andere Epoche wird, wie schon oben bemerkt, gleich bei der Jahrestafel berücksichtigt. Bei der Addition werden die allenfalls auftretenden Hunderte in den Argumenten fortgelassen, für die Monate Januar und Februar hat man den doppelten Eingang zu beachten, der, je nachdem das Jahr ein gemeines oder ein Schaltjahr ist, entsprechend der Aufschrift gewählt werden muss. Hat man eine ephemeridenartige Rechnung auszuführen, so wird diese wesentlich erleichtert, wenn man die Zahlen der Jahrestafel auf den unteren Rand eines Papieres schreibt und, dasselbe über die entsprechenden Tageszahlen haltend, durch Addition die erforderlichen Argumente für die einzelnen Tage bildet. Zu der Columne ε der Tafel XB ist zu bemerken, dass für die Änderung der mittleren Schiefe o"5 + Änderung der Schiefe gesetzt ist, um stets eine additive Correction zu erhalten.

Mit den erhaltenen Argumenten geht man in die Tafeln X_a bis X_q ein, die übrigens ausser der Nutation in Länge und Schiefe noch andere Grössen enthalten, auf welche weiter unten näher eingegangen werden soll. Die Tafeln X_a bis X_c , die also zu den Argumenten I und II gehören, enthalten in der Regel für jede der zu entlehnenden Grössen zwei Columnen: die erste gibt den für das Jahr 1900 geltenden Werth, die zweite die Änderung dieses letzteren in einem Jahrhundert, gezählt von der Epoche 1900; man hat daher diese Zahlen, wenn mit t_0 die Jahreszahl des vorgelegten Datums bezeichnet wird, mit $t = \left(\frac{t_0 - 1900}{100}\right)$ zu multipliciren und zu dem Werthe aus der ersten Columne zu addiren. Die mit ε und λ überschriebenen Columnen geben die Werthe der Nutation in Schiefe und Länge; den letzteren ist in den Tafeln, die zum Argument I und II gehören, keine Constante zugefügt, weil

es sich empfiehlt, sich bei der Rechnung zunächst auf das Resultat aus diesen beiden Tafeln zu beschränken, welches durch die einfache Verbindung zweier Zahlen erhalten wird, die übrigen, kleinen und meist rasch veränderlichen Glieder wird man gesondert berechnen. Denselben ist, da sie zahlreich sind, stets eine Constante hinzugefügt, so dass das Endresultat einer subtractiven Correction bedarf. einer jeden Tafel ist ausser der darin enthaltenen auf drei Decimalen angegebenen Constante die Summe dieser und der vorhergehenden Constanten angesetzt, welche, wenn man bei dem betreffenden Argumente die Rechnung abschliesst, an das Resultat anzubringen ist. Die mit & überschriebenen, zum Argument I gehörigen Columnen enthalten Constanten, aus dem Grunde, weil gewöhnlich die Kenntnis von ε und nicht von Δε gewünscht wird; für die erste Tafel ist 9"4, für die zweite o"6 hinzugefügt, sodass mit Rücksicht auf die Constante o"5 der Jahrestafel vom Resultate 10"5 in Abzug zu bringen wären, wenn man sich auf die ersten beiden Argumente beschränkt; doch ist diese Correction nicht zu berücksichtigen, da dieselbe bereits in der Jahrestafel in Rechnung gebracht ist, so dass durch die Addition der diesbezüglichen Zahlen die wahre Schiefe der Ekliptik, soweit sie vom Argument I und II abhängt, erhalten wird. Die übrigen Argumente enthalten keine mit ε überschriebenen Columnen, wohl aber solche mit der Aufschrift B, welch' letzteres mit — $\Delta \varepsilon$ identisch ist; man wird deshalb die kleinen Glieder in $\Delta \varepsilon$ erhalten, wenn man den Werth für B von der Constante abzieht. Es müsste als erwünscht bezeichnet werden, wenn die astronomischen Ephemeriden ausser den durch die Argumente I und II erhältlichen Werthen der wahren Schiefe und Nutation in Länge, welche von 10 zu 10 Tagen mitgetheilt werden, auch von Tag zu Tag die Summe der übrigen Glieder anführen würden. Um die ersteren Zahlen zu erhalten, bedarf man zur Bildung der Argumente der Tafeln XA und XB, zur Ermittlung der wahren Schiefe und der Nutation mit Hilfe dieser Argumente nur der Tafeln Xa und Xb. Die Tafel Xa enthält aber auch andere zur Herstellung der Ephemeriden nöthige Grössen, welche ebenfalls mit dem Argumente I derselben entlehnt werden können. Die mit "Präcession" überschriebene Columne gibt die seit dem tropischen Jahresanfange stattfindende allgemeine Präcession; dieselbe findet sich leicht durch den Ausdruck : $l\tau'$,

in welchem l die allgemeine Präcession bezeichnet und t' bestimmt ist durch:

$$\tau' = \frac{I - 77 \cdot 779358}{100}.$$

Der numerische Coëfficient im Zähler erklärt sich aus der Definition des tropischen Jahresanfanges (pag. 198) und aus dem Umstande, dass das Argument I den constanten Theil der Aberration nicht enthält. Die Präcessions-Columne, sowie die folgenden enthalten stets zwei Subcolumnen, deren erste den für 1900 geltenden Hauptwerth, deren zweite die Säcularänderungen in Einheiten der letzten Decimale gibt; die Zahlen der zweiten Columne sind also, wenn t_0 die Jahreszahl des vorgelegten Datums ist, mit:

egten Datums ist, init: $t = \frac{t_0 - 1900}{100},$

zu multipliciren.

Für jedes der Argumente zwischen 77·4 und 78·1 finden sich in der mit "Präcession" überschriebenen Columne zwei Werthe, deren erster für das Ende. deren zweiter für den Anfang des Jahres gilt.

Die mit "Aberration" überschriebene Columne der Tafel Xa ist bereits oben (pag. 240) erläutert worden, sie gibt die Sonnenaberration an; die nächste Columne enthält die Sonnenparallaxe, berechnet mit dem Newcomb'schen Werthe 8″848, nach der Formel:

$$\pi = 8''8480 + o''o288 \cos I + o''o044 t \cos I$$

$$- o''1454 \sin I + o''o009 t \sin I$$

$$- o''o023 \cos 2I + o''o001 t \cos 2I$$

$$- o''o010 \sin 2I - o''0001 t \sin 2I.$$

Die erste der beiden für die Parallaxe bestimmten Columnen gibt den Hauptwerth, die Zahlen der zweiten sind in Einheiten der letzten Decimale angesetzt und wieder mit: $t = \frac{t_0 - 1900}{100},$

zu multipliciren. Der mitgetheilte Ausdruck für π findet sich leicht aus der Relation:

$$\pi = \frac{\pi_0}{R}$$
,

in welcher π_0 die mittlere Sonnenparallaxe und R die Entfernung der Erde von der Sonne vorstellt. R findet sich aber (vergl. 21) pag. 48, und 30) pag. 57):

$$\frac{p}{R} = 1 + e \cos v = 1 + e \frac{\cos E - e}{1 - e \cos E}$$

Entwickelt man diesen Ausdruck nach Vielfachen der mittleren Anomalie und geht bis zu den zweiten Potenzen von e vor, so erhält man:

'da aber:

$$\frac{1}{R} = 1 + e \cos M + e^2 \cos 2 M;$$

$$M = I - \pi'.$$

ist, so ergibt sich mit Rücksicht auf die früher (pag. 114, 115) angeführten numerischen Werthe von e und π' leicht die oben angesetzte Formel für π .

Die mit »Reduction in Breite« überschriebene Columne gibt jene Beträge, welche man an die auf das mittlere Äquinoctium bezogene Sonnenbreite additiv anzubringen hat, um die wahre oder scheinbare Sonnenbreite zu erhalten. Die Tafel ist berechnet nach:

$$Red. = \frac{I - 77 \cdot 77936}{100} \begin{cases} +0\%0076 & -0\%0001 t \\ +0\%4759 \sin I & +0\%002 t \sin I \\ +0\%5546 \cos I & -0\%0076 t \cos I \\ +0\%0007 \sin 2I & +0\%0002 t \sin 2I \\ +0\%0080 \cos 2I & -0\%001 t \cos 2I \\ -0\%0001 \cos 3I, \end{cases}$$

welcher Ausdruck aus der zweiten Formel in 58) (pag. 230) resultirt, wenn man λ_m durch \odot ersetzt und für sin \odot und cos \odot die bei der Aberration (pag. 118) ent-

wickelten Ausdrücke einführt, während für π und Π die entsprechenden Präcessionsausdrücke zu substituiren sind. Die bei den Argumentwerthen 77.4 - 78.1 auftretenden Doppelwerthe sind wieder so zu verstehen, dass die ober der Zeile stehenden Zahlen für das Ende des Jahres, die unter derselben für den Jahresanfang gelten.

Als Beispiel zur Erläuterung des Gebrauches der besprochenen Tafeln soll die Rechnung einer Ephemeride für den Anfang des Jahres 1883 und zwar von zehn zu zehn Tagen für o^h Berliner Zeit ausgeführt werden, wobei die kleinen Glieder in der Nutation zunächst keine Berücksichtigung finden sollen. Man hat vorerst für den Jahresanfang 1883 mit Rücksicht auf die Fusstafeln in X_A die Argumente I und II: I_a = 77·716, II_a = 63·327; t ist — 0·17 und (ε — 10"5) = 23° 27′ 5"624. In der Tafel X_B hat man bei den ersten beiden Monaten als Eingang die erste mit g. J. überschriebene Columne zu wählen, da das Jahr 1883 ein gemeines ist; in jenen Columnen der Tafel X_A, welche Doppelwerthe enthalten, sind, da in dem vorgelegten Beispiele der Jahresanfang in Betracht kommt, die unteren Zahlen zu nehmen. Die Rechnung stellt sich wie folgt:

1883	Jan o.o	Jan 100	Jan 20.0	Jan 30-0	Feb 9.0
Taf. XA u. XB Arg I	77·716 63·327	80·454 63·180	83·192 63·033	85·930 62·886	88·668 62·739
Taf. XB Δε ₀ ,, Xa ε ₁ Arg I ,, Xb ε ₁₁ ,, II	0″500 0·070 3·226	0"487 0·168 3·161	0"474 0·320 3·097	0″461 0·505 3·034	0"448 0·701 2·971
$\epsilon = 23^{\circ} 27' - \frac{1}{27}$,, Xa λ , Arg I	+ 0"428	+ 0"847	9·515 + 1″161	9·624 + 1″333	9·744 + 1″346
,, X _b λ, ,, II	+ 13.044	+ 12.937	+ 12.829	+ 12.719	+ 12.609
λ =	+ 13.472	+ 13.784	+ 13:990	+ 14.052	+ 13.955
Taf. Xa Präcession Aberration Parallaxe Reduct. der	•	+ 1"344 20·820 8·997	+ 2"720 20·804 8·991	+ 4"095 20·780 8·980	+ 5"471 20·746 8·965
Breite	0.000	- 0.012	- 0.021	— 0·027	— 0·028

Die kleinen Glieder, welche meist von sehr rascher Periode sind, müssen von Tag zu Tag berechnet werden. Um den Gang dieser Rechnung ersichtlich zu machen, sollen zu dem vorstehenden Beispiele $d\lambda'$ und $-d\epsilon=B'$ mit Hilfe der Tafeln Xobis X_4 ermittelt und gleichzeitig soll, um nicht nochmals auf die Tafeln zurückgreifen zu müssen, die später zu erläuternde Grösse A' bestimmt werden. Die zu entwerfende Ephemeride hat für 12 Uhr Berliner Zeit zu gelten. Man erhält aus den Tafeln X_A und X_B mit Benützung der Fusstafel für die Argumente III bis XIV folgende Werthe für 1883 Januar 0.5:

XIII XIV Ш VII VIII IX \mathbf{x} XIXII 50-5 39-1 52-9 93 38 92 52 47 14 13 99,

welche, auf den untern Rand eines Zettels geschrieben und über die entsprechenden Zahlen in Tafel Xs gehalten, sofort durch Addition die weiteren Argumente geben. Die Rechnung stellt sich wie folgt:

+ 0"058	- 0 00477	-0"164		+0"032	-0.00398	- o"197		+0"002	0.00388	-0"191		ऋं ७०	
	=		1 22	+		1	41	ı,	0	0	30	AIX	υ X _Q
	17	9	900 000	_	17	9	(A)	(bull	17	9	0B P3	XIII	i X
0	15	7	95	0	11	6	96	0	10	U ₁	ы	IIX	×
μ	22	11	<u>بن</u> 22	ţo.	23	=======================================	# 60	شيا	24	11	25	IX	×
D		0	90	0	0	0	74	٥	1		67		: X
Led	1	н	70	443	نيا	-	67	Į-i	6	ų,	63	X	: M
13	1.7	9	95	E.	93	30	94	13	16	00	94	VIII	: ××
0	60	30	#	0	57	29	H 00	0	55	25	12	VII	×
_	200	14	7-6	0	63	ly ly	96-7	4	93	46	85-7		, X
17	136	500	75 8	26	130	65	68.4	32	111	95	1.19	٧	ı Xg
0	91	90	68-6	0	Car In	16	0.59	٥	υ, 	16	61.4	IV	: ,×
0"166	0.00153	0"074	39.0	0"133	24000.0	0"018	31.7	0"094	0.00007	0"000	24.4	III	Tafel X,
, pá	4	2	Arg	Bi	A	22	Arg	Bi	A	3-2	Arg		
	Januar 5.5	Jan			S.t Januar	Jai			Januar 3-5	Jan			
-0"027	-0.00363	-0"181		-0"053	0 00258	-0"130		— a″o66	-0.00115	- 0,060		117	
0"123	B 00437	0"210		0"09"	215000	0"270		0"084	0.00685	0"340		Ç0	
Į.ú	O	0	10	0	+-	ы	9	٥	11	5	99	AIX	: X _q
_	17	9	دب 90	1	17	9	00 00	1	17	9	<u>ы</u> 20	IIIX	, X
0	7	+	φ	0	-5	(ra)	9	1	د ب	_	<u></u>	XI	1 24
4	Day Spal	11	12	+	2 2	=	18	L/s	21	10	14	XI	×
0	+-	и	61	0	9	٠,	4	D	+1	7	47	\$4	×××
_	11	urq.	59	Q	15	7	56	0	20	10	52	X	N
13	1.4	7	93	13	11	7	93	13	13	6	92	VIII	
D	÷	21	6	٥	2.60	41	99	Q	17	φ	93	Y.	ĭ
	toi	× ×	74.00	19	92	46	63.0	ri Lij	62	31	52-9	ĭ	: X
36	200	43	\$3·8	36	53	27	46.4	Lead (b)	25	12	39-1	٧	×
0	76	39	G 1 - 60	0	103	52	54.1	0	131	66	5 - co 5		: ×
0"055	40-00356	0"025	17-0	0"024	o osigo	0"087	9-7	0"009	0.00351	0"174	1 4.4	III	Tafel X,
Ħ	H.	22	Alig	8'	1 14	2.	Arg	B,	A'	7,5	Arg		
	5-r Jenust	181			Januar 1.5	187			Januar o-5	Jan			

 λ' und -B' sind demnach die an die früher erhaltenen Werthe der Nutation in Länge und Schiefe anzubringenden Correctionen, wenn auf die kleinen Störungsglieder Rücksicht genommen werden soll. Es müsste als erwünscht bezeichnet werden, wenn das Berliner Jahrbuch statt der nunmehr überflüssigen Columne C bei den Constanten für die mittleren Tage auch die Grössen A', B' und λ' ansetzen würde, da hierdurch die strenge Reduction auf den scheinbaren Ort, worüber weiter unten das Nöthige beigebracht wird, wesentlich erleichtert werden würde.

Will man den Einfluss der Nutation auf die Rectascension und Declination bestimmen und begnügt man sich hierbei mit den Gliedern erster Ordnung, so hat man zunächst:

$$d\alpha = \left(\frac{d\alpha}{d\lambda}\right) d\lambda + \left(\frac{d\alpha}{ds}\right) d\varepsilon$$

$$d\delta = \left(\frac{d\delta}{d\lambda}\right) d\lambda + \left(\frac{d\delta}{ds}\right) d\varepsilon,$$
1)

in welchen Ausdrücken $d\lambda$ und $d\varepsilon$ beziehungsweise die Nutation in Länge und Schiefe darstellen. Da $d\lambda$ und $d\varepsilon$ stets sehr kleine Bogen sind, so wird man mit der Berücksichtigung der Glieder erster Ordnung ausreichen; allerdings erscheint in den gewöhnlich gebrauchten Formeln für die Reduction der polnahen Sterne die Mitnahme der Glieder zweiter und höherer Ordnung nöthig, doch wird weiter unten ein Verfahren angegeben, welches in bequemer Weise die Berücksichtigung dieser Glieder gestattet.

Um die Werthe der in 1) auftretenden Differentialquotienten zu erhalten, differentiire man die Gleichungen 8a) (pag. 12), wobei aber $d\beta = 0$ gesetzt werden muss, da die Nutation die Breiten nicht ändert; man erhält:

```
\cos \delta \sin \alpha \, d\alpha + \cos \alpha \sin \delta \, d\delta = \cos \beta \sin \lambda \, d\lambda
\cos \delta \cos \alpha \, d\alpha - \sin \alpha \sin \delta \, d\delta = \cos \beta \cos \lambda \cos \varepsilon \, d\lambda - (\cos \beta \sin \lambda \sin \varepsilon + \sin \beta \cos \varepsilon) \, d\varepsilon
\cos \delta \, d\delta = \cos \beta \cos \lambda \sin \varepsilon \, d\lambda + (\cos \beta \sin \lambda \cos \varepsilon - \sin \beta \sin \varepsilon) \, d\varepsilon,
```

woraus sich mit Rücksicht auf die Relationen 8b) (pag. 13):

$$\cos \delta \sin \alpha \, d\alpha + \cos \alpha \sin \delta \, d\delta = (\cos \delta \sin \alpha \cos \varepsilon + \sin \delta \sin \varepsilon) \, d\lambda$$

$$\cos \delta \cos \alpha \, d\alpha - \sin \alpha \sin \delta \, d\delta = \cos \delta \cos \alpha \cos \varepsilon \, d\lambda - \sin \delta \, d\varepsilon$$

$$d\delta = \cos \alpha \sin \varepsilon \, d\lambda + \sin \alpha \, d\varepsilon,$$

ergibt; danach wird:

$$\frac{d\alpha}{d\lambda} = \cos \varepsilon + \sin \varepsilon \sin \alpha \operatorname{tg} \delta \qquad \qquad \frac{d\delta}{d\lambda} = \cos \alpha \sin \varepsilon \\ \frac{d\alpha}{d\varepsilon} = -\cos \alpha \operatorname{tg} \delta \qquad \qquad \frac{d\delta}{d\varepsilon} = \sin \alpha.$$
 2)

Substituirt man diese Ausdrücke in 1), so erhalten diese Gleichungen die Gestalt:

$$d\alpha = \cos \varepsilon \, d\lambda + (\sin \varepsilon \sin \alpha \, d\lambda - \cos \alpha \, d\varepsilon) \operatorname{tg} \delta d\delta = \sin \varepsilon \cos \alpha \, d\lambda + \sin \alpha \, d\varepsilon,$$
3)

in welcher sie noch weiterer Transformationen fähig wären: auf diese soll jedoch hier nicht eingegangen werden, da die im nächsten Abschnitte zur Entwicklung gelangenden Methoden Hilfsmittel aufweisen werden, um die Änderungen der äquatorealen Polarcoordinaten durch die Nutation und Präcession vereinigt in Rechnung zu ziehen.

D. Reduction der Coordinaten auf verschiedene Äquinoctien.

Die Beobachtung gibt im Allgemeinen den scheinbaren Ort eines Gestirnes; sind mehre Beobachtungen mit einander zu einer Bahnbestimmung zu verbinden, so wird man, um nur ein bestimmtes festes Coordinatensystem in Betracht ziehen zu müssen, alle Beobachtungen auf eine bestimmte Fundamentalebene (Äquinoctium) reduciren. Es stellt sich daher die Aufgabe, die in den vorausgehenden Kapiteln (Aberration, Präcession und Nutation) auseinander gesetzten Vorschriften zu diesem Zwecke zu verwerthen und die Hilfsmittel anzugeben, welche die astronomischen Ephemeriden oder die dem vorliegenden Werke angeschlossenen Tafeln zur Erleichterung dieser Operationen gewähren. Hierbei wird es empfehlenswerth sein, die Vorschriften zu scheiden, je nachdem man die Ekliptik oder den Äquator als Fundamentalebene wählt.

a) Ekliptik.

Die Beobachtungen sind meist auf den scheinbaren Äquator bezogen: man wird deshalb vorerst mit der scheinbaren Schiefe der Ekliptik ε, welche, weil die Aberration keinen Einfluss auf die Schiefe nimmt, mit der wahren Ekliptik identisch ist, die scheinbare Rectascension und Declination mit Hilfe der Formeln 11) (pag. 14) in scheinbare Länge und Breite umsetzen. Die scheinbare Schiefe der Ekliptik findet sich von zehn zu zehn Tagen in den astronomischen Jahrbüchern neben der Nutation in Länge N angeführt, enthält aber daselbst nicht die kleinen, meist rasch veränderlichen Glieder; diese könnte man sich mit Hilfe der Tafeln X leicht verschaffen, doch wird es in der Regel besser sein, auf dieselben keine Rücksicht zu nehmen, weil die den Beobachtungen zu Grunde liegenden Vergleichsternpositionen gewöhnlich ohne Berücksichtigung dieser kleinen Glieder auf das scheinbare Äquinoctium reducirt sind.

Die scheinbare Länge und Breite sind hierauf mittelst der Formeln 20) (pag. 120) vom Einflusse der Fixstern-Aberration zu befreien, wobei man sich zu erinnern haben wird, dass die zweiten Glieder in diesen Formeln den gewöhnlich vernachlässigten Einfluss des Productes der Aberration in die Erdbahnexcentricität darstellen. Da die Aberrationsformeln die Reduction vom wahren Äquinoctium auf das scheinbare angeben, so müssen die aus denselben resultirenden Correctionen mit umgekehrten Zeichen an die beobachteten Coordinaten angebracht werden. Nach Berücksichtigung dieser Correctionen für Aberration erscheint die Beobachtung auf das wahre Äquinoctium des zugehörigen Datums reducirt; wäre die Beobachtung aber nach dem auf pag. 120 angegebenen Verfahren für Planeten- und Fixsternaberration durch Verminderung der Beobachtungszeit um die Aberrationszeit corrigirt, so verfällt natürlich die eben angeführte Correction. Vermindert man

die Länge um den Betrag der Nutation, während die Breite, weil die Nutation dieselbe nicht beeinflust, unverändert belassen wird, so wird hierdurch die Beobachtung auf das mittlere Äquinoctium des zugehörigen Datums reducirt. Nimmt man nun ein bestimmtes mittleres Äquinoctium an, welches zur Zeit T_0 gehört (für T_0 wird sich meist der tropische Jahresanfang empfehlen) und auf welches alle Beobachtungen reducirt werden sollen, ist ferner T_B die Beobachtungszeit und denkt man sich das Zeitintervall ($T_B - T_0$) in mittleren Sonnentagen ausgedrückt, so wird dieses Intervall zunächst in Theile des tropischen Jahres umzusetzen sein; man hat hierfür mit genügender Genauigkeit:

$$\tau'=\frac{T_B-T_o}{365\cdot 2422}.$$

Wählt man für T_o den tropischen Jahresanfang (vergl. pag. 198), so wird man τ' einfacher aus den Tafeln X ermitteln; man bildet nämlich zu dem Beobachtungsdatum in bekannter Weise (vergl. pag. 240) das Argument I und erhält aus der mit τ' überschriebenen Columne der Tafel Xc sofort den zugehörigen Werth von $\tau' = t_1 - t_0$; mit dessen Hilfe gewinnt man nach der Formel 58) (pag. 230) den Betrag der Präcession in der Zeit τ' , welcher von dem erhaltenen Werthe in Abzug zu bringen ist, um zur Reduction auf das gewählte mittlere Äquinoctium zur Zeit T_0 zu gelangen.

Vereinigt man die drei genannten Correctionen für Aberration, Nutation und Präcession, bezeichnet mit λ_0 und β_0 die auf das mittlere Äquinoctium bezogene Länge und Breite und drückt $T_B - T_0$ in mittleren Sonnentagen aus, so hat man:

$$\tau' = \frac{T_B - T_o}{365 \cdot 2422}$$

$$\lambda_o = \lambda + \{20''481 \cos(\phi - \lambda) + o''343 \cos(\pi' - \lambda)\} \sec\beta - N - -\tau' [l + \pi \tan\beta \cos(\lambda - H)]$$

$$\beta_o = \beta + \{20''481 \sin(\phi - \lambda) + o''343 \sin(\pi' - \lambda)\} \sin\beta + \tau' \pi \sin(\lambda - H)\}$$

$$\pi' = 280^o 21' 21'' + 61''70 (t_o - 1850)$$

$$H = 173^o 0' 12'' + 32''87 (t_o - 1850)$$

$$l = 50''23465 + 0''00022581 (t_o - 1850)$$

$$\pi = 0''47950 - 0''00000650 (t_o - 1850),$$

wobei t_0 die Jahreszahl des Beobachtungsdatums vorstellt und die in eckigen Klammern stehenden, beziehungsweise mit sec β und sin β multiplicirten Aberrationsglieder fortzulassen sind, falls die Fixstern- und Planeten-Aberration durch Correction der Beobachtungszeit Berücksichtigung gefunden hat.

b) Äquator.

Für den Äquator werden die Reductionsformeln wesentlich zusammengesetzter, doch wird die Benützung der von Bessel eingeführten Hilfsgrössen, welche in den astronomischen Ephemeriden angeführt werden oder mit Hilfe der Tafeln X des vorliegenden Werkes berechnet werden können, die Rechnung sehr bequem ge-

stalten. Die Gleichungen für die Berechnung der Präcession haben die Form (vergl. 57) pag. 230): $d\alpha_1 = \tau' (m + n \operatorname{tg} \delta \sin a)$ $d\delta_1 = \tau' n \cos \alpha.$

diejenigen für die Nutation (vergl. 3) pag. 245):

$$d\alpha_2 = \cos \varepsilon \, d\lambda + (\sin \varepsilon \sin \alpha \, d\lambda - \cos \alpha \, d\varepsilon) \operatorname{tg} \delta$$

$$d\delta_2 = \sin \varepsilon \cos \alpha \, d\lambda + \sin \alpha \, d\varepsilon.$$

Vereinigt man die beiden hier gegebenen Correctionen, so findet sich:

$$d\alpha_1 + d\alpha_2 = (\tau' m + \cos \varepsilon d\lambda) + (\tau' n + \sin \varepsilon d\lambda) \sin \alpha \operatorname{tg} \delta - d\varepsilon \cos \alpha \operatorname{tg} \delta d\delta_1 + d\delta_2 = (\tau' n + \sin \varepsilon d\lambda) \cos \alpha + d\varepsilon \sin \alpha,$$

und setzt man abkürzend:

$$\begin{cases}
f = \tau' m + \cos \varepsilon d\lambda \\
g \cos G = \tau' n + \sin \varepsilon d\lambda \\
g \sin G = -d\varepsilon,
\end{cases}$$

so wird, wenn τ' die seit dem tropischen Jahresanfange verflossene Zeit in Einheiten des tropischen Jahres bezeichnet und mit diesen Formeln die Correctionen für Aberration (vergl. 14) pag. 116) und eventuell für Eigenbewegung (vergl. pag. 230) vereinigt werden, die Reduction der äquatorealen polaren Coordinaten vom mittleren Äquinoctium des tropischen Jahresanfangs auf den scheinbaren Ort in den folgenden Ausdrücken enthalten sein:

Red.
$$\alpha = f + g\sin(G + \alpha) \operatorname{tg} \delta + h\sin(H + \alpha) \sec \delta + \mu r'$$

Red. $\delta = g\cos(G + \alpha) + h\cos(H + \alpha) \sin \delta + i\cos \delta + \mu' r'$.

Die astronomischen Ephemeriden bieten mit der nothwendigen Ausführlichkeit die für die Rechnung dieser Formeln nöthigen Hilfsgrössen f, g, G, h, H und i, welche aber auch leicht mit Hilfe der Tafeln X berechnet werden können; von der Ermittlung der letzten drei Hilfsgrössen, welche die Correction für Aberration ergeben, ist oben (pag. 116) ein ausführliches Beispiel gegeben worden und daher nur zu beachten, dass diese den Ephemeriden entlehnten Grössen bis jetzt das kleine, von der Erdbahnexcentricität abhängige Glied nicht enthalten. Für die in 3) aufgeführten Hilfsgrössen ergeben sich aber leicht die nöthigen Werthe, wenn man in dieselben für $d\lambda$ und $d\varepsilon$ die bei der Nutation (pag. 245), für m, n und ε die früher bei der Präcession (pag. 202, 203) aufgestellten Ausdrücke substituirt; die mit τ' multiplicirten Glieder können mit dem vom Argumente I abhängigen Ausdrucke leicht vereinigt werden. Die in dem vorliegenden Werke aufgenommene Tafel aber gibt für die Bestimmung der drei Hilfsgrössen f, $g\cos G$ und $g\sin G$ nur jene Glieder, die von dem Argumente I und II abhängig sind, indem die übrigen kleinen und meist mit rasch veränderlichen Argumenten verbundenen Glieder, die bisher vernachlässigt worden sind, in besonderer Weise berechnet werden sollen, worüber weiter unten das Nöthige beigebracht werden wird.

Es sollen nun mit Hilfe der Tafeln X die genannten Hilfsgrössen für jene Daten berechnet werden, welche oben (pag. 120) zur Ermittlung der Aberrations-coëfficienten und der Grössen λ' , A' und B' (pag. 244) gedient haben. Über die Bildung der Argumente verweise ich auf pag. 243. Man findet mit Berücksichtigung der Säcularglieder und des Umstandes, dass die Ephemeride für den Jahresanfang gilt, also eventuell die unteren Zeilen der Tafel Xc zu benützen sind, die folgenden Zahlen:

Tafel IA	$I_a =$	= 77.853	IIa =	63.319	t = -	0.17
mittl. Berl. Zeit Tafel XB Arg I	Jan 0.5	Jan 1.5	Jan 2·5	Jan 3.5	Jan 4·5	Jan 5.5
,, ,, II	63.319	63-304	63.290	63.275	63.260	63.245
Tafel Xc 7'	+ 0.0007	+ 0.0035	+ 0.0062	+ 0.0089	+ 0.0117	+ 0.0144
,, $(g\sin G)$ I	+ 0"526	+ 0"519	+ 0"511	+ 0"503	+ 0"493	+ 0.483
,, Xd (g sin G) 11	+ 6.177	+ 6.184	+ 6.190	+ 6.197	+ 6.204	+ 6.210
Tafel $X_c(g\cos G)$ 1	+ 0"195	+ 0"267	+ 0"340	+ 0"412	+ 0"484	+0"555
,, $\operatorname{Xd}\left(g\cos G ight)$ II	+ 5.189	+ 5.185	+ 5.181	+ 5.176	+ 5.172	+ 5.168
$\log g \sin G$	0.82627	0.82627	0.82614	0.82607	0.82588	0.82562
•	9.89190	9.88974	9.88749	9.88533	9.88308	9.88083
$\logg\cos G$	0.73111	0.73656	0.74202	0.74726	0.75251	0.75762
$oldsymbol{G}$	51° 14′	50° 53′	50° 31′	50° 10′	49° 49′	49° 28′
$\log g$	0.9344	0.9365	0.9386	0.9407	0.9428	0.9448
Tafel Xc fI	+ 0"448	+ 0"615	+ 0"782	+ 0"948	+ 1"114	+ 1"278
,, Xd <i>f</i> 11	+ 11.961	+ 11.951	+ 11.942	+ 11.932	+ 11.922	+ 11.912
f	+ 12.409	+ 12.566	+ 12.724	+ 12.880	+ 13.036	+ 13.190.

Bei der Herstellung einer Ephemeride wird man natürlich die Rechnung in grösseren Intervallen ausführen, als es hier geschehen ist, und bei Angabe der Zahlenwerthe von f die Tausendtheile der Bogensekunde weglassen, $\log g$ auf vier Stellen und G auf Bogenminuten mittheilen.

Es sei für 1883 Januar 2·75 mittl. Berl. Zeit die Reduction des Sternes 61 Cygni pr. vom mittleren Äquinoctium des tropischen Jahresanfanges auf den scheinbaren Ort zu ermitteln. Die genäherte Position ist $\alpha=315^{\circ}$ 19', $\delta=+38^{\circ}$ 8', die jährliche Eigenbewegung $\mu=+0^{\circ}$ 3444 = +5''166, $\mu'=+3''$ 230. Mit Rücksicht auf diese und die früher (pag. 120) gefundenen Zahlen stellt sich die Rechnung wie folgt: G 50° 26' τ' + 0·0069

Diese Reduction bedarf, wenn man die kleinen Nutationsglieder, auf die später ausführlich eingegangen werden wird, berücksichtigen will, einer geringen Correction, und weiter kommt bei diesem Sterne seine Parallaxe in Betracht. Bezeichnet man mit α , δ und ϱ die heliocentrischen, mit α' , δ' und ϱ' die geocentrischen Äquator-coordinaten des Sternes, mit \odot und R die geocentrische Länge und Entfernung der Sonne und mit ε die Schiefe der Ekliptik, so bestehen mit Vernachlässigung der Sonnenbreiten die Relationen:

$$\varrho' \cos \alpha' \cos \delta' = \varrho \cos \alpha \cos \delta + R \cos \odot
\varrho' \sin \alpha' \cos \delta' = \varrho \sin \alpha \cos \delta + R \sin \odot \cos \varepsilon
\varrho' \sin \delta' = \varrho \sin \delta + R \sin \odot \sin \varepsilon.$$

Berücksichtigt man nur die ersten Potenzen der Parallaxe, so erhält man (ähnlich wie auf pag. 111), wenn mit p die jährliche Parallaxe des Sternes bezeichnet wird, leicht:

$$\alpha' - \alpha = -pR\{\sin\alpha\cos\odot - \cos\epsilon\cos\alpha\sin\odot\}\sec\delta$$

$$\delta' - \delta = -pR\{\cos\epsilon\sin\alpha\sin\delta - \sin\epsilon\cos\delta\}\sin\odot - pR\sin\delta\cos\alpha\cos\odot$$

Setzt man daher:

$$-\frac{1}{15}p\cos\varepsilon\cos\alpha = k\sin K \qquad p\left(\sin\alpha\sin\delta\cos\varepsilon - \cos\delta\sin\varepsilon\right) = l\sin L \\ -\frac{1}{15}p\sin\alpha = k\cos K \qquad \qquad -p\cos\alpha\sin\delta = l\cos L,$$

wobei die Hilfsgrössen k, K, l, L für ein und denselben Stern durch eine lange Reihe von Jahren als constant betrachtet werden dürfen, so findet sich, wenn überdies R der Einheit gleich gesetzt wird, was ohne merklichen Nachtheil geschehen kann:

$$\alpha' - \alpha = k \cos(K + \odot) \sec \delta$$

 $\delta' - \delta = l \cos(L + \odot)$.

Die Grösse k ist hier so angesetzt, dass die Correction in Rectascension in Einheiten der Zeitsekunde, jene in Declination in Einheiten der Bogensekunde erhalten wird.

Nimmt man für den Stern 61 Cygni die jährliche Parallaxe mit 0"45 an, so findet sich mit Hilfe der obigen Position ($\varepsilon = 23^{\circ} 27'$):

und daraus mit $\odot = 282^{\circ}$ 5 sofort:

$$\Delta \alpha = -0^{\circ}$$
019, $\Delta \delta = -0^{\circ}$ 35,

welche Correctionen noch an die obige Reduction additiv anzubringen wären.

Fasst man aus den vorstehenden Entwicklungen jene Formeln heraus, deren man bedarf, um die Beobachtung eines Kometen oder Planeten auf das mittlere Äquinoctium des Jahresanfanges zu reduciren und benützt die Hilfsmittel, welche die astronomischen Ephemeriden gegenwärtig hierzu gewähren, so wird man anzuwenden haben:

$$\begin{aligned} \alpha_{\rm o} &= \alpha - \{f + g \sin{(G + \alpha)} \, \text{tg} \, \delta + [h \sin{(H + \alpha)} + h_{\rm o} \sin{(H_{\rm o} + \alpha)}] \sec{\delta}\} \\ \delta_{\rm o} &= \delta - \{g \cos{(G + \alpha)} + [h \cos{(H + \alpha)} + h_{\rm o} \cos{(H_{\rm o} + \alpha)}] \sin{\delta} + [i + i_{\rm o}] \cos{\delta}\} \\ &\qquad \qquad \log h_{\rm o} \qquad H_{\rm o} \qquad i_{\rm o} \\ 1800 \qquad 9.534 \qquad 351^{\circ}3 \qquad -0"022 - \\ 1850 \qquad 9.534 \qquad 350.5 \qquad -0.024 \\ 1900 \qquad 9.534 \qquad 349.7 \qquad -0.026. \end{aligned}$$

Die in den geradlinigen Klammern eingeschlossenen Factoren von sec δ , sin δ und cos δ , welche die Correctionen für die Fixstern-Aberration ergeben, sind fortzulassen, falls die Beobachtung bereits durch die Verminderung der Beobachtungszeit um die Aberrationszeit sowohl für die Fixstern- als auch Planeten-Aberration corrigirt erscheint. Liegen die zu vereinigenden Beobachtungen in verschiedenen Jahren, so wird man zuerst die Reduction nach den eben angeführten Vorschriften auf den betreffenden Jahresanfang ausführen und dann mit Hilfe der bei der Präcession gegebenen Formeln 57) (pag. 230) die Übertragung auf den gewählten mittleren Äquator bewirken.

Die Ephemeriden der Planeten und Kometen geben dem allgemeinen Gebrauche entsprechend stets die auf das wahre Äquinoctium bezogenen Orte, da die Fixstern- und Planeten-Aberration durch Änderung der Beobachtungszeit (vergl. pag. 123) gleichzeitig berücksichtigt werden kann; bei der Berechnung der Ephemeriden wird man gewöhnlich die auf das mittlere Äquinoctium des Jahresanfanges (wohl auch des nächstliegenden Jahrzehntanfanges) bezogenen rechtwinkligen heliocentrischen Coordinaten des Himmelskörpers erhalten, welche mit den auf das nämliche mittlere Äquinoctium bezogenen rechtwinkligen Sonnencoordinaten vereinigt, die rechtwinkligen geocentrischen Coordinaten desselben finden lassen, die dann in bekannter Weise in polare umgesetzt werden; um diese auf das wahre Äquinoctium des gegebenen Datums zu beziehen, wird man an die berechneten Rectascensionen und Declinationen die Correctionen für Präcession und Nutation anbringen müssen; dieselben sind nach den vorausgehenden Formeln:

$$\Delta \alpha = f + g \sin (G + \alpha) \operatorname{tg} \delta$$
$$\Delta \delta = g \cos (G + \alpha).$$

Hierbei wird, wenn man die in den astronomischen Ephemeriden mitgetheilten Hilfsgrössen f, g und G benützen will, die Voraussetzung gemacht werden müssen, dass das mittlere Äquinoctium das des tropischen Jahresanfanges sei; das Berliner Jahrbuch bietet in seinen neueren Jahrgängen dem Rechner die analogen Hilfsmittel, um die Übertragung vom mittleren Äquinoctium des nächstliegenden Jahrzehnt-

anfanges ausführen zu können, und auch Correctionstabellen, um die allenfalls hervortretenden Glieder zweiter Ordnung zu berücksichtigen.

Manche der astronomischen Jahrbücher geben aber (besonders in den älteren Jahrgängen) nicht die auf das mittlere Äquinoctium des Jahresanfanges bezogenen rechtwinkligen Sonnencoordinaten, sondern unmittelbar die wahren an; man wird in diesen Fällen die gefundenen mittleren heliocentrischen Coordinaten des Himmelskörpers in wahre zu verwandeln haben, die mit den wahren Sonnencoordinaten vereinigt sofort die Ephemeridenorte (wahres Äquinoctium) ergeben werden. Die nothwendige Umsetzung geschieht am einfachsten nach Hill's Methode (Astr. Nachr. 1593), wobei die oben angeführten Hilfsgrössen f, g und G ebenfalls ihre Verwendung finden.

Sind x, y und z die rechtwinkligen heliocentrischen Äquatorcoordinaten, bezogen auf das mittlere Äquinoctium des Jahresanfanges, a und d die heliocentrische Rectascension und Declination, r die Entfernung, so ist:

$$x = r \cos a \cos d$$
$$y = r \sin a \cos d$$
$$z = r \sin d.$$

Sind x', y' und z' die auf das jeweilige wahre Äquinoctium bezogenen Coordinaten, so ist, da die aus der Transformation entstehenden Änderungen als differentieller Natur aufgefasst werden dürfen:

$$x' - x = \delta x,$$
 $\delta x = -r \sin a \cos d \delta a - r \cos a \sin d \delta d$
 $y' - y = \delta y,$ $\delta y = +r \cos a \cos d \delta a - r \sin a \sin d \delta d$
 $z' - z = \delta z,$ $\delta z = +r \cos d \delta d.$

Setzt man nun in den letzteren Ausdrücken für da und dd die Werthe:

$$\delta a = f + g \sin(G + a) \operatorname{tg} d$$

$$\delta d = g \cos(G + a),$$

welche die Reduction auf das wahre Äquinoctium geben, so wird man unter der Erwägung, dass f und g gewöhnlich in Bogensekunden angesetzt sind, leicht finden:

$$x' - x = \{-f \cdot y - g \cos G \cdot z\} \text{ arc } 1''$$

 $y' - y = \{+f \cdot x + g \sin G \cdot z\} \text{ arc } 1''$
 $z' - z = \{g \cos G \cdot x - g \sin G \cdot y\} \text{ arc } 1''$.

Diese Correctionen sind in Einheiten des Radius additiv an die mittleren Coordinaten anzubringen, um die wahren zu erhalten.

Bessel hat den in 2) (pag. 248) auftretenden Reductionscoöfficienten noch eine andere Gestalt gegeben, welche dann besondere Vortheile bietet, wenn man Ephemeriden für Sterne herstellen will. Setzt man nämlich:

so wird, da m und n (vergl. pag. 203 und 55) pag. 196) nahezu im Verhältnisse von

cos e zu sin e stehen, E eine sehr kleine Grösse sein, die sich aus diesen Gleichungen leicht bestimmt, nämlich:

$$nE = (n\cos\varepsilon - m\sin\varepsilon)d\lambda.$$

Nun ist aber nach der Gleichung 55) (pag. 196), wenn man die Glieder dritter Ordnung weglässt:

$$n\cos\varepsilon - m\sin\varepsilon = A_1'\sin\varepsilon\tau + A_2'\sin\varepsilon\tau^2 = a\sin\varepsilon$$

daher kann mit genügender Genauigkeit gesetzt werden:

$$E = \frac{a}{\pi} \sin \varepsilon d\lambda , \qquad \qquad 6a)$$

oder numerisch mit Benützung der Werthe pag. 202 und 203:

$$E = \{+0.0027226 - 0.00000481 (t_0 - 1900)\} d\lambda$$
. 6b)

Da der grösste Coëfficient in der Nutation in Länge $d\lambda$ etwa 17" beträgt, so wird E wegen des kleinen numerischen Factors in 6b) im Maximum o"05 erreichen, und es wird umsomehr genügen, für E nur die von den Argumenten I und II abhängigen Glieder zu berücksichtigen, als das grösste der folgenden mit dem Argumente III verbundenen Glieder höchstens o"0006 betragen wird, also unbedenklich fortgelassen werden kann. Wie man sieht, bleibt E stets sehr klein und könnte ohne wesentlichen Nachtheil vernachlässigt werden, wie dies auch ursprünglich von Bessel geschehen ist.

Für A findet sich aus den Gleichungen 5):

$$A = \tau' + \frac{\sin \varepsilon}{n} d\lambda. \qquad 7)$$

Die vom Argument I abhängigen Glieder in $d\lambda$ sind mit τ' vereinigt in die Tafel X aufgenommen; hierbei erscheint τ' vom zugehörigen tropischen Jahresanfange gezählt. Man wird aber auch einen anderen Ausgangspunkt wählen können; würde zum Beispiel der tropische Jahresanfang irgend eines Jahres angenommen, so hätte man A nur um die entsprechende Anzahl von Jahren zu vergrössern oder zu verkleinern. Natürlich darf mit Hilfe der obigen Formel keine Reduction auf so ferne Epochen vorgenommen werden, dass die Glieder zweiter Ordnung merkbar werden.

Bessel setzt ferner:

$$B = -d\varepsilon$$
: 8)

man kann also, wenn man die Aberrationsformeln (vergl. 14 pag. 116) und die Eigenbewegung hinzufügt, der Reduction vom mittleren Äquinoctium des Jahresanfanges auf den scheinbaren Ort die Form ertheilen:

Red.
$$\alpha = aA + bB + cC + dD + E + \mu \tau'$$

Red. $\delta = a'A + b'B + c'C + d'D + \mu' \tau'$,

wobei gesetzt worden ist (vergl. 2) pag. 248):

$$a = m + n \sin \alpha \operatorname{tg} \delta \qquad a' = n \cos \alpha$$

$$b = \cos \alpha \operatorname{tg} \delta \qquad b' = -\sin \alpha$$

$$c = \cos \alpha \sec \delta \qquad c' = \cos \delta \operatorname{tg} \epsilon - \sin \alpha \sin \delta$$

$$d = \sin \alpha \sec \delta \qquad d' = \cos \alpha \sin \delta,$$

welche Coëfficienten für denselben Fixstern im Verlaufe eines Jahres als constant angenommen werden dürfen. Dieser Umstand macht die Formeln 9) besonders bequem zur Herstellung von Sternephemeriden.

Die Grössen A, B, C, D und E finden sich mit der nöthigen Ausführlichkeit in den astronomischen Ephemeriden, können aber auch leicht mit Hilfe der Tafeln X dieses Werkes berechnet werden; die letzteren berücksichtigen übrigens bei C und D das kleine von der Erdbahnexcentricität abhängige Glied, während dasselbe in den von den Ephemeriden bis jetzt mitgetheilten Hilfsgrössen nicht enthalten ist. Die Grössen C und D hängen nur vom Argumente I ab, A, B und E auch von den andern Argumenten. Über die Bildung der Argumente ist bereits oben (pag. 240) das Nöthige beigebracht worden, und die Benützung der Tafeln ist eine unmittelbar ersichtliche. Die von den Argumenten I und II abhängigen Glieder sind die wesentlichsten, während die übrigen Argumente den Grössen A und B nur kleine, meist rasch veränderliche Glieder hinzufügen, deren Summe bereits oben (pag. 244) als A' und B' berechnet worden ist; es wird zweckmässig sein, diese Glieder von den Hauptgliedern zu trennen und die letzteren in grösseren Intervallen zu ermitteln. Die aus den kleinen Gliedern entstehenden Correctionen, welche den aus den Argumenten I und II resultirenden Reductionen hinzuzufügen sind, können leicht nachträglich an die Sternorte angebracht werden und werden sein:

Correct. der Reduct. in
$$\alpha = aA' + bB'$$
, , , , $\delta = a'A' + b'B'$.

Für a und a' wird (vergl. 10) pag. 253) die jährliche Präcession, die man sich meist ohne Rechnung mit genügender Annäherung verschaffen kann, einzuführen sein; bezeichnet man dieselbe beziehungsweise mit P_a und P_b , so wird man noch haben:

Correct. der Reduct. in
$$\alpha = P_{\alpha}A' + \operatorname{tg}\delta\cos\alpha B'$$
, , , , $\delta = P_{\delta}A' - \sin\alpha B'$.

Die Werthe von A, B und E, soweit sie von den Argumenten I und II allein abhängen, sollen für die Zeiten der oben berechneten Ephemeride mittelst der Tafeln X ermittelt werden. Man hat mit Benützung der bereits früher gefundenen Argumentwerthe I und II:

1883 mittl. Berl. Zeit	Jan 0.5	Jan 1.5	Jan 2.5	Jan 3.5	Jan 4.5	Jan 5.5
Tafel Xc 7'	+ 0.0007	+0.0035	+ 0.0062	+ 0.0089	+ 0.0117	+ 0.0144
Tafel Xc A ₁ ,, Xd A ₂	+ 0.00971	+ 0.01334	+ 0.01695	+ 0.02055	+ 0.02414	+ 0.02771
	+ 0.25884	+ 0.25863	+ 0.25843	+ 0.25821	+ 0.25799	+ 0.25778
Tafel Xc B ₁	+ 0"526	+ 0"519	+ 0"511	+ 0"503	+ 0"493	+ 0"483
	+ 6·177	+ 6·184	+ 6·190	+ 6·197	+ 6·204	+ 6.210
$\frac{\log A}{\log B}$	9·4290	9·4345	9·4399	9·4452	9·4504	9·4556
	0·8263	o·8263	0·8261	0·8261	0·8259	0·8256
$\begin{array}{c cccc} \hline \text{Tafel } X_{\text{c}} & E_1 \\ \text{,,} & X_{\text{d}} & E_2 \\ & & E \end{array}$	+ 0°0001	+ 0.0001	+ 0.0001	+ 0.0001	+ 0.0001	+ 0*0001
	+ 0.0024	+ 0.0024	+ 0.0024	+ 0.0024	+ 0.0024	+ 0.0024
	+ 0.0025	+ 0.0025	+ 0.0025	+ 0.0025	+ 0.0025	+ 0.0025.

Wollte man die kleinen Glieder mit den hier gefundenen Werthen sofort vereinigen, so wären dafür folgende, aus der Addition der auf pag. 244 ermittelten Werthe von A' und B' sich ergebende Beträge anzunehmen, zu denen die Logarithmen der Grössen C und D (pag. 120) hinzugefügt sind:

Als Beispiel für die Anwendung der zweiten Form der Bessel'schen Reductionsgrössen soll die auf pag. 249 und 250 nach der ersten Form berechnete Reduction von 61 Cygni auf den scheinbaren Ort vorgenommen werden. Die Formeln 10) geben unter Benützung der früher für diesen Stern angesetzten Position, wenn für 1883 die Werthe von m, n und ε der Tafel XI entlehnt und überdies die a, b, c und d Coëfficienten, um die Reduction in Rectascension sogleich in Zeitmass zu erhalten, durch 15 dividirt werden:

$$\log \frac{a}{15} = 0.3680 \qquad \log a' = 1.1540$$

$$\log \frac{b}{15} = 8.5707 \qquad \log b' = 9.8471$$

$$\log \frac{c}{15} = 8.7800 \qquad \log c' = 9.8896$$

$$\log \frac{d}{15} = 8_{n7752} \qquad \log d' = 9.6425.$$

Für Januar 2.75 werden für die Constanten A, B (mit Weglassung der kleinen Glieder), E und C, D (vergl. pag. 120) anzunehmen sein:

für die Ermittlung der Reduction hat man:

$$aA = + 0^{8}644$$
 $a'A = + 3''94$
 $bB = + 0.249$ $b'B = + 4.71$
 $cC = -0.249$ $c'C = -3.21$
 $dD = -1.211$ $d'D = + 8.92$
 $E = + 0.003$ $\mu \tau' = + 0.002$
Red. in $\alpha = -0^{8}562$ Red. in $\delta = + 14''38$,

zu welchen Werthen noch der oben (pag. 210) angegebene Betrag der Parallaxe hinzukäme. Wie man sieht, stimmt dieses Resultat vollständig mit den früher nach der ersten Form erhaltenen Zahlen. Wollte man die kleinen, rasch veränderlichen Glieder berechnen, so wird für den oben gewählten Moment nach den Formeln 11a) (pag. 254) mit Benützung der eben angegebenen Coëfficienten a, b, a', b' mit Rücksicht auf zweite Differenzen: A' = -0.00381

$$\begin{array}{ccc}
A & = & -0.0038 \\
B' & = & -0.0038 \\
a'A' + \frac{1}{15}bB' & = & -0.0038 \\
a'A' + b'B' & = & -0.0038
\end{array}$$

diese Correctionen sind, um die kleinen Nutationsglieder zu berücksichtigen, an die oben (pag. 249, 250 und 255) nach verschiedenen Methoden identisch gefundenen Reductionen additiv anzubringen. Die Reduction von 61 Cygni auf den scheinbaren Ort mit Rücksichtnahme auf die kleinen Glieder, die Eigenbewegung und Parallaxe ist daher:

$$\Delta \alpha = -0^{5}591$$
 $\Delta \delta = +13''96$.

Hätte man die oben ermittelten Werthe von (A + A') und (B + B') in Rechnung gezogen, so würde sich für die von der Präcession und Nutation abhängigen Glieder in Übereinstimmung mit den früheren Resultaten:

$$\frac{1}{15}a(A + A') = + 0^{5}636$$
 $a'(A + A') = + 3''88$
 $\frac{1}{15}b(B + B') = + 0^{5}249$ $b'(B + B') = + 4''70$,

ergeben haben.

Für die Berechnung der Reduction in Rectascension und Declination verdient noch diejenige Form Beachtung, auf welche Klinkerfues (Astr. Nachr. Bd. 62 pag. 355) aufmerksam gemacht hat. Setzt man in die Formeln 4a) (pag. 248) die Nordpoldistanz π ein, so lassen sich dieselben, wenn man die von der Eigenbewegung abhängigen Glieder fortlässt, schreiben:

Red. in
$$\alpha = f + \{g \sin G \cot g \pi + h \sin H \csc \pi\} \cos \alpha + \{g \cos G \cot g \pi + h \cos H \csc \pi\} \sin \alpha$$

Red. in $\delta = \cos \delta \{i + (g \cos G \csc \pi + h \cos H \cot g \pi) \cos \alpha - (g \sin G \csc \pi + h \sin H \cot g \pi) \sin \alpha \}$.

Nun ist aber bekanntlich:

$$\cot \pi = \frac{1}{2} \cot \frac{1}{2} \pi - \frac{1}{2} \tan \frac{1}{2} \pi$$
$$\csc \pi = \frac{1}{2} \cot \frac{1}{2} \pi + \frac{1}{2} \tan \frac{1}{2} \pi,$$

somit auch:

Red. in
$$\alpha = f + \frac{1}{2} \cot \frac{1}{2} \pi \{ (g \sin G + h \sin H) \cos \alpha + (g \cos G + h \cos H) \sin \alpha \} + \frac{1}{2} \cot \frac{1}{2} \pi \{ (-g \sin G + h \sin H) \cos \alpha + (-g \cos G + h \cos H) \sin \alpha \}$$

Red. in
$$\delta = \cos \delta \left[i + \frac{1}{4} \cot g \frac{1}{4} \pi \{ (g \cos G + h \cos H) \cos \alpha + (-g \sin G - h \sin H) \sin \alpha \} + \frac{1}{4} \tan \frac{1}{4} \pi \{ (g \cos G - h \cos H) \cos \alpha + (-g \sin G + h \sin H) \sin \alpha \} \right].$$

Setzt man also:

$$k \sin K = \frac{1}{2} (g \sin G + h \sin H) = \frac{1}{2} (B + C)$$

$$k \cos K = \frac{1}{2} (g \cos G + h \cos H) = \frac{1}{2} (g \cos G + D)$$

$$l \sin L = \frac{1}{2} (g \cos G - h \cos H) = \frac{1}{2} (g \cos G - D)$$

$$l \cos L = \frac{1}{2} (-g \sin G + h \sin H) = \frac{1}{2} (-B + C),$$

so wird für die Berechnung der Reduction:

$$\begin{array}{l} \operatorname{Red.\ in} \alpha = f + k \cot \frac{1}{2} \pi \sin (K + \alpha) + l \operatorname{tg} \frac{1}{2} \pi \cos (L + \alpha) \\ \operatorname{Red.\ in} \delta = \cos \delta \{i + k \cot \frac{1}{2} \pi \cos (K + \alpha) + l \operatorname{tg} \frac{1}{2} \pi \sin (L + \alpha) \}, \end{array} \right\} \quad {}^{12)}$$

so dass die Bestimmung der Klinkerfues'schen Reductionsconstanten mit Hilfe der Tafeln X ebenfalls leicht durchgeführt werden kann.

Mit	Benützung	der	bisher	erlangten	Resultate	(pag. 1	20,	249	und	254)	er-
hält man:											

1883	Jan 0.5	Jan 1.5	Jan 2.5	Jan 3.5	Jan 4.5
1 B	+ 3"3515	+ 3"3515	+ 3"3505	+ 3"3500	+ 3"3480
1 C	1.7010	— 1·8655	- 2.0295	- 2.1920	2.3540
$\frac{1}{2}g\cos G$	+ 2.6920	+ 2.7260	+ 2.7605	+ 2.7940	+ 2.8280
₫ D	+ 10.2455	+ 10.2120	+ 10.1745	+ 10.1340	+ 10.0905
k sin K	0.21761	0.17202	0-12090	0.06371	9.99760
	9.99650	9.99715	9.99775	9.99826	9.99872
k cos K	1.11185	1.11186	1.11176	1-11153	1-11121
K	7° 16′	6° 33′	5° 50′	5° 7′	4º 25'
log k	1.1153	1.1147	1.1140	1-1133	1-1125
$l\sin L$	0,87815	0,87425	0,87005	0,86570	0,86109
	9,91971	9,91404	9,,90814	9,,90204	9,89572
$l\cos L$	0 ₈ 70350	0 _n 71742	0,73078	0,74367	o _n 75603
L	236° 13′	235° 8′	2340 2'	232° 57′	231° 52′
log l	0.9584	0.9602	0.9619	0.9637	0.9654
f	+ 12"409	+ 12"566	+ 12"724	+ 12"880	+ 13"036
i	— 1.476	— 1·619	— 1·760	— 1·902	— 2·043.

Das Klinkerfues'sche Verfahren gibt mit Benützung der früher angegebenen Position (pag. 249) und der Reduction für Eigenbewegung (pag. 250), kleine Nutationsglieder (pag. 255) und Parallaxe (pag. 250) die Reduction des Sternes 61 Cygni auf den scheinbaren Ort für 1883 Januar 2.75 mittlere Berliner Zeit in folgender Weise:

Bisher wurde nur der Fall in Betracht gezogen, in welchem die durch vorstehende Formeln erhaltbaren Reductionen so klein sind, dass man mit Berücksichtigung der ersten Potenzen der durch dieselben bewirkten Änderungen der polaren Coordinaten ausreicht; dies wird aber nicht mehr stattfinden, wenn der

zu reducirende Ort dem Pole sehr nahe ist. Man hat deshalb die Glieder zweiter Ordnung zu ermitteln getrachtet, welche jedoch für Sterne in der unmittelbaren Nähe des Poles ebenfalls nicht hinlänglich zuverlässig werden und deren Berücksichtigung sich ausserordentlich mühsam erweist. Dieser Nachtheil kann ganz umgangen werden, wenn man von dem Vorschlage Gebrauch macht, den Fabritius in Nr. 2072 und 2073 der »Astr. Nachr.« veröffentlicht hat, und der, soviel mir bekannt, bis jetzt nicht die gebührende Würdigung erfahren hat.

Es seien $\Delta \alpha_0$ und $\Delta \delta_0$ die nach den Formeln 4a) (pag. 248) oder 9) (pag. 253) berechneten Werthe der Reduction, so sind die Änderungen der rechtwinkligen Coordinaten bis auf Grössen zweiter Ordnung, die aber niemals mit Factoren (tg δ oder sec δ) multiplicirt erscheinen, welche das Hervortreten derselben nachtheilig machen würden, folgende:

$$\begin{split} \varDelta x_{\rm o} &= -\sin\alpha_{\rm o}\cos\delta_{\rm o}\varDelta\alpha_{\rm o} - \cos\alpha_{\rm o}\sin\delta_{\rm o}\varDelta\delta_{\rm o} \\ \varDelta y_{\rm o} &= \cos\alpha_{\rm o}\cos\delta_{\rm o}\varDelta\alpha_{\rm o} - \sin\alpha_{\rm o}\sin\delta_{\rm o}\varDelta\delta_{\rm o} \\ \varDelta z_{\rm o} &= \cos\delta_{\rm o}\varDelta\delta_{\rm o}; \end{split} \right\} \quad \ \ \, 13)$$

von diesen Gleichungen werden übrigens nur die beiden ersten gebraucht. Hierbei stellen α_0 , δ_0 die für den tropischen Jahresanfang geltenden mittleren Coordinaten vor, während durch α , δ die scheinbaren bezeichnet werden sollen. Es ist demnach:

$$\begin{array}{l} \cos\alpha\cos\delta = \cos\alpha_{\rm o}\cos\delta_{\rm o} + \varDelta x_{\rm o} \\ \sin\alpha\cos\delta = \sin\alpha_{\rm o}\cos\delta_{\rm o} + \varDelta y_{\rm o}. \end{array} \right\} \quad {}^{14)}$$

Multiplicirt man die erste dieser Gleichungen mit — $\sin \alpha_0$, die zweite mit $\cos \alpha_0$ und addirt, und wendet dasselbe Verfahren unter Benützung der Factoren $\cos \alpha_0$ und $\sin \alpha_0$ an, so gelangt man zu den folgenden beiden Gleichungen:

$$\cos \delta \sin (\alpha - \alpha_0) = -\sin \alpha_0 \Delta x_0 + \cos \alpha_0 \Delta y_0
\cos \delta \cos (\alpha - \alpha_0) = \cos \delta_0 + \cos \alpha_0 \Delta x_0 + \sin \alpha_0 \Delta y_0,$$
15)

deren Division mit Rücksicht auf die Relationen 13):

$$tg (\alpha - \alpha_0) = \frac{\Delta \alpha_0 arc \, i''}{1 - tg \, \delta_0 \Delta \delta_0 arc \, i''}. \qquad 16)$$

ergibt. Multiplicirt man die erste Gleichung in 15) mit sin $\frac{1}{2}$ ($\alpha - \alpha_0$), die zweite mit cos $\frac{1}{4}$ ($\alpha - \alpha_0$) und addirt, so erhält man:

$$\cos\delta = \cos\delta_{\rm o} + \tfrac{\cos\frac{1}{2}\left(\alpha + \alpha_{\rm o}\right) \varDelta x_{\rm o} + \sin\frac{1}{2}\left(\alpha + \alpha_{\rm o}\right) \varDelta y_{\rm o}}{\cos\frac{1}{2}\left(\alpha - \alpha_{\rm o}\right)},$$

oder mit Benützung der Relationen 13):

$$\cos \delta = \cos \delta_{\rm o} - \sin \delta_{\rm o} \Delta \delta_{\rm o} + \cos \delta_{\rm o} \log \frac{1}{2} (\alpha - \alpha_{\rm o}) \Delta \alpha_{\rm o}.$$
 17)

Es ist aber:

$$\cos\delta - \cos\delta_{\rm o} = - \, 2\sin\frac{1}{2}\left(\delta + \, \delta_{\rm o}\right)\sin\frac{1}{2}\left(\delta - \, \delta_{\rm o}\right). \label{eq:cos_delta_o}$$

Beachtet man, dass $\delta - \delta_0$ stets nur eine Grösse von der Ordnung der durch die Präcession, Nutation und Aberration bewirkten absoluten Veränderungen der Coordinaten ist, so kann man mit voller Berechtigung den Sinus mit dem Bogen ver-

tauschen und, da hier nur dem Pole nahe Sterne in Betracht kommen, mit demselben Rechte $\sin \delta_0$ statt $\sin \frac{1}{2} (\delta + \delta_0)$ setzen; man erhält dann aus 17):

$$\delta - \delta_0 = \Delta \delta_0 - \cot \theta_0 \cot \theta_1 (\alpha - \alpha_0) \Delta \alpha_0 \arctan \alpha_0$$
 18)

Um demnach die Reduction für einen dem Pole nahe stehenden Stern zu ermitteln, rechnet man mit Hilfe der gewöhnlichen Formeln 4a) (pag. 248) und 10) (pag. 253) die Reductionen Δa_0 , $\Delta \delta_0$ und hat dann:

Wollte man nur die Glieder zweiter Ordnung berücksichtigen, so könnte man statt 19) wohl auch schreiben:

$$\begin{array}{l} \alpha - \alpha_{\rm o} = \varDelta \alpha_{\rm o} + \, {\rm tg}\, \delta_{\rm o}\varDelta \alpha_{\rm o}\varDelta \delta_{\rm o}\, {\rm arc}\, {\rm i}'' \\ \delta - \delta_{\rm o} = \varDelta \delta_{\rm o} - \frac{1}{2}\, {\rm cotg}\, \delta_{\rm o}\varDelta \alpha_{\rm o}^2 {\rm arc}\, {\rm i}'', \end{array} \right\} \quad {}^{20{\rm a})}$$

welche Formeln selbst für λ Ursae minoris mehr als ausreichend sind und deren Berechnung für bestimmte Sterne durch entsprechend construirte Hilfstafeln noch erleichtert werden kann; für Sterne, die dem Pole bis auf wenige Bogenminuten nahe stehen, ist jedoch die Anwendung der strengen Ausdrücke 19) zu empfehlen.

Denkt man sich $\Delta \alpha_0$ in Zeitsekunden, $\Delta \delta_0$ in Bogensekunden ausgedrückt, so würde die Einsetzung der numerischen Werthe ergeben:

$$\begin{array}{l} \alpha - \alpha_{\rm o} = \varDelta \alpha_{\rm o} + \overline{4.6856} \operatorname{tg} \delta_{\rm o} \varDelta \alpha_{\rm o} \varDelta \delta_{\rm o} \\ \delta - \delta_{\rm o} = \varDelta \delta_{\rm o} + \overline{6_{\rm o}7367} \operatorname{cotg} \delta_{\rm o} \varDelta \alpha_{\rm o}^2 \end{array} \right\} \quad \text{20b})$$

in welchen Formeln die Coëfficienten logarithmisch angesetzt sind: für einen bestimmten Stern werden die Factoren von $\varDelta\alpha_{\rm o}$ $\varDelta\delta_{\rm o}$ und $\varDelta\alpha_{\rm o}^2$ durch das ganze Jahr constant anzunehmen sein.

Vergleicht man diese Formeln mit denjenigen, welche gewöhnlich in sehr weitläufiger Weise zur Berücksichtigung der Glieder höherer Ordnung herangezogen werden, so wird man sofort den bedeutenden Vorzug der ersteren gewahren; dabei ist aber zu beachten, dass die gewöhnliche Methode einige constante Glieder weglässt, die dann gewissermassen dem mittleren Sternorte anhaften und, falls man identische Resultate erlangen will, vor Anwendung der obigen Formeln zu berücksichtigen sein werden. Es sollen demnach die Formeln 20a) zur Bestimmung der Glieder zweiter Ordnung aufgelöst werden, wobei natürlich jene kleinen, unmerklichen Glieder zweiter Ordnung nicht auftreten können, welche bei der Ableitung der Nutationsformeln für den Äquator (vergl. 1) pag. 245) bereits weggelassen wurden und aus den Gliedern:

$$\frac{1}{2} \left(\frac{d^2 \alpha}{d \lambda^2} \right) d\lambda^2 + \left(\frac{d^2 \alpha}{d \lambda \cdot d \varepsilon} \right) d\lambda \cdot d\varepsilon + \frac{1}{2} \left(\frac{d^2 \alpha}{d \varepsilon^2} \right) d\varepsilon^2$$

$$\frac{1}{2} \left(\frac{d^2 \delta}{d \lambda^2} \right) d\lambda^2 + \left(\frac{d^2 \delta}{d \lambda \cdot d \varepsilon} \right) d\lambda \cdot d\varepsilon + \frac{1}{2} \left(\frac{d^2 \delta}{d \varepsilon^2} \right) d\varepsilon^2,$$

entstehen.

^{*)} Dieses zweite Glied hat bei Fabritius (Astronomische Nachrichten No. 2073) in Folge eines Druckfehlers das unrichtige Vorzeichen.

Führt man in Δa_0 und $\Delta \delta_0$, welche Grössen in den Formeln 20a) (pag. 259) auftreten, bloss die Hauptglieder ein, weil die kleinen keine sehr merklichen Correctionen ergeben können und setzt abkürzend:

$$\alpha = + 46''06 \tau' + 20''05 \tau' \sin \alpha \operatorname{tg} \delta \quad \alpha' = + 20''05 \tau' \cos \alpha$$

$$\beta = - 17''27 \{\cos \varepsilon + \sin \varepsilon \sin \alpha \operatorname{tg} \delta\} \quad \beta' = - 17''27 \sin \varepsilon \cos \alpha$$

$$\gamma = - 9''24 \cos \alpha \operatorname{tg} \delta \quad \gamma' = + 9''24 \sin \alpha$$

$$\xi = - 20''48 \sin \alpha \sec \delta \quad \xi' = - 20''48 \cos \alpha \sin \delta$$

$$\eta = - 20''48 \cos \varepsilon \cos \alpha \sec \delta \quad \eta' = - 20''48 \{\sin \varepsilon \cos \delta - f \cos \varepsilon \sin \alpha \sin \delta\}$$

$$\iota = - 1''27 \{\cos \varepsilon + \sin \varepsilon \sin \alpha \operatorname{tg} \delta\} \quad \iota' = - 1''27 \sin \varepsilon \cos \alpha$$

$$\alpha = - 0''55 \cos \alpha \operatorname{tg} \delta \quad \alpha' = + 0''55 \sin \alpha,$$

so wird:

$$\begin{split} \varDelta\alpha_{0} &= \alpha + \beta \sin \Omega + \gamma \cos \Omega + \xi \sin \Theta + \eta \cos \Theta + \iota \sin 2\Theta + \varkappa \cos 2\Theta \\ \varDelta\delta_{0} &= \alpha' + \beta' \sin \Omega + \gamma' \cos \Omega + \xi' \sin \Theta + \eta' \cos \Theta + \iota' \sin 2\Theta + \varkappa' \cos 2\Theta, \\ \text{und somit:} \end{split}$$

$$\begin{split} \mathcal{A}a_0 & \mathcal{A}b_0 = aa' + \frac{1}{2}\beta\beta' + \frac{1}{2}\gamma\gamma' + \frac{1}{2}\xi\xi' + \frac{1}{2}\eta\eta' + \frac{1}{4}\iota\iota' + \frac{1}{4}xx' + \\ & + \{a\beta' + \beta a'\} \sin \Omega + \{a\gamma' + \gamma a'\} \cos \Omega + \\ & + \{a\beta' + \beta a'\} \sin \Omega + \{a\gamma' + \gamma a'\} \cos \Omega + \\ & + \{a\eta' + \eta a' + \frac{1}{2}\iota\xi' + \frac{1}{2}\xi\iota' + \frac{1}{2}\chi\eta' + \frac{1}{2}\eta\iota'\} \cos 0 \oplus + \\ & + \{a\eta' + \eta a' + \frac{1}{2}\iota\xi' + \frac{1}{2}\xi\iota' + \frac{1}{2}\chi\eta' + \frac{1}{2}\eta\iota'\} \cos 2\Omega + \\ & + \{a\iota' + \iota a' + \frac{1}{2}\eta\xi' + \frac{1}{2}\xi\eta'\} \sin 2\Theta + \{ax' + xa' - \frac{1}{2}\xi\xi' + \frac{1}{2}\xi\iota'\} \cos 3\Theta + \\ & + \{\frac{1}{2}\beta\gamma' + \frac{1}{2}\gamma\beta' + \frac{1}{2}\eta\iota' + \frac{1}{2}\eta\iota'\} \sin 3\Theta + \{\frac{1}{2}\chi\eta' + \frac{1}{2}\eta\chi' - \frac{1}{2}\xi' - \frac{1}{2}\xi\iota'\} \cos 3\Theta + \\ & + \{\frac{1}{2}\beta\eta' + \frac{1}{2}\eta\beta' + \frac{1}{2}\gamma\xi' + \frac{1}{2}\xi\gamma'\} \sin (\Theta + \Omega) + \{\frac{1}{2}\gamma\eta' + \frac{1}{2}\eta\gamma' - \frac{1}{2}\eta\xi' - \frac{1}{2}\xi\xi' - \frac{1}{2}\xi\iota'\} \cos 3\Theta + \\ & + \{\frac{1}{2}\gamma\xi' + \frac{1}{2}\xi\gamma' - \frac{1}{2}\beta\eta' - \frac{1}{2}\eta\beta'\} \sin (\Theta - \Omega) + \{\frac{1}{2}\gamma\eta' + \frac{1}{2}\eta\gamma' + \frac{1}{2}\eta\gamma' + \frac{1}{2}\eta\xi' - \frac{1}{2}\xi\xi' + \frac{1}{2}\xi\xi'$$

Stellt man in diese Ausdrücke die numerischen Werthe nach 21) ein, nimmt im ersten Ausdrucke nur die mit tg δ , im zweiten nur die mit tg δ^2 multiplicirten Glieder mit, da die anderen, so lange man mit Gliedern zweiter Ordnung ausreicht, nichts merkliches ergeben können und erlaubt sich in Rücksicht auf den Umstand, dass man die folgenden Formeln nur auf dem Pole sehr nahe stehende Sterne anwendet, eventuell statt sec δ den Werth tg δ einzusetzen, so erhält man:

```
d\Delta\alpha_0 = \Delta\alpha_0 \Delta\delta_0 \operatorname{arc} i'' \operatorname{tg} \delta_0 =
                       + o''00009 74 \sin 2\alpha \tau'^2 + o''0000 34 \sin 2\alpha tg \delta^2 +
                  + \{-0.0006 68 \sin 2\alpha \tau'
                                                                                              \int tg \, d^2 \sin \Omega +
                  + \{-0.0008 \ 98 \cos 2\alpha \tau'
                                                                                              \int tg \, \delta^2 \cos \Omega +
                  + \{-0.0019 \text{ ol } \sin 2\alpha \tau' - 0.000004 \cos 2\alpha \} \operatorname{tg} \delta^2 \sin 0 +
                  + \{-0.0018 \ 26 \cos 2\alpha \tau'
                                                                                              \int tg \, \delta^2 \cos \odot +
                  + {- 0.0000 49 \sin 2\alpha \tau' + 0.0009 33 \cos 2\alpha } tg \delta^2 \sin 2\Theta +
                  + \{-0.000053\cos 2\alpha \tau' - 0.000036\sin 2\alpha\} \operatorname{tg} \delta^2 \cos 20 +
                                                            + 0.0001 54 \cos 2\alpha
                                                                                                tg \delta^2 \sin 2\Omega —
                                                            - 0.0001 61 sin 2α
                                                                                                tg \delta^2 cos 2\Omega +
                                                                                                tg \delta^2 \sin 30 —
                                                            + 0.0000 50 cos 2α
                                                                                                                                         23a)
                                                            — 0.0000 50 sin 2α
                                                                                                tg \delta^2 \cos 3\odot +
                                                            + 0.0007 72 \cos 2\alpha
                                                                                                tg \, \delta^2 \sin(\odot + \Omega) —
                                                            - 0.0007 62 sin 2α
                                                                                                tg \delta^2 cos(\odot + \Omega) +
                                                            + 0.0001 46 \cos 2\alpha
                                                                                                \operatorname{tg} \delta^2 \sin(\bigcirc - \square) - \square
                                                            -0.000079 \sin 2\alpha
                                                                                                tg \delta^2 cos(\bigcirc - \Omega) +
                                                            + 0.0000 20 cos 2\alpha
                                                                                                \operatorname{tg} \delta^2 \sin(2 \odot + \Omega) —
                                                            - 0.0000 21 sin 2α
                                                                                                \operatorname{tg} \delta^2 \cos(2\odot + \Omega) +
                                                            + 0.0000 02 \cos 2\alpha
                                                                                                \operatorname{tg} \delta^2 \sin(2 \odot - \Omega) -
                                                                                                \operatorname{tg} \delta^2 \cos(2 \odot - \Omega) +
                                                            - 0.0000 04 sin 2α
                                                            + 0.0000 OI cos 2α
                                                                                                tg \delta^2 \sin 40—
                                                            - 0.0000 01 sin 2α
                                                                                                tg \delta^2 \cos 4\Theta,
```

```
d\Delta \delta_0 = -\frac{1}{2} \cot g \delta_0 \Delta \alpha_0^2 \operatorname{arc} I'' =
       \{(-0''000487 + 0''000307\cos 2\alpha)\tau'^2 - 0''000549 + 0''000017\cos 2\alpha\} \operatorname{tg} \delta +
   +\{(+0.000334-0.000334\cos 2\alpha)\tau'
                                                                                                          \int tg \, \delta \sin \Omega +
   +{
                            + 0.000449 \sin 2\alpha \tau'
                                                                                                          \int tg \, \delta \cos \Omega +
   +\{(+0.000996-0.000996\cos 2\alpha)\tau'
                                                                              +{
                            +0.000913 \sin 2\alpha \tau' - 0.000025
                                                                                                         tg \delta \cos \odot +
   +\{(+0.000025-0.000025\cos 2\alpha)\tau'
                                                                               -0.000466 \sin 2\alpha tg \delta \sin 20 +
   +{
                            +0.000027 \sin 2\alpha \tau' + 0.000040 - 0.000468 \cos 2\alpha  tg \delta \cos 2\omega -
                                                                              -0.000077 \sin 2\alpha \operatorname{tg} \delta \sin 2\Omega -
                                                          -\{0.000023 + 0.000080\cos 2\alpha\} \operatorname{tg} \delta \cos 2\Omega -
                                                                                                                                       23b)
                                                                              -0.000025 \sin 2\alpha \operatorname{tg} \delta \sin 30
                                                                              -- 0.000025 \cos 2\alpha \operatorname{tg} \delta \cos 30
                                                                               -\infty 0.000386 \sin 2\alpha \operatorname{tg} \delta \sin(\odot + \Omega)
```

Wenn man von den mit τ' multiplicirten und von periodischen Argumenten freien Gliedern absieht, so hat man jene, übrigens hier in grösserer Vollständigkeit gegebenen Formeln, welche man gewöhnlich zur Berechnung der aus der Nutation und Aberration entstehenden Glieder zweiter Ordnung anwendet; die mit τ' multiplicirten Glieder zweiter Ordnung bestimmen den Einfluss der Präcession in den Fällen, wo man als Ausgangspunkt für die Jahresephemeride eines Sternes seine mittleren Coordinaten des Jahresanfanges wählt. Vergleicht man das Formelsystem 22) (pag. 260) mit den Gleichungen 20a) (pag. 259), so ist der Vortheil der Einfachheit seitens der letzteren evident und es kann wohl kaum zweifelhaft sein, welcher Methode man sich bei der Anwendung zu bedienen hat; nur ist zu bedenken, dass die bisher gewöhnlich in Anwendung gebrachten Formeln die für einen gegebenen Stern constanten Glieder nicht berücksichtigen, also dem Sternorte noch anhaften; man hat daher die Katalogspositionen der Sterne um die Beträge:

$$- o50000023 \sin 2\alpha \operatorname{tg} \delta^{2} \operatorname{in} \operatorname{Rectascension}, \{+ o''000549 - o''000017 \cos 2\alpha\} \operatorname{tg} \delta \operatorname{in} \operatorname{Declination},$$
 24)

zu corrigiren, wobei hier die erstere Correction schon in Zeitsekunden angesetzt ist.

Als Beispiel für die Anwendung der von Fabritius in Vorschlag gebrachten Formeln soll mit Hilfe der früher (pag. 255) gefundenen Zahlen für den polnahen Stern λ Ursae minoris ein Ephemeridenbruchstück berechnet werden.

Die mittlere Position für 1883-0 ist nach dem Berliner Jahrbuch:

$$\alpha_0 = 10^h + 1^m 2^s 284, \qquad \delta_0 = +88^o 57' 2'' 52,$$

die jährlichen Änderungen sind nach derselben Quelle:

$$-62^{s}9955, +8''552.$$

Die Position ist zuerst wegen des kleinen Aberrationsgliedes (vergl. 59) pag. 232) und wegen der constanten Glieder zweiter Ordnung (vergl. 24) pag. 262) zu corrigiren, wobei man nach den betreffenden Formeln:

Correct. wegen Aberr.
$$+ 1^{5}199 - 0''09$$

,, , Gl. 2. Ordg. $+ 0.005 + 0.03$,

findet. Es ist demnach die für den tropischen Jahresanfang 1883 hier anzuwendende Position:

$$\alpha_0 = 19^h 41^m 3^s 488$$
 $\delta_0 = +88^\circ 57' 2'' 46$
= 295° 15' 52"32.

Rechnet man nun nach den Formeln 57) (pag. 230) unter Benützung der Tafeln XI

die jährliche Präcession, oder die mit derselben identischen Grössen a und a' der Formeln 10) (pag. 253), so findet sich:

Die Vergleichung dieser Zahlen mit jenen des Berliner Jahrbuches zeigt, dass man, um den Übergang auf die hier benützten Präcessionsconstanten zu machen, demnach eine jährliche Eigenbewegung beziehungsweise von:

$$-o^{s}o741$$
 , $-o''oo5$,

annehmen muss. Die Berechnung der übrigen Coëfficienten nach 10) (pag. 253) gibt:

$$log \frac{1}{15} b = 0.1913 \qquad log b' = 9.9563
log \frac{1}{15} c = 0.1914 \qquad log c' = 9.9601
log \frac{1}{15} d = 0.5175 \qquad log d' = 9.6301.$$

Die Ermittlung der Reductionsbeträge mit Hilfe der auf pag. 255 angesetzten Bessel'schen Reductionscoëfficienten gestaltet sich nach den Formeln 9) (pag. 253) und 20b) (pag. 259) wie folgt:

	Jan 0.5	Jan 1.5	Jan 2.5	Jan 3.5	Jan 4.5
a(A+A')	— 16°83	— 16°95	17 ⁸ 10	— 17°28	- 17 ⁸ 50
b(B+B')	+ 10.31	+ 10.33	+ 10.37	+ 10.41	+ 10.45
c C	- 5.29	 5.80	— 6.31	— 6.81	— 7.31
dD	67.47	- 67.23	— 6 6.99	66.73	66.43
E	0.00	0.00	0.00	0.00	0.00
μτ'	0.00	0.00	0.00	0.00	0.00
<i>_</i>	— 79 ⁸ 28	— 79°65	8o ⁴ 03	— 80°41	— 80°79
a'(A+A')	+ 2"288	+ 2"305	+ 2"325	+ 2"350	+ 2"379
b'(B+B')	+ 6.001	+ 6.013	+ 6.036	+ 6.060	+ 6.086
c' C	3.103	— 3.403	— 3.702	- 3.999	- 4.294
ď D	+ 8.744	+ 8.714	+ 8.682	+ 8.648	+ 8.610
$\mu' \iota'$	0.000	0.000	0,000	0.000	0,000
_15 ₀	+ 13.930	+ 13.629	+ 13.341	+ 13.059	+ 12.781
log ⊿α₀	1,,899	1,901	1,,903	1,905	I _n 907
log ⊿∂ _o	1.144	1.134	1.125	1.116	1.107
$\Delta \alpha_{o} \Delta \delta_{o}$	3,,043	3n035	3n028	3,021	3,014
$d\Delta\alpha_0^*$	— o*29	o*29	— o*28	o*28	— o*27
$\log \Delta \alpha_0^2$	3.798	3.802	3.806	3.810	3.814
d ⊿ ∂ _o *)	— o″o63	o″o63	— o″o64	— o″o64	- 0"065
Red ao	1" 19 ⁸ 57	— 1" 19 ⁸ 94	- 1 m 20*31	- 1 ^m 20 ⁸ 69	— 1 ^m 21 ^s 06
Red do	+ 13"87	+ 13"57	+ 13"28	+ 12"99	+ 12"72.

^{*)} Es werden nämlich nach 20b) (pag. 259) die für das ganze Jahr constant anzunehmenden Logarithmen der Coëfficienten, mit denen beziehungsweise $\mathcal{A}a_0 \mathcal{A}\delta_0$ und $\mathcal{A}a_0^2$ zu multipliciren sind: (6.423 – 10) und $(4\frac{1}{9}999 – 10)$.

Die Ephemeride der sch	ieinbaren Orte	des	Sternes	ist	also:
------------------------	----------------	-----	---------	-----	-------

Mittl. Berl. Zeit	app. α	app. δ
1883 Jan 0.5	19 ^h 39 ^m 43 ^s 92	$+88^{\circ}57'16''33$
,, 1.5	43.55	16.03
,, 2.5	43.18	15.74
,, 3.5	42.80	15.45
,, 4.5	42.43	15.18.

Bei der Berechnung von Ephemeriden für längere Zeiträume wird man zuerst die Grössen $\Delta \alpha_0$ und $\Delta \delta_0$ nebst den daraus entstehenden Correctionen $d\Delta \alpha_0$ und $d\Delta \delta_0$ in grösseren Intervallen (8 oder 10 Tage) bestimmen und dann die durch Interpolation erhaltenen Tagesresultate wegen der kleinen Nutationsglieder nach 11a) (pag. 254) corrigiren. Die Reduction der vorstehenden Ephemeride auf die Momente der oberen Culmination eines beliebig zu wählenden Meridians wird keine Schwierigkeiten bieten und von Fall zu Fall durch Hilfstafeln erleichtert werden können, auf deren Einrichtung jedoch hier nicht eingegangen werden soll.

Anhang.

Bei der Vorausberechnung der Ephemeriden der kleinen Planeten werden gewöhnlich mehre Angaben gemacht, welche über die Zeit der Opposition (heliocentrische und geocentrische Länge sind für diesen Moment einander gleich), über die Helligkeit und Lichtstärke des Himmelskörpers Aufschluss geben sollen und einen die Beobachtung vorbereitenden Zweck haben.

Die Zeit der Opposition wird aus der Bedingung erhalten, dass die heliocentrische Länge des Planeten gleich ist der heliocentrischen Länge der Erde. Ist u das Argument der Breite, so ist:

$$tg(l-\Omega)=tgu\cos i,$$

woraus die heliocentrische Länge l des Planeten leicht gefunden wird. Da dieser Oppositionsmoment nur auf etwa eine Stunde genau angegeben wird, so genügt es, in der Nähe der Opposition die heliocentrische Länge des Planeten mit derjenigen der Erde für Zeiträume von 20 zu 20 Tagen zu vergleichen (die Störungsrechnung wird meistens die nöthigen Grössen enthalten), und ein einfaches Interpolationsverfahren mit Rücksicht auf höhere Differenzen wird das Gewünschte sofort erreichen lassen.

Die Helligkeit wird sich leicht finden lassen, wenn man von der Phase absieht und annimmt, dass der Planet nur vermöge der Erleuchtung durch die Sonne sichtbar wird, also keine ihm eigenthümliche Lichtentwicklung hat. Ist J_o die Lichtstärke des Planeten zu einer gegebenen Zeit, in der die Entfernung von der Sonne r_o und die Entfernung von der Erde ϱ_o war, so wird die Lichtstärke J in dem Momente, da die Entfernung von der Sonne r, von der Erde ϱ ist, den gemachten Voraussetzungen nach bestimmt sein durch:

$$J = J_{\rm o} \, \frac{r_{\rm o}^2 \, \varrho_{\rm o}^2}{r^2 \, \varrho^2}.$$

Für die kleinen Planeten nimmt man als Einheit die Lichtstärke an, in welcher der Planet erscheinen würde, wenn er in der Entfernung a (halbe grosse Achse) von der Sonne und in der Entfernung a-1 von der Erde sich befände. Es ist dann:

Lichtstärke =
$$J = \frac{a^2(a-1)^2}{r^2\varrho^2}$$
, oder $\log J = 2\log a (a-1) - 2\log r\varrho$.

Um nun die scheinbare Helligkeit des Planeten zu finden, drückt man diese in derselben Scala (Grössenklassen) aus, in welche man die Fixsterne einreiht. Die Erfahrung lehrt, dass das Verhältnis der Lichtstärke zweier einander folgender Sternklassen, welches durch h ausgedrückt werden soll, ein nahezu constantes ist; so finden

Steinheil:	$\log h = 0.45$
Seidel	0∙46
Johnson	0.41
Pogson	0.38
Stampfer	0.40
Rosén	o•39
Zöllner	0.36

Th. W. (Viertelj. der Astr. G. XV pag. 206) 0.35.

Diese Werthe geben im Mittel:

$$\log h = 0.40,$$

welche Zahl für die folgenden Formeln trotz mehrfacher Mängel, die ihr anhaften, benützt werden soll; es würde sich vielleicht empfehlen, dieselbe zur präcisen Definition der relativen Helligkeit zweier auf einander folgender Grössenklassen zu benützen.

Ist m_0 die Grösse des Planeten unter den Verhältnissen, die J der Einheit gleich machen $(r=a, \varrho=a-1)$, welche Grösse man die mittlere Oppositionsgrösse des Planten nennt, weiter M jene Grösse, die der Planet in der heliocentrischen Entfernung r, und der geocentrischen ϱ zeigt, so wird sein:

 $J=h^{m_0-M},$

oder logarithmisch:

$$M = m_{\rm o} - \frac{\log J}{\log h},$$

wofür man mit Rücksicht auf den obigen Werth von h auch schreiben kann:

$$M = m_0 - 2.5 \log J$$
.

Setzt man für J den Werth aus 1) ein, so findet sich:

$$M = m_0 + 5 \log r \varrho - 5 \log (a^2 - a)$$
.

Ist M für ein vorgelegtes Datum durch die Beobachtung gegeben, so wird man den für einen bestimmten Planeten constanten Werth:

$$g = m_0 - 5 \log (a^2 - a), \qquad 2)$$

aus den Beobachtungen bestimmen können und finden:

$$g = M - 5 \log r \varrho. \tag{3}$$

Ist g gegeben, so findet sich die Grösse des Planeten aus:

$$M = g + 5 \log r \varrho. \qquad 4)$$

Nimmt man in dieser Gleichung für $r\varrho$ jene Werthe an, die in einem gegebenen Falle für die Oppositionszeit gelten, so erhält man die Oppositionsgrösse.

Das Berliner Jahrbuch für 1883 gibt bei der Zusammenstellung der Bahnelemente der kleinen Planeten die Grösse m_0 und g für die Planeten (1) — 219.

Die Grösse des Planeten wird aber in Folge der Exstinction, welche das Licht in der Erdatmosphäre erleidet, eine Function der Zenithdistanz sein; Weiss gibt in den »Astron. Nachr.« (Bd. 88 pag. 183) auf Grundlage von Seidel's Angaben, unter der Annahme $\log h = 0.4$, die folgenden Correctionen, welche man an die beobachtete Grösse anbringen muss, um die mit M bezeichnete wahre zu finden:

Zenithdist. Corr.	Zenithdist. Corr.	Zenithdist. Corr.
30° — 0.01	$65^{\circ} - 0.32$	8o° — o⋅96
35 — 0·02	70 — 0·45	81 — 1·06
40 - 0.03	75 — o·65	82 — 1.20
45 — o·o5	76 — 0·70	83 — 1.36
50 — o·o9	77 — o·75	84 — 1.53
55 — 0·14	78 — o·81	85 — 1.71
60 — 0·22	79 — o⋅88	86 — 1·89.

Es kann wohl bezweifelt werden, ob die vorstehenden Correctionen in allen Fällen in vollem Masse angebracht werden müssen, denn die Beobachtungen sind in der Regel Schätzungen, die auf keinen genauen photometrischen Messungen beruhen und durch die Helligkeit der benachbarten Fixsterne von bekannter Grösse in etwas beeinflusst sind, doch wird man im Allgemeinen bessere Resultate erhalten, wenn diese Correctionen berücksichtigt werden. Auf die Exstinction des Lichtes ist bei den oben citirten Angaben des Berliner Jahrbuches nicht Rücksicht genommen.

Zweiter Theil.

Bahnbestimmung.

Allgemeines und Aufstellung der Bedingungsgleichungen der Bahnebene.

In dem vorausgehenden Theile ist gezeigt worden, dass die Bahnen der Himmelskörper des Sonnensystems als Kegelschnittslinien betrachtet werden dürfen, in deren einem Brennpunkte die Sonne sich befindet. Um einen Kegelschnitt seinen Dimensionen nach völlig zu charakterisiren, genügt im Allgemeinen die Angabe zweier Grössen, nämlich der grossen Halbachse a und der Excentricität e; ist die Bahn jedoch parabolisch (Kometenbahn), in welchem Falle $a = \infty$ und e = 1 wird, so muss zur Dimensionsbestimmung eine andere Angabe gemacht werden; man benützt hierzu die Entfernung des Himmelskörpers von der Sonne in seiner Sonnennähe, die Periheldistanz q. Um den Ort des Himmelskörpers in seiner Bahn für eine beliebige Zeit bestimmen zu können, muss ein solcher für eine bestimmte Zeit (Epoche) angegeben sein; zu diesem Zwecke wird für nahezu kreisförmige Bahnen (Planetenbahnen) gewöhnlich die mittlere Anomalie M zur Zeit der Epoche angesetzt; bei sehr excentrischen Bahnen aber wählt man dafür den Zeitpunkt der Sonnennähe, die Perihelzeit T. Um nun die Bahnlage im Raume zu fixiren, bedarf es noch der Angabe zweier Bestimmungsstücke, des aufsteigenden Knotens Q und der Neigung i; über die Bedeutung und Zählweise dieser Elemente und des gleich zu erwähnenden sechsten Elementes ist schon früher (pag. 7 und 8) das Nöthige beigebracht worden. Die Lage des Kegelschnittes in seiner Bahnebene wird bestimmt sein, wenn der heliocentrische Bogenabstand w des Perihels vom aufsteigenden Knoten, in der Bewegungsrichtung des Himmelskörpers gezählt, angegeben ist. Die Summe der Bogenlängen des aufsteigenden Knotens und des Abstandes des Perihels vom Knoten wird die Länge des Perihels a genannt. Zu diesen sechs bisher angeführten Elementen wird als siebentes noch die Masse des Himmelskörpers treten; dieselbe ist übrigens von der Ordnung der bei ersten Bahnbestimmungen zu vernachlässigenden Störungen und soll, da überdies die Massen aller Himmelskörper des Sonnensystems, bei denen erste Bahnbestimmungen vorgenommen werden. so

klein sind, dass gegenwärtig noch keine angebbaren Werthe für dieselben aufgewiesen werden können, nicht weiter berücksichtigt werden. Ist also über die Bahn eines Himmelskörpers nichts Näheres bekannt, so sind im Allgemeinen sechs Elemente zu ermitteln; die zu einer bestimmten Zeit gehörenden heliocentrischen Coordinaten und deren Geschwindigkeiten werden Functionen dieser sechs Unbekannten sein. Bei der Bestimmung von Kometenbahnen, deren Excentricität man stets mit grosser Annäherung der Einheit gleich annehmen kann, werden nur fünf Unbekannte auftreten. Dieser Umstand erfordert eine veränderte Behandlung des Problems, von welcher man wegen der dadurch zu erlangenden höheren Genauigkeit, besonders bei ersten Bahnbestimmungen von Kometen, mit Vortheil Gebrauch machen wird. Die Beobachtungen selbst bieten kein Hilfsmittel, die heliocentrischen Coordinaten eines Himmelskörpers vollständig zu bestimmen, da durch dieselben der geocentrische Abstand ϱ nicht gegeben wird. Seien ξ , η , ζ die geocentrischen Coordinaten, so werden dieselben durch die polaren in folgender Weise dargestellt:

$$\xi = \varrho \cos \lambda \cos \beta$$
$$\eta = \varrho \sin \lambda \cos \beta$$
$$\zeta = \varrho \sin \beta,$$

 λ und β werden durch die Beobachtungen gegeben; auf Grund der Angabe der Beobachtungszeit können aus den bekannten Bahnelementen der Erde, oder, was einfacher ist, durch Benützung der astronomischen Ephemeriden die geocentrischen Coordinaten der Sonne X, Y, Z ermittelt werden; es sind demnach die heliocentrischen Coordinaten des Himmelskörpers:

$$x = \xi - X$$

$$y = \eta - Y$$

$$z = \zeta - Z$$

welche drei Gleichungen aber die unbekannten q enthalten. Da x, y und z Functionen der sechs Bahnelemente sind, so ergibt eine Beobachtung zur Bestimmung dieser Elemente drei Gleichungen mit sieben Unbekannten, nämlich den sechs Elementen und der geocentrischen Distanz; eine zweite Beobachtung wird nur eine neue Unbekannte, nämlich die zugehörige geocentrische Distanz einführen, zugleich aber die Aufstellung dreier weiterer Gleichungen gestatten. Eine einfache Überlegung zeigt daher, dass drei vollständige Beobachtungen neun Gleichungen mit neun Unbekannten ergeben, also, abgesehen von gewissen Specialfällen, eine Lösung der Aufgabe eben ermöglichen; da aber diese Gleichungen durchaus nicht linearer Natur sind, so ist es immerhin denkbar, dass mehrfache Lösungen möglich seien, welcher Fall auch thatsächlich eintreten kann. Unter Umständen mag es wünschenswerth, ja selbst geboten sein, von unvollständigen Beobachtungen Gebrauch zu machen; eine solche soll in ihrer grössten Allgemeinheit genommen werden, so dass die Coordinaten λ und β als Functionen einer willkürlichen Variabeln für jede einzelne Beobachtung dargestellt werden, daher man in einem Falle, in welchem alle Beobachtungen als unvollständig vorausgesetzt werden, sechs derartiger Beobachtungen bedarf, um eine Bahnbestimmung durchführen zu können; jede derselben wird nämlich drei Gleichungen ergeben, also in Summe achtzehn Gleichungen; in der That sind achtzehn Unbekannte in dem Problem vorhanden; nämlich die sechs Elemente, die sechs geocentrischen Distanzen und die sechs willkürlichen Variabeln, die für jede einzelne Beobachtung λ und β bestimmen. Im Allgemeinen wird eine derartige Bestimmung der Elemente aus unvollständigen Beobachtungen nicht empfehlenswerth sein, in manchen Fällen jedoch die Mitnahme solcher nöthig werden. Man kann die bisherigen Betrachtungen demnach dahin zusammenfassen, dass man sagt, jede vollständige Beobachtung liefert zwei Gleichungen, jede unvollständige dagegen nur eine Gleichung zur Bestimmung der sechs Elemente. Es ist aber immerhin möglich, dass in gewissen Fällen die so erlangten Gleichungen nicht essentiell verschiedene Relationen ergeben, wie dies zur Bestimmung der Unbekannten erforderlich ist; auf diese Fälle wird später Rücksicht genommen werden, vorerst soll nur jener in Betracht gezogen werden, in welchem drei vollständige Beobachtungen vorliegen.

$$Ax_{n} + By_{n} + Cz_{n} = 0$$

$$Ax_{n} + By_{n} + Cz_{n} = 0$$

$$Ax_{m} + By_{m} + Cz_{m} = 0,$$

in welchen Gleichungen A, B, C Functionen der Elemente Knoten und Neigung sein werden. Man kann diese Grössen ohne Schwierigkeit eliminiren. Multiplicirt man die erste Gleichung mit z_n , die zweite mit z, und subtrahirt diese von jener, so wird erhalten:

$$A(x,z_{n}-x_{n}z_{n})+B(y,z_{n}-y_{n}z_{n})=0.$$

Aus der Multiplication der ersten Gleichung mit z_m , der dritten mit z, und Subtraction der letzteren von der ersten ergibt sich:

$$A(x,z_{m}-x_{m}z_{n})+B(y,z_{m}-y_{m}z_{n})=0.$$

Um nun B zu eliminiren, multiplicirt man die erste der eben erhaltenen Gleichungen mit $(y, z_m - y_m z)$, die zweite mit (y, z, y, z_m) und addirt, dann erhält man:

$$A(x, y, z_{n}, z_{m} - x_{n}y, z, z_{m} - x, y_{m}z, z_{n} + x_{n}y_{m}z, z, + x, y_{n}z, z_{m} - x, y, z_{n}z_{m} - x_{m}y_{n}z, z, + x_{m}y_{n}z, z, + x_{m}y_{n}z, z_{m}) = 0.$$

Das erste Glied hebt sich mit dem sechsten auf, die übrigen enthalten als gemeinschaftlichen Factor Az_i ; dieser wird im Allgemeinen von Null verschieden sein,

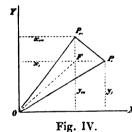
weshalb man denselben wegen der rechts vom Gleichheitszeichen stehenden Null weglassen kann und als Bedingungsgleichung der Bahnebene erhält:

$$-x_{1}y_{1}z_{1}-x_{1}y_{1}z_{1}+x_{1}y_{1}z_{1}+x_{1}y_{1}z_{1}+x_{1}y_{1}z_{1}+x_{1}y_{1}z_{1}-x_{1}y_{1}z_{1}=0, \quad 2)$$

welche Gleichung in drei verschiedenen Formen geschrieben werden kann, je nachdem man $(x_1, -x_n, +x_m)$ oder $(-y_1, +y_n, -y_m)$ oder $(z_1, -z_n, +z_m)$ als partielle gemeinschaftliche Factoren heraushebt. Es wird so:

Die innerhalb der Klammern stehenden Coëfficienten haben eine ganz bestimmte geometrische Bedeutung; betrachtet man die erste der Gleichungen, so wird man leicht finden, dass die Coëfficienten der Reihe nach die Coordinaten der Projectionen des zweiten und dritten, ersten und dritten, ersten und zweiten Ortes auf die yz-Ebene enthalten, die Ansicht der zweiten und dritten Gleichung lässt in den Coëfficienten derselben die Coordinaten der analogen, Projectionen auf die xz-Ebene, beziehungsweise die xy-Ebene erkennen.

Zur näheren Betrachtung soll der specielle Fall $(x, y_m - x_m y_i)$ vorgenommen werden. P_m (Fig. IV) seien die Projectionen des ersten und dritten Ortes auf



die xy-Ebene, x_n , y_n und x_m , y_m die zugehörigen Coordinaten. Das Dreieck zwischen P,OP_m kann in drei kleinere Dreiecke zerlegt werden und zwar ist:

$$\triangle(P,OP_m) = \triangle(P,FP_m) + \triangle(P,FO) + \triangle(P_mFO).$$

Da aber offenbar die Relationen:

$$\triangle (P, FP_m) = \frac{1}{2} (y_m - y_i) (x_i - x_m)$$

$$\triangle (P, FO) = \frac{1}{2} y_i (x_i - x_m)$$

$$\triangle (P_m FO) = \frac{1}{2} x_m (y_m - y_i),$$

bestehen. durch deren Addition sich:

$$\triangle (P,O P_{m}) = \frac{1}{2}(x,y_{m}-x_{m}y_{m}),$$

findet, so stellt der eben betrachtete Factor die doppelte Fläche des Dreieckes P,OP_m dar. Bezeichnet man die Neigung der Bahnebene gegen die xy-Ebene mit i_{xy} , gegen die xz-Ebene mit i_{xz} und gegen die yz-Ebene mit i_{yz} und führt für die doppelten Dreiecksflächen, welche zwischen den drei in Betracht kommenden Radienvectoren eingeschlossen sind, wie oben (13) pag. 98) die Symbole $[r,r_n]$, $[r,r_m]$ und $[r,r_m]$ ein, so ist zunächst:

$$\triangle (P, OP_m) = \frac{1}{2} [r, r_m] \cos i_{xy}.$$

Transformirt man in ähnlicher Weise die in 3) in den Klammern eingeschlossenen Factoren, so erschliesst man leicht die folgenden Relationen:

$$\begin{aligned} (y_{n}z_{m}-y_{m}z_{n}) &= [r_{n}r_{m}]\cos i_{yz} &; & (x_{n}z_{m}-x_{m}z_{n}) &= [r_{n}r_{m}]\cos i_{xz} ; \\ (y, z_{m}-y_{m}z_{n}) &= [r, r_{m}]\cos i_{yz} &; & (x, z_{m}-x_{m}z_{n}) &= [r, r_{m}]\cos i_{xz} ; \\ (y, z_{n}-y_{n}z_{n}) &= [r, r_{n}]\cos i_{yz} &; & (x, z_{n}-x_{n}z_{n}) &= [r, r_{n}]\cos i_{xz} ; \\ (x_{n}y_{m}-x_{m}y_{n}) &= [r_{n}r_{m}]\cos i_{xy} \\ (x_{n}y_{m}-x_{m}y_{n}) &= [r, r_{m}]\cos i_{xy} \\ (x_{n}y_{m}-x_{n}y_{n}) &= [r, r_{m}]\cos i_{xy} . \end{aligned}$$

Wenn man nun diese Werthe in 3) substituirt, so findet sich:

$$\begin{bmatrix}
\frac{[r_{n} r_{m}]}{[r, r_{m}]} x_{r} + \frac{[r_{i} r_{n}]}{[r, r_{m}]} x_{m} = x_{n} \\
\frac{[r_{m} r_{m}]}{[r, r_{m}]} y_{r} + \frac{[r_{i} r_{m}]}{[r, r_{m}]} y_{m} = y_{n} \\
\frac{[r_{m} r_{m}]}{[r, r_{m}]} z_{r} + \frac{[r_{i} r_{n}]}{[r, r_{m}]} z_{m} = z_{n},
\end{bmatrix} 4$$

welchen Bedingungen die heliocentrischen Coordinaten der drei in Betracht gezogenen Orte genügen müssen, um in einer Ebene zu liegen, die durch den Sonnenmittelpunkt geht. Diese drei Gleichungen sind ursprünglich aus der verschiedenen Schreibweise einer und derselben Gleichung 2) (pag. 270) entstanden, werden aber drei Bedingungen, die von den Coordinaten erfüllt sein müssen, darstellen. sobald man für die Verhältnisse der Dreiecksflächen anderweitige nicht von den Coordinaten selbst abhängige Werthe einführt. In der That lassen sich, wie dies oben (pag. 98 bis 101) gezeigt wurde, so lange der in Betracht gezogene heliocentrische Bogen nicht zu gross ist, die Verhältnisse der Dreiecksflächen durch rasch convergirende Reihen ersetzen, deren Anfangsglieder von den bekannten Zwischenzeiten und den Radienvectoren abhängen, welche selbst einfache Functionen der heliocentrischen Coordinaten sind, so dass deren genäherte Bestimmung ohne allzugrosse Schwierigkeit vorgenommen werden kann. Diese Substitution soll aber vorerst nicht durchgeführt und von der bezüglichen Bemerkung in der folgenden Untersuchung nur insoweit Gebrauch gemacht werden, dass man die Verhältnisse der Dreiecksflächen unter den gemachten Einschränkungen als genähert bekannt voraussetzen darf.

Ersetzt man nun in 4) die heliocentrischen Coordinaten des Himmelskörpers durch seine geocentrischen und durch die geocentrischen Sonnencoordinaten nach den Relationen (vergl. 1) pag. 20):

$$x = \xi - X y = \eta - Y z = \zeta - Z,$$
 5)

und führt die polaren Coordinaten ein, so stellt sich die Frage, welche Fundamentalebene man für dieselben wählen soll. Im Allgemeinen ist diese Bestimmung willkürlich, der Umstand aber, dass die Z-Coordinate in der Ekliptik stets sehr klein ist oder auch durch geeignete Methoden (vergl. 35) pag. 39 und 2) pag. 41) streng der Null gleich gemacht werden kann, lässt das System der Längen und Breiten als besonders zweckmässig für das vorgelegte Problem erscheinen; es wird daher, wenn mit ϱ die geocentrische Entfernung des Himmelskörpers, mit λ und β

seine Länge und Breite, mit R die geocentrische Entfernung der Sonne und mit L deren Länge bezeichnet wird, während ihre Breite den eben gemachten Bemerkungen zufolge der Null gleich angenommen werden kann, für die rechtwinkligen Coordinaten zu setzen sein:

Hierbei sind überdies die Längen von einem Punkte aus zu zählen, dessen Länge durch II dargestellt sei. Die angeführten Grössen werden für die drei in Betracht kommenden Orte durch Accente unterschieden. Führt man also die Relationen 5) und 6) in 4) (pag. 271) ein, so erhält man ohne Schwierigkeit die folgenden drei für die weiteren Untersuchungen höchst wichtigen Gleichungen:

$$\frac{[r_{n}r_{m}]}{[r,r_{m}]} \left\{ \varrho, \cos\left(\lambda, -\Pi\right) \cos\beta, -R, \cos\left(L, -\Pi\right) \right\} + \frac{[r,r_{n}]}{[r,r_{m}]} \left\{ \varrho_{m} \cos\left(\lambda_{m} -\Pi\right) \cos\beta_{m} - R_{m} \cos\left(L_{m} -\Pi\right) \right\} = \varrho_{n} \cos\left(\lambda_{n} -\Pi\right) \cos\beta_{n} - R_{n} \cos\left(L_{n} -\Pi\right)$$

$$\frac{[r_{n}r_{m}]}{[r,r_{m}]} \left\{ \varrho, \sin\left(\lambda, -H\right) \cos\beta, -R, \sin\left(L, -H\right) \right\} + \frac{[r,r_{n}]}{[r,r_{m}]} \left\{ \varrho_{m} \sin\left(\lambda_{m} -H\right) \cos\beta_{m} - R_{n} \sin\left(L_{m} -H\right) \right\}$$

$$-R_{m} \sin\left(L_{m} -H\right) \right\} = \varrho_{n} \sin\left(\lambda_{n} -H\right) \cos\beta_{n} - R_{n} \sin\left(L_{n} -H\right)$$

$$\frac{[r_{n}r_{m}]}{[r,r_{m}]} \varrho_{n} \sin\beta_{n} + \frac{[r,r_{n}]}{[r,r_{m}]} \varrho_{m} \sin\beta_{m} = \varrho_{n} \sin\beta_{n}.$$

Hätte man die Z-Coordinate in 6) nicht der Null gleich gesetzt, so würden die Sonnencoordinaten die Form:

$$X = R \cos B \cos(L - \Pi)$$

$$Y = R \cos B \sin(L - \Pi)$$

$$Z = R \sin B,$$

erhalten; dann hätte man statt der Gleichungen 7), wenn überdies H = 0 gesetzt wird, zu schreiben:

$$\frac{[r_{n} r_{m}]}{[r, r_{m}]} \{ \varrho, \cos \lambda, \cos \beta, -R, \cos L, \cos B_{n} \} + \frac{[r_{n} r_{m}]}{[r, r_{m}]} \{ \varrho, \cos \lambda, \cos \beta, -R_{m} \cos L_{m} \cos B_{m} \} = \\
= \varrho_{n} \cos \lambda_{n} \cos \beta_{m} - R_{n} \cos L_{n} \cos B_{m} \} = \\
\frac{[r_{n} r_{m}]}{[r, r_{m}]} \{ \varrho, \sin \lambda, \cos \beta, -R_{n} \sin L_{n} \cos B_{n} \} + \frac{[r_{n} r_{m}]}{[r_{n} r_{m}]} \{ \varrho, \sin \lambda_{m} \cos \beta_{m} - R_{m} \sin L_{m} \cos B_{m} \} = \\
= \varrho_{n} \sin \lambda_{n} \cos \beta_{m} - R_{m} \sin L_{n} \cos B_{m} \} = \\
\frac{[r_{n} r_{m}]}{[r, r_{m}]} \{ \varrho, \sin \beta, -R_{n} \sin B_{n} \} + \frac{[r_{n} r_{m}]}{[r_{n} r_{m}]} \{ \varrho_{m} \sin \beta_{m} - R_{m} \sin B_{m} \} = \varrho_{n} \sin \beta_{m} - R_{n} \sin B_{m}.$$

Die Gleichungen 8) bieten bei ersten Bahnbestimmungen gegenüber den Gleichungen 7) einen unter Umständen nicht zu unterschätzenden Vortheil; ist nämlich die beobachtete Breite einer oder mehrer der zu Grunde gelegten Beobachtungen sehr klein oder gar der Null gleich, so wird die Einführung des locus fictus (vergl. pag. 38) unthunlich und die Sonnenbreiten können nicht in voller Strenge der Null gleich gesetzt werden; die Gleichungen 8) aber werden in voller Strenge in Anwendung gezogen werden können, wenn man nur für L, B und R

die durch den Standpunkt des Beobachters parallaktisch veränderte geocentrische Sonnenlänge L_0 , Breite B_0 und Entfernung R_0 einführt. Man kann daher in jenen Fällen, bei welchen sich die Einführung des locus fictus als unthunlich erweist, von den Gleichungen 8) Gebrauch machen. Da solche Fälle nur bei Planetenbahnbestimmungen häufiger eintreten, während dieselben kaum jemals bei Kometenbahnbestimmungen, in deren ersten Entwürfen man sogar in der Regel den Einfluss der Parallaxe ganz übergeht, in Betracht kommen, so sollen der Bestimmung parabolischer Elemente die Gleichungen 7) zu Grunde gelegt, während die Gleichungen 8) der Ermittlung der Bahnelemente ohne Rücksicht auf eine Annahme über die Excentricität als Ausgangspunkt dienen werden; man wird aber bestrebt sein müssen, den auf die letzteren Gleichungen aufgebauten Entwicklungen eine solche Form zu geben, dass in den Formeln der Einfluss der Sonnenbreite abgetrennt erscheint, so dass die Berechnung der betreffenden Glieder, wenn man die Sonnenbreite durch Einführung des locus fictus der Null gleich gemacht hat, einfach übergangen werden kann; es wird sich dadurch auch die Möglichkeit bieten, von diesen Formeln nur theilweise Gebrauch zu machen, indem man die Anwendung dieser Correctionsglieder nur auf jene Beobachtungen beschränkt, welche die Einführung des locus fictus nicht gestatten; dieses combinirte Verfahren wird sogar als jenes bezeichnet werden müssen, welches bei der thatsächlichen Anwendung die grössten Vortheile gewährt.

Es wird hier der geeignete Platz sein, die Formeln anzuführen, deren man sich zu bedienen hat, um die parallaktisch veränderten Sonnencoordinaten zu bestimmen; es sind dies die oben (vergl. 27) pag. 34) gegebenen Formeln, wenn man in denselben statt θ und φ' , die bei der Berechnung des locus fictus (vergl. 32) pag. 37) ermittelte Länge und Breite des Zenithes einführt und die Rectascension und Declination durch die Länge und Breite ersetzt. Mit Rücksicht darauf, dass die parallaktisch veränderten Sonnenbreiten im Maximum etwa den Betrag von zehn Bogensekunden erreichen können, wird man deren Producte in die Parallaxe vernachlässigen können und die Formeln 27) (pag. 34) werden die Gestalt:

$$L = L_{o} + \frac{h\pi\cos b}{R_{o}}\sin(L_{o} - l)$$

$$B = B_{o} - \frac{h\pi\sin b}{R_{o}}$$

$$\log R = \log R_{o} - \frac{h\pi\cos b}{R_{o}}\cos(L_{o} - l) \text{ Mod. arc 1"}$$

$$\log \text{ Mod. arc 1"} = 4\cdot3234 - 10,$$

annehmen; π ist hierbei die mittlere Sonnenparallaxe (8"848) und \hbar (vergl. pag. 32) der Abstand des Beobachtungsortes vom Erdmittelpunkt in Einheiten des Äquatorhalbmessers der Erde.

I. Abschnitt. Bestimmung parabolischer Elemente.

1. Aufstellung einer Relation zwischen den geocentrischen Distanzen aus der Bedingung der Ebene.

Sobald man die Verhältnisse der Dreiecksflächen als bekannt voraussetzt, gestatten die drei Gleichungen 7) (pag. 272), einige Specialfälle ausgenommen, offenbar die Bestimmung der Unbekannten ϱ_{ij} , ϱ_{ij} und ϱ_{im} ; hierzu sind im Allgemeinen drei vollständige Beobachtungen nöthig, welche die Ermittlung der sechs unbekannten Bahnelemente ermöglichen. In dem besonderen Falle der hier vorgelegten Aufgabe wird aber, da nur fünf Elemente zu bestimmen sind, eine Bedingungsgleichung überschüssig, weshalb man, um in Folge der unvermeidlichen Fehler, welche aus den Beobachtungen und wohl auch aus der Theorie resultiren, nicht in Widersprüche zu gerathen, nur fünf Bestimmungsstücke in das Problem einführen darf. Zur Erzielung möglichst allgemeiner Resultate wird man eine Beobachtung als unvollständig einführen und zwar eignet sich hierfür zum Zwecke möglichst sicherer Ermittlung der Elemente am besten die mittlere Beobachtung. Es würde wohl auch die Wahl einer der äusseren Beobachtungen keinen besonderen Nachtheil für die folgenden Methoden haben, weil aber eine solche in der Anwendung nur äusserst selten getroffen wird, so soll hier keine besondere Rücksicht darauf genommen werden. Wenn man sich mit einer geringeren Convergenz als der durch entsprechende Transformationen zu erreichenden begnügt, so kann die unvollständige Beobachtung als mit dem Index der zweiten Beobachtung versehen gedacht und die Rechnung nach den hier zur Entwicklung gelangenden Formeln durchgeführt werden, wobei man nur wegen des Auftretens negativer Zwischenzeiten die consequente Berücksichtigung der Vorzeichen zu beachten hat.

Betrachtet man die mittlere Beobachtung als unvollständig, so wird es vor allem wünschenswerth sein, Methoden zu entwickeln, die in der grössten Allgemeinheit dieser Forderung genügen. Eine vollständige Beobachtung gibt die Richtungslinie an, in welcher sich der Himmelskörper zur Beobachtungszeit befindet; die Linie im Raume ist durch zwei unabhängige Bedingungen festgestellt, eine Ebene aber nur durch eine Gleichung; es soll daher die mittlere Beobachtung dadurch zu einer unvollständigen gemacht werden, dass man die Bestimmung trifft, der Komet stehe zur Beobachtungszeit bloss in einer bestimmten Ebene, welche durch die Beobachtungsrichtung gelegt ist. Diese Bedingung kann, da sich die Richtungslinie auf der Himmelskugel als Punkt, die gewählte Ebene als grösster Kreis projicirt, auch geometrisch dahin definirt werden, dass der Komet zur Zeit der mittleren Beobachtung in einem bestimmten durch diese gelegten grössten Kreise steht. Der aufsteigende Knoten dieses grössten Kreises in der Ekliptik sei Π und die Neigung J; die Bedingung, dass der grösste Kreis durch die mittlere Beobachtung geht, ist demnach in der Relation:

$$\operatorname{tg} J = \frac{\operatorname{tg} \beta_{\prime\prime}}{\sin\left(\lambda_{\prime\prime} - II\right)}, \qquad 1)$$

enthalten. In dieser Relation ist eine Bedingung völlig willkürlich, Π kann ohne Beschränkung gewählt werden, wenn nur dann J der Gleichung 1) entsprechend bestimmt wird. Vor Beginn der Berechnung einer Kometenbahn wird man bezüglich der Annahmen, welche man über Π machen will, schlüssig werden müssen und es sollen weiter unten die Kriterien angegeben werden, welche bei dieser Entscheidung massgebend sind.

Bezeichnet man mit u den Abstand eines in dem gewählten grössten Kreise liegenden Punktes vom aufsteigenden Knoten dieses Kreises in der Ekliptik, so wird das in Betracht kommende rechtwinklige sphärische Dreieck die Relationen:

$$\cos u = \cos (\lambda_{"} - \Pi) \cos \beta_{"}$$

$$\sin u \cos J = \sin (\lambda_{"} - \Pi) \cos \beta_{"}$$

$$\sin u \sin J = \sin \beta_{"},$$
2)

ergeben, wobei den gemachten Voraussetzungen nach u als völlig willkürlicher Bogen in das Problem einzuführen ist. Die Substitution dieser Relationen in 7) (pag. 272) ergibt sofort:

$$\frac{[r_{n}r_{m}]}{[r,r_{m}]} \left\{ \varrho, \cos\left(\lambda, -\Pi\right) \cos\beta, -R, \cos\left(L, -\Pi\right) \right\} + \frac{[r,r_{n}]}{[r,r_{m}]} \left\{ \varrho_{m} \cos\left(\lambda_{m} -\Pi\right) \cos\beta_{m} - R_{m} \cos\left(L_{m} -\Pi\right) \right\} = \varrho_{n} \cos u - R_{n} \cos\left(L_{m} -\Pi\right)$$

$$\frac{[r_{n}r_{m}]}{[r,r_{m}]} \left\{ \varrho, \sin\left(\lambda, -\Pi\right) \cos\beta, -R, \sin\left(L, -\Pi\right) \right\} + \frac{[r,r_{n}]}{[r,r_{m}]} \left\{ \varrho_{m} \sin\left(\lambda_{m} -\Pi\right) \cos\beta_{m} - R_{m} \sin\left(L_{m} -\Pi\right) \right\} = \varrho_{n} \sin u \cos J - R_{n} \sin\left(L_{m} -\Pi\right)$$

$$\frac{[r_{n}r_{m}]}{[r,r_{m}]} \varrho, \sin\beta, + \frac{[r,r_{n}]}{[r,r_{m}]} \varrho_{m} \sin\beta_{m} = \varrho_{n} \sin u \sin J.$$

In diesen drei Gleichungen treten, wenn man die Verhältnisse der Dreiecksflächen als bekannt voraussetzt, vier Unbekannte ϱ , ϱ , ϱ , ϱ , und u auf; es ergibt sich also, da nur zwei Unbekannte eliminirt werden können, nur eine Relation zwischen zwei Unbekannten, für welche hier ϱ , und ϱ , gewählt werden sollen. Die Aufgabe, aus den Gleichungen 3) ϱ , und den Bogen u zu eliminiren, kann leicht aus den beiden letzten Gleichungen allein bewerkstelligt werden, wenn man die zweite Gleichung mit $\sin J$, die dritte mit — $\cos J$ multiplicirt und die Resultate addirt; setzt man hierbei abkürzend:

$$\begin{array}{l}
\bigcirc, = R, \sin(L, -\Pi) \\
\bigcirc_m = R_m \sin(L_m - \Pi) \\
\bigcirc_m = R_m \sin(L_m - \Pi) \\
\mathscr{U}, = \sin\beta, \cos J - \sin(\lambda, -\Pi) \cos\beta, \sin J \\
\mathscr{U}_m = \sin(\lambda_m - \Pi) \cos\beta_m \sin J - \sin\beta_m \cos J,
\end{array}$$

so wird man erhalten:

$$-\varrho_{n}\mathcal{J}_{n}\frac{[r_{n}r_{m}]}{[r_{n}r_{m}]}+\varrho_{m}\mathcal{J}_{m}\frac{[r_{n}r_{m}]}{[r_{n}r_{m}]}=\sin J\left\{\frac{[r_{n}r_{m}]}{[r_{n}r_{m}]}\odot,-\odot_{n}+\frac{[r_{n}r_{m}]}{[r_{n}r_{m}]}\odot_{m}\right\}$$

oder auch:

$$\varrho_{m} = \frac{\sin J}{\sqrt[m]{m}} \left\{ \frac{[r_{n}r_{m}]}{[r,r_{n}]} \odot_{r} - \frac{[r,r_{m}]}{[r,r_{m}]} \odot_{n} + \odot_{m} \right\} + \frac{[r_{n}r_{m}]}{[r,r_{m}]} \frac{\sqrt[m]{r}}{\sqrt[m]{m}} \varrho_{r}, \qquad 6$$

welche Relation als eine Fundamentalgleichung für die weiteren Untersuchungen bezeichnet werden darf.

Die geometrische Bedeutung der Symbole \mathscr{U} , und \mathscr{U}_m lässt sich sehr leicht nachweisen; dieselben sind die Sinus der sphärischen Perpendikel beziehungsweise vom ersten und dritten Kometenorte auf den durch die mittlere Beobachtung gelegten grössten Kreis. Bezeichnet man nämlich den sphärischen Abstand des ersten und dritten Ortes von Π , dem aufsteigenden Knoten des durch die mittlere Beobachtung gelegten grössten Kreises, mit u, und u_m und beziehungsweise mit i, und i_m die Neigungen der durch Π und diese beiden Orte gelegten grössten Kreise gegen die Fundamentalebene, so folgt, wenn man für die sphärischen Perpendikel die Buchstaben P, und P_m schreibt:

$$\sin P_{i} = \sin u, \sin (i, -J) \sin P_{ii} = \sin u_{ii} \sin (J - i_{ii}),$$

oder:

$$\begin{array}{l}
\sin P, = \sin u, \sin i, \cos J - \sin u, \cos i, \sin J \\
\sin P_m = \sin u_m \cos i_m \sin J - \sin u_m \sin i_m \cos J;
\end{array} \} \quad 7)$$

nun ist aber offenbar:

$$\sin u_i \cos i_i = \sin (\lambda_i - \Pi) \cos \beta_i, \qquad \sin u_m \cos i_m = \sin (\lambda_m - \Pi) \cos \beta_m,$$

 $\sin u_i \sin i_i = \sin \beta_i, \qquad \sin u_m \sin i_m = \sin \beta_m,$

welche Werthe in die Gleichungen 7) (pag. 272) substituirt, mit Rücksicht auf 4) (pag. 275) sofort: $\sin P_{i} = \mathcal{J}_{i}$, und $\sin P_{ii} = \mathcal{J}_{ii}$,

ergeben, womit die obige Behauptung als erwiesen betrachtet werden kann.

Der Gleichung 6) (pag. 275) kann man ohne Verletzung der geometrischen Strenge eine andere Gestalt ertheilen, welche für die folgenden Untersuchungen sich als zweckmässig erweist. Es ist allgemein:

$$\sin (A - B) \sin (C - \Pi) - \sin (A - C) \sin (B - \Pi) + \sin (B - C) \sin (A - \Pi) = 0. 8$$
Führt man nun:
$$A = L_m, B = L_n, C = L_n$$

in die Gleichung 8) ein, nachdem diese mit R, R, R, multiplicirt wurde, so nimmt dieselbe mit Rücksicht auf die Relationen 4) (pag. 275) die Gestalt:

$$R_{\prime\prime\prime}R_{\prime\prime\prime}\sin{(L_{\prime\prime\prime}-L_{\prime\prime})}\odot$$
, $-R_{\prime\prime}R_{\prime\prime\prime}\sin{(L_{\prime\prime\prime}-L_{\prime\prime})}\odot$, $+R_{\prime\prime}R_{\prime\prime}\sin{(L_{\prime\prime\prime}-L_{\prime\prime})}\odot$, $=\circ$,

an. Da man die Sonnenbreiten der Null gleichsetzen darf [vergl. 35) pag. 39 und 2) pag. 41], so stellen die Factoren der ⊙-Symbole die doppelten Dreiecksflächen zwischen den entsprechenden Radienvectoren der Sonne dar; bezeichnet man dieselben ähnlich wie früher (pag. 98) symbolisch und setzt daher:

$$\begin{aligned} &[R_{"}R_{m}] = R_{"}R_{m}\sin(L_{"} - L_{n}) \\ &[R, R_{m}] = R_{r}R_{m}\sin(L_{m} - L_{r}) \\ &[R, R_{m}] = R_{r}R_{m}\sin(L_{m} - L_{r}), \end{aligned} \} \quad 9)$$

$$\frac{[R_n R_m]}{[R_n R_m]} \odot_{n} - \frac{[R_n R_m]}{[R_n R_m]} \odot_{n} + \odot_{m} = 0.$$

Subtrahirt man diesen Nullwerth von dem in 6) (pag. 275) auftretenden Klammerausdruck, welche Operation den Werth des letzteren offenbar nicht ändert, und setzt abkürzend:

$$m = \frac{\sin J}{\mathscr{C}_{m}} \left\{ \left(\frac{[r_{n}r_{m}]}{[r,r_{n}]} - \frac{[R_{n}R_{m}]}{[R,R_{n}]} \right) \odot, -\left(\frac{[r_{n}r_{m}]}{[r,r_{m}]} - \frac{[R_{n}R_{m}]}{[R_{n}R_{n}]} \right) \odot_{n} \right\}$$

$$M = \frac{[r_{n}r_{m}]}{[r,r_{m}]} \frac{\mathscr{C}_{m}}{\mathscr{C}_{m}},$$

$$10)$$

so kann man der Fundamentalgleichung 6) (pag. 275) die Form:

$$\varrho_{m}=m+M\varrho_{m},\qquad \qquad 11)$$

Ĭ

ertheilen, und stellt damit eine einfache Relation zwischen ϱ , und ϱ_m auf. Die genaue Berechnung dieser letzteren stösst aber auf die Schwierigkeit, dass in den Ausdrücken 10) die Verhältnisse der Dreiecksflächen $[r_n r_m] : [r, r_n]$ und $[r, r_m] : [r, r_n]$ auftreten, welche Grössen vor Ermittlung der Elemente nur näherungsweise mit Hilfe der früher entwickelten Reihen (vergl. pag. 99 ff.) ersetzt werden können. Es stellt sich daher die Frage, mit welcher Genauigkeit diese Substitution ausgeführt werden müsse, um eine genügende Convergenz zu erhalten; die betreffende Untersuchung wird Gegenstand des folgenden Kapitels sein, hier soll nur die Beschränkung hervorgehoben werden, welche die Benützung der angeführten Reihen sofort der ersten Bahnbestimmung auferlegt, dass nämlich der heliocentrische Bogen zwischen den in Betracht gezogenen Beobachtungen ein mässiger sei, weil die erwähnten Reihen nur in diesem Falle ausreichende Annäherungen bieten.

2. Einführung der Näherungsausdrücke für die Verhältnisse der Dreiecksflächen.

Die Gleichung 11) (pag. 277) des vorangehenden Kapitels gibt eine Relation zwischen ϱ , und ϱ_m , wenn m und M bekannt sind; um nun ϱ , und ϱ_m selbst bestimmen zu können, bedarf man einer zweiten derartigen Relation, welche durch die Euler'sche Gleichung 5) (pag. 77), wenn auch in verwickelter Form, erhalten wird. In dieser tritt nämlich eine Relation auf, welche in der Parabel zwischen der Summe der Radienvectoren $(r_i + r_m)$, der Sehne s und der Zwischenzeit $(t_m - t_i)$ besteht; letztere Grösse ist durch die Beobachtungszeiten gegeben, die ersteren aber sind Functionen von ϱ , und ϱ_m , denn es ist offenbar nach den Gleichungen 5) und 6) (pag. 271, 272):

$$\begin{aligned} x_{\prime} &= \varrho_{\prime} \cos{(\lambda_{\prime} - \Pi)} \cos{\beta_{\prime}} - R_{\prime} \cos{(L_{\prime} - \Pi)} \\ y_{\prime} &= \varrho_{\prime} \sin{(\lambda_{\prime} - \Pi)} \cos{\beta_{\prime}} - R_{\prime} \sin{(L_{\prime} - \Pi)} \\ z_{\prime} &= \varrho_{\prime} \sin{\beta_{\prime}} \\ x_{\prime\prime\prime} &= \varrho_{\prime\prime\prime} \cos{(\lambda_{\prime\prime\prime} - \Pi)} \cos{\beta_{\prime\prime\prime}} - R_{\prime\prime\prime} \cos{(L_{\prime\prime\prime} - \Pi)} \\ y_{\prime\prime\prime} &= \varrho_{\prime\prime\prime} \sin{(\lambda_{\prime\prime\prime} - \Pi)} \cos{\beta_{\prime\prime\prime}} - R_{\prime\prime\prime} \sin{(L_{\prime\prime\prime} - \Pi)} \\ z_{\prime\prime\prime\prime} &= \varrho_{\prime\prime\prime\prime} \sin{\beta_{\prime\prime\prime\prime}} \end{aligned}$$

wodurch die heliocentrischen Coordinaten als Functionen von ϱ , und ϱ_m dargestellt erscheinen; aus diesen folgt sofort:

$$\left. \begin{array}{l} r,^2 = x,^2 + y,^2 + z,^2 \\ r_{m}^2 = x_{m}^2 + y_{m}^2 + z_{m}^2 \\ s^2 = (x_{m} - x_{i})^2 + (y_{m} - y_{i})^2 + (z_{m} - z_{i})^2, \end{array} \right\} \quad \ \ _2)$$

welche Grössen zu Folge der Euler'schen Gleichung der Bedingung:

$$6k(t_m-t_i)=(r_i+r_m+s)^{\frac{3}{2}}-(r_i+r_m-s)^{\frac{3}{2}},\qquad 3$$

zu genügen haben, für deren letztes Glied das negative Zeichen gewählt wurde, da das positive nur bei heliocentrischen Bewegungen, die grösser als 180° sind, Geltung hat, daher bei ersten Bahnbestimmungen ausgeschlossen bleibt.

Die eben angeführten Gleichungen enthalten in Verbindung mit der Gleichung II) (pag. 277) die Lösung des Problems und zwar ist ϱ , so zu bestimmen, dass sein und der aus II) (pag. 277) resultirende Werth von ϱ_m , in die obigen Gleichungen I), 2) und 3) eingesetzt, dem aus den Beobachtungszeiten erhältlichen Werthe $(t_m - t_i)$ genügen. Ohne dass erst jene Transformationen vorgenommen werden, welche diese Lösung wesentlich erleichtern, dienen die angeführten Gleichungen sofort zur Beantwortung der am Schlusse des vorhergehenden Kapitels angeregten Frage nach der Genauigkeit, mit welcher man die Verhältnisse der Dreiecksflächen $[r_n r_m] : [r, r_n]$ und $[r, r_m] : [r, r_n]$ in den Ausdrücken für m und m substituiren muss, um ausreichende Näherungen zu erhalten.

Jede Änderung von ϱ , und ϱ_m wird eine Änderung in dem Werthe $6k(t_m-t_i)$, welcher der Kürze halber mit T bezeichnet werden soll, bedingen; sind diese Änderungen so klein, dass differentielle Verhältnisse genügen, so werden die bezüglichen Variationen des Werthes von T ausgedrückt sein durch:

$$\left(\frac{dT}{d\varrho_{\prime\prime}}\right)d\varrho_{\prime\prime}$$
 und $\left(\frac{dT}{d\varrho_{\prime\prime\prime}}\right)d\varrho_{\prime\prime\prime}$.

In jedem speciellen Falle werden diese Differentialquotienten ganz bestimmte Werthe annehmen. Stellt man sich vor, dass für gewisse Näherungswerthe von m und M dem obigen Gleichungssystem ein bestimmter Werth von ϱ , genügt, so wird die Einführung der strengen Werthe von m und M sofort eine neue Auflösung fordern. Da beide Lösungen aber der Bedingung derselben Zwischenzeit unterworfen sind. so werden offenbar die für die neue Lösung erforderlichen Änderungen von ϱ , und ϱ_m bestimmt sein durch:

$$\left(\frac{dT}{d\varrho_{n}}\right)d\varrho_{n}+\left(\frac{dT}{d\varrho_{m}}\right)d\varrho_{m}=0,$$
(4)

wobei wieder die Voraussetzung gemacht ist, dass man mit den differentiellen Verhältnissen eine ausreichende Genauigkeit erhält. Die Differentiation der Gleichung 11) (pag. 277) gibt:

$$d\varrho_{m}=dm+\varrho_{r}dM+Md\varrho_{r};$$

substituirt man diesen Werth von $d\varrho_m$ in 4) und löst nach $d\varrho$, auf, so erhält man ohne Schwierigkeit:

 $d\varrho_{i} = -\frac{\left(\frac{dT}{d\varrho_{im}}\right)(dm + \varrho_{i}dM)}{\left(\frac{dT}{d\varrho_{i}}\right) + M\left(\frac{dT}{d\varrho_{im}}\right)}.$ 5)

Die in diesem Ausdrucke auftretenden Differentialquotienten nehmen, wie erwähnt, in einem speciellen Falle ganz bestimmte Werthe an, welche im Allgemeinen nullter Ordnung sein werden, daher diese Gleichung ein sicheres Urtheil darüber gestattet, welche Fehler in ϱ , durch fehlerhafte Annahmen in m und M bedingt werden; soll eine genügende Convergenz erreicht werden, so darf der in ϱ , entstehende Fehler nicht grösser als erster Ordnung in Bezug auf die Zwischenzeiten werden.

Denkt man sich die Endpunkte der Sehne s, welche dem ersten und dritten Kometenorte entsprechen, mit den zugehörigen Erdorten durch Linien verbunden, die durch ϱ , und ϱ_m dargestellt sind, so wird offenbar, wenn man für einen Augenblick die Zwischenzeit unendlich klein annimmt, jede Veränderung in der Sehne, die durch eine Variation von ϱ , bewirkt wird, ebenso durch eine Änderung von ϱ_m erzielt werden können, nur muss die Richtung der letzteren Variation jener der ersteren entgegengesetzt sein. Es wird demnach für unendlich kleine Zwischenzeiten:

$$\frac{ds}{d\varrho_{i}} = -\frac{ds}{d\varrho_{ii}}, \qquad 6)$$

sein; da nun unter denselben Annahmen die in Gleichung 12) (pag. 79) eingeführte Grösse μ der Einheit gleich zu setzen, also:

$$s = \frac{2 k (t_{m} - t_{r})}{V_{r} + r_{m}} = \frac{T}{3 V_{r} + r_{m}},$$

ist und der Differentialquotient von s nach T in einem vorgelegten Falle der letzten Gleichung gemäss als constant betrachtet werden kann, so wird für unendlich kleine Zwischenzeiten:

 $\frac{dT}{d\varrho_{i}} = -\frac{dT}{d\varrho_{iii}}.$ 7)

Für endliche Zwischenzeiten τ wird sich daher offenbar zwischen diesen beiden Differentialquotienten die Form:

$$\frac{dT}{d\varrho_{i}} = -\frac{dT}{d\varrho_{ii}} \left\{ \mathbf{1} + \alpha \tau + \beta \tau^{2} + \cdots \right\}, \qquad 8$$

herstellen lassen, in welcher α , β , \cdots in einem speciellen Falle ganz bestimmte numerische Werthe annehmen, die im Allgemeinen nullter Ordnung sein werden.

Geht man auf den Ausdruck von *M* (vergl. Gleichung 10) pag. 277) über, nämlich:

 $M = \frac{[r_{"}r_{"}]}{[r_{"}r_{"}]} \frac{\mathcal{G}_{"}}{\mathcal{G}_{"}},$

so darf, da für unendlich kleine Zwischenzeiten die scheinbare Bewegung des Kometen linear ist: $\frac{\mathbf{r}_{m}}{\mathbf{r}_{m}} = \frac{\mathbf{r}_{m}}{\mathbf{r}_{m}},$

gesetzt werden; nach der dritten Gleichung in 22) (pag. 100) ist aber für unendlich kleine Zwischenzeiten: $\frac{[r_n r_m]}{[r_n r_n]} = \frac{\tau_p}{\tau_m},$

es ist somit das Anfangsglied der Entwicklung von M die Einheit. Für endliche Zwischenzeiten wird daher M die Form:

$$M = 1 + a\tau + b\tau^2 + \cdots$$

annehmen, wobei wieder a, b, \cdots in einem speciellen Falle bestimmte numerische Werthe nullter Ordnung haben werden. Man kann hieraus auch schliessen, dass für unendlich kleine Zwischenzeiten m der Null gleich wird, da in diesem Falle $\varrho, = \varrho_m$ zu setzen ist, dass also m, wie sich dies auch später erweisen wird, eine Grösse von der Ordnung der Zwischenzeiten sein müsse. Mit Rücksicht auf 8) und 9) wird sich sonach für den Factor von $(dm + \varrho, dM)$ in 5) die Gestalt:

$$-\frac{\left(\frac{dT}{d\varrho_{m}}\right)}{\left(\frac{dT}{d\varrho_{r}}\right)+M\left(\frac{dT}{d\varrho_{m}}\right)}=\frac{1}{(a-\alpha)\,\tau+(b-\beta)\,\tau^{2}+\cdots},\qquad 10)$$

ergeben. Der Factor, mit welchem dm und dM in 5) (pag. 279) multiplicirt erscheinen, enthält als Anfangsglied im Nenner die Zwischenzeit, weshalb man in der Bestimmung von m und M nur Fehler zweiter Ordnung begehen darf, um ϱ , bis auf die erforderliche Genauigkeitsgrenze, nämlich Grössen erster Ordnung, zu erhalten.

Da #,: #m, das Verhältnis der Sinus der sphärischen Perpendikel, nothwendig nullter Ordnung ist, so genügt es, in der dritten Gleichung in 22) (pag. 100) das erste Glied τ_i : τ_m für das Verhältnis der Dreiecksflächen einzusetzen, denn das nächste Glied ist schon zweiter Ordnung und verschwindet überdies bei gleichen Zwischenzeiten. Minder günstig gestalten sich die Umstände für m. Der Ausdruck für dasselbe enthält im Nenner das Symbol 🖑 ", eine Grösse, die nothwendig von der Ordnung der Zwischenzeiten sein muss; da im Allgemeinen die Symbole O,, O,, \odot_m und $\sin J$ als Grössen nullter Ordnung angeschen werden müssen, so hat man für die in m auftretenden Verhältnisse der Dreiecksflächen mindestens die Glieder zweiter Ordnung mitzunchmen, wenn ϱ , bis auf Grössen erster Ordnung richtig erhalten werden soll. Bei diesen Betrachtungen ist die Grösse 🖑 " als Grösse erster Ordnung aufgefasst worden, wie dies auch in der That richtig ist; der Umstand aber, dass viele Kometen in Folge bedeutender Annäherung an die Erde eine sehr grosse geocentrische Bewegung zeigen, bedingt, dass dem Sinus des Perpendikels #,,, verhältnismässig beträchtliche Werthe zukommen können; es werden demnach in vielen Fällen jene Methoden, die in m nicht die theoretisch genügende Annäherung einführen, das Ziel, wenn auch mit geringer Convergenz, erreichen lassen. Man hat in diesen Fällen meist m = 0 gesetzt, welche Annahme, wie dies die unten folgende Formel 11b) zeigt, in jenen Fällen, in welchen die Entfernung r des Kometen von der Sonne nahe gleich ist jener der Erde von der Sonne R, thatsächlich nicht allzu fehlerhaft sein wird. Da man aber nicht mit Sicherheit auf solche besondere Umstände bauen kann, so werden stets die theoretisch bestimmten Genauigkeitsgrenzen festzuhalten sein.

Nachdem nunmehr die für die Substitution der Dreiecksflächen nöthigen Annäherungen festgestellt sind, sollen dieselben in den Ausdrücken für m und M (Gleichung 10) pag. 277) innerhalb der als nothwendig erkannten Genauigkeitsgrenzen eingeführt werden. Man hat hierbei nach der dritten und fünften Gleichung 22) (pag. 100) in dem Ausdrucke für m zu setzen:

$$\frac{[r_{n} r_{m}]}{[r, r_{n}]} = \frac{\tau_{r}}{\tau_{m}} \left\{ 1 - \frac{4}{3} \frac{\tau_{r}^{2} - \tau_{m}^{2}}{(r_{r} + r_{m})^{3}} \right\}$$

$$\frac{[r_{r} r_{m}]}{[r_{r} r_{m}]} = \frac{\tau_{m}}{\tau_{m}} \left\{ 1 - \frac{4}{3} \frac{\tau_{n}^{2} - \tau_{m}^{2}}{(r_{r} + r_{m})^{3}} \right\},$$

während es genügt, in jenem für M:

$$\frac{[r_{\prime\prime}\,r_{\prime\prime\prime}]}{[\,r_{\prime}\,r_{\prime\prime\prime}]}=\frac{\tau_{\prime\prime}}{\tau_{\prime\prime\prime}}$$

anzunehmen, so dass sofort geschrieben werden kann:

$$M = \frac{\tau_i}{\tau_m} \frac{\mathcal{J}_i}{\mathcal{J}_m}.$$
 11a)

Weiter sollen, um möglichst bequeme Ausdrücke zu erlangen, für die zu den Erdorten gehörenden, in *m* auftretenden Verhältnisse der Dreiecksflächen ebenfalls die aus der dritten und fünften Gleichung 22) (pag. 100) resultirenden Näherungen benützt werden. Weil diese Reihen, wie die Entwicklung zeigt, ganz allgemein gelten, so hat man demnach mit Rücksicht auf die Identität der Zwischenzeiten:

$$\frac{[R_n R_m]}{[R, R_n]} = \frac{\tau_i}{\tau_m} \left\{ 1 - \frac{4}{3} \frac{\tau_i^2 - \tau_m^2}{(R_i + R_m)^3} \right\}$$

$$\frac{[R_i R_m]}{[R_i R_m]} = \frac{\tau_n}{\tau_m} \left\{ 1 - \frac{4}{3} \frac{\tau_n^2 - \tau_m^2}{(R_i + R_m)^3} \right\},$$

anzunehmen und erhält so für m leicht den Näherungsausdruck:

$$m = \frac{4}{3} \frac{\sin J}{\int_{-m}^{r} \left\{ (r_{r} + r_{m})^{3} - \frac{1}{(R_{r} + R_{m})^{3}} \right\} \left\{ \frac{\tau_{m}}{\tau_{m}} (\tau_{m}^{2} - \tau_{m}^{2}) \odot_{m} - \frac{\tau_{r}}{\tau_{m}} (\tau_{r}^{2} - \tau_{m}^{2}) \odot_{r} \right\},$$

welcher innerhalb der gesteckten Genauigkeitsgrenzen einer wesentlichen Reduction fähig ist. Für die Symbole o wird man nämlich jedenfalls eine nach Potenzen der Zeit fortschreitende Entwicklung anwenden dürfen, so dass allgemein etwa:

$$0, = 0_{n} - \alpha \tau_{m} + \beta \tau_{m}^{2} - \cdots$$

$$0_{m} = 0_{n} + \alpha \tau_{n} + \beta \tau_{n}^{2} + \cdots$$

geschrieben werden darf. Führt man diese Relationen in den eben für m gewonnenen Ausdruck ein, so erhält man, da:

$$\tau_{n}(\tau_{n}^{2} - \tau_{m}^{2}) - \tau_{n}(\tau_{n}^{2} - \tau_{m}^{2}) = 3\tau_{n}\tau_{n},$$
ist,
$$m = \frac{4\sin J}{\sigma_{m}} \left\{ \frac{1}{(\tau_{n} + \tau_{m})^{3}} - \frac{1}{(R_{n} + R_{m})^{3}} \right\} \left\{ \tau_{n}\tau_{n} \odot_{n} + \frac{1}{3}\alpha \tau_{n}\tau_{n}(\tau_{n} - \tau_{m}) \right\}.$$

Das zweite Glied im letzten Factor ist dritter Ordnung, kann daher vernachlässigt Oppolzer, Bahnbestimmungen. I. 2. Auslage.

werden und die eben aufgestellte Gleichung wird in genügender Annäherung die Form:

 $m = 4\tau_1 \tau_n \sin J \frac{O_{11}}{O_{111}} \left\{ \frac{1}{(r_1 + r_{mn})^3} - \frac{1}{(R_1 + R_{mn})^3} \right\},$ 11b)

erhalten, aus welcher erhellt, dass in der That, wie dies schon oben (pag. 280) erwähnt wurde, m wegen des Factors τ, τ,,: #,,, eine Grösse von der Ordnung der Zwischenzeit ist. Das in m vernachlässigte Glied dritter Ordnung ist nicht vollständig, weil schon bei den obigen Substitutionen für die Verhältnisse der Dreiecksflächen die Glieder dritter Ordnung übergangen wurden; dieselben würden jedoch ebenfalls den Factor τ, — τ,,, enthalten und bei Gleichheit der Zwischenzeiten verschwinden; der letzteren Bedingung wird man sich auch aus dem Grunde möglichst zu nähern trachten, um das Verhältnis der Sinus der Perpendikel möglichst sicher bestimmen zu können. Es wird daher stets empfehlenswerth sein, bei der Auswahl der Beobachtungen dieser Bedingung der Gleichheit der Zwischenzeiten nach Thunlichkeit zu genügen, um eine möglichst rasche Convergenz zu erhalten; diese wird übrigens den gemachten Auseinandersetzungen zufolge, obwohl in vermindertem Masse, auch dann bestehen, wenn die Zwischenzeiten nicht jener Bedingung nahe kommen, doch wird man sich stets gegenwärtig halten müssen, dass nur dann brauchbare Annäherungen erhalten werden, wenn die Producte aus den Quadraten der Zwischenzeiten in die negativen dritten Potenzen der Radienvectoren mässige Werthe ergeben, weshalb man sich bei Kometen, die zur Zeit der Beobachtung der Sonne sehr nahe stehen, auf sehr kleine Zwischenzeiten zu beschränken haben wird.

3. Wahl des grössten Kreises.

Bisher ist über den Winkel II, welcher in der Relation:

$$tg J = \frac{tg \beta_{"}}{\sin(\lambda_{"} - II)}, \qquad 1)$$

(siehe 1) pag. 274) auftritt, keine nähere Bestimmung getroffen worden; derselbe ist völlig willkürlich, man wird aber durch entsprechende Wahl desselben die Relation zwischen ϱ , und ϱ_m (vergl. 11) pag. 277) wesentlich vereinfachen können. Die Ausdrücke für M und m (vergl. 11a) (pag. 281) und 11b) pag. 282) lehren, dass die erstere Grösse in einem gegebenen Falle constant ist, wogegen man zur Ermittlung der letzteren der Kenntnis des Werthes $(r, + r_m)$ bedarf, der erst im Verlaufe der Rechnung bei der Auflösung der Gleichungen auftritt; es wird sonach m eine Function von ϱ , sein und bei der Durchführung der Versuche als Variable auftreten. Man kann sich von diesem Nachtheile durch eine entsprechende Wahl von Π befreien. Das Symbol (vergl. 4) pag. 275):

$$\odot_{\prime\prime} = R_{\prime\prime}\sin(L_{\prime\prime} - \Pi),$$

welches als Factor in dem Ausdrucke für m (vergl 11b) pag. 282) auftritt, kann der Null gleich gemacht werden, wenn man:

$$\Pi = L_{n}, \qquad \qquad 2)$$

setzt; hiedurch wird m ebenfalls gleich Null und die Relation 11) (pag. 277) nimmt die einfache Gestalt:

 $\varrho_{m} = \frac{\tau_{r}}{\tau_{m}} \frac{g_{r}^{m}}{g_{r}^{m}} \varrho_{r}, \qquad 3)$

an, wobei aber, der nunmehr getroffenen Wahl von II entsprechend, zur Berechnung der Symbole &, und &, (vergl. 4) (pag. 275) die Ausdrücke:

$$\operatorname{tg} J = \frac{\operatorname{tg} \beta_{n}}{\sin \lambda_{n} - L_{n}}$$

$$\mathscr{G}, = \sin \beta, \cos J - \sin (\lambda_{n} - L_{n}) \cos \beta, \sin J$$

$$\mathscr{G}_{m} = \sin (\lambda_{m} - L_{n}) \cos \beta_{m} \sin J - \sin \beta_{m} \cos J,$$

$$4)$$

in Anwendung gezogen werden müssen. Es ist somit jene einfache Relation zwischen den geocentrischen Distanzen erlangt, auf welche Olbers seine berühmte Methode zur Bestimmung einer Kometenbahn aufgebaut hat. Die Wahl der Lage des grössten Kreises ist so getroffen, dass derselbe durch den mittleren Kometen- und Sonnen-Ort hindurchgelegt erscheint, womit sich, wie man sieht, eine wesentliche Abkürzung und Vereinfachung der Rechnung verbindet. Man wird auf diese bestimmte Wahl des grössten Kreises nur in jenen, allerdings seltenen Ausnahmsfällen verzichten müssen. in welchen dieselbe die Olbers'sche Methode der Bahnbestimmung unbrauchbar machen würde.

Eine nähere Betrachtung der Gleichung 5) (pag. 275) wird die hier obwaltenden Verhältnisse überblicken lassen. Da die Coëfficienten von ϱ , und ϱ_m der Natur des Problems nach niemals endliche Werthe überschreiten können, so wird die Bestimmung der zwischen diesen beiden Grössen bestehenden Relation um so sicherer ausgeführt werden können, je grösser deren Coëfficienten werden. Diese Bedingung wird einer analytischen Betrachtung zugänglich, wenn man voraussetzt, dass die Relation zwischen ϱ , und ϱ_m am sichersten ermittelt werden kann, sobald die Summe der Quadrate der bezüglichen Coëfficienten, nämlich:

$$\left\{\frac{[r_n r_m]}{[r_n r_m]} \mathscr{U},\right\}^2 + \left\{\frac{[r_n r_n]}{[r_n r_m]} \mathscr{U}_m\right\}^2,$$
 5)

ein Maximum wird; zu dessen Bestimmung muss der Differentialquotient des eben aufgestellten Ausdruckes gleich Null gesetzt werden, wobei jedoch zu beachten ist, dass diese Gleichung auch auf das Minimum führt. Vor Durchführung dieser Differentiation wird man die oben (vergl. 4) pag. 275) aufgestellten Ausdrücke für \mathscr{W} , und \mathscr{W}_m einer zweckmässigen Transformation zu unterziehen haben. Bezeichnet man mit W den Winkel, welchen der zu wählende grösste Kreis am mittleren Orte mit dem Breitenkreis einschliesst, so bestehen offenbar die folgenden Relationen:

$$\begin{array}{ccc}
\sin J \cos(\lambda_{n} - \Pi) &=& \cos W \\
\sin J \sin(\lambda_{n} - \Pi) &=& \sin W \sin \beta_{n} \\
\cos J &=& \sin W \cos \beta_{n},
\end{array}$$

Setzt man nun in den für die Sinus der Perpendikel geltenden Gleichungen in 4) (pag. 275): $\lambda_r = \Pi = (\lambda_r - \lambda_r) + (\lambda_r - \Pi)$

$$\lambda_{m} - \Pi = (\lambda_{m} - \lambda_{m}) + (\lambda_{m} - \Pi),$$

und überdies:

$$\begin{array}{c}
\sin \beta, \cos \beta_{n} - \cos (\lambda_{n} - \lambda_{n}) \cos \beta, \sin \beta_{n} = \sin \Delta_{m} \cos w, \\
\sin (\lambda_{n} - \lambda_{n}) \cos \beta, = \sin \Delta_{m} \sin w, \\
\sin (\lambda_{m} - \lambda_{n}) \cos \beta_{m} \sin \beta_{n} = \sin \Delta, \cos w_{m} \\
\sin (\lambda_{m} - \lambda_{n}) \cos \beta_{m} = \sin \Delta, \sin w_{m},
\end{array}$$

so wird:

in welchen Ausdrücken W als willkürliche Variable auftritt. Differentiirt man die Gleichung 5) (pag. 283) unter Berücksichtigung der eben erhaltenen Formen und setzt den Differentialquotienten gleich Null, so wird:

$$\left(\frac{\left[r_{n}r_{m}\right]}{\left[r_{n}r_{m}\right]}\frac{\sin\Delta_{m}}{\sin\Delta_{n}}\right)^{2}\sin2\left(w_{n}+W\right)=\sin2\left(w_{m}-W\right).$$
 9)

Da der quadratische Factor wegen des in dieser Gleichung enthaltenen Verhältnisses der Dreiecksflächen vor der Durchführung der Bahnbestimmung nicht genau ermittelt werden kann, so hat man seinen Näherungswerth und zwar nach der dritten Gleichung 22) (pag. 100) einzuführen; wenn man die Glieder zweiter Ordnung weglässt, wird für die Bestimmung des Winkels W erhalten:

$$g = \frac{\tau_{,}}{\tau_{,,,}} \frac{\sin \Delta_{,,}}{\sin \Delta_{,}}$$

$$tg 2 W = \frac{\sin 2 w_{,,} - g^{2} \sin 2 w_{,}}{g^{2} \cos 2 w_{,} + \cos 2 w_{,,}}.$$

Die Zweideutigkeit, die in der Bestimmung durch die Tangente liegt, erklärt sich aus dem oben (pag. 283) erwähnten Umstande, dass die Gleichung 10) die Bedingung sowohl für das Maximum, als für das Minimum angibt; der eine Werth gehört also zu ersterem, der andere zu letzterem, weshalb die Entscheidung, welcher Quadrant zu wählen ist, in einem speciellen Falle keiner Schwierigkeit unterliegt: man wird jenen Werth von W zu wählen haben, der in 8) für \mathscr{U} , und \mathscr{U} , ohne Rücksicht auf das Vorzeichen die grösseren Werthe finden lässt. Ist der Winkel J ermittelt, so wird mit Hilfe der Gleichungen 6) (pag. 283), denen man zu diesem Zwecke die Form:

$$\left. \begin{array}{l} \operatorname{tg} J \cos \left(\lambda_{ ''} - \boldsymbol{\varPi} \right) = \operatorname{cotg} W \sec \beta_{ ''} \\ \operatorname{tg} J \sin \left(\lambda_{ ''} - \boldsymbol{\varPi} \right) = \operatorname{tg} \beta_{ ''}, \end{array} \right\}^{-11)}$$

ertheilen kann, jene Lage des grössten Kreises, welche die Bestimmung möglichst günstig gestaltet, gefunden sein; J kann stets im ersten Quadranten angenommen werden.

Diese für die Bahnbestimmung günstigste Wahl des grössten Kreises würde wegen der nothwendigen Durchrechnung der Formeln 7) und 10 unbequem sein, allein bei der Durchführung derartiger Rechnungen kann man sich mit ganz rohen Annäherungen begnügen, da selbst ziemlich fehlerhafte Annahmen in diesem Falle für das Resultat ohne wesentlichen Nachtheil sind. Berücksichtigt man in den Gleichungen 7) nur die ersten Potenzen der kleinen Bogen, welche Beschränkung

allerdings für polnahe Kometen vielleicht nicht völlig gerechtfertigt ist, so erhält man:

$$\beta_{n} - \beta_{n} = \Delta_{m} \cos w, \quad \beta_{m} - \beta_{n} = \Delta_{n} \cos w_{m}$$

$$(\lambda_{m} - \lambda_{n}) \cos \beta_{n} = \Delta_{m} \sin w, \quad (\lambda_{m} - \lambda_{n}) \cos \beta_{m} = \Delta_{n} \sin w_{m},$$

aus welchen Gleichungen gefolgert werden kann, dass w, und w_m unter den gemachten Voraussetzungen sich nahe zu 180° ergänzen. Setzt man daher:

$$w_{ii} = 90^{\circ} - \gamma$$
$$w_{iii} = 90^{\circ} + \gamma,$$

und überdies in 10), da die Fortbewegung des Kometen nahezu proportional der Zeit ist, g = 1, so wird:

$$\operatorname{tg} 2 W = \operatorname{tg} 2 \gamma$$

also:

$$W = \gamma$$
 für das Maximum,
 $W = \gamma - 90^{\circ}$ für das Minimum.

Mit Rücksicht auf die Bedeutung des Winkels γ wird man daher mit genügender Annäherung setzen dürfen:

$$\cot W = -\frac{\lambda_{m'} - \lambda_{r}}{\beta_{m'} - \beta_{r}} \cos \beta_{m'};$$

die Gleichungen 11) erhalten dann die Gestalt:

$$\begin{array}{l} \operatorname{tg} J \sin \left(\lambda_{\prime \prime} - \boldsymbol{\varPi} \right) = \operatorname{tg} \beta_{\prime \prime} \\ \operatorname{tg} J \cos \left(\lambda_{\prime \prime} - \boldsymbol{\varPi} \right) = - \frac{\lambda_{\prime \prime \prime} - \lambda_{\prime}}{\beta_{\prime \prime \prime} - \beta_{\prime}}. \end{array} \right\} \quad ^{12a)}$$

Diese Relationen, in welchen man übrigens J stets innerhalb der Grenzen o° und 90° annehmen darf, bezeichnen also näherungsweise jene Lage des grössten Kreises, welche als die für die Bahnbestimmung günstigste erklärt werden kann; der ersteren derselben muss völlig streng genügt werden, weil dieselbe die Bedingung ausdrückt, dass der gewählte Kreis durch die mittlere Beobachtung hindurch gelegt erscheine, der letzteren aber braucht nur ganz beiläufig entsprochen zu werden.

Sollte die Bewegung des Kometen durch die Annäherung an den Pol sich sehr unregelmässig gestalten, so dass man der zweiten Gleichung in 12a) nicht die nöthige Genauigkeit zuschreiben darf, so wird dennoch die Rückkehr auf die strengeren Formeln meist umgangen werden können, wenn man für $\lambda_m - \lambda$, und $\beta_m - \beta$, die für die Zeit der mittleren Beobachtung geltenden Änderungen der Coordinaten einführt, welche Zahlen man wohl durch anderweitig vorhandene Beobachtungen sich verschaffen kann. Gewöhnlich wird man zwar in diesem Falle nur die Änderungen der äquatorealen Coordinaten kennen; es ist aber nach bekannten Differential-Formeln:

$$\cos \beta \sin \eta = \cos \alpha \sin \varepsilon$$

$$\cos \beta \cos \eta = \cos \varepsilon \cos \delta + \sin \varepsilon \sin \delta \sin \alpha$$

$$d\beta = \cos \eta \, d\delta - \sin \eta \cos \delta \, d\alpha$$

$$\cos \beta \, d\lambda = \sin \eta \, d\delta + \cos \eta \cos \delta \, d\alpha,$$

womit aus den Änderungen der äquatorealen Coordinaten $d\alpha$, $d\delta$, jene der ekliptikalen leicht bestimmt werden können; dann wird sein:

$$\left. \begin{array}{l} \operatorname{tg} J \sin \left(\lambda_{\prime \prime} - II \right) = \operatorname{tg} \beta_{\prime \prime} \\ \operatorname{tg} J \cos \left(\lambda_{\prime \prime} - II \right) = - \frac{d \lambda}{d \beta}. \end{array} \right\} \quad _{1 \ 2 \ C)}$$

Sind Π und J den obigen Gleichungen entsprechend bestimmt worden, so werden M und m den Ausdrücken 11a) (pag. 281) und 11b) (pag. 282) gemäss zu berechnen sein, wobei zu beachten ist, dass in diesem Falle M innerhalb der als zulässig betrachteten Annäherungen constant wird, während m noch als eine Function der Radienvectorensumme somit der zu suchenden Grössen ρ, und ρ, erscheint. Ohne hier auf die Methode einzugehen, deren man sich mit Vortheil zur Auflösung dieser Gleichungen bedient, sieht man sofort ein, dass die durch Olbers getroffene Wahl des grössten Kreises, welche nach Gleichung 3) (pag. 283) ein einfaches, als constant zu betrachtendes Verhältnis zwischen e, und em einführt, die Rechnung wesentlich einfacher gestalten wird, als dies die Einführung der für die Genauigkeit der Bestimmung günstigsten Lage des grössten Kreises in das Problem vermöchte; man wird daher nicht ohne zwingende Gründe den durch die erstere Methode gebotenen Rechnungsvortheil von der Hand weisen. Es empfiehlt sich darum, hier jene Kriterien anzuzeigen, welche man sofort in den ersten Stadien der Rechnung für die Entscheidung erhalten kann, ob die von Olbers getroffene oder die soeben für den Ausnahmsfall in Vorschlag gebrachte Wahl des grössten Kreises den Vorzug verdiene.

Da m selbst (vergl. pag. 282) von der Ordnung der Zwischenzeit ist, so wird im Allgemeinen M allein für die Sicherheit der Bestimmung massgebend sein. Differentiirt man den für M geltenden Ausdruck [vergl. 11a) (pag. 281)], so findet sich:

$$dM = \frac{\tau_{n}}{\tau_{m}} \frac{\mathscr{G}_{m} d\mathscr{G}_{n} - \mathscr{G}_{n} d\mathscr{G}_{m}}{\mathscr{G}_{m}^{2}}:$$

für die Sinus der Perpendikel wird sich offenbar eine Entwicklung nach steigenden Potenzen der Zeit angeben lassen, deren Anfangsglied Null sein wird, wenn man die Zeit von der mittlern_Beobachtung aus zählt. Bleibt man bei den Gliedern erster Ordnung stehen, so wird sein:

$$\mathscr{Y}_{n} = a\tau_{m} + \cdots, \qquad \mathscr{Y}_{m} = a\tau_{n} + \cdots,$$

in welchen Ausdrücken der Coëfficient a von der Grösse und Richtung der Bewegung abhängt. Derselbe wird aber in einem speciellen Falle, wenn über die Lage des grössten Kreises eine bestimmte Wahl getroffen ist, einen ganz bestimmten Werth annehmen; mit Benützung der angeführten Relation wird für dM gefunden:

$$dM = \frac{1}{a} \left(\frac{d\mathcal{G}_{n}}{\tau_{m}} - \frac{d\mathcal{G}_{m}}{\tau_{n}} \right).$$
 13)

Da $d\mathscr{Y}_m$ die durch die Beobachtungen bedingten Fehler in den Sinus der Perpendikel darstellen und τ_m in einem vorgelegten Falle bestimmte con-

stante Grössen sind, so lehrt die letzte Gleichung, dass im Allgemeinen der Fehler in den Sinus der Perpendikel umgekehrt proportional der Grösse a sein wird; a ist sonach proportional der Genauigkeit des Resultates. Der Factor a selbst wird von der scheinbaren geocentrischen Bewegung des Kometen und von der Wahl der Lage des grössten Kreises, der durch die mittlere Beobachtung gelegt ist, abhängig sein. Die Bewegungsgrösse des Kometen ist aber in einem speciellen Falle eine ganz bestimmte; man wird daher den Schluss ziehen dürfen, dass vorerst die Sicherheit der Bahnbestimmung mit der geocentrischen Bewegung b des Kometen wächst und stets sehr gering bleibt, wenn die zur Verfügung stehenden geocentrischen Bogen sehr klein sind. Es wird a im Maximum gleich b werden können, welchem Maximum man sich durch entsprechende Wahl der Lage des grössten Kreises anzunähern vermag. Bezeichnet man mit W, den Winkel, den der grösste Kreis mit dem Breitenkreis am mittleren Kometenort einschliesst, und bestimmt denselben so, dass er senkrecht auf der scheinbaren Bewegung steht, so wird derselbe durch die Relation:

$$\operatorname{tg} W_{i} = -\frac{\beta_{ii}}{\lambda_{ii}} - \frac{\beta_{i}}{\lambda_{i}} \sec \beta_{ii}, \qquad 14$$

nahezu dargestellt sein; hierbei kann W, stets kleiner als 180° angenommen werden, und der Ausdruck für die Perpendikel wird in der Beschränkung auf die Glieder erster Ordnung die Gestalt:

erhalten. Ist W_0 der Winkel, welcher der Olbers'schen Wahl des grössten Kreises entspricht, so findet sich derselbe nach:

$$\operatorname{tg} W_{0} = \operatorname{tg} (\lambda_{"} - L_{"}) \operatorname{cosec} \beta_{"}, \qquad 16)$$

weil W_0 in dem rechtwinkligen sphärischen Dreiecke zwischen dem mittleren Kometen und mittleren Sonnenort und dem Fusspunkte des von dem ersteren auf die Ekliptik gefällten sphärischen Perpendikels der Seite $(\lambda_n - L_n)$ gegenüber liegt. Der Ausdruck für die Sinus der Perpendikel wird demnach sein:

$$\mathscr{Y}_{o} = b \cos(W_{o} - W_{o}) \tau_{m}$$
, $\mathscr{Y}_{m} = b \cos(W_{o} - W_{o}) \tau_{o}$. 17)

Vergleicht man also die Ausdrücke 15) und 17) mit einander, in Verbindung mit den an die Gleichung 13) geknüpften Bedingungen, so wird die Genauigkeit G der Olbers'schen Methode ausgedrückt sein durch:

$$G = \cos(W_{\bullet} - W_{\bullet}), \qquad 18)$$

wenn man die grösste erreichbare Genauigkeit durch die Einheit bezeichnet. Die Formeln 14), 16) und 18) (pag. 287) liefern also in einfacher Weise die für die Wahl der Methode geltenden Kriterien, welche sofort bei Beginn der Rechnung in Anwendung gezogen werden können. Da wohl eine feste Grenze für die Scheidung der beiden Methoden nicht aufgestellt werden kann, so muss diese dem Ermessen des Rechners überlassen bleiben; im Allgemeinen dürfte es sich aber em-

pfehlen, auf Olbers' Methode zu verzichten, wenn die Genauigkeit derselben auf die Hälfte herabsinkt, also der absolute Werth von $\cos(W_i, -W_o)$ kleiner als eine halbe Einheit wird; indessen wird man diese Grenzbestimmung oft überschreiten dürfen, besonders wenn die geocentrische Bewegung des Kometen gross ist.

Bei diesen Betrachtungen ist noch eine Bemerkung, die sich an die Gleichung 13) (pag. 286) knüpft, ganz wesentlich. In dieser erscheinen die Beobachtungsfehler in den Grössen der und der und nehmen je nach der Wahl des grössten Kreises verschiedene Werthe an; wenn man sich auf die differentiellen Verhältnisse beschränkt, so ist (vergl. 4) pag. 275):

$$d\mathcal{J}', = \{\cos J\cos\beta, +\sin(\lambda, -\Pi)\sin\beta, \sin J\} d\beta, -\cos(\lambda, -\Pi)\cos\beta, \sin J d\lambda, \\ d\mathcal{J}'_{m} = -\{\cos J\cos\beta_{m} + \sin(\lambda_{m} - \Pi)\sin\beta_{m}\sin J\} d\beta_{m} + \cos(\lambda_{m} - \Pi)\cos\beta_{m}\sin J d\lambda_{m},$$

in welchen Gleichungen $d\beta_i$, $d\lambda_i$, $d\beta_m$ und $d\lambda_m$ gleichsam die relativen Beobachtungsfehler in Bezug auf den mittleren Beobachtungsort darstellen; wären dieselben bekannt, so könnte man im Allgemeinen die Grössen J und II so bestimmen, dass in 13) (pag. 286) der Klammerausdruck der Null gleich wird, und den Einfluss der Beobachtungsfehler auf die Bestimmung von M eliminiren. Bei der Unkenntnis dieser Fehler ist jedoch eine derartige Bestimmung unthunlich, dagegen kann sich der Fall ereignen, dass zufällig für die Olbers'sche Wahl des grössten Kreises, die nicht der günstigsten entspricht, eine derartige Elimination eintritt und dass demnach ein besseres Resultat durch die kürzere und bequemere Methode erhalten wird, als durch die weit umständlichere; aber auf solche Zufälligkeiten darf man im Allgemeinen nicht rechnen und der Vorzug der grösseren Genauigkeit wird im Durchschnitte der hier in Vorschlag gebrachten Methode gewahrt werden. eben erwähnte Fall erinnert an die in der Praxis nicht selten auftretende Thatsache, dass eine Beobachtung mit sehr geringem Gewichte dem wahren Werthe näher kommt, als eine solche mit sehr hohem Gewichte, weshalb aber doch niemand der ersteren aus dem Umstande zufälliger Übereinstimmung mit dem wahren Werthe ein vergrössertes Gewicht wird zuschreiben wollen.

Schliesslich soll noch auf eine Wahl des grössten Kreises aufmerksam gemacht werden, die vielleicht von Bedeutung sein kann, wenn nur drei Beobachtungen eines Kometen gelungen sind, von denen die eine unvollständig ist. Wäre die unvollständige Beobachtung eine äussere, so wird man die oben für M und m (11a) pag. 281) und 11b) pag. 282) aufgestellten Formeln ohne Bedenken, obzwar mit verminderter Annäherung in Anwendung ziehen dürfen, wenn man sich die der unvollständigen Beobachtung zugehörenden Coordinaten und ihre Zeitangabe mit dem Doppelaccente versehen denkt und in consequenter Weise die Vorzeichen für die Bildung der Zwischenzeiten, die eventuell negativ werden, berücksichtigt. Der Natur der Sache nach wird bei der unvollständigen Beobachtung entweder die Rectascension oder die Declination fehlen, im ersteren Falle ist es aber nöthig, eine ganz rohe Angabe über die Rectascension zu besitzen, welche Forderung übrigens thatsächlich keinen Schwierigkeiten unterliegen wird. Fehlt die Declinationsangabe, so wird die Lage

des grössten Kreises sofort bestimmt sein, wenn man den aufsteigenden Knoten desselben in Bezug auf den Äquator $\Pi_{\alpha} = \alpha_n$ und die Neigung gegen diesen $J_{\alpha} = 90^{\circ}$ setzt. Fehlt aber die genaue Angabe der Rectascension, so wird man $J_{\alpha} = \delta_{\kappa}$ und $\Pi_{\alpha} = \alpha_{\prime\prime} - 90^{\circ}$ anzunehmen haben, wobei nur ein ganz roher Näherungswerth von $\alpha_{\prime\prime}$ bekannt zu sein braucht. Ist einmal die Bestimmung der Lage des grössten Kreises in Bezug auf den Äquator festgestellt, so wird man die Übertragung auf die Ekliptik leicht mit Hilfe der folgenden Formeln (vergl. Gleichung 5) pag. 11), in denen & die Schiefe der Ekliptik vorstellt:

$$\begin{array}{ll} \sin\frac{1}{2}(\Pi+\sigma)\sin\frac{1}{2}J &=& \sin\frac{1}{2}(J_{\alpha}+\varepsilon)\sin\frac{1}{2}\Pi_{\alpha} \\ \cos\frac{1}{2}(\Pi+\sigma)\sin\frac{1}{2}J &=& \sin\frac{1}{2}(J_{\alpha}-\varepsilon)\cos\frac{1}{2}\Pi_{\alpha} \\ \sin\frac{1}{2}(\Pi-\sigma)\cos\frac{1}{2}J &=& \cos\frac{1}{2}(J_{\alpha}+\varepsilon)\sin\frac{1}{2}\Pi_{\alpha} \\ \cos\frac{1}{2}(\Pi-\sigma)\cos\frac{1}{2}J &=& \cos\frac{1}{2}(J_{\alpha}-\varepsilon)\cos\frac{1}{2}\Pi_{\alpha}, \end{array}$$

bewerkstelligen können.

Die Resultate der in diesem Kapitel durchgeführten Entwicklungen kann man dazu verwerthen, sich sofort bei Beginn der Rechnung nach den Formeln 14), 16) und 18) (pag. 287) ein Mass für die Genauigkeit der Olbers'schen Methode zu verschaffen; es wird sich empfehlen, dieselbe zu verlassen, wenn G kleiner als eine halbe Einheit wird. Hat man sich für Olbers' Wahl des grössten Kreises entschieden, so berechnet man nach 4) (pag. 275) und 3) (pag. 283) den Werth von:

$$M=rac{\tau_{\prime}}{\tau_{\prime\prime\prime}}\frac{O_{\prime\prime\prime}^{\prime\prime}}{O_{\prime\prime\prime\prime\prime}^{\prime\prime}}$$

 $M = \frac{\tau_r}{\tau_m} \frac{\sigma_r}{\sigma_m},$ und hat als Relation zwischen ϱ_m und ϱ_r die Gleichung:

$$\varrho_{m} = M \varrho_{m}$$

Ist aber die Olbers'sche Methode nicht anwendbar, so berechnet man nach 12) (pag. 285) die anzunehmenden Werthe von J und II, und mit Hilfe der Gleichungen 4) (pag. 275) die Werthe der Symbole O,, , , und , dann ist nach 11a) und 11b) (pag. 281, 282):

$$M = \frac{\tau_{n}}{\tau_{m}} \frac{f_{n}^{r}}{f_{m}^{r}}$$

$$F = 4 \tau_{n} \tau_{m} \sin J \frac{O_{m}}{f_{m}^{r}}$$

$$C = -\frac{F}{(R_{n} + R_{m})^{3}}$$

$$\varrho_{m} = C + \frac{F}{(r_{n} + r_{m})^{3}} + M\varrho_{n}$$

Die eben angeführten Formelsysteme werden zur Anwendung gelangen, wenn über die Bahnelemente des Kometen nichts näheres bekannt ist: sind aber Näherungen vorhanden, so wird man aus denselben die Verhältnisse der Dreiecksflächen ableiten und sich der strengen Formeln 10) (pag. 277) zur Bestimmung von m und M bedienen. Wendet man die Olbers'sche Methode an, so wird man (vergl. 4) und 6) pag. 275):

$$m = \begin{cases} r_{m} \sin^{\prime} v_{m} - v_{n} \\ r_{n} \sin^{\prime} v_{m} - v_{n} \end{cases} R_{n} \sin(L_{r} - L_{n}) + R_{m} \sin(L_{m} - L_{n}) \end{cases} \frac{1}{\sin(\lambda_{m} - L_{n}) \cos \beta_{m} - \sin \beta_{m} \cot g J}$$

$$M = \frac{r_{m} \sin(v_{m} - v_{n})}{r_{n} \sin(v_{m} - v_{n})} \cdot \frac{\sin \beta_{n} \cot g J - \sin(\lambda_{n} - L_{n}) \cos \beta_{n}}{\sin(\lambda_{m} - L_{n}) \cos \beta_{m} - \sin \beta_{m} \cot g J},$$

haben und, da in diesen Fällen eine Näherung für ϱ , welche mit $[\varrho]$ bezeichnet werden soll, bekannt sein wird und m erster Ordnung ist, ohne die Convergenz in Frage zu stellen, setzen dürfen:

$$\begin{array}{c}
(M) = \frac{m}{\langle \varrho_{,} \rangle} + M \\
\varrho_{,,} = (M)\varrho_{,},
\end{array} \right\} \quad {}^{22)}$$

mit welchem verbesserten Werthe von (M) die Rechnung zu wiederholen sein wird. Ist man aber durch die Umstände genöthigt, sich der für den Ausnahmsfall geltenden Methode zu bedienen, so wird man mit Benützung der vorhandenen Näherungen setzen:

gen setzen:
$$m = \left\{ \frac{r_{m} \sin(v_{m} - v_{n})}{r_{n} \sin(v_{m} - v_{n})} R_{n} \sin(L_{n} - II) - \frac{r_{m} \sin(v_{m} - v_{n})}{r_{n} \sin(v_{m} - v_{n})} R_{n} \sin(L_{n} - II) + \right. \\ \left. + R_{m} \sin(L_{m} - II) \right\} \frac{1}{\sin(\lambda_{m} - II) \cos \beta_{m} - \sin \beta_{m} \cot gJ}$$

$$M = \frac{r_{m} \sin(v_{m} - v_{n})}{r_{n} \sin(v_{m} - v_{n})} \cdot \frac{\sin \beta_{n} \cot gJ - \sin(\lambda_{n} - II) \cos \beta_{n}}{\sin(\lambda_{m} - II) \cos \beta_{m} - \sin \beta_{m} \cot gJ}$$

$$(M) = \frac{m}{[\varrho_{n}]} + M$$

$$\varrho_{m} = (M) \varrho_{n},$$

und auch in diesem Falle die so bequeme Olbers'sche, zwischen den beiden geocentrischen Distanzen bestehende Relation erreichen. Die Berechnung der Formeln 21) und 23) gestaltet sich bei der thatsächlichen Anwendung sehr einfach, da die Ausdrücke:

$$\sin \beta$$
, $\cot g J - \sin (\lambda, - \Pi) \cos \beta$, $= Z$
 $\sin (\lambda_m - \Pi) \cos \beta_m - \sin \beta_m \cot g J = N$,

meist aus vorhergehenden Rechnungen bekannt sind.

4. Lösung des Problems durch Einführung der Euler'schen Gleichung.

Im zweiten Kapitel ist durch die Gleichungen 1), 2) und 3) (pag. 277 ff.) die Lösung des Problems in seinen Grundzügen aufgestellt. Es handelt sich nunmehr darum, die daselbst aufgeführten Ausdrücke für die Rechnung möglichst bequem zurecht zu legen; diese muss aber in etwas abgeänderter Form vorgenommen werden, je nachdem man sich der Olbers'schen Methode bedient oder die Wahl des grössten Kreises möglichst günstig trifft; es sollen demnach die Rechnungsvorschriften nach den Methoden gesondert vorgenommen werden.

a. Der grösste Kreis geht durch den mittleren Kometen- und Sonnen-Ort. (Olbers' Methode.)

Für die Olbers'sche Methode (vergl. Gleichung 3) und 4) pag. 283) besteht zwischen den geocentrischen Distanzen die Relation:

$$\varrho_{\prime\prime\prime} = M\varrho_{\prime\prime}, \qquad \qquad 1)$$

wobei M als constanter Factor betrachtet werden kann. Um nun r, und r_m aus den Gleichungen 1) und 2) (pag. 277, 278) zu bestimmen, quadrirt man zuerst die

ersten drei Gleichungen in 1) und bildet deren Summe, dann operirt man ähnlich mit den drei letzten Gleichungen und erhält so ohne Schwierigkeit:

$$r^2 = \varrho^2 - 2\varrho$$
, R , $\cos \beta$, $\cos (\lambda, -L) + R^2$
 $r^2 = \varrho^2 - 2\varrho$, $R_m \cos \beta$, $\cos (\lambda_m - L) + R^2$

Setzt man:

so wird man stets in der Lage sein, $\cos \psi$, $\sin \psi$, $\cos \psi_m$ und $\sin \psi_m$ mit Sicherheit zu bestimmen; man kann übrigens an die Bogen ψ , und ψ_m die Bedingung knüpfen, dass dieselben kleiner als 180° angenommen werden sollen, wodurch die Sinus dieser Bogen immer positiv werden. Der Bogen P, und P_m bedarf man in der weiteren Entwicklung nicht; es wird daher in jenen Fällen, in welchen $\sin \psi$ mit ausreichender Genauigkeit aus $\cos \psi$ bestimmt werden kann, die Ermittlung der ersten beiden Gleichungen in 3) allein nothwendig sein, zur Controle mag jedoch auch dann das vollständige Gleichungssystem dienen. Die Berechtigung des oben hingeschriebenen Gleichungssystems erhellt sofort, wenn man die drei Gleichungen quadrirt und addirt. Jenen in 2) kann man nunmehr die Form ertheilen:

$$r_{"} = \sqrt{(\varrho_{"} - R_{"}\cos\psi_{"})^{2} + R_{"}^{2}\sin\psi_{"}^{2}} \qquad r_{"} = \sqrt{(\varrho_{"} - R_{"}\cos\psi_{"})^{2} + R_{"}^{2}\sin\psi_{"}^{2}},$$
oder auch mit Rücksicht auf 1):

$$r_{"} = \sqrt{(M\varrho, -R_{"}\cos\psi_{"})^2 + R_{"}^2\sin\psi_{"}^2}.$$

Setzt man also:

$$\operatorname{tg}\theta_{\prime} = \frac{\varrho_{\prime} - R_{\prime}\cos\psi_{\prime\prime}}{R_{\prime}\sin\psi_{\prime\prime}}, \qquad \operatorname{tg}\theta_{\prime\prime\prime} = \frac{\varrho_{\prime} - \left(\frac{R_{\prime\prime\prime}\cos\psi_{\prime\prime\prime}}{M}\right)}{\left(\frac{R_{\prime\prime\prime}\sin\psi_{\prime\prime\prime}}{M}\right)}, \qquad 4)$$

so wird:

$$r_{, =} = R_{, \sin \psi_{, \sec \theta_{, +}}}$$
 $r_{, =} = R_{, m} \sin \psi_{, m} \sec \theta_{, m},$ oder: $r_{, =} = \langle \varrho, -R, \cos \psi_{, +} \rangle \csc \theta_{, m},$ $r_{, m} = M \Big(\varrho, -\frac{R_{, m} \cos \psi_{, m}}{M} \Big) \csc \theta_{, m}. \Big)$

Mit Hilfe der Gleichungen 4) und 5) wird man ohne Schwierigkeit zu jedem beliebigen Werthe von ϱ , die zugehörigen Werthe von r, und r_m ermitteln können. Um nach 2) (pag. 278) auch die Sehne s zu berechnen, wird man zunächst die heliocentrischen Coordinaten des Kometen durch die geocentrischen Coordinaten desselben und der Sonne (vergl. pag. 271) ersetzen und erhalten:

$$s^{2} = (x_{m} - x_{i})^{2} + (y_{m} - y_{i})^{2} + (z_{m} - z_{i})^{2}$$

$$= \{(\xi_{m} - \xi_{i}) - (X_{m} - X_{i})\}^{2} + \{(\eta_{m} - \eta_{i}) - (Y_{m} - Y_{i})\}^{2} + (\xi_{m} - \xi_{i})^{2}.$$

Führt man die Hilfsgrössen:

$$d\cos\zeta\cos H = \xi_{m} - \xi, \qquad g\cos G = X_{m} - X,$$

$$d\cos\zeta\sin H = \eta_{m} - \eta, \qquad g\sin G = Y_{m} - Y,,$$

$$d\sin\zeta = \zeta_{m} - \zeta,,$$
6)

ein, so nimmt der Ausdruck für die Sehne die Gestalt an.

$$s^2 = d^2 + g^2 - 2 dg \cos \zeta \cos (G - H)$$
.

Setzt man ähnlich wie früher:

$$\left.\begin{array}{l} \cos\varphi=\cos\zeta\cos(G-H)\\ \sin\varphi\cos Q=\cos\zeta\sin(G-H)\\ \sin\varphi\sin Q=\sin\zeta, \end{array}\right\} \quad 7)$$

wobei der Bogen Q in der Folge nicht gebraucht wird, so ist:

$$s^2 = (d - g\cos\varphi)^2 + g^2\sin\varphi^2.$$
 8)

Auf den ersten Blick scheint die Berechnung der in den ersten drei Gleichungen von 6) enthaltenen Hilfsgrössen nicht möglich, weil die geocentrischen Coordinaten des Kometen die Unbekannten ϱ , und ϱ_m enthalten; man überzeugt sich aber leicht, dass hierdurch nur die Hilfsgrösse d beeinflusst wird, denn führt man in die angezeigten Gleichungen die polaren Coordinaten und die Relation 1) (pag. 290) ein, so resultirt zunächst:

$$d\cos\zeta\cos H = M\varrho,\cos\lambda_{m}\cos\beta_{m} - \varrho,\cos\lambda,\cos\beta,$$

$$d\cos\zeta\sin H = M\varrho,\sin\lambda_{m}\cos\beta_{m} - \varrho,\sin\lambda,\cos\beta,$$

$$d\sin\zeta = M\varrho,\sin\beta_{m} - \varrho,\sin\beta,.$$

Setzt man:

$$d = \varrho, h$$

und zählt, um die Rechnung der Hilfsgrössen möglichst zu erleichtern, alle Längen von einem Punkte, dessen Länge $= \lambda_m$ ist, so wird:

$$h\cos\zeta\cos(H-\lambda_{m}) = M\cos\beta_{m} - \cos(\lambda_{m}-\lambda_{r})\cos\beta_{r},$$

$$h\cos\zeta\sin(H-\lambda_{m}) = \sin(\lambda_{m}-\lambda_{r})\cos\beta_{r},$$

$$h\sin\zeta = M\sin\beta_{m} - \sin\beta_{r},$$
9)

in welchen Relationen man h und $\cos \zeta$ stets positiv annehmen darf. Der Ausdruck 8) verwandelt sich also in:

$$s^2 = (h\varrho, -g\cos\varphi)^2 + g^2\sin\varphi^2.$$
 10)

Die Berechnung von g und G in 6) mit Hilfe der polaren Coordinaten $X = R \cos L$, $Y = R \sin L$, wird sich einfacher gestalten, wenn man die Längen von einem Punkte zählt, dessen Länge = L, ist; dann hat man:

$$g\cos\left(G-L\right) = R_{m}\cos\left\langle L_{m}-L_{n}\right\rangle - R, g\sin\left(G-L\right) = R_{m}\sin\left(L_{m}-L_{n}\right),$$

in welchen Gleichungen g stets positiv zu wählen sein wird.

Es sind somit r_i , r_m und s in einfacher Weise als Functionen von ϱ , dargestellt. Die Substitution dieser Werthe in den rechten Theil der Euler'schen Gleichung:

 $6k(t_{m}-t_{r})=(r_{r}+r_{m}+s)^{3/2}-(r_{r}+r_{m}-s)^{3/2}$

wird erkennen lassen, ob für ρ, der wahre Werth angenommen wurde oder nicht; durch entsprechende Variation der Annahmen wird man, falls der wahre Werth

noch nicht erlangt ist, denselben mittelst Versuchen zu erhalten trachten und sich hierbei der zweckmässigen Umformung bedienen, welche Encke mit der Eulerschen Gleichung (vergl. 12) pag. 79) vorgenommen hat. Die Benützung dieser Transformation wird die Rechnung wesentlich bequemer gestalten. Macht man nämlich eine Annahme über $(r_1 + r_m)$, so ist nach (pag. 80):

$$\eta = \frac{2k(t_m - t_r)}{(r_r + r_m)^{\frac{3}{2}}} \quad , \quad \log 2k = 8.536 \text{ 6114}, \qquad 12)$$

und die Sehne s bestimmt durch:

$$s = \frac{2k(t_{m} - t_{i})}{\sqrt{r_{i} + r_{m}}} \mu, \qquad 13)$$

wobei μ aus der Tafel VII mit Hilfe des Argumentes η entlehnt werden kann. Aus der Gleichung 10) resultirt dann der zugehörige Werth von ϱ , nach:

$$\varrho_{r} = \frac{g}{\hbar}\cos\varphi \pm \frac{1}{\hbar}\sqrt{s^{2} - g^{2}\sin\varphi^{2}}; \qquad 14)$$

von den beiden für ϱ , geltenden Werthen wird nur der dem positiven Vorzeichen der Wurzel entsprechende anzunehmen sein. In der überwiegenden Anzahl der Fälle wird nur dieses Zeichen auf positive Werthe von ϱ , hinführen; ist aber $\cos \varphi$ positiv und s:g kleiner als die Einheit, was bei Kometen nur eintreten kann, wenn die Entfernung von der Sonne grösser als 2 ist, (vergl. die Gleichungen von pag. 50), so sind zwei positive Lösungen vorhanden. Daraus hat man schliessen wollen, dass in diesen Fällen eine doppelte Lösung des Problems möglich sei; es wird aber später das Irrthümliche dieser Annahme aufgezeigt werden, indem der Beweis hergestellt wird, dass, falls mehr als eine Lösung möglich ist, bei welcher ϱ , positiv bleibt, nothwendig drei derartige Lösungen vorhanden sein müssen; es wird daselbst auch erwiesen werden, dass in den praktisch nahezu bedeutungslosen Fällen, in welchen die Gleichung 14) eine doppelte positive Lösung zulässt, stets das positive Zeichen der Wurzel gewählt werden muss. Unter dieser Voraussetzung, deren Beweis für später vorbehalten bleibt, kann ϱ , und s leicht mit Hilfe der Formeln:

$$\cos \vartheta = \frac{g \sin \varphi}{s}$$

$$\varrho_{,} = \frac{g}{h} \sin \varphi \operatorname{tg} \vartheta + \frac{g}{h} \cos \varphi,$$

berechnet werden, in welch' letzterem Ausdrucke, der gemachten Behauptung gemäss, $tg \, \vartheta$ stets das Zeichen von $\cos \vartheta$ erhält. Aus ϱ , können mit Hilfe der Formeln 4) und 5) (pag. 291) ohne Schwierigkeit die Werthe von r, und r_m gefunden werden, deren Summe dann mit der anfänglichen Annahme über r, $+ r_m$ übereinstimmen muss, wofern diese dem wahren Werth entsprach. Ist die Übereinstimmung nicht erreicht, so wird eine zweckmässig geleitete Variation der Annahmen in Verbindung mit einem entsprechenden Interpolationsverfahren leicht das Ziel erreichen lassen. Der Auseinandersetzung dieses Verfahrens soll noch die übersichtliche Zusammenstellung der zusammengehörigen Formeln vorangehen, in welchen jene Coëfficienten, die für einen speciellen Fall constant sind, durch besondere Buch-

staben bezeichnet werden; die Vergleichung der Formeln 4), 5) (pag. 291), 12), 13) und 15) (pag. 293) mit den folgenden:

$$\tau = 2 k (t_{m} - t_{n}) \qquad \log 2 k = 8.536 611 - 10$$

$$\Gamma = \frac{g \sin \varphi}{h} \qquad A = \frac{g \sin \varphi}{\tau}$$

$$B_{n} = R_{n} \sin \psi_{n} \qquad B_{m} = \frac{R_{m} \sin \psi_{m}}{M}$$

$$f_{n} = R_{n} \cos \psi_{n} - \frac{g}{h} \cos \varphi \qquad f_{m} = \frac{R_{m} \cos \psi_{m}}{M} - \frac{g}{h} \cos \varphi,$$

wird die Entstehung dieser erkennen lassen; dann ist für jede Annahme über $(r, + r_m)$ zu rechnen:

$$\eta = \frac{\tau}{(r_{r} + r_{m})^{\frac{3}{2}}}, \qquad \eta \text{ als Argument für } \mu \text{ (Tafel VII)}$$

$$\cos \vartheta = \frac{A}{\mu} \sqrt{r_{r} + r_{m}} \qquad \gamma = \Gamma \operatorname{tg} \vartheta$$

$$\operatorname{tg} \vartheta \text{ erhält stets das Zeichen von } \cos \vartheta$$

$$\operatorname{tg} \theta_{r} = \frac{\gamma - f_{r}}{B_{r}} \qquad \operatorname{tg} \theta_{m} = \frac{\gamma - f_{m}}{B_{m}}$$

$$r_{r} = B_{r} \sec \theta_{r} \qquad r_{m} = R_{m} \sin \psi_{m} \sec \theta_{m}.$$

Es soll nun gezeigt werden, in welcher Weise man die versuchsweise Auflösung des Gleichungssystems 17) durchzuführen hat, um das vorgesteckte Ziel rasch zu erreichen. Der Umstand, dass die Kometen meist in der Erdnähe aufgefunden werden, lässt für $(r_1 + r_m)$:

$$x_1 = \log(r_1 + r_2) = 0.301030,$$
 18)

als Näherungswerth der Unbekannten x erscheinen. Nach Durchrechnung des Formelsystems 17) wird man, da im Allgemeinen der wahre Werth von x vor dem Beginn der Versuche nicht bekannt ist, einen Werth für $\log (r, +r_m)$ finden, der mit y_1 bezeichnet werden soll. Der wahre Werth von x wird meist zwischen den Grenzen 0.0 und 0.6 eingeschlossen sein, weshalb die Anwendung von Differential-ausdrücken zur Bestimmung der Verbesserung der gemachten Annahmen über x nach Durchführung des ersten Versuches ein der Wahrheit so nahe kommendes Resultat für den zweiten Versuch erreichen lassen wird, dass die auf Grundlage dieses letzteren berechneten Differentialausdrücke die Versuche zum Abschlusse bringen. Nimmt man also an, dass man mit dem linearen Verhältnis ausreicht, so wird, wenn mit dx_1 die erforderliche Änderung von x_1 bezeichnet wird, um den Endwerth $y_1 + dy_1$, mit dem Ausgangswerthe in Übereinstimmung zu bringen:

zu setzen sein, oder:
$$\begin{cases} x_1 + dx_1 = y_1 + dy_1, \\ y_1 - x_1 = dx_1 - dy_1, \end{cases}$$

wobei dy_1 die durch dx_1 im Endwerthe bedingte Änderung vorstellt. Bezeichnet man den zu x_1 gehörenden Werth von $(r, +r_m)$ als Anfangswerth mit $(r, +r_m)_a$, jenen von y_1 als Endwerth mit $(r, +r_m)_e$, so ist:

$$dx_{1} = \text{Mod.} \frac{d(r_{1} + r_{m})_{a}}{10^{r_{1}}} \qquad d(r_{1} + r_{m})_{a} = \frac{10^{r_{1}}}{\text{Mod.}} dx_{1} \\ dy_{1} = \text{Mod.} \frac{d(r_{1} + r_{m})_{e}}{10^{y_{1}}} \qquad d(r_{1} + r_{m})_{e} = \frac{10^{y_{1}}}{\text{Mod.}} dy_{1}.$$

Die Differentiation der Euler'schen Gleichung (vergl. 5) pag. 77) nach $(r_1 + r_m)$ und s ergibt mit alleiniger Berücksichtigung des oberen Zeichens:

$$0 = (r_1 + r_2 + s)^{1/2} d(r_1 + r_2 + s) - (r_1 + r_2 - s)^{1/2} d(r_1 + r_2 - s),$$

$$\{\sqrt{r_1 + r_2 + s} + \sqrt{r_1 + r_2 - s}\} ds = -\{\sqrt{r_1 + r_2 + s} - \sqrt{r_1 + r_2 - s}\} d(r_1 + r_2),$$

und nach Einführung des Hilfswinkels 7 (vergl. pag. 77), durch:

$$\sin \gamma = \frac{s}{r_r + r_m} = \eta \mu, \qquad 21)$$

wird:

$$ds = - \operatorname{tg} \frac{1}{2} \gamma d (r_{1} + r_{m})_{a} = - \operatorname{tg} \frac{1}{2} \gamma \frac{\operatorname{10}^{x_{1}}}{\operatorname{Mod.}} dx_{1}.$$
 22)

Bei ersten Bahnbestimmungen wird γ in der Regel ein kleiner Bogen sein, zur Berechnung von tg $\frac{1}{2}\gamma$ also die Form:

$$tg \frac{1}{2} \gamma = \frac{\sin \gamma}{2 \cos \frac{1}{2} \gamma^2},$$

mit Vortheil angewendet werden können, für welchen Ausdruck, wenn η klein ist, auch $\frac{1}{2}\eta\mu$ mit genügender Annäherung geschrieben werden darf.

Die Differentiation von 10) (pag. 292) ergibt mit Rücksicht auf die Relationen 15) (pag. 293): $s ds = (h\varrho, -g \cos \varphi) h d\varrho, = hs \sin \vartheta d\varrho,$

sonach mit Benützung von 22):

$$d\varrho_{1} = -\frac{\operatorname{tg}\frac{1}{4}\gamma}{4\sin\theta} \cdot \frac{10^{x_{1}}}{\operatorname{Mod}} dx_{1}.$$
 23)

Aus der Differentiation der Gleichungen 2) (pag. 291) resultirt nach Einführung der Winkel ψ , und ψ_m und der in 4) (pag. 291) aufgestellten Hilfswinkel:

$$r,dr, = (\varrho, -R, \cos \psi_i) d\varrho, = R, \sin \psi_i \operatorname{tg} \theta_i d\varrho,$$

 $r_{iii} dr_{iii} = M(M\varrho_i - R_{iii} \cos \psi_{iii}) d\varrho_i = MR_{iii} \sin \psi_{iii} \operatorname{tg} \theta_{iii} d\varrho_i,$

welche Ausdrücke, mit den ersten Relationen in 5) (pag. 291) verbunden, die Gestalt:

 $dr_{, } = \sin \theta, d\varrho,$ $dr_{, } = M \sin \theta_{, } d\varrho,$ 24)

annehmen. Es ist daher:

$$d(r, +r_m)_e = (\sin\theta, +M\sin\theta_m) d\varrho_i = -(\sin\theta, +M\sin\theta_m) \frac{\log\frac{1}{2}\gamma}{h\sin\theta} \cdot \frac{\cos^2\eta}{\text{Mod}} dx_1,$$

oder wegen:

$$d(r,+r_{m})_{e}=\frac{10^{y_{1}}}{\mathrm{Mod.}}dy_{1},$$

auch:

$$dy_1 = -\left(\sin\theta, + M\sin\theta_m\right) \frac{\lg\frac{1}{2}\gamma}{h\sin\theta} \cdot \frac{10^{x_1}}{10^{y_1}} dx_1, \qquad 25$$

wobei offenbar:

$$\log \frac{10^{x_1}}{10^{y_1}} = x_1 - y_1,$$

zu setzen sein wird. Führt man nun die Relation 25) in 19) ein, so wird die an x_1 anzubringende Verbesserung dx_1 ohne Schwierigkeit gefunden werden; ist der so verbesserte Werth von x_1 mit x_2 bezeichnet, so hat man zu dessen Bestimmung die Gleichungen:

$$\begin{array}{l}
n_{1} = 1 + (\sin \theta_{1} + M \sin \theta_{m}) \frac{\operatorname{tg} \frac{1}{2} \gamma}{h \sin \theta} \cdot \frac{10^{y_{1}}}{10^{y_{1}}} \\
x_{2} = x_{1} + \frac{y_{1} - x_{1}}{n}.
\end{array}$$
26)

Mit dem Werthe von x_2 wird die Berechnung des Gleichungssystems 17) zu wiederholen sein; die Durchführung ergibt y_2 als Endwerth von $\log (r_1 + r_2)$, die Anwendung von 26) als neue Näherung:

$$x_3 = x_2 + \frac{y_2 - x_2}{n_2},$$

welche meist schon als Endwerth betrachtet werden darf. Sind die Versuche beendet, so rechnet man mit den Zahlen des letzten Versuches:

$$\left. \begin{array}{l} \varrho_{\prime\prime} = \Gamma \operatorname{tg} \vartheta + \frac{g}{h} \cos \varphi \\ \varrho_{\prime\prime\prime} = M \varrho_{\prime\prime}. \end{array} \right\} \quad 27)$$

Bei der Ermittlung von ersten parabolischen Elementen wird gewöhnlich die Planeten-Aberration nicht in Rechnung gezogen; man kann jedoch dieselbe der Hauptsache nach sofort bei den eben beschriebenen Versuchen berücksichtigen. Zunächst wird man beachten, dass die Planetenaberration die richtige Bestimmung vom M nicht wesentlich in Frage stellt, jedenfalls wird der aus der Vernachlässigung derselben entstehende Fehler gegen den Einfluss der vernachlässigten Glieder höherer Ordnung nahezu verschwindend klein sein. Sind nämlich t_n , t_n und t_m die den drei Beobachtungen entsprechenden Zeitangaben, so hätte man dieselben bei Anwendung der für diese Zwecke vortheilhaften dritten Methode der Berücksichtigung der Planetenaberration (pag. 123) um die Beträge:

$$-498^{5}65 \ \varrho_{r} = -a \ \varrho_{r}$$

 $-498\cdot65 \ \varrho_{rr} = -a \ \varrho_{rr}$
 $-498\cdot65 \ \varrho_{rr} = -a \ \varrho_{rr}$

zu verbessern; lässt man für ϱ eine Entwicklung nach Potenzen der Zeit gelten, so wird sein:

$$\varrho_{n} = \varrho_{n} - \frac{d\varrho_{n}}{dt}(t_{n} - t_{n}) + \frac{1}{2} \frac{d^{2}\varrho_{n}}{dt^{2}}(t_{n} - t_{n})^{2} - \cdots$$

$$\varrho_{m} = \varrho_{n} + \frac{d\varrho_{n}}{dt}(t_{m} - t_{n}) + \frac{1}{2} \frac{d^{2}\varrho_{n}}{dt^{2}}(t_{m} - t_{n})^{2} + \cdots$$

und man hat, sich auf die Glieder erster Ordnung beschränkend, für das in M auftretende Verhältnis der Zwischenzeiten:

$$\frac{\tau_{n}}{\tau_{m}} = \frac{t_{m} - t_{n} - a(\varrho_{m} - \varrho_{n})}{t_{n} - t_{n} - a(\varrho_{n} - \varrho_{n})} = \frac{(t_{m} - t_{n})\left\{1 - a\frac{d\varrho_{n}}{dt}\right\}}{(t_{n} - t_{n})\left\{1 - a\frac{d\varrho_{n}}{dt}\right\}} = \frac{t_{m} - t_{n}}{t_{n} - t_{n}}.$$

welcher Ausdruck lehrt, dass in der That der Einfluss der Planetenaberration auf die Bestimmung von *M* verschwindet, sobald man sich auf die Glieder erster Ordnung beschränkt.

Die Zwischenzeit $(t_m - t_i)$ tritt aber in den Ausdrücken für τ und A (vergl. 16) pag. 294) auf und in diesen werden die Glieder erster Ordnung hervortreten: man hätte zu setzen:

$$t_{m}-t_{r}-a(\varrho_{m}-\varrho_{r})=t_{m}-t_{r}-a(M-1)\varrho_{r}=(t_{m}-t_{r})\left\{1-\frac{a}{t_{m}-t_{r}}(M-1)\varrho_{r}\right\};$$

der briggische Logarithmus von (t,,, - t,) ist demnach um den Betrag:

a Mod.
$$\frac{(M-1)}{(t_{nj}-t_j)} \varrho_{j}$$
,

zu vermindern. Drückt man, wie dies gewöhnlich geschieht, $(t_m - t_n)$ in Einheiten des mittleren Sonnentages aus, so wird der constante Logarithmus von a Mod. den Werth:

$$7.39907 - 10$$

annehmen. Wird daher der in einem speciellen Falle constante Factor durch:

$$\begin{array}{ccc}
x & = (a \text{ Mod.}) \frac{M-1}{t_{m}-t_{r}} \\
\log a \text{ Mod.} & = 7.39907 - 10,
\end{array}$$

bezeichnet, so hat man in dem Formelsysteme 17) (pag. 294) statt $\log \tau$ und $\log A$ anzuwenden: $\log \tau - \varkappa \varrho_{\tau}$, und: $\log A + \varkappa \varrho_{\tau}$; 29)

zur Berechnung dieser Beträge kann man sich des Werthes: $q = \Gamma \operatorname{tg} \vartheta + \frac{g}{h} \cos \varphi$ (vergl. 27) pag. 296) bedienen, wenn man den Logarithmus um den Betrag:

$$d\log \varrho_{i} = -\frac{\operatorname{tg} \frac{1}{2} \gamma}{h \sin \vartheta} \frac{10^{x_{1}}}{\varrho_{i}} dx_{1}, \qquad 30)$$

corrigirt, wobei dx_1 die an den Werth von x_1 angebrachte Verbesserung darstellt. Man wird die Berechnung dieser Correction zweckmässig an die Bestimmung des Factors n (vergl. 26) pag. 295) anschliessen und, weil sie wegen des kleinen Factors n nie sehr bedeutend ist, meist schon nach dem ersten Versuche so genau finden, dass eine weitere Verbesserung überflüssig wird.

Ist der heliocentrische Bogen, den der Komet zwischen der ersten und dritten Beobachtung beschrieben hat, sehr gross, so kann der Werth von η die Grenzen der μ -Tafel VII überschreiten; dann wird der pag. 293 beschriebene Rechnungsmechanismus nicht anwendbar. Bei ersten Bahnbestimmungen wird übrigens von der gleich zu erwähnenden Abänderung niemals Gebrauch gemacht werden, da bei sehr grossen heliocentrischen Bogen für die Verhältnisse der Dreiecksflächen durch die Zwischenzeiten keine hinreichende Annäherung erreicht werden kann, also für den in Betracht gezogenen Fall vorausgesetzt werden muss, dass bereits Näherungen für die Elemente bekannt seien. In diesem Falle wird es auch nicht nöthig sein, von der Encke'schen Transformation der Euler'schen Gleichung Gebrauch zu machen; man wird im Falle bekannter Elemente mit einem Näherungswerthe der geocentrischen Distanz ϱ , nach den Formeln:

$$\begin{array}{ll} \operatorname{tg} \; \theta, \; = \; \frac{\varrho, \, -R, \cos \psi,}{R, \sin \psi,} & r, \; = \; R, \sin \psi, \sec \theta, \\ \\ \operatorname{tg} \; \theta_{\text{\tiny m}} = \; \frac{M \varrho, \, -R_{\text{\tiny m}} \cos \psi_{\text{\tiny m}}}{R_{\text{\tiny m}} \sin \psi_{\text{\tiny m}}} & r_{\text{\tiny m}} = \; R_{\text{\tiny m}} \sin \psi_{\text{\tiny m}} \sec \theta_{\text{\tiny m}} \\ \\ \operatorname{tg} \; \vartheta \; = \; \frac{\varrho, \, -\frac{g}{k} \cos \varphi}{\frac{g}{k} \sin \varphi} & s \; = \; g \sin \varphi \sec \vartheta \,, \end{array}$$

die Radienvectoren und die Sehne berechnen und durch Einsetzen in die Eulersche Gleichung (vergl. Gleichung 5) pag. 77) erkennen, ob der Bedingung.

$$6k(t_{"}-t_{"}) = (r_{"}+r_{"}+s)^{3/2} \mp (r_{"}+r_{"}-s)^{3/2},$$

genügt wird; in dieser Formel hat das obere Zeichen Giltigkeit, wenn die heliocentrische Bewegung kleiner, das untere, wenn sie grösser ist als 180° . Der Unterschied Δ im Logarithmus von $6k(t_m-t_i)$ im Sinne: wahrer Werth — berechneter Werth, wird leicht auf differentiellem Wege die für ϱ , nöthige Correction finden lassen. Es ist mit Benützung der oben entwickelten differentiellen Verhältnisse (vergl. auch Band II, pag. 491):

$$\frac{1}{N} = (r_{1} + r_{22} + s)^{1/2} (\sin \theta_{1} + M \sin \theta_{22} + h \sin \theta_{22}) \mp (r_{1} + r_{22} - s)^{1/2} (\sin \theta_{1} + M \sin \theta_{22} - h \sin \theta_{22}),$$

in welcher Formel wieder das obere Zeichen für heliocentrische Bewegungen gilt, die kleiner, das untere für solche, die grösser als 180° sind; die Correction von ϱ , ist dann bestimmt durch:

$$d\varrho_{i} = \frac{4k}{\text{Mod.}}(t_{in}-t_{i})N\cdot\Delta$$
 , $\log \frac{4k}{\text{Mod.}} = 9\cdot 1999$.

Man wird übrigens selten Veranlassung haben, das eben auseinandergesetzte Verfahren zur Auflösung der Euler'schen Gleichung zu verwenden, da die in dem vorliegenden Werke enthaltene μ -Tafel bis zum Argumente $\eta = 0.8$ vorschreitet.

Sind die früher beschriebenen Versuche beendet und ϱ_1 , ϱ_m (vergl. 27) pag. 296) ermittelt, so werden in den folgenden Rechnungen t, und t_m beziehungsweise um die Beträge:

$$-(7.76128-10) \varrho$$
, und $-(7.76128-10) \varrho_{m}$, 31)

welche in Einheiten des mittleren Sonnentages angesetzt und in welchen die Coëfficienten logarithmisch zu verstehen sind, zu verbessern sein, falls nicht die Aberration schon anderweitig berücksichtigt worden ist. Aus ϱ , und ϱ_m leitet man mit Hilfe der Formel 4) (pag. 21) die Radienvectoren r, r, r, die heliocentrischen Längen l, l, und die heliocentrischen Breiten b, b, b, ab, für deren Richtigkeit als Prüfung gilt, dass die gefundenen Werthe von r, r, r, mit den im letzten Versuche ermittelten Werthen innerhalb der Unsicherheit der Rechnung stimmen müssen. Aus diesen Grössen findet man nach 1) (pag. 102) den Knoten Ω und die Neigung i, nach 3) (pag. 103) die Argumente der Breite u, und u, wobei man die Prüfungsgleichung 7) (pag. 103) verwenden wird. Hierauf bestimmt man nach 42) (pag. 109) v, und q, nach 41) (pag. 109) die Perihelzeit, für welche sich zwei Werthe ergeben, die innerhalb der Unsicherheit der Rechnung übereinstimmen müssen; hat man bei den Versuchen auf die Planetenaberration Rücksicht genommen, so sind für t, und t, die nach 31) (pag. 298) bestimmten Werthe in Rechnung zu ziehen.

Zur Prüfung der Beobachtungen und der erlangten Elemente wird man die Darstellung der mittleren Beobachtung unter Benützung der Relationen 7) (pag. 22) berechnen und daraus λ_n^{o} und β_n^{o} ableiten; hierbei wird, falls die Planetenaberration

bei den Versuchen berücksichtigt wurde, zur Ermittlung der wahren Anomalie v_n statt der Zeit t_n der Werth:

$$t_{"}$$
 — $(7.76128-10) \varrho_{"}$,

anzuwenden und für den unbekannten Werth von e, mit einer bei ersten Bahnbestimmungen hinreichenden Näherung:

$$\varrho_{ii} = \varrho_{i} \left\{ 1 + (M-1) \frac{t_{ii} - t_{i}}{t_{ii} - t_{i}} \right\},$$
 32)

zu setzen sein. Mit den so erhaltenen Werthen von λ_n^o und β_n^o berechnet man (vgl. 1) pag. 282) den Ausdruck:

 $\cot J^{o} = \frac{\sin(\lambda_{n}^{o} - L_{n})}{\tan \beta_{n}^{o}};$

stimmt dieser Werth von cotg Jo mit dem Werthe von:

$$\cot J = \frac{\sin(\lambda_{"}-L_{"})}{\operatorname{tg}\beta_{"}},$$

überein, so war die Ersetzung der Verhältnisse der Dreiecksflächen durch die Zwischenzeiten hinreichend genau, im gegentheiligen Falle wird daraus geschlossen werden dürfen, dass diese Näherung einer wesentlichen Verbesserung fähig sei. Ist man aber zu der Annahme berechtigt, dass die für die Bestimmung von M eingeführten Werthe zu wenig genau sind, so wird man keineswegs die Rechnung bis zur Darstellung der mittleren Beobachtung führen, sondern gleich nach Beendigung der Versuche aus den Radienvectoren r, r, r, und der Sehne s, welche leicht aus:

$$s = \frac{\iota \mu}{\sqrt{r_r + r_m}} \tag{33}$$

zu erhalten ist, die Differenz der wahren Anomalien nach:

$$\Sigma = \frac{1}{2}(r_{1} + r_{m} + s),$$

$$\sin \frac{1}{2}(u_{m} - u_{1}) = \sqrt{\frac{(\Sigma - r_{1})(\Sigma - r_{m})}{r_{1} r_{m}}},$$

$$\tan \frac{1}{2}(u_{m} - u_{1}) = \sqrt{\frac{(\Sigma - r_{1})(\Sigma - r_{m})}{\Sigma(\Sigma - s)}},$$

$$34)$$

oder:

ableiten, hierauf nach den Formeln (vergl. pag. 109):

$$\frac{1}{V_{q}^{2}} \sin \frac{1}{2}v_{r} = \frac{\cot \frac{1}{2}(u_{m} - u_{r})}{V_{r}^{2}} - \frac{\csc \frac{1}{2}(u_{m} - u_{r})}{V_{m}^{2}} \\
\frac{1}{V_{q}^{2}} \cos \frac{1}{2}v_{r} = \frac{1}{V_{r}^{2}},$$
35)

die wahre Anomalie v, ermitteln und die Perihelzeit aus dieser, sowie zur Controle aus $v_{m} = v_{r} + (u_{m} - u_{r})$ nach:

$$T = t_{\cdot} - M_{\cdot} q^{3/2} = t_{\cdot \cdot \cdot} - M_{\cdot \cdot} q^{3/2},$$
 36)

aufsuchen; aus T in Verbindung mit q lässt sich sofort für die Zeit der mittleren Beobachtung r_m und v_m bestimmen. Man erreicht somit alle Angaben, nämlich r_i , r_m , r_m , v_i , v_m , v_m , deren man bedarf, um nach den strengen Ausdrücken (vergl. 23), pag. 290) die Werthe für m und M zu berechnen, und mit Hilfe dieser den genaueren Werth für M, nämlich (M), welcher der zweiten Annäherung zu Grunde

gelegt werden kann. Die Benützung der angegebenen Formeln zur Erreichung der weiteren Annäherungen erscheint kürzer als die sonst in Vorschlag gebrachte Methode: die für die Verbesserung von *M* nöthigen Zahlen durch Auflösung zweier cubischer Gleichungen zu erhalten.

Sollte die nicht genügende Genauigkeit in der Annahme über M erst bei der Darstellung des mittleren Ortes erkannt worden sein, so wird man schon im Besitze der für die Berechnung des Werthes von (M) nöthigen Angaben $(r_i, r_m, r_m, v_i, v_m, v_m)$ sein; man kann aber auch M willkürlich variiren, wobei eine von Carlini gemachte Bemerkung bisweilen von Nutzen ist. Man wird nämlich, ohne den genaueren Werth der Verhältnisse der Dreiecksflächen selbst zu berechnen, für die Bestimmung von M einen Werth von cotg J' anwenden, welcher um eben so viel, aber im entgegengesetzten Sinne, von dem aus den Beobachtungen abgeleiteten Werthe cotg J abweicht, als sich cotg J^0 von cotg J unterscheidet, also:

$$\cot g J' = \cot g J + (\cot g J - \cot g J^{\circ}) = 2 \cot g J - \cot g J^{\circ}. \quad 37)$$

Der Carlini'sche Kunstgriff erklärt sich aus der Betrachtung, dass der Unterschied ($\cot J - \cot J^{0}$), welcher in Folge der für die Verhältnisse der Dreiecksflächen eingeführten Annäherungen auftritt, alle Elemente, die sich wenig von den erhaltenen unterscheiden, in demselben Masse ändern wird; setzt man daher $\cot J'$ in die Rechnung ein, so wird der durch die Elemente erhaltene Endwerth sehr nahe:

$$\cot J' + (\cot J^{o} - \cot J) = \cot J,$$

sein, und der mittlere aus den Elementen gerechnete Kometenort der gestellten Forderung, dass derselbe in dem gewählten grössten Kreise liege, genügen.

Hat man den Werth von M nach einer der angeführten Methoden variirt, so wird die Bestimmung der Elemente und die aus denselben resultirende Darstellung des mittleren Ortes nochmals vorgenommen und so in empirischer Weise der Differentialquotient zwischen einer Änderung von M und den geocentrischen Coordinaten λ_n und β_n erhalten. Bezeichnet man den Werth von M, welcher der ersten Annahme zu Grunde gelegt war, mit M_0 und die Fehler, welche das hieraus abgeleitete Elementensystem in der mittleren Beobachtung zurückliess, im Sinne: Beobachtung-Rechnung, mit $d\lambda_n$ und $d\beta_n$, den zweiten Werth von M mit M_1 und die analogen Fehler mit $\Delta\lambda_n$ und $\Delta\beta_n$, so bestehen für die Bestimmung des wahren Werthes von $M=M_0+(M_1-M_0)x$, alle Änderungen als linear vorausgesetzt, die Bedingungsgleichungen:

$$d\lambda_{n} = (d\lambda_{n} - \Delta \lambda_{n}) x$$

$$d\beta_{n} = (d\beta_{n} - \Delta \beta_{n}) x,$$
38)

wobei x offenbar in Einheiten der Differenz $M_1 - M_0$ angesetzt erscheint. Beiden Bedingungsgleichungen wird man im Allgemeinen nicht gleichzeitig genügen können, da für die Bestimmung einer Unbekannten zwei Gleichungen vorliegen, deren Grundlagen den Beobachtungen entnommen werden müssen. Weil die Fehler in

Länge durch die Multiplication mit $\cos \beta_n$ auf den grössten Kreis reducirt werden, so gibt die Methode der kleinsten Quadrate zur Bestimmung des wahrscheinlichsten Werthes von x und M die Relationen:

$$\begin{array}{l} x = \frac{d\lambda_n (d\lambda_n - \varDelta\lambda_n) \cos \beta_n^2 + d\beta_n (d\beta_n - \varDelta\beta_n)}{(d\lambda_n - \varDelta\lambda_n)^2 \cos \beta_n^2 + (d\beta_n - \varDelta\beta_n)^2} \\ M = M_0 + (M_1 - M_0) x; \end{array}$$

der so erhaltene Werth von M wird in der mittleren Beobachtung die Fehler:

$$\frac{d\lambda_n - (d\lambda_n - \Delta \lambda_n) x \text{ in Länge}}{d\beta_n - (d\beta_n - \Delta \beta_n) x \text{ in Breite,} }$$

übrig lassen, so lange die auftretenden Änderungen als differentieller Natur bezeichnet werden dürfen. Um nun die dem neuen Werthe von M entsprechenden Elemente zu erhalten, kann man entweder, was das empfehlenswertheste ist, aus demselben nach den angeführten Methoden die Elemente ableiten, oder man interpolirt das neue System nach den vorhandenen Werthen mittelst der Formel:

$$E = E_0 + (E_1 - E_0) x, \qquad 41$$

wobei E_0 und E_1 die zu M_0 und M_1 gehörenden Elementensysteme vorstellen. Das letztere, an sich kürzere Verfahren wird aber, wenn die Zwischenzeiten, wie dies hier vorausgesetzt ist, klein sind, nicht mit Sicherheit zum Ziele führen, da kleine Änderungen von M [vergl. die Ausdrücke 5) pag. 279) und 10) pag. 280] grosse Änderungen in den Elementen bedingen, also für die letzteren das lineare Verhältnis nicht mit ausreichender Genauigkeit vorausgesetzt werden kann.

Ist die in M erforderliche Änderung gering, so wird die Neurechnung der Hilfsgrössen und die Auflösung der Euler'schen Gleichung umgangen werden können, indem man die durch die Variation von M in der geocentrischen Distanz ho, bedingte Änderung auf differentiellem Wege ermittelt und mit dem so erhaltenen Werthe von ρ, die Berechnung der Elemente und die Darstellung des mittleren Ortes durchführt. Das differentielle Verhältnis aber zur Bestimmung der Verbesserung der Elemente zu verwerthen, wird sich im Allgemeinen nicht empfehlen, denn die Änderungen von e, werden nach den oben gemachten Auseinandersetzungen verhältnismässig gross, weil der Differentialquotient de, : dM die Zwischenzeit als Factor im Nenner enthält. Es können daher die in den differentiellen Verhältnissen vernachlässigten Glieder zweiter Ordnung in $d\rho$, und in den auf differentiellem Wege ermittelten Elementen leicht hervortreten, die dadurch in e, begangenen Fehler aber werden bei kleinen Zwischenzeiten die Darstellung der Orte, auf die es schliesslich ankommt, nicht so nachtheilig beeinflussen, da dieselben durch die Projection auf die Himmelskugel in ϱ , und ϱ_m völlig, in ϱ_m nahezu verschwinden; dies würde nicht mehr der Fall sein, wenn man in linearer Weise die durch de, bedingten Incremente der Elemente bestimmen wollte. In der Euler'schen Gleichung:

 $6k(t_m-t_i)=(r_i+r_m+s_i)^{3/2}-(r_i+r_m-s)^{3/2}$

sind r, r_m und s jene Werthe, welche derselben für die ursprüngliche Annahme von M genügen; die durch das Increment von M bedingten Änderungen in diesen drei Orten seien dargestellt durch dr_n , dr_m und ds; da dieselben ebenfalls der Eulerschen Gleichung genügen müssen, so wird man, wenn die Änderungen als differentieller Natur gelten, setzen dürfen:

$$0 = (r_1 + r_2 + s)^{1/2} d(r_1 + r_2 + s) - (r_1 + r_2 - s)^{1/2} d(r_1 + r_2 - s).$$
 42)

Die Differentiation der folgenden Ausdrücke (vergl. pag. 291) und 10) pag. 292):

$$r_{r}^{2} = (\varrho, -R, \cos \psi_{r})^{2} + R, \sin \psi_{r}^{2}$$

 $r_{m}^{2} = (M\varrho, -R_{m}\cos \psi_{m})^{2} + R_{m}\sin \psi_{m}^{2}$
 $s^{2} = (h\varrho, -g\cos \varphi)^{2} + g^{2}\sin \varphi^{2},$

ergibt mit Rücksicht auf die früher (vergl. 4) und 5) pag. 291) benützten Hilfswinkel θ_{ij} , θ_{ij} und θ_{ij} :

$$dr_{m} = \sin \theta, d\varrho, \\ dr_{m} = M \sin \theta_{m} d\varrho, + \varrho, \sin \theta_{m} dM \\ ds = h \sin \vartheta d\varrho, + \frac{1}{s} \left\{ \varrho^{2} \frac{1}{2} \frac{d(h^{2})}{dM} - \varrho, g \frac{d \cdot (h \cos \varphi)}{dM} \right\} dM.$$

$$43)$$

Nun ist aber nach 7) (pag. 292):

$$\cos \varphi = \cos \zeta \cos (G - H) = \cos \zeta \cos (H - G),$$

und weiter nach der ersten Gleichung in 9) (pag. 292), wenn man die Längen nicht wie dort vom Punkte λ_m sondern von G zählt:

$$h\cos\zeta\cos(H-G) = M\cos\beta_{m}\cos(\lambda_{m}-G) - \cos\beta_{m}\cos(\lambda_{m}-G);$$

daher wird:

$$\frac{d(h\cos\varphi)}{dM} = \cos\beta_{m}\cos(\lambda_{m} - G). \tag{44}$$

Quadrirt und addirt man die Gleichungen 9) (pag. 292), so ergibt sich:

$$h^2 = 1 + M^2 - 2M[\cos\beta, \cos\beta, \cos(\lambda, -\lambda)] + \sin\beta, \sin\beta,$$

daher:

$$\frac{1}{2}\frac{d(\hbar^2)}{dM} = M - [\cos\beta, \cos\beta, \cos\beta, \cos(\lambda, -\lambda)] + \sin\beta, \sin\beta, -1$$

Die Berechnung dieses Ausdruckes kann aber bequemer gestaltet werden. Multiplicirt man nämlich die erste Gleichung in 9) (pag. 292) mit $\cos \beta_m$, die dritte mit $\sin \beta_m$ und addirt diese Producte, so werden die rechter Hand vom Gleichheitszeichen stehenden Ausdrücke identisch mit den oben entwickelten, man kann also setzen:

$$\frac{1}{2}\frac{d(h^2)}{dM} = h\cos\zeta\cos(H-\lambda_m)\cos\beta_m + h\sin\zeta\sin\beta_m,$$

und es ist sonach:

$$P = \frac{\varrho_r}{s} \left\{ g \cos \beta_m \cos \left(G - \lambda_m \right) - \varrho_r \left(h \cos \zeta \cos \left(H - \lambda_m \right) \cos \beta_m + h \sin \zeta \sin \beta_m \right) \right\}$$

$$ds = h \sin \vartheta \, d\varrho_r - P \, dM.$$

$$45)$$

Substituirt man diese und die aus den beiden ersten Gleichungen in 43) enthaltenen Werthe von dr_n , dr_m und ds in 42), so findet sich:

$$[(r, +r_{m}+s)^{1/2}\{\sin\theta, +M\sin\theta_{m}+h\sin\theta_{m}+h\sin\theta_{m}-(r, +r_{m}-s)^{1/2}\{\sin\theta, +M\sin\theta_{m}-h\sin\theta_{m}\}]d\rho, = [(r, +r_{m}+s)^{1/2}\{P-\rho, \sin\theta_{m}\}+(r, +r_{m}-s)^{1/2}\{P+\rho, \sin\theta_{m}\}]dM.$$

Dividirt man beiderseits mit $(r, + r_m)^{1/2}$ und benützt den mehrfach (vergl. 6) pag. 77 und pag. 295) gebrauchten Hilfswinkel γ , der im vorliegenden Falle stets im ersten Quadranten anzunehmen ist, so erhält man schliesslich nach:

$$P = \frac{\varrho_{t}}{s} \left\{ g \cos \beta_{m} \cos (G - \lambda_{m}) - \varrho_{t} \left[h \cos \zeta \cos (H - \lambda_{m}) \cos \beta_{m} + h \sin \zeta \sin \beta_{m} \right] \right\}$$

$$\sin \gamma = \eta \mu$$

$$d\varrho_{t} = \frac{P - \varrho_{t} \sin \theta_{m} \operatorname{tg} \frac{1}{2} \gamma}{h \sin \vartheta + (\sin \theta_{t} + M \sin \theta_{m}) \operatorname{tg} \frac{1}{2} \gamma} dM,$$

$$46)$$

den verlangten Differentialquotienten. Wollte man statt dM sofort $d \log M$ in die Rechnung einführen, so hätte man zu setzen:

$$dM = \frac{M}{\text{Mod.}} d \log M. \tag{47}$$

Man erhält durch diese Formeln, wenn die Änderungen von $d \log M$ mässige sind, in hinreichender Annäherung jene Correction, welche man an den dem ursprünglichen Werthe von M entsprechenden Werth von ϱ , anzubringen hat, um dem verbesserten von M zu genügen. Sodann rechnet man $\varrho_m + d\varrho_m$ nach:

$$\varrho_{m}+d\varrho_{m}=(M+dM)(\varrho_{r}+d\varrho_{r});$$

aus den beiden Werthen $\varrho_1 + d\varrho_2$ und $\varrho_2 + d\varrho_3$ werden die Elemente abgeleitet.

Hat man nach einer der vorstehend entwickelten Verfahrungsweisen sich dem wahren Werthe von *M* hinreichend genähert und die Elemente bestimmt, so wird eine ungenügende Darstellung des mittleren Ortes, wofern zu deren Erklärung keine Beobachtungs- oder Rechen-Fehler herangezogen werden können, den Schluss erlauben, dass die parabolische Hypothese in dem vorliegenden Falle nicht ausreicht, und man wird dann die Elemente ohne bestimmte Voraussetzung über die Excentricität nach der Methode des zweiten Abschnittes aufzusuchen haben.

Die für die Berechnung erster Bahnelemente nach Olbers' Methode nöthigen Formeln haben am Schlusse dieses Bandes Aufnahme gefunden.

β. Der grösste Kreis hat die für die Genauigkeit der Bahnbestimmung günstigste Lage.

Hat das oben (vergl. 18) pag. 287) angeführte Kriterium gezeigt, dass man Olbers' Wahl des grössten Kreises nicht folgen dürfe, so wird man die Bestimmung der geocentrischen Distanzen in anderer, wesentlich schwierigerer Weise vornehmen müssen. Es soll nun näher auf die Transformationen eingegangen werden, welche die Rechnung nach dieser Methode erleichtern.

Die Bestimmung von r, und r_m kann nach den Gleichungen 2) und 3) pag. 291) erfolgen und man erhält hierfür aus ϱ , und ϱ_m ähnliche Formeln wie in 4) und 5) (pag. 291) und zwar:

$$egin{array}{ll} \operatorname{tg} heta_{,} &= rac{arrho_{,} - R_{,} \cos \psi_{,}}{R_{,} \sin \psi_{,}} & \operatorname{tg} heta_{m} &= rac{arrho_{m} - R_{m} \cos \psi_{m}}{R_{m} \sin \psi_{m}} \\ r_{,} &= R_{,} \sin \psi_{,} \sec \theta_{,} & r_{m} &= R_{m} \sin \psi_{m} \sec \theta_{m} \\ &= (arrho_{,} - R_{,} \cos \psi_{,}) \csc \theta_{,} & = (arrho_{m} - R_{m} \cos \psi_{m}) \csc \theta_{m}. \end{array}
ight\}^{-1}$$

Die Bestimmung von g und G kann nach den Formeln 11) (pag. 292) vorgenommen werden, diejenige der Hilfsgrössen h, ζ und H aber bedarf einer wesentlichen Modification. Man wird setzen:

$$\begin{cases}
\xi_{m} - \xi_{r} = \varrho_{m} \cos \lambda_{m} \cos \beta_{m} - \varrho_{r} \cos \lambda_{r} \cos \beta_{r} = \varrho_{r} h \cos \zeta \cos H + m \cos \lambda_{m} \cos \beta_{m} \\
\eta_{m} - \eta_{r} = \varrho_{m} \sin \lambda_{m} \cos \beta_{m} - \varrho_{r} \sin \lambda_{r} \cos \beta_{r} = \varrho_{r} h \cos \zeta \sin H + m \sin \lambda_{m} \cos \beta_{m} \\
\zeta_{m} - \zeta_{r} = \varrho_{m} \sin \beta_{m} - \varrho_{r} \sin \beta_{r} = \varrho_{r} h \sin \zeta + m \sin \beta_{m},
\end{cases}$$
2)

in welchen Ausdrücken die Grösse m auftritt, welche, weil im Verlauf der Versuche variabel, nicht mit den constanten Gliedern vereinigt werden kann. Mit Rücksicht auf 2) lässt sich die Relation für die Sehne s darstellen durch:

$$s^{2} = \varrho^{2}h^{2} + g^{2} - 2gh\varrho, \cos\zeta\cos(G - H) + 2mh\varrho, \{\cos\beta_{m}\cos\zeta\cos(H - \lambda_{m}) + \sin\beta_{m}\sin\zeta\} - 2mg\cos\beta_{m}\cos(G - \lambda_{m}) + m^{2}.$$

$$(G - \lambda_{m}) + m^{2}$$

Schreibt man abkürzend:

okürzend:
$$\cos \varphi = \cos \zeta \cos (G - H)$$

$$\nu = \cos \beta_m \cos \zeta \cos (H - \lambda_m) + \sin \beta_m \sin \zeta$$

$$\xi = 2g \{\nu \cos \varphi - \cos \beta_m \cos (G - \lambda_m)\}$$

$$\gamma_1 = \frac{g}{h} \cos \varphi \qquad A = g \sin \varphi$$

$$\gamma_2 = -\frac{\nu}{h} \qquad \Phi = \frac{\xi}{A^2}$$

$$\Psi = \frac{1 - \nu^2}{\xi},$$
in einem gegebenen Felle Constanton eind gegebenen eine Geg

welche Grössen in einem gegebenen Falle Constanten sind, so wird man statt 3) schreiben dürfen:

schreiben durfen:
$$s^2 = h^2 \{\varrho, -\gamma_1 - \gamma_2 m\}^2 + A^2 \{1 + m \Phi (1 + m \Psi)\}. \quad 5)$$
 Wird weiter:
$$\chi = m \Phi (1 + m \Psi), \quad 6)$$

gesetzt, wobei χ von Versuch zu Versuch variabel ist, und beachtet, dass $1 + \chi$ wohl stets positiv ist, so wird:

$$\cos \vartheta = \frac{A}{s} V_1 + \chi$$

$$\varrho_1 = \frac{s}{h} \sin \vartheta + \gamma_1 + \gamma_2 m,$$
7a)

angenommen werden dürfen; sin ϑ muss stets den positiven Werth erhalten. Sollte $1 + \chi$ negativ werden, was wohl kaum vorkommen dürfte, so hat man zu schreiben:

$$\left. \begin{array}{l} \operatorname{tg} \vartheta' = \frac{A}{s} V - (\overline{1 + \chi}) \\ \varrho_{i} = \frac{s}{h \cos \vartheta'} + \gamma_{1} + \gamma_{2} m. \end{array} \right\} \quad 7b)$$

Setzt man zu diesen Transformationsresultaten auch jene Relationen (vergl. 20) pag. 289) hinzu, deren man zur Berechnung der Grösse m bedarf, so ergibt sich für die zur Durchführung eines Versuches nothwendigen Formeln folgende Zusammenstellung:

$$\eta = \frac{2 k (t_{m} - t_{i})}{(r_{i} + r_{m})^{\frac{3}{2}}} \qquad \eta \text{ als Arg. für } \mu \text{ nach Tafel VII.}$$

$$s = \frac{2 k (t_{m} - t_{i}) \mu}{\sqrt{r_{i} + r_{m}}} \qquad m = C + \frac{F}{(r_{i} + r_{m})^{3}}$$

$$\chi = m \mathcal{O}\{1 + m \mathcal{V}\} \qquad \cos \vartheta = \frac{A}{s} \sqrt{1 + \chi^{*}}\}$$

$$\varrho_{i} = \frac{s}{h} \sin \vartheta + \gamma_{1} + \gamma_{2} m \qquad \varrho_{m} = m + M \varrho,$$

$$tg \theta_{i} = \frac{\varrho_{i} - R_{i} \cos \psi_{m}}{R_{i} \sin \psi_{i}}$$

$$r_{i} = R_{i} \sin \psi_{i} \sec \theta_{i} \qquad r_{m} = R_{m} \sin \psi_{m} \sec \theta_{m}.$$

Beim ersten Versuche wird man, wenn sonst keine Näherungen bekannt sind:

$$x_1 = \log(r_1 + r_{111})_a = \log(R_1 + R_{111}),$$

setzen, wodurch m = 0 wird und die Berechnung des Formelsystems 8) sich in etwas vereinfacht. Die Durchführung der Rechnung nach den Formeln 8) führt zu Werthen von r, und r_m , deren Summenlogarithmus:

$$y_1 = \log (r_1 + r_{m})_e,$$

im Allgemeinen mit dem Anfangswerthe x_1 nicht identisch gefunden wird; die auftretende Differenz wird man dazu verwenden können, durch differentielle Operationen die Verbesserung der ersten Annahme über x_1 zu erlangen. Die Differentiationsresultate gestalten sich in diesem Falle etwas complicirter, als für die Olbers'sche Methode, doch werden die Endformeln immerhin so einfach, dass deren Anwendung gegenüber einer willkürlichen Variation und nachherigen Interpolation empfohlen werden kann. Man hat zunächst als Ausgangspunkt der Untersuchung, wie oben (vergl. pag. 294):

$$\begin{cases} x_1 + dx_1 = y_1 + dy_1 \\ y_1 - x_1 = dx_1 - dy_1. \end{cases}$$
 9)

Die nothwendigen Differentiationen geben der Reihe nach:

$$dx_1 = \operatorname{Mod.} \frac{d(r, + r_m)_s}{\operatorname{ro}^{x_1}} \qquad d(r, + r_m)_a = \frac{\operatorname{ro}^{x_1}}{\operatorname{Mod.}} dx_1$$

$$dy_1 = \operatorname{Mod.} \frac{d(r, + r_m)_s}{\operatorname{ro}^{y_1}} \qquad d(r, + r_m)_s = \frac{\operatorname{ro}^{y_1}}{\operatorname{Mod.}} dy_1$$

$$\sin \gamma = \eta \mu$$

$$ds = -\operatorname{tg} \frac{1}{2} \gamma \frac{\operatorname{ro}^{x_1}}{\operatorname{Mod.}} dx_1 \qquad dm = -\frac{3 F}{(r, + r_m)^s_a} \frac{\operatorname{ro}^{x_1}}{\operatorname{Mod.}} dx_1$$

$$d\varrho_r = + \frac{s}{h} \cos \vartheta d\vartheta + \frac{\sin \vartheta}{h} ds + \gamma_2 dm$$

$$d\vartheta = + \cot \vartheta \vartheta \frac{ds}{s} - \frac{1}{2} \frac{\cot \vartheta}{1 + \chi} d\chi \qquad d\chi = \vartheta (1 + 2 m \Psi) dm$$

$$d\varrho_r = (\cos \vartheta \cot \vartheta + \sin \vartheta) \frac{ds}{h} - \frac{s}{h} \frac{\cos \vartheta \cot \vartheta}{2(1 + \chi)} \vartheta (1 + 2 m \Psi) dm + \gamma_2 dm$$

$$= \frac{ds}{h \sin \vartheta} - \frac{dm}{h} \left\{ \frac{s \cos \vartheta \cot \vartheta}{2(1 + \chi)} \vartheta (1 + 2 m \Psi) + \nu \right\}.$$

^{*)} Wenn 1 + χ negativ werden sollte, hat man die Formeln 7b) zu benützen.

Oppolzer, Bahnbestimmungen. I. 2. Auflage.

Setzt man daher:

$$Q = \frac{1}{h} \left[\frac{\log \frac{1}{2} \gamma}{\sin \vartheta} - \frac{3 F}{(r_r + r_m)^4 a} \left\{ \frac{\xi (1 + 2 m T)}{2 s \sin \vartheta} + \nu \right\} \right], \qquad 10)$$

so wird:

$$d\varrho_{i} = -Q \frac{10^{r_{1}}}{\text{Mod.}} dx_{1},$$

und andrerseits mit Rücksicht auf: $dr_{,}=\sin\theta_{,}d\varrho_{,},\ dr_{,m}=\sin\theta_{,m}d\varrho_{,m},\ d\varrho_{,m}=dm+Md\varrho_{,}$

$$d(r, + r_m)_e = \frac{10^{y_1}}{\text{Mod.}} dy_1 = (\sin \theta_1 + M \sin \theta_m) d\rho_1 - \sin \theta_m \frac{3 F}{(r_1 + r_m)_{q_1}^{q_2}} \frac{10^{x_1}}{\text{Mod.}} dx_1.$$

Führt man in diese Gleichung den zuletzt erhaltenen Werth von $d\varrho$, ein und macht von der zweiten Gleichung in 9) Gebrauch, so ist der verbesserte Werth x_2 zu berechnen nach:

$$P = \left\{ (\sin \theta_{1} + M \sin \theta_{m}) Q + \sin \theta_{m} \frac{3F}{(r_{1} + r_{m})^{4}} \right\}$$

$$n_{1} = 1 + P \frac{10^{x_{1}}}{10^{y_{1}}} \qquad \log \frac{10^{x_{1}}}{10^{y_{1}}} = x_{1} - y_{1}$$

$$x_{2} = x_{1} + \frac{y_{1} - x_{1}}{n_{1}}.$$

In den Formeln 10) und 11) stellt der Factor:

$$\frac{3F}{(r_1+r_m)^4a}\frac{10^{x_1}}{\text{Mod.}}dx_1,$$

die Änderung von m mit verkehrtem Zeichen vor; da nun der Endwerth $(r, + r_m)_e$ dem wahren Werth in der Regel wesentlich näher sein wird als der Anfangswerth, so wird man die zweiten Differenzwerthe der Hauptsache nach berücksichtigen, wenn man schreibt:

$$\frac{3F}{(r_{r}+r_{m})^{2}a}\cdot\frac{10^{\frac{1}{2}x_{1}}\cdot10^{\frac{1}{2}y_{1}}}{(r_{r}+r_{m})^{2}a}\cdot\frac{dx_{1}}{\text{Mod.}}=\frac{3F}{(r_{r}+r_{m})^{2}a}(r_{r}+r_{m})^{2}a\cdot\frac{10^{\frac{1}{2}y_{1}}}{10^{\frac{1}{2}}x_{1}}\cdot\frac{10^{x_{1}}dx_{1}}{\text{Mod.}}$$

Man wird daher in den meisten Fällen gut thun, in 10) und 11) statt $\frac{3F}{\langle r_r + r_m \rangle^4_a}$ zu setzen: $\frac{3F}{\langle r_r + r_m \rangle^2_a \langle r_r + r_m \rangle^2_e} \cdot \frac{10^{\frac{1}{2}y_1}}{\langle r_q + r_m \rangle^2_a}$

wobei:

$$\log (10^{\frac{1}{2}y_1} - 10^{\frac{1}{2}x_1}) = \frac{1}{9}(y_1 - x_1),$$

anzunehmen ist.

Die Durchführung des Versuches mit x_2 in Verbindung mit der neuen Berechnung von 10) und 11) wird meist schon den wahren Werth von x in hinreichender Annäherung finden lassen.

Will man bei der ersten Bahnbestimmung den Einfluss der Planetenaberration berücksichtigen, so wird man diese durch das folgende Verfahren mit genügender Genauigkeit in Rechnung ziehen können. Wie oben gezeigt wurde (vergl. pag. 296), wird der Einfluss auf M ein sehr geringer sein, ebenso auf m, welche Grösse selbst von der Ordnung der Zwischenzeit ist, weshalb die Berücksichtigung dieser Änderungen bei ersten Bahnbestimmungen nicht nöthig erscheint. Einen wesentlichen Einfluss nimmt die Planetenaberration auf die Grösse $\tau = 2k(t_m - t_r)$: es ist im Falle der Berücksichtigung derselben statt t_m und t_r zu setzen:

$$t_{m} - a\varrho_{m}$$
 $t_{r} - a\varrho_{r}$

Um die Werthe von ϱ , und ϱ_m mit hinreichender Annäherung aus den vorausgehenden Versuchen bestimmen zu können, beachte man, dass den obigen Differentialformeln zu Folge und nach den Bemerkungen, welche zu den Relationen 11) gemacht wurden:

$$\begin{split} d\varrho_{,} &= Q \, \frac{10^{x}}{\text{Mod.}} \cdot \frac{x-y}{n} \\ d\varrho_{,,,} &= M d\varrho_{,} + \frac{3 \, F}{(r_{,} + r_{,,,})^{2}_{\, g} \, (r_{,} + r_{,,,})^{2}_{\, g}} \cdot \frac{10^{x}}{\text{Mod.}} \cdot \frac{x-y}{n} \, , \end{split}$$

also:

$$d(t_{m}-t_{i})=-a\{(\varrho_{m}+d\varrho_{m})-(\varrho_{i}+d\varrho_{i})\},$$

ist, wenn ϱ_m und ϱ , die Werthe der geocentrischen Distanzen des vorangehenden Versuches bezeichnen; will man sofort die Correction von $\log \tau$ bestimmen, so ist dafür:

Sind die oben beschriebenen Versuche beendet, so werden aus ϱ , und ϱ_m nach der bei der Olbers'schen Methode auseinandergesetzten Weise (vergl. pag. 298) die Elemente, die Darstellung des mittleren Ortes und die eventuellen Verbesserungen der Grösse M abgeleitet.

Bei der Darstellung der mittleren Beobachtung durch die Elemente wird man für die Correction der Beobachtungszeit derselben, falls die Planetenaberration noch keine Berücksichtigung gefunden hat, mit hinreichender Genauigkeit setzen dürfen: (vergl. pag. 299)

$$\Delta t_{n} = -a \left\{ \varrho_{n} + (\varrho_{m} - \varrho_{n}) \frac{t_{n} - t_{n}}{t_{m} - t_{n}} \right\}$$

$$\log a = 7.7613 - 10,$$

$$14)$$

wodurch die Correction in Einheiten des mittleren Sonnentages erhalten wird.

Hat man aber die Berechtigung, die Näherungsannahmen über m und M für nicht hinlänglich genau zu erachten, so wird man sich nach dem oben (pag. 299) angegebenen Verfahren mit r, r_m und s die nöthigen Grössen verschaffen, um wesentlich bessere Werthe für m und M zu erhalten, welche dann mit Benützung des jetzt genähert bekannten ϱ , nach der Formel 23) (pag. 290) die Bestimmung von (M) und für die zweite Näherung die Anwendung des bequemen Formelsystemes der Olbers'schen Methode gestatten.

Die Zusammenstellung der zur Rechnung nöthigen Formeln, soweit dieselben für die ersten Annahmen über M nach der ersten Methode, oder über m und M nach der zweiten Verwendung finden, ist am Schlusse des vorliegenden Bandes im Anhang aufgenommen; über die eventuellen Verbesserung dieser ersten Annahmen enthalten die Rechnungsbeispiele des sechsten Kapitels (pag. 310 ff.) die nöthigen Hinweise und Auseinandersetzungen.

5. Über die mehrfachen Lösungen des Problems.

Die Entwicklung der in dem vorhergehenden Kapitel benützten Gleichungen würde auf Gleichungen sehr hohen Grades führen; diese Bemerkung weist sofort darauf hin, dass mehrfache Lösungen des Problems vorhanden sind. Um die diesbezügliche Untersuchung möglichst zu erleichtern, sollen in den betreffenden Gleichungen jene Vereinfachungen eingeführt werden, die zulässig sind, solange das Product: Quadrat der mit der Constante des Sonnensystems multiplicirten Zwischenzeit in die negative dritte Potenz des Radiusvectors, eine mässige Grösse bleibt. Für den aus der Euler'schen Gleichung resultirenden Werth der Sehne soll:

$$s = \frac{2k(t_{iii}-t_{i})}{\sqrt{2r_{ii}}},$$

gesetzt werden; es ist sonach $2r_n$ mit $r_1 + r_m$, und μ mit der Einheit identificirt. Bezeichnet man mit ψ_n den scheinbaren Abstand des Kometen von der Sonne zur Zeit der zweiten Beobachtung, so kann die Lösung des Problems als in den Gleichungen:

$$r_{n}^{2} = (\varrho_{n} - R_{n} \cos \psi_{n})^{2} + R_{n}^{2} \sin \psi_{n}^{2}$$

$$s^{2} = (h\varrho_{n} - g \cos \varphi)^{2} + g^{2} \sin \varphi^{2}$$

$$= \frac{2k^{2}(t_{n} - t_{n})^{2}}{r_{n}},$$
1)

enthalten gedacht werden. Erwägt man, dass q die Sehne zwischen dem ersten und dritten Sonnenorte darstellt, so kann für dieselbe nach dem Ausdrucke auf pag. 50 auch:

 $g = k(t_m - t_n) \sqrt{\frac{2}{R} - 1},$

gesetzt werden; nun ist aber bis auf Grössen zweiter Ordnung der Excentricität:

somit auch:

$$\sqrt{\frac{2}{R_{"}}-1} = \frac{1}{R_{"}},$$
 $s^2 = \frac{2g^2R_{"}^2}{r_{"}}$

oder :

$$h^2 \varrho_n^2 - 2gh\cos\varphi \varrho_n + g^2 = \frac{2g^2 R_n^2}{V\varrho_n^2 - 2R_n\cos\psi_n\varrho_n + R_n^2},$$
 2)

welcher Ausdruck nach e, entwickelt, auf eine Gleichung sechsten Grades führt. Dieser kann aber noch eine etwas einfachere Gestalt gegeben werden: setzt man nämlich :

$$x = \frac{\varrho_{\prime\prime}}{R_{\prime\prime}} \quad , \quad \alpha^2 = R_{\prime\prime}^2 \frac{h^2}{g^2}, \quad 3)$$

so wird:

$$\alpha^2 x^2 - 2\cos\varphi \,\alpha x + 1 = \frac{2 R_n}{\sqrt{x^2 - 2\cos\psi_n x + 1}}, \qquad 4$$

welcher Gleichung im Allgemeinen sechs Wurzeln zukommen, von denen zwei stets imaginär werden. Differentiirt man nämlich die Gleichung sechsten Grades in der Form:

$$(a^2x^2 - 2\cos\varphi \,ax + 1)^2(x^2 - 2\cos\psi_n x + 1) = 4R_n^2$$

nach x und setzt den Differentialquotienten der Null gleich, so kann man beiderseits durch den Factor ($\alpha^2 x^2 - 2\cos\varphi \alpha x + 1$), welcher, so lange x reell ist, niemals Null werden kann, dividiren und erhält eine Gleichung dritten Grades. Fasst man das die Gleichung sechsten Grades darstellende Polynom als Curve auf, indem man x als Abscisse, den Werth des Polynoms als Ordinate betrachtet, so wird dieselbe im ganzen zwei Minima und ein Maximum haben; wegen des positiven Factors des Coëfficienten wird für $x = \pm \infty$ die Ordinate stets $+\infty$, es sind daher nur vier reelle Wurzeln möglich, doch können selbst von diesen zwei imaginär werden. Das von x freie Glied der Gleichung wird stets negativ sein, woraus man den Schluss ziehen kann, dass die sechs Wurzeln der Gleichung in Bezug auf das Vorzeichen folgendermassen vertheilt sein werden:

	1. Fall	2. Fall	3. Fall
ı. Wurzel	positiv	positiv	positiv
2. ,,	positiv	negativ	negativ
3. ,,	positiv	negativ	imaginär
4. ,,	negativ	negativ	imaginär
5. ,,	imaginär	imaginä r	imaginär
6. ,,	imaginär	imaginär	imaginär.

Da x dem Wesen nach mit der geocentrischen Distanz nahezu identisch ist, jedenfalls aber mit derselben das gleiche Vorzeichen hat, und negative Distanzen der Beobachtung widersprechen, so wird in den letzten zwei Fällen nur eine brauchbare Lösung der Gleichung möglich; der erste Fall aber bietet drei brauchbare Lösungen dar. Nur zwei positive Wurzeln können daher, wiewohl dies behauptet wurde, niemals eintreten: ist mehr als eine positive Lösung möglich, so sind stets deren drei vorhanden; in der überwiegenden Anzahl des Vorkommens dieser Gleichung wird man aber nur den dritten Fall als vorhanden annehmen dürfen, indem es einer ganz besonderen Combination von Umständen bedarf, um der Gleichung 5) vier reelle Wurzeln zu ertheilen, es muss nämlich $\alpha \sin \psi_n$ im Verhältnis zu $\alpha \cos \psi_n - \cos \varphi$ sehr klein werden, wenn dieser Fall eintreten soll und ausserdem sind mehrfache Beschränkungen vorhanden. Wären in einem vorgelegten Falle thatsächlich drei positive Wurzeln für x vorhanden, so wird übrigens, wenn nicht zwei derselben einander sehr nahe liegen, die Darstellung des mittleren Ortes meist die Entscheidung bringen, welche Wurzel die wahre ist. Aus leicht begreiflichen Gründen ist es mir nicht gelungen, einen solchen Fall für einen wirklich beobachteten Kometen aufzufinden, weshalb die folgenden drei Beobachtungen fingirt wurden. Als Grundlagen der Rechnung wurden angenommen:

t
$$\lambda$$
 β L $\log R$ 1883 Octob. 18.5 212°54′17″8 + 6°36′31″1 205°13′28″2 9.998087 , 19.5 210 20 6.0 + 7 5 14.6 206 13 7.0 9.997968 ... 20.5 207 30 3.9 + 6 59 30.1 207 12 48.0 9.997849

und daraus findet sich:

$\log M$	0.010 300		
\boldsymbol{G}	297°7′31″8	$\log \sin \psi$,	9.244 770
$\log g$	8.538 477	$\log\cos\psi$,	9.993 191
H	133°51′5″2	$\log \sin \psi_{\prime\prime\prime}$	9.085 746
$\log\cos\zeta$	9.997 922	$\log\cos\psi_{\prime\prime\prime}$	9.996 752
$\log \sin \zeta$	8.989 413	$\log\sinarphi$	9.480 855
$\log h$	8.991 050	$\log \cos \varphi$	9n979 148.

Die Versuche ergeben als die drei brauchbaren Wurzeln:

von denen die zweite, wenn man die Annäherungen hinreichend weit durchführt, sich bei der Darstellung der mittleren Beobachtung als die wahrscheinlichste erweist, wiewohl auch die dritte Wurzel als genügend befunden werden könnte; in der That wäre in diesem Beispiele ohne Hinzuziehung einer vierten Beobachtung die Entscheidung schwierig, ob man die zweite oder dritte Wurzel zu wählen hat, da beide Wurzeln einander verhältnismässig nahe liegen.

Es wird nun auch über das Zeichen entschieden werden können, mit welchem die Wurzel in dem Ausdrucke:

$$\varrho = \frac{g}{h}\cos\varphi \pm \frac{1}{h}\sqrt{s^2 - g^2\sin\varphi^2}, \qquad 6$$

von dem bereits oben (pag. 293) die Rede war, genommen werden muss. Im Grenzfalle: s=g, für den $\cos \varphi$ nothwendig positiv sein muss, würde mit Benützung des unteren Zeichens $\varrho=o$, woraus die Unbrauchbarkeit des unteren Zeichens einleuchtet, da im vorgelegten Falle ϱ nothwendig grösser als die Einheit wird. Aus dem Umstande, dass bei dem Probleme durch Variation der zur Verfügung stehenden Parameter ein Übergang von einer negativen Wurzel in eine positive nicht denkbar ist, weil für $\varrho=o$ niemals eine Lösung stattfinden kann, wird man den Schluss ziehen dürfen, dass das untere Vorzeichen der Gleichung 6) der negativen Lösung (eventuell drei negative Lösungen), das obere Zeichen dagegen der positiven Lösung (eventuell drei Lösungen) vorbehalten bleiben muss.

6. Beispiele.

Die für die Bestimmung parabolischer Elemente entwickelten Methoden sollen nun durch ausführliche Beispiele erläutert werden. Am Schlusse dieses Bandes findet sich eine übersichtliche Zusammenstellung der zur Rechnung nöthigen Formeln, auf welche Formelsammlung sich die bei den folgenden Rechnungen gemachten Hinweise (Anhang) beziehen.

Es seien die Elemente des Kometen III 1881 aus den folgenden drei Pulkowaer Beobachtungen zu ermitteln:

	r	nitt.	Zt.	Pulkowa		app	. α	ap	р. δ	
1881 Juni	25	1 1 h	25 ^m	53 ⁸ 2	5 ^h	42 ^m	29 ⁸ 01	+ 53°	1′ 34″6)
,,	28	11	29	45.8	5	58	11-94	+ 62	55. 35.8	i
Juli	1	11	39	52.9	6	20	10.30	+ 70	4 53.3	

Der die Convergenz fördernden Bedingung nahe gleicher Zwischenzeiten ist in fast vollkommenem Masse genügt (vergl. Anhang I). Da vorausgesetzt wird, dass keine Näherungen für die Elemente bekannt seien, so sollen die im Anhange für diesen Fall aufgeführten Vorschriften genau befolgt werden, wiewohl man sich in der thatsächlichen Anwendung manche Übergehung gestatten darf.

Unter Annahme der Längendifferenz — 1^h 7^m 43^s74 zwischen Berlin und Pulkowa erhält man die folgenden auf den Berliner Meridian reducirten Zeitangaben, welche mit Hilfe der Tafel XIX Band II in Decimaltheile des Tages umgesetzt sind, ferner für diese Zeiten die aus dem Berliner Jahrbuche für 1881 entlehnten, auf das mittlere Äquinoctium 1881 o bezogenen Längen und Breiten der Sonne, sowie die derselben Quelle entnommenen Logarithmen der Distanzen:

Für die Reduction der beobachteten Rectascensionen und Declinationen auf das mittlere Äquinoctium des tropischen Jahresanfanges gibt das Berliner Jahrbuch für 1881 folgende, den drei Beobachtungszeiten entsprechende Zahlen:

f	$\log g$	$oldsymbol{G}$	$\log h$	$oldsymbol{H}$	$\log i$
+ 38"00	1.2227	8° 34′	1.3101	176° o'	9.7933
+ 38.47	1.2280	8 31	1.3101	173 22	0.0115
+ 38.94	1.2333	8 26	1.3096	170 43	0.1556.

Hiermit stellt sich die Berechnung der Reduction auf den scheinbaren Ort wie folgt (vergl. Anhang I. A, 2):

	I.	2.	3⋅
α	85° 37′	89° 33′	95° 3′
$G + \alpha$	94 11	98 4	103 29
$H + \alpha$	261 37	262 55	265 46
tg ð	0.1233	0.2914	0.4409
$\sin\left(G+\alpha\right)$	9·9988	9.9957	9.9878
$\log g$	1.2227	1 · 2 280	1.2333
$\cos\left(G+\alpha\right)$	8 _n 8630	9n1471	9 n 3677
sec δ	0.2208	0.3419	0.4676
$\sin (H + \alpha)$	9n9953	9 " 9967	9 _n 9988
$\log h$	1.3104	1.3101	1 · 3096
$\cos (H + \alpha)$	9n1637	9 n 0910	8 _n 8682
$\sin \delta$	9.9025	9-9496	9.9732

Diese Reductionen wären mit umgekehrten Zeichen an die scheinbaren Orte anzubringen, um dieselben auf das mittlere Äquinoctium des Jahresanfanges zu beziehen; weil aber bei Bahnbestimmungen das kleine von der Erdbahnexcentricität abhängige Aberrationsglied (vergl. pag. 115) mitzunehmen ist, wurde dasselbe wie folgt berechnet (vergl. 12a) 12b) pag. 115):

Vereinigt man diese Werthe mit den vorigen und ändert das Vorzeichen der erhaltenen Summen, so resultiren folgende Correctionen der drei Beobachtungen. welche die Reduction auf das mittlere Äquinoctium des Jahresanfanges bewirken und neben denen die auf das mittlere Äquinoctium bezogenen Rectascensionen und Declinationen des Kometen, und zwar die Rectascensionen in Bogenmass, angesetzt wurden:

⊿α Δð mittl. α mittl. δ + 3"18 85° 36′ 48″ 1 -- 27"05 $+53^{\circ}$ 1' 37"8 89 32 31.7 - 27.42 + 4.09 +625539.9**-- 26.16** + 4.90 95 2 8.3 + 70 4 58.2

Wollte man die Reductionsconstanten aber mit Hilfe der Tafel X ermitteln, so würde sich die Berechnung derselben, wie folgt, gestaltet haben (vergl. pag. 243 und 249):

		Juni	\mathbf{Juni}	Juli
Greenwich	er Zeit	25.3921	28.3948	1.4018
Tafel XA		77.858	77.858	77.858
Fusstafel	Arg. I	+ 0.107	+ 0.108	+ 0.110
Tafel X _B		48.187	49.009	49.830

Tafel XA)	74.064	74 064	74.064
Fusstafel	Arg.	II — 0·006	— o∙oo6	— o∙o o6
Tafel XB		97.411	97.367	97.323
	Arg.	I 26·152	26.975	27.798
	,,	II 71·469	71.425	71.381
$g \sin G$	X _c	+ o"532	+ 0"520	+ 0"504
y sin G	X_d	+ 1.951	+ 1.976	+ 2.001
$\log g \sin$	1 <i>G</i>	0.39498	0.39724	0.39881
4 cos G	X _c	+ 9"778	+ 9"989	+ 10"199
$g\cos G$	X_d	+ 6.745	+ 6.741	+ 6.737
$\log g \cos$	\mathbf{G}	1 · 2 1 809	1.22350	1.22881
	\boldsymbol{G}	8° 33′	8° 29′	8° 25′
log	3 <i>9</i>	1.2229	1 · 2 2 8 3	1.2335
f	Xc Xd	+ 22"468	+ 22"954	+ 23"436
.,	$\mathbf{X}_{\mathbf{d}}$	+ 15.545	+ 15.536	+ 15.527
	f	+ 38.01	+ 38.49	+ 38.96
ſ lo	gh	1.3039	1.3035	1.3030
Tafel X_c $\begin{cases} lo \\ \end{cases}$	H	176° 5′	173° 25′	170° 44′
· ·	i	+ o"595	+ 1″000	+ 1"403
lo	g i	9.7745	0.0000	0.1471

Mit Hilfe dieser Reductionscoëfficienten ergibt sich die Berechnung der Reduction auf den scheinbaren Ort wie folgt:

	_		
	Ι.	2.	3.
$G + \alpha$	94° 10′	98° 2'	103°28′
$H + \alpha$	261 42	262 58	265 47
$\operatorname{tg}\delta$	0.1233	0.2914	0.4409
$\sin\left(G+lpha\right)$	9 ·9 989	9· 9 957	9.9879
$\log g$	1.2229	. 1-2283	1.2335
$\cos (G + \alpha)$	8 _n 8613	$9n^{1}453$	9 n 3671
sec δ	0.2208	0.3419	0.4676
$\sin (H + \alpha)$	9n9954	9 n 9967	9 n 9988
$\log h$	1.3039	1.3035	1.3030
$\cos(H + \alpha)$	9n1594	9 " 0879	8 _n 8665
$\sin\delta$	9.9025	9•9496	9.9732
$\frac{1}{f}$	+ 38"01	+ 38"49	+ 38"96
$g\sin(G+a)$ tg δ	+ 22.13	+ 32.76	+ 45.95
$h\sin(H+a)\sec\delta$	33.12	— 43·86	` — 58·8o
<i>— ∆α</i>	+ 27.02	+ 27.39	+ 26.11
i cos δ	+ 0"36	+ 0"46	+ o"48
$g\cos\left(G+\alpha\right)$	I·2I	— 2·36	— 3 ·99
$h\cos(H+\alpha)\sin\delta$	- 2.32	- 2.19	— 1·39
⊿δ	— 3·17	4.09	- 4 ·90.

Diese Reductionen enthalten bereits das kleine Aberrationsglied; die Unterschiede gegen die obigen Werthe:

$$+ o''o_3 + o''o_5 + o_0o_1 + o_0o_0$$

erklären sich aus der veränderten Annahme über die den Tafeln zu Grunde gelegten Präcessions-, Nutations- und Aberrations-Constanten. Für die weiteren Rechnungen wurden die früher erhaltenen Zahlen benützt.

Zunächst sind nun die oben erhaltenen mittleren Rectascensionen und Declinationen mit Hilfe der mittleren Schiefe der Ekliptik (nach dem Berliner Jahrbuch 23° 27′ 17″1) in Längen und Breiten umzusetzen; die Rechnung gestaltet sich wie folgt [Anhang I. A. 4]]:

	I.	2.	3⋅
cos α	8.883 585	7.902 606	$8_{n}943 \ 372$
$\cos\delta$	9.779 189	9· 65 8 119	9.532 322
$\sin \alpha$	9.998 726	9·999 986	9.998 320
$\sin\delta = n\sin N$	9.902 503	9.949 602	9.973 214
	9.902 963	9.949 605	9.973 408
$n\cos N$	9.777 915	9.658 105	9.530 642
$oldsymbol{N}$	53° 6′ 28″4	62° 55′ 42″9	70° 9′ 13″5
$N-\epsilon$	29 39 11.3	39 28 25.8	46 41 56.4
$\sin (N - \epsilon)$	9· 6 94 3 84	9.803 270	9.861 989
. n	9.999 540	9.999 997	9.999 806
$\cos (N - \epsilon)$	9.939 038	9.887 570	9.836 217
$\sin \lambda \cos \beta$	9.938 578	9.887 567	9.836 023
	9.999 391	9.999 995	9.999 587
$\cos \lambda \cos \beta$	8.662 774	7.560 725	8 _n 475 694
$\sin oldsymbol{eta}$	9.693 924	9.803 267	9.861 795
$\cos eta$	9.939 187	9.887 572	9.836 436
λ	86° 58′ 0″ 2	89° 43′ 48″2	920 29′ 51″3
β	+ 29 37 6.9	+ 39 28 24.7	+ 46 40 18.6

Probe: 41° 22′ 49″9 $N-1\epsilon$ 510 12' 4"4 58° 25′ 35″0 $\sin (N - \frac{1}{9} \varepsilon)$ 9.820 239 9.891 733 9.930 423 9.307 581 $n \sin \frac{1}{2} \varepsilon$ 9.308 038 9.307 847 $\cos (N - \frac{1}{2} \epsilon)$ 9.875 255 9.796 982 9.718 994 2 cos α 9.184 615 8.203 636 9,211 102 $n \sin \frac{1}{2} \varepsilon \sin(N - \frac{1}{4} \varepsilon)$ 9.127 820 9.238 270 9.199 771 0.060 813 $\sec \beta$ 0.112 428 0.163 565 $\sin (\lambda - \alpha)$ 8.373 248 8,646 237 7.515 835 λ — α 10 21 12"1 00 11' 16"5 - 2° 32′ 17″0

$\frac{1}{2}(\delta + \beta)$	410 19' 22"3	51012'2"3	58° 22′ 38″4
$\sec \frac{1}{2} (\delta + \beta)$	0.124 359	0.203 013	0.280 402
$n\sin\frac{1}{2}\varepsilon\cos\left(N-\frac{1}{2}\varepsilon\right)$	9.182 836	9.105 020	9.026 841
$\sin \frac{1}{2} (\delta - \beta)$	9.307 195	9.308 033	9.307 243
$\frac{1}{2}(\delta - \beta)$	110 42' 15"2	11° 43′ 37″7	110 42′ 19″9
δ β	23 24 30.4	23 27 15.4	23 24 39.8.

Die Proben zeigen eine genügende Übereinstimmung. Die bisher ausgeführten Rechnungen wird man bei ersten Bahnbestimmungen stets in ähnlicher Weise zu machen haben, nur kann, wenn die Beobachtung eine mikrometrische ist, die für die Vergleichsterne geltende Reduction auf den scheinbaren Ort ohne wesentlichen Nachtheil zur Reduction auf das mittlere Äquinoctium des Jahresanfanges (dieselbe ist subtractiv an den beobachteten Ort anzubringen) verwendet werden; die folgenden Rechnungen hingegen, welche die Parallaxe und die Sonnenbreite aus dem Probleme eliminiren, wird man bei ersten Kometenbahnbestimmungen in der Regel übergehen dürfen, dieselben sind hier nur durchgeführt worden, weil es gilt ein Musterbeispiel herzustellen.

Zunächt ist für diese Zwecke die Ortssternzeit zu ermitteln. Da die obigen Beobachtungen Meridianbeobachtungen sind, die in der unteren Culmination erhalten wurden, so hätte man einfach für die geforderten Angaben die um 12^h vergrösserten Rectascensionen anzuwenden, es soll aber von dieser zufälligen Erleichterung hier kein Gebrauch gemacht werden. Die Rechnung stellt sich wie folgt [Anhang I. A. 6) und 7)]:

Die geocentrische Polhöhe für Pulkowa ist 59° 36'3 und $\log h = 9.9989$. Die Polhöhe als Declination, die Sternzeit als Rectascension betrachtet (vergl. pag. 37), sind in Länge und Breite zu verwandeln; da sich diese Angaben aber auf das wahre Äquinoctium beziehen, während die Reduction für den locus fictus an Coordinaten angebracht wird, die für das mittlere Äquinoctium des Jahresanfanges gelten, so wären diese Grössen, wenn man streng vorgehen wollte, eigentlich auf das mittlere Äquinoctium (mit Ausschluss der Aberration) zu reduciren. Bei der Kleinheit der diesbezüglichen Correction braucht man aber auf diesen Umstand nicht weiter Rücksicht zu nehmen und es wird mehr als genügend sein, wenn man zur Verwandlung die wahre Schiefe der Ekliptik verwendet und die damit erhaltenen Längen allein für Präcession und Nutation corrigirt, während die Breiten unverändert beibehalten werden. Man hat also:

	Ι.	2.	3⋅	
$\cos heta$	8 _n 8830	7 n 8951	8.9440	
$\cos arphi'$	9.7041	9.7041	9.7041	
$\sin heta$	9n9987	0,0000	9 n 9983	•
$n'\sin N'$	9.9358	9.9358	9.9358	
	9.9362	9.9358	9.9363	
$n'\cos N'$		9 n 7041	9 n 7024	
N'	120° 19′0	120° 23′6	120° 17′6	
	23 27.2	23 27.2	23 27.2	
Ν'— ε	96 51.8	96 56.4	96 50.4	
$\sin (N' - \epsilon)$		9·99 68	9 ·9969	
	9·9996	0.0000	9.9995	
$\cos\left(N'-\epsilon\right)$		9 _n 0822	9 _n 0759	
$\cos b \sin (l)$		9 _n 0822	9 n 0754	
	9n9784	9 , 9998	9 n 9716	
$\cos b \cos (l)$	8 _n 5871	7n5992	8-6481	
` '	252° 4′0	268° 7′0	290° 30′0	
— (Präc. + Nut.)	— o·7	· - 0·7	 0·7	
<i>l</i>	252 3.3	268 6.3	290 29.3	
$\sin b$	9·9965	9•9968	9·9964	
$\cos b$	9· 0 98 6	9.0824	9·1038	
b	82° 47′4	83° 3′4	82° 42′2	
$h\pi:R_{ m o}$	0.9385	0.9385	0.9385	$[\pi = 8''848]$
$h\pi\sin b:R_{ m o}$		+ 8"616	+ 8"608	
$B - h \pi \sin b : R_{\rm o}$	- 9·370	 9⋅686	— 9·828	
$\log (B - h\pi \sin b : R_0)$	0 _n 9717	0 _n 9861	0 _n 9925	
$L_{ m o}$ — λ	7° 23'9	7° 29′9	7° 35′9	
$\sin (L_{ m o} - \lambda)$	9·1098	9-1156	9.1213	
$\cot oldsymbol{eta}$	0.2453	0.0843	9·9746	
$\cos\left(L_{\mathrm{o}}-\lambda\right)$	9·9964	9-9963	9.9962	
$L_{ m o}-l$	202° 18′6	189° 7′4	169° 36′4	
$\sin (L_{o} - l)$	9n5794	9 _n 2002	9.2562	
$\log \langle h \pi \cos b : R_0 \rangle$	0.0371	0.0209	0.0423	
$\cos{(L_{ m o}-l)}$	9n9662	9n9945	9 _n 9928	
$\log dL_1$	o _n 3268	o _n 1860	o,0884	
$\log dL_2$	9 _n 6164	9,2209	9 ·298 8	
dL_1	— 2" I 2 2	— 1"535	— 1″226	
dL_2	- o·413	o·166	+ 0.199	
$\Delta L_{ m o}$	<u> 2·5</u>	<u> </u>	— I·o	
$\log d \log R_1$		2.3901	2.2867	
$\log d \log R_2$	1.3267	1 - 3388	1.3585	

$$\frac{d \log R_1}{d \log R_2} + \frac{344}{21} + \frac{246}{22} + \frac{193}{23}$$
 Einheiten der sieden der

Die Grundlagen für die weitere Rechnung [Anhang II. A. 1)] sind daher: ,

Nunmehr ist die Entscheidung zu treffen, welche Methode für die Bestimmung von ϱ , und ϱ_m eingeschlagen werden soll; nach den Formeln Anhang II. A. 2) findet sich:

Nach Anhang II. A. 3) wäre also eigentlich Olbers' Methode zu verlassen, weil der Cosinus des Winkels $W_i - W_o$ kleiner als eine halbe Einheit ist; die rasche geocentrische Bewegung lässt aber erwarten, dass die Olbers'sche Methode auch in diesem Falle gute Resultate liefern werde, umsomehr als den Beobachtungen eine hohe Genauigkeit zugeschrieben werden muss. Man findet nach Anhang II. B. α . 1):

Da M grösser als die Einheit ist, so kann man daraus schliessen, dass sich der Komet zwischen der ersten und dritten Beobachtung von der Erde entfernt hat. Nach Anhang II. B. α . 2):

352° 36′ 10″7	$\lambda_{m}-L_{m}$	352° 24′ 7″8
9·996 370	$\cos \langle \lambda_{\prime\prime\prime} - L_{\prime\prime\prime} \rangle$	9.996 170
9.939 187	$\cos oldsymbol{eta}_{\prime\prime\prime}$	9.836 435
9 _n 109 728	$\sin (\lambda_{m} - L_{m})$	9 _n 121 294
9n048 915	$\sin \psi_m \cos P_m$	8 _n 957 729
9 ·98 9 140		9-996 648
9.693 924	$\sin \psi_{\prime\prime\prime} \sin P_{\prime\prime\prime}$	9.861 794
9·704 784	$\sin\psi_{\prime\prime\prime}$	9-865 146
9.935 557	$\cos \psi_{\prime\prime\prime}$	9.832 605.
	9.996 370 9.939 187 9n109 728 9n048 915 9.989 140 9.693 924 9.704 784	$9.996\ 370$ $\cos{\langle \lambda_m - L_m \rangle}$ $9.939\ 187$ $\cos{\beta_m}$ $9_n 109\ 728$ $\sin{\langle \lambda_m - L_m \rangle}$ $9_n 048\ 915$ $\sin{\psi_m} \cos{P_m}$ $9.989\ 140$ $9.693\ 924$ $\sin{\psi_m} \sin{P_m}$ $9.704\ 784$ $\sin{\psi_m}$

Nach Anhang II. B. α . 3):

$$L_{m} - L$$
, 5° 43′ 54″0 $g \cos(G - L)$ 7,701 064
 $\sin(L_{m} - L)$ 8.999 434 9.999 469
 R_{m} 0.007 241 $g \sin(G - L)$ 9.006 675
 $\cos(L_{m} - L)$ 9.997 823 $G - L$, 92° 49′ 56″7
 $R_{m} \cos(L_{m} - L)$ 0.005 064 G 187 11 46.2
 R , 0.007 215 $\log g$ 9.007 206.
Subtr. 7.696 000

Nach Anhang II. B. α . 4):

Nach Anhang II. B. α . 5):

$$G - H$$
 25° 10′ 23″2 $\sin \varphi \cos Q$ 8.912 873
 $\cos (G - H)$ 9.956 662 9.998 495
 $\sin (G - H)$ 9.628 751 $\sin \varphi \sin Q$ 9.991 812
 $\cos \varphi$ 9.240 784 $\sin \varphi$ 9.993 317.

Nach Anhang II. B. a. 6a):

$$g: h = 9.339 804$$
 $\log B, = 9.711 999$ $g\cos \varphi: h = + 0.038 070$ $\log C_m = 9.872 387$ $\log F = 9.333 121$ $\log B_m = 9.756 236$ $t_m = t, = 0.778 854$ $R.\cos \psi, = + 0.876 540$

Da bei diesem Beispiele die Absicht vorliegt, die Planetenaberration der Hauptsache nach zu berücksichtigen, so wurde nach Anhang II. B. α. 6b) berechnet:

$$(M-1)$$
 9.4866
 $(M-1): (t_m-t_n)$ 8.7077
 $\log \kappa$ 6.1068.

Die Versuche, nach Anhang II. B. α. 7a), 7b) und 7c) geleitet, sind im folgenden nebeneinander angesetzt; die für die Planetenaberration nach dem ersten Versuche resultirende Correction erweist sich schon hinreichend genau, so dass die diesbezüglichen Formeln im zweiten Versuche nicht mehr durchgerechnet wurden. Um Raum zu sparen, sind die nach 7c) berechneten Zahlen unter der Columne des dritten Versuches, durch einen Doppelstrich abgetrennt, angesetzt worden:

	1. Versuch	2. Versuch	3. Versuch
$\log \langle r, + r_m \rangle_a = x$	0.301 030	0.189 520	0.189856
$\frac{1}{2}x$	0-150 515	0.094 760	0.094 928
3 x	0.451 545	0.284 280	0.284 784
$\log \eta$	8.863 920	9.031 143	9 ·030 639
η	+ 0.073 100	+ 0.107 434	+ 0.107 310
Tafel VII μ	0.000 097	0.000 210	0.000 209
$V(r, +r_m)_a : \mu$	0.150 418	0.094 550	0 ·09 4 719
$\cos \vartheta$	9.835 476	9·779 650	9 ·779 81 9
tg 9	0.027 169	0.122 593	0.122 327
$\Gamma \operatorname{tg} \vartheta$	+ 0.229 240	+ 0.285 571	+ 0·285 396
$\Gamma \operatorname{tg} \vartheta - f$,	— 0·609 230	— 0·552 899	- o·553 o74
$\Gamma \operatorname{tg} \vartheta - f_{m}$	— 0·261 981	— 0·205 650	— 0·205 825
$\log \left(\Gamma \operatorname{tg} \vartheta - f_{i} \right)$	9 n784 781	9n742 646	9n742 783
$\log \left(\Gamma \operatorname{tg} \vartheta - f_{m} \right)$	9 n 418 270	9n313129	9n313 498
$\operatorname{tg} \theta$,	0 _n 072 782	o _n o30 647	0 , 030 784
$\operatorname{tg} heta_{"}$	9 n662 034	9 n 556 893	9n557 262
$\cos \theta$,	9.810 059	9-833 621	9.833 548
$\cos heta_{\prime\prime\prime}$	9·958 447	9.973 470	9.973 427
r,	9.901.940	9.878 378	9.878 451
<i>r</i> ,,,	9.913 940	9.898 917	9·898 9 6 0
Add.	0.295 071	0.290 882	0-290 897
$\log (r_i + r_{m_i})_e = y$	0.209 01 1	0.189 799	0·189 857
x-y	+ 0.092 019	0·000 279	— 0·000 00 I

```
\sin \theta_m 9,6205
                                                                                        \Gamma \operatorname{tg} \vartheta + \gamma \circ 2673
                                                    9n5304
                                                                                                                                 Nach Anhang II. B. a. 7c)
                    M\sin\theta_m 9,7367
                                                    9n6466
                                                                                 \log (\Gamma \operatorname{tg} \vartheta + \gamma) 9.1270
                         \sin \theta, 9,8828
                                                                              10^x: (\Gamma \operatorname{tg} \vartheta + \gamma) \circ 8740
                                                    9_{n}8643
                         Add. 0.2341
                                                                               -\operatorname{tg} \frac{1}{4} \gamma : h \sin \vartheta \, g_n \circ 336
                                                    0.2057
                          sin y 8.8640
                                                                          10^x dx : (\Gamma \operatorname{tg} 9 + \gamma) 9_n 9213
                                                    9.0314
                    2 cos 1 y2 0.3004
                                                                                               d\log \varrho_{i} + 0.0901
                                                    0.2998
                         tg 1 y 8.5636
                                                    8.7316
                                                                                                  \log \varrho, 9.5171
                         sin & 9.8626
                                                    9.9022
                                                                                                     xe, +0.000 042
                       h\sin\theta 9.5300
                                                    9.5696
                                                                                        \log \tau - \varkappa \varrho, 9.315 423
        tg\frac{1}{2}\gamma(10^x:10^y) 8.6556
                                                                                       \log A + \varkappa \varrho, 9.685 100.
                                                    8.7313
tg \frac{1}{2} \gamma_{1} to^{x} : h \sin \theta to^{y} + 9.1256
                                                    9.1617
       \sin \theta_n + M \sin \theta_m o_n 1169
                                                    0,0700
               \log(n-1) = 9n2425
                                                    9,2317
                         \log n 9.9166
                                                    9819.0
                 \log(x-y) 8.9639
                                                    6,4456
                         \Delta x = 0.11151 + 0.000336.
```

Da in dem dritten Versuche der Anfangswerth x mit dem Endwerthe y innerhalb der Unsicherheit der logarithmischen Rechnung stimmt, so erscheint der wahre Werth von x ermittelt und man kann die Zahlen des letzten Versuches zur weiteren Rechnung verwenden.

Nach Anhang II. B. a. 8a) wird:

$$\log \varrho$$
, 9.509 829 $\log \varrho$, 9.625 980,

und die der Hauptsache nach für die Planetenaberration verbesserten Zeiten, welche der folgenden Rechnung zu Grunde liegen, sind:

$$t_r = \text{Juni } 25.429\ 277 - 0.001\ 867 = \text{Juni } 25.427\ 410$$
 $t_{rr} = 0.7$
 $t_{rr} = 0.002\ 153 = 0.7$
 $t_{rr} = \text{Juli } 1.438\ 995 - 0.002\ 439 = \text{Juli } 1.436\ 556.$

Würde man vermuthen, dass der der Rechnung als Grundlage dienende Werth von M zu wenig genau sei, so könnte man nach den Formeln 34) bis 36) (pag. 299) die Perihelzeit und $\log q$ ermitteln und mit den erhaltenen Werthen von r_i , r_m , v_m , v_m , v_m , nach den Formeln 21) (pag. 289) und 22) (pag. 290) den verbesserten Werth von M, der dort mit M bezeichnet ist, ableiten; da aber das vorliegende Beispiel hauptsächlich den Zweck hat, zu zeigen, wie die Rechnung bei einer ersten Bahnbestimmung zu führen ist, um zur Kenntnis genäherter Elemente zu gelangen, so soll dieselbe nicht unterbrochen werden, umsomehr, als auf die Verbesserung des angenommenen Werthes später eingegangen wird.

Nach Anhang II. C. 1) wird gefunden:

$$\cos(\lambda, -L)\cos\beta$$
, 9.935 557 $\cos(\lambda, -L)\cos\beta$, 9.445 386 $e_{m}\cos(\lambda, -L)\cos\beta$, 9.458 585

$$R_{t}$$
 0.007 241
 R_{t}
 0.007 241

 Subt.
 9.860 778
 Subt.
 9.855 694

 r_{t} cos b_{t} sin $(l_{t} - L_{t})$
 $8_{n}583$ 709
 $9_{n}999$ 401

 r_{t} cos b_{t} cos $(l_{t} - L_{t})$
 $9_{n}867$ 993
 r_{tt} cos b_{tt} cos $(l_{tt} - L_{tt})$
 $9_{n}862$ 935

 r_{t} sin b_{tt}
 9.203 753
 r_{tt} cos b_{tt} cos $(l_{tt} - L_{tt})$
 $9_{n}862$ 935

 r_{tt} cos b_{tt}
 9.487 774
 9.964 574

 r_{tt} cos b_{tt}
 9.868 515
 r_{tt} cos b_{tt}
 9.863 534

 l_{tt} - l_{tt}
 l_{tt} 283 6 17.8

 l_{tt} 277 10 21.3
 l_{tt} 283 6 17.8

 l_{tt} 283 6 17.8

Die Werthe von $\log r$, und $\log r_m$ stimmen mit jenen des letzten Versuches innerhalb der Unsicherheit der logarithmischen Rechnung überein.

Nach Anhang II. C. 2):

Da die heliocentrischen Längen zunehmen, ist tgi positiv.

Nach Anhang II. C. 3a) und 3b):

Die Probe ergibt mit ausschliesslicher Benützung der Zahlen des letzten Versuches:

Oppolzer, Bahnbestimmungen. I. 2. Auflage.

Da die Differenz beider Resultate nur 0"2 beträgt, sind keine Correctionen im Sinne der Formeln 3c) anzunehmen und die Kleinheit des Unterschiedes beider Resultate bestätigt die Richtigkeit der Rechnung.

Nach Anhang II. C. 4):

$$\frac{1}{3}(u_{m}-u_{i}) \quad 6^{\circ} \text{ o' } 48''5 \qquad \sin \frac{1}{2}v_{i}: \forall q \quad 9\cdot 291 \text{ 704}$$

$$\cot \frac{1}{3}(u_{m}-u_{i}) \quad 0\cdot 977 \text{ 398} \qquad \qquad 9\cdot 993 \text{ 800}$$

$$\forall r_{i}, \quad 9\cdot 939 \text{ 226} \qquad \cos \frac{1}{2}v_{i}: \forall \overline{q} \quad 0\cdot 060 \text{ 774}$$

$$\csc \frac{1}{3}(u_{m}-u_{i}) \quad 0\cdot 979 \text{ 795} \qquad \qquad \frac{1}{2}v_{i}, \quad 9^{\circ} \text{ 39' } 30''7$$

$$\forall r_{m}, \quad 9\cdot 949 \text{ 480} \qquad \qquad v_{i} \quad 19 \quad 19 \quad 1\cdot 4$$

$$\log \text{ II} \quad 1\cdot 038 \text{ 172} \qquad \forall \overline{q} \quad 9\cdot 933 \text{ 026}$$

$$\log \text{ III} \quad 1\cdot 030 \text{ 315} \qquad \qquad q \quad 9\cdot 866 \text{ 052}$$

$$\text{Subt.} \quad 8\cdot 261 \text{ 389} \qquad \qquad q^{3/2} \quad 9\cdot 799 \text{ 078}$$

$$\qquad \qquad \qquad 354^{\circ} \text{ 21' } 26''9$$

$$\qquad \qquad \qquad \qquad \qquad \qquad 265 \quad 19 \quad 3\cdot 26.$$

Nach Anhang II. C. 5):

Die Elemente sind somit:

$$T = 1881$$
 Juni 16.533 125 mittl. Berl. Zt.
 $\pi = 265^{\circ}$ 19' 32"6
 $\Omega = 270$ 58 5.7
 $i = 63$ 27 37.7
 $\log q = 9.866$ 052.

Die Berechnung der Darstellung des mittleren Ortes nach diesen Elementen gestaltet sich wie folgt:

Nach Anhang II. D. 1):

$$t_{n} - T + 11.896690$$

$$\log (t_{n} - T) - 1.075426$$

$$\log M_{n} - 1.276348$$

$$v_{n} - 25^{\circ} 28' - 6'' 2$$

$$u_{n} - 19 - 49 - 33.1$$

Nach Anhang II. D. 21:

Die Darstellung des mittleren Ortes ist eine befriedigende und man könnte sich damit umsomehr begnügen, als gewöhnlich erste Bahnbestimmungen den Zweck verfolgen, genäherte Ephemeriden rasch beizuschaffen. Dieselbe ist jedoch einer Verbesserung fähig; denn berechnet man nach der ersten Formel in Anhang II. D. 3) $\cot z J^0$, so findet sich:

$$\lambda^{o}_{"}$$
 — $L_{"}$ 352° 30′ 9″9
 $\sin(\lambda^{o}_{"}$ — $L_{"}$) 9_n115 540
 $\tan \beta^{o}_{"}$ 9.915 716
 $\cot g J^{o}$ 9_n199 824,

welcher Werth um 49 Einheiten der sechsten Decimale von dem oben (pag. 317) ermittelten Logarithmus von cotg J abweicht. Es soll nun das vorliegende Beispiel in der Richtung weiter Verwendung finden, dass an demselben die früher entwickelten Methoden, die zu Grunde gelegten Annahmen zu verbessern, erläutert werden.

Zunächst soll jener Werth von *M* ermittelt werden, welchen die Anwendung des Carlini'schen Kunstgriffes gibt. Durch die vorhergehenden Rechnungen wurde gefunden:

 $\begin{array}{ll} \log \cot g J & 9_{n} 199 873 \\ \log \cot g J^{0} & 9_{n} 199 824 \end{array}$

somit ist nach 37) (pag. 300) log $\cot J'$ 9,199 922,

also, wenn man statt $\cot gJ$ den hier bestimmten Werth von $\cot gJ'$ in die Formel für M einführt [Anhang II. B. α 1)]:

so dass der nach dem Carlini'schen Kunstgriff verbesserte Werth von M, der mit (M) bezeichnet ist, um 146 Einheiten der sechsten Decimale gegen den ursprünglichen Werth verkleinert erscheint. Sicherer jedoch und befriedigender wird der Werth von M durch die Anwendung der Formeln 21) (pag. 289) und 22) (pag. 290) bestimmt werden können. Die Rechnung mit Benützung der früher erhaltenen Zahlen ergibt:

$$v_m - v_n$$
 5° 52′ 32″2 $R_m \sin(L_m - L_n)$ 8.706 457
 $v_n - v_n$ 6 9 4.8 $R_n \sin(L_n - L_n) [r_n r_m] : [r, r_n]$ 8,706 558
 $\sin(v_m - v_n)$ 9.010 169 Subt. 6.3667
 $\sin(v_n - v_n)$ 9.030 012 mN 5,0732

Dieser verbesserte Werth von (M) hätte aber auch im Verlaufe der Rechnung erhalten werden können, wenn man von der pag. 320 eingeschalteten Bemerkung Gebrauch gemacht hätte; es wäre dadurch die Berechnung der Ausdrücke Anhang II. C. 1) II. C. 2), II. C. 3a), 3b), II. D. 1) II. D. 2) erspart worden. (M) weicht von dem ursprünglichen Werthe um 168 Einheiten der sechsten Decimale, und von dem nach Carlini's Verfahren erhaltenen um 22 Einheiten ab; doch verdient der zuletzt ermittelte Werth voraussichtlich den Vorzug und soll deshalb zur weiteren Verbesserung der Elemente Verwendung finden. Man wird demnach mit dem Werthe:

die Rechnung nach Anhang II. B. α . zu wiederholen haben und hierbei ohne Änderung in der Anordnung wie oben (pag. 317) verfahren, nur wird man bei der Durchführung der Versuche sofort von den bereits erlangten Näherungen Gebrauch machen. Da die Änderungen in $\log M$ klein sind, so empfiehlt es sich im vorliegenden Falle, die Correction von ϱ , durch Anwendung der oben [46] und 47) pag. 303] gegebenen Differentialformeln zu bestimmen, wobei $d \log M = -0.000168$ anzunehmen ist. Die Rechnung nach 46) mit Benützung der vorhandenen Zahlen stellt sich wie folgt:

$h\cos\zeta\cos(H-\lambda_{m})\cos\beta_{m}$	Q. 22177	naa.	9.03085
• • • • • • • • • • • • • • • • • • • •	8.33177	ημ	9.03005
$h \sin \zeta \sin \beta_{"}$	9.52101	$2\cos\frac{1}{2}\gamma^2$	0.29977
Add.	0.02722	tg ⅓γ	8.73108
$\log\left[\dots\right]$	9.54823	$\sin heta_m$	9 n 53069
$\log \varrho$,	9·50983	$M\sin\theta_{m}$	9 n 64684
$\log s$	9.22070	$\sin \theta$,	9 n 86433
$G - \lambda_{"}$	94°41′55″	Add.	0.20576
$\cos\left(G\lambda_{""}\right)$	8 _n 91336	$h \sin \vartheta$	9.56955
$g\coseta_{"'}$	8.84364	$(\sin\theta, + M\sin\theta_m) \operatorname{tg} \frac{1}{2} \gamma$	8 _n 80117
log I	7n75700	Subt.	9.91884
log II	9.05806	log Nenner	9.48839
Add.	0.02119	$\varrho,\sin heta_{\prime\prime\prime}$	9n04052
$\log \left\{ \dots \right\}$	9 n 07925	ϱ , $\sin \theta_{m}$ $\operatorname{tg} \frac{1}{2} \gamma$	7 n 77160
·	0.28913	Subtr.	9.98887
P	9n36838	log Zähler	9n35725
	$d\varrho$,: dM	$I = 9_n 86886.$	

Weiter findet sich nach 47) (pag. 303):

M: Mod. 0.47837 $d \log M$ 6_{n22531} $Md \log M: Mod.$ 6_{n70368} $d\varrho$, + 0.000 374.

Da die geocentrische und heliocentrische Bewegung des Kometen bedeutend ist, wird der Differentialquotient $d\varrho$,: $d\log M$ nicht sehr gross gefunden, wiewohl derselbe im Nenner (vergl. 10) pag. 280) ein Glied erster Ordnung enthält; die verbesserte geocentrische Distanz, welche zur Berechnung der neuen Elemente verwendet werden soll, ist sonach:

$$\varrho$$
, = 0.323 466 + 0.000 374 = 0.323 840,

und es findet sich mit dem verbesserten Werthe von $\log M = 0.115983$:

$$\log \varrho$$
, 9.510 330 $\log \varrho_m$ 9.626 313.

Da sich die Berechnung der Elemente und die Darstellung des mittleren Ortes in derselben Weise, wie dies oben geschehen ist, bewerkstelligen lässt, werden hier nur die Hauptmomente der Rechnung angeführt; es soll aber besonders hervorgehoben werden, dass die in Anwendung gebrachten Zeiten um die mit den Zahlen der ersten Rechnung erhaltenen Werthe der Planetenaberration verbessert sind und für t_n jener Werth angenommen wurde, welcher dem für die Darstellung des mittleren Ortes gefundenen ϱ_n entspricht, nämlich $t_n = \text{Juni } 28.429.841$; diese Zahl unterscheidet sich nicht wesentlich von dem früher erhaltenen Näherungswerthe.

$$l_{,} = 277^{\circ} 10' 37''3$$
 $l_{,,} = 283^{\circ} 6' 29''3$
 $tg b_{,} = 9.335 926$
 $tg b_{,,} = 9.624 703$
 $r_{,} = 9.878 296$
 $r_{,,} = 9.898 900$
 $u_{,} = 13^{\circ} 41' 37''0$
 $u_{,,} = 25^{\circ} 43' 20''7$
 $v_{,} = 19 25 43.4$
 $v_{,,} = 31 27 27.1$

Elemente.

$$T = 1881 \text{ Juni } 16.489 \text{ oo5 mittl. Berl. Zeit.}$$

$$\pi = 265^{\circ} 13' 56'' 4$$

$$\Omega = 270 58 2.8$$

$$i = 63 28 39 1$$

$$\log q = 9.865 750.$$

$$v_{n} = 25^{\circ} 34' 54'' 5 \qquad \log r_{n} = 9.887 577$$

$$\lambda_{n}^{\circ} = 89 43 47.5 \qquad \log \rho_{n} = 9.566 861$$

$$\beta_{n}^{\circ} = +39 28 25.1 \qquad \cot J^{\circ} = 9_{n}199 883$$

$$d\lambda_{n} \cos \beta_{n} = +0'' 5 \qquad d\beta_{n} = -0'' 4.$$

Die Darstellung des mittleren Ortes ist in Hinsicht auf die nur sechsstellig geführte Rechnung mehr als hinreichend genau und berechtigt zu dem Schlusse, dass die Beobachtungen und die Rechnung mit keinen wesentlichen Fehlern behaftet sind und die parabolische Hypothese sich innerhalb des beobachteten Bogens als genügend erweist. Die Differenz von zehn Einheiten der sechsten Stelle in den Logarithmen der Grössen $\cot J^{o}$ und $\cot J$ erklärt sich hinreichend aus der Unsicherheit der Rechnung; eine Änderung von o"6 in der Länge würde dieselbe sofort verschwinden machen.

Die Berechnung der Elemente des Kometen erscheint somit beendet; um aber die ganze Rechnung einer durchgreifenden Prüfung zu unterwerfen, soll noch aus den erhaltenen Elementen eine genaue Ephemeride berechnet werden, wobei sich Gelegenheit bietet, die Anlage einer solchen Rechnung durch ein ausführliches Beispiel zu erläutern. Um den Gang in den Differenzwerthen der zu erhaltenden Coordinaten, soweit es die Rechnung gestattet, möglichst regelmässig zu gestalten, soll die Ephemeridenrechnung siebenstellig geführt werden; man wird aber nicht erwarten dürfen, dass die Darstellung der Orte adäquat der siebenstelligen Rechnung gefunden werden wird, weil die Verbindung der beobachteten Orte mit den Elementen nur durch eine sechsstellige Rechnung hergestellt erscheint.

Mit $\varepsilon = 23^{\circ}$ 27' 17"07 wurden aus den obigen Elementen nach den Formeln 14) (pag. 18) die Äquatorconstanten ermittelt und mit Rücksicht auf die parabolische Form der Bahn zur Berechnung der rechtwinkligen heliocentrischen Coordinaten die Formeln 16) (pag. 19) gewählt; hierdurch erhielt man:

A'
$$356^{\circ}$$
 25' 50"00 $\log m$ 9.515 8673B' 243 25 18.17 $\log n$ 9.857 6287C' 328 28 51.95 $\log p$ 9.827 1323.

Die nachfolgende Ephemeride enthält alle für die Herstellung derselben nöthigen Zahlen. Die bei der Rechnung auftretenden Sonnencoordinaten, sowie die zur Reduction auf das wahre Äquinoctium erforderlichen Grössen f, g, G, sind dem Berliner Jahrbuch entnommen. Die mit Δv und Δ log sec $\frac{1}{4}v^2$ bezeichneten Zeilen betreffen die successiven Differenzwerthe der wahren Anomalien und die mit umgekehrten Zeichen genommenen Differenzen von log $\cos\frac{1}{2}v^2$; diese Zahlenreihe dient dazu, um aus den für den ersten Ort erhaltenen Werthen von A'+v, B'+v, C'+v, log m sec $\frac{1}{4}v^2$, log p sec $\frac{1}{4}v^2$ durch successive Addition die für die übrigen Orte geltenden zu bekommen, so dass die Übereinstimmung der Werthe des letzten Ortes mit dem direct berechneten eine Controle für die Richtigkeit der Zwischenzahlen liefern wird. Die Correctionen, welche schliesslich an die ermittelten Rectascensionen und Declinationen angebracht erscheinen, stellen die Reduction auf den wahren Ort vor und sind nach den einfachen Formeln (vergl. pag. 251):

$$\Delta \alpha = f + g \sin (G + \alpha) \operatorname{tg} \delta$$
$$\Delta \delta = g \cos (G + \alpha),$$

berechnet, denn die Fixsternaberration wird, weil man dieselbe bei Vergleich mit den Beobachtungen stets gleichzeitig mit der Planetenaberration durch die Subtraction der Aberrationszeit von der Beobachtungszeit berücksichtigt, bei Ephemeriden niemals in Rechnung gezogen. Die Ephemeride gibt geocentrische Orte, weshalb die Beobachtungen vor Vergleich mit denselben um die Parallaxe (vergl. pag. 35) zu corrigiren sind.

2.5	27"40 17934 37"40 48°70 14326 27"40 25°57 29°35	\$351 2255 8746 8746 8595 1961 2776	9285 6997 8101 1079	6 3387 6 3387 6 7226 5 2280 8 3863 7 45,68 30.21 15.89	23"64 - 4.69 18.9 16 84 41°1	
Juli 2	1.200 1.400 33°27' 16 43 9.965 29°53' 1.56 52	9.697 9.553 +0.178 9.896 9.895 +0.779	8.529 9.864 +0.024 +0.397	9.131 9.996 8.246 9.625 9.135 97.25 47 17 17 17 17 17 17 17 17 17 1	72° 4′ 23″ 72 4 18° 9.646 8° 3‴ 41°	8° 25' 105 51 9#4363 1.2351 9.9832 0.4901 + 51"10
Juli 1.5	1.176 4095 1.377 7845 31°34'41"61 15 47 20.80 9.966 5936 +1°52'53'79 28 0 31.61 274 59 59.78	9.671 7345 9.549 2737 +0.166 3444 -0.179 2469 9.891 33412 9.891 3351 -0.775 1386 +0.918 1448	7.015 0947 9.860 5387 +0.000 7510 +0.398 3519	9.199 9.999 9.997 9.15 9.1	70°12′45″22 — 4·02 70°12′41·2 9·627′52 3 ^m 31 ⁸ 5	8° 26' 103 35 9,3708 1.2334 9.9877 0.4440 + 46"25 + 38.95
Juni 30.5	1.146 4689 1.347 8439 29°39′37″60 14 49 48°80 9970 5731 +1°55′4″01 26 5 37.60 273 4 55.77 358 8 29·55	9.643 2534 9.545 2942 +0.154 3646 -0.162 2671 9m999 3713 9.887 0556 -0.769 8868 +0.920 7529	8 _n 510 9540 9.856 5592 	9.17 9.99 9.957 9.957 9.17 93.67 4 .1	68° 7′ -2″61 — 3.42 68 6 59.2 9.607 87 3 ^m 22 ⁸ 1	8° 28' 101 35 9,3027 1.2317 9.9911 0.3962 + 41"59
Juni 29.5	1.114 3105 1.315 6855 27°42′99′04 13 51 14:52 9:974 3569 + 1°57′8″56 24 8 19:04 271 7 47:21 356 11 20:99	+ +	8 _n 822 5774 9-852 7754 —0-047 3536 +0-400 5028		65°45′51″83 — 2.88 65 45 48.9 9.588 03 3‴ 13″1	8° 29′ 99 46 9 ₇ 2295 1°2299 9°9937 0°3466 + 37″17 + 38°64
Juni 28.5	1.079 5790 1.280 9540 25° 43' 20" 38 12 51 40-19 9-977 9310 4-1° 59' 8" 66 22 910-38 269 838-55 354 12 12-33	9.576 4327 9.537 9363 +0.130 1275 -0.129.0714 9.879 9516 9.879 9516 -0.757 9653 +0.925 1883	9.849 2013 9.849 2013 —0.071 3689 +0.401 4087	88 1 8 1 5 1 6 6 1 8 8 8 1 8 8 8 1 8 8 8 1 8 8 8 8	63 7' 45"59 2.40 63 7 43.2 9.568 19 3" 4*5	8° 31' 98 9 94.1516 1.2281 1.2281 0.2955 + 33,04 + 38.48
Juni 27.5	1.041 8266 1.243 2016 1.243 2016 11 51 8.39 9.981 2816 + 2"1 3"50 20 8 6.78 267 734.95 352 11 8.73	9.536 8573 9.534 5857 +0.117 8808 -0.112 2655 9n999 4535 9.876 3471 -0.751 2779 +0.927 0140	9,845 8507 9,845 8507 -0.095 3384 +0.402 2013	9.244 8610 9.999 7784 7.749 3730 9.486 9444 9.938 3512 9.245 0826 88°10'11"46 + 1 7·51 88 11 18·97 5 ⁸ 5 ² m 45 ⁸ 26	60°11'17"61 	80 32' 96 42 96 62 1.2264 9.9970 0.2419 + 29''19
Juni 26.5	1.000 4772 1.201 8522 21°39′24″22 10 49 42·11 9·984 3949 +2°2′52″56 18 5 14·22 265 4 42·39 350 8 16·17	9.492 0133 9.531 4724 +0.105 5567 -0.095 4273 9n998 3958 9.873 2338 -0.744 0971	9n233 7034 9.842 7374 -0.119 2452 +0.402 8802	9.265 9498 9.999 3463 8.005 5837 9.452 7598 9.26 9.26 31 1972 9.266 83 4 1 3.81 86 52 29.63 5.477"29*98	56°55'12"09 — 1.58 56 55 10.5 9:529 56 2" 48*8	80 33' 95 24 809736 1.2246 9.9981 0.1862 + 25"64
Juni 25.5	0.954 7728 1.156 1478 19°34'49"52 9 47 24.76 9.987 2577 4 26 277 16 0 39.52 263 0 7.69	9.440 6282 9.528 6096 +0.093 1618 -0.078 5620 9,896 7527 9.870 3710 -0.736 4168 +0.929 8776	9n315 6793 9.839 8746 -0.143 0717 +0.403 4450	11 1 1 1 1 1 1 1 1 1 1 1 1 1 1 1 1 1 1	53 18 32.0 53 18 32.0 9.511 49 2" 41 ⁴ 9	80 34' 94 15 80 8699 1.2228 9.9988 0.1278 + 22"36
Juni 24.5	0.903 6864 1.105 0614 1.7° 28' 40" 14 8 44 20.07 9.989 8576 4.2° 6.9" 38 13 54 30.14 260 53 58:31	9.380 8801 9.526 0097 +0.080 7030 -0.061 6745 9,994 4986 9.867 7711 -0.728 2319 +0.930 9148	9n384 9223 9.837 2747 0.166 8004 +0.403 8956	9.306 8171 9.998 0945 8.279 4045 9.374 9228 9.308 0721 9.308 11.72 + 57·19 84 39 9·01 5 [*] 138 [*] 136 [*] 60	49°21' 0"12 — 0.93 49 20 59.2 9.494 85 2" 35"8	8° 35′ 93 13 8″7491 1.2210 9.9993 0.0662 + 19″34 + 37.85
Juni 23.5	0.845 7797 1.047 1547 15° 21' 4"45 7 40 32.22 9.992 1825 + 2 7,33"69 11 46 54 45 258 46 22.62 343 49 56.40	9.310 0237 9.523 6848 +0.068 1881 9.091 6085 9.865 4465 -0.719 5397 +0.931 6886	9n444 7459 9.834 9498 -0.190 4126 +0.404 2320		45° 3′ 4″37 45° 3′ 4″37 948° 17 2″ 30°7	80 36' 92 18 846035 1.2192 9.9996 0.0008 + 16''58
1881	10g Jl 10g M 10g M 208 ½ v ² 2 10g sec ½ v ² 2 4' + v B' + v C' + v	$\sin (A' + r)$ $m \sec \frac{1}{2}v^{2}$ $\frac{x}{X}$ $\frac{x}{X}$ $\sin (B' + v)$ $n \sec \frac{1}{2}v^{2}$	$\sin \langle C' + v \rangle$ $p \sec \frac{1}{2} v^2$ Z	i+ ++	mittl. of Red. of wahr. of log of Aberr. Zeit	$\begin{array}{c} \mathcal{O} \\ $

Die vorstehenden Zahlen geben also folgende Ephemeride, neben welcher die Differenzwerthe angesetzt sind:

1881
$$12^{\lambda}$$
 m. Berl. Zt. α 1. Diff. 2. Diff. 3. Diff. 4. Diff. $\frac{1}{9}$ Oy4802 $\frac{1}{9}$ Oy4802 $\frac{1}{9}$ Oy4909 $\frac{1}{9}$ Oy4919 $\frac{1}{$

Die Beobachtungszeiten der zur Bahnbestimmung benützten Beobachtungen werden wegen der Aberration der Reihe nach um 2^m 41^s4, 3^m 4^s0, 3^m 30^s9 zu vermindern sein. Interpolirt man für die so verbesserten Beobachtungszeiten, nachdem dieselben auf den Berliner Meridian übertragen sind, aus der vorstehenden Ephemeride die Rectascensionen und Declinationen, so erhält man der Reihe nach:

3 41.1

Die Beobachtungen sind vor ihrer Vergleichung mit diesen Zahlen für die Parallaxe zu verbessern. Da die Beobachtungen im Meridian in der unteren Culmination angestellt wurden, so wird die Berechnung der Parallaxe nach den einfachen Formeln 31) (pag. 36) vorgenommen werden können; man hat nach Ermittlung der-Beob .- Rechng. selben :

Beob. a	Parallaxe	Beob. &	Parallaxe	$d\alpha$ $d\delta$	
5 ^h 42 ^m 29 ^s 01	o ° 00	$+53^{\circ}$ 1' 34"6	+ 25"2	$o^soo + o''3$	
5 58 11.94	0.00	+625535.8	+ 20.2	+ 0.07 - 1.3	
6 20 10.30	0.00	+ 70 4 53.3	+ 16.1	+ 0.04 + 0.8	

Die Unterschiede sind kleiner, als sie nach einer nur sechsstellig geführten Elementenrechnung erwartet werden durften und geben daher Zeugnis für die Richtigkeit der gesammten Rechnung.

Man kann die vorstehende Ephemeride auch zur Bildung eines Normalortes (vergl. Band II pag. 371) benützen, doch darf man dann nur Beobachtungen zusammenfassen, welche einander verhältnismässig nahe liegen. Der Grund dieser Beschränkung liegt darin, dass die obige Ephemeride auf Beobachtungen beruht, die nur um je drei Tage von einander abstehen, weshalb die für die Bildung des Normalortes erforderliche Bedingung, dass die Abweichung der Ephemeride von den Beobachtungen der Hauptsache nach linear mit der Zeit fortschreite, für grössere Zeitintervalle möglicherweise nicht erfüllt sein kann. Es soll der Normalort für Juni 28·5 gebildet werden, der in dem weiter unten folgenden dritten Beispiele Verwendung finden wird. Die zur Grundlage dienenden Beobachtungen seien:

Berechnet man zu diesen Beobachtungen die Correctionen für Parallaxe, wobei für die letzte Beobachtung das Formelsystem 30) (pag. 35) zu benützen ist und interpolirt für die um die Aberration corrigirten Berliner Zeiten aus der obigen Ephemeride die polaren Coordinaten, so erhält man:

	llaxe	Berechnete Coordinaten Bec		BeobR	obRechng.	
inα	in of	α	ð	$d\alpha$	d∂	
0500	+ 20"2	5 ^h 58 ^m 11 ⁸ 87	$+62^{\circ}55'57''3$	+ 0°07	— 1 "3	
0.00	+ 20.2	5 58 11.87	$+625557\cdot3$	+ 0.08	— o⋅8	
0.00	+ 23.2	5 58 47.05	+ 63 11 48.1	+ o·65	— o∙9	
— 1 ∙69	+ 17.7	5 59 23.14	+ 63 27 43.1	0. 04	 1·4.	

Die oben stehende Ephemeride bedarf daher im Mittel der Correction:

$$d\alpha = + 0^{\delta} 10$$
 $d\delta = - 1'' 1$

die man für die Berliner Mitternacht des 28. Juni geltend annehmen darf; die Verbindung dieser Correction mit dem Ephemeridenorte gibt den wahren Ort:

1881 Juni 28.5
$$\alpha = 89^{\circ} 39' 31''6$$

 $\delta = +63 7 42.1$

Es sind nun die Formeln, welche bei dem Eintritte des Ausnahmsfalles mit Vortheil in Anwendung gezogen werden können, durch ein ausführliches Beispiel zu erläutern.

Zu diesem Zwecke sollen drei Beobachtungen des Kometen III. 1869 gewählt werden, den seine Wiederkehr im Jahre 1881 als periodisch erkennen liess; dieselben sind:

Da vorausgesetzt wird, dass keine Näherungen für die Elemente bekannt seien, so sollen für die Reduction der Beobachtungen die im Anhange aufgeführten Vorschriften befolgt werden, wiewohl man sich bei der thatsächlichen Anwendung manche Übergehungen gestatten darf. Diese die Bahnbestimmung vorbereitenden Rechnungen sollen jedoch nur in den Hauptresultaten mitgetheilt werden, da das vorangehende Beispiel schon Gelegenheit geboten hat, die Anlage der Rechnung zu zeigen. (vergl. pag. 311 ff.) Nimmt man die Längendifferenzen der drei Beobachtungsorte gegen Berlin mit — 11^m 56^s8, + 25^m 11^s6, — 26^m 15^s2 an, reducirt damit die Ortszeiten auf den Berliner Meridian, verwandelt dann die erhaltenen Zeiten in Decimaltheile des Tages (Tafel XIX Band II) und entlehnt dem Berliner Jahrbuche die zugehörigen Sonnencoordinaten und die Reductionsgrössen für die Berechnung der scheinbaren Orte, so findet man folgende Grundlagen der Rechnung:

Nach Anhang I. A. 2) erhält man die Reductionen auf den scheinbaren Ort nebst den kleinen Aberrationsgliedern (vergl. pag. 311, 312) und die daraus resultirenden mittleren Orte wie folgt:

Reduct. kl. Aberr. Gld. mittl.
$$\alpha$$
 mittl. δ
 α δ α δ

1 + 29"67 + 21"25 - 0"15 + 0"06 344" 13' 54"0 + 15" 27' 58"7

2 + 32.47 + 21.50 - 0.11 + 0.08 352 27 32.4 + 18 23 6.3

3 + 35.93 + 21.24 - 0.05 + 0.10 1 35 2.2 + 21 5 11.9

Die Längen und Breiten der Sonne bedürfen keiner Correction, weil die dem Berliner Jahrbuche entlehnten Coordinaten sich bereits auf das mittlere Äquinoctium des Jahresanfanges beziehen. Mit der mittleren Schiefe ($\varepsilon = 23^{\circ}$ 27' 22"5) wurden die Rectascensionen und Declinationen nach Anhang I. A. 4) in Längen und Breiten verwandelt (vergl. pag. 314); es ergab sich:

Zur Berücksichtigung der Parallaxe und zur Elimination der Sonnenbreiten wurde der Übergang auf den locus fictus gemacht [Anhang I. A. 6) und 7)], die Hauptmomente der Rechnung waren (vergl. pag. 315 ff.):

I. 2. 3.
$$\varphi' + 48^{\circ} 1'1 + 50^{\circ} 32'4 + 49^{\circ} 52'5$$
 $\log h 9.9992 + 9.9991 + 9.999$

Man hat daher für die weitere Rechnung (vergl. Anhang II. A. 1):

Zuerst ist die Entscheidung zu treffen, welche Methode zur Ermittlung von ϱ , und ϱ_m eingeschlagen werden soll. Nach Anhang II. A. 2) findet sich:

 $\cos{(W, -W_0)}$ wird beläufig $^{1}/_{148}$, es ist daher Olbers' Methode, die hier voraussichtlich nicht einmal eine Annäherung abgeben wird, völlig unanwendbar, weshalb man die Formeln des Anhanges II. B. β . zu benützen haben wird.

Nach Anhang II. B. β . 1) ergibt sich:

2 2	1 ******	ain #	0.504 854
λ,,, — λ,	+ 1102'288	8111 <i>ρ</i> ,,,	9.504 854
β , — β	+ 106.173	$\sin (\lambda_{m} - \Pi)$	9.297 516
$\log (\lambda_{"'} - \lambda_{\prime})$	3.042 295	cos β"	9.976 575
log (β, — β,,,)	2.026 014	$N_{ m i}$	9.274 091
$\operatorname{tg} J \sin (\lambda_{"} - \Pi)$	9·556 579	N_2	8 _n 488 312
	9.999 739	Subt.	9.922 328
$\mathbf{tg} \boldsymbol{J} \mathbf{cos} (\boldsymbol{\lambda_n} - \boldsymbol{\Pi})$	1.016 281	N	9·196 419
λ" — П	1° 59′ 14″0	$\log(t_{\prime\prime}-t_{\prime})$	0.699 507
/ — П	1 17 56.6	$\log(t_{"'}-t_{\prime})$	1.000 485
$\cot g J$	8.983 458	$\log (t_{"}-t_{"})$	0.699 404
λ, — Π	353° 4′ 16″5	τ'''	9-236 118
λ,,, — Π	11 26 33.8	τ"	9.537 096
			42 *

Die Resultate der Versuche, unten neben einander gestellt, zeigen, dass der dritte Versuch innerhalb der Unsicherheit der Rechnung den zu Grunde gelegten Zahlen genügt. Es sind hierbei zur Berechnung des Einflusses der Planetenaberration die Formeln Anhang II. B. β . 7c) benützt worden; da aber die aus den betreffenden Zahlen resultirende Correction schon nach dem ersten Versuche eine hinreichende Annäherung ergab, so wurde eine weitere Verbesserung nicht mehr angebracht; für den ersten Versuch wurde:

$$R_{r} + R_{rr} = (r_{r} + r_{rr})_{a}$$

angenommen, wodurch m = 0 wird.

Anhang II, B. β. 7a):			
0 , ,	1. Versuch	2. Versuch	3. Versuch
$\log (r_1 + r_{m})_a = x$	0.294 558	0.353 268	0.353 857
$\frac{1}{2}x$	0.147 279	0.176 634	0.176 928
$\frac{3}{2}x$	0.441 837	0.529 902	0.530 785
$\log \eta$	9.095 259	9.007 196	9.006 313
Tafel VII $\left\{ \begin{array}{l} \eta \\ \mu \end{array} \right.$	+ 0.124 526	+ 0.101 671	+ 0.101 464
Tafel VII $\left\{\begin{array}{l} \eta \\ \mu \end{array}\right.$	0.000 282	0.000 188	0.000 187
$ au''\mu$	9.537 378	9.537 286	9.537 285
8	9.390 099	9.360 652	9·360 357
3 <i>x</i>		1.059 804	1.061 571
$F: (r,+r_m)^3$	3	o·031 154	— 0·031 02 7
m		+ 0.015 581	+ 0.015 708
$\log m$		8-192 595	8.196 121

mΨ		8 _n 737 644	8 _n 741 170
$I + m\Psi$	`	9.975 589	9.975 385
$m\mathbf{\Phi}$		9n265 407	9 _n 268 933
X		9 n 240 996	9 n24 4 318
$x + \chi$		9.916 886	9.916 182
$V \overline{1} + \chi$		9.958 443	9.958 091
A:s	9.799 841	9.829 288	9.829 583
$\cos \vartheta$	9•799 841	9.787 731	9.787 674
$\sin \vartheta$	9•889 865	9.897 510	9.897 544
s:h	9.913 362	9.883 915	9.883 620
$s\sin\vartheta:\pmb{h}$	+ 0.635.663	+ 0.604 540	+ 0.604 177
$m\gamma_2$	• 0	+ 0.003 744	+ 0.003 775
Q,	+ 0.366 296	+ 0.338 917	+ 0.338585
log ę,	9.563 832	9.530 093	9.529 667
M_Q ,	+ 0.341 635	+ 0.316 099	+ 0.315 789
Qm	+ 0.341 635	+ o·331 68o	+ 0.331 497
ę, — f ,	9.771 022	9.750 394	9.750 138
Q— f	9.841 686	9·835 41 6	9.835 300
tang θ ,	9.788 696	9.768 068	9.767 812
tang θ_m	9.878 318	9.872 048	9.871 932
$\cos \theta$,	9.930 389	9.935 854	9.935 920
$\cos heta_{\prime\prime\prime}$	9.901 912	9.904 170	9.904 212
r,	o·051 937	o•046 472	0.046 406
<i>r</i> ,,,	0.061 456	0.059 198	0.059 156
Add.	0.296 297	0.294 713	0.294 701
$\log (r_i + r_{iii})_e = y$	0.357 753	0.353 911	0.353 857
x - y	— o∙o63 195	— o∙ooo 643	O

Anhang II. B. β. 7b):

Anhang II. B. β . 7c)

zum 1	. Versuch	zum 2. Versuch	zum 1.	Versuch
$\sin\gamma$	9.0955	9.0074	$\log 10^x$	0.2946
$2\cos\frac{1}{2}\gamma^2$	0.2993	0.2999	log Compl. Mod.	0.3622
$tang \frac{1}{2} \gamma$	8.7962	8.7075	(x - y) : n	8 _n 7687
2 m¥		9 _n 0387	$d arrho_{\prime} \colon Q$	9n4255
$1 + 2m\Psi$		9.9497	$\log d\varrho$,	8 _n 4791
$\xi(1 + 2m\Psi)$	9n4527	9 n 4024	$d\varrho_{i}$	— 0∙0301
2 8 sin 9`	9.5810	9.5592	$\log d\varrho_{m}^{(1)}$	— o·o281
I	9 , 8717	9 n 8432	$d\varrho_{m}^{(2)}$	+ 0.0152
ν	8 ₂₈ 8575	8 _n 8575	$d oldsymbol{arrho}_{\prime\prime\prime}$	— 0·0129
Add.	0.0401	0.0427	$d\varrho$,— $d\varrho$,	0·0172
$\log [\ldots]$	9,9118	9n8859	<i>φ,— φ,,,</i>	+ 0.0247
$(r, +r_m)^2 (r, +r_m)^2 e^{-r_m}$	1 · 3046	1.4144	$\log Z$	7.875

$_3F:(r_1+r_{111})^2a(r_1+r_{111})^2$	$()^2_e \ 8_{n}7258$	8 _n 6160	$\log \text{ Compl.} (t_m - t_i) \qquad 9.000$
$\frac{1}{2}(y-x)$	+0.0316	+0.0003	$\log \alpha$ 7.399
$\log \sigma$	8 _n 7574	8 _n 6163	$d \log \tau'' + 0.000002$.
$-\sigma$ []	8 _n 6692	8 _n 5022	
$\tan g \frac{1}{2} \gamma : \sin \vartheta$	8.9063	8.8100	
Subtr.	9.8611	0.0134	
Qh	8.5303	8.5156	
$oldsymbol{Q}$	9.0536	9.0389	
$\sin heta_{\prime\prime\prime}$	9.7802	9.7762	
$M\sin heta_m$	9.7499	9.7459	
$\sin heta$,	9.7191	9.7039	
Add.	0.2859	0.2805	Anhang II, B. β . 8)
$\log (\ldots)$	0.0358	0.0264	mit den Zahlen des dritten Versuches.
$oldsymbol{Q}\left(\ldots ight)$	9.0894	9.0653	$\Delta t_1 = -0.001954$
$\sigma \sin \theta_m$	8 _n 5376	8 _n 3925	$\Delta t_2 = -0.001934$
Subt.	9.8569	9.8963	$\Delta t_3 = -0.001913$
\boldsymbol{P}	8·946 3	8.9616	Die für die Folge zu verwendenden
$\log (n-1)$	8.8831	8.9610	Beobachtungszeiten sind daher:
$\log n$	0.0320	0.0380	t, Nov. 29-415896
$\log (x - y)$	8 _n 8007	6 _n 8082	<i>t</i> ,, Dec. 4.422101
Δx	+ 0.05871	+ o.ooo58a.	t_{m} Dec. 9.427124.

Würde man vermuthen, dass die der Rechnung zu Grunde liegenden Näherungen zu wenig genau sind, so könnte man gleich hier die Perihelzeit und $\log q$ nach den Formeln 33), 34), 35) und 36) (pag. 299) ermitteln, mit den so erhaltenen Werthen von r, r_m , r_m , v, v_n und v_m nach den Formeln 23) (pag. 290) unter Benützung der eben gefundenen Näherung für ϱ , den Werth (M) berechnen und mit diesem ganz den bei Olbers' Methode zu benützenden Formeln (Anhang II. B. α) gemäss die weitere Annäherung zu erreichen suchen; da aber das vorliegende Beispiel hauptsächlich den Zweck verfolgt, zu zeigen, wie man die Rechnung bei einer ersten Bahnbestimmung zu führen hat, um zur Kenntnis der genäherten Elemente zu gelangen, und da auf die in diesem Falle sehr geringfügige Verbesserung der ersten Näherung später ohnedies näher eingegangen wird, so soll dasselbe nicht unterbrochen werden.

-Aus ϱ , und ϱ_m können nun die Elemente nach den Formeln II. C. des Anhanges bestimmt werden; da sich diese Rechnung in ganz derselben Weise gestaltet, wie in dem ersten Beispiele, so genügt an dieser Stelle die Mittheilung der Hauptzahlen:

Anhang II. C. 1):

log ę,	9.529 667	$\log \varrho_m$	9.520 480
l,	51° 35′ 30″0	l,,,	63° 9′ 9″8
$\log \mathrm{tg} b$,	9.028 408	$\log \log b_m$	8.968 043
$\log r$	o·046 40 6	$\log r_m$	0.059 158.

Man findet hier $\log r_m$ um zwei Einheiten der sechsten Decimale grösser, als im letzten Versuche; dieser Unterschied erklärt sich ausschliesslich aus der Unsicherheit der logarithmischen Rechnung, weshalb für die folgenden Rechnungen durchwegs das arithmetische Mittel beider Werthe, nämlich:

$$\log r_{m} = 0.059 157,$$

angenommen wurde.

Anhang II. C. 2):
$$\Omega = 292^{\circ} \, 56' \, 42'' \circ$$
 $i = 6^{\circ} \, 56' \, 9'' \circ$.
,, ,, C. 3a) u. 3b): $u_{i} = 118^{\circ} \, 28' \, 11'' 8$ $u_{im} = 130^{\circ} \, 0' \, 1'' 2$
Probe: $(u_{im} - u_{i}) = 11^{\circ} \, 31' \, 49'' 2$.
,, ,, C. 4): $v_{i} = 10^{\circ} \, 49' \, 28'' \circ$ $v_{im} = 22^{\circ} \, 21' \, 18'' \circ$
 $\omega = 107^{\circ} \, 38' \, 43'' 2$ $\pi = 40^{\circ} \, 35' \, 25'' 2$
 $\log q = 0.042 \, 524$.
,, ,, C. 5): $T_{(1)} = 20.36752$ $T_{(3)} = 20.36742$
 $T = \text{Nov. } 20.367 \, 470$;

die Elemente, übersichtlich zusammengestellt, sind daher:

$$T = 1869$$
 Nov. 20·367 470 mittl. Berliner Zeit
 $\pi = 40^{\circ} 35' 25''2$
 $\Omega = 292^{\circ} 56' 42''0$
 $i = 6^{\circ} 56' 9''6$ Mittl. Aequinoct.
 $1869 \cdot 0$
 $\log q = 0.042 524;$

die Hauptzahlen für die Darstellung des mittleren Ortes nach Anhang II. D. findet man:

$$t_{n} - T = + 14.054.631$$
 $v_{n} = 16^{\circ}40'31''1$
 $\log r_{n} = 0.051.753$
 $\lambda_{n}^{\circ} = 0^{\circ}41'13''3$
 $\beta_{n}^{\circ} = 19^{\circ}48'3''8$
 $\lambda_{n}^{\circ} - \Pi = 1^{\circ}59'9''9$
 $\lambda_{n}^{\circ} - \Pi = 10^{\circ}59'9''9$
 $\sin(\lambda_{n}^{\circ} - \Pi) = 8.539.788$
 $\lambda_{n}^{\circ} - \Pi = 10^{\circ}59'9''9$
 $\sin(\lambda_{n}^{\circ} - \Pi) = 8.539.788$
 $\lambda_{n}^{\circ} - \Pi = 10^{\circ}59'9''9$
 $\lambda_{n}^{\circ} - \Pi = 10^{\circ}59'''9''9$
 $\lambda_{n}^{\circ} - \Pi = 10^{\circ}59'''9''$
 $\lambda_{n}^{\circ} - \Pi = 10^{\circ}59'''9''$
 $\lambda_{n}^{\circ} - \Pi = 10^{\circ}59''''9''$
 $\lambda_{n}^{\circ} - \Pi = 10^{\circ}59''''9''$
 $\lambda_{n}^{\circ} - \Pi = 10^{\circ}59''''9''$
 $\lambda_{n}^{\circ} - \Pi = 10^{\circ}59''''$
 $\lambda_{n}^{\circ} - \Pi = 10^{\circ}59'''''$
 $\lambda_{n}^{\circ} - \Pi = 10^{\circ}59''''''$
 $\lambda_{n}^{\circ} - \Pi = 10^{\circ}59'''''$
 $\lambda_{n}^{\circ} - \Pi = 10^{\circ}59''''''$
 $\lambda_{n}^{\circ} - \Pi = 10^{\circ}59'''''$
 $\lambda_{n}^{\circ} - \Pi = 10^{\circ}59''$

Diese Darstellung ist keine genügende, doch trifft die Methode deshalb kein Vorwurf, denn der für cotg J^o gefundene Werth stimmt mit dem der Rechnung zu Grunde gelegten innerhalb der Unsicherheit der Rechnung; man hätte nur λ_n^o um o"4 zu vermehren, damit der berechnete Ort völlig in dem gewählten grössten Kreise liege, und es hat die Methode also, da die Differenz von o"4 in der Länge sich durch eine sechsstellige Rechnung nicht verbürgen lässt, in der ersten Annäherung auf die strengen Werthe geführt; weitere Annäherungen würden keine bessere Darstellung erzielen lassen. Da der Komet der Aussage der Beobachter nach ausserordentlich schwierig zu beobachten war, so könnte die grössere Abweichung immerhin den Beobachtungsfehlern zugeschrieben werden, doch hat gewiss auch die schon früher erwähnte Thatsache, dass der Komet eine sehr kurze Umlaufszeit hat, einen Beitrag zu dieser grossen Differenz geliefert.

Wiewohl nach den gemachten Bemerkungen durch eine Verbesserung der Näherungsannahmen in der Darstellung des mittleren Ortes nichts wesentliches gewonnen werden kann, sollen zur Erläuterung der diesbezüglichen Methode die Werthe für die zweite Annäherung aufgesucht werden. Die hierzu nöthige Berechnung der Formeln 23) (pag. 290) gestaltet sich überaus einfach, da ein grosser Theil der in denselben auftretenden Grössen und Coëfficienten durch die vorangehenden Rechnungen bekannt ist; die mit Benützung der bereits ermittelten Zahlen vollständig durchgeführte Rechnung stellt sich wie folgt:

mit diesem Werthe von $\log (M)$ wird die Rechnung in derselben Weise, wie bei der Olbers'schen Methode fortgesetzt, so dass es wohl nicht nöthig erscheint, ihren Gang hier besonders anzuführen. Bildet man das Verhältnis ϱ_m : ϱ_r , wie dies die Zahlen des letzten Versuches (vergl. pag. 334) ergeben, so findet man für dasselbe den Logarithmus:

 $\log \frac{\varrho_{m}}{\varrho} = 9.990 813;$

dieser Werth stellt gewissermassen denjenigen Logarithmus von (M) dar, welcher der ersten Bahnbestimmung zu Grunde gelegt war, und weicht von dem eben erhaltenen strengen Werthe nur um 11 Einheiten der sechsten Decimale ab, liegt also hinsichtlich der Unsicherheit, mit welcher $m:\varrho$, erhalten werden kann, völlig innerhalb der Genauigkeitsgrenzen einer sechstelligen Rechnung, so dass in der That, wie dies schon oben (pag. 336) bemerkt wurde, durch Einführung des verbesserten Werthes von (M) eine bessere Darstellung des mittleren Ortes nicht erreicht werden wird.

Um nun an einem dritten und letzten Beispiele für die Bestimmung parabolischer Elemente jenes Verfahren zu erläutern, welches eingeschlagen werden kann, wenn bereits Näherungen für die zu suchenden Elemente vorliegen, sollen zwei Beobachtungen des Kometen III. 1881 in Verbindung mit dem oben (pag. 329) ge-

bildeten Normalorte herangezogen, und die oben (pag. 325) ermittelten Elemente hierbei als Näherungswerthe benützt werden. Die beiden Beobachtungen, welche von dem Normalorte der Zeit nach nahezu gleich weit abstehen und die Zwischenzeit von 61 Tagen umfassen, seien:

```
Beobachtungsort Ortsseit app. \alpha app. \delta log \varrho Aberrst 1881 Mai 28 Cordoba 6^h 52^m 5^s 7 5^h 1^m 35^s 90 — 31^0 59' 4''3 9.8048 — 5^m 18^s 1,, Juli 28 Marseille 10 39 5.0 12 39 22.53 + 80 57 39"0 9.9818 — 7 58.2.
```

Neben diesen Beobachtungen sind die aus den genäherten Elementen abgeleiteten geocentrischen Distanzen und die daraus resultirenden Aberrationszeiten angesetzt; die Vorbereitung dieser Beobachtungen zur Bahnbestimmung kann daher nach den Vorschriften des Anhanges I. B. durchgeführt werden. Cordoba liegt 5^h 10^m 20⁵0 und Marseille 32^m 0⁵3 westlich von Berlin; mit Rücksickt auf die Aberrationszeiten werden daher, da der mittlere Sonnenort sich schon auf Juni 28·5 Berliner Zeit bezieht, und der Bildung nach die Aberrationscorretion enthält, die drei Beobachtungszeiten und die für dieselben dem Berliner Jahrbuche zu entlehnenden Sonnencoordinaten und Reductionscoëfficienten sein:

Die beiden äusseren Beobachtungen sind nach Anhang I. B. 3) von der Parallaxe zu befreien; die Rechnung stellt sich mit Benützung der Tafel III wie folgt:

Co	rdoba	Marseille		Cordoba	Marseille
Ortszeit 6 ^h	5 2‴ 5*7	10 ^h 39 ^m 5*0	γ	83° 2′5	97° 2′3
Accelerat. +	1 7.7	+ 1 45.0	y — s	115 1.6	16 4.7
Sternzeit im B. Mittag + Red. 4	25 21.6	8 25 5.9	A : Q	9.8974	9.6516
Orts-Sternzeit θ 11 1	18 35.0	19 5 55.9	$\sin (\theta - \alpha) \sec \delta$	0.0703	0.8009
$\theta = \alpha \begin{cases} 6 & 1 \\ 94 & 1 \end{cases}$	16 59-1	6 26 33.4	Parall. in α	+ 0*93	+ 2883
u — u	1° 14′ 8	96° 38′ 3	$\sin(\gamma - \delta)$	9.9572	9.4424
cos d	9.9285	9.1962	$\sin \gamma$	9·9968	9.9967
sin (θ — α)	9·9988	9.9971	$\sin (\gamma - \delta) \csc \gamma$	9.9604	9.4457
$\cos (\theta - \alpha)$	8 _n 8696	9 _n 0629	$oldsymbol{D}: oldsymbol{arrho}$	o,,8566	0.7991
ag arphi'	9 , ,7831	9.9714	Parall, in δ	— 6″6	+ 1"8.

Bringt man diese Correctionen an die beobachteten Werthe an, so erhält man, da die Aberration bereits vollständig berücksichtigt ist, sofort wahre Orte d. h. die Coordinaten erscheinen auf das wahre Äquinoctium bezogen, auf welches sich übrigens seiner Bildung nach auch der Normalort bezieht; berechnet man mit Hilfe der oben mitgetheilten Reductionscoëfficienten f, g und G nach Anhang I. B. 4) die mittleren Coordinaten und setzt die Hauptzahlen der Rechnung neben einander hier an, so findet sich:

```
wahre \alpha. wahre \delta. f+g\sin(G+\alpha)\operatorname{tg}\delta. g\cos(G+\alpha). mittl. \alpha. mittl. \delta.

1 75° 24′ 12″4 — 31° 59′ 10″9 + 24″4 + 1″6 75° 23′ 48″0 — 31° 59′ 12″5

2 89 39 31·6 + 63 7 42·1 + 71·5 — 2·4 89 38 20·1 + 63 7 44·5

3 189 51 20·4 + 80 57 40·8 + 8·1 — 18·0 189 51 12·3 + 80 57 58·8.
```

Diese mittleren äquatorealen Coordinaten sind mit der mittleren Schiefe der Ekliptik für 1881-0 ($\varepsilon = 23^{\circ} \ 27' \ 17''1$) nach den Formeln des Anhanges I. B. 6) in ekliptikale umzusetzen (über die Anordnung der Rechnung vergl. pag. 15 und pag. 314) und man erhält:

Um nun auch die Sonnenbreiten zu eliminiren, hat man sich der Formel des Anhanges I. B. 7) zu bedienen und findet demnach:

1. 2. 3.
$$\cos \beta'$$
 9.7655 9.8863 9.6016 $-B$ 9.7924 0.0334 0.0294 1: ϱ 0.1953 0.4318 0.0182 $d\beta'$ + 0"6 + 2"2 + 0"4.

Es liegen also [vergl. Anhang II. A. 1)] der Bahnbestimmung folgende Zahlen zu Grunde:

Bei der grossen heliocentrischen Bewegung von mehr als 100° würde die Anwendung der bei ersten Bahnbestimmungen als zulässig erkannten Näherungen kaum eine hinreichende Convergenz der Hypothesen darbieten, weshalb man die Formeln 23) (pag. 290) zur Bestimmung des Werthes von (M) benützen wird. J und II sollen nach den Formeln 12b) (pag. 285) und 12c) (pag. 286) ermittelt werden, weil wegen der Grösse der geocentrischen Bewegung die Näherungsformeln 12a) (pag. 285) kaum eine genügende Annäherung geben würden.

Die oben berechnete Ephemeride ergibt für Juni 28.5 sofort:

$$d\alpha = + 372^{5}7^{2} = + 5590''8$$

 $d\delta = + 10022''8$:

die Rechnung stellt sich wie folgt:

+ 10023"	$doldsymbol{eta_1}$	7.3994	$\cos oldsymbol{eta} \sin \eta$	7.7995	$\cos \alpha$
— 8"	$d\beta_2$	9-8863	$\cos \beta$	9.5999	$\sin \varepsilon$
+ 10015"	$doldsymbol{eta}$	9.8863	$\cos \beta \cos \eta$	0.0000	$\sin \alpha$
+ 33"	$(d\lambda\coseta)_1$	7.5131	$\sin \eta$	9.9504	$\sin\delta$
+ 2527"	$(d\lambda\cos\beta)_2$	0.0000	$\cos\eta$	9.9625	cos €
2560"	$d\lambda\cos\beta$	3.7475	$d\alpha$	9.6551	$\cos \delta$
3.4082	$\log d\lambda \cos \beta$			9.6176	log I
3.5219	$d\lambda$	3·4026	$d\alpha\cos\delta$	9.5503	log II
4.0006.	dβ	4.0010	dδ	0.2687	Add.

Man hat daher für $\operatorname{tg} J\cos (\lambda_n - \Pi)$ [vergl. 12a) pag. 285] anzunehmen: 9,521 300, wobei die fehlenden Decimalen durch Nullen ersetzt sind; dieser Relation braucht, wie es in der Natur der Sache liegt, nur näherungsweise genügt zu werden, während die andere Relation zur Bestimmung von J und Π :

$$tg J \sin(\lambda_{"} - \Pi) = tg \beta_{"},$$

in voller Schärfe in Rechnung gezogen werden muss; letztere Relation enthält nämlich die Bedingung, dass der grösste Kreis durch die mittlere Beobachtung hindurch gelegt erscheine, während die erstere die Lage desselben bezeichnet, welche Lage an sich willkürlich, hier aber so bestimmt ist, dass den Beobachtungs- fehlern der möglichst geringe Einfluss eingeräumt wird.

Die Berechnung von (M) nach den Formeln 23) (pag. 290) erfordert die Kenntnis der drei Radienvectoren und wahren Anomalien, so wie der Werthe von Π und $\cot J$, wofür man mit Hilfe der oben (pag. 325) ermittelten Elemente des Kometen erhält:

1. 2. 3.

$$\Delta t = 18.991 000 + 12.010 995 + 41.971 494$$

 $\log \Delta t = 1_{n}278 548 = 1.079 579 = 1.622 954$
 $\log M = 1_{n}479 923 = 1.280 954 = 1.824 329 \text{ (Tafel IV)}$
 $v = 38^{\circ} 51' 2''9 + 25^{\circ} 43' 20''4 + 69^{\circ} 50' 52''4$
 $\frac{1}{2}v = 19 25 31.4 + 12 51 40.2 + 34 55 26.2$
 $\cos \frac{1}{2}v^2 = 9.949 092 = 9.977 932 = 9.827 535$
 $\log r = 9.916 658 = 9.887 818 = 0.038 215;$

für die Berechnung von Π und $\cot g J$ hat man:

$$tg \beta_{"} = tg J \sin(\lambda_{"} - \Pi) = 9.918808$$

$$9.967711$$

$$-\frac{d\lambda}{d\beta} = tg J \cos(\lambda_{"} - \Pi) = 9.521300$$

$$\lambda_{"} - \Pi = 111^{\circ} 49' 15''9$$

$$\log \cot J = 0.048903$$

$$- \Pi = 22^{\circ} 1' 59''2;$$

nimmt man noch $\log [\varrho,] = 9.804780$ an, welcher Werth aus den oben (pag. 325) ermittelten Elementen resultirt, so stellt sich dann die Rechnung von (M) nach 23) (pag. 290) wie folgt:

$$\lambda_{r}$$
 Π
 90° 30′ 19″5
 $\sin (v_{rr} - v_{r})$
 9.976 450

 λ_{rr}
 Π
 134 48 34·3
 $\sin (v_{rr} - v_{r})$: $\sin (v_{rr} - v_{r})$
 9.887 002

 L_{r}
 Π
 89 42 35·9
 r_{rr} : r_{rr}
 0.121 557

 L_{rr}
 Π
 119 19 34·6
 $\sin (v_{rr} - v_{r})$: $\sin (v_{rr} - v_{r})$
 0.020 698

 L_{rr}
 Π
 147 54 49·4
 r_{rr} : r_{rr}
 0.150 397

 $\sin (L_{rr}$
 Π
 9.999 994
 R_{rr}
 R_{rr}
 0.006 011

 $\sin (L_{rr}$
 Π
 9.940 439
 $[r_{rr}r_{rr}]$: $[r_{rr}]$
 0.008 559

 $\sin (L_{rr}$
 Π
 9.725 255
 Π
 Π
 Π
 9.947 649

 III
 R_{rr}
 R_{rr}

Mit diesem Werthe von $\log (M)$ ist die Rechnung ganz nach den für die Olbers'sche Methode gegebenen Vorschriften durchzuführen; da für dieselbe aber bereits oben (pag. 317 ff.) ein ausführliches Beispiel gegeben wurde, so beschränke ich mich hier auf die Mittheilung der Hauptmomente der Rechnung; man wird finden:

\boldsymbol{G}	186° 43′ 3″0	$\sin oldsymbol{arphi}$	9.991 343
$\log g$	9-994 268	$\cos \varphi$	9.295 970
\boldsymbol{H}	178° 29′ 42″1	$\sin oldsymbol{\psi}$,	9.909 919
$\log h$	0.349 410	$\cos \psi$,	9.765 453
sin ζ	9.991 159	$\sin \psi_{\prime\prime\prime}$	9.964 334
cos ζ	9.300 457	$\cos\psi_{m}$	9.590 161.

Die für die Auflösung der Gleichungen durch Versuche nöthigen Hilfsgrössen sind:

$\log au$	0.321 673	$\log B_{\prime\prime\prime}$	9.793 845
$\log \Gamma$	9.636 201	$\log C_{"}$	9•970 868
$\log A$	9.663 938	f,	+0.503 577
$\log B$,	9.915 936	f_{m}	+0.175 565.

Für x wird man im ersten Versuche jenen Werth nehmen, welcher aus den genäherten Elementen für $\log (r, + r_m)$ folgt, hier also x = 0.282705 und dann y = 0.282698 finden; die Differenz von 7 Einheiten der sechsten Decimale wird mit Hilfe der bekannten Differentialformel zur Bestimmung des wahren Werthes von x verwerthet werden können; es findet sich $\log n = 0.0953$ und hiermit der wahre Werth $\log x = 0.282699$, aus welchem sich weiter ergibt:

$$\log r$$
, = 9.916 645
 $\log r_m$ = 0.038 215
 $\log \varrho$, = 9.804 786
 $\log \varrho_m$ = 9.981 809.

Aus den beiden letzten Werthen können die Elemente abgeleitet werden.

Bei diesen Versuchen nähert man sich der Grenze der μ Tafel; würde dieselbe überschritten werden, so könnte man sich des auf pag. 297 und 298 auseinandergesetzten Verfahrens, welches die Euler'sche Gleichung in ihrer ursprünglichen Form in Verwendung zieht, bedienen; die Auflösung nach dieser Methode soll hier ausführlich erläutert werden. Man wird den ersten Versuch auf den Werth ϱ , = $\lfloor \varrho$, aufbauen und erhalten:

$$[\varrho,] + 0.637 940 \qquad \log r, 9.916 644$$

$$[\varrho,] - R, \cos \psi, + 0.047 100 \qquad \log r_m 0.038 213$$

$$\log ([\varrho,] - R, \cos \psi), \quad 8.673 021 \qquad \text{Add.} \quad 0.244 485$$

$$tg \theta, \quad 8.757 085 \qquad r, + r_m \quad 0.282 698$$

$$\cos \theta, \quad 9.999 292 \qquad 8 \quad 0.194 723$$

$$(M) [\varrho,] + 0.958 966 \qquad \text{Add.} \quad 0.259 266$$

$$(M) [\varrho,] - R_m \cos \psi_m \quad 9.751 185 \qquad \text{Subt.} \quad 9.351 306$$

$$tang \theta_m \quad 9.780 317 \qquad r, + r_m + s \quad 0.541 964$$

$$\cos \theta_m \quad 9.932 655 \qquad \sqrt{r_r} + r_m + s \quad 0.270 982$$

$$[\varrho,] - \frac{g}{h} \sin \varphi \quad + 0.550 677 \qquad r, + r_m - s \quad 9.546 029$$

$$\log ([\varrho,] - \frac{g}{h} \sin \varphi) \quad 9.740 897 \qquad \sqrt{r_r} + r_m - s \quad 9.773 014$$

$$tang \vartheta \quad 0.104 696 \qquad \log I \quad 0.812 946$$

$$\cos \vartheta \quad 9.790 888 \qquad \log II \quad 9.319 043$$
Subt. $9.985 844$.

Unter der hier gemachten Annahme über ϱ , findet sich für log 6 k ($t_m - t_r$) der Werth 0.798 790, während aus der Zwischenzeit der Werth 0.798 794 folgt; es ist somit $\Delta = +$ 0.000 004. Verwerthet man diesen Unterschied, um mit Hilfe der Differentialformel den wahren Werth von ϱ , zu finden, so stellt sich die Rechnung wie folgt:

es ist sonach der verbesserte Werth von e, = + 0.637947, daher mit Rücksicht auf den Werth $\log (M)$:

 $\log \varrho$, = 9.804 785 $\log \varrho_m = 9.981 808$,

aus welchen Werthen die Elemente abgeleitet werden können. Wie man sieht, stimmen die so erhaltenen Werthe innerhalb der Unsicherheit der logarithmischen Rechnung mit jenen, welche die erste Methode geliefert hat; für die Ableitung der Elemente sind jedoch die früher (pag. 341) erhaltenen Zahlen, nämlich $\log \varrho_{,=} 9.804786$ und $\log \varrho_{,=} 9.981809$ benützt worden. Die Hauptmomente der Rechnung (über deren Anlage vergl. pag. 320 ff.) sind:

Anhang II. C. 1):
$$l_{,}=247^{\circ} \ 12' \ 59'' 1$$
 $l_{,m}=313^{\circ} \ 35' \ 18'' \circ$

$$\log \operatorname{tg} b_{,}=9_{0}906 \ 992 \qquad \log \operatorname{tg} b_{,m}=0.132 \ 600$$

$$\log r_{,}=9.916 \ 645 \qquad \log r_{,m}=0.038 \ 215.$$
Anhang II. C. 2): $\Omega=270^{\circ} \ 58' \ 6'' 1$ $i=63^{\circ} \ 28' \ 56'' \circ$.
$$0, \quad (7) \quad (8) \quad$$

es ist also anzunehmen:

Anhang II. C. 4):
$$v_{1} = 315^{\circ} 24' 54'' 7$$
 $u_{11} = 64^{\circ} 7' 2'' 4$.
 $v_{2} = 38^{\circ} 51' 5'' 4$ $v_{21} = 69^{\circ} 51' 2'' 3$
 $\omega = 354^{\circ} 16' 0'' 1$ $\pi = 265^{\circ} 14' 6'' 2$
 $\log q = 9.865 734$.
 $T_{3} = 16.48859$ $T_{4} = 16.48859$ $T_{5} = 16.48859$

Die Darstellung des mittleren Ortes nach Anhang II. D. wird (vergl. das ausführliche Beispiel auf pag. 322 und 323):

$$t_n - T = 12.011530$$
 $v_n = +25^{\circ} 43'28''9$
 $\log r_n = 9.887806$
 $d\lambda_n = +10''0$
 $\lambda^0_n = 89^{\circ} 47'6''7$
 $d\lambda_n \cos \beta_n = +7''7$
 $\beta^0_n = +39^{\circ} 40'38''8$
 $d\beta_n = -8''0.$

Berechnet man nun $\cot J^0$, so findet sich:

$$\log \cot \mathbf{J}^{\mathrm{o}} = 0.048876,$$

welcher Werth um 27 Einheiten der sechsten Decimale kleiner ist, als $\log \cot J$; es sind somit die Verbesserungen der Dreiecksflächen einer Correctur fähig. Bei der Grösse der heliocentrischen Bewegung liesse sich jedoch eine rasche Convergenz nicht mit Sicherheit erwarten, wenn man die Formeln 23) (pag. 290) zur Ermittlung eines neuen Werthes für $\log (M)$ auf Grundlage der eben erhaltenen Elemente heranzöge; es wird in einem solchen Falle die willkürliche Variation von $\log (M)$ und das Einschlagen des auf pag. 300 auseinandergesetzten Weges weit empfehlenswerther sein. Indem $d \log (M) = +$ 0.000 400 angenommen wurde, ergab die Anwendung der Formeln 46) und 47) (pag. 303) (vergl. das ausführliche Beispiel pag. 324): $d e_i = -0.000422;$

es ist sonach für die Ableitung der Elemente anzuwenden:

$$\log \varrho_{ii} = 9.804498$$

 $\log \varrho_{iii} = 9.981921$

aus welchen Zahlen die folgenden Resultate erhalten wurden:

Anhang II. C. 1):
$$l_{1} = 247^{\circ} \ 13' \ 0''8$$
 $l_{2} = 313^{\circ} \ 35' \ 29''2$ $\log tg \ b_{1} = 9_{1}906 \ 538$ $\log tg \ b_{2} = 0.132 \ 774$ $\log r_{1} = 9.916 \ 632$ $\log r_{2} = 0.038 \ 266.$ $\Omega = 270^{\circ} \ 56' \ 42''2$ $i = 63^{\circ} \ 28' \ 47''5$. Anhang II. C. 2): $u_{1} = 315^{\circ} \ 26' \ 59''3$ $u_{2} = 64^{\circ} \ 8' \ 10''9$. $v_{2} = -38^{\circ} \ 49' \ 59''4$ $v_{2} = 69^{\circ} \ 51' \ 12''2$. $v_{2} = 265^{\circ} \ 13' \ 40''9$ $v_{2} = 265^{\circ} \ 13' \ 40''9$ $v_{2} = 265^{\circ} \ 13' \ 40''9$ $v_{3} = 265^{\circ} \ 13' \ 40''9$ $v_{4} = 265^{\circ} \ 13' \ 40''9$ $v_{5} = 16.48040$ $v_{5} = 16.48040$

Die Darstellung des mittleren Ortes fand sich:

$$t_n - T$$
 12.01965
 v_n 25° 44′ 16″0
 $\log r_n$ 9.887 868 $d\lambda_n = -64''4$
 λ_n° 89° 48′ 21″1 $d\lambda_n \cos \beta_n = -49''5$
 $\beta_n^{\circ} + 39^{\circ} 43' 19^{\circ}1$ $d\beta_n = -168''3$.

Die Formeln 38) (pag. 300) ergaben die folgenden Bedingungsgleichungen:

$$+10^{\circ}0 = +74^{\circ}4 x$$

 $-8.0 = +160.3 x$

woraus sich nach 39) (pag. 301) der wahrscheinlichste Werth von x, nämlich:

$$\log x = 8_{n}4631,$$

findet, der in der Darstellung des mittleren Ortes die Fehler:

$$d\lambda_n \cos \beta_n = + 9^n 4$$
$$d\lambda_n = -3.3$$

übrig lässt. Da die heliocentrische Bewegung sehr gross ist, so wird man sich zur Ermittlung der wahrscheinlichsten Elemente mit Vortheil der Formel 41) (pag. 301) bedienen und daraus erhalten:

Es sind daher die aus den obigen Beobachtungen nach der benützten Methode ermittelten und als wahrscheinlichste zu bezeichnenden Elemente:

III 1881.

$$T = 1881$$
 Juni 16.488 706 mittl. Berl. Zeit

 $x = 265^{\circ}$ 14' 6"9

 $x = 270$ 58 8.5

 $x = 63$ 28 56.2

 $x = 63$ 28 56.2

 $x = 63$ 28 56.2

Diese Elemente sollen die äusseren Beobachtungen völlig, die mittlere aber nach Massgabe der aus den Bedingungsgleichungen folgenden Werthe darstellen. Eine directe, sechsstellig geführte Rechnung bestätigt diese Voraussetzung innerhalb der Unsicherheitsgrenzen der Rechnung; es findet sich nämlich:

Die Darstellung des mittleren Ortes ist nicht ganz befriedigend, wäre jedoch immerhin durch Beobachtungsfehler, die den äusseren Beobachtungen anhaften, erklärbar, wenn nicht in diesem Falle die Abweichung der Hauptsache nach der Ellipticität der Bahn des Kometen zugeschrieben werden müsste.

7. Bestimmung der Bahn eines Sternschnuppenschwarmes aus seinem Radiationspunkte.

Durch die epochemachenden Arbeiten Schiaparelli's kann es als erwiesen betrachtet werden, dass die Sternschnuppen kleine kosmische Körper sind, welche sich schwarmweise in nahezu parabolischen Bahnen um die Sonne bewegen; gelangt nun ein solcher Schwarm oder gelangen Bruchtheile desselben in unsere Atmosphäre, so erscheinen uns diese Körperchen in der unter dem Namen Sternschnuppen bekannten Form. Die einem Schwarme angehörigen Sternschnuppen werden sich der Hauptsache nach parallel mit einander fortbewegen, die einem Beobachter sichtbaren Meteore dieses Schwarmes also von einem Punkte des Himmels herzukommen scheinen; in der That hat die Beobachtung erkennen lassen, dass innerhalb eines beschränkten Zeitraums die scheinbaren Bahnen vieler Sternschnuppen, nach rückwärts verlängert, sich nahezu in einem Punkte, dem Radiationspunkte, schneiden. Die Lage dieses Radiationspunktes, dessen Länge mit l und dessen Breite mit b bezeichnet werden soll, ist bedingt durch die relative Bewegung des Schwarmes gegen den Beobachter. Bezeichnet man die drei den Coordinatenachsen parallelen Componenten dieser relativen Bewegung mit $\frac{d\xi}{dt}$, $\frac{d\eta}{dt}$ und $\frac{d\zeta}{dt}$, die Änderung der Coordinaten des Beobachtungsortes mit $\frac{dX}{dt}$, $\frac{dY}{dt}$ und $\frac{dZ}{dt}$, und endlich die Änderung der heliocentrischen Coordinaten der Meteoriten mit $\frac{dx}{dt}$, $\frac{dy}{dt}$, $\frac{dz}{dt}$, so bestehen die Gleichungen:

$$\frac{dx}{dt} = \frac{d\xi}{dt} + \frac{dX}{dt}$$

$$\frac{dy}{dt} = \frac{d\eta}{dt} + \frac{dY}{dt}$$

$$\frac{dz}{dt} = \frac{d\zeta}{dt} + \frac{dZ}{dt}$$

$$1)$$

Der heliocentrische Ort der Sternschnuppe im Moment der Sichtbarkeit kann ohne merklichen Fehler als identisch mit dem heliocentrischen Erdort angenommen werden, so dass ihre heliocentrischen Coordinaten als bekannt zu betrachten sind. Wären die relativen Geschwindigkeiten $\frac{d\xi}{dt}$, $\frac{d\eta}{dt}$ und $\frac{d\zeta}{dt}$ gegeben, so würden die h

Oppolzer, Bahnbestimmungen. I. 2. Auflage

schen sofort mit Hilfe der Relationen 1) gefunden werden können und man hätte daher genügende Angaben zur Ermittlung der Elemente. Die nach den Achsen zerlegten relativen Geschwindigkeiten sind aber durch die Angabe des Radiationspunktes nur theilweise bekannt. Bezeichnet man die relative Geschwindigkeit mit γk , so dass γ das Verhältnis der relativen Geschwindigkeit gegen die Gauss'sche Attractionsconstante k vorstellt, so wird:

$$\frac{d\xi}{dt} = -\gamma k \cos l \cos b$$

$$\frac{d\eta}{dt} = -\gamma k \sin l \cos b$$

$$\frac{d\zeta}{dt} = -\gamma k \sin b$$
2)

in welchen Formeln das negative Vorzeichen seine Erklärung darin findet, dass die Sehlinie der Bewegungsrichtung entgegengesetzt ist. Da, wie oben erwähnt, aus Schiaparelli's Untersuchungen hervorgeht, dass die Sternschnuppen sich in parabolischen Bahnen bewegen, so besteht nach Gleichung 25) [pag. 50] die Relation:

$$\left(\frac{dx}{dt}\right)^2 + \left(\frac{dy}{dt}\right)^2 + \left(\frac{dz}{dt}\right)^2 = g^2 = \frac{2k^2}{R},$$

in welcher R den heliocentrischen Abstand der Erde darstellt. Die Gleichungen 1), quadrirt und addirt, ergeben mit Rücksicht auf 2) und 3):

$$\frac{2k^2}{R} = \gamma^2 k^2 - 2\gamma k \cos l \cos b \frac{dX}{dt} - 2\gamma k \sin l \cos b \frac{dY}{dt} - 2\gamma k \sin b \frac{dZ}{dt} + \left(\frac{dX}{dt}\right)^2 + \left(\frac{dX}{dt}\right)^2 + \left(\frac{dZ}{dt}\right)^2,$$

welche quadratische Gleichung, da die Änderungen der Coordinaten X, Y und Z als bekannt vorausgesetzt werden können, nur die Unbekannte γ enthält. Ist somit γ bekannt, so sind die zur Ermittlung der Elemente nöthigen Angaben vorhanden.

Die Änderungen der Coordinaten des Beobachtungsortes sind aus zwei wesentlich verschiedenen Bewegungen zusammengesetzt, nämlich einer jährlichen und einer täglichen. Letztere wird im Maximum etwa sechzigmal kleiner sein als die erstere, kann demnach bei solchen Rechnungen, bei denen nicht die äusserste Genauigkeit angestrebt wird, übergangen werden. Es wird sich daher empfehlen, die Ekliptik als Fundamentalebene zu wählen, demnach:

$$\frac{dZ}{dt} = 0$$
,

zu setzen, unter welcher bereits bei der Annahme über die Bedeutung der Coordinaten l und b vorgreifend benützten Voraussetzung, die Gleichung zur Bestimmung von γ die Form (vergl. 25) pag. 50):

$$\gamma^2 - \frac{2\gamma}{k}\cos b\left(\cos l\frac{dX}{dt} + \sin l\frac{dY}{dt}\right) = \frac{2}{R} - \left(\frac{2}{R} - 1\right) = 1,$$
 4)

annimmt; hierbei ist die Erdmasse als gegen die Sonnenmasse verschwindend klein angenommen. Zur Bestimmung der Geschwindigkeiten $\frac{dX}{dt}$ und $\frac{dY}{dt}$ kann man die bei der Aberration pag. 113 ermittelten Werthe anwenden und erhält, wenn man in den bezüglichen Ausdrücken, weil hier die Ekliptik als Fundamentalebene gewählt

ist,
$$\varepsilon = 0$$
 setzt:
$$\frac{dX}{dt} = \frac{1}{\cos \varphi} \cdot \frac{dM}{dt} (\sin \varphi + \sin \varphi \sin \pi')$$

$$\frac{dY}{dt} = -\frac{1}{\cos \varphi} \cdot \frac{dM}{dt} (\cos \varphi + \sin \varphi \cos \pi'),$$
5)

Man hat aber, wenn wieder die Erdmasse im Verhältnis zur Sonnenmasse vernachlässigt wird: $\frac{dM}{dt} = \frac{k}{\sqrt{3}l_0} = k,$

und, wenn man ausserdem die zweiten Potenzen der Erdbahnexcentricität übergeht:

$$\frac{\frac{1}{k}\frac{dX}{dt} = \sin \odot + \sin \varphi \sin \pi' = s \sin \odot'}{-\frac{1}{k}\frac{dY}{dt} = \cos \odot + \sin \varphi \cos \pi' = s \cos \odot'}.$$

Quadrirt und addirt man die Gleichungen 6), so findet sich (vergl. 25) pag. 50):

$$s^2 = \frac{2}{R} - 1$$
,

wofür, wenn die zweiten Potenzen der Excentricität fortgelassen werden, gesetzt werden darf:

$$s=\frac{1}{R}$$
; 7a)

ausserdem wird innerhalb derselben Genauigkeitsgrenzen:

$$\odot' = \odot + \sin \varphi \sin (\pi' - \odot), \qquad 7b)$$

und die Gleichung 4) erhält demnach die höchst einfache Gestalt:

$$\gamma^2 + 2\gamma \frac{\cos b \sin(l - \odot')}{R} = 1.$$
 8)

Die Einführung eines Hilfswinkels wird die Auflösung dieser quadratischen Gleichung wesentlich bequemer gestalten; setzt man nämlich:

$$\frac{\cos b \sin(l - \mathfrak{O}')}{R} = \cot z, \qquad 9)$$

so wird:

$$\gamma = \frac{\pm i - \cos z}{\sin z}.$$

An den Hilfswinkel z kann man die Bedingung knüpfen, dass derselbe stets kleiner als 180° angenommen werde, daher sin z stets positiv sei; dann wird, da für y der Natur des Problems nach ein positiver Werth resultiren muss, in 10) stets nur das obere Vorzeichen der Einheit gewählt werden dürfen und:

$$\gamma = \operatorname{tg} \frac{1}{4} z, \qquad \qquad \text{11})$$

sich ergeben. Die Gleichungen 7), 9) und 11) enthalten in höchst einfacher Weise die Bestimmung von γ aus dem Radiationspunkte; ist aber γ gegeben, so sind nach 2) die relativen, nach 1) die heliocentrischen Geschwindigkeitscomponenten bekannt und es stellt sich die Aufgabe, aus diesen Grössen und den durch:

bestimmten heliocentrischen Coordinaten die Elemente abzuleiten.

Betrachtet man die Masse der Sternschnuppen gegen die der Sonne als verschwindend klein, so ist das im Zeitelemente dt durch den Radiusvector überstrichene Flächenelement bestimmt durch (vergl. 1) pag. 51):

$$r^2dv = k \sqrt{p} dt$$
.

Projicirt man dieses Flächenelement auf die Coordinatenebenen und bezeichnet den Winkel, welchen die Bahnebene mit den letzteren bildet, durch den Buchstaben *i*, der mit zwei den in Betracht gezogenen Coordinatenebenen entsprechenden Indices zu versehen ist, so sind offenbar die Projectionen:

$$k \sqrt{p} dt \cos i_{xy}$$
, $k \sqrt{p} dt \cos i_{xz}$, $k \sqrt{p} dt \cos i_{yz}$.

Betrachtet man jenes Flächenelement als positiv, dessen zugehöriger projicirter Radiusvector, vom positiven Ende der auf der Projectionsebene senkrechten Coordinate aus gesehen, die Fläche in dem der Bewegung des Uhrzeigers entgegengesetzten Sinne überstreicht, so sind die Flächenelemente in den diesbezüglichen Coordinatenebenen ausgedrückt durch:

$$x dy - y dx$$
, $z dx - x dz$, $y dz - z dy$.

Bedenkt man, dass die Bahnebene und die Coordinatenebenen im Durchschnitt mit der Himmelskugel grösste Kreise bilden, von denen die durch die Coordinatenebenen gebildeten sich rechtwinklig schneiden, bezeichnet den sphärischen Abstand des aufsteigenden Knotens der Bahnebene in der XY-Ebene, vom Frühjahrspunkte im Sinne der Zeichen gezählt, mit Ω , die Neigung mit i, so ist offenbar, wenn man die grössten Kreise in dem oben über die Bewegungsrichtung des Radiusvectors und seine Projectionen festgesetzten Sinne auffasst:

$$\cos i_{xy} = \cos i$$

$$\cos (180^{\circ} - i_{xz}) = \cos \Omega \sin i$$

$$\cos i_{yz} = \sin \Omega \sin i,$$

und man hat daher:

$$k \sqrt{p} \cos i = x \frac{dy}{dt} - y \frac{dx}{dt}$$

$$k \sqrt{p} \cos \alpha \sin i = x \frac{dz}{dt} - z \frac{dx}{dt}$$

$$k \sqrt{p} \sin \alpha \sin i = y \frac{dz}{dt} - z \frac{dy}{dt}.$$

Ersetzt man, die Bewegung fortgesetzt als parabolisch betrachtend, p durch 2q, und bedenkt, dass zufolge der Wahl der Ekliptik als Fundamentalebene Z und dessen Ableitung der Null gleich sind, so findet sich mit Rücksicht auf 1) (pag. 345), 2) (pag. 346) und 12) (pag. 347):

$$k V_{2q} \cos i = R \sin \frac{dx}{dt} - R \cos \frac{dy}{dt}$$

$$k V_{2q} \cos \Omega \sin i = -R \cos \frac{dz}{dt} = \gamma k R \cos \sin b$$

$$k V_{2q} \sin \Omega \sin i = -R \sin \frac{dz}{dt} = \gamma k R \sin \sin b.$$

Da $k\sqrt{2q}\sin i$ einerseits, γkR anderseits den gemachten Voraussetzungen nach stets positiv sind, so wird, je nachdem $\sin b$ positiv oder negativ ist, $\Omega = 0$ oder $\Omega = 0 + 180^{\circ}$ sein müssen; man leitet daher ohne Schwierigkeit aus diesen beiden Gleichungen die Relation:

$$\sqrt{2q}\sin i = \pm \gamma R \sin b \qquad \qquad 15)$$

ab, in welcher das Vorzeichen mit dem Zeichen von sin b identisch genommen werden muss, so dass $\sqrt[3]{2q}$ sin i jedenfalls positiv wird. In der ersten Gleichung in 14) wird mit Rücksicht auf 1) (pag. 345), 2) (pag. 346), 6) und 7a) (pag. 347):

$$\sqrt{2q}\cos i = \sin \Theta \{\sin \Theta' - \gamma R \cos l \cos b\} + \cos \Theta \{\cos \Theta' + \gamma R \sin l \cos b\}$$

oder, da cos (© — O') sich nur um eine Grösse zweiter Ordnung der Excentricität von der Einheit unterscheidet, daher dieser innerhalb der als zulässig angenommenen Vernachlässigungen gleich gesetzt werden darf:

$$\sqrt{2q}\cos i = 1 + \gamma R\cos b\sin(l - 0)$$
.

Man hat daher für die Bestimmung von i und q die beiden Gleichungen:

$$\begin{array}{l}
\sqrt{2q}\sin i = \pm \gamma R \sin b \\
\sqrt{2q}\cos i = 1 + \gamma R \cos b \sin (l - \odot).
\end{array}$$
16)

Um die wahre Anomalie v zu finden, differentiire man die Gleichung:

$$r = \frac{q}{\cos \sqrt{v^2}},$$

nach der Zeit, wodurch man erhält:

$$\frac{dr}{dt} = r \operatorname{tg} \frac{1}{2} v \frac{dv}{dt},$$

oder mit Rücksicht auf Gleichung 1) [pag 51]:

$$\frac{dr}{dt} = \frac{k\sqrt{2q}}{r} \operatorname{tg} \frac{1}{2} v,$$

es ist demnach:

$$tg \frac{1}{2}v = \frac{r}{k} \frac{dr}{dt};$$
 17)

da aber:

$$rdr = xdx + ydy + zdz,$$

und z = 0 ist, so ergibt sich mit Rücksicht auf die Gleichungen 1) 2) 6) und 7a):

$$\frac{r}{k} \binom{dr}{dt} = \gamma R \cos b \cos (l - \odot) - \sin (\odot' - \odot),$$

daher:

$$tg \frac{1}{2}v = \frac{\gamma R \cos b \cos (l - \bigcirc) - \sin (\bigcirc' - \bigcirc}{\sqrt{2q}}.$$
 18

Hierbei ist $\frac{1}{2}v$ zwischen den Grenzen — 90° und + 90° eingeschlossen; als Probe kann die Relation:

$$q = R \cos \frac{1}{2} v^2, \qquad 19)$$

benützt werden.

Das Argument der Breite u wird, je nachdem der Sternschnuppenschwarm im aufsteigenden (sin b negativ) oder absteigenden Knoten (sin b positiv) sich befindet, entweder o° oder 180°, der Abstand des Perihels vom Knoten also beziehungsweise:

(sin b positiv)
$$\omega = u - v = 180^{\circ} - v$$

(sin b negativ) $\omega = u - v = -v$,

und die Länge des Perihels:

$$\pi = \omega + \Omega = \odot - v + 180^{\circ}; \qquad 20$$

aus v könnte noch die Zeit des Perihels abgeleitet werden, doch wäre eine derartige Angabe für einen in die Länge gezogenen Schwarm bedeutungslos.

Stellt man die bisher entwickelten Formeln zusammen und bezeichnet mit l und b die Länge und Breite des Sternschnuppenschwarmes, mit \odot die für die Epoche des Radiationspunktes geltende Sonnenlänge, mit R den geocentrischen Abstand der Sonne für dieselbe Epoche, so ergeben sich, wenn man für die Bestimmung von n und n die Werthe den Le-Verrier'schen Sonnentafeln entlehnt, für die Berechnung der Bahn eines Sternschnuppenschwarmes folgende Formeln:

$$\log e' = 1.7609$$

$$\pi' = 280^{\circ} 21' + 1'03 (t - 1850)$$

$$\odot' - \odot = e' \sin(\pi' - \odot)$$

$$(\odot' - \odot) \text{ wird in Einheiten der Bogénminute erhalten.}$$

$$\cot g z = \frac{1}{R} \cos b \sin(l - \odot')$$

$$z < 180^{\circ}$$

$$\gamma = \operatorname{tg} \frac{1}{2} z$$

$$f = R\gamma$$

$$\sin b \text{ positiv} \qquad \sin b \text{ negativ}$$

$$\Omega = \odot \qquad \qquad \Omega = \odot + 180^{\circ}$$

$$\sqrt{2q} \sin i = f \sin b \qquad \sqrt{2q} \sin i = -f \sin b$$

$$\sqrt{2q} \cos i = 1 + f \cos b \sin(l - \odot)$$

$$\operatorname{tg} \frac{1}{2} v = \frac{f \cos b \cos(l - \odot) - \sin(\odot' - \odot)}{\sqrt{2q}}$$

$$\frac{1}{2} v < \pm 90^{\circ}$$

$$\pi = \odot - v + 180^{\circ}$$

$$\operatorname{Probe}:$$

$$q = R \cos \frac{1}{2} v^{2}.$$

Bei Vernachlässigung der ersten Potenzen der Erdbahnexcentricität $(\odot' = \odot, R = 1)$ würden sich diese Formeln noch etwas einfacher gestalten, ohne dass jedoch bei der an sich so einfachen Rechnung viel gewonnen werden könnte.

Um die vorstehenden Formeln durch ein Beispiel zu erläutern, soll der in der Abhandlung von E. Weiss (Beiträge zur Kenntnis der Sternschnuppen, Sitzgsber. der k. Akad. d. Wiss. Bd. LVII) mit Nr. 3 bezeichnete Radiationspunkt in An-

wendung gezogen werden. Für den Jahrestag Juli 28.5 findet sich derselbe in Bezug auf den Äquator wie folgt angegeben:

$$\alpha = 338^{\circ}$$
 , $\delta = -28^{\circ}$.

Denkt man sich diese Coordinaten auf das mittlere Äquinoctium 1865 bezogen, verwandelt Rectascension und Declination in Länge und Breite und entlehnt dem Berliner Jahrbuch die Sonnenlänge, sowie den geocentrischen Abstand, so sind die Grundlagen der Rechnung:

$$l = 329^{\circ} 5', \quad b = -17^{\circ} 24', \quad \odot = 125^{\circ} 48', \quad \log R = 0.0065.$$

Nach den Formeln 21) erhält man:

<i>t</i> — 1850	15.6	$\sin(l - \odot')$	9 _n 5896
π'	280° 37′	$\cos b$	9·9796
$\pi' - \odot$	154 49	\log Compl. R	9.9935
$\sin (\pi' - \odot)$	9-6289	$\cot z$	9n5627
⊙′ — ⊙	+ 24'5	z	110° 4′1
⊙′	126° 12′5	$\frac{1}{2}z$	55 2.0
<i>l</i> — ⊙′	202 52.5	$\log \gamma$	0.1553
$\log f$	0.1618	$\log 2q$	9·594 6
Ω	305° 48′0	$\log q$	9.2936
<i>l</i> — ⊙	203 17.0	$\cos{(l-\odot)}$	9 n 9631
$\sin (l - \odot)$	9n5969	log I	0 _n 1045
$f \cos b$	0.1414	$\sin (\bigcirc' - \bigcirc)$	7.8529
$f\cos b\sin (l-\odot)$	9n7383	Add.	0.0024
$\sin b$	9n4757	$tg \frac{1}{2} v \sqrt{2q}$	0,1069
$V_{2q}\sin i$	9.6375	tg ⅓ v	0 _n 3096
	9.8584	1 v	— 63° 53′ 1
$V\overline{2q}\cos i$	9.6557	$oldsymbol{v}$	— 127 46·2
tg i	9.9818	π	73 34.2
i	43° 48′0	$\cos rac{1}{2} v^2$	9.2872
$\log \sqrt{2q}$	9.7973	$\log q$	9.2937.

Es sind demnach die Elemente:

$$\pi = 73^{\circ}6$$

$$\Omega = 305^{\circ}8$$

$$i = 43^{\circ}8$$

$$\log q = 9 \cdot 294.$$

Die Berücksichtigung der täglichen Bewegung der Erde und deren störender Einfluss können oft recht merkliche Correctionen der erhaltenen Werthe hervorbringen; für den ersten Entwurf jedoch mögen die hier in Anwendung gebrachten Näherungen genügen.

II. Abschnitt. Ermittlung der Bahnelemente ohne bestimmte Voraussetzung über die Excentricität.

I. Abtheilung.

Bahnbestimmung aus drei vollständigen Beobachtungen.

1. Aufstellung der Gleichungen zur Bestimmung der geocentrischen Distanzen.

Sind drei vollständige Beobachtungen eines Himmelskörpers gegeben, so wird man, die Verhältnisse der Dreiecksflächen als bekannt vorausgesetzt, aus den Gleichungen 8) (pag. 272) mit Hilfe eines zweckmässig geleiteten Eliminationsverfahrens die drei geocentrischen Distanzen ϱ_n , ϱ_n und ϱ_m bestimmen können; es soll aber mit Rücksicht auf den Umstand, dass die parallaktisch veränderten Sonnenbreiten B im Maximum den Betrag von 10" erreichen können, statt des Cosinus dieser kleinen Winkel die Einheit, statt des Sinus der Bogen eingeführt werden, welche Annahmen selbst für die genauesten Rechnungen als völlig gerechtfertigt bezeichnet werden müssen. Multiplicirt man unter den gemachten Annahmen die Gleichungen 8) (pag. 272) der Reihe nach mit:

$$\sin \beta_{n} \cos \beta_{m} \sin \lambda_{m} - \sin \beta_{m} \cos \beta_{n} \sin \lambda_{n}$$

$$\sin \beta_{m} \cos \beta_{n} \cos \lambda_{n} - \sin \beta_{n} \cos \beta_{m} \cos \lambda_{m}$$

$$- \sin (\lambda_{m} - \lambda_{n}) \cos \beta_{n} \cos \beta_{m},$$

addirt die Producte und setzt abkürzend:

$$K = -\sin\beta, \cos\beta, \cos\beta, \cos\beta, \sin(\lambda_m - \lambda_m) + \cos\beta, \sin\beta, \cos\beta, \sin(\lambda_m - \lambda_m) - \cos\beta, \cos\beta, \sin\beta, \sin(\lambda_m - \lambda_m),$$
und:

$$A_{n} = + R_{n} \left\{ \sin \beta_{n} \cos \beta_{m} \sin (\lambda_{m} - L_{n}) - \sin \beta_{m} \cos \beta_{n} \sin (\lambda_{m} - L_{n}) \right\} - R_{n} \sin (\lambda_{m} - \lambda_{n}) \cos \beta_{n} \cos \beta_{m} B_{n} \operatorname{arc} 1''$$

$$B_{n} = - R_{n} \left\{ \sin \beta_{n} \cos \beta_{m} \sin (\lambda_{m} - L_{n}) - \sin \beta_{m} \cos \beta_{n} \sin (\lambda_{n} - L_{n}) \right\} + R_{n} \sin (\lambda_{m} - \lambda_{n}) \cos \beta_{n} \cos \beta_{m} B_{n} \operatorname{arc} 1''$$

$$C_{n} = + R_{m} \left\{ \sin \beta_{n} \cos \beta_{m} \sin (\lambda_{m} - L_{m}) - \sin \beta_{m} \cos \beta_{n} \sin (\lambda_{m} - L_{m}) \right\} - R_{m} \sin (\lambda_{m} - \lambda_{n}) \cos \beta_{n} \cos \beta_{m} B_{m} \operatorname{arc} 1''.$$

so wird:

$$\frac{[r_n r_m]}{[r, r_m]} K \varrho, = \frac{[r_n r_m]}{[r, r_m]} A, + B, + \frac{[r, r_n]}{[r, r_m]} C.$$

Multiplicirt man dagegen die Gleichungen 8) (pag. 272) der Reihe nach mit:

$$\sin \beta_m \cos \beta_r \sin \lambda_r$$
 — $\sin \beta_r \cos \beta_m \sin \lambda_m$
 $\sin \beta_r \cos \beta_m \cos \lambda_m$ — $\sin \beta_m \cos \beta_r \cos \lambda_r$
 $\sin (\lambda_m - \lambda_r) \cos \beta_r \cos \beta_m$

addirt und setzt abkürzend:

$$A_{n} = + R_{n} \left\{ \sin \beta \cos \beta_{m} \sin (\lambda_{m} - L_{n}) - \cos \beta \sin \beta_{m} \sin (\lambda_{n} - L_{n}) \right\} -$$

$$- R_{n} \sin (\lambda_{m} - \lambda_{n}) \cos \beta_{n} \cos \beta_{m} B_{n} \text{ arc } 1''$$

$$B_{n} = - R_{n} \left\{ \sin \beta_{n} \cos \beta_{m} \sin (\lambda_{m} - L_{n}) - \cos \beta_{n} \sin \beta_{m} \sin (\lambda_{n} - L_{n}) \right\} +$$

$$+ R_{n} \sin (\lambda_{m} - \lambda_{n}) \cos \beta_{n} \cos \beta_{m} B_{n} \text{ arc } 1''$$

$$C_{n} = + R_{m} \left\{ \sin \beta_{n} \cos \beta_{m} \sin (\lambda_{m} - L_{m}) - \cos \beta_{n} \sin \beta_{m} \sin (\lambda_{n} - L_{m}) \right\} -$$

$$- R_{m} \sin (\lambda_{m} - \lambda_{n}) \cos \beta_{n} \cos \beta_{m} B_{m} \text{ arc } 1'',$$

so findet man:

$$K\varrho_n = \frac{[r_n r_m]}{[r_n r_m]} A_n + B_n + \frac{[r_n r_m]}{[r_n r_m]} C_n.$$
 5)

Multiplicirt man schliesslich die Gleichungen 8) (pag. 272) der Reihe nach mit den Factoren:

$$\sin \beta, \cos \beta, \sin \lambda, - \sin \beta, \cos \beta, \sin \lambda,$$

 $\sin \beta, \cos \beta, \cos \lambda, - \sin \beta, \cos \beta, \cos \lambda,$
 $- \sin (\lambda, - \lambda,) \cos \beta, \cos \beta,$

so gibt die Addition der Producte nach Einführung der Symbole:

$$A_{m} = + R, \{ \sin \beta, \cos \beta_{n} \sin (\lambda_{n} - L_{i}) - \cos \beta, \sin \beta_{n} \sin (\lambda_{i} - L_{i}) \} - R, \sin (\lambda_{n} - \lambda_{i}) \cos \beta, \cos \beta_{n} B, \text{arc } 1''$$

$$B_{m} = - R_{n} \{ \sin \beta, \cos \beta_{n} \sin (\lambda_{n} - L_{n}) - \cos \beta, \sin \beta_{n} \sin (\lambda_{i} - L_{n}) \} + R_{n} \sin (\lambda_{n} - \lambda_{i}) \cos \beta, \cos \beta_{n} B_{n} \text{arc } 1''$$

$$C_{m} = + R_{m} \{ \sin \beta, \cos \beta_{n} \sin (\lambda_{n} - L_{m}) - \cos \beta, \sin \beta_{n} \sin (\lambda_{i} - L_{m}) \} - R_{m} \sin (\lambda_{n} - \lambda_{i}) \cos \beta, \cos \beta_{n} B_{m} \text{arc } 1'',$$

$$(6)$$

die Relation:

$$\frac{[r, r_n]}{[r, r_m]} K \varrho_m = \frac{[r_n r_m]}{[r, r_m]} A_m + B_m + \frac{[r, r_n]}{[r, r_m]} C_m.$$
 7)

Wären in den Gleichungen 3), 5) und 7) die beiden Verhältnisse der Dreiecksflächen $[r,r_n]:[r,r_m]$ und $[r_nr_m]:[r,r_m]$ bekannt, so würden damit die geocentrischen Distanzen ϱ_n , ϱ_n und ϱ_m gegeben sein und man könnte aus je zweien derselben ohne Schwierigkeit die Elemente ableiten; die Verhältnisse sind jedoch vor Ermittlung der Elemente unbekannt und können nur, solange das Product aus dem Quadrate der Zwischenzeit in die negative dritte Potenz des Radiusvectors eine mässige Grösse ist, mit Hilfe der Gleichungen 19) (pag. 99) oder 22) (pag. 100) näherungsweise bestimmt werden. Es stellt sich daher vorerst die Frage, inwieweit die nach Potenzen der Zwischenzeiten entwickelten Glieder der angeführten Reihen mitgenommen werden müssen, um ausreichende Näherungen zu gewähren. Zur Beantwortung dieser Frage muss zunächst die Ordnung der Grösse K, sowie der A-, B- und C-Coëfficienten festgestellt werden; die letzteren sind, wie dies aus den

folgenden Transformationen erhellt, von der Ordnung der geocentrischen Bogen, also erster Ordnung. Setzt man nämlich:

$$f, \sin F_{n} = \sin(\beta_{m} + \beta_{n}) \sin \frac{1}{2}(\lambda_{m} - \lambda_{n}) , \quad G_{n} = F_{n} - \frac{1}{4}(\lambda_{m} + \lambda_{n})$$

$$f, \cos F_{n} = \sin(\beta_{m} - \beta_{n}) \cos \frac{1}{4}(\lambda_{m} - \lambda_{n}) , \quad g_{n} = \sin(\lambda_{m} - \lambda_{n}) \cos \beta_{n} \cos \beta_{m}$$

$$f_{n} \sin F_{n} = \sin(\beta_{m} + \beta_{n}) \sin \frac{1}{4}(\lambda_{m} - \lambda_{n}) , \quad G_{n} = F_{n} - \frac{1}{4}(\lambda_{m} + \lambda_{n})$$

$$f_{n} \cos F_{n} = \sin(\beta_{m} - \beta_{n}) \cos \frac{1}{4}(\lambda_{m} - \lambda_{n}) , \quad g_{n} = \sin(\lambda_{m} - \lambda_{n}) \cos \beta_{n} \cos \beta_{m}$$

$$f_{m} \sin F_{m} = \sin(\beta_{n} + \beta_{n}) \sin \frac{1}{4}(\lambda_{m} - \lambda_{n}) , \quad G_{m} = F_{m} - \frac{1}{4}(\lambda_{n} + \lambda_{n})$$

$$f_{m} \cos F_{m} = \sin(\beta_{n} - \beta_{n}) \cos \frac{1}{4}(\lambda_{m} - \lambda_{n}) , \quad g_{m} = \sin(\lambda_{m} - \lambda_{n}) \cos \beta_{n} \cos \beta_{n} ,$$

$$8a)$$

$$g_{n} = \sin(\lambda_{m} - \lambda_{n}) \cos \beta_{n} \cos \beta_{m}$$

$$g_{m} = \sin(\lambda_{m} - \lambda_{n}) \cos \beta_{n} \cos \beta_{n} ,$$

$$g_{m} = \sin(\lambda_{m} - \lambda_{n}) \cos \beta_{n} \cos \beta_{n} ,$$

$$g_{m} = \sin(\lambda_{m} - \lambda_{n}) \cos \beta_{n} \cos \beta_{n} ,$$

$$g_{m} = \sin(\lambda_{m} - \lambda_{n}) \cos \beta_{n} \cos \beta_{n} ,$$

$$g_{m} = \sin(\lambda_{m} - \lambda_{n}) \cos \beta_{n} \cos \beta_{n} ,$$

$$g_{m} = \sin(\lambda_{m} - \lambda_{n}) \cos \beta_{n} \cos \beta_{n} ,$$

$$g_{m} = \sin(\lambda_{m} - \lambda_{n}) \cos \beta_{n} \cos \beta_{n} ,$$

$$g_{m} = \sin(\lambda_{m} - \lambda_{n}) \cos \beta_{n} \cos \beta_{n} ,$$

$$g_{m} = \sin(\lambda_{m} - \lambda_{n}) \cos \beta_{n} \cos \beta_{n} ,$$

$$g_{m} = \sin(\lambda_{m} - \lambda_{n}) \cos \beta_{n} \cos \beta_{n} ,$$

$$g_{m} = \sin(\lambda_{m} - \lambda_{n}) \cos \beta_{n} \cos \beta_{n} ,$$

$$g_{m} = \sin(\lambda_{m} - \lambda_{n}) \cos \beta_{n} \cos \beta_{n} ,$$

$$g_{m} = \sin(\lambda_{m} - \lambda_{n}) \cos \beta_{n} \cos \beta_{n} ,$$

$$g_{m} = \sin(\lambda_{m} - \lambda_{n}) \cos \beta_{n} \cos \beta_{n} ,$$

$$g_{m} = \sin(\lambda_{m} - \lambda_{n}) \cos \beta_{n} \cos \beta_{n} ,$$

so wird:

$$A_{n} = R, f, \sin(G_{n} + L_{n}) - g, R, B, \arctan''$$

$$-B_{n} = R_{n} f, \sin(G_{n} + L_{n}) - g, R_{n} B_{n} \arctan''$$

$$C_{n} = R_{m} f, \sin(G_{n} + L_{m}) - g, R_{m} B_{m} \arctan''$$

$$A_{n} = R, f_{n} \sin(G_{n} + L_{n}) - g_{n} R, B, \arctan''$$

$$-B_{n} = R_{n} f_{n} \sin(G_{n} + L_{n}) - g_{n} R_{n} B_{n} \arctan''$$

$$C_{n} = R_{m} f_{n} \sin(G_{n} + L_{m}) - g_{n} R_{m} B_{m} \arctan''$$

$$A_{m} = R, f_{m} \sin(G_{m} + L_{n}) - g_{m} R, B, \arctan''$$

$$-B_{m} = R_{n} f_{m} \sin(G_{m} + L_{n}) - g_{m} R_{n} B_{n} \arctan''$$

$$C_{m} = R_{m} f_{m} \sin(G_{m} + L_{m}) - g_{m} R_{m} B_{m} \arctan''$$

$$G_{m} = R_{m} f_{m} \sin(G_{m} + L_{m}) - g_{m} R_{m} B_{m} \arctan''$$

Die Richtigkeit dieser Resultate wird sich in der folgenden Weise verificiren lassen: setzt man z. B. in der ersten Gleichung in 4):

$$\lambda_{m}$$
— $L_{i} = \{\frac{1}{2}(\lambda_{m} + \lambda_{i}) - L_{i}\} + \frac{1}{2}(\lambda_{m} - \lambda_{i})$
 λ_{i} — $L_{i} = \{\frac{1}{2}(\lambda_{m} + \lambda_{i}) - L_{i}\} - \frac{1}{2}(\lambda_{m} - \lambda_{i})$

so wird:

$$A_{m}: R_{r} = \sin \beta_{r} \cos \beta_{m} \sin \left\{ \frac{1}{2} (\lambda_{m} + \lambda_{r}) - L_{r} \right\} \cos \frac{1}{2} (\lambda_{m} - \lambda_{r}) + \\ + \sin \beta_{r} \cos \beta_{m} \cos \left\{ \frac{1}{2} (\lambda_{m} + \lambda_{r}) - L_{r} \right\} \sin \frac{1}{2} (\lambda_{m} - \lambda_{r}) - \\ - \cos \beta_{r} \sin \beta_{m} \sin \left\{ \frac{1}{2} (\lambda_{m} + \lambda_{r}) - L_{r} \right\} \cos \frac{1}{2} (\lambda_{m} - \lambda_{r}) + \\ + \cos \beta_{r} \sin \beta_{m} \cos \left\{ \frac{1}{2} (\lambda_{m} + \lambda_{r}) - L_{r} \right\} \sin \frac{1}{2} (\lambda_{m} - \lambda_{r}) - \\ - g_{n} B_{r} \operatorname{arc} i^{n},$$

oder:

$$A_{n}: R_{n} = \cos \left\{ \frac{1}{2} (\lambda_{nn} + \lambda_{n}) - L_{n} \right\} \sin \left\{ \frac{1}{2} (\lambda_{nn} - \lambda_{n}) \sin (\beta_{nn} + \beta_{n}) - \sin \left\{ \frac{1}{2} (\lambda_{nn} + \lambda_{n}) - L_{n} \right\} \cos \left\{ \frac{1}{2} (\lambda_{nn} - \lambda_{n}) \sin (\beta_{nn} - \beta_{n}) - g_{n} B_{n} \operatorname{arc} \mathbf{1}^{n},$$

und mit Rücksicht auf 8b):

$$A_n: R_i = f_n \sin \{F_n - \frac{1}{2}(\lambda_m + \lambda_i) + L_i\} - g_n B_i \text{ arc } 1^n$$

woraus der in den Gleichungen 9b) gegebene Ausdruck für A, unmittelbar resultirt; die übrigen in 9a), 9b) und 9c) auftretenden Coëfficienten können in ganz ähnlicher Weise erhalten werden.

Die Anwendung der Formeln 8) bedarf in Folge der Einführung der halben Winkel einiger Vorsicht, um die Resultate mit dem richtigen Vorzeichen zu erhalten; die vorgenommene Abtrennung zeigt, dass man bei der Bildung der halben Winkel sich stets zu vergegenwärtigen habe, es müsse den Relationen:

$$\frac{1}{2}(\lambda_{m}-\lambda_{n}) + \frac{1}{2}(\lambda_{m}+\lambda_{n}) = \lambda_{m}$$

$$\frac{1}{2}(\lambda_{m}-\lambda_{r}) + \frac{1}{2}(\lambda_{m}+\lambda_{r}) = \lambda_{m}$$

$$\frac{1}{4}(\lambda_{m}-\lambda_{r}) + \frac{1}{4}(\lambda_{m}+\lambda_{r}) = \lambda_{n},$$

genügt werden; diese Bedingungen werden immer erfüllt sein, wenn man:

$$G_{n} = F_{n} - \{\lambda_{n} + \frac{1}{2}(\lambda_{m} - \lambda_{n})\}$$

$$G_{n} = F_{n} - \{\lambda_{n} + \frac{1}{2}(\lambda_{m} - \lambda_{n})\}$$

$$G_{m} = F_{m} - \{\lambda_{n} + \frac{1}{4}(\lambda_{m} - \lambda_{n})\},$$

setzt und hierbei für die Bogen $\frac{1}{4}(\lambda_m - \lambda_n)$, $\frac{1}{4}(\lambda_m - \lambda_n)$ und $\frac{1}{4}(\lambda_n - \lambda_n)$ jene Werthe benützt, welche man der Berechnung von F_i , F_i und F_m zu Grunde gelegt hat.

Entwickelt man die geocentrischen Längen und Breiten in nach Potenzen von z geordnete Reihen, so werden sich die folgenden Ausdrücke aufstellen lassen:

$$\lambda = \lambda_{n} + \frac{d\lambda_{n}}{d\tau} \tau + \frac{d^{2}\lambda_{n}}{d\tau^{2}} \frac{\tau^{2}}{1 \cdot 2} + \cdots$$

$$\beta = \beta_{n} + \frac{d\beta_{n}}{d\tau} \tau + \frac{d^{2}\beta_{n}}{d\tau^{2}} \frac{\tau^{2}}{1 \cdot 2} + \cdots;$$

$$\} \quad 10)$$

es sind also die in den Gleichungen 8a), 8b) und 8c) (pag. 354) auftretenden Differenzen der Bogen, somit auch ihre Sinus erster Ordnung, während die Cosinus dieser Bogendifferenzen bis auf Grössen zweiter Ordnung der Einheit gleichgesetzt werden können, und demgemäss werden f_i , f_n und f_m , daher auch die Coëfficienten A_i , A_n , A_m , B_i , B_n , B_m und C_i , C_n , C_m als Grössen erster Ordnung angesehen werden müssen.

Die Ordnung des Coëfficienten K kann in folgender Weise ermittelt werden: denkt man sich durch den ersten und dritten geocentrischen Ort einen grössten Kreis gelegt, dessen aufsteigender Knoten in der Ekliptik durch H, dessen Neigung durch J bezeichnet werden soll und setzt in dem Ausdrucke für K (vergl. Gleichung 1) pag. 352):

$$\lambda_{m} - \lambda_{n} = (\lambda_{m} - \Pi) - (\lambda_{n} - \Pi)$$

$$\lambda_{m} - \lambda_{n} = (\lambda_{m} - \Pi) - (\lambda_{n} - \Pi)$$

$$\lambda_{n} - \lambda_{n} = (\lambda_{n} - \Pi) - (\lambda_{n} - \Pi)$$

so wird:

$$K = -\sin\beta, \cos\beta, \cos\beta, \cos\beta, \sin(\lambda_{m} - \Pi) \cos(\lambda_{m} - \Pi) + + \sin\beta, \cos\beta, \cos\beta, \cos(\lambda_{m} - \Pi) \sin(\lambda_{m} - \Pi) + + \cos\beta, \sin\beta, \cos\beta, \sin(\lambda_{m} - \Pi) \cos(\lambda_{m} - \Pi) - - \cos\beta, \sin\beta, \cos\beta, \cos(\lambda_{m} - \Pi) \sin(\lambda_{m} - \Pi) - - \cos\beta, \cos\beta, \sin\beta, \sin(\lambda_{m} - \Pi) \cos(\lambda_{m} - \Pi) + + \cos\beta, \cos\beta, \sin\beta, \cos(\lambda_{m} - \Pi) \sin(\lambda_{m} - \Pi);$$

und es bestehen, wenn man mit u, und u_m die sphärischen Abstände des ersten und dritten Ortes von Π bezeichnet, gemäss der Bestimmung von Π und J:

$$\begin{array}{ll} \operatorname{tang} J \sin(\lambda, - \Pi) &= \operatorname{tang} \beta, \\ \operatorname{tang} J \cos(\lambda, - \Pi) &= \frac{\operatorname{tang} \beta_{m} - \cos(\lambda_{m} - \lambda_{s}) \operatorname{tang} \beta_{s}}{\sin(\lambda_{m} - \lambda_{s})}, \end{array} \right\} \quad \text{12})$$

die Relationen:

$$\cos(\lambda, -\boldsymbol{\Pi})\cos\beta, = \cos u, , \cos(\lambda_m - \boldsymbol{\Pi})\cos\beta_m = \cos u_m
\sin(\lambda, -\boldsymbol{\Pi})\cos\beta, = \sin u, \cos J , \sin(\lambda_m - \boldsymbol{\Pi})\cos\beta_m = \sin u_m \cos J
\sin\beta, = \sin u, \sin J , \sin\beta_m = \sin u_m \sin J,$$
13)

deren Substitution in 11):

$$K = \sin(u_{n} - u_{m}) \{\cos \beta_{n} \sin(\lambda_{n} - \Pi) \sin J - \sin \beta_{n} \cos J\},\,$$

ergibt; setzt man für den letzteren Klammerausdruck, welcher (vergl. die geometrische Deutung der Symbole \mathscr{U} , und \mathscr{U}_m pag. 276) der Sinus des Perpendikels vom zweiten Orte auf den durch die äusseren Beobachtungen gelegten grössten Kreis ist, die Grösse sin p_n , so wird:

$$K = \sin(u_n - u_m) \sin p_m.$$
 14)

Die aus dem sphärischen Dreiecke zwischen dem ersten und dritten Ort und dem Pole der Ekliptik folgende Gleichung:

$$\cos(u_1 - u_{m}) = \cos\beta_1 \cos\beta_2 \cos(\lambda_1 - \lambda_m) + \sin\beta_2 \sin\beta_m$$

und die hieraus sich ergebende Relation:

$$\sin \frac{1}{4}(u,-u_m)^2 = \cos \beta, \cos \beta_m \sin \frac{1}{4}(\lambda,-\lambda_m)^2 + \sin \frac{1}{4}(\beta_m-\beta_n)^2,$$

liefern bei der numerischen Ausführung eine gute Controle für u,— u,, welcher Bogen der sphärische Abstand der beiden äusseren Orte und daher erster Ordnung ist. Da die Bewegung eines Himmelskörpers, so lange man nur auf die ersten Potenzen der Zeit Rücksicht nimmt, im grössten Kreise stattfindet (vergl. Gleichung 10) pag. 355), so ist p, nothwendig von der zweiten Ordnung in Bezug auf die Zwischenzeiten, somit der Factor K der geocentrischen Distanz dritter Ordnung; da aber die verschiedenen A-, B- und C-Coëfficienten erster Ordnung sind, so müssen in den Verhältnissen der Dreiecksflächen, die mit denselben multiplicirt erscheinen, mindestens die Glieder zweiter Ordnung mitgenommen werden, um die geocentrischen Distanzen auf Grössen erster Ordnung richtig zu erhalten. Die Ersetzung der Verhältnisse der Dreiecksflächen durch die Verhältnisse der Zwischenzeiten allein bietet daher keine ausreichende Annäherung, weshalb mindestens jene Glieder berücksichtigt werden müssen, welche die negativen dritten Potenzen der Radienvectoren enthalten. Die Bestimmung der geocentrischen Distanzen aus den Gleichungen 3), 5) und 7) (pag. 352, 353) führt sonach, da die Radienvectoren selbst Functionen von ϱ_{ℓ} , ϱ_{ℓ} und $\varrho_{\ell\prime\prime}$ sind (vergl. pag. 291), auf höhere Gleichungen. Die Form dieser letzteren wird eine verschiedene, je nachdem man für die Substitution der Verhältnisse der Dreiecksflächen von den Gleichungen 19) (pag. 99) oder 22) (pag. 100) Gebrauch macht; im ersten Falle hat man die Gleichung 5) (pag. 353) heranzuziehen und erhält aus dieser Verbindung die von Gauss in Vorschlag gebrachte Lösung; bei Benützung der Gleichungen 22) (pag. 100), in welchen die Glieder zweiter und dritter Ordnung Functionen von r, und r,, werden, hat man dieselben mit 3) und 7) (pag. 352, 353) zu verbinden, um zur Kenntnis von *q*, und *q*, zu gelangen. Diese in dem vorliegenden Werke in Vorschlag gebrachte Lösungsart erscheint wohl von vornherein etwas complicirter, bietet aber nicht nur den Vortheil, dass man die Annäherung um eine Ordnung weiter treiben kann, sondern gewährt auch in jenen Fällen, in welchen man die Glieder dritter Ordnung fortlässt, durchschnittlich eine stärkere Convergenz als das Gauss'sche Verfahren, ohne eine grössere Rechnungsarbeit zu veranlassen. Jene Methode wird daher in dem vorliegenden Werke ausführlich behandelt, die Gauss'sche Lösung aber nur andeutungsweise vorgenommen werden.

Wollte man die Gleichungen 3), 5) und 7) gleichzeitig in Rechnung ziehen, so könnte man sogar zu einem Verfahren gelangen, welches schon in der ersten Annäherung die Glieder vierter Ordnung berücksichtigen würde; die bedeutende Convergenz der oben erwähnten Methoden lässt es jedoch vortheilhaft erscheinen, sich auf die Mitnahme der Glieder dritter Ordnung zu beschränken.

Die Gauss'sche Lösung des Problems gestaltet sich in der folgenden Weise: Die Verbindung der Gleichungen 19 (pag. 99) und 5 (pag. 353) ergibt sofort:

$$\varrho_n = k + \frac{l}{r_n^3} \,, \qquad \qquad . \qquad \qquad . \qquad \qquad .$$

in welcher Gleichung abkürzend:

$$k = \frac{A_{n}}{K} \frac{\tau_{n}}{\tau_{n}} + \frac{B_{n}}{K} + \frac{C_{n}}{K} \frac{\tau_{m}}{\tau_{n}}$$

$$l = \frac{1}{8} \left\{ A_{n} \frac{\tau_{n}}{\tau_{n}} (\tau_{n}^{2} - \tau_{n}^{2}) + \frac{C_{n}}{K} \frac{\tau_{m}}{\tau_{n}} (\tau_{n}^{2} - \tau_{m}^{2}) \right\}$$
15b)

gesetzt wurde. Bezeichnet man in dem zur Zeit der mittleren Beobachtung zwischen den Orten der Sonne, der Erde und des Himmelskörpers bestehenden ebenen Dreiecke den Winkel am Himmelskörper mit z, an der Erde mit ψ_n , so ist:

$$\varrho_{n} = \frac{R_{n} \sin (\psi_{n} + z)}{\sin z}
r_{n} = \frac{R_{n} \sin \psi_{n}}{\sin z}.$$

Die Einführung dieser Relationen in 15a) ergibt:

$$R_n \sin \psi_n \cos z + (R_n \cos \psi_n - k) \sin z = \frac{l}{R_n^3 \sin \psi_n^3} \sin z^4,$$

oder auch, indem man:

$$\Omega \sin \omega = R_n \sin \psi_n$$

$$\Omega \cos \omega = R_n \cos \psi_n - k$$

$$M = \frac{l}{\Omega R_n^3 \sin \psi_n^3},$$

setzt:

$$M\sin z^4 = \sin(z + \omega), \qquad 18$$

welche Gleichung übrigens nur scheinbar transcendent ist, da dieselbe leicht auf eine Gleichung achten Grades reducirt werden kann, deren Unbekannte sin z ist. Hat man sin z nach 18) durch Versuche bestimmt, so führt die Benützung der Gleichungen 16) zur Kenntnis von ϱ_n und r_n ; mit Hilfe von r_n berechnet man nach Gleichung 19) (pag. 199) die Verhältnisse der Dreiecksflächen $\frac{[r_n r_m]}{[r, r_m]}$ und $\frac{[r_n r_n]}{[r, r_m]}$, welche in den Gleichungen 3) und 7) (pag. 352, 353) substituirt, ϱ_n und ϱ_m finden lassen,

woraus man die heliocentrischen Orte und die Elemente ableitet, welch letztere theoretisch bis auf Grössen erster Ordnung richtig sein werden.

Zur Lösung des Problems nach der von mir in Vorschlag gebrachten Methode sollen zuerst die Gleichungen 3) (pag. 352) und 7) (pag. 353) in der Gestalt:

$$\varrho_{r} = \frac{A_{r}}{K} + \frac{[r_{r}r_{m}]}{[r_{r}r_{m}]} \frac{B_{t}}{K} + \frac{[r_{r}r_{m}]}{[r_{m}r_{m}]} \frac{C_{r}}{K}
\varrho_{m} = \frac{[r_{n}r_{m}]}{[r_{r}r_{n}]} \frac{A_{m}}{K} + \frac{[r_{r}r_{m}]}{[r_{r}r_{m}]} \frac{B_{m}}{K} + \frac{C_{m}}{K},$$
19)

in Betracht gezogen werden. Ersetzt man die in denselben auftretenden Verhältnisse der Dreiecksflächen nach den Ausdrücken 25) (pag. 101) und führt abkürzend ein:

$$I_{r} = \frac{A_{r}}{K} + \frac{B_{r}}{K} \frac{\tau_{n}}{\tau_{r}} + \frac{C_{r}}{K} \frac{\tau_{m}}{\tau_{r}}$$

$$I_{m} = \frac{A_{m}}{K} \frac{\tau_{r}}{\tau_{m}} + \frac{B_{m}}{K} \frac{\tau_{m}}{\tau_{m}} + \frac{C_{m}}{K}$$

$$\{II\}_{r} = \frac{B_{r}}{K} \frac{\tau_{n}}{\tau_{r}} \Psi_{r}'' + \frac{C_{r}}{K} \frac{\tau_{m}}{\tau_{r}} \Psi_{r}''$$

$$\{II\}_{m} = \frac{A_{m}}{K} \frac{\tau_{r}}{\tau_{m}} \Psi_{m}' + \frac{B_{m}}{K} \frac{\tau_{m}}{\tau_{m}} \Psi_{m}'',$$

so wird:

$$\varrho_{r} = I_{r} + \{II\}_{r} x$$
 $\varrho_{m} = I_{m} + \{II\}_{m} x$

in welchen Gleichungen [vergl. 24] pag. 101] x den Werth $(r, + r_m)^{-3}$ darstellt; die Symbole I sind völlig bekannte Grössen, während für die von den Ψ -Functionen abhängigen Symbole $\{II\}$ vor Ermittlung der Elemente nur Näherungswerthe nach der Gleichung 23) (pag. 100) substituirt werden können; die Mitnahme der ersten Glieder der letzten Ausdrücke reicht, wie dies oben (pag. 356) gezeigt wurde, aus, doch gestattet die hier gewählte Form der Lösung auch noch die zweiten Glieder in Rechnung zu ziehen. Setzt man:

$$y = \frac{r_{m} - r_{r}}{r_{m} + r}, \qquad 22)$$

so wird nach 23) (pag. 100), wenn man mit den verschiedenen unten auftretenden Gamma-Symbolen die vor Ermittlung der Elemente nicht näher bekannten Glieder vierter Ordnung darstellt:

$$\begin{split} \Psi''_{,\,\,} &= -\frac{4}{3} \left(\tau_{n}^{\,2} - \tau_{r}^{\,2} \right) - 4 \frac{\tau_{m} \tau_{r}^{\,2}}{\tau_{n}} y + \gamma''_{,\,\,} \\ \Psi'''_{,\,\,} &= -\frac{4}{3} \left(\tau_{m}^{\,2} - \tau_{r}^{\,2} \right) - 4 \tau_{r} \tau_{m} y + \gamma''_{,\,\,} \\ \Psi'''_{m'} &= -\frac{4}{3} \left(\tau_{r}^{\,2} - \tau_{m}^{\,2} \right) + 4 \tau_{r} \tau_{m} y + \gamma_{m'} \\ \Psi'''_{m''} &= -\frac{4}{3} \left(\tau_{n}^{\,2} - \tau_{m}^{\,2} \right) + 4 \frac{\tau_{r} \tau_{m}^{\,2}}{\tau_{n}} y + \gamma_{m''}; \end{split}$$

die weiteren Abkürzungen:

$$\mu_{i}'' = -\frac{1}{3} (\tau_{n}^{2} - \tau_{i}^{2}) , \quad H_{i} = \left(\frac{B_{i}}{K} \frac{\tau_{n}}{\tau_{i}}\right) \mu_{i}'' + \left(\frac{C_{i}}{K} \frac{\tau_{m}}{\tau_{i}}\right) \mu_{i}'''$$

$$\mu_{i}''' = -\frac{1}{3} (\tau_{m}^{2} - \tau_{i}^{2}) , \quad III_{i} = -4 \left\{\frac{B_{i}}{K} \tau_{i} \tau_{m} + \frac{C_{i}}{K} \tau_{m}^{2}\right\}$$

$$\mu_{m}' = -\frac{1}{3} (\tau_{i}^{2} - \tau_{m}^{2}) , \quad H_{m} = \left(\frac{A_{m}}{K} \frac{\tau_{i}}{\tau_{m}}\right) \mu_{m}'' + \left(\frac{B_{m}}{K} \frac{\tau_{n}}{\tau_{m}}\right) \mu_{m}''$$

$$24J$$

$$\mu_{m}" = -\frac{1}{3} \left(\tau_{n}^{2} - \tau_{m}^{2} \right) , \quad III_{m} = +4 \left\{ \frac{A_{m}}{K} \tau_{r}^{2} + \frac{B_{m}}{K} \tau_{r} \tau_{r} \right\}$$

$$\Gamma_{r} = \left(\frac{B_{r}}{K} \frac{\tau_{r}}{\tau_{r}} \right) \gamma_{r}" + \left(\frac{C_{r}}{K} \frac{\tau_{m}}{\tau_{r}} \right) \gamma_{r}"$$

$$\Gamma_{m} = \left(\frac{A_{m}}{K} \frac{\tau_{r}}{\tau_{m}} \right) \gamma_{m}" + \left(\frac{B_{m}}{K} \frac{\tau_{m}}{\tau_{m}} \right) \gamma_{m}",$$

von welchen die beiden letzten die vor Ermittlung der Elemente unbekannten Grössen zweiter Ordnung darstellen, während die übrigen als durch die Zwischenzeiten bekannt angesehen werden können, geben den Gleichungen zur Berechnung der Symbole {II} die Form:

$$\{II\}, = II, + III, y + \Gamma,
\{II\}_m = II_m + III_m y + \Gamma_m.$$

Ist die Rechnung in der ersten Näherung durchgeführt, so wird dieselbe für η , d. h. für die Verhältnisse der Sectoren zu den Dreiecksflächen Näherungen ergeben, welche mit Benützung der Formel 27) (pag. 101) eine Bestimmung der γ -Grössen gestatten; es wird nämlich sein:

$$\gamma'' = \frac{(\eta_{n} - 1) - (\eta_{n} - 1)}{\eta_{n}x} - \mu'' + 4 \frac{\tau_{m} \tau_{n}^{2}}{\tau_{n}} y
\gamma''' = \frac{(\eta_{n} - 1) - (\eta_{m} - 1)}{\eta_{m}x} - \mu''' + 4 \tau_{n} \tau_{m} y
\gamma''' = \frac{(\eta_{m} - 1) - (\eta_{n} - 1)}{\eta_{n}x} - \mu''_{m} - 4 \tau_{n} \tau_{m} y
\gamma'''' = \frac{(\eta_{m} - 1) - (\eta_{n} - 1)}{\eta_{n}x} - \mu'''_{m} - 4 \frac{\tau_{n} \tau_{m}^{2}}{\tau_{n}} y.$$
26)

Die eben durchgeführten Entwicklungen zeigen, dass man in den Gleichungen 21) (pag. 358) die Symbole {II} als mindestens näherungsweise bekannt voraussetzen darf; da aber in diesen Gleichungen:

$$x = (r, + r_m)^{-3},$$
 27)

ist, während ϱ , und ϱ_m ebenfalls bekannte Functionen von r, und r_m sind (vergl. pag. 291), so wird der diesen Gleichungen entsprechende Werth von x in jedem speciellen Falle durch zweckmässig geleitete Versuche gefunden werden können, welche eine kleine, im folgenden Kapitel zu erörternde Hilfstafel wesentlich erleichtern wird.

Indem in Bezug auf die Darstellung von r, und r_m als Functionen von ϱ , und ϱ_m auf die früheren Entwicklungen (vergl. pag. 291) verwiesen wird, sollen hier nur jene Abänderungen in das Problem eingeführt werden, die aus der eventuellen Einführung der Sonnenbreiten entstehen. Es ist nämlich:

$$r^2 = x^2 + y^2 + z^2 = (\xi - X)^2 + (\eta - Y)^2 + (\zeta - Z)^2$$

daher, wenn man die zweiten Potenzen der Sonnenbreiten fortlässt:

$$r^{2} = \varrho^{2} + R^{2} - 2(\xi X + \eta Y + \zeta Z) = \varrho^{2} + R^{2} - 2\varrho R \cos \beta \cos (\lambda - L) - 2\varrho R \sin \beta B \operatorname{arc} 1'';$$
setzt man also:
$$\cos \psi = \cos \beta \cos (\lambda - L) + \sin \beta B \operatorname{arc} 1''$$

$$\cos \psi = \cos \beta \cos (\lambda - L) + \sin \beta B \arctan''$$

$$\sin \psi \cos P = \cos \beta \sin (\lambda - L)$$

$$\sin \psi \sin P = \sin \beta - \cos \beta \cos (\lambda - L) B \arctan'',$$
28)

so wird:

sofort:

$$r^2 = \rho^2 + R^2 - 2\rho R\cos\psi,$$

und man erhält, unter der Annahme:

$$N = R \cos \psi, \quad D = R \sin \psi, \quad \tan \theta = \frac{\varrho - N}{D},$$
 $r = (\varrho - N) \csc \theta = D \sec \theta.$

Bezeichnet man in dem Dreiecke: Sonnenmittelpunkt — Himmelskörper — Beobachtungsort, den Winkel am Himmelskörper mit z, so wird:

$$\varrho = \frac{r\sin(z + \psi)}{\sin\psi}, \qquad R = \frac{r\sin z}{\sin\psi}; \qquad \qquad 29)$$

man wird, wenn man die Winkel z und θ vergleicht, leicht bemerken, dass:

$$r\sin z = R\sin\psi = r\cos\theta$$

$$r\cos z = \varrho - R\cos\psi = r\sin\theta,$$

$$z_{ij} = 90^{\circ} - \theta_{ij}, \qquad z_{ij} = 90^{\circ} - \theta_{ij}, \qquad 30$$

somit:

ist.

Wendet man die vorstehend entwickelten Formeln auf den ersten und dritten Ort an, so wird mit Rücksicht darauf, dass in jenen Fällen, in welchen man die Sonnenbreiten in Rechnung zieht, β so klein ist $(\beta < 1^{\circ})$, dass ohne wesentlichen Nachtheil das Product dieses Bogens in die Sonnenbreite übergangen werden darf, zu rechnen sein:

$$\cos\psi_{\prime} = \cos\beta_{\prime}\cos\left(\lambda_{\prime} - L_{\prime}\right) \qquad , \qquad \cos\psi_{\prime\prime\prime} = \cos\beta_{\prime\prime\prime}\cos\left(\lambda_{\prime\prime\prime\prime} - L_{\prime\prime\prime\prime}\right) \\ \sin\psi_{\prime}\cos P_{\prime\prime} = \cos\beta_{\prime\prime}\sin\left(\lambda_{\prime\prime\prime} - L_{\prime\prime\prime}\right) \qquad , \qquad \sin\psi_{\prime\prime\prime}\cos P_{\prime\prime\prime} = \cos\beta_{\prime\prime\prime}\sin\left(\lambda_{\prime\prime\prime\prime} - L_{\prime\prime\prime\prime}\right) \\ \sin\psi_{\prime}\sin P_{\prime\prime} = \sin\beta_{\prime\prime} - \cos\psi_{\prime\prime}B_{\prime\prime\prime} = in \psi_{\prime\prime\prime}\sin P_{\prime\prime\prime} = \sin\beta_{\prime\prime\prime\prime} - \cos\psi_{\prime\prime\prime}B_{\prime\prime\prime\prime} = in \psi_{\prime\prime\prime}\sin P_{\prime\prime\prime\prime} = in \psi_{\prime\prime\prime}\sin P_{\prime\prime\prime} = in \psi_{\prime\prime}\sin P_{\prime\prime\prime} = in \psi_{\prime\prime\prime}\sin P_{\prime\prime\prime} = in \psi_{\prime\prime\prime}\sin P_{\prime\prime\prime} = in \psi_{\prime\prime\prime}\sin P_{\prime\prime\prime} = in \psi_{\prime\prime\prime}\sin P_{\prime\prime\prime} = in \psi_{\prime\prime}\sin P_{\prime\prime} = in \psi_{\prime\prime\prime}\sin P_{\prime\prime\prime} = in \psi_{\prime\prime}\sin P_{\prime\prime\prime} = in \psi_{\prime\prime}\sin P_{\prime\prime\prime} = in \psi_{\prime\prime\prime}\sin P_{\prime\prime\prime} = in \psi_{\prime\prime}\sin P_{\prime\prime\prime} = in \psi_{\prime\prime}\sin P_{\prime\prime} = in \psi_{\prime\prime}\sin P_{\prime\prime\prime} = in \psi_{\prime\prime}\sin P_{\prime\prime} = in \psi_{\prime\prime}\sin P_{\prime\prime}\sin P_{\prime\prime} = in \psi_{\prime\prime}\sin P_{\prime\prime} = in \psi_{\prime\prime$$

Über die Art und Weise, die versuchsweise Auflösung der Gleichungen 21) bequem zu gestalten, wird das zweitfolgende Kapitel die ausführliche Anleitung enthalten.

2. Über die mehrfachen Lösungen des Problems.

Man kann der Gleichung 15a) (pag. 357) durch theoretisch zu rechtfertigende Vernachlässigungen eine einfachere Gestalt ertheilen, welche dieselbe besonders für die Untersuchung der mehrfachen Lösungen des Problems geeignet macht und überdies die Hilfsmittel an die Hand gibt, die im vorangehenden Kapitel aufgeführte versuchsweise Lösung der Gleichungen 21) (pag. 358) zu erleichtern; es wird sich hierbei auch Gelegenheit bieten, jene Fälle aufzuweisen, in welchen drei vollständige Beobachtungen zur Ermittlung der Bahnelemente nicht ausreichen. Da es bei solchen Untersuchungen aber nicht auf die äusserste Genauigkeit ankommt, so sollen in diesem Kapitel die Sonnenbreiten durchaus der Null gleichgesetzt ge-

dacht werden, weshalb mit Rücksicht auf die Gleichungen 8) und 9) (pag. 276) geschrieben werden kann:

$$\frac{[R_{n} R_{m}]}{[R_{n} R_{m}]} A_{n} + B_{n} + \frac{[R_{n} R_{m}]}{[R_{n} R_{m}]} C_{n} = 0.$$

Subtrahirt man diesen Nullwerth von der Gleichung 5) (pag. 353), so wird:

$$K\varrho_{n} = \left\{ \frac{[r_{n}r_{m}]}{[r_{r}r_{m}]} - \frac{[R_{n}R_{m}]}{[R_{r}R_{m}]} \right\} A_{n} + \left\{ \frac{[r_{r}r_{n}]}{[r_{r}r_{m}]} - \frac{[R_{r}R_{n}]}{[R_{r}R_{m}]} \right\} C_{n},$$

macht man von den oben [vergl. 19] pag. 99] gegebenen Reihenentwicklungen Gebrauch, indem man dieselben gleichmässig auf die Bahn des Himmelskörpers und der Erde anwendet und bleibt bei den Gliedern zweiter Ordnung stehen, so findet sich:

 $K\varrho_{"} = \left\{ \frac{\tau_{"}(\tau_{"}^{2} - \tau_{"}^{2})}{6\,\tau_{"}} A_{"} + \frac{\tau_{"}(\tau_{"}^{2} - \tau_{"}^{2})}{6\,\tau_{"}} C_{"} \right\} \left\{ \frac{1}{\tau_{"}^{3}} - \frac{1}{R_{"}^{3}} \right\}.$

Die Grössen A_n , B_n und C_n können aber [vergl. 9b) pag. 354] ebenfalls nach Potenzen der Zeit entwickelt werden, so dass etwa:

$$A_{\prime\prime} = -B_{\prime\prime} - \alpha \tau_{\prime\prime\prime} + \alpha' \tau_{\prime\prime\prime}^2 + \cdots$$

$$C_{\prime\prime} = -B_{\prime\prime} + \alpha \tau_{\prime\prime} + \alpha' \tau_{\prime\prime}^2 + \cdots$$

geschrieben werden kann; lässt man die Glieder dritter Ordnung weg, so findet sich leicht:

 $K\varrho_{n} = \frac{\tau_{n}\tau_{n}}{2}B_{n}\left\{\frac{1}{R_{n}^{3}} - \frac{1}{r_{n}^{3}}\right\}.$ 1)

Die geometrische Deutung der Grösse K ist oben [Gleichung 14] pag. 356] gegeben worden; jene für B_n lässt sich ebenfalls ohne Schwierigkeit auffinden. Geht man auf die in den Gleichungen 4) (pag. 353) enthaltene Bedeutung des Symbols B_n zurück und setzt:

$$\lambda_{m} - L_{n} = (\lambda_{m} - \Pi) - (L_{n} - \Pi)$$

 $\lambda_{n} - L_{n} = (\lambda_{n} - \Pi) - (L_{n} - \Pi)$

so findet sich:

$$-\frac{B_{n}}{R_{n}}=\sin\beta\cos\beta_{m}\sin(\lambda_{m}-H)\cos(L_{n}-H)-\sin\beta\cos\beta_{m}\cos(\lambda_{m}-H)\sin(L_{n}-H)-\cos\beta\sin\beta_{m}\sin(\lambda_{m}-H)\cos(L_{n}-H)+\cos\beta\sin\beta_{m}\cos(\lambda_{m}-H)\sin(L_{n}-H)$$

und mit Rücksicht auf die Gleichungen 13) (pag. 356):

$$\frac{B_{"}}{R_{"}}=\sin J\sin (L_{"}-II)\sin (u_{"}-u_{"}).$$

Bezeichnet man mit P_n das sphärische Perpendikel, welches von dem mittleren Sonnenorte auf den durch die beiden äusseren geocentrischen Orte des Himmelskörpers gelegten grössten Kreis gefällt wird, so ist — die Sonnenbreiten der Null gleich gesetzt —:

$$\sin P_{"}=\sin J\sin (L_{"}-II),$$

und man hat sonach:

$$B_n = R_n \sin P_n \sin (u_n - u_m). \tag{2}$$

Führt man nun in 1) für B_n die eben erhaltene, für K die durch die Gleichung 14) (pag. 356) bestimmte Relation ein, so ergibt sich die Gleichung:

$$\frac{\varrho_{\prime\prime}}{R_{\prime\prime}} = \frac{\tau_{\prime}\tau_{\prime\prime\prime}}{2} \cdot \frac{\sin P_{\prime\prime}}{\sin p_{\prime\prime}} \left\{ \frac{1}{R_{\prime\prime}^3} - \frac{1}{r_{\prime\prime}^3} \right\}, \tag{3}$$

welche den berühmten Lambert'schen Satz über die Krümmung der geocentrischen Bahn eines Himmelskörpers darstellt; es sind nämlich die Grössen $\varrho_{"}$, $R_{"}$, $\tau_{"}$, und $\tau_{"}$ der Natur nach positiv, weshalb die Factoren:

$$\frac{\sin P_{"}}{\sin p_{"}}$$
 und $\frac{1}{R_{"}^3} - \frac{1}{r_{"}^3}$,

stets das gleiche Vorzeichen haben müssen. Der letztere Factor wird negativ, sobald $R_n > r_n$, dagegen positiv, wenn $R_n < r_n$, es muss daher:

 $\sin P_n$ mit $\sin p_n$ ungleich bezeichnet sein, wenn $R_n > r_n$, $\sin P_n$ mit $\sin p_n$ gleich bezeichnet sein, wenn $R_n < r_n$ ist.

Denkt man sich den durch die äusseren Beobachtungen gelegten grössten Kreis die Himmelskugel in zwei Hemisphären zerfällend, so liegen, da die Perpendikel P_n und p_n polare Coordinaten darstellen, die in Bezug auf diesen grössten Kreis analog wie die Breiten in Bezug auf die Ekliptik gezählt werden, im ersten Falle der mittlere Ort des Himmelskörpers und der zugehörige Sonnenort in verschiedenen, im zweiten Falle aber in denselben Hemisphären; im ersten Falle $(R_n > r_n)$ ist daher das Bahnstück gegen den Sonnenort nothwendig concav, im zweiten $(R_n < r_n)$ convex, womit der Lambert'sche Satz über die Krümmung der geocentrischen Bahn nach der Gleichung 3) erwiesen erscheint.

Setzt man in der Gleichung 3):

$$\frac{\varrho_{\prime\prime}}{R_{\prime\prime}}=z, \qquad \frac{r_{\prime\prime}}{R_{\prime\prime}}=\lambda, \qquad \frac{\tau_{\prime}\,\tau_{\prime\prime\prime}\sin P_{\prime\prime}}{2\,\sin p_{\prime\prime}\,R_{\prime\prime}^{3}}=m, \qquad \qquad 4)$$

so nimmt diese die Gestalt:

$$z=m-\frac{m}{\lambda^3},\qquad \qquad 5$$

an, wobei mit Rücksicht auf die Relation (vergl. pag. 201):

$$r_{"}^{2} = R_{"}^{2} - 2 R_{"} \cos \psi_{"} \varrho_{"} + \varrho_{"}^{2},$$

in welcher ψ_n den scheinbaren Abstand des Himmelskörpers von der Sonne zur Zeit der zweiten Beobachtung darstellt, geschrieben werden kann:

$$\lambda^2 = 1 - 2\cos\psi_n z + z^2. \tag{6}$$

Die Gleichungen 5) und 6) werden also eine Bestimmung von z ermöglichen und führen entwickelt auf eine Gleichung achten Grades, deren eine Wurzel der Null gleich ist. Von den acht Wurzeln dieser Gleichung kommen aber nicht alle für das vorliegende Problem in Betracht, denn alle imaginären und negativen Wurzeln haben keine Bedeutung, da z nothwendig einen reellen positiven Werth erhalten muss. Schreibt man die Gleichung 5) in der Form:

$$\frac{m}{(1-2\cos\psi_{n}z+z^{2})^{3/2}}=m-z\,,$$

und zeichnet die aus dem rechten und linken Theile entstehenden Curven, indem man die Werthe von z als Abscissen annimmt, so entsteht aus dem linken Theile (der Wurzelausdruck $\lambda^{3/2}$ vorerst mit seinem doppelten Zeichen genommen) eine

symmetrisch ober- und unterhalb der Abscissenachse verlaufende Curve. Das Maximum beziehungsweise Minimum entspricht der Abscisse $z = \cos \psi_n$; für die Wendepunkte sind die Abscissen $\cos \psi_n \pm \frac{1}{4} \sin \psi_n$, und die gegen $z = \cos \psi_n$ symmetrisch verlaufende Curve nähert sich mit ihren linken und rechten Ästen asymptotisch der Abscissenachse; diese Curve schneidet die Ordinatenachse in der Ordinate m. Die aus dem rechten Theile der Gleichung entstehende Curve ist aber eine gerade Linie, welche die Ordinatenachse in der Ordinate m schneidet und mit ihr einen Winkel von 135° einschliesst, so dass für diese Gerade $\frac{dy}{dz} = -1$ wird. Für z = 0tritt demnach stets eine Lösung ein und zwar entspricht diese der Erdbahn; da aber $\lambda^{3/2}$ der Idee des Problems entsprechend nur positiv angesetzt wird, so wird im Allgemeinen, sobald m positiv ist $(r_n > R_n)$, stets bloss der oberhalb der Abscisse gelegene Curvenzweig, sobald m negativ ist $(r_n < R_n)$, der untere allein in Betracht kommen. Es können, wie man leicht sieht, in einem Quadranten nicht mehr als zwei Schnitte stattfinden. da ein Schnitt stets in der Ordinatenachse in der Ordinate m vorhanden ist; ist m positiv, so wird also, weil z der Voraussetzung nach stets positiv ist, der erste Quadrant, wenn aber m negativ ist, der vierte Quadrant die einzig brauchbaren Lösungen enthalten; überdies kann man hieraus schliessen, dass im ersten Falle die brauchbaren Lösungen zwischen x = 0 und x = menthalten sind, während im letzten Falle z jeden beliebigen positiven reellen Werth annehmen kann. Da somit jedesmal die brauchbaren Lösungen nur in einem Quadranten (ersten oder vierten) stattfinden können, und innerhalb eines solchen entweder kein Schnitt, oder einer oder höchstens zwei Schnitte denkbar sind, so ist der Schluss erlaubt, dass die Gleichung achten Grades eine oder zwei positive Wurzeln habe; im letzteren Falle wird man daher durch zwei verschiedene Bahnen den drei der Rechnung zu Grunde gelegten Beobachtungen genügen können. Man hat diese Doppellösung ganz mit Unrecht als paradox und das Eintreten derselben als selten bezeichnet, letzteres würde vielmehr, wie dies die folgende Discussion lehrt, durchaus nicht vereinzelt vorgekommen sein, wenn man nur die Bahnbestimmung aus drei Orten häufiger auf Kometen angewendet hätte; so wird z. B. der Fall der Doppellösung stets vorliegen, wenn der Himmelskörper von der Sonne weiter entfernt als die Erde und gleichzeitig der scheinbare Abstand derselben von der Sonne ψ_n kleiner ist als 90°.

Entwickelt man die Gleichungen 5) und 6) (pag. 362) nach z, reducirt dieselben durch Weglassen der Wurzel z = 0 auf eine Gleichung siebenten Grades und schreibt statt 2 cos ψ_n der Kürze halber a, so erhält diese die folgende Gestalt:

$$z^{7} - [3a + 2m]z^{6} + [3a^{2} + 6am + m^{2} + 3]z^{5} - [a^{3} + 6ma^{2} + 3am^{2} + 6a + 6m]z^{4} + + [2ma^{3} + 3a^{2} + 3a^{2}m^{2} + 3m^{2} + 12am + 3]z^{3} - [a^{3}m^{2} + 6ma^{2} + 6am^{2} + 6m + 3a]z^{2} + + [3a^{2}m^{2} + 3m^{2} + 6am + 1]z - [2m + 3am^{2}] = 0.$$

Ist m positiv, so sind die brauchbaren Lösungen nach den obigen Betrachtungen zwischen den Grenzen z = 0 und z = m enthalten, das Polynom X aber nimmt für die eben bezeichneten Grenzen die Werthe:

$$X = -m [z + 3am] \text{ für } z = 0$$

$$X = -m \text{ für } z = m,$$

an, dasselbe ändert das Zeichen, wenn [2+3am] negativ ist, behält dasselbe, wenn [2+3am] positiv wird. Was die Anzahl der Lösungen betrifft, wird im ersten Falle eine Lösung, im letzten Falle entweder keine oder es werden zwei Lösungen möglich sein, da aber die Beobachtungen als der Natur entnommen — Beobachtungsfehler ausgeschlossen — das Vorhandensein einer Lösung erfordern, so wird man im letzten Falle stets berechtigt sein zu behaupten, dass zwei Lösungen vorhanden seien; negative Werthe von [2+3am] bedingen daher, falls m positiv ist, eine, positive aber zwei Lösungen.

Ist hingegen m negativ, so wird man haben:

$$X = -m [z + 3am] \text{ für } z = 0$$

$$X = +\infty \qquad \text{für } z = +\infty,$$
8)

woraus man leicht schliesst, dass, da m negativ vorausgesetzt ist, [2 + 3 am] negativ sein muss, wenn ein Zeichenwechsel (eine Lösung), dagegen positiv, wenn kein solcher (zwei Lösungen oder keine) eintreten soll. Wie man sieht, gestalten sich die Bedingungen für das Eintreten einer oder zweier Lösungen ganz identisch, gleichgiltig ob man m positiv oder negativ voraussetzt, man erhält daher als Resultat der eben vorgenommenen Untersuchung, dass:

falls
$$(1 + 3\cos\psi_n m)$$
 negativ ist, eine Lösung vorhanden ist, falls aber $(1 + 3\cos\psi_n m)$ positiv ist, keine oder zwei Lösungen möglich sind.

Dieses einfache Kriterium wird daher stets die Möglichkeit bieten, sofort die Entscheidung zu treffen, ob man eine einzige oder eine doppelte Lösung des Problems zu erwarten habe.

Da in den Gleichungen 5) und 6) (pag. 362) nur zwei Parameter: m und $\cos \psi_n$, auftreten, so kann man die zu diesen Parametern gehörenden Werthe von z in eine Tafel mit doppeltem Eingang bringen, oder — was für die Tabulirung bequemer erscheint — als Argument z und ψ_n wählen und in die Tafel die zugehörigen Werthe von m einsetzen; die Herren Anton und Schram haben eine solche Tafel berechnet, welche mit den Argumenten ψ_n (scheinbaren Abstand des Himmelskörpers von der Sonne) und z (Verhältnis des geocentrischen Abstandes des Himmelskörpers zum geocentrischen Abstande der Sonne die reciproken Werthe von m, also 1:m gibt und als Tafel XIIIa) im vorliegenden Werke Aufnahme gefunden hat; dieselbe ist sehr lehrreich und gibt auf einen Blick zu erkennen, ob in einem gegebenen Falle eine oder zwei Lösungen stattfinden. Es sind nämlich ψ_n und $\frac{1}{m}$ bekannt; geht man nun, was wohl meist ausreichend sein wird, in die dem vorgelegten Werthe von ψ_n nächstliegende Columne der Tafel XIIIa) ein. so wird der Werth von $\frac{1}{m}$ in dieser Columne sich entweder gar nicht oder an einer oder zwei Stellen finden; findet sich derselbe nicht vor, so ist keine

Lösung vorhanden, daher sind in solchen Fällen Beobachtungs- oder Rechnungsfehler anzunehmen; erscheint der Werth nur einmal, so ist eine Lösung möglich, ist er aber an zwei Stellen vorhanden, so muss das Problem eine doppelte Lösung haben; welche die richtige ist, wird nur durch Benützung anderweitiger Beobachtungen entschieden werden können. Die Tafel XIIIa) gibt daher ein Hilfsmittel an die Hand, die in dem Problem der Bahnbestimmung aus drei Orten auftretende höhere Gleichung sofort näherungsweise zu lösen, man erhält aus derselben den dem vorgelegten ψ_n und $\frac{1}{m}$ entsprechenden Werth von $z = \frac{\varrho_n}{R_n}$; ist hierbei der reciproke Werth von m nahe einem Maximum, so wird die Bestimmung von z unsicher ausfallen, so dass auch über diesen Umstand die Tafel XIIIa) vollständige Aufklärung gibt.

Man kann sich auch die Aufgabe stellen, für gegebene Werthe von ψ_n die Grenzen von m zu bestimmen, innerhalb welcher keine, eine oder zwei positive Lösungen für z eintreten; die diesbezüglichen Grenzwerthe sind in der Tafel XIII b) enthalten, deren Anordnung wohl keiner näheren Erklärung bedarf. Die Werthe in der Columne "keine Lösung" der Tafel XIII b) sind an zwei Stellen durch Horizontallinien unterbrochen: es geht an diesen Stellen nämlich die Bedingung des Maximums und Minimums auf negative Werthe von z über, die als unbrauchbar ausgeschlossen werden; während also Tafel XIII a) mit den Argumenten ψ_n und $\frac{1}{m}$ den Werth von z finden lässt, dient Tafel XIII b) nur zur Entscheidung darüber, ob für die gegebenen Werthe von ψ_n und m Lösungen und wieviele derselben möglich sind.

Es findet sich in der Tafelsammlung auch eine Tafel XIII c), welche hauptsächlich die Auflösung der Gleichungen 21) (pag. 358) des vorangehenden Kapitels in ihrer Anwendung auf kleine Planeten erleichtern soll. Lässt man nämlich die Glieder dritter Ordnung weg, so kann man diese Gleichungen auch schreiben:

$$\left\{
 e_{r} = I_{r} + \frac{II_{r}}{8 \, r_{s}^{3}} \right\}$$
 $\left\{ e_{rr} = I_{rr} + \frac{II_{rr}}{8 \, r_{rr}^{3}} \right\}$
 $= 10$

Vergleicht man diese Relationen mit 5) (pag. 362), so wird man schliessen dürfen, dass innerhalb der gesetzten Genauigkeitsgrenzen:

$$m_{i} = \frac{I_{i}}{R_{i}} = -\frac{II_{i}}{8R_{i}^{4}}$$
 $m_{ii} = \frac{I_{ii}}{R_{ii}} = -\frac{II_{ii}}{8R_{ii}^{4}}$

sein wird. Beide Werthe können innerhalb dieser Grenzen nur auf Glieder erster Ordnung stimmen, da aber bei den kleinen Planeten hauptsächlich nur die Symbole I für die Bestimmung von ϱ massgebend werden, so wird es im Allgemeinen vortheilhafter sein, sich der Relationen:

$$m_i = \frac{I_i}{R_i}$$
 und $m_{ii} = \frac{I_{ii}}{R_{iii}}$.

zu bedienen; mit diesen Argumenten und den zugehörigen Werthen von ψ müssen demnach die Gleichungen 5) und 6) (pag. 362) die Bestimmung von z oder, was noch zweckmässiger ist, von λ ergeben. Es wurde also nach diesen Gleichungen eine Tafel berechnet, welche mit den Argumenten ψ und $\log{(2\lambda)^{-3}}$ den Werth von m ergibt, und für ψ und $\log{(2\lambda)^{-3}}$ solche Grenzen gewählt, die im Allgemeinen bei der ersten Bahnbestimmung kleiner Planeten nicht überschritten werden. Die Benützung und Verwerthung dieser Tafel wird in dem folgenden Kapitel ausführlich erläutert werden, hier wird von dieser selbst nur kurz Erwähnung gemacht, da ihre Construction mit Rücksicht auf die in diesem Kapitel gemachten Auseinandersetzungen kaum einer näheren Darlegung bedarf; man wird nämlich, da ψ und λ als gegeben betrachtet werden können, zunächst rechnen:

$$x = \cos \psi + \sqrt{\lambda^2 - \sin \psi^2},$$

von der Wurzel nur das hier angeführte positive Vorzeichen verwendend, erhält man zur Bestimmung von m:

$$m=\frac{x}{1-\frac{1}{23}},$$

nach welcher Formel die Tafel XIIIc) berechnet ist; sie gibt mit dem horizontalen Argumente $\log (2\lambda)^{-3}$, mit dem vertikalen ψ den zugehörigen Werth von $\log m$.

Die Gleichung 3) (pag. 361) kann auch über die Sicherheit der vorzunehmenden Bahnbestimmung Aufschluss geben. An sich lehrt dieselbe, dass der Bahnbestimmung eine beträchtliche Unsicherheit anhaftet, so lange die Zwischenzeiten klein sind, denn das Verhältnis:

$$\sin P_{\mu} : \sin p_{\mu}$$

welches für den Grad der Genauigkeit von ϱ_n massgebend ist, wird stets sehr unsicher erhalten, da P_n und p_n Grössen zweiter Ordnung sind. Es können aber Fälle eintreten, in welchen diese theoretisch als zweiter Ordnung zu betrachtenden Grössen numerisch höherer Ordnung werden: liegen nämlich alle drei Beobachtungen in einem grössten Kreise, so wird nothwendig $\sin p_n$ der Null gleich, soll demnach ϱ_n endliche Werthe erhalten, so muss auch der Factor:

$$\sin P_{\prime\prime}\left(\frac{1}{R_{\prime\prime}^3}-\frac{1}{r_{\prime\prime}^3}\right),\,$$

der Null gleich werden; dies kann — schliesst man den Specialfall $r_n = R_n$ von der Betrachtung aus — nur dann eintreten, wenn auch sin P_n der Null gleich wird. Liegen also die drei Beobachtungen in einem grössten Kreise, so muss, wenn nicht zufällig r_n sehr nahe gleich R_n ist, welche Bedingung bei kleinen Planeten niemals eintreten kann, der mittlere Sonnenort ebenfalls in diesem grössten Kreise liegen, weshalb man die Behauptung aufstellen kann, dass im Allgemeinen eine Bahnbestimmung aus drei Orten nicht möglich sein wird, wenn diese in einem grössten

Kreise liegen und dass dieselbe sehr unsicher ausfallen muss, wenn dieser Bedingung auch nur nahezu genügt wird. In solchen Fällen müssen jene Methoden der Bahnbestimmung in Anwendung kommen, welche vier Beobachtungen zu diesem Zwecke fordern und in der folgenden Abtheilung näher behandelt werden.

Hieran schliesst sich die für die erste Bahnbestimmung nicht unwichtige Bemerkung, dass schon zwei dem scheinbaren Orte nach einigermassen entferntere Beobachtungen ein im Allgemeinen verlässliches Kriterium bieten, ob eine Bahnbestimmung aus drei Orten mit Sicherheit möglich sein wird oder nicht: da nämlich p_n in Bezug auf die Zwischenzeiten zweiter Ordnung ist, so wird eine Bahnbestimmung mit einer nach Massgabe der Zwischenzeit entsprechenden Sicherheit stets erlangt werden können, wenn sin P_n eine Grösse nullter Ordnung ist. Legt man durch die erste und dritte Beobachtung, deren Längen und Breiten mit λ_n , λ_m , β_n und β_m bezeichnet werden sollen, einen grössten Kreis, so wird der aufsteigende Knoten k' dieses Kreises und seine Neigung i' bestimmt sein durch [vergl. 1) pag. 102]:

$$\begin{aligned}
\operatorname{tg} i' \sin (\lambda, - k') &= \operatorname{tg} \beta, \\
\operatorname{tg} i' \cos (\lambda, - k') &= \frac{\operatorname{tg} \beta_{m} - \operatorname{tg} \beta_{r} \cos (\lambda_{m} - \lambda_{r})}{\sin (\lambda_{m} - \lambda_{r})},
\end{aligned} \right\} \qquad 12a)$$

und:

$$\sin P_{"} = -\sin (L_{"} - k') \sin i', \qquad 13)$$

welch letztere Grösse den gemachten Auseinandersetzungen zufolge nullter Ordnung sein muss, wenn eine Bahnbestimmung aus drei Orten mit Sicherheit möglich sein soll; statt 12a) wird man sich in der Regel mit den folgenden Annäherungen begnügen dürfen:

$$\begin{cases} \lambda_m = \frac{1}{2} (\lambda_m + \lambda_i) & \beta_m = \frac{1}{2} (\beta_m + \beta_i) \\ \operatorname{tg} i' \sin (\lambda_m - k') = \operatorname{tg} \beta_m \\ \operatorname{tg} i' \cos (\lambda_m - k') = \frac{\beta_m - \beta_i}{(\lambda_m - \lambda_i) \cos \beta_m^2}. \end{cases}$$

Die Gleichung 3) (pag. 361) lehrt, dass die Bahnbestimmung um so sicherer ausfällt, je sicherer das Verhältnis $\sin P_n$: $\sin p_n$ bestimmt erscheint. Die Gleichungen 14) (pag. 356) und 3) (pag. 361) zeigen aber, dass dieses Verhältnis aus den Beobachtungen durch die Gleichungen:

$$\sin (u_{n} - u_{m}) \sin P_{n} = \frac{B_{n}}{R_{n}}$$

$$\sin (u_{n} - u_{m}) \sin p_{n} = K,$$
14)

bestimmt wird, in welchen $u_r - u_m$ den scheinbaren Abstand des ersten und dritten geocentrischen Ortes darstellt. Es ist daher K ein unmittelbares Mass der Genauigkeit der Bahnbestimmung, so lange nicht r nahe gleich R ist, welche Bedingung für die kleinen Planeten niemals eintreten kann; ist die Länge der Seiten des zwischen den drei geocentrischen Orten eingeschlossenen sphärischen Dreiecks nicht allzu gross, so wird K nahezu die doppelte Fläche desselben darstellen, welche wohl als ein Mass der Genauigkeit der Bahnbestimmung betrachtet werden kann.

Es dürfte angemessen sein hier auch eine Schätzung anzugeben, bis zu welchem Werthe K herabsinken kann, ohne dass die resultirende Bahnbestimmung allzu unsicher ausfallen würde. K stellt sich nach 14) als ein Product zweier Factoren dar, von welchen der eine den Sinus des Abstandes der beiden äusseren geocentrischen Orte, der andere den Sinus des Perpendikels vom mittleren Ort auf den durch die beiden äusseren gelegten Kreis darstellt; jener Factor wird im Allgemeinen erster, dieser zweiter Ordnung in Bezug auf die Zwischenzeiten sein. Bei der Sicherheit der Planetenbeobachtungen wird man $u_i - u_m$ und p_n wohl bis auf 5" richtig aus den Beobachtungen ableiten können; setzt man die Cosinus der kleinen Bogen der Einheit gleich, so gibt die Differentiation der zweiten Gleichung 14): $dK = \sin p_n d(u_n - u_m) + \sin (u_n - u_m) dp_n$

durchschnittlich wird $\sin p_n$ um eine Ordnung kleiner sein als $\sin(u_n - u_m)$, der Fehler in K mit Rücksicht auf die obige Fehlergrenze also mit genügender Annäherung: $dK = \sin(u_n - u_m)\sin 5^n,$

und der Fehler selbst im Verhältnis zu K:

$$\frac{dK}{K} = \frac{\sin 5''}{\sin p_{"}}.$$
 15)

Soll also K etwa auf den hundertsten Theil genau gefunden werden, so muss p_n grösser als 500" sein; begnügt man sich aber mit einer Annäherung bis auf den zehnten Theil, was wohl als die äusserste Grenze bezeichnet werden kann, innerhalb deren noch eine annehmbare Bestimmung möglich ist, so wird p_n sogar auf 50" herabsinken können. Bei Kometen werden aber weit grössere Werthe für p_n gefordert werden müssen, weil hier leicht Fehler von 20" und darüber in der Bestimmung von p_n erwartet werden können. Will man sich demnach ein beiläufiges Bild über die zu erwartende Genauigkeit in der Bahnbestimmung machen, so wird man nach Berechnung des Werthes von K sofort sin p_n nach:

$$\sin p_{"} = \frac{K}{\sin (u_{r} - u_{m})}, \qquad 16)$$

bestimmen, wobei man für $\sin(u_r - u_m)$ eine ganz rohe Annäherung, die sich aus der Ansicht der Beobachtungen ergibt, einsetzen darf, und dann nach 15) die zu erwartende relative Unsicherheit in K ermitteln, es ist daher:

$$\frac{dK}{K} = \frac{\sin 5''}{K} \sin (u_1 - u_{m}). \qquad \qquad 17)$$

Zum Schlusse sei noch bemerkt, dass die eben angestellten Betrachtungen ihre Giltigkeit verlieren, sobald r nahezu gleich R wird, ein Umstand, der für kleine Planeten niemals eintreten wird; bei Kometen wird aber eine besondere Vorsicht nothwendig, weil für diese nicht der Werth von K allein entscheidend ist, derselbe kann sogar den Nullwerth annehmen und die sichere Bahnbestimmung dennoch möglich sein, wenn nur der Sinus des Perpendikels P_n , welches vom mittleren Sonnenort auf den durch die äusseren Beobachtungen gelegten grössten

Kreis gefällt wird, eine Grösse nullter Ordnung ist. Denn denkt man sich die Gleichung 3) (pag. 361) in der Form:

$$\sin p_n \frac{\varrho_n}{R_n} = \frac{\imath_i \tau_m}{2} \sin P_n \left\{ \frac{1}{R_n^3} - \frac{1}{r_n^3} \right\}$$

geschrieben, so wird, falls $\sin p_n = 0$ und $\sin P_n$ eine Grösse nullter Ordnung ist, aus dem letzten Factor eine sichere Bestimmung für r_n resultiren, woraus übrigens nicht in allen Fällen ein sicherer Schluss auf ϱ_n gezogen werden kann. Im Allgemeinen jedoch wird eine Bahnbestimmung aus drei Orten mit Sicherheit durchgeführt werden können, sobald der Ausdruck:

$$\sin (u_{i} - u_{ii}) \sqrt{\sin p_{ii}^{2} + \sin P_{ii}^{2}}$$

nicht allzu kleine Werthe annimmt; jene Fälle aber, in welchen P_n gross, p_n sehr klein und überdies in dem ebenen Dreiecke: Erde, Sonne und Himmelskörper der Winkel an letzterem nahezu ein rechter ist, werden sich für die Bahnbestimmung aus drei Orten nicht eignen, obwohl das aufgestellte Kriterium eine solche mit Sicherheit vermuthen liesse.

3. Bestimmung der geocentrischen Distanzen.

Die Gleichungen 21) (pag. 358) und 25) (pag. 359) ergaben für die geocentrischen Distanzen ϱ , und ϱ_m die Relationen:

$$\varrho_{r} = I_{r} + \{(II_{r} + \Gamma_{r}) + III_{r}, y\} x
\varrho_{rr} = I_{rr} + \{(II_{rr} + \Gamma_{rr}) + III_{rr}, y\} x, \}$$
1)

in welchen für eine vorgelegte Hypothese die Grössen ϱ ,, ϱ_m , x und y als Unbekannte erscheinen. Die Symbole I, und I_m werden nach den beiden ersten Gleichungen 20) (pag. 358) zu berechnen sein, die übrigen nach 24) (pag. 358, 359); die Grössen Γ , und Γ_m sind zweiter Ordnung und, falls keine Näherungen für die Elemente vorliegen, in der ersten Hypothese der Null gleich zu setzen, dieselben ändern ihre Werthe von Hypothese zu Hypothese; die I-, II- und III-Symbole sind, so lange nichts an den Zwischenzeiten geändert wird, Constanten; x und y endlich haben die Bedeutung:

$$x = \frac{1}{(r_r + r_m)^3}$$
 , $y = \frac{r_m - r_r}{r_m + r_r}$ (2)

und die in y multiplicirten Glieder werden erster Ordnung sein. Um diese Gleichungen in Verbindung mit:

$$\operatorname{tg} \theta_{r} = \frac{\varrho_{r} - N_{r}}{D_{r}} , \operatorname{tg} \theta_{m} = \frac{\varrho_{m} - N_{m}}{D_{m}}
r_{r} = \frac{(\varrho_{r} - N_{r})}{\sin \theta_{r}} = \frac{D_{r}}{\cos \theta_{r}} , r_{m} = \frac{(\varrho_{m} - N_{m})}{\sin \theta_{m}} = \frac{D_{m}}{\cos \theta_{m}},$$
3)

(vergl. 31) pag. 360) durch Versuche aufzulösen, wird man zweckmässig x und y als Unbekannte in das Problem einführen und beim ersten Versuche y = 0 setzen, welche Substitution als erlaubt bezeichnet werden muss, weil dadurch nur Fehler erster Ordnung begangen werden. Für $\log x$ wird aus Tafel XIIIc) sofort ein Nähe-

Oppolzer, Bahnbestimmungen, I. 2. Auflage.

rungswerth gefunden werden (vergl. 11) pag. 365); man berechnet nämlich zunächst die Logarithmen von: $m_{r} = \frac{I_{r}}{R_{r}} , \qquad m_{m} = \frac{I_{m}}{R_{m}}, \qquad 4)$

und sucht in der genannten Tafel mit Benützung der bekannten Grössen von ψ , und ψ_m (vergl. 28) pag. 359) die zugehörigen zwei Werthe von $\log (2\lambda)^{-3}$ auf, welche nahezu übereinstimmen werden; ihr arithmetisches Mittel, vermindert um den Logarithmus von R_n^3 , wird ein Näherungswerth für $\log x$ sein, nämlich:

$$x = (2\lambda R_n)^{-3}.$$

Wendet man die vorliegende Methode der Bahnbestimmung auf Kometen an, wobei übrigens die im nächsten Kapitel aufgeführten Modificationen in Betracht kommen, so kann ganz wohl der Fall eintreten, dass die Grenzen der Tafel XIII c) überschritten werden, dann wird man aber in der Regel bereits durch vorausgehende Rechnungen (parabolische Elemente) Näherungswerthe für r, $+r_m$ besitzen, die für den ersten Versuch in Anwendung zu bringen sein werden; auch kann man in solchen Fällen die Tafel XIII a) (vergl. pag. 364) zu Rathe ziehen. Hat man bestimmte Annahmen über x und y gemacht, die als Anfangswerthe mit x_a und y_a bezeichnet werden sollen, so geben die Gleichungen 1) (pag. 369) sofort die zugehörigen geocentrischen Distanzen, aus welchen nach 3) (pag. 369) Werthe für r, und r_m resultiren, die in 2) (pag. 369) eingesetzt für x und y mit x_e und y_e zu bezeichnende Endwerthe ergeben, welche mit x_a und y_a identisch sein würden, wenn diese letzteren die wahren Werthe der Unbekannten gewesen wären. Im Allgemeinen werden aber Unterschiede auftreten, die man zur näheren Bestimmung von x_a und y_a verwerthen kann. Beschränkt man sich auf differentielle Verhältnisse und bezeichnet:

$$\frac{d\varrho_{n}}{dx} = \alpha, , \frac{d\varrho_{n}}{dy} = \beta,
\frac{d\varrho_{m}}{dx} = \alpha_{m} , \frac{d\varrho_{m}}{dy} = \beta_{m},$$
6)

so wird zunächst, mit Rücksicht auf 24) (pag. 295):

$$dr_{m} = \sin \theta, \ d\varrho_{n} = \alpha, \ \sin \theta, \ dx_{a} + \beta, \ \sin \theta, \ dy_{a}$$

$$dr_{m} = \sin \theta_{m} d\varrho_{m} = \alpha_{m} \sin \theta_{m} dx_{a} + \beta_{m} \sin \theta_{m} dy_{a}.$$

Andrerseits gibt die Differentiation der Ausdrücke 2):

$$dx_e = -\frac{3}{(r_r + r_m)^4} (dr_r + dr_m) dy_e = \frac{2 r_r dr_m}{(r_r + r_m)^2} - \frac{2 r_m dr_r}{(r_r + r_m)^2},$$
8)

demnach ist:

$$dx_e = -\frac{3}{(r_+ + r_m)^4} (\alpha_r \sin \theta_r + \alpha_m \sin \theta_m) dx_a - \frac{3}{(r_+ + r_m)^4} (\beta_r \sin \theta_r + \beta_m \sin \theta_m) dy_a$$

$$\frac{2}{(r_+ + r_m)^2} (r_+ \alpha_m \sin \theta_m - r_m \alpha_r \sin \theta_r) dx_a + \frac{2}{(r_+ + r_m)^2} (r_+ \beta_m \sin \theta_m - r_m \beta_r \sin \theta_r) dy_a.$$

Nun muss aber den Relationen:

$$x_e + dx_e = x_a + dx_a$$

$$y_e + dy_e = y_a + dy_a$$

genügt werden, man hat sonach zur Bestimmung der Verbesserungen der Werthe x_a und y_a , die durch dx_a und dy_a zu bezeichnen sind, die Gleichungen:

$$x_{o} - x_{a} = \left\{ 1 + \frac{3}{(r_{o} + r_{m})^{4}} \left(\alpha_{o} \sin \theta_{o} + \alpha_{m} \sin \theta_{m} \right) \right\} dx_{a} + \frac{3}{(r_{o} + r_{m})^{4}} \left(\beta_{o} \sin \theta_{o} + \beta_{m} \sin \theta_{m} \right) dy_{a}$$

$$y_{e} - y_{a} = \frac{2}{(r_{o} + r_{m})^{2}} \left(r_{m} \alpha_{o} \sin \theta_{o} - r_{o} \alpha_{m} \sin \theta_{m} \right) dx_{a} + \frac{2}{(r_{o} + r_{m})^{2}} \left(r_{m} \beta_{o} \sin \theta_{o} - r_{o} \beta_{m} \sin \theta_{m} \right) \left\{ dy_{a} \right\}$$

Die Auflösung dieser Gleichungen wird in der Regel schon nach dem ersten Versuche so nahe richtige Werthe für x und y ergeben, dass ihre Anwendung auf den zweiten Versuch die wahren Werthe der Unbekannten wird finden lassen. — Die Bestimmung der α und β Coëfficienten hat keine Schwierigkeit; dieselben sind nach 1) (pag. 369):

$$\begin{vmatrix}
\alpha_{i} = (II_{i} + \Gamma_{i}) + III_{i}y \\
\alpha_{m} = (II_{m} + \Gamma_{m}) + III_{m}y \\
\beta_{i} = III_{i}x \\
\beta_{m} = III_{m}x,
\end{vmatrix}$$
11)

und können aus den Zahlen des vorangehenden Versuches leicht erhalten werden.

Die Anwendung der Formeln 10) in voller Ausdehnung wird aber durchaus nicht immer nöthig sein, sondern es wird bei ersten Bahnbestimmungen genügen, indem man sofort den Übergang auf die logarithmischen Incremente macht, zu setzen:

$$\Delta_{1} = \log x_{e} - \log x_{a}$$

$$\Delta_{2} = -\frac{3 \operatorname{Mod.}}{(r_{r} + r_{m})_{e}^{4}} \left\{ III_{r} \sin \theta_{r} + III_{m} \sin \theta_{m} \right\} (y_{e} - y_{a})$$

$$\log (-3 \operatorname{Mod.}) = o_{n} 11491$$

$$d \log x_{a} = \frac{\Delta_{1} + \Delta_{2}}{1 + \frac{3}{(r_{r} + r_{m})_{e}^{4}} \left\{ II_{r} \sin \theta_{r} + II_{m} \sin \theta_{m} \right\}}$$

$$dy_{a} = y_{e} - y_{a},$$

$$12)$$

in welcher Gestalt die Formeln im Anhang Aufnahme gefunden haben.

Ist, wie dies hier vorausgesetzt wird, über die Bahnelemente nichts näheres bekannt, so kann bei Befolgung der hier vorgetragenen Methode die Annäherung vorerst nicht weiter getrieben werden, da die Grössen Γ , und Γ_m , welche zweiter Ordnung sind, unbekannt bleiben. Die Convergenz dieser Methode ist aber eine so bedeutende, dass man sich wohl in der Regel zur Bestimmung erster Elemente mit der gewonnenen Annäherung begnügen darf. Will man dennoch weiter vorgehen, so wird man sich die Werthe von Γ , und Γ_m zu verschaffen haben und zu diesem Zwecke zunächst den zwischen dem ersten und dritten heliocentrischen Orte eingeschlossenen heliocentrischen Bogen $2f_n$ ermitteln: bezeichnet man die analogen Bogen zwischen dem ersten und zweiten Orte mit $2f_m$,

zwischen dem zweiten und dritten mit 2 f, so ist der Bedeutung der Verhältnisse der Dreiecksflächen gemäss:

$$\frac{[r_{n}r_{m}]}{[r,r_{m}]} = \frac{r_{n}\sin 2f_{n}}{r_{n}\sin 2f_{n}}, \qquad \frac{[r,r_{n}]}{[r,r_{m}]} = \frac{r_{n}\sin 2f_{m}}{r_{m}\sin 2f_{n}},$$
 13)

weshalb mit Rücksicht auf die in den Gleichungen 23) (pag. 358) auftretenden \P-Co\(\text{e}\)fficienten wird geschrieben werden d\(\text{u}\)rfen:

$$n = \frac{[r_{n} r_{m}]}{[r, r_{m}]} = \frac{1}{\frac{[r, r_{m}]}{[r_{m} r_{m}]}} = \frac{\tau_{n}}{\tau_{n}} \cdot \frac{1}{1 + \Psi_{n} x}$$

$$n_{n} = \frac{[r, r_{n}]}{[r, r_{m}]} = \frac{1}{\frac{[r, r_{m}]}{[r, r_{m}]}} = \frac{\tau_{m}}{\tau_{n}} \cdot \frac{1}{1 + \Psi_{m} x},$$

$$14)$$

wobei Ψ_{ii} und Ψ_{iii} in der ersten Näherung durch:

$$\Psi'' = -\frac{1}{3}(\tau_{n}^{2} - \tau_{r}^{2}) - 4\frac{\tau_{m}\tau_{r}^{2}}{\tau_{n}}y$$

$$\Psi''_{m} = -\frac{1}{3}(\tau_{n}^{2} - \tau_{m}^{2}) + 4\frac{\tau_{r}\tau_{m}^{2}}{\tau_{n}}y,$$
15)

ersetzt werden können; war aber eine Näherung schon vorausgegangen, so wird man die betreffenden Werthe von γ'' und γ''' mit in Rechnung zu ziehen haben; mit Rücksicht auf diese Auseinandersetzungen kann man daher die beiden Grössen n und n'' mindestens als genähert bekannt annehmen. Es findet sich also aus den Gleichungen 13) zunächst:

$$r_n \sin 2 f_n = r_n n \sin 2 f_n$$

 $r_n \sin 2 f_m = r_m n_n \sin 2 f_n$;

denkt man sich in der zweiten Gleichung:

$$f_{\prime\prime\prime}=f_{\prime\prime}-f_{\prime\prime}$$

eingesetzt, so erhält man sofort:

$$r_n \sin 2f_n \cos 2f_n - r_n \cos 2f_n \sin 2f_n = r_n \sin 2f_n \cos 2f_n - r_n n_n \cos 2f_n \sin 2f_n$$

= $r_n n_n \sin 2f_n$.

daher:

$$r_{11}\cos 2f_{12} = r_{111}n_{11} + r_{11}n\cos 2f_{11}$$

Die eben angesetzten und ähnliche Transformationen führen leicht auf folgende Formeln: $r_n \sin 2 f_m = r_m n_n \sin 2 f_n$

$$\begin{cases}
 r_n \sin 2f_n = r_n n_n \sin 2f_n \\
 r_n \cos 2f_m = r_n n_n + r_m n_n \cos 2f_n \\
 r_n \sin 2f_n = r_n n_n \sin 2f_n \\
 r_n \cos 2f_n = r_m n_n + r_n n \cos 2f_n,
 \end{cases}$$
(6)

bei welchen man als Controle den Umstand benützen wird, dass aus der Verbindung der beiden ersten Gleichungen ein Werth für r_n resultirt, welcher mit dem aus der Verbindung der beiden letzten Gleichungen erhaltenen identisch sein muss, und dass ferner $f_n + f_m = f_n$ wird. Es sind somit alle jene Grössen gegeben, deren man bedarf (vergl. 26) pag. 89), um η , das Verhältnis des Sectors zum Dreieck,

berechnen zu können; bezeichnet man die verschiedenen η analog den Zwischenzeiten durch Accente [vergl. pag. 98 und 24) pag. 358], so findet sich leicht:

$$\gamma'' = \Psi''_{,''} - \mu''_{,''} + 4 \frac{\tau_{m} \tau_{,}^{2}}{\tau_{n}} y = \frac{(\eta_{,} - 1) - (\eta_{n} - 1)}{\eta_{n} x} - \mu''_{,''} + 4 \frac{\tau_{m} \tau_{,}^{2}}{\tau_{n}} y
\gamma''_{,''} = \Psi''_{,''} - \mu''_{,''} + 4 \tau_{,} \tau_{m} y = \frac{(\eta_{,} - 1) - (\eta_{m} - 1)}{\eta_{m} x} + \{-\mu''_{,''} + 4 \tau_{,} \tau_{m} y\}
\gamma''_{,''} = \Psi''_{,''} - \mu''_{,''} - 4 \tau_{,} \tau_{m} y = \frac{(\eta_{m} - 1) - (\eta_{,'} - 1)}{\eta_{,} x} - \{-\mu'''_{,''} + 4 \tau_{,} \tau_{m} y\}
\gamma'''_{,''} = \Psi'''_{,''} - \mu'''_{,''} - 4 \frac{\tau_{,} \tau_{m}^{2}}{\tau_{n}} y = \frac{(\eta_{m} - 1) - (\eta_{n} - 1)}{\eta_{,} x} - \mu'''_{,''} - 4 \frac{\tau_{,} \tau_{m}^{2}}{\tau_{n}} y,$$
17)

mit welchen Werthen nach den beiden letzten Gleichungen in 24) (pag. 358) Γ , und Γ_m berechnet werden können, durch die man zu wesentlich genaueren Werthen von $\{II\}$, und $\{II\}_m$ (vergl. 25) pag. 359) gelangt. Die Auflösung der Gleichungen durch Versuche auf Grundlage dieser Werthe wird wieder für ϱ , und ϱ_m erhöhte Annäherungen ergeben, die in der eben angedeuteten Weise zur Herleitung neuer, der Wahrheit näher liegender Werthe von Γ , und Γ_m verwendet werden können. Man wird dieses Verfahren so lange fortzusetzen haben, bis die Werthe von n und n in zwei aufeinanderfolgenden Hypothesen innerhalb der Genauigkeitsgrenzen der Rechnung identisch gefunden werden; man wird sich wohl meist auf die Bildung der ersten Hypothese beschränken dürfen, da für erste Bahnbestimmungen von kleinen Planeten, bei welchen die in Betracht kommenden Zwischenzeiten wohl selten 50 Tage überschreiten, die ersten Annäherung (Γ , $\Gamma_m = 0$) ausreicht, sind aber in dem vorgelegten Falle die heliocentrischen Bogen gross, so werden meist Näherungen für die Elemente bekannt sein, die man sofort zur genügend genauen Bestimmung der Werthe Γ , und Γ_m verwerthen kann.

Zu den vorstehenden Entwicklungen bedarf man der Kenntnis des Bogens $2f_n$, und es stellt sich die Aufgabe jene Methoden aufzuweisen, die mit möglichst geringer Mühe die Bestimmung dieses Bogens erreichen lassen. Gewöhnlich ermittelt man zu diesem Zweck in bekannter Weise aus ϱ , und ϱ_m die heliocentrischen Längen (l, l_m) , Breiten (b_1, b_m) und Radienvectoren (r_1, r_m) des Himmelskörpers und findet dann leicht aus:

$$\cos 2f_{\prime\prime} = \cos b_{\prime}\cos b_{\prime\prime\prime}\cos (l_{\prime\prime\prime}-l_{\prime}) + \sin b_{\prime}\sin b_{\prime\prime\prime},$$

die für die Genauigkeit des Rechnungsresultates förderlichere Relation:

daher:

$$\sin f_{"}^{2} = \cos b, \cos b_{"} \sin \frac{1}{2} (l_{"} - l_{"})^{2} + \sin \frac{1}{2} (b_{"} - b_{"})^{2}.$$
 18

Es lassen sich jedoch durch geeignete Transformationen wesentlich bequemere Formeln herstellen, die hauptsächlich dann von besonderem Vortheile sind, wenn man genöthigt ist, mehrfache Annäherungen durchzuführen. Bezeichnet man mit s die Sehne zwischen den Endpunkten der Radienvectoren r, und r_m, so ist:

$$s^{2} = r_{r}^{2} + r_{m}^{2} - 2r_{r}r_{m}\cos 2f_{n} = (r_{r} - r_{m})^{2} + 4r_{r}r_{m}\sin f_{n}^{2},$$

$$\sin f_{n}^{2} = \frac{s^{2} - (r_{r} - r_{m})^{2}}{4r_{r}r_{m}};$$
19)

sind x_1 , y_2 , z_3 , und z_m , y_m , z_m die heliocentrischen rechtwinkligen Coordinaten der Endpunkte der Radienvectoren, dann ist:

$$s^{2} = (x_{m}-x_{i})^{2} + (y_{m}-y_{i})^{2} + (z_{m}-z_{i})^{2} = r_{i}^{2} + r_{m}^{2} - 2(x_{i}x_{m} + y_{i}y_{m} + z_{i}z_{m}),$$
also:
$$\sin f_{m}^{2} = \frac{1}{2} - \frac{x_{i}x_{m} + y_{i}y_{m} + z_{i}z_{m}}{2r_{i}r_{m}}.$$
20)

Weiter ist aber (vergl. pag. 272), wenn man die Sonnenbreiten zwar nicht gleich Null setzt, aber so klein annimmt, dass die Quadrate derselben vernachlässigt werden dürfen:

$$x_{n} = \xi_{n} - X_{n} = \varrho_{n} \cos \lambda_{n} \cos \beta_{n} - R_{n} \cos L_{n}$$

$$y_{n} = \eta_{n} - Y_{n} = \varrho_{n} \sin \lambda_{n} \cos \beta_{n} - R_{n} \sin L_{n}$$

$$z_{n} = \zeta_{n} - Z_{n} = \varrho_{n} \sin \beta_{n} - R_{n} \beta_{m} - R_{m} \cos L_{m}$$

$$y_{m} = \eta_{m} - Y_{m} = \varrho_{m} \sin \lambda_{m} \cos \beta_{m} - R_{m} \sin L_{m}$$

$$z_{m} = \zeta_{m} - Z_{m} = \varrho_{m} \sin \beta_{m} - R_{m} B_{m} \arctan^{n},$$

$$z_{m} = \zeta_{m} - Z_{m} = \varrho_{m} \sin \beta_{m} - R_{m} B_{m} \arctan^{n},$$

und mit Rücksicht auf die Gleichungen 28) (pag. 359) und 29) (pag. 360):

$$x_{i} = \varrho_{i} \cos\left[\left(\lambda_{i} - L_{i}\right) + L_{i}\right] \cos\beta_{i} - R_{i} \cos L_{i} = \frac{r_{i} \sin\left(z_{i} + \psi_{i}\right)}{\sin\psi_{i}} \cos\left(\lambda_{i} - L_{i}\right) \cos\beta_{i} \cos L_{i} - \frac{r_{i} \sin\left(z_{i} + \psi_{i}\right)}{\sin\psi_{i}} \sin\left(\lambda_{i} - L_{i}\right) \cos\beta_{i} \sin L_{i} - \frac{r_{i} \sin z_{i}}{\sin\psi_{i}} \cos L_{i}$$

$$\frac{z_{i}}{r_{i}} = \cos(z_{i} + \psi_{i}) \cos L_{i} - \sin(z_{i} + \psi_{i}) \cos P_{i} \sin L_{i} - \cos L_{i} \frac{\sin\left(z_{i} + \psi_{i}\right)}{\sin\psi_{i}} \sin\beta_{i} B_{i} \arctan r$$

Das letzte Glied kann der Null gleich gesetzt werden, denn nach 29) (pag. 360) wird $\sin(z, +\psi)$: $\sin\psi = \varrho$,: r, daher niemals sehr gross sein, und $\sin\beta$ wird in jenen Fällen, bei denen man die Sonnenbreiten nicht durch die Einführung des locus fictus eliminiren kann, ebenfalls ein sehr kleiner Bogen werden, dessen Product in den Sinus der Sonnenbreite man auch vernachlässigen kann. Man erhält somit, wenn ähnliche Transformationen für die übrigen Coordinaten ausgeführt werden:

$$\frac{z_{r}}{r_{r}} = \cos(z_{r} + \psi_{r}) \cos L_{r} - \sin(z_{r} + \psi_{r}) \cos P_{r} \sin L_{r}$$

$$\frac{z_{mr}}{r_{mr}} = \cos(z_{mr} + \psi_{mr}) \cos L_{mr} - \sin(z_{mr} + \psi_{mr}) \cos P_{mr} \sin L_{mr}$$

$$\frac{y_{r}}{r_{r}} = \cos(z_{r} + \psi_{r}) \sin L_{r} + \sin(z_{r} + \psi_{r}) \cos P_{r} \cos L_{r}$$

$$\frac{y_{mr}}{r_{mr}} = \cos(z_{mr} + \psi_{rm}) \sin L_{mr} + \sin(z_{mr} + \psi_{rm}) \cos P_{rm} \cos L_{rm}$$

$$\frac{z_{r}}{r_{r}} = \sin(z_{r} + \psi_{r}) \sin P_{r} + \cos(z_{r} + \psi_{r}) B_{r} \arctan^{r}$$

$$\frac{z_{mr}}{r_{mr}} = \sin(z_{mr} + \psi_{rm}) \sin P_{rr} + \cos(z_{mr} + \psi_{rm}) B_{rr} \arctan^{r},$$

und hieraus mit Weglassung der zweiten Potenzen der Sonnenbreiten:

$$\frac{1}{r,r_{m}}(x,x_{m}+y,y_{m}+z,z_{m}) = \cos(z,+\psi_{i})\cos(z_{m}+\psi_{m})\cos(L_{m}-L_{i}) + \sin(z_{i}+\psi_{i})\sin(z_{m}+\psi_{m})\{\cos P_{i}\cos P_{i}\cos(L_{m}-L_{i}) + \sin P_{i}\sin P_{m}\} + \sin(z_{i}+\psi_{i})\cos(z_{m}+\psi_{m})\cos P_{i}\sin(L_{m}-L_{i}) + \sin(z_{m}+\psi_{m})\cos(z_{i}+\psi_{i})\cos P_{m}\sin(L_{m}-L_{i}) + \sin(z_{m}+\psi_{m})\cos(z_{i}+\psi_{i})B_{i}\arctan(z_{m}+L_{i}) + \sin(z_{i}+\psi_{i})\cos(z_{m}+\psi_{m})B_{m}\arctan(z_{m}+L_{i})$$

Mittelst der Abkürzungen:
$$(z_1 + \psi_1) + (z_m + \psi_m) = \Sigma$$

 $(z_1 + \psi_1) - (z_m + \psi_m) = \Delta$

kann man die Gleichung 23) in die Form:

$$\frac{1}{r,r_{m}}(x,x_{m}+y,y_{m}+z,z_{m}) = \frac{1}{2}\cos\Sigma\{\cos(L_{m}-L_{i})[1-\cos P_{i}\cos P_{m}]-\sin P_{i}\sin P_{m}\} + \frac{1}{2}\sin\Sigma\sin(L_{m}-L_{i})[\cos P_{i}-\cos P_{m}] + \frac{1}{2}\cos\Delta\{\cos(L_{m}-L_{i})[1+\cos P_{i}\cos P_{m}] + \sin P_{i}\sin P_{m}\} + \frac{1}{2}\sin\Delta\sin(L_{m}-L_{i})[\cos P_{i}+\cos P_{m}] + \sin(z_{m}+\psi_{m})\cos(z_{i}+\psi_{i})\sin P_{m}B_{i}\arctan'' + \sin(z_{i}+\psi_{i})\cos(z_{m}+\psi_{m})\sin P_{i}B_{m}\arctan'' + \sin(z_{i}+\psi_{i})\cos(z_{m}+\psi_{m})\sin P_{i}B_{m}\arctan'' + \frac{1}{2}\sin(z_{i}+\psi_{i})\cos(z_{m}+\psi_{m})\sin P_{i}B_{m}\arctan'' + \frac{1}{2}\sin(z_{m}+\psi_{m})\cos(z_{m}+\psi_{m})\sin P_{i}B_{m}\arctan'' + \frac{1}{2}\sin(z_{m}+\psi_{m})\cos(z_{m}+\psi_{m})\sin P_{i}B_{m}-\frac{1}{2}\cos(z_{m}+\psi_{m})\sin(z_{m}+\psi_{m})\cos(z_{m}+\psi_{m})\sin(z_{m}+\psi_{m})\cos(z_{m}+\psi_{m})\sin(z_{m}+\psi_{m})\cos(z_{m}+\psi_{m})\sin(z_{m}+\psi_{m})\cos(z_{m}+\psi_{m})\sin(z_{m}+\psi_{m})\cos(z_{m}+\psi_{m})\sin(z_{m}+\psi_{m})\sin(z_{m}+\psi_{m})\cos(z_{m}+\psi_{m})\sin(z_{m}+\psi_{m}+\psi_{m})\cos(z_{m}+\psi_{m}+$$

überführen. Nun ist aber:

$$1 - \cos P_{r} \cos P_{m} = 1 - \frac{1}{2} \cos(P_{m} + P_{r}) - \frac{1}{2} \cos(P_{m} - P_{r}) = \frac{1}{2} \cos(P_{m} - P_{r}) = \frac{1}{2} \cos(P_{m} + P_{r})^{2} + \sin \frac{1}{2} (P_{m} - P_{r})^{2}$$

$$1 + \cos P_{r} \cos P_{m} = 1 + \frac{1}{2} \cos(P_{m} + P_{r}) + \frac{1}{2} \cos(P_{m} - P_{r}) = \frac{1}{2} \cos(P_{m} + P_{r})^{2} + \cos \frac{1}{2} (P_{m} - P_{r})^{2}$$

$$- \sin P_{r} \sin P_{m} = \frac{1}{2} \cos(P_{m} + P_{r}) - \frac{1}{2} \cos(P_{m} - P_{r}) = \frac{1}{2} \cos(P_{m} - P_{r})^{2} - \sin \frac{1}{2} (P_{m} + P_{r})^{2} + \sin P_{r} \sin P_{m} = \frac{1}{2} \cos(P_{m} - P_{r}) - \frac{1}{2} \cos(P_{m} + P_{r}) = \frac{1}{2} \cos \frac{1}{2} (P_{m} - P_{r})^{2} - \cos \frac{1}{2} (P_{m} + P_{r})^{2};$$

setzt man diese Werthe in 24) ein und überdies in derselben Gleichung:

$$\cos(L_{m}-L_{i}) = \cos\frac{1}{2}(L_{m}-L_{i})^{2} - \sin\frac{1}{2}(L_{m}-L_{i})^{2} \\ \sin(L_{m}-L_{i}) = 2\sin\frac{1}{2}(L_{m}-L_{i})\cos\frac{1}{2}(L_{m}-L_{i}).$$

so findet sich leicht:

$$\frac{1}{r_{t}r_{m}}(x,x_{m}+y,y_{m}+z,z_{m}) = \cos \Sigma \sin \frac{1}{2}(P_{m}-P_{t})^{2} \cos \frac{1}{2}(L_{m}-L_{t})^{2} - \cos \Sigma \sin \frac{1}{2}(P_{m}+P_{t})^{2} \sin \frac{1}{2}(L_{m}-L_{t})^{2} + 2 \sin \Sigma \sin \frac{1}{2}(L_{m}-L_{t}) \cos \frac{1}{2}(L_{m}-L_{t}) \sin \frac{1}{2}(P_{m}+P_{t}) \sin \frac{1}{2}(P_{m}-P_{t}) + \cos \Delta \cos \frac{1}{2}(P_{m}-P_{t})^{2} \cos \frac{1}{2}(L_{m}-L_{t})^{2} - \cos \Delta \cos \frac{1}{2}(P_{m}+P_{t})^{2} \sin \frac{1}{2}(L_{m}-L_{t})^{2} + 2 \sin \Delta \sin \frac{1}{2}(L_{m}-L_{t}) \cos \frac{1}{2}(L_{m}-L_{t}) \cos \frac{1}{2}(P_{m}+P_{t}) \cos \frac{1}{2}(P_{m}-P_{t}) + \sin (z_{m}+\psi_{m}) \cos (z_{t}+\psi_{t}) \sin P_{m} B_{t} \operatorname{arc} i'' + \sin (z_{t}+\psi_{t}) \cos (z_{m}+\psi_{m}) \sin P_{t} B_{m} \operatorname{arc} i'';$$

führt man durch die Relationen:

$$w \sin W = \sin \frac{1}{2} (L_m - L_i) \sin \frac{1}{2} (P_m + P_i)$$

$$w \cos W = \cos \frac{1}{2} (L_m - L_i) \sin \frac{1}{2} (P_m - P_i)$$

$$h \sin H = \sin \frac{1}{2} (L_m - L_i) \cos \frac{1}{2} (P_m + P_i)$$

$$h \cos H = \cos \frac{1}{2} (L_m - L_i) \cos \frac{1}{2} (P_m - P_i),$$

die Hilfsgrössen w, W. h und H ein. so wird die als Controle zu benützende Gleichung: $w^2 + h^2 = 1$, 27)

bestehen, und man kann statt 25) schreiben:

$$\frac{1}{r,r_{m}}(x,x_{m}+y,y_{m}+z,z_{m}) = w^{2}\{\sin W^{2}-2\cos\frac{1}{2}\Sigma^{2}\sin W^{2}+\cos W^{2}-2\sin\frac{1}{2}\Sigma^{2}\cos W^{2}+4\sin\frac{1}{2}\Sigma\cos\frac{1}{2}\Sigma\sin W\cos W\}+\\ +h^{2}\{\sin H^{2}-2\cos\frac{1}{2}J^{2}\sin H^{2}+\cos H^{2}-2\sin\frac{1}{2}J^{2}\cos H^{2}+\\ +4\sin\frac{1}{2}J\cos\frac{1}{2}J\sin H\cos H\}+\\ +\sin(z_{m}+\psi_{m})\cos(z_{m}+\psi_{m})\sin P_{m}B_{n}\text{arc }\mathbf{1}''+\\ +\sin(z_{m}+\psi_{m})\cos(z_{m}+\psi_{m})\sin P_{n}B_{m}\text{ arc }\mathbf{1}''.$$

Mit Rücksicht auf die Bedeutung der Buchstaben 2 und 1 folgt daher für die Gleichung 20) die Relation:

$$\sin f_n^2 = w^2 \sin \left[W' - \frac{1}{2} (z_m + z_i) \right]^2 + h^2 \sin \left[H' + \frac{1}{2} (z_m - z_i) \right]^2 + \sin (z_m + \psi_m) \cos (z_i + \psi_i) \sin P_m B_i \operatorname{arc} i'' + \sin (z_i + \psi_i) \cos (z_m + \psi_m) \sin P_i B_m \operatorname{arc} i'',$$

worin für die in einem speciellen Falle constanten Bogen abkürzend:

$$W' = W - \frac{1}{2} (\psi_{m} + \psi_{n}) H' = H + \frac{1}{2} (\psi_{m} - \psi_{n}),$$
 30)

gesetzt wurde. Die Gleichung 29) bietet also ein sehr einfaches Hilfsmittel zur Bestimmung des Bogens f_n , insbesondere in jenen die überwiegende Anzahl des Vorkommens bildenden Fällen, bei welchen die Sonnenbreiten der Null gleich angenommen werden dürfen.

Die am Schlusse dieses Werkes gegebene Zusammenstellung der Formeln ist nur dem Falle der ersten Bahnbestimmung, in welchem man mit der Annahme $\Gamma_r = \Gamma_m = 0$ ausreicht, augepasst; es soll daher hier noch die Zusammenstellung jener Formeln gegeben werden, deren man sich zu bedienen hat, wenn man durch Bildung weiterer Hypothesen sich der Wahrheit annähern will. Hat man die Werthe von x und y durch Versuche ermittelt, so rechnet man die für die weiteren Hypothesen constanten Hilfsgrössen W'. H', w und h nach vergl. 26-pag. 375:

$$w \sin W = \sin \frac{1}{2} (L_m - L_i) \sin \frac{1}{2} (P_m + P_i), \quad h \sin H = \sin \frac{1}{2} (L_m - L_i) \cos \frac{1}{2} (P_m + P_i),$$

$$w \cos W = \cos \frac{1}{2} (L_m - L_i) \sin \frac{1}{2} (P_m - P_i), \quad h \cos H = \cos \frac{1}{2} (L_m - L_i) \cos \frac{1}{2} (P_m - P_i),$$

$$W' = W - \frac{1}{2} (\psi_m + \psi_i), \qquad H' = H + \frac{1}{2} (\psi_m - \psi_i)$$

$$w^2 + h^2 = 1;$$

dann ist [vergl. 29] pag. 376 und 30] pag. 360]:

$$\sin f_{n}^{2} = w^{2} \cos \{W' + \frac{1}{2} (\theta_{r} + \theta_{m})\}^{2} + h^{2} \sin \{H' + \frac{1}{2} (\theta_{r} - \theta_{m})\}^{2}
+ \cos (\theta_{m} + \psi_{m}) \sin (\theta_{r} - \psi_{r}) \sin P_{m} B_{r} \text{ arc } i'' + \cos (\theta_{r} - \psi_{r}) \sin (\theta_{m} - \psi_{m}) \sin P_{r} B_{m} \text{ arc } i''_{r} \}
\Psi''_{r} = \mu''_{r} - 4 \frac{\tau_{m} \tau_{r}^{2}}{\tau_{n}} y + \gamma''_{r}
\Psi'''_{m} = \mu'''_{m} + 4 \frac{\tau_{r} \tau_{m}^{2}}{\tau_{n}} y + \gamma''_{m}.$$
32'

wobei für die γ-Symbole jene Werthe zu wählen sind, welche in der betreffenden

Hypothese Verwendung gefunden haben, also nach der ersten Hypothese der Null gleich zu setzen wären. Dann ermittelt man:

$$n = \frac{\tau_{n}}{\tau_{n}} \cdot \frac{1}{1 + \Psi_{n}^{"}x} , \qquad n_{n} = \frac{\tau_{m}}{\tau_{n}} \cdot \frac{1}{1 + \Psi_{m}^{"}x}$$

$$r_{n} \sin 2 f_{m} = r_{m} n_{n} \sin 2 f_{n} , \qquad r_{n} \sin 2 f_{n} = r, n \sin 2 f_{n}$$

$$r_{n} \cos 2 f_{m} = r, n + r_{m} n_{n} \cos 2 f_{n} , \qquad r_{n} \cos 2 f_{n} = r_{m} n_{n} + r, n \cos 2 f_{n}$$

$$2 f_{n} + 2 f_{m} = 2 f_{m}.$$
34)

Die Berechnung der drei Werthe von η geschieht nach den unter 35) angeführten Formeln [vergl. 26) pag. 89], in denen man den jeder der drei in Betracht kommenden Combinationen entsprechenden Werth für η , τ , f, r und r' zu substituiren haben wird; in welcher Weise dies geschieht, zeigt das in 35) vorangestellte Schema:

$$m = \frac{\tau^{2}}{(2\cos f\sqrt{r_{f'}})^{3}}, \quad tg(45^{\circ} + \omega) = \sqrt[4]{\frac{t}{r}}, \quad l = \frac{\sin\frac{1}{2}f^{2} + tg\,2\,\omega^{2}}{\cos f}$$

$$h = \frac{m}{\frac{8}{3} + l + \xi}, \quad (\eta - 1) = \frac{h}{\eta^{2}}(\eta + \frac{1}{9}), \quad w = \frac{m}{\eta^{2}} - l.$$

Aus den drei Werthen η_i , η_i und η_{ii} leitet man:

$$\gamma'' = \frac{(\eta, -1) - (\eta_{m} - 1)}{\eta_{m} x} - \mu'' + \frac{4 \tau_{m} \tau_{n}^{2}}{\tau_{n}} y$$

$$\gamma''' = \frac{(\eta, -1) - (\eta_{m} - 1)}{\eta_{m} x} - \mu''' + 4 \tau_{n} \tau_{m} y$$

$$\gamma''' = \frac{(\eta_{m} - 1) - (\eta_{n} - 1)}{\eta_{n} x} - \mu''' - 4 \tau_{n} \tau_{m} y$$

$$\gamma''' = \frac{(\eta_{m} - 1) - (\eta_{n} - 1)}{\eta_{n} x} - \mu''' - \frac{4 \tau_{n} \tau_{m}^{2}}{\tau_{m}} y,$$

$$\gamma'''' = \frac{(\eta_{m} - 1) - (\eta_{m} - 1)}{\eta_{m} x} - \mu''' - \frac{4 \tau_{n} \tau_{m}^{2}}{\tau_{m}} y,$$

ab, in welchen Formeln für:

$$x = \frac{1}{(r_r + r_m)^3}, \quad y = \frac{r_m - r_r}{r_m + r_r},$$

die Werthe der letzten Hypothese einzusetzen sind. Dann hat man zu rechnen:

$$\Gamma_{i} = \left(\frac{B_{i}}{K} \frac{\tau_{i}}{\tau_{i}}\right) \gamma_{i}^{"} + \left(\frac{C_{i}}{K} \frac{\tau_{m}}{\tau_{i}}\right) \gamma_{i}^{"}
\Gamma_{m} = \left(\frac{A_{m}}{K} \frac{\tau_{i}}{\tau_{m}}\right) \gamma_{m}^{"} + \left(\frac{B_{m}}{K} \frac{\tau_{n}}{\tau_{m}}\right) \gamma_{m}^{"},$$
37)

welche Werthe zur Auflösung der Gleichungen:

$$\begin{cases}
\varrho_{1} = I_{1} + [(II_{1} + \Gamma_{1}) + III_{1}, y] x \\
\varrho_{2} = I_{2} + [(II_{2} + \Gamma_{2}) + III_{2}, y] x,
\end{cases}$$
38)

benützt werden und zu neuen Werthen von r_i , r_m , x und y führen, die eventuell zur Herstellung einer weiteren, mit der Berechnung von 32) (pag. 376) beginnenden Näherung verwendet werden. Nach Beendigung der Annäherungen schreitet man, mit der Formel 10) des Anhanges III beginnend, zur Ableitung der Elemente.

Sind vor Ausführung der Bahnbestimmung genäherte Werthe für die Elemente bekannt, so wird man aus denselben für die Zeiten der Beobachtungen die wahren Anomalien und Radienvectoren ableiten, aus denselben:

$$f_{1} = \frac{1}{2} (v_{11} - v_{1})$$

$$f_{11} = \frac{1}{2} (v_{11} - v_{1})$$

$$f_{12} = \frac{1}{2} (v_{11} - v_{2})$$

bestimmen und sofort nach den Formeln 35), 36) und 37) die Werthe von Γ , und Γ_m ermitteln; genügen die bekannten Näherungswerthe für die Elemente nur halbwegs, so wird meist die auf diese Werthe von Γ , und Γ_m aufgebaute erste Hypothese selbst für die Herstellung der neuen genaueren Elemente sich als ausreichend erweisen.

Schliesslich wäre noch jener Correctionen zu gedenken, welche aus der Einführung der Aberrationszeiten entstehen. Berücksichtigt man die Aberration in ähnlicher Weise, wie dies bei der ersten Bestimmung parabolischer Elemente geschehen ist, indem man sich ϱ nach Potenzen der Zeit entwickelt denkt, so werden die aus den ersten Potenzen der Zeiten entstehenden Correctionen in dem Verhältnisse der Zwischenzeiten verschwinden; das Product der Glieder zweiter Ordnung in die Aberration wird so gering, dass es als gegen die anderweitigen Unsicherheiten verschwindend betrachtet werden darf. Man wird demnach, wenn man in der ersten Bahnbestimmung bei der ersten Hypothese stehen bleibt, die Aberrationszeit nur soweit berücksichtigen, dass man vor Ableitung der Elemente die Beobachtungszeiten der ersten und dritten Beobachtung um die Beträge:

$$\begin{array}{c|c}
-7.76128 & \varrho, \\
-7.76128 & \varrho_m,
\end{array} \} 39)$$

corrigirt, wobei die angesetzten Coëfficienten logarithmisch zu verstehen sind und die Correctionen in Einheiten des mittleren Sonnentages erhalten werden. Will man aber auf die Zahlen der ersten Hypothese eine zweite aufbauen, so wird man die Zwischenzeiten und die damit im Zusammenhange stehenden Coëfficienten wegen der Aberration streng verbessern; hierzu bedarf es der Kenntnis von ϱ_n , um diesen Werth zu erhalten, berechne man nach 8b) und 9b) (pag. 354) die Coëfficienten A_n , B_n , C_n , nach 14) (pag. 372) $[r_n r_m] : [r, r_m]$ und $[r, r_n] : [r, r_m]$ und ziehe mit Hilfe dieser Werthe die Formeln 5) (pag. 353) in Anwendung. Die Zeit der mittleren Beobachtung ist dann um den Betrag:

$$-\overline{7.76128} e_{"}$$

zu corrigiren. Ist die mittlere Sonnenbreite nicht zu klein, so kann mit Vortheil wohl auch die dritte Formel 8) (pag. 272) zur Ermittlung von ϱ_n benützt werden; dieselbe gibt:

$$\varrho_{\prime\prime} = \frac{[r_{\prime\prime} r_{\prime\prime\prime}]}{[r_{\prime\prime} r_{\prime\prime\prime}]} \left\{ \frac{(\varrho_{\prime\prime} \sin \beta_{\prime\prime} - R_{\prime\prime} B_{\prime\prime} \arcsin \gamma)}{\sin \beta_{\prime\prime\prime}} + \frac{[r_{\prime\prime} r_{\prime\prime\prime}]}{[r_{\prime\prime} r_{\prime\prime\prime\prime}]} \left\{ \frac{\varrho_{\prime\prime\prime} \sin \beta_{\prime\prime\prime} - R_{\prime\prime\prime} B_{\prime\prime\prime} \arcsin \gamma}{\sin \beta_{\prime\prime\prime}} + R_{\prime\prime\prime} \frac{B_{\prime\prime\prime} \arcsin \gamma}{\sin \beta_{\prime\prime\prime}}, \quad 40 \right\}$$

ihre Berechnung gestaltet sich besonders in jenen Fällen, bei welchen man die

Sonnenbreiten eliminirt hat, höchst einfach, die darin auftretenden Verhältnisse der Dreiecksflächen werden nach den Formeln 14) (pag. 372) bestimmt.

4. Anwendung der vorstehend entwickelten Methode auf die Bestimmung einer Kometenbahn.

Die im vorigen Kapitel entwickelte Methode ist rücksichtlich ihrer Ausführung insbesondere der Bahnbestimmung eines kleinen Planeten angepasst; bei Anwendung auf Kometen wird dieses Verfahren in einigen Punkten abgeändert werden müssen. Man sieht nämlich leicht ein, dass wegen der meist beträchtlichen Annäherung der Kometen an die Erde das Verhältnis der geocentrischen Distanzen, ähnlich wie bei der Bestimmung parabolischer Bahnen, mit einer relativ grossen Genauigkeit ermittelt werden kann, während die absolute Bestimmung der Grössen ϱ , und ϱ_m meist einer beträchtlichen Unsicherheit unterworfen ist. Aus der genauen Bestimmbarkeit des Verhältnisses $\varrho_m:\varrho$, kann man aber für die Sicherheit der Bahnbestimmung wesentlichen Nutzen ziehen. Die Relation 6) (pag. 275) ergibt für dieses Verhältniss:

$$\varrho_{m} = \frac{\sin J}{\sqrt[3]{r_{m}}} \left\{ \frac{[r_{n} r_{m}]}{[r_{r} r_{n}]} \odot_{r} - \frac{[r_{r} r_{m}]}{[r_{r} r_{m}]} \odot_{n} + \odot_{m} \right\} + \frac{[r_{n} r_{m}]}{[r_{r} r_{n}]} \frac{\sqrt[3]{r_{m}}}{\sqrt[3]{r_{m}}} \varrho_{r}; \qquad 1)$$

hier sind die ⊙- und

— Symbole Functionen der Lage des durch den mittleren geocentrischen Kometenort gelegten grössten Kreises [vergl. 4) pag. 275], welche der Gleichung 12a) (pag. 285) entsprechend derart bestimmt sei, dass dieselbe für die Genauigkeit der Relation 1) die günstigste wird. Man könnte sich in dem vorliegenden Falle ohne Bedenken auch an die Olbers'sche Wahl des grössten Kreises halten, denn ist dieselbe nicht anwendbar, so geht der durch die äusseren Beobachtungen gelegte Kreis nahe am mittleren Sonnenorte vorbei und es erscheint dann eine Bahnbestimmung aus drei Orten unter allen Umständen nicht mit Sicherheit durchführbar.

Die zweite Gleichung, deren man zur Lösung des Problems bedarf, resultirt aus der Gleichung 3) (pag. 352); dieselbe ist:

$$\varrho_{r} = \frac{A_{r}}{K} + \frac{B_{r}}{K} \frac{[r_{r} r_{m}]}{[r_{n} r_{m}]} + \frac{C_{r}}{K} \frac{[r_{r} r_{m}]}{[r_{n} r_{m}]}.$$
 2)

Setzt man für die Verhältnisse der Dreiecksflächen nach 25) (pag. 101):

$$\frac{[r_{n}r_{m}]}{[r_{n}r_{m}]} = \frac{\tau_{n}}{\tau_{m}} \left\{ \mathbf{1} + \Psi_{m}'x \right\} , \quad \frac{[r_{n}r_{m}]}{[r_{n}r_{m}]} = \frac{\tau_{n}}{\tau_{m}} \left\{ \mathbf{1} + \Psi_{m}''x \right\} , \\
\frac{[r_{n}r_{m}]}{[r_{n}r_{m}]} = \frac{\tau_{m}}{\tau_{n}} \left\{ \mathbf{1} + \Psi_{n}'''x \right\} , \quad \frac{[r_{n}r_{m}]}{[r_{n}r_{m}]} = \frac{\tau_{n}}{\tau_{n}} \left\{ \mathbf{1} + \Psi_{n}''x \right\} ,$$
3)

ein und nach 23) (pag. 100):

$$\begin{split} \Psi_{m'} &= -\frac{1}{3} (\tau_{r}^{2} - \tau_{m}^{2}) + \frac{1}{4} \tau_{r} \tau_{m} y + \gamma_{m'} \\ \Psi_{m''} &= -\frac{1}{3} (\tau_{n}^{2} - \tau_{m}^{2}) + \frac{4 \tau_{r} \tau_{m}^{2}}{\tau_{n}} y + \gamma_{m''} \\ \Psi_{r''} &= -\frac{1}{3} (\tau_{m}^{2} - \tau_{r}^{2}) - \frac{4}{4} \tau_{r} \tau_{m} y + \gamma_{r''} \\ \Psi_{r''} &= -\frac{1}{3} (\tau_{n}^{2} - \tau_{r}^{2}) - \frac{4 \tau_{m} \tau_{r}^{2}}{\tau_{n}} y + \gamma_{r''}, \end{split}$$

wobei, wenn sonst keine Näherungen bekannt sind, die γ -Symbole in der ersten Hypothese der Null gleich zu setzen sind, wenn aber solche vorhanden, zu deren Bestimmung die Gleichungen 17) (pag. 373) herangezogen werden können, so erhalten die Gleichungen 1) und 2) (pag. 379) die Gestalt:

$$\begin{aligned}
\varrho_{t} &= I + (II + IIIy + \Gamma) x \\
\varrho_{m} &= IV + (V + VIy + A) x + \{VII + (VIII + IXy + \Sigma) x\} \varrho_{t};
\end{aligned}$$

zu welchem Zwecke abkürzend gesetzt wurde:

$$\tau_{i} = k(t_{m} - t_{i}) , \quad \mu_{i}'' = -\frac{1}{3}(\tau_{n}^{2} - \tau_{i}^{2})
\tau_{m} = k(t_{m} - t_{i}) , \quad \mu_{i}''' = -\frac{1}{3}(\tau_{m}^{2} - \tau_{i}^{2})
\tau_{m} = k(t_{m} - t_{i}) , \quad \mu_{m}'' = -\mu_{i}'''
\log k = 8 \cdot 235 \cdot 5814 , \quad \mu_{m}'' = -\frac{1}{3}(\tau_{n}^{2} - \tau_{m}^{2})
\log(-\frac{1}{3}) = o_{n}124 \cdot 9387 ,$$

$$VI = \frac{\sin J \odot_{i}}{\sigma_{m}} 4\tau_{i}^{2} - \frac{\sin J \odot_{i}}{\sigma_{m}} 4\tau_{i}\tau_{m}
y = \frac{r_{m} - r_{i}}{r_{m} + r_{i}} , \quad VII = \left(\frac{\sigma_{i}}{\sigma_{m}} \frac{\tau_{i}}{\tau_{m}}\right)
I = \frac{A_{i}}{K} + \left(\frac{B_{i}}{K} \frac{\tau_{i}}{\tau_{i}}\right) + \left(\frac{C_{i}}{K} \frac{\tau_{i}}{\tau_{i}}\right) \mu_{i}'' , \quad VIII = \left(\frac{\sigma_{i}}{\sigma_{m}} \frac{\tau_{i}}{\tau_{m}}\right) \mu_{m}'
II = \left(\frac{B_{i}}{K} \frac{\tau_{i}}{\tau_{i}}\right) \mu_{i}'' + \left(\frac{C_{i}}{K} \frac{\tau_{m}}{\tau_{i}}\right) \mu_{i}'' , \quad IX = \frac{\sigma_{i}}{\sigma_{m}} 4\tau_{i}^{2}
III = -4 \frac{B_{i}}{K} \tau_{i} \tau_{m} - 4 \frac{C_{i}}{K} \tau_{m}^{2} , \quad \Gamma = \left(\frac{B_{i}}{K} \frac{\tau_{i}}{\tau_{i}}\right) \gamma_{i}'' + \left(\frac{\sin J \odot_{i}}{\sigma_{m}} \frac{\tau_{i}}{\tau_{m}}\right) \gamma_{m}''
IV = \left(\frac{\sin J \odot_{i}}{\sigma_{m}} \frac{\tau_{i}}{\tau_{m}}\right) - \left(\frac{\sin J \odot_{i}}{\sigma_{m}} \frac{\tau_{i}}{\tau_{m}}\right) \mu_{m}'' , \quad \Sigma = \left(\frac{\sigma_{i}}{\sigma_{m}} \frac{\tau_{i}}{\tau_{m}}\right) \gamma_{m}'' .$$

Aus diesen Gleichungen werden durch Versuche jene Werthe von x und y zu ermitteln sein, welche in die Gleichungen 5) eingesetzt, für ϱ , und ϱ_m solche Werthe geben, dass die mittelst der letzteren durch:

tang
$$\theta_i = \frac{\varrho_i - N_i'}{D_i}$$
, tang $\theta_m = \frac{\varrho_m - N_m}{D_m}$ $r_i = D_i \sec \theta_i$, $r_m = D_m \sec \theta_m$,

(vergl. 31) pag. 360) bestimmten Werthe der Radienvectoren den Anfangsannahmen über r, und r_m entsprechen. Da in den hier in Betracht kommenden Fällen durch die parabolische Hypothese Näherungswerthe für r, und r_m vorhanden sind, wird es vortheilhaft sein, diese Grössen oder auch ϱ , und y als Unbekannte in das Problem einzuführen und durch entsprechende Variation derselben die wahren Werthe zu finden; der bei diesen Versuchen zu befolgende Rechnungsmechanismus wird gelegentlich des entsprechenden Rechnungsbeispieles ausführlich dargelegt werden.

Man wird übrigens auch schon in der ersten Hypothese Näherungen für Γ , \mathcal{A} und Σ einzusetzen in der Lage sein, denn die Anwendung der eben auseinandergesetzten Methode wird sich hauptsächlich auf jene Fälle erstrecken, in welchen die parabolische Hypothese zwar keine völlig genügende Darstellung des mittleren Ortes

erzielt hat, in welchen sich aber doch parabolische Elemente ergeben haben, die als Näherungen zur Ermittlung der Werthe Γ , Λ und Σ dienen können. Man wird in diesen Fällen zur Berechnung des Verhältnisses des Dreieckes zum Sector die auf pag. 93 und 94 angegebenen Formeln benützen können, denen man mit Rücksicht auf 11) (pag. 78) die Gestalt:

$$\sin \theta = \frac{6kt}{2^{3/2}(r+r')^{3/2}} , \quad \sin \frac{1}{2} \gamma = \sin \frac{1}{3} \theta \sqrt{2} , \quad \eta - 1 = \frac{4}{3} \frac{\sin \frac{1}{2} \gamma^2}{\cos \gamma}$$
 9)

ertheilen darf; ebenso kann man aber den Hilfswinkel γ mit Benützung der μ -Tafel (vergl. pag. 79) bestimmen; denn es ist:

$$\sin\gamma = \frac{s}{r+r'}\,,$$

daher auch, wenn man die früher benützte Hilfsgrösse η (vergl. pag. 80), um Verwechslungen mit dem durch denselben Buchstaben bezeichneten Verhältnisse des Sectors zum Dreiecke zu vermeiden, in eine Klammer setzt:

das letztere Formelsystem wird gegen die Gleichungen 9) den Vorzug verdienen.

Hiermit sind jene Abänderungen aufgewiesen, welche man an die im dritten Kapitel (pag. 369 ff.) entwickelte Methode anbringen muss, um dieselbe mit Vortheil auf die Bestimmung einer Kometenbahn aus drei Orten anwenden zu können. Es würde nur noch erübrigen, die Formeln übersichtlich zusammenzustellen; da aber von denselben wohl selten Gebrauch gemacht wird, so genügt es, auf die Durchführung des dritten Beispieles im folgenden Kapitel hinzuweisen, in welchem bei der Mittheilung der Rechnungsresultate auf die zugehörigen Formeln aufmerksam gemacht, und die veränderte Form der Ableitung der Elemente berücksichtigt werden wird. Schliesslich kann erwähnt werden, dass es im Allgemeinen für die Genauigkeit des Resultates vortheilhaft sein wird, die Berechnung von Kometenelementen ohne Voraussetzung über die Excentricität mit Zugrundelegung von vier Orten nach der Methode der zweiten Abtheilung durchzuführen.

5. Beispiele.

Um ein Beispiel für eine erste Bahnbestimmung aus drei Orten zu geben, in welchem die Einführung des locus fictus sich bezüglich der einen Beobachtung als unthunlich erweist, sollen die drei folgenden in Marseille angestellten Beobachtungen des Planeten 🔞 Eudora gewählt werden:

Beobachtungsort Datum Ortszeit app.
$$\alpha$$
 app. δ Marseille 1880 Sept. 1 14^h 31^m 21^s 23^h 15^m 44^s91 — 4° 45′ 37″6 ,, ,, 21 13 6 24 23 4 57·18 — 8 35 41·9 ,, Oct. 4 9 41 31 23 0 46·34 — 10 24 59·1.

Da keine Näherungen für die Elemente dieses Planeten als bekannt vorausgesetzt werden, so sind die Beobachtungen nach den Vorschriften des Anhanges I. A. für die Bahnbestimmung vorzubereiten.

Zunächst wurden die Ortszeiten durch Anbringung der Längendifferenz ($+32^m0^s3$) auf den Berliner Meridian bezogen, dann in Decimaltheile des Tages verwandelt und für die so erhaltenen Zeitangaben aus dem Berliner Jahrbuche die auf das mittlere Äquinoctium 1880-0 bezogenen Sonnencoordinaten nebst den Bessel'schen Reductionsgrössen, sowie die für den Jahresanfang geltende mittlere Schiefe der Ekliptik entlehnt und so erhalten:

Zur Berechnung der kleinen Aberrationsglieder fand sich zunächst nach Anhang I.

A. 2): $H_0 = 350^{\circ}$, $\log h_0 = 9.534$, $i_0 = -0^{\circ}$ 025,

damit nach Anhang I. A. 2):

app.
$$\alpha$$
 — mittl. α : (+ 66"45 — 0"12) (+ 68"54 — 0"14) (+ 68"36 — 0"15) app. δ — mittl. δ : (+ 27"91 — 0"05) (+ 27"94 — 0"07) (+ 27"15 — 0"08), es ist sonach:

mittl. α mittl. δ

1. $3+8^{\circ}$ 55' 7"3 — 4° 46' 5"5

2. 346 13 $9\cdot3$ — 8 36 $9\cdot8$

3. 345 10 26·9 — 10 25 26·2.

Die Verwandlung in Länge und Breite nach Anhang I. A. 5) gibt:

Probe:

$$\lambda$$
 β $\lambda - \alpha$ $\delta - \beta$
1. $347^{\circ} 56' 53''5 - 0^{\circ} 0' 4''1 - 0^{\circ} 58' 13''9 - 4^{\circ} 46' 1''4$
2. $343 59 11 \cdot 2 - 2 29 30 \cdot 6 - 2 13 58 \cdot 1 - 6 6 39 \cdot 2$
3. $342 19 47 \cdot 0 - 3 46 24 \cdot 8 - 2 50 39 \cdot 8 - 6 39 1 \cdot 4$

Die Kleinheit der ersten Breite lässt sofort erkennen, dass in diesem Falle die Einführung des locus fictus unthunlich wird. Zunächst ergab sich nach Anhang I. A. 6), unter der Annahme $\varphi' = + {}_{43}{}^{\circ}$ 6'8, $\log h = {}_{9} \cdot 9993$ für Marseille:

Für den zweiten und dritten Ort ergaben die Formeln Anhang I. A. 7):

Für den ersten Ort mussten die Formeln Anhang I. A. 8) in Anwendung gezogen werden; da für dieselben in dem vorliegenden Werke noch kein ausführliches Beispiel Aufnahme gefunden hat, so soll dasselbe hier vollständig mitgetheilt werden.

$$\sin b$$
 9.7245 $\sin (L_{\rm o}-l)$ 9.9174 $\cos b$ 9.9283 $\cos (L_{\rm o}-l)$ 9.7502 $h\pi: R_{\rm o}$ 0.9424 $\cos (L_{\rm o}-l)$ Mod. arc 1" 4n0736 $\sin b (h\pi: R_{\rm o})$ 0.6669 $L-L_{\rm o}+6$ "14 $\cos b (h\pi: R_{\rm o})$ 0.8707 $B-B_{\rm o}-4$ "64 $L_{\rm o}-l$ 124° 14'0 $\log R-\log R_{\rm o}+0.000$ 0.99.

Es sind sonach die Grundlagen der Rechnung, auf welche die erste Bahnbestimmung aufzubauen ist:

1880
$$\lambda$$
 β L B $\log R$

Sept. 1.627 330 347° 56′ 53″5 $-$ 0° 0′ 4″1 159° 56′ 28″4 $-$ 4″84 0.003 666

Sept. 21.568 334 343 59 11.2 $-$ 2 29 30.6 179 21 31.0 0.00 0.001 525

Sept. 34.426 054 342 19 47.0 $-$ 3 46 24.8 191 59 28.5 0.00 9.999 945.

Bei der Zwischenzeit von 33 Tagen wird mit Rücksicht auf die bedeutende Convergenz der hier zu befolgenden Methode die erste Hypothese völlig ausreichende Näherungen ergeben, so dass die im Anhange III für diesen Fall aufgeführten Formeln zur Anwendung gelangen; da hiermit ein Musterbeispiel gegeben werden soll, so werden die erforderlichen Rechnungen auf den folgenden Blättern ausführlich mitgetheilt.

Es fand sich nach Anhang III. 1):

der Abstand der beiden äusseren Orte beträgt etwa 7° ; nach Anhang III. 16) ist also: $\log \frac{dK}{K} = 8_{n}\infty.$

die Unsicherheit in K, somit auch die Unsicherheit in ϱ , und ϱ_m wird nahezu den

hundertsten Theil betragen, die bei dieser Bahnbestimmung zu erhoffende Genauigkeit daher eine sehr mässige sein.

Die Rechnung nach Anhang III. 2) stellt sich mit Rücksicht darauf, dass B, nicht der Null gleich ist, wie folgt:

	,	m
$\lambda - L$	188° 0′ 25″1	150° 20′ 18″5
$\sin (\lambda - L)$	9n 1 43 93 1	9.694 496
$\cos oldsymbol{eta}$	0.000 000	9·999 0 58
$\cos{(\lambda - L)}$	9n995 745	9 _n 939 002
$\sin oldsymbol{eta}$	5n298 359	8 _n 818 314
$m{B}$ arc 1"	5n3704	− ∞
$\cos \psi$	9n995 745	9 _n 938 060
$\cos\psi\cdot B$ arc 1"	5·3661	∞
Subtr.	0.2685	_
$\sin P$ sin ψ	5 n 6346	8 _n 818 314
	0,000 000	9.996 177
$\cos P\sin \psi$	9n143 931	9-693 554
$\sin \psi$	9.143 931	9.697 377
$\log N$	9n999 411	9 _n 938 005
$oldsymbol{N}$	— o·998 645	— o·866 972
$\log D$	9.147 597	9.697 322.

Anhang III. 3:

$$\lambda_{m} - \lambda_{m} \qquad 358^{\circ} \ 20' \ 35''8 \qquad \lambda_{m} - \lambda_{n} \qquad 356^{\circ} \ 2' \ 17''7 \\ l_{n}''' = \frac{1}{4}(\lambda_{m} - \lambda_{n}) \qquad 179 \ 10 \ 17 \cdot 9 \qquad l_{n}'' = \frac{1}{4}(\lambda_{n} - \lambda_{n}) \qquad 178 \ 1 \ 8 \cdot 85 \\ \beta_{m} + \beta_{n} \qquad - \ 6 \quad 5 \quad 55 \cdot 4 \qquad \beta_{n} + \beta_{n} \qquad - \ 2 \quad 29 \quad 34 \cdot 7 \\ \beta_{m} - \beta_{n} \qquad - \quad 1 \quad 16 \quad 54 \cdot 2 \qquad \beta_{n} - \beta_{n} \qquad - \quad 2 \quad 29 \quad 26 \cdot 5 \\ \sin(\beta_{m} + \beta_{n}) \qquad 9_{n}037 \quad 960 \qquad \sin(\beta_{n} + \beta_{n}) \qquad 8_{n}638 \quad 458 \\ \sin(\frac{1}{4}(\lambda_{m} - \lambda_{n})) \qquad 8 \cdot 160 \quad 082 \qquad \sin(\frac{1}{4}(\lambda_{n} - \lambda_{n})) \qquad 8 \cdot 538 \quad 648 \\ \sin(\beta_{m} - \beta_{n}) \qquad 8_{n}349 \quad 635 \qquad \sin(\beta_{m} - \beta_{n}) \qquad 8_{n}638 \quad 661 \\ \cos(\frac{1}{4}(\lambda_{m} - \lambda_{n})) \qquad 9_{n}999 \quad 955 \qquad \cos(\frac{1}{4}(\lambda_{m} - \lambda_{n})) \qquad 9_{n}999 \quad 740 \\ f, \sin F, \qquad 7_{n}198 \quad 042 \qquad f_{m}\sin F_{m} \qquad 7_{n}177 \quad 106 \\ 9 \cdot 998 \quad 922 \qquad 9 \cdot 999 \quad 740 \\ f, \cos F, \qquad 8 \cdot 349 \quad 590 \qquad f_{m}\cos F_{m} \qquad 8 \cdot 637 \quad 801 \\ F, \qquad 355^{\circ} \quad 57' \quad 53''6 \qquad F_{m} \quad 358^{\circ} \quad 1' \quad 2''3 \\ \lambda_{n} + l_{n}''' \qquad 163 \quad 9 \quad 29 \cdot 1 \qquad \lambda_{n} + l_{n}'' \qquad 165 \quad 58 \quad 2 \cdot 3 \\ G, \qquad 192 \quad 48 \quad 24 \cdot 5 \qquad G_{m} \qquad 192 \quad 3 \quad 0 \cdot 0 \\ \log f_{n} \qquad 8 \cdot 638 \quad 061. \end{cases}$$

Nach Anhang III. 4) findet sich im Hinblick darauf, dass B_n und B_m der Null gleich zu setzen sind:

$$G_{1} + L_{1}$$
 352° 44′ 52″9 $G_{2} + L_{3}$ 351° 59′ 28″4 $G_{2} + L_{3}$ 12 9 55·5 $G_{2} + L_{3}$ 11 24 31·0

G, $+$ L ,,,	24° 47′ 53″0	$G_{m}+L_{m}$	24° 2′ 28″5
$\sin\left(G_{\prime}+L_{\prime}\right)$	9 _n 101 173	$\sin\left(G_{\prime\prime\prime}+L_{\prime}\right)$	9n144 029
f,R,	8.354 334	$f_{m}R_{r}$	8.641 727
$f, R, \sin{(G_{i} + L_{i})}$	7n455 507	$f_m R$, $\sin (G_m + L)$	7n785 756
$\sin (\lambda_{\prime\prime\prime} \lambda_{\prime\prime})$	8 _n 461	$\sin(\lambda_{"}-\lambda_{"})$	8 _n 839
$\cos eta_n \cos eta_m$	9.999	$\cos \beta, \cos \beta_n$	0.000
R, B, arc i''	5n374	R,B, arc 1"	5n374
dA,	3 _n 834	dA_m	4n213
Add.	0.000 104	Add.	0.000 116
$\log A$,	7n455 611	$\log A_{m}$	7n785 872
$\sin\left(G_{\prime}+L_{\prime\prime}\right)$	9.323 736	$\sin\left(G_{m}+L_{n}\right)$	9.296 236
f, R ,,	8.352 193	$f_{\prime\prime\prime}R_{\prime\prime}$	8.639 586
$\log B$,	7n675 929	$\log B_{"}$	7n935 822
$\sin\left(G_{\prime}+L_{\prime\prime\prime}\right)$	9.622 650	$\sin\left(G_{'''}+L_{'''}\right)$	9.610 015
f, R ,,,	8.350 613	$f_m R_m$	8.638 oo6
$\log C$,	7.973 263	$\log C_{"}$	8.248 021.

Die Rechnung nach Anhang III. 5) gestaltet sich, wie folgt:

	_	•	
$t_m - t_n$	12.857 720	$\log au_{i}$	9.344 745
$t_{\prime\prime\prime}$ — t_{\prime}	32.798 724	$\log au_n$	9.751 438
$t_{"}-t_{"}$	19.941 004	$\log au_m$	9.535 328
$\log (t_{\prime\prime\prime} - t_{\prime\prime})$	1-109 164	$\log au_{,2}$	8-689 490
$\log(t_{m}-t_{i})$	1.515 857	$\log au_{n}^{2}$	9·502 876
$\log (t_{\prime\prime}-t_{\prime})$	1.299 747	$\log au_{m}^{2}$	9.070 656
Subt.	9.927 535	$\log \mu$,"'	8 _n 962 193
$ au_{"}^2 - au_{"}^2$	9.430 411	$\log \mu_{,,,'}$	8.962 193
$\log \mu$,"	9n555 350	Subt.	9·799 588
Subt.	0.147 764	$\tau_{"}^2 - \tau_{"}^2$	9.302 464
$ au_{m}^2 - au_{r}^2$	8.837 254	$\log \mu_{"}$	9n427 403
$\log (A, : K)$	0.984 305	$ au_{\prime}$: $ au_{\prime\prime\prime}$	9.809 417
$ au_n: au_r$	0·406 693	$A_{m}: K$	1.314 566
$B_{i}:K$	1 · 204 623	4 τ, ²	9.291 550
— 4 τ, τ _m	9 n 482 133	$ au_{\prime\prime}$: $ au_{\prime\prime\prime}$	0.216 110
$ au_m$: $ au_i$	0·190 583	$B_{\prime\prime\prime}:K$	1.464 516
$C_{r}: K$	1 _n 501 957	4 T, T,,,	9.482 133
— 4 τ _m ²	9,672 716	$\log (C_m: K)$	1 _n 776 715
$\log (B, \tau_n : K\tau_n)$	1.611 316	$\log\left(\boldsymbol{A}_{\!\prime\prime\prime}\boldsymbol{\tau}_{\!\prime}:\boldsymbol{K}\!\boldsymbol{\tau}_{\!\prime\prime\prime}\right)$	1.123 983
$\log\left(C,\tau_{m}:K\tau_{n}\right)$	1 _n 692 540	$\log\left(B_{\prime\prime\prime}\tau_{\prime\prime}\colonK\tau_{\prime\prime\prime}\right)$	1.680 626
	+ 9.6451	$A_{\prime\prime\prime} au_{\prime}:K au_{\prime\prime\prime}+$	
$B, \tau_{"}: K\tau_{"}$		$B_{m}\tau_{n}:K\tau_{m}+$	
$C, \tau_m : K \tau, -$	- 49·2652··	$C_m:K$	- 59-8019
$\{I\}, +N,$	+ 1.2415	$\{I\}_m+N_m$	⊢ 1·4341··
<i>{I}</i> ,	+ 2.240 145	$\{I\}_m$ -	+ 2.301 072

B , $ au_{"}\mu_{"}$: $K au_{"}$	1 _n 166 666	$A_{\prime\prime\prime} au_{\prime\prime\prime}':K au_{\prime\prime\prime}$	0.086 176
$C, au_{, \prime \prime} \mu_{, \prime \prime \prime}^{\prime \prime \prime} : K au_{, \prime}$	0.654 733	$B_{\prime\prime\prime} au_{\prime\prime}\mu_{\prime\prime\prime}{}^{\prime\prime}:K\! au_{\prime\prime\prime}$	1 n 108 029
Subt,	9.840 322	Subt.	9.956 604
$\log II$,	1 _n 006 988	$\log II_{m}$	1 _n 064 633
$-4B,\tau,\tau_m:K$	o _n 686 756	$4A_{\prime\prime\prime} au_{\prime}^2:K$	0.606 116
$-4 C_{1} \tau_{m}^{2} : K$	1.174 673	4 $B_m au_n au_m : K$	0.946 649
Subt.	9.829 207	Add.	0.163 319
log III,	1·003 880	log III,,,	1•109 968.

Nunmehr kann an die Auflösung der Gleichung 6) geschritten werden; um einen Näherungswerth für x zu erhalten, ist die Tafel XIII c) zu benützen; die hierzu erforderlichen Argumente sind nach den vorstehenden Zahlen:

$$\psi_{\prime}=172^{\circ}$$
 $\psi_{\prime\prime}=150^{\circ}$ $\log \left[(\{I\}_{\prime\prime\prime}+N_{\prime\prime}):R_{\prime\prime}\right]=0.157;$

damit finden sich aus der Tafel XIIIc) die beiden Werthe:

also im Mittel:

$$8 \cdot 136$$
 $8 \cdot 052$
 $\log M = 8 \cdot 094$
 $\log R_n^3 = 0 \cdot 005$
 $\log x = 8 \cdot 089$

mit welchem Werthe von x der erste Versuch begonnen wird. Nach Anhang III. 6), 7), 8) und 9) wird nun die Rechnung in folgender Weise geführt:

, 0,	una 9, wha he	in the recommend	in longender	orbo Borumit.
	Versuch	1.	2.	3.
	$\log x_a$	8.089 000	8·o86 645	8.086 643
	II,x_a	— 0·124 735	- O·121 353	— 0·121 336
	$II_{m}x_{a}$	— 0·142 440	o·138 214	— 0·138 192
	$\log (\varrho, -N)$	0.325 395	o·326 o88	0.326 092
	$\log (\varrho_{""} - N_{""})$	0.334 178	0.335 028	0.335 032
~	$\operatorname{tg} \theta$,	1.177 798	1.178 491	1.178 495
(2 pun	$\operatorname{tg} heta_{m}$	0.636 856	0.637 706	0.637 710
	$\sin heta$,	9.999 045	9·999 047	9.999 047
6)	$\sin heta_{,,,}$	9.988 735	9.988 778	9.988 778
III.	r,	0.326 350	0.327 041	0.327 045
	r,,,	0.345 443	0.346 250	0.346 254
Anhang	Add.	0.291 588	0.291 532	0.291 532
An	Subt.	8.65267	8.65536	
	$(r,+r_m)_e$	0.637 031	0.637 782	0.637 786
	$\log x_e$	8.088 907	8.086 654	8.086 642
	. 4 ,	— o∙ooo og3	+ 0.000 009	- 0.000 001
	r,,, — r,	8.97902	8.98240	
	$\log y_e$	8.34199	8.34462	
	y _e	+ 0.021 978	+ 0.022 112	
				•

Wie man sieht, ist das Resultat des zweiten Versuches ausreichend genau und es können bei den geringen Änderungen, welche die Werthe $\sin \theta$, und $\sin \theta_m$ erfahren, die Factoren $(\sin \theta, III, + \sin \theta_m III_m)$ und $(\sin \theta, II, + \sin \theta_m II_m)$ des ersten Versuches im zweiten Versuch unverändert beibehalten werden.

Nach Anhang III. 10) findet man die geocentrischen Distanzen:

nach Anhang III. 11):

$r,\cos b$,	0.327 045	$r_{\prime\prime\prime}\cosb_{\prime\prime\prime}$	0.345 933
tgb,	3.818 7	$tg\ b_{m}$	8 _n 584 955
<i>r,</i>	0.327 045	r,,,	0.346 254,
nach Anhang III. 12)	:		
l,, l,	11° 3′ 57″6	$tg i sin(l, -\Omega)$	3.818 7
$\sin(l_{m}-l_{s})$	9-283 164	•	0,000 000
$\cos(l_m - l_i)$	9.991 849	$\mathbf{tg}\;i\cos(l,-\!\!\!-\Omega)$	9 ,,3 01 798
$tgb, \cos(l_{"}-l_{"})$	3.810 5	<i>l,</i> — Ω I	79° 59′ 59″3
tg <i>b,,,</i>	8 _n 584 955	Ω 1	64 9 19-1
Add.	0.000 007	tg i	9.301 798
$\operatorname{tg} b_{m} - \operatorname{tg} b_{l} \cos(l_{m} - l_{l})$	8 _n 584 962	i	11019'46"0,
nach Anhang III. 13)	:		
l, — Ω 1	79° 59′ 59″3	<i>l</i> ,,,— ♀	191°3′56″9
$tg(l - \Omega)$	4n530 7	tg(<i>l</i> ,,,—Ω)	9.291 308
и, і	79° 59′ 59″3	u _m 1	191°16′48″5.

Die für Aberration corrigirten Zeiten ergeben sich nach Anhang III. 14):

$$T_n = \text{Sept. } 1.627\ 330 - 0.006\ 466 = \text{Sept. } 1.620\ 864$$
 $T_n = \text{Sept. } 21.568\ 334 - 0.007\ 082 = \text{Sept. } 21.561\ 252$
 $T_m = \text{Sept. } 34.426\ 054 - 0.007\ 480 = \text{Sept. } 34.417\ 574\ ,$

welche Zeitangaben der weiteren Rechnung zu Grunde zu legen sind. Diese Rechnung gestaltet sich nach Anhang III. 15) mit Rücksicht auf den Umstand, dass $\xi_{"}$ der Null gleich gesetzt werden kann, wie folgt:

T,,,— T,	32.797 710	2ω"	o° 38' 0"8
$\log (T_{"} T_{,})$	1.515 843	$\sin \frac{1}{2} f_{"}^2$	7.383 928
$\log au''$	9.751 424	tg 2ω,,²	6.087 360
$u_{m}-u_{r}$	11° 16′ 49″2	Add.	0.021 403
$f_{"}$	5 38 24.6	$\sin \frac{1}{2}f_{"}^{2} + \operatorname{tg} 2\omega_{"}^{2}$	7.405 331
$\frac{1}{2}f_{"}$	2 49 12.3	$\cos f_{"}$	9.997 892
r,,,: r,	0.019 209	l"	7·407 439
$tg (45^{\circ} + \omega_{"})$	0.004 802,2	Add.	0.001 330
ω"	0° 19′ 0″4	$\log (i + l_n)$	9.922 149
$2\cos f_{"}$	0.298 922	h,, +	- o·oo4 720
$\sqrt{r,r_{m}}$	o·336 649	η,,2	0.004 517
N_{\cdot}	0.635 571	$m_{"}: \eta_{"}^2$	7.591 618
N^3	1.906 713	Subt.	9.722 794
$ au''^2$	9·502 848	$\sin rac{1}{2} g_{"}^2$	7.130 233
m,,	7.596 135	$\sin \frac{1}{4}g_{"}$	8-565 116
$\log h_n$	7·673 986	$\frac{1}{2}g_{"}$	2° 6′ 19″5 .

Anhang III. 16):

$$\frac{\frac{1}{2}(f_{n}+g_{n})}{\frac{1}{2}(f_{n}-g_{n})} + \frac{1}{0} \cdot 55^{'} \cdot 31^{''8} \qquad \sin \frac{1}{2}(F_{n}+G_{n}) \sin \frac{1}{2} \varphi \gamma^{2} \qquad 8 \cdot 043 \cdot 646$$

$$\frac{1}{2}(f_{n}-g_{n}) + 0 \cdot 42 \cdot 52 \cdot 8 \qquad \qquad 9 \cdot 874 \cdot 086$$

$$\cos \frac{1}{2}(f_{n}+g_{n}) + 9 \cdot 998 \cdot 394 \qquad \cos \frac{1}{2}(F_{n}+G_{n}) \sin \frac{1}{2} \varphi \gamma^{2} \qquad 8 \cdot 095 \cdot 996$$

$$\cot \frac{1}{2}(g_{n}-g_{n}) + 9 \cdot 999 \cdot 966 \qquad \sin \frac{1}{2} \varphi \gamma^{2} \qquad 8 \cdot 221 \cdot 910$$

$$\sin \frac{1}{2}(f_{n}+g_{n}) + 8 \cdot 933 \cdot 793 \qquad \qquad \frac{1}{2} \varphi + 10^{\circ} \cdot 53^{'} \cdot 56^{'\prime} \cdot 2$$

$$\sec 2\omega_{n} + 0 \cdot 000 \cdot 027 \qquad \qquad \varphi \qquad 21 \cdot 47 \cdot 52 \cdot 4$$

$$\sin \frac{1}{2}(f_{n}-g_{n}) + 8 \cdot 095 \cdot 969 \qquad \qquad \gamma^{2} \quad 8 \cdot 945 \cdot 270$$

$$\sin \frac{1}{2}(F_{n}-G_{n}) \cos \frac{1}{2} \varphi \gamma^{2} \quad 8 \cdot 042 \cdot 074 \qquad \qquad \sqrt{2m_{n}} \cos f_{n} : \eta_{n} \quad 8 \cdot 945 \cdot 270$$

$$\cos \frac{1}{2}(F_{n}-G_{n}) \cos \frac{1}{2} \varphi \gamma^{2} \quad 8 \cdot 933 \cdot 820 \qquad \qquad f_{n} \quad 5 \cdot 38 \cdot 24 \cdot 6$$

$$\frac{1}{2}(F_{n}-G_{n}) \cos \frac{1}{2} \varphi \gamma^{2} \quad 8 \cdot 937 \cdot 365 \qquad \qquad g_{n} \quad 4 \cdot 12 \cdot 39 \cdot 0$$

$$E_{n} \quad 30^{\circ} \quad 1' \cdot 57'' \cdot 8 \qquad \qquad v_{n} \quad 54 \cdot 30 \cdot 24 \cdot 6.$$

Anhang III. 17):

Es wurde im Mittel aus den beiden Werthen von log μ angenommen:

$$\log \mu = 2.806785$$
, $\mu = 640''893$, $\log a = 0.495481$.

Anhang III. 18):

$$u_{1} - v_{2} = u_{m} - v_{m} = 136^{\circ} 46' 23'' 9$$

 $\pi = 300 55' 43'' 0.$

Reducirt man die erste mittlere Anomalie auf die nächstfolgende Berliner Mitternacht (dM = -1'17''5), so ergeben sich aus den vorstehenden Zahlen die Bahnelemente zusammengestellt, wie folgt:

(217) Eudora.

Epoche 1880 Sept. 1·5 mittl. Berl. Zeit

$$M = 19^{\circ} 21' 45''9$$
 $\pi = 300 55 43.0$
 $\Omega = 164 9 19.1$
 $i = 11 19 46.0$
 $\varphi = 21 47 52.4$
 $\mu = 640''893$
 $\log a = 0.495 481.$

Rechnet man, die Zeitangabe T_n benützend, nach Anhang III. 19) aus diesen Elementen die Darstellung des mittleren Ortes, so gestaltet sich diese in folgender Weise:

Wie man sieht, ist die Darstellung des mittleren Ortes eine völlig befriedigende und liegt innerhalb der Grenzen der Unsicherheit der sechsstelligen Rechnung; auch an diesem Beispiele bewährt sich die hohe Convergenz, welche der hier befolgten Methode zukommt. Diese würde in der Anwendung auf kleine Planeten übrigens selbst bei Zwischenzeiten von 50 Tagen und darüber noch eine befriedigende Darstellung des mittleren Ortes liefern, so dass man sich bei der ersten Bahnbestimmung wohl stets auf die Durchrechnung der ersten Hypothese beschränken darf.

Um nun auch ein Beispiel für die Berechnung einer Planetenephemeride in das vorliegende Werk aufzunehmen, sollen die vorstehenden Elemente zu einer solchen verwendet werden, da diese überdies eine sehr verlässliche Controle für alle vorstehenden Rechnungen abgeben wird.

Zur Berechnung einer Planetenephemeride genügt es, das Zeitintervall mit vier Tagen anzunehmen, wenn man die Rechnung sechsstellig führen will; rechnet man aber siebenstellig, so dürfte die Herabminderung des Intervalles auf zwei Tage zu empfehlen sein, da die kleinen, rasch veränderlichen Mondglieder in den Sonnencoordinaten die Differenzen in den geocentrischen Coordinaten unregelmässiger gestalten, als dies auf Grund der siebenstelligen Rechnung der Fall sein darf; in dem vorliegenden Beispiele wurde ein Zeitintervall von vier Tagen angenommen und die Rechnung sechsstellig durchgeführt.

Zunächst wurden nach 14) (pag. 18) die zur Berechnung der Ephemeride nöthigen Constanten ($\varepsilon = 23^{\circ} 27' 17''5$) ermittelt und dafür erhalten:

$$x = r \cdot 9.999374 \sin(v + 31^{\circ} 13' 20''1)$$

$$y = r \cdot 9.989536 \sin(v + 301^{\circ} 54' 21''9)$$

$$z = r \cdot 9.349147 \sin(v + 287^{\circ} 40' 13''1);$$

die Rechnung der Ephemeride (X, Y, Z, G, g und f nach dem Berliner Jahrbuche) findet sich auf pag. 392.

Interpolirt man aus dieser Ephemeride mit Rücksicht auf vierte Differenzen die für die Beobachtungszeiten, nachdem dieselben um die aus der Ephemeride resultirenden Aberrationszeiten corrigirt worden sind, geltenden scheinbaren Rectascensionen und Declinationen, so erhält man:

log
$$\varrho$$
 Aberrzt geoc. app. α geoc. app. δ Wirkung der Parallaxe in α in δ

1. 0.0493 — $9^m 18^56$ $23^h 15^m 45^509$ — $4^0 45' 31''8$ — $0^5 20$ — $5''8$

2. 0.0781 — $9 56.9$ 23 4 57.40 — 8 35 36.2 — 0.19 — 5.7

3. 0.1127 — 10 46.4 23 0 46.23 — 10 24 54.0 + 0.03 — 5.5 ,

und die Darstellung der Beobachtungen wird im Sinne: Beobachtung-Rechnung:

welche Fehler die Unsicherheit der sechsstelligen Rechnung nicht überschreiten. Die Methode hat demnach Alles geleistet, was von derselben verlangt werden kann, nämlich die Darstellung der zu Grunde gelegten Beobachtungen; vergleicht man aber mit der oben gegebenen Ephemeride die anderweitigen Beobachtungen, so wird man finden, dass dieselben nicht befriedigend dargestellt werden; man kann daraus schliessen, dass mindestens eine der Beobachtungen mit einem grösseren Beobachtungsfehler behaftet ist, der durch die ungünstigen Verhältnisse. welche in dem vorliegenden Falle für eine Bahnbestimmung aus drei Orten statthaben, wesentlich vergrössert auf die Elemente übergeht. Es ist natürlich hier, wo es sich nur um die Beistellung eines Beispieles handelt, nicht der Ort nach der Quelle dieser Abweichungen zu forschen.

+ 50.54			+ 49.49			+ 48.43		-	+ 47:33	,
9,2784			9,2108			9,0983			8,9186	90
9.4622			0-4550			0-4260			0-2781	$\sin G + g$
9.9810			9.9815			9.9840	_		9.9872	$\cos(G + a)$
343 9			343 24			344 32	_		346 11	4.0
358° 5′			357°35′			357018'	_ ,		357°15′	G.
11#	10" 42.3	10" 25"3	10" 1041	9" 56"7	9" 45"1	9" 35" 5	-	!	9,1845	Aberr. Zt.
0.122 366	0.100 031	0.008 205	0.087 582	0.077 022	0.060 451	0.062 258	0.056 447	0.052	0.040 235	000
-10 44 40:4	10 18 30.1	- 9 48 0.4	-9 13 24.2	-8 34 59.2	-7 53 11.0	7 8 30.4	6	- 5 22 - 8.8	4 44 2:7	app. o
+ 5	+ 20.0	+ 20.8	+ 20.6	+ 20:	+ 20.4		+ 20.2	+ 20.1	+ 20:0	Red.
-10°44′ 1″4	0,13	048'21"2	-0°13′44″8	25' 19"7		708' 50"7	-6°21' 54"8	- cº 22' 28"q	-4º 44' 22"7	d
23/0" 1848		821	23h 3m 19865		234 67 53 51	234 8# 59471	234 11" 14"07	23h 13m 32*11	23h 15m 49817	app. $\left\langle \begin{array}{c} \alpha \\ \alpha' \end{array} \right\rangle$
245	17.2	C 20 33.I	245 40 54-8	346 14 45.8	246 43 22.7	247 14 55-7	347 48 3I·I	348 23 I·7	248 57 17.6	\ \alpha''.
343 3 43 3	343 13 23 9	345 20 42 2	345 49 4 3	13 55 0		34/ 14 0 0	47	340 22 13 5	348 50 29 9	R R
0-114 666	0.102 856	0.091 904	0.081 925	0.073 034		0.058 870	0.053 762	0.050 043	0.047 747	e cos d
9-992 310	9.992 925	9-993 609	9-994 342	9.995 102		9.996 612	9.997 315	9-997 953	9.998 512	•
9,393 106	9,, 362 895	9,329 538	9,292 741	9,252115	9,207 144	9,157 157	9,101 245	9,038 207	8,,966 362	$\log(z+Z)$
0.099 737	0.088 251	0.077 803	0.068 483	0.060 373	0.053 528	0.048 001	0.043 833	0.041 035	0.039 607	$\log(x+X)$
9.985 071	9.985 395	9.985 899	9.986 558	9.987 339	9.988 210	9.989 131	9.990 071	9.990 992	9-991 860	
9,525 887	9,,509 470	9,,491 1:36	9,471 101	9,449 589	9,426 846	9,,403 163	9,378 884	9,,354 499	9,,330 615	$\log (y + Y)$
- 0.103 144	- 0.076 546	- 0.049 581	- 0.022 388	+ 0.004 901	+ 0.032 160	+ 0.059 269	+ 0.086 112	+ 0.112 564	+ 0.138 498	2
- 0·144 089	- 0.154 073	- 0·163 988	- 0·173 831	- 0·183 597	-0.193 278	- 0·202 870	- 0.212 366	- 0.221 760	- 0.231 045	1 22
9.697 317	9.694 833	9.692 375	9.689 945	9.687 549	9.685 186	9.682 860	9.680 573	9.678 327	9.676 127	rsinc
9,461 314	9,492 894	9,522 438	9,550 182	9,576 316	9,,600 997	9,624 359	9,646 513	9,667 556	9,687 569	$\sin(C' + v)$
343011'7"1	341052'29"0	340° 32′ 57″6	339° 12′ 31″9	337051'12"2	336°28′58″6	335°5′51″2	333041'50"7	332° 16′ 57″6	330° 51 '12"4	a + 2
- 0.237 729	- 0.176 422	- 0.114 276	- 0.051 606	+ 0.011 286	+ 0.074 112	+ 0.136 598	+ 0.198 472	+ 0.259 443	+0.319 212	4
- 0.097 921	- 0.146 777	- 0.195 563	- 0.244 264	- 0·292 858	- 0·341 318	- 0·389 623	- 0.437 740	- 0·485 646	-0·533 311	¥
0-337 706		0.332 764	0.330 334	0.327 938	0.325 575	0.323 249	0.320 962	0.318 716	0.316 516	r sin b
8,653 168		8,,958 523	9,057 526	9,138719	9,207 584	9,267 395	9,320254	9,367 603	9,410465	$\sin(B'+v)$
357025	- 1	3540 47' 6"4	3530 26' 40"7	3520 5' 21"0	3500 43' 7"4	349° 20′ 0″0	347° 55' 59"5	3460 31' 6"4	3450 5' 21"2	B'+v
- 0.964 323	- 0.981 027	— 0·993 o59	- 1.000 386	- I.003 008	- 1.000 945	- 0.994 228	- 0.982 889	- 0.966 973	-0.946 556	M;
+ 2.222 485	+ 2.206 353	+ 2.189 255	+ 2.171 185	+ 2.152 148	+ 2-132 115	+ 2:111 095	+ 2.089 086	+ 2.066 067	+ 2.042 043	
0.347 544	9.990 013	9:997 094	0.240 172	0-337 776	9.993 396	9.991 421	9.999 130	9.990 590	9:963 711	(2 + c) ure
86'44'14"1	85"25"36"0	84' 6' 4"6	82°45′ 38″9	81024' 19"2	80" 2' 5"6	780 387 5872	77014' 57"7	75" 50" 4"6	74024 1974	A + v
	+ 2 484	+ 2 458	+ 2 430	+ 2 396	+ 2 363	+ 2 326	+ 2 287	+ 2 246	+ 2 200	J log r
0.348 170	0.345 686	0.343 228	0.340 798	0.338 402	0.336 039	0.333 713	0.331 426	0.329 180	0.326 980	log r
	I 18 38 · I	1 19	1 20 25.7	1 21 19.7	1 22 13.6	1 23 7.4	1 24 0.5	1 24 53.1	1 25 45.2	В
55° 30′ 54″0	54° 12′ 15″9	52°52' 44"5	510 32' 18"8	500 10' 59"1	48°48′45″5	47025' 38"1	460 1' 37"6	44° 36′ 44″ 5	43° 10′ 59″3	e
0.101	0.112 764	0-123 905	0.134 580	0.144 810	0.154 610	0.163 997	0.172 984	0.181 584	o∙189 8o8	7 COB T
9-916 072	9.909 079	9.901 656	9-893 777	9-885 414	9.876 541	9.867 125	9.857 132	9.852 404	9.862 828	
0.264 242	0.254 765	0.244 884	0.234 575	0.223 816	0.212 (80	0.200 838	0.188 558	0.175 707	0.162 246	rsing
0.605 653	0.617 282	0.638 434	0.630,000	0.640 330	0.660 130	0.668 732	0.677 503	0.686 103	0.604 327	Subt.
9.889 109	9.047 203	9.901 114	9.900 844	9:912 390	9.917 771	9.922 971	9.927 990	9.932 847	9.937 520	203.15
9.800 979	9.791 502	9.781 621	9-771 312	9.760 553	9.749 317	9.737 575	9.725 295	9.712 444	9.698 983	sin E
39 13 34.0	38 13 24.9	37 12 55.3	36 12 5 1	35 10 54.6	34 9 23.9	33 7 33.2	32 5 22.6	31 2 52.8	30 0 3.5	او لع
25°46′ 18″0	250 3' 34"5	240 20' 50"9	23° 38′ 7″3	220 55' 23"8	220 12' 40"2	210 29' 56"6		200 4' 29"5	19021'45"9	: Z
			Coper ago	Soper as 3	C./ s		C C maken			

Um nun ein Beispiel für jene Methode zu geben, welche man befolgen kann, wenn die aus der ersten Hypothese erhaltenen Werthe sich nicht als genügend genau erweisen und die Bildung weiterer Hypothesen zur befriedigenden Darstellung nöthig wird, soll das von Gauss in der Theoria motus (pag. 183 u. ff.) durchgeführte Ceres-Beispiel vorgenommen werden; es wird sich an diesem die ausserordentliche Convergenz der hier in Vorschlag gebrachten Methode bewähren. Die Grundlagen der Rechnung sind:

mittl. Pariser Zeit
$$\lambda$$
 β L $\log R$ 1805 Sept. 5.51336 95° 32′ 18″56 $-$ 0° 59′ 34″06 162° 54′ 56″00 0.003 1514 1806 Jan. 17.42711 99 49 5.87 $+$ 7 16 36.80 297 12 43.25 9.992 9861 1806 Mai 23.39813 118 5 28.85 $+$ 7 38 49.39 61 58 50.71 0.005 6974.

Die hier mitgetheilten Orte sind geocentrische und auf das mittlere Äquinoctium des Jahresanfanges 1806 bezogen, die Zeitangaben sind von dem Einflusse der Aberration befreit, so dass die eben mitgetheilten Werthe ohne weitere Correction als Grundlage der Bahnbestimmung dienen können. Obwohl Gauss, wie dies die ausgeführten Reductionen zeigen, im Besitze von Näherungswerthen für die Elemente war, so hat er doch von denselben zur Bildung der ersten Hypothese keinen Gebrauch gemacht, um seine Methode an einem extremen Beispiele zu erläutern. Die Bildung dreier Hypothesen in Verbindung mit einem nicht ganz einfachen Interpolationsverfahren liess ihn erst in der vierten Hypothese den Abschluss der Näherungen erreichen, während die hier vorgeschlagene Methode, wie dies die Zahlen am Schlusse der pag. 394 erweisen, schon in der ersten Hypothese Werthe gibt, die der Wahrheit näher sind, als Gauss' dritte Hypothese.

Die Vorbereitungsrechnungen und die Auflösung der Gleichung durch Versuche kann ganz nach den Formeln des Anhanges III. 1) — 9) durchgeführt werden, und da das oben mitgetheilte Eudora-Beispiel die Anlage der Rechnung in ausführlicher Weise zeigt, so genügt es, hier nur die Hauptresultate mitzutheilen: Anhang III. 1:

$$K = + 0.04363288$$
, $\log K = 8.6398139$;

der beträchtliche Werth von K lässt eine gute Bahnbestimmung erwarten.

Anhang III. 2):

$$\psi_{i} = 67^{\circ} 22' 50''34$$
 , $\psi_{iii} = 56^{\circ} 27' 7''88$
 $P_{i} = 181 4 31 \cdot 92$, $P_{iii} = 9 11 15 \cdot 22$
 $N_{i} = + 0 \cdot 387 4081$, $N_{iii} = + 0 \cdot 559 9304$
 $\log D_{i} = 9 \cdot 968 3909$, $\log D_{iii} = 9 \cdot 926 5640$.

Hierbei sind die Bogen P, und P_m mit angeführt, weil von denselben in der Folge Gebrauch gemacht wird.

```
Anhang III. 3): G_{,} = 332^{\circ} \ 10' \ 46''71 \quad , \qquad G_{,m} = 263^{\circ} \ 57' \ 1''51  \log f_{,} = 8 \cdot 616 \ 8751 \quad , \qquad \log f_{,m} = 9 \cdot 157 \ 7299. Anhang III. 4): \log A_{,} = 8 \cdot 468 \ 7887 \quad , \qquad \log A_{,m} = 9 \cdot 124 \ 4748  \log B_{,} = 8 \cdot 609 \ 8367 \quad , \qquad \log B_{,m} = 8 \cdot 708 \ 2391  \log C_{,} = 8 \cdot 371 \ 9312 \quad , \qquad \log C_{,m} = 8_{n}911 \ 7614. Anhang III. 5): \log \mu_{,} = 1_{n}309 \ 3519 \quad , \qquad \log \mu_{,m} = 9 \cdot 910 \ 8533  \log \mu_{,m} = 9_{n}910 \ 8533 \quad , \qquad \log \mu_{,m} = 1_{n}291 \ 6464  \{I\}_{,} = + 2 \cdot 786 \ 2175 \quad , \qquad \{I\}_{,m} = + 2 \cdot 712 \ 9535  \log III_{,} = 1_{n}599 \ 0237 \quad , \qquad \log III_{,m} = 1_{n}624 \ 5637  \log III_{,} = 1_{n}478 \ 4279 \quad , \qquad \log III_{,m} = 1 \cdot 906 \ 9287.
```

Da keine Näherungen als bekannt vorausgesetzt werden, so sind die γ-Symbole in der ersten Hypothese der Null gleich zu setzen; die Auflösung der Gleichungen nach Anhang III. 6), 7), 8) und 9) gibt:

$$\log r_{,,} = 0.428 \, 1340$$
 , $\log x = 7.845 \, 0376$
 $\log r_{,,,} = 0.406 \, 1699$, $\log y = 8_{,,}402 \, 8065$;

Gauss findet in seinen drei Hypothesen der Reihe nach:

während die wahren Werthe für die Radienvectoren, wie dies die spätere Rechnung zeigt: $\log r_r = 0.428 \ 2787$

$$\log r_{m} = 0.406 2009.$$

sind, so dass die Fehler der Gauss'schen dritten Hypothese in den Logarithmen der Radienvectoren — 2054 und — 2688 Einheiten der siebenten Decimale betragen, während die analogen Fehler der ersten Hypothese nach der hier in Anwendung gezogenen Methode sich nur auf + 1447 und + 310 belaufen, also wesentlich genaueren Werthen entsprechen; die Gauss'sche erste Hypothese gibt gar die Fehler — 41147 und — 32703. Man hat nun die nach den Formeln des An-

hanges geführte Rechnung abzubrechen und mit der Durchrechnung der Ausdrücke 31)-38 (pag. 376 u. ff.) zu beginnen, um Näherungswerthe für die in der ersten Hypothese der Null gleichgesetzten Werthe von Γ , und Γ_m zu erhalten; die diesbezüglichen Operationen sind hier ausführlich angesetzt:

Formel 31) (pag. 376):

Die so ermittelten Zahlen sind als unabhängig von irgend welchen hypothetischen Annahmen den vorbereitenden Rechnungen anzuschliessen und können in der zweiten und den folgenden Hypothesen unverändert in Anwendung gezogen werden. Mit den oben erhaltenen Werthen von $\log r$, und $\log r_m$ findet sich nach: Formel 32) (pag. 376):

Formel 33) und 34) (pag. 376, 377) (γ ," und γ ," sind in dieser ersten Hypothese der Null gleich zu setzen):

$\log\left(-4\tau,\tau_{m}\frac{\tau_{n}}{\tau_{m}}y\right)$	9·388 6148	$\log\left(\pm\tau,\tau_{m}\frac{\tau_{m}}{\tau_{n}}y\right)$	9n + 15 1694
Subt.	0.005 2440	A'dd.	0.005 7337
log Ψ ,"	1 _n 304 1079	$\log \Psi_{"'}$	1 _n 297 3801
$\log\{\mathbf{i}:(\mathbf{i}+\Psi''_{i}x)\}$	0.065 9948	$\log\{\mathbf{i}:(\mathbf{i}+\boldsymbol{\varPsi_m}^{\prime\prime}\boldsymbol{x})\}$	0.064 9005
$\log n$	9.751 4845	$\log n_{"}$	9·776 9448
$\sin 2f_n$	9-949 6094	cos 2 f,,	9.658 0893

r,,, n,,	0.183 1147	r,n	0.179 6185
$r_m n_n \cos 2 f_n$	9.841 2040	$r,n\cos 2f_{"}$	9.837 7078
r, n	0.179 6185	r,,, n,,	0.183 1147
Add.	0.163 9838	Add.	0.161 7970
$r_n \sin 2 f_m$	0.132 7241	$r_{"}\sin 2f_{"}$	0.129 2279
	9.930 2722		9.931 5816
$r_{"}\cos 2f_{"}$	0.343 6023	$r_{"}\cos 2f$	0.344 9117
$_2f_m$	31° 36′ 21″74	2 f ,	31° 19′ 25″57
r"	0.413 3301	<i>r</i> ,,	0.413 3301.

Probe:

$$2f$$
, $+2f$ _{"'} = $62^{\circ}55'47''31$.

Formel 35) (pag. 377):

Bei der Grösse der heliocentrischen Bewegung werden die ξ -Werthe, welche man in der ersten Näherung mit dem Argumente $w = \sin \frac{1}{4} f^2$ entlehnen kann, einer Verbesserung bedürftig sein; die zu diesem Zwecke — von der Zeile: $\frac{5}{6} + l + \xi$ angefangen — erforderlichen kleinen Operationen sind auf einem Nebenblatt ausgeführt und die so erhaltenen Werthe von ξ in die untenstehende Rechnung eingesetzt:

emgesetzt.	η,	η,,	$\eta_{\prime\prime\prime}$
$\log au$	0.335 8520	0.650 3623	0.362 4066
f	15° 39′ 42″79	31° 27′ 53″66	15° 48′ 10″87
$\log r$	0.413 3301	0.428 1340	0.428 1340
$\log r'$	0.406 1699	0.406 1699	0.413 3301
r':r	9.992 8398	9.978 0359	9.985 1961
$tg(45^{\circ}+\omega)$	9 ·998 2099,5	9.994 5089,7	9.996 2990,2
ω	— o° 7′ 5″08	— o° 21′ 43″93	— o° 14′ 38″86
2 (1)	- o 11 10·19	o 43 27·86	— o 29 17·72
tg 2 ω	7 n 615 0780	8 _n 101 8823	$7_{n}9305351$
$\frac{1}{2}f$	7° 49′ 51″39	15° 43′ 56″83	7° 54′ 5″44
$\sin \frac{1}{2} f$	9.134 3384	9.433 2027	9.138 2100
$\sin \frac{1}{2} f^2$	8.268 6768	8.866 4054	8.276 4200
tg 2 ω ²	5.230 1560	6.203 7646	5.861 0702
Add.	0.000 3972	0.000 9434	0.001 6657
$\sin \frac{1}{2} f^2 + \operatorname{tg} 2 \omega^2$	8.269 0740	8.867 3488	8.278 0857
$\cos f$	9.983 5684	9.930 9287	9.983 2670
$\log l$	8.285 5056	8.936 4201	8.294 8187
l	+ 0.019 2977	+ o·086 3814	+ 0.019 7160
$2\cos f$	0.284 5984	0.231 9587	0.284 2970
Vrr	0.409 7500	0.417 1519	0.420 7320
$2\cos fVrr'$	o·694 3484	0.649 1106	0.705 0290
$\{2\cos f\mid rr'\}^3$	2.083 0452	1.947 3318	2.115 0870
$ au^2$	0.671 7040	1.300 7246	0.724 8132
log m	8.588 6588	9.353 3928	8.609 7262

Formel 36) (pag. 377):

Formel 37, (pag. 377):

Die Gleichungen 38) (pag. 377) werden nun nach den bekannten Methoden [Anhang III. 6), 7), 8) und 9)] aufgelöst, nur treten überall statt II, und II_m die Werthe II, +I, und II_m+I_m ein; die Auflösung der Gleichungen ergibt:

$$\log r$$
, = 0.428 2794 $\log x$ = 7.844 7732 $\log r_m$ = 0.406 1976 $\log y$ = 8,405 1266.

Die Fehler in den Logarithmen von r, und r_m gegen die genauen Werthe betragen beziehungsweise nur -7 und +33 Einheiten der siebenten Decimale, somit gibt selbst in diesem extremen Falle bereits die zweite Hypothese eine für die praktischen Bedürfnisse völlig ausreichende Annäherung; um aber Nichts an der Vollständigkeit dieses Beispieles zu verabsäumen, soll nun auf diese Zahlen noch eine dritte Hypothese aufgebaut werden; die vorstehenden Zeilen enthalten die Anlage der Rechnung in ausführlicher Form, weshalb hier nur die Hauptmomente derselben mitgetheilt werden.

$$\theta_{n} = 69^{\circ} \, 12' \, 24'' \, 14$$
 $f_{n} = 31^{\circ} \, 27' \, 38'' \, 78$
 $\theta_{m} = 70 \, 38 \, 44 \cdot 99$
 $2f_{n} = 62 \, 55 \, 17 \cdot 56$.

$$log n = 9.751 2410
2 f_{m} = 31^{0} 36' 15''21
log r_{n} = 0.413 2804$$

$$log n_{n} = 9.776 8771
2 f_{n} = 31^{0} 19' 2''36
log r_{n} = 0.413 2804.$$

$$\eta_{m}$$
 ω — 0° 7′ 0″50 — 0° 21′ 50″91 — 0° 14′ 50″44

 l + 0·019 2891 + 0·086 3575 + 0·019 7157

 $log m$ 8·588 6714 9·353 0754 8·609 5768

 ξ + 148 + 2532 + 171

 $log h$ 8·657 9071 9·389 3140 8·678 5941

 $log \eta$ 0·020 3642 0·086 1166 0·021 2854

 η — 1 + 0·048 0071,9 + 0·219 3169,2 + 0·050 2324,1.

Nach 36) (pag. 377):

$$\gamma_{i}'' = + 0.054994$$
 $\gamma_{ii}'' = + 0.008979$
 $\gamma_{i}''' = + 0.0040078$ $\gamma_{ii}'' = - 0.0033646.$

Nach 37) (pag. 377):

$$\log \Gamma_{,} = 9.034 \text{ 177}$$
 $\log \Gamma_{,m} = 8.030 \text{ 909}$
Subt. = 0.001 1845 Subt. = 0.000 1107
 $\log (II_{,} + \Gamma_{,}) = 1_{n}597 8392$ $\log (II_{,m} + \Gamma_{,m}) = 1_{n}624 4530.$

Die erneute Auflösung der Gleichungen [vergl. Anhang III. 6], 7], 8] und 9]] gibt:

$$\log x = 7.8447697$$
 $\log y = 8_{n}4050546$
 $e_{1} - N_{1} = + 2.5144839$ $e_{2} - N_{2} = + 2.4040135$
 $\log r_{1} = 0.4282787$ $\log r_{2} = 0.4062008$

womit die Hypothesen beendet erscheinen und sich für e, und em die Werthe:

$$\varrho_{m} = + 2.9018920$$
 $\log \varrho_{m} = 0.4626812$
 $\log \varrho_{m} = 0.4718700$

ergeben, aus denen die Elemente nach den Formeln des Anhanges III. 11 ff. ab-

geleitet werden; um aber eine Controle für die Werthe u, und u_m zu erhalten, wird nach 32) (pag. 376) ermittelt:

$$\theta_{n} = 69^{\circ} 42' \cdot 24'' \circ 2$$
 $f_{n} = 31^{\circ} 27' 38'' 58$
 $\theta_{nn} = 70 38 44 \cdot 63$ $2 f_{n} = 62 55 17 \cdot 16$.

Die Hauptmomente der Rechnung gestalten sich weiter, wie folgt:

Anhang III. 11):
$$l_r = 75^{\circ} \ 14' \ 31'' 15$$
 $l_m = 137^{\circ} \ 36' \ 37'' 21$ $\log \operatorname{tg} b_r = 8_n 273 \ 1939$ $\log \operatorname{tg} b_m = 9 \cdot 195 \ 0168$ $\log r_r = 0 \cdot 428 \ 2787$ $\log r_m = 0 \cdot 406 \ 2009$.

Anhang III. 12): $\Omega = 80^{\circ} \ 58' \ 49'' 04$ $i = 10^{\circ} \ 37' \ 32'' 97$.

Anhang III. 13): $u_r = 354^{\circ} \ 9' \ 44'' 16$ $u_m = 57^{\circ} \ 5' \ 1'' 36$ $u_m - u_r = f_n = 62^{\circ} \ 55' \ 17'' 20$.

Zur theilweisen Berücksichtigung des oben um o''04 kleiner gefundenen Werthes für f_n wird für die Folge angenommen:

Anhang III. 17) und 18):

$$\log p = 0.439 6204$$
 $\mu \text{ aus } M_{m} - M_{r} = 769''68450$
 $\log \mu \text{ aus } \log p = 2.886 3126$ $\log (\mu \text{ aus } M_{m} - M_{r}) = 2.886 3127$
 $M_{r} = 297'' 41' 19''19$ $\log a = 0.442 4626$
 $M_{m} = 353 15 8.47$ $\pi = 146'' 1' 10''44$.

Da der für μ aus $M_m - M_n$ resultirende Werth den Vorzug grösserer Genauigkeit für sich in Anspruch nimmt, so wird in der weiteren Rechnung die aus demselben sich ergebende Zahl verwendet. Die erhaltenen Ceres-Elemente zusammengestellt sind:

(1) Ceres

Epoche 1805 Sept. 5,51336 mittl. Pariser Zeit

$$M = 297^{\circ}41'19''19$$
 $\pi = 146 \quad 1 \quad 10\cdot44$
 $\Omega = 80 \quad 58 \quad 49\cdot04$
 $i = 10 \quad 37 \quad 32\cdot97$
 $\varphi = 4 \quad 37 \quad 57\cdot48$
 $\mu = 769''68450$
 $\log a = 0.442 \quad 4626$.

Rechnet man nun die Darstellung des mittleren Ortes, so findet sich (Anhang III 19):

$$M_n = 326^{\circ} \ 19' \ 10''53,$$
 $v_n = 320^{\circ} \ 43' \ 37''93$
 $E_n = 323 \ 34 \ 17 \cdot 94,$ $\log r_n = 0 \cdot 413 \ 2814,$
und daraus:
 $\lambda_n = 99^{\circ} \ 49' \ 5''90,$ $\beta_n = + 7^{\circ} \ 16' \ 36''78$
(Beob.-Rechng.) $d\lambda_n = - 0''03$ $d\beta_n = + 0''02,$

so dass eine völlig innerhalb der Unsicherheit siebenstelliger Rechnung liegende Darstellung des mittleren Ortes nach der dritten Hypothese bei diesem extremen Beispiele erreicht ist.

Um endlich jenen Rechnungsvorgang zu erläutern, der einzuhalten ist, wenn vor Beginn der Rechnung genäherte Elemente zur Verfügung stehen, und gleichzeitig ein Beispiel der für eine Kometenbahnbestimmung oben (pag. 379 ff.) als geboten bezeichneten Modificationen der Methode vorzuführen, soll die Bestimmung der Bahn des Kometen I. 1866 ohne bestimmte Voraussetzung über die Excentricität auf den folgenden Grundlagen vorgenommen werden:

mittl. Berliner Zeit
$$\lambda$$
 β L $\log R$ 1865 Dec. 22.5 16° 44′ 31″6 $+$ 61° 54′ 30″4 271° 12′ 19″8 9.992 754 9.992 754 9.992 754 9.992 754 9.992 754 9.992 754 9.992 754 9.992 754 9.992 754 9.992 754 9.992 754 9.992 754 9.992 754 9.992 754 9.992 754 9.992 755 9.992 755 9.992 755 9.992 755 9.992 755 9.992 756 9.992 757 9.992 758 9.992 759 9.99

Diese Coordinaten beziehen sich auf das mittlere Äquinoctium des tropischen Jahresanfanges 1866: die Orte des Kometen sind geocentrische und für Planetenaberration corrigirt. Genäherte parabolische Elemente, die aus anderweitigen, wenige Tage umfassenden Beobachtungen abgeleitet sind, ergeben:

```
für die Perihelzeit: 1866 Januar 9·4978 mittl. Berliner Zeit,
,, den Logarithmus der Periheldistanz: 9·991 974.
```

Diese Angaben entfernen sich ziemlich weit von den wahren Werthen, sind aber absichtlich gewählt, um die hohe Convergenz der in Vorschlag gebrachten Methode selbst für jene Fälle zu erweisen, in denen vor Beginn der Rechnung nur ganz rohe Näherungen bekannt sind.

Zunächst wird nach der Formel Anhang III. 1) der Werth von K gefunden:

$$K = -0.0008110$$
, $\log K = 6,000021$;

trotz der starken geocentrischen Bewegung liegen, wie dies die ausserordentliche Kleinheit von K erweist, die drei beobachteten Orte des Kometen sehr nahe in einem grössten Kreise, weshalb eine Bahnbestimmung unthunlich sein würde, wenn dieser grösste Kreis nahe an dem mittleren Sonnenorte vorbeiginge; allein die Ansicht der zur Grundlage der Rechnung genommenen Werthe zeigt, dass der mittlere Sonnenort nahe dem Pole dieses grössten Kreises zu liegen kommt, eine Bestimmung der Radienvectoren (vergl. pag. 369) also mit Sicherheit möglich ist, und dass r nahezu gleich R (vergl. pag. 366) sein muss. Es ist aber oben [pag. 369]

bereits darauf hingewiesen worden, dass dieser Umstand allein eine Bahnbestimmung nicht mit Sicherheit ermöglicht und eine solche erst durchführbar ist, wenn in dem ebenen Dreiecke: Erde — Komet — Sonne, der Winkel z am Kometen nicht nahe 90° ist, also:

 $\sin z = \sin \psi_{"} \frac{R_{"}}{r_{"}},$

nicht nahezu der Einheit gleich wird. Da nun im vorliegenden Falle die parabolische Hypothese $\log r_n = 0.0040$ gibt, weiter nach der obigen Angabe $\log R_n = 9.9927$ und der scheinbare Abstand des Kometen von der Sonne zur Zeit der zweiten Beobachtung $\psi_n = 85^{\circ}46'$, also:

$$\log \sin z = 9.9875,$$

ist, so kann eine völlig sichere Bahnbestimmung nicht erwartet werden. In der That bestätigen die folgenden Rechnungen, dass verhältnismässig sehr differente Elemente innerhalb der Unsicherheit der Rechnung den Beobachtungen genügen werden. Den Beobachtungen können nun Fehler anhaften, die im Verhältnisse zur Sicherheit der Rechnung gross sind, weshalb den Resultaten der Bahnbestimmung in solchen Fällen kein volles Vertrauen entgegengebracht werden darf; da aber bei Kometen sich sehr häufig ähnliche Umstände zeigen werden, so dürfte für dieselben sich stets die Bahnbestimmung aus vier Orten empfehlen, deren Methode in der folgenden Abtheilung auseinandergesetzt wird.

Nach den Formeln 31) (pag. 360) wurde:

$$\psi$$
, = 97° 14′ 45″1 , ψ _m = 72° 44′ 10″5
 P , = 62 47 6·5 , P _m = 9 51 38·2
 N , = -0·124 041 , N _m = +0·291 792
 $\log D$, = 9·989 272 , $\log D$ _m = 9·972 632,

und da trotz der ausreichend genauen Resultate der ersten Hypothese die Absicht vorlag, zwei Hypothesen zu rechnen, so wurden nach 31) (pag. 376) die folgenden Werthe abgeleitet:

$$\log w^2 = 9.301 986$$
 , $\log h^2 = 9.902 850$
 $W' = 86^{\circ} 34' 8''7$, $H' = -6^{\circ} 31' 5''3$

Nach 8a) und 9a) (pag. 354) fand sich:

$$G_r = 185^{\circ} \ 27' \ 9''7$$

 $\log f_r = 9.530 \ 870$, $\log B_r = 9n515 \ 123$
 $\log A_r = 9.520 \ 685$, $\log C_r = 9.498 \ 147$.

Die Lage des durch den mittleren Ort zu legenden grössten Kreises wurde nach 12a) (pag. 285) bestimmt; es ergaben sich die Werthe:

$$\lambda_{m} - \lambda_{r} = -73098''4$$
 $\beta_{r} - \beta_{m} = +188986\cdot4$
 $\Pi = 236'' 16' 26''6$
 $\log \lg J = 9.832565$

und damit nach 4) (pag. 275):

$$\log (\odot, \sin J) = 9.500 618 , \log (-\odot_n \sin J) = 9.546 358 , \log (-0.000 \sin J) = 9.611 475 , \log (-0.000 \cos J) = 9.537 117 ,$$

endlich nach 6) (pag. 380) die von den Zwischenzeiten abhängigen Grössen:

$$\log \tau_n = 9.138671$$
 , $\mu_n'' = -0.0363971$, $\log \mu_n'' = 8_n561067$
 $\log \tau_n = 9.332491$, $\mu_n''' = +0.0172615$, $\log \mu_n'' = 8.237079$
 $\log \tau_m = 8.888794$, $\mu_m' = -0.0172615$, $\log \mu_m' = 8_n237079$
 $\mu_m'' = -0.0536587$, $\log \mu_m'' = 8_n729640$.

Um nun in den Ausdrücken 7) (pag. 380) die in den Grössen Γ , Δ und Σ auftretenden γ -Symbole, soweit als thunlich, genähert bestimmen zu können, wurde zunächst mit Hilfe der oben mitgetheilten parabolischen Elemente in bekannter Weise ermittelt:

$$v_r = -24^{\circ}58'25''1$$
 , $\log r_r = 0.012766$
 $v_m = -185918.5$, $\log r_m = 0.003954$
 $v_m = -75114.0$, $\log r_m = 9.994015$;

die Berechnung der Grössen $(\eta - 1)$ nach 10) (pag. 381) gestaltet sich, wie folgt:

	7,	η"	η,,,
2Τ	9.439 701	9.633 521	9.189 824
r	0.003 954	0.012 766	0.012 766
r'	9.994 015	9•994 015	0.003 954
Add.	0.306 028	0.310 507	0.305 458
r + r'	0.300 043	0.304 522	0.309 412
Vr + r'	0.150 021	0.152 261	0.154 706
$(r+r')^{3/2}$	0.450 064	0.456 783	0.464 118
$\log \eta $	8.989 637	9.176 738	8.725 706
$[\eta]$ +	0.097 642	+ 0.150 223	+ 0.053 175
(nach Tafel VII) μ	0.000 173	0.000 111	0.000 051
$\sin \gamma$	8.989 810	9.177 149	8.725 757
$\sin \gamma^2$	7.979 620	8.354 298	7.451 514
$3\cos\gamma$	0.475 039	0.472 155	0.476 506
$\sin \gamma^2$: $3\cos \gamma$	7.504 581	7.882 143	6·975 008
$\cos \frac{1}{2} \gamma^2$	9.998 960	9.997 525	9.999 692
$\eta - 1 +$	0.003 20347	+ 0.007 66687	+ 0.000 94475.

Wären für einen vorgelegten Fall Näherungen bekannt, die nicht auf die parabolische Bahn gegründet sind, so müsste man sich zur Ermittlung der Grössen $\eta = 1$ der Formeln 35) (pag. 377) bedienen.

Nach 36) (pag. 377) fand sich, indem für x und y die für die Parabel gefundenen Werthe von r, und r_m zur Rechnung benützt wurden:

$$\log x = 9.086 \, 434 \quad , \quad \log y = 8_{n334} \, 136$$

$$\gamma'' = -0.000 \, 4922 \quad , \qquad \gamma''' = -0.000 \, 2707$$

$$\gamma''' = +0.000 \, 3123 \quad , \qquad \gamma'''' = -0.000 \, 6809$$

und somit nach 7) (pag. 380):

Für die Auflösung der Gleichungen durch Versuche erschien es bequemer, die Grössen Γ , Δ und Σ mit den Werthen II, V und VIII zu vereinigen, wodurch man erhielt:

$$\log(II + \Gamma) = 1_{n} + 33 \cdot 121$$

$$\log(V + A) = 9.098 \cdot 759$$

$$\log(VIII + \Sigma) = 8_{n} + 705 \cdot 507.$$

Es konnte nun an die Auflösung der Gleichungen 5) (pag. 380) durch Versuche geschritten werden, für welche meist mit Vortheil x und y als Unbekannte gewählt werden können, doch wird für Kometen häufig eine abgeänderte Wahl der Unbekannten erwünscht sein, auf welche Abänderung weiter unten (pag. 406 ff.) aufmerksam gemacht werden wird. Die zur Auflösung erforderlichen Rechnungen sind auf pag. 405 und 406 ausführlich mitgetheilt, die erläuternden Bemerkungen jedoch mögen hier vorangehen. Für y wurde im ersten Versuche jener Werth genommen, der sich aus den parabolischen Elementen ergab, x aber, um nicht ein allzu fehlerhaftes ϱ , zu erhalten, so gewählt, dass sich daraus nahezu der aus den parabolischen Elementen

folgende Werth von ϱ , fand. Demnach wurde für den ersten Versuch angenommen: $\log x_a = 9.088\,100$, $\log y_a = 8_{n}334\,136$, aus 5) (pag. 380) in Verbindung mit den oben ermittelten Grössen ϱ , und ϱ_m bestimmt und aus diesen nach 8) (pag. 380) r, und r_m abgeleitet, welche letzteren Werthe mit Benützung der ersten beiden Gleichungen in 7) (pag. 380) für x und y die Endwerthe x_e und y_e finden liessen, die, weil x_a und y_a nicht die wahren Werthe von x und y darstellen, die Unterschiede:

$$\log x_{a} - \log x_{a} = + 0.001 \ 121$$
$$\log y_{a} - \log y_{a} = + 0.021 \ 218,$$

zeigten. Zur Beseitigung dieser Differenzen wurde zunächst $\log x_a$ um 600 Einheiten der sechsten Decimale vermehrt, während y_e ungeändert belassen wurde; die Durchführung der Rechnung ergab:

für
$$\Delta \log x_a = + 0.000600$$

 $\log x_e - \log x_a = + 0.003932$
 $\log y_e - \log y_a = + 0.044493.$

Hierauf wurde $\log y_a$ um + 0.02 vermehrt, während $\log x_a$ sowie im ersten Versuche angenommen wurde; es fand sich:

für
$$\Delta \log y_a = + 0.020000$$

 $\log x_e - \log x_a = + 0.000377$
 $\log y_e - \log y_a = - 0.004113.$

Bezeichnet man mit (ξ) und (η) die erforderlichen, als linear vorausgesetzten Änderungen, die man an die Ausgangswerthe in Einheiten der gewählten Änderungen anzubringen hat, so bestehen offenbar die Gleichungen:

$$+ \text{ o·ool 121} = - \text{ o·oo2 811 } (\xi) + \text{ o·ooo 744 } (\eta) + \text{ o·o21 218} = - \text{ o·o23 275 } (\xi) + \text{ o·o25 331 } (\eta),$$

deren Auflösung finden lässt:

Es war somit für den vierten Versuch anzunehmen:

$$\log x_a = 9.087960$$
 , $\log y_a = 8_n346587$;

welche Werthe aber, da die erforderlichen Änderungen gross sind, demnach die Voraussetzung einer linearen Änderung ziemlich fehlerhaft erscheint, nicht völlig zutreffend befunden wurden; der vierte Versuch ergab:

$$\log x_e - \log x_a = -0.000 \text{ or } 4$$

$$\log y_e - \log y_a = -0.000 \text{ 386},$$

weshalb nochmals die Gleichungen:

$$-0.000 \text{ oid} = -0.002 \text{ 8ii } (\xi) + 0.000 \text{ 744 } (\eta)
-0.000 386 = -0.023 275 (\xi) + 0.025 33i (\eta),$$

aufgelöst und hierbei die rechten Theile unverändert den Resultaten der drei ersten Versuche entlehnt wurden. Hätte man sehr fehlerhafte Anfangsannahmen gemacht, so könnte es wohl unter Umständen geboten sein, sich die diesbezüglichen Coëfficienten durch willkürliche Variation der Annahmen des vierten Versuches von neuem zu verschaffen; für den vorliegenden Fall genügte es jedoch, die oben ermittelten, empirisch bestimmten Differentialquotienten zu benützen; die Correctionen, die man an $\log x_a$ und $\log y_a$ des vierten Versuches anzubringen hatte, waren:

$$\Delta \log x_a = + 0.000 001$$
 $\Delta \log y_a = - 0.000 282$

die Werthe für den fünften Versuch sind somit:

$$\log x_a = 9.087 \ 961$$
$$\log y_a = 8_n 346 \ 305;$$

bei diesen Annahmen traten:

als Fehler auf, die innerhalb der Genauigkeitsgrenzen der logarithmischen Rechnung liegen.

Nach diesen Erläuterungen wird das folgende Rechnungsschema, in welchem, um Raum zu sparen, die Rechnungen für die fünf Versuche neben einander gestellt worden sind, leicht verständlich sein.

```
Versuch
                                                    3.
                  \log x_a 9.088100 9.088700 9.088100 9.087960 9.087961
                   \log y_a 8,334136 8,344136 8,354136 8,346587 8,346305
                   IIIy_a 9.231634 9.231634 9.251634 9.244085 9.243803
                   Subt.
                          9.997 260 9.997 260 9.997 131
                                                           9.997 180 9.997 182
          (II+\Gamma)+IIIy_a
                         1_{n}430381 1_{n}430381 1_{n}430252 1_{n}430301 1_{n}430303
       \{(II+\Gamma)+IIIy\}x_a -3\cdot 299750-3\cdot 304314-3\cdot 298769-3\cdot 298077-3\cdot 298100
                       \rho, +0.202250+0.197686+0.203231+0.203923+0.203900
                    VIy_a 6,751099 6,751099 6,771099 6,763550 6,763268
                   Subt. 9.998045 9.998045 9.997953
                                                           9.997988 9.997989
          (V+A)+VIy_a
                           9.096804 9.096804 9.096712 9.096747 9.096748
       \{(V+A)+VIy\}x_a + 0.015307 + 0.015329 + 0.015304 + 0.015301 + 0.015301
  IV+\{(V+A)+VIy\}x_a -0.000986-0.000964-0.000989-0.000992-0.000992
                   IXy_{a}
                           7_{n}425331 7_{n}425331 7_{n}445331 7_{n}437782 7_{n}437500
                    Add.
                         0.022205 0.022205 0.023224 0.022835 0.022820
       (VIII+\Sigma)+IXy_a
                         8_{n}727712 8_{n}727712 8_{n}728731 8_{n}728342 8_{n}728327
     \{(VIII+\Sigma)+IXy\}x_a
                         7_{n}815812 7_{n}816412 7_{n}816831 7_{n}816302 7_{n}816.288
                   Subt.
                          9.999,018 9.999016 9.999015 9.999016 9.999016
VII+\{(VIII+\Sigma)+IXy\}x_a
                         0·460·688 0·460·686 0·460·685 0·460·686 0·460·686
                   log ę,
                           9·305889 9·295976 9·307990 9·309466 9·309417
```

 $|VII+\{(VIII+\Sigma)+IXy_a\}x_a|q_1+0.584221+0.571034+0.587050+0.589050+0.588983$ Qm +0.583 235 +0.570 070 +0.586 061 +0.588 058 +0.587 991 e, -N,9.513605 9.507 488 9.514909 9.515826 9.515 795 Q,, -- N,,, 9.464 553 9.468 744 9.471 682 9.444 479 9.471 583 tg θ, 9.524 333 9:518216 9.525637 9.526 554 9.526 523 $tg \theta_m$ 9.491 921 9.471847 9.496112 9.499050 9.498951 $\cos \theta$. 9.976976 9.977 583 9.976844 9.976 751 9.976 754 $\cos \theta_{m}$ 9.980026 9.981717 9.979654 9.979390 9.979 399 0.012 296 0.011689 $\log r$, 0.012428 0.012521 0.012518 $\log r_{"}$ 9.992606 9.990915 9.992 978 9.993 242 9.993 233 Subt. 8.666 341 8.690170 8.66o 886 8.656 977 8.657 114 Add. 0.310987 0.310863 0.311541 0.310776 0.310779 r,,,— r, 8_n658947 8_n681085 $8_{n}653864$ $8_{n}650219$ $8_{n}650347$ $r_{m}+r_{r}$ 0.302 456 0.303841 0.304 018 0.304 01 2 0.303 593 $\log y_a$ 8,355354 8_n378629 8_n350023 8_n346 201 8,346335 9.088477 $\log x_e$ 9.089 221 9.092632 9.087946 9.087964 $\log x_e - \log x_a + 0.001121 + 0.003932 + 0.000377 - 0.000014 + 0.000003$ $\log y_e - \log y_a + 0.021218 + 0.044493 - 0.004113 - 0.000386 + 0.000030.$

Es ist oben erwähnt worden, dass bisweilen mit Vortheil eine abgeänderte Wahl der Unbekannten in Anwendung gezogen werden kann, um die Rechnung etwas bequemer zu gestalten; diese veränderte Methode soll hier auseinandergesetzt werden. Wählt man nämlich als Unbekannte ϱ , und $\log y_a$, wobei die ersten Annahmen über diese Unbekannten den parabolischen Elementen entlehnt werden können, so hat man zunächst (vergl. erste Formel 5) pag. 380):

$$x_a = \frac{\varrho, -I}{II + IIIy_a + I},$$

zu bestimmen, mit diesem Werthe von x_a und den Anfangsannahmen über ϱ , und $\log y_a$ nach der zweiten Formel in 5) (pag. 380) den Werth von ϱ_m , dann aus ϱ , und ϱ_m nach 8) (pag. 380) die Werthe von r, und r_m zu ermitteln und erhält mit diesen in bekannter Weise x_e und y_e , welche Grössen im Allgemeinen gegen x_a und y_a Unterschiede zeigen werden, so lange nicht die wahren Werthe für ϱ , und y_a der Rechnung zu Grunde gelegt wurden; variirt man nun einmal ϱ , das andremal y_a entsprechend, so wird man ganz ähnlich, wie bei der voranstehend auseinandergesetzten Methode zwei Gleichungen mit zwei Unbekannten erhalten, die, so lange die zulässigen Grenzen für die lineare Änderung nicht überschritten werden, neue Näherungen ergeben, welche zur weiteren Verbesserung der zuletzt gemachten Annahmen verwendet werden können.

Es soll die Anwendung dieser Methode durch ein Beispiel erläutert und die Auflösung der obigen Gleichungen nach derselben hier ausführlich durchgeführt werden. Für die drei ersten Versuche wurden die Annahmen:

benützt, welche nach den weiter unten mitgetheilten Rechnungen zur Bestimmung der Verbesserungen von ϱ , und log y_a die folgenden Gleichungen lieferten:

$$+650 = +634 (\xi) + 64 (\eta) + 17176 = +5544 (\xi) + 10000 (\eta),$$

aus welchen folgt:

$$\log (\xi) = 9.9554$$
 , $d\varrho_1 = + 0.000902$
 $\log (\eta) = 0.0854$, $d \log y_a = + 0.012173$;

man hat daher für den vierten Versuch anzuwenden:

$$\varrho_1 = +0.203902$$
 , $\log y_a = 8_n346309$.

Derselbe lässt in der That, wie dies die Zahlen der folgenden Rechnungen zeigen, für x_e und y_e bereits Werthe finden, die innerhalb der Unsicherheit der logarithmischen Rechnung mit x_a und y_a stimmen; wie man sieht, stimmen die so erhaltenen Resultate mit jenen der früheren Rechnung (vergl. pag. 406) innerhalb der Unsicherheit der sechsstelligen Rechnung und man bemerkt, dass das letztere Verfahren convergenter, so wie im Allgemeinen auch etwas genauer ist, so dass es bei der thatsächlichen Anwendung wohl den Vorzug verdient.

Versuch	1,	2.	3.	4.
ę,	+0.203 000	+0.204 000	+0.203 000	+0.203 902
$\log y_a$	8 _n 334 136	8 _n 334 136	8 _n 344 136	8 _n 346 309
III y_a	9.231 634	9.231 634	9.241 634	9.243 807
Subt.	9.997 260	9 ·997 260	9.997 196	9-997 182
$(II+\Gamma)+IIIy_a$	1 _n 430 381	1 _n 430 381	1 _n 430 317	1 _n 430 303
ę,— I	0 _n 518 382	0 ₈ 518 251	0,518 382	0 _n 518 264
$\log x_a$	9.088 001	9.087 870	9· 088 065	9.087 961
IXy_a	7n425 331	7n425 331	7 n 435 331	7n437 504
Add.	0.022 205	0.022 205	0.022 709	0.022 820
$(I'III + \Sigma) + IXy_a$	8 _n 727 712	8 _n 727 712	8 _n 728 216	8 _n 728 327
$[(VIII + \Sigma) + IXy_a]x_a$	7 _n 815 713	7 _n 815 582	7 _n 816 281	7 , 816 288
Subt.	9.999 018	9.999 018	9·99 9 0 16	9 ·99 9 016
$VII+[(VIII+S)+IXy_a]x_a$	o·46o 688	o·4 6 o 688	o·46o 686	o•46o 686
log φ,	9·307 496	9·309 630	9·307 496	9.309 421
$\{I^*II+[(I^*III+\Sigma)+IXy_a]x_a\}\varrho,$	+o.586 386	+o.589 275	+0.586 384	+0.588 989
VIy_a	6 _n 751 099	6 _n 751 099	6, ₁ 761 099	6 _n 763 272
Subt.	9.998 045	9-998 045	9.998 000	9·997 989
$(V+A)+VIy_a$	9.096 804	9 ·096 804	9.096 759	9·096 748
$(V+A)+VIy_a]x_a$	+0.015 304	+0.015 299	+0.015 305	+0.015 301
Q _m	+0.585 397	+0.588 281	+0.585 396	+o·587 997
$\log (\varrho, - N_i)$	9.514 602	9.515 928	9.514 602	9.515 798
$\log (\varrho_m - N_m)$	9.467 763	9.472 008	9·467 762	9.471 592
tg θ,	9.525 330	9-526 656	9.525 330	9.526 526
tg θ,,,	9.495 131	9·499 376	9-495 130	9·498 960

$\cos \theta$,	9·976 875	9.976 741	9·976 875	9.976 754
$\cos heta_{"}$	9.979 742	9-979 361	9.979 742	9.979 398
r,	0.012 397	0.012 531	0.012 397	0.012 518
r,,,	9.992 890	9.993 271	9.992 890	9.993,234
Subt.	8.662 205	8.656 535	8.662 205	8·657 0 91
Add.	0.310 893	0.310 767	0.310 893	0.310 779
r,,,— r,	8 _n 655 095	8 _n 649 806	8 _n 655 095	8 ₈ 650 325
$r_{m}+r_{r}$	0.303 783	0.304 038	0.303 783	0.304 013
$\log y_e$	8 _n 351 312	8 _n 345 768	8 _n 351 312	8 _n 346 312
$\log x_e$	9 ·088 651	9·087 886	9·088 651	9.087 961
$\log x_o - \log x_a$	+ 650	+ 16	+ 586	o
$\log y_e - \log y_a$	+ 17 176	+ 11 632	+ 7 176	+ 3.

Für die Folge wurden die nach der ersten Rechnung erhaltenen Zahlen benützt; nach den Endwerthen des bezüglichen letzten Versuches hat man anzunehmen:

log
$$x = 9.087 ext{ 964}$$
 , log $r_m = 9.993 ext{ 233}$ log $y = 8_n ext{346 335}$, $\theta_r = 18^o ext{34}' ext{46}''8$ log $r_r = 0.012 ext{518}$, $\theta_m = 17 ext{ 30 31.1}$

und es wird mit Benützung der Formel 32) (pag. 376):

$$f_{"} = 8^{\circ} 25' 14''$$
o.

Nach 33) (pag. 376) findet man nun:

$$\Psi'' = -0.0362839$$
 , $\Psi''' = -0.0546801$,

nach 34) (pag. 377):

$$\log n = 9.808 \text{ } 114 \quad , \quad \log n_n = 9.559 \text{ } 221$$

$$2f_m = 5^{\circ} 53' \text{ } 1''1 \quad , \quad 2f_i = 10^{\circ} 57' 26''9$$

$$\log r_n = 0.003 \text{ } 671 \quad , \quad \log r_n = 0.003 \text{ } 671;$$

der Probe $2f_{"}=2f_{"}+2f_{"}$ wird vollständig Genüge geleistet.

Die Anwendung der Formeln 35) (pag. 377) gibt:

Diese Werthe liefern nun mit Benützung der Formeln 36) (pag. 377) neue, wesentlich genauere Werthe von γ , nämlich:

$$\gamma'' = -0.000 +602$$
 , $\gamma''' = -0.000 +2524$
 $\gamma''' = +0.000 +2942$, $\gamma'''' = -0.000 +6305$,

die sich übrigens so wenig von den oben (pag. 403) aus den parabolischen Elementen erhaltenen unterscheiden, dass wohl schon die zweite Hypothese mit Sicherheit als Endhypothese benützt werden kann; es stellt sich, wie dies nach Durchführung dieser Hypothese erhellen wird, sogar die erste als völlig genügende Annäherung heraus.

Die Rechnung der drei letzten Formeln in 7) (pag. 380) ergibt:

$$\log \Gamma = 9_{n}549699 , \log (II + \Gamma) = 1_{n}432734
\log \Lambda = 7 \cdot 138780 , \log (V + \Lambda) = 9 \cdot 098368
\log \Sigma = 6_{n}863759 , \log (VIII + \Sigma) = 8_{n}705053.$$

Die Auflösung der Gleichungen 5) (pag. 380) führt in Verbindung mit den Gleichungen 7), 8) (pag. 380) und mit Benützung der oben empirisch ermittelten Differentialquotienten leicht zu folgenden Werthen:

$$\log x = 9.088 \ 459 \qquad , \qquad \theta_{n} = 18^{\circ} \ 32' \ 44'' 1$$

$$\log y = 8_{n} 349 \ 912 \qquad , \qquad \theta_{m} = 17 \ 24 \ 18.6$$

$$\log r_{n} = 0.012 \ 431 \qquad , \qquad \log \varrho_{n} = 9.308 \ 039$$

$$\log r_{m} = 9.992 \ 986 \qquad , \qquad \log \varrho_{m} = 9.767 \ 992.$$

Aus ϱ , und ϱ_m wären die Elemente abzuleiten; um aber die Überzeugung zu gewinnen, dass die Annäherungen in der That hinreichend weit getrieben worden sind, und um für die folgende Rechnung Controlwerthe zu erhalten, rechnet man nach der Formel 32) (pag. 376):

$$f_{"} = 8^{\circ} 22' 38''95,$$

und nach 33) (pag. 376) und 34) (pag. 377):

$$\log n = 9.808 \text{ } 114 \qquad , \qquad \log n_n = 9.559 \text{ } 221$$

$$2f_n = 5^{\circ} 51' 8''3 \qquad , \qquad 2f_r = 10^{\circ} 54' 9''6$$

$$\log r_n = 0.003 572 \qquad , \qquad \log r_n = 0.003 572.$$

Die für die Beurtheilung der erlangten Annäherung massgebenden Werthe von n und n, zeigen, dass dieselben zwischen der ersten und zweiten Hypothese keine Abänderung mehr erfahren haben, dass somit bereits die erste Hypothese, daher in um so höherem Masse die zweite ausreichend ist; beide Hypothesen werden die Orte demgemäss innerhalb der Unsicherheit der sechsstelligen Rechnung darstellen; da aber sowohl die geocentrischen Distanzen, als auch, ob zwar in geringerem Masse, die Radienvectoren in den beiden Hypothesen eine wesentliche Verschiedenheit zeigen, so wird man schliessen dürfen, dass die Unsicherheit der zu ermittelnden Elemente eine ganz beträchtliche sein werde. Am Schlusse des hier angeführten Beispieles werden zur Bekräftigung der eben aufgestellten Behauptungen aus den Zahlen der ersten Hypothese die Elemente und die Darstellung des mittleren Ortes gerechnet, hier aber soll, um den Gang der Rechnung nicht zu unterbrechen, sofort an die Ableitung der Elemente aus den Zahlen der zweiten Hypothese geschritten werden, wobei jene Methoden zur Bahnbestimmung aus zwei heliocen-

trischen Orten in Verwendung kommen, welche sich bei sehr excentrischen Bahnen empfehlen.

Zunächst wurden in der bekannten Weise aus ϱ , und ϱ_m nach den Formeln 4) (pag. 21) die heliocentrischen Coordinaten abgeleitet und gefunden:

$$l_{1} = 85^{\circ}59'\cdot3''3$$
 , $l_{111} = 69^{\circ}40'22''7$
 $\log \log b_{1} = 9\cdot247869$, $\log \log b_{111} = 8\cdot990690$
 $\log r_{111} = 9\cdot992987$.

Die beiden Logarithmen der Radienvectoren weichen von den im letzten Versuche gefundenen Zahlen um je eine Einheit der letzten Stelle ab; für die folgenden Rechnungen wurden die hier erhaltenen Zahlen benützt.

Nach 1) (pag. 102) finden sich die Länge des aufsteigenden Knotens und die Neigung wie folgt:

$$Q = 231^{\circ} 21' 6'' 4$$
 , $i = 162^{\circ} 42' 16'' 9$

nach 3) (pag. 102) die Argumente der Breite:

$$u_1 = 144^{\circ} 7' 5''^2$$
, $u_{11} = 160^{\circ} 52' 22''^{\circ};$

für die folgende Rechnung wurde aber, um der Probe:

$$2f_{\prime\prime}=u_{\prime\prime\prime}-u_{\prime}$$

zu genügen, angenommen:

$$u_{i} = 144^{\circ} 7' 4''9$$
 , $u_{iii} = 160^{\circ} 52' 22''8$.

Mit Hilfe der Formeln 26) (pag. 89) fand sich:

$$\omega_n = -0^{\circ} 19' 14''3$$
 , $\log m_n = 7.767 745$
 $\log l_n = 7.741 889$, $\log \eta_n^2 = 0.006 657$.

Um die übrigen Elemente abzuleiten, wurde das folgende Formelsystem benützt:

$$z = \left(\frac{\tau_n}{\eta_n z \cos f_n \sqrt{r_r r_m}}\right)^2$$

$$2e z \sin F_n = (r_m - r_r) \sin f_n$$

$$2e z \cos F_n = \frac{(r_m + r_r) \sin f_n^2 - zz}{\cos f_n}$$

$$q = \frac{r_r r_m \sin f_n^2}{z(1 + e)}$$

$$v_r = F_n - f_n \quad , \quad v_m = F_n + f_n$$

$$\omega = u_r - v_r \quad , \quad \omega = u_m - v_m$$

$$\pi = \omega + \Omega$$

welches leicht aus dem am Schlusse von pag. 479 des II. Bandes gegebenen Ausdrucke, so wie aus den Formeln 27) und 31) (pag. 107) und 32) (pag. 108) gefolgert werden kann, in welch letzterer der Werth von $\cos g_{n} \sqrt{r_{n}}$ nach der Relation 26) (pag. 107) ersetzt wurde. Die Perihelzeit resultirt [vergl. Formel VIIb) (pag. 479) des II. Bandes] mit Hilfe der Tafel XVIII des zweiten Bandes nach:

in welchen Formeln die Übereinstimmung der beiden Werthe von T eine gute Controle für die Richtigkeit der Rechnung abgeben wird. Die Rechnung nach diesem Formelsystem stellt sich wie folgt:

Die Elemente sind daher zusammengestellt:

I. 1866.

$$T = 1866 \text{ Januar } 10.983 770 \text{ mittl. Berl. Zeit}$$
 $\pi = 42^{\circ} 2' 27''8$
 $\Omega = 231 21 6.4$
 $i = 162 42 16.9$
 $\log q = 9.989 940$
 $\log e = 9.961 484.$

Rechnet man die Darstellung des mittleren Ortes und bestimmt die wahre Anomalie nach der auf pag. 72 auseinander gesetzten Methode, so sind die Hauptmomente der Rechnung:

$$\log \alpha = 9.997 \ 821 \qquad v_{m} = -20^{\circ} 43' 8'' \circ \log \beta = 8.645 \ 977 \qquad \log r_{m} = 0.003 \ 572 \qquad v = -20^{\circ} 20' \ 37'' 2 \qquad \lambda_{m} = 0^{\circ} 56' \ 7'' 1 \log x = 9_{n}261 \ 726 \qquad \beta_{m} = +29 \ 13 \ 19.2 \log G = 0.000 \ 257 \qquad d\lambda_{m} \cos \beta_{m} = +2'' 7 \log H = 0.000 \ 000 \qquad d\beta_{m} = +0.3.$$

Die Darstellung des mittleren Ortes ist für eine sechsstellige Rechnung völlig genügend, da in Anbetracht der relativ geringen geocentrischen Entfernung die Fehler in den heliocentrischen Orten sehr vergrössert in das Resultat übergehen.

Um schliesslich zu zeigen, dass in der That die erste Hypothese schon genügende Resultate liefert, sollen ganz nach der eben angegebenen Methode aus den Zahlen dieser Hypothese die Elemente abgeleitet werden. Man wird finden:

$$\log \varrho, = 9.309 417 \qquad \log r, = 0.012 518$$

$$\log \varrho_m = 9.769 371 \qquad \log r_m = 9.993 234$$

$$l_1 = 85^{\circ}58' 5''5 \qquad \Omega = 231^{\circ}11' 4''6$$

$$l_m = 69 34 12.0 \qquad i = 162 43 0.7$$

$$\log tg b_1 = 9.249 200 \qquad u_2 = 143 57 58.9$$

$$\log tg b_m = 8.991 833 \qquad u_m = 160 48 27.1;$$

$$\log z = 8.059 934 \qquad \pi = 41 19 33.0$$

$$F_1 = -17^{\circ}45' 15''1 \qquad Taus \ v_1 = 10.615 26$$

$$\log e = 9.970 809 \qquad m_2 = 10.615 19$$

$$\log (1-e)i(1+e) = 8.526 273 \qquad T = 10.615 225$$

$$\log q = 9.990 448 \qquad \log q = 0.001 227$$

$$v_2 = -26^{\circ}10' 29''1 \qquad \log \beta = 8.525 848.$$

Die Elemente sind also zusammengestellt:

I. 1866.

$$T = 1866 \text{ Januar } 10.615 225 \text{ mittl. Berl. Zeit}$$
 $\pi = 41^{\circ} 19' 33''\circ$
 $\Omega = 231 11 4.6$
 $i = 162 43 0.7$
 $\log q = 9.990 448$
 $\log e = 9.970 809$.

Diese Elemente weisen gegen die auf pag. 411 angeführten nicht unerhebliche Unterschiede auf; trotzdem ist die Darstellung der mittleren Beobachtung durch dieselben

ebenso genügend, wie diejenige durch die aus der zweiten Hypothese abgeleiteten Elemente. Die Rechnung ergibt:

$$w = -20^{\circ} \text{ o' } 48''2$$
 $\log r_{"} = 0.003 671$
 $\log x = 9_{n}252 540$ $\lambda_{"} = 0^{\circ} 56' 8''6$
 $\log G = 0.000 187$ $\beta_{"} = +29^{\circ} 13' 18''2$
 $\log H = 0.000 000$ $d\lambda_{"} \cos \beta_{"} = +1''4$
 $v_{"} = -20^{\circ} 17' 28''2$ $d\beta_{"} = +1''3$,

womit nicht nur die oben (vergl. pag. 409) aufgestellte Behauptung, dass die erste auf die parabolischen Elemente gegründete Hypothese schon eine ausreichende Annäherung liefert, erwiesen erscheint, sondern sich sogar zeigt, dass in Folge der Unsicherheit der sechsstelligen Rechnung die Darstellung des mittleren Ortes in der ersten Hypothese genauer ist, als in der zweiten.

II. Abtheilung.

Bahnbestimmung aus vier Beobachtungen.

1. Aufstellung der Gleichungen zur Bestimmung der geocentrischen Distanzen.

Es treten, wie dies oben (pag. 366 ff) dargethan wurde, nicht selten Fälle ein, welche die Bahnbestimmung aus drei Orten gar nicht, oder nicht mit der wünschenswerthen Genauigkeit durchzuführen gestatten. Im Allgemeinen wird eine geänderte Auswahl der Beobachtungen diesen Nachtheil beseitigen; wenn jedoch die Neigung der Bahn gegen die Ekliptik sehr klein ist, so dass die geocentrischen Breiten sich der Null nähern, so wird eine Bahnbestimmung aus drei Orten unter keinen Umständen mit Sicherheit möglich sein. Es ist deshalb nothwendig, Methode überzugehen, die auch in einem solchen Falle ohne Schwierigkeit auf eine sichere Bahnbestimmung führt; zu dem Ende müssen der Rechnung vier Beobachtungen zu Grunde gelegt werden; da diese aber acht Bestimmungsstücke geben, während nur sechs Elemente zu ermitteln sind, so wird man zwei Beobachtungen als unvollständig in das Problem einzuführen haben. Der Genauigkeit der Bahnbestimmung wegen sind hierzu die beiden mittleren Beobachtungen zu wählen und es sollen für dieselben, wie dies ähnlich beim Kometenproblem (vergl. pag. 275) geschehen ist, grösste Kreise substituirt werden, welche die Eigenschaft haben, dass sie durch die beiden mittleren beobachteten Orte des Himmelskörpers hindurchgehen.

Bezeichnet man die vier Beobachtungszeiten mit t_n , t_n , t_n^o , t_m , die Längen mit λ_n , λ_n^o , λ_n^o , λ_m^o und die Breiten mit β_n , β_n^o , β_n^o , β_m^o , ferner mit Π und Π^o die aufsteigenden Knoten dieser Kreise in der Ekliptik, mit J und J^o deren Neigungen, so sind die Bedingungen, denen die letzteren Grössen genügen müssen, dargestellt durch:

$$\begin{array}{ccc}
\operatorname{tg} J \sin (\lambda_{n} - \Pi) &= \operatorname{tg} \beta_{n} \\
\operatorname{tg} J^{0} \sin (\lambda_{n} - \Pi^{0}) &= \operatorname{tg} \beta_{n}^{0}.
\end{array}$$

Unterscheidet man durch analoge Accente die zu den Beobachtungen gehörigen Sonnenlängen, -Breiten und -Entfernungen, so werden sich die Gleichungen 8) (pag. 272), wenn man in denselben einmal alle Längen vom Punkte Π , das andremal vom Punkte Π° zählt, in folgender Weise schreiben lassen:

$$\frac{[r_{n} r_{m}]}{[r, r_{m}]} \{ \varrho, \cos(\lambda_{n} - \Pi) \cos\beta_{n} - R_{n} \cos(L_{n} - \Pi) \} + \\
+ \frac{[r, r_{n}]}{[r, r_{m}]} \{ \varrho_{m} \cos(\lambda_{m} - \Pi) \cos\beta_{m} - R_{m} \cos(L_{m} - \Pi) \} = \\
= \varrho_{n} \cos(\lambda_{n} - \Pi) \cos\beta_{n} - R_{n} \cos(L_{n} - \Pi) \\
= \frac{[r_{n} r_{m}]}{[r, r_{m}]} \{ \varrho, \sin(\lambda_{n} - \Pi) \cos\beta_{n} - R_{n} \sin(L_{n} - \Pi) \} + \\
+ \frac{[r, r_{n}]}{[r, r_{m}]} \{ \varrho_{m} \sin(\lambda_{m} - \Pi) \cos\beta_{m} - R_{m} \sin(L_{m} - \Pi) \} = \\
= \varrho_{n} \sin(\lambda_{n} - \Pi) \cos\beta_{n} - R_{n} \sin(L_{n} - \Pi) \\
= \frac{[r_{n} r_{m}]}{[r, r_{m}]} \{ \varrho, \sin\beta_{n} - R_{n} B_{n} \arcsin(L_{n} - \Pi) \} + \\
+ \frac{[r, r_{n}]}{[r, r_{m}]} \{ \varrho_{m} \sin\beta_{m} - R_{m} B_{m} \arcsin(L_{n} - \Pi) \} + \\
+ \frac{[r, r_{n}]}{[r, r_{m}]} \{ \varrho_{m} \cos(\lambda_{m} - \Pi^{0}) \cos\beta_{m} - R_{m} \cos(L_{m} - \Pi^{0}) \} + \\
+ \frac{[r, r_{n}]}{[r, r_{m}]} \{ \varrho_{m} \cos(\lambda_{m} - \Pi^{0}) \cos\beta_{m} - R_{m} \cos(L_{m} - \Pi^{0}) \} + \\
+ \frac{[r, r_{n}]}{[r, r_{m}]} \{ \varrho_{m} \sin(\lambda_{m} - \Pi^{0}) \cos\beta_{m} - R_{m} \sin(L_{m} - \Pi^{0}) \} + \\
+ \frac{[r, r_{n}]}{[r, r_{m}]} \{ \varrho_{m} \sin(\lambda_{m} - \Pi^{0}) \cos\beta_{m} - R_{m} \sin(L_{m} - \Pi^{0}) \} + \\
+ \frac{[r, r_{n}]}{[r, r_{m}]} \{ \varrho_{m} \sin(\lambda_{m} - \Pi^{0}) \cos\beta_{m} - R_{n} \sin(L_{m} - \Pi^{0}) \} + \\
+ \frac{[r, r_{n}]}{[r, r_{m}]} \{ \varrho_{m} \sin\beta_{m} - R_{m} B_{m} \arcsin(\Gamma) \} + \\
+ \frac{[r, r_{n}]}{[r, r_{m}]} \{ \varrho_{m} \sin\beta_{m} - R_{m} B_{m} \arcsin(\Gamma) \} = \\
= \varrho_{n}^{0} \sin\beta_{n}^{0} - R_{n}^{0} B_{n}^{0} \arcsin(\Gamma) \}$$

Setzt man nun:

$$\cos(\lambda_{n} - \boldsymbol{\Pi}) \cos \beta_{n} = \cos \boldsymbol{u} \qquad , \qquad \cos(\lambda_{n}^{o} - \boldsymbol{\Pi}^{o}) \cos \beta_{n}^{o} = \cos \boldsymbol{u}^{o}
\sin(\lambda_{n} - \boldsymbol{\Pi}) \cos \beta_{n} = \sin \boldsymbol{u} \cos \boldsymbol{J} \qquad , \qquad \sin(\lambda_{n}^{o} - \boldsymbol{\Pi}^{o}) \cos \beta_{n}^{o} = \sin \boldsymbol{u}^{o} \cos \boldsymbol{J}^{o}
\sin \beta_{n} = \sin \boldsymbol{u} \sin \boldsymbol{J} \qquad , \qquad \sin \beta_{n}^{o} = \sin \boldsymbol{u}^{o} \sin \boldsymbol{J}^{o}, \qquad 4)$$

so werden u und u^o in diesen Relationen völlig willkürliche Winkel sein, sofern man nur J und J^o entsprechend den Gleichungen 1) aus den Werthen II und II^o bestimmt. Denkt man sich die aus 4) resultirenden Werthe in die Gleichungen 2) und 3) eingeführt, so wird man in 2) das Product der zweiten Gleichung in $\sin J$ zum Producte der dritten Gleichung in $\cos J$ zu addiren haben, um sofort den willkürlichen Winkel u zu eliminiren; in analoger Weise wird man aus den beiden letzten Gleichungen in 3) den willkürlichen Winkel u^o zu eliminiren im Stande sein, und man erhält sonach zwei Relationen zwischen ϱ , und ϱ_m von der Gestalt:

$$- \varrho, \frac{[r_{n} \ r_{m}]}{[r_{n} \ r_{m}]} \mathscr{Y}, + \varrho_{m} \frac{[r_{n} \ r_{m}]}{[r_{n} \ r_{m}]} \mathscr{Y}_{m} = \frac{[r_{n} \ r_{m}]}{[r_{n} \ r_{m}]} \odot, - \odot_{n} + \frac{[r_{n} \ r_{m}]}{[r_{n} \ r_{m}]} \odot_{m} \\
- \varrho, \frac{[r_{n}^{\circ} \ r_{m}]}{[r_{n} \ r_{m}]} \mathscr{Y}_{n}^{\circ} + \varrho_{m} \frac{[r_{n} \ r_{m}]}{[r_{n} \ r_{m}]} \mathscr{Y}_{m}^{\circ} = \frac{[r_{n}^{\circ} \ r_{m}]}{[r_{n} \ r_{m}]} \odot_{n}^{\circ} - \odot_{n}^{\circ} + \frac{[r_{n} \ r_{n}^{\circ}]}{[r_{n} \ r_{m}]} \odot_{m}^{\circ},$$
5)

in welchen Relationen zur Abkürzung:

$$\bigcirc, = R, \left\{ \sin (L, -\Pi) \sin J - B, \operatorname{arc} \operatorname{I}'' \cos J \right\} \\
\bigcirc_{n} = R_{n} \left\{ \sin (L_{n} - \Pi) \sin J - B_{n} \operatorname{arc} \operatorname{I}'' \cos J \right\} \\
\bigcirc_{m} = R_{m} \left\{ \sin (L_{m} - \Pi) \sin J - B_{m} \operatorname{arc} \operatorname{I}'' \cos J \right\} \\
\bigcirc_{m} = R_{m} \left\{ \sin (L_{m} - \Pi) \sin J - B_{m} \operatorname{arc} \operatorname{I}'' \cos J^{0} \right\} \\
\bigcirc_{n}^{0} = R_{n}^{0} \left\{ \sin (L_{n}^{0} - \Pi^{0}) \sin J^{0} - B_{n}^{0} \operatorname{arc} \operatorname{I}'' \cos J^{0} \right\} \\
\bigcirc_{m}^{0} = R_{m}^{0} \left\{ \sin (L_{m} - \Pi^{0}) \sin J^{0} - B_{m} \operatorname{arc} \operatorname{I}'' \cos J^{0} \right\} \\
\emptyset_{m}^{0} = \sin \beta_{n} \cos J - \sin (\lambda_{n} - \Pi) \cos \beta_{n} \sin J \\
\emptyset_{m}^{0} = \sin (\lambda_{m} - \Pi) \cos \beta_{m} \sin J - \sin \beta_{m} \cos J$$

$$\emptyset_{n}^{0} = \sin (\lambda_{m} - \Pi^{0}) \cos \beta_{m} \sin J^{0} - \sin \beta_{m} \cos J^{0},$$

gesetzt wurde. Ermittelt man aus den Gleichungen 5) einmal ϱ ,, das andremal ϱ_m , so erhält man zur Bestimmung der geocentrischen Distanzen die Gleichungen:

$$\varrho_{m} = \frac{\begin{bmatrix} [r_{n}^{\circ} r_{m}] & \odot_{1}^{\circ} & -[r_{1} r_{m}] & \odot_{1}^{\circ} & +[r_{1} r_{m}] & \odot_{1}^{\circ} & -[r_{1} r_{m}] & \odot_{1}^{\circ} & +[r_{1} r_{m}] & \odot_{1}^{\circ} & -[r_{1} r_{m}] & \odot_{1}^{\circ} & -[r_{1} r_{m}] & \odot_{1}^{\circ} & +[r_{1} r_{m}] & \odot_{1}^{\circ} & -[r_{1} r_{m}] & \odot_{1}^{\circ}$$

Die für die geocentrischen Distanzen erhaltenen Ausdrücke lehren sofort, mit welcher Genauigkeit die Verhältnisse der Dreiecksflächen substituirt werden müssen, um eine hinreichende Convergenz zu gewähren. Denkt man sich die Symbole K., K., K., and Potenzen der Zwischenzeiten entwickelt, so werden sich für dieselben Reihen von der Form:

$$\mathcal{J}', = \alpha \left(\tau_{m} - \beta \tau_{m}^{2} + \cdots\right)$$

$$\mathcal{J}''_{m} = \alpha \left(\tau_{r} + \beta \tau_{r}^{2} + \cdots\right)$$

$$\mathcal{J}'^{\circ}_{m} = \alpha^{\circ}(\tau_{m}^{\circ} - \beta^{\circ}\tau_{m}^{\circ 2} + \cdots)$$

$$\mathcal{J}''_{m} = \alpha^{\circ}(\tau_{r}^{\circ} + \beta^{\circ}\tau_{r}^{\circ 2} + \cdots)$$

aufstellen lassen. Die Berechtigung dieser Formen leitet man leicht aus dem Umstande ab, dass die ersten beiden Symbole die Sinus der sphärischen Perpendikel aus den äusseren Beobachtungen auf den durch die zweite, die letzteren beiden Symbole aber die Sinus der Perpendikel von denselben Punkten auf den durch die dritte Beobachtung gelegten grössten Kreis darstellen; es ist sonach:

$$\frac{\mathscr{T}_{r}}{\mathscr{S}_{m}} = \frac{\tau_{m}}{\tau_{r}} \frac{1 - \beta \tau_{m} + \cdots}{1 + \beta \tau_{r} + \cdots} , \quad \mathcal{T}_{m}^{\circ} = \frac{\tau_{m}^{\circ}}{\tau_{r}^{\circ}} \frac{1 - \beta^{\circ} \tau_{m}^{\circ} + \cdots}{1 + \beta^{\circ} \tau_{r}^{\circ} + \cdots}.$$

Der Nenner des ersten Ausdruckes in 7) wird demnach, wenn man überdies für die Verhältnisse der Dreiecksflächen die Reihen nach 22) (pag. 100) substituirt, und die mit den Quadraten von τ multiplicirten Glieder fortlässt:

$$(\boldsymbol{\beta}^{\mathrm{o}} - \boldsymbol{\beta}) \boldsymbol{\tau}_{"};$$

 β^{o} und β werden im Allgemeinen nullter Ordnung, ihr Unterschied wird jedoch offenbar von der Ordnung der Zwischenzeit sein; denn denkt man sich für einen Augenblick die beiden mittleren Beobachtungen der Zeit nach unendlich nahe liegend, so wird nothwendig $\beta^{o} = \beta$. Man kann somit die Behauptung aufstellen, dass das Anfangsglied der Entwicklung im Nenner mindestens zweiter Ordnung in Bezug auf die Zwischenzeiten sei, obwohl dasselbe für die kleinen Planeten wesentlich grösser sein wird, als die übrigen oben vernachlässigten Glieder zweiter Ordnung, welche mit den negativen dritten Potenzen der Rad; envectoren verbunden erscheinen. Ein ganz ähnliches Resultat würde erhalten werden, wenn man den Nenner des zweiten Ausdruckes in 7) in derselben Weise behandeln würde. Die Glieder im Zähler beider Ausdrücke in 7) stellen selbst gebrochene Functionen dar, in deren Nenner stets &-Symbole auftreten, welche nothwendig erster Ordnung sind; soll daher durch die zu entwickelnde Methode eine theoretisch genügende Convergenz erreicht werden, so müssen in den Verhältnissen der Dreiecksflächen die Glieder dritter Ordnung mitgenommen werden. Es ist sonach unter sonst gleichen Umständen die Convergenz der Methode der Bahnbestimmung aus vier Orten um eine Ordnung geringer, als bei jener aus drei Orten. Diese Behauptung steht scheinbar im Widerspruch mit der Thatsache, dass Gauss' Methode, die doch nur Glieder zweiter Ordnung in den Verhältnissen der Dreiecksflächen mitnimmt, zum Ziele führt; man darf aber hierbei nicht vergessen, dass Gauss selbst vorerst als Erfordernis seiner Methode hinstellt, die Excentricität der Bahn sei eine mässige (si modo distantiae a sole non nimis inacquales fuerint, cap. 166 der theoria motus). Nun sind die Glieder dritter Ordnung in den Verhältnissen der Dreiecksflächen mit dem Factor $\frac{dr}{dt}$ multiplicirt, somit von der Ordnung der Excentricität, verschwinden also für die Kreisbahnen und werden in der Anwendung auf kleine Planeten numerisch sehr klein; überdies nimmt Gauss, wie bekannt, die mittleren Beobachtungen als vollständig an, und räumt dadurch den vernachlässigten Gliedern dritter Ordnung nur einen sehr geringen Einfluss ein, der bei Gleichheit der Zwischenzeiten völlig verschwindet; weiter wird der Umstand, dass die Planetenbahnbestimmungen sich wohl meist auf Beobachtungen in der Nähe der Opposition gründen, bedingen, dass dann die O-Symbole, wenn man, wie dies Gauss thut, nur die vier Längen und die mittleren Breiten vollständig darstellt, als Grössen erster Ordnung betrachtet werden dürfen, in welchem Falle die Mitnahme der Glieder zweiter Ordnung in den Verhältnissen der Dreiecksflächen zur Erlangung einer genügenden Convergenz vollständig ausreicht. Man kann daher die Behauptung aufstellen, dass das Gauss'sche Verfahren der Bahnbestimmung aus vier Orten, auf kleine Planeten angewendet, unter allen Umständen eine rasche Convergenz

erzielen wird; die Bestimmung von Kometenbahnen jedoch, bezüglich welcher die hier erwähnten, die Convergenz begünstigenden Umstände meist völlig fehlen werden, wird diese vom theoretischen Standpunkte bisweilen geradezu in Frage gestellt sein.

Da demgemäss, wie bereits oben bemerkt wurde, die Convergenz der Bahnbestimmung aus vier Orten im Vergleiche zu jener aus drei Orten um eine Ordnung geringer ist, so wird man bestrebt sein müssen, diese Convergenz zu verstärken; soll nun auf die der Sicherheit der Bahnbestimmung förderliche, vollständige Darstellung der äusseren Beobachtungen nicht verzichtet werden, so bietet sich kein anderes Hilfsmittel dar, als in den Reihen für die Verhältnisse der Dreiecksflächen weitere Glieder mitzunehmen. Die vollständige Entwicklung der Glieder vierter Ordnung würde die Rechnung sehr weitläufig gestalten; man wird aber dieselben bei Planetenbahnen der Hauptsache nach berücksichtigen, wenn man nur diejenigen mitnimmt, welche die Excentricität als Factor nicht enthalten. Zu der Anwendung auf Kometenbahnen wird diese Annäherung allerdings nicht genügen, doch wird hier der Umstand, dass man die aus den parabolischen Elementen resultirenden Glieder höherer Ordnung als Näherungen betrachten kann, das Ziel rasch und sicher erreichen lassen; übrigens darf man nicht vergessen, dass die Mitnahme der Glieder vierter Ordnung nicht geboten ist, und dass man mit den Gliedern dritter Ordnung, welche die hier in Vorschlag gebrachte Methode streng berücksichtigt, ausreicht.

Die bisherigen Betrachtungen geben aber auch die Richtschnur, nach welcher die Gleichungen für die Bestimmung der geocentrischen Distanzen verwerthet werden können; bestimmt man nämlich aus jeder der Gleichungen 5) die Grösse ϱ_m , so erhält man:

$$\varrho_{m} = \frac{[r_{n} \ r_{m}]}{[r, \ r_{n}]} \frac{\bigcirc_{r}}{\cancel{\mathscr{E}_{m}}} - \frac{[r, \ r_{m}]}{[r, \ r_{n}]} \frac{\bigcirc_{n}}{\cancel{\mathscr{E}_{m}}} + \frac{\bigcirc_{m}}{\cancel{\mathscr{E}_{m}}} + \frac{[r_{n} \ r_{m}]}{[r, \ r_{m}]} \frac{\cancel{\mathscr{E}_{r}}}{\cancel{\mathscr{E}_{m}}} \varrho_{r}
\varrho_{m} = \frac{[r_{n}^{n} \ r_{m}]}{[r, \ r_{n}^{n}]} \frac{\bigcirc_{r}^{o}}{\cancel{\mathscr{E}_{m}}} - \frac{[r_{r} \ r_{m}]}{[r_{r} \ r_{n}^{n}]} \frac{\bigcirc_{r}^{o}}{\cancel{\mathscr{E}_{m}}} + \frac{\bigcirc_{m}^{o}}{[r_{r} \ r_{m}^{o}]} + \frac{[r_{n}^{o} \ r_{m}]}{[r_{r} \ r_{n}^{o}]} \frac{\cancel{\mathscr{E}_{r}^{o}}}{\cancel{\mathscr{E}_{m}^{o}}} \varrho_{r}, \right\}$$

$$8)$$

in welchen Ausdrücken die Nenner der einzelnen Coëfficienten nur Grössen erster Ordnung enthalten; es lässt sich daher die Relation zwischen ϱ_m und ϱ , im Allgemeinen um zwei Ordnungen genauer bestimmen als die geocentrische Distanz selbst, weshalb man gut thun wird, den Gleichungen eine solche Gestalt zu geben, dass diese verhältnismässig genau zu bestimmende Relation benützt wird.

Den Gleichungen 8) kann mit Benützung der Ausdrücke 25) (pag. 101) die folgende Form ertheilt werden:

$$x = \frac{1}{(r_{1} + r_{m})^{3}}$$

$$\varrho_{m} = \frac{\tau_{1}}{\tau_{m}} \frac{\odot_{1}}{J_{m}} - \frac{\tau_{1}}{\tau_{m}} \frac{\odot_{n}}{J_{m}} + \frac{\odot_{m}}{J_{m}} + \frac{\tau_{1}}{\tau_{m}} \frac{J_{1}}{J_{m}} \varrho_{+} + \frac{\tau_{1}}{\tau_{m}} \frac{J_{1}}{J_{m}} \varrho_{+} + \frac{\tau_{1}}{\tau_{m}} \frac{J_{1}}{J_{m}} \frac{J_{1}}{J_{m}} \frac{J_{1}}{J_{m}} + \frac{\tau_{1}}{\tau_{m}} \frac{J_{1}}{J_{m}} \frac{J_{1}}{J_{m}} \frac{J_{1}}{J_{m}} \chi \varrho_{+} + \frac{\tau_{1}}{\tau_{1}} \frac{J_{1}}{J_{1}} \frac{$$

Oppolzer, Bahnbestimmungen. I. 2. Auflage.

setzt man abkürzend:

man abkürzend:
$$\alpha = \frac{\tau_{i}}{\tau_{iii}} \frac{\bigcirc_{i}}{\sigma_{iii}} - \frac{\tau_{ii}}{\tau_{iii}} \frac{\bigcirc_{ii}}{\sigma_{iii}} + \frac{\bigcirc_{iii}}{\sigma_{iii}} \quad , \quad \alpha_{o} = \frac{\tau_{i}^{o}}{\tau_{iii}^{o}} \frac{\bigcirc_{i}^{o}}{\sigma_{ii}^{o}} - \frac{\tau_{ii}}{\tau_{iii}^{o}} \frac{\bigcirc_{i}^{o}}{\sigma_{ii}^{o}} + \frac{\bigcirc_{iii}}{\sigma_{iii}^{o}} \quad$$

$$\beta = \frac{\tau_{i}}{\tau_{iii}} \frac{\bigcirc_{i}}{\sigma_{iii}} \Psi_{iii}^{i} - \frac{\tau_{ii}}{\tau_{iii}} \frac{\bigcirc_{ii}}{\sigma_{iii}} \Psi_{iii}^{ii} \quad , \quad \beta_{o} = \frac{\tau_{i}^{o}}{\tau_{iii}^{o}} \frac{\bigcirc_{i}^{o}}{\sigma_{iii}^{o}} \Psi_{iii}^{oi} - \frac{\tau_{ii}}{\tau_{iii}^{o}} \frac{\bigcirc_{i}^{o}}{\sigma_{iii}^{o}} \Psi_{iii}^{oii} \quad$$

$$\delta_{o} = \frac{\tau_{i}^{o}}{\tau_{iii}^{o}} \frac{\partial_{i}^{o}}{\partial_{iii}^{o}} \quad$$

$$\epsilon = \frac{\tau_{i}^{o}}{\tau_{iii}^{o}} \frac{\partial_{i}^{o}}{\partial_{iii}^{o}} \Psi_{iii}^{oi} \quad$$

$$\epsilon^{o} = \frac{\tau_{i}^{o}}{\tau_{iii}^{o}} \frac{\partial_{i}^{o}}{\partial_{iii}^{o}} \Psi_{iii}^{oi} \quad$$

so wird:

$$\varrho_{m} = \alpha + \beta x + (\delta + \varepsilon x) \varrho,
\varrho_{m} = \alpha_{0} + \beta_{0} x + (\delta_{0} + \varepsilon_{0} x) \varrho,$$

und die Subtraction und Addition dieser beiden Gleichungen ergibt:

$$\begin{aligned}
\varrho_{r} &= \frac{(\alpha - \alpha_{0}) + (\beta - \beta_{0}) x}{(\delta_{0} - \delta) + (\epsilon_{0} - \epsilon) x} \\
\varrho_{m} &= \frac{1}{2} (\alpha + \alpha_{0}) + \frac{1}{2} (\beta + \beta_{0}) x + \left\{ \frac{1}{2} (\delta + \delta_{0}) + \frac{1}{2} (\epsilon + \epsilon_{0}) x \right\} \varrho_{r};
\end{aligned} \right\} \quad \text{11}$$

 α , $\alpha_{\rm o}$, δ und $\delta_{\rm o}$ sind Constanten, so large nichts an den Zwischenzeiten geändert wird; β , $\beta_{\rm o}$, ϵ und $\epsilon_{\rm o}$ werden aber, da die Ψ -Symbole von den Gliedern dritter und höherer Ordnung beeinflusst werden, variabel sein. Es sollen nun jene Näherungen für die \(\mathbb{Y}\)-Symbole eingeführt werden, welche aus den Zwischenzeiten und den Radienvectoren r, und r_m erhalten werden können. Vorerst werden jene Transformationen vorgenommen werden, welche sich für die Anwendung der Formeln auf Planetenbahnen empfehlen, wobei den oben gemachten Bemerkungen gemäss, die von der Excentricität unabhängigen Glieder vierter Ordnung berücksichtigt werden sollen.

Die Gleichungen 18) (pag. 99) ergeben, wenn man eine Kreisbahn voraussetzt $\left(\frac{dr_{"}}{dr} = 0, \frac{d^2r_{"}}{dr^2} = 0\right)$, mit Rücksicht auf 16) (pag. 98):

$$[r, r_n] = \tau_m \sqrt{p} \left\{ 1 - \frac{1}{6} \frac{\tau_{m}^2}{r_n^3} + \frac{1}{120} \frac{\tau_{m}^4}{r_n^6} - \cdots \right\}$$

$$[r_n r_m] = \tau_n \sqrt{p} \left\{ 1 - \frac{1}{6} \frac{\tau_n^2}{r_n^3} + \frac{1}{120} \frac{\tau_n^4}{r_n^6} - \cdots \right\}$$

$$[r, r_m] = \tau_n \sqrt{p} \left\{ 1 - \frac{1}{6} \frac{\tau_{m}^2}{r_n^3} + \frac{1}{120} \frac{\tau_{m}^4}{r_n^6} - \cdots \right\};$$

setzt man noch:

$$r_{"}=\frac{1}{2}(r_{'}+r_{"}),$$

so sind die, in Betracht kommenden Glieder vierter Ordnung:

$$\inf \frac{[r_{n} \ r_{m}]}{[r, \ r_{m}]} , + \frac{8}{45 (r_{n} + r_{m})^{6}} \left\{ 3 \ \tau_{n}^{4} - 10 \ \tau_{n}^{2} \tau_{m}^{2} + 7 \ \tau_{m}^{4} \right\}
,, \frac{[r_{n} \ r_{m}]}{[r, \ r_{n}]} , + \frac{8}{45 (r_{n} + r_{m})^{6}} \left\{ 3 \ \tau_{n}^{4} - 10 \ \tau_{n}^{2} \tau_{m}^{2} + 7 \ \tau_{m}^{4} \right\}
,, \frac{[r_{n}^{\circ} \ r_{m}]}{[r_{n} \ r_{n}^{\circ}]} , + \frac{8}{45 (r_{n} + r_{m})^{6}} \left\{ 3 \ \tau_{n}^{04} - 10 \ \tau_{n}^{02} \tau_{m}^{02} + 7 \ \tau_{m}^{04} \right\}
,, \frac{[r_{n} \ r_{m}]}{[r_{n} \ r_{n}^{\circ}]} , + \frac{8}{45 (r_{n} + r_{m})^{6}} \left\{ 3 \ \tau_{n}^{4} - 10 \ \tau_{n}^{2} \tau_{m}^{02} + 7 \ \tau_{m}^{04} \right\};$$

es kann somit geschrieben werden:

$$\begin{split} \Psi_{m'} &= \mu_{m'} + 4\tau_{i}\tau_{m}y + (\frac{8}{15}\tau_{m^{2}} + \frac{3}{10}\mu_{m'})\mu_{m'}x + \gamma_{m'} \\ \Psi_{m''} &= \mu_{m''} + 4\frac{\tau_{i}\tau_{m^{2}}}{\tau_{m}}y + (\frac{8}{15}\tau_{m^{2}} + \frac{3}{10}\mu_{m''})\mu_{m''}x + \gamma_{m''} \\ \Psi_{m''}^{o'} &= \mu_{m'}^{o'} + 4\tau_{i}^{o}\tau_{m}^{o}y + (\frac{8}{15}\tau_{m^{2}} + \frac{3}{10}\mu_{m'}^{o'})\mu_{m'}^{o'}x + \gamma_{m'}^{o'} \\ \Psi_{m''}^{o''} &= \mu_{m''}^{o''} + 4\frac{\tau_{i}^{o}\tau_{m^{2}}^{o2}}{\tau_{m}}y + (\frac{8}{15}\tau_{m^{2}}^{o2} + \frac{3}{10}\mu_{m''}^{o''})\mu_{m''}^{o''}x + \gamma_{m'}^{o''}, \end{split}$$

in welchen Ausdrücken zur Abkürzung:

$$\mu_{m'} = -\frac{1}{4}(\tau_{n}^{2} - \tau_{m}^{2}) , \quad \mu_{m'}^{O'} = -\frac{1}{4}(\tau_{n}^{O2} - \tau_{m}^{O2}) \mu_{m''} = -\frac{1}{4}(\tau_{n}^{2} - \tau_{m}^{2}) , \quad \mu_{m''}^{O''} = -\frac{1}{4}(\tau_{n}^{2} - \tau_{m}^{O2}) y = \frac{r_{m} - r_{n}}{r_{m} + r_{n}},$$

gesetzt wurde; die γ -Symbole stellen die Reste der Reihen dar und können, sobald nach Abschluss der betreffenden Hypothese die verschiedenen η bekannt sind, mittelst der Formeln:

$$\gamma_{m}' = \frac{(\eta_{m} - 1) - (\eta_{r} - 1)}{\eta_{r} x} - \mu_{m}' - 4\tau_{r}\tau_{m}y - (\frac{8}{15}\tau_{m}^{2} + \frac{3}{10}\mu_{m}')\mu_{m}'x}$$

$$\gamma_{m}'' = \frac{(\eta_{m} - 1) - (\eta_{r} - 1)}{\eta_{r} x} - \mu_{m}'' - \frac{4\tau_{r}\tau_{m}^{2}}{\tau_{n}}y - (\frac{8}{15}\tau_{m}^{2} + \frac{3}{10}\mu_{m}'')\mu_{m}''x}$$

$$\gamma_{m}^{O'} = \frac{(\eta_{n}^{O} - 1) - (\eta_{r}^{O} - 1)}{\eta_{r}^{O} x} - \mu_{m}^{O'} - 4\tau_{r}^{O}\tau_{m}^{O}y - (\frac{8}{15}\tau_{m}^{O2} + \frac{3}{10}\mu_{m}^{O'})\mu_{m}^{O'}x}$$

$$\gamma_{m}^{O''} = \frac{(\eta_{n}^{O} - 1) - (\eta_{r}^{O} - 1)}{\eta_{r} x} - \mu_{m}^{O''} - \frac{4\tau_{r}^{O}\tau_{m}^{O2}}{\tau_{m}}y - (\frac{8}{15}\tau_{m}^{O2} + \frac{3}{10}\mu_{m}^{O''})\mu_{m}^{O''}x,$$

berechnet und zur Bildung der folgenden Hypothese verwendet werden; hierbei sind für x und y die Werthe der eben beendeten Hypothese, die zur Ermittlung der verschiedenen Werthe η geführt haben, zu verwenden; in der ersten Hypothese wird man die γ -Grössen, wenn für dieselben sonst keine Näherungen bekannt sind, der Null gleich annehmen.

Setzt man daher:

$$I = \alpha - \alpha_{o} , \quad III = \beta^{(1)} + \beta^{(2)}y + \beta^{(3)}x + \beta^{(4)}$$

$$II = \delta_{o} - \delta , \quad IV = \epsilon^{(1)} + \epsilon^{(2)}y + \epsilon^{(3)}x + \epsilon^{(4)}$$

$$V = \frac{1}{4}(\alpha + \alpha_{o}) , \quad VI = B^{(1)} + B^{(2)}y + B^{(3)}x + B^{(4)}$$

$$VII = \frac{1}{4}(\delta_{o} + \delta) , \quad VIII = E^{(1)} + E^{(2)}y + E^{(3)}x + E^{(4)},$$

und gibt den Gleichungen 11) (pag. 418) die Gestalt:

$$\begin{cases}
\varrho_{r} = \frac{I + IIIx}{II + IVx} \\
\varrho_{m} = V + VIx + (VII + VIIIx)\varrho_{r},
\end{cases}$$
17)

so werden die in 16) eingeführten Symbole die folgende Bedeutung haben:

$$\alpha = \frac{\tau_{i}}{\tau_{m}} \frac{\odot_{i}}{\mathscr{T}_{m}} - \frac{\tau_{n}}{\tau_{m}} \frac{\odot_{n}}{\mathscr{T}_{m}} + \frac{\odot_{m}}{\mathscr{T}_{m}} , \quad \alpha_{o} = \frac{\tau_{i}^{o}}{\tau_{n}^{o}} \frac{\odot_{i}^{o}}{\mathscr{T}_{i}^{o}} - \frac{\tau_{n}}{\tau_{m}^{o}} \frac{\odot_{i}^{o}}{\mathscr{T}_{m}^{o}} + \frac{\odot_{n}^{o}}{\mathscr{T}_{m}^{o}}$$

$$\delta = \frac{\tau_{i}}{\tau_{m}} \frac{\mathscr{T}_{i}}{\mathscr{T}_{m}} , \quad \delta_{o} = \frac{\tau_{i}^{o}}{\tau_{m}^{o}} \frac{\mathscr{T}_{i}^{o}}{\mathscr{T}_{m}^{o}} ,$$

$$53^{\circ}$$

$$\beta^{(1)} = x, -x,^{\circ} , \qquad \xi^{(1)} = \sigma,^{\circ} - \sigma, \\ \beta^{(2)} = v, -v,^{\circ} , \qquad \xi^{(2)} = v,^{\circ} - v, \\ \beta^{(3)} = \pi, -\pi,^{\circ} , \qquad \xi^{(3)} = \chi,^{\circ} - \chi, \\ \beta^{(4)} = \varphi, -\varphi,^{\circ} , \qquad \xi^{(4)} = \omega,^{\circ} - \omega, \\ B^{(1)} = \frac{1}{2}(x, +x,^{\circ}) , \qquad E^{(1)} = \frac{1}{2}(\sigma,^{\circ} + \sigma,) \\ B^{(2)} = \frac{1}{2}(v, +v,^{\circ}) , \qquad E^{(2)} = \frac{1}{2}(v,^{\circ} +v,) \\ B^{(3)} = \frac{1}{2}(\pi, +\pi,^{\circ}) , \qquad E^{(3)} = \frac{1}{2}(\chi,^{\circ} +\chi,) \\ B^{(4)} = \frac{1}{2}(\varphi, +\varphi,^{\circ}) , \qquad E^{(4)} = \frac{1}{4}(\omega,^{\circ} +\omega,),$$

wobei die Grössen:

$$x_{i} = \frac{\tau_{i}}{\tau_{m}} \frac{\bigcirc_{i}}{f_{m}} \mu_{m'} - \frac{\tau_{m}}{\tau_{m}} \frac{\bigcirc_{m}}{f_{m}} \mu_{m''} \qquad , \qquad x_{i}^{\circ} = \frac{\tau_{i}^{\circ}}{\tau_{m}^{\circ}} \frac{\bigcirc_{i}^{\circ}}{f_{m}^{\circ}} \mu_{m'}^{\circ'} - \frac{\tau_{m}}{\tau_{m}^{\circ}} \frac{\bigcirc_{i}^{\circ}}{f_{m}^{\circ}} \mu_{m''}^{\circ'}$$

$$v_{i} = 4 \tau_{i}^{2} \frac{\bigcirc_{i}}{f_{m}^{\circ}} - 4 \tau_{i} \tau_{m} \frac{\bigcirc_{m}}{f_{m}^{\circ}} \qquad , \qquad v_{i}^{\circ} = 4 \tau_{i}^{\circ} \frac{\bigcirc_{i}^{\circ}}{f_{m}^{\circ}} - 4 \tau_{i}^{\circ} \tau_{m}^{\circ} \frac{\bigcirc_{i}^{\circ}}{f_{m}^{\circ}}$$

$$\pi_{i} = \frac{\tau_{i}}{\tau_{m}^{\circ}} \frac{\bigcirc_{i}}{f_{m}^{\circ}} \mu_{m'} (\frac{1}{15} \tau_{m}^{2} + \frac{3}{10} \mu_{m'}) - \frac{\tau_{m}}{\tau_{m}^{\circ}} \frac{\bigcirc_{m}}{f_{m}^{\circ}} \mu_{m'} (\frac{8}{15} \tau_{m}^{2} + \frac{3}{10} \mu_{m'})$$

$$\pi_{i}^{\circ} = \frac{\tau_{i}^{\circ}}{\tau_{m}^{\circ}} \frac{\bigcirc_{i}^{\circ}}{f_{m}^{\circ}} \mu_{m'} (\frac{8}{15} \tau_{m}^{\circ} + \frac{3}{10} \mu_{m'}) - \frac{\tau_{m}}{\tau_{m}^{\circ}} \frac{\bigcirc_{m}}{f_{m}^{\circ}} \mu_{m'} (\frac{8}{15} \tau_{m}^{\circ} + \frac{3}{10} \mu_{m'}^{\circ\prime})$$

$$\sigma_{i} = \frac{\tau_{i}}{\tau_{m}^{\circ}} \frac{f_{i}^{\circ}}{f_{m}^{\circ}} \mu_{m'} \qquad , \qquad \sigma_{i}^{\circ} = \frac{\tau_{i}^{\circ}}{\tau_{m}^{\circ}} \frac{f_{i}^{\circ}}{f_{m}^{\circ}} \mu_{m'}^{\circ\prime}$$

$$v_{i} = 4 \tau_{i}^{\circ} \frac{f_{i}^{\circ}}{f_{m}^{\circ}} \mu_{m'} (\frac{8}{15} \tau_{m}^{\circ} + \frac{3}{10} \mu_{m'}) \qquad , \qquad \chi_{i}^{\circ} = \frac{\tau_{i}^{\circ}}{\tau_{m}^{\circ}} \frac{f_{i}^{\circ}}{f_{m}^{\circ}} \mu_{m'}^{\circ\prime} (\frac{8}{15} \tau_{m}^{\circ} + \frac{3}{10} \mu_{m'})$$

$$\sigma_{i} = \frac{\tau_{i}}{\tau_{m}^{\circ}} \frac{f_{i}^{\circ}}{f_{m}^{\circ}} \mu_{m'} (\frac{8}{15} \tau_{m}^{\circ} + \frac{3}{10} \mu_{m'}) \qquad , \qquad \chi_{i}^{\circ} = \frac{\tau_{i}^{\circ}}{\tau_{m}^{\circ}} \frac{f_{i}^{\circ}}{f_{m}^{\circ}} \mu_{m'}^{\circ\prime} (\frac{8}{15} \tau_{m}^{\circ} + \frac{3}{10} \mu_{m'})$$

$$\sigma_{i} = \frac{\tau_{i}}{\tau_{m}^{\circ}} \frac{f_{i}^{\circ}}{f_{m}^{\circ}} \mu_{m'} (\frac{8}{15} \tau_{m}^{\circ} + \frac{3}{10} \mu_{m'}) \qquad , \qquad \chi_{i}^{\circ} = \frac{\tau_{i}^{\circ}}{\tau_{m}^{\circ}} \frac{f_{i}^{\circ}}{f_{m}^{\circ}} \mu_{m'}^{\circ\prime} (\frac{8}{15} \tau_{m}^{\circ} + \frac{3}{10} \mu_{m'})$$

$$\sigma_{i} = \frac{\tau_{i}}{\tau_{m}^{\circ}} \frac{f_{i}^{\circ}}{f_{m}^{\circ}} \mu_{m'} (\frac{8}{15} \tau_{m}^{\circ} + \frac{3}{10} \mu_{m'}) \qquad , \qquad \chi_{i}^{\circ} = \frac{\tau_{i}^{\circ}}{\tau_{m}^{\circ}} \frac{f_{i}^{\circ}}{f_{m}^{\circ}} \frac{f_{i}^{$$

abkürzungsweisc eingeführt sind.

In der Anwendung auf Kometenbahnen werden die vorstehenden Formeln einige geringe Modificationen erfahren, indem man nämlich die Grössen $\beta^{(3)}$, $\varepsilon^{(3)}$, $B^{(3)}$, $E^{(3)}$, ferner in den Formeln 13) (pag. 419) die dritten Glieder rechts vom Gleichheitszeichen, und in den Formeln 15) (pag. 419) die vierten Glieder der Null gleichzusetzen und in der ersten Hypothese sofort γ -Werthe nach 15) einzuführen hat, die den stets vorhandenen parabolischen Elementen entlehnt werden können. Es dürfte überflüssig sein, hier eine Zusammenstellung der diesbezüglichen Formeln vorzunehmen, da dieselben im Anhang Aufnahme gefunden haben.

2. Bestimmung der geocentrischen Distanzen.

Die im vorangehenden Kapitel aufgestellten Gleichungen zwischen ϱ , und ϱ_m einerseits und x, y andrerseits, welch letztere Grössen einfache Functionen von r, und r_m darstellen, werden in Verbindung mit der durch die äusseren Beobachtungen gegebenen Relation zwischen denselben Grössen eine versuchsweise Bestimmung der Unbekannten ϱ , und ϱ_m ermöglichen. Im Allgemeinen wird es sich bei der Bestimmung einer Planetenbahn empfehlen, x und y als Unbekannte anzusehen und im

ersten Versuche, wenn sonst keine Näherungen bekannt sind, x = 0.01, y = 0 zu setzen; hat man einmal bestimmte Annahmen über diese beiden Unbekannten gemacht, so wird die Durchrechnung nach den Formeln 16) und 17) (pag. 419) zugehörige Werthe von ϱ , und ϱ_m ergeben, aus welchen (vergl. 31) pag. 360) mit Benützung der folgenden Hilfswerthe:

$$\cos \psi_{i} = \cos \beta_{i} \cos (\lambda_{i} - L_{i}) , \qquad \cos \psi_{m} = \cos \beta_{m} \cos (\lambda_{m} - L_{m})$$

$$\sin \psi_{i} \cos P_{i} = \cos \beta_{i} \sin (\lambda_{i} - L_{i}) , \qquad \sin \psi_{m} \cos P_{m} = \cos \beta_{m} \sin (\lambda_{m} - L_{m})$$

$$\sin \psi_{i} \sin P_{i} = \sin \beta_{i} - \cos \psi_{i} B_{i} \arcsin \gamma_{m} \sin P_{m} = \sin \beta_{m} - \cos \psi_{m} B_{m} \arctan \gamma_{m}$$

$$N_{i} = R_{i} \cos \psi_{i} , \qquad N_{m} = R_{m} \cos \psi_{m}$$

$$D_{i} = R_{i} \sin \psi_{i} , \qquad D_{m} = R_{m} \sin \psi_{m} ,$$

leicht die Radienvectoren r, und r,, nach:

$$\text{tg } \theta_{i} = \frac{\varrho_{i} - N_{i}}{D_{i}} , \quad \text{tg } \theta_{m} = \frac{\varrho_{m} - N_{m}}{D_{m}} \\
 r_{i} = \frac{(\varrho_{i} - N_{i})}{\sin \theta_{i}} = \frac{D_{i}}{\cos \theta_{i}} , \quad r_{m} = \frac{(\varrho_{m} - N_{m})}{\sin \theta_{m}} = \frac{D_{m}}{\cos \theta_{m}},$$
2a)

berechnet werden können. Dieselben führen vermöge der Relationen:

$$x = \frac{1}{(r_m + r_t)^3}$$
 , $y = \frac{r_m - r_t}{r_m + r_t}$, 2b)

auf durch x_e und y_e zu bezeichnende Endwerthe, welche mit den Anfangswerthen x_a und y_a nur dann stimmen werden, wenn für die letzteren Grössen die richtigen Annahmen gemacht wurden; die im Allgemeinen auftretenden Unterschiede wird man zur Einführung wesentlicher Verbesserungen der Anfangswerthe benützen, welche Verbesserungen nach den in 10) (pag. 371) angegebenen Formeln vorzunehmen sind. Die in dem vorliegenden Fall anzuwendenden Werthe für α_i , α_m , β_i und β_m ergeben sich leicht aus der Differentiation der Gleichungen 16) und 17) (pag. 419); man findet nämlich, wenn man die mit x^2 multiplicirten Glieder vernachlässigt:

$$\alpha_{i} = \frac{d\varrho_{i}}{dx} = \frac{III - IV\varrho_{i}}{II + IVx}$$

$$\beta_{i} = \frac{d\varrho_{i}}{dy} = \frac{\beta^{(2)} - \delta^{(2)}\varrho_{i}}{II + IVx}x$$

$$\alpha_{iii} = \frac{d\varrho_{iii}}{dx} = VI + VIII\varrho_{i} + (VII + VIIIx)\alpha_{i}$$

$$\beta_{iii} = \frac{d\varrho_{iii}}{dy} = (B^{(2)} + E^{(2)}\varrho_{i})x + (VII + VIIIx)\beta_{i},$$

welche Coëfficienten in 10) pag. 371) eingesetzt, zwei Gleichungen mit zwei Unbekannten ergeben, deren Auflösung sofort die Verbesserungen für die ersten Annahmen über x und y mit um so grösserer Annaherung finden lässt, je mehr die hierbei vorausgesetzten linearen Verhältnisse zutreffen. Die Berechnung der Ausdrücke in 3) gestaltet sich thatsächlich sehr einfach, weil die daselbst auftretenden Coëfficienten schon im Verlaufe des vorangehenden Versuches erlangt wurden. Ist der heliocentrische Bogen sehr mässig, so wird man bei der Bestimmung von Planetenbahnen, ähnlich wie dies bei der Methode aus drei Orten geschehen ist [vergl. 12) pag. 371], die Formeln in der folgenden, wesentlich einfacheren Gestalt anwenden

dürfen:

$$\mathcal{A}_{1} = \log x_{e} - \log x_{a}
\mathcal{A}_{2} = -\frac{3 \text{ Mod.}}{(r_{r} + r_{m})_{e}^{4}} (\beta_{r} \sin \theta_{r} + \beta_{m} \sin \theta_{m}) (y_{e} - y_{a})
\log (-3 \text{ Mod.}) = o_{n} 1491,$$

woraus sich mit einer in den Betracht kommenden Fällen genügenden Annäherung ergibt:

$$d\log x_a = \frac{\Delta_1 + \Delta_2}{1 + \frac{3}{(r_1 + r_m)_e^4} (\alpha_1 \sin \theta_1 + \alpha_m \sin \theta_m)}$$

$$dy_a = y_e - y_a,$$

$$4b)$$

hierbei wird zu setzen sein:

$$\alpha_{i} = \frac{III - IV\varrho_{i}}{II + IVx}$$

$$\beta_{i} = \frac{\beta^{(2)} - s^{(2)}\varrho_{i}}{II + IVx}$$

$$\alpha_{iii} = VI + VIII\varrho_{i} + (VII + VIIIx)\alpha_{i}$$

$$\beta_{iii} = B^{(2)} + E^{(2)}\varrho_{i} + (VII + VIIIx)\beta_{i},$$

$$4c)$$

in welchen Formeln die Grössen β , und β_m gegen die in 3) enthaltenen Ausdrücke eine etwas abgeänderte Bedeutung erhalten. Indessen wird bei der Methode der Bahnbestimmung aus vier Orten, in welcher die Glieder dritter Ordnung massgebend sind, die Verbindung der Formeln 3) (pag. 421) mit jenen in 10) (pag. 371) den Vorzug verdienen, weil dadurch die Bestimmung der beiden Unbekannten in wesentlich genauerer Weise möglich wird.

Will man die oben entwickelten Methoden auf die Bestimmung einer Kometenbahn anwenden, so wird man die Auflösung der Gleichungen mit Vortheil in veränderter Gestalt vornehmen. Es wird sich nämlich in diesen Fällen empfehlen, als Unbekannte ϱ , und y in das Problem einzuführen und hierbei, wenn sonst keine Näherungen für diese Unbekannten vorhanden sind, im ersten Versuche jene Werthe anzunehmen, welche aus den parabolischen Elementen gefunden wurden. Die erste Gleichung in 17) (pag. 419) kann geschrieben werden:

$$x = \frac{II_{\ell}, -I}{III - IV_{\ell}}, \qquad 5)$$

woraus, sobald über ϱ , und y bestimmte Annahmen gemacht sind, ein Werth für x resultirt, der in der zweiten Gleichung in 17) den zugehörigen Werth von ϱ_m ergibt. Bezeichnet man den so erhaltenen Werth von x mit x_a und die Annahme über y mit y_a , so wird die Durchrechnung der Formeln 2a) und 2b) Endwerthe x_e und y_e für diese Grössen finden lassen, die im Allgemeinen mit den Anfangswerthen nicht stimmen; variirt man aber in entsprechendem Mass einmal ϱ_r , das andremal y_a und benützt diese variirten Werthe bei zwei weiteren Versuchen, so werden sämmtliche drei Versuche in bekannter Weise zwei Gleichungen mit zwei Unbekannten liefern, welch letztere, wofern man mit den linearen Änderungen ausreicht, die Verbesserungen der ursprünglichen Annahmen für die Unbekannten ergeben, min-

destens aber zu neuen Näherungen führen, die in ähnlicher Weise weiter ausgenützt, bald die wahren Werthe der Unbekannten werden erlangen lassen.

Hat man — sei es für eine Planeten- oder Kometenbahn — durch eine der eben auseinandergesetzten Verfahrungsweisen die den Gleichungen entsprechenden Werthe von r, r_m , ϱ , und ϱ_m gefunden, und hält man die durch die vorgelegte Hypothese erhaltene Annäherung für ausreichend, so wird man in bekannter Weise aus ϱ , und ϱ_m die Elemente ableiten; glaubt man aber, um hinreichende Näherungen für die Elemente zu erhalten, weitere Hypothesen bilden zu müssen, so berechnet man zunächst (vergl. pag. 375 ff.) die für alle folgenden Hypothesen constanten Hilfswinkel nach:

$$w \sin W = \sin \frac{1}{2} (L_m - L_i) \sin \frac{1}{2} (P_m + P_i) , h \sin H = \sin \frac{1}{2} (L_m - L_i) \cos \frac{1}{2} (P_m + P_i) w \cos W = \cos \frac{1}{2} (L_m - L_i) \sin \frac{1}{2} (P_m - P_i) , h \cos H = \cos \frac{1}{2} (L_m - L_i) \cos \frac{1}{2} (P_m - P_i) W' = W - \frac{1}{2} (\psi_m + \psi_i) , H' = H + \frac{1}{2} (\psi_m - \psi_i) ,$$
 6)

dann mit Hilfe der aus dem letzten Versuche sich ergebenden Werthe θ_i und θ_m :

$$\sin f_n^2 = w^2 \cos \{ W' + \frac{1}{2} (\theta_1 + \theta_m) \}^2 + h^2 \sin \{ H' + \frac{1}{2} (\theta_1 - \theta_m) \}^2 + \cos (\theta_1 - \psi_m) \sin (\theta_1 -$$

und erhält den heliocentrischen Bogen $2 f_n$ zwischen dem ersten und letzten Ort. Nun berechnet man [vergl. 13] pag. 419]:

$$\begin{split} \Psi_{m'} &= \mu_{m'} + 4 \tau, \tau_{m} y + (\frac{8}{15} \tau_{m}^{2} + \frac{3}{10} \mu_{m'}) \mu_{m'} x + \gamma_{m'} \\ \Psi_{m''} &= \mu_{m''} + 4 \frac{\tau, \tau_{m}^{2}}{\tau_{m}} y + (\frac{8}{15} \tau_{m}^{2} + \frac{3}{10} \mu_{m''}) \mu_{m''} x + \gamma_{m''} \\ \Psi_{m'}^{o'} &= \mu_{m'}^{o'} + 4 \tau_{o}^{o} \tau_{m}^{o} y + (\frac{8}{15} \tau_{m}^{o2} + \frac{3}{10} \mu_{m'}^{o'}) \mu_{m'}^{o'} x + \gamma_{m'}^{o'} \\ \Psi_{m''}^{o''} &= \mu_{m''}^{o''} + 4 \frac{\tau, \sigma_{m}^{o} \tau_{m}^{o2}}{\tau_{m}} y + (\frac{8}{15} \tau_{m}^{o2} + \frac{3}{10} \mu_{m''}^{o''}) \mu_{m''}^{o''} x + \gamma_{m'}^{o''}, \end{split}$$

in welchen Formeln für die γ -Symbole jene Werthe zu wählen sind, welche in der betreffenden Hypothese Verwendung gefunden haben, also nach der ersten Hypothese der Nullwerth. Ferner ist hervorzuheben, dass die mit x multiplicirten Glieder, wenn man die vorstehende Methode auf die Bestimmung einer Kometenbahn anwendet, wegfallen (vergl. pag. 420). Mit Rücksicht auf die Bedeutung der Ψ -Symbole (vergl. pag. 100) wird man:

$$\frac{[r_{n} \ r_{m}]}{[r, \ r_{m}]} = n = \frac{\tau_{n}}{\tau_{n}} \frac{1 + x \ \Psi_{m}'}{1 + x \ \Psi_{m}''} ,$$

$$\frac{[r_{n}^{\circ} \ r_{m}]}{[r, \ r_{m}]} = n^{\circ} = \frac{\tau_{n}^{\circ}}{\tau_{n}} \frac{1 + x \ \Psi_{m}^{\circ \circ}}{1 + x \ \Psi_{m}^{\circ \circ}}$$

$$\frac{[r, \ r_{m}]}{[r, \ r_{m}]} = n_{n} = \frac{\tau_{m}}{\tau_{n}} \frac{1}{1 + x \ \Psi_{m}''} ,$$

$$\frac{[r, \ r_{m}]}{[r, \ r_{m}]} = n_{n}^{\circ} = \frac{\tau_{m}^{\circ}}{\tau_{n}} \frac{1}{1 + x \ \Psi_{m}^{\circ \circ}} ,$$

$$\frac{[r, \ r_{m}]}{[r, \ r_{m}]} = n_{n}^{\circ} = \frac{\tau_{m}^{\circ}}{\tau_{n}} \frac{1}{1 + x \ \Psi_{m}^{\circ \circ}} ,$$

setzen und mit diesen n-Werthen die Grössen r_n , f_n , f_m , r_n^0 , f_n^0 und f_m^0 nach:

$$r_{n}\sin 2f_{m} = r_{m}n_{n}\sin 2f_{n} , r_{n}^{0}\sin 2f_{m}^{0} = r_{m}n_{n}^{0}\sin 2f_{n} r_{n}\cos 2f_{m} = r, n + r_{m}n_{n}\cos 2f_{n} , r_{n}^{0}\cos 2f_{m}^{0} = r, n^{0} + r_{m}^{0}n_{n}^{0}\cos 2f_{n} r_{n}\sin 2f_{n} , r_{n}^{0}\sin 2f_{n}^{0} = r, n^{0}\sin 2f_{n} r_{n}\cos 2f_{n} = r_{m}n_{n} + r, n\cos 2f_{n} , r_{n}^{0}\cos 2f_{n}^{0} = r_{m}n_{n}^{0} + r, n^{0}\cos 2f_{n} Probe: $2f_{n} = 2f_{n} + 2f_{m} = 2f_{n}^{0} + 2f_{m}^{0},$$$

ermitteln. Die Berechnung der Werthe η [vergl. 26) pag. 89] wird nach den folgenden Formeln 11) geführt, in welchen man für jede der fünf in Betracht kommenden Combinationen die entsprechenden Werthe von η , τ , f, r und r' zu substituiren hat; in welcher Weise dies geschieht, zeigt das in 11) vorangestellte Schema:

$$m = \frac{\tau^{2}}{(2\cos f\sqrt[4]{r^{\prime}})^{3}}, \quad tg(45^{\circ} + \omega) = \sqrt[4]{\frac{h}{2}}(\eta + \frac{1}{9}), \quad w = \frac{m}{\eta^{2}} - l.$$

Nun berechnet man nach 15) (pag. 419) neue Werthe für die γ -Symbole, welche in den Formeln 16) und 17) nur die Grössen III, IV, VI und VIII verändern werden, mit diesen sind die Gleichungen 17) abermals durch Versuche aufzulösen. Das eben erörterte Verfahren ist solange fortzusetzen, bis die verschiedenen n-Werthe der Formeln 9) von Hypothese zu Hypothese keine Änderung erfahren.

Bei ersten Bahnbestimmungen können die Beobachtungen vor Beginn der Rechnung nicht für Planetenaberration corrigirt werden, da zu dieser Bestimmung die Kenntnis der geocentrischen Distanzen nöthig ist. Berücksichtigt man dieselbe im Verlaufe der Rechnung in ähnlicher Weise, wie dies oben (pag. 296) bei der ersten Bestimmung parabolischer Elemente geschehen ist, indem man sich ϱ nach Potenzen der Zeit entwickelt denkt, so werden die aus den ersten Potenzen der Zeiten entstehenden Correctionen in dem Verhältnisse der Zwischenzeiten verschwinden, in den Gliedern zweiter Ordnung wird das Product derselben in die Aberration auf so kleine Correctionen führen, dass deren Einfluss gegen die anderweitigen Unsicherheiten als verschwindend betrachtet werden darf; man wird demnach, wenn man in der ersten Bahnbestimmung bei der ersten Hypothese stehen bleibt, was bei der hohen Convergenz der hier in Vorschlag gebrachten Methode wohl meist stattfinden kann, die Aberrationszeit nur insoweit berücksichtigen, dass die Beobachtungszeiten der ersten und letzten Beobachtung vor der Ableitung der Elemente um die Beträge:

 $-\frac{(7.76128)}{-(7.76128)}\varrho_{m},$ 12)

corrigirt werden; hierbei sind die angesetzten Coëfficienten logarithmisch zu verstehen und werden die Correctionen in Einheiten des mittleren Sonnentages erhalten. Bei der Darstellung der beiden mittleren Beobachtungen wird man in den vorliegenden Fällen für ϱ_n und ϱ_n^o mit genügender Genauigkeit:

$$\varrho_{\prime\prime}=\varrho_{\prime}+(\varrho_{\prime\prime\prime}-\varrho_{\prime})\frac{\tau_{\prime\prime\prime}}{\tau_{\prime\prime}}\quad,\quad \varrho_{\prime\prime}^{\circ}=\varrho_{\prime}+(\varrho_{\prime\prime\prime}-\varrho_{\prime})\frac{\tau_{\prime\prime}^{\circ}}{\tau_{\prime\prime}},\; \right\} \ \ 13)$$

(vergl. 32) pag. 299] annehmen dürfen und danach die Beobachtungszeiten verbessern, bevor man aus den Elementen die geocentrischen Orte ableitet.

Will man aber auf die Zahlen der ersten Hypothese eine zweite aufbauen, so wird man die Zwischenzeiten und die damit im Zusammenhange stehenden Coëfficienten wegen der Planetenaberration verbessern und hierzu die Werthe ϱ_n und ϱ_n^o in strengerer Weise, als dies nach 13) geschieht, ermitteln. Man berechnet zunächst nach der bekannten Formel aus ϱ_n und ϱ_m die heliocentrischen Coordinaten [vergl. Anhang III 11)], aus diesen die Elemente i und Ω [Anhang III 12)] und die Argumente der Breite [Anhang III 13)] und erhält so $2f_n = u_m - u_n$, welcher Werth überdies mit dem aus 7) (pag. 423) abgeleiteten übereinstimmen muss. Die Formeln 8), 9), 10) (pag. 423) werden dann $2f_n$, $2f_n^o$, $2f_m$ und $2f_m^o$ finden lassen und man hat die Argumente der Breite für die mittleren Beobachtungen:

$$u_n = u_1 + 2f_m = u_m - 2f_1,$$

 $u_n^0 = u_1 + 2f_m^0 = u_m - 2f_1^0,$

und daraus nach den bekannten Formeln zum Übergang vom heliocentrischen auf den geocentrischen Ort mit eventueller Vernachlässigung der Sonnenbreite:

$$\begin{split} \varrho_n \cos \beta_n \cos (\lambda_n - \Omega) &= r_n \cos u_n + R_n \cos (L_n - \Omega) \\ \varrho_n \cos \beta_n \sin (\lambda_n - \Omega) &= r_n \sin u_n \cos i + R_n \sin (L_n - \Omega) \\ \varrho_n \sin \beta_n &= r_n \sin u_n \sin i \\ \varrho_n^0 \cos \beta_n^0 \cos (\lambda_n^0 - \Omega) &= r_n^0 \cos u_n^0 + R_n^0 \cos (L_n^0 - \Omega) \\ \varrho_n^0 \cos \beta_n^0 \sin (\lambda_n^0 - \Omega) &= r_n^0 \sin u_n^0 \cos i + R_n^0 \sin (L_n^0 - \Omega) \\ \varrho_n^0 \sin \beta_n^0 &= r_n^0 \sin u_n^0 \sin i. \end{split}$$

Aus diesen Formeln wird, wenn man die erste der Gleichungen einer jeden Gruppe beziehungsweise mit $\cos(\lambda_n - \Omega)$ und $\cos(\lambda_n^o - \Omega)$, die zweite mit $\sin(\lambda_n - \Omega)$ und $\sin(\lambda_n^o - \Omega)$ multiplicirt und addirt, die dritten Gleichungen aber unverändert lässt, leicht abgeleitet:

$$\begin{array}{ll} \varrho_n\cos\beta_n = & r_n\{\cos u_n\cos(\lambda_n-\Omega) + \sin u_n\sin(\lambda_n-\Omega)\cos i\} + R_n\cos(\lambda_n-L_n) \\ \varrho_n\sin\beta_n = & r_n\sin u_n\sin i \\ \varrho_n^{\circ}\cos\beta_n^{\circ} = & r_n^{\circ}\{\cos u_n^{\circ}\cos(\lambda_n^{\circ}-\Omega) + \sin u_n^{\circ}\sin(\lambda_n^{\circ}-\Omega)\cos i\} + R_n^{\circ}\cos(\lambda_n^{\circ}-L_n^{\circ}) \\ \varrho_n^{\circ}\sin\beta_n^{\circ} = & r_n^{\circ}\sin u_n^{\circ}\sin i. \end{array} \right\}^{15)}$$

Diese strengere Berechnung von ϱ_n und ϱ_n^o erscheint ziemlich verwickelt, allein eines grossen Theiles der diesbezüglichen Zahlen bedarf man ohnedies zur Vorbereitung für die folgende Hypothese. Im Allgemeinen und besonders bei einer Planetenbahnbestimmung wird man nicht genöthigt sein, von diesen Formeln Gebrauch zu machen, wenn man die mittleren Beobachtungen als vollständige ansieht; diese Voraussetzung ist zwar auf Grundlage der bisherigen Entwicklungen nicht völlig zu rechtfertigen, da die mittleren Beobachtungen durchaus als unvollständig angesehen wurden, man kann sich aber über dieses Bedenken hinwegsetzen und rechnet dann zunächst:

$$\cos \psi_{n} = \cos \beta_{n} \cos(\lambda_{n} - L_{n}) \qquad \cos \psi_{n}^{o} = \cos \beta_{n}^{o} \cos(\lambda_{n}^{o} - L_{n}^{o})$$

$$\sin \psi_{n} \cos P_{n} = \cos \beta_{n} \sin(\lambda_{n} - L_{n}) \qquad \sin \psi_{n}^{o} \cos P_{n}^{o} = \cos \beta_{n}^{o} \sin(\lambda_{n}^{o} - L_{n}^{o})$$

$$\sin \psi_{n}^{o} \sin P_{n}^{o} = \sin \beta_{n}^{o} ;$$

$$\sin \psi_{n}^{o} \sin P_{n}^{o} = \sin \beta_{n}^{o} ;$$

da nun [vergl. 2) pag. 291] die Relationen:

$$r_n^2 = R_n^2 - 2 \varrho_n R_n \cos \beta_n \cos(\lambda_n - L_n) + \varrho_n^2$$

$$r_n^{02} = R_n^{02} - 2 \varrho_n^0 R_n^0 \cos \beta_n^0 \cos(\lambda_n^0 - L_n^0) + \varrho_n^{02}$$

bestehen, so hat man zur Bestimmung von ϱ_n und ϱ_n° schliesslich die Gleichungen:

$$\varrho_{n} = R_{n} \cos \psi_{n} \pm \sqrt{r_{n}^{2} - (R_{n} \sin \psi_{n})^{2}}
\varrho_{n}^{o} = R_{n}^{o} \cos \psi_{n}^{o} \pm \sqrt{r_{n}^{o2} - (R_{n}^{o} \sin \psi_{n}^{o})^{2}}$$
17)

in welchen bei der Anwendung auf die kleinen Planeten stets nur das obere Zeichen Geltung haben wird. Wie man sieht, leisten die Formeln 16) und 17) die Bestimmung von ϱ_n und ϱ_n^o in sehr bequemer Weise, wenn sie auch vom theoretischen Standpunkte deshalb nicht völlig gerechtfertigt erscheinen, da zu ihrer Berechnung Zahlen herangezogen werden, die den Grundlagen der Rechnung fremd sind. Allerdings können die Formeln unter Umständen unsichere Resultate geben, doch würde dies nur bei Kometenbahnen der Fall sein, bei denen man kaum je Veranlassung haben wird, von denselben Gebrauch zu machen.

Schliesslich muss darauf aufmerksam gemacht werden, dass bisher über die Lage der grössten Kreise, welche gleichsam die mittlern Beobachtungen ersetzen, keine Bestimmung getroffen wurde. In dieser Hinsicht wird auf den diesbezüglichen Abschnitt des Kometenproblems (pag. 282 ff.) verwiesen, wonach zur Bestimmung der Lage des grössten Kreises die Gleichungen:

$$\begin{aligned}
\operatorname{tg} J & \sin(\lambda_{n} - \Pi) &= \operatorname{tg} \beta_{n} \\
\operatorname{tg} J & \cos(\lambda_{n} - \Pi) &= \frac{\lambda_{m} - \lambda_{l}}{\beta_{n} - \beta_{m}} \\
\operatorname{tg} J^{o} & \sin(\lambda_{n}^{o} - \Pi^{o}) &= \operatorname{tg} \beta_{n}^{o} \\
\operatorname{tg} J^{o} & \cos(\lambda_{n}^{o} - H^{o}) &= \frac{\lambda_{m} - \lambda_{l}}{\beta_{n} - \beta_{m}},
\end{aligned}$$

herangezogen werden können, welche wohl meist eine ausreichende Annäherung ergeben werden. Bei den kleinen Planeten jedoch wird man von diesen Formeln keinen Gebrauch machen; denn bei der relativ geringen Neigung der Planetenbahnen wird in den in Betracht kommenden Fällen die geocentrische Bewegung in Länge gegen jene in Breite meist so überwiegend sein, dass man ohne wesentliche Beeinträchtigung der Genauigkeit $(\beta_1 - \beta_m) : (\lambda_m - \lambda_l)$ der Null gleich setzen darf, wodurch man:

$$J = 90^{\circ} \qquad J^{\circ} = 90^{\circ}$$

$$II = \lambda_{n} \qquad II^{\circ} = \lambda_{n}^{\circ},$$

erhält und die Formeln 6) (pag. 415) sehr vereinfacht werden. Die im Anhange für die Berechnung einer Planetenbahn aus vier Orten aufgenommenen Formeln nehmen auf die durch Gleichung 19) bewirkte Vereinfachung Rücksicht, während die für die Kometenbahnbestimmung geltende Zusammenstellung die Gleichungen 18) für die Bestimmung der Lage der grössten Kreise heranzieht.

3. Beispiele.

Als Beispiel der ersten Bahnbestimmung eines kleinen Planeten aus vier Beobachtungen sollen die folgenden Beobachtungen des Planeten (4) Angelina dienen:

Dieselben wurden absichtlich einer bereits länger verflossenen Epoche entlehnt, um an denselben den Vorgang zu erläutern, den man bei der Benützung älterer Jahrgänge des Berliner astronomischen Jahrbuches rücksichtlich der Reduction der Beobachtungen und der Bestimmung der Sonnencoordinaten mit Vortheil befolgen kann; die Zwischenzeit (53 Tage) wurde hauptsächlich aus dem Grunde wesentlich grösser gewählt, als dies sonst bei ersten Bahnbestimmungen vorkommt, um die hohe Convergenz der hier in Vorschlag gebrachten Methode darzuthun und den Beweis zu liefern, dass man bei solchen Rechnungen wohl stets mit der ersten Hypothese ausreichen wird.

Mit der Längendifferenz Bonn 25^m11³6 West. von Berlin wurde die Zeit der ersten Beobachtung auf den Berliner Meridian übertragen, hierauf wurden die Zeitangaben in Decimaltheile des Tages verwandelt und für die so erhaltenen Berliner Zeiten dem Berliner Jahrbuche 1861 die wahren Längen, Breiten und Entfernungen der Sonne, ferner die Nutation und wahre Schiefe entlehnt und erhalten:

Um die allgemeine Präcession zwischen dem Jahresanfange und dem Beobachtungsdatum und die Präcession in Breite für die Sonnenorte zu ermitteln, wurde die Tafel X benützt, welche ergab:

	J	Tafel X.	
	Argum. I	Prăc.	Red. d. B.
ı.	96.030	+ 9"17	— о"о і
2.	0.644	+ 11.49	+ 0.02
3.	5.292	+ 13.82	+ 0.06
4.	10.536	+ 16.46	十 0.11;

die auf das mittl. Äquin. 1861 o bezogenen Sonnenlängen und Breiten sind somit:

- 1. 347° 27′ 44″06 + 0″07 2. 4 12 59.04 - 0.43 3. .20 56 13.39 + 0.59
- 4. 39 36 28.43 + 0.04

Mit der entsprechenden wahren Schiefe wurden nun die scheinbaren Orte des Planeten nach Anhang I. 4) in scheinbare Längen und Breiten umgesetzt:

sodann, um diese Coordinaten auf das mittl. Äquin. 1861-o zu beziehen (Jahres-anfang: — 0-09 Januar), die Formeln 1) (pag. 247) in Anwendung gezogen, nach welchen sich fand:

Zur Elimination der Parallaxe und der Sonnenbreiten wurde der locus fictus eingeführt; die Hauptmomente des bezüglichen Verfahrens sind:

1. 2. 3. 4.
$$\varphi'$$
 50° 32′ 5 52° 19′ 1 52° 19′ 1 52° 19′ 1 φ' 50° 32′ 5 52° 19′ 1 52° 19′ 1 φ' 1 φ' 50° 32′ 5 52° 19′ 1 φ' 1 φ' 1 φ' 1 φ' 2 φ' 2 φ' 2 φ' 2 φ' 3 φ' 2 φ' 3 φ' 3 φ' 2 φ' 3 φ' 3 φ' 3 φ' 3 φ' 3 φ' 3 φ' 4 φ' 2 φ' 3 φ' 4 φ' 4 φ' 3 φ' 4 φ' 6 φ' 7 φ' 8 φ' 9 φ'

Als Grundlagen der Rechnung haben sonach zu gelten:

Die nach Anhang IV vorgenommene Bahnbestimmung, welche die beiden mittleren Breiten unberücksichtigt lässt, erscheint hier vollkommen ausgeführt, um daran die zweckmässige Anordnung der Rechnung zu veranschaulichen.

Nach Anhang IV. A. 1):

$\lambda_{"}-\lambda_{'}-3^{\circ}49'34''2$	λ_n° — λ_n — 7° 7′ 50″8
$\lambda_m - \lambda_m - 5$ 2 11·2	$\lambda_m - \lambda_n^o - 14354.6$
$\sin(\lambda_n - \lambda_n)$ 8 _n 824 318	$\sin(\lambda_n^0 - \lambda_n) \qquad 9_n \circ 93 892$
$\sin(\lambda_{m}-\lambda_{n}) \qquad 8_{n}943 442$	$\sin(\lambda_m - \lambda_n^0) \qquad 8_{n4}80 \ 317$
\mathcal{F} , $8_n 824 158$	6,0 9,093 732
$8_{n}943259$	6 8 8 8 134
$L_{r} - \lambda_{m}$ 170° 10′ 56″8	$L, -\lambda_n^0$ 173° 29′ 13″4
$L_{"}-\lambda_{"}$ 186 54 48.8	$L_{"}^{o}$ — $\lambda_{"}^{o}$ 206 55 26.6
$L_{\prime\prime\prime}$ — $\lambda_{\prime\prime}$ 222 15 22.7	L_{m} — λ_{n}^{o} 225 33 39·3
$\sin(L, -\lambda_n) \qquad 9.231754$	$\sin(L,\lambda_n^0) \qquad 9.054719$
$\sin\left(L_{n}-\lambda_{n}\right) \qquad 9_{n}080\ 524$	$\sin(L_n^{\rm o}-\lambda_n^{\rm o})\qquad 9_n655\ 915$
$\sin(L_{m}-\lambda_{n}) \qquad 9_{n}827659$	$\sin(\mathcal{L}_m - \lambda_n^0) \qquad 9_n 853696$
⊙, 9·229 288	⊙° 9·052 253
⊙" 9 _n 080 015	Θ_n^0 9 _n 657 453
O,,, 9,831 496	⊙ _m 9 _n 857 533 -

Nach Anhang IV. A. 2):

λ, — <i>L</i> ,	193° 38′ 37″4	λ_{m} — L_{m} 132°42′26	" I
$\cos(\lambda, -L_{\prime})$	9 n 987 568	$\cos(\lambda_m - L_m) \qquad 9_n 8313$	91
$\sin(\lambda, -L_{\prime})$	9n372 698	$\sin(\lambda_m - L_m)$ 9.866 is	86
$\sin\psi,\cos P,$	9n372 538	$\sin \psi_m \cos P_m$ 9.866 o	03
	9 n997 138	9.999 6	61
$oldsymbol{sin} oldsymbol{\psi}, oldsymbol{sin} oldsymbol{P},$	8 _n 433 981	$\sin\psi_m\sin P_m \qquad 8_{n}462\ 8$	97
$\sin \psi$,	9.375 400	$\sin \psi_m$ 9.866 3.	42
$\cos\psi$,	9 _n 987 408	$\cos \psi_m \qquad 9_n 831 \ 20$	08
<i>N</i> ,	0.965 922	$N_m - 0.6839$	83
$\log D$,	9.372 934	$\log D_{"}$ 9.870 1	79 •

Nach Anhang IV. A. 3):

9	•		
t,,,- t,, +	36-132 439	t,,,— t,° +	19-153 620
t_n-t_n +	16.847 225	$t_n^{o}-t_n$ +	33.826 044
$t_{\prime\prime\prime}$ — t , +	52.979 664		
$\log(t_{m}-t_{n})$	1.557 897	$\log(t_{n}-t_{n}^{o})$	1.282 251
$\log(t_{"}-t_{"})$	1.226 529	$\log(t_{"}^{o}-t_{r})$	1.529 252
$\log(t_{\prime\prime\prime}-t_{\prime})$	1.724 109		
τ,	9.793 478	$ au_{\prime}^{\mathrm{o}}$	9.517 832
τ,,,	9.462 110	$ au_m^{ m o}$	9.764 833
$ au_{\prime\prime}$	9.959 690		
τ,2	9·586 9 5 6	$ au_{,}^{\circ 2}$	9 035 6 64
τ,,,2	8.924 220	$ au_m^{\mathrm{O}2}$	9.529 666
T2	0.010 380		

		_		_
	Subt.	9.893 539	Subt.	9.832 109
	$-\frac{3}{4}\mu_m^{\nu}$	9·480 495	$-\frac{3}{4}\mu_{m}^{o\prime}$	9 n 361 775
_	log μ'''	9n605 434	$\log \mu_{"'}^{o'}$	9.486 714
	Subt.	9.953 702	Subt.	0.162 293
	$-\frac{3}{4} \mu''_{m}$	9·873 08 <i>2</i>	— 🛊 μ _m °"	9.691 959
	$\log \mu_{""}$	9 , 998 021	$\log \mu_{"'}^{o"}$	9 n 816 898
	³ σ μ',,	9 _n 082 555	3 μ°'	8.963 835
	$\frac{8}{15} \tau_{"}^2$	8.651 219	$\frac{8}{15} \tau_{m}^{02}$	9.256 665
	$\frac{3}{10} \mu''_{"}$	9n475 142	τ ³ σ μ _" "	9 n294 0 19
	Subt.	9 ·79 9 06 9	Add.	0.178 842
	Subt.	9.929 421	Subt.	8.953 362
	$\Pi'_m:\mu'_m$	8 _n 881 624	$oldsymbol{\Pi_m^{o\prime}}\colon \mu_m^{o\prime}$	9.435 507
	$\log \Pi'_{m}$	8·487 o58	$\log \varPi_{m'}^{\mathrm{o}'}$	8.922 221
•	$\Pi''_m:\mu''_m$	9 _n 404 563	$\Pi_m^{\circ "} : \mu_m^{\circ "}$	8 _n 210 027
	$\log \Pi_{m}^{n}$	9.402 584	$\log arHatheta_{'''}^{ m o''}$	8.026 925.
Nach Anha	ng IV. A	. 4):		
	τ,: τ,,,	0.331 368	$ au_{\prime}^{\scriptscriptstyle \mathrm{O}}$: $ au_{\prime\prime\prime}^{\scriptscriptstyle \mathrm{O}}$	9.752 999
	⊙,: 🖋,,,	0 _n 286 029	⊙°, : ∕ ′′′′′′′′′′′′′′′′′′′′′′′′′′′′′′′′′′′′	
	4 τ, ²	0.189 016	4 τ°2	9.637 724
	τ_n : τ_n	0.497 580	$ au_{\prime\prime}\colon au_{\prime\prime\prime}^{0}$	0.194 857
_	On: / //	0 _n 136 756	$-\circ_{0}^{\circ}:\mathscr{F}_{0}^{\circ}$	1n177 319
	4 τ, τ,,,	9.857 648	4 τ° τω	9.884 725
	⊙": ∦"	0.888 237	⊙ <u>"</u> : ∦ "	1.377 399
	μ'_{m}	9 n 605 434	$\mu_m^{o\prime}$	9.486 714
τ,⊙	,: τ,,,,,,,,,,,,,,,,,,,,,,,,,,,,,,,,,,,	0,617 397	$ au_{i}^{0}\odot_{i}^{0}\colon au_{m}^{0} \mathscr{N}_{m}^{0}$	0 _n 325 118
	Π',,,	8.487 058	II'''	8.922 221
	μ'''_m	9,998 021	$\mu_{m}^{o"}$	9 _n 816 898
— τ"⊙"	: τ _{'''}	0 _n 634 336	$-\tau_{"}\odot_{"}^{o}:\tau_{"}^{o}\mathscr{V}_{"}^{o}$	1,372 176
	П'''	9.402 584	$oldsymbol{\Pi}_{m}^{\mathrm{o}''}$	8.026 925
	1	- 4·14378	1	- 2.11406
	$\mathbf{zu} \alpha \Big\{$	— 4· 3 0860	$zu \alpha_o $ -	23.56005
	l	- 4·30860 + 7·73102	٠ (.	23·56005 +- 23·84511
_	α	<u>-0.72136</u>	$\alpha_{ m o}$	- 1.82900
		+ 1.67044	m, ,, o	— o·64838
	zu x,	+ 1.67044 + 4.28901	zu x , ().	— 0·64838 + 15·45518
	ж,	十 5.95945	х, о	+ 14.80680
•		+ 5.95945 - 2.98569 - 0.98720		- 1.62122
	zu ν, {	— 0·98720	zu ν, ΄ (-	— 1·62122 — 11·53570
	ν,	— 3·97289	^	— 13·15692
-	gn ar [- 0·127 191	771 gr 0	— 0·176 742
	$\mathbf{z}\mathbf{u} \pi$,	- 0·127 191 - 1·088 730	zu 71, {	— 0·176 742 — 0·250 669
	π,	<u> </u>	π_i°	- 0.427 411.

Nach Anhang IV. A. 5):

$$\tau_i$$
: τ_m
 0.331 368
 τ_i^0 : τ_m^0
 9.752 999

 J_i : J_m
 9.880 899
 J_i^0 : J_m^0
 0.613 598

 L_i
 9.880 899
 L_i
 0.613 598

 L_i
 9.605 434
 L_i
 L_i
 9.486 714

 L_i
 L_i

Nach Anhang IV. A. 6):

Nach Anhang IV. A. 7):

$$II$$
 $+$ 0.695 636
 VII
 $+$ 1.978 114

 $\varepsilon^{(1)}$
 $+$ 1.370 568
 $E^{(1)}$
 $+$ 0.028 079

 $\varepsilon^{(2)}$
 $+$ 0.609 032
 $E^{(2)}$
 $+$ 1.479 184

 $\varepsilon^{(3)}$
 $+$ 0.144 414
 $E^{(3)}$
 $+$ 0.122 248

 $\log \varepsilon^{(2)}$
 9.784 640
 $\log E^{(2)}$
 0.170 022

 $\log \varepsilon^{(3)}$
 9.159 609
 $\log E^{(3)}$
 9.087 242

Nun beginnt die Auflösung durch Versuche; die Resultate der drei Hypothesen nach Anh. IV. A. 8) werden, um Raum zu sparen, unten nebeneinander mitgetheilt, ebenso die Zahlen, welche die Benützung der Formeln Anh. IV. A. 9) gegeben hat. Für den ersten Versuch wurde $x_a = 0.01$, $y_a = 0$ angenommen und ergab die Durchrechnung $x_e - x_a = -0.0014$ 1078, $y_e - y_a = +0.011$ 2034, welche Zahlen in Verbindung mit den Differentialausdrücken [Anh. IV. A. 9)] auf die Werthe $x_a = +0.008$ 2580, $y_a = +0.012$ 481 führten, die nun dem zweiten Versuche zur Grundlage dienten; für diesen fand sich $x_e - x_a = +0.0000$ 948, $y_e - y_a = -0.000$ 0072. Um mit dem dritten Versuche die Rechnung zum Abschluss zu bringen, wurden die Differentialausdrücke mit den neuen Werthen des zweiten Versuchs berechnet, wiewohl man hierfür ohne allzu grossen Schaden auch die Zahlen des ersten Versuches hätte benützen können. Die Durchführung des dritten Versuches zeigt, dass durch denselben in der That den zu Grunde gelegten Zahlen völlig genügt wird.

Nach Anhang IV. A. 8):

Versuch 1.		2.	3∙
$\log x_a$	8.000 000	7.916 875	7.917 476
$\log y_a$	 ∞	8.096 249	8.095 728
$\beta^{(2)}y_a$	0.000 000	+ 0.114 626	+ 0.114 488
$oldsymbol{eta^{(3)}} oldsymbol{x_a}$	— o∙oo ₇ 885	— o∙oo6 512	— 0·006 521
III	- 8·855 235	— 8·739 236	— 8·739 38 3
$\overline{\varepsilon^{(2)}y_a}$	0.000 000	+ 0.007 601	+ 0.007 592
$arepsilon^{(3)}x_a$	+ 0.001 444	+ 0.001 193	+ 0.001 194
IV	+ 1.372 012	+ 1.379 362	+ 1.379 354
$B^{(2)}y_a$	0.000 000	— o·106 898	— 0·106 770
$B^{(3)}x_a$	- 0·008 217	— o·oo6 785	— o·oo6 795
VI	+ 10.374 908	+ 10.269 442	+ 10.269 560
$E^{(2)}y_a$	0.000 000	+ 0.018 462	+ 0.018 440
$E^{(3)}x_a$	+ 0.001 222	+ 0.001 010	+ 0.001 011
VIII	+ 0.029 301	十 0.047 551	+ 0.047 530
$\log III$	0 _n 947 200	0 _n 941 474	0 _n 941 481
$\log IV$	0.137 358	0.139 678	0-139 676
$\log VI$	1.015 984	1.011 547	1.011 552
log VIII	8.466 882	· 8·677 160	8.676 968
$IIIx_a$	— o∙o88 552	— 0·072 169	— 0·072 270
IVx_a	+ 0.013 720	+ 0.011 391	+ 0.011 406
VIx_a	+ 0.103 749	+ o·o84 8o5	+ 0.084 924
$VIIIx_a$	+ 0.000 293	+ 0.000 393	+ 0.000 393
$\log(I + IIIx_a)$	0.008 212	0.015 138	0.015 095
$\log\left(II + IVx_a\right)$	9·850 865	9·849 4 3 6	9.849 445
$\log \varrho$,	0.157 347	0.165 702	0-165 650
$\log (VII + VIIIx_a)$	0.296 316	0.296 338	0.296 338
$(VII + VIIIx)\varrho$,	+ 2.842 253	+ 2.897 613	+ 2.897 267
ę,	+ 1.436 637	+ 1.464 543	+ 1.464 367
	+ 1.670 822	+ 1.707 238	+ 1.707 011
$\log(\varrho, -N_{i})$	0.380 674	0.385 690	o·385 658
$\log\left(\varrho_{\prime\prime\prime}N_{\prime\prime\prime}\right)$	0.371 955	o·378 620	
$\operatorname{tg} \theta$,		1.012 756	
tg θ,,,	0.501 776	0.508 441	0.508 400
$\sin \theta$,	9.997 915	9.997 962	9.997 961
$\sin heta_{"}$	9.979 464	9.980 057	9.980 054
$\log r$,	0.382 759	0.387 728	0.387 697
$\log r_{"}$	0.392 491	0.398 563	0.398 525
Subt.	8.355 27.	8.402 48.	8•402 20
Add.	0.296 191	0.295 646	0.295 650
r,,,— r,	8·738 o3·	8.790 21.	8.789 90.

$r_{m}+r_{r}$	0.688 682	0.694 209	0.694 175
$\log y_e$	8.049 35.	8.096 00.	8.095 72.
$\log x_e$	7.933 954	7.917 373	7.917 475
x_a	+ 0.010 00000	+ 0.008 25800	
x_e	+ 0.008 58922	+ o·oo8 26748	
$x_e - x_a$	— o·oo1 41078	+ 0.000 00948	
y_a	0.000 0000	+ 0.012 4810	
y_e	+ 0.011 2034	+ 0.012 4738	
$y_e - y_a$	+ 0.011 2034	— o·ooo oo72.	

Nach Anhang IV. A. 9):

J	27				
	zu Versuch 1. zu Versuch 2.			Versuch 1.	zu Versuch 2.
IV ę ,	0.2947	0.3054	$E^{(2)}\varrho$, $+$	-2.1252	+ 2.1662
Add.	0.0873	0.0903	$B^{(2)}+E^{(2)}\varrho$, —	-6-4397	6.3987
Zähl.	1 ₈ 0345	1 _n 0318	$\log{(B^{(2)}+E^{(2)}\varrho_{*})}$	o _n 8089	0 _n 8061
log α,	1 _n 1836	1 _n 1824	$(B^{(2)} + E^{(2)}\varrho_{,})x_a$	-0.06440	— o·o5284
$\varepsilon^{(2)}\varrho$,	9.9420	9.9503	$(VII + VIIIx_a)\beta$, +		
Subt.	9.9565	9.9556	log β,,,	9.2234	9.1423
Zähl.	0.9195	0.9186	$\alpha_{i}\sin\theta_{i}$	1 _n 1815	1 _n 1804
x_a Zähl.	8.9195	8.8355	$\alpha_m \sin \theta_m$	1_{n^2757}	1 _n 2761
$\log \beta$,	9.0686	8.9861	Add.	0.2565	0.2558
VIII ę,	+ 0.0421	+ o∙o696	α , $\sin \theta$, $+ \alpha_m \sin \theta_m$	1,5322	1,5319
$VI + VIII_{Q}$, +	- 10-4170 -	⊢ 10 ∙3390	$3:(r_{r_{m}}+r_{m})^{4}$	7.7224	7.7003
$(VII + VIIIx_a)\alpha$,	-30.193 -	– 30·10 9	$\log(c, -1)$	9 n 2546	9,2322
$\log \alpha_{"}$	1 _n 2962	1 _n 2960	$\log c$,	9.9140	9.9187
$\beta,\sin heta,$	9.0665	8.9841	c, d_m	9.9104	9.9158
$oldsymbol{eta}_{\prime\prime\prime}\sin heta_{\prime\prime\prime}$	9.2029	9.1224	$c_m d$,	6.9932	6.8854
Add.	0.2382	0.2374	Subt.	9.9995	9.9996
β , $\sin \theta$, $+\beta$, $\sin \theta$,	9.4411	9.3598	$\log\left(1:\boldsymbol{n}\right)$	9.9099	9.9154
$\log d$,	7.1635	7.0601	$\log X_x$	o·o865	0.0817
$r_{m} \alpha, \sin \theta,$	1 _n 5740	1,5790	$\log X_{m{y}}$	7 n 2536	7n 1 4 4 7
$r, \alpha_m \sin \theta_m$	1 _n 6585	1 _n 6638	$\log Y_y$	0.0041	0.0033
Subt.	9.3320	9.3337	$\log Y_x$	9 n 9198	9 n 9099
log Diff.	0.9060	0.9127	$\log\left(x_{\sigma}-x_{a}\right)$	7n1495	4.9768
$2:(r,+r_{m})^{\frac{r}{2}}$	8.9237	8.9126	$\log (\boldsymbol{y_c} - \boldsymbol{y_a})$	8-0493	4n8573
$\log c_m$	9.8297	9.8253	$(x_e - x_a) X_x \cdot 10^7$	-17219	+ 114.4
$r_m \beta, \sin \theta,$	9.4590	9.3827	$(y_e - y_a) X_y \cdot 10^7$	201	+ 0.1
$r,eta_m\sin heta_m$	9.5857	9.5101	${\it \Delta}_x$ ·10 7 -	— 17420	+ 114.5
Subt.	9.5299	9.5326	$(y_e-y_a) Y_y \cdot 10^7$	+ 113080	72.55
log Diff.	8 _n 9889	8 _n 9153	$(x_e - x_a) Y_x \cdot 10^7$	+ 11730	 77·04
$\log(d_m-1)$	7 n 91 26	7 n 8279	$\Delta y \cdot 10^7$	+ 124810	 149·6 .
$\log d_m$	9.9964	9.9971			

Die im letzten Versuche gefundenen Werthe von ϱ , und ϱ_m :

$$\log \varrho_{m} = 0.165650$$

 $\log \varrho_{m} = 0.232237$

sind, da für dieselben $x_a = x_e$, $y_a = y_e$ wird, zur Ableitung der Elemente zu verwenden. Verbessert man die Beobachtungszeiten für Aberration nach Anh. IV. A. 10), so finden sich für dieselben die Werthe:

```
1. März 7.564 414 — 0.008 452 = März 7.555 962

2. ,, 24.411 639 — 0.008 898 = ,, 24.402 741

3. April 10.390 458 — 0.009 346 = April 10.381 112

4. ,, 29.544 078 — 0.009 852 = ,, 29.534 226,
```

welche bei der folgenden Ableitung der Elemente und bei der Darstellung der mittleren Beobachtungen in Betracht kommen. Da für die Rechnung der Elemente ein ausführliches Beispiel schon vorliegt (vergl. pag. 387 ff.), so genügt es, hier die Hauptzahlen mitzutheilen.

```
l_{m} = 189^{\circ} 29' 15''7
Nach Anhang III. 11): l_r = 175^{\circ}36'28''5
                                                               \log \lg b_{i} = 8_{n}211993
                                                                                                                                                                     \log \log b_{m} = 8_{n}^{2} = 8_{n
                                                                        \log r_{i} = 0.387606
                                                                                                                                                                              \log r_{m} = 0.398525.
Nach Anhang III. 12): \Omega = 311^{\circ} \text{ o}' 34'' \text{ o}
                                                                                                                                                                                            i = 1^{\circ} 10' 58''2.
Nach Anhang III. 13): u_1 = 224 27 22.6
                                                                                                                                                                                          u_{m} = 238 20 6.8
                                                                                            u_{m}-u_{r}=2f_{n}=13^{\circ}52'44''2.
Nach Anhang III. 15): \omega_{\prime\prime} =
                                                                                                                 00 10' 42"9
                                                                                                                                                                              \log h_{"} = 7.923759
                                                                                                                                                                              \log \eta_{"}^{2} = 0.007979
                                                                         \log l_n =
                                                                                                                   7.571 597
                                                                       \log m_{"} = 7.846517
                                                                                                                                                                                    \frac{1}{3}g_{"}=3^{\circ}13'32''1
                                                                                     \xi_{\prime\prime} = + 0.000001
                                                                                                                                                                                   \frac{1}{2}f_{"}=32811\cdot 1.
Nach Anhang III. 16): F_{11} = 58^{\circ}40' 55''5
                                                                                                                                                                                        v_1 = 51^{\circ}44'33''4
                                                                                  G_{"} = 523699
                                                                                                                                                                                          v_{m} = 65 37 17.6
                                                                                                                                                                                        E_{r} = 46 \ 9 \ 5.7
                                                                                      \varphi = 7243\cdot 2
                                                                                                                                                                                       E_{m} = 59 3 14.1.
                                                                        \log \gamma^2 = 9.068 \, 186
Nach Anh. III. 17), 18):\log p = 0.421 \text{ org}
                                                                                                                                                                                       M_{\rm r} = 404944.7
                                       \log \mu \text{ aus } \log p = 2.907580
                                                                                                                                                                                       M_{m} = 524327.0
                         \log \mu \text{ aus } (M_{m} - M_{r}) = 2.907 572
                                                                                                                                                                                        \omega = 172 42 49.2
                                                                       \log \mu = 2.907576
                                                                                                                                                                                        \pi = 123 52 23.2.
                                               danach \log a = 0.128287
```

Legt man die Epoche auf 1861 März 7.5, so gelten die folgenden Elemente:

(a) Angelina. Epoche 1861 März 7·5 mittl. Berl. Zeit $M = 40^{\circ} 48' 59''5$ $\pi = 123 52 23.2$ $\Omega = 311 9 34.0$ i = 1 19 58.2 $\varphi = 7 24 3.2$ $\mu = 808''306$ $\log a = 0.428 287.$ mittl. Äquinoct.
1861.0 Die in der Darstellung der beiden mittleren Orte unter Benützung der eben angegebenen, für Aberration genähert corrigirten Zeiten auftretenden Hauptzahlen sind:

Nach Anhang III. 19):
$$M_{n} = 44^{\circ}36'42''1$$
 $M_{n}^{\circ} = 48^{\circ}25'25''8$

$$E_{n} = 50 \ 17 \ 21 \cdot 2$$
 $E_{n}^{\circ} = 54 \ 25 \ 36 \cdot 4$

$$v_{n} = 56 \ 13 \ 51 \cdot 5$$
 $v_{n}^{\circ} = 60 \ 41 \ 3 \cdot 5$

$$\log r_{n} = 0.390 \ 988$$

$$\log r_{n}^{\circ} = 0.394 \ 460$$

$$berechnet \begin{cases} \lambda_{n} = 177^{\circ}17'41''9 & \lambda_{n}^{\circ} = 173^{\circ}59'24''9 \\ \beta_{n} = -1 \ 41 \ 12 \cdot 3 & \beta_{n}^{\circ} = -1 \ 43 \ 9 \cdot 4 \end{cases}$$

$$Beob.- Rechnung \begin{cases} d\lambda_{n} \cos \beta_{n} = -0''9 & d\lambda_{n}^{\circ} \cos \beta_{n}^{\circ} = -0''5 \\ d\beta_{n} = +3.6 & d\beta_{n}^{\circ} = +2 \cdot 3. \end{cases}$$

Wie man sieht, werden die mittleren Längen innerhalb der Unsicherheitsgrenzen einer sechsstelligen Rechnung dargestellt, woraus die hohe Convergenz der hier in Vorschlag gebrachten Methode erhellt und die Richtigkeit der oben gemachten Behauptung, dass man durch dieses Verfahren bei ersten Bahnbestimmungen stets mit der ersten Hypothese ausreichen wird, gefolgert werden muss, denn die im vorliegenden Beispiele gewählte Zwischenzeit von 53 Tagen wird bei ersten Bahnbestimmungen der kleinen Planeten kaum je überschritten werden. Die Darstellung der unabhängigen Breiten ist eine befriedigende und lehrt, dass den zu Grunde gelegten Beobachtungen keine wesentlichen Fehler anhaften.

Um an einem zweiten Beispiele jenen Vorgang darzulegen, welchen man zu befolgen hat, wenn mehrfache Hypothesen gebildet werden müssen, soll der Theoria motus (pag. 200 der th. m.) das Vesta-Beispiel entlehnt werden. Gauss corrigirt im Verlaufe der Rechnung die Beobachtungszeiten für Aberration, da aber bei so grossen Zwischenzeiten fast ohne Ausnahme Näherungswerthe für die geocentrischen Distanzen bekannt sind, so wurden hier sofort die für Aberration verbesserten Zeitangaben eingeführt, wozu, um identische Grundlagen für die Rechnung zu erhalten, jene Beträge herangezogen wurden, die Gauss (pag. 203 der theoria motus) selbst verwendet hat. Man wird demnach als Grundlagen der Rechnung anzunehmen haben:

(Par. Zeit) Jahrestag
$$\lambda$$
 β L log R 1807 89·497 827 178°43′38″9 + 12°27′6″2 9°21′33″7 9·999 799 137·335 581 174 1 30·1 + 10 8 7·8 55 56 0·6 0·005 138 192·407 337 187 45 42·2 + 6 47 25·5 108 35 20·3 0·007 174 251·272 756 213 34 15·6 + 4 20 21·6 165 9 18·7 0·003 062,

welche Coordinaten sich auf das mittlere Äquinoctium 1807.0 beziehen. Die Rechnung kann der Hauptsache nach wie bei ersten Bahnbestimmungen vorgenommen werden, weshalb man mit Vortheil von der Formelzusammenstellung im Anh. IV. A. Gebrauch machen wird; die für die Bildung weiterer Hypothesen und Näherungen erforderlichen Zusätze sollen in dem hier durchgeführten Zahlenbeispiel aufgewiesen werden.

Nach Anhang IV. A. 1) wird man erhalten:

nach Anhang IV. A. 2):

$$\sin \psi_{1} = 9.448671$$
 $\sin \psi_{11} = 9.874868$
 $\cos \psi_{1} = 9.982143$ $\cos \psi_{11} = 9.820738$
 $N_{1} = -0.959272$ $N_{11} = +0.666500$
 $\log D_{1} = 9.448470$ $\log D_{11} = 9.877930$.

Nun wird man sofort einschaltend $\log w^2$, $\log h^2$, W' und H' nach 6) (pag. 423) berechnen:

$$W' = -6^{\circ} 19' 53''6$$
 $H' = 19^{\circ} 46' 11''8$
 $\log w^2 = 9.335 184$ $\log h^2 = 9.894 114$

Nach Anhang IV. A. 3) findet man:

$$\log \mu_{m'} = o_{n}625\ 208$$
 $\log \mu_{m'}^{o'} = o_{1}48\ 901$ $\log \mu_{m''} = o_{n}974\ 183$ $\log \mu_{m''}^{o''} = o_{n}788\ 688$ $\log \Pi_{m'} = o_{1}581\ 632$ $\log \Pi_{m'}^{o'} = o_{1}649\ 396$ $\log \Pi_{m''} = o_{1}66122$ $\log \Pi_{m''}^{o''} = o_{1}66122$

nach Anhang IV. A. 4):

$$\alpha = + 3.51885$$
 $\alpha_0 = + 2.68740$
 $\alpha_1 = -40.62272$
 $\alpha_2 = + 2.68740$
 $\alpha_3 = + 2.68740$
 $\alpha_4 = + 2.67394$
 $\alpha_5 = + 16.22939$
 $\alpha_6 = + 106.6944$
 $\alpha_6 = + 2.68740$
 $\alpha_7 = + 16.22939$

und schreibt hierbei die in der zweiten und folgenden Hypothese nöthigen Factoren der γ-Grössen:

$$\log \left(\frac{\tau_n \odot_n}{\tau_m \odot_n}\right) = 9_n 996 \ 351 \qquad \log \left(\frac{\tau_n^{\circ} \odot_n^{\circ}}{\tau_m^{\circ} \odot_n^{\circ}}\right) = 8_n 564 \ 882$$

$$\log \left(\frac{-\tau_n \odot_n}{\tau_m \odot_n}\right) = 0.677 \ 157 \qquad \log \left(\frac{-\tau_n \odot_n^{\circ}}{\tau_m^{\circ} \odot_n^{\circ}}\right) = 0.558 \ 208,$$

besonders heraus; ebenso, nachdem aus Anhang IVA. 5):

$$\delta = -0.300 319$$
 $\sigma_0 = +0.202 030$
 $\sigma_1 = +1.267 041$
 $\sigma_1^0 = +0.567 959$
 $\sigma_2^0 = +1.448 620$
 $\sigma_3^0 = +1.428 277$

gefunden wurden, die für die Folge nöthigen Factoren der γ-Functionen:

$$\log\left(\frac{\overline{r}_{n} \frac{\sigma}{\sigma_{m}}}{\overline{r}_{m} \frac{\sigma}{\sigma_{m}}}\right) = 9_{n}477 583 \qquad \log\left(\frac{\overline{r}_{n}^{\circ} \frac{\sigma}{\sigma_{m}^{\circ}}}{\overline{r}_{m}^{\circ} \frac{\sigma}{\sigma_{m}^{\circ}}}\right) = 9 \cdot 305 416.$$

Nach Anhang IV. A. 6) und 7):

Für die zweite und die weiteren Hypothesen kommen folgende Formeln (vgl. pag. 420) in Betracht:

$$\varphi_{r} = \left(\frac{\tau_{r} \odot_{r}}{\tau_{m} \mathscr{T}_{m}}\right) \gamma_{m'} - \left(\frac{\tau_{n} \odot_{m}}{\tau_{m} \mathscr{T}_{m}}\right) \gamma_{m''} \qquad \varphi_{r}^{\circ} = \left(\frac{\tau_{r}^{\circ} \odot_{r}^{\circ}}{\tau_{m}^{\circ} \mathscr{T}_{m}^{\circ}}\right) \gamma_{m'}^{\circ \circ} - \left(\frac{\tau_{n} \odot_{n}^{\circ}}{\tau_{m}^{\circ} \mathscr{T}_{m}^{\circ}}\right) \gamma_{m'}^{\circ \circ} \\ \omega_{r} = \left(\frac{\tau_{r} \mathscr{T}_{r}}{\tau_{m} \mathscr{T}_{m}}\right) \gamma_{m'} \qquad \qquad \omega_{r}^{\circ} = \left(\frac{\tau_{r}^{\circ} \mathscr{T}_{r}^{\circ}}{\tau_{m}^{\circ} \mathscr{T}_{m}^{\circ}}\right) \gamma_{m'}^{\circ \circ} \\ \beta^{(4)} = \varphi_{r} - \varphi_{r}^{\circ} \qquad \qquad B^{(1)} = \frac{1}{2} (\varphi_{r} + \varphi_{r}^{\circ}) \\ \varepsilon^{(4)} = \omega_{r}^{\circ} - \omega_{r} \qquad \qquad E^{(4)} = \frac{1}{2} (\omega_{r}^{\circ} + \omega_{r}),$$

in welchen die verschiedenen γ -Werthe den Zahlen der vorangehenden Hypothese zu entnehmen sind. Damit nun dies vorliegende Beispiel nicht allzuviel Raum in Anspruch nehme, sollen die Resultate der vier Hypothesen, die gebildet werden mussten, um eine ausreichend genaue Annäherung zu erhalten, neben einander gesetzt werden. Die Auflösung der Gleichungen durch Versuche kann nach Anhang IV.A. 8) und 9) durchgeführt werden, wenn man sich nur statt:

$$eta^{(1)}$$
 geschrieben denkt: $eta^{(1)} + eta^{(4)}$
 $\epsilon^{(1)}$ - - $\epsilon^{(1)} + \epsilon^{(4)}$
 $B^{(1)}$ - - $B^{(1)} + B^{(4)}$
 $E^{(1)}$ - - $E^{(1)} + E^{(4)}$

wobei übrigens in der ersten Hypothese die mit dem Index (4) versehenen Werthe der Null gleich zu setzen sind. Es findet sich so:

Hypothese:	1.	2.	3⋅	4.
γ'	ο	— 0.083 302	— 0.065 289	— 0.067 288
γ.,,"	O	— o·151 481	- o·133 943	— o·136 619
$\gamma_m^{\Omega'}$	О	+ 0.017 420	+ 0.035 162	+ 0.036 554
γ <u></u> "	o	— o·o95 143	— o· o go 606	— o·og1 755
$\beta^{(1)} + \beta^{(1)}$	18-291 710	— 18·583 646	18·5 3 4 969	18-541 505
$\epsilon^{(1)} + \epsilon^{(4)}$	— 0·699 082	— 0·714 519	— o·711 586	— 0·711 905
$B^{(1)} + B^{(4)}$	— 31·476 86o	— 31·968 590	- 31.927 396	 31-934 870
$E^{(1)} + E^{(4)}$	+ 0.917 500	+ 0.934 798	+ 0.930 856	+ 0.931 296
$\log x$	8.058 178	8.064 070	8.063 299	8.063 416
$\log y$	$8_{n371756$	8 _n 364 601	8 _n 367 999	8 _n 367 616

$$e$$
, $+ 1 \cdot 294 \cdot 985 + 1 \cdot 283 \cdot 797 + 1 \cdot 285 \cdot 550 + 1 \cdot 285 \cdot 303$
 e _m $+ 2 \cdot 697 \cdot 951 + 2 \cdot 688 \cdot 417 + 2 \cdot 689 \cdot 359 + 2 \cdot 689 \cdot 202$
 e , $82^{\circ} \cdot 53' \cdot 54'' \cdot 2$ $82^{\circ} \cdot 51' \cdot 48'' \cdot 0$ $82^{\circ} \cdot 52' \cdot 7'' \cdot 8$ $82^{\circ} \cdot 52' \cdot 5'' \cdot 0$
 e _m $69 \cdot 36 \cdot 46 \cdot 2$ $69 \cdot 31 \cdot 29 \cdot 1$ $69 \cdot 32 \cdot 0 \cdot 3$ $69 \cdot 31 \cdot 55 \cdot 0$
 e ₀ $69 \cdot 348 \cdot 0 \cdot 354 \cdot 221 \cdot 0 \cdot 354 \cdot 555 \cdot 0 \cdot 354 \cdot 507$
 e ₁ e ₁ e ₂ e ₃ e ₂ e ₃ e ₃

und nach den Formeln 7) pag. 423), in welchen, da die Sonnenbreiten der Null gleich sind, die beiden letzten Glieder in Wegfall kommen:

$$2f_{11}$$
 50° 17′ 28″6 50° 21′ 24″4 50° 21′ 5″4 50° 21′ 9″0.

Nach 8), 9), 10) (pag. 423) wurde nun ermittelt:

Hypothese:	ı.	2.	3⋅	4.
Ψ,,,′	- 4.327 198	4.407 423	— 4·390 661	- 4.392 515
Ψ,,,"	- 9.202 119	— 9·349 238	— 9·332 524	9·335 o89
Ψ о′	+ 2.723 320	+ 2.774 602	+ 2.760 895	+ 2.762 457
Ψ ′′′′	<u> </u>	 6·335 794	 6·332 108	- 6.333 160
$\log n$	9.873 998	9.874 791	9.874 734	9.874 746
$\log n_{"}$	9.519 140	9.520 668	9.520 480	9.520 508
$\log n^{\rm o}$	9.606 424	9.607 816	9.607 645	9.607 671
$\log n_{"}^{\alpha}$	9.835 704	9.836 667	9·8 36 586	9.836 601.
2 f ,,,	140 19' 41"0	. 14° 22′ 18″6	14° 21′ 47″5	
$\log r_{"}$	0.347 609	0.346 458	0.346 669	
2 f ,	35° 57′ 47″7	35° 59′ 5″8	35° 59′ 18″0	
$\log r_{"}$	0.347 608	0.346 460	0.346 668	
$2f_{\prime\prime\prime}^{\Omega}$	31° 27′ 51″7	31° 30′ 13″4	31° 29′ 54″3	
$\log r_{"}^{ m o}$	0.340 057	0.339 151	0.339 280	
$2f_i^0$	18° 49′ 36″8	18° 51′ 11″0	18° 51′ 11″3	
$\log r_{"}^{\mathrm{o}}$	0.340 056	0.339 152	0.339 280	

Wie man sieht, unterscheiden sich die Werthe von n aus der dritten von jenen aus der vierten Hypothese so wenig, dass man wohl mit Sicherheit schliessen kann, die fünfte Hypothese werde Resultate liefern, die höchstens um 1-2 Einheiten der letzten Stelle von jenen der vierten Hypothese verschieden sind; da aber die n-Werthe für die Darstellung der mittleren Beobachtungen massgebend sind, so wird man sich auch den Schluss erlauben dürfen, dass schon die Zahlen der vierten Hypothese die mittleren Längen innerhalb der Unsicherheitsgrenzen einer sechsstelligen Rechnung darstellen werden; es kann demnach an dieser Stelle die Bildung weiterer Hypothesen abgebrochen und an die Ableitung der Elemente aus den Werthen ϱ , und ϱ_m der vierten Hypothese geschritten werden. Zur Bildung der γ -Werthe der zweiten und folgenden Hypothesen, welche bereits oben (pag. 437) aufgeführt sind, ist die Durchrechnung der Formeln 11) (pag. 424) nöthig. Für die verschiedenen Werthe (η — 1) ergeben sich:

$$\eta, -1 + 0.063 6369 + 0.064 2547 + 0.064 1756$$
 $\eta_{m} -1 + 0.010 0005 + 0.010 1143 + 0.010 0952$
 $\eta_{n}^{0} -1 + 0.016 7868 + 0.016 9426 + 0.016 9251$
 $\eta_{m}^{0} -1 + 0.048 9978 + 0.049 4996 + 0.049 4231$
 $\eta_{n}^{0} + 0.130 9488 + 0.132 6069 + 0.132 3936$

und hieraus nach 15) (pag. 419) die oben angeführten γ-Grössen.

Die Herleitung der Elemente aus:

$$\varrho_{rr} = + 1.285 \, 303$$
 $\varrho_{rr} = + 2.689 \, 202$

führt zu folgenden Zahlen:

Anh. III. 11):
$$l_{r} = 183^{\circ} 26' 21''1$$
 $l_{rr} = 234^{\circ} 5' 10''9$ $\log \operatorname{tg} b_{r} = 9 \cdot 091 465$ $\log \operatorname{tg} b_{rr} = 8 \cdot 976 192$ $\log r_{r} = 0 \cdot 354 508$ $\log r_{rr} = 0 \cdot 334 254$ Anh. III. 12): $\Omega = 103^{\circ} 10' 59''0$ $i = 7^{\circ} 8' 20''6$ Anh. III. 13): $u_{r} = 80 19 48 \cdot 9$ $u_{rr} = 130 40 57 \cdot 9$;

 $(u_m - u_n)$ findet sich mit dem oben erhaltenen Werthe $2 f_n = 50^{\circ} 21' 9''$ o vollkommen übereinstimmend, so dass an u_n und u_m keine weiteren Correctionen anzubringen sind.

Nach Anh. III. 15):

$$\begin{array}{lll}
2 \omega_{n} &= -0^{\circ} 40' 4''8 & \log h_{n} &= 9 \cdot 135 331 \\
\log l_{n} &= 8 \cdot 721 268 & \log \eta_{n}^{2} &= 0 \cdot 108 019 \\
\log m_{n} &= 9 \cdot 082 798 & \frac{1}{2} g_{n} &= 11^{\circ} 47' 11''1 \\
\xi_{n} &= + 0 \cdot 000 102 & \frac{1}{2} f_{n} &= 12 35 17 \cdot 25
\end{array}$$

Nach Anh. III. 16):

$$F_{"} = 318^{\circ} 43' 36'' \circ v_{"} = 293^{\circ} 33' 1''5$$
 $G_{"} = 321 40 28.6 v_{"} = 343 54 10.5$
 $\varphi = 5 3 6.5 E_{"} = 298 6 6.4$
 $\log \gamma^2 = 9.616 229 E_{"} = 345 14 50.8$

Nach Anh. III. 17), 18):

$$\mu$$
 aus $(M_m - M_s) = 978''6917$ $M_s = 302^{\circ} 33' 8''1$
 $\log \mu = 2.990646$ $M_m = 346 31 55.9$
 $\log a = 0.372907$ $\pi = 249 57 46.4$.

Es sind sonach die Elemente, wenn für die Epoche die Zeit der ersten Beobachtung gewählt wird:

(4) Vesta.

Epoche = 1807 März 30·497 827 m. Par. Zt.

$$M = 302^{\circ} 33' 8''1$$
 $\pi = 249 57 46.4$
 $\Omega = 103 10 59.0$
 $i = 7 8 20.6$
 $\varphi = 5 3 6.5$
 $\mu = 978''6917$
 $\log a = 0.372 907$.

Die bei der Darstellung der beiden mittleren Orte auftretenden Hauptzahlen sind:

Anh. III. 19):
$$M_{n} = 315^{\circ} 33' 26''5 \qquad M_{n}^{\circ} = 330^{\circ} 31' 44''8$$

$$E_{n} = 311 47 45 \cdot 8 \qquad E_{n}^{\circ} = 327 50 38 \cdot 0$$

$$v_{n} = 307 54 53 \cdot 0 \qquad v_{n}^{\circ} = 325 2 58 \cdot 2$$

$$\log r_{n} = 0.346 641 \qquad \log r_{n}^{\circ} = 0.339 260$$

$$\det \left\{ \begin{cases} \lambda_{n} = 174^{\circ} 1' 30''3 & \lambda_{n}^{\circ} = 187^{\circ} 45' 41''7 \\ \beta_{n} = + 10 8 11 \cdot 2 & \beta_{n}^{\circ} = + 6 47 15 \cdot 1 \end{cases} \right.$$

$$\det \left\{ \begin{array}{c} d\lambda_{n} \cos \beta_{n} = & -0''2 \\ d\beta_{n} = & -3.4 \end{array} \right. \qquad d\beta_{n}^{\circ} = + 10.4$$

Die Längen werden innerhalb der Unsicherheitsgrenzen einer sechsstelligen Rechnung dargestellt, für die unabhängigen Breiten bleiben Fehler übrig, die bei der verhältnismässig geringen Genauigkeit, welche den Beobachtungen zugeschrieben werden muss, als mässige bezeichnet werden dürfen. Bei Gauss, der sich der mittleren Beobachtung anschliesst, bleiben in den äusseren Breiten bei weitem grössere Fehler, nämlich:

$$d\beta_{,..} = + 22''4$$

 $d\beta_{,..} = -18.5$

übrig. Derselbe bemerkt, dass die von ihm gefundenen Elemente kleiner Änderungen bedürfen, um die Breitenfehler gleichmässiger zu vertheilen, und erwähnt, dass die von ihm ermittelte Neigung (7° 8′ 14″8), um 6″ zu vermehren, die Länge des aufsteigenden Knotens (103° 16′ 37″3) um 4′ 40″, die wahre Länge in der Bahn zur Zeit der ersten Beobachtung (183° 30′ 50″2) um 2″ zu vermindern wären; vergleicht man die hier berechneten Elemente mit den Gauss'schen, so findet sich die Neigung um 5″8 grösser, die Knotenlänge um 5′ 38″3 und die Länge in der Bahn um 2″3 kleiner, so dass dieselben der Hauptsache nach die von Gauss geforderten Correctionen enthalten.

Um endlich die Methode der Bahnbestimmung aus vier Orten auf die Bestimmung einer Kometenbahn anzuwenden, sollen die folgenden vier geocentrischen Orte des Kometen I. 1866 gewählt werden, welche sich auf das mittlere Aequinoctium 1866 o beziehen und neben welchen die auf dasselbe Aequinoctium bezogenen Sonnencoordinaten angesetzt sind:

Mittl. Berl. Zeit
$$\lambda$$
 β L $\log R$ 1865 Dec. 22·5 16° 44′ 31″6 $+61^{\circ}$ 54′ 30″4 271° 12′ 19″8 $9\cdot992$ 754 $,,$ 27·0 0 56 10·2 $+29$ 13 19·5 275 47 29·9 $9\cdot992$ 671 1866 Jan. 4·0 356 26 13·2 $+9$ 24 44·0 283 56 38·0 $9\cdot992$ 653 $,,$ 9·0 355 27 30·2 $+4$ 32 39·5 289 2 20·6 $9\cdot992$ 731.

Nach Anhang IV. B. 1) findet sich:

$$\Pi = 237^{\circ} 22' 50''6$$
 $\Pi^{\circ} = 200^{\circ} 30' 40''2$
 $J = 33 52 17 \cdot 1$ $J^{\circ} = 22 6 56 \cdot 2$.

$$\begin{array}{lll} \log \mathscr{J}, &= 9.749 \ 394 & \log \mathscr{J}, = 9.906 \ 139 \\ \log \mathscr{J}_m &= 9.627 \ 785 & \log \mathscr{J}_m^0 = 8.932 \ 059 \\ \log \mathfrak{O}_n &= 9.484 \ 453 & \log \mathfrak{O}_n^0 = 9.543 \ 358 \\ \log \mathfrak{O}_m &= 9.532 \ 083 & \log \mathfrak{O}_n^0 = 9.565 \ 532 \\ \log \mathfrak{O}_m &= 9.633 \ 340 & \log \mathfrak{O}_m^0 = 9.568 \ 326. \end{array}$$

Nach Anh. IV. B. 3a) und 3b):

$$N_{,i} = -0.124 \text{ 041}$$
 $N_{,ii} = +0.392 \text{ 164}$
 $\log D_{,i} = 9.989 \text{ 272}$ $\log D_{,ii} = 9.955 \text{ 123}$
 $W' = 87^{\circ} 52' 37''3$ $H' = -6^{\circ} 54' 33''2$
 $\log w^{2} = 9.372 \text{ 216}$ $\log h^{2} = 9.883 \text{ 310}$.

Nach Anh. IV. B. 4) bis 8):

Die Berechnung der Formeln Anh. IV. B. 9a) liefert (vgl. pag. 381) unter der Annahme genäherter parabolischer Elemente:

$$T = 1866 \text{ Januar } 9.4978 \qquad \log q = 9.991 974$$

 $\eta_{1} - 1 = + 0.008 63288 \qquad \eta_{1}^{0} - 1 = + 0.001 29822$
 $\eta_{11} - 1 = + 0.005 94475 \qquad \eta_{12}^{0} - 1 = + 0.007 66688$
 $\eta_{11} - 1 = + 0.015 41986$

und somit nach Anh. IV. B. 10) für die erste Hypothese die y-Werthe:

$$\gamma_{m'} = -0.0016971$$
 $\gamma_{m'}^{0'} = +0.0017554$
 $\gamma_{m''} = -0.0027647$ $\gamma_{m''}^{0''} = -0.0017013$

aus welchen nach Anhang IV. B. 11) sich ergibt:

$$\Gamma_{""} = + 0.005 100$$
 $\Gamma_{""}^{0} = + 0.013 111$ $\Gamma_{"} = - 0.006 487$ $\Gamma_{"}^{0} = + 0.006 615$ $\beta^{(3)} = - 0.008 011$ $B^{(3)} = + 0.009 105$ $\epsilon^{(3)} = + 0.013 102$ $E^{(3)} = + 0.000 064$;

somit wird sein:

$$\beta^{(1)} + \beta^{(3)} = -0.218779$$
 $B^{(1)} + B^{(3)} = +0.344640$
 $\epsilon^{(1)} + \epsilon^{(3)} = +0.432573$
 $E^{(1)} + E^{(3)} = -0.014534.$

Zur Lösung der Gleichungen Anhang IV. B. 12) wird mit Benützung der parabolischen Näherung im ersten Versuche ϱ , = + 0.203000, $\log y_a = 8_n378$ 670 gesetzt und gefunden [vgl. pag. 443]: $\log x_e - \log x_a = + 0.000$ 376, $\log y_e - \log y_a = + 0.032$ 091; für den zweiten Versuch wird $\log y_a$ willkürlich variirt und für diesen Logarithmus angenommen: 8_n418 670, während ϱ , unverändert bleibt, wonach $\log x_e - \log x_a = + 0.001$ 300, $\log y_e - \log y_a = -0.007$ 636 erhalten wird; in einem dritten Versuche endlich wird $\log y_a$ wie im ersten Versuche, für ϱ , aber der Werth + 0.201000 angenommen und unter diesen Annahmen $\log x_e - \log x_a = + 0.002$ 686 und $\log y_e - \log y_a = + 0.051$ 496 ermittelt. Setzt man alle Änderungen als linear voraus und bezeichnet mit ξ und η die erforderlichen Änderungen, welche man an ϱ , und $\log y_a$ des ersten Versuches in Einheiten der gewählten Variationen anzubringen hat, so finden sich aus den oben mitgetheilten Zahlen die beiden Gleichungen:

$$+ 0.000376 = -0.000924 \eta - 0.002310 \xi$$

 $+ 0.032091 = + 0.039727 \eta - 0.019405 \xi$

aus welchen:

$$\log \eta = 9.7848$$
, somit $d \log y_a = +0.024372$
 $\log \xi = 9_n 6090$, , $d\varrho$, = +0.000813,

resultirt. Man wird demnach für einen vierten Versuch die Zahlen $\varrho_1 = + 0.203 \, 813$, $\log y_a = 8_n 403 \, 042$ verwenden; dieser Versuch wird übrigens, da den linearen Verhältnissen nur näherungsweise genügt wird, nicht völlig ausreichen, da die erforderlichen Änderungen gross sind; derselbe ergibt in der That: $\log x_e - \log x_a = -0.000 \, 020$, $\log y_e - \log y_a = -0.000 \, 350$. Substituirt man nun diese Zahlen in die obigen zwei Gleichungen links vom Gleichheitszeichen, so erhält man eine neue Bestimmung von ξ und η und hieraus:

$$d\log y_a = -0.000 \text{ 153}, \qquad d\varrho = -0.000 \text{ 020},$$

als Correctionen der Grundlagen des vierten Versuches, für welchen man also:

$$\varrho_{1} = + 0.203793, \quad \log y_{a} = 8_{n}402889,$$

anzunehmen haben wird und der innerhalb der Unsicherheit der Rechnung thatsächlich den Bedingungen: $\log x_e - \log x_a = 0$, $\log y_e - \log y_a = 0$ genügt, denn es findet sich:

$$\log x_e - \log x_a = 0, \qquad \log y_e - \log y_a = + 0.000 \text{ or } 8.$$

Die folgende Zusammenstellung gibt die für diese Resultate nothwendigen Zahlen, nach Anh. IV. B. 12) in ausführlicher Form:

Versuch:	ı.	2.	3.	4.	5.
ę,	+0.203000	+0.203000	+0.201 000	+0.203813	+0.203793
$\log y_a$	8 _n 378670	8 _n 418670	8 _n 378670	8 ₈ 403042	8 _n 402889
$eta^{(2)} y_a$	-0.0068266	-0.007 4853	 0·006 8266	-0.007 2207	-0·007 2185
$oldsymbol{arepsilon^{(2)}}oldsymbol{y_a}$	-0.000 3370	-0.000 3695	-0.000 3370	0.000 3564	. —0∙000 3563
$\log IV$	9.635 721	9.635 688	9.635 721	9.635 702	9.635 702
$\log \varrho$,	9 ·307 4 96	9•307 496	9·303 196	9.309 232	9·309 189
$IV\varrho$,	+0.0877440	+0.087 7372	+0.0868791	+0.0880916	+0.0880828
III	-0·225 6056	-0·226 2643	-0.225 6056	-0·225 9997	-0.225 9975
II ę,	-0.0109969	-0.0109969	-0.0108886	-0.011.0410	—o∙o11 o399
$\log (II \varrho, -I)$	8 _n 588495	8 _n 588495	8 _n 587 280	8 _n 588988	8 _n 588976
$\log (III - IV_{Q})$	9 n 496029	9n496932	9 n 4948 2 9	9 n 497056	9n497040
$\log x_a$	9.092 466	9.091 563	9.092 451	9.091 932	9.091 936
$B^{(2)}y_a$	+0.001 303	+0.001428	+0.001 303	+0.001 378	+0.001 377
$oldsymbol{E^{(2)}}oldsymbol{y_a}$	 o∙oo6 498	-0.007 125	0· 0 06 498	-0.006873	—o∙oo6 87 I
$\log VIII$	8 _n 322881	8 _n 335638	8 _n 322881	8 _n 330556	8 _n 330515
$VIIIx_a$	 0.002 602	—o·∞2 674	-0·002 602	-o·oo2 645	o· oo2 645
$\log(VII + VIIIx_a)$	0.578953	0.578 944	0.578953	0.578948	0.578948
$(VII + VIIIx_a)\varrho$, +0.769926	+0.769910	+0.762 340	+0.773002	+0.772924
$\log VI$	9.539 005	9.539 161	9.539005	9.539.099	9.539.097
VIx_a	+0.042803	+0.042 729	+0.042801	+0.042 759	+0.042 759
$V + VIx_a$	—o∙oo1 168	−0.001 242	−0.001 170	-0·001 212	-0·001 212
<i>Q,,,</i>	+0.768758	+0.768668	+0.761 170	+0.771790	+0.771712
$\log (\varrho, -N)$	9·514 602	9·514602	9.511938	9.515680	9.515654
$\log (\varrho_m - N_m)$	9.575 873	9.575770	9·567 033	9.579356	9·579 267
$\mathbf{tg}oldsymbol{ heta}$,	9.525 330	9.525 330	9.522666	9.526408	9·526 382
$ ext{tg} heta_{\prime\prime\prime}$	9·620 7 50	9.620647	9.611910	9.624 233	9.624 144
$\cos \theta_{\prime}$	9-976875	9.976875	9.977 142	9·976 766	9·976 768
$\cos heta_{\prime\prime\prime}$	9·965 096	9.965 110	9·966 386	9·964 575	9·964 588
$\log r$,	0.012397	0.012 397	0.012130	0.012506	0.012504
$\log r_{\prime\prime\prime}$	9.990027	9.990013	9.988737	9·990 548	9.990535
Subt.	8.723 120	8.723400	8.743 050	8.714840	8.715 060
Add.	0.312359	0.312366	0.312884	0.312148	0.312153
$r_{m}-r_{r}$	8 _n 713147	8,713413	8 _n 731787	8 _n 705 388	8_{n} 705 595
$r_m + r_r$	0.302 386	o 302 379	0.301 621	0.302696	0.302688
$\log y_e$	8 _n 410761	8,411034	8 _n +30166	8 _n 402692	8 _n 402907
$\log x_e$	9.002 842	9.092863	9.095 137	9.091 912	9.091 936.

Mit den Werthen:

$$\log x = 9.091 \ 936$$
$$\log y = 8_{n}402 \ 907,$$

geben die Formeln Anhang IV. B. 13):

$$\log \Psi_{m'} = 8_{n}793\ 351$$
 $\log \Psi_{m'}^{o'} = 8.713\ 232$ $\log \Psi_{m''}^{o''} = 9_{n}064\ 667$ $\log \Psi_{m''}^{o''} = 8_{n}793\ 929$.

Nach Anhang IV. B. 14) findet man:

$$\log n = 9.873831$$
 $\log n^0 = 9.462048$ $\log n_n = 9.41648$ $\log n_n^0 = 9.857224$,

nach Anhang IV. B. 15):

$$f_n = 11^{\circ} 56' 2''5$$
 $2f_m = 5^{\circ} 52' 42''8$
 $2f_m^{\circ} = 16^{\circ} 49' 37''5$
 $\log r_n = 0.003 658$
 $\log r_n^{\circ} = 9.993 194$
 $2f_n^{\circ} = 17^{\circ} 59' 22''2$
 $2f_n^{\circ} = 7^{\circ} 2' 27''6$
 $\log r_n^{\circ} = 9.993 195.$

Nun werden nach Anh. IV. B. 9b) und 10) neue Näherungen, sowie die Werthe der γ -Symbole abgeleitet. Die Berechnung der fünf verschiedenen (η — 1)-Werthe ergibt:

$$\eta, -1 = + 0.00867638$$
 $\eta_m^0 - 1 = + 0.00130828$
 $\eta_m^0 - 1 = + 0.00768838$
 $\eta_m - 1 = + 0.01548321$

und hieraus:

$$\gamma_{m'} = -0.0015736$$
 $\gamma_{m'}^{0'} = +0.0016474$
 $\gamma_{m''}^{0''} = -0.0015968,$

welche Werthe der zweiten Hypothese zu Grunde zu legen sind.

Nach Anhang IV. B. 11) findet sich weiter:

$$\Gamma_{m} = + 0.004 683$$
 $\Gamma_{n} = + 0.012 306$
 $\Gamma_{n} = - 0.006 015$
 $\Gamma_{n}^{(1)} + \beta^{(3)} = - 0.218 391$
 $\Gamma_{n}^{(1)} + \epsilon^{(3)} = + 0.314 029$
 $\Gamma_{n}^{(1)} + \epsilon^{(3)} = + 0.314 029$
 $\Gamma_{n}^{(1)} + \epsilon^{(3)} = + 0.314 029$
 $\Gamma_{n}^{(1)} + \epsilon^{(3)} = - 0.014 502$

Die Auflösung der Gleichungen Anhang IV. B. 12) durch Versuche gibt mit Benützung der oben (pag. 442) gefundenen η- und ξ-Coöfficienten als Lösung:

Aus diesen Werthen erhält man nach Anhang IV. B. 13):

$$log \Psi_{m'} = 8_{n792} 649 \qquad log \Psi_{m''}^{o'} = 8.712 115
log \Psi_{m''} = 9_{n063} 880 \qquad log \Psi_{m''}^{o''} = 8_{n793} 321.$$

nach Anhang IV. B. 14):

$$\log n = 9.873 830 \qquad \log n^{0} = 9.462 045 \log n_{0} = 9.416 447 \qquad \log n_{0}^{0} = 9.857 224.$$

Diese Werthe unterscheiden sich so wenig von den n-Werthen der vorangehenden Hypothese, dass man mit Sicherheit erwarten kann, die dritte Hypothese werde keine anderen Zahlen für die Verhältnisse der Dreiecksflächen liefern; man kann also die Bildung der Hypothesen als abgeschlossen betrachten und an die Ermittlung der Elemente aus den oben mitgetheilten Werthen von ϱ , und ϱ_m schreiten.

Nach Anhang IV. B. 16) findet man:

$$l_{m} = 85^{\circ}59'5''$$
o $l_{m} = 62^{\circ}56'4''^{2}$
 $\log \operatorname{tg} b_{n} = 9 \cdot 247830$ $\log \operatorname{tg} b_{m} = 8 \cdot 795822$
 $\log r_{n} = 0 \cdot 012427$ $\log r_{m} = 9 \cdot 990188;$

nach Anhang IV. B. 17):

$$\Omega = 231^{\circ}21'25''9$$
 $i = 162^{\circ}42'14''8;$

nach Anhang IV. B. 18):

$$u_n = 144^{\circ}7'22''7$$
 $u_m = 167^{\circ}53'24''8.$

Für $u_m - u_i = 2f_n$ ergibt die Benützung der ersten Formel in Anh. IV. B. 15):

$$2f_{\parallel} = 23^{\circ} 46' 1''6$$

weshalb, um den beiden Resultaten gleichzeitig Rechnung zu tragen, für die folgende Rechnung angenommen wird:

$$u_1 = 144^{\circ} 7' 22'' 9$$
 $u_{111} = 167^{\circ} 53' 24'' 7.$

Nach Anhang IV. B. 19) wird nun weiter bestimmt:

$$2\omega_n = -0^{\circ} 44' 2''9$$
 $\xi_n = 0.000 000$
 $\log m_n = 8.078 484$ $\log h_n = 8.151 910$
 $\log l_n = 8.046 043$ $\log z_n = 8.358 042$;

nach Anh. IV. B. 20):

$$F_n = -14^{\circ}42'13''9$$
 $v_n = -26^{\circ}35'14''8$
 $\log e = 9.961172$ $v_m = -24913.0$
 $\log q = 9.989917$ $\pi = 4243.0$;

nach Anh. IV. B. 21) mit Benützung der Tafel XVIII des zweiten Bandes

$$\theta_{1} = +0.0024939$$
 $\theta_{11} = +0.0000271$
 $\log P_{1}' = 2.064728$
 $\log P_{1}'' = 2.065441$
 $\log P_{3}' = 1.587029$
 $\log P_{3}'' = 1.588313$
 $T = 10.99809$
 $T = 10.99805 (Januar).$

Es sind sonach die Elemente zusammengestellt:

I. 1866.

$$T = 1866$$
 Januar 10.99807 mittl. Berl. Zeit

 $\pi = 42^{\circ} 4' 3''6$
 $\Omega = 231 21 25.9$
 $i = 162 42 14.8$
 $\log q = 9.989 917$
 $\log e = 9.961 172$.

Um die mittleren Beobachtungen nach diesen Elementen darstellen zu können, berechnet man mit Hilfe der Tafel VIa) die Ausdrücke nach Anh. IV. B. 22):

$$\varepsilon = + 0.0446729$$

 $\log \alpha = 9.997717$
 $\log \beta = 8.649475$

und erhält nach Anh. IV. B. 23):

Nach Anh. IV. B. 24) findet sich:

$$\lambda_{"} = 0^{\circ} 56' 5"7$$
 $\lambda_{"}^{\circ} = 356^{\circ} 26' 10"6$
 $\beta_{"}^{\circ} = +9 24 43.9$

und hieraus:

Beob.-Rechg.
$$\begin{cases} d\lambda_n \cos \beta_n = + \, 3^n 9 & d\lambda_n^0 \cos \beta_n^0 = + \, 2^n 6 \\ d\beta_n = + \, 0^n 1 & d\beta_n^0 = + \, 0^n 1. \end{cases}$$

Die berechneten Orte liegen innerhalb der Unsicherheitsgrenzen einer sechsstelligen Rechnung in den bestimmten grössten Kreisen, da sich die auftretenden Fehler durch Änderungen von ein bis zwei Einheiten der sechsten Decimale in den Logarithmen der heliocentrischen Coordinaten wegschaffen lassen.

III. Abschnitt. Ermittlung einer Kreisbahn.

Durch die Annahme einer kreisförmigen Bahn, in deren Centrum der Sonnenmittelpunkt sich befindet, ist die Anzahl der zu bestimmenden Elemente auf vier reducirt, nämlich die Neigung i, die Länge des aufsteigenden Knotens Ω , den Radius des Kreises a und das Argument der Breite u_1 für eine bestimmte Epoche; es sind somit zwei vollständige Beobachtungen zu deren Bestimmung ausreichend. Bezeichnet man mit u das Argument der Breite für die Zeit t, welche man, die Epoche als Ausgangspunkt betrachtend, in Einheiten des mittleren Sonnentages zählt, so erhält man zur Berechnung von u die Relation:

$$u = u_1 + \frac{k}{a^3/a}t = u_1 + \mu t$$

in welcher μ die bezügliche mittlere siderische Bewegung darstellt.

Es sollen die zur Rechnung nöthigen Formeln sofort in der Reihenfolge aufgeführt werden, in welcher man dieselben thatsächlich anzuwenden hat. Die Grundlagen der Rechnung seien:

Beobachtg. Beobachtgszeit. Beob. Längen. Beob. Breiten. Sonnenlängen. log Entfg der Sonne.

1	t,	λ,	β,	$oldsymbol{L}$,	$\log R$,
2	t"	λ,,	β"	$oldsymbol{L_{\prime\prime}}$	$\log R_{"}$.

Da es bei derartigen Bahnbestimmungen, welche meist nur unternommen werden, um für die nächste Zeit genäherte Ephemeriden zu erhalten, selten auf die grösste Schärfe ankommt, so wird es sich empfehlen, die Beobachtungen ohne Anbringung irgend welcher Correctionen für Präcession, Nutation, Aberration und Parallaxe zu verwerthen, man wird also die durch die Beobachtungen angegebenen Rectascensionen und Declinationen mit der wahren Schiefe der Ekliptik in Längen und Breiten umsetzen und diese so erhaltenen Coordinaten in Verbindung mit den zugehörigen wahren Sonnenlängen der Rechnung zu Grunde legen. Die schliesslich erhaltenen Elemente werden für das wahre Äquinoctium der ersten Beobachtung geltend angenommen

werden können, wenn man die kleinen Veränderungen der Reductionselemente in der Zwischenzeit übergeht. Zunächst berechnet man die Hilfsgrössen (vergl. 31) pag. 360):

$$\cos \psi, \stackrel{\cdot}{=} \cos \beta, \cos (\lambda, -L_{\cdot}) \quad , \qquad \cos \psi_{\prime\prime} = \cos \beta_{\prime\prime} \cos (\lambda_{\prime\prime} - L_{\prime\prime})$$

$$\sin \psi, \cos P_{\cdot} = \cos \beta, \sin (\lambda_{\cdot} - L_{\cdot}) \quad , \quad \sin \psi_{\prime\prime} \cos P_{\prime\prime} = \cos \beta_{\prime\prime} \sin (\lambda_{\prime\prime} - L_{\prime\prime})$$

$$\sin \psi, \sin P_{\cdot} = \sin \beta, \qquad , \quad \sin \psi_{\prime\prime} \sin P_{\prime\prime} = \sin \beta_{\prime\prime}$$

$$\sin \psi, \text{ und } \sin \psi_{\prime\prime} \text{ stets positiv zu nehmen ;}$$

dann ermittelt man (vergl. 26) pag. 375 und 30) pag. 376):

Bestimmt man unter einer Annahme über a, die Winkel z, und z_n (vergl. 29) pag. 360) nach:

 $\sin z_{r} = \frac{R_{r}\sin\psi_{r}}{a} , \qquad \sin z_{rr} = \frac{R_{rr}\sin\psi_{rr}}{a} , \qquad 3)$

so wird die halbe heliocentrische Bewegung f ausgedrückt sein (vergl. 29) pag. 376) durch: $\sin f^2 = w^2 \sin \left[W' - \frac{1}{2} (z_n + z_n) \right]^2 + h^2 \sin \left[H' + \frac{1}{2} (z_n - z_n) \right]^2, \quad 4$

welcher Werth mit dem aus dem vierten Kepler'schen Gesetze (vergl. pag. 50) resultirenden, in Bogensekunden ausgedrückten Bogen:

$$f = \frac{k}{a^{3/2}} \cdot \frac{t_n - t_n}{2 \arcsin^n} \quad , \quad \log \frac{k}{2 \arctan^n} = 3.2489766 \, , \qquad 5$$

stimmen muss, falls die richtige Annahme über a gemacht wurde. Einige Versuche in Verbindung mit einem einfachen Interpolationsverfahren werden bald den wahren Werth von a finden lassen.

Bei der Bestimmung der Winkel z, und z_n nach den obigen Gleichungen 3) kann ein Zweifel entstehen, ob die zu dem stets positiven Sinus gehörenden Bogen im ersten oder zweiten Quadranten zu nehmen seien. Da ψ , z, einerseits, ψ_n , z_n andrerseits je einem ebenen Dreiecke angehören, so dürfen die Bogen ψ , +z, und $\psi_n + z_n$ niemals den Betrag von 180° überschreiten; sind daher ψ , und ψ_n grösser als 90°, wie dies bei Anwendung der vorstehenden Methode meist der Fall sein wird, so dürfen z, und z_n nur im ersten Quadranten genommen werden, sind dagegen ψ , und ψ_n kleiner als 90°, so können unter Umständen sowol die im ersten Quadranten genommenen Werthe von z, und z_n als auch deren Supplemente zu 180° in Betracht kommen.

Ist der wahre Werth von a ermittelt, so kann an die Ableitung der Elemente geschritten werden; um hierbei gute Controlen zu erhalten, wird sich die Befolgung des folgenden Verfahrens empfehlen. Zunächst leitet man aus den Werthen von a die geocentrischen Distanzen ϱ , und ϱ_m ab, nach (vgl. pag. 360):

$$\begin{cases}
\varrho_{r} = R_{r}\cos\psi_{r} + a\cos z_{r} \\
\varrho_{r} = R_{r}\cos\psi_{r} + a\cos z_{r}
\end{cases}$$
6)

welche Form in der Regel vor der scheinbar bequemeren:

$$\varrho = \frac{a\sin(z+\psi)}{\sin\psi},$$

den Vorzug verdient. Aus den geocentrischen Distanzen finden sich die heliocentrischen Coordinaten [vergl. 4) pag. 21]:

$$a\cos(l_r-L_r)\cos b_r = \varrho_r\cos(\lambda_r-L_r)\cos \beta_r-R_r \,, \quad a\cos(l_r-L_r)\cos b_r = \varrho_r\cos(\lambda_r-L_r)\cos \beta_r-R_r \\ a\sin(l_r-L_r)\cos b_r = \varrho_r\sin(\lambda_r-L_r)\cos \beta_r \,, \quad a\sin(l_r-L_r)\cos b_r = \varrho_r\sin(\lambda_r-L_r)\cos \beta_r \,.$$

Hierbei müssen die Werthe von a identisch mit dem durch die Versuche erhaltenen gefunden werden. Neigung und Knoten erhält man aus [vergl. 1] pag. 102]:

$$\begin{aligned}
\operatorname{tg} i \sin(l, -\Omega) &= \operatorname{tg} b, \\
\operatorname{tg} i \cos(l, -\Omega) &= \frac{\operatorname{tg} b, -\operatorname{tg} b, \cos(l, -l)}{\sin(l, -l)}, \end{aligned} \right\} 8)$$

in welchen Formeln, weil dieselben wohl nur auf Planeten angewendet werden, tg i stets positiv anzunehmen ist. Die Argumente der Breite finden sich [vergl. 3] pag. 102] nach:

$$\begin{aligned}
\operatorname{tg} u_{i} &= \operatorname{tg}(l_{i} - \Omega) \operatorname{sec} i \\
\operatorname{tg} u_{i} &= \operatorname{tg}(l_{i} - \Omega) \operatorname{sec} i
\end{aligned} \right\} 9^{i}$$

Als Probe hierfür gilt:

$$u_{n}-u_{i}=2f. \qquad 10)$$

Die in Bogensekunden ausgedrückte tägliche mittlere siderische Bewegung μ ergibt sich nach: $\mu = \frac{k''}{3}, \qquad \log k'' = 3.550 \, \cos 6. \, \} \, \text{II})$

Um nun eine Ephemeride abzuleiten, berechnet man mit der wahren Schiefe der Ekliptik ε , welche etwa der Zeitmitte entspricht, die bekannten Äquatorconstanten [vgl. 14) pag. 18] nach:

$$n \sin N = \sin i$$
, $\sin b \sin B = \sin \Omega \cos \epsilon$
 $n \cos N = \cos \Omega \cos i$, $\sin b \cos B = n \cos (N + \epsilon)$
 $\sin a \sin A = \cos \Omega$, $\sin c \sin C = \sin \Omega \sin \epsilon$
 $\sin a \cos A = -\sin \Omega \cos i$, $\sin c \cos C = n \sin (N + \epsilon)$,

und setzt abkürzend:

$$A' = A + u, \qquad \alpha = a \sin a$$

$$B' = B + u, \qquad \beta = a \sin b$$

$$C' = C + u, \qquad \gamma = a \sin c,$$

dann sind die wahren heliocentrischen Sonnencoordinaten bestimmt durch:

$$x = \alpha \sin (A' + \mu t)$$

$$y = \beta \sin (B' + \mu t)$$

$$z = \gamma \sin (C' + \mu t),$$

in welchen Formeln t die seit der Epoche der ersten Beobachtung verflossene Zeit in mittleren Sonnentagen darstellt.

Oppolzer, Bahnbestimmungen. I. 2. Auflage.

Es sollen nun die vorstehend entwickelten Formeln durch ein Beispiel erläutert werden, in welchem, da wie in allen ähnlichen Fällen nicht die grösste Genauigkeit gefordert wird, die Rechnung nur fünfstellig geführt wird. 'Die Beobachtungen sind dem Planeten (4) Angelina entlehnt und liefern als Grundlagen der Rechnung:

welche Angaben auf das wahre Äquinoctium 1861 März 9.5 bezogen gedacht sind. Nach 1) (pag. 448) erhält man:

$$\psi$$
, = 168° 35′ 6″, P , = 187° 58′ 48″
 ψ _n = 178 19 26 , P _n = 259 57 47;

nach 2) (pag. 448) findet sich:

$$W' = 181^{\circ} 15' 21'',$$
 $\log w^2 = 9.53930$
 $H' = 0.52.55,$ $\log h^2 = 9.81544.$

Nun sind die Gleichungen 3), 4) und 5) (pag. 448) durch Versuche aufzulösen. Da die Beobachtungen einem kleinen Planeten angehören, so kann für den ersten Versuch a = 2.5 angenommen werden; bezeichnet man den aus der Formel 4) (pag. 448) für f resultirenden Werth mit f_g , den durch die Gleichung 5) erhaltenen mit f_p , so ergiht dieser Versuch:

$$f_g - f_p = + 1' 43'';$$

es muss daher die Annahme über a etwas vergrössert werden; der zweite Versuch wurde deshalb mit dem Werthe a=2.65 durchgeführt und ergab:

$$f_g - f_p = -4".$$

Durch eine lineare Interpolation findet sich der verbesserte Werth von a = 2.64439, mit welchem der dritte Versuch durchgeführt wurde; da sich in demselben:

$$f_g - f_p = 0$$
,

fand, so ist der letzte Werth als der wahre zu bezeichnen. Die Rechnung dieser drei Versuche gestaltete sich, wie folgt:

Versuch:	1.	2.	3⋅
\boldsymbol{a}	2.50000	2.65000	2.64439
$\log a$	0.39794	0.42325	0.42233
z,	4° 30′ 44″	4° 15′ 22″	4° 15′ 55″
z ,,	0 40 4	0 37 48	0 37 53
$\frac{1}{2}(z_{\prime\prime}+z_{\prime})$	2 35 24	2 26 35	2 26 54
$\frac{1}{2}(z_{"}-z_{"})$	— 1 55 20	— I 48 47	— I 49 I
$W' - \frac{1}{2}(z_{"} + z_{"})$	178 39 57	178 48 46	178 48 27
$H'+\frac{1}{3}(z_{\prime\prime}-z_{\prime})$	— I 2 25	- 0 55 52°	- o 56 6

Nach 6) (pag. 448) erhält man:

$$\log \varrho_{n} = 0.22088 \quad , \qquad \log \varrho_{n} = 0.21708,$$

nach 7) (pag. 449):

$$l_{n} = 176^{\circ} 29' 2''$$
 , $l_{n} = 178^{\circ} 32' 49''$ $\log \log b_{n} = 8_{n}23758$, $\log a = 0.42232$, $\log a = 0.42232$,

nach 8) (pag. 449):

$$\Omega = 314^{\circ} 23' 17'', \qquad i = 1^{\circ} 28' 36'',$$

nach o) (pag. 449):

$$u_1 = 222^{\circ} 6' 18''$$
, $u_2 = 224^{\circ} 10' 5''$,

Die nach 10) (pag. 449) folgende Probe stimmt bis auf eine Bogensekunde. Nach 11) (pag. 449) wird: $\mu = 825''12$.

Die Kreiselemente sind daher zusammengestellt:

Epoche: 1861 März 9.5 mittl. Berl. Zeit

$$u_i = 222^0 6' 18''$$
 $\Omega = 314 23 17$
 $i = 1 28 36$
 $\mu = 825'' 12$
 $\log a = 0.42233$.

Um nun aus diesen Elementen eine Ephemeride zu erhalten, berechnet man nach 12) (pag. 449) mit der wahren Schiefe (23° 27′ 29"):

$$A = 44^{\circ} 23' 47''$$
 $\log \sin a = 9.99992$ $B = 313 55 \circ$ $\log \sin b = 9.95907$ $C = 316 42 40$ $\log \sin c = 9.61793$

und erlangt demnach nach 13) und 14) (pag. 449) zur Bestimmung der rechtwinkligen wahren heliocentrischen Coordinaten die Formen:

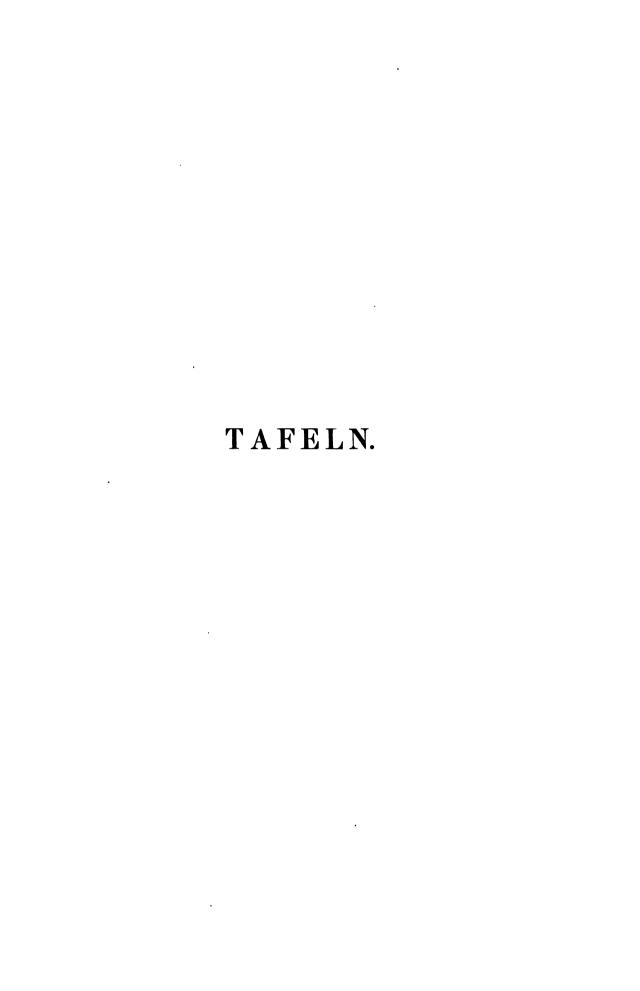
$$x = \overline{0.42225} \sin(266^{\circ} 30' 5'' + 825''12t)$$

$$y = \overline{0.38140} \sin(176 118 + 825''12t)$$

$$z = \overline{0.04026} \sin(178 48 58 + 825''12t),$$

in welchen die überstrichenen Factoren logarithmisch angesetzt sind und t in Einheiten des mittleren Sonnentages von der Epoche 1861 März 9.5 zu zählen ist. Leitet man hieraus eine Ephemeride ab, so erhält man die folgenden Zahlen, neben welchen die Correctionen, welcher die Ephemeride bedarf, um mit den Beobachtungen zu stimmen, angesetzt sind:

Eine solche Ephemeride würde den Beobachtern sehr gute Dienste geleistet haben, da die Fehler für nahe liegende Epochen als relativ gering zu bezeichnen sind.



Tafel I.

vergl. pag. 25.

Mittl. Zeit	Red. auf Sternzeit	Mittl. Zeit	Red. auf Sternzeit	Mittl. Zeit	Red. auf Sternzeit	Mittl. Zeit	Red. auf Sternseit	P. p.
ah am as	om oso	6h emes	I -m -se-	zah-omeos	+ 2 ^m 0 ^s 0	18h15m44*	+ 3 ^m 0 ^s 0	08 080
op om o		6h 5m15*	+ 1 ^m 0*0	12h10m29s				
6 5	+0 1.0	11 20	+1 1.0	16 34	+2 1.0	21 49	+3 1.0	37° 0.1 1 1 0.2
12 10	+0 2.0	17 25	+1 2.0	22 40	+2 2.0	27 54	+ 3 2.0	
18 16	+0 3.0	23 30	+1 3.0	28 45	+2 3.0	33 59	+3 3.0	
24 27	+0 4.0	29 36	+1 4.0	34 50	+2 4.0	40 5	+ 3 4.0	
						.6		
30 26	+0 5.0	35 41	+1 5.0	40 55	+2 5.0	46 10	+3 5.0	3 ^m 39 ^s 0.6
36 31	+0 6.0	41 46	+1 6.0	47 I	+2 6.0	52 15	+3 6.0	4 ^m 16 ^s 0.7
42 37	+0 7.0	47 51	+ 1 7.0	53 6	+2 7.0	18 58 20	+3 7.0	4 ^m 52 0.8
48 42	+0 8.0	6 53 56	+ 1 8.0	12 59 11	+2 8.0	19 4 26	+3 8.0	5 ^m 29 ^s 0.9
0 54 47	+0 9.0	702	+19.0	13 5 16	十2 9.0	10 31	+3 9.0	
I 0 52	+0 10.0	6 7	+ 1 10.0	11 21	+ 2 10.0	16 36	+ 3 10.0	
6 58	+0 11.0	12 12	+ 1 11.0	17 27	+ 2 11.0	22 41	+ 3 11.0	
13 3	+0 12.0	18 17	+ 1 12.0	23 32	+ 2 12.0	28 47	+ 3 12.0	0 000
198	+0 13.0	24 23	+ 1 13.0	29 37	+ 2 13.0	34 52	+ 3 13.0	4 0.01
25 13	+0 14.0	30 28	+ 1 14.0	35 42	+ 2 14.0	40 57	+ 3 14.0	76 0.02
, j		l		!			1	116 0.03
31 19	+0 15.0	36 33	+ 1 15.0	41 48	+ 2 15.0	47 2	+ 3 15.0	15 0.04
37 24	+0 16.0	42 38	+ 1 16.0	47 53	+ 2 16.0	53 7	+ 3 16.0	184 0.05
43 29	+0 17.0	48 44	+ 1 17.0	13 53 58	+2 17.0	19 59 13	+3 17.0	22 0.06
49 34	+0 18.0	7 54 49	+ 1 18.0	14 0 3	+2 18.0	20 5 18	+ 3 18.0	26 0.07
1 55 40	+0 19.0	8 0 54	+ 1 19.0	6 9	+ 2 19.0	11 23	+ 3 19.0	29 0.08
1	•] [_ 1		334 0.09
2 1 45	+0 20.0	6 59	+ 1 20.0	12 14	+ 2 20.0	17 28	+ 3 20.0	
7 50	+0 21.0	13 5	+1 21.0	18 19	+2 21.0	23 34	+ 3 21.0	
13 55	十0 22.0	19 10	+ 1 22.0	24 24	+ 2 22.0	29 39	+ 3 22.0	
20 I	+0 23.0	25 15	+ I 23.0	30 30	+ 2 23.0	35 44	+ 3 23.0	
26 6	+0 24.0	31 20	+ 1 24.0	36 35	+ 2 24.0	41 49	+ 3 24.0	
		1 . 1						
32 11	+0 25.0	37 26	+ 1 25.0	42 40	+ 2 25.0	47 55	+ 3 25.0	
38 16	+ o 26.0	43 31	+ I 26.0	48 45	+ 2 26.0	20 54 0	+ 3 26.0	
44 22	十0 27.0	49 36	十 1 27.0	14 54 51	十 2 27.0	21 0 5	+ 3 27.0	
50 27	十 0 28.0	8 55 41	+ I 28.0	15 0 56	+ 2 28.0	6 10	+ 3 28.0	
2 56 32	+029.0	9 1 47	+ 1 29.0	7 I	+ 2 29.0	12 16	+ 3 29.0	
				_		_		
3 2 37	+0 30.0	7 52	+ 1 30.0	13 6	+ 2 30.0	18 21	十 3 30.0	
8 43	十0 31.0	13 57	十 1 31.0	19 12	+ 2 31.0	24 26	+ 3 31.0	
14 48	+0 32.0	20 2	+ 1 32.0	25 17	+ 2 32.0	30 31	+ 3 32.0	
20 53	+ o 33.0	26 8	+ 1 33.0	31 22	+ 2 33.0	36 37	+ 3 33.0	
26 58	+0 34.0	32 13	+ I 34.0	37 27	+ 2 34.0	42 42	+ 3 34.0	
33 3	+035.0	38 18	+ 1 35.0	43 33	+ 2 35.0	48 47	+ 3 35.0	
3 9 9	+036.0	44 23	+ 1 36.0	49 38	+ 2 36.0	21 54 52	+ 3 36.0	
45 14	十 0 37.0	50 28	十 1 37.0	15 55 43	十 2 37.0	22 0 58	十 3 37.0	
51 19	+0 38.0	9 56 34	+ 1 38.0	16 1 48	+ 2 38.0	7 3	+ 3 38.0	
3 57 24	+0 39.0	10 2 39	+ 1 39.0	7 54	+ 2 39.0	13 8	+ 3 39.0	
l i						i i		
4 3 30	+ 0 40.0	8 44	+ 1 40.0	13 59	+ 2 40.0	19 13	+ 3 40.0	
9 35	+0 41.0	14 49	+ 1 41.0	20 4	+ 2 41.0	25 19	+ 3 41.0	
15 40	+ 0 42.0	20 55	+ 1 42.0	26 9	+ 2 42.0	31 24	十 3 42.0	
21 45	+ 0 43.0	27 0	+ 1 43.0	32 14	+ 2 43.0	37 29	+ 3 43.0	
27 51	+ 0 44.0	33 5	+ 1 44.0	38 20	+ 2 44.0	43 34	+ 3 44.0	
]				1		
33 56	+ 0 45.0	39 10	+ 1 45.0	44 25	+ 2 45.0	49 39	+ 3 45.0	
40 1	+ 0 46.0	45 16	+ 1 46.0	50 30	+ 2 46.0	22 55 45	+ 3 46.0	
46 6	+ 0 47.0	51 21	+ 1 47.0	16 56 35	+ 2 47.0	23 1 50	+ 3 47.0	
52 12	+ 0 48.0	10 57 26	+ I 48.0	17 2 41	+ 2 48.0	7 55	+ 3 48.0	
4 58 17	+ 0 49.0	11 3 31	+ 1 49.0	8 46	+ 2 49.0	14 0	+ 3 49.0	
	• •	']		
5 4 22	+ 0 50.0	9 37	+ 1 50.0	14 51	+ 2 50.0	20 6	+ 3 50.0	
10 27	+0 51.0	15 42	+ 1 51.0	20 56	+ 2 51.0	26 11	+ 3 51.0	
16 33	+0 52.0	21 47	+ 1 52.0	27 2	+ 2 52.0	32 16	+ 3 52.0	
22 38	+0 53.0	27 52	+1 53.0	33 7	+ 2 53.0	38 21	+ 3 53.0	
28 43	+0 54.0	33 58	+ 1 54.0	39 12	+ 2 54.0	44 27	+ 3 54.0	
"	. 51-	""	. 54-			l '' '		
34 48	+0 55.0	40 3	+ 1 55.0	45 17	+ 2 55.0	50 32	+ 3 55.0	
40 54	+0 56.0	46 8	+ 1 56.0	51 23	+ 2 56.0	23 56 37	+ 3 56.0	
46 59	+ 0 57.0	52 13	+ 1 57.0	17 57 28	+ 2 57.0	24 2 42	+ 3 57.0	
53 4	+ 0 58.0	11 58 19	+ 1 58.0	18 3 33	+ 2 58.0	8 48	+ 3 58.0	
5 59 9	+ 0 59.0	12 4 24	+ 1 59.0	9 38	+ 2 59.0	14 53	+ 3 59.0	
6 5 15	+ 1 ó.o	12 10 29	+ 2 0.0	18 15 44	+ 3 °ó.0	24 20 58	+4 0.0	
		<u> </u>		L				

Tafel II.

vergl. pag. 27.

	vergi. pag										
Sternzeit	Red. auf mittl. Zeit	Sternzeit	Red. auf mittl. Zeit	Sternzeit	Red. auf mittl. Zeit	Sternzeit	Red. auf mittl. Zeit	P. p.			
oh om os 6 6 12 12 18 19 24 25	o ^m o ⁸ 0 — o ·1.0 — o 2.0 — o 3.0 — o 4.0	6h 6m ₁₅ s 12 21 18 27 24 33 30 40	— I ^m 0 ⁸ 0 — I 1.0 — I 2.0 — I 3.0 — I 4.0	12 ^h 12 ^m 29 ^s 18 35 24 42 30 48 36 54	2 ^m 0 ⁸ 0 2 1.0 2 2.0 2 3.0 2 4.0	18 ^h 18 ^m 44 ^s 24 50 30 56 37 2 43 9	- 3 ^m 0 ⁸ 0 - 3 1.0 - 3 2.0 - 3 3.0 - 3 4.0	08 080 0.1 378 0.1 1m 138 0.2 1m 508 0.3 2m 268 0.4 3m 38 0.5			
30 31 36 37 42 44 48 50 0 54 56	- 0 5.0 - 0 6.0 - 0 7.0 - 0 8.0 - 0 9.0	36 46 42 52 48 58 6 55 4 7 I II	- 1 5.0 - 1 6.0 - 1 7.0 - 1 8.0 - 1 9.0	43 0 49 7 12 55 13 13 1 19 7 25	2 5.0 2 6.0 2 7.0 2 8.0 2 9.0	49 15 18 55 21 19 1 27 7 34 13 40	-3 5.0 -3 6.0 -3 7.0 -3 8.0 -3 9.0	3 ^m 40 ⁸ 0.6 4 ^m 16 ⁸ 0.7 4 ^m 53 ⁸ 0.8 5 ^m 30 ⁸ 0.9			
1 1 2 7 9 13 15 19 21 25 27	- 0 10.0 - 0 11.0 - 0 12.0 - 0 13.0 - 0 14.0	7 17 13 23 19 29 25 36 31 42	- 1 10.0 - 1 11.0 - 1 12.0 - 1 13.0 - 1 14.0	13 31 19 38 25 44 31 50 37 56	- 2 10.0 - 2 11.0 - 2 12.0 - 2 13.0 - 2 14.0	19 46 25 52 31 59 38 5 44 11	- 3 10.0 - 3 11.0 - 3 12.0 - 3 13.0 - 3 14.0	08 0500 42 0.01 78 0.02 118 0.03			
31 34 37 40 43 46 49 52 1 55 59	- 0 15.0 - 0 16.0 - 0 17.0 - 0 18.0 - 0 19.0	37 48 43 54 50 1 7 56 7 8 2 13	1 15.0 1 16.0 1 17.0 1 18.0 1 19.0	44 3 50 9 13 56 15 14 2 21 8 28	- 2 15.0 - 2 16.0 - 2 17.0 - 2 18.0 - 2 19.0	50 17 19 56 23 20 2 30 8 36 14 42	— 3 15.0 — 3 16.0 — 3 17.0 — 3 18.0 — 3 19.0	15 ⁸ 0.04 18 ⁸ 0.05 22 ⁸ 0.06 26 ⁸ 0.07 29 ⁸ 0.08 33 ⁸ 0.09			
2 2 5	0 20.0	8 19	— I 20.0	14 34	2 20.0	20 48	- 3 20.0	33 0.09			
8 11	0 21.0	14 26	— I 21.0	20 40	2 21.0	26 55	- 3 21.0				
14 17	0 22.0	20 32	— I 22.0	26 46	2 22.0	33 1	- 3 22.0				
20 24	0 23.0	26 38	— I 23.0	32 53	2 23.0	39 7	- 3 23.0				
26 30	0 24.0	32 44	— I 24.0	38 59	2 24.0	45 13	- 3 24.0				
32 36	0 25.0	38 51	— 1 25.0	45 5	2 25.0	51 20	-3 25.0				
38 42	0 26.0	44 57	— 1 26.0	51 11	2 26.0	20 57 26	-3 26.0				
44 49	0 27.0	51 3	— 1 27.0	14 57 18	2 27.0	21 3 32	-3 27.0				
50 55	0 28.0	8 57 9	— 1 28.0	15 3 24	2 28.0	9 38	-3 28.0				
2 57 I	0 29.0	9 3 16	— 1 29.0	9 30	2 29.0	15 45	-3 29.0				
3 3 7	- 0 30.0	9 22	— I 30.0	15 36	- 2 30.0	21 51	-3 30.0	/			
9 14	- 0 31.0	15 28	— I 31.0	21 43	- 2 31.0	27 57	-3 31.0				
15 20	- 0 32.0	21 34	— I 32.0	27 49	- 2 32.0	34 3	-3 32.0				
21 26	- 0 33.0	27 41	— I 33.0	33 55	- 2 33.0	40 10	-3 33.0				
27 32	- 0 34.0	33 47	— I 34.0	40 1	- 2 34.0	46 16	-3 34.0				
33 38	- 0 35.0	39 53	— 1 35.0	46 8	- 2 35.0	52 22	-3 35.0				
39 45	- 0 36.0	45 59	— 1 36.0	52 14	- 2 36.0	21 58 28	-3 36.0				
45 51	- 0 37.0	52 5	— 1 37.0	15 58 20	- 2 37.0	22 4 35	-3 37.0				
51 57	- 0 38.0	9 58 12	— 1 38.0	16 4 26	- 2 38.0	10 41	-3 38.0				
3 58 3	- 0 39.0	10 4 18	— 1 39.0	10 33	- 2 39.0	16 47	-3 39.0				
4 4 10	- 0 40.0	10 24	1 40.0	16 39	- 2 40.0	22 53	- 3 40.0	,			
10 16	- 0 41.0	16 30	1 41.0	22 45	- 2 41.0	29 0	- 3 41.0				
16 22	- 0 42.0	22 37	1 42.0	28 51	- 2 42.0	35 6	- 3 42.0				
22 28	- 0 43.0	28 43	1 43.0	34 57	- 2 43.0	41 12	- 3 43.0				
28 35	- 0 44.0	34 49	1 44.0	41 4	- 2 44.0	47 18	- 3 44.0				
34 41	— 0 45.0	40 55	— 1 45.0	47 10	- 2 45.0	53 24	- 3 45.0	·			
40 47	— 0 46.0	47 2	— 1 46.0	53 16	- 2 46.0	22 59 31	- 3 46.0				
46 53	— 0 47.0	53 8	— 1 47.0	16 59 22	- 2 47.0	23 5 37	- 3 47.0				
53 0	— 0 48.0	10 59 14	— 1 48.0	17 5 29	- 2 48.0	11 43	- 3 48.0				
4 59 6	— 0 49.0	11 5 20	— 1 49.0	11 35	- 2 49.0	17 49	- 3 49.0				
5 5 12	- 0 50.0	11 27	— 1 50.0	17 41	- 2 50.0	23 56	- 3 50.0				
11 18	- 0 51.0	17 33	— 1 51.0	23 47	- 2 51.0	30 2	- 3 51.0				
17 25	- 0 52.0	23 39	— 1 52.0	29 54	- 2 52.0	36 8	- 3 52.0				
23 31	- 0 53.0	29 45	— 1 53.0	36 0	- 2 53.0	42 14	- 3 53.0				
29 37	- 0 54.0	35 52	— 1 54.0	42 6	- 2 54.0	48 21	- 3 54.0				
35 43	- 0 55.0	41 58	— 1 55.0	48 12	- 2 55.0	23 54 27	- 3 55.0				
41 50	- 0 56.0	48 4	— 1 56.0	17 54 19	- 2 56.0	24 0 33	- 3 56.0				
47 56	- 0 57.0	11 54 10	— 1 57.0	18 0 25	- 2 57.0	6 39	- 3 57.0				
5 54 2	- 0 58.0	12 0 17	— 1 58.0	6 31	- 2 58.0	12 46	- 3 58.0				
6 0 8	- 0 59.0	6 23	— 1 59.0	12 37	- 2 59.0	18 52	- 3 59.0				
6 6 15	- 1 0.0	12 12 29	— 2 0.0	18 18 44	- 3 0.0	24 24 58	- 4 0.0				

Tafel III.

vergl, pag. 35.

										_	_
Name des Ortes	Länge v. Ber- lin in Zeit + westlich - Östlich	St. Zt. im m. Mittag weniger St. St. im Berl. Mittag	log 29 4'	log A	log D	Name des Ortes	Länge v. Ber- lin in Zeit + westlich - östlich	Bt. Zt. im in Mittag woniger Bt. Zt. im Borl, Mittag	log <i>tg</i> p'	log ⊿	loį
9.				1	- 00	77 1 5	-b-/-				
Åbo	- oh35m31*50					Helsingfors	-0h46m14"23				
Adelaide	8 20 46.4					Hudson, O.	+6 19 19.06				
Albany, N. Y.	+ 5 48 34.13					Kairo	— I II 34.00				
Alfred Obs. N. Y.		+59.91				Kapatadt	-0 10 19.5			9.6901	
Algier	+ 0 41 23.52					Kazan	-2 22 54.16			9.5217	
Allegheny, Pa.	+6 13 37.84						+0 54 50.0				
Altona	+0 13 48.56					Kiel ·		+ 2,13			
Amherst, Mass.	+ 5 43 43.2					Kiew	- : 8 25.80				
Annapolis, Md.	+ 5 59 31.09					Königaberg	-0 18 14.2			9-5334	
Ann-Arbor, Mich.	+6 18 30.10					Kopenhagen Krakau	+0 3 15.99 -0 26 15.2	+ 0.54		9.5791	
Armagh	+ 1 20 10.3					Kremsmünster	- 0 2 57.7			9.5966	
Athen Berlin	0 0 0,00				0.7336	Leiden		+ 5.86			
Bern	+ 0 23 49.25					Leipzig		+ 0.66			
Bethlehem, Pa.	+ 5 55 6.81	+58.34				Leyton	+ 0 53 35.8	+ 8.80			
Birr Castle	+ 1 25 15 8	+14.01				Lilienthal	+0 17 54			9.5497	
Bologna	+0 8 100	+ 1.34	_		1 1	Lissabon (N. St.)	+ 1 30 19.5	-14,84	1		4
Bonn	+ 0 25 11.62					Lissabon (Mar. St.)	+1 30 8.4	+14.81			
Bothkamp	+0 13 3.7	2.15				Liverpool (N. St)		+10,B2			
Bremen	+0 18 19.6	+ 3.01				Lübeck	+0 10 49.2	+ I.78			
Breslau	- 0 14 34.0	- 1.39				Lund	1	+ 0,14	~ ~		
Brüssel	+0 36 6.2	+ 5.93				Madras	-4 27 21-4	-42.93	9.1618	9.7594	0.1
Cambridge (Engl.	+0 53 12.16					Madrid	4 1 4 1	+11,23			
Cambridge, Mass		+55.54				Mailand		+ 2.76			
Charkow	- 1 31 198					Mannheim	+ 0 19 44-39				
Chicago, Ill.		+66.37				Marburg	+0 18 29.9				
Christiania	+0 10 41.1	+ 1.76	0 2341	9.4720	0.8822	Markree	+1 27 23.3	+14.36	0.1386	9.5391	8.0
Cincinnati, O.	+6 31 16.33	+64.28	9.907*	9.6610	0.7447	Marseille (N. St.)	+ 0 32 0.27	+ 5.26	9.9714	9.6334	0.7
Clinton, N. Y.		+58.35				Melbourne	- 8 46 19.4	86.46	9,8873	9.6688	0_7
Coimbra	+1 27 9.0	+14 32	9 9241	9.6543	0.7545	Mexico	十 7 30 1.5	十73.93	9.5446	9-7454	0.4
Cordoba	+ 5 10 20	+50.98	9,7831	9.7023	0,6614	Modena	10 9 52.0	+ 162	9.9918	9.6236	0.7
Danzig	-0 21 4.7	3 46	0.1415	9-5372	0.8548	Moskau	- 1 36 42.26	15.89	0.1641	9.5220	0.8
Dorpat	0 53 18.6	- 8.76	0.2077	9.4914	0.8752	Mt. Hamilton, Cal.	+9 0 1.6	+88.71	9.8797	9 6716	0.7
Bresden B.Engelh.	- o I 19.93	- 0 22	0.0893	9.5701	0.8355	München	+0 7 8.79	十 1.17			
Dahlin	+ 1 18 560	+12.97				Neapel (Capo di M.	0 3 24.9	- 0.56	9 9342	9.6501	0.7
Düsseldorf Bilk,	+ 0 26 29.9	+ 4-35				Neuchâtel	+0 25 45.05				
Dunecht	+1 3 15	+10.39				New Haven, N. Y.	, , , , ,	+56.72			
Durham	+0 59 5+6	+ 9.84				New York, N. Y.		+57.42			
Edinburg	+1 6 17.96					New York Col. C)		十57-45			
Florenz		+ 1.40	2 2		-	Nicolajew	— 1 14 1B.96				
Genf	+0 28 58 15	+ 4.76	2- 2			Odessa		-11.41			
Georgetown, D. C.	+6 1 53 20					Ofen	-0 22 41			9.6013	
Glasgow Schottl.	+ 1 10 45 46	+11,62			-	O-Gyalla	0 19 10.69			9.5981	
Glasgow, Mo	+ 7 4 53 8	+69.80		-		Olmutz	- o 15 33	- 2.55			
Göttingen	+ 0 13 48.5	+ 2.27				Oxford Radel, Ob.,		+ 9.63			
Gotha N St.,	+ 0 10 44.35	+ 176				Oxford (Univ.)		+ 9.62			
Gotha Seeberg	+0 10 39 4	+ 1.75				Oxford, Miss Padua	+ 6 51 42.0	,			
Greenwich	+ 0 53 34.91	+ 8.80				Palermo		+ 0.03	_		. 4
Hamburg	+ 0 13 41.1	+ 2 25				Paramatta	+0 0 109			9.6907	_
Hannover, N. II. Hastings, N. Y.	+ 5 42 43 44	+ 56.30				Paris (Obs. nat.)	+ 0 44 11 88				Pills
Haverford, N. J.	+ 5 49 46					Paris Montsouris,					
Havertorn, M. J.	1 3 34 47.00	Lauren	9 9411	7.1.7.2.2	0.7347	T PETE MANUSCRIES,	1-0 44 14 12	T /14/	212334	3.3901	(

Tafel III.

me des Ortes	Länge v lin in + wer - öst	Zeit stlich	St. Zt. im m Mittag weniger St. Zt. im Berl. Mittag	, log tg v'.	log A	log D
	Labras					
18.		"14"9	+ 3501	9.9941	9.6224	0.7927
mprik	- 1 7	38.55	11,11	0.2346	9.4716	0.8823
adelphia, Pa.	+ 5 54		+ 58.19			
_	-0 z	48.27	- 0.30	9.9950	9.6220	0.7931
mouth	+0 57	58.8		0.0856		
dam	+0 1	19.1	十 0,12	0.1103	9-5573	0.8436
thkeepsie, N.Y.	+ 5 49	8.5	+ 0,12 + 57.36	9.9468	9.6446	0.7675
	-0 4	6.6	— o.68	0.0746	9.5789	0.8296
etton, N. J.	+ 5 52	12.4	+ 57.86	9.9263	9.6534	0.7558
idence, R. I.	+ 5 39	11.49	+ 55.72	9.9489	9.6416	0.7687
.OWa	- I 7	43-74	- 11.13	0.2317	9.4718	0.8815
300	+ 5 38	24	+ 55.59	0.0245	9.6069	0.8075
de Janeiro	+ 3 46	11	+ 37.16	9.6228	9.7353	0_5142
aester, N. Y.	+6 4	59	+ 59.96	9.9688	0.6216	0.7705
(Coll. Rom.)	+0 3	41.3	+ 0.61	9.9500	0.6422	0.7602
(Capitol)	+0 3	40.5		9.9499		
Louis, Mo.	+ 6 54		+ 68.08	0.8008	0.6641	0.7100
Fernando	+ 1 18		+ 12,88			
iago de Chile	+ 5 36	,	+ 55.24			
erin	+07	54.00				
tenberg	_ 0 I2	15.7		0.1299	A-2440	0.0500
er	+0 19			0.0746		
kholm	_ o 18	49.29		0.0628		
yhurat	I			0.2242		
sburg(prov.St.)	+13		+ 10.42			
inhum (N. St.)		32.41	T 3.70	0.0515		
		30.25	+ 3.70	0.0516	9.5921	0.8198
iey	一9 11	15.0	- 90.56	940230	9.0905	04004
otine	+ 0 47	44.9	+ 7.84	9.9761	9.0312	0.7833
. N. Y.	-0 1	27.2	- 0.24	0.0068	9.0101	0.7990
	+ 5 48	19.5	+ 57.22	9.9027 0.0957	9.0374	0.7762
e Hill(Huggins)		2.6	+ 8.88	0.0957	9.5003	0.8380
n dandam (Disk)	+0 22	47.7	+ 3.74	9.9981	9.0204	0.7947
kenham (Bish.)	+0 54	48.0	+ 9.00	0.0957	9.5003	0.8381
da (N. St.)	-0 16	55-37		0.2332		
cht	+ 0 33	3.2	+ 5.43	0.1056	9.5002	0.8419
dig	+ 0 4		+ 0.68	0.0036	9.6177	0.7974
BPS	+0 34			9.9893		
schau	- 0 30		- 5.02	0.1077	3.5589	0.8427
hington, D. C.	+6 I		+ 59.43			
tpoint, N. Y.	+ 5 49		+ 57.40			
testone, N. Y.	+ 5 48		+ 57.28			
n (A. St.)	-0 11			0.0459		
n (Opp.)	-0 11					0.8173
n (N. St.)	-0 11					0.8174
ncimshaven	+0 20			0.1284	9.5458	0.8502
liamstown, Mass.			+ 56.92	9.9624	9.6376	0.7760
liamstown(Vict)		7 '	- B6.42			
nn	- 0 47					0.8566
dsor (N. S. W.)			- 90.31	9,8197	9.6918	O ₄ 6875
ch	+0 19	22.5	十 3.18	0.0332	9.6022	0.8115
	,		L			

$$tg \ \gamma = \frac{tg \ \varphi'}{\cos (\theta - \alpha)}$$

$$\alpha - \alpha' = \frac{A}{\varrho} \cdot \frac{\sin (\theta - \alpha)}{\cos \theta}$$

$$\delta - \delta' = \frac{D}{\varrho} \cdot \frac{\sin (\gamma - \delta)}{\sin \gamma};$$

 $\alpha - \alpha'$ und $\delta - \delta'$ aind an die beobachteten Orte mit ihren Zeichen anzubringen, um geocentrische Coordinaten zu erhalten.

 $\theta - \alpha =$ Stundenwinkel

a - a' wird im Zeitmass erhalten

∂ — ∂ " " Bogenmass "

 $\log A$ und $\log D$ sind in Einheiten der letzten Stelle zu corrigiren, wenn die angewandte Parallaxe zwischen den folgenden Grenzen angenommen wird

Tafel IV.

vergl. pag. 59 ff.

							7	И							
			0	D .				_			10	3			
0	o"	10"	20"	30"	40"	50"	60"		o ⁿ	10"	20"	30"	40"	50"	60"
or	0.0 00 000	01 993	03 986	05 979	07 971	09 964	11 957	o'	0.7 17 469		21 455				
1	11 957			17 936				1	29 428					39 394 51 353	
3	23 914 35 872			29 893 41 850			35 872	3	41 387 53 346					63 312	
4				53 807				4			69 192			75 271	
5	0.0 59 786			65 765				5	0.7 77 265	79 258	81 521	83 244	85238		
7	71 743			77 742 89 679				7	0.8 01 183					99 190	
é	- 1			ō1 636	-			8	13 143		17 129			23 109	
9	0107615	09 608	11 601	13 594	15 586	17 579	19 572	9			29 089		33 076		37 063
10	0.1 19 572			25 551				11	0.8 37 062 49 022		53 009				4
11	31 529 41 487			37 508				12						70 948	
23	55 444	57 437	59 430	61 423	63 416	65 408	67 401	13	72 942	74 935	76 918	78 922	80 915	82 908	84 901
14		-		73 380				14			88 888 čo 848				
16	91 116			85 337 97 295			91 316	15	0.8 96 862						
17	0.2 03 273	05 266	07 259	09 252	11 245	13 238	15 231	17	20 783	22 775	124 769	26 762	28 755	30 749	32 741
18	- 1		_	21 209				18	32 742	34 735 46 606	36 729 48 689	38 722		42 709 54 669	
19	0.3 39 145			33 167				19	0.9 56 663				64 636		
21				57 082				71	68 623	70 617	72 610	74 604	76 597	78 590	80 584
22				69 039	1		1 2 2	22						90 551	
23				80 997 92 954			98 933	24	1.0 04 505	94 33° 106 499	08 492	10 486		02 512 14 473	16 466
25	0 2 98 933						4	F (1)	1.0 16 466						
26	0 3 10 890	12 883	14 876	16 869	18 861	20 855	22 848	26						38 394	
27				28 827 40 784					40 388	42 381				50 355	
29				52 742		-	58 721	29			68 297			74 278	
30	0.3 58 721							30	1.0 76 171					86 239	1.
31				76 657 88 615				31	1.t 00 194						00 194 12 156
33	94 594	96 587	98 580	50 573	Ö2 566	84 559	ō6 552	33	12 156	14 149	16 143	18 137	20 130	22 124	24 117
34	0.4 06 552	1.						34			128 105				_
35 36	0.4 18 509			24 488 36 446				35 36	1.1 36 079	38 073	40 000	42 000	56 016	58 009	
37				48 404				37						69 971	
38				60 362			_	38						81 933	
39	0.4 78 299			72 320				39	1,1 95 889		87 914 00 877			-9-	V
41		_	_	96 236				40	1.2 07 851						
42	0.5 02 215	04 208	06 201	08 194	TO 187	12 180	14 173	42	19814	21 BOS	23 HOL	25 795	27 789	29 783	31 776
43				32 110				43						41 745 53 708	
45	0 5 38 090							45	1 2 55 702						67 665
46	20 0 18	52 041	54 034	56 027	58 020	60 013	62 006	46	67 665	69 658	~1 652	73 646	75 640	77 634	79 638
47 48				67 985 79 944										89 597 ō1 560	
49				91 902					1.3 03 554						
50	0 5 97 881	99 B74	ör 867	63 861	85 854	ò7 847	59 840	50	1.3 15 517						
51	0 6 09 840							51						37 450	
53				27 778 39 736				52 53						61 377	
54				51 695				54	63 371	65 365	67 359	69 353	71 347	73 341	75 335
55	06 576-4							55	1-3 75 335			_			
56				75 613 87 571				56 57						97 269	
58	93 551	95 544	97 537	99 530	61 523	03 517	å5 510	59	1411227	13 221	15 215	17 209	19 204	21 198	23 192
59,	0.7 05 510	07 503	09 496	11489	134Rz	15 476	17 469	59	23 192	25 186	27 190	29 174	31 168	33 162	35 126
					-			"							

11	1992 :	1993	1994	1995	
1 2	199.2	199.3	398.8	199.5	E E
3	398.4 597 6	398.6 597 9	598.2	598 5	3
4	796.8	797.2	797.6	798.0	4
5	996.0	996.5 1195.8	997.4 1196.4	997 5	5
_	1394-4	1195.1	1195 8	1306.5	
8	150 1.6	1594-4	1595.2	1596.0	8
9	1792.8	1793-7	1794.6	E795 5	9

Tafel IV.

Г								М							
			2	O		-	-				3	0			
ט	0"	10"	20"	30"	40"	50"	60"	0	0"	10"	20"	30"	40"	50"	60"
0	1								2.1 53 281						
1 2	1			53 103 65 068										75 233 87 207	
3 4				77 033 88 998					2 2 01 177					99 181	
5	1.4 94 980			4				5	2,2 13 151						
6 7	' ' ' '			12 928	2 5			6			-			35 105 47 080	
8	30 8 76	32 870	34 864	36 859	38 853	40 847	42 842	8	49 076	\$1 071	53 067	55 063	57 059	59 055	61 051
10	1.5 54 807			60 790		_		10	1 2 73 026		4	-		82 006	
10	66 773	68 767	70 762	72 756	74 750	76 745	78 739	11	85 002	86 998	88 994	90 990	92 986	94 982	96 978
113	90 705			N4 722 96 688				12	2.3 08 954					06 9 58 1 1 8 9 3 4	
14	11							14					-	30 910	
16	26 604	28 (99	30 593	32 587	34 582	36 576	38 571	16	2 3 32 906 44 883						
17	38 571 50 538							17 18	56 859 68 836					66 840, 78 81 =	
19	62 505							19	80 813 8						_
21	1.6 74 472 86 4391					3		10 21	2.4 04 768						
2.2	98 406	104 00	Ö2 395	ŏ4 390	ŏ6 384	68 379	Î0 374	22	16 746	8 742	20 739	22 735	24 731	26 728	18 724
24	1.7 10 374							23	40 702 : 2						52 681
25	1.7 34 309		-			- 1			2 4 52 6811					62 663	
26	46 277 58 245								64 659 (76 638 7					74 642 86 621	
19	70 213 B2 182								2 5 00 596 6		-	* :			
30	1.7 94 150								2.5 12 576, 1	70-				_	
32	18 08 119		ſ	_				31	24 555 12 36 535 2						
33	30 057	33 051	34 046	36 041	38 036	40031	42 026	33	48 515 5	0 512	52 509	54 505	56 502	58 499	60 496
35	1.8 53 995							34	2.5 72 4-6				80 463	70 479 82 460	
36	65 964	67959	69 954	71 949	73 944	75 939	71934	36	84 457 8	6 454	88 450	90 447	92 444	94 441	96 438
37	77 934							37	96 438 9 2 6 08 419 1					18 403	
39	1 9 01 874							39	20 400 2				_	30 385	
41	1.9 13 844							41	2.6 32 382 3 44 364 4					42 367	
42	37 784; 49 755								56 346 14 68 328 7	8 343	60 340	62 337	64 334.	66 331	68 328
44	61 726	63 721	65 716	67 711	69 706	71 701	73 697	44	80 311,8	12 308	84 305	86 302	88 299	90 296	92 293
45	1.9 73 697 85 668 ·								2.6 92 293 9	6 275	96 288	98 285	00 282	02 279 ·	04 276
47	97 639	99 634	61 629	03 623	05 620	07 614	ō9 610	47	16 250, 1	8 257	20 254	22 251	14 248	26 246	28 243
48	2009610		_				_		28 243 ₁ 3 40 227 4						
50	2033554	35 549	37 544	39 540	41 535	43 530	45 526	50	2.7 52 210 5	4 208	56 205	58 203	60 200	62 197	64 195
§1 ! §2 :	45 526 57 498								64 195 6 76 179 7						
53	69 470	71 465	73 461	75 456	77 452	79 447	81 442	53	88 164 9	0 161	92 158	94 156	96 153	98 151	00 149
54 55	2093415								2812133,1						_
56	2 1 05 388	07 383	09 379	11 374	13 370	15 365	1- 361	56	24 11912	6116	28 114	30 111	32 109	34 107	36 104
571	29 334	31 330	33 325	35 321	37 316	39 312	41 307	ς8	36 104 3 48 090 5	0 088	52 085	54 083	56 081	58 078	60 076
59	41 307	43 303	45 298	47 394	49 290	51 285	53 281	59	60 076 6	2 074	64 071	66 069	68 067	70 065	72 062

	1994	1995	1996	1997	1998	
2 2	199 4 198 8 598 2	199 5 199 0 598 5	199 6 399 9 538 8	199-7 399-4 599-1	199 8 199 6 599 4	2 3
5 6	797 6 997 3 1196 4	798 u 997 5 1197 o	798 4 998.0 197 6	798.8 998.5 1198 1	799.2 999.0 1198.8	5 6
78 9	1595 2	1396.5 1596.0 1795.5	1397 2 1596 6 1796 4	1397 9 1597 6 1797 3	2498 6 1598 4 1798 2	8

							1	<u>v</u> .					•		$\overline{}$
<u> </u>			4	0							5)			
v II	0"	10"	20"	30"	40"	50"	60"	\boldsymbol{v}	o <u>"</u>	10"	20"	30"	40"	50"	60"
oʻ	2.8 72 062							oʻ							
2				90 042 02 029			1	1 2	15 727	17 727	19 728	21 729	23 729	25 730	27730
3 4	2.9 08 023		_	14 016 26 004			20 010 31 997	3 4						37 734 49 738	39 734 51 739
5	2.9 31 997	33 995	35 993	37 991	39 989	41 987	43 985	5	3.6 51 739	53 739	55 740	57 741	59 742	61 742	63 743
6				49 979 61 967				6						73 747 85 752	75 748 87 753
8	67 961	69 959	71 957	73 956 85 944	75 954	77 952	79 950	8		89 754		93 756	95 757	97 758	
10	2.9 91 939								· —						
11	3.0 03 928			09 922				11						33 776 45 782	
13	27 906	29 905	31 903	33 901	35 899	37 898	39 896	13	47 784	49 785	51 786	53 787	55 788	57 789	59 791
14	39 <u>89</u> 0 3.0 51 886			45 891 57 881				14						69 797 81 804	
16 17	63 876	65 875	67 873	69 872 81 862	71 870	73 868	75 867	16	83 806	85 807	87 808	89 810	91 811	93 812 05 821	95 814
18	87 858	89 856	91 855	93 853	95 852	97 850	99 849	18	3.8 07 822	09 823	11 825	13 826	15 828	17829	19 831
19 20	99 849	-		17 836					19 831 3.8 31 840		23 834			29 8 3 8	
21	23 832	25 830	27 829	29 828	31 826	33 825	35 824	21	43 849	45 851	47 852	49 854	51 855	53 857	55 859
22				41 820 53 812						69 870	71 872			65 867 77 877	
24	59 808 3.1 71 801		-	65 804				24 25	79 879 3.8 91 889	81 881				89 888	
26	83 794	85 792	87 791	89 790	91 789	93 788	95 787	26	3.9 03 900	05 902	07 904	09 906	11 908	13 910	15 912
27 28	95 787 3.2 07 780			01 784 13 777				27 28						25 921 37 933	
29	19 774	21 773	23 772	25 771	27 770	29 769	31 768	- 1	39 935	41 937	43 939	45 941	47 943	49 945	51 947
30		45 761	47 761	37 765 49 760	51 759	53 758	55 757	31			67 964	69 967	71 969	61 958 73 971	75 973
32 33	55 757	57 756	59 755	61 754 73 749	63 753	65 753	67 752	32						85 984 97 998	
34	79 747	81 746	83 745	85 745	87 744	89 743	91 742	34	4.0 00 000	02 002	04 005	06 007	08 009	10 012	12 014
35	3.2 91 742 3.3 03 738								4.0 12 014					22 026 34 040	
37	15 734	17733	19 733	21 732 33 728	23 731	25 731	27 730	37 38	36 043	38 045	40 048	42 050	44 053	46 055 58 071	48 058
39	39 727	41 726	43 726	45 725	47 724	49 724	51 723	39	60 073	62 076	64 078	66 081	68 084	70 086	72 089
40 41	3.3 51 723 63 721			57 722 69 719				40 41	4.0 72 089					82 102 94 119	
42	75 718	77 718	79 717	81 717	83 716	85 716	87 716	42	96 121	98 124	õ0 127	02 130	04 132	ō6 135	ŏ8 138
43 44	99 714	'ŌI 713	Õ3 713	93 715 05 713	07 712	ō9 712	11 712	44 .	20 155	22 158	24 161	26 164	28 167	30 170	32 172
45 46				17 711 29 710						34 175	36 178 48 106	38 181	40 184	42 187 54 205	. 44 I 90 56 208
47	35 709	37 709	39 709	41 709	43 708	45 708	47 708	47	56 208	58 211	60 214	62 218	64 221	66 224	68 227
48 ! 49				53 708 65 707										78 243 90 262	
50	3.4 71 707	73 707	75 707	77 707	79 707	81 707	83 707	50	4.1 92 265	94 268	96 271	98 275	ōo 278	ŏ2 28 I	ō4 284
51 52	95 708	97 708	99 708	89 707 51 708	03 708	05 708	07 708	52	16 304	18 308	20 311	22 314	24 318	26 32 1	28 325
53	3.5 07 708			13 709					28 325	30 328	32 331	34 335	36 338	38 342 50 363	40 345
55	3.5 31 710	33 710	35 711	37 711	39 711	41 711	43 712	55	4.2 52 366	54 370	56 373	58 377	60 380	62 384	64 387
56				49 712					76 409	78 413	80 417	82 420	84 424	74 406 86 428	88 431
58	67 716	69 716	71 716	73 717	75 717	77 717	79 718	58	88 431	90 435	92 439	94 442	96 446	98 450	00 454
59	79 718	01 718	03 719	85 719	0//20	09 /20	91 /21	39	4.3 00 454	02 457	54 401	30 403	36 409	10 473	12 470
			_					_				_			

199	7 1998	1999	2000	2001	2002	2003	2004	-
1 , 199 2 399	.4 399.6	399.8	200.0 400.0	200.1 400.2	200.2 400.4	200.3 400.6	200.4 400.8	1 2
3 599 4 798 5 998	.8 799.2		800.0	800.4 1000.5	800.8	801.2 1001.5	801.6 1002.0	
6 1198	.2 1198.8	1199.4	1200.0	1200.6	1201.2	1201.8	1202.4	5 6
8 1597 9 1797	.6 1598.4	1599.2	1600.0	1600.8	1601.6 1801.8	1602.4 1802.7	1603.2 1803.6	8 9

							1	И.							
		•	6	0							7	0			
v	o"	10"	20″	30"	40"	50"	6o"	v	o"	10"	20"	30"	40"	50"	60"
o'	4.3 12 476							٥′	5.0 34 552		1 -			1	
2			28 507 40 531					1 2			50 615 62 663				
3	48 547	50 551	52 555	54 559	56 563	58 567	60 571	3	70 695	72 703	74 711	76 719	78 727	80 735	82 743
4	4.3 72 596	·	76 604					4 5	5.0 94 792		98 808				
6	84 621	86 625	88 629	90 634	92 638	94 642	96 646	6	5.1 06 841	08 849	10 857	12 866	14 874	16 882	18 891
8	96 646 4.4 08 672		50 655 12 681					7 8	18 891 30 941	20 899 32 949	22 907 34 957			28 932 40 983	
9	20 698	22 703	24 707	26 711	28 716	30 720		_9	42 991	45 000	47 008	49 017	51 025	53 034	55 042
10	4.4 32 725		36 734 48 761				44 752 56 779	10	5.1 55 042		59 059				
12	56 779	58 783	60 788	62 793	64 797	66 802	68 807	12	79 145	81 154	83 163	85 171	87 180	89 189	91 198
13			72 816 84 844					13	91 198 5.2 03 250		95 215				
15	4.4 92 863	94 868	96 873	98 877	ŏo 882	Ö2 887	ō4 892	15	5.2 15 303	17 312	19 321	21 330	23 339	25 348	27 357
16	4.5 04 892 16 921		08 901			1		16			31 375				
18	28 950	30 955	32 960	34 965	36 970	38 975	40 980	18	51 466	53 475	55 484	57 493	59 502	61 511	63 521
19 20	4.5 53 011		44 990 57 02 1					19 20	5.2 75 576		79 595				
21	65 041	67 047	69 052	71 057	73 062	75 067	77 073	21	87 632	89 641	91 651	93 660	95 669	97 679	99 688
23			93 115								03 707		1 -		
24	4.6 01 136	03 141	05 147	07 152	09 157	11 163	13 168		23 802	25 812	27 821	29 831	31 840	33 850	35 860
25	4.6 13 168		17 179 29 212					25 26	5.3 35 860		39 879 51 937				
27	37 234	39 239	41 245	43 251	45 256	47 262	49 267	27	59 976	61 986	63 996	66 006	68 016	70 025	72 035
28 29	2 -		53 279 65 313				_	28			76 055 88 115				
30	4.6 73 335	75 341	77 347	79 353	81 358	83 364	85 370	30	5.3 96 155	98 165	õ0 175	Ö2 18 5	õ4 195	ŏ6 205	ō8 215
3 I 32			89 382 01 417					31 32			12 235 24 296				
33	4.7 09 441	11 446	13 452	15 458	17 464	19 470	21 476	33	32 337	34 348	36 358	38 368	40 378	42 389	44 399
34 35	4.7 33 513		25 488				:	34			48 420				68 524
36	45 549	47 555	49 562	51 568	53 574	55 580	57 586	36	68 524	70 535	72 545	74 556	76 566	78 577	80 587
37 38			73 636						80 587 92 651		84 608 96 672				
39	81 662	83 668	85 674	87 681	89 687	91 693	93 700	39	5.5 04 715	06 726	08 736	10 747	12 758	14 769	16 780
40 41	4.7 93 700 4.8 05 739								5.5 16 780		20 801 32 866				
42	17 778	19 784	21 791	23 797	25 804	27 811	29 817	42	40 910	42 921	44 932	46 943	48 954	50 965	52 976
43			133 830 45 870						3	1 2	56 998 69 065			1	
45	4.8 53 897	55 904	57 911	59 918	61 924	63 931	65 938	45	5.5 77 109	79 121	81 132	83 143	85 154	87 166	89 177
46			69 952 181 993								05 268				
48	90 021	92 028	94 035	96 042	98 049	30 056	02 063	48	13 313	15 325	17 336	19 348	21 359	23 370	25 382
49 50	4.9 02 063		1		. —			_	5.6 37 451		29 405 41 475				
51	26 148	28 155	30 162	32 169	34 177	36 184	38 191	51	49 521	51 533	53 545	55 556	57 568	59 580	61 591
52 53			42 206 54 249								65 615				
54	62 279	64 286	66 294	68 301	70 308	72 316	74 323	54	85 733	87 745	89 757	91 769	93 781	95 793	97 805
55			78 338 90 383												
57 1	98 414	õ0 42 I	Ö2 429	64 436	ð6 444	ō8 452	io 459	57	21 950	23 962	25 974	27 987	29 999	32 011	34 023
58 l	5.0 10 459 22 50 6		14 475 26 521								38 048				
		1				<u> </u>			1 , ,,		1		1	1	<u> </u>

	2003	2004	2005	2006	2007	2008	2009	2010	2011	2012	2013	
2	200.3 400.6 600.9	200.4 400.8 601.2	200.5 401.0 601.5	200.6 401.2 601.8	200.7 401.4 602.1	200.8 401.6 602.4	200.9 401.8 602.7	201.0 402.0 603.0	201.1 402.2 603.3	201.2 402.4 603.6	201.3 402.6 603.9	1 2 3
4	801.2	801.6	802.0	802.4	802.8	803.2	803.6	804.0	804.4	804.8	805.2	4
5	1001.5	1002.0	1002.5	1003.0	1003.5	1004.0	1004.5	1005.0	1005.5	1006.0	1006.5	5
6	1201.8	1202.4	1203.0	1203.6	1204.2	1204.8	1205.4	1206.0	1206.6	1207.2	1207.8	6
7 8 9	1402.1	1402.8	1403.5	1404.2	1404.9	1405.6	1406.3	1407.0	1407.7	1408.4	1409.1	7
	1602.4	1603.2	1604.0	1604.8	1605.6	1606.4	1607.2	1608.0	1608.8	1609.6	1610.4	8
	1802.7	1803.6	1804.5	1805.4	1806.3	1807.2	1808.1	1809.0	18c9.9	1810.8	1811.7	9

								И							
			8	o							9	0			
ט ע	o"	10"	20"	30"	40"	50"	60"	r	o"	10"	20"	30"	40"	50"	60
oʻ	5.7 58 171	60 184	62 196	64 208	66 221	68 233	70 246	- ₀ /	6.4 83 559	85 576	87 594	89 612	91 629	93 647	956
1	70 246	72 258	74 271	76 283	78 296	80 308	82 321	1						05 754	
2 4	•	,	86 346 98 422		1 -		, , , , ,	2	6.5.07 771					17 861 29 968	
3 : 4	5.8 06 473							3						12 077	44 0
5	5.8 18 550	20 562	22 575	24 588	26 601	28 614	30 627	5	6.5 44 095	· —				:	·
6∦			34 652											66 295	
7			46 730 58 809					7 8						78 405	
9			70 887					9						02 626	
٥	5.8 78 940	80 953	82 967	84 980	86 993	89 007	91 020	10	6.6 04 645						
I			95 047					11						26 850	
2 '' 3	5.9 03 100		19 208					12	_					38 962 51 076	
4			31 289					14						63 190	
5	5.9 39 343	41 357	43 371	45 384	47 398	49 412	51 426	15	6.6 65 209						
6			55 453					16						87 419	
7			79 619					17 18	6.7 OI 554					99 534	
ارو			91 703					19						1 2	
5	5.9 99 759						ī 1 844	20	6.7 25 787						
.	6.0 11 844							21	• • • •		: -			48 002	1 -
3			27 958 40 044					22						60 121	
i			52 130					24	74 260	76 280	78 300	80 320	82 339	84 359	86
	6.0 60 188							25	6.7 86 379						
5∥			76 305					26						ŏ8 600	
3	1 1		88 393 30 481					27 28	6.8 10 621	1 :	1 :	1 !		32 844	34
9	6.1 08 540				16 600			29						44 966	
>	6.1 20 630							30	6.8 46 987						
1			36 750					31	59 110	61 130	63 151	65 172	67 192	69 213	71
3			48 840 60 931					32						81 337 93 462	
1			73 023					34		97 504				05 587	
	6.1 81 084	-				1 5	,	35	6.9 07 608						
			97 208					36 1						29 840	
7	6.2 05 270		21 395					37 38						41 967 54 09 5	
,			33 489					39						66 224	
5	6.2 41 552	43 568	45 584	47 600	49 616	51 632	53 648	40	6.9 68 245	70 266	72 288	74 309	76 331	78 353	80
۱.			57 679											90 482	
2 ! 3			69 775 81 872					42	92 504 7.0 04 634					02 612 14 743	
			93 969											26 875	
5	6.3 02 034														
5			18 164 30 263											62 272	
3			42 362											63 272	
	50 428	52 445	54 462	56 478	58 495	60 512	62 528	49	77 429	79 451	81 473	83 496	85 518	87 541	89
۱ ا	6.3 62 528								7.0 89 563						
[2			78 663 90 764											23 948	
3	98 832	50 849	ō2 866	54 883	, 74 / 79	08 917	10934	52 i						36 084	
4	6.4 10 934							54	38 107	40 130	42 153	44 176	46 199	48 222	50 2
5	6.4 23 037							55		! -				. •	
6	• • •		39 175					56						72 499	
7 8	59 348		51 279 63 383											84 638 196 778	
9	71 152						83 559		98 801						

2012	2013	2014	2015	2016	2017	2018	2019	2020	2021	2022	2023	2024
1 201.2 2 402.4 3 603.6 4 804.8 5 1006.0 6 1207.2 7 1408.4 8 1609.6 9 1810.8		201.4 402.8 604.2 805.6 1007.0 1208.4 1409.8 1611.2 1812.6	201.5 403.0 604.5 806.0 1007.5 1200.0 1410.5 1612.0 1813.5	201.6 403.2 604.8 806.4 1008.0 1209.6 1411.2 1612.8 1814.4	806.8 1008.5	201.8 403.6 605.4 807.2 1009.0 1210.8 1412.6 1614.4 1816.2	201.9 403.8 605.7 807.6 1009.5 1211.4 1413.3 1615.2 1817.1	202.0 404.0 606.0 808.0 1010.0 1212.0 1414.0 1616.0 1818.0	202.1 404.2 606.3 808.4 1010.5 1212.6 1414.7 1616.8 1818.0	202.2 404 4 606.6 808.8 1011.0 1213.2 1415.4 1617.6 1819.8	202.3 404.6 606.9 809.2 1011.5 1213.8 1416.1 1618.4 1820.7	202.4 I 404.8 2 607.2 3 809.6 4 1012.0 5 1214.4 6 1416.8 7 1019.2 8 1821.6 0

Tafel IV.

			1 - T-10	A1 74		log	M.	, , , = (-					
		10)°			-				1.1	0			$\neg \neg$
	10"	20"		40"	50"	60"	v	0"	10"	20"	30"	40"	50"	60"
0.85 79 930	81 112	82 257			\$6 poq	87 116		0.89 98 506	99 616	ô0 716		_	64 OCA	ō5 162
87 226	88 443	89 659	90 875	92 090	93 306	94 520	L L	0.90 05 161	06 271	07 179	08 487	09 595	10 702	11 809
94 520 0.86 01 803	95 735			99 377 06 651									17 341	
	10 284			-	15 113	5 '-	41			_		1 -	30 589	
0.86 16 332	1	18 749		21 165	22 378		3				34 997		37 199	
	34 786 32 020			18 404 35 632	19 610 36 835		ا ۶						43 799 50 389	
	39 341		41 646	42 848			1 2 2	51 486	52 583	53 680	54 777	55 873	56 969	58 065
	46 451				51 252		9						63 540	
0,86 51 451	60 837					66 818				73 379			70 101 76 6c4	71 195 77 745
	68 013							77 745	78 836	79 916	\$1 017	82 107	\$3 196	14 186
	75 177 82 319									92 992			89 729	90 817
0.86 \$\$ 281				93 037		95 413	i i				<u> </u>		02 767	1:
95 413	96 601	97 788	98 975	õo 161	Õ1 348	Ö2 534	16	0.91 03 \$52	04 936	06 030	07 104	ot 188	09 272	10 355
0.87 03 534			13 193				1 1			_	-		15 767	
16 741			20 285		22 647					25 493			28 730	
0.87 23 \$27					29 725			0.91 29 808		1			35 197	
	31 081		34 437 41 495					36 274 43 731			12 0 204	40 580	41 656	42 731
45 021	46 195	47 369	48 543	49 717	50 890	51 063	23	49 179	50 252	51 326	52 399	53 472	54 545	55 617
	53 236			56 752		1 2 2	II		·	57 761			60 975	62 046
0.87 59 094	67 284					73 134		0.91 62 046 63 466			l		67 397 73 809	68 466 74 877
73 124	74 291	75 458	76 624	77 791	78 957	80 122	37	74 877	75 945	77 013	78 079	79 146	\$0 213	81 279
	81 288		83 617	84 782 91 762					82 345				\$6 607 92 992	
0.87 94 086		- : 	1			ÕI 052	1-1	_				98 306	99 368	
0.88 01 052	02 112	03 372	04 531	05 690			j 1	0.92 00 430	01 492	02 553				
	16 108		4 - '	12 638			- n			15 270			18 444	13 153
	23 040			1 3	27 655					21 615			24 784	
0.88 18 808								0.92 25 840	_				+	32 170
	36 871 43 771												37 439 43 753	
49 513	50 660	51 BO7	52 954	54 101	55 447	56 393	18	44 804	45 \$55	46 906	47 957	49 007	50 058	51 108
	57 539		59 830	1					52 158			55 305		57 403
0.88 63 163 70 113	71 265							0.92 57 403 63 689		65 782			68 921	
76 972	78 112	79 453	80 392	\$t 532	82 67 E	83 \$11	42	69 966	71 012	72 057	73 102	74 147	75 191	76 235
	91 776												\$1 453 \$7 706	
0.88 97 457	91 592	99 727	00 862	åt 996	63 130	04 a64	45							
0.89 04 264	05 398	06 531	07 664	08 797	09 919	11 062	46	94 990	96 030	97 069	28 TO\$	99 E47	90 186	ÕI 224
	12 194							0.93 01 224					13 633	
24 626	25 754	26 882	28 010	19 1 38	30 265	31 392	49	13 667	14 703	15 738	16 773	17 807	18 842	19 176
0.89 31 392	32 519	33 646	34 772	35 898	37 023	38 149	50							
30 149 44 8 95	39 374 46 otg	47 143	48 265	49 387	50 510	51 632	52 52						31 437 37 411	
51 632	52 753	53 875	54 996	56 117	57 237	58 358	53	38 451	39 481	40 511	41 540	42 569	43 598	44 636
0.89 65 074	59 478							0.93 50 793					49 766	
	72 897												62 076	
78 477	79 592	Bo 706	\$1 821	82 935	84 049	85 163	57	63 101	64 125	65 149	66 173	67 196	68 219	69 242
	\$6 276 92 951		_	l				75 375	76 197	71 355 77 418	72 310	73 332 79 460	74 354 8a 48a	75 375 81 500
737	, ,,,	177.23	173 -74	,	1 - 3 - 3	1 3.	17	.,,,,,	1 437	1	1' ""	1,0,4-4	, T.	, ,,,,
				-) (, ,	1 .					

211 1203 1195 11	6 1178 1170	1161 1153 11	145 1136 1	128 1120	11111103	1095 1086 1	078 1070 1061	1053 1045 1036 1028 102	10
121 1/ 140 3/ 119-5/ 11	8 6 117 8 1170	116.1 115.3 1	t4 5 Ex3.6 :	228 8 212.0		109 5,108 6 1	07 \$ 107 0 106.1.	105 31104 5 103 6 102.5 102	0 1
363 3 360 yl 358 5 35	5.8 353 4 351 0	348 31 345-9 3	43 5 340.8	138 4 336 0	333 3 319 9	378 5 7258 3	#14 jai.c 318 3	315 4 323 5 310 8 308 4 206	.0 3
484 4 481.2 478 0 47 605 4 601.4 507 4 64	4.4 471 m 468 v	464 4 461 2 4 580.51 576.5 5	58.0 454 4 4 72 5 568 0 5	451 2 448 u.	444 4 441 7	448 0 434-4 4 547 5 5444 5	31.2,428 r 424 4 30.0 535.0 530.5	421 2 428 0,414 4 411 7 408 596 5 522 51518 0 514 0 512	ion a
736.6 791 8 717.6 71	1.6 706.8 702.0	6966 6918 6	87.01 681 64 6	676 8 672-0	666 F-66t B	697 0 691.6 6	46.8 642 0 636 6	61 8 627 6)621 6 6 6 8 612 737 1734 5 725 2 719 6 711	711 6
ஓ66.8 மும்ச து ஓதற் ci முடி	8 8 முடிய குட் முற்கொ	998.8 9224 9	16-0 gul B	gus 4 896-14	988 S -38a 4	876.0 868 8 8	624 85610 848.8	P424 836 41828 9 822 4 810	n 8
009-911089-91075-51100	7.4 1000.3 1053.0	1044.9 1037.3 10	Bur 2 Look to	15,2 1000.0	999-9 999-7	9-5 5 977 4 9	Jara doživi čiži č	947-7 940-5 939 4 993 2 913	9

Tafel IV.

							log	M.							
_			15	≥ 0							18	BO .			
0	0"	10"	30"	30"	40"	50"	60"	v	o"	10"	30"	30"	40"	50"	60"
0"	0.93 81 500				85 579			of							
1			95 760	90 672	91 690 97 793			3						45 055 50 703	
3	99 816	00 842	ði 857	52 873	53 888 55	91 303	816 59	3	51 644	52 584	53 524	54 465	55 404	56 344	57 284
4	0.94 05 918		07 947	15 040		10 988		녈	0.97 61 917			65 730	66 668	61 978	68 541
5		19 089		31 112		23 134		6	68 543	69 480	70 416	71 353	72 289	73 826	74 162
7				33 231		29 195 35 248		7						78 839 84 446	
9	36 256	-	38 271	39 279	40 186	41 293	_	Ě	85 379		87 346		\$9 112	1	90 978
10	0.94 42 299		=	45 318		47 319		10	0.97 90 978						96 570
11		49 340 55 366	56 370	51 349 57 373	58 376			[] []	0.98 02 154	97 501					1
13,				63 388	64 390	65 392	66 393	13	07 733					12 376	
14' 15	0.94 71 397			69 396 75 395		71 397 77 393		14 15	0.98 18 868	1	15 159			17 941 23 500	1 \$ \$68 24 426
16	78 392	79 391	80 389	81 387	\$2 3 \$ 5	83 382	84 380	16	84 416	25 352	26 277	27 203	28 128	29 053	29 977
17				87 371 93 347		89 364 95 337		17						34 598 40 137	41 059
19			98 321				82 296	19			4	1		45 669	1
20	0.95 02 296				1		08 252	10	0.98 46 590	47 511	48 432	1	50 274		
31			10 236		12 219 18 162			31 11	52 115 57 632					56 713 62 225	57 631 63 143
23	20 142	21 131	22 120	23 109				n	63 143	64 061	64 979	65 896	66 814	67 731	68 648
24 25	0.95 32 000			29 038 34 960		31 013 36 932		24 25			75 977	71 398	I	78 722	74 637
16				40 874				16	79 637				1.1	84 108	
37 38	43 828		45 796		47 763			17	85 122		86 948			89 687	90 600
19	49 730 55 625		51 696 57 588	52 678 58 569		54 643 60 531	61 513	19	96 072	96 983	97 R94		94 248 99 716	95 160 80 616	
30	0.95 61 512	62 492	63 473	64 453	65 432	66 412	67 391	30					05 176		06 995
31 32		_	69 349	70 328 76 196		72 285		31 32	06 995	1 2	_~			11 539 16 986	17 201
33	79 128	80 104	81 081	82 057	I		1 1	33	17 893	1 2 2 .	19 707	20 614	21 520	22 426	
34	I _		86 935	I		89 859	1	34	33 332	24 23B			26 955		
35 36	0.95 90 834 96 675	1	92 782		94 729 80 566		1 -	35 36	0.99 28 765	35 096		31 479 36 903	32 384 37 806	33 188 38 709	34 191 39 612
37	0.96 02 510	03 481	04 453	05 424	06 395	07 366	08 337	37	39 612	40 515	41 417	41 319	43 222	44 124	45 085
38 39			16 094		12 217	_	14 156	38		45 927 51 3 33	46 829	47 730 53 134	48 631 54 034	49 532 54 934	55 834
40	0.96 19 968	20 936	11 904	22 871	13 839	24 806	25 773	10	0.99 55 834	-	57 633			· —	61 238
41 42				28 672			I :	41		62 127				65 719 71 102	66 617
43				34 466 40 252			43 143	42 43						76 479	
44				46 031				44						81 849	
46 46	0.96 48 918 54 686	49 880	\$6 607	51 803 157 567	52 764	53 725	54 686	45 16	0.99 H2 744 RR 107	89 000	84 532 89 802	90 786	66 320 61 670	87 213 92 571	HR 107
47	60 447	61 406	62 365	63 324	64 283	65 242	66 200	47	93.464	94 356	95 248	96 140	97 033	97 923	98 815
48 49				69 074										03 269 08 608	
50															
ŞΙ	83 417	84 372	R5 326	86 280	87 234	BR 189	89 142	51	14 830	15 718	16 606	17 493	18 381	19 268	20 156
ς2 53				92 001										24 589 29 904	
54	0.97 00 569	01 520	02 475	03 412	04 372	05 322	06 271	54	30 789	31 674	32 559	33 444	34 328	35 212	36 097
55	0.97 06 272	07 222	08 172	09 121	10 071	11 010	11 969	55	1.00 36 097	36 981	37 864	38 748	39 632	40 515	41 398
56 57	17658	18 605	19 552	14 814 20 499	21 446	22 393	23 339	57	46 694	47 576	48 457	49 339	144 929 50 220	45 811 51 102	51 981
52	23 339	24 2B6	25 232	26 178	27 123	28 069	29 014	58	51 983	52 864	53 745	54 625	55 506	56 386	57 266
59	19014	29 959	30 901	31 849	3# 794	33 73 ⁸	34 082	59	57 206	20 110	29 019	59 905	80 785	61 664	02 543
_															

							log	M.								
	-	_	14	Lº .								15	0			
	o"	10"	20"	30"	40"	50"	60"	ť		0"	10"	20"	30"	40"	50"	60"
1,00	62 543							o'	1.03					- , , ,	72 758	
						72 203		1 2							77 688 82 513	
						B2 717		3							87 533	
						8-965		4							92 447	
1.00	04 08t					98 444		6	1 03						9" 357 0z 261	
						53 674		7	1.04						0- 160	-
1.01	04 545							8				-			12051	
2.01	_09 ~09					14 117		9	1.04						21 827	
3.0.						24 537									26 705	
						29 738		12							31 579	
						34 933 40 112									41 310	
1.0	40 986						-		1 04			_			46 169	
						50 483									51 022	
						55 655									60 713	
						65 981									65 551	
1.01	66 841		, , ,						1.04		D.			, , .	70 384	
						76 28 5 81 428									75 212 80 036	
						86 565						-			84 854	
-						91 697									89 66*	
2.01	92 552					96 823			1.04						94 475	
1.03	202796								1 05						04 077	
	07 910	08 762	09614	10 465	11 316	12 16*	13018	21							08 850	
-	_					17 271									13 659	
1.02	2 18 121		,			22 309			1,05			_			18 443 23 221	_
	28 309	29 157	30 005	30 853	31 700	32 548	33 395	32		24 017	24.813	25 609	26 405	27 200	27 995	18 "90
						37 629 42 704									32 764	
1 0:	243550		-			-			105			_			42 288	
	48 619	49 463	50 307	51 151	51 995	52 839	53 682	36		43 081	43 873	44 666	45 458	46 250	47 042	47 834
	-					57 898									56 537	
						67 999									61 277	
1.0	2 68 B40							40	105					, ,	66 012	
						78 078 83 110		41							75 469	
	83 948	84 786	85 624	86 461	87 299	88 136	88 973	43				_			80 190	
					_	93 157									84 906	
3.01	1 93 993					98 1 12			105						94 324	90 402
1.0	3 04 016														99 026	
	09 020	09 853	10 686	11 519	12 352	13 185	14 018	48	. ,	99 809	00 593	61 375	52 158	62 941	63 724	0 + 506
1.0	_ 14 018 3 19 010				-	18 179	-	110						-	08 410	09 198
1,0						28 150		51	. 00							18 468
	28 980	29 810	30 639	31 469	32 298	33 128	33 957	52		18 568	19348	20 127	20 907	21 687	22 466	23 245
						38 100 43 067									31 809	
1.0	3 43 894								1 06						36 474	
	48 855	49 681	50 507	51 333	52 159	52 985	53 811	56		37 251	38 028	38 805	39 581	40 358	41 134	41 910
						57 936 62 882									45 *50	
						6-823									55 082	
-																

^{879 875 871 866 862 857 853 849 844 840 835 831 827 822 818 814 809 805 803 796 792 787 783 778 774 879 875 871 866 863 857 853 84 84 84 8 8 831 827 822 818 814 809 805 803 796 792 787 783 778 774 775 774 2 73 172 4 171 4 57 6 166 8 168 8 168 6 167 1 166 8 165 2 165 4 167 1 1}

Tafel IV.

Г						•	log	M.							
<u> </u>			16	30				i			17	70			\neg
0	9"	10"	20"	30"	40"	ço"	60"	9	ó"	10"	20"	30"	40"	507	60"
0'	2.06 55 861							0'							
3				62 830				1 1						34 570 38 945	
3				71 084				3				1 4		43 317	
4	1.06 79 020			76 709 B: 329				5				$\overline{}$		47 684 53 047	
5	83 638	84 407	85 176	85 945	86 714	\$7 483	88 251	6	52 774	53 501	54 228	54 954	55 680	56 407	57 133
7 8				95 163			92 860	7 t	61 488	61 213	62 938	63 663	64 388	65 113	65 838
9				99 766	$\overline{}$			9						69 461	
11	1.07 D2 065 06 661						11 252	10	1.09 70 185 74 528					73 BO4 78 144	1 2 2 - 1
13	1T 252	12 016	13 781	13 546	14 310	15 074	15 838	12	78 867	79 589	80 312	81 034	81 757	82 479	83 20L
13 14				22 710			20 421 24 998	13						86 E11 91 L3#	
15	1.07 24 998							15	1.09 91 859						
16							34 140 38 705							99 782 04 098	
18							43 265			05 535				08 410 12 718	
19	1.07 47 821						52 372	20	1.10 13 435	-				17 022	
31							56 919	21 4						21 322	
22 23		7 -		1 3	1 2		61 461	22 23						25 619 29 911	
24				68 267				24						34 200	
25 26	1.07 70 533 75 062		72 043 76 57 I				75 062	25 I			1		_	3* 485 4± 766	39 1 98 43 479
27 28				ا شد ا	l -		84 108	. A U	43 479	44 192	44 905	45 617	46 330	47 043 51 316	47 755
29				90 881				28 29			53 451		-	55 586	
	1.07 93 137							30	1.10 56 297						
31	1.08 03 148						06 647	31						68 37 1	
33				08 895 13 388			10 611	33						71 616 76 876	
34	1.08 15 633	~	-					34							_
36	20 119	20 867	21 614	22 361	23 108	23 855	24 601	36	B1 830					85 366	
37 38				31 317			29 079 33 553	37 38						89 go?	
39	**			35 788				39						98 073	
40 41	1.08 38 022 42 488						46 949	41	1 11 03 005				= -	02 301 06 525	
42	46 949	47 693	48 435	49 1 78	49 920	50 663	51 406		_					10 745	- 17
43 44							60 307							19 175	
45 46	1.08 60 307								1.11 19 877						
47	69 191	69 931	70 670	71 410	72 149	72 888	69 191 73 617	47	28 291	28 992	29 692	30 392	31 092	27 591 31 793	32 493
48							78 059 82 487							35 991 40 186	
49 50	1.08 \$2 487					-		50	1.11 40 884						
51	86 910	87 647	88 384	89 121	89 857	90 594	91 330	51	45 975	45 773	46 471	47 169	47 866	48 564	49 262
52 53 x							95 745 80 156		53 445	54 142	54838	55 535	56 231	52 748 56 928	57 624
54	1.09 00 156							I	57 624	58 320	59 017	59 713	60 408	61 104	61 800
55 56	1.09 04 564 08 967						13 366		1 11 61 800 65 972					69 446	
57	13 366	14 098	14 831	15 564	16 296	17 028	17 761	57	70 141	70 835	71 530	72 224	72 918	73 612	74 306
5 8 59							22 151 26 538							77 774 \$1 932	
								_		J					

Tafel IV.

Г							log	М.							
			18	30							19	0			
1)	0"	10"	20"	30"	40"	50"	60"	٤٠ .	o"	10"	20"	30"	40"	50"	60"
o'	1.11 82 625 8	3 3 2 7	groto	84 702	85 395	86 087	86 779	o'	1 14 25 752	26 411	27 069	27 728	28 386	29 044	29 703
1	86 779 8	2 1	_					I	29 703	30 361	31 019	31 677	32 335	32 992	33 650
3	90 930 9							3					36 280		
4	99 220 9	1484		-				4			*		44 t60		
6	07 495 0							6	1 14 45 473				52 018	-	
7	11 629 1	12 317	13 006,	13 694	14 382	15 070	15 758	7	53 339	53 993	54 648	55 303	55 95B	56 612	57 267
8 9	15 758 1							8					59 884		
10	1.12 24 006 2					. , .	_	10	1 14 65 114						
11	28 125 2 32 240 3							1 ī 12					75 556		
13	36 351 3	37 036	37 721	38 406	39 090	39 775	40 459	13	76 860	77 512	78 164	78 815	79 467	80 118	Bo 770
14	40 459 4 1.12 44 564 4			A				_	80 770				83 374		
16	48 665 4	19 348	50 031	50 714	51 397	52 080	52 763	16	88 579	89 229	89 879	90 529	91 179	91 829	92 479
17	52 763 5 56 B57 5							17					98 971		
19	60 947 6							19	1,15 00 269						
20								20	1.15 04 160						
21	69 118 6 73 198 7							21					14 519		
23	77 275 7										17 106			19 045	
24	81 349 8 1,12 85 419 8					_		24	1.15 23 566		20 983 24 B57		22 275 26 148		
26	89 485 9	90 162 4	90 B40	91 517	92 194	92 871	93 548	26	27 438	18 083	28 728	29 373	30 018	30 663	31 307
27	93 548 9							27 28	31 307	31 952	32 596 36 46 t		33 885	34 529 38 392	
29						-		29	39,036				41 610		
30	09 766 1					-	-	30	1.15 42 896				45 467 49 322		
31	13812 1							31 32					53 174		
33	17 855 t							33					57 023 60 868		
34	1.13 25 930 2					_		35	1 15 62 150					-	- 1
36								36	65 991	66 631	67 271	67911	68 551	69 190	69 830
37	33 992 3 38 018 13			_	-			37 38					72 387 76 221		
39	42 041 4					-		39					80 052	-	
40	1,13 46 060 4 50 076 5							40	85 155				83 879 87 704		
42	54 088 5	54 757	55 425	56 093	56 761	57 430	58 098	42	88 978	89 61 9	90 252	90 889	91 526	92 162	92 799
43 44	58 098 9 62 103 6												95 345		
45	1,13 66 106 6		_						1.16 00 432		-				. 1
46	70 105 7												06 783		
47	78 094 7								11 858	12 492	13 126	13 760	14 394	15 028	15661
49	82 083 8							1 1					18 195		
50 51	1.13 86 070 8							50	23 258				21 993		
52	94 032 9	34 695 9	95 358	96 021	96 683	97 346	98 008	52	27 052	27 684	28 316	28 948	29 580	30 212	30 844
53 54	98 008 9					_		53 54					33 370	_	
55	1,1405 951 0							55	1.16 38 417						
56	09 9 18 1	10 579	11 239	11 900	12 561	13 221	13881	56					44 720		
57 58	13 881 1 17 842 1							57 58					48 498		
59	21 798 2	2 4 5 8	23 117	23 776	24 4351	25 093	25 752	59					56 044.		

Tafel IV.

Г	· .				log	М.							
Г		20°			<u>*</u>				23	Lº			
0	0" 10"	20" 30"	₫ 40″ [50"	60"	v ·	o"	10"	20"	30"	40"	50"	60"
0	1.16 57 301 57 929	58 557 59 18	5 59 813 60	0 441	61 069	أره	1.18 78 450						
1 2	61 069 61 696 64 834 65 461	62 324 62 99 66 088 66 71	2 63 579 64	4 207 7 960	64 834 68 596	2						85 055 88 653	
3	68 596 69 223	69 850 70 47	6 71 103 71	1 729	72 356	3	89 253	89 853	90 451	91 051	91 651	92 250	92 849
4	1.16 76 112 76 738			- 4	76 111	5	1.18 96 442					95 844	
5	79 866 BO 491	81 116 81 74	1 83 367 8	2 992	83 617	6	1.19 00 033	00 631	01 229	01 827	02 425	03 023	03 621
7 8	83 617 84 241 87 364 87 989					7						10 193	
9	91 110 91 734	92 357 92 96	1 93 605 94	4 228	94 852	إ الله	10 790	11 387	11 984	T2 580	13 177	E3 774	14 370
10	1.16 94 852 95 475 98 591 99 214					10 (11						17 352 20 928	
13	1.17 02 328 02 950	03 573 04 19	5,04 817 0	5 440	06 062	12	21 523	22 1 tg	22 715	23 310	23 906	24 501	25 096
13 14	7 06 06 2 06 684 09 793 10 414					13 1 14			26 287 29 856	ı		28 072 31 640	
15	1 17 13 521 14 142	14 763, 15 31	4 16 005 1	6 625	17 246	15	1.19 32 234	32 829	33 423	34 017	34 611	35 205	35 799
16 17	17 246 17 867 20 969 21 589					16						38 768 42 329	
81	24 688 25 308	25 928 26 54	7 27 167 2	7 786	28 405	18	42 922	43 515	44 108	44 701	45 194	45 887	46 480
19 30	28 405 29 025 11.17 32 119 32 738		3 30 882 31 5 34 594 31			20						49 442 52 995	
21	35 831 36 449	37 067 37 68	5,38 303 31	8 921	39 539	21	53 587	54 179	54 771	55 36a	55 954	56 546	57 137
21 13	39 539 40 157				46 948	22						60 094 63 639	
24	46 948 47 565	48 : 82 48 79	9 49 415 50	0 031	50 648	24						67 182	
2.5 10	1.17 50 648 51 265 54 346 54 962					25	1.19 67 772 71 312					70 712 74 260	
27	58 041 58 656	59 272 59 88	7 60 502 61	1 117.	61 733	27	74 850	75 439	76 018	76 617	77 207	77 796	78 385
28 29	61 733 62 348 65 422 66 036					29						Br 329 84 859	
30	1.17 69 108 69 722	70 337 70 9	71 564 72	1 178	72 792	30	1.19 85 447						
31 32	72 792 73 406 76 473 77 086					32						91 912 95 435	
33 34	80 151 80 764 83 827 84 439					33						98 956 02 474	
35	1.17 87 500 88 112					34"	1.20 03 060				\rightarrow		
36	91 170 91 781	92 393 93 00	4 93 615 9.	4 226	94 837	36						09 503	
37 38	94 837 95 448 98 502 99 112						13 599	14 183	14 768	15 353	15 937	13 014	17 106
39	1.18 02 164 02 774					39						20 02 8	
40 41	1.18 05 823 06 433 09 480 10 089				, .	40	24 115					23 531	
42 43	13 134 13 743 16 785 17 393					42						30 531	
44	20 434 21 041	21 649 22 25	7 22 864 23	3 472	24 079	43	34 609	35 192	35 774	36 356	36 939	37 521	38 103
45 46							1.20 38 103					41 012	
47	27 723 28 330 31 363 31 970	32 576 33 18	2 33 789 3.	4 395	35 001	46 47	45 0B2	45 663	46 244	46 825	47 406	47 987	48 568
48 49	35 001 35 607 38 636 39 242					48 49						51 471 54 953	
50	1 18 42 269 42 874					50	1.20 55 533	56 113	56 693	57 273	57 852	58 432	59 013
51 52	45 899 46 504	47 108147 71	3 48 317 48	8 922	49 516	51	59011	59 591	60 171	60 750	61 330	61 909	62 488
53	49 526 50 130	54 358 54 96	2 55 566 56	6 169	56 773	53	65 96z	66 541	67 120	67 698	68 277	68 856	69 434
54												72 325	
55 56	1.18 60 392 60 995			-	. '	55 56	1.20 72 903 76 370					75 793 79 258	
57 58	67 623 68 225 71 235 71 836					57	79 835	80412	80 989	BT 566	82 143	82 720 86 180	83 297
59							86 757	87 333	87 909	88 486	89 061	89 63B	90 214
_	1		<u> </u>					-					

628 626 624 622 620 618 616 613 611 609 60° 605 602 600 598 596 594 592 589 58° 585 582 580 578 576 1

1 0.8 626 64 627 626 616 610 613 611 600 607 605 602 600 598 596 594 592 580 587 585 582 580 578 576 1

2 1 55 1.5 2124 8 174 4174 617 6 747 2172 6 122 7121 8 121 4 121 6 120 7 110 6 150 121 8 118 8 118 4 117 8 117.4 117.

0" 10" 20", 30" 40" 50" 60" r 0" 10" 20" 30" 1.20 90 214 90 90 91 366 91 942 92 518 93 094 93 669 93 669 93 699 94 245 94 820 95 396 95 971 96 547 9" 122 97 697 98 272 98 847 99 422 99 997 60 572 2 1.25 00 112 00 665 01 218 01 7 1.21 00 5°2 01 147 01 722 02 297 02 871 03 44b 04 020 04 200 04 599 05 169 05 744 06 318 06 892 0" 466 4 06 20, 00 86 14 09 188 09 762 10 336 10 909 11 483 12 057 12 630 13 204 13 77" 14 350 14 924 15 497 16 070 16 643 17 216 1" 789 18 362 18 935 19 508 20 080 20 653 21 225 21 296 21 297 82 23 22 24 3 23 515 24 087 24 659 2 1 23 30 31 31 31 41 4466 15 0 23 24 25 22 299 24 32 35 15 24 087 24 659 2 1 23 26 28 33 234 33 805 34 377 34 948 34 948 35 618 36 089 36 660 37 231 37 802 38 372 38 943 37 613 40 084 40 554 41 224 41 795 42 365 42 935 43 505 44 075 44 645 45 21 4 4 795 42 365 42 93 71 50 341 50 910 11 479 52 048 52 617 53 186 53 755 54 324 47 494 48 803 34 92 02 49 771 50 341 50 910 11 479 52 048 52 617 53 186 53 755 54 324 47 494 48 803 34 92 02 49 771 50 341 50 910 11 479 52 048 52 617 53 186 53 755 54 324 54 893 55 461 56 600 56 54 56 599 57 167 57 736 58 304 58 872 19 50 122 59 473 60 020 60 56 66 61 14 579 52 44 66 62 56 60 66 57 793 71 360 71 92" 72 493 73 60 76 58 70 70 77 71 60 77 736 78 873 67 78 873 67 74 97 72 17 72 18 77 18 66 74 97 78 78 78 78 78 78 78 78 78 78 78 78 78	35 95 688 96 241 5 54 99 007 99 560 5 71 02 323 02 876 0 85 05 638 06 190 0 98 08 950 09 502 1 08 12 260 12 812 1 17 15 568 16 119 1 27 122 178 22 728 2 29 25 479 26 029 2 29 28 779 29 329 2 27 32 076 32 626 3 23 35 372 35 921 3 08 41 956 42 504 4 97 45 245 45 793 4 48 532 49 080 4 70 51 817 52 364 5 53 55 100 55 947 6 33 61 659 62 205 6 89 61 935 65 481 6	96 794 50 194 50 194 50 6 742 10 053 13 363 16 670 19 9°5 23 2780 23 2780 23 2780 23 4780 24 341 49 627 56 193 56 193 56 193 56 275
1.20 90 214 90 790 91 366 91 942 92 518 93 094 93 669 93 669 94 245 94 820 95 396 95 97 196 547 97 122 1 96 794 97 348 97 592 1 98 47 97 122 97 697 98 272 98 847 99 422 99 997 00 572 2 1.21 00 572 01 147 01 722 02 297 02 871 03 44b 04 020 04 020 04 595 05 169 05 744 06 318 06 892 07 466 4 06 742 07 294 07 846 08 3 10 909 11 483 12 057 12 630 13 204 13 777 14 350 14 350 14 924 15 497 16 070 16 643 17 216 17 789 18 362 18 935 19 508 20 080 20 653 21 225 21 798 22 370 22 943 23 515 24 087 24 659 9 10 10 10 10 10 10 10 10 10 10 10 10 10	35 95 688 96 241 5 54 99 007 99 560 5 71 02 323 02 876 0 85 05 638 06 190 0 98 08 950 09 502 1 08 12 260 12 812 1 17 15 568 16 119 1 27 122 178 22 728 2 29 25 479 26 029 2 29 28 779 29 329 2 27 32 076 32 626 3 23 35 372 35 921 3 08 41 956 42 504 4 97 45 245 45 793 4 48 532 49 080 4 70 51 817 52 364 5 53 55 100 55 947 6 33 61 659 62 205 6 89 61 935 65 481 6	96 794 50 194 50 194 50 6 742 10 053 13 363 16 670 19 9°5 23 2780 23 2780 23 2780 23 4780 24 341 49 627 56 193 56 193 56 193 56 275
93 669 94 245 94 820 95 396 95 97 1 96 547 97 122 1 1 96 794 97 348 97 901 98 4 97 122 97 697 98 272 98 847 99 422 99 997 60 572 2 1 1.21 00 665 01 218 01 7 03 440 00 00 572 01 147 01 722 02 297 02 871 03 440 04 020 04 04 020 04 595 05 169 05 744 06 318 06 892 07 466 14 09 188 09 762 10 336 10 909 11 483 12 057 12 630 13 204 13 777 14 350 14 350 14 924 15 497 16 070 16 643 17 216 17 789 18 362 18 935 19 508 20 080 20 653 21 225 21 798 22 370 22 943 23 515 24 087 24 659 9 10 12 23 279 23 829 24 379 24 9 11 225 21 798 22 370 22 943 23 515 24 087 24 659 9 10 12 23 279 23 829 24 379 24 9 11 23 36 31 3 914 14 466 15 0 23 279 23 829 24 379 24 9 11 23 36 38 37 38 36 3 37 8 30 349 31 520 31 56 80 3 3 78 30 349 31 520 31 56 80 3 3 234 33 805 34 377 34 948 35 518 36 089 36 660 37 231 37 802 38 372 38 943 39 513 40 084 40 654 41 224 41 795 42 365 42 935 43 505 44 075 44 645 45 215 45 785 46 354 46 924 47 494 48 063 48 633 49 202 49 771 50 341 50 910 51 479 52 048 52 617 53 186 53 755 54 324 54 893 55 461 55 66 30 65 65 99 57 167 67 736 68 304 58 82 67 12 327 67 28 7 67 8 12 12 15 88 25 944 60 009 60 577 61 145 61 713 62 281 66 22 849 63 417 63 985 64 552 65 120 65 687 66 255 66 822 67 390 67 957 68 524 69 092 69 659 70 226 70 793 71 360 71 927 72 493 21 60 69 301 69 846 70 392 70 9	54 99 00° 99 66 6 71 02 323 02 876 0 85 05 638 06 190 0 86 08 950 09 502 1 10 15 260 12 812 1 11 15 568 16 119 1 23 18 874 19 425 1 27 22 178 22 728 2 29 28 779 26 029 2 29 28 779 26 029 2 29 28 779 26 029 2 29 28 779 26 029 2 29 28 779 26 029 2 29 28 779 26 029 2 29 28 779 26 029 2 29 28 779 26 029 2 29 28 779 26 029 2 29 28 779 26 029 2 29 28 779 26 029 2 29 28 779 26 029 2 29 28 779 26 029 2 29 28 779 26 029 2 29 28 779 26 029 2 29 28 779 26 32 626 3 3 5 5 72 2 5 64 7 45 245 45 793 4 48 532 49 080 4 50 51 817 52 364 5 35 5100 55 64 7 36 58 380 58 92 7 36 66 98 58 92 7 37 61 659 62 205 6 89 64 935 65 481 6	50 112 03 42 06 742 10 05 3 13 363 15 9 9 5 23 2 7 9 23 2 7 9 24 5 8 0 8 33 1 7 5 34 7 0 34 7
1.21 07 466 08 040 08 614 09 188 09 762 10 336 10 909 5 1.23 10 053 10 605 11 157 11 7 10 909 11 483 12 057 12 630 13 204 13 77" 14 350 6 14 350 14 924 15 497 16 070 16 643 17 216 17 789 7 16 670 17 221 17 772 18 3 17 789 18 362 18 935 19 608 20 063 21 225 21 798 22 370 22 943 23 515 24 087 24 059 9 10 28 091 28 663 29 23 4 29 806 30 378 30 949 31 520 11 29 878 30 428 30 977 31 6 31 520 32 092 32 603 33 234 33 805 34 377 34 948 34 948 35 518 36 089 36 660 37 231 37 802 38 372 38 943 39 513 40 084 40 054 41 224 41 795 42 365 42 935 43 608 40 054 41 224 41 795 42 365 42 935 43 608 40 054 41 224 41 795 42 365 42 935 43 608 40 654 41 224 41 795 48 633 49 202 49 771 50 341 50 910 11 479 52 048 52 617 53 186 53 755 54 324 54 893 55 461 55 461 56 030 56 599 57 167 57 736 58 304 58 872 19 18 52 911 53 459 54 006 54 55 66 687 66 275 66 822 67 390 67 957 68 524 69 092 69 659 70 226 70 793 71 360 71 92" 72 493 21 69 301 69 846 70 392 70 9	08 12 260 12 812 1 17 15 568 16 119 1 23 18 874 19 425 1 27 12 178 22 728 2 29 25 479 26 029 2 29 28 779 26 029 2 27 32 076 32 626 3 23 35 372 35 626 3 23 35 372 35 62 4 41 956 42 504 4 41 956 42 504 4 47 245 45 793 4 48 532 49 080 4 570 51 817 52 364 5 35 55 100 55 64 5 34 58 380 58 927 5 13 61 659 62 205 6 89 64 935 65 481 6	13 363 16 670 19 975 23 279 26 580 29 878 33 175 36 470 39 762 43 053 40 341 49 627 52 911 56 193 59 473 62 751
1.21 24 659 25 232 25 804 26 376 26 94" 27 519 28 091 10 1.23 26 580 27 129 27 679 28 2 28 091 28 663 29 234 29 806 30 378 30 949 31 520 11 29 878 30 428 30 977 31 6 31 520 32 092 32 663 33 234 33 805 34 377 34 948 12 33 175 33 724 34 274 34 8 34 948 35 618 36 689 36 660 37 231 37 802 38 372 13 36 470 37 019 37 667 38 1 36 470 37 019 37 667 38 1 39 762 40 311 40 869 41 224 41 795 42 365 42 935 43 505 44 075 44 645 45 215 45 785 46 354 46 924 47 494 48 663 48 633 16 46 341 46 889 47 437 47 9 48 633 49 202 49 771 50 341 50 910 61 479 52 048 52 617 53 186 53 755 54 324 54 893 55 461 55 461 60 030 66 599 57 167 67 736 58 304 58 872 19 52 911 53 459 54 006 54 5 65 461 66 030 66 599 57 167 67 736 58 304 58 872 19 12 35 9473 60 020 60 666 61 16 62 28 49 63 417 63 985 64 552 65 120 65 687 66 275 66 822 67 390 67 957 68 524 69 092 69 659 70 226 70 793 71 360 71 927 72 493 23	29 28 779 29 329 2 27 32 076 32 626 3 23 35 372 35 921 3 16 38 665 39 214 3 08 41 956 42 504 4 97 45 245 45 793 4 84 48 532 49 080 9 70 51 817 52 364 5 53 55 100 55 64 5 34 58 380 58 927 5 34 58 380 58 927 5 13 61 659 62 205 6 89 64 935 65 481 6	29 878 33 175 16 470 39 762 43 053 40 341 49 627 52 911 56 193 59 473 62 751
1.21 41 795 42 365 42 935 43 505 44 075 44 645 45 216 15 1.23 43 053 43 601 44 149 44 6 45 216 45 785 46 354 46 924 47 494 48 063 48 633 16 46 341 46 889 4° 437 47 9 48 633 49 202 49 771 50 341 50 910.61 479 52 048 17 49 627 50 176 50 722 51 2 52 048 52 617 53 186 53 755' 54 324 54 893 55 461 18 52 911 53 459 54 006 54 6 55 461 66 030 66 599 57 167 67 736 68 304 58 872 19 50 193 56 740 57 287 57 8 122 18 62 281 62 849 63 417 63 985 64 552 65 120 65 687 65 25 66 822 67 390 67 957 68 524 69 092 69 659 70 226 70 793 71 360 71 927 72 493 23 69 301 69 846 70 392 70 9	97 45 245 45 793 4 84 48 532 49 080 4 70 51 817 52 364 5 53 55 100 55 64 6 34 58 380 58 927 6 13 61 659 62 205 6 89 64 935 65 481 6	46 341 49 627 52 911 56 193 59 473 62 751
1.21 58 8-2 59 441 60 009 60 5-7 61 145 61 713 62 281 20 1.23 59 473 60 020 60 566 61 1 62 281 62 849 63 417 63 985 64 552 65 120 65 687 21 62 751 63 297 63 843 64 3 65 687 66 255 66 822 67 390 67 957 68 524 69 092 22 66 027 66 573 6-119 67 6 69 092 69 659 70 226 70 793 71 360 71 92-7 72 493 23 69 301 69 846 70 392 70 9	13 61 659 62 205 6 89,64 935 65 481 b	62 751
	08 74 752 75 297 7	69 301 72 572 75 842
1.21 75 893 76 459 77 026 77 592 78 158 78 724 79 290 25 1 23 75 842 76 387 76 931 77 4 79 290 79 856 80 422 80 988 81 554 82 120 82 685 26 , 99 110 79 554 80 198 80 7 82 685 83 251 83 816 84 382 84 947 85 513 86 078 27 82 375 82 919 83 463 84 08 86 078 80 643 87 208 87 774 88 339 88 904 89 409 28 85 638 86 182 86 716 87 2 89 469 90 033 90 598 91 163 91 728 92 292 92 857 29 88 900 89 443 89 986 90 5	43 87 287 81 831 8 07 84 551 85 095 8 69 87 813 88 356 8 30 91 073 91 616 9	82 375 85 638 88 900 92 159
8.21 92 85" 93 421 93 986 94 550 95 114 95 679 96 243 30 8.23 92 159 92 702 93 245 93 7 96 243 96 807 97 371 9" 935 98 499 99 063 99 627 31 95 416 95 959 96 502 97 0 99 62" 00 190 00 754 01 318 01 881 02 445 03 008 32 98 672 99 214 99 756 00 2 1.22 03 008 03 5"2 04 135 04 698 05 261 05 824 06 387 33 124 01 925 02 467 03 009 03 5 06 387 06 950 07 513 08 0" 6 08 639 09 202 09 "64 34 05 1" 6 05 717 06 259 06 8	44 97 587 98 129 9 98 50 841 51 383 6 50 04 092 04 634, 6 01 07 342 07 883 0	98 672 81 925 05 176 08 425
1.22 09 764 10 327 10 890 11 452 12 015 12 577 13 139 35 1 24 08 425 08 966 09 507 10 0 13 139 13 702 14 264 14 826 15 388 15 950 16 512 36 16 512 17 074 17 636 18 197 18 759 19 321 19 882 37 14 917 15 458 15 998 16 5 19 882 20 444 21 005 21 567 22 128 22 689 23 250 38 18 160 18 700 19 240 19 7 23 250 23 812 24 373 24 934 25 495 26 055 26 616 39 21 401 21 941 22 481 23 0	95 13 835 14 3 6 1 39 17 079 17 620 1 81 20 321 20 861 2 21 23 560 24 100 2	14 917 18 160 21 401 24 640
1.22 26 616 27 177 27 738 28 298 28 859 29 420 29 980 40 1 24 24 640 25 179 25 719 26 2 29 980 30 540 31 101 31 661 32 221 32 781 33 342 41 27 877 28 416 28 955 29 4 33 342 33 902 34 462 35 021 35 581 36 141 36 701 42 31 112 31 651 32 189 32 7 36 701 37 250 37 820 38 380 38 939 39 499 40 058 43 34 344 34 883 35 422 35 9 40 058 40 617 41 176 41 736 42 295 42 854 43 413 44 37 575 38 114 38 652 39 10	94 30 033 30 673 3 28 33 267 33 806 3 60 36 499 37 037 3 90 39 728 40 266 4	31 112 34 344 37 575 40 804
1 22 43 413 43 9°2 44 531 45 089 45 648 46 207 46 765 45 1.24 40 804 41 342 41 880 42 4 46 765 4° 324 4° 883 48 441 48 999 49 558 50 116 46 44 031 44 569 45 106 45 6. 50 116 50 674 51 332 51 790 52 348 52 906 53 464 47 47 256 47 793 48 330 48 8 53 464 54 022 54 580 55 138 55 695 56 253 56 810 48 50 479 51 016 51 553 52 0 56 810 5° 308 57 926 58 483 59 040 59 597 60 154 49 53 700 54 236 54 7°3 56 34	44 46 181 46 719 4 68 49 405 49 942 5 89 52 626 53 163 5	47 256 50 479 53 700
1.22 60 154 60 *11 61 268 61 82 562 382 62 939 63 496 50 1.24 56 918 57 455 57 991 58 563 496 64 053 64 609 05 166 65 723 66 279 06 836 51 60 135 60 671 61 207 61 7 66 836 6* 392 67 948 68 505 69 061 69 617 70 1*3 52 63 350 63 886 64 421 64 9 70 173 *0 729 71 286 71 841 72 397 72 953 73 508 53 66 563 6* 098 67 634 68 11 73 508 74 064 74 619 75 175 75 731 76 286 76 841 54 69 7*4 *0 309 70 844 71 3	43 62 279 62 815 6 57 65 492 66 028 16 69 68 704 69 239 6	63 350 6 <mark>6 563</mark> 69 774
8.22 76 841 77 397 77 952 78 507 79 062 79 617 80 1~2 55 1.24 72 983 73 518 74 052 74 5 80 1~2 80 72~ 81 282 81 837 82 392 82 946 83 501 56 76 190 76 724 7~259 ~~~ 83 501 84 056 84 610 85 165 85 ~19 86 273 86 828 57 79 395 74 924 80 463 80 9 86 828 87 382 87 936 88 490 89 044 89 598 90 152 58 82 598 83 132 83 665 84 1 90 152 90 706 91 260 91 813 92 367 92 921 93 474 59 85 799 86 332 86 866 87 3	87 75 121 75 656 7 93 78 327 78 861 7 97 81 531 82 064 8 99 84 732 85 266 8	76 190 79 395 82 598 85 799

	*						log	M.								
			24	10								25	60			
7	0"	10"	20"	30"	40"	50"	60"	0	_	0"	20"	20"	30"	40"	50"	60 ⁸
01	1,24 88 998	89 531 92 728			91 130			o'	1 26		77 975 81 060				80 032 83 115	
2	95 391	95 923	96 455	96 987	97 520	98 052	98 584	2		83 629	84 141	84 656	85 170	85 683	86 197	86 7 to
3 4	1 25 01 775	99 116			03 902			3 4		86 710 89 789	90 301		_		89 276 92 354	
5	1.25 04 965		06 027		07 090			5	1,26	91 867	93 380	1			95 430	
6	08 152 11 337	11 868	09 214		13 460			7		95 943	96 455	1		1	98 504 ÖI 577	2.
8	14 521	15051	15 582	16 112	16 642	17172	17 702	8	1.27	02 0B9	02 601	03 113	03 614	04 136	04 648	05 159
10	1.25 20 882	18 233	_	19 293	19 812		24 060	10	3 27	05 159	OS 571	06 182	06 694	10 173	10 784	
13	24 060	24 589	25 119	25 648	26 177	26 706	27 236	£1		11 295	11 806	12 317	12 828	13 339	13 849	14360
12	30 409	30 938	31 467	31 996		-	30 409	12		14 360		1 = - 1	18 955		16 913	_
14	33 581	34 110	34 638		35 695		36 751	14		20 485	20 995	21 505		21 525	13 035	
15	1 25 36 751	37 280		38 336	38 864 42 031		39 920 43 086	15	1.27	23 545 26 602	24 055		25 074 28 132	25 584 28 641	26 094 29 150	_
17	43 086	43 613	44 141	44 668	45 195	45 723	46 250	37		29 659	30 169	30 678	31 187	31 696	12 205	32 714
18	46 250 49 412	46 777		47 831 50 993			49 412	18		32 714 35 767		33 732 36 784			35 258	35 767 28 818
10	1,25 52 573	53 099	53 626	54 152	54 679		55 731	20	1.27	38 818	39 326	19 835	40 343	40 851	41 359	-
21	55 731 cr 888	56 258		57 310			58 888 62 043	21		41 867	42 375	42 883			44 407	44 915
13		62 569	63 094	63 620	64 145		65 196	23			48 468		49 483		50 498	51 005
24		65 721		66 772			68 347	24		51 005	51 512	52 019	52 527		53 541	
25 16	1.25 68 347 71 496				70 440			26	1.27	54 048 57 088	54 554 57 595	58 101	55 568 58 608	56 075 59 114	56 582 59 621	57 018 60 127
37	74 643				76 740	1 = =	_	27							62 658	
28		78 312 81 456			79 884 83 026			28			63 670	67 211	67 717		65 694	_
30	1 25 84 073					-	87 213	30	1 37		69 739		70 750		71 761	
31	90 351	90 874	98 259		89 305			31							74 791	75 396
33	93 487	94 009	94 532	95 054	95 577	96 099	96 621	33		78 325	78 819	79 334	79 838	80 343	80 847	Bt 350
34	1.25 99 753				98 709 01 840			35	1.17		84 881		84 889		86 897	-
36	1.26 02 884	03 405	03 927	04 448	04 969	05 491	06 012	36	B1-7	87 400	87 904	88 408	88 912	89 415	89 919	90 423
37	00 012	00 533	10 181		08 09*			37							92 939	
39	7 7		13 305		14 346		-	39							98 975	
40	1 26 15 387							40							81 990	
41 42		19 028						41							08 016	
43	24 744	25 264 28 379	25 783	26 302	26 822	27 341	27 860	43							11 026	
45	1,26 30 974								1,28						17 041	
46	34 080	34 004	35 122	35 641	3b 159	30 677	37 196	46		17 542	18 043	18 544	19 045	19 546	20 046	20 54"
481	40 304	40 822	41 340	41 85"	42 375	42 893	40 304	47 48							25 050	
49	43 410	43 9z8	14 44 5	44 963	46 480	45 998	46 515	49		26 552	27 052	2* 552	28 0 52	28 552	29 052	29 552
50) 51	1.26 46 515					, ,	49 61 R 52 719	ξ0 ξ1	1 28						32 050	
52	52 719	53 235	93 752	54 268	54 785	55 301	55 8 t B			35 546	36 046	36 545	37 044	37 543	38 042	38 541
53 54		56 334					62 01 L	53 54							41 036	
55	1.26 62 011	63 526.	63 042	63 558	64 073	64 589	65 104	55	1 28	44 526	45 025	45 523	46 021	46 520	47018	4- 516
56	65 104		66 135	66 651	67 166	67 6B t	68 196	56		-					50 006	
57		71 801						57 58							52 993 55 978	
59	74 375	74 889	75 404	75 918	°6 433	76 947	77 461	59		56 476	56 973	57 4*0	57968	58 465	58 96z	59 459

Tafel IV.

							log	M.							
			- 20	3 °							27	70			
0	0"	10"	20"	30"	40"	50"	60"	9	0" 1	10"	20"	30"	40"	50"	60"
o'	1.28 59 459	59 956	60 453	60 950	61 447	61 944	62 441	0'	1.30 35 521 36	002	36 483	36 964	37 446	37 927	38 408
1			63 434					1	38 408 38						
3			69 391					3	41 293 41 44 177 44						
4			72 367					4	47 059 47						
5	1 28 74 351							5	1.30 49 940 50						
6			78 315 81 286					6	52 819 53 55 697 56						
8			184 256					ß	58 573 59						
9			87 224	-				9	61 448 61			9- 90-0			
11	1 28 89 201		90 190					_	67 193 67						
12			99 118						70 063 70						
13			99 079						72 932 73		-				
14	1 29 01 053								75 799 76	_		-			
16	06 969		107 954		08 939				1 30 78 665 79 81 530 82						
17	09 924	10 417	10929	11 402	11 894	12 386	12 878	17	84 392 84	869	85 346	B5 B23	86 300	86 777	87 254
18			13 863 16 814					18	87 254 87 90 114 90						
20	1 29 18 781				20 748		_	20	1 30 92 972 93						
21	21 731	22 222	22 713	23 205	23 696	24 187	24 678	21	95 829 96	305	96 781	97.257	97 733	98 209	98 684
23 1		-	25 660 28 606					23	98 684 99 1 31 01 538 02				-	-	
24	4		31 549			_			04 391 04						
25	1.29 33 511		m 4			300			1.31 07 242 07						
25			37 432		-			26 27	10 092 10			-			
28			43 309		4				15 786 16						
19			46 245						18 632 19	106	19 580	20 054	20 527	21 001	21 475
30	1 29 48 201		49 179						24 318 24						
31			55 043						27 158 27						
33			57 972						29 998 30						
34			60 900						32 836 33						
35	1,29 62 852		66 752					35	38 507 38						_
37	68 701	69 188	69 675	70 162	70 649	71 136	71 623	37	41 341 41	813	42 285	42 757	43 229	43 701	44 173
38			72 597					39	44 173 44						
40	1 29 77 463								1,31 49 833 50						-
41	80 380	80 867	81 353	, 81 839	82 325	82 81 (83 296	41	52 661 53	3 132	53 603	54 974	\$4.545	55 016	55 487
42			84 268						55 487 55 58 312 58						
44			90 094						61 135 61						
45	1.29 92 035								1.31 63 95B 64						
46	94 945	95 430	95 915	96 399	de 884	9" 369	4-853	46	66 778 67						
48	1 30 00 760								72 415 72						
49	03 665	04 149	04 633	05 117	05 601	06 085	06 569	49	75 232 75	701	76 170	76 639	77 108	77 578	*8 047
50	1 30 06 (69								\$ 31 78 047 78 80 860 81						
51 52			10 438						83 672 84						-
53	15 270	15 753	16 236	16 719	17 202	17 685	18 198	53	86 483 86	6 951	8- 420	87 888	88 356	88 824	89 292
55			19 133						89 292 89						
55	1 30 21 064 23 948		24 923	_					94 907 95						
57	26 851	27 333	27 815	28 297	28 779	29 261	29 743	57	97 712 98	8 179	98 647	99 114	99 581	00 048	00 516
58			30 706						1.32 00 516 00						
7 13	32 032	33 114	33 595	154 4 7	34 550	35 040	3))-1	119	03 318 03	3 /03	04 454	04 718	103 105	01012	00 119

Tafel IV.

							log	M							
			28	30							20	> °			[
9	o"	EON.	20"	30"	40*	so"	60"	v	0"	10"	20"	30"	40"	50"	60 [#]
01								01	,						
1			09 851				11 716	1 2						76 659	
3	14 513	14 979	15 445	15 911	16 377	1 4 - 1		3	79 828	80 281	BO 733	R1 186	181 638	81 091	\$1 543
4			18 240				20 102	4	82 543 1.33 85 257					84 805	
5.	1,32 20 102		23 825				' 22 895 25 686	6						90 128	
7			26 616				1	7						92 938 95 647	
9			32 193				1 -	9	96 098					98 355	
	1.32 34 051							10	1.33 98 806						
111			37 765 140 548					12	1.34 01 512 04 216					06 469	
13			43 331				45 185	13						09 172	
. [4]	1.32 47 965	-	46 112 48 891			-	4	14	1.34 12 323	l.	-			14 572	
16	50 744	51 207	51 670	52 133	52 595	53 058	53 528	16	15 022	15 472	15 922	16 372	16 821	E7 27E	17 721
171			54 447 57 222					18	30 418	20 867.	21 316	21 766	22 215	19 968	23 113
19	59 072	59 534	59 996	60 458	60 921	61 383	61 845	19						25 359	
20, 21	1.32 61 845 64 617		62 769					10 21	1.34 25 808			27 155		28 OS3 30 745	
33	67 387	67 849	68 310	68 772	69 234	69 695	70 156	22	31 193	31 642	31 090	32 539	31 987	33 436	33 884
23 24	_		71 079					23						36 125	
35	1.32 75 691	76 152	76 613	77 973	77 534	77 995	78 456	25	1.34 39 262	39 710	40 1 58	40 605	41 053	41 501	41 949
26 27	1 1		79 377 84 140	1 2	- 1			26	4 5					44 187	
28	83 982	84 442	84 902	85 363	85 823	86 283	86 743		47 319	47 766	48 314	48 661	49 108	49 555	50 001
19!			87 663	_			89 503	29			-			52 237	-
30 31	1.32 89 503 92 261		93 180					30 31	1.34 52 684 55 365					57 598	
32	95 018	95 477	95 937	96 396	96 855	97 314	97 774							60 276	
33 (1.33 00 528		98 692					33						62 954 65 630	
35	1.33 03 281							35	1.34 66 076						
36 ·			06 949 09 699					36 37						70 978 73 650	
38	11 532	11 990	12 448	12 906	13 364	13 822	14 280	38	74 096	74 541	74 986	75 43E	75 876	76 321	76 766
39,			15 195				_	<u>39</u> 40	76 766					78 991 B1 660	79 43b
41	19 77 1	20 228	20 686	21 143	21 600	22 05"	22 514	41	82 104	82 549	82 994	83 438	83 883	84 327	84 773
42 43			23 429 26 171					43 ·						`86 993 89 658	
44	27 998	28 455	28 911	29 368	29 824	30 281	30 ~38	44	90 102	90 546	90 990	91 434	91 878	91 321	92 766
45	1.33 30 738		31 650 34 388						1 34 92 766					94 984 97 646	
47	36 213	36 669	37 125	37 581	38 037	38 493	38 949	4"	98 089	98 532	98 976	99 419	99 862	80 306	00 749
48			39 860						1.35 00 *49						
50	1.33 44 416		43 594					49 50	1.35 06 065,					05 522	
511	47 148	47 603	40 058	48 514	48 969	49 424	49 819	51	oB 721	09 164	09 606	10 049	10 491	10 934	11 376
52 53			50 788 53 517	-			-	52 53						13 588 16 240	
54	55 336	55 790	56 245	56 699	57 154	57 608	58 o62	54	16 682	17 124	17 566	18 008	18 450	18 892	19 334
56	1.33 58 062							55	1.35 19 334						
57			61 696 64 419					56 57						124 191 126 839	
58	66 234	66 688	67 141	67 595	68 049	68 502	68 956	58	27 280	27 711	28 163	28 604	29 045	19 486	29 927
59	98 950	ah 109	69 862	70 310	70 709	71 222	-1 070	59	29 927	20 308	30 809	31 250	31 091	32 132	32 572

Tafel IV.

		30	,o				31°
E.	0" 10'	20"	30" 40"	50"	60"	r	0" 10" 20" 30" 40" 50" 60"
0'	1 35 32 572 33 0						
2			36 538 36 979 39 180-39 621			2	91 727 92 156 92 585 93 014 93 443 93 872 94 301 94 301 94 730 45 159 95 588 96 016 96 445 96 874
3			11 Rzz 4z 262 14 462 44 901			3	96 874 97 303 97 731 98 160 98 588 99 01" 99 445 99 445 99 8*4 50 302 50 731 51 159 51 588 52 016
4	1 3 5 4 5 7 8 1 , 46 2		17 100 47 540			5	1 37 02 016 02 444 02 873 03 301 03 729 04 157 04 585
6 7			19 738 50 177			6	04 685 05 013 05 442 05 800 06 198 06 726 07 154 07 154 07 582 08 009 08 457 08 865 09 293 09 721
B	53 642 541	31 54 570 5	5 009 55 449	55 888	56 327	7	09 721 10 149 10 576 11 004 11 432 11 859 12 287
9	56 327 56 7 1.35 58 960 59 3	-	57 643 58 082			9	12 187 12 714 13 142 13 569 13 997 14 424 14 852 1 37 14 852 15 279 15 707 16 134 16 561 16 988 17 416
11			12 40R 63 346			11	17416 77843 18270 18697 19124 19551 19978
13			15 538 65 977 18 168 68 606			12	19 978 20 405 20 K32 21 259 21 686 22 113 22 540 2 22 540 22 967 23 394 23 821 24 247 24 674 25 101
14	4 4 4		0 796 71 234				25 101 25 52" 25 954 26 381 26 807 27 234 27 660
16	1 35 72 109 72 5.		3 423 73 860 6 048 76 486			15	1.37 27 660 28 087 28 513 28 940 29 366 29 792 30 219 30 219 30 645 31 071 31 497 31 924 32 350 32 776
1.7	77 361 77 7	98 78 236 7	8 673 79 110	79 548	79985	17	32 776 33 202 33 628 34 064 34 480 34 906 35 332
18	79 985180 4 82 608 83 0		81 296 81 734 83 919 84 356			181	3 5 3 3 2 3 5 7 5 8 3 6 1 8 4 3 6 6 2 0 3 7 0 3 6 3 7 4 6 2 3 7 8 8 7 3 7 8 8 7 3 8 3 1 3 3 8 7 3 9 3 9 4 6 4 3 9 5 9 0 4 0 0 1 6 4 0 4 4 1
20	1 35 85 229 85 6	6 86 103 8	6 540 86 976	87413	87.840	20	1 37 40 441 40 867 41 292 41 718 42 143 42 569 42 994
21			19 160 89 596 11 778 92 21 5			21	42 994 43 420 43 845 44 270 44 696 45 121 45 546 45 546 45 971 46 397 46 822 47 247 47 672 48 097
23	93 087 93 5	14 93 960 9	14 396 94 832	95 268	95.04	23	48 097 48 522 48 947 49 372 49 797 50 222 50 647
24	1 35 98 320 98 7		17 012 97 448 14 628 00 061			24	50 647 51 0-2 51 496 51 921 52 346 52 771 53 195
26	1 36 00 935 01 3	0 01 806 0	2 242 02 677	03113	03 548	26	55 743 56 167 56 592 57 016 57 441 57 865 58 289
27			14 855 os 290 27 466107 you			27	58 289 48 714 59 138 59 562 59 986 60 411 60 835 60 835 61 259 61 683 62 107 62 531 62 955 63 379
19			0 077/10 912				63 379 63 803 64 227 64 651 65 075 65 499 65 922
30	13611382 118		2 686 13 121 15 295 15 724			30	1 37 65 922 66 346 66 770 67 194 67 61 88 041 68 465 68 465 68 888 69 312 69 735 70 159 70 582 71 006
32	16 598 170	33 17467 1	* 902 18 336	18 771	19 205	32	
33			10 508 20 942		24 415	33	76 085 76 508 76 931 77 354 77 777 78 200 78 623
35	1 36 24 41 5 24 8.					35	
36	29 620 30 0	3 30 487 3	18 319 28 753 10 920 31 354	31 187	32 221	36 37 (
39			3 521 33 954 6 120 36 551		34 820	38	86 230 86 652 87 075 8* 497 8* 919 88 342 88 764 88 764 89 186 89 608 90 030 90 452 90 8*4 92 296
40	1 36 37 419 37 8	2 38 28 5 3	8 *18 39 151	39 583	40 016	-	- 1
41			11 315 41 °47		42 613	41 42	93 828 94 250 94 671 95 093 95 515 95 937 96 358 96 358 96 780 97 202 97 623 98 045 98 406 98 888
43	45 208 45 6	10 46 072 4	16 505 46 437	47 369	47 802	43	98 888 99 304 99 731 80 152 00 573 00 995 01 416
44			19 098 49 530 11 691 51 122			44	1.38 of 416 of 83" oz 259 oz 680 oz 101 oz 522 oz 943 1 38 oz 943 o4 365 o4 786 oz 207 oz 628 o6 049'ob 470
46	52 986 53 4	18 53 850 5	4 282 54 713	55 145	55577	46	06 4-0 06 891 07 312 07 733 08 153 08 5-4 08 995
4° 48			50 872 57 303 59 461 59 892				08 995 09 416 09 836 10 257 10 678 11 099 11 519 11 519 11 940 12 360 12 781 13 201 13 622 14 042
49	60 755 61 1	36 51 61 - 6	2 0 4 8 6 2 4 8 0	62 911	63 3 12	49	14 042 14 463 14 883 15 303 15 724 16 144 16 564
50	1 36 63 342 63 ° 65 928 00 3		04 635 65 066 07 221 67 651			50 51	138 16 564 16 985 17 405 17 825 18 145 18 665 19 085
52	68 513 68 0	14 69 374 6	9 805 -0 236	70 666	71 097	52	21 005 22 025 22 445 22 865 23 285 23 705,24 324
53			72 388 72 819 74 971 75 401			53	24 124 24 544 24 964 25 181 25 801 26 223 26 642 26 642 27 062 27 481 2* 901 28 320 28 *40 29 159
55	1.36 76 261 76 6	91 77 121 7	77 552 77 982	78 412	78 842	55	1 38 24 154 24 578 24 998 30 417 30 836 31 256 31 675
56			30 132 80 561 32 710 83 140				31 6°5 32 094 32 513 32 932 33 352 33 771 34 190 34 190 34 609 35 028 35 447 35 866 36 285 30 703
58	83 999 84 4	29 84 858 8	35 288 85 718	R6 147	86 576	58	36 703 37 122 37 541 37 960 38 379 38 79" 39 216
59	370 370	0/435 0	87 865 88 294	88 723	89 152	39	39 216 39 635 40 054 40 472 40 891 41 309 41 "28

Tafel IV.

							log	M							
Г			3:	20				T i			3:	30			
10 %	ο"	10"	30"	30"	40"	50"	60"	v	o"	10"	20"	30"	40"	50"	60"
o'	1.38 41 728										91 399	91 808	92 216	92 615	93 033
1 3				45 493 48 003						93 441				95 075	
3				50 51:										99 971	
4				53 018					1.40 00 380					02 419	_
6	1.38 54 271			55 524					1.40 02 827				06 902	04 865	05 27
7 8	59 281	59 698	60 115	60 533	60 950	61 367	61 784	7	07 718	08 126	08 533	08 940	09 348	9 755	
				63 036			1		10 162 12 606	13 013	10 977	1 2 1	11 791		Ι.
9 10				1			69 288	1 1	1.40 15 048		15 862		16 676		17 489
111	69 288	69 705	70 123	70 538	70 955	71 371	71 788	[m]		17 896	18 303	18 710	19 116	19 523	19 930
12 13				73 037 75 535					19 930 22 369					21 963	
[14 ₁₁				78 032						25 214			26 433		
15	1.38 79 280						81 775		1 40 27 245	27 651			18 870		
16 17				83 022					29 682 32 117					31 711	32 117
18	86 763	87 178	87 593	88 009	88 414	88 840	89 255		34 552		35 363	35 769	36 175	16 580	36 916
19		-		90 501			1			37 391	***		$\overline{}$	39 013	
20 21				92 991			94 236	20; 21;		39 B24	40 229		41 040	41 445	41 851
33	96 726	97 140	97 555	97 970	98 38 5	98 799	99 214	22	44 282	44 687	45 091	45 497	45 901	46 307	46 712
23	99 214		1 -	02 944			01 701		46 712 49 141	49 545	49 950	47 916		48 736 51 164	
25	1.39 04 187				1000	-	06 673	6	1.40 51 569			52 782		53 592	
26	06 673	07 087	07 501	07 915	08 329	08 743	09 157	26	53 996	\$4 400	54 805	55 209	55 614	56 or 8	56 422
27		12 054		10 398		13 709		■ ± II	56 421 58 848					58 443 60 868	
29	14 122			15 363	:	16 190		1 1						63 292	
30	1 39 16 603		17 430		_	18 670		- 1		64 099	64 503	64 907	65 311	65 714	66 rrt
32		19 497		20 323		21 150 23 628		31						68 136 70 557	
33	24 041	24 454	24 867	25 280	25 693	26 106	26 518	33	70 961	71 364	71 767	72 171	72 574	72 977	73 310
34	1	26 931	1			18 5 R 2	744	34		73 784	1		74 993	- —	75 799
35		29 407 31 882		32 707		31 057		36	78 217					77 814 80 23 T	
37	33 944	34 356	34 769	35 181.	35 593	36 005	36 41-	3- '	80 634	81 037	81 440	BI 842	82 245	82 648	83 050
38	38 890			40 125	40 537			39 /		M3 453 M5 868				85 063 87 477	82 462
40	1.39 41 361							40	1.40 87 880					89 891	
414	43 831	44 243	44 655	45 066	45.478	42 883	46 301	41 13	90 293			91 499	91 901	92 304	92 706
43 H	48 769							43 J	95 117	95 519	95 921	96 322	96 724	94 715 97 126	97 518
44	51 236	ζ1 64B	\$2 059	52 470	52 881	53 292	53 703	11	97 528	97 929	98 331	98 733	99 134	99 536	99 937
45 46	1 39 53 703 56 168	54 114	54 525	54 936	55 347	55 757	56 16B	45 1	1,40 99 937	00 339	00 740	01 142	01 543:	Öt 945	02 346
47,	ç8 633	59 043 '	59 454	59 865	60 275.	686 00	61 096	47	04 754 1	05 155 1	05 556	05 958	o6 359 l	o6 76o -	07 161
48	61 096	61 50- 6	61 917	61 328	62 73R	63 148	63 559	48 [07 161 (07 562 1	07 963	o8 3641i	08 7651	09 166 -	09 567.
49 50	63 559 (1 39 66 020 (50	09 (6- 0						
ξI	68 4811	68 891	69 301	69 711 '	70 111	70 (30	70 940	51.	14 376	1477"	15 178	15 578	15 9791	16 379	16 780
52 53 il	70 940 °								16 780 1	17 1801	17 581	17 981	18 382	18 782	19 182
53 ⁽¹ 54 ₍₁	73 399 75 B5=								19 18211 21 584 2	21 984 :	22 3R4	22 784 :	23 184):	23 584 ;	13 984 13 984
5571	L 39 78 313 [*] 1	8 723	9 132	79 541	-9 950	80 360 3	80 769	551	1.41 23 98411	1 181 +	14 784	25 1841:	25 584	25 9RJ 2	6 184
56	80 769 8 83 224 1	31.1-8 (\$1 58± 3	81996	82 406	Ra Mig :	83 224	56	26 384 2 28 783 2	26 784 2	184	27 584 i:	17 983 :	28 383.1	R 783
58	85 677 1	16 oli6 1	16 495 1	86 904 8	87 313	87 722 8	1051 88	58	31 181 3	11 5 Ro 3	1 980	32 380 3	32 779	33 179'3	3 578
59 H	88 130 1	18 539 1	38 948 1	89 356;1	89 765	90 174 1	90 582	59	33 578 3	3 977	4 377	34 776	15 175	35 575 3	5 974
-															

	419 418	+17 416	414.4	14 413	412 4	11 410 409	408 407 406	405 404 403 402	401 400 199
1.	8, k 9,.6	دراه به چاف	2 Sq. 1	12 h 6 1 6	Bra R	22 820 818	816 814, 812	45.5 40 4 47 1 47.2 81.0, 80 8 80.6 80.4	80.2 BD 0 79.8 2
4	169 6 169 2	166 8 (66) a	166 → x6	55 6 165 2	164 8 16	4.4 104 0 161 6	161 8 162 8 162 4	121 \$ 121 2 120,0 120.6 162 0 161 6 161 2 160 8	160,4 160.0 159.6 4
6	251 4 254 8	250-2-24 - 0	24 / 22	18 41247 B	247.3 24	6.6,246.0 245 4.	244 6 244 - 243.6	207 5 202 C 201,5 201.0 243 0 242 4 241 8 241 2 263 5282 8 282 1 281 4	240 6 240.0 239.4 6
R ,	135 2,334 4	333.6 332 8	31203	EF 2 330 4	gag 6 gal	8 8 328 0 327.2	126.4 325.6 384 8	384 0,321,2,322,4,321,6 364 5,363,6362 7,362,8	320.8, 380.0, 310.2 8

Tafel IV.

				log	M.							
		34						-38	50			
e	0" 10"	20" 30"	40" 50"	6o"	P	0"	10"	20"	302	40"	ξ0"	60"
0	1.41 35 974 36 373				o'	1 42 78 141						
2		39 168 39 567			1 2						82 437 84 778	
3	43 157 43 556	43 955 44 354	44 752 45 151	45 550	3	85 169	85 559	85 949	86 339	86 729	8+119	R= 510
4 5	1 41 47 941 48 340	46 347 46 -46		-	± 5	1,42 89 850		* ·			89 460	
6	50 332 50 731	\$1 129 51 527	51 926 52 324	92 722	6	92 189	92 579	92 968	93 358	93 748	94 138	94 527
7 8		53 519 53 917			7 B						95 475	
9		18 295 58 693			9						ÖI 148	
11	62 273 62 670	63 068 63 466			11	03 873					03 483	
12		65 453 65 851 67 838 68 235									08 151	
13		70 221 70 611			13						12816	
15	1 41 71 809 72 206	72 603 73 000			15	1.43 13 205						
1 -	76 572 76 969	77 366 77 763	*8 159 78 556	78 953		17 866	18 254	18 642	19031	19 419	19 807	20 195
18		79 746 80 142 82 125 82 521				_		_		_	24 464	_
20	1 41 83 710 84 107			-		1 43 24 851						
11		86 880 87 276 89 257 89 653									29 117 31 442	
23	90 840 91 236	91 632 92 028	92 424 92 R20	93 215	23	31 830	32 217	32 605	32 992	33 379	33 767	34 154
24	93 214 93 611	94 007 94 102				34 154 1 43 36 478					36 091	
26	97 963 98 358	198 753 99 149	99 544 99 940	ô0 335	26	38 801	39 188	39 5751	39 962	40 349	40 736	41 (23
18	1 42 00 335 00 730	03 49" 03 892					_				45 378	
29	05 077 05 472	05 867 06 262	06 657 07 052	07 447	29	45 764	46 151	46 537	46 924	47 311	47 69*	48 084
30	09 816 10 210	08 236 08 631 10 505 11 000				1.43 48 084					52 334	
32	12 184 12 578	12 973 13 367	13 762 14 156	14 551	32	52 721	53 107	53 493	\$3 879	54 2651	54 652	55 038
33		15 340 15 734			33 '						56 968	
35	1 42 19 282 19 677	20 071 20 465	20 859 21 253	21 647	35	1 43 59 600	60 056	60 441	60 827	61 213	61 599	61 984
36		24 435 22 829			36 37	64 298		_				
38	26 373 26 767	27 161 27 555	27 948 28 342	28 735	38	66 612	66 997	67 382	67 768	68 153	68 539	68 924
39 40	1 42 31 097 31 490	29 523 29 916			40	68 424						
41	33 457 33 850	34 243 34 637	35 030 35 423	35 816	41	73 546	73 931	74 316	74 701	75 086	75.471	75 856
42		36 603 36 946				75 855					77 781 80 084	
44	10 633 40 925	41318 41711	42 104 42 497	42 889	44						82 397	
45 46	45 245 45 638	46 031 46 423			45 46	1 43 82 781 85 0 88	85 473	85 857	86 241	86 6z6	87 010	87 394
47 48		48 385 48 478 . 50 740 51 132			47 48	87 394 89 699					89 315	
49		53 043 53 485				92 004						
50	1.42 54 661 55 053					1.43 94 307						
51		60 147 60 539 1			5 E	96 610	99 296	99 680	ô0 063	ōo 44"	ão 830 -	01 214
53		62 49" 62 889 6			53	03 514						
55	1 42 66 412 66 803				_	1 44 05 B14	06 197	cb 480	06 963	0" 346	07 730	0R 113
56 57	68 759 69 130	69 541 69 933 1 11 888 72 279	0 324 70 715	71 106		08 113					10 028	
5B	73 452 73 843	74 233 "4 624 "	7 015 75 406	75 797	58	12 708	13 091	13 474	13 857	14 239	14 622	15005
59	75 797 76 189	76 578 76 969	77 360 77 750	-8 141	59	15 005	1 5 387	1 9 770	16 153	16 5 3 5	16918	1 7 301

	400	399	398	397	396	395	394	393	392	391	390	399	388	387	386	385	387	383	3 B z	
1 7	40-a 8a,																			
1	E 21.7. 17	Liu7	1 4	14	1 118 1	1 8 5	. 1812	1.7 1	17.5	177	117 1	11 + 7	110.4	1 9.4	1 5 8	15 5	1 5 2	it4	E14 6	4
5	260 200 s	1 p 3	1 /1 - 2	r 5	5 7 12 2	1.79	7 *	11/5	- 19E c	175 5	1,9	114.5	1 4	T , S	19	5	1 6	91.5		4 5
	286																		20 7 4	6
	2.00	319.8	18.4	417	6 316 3	5 936 0	119 2	774 4		за В	3 0	311.	. 4	546	.69.8	$_{q^{\prime}}(H)_{-2}$	3.77	izib a	146	8

. Tafel IV.

							log	M.							
			36	3º							37	70			
ø (o"	10"	20"	30"	40"	50"	60"	e 1	0"	10"	20"	30"	40"	5o″ _	60"
01	1,44 17 301						19 596	01	1.45 53 653					55 528	
3		19978						1 2	55 903 58 152					57 778 60 026	
3		24 565						3	60 401	60 775	61 150	61 525	61 899	62 274	62 648
4							28 768	4						66 767	
5	1.44 18 768 31 059	31 441					31 059	6	1.45 64 895 67 142		65 644			69 013	
7		33 731						7	69 3R7		1 - 1		_	71 258	
8		38 309		39 072			40 216	91		74 250				73 502	
10	1.44 40 216			41 359			42 503	ru	1.45 76 119		76 867	77 241	77 614		1 5 7
13		42 894						11		78 735 Bo 977				80 230 82 47 I	1
13	47 075	47 456	47 837	48 218	48 599	48 979	49 360	13	82 845	83 218	83 592	83 965	84 339	84 712	85 of
14	49 360 1.44 51 644	49 741						14	85 OBS 1.45 B7 325		85 832			86 952 89 191	
16	53 918	54 308	54 689	55 069	55 450	55 H30	56 210	16	89 564	89 937	90 310	90 683	91 056	91 429	91 801
17 18	· .	56 591 58 873				1.5	* '*	17	91 802 94 040	-				93 667	
19		61 154						19	96 177	1 * : : -	97 022			98 140	
20	1.44 63 054			64 194				30	1.45 98 513		99 258	99 631		ão 376	
22							67 612 69 890	21	1 46 00 748					04 845	
23		70 270						23		05 590				07 078	
24 25	1.44 74 444	72 547		73 306		_	-	24 25	1.46 09 683	10 055	•——			11 543	_
26	76 720	77 099	77 479	77 858	78 237	78 616	78 995	26	11915	12 287	12 659	13 031	13 403	13 774	14 146
27 28		79 374 81 649	1			1. 1	81 270	27						16 005	
29							85 816			18 978			20 093		
30							'88 o88 90 359,	- 1	1,46 20 836				_	24 921	_
32	90 3 59	90 738	91 116	91 495	91 873	92 251	92 630		25 292	25 663	26 034	26 405	26 776	27 148	27 519
33 34		93 008					94 900	33 34		27 890 30 116	_	I		39 374 31 600	
35		1.				_		35	1.46 31 971						
36 37	99 437 1.45 01 704						81 704	36 37						36 049 38 273	
38		04 349		_	_		-	3 B						40 495	
39	06 237			-			08 503	_		41 236				42 718	
40 41							10 76-	40 41	1.46 43 OBS 45 309					44 939	
42	13 03 1	13 40B	13 785	14 163	14 540	14 917	, 15 294	42	47 530	47 900	48 270	48 640	,49 010	49 380	49 75
43 ·							17 556 14 81N							51 600 53 818	
45	1.45 19 818	20 195	20 572	20 948	21 325	21 702	22 079	45	1 46 54 188	54 558	54 927	55 297	55 667	56 036	56.40
46 47							24 339 26 598							· 58 254 · 60 470	
48	26 598	26 975	- 27 351	27 728	28 104	28 480	28 8 57	48	60 840	61 209	61 578	61 948	62 317	62 686	63 05
49 50	28 857 1 45 31 L15	1		_			31 115		63 056					64 902	
SI	33 372	33 748	34 124	34 600	34 876	35 252	35 624	51						69 330	
52 53							37 8R4 40 139							71 543	
54							42 393							73 756	
55	1.45 42 393							55	1 46 76 336	76 705	77 073	77 442	77 8 to	78 179	78 54
56 57							46 899							80 389	
<8	121 04	49 527	49 902	50 277	50 652	51 02B	51 403	58	82 967	83 336	83 704	84 072	84 440	84 808	85 176
59	51 403	.51 778	52 153	52 528	52 903	53 27H	53 053	02	8 (176	85 544	85 911	80 181	89 949	87 017	H7 385

Tafel IV.

							log	M.			•				
l —			38	30				Γ			36	→ °			
v :	i " o"	10"	30"	30"	_40"	50"	60″	r	o <u>"</u>	10"	20"	30"	40"	50"	60"
၀]] ျ	1.46 87 385 89 592	87 753 89 960	88 131 90 328	1 5 5	88 857 91 064		89 592 91 799	01	1,48 18 666					20 473 22 641	
8	91 799	92 167	92 535	92 903	93 270	93 638	94 006	3	23 002	23 363	23 724	24 085	34 447	24 808	25 169
3	94 006	94 373 96 579	94 741 96 946		95 476 97 681			3 4	25 169 27 335!					36 974 39 140	
5	1.46 98 416	98 784	99 151	99 518	99 886	õ0 253	ōo 610	5	1.48 29 501	29 863	30 323	30 583	30 944	31 305	31 666
7	1.47 00 620			03 925		02 457 04 660	05 017	7	31 666 33 830		34 554			33 469 35 633	
9				06 118				8						37 797 39 959	
10	1.47 09 431							10		'				42 121	
111				12 732 14 932			13 832 116 031	11						44 283	
13	16 031	16 398	16 764	17 131	17 497	17 864	18 230	[13]	46 803	47 163	47 523	47 883	48 243	48 603	48 963
15	1.47 20 428			19 <u>329</u> 21 527	l — i			14						50 763 51 922	51 123
16	32 636	21 992	23 358	23 724	24 090	24 457	24 823	16	53 281	53 641	54 001	54 360	54 720	55 080	55 439
17 18	17019	27 385	27 751	25 921 28 117	28 483	28 849	19 214	17						57 237 59 394	
19				30 312				19 20						61 551	
21	33 603	33 969	34 335	34 700	35 066	35 431	35 797	21 🥫	64 066	64 425	64 784	65 143	65 502	65 R61	66 221
23				36 893 1 39 086				23 J						70 170	
34	40 182	40 547	40 913	41 278	41 643	42 008	42 374	34	70 529	70 888	71 347	71 605	71 964	72 323	72 682
15 16				43 469' 45 660				25 26	74 834					74 476	
27 28				47 850			48 944 51 133	27						78 779 80 930	
19	51 133	51 498	51 863	52 127	52 592	52 957	53 321	29	B1 288	81 647	\$2 00 ¢	82 363	82 722	83 080	83 438
30 31	1.47 53 321			54 415 56 603				30 31	E,48 83 438					85 130 87 378	
32	57 696	58 060	58 425	58 789	59 153	59 518	59 882	33	87 737	88 095	88 453	88 811	89 169	89 527	89 885
33			60 61 I	63 160	61 339		r - 1	33			_			91 674	
	1.47 64 253				65 709			35	1.48 94 179						96 326
36 37				67 529		70 440	70 804	36						98 114 30 259	
38 39		71 167 73 350		71 895	72 259	72 622 74 RO4	72 986 75 168	38 39						02 404	
40	1.47 75 168	75 531	75 895	76 258	76 622	76 985	77 349	40	1.49 04 905	05 262	05 620	05 977	06 334	o6 691	07 048
43 43			78 076 80 256	1	78 802 80 982			41 \ 42						10 976	
43	81 709	81 071	82 435		83 162	83 525	83 888		11 333	11 690	12 047	12 404	12 761	[13.118]	T3 475
45	1.47 86 067							45	1.49 15 616	15 972	16 329	16 686	17 043	15 259	17 756
46 47	88 244	88 607	88 970	89 333	89 696	90 059	90 421 92 598	46	17 756	18 113	18 469	18 826	19 182	19 539 21 678	19 896
48	92 598	92 961	93 323	93 686	94 049	94 411	94 774	48	22 035	22 391	22 748	33 104	23 460	23 817	24 173
50.							96 949		1.49 26 311					25 955	
gs '	99 124	99 486	99 848	00 211	đo 573	õo 935	ði 198	5τ∥	28 448	28 Bos	29 161	29 \$17	29 873	30 229	30 585
52 j 53	1.48 01 298						03 47 L 05 644,							32 365 34 501	
54	05 644	06 006	06 368	06 730	07 092	07 454	07 816	54	34 857	35 212	35 568	35 934	36 280	36 636	36 991
55 t	1.48 07 816	10 349	10 711	11 073	11 434	11 796	12 158	55°	1.49 36 99 I 39 I 26					40 904	
57 i 58	12 t 58	12 519	12 881	13 243	13 505	13 966	14 328	57 88:1	41 259	41 615	41 971	42 326	42 682	43 037 45 170	43 393
59	16 497	16 \$59	17 220	17 582	17 943	18 305	18 666	59 1	45 525	45 880	46 236	46 591	46 946	47 302	47 657
_	,							-						-	

3	68	367	366	365	364	363	362	361	360	359	35B	35"	356	355	
													35.6		1
													206 B	71 D to6.5	3
													149 4 178 o		+
													213 6		6
													240 2 284 81	248.5	7
													300,4		9

Tafel IV.

Г	log M.														
\vdash			40	D ^o			410								
10	0"	to"	20"	30"	40"	50"	60"	ש	0"	to"	20 ^H	30"	40"	50"	60"
0'	1.49 47 657							01	1.50 74 505					1	
1 2			50 499				51 919 54 049	1						78 349 80 445	
3	54 049	54 404	54 759	55 114	55 469	55 824	56 179	3	80 794	81 143	81 493	81 842	82 191	82 540	82 889
5	1.49 58 307		56 888		57 598			4!	1.50 84 984	83 238 Rs 222				86 729	
6	60 436	60 790	61 145	61 500	61 854	62 209	62 564	6	87 078	87 427	87 776	88 125	87 474	\$8 B22	89 171
7 8			65 400					2,						'90 91 5 !93 008	
9			67 526					. 9	93 357	93 705	94 054	94 403	94 751	95 100	95 441
10 11	1.49 68 943						71 069	10	1.50 95 448					97 191	
12							75 318	12						01 372	
13			76 026					131	1.51 01 721					03 462	
15	1,49 79 564						79 564	15	1.51 05 899			-		07 640	
16	81 687	B2 040	82 394	82 748	83 101	B3 455	83 809	16	07 988	08 3 3 6	08 684	09 032	09 380	09 728	10 076
17	85 930						85 930 88 051	18	10 076					11 815	
19		88 101	88 757	89 111	89 464	B9 817	90 171	19	14 250	14 598	14 945	15 293	15 641	15 989	16 336
20 21	1.49 90 171						92 290	20 21	1.51 16 336	1 - '		17 379		18 075	
32			95 115					22	20 507	20 855	21 201	11 550	21 897	22 345	22 592
23 24							98 645		2.7.2	22 939	_			26 41 3	
25	1,50 00 763				-			25	1.51 26 760		-			18 496	
26	01 879	03 132	03 585	03 937	04 290	04 643	04 995	26	28 843	29 190	29 537	29 884	30 231	30 578	
27 28							07 111			31 273				32 661 34 742	
29			09 931					19	35 089	35 436	35 783	36 129	36 476	36 823	37 170
30			12 045					30 31	1.51 37 170	37 517 39 597				38 904	39 250 41 330
32							17 680							43 063	
33		_	18 384				19 792	1		43 756		44 449 46 527		45 14Z 47 230	
34 35							1	34	1.51 47 566					49 198	47 566
36	24 014	24 366	24 718	25 069	25 421	25 773	26 124	36	49 644	19 990	50 337	50 683	51 029	51 375	51 721
37 · 38							28 234 30 343	37 1 38						53 452 55 528	
39				_			32 452	39						57 604	
40 T	1.50 32 452						34 560 36 667		1.51 57 950					61 753	_ *
42			37 370					41 42	62 099	62 445	62 790	63 136	63 482	63 B27	64 173
43	38 774	39 125	39 476	39 R28	40 179	40 530	40 881	43						65 901 67 974	
.44 .45	1 50 42 986						45 092	45 4	1 51 68 319						
46	45 092	45 442	45 793	46 144	46 495	46 845	47 196		70 392	70 737	71 082	~1 428	71 773	72 1 LB	-2 464
47							49 300							74 190' 76 261	
49							53 507	49	76 606	*6 951	77 396	77 641	77 986	78 331	78 676
50								50	1 51 78 676					80 401	
51 52			56 310 58 411				59 812	51 52					_	84 539	
53							61 913		84 884	85 228	85 573	85 918	86 263	86 607	R6 952
54 55	1,50 64 013						64 013		1.51 89 019					88 675	
56	66 113	66 463	66 812	6- 162	67 512	67 862	68 212	56	91 087	91 431	91 776	92 120	92 464	92 809	93 153
57 ·							70 310 72 40R							94 875	
59							74 505							99 006	
	_							_							

Tafel IV.

log M.															
		4:	2 °					430							
97	0" 10	" 20"	30"	40"	50"	60"	27	0" 10" 20" 30" 40" 50" 60"							
0'	1,51 99 350 99 6						o' L	1 53 22 320 22 659 22 998 23 337 23 6-6 24 015 24 354 24 354 24 693 25 032 25 378 25 780 26 049 26 388							
2	03 478 03 8	22 04 166	01510	04 854	05 198	05 542	2	26 388 26 727 27 066 27 405 27 743 28 082 28 421							
3	07 605 07 9						3 4	28 421 28 760 29 099 29 438 29 776 30 116 30 454 30 454 30 793 31 132 31 470 31 809 32 148 32 486							
5	1 52 09 66- 10 0	11 10 355	10 698	11 042	11 386	11 729	٩	1 53 32 486 32 825 33 164 33 502 33 842 34 180 34 518							
6	11 729 12 0						7	34 518 34 857 35 196 35 534 35 873 36 211 36 550 36 550 36 888 37 227 37 565 37 904 38 242 38 581							
8	15 851 16 1			_	-	-	8	38 581 38 919 39 258 39 596 39 934 40 273 40 611							
10	1 52 19 972 20 3						10	40 611 40 949 41 288 41 626 41 964 42 303 42 641							
11	22 031 22 3	74 22 717	23 060	23 404	23 74*	24 090	11	44 671 45 000 45 347 45 685 46 023 46 361 46 400							
13	26 148 26 1						13	46 *00 47 038 47 376 4* *14 48 052 48 340 48 728 48 *28 49 066 49 404 49 742 50 080 50 41% 50 *56							
14	28 205 28 5 1 52 30 263 30 6						14	50 756 51 094 51 432 51 770 52 108 52 446 52 784							
16	32 320 32 b	63 33 005	33 348	33 691	34 934	34 376	16	1 53 52 784 53 122 53 459 53 "97 54 135 54 4"3 54 811 54 811 55 149 55 486 55 824 56 162 56 500 56 837							
17	34 3°0 34 7 36 432 36 7						17	56 837 57 175 57 513 57 850 58 188 58 526 58 863 58 863 59 201 59 539 59 876 60 214 60 552 50 889							
19	38 487 38 B	30 39 172	39 515	39 857	40 200	40 (41	19]	60 884 61 227 61 564 61 902 62 234 62 577 62 914							
20	42 596 42 9						20	1 53 62 914 63 252 63 589 63 92" 64 264 64 662 64 939 64 939 65 953 66 953							
32	44 650 44 9	92 45 334	45677	16 013	46 361	46 703	22	66 963 57 300 67 638 67 975 68 312 68 650, 68 987							
23	46 703 47 0 48 776 49 0						23	68 98" 69 324 69 661 69 999 "0 336 "0 6"3 1"1 010 71 010 "1 347 "1 684 72 022 "2 359 "2 696 "3 033							
25	1.52 50 808 51 1 52 860 53 2					-	25	1 53 73 033 73 300 73 707 74 044 74 381 74 718 73 055 75 055 75 392 75 729 76 066 176 403 76 740 77 077							
27	54 911 55 2	53 55 594	55 936	96 278	56 620	56 962	27	7" 0" 7" 414 77 751 78 088 78 425 78 762 79 099							
18	56 962 57 3 59 012 59 3						28	79 099 79 435 79 772 80 109 80 446 80 783 81 119 81 119 81 446 81 793 82 130 82 466 82 803 83 140							
30	1 52 61 061 61 4	.03 61 744	62 086	62.428	62 769	63 111	30	1 53 83 140 83 477 83 813 84 150 84 487 84 823 85 160							
31	65 159 65 5						31 32	85 160 N5 196 85 833 86 170 N6 506 N6 843 N7 179 87 179 87 516 87 K52 88 189 88 525 48 K62 N9 198							
33	69 255 69 5						33	89 198 89 535 89 871 90 208 90 544 90 880 91 217 91 217 91 853 91 890 92 226 92 562 92 899 93 235							
34	1 52 71 302 71 6	*					35	1.53 93 235 43 571 93 908 94 244 94 580 94 916 45 253							
36 37	73 349 73 6						36 37	95 253 95 589 95 925 96 261 96 59* 96 934 97 2*0 9* 2*0 9* 606 9* 942 98 278 98 614 98 950 49 286							
3 B	77 441 77 7	82 78 122	78 463	78 804	79 145	79 496	38	99 286 99 622 99 958 00 295 00 631 00 96- 01 303							
40	79 486 79 8	_						1.54 01 303 01 634 01 9 5 102 5 46 02 482 03 318							
41	83 575 83 9	15 84 256	84 496	84 93"	85.278	85 618	41	05 334 05 664 06 005 06 341 06 6** 0* 013 0* 348							
43	85 618 85 9 87 661 88 c							07 348 07 684 08 020 08 346 08 691 09 027 09 363							
44	89 704 90 0						44	11 3** 11 *12 12 048 12 383 12 *19 13 055 13 390							
45 46	93 788 44 1							1 54 13 390 13 *26 14 061 14 39* 14 *32 15 068 15 403 15 403 15 *38 16 0* 16 409 16 *45 * 080 1* 416							
47 48	95 829 96 1							17 416 17 "51 18 086 18 422 18 "5" 14 092 14 428							
49	99 910 00 2							21 439,21 774 22 110 12 445 22 780 23 115 23 450							
50 51	1 53 01 950 02 2						50	1 54 23 450 23 784 24 121 24 456 24 791 25 126 25 461 25 461 25 796 26 131 26 466 26 801 27 130 77 471							
52	06 028 06 3	61 00 701	07 047	07 386	07 726	08 056	52	27 4"1 2" 806 28 141 28 476 28 811 19 146 19 481							
53 54	08 066 08 4 10 104 10 4						53	29 481 29 816 30 151 30 486 30 820 31 155 31 490 31 490 31 825 32 160 32 495 32 829 33 164 33 499							
55	1 53 12 141 124	80 12 820	13 159	13 499	13 838	14 178	5.5	1.54 33 499 33 834, 34 168 34 503 34 838 35 173 35 507							
56	14 178 14 5 16 214 16 5							3 5 5 5 7 3 5 8 4 2 3 5 1 7 7 3 5 5 1 1 3 5 8 4 6 3 7 1 8 1 5 7 5 1 5 1 5 1 7 5 1 5 1 7 5 1 5 1 7 5 1 5 1							
58	18 250 18 5	89 18 928	14.26*	19 60"	19 946	20 285	58	39 523 39 857 40 192 40 526 40 861 11 195 11 530							
59	20 285 20 6	24 20 903	21 302	21 042	21 461	22 520	\$9	41 530 41 864 42 199 42 533 42 867 43 202 43 536							

344 343 342 341 340 339 338 337 336 335, 334

Tafel IV.

0" 10" 30" 40" 50" 60" 1 0" 30" 30" 40" 50" 60" 1 0" 10" 30" 30" 30" 40" 50" 60" 1 1.54 4.3 554 4.3 567 4.3 56	log M.												
0 1.54 43 536 43 871 44 805 44 539 44 874 45 808 15 548 0 1.55 63 113 63 443 63 773 64 103 64 4781 65 797 1 4 45 543 45 877 48 21 14 45 543 45 877 48 47 71 14 45 543 45 877 48 47 71 14 45 543 45 877 48 47 71 14 45 543 45 877 48 47 71 14 45 543 45 877 48 47 71 14 45 543 45 877 48 47 71 14 45 543 45 877 48 47 71 14 45 543 45 877 48 47 71 14 45 543 45 877 48 47 71 14 45 543 45 877 48 47 71 14 14 14 14 14 14 14 14 14 14 14 14 14	-	4.40		<u> </u>									
4 5 543 45 877 16 311 46 545 46 879 47 314 17 548 1	e _ o" _1o"	20" 30" 4	o" 50" 60"		o# I	10"	30"	30"	40"	50"	60"		
4 7 548 47 888 48 816 6 88 551 48 885 49 819 49 523 8 69 72 69 72 69 72 69 72 69 72 60 60 16 83 91 68 721 69 92 69 84 60 60 16 83 91 68 721 69 92 60 60 60 60 60 60 60 60 60 60 60 60 60				3 0	1,55 63 113	63 443	63 773	64 103	64 433	64 763	65 093		
1	10 0 1												
1, 1, 1, 1, 1, 1, 1, 1, 1, 1, 1, 1, 1,													
7													
8	, ,,,,,,,,,,,,,,,,,,,,,,,,,,,,,,,,,,,,,			- 1									
10	8 59 572 59 906	60 240 60 573 60	907 61 241 61 57	5 8	78 939	79 268	79 597	79 947	80 256	80 586	\$0 9E5		
11				-									
13	11 65 578 65 912	66 245 66 579 66	912 67 246 67 57	9 11 9	84 866	85 195	85 525	85 854	86 183	86 512	86 841		
14													
16	14 71 580 71 913	72 247 72 580 72	913 73 147 73 58	0 14	90 790	91 119	91 448	91 777	92 106	92 435	92 764		
17													
10 81 574 81 907 82 240 84 573 84 906 83 239 83 675 80 908 82 240 83 905 84 388 84 570 84 903 82 240 83 905 84 388 84 570 84 903 82 240 83 805 83 80 98 80 83 80 80 80 80 83 90 80 80 98 90 83 80 80 80 90 98 80 83 80 80 80 80 90 98 80 83 80 80 80 80 90 98 80 83 90 80 80 90 98 80 83 90 80 80 90 98 80 83 90 80 80 90 98 80 83 90 80 80 90 98 80 83 90 80 80 90 98 80 83 90 80 80 80 90 98 80 83 90 80 80 90 98 80 83 90 80 80 90 98 80 83 90 80 80 90 98 80 83 90 98 80 90 90 90 90 90 90 90 90 90 90 90 90 90	17 77 578 77 911	78 244 78 577 78	910 79 243 79 57	6 17	96 710	97 039	97 368	97 696	98 025	98 354	98 683		
1. 54 83 572 83 905 84 938 84 570 84 907 85 236 85 509 80 73 733 87 566 1 1 496 87 589 88 237 88 564 88 896 89 89 29 89 562 22 04 58 89 88 237 88 564 88 896 89 28 92 89 562 22 04 58 89 99 24 22 25 25 24 25 25 24 25 25 24 25 25 24 25 25 24 25 25 24 25 25 25 24 25 25 25 24 25 25 24 25 25 24 25 25 24 25 25 24 25 25 24 25 25 24 25 25 25 25 25 25 25 25 25 25 25 25 25				1									
28	20 1.54 83 572 83 905	84 238 84 570 84	903 85 236 85 56	9 20	1.56 02 626	02 955	03 284	03 612	03 941	04 269	04 598		
38													
25					08 539	08 867	09 196	09 524	09 851	10 181	10 509		
26							-			*			
28 99 536 99 868 80 apt 80 525 80 525	26 95 548 95 880				14 448								
30						18 713	19 041	19 369	19 697	20 025	30 353		
31				_				_					
9 9 99 99 831 10 103 10 495 10 828 11 159 11 491 33													
34													
36	34 11 491 11 823	12 154 12 486 12	818 13 150 13 48	2 34	30 187	30 514	30 842	31 169	31 497	31 825	32 152		
37													
21 441 21 772 22 104 22 435 22 767 23 098 23 430 39 40 010 40 33" 40 665 40 992 41 319 41 646 41 973 40 610 40 33" 40 665 40 992 41 319 41 646 41 973 42 41 85 418 85 749 16 080 26 412 26 743 2 20 074 17 080 41 42 42 42 42 67 43 2 20 074 17 080 41 42 42 42 67 43 2 20 074 17 080 41 42 42 63 44 616 44 946 42 18 982 48 913 49 243 49 554 48 515 48 842 49 823 50 866 47 85 94 85 94 85 94 85 95 948 948 948 948 948 948 948 948 948 948	37 17 462 17 794	LR 125 LR 457 18	789 19 120 19 45	2 37	36 082	36 409	36 732	37 064	37 391	37719	38 046		
40				1 -									
42	40 1.55 23 430 23 761	24 092 24 424 24	755 25 086, 25 41	8 40									
43													
45 1 55 33 367 33 698 34 029 34 360 34 691 35 022 35 353 45	43 29 393 29 724	30055 30387 30	718 31 049 31 38	o 43	47 861	48 188	48 515	48 842	49 169	49 496	49 813		
46													
48	46 35 353 35 684	36 015 36 346 36	677 37 007 37 33	8 46	53 746	54 972	54 399	54 726	55 053	55 380	55 706		
50 1 55 43 293					57 666	57 993	58 320	58 646	58 973	59 300	59 616		
51 45 277 45 60~ 45 938 46 269 46 599 46 930 47 260 51 52 53 545 50 896 51 226 52 47 260 47 591 47 921 48 252 48 582 48 913 49 243 52 52 53 56 830 66 156 66 482 66 809 6~ 135 67 468 53 49 243 49 574 49 904 50 235 50 565 50 896 51 226 53 67 468 68 114 68 440 68 767 69 093 69 419 51 226 51 26 51 36 51 36 51 36 51 36 51 36 51 36 51 36 51 36 51 36 51 36 51 36 51 36 51 36 51 36 51 37 7 17 07 72 70 398 77 72 61 77 3008 73 334 73 660 73 98 77 247 77 57 172 57 502 57 887 58 492 58 492 58 482 59 152 57 57 172 57 502 57 887 50 181 56 51 56 849 50 803 61 133 58 77 247 77 573 77 899 78 225 78 550 78 8~6 79 202				1									
52					63 545	63 871	64 198	64 524	64 851	65 177	65 503		
\$\frac{4}{1}\$ \$\frac{1}{2}\$ \$\	52 47 260 47 591	47 921 48 252 48	582 48 913 49 24	3 52									
\$6	541 51 226 51 556	51 887 52 217 52	548 52 878 53 20	8 54									
57 57 172 57 502 57 832 58 162 58 492 58 822 59 152 57 75 290 75 616 75 942 76 269 76 595 76 921 77 247 58 59 172 59 483 59 813 60 143 60 473 60 803 61 133 58 77 247 77 573 77 899 78 225 78 550 78 876 79 202	55 1 55 53 208 53 539					·				-			
58 54 172 59 483 59 813 60 143 60 473 60 803 61 133 58 77 247 77 573 77 899 78 225 78 550 78 876 79 202	\$7 \$7 172 \$7 \$02	57 B32 58 162 58	492 58822 5915	2 57	75 290	75 616	75 942	76 269	76 595	76 921	77 247		
and the second s	58 59 152 59 483	59 B13 60 143 60 . 61 793 62 121 62	473 60 803 61 13 453 62 781 63 11	3 58 1 3 CO !!	77 247	77 573 79 528	77 899	78 225 80 180	78 550 80 to6	78 B 76 80 B 12	79 202 81 108		
		,,,,,,,,,,,,,,,,,,,,,,,,,,,,,,,,,,,,,,,		1/7	1,7	. , ,==,	,, -,,		,	- ,	- 4		

Tafel IV.

1.56 81 158 81 484 81 809 82 135 82 461 82 787 83 113 0	
1.56 81 158 81 484 81 80 82 135 82 461 82 787 83 113 67 1 57 97 771 88 093 82 475 98 737 99 059 99 381 85 713 83 476 84 400 81 415 82 787 83 113 67 1 1 1 1 1 1 1 1 1 1 1 1 1 1 1 1 1 1	
8 3 113	60"
88 975 89 91 91 89 52 89 52 90 278 90 603 90 92 91 4 05 497 05 819 06 141 06 464 05 784 07 100 93 92 884 93 807 93 533 93 858 94 184 94 509 94 815 6 94 813 95 160 93 485 95 811 96 136 96 461 96 787 7 111 87 13 538 13 860 14 187 14 593 14 10 966 96 787 99 90 90 90 90 90 90 90 90 90 90 90 90	ði 635 o3 566
92 882 93 207 93 533 93 858 95 118 94 545 99 94 835 6 96 77 1 1 1 1 1 1 1 1 1 1 1 1 1 1 1 1 1 1	07 428
98 739 99 064 99 389 99 714 00 040 00 365 00 690	11 287
02 641 02 966 03 291 03 617 03 942 04 267 04 592 11 20 03 19 324 19 646 19 967 20 288 20 610 04 592 06 542 06 867 07 192 07 517 07 842 08 167 06 542 12 20 931 81 825 21 573 889 32 21 60 22 537 08 492 08 817 09 142 09 467 09 792 10 117 10 442 14 20 66 11 09 11 4 16 11 741 12 066 12 391 12 391 12 715 13 040 13 365 13 660 14 015 14 389 14 664 14 989 15 314 15 538 14 15 538 14 15 538 15 92 10 15 17 10 18 26 11 7 86 17 911 18 236 11 7 86 18 366 18 865 18 865 19 209 19 534 19 859 20 18 38 17 32 667 36 38 36 31 32 34 35 37 70 36 20 38 36 31 32 34 35 37 70 36 20 38 36 37 30 38 36 31 32 34 35 37 70 36 20 38 36 31 38 34 38 36 61 38 88 31 313 31 84 37 32 32 32 32 32 32 32 32 32 32 32 32 32	17 075
1 57 10 442 10 766 11 091 11 416 11 741 12 066 12 391 15 1 \$8 26 712 27 034 27 355 27 676 27 997 28 318 12 391 12 715 13 040 13 365 13 690 14 015 14 339 16 28 86 39 28 690 29 281 29 602 29 223 30 244 14 339 14 664 14 989 15 314 17 688 16 612 16 937 17 262 17 586 17 911 18 236 1 24 91 32 812 33 133 33 453 33 774 34 905 18 366 18 560 18 885 19 20 19 534 19 869 20 183 19 34 416 34 737 35 058 35 379 35 700 36 020 19 534 19 869 20 183 19 34 416 34 737 35 058 35 379 35 700 36 020 19 534 19 869 20 183 19 34 416 34 737 35 058 35 379 35 700 36 020 19 534 19 869 20 183 19 34 416 34 737 35 058 35 379 35 700 36 020 19 534 19 869 20 183 19 36 40 77 14 402 14 726 25 050 25 25 25 25 25 25 25 25 25 25 25 25 25	20 931 22 858 24 786
18 366 18 560 18 885 19 209 19 534 19 859 20 183 19 34 416 34 737 35 058 35 379 35 700 36 020 1.57 20 183 20 508 20 508 21 157 21 481 21 806 22 130 20 1.58 36 341 36 662 36 983 37 304 37 624 37 945 24 077 24 402 24 762 25 26 26 25 375 26 697 27 321 24 60 72 26 023 26 348 26 672 26 697 27 321 27 645 27 969 28 29 4 26 672 27 321 27 645 27 969 28 29 4 28 51 28 29 4 28 51 28 29 29 15 24 44 038 44 358 44 679 44 999 45 320 45 640 33 805 36 34 12 9 34 453 34 777 35 101 35 426 35 750 36 074 36 388 38 34 23 8 36 674 36 38 88 3 38 34 2 38 666 37 37 0 37 694 28 37 694 38 088 38 34 2 38 666 37 39 05 64 37 67 37 67 57 67 57 0 88 51 408 37 700 36 074 36 38 88 34 24 38 666 37 39 05 57 00 36 074 36 38 88 34 22 8 8 46 602 40 933 41 25 70 40 80 80 80 80 80 80 80 80 80 80 80 80 80	28 639 30 565 32 491
26 023 26 348 26 672 26 967 27 321 27 645 27 969 23 42 114 42 435 42 755 43 076 43 396 43 717 27 969 28 294 28 294 28 618 28 942 29 267 29 915 22 915	36 341 38 266 40 190
1.57 29 915 30 239 30 564 30 888 31 212 31 536 31 860 25 1.58 45 961 46 281 46 602 46 922 47 243 47 563 31 860 32 184 32 509 32 833 33 157 33 481 33 805 26 47 884 48.204 48 525 48 845 49 165 49 486 33 87 500 36 74 36 36 74 36 38 989 39 313 39 637 39 637 39 961 40 285 40 609 40 933 41 257 41 881 41 904 42 228 42 552 42 876 43 847 44 171 44 495 44 819 45 142 45 466 45 790 46 114 46 437 46 761 47 085 47 408 47 408 47 732 48 056 48 79 48 703 49 026 49 326 32 47 408 31 32 49 350 49 57 49 350 57 38 32 53 55 57 25 802 56 212 56 20 37 36 60 69 46 10 014 42 228 47 732 48 056 58 78 78 58 78 78 58 78 78 58 78 78 58 78 58 78 58 78 58 78 58 78 58 78 58 78 58 78 58 78 58 78 78 58 78 58 78 58 78 58 78 58 78 58 78 58 78 58 78 58 78 58 78 78 58 78 78 58 78 58 78 58 78 58 78 58 78 58 78 58 78 58 78 58 78 58 78 78 58	44 038
37 694 38 018 38 342 38 666 38 989 39 313 39 637 29 53 650 53 970 54 291 54 611 54 931 55 251 1.57 39 637 39 961 40 285 40 609 40 933 41 257 41 581 30 1 58 55 572 55 892 56 212 56 532 56 852 57 272 41 581 41 904 42 228 42 552 42 876 43 200 43 524 45 466 45 790 46 124 44 495 44 819 45 142 45 466 32 59 413 59 733 60 053 60 373 60 694 61 014 45 468 47 732 48 056 48 379 48 703 49 026 49 350 34 63 254 63 574 63 894 64 213 64 533 64 853 51 291 51 615 51 938 52 262 52 585 52 909 53 232 36 55 173 55 493 55 813 66 813 66 453 66 453 66 453 65 493 65 813 66 81	47 884 49 806 51 728
45 466 45 790 46 114 46 437 46 761 47 085 47 408 33 61 334 61 654 61 974 62 294 62 614 62 934 67 408 47 732 48 056 48 379 48 703 49 026 49 350 34 63 254 63 574 63 894 64 213 64 533 64 853 57 49 350 49 674 49 997 50 321 50 644 50 968 51 291 35 1291 51 615 51 938 52 262 52 585 52 909 53 232 36 67 093 67 412 67 732 68 052 68 372 68 692 53 232 55 53 232 55 53 879 54 203 54 526 54 850 55 173 37 69 011 69 331 69 651 69 971 70 291 70 610 55 173 55 496 55 820 56 143 56 467 56 790 57 113 38 70 930 71 250 71 569 71 889 72 209 72 529 72 848 73 168 73 488 73 807 74 127 74 446	55 573 57 493 59 423
51 291 51 615 51 938 52 262 52 585 52 909 53 232 36 67 093 67 412 67 732 68 052 68 372 68 692 53 232 53 556 53 879 54 203 54 526 54 850 55 173 37 69 011 69 331 69 651 69 971 70 291 70 610 55 173 55 496 55 820 56 143 56 467 56 790 57 113 38 70 930 71 250 71 569 71 889 72 209 72 529 72 848 73 168 73 488 73 807 74 127 74 446	63 254
	69 011 70 930 72 848
1.57 59 053 59 376 59 700 60 023 60 146 60 669 60 993 40 1.58 74 766 75 086 75 405 75 725 76 044 76 364 60 993 61 316 61 639 61 962 62 285 62 609 62 932 41 76 684 77 003 77 323 77 642 77 962 78 281 62 932 63 255 63 578 63 901 64 224 64 547 64 870 42 78 601 78 920 79 240 79 559 79 879 80 198 64 870 65 194 65 517 65 840 66 163 66 486 66 809 43 80 518 80 837 81 156 81 476 81 795 82 115	76 684 78 601 80 518
66 809 67 132 67 455 67 7-8 68 101 68 424 68 747 44 82 434 82 753 83 073 83 392 83 711 84 031 1.57 68 747 69 070 69 393 69 716 70 039 70 361 70 684 45 1.58 84 350 84 669 84 989 85 308 85 627 85 947	84 350 86 266
70 684 71 007 71 330 71 653 71 976 72 299 72 622 46 86 266 86 585 86 904 87 224 87 543 87 862 72 622 72 944 73 267 73 590 73 913 74 236 74 558 47 88 181 88 500 88 820 89 139 89 458 89 777 74 558 74 881 75 204 75 527 75 849 76 172 76 495 48 90 096 90 415 90 734 91 054 91 373 91 692 76 495 76 818 77 140 77 463 77 786 78 108 78 431 49 92 011 92 330 92 649 92 968 93 287 93 606	90 096
\$ 57 78 431 78 754 79 076 79 399 79 722 80 044 80 367 50 1.58 93 925 94 244 94 563 94 882 95 201 95 520 80 367 80 689 81 012 81 334 81 657 81 980 82 302 51 95 839 96 158 96 477 96 796 97 115 97 434 82 302 82 625 82 947 83 270 83 592 83 915 84 237 52 97 753 98 072 98 391 98 710 99 028 99 347	95 839 97 753 99 666
84 237 84 559 84 882 85 204 85 527 85 849 86 172 53 99 666 99 985 80 304 80 613 80 941 81 260 86 172 86 494 86 816 87 139 87 461 87 783 88 106 54 1.59 01 579 01 898 02 217 02 535 02 854 03 173 1.59 01 6,88 428 88 750 89 073 89 395 89 717 90 040 55 1 59 03 492 03 810 04 119 04 448,04 767 05 085	03 492
90 040 90 362 90 684 91 006 91 329 91 651 91 973 56 05 404 05 723 06 041 06 360 06 679 06 997 91 973 92 295 92 618 92 940 93 262 93 584 93 906 57 07 316 07 634 07 953 08 272 08 590 08 909 93 906 94 228 94 551 94 873 95 195 95 517 95 839 58 09 227 09 546 09 864 10 183 10 502 10 820 95 839 96 161 96 483 96 805 97 127 97 449 97 771 59 11 139 11 457 11 776 12 094 12 412 12 731	07 316 09 227 11 139

326 325 324 323 322 321 320 319 318

1 32.6 32.5 32.4 32.3 32.2 321 320 319 318

2 1 65.7 65.0 65.0 64.8 64.2 64.2 64.0 63.8 63.6 2

3 97.8 97.5 97.8 96.9 96.6 96.3 66.0 95.7 95.4 3

4 170.4 130.0 179.6 139.2 138.8 188 4 178.0 127 6 127 7 127 7 4

5 163.0 167 5 162.0 161 5 161 0 160.5 160 0 150.5 5 100 0 5

195.6 195.0 196.4 193.8 193.2 102.6 192.0 193.4 190.8 6

7 128.2 227 5 226 8 236.1 225 224 7 124.0 22 1 3 27.6 7

8 126.8 26.0 255.2 256.8 256.0 255.3 254.4 8

9 293.4 1292.5 297.6 290.7 1289.8 288.0 288.0 287.1 286.2 9

Tafel IV.

	-	•							_					
			4.5	3 º		М. 49°								
0	o"	to"	20"	30"	40"	50"	60"	8	0"	10"	10"	30"	40"	50"
0'	1.59 13 049							o'	1.60 27 083					
1,	7 "		1	: - 1		16 552		I 3					30 233	
3						30 371		3						34 318
_				21 644		22 280		4						36 217
- 6	1.59 32 598				23 871	24 189 26 098	26 416	5	1.60 36 532				37 791	38 106
7						18 006		7				T		41 883
*						19 914 31 \$11	I ~ I	8					43 456	
9 10	1.59 32 139	30 550	30 867 32 775	31 185	31 503 33 410		32 139	10	1.60 45 973	46 288				45 659
11		34 364				35 635		11	47 \$60	48 175	48 490	48 804	49 119	49 433
12	35 953					37 541		12						51 320
13 14		40 083		_	41 036	39 448	39 765 41 671	13 14		51 949			54 778	55 092
15	1.59 41 671	41 989	42 306	42 624	42 941	43 259	43 576	15	1.60 55 407	55 721	56 035	56 349	56 664	56 978
16		43 894				45 164		16					58 549 60 434	58 863
17		47 793				48 973	47 385	17 18					62 319	
19		49 608	49 925	50 342	50 560	50 877	51 194	19	61 948	63 262	63 576	63 890	64 204	64 518
20	1.59 51 194					52 781	53 098	20	1.60 64 832			65 774	1.	
21 21	55 00 E	53 415	55 636			54 684 56 587		2 I 2 2					69 256	
23	56 904	57 222		57 856	58 173	58 490	58 807	23	70 483	70 797	71.111	71 425	71 739	72 053
24	58 807		59 441			60 392		24			71 994	73 308		
25 26	1.59 60 709 63 611					62 294		25 26	1.60 74 250 76 112		76 760		1.22.0	75 818
27	64 513	64 830	65 147	65 464	65 781	66 098	66 414	27	78 014	78 328	78 642	78 955	79 269	79 583
24 Mil	68 315			69 166		67 999 69 899	68 315 70 316	19		l -	80 524 82 405		83 033	81 464
30	1.59 70 216					71 800	l' .	30	1.60 83 659				1	85 227
31	72 116	72 433	72 750	73 066	73 383	73 700	74 016	31	85 540	85 854	86 167	86 481	86 794	87 108
32		74 333		74 966 76 866		75 600	75 916	32			88 048 89 928		90 555	1 200
34		78 132		78 765	_	79 398	79 714	34			91 808		92 435	11
35	1.59 79 714			80 664		8t 297	81 613	35	1.60 93 061		93 688		94 314	1 7 3 1
36 37				82 562 84 460		· 85 093	83 511						96 194 98 073	96 507
38		85 726		86 358	86 675	86 991	87 307	u II					99 951	ðo 264
39		87 623	87 940			88 888		39	1 61 00 577	_			01 B30	
40 41	1.59 89 204 91 101	1				90 785		40 41	1.61 02 456					04 021
42	92 998	93 314	93 630	93 946	94 261	94 578	94 894	42	06 211	06 524	06 837	07 150	97 463	07 776
43						96 475		43			-	-	09 340	09 653
44 45						98 370 50 266		44		1				13 406
46	1 60 00 581	00 897	01 213	01 529	OL 845	02 161	01 477	46	13 719	14 032	14 344	14 657	14 970	15 282
47 48	02 477	01 694	03 108	03 424	03 740	04 056	04 371	47	15 595					17 158
49	06 266	06 581	06 897	07 113	07 528	07 844	08 160	49	19346					20 909
50	1.60 08 160	OB 475	08 791	09 107	09 421	09 738	10 054	50	1.61 21 221	21 534	21 846	22 159	22 471	22 784
51 52	10 054	10 369	10 685	11 000	11 316	11 631	11 947	[51	23 096					24 659
53	13 840	14 156	14 471	14 786	15 to2	15 417	15 733	53 1	16 845					28 407
54	15 733	16 048	16 364	16 679	16 994	17 310	17 625	54	28 719					30 281
55 c6	1.60 17 625	17 941	18 256	18 571	18 887	19 202	19 517	55	1.61 30 593					
56 57	21 409	21 734	22 040	22 355	22 670	21 094 22 985	23 101	50	32 400 34 339					34 027
58	23 301	13 616	23 931	24 246	24 561	24 877	15 192	ς8	36 212	36 524	36 836	37 148	37 461	37.773
59	25 192	25 507	25 822	20 137	20 452	26 767	17 083	59	38 085	38 397	35 709	39 021	39 333	139 645

319 318 317 316 315 314 313 312

1 110 318 317 316 315 314 313 312

2 638 616 63 4 617 640 628 626 624 2

3 957 764 951 948 945 942 91 916 6

4 127 6177 2 126 5 136 4 126 0 175 6 125 2 174 8

5 560 5 150 0 158 5 188 9 157 5 157 0 156 5 156 0

10 14 190 8 190 2 184 6 186 188 4 187 8 187 2 6

7 27 1 527 6 121 0 221 2 120 5 191 8 11, 128 4 7

8 255 2 254 254 253 6 258 8 252 0 251 2 260 4 241 6 8

9 287 1 286 2 285 3 284 4 283 5 282 6 281 7 280 8 6

							log	M.								
	_		50	Dir								-51	0			
	o"	10"	20"	30"	40"	50"	бо"	0		o" 1	10"	20"	30"	40"	50"	60"
1.61						41 517		0	1 62						53 300	
						43 388		2							55 154 57 00R	
						47 131									58 862	
- 6 -						49 002		. 41		-		-			60 716	_
1,01						50 872	-	6	1 02						62 569	
!	53 054	93 366	53 677	53 989	54 300	154612	54 924	2		64 731	65 039	65 348	65 657	65 966	66 275	66 583
						168351		9							68 127	
1,61						60 220		10	1.62					-	71 831	
						62 089									73 683	
			-			65 825									75 534	
	66 136	66 448	66 759	67 070	67 382	67 693	68 004	14		77 694	78 002	78 322	78 619	78 928	79 236	79 544
1.61						59 560 71 428			1,62						81 087	
						73 294									84 787	
il ,						75 161									86 636	2 7 2
1.61						78 893			162				89 719		90 315	
0,01						80 759					,	- 1		, ,	92 184	
						82 625									94 033	
						86 355							97 113			
1.61						88 219			1,62						99 577	
}						90 084			1.62				02 646		01 425	
		1	-			93 811		1 11	*,-3			_			05 119	
						95 675									06 966	
1.61						97 538			1.03						10 658	
	99 711	Ģ0 022	00 332	00 642	00 953	õ1 263	01 574	32		10 966	11 274	11 581	11 889	11 197	12 504	11812
1,62						03 125									14 350	
1.6						06 849			1,63						18 041	
	97 159	07 470	07 780	08 090	08 400	08 711	09 021	36		18 348	18 656	18 963	19 271	19 578	19 886	20 193
						10 572									21 730	
	12 743				_	14 293	-								25 419	- 4
1,6:						16 153			1,63						27 262	
						19 873									29 106 30 949	
	20 183	20 493	20 B03	21 113	21 423	21 733	22 042	43		31 257	31 564	31 871	32 178	32 485	32 792	33 100
- 1						23 592			160						34 63 5 36 4-8	
1,02						25 451			1,03						38 320	
1	27 619	27 929	28 238	28 548	28 858	29 167	29 477	47		38 627	38 934	39 241	139 54B	39 855	40 162	40 469
						31 025									42 004	
1.6	2 33 193	33 502	33 812	34 121	34 431	34 "41	35 050	50	1,63	44 152	44 459	44 766	45 073	45 380	45 687	45 993
						36 598									47 527 49 368	
						38 455									51 209	
	40 621	140 930	41 239	41 549	41 858	42 168	42 477	54	20						53 049	
1,6						44 024			1,63						54 889 56 728	
	46 189	46 498	,46 807	47 116	47 426	47 735	48 044	57							58 568	
	48 044	148 353	48 663	148 972	,49 281	49 590	49 899	58							60 407	
1	49 899	30 20%	20 218	10 627	121.130	51 445	51 754	39		00 714	01 010	01 327	01 013	04 939	97 746	72 332

	312	311	310	309	308	307	306	
:	72.2					30.7		1 0
3	93 t	93 1	15	127	92 4	92.	91 8	3_
4 5	1124 8	155 5						4 5
6	4	185 6						6
7 8	-426	248 B	248 0	247 2	246 4	245 €	244 8	8
)	780 8	279.9	279.0	273 1	277 2	276 3	275 4	9

				log	; M.							
		5.2°			1			58	0			
ť.	0" 10"	20" 30"	40" 5	o" 60"	v	o"	TON	20"	30"	40"	50"	60"
o,	1.63 62 552 62,859					1.64 72 426						
L	64 391 64 697	65 004 65 310	65 617 65	923 66 229	1						75 770	
3 11		68 680, 68 986									79 416	
4			71 130 71					80 328			B1 239	1 - "
	1.63 71 743 72 049		72 968 73	_		1.64 81 543	81 847	82 150	82 454	82 758	83 062	
6	73 580 73 986	74 193 74 499	74 805 75	111 75 417	6						84 884	
7		76 030 76 336									86 706	
9	77 254 77 500	77 866 78 172	80 315 80					89 439			90 350	1 - "
10	1.63 80 927 81 233		82 1 51 82	-		1,64 90 654					92 171	ļ
11		83 375 83 681									93 993	
12		85 211 85 517									95 814	
13		87 046 87 352			1 1			96 724			97 634	1
14	BB 270 BB 575								98 848		99 455	-
1 Ş 16	1 63 90 105 90 410	90 716 91 022			5	1.64 99 758					01 275	
17		94 385 94 691									04 91 5	
18	95 608 95 914	96 220 96 525	96 831 97	137 97 442	18						06 735	
19		98 054 98 159			19	07 038	07 341	07 645	07 948	08 251	08 554	08 8
- 11	1.63 99 276 99 582					1.65 08 858				10 070	10 374	
21	1.64 01 110 01415	03 554 03 859						13 102			12 192	
23		05 187 05 692						14 920		7 .	14 011	1 1 -
24		07 220 07 525		136 08 441				16 739			17 648	
25	1.64 08 441 08 747	109 052 09 357	09 663 09	68 10 274	25	1.65 17 951	18 354	18 557	18 860	19 163	19 466	19 76
26	10 274 10 579		11 495 11					20 375			21 284	21 58
27		12 716 13 022									23 101	
28 (29)		114 548 14 853 116 379 16 6851					25 524				24 919	
-	1.64 17 600 17 905			_	30	1,65 27 039	-	-			28 553	28 85
31		20 042 20 347						29 461			30 369	- "
32	21 262 21 567	21 872 22 177	22 483 22	788 23 093	32						32 186	
33		23 703 24 008			33		32 791		33 397	33 699	34 002	
34		25 533 25 838			34		34 607		35 213		35 818	-
35 36	1.64 26 753 27 058	29 193 29 498				1.65 36 121		38 741	37 028	37 331	37 634	
37		31 022 31 327						40 35"	40 659		41 264	-
3 R.		32 852 33 156			38	41.56=	41.870	42 172	42 475	42 777	43 oRo	
39		34 681 34 985		595 35 900				43 98-	44 289	44 592	44 894	
-	1.64 35 900 36 205			_	1 .	1.65 45 19*					46 709	1
4 I 4 2		40 teg 40 121						47 616	49 733	18 221	48 523	
13		41 994 42 299						51 245			52 152	
14		43 822 44 127									53 965	
45	1 64 45 040 45 345	45 650 45 954	46 259 46	563 46 868	45	1,65 54 268						
46	46 868 47 172	47 477 47 781	48 086 48	390 48665	46						57 592	
47 • R •		49 304 49 608									59 405	
19		5295" 53 262						_			63 031	
	1 64 54 175 54 479					1,65 63 333						
ș L		56610 56914									66 655	
52		58 436 58 740			1 1						68 46~	
53		60 261 60 566							-		~0 279	
54		62 087 62 391		+ " +	1 1					1	72 090	
55 56	65 128 65 432	65 = 3 = 66 041				7, 204					73 902	
57		6* 561 6* 866									77 534	
58		69 386 69 690	69 994 -0	198 -0 602	58	nn B23	78 125	78 429	78 731	79 033	~9 334	79.6
59				122 72 425	59				80 541			

	307	306	305	304	103	302	301	
1	30.7	30.6		30.4 6p.8				1 2
3	92.1	97 8	91.5	91.9	90.4	90 6	90.3	3
5	153 5	T53 0	152.5	171.6 152.0 182.4	151.5	151 9	150.5	5 6
7	-149	214.2	2:3 5	2128	212.1	212.4	210.7	7 8
9				273 6				9

Tafel IV.

							log	M.							-
			54	1 .º						_	558	50	-	_	
0	0"	10"	20"	30"	40"	50"	60"	Ø.	o"	10"	20 ^N	30"	40"	50"	60"
o'	1.65 B1 446	81 748	82 050	84 352	82 653	82 955	83 257	o'	1,66 89 682	89 982	90 281	90 581	go 88o	91 180	91 480
1	83 257	83 558	83 860	84 162 85 971	84 463	84 765	85 067							92 978	
3				87 781				3						94 775 96 572	
4				89 591				4						98 369	
5	1.65 90 495							5	1.66 98 668	98 968	99 267	99 567	99 R66	00 166	00 465
7		-		93 209				7	1 67 00 465					03 758	
8				96 826				8	_	_				05 554	
9	97 730	98 032	98 333	98 634	98 936	99 237	99 538	_9						07 350	
TO	1.65 99 538							10	1 67 07 650						2
12	1.66 01 346			04 058										10 942	
13				05 866								_		14 532	
14				07 673				14	14 631	-	15 429	15 729	16 028	16 327	
15	1.66 08 576				pa .			15	1.67 16 626		17 224		1 .	18 122	-
17			_	11 287	_		_							19 916	_
18	13 997	14 298	14 599	14 900	15 201	15 502	15 803	τ8		-				23 505	_
19				16 706				19			24 402			25 299	
20	1.66 17 609			20 318			19 415	20	1.67 25 598		25 195 27 989			27 092 28 886	
22				22 123							29 783			30 679	
23	23 026	23 327	23 628	23 929	24 229	24 530	24 831	23		31 277	31 576	31 875	32 174	32 472	
24				25 734				1	32 771		33 369			34 265	-
26	1.66 26 636 28 441			27 539				25	1.67 34 564 36 357		35 162			36 o 58	
27				31 148		F F	m- ,							39 643	
28				32 952				28						41 435	
29	-			34 756				1.5		-	42 331			43 227	
30	1.66 35 658 27 462			38 364				30	1.67 43 526					46 811	
32				40 167										48 602	
33				41 970				33						50 394	
34	1.66 44 675			43 774				34						52 185	
35				47 379				35	1.67 52 483 54 274	_				53 976	
37	48 280	48 581	48 881	149 181	49 482	49 782	50 083	37						57 557	
38				50 984				38						59 347	
39 II	1.66 53 687	-						40	1,67 61 436					62 037	
41				56 389										64 717	
42	57 290	57 590	57 890	58 190	58 491	58 791	\$9 091	42						66 506	
43		59 391		59 992 61 793										68 296 70 085	
45									1.67 70 383						
46	64 494	64 794	65 094	65 394	65 694	65 994	66 294	46						73 663	
47				67 194					73 961	74 259	74 557	74 855	75 153	75 451	75 750
48	60 Ros	70 101	70 400	68 995 70 795	71 005	71 294	71 604	48						77 240 79 028	
50	1.66 71 694								1.67 79 326		-		_	$\overline{}$	
51	73 494	73 794	74 094	74 394	74 694	74 994	75 294	51	81 114	81 412	81 710	82 008	82 306	82 604	82 902
52				76 193					82 902	83 200	83 498	83 796	81 094	84 392	84 690
53 54				77 992 79 791										86 179 87 967	
55	1 66 80 691							55	1.67 88 265			_	-	-	_
56	82 489	82 789	83 089	83 389	B3 688	83 988	84 288	56	90 052	90 350	90 647	90 945	91 243	91 541	91 839
57				85 187 86 985										93 328	
58 59		-		B8 783				-			- 4			95 114 96 901	
10.00			7-3	, - 3	,3	. , , ,		<u> </u>	,,,,,,	7, 7.0	,	7- 3-3	,3	,- ,	7, -,-

302	301	300	299	298	297	
9 50.4 3 90.6 4 120.8 5 151.0 6 181 2	90.3 120.4 150.5 180.6 210.7	50.0 90.0 150.0 150.0 180.0	89.7 119 6 149.5 179 4 209.3	89.4 149.0 178.8 208.6 238.4	69.1 118 8 148.5 178.2 207 0 237 6	1 7 3 4 5 6 7 8 9

Tafel IV.

							log	M.						•	
			5	G o							5	70			$\neg \neg$
0	0"	10"	20"	30"	40"	50"	6o#	9	0"	10"	30"	30"	40"	50"	6o"
oʻ	1.67 97 198							0,							
2	98 985 1.68 00 771					02 259		2						07 314	
3	02 556	02 854	03 152	03 449	03 747	04 044	04 342	3:	09 386	09 682	9 977	10 273	10 569	10 865	11 161
+	1.68 06 128					05 830	07 913	4	1.69 12 936				* *	14 415	12 936
5	07 913	08 210	08 508	08 805	09 103	09 400	09 69R	6	14 711.	15 007	15 303	15 598	15 894	16 190	16 486
7 8	09 698	09 996 11 780	10 293	10 590	10 888	11 185	11 483	7 8						17 965	18 251 20 035
9			13 863				15 052	9	20 035	20 331	20 626			21 514	21 109
10 11	1.68 15 052			15 945		16 539 18 314	18 627	10 11		12 270				23 288 25 062	23 583 25 357
12		81681	19 216	19 513	19 810	10 108		1	25 357	25 653	25 949	26 244	26 540	26 8 3 6	27 131
13 14	20 405		21 000				23 973	13	- 4	27 417 29 101	17 723 19 496		I ·	28 609 30 383	28 905 30 679
15	1.68 13 973	1			l " '		25 756	15		30 974			31 061	32 156	32 452
16 17						27 141 29 02 5			-					33 930 35 703	
18					1	30 808								37 476	
19			31 700				31 888	_				<u> </u>			39 544
30	1,68 32 888					34 374 36 156	34 671	20 21	1.69 39 544		1			41 011	
22	36 453	36 750	37 047	37 345	37 642	37 939	38 236	22	43 089	43 384	43 679	43 975	44 270	44 566	44 861
24	38 230 40 018		38 830 40 612	T .	39 424 41 206	- r	40 018	23			45 452		45 042	46 338	48 405
25	1.68 41 800	42 097	42 394	42 691	42 988	43 284	43 581	25	1,69 48 405	48 700	48 995	49 291	49 586	49 881	50 177
26	43 581 45 161		44 175			45 066	45 363	26	50 177 51 048		50 767			51 653 53 424	
28	47 144	47 441	47 738	48 035	48 332	48 629	48 926			54 013	54 310	54 605	54 901	55 196	55 491
29			4			50 410		29	55 491					56 967	_
30 31	1.68 50 707 52 488		53 081				52 488 54 268	30	1.69 57 262 59 033					58 73 8 60 509	
32						55 752						1		62 279	
33			58 423			57 532 59 313	59 609							65 820	
35							6: 389		1.69 66 115						
36 37			61 983			64 652	63 169							69 361 ! 71 131	
38	64 949	65 245	65 542	65 839	66 135	66 432	66 728	38	71 425	71 710	72 015	72 310	72 605	72 900	73 195
39 ·	1.68 68 508		60 101				68 508		1.69 74 965		73 785				
41	70 287	70 583	70 880	71 176	71 473	71 769	72 066	41	76 734	77 029	77 324	77 619	77 914	78 209	78 503
42 43			72 659			73 548	73 845 75 623							79 978 81 747	
441	75 623	75 920	76 216	76 513	76 809	77 105	77 402	44	82 041	82 336	82 631	82 926	83 221	83 516	83 810
+5	1.68 77 402								1.69 83 810						
46 47						80 662 82 440								88 821	
+8	82 736	83 032	83 329	83 625	83 921	84 218	84 St4	48	89116	, 89 41 1	89 705	90 000	90 295	90 589	90 884
49 50	1,68 86 292			4		85 995			1,69 92 652	_			·	92 357	
51	88 069	88 365	R8 662	88 958	89 254	89 550	89 846	51	94 420	94 715	95 009	95 304	95 598	95 893	96 188
52 53						91 327			-					97 661 99 438	
54						94 881								ôt 195	
55	1.68 95 177	95 4"3	95 769	96 066	96 362	96 65R	96 954	55							
56 57						, 98 434 , 80 211								04 730	
68	1 6u oo co?	oo Boz	01 099	01 395	01 691	O1 987	02 283	58	06 791	07 085	07 380	07 674	07 969	08 263	OB 558
59	02 283	02 579	03 875	03 171	03 407	03 763	01 029	59	O8 558	08 852	09 146	09 441	09 735	10 030	10 324
						- 1	. ,							1	

298 297 296 295 294

2 998 297 296 295 294

2 59.6 59.4

3 84 895 88.8)

4 119 2 118.8 118.4 118.0 117 6 4

5 198.8 178 2 177 6 777.0 776.4

7 1988 697.9 297 2 206 5 204 8

238 4 237.6 236.8 236 0 215 2 8

238 4 237.6 236.8 236 0 215 2 8

238 4 237.6 236.8 236 0 215 2 8

238 4 237.6 236.8 236 0 215 2 8

Tafel IV.

) Jog	M.							
		58	30							50	0			
o"	10"	20"	30"	40"	50"	60"	e.	o"	10"	20"	30"	40"	50"	60"
1,70 10 324	10 619	10 913	11 207	11 502	11 796	12 091	0/	1,71 16 054	16 347	16 640	16 933	17 226	17 519	17812
		12 679					1						19 276	
		14 446				15 623	2						21 034	
		16 212											22 792	
1 70 19 155					20 626	19 155	5	1.71 24 842	-				16 206	
		21 509	-			22 686							28 064	
		23 174					7						29 821	
		25 040					8						31 578	
		26 Bos	5.4			27 981	9		-	-			33 334	
20 246		30 335			- 1	29 746	10	2.71 33 627					35 091 36 848	
		32 099	-										38 604	
33 276	-				34 746								40 360	
35 040	35 334	35 628		_			14	40 653	40 946	41 238	41 531	41 824	42 116	42 409
1.70 36 805					38 275		15	1.71 41 409						44 165
		39 157					16						45 628	
42 097		40 921					17						47 384	
2		44 448					19				50 310			51 188
1.70 45 624	45 918	46 212	46 506	46 800	47 094	47 387	20	1 71 51 188	51 480	51 773	52 065	52 358	52650	52 943
47 387		47 975				49 151	21						54 406	54 698
49 151		49 739				50 914	22				55 576			56453
50 914	_	51 502			54 146	-	23		58 501		59 086		59 671	58 208
1.70 54 440							25	1.71 59 963						
		56 790					26						63 180	
57 965	58 259	58 553	58 847	59 140	59 434	59 728	27						64 934	
		60 315											66 689	
		62 078					29				67 858			
1.70 63 252 65 DEA		65 602			66 482		30 31	72 68 735					71 951	
		67 364									_		73 705	
		69 115			70 006	70 300							75 459	
	-	70 887				72 061	34						77 212	
1.70 72 061					73 529		35	1.71 77 504						
		74 410											80 719 82 472	
		77 932											84 225	
79 106	79 399	79 693	79 986	80 280	80 573	Bo 866	39	84 517	84 810	85 102	85 394	85 686	85 978	B6 270
1.70 80 866								1.71 86 270						
		83 214											89 484	
		84 974					42						91 136	
		88 495											94 741	
1.70 89 668	89 962	90 255	90 548	90 841	91 135	91 428	45	1.71 95 033	95 325	95 617	95 910	96 201	96 494	96 786
91 428	91 722	92 015	92 308	92 602	92 895	93 188	46	96 786	97 078	97 370	97 662	97 954	98 246	98 538
93 188													99 998	
94 948 96 707								02 042					03 501	
1.70 98 467								1.72 03 793						
1.71 00 226													07 005	
01 985	02 278	02 572	02 865	03158	03 451	03 744	52	07 196	07 588	07 880	08 172	08 464	08 756	09 048
03 744			, -										10 507	
05 503						4	- 1						12 258	
1.71 07 262 09 021 (09 607						1 72 12 550					15 760	
-						- 1	. 16	, -			16 928		-	
10 779														
12 537	12 830	13 123 14 882	13 416	13 709	14 003			17 803	18 095	18 387	18 678	18 970	19 162	

_	295	194	293	292	291	
1	29.5	29.4	20.3	20 2	20 I 58.2	ī
3	88.9	88,2	87 9	87.6	87.3	3
4			117.2		145.5	4
6					174 6	6
7	236,0	935.2	234 4	933 6	903.7 #12.8	7 8
?	205.5	304.D	003.7	200 H	26x 9	9

Tafel IV.

1,73 a 1 304 31 596 31 881 31 793 34 477 37 597 50 50	Г		· · · · · · · · · · · · · · · · · · ·	log	M.	,						
0 1.72 a 1 304 21 395 . 2 888 21 179 a 2 471 a 2 763 2 1055 0 1.73 a 0 131 a 3 412 a 3 6 713 a 7 003 a 7 394 a 7 585 a 7 871 a 3 051 33 346 a 3 6 78 a 1 3 9 10 a 1 3 2 4 513 a 4 85 a 1 3 9 10 a 1 3 2 4 513 a 4 85 a 1 3 9 10 a 1 3 2 4 513 a 4 85 a 1 3 2 7 8 7 8 7 8 8 9 9 1 10 a 0 1 4 9 1 3 1 8 1 3 1 3 1 3 1 3 1 3 1 3 1 3 1 3	Γ		60°	Ĭ			_	Ø1	Lo			
1	0	o" to"	30" 30" 40" 1	50" 60"	7	o <u>"</u>	10"	20"	30″	40"	50"	60°
3	0'											
3	1				1 17							
1, 1, 1, 1, 1, 1, 1, 1, 1, 1, 1, 1, 1,		26 555 26 847	1 17 139 27 430 27 723 2	18 014 28 305		31 363	31 653.	31 944	32 234	32 525	32 815	33 105
The color of the	⊢								-			
15					- 41				I			
18 1.72 38 802 39 902 19 386 19 678 139 976 140 541 137 140 138 140 141 147	8	35 304 35 596	35 888 36 179 36 471 3	6 762 37 054	8		40 370	40 660	40 951	41 241	41 532	41 833
11					- R							
13	11	40 553 40 844	41 136 41 427 41 719 4	3 010 42 303	ш	45 308	45 598	45 189	46 179	46 470	46 760	47 051
14					- 11							
18	14	45 800 46 091	46 383 46 674 46 966 4	7 257 47 549	14	50 536	50 826	51 117	51 407	51 697	51 988	52 271
17					- 2 II							
19	17	51 046 51 337	51 629 ST 920 S2 212 5	1 503 52 794	17	\$5 763	56 053	56 344	56 634	56 924	57 225	57 505
3					- 11							
32					- 11							
a4 63 x83 x65 x74 63 865 64 x87 65 448 64 x75 65 x96 64 x86 64 x87 65 x96 65 x98 70		59 787 60 078	6 60 370 60 661 60 952 6	1 244 61 535	22							
3												
87		1,72 65 030 65 322	65 613 65 904 66 196 6	6 487 66 778								
28					- 11							73 180
30	28	70 273 70 564	70 855 71 147 71 438 7	1 729 72 030	38	74 921	75 211	75 50T	75 791	76 082	76 372	76 661
31					_ II							
33	31	75 514 75 805	76 097 76 388 76 679 7	6 970 77 261	31	80 144	80 434	80 724	81 014	B1 304	81 594	81 885
34 80 755 8t 046				2 In .	- 11							
36	34	80 755 81 046	81 337 81 648 81 919 8	2 210 83 501	- T H	\$5 366	8 5 6 5 6	85 946	86 236	86 526	86 816	87 106
37 85 994 86 285 86 576 86 867 87 158 87 449 87 740 37 90 587 91 167 91 457 91 747 92 337 92 337 92 317 92 617 92 979 93 487 93 777 94 067 94 357 94 647 94 937 95 517 95 807 97 547 94 067 94 357 94 647 94 937 95 227 95 517 95 807 94 647 94 937 95 227 95 517 95 807 94 647 94 93 97 93 187 96 97 98 807 97 93 567 92 979 93 277 94 96 97 95 306 95 597 95 888 96 179 96 470 94 97 94 97 95 306 95 597 95 888 96 179 96 470 94 97 95 306 95 597 95 888 96 179 96 470 97 92 97 97 98 807 99 807 98 127 98 807 98 127 98 807 98 127 98 79 98 99 97 92 97 97 92 97 97 92 97 97 92 97 97 92 97 97 92 97 97 92 97 97 92 97 97 92 97 97 92 97 97 92 97 97 92 97 97 92 97 <td< td=""><td></td><td></td><td></td><td></td><td></td><td> 1</td><td> </td><td>- ' '</td><td></td><td></td><td></td><td></td></td<>						1		- ' '				
1,72 91 233 91 524 91 815 92 106 92 397 92 688 92 979 10 1,73 93 807 96 097 96 387 96 607 96 96 77 96 96 77 97 357 97 547 92 979 93 270 93 561 93 852 94 144 94 433 94 724 41 92 97 547 99 867 96 607 96 387 96 607 96 96 77 96 96 77 96 96 77 98 997 99 287 99 287 99 577 99 867 01 837 02 187	37	85 994 86 285	86 576 86 867 87 158 B	7 449 87 740	37	90 587	90 877	91 167	91 457	91 747	91 037	92 337
92 979 93 270 93 561 93 852 94 422 94 433 94 724 41 97 724 97 724 97 724 95 015 95 366 95 597 95 888 96 179 96 470 42 99 287 99 287 96 470 96 761 97 052 97 343 97 634 97 925 98 216 43 92 287 98 217 98 577 98 867 07 07 28 89 90 88 99 88 98 88 8												
94 724 95 015 95 306 95 597 95 888 96 179 96 470 42 96 470 96 70 96 70 97 052 9° 343 97 634 97 925 98 216 43 44 48 02 579 02 887 03 96 670 03 057 03 346 03 636 03 926 04 216 04 326 04 325 04 61 12 177 12 468 12 175 12 468 12 175 12 468 16 538 16 829 17 32 16 17 317 411 17 70 18 18 18 16 538 16 829 17 12 01 74 11 18 18 18 18 18 18 18 18 18 18 18 18			1									
98 266 98 507 98 798 99 089 99 379 99 670 99 961 44 02 767 03 057 03 346 03 636 03 926 04 216 04 206 459 450 450 459 450 450 459 450 450 459 450 450 459 450 450 450 450 450 450 450 450 450 450					· . I							
45	ı u			, , , ,								
46 1.73 OI 707 OI 998 O2 288 O2 579 O2 870 O3 161 O3 452 46 O3 451 O3 743 O4		1.72 99 961 00 252	00 543 00 834 01 t25 0	1 416 01 707	45							
48" 05 197 05 488 05 779 06 070 06 361 06 651 06 942 48 06 942 07 233 07 524 07 815 08 106 08 396 08 687 49 11 464 11 753 12 043 12 333 12 623 12 913 13 20 15 0432 10 723 11 014 11 304 11 505 11 886 12 177 51 14 942 15 332 15 521 15 811 16 101 16 391 16 681 12 177 12 468 12 778 13 402 13	46	1.73 01 707 01 998	02 288,02 579 02 870 0	3 161 03 452	46	06 246	06 536,0	06 825	07 115	07 405	07 695	07 985
50 1.73 08 687 08 978 09 269 09 560 09 850, to 141 10 432 50 1.74 13 203 13 492 13 782 14 072 14 362 14 652 14 652 15 10 432 10 723 11 014 11 304 11 595 11 886 12 177 51 14 942 15 232 15 521 15 811 16 101 16 391 16 681 12 177 12 468 12 778 13 049 13 340 13 631 13 922 52 16 681 16 670 17 550 17 840 18 130 18 415 13 14 503 14 794 15 085, 15 375 15 666 53 18 419 18 709 18 999 19 809 19 579 19 868 20 15 15 15 15 15 15 15 15 15 15 15 15 15	48"	05 197 05 488	05 779,06 070 06 361 0	6 651 06 941	48	09 724	10 014	10 304	10 594	10 884	EE 174	11 464
51 10 432 10 723 11 014 11 304 11 304 11 305 11 886 12 177 51 14 942 15 321 15 321 15 811 16 101 16 391 16 681 52 177 12 468 12 758 13 049 13 340 13 631 13 921 52 16 681 16 670 17 260 17 250 17 840 18 130 18 415 53 13 666 15 957 16 248 16 538 16 829 17 120 17 411 54 20 18 415 18 709 18 289 19 28 28 13 17 21 607 21 897 15 15 17 701 17 992 18 283 18 573 18 864 19 155 55 174 21 897 22 187 22 766 23 356 23 346 23 356 23 346 19 155 19 446 19 155 19 446 19 155 19 446 19 155 19 446 19 15 19 10 10 10 10 10 10 10 10 10 10 10 10 10			·									
\$\frac{53}{54}\$ \text{13} \text{22} \text{14} \text{20} \text{14} \text{16} \text{23} \text{15} \text{28} \text{16} \text{23} \text{16} \text{23} \text{18} \text{27} \text{28} \text{28} \text{28} \text{28} \text{28}	51	10 432 10 723	11 014 11 304 11 595 1	1 886 12 177	ŠΙ	14 942	15 232	15 521	15 811	16 101	16 391	16 681
54					_	18419	18 709	17 160 18 990	17 550	17 840	19 868	18 419 20 1 CB
56	54	15 666 15 957	16 248 16 538 16 829 1	7 120 17 411		20 1 58	20 448	20 738	21 028	21 317	21 607	21 897
57 20 899 21 190 21 481 21 771 22 062 22 353 22 643 57 25 374 25 664 25 953 26 243 26 533 26 823 27 112 58 22 643 22 934 23 225 23 225 23 806 24 097 24 387 58 27 112 27 402 27 692 27 692 27 981 28 271 28 271 28 271 28 271	55		1									
	57	20 899 21 190	21 481 21 771 22 062 3	2 353 22 643	57	25 374	25 664 2	25 953	26 243	26 533	36 823	27113
	59											
			1 1 1 1 1 1 1 1 1 1 1 1 1									

292 291 290 289

1 29.3 29.1 25.0 28.9 1

3 58.4 58.3 1.8 0.57.5 0.0

3 87.6 87.3 89.6 86.7 3

4 14.6 8 17.6 41.15 0.115 6.4

5 146.0 145.5 145.5 5.5

6 175.2 174.6 174.0 171.4

7 1204.4 1201.7 201.1 1.00 3.7

8 123.5 62.1 8.2 22.0 1.1 2.8

9 120.8 1201.9 201.0 26.0 3.9

Tafel IV.

Г							log	М.								
			G\$	20								68	30			
8	0"	10,,	20"	30"	40"	50"	60"	v.	0"		10"	20"	30"	40"	50"	60"
o'	1.74 30 589						10.									
2		32 617		33 196				3							37 907 39 640	
3,				36 672				3		-					41 373	
4	37 541			38 410	-			4					41		43 106	
5				40 147				5	1 75 43 39						44 839	
7	42 754	43 043		43 623				7							48 305	
8	44 491			45 360				8		2 4	-				50 037	
9 10	1.74 47 966			48 B35				10	1.75 52 05		-	50 904			51 770	
11	49 703			50 572				22							55 235	
13	51.441 52.17R		1 -	52 309		-		12							58 700	
13				54 046			56652	13							60 432	
15	1.74 56 652			57 520			58 388	15	1.75 60 72	1 61	009	61 298	61 587	61 876	62 164	62 453
16				59 257 60 994				16							63 896	
is				61 730									1		67 361	
19				64 467				19					68 515	68 Bo4	69 093	69 381
20	1.74 65 335			66 203		66 782		20	1.75 69 38						70 824	
22				69 676				22							74 288	
23				71 412	_			23							76 019	
24	1.74 74 016		1	73 148 74 884			74 016	15	1,75 78 04	-1-				-	77 751	
26				76 620					79 77						81 214	
27	77 488			78 356				17							82 945	
28 29	79 224 80 960			80 092 81 818				28				85 542			84 677	
30	1.74 82 695	84 985	83 274	83 563	B3 852	B4 142	84 431	30	1.75 86 69	7 86	985	87 374	87 562	87 851	8B 139	88 418
31	84 431			85 299				31							89 870	
32	87 902			87 034				32					92 755		93 332	
34	89 637	89 927		90 505				34	93 62	1 -					95 063	
35	1.74 91 373	91 661	91 951			92 819		35	1.75 95 35				1		96 794	
36 37	93 108 94 843		95 421	93 975				36 37		- 1 .		99 390			98 525 00 256	
38	96 578	96 867	97 1 56	97 445	97 735	98 024	98 313	38	1.76 00 54	4 00	833	01 121	01 409	ot 69B	01 986	02 275
39			98 891		99 470		00 048	39	02 27			02 852			03 717	
40 41	1.75 00 04B or 783		02 361	1 1 1		01 493 03 228	_	40 41	05 73						05 447 07 178	
42		_		04 385	-		2 5	42					08 331		08 908	
43 44				06 119				43 44					10 002		10 639	
AC	1,75 08 721								1.76 12 65							
46	10 455	10 744	11 034	11 323	11 612	11 901	12 190	46	14 38	7 14	676	14 964	15 253	15 541	15829	16 118
47 48				13 057 14 791											17 559	
49	15 658	15 947	16 236	16 525	16 814	17 103	17 392	49							21 019	
50	1.75 17 392								1.76 21 30							
51 52				19 993								_			24 479 26 209	
53	22 594	22 883	23 172	23 461	23 750	24 039	24 328	53	26 49	7 26	785	27 074	27 362	27 650	27 938	28 227
54				25 195	_	-	-								29 56B	4 - 4
55 56	1.75 26 062 27 795		- '	28 662	_			55 56	1.76 29 95						33 327	
.57	19 529	29 BIB	30 107	30 396	30 685	30 974	31 262	57	33 41	6 33	704	33 992	34 280	34 568	34 857	35 145
58 59				32 129 33 863											36 586	
37	3- 770	2, 50,	32374	33 003	44.3.	37 77"	37 / 7	27	3- 47	1 37	3	J/ TJ*	21 739	3/	3-3-3	

Tafel IV.

	log M.														
			64	1 0						•	66	50			
	o"	10"	20"	30"	40"	50"	60"		0"	10"	207	30"	40"	50"	6o#
0	1.76 38 604							o'							
1 2		1 *	40 909		, -		. *	1 2		44 276		1 3		45 437 47 153	45 715 47 441
3			44 368		44 944			3	47 441						49 166
4		45 809			46 673	· –		4	49 166	49 454		50 019		<u> </u>	50 893 52 618
5	1.76 47 249 48 978	1	47 B16		48 402 50 131			5	1.77 50 892 52 618	51 180 52 906	51 408	51 755 53 481			54 344
7	50 707	50 996	51 484	51 572	51 \$60	52 148	52 436	7		54 632	54 919	55 207	55 495	55 782	56 070
9	51 430 54 165		53 013 54 741					8		1	58 371		58 946		57 790 59 5 21
10	1.76 55 894		56 470		<u> </u>		57 622	10	1.77 59 521	59 809	60 097	60 3 8 4	60 672	60 959	61 247
11			58 t99 59 927		58 775			11						62 68 5 64 41 1	62 973
13	61 080	61 368	61 656	61 944				13						66 136	66 424
14							1	14	66 424	66 711	66 9 <u>99</u>	67 186	67 574	67 862	68 149
15 16	1.76 64 537 66 26s		66 841				66 265	16	1.77 68 149 69 87 c	68 437	70 450	69 011 70 717	69 299 71 025		69 875 71 600
17	67 993	68 281	68 570	68 858	69 146	69 434	69 722	17	71 600	71 887	72 175	72 463	72 750	73 038	73 325
18 19			70 298					18	73 325 75 051		73 900 75 626			74 763 76 488	75 051 76 776
20	1.76 73 178				74 330	74 618		20	1.77 76 776		77 351			78 213	78 501
21			75 482						78 501	78 789				79 939	80 226
23		1 5	77 210				_	22						81 664 83 389	81 951 83 676
24	\$0.090	80 378	80 666	80 954	8t 242	81 530	81 Br#	24	83 676	83 964	84 351	84 539	84 926	85 114	85 401
25	1.76 81 818		82 394 84 122		82 970			26	1.77 \$5 401					86 839 88 564	87 116 88 851
37			85 850						. ,					90 189	
28			87 577		88 153 89 881			28		90 864			-	92 014	92 301 94 026
29 30	1.76 90 457		89 305	-	91 609			30	92 301 1.77 94 026		92 876 94 601	94 889	93 451		
31	92 185	93 473	92 760	93 048	93 336	93 624	93 912	31	95 751	96 038	96 326	96 613	96 901	97 188	97 476
32 33	93 913		94 488		95 064 96 79 t			32	97 476					98 91 3 80 63 8	
34		1 ** 5 '	97 943		98 519	1	1	34	1.78 00 925		OI 500				
35	1.76 99 094		99 670					35	1.78 02 650	1 22	03 225		03 800		2
36 37	02 549		03 125	_				36 37	04 374 06 099		04 949	1 7 7		05 812	
38	04 276	04 564	04 852	05 140	05 428	05 715	06 003	38	07 824	08 111	08 398	08 686	ol 973	09 261	09 548
39 40	1.77 07 730	-			-	-		39 40	1.78 11 273		10 123 11 847		10 698	4	11 273
41		1				10897	11 184		12 997	13 284	13 572		14 147		14 721
42	11 184	11 472	11 760	12 048	12 336	1	12 911	42	14 721		15 296			16 158	16 446 18 170
43 44			13 487 15 214	1	_	4	4 4	43 44			18 745	_			19 894
45	1.77 16 365	16 653	16 941	17 229	17 516	17 804	18 092	45	1 78 19 894	20 182	20 469	20 756	21 044	21 331	21 619
46 47	18 092	18 380	18 668	18 955	19 243	19 531	19 819	46	21 619	21 906	22 193	22 481	22 768	23 055 24 780	23 343
48	21 546	at B33	22 [21	22 409	21 697	12 984	23 272	48	25 067	25 354	25 642	25 929	26 216	16 504	26 791
49			23 848			-								28 328	
51	1.77 24 999 26 725	27 011	25 574 27 301	27 402 27 480	27 876	28 164	18 452	50 51						31 676	
52	28 452	28 740	29 027	29 315	'29 603	29 891	30 17B	52	31 963	32 251	32 538	32 825	33 113	33 400	33 687
53 54			30 754 32 480						33 687	33 975	34 262	34 549 36 272	34 537	35 124 36 1 48	35 411
55	1.77 33 631	33 919	34 207	34 494	34 782	35 070	35 35B	55	1.78 37 135	37 422	37 710	37 997	38 284	38 572	38 859
56	35 358	35 645	35 933	36 221	36 508	36 796	37 084	56	38 8 59	'39 146	39 434	39 721	40 008	40 296	40 583
57 58	38 810		37 659 139 385						40 583	42 594	42 881	41 145	43 456	42 019 43 743	44 031
59	40 536		41 113						44 031	44 318	44 605	44 892	45 180	45 467	45 754
	- :		·												

_	289 288 287
1	28.9 28.81 28.7 1
3	57.8 57 6 57 4 7 86 7 86 4 86 t 3
3	86 7 86 4 86 1 3
4	115 6 115 2 114 8 4
5	144 5 144 0 143 5 5 171 4 171 8 172 2 6
6	173 4 171 8 172,2 6
7	202 3 90t 6 top.g 7
8	231 2 230.4, 229.6 8
9	180.1 859 9 858.3 9

Tafel IV.

log M. 67°														
		60	30						7 0					
07	10"	20"	30"	40"	50"	_6a"	P (1	9"	10"	20"	30"	40"	50"	60"
1.78 45 754	46 042	46 329	46 616	46 903	47 191	47 478	0'	1.79 49 128	49 415	49 701	49 989	50 276	50 563	(50 8 9
47 478	47 765	48 053	48 340	48 627	48 914	49 102	1						52 285	
49 202	49 489	49 776	50 064	50 351	50 638	50 925	2						54 007	
50 925	21 213	51 500	51 787	52 074		52 649	3	54 294	54 581	54 868	55 255	55 442	55 729	56 01
52 649	52 936	53 224	53 511	53 798	54 085	54 373	4	56 016	56 303	56 590	56 877	57 164	57 451	57 73
.78 54 373	54 660	54 947	55 234	55 522	55 809	56 096	5	1.79 57 738		58 312		58 886		59 46
56 096			56 958				6						60 895	
57 820			58 681			59 543	7						62 617	
	59 830						8						64 339	- 4
	61 354					_	9			65 200		65 774	66 061	66 3.
1.78 62 990					64 416		10	1.79 66 348	66 635	66 922	67 209	67 496		
	65 001						11			68 644				69 79
	68 447						13	09 792	70 079	70 366	70 053	70 940	71 327	71 5
	70 171		_		71 320		13 14		73 523				72 949	
							-			_		74 384		74 95
.78 71 607	73 617		74 192		73 043	73 330	15	1.79 74 958	75 245			76 106		76 6
	75 341		75 915		1 1	76 777	17				77 541		79 837	78 4
76 777			77 638			78 500		80 124					81 559	
	78 787						19	81 845		81 419			83 280	
.78 BO 213	1 .		BI OB4			81 946	20	1.79 83 567	83 854		84 428		85 002	85 2
	82 233									85 863	86 150	86 427		
	83 956	_											88 446	
	85 679					87 115	23			89 307			90 167	_
B7 125	87 402	87 690	87 977	88 264	88 551	88 838	24	90 454			91 315	91 602	91 889	
.78 88 838	89 125	89 413	89 700	89 987	90 274	90 561	15	1.79 92 176	92 463	92 750	91 037	91 124	93 611	918
-	90 848		-				A 11						95 333	
92 284	92 571	92 858	93 146	93 433	93 720	94 007	27			96 194			97 054	
	94 294		94 869			95 730	28	97 341	97 628	97915	98 202	98 489	98 776	99 00
95 730	96 017				97 166	97 453	29	99 063	99 350	99 637	99 924	õ0 111	ð⊃ 498	00 71
.78 97 453	97 740	98 027	98 314	98 601	98 889	99 176	30	1,80 00 785		01 359			02 219	02 50
	99 463		- 1	_	00 611		31	02 506	02 793	03 080	03 367	03 654	03 941	0.1 2:
1.79 00 898							32						05 663	
	02 908						3.3	05 950	00 237	06 514	06 810	97 097	07 384	
	04 631				-	06 067	34			08 245			09 106	09 3
.79 06 067						07 789		1.80 09 393		09 967			10 828	
	08 077						36	11 114					12 549	
	09 799	_		_			37	12 836		13 410				
	11 522						38	14 558		15 132	15 418	15 705	15 992	
										16 853	-		17 714	
.79 14 680						16 403	40	1.80 18 001		18 575				
	18 411					19 848	41						21 157 22 878	
	20 135					21 570							14 600	
11 570	21 857	12 144	22 432	22 719	21 006	23 293	44	24 887	35 174	25 461	15 748	26 015	26 321	26 6
.79 23 293						25 015		1,80 26 608						
25 015	25 302	15 580	25 877	26 164	26 451			28 170	28 617	28 00.1	20 101	20 478	29 764	20.0
	27 025							30 051	30 338	30 625	30 912	31 199	31 486	31 7
	28 747							31 773.	32 060	32 347	32 634	32 920	33 207	334
	30 470							33 494	33 781	34 068	34 355	34 642	34 929	352
79 31 905	32 192	32 479	32 766	33 053	33 340	33 627	50	1.80 35 216						
	33 914												38 372	
	35 637												40 093	
37 072	37 359	37 646	37 933	38 220	38 507	38 794	53	40 380	40 667	40 954	41 241	41 528	41 815	42 1
38 794	39 081	39 368	39 655	39 942	40 230	40 517	54	42 101	42 388	42 675	42 962	43 249	43 536	43 8
.79 40 517	40 804	41 091	41 378	41 665	41 952	42 239	55	1.80 43 823						
	42 526							45 544	45 831	46 118	46 405	46 692	46 979	47.2
	44 248												48 700	
	45 970												50 422	
47 405	47 693	47 980	148 207	48 664	48 841	49 128	1 60	50 708	200 03	(61 282	51 569	CT BC6	62 142	52 4

	288	187	286	
2 3	28.8 57.6 86.4	57.4	98 6 57.2 85 8	1 2 3
4 516	115 P	114.8	114.4 143.0	4 5
-	301 6	200.9	171.6. 200.#	7
9			257-4	

Tafel IV.

							log	M.								
			68	3 0					_	_		-66	9 °		_	
D	0"	10"	20"	30"	40"	50"	60"	e l		0"	10"	20"	30"	40"	50"	60 ^H
of	1.80 52 430							oʻ	18.1	55 707	55 994	56 281	56 568	56 855	57 142 58 863	57 4
3					55 299			1			57 716	28 003	5R 289	58 576	58 863	59 1
31					57 020 58 741			2		59 150	59 437	59 724	61 031	67.010	60 585	60 8
3					60 463			3 4					63 454		64 017	-
4	3.80 61 037				_			5			64 601				65 749	
5					63 905			i							67 470	
7	64 479	64 766	65 053	65 340	65 627	65 914	66 201	7							69 192	
В					67 348			8			69 765	_			70 913	
9		_	w.		69 069			- 9		71 200			72 061	72 347		
0	1.80 69 643				70 791			10		72 921 74 643	73 208		73 782	74 069		746
1					74 233			12		76 364		75 217			76 077	
3					75 955			13			78 372			79 233		79 8
4	76 528	76 815	77 102	77 389	77 676	77 963	78 250	14		79 807	80 094	80 381	80 668			81 5
5	1.80 78 250	78 537	78 823	79 110	79 397	79 684	79 971	15	1.81	B: 518	81 B15	81 102	82 389	82 676	82 963	63 2
6					81 119			16		_			84 111		84 684	
7					82 840		85 135	18		84 971			85 832 87 554			
9		-			- 4		86 856	19		88 414					88 127	
ó	1.80 86 856					_		20		90 136					91 570	_
ī					89 725			21		_					93 292	-
2	90 299	90 586	90 872	91 159	91 446	91 733	92 020	22							95014	
3					93 167			23							96 735	
4					94 889			24		97 012					98 457	
5	1.80 95 462				98 331			25	_	98 744					00 178	
7		2	2 2		00 053	-		26							01 900	
8	1,81 00 626						_	28							105 343	
9	02 348	02 634	02 921	03 208	03 495	03 782	04 069	29							07 06 5	
0	1.81 04 069							30	1.82	07 352	07 638	07 925	08 212	08 499	08 786	090
1					06 938		_	31							10 208	
2			_ :		10 380			32							12 230	
3					12 101			33							13 951	
5	1.81 12 675	-	-					35	-						17 395	
6					15 544			36							19 116	
7					17 265			3.7					20 264			
8	7 -				18 986			3.8		21 125			21 986	_	_	
9					20 708			39		22 847		-			24 281	
1	1.81 21 281				22 429			40	1 82						26 003	
2					25 872			41							27 725 29 447	
3							28 167	43							31 169	
4							29 888	14							32 890	
5	1.81 29 888														34 612	
6							33 330								36 334	
7							35 052								38 o56 39 778	
9					37 921			49							41 500	
	1.81 38 494		-												43 222	-
1							41 937								44 944	
2							43 658	52		45 231	45 518	45 805	46 092	46 379	46 666	469
3							45 379								4R 388	
4							47 101						_		50 109	_
5	181 47 101						18 822	55	1.62						51 832	
=							52 265						-		55 276	
8							53 986					_			56 998	
9					55 134										58 720	

	286	287	288	
3	28,6 \$7.2 85.8		28.8 57.6 86.4	2 3
5 6	143.0	114 B 143-5 172-2		4 5 6
7 8 9	228.8	200.9 229.6 258.3	230.4	7 8 9

Tafel IV.

log M.															
,		70	Э°				7					o			
0"	10"	30"	30"	40 ^H	50"	6o"	0 1		0"	10"	30"	30"	40"	50"	60"
82 59 007	59 294	59 581	59 868	60 155	60 442	60 719	0			62 660					
	61 016						1			64 384					
	61 738						3			66 108				1	
	64 460						3			67 831					
	66 182						41.		59 208	69 555				J.	
1.83 67 617							5	1,83		71 279		71 853		72 428	
	69 627						6			73 001				1 1 2	
	71 349					72 784	7 1			74 720					
	73 071						8			76 450					
	74 793					75 229	9'			78 174				79 323	79 61
1.82 76 229						77 951		1.83		79 898					81 33
	78 238					79 673	11			81 621					
	79 960									83 346					
	81 683 83 405						14			86 794					88 23
			-		1		-	- 9-							
1,82 84 840						86 563	7	1.03	-	88 518 90 242	1 -				
	88 572			_		1 - 1				91 966					
90 008			90 869				- C			93 690		1	-		
-	92 017		-			93 452				95 414					
1.83 93 452						95 175		_		97 139			-	l '	
	95 462									98 863					
96 898			97 759							00 587					
	98 907					1 2	11			02 311					
1.83 00 343				01 491		- ; -	- 13		-	'04 036		1 .		h and and a	
1,83 02 065				01 314	03 501	01 788	25			05 760					
	04 075						2			07 485					
	05 798									09 209					
07 233	07 520	07'807	08 095	08 382	08 669	08 956	18		10 646	10 934	11 821	11 509	11 796	12 084	12.37
all 956	09 243	09 530	09 817	10 104	10 392	10 679	29		12 371	12 658	12946	13 233	13 521	13 808	14 09
1.83 10 679	10 966	11 253	11 540	11 827	12 114	12 401	30	1.84	14 096	14 383	14 670	14958	15 245	15 533	15 Ba
12 401			13 263			14 134	31		15 820	16 108	16 395	16 683	16 970	17 257	17 54
14 124	14411	t4 69B	14 986	15 273	15 560	15 847	33			17 832					
	16 134						33			19 557					
17 570	17857	18 144	18431	18 718	19 006	19 293	34	_	20 994	11 282	21 569	21 857	22 144	22 432	22 71
1,83 19 193						21 016	35	1 84	23 719	23 007	23 294	23 5B2	23 869	24 157	24 44
	21 303									24 731					
	23 026									26 456					
	24 749					26 184	_			28 181					
	26 472		17 046			27 997	1			29 906			_	45764	
1.83 27 907								1.84		31 631					
	29 918	-			_					33 356					
	31 641					33 077	1 1			35 081					
3.5 V / 7	33 364 35 087	35 051	35 930	25 048	26 226	34 800				3R 532	-		-	F 44	
1.83 36 523										40 257					
	38 533														
	40 256				-	1 * * * * *				41 982					
	41 979									45 432					
	43 703									47 15B					
1.83 45 139						1 3	100			48 883					
	47 149							×104		50 609					
	48 873									52 334				-	
	50 596									54 060					
	52 319									59 78 5					
1,83 53 756		-				_		1.84		57 511					
	55 766									59 236		-			
	57 490			-						60 962					
58 926	59 213	59 501	59 788	60 075	60 162	60 650	58			62 688					
					62 086					64 414					

	287	288	
=		المما	_
	28.7	98.88	1
3	57-4	57.6	2
3	57-4. 86.1	86.4	3
4	114.8	115.2	4
5	143.5	144.0	6
6	172.3	179.8	6
7	200.9	901.6	7 8
- B j	229.6	230.4	8
9	258.3	259.2	9

Tafel IV.

Γ							log	M	1					"	\neg
			7:	2 º					-		73	30			
v	0"	10"	20"	30"	40"	50"	60"	7	o#	10"	10"	30"	40"	50"	No.
o'	1.84 65 852		66 427				67 578	o'						1 5	
3	69 304		68 153			70 741	59 304 71 030	;		71 505 73 234	71 793	72 081		71 657 74 386	
3			71 605	71 893 73 619		72 468		3		74 963 76 691					
- <u>4</u> 5 6	72 756 1.84 74 482		75 057	75 345	1 -	74 [9 <u>4</u> 75 920	74 482 76 108	-	1.85 78 133		76 980	78 997	77 556		79 862
	76 20 8		76 783 78 509		77 358		77 934 79 660	6 7						\$1 303 \$3 032	
7 8	77 934 79 660	79 948	80 235	80 523	\$0 \$11	81 098	Bt 386	é	83 380	83 608	83 897	84 185	84 473	84 761	85 049
10	1.84 83 112	81 674	81 962 83 680	82 249	82 437 84 261	82 825	84 839	10	1.25 86 779	85 338	B5 626 B7 355		\$6 202 87 932	86 491 88 220	86 779 88 508
11	84 839	85 126	85 414	85 702	85 990	86 277	86 565	11	88 50E	88 796	89 o85	89 373	89 661	89 949	90 138
13			87 140 88 867	1 - 1	1 - 1	88 004 89 730		13		90 526				91 679	- 2
14	90 018	90 306	90 593	90 881	91 169	91 457	91 744	14	93 697	93 985	94 473	94 562	94 850	95 138	95 486
15 16	1.84 91 744 93 471		92 320	92 608 94 334	92 895 94 622	93 183 94 910		16	97 156	95 715		96 291 98 021	96 580 98 309	96 868	
17 18		95 485	95 773	96 061		96 636	96 924	17 11	98 886	99 174	99 463	99 751	ða 039	00 327 02 057	00 616
19	98 651		97 500		99 803			19						03 787	
20	1.85 00 377	-	00 953 02 680	01 241	01 529		92 104	10 21			04 652 06 382	04 941	05 119	05 517	
11 12	03 831	04 119	04 407	04 694	04 982	05 370	05 558	33	07 536	07 834	08 112	08 401	08 689	08 977	09 266
23 24	05 558	05 846	06 E34		08 436			23 24		09 554	09 843 11 573		10 419	10 708	10 996 12 726
25	1,85 09 012	09 300	09 587	09 875	10 163	10 451	10 739	35	1.86 12 726	13015	13 303	13 591	13 880	14 168	14 457
16	10 739 12 466		11 314					26	2 (21)			15 322		15 899 17 619	
28	14 193	14 481	14 769	15 057	15 344	15 632		28		18 206	18 494	18 783		19 360	19 648
30	1.85 17 647		16 496		100		I———	30		19 936 21 667		20 513	22 532		21 109
31	19 375	19661	19 950	20 238	20 526	20 814	21 102	31		23 398	13 686	23 974	24 263	24 55 L	24 840
32 33			21 678	1 5 1				32 33						26 282 28 013	
14	24 557 t.85 26 284		25 132			25 996 27 724	16 284 28 012	34	1.86 30 032					19 744	
35 36			28 587					36	1					31 475	31 763 33 494
37 38			30 315					37 38						34 937 36 668	
19			33 770	34 058	34 346	34 634	34 932	39	36 956	37 245	37 533	37 822	38 111	38 399	38 688
40 41	1.85 34 922		35 498					40 41						40 130 41 862	40 419 41 150
43	38 378	38 666	38 954	39 242	39 530	39 8 18	40 106	42	42 150	42 439	42 727	43 016	43 304	43 593	43 281
43 44			40 682											45 334	
45	1.85 43 562	43 850	44 138	44 426	44 714	45 002	45 290	45	1.86 47 345	47 633	47 922	48 210	48 499	48 788	49 076
46 47			45 866 47 594						50 808	51 096	51 385	51 674	51 964	50 519	52 540
48	48 746	49 034	49 322 51 050	49 610	49 898	50 186	59 474	48 49	52 540					53 983	
49 50	t.85 52 302			-											
51 52			54 507 56 23 5						57 735	58 024	58 312	58 601	58 890	59 178 60 910	59 467
53	57 387	57 675	57 963	58 252	58 540	5R 82R	59 116	53	61 199	61 488	61 776	62 065	62 354	61 643	62 931
5 <u>4</u>	1.85 60 844		59 692					54 °	61 931 1.86 64 663					64 375	
55 56	62 573	62 861	63 149	63 43-	63 725	64 013	64 301	56	66 396	66 684	66 973	67 262	67 551	67 839	68 138
57 58			64 878. 66 606						68 128 69 860	58 417 70 LJD	68 705 70 41 H	68 994	69 283	69 572 71 304	69 860 71 car
59			68 335						71 593	71 882	72 170	72 459	72 748	73 037	73 325
								. '					,	_	

	287	289	289	
-1	28 7		28.9	1
2	57-4	57 6	57 B	3
3	86 i	86.4	86.7	3
4	1148	115 2	115 6	4
56	143.5	144.0	144-5	5
6	1172 2			6
7	900.9	90 E 6	201 1	7
. 8	929.6	230.6	231 Z	à
9	,p58.3	259.0	960. I	9

log M.																
			7-									75	_			
	0"	10"	20"	30"	40"	50"	60"	Ð		0"	to"	20"	30"	40"	50"	60"
1.86			73 903					0	1.87				78 278			
	75 058	75 347	75 635	75 924	77 046	76 502	76 791	1 2					80 015 81 752			
			79 101					3		82 621	82 910	B3 200	183 489	B3 779	84 068	84 358
			80 834					4			1.00		85 227			
1,80			82 567					6	1,67				86 964			
	85 455	85 744	86 033	86 321	86 610	86 899	87 188	7					90 439			
			87 766					8					92 177	_		
1.86			89 499	n_			192 388	10	1.87				93 914			
							94 121	_					97 390	P - P -		
			96 432				95 854	13					99 128			
							99 321.		T.88				oz 605			
							år oss		1,88	03 474	03 763	04 053	04 343	04 633	04 922	05 212
1.87							02 789						06 08 t			
							06 256						09 558			
				_		!	07 990						11 297			
1.87			,				11 458		1.88				13 035			
			12 036										16 513			
			13 771										18 252			
.87			15 505					-11	1.88				19 991			
			18 974					2 1	1100		-		23 469			
							21 864						25 209			
		22 153 23 BBS					23 599 25 334	1 1					26 948 28 687			
1.87							27 068	11-	1.88				30 427			
							28 803 30 538						32 166			
			31 116		-								35 646			
							34 008	- 1					3" 386			
1,87			7				35 743 37 478		1 88				39 126 40 866			
			38 057					37					42 606			
							40 949						44 346			
		41 238	43 263				44 420	1 1	1.88				46 08"			
	44 420	44 709	44 998	45 288	45 577	45 866	46 155						49 568			
							47 891	42 4				_	51 308		-	
			50 205				51 363						54 790			
1.87							53 099		1 88				56 531			
							54 834 56 570						58 271			
							58 307			60 883	61 173	61 463	61 254	62 044	62 3341	62 624
	_						60 043	-					63 495			
							61 779		1 88				65 236			
	63 515	63 805	64 094	64 384	64 673	64 962	65 252	52		67 848	68 139	68 429	68 719	69 009	69 300	69 590
							66 988 68 725						70 461		- ,	5 4
		_		-			70 462		1 88				73 944	-		
	70 462	10 751	71 041	71 330	71 619	71 909	72 198	56		74815	75 105	75 396	75 686	75 976	76 267	-6 557
							73 935						77 428			
							75 672						80 912			
														1	1	

	188 289 290 291	
3 4 56	28 8 28.9 29.0 29.1 57.6 57 8 58 0 58.2 86 4 86 7 87.0 87 3 115 2 135.6 216.0 116.4 144 0 144 5 145 0 145 5 172 8 173 4 274.0 174 6	1 2 3 4 5 6
7-85 0	201 6 202 3 203 0 203 7 230 4 231 2 232 0 232 8 259 2 260,1 261 0 261 9	7 8 9

Г	log	M.	
	76°		770
ט	0" 10" 20" 30" 40" 50" 60"	10	0" 10" 20" 30" 40" 50" 60"
		o'	
1	83 526 83 816 84 106 84 397 84 687 84 978 85 268 85 268 85 558 85 849 86 139 86 430 86 720 87 010	2 (88 240 88 532,88 823,89 115 89 406 89 697 89 989 89 89 989 989 989 980 90 572 90 863 91 154 91 446 91 73
3	87 010 87 301 87 591 87 882 88 172 88 463 88 753	3	91 737 92 029 92 320 92 611 92 903 93 194 93 484
4	88 753 89 043 89 334 89 624 89 915 90 205 90 496	4	93 486 93 777 94 069 94 360 94 652 94 943 95 13
5	1.88 90 496 90 786 91 077 91 367 91 657 91 948 92 238 92 238 92 529 92 819 93 110 93 400 93 691 93 981	6	1.89 95 234 95 526 95 817 96 109 96 400 96 692 96 98 96 983:97 275 97 566 97 858 98 149 98 441 98 732
7	93 981 94 272 94 562 94 853195 143 95 434 95 724	7	98 732 99 024 99 315 99 607 99 898 00 190 00 481
8	95 724 96 015 96 305 96 596 96 886 97 177 97 467	8	1.90 00 481 00 773 01 064 01 356 01 647 01 939 02 230
9	97 467 97 758 98 048 98 339 98 629 98 920 99 210	10	02 230 02 522 02 813 03 105 03 396 03 688 03 93
11	1.89 00 954 01 244 01 535 01 825 02 116 02 406 02 697	11	05 729 06 020 06 312 06 603 06 895 07 186 07 498
13	02 697 02 987 03 278 03 569 03 859 04 150 04 440	12	07 478 07 770 08 061 08 353 08 644 08 936 09 21
14	04 440 04 731 05 021 05 312 05 603 05 893 06 184 06 184 06 474 06 765 07 056 07 346 07 637 07 927	13	09 228 09 519 09 811 10 102 10 394 10 686 10 979
15	T.89 07 927 08 218 08 509 08 799 09 090 09 380 09 671	15	1,90 12 727 13 019 13 310 13 602 13 893 14 185 14 477
16	09 671 09 962 10 252 10 543 10 834 11 124 11 415	16	14 477 14 768 15 060 15 352 15 643 15 935 16 227
17	13 415 11 706 11 996 12 287 12 577 12 868 13 159 13 159 13 159 13 449 13 740 14 021 14 321 14 612 14 903	17	16 227 16 518 16 810 , 17 102 17 393 17 685 17 977 17 977 18 268 18 560 18 852 19 144 19 435 19 717
19	14 903 15 193 15 484 15 775 16 065 16 356 16 647	19	
20	1.89 16 647 16 938 17 228 17 519 17 810 18 100 18 391	20	1.90 21 477 21 769 22 061 22 352 22 644 22 936 23 23
22	18 391 18 682 18 972 19 263 19 554 19 845 20 135 20 135 20 426 20 717 21 008 21 298 21 589 21 880		23 228 23 519 23 811 24 103 24 395 24 686 24 978 24 978 25 270 25 562 25 853 26 145 26 437 26 729
23	21 880 22 170 22 461 32 752 23 043 23 333 23 624		26 729 27 020 27 312 27 604 27 896 28 188 28 479
24	23 624 23 915 24 206 24 496 24 787 25 078 25 369	24	28 479 28 771 29 063 19 355 19 647 29 938 30 236
25	1.89 25 369 25 660 25 950 26 241 26 532 26 823 27 113 27 123 27 404 27 695 27 986 28 277 28 567 28 858	1	7.90 30 230 30 522 30 814 31 106 31 398 31 689 31 981 31 981 32 273 32 565 32 857 33 149 33 440 33 732
26	28 858 29 149 29 440 29 731 30 011 30 312 30 603		33 732 34 024 34 316 34 608 34 900 35 192 35 48
28	30 603 30 894 31 185 31 476 31 766 32 057 32 348	28	35 483 35 775 36 067 36 359 36 651 36 943 37 231
29	32 348 32 639 32 930 33 221 33 511 33 802 34 993 1.89 34 993 34 384 34 675 34 966 35 257 35 547 35 838	30	37 235 37 527 37 818 38 110 38 402 38 694 38 984 1.90 38 986 39 278 39 570 39 862 40 154 40 446 40 73
30	1.89 34 093 34 384 34 575 34 960 35 257 35 547 35 238 35 838 36 129 36 420 36 711 37 002 37 293 37 584	31	40 738 41 029 41 321 41 613 41 905 42 197 42 48
32	37 584 37 874 38 165 38 456 38 747 39 038 39 329		41 489 42 781 43 073 43 365 43 657 43 949 44 241
33	39 329 39 620 39 911 40 202 40 493 40 783 41 074 41 074 41 365 41 656 41 947 42 238 42 529 42 820	33	44 241 44 533 44 825 45 117 45 409 45 701 45 99
35	1.89 42 820 43 111 43 402 43 693 43 984 44 275 44 566	35	1.90 47 745 48 037 48 329 48 621 48 913 49 205 49 49
36	44 566 44 857 45 148 45 438 45 729 46 020 46 311	36	
37 38	46 311 46 602 46 893 47 184 47 475 47 766 48 057 48 057 48 348 48 639 48 930 49 221 49 512 49 803	37 38	51 249 51 541 51 833 52 125 52 417 52 709 53 001 53 001 53 293 53 585 53 877 54 169 54 461 54 754
39	49 803 50 094 50 385 50 676 50 967 51 258 51 549	39	54 754 55 046 55 338 55 630 55 922 56 214 56 506
40	1.89 51 549 51 840 52 131 52 422 52 713 53 004 53 295	40	1.90 56 506 56 798 57 090 57 382 57 674 57 967 58 259
41	53 295 53 587 53 878 54 169 54 460 54 751 55 042 55 042 55 042 55 333 55 624 55 915 56 206 56 497 56 788	42	58 259 58 551 58 843 59 135 59 427 59 719 60 013 60 011 60 303 60 596 60 888 61 180 61 472 61 763
43	56 788 57 079 57 370 57 661 57 952 58 243 58 535	43	61 764 62 056 62 349 62 641 62 933 63 325 63 51
44		44	63 517 63 809 64 102 64 394 64 686 64 978 65 270
45	1.89 60 281 60 572 60 863 61 154 61 446 61 737 62 028 62 028 62 319 62 610 62 901 63 192 63 483 63 775	45	1.90 65 2 0 65 562 65 855 66 147 66 439 66 731 67 023 67 023 67 316 67 608 67 900 68 192 68 485 68 77
40	63 775 64 066 64 357 64 648 64 939 65 230 65 522	47	68 777 69 069 69 361 69 653 69 946 70 238 70 530
48	65 522 65 813 66 104 66 395 66 686 66 977 67 268	48	70 530 70 822 71 115 71 407 71 699 71 991 72 284 72 284 72 576 72 868 73 160 73 453 73 745 74 037
49 50	67 268 67 560 67 851 68 142 68 433 68 724 69 016 1 89 69 016 69 307 69 598 69 889 70 180 70 472 70 763	50	1 90 74 037 74 330 74 622 74 914 75 206 75 499 75 791
51	70 763 71 054 71 345 71 636 71 928 72 219 72 510	51	75 791 76 083 76 376 76 668 76 960 77 253 77 549
52	72 510 72 801 73 093 73 384 73 675 73 966 -4 257	52	77 545 77 837 78 130 78 422 78 714 79 007 79 299 79 299 79 591 79 884 80 176 80 468 80 761 81 05
53 54	74 257 74 549 74 840 75 131 75 422 75 714 76 005 76 005 76 296 76 588 76 879 77 170 77 461 77 753	53	81 053 81 345 81 638 81 930 82 223 82 515 82 80
55	1 1.89 77 753 78 044 78 335 78 626 78 918 79 209 79 500	55	1 90 82 807 83 100 83 392 83 684 83 977 84 269 84 56
56	79 500 79 792 BO 083 80 374 80 666 80 957 81 248	56	84 562 84 854 85 146 85 439 85 731 86 024 86 316 86 316 86 609 86 901 87 193 87 486 87 778 R8 0*1
57 58	81 248 81 539 81 831 82 122 82 413 82 705 82 996 82 996 83 287 83 579 83 870 84 161 84 453 84 744	58	88 071 88 363 88 656 88 948 89 240 89 533 89 825
59	84 744 B5 035 B5 327 N5 618 85 909 86 201 86 492	59	89 825 90 118 90 410 90 703 90 995 91 288 91 586
_	1	H	

290 291 292 293 1 29 0 29.1 29.2 29.3 1 2 58.0 58.2 38.4 58.6 2 3 87.0 37.3 87.6 87.9 3 4 115.0 115.4 115.8 117 2 4 5 145.0 145.5 146.0 146.5 5 6 174.0 1174.6 175 175.8 6 7 203.0 203 7 204.4 205.1 7 8 12.0 228.8 23.6 244.4 8 9 261.0 261.9 262.8 263.7 9

Tafel IV.

					log	M							
	78	3 °			Ť				78	> 0			
o" lo"	20"	30"	40"	\$o [™]	60"	₽	0"	to"	20"	30"	40"	So#	60"
1.90 91 580 91 87						o'	1.91 97 092		-		· <u>·</u>	1 = -	1
93 335 93 62	1	1 - 1	1 - :	94 798	1 2 - 2		1.92 00 617				00 019		00 517
96 845 97 13					100 400	3					03 554		
98 601 98 89					čo 356	4					05 317		
5.91 00 356 00 64 01 112 01 40		01 134		01 819	02 112	6	1.92 05 905	05 199	o6 493		07 080	07 374	
03 867 04 16				4	1 * - 1	7		_	_		10 607	1	11 194
05 623 05 916			06 794 08 550	I							12 370		11 958
3.91 09 135,09 42			TO 306		10 Bg I	10	1.92 14 721		15 309		14 133		14 781 16 485
10 891 11 18.				1	11 647	n	16 485	16 779	17 073	17 367		17 955	
12 647 12 940			_		1 2 2	12		18 543			19 415		_
16 160 16 45						13	_	_		22 659		23 247	
1.91 17 917 18 20	18 502	18 795	19 088	19 381	19 673	15	1.92 23 541	23 835	24 129	14 423	24 717	35 011	25 305
19 673 19 96						16					26 482 28 246		
21 430 21 72 23 187 23 48						18				19 717			30 599
24 944 25 23				1	16 701	19	30 599	30 893	31 180	31 482	31 776	32 070	32 364
3.91 26 701 26 99. 28 459 28 75					30 216	20	1.92 32 364		32 952	30 11	33 541 35 306		
30 216 30 50						22					37 071		7 4 7 7
31 974 32 26						23					38 836	1	
13 732 34 02	34 317 1 36 075		34 903			24 25	39 435 1,93 41 191		41 779	40 308	1 4 99.5	40 896	41 191
37 247 37 544										41 839		44 428	44 732
39 005 39 29											45 199		
40 764 41 05		43 401			44 280	28	48 254		48 843	_	47 665	49 726	48 254 50 020
3.91 44 280 44 57					46 039		1.92 50 020			50 903		51 492	I
46 039 46 33:						31					52 964		
47 797 48 09: 49 556 49 849					51 315			55 614			54 731 56 498		
51 315 51 60					53 074			57 381			50 265		
1.91 53 074 53 367		53 954		54 540	54 B33		1.92 58 854	59 148	3		60 032		
54 833 55 125 56 593 56 886						- 1					61 799		
58 352 58 649	58 939	59 232	59 525	59 818	60 112	38	64 155	64 450	64 744	65 019	65 333	65 628	65 923
60 112 60 40	-11	60 992		61 578		39	65 923				67 101		
1.91 61 871 62 161 63 631 63 921	1 4 1 1		63 045 64 Bos			40 41	1.92 67 690 69 45\$				70 636		
65 391 65 689	65 978	66 271	66 565	66 858	67 151	42	71 226	71 520	71 115	72 110	72 404	72 699	74 994
67 151 67 449 68 911 69 109						43 44					74 173 75 941		
1.91 70 672 70 96	71 259	71 552	71 B45	78 139	72 432		1.91 76 530	76 825	77 120	77 414	77 709	78 004	78 299
78 432 72 726	73 019	73 312	73 606	73 899	74 193	46	78 199	78 593	78 888	79 183	79 478	79 773	80 067
74 193 74 484 75 953 76 241											81 246 83 01 5		
77 714 78 001	78 301	78 595	78 888	79 182	79 475	300	83 6 05	83 900	84 194	84 489	84 784	85 079	85 374
1.91 79 475 79 769							1.98 85 374						
\$1 236 \$1 530 \$2 997 \$3 291											88 322 90 092		
84 759 85 051	85 346	85 640	05 933	86 227	\$6 520	53	90 682	90 977	91 271	91 566	91 B61	92 156	92 451
86 510 86 B14											93 631		
90 044 90 33											95 401 ; 97 171		
91 805 92 099	92 393	92 686	92 980	93 274	93 567	57	97 761	98 056	98 351	98 646	98 941	99 236	99 531
93 567 93 861 95 330 95 613	94 155	94 448	94 742 p6 504	95 036	95 330	58					00 711 02 481		
75 330 75 02	77 24/	70 211	3- 3-4	A4 /A0	7/ 574	27	177 41 341	J-)70	J. 491	J_ 143	401	J= //W	~3 ~/#

_	292 293 294 195 296
T 22	29.2 29.3 29.4 79.5 29.6 t \$8 4, \$9.6 \$6.8, 59.0 59.3 2 87.6 87.9 88.2 88.5 88.8 3
4 5 6	16 8 117 2 117 A 118 11 118 4 4 146.0 146 5 147.0 147 5 48.0 5 175 2 175 2 177 0 177 0 6
7 8 9	204 4 205,1,205,8 206 5 207 2 7 233 6 234,4 235 7 236 U 236,6 8 262,8 263,7 264,6(465,5 266,4 9

							log	M.							
			80	D ₀							81	Lo.			
0	o"	10"	20"	30"	40"	50"	6o"	0	0#	10"	20"	30"	40"	90"	60"
0'	1.93 03 072	01 167	01 662	01 957	04 1 52	04 547	04 842	01	1.94 09 56	4 09 861	10 158	10.454	10 751	11 047	11 34
1			05 431				1 2 2	1		4 11 640				12 827	13 11
2			07 203					2	13 12				1 -	14 607	
3			08 974					3	14 90			15 793		16 387	
4			10 745				[-4		3 16 980		17 573	19650		
6	19311926		14 287			13 402	13 697	6	1.94 18 46	4 20 540		19 353	-		
7			16 059					7	,	4 22 321				13 508	
8			17 830					8		5 24 101				25 289	
9			19 602				1	9		5 25 882	-			27 069	
01	1,93 20 783							10	1.94 27 36	-		28 257			
11 12			23 t46 24 918					12		7 29 444 8 31 225			30 335		
13			26 691			-		13		0 33 007				34 194	
14			28 463				29 645	14		1 34 788			35 679		36 271
15	1.93 29 645	29 940		30 531	30 827	31 122	31 418	15	1.94 36 27	3,36 570	36 867	37 164	37 46t	37 758	38 055
16		31 713	32 008			32 895		16		5 38 352					
17 ·	:		33 781	40.1		34 668		17	39 83	9 41 916		1 -	_	41 322	
19			37 328			38 214		19	43 49			44 293	44 590		45 184
20	1.93 38 510		39 101	39 397		19 988		20	1 94 45 18		-		46 372		46 968
21			40 875		41 466		42 057	21		6 47 264		47 858	48 155	48 452	48 749
12	43 057			41 944		43 535		22		9 49 046	1	1 1 7		50 235	50 532
23	43 831			44 718	45 013	45 309	1	23	50 53			51 424	51 721	52 018	54 099
24	1 93 47 379	45 900	47 970	46 492		47 083		24	52 31	-		54 990		55 585	55 88:
25 26		49 448	49 744			50 631		26	1.94 54 09			56 774	-		57 666
27	50 927		51 519	51 814		52 406		27	57 66			-		59 152	
28	52 702		53 293		53 885		4	28		9 59 747				60 936	61 233
29		54 772	55 068	55 364		55 955	56 251	29		3 61 531			62 423		
30 31	1.93 56 251	50 547 58 322	56 843	57 138	57 434	57 730		30	1.94 63 01		63 612 65 396		64 207		64 Bos 66 586
32		60 097	60 393		60 984		61 576	31	66 58		67 181	67 478		68 073	6B 37
33	61 576		61 168	62 464		63 056		33	68 37		68 965			69 858	70 15
34	63 352	63 647	63 943	64 239	64 535	64 831	65 127	34	70 15	5 79.453	70 750	71 048	71 345	71 643	71 940
35	1.93 65 127		65 719			66 607		35	1.94 71 94				73 130		73 72
36 37			67 495			68 383		36	73 71	0 75 808	74 320			1	75 510
38	70 455	_	71 047		-1 639	71 935	72 231	37 3B		6 77 593			78 486		79.081
39 "	72 231	_	72 823	73 119	73 415	73 711	74 007	39	79 08			79 974			80 86
40	1.93 74 007				75 191	75 487	~5 783	40	1.94 80 86	7 81 169			82 058		82 653
41							77 560	41 1		3 82 951			83 844		84 439
42			78 152					42		9 84 737					88 011
43 44			81 706					43		1 88 300					Rg 798
45	1 93 82 891	83 187			84 075	84 372	84 668	45	1 94 89 79						91 585
46	84 668	84 964	B\$ 260	85 556	85 853	86 149	86 445		91 58	5 91 882	92 THO	92 478			93 3*1
47	86 445	86 741	87038	87 334	87 630	87 926	88 223	47		1 93 669					
4B			90 593					48		8 95 456					
49 50	1.93 91 778			-				49	1,94,98,73	6 97 244					
51			94 149					50	1 95 00 52					-	
52	95 334	95 630	95 927	96 223	96 520	96 R16	97112	52		8 02 606					
53	97 112	97 409	97 705	98 001	98 298	98 594	98 891		04 09	6 04 394	04 692	04 990	os 288	05 586	05 884
54			99_484					54		4 06 181					-
55	1 94 00 669								1 95 07 67						
56			03 041					56		9 11 547					
58			06 599							8 13 336					
59			08 378							7 15 125					
															_

		±95	296	197	298	299	
I	t 2	29.5			29.8		1 2
	3	1 88 5	59 8. 88.8,	89.1	B9 4		3
ĺ	5	147.5		148.5	149.0	149 5	5 6
ı	7 8	206 5	236.8	207.9	208 6	200 3	7 8
ı	9		a66.4				9

Tafel IV.

			log	М.							
8;	3 º						83	30			
o" to" 20"	30" 40"	50"	60"	\$1	o"	10"	20"	30"	40"	50"	60"
1.95 16 616 16 914 17 212 18 405 18 703 19 001 20 194 20 492 20 791	19 199 19 598	19 896	20 194	0' 1 2		24 57E 26 370 28 170	26 670	26 970	27 270	27 570	27 870
21 984 22 282 22 580 23 773 24 072 24 370	22 878 23 1-7	23 475	23 773	3 4	29 670	29 970 31 771	30 270	30 570	30 870	31 170	31 470
1,95 25 563 25 861 26 160 27 353 27 652 27 950 29 143 29 442 29 740	28 248 28 547	28 845	29 143	6		33 571 35 371 37 172	35 672	35 972	36 272	36 572	36 872
30 934 31 232 31 531 32 724 33 023 33 321 1.95 34 515 34 813 35 112	33 620 33 918	34 216	34 515	9		38 973 40 774	41 074	41 375	41 675	41 975	42 275
36 306 36 604 36 903 38 097 38 395 38 694 39 888 40 187 40 485	37 201 37 500 38 992 39 291 40 784 41 082	37 798 39 590 41 381	38 097 39 888 41 679	11	44 977 45 878 47 680	44 377 46 179 47 981	44 677 46 479 48 281	44 978 46 779 48 581	45 278 47 080 48 882	45 578 47 380 49 182	45 878 47 680 49 482
41 679 41 978 42 277 1.95 43 471 43 770 44 068 45 263 45 561 45 860	44 367 44 665 46 159 46 457	44 964 46 756	45 263 47 055	16	1.96 51 284 53 087	53 387	51 885 53 688	52 186 53 988	52 486 54 288	52 786 54 589	53 087 54 889
47 055 47 353 47 652 48 847 49 145 49 444 50 639 50 938 51 236	149 *43 50 041 51 535 51 834	50 340 52 #33	50 639 52 431	17	56 692 58 495	55 190 56 993 58 796	57 293 59 096	57 594 59 397	57 894 59 697	58 195 59 998	58 495 60 298
1.95 52 431 52 730 53 029 54 224 54 523 54 821 56 017 56 315 56 614 57 810 58 108 58 407 59 603 59 901 60 200	55 120, 55 419 56 913 57 212 58 706 59 005	55 718 57 511 59 304	56 017 57 810 59 603	21 22 23	63 905 65 709	62 402 64 205 66 009 6- 813	62 703 64 506 66 310	63 003 64 807 66 610	63 304 65 107 66 911	63 604 65 408 67 212	63 905 65 709 67 512
1.95 61 396 61 695 61 994 63 189 63 488 63 787 64 983 65 282 65 581 66 777 67 076 67 375	62 293 62 592 64 086 64 38 5 65 880 66 179	62 890 64 684 66 478	63 189 64 983 66 777	25	1.96 69 316 71 121 72 925		69 918 71 722 73 527	70 219 72 023 73 827	70 519 "2 324 74 128	70 820 72 624 74 429	71 121 72 925 74 730
68 5°1 68 870 69 169 1.95 70 365 70 664 70 963 72 159 72 458 72 757	69 468 69 767 71 262 71 561 73 056 73 355	70 066 71 860 73 655	70 365 72 159 73 954	30 31	76 534 1.96 78 339 80 145	76 835 78 640 80 445	77 136 78 941 80 746	77 437 79 242 81 047	77 738 79 543 81 348	78 039 79 844 81 649	78 339 80 145 81 950
	76 646 76 945 78 441 78 740	77 244 79 039	77 543 79 338		83 755 85 561	82 251 84 056 85 862	84 357 86 163	84 658 86 464	84 959 86 765	85 260 87 066	85 561 87 367
81 133 81 433 81 732 82 929 83 228 83 527 84 724 85 023 85 323	83 826 84 126 85 622 85 921	82 629 84 425 86 221	82 929 84 724 86 520	36 37 38	90 979	89 474 91 280 93 087	89 775 91 582	90 076	90 377 92 184	90 678	90 979 92 786
86 520 86 819 87 119 1.95 88 316 88 615 88 914 90 112 90 411 90 711	89 214 89 513 91 010 91 309	89 813 89 813	90 112	40 41	1 96 96 399 98 206	98 508	97 002 98 809	97 303 99 110	97 604 99 411	97 905	98 206 00 014
9t 908 92 207 92 507 93 705 94 004 94 303 95 501 95 801 96 100	94 603 94 902 96 399 96 699	95 202 95 998	95 501 97 298	43 44	03 629	02 122	02 424 04 23 1	02 725	03 026	03 327	03 629 05 436
1.95 97 298 97 597 97 897 99 095 99 394 99 994 1.96 00 892 01 191 01 491 02 689 02 989 03 288	99 993 60 293 01 791 02 090 03 588 03 888	00 592 02 390 04 187	ŏo 892 oz 689 o4 487	46 47 48	10 861	07 546 09 354 11 162	07 847 09 655	08 148 09 957 11 765	08 450 10 258 12 067	08 751 10 560 12 368	09 05 3 10 861 12 669
04 487 04 786 05 086 1.96 06 284 06 584 06 884 08 082 08 382 08 682 09 880 10 180 10 480	07 183 07 483 08 981 09 281	07 783	og ogs og ogs	50 51	1.97 14 478	12 971 14 780 16 589 18 398	15 081	15 383 17 192	15 684	15 986	16 287 18 096
11 678 11 978 12 278 13 477 13 777 14 076 1.96 15 275 15 575 15 875	12 578 12 877 14 376 14 676 16 175 16 475	13 177 14 976 16 774	13 477 15 175 17 074	53 54 55	21 715		24 128	22 620 24 430	22 922 24 731	23 223 25 033	23 525 25 335
17 074 17 374 17 674 18 873 19 173 19 473 20 672 20 972 21 2*2 22 471 22 771 23 071	19 773 20 072 21 572 21 872	20 372	20 672 22 471	57 58	27 145	25 636 27 447 129 257 31 067	27 748 29 559	28 050 29 860	18 352 30 162	28 653 30 464	28 955 30 766
	332-3-14	,,	, , , ,	73			1) ,,,		,,,,

	198	199	300	301	302	
H # # 4 400 PAR D	39.6 89.4 119 2 149.0 178 8 908 6	89.7	60 0 20 0 13 180.5 210 3	60 21 90 3 129 4 140 5 180 f 1 7 140 8	151 → 181 2 11 4 241 6	1 2 3 4 5 0 78 9

Tafel IV.

				-			log	M.							
-			84	1.0							86	50			$\neg \uparrow$
B	0"	10"	20"	30"	40"	50"	60"	9	0"	10"	20"	30"	40"	50"	60"
0	1.97 32 576							of	1.98 41 579						
1 1	34 387 36 198		34 991 36 Boz		35 594 37 406			2			44 009 45 832		44 617 46 440	44 92 E 46 744	
3	38 009 39 821	_	38 613 40 425		39 217 41 029		39 \$21 41 633	3	47 048 48 871		47 656	_	I	48 567 50 391	48 871 50 695
4	1.97 41 632		42 236		42 840		43 444	5	1.98 50 695					52 215	52 519
6					44 653		45 256	5						54 039	1 * 2 * 3 * 1
7					46 465 48 277		47 069 48 881							55 863 57 688	
9	- · -				50 089		50 694	9		_		-		59 512	
11	1.97 50 694 52 506			_	51 902		54 319	10	1.98 59 817 61 642				61 033	61 337	
13					55 528			12				1 2 2 - 1		64 988	
13 14					57 342 59 155		59 760	13 14						68 639	
15	1.97 59 760							15	1.98 68 943						
17	4 7 - 7				62 783			16				-		72 391 74 118	
18	65 202				66 411	4		18	74 452	74 727	75 031	75 335	75 640	75 944	76 249
19	1.97 68 831				70 040	70 343	70 645	191 301	1.98 78 076	76 553		! —	79 407		78 076
21	70 645	70 948	71 250	71 553	71 855	72 158	72 460	21	79 903	80 307	80 512	80 B16	\$1 111	BI 425	Et 730
22					73 670 75 486			23						83 253 85 080	
34		76 393	76 696	76 999	77 301	77 604	77 906	24	85 385	1 5 690	85 994	\$6 199	86 604	86 90 E	87 213
25 26	1.97 77 906			78 814 80 630		79 410 81 236	1	25 26	1.98 87 213					\$8 736 90 565	
27	81 538	81 841	B2 144	82 446	82 749	83 052	83 354	27	90 869	91 174	91 479	91 784	92 088	92 393	92 698
28 29					84 565 86 382			29		93 003	1			94 222 96 DSI	
30								30						97 880	$\overline{}$
31 32					90 015		1.	31 32						99 709	
33			1 -				94 256	33						03 369	
34				-	95 467			34		-		-		05 199	
35 36							99 709	35 36						08 859	
37	99 709				00 921			37 38						10 690	to 995
38 39							05 164	39						12 521	
40	1.98 05 164								1.99 14 657		1 -		-	1	
41 42					1	1	10 631							19 015	
43	10 621	10 924	11 228	11 531	11 834	12 137	13 440	43	20 152	20 457	30 762	21 068	21 373	21 678	21 984
# #5	1.98 14 260					•1	14 260	-	1.99 23 816					23 511	
46	16 080	16 383	16 686	16 990	17 493	17 597	17 900	46	32 Q18	125 954	26 259	26 565	26 870	27 176	27 481
47 48							19 720							19 008 30 841	
49	21 540	21 844	22 147	21 451	22 754	23028	23 361	49	31 147	31 452	31 758	32 063	32 369	32 675	32 980
50				2			25 182		1.99 32 980					34 508 36 342	
52	27 003	27 306	. 27 610	,27 914	28 217	28 521	28 B24	52	36 647	36 953	37 259	17 564	37 870	138 176	38 481
53 54							30 646 32 467		38 481 40 314	38 787 40 621	39 093 40 927	39 398	41 (28	40 010 41 \$44	40 315
55						_			1 99 42 150	42456	42 761	43 067	43 373	143 679	43 984
56	34 289	34 593	34 896	35 200	. 35 504	35 807	36 111	56	43 984	44 290	+4 596	44 902	45 208	45 513	45 819
57 58							37 933							47 348	
59	39 756	40 060	40 363	40 667	40 971	41 275	41 579	59						51 019	
						-									

301 303 303 304 305 306

1 301 30.7 30.3 30.4 30.5 30.6 1

2 60.4 60.6 60.8 61.0 61.2 2

3 70.3 90.6 90.9 91.7 91.5 91.8 3

4 1.00 4.30 8 121.2 121.6 122.1 122.6 4

5 150 5 151.0 152.5 152.0 152.5 153.1 5

6 180 6 181 2 181.8 182.4 183.1 183.6 6

7 110 7 111 4 212 1 212 8 213 5 214.2 7

8 1240 8 441.6 247 4 243 2 244 6 244.8 8

9 1270.9 271.8 878 7 273 6 274 5 275.4 9

Tafel IV.

			_			log	M.							
		86	30							87	70			
0"	10"	20"	30"	40"	50"	6 0 ″	0	0"	10"	20"	30"	40"	50"	6a"_
1,99 51 325							0	2.00 61 863						
		\$3 773 \$5 609					3 H		64 021					
56 8 33		57 445					3	4 -	67 720					
		59 281				_	4		69 570		-			
1.99 60 506 62 142		62 955					5		71 481				74 654	
		64 792					7 1		75 122		_			
		66 629					# i	_	76 973					
1.99 69 692		68 467				71 530	10	78 515 3.00 80 367	· }				BO 058	
		72 142			, , , ,		11 .		82 527			_		
		73 980					131		84 379					
75 200	75 512				78 577	77 045	13 14		86 231					
1.99 78 883					80 416		15							
80 722	81 029	Br 335					16	91 480	91 789	92 098	92 407	92 716	93 024	93 333
		1	1			84 40t 86 24t	- 1		93 642					
						180 88			97 349			98 276		
1.99 88 081						89 92T		2.00 98 894		99 512	99 811		õ0 439	
						91 761			01 057			1		
93 602		94 215					23	04 457	04 766	05 075	05 384	05 693	06 001	06 311
95 443		96 056						06 31 1					97 857	
1.99 97 284						99 125 00 966							09 712	
s.cc cc 966								11 \$77	10 331				13 423	
						04 650					-	1 3	15 279	
8,00 06 49E						06 492			15 898				18 992	
						10 177		19 301	17 754					
10 177	10 484	10 791	11 098	11 406	11 713	12 020	32	\$1.151	21 467	21 777	22 086	22 396	22 705	23 015
		14 477			13 550	13 863		23 015	23 324				26 420	
2.00 15 706			1		17 243			3.01 26 729	_			-		
			18 473	18 779	19 086	19 394	36	28 587	18 897	19 106	29 516	19 \$25	30 135	30 445
		20 008				21 238			30 754					
_		23 697				24 926	•		34 471	1	1		35 710	
2.00 24 926		1				. 26 771					1		37 569	
						28 616 30 461) · 38 188 } · 40 048					
30 461	30 768	31 076	31 384	31 691	31 999	32 306	43		41 907					
						34 152			43 766					
3,00 34 153 24 003						35 998 37 844		47 176	6 45 626 6,47 486	45 936	45 246	46 556	48 775	47 176
33 77° 37 844	38 151	38 459	38 767	39 075	39 382	39 690	47	49 937	49 347	49 657	49 967	50 277	150 587	50 897
39 690	39 991	40 305	40 613	40 921	41 119	41 536] 48 '	50 897	7 51 207	151 S17	51 828	152 138	125 44R	, 52 758
						43 383			53 068					
2.00 43 383 45 230	145 091 45 538	45 846	46 154	46 463	46 770	45 230	51	3.01 54 619 56 486	9 54 9±9 9 56 790					
47 977	47 385	47 693	48 00 1	48 309	48 617	48 925	52	58 342	s 58 652	58 962	59 273	59 583	59 893	60 204
						50 773 52 620			1 60 514 5 62 376					
								2.01 63 925						
54 469	54 777	55 085	55 393	55 701	56 009	56 317	56	65 790	66 101	66 411	66 712	67 032	67 343	67 653
						58 165 60 014			3 67 963 5 69 827					
						61 863			71 690					
		-	-								1)	!	1

	305	306	307	308	309	310	311	
1		30 6						t
3		91 8					93-3	3
4	189.0	107.4	122 8	1212	123 6	174 0	184.4	4
6		153 01						6
7 8		214 2	845.6	740 4	247 2	948 0	248 B	7 8

Tafel IV.

ı

							log	M.							
			88	30					-		81	≫ º			
0	o"	10"	20"	30"	40"	50"	60"	10	0"	10"	20"	30"	40"	50"	60°
o'								O.	2.02 85 512						
1			75 728					3						88 957 90 837	
3			79 456					3							93 030
4			81 321					4:				$\overline{}$			94 910
6	2.01 #2 564 84 420		83 185					5	2,02 94 910	95 223 97 104					96 790 98 671
7	86 294	86 605	86 916	87 227	87 538	87 849	88 159	7 1	98 671	98 984	99 298	99 611	99 925	50 13 8	ÕO 558
8			88 781 90 647		89 403 91 169			9	02 433	00 865		OL 492 O3 373	01 806		
10)	2.01 91 891				93 135			10					05 568		
11.	93 757	94 068	94 379	94 691	95 001	95 313	95 624	11	06 196	06 509	06 \$23	07 137	07 450	07 764	08 078
13			96 246		96 868 98 735			13 13	_					09 646 11 518	11 842
14			99 980					14		12 156	_		13 097		
15	3.02 01 225				01 470			15	2.03 13 725					15 294	
17			03 715					17						17 177	17 491
18'	06 828	07 139	07 451	07 762	08 073	08 385	ol 696	18	19 374	19 688	10 003	20 316	10 630	10 944	21 25t
19		· 	09 319		11 \$10		12 433	19						22 828	
31	2,02 10 565 12 433		13 056						2.03 23 142 25 026				; * <u>-</u>	26 597	
13			14 925					23 /		27 225				28 483	
23			16 795	1 1 1		1	4	23		30 995		29 738 31 623	31 938	30 367 32 252	
25	1.03 19 911				21 157			25	2.03 32 566			33 509			34 452
26!			12 404				23 651	26						36 013	
27			14 274 26 145					27						37 909 39 796	
29	27 392	27 704	18 016	18 328	28 639	28 951	19 163	19	40 110	40 425	40 739	41 053			
30 31	2.02 29 263							30	1.03 41 997					43 569	
32			31 758 33 630											45 456	
33			35 502		_			33						49 232	
341	2,02 38 622		37 374					35	2.03 51 434					\$1 120 \$3 00\$	
36			41 119					36			-			54 896	
37			42 992											56 785	
38			46 738	47 050				38 39						58 674	2 - 1
40	2.02 47 987	48 299	48 612	48 924	49 236	49 549	49 86 T	40	2.03 60 878	61 193	61 508	61 823	62 138	62 453	62 768
41 41;			50 486					41						64 343	
43		-	54 234	-										68 123	
44	55 484	\$\$ 796	56 109	56 421	56 734	57 046	57 359	44	68 439	68 754	69 069	69 384	69 699	70 014	70 329
45	2,02 57 359		57 984						2.03 70 319					71 905	
47	61 109	61 422	61 734	62 047	62 360	62 672	62 985	47	74 112	74 427	74 742	75 057	75 373	75 688	76 003
48			63 610											77 580	
49 50	2 02 66 737		65 486					49	77 895 2.03 79 787					79 472 81 164	
51			69 239				_	51	B1 679	81 995	82 310	82 626	82 941	83 257	83 572
52			71 115											85 149	
53 54			72 992 74 870						87 35B	87 674	87 989	88 305	88 610	87 043 88 936	89 252
55	3.02 76 121	76 434	76 747	77 060	77 373	77 686	77 999	55	1.03 89 252	89 567	89 883	90 198	90 514	90 830	91 145
56			78 625						91 145	91 461	91 777	92 092	92 408	92 724	93 039
57 58			80 503 82 381											94 618	
59			84 260											98 407	

310 311 312 313 314 315 316

1 310 311 312 313 314 315 316

2 620 62,2 624 62,6 628 630 632 2

3 93.0 03 1 93 6 91 9 94 2 94 5 94 5 94 8

1 1240 1244 1248 123 2 125 6 1250 1276 4

5 1550 155 5 156 0156 5 157 0157 5 158 13 3

6 186 0 186 0 187 2 187 8 188 4 180 182 6

7 217 217 218 4 219 7 218 7 8 188 2 188 2 18 2 8 9

248,0 248,8 243,0 250,4 251 2 251,0 252 8 8

9 279 0 279,9 480,8 881 7 286 6 481 5 284 4 9

Tafel IV. .

						log	M.			_				
		90)°							9)	L°			
0"	10"	30"	30"	40"	50"	60"	t	o"_	10"	20"	30"	40"	50"	60"
2.03 98 713							o,				I -		1 2	14 838
2,04 00 618		01 250					1		1 15 157 1 17 069		15 794			16 750
		05 041					3	_ 22	18 982	_		_		20 576
-:		06 937					41		10 895					
2.04 08 101		08 833 10 730					5	2.05 22 489	24 722		23 446	: -		24 403
		12 627					7	26 316	26 635	16 954	27 273	27 593	27912	
		14 524							18 550					30 145
2.04 17 686		16 421		18 953			10	3.05 32 060	30 464		33 017	-		33 975
	-	30 217					11	33 975	34 294	34 613	34 932	35 152	35 571	35 890
	21 799			22 748			12		36 209					37 806
	25 596	24 014 25 913		26 546		25 380 27 179	13 14!		40 041					41 631
2.04 27 179	27 495	27 8t2	28 128	28 445	28 761	29 078	15	3.05 41 638						43 554
		29 711					16		43 874					
		31 611		34 144			[17 ; [8]		45 790 47 797					
34 777		35 411		36 044	36 361	36 678	19		49 625	49 944	50 264	50 584	50 903	51 223
2.04 36 678	36 994	37 311	-	37 945	_	38 578	20	2.05 51 223			52 183		I -	53 141
38 578 40 479		41 113		39 846 41 747		40 479 42 381	21		53 461					55 059 56 978
42 381	42 697	43 014	43 331	43 648	43 965	44 282	23	56 971	57 297	57 617	57 937	58 257	58 577	58 B96
44 281	44 599			45 550	45 867	46 184	4	2.05 60 816	59 216		59 856		62 415	60 816
48 086		46 818		47 453		48 086	25		63 055		1			64 655
49 988	50 305	50 622	50 940	51 257	51 574	51 891	- 1		64 975					
51 891 53 794	\$2 208 \$4 111			53 160 55 063		53 794 55 6 97	26 29		68 815		69 455		70 096	68 49 5 70 416
2.04 55 697	56 014		$\overline{}$	56 966			10			71 056	71 376		72 016	72 337
		58 235					31]		72 657				73 938	
		62 043					32		74 578 76 500					76 179 78 101
		63 948					34 9	78 101		78 742	79 061		79 703	80 023
2.04 65 217							35	2,05 80 023		80 664	1 - " '		B1 625	
						69 027 70 933			82 266					
70 933		71 568	71 886	72 203			1	#5 791	86 112	86 432	86 753	87 073	87 394	B7 715
	73 156		73 791	74 109	74 427	74 745	39		88 035				89318	
2.04 74 745 76 651	75 062		75 698 77 604		76 333 78 340	76 651 78 558	40 41	2.05 89 638	91 883				91 241	91 562 91 486
78 558	78 875	79 193	79 511	79 829	80 147	80 465		93 486	93 807	94 128	94 448	94 769	95 090	95 411
		81 100 83 007				R2 372	43		95 732					
3.04 84 279	84 597	84 915	85 211	85 561	85 869	86 187	#						50 865	
86 187	86 505	86 Ra3	\$7 141	87 459	87 777	88 095	46	2.06 01 186	01 507	OI \$28	02 149	02 470	02 791	03 112
						90 003 91 912			03 433					
						93 821			07 185					
3,04 93 811	94 1 39	94 457	94 775	95 094	95 412	95 730	50							
						97 640 99 549			11 139					
99 549	99 868	50 186	ðo 504	00 B23	Ö1 141	ÕI 459	53	14 672	14 994	15 315	15 636	15 957	16 179	16 600
2.05 01 459	01 778	02 096	02 414	02 733	03051	03 370	541		16 921		_ -			_
2.05 03 370						05 280 07 191			18 8 50					
						09 103		22 385	12 707	23 028	23 350	23 671	23 993	24 3 14
						11 014		24 314	24 636	24 957	25 279	25 60L	25 922	26 244
11 014	** 333	11 051	11 970	12 104	12 907	12 926	23.	20 244	26 565	20 887	27 2091	a7 530	-7 452	-= 173

	315	316	317	318	319	330	321	322	-
1	31 5	31 6	31 7	31 8	31.9		9E 1	32 2	
2	630	632	63.4	63 6	63 B	64.0	64.2	64 4	*
3	94.5	94.8	95 F	95 4	95 7	96.0	96 3	96 6	3
4				197 3					4
5				139 n					5
6	189 0	189 6	190.2	120.8	TQ1-4	, t ð 3 o	1916	193 *	0
7				272 6				225 4	7
1				254.4,					8
9	P\$3.3	284 4	±85 3	286. z	187-1	0,68#	268.9	289.9	9

. Tafel IV.

								M.							
	·		9:	≥ º							98	30			
0	o"	10"	20"	30"	40"	50"	6o"	0	0"	10"	10"	30″	40"	50"	60°
o'	2.06 18 173	28 495	28 817	19 138	29 460	29 782	30 103	01	2.07 44 519	44 844	45 169	45 494	45 819	46 143	46 46
1				31 068							47 118			48 093	
3				32 999 34 930	33 321	35 573	33 964				49 067 51 016		1 15 2 2 2		1
4				36 B61	37 182			4		52 641		53 291	53 616	53 941	
5	2.06 37 826	38 148		38 792	39 114	39 436		ا إ	2.07 54 266		54 916	55 241	55 566	55 891	1
7	39 750 41 689			40 724				5			58 \$17			57 842 59 793	
8	43 622	43 944	44 266	44 588	44 910	45 232	45 554	8						61 744	
9	45 554		46 198			47 165		백	3.07 64 021		62 720	63 045	63 371	63 696	-
10 [1]	2.06 47 487 49 420	49 742		50 386	48 775 50 709	49 097	51 353	11			66 624			67 600	
13	ST 353	51 675	51 997	52 320	52 642	52 964	53 287		67 925	68 251	68 576	68 902	69 227	69 552	69 87
13			55 865	54 354 56 LRR	56 510		55 321	13	59 87 E 71 831		70 519	70 854	1.	71 505	1 =
15				58 132	-		59 089	15	2.07 73 784		74 435	74 761	I	75 418	_
16	59 089	59 412	59 734	60 057	60 379	60 702	61 024	16	75 738	76 06 3	76 389	76 714	77 040	77 366	77 691
17 18				61 992				17	77 691 79 646			78 668 80 623		79 320 \$1 274	1
19					1		66 831		\$1 600					13 229	
20	2.06 66 831		67 476	67 799		68 444	68 767	30	2.07 83 555	83 881	84 207	84 533		85 184	
21 22						, -	70 703 72 640	21	85 510 82 466			1		87 140 89 096	1.'
23							74 577		_	1 -	90 074			91 052	
24				1 -			76 514	14		91 704		92 356			93 334
25 I	3.06 76 514		1 * * _	77 483			1	25	2.07 93 334 95 291		93 986			94 965	
27				81 359				27			97 90t			98 879	
28						1	84 267	2 B						00 B37	81 161
30	2.06 86 206	84 590		85 236			1	30	2.08 01 163	01 490	01 816	04 101	_	01 795 04 753	05 086
31				89 115			90 084	3t			05 733			06 712	07 029
32							92 024	1 7 . [07 692		-		ot 991
33 34				94 935		95 582	93 964 95 905	33	10957	09 324	11 610	11 937	10 304	10 631	12 91
35			·		-			35	2.08 12 917		13 570	_ = -	_	14 550	14 87
36				98 816				36	14 877				16 184		16 83
37 38	99 757 2,07 OL 728			00 757				37			17 491		16 145 20 106		18 79
39				04 641		05 288		39	20 759		21 413			22 394	22 73
40	2.07 05 612							40		23 048		23 701		24 356	14 681
4I . 42 .				OR 526			09 497	41. 42.			25 336 27 299				26 64! 28 60
43	11 440	11 764	12 088	11 412	12 736	13 059	13 383	43	28 607	28 934	29 261	29 588	29 91 5	30 243	30 579
선.							15 327	4			31 124				32 53
45 46	2 07 15 327 17 271	17 595	17 919	18 241	18 567	16 8QI	19 215	45	2.08 32 533	34 821	35 157	33 514	33 842	36 133	34 496 36 460
47	19 215	19 539	19863	20 187	20 512	20 836	21 160	47	36 460	36 787	37 115	37 442	37 769	38 097	38 424
48 49				_			23 105							40 061	
50	2.07 15 050								_						I
ÇΙ	26 995	27 320	27 644	27 968	28 193	28 617	28 941	51	44 31 %	44 646	44 973	45 301	45 628	45 956	46 284
52	11	-					30 887 32 834		46 284	48 611	46 939	47 266	47 594	47 932 49 888	48 245
53 54							34 781		50 215	50 543	50 871	\$1 199	51 526	\$1 854	· 52 181
55	2.07 34 781	35 105	35 430	35 754	36 079	36 403	36 728	55	2.08 52 182	52 510	52 837	53 165	53 493	53 821	54 149
56							38 675		54 149	54 476	54 804	55 132	55 460	55 788	56 116
57 58							40 623							57 755 59 743	
59						44 195								61 691	

	₄ 321	312	323	324	345	326	327	328	
ı	32 1	31 2	32 3	39 4	37.5	306	32 7	328	1
2	04.5	04.4	64.6	64,8	65.0	65 2	FS 4	65 6	2
3_			96.9				98 r	98.4	3
4	128.4	128 8	109.2	Teg.6	130.9	130.4	130 8	1 1 1 1	6
5	the 5	161.0	161.5	168.0	162 5	167.0	163 5	164.0	5
6			103.8						6
7	774 7	725 4	996.2	226.8	227 5	218 2	228 g	229 6	7
8	256 8	257.6	258.41	259.2	360.0	960 B	apt'y	267.4	B
9	*k8.9	3.98c	190.7	æģi ,6	292 5	993.4	294.3	195.1	9

Tafel IV.

						log	M.							
		94	1 0							98	50			
0"	10"	20"	30"	40"	50"	60"	e 1	o"	10"	20"	30"	40"	50"	60"
2.08 62 019							0'	2.09 80 728			1			
					65 688		2						184 374 ,86 364	
					67 597 1 69 566		3						86 354	
					71 536		4						90 345	
3.08 71 864	71 193				73 506		5	2.09 90 676						
	74 163				75 476								94 326	
					77 447		7 8						96 318	
					81 389		9						80 301	
2.08 \$1 718			$\overline{}$				10	1.10 00 634						
					05 333								04 287	
					87 306								06 281	
		90 265			91 251								to 168	'08 606 to 600
2.08 91 580						-		2.10 10 600					_	
93 554	93 883	94 312	94 541	94 870	95 199	95 528	16	12 595	12 927	13 260	13 592	13 925	14 257	14 590
					97 173								16 252	
		12	12 '2"	12	99 147		9 J						20 243	18 580
2.09 01 451					01 122	:	_	2.10 20 576			_		$\overline{}$	_
					05 073							- 1	14 236	
05 401	05 731	06 060	06 390	06 719	07 048	07 378	12	24 569	24 90 I	25 234	25 567	25 900	26 233	26 565
					09 025								28 230	
	09 683		10 342		11 001		24	28 563		1 -			30 227	30 500
2.09 11 331					14 955			2.10 30 560					32 225	
					16 933								36 222	
17 263	17 592	17 922	18 251	18 581	18 910	19 140	18		36 888	37 221	37 555	37 888	38 221	38 554
				4	20 889		_	38 554					40 330	
2.09 21 21\$								2.10 40 553	1	1.	41 553	'	1.	
					26 825			44 553					44 220	46 554
					28 805			46 554						48 555
29 135	19 465	29 795	30 125	30 455	30 785	31 115	34						50 223	- <u></u>
2.09 31 115								2.10 50 556						[
					34 746 36 727								54 226	54 559
					38 708									58 564
					40 690									60 567
2.09 41 020					42 672			2.10 60 567						
					44 654									64 574
					46 637									66 578
					50 603									70 587
2.09 50 934	51 264	51 595	51 926	52 256	52 587	52 918	45	2.10 70 587	70 922	71 256	71 590	71 924	72 258	72 593
£2 918	53 248	53 579	53 910	54 840	54 571	54 902	46	72 593	72 927	73 261	73 595	73 930	74 264	74 598
					56 556									76 604 78 610
					58 540									80 617
2.09 60 856							- 1							
62 842	63 173	63 504	63 835	64 166	64 497	64 828	51	82 624	81 958	83 293	83 618	83 962	84 297	R4 631
					66 483									86 639
					68 470 70 456									90 656
2.09 70 788					_		_	· —						
					74 431									94 674
74 763	75 094	75 425	75 757	76 088	176 419	76 751	57	94 674	95 009	95 343	95 67 B	96 013	96 348	96 683
76 751	77 082	77 413	77 745	76 076	78 407	78 739	58	96 683						98 693
7= 739	79 070	79 402	79 733	*** 005	80 396	80 736	39	94 093	99 018	AA 303	39 098		30 30 11	ão 703

Tafel IV.

							log	M.						· · · · ·		
			96	3 0			Ť					97	70			
P	o"	10"	20"	30"	40"	50"	60"	D	0"	to	<u>" </u>	20"	30"	40"	50"	60"
o,	2.11 00 703			01 709				o'	2.12 12 00	5 24	J44 ²	2 683	23 032	23 361	23 700	24 039
1 2		03 049			4 77		1 2 7 7 1	3						25 394 27 428	25 733 27 767	
3	06 737	07 072	07 407	07 742	08 078	08 413	08 748	3	28 10	6 28 4	45 2	8 784	29 123	19 463	19 802	30 141
4 5	2.11 10 760	11 096		09 754	12 102		10 760	5	2.12 32 17			0 819	31 158	31 497 33 532		-
5		13 108			- I	14 450	14 786	6	34 21	I 34	50 3		35 228	35 568		
7		15 121	17 470	17 806	18 141	18 477	16 799 18 813	8		1 1			39 300	39 640		40 319
10	2.11 20 827	19 148		19 830			20 817	9	40 31			0 998	41 337			
11	22 841	23 177	13 513	23 848	24 184	24 510		11		3 44 7	/32 4		45 411	45 751	46 091	46 430
12		25 192 27 107			26 199 28 215			13		0:46 8 48			47 449 49 487	47 789	48 118 50 167	
14	18 886	29 112	29 558	19 894	30 230	30 566	30 902	14		6 501	146 5	1 186	51 526	51 865	51 205	52 545
15	3.11 30 902	-	31 574	31 910 33 927			31 918	16	3.12 52 54 54 58				53 565	53 904 55 944	54 244 56 284	
17	34 935	35 271	35 607	35 943	36 180	36 616	36 952	17.	56 62	4 56	164 5	7 304	57 643	57 983	58 323	58 663
18 19	38 969	37 388. 39 306	37 642				38 969 40 987	19.							60 364 62 404	
10	2.11 40 987		41 660	41 996	42 332	1	43 005	20	2.12 62 74							64 785
21							45 024	31 32							66 487 68 518	66 8 27 68 86 9
23 24	47 043 49 062		47 716		48 389 50 408	48 725	49 062	23 24		9 69 :	- 1		69 890 71 932	70 130	70 570 72 613	70 911 72 953
25	3.11 SI ONT			\$2 091	52 428	52 765	-	25	2.12 72 9	3 73	294 7	3 634	73 975	74 315	1	74 996
26	53 101 CC 122		53 775				55 122 57 141	26 27					76 018 78 061		76 699 78 743	
28	57 142	57 479	57 816	58 153	58 490	58 827	59 163	ш	79 ol	4 79	434 7	9 765	80 106	80 446	80 787	\$1 128
39 30	2,11 61 185		59 837 61 859		62 511		61 185	30		2 81		1 809 1 854	_ -		\$2 \$32 84 \$77	83 178 85 217
31	63 207	63 544	63 881	64 318	64 555	64 892	65 119	it:	85 21	7 85	588	5 899	86 240	86 581	86 922	87 263
32 33	67 252		67 926				67 252	33		8 89 I					88 967 91 014	89 308 91 355
34	69 274						71 298	34					92 378	4.4	93 060	93 401
35	73 322		71 972 73 996		72 647		73 322	35				4 083 6 131		94 766 96 813		95 448 97 495
37	, 75 346	75 683 77 708	76 020	76 358	76 695	77 033	77 370	37	97 49	15 97	37 9	8 178	98 519	98 861	99 202 81 250	99 543
39	79 395			80 408				38 39	1.13 01 59				02 615		03 298	
40 41		81 758 83 784						40	2.13 03 64						05 347 07 396	05 689
42	85 472	85 810	86 147	86 485	86 B23	87 161	87 498	41 42	97 73	8 08	380 a	8 421	oB 763	09 104	09 446	09 788
43 44	87 498 89 525	89 863	90 201	90 539	88 R49 90 876	89 187	99 525 91 552	43 44	09 76	8 10	129 1 180 1	2 521	10 813	11 154	11 496 13 547	11 \$38 13 \$88
45	2.11 91 552	91 890	92 228	92 566	92 904	93 242	93 580	45	2 13 13 88	8 14	230 1	4 572	14914	15 256	15 597	1 5 939
46 47							95 608 97 636								17 649	
48	97 636	97 974	98 312	98650	98 988	99 326	99 665	48	20 0.	20	84 2	0 726	21 068	21 410	21 752	11 094
49 50							01 694		2.13 24 14				-	: -	23 805 25 858	
51	03 723	04 061	04 400	04 738	05 076	05 415	05 753	51	26 20	26	542 2	6 884	27 216	27 569	27911	28 253
52 53	07 783	08 112	08 460	08 798	09 137	09 475	07 783 09 814	53	20 20						29 964 32 018	
54	09 814	10 152	10 491	10 829	11 168	11 506	IL 845	54	32 36	1 32	703 3	3 046	33 388	33 730	34 073	34 415
55 56	2.12 11 845 13 876	14 215	14 553	14892	15 230	15 569	15 908	56	2.13 34 41 36 41						38 183	
57 58	1590%	16 246	16 585	16 924	17 262	17 6ot	17 940 19 972	57	18 (2	6 38	868 3	9 211	39 553	39 R96	40 239	40 5\$1
59	19 972	20 311	20 650	20 989	11 328	21 666	22 005	59	42 6						42 295 44 351	
	44			_				-			'- -					

	335 33	6 337	338 3	39 349	341	342	343	
r m 1	33.5 31 67.0 67 400.5100							2 3
6	E14 0 114 167 5 168 201 10201	0 168 5	169,0:16	9.5 170	0 170 5	171.0	171 5	4 5 6
	234 5 235 268.0 268, 201 5 308,	,8 z69 6	270.4.21	1 2 272	0 272,8	2736	274-4	7 8 9

Tafel IV.

						log	M.							
		Ðŧ	∋ °							91	→ °		•	
o st	10"	20"	30"	40"	50"	60"_	D)	0"	10"	40"	30"	40"	50"	60"
2.13 44 694		45 379		46 065			oʻ	2.14 68 831		69 525	69 872	70 219	70 566	70 913
* * .		47 437		48 122			1		71 260	71 607	71 954	72 301	72 64B	72 995
48 808 50 866		19 494		50 180		50 866,			73 342	73 089	74 030	74 383	74 730	75 078
52 924	53 267				54 639		3		75 425	77 856	28 202	70 400	76 813	1
2 13 54 982	55 326	55 669		56 355	1	57 041	-5	2.14 79 244	79 591		80 285	80 633		79 244
	57 385		58 071			59 101	6		81 675		82 369		83 064	B1 327
29 101	59 444		-	60 474			7		83 759	84 106	84 454	84 801	. B 5 140	85 406
61 160	61 504	61 847	62 190	62 534	62 877	63 221	8	85 496	185 844	86 191	86 539	86 886	87 234	87 581
63 221	63 564	63 907	64 251	64 594	64 938	65 281	9	87 581	87 929	88 276	88 624	88 971	89 319	89 666
2,13 65 281				66 655			10	2 14 89 666	90 014	90 362	90 709	91 057	91 405	91 752
67 342			68 373		69 060		11		92 100	92 448	92 795	93 143	93 491	93 839
		70 091			_		12	93 839	94 186	94 534	94 882	95 230		95 925
71 465	73 871			72 840 74 902			£3		96 273				97 664	
73 527 2.13 75 590			74 559 76 621			75 590	14	98 012		98 708			99 752	00 100
77 653		78 341	78 685	76 965	77 309	77 653	16	2.15 00 100	00 448	00 790	01 144	01 492	01 840	02 188
		80 404				81 780		04 276	04 624	04 072	05 232	05 560	06 012	04 270
B1 780	_		82 812		83 500		18	06 365	06713	07 061	07 409	07 758	08 106	08 454
83 844	84 188	84 533	84 877	85 221	85 565		19	08 454	08 802	09 151	09 499	09 847	10 195	10 544
2.13 85 909	86 253	86 597	86 941	87 286	87 630	87 974	20-	2.15 10 544			11 589		12 285	12 634
87 974	88 318	88 662	89 007	89 351	89 695	90 0 39	21	12 634	12 982				14 376	14 724
		90 728					22		15 073					16 B15
92 105			93 138			94 173	23		17 164					18 907
	94 516			95 549		96 238	24	18 907	19 255			20 301		20 998
2.13 96 238				97 616		98 305	15	2.15 20 998			22 044		22 742	-3-2-1
	00 717	01 062		99 684			20	23 091	26 622	23 788 25 881	26 220	24 480	24 834	25 183
						04 509		27 276	27 625	27 974	28 127	28 672	20 021	27 276 29 370
04 509			05 543			06 578	29.	29 370	29 719	30 068	30 417	30 766		31 464
1.14 06 578	06 922	07 267	07 612	97 957	08 302	08 647	30	2.15 31 464	31 813	32 162	32 511	32 B60	33 209	33 558
08 647			09 681			10716	31	33 558			34 605	34 954	35 304	35 653
						12 786	32 :		36 004				37 399	37 748
12 786			13 823			14 857	33	37 748		38 446		39 145	39 494	39 B44
	15 202		15 892	-	16 582	15 927	34	39 844	40 193	40 542	40 892	41 241	41 590	41 940
	17 272		17 963		18 653	18 999	35 36	2,15 41 940	42 389	42 638	42 988	43 337	43 687	44 036
18 999		21 761		22 451		23 [42	37	46 122	44 386	46 822			45 764	46 133
	23 487		_	14 524	24 869	25 215	38			48 930			49 979	48 230
		25 905			26 942	27 287	39	50 328		51 028	51 377	51 727	52 077	52 426
2.14 27 287	27 633	27 978	28 324	18 669	29 015	29 361	40	2.15 52 426	52 776	53 126	53 476	53 826	54 175	54 525
		30 052			31 089	31 434	41		54 875		55 575	55 924	56 274	56 614
	-	32 126					42		56 974				58 374	58 724
		34 200					43	58 724	59 074	59 424	59 774	61 774	60 474	bo 824
		36 274					44	1 14 62 024	61 174	60 5-1	60.074	6	6 . 6 -	02 924
2.14 37 658			38 695			39 733 41 809	45	1.15 61 914 6c 025	65 375	65 775	66.074	66 446	66 776	65 025
						43 885		67 126	67 476	67 827	68 177	68 527	68 878	60 229
						45 962		69 228	169 578	69 929	70 279	70 629	70 980	71 330
						48 039		71 330	71 680	72 031	72 381	72 732	73 082	73 433
2.14 48 039								2 15 73 433	73 783	74 134	74 484	74 835	75 185	75 526
						52 194		75 536	75 886	76 237	76 587	76 938	77 288	77 619
						54 272		77 639	77 990	78 340	78 691	79 042	79 392	79 743
						56 351		79 743	80 094	82 544	80 795	91 46	81 496	81 847
						58 430		0. 047	82 198	0 - 549	02 099	93 250	93 001	03 95%
2.14 58 430						62 589		2.15 83 952 86 957	86 408	86 750	87 110	87 46-	87 910	86 057
						64 670		88 163	88 514	88 86=	89 216	80 (67	80 012	00.160
64 670	65 016	65 363	65 710	66 057	66 403	66 750	58	90 269	90 620	90 971	91 322	91 678	92 024	92 375
						68 B31		92 375	92 726	93 078	93 449	93 780	94 131	94 481.
	_						_							

	342	343	344	345	346	347	348	349	350	35I	352	
1 2 3	34.2 68.4 102.6	68,6	34.4 68.8 to3.2	69,0	69.2	69.4	69.6	69.B		70,2		
4 5 6	136.8	137 2	137 6 172.0 :	138 o	178.4	173 5	174 0	139.6	140.0 175.0	140,4	140.8	4 5
7 8 9	1973 6	274 4	240.8 275.2 309.6	276.0	276.8	277 6	278.4	279.9	280. o	980,0	28 : G	8

Tafel IV.

	•						log	M.							
			10	Oo :			<u>-</u>				10	10			
p	o"	to"	20"	30"	40"	50"	60"	0	۰″_	10"	20"	30"	140"	50"	60"
0							96 590	0							23 846
1		96 941						1						25 625 27 760	25 981 28 116
3	2,16 00 806	01 157	91 208	o1 860	02 211	02 563	02 914	3	28 116	28 472	28 828	29 184	19 540	19 196	30 252
5	2,16 05 023		05 727			04 671 06 781	07 133	- 4	30 252 2.17 32 388	32 744	30 964		31 676	34 168	34 524
- #i	07 133	07 485				08 891		6	34 524		35 237	35 593	35 949	36 305 38 443	36 661
7 8	11 353	11 705	14 057	12 409	12 761	13 113	13 464	á	38 799	39 155	39 512	39 868	40 234	40 580	
9	13 464 2.16 15 576	_	14 168 16 180				17 687	9 10	40 937 2.17 43 075	41 293	41 650		42 362	42 719	1
11	17 687	18 039	18 391	18 744	19 096	19 448	19 800	11	45 214	45 571	45 927	46 284	46 640	46 997	45 214 47 353
12	19 800 21 912	'	10 504 11 617	1 3		23 673	11 912 24 025	13	47 353 49 493		48 067		50 920	49 137 51 277	49 493 51 633
14	24 025	24 378	24 730	35 082	25 434	25 787	26 1 39	14	51 633	51 990	54 347	52 704	53 061	53 417	53 774
15 16	28 253		26 844 28 958			37 901	30 367	15 i				54 845 56 986	55 202	55 55 8 57 700	55 915 58 057
17	30 367		31 072	31 425	31 777	32 130	32 482	17 18	58 057	58 414	58 771	59 128	59 485	59 842 61 984	60 199
19,	34 598						36 713	19		62 699	63 056	63 413	63 770	64 127	64 485
20 21	2,16 36 713		37 419				38 830 40 946	20 21	3.17 64 485 66 628	64 842 66 oBs	65 199	65 556	65 913	66 271 68 415	66 622
23	40 946	41 299	41 652	42 005	42 358	42 710	43 063	22	68 772	69 129	69 487	69 B44	70 303	70 559	70 916
33 24	43 063 45 181	43 416	43 769 45 887	46 240			45 181	23 24	70 916 73 061		171 631 173 776		72 340	72 704 74 849	73 061 75 307
25	a.16 47 299	47 652		48 358		1 ''	1 ** * * * * * * * * * * * * * * * * *	25	2,17 75 207		75 922		76 637	76 995	77 352
26	49 417 51 536					51 183	51 536	20	77 352 79 499		78 068 80 214			(15 24	79 499 81 649
28 29	53 656 55 775	* - *				57 542	\$\$ 775 \$7 896	28	81 645 83 793		82 361				81 793
10	2.16 57 896					~ -	60 016	30	2.17 85 940	i .					88 088 82 940
31 32							62 137 64 259	31 32	\$8 088 90 23 <i>7</i>	88 446	88 805 90 953			19 879	90 237
33	64 159	64 613	64 966	65 320	65 674	66 027	66 381	33	92 386	92 744	93 103	93 461	93 819	94 177	94 536
34	3.16 68 503					70 272	70 626	34 35	94 536 3.17 96 686		95 252				96 686 98 836
36	70 616	70 980	71 334	71 688	71 041	72 396	72 750	36	98 836	99 195	99 553	99 911	50 27 0	õo 628	00 987
37 38	i	73 104 75 227					76 998	37 38	2.18 00 987 03 138					02 780	03 138 04 290
39		77 352	1	78 060			79 122	39						07 084	07 445
40	2.16 79 122 8t 248						81 248	40 41	2.18 07 443	09 954	10 313	10 672	11 031	11 390	11 749
42 43							85 499 87 626	42 43	LT 749	11 108	12 467	12 826	, 13 185	13 544	13 903
44	87 626	87 980	8B 335	88 689	89 044	89 398	89 753	44	16 057	116 416	16 775	17 134	17 493	1-852	
45	2,16 89 753 91 880	90 107	90 462	35 gan	91 171	91 526	91 880	45	2 18 18 211	18 571	18 930 21 08¢	19 289	10 648	20 007	20 36*
47	94 008	94 363	94 713	95 072	95 427	95 782	96 136	47	22 521	12 882	23 241	23 600	23 960	14 319	24 6-8
48 49							98 265 50 395		24 078 26 K35	27 195	25 397 27 554	45 757 47 914	28 173	26 476 28 633	26 835 28 002
50	2.17 00 395	00 749	01 104	01 459	01 814	02 169	02 524	50	2.18 2B 992	29 352	29 711	30 071	30 430	10 790	2: 140
51							04 654		33 308	133 667	34 027	34 387	. 34 747	32 948 35 106	. 15 166
53	o6 785	07 140	07 495	07 850	08 206	OR 261	08 916	53	35.466	35 826	36 186	36 546	36 905	37 265	37 625
54 55							13 180 Tr 018		2.18 39 785	140 145	40 (04	40 864	41 224	39 425	41 944
56	13 180	13 535	13 890	14 246	14 601	14 957	15 312	56	41 944	142 305	42 665	43 025	43 385	143 745	44 105
57 58	17 445	17 800	18 156	18 511	18 867	19 223	17 445 19 578	58	46 266	46 626	46 986	47 346	47 70"	45 906 48 067	48 427
59	19 57B	19 934	20 289	20 645	21 001	at 356	21 712	59	48 427	1 ⁴⁸ 787	149 148	49 508	49 868	50 229	50 589

351 352 353 354 355 356 357 358 359 360 361

5 1 35 2 35 1 45 4 35 5 35 6 357 358 359 360 361

7 2 73 4 70 6 73 8 71 0 71 9 71 4 71 6 71 8 72 6 72 4 4

3 1 5 4 15 5 6 105 9 106 2 106 5 106 8 77 1 107 4 107 7 108 0 708 31

4 140 4 8 6 141 2 141 6 142 6 142 6 143 4 143 6 144 6 144 4

5 175 5 70 0 176 5 177 0 177 5 178 6 178 5 173 174 5 180 0 186 5 9

6 1 7 24 7 7 4 2 4 7 1 4 7 3 3 4 8 5 3 4 9 7 2 3 4 3 5 6 2 8 6 4 3 8 7 2 2 8 8 0 2 8 8 8 8

9 115 9 3 16 8 3 17 7 3 18 6 3 19 5 3 30 4 3 1 3 3 2 2 2 3 3 3 1 3 9 4 0 1 4 9 9

Tafel IV.

							log	M.						_	
			10:	≥0							10	30			
Ð	o"	10"	20"	30"	40"	50"	60"	v 1	0"	10"	20"	30"	40"	50"	60"
o' 1		53 112	53 472	53 833	54 193	54 553	54914	1		83 740	84 105	84 471	84 836	85 201	85 567
3 4	57 077	57 438	57 798	55 996 58 159 60 323	58 520	58 880	\$9 241	3 4	85 567 87 759 89 9 52	88 125	86 297 88 490 90 683	88 856	89 221	89 587	89 952
5		63 931	64 292	62 487 64 652 66 818	65 013	65 374	65 735	5	2.19 92 146 94 340	94 705	95 071	95 437	95 803		96 534
7 8 9	67 901	68 262	68 623		69 345	69 706	70 067	8	96 534 98 729 2.20 00 925		97 266 99 461 01 657	99 827	õ0 193		00 925
11		74 762	75 123	73 317 75 484 77 652	75 846	-6 207	76 568	10	2.10 03 111 05 317 07 514		03 853 06 050 08 247	06 416	06 783		07 514
13 14	78 736 80 905	79 098 81 166	79 459 81 628	79 820 81 989	80 182 82 351	Bo 543 82 712	Bo 905 B3 074	13	09 712	10078	10 444	10811	11 177	11 543	11 910
15 16 17		85 605	85 966	84 158 86 328 88 498	B6 690	87 051	87.413	15		16 674	14 841 17 040 19 240	17 407	17 774	18 140	18 507
18	89 584	89 945	90 307	90 669	91 031	91 393	91 755	18	20 707	21 074	21 440	21 807	22 174	22 541	22 907
20 21 21		96 460	96 822	95 012 97 184 99 357	97 546	97 908	98 270	10 21 22	2,20 25 108 27 310 29 513	27 677	25 842 28 044 30 246	28 411	28 778		29 512
23 24	1.19 00 443 02 616	00 805 02 979	01 168 03 341	01 530	01 891 04 066	02 254	02 616 04 790	23	31 715 33 918	32 082	32 449 34 652	32 816 35 019	33 183 35 387	31 347 33 550 35 754	
25 26 27	, ,	07 327	07 690	05 877 08 052 10 227	08 414	08 777	06 965	25 26 27	2,20 36 121 38 325 40 530	38 693	36 856 39 060 41 265	39 427	39 795	40 162	40 530
28 29	11 315	11 677 13 853	12 040 14 216	12 403 14 579	12 765	13 128 15 <u>3</u> 04	13 491 15 667	28	42 735 44 940	43 102	43 470 45 6-6	43 838 46 043	44 205	44 573 46 779	44 940 47 147
30		18 206	18 569	16 755 18 932 21 110		19 658	17 844 20 011 22 199	30 31 31	2.20 47 147 49 353 51 560		47 882 50 089 52 296	50 457	50 825	51 192	51 560
33 34	12 199 24 377	12 562 24 740	22 925 25 103	23 288 25 466	13651 25829	24 014 26 192	24 377 26 556	33 34	53 768 55 976	54 136 56 344	54 504 56 711	54 872 57 080	55 240 57 448	55 608	55 976 58 185
35 36 37		29 098	29 461	29 825 32 004	30 188	30 551	30 914	35 36 37	2.20 58 185 60 394 62 603	60 762	58 921 61 130 63 340	61 499	61 867	60 026 62 235 64 445	62 603
38 39	33 095 35 275	33 458 35 639	33 821 36 002	34 185 36 366	34 548 36 729	34 912 37 093	35 275 37 456	38 39	64 814 67 024	65 182 67 393	65 550	65 919 68 130	66 287 68 498	66 656 68 867	67 024 69 235
40 41 42		40 002	40 365	38 547 40 729 42 911	41 093		41 820	40 41 42		71 816	72 184 174 397	72 553	72 933		73 659
43 44	44 003 46 186	44 367 46 550	44 731 46 914	45 094 47 278	45 458 47 642	45 822 48 006	46 186 48 370	43 44	75 872 78 085	76 241 78 454	76 610 78 823	76 979 79 192	77 347 79 561	77 716 79 930	78 08 5 80 299
45 46 47		50 918	51 282	51 646	52 010	152 374	50 554 52 738 54 923	46	82 513	82 881	81 037 83 251 85 466	83 621	83 990	84 359	64 728
48 49	\$4 923 57 109	ςς 288 57 473	55 652 57 838	56 016 58 202	56 380 58 566	56 745 58 931	57 109 59 295	48 49	89 159	87 313 89 528	87 682 89 898	88 051 90 267	90 637	88 790 91 006	89 159 91 375
50 51 52		61 846	62 211	62 575	62 940	63 304	61 482 63 669 65 856	5I		93 962	92 114 94 331 96 549	94 701	95 070	95 440	95 810
53 54	65 856 68 044	66 221 68 409	66 586 68 774	66 950 69 139	67 315 69 503	67 680 69 868	68 044 70 233	53 54	98 027 2.21 00 246	98 397 00 616	98 767	99 136	99 506	99 876	00 246 02 465
55 56 57	74611	72 787 74 976	73 152 75 341	73 517	73 882 76 071	74 246 76 436	74 611 76 801	57		05 054	03 204 05 424 07 644	05 794	06 164	06 534	06 904
58 I	76 801	77 167	77 532	77 897	78 262	78 627	*8 992 81 183	58	09 114	09 494	09 865 12 086	10 235	10 605	10 975	11 345

360 361	362 363 3	64 365 366	367 368 36	9 370 371
2 70.0 72.2 3 108.0 108.3 4 144.0 144.4 5 180.0 180.5 6 216 0 216 0	72 4 72.6 7 208 6 108 9 10 144.8 145.0 14 181.0 181 5 18 217 2 217.8 21	5,5 t46,0 t46 4 65,6 t46,0 t46 4 61,0 t8# 5 t83 0 18.4 #19.0 214.6	73.4 73.6 73 110.7 113.4 116 146.8 147 2 147 183.5 184 0 184 220.3 220.8 221	8 74.0 74.2 2 7 111.0 111.3; 3 6 148 01148.4 4 5 185.0 185.5 5 4 222.0 222.6 6
8 288,0 288,8	289.6 890.4 29	54 8 255 5 256 2 51.2 992 0 292 8 17 6 328 5 329.4	293.6 294.4 295	2 906.0 296,6 8

Tafel IV.

							log	M.					_		
			10	40			-				104	5°			
. •]	0"	10"	20"	30"	40"	50"	60"	ן מ	0"	10"	20"	30"	40"	50"	60"
o'	2.21 13 567	2	14 307	14 678		15 418	15 789	0',	1.33 47 81 5						
2			16 530	-		17 641	18 011	1 2		52 699				\$1 947 \$4 202	52 323 54 578
3	20 234		20 975 23 199	11 346	21 717	22 087	22 458 24 682	3		54 953	55 329	55 705	56 a81	56 457	56 833 59 089
5	22 458 2.21 24 682		25 423	23 570 25 794		24 311		-4	2.22 59 089		57 585 59 841	57 961	58 337 60 593	58 713 60 969	
5		27 277 29 502	27 648	18 019		28 761	29 131	6		61 721	61 097			63 226	
á		31 728	' ' -	30 344 33 470	32 841	30 986 33 212		é		66 2 36	66 611	66 988			1 4 5 -
9 10	33 583 2.21 35 810	33 954	34 325	34 697		35 439 37 666	35 810	10	68 118	I—— .	man m	69 247	69 623 71 882	70 000	70 376 72 635
11		T	36 552 38 780	36 923 39 151	37 295 39 532		40 265	11	2.22 70 376 72 635	73 012		71 506 73 765		72 159 74 518	74 895
12		40 636 42 864	41 007 43 236	41 379 43 607	41 750	42 E22 44 350	42 493 44 732	13		75 272	75 648 77 909	76 025 78 285	76 402 78 662	76 77 B	
14	44 722	45 093	45 465	45 836		46 579	46 951	4	79 416	79 793	80 170	80 546	80 923	81 300	81 677
15	2,21 46 951 A9 181		47 694 49 924	48 066 50 296	48 437 50 668	48 809 51 039	49 181	15 16	2.32 81 677 81 919		82 431 84 602	81 808 85 070		83 562 85 824	
17	51 411	51 783	52 155	52 526	51 898	53 270	53 642	17	86 201	86 578	86 956	87 333	87 710	88 087	88 464
11		54 014 56 245		54 758 56 989	57 361		55 873 58 105	18	1 ' 2	91 105				90 350	
20	2.21 58 105	58 477	58 849	59 121	59 593	59 965	60 338	20	2.22 92 991	93 369	93 747	94 124	94 501	94 879	95 256
21							64 804	21		95 634				97 144	97 511
23	64 B04	65 176	65 549	65 921	66 193	66 666	67 038	23	99 787	80 165	õ0 542	Õ0 920	õt 298	ði 676	ð2 053
24	2,21 69 272		70 017	70 390	70 761		71 508	24 25	2.23 04 320		01 809	05 454	03 564	03 941	04 320 06 587
26	71 508	71 880	72 253	72 625	72 998	73 370	73 743	26	06 587	06 965	97 343	07 711	08 099	08 477	08 855
27 28			76 725			I	75 979			11 502			1 7 2	10 745	
29	78 216	78 589	78 961	79 334	79 707	80 080	80 453	29	13 393	13 771	14 149	14 527	14 905	15 284	15 661
30 31	3.31 80 453 83 691						182 691 84 929	30 31	2,23 15 662 17 932	18 310			17 175	17 554 19 824	17 932
32	84 929	85 302	85 675	86 048	86 411	86 794	87 168	32	20 203	20 581	20 960	ai 338	31 717	22 095	21 474
33 34			87 914 90 153					33 34		25 124			1 2	24 367 26 639	24 74b 27 01\$
35	2.21 91 647					93 514		35	3 23 17 018			28 154	28 533		1 7 5 1
36 37							96 128	36 37		29 669 31 943	_	I	-	31 185	31 564 33 838
38	98 369 2,12 00 611		99 116					38 39	33 838 36 112		34 596	34 975 37 250		35 733	36 LEZ 38 38"
3 <u>9</u> 40	1.12 02 854			_			A A A	40	2.23 38 387					38 008 40 284	40 663
41 42	05 097	05 470		06 218	06 592	06 966	07 340	41 42	40 663	41 042 43 318	41 422	41 801	42 180	42 560 44 836	
+3	09 584	09 958	10 332	10 706	11 080	11 455	11 829	43	45 216	45 595	45 975	46 354	46 734	47 113	47 493
44	11 829 2,22 [4 074						14 074	44 45	47 493 2.33 49 77 E					19 391	
46	16 319	16 694	17 068	17 443	17 817	18 191	18 566	46	52 049	52 429	52 809	23 188	53 568	53 948	54 328
47 48							20 812 23 060		54 328	54 708	55 088	55 468	55 848	56 327 58 507	56 607
49	23 060	23 434	23 809	124 183	24 558	24 933	25 307	49	58 887	59 268	59 648	60 018	60 408	60 788	61 168
50 51	2.21 25 307						27 556 29 805		2.23 61 168					63 069 65 351	
52	29 805	30 179	30 554	30 929	31 304	31 679	32 054	52	65 731	66 111	66 492	66 872	67 252	67 633	68 o13
53 54							34 304 36 554							69 91 5 72 199	
55	3.22 36 554	36 930	37 305	37 680	38 055	38 430	38 805	55	2.23 72 579	72 960	73 341	73 721	74 102	74 482	74 863
56 57							41 057							76 767 79 052	
58	43 309	43 684	44 060	44 435	44 B1 t	45 186	45 562	50	79 433	79 814	80 195	80 575	80 956	81 337	81 718
59	45 562	45 937	46 313	46 688	47 064	47 439	47 815	59	81 718	82 099	82 480	82 861	83 545	83 623	84 604
	,		-												

log	M.	
106°		1070
o" to" 20" 30" 40" 50" 60"	e T	0" 10" 20" 30" 40" 50" 60"
2.23 84 004, 84 386 84 767 R5 148 B5 529 85 910 86 291	o'	2 25 22 216 22 603 22 989 23 376 23 763 24 150 24 53"
86 291 86 672 87 054 87 435 87 816 88 197 88 579 88 579 88 579 88 960 89 341 89 722 90 104 90 485 90 866	2	24 537 24 924 25 311 25 698 26 085 26 4=2 26 859 26 859 27 246 27 633 28 020 28 40= 28 -94 29 181
90 866 91 248 91 629 92 011 92 392 92 773 93 155	3	29 181 29 568, 29 955 30 342 30 729 31 117 31 504
93 155 93 536 93 918 94 299 94 681 95 062 95 444	4	31 504 31 891 32 278 32 665 33 053 33 440 33 827
2.23 95 444 95 825 96 20" 96 588 96 970 97 352 9" 733 97 733 98 115 98 497 98 878 99 260 99 642 30 023	5 6	2 25 33 82 7 34 214 34 602 34 989 35 376 35 764 36 151 36 151 36 539 36 926 37 313 37 701 38 088 38 476
2.24 00 023 00 405 00 787 01 169 01 550 01 932 02 311	7	38 476 38 863 39 251 39 638 40 026 40 413 40 801
oz 314 oz 696 o3 a 8 o3 460 o3 842 o4 223 o4 605 o4 605 o4 98 o6 369 o5 751 o6 133 o6 515 o6 89"	8	40 801 41 189 41 576 41 964 42 352 42 739 43 127 43 127 43 127 43 615 43 902 44 290 44 678 45 065 45 453
3.24 06 89 07 279 07 661 08 041 08 425 08 807 04 184		2,25 45 451 45 841 46 229 46 617 47 005 47 392 47 780
09 189 09 5 2 09 954 10 336 10 718 11 100 11 482		47 780 48 168 48 556 48 944 49 332 49 720 50 108
11 482 11 865 12 247 12 629 13 011 13 394 13 776 13 776 14 158 14 541 14 923 15 305 15 688 16 070		50 108 50 496 50 884 51 272 51 660 52 048 52 436 52 436 52 824 53 212 53 600 53 988 54 377 54 765
16 0 0 16 452 16 835 17 217 17 600 17 982 18 305	14	54 765 55 153 57 541 55 929 56 318 56 706 57 094
2.24 18 365 18 747 19 130(19 512 19 895 20 277 20 660	-	2.25 57 094 57 482 57 871 58 259 58 647 59 036 59 424
20 660 21 012-21 425 21 808 22 190 22 5-3 22 956 22 956 23 338 23 721 24 104 24 486 24 869 25 252		59 424 59 812 60 201 bo 589 60 978 61 366 61 755 61 143 62 531 62 920 63 309 63 697 64 086
25 252 25 635 26 017 26 400 26 783 17 166 27 549	18	64 086 64 474 64 863 65 251 65 640 66 029 66 417
27 549 27 932 28 315 28 697 29 080 29 463 29 846 2.24 29 846 30 229 30 612 30 995 31 3*8 31 761 32 144		66 417 66 806 67 195 67 583 67 972 68 361 68 750 2.25 68 750 69 138 69 527 69 916 70 305 70 694 71 083
32 144 32 527 32 910 33 294 33 6 7 3 4 060 34 443	20	71 083 71 471 71 860 72 249 72 638 73 027 73 416
34 443 34 826 35 209 35 592 35 976 36 359 36 742	22	73 416 73 805 74 194 74 583 74 972 75 361 75 750
36 742 37 125 37 509 37 892 38 275 38 659 39 042 39 042 39 425 39 809 40 192 40 575 40 959 41 342		75 750 *6 139 *6 528 76 91 * 7 306 7 696 78 085 78 085 78 085 78 474 78 863 79 252 *9 642 80 031 80 420
2.24 41 342 41 726 42 109 42 493 42 876 43 260 43 643	25	2,25 80 420 80 809 81 199 81 588 81 977 82 366 82 756
43 643 44 02" 44 410 44 794 45 177 45 561 45 945	26	82 756 83 145 83 535 83 924 84 313 84 703 85 092
45 945 46 328 46 12 4 095 47 479 4 863 48 247 48 630 49 014 49 398 49 782 50 165 50 549	27	85 092 85 482 85 871 86 261 86 650 87 040 87 429 87 429 87 819 88 208 88 598 88 988 89 377 89 767
50 549 50 933 51 317 51 701 52 085 52 468 52 852	29	89 767 90 157 90 546 90 936 91 326 91 715 92 105
2.24 52 852 53 236 53 620 54 004 54 388 54 772 55 156 \$5 156 55 540 55 924 56 308 56 692 57 076 57 460		2 25 92 105 92 495 92 885 93 275 93 664 94 054 94 444 94 434 95 224 95 614 96 004 96 394 96 88
57 460 57 845 58 229 58 613 58 997 59 381 59 765		96 783 97 173 97 563 97 963 98 343 98 733 99 123
59 765 60 149 60 534 60 918 61 302 61 686 62 071	33 '	99 123 99 514 99 904 00 294 00 684 01 074 01 464
62 071 62 455 62 839 63 224 63 608 63 992 64 3*7 8.24 64 377 64 761 65 146 65 530 65 914 66 299 66 683	34 35	2.26 of 464 of 854 of 244 of 637 of 03 025 of 415 of 805 of 196 of 586 of 976 of 366 of 757 of 147
66 683 67 068 67 452 67 837 68 221 68 606 58 991	36	06 147 06 538 06 928 07 318 07 709 08 099 08 490
68 991 59 375 69 760 00 144 70 529 70 914 71 298 71 298 71 683 72 068 72 452 72 837 73 222 73 607		08 490 08 880 09 271 09 661 10 052 10 442 10 833 10 833 11 223 11 614 12 004 12 395 12 786 13 176
73 607 73 992 74 376 74 761 75 146 75 531 75 916		13 176 13 567 13 958 14 348 14 739 15 130 15 620
2.24 75 916 76 301 76 685 77 070 77 455 77 840 78 225		2,26 15 520 15 911 16 302 16 693 17 084 17 474 17 865
78 225 78 610 78 995 79 380 79 765 80 150 80 535 80 535 80 920 81 305 81 690 82 076 82 461 82 846		17 865 18 256 18 647 19 038 19 429 19 820 20 211 20 201 20 201 20 602 20 993 21 384 21 775 22 166 22 557
82 846 83 231 83 616 84 001 84 387 84 772 85 157	43	22 557 22 948 23 339 23 730 24 121 24 512 24 903
85 157 85 541 85 928 86 313 86 698 87 084, 87 469 2.24 87 469 87 854 88 240 88 625 89 010 89 396 89 781		24 903 25 294 25 686 26 077 26 468 26 859 27 251
89 781 90 167 90 552 90 938 91 323 91 709 92 094		29 598 29 990 30 381 30 772 31 164 31 555 31 947
92 094 92 480 92 865 93 251 93 637 94 022 94 408	47	31 947 32 338 32 730 33 121 33 513 33 904 34 296
94 408 94 793 95 179 95 565 95 951 96 336 96 722 96 722 97 108 97 493 97 879 98 265 98 651 99 037		34 296 34 687 35 079 35 471 35 862 36 254 36 645 36 645 37 037 37 429 37 820 38 212 38 604 38 496
2.24 99 03" 99 423 99 808 00 194 00 580 00 966 01 352	T 14	2.26 38 996 39 387 39 779 40 171 40 563 40 955 41 34
2.25 01 352 01 238 02 124 02 510 02 896 03 282 03 668	ŞΙ	41 347 41 738 42 130 42 522 42 914 43 306 43 698 43 698 44 690 44 482 44 874 45 266 45 658 46 650
03 668 04 054 04 440 04 826 05 212 05 598 05 984 05 984 05 984 06 370 06 757 07 143 07 529 07 915 08 301	53	46 050 46 442 46 834 47 226 47 618 48 011 48 403
08 301 08 688 09 074 09 460 09 846 10 233 10 619	54	48 403 48 795 49 187 49 579 49 971 50 364 50 756
2.25 10 619 11 005 11 392 11 778 12 164 12 551 12 937 12 937 13 324 13 710 14 096 14 483 14 869 15 256	55	2.26 50 756 51 148 51 540 51 933 52 325 52 717 53 110 53 110 53 502 53 895 54 287 54 679 55 072 55 464
15 256 15 642 16 029 16 416 16 802 17 189 17 575	57	55 464 55 857 56 249 56 642 5-034 5-427 67 819
17 5°5 17 962 18 349 18 735 19 122 19 509 19 896		57 819 58 212 58 605 58 997 59 390 59 782 60 175 60 175 60 568 60 960 61 353 61 746 62 139 62 531
19 895 20 281 20 669 11 055 21 442 21 829 22 216	29	22 177 00 100 00 400 01 333101 740 01 139 01 131

		38	I	382	2	38	3	38.	4	38	5	386	1	387	3	88	3	389	3	90	3	91	3	92	1	39:	3	
[2		38	1 2	3.8 76	2	38. 76	7 6	₹B 76	4 8	38 77	5	18	6	38 7		8	8 6	18 ,	-	13.0		9,		18 :	2	39.	3 6	1
3	ľ	14	ä	124	6	214	9	115	3	115	Ę	F + 5	В	54.8	L	6.	4	316 7	1	7 0	11	7 :	LE	7	6	117	W.	3
9		100	5	191	0	191	Ę	192	Q	193	ξ	191	,	23.5	1,	14	0	94 5	15	95 0	10	5 !	7	ulti i	Э.	dos	5	6
7	1	166	7	267	4	268	ī	260	В	269	5	270	2	270 g	21	rr I	6	272 1	- 5	7 5 0	23	3.5	7 2)	74	ą.	75	1	7 8
														348 1														9

Tafel IV.

							log	M.	
			10	8 º					109°
v	0"	10"	20"	30"	40"	50"	60"	r	o" 10" 120" 30" 40" to"
0'	2 26 62 531	62 024	61 117	61 *10	61 103	67 700	61 888	0"	2.28 05 037 05 436 05 835 06 234 06 633 0-05
1	64 888	65 281	65 674	66 067	66 460	66 853	67 246	1	0" 431 07 830 08 229 08 618 09 028 09 48
2						69 211		2	09 826 10 225 10 624 11 024 11 423 11 888
3 4						71 569		3 4	12 221 12 621 13 020 13 414 13 814 14 21
5	2 26 74 322							5	2 28 17 014 17 414 17 813 18 213 18 612 19 01
6	~6 682	77 075	469	77.862	78 256	78 649	79 042	6	
7 8				_		81 010		8	21 809 22 209 22 609 23 009 23 408 23 80 24 208 24 608 25 008 25 408 25 80~ 26 20
9						83 372		9	26 607 27 007 27 407 27 80" 28 20" 28 60
10	2 16 86 128							10	2.28 29 00" 29 40" 29 807 30 207 30 60" 31 00
ττ						90 460		11	31 408 31 808 32 208 32 608 33 008 33 40
12						92 825		_	33 809 34 209 34 609 35 010 35 410 36 810 36 210 36 611 37 011 37 412 37 812 38 21
13						97 555			
15	2,26 97 949							E 10	2 28 41 016 41 41" 41 81" 42 218 42 618 43 01
16	2.27 00 314							16	43 420 43 820 44 221 44 622 45 022 45 48
17						04 054		17	45 824 46 225 46 626 4" 026 4" 427 4" 88
19						09 391		19	50 635 51 036 51 437 51 838 52 239 52 646
20	2,27 09 786	10 180	10 575	10 9"0	11 365	11 760	12 155	20	2.28 53 041 53 442 53 843 54 244 54 645 55 04
21						14 129		21	55 448 55 849 56 250 56 651 57 053 57 45
22						18 871		22	57 855 58 257 58 658 59 059 59 461 59 862 60 263 60 665 61 060 61 468 61 869 02 272
24						21 242	_	2.4	62 672 63 074 63 475 63 877 64 279 64 686
25	2 27 21 638	22 033	22 428	22 824	23 219	23 614	24010	25	2.28 65 082 65 483 65 885 66 287 66 688 6- 096
26						25 987			
27						30 734		27 28	69 903 "0 304 70 706 71 108 "1 510 "1 92" 72 314 72 "16" "3 118 73 520 "3 922 "4 32"
29						33 109		29	74 726 74 128 74 430 74 432 76 334 76 73
30	2 27 33 505	33 901	34 297	34 693	35 088	35 484	35 880	30	2.28 77 139 77 541 77 943 78 345 48 48 48 4 150
31		_	_	-	_	37 860		31	79 552 79 954 80 357 84 759 81 161 81 56c
33				-		40 237		32	81 966 82 368 82 771 83 1-3 83 5-6 83 971 84 381 84 -83 85 186 85 588 85 991 86 391
31						44 992		34	86 796 87 199]87 601 88 004 88 407 88 800
35	2 2" 45 3×8	45 784	46 181	46 577	46 9*3	17 310	47.766	35	2,28 89 212 89 615 90 017 90 420 90 823 91 286
36						49 749		36	91 628 92 031 92 434 92 83" 93 240 93 648
37						52 128		38	94 046 94 449 94 862 96 256 96 668 96 068
39						56 889			2,18 98 882 99 285 99 688 Do ogz Do 495 Do 896
40	2.27 57 286	57 683	58 080	58.455	98.874	59 271	59 668	10	2 19 01 301 01 70, 02 108 02 511 02 914 03 31
41						61 653			03 721 04 124 04 528 04 931 05 335 05 738
42						66 419		43	06 142 06 545 06 949 07 352 07 756 08 150 08 563 08 966 09 370 09 773 10 177 10 581
44						68 803			10 984 11 388 11 792 12 195 12 599 13 003
45									2 29 13 407 13 811 14 214 14 618 15 622 15 416
46						73 573			15 830 16 234 16 638 17 042 17 446 17 850
47						75 959 78 345			18 254 18 658 19 002 19 466 19 870 20 274 20 678 21 082 21 486 21 890 22 295 22 600
491						80 732		49	23 103 23 50" 23 912 24 316 24 "20 25 12
10	2 27 81 130								
51						85 508		51	27 955 28 360 28 -64 29 169 39 5-3 29 97
53						87 897 90 287			30 382 30 787 31 191 31 596 32 000 32 405 32 810 33 214 33 619 34 024 34 429 34 824
54						92 677			35 238 35 643 36 048 36 452 36 85" 3" 364
55	2 27 93 006							55	2 29 37 06" 38 0"2 38 4"7 38 882 39 28" 19 691
56.						99 852			
57 58	2 28 00 251							58	
59						04 638			

	392 393	394 395 3	96,397 19 8	399 400 401	402 403 404	405 406
	74 4 "B	768 773	7 . 2 74.4 79 6	70 B 80.0 30	40 2 40 4 40 4 80 4 80 6 80 8 120 6 220 6 121 2	81 3 91 2 2
4 5	15 1 57 1	47 f 188 1	48 4 158 8 15mm	14 1 100 604	2013 /15 303 6	10-1 624 4
7 2	271 4 25 1	275 8 271 5 7	72 377 9 2786	179 3 .50 56 7	241 241 8 242 4 281 4 381 1 381 8	.8 4 84 7
3					361 8 362 7 363 6	

Tafel IV.

							log	M.	Ī								
			11	O ^o									11	10			
	o"	10"	20"	30"	40"	50"	60"	ľ			0"	10"	20"	30"	40"	50"	60"
2.29	49 822	50 227	50 633	51 038	51 444	\$1.849	52 255	0	2	30	96 97B	97 390	97 802	98 214	98 626	99 039	99 451
		52 660						E	١.			99 863					
		57 528						3	2.			02 337					
		59 963						4 ;				07 287					
		62 399						5	2	31	09 351	09 763	10 176	10 589	11 002	31.414	11 827
		64 835						6				12 240				1 -	14 305
		67 272						7 8				14 718					16 783
	- 18 H-	72 148										19 675					
		74 587							2	3 E	21 741	32 154	22 507	22 981	23 394	23 807	24 221
		77 027										24 634					
		79 467										27 115					
		84 349										32 079	_	-			
		86 792			7			5 14	2			34 562					
_		89 235										37 046					
		91 6-8										39 530					
_		96 568				,						44 501					
		99 013							2			46 98=					
	~	01 459					4					49 475					
		03 906										54 451					
		08 803										56 940					
		11 251							2	3 1	59 015	59 430	59 845	60 260	60 645	61 090	61 506
		13 701										61 921					
		16 151			-	_		28				64 412					
		21 054						29				69 397					
		23 506							2			71 B90					
		25 959										74 384					
		28 413 30 867						32				76 879					
		33 322										81 871					
		35 778							2.			84 368					
		40 691	-									86 864 89 364					
		43 149										91 863					
		45 607						_	_			94 362					
2.30		48 066							2								
		50 526							1			99 364					
		55 447							•	-	120 50	04 368	04 785	0 9 203	05620	00 03"	06 454
		57 909									06 454	06 872	07 289	0 706	08 123	08 541	08 9 48
_		60 372							2	32		09 376					
		62 835										11 880					
		67 763										15 892					
		70 228						49			18981	19 398	19816	20 234	20 652	21 070	21 488
_	_	72 694							2	32	21 488	21 906	22 324	22 742	23 160	23 578	23 996
		75 160									23 996	24 414 26 923	24 832	27 750	28 178	28 596	29 (04
		80 096				_					29014	29 433	20 851	30 269	30 688	31 106	31 524
	82 153	82 564	R2 976	83 387	83 *99	1 X4 210	84 622	54			31 524	31 943	32 361	32.780	33 198	33 617	34 035
		85 033							2	32	34 035	34 454	34 872	35 291	35710	35 128	36 54-
		89 974						56				36 966 39 4*8					
	92 033	92 445	92 857	93 269	93 681	94 993	94 505	58				41 991					
	94 505	94 917	95 329	95 741	96 153	96 565	96 9-8	59				44 505					

Г	•						log	M.						-		
		_	11:	20				Γ.		-		11	8°			
v	0"	10"	20 ^N		40"	50"	60"	- ē		•"	10"		30"	40"	50"	6e"
0'	a.32 46 601	17.010	47.120			4R 606	40 116	ol.	2.22	68 700	00 217	00 642	ão oáo		õ0 911	å1 240
1		49 535						i	2.34	01 349	OI 775	02 202	02 629	03 055	'03 482	03 908
2		54 568						3							08 603	
3 4		57 085			1 - 1			4			_				11 165	
5	2.32 59 184							ş					- 3		13 727	
7		64 642						6				_			18 854	_
8		67 162								_					21 419	
9		69 683					-	9		-	_		_		23 984	
10		74 727						10							36 550 39 117	
12	76 B30	77 250	77 671	78 092	78 512	78 933	79 354	12		29 545	29 973	30 401	30 829	31 257	31 685	32 113
13 ! 14		79 774 82 299						13					33 397 35 966		34 253 36 822	
15	2,32 84 403							15			_	-			39 391	
16	86 929	87 350	87 771	88 193	88 614	89 035	89 456	16		39 821	40 249	40 677	41 106	41 534	41 963	42 391
17 18		89 877 92 405						18							44 534 47 106	
19		94 933						19							49 679	
20	2.32 97 040		2 .		-				2.34						52 253	
21	2.33 02 100	99 991						22							54 827	
33		05 053						23		57 832	158 261	58 690	59 120	59 549	59 978	60 40
25		07 585		_				24 25	-		1-				62 555	
26	12 228	12 651	13 073	13 495	13 917	14 340	14 762	. 21							67 710	
28		15 185						27 28							70 189 72 869	
29		20 255		-	-			13							75 449	
30	2.33 22 368														78 031	
31		25 328													80 613 83 195	
33	19 981	30 404	30 827	31 250	31 673	32 096	32 520	33		83 626	84 056	184 487	84917	85 348	B5 779	86 200
34		32 943													88 363	
35 36		38 023													90 948	
37	40 141	40 565	40 988	41 412	41 B35	42 259	42 6R3	37 1		93 965	94 396	94 827	95 258	95 689	96 120	96511
38 39		43 107						38 39							98 707 Öt 295	
40	2 33 47 -69								~ ~			_	_	100	03 884	
41		50 73"													06 474	
43		53 282 55 H2R								09 496	09 92"	10 359	10 791	11 223	11 655	12 08
44	57 949	583-4	58 798	59 223	59 647	60 0 - 2	60 497	[++	_	12 087	112 519	12,951	13 383	13 815	14 247	14 9*9
45 46	2.33 60 497	60 921	61 346 62 Rus	61 770	62 195	62 620	65 502	451	2 35						16 839	
4~	65 593	66 018	66 442	66 867	67 292	67 717	68 142	47							22 027	
48	68 142	68 56"	68 992	69 41*	69 842	,70 267	TO 692	48		22 459	22 892	23 324	23 757	24 189	24 622	25 05.
49	2 33 73 243	71 117							2 2 5						29 814	
51	75 794	76 219	76 645	77 000	77 495	77 921	78 346	51		30 246	30 679	31 112	31 545	31 978	32 411	32 84
52 53	78 346 80 800	78 772 B1 325	79 197 81 7cm	79 623 82 176	82 60	80 474	No 899	52							35 009 37 60=	
54	83 453	183 878	84 304	84 730	8 5 1 5 6	HÇ ÇRI	R6 007	54							40 207	
55	2 33 86 007								2.35	40 640	41 074	41 507	41 940	42 374	42 807	43 24
56 57	91 118	48 988 91 544	91 970	69 840 92 196	90 200	d4 510 30 ph 5	91 118	56 ' 57							45 408	
ςR	93675	94 101	94 527	94 953	95 379	95 806	96 232	ςB		48 444	48 877	49 311	149 745	50 179	50 612	51 045
\$9	96 232	96 658	97 085	97 511	97 937	98 364	98 790	59		51 046	ξι 48c	51 914	52 348	52 782	53 216	, 5 3 65¢

							log	M.								
		-	11.	1 0							*	114	3 0			
ī,	o"	10"	20"	30"	40"	50"	60"	r		0"	Lo"	20"	30"	40"	50"	6o"
0	2 35 53 650	54 084	54 51 8	54 952	55 386	55 820	56 254	0'	2.37	11 287	11 729	12 171	12613	13 055	13 497	13 939
1 2	56 254 1 58 859 1			-				1 2				14 823				
3	61 465 (51 899 (52 334	62 768	63 202	63 637	64 0*1	3		19 244	19 686	20 129	20 571	21 013	21 456	21 898
-41	2 \$5 66 679 /							5	2 17			22 783	*			
6	59 287 (bg 721	-0 156	70 591	71 026	71.461	71 896	6	- 3.	27 208	27 651	28 003	28 536	28 974	29 422	29 864
8	74 505							7 B				33 407				-
9	77 116 1	77 551	77 986	48 451	78 856	79 292	79 727	9		35 179	35 622	36 066	36 509	36 952	37 395	37 838
11	2 35 79 727 1 82 339 1						2 4 7	10	2.37			38 725				
12	84 952 1	84 387	85 823	86 258	86 694	87 129	87 (65	12		43 158	43 601	44 045	44 488	44 932	45 375	45 819
14	90 179				- 6							49 369				
15	2 35 92 791	93 230	93 666	94 102	94 538	94 974	95 410	15	2.37	51 144	\$1.588	52032	52 475	52 919	53 363	53 807
1.	98 027							17				54 695				
18	2 36 00 644	180 10	01 517	01 953	02 390	02 826	03 263	18		59 13"	59 581	60 025	60.410	60 914	61 358	61 803
20	2,36 05 882							20	2 37			65 359				
21	08 501											68 027				
22	13 743											70 695			_	
24	16 365											-6035				
25	2 36 18 988			-				25 26	2 37			78 706 BI 378				
27 28	24 236							27				84 051				
29	26 862 :											89 399				
30	2 36 32 114	-							2.37	-		92 074				
32	34 742 37 370,									96 535	96 981	94 751	97 874	98 320	98 766	99 212
33	40 000 .							33	2 28			00 105				
35	2 36 45 260		-									05 463				
36	47 8921.							36				08 143 10 824				
3.8	53 1571	53 596	54 035	54 474	54 913	55 352	55 791	38		12 612	13059	13 506	13 953	14 400	14 847	15 294
39	2 36 58 426							39 40	7. 28			18872	_	_		
41	61 061	61 501	61 940	62 380	62 819	63 258	63 698	41		20 661	21 109	21 556	22 004	22 451	22 899	23 346
42	66 335 I											24 24 I 25 92 7				
44	68 973	69 412	69.852	70 292	70 732	71 172	71 611			28 718	29 (66	29 614	30 Ob 2	30 510	30 948	31 406
45	2 36 71 611							45	2 3 %			32 302 34 990				
47	76 B91	77.334	77 771	78 212	78 692	*9 092	79 532	47		36 783	37 231	37 679	38 128	38 500	39 024	39 473
48	79 532											40 369				
50	2 36 84 817	85 257	84 698	85 138	86 579	8-020	87 450	50	2 38	44 855	45 303	45 752	46 201	46 649	47 098	47.547
51	87 460 90 104											48 445 51 13H				_
53	92 - 50	93 190	93 631	94 072	94 513	94 954	45 395	53		52 934	43 383	53 832	54 281	54 -30	\$5 180	55 629
54	2 36 98 042							- 4	2 38			59 223				
56	2 37 00 689	01 131	01 572	02 014	02 455	02 896	03 33×	56	,	61 021	61 470	6t 920	62 369	62.819	63 268	63 718
57 58	03 338											- 64 61° - 6° 316				
59	08 637				- 0							70015				
_																

Tafel IV.

							log	M.	,						
			13	16 ⁰	•		j				11	17°			
Đ	0"	10"	20"	30"	40"	50"	60"_	Ø	o"	10"	20"	30"	40"	50"	60"
9		72 265 74 966						0'	2.40 35 349						
2	77 217	77 667	78 118	78 568	79 018	79 469	79 919	2	40 854	41 313	41 771	42 230	42 689	40 395 43 148	43 607
3		80 370, 83 073	_	_	_			3 4						45 901 48 658	
5	2.38 85 326	85 777 1 88 4821				87 580		5	2.40 49 117				50 954 53 711		
7	90 737	91 188	91 639	92 090	92 541	92 992	93 443	7	54 630	55 089	55 549	56 009	56 468	56 928	57 388
8	96 1 50	93 894 96 601	97 053	97 504	97 956	98 407	98 859	8 9					59 227 61 986	59 687 62 446	
10 11	2.38 98 859 2.39 01 568							10 11	2 40 62 906 65 666		63 826	l - "	1 - 7 - 7	65 206	
12	04 277	04 729	05 181	05 633	06 084	06 536	06 988	12	68 428	68 888	69 348	69 Bog	70 169	70 730	71 190
13 [4		07 440 10 £52						13 14	73 953		72 III 74 874	_		73 493 76 256	
15 16	2.39 12 412	12 864 15 577						15 16	2.40 76 717 79 482					79 021 81 787	
17	17 839	18 292	18 744	19 196	19 649	20 102	20 554	17	82 248	82 709	83 170	83 631	84 092	84 553 87 320	85 014
19	23 270	21 007	24 175	24 628	25 081	25 534	25 986	19	87 782	88 243	88 704	89 166	89 627	90 089	90 550
20		26 439						2 I	93 319		91 473			92 858	
22	31 422	31 875 34 594	32 328	32 782	33 235	33 688	34 141	21		96 551	97 013	97 475	97 937	98 399 51 170	98 860
24	36 861	37 315	37 768	38 221	38 675	39 128	39 582	34	2.41 01 632	02 094	02 556	03 019	03 481	03 943	04 405
25 26	2.39 39 582 42 304	40 035	40 489	40 943	41 396 44 119	41 850 44 572	45 026	25 26	2.41 04 405					06 716 09 491	
27 28	45 026	45 480	45 934	46 388	46 842	47 296	47 749	27 28						12 266 15 042	
29	50 474	50 928	51 3Ra	51 836	52 290	52 745	53 199	29	15 505	15 968	16 431	16 894	17 356	17 819	1 1 2 1 2
30 31	2.39 53 199 55 925	56 379						30 31	2.41 18 282 21 060					20 597 23 376	
33 33		59 106 61 834							1			1 - '		26 156 28 936	
34	64 10R	64 562	65 017	165 472	65 927	66 382	66 837	34	29 400	29 863	30 327	30 791	31 254	31 718	32 181
35 36	69 567	70 022	70 477	70 932	71 388	71 843	72 298	35 36	34 964	35 428	35 892	36 356	36 820	37 283	37 747
37 38		72 753 75 485						37 38					39 604 42 388	40 068	
39	77 763	78 218						39	43 317	43 781	44 246	44 710	45 174	45 639	46 103
40 41		83 687	84 143	84 598	85 054	85 510	85 966			49 355	49 B19	50 284	50 748	51 213	51 678
42 43		86 422 89 158							54 467	54 932	55 396	55 861	56 326	54 002 56 791	57 256
44,		91 896			-	-		. —		57.721	58 186	18651	59 117	59 5B2	60 047
45 46		97 373	97 829	98 286	98 742	99 199	99 656	46	62 838	63 304	63 769	64 234	64 700	65 165	65 631
47 48	2.40 02 396		03 410	03 767	04 224	04 681	05 138	48	68 424	68 889	69 355	69 821	70 287	67 958 70 752	*1 318
49 50		05 594 08 227							71 218 2.41 74 013	71 684	72 150	72 615	73 081	73 547	74 013
51	10 623	11 080	11.537	11 995	12 452	12 909	13 367	ŞΙ	76 809	77 275	77 741	78 207	78 673	79 140	79 606
52 53	16 112	13 824 16 569	17 027	17 484	17 942	LR 400	18 857	53	82 404	81 870	83 336	83 803	84 269	81 937 84 736	85 202
54 55		19 315						_		85 669	86 135	86 602	87 o68	87 535	88 003
56	24 351	24 809	25 267	25 725	26 183	26 641	27 099	56	90 802	91 269	91 736	92 203	92 670	93 137	93 603
57 58	29 849	27 558 30 307	30 765	31 223	31 682	32 140	32 599	58	96 406	96 873	97 340	97 807	98 274	95 939 98 742	99 209
59	32 599	33 057	33 515	33 9"4	34 432	34 891	35 349	59	99 209	99 676	õo 143	00 611	ŏ1 078	Ö1 546	ô2 013
•														_	

	″4	50	45	ı	452	49	3	454	45	5 45	6 4	57	458	45	9	460	461	46	z 46	46	4 4 ⁴	65	466	467	468	
1 2	.)	0.0	-)0		10.1	1 90	6	10	9. 0.	0 91	2 (914	ا او ا	5 41	Н	ga 0	92.2	42	4 92	6 92	3 >	10	93.2	91.4	46 B	2
4	1.8	, n	тКо	4	r8o 6	181	2	e Ba	4 188	e (8 ₈	4.1	B a 8	(83	2 1Bq	ė į	84 0	184.4	fz84	8 185	a 185	6-18	0.0	186.4	186.8	187.2	4
6	27	Ç O	270	b	271 2	271	8	279	4 273	0.271	1,6 27	74_3	274 1	-75	4 2	76.0	276 6	277	2 277	8 275	4 27	ų ū	279.6	280. 2	234 D 280 8	6
é	36	9 01	160	В	,61.6	ر 6 ز	4	363 2	1954	,0 36 ₄	8 16	55. Ó	366 a	167	2 4	68 o	j68 8	369.	6 ,70.	4 371	2 37	2.0	172 8	3716	374 4 481 2	8

Tafel IV.

							log	M.							
			11:	⊜ 0							111	9 0			
t	0"	10"	20"	30"	40"	50"	60"	E,	ο"	10"	20"	30"	40"	50"	60"
01	2.42 02 013							o'	2.43 71 933						
2		08 091						2	74 793		75 747 78 608				
3		10 898						3	80 517						
5	2 42 16 047	16 515			9.4			4 5	83 380						- 1
6	18856	19 325	19 793	20 261	20 730	21 198	21 667	6	89 109	89 586	90 004	90 542	91 019	91 49"	91 975
7		22 135						8	91 975						
9		27 759			-		-	9	97 710						
10	2 42 30 103 32 917	30 572	31 041	-		32 448		10	2 44 00 579			-			
12	35 732	36 201	36 671	37 140	37 609	38 019	38 548	12	06 319	06 798	07 276	07.755	08 233	08 712	04 191
13	38 548	41 834							12 063		13 021				
15	2,42 44 182							15	2.44 14 937						
16		47 47 I 50 29 I						16	20 687						
18	52 641	55 933	53 5BT	54052	54 522	54 992	55 462	18	23 (63		24 522				
20	2,42 58 2851								2.44 29 319						
21		61 578						21	32 198						
23	66 757	64 403 67 228	6-699	68 170	68 641	69 112	69 583		35 079 37 960						
24	69 583					1		_	40 R42						
25	2 42 72 4t0 75 237	75 709						25 26 p	2 44 43 "25 46 609						
27		78 538						27	49 494 52 380		53 342				
29		84 198									56 230				
30	2.42 86 558	87030						30 31	2,44 58 155 61 044						
31	92 223	92 696	93 168	93 640	94 113	94 585	95057	32	63 934	64415	64 89"	65 379	65 861	66 343	66 825
33		95 530						33	66 825 by ~16		70 680				
35	2 43 00 729	01 201	01 674	02 147	02 620	03 093	03 566	35	2 44 72 609	-3 091	73 573	-4056	74 538	75 000	75 503
36 37	7 7	04 039						36	75 503 78 397		76 467				
38	09 242	09 716	10 189	10 662	11 135	11 609	12 082	38	81 293	81 776	B2 258	82 741	83 224	83 707	84 190
39	2.43 14 923	12 556						39 40	2 44 87 087	1 1	82 125				
41	17 765	18 238	18 712	19 186	19659	20 133	20 607	41	89 986	90 469	90 952	91 435	91 918	92 402	92.885
42		21 081					7		92 885		-				
44	26 295	26 769	27 243	27 718	28 192	28 666	29 140	44	98 687	49 1-1	99 654	00 138	ō0 622	Ö1 105	OT ₹R∂
45	2.43 29 140 31 98-	32 461	30 089	30 503	31 038	34 359	31 987	45	2 45 01 589	_	02 55"	_			
47	34 834	35 308	35 783	36 258	36 732	37 207	3 - 68z	47	07 397	0 881	08 365	08 849	09 334	94 B t 8	10 302
49		38 157 41 006						48				- 5			15 209 16 116
50	2 43 43 381							50	2.45 16 116						_
51		46 707						51 52			19 994 22 903				
53		52 412						53	,		25 814				
54	2 43 57 645							54	2,45 30 667					1	
156	60 501	60 977	61 453	61 929	62 405	62 A81	63 357	56	33 580	34 005	34 551	35 037	35 522	36 008	36 494
57 58		63 834							39 409	39 895	37 465 40 381	40 86*	41 353	41.834	42 325
59	69 073	69 550	70 026	*0 503	70 979	71 456	71 933	59			43 297				

Γ							log	M.								
			1:2	O°								12	1°			
v	0"	10"	20"	30″	40"	50"	60″	v j	o "		10"	20"	30"	40"	50"	60"
o'	2.45 45 242							۰′	1, ,	- :						
I 2			49 133 52 052					1 2							27 540 30 520	
3	53 999	54 485	54 972	55 459	55 946	56 433	56 920	3	31 0	16 3	1 513	32 010	32 507	33 004	33 500	33 997
1	56 920 2.45 59 842		57 893 60 816					- 4	33 99 2.47 36 97						36 482	
5 6	62 764	63 252	63 739	64 226	64714	65 201	65 688	6		, ,				•	12 449	
7 8			66 663 69 588					7							45 434	
9			72 514					9							51 407	
10	2.45 74 466							10								
11 12			78 370 81 299					12							57 385 60 375	
13			84 229												63 366	
14	2.45 89 115		87 160 90 092											·	66 358	
16	92 048	92 536	93 025	93 514	94 003	94 492	94 981	16	698	50 7	0 349	70 848	71 347	71 846	72 345	72 845
17			95 959 98 895					17							·75 341	
19	2.46 00 852	01 341	01 831	02 320	02 810	03 299	03 789		78 8	37 7	9 336	79 836	80 335	80 835	81 334	81 834
20 21	2.46 03 789 06 726	04 278	04 768 07 706	05 257	05 747	06 237	06 726	20 2 I							84 333 87 332	
22	09 665	10 155	10 645	11 135	11625	12 115	12 605	22	878	32 8	8 332	88 832	89 332	89 833	90 333	90 833
23 24			13 585 16 526					23	,				1		93 334	
25	2.46 18 487	18 977	19 468	19 958	20 449	20 939	21 430	[<u>-</u> -								I
26 27	21 430 24 373		22 411 25 355			1		26 27							OE 345	
28			28 300					28	05 8	52,0	6 353	06 854	07 355	07 856	08 357	08 858
29			31 246				1	29		- 1	_	_	-	:	11 365	
30	2.46 33 21 ⁷ 36 158		34 193					30 ; 31 ;	2.48 11 86						17 384	
32			40 090					- 1			- :				20 394	
33 34			'43 040 -45 991					33				-			23 406 26 419	
35	2.46 47 959	48 451	48 943	49 435	49 927	50 420	50 912	35		- 1						
36 37			· 51 896 . 54 850					36 37							32 448	
38	56 820	57 313	57 805	58 298	58 790	59 283	59 776	38	35 90	67 3	6 470	36 973	37 476	37 978	38 481	38 984
3 9 4 0	59 776 2.46 62 733		62 718		t re			39	2.48 42 00						71 200	
41	65 690	66 183	66 676	67 170	67 663	68 156	68 649	41	450	22 4	5 525	46 029	46 532	47 036	47 539	48 043
42 43			69 635 72 596												53 583	
44			75 5 5 7												56 606	
45 46	2.46 77 531		78 519					45	2.48 57 11							
47	83 458		81 482 84 446												62 656	
48	86 423	86 917	87 411	87 905	88 400	88 894	89 388	48	66 18	87 6	6 692	67 196	67 701	68 206	68 710	69 215
49 ! 50			$90\frac{377}{93\overline{344}}$						09 21 .2.48 72 2.						71 739	
51	95 323	95 818	96 313	96 807	97 302	97.797	98 292	51	75 27	74 7	5 779	76 284	76 789	77 294	77 800	78 305
52 53	98 292 2.47 01 262		99 282												80 831 83 864	
54			05 223					54							86 898	
55	2.47 07 205							55	2.48 87 40							
56 57			11 169 14 143					56							92 969	
ς8	16 126	16 622	17 118	17 614	18 110	18 606	19 102	58	96 51	13 9	7 019	97 525	98 032	98 538	99 045	99 551
59	19 102	19 598	20 094	20 591	21087	21 583	22 079	159	99 53	,10	0 058	00 504	01071	01 577	ō2 084	02 591

	486 487 488	189 490	491 492	493 49	495 496	497 498	499 50	0 501 50	2 503 5	04 505	506 507	
1	43.6. 48.7 48.8	48.9 49.	0 42.1 42.	2 49.3 49.	4 49.5; 49.6	49.7 49.8	49.9 50.	0, 50.1 5	50.3	50.4 50.5	50.6 50.7	1
1 3	- 97.2 97.4 97.6 - 1 <u>45</u> 8 146.1 146.4	146.7 147.	0. 98.2 98.	4 95.0; 98. 5:147.0 148.	8 90.0 09.2 2!148.5 148.8	: 99.4 99.6 149.1 149.4	140.7 150.	0 100,2 10	0.6 150.0 1	00.8 101.0 \$1.2 151.5	151.8 152.1	, 2
1	194.4 194.8 195.2	195.6 196.	0 196.4,196.	8 197.2 197.	6 198,0 198,4	198.8 190.2	199.6 200.	0 200.4 20	5.8 201.2 2	01.6 202.0	202.4 202.8	4
5	243.0 243.5 244.0	244.5 245.	0 245.5 240.	0 240.5 247.	0 247.5 248.4	248.5 240.0	240.5 250.	0 250.5 25	1.0 251 5 2	52.0 252.5	251.0 251.5	5
7	- 291.6 292.2 292.8 - 340.2 340.9 341.6											;
8	- 388.8 389.6 390.4	391.2 392.	o ;92.8 393.	6 394.4 395.	2 396.0 396.8	307.6 308.4	309.2 400	0 400.8 40	1.6 402.4 4	03.2 404.0	404.8 405.6	. 8
9	437.4 448.3 439.2	440.1 441.	0 441.9 442.	8 443-7 444-	6 445.5 446.4	447-3 448-2	449.1 450	0 450.9 45	1.8 452.7 4	53.6 454.5	455.4 456.3	9

Tafel IV.

							log	M.							
			12	≥ 0							12	30			
r	o"	10"	20"	30"	40"	50"	60"	Į.	o"	10"	20"	30"	40"	50"	60"
_	1 49 02 591							o'	, ,						
1 2				10 194				2						92 623	
3	11 715	12 223	12 730	13 237	13.744	14 252	14.759	3	96 248	96 766	97.289	97 803	98 321	98 839	99 357
-4	2 49 1" 804			16 281				4 5	2,51 02 467					01 944	
6	20 850	21 357	21.855	21 373	22 881	23 389	23 897	6	05 579	06.09*	06 616	07 135	07 553	08 172	08 691
8				25 420				8						11 285	
9				31 518				9,						17 515	
10	2 49 33 044 36 095			34 509				104						23 749	
12	39 147	39 656	40 165	40 674	\$1 1×2	41 691	42 200	12	24 269	24.189	25 308	25 828	26 348	36 858	2" 388
13				43 727				13						33 to9	
15	2 49 48 310							15	2 51 33 619						
16				12 895 55 954				15						39 354	
18				59 013										48 531	
10	2 49 63 004								2.51.49.253					_	
21				68 197										\$4.987 \$8.117	
23				=4 325										61 248	
24	75 858			77 341				24	2 51 64 901					64 380	
26				83 525				25						TO 648	_
27				86 594				27						73 784 76 921	
29				92 735				29						80 058	
30	2 49 94 271			95 8881		-		30	2 51 80 582					83 19" 86 3 18	
32	2 50 00 418	00 930	01 443	01 955	02 448	02 980	03 493	32	86 861	87385	8= 908	88 432	88.955	89479	90 002
33				05 031				33						92 021	
35	2 50 09 646	10 159	10.672	11 185	11 598	12 211	12 724	3.5	2 51 90 289	96 813	97 337	97.851	98 385	98 909	99 434
36			-	14 263					99 434 2 52 02 580					01 055	
38	18 884	19 397	19 911	20 424	20 9 3 8	21.451	21 965	38	05 727	06 251	06 775	07 301	07.825	08 350	08.815
40	2 50 25 048			23 506				- 11	2 52 12 024					11 550	
41	28 131	28 645	19 159	29 6-3	30 187	10 "02	31 216	41	19 175	15.700	10 225	16 751	17.275	17 801	18 326
42				32 759										29 954	
44				38 932				H						27 262	
45	43 508			45 111					30 945					33 5°6	
47	46 650	47.171	4" 686	48 201	48 717	49 232	49 74*	47 1	34 102	34 628	35.155	35 681	30.201	30 734	3= 260
48				51 293 54 385				49						35 843 43 754	
50	2 50 55 933					-			2 52 43 581						
51				63 671	-			\$1 \$2 {						49 3"9 52 543	
53				65 769 69 86*				53 54						58 874	
55	2 50 71 417							55	2.52 59 402	-					
56				76 057				50						65 210 68 380	
58	80 740	Rr 237	81 755	82 272	82 789	83 306	83 X24	58	68 909	69 437	69.965	*0 494	71 032	71 451	72 0RO
59	N3 824	H4341	81 828	85 376	85 893	86 411	86 928	59	72 ONO	72 608	73 137	73 666	74 191	74 723	75 252

Tafel IV.

log	М.
124°	125°
0" 10" 20" 10" 40" 50" 60"	E O" 10" 20" 30" 40" 50" 60"
0' 2.52 75 252 75 781 76 310 76 839 77 367 77 896 78 425	0 2.54 67 729 68 270 68 811 69 351 69 892 70 433 70 973
1 78 425 78 954 79 483 80 013 80 542 81 071 81 600 2 81 600 82 129 82 658 83 188 83 717 84 246 84 776	1 70 973 '71 514 72 055 72 596 73 137 73 678 74 219 2 74 219 74 760 75 301 75 842 76 383 76 924 77 465
3 84 776 85 305 85 835 86 364 86 894 87 423 87 953	3 77 465 78 007 78 548 79 089 79 630 80 172 80 713
4 87 953 88 482 89 011 89 542 90 071 90 601 91 131	4 80 713 81 254 81 796 82 337 82 879 83 420 83 961 5 2.54 83 962 84 504 85 045 85 587 86 129 86 670 87 212
5 2.52 91 131 91 660 92 190 92 720 93 250 93 780 94 310 6 9 9 9 9 9 9 9 9 9 9 9 9 9 9 9 9 9 9	6 87 212 87 754 88 296 88 838 89 380 89 922 90 464
7 97 490 98 020 98 551 99 081 99 611 50 142 50 672 8 2.53 00 672 01 202 01 733 02 263 02 794 03 324 03 855	7 90 464 91 006 91 548 92 090 92 632 93 174 93 716 8 93 716 94 258 94 801 95 343 95 885 96 428 96 970
9 03 855 04 385 04 916 05 446 05 977 06 508 07 038	9 96 970 97 512 98 055 98 597 99 140 99 682 00 225
10 2.53 07 038 07 569 08 100 08 631 09 162 09 693 10 223	to 2 55 00 225 00 768 01 310 01 853 02 396 02 938 03 481
11	11 03 481 04 024 04 567 05 110 05 653 06 196 06 739 12 06 739 07 282 07 825 08 368 08 911 09 454 09 997
13	13 09 997 10 540 11 084 11 627 12 170 12 714 13 257 14 13 257 13 800 14 344 14 887 15 431 15 974 16 518
14 19 785 20 317 20 849 21 380 21 912 22 443 22 975 15 2.53 22 975 23 507 24 039 24 570 25 102 25 634 26 166	
16 26 166 26 698 27 230 27 762 28 294 28 826 19 35R	16 19 780 20 324 20 868 21 412 21 956 22 500 23 044
18 32 551 33 083 33 616 34 148 34 681 35 213 35 746	17 26 304 23 588 24 132 24 676 25 220 25 764 26 309 26 853 27 397 27 941 28 486 29 030 29 574
19, 35 746 36 278 36 811 37 343 37 876 38 408 38 941	19 29 574 30 119 30 663 31 208 31 752 32 297 32 842
20 2 53 38 941 39 474 40 40 539 41 672 41 605 42 138 21	20 2.55 32 842 33 386 33 931 34 476 35 020 35 565 36 110 21 36 110 36 655 37 200 37 745 38 290 38 835 39 380
22 45 336 45 869 46 402 46 935 47 468 48 001 48 535	
23 48 535 49 068 49 601 50 135 50 668 51 201 51 735 24 51 735 52 268 52 802 53 335 53 869 54 403 54 936	23 42 650 43 196 43 741 44 286 44 832 45 377 45 922 24 45 922 46 468 47 013 47 559 48 104 48 650 49 196
2 5 2 5 3 5 4 9 3 6 5 5 4 7 0 5 6 0 0 4 5 6 5 3 7 5 7 D 7 1 + 5 7 6 0 5 5 8 1 3 9	25 2 55 49 196 49 741 50 287 50 833 51 379 51 924 52 470
26 58 139 58 673 59 206 59 740 60 274 60 808 61 342 27 61 342 61 876 62 411 62 945 63 479 64 013 64 547	26 52 470 53 016 53 562 54 108 54 654 55 200 55 746 27 55 746 56 292 56 838 57 384 57 930 58 477 559 023
28 64 547 65 082 65 616 66 150 66 685 67 219 67 753 29 67 753 68 288 68 822 69 357 69 891 70 426 70 961	28 59 023 59 569 60 115 60 662 61 201 61 754 62 301 29 62 301 62 847 63 394 63 940 64 487 65 034 65 580
30 2.53 70 961 71 495 72 030 72 565 73 099 73 634 74 169	-
31 74 169 74 704 75 239 75 774 76 309 76 844 77 379	31 68 861 69 408 69 955 70 502 71 049 71 596 72 143
32 77 379 77 914 78 449 78 984 79 519 80 054 80 589 33 80 589 81 125 81 660 82 195 82 731 83 266 83 801	32 72 143 72 690 73 237 73 784 74 331 74 879 75 426 33 75 426 75 973 76 520 77 068 77 615 78 163 78 710
34 R3 HO1 84 337 84 8-1 85 408 85 943 86 479 87 015	34 78 710 79 258 79 805 80 353 80 900 81 448 81 996
35 2.53 87 015 87 550 88 086 88 622 89 157 89 693 90 229 36 90 229 90 765, 91 301 91 836 92 372 92 908 93 444	35 255 81 996 82 543 83 091 83 639 84 187 84 734 85 282 36 85 282 85 830 86 378 86 926 87 474 88 022 88 570
37 93 444 93 980 94 516 95 053 95 589 96 125 96 661	37 88 570 89 118 89 667 90 215 90 763 91 311 91 860
38 96 661 9" 147 4" "34 48 2"0 98 806 99 343 99 879 39 99 8"9 80 415 80 452 81 488 82 025 82 561 83 098	38 91 860 92 408 92 956 93 505 94 053 94 602 95 150 39 95 150 95 699 96 247 96 796 97 344 97 893 98 442
40 2.54 03 098 03 635 04 171 04 708 05 245 05 781 06 318	40 2.55 98 442 98 990 99 539 00 088 00 637 01 186 01 -35
41 06 318 06 855 07 392 07 929 08 466 09 003 09 540 42, 09 540 10 077 10 614 11 151 11 688 12 225 12 762	
43 12 762 13 299 13 837 14 374 14 911 15 449 15 986	43 08 324 08 874 09 423 09 972 10 522 11 071 11 611
44 15 986 16 524 1° 061 17 598 18 136 18 674 19 211 45 2 54 19 211 19 749 20 286 20 824 21 362 21 899 22 437	44 11 621 12 170 12 720 13 270 13 819 14 369 14 919 45 2 56 14 919 15 468 16 018 16 568 17 118 17 668 18 218
46 22 437 22 977 23 513 24 051 24 589 25 127 25 665	46 18 218 18 768 19 318 19 868 20 418 20 968 21 518
47 25 665 26 203 26 741 27 279 27 817 28 355 28 893 48 28 893 29 431 29 970 30 508 31 046 31 585 32 123	
49 32 123 32 661 33 200 33 738 34 277 34 815 35 354	49 28 123 28 6-3 29 224 29 -75 30 325 30 876 31 42-
\$60 2 54 35 354 35 893 36 431 36 900 37 509 38 047 38 586 \$1 38 586 39 125 39 664 40 203 40 742 41 280 41 819	50 2.56 31.427 31.978 32.528 33.079 33.630 34.181 34.732 51: 34.732 35.283 25.834 36.385 36.936 37.488 38.039
52 41 819 42 358 42 897 43 43" 43 9"6 44 515 45 054	52 38 039 38 590 39 141 39 692 40 244 40 795 41 34"
53 45 054 45 593 46 132 46 672 47 213 4° ° 50 48 290 54 4 290 48 829 49 369 49 908 50 448 50 987 51 527	53 41 347 41 898 42 449 43 001 43 552 44 104 44 656 54 44 656 45 20 45 759 46 311 46 862 47 414 47 966
55 2 54 51 527 52 066 52 606 53 246 53 685 54 225 54 765	55 - 2 56 47 966 48 518 49 070 49 622 50 174 50 725 51 178
\$6 \$4,765 \$5 \$05 \$5 \$44 \$6 \$84 \$6 924 \$7 464 \$8 004 \$7 \$8 004 \$8 \$44 \$9 084 \$9 624 60 164 60 704 61 245	55 51 278 51 830 52 382 52 934 53 486 54 038 54 590 57 54 590 55 143 55 695 56 247 56 800 57 352 57 904
58 61 245 61 785 62 325 62 865 63 406 63 946 64 486	58 5" 904 58 45" 59 009 59 562 60 115 60 667 61 220
59 64 486 65 027 65 767 66 108 66 648 67 189 67 729	59 61 220 61 772 62 325 62 878 63 431 63 983 64 536

						log	M.	
		120	3 °					127°
27	0" 10"	20"	30"	40"	50"	6o"	0	0" 10" 20" 30" 40" 1 50" 60"
_	2.56 64 536 65 089						o'	
2	67 854 68 407						2	69 253 69 819 70 385 70 951 71 517 72 083 72 649 72 649 73 215 73 781 74 347 74 913,75 480 76 046
3	74 494 75 047	75 601	76 154	76 708	77 262	77 815	3	76 046 76 612 77 179 -7 745 78 312 78 878 -9 445 79 445 80 011 80 578 81 145 81 711 82 278 82 845
5	77 815 78 369 2 56 81 138 81 692						4 5	2 58 82 845 83 411 83 978 84 545 85 112 85 679 86 246
6 7	84 462 85 016							86 246 86 813 87 380 87 947 88 514 89 081 89 649
8	87 788 88 342 91 114 91 669						8	89 649 90 216 90 783 91 350 91 918 92 485 93 052 93 052 93 620 94 187 94 755 95 322 95 840 96 458
9 10	94 442 94 997	-	-				9	96 458 9-025 97 593 98 161 98 728 19 296 99 864
1 t	2 56 97 771 98 326 2 57 01 102 01 657						10	2.59 03 272 03 840 04 408 04 976 05 545 06 113 06 681
12	04 433 04 989 07 766 08 322						12 13	06 681 07 249 07 818 08 386 08 955 09 523 10 092 10 092 10 060 11 229 11 797 12 366 12 935 13 503
14	11 101 11 656						14	13 503 14 072 14 641 15 210 15 779 16 34R 16 916
15	2 57 14 436 14 991 17 773 18 329						15 16	2 59 16 916 17 485 18 054 18 624 19 193 19 762 20 331 20 300 21 469 22 039 22 608 23 177 23 747
37	21 111 21 667	22 224	22 780	23 337	23 894	24 450	17	23 747 24 316 24 886 25 455 26 025 26 594 27 164
18.	24 450 25 007 27 791 28 348			_			18	27 164 27 733 28 303 28 873 29 443 30 012 30 582 30 582 31 152 31 722 32 292 32 862 33 432 34 002
20	2 57 31 133 31 690	32 247	32 804	33 361	33 918	34 476	20	2.59 34 002 34 572 35 142 35 712 36 282 36 853 37 423
21	34 4 6 35 033			40 050		41 166	21	37 423 37 993 38 564 39 134 39 704 40 275 40 845 40 845 41 416 41 986 42 557 43 128 43 698 44 269
23	41 166,41 723					44 513	23	44 269 44 840 45 411 45 981 46 552 47 123 47 694 47 694 48 265 48 836 49 407 49 978 50 549 51 120
24	2 57 47 861 48 419					\$1 210	25	2.59 \$1 120 \$1 692 52 263 52 834 53 405 53 97" 54 548
26	51 210 51 769			53 444	2 1	54 561	26 27	54 548 55 120 55 691 56 263 56 834 57 406 57 977 57 977 58 549 59 121 59 692 160 264 60 836 61 408
28	57 913 58 472	59 031	59 590	60 148	60 707	61 266	28	61 408 61 979 62 551 63 123, 63 695 64 267 64 839
30	2 57 64 621 65 180						30	64 839 65 411 65 983 66 556 67 128 67 700 68 272 2 59 68 272 68 845 69 417 69 989, 70 562 71 134 71 70
31	67 977 68 535	69 096	69 655	70 215	70 774	71 334	31	71 707 72 279 72 852 73 424 73 997 74 570 75 142
33	71 334 71 894		7			74 592 78 052	33	75 142 75 715, 76 288, 76 861 77 434 78 007 78 579 78 579 79 152 79 725 80 299 80 872 81 445 82 018
34	78 052 78 612	79 172	79 732	80 293	80 843	81 413	34	82 018 82 591 83 164 83 738 84 311 84 884 85 458
35	2 57 81 413 81 973 84 775 85 336			83 654 87 018		84 775	35 36	2 59 85 458 86 031 86 604 87 178 87 751 88 325 88 899 88 899 89 472 90 046, 90 620 91 193 91 767 92 341
37	88 139 88 700 91 504 92 065					91 504	37 38	92 341 92 915 93 489 94 063 94 637 95 211 95 785 95 785 96 359 96 933 97 507 98 081 98 656 99 230
39		95 992				98 237	39	99 230 99 804 00 379 00 913 01 427 02 102 02 676
40	2 57 98 237 98 799 2 58 01 606 02 168					61 606 04 976	40 41	2 60 02 676 03 251 03 825 04 400 04 975 05 549 06 124 06 124 06 699 07 274 07 849 08 423 08 498 04 573
42	04 976 05 538	06 100	06 662	07 223	07 785	08 34"	42	09 573 10 148 10 723 11 298 11 873 12 449 13 024
43	08 347 08 909 11 720 12 282				_			13 024 13 599 14 174 14 *50115 325 15 900 16 476 16 476 17 051 17 627 18 202118 7-8 19 353 19 929
45	2 58 15 094 1 15 656	16 219	16 781	17 344	1-906	18 469	45	2 60 19 929 20 504 21 080 21 656 22 232 22 807 23 383
46	18 469 19 032 21 846 22 408							23 383 23 959 24 535 25 111 25 687 26 203 26 839 26 839 27 415 27 991 28 568 29 144, 29 720 30 296
48	25 223 25 786	26 350 :	26 913	27 476	28 039	28 602	48	30 296 30 873 31 449 32 026 32 602 33 1 9 33 7 55 33 7 55 34 332 34 908 35 485 36 062 36 63 8, 37 21 5
50	28 602 29 166	1		-			1 1	2 60 37 214 37 792 38 369 38 944 39 522 40 099 40 076
51 52	35 364 35 928	36 492	37 056	37 620	38 183	38 747	51	40 676 41 253 41 830 42 407 42 985 43 562 44 139 44 139 44 716 45 293 45 871 46 448 47 026 47 603
53	38 747 39 311 42 132 42 696	43 260	43 814	44 389	44 953	45 517	53	47 603 48 180 48 758 49 335 49 913 50 491 51 068
54	45 517 46 082 2 58 48 904 49 469				-			\$1 068 \$1 646 \$2 224 \$2 802 \$3 3°9 \$3 9\$7 \$4 \$3\$\$ 2 60 \$4 \$3\$ \$1 \$13 \$5 691 \$6 269 \$6 847 \$7 425 \$8 003
56	52 292 52 857	53 422	53 987	54 552	55 117	55 682	56	58 003 58 581 59 159 59 738 60 316 60 894 61 4-3
57 58	55 682 56 247							61 473 62 051 62 629 63 208 63 780 64 365 64 943 64 943 65 522 66 101 66 679 67 258 67 837 68 416
59							_	68 416 68 994 69 573 70 152 70 731 71 310 71 889
	553 554 555 556 5	57 558	559 56	1 562	563 564	1565 5	66 5	567,568 569,571,572 573 574 575 576 577 578 579

Tafel IV.

_							log	M.						_
			12	80							12	Ð ∘		
0	0"	10"	20"	30"	40"	50"	60"	v	٥"	10"	30"	30"	40"	50"
0	2.60 71 889							o'	2.62 82 835					
	75 364 78 840		76 523 79 999		77 681 81 159			1					88 766 92 327	
3	82 318				84 637			3					95 890	
4	85 797	86 377	86 957	87 537	88 117	88 697	89 277	4		97 671			99 454	
5	2.60 89 277	89 857	1 - 1 -	-	91 598			5	2.63 00 642			02 425		03 613
7	93 759 96 242				95 081			7					10 154	
8	99 727	ðo 307	S\$8 05	ð: 469	02 050°	32 631	83 212	8			12 533	13 128	13 723	14 318
2	2.61 03 212				05 537			-9		15 509				
11	2.61 06 700		11 351		09 025		10 18R	10	2.63 18 485	22 653		l ' - '	20 867 34 441	
12	13 678		14 842					12			1		28 016	
13	17 170				19 498			13		29 804			31 593	
[4]	20 663				12 991 26 487		24 156	14	32 785 2.63 36 364	33 381			35 171	35 767
16	2.61 24 1 56 27 652				19 983			15 16		40 541			42 331	
17	31 149	31 732	32 315	32 898	33 481	34 064	34 647	17		44 113	1 7 2		45 914	r -
18	34 647 38 147				36 980 40 481			19		47 70b 51 290			49 498 53 083	
20	3.61 41 648		42 815		43 983		45 150	- i	2.63 54 279				56 670	
21	45 150	45 734	46 318	46 902	47 486	48 070	48 654	31	57 866	58 464	59 062	59 660	60 258	60 857
22			49 822	_ ,	50 991		52 159	23		62 053			63 848	
23	52 159 55 666	56 250					59 174	23 24		69 235			71 032	71 631
25	2.61 59 174	59 758	60 343		61 513		62 683		3.63 73 230			74 027	74 626	
26					65 023								78 222	
27 18	69 706				68 535 72 048			27 18					81 819 85 417	
29	73 219		74 391	74 977	ا تد ا			19	- 7 -				89 017	
30	2.61 76 734		77 906		1	79 664	1 - 3 - 1	30	2,63 90 217		91 418		92 618	
31 32	80 251 83 768				81 596 86 114			31					96 221 99 825	1 -
33	87 287				89 634			33	2 64 01 027					
34					93 156			34	04 633				07 038	
35			95 504			97 266		35	2,64 08 241					
36					00 203 03 728			36 37					14 257 17 869	
38	04 904	05 492	06 080	06 667	07 255	07 843	OR 431	38	19 073	19 675	20 277	20 879	21 482	22 084
39	OB 431			-	10 784	-	"	39		23 289		24 494	· []	25 699
40 41	15 491		13 137		14314 17845	14 902		40	2 64 26 301 29 918	20 904 30 52 t		28 109 31 727	28 712	
42	19 022	19611	20 200	20 789	21 377	21 966	22 555	42	33 536	34 139	34 742	35 345	35 948	36 552
43			- 7:		24 912								39 569	
44	262 29 626		-		28 447			44.	2 64 44 398	'			43 191	** **
46	33 163	33.753	34 343	34 932	35 522	36 112	36 702	46	48 022	48 626	49 230	49 835	50 439	51 043
47	36 702	37 292	3" 882	38 472	39 062	39 652	40 242	47					54 065	
48 49					46 145								57 693 61 322	
50	2 62 47 327						_	50	2 64 62 532				l I	
51 1	50 871	\$1.462	52 053	52 644	53 435	53 826	54 417	51 1	66 163	66 769	67 374	6-9-9	68 585	69 190
52					56 782 1 60 330								72 218	
53 54 j													79 490	
55	2.62 65 063	65 655	66 247	66 83R	6- 430	68 022	68 614	55	2 64 80 703	81 309	81 915	8z ç22	83 128	83 735
56					70 983								86 768	
57 58 [74 537 78 092								94 951	
59	79 277				81 649								97 695	
								<u> </u>						

<sup>579 581 582 583 584 585 586 587 588 589 591 592 593 594 596 597 598 599 601 602 603 604,606 607 6

1 579 581 582 583 584 585 586 587 588 589 591 592 591 592 591 592 597 598 599 601 602 603 604,606 607 6

2 315 81662 116 41766 116 8 127-0117.2 117 4 117 6 117 8 118 9 118 4118,6 118 8119 2 114 4 179 6 179 8 200 120 4 120 1 120 8 127 9 22 4 1 1 177 4 177 6 7 2 4 177 6 7 2 4 177 6 177 1 177 6 177 1 177 6 177 9 178 2 178 8 2 4 1 170 4 170 7 1 2 8 1 8 1 8 1 8 1 1 8 1</sup>

							log	M.							
			13	Oo							13	10			
0	0"	10"	20"	30"	40"	50"	60"	v	0"	Io"	30"	30"	40"	50"	60"
_	2.64 98 911							0'					22 837		
2	2.65 02 557		07 420					2	27 822	28 445	29 06B	29 692	30 315	27 198 30 938	31 562
3 4			11 070					3 4						34 680	
5	2.65 17 155	17 764	18 373	18 982	19 591	20 200	20 809	5	2.67 39 048	39 672	40 296	40 920	41 544	42 168	42 793
6 7			22 027					7			44 041				46 539
8	18 120 31 778		29 340 32 998					8	50 288	50 912	51 537	52 162	52 787	53 412	54 037
10	2.65 35 438						1	10	2.67 57 789				,	57 163	
11			40 319					11						64 670 68 426	
13	46 425	47 036	47 647	48 258	48 869	49 480	50 091	13	69 052	69 679	70 305	70 931	71 557	72 184	72 810
15	2.65 53 758		54 980	-		-	53 758	14	2.67 76 569		74 963			75 943	76 569 80 330
16	57 426	58 038	58 649 62 320	59 261	49 873	60 484	61 096	16	80 330	80 957	81 584	82 211	82 838	83 465	84 092
18	64 768	65 380	65 992	66 604	67 216	67 828	68 441	18	87 856	88 484	89 111	89 739	90 367	87 229 90 994	91 622
20	2.65 72 115	69 053 72 728	69 665		70 890 74 566			19.	91 622				-	94 761	95 389
21	75 791	76 404	77 017	77 630	78 243	78 856	79 469	21	99 158	99 -86	00 414	ò1 043	81 671	Ö2 299	ŏ2 928
22	79 469 83 148	83 761	80 695 84 374		81 921			23	2.68 02 928		04 185				10 473
24	86 828	, ,	-		89 283		-	2.4			11 731			13 619	14 248
25 26	94 194		95 422		92 966			26	2.68 14 248 18 025					21 173	
28	97 879 2,66 OL 566	98 493			04 024			27			23 063			24 953	25 583 29 364
29	05 254	o (868	06 483	07 098	07713	08 328	08 9 43	29	_ 29 364	29 994	30 625	31 255	31 886	32 516	33 147
30	2 66 08 943 12 634		13 865					30	2.68 33 147 36 932					36 301 40 087	36 932
32	16 327 20 021	16 943	17 558	18 174	18 790	19 406		32	40 718	41 349	41 980	42 611	43 243	43 874	44 595
34	23 717		24 949				27 414	33			49 558				48 295 52 086
35	31 113		28 647 32 346				31 113	35 36	2.68 52 086		53 350 57 143				
37	34 814	35 430	36 047	36 664	37 281	37 898	38 515	37	59672	60 305	60 937	61 570	62 203	62 835	63 468
38	38 5 [5 42 219		39 750 43 454				42 219	38			68 53 1			66 632 70 431	57 265 71 064
40 41	2 66 45 924	46 541	47 159 50 866	47 777	48 394	49 012	49 630		2 68 71 064		72 331 76 132			74 231 78 033	74 865 78 667
42	53 338	53 956	54 574	5\$ 193	55 811	56 429	57 048	12	78 66*	79 301	79 934	80 468	81 202	81 836	82 470
43	57 048 60 759		61 996								83 739 87 545			85 541	90 083
45	2 66 64 471	65 090	65 704	66 32R	66 947	67 566	68 185	45	2.68 90 083	90 717	91 352	91 987	92 621	93 256	93 891
46 47	71 901	72 520	69 424 73 140	73 759	74 379	74 999	75618	47	97 701	98 336	98 972	99 607	00 242	97 066 00 878	Ö1 513
48 49		_	76 858 80 577					, ,	2 69 01 513					04 691	
50	2 66 83 054	83 677	84 298	84 918	R5 538	86 159	86 779	50	2.69 09 141	09.727	10 413	11 049	11 686	12 322	12 958
51 52	90 502		91 744					§1						16 140	
53	94 227	94 848	95 469	96 090	96 712	97 333	9" 954	53	20 546	21 233	21 870	22 506	23 143	23 7Ho 27 603	24 417
54 55	2 67 01 682				_				2.69 28 240						
56 57			06 655					56						35 454 39 081	
58	12 875	13 198	11 120	14.742	15 365	15 987	16 610	5ª	39 719	40 357	40 996	41 634	42 272	42 910	43 549
59	16 610	17 232	17 855	18 477	19 100	19 723	20 345	59	43 549	44 187	44 825	45 464	46 103	46 741	47 380
_															

Tafel IV.

							log	M.							
\vdash			13	20							13	30			\dashv
0	0"	10"	20"	30"	40"	50"	60″		O [#]	10"	20"	30"	40 ^N	50"	60"
0	2.69 47 380	48 019					51 213	o'	2,71 80 270	80 925	81 58 1	82 236		83 547	84 203
τ,	51 213	51 852	52 491 56 316	53 130	53 769	54 408	55 047	1	84 203	84 858	85 514	86 169	86 825	87 481 91 417	88 137
3	55 047 58 883	59 523	60 162	60 802	61 442	61 081	62 721	2						95 354	
4	63 721 2,69 66 560		64 001					4	2.71 99 950	30 607				99 293 03 234	17.7
6	70 401		71 682					5 6	1.71 03 891						
7			75 525					7				-		11 121	
9			83 116	l			I -	9						19 015	
11	2.69 85 781 80 620		87 064					10	2,72 19 673 21 621			21 648	_ ~ ~	22 964 26 915	
12	93 481	94 113	94 765	95 407	96 049	96 691	97 334	12	27 574	18 233	28 891	29 550	30 209	30 B68	31 527
13 14	97 334 3,70 01 188		98 618				02 073	13 14		35 150 36 141			34 104 38 120	34 823 38 779	
15	2.70 05 043	05 686	06 329	06 973	07 615	08 258	100 80	15	2.72 39 439	40 098	40 758	41 418	42 077	42 737	43 197
16			'-				16 620	16						46 697 50 658	
18	16 620	17 264	17 907	18 551	19 195	19 839	20 482	ER.	51 319	51 979	52 640	53 300	53 961	54 621	55 282
19	2.70 24 346		25 635				-	20	2.72 59 247		56 604 60 569		57 925 61 8 91	58 586 62 553	1
31							32 079						65 \$60	66 511 70 491	67 183
22 23	35 948	36 593	33 369 37 238	37 883	38 528	39 173	39 819	23						74 463	
24			41 109		L	-		24		1	76 450			78 437	
25 26	2.70 43 691 47 565		44 982 48 856		50 148	50 794	47 565 51 440	25 26	2.72 79 099 83 075		80 424 84 400			81 412 86 389	
27	51 440	52 086	52 732	53 378	54 025	54 67 1		27 28						90 368	
29			60 489					29						98 331	1
30 31	2.70 63 077						66 959	30 31	2.72 98 994 2.73 02 979						
32	70 142	71 490	72 137	72 785	73 433	74 080	74 728	32	06 965	07 629	08 294	08 958	09 623	10 181	10952
33 34			76 023 79 911				78 61 5 82 504	33 34						14 277 18 268	
l 35 l	2,70 82 504	83 152	83 801	84 449	85 097	85 746	86 394	35	2.73 18 933	19 599	20 264	20 919	21 595	22 261	22 926
36 37	_		87 693		5 - 7		90 287	36						26 255 30 25 I	
38	94 180	94 829	95 479	96 128	96 777	97 426	98 076	38	30 917	31 584	32 250	32 916	33 583	34 249	34 916
39 40	98 075 2 71 01 973		99 375					39 40	2.73 38 916				-	38 249	
41	05 872	06 522	07 172	07 822	08 472	09 122	09 772	41	42 917	43 584	44 252	44 919	45 586	46 253	46 921
43 43							13 675							50 258	
44	17 578	18 229	IR 880	19 531	20 182	20 833	21 484	44	54 933	55 601	56 269	56 937	57 605	58 274	, 58 942
45 46	2.71 21 484 25 391	26 043	26 694	23 437	24 089 27 997	24 740	25 391 29 300	45 46	: 273 58 942 1 62 952	63 621	64 290	64 958	65 627	66 296	66 965
47 48	29 300	29 952	30 604	31 255	31 907	32 559	33 211	47	66 965	67 634	68 302	6B 971	69 641	70 310	70 979
49							37 123 48 037		74 995	75 664	76 334	77 003	77 673	74 325 78 342	74 995
50	2.71 41 037	41 690	42 342	42 995	43 647	44 300	44 953	50	2.73 79 012	79 682	80 352	81 022	81 691	82 361	83 031
51 52	48 870	49 523	50 176	50 829	51 483	52 136	48 870 52 789	52	87 053	87 723	8B 393	89 064	89 734	86 382 90 405	91 075
53	52 789	53 442	54 096	54 749	55 403	56 056	\$6 710	53	91 075	91 746	92 417	93 088	93 758	94 419	95 100
54 55	2,71 60 632			•			60 632	54	3.73 99 127					98 455 02 483	
56	64 556	65 211	,65 865	66 519	67 173	67 818	68 481	56	2 74 03 155	03 826	04 498	05 170	05 841	06 513	07 185
57 58	72 410	73 065	73 719	74 374	75 019	75 684	72 410	l 58 i	11 217	11 889	12 561	13 233	13 905	10 544	15 250
59	-6 339	76 994	77 649	78 304	78 959	79 615	80 270	59	15 250	15 922	16 595	17 267	17 940	18 613	19 285

Tafel IV.

							log	M.	
			13	4°					135°
0	0"	10"	20"	30"	40"	50"	60"	v	0" 10" 20" 30" 40" 50" 60"
o'	2.74 19 285	19 958	20 631	21 304	21 977	22 650	23 322	o'	
I 2			24 669 28 708					1	68 860 69 571 70 242 70 934 71 625 72 317 73 008 73 008 73 700 74 391 75 083 75 775 76 467 77 158
3		,	32 749					3	
4			36 792						81 310 82 003 82 695 83 387 84 080 84 772 85 464
5	2.74 39 489 41 525		44 884					5	2.76 85 464 86 157 86 849 87 542 88 235 88 927 89 620 89 620 90 313 91 006, 91 699 92 391 93 085 93 778
7	47 583	48 257	48 932	49 607	50 282	50 957	51 632	7	93 7-8 94 471 95 164 95 858 96 551 9- 244 9- 938
8			52 982					8	97 938 98 631 99 325 00 018 00 712 01 405 02 099 2,77 02 099 02 793 03 487 04 181 04 874 05 568 06 262
10	2.74 59 737				-			1 1	2.77 06 262 06 957 07 651 08 345 09 039 09 733 10 428
11			65 144						10 428 11 122 11 816 12 511 13 206 13 900 14 595
13			73 260						14 595 15 289 15 984 16 679 17 374 18 069 18 764 18 764 19 459 20 154 20 849 21 544 32 239 22 935
14			77 321					1 "	22 935 23 630 24 325 25 021 25 716 26 412 27 107
15	2,74 80 030								2.77 17 107 27 803 28 499 29 195 29 890 30 386 31 282
17			R5 449 B9 515						31 282 31 978 32 674 33 370 34 066 34 762 35 459 35 459 36 155 36 861 37 548 38 244 38 941 39 637
t g	92 227	92 905	93 583	94 261	94 940	95 618	96 296	18	39 63" 40 334 41 030 41 72" 42 424 43 121 43 817
20	2,75 00 368		97 553	-				19	43 817 44 514 45 211 45 908 46 605 47 302 48 000 2.77 48 000 48 697 49 394150 091 50 789 51 486 52 184
21			05 799						52 184 52 881 53 579 54 277 54 974 55 672 56 370
22:			09 874						56 3 0 57 068 57 766 58 463 59 161 59 860 00 558 60 558 61 256 61 954 62 652 63 351 64 049 04 747
23			13 951						64 747 65 446 66 145 66 843 67 542 68 240 68 939
25	2.75 20 751		22 111		-			1 1	2.77 68 439 69 638 70 337 71 036 71 735 72 434 73 133
26			20 194					26	73 133 73 832 *4 531 75 230 75 930 76 629 77 328 77 328 78 028 78 727 79 427 80 126 80 826 81 526
28		- : :	34 365						81 526 82 225 82 915 83 525 84 325 85 525 85 725
29			38 453						85 725 86 425 87 125 87 825 88 520 89 226 89 926
30	2 75 41 179		42 543						2.77 89 926 90 627 91 32* 92 028 92 728 93 429 1,4 129 94 129 94 129 95 531 96 232 96 933 9* 634 98 335
32	49 363	50 046	50 728	51 410	52 093	52 776	53 458	32	98 335 99 036 99 737 00 438 01 139 01 840 02 541
33			54 823						2.78 02 541 03 243 03 944 04 646 05 347 06 049 06 750 06 750 06 750 07 452 08 154 08 856 09 557 10 259 10 961
34	2 75 61 653								2,78 10 961 11 663 12 365 13 067 13 769 14 472 15 174
36	65 754	66 437	67 121	67 804	68.488	69 172	69.856	36	15 174 15 806 16 509 17 281 17 983 18 686 19 389
37			71 223						19 389 20 091 20 794 21 497 22 199 22 902 23 605 23 605 24 308 25 011 25 714 20 417 27 120 27 824
39			79 434						27 824 28 527 29 230 29 934 30 037 31 340 32 044
40	2.75 82 173								
41			91 765						36 266 36 970 37 674 38 378 34 082 39 786 40 491 40 491 41 195 41 899 42 603 43 308 44 012 44 717
43	94 50"	95 193	95 878	96 564	97 250	97 936	98 622	43	44 71" 45 421 46 126 46 831 4" 535 48 240 48 945
44			99 994	_	***			-	
45	2.76 02 739 06 857		08 131					45 46	57 40" 58 112 58 818 59 524 60 224 60 935 61 641
47	10 978	11 665	12 352	13 034	13 726	14413	15 100	47	61 641 62 347 63 052 63 758 64 464 65 170 65 87
48			20 600						65 8 - 66 583 6 284 67 995 68 -02 69 408 -0 114 -0 114 -0 821 -1 527 -2 234 72 941 73 64 - 74 354
50	2 76 23 351	24 038	24 726	25 414	26 102	26 *90	27 478	50	2.78 74 354 75 061 75 768 76 475 77 182 77 889 78 696
ς1 c2			28 855						78 596 79 303 80 010 80 717 81 425 82 132 82 839 82 839 82 839 83 547 84 254 84 962 85 669 86 377 87 085
52 53		1	37 117						87 085 87 793 88 501 89 208 89 916 90 524 91 332
44	39 873	40 562	41 252	41 941	42 630	43 319	44 009	34	91 332 92 040 92 -49 93 457 94 165 94 873 95 582
55 56	2 76 44 009 18 146		45 388						2,78 95 582 46 290 96 999 97 707 18 416 49 125 99 833 99 833 00 542 01 251 01 960 02 069 03 37× 04 087
57	52 285	52 975	53 665	54 355	55 045	59 736	56 426	57	2 79 04 08" 04 "96 05 505 06 214 06 423 07 632 08 342
58			57 807 61 950						08 342 09 051 09 761 10 470 11 180 11 889 12 599 12 599 13 309 14 019 14 728 15 438 16 148 16 858
59	00 309	01 219	W1 930	02 041	-3 331	24 02T	94 713	19	10 177 13 307 24 027 14 20 13 430 10 148 10 030

Tafel IV.

Г							log	M							
			18	6 ⁰			~~~~				18	7 °			
v	O ^N	10"	20"	30"	40"	50"	60"	v	0"	10"	20"	30"	40"	50"	60"
0	2.79 16 858							oʻ	2,81 76 045						
1 2			23 540 26 804		T .	1 2 1	- T .	1 2					1	84 079 88 464	
3	29 648	30 359	35 070	31 781	32 492	33 203	33915	3	89 195	89 926	90 657	91 388	92 120	92 251	93 582
5	33 915		35 337 39 607	40 319		37 472 41 743	42 454	5	2.81 97 971	94 314			96 509 80 900		97 972 52 364
6	43 454	43 166	43 879	44 591	45 303	46 015	46 727	6	2.82 02 364		03 828	04 560	05 293	06 OZ 5	06 757
7 8			48 152 52 428			17:5	-	8		1 25.4	12 619	13 352	14 085	14 818	
10	\$5 279 2.79 \$9 \$58		56 705		58 131 61 412	<u> </u>	59 558 63 839	9		16 284 20 684			18 484	19 117	
111			65 266									26 555		28 023	
13			69 549 73 835				72 406 76 693	4 1		19 491 13 898				32 428 36 836	33 163 37 571
14	76 693	77 408	78 122	78 837	79 552	80 267	80 982	14	37 571	38 306	39 041	19 776	40 511	41 246	41 981
15 16	2.79 80 982 85 272		82 412				85 272 89 565		2.82 41 981 46 394	42 717 47 129			44 923 49 336	45 658 50 072	46 394 50 808
17	89 565	90 181	90 996	91 712	92 428	93 144	93 860	37	50 808	51 544	52 2BO	53 016	53 752	54 488	55 225
18			95 191											5 8 907 63 327	
20	2,80 02 455								2.82 64 064						68 487
21			08 189											72 174 76 600	72 911 77 330
23			16 798				19 669	1	77 338	78 076	78 815	79 553	80 291	81 029 85 460	81 767 86 199
24	2.80 23 978	20 387 24 696		26 133		23 259 27 569	13 978 28 288	24 25	2.82 86 199		83 244 87 676			89 893	90 632
26	28 288	29 007	29 725	30 444	31 163		32 601		90 632	91 371		92 849		94 328 98 765	95 067 99 504
28	36 91 5	37 634	34 039 38 354			40 512	41 232	28		ÕO 244	ðo 984	Õt 724	82 464	03 204	Õ3 944
29 30	41 232	41 951		43 391			45 550	29 30	3.83 03 944					12 088	08 385 12 839
31			51 311							-		-		16 534	17 175
32 33	54 193 58 518		55 635											20 981 25 431	21 723 26 173
34	62 844	63 566	64 287	65 008	65 730	I I		34	16 173	26 915	27 657	28 399	29 141	19 883	30 625
35 36			68 616 72 947			70 782		35 36	2.83 30 625					34 337 38 793	
37	75 836	76 558	77 281	78 003	78 726	79 448	80 171	37	39 535	40 278	41 021	41 764	42 508	43 251	43 994
38 39	80 171 84 507		81 616 85 953		_	88 123	1 . 2 . 5 . 5	38	43 994 48 454		49 942			47 711 52 173	46 454 52 917
10	2.80 88 846	89 569	90 293	91 016	91 739	92 463	93 187	40	2.83 52 917	53 661	54 405	55 149	55 893	56 638	57 382
41 42			94 634											65 573	
43	2.81 01 874	02 598	03 323	01 01.	04 772	05 496	06 221	43	66 318	67 063	67 808	68 553	69 298	70 044	-0 789
44 #	2,81 to 569		0760	l	·				2 83 75 262	76 008	76 754	77 500		74 5L" 78 992	
46 47	F4 920	15 645	16 371	17 096	17 822	18 547	19 273	46	79.738	NO 484	81 230	81 976	81 723	83 469 87 948	R4 215
48			20 724 25 080						88 695	89 442	90 189	90 936.	91 683	92 430	93 177
49			29 437											96 91 3	
50 51	36 704		33 159 38 159						2.83 97 661	02 895	03 643	04 391	05 139	05 887	06 635
53 53	41 06-	41 795	42 522 46 888	43 250	43 977	44 705	45 432	52	96 635	07 383	ON 132	08 880	09 628	10 377	11 125
541	49 799		51 256			-								19 363	
55	2 81 54 169		55 625 59 997						2 84 20 112					23 860 28 358	
\$7	62 913	63 642	64 371	65 100	65 829	66 559	67.288	57	29 LOX	29 858	30 608	31 35R	32 109	32 859	33 609
5H 59			68 747 73 125											37 362 41 867	
		4.7		Ŧ '		" " "	.,				** *	,			

	7	10	7	12	1,	71	3	-1	ş	=	17	1	119	1	72	1	72	2	72	3	72	ç	7.2	7	71	19	73	L	73	2	73	3	73	5	737	12	739	7	4 L	7	12	7.	14	74	6	741	2	749	1	751	
1	7	2 1		7.1	2	ÿε																																												75 1	
		4																																																35.3	
								Ħŧ		9	n. f	3 2	87	6	163	4	-89	R	84	2	u the	٦,0	2136	8 1	71	1 6	, and	4	192	8	293	2	194	0 2	104-	В 2	95	6] 21	26 4	299	16.8	, 29	76	298	9 /2	198	8 :	199	6 3	00 (ч
																																																		75.5	
																																																		25 7 00.8	
																																																		75-9	

Tafel IV.

						log	M.							
		18	8 º			- 16				131	D o			
o"	10"	20"	30"	40"	50"	60"	D 1	0"	10"	20"	30"	40"	50"	60"
2,84 42 618							٥	2.87 16 947					20 813	21 587
		48 628							_	23 134 27 777		24 682		20 874
56 147	56 B99	57651	58 404	59 156	59 909	60 661	3			32 423				
		62 166					4	35 521		37 070		38 620	39395	40 170
2.14 65 177 69 696		71 201					5	44 \$11	40 945	46 372			44 046	44 821
		75 723					7		50 251				53 355	
		80 247 84 773					3	54 131 58 789	1 7 7 7 2 2	55 6B3	15 '			15 1
2,14 17 791			_		1 .		10	3.87 63 450	-		l .	66 558	67 225	68 112
92 320	93 075	93 830	94 585	95 340	96 096	96 #51	111	68 112		69 667				
						åt 385				74 333	_			
05 920		07 433					13	77 445 \$2 115		83 672				86 787
2.85 10 458	11 215	11971	12 728	13 485	14 241	14 99B	15	1.87 86 787		88 344		89 902		91 461
		1 -			-	19 540		91 461 96 137		93 019				
						24 085 28 631		2.88 00 816		97 697				
		30 147				33 180		05 497		07 058		= = = -		
2.85 33 180			1			37 731	10	2.88 10 181	10 962	1 2 1 1	12 523		1 2 2	
						42 284 46 840		14 866		16 419 11 118				
	47 599	48 359	49 1 18	49 878	50 638	\$1 397				25 809	26 591	27 373	28 155	
		53 917	53 677	54 437	55 197	55 957	34	28 937	29 710		31 285	1		33 631
2.85 55 957 60 519						65 083		1 88 33 631 38 330		35 198 39 896				38 330 43 029
						69 650				44 596				47 731
_	70 411					74 218 78 789		47 731		49 299				52 435
2.85 78 789	74 980		R1 075	_		83 362	i — i II	2.88 57 142		\$4 004 \$8 711		55 573	61 066	57 142 61 8c1
		84 887			I -	I I	31		1 2 1	63 421	17		1 -	66 562
	_		_			92 514				68 133				
		94 041 98 621	_	1		97 094 81 676	33	71 275 75 991		72 847				75 991 80 709
2.86 ot 676				l			35	2 88 80 709		82 183				85 430
						10 846			1	87 004				
		16 965				20 025	37 38			96 453				94 878 99 605
		21 556			23 253		39		ÕO 393	_	ŏ1 970	1	-	ő4 335
2.86 24 618	7 4 7				, ,,	1 ′ - 'I	40	2.89 04 335						
		30 740				33 8LT 38 4t1	41 42			10 645				
38 411	39 177	39 944	40 711	41 478	43 345	43 012	43	18 539	19 328	20 118	20 908	21 692	23 488	23 278
						47 616				24 858				
2.86 47 616						52 223 56 831		2.89 18 019 12 761		34 345				
56 831	57 600	58 36R	59 136	59 905	60 673	61 441	47	37 510	38 301	39 092	39 884	40 675	41 467	42 258
61 442	62 211	62 920	63 748	64 517	65 286	66 055	48			43 842				
1.86 70 670						70 670 75 188		2.89 5t 762		48 593				
						79 908		56 518	57 311	58 104	58 897	59 690	60 483	61 276
						84 530				62 863				
						89 154 93 780				67 624 72 387				
8.86 93 780	94 552	95 323	96 095	96 866	97 638	98 409	55	2 89 75 565	76 359	77 153	77 948	78 743	79 537	80 332
98 409	99 181	99 953	ðo 724	81 496	ò2 168	ò3 040	56	10 332	81 127	81 922	82 717	\$3 512.	84 307	85 102
2.87 03 040						12 309				86 692 91 465				
						16 947				96 241				
							- "							

Tafel IV.

			•			log	M	•						
		14	O°							14	10			
0	o" 10"	20"	30"	40"	50"	60"	e :	0"	10"	80"	30″	40"	50"	60"
	2.89 99 426 00 222						oʻ							
2	2.90 04 205 05 002 08 987 09 784						1 2	95 403	1 -	97 046			99 510	
3 j	13 771 14 569						3						09 374	
4.	_ 18 558 19 356						4						14 309	
6	2.90 23 347 24 145 28 138 28 937						5	2.93 15 132		16 778 21 718		18 424	19 248 24 188	
71							7						29 131	
	71 1 2 7 7												34 077	
9 . 10 i		44 126			$\overline{}$	-	10	34 902 2.93 39 850	· ——				39 025	-
u	52 131 52 931												48 929	
12	56 936 57 737 61 744 62 546						12						53 885 58 844	
14	66 555 67 357						14		12	13 - 1	7	15 :	63 805	
15	2.90 71 368 72 170	72 973	73 775	74 578	75 380	76 183	15	2.93 64 632	65 459	66 286	67 113	67 941	68 768	69 596
17	76 183 76 986 81 001 81 804						16						73 734 78 703	
18	85 821 86 625						18						83 674	
19	90 644 91 448	92 252	93 056	93 860	94 664	95 469	τ9		BS 331	86 160	86 989	87818	88 647	89 476
20 21	2,90 95 469 96 273					00 296 05 126		1.93 89 476					93 623	
22	05 126 05 931						12						03 583	
23	09 958 10 764		;	_		1 2 2 2								
24	14 793 15 599 3.91 19 630 20 43?	1	17 2 [1 22 0 5 0				24 25	2.94 14 385		16 048			13 554 18 543	
26	24 470 25 277	1 . 2*					26	19 374	20 306	21 038	21 870	22 702	23 534	24 364
27	29 312 30 119												28 528	
29	34 156 34 964		30 579 41 427	42 136		43 852	28 19	34 358					33 525 38 524	
30	2.91 43 852 44 661				,		30	2.94 39 358					43 526	
31 °	48 704 49 513 53 558 54 368						31	44 360	45 194	46 028	46 862	47 696	48 530 53 537	49 16
33	58 415 59 225					63 274	33	54 372					58 547	
34	63 274 64 084						34		_	1	6: 888	62 723	63 559	64 39
35 36	2.91 68 136 68 946 73 000 73 811					73 000 72 866	35 36	2.94 64 395					68 574 73 591	
37	77 866 78 6**						37						78 611	
38	82 735 83 547	14 3 4 9	85 170	85 982	86 794	87 606	3 %						83 633	
39 , 40 li	87 606 RH +1 R 2 91 92 480 93 293						39	84 4713 2 94 89 496		86 145			88 658 02 686	-
41	97 356 98 169	98 982	99 796	ბი 609	ÖE 422	ÖZ 235	41.	94 524					9K 716	
42	2.92 02 235.03 049												03 749	
43 44	07 116 07 930 12 000 ; 12 814							2.95 04 588					13 823	
45	2,92 16 886 17 701	18 516	14 330	20 145	20 960	21 775	45	2.95 14 662	15 502	16 343	17 183	18 023	18 863	19 704
46 47	21 775 22 590	23 405	24 220	25 035	25 851	26 666	46	19 704	20 544	21 384	22 225	13 066	23 906 28 952	.44 "4"
48	26 666 2-482 31 560 32 3-6	33 192	34 007	34 824	35 640	36 456	48						34 001	
49	36 456 37 2-2	38 088	38 90 S	39 721	40 53R	41 354	49	34 g4s	35 684	36 526	37 368	38 210	39 052	39 894
50 51	2 92 41 354 42 171 46 255 47 073	42 988	18 805	44 621	45 438	46 255	50							
3 52	\$1 159 5t 976	52 794	53 612	54 429	55 247	56 065	521						49 162 54 221	
53 ll	56 065 56 883	57 701	58 529	59.33*	60 155	60 974	53	55 064	800 55	56 751	57 595	58 439	59 283	60 126
541	60 974 61 792					1							64 34*	
55	2.92 65 885 66 703							2.95 65 191 70 258					74 483	
57	75 714 76 534	77 353	7R 1 ~3	78 993	79 813	80 633	57	75 328	76 173	77 019	77 864	78 710	79 555	80 401
58 59	80 633 81 453 85 554 86 374												84 630 89 707	
[03 114 10 3/4	174			37.030	3-4//	ליי	47,470	30 344	3, 100	2001)	~~ ***	9 /07	A- 334

						log	M.							
			1420							1.4	30			
0	0"	10"	20" , 30"	40"	50"	60"	0	o"	10"	20"	30"	40"	50"	60"
01			92 247 93 094				o'	2 99 00 143 (1 -		17 40 -		
2			97 328 98 1 6				2	of 387 (
3	05 803	06 651	or 499 of 347	09 195	10 043	10.892	3	14 882	16 757	1 = 632	18 507	19 383	,20 258	21 134
-4			12 588 13 437				4 5	21 134 : 2 99 26 388 :						
6	21 076	21 926	22 775 23 624	24 474	25 323	26 173	6	31 645	32 522	33 399	34.275	35 152	36 029	36 906
8	_		27 872 28 122 32 912 33 822			-	8	36 906 ; 42 169 ;		-			_	
-9			38 075 38 925				9	47 434						
10			48 288 49 139				11	2 99 52 703						
12			53 398 54 250 58 512 54 364				12	63 248 6						
14			63 627 64 480					73 Ros						
15			68 746 69 699		-			2.99 79 088						
1-			78 991 - 79 846				17	84 373 89 662						
19			84 118 84 973				18	3 00 00 247						_
20			94 379 95 235		b.			3 00 05 544						
21			99 514 60 370				21			12 610				
23	08 078	08 934	09 791 10 648	11 505	12 362	13 320	23	21 451	22 335	23 220	21 105	24 489	24 8"4	26 759
2.5			14 934 15 792 20 080 20 93*				24	3 00 32 070					-	
26	23 511	24 370	25 228 26 086	26 944	27 803	28 661	26	37 384						
28			30 379 31 237			, ,	_	42 701						
29	38 9 0	39 829	40 689 41 518	42 408	43 268	44 128	29			55 118				
30			45 848 46 708					3 00 58 668						
- 3 z	54 452	55313	56 174 57 035	37.895	48 242	-59 61R		69 327	70.216	71 105	*1.994	72.883	03 002	74 661
33			66 514 62 323				33			75 440 77 77 78				
35	2 97 69 959	40 821	71 683 72 546	73.408	*4.2*1	75 133	35	3 00 84 338						_
36			76 859 77 722 82 03° 82 900					90 680		92 462				
38	85,490	86 354	8-218 88 081	K8 945	Rq 809	90 673	38	3 01 01 374	02 269	03 15"	04 049	04 941	5 8 3 3	00 725
39			92 401 93 265					3 01 12 0 9		- 08 509 - 13 864				
41	2 98 01 0 16	01 911	02 776 03 641	01 10"	05 372	06 237	41	17 436	18 329	19 222	20 116	21 009	21 902	22.796
43	11 431	12 297	13 163 14 024	14 895	15 761	16 627	43	22 196 28 149	29 053	29 94"	30 841	31 735	32 630	33 524
44			18 360 19 226							31313				
45			28 762 29 630					3 01 38 893		40 023				
47 48	32 233	33 100	33 968 34 836	35 104	36 572	37 440	47	49 639	50 535	\$1.431 \$6.809	52 327	53 223	54.119	55016
49			44 38" 45 256							62 170				_
50	2 98 4" 863	48 -32	49 601 50 470	51 339	52 209	53 0*×	90	3 01 65 779			,			
51 52			60 037 60 907				§ 1 § 2		_	72 901 -8 351				/
53			65 259 66 129							R3 "44 89 140				
55	2 98 73 968	74 R40	75 111 76 583	77 454	HR 326	"9 I 98	55	3.01 92 738						_
56 57	*9 ty8	80000	80 942 81 814 86 175 87 047	82 686	83 558	84 430	56	98 1391	99 039	,99 940	, 50 840	Õ1 741	62 642	03 543
58	89 665	90 538	91411 42 284	93 157	94 030	94 903	58		09.851	10.752	11 654	12 555	23,457	11359
59	9+903	95 77h	96 649 9" 523	98 396	99 270	õo 143	19	14 3 59	15 250	16 162	17 064	17 957	IR REG	19 ***1
							_							

Tafel IV.

Γ	 •			log	M.						
		144°			ĺ			14	5°		
p	o" 10"	20" 30"	40" 50"	60"	2	٥"	10**	20 ⁷⁷	30"	40"	50"
o'						3.05 50 004					
2		9 26 992 27 895 8 32 411 33 315				55 601 61 201		63 069	13 '	59 334 64 936	
3	36 026 36 93	0 37 834 38 738	39 642 40 546	41 450	[3]	66 Bos	67 739	68 673	69 607	70 542	71 476
	3.02 46 877 47 78	4 43 259 44 163 2 48 687 49 592			5	3.05 78 021	78 956	74 181		76 150 \$1.768	
6	52 307 53 21	3 54 118 55 023	55 929 56 \$35	\$7 740	6	83 633	84 569	85 505	86 441	87 377	28 313
7		6 59 552 60 458 3 64 989 65 896				89 249 94 868	90 186	91 122 06 742		92 995 98 616	
9		2 70 429 71 136				3.06 00 491		02 365	1 *	04 240	
10	3.02 74 057 74 96					3.06 06 116		07 991	1 7 7		10 806
11		o 81 318 82 226 8 86 767 87 675			i i		12 683			15 498 21 132	
23		92 219 93 128	94 037 94 946		13					26 769	
14 15		4 97 674 98 583 2 03 131 04 041	99 493 00 402	06 772	#	3.06 34 290	29 589			32 409	** * **
16	06 771 07 6B	2 08 592 09 503	10 413 11 324	12 234	16	39 934	40 875	41 816	42 757	43 699	44 640
17	7 1 2 4 1	5 14 056 14 967 2 19 523 20 434			17 18		46 523 52 174			49 348 55 001	50 190 55 943
19	23 169 24 08		26 117 27 739		19	56 886	57 828	5\$ 771	59 714	60 657	
20 21		3 30 466 31 378 8 35 941 36 854			30 11	3.06 62 543				71 978	
33		7 41 420 42 334					74 810			77 643	
23		8 46 902 47 0 16 2 52 387 53 301	48 730 49 644 54 116 55 130		23 24	79 532 85 201	80 477 86 147		82 367 88 038	83 312 88 984	84 257 89 929
25	3.03 56 045 56 96			61 535	25	3.06 90 875				94 659	
26	61 535 62 45	0 63 366 64 281	65 196 66 112	67 028	26	96 551	97 497	98 444	99 390	õ0 337	81 183
27	73 524 73 44	4 68 859 69 775 0 74 356 75 273	ما شدا	78 013	27 28	3.07 02 230				11 703	
29	78 023 78 93	9 79 856 80 773	\$1 690 82 607	1	29	13 598		15 494	16 442	17 390	18 339
30 31	3.03 83 525 84 44	1 85 359 86 277 7 90 865 91 783		1		3.07 19 287	20 235	21 184 26 877	22 133 27 826	23 081 28 775	
32	94 537 95 45	6 96 374 97 193	98 211 99 130	30 049		30 674	31 624	32 573	33 523	34 473	35 4#3
33 34	3 04 00 049 00 96	7 01 886 02 805 2 07 401 08 321			33		37 323 43 025			40 173 45 877	41 124 46 828
35	3.04 ET 080 11 99		14 759 15 680	/	35	3.07 47 779				51 584	
36	_	18 441 19 361			36	53 487	54 439	55 391	56 342	57 294	58 246
37 38	/ 1	4	31 335 32 257	27 649 33 179	37 38	59 198 64 913	65 866		_	63 008	
39	33 179 34 10	35 022 35 944	36 866 37 789	38 711	39	70 631	71 584	72 537	73 491	74 444	75 398
40 41		3 40 556 41 478 9 46 092 47 015			40 41		77 306 83 030			80 168 84 894	81 112
42	49 785 50 70	8 51 632 52 555	53 479 54 403	55 326	42	87 803	88 758	89 713	90 668	91 624	92 579
43 44		5 62 720 63 644			43	93 534 99 268				97 356	
45	3.04 66 419 67 34	68 168 69 194	70 119 71 044	71 969	45	3.08 05 005	05 962	06 91R	07 875	08 832	09 789
46 47	71 969 72 89	73 820 74 746	75 672 76 597	77 523	46	16 400	17 347	12 660	13 617	14 575 20 320	15 532
48	83 080 84 000	84 933 85 860	86 786 87 713	88 640		22 136	13 195	24 153	25 111	26 070	27 018
49		90 494 91 421			49					31 822	
50	3.04 94 203 95 13 99 769 30 69;	0 0 0 5 8 9 6 9 8 6			50	3.08 33 740				37 578 43 337	
52	3.05 05 338 06 26	07 195 08 124	09 053 09 982	10 911	52	45 = 57	46 217	47 178	48 138	49 099	50 060
53 54	16 486 17 41	12 769 13 698 1 18 345 19 275	20 205 21 135	22 065	53					54 864 60 633	
55 56	3.05 22 065 22 99	23 925 24 855	25 785 26 716	27 646	55	3.08 62 557	63 519	64 481	65 443	66 405	67 368
56		29 507 30 438 35 093 36 024			56	68 330 74 106	75 070	70 255	71 218	72 181	73 144
58	38 819 39 750	40 682 41 614	43 546 43 478	44 410	58	79 886	80 850	81 814	82 777	83 741	84 705
59	44 410, 45 342	46 274 47 206	48 139 49 071	50 004	59	B 5 669	B6 633	87 598	88 562 8 562	89 526	90 491
_											

							log	M.	<i>I</i> .
			1-4	6 °					1470
6	0"	to"	20"	30"	40"	50"	60"	v	0" 10" 20" 30" 40" 50" 60"
0"	3.08 91 456							o"	
2	3 09 03 038	98 210						2	
3 4		15 601		11 734				3 4	/ O D /
5	3 09 20 437	21 404	22 372	23 339	24 307	25 275	26 243	5	3.12 74 796 75 798 76 800 77 802 78 803 79 806 80 808
6	26 243 32 052	33 021		29 14° 34 958,				7	
8 9	37 865 43 681	38 834	39 804	40 773	41 742	42 712		8	92 841 93 844 94 848 95 851 96 855 97 859 98 863
10	3 09 49 501		_				55 324	10	1
11		62 121						11 12	
13	66 979	67 951	68 923	69 845	70 868	71 840	72 812	13	22 985 23 992 24 998 26 005 27 011 28 018 29 025
14	3 09 78 648	73 785	-	75 730 81 568			78 648 84 488	14	
16	84488	91 305	86 435	87 409	88 383	89 357	90 331	16	41 114 42 123, 43 131 44 139 45 148 46 156 47 165
18	96 177	97 152	98 126	99 101	80 076	āi ost	Ö2 027	17 18	53 218 54 228 55 237 56 247 57 256 58 266 59 276
20	3.10 07 880						07 880	20	
21	13 736	14 712	15 689	16 665	17642	18 619	19 596	21	71 401 72 412 73 423 74 435 75 446 76 458 77 469
22		20 572				, ,	25 459 31 325	22	
24	31 325	32 303					37 195 43 068	24	
26	43 068	44 047	45 027	46 006	46 985	47 965	48 945	25	3 14 01 777 02 791 03 805 04 820 05 834 06 849 07 863
27		49 924					54 825 60 708	27	
29		61 689					66 595	-	
30	72 485	*3 467	74 449	75 431	76 413	77 396	72 485.	30	
32		79 361					84 275	32	
34	90 176	91 159	92 143	93 127	94 111	95095	96 079	34	50 566 51 585 52 604 53 623 54 642 55 662 56 681
35	3.1096079						- 1	35 36	
37	07 897	08 883	09 868	10854	11 840	12 825	13 811	37	68 921 69 942 70 963 71 984 73 005 74 026 75 047
39	19 729	20 715	21 702	22 689	23 676	24 663		39	0 (0 00 0 0 0 0
40	3,11 25 650	26 637 32 562					31 574	40	
42	37 502	38 490	39 47B	40 467	41 456	42 444	43 433	42	2 99 586 80 610 81 634 82 658 83 682 84 700 85 730
43		44 422 50 35°							
45 46	3.11 55 306	56 296 62 238						45	
47	67 192	68 183	69 175	70 166	71 157	72 149	73 141	47	30 343 31 370 32 397 33 424 34 451 35 478 36 505
48		74 132 80 085							
50	3.1185 048	86 041	87 034	88 027	89 020	90 013	91 007	50	3 15 48 841 49 800 50 898 51 927 52 956 53 985 55 014
51	96 969	97 963	98 957	99 951	60 946	ð1 940	02 935	52	61 191 62 221 03 251 64 281 65 311 66 342 67 372
53 54	3 12 02 935	03 929						53	
5.5	3 12 14 877	15873	16 869	17865	18861	19 857	20 853	55	5 3 15 79 744 80 776 81 808 82 840 83 8-2 84 904 85 936
56		21 B49 27 B30							
58	32 816	33 814	34 811	35 809	36 807	37 805	38 803	58	98 331 99 365 00 398 01 132 02 466 03 500 04 534
1,,	30.003	37 001	1 779	177	1-730	123 (27)	77 / 73	22	, , , , , , , , , , , , , , , , , , , ,

96	4	967	969	972	975	978	981	984	987	991	994	997	999	1002	1005	1008	1011	1014	1017	1021	1024	1027	1024	1032	1035
																									207.0
3 aB9	2	2-90-1	291.7	291.0	4915	4454	- 14 3	195.2	210	207 3	248.3	+99.1	-79.7	ROUT.	7-21 5	41.2.4	5 4 1 3	3.54 3	105 1	306.3	3 7 -	r-S 1	40B 7	1216	1 5 3
5 482	0.0	6815	4/14 5	44/	4875	480€	401 5	49.0	44 5	405.5	4 /7	498 5	499 5	501 v	400 4	9 4	5 5 5	507 0	9-18 s	50	512 4	51 5	514.5	510 .	7 5 5
																									7 45 7
p 867	7.6	870 3	8721	8748	877 9	880 2	882 9	885 €	888 3	891 9	8194 6	897 3	889 1	JO1 8	944.5	9573	309.0	9126	315.4	,18,	9216	374 5	926 T	1881	y41 5 9

_							log	M.							
-			1-1	≓ °]				1-1	₽ °			
-	o" ¯	10"	20"	30"	40"	50"	60″	r	o"	10"	20″	30"	40″	50"	60"
	3.16 10 741							o'	3.19 90 090						
1 , 2 j							23 165 29 383	1 2	96 531 3.20 02 976					01 901 08 349	
3							35 604	3						14 802	
4	35 604	36 642	37 679	38 717	39 75+	40 792	41 830	4						21 258	I
	3.16 41 830							5	3.20 22 334						
7					52 214		54 292 60 528	6						34 182 40 650	
8	60 528	61 568	62 608	63 648	64 688	65 728	66 768		41 728	42 807	43 885	44 964	46 043	47 122	48 2
9		67 809					73 012	9					52 518		
0 I :	3.16 73 012						79 260 85 512		3.20 54 678	55 757	56 837	57 917	58 998	66 562	67
2							91 767							73 050	
3	91 767	92 810	93 853	94 896	95 939	96 983	98 026	13	74 132	75 213	76 295	77 377	78 460	79 542	80 (
4		· · · · ·					ō4 289	14			'			86 038	1
5 6	3.17 04 289						16 826		3.20 87 121					92 538	
7							23 100	17	3.21 00 127						
8	23 100	24 146	25 193	26 239	27 285	28 332	29 378	18	06 636	07 721	08 806	09 891	10 977	12 063	13
9 1			1				35 660	_ `						18 579	
1	3.17 35 660							20	3.21 19 665 26 186					31 624	
2	48 235	49 284	50 333	51 381	52 430	53 479	54 528	22	32 711	33.799	34 887	35 975	37 064	38 152	39
3	2						60 825		• • •			1		44 684	
4	60 825						67 126	24	3.21 52 311				50 131		1.5
6	73 431						173 +31 79 739							64 306	
7	79 739	80 791	81 843	82 895	83 947	84 999	X6 052	27	65 397	66 489	67 580	68 672	69 763	70 855	71
8							92 368							77408 83965	
9	3.17 98 688	· · — — -					98 688		3.21 85 058						1
	3.18 05 012													97 091	
2	11 339	12 394	13 449	14 505	15 560	16615	17671	32	98 185	99 280	00 375	Ō1 470	Ö2 565	ō3 66o	o1
3							30 345	33 34	3.22 04 755					16 811	
	3.18 30 345			F.				-	3.22 17 907						
6							43 035		24 489	25 587	26 684	27 782	28 880	29 978	31
7							49 386							36 567	
8 19 :							55 741 62 099							:43 161 :49 759	
	3.18 62 099								3.22 50 859		· - ·				`
I	68 462	69 523	70 583	71 644	72 706	73 767	74 828	41	57 462	58 563	59 664	60 765	61 866	, 62 96X	64
2							81 198							69 578	
⊦3 -4							87 572 93 950							76 193 82 811	
	3.18 93 950								3.22 83 915						
6	3.19 00 332	01 396	02 460	03 525	04 589	05 653	06 718	46	90 538	91 643	92 747	93 852	94 956	96 061	97
7 ' X							13 108							02 692	
18 19	19 501	20 567	21 633	22 699	23 766	24 832	19 501 25 899	40	3.23 03 798					15 967	
-	3.19 25 899								3.23 17 074						
1 :							38 705							29 259	
3							45 115 51 528							35 911 42 567	
:4 ·	51 528	52 597	53 667	54 736	55 806	56 875	57 945	54	43 677					49 228	
5	3.19 57 945		· -		-			55	3.23 50 33K			100			
6							70 791	56						62 561	
7							77 220 83 653			64 785 71 460				69 234	
8	77 220														

I		,						log	М.	
I				15	O°					151°
ı	e	o"	10"	20"	30"	40"	50"	60"	r	0" 10" 20" 30" 40" 50" 60"
ı		3.23 83 707							0'	
ı	1 2				93 738				2	99 491 00 650 01 809 02 967 04 120 05 286 06 446 3.28 06 446 07 604 08 763 09 923 11 083 12 242 13 402
ı	3	3 24 03 779			07 128				3 4	13402 14502 15723 16883 18043 19204 20365 20365 21525 22686 23847 25009 26170 27331
l	5	3 24 17 182	18 299	19417	20 535	21 653	22 771	23 889	5	3 28 27 331 28 493 29 655 30 816 31 978 33 141 3+ 303
ł	6 7				27 245 33 959				6 7	34 303 35 465 36 628 37 790 38 913 40 116 41 279 41 279 42 442 43 605 44 768 45 932 47 045 48 259
ı	8	37 317	38 437	39 557	10.6==	41 797	42 917	41038	8	48 259 49 423 50 58 51 751 52 915 54 080 55 244
ł	10	3 24 50 763			47 400				10	55 244 56 409 5* 5*3 58 *38 59 903 61 668 62 234 3 28 62 234 63 399 64 564 65 730 66 896 68 662 69 228
1	11				60 858				11	69 228 70 394 71 500 72 720 73 893 75 060 76 226 76 226 77 393 78 560 79 727 80 895 82 062 83 230
ı	13	70 962	72 086	73 209	74 333	75 456	75 580	77 704	13	83 230 84 347 85 565 86 733 87 901 89 069 90 238
	14	3 24 84 4 4 0			81 0 7 8 2 6				14	90 238 91 406 92 571 93 743 94 912 96 081 97 250 3 28 97 250 98 414 99 588 50 758 51 927 53 097 64 267
	16	91 201	92 326	93 452	94.577	95 703	96.829	97 955	16	3 24 04 267 05 437 06 607 07 777 08 9 ,8 10 118 11 289
ı	17	97 955			08 045				17	11 289 12 464 13 630 14 801 15 972 17 143 18 315 18 315 19 486 20 658 21 830 23 002 24 174 25 346
и	19	11 477	12 605	13 733	14 861	т 4 489	17 117	18 542	19	25 346 26 518 27 690 28 863 30 035 31 208 32 381
	20	3 2, 18 245			28 405				20	3,29 32 381 33 554 34 *2* 35 901 3* 0*4 38 248 39 421 39 421 40 595 41 709 42 943 44 11* 45 292 46 466
ı	22	31 793	32 923	34 053	35 1×3	36 313	3" 443	38 574	22	46 466 4-641 48 815 49 990 31 165 52 340 53 515
•	23				48 753					53 515 54 691 55 866 57 042 58 217 59 393 60 569
-	25	3 25 52 148				_			-	3 29 67 628 68 804 69 982 71 159 72 336 73 514 74 691
п	16 27				62 340				_	74 641 ~5 869 ~ 04 ~ 78 224 79 403 80 581 81 ~59 81 759 82 93 84 116 85 295 86 474 87 652 88 832
•	28				75 945 82 754					88 832 90 011 91 190 92 3 0 93 549 94 729 95 909 95 909 97 089 98 269 99 449 00 630 01 810 02 991
l k	30	3 25 86 160	8= 295	88 431	89.56=	90 703	91.839	92 975	30	3 30 02 991 04 171 05 352 06 533 07 715 08 896 10 077
	31				90 384					10 077 11 259 12 440 13 022 14 804 15 985 17 168 17 168 17 168 18 351 19 533 20 715 21 896 23 081 24 254
ı	33	3 26 06 619	07 757	08 895	10 033	11 171	12 309	13 447	33	24 264 25 448 26 631 27 814 28 998 30 181 31 365
	3-4	3 26 20 280			16 863				34	31 365 32 549 33 -33 34 91 36 101 37 286 38 470
ı	36	27 118	28 258	29 398	30 538	31.678	32 819	33.959	36	45 580 46 766 4" 951 49 13" 50 323 51 509 52 695
•	37 38				37 382					52 69 5 53 881 55 068 56 254 57 141 58 628 59 814 59 814 61 001 62 189 63 376 64 563 65 751 66 139
H	39	47 656	48 198	49 940	51 083	52 225	53 368	24 211	39	66 939 68 126 69 314 70 502 71 091 72 879 74 007
_	40	3 26 54 511			57 940 04 801				_	8 20 74 06" "5 256 "6 445 "" 634 "X 823 K0 012 K1 201 81 201 K2 390 K3 580 K4 "" 0 K5 959 K7 149 KK 339
	42 43				71 667					88 339 89 630 60 720 61 910 65 101 94 192 96 482 96 673 97 864 69 056 00 247 01 439 02 630
	44	R1 975	83 120	K ± 266	85 413	86 559	87 705	88 852	44	3 31 02 630 03 822 05 014 06 206 07 398 08 590 09 783
•	45	3 26 88 852			92 292					3 31 09 783 10 975 12 168 13 361 14 551 15 747 16 940 16 940 18 133 19 327 20 520 21 714 22 908 24 203
ı	47	3 27 02 619	03 767	01915	06 064	07 212	08 361	09 509	47	24 102 25 296 26 490 27 685 28 879 30 074 31 269
_	48 49	2			19853					3x 440 34 639 40 x3x 4x 05g 43 554 44 450 46 91.
ŧ	\$0	3 27 23 303								3 31 45 612 46 813 48 010 49 20 50 404 51 601 52 798
	51 52				33 661					59 984 61 182 62 380 63 579 64 777 64 976 67 175
ı	53				47 486 54 406					67 175 68 374 69 573 70 772 71 971 73 171 74 370 74 370 75 570 76 770 77 970 79 170 80 370 81 570
	34	3 27 17 867							1	3 31 ×1 570 ×2 771 ×3 972 ×5 172 ×6 373 ×7 574 × 770
	55				68 258 75 191					88 776 89 977 91 178 92 380 93 582 94 784 95 986 95 986 97 188 98 390 99 592 60 795 61 498 03 200
ı	58	78 659	79 815	80 972	82 1 28	83 285	84 442	85 599	58	3 32 03 200 04 403 05 000 00 810 08 013 04 216 10 420
L	54	85 500	80 750	87 913	89 a to	90 227	91.385	9= 5+3	59	10 420 11 624 12 828 14 032 15 230 16 440 17 644

214	. 1.1	17	112	1	25	1128	1132	LIL	36 1	139	1143	1147	115	1-14	4	1158	1162	1166	1169	1173	11.77	118	1185	1189	1143	119*	120	1 1:
111.4		F T	0	1 1	1 0	1 0	.15	110	fig. z	11	114	114.3	1 3) J.S.	5 1	715	1.5	1.1	17	17	. 17 1	115	118.0	213	41 -	;	1 11	1 1
20 1	7 1	14	2.4		5	4 5	27		7	-7 %	5.00	1.125.0			- 10	111				4	=	, fa	+7	r 57		4	4	
3 1		5 1	4 1		7.5	44 4	91111	< a	u	1 7	., 2	14	4	41		47.4	46 "	4	- 7	4	5 1	0 1	1 3	4 1 7	847			
441	9.1		64"	6 6		4	62		4	15	1.7		1	4 4			4/ 1	1 10 4	4 "	4.95	47	47	4 (74	4.7	427	6.5	\$	4 4
																							112					
51 x	. 1 7		7		7.5	70.	117	- 68	1 6	- 4	1 5 7	44	H-Ja	711	4	4 de 24 de	217	11.50	7 54	2	7 4	7	71	7	700	7		r
77.	72		77.1	2 7	-7	76.50	7	w 25		. 7	N. A.	4,	- 0		7		- 4	4	4 .	-1	ń	- 4	7		- 1	7	4	- 6
																							41	40	24.4	10.7	de	h ,

Tafel IV.

							-	log	M.							
0 3.31 17 644 18 849 20 054 51 138 13 14 15 20 15 60 15 15 17 17 17 18 14 18 14 18 14 19 17 17 18 14 18 14 18 14 19 18 14 18 1				15	o	-			i			15	8°			\neg
1	0	0"	10"	20"	30"	40"	50"	60"	U	0"	10"	20"	307	40"	50"	60"
3										T	'					
3																
\$\frac{1}{5}\$ \$ 3.31 \$3.83 \$9.9 \$5.02 \$18 \$6 \$5.7 \$7.965 \$18 \$74 \$5.98 \$87 \$6.092 \$3.37 \$0.793 \$9.132 \$0.393 \$0.05\$ \$1.00 \$1.0	3	39 347	40 554	41 761	41 968	44 175	45 183	46 591	3	81 777	84 034	85 291	86 549	87 807	89 064	90 332
6 6 60 09 60 30 20 00 30 10 10 470 78 17 98 17 31 37 40 47 98 58 31 8 30 30 30 10 10 470 78 18 28 17 8 38 37 8 67 90 18 31 30 47 16 10 33 18 30 47 16 10 33 18 30 47 16 10 33 18 30 47 16 10 33 19 00 16 10 17 10 10 10 10 10 10 10 10 10 10 10 10 10																
8	6	61 093	62 302	63 512	64 721	65 931	67 141	68 351	6	3-37 05 430	o6 690	07 950	09 210	10 470	11 731	12 991
9																
11	9	82 883	84 094	85 306	86 519	87 73 1	88 943	90 156	9	28 130	19 392	30 655	31 918	33 181	34 444	35 707
12 1 33 3 6 7 16 0 5 93 1 0 7 145 0 13 500 0 9 574 1 10 789 1 3 004 1 12 10 297 1 13 10 12 10 789 1 1 10 297 1 13 10 12 11 11 11 11 11 11 11 11 11 11 11 11							, -					1 :			1	
14	12	3 33 04 716	05 931	07 145	08 360	09 574	10 789	12 004	13	50 877	52 142	53 408	54 673	55 939	57 204	58 470
3.3 3.6 5.94 18 18 18 18 18 18 18 1								1 2								
17	_								-							
1	16				37 550	38 768	39 986	41 204		01 281	82 550	83 819	85 087	186 357	87 626	88 895
20 3.33 53 56 64 377 65 598 66 819 68 69 68 70 484 77 705 79 79 79 79 79 79 79 7												1 - 1			1 =	
1									-			-				1 - 1
27 816 79 038 80 61 81 84 82 707 82 930 85 153 83 85 153 83 85 155 86 85 85 76 86 88 83 90 90 90 90 90 90 90 9											:					
3 3 3 9 8 4 5 0 6 6 6 8 6 7 6 2 9 2 6 5 5 7 6 6 8 6 7 9 8 4 2 4 4 5 1 4 5 1 4 5 1 1 1 5 7 7 8 1 7 0 0 5 1 8 23 1 1 9 4 5 9 1 0 8 2 4 8 0 5 2 8 9 2 8 0 8 0 7 9 9 4 0 8 4 8 0 9 4 4 7 1 7 3 7 3 7 8 8 9 1 1 1 5 7 7 8 1 7 0 0 5 1 8 23 1 1 9 4 5 9 1 0 8 2 4 8 0 5 2 8 9 9 8 0 2 7 3 0 6 6 6 8 8 1 9 1 3 9 1 1 4 1 4 3 6 8 1 5 5 6 6 3 8 4 8 0 5 2 8 9 9 8 0 8 0 8 1 9 1 8 3 9 1 1 4 4 3 6 8 1 5 5 1 0 6 3 1 3 1 1 4 4 3 6 8 1 5 5 1 0 6 3 1 1 4 1 5 7 1 1 2 1 4 4 5 8 1 8 5 5 1 0 6 3 1 1 4 1 5 7 1 1 2 1 4 4 5 8 1 8 5 5 1 0 6 1 1 1 1 1 1 2 6 4 2 1 1 1 1 2 6 4 2 1 1 1 1 1 2 6 4 2 1 1 1 1 1 2 6 4 2 1 1 1 1 1 2 6 4 2 1 1 1 1 2 6 4 2 1 1 1 1 1 1 2 6 4 2 1 1 1 1 1 1 1 1 1 1 1 1 1 1 1 1 1 1	32	77816	79 038	80 161	81 484	B2 707	83 930	85 153	32	27 046	18 320	29 594	30 868	32 142	33 417	34 692
3 3 3 3 9 9 8 4							l * '									
14 551 15 778 17 70 18 23 596 28 596 29 596 29 29 29 29 29 29 29	25	3,33 99 B42	å1 067	ò2 292	Õ3 517	ō4 743	85 968	87 194	25	3.38 50 000	51 276	52 553	53 830	55 107	56 385	57 641
28										7.	1	1				1
30 3.34 36 652 37 881 39 11 40 340 41 570 42 799 44 039 30 3.38 88 364 89 90 92 80 89 34 89 94 771 96 031 31 32 33 33 33 33 34 35 34 35 35		21 913	23 [41	24 368	25 596	16 824	28 052	29 280	28	73 002	74 484	75 561	76 841	78 120	79 400	So 680
31 44 029 45 259 46 489 47 720 48 950 50 181 51 411 31 96 053 97 335 98 617 99 900 88 03 458 03 458 03 458 03 658 03 658 03 658 03 658 03 658 03 658 03 658 03 658 03 658 03 658 03 658 03 658 03 658 03 05 03 05 03 05 03 05 05																
\$38 \$58 \$798 \$60 \$30 \$61 \$32 \$62 \$494 \$63 \$726 \$64 \$958 \$166 \$191 \$34 \$11 \$447 \$12 \$731 \$14 \$147 \$15 \$15 \$199 \$16 \$58 \$15 \$15 \$25	٠.			1 - 2 -					_ /			1 "				
34																
36		66 191	67 413	68 656	69 888	71 121	72 354	73 588	34							
37 88 397 89 632 90 867 92 103 93 338 94 574 95 809 37																
38																
40 3.35 10 649 11 887 13 124 14 362 15 600 16 838 18 077 40 3.39 65 497 66 787 68 078 69 368 70 659 71 950 73 1 18 077 19 315 20 554 21 792 23 031 24 270 25 509 41 25 509 26 748 27 988 29 22 7 30 467 31 707 32 947 42 30 989 82 281 83 573 84 866 86 158 87 451 88 74 32 947 34 187 35 427 36 668 37 908 39 149 40 390 44 40 390 44 631 42 871 44 113 45 35 44 65 66 47 87 87 44 40 390 56 533 57 76 50 321 51 563 72 806 54 048 55 290 45 340 04 268 05 563 06 858 08 153 09 448 10 743 120 46 55 290 56 533 57 776 59 019 60 262 61 505 62 748 46 70 212 71 456 72 700 73 945 75 190 76 435 77 680 78 92 80 170 73 945 75 190 76 435 77 680 78 92 93 879 95 126 96 97 37 97 98 13 80 889 30 191 31 489 31 787 34 085 35 37 76 80 18 1416 82 662 83 907 85 153 92 60 47 875 50 155 33 36 00 115 01 363 02 611 03 859 05 107 06 356 07 604 08 853 10 102 11 351 12 600 13 849 15 098 16 348 17 597 18 847 20 097 21 347 22 597 54 15 098 16 348 17 597 18 847 20 097 21 347 22 597 54 15 098 16 348 17 597 18 847 20 097 21 347 22 597 54 15 098 16 348 17 597 18 847 20 097 21 347 22 597 54 15 098 16 348 17 597 18 847 20 097 21 347 22 597 54 15 098 16 348 17 597 18 847 20 097 21 347 22 597 54 15 098 16 348 17 597 18 847 20 097 21 347 22 597 54 15 098 16 348 17 597 18 847 20 097 21 347 22 597 54 15 098 16 348 17 597 18 847 20 097 21 347 22 597 54 15 098 16 348 17 597 18 847 20 097 21 347 22 597 54 15 098 16 348 17 597 18 847 20 097 21 347 22 597 54 15 098 16 348 17 597 18 847 20 097 21 347 22 597 54 15 098 16 348 17 597 18 847 20 097 21 347 22 597 54 15 098 16 348 17 597 18 847 20 097 21 347 32 597 54 15 098 16 348 17 597 18 847 20 097 21 347 32 597 54 15 098 16 348 17 597 18 847 20 097 21 347 32 597 54 15 098 16 348 17 597 18 847 20 097 21 347 32 597 54 15 098 16 348 17 597 18 847 20 097 21 347 32 597 54 15 098 16 348 17 597 18 847 20 097 21 347 32 597 54 15 098 16 348 17 597 18 847 20 097 21 347 32 597 54 15 098 16 348 17 597 18 847 20 097 21 347 32 597 54 15 098 16 348 17 597 18 847 20 098 17 20 18 20 18 20 18 20 18 20 18 20 18 20 18 20 18 20 18 20 18 20 18 2	38	95 809	97 045	98 181	99 517	ō0 754	ō1 990	63 227	38	50 017	51 316	52 604	53 893	55 181	56 470	57 760
18 077 19 315 20 554 21 792 23 031 24 270 25 509 41 25 509 26 748 27 988 29 227 30 467 31 707 32 947 43 32 947 34 187 35 427 36 668 37 908 39 149 40 390 41 631 42 871 44 113 45 354 46 596 47 837 49 079 50 321 51 563 52 806 54 048 55 290 56 533 57 776 59 019 60 262 61 505 62 748 46 70 62 748 63 992 65 236 66 479 67 723 68 967 70 212 47 76 80 87 892 80 170 73 945 75 190 76 435 77 680 78 925 80 170 81 416 82 662 83 907 85 153 92 632 93 879 95 107 93 868 80 113 31 604 31 853 10 102 11 351 12 600 13 849 15 098 15 30 34 87 33 35 60 113 38 661 40 379 47 632 48 885 50 138 57 3 613 38 661 47 697 47 600 48 853 47 600 48 853 47 600 48 853 48 80 47 80 48					_											
43	41	18 077	19315	30 554	21 792	23 031	24 270	25 509	41	73 240	74 532	75 813	77 114	78 406	79 697	80 989
44																
46	44	40 390	41 631	42 871	44 113	45 354	46 596	47 837	44	96 503	97 797	99 091	õ0 385	81 679	62 973	04 268
48 63 992 65 236 66 479 67 723 68 967 70 212 47 70 212 47 70 212 71 4156 72 700 73 945 75 190 76 435 77 680 48 892 80 170 81 416 82 662 83 907 85 153 86 399 87 646 88 892 90 138 91 385 91 632 50 3.36 02 13 33 89 87 646 88 892 90 138 98 868 80 101 51 51 51 52 3.36 00 115 01 363 02 611 03 859 05 107 06 356 07 604 08 853 10 102 11 351 12 600 13 849 15 098 53 15 00 60 10 8 853 10 102 11 351 12 600 13 849 15 098 53 16 348 17 597 18 847 20 097 21 347 22 597 54 15 098 16 31 33 32 604 33 856 35 10 102 31 353 32 604 33 856 35 10 102 31 353 32 604 33 856 35 10 102 31 353 32 604 33 856 35 10 102 31 353 32 604 33 856 35 10 102 31 353 32 604 33 856 35 10 102 31 353 32 604 33 856 35 10 102 31 353 32 604 33 856 35 10 102 31 353 32 604 33 856 35 10 102 31 353 32 604 33 856 35 10 102 31 353 32 604 33 856 35 10 102 31 353 32 604 33 856 35 10 35 1		3-35 47 837	49 079	50 321	51 563	52 806	54 048	55 290	45	3.40 04 268	05 563	06 858	08 153	09 448	10 743	12 039
48	47	62 748	63 992	65 236	66 479	67 723	68 967	70 212	47	19815	21 111	22 408	43 705	25 002	26 199	27 596
50 3 35 85 153 86 399 87 646 88 892 90 138 91 385 92 632 50 3.40 43 176 44 475 45 775 47 074 48 374 49 674 50 9 51 92 632 93 879 95 126 96 373 97 620 98 868 80 115 51 52 3.36 00 115 01 363 02 611 03 859 05 107 06 356 07 604 52 53 07 604 08 853, 10 102, 11 351 12 600 13 849 15 048 53 65 4 15 098 16 348 17 597 18 847 20 097 21 347 22 597 54 55 3.36 22 597 23 848 25 098 26 349 27 600 28 851 30 102 55 56 30 102 31 353 32 604 33 856 35 107 36 359 37 611 57 57 37 611 38 863 40 115 41 368 42 620 43 873 45 126 57 58 45 126 46 379 47 632 48 885 50 138 51 392 52 645 58 3.40 82 22 8 3 526 84 830 86 134 87 439 88 743 90 65 74 97 879 99 185 50 491 01 79 03 103 04 410 05 7 688 45 126 46 379 47 632 48 885 50 138 51 392 52 645 58 3.41 05 716 07 023 08 330 09 637 10 944 12 22 13 5	48	70 212	71 456	72 700	73 945	75 190	76 435	77 680	48	27 596	28 894	30 191	31 489	32 787	34 085	35 383
51									_							
53	51	92 632	93 879	95 126	96 373	97 610	98 868	80 115	51	50 974	52 274	53 575	54 875	56 176	57 477	158 778
54 15 098 16 348 17 597 18 847 20 097 21 347 22 597 54 74 402 75 705 77 008 78 311 79 615 80 918 82 2 55 3.36 22 597 23 848 25 098 26 349 27 600 28 851 30 102 55 3.40 82 222 83 526 84 830 86 134 87 439 88 743 90 0 56 30 102 31 353 32 604 33 856 35 107 36 359 37 611 56 90 048 91 353 92 658 93 963 95 268 96 574 97 8 57 37 611 38 863 40 115 41 368 42 620 43 873 45 126 57 97 879 99 185 50 491 61 797 63 103 64 410 65 7 58 45 126 46 379 47 632 48 885 50 138 51 392 52 645 58 3.41 05 716 07 023 08 330 09 637 10 944 12 251 13 5																
56 30 102 31 353 32 604 33 856 35 107 36 359 37 611 56 90 048 91 353 92 658 93 963 95 268 96 574 97 8 57 37 611 38 863 40 115 41 368 42 620 43 873 45 126 57 97 879 99 185 50 491 01 797 03 103 04 410 05 7 58 45 126 46 379 47 632 48 885 50 138 51 392 52 645 58 3.41 05 716 07 023 08 330 09 637 10 944 12 251 13 5	54	£5 098	16 348	17 597	18 847	20 097	21 347	12 597	54	74 402	75 705	77 008	78 311	79 615	80 918	Ba 222
57 37 611 38 863 40 115 41 368 42 620 43 873 45 126 57. 97 879 99 185 50 49 1 61 797 63 103 54 410 65 7 58 45 126 46 379 47 632 48 885 50 138 51 392 52 645 58 3.41 05 716 07 023 08 330 09 637 10 944 12 251 13 5	55	3.36 22 597														
58 45 126 46 379 47 632 48 885 50 138 51 392 52 645 58 3.41 05 716 07 023 08 330 09 637 10 944 12 251 23 5	57	37 611	38 863	40 115	41 368	42 620	43 873	45 126	57	97 879	99 1B5	Ģ0 491	å: 797	63 103	64 410	05 716
22) 24 - 22 24 - 25 24 - 26 24 - 27 24 - 24 25 25 25 25 25 25 25										3.41 05 716	07 023	OB 330	09 637	10 944	12 251	13 559
	279	, ,,,,,,,,,,,,,,,,,,,,,,,,,,,,,,,,,,,,,	23 "99	33 433	30 407	37 002	2 . 410	VO 170	I 2A	13 339	1 + 000	41/1/4	1 400	1.0 /90	av oya	21 407

Tafel IV.

							log	M.								
			15	1 0								15	5 °			
	0"	10"	20"	30"	40"	50"	60"	٣		0"	10"	20"	30"	40"	50"	60"
_				25 333	-		-	0'			04 153					
	37 120	38 430	39 741	33 190 41 052	42 363	43 674		2		19 198	20 567	31935	23 305	24 674	26 043	27 413
	44 985 52 855			48 919 56 793			60 732	3 4			28 782	_			34 263 42 488	
3.41	60 732	62 045	63 358	64 672	65 485	67 299	68 613	5	3.46	43 860	45 232	46 604	47 976	49 348	50 720	52 093
		, .		72 556 80 447				7		52 093 60 332	61 706		3		58 958	
				88 342 96 244				8			69 952 78 204				75 452	
			-	04 151			08 107	I II	3.46		86 461					
				12 064					1.47		94 726					
	23 944	25265	26 586	27 907	29 228	30 550	31 871	13		09 894	11 273	12 653	14 034	15 414	16 795	18 175
_				35 83 <u>7</u> 43 772		1.00			3.47		27 845			31 992		34 757
	47 742	19 066	50 390	51 714	53 038	54 362	55 686	16		34 757	36 140	37 523	38 907	40 290	41 674	43 057
	63 636	64 962	66 288	67 613	68 939	70 266	71 592	18		51 364	44 441 52 749	54 134	\$5 519	56 905	58 290	59 676
		72 918		75 572 83 536				1	1.47		69 382			73 544		67 995
	87 520	88 849	90 177	91 506	92 835	94 164	95 493	21	3.47	76 320	77 708	79 096	80 485	81 873	83 262	84 651
3.43	03 472	04 802		99 482							86 040 94 379					
-		12 787		15 450		-	27 442			01 332	02 723				08 290	
	37 442	28 775	30 108	31 442	32 776	34 109	35 443	26	5 4-0		19 431	20 825	22 218	23 612	1 -	26 400
	35 443 43 451	36 778 44 786		39 446 47 457		42 116 50 128				26 400 34 769	1 2 2	29 189			33 374	_
	51 464	52 800	54 136	55 473	56 809	58 146	59 483	29		43 144	44 540	45 937	4~ 333	48 730	50 127	151 525
	2	68 846	-		72 861	24 199 66 170			3.48	51 525 59 912		62 709	_	1 2 1	58 514 66 906	59 912 68 306
1		76 877 84 915		79 556			83 575			, - ,	69 705					
	91 617	92 958	94 299	95 640	96 982	98 323	99 665	34		_	86 514	87915	89 317	90 720	_	
		01 007					07 719 15 779			93 524	94 927					10 369
	15 779	17 123	18 467	19811	21 155	22 500	23 849	37	, , ,	10 369	11 773	13 178	14 584	15 989	17 394	18 800
	31 916	25 189 33 262				30 570 38 647	39 993			18 800 27 238	28 645		31 459	24 42 5 12 R67		2 ~ 238 35 682
		41 340		44 034			48 077		3-49	35 682	37 090 45 542		39 90"		42 724	
	56 166	57 515	58 864	60 213	61 562	62 911	164 261	42		52 590	54 000	55 410	56 821	58 231	59 642	61 053
	72 362		75 064	76 415	77 766	79 117	80 469	44			62 464 70 935					
3-44	80 469	81 821	83 172	84 524 92 640	85 877	87 229	88 582	45		77 999 86 482	79 413 87 896	80 B26	82 240	83 654	85 068	86 482
	96 700	98 054	99 408	00 76±	02 F16	03 470	04 825	47		94971	,96 386	97 BO2	99 218	00 634	02 050	03 466
3-45				08 890					3.50		04 883					
	21 092	22 449	23 806	25 163	26 520	27 877	29 235	50	3 50	20 476	21 895	23 314	24 733	26 152	27 571	28 991
				33 308 41 460							38 933					
				49 617 57 781							47 46z 55 997					
	61 865	63 226	64 588	65 950	67 312	68 674	70 037	55	3 50	63 115	64 539	65 963	67 387	68 812	70 237	71 663
				74 125							73 087 81 642					
	86 400	87 765	89 129	90 494	91 860	93 225	94 590	58		88 775	90 203	91 630	93 058	94 486	95 914	97 342
	74 590	32 320	9/322	98 688	20 024	01 420	0= 767	3.4		31 342	98 770	20,199	01.079	03 057	04 400	02 912

						_	log	M.								
			15	6 °			0	1	_			15	7 °	- •		
r ;	o" [10"	20"	30"	40"	50"	60"	v		o "	10"	20"	30"	40"	50"	60"
o': 3.5	1 05 915 0								3.56				1 - 2 -		40 088 49 083	
2 ;	14 495														58 085	
3	31 674 3	33 107	34 540	35 973	37 406	38 840	40 273	3		59 586	61 087	62 588	64 090	65 592	67 094	68 596
4	40 273												4 -		76 110	
5 ⁽¹ 3.5)	1 48 879 <i>5</i> 57 492 <i>5</i>							5:	3.50						85 133 94 164	
7	66 111 6	57 548	68 985	70 423	71 861	73 299	74 737	7 !		95 670	97 175	98 682	S81 00	ör 695	03 201	04 708
8	74 737 7 83 369 8							8 '	3-57						12 246 21 298	
	1 92 008 ;				-	· ˈ· · ˈ			3.57						30 358	
11 3.5	2 00 654 0	02 095	03 537	04 979	06 421	07 863	09 306	11	•	31 868	33 379	34 890	' 36 401	37 912	39 424	40 936
12	09 306 1														48 498	
13 14	26 630 2														57 579 66 667	
15 3.5	2 35 302	36 748	38 194	39 641	41 087	42 534	43 981	15	3.57	68 182	69 698	71 214	72 730	74 246	75 762	77 279
16 17	43 981					-		ı							84 865	
17 18	52 667 9 61 359 6														93 975 53 092	
19	70 0 5 8 7	71 508	72 959	74 410	75 861	77 312	78 763	19	_	04 612	06 133	07 654	09 174	10 695	12 217	13 73
20 3.5: 21	2 78 763 8 87 476 18								3.58						21 349 30 488	
22	96 195														39 634	
	3 04 921 0	6 3 7 6	07 831	09 286	10 742	12 197	13653	23		41 159	42 685	44 210	45 736	47 262	48 788	50 31.
24	13653					i							t		57 949	
25 3.53 26	3 22 392 2 31 139 3							26	3.5 X						67 118 76 294	
27	39 891	11 351	42 810	44 270	45 730	47 191	48 651	27		77 824	79 354	80 884	82 415	83 946	85 477	87 00
28 ¦ 29	48 651 9 57 417 9							28 :							94 668 63 866	
	66 191 6							30	3.59						13 071	
31	74 971 7	6 435	77 899	79 363	80 828	82 293	83 758	-		14 606	16 141	17677	19212	20 748	22 284	23 820
32 33	83 758 8 92 551 9							32							31 505	
	1 ÓI 352 Ó									42 271	13 810	45 349	16 888	48 428	49 968	51 50
	10159 1							35							59 210	
36 37	18 973 2 27 794 2							36 37							68 461 77 718	
38	36 622 3	38 094	39 567	41 039	42 512	43 984	45 457	38		79 262	80 806	82 350	83 894	85 439	86 984	88 529
39	45 457 4							39							96 256	
10 3.54 11	1 54 299 5 63 148 6														ŏ5 537 14 824	
12	72 003 7	3 480	74 957	76 434	77 911	79 388	80 866	.12		16 373	17 922	19 471	21 020	22 570	24 1 20	256-0
13	80 866 8 89 735 9									25 670	27 220	28 770	30 321	31 871	33 422 42 733	34 9~4
14 15 3.54	99/35 9 198612 ō		_	_	_	_	_		3,60						52 051	
16 3.59	07 495 0	8 976	10.458	11 939	13 421	14 903	16 385	46		53 605	55 159	56 713	58 267	59 822	61 376	62 932
17 18	16 385 1 25 283 2	7 868 6 766	19 350	20 833	22 316	23 799	25 283	47		62 932	64 48~	66 042	67 598	69 154	70 710 80 050	~2 266
19 10	34 187 3									81 608	83 166	84 72.4	86 282	87 840 70 493	89 399	90 95
	; 43 098 4							-	3.60	90 958	92 517	94 076	95 635	97 195	98 755	00 31
; I	52 016 5								3.61	00 315	01.875	03 436	04 997	06 558	08 119	09 680
3 3	60 942 6 69 874 7									19 053	20 616	22 179	14 305 23 742	25 305	17 490 26 869	19 05
54	78 813 8	o 30Ŧ	81.795	83 286	84 7~~	86 268	87.760	54		28 433	29 99~	31 561	33 126	34 691	36 256	3 7 821
	87.760 8								3.61	37 821	39 386	40 952	42 518	14 081	45 650	4" 21'
56 57 3.56	96 713 9 5 05 674 0									4 - 21 - 56 620	58 188	59 756	61 325	53 485 62 802	55 052 64 462	50 620 66 621
ς8	14641	16137	17632	19 128	20 624	22 120	23 616	58		66 031	67 600	69 170	70 740	72 309	73 880	75.450
59 ,	23616	25112	26 6091	28 106	29 603	31 100	32 598	59		75 4 59	77 020 	78 591	RO 162	81 733	83 305	84 8-6

1429 1435 1441 1447 1453 1459 1465 1471 1477 1483 1489 1495 1501 1507 1513 1519 1525 1531 1537 1543 1549 1555 1561 1567 1572

1 1420 143.5 144.1 144.7 145.3 145.0 146.5 147.1 147.7 148.1 148.0 149.5 1501 150.7 151.3 151.0 152.5 153.1 153.7 154.3 154.9 155.5 156.1 156.7 157.2 285.8 287.0 288.0 284.4 200.0 201.8 203.0 204.0 205.4 206.0 207.8 200.0 201.4 302.0 301.4 302.0 303.8 305.0 306.2 307.4 308.0 308.8 311.0 312.2 313.4 314.4 34.7 440.5 440.7 440.5 440.7 440.5 450.0 455.7 457.5 450.0 461.1 461.9 461.7 460.5 468.3 470.1 471.0 571.0 571.0 571.0 570.0 570.4 570.5 580.0 5

	log	М.
15≈		159°
r o" to" 20" 30" 40" 50"	60"	v o" 10", 20" 30" 40" 50" 60"
of 3.61 84 876 86 448 88 020 89 593 91 165 92 738	94 311	0' 3.67 65 074 66 727 68 380 70 034 71 687 73 341 74 995
8 94 311 95 884 97 457 99 031 50 605 62 179 1 8 1 3.62 03 753 05 327 06 902 08 477 10 052 11 627		1 74 995 76 649 78 304 79 959 81 614 83 269 84 925 2 84 925 86 580 88 236 89 893 91 549 93 206 94 863
3 F 13 203 14 778 16 354 17 930 19 507 21 083 .	22 660	3 94 863 96 520 98 177 99 835 01 493 03 151 04 805
2 5 3 62 32 126 33 704 35 282 36 861 38 440 40 019		4 3.68 04 809 06 468 08 127 09 "B6 11 445 13 105 14 765 5 3.68 14 765 16 425 18 085 19 745 21 406 23 067 24 728
6 41 599 43 178 44 758 46 338 47 919 49 499	51 080	6 24 728 26 390 28 052 29 713 31 376 33 038 34 701
7 51 080 52 661 54 242 55 823 57 405 58 987 8 8 60 569 62 151 63 733 65 316 66 899 68 482	oo shg oo oo s	7 34 701 36 364 38 027 39 690 41 354 43 017 44 682 8 44 682 46 346 48 010 49 675 51 340 53 006 54 671
9 70 065171 649 73 233 74 817 76 401 77 985	9 570	9 54671 56 337 58 003 59 669 61 335 63 002 64 669
3.62 79 570 B: 155 B2 740 B4 325 B5 911 B7 496 B4 89 082 90 668 92 255 93 B41 95 428 97 015	96 093 98 603	10 3 68 64 669 66 336 68 004 69 671 ~1 339 73 007 74 676 11 74 676 76 344 78 013 79 682 81 352 83 021 84 691
11 98 603 60 190 61 778 63 366 64 954 66 542 6	58 I 31	12 84 691 86 361 88 031 89 702 91 373 93 044 94 719
13		13
15 3 63 17 111 28 802 30 394 31 986 33 578 35 170	36 763	15 3 69 14 789 16 463 18 138 19 813 21 488 23 163 24 839
16 36 763 38 355 39 948 41 542 43 135 44 729 17 46 323 47 917 49 511 51 105 52 700 54 295	16 323 55 800	16 24 839 26 515 28 191 29 867 31 544 33 221 34 898 17 34 898 36 575 38 252 39 930 41 608 43 286 34 96
18 55 890 57 486 59 08t 60 677 62 273 61 870	65 466	18 44 965 46 644 48 323 50 003 51 681 53 361 55 041
19 65 466 67 063 68 660, 70 257 71 854 73 452 20 3.63 75 050 76 648 78 246 79 845 81 443 82 042		19
#1 84 641 86 241 87 840 89 440 91 040 92 641	94 241	21
22 94 241 95 842 97 443 99 044 50 645 51 247 9 23 3 64 03 849 05 451 07 053 08 656 10 258 11 861	12 364	22 85 322 87 006 88 691 90 376 92 062 93 747 95 433 23 95 433 97 119 98 805 80 491 82 179 83 866 85 553
24 13 465 15 068 16 672 18 275 19 879, 21 484,	23088	24 3.70 05 553 07 241 08 928 10 616 (12 305 13 993 15 682
26 3.64 23 088 24 693 26 298 27 903 29 509 31 114 26 32 720 34 326 35 932 37 539 39 146 40 753	32 720 12 360	25 3.70 15 682 17 371 19 060 20 749 22 439 24 129 25 815 26 25 819 27 510 29 200 30 891 32 583 34 274 35 966
42 360 43 967 45 575 47 183 48 791 50 399	52 008	27 35 966 37 658 39 350 41 042 42 735 44 428 46 121
29 52 008, 53 617 55 226 56 835, 58 444 60 054 56 61 664 63 274 64 884 66 495 68 100 69 117	51 654 71 328	28 46 121 47 814 49 508 51 202 52 896 54 591 56 285 29 56 285 5 280 59 675 61 371 63 066 64 762 66 458
30 3 64 71 328 72 939 74 551 76 163 77 775179 387	81 000	30 3 70 66 458 68 155 69 851 71 548 73 245 74 942 76 640
31 81 000 82 613 84 226 85 839 87 453 89 066 32 90 680 92 294 93 909 95 523 97 138 98 753	90 580 30 360	31 76 640 78 338 80 036 81 734 83 433 85 132 86 831 32 86 831 88 530 90 230 91 930 93 630 95 330 97 031
33 3.65 00 369 01 984 03 600 05 216 06 832 08 449	10 065	33 97 031 98 "31 00 433 02 134 03 835 05 537 07 235
34 10 065 11 682 13 299 14 91 16 534 18 152 35 3.65 19 770 21 388 23 007 24 625 26 244 27 863		34 371 07 239 08 942 10 644 12 347 14 050 15 753 17 457 35 3.71 17 457 19 161 20 865 22 569 24 274 25 978 27 683
36 29 483 31 101 32 722 34 342 35 963 3~ 583	39 204	36 27 683 29 389 31 094 32 800 34 506 36 212 37 915
37 39 204 40 825 42 446 44 067 45 689 47 311 48 933 50 555 52 178 53 801 55 424 57 047	58 6 TE	37 37 919 39 626 41 333 43 040 44 748 46 456 48 164 38 48 164 49 8-2 51 580 53 289 54 998 56 708 58 41
39 58 671 60 294 61 918 63 542 65 167 66 791	68 416	39 58 417 60 127 61 837 63 547 65 258 66 969 68 686
40 3.65 68 416 70 041 71 667 73 292 74 918 76 544! 41 78 170 79 797 81 423 83 050 84 677 86 305	78 170	40 3 71 68 680 70 391 72 103 73 814 75 526 77 239 78 951 41 78 951 80 664 82 377 84 091 85 804 87 518 89 232
42 87 932 89 560 91 188 92 816 94 445 96 074	97 703	42 89 232 90 946 92 661 94 376 96 091 97 806 99 522
43 97 703 99 332 00 961 (02 591 04 221 05 851 44 1 3.66 07 481 09 112 10 743 12 374 14 005 15 636	97 481 17 268	43 99 522 ôf 238 ô2 954 ô4 670 ô6 38* ô8 103 ô9 821 44 3.72 04 821 11 538 13 256 14 973 16 692 18 410 20 129
45 3.66 17 268 18 900 20 532, 22 165 23 797 25 430	27063	45 3.72 20 129 21 847 23 566 25 286 27 006 28 725 30 446
46 27 063 28 697 30 330 31 964 33 598 35 232 47 36 867 38 502 40 137 41 772 43 40 45 043	16 867	40
46 d 40 679 48 315 49 951 61 51 588 53 225 54 862	56 499	48 51 10" 52 830 54 554 56 2"8 58 002 59 72" 61 451
49 56 499 58 136, 59 774 61 412 63 050 64 689 50 3.66 66 327 67 966 69 605 71 245 72 884 74 524	76 16	49 61 451 63 176 64 902 66 627 68 353 70 079 71 805
51 J 76 164 77 805 79 445 81 086 82 727 84 368	86 009	51 82 168 83 896 85 624 87 353 89 081 90 810 92 540
53 95 863 97 506 99 149 80 793 62 437 64 081	95 863	52 92 540 94 269 95 999 97 729 99 460 61 190 62 921
54: 3.67 05 725 07 370 09 014 10 659 12 304 13 950	15 595	54 13311 15 044 16 777 18 510 20 243 21 977 23 711
55 3.67 15 595 17 241 18 887 20 534 22 180 23 827 56 25 474 27 822 28 769 30 417 32 065 33 713	25 474	55 3 73 23 711 25 445 27 180 28 914 30 649 32 385 34 126
57 - 35 362 37 010 38 659 40 308 41 958 43 607 .	45 257	57 44 518 46 275 48 013 49 751 51 489 53 227 54 966
58 4 45 857 46 907 48 558 50 208 51 859 53 510 56 813 58 465 60 117 61 769 63 421	55 161	58 54 966 56 704 58 444 60 183 61 922 61 662 65 402
33 13 33 30 403 00 11/ 01/09 03 421	U) U/4	59 65 402 67 143 68 883 70 624 72 365 74 107 75 849

Г							log	M.								
_			16	Oo	-			Ī				16	110			
10	o"	10"	20"	30"	40"	so"	60"	e		o"_	10"	20"	30"	40"	50"	60"
	2-12-23 -45								3.80						29 466	
		88 047 98 514													40 519	
] 3	3-74 07 243	08 990	10 736	12 484	14 231	15 979	17 786	3		53 428	55 273	57 118	58 964	60 BTO	61 657	64 503
		19 475	-		!	-	-		1.80						73 741 84 836	
1 6	38 722	49 473	42 225	43 976	45 728	47 481	49 233	6	3.44	86 686	88 536	90 387	92 238	94 089	95 941	97 793
1 8		50 986 61 509							1.81						18 183	
1_9	70 285	72 041	73 798	75 554	77388	79 068	80 825	9		20 038	21 894	23 750	25 606	27 463	19 320	31 177
10		93 134			87 857				3.81						40 467 51 624	
111	3-75 01 934	03 695	05 456	07 317	08 979	10 741	11 503			53 485	55 346	57 307	59 069	60 930	61 791	64 655
13		14 265 24 845			19 554 30 138			13 14 ;			166 517 177 700				73 971 85 160	
15					40 732			15	3.81						96 360	
16		46 033 56 642	47 800	49 568	51 336	53 104	54 873		. 2-						67 571 112 792	
liá	65 499	67 260	69 030	70 801	72 572	74 344	76 115	18	3.02						30 013	
19	-,	77 887				_		_						39 391 50 643	41 266	1.4
30		99 172							3.62		1		1: ' '	1 =	52 519 63 783	
22		09 828 20 494													75 057 86 342	
23 24					36 513					88 224		91 989		95 755	97 638	
	3.76 40 075								_						68 945	-
26 37	5 1	52 552 63 257		2	15: 5 7										20 263 31 591	
28	1 1	73 972 84 696						18.		33 480	35 369	37 459	39 149	41 039	42 930	44 \$21
30	·/				90 062 00 802			29 30		44 821 56 173			_	I	54 280 65 641	
31	3.77 04 384	06 175	07 967	9 759	11 551	13 344	15 136	31		67 535	69 430	71 325	73 221	75 117	77 013	78 909
32 33		16 929 27 693			33 079			33		78 909 90 293					88 395 99 789	
34		3R 467					-	34			03 589	05 490	07 391	09 292	11 193	13 095
35 36	3-77 47 453	49 251			5	1		35 36		24 517				30 706 12 130	34 035	
37	69 047	70 848	72 650	74 451	76 253	78 o 56	79 859	37		35 941	37 847	39 753	41 659	43 566	45 473	47 380
38 39		81 661 92 485						3 R 3 9			49 288 60 740		2 " - "	66 470	55 921	58 831 70 292
10	3 78 01 512	03 31B	05 125	06 931	OR 739	10 546	12 354	40	3.84	70 292	71 203	74 115	76 027	77 939	79 852	U 1 764
41 42	12 354 23 205							41 :							91 333 02 826	
43	34 0671	35 878	37 6901	39 501	41 314	43 126	44 939	43	3.85	04 743	06 654	08 577	10 494	12412	14 330	16 248
# # # # # # # # # # # # # # # # # # # #	3.78 55 8201														25 8451 37 371	
46	66 711	6K 52B	-0345	72 162	73 9791	75 796	7 614	46		39 293	41 216	43 139	45 062	46 9B5	48 909	50 833
47 48	77 6t4 88 526														60.457 72.017	
49	99 448	ð1 269 í	õ3 09 1 🖟	04 913	86 735	ዕዝ ናናን	ia 380	49	:	3 945	75 873	77 BOL	79 730	81 659	83 588	85 518
ςο 51	3.79 to 380 21 322 .														95 I nol- 86 764 6	
52	32 275	34 101	35 928	37755	39 582 .	41 410 '-	43 237	52 .	3.86 c	8 697	10 631	12 565	14 499	16 434	18 369 ;	20 304
53 54	43 237 . 54 210 ·														29 985 41 613	
55	3 79 65 193									_			_		53 252	
56	76 18 - 3	78 020 .	9 85311	81 68- I	B3 çar (1	BC 356 1	82 190	ς6	9	5 193	57 134	59 075	61 017	62 959	64 902	66 844
57 58	87 190 98 104														76 564': 88 237	
	3.80 09 228														99 921 6	
										-					_	

<sup>2741 1749 1758 1767 1775 1784 1793 1801 1809 1817 1826 1833 1843 1852 1861 1869 1878 1887 1896 1905 1914 1923 1932 1943 1949

1 174 1 174 9 175 8 376 7 177 177 178 4 177 1 1861 180, 1817 187 6 1814 184 185 2 186 1 186 1 186 7 187 6 187 8 188 7 187 6 187 8 188 7 187 6 187 8 188 7 187 6 187 8 188 7 187 6 187 8 188 7 187 6 187 8 188 7 187 6 187 8 188 7 187 6 187 8 188 7 187 6 187 8 187 8 187 6 187 8 187 8 187 8 187 8 188 7 187 6 187 8 18</sup>

Tafel IV.

							log	М.	t.
			16	≥0					163°
v	0"	10"	20"	30"	40"	50"	60"	v	o" to" 20" 1 30" 40" 50" 60"
o'		_						0'	3.94 24 830 26 900 28 971 31 042 33 111 35 185 37 256
1 2			17 470 29 183					2	37 256 39 329 41 401 43 4°5 46 4° 622 44 696 49 696 51 770 53 845 55 920 5° 996 60 0°2 62 148
3	36 948	38 953	40 908	42 863	44 819	46 775	48 731	3	62 148 64 225 66 302 68 379 70 457 72 535 74 613
5	3 87 60 475		52 644					5	74 613 76 692 78 771 80 80 82 430 85 010 87 041 3.94 87 041 89 272 41 253 93 335 45 427 47 494 44 82
6	72 231	24 191	76 152	78 113	80 074	82 036	83 998	6	99 582 01 665 03 749 05 832 07 917 10 001 12 086
8			87 923					8	3.95 12 086 14 171 16 257 18 343 20 429 22 516 24 603 24 603 26 690 28 78 30 866 32 955 35 044 37 133
9	3 88 07 567	09 533	11 500	13 467	15 434	17 401	19 369	9	37 133 39 222 41 312 43 403 45 493 47 585 49 576
10	3 88 19 369		23 306	, ,		, ,		11	3.95 49 6 6 51 768 53 860 55 952 58 045 60 138 62 232 62 232 64 326 66 420 68 515 70 616 72 705 74 801
12	43 009	44 981	46 953	48 926	50 899	528~2	54 846	12	74 801 76 897 78 994 81 091 83 188 85 286 87 384
13			70 647.						87 384 89 482 91 581 93 680 95 779 97 879 99 979 99 979 02 080 04 181 06 282 08 383 10 485 12 588
15	3 88 78 555	80 533	82 512	84 490	86 469	88 448	90 428	15	3 96 12 588 14 691 16 794 18 897 21 001 23 105 25 210
15 17	3 84 02 312		94 388					_	25 210 27 315 29 420 31 520 33 632 35 738 37 845 37 845 37 845 39 952 42 059 44 167 46 276 48 384 50 493
18	14 209	16 192	18 177	10 161	22 146	24 131	26 117	18	50 493 52 603 54 712 56 822 58 933 61 044 63 155
20	1 84 18 017	W A4	30 089					20	63 155 65 266 67 378 69 491 71 603 73 716 75 830 3 96 75 830 77 944 80 058 82 172 84 287 87 403 88 518
21	49 968	\$1 958	53 948	55 939	\$7 929	59 921	61 912	21	88 518 90 634 92 751 94 867 96 984 99 102 01 220
23			65 896 7" 856						39701220 03 338 05 457 07 575 09 645 11 815 13 935 13 935 15 055 18 176 20 297 22 419 24 541 25 663
2.4	85,835	87.831	89 827	91 824	93 820	95 818	97.815	24	26 663 28 786 30 909 33 033 35 157 37 281 39 405
26	3 89 97 815								3 97 39 405 41 530 43 656 45 781 47 907 50 034 52 161 52 161 54 288 56 416 58 543 60 672 62 801 64 930
27	21 810	23 812	25 814	27 817	29 819	31 823	33 826	27	64 930 67 059 64 189 71 319 73 450 75 581 77 712
28			32 834						77 712 79 844 81 976 84 108 86 241 88 374 40 508 90 508 92 642 94 776 96 911 99 046 51 182 53 318
30	3 90 57 894	106 65	61 910	63 918	65 927	67 936	69 946	30	3 98 03 318 05 454 07 590 09 727 11 865 1+003 16 141
31			86 034					31	16 141 18 279 20 418 22 557 24 697 26 837 28 977 28 977 31 118 33 259 35 401 37 543 39 685 41 828
33	94 086	96 100	98 114	ō0 129	02 144	04159	66 L75	33	41 828 43 971 46 114 48 158 50 402 52 547 54 692
34	3 91 06 175							34	54 692 56 837 58 983 61 129 63 276 65 423 67 570 3 98 67 570 69 717 71 865 74 014 76 163 78 313 80 461
36	30 3881	32 408	3 429	36 449	38 470	40 492	42 513	36	80 461 82 611 84 762 86 912 89 063 91 215 93 367
37			46 558					37 38	93 36" 95 519 97 672 99 825 81 9"8 84 132 86 286 3,99 06 286 08 440 10 595 12 751 14 906 1 062 19 219
_39			70853						19 219 21 376 23 531 25 090 27 848 30 007 32 166
40	3.91 78 963,		95 198						45 126 47 288 49 450 51 612 53 77 55 937 58 101
42	3 92 03 324	05356	07 384	09.422	11 456	13489	15 523	42	58 101 60 265 62 429 64 593 66 -58 68 924 -1 089
43			19 593						71 089 73 255 75 422 77 689 79 756 81 924 84 092 84 092 85 260 88 429 90 598 92 768 94 938 4* 108
45	3 92 39 959	41 998	44 037	46 076	48 115	50 155	52 196	45	3 99 97 108 49 274 01 450 03 522 05 794 07 966 10 139
45			56 277						23 183 25 359 27 535 29 711 31 88 34 21 008 23 183
48	76 706	78 751.	80 796	82 842	84 888	86 934	88 980	48	36 242 38 420 40 598 42 776 44 955 47 135 49 315
49	3 93 01 267		05 365	-					4,00 62 401 64 584 66 767 68 950 71 134 73 318 75 502
51	13 466	15 617	17 669	19.721	21 773	23 825	25 878	51	76 502 77 687 74 872 82 058 84 244 86 431 88 618
52			29 985						88 618 90 805 92 992 95 180 97 369 99 558 61 -47 401 01 -47 03 93 06 127 08 31 10 508 12 699 14 891
54	50 540	52 597	54 655	46.713	58 772	60 831	62 890	54	14 891 17 083 19 275 21 468 23 661 25 854 28 048
55	3 93 62 840 75 252		79 376						4.01 28 048 30 243 32 438 34 633 36 828 39 024 41 221 41 221 43 417 45 615 4*812 50 010 52 208 54 407
57	87 628	89 691	91.755	93 820	95 885	97 990	ô0 o 1 6	57	54 407 56 606 58 806 61 006 63 106 65 407 6 608
58	3 94 00 016		16 553						67 608 69 810 72 012 74 214 76 417 78 620 80 823 80 823 83 027 85 232 87 436 89 642 91 847 94 053
							, , ,	. 7	3 3 7 7 7 7 7 7 7 7 7 7 7 7 7 7 7 7 7 7

1949 1959 1971 1981 1991 2002 2013 2021 2034 2045 2055 2066 207 (2087 2098 2100 2121 2132 2142 2153 2164 2174 2185 2196 2206

Tafel IV.

lo	3 M.
164°	165°
p 0" 10" 20" 30" 40" 50" 60"	0" 10" 20" 30" 40" 50" 60"
0' 4.01 94 053 96 259 98 466 00 673 02 881 05 089 07 29	
1 4,02 07 297 09 506 11 715 13 925 16 135 18 345 20 55 2 2 20 556 22 767 24 979 27 191 29 403 31 616 33 82	
3 829 36 043 38 257 40 47 42 686 44 901 47 11 4 47 117 49 333 51 549 53 766 55 983 58 201 60 41	
	5 4.10 86 405,88 779 91 153.93 528 95 904 98 280 00 656
5 4.02 60 419 62 638 64 856 67 076 69 295 71 515 73 73 6 73 736 75 957 78 178 80 400 82 622 84 844 87 06 7 87 067 89 291 91 514 93 739 95 963 98 188 50 41	
8 4.03 00 414 02 639 04 866 07 092 09 319, 11 547 13 77	8 29 209 31 591 33 974 36 358 38 741 41 126 43 510
9 13 774 16 003 18 231 20 460 22 690 24 920 27 15	
11 40 540 42 773 45 007 47 241 49 475 51 710 53 94	5 11 72 163 74 554 76 945 79 337 81 729 84 122 86 515
12 53 945 56 181 58 417 60 653 62 890 65 128 67 36 13 67 365 69 603 71 842 74 081 76 320 78 560 80 80	
14 80 800 83 041 85 282 87 523 89 765 92 007 94 25	0 14 15 269 17 668 20 068 22 468 24 869 27 270 29 671
15 4.03 94 250 96 493 98 736 30 980 33 224 35 469 37 71 16 4.04 07 714 09 960 12 206 14 452 16 699 18 946 21 19	
17 21 194 23 442 25 690 27 939 30 188 32 438 34 68	8 17 58 527 60 935 63 343 65 752 68 161 70 570 72 980
18 34 688 36 939 39 189 41 441 43 693 45 945 48 19 19 48 197 50 450 52 704 54 958 57 212 59 467 61 72	
20 4.04 61 722 63 977 66 233 68 490 70 747 73 004 75 26 21 75 261 77 519 79 778 82 037 84 296 86 556 88 81	
21 75 261 77 519 79 778 82 037 84 295 86 556 88 81 22 88 816 91 077 93 338 95 599 97 861 80 123 82 38	
23 4.05 02 386 04 649 06 912 09 176 11 441 13 705 15 97 24 15 971 18 236 20 502 22 769 25 036 27 303 29 57	
25 4.05 29 571 31 839 34 107 36 376 38 646 40 916 43 18	6 25 4.13 74 634 77 064 79 496 81 927 84 359 86 792 89 225
26 43 186 45 457 47 728 49 999 52 271 54 544 56 81 27 56 816 59 090 61 363 63 637 65 912 68 187 70 46	
28 70 462 72 738 75 014 77 291 79 568 81 845 84 12	3 28 18 459 20 898 23 338 25 778 28 219 30 660 33 102
29 84 123 86 402 88 681 90 960 93 239 95 519 97 80 30 4.05 97 800 00 081 02 362 04 644 06 926 09 209 11 45	
131 4.06 11 492 13 775 16 059 18 343 20 628 12 913 25 15	9 31 62 441 64 889 67 338 69 787 72 336 74 686 77 137
32 25 199 27 485 29 772 32 058 34 346 36 634 38 92 38 922 41 210 43 499 45 789 48 079 50 369 52 66	
34 52 660 54 951 57 243 59 535 61 827 64 120 66 41	
35 4.06 66 414 68 707 71 002 73 396 75 591 77 887 80 18 36 80 183 82 479 84 776 87 073 89 371 91 669 93 96	
37 93 968 96 267 98 566 00 866 03 166 05 467 07 76 38 4.07 07 768 10 070 12 372 14 674 16 977 19 280 21 58	
39; 21 584 23 888 26 193 28 498 30 804 33 110 35 41	6 39 80 503 82 975 85 447 87 920 90 393 92 867 95 341
40 4.07 37 416 37 723 40 030 42 338 44 646 46 974 49 26 41 49 263 51 573 53 883 56 193 58 504 60 815 63 12	
42 63 127 65 439 67 751 70 064 72 378 74 691 77 00	6 42 25 071 27 551,30 032 32 514 34 996 37 479 39 962
43 77 006 79 320 81 635 83 951 86 267 88 583 90 90 44 90 900 93 218 95 536 97 854 80 172 82 491 84 81	
45 408 04 RIT 07 131 09 451 11 772 14 094 16 415 18 7	
46 18 738 21 000 23 383 25 707 28 031 30 355 32 68 47 32 680 35 005 37 331 39 657 41 984 44 311 46 63	X 47 99 711 82 206 84 703 87 200 89 697 12 195 14 693
48 46 638 48 466 \$1 295 \$3 624 \$5 953 \$8 283 60 61 49 60 613 62 943 65 274 67 606 69 938 72 200 74 60	3 48 4 17 14 693 17 192 19 691 22 191 24 692 27 193 29 694
50 4.08 74 603 76 936 79 270 81 604 83 939 86 274 88 61	
51 88 610 90 946 93 282 95 619 97 956 80 294 82 6 52 4.09 02 632 04 971 07 310 09 649 11 989 14 330 16 6	2 51 59 751 62 259 64 767 67 276 69 786 72 296 1-4 807
53 16 671 19 012 21 354 23 696 26 039 28 382 30 72	6 53 89 881 42 395 94 910 9" 425 99 941 BZ 45" B4 9"4
54 30 726 33 070 35 414 37 759 40 104 42 450 44 76 55 4.09 44 796 47 143 49 490 51 838 54 186 56 535 58 88	
\$61 \$884 61 233 63 583 65 933 68 284 70 635 72 91	7 56 35 215 37 738 40 262 42 787 45 312 47 83 7 50 363
57 72 987 75 339 77 692 80 045 82 399 84 753 87 56 58 87 50 78 402 91 817 94 173 96 529 98 886 61 24	
59 4.10 01 243 03 601 05 959 08 317 to 676 13 036 15 30	

		log	М.	
1.6	60°			1679
0" 10" 20"	30" 40"	50" 60"	r '	0" 10" 20" 30" 40" 50" 60"
4.18 95 921 98 457 50 994 4.19 11 145 13 684 16 223 26 387 28 929 31 472	18 763 21 304	23 845 26 387	o" . 1 2	4 28 44 260 46 998 49 737 52 476 56 216 57 967 60 698 60 698 63 439 66 182 68 925 71 668 74 412 77 167 77 157 74 903 82 649 85 395 88 142 90 890 93 639
41 648 44 193 46 739 56 928 59 477 62 026 4.19 72 227 74 779 77 331	64 575 67 125	69 6-6 -2 227	-1-	93 639 96 388 99 137 51 887 54 638 57 390 150 142 4 29 10 142 12 894 15 648 18 402 21 156 23 911 26 667 4.29 26 667 29 423 32 180 34 938 37 696 40 455 43 214
87 545 90 100 92 655 4.20 02 882 05 440 07 999 18 238 20 800 23 361 33 614 36 178 38 743	10 558 13 117 25 924 28 486	15 678 18 238 31 050 33 614	6 7 8 9	43 214 45 974 48 735 51 496 54 258 57 020 59 784 59 784 62 547 65 312 68 076 70 842 73 608 76 375 76 375 79 142 81 910 84 679 87 448 90 218 92 989 92 989 95 760 98 531 61 304 64 077 66 850 69 625
4.20 49 008 51 576 54 144 64 422 66 993 69 564 79 855 82 429 85 004 95 307 97 885 00 463	. 56 713 59 282 72 136 74 709 87 579 90 155 63 041 65 620	61 852 64 422 77 282 79 855 92 731 95 307 58 199 10 779	10 11 12 13	4 30 09 625 12 399 15 175 17 951 20 728 23 505 26 283 26 283 29 061 31 840 34 620 37 401 40 182 42 963 42 963 45 746 48 528 51 312 54 096 56 881 59 666 52 452 65 239 68 026 70 814 73 603 76 392
4.21 to 779 t3 360 t5 94t 4.21 x6 270 28 854 31 438 41 781 44 368 46 956 57 311 59 901 62 492	34 023 36 609 49 544 52 132 65 084 67 676	39 195 41 781 54 732 57 311 70 268 72 861	15 16 17	76 392 79 182 81 972 84 763 87 555 90 347 93 140 4 30 93 140 95 933 98 727 61 522 64 318 67 114 69 910 4.31 09 910 12 708 15 506 18 304 21 103 23 903 26 704 26 704 29 505 32 306 35 109 37 912 40 715 43 520
**2 861 75 454 78 049 88 430 91 027 93 624 4.22 04 019 06 619 09 226 19 628 22 231 24 835 35 256 37 863 40 476	96 222 98 821 11 821 14 423 27 440 30 045	81 420 84 019 17 025 19 628 32 650 35 256	19 300 - 21	43 520 46 324 49 130 51 936 54 743 5" 550 60 358 60 358 63 167 65 976 68 786 71 597 74 108 77 220 4 31 77 220 80 032 82 845 85 659 88 474 91 289 94 104 94 104 96 921 99 738 02 555 05 373 08 192 11 012 4.32 11 012 13 832 16 653, 19 474 22 296 25 119 27 942
\$6 573 69 186 71 806 4.22 82 201 84 877 87 493 97 969 80 589 83 200	98 736 61 348 74 414 77 029 90 112 92 731	63 960 66 573 79 645 82 261 95 344 97 969	23 24 25	27 942 30 766 33 591 35 416 39 242 42 068 44 896 44 896 47 723 50 552 53 381 56 211 59 041 61 872 4-32 61 872 64 704 67 536 70 369 73 203 76 037 78 872 78 872 81 708 84 544 87 381 90 218 93 056 95 895
4.23 13 69" 16 320 18 944 29 445 32 071 34 698 45 213 47 843 50 473 4.23 61 001 63 634 66 268	37 326 39 954 53 104 55 736	42 583 45 213 58 368 61 001	28 . 29	95 895 98 734 51 576 54415 57 257 10 099 12 941 4 33 12 941 15 785 18 629 21 473 24 319 27 165 30 011 30 011 32 858 35 706 38 555 41 404 44 254 47 104 4 33 47 104 49 955 52 807 55 660 58 513 61 367 64 221
76 809 79 446 82 083 92 638 95 278 97 915 4.24 08 487 11 130 13 774 24 356 27 003 29 650	84 721 87 359 00 560 03 202 16 419 19 064	89 998 92 638 65 844 68 487 21 710 24 356	31 32 33	64 221 67 0 6 69 932 72 88 75 645 78 503 81 301 81 361 84 220 8 080 89 940 92 801 95 663 98 525 98 525 01 388 04 252 07 116 09 981 12 846 15 713 4.34 15 713 18 579 21 447 24 315 27 184 30 054 32 924
4.24 to 246 42 896 45 547 56 156 58 809 61 46. 72 086 74 743 77 401 88 037 90 698 93 355	48 198 50 850 64 118 66 774 80 059 82 718	53 503 56 156 69 430 72 086 85 377 88 037	35 36 37	4 3 4 3 2 9 2 4 3 3 7 9 5 3 8 6 6 6 4 1 5 3 8 4 4 4 1 1 4 7 2 8 5 5 0 1 6 9 5 0 1 5 9 6 7 4 1 8 7 0 2 9 7 7 3 1 7 6 7 6 0 5 6 7 8 9 3 7 8 1 8 1 9 8 4 7 0 1 8 4 7 0 1 8 7 0 8 7 6 8 3 9 0 4 6 7 9 3 3 5 1 9 6 2 3 6 9 9 1 2 1 6 2 0 6 8 4 7 0 1 8 7 5 8 3 9 0 4 6 7 9 3 3 5 1 9 6 2 3 6 9 9 1 2 1 6 2 0 6 8 4 7 0 1 8 7 5 8 7 5 8 3 9 0 4 6 7 9 3 3 5 1 9 6 2 3 6 9 9 1 2 1 6 2 0 6 8 4 7 0 1 8 7 5 8 7 5 8 9 0 4 6 7 9 3 3 5 1 9 6 2 3 6 9 9 1 2 1 6 2 0 6 8 4 7 0 1 8 7 5 8 7 5 8 9 0 4 6 7 9 3 3 5 1 9 6 2 3 6 9 9 1 2 1 6 2 0 6 8 9 1 6 1 6 2 0 6 8 9 1 2 1 6 2 0 6 8 9 1 2 1 6 2 0 6 8 9 1 2 1 6 2 0 6 8 9 1 2 1 6 2 0 6 8 9 1 2 1 6 2 0 6 8 9 1 2 1 6 2 0 6 8 9 1 2 1 6 2 0 6 8 9 1 2 1 6 2 0 6 8 9 1 2 1 6 2 0 6 8 9 1 2 1 6 2 0 6
4.25 04 009 06 673 09 33 4.25 20 001 22 669 25 33 36 014 38 685 41 356 52 048 54 722 57 39	18 005 30 674 44 028 46 701	33 344 36 014 49 374 52 048	40 .	4 35 02 008 04 894 07 782 10 670 13 559 16 448 19 338 4 35 19 338 22 229 25 121 28 013 30 906 33 799 36 694 36 694 39 588 42 484 45 380 48 277 51 175 54 073 54 073 56 972 59 871 62 772 65 672 68 574 71 476
68 102 70 780 73 458 84 1 78 86 859 89 541 4.26 00 274 02 959 05 644 16 391 19 079 21 768	76 137 "8 817 92 223 94 906 1 08 330 11 016	81 497 84 178 97 590 50 274 13 703 16 391	43 44 49	71 4 76 74 379 77 283 80 18 2 83 042 85 998 88 904 88 904 91 811 94 219 92 627 50 536 53 446 06 356 4 36 06 356 04 267 12 124 15 092 18 005 20 919 23 83 23 83 3 26 748 29 664 32 581 35 498 38 416 41 334
32 524 35 221 37 913 48 688 51 384 54 080 64 869 67 568 70 267	40 606 43 300 56 776 59 473 72 967 75 667	45 994 48 688 62 171 64 869 78 368 81 070	47 48 49	41 334 44 253 47 173 50 094 53 015 55 937 58 860 58 860 61 783 64 707 67 632 70 558 73 484 76 410 76 410 79 338 82 260 85 195 88 124 91 055 93 986
4.26 81 070 83 773 86 475 97 293 99 999 62 705 4.27 13 537 16 246 18 956 29 802 32 515 35 225	05 412 08 120 21 667 24 378 37 943 40 657	10 828 13 537 27 090 29 802 43 373 46 089	51 52 53	4 36 93 986 96 91" 49 R49 32 782 35 716 38 650 11 585 4 37 11 585 14 521 1" 458 20 395 23 333 26 2"1 29 210 29 210 32 150 35 091 38 032 40 9"4 43 917 40 860 46 800 49 804 52 "49 55 094 58 640 61 58" 64 535
46 089 48 805 51 523 4.27 62 39° 65 117 ,67 837 78 726 81 450 84 174 95 077 97 804 50 532	70 559 73 281 86 899 89 624	92 351 95 077	\$5 56	64 535 67 483 70 432 73 381 76 332 74 283 82 234 4.37 82 234 85 187 88 140 91 044 44 048 97 003 99 959 99 959 62 916 65 873 68 831 11 740 14 749 17 709 4 38 17 709 20 570 23 632 26 544 29 557 32 520 35 485
4,28 11 450 t4 181 t6 9t2 27 844 30 579 33 3t4	19 644 22 377	25 110 27 844	58	35 485 38 450 41 415 44 382 47 349 50 317 53 285 63 285 50 254 59 224 62 195 65 166 68 138 71 111

Tafel IV.

0"		16	ومند									-	
o"			⊖`				169°						
	10"	30"	30"	40"	so"	60"		0"	10"	20"	30"	40"	50"
4.38 71 111	74085	77 059	80 034	83 009	85 986	88 963	اره	4.49 E9 965	93 216	96 468	99 710	ð2 974	56 sa
			97 898					4.50 09 484					
4.39 06 840							2					48 083	
							3						
							1						
									1 "				
												_	
							8						
32 700	35 712	38 725	41 739	44 753	47 76R	50 784	9	66 738	70 035	73 333	76 632	79 932	83 2
4-40 50 784	53 BOI	56 818	59 836	62 854	65 874	68 894	10	4.51 86 534	89 836	93 139	96 443	99 748	53 o
											1 - 4 - 4 -	,	1
							- 11						
													02 6
	1. =		_	-									
								4 -					
							30	4.53 \$6 221	89 576	92 932	96 189	99 646	03 D
51 451	54 517	57 583	60 649				21		09 715	13 086			
							22						
									1 -				
							_						_
					1								
									, , ,	1 1 3 1 .	1		=
									1 - 3				12.
							19	68 685	1 2 2				
		_					10	4.55 89 121	92 533	95 943			
							31						
							32	30 099	33 519	36 941	40 363	43 787	47 2
				_		9 4 6	33					1	
-							I ⁻ ∸I						
							- 5 1						
							I - II						
4.46 05 814	ok 968	12 122	15 276	18 432	21 588		r H	4 57 95 343	98 809	ð2 276	85 743	69 2T2	ia 6
					-								
3.00		-			+				_				
4 47 96 421	99 613	ŏ2 825	06 02 R	69 232	12 436	15 642	_~~			_			
1.48 15 642	18 8 18	22 0 5	25 263	28 472	31 682	34 R92	50						
54 172	57 388	00 605	63 823	07 042	70 261	73 481	53						
							_			-			
									1 2 1				
70 476	73 722	76 460	80 216	83 465	86 714	89 464	50						
	42 671 43 662 78 665 78 665 78 665 78 665 78 665 14 648 87 030 140 50 784 87 030 141 05 93 87 109 96 404 142 33 075 51 451 69 854 88 884 143 65 748 144 36 748 148 35 786 78 198 78 198 144 18 059 80 844 99 438 145 11 586 70 18 80 844 18 059 81 47 91 81 715 81 71	42 671 45 661 43 605 78 605 99 614 44 642 17 650 32 700 35 712 40 50 784 53 801 68 894 71 915 87 030 90 056 68 894 71 915 87 030 90 056 68 894 71 915 87 030 90 056 68 894 71 915 87 030 90 056 68 894 71 915 87 030 90 056 64 105 107 783 142 33 075 36 136 642 14 726 17 783 143 05 742 09 820 144 18 059 31 166 36 709 58 83 844 99 438 62 67 65 814 99 438 64 74 08 17 182 88 61 25 93 820 54 65 814 08 968 65 65 861 25 99 77 230 99 624 47 96 421 99 624 48 15 642 38 848 34 892 32 96 046 49 12 189 15 420 31 588 34 824 31 588 34 824 31 588 34 824 31 588 34 824	43 671 45 661 48 653 78 605 78 605 81 604 84 604 96 611 97 650 20 659 32 700 35 712 38 715 46 68 894 71 915 74 937 87 930 90 056 93 082 33 382 26 416 29 451 78 109 81 156 84 204 96 404 99 456 02 508 44 636 47 675 65 88 88 44 636 47 675 65 88 88 44 636 47 675 65 88 88 88 65 916 78 109 81 156 84 204 96 404 99 456 02 508 44 536 47 675 65 88 88 88 88 91 359 94 434 62 277 80 844 83 99 31 394 47 78 95 88 884 91 359 94 434 99 438 62 277 68 88 68 44 99 44 68 26 99 438 68 277 99 38 20 42 93 82 49 99 99 75 49 19 2 82 331 55 471 68 69 82 49 19 2 52 331 55 471 68 69 82 49 19 2 52 331 55 471 68 69 82 49 19 2 52 331 55 471 68 69 82 49 19 2 52 331 55 471 68 69 82 61 618 74 091 77 812 80 333 55 471 68 69 82 61 618 74 091 77 812 80 333 55 471 68 69 82 61 618 74 091 77 812 80 333 55 471 68 69 82 61 618 74 091 77 812 80 333 77 11 82 24 745 74 326 86 912 90 060 93 210 146 05 814 08 968 12 12 24 745 75 905 81 48 83 88 0 66 47 07 50 03 933 07 111 18 2 17 2 2 2 3 3 3 2 2 3 3 3 2 2 3 3 3 2 3 3 3 2 3 3 3 2 3	42 671	42 671 45 661 48 663 51 645 54 637 72 609 78 605 61 63 63 63 66 615 69 612 72 609 78 605 61 60 615 69 612 72 609 614 642 17 650 20 659 23 668 26 678 32 700 35 713 38 725 41 739 44 753 68 89 4 71 915 74 937 77 959 80 982 87 030 90 56 93 082 96 108 99 136 62 823 11 42 88 41 739 44 753 20 840 87 800 823 11 12 33 14 28 41 739 44 753 20 840 87 800 823 11 12 2 3 2 8 8 9 8 16 8 97 17 20 16 78 109 81 156 84 204 87 253 90 303 96 404 99 456 62 20 852 88 36 55 2 68 616 42 14 726 17 783 20 840 82 38 72 20 69 61 88 884 91 359 94 434 97 510 60 82 41 73 94 84 84 84 84 84 84 84 84 84 84 84 84 84	42 671 45 661 48 653 51 645 54 637 57 632 78 606 78 607 86 61 604 86 604 87 604 90 606 93 608 32 70 606 19 614 62 618 65 623 68 629 11 635 23 668 894 71 915 74 977 77 937 77 937 80 92 36 62 84 62 83 38 23 11 253 14 284 17 316 20 18 23 11 253 14 284 17 316 20 18 23 11 253 14 284 17 316 20 18 23 11 253 14 284 17 316 20 18 23 11 253 14 284 17 316 20 18 23 11 253 14 284 17 316 20 18 20 18 20 18 20 18 20 18 20 18 20 18 20 18 20 18 20 18 20 18 20 18 20 20 18 20 20 20 56 93 68 20 87 253 93 36 20 20 56 59 20 65 93 68 20 87 253 93 36 20 20 56 65 20 86 61 87 27 20 16 75 60 82 40 40 40 40 40 40 40 40 40 40 40 40 40	42 671 45 661 48 653 51 645 59 612 78 605 635 636 637	43 671 45 661 48 653 51 645 54 637 57 605 60 63 64 66 611 67 88 60 64 84 604 87 604 90 606 93 608 96 611 99 614 52 618 65 62 83 86 649 11 635 14 642 7 650 20 659 23 668 24 75 76 80 78 60 88 94 71 91 915 77 4937 77 959 80 982 84 006 87 030 11 68 894 17 19 915 77 4937 77 959 80 982 84 006 87 030 11 87 70 95 93 082 96 108 99 136 52 164 55 93 12 14 15 98 14 60 62 83 16 62 854 68 94 17 316 18 03 44 53 18 18 18 18 18 18 18 18 18 18 18 18 18	4.3 671 45 661 48 653 71 645 54 637 57 631 60 685 4 4.50 87 865 78 60 682 4 4.50 87 865 78 605 81 604, 84 604, 87 604 90 606 90 606 91 30 608 96 11 6 6 75 80 97 53 60 78 60 78 60 78 60 78 60 78 60 78 60 78 60 78 60 78 60 78 78 70 78 70 79 79 79 79 79 79 79 79 79 79 79 79 79	4.4 671 45 661 48 652 51 645 54 637 75 665 65 678 65 678 75 665 78 665 78 661 78 661 78 661 78 661 78 661 78 661 78 661 78 661 78 661 78 661 78 661 78 661 78 661 78 661 78 661 78 661 78 661 78 661 78 661 78 678 78 68 78 678 78 67	4	4.3 671 4, 5661 48 633 51 645 69 612 79 66 613 96 614 65 615 66 613 96 614 66 615 66 614 96 614 66 618 65 613 96 614 66 618 65 613 96 614 66 618 96 614 96 91 91 91 91 91 91 91 91 91 91 91 91 91	4

	log M.														
			17	\mathbf{O}^{o}			-				17	10			
e ¹	off	10"	20"	30"	40"	50"	60"	v	0"	10"	20"	30"	40"	50"	60"
0								0'	4 75 78 558						
2				150 457 72 029				2	4.76 02 513	30 517	_				
3 4	82 829 4 63 04 457			93 638				3		54 570 78 669					
5	4 63 26 121	29 735	33 351	36 967	40 584	44 203	47 822		4 76 98 786	52 R13	ŏ6 84z	158 oi	14 903	18 935	22 968
6 7				58 687 80 449				7	4 77 22 968	51 240					
8	91 337	94 971	98 605	Ö2 240	ō5 876	69 513	13 151	8	71 472	75 523	79 574	83 627	8- 681	91 736	95 193
10	4 64 35 003	-			E			-9	4.78 20 161	99 851					
11	56 892	60 544	64 197	67 851 89 797	11 506	75 162	78.819	E 1	44 575	48 649	52 724	56 800	60 ×78	64.956	69 037
13	4 65 00 784	04 448	08 114	11.781	15 449	19 117	23 787	13	93 545	9 634	Õt 725	05 817	09 910	14 005	18 10L
15	4.65 44 824			33 803					4.79 18 101						_
16	66 909	70 592	74 2 77	77 963	81 650	85 338	89 027	16	67 355	71 468	75 582	79 698	83 815	87 433	92 0 53
18	4.66 11 184			22 277	- , -			17	92 053 4 80 16 800	96 174					
19	33 380	37 083	40 788	44 493	48 199	51 90"	55615	19	41 594	15 732	49 870	54 010	18 161	62 294	66 438
21	4.66 55 615			89 041					4.80 66 438	95 483					
22	4 67 00 202			33746	-				4.81 16 269	20 431					
24	44 947	48 683	52 420	56.158	59 897	63 63 =	67 379	21	66 z97	70 475	74 654	78 835	83 017	87 200	91 395
25	4 67 67 379 80 850			-8 609				25	4.81 91 385	1					
27	4.68 12 361	16 117	19 874	23 632	27 391	31 151	34 913	17	41 709	45 911	50 115	54 321	58 527	62 736	66 945
28				46 204 68 81 5						96 451				13 342	
30	4.68 80 136							_	4.83 17 569				_	38 721	
31		29311	33 101	36 893	40 686	44 480		31	68 394	4" 192 "2 639	76 8B5	81 132	85 381	89 631	93 883
33				R2 482			93 905		93 883	98 136	27 947	-		40 745	
35	4 69 93 905	97715	ŏ1 ς26	ôq 338	04 (41	12 966	î6 781	35	4.84 45 014	49 284	53 556	57 829	62 103	66 329	0 6 5 6
36	4.70 16 781			28 235				-	70 656 96 351	74 935 ōo 638		83 497			
38	62 659	66 489	70 321	74 154 97 176	77 988	81 823	85 660	38	4 85 22 09"			34 989 60 813			
39	4.71 08 702	-							4.85 73 745	78 049	82 374	86 690	91 008	94 327	99 648
41				43 345					99 648	29 934					
43	78 083	81 948	85 815	89 683	93 552	97 423	ŏ1 294	43	\$1.612	55 952	60 293	64 636	68 gRo	73 326	77 673
44	4.72 01 294			36 190					4.87 03 788	82 022 08 146			1		
46	47 844	\$1.731	55 619	59 508	63 399	6-290	71 183	46	29 956	34 323	18 691	43 061	47 432	\$1.804	56 178
48	94 565	98 th6	02 369	82 869	ioi	14083	17 990	48	82 455	60 554 86 839	91 225	95 613	00 002	Õ4 393	08 785
49	4 73 17 940		,					-	4.88 08 785 4.88 35 169	_		1			
511	64.9*1	68 894	72818	26 743	80 670	84 597	88 526	51	61 609	65 010	10 434	14 849	79 265	83 683,	88 103
52	88 526 4.74 12 125								4.89 14 652	92 524 19 081					
54	35 769	39 713	43 659	47 60"	51 555	55 505	59 456	54	41 256	45 696	50 E3-	54 579	59 023	63 469	67 916
55 56	4 -4 59 456								4 89 67 916	99 090					
57	4 75 06 963	10 930	14 RgR	18 867	22838	26 810	30 783	5"	4 90 21 403		30 340	34 810	39 282	43 756	48 231
58	\$4 648									29 602					
											- '				

3584 3622 3659 3697 3-35 3-73 3811 3849 3887 3925 3963 4001 4039 40-7 4115 4153,4191 4229 426-4305 4343 4381 4419 445- 4494

Tafel IV.

							log	M							
-			17	20							17	3°			
Ø.	o"	10"	30"	30"	40"	50"	60"	7	0"	to"	30"	30"	40"	50"	60"
0	4.91 02 056	06 552	11 049	15 548	20 048	24 550	29 054	0"							
1 2				42 574 69 658			56 109 81 221	1 2					#3 559 14 5#9		
3		1		96 799		1		3	5.09 24 949	30 132	35 317	40 504	45 694	50 885	56 079
H	4.92 10 391	14 925		13 998		1 .	١.	4					76 874		
5	4.92 37 619 64 905			78 570				6							
7 8	92 249 4.93 19 652	1 *					19652						70 873 01 359		
9				60 867			74 635	9	5.11 12 872						
10	4.93 74 635						ð2 215		5.11 44 461						
11	4.94 02 215 29 854						57 554		5 12 07 874				97 284 29 082		
13							85 314			1.2			60 959	_	
15	4.95 13 134			17 066			41 014	!4 15	5 13 03 585				92 915 24 951		
16	41 014	45 667	50 321	54 977	59 635	64 294	68 956	16	35 647	40 999	46 352	51 708	57 067	62 427	67 790
17							196 958 15 022						89 263 21 540		
19						48 456	53 148	19	32 317	37 709	43 103	48 500	53 899	59 300	64 703
20	4 96 53 148						81 335 89 585		5.14 64 703	70 108	75 516	Bo 926	86 339 18 861	91 753	97 170
22	4.97 09 585								5 15 29 720						
23 24		42 622 71 008					66 272					- "	84 153 16 924		95 067 17 866
35	4.97 94 710	-		80 483 68 q (2			33 212	25	5 16 27 866			_ :	<u> </u>		
36	4 98 23 212	27 968	32 726	37 486	42 248	47 OL1	51 776	26	60 749	66 237	71 728	77 221	82 717	88 215	93 715
27							80 405						15 740 48 849		
29	4.99 09 098	13886	18 676	23 468	18 262	33 028	37 855	29	59 904	65 435	70 968	76 504	82 042	87 583	93 126
30 31	4.99 37 855	42 654	47 455	52 258	57 063 Bc 028	61 869	95 564	30	5.17 93 116 5.18 16 434						
32							14 516		59 829	65 403	70 980	76 559	82 140	87 724	93 311
33 34	5.00 24 516						53 534 ,82 617						40 708		
35	5.00 Rz 617	-				l		35	5.19 60 536				,		
36									94 281	99 914	85 549	Ī1 187	16 827	22 470	28 115
37							-0 166 99 616	38	5 20 28 trs 62 038				84 703		
39							19 033						18 776		
40 41	5.02 29 033			43 707 73 286				41					52 939 87 193		1 7 7 7
42	88 071	93 003	97 938	02 873	57 B11	12 751	ī = 693	42	98 631	64 354	10 080	1 5 808	31 ç38	27 271	33 00*
43 44	5.03 17 693						47 382 77 141						55 975 90 505		
45.	5.03 77 141														
46. 47.	16 866						36 866 66 834		36 689	42 473	48 261 82 020	\$4.051	59 843 94 653	6¢ 638	71 436
48	66 834	`~1 835	~6 838	81 B43	86 851	91 860	96 871	48	5 24 06 277						
49							26 979	P - 1					64 555		
50 51	5.05 26 979						57 158 87 40R								
52	87 408	92 456	97 507	82 559	87 614	12 670	17729	52	46 59 1	\$2 470	58 353	64 238	70 126	76 ot6	81 900
53 54	7.06 17 729 48 122						78 587						40 990		
55	5 06 78 5R"	83 672	88 759	93 847	98 938	64 031	89 125	55	5.26 52 838	58 767	64 698	70 632	76 569	82 508	88 450
56 57	5 07 09 125						39 736			94 395	50 342 16 696	36 293	12 246 JR 022	EB 202	14 160
58	70 420	75 541	80 664	85 789	90 916	96 046	ÕL 177	58	59 970	65 94R	71 928	77 912	83 898	89 887	95 879
59	5.08 01 177	06 310	11 446	16 5 R 3	21 723	26 865	32 008	59	95 879	ŏ1 873	67 87 t	13 871	19 874	15 880	31 881

Tafel IV.

	log M.														
_			17	4 º				ĺ			17	50			
107	0"	10"	20"	30"	40"	50"	60 [#]	0	o"	10"	20#	30"	40"	50"	60"
o'								0/	5,52 00 096	07 318	14 544	21 774	19 00B	36 246	43 488
2	67 999 5.29 04 211			86 092				1 2			57 985 ÕI 572			79 760 23 421	
3	40 525	46 587	52 652	58 720	64 791	70 865	76 941	3,	5.53 30 712	38 008	45 307	52 611	59 918	67 230	74 546
4	5.30 13 461	10 557		95 188		_		4			89 190			55 296	
6	50 084	56 198	61 315	68 435				6	5.54 18 529 62 662				91 168		
7 8-	86 B12	92 943		65 215				9	5.55 06 946				36 553 B1 091	43 965	
9							97 6z7						15 783		
10 11	5.31 97 627 5.32 34 77B							10	5.56 40 715				70 630	78 119	
12	72 036	78 256	84 480	90 706	96 935	83 167	89 402	11 12	5.57 30 669		45 722			23 148 68 335	
13	5.33 09 402 46 877	15 641 53 134		28 126 65 656		40 624 78 190		13	75 881 5 58 21 252				86 T11	13 679 59 183	21 252 66 783
15	5.33 84 463			ŏ1 294			84 461 32 155	14	5.58 66 783						
16	5.34 22 155			41 043 78 903	47 346	53 651	59 959	16	5.59 12 475	20 105	27 741	35 381	43 025	50 674	5B 328;
18	97 875	Õ4 205	10 538	16 874	23 214	29 556	35 90z	17	5 60 04 344				35 L13		
19	5.35 35 902							19					81 404		
21	5.35 74 042 5.36 12 294		25 070	93 154	37 859	44 258	\$2 294 50 661	20 21	5 60 96 871					82 272	
22	50 661	57 066	63 475	69 887	76 302	82 720	89 141	22	90 064	97 861	às 662	13 468	21 178	29 093	36 913
23	89 141 5-37 27 737						27 737 66 449	23	5.62 36 913 83 933		99 644			13 147	
25	5.37 66 449	72 912	79 379	85 848	92 331	98 797	å5 277	25	5.63 31 124	39 006	46 892	54 784	62 680		
26	5.38 05 277						83 285	26	78 487 5.64 26 025				10 159	65 773	
28	83 285	89 807	96 333	Oz 861	89 393	15 928	22 467	28	73 737	81 706	89 680	97 660	05 643	13 632	ž1 626
30	5.39 22 467 5.39 61 768							10	5 65 21 626			45 637	53 651 01 837	61 669 88 c	
31	5.40 01 189	07 771	14 356	20 944	27 536	34 132	40 730	31	5.66 17 939	25 997	34 061	42 129	50 203	58 282	66 365
33		47 332 87 016		60 547 60 271			80 394	32	5.67 14 973		82 548	1 .	1	55 620	4
34	5.41 20 179			40 [18		53 427	60 0 17	34	63 765	71 914			96 394		_
35	5.41 60 087		73 417	80 088 20 182			00 119 40 276	35 36	5.68 12 740		19 107 78 331	37 198 R6 557		53 695 63 013	
37	40 276	46 981	53 689	60 401	67 116	73 B35	80 557	37	5.69 11 251	19 494	27 742	35 996	44 255	52 519	60 788
38	5.43 20 965	27 712		00 745 41 216		14 222 54 735	20 965	38	5.70 10 516				93 919	52 102	
40	5.43 61 500	68 268	75 039	81 815		41.00	82 162	40	5.70 60 436			1		5	To 548
41 42	5.44 02 162 A2 952	08 951 49 763		22 541 62 296			42 952 83 872		5.71 to 548				94 502		
43	83 ≅7≄	90 705	97 541	ŏ4 38 L	11 234	18071	14 922	43	5.72 11 358	19 795	28 237	36 684	45 137	53 595	62 059
44	5.45 14 932								62 059	70 529	79 004	87 484	95 970	54 462	
45 46	5.46 07 415	14 313	21 215	28 120	35 030	41 943	48854	46	5.73 12 959 64 060	72 596	B1 139	89 686	98 240	86 798	15 363
47 48	48859	155 780	62 704	69 632	76 563	83 498	90 437 32 150	47	5.74 15 363	23 933	32 509	41 091	49 678	58 271	66 870
49	5.47 32 150	39 115	46 084	53 057	60 033	67 013	73 997	49	5.75 18 583				81 322 53 17 <u>3</u>		
50	5-47 73 997	80 985	87 976	94 972	81 971	88 974	15 980	50	5.75 70 503	79 176	87 855	96 540	ò5 23 I	13 928	22 631
51 52	5.48 15 980 58 101	65 134	72 171	79 212	86 257	91 306	DO 358.	52	5.76 22 631 74 970	83 713	91 463	ô1 219	39 980	18 748	27 521
53	5.49 00 358	07 415	14 475	21 539	28 607	35 679	42 755	53	5-77 27 521	36 300	45 085	53 877	62 674	71 477	80 286
54 55	5.49 85 291	92 394	20 418	ŏ6 61 t	13 716	78 192	85 291 27 967	55	5.78 33 267				15 582 68 708		
56	5.50 27 967	35 094	42 234	49 358	56 497	63 639	70 785	46	86 465	95 353	ō4 246	T3 146	12 052	30 964	39 882
57 58	5 51 13 745	20919	28 097	35 279	42 464	49 654	13 745 56 848	ς8	5.79 39 882	48 807	\$7.737	20 423	75 617 39 403	38 390	47 382
59	56 848	64 046	71 248	78 454	85 664	92 87B	ō0 096	59	5.80 47 382	56 381	65 386	74 397	83 414	92 438	51 468
				_				•							

6012 6138 6264 6389 6515 6641 6767 6893 7019 7145 7271 7396/7522 7648 7773 7899 8025 8151 8276 8402 8528 8653 8779 8905 9030 6012 6613 80 6515 6641 676.7 689.3 7019 7145 7271 7396/7522 7648 7773 7899 8025 8151 8276 8402 8528 8653 8779 8005 9030 61200 4

Tafel ∇a .

Argument log sin w; $\Delta \log \sin w$ in Einheiten der 7. Decimale. vgl. p. 64.

		,				
l log sin w	⊿ log sin w	log sin w	⊿log sin w	log sin w	⊿logsin v	Differenz
8.50 8.51 8.52 8.53 8.55 8.55 8.57 8.58 8.60 8.61 8.62 8.63 8.64 8.65 8.67 8.71 8.72 8.73 8.74 8.77 8.77 8.77 8.78	-1 -1 -1 -1 -1 -1 -1 -2 -2 -2 -2 -2 -2 -3 -3 -3 -3	8.80 8.81 8.82 8.83 8.845 8.86 8.87 8.88 8.90 8.91 8.92 8.93 8.945 8.90 9.01 9.02 9.03 9.045 9.06 9.07 9.08	- 4 - 5 - 6 - 6 - 7 - 7 - 8 - 9 - 10 - 11 - 12 - 13 - 14 - 16 - 17 - 21 - 23 - 25 - 27 - 30 - 33 - 36 - 39 - 39 - 30 - 31 - 31 - 32 - 32 - 33 - 36 - 36 - 37 - 37 - 38 - 38 - 39 - 30 - 30 - 30 - 30 - 30 - 30 - 30 - 30	9.10 9.11 9.12 9.13 9.14 9.15 9.16 9.17 9.18 9.20 9.21 9.22 9.24 9.25 9.26 9.27 9.28 9.29 9.31 9.32 9.31 9.32 9.31 9.32 9.31 9.32 9.33 9.34 9.35 9.36		- 6 - 7 - 8 - 9 - 10 - 10 - 12 - 13 - 16 - 16 - 19 - 20 - 22 - 24 - 27 - 29 - 32 - 35 - 39 - 42 - 47 - 51 - 56 - 68 - 74 - 81 - 81 - 89

 $\log \alpha = 0.7803008$

$$\sin w = a \frac{Vq}{\sqrt[p]{t}}$$

 $\log \sin v = \log \sin w + J \log \sin w$

$$r = 4 q \left(\frac{\sin \frac{1}{2} v}{\sin v} \right)^2$$

Tafel ∇b .

Argument log sin v; \mathcal{A} log sin v in Einheiten der 7. Decimale.

		uer	·	mare.	vgı.	p. 64.
log sin v	⊿ log sin v	log sin v	⊿ log sin v	log sin v	⊿ log sin v	Differenz
8.50 8.51 8.52 8.53 8.54 8.55 8.57 8.58 8.60 8.61 8.62 8.63 8.64 8.66 8.67 8.71 8.72 8.73 8.74 8.75 8.77 8.78	0 0 0 0 0 1 1 1 1 1 1 1 1 1 1 1 1 1 1 1	8.80 8.81 8.82 8.83 8.84 8.86 8.87 8.88 8.90 8.91 8.92 8.93 8.94 8.95 8.99 9.00 9.00 9.00 9.00 9.00 9.00 9.00	+ + + + + + + + + + + + + + + + + + +	9.10 9.11 9.12 9.13 9.14 9.15 9.17 9.18 9.19 9.20 9.21 9.22 9.23 9.24 9.25 9.27 9.28 9.29 9.31	+ 69 + 75 + 82 + 90 + 109 + 119 + 131 + 144 + 157 + 173 + 189 + 208 + 274 + 301 + 301 + 330 + 362 + 397 + 478 + 525 + 576 + 632 + 761 + 835 + 1006 + 1105	+ 13 + 16 + 19 + 22 + 24 + 27 + 39 + 42 + 47 + 51 + 62 + 67 + 74 + 82

 $\log a^3 = 2.3409023$

$$\sin v = 2 \sin \frac{1}{4} r \sqrt{\frac{q}{r}}$$

 $\log \sin w = \log \sin v + J \log \sin v$

$$t = a^3 \left(\frac{1 - q}{\sin u} \right)^3$$

Tafel VIa.

vgl. p. 72.

									,
8	log f	Diff.	log E	Diff.	8	$\log f$	Diff.	log <i>E</i>	Diff.
0.300	0.046 2482		0.003 1720		-0.250	0.039 2507		0.002 7090	
1.299	046 1106	- 1376	003 1630	90	- 0.249	039 1082	- 1425	002 6995	— 95
0.298	045 9730	— 1376	003 1539	— 91	0.248	038 9656	— 1426	002 6900	— 95
1.297	045 8352	1378	003 1449	— 90	0.247	038 8229	— 1427	002 6805	— 95
3.296	045 6974	1378	003 1358	91	- 0.246	038 6801	1428	002 6709	— 96 <u> </u>
7.290	043 09/4	— 1380	003 1338	07	-0.240	038 0801	1420	002 0709	05
	0046 6504	- 1300	0.003.1065	—91		0.009.5050	— 1429	0.002 6614	— 95
>.295	0.045 5594	1380	0.003 1267	9 I	— 0.245	0.038 5372	1430		95
).294	045 4214	1382	003 1176	<u> </u>	— 0.244	038 3942	- 1431	002 6519	 96
).293	045 2832	- 1382	003 1085	— 91	0.243	038 2511	1432	002 6423	— 95
).292	045 1450	1384	003 0994	—91	0.242	038 1079	- 1433	002 6328	 96
).291	045 0066		003 0903		- 0.241	037 9646		002 6232	
	040	1384		91			— I434		96
1.290	0.044 8682	1385	0.003 0812	92	— 0.240	0.037 8212	1435	0.002 6136	— 96
).289	044 7297	1386	003 0720	ģī	0.239	037 6777	- 1436	002 6040	— <u>9</u> 6
).288	044 5911	1388	003 0629	9ī	— o.238	037 5341	- 1437	002 5944	— 96 l
).287	044 4523	- 1388	003 0538	- 92	- 0.237	037 3904	1439	002 5848	— ģ6
).286	044 3135		003 0446	,-	— o.236	037 2465	1437	002 5752	1 1
		— 1389 		 92		_	1439		— 96
).285	0.044 1746	— 1390 l	0.003 0354	91	— o.235	0.037 1026	— 1440	0.002 5656	— 96
).284	044 0356	- 1391	003 0263	92	— 0.234	036 9586	1442	002 5560	- 97
1.283	043 8965	- 1392	003 0171	-	— o.233	036 8144	- 1442	002 5463	— 96
1.282	043 7573		003 0079	92 92	- o.232	036 6702	- 1444	002 5367	-
).281	043 6180	— 1393	002 9987	- 3-	— 0.231	036 5258		002 5270	— 97
		- I 394		92	i		1444		— 97
).280	0.043 4786	- 1395	0.002 9895	01	— 0.230	0.036 3814	— 1446	0.002 5173	— 96
).279	043 3391		002 9802	 93	 0.229	036 2368	- 1446	002 5077	-
).278	043 1995	— 1396 — 1396	002 9710	— 92 02	o.228	036 0922	— 1448 — 1448	002 4980	— 97 — 97
1.277	043 0598	— 1397 — 1308	002 9618	- 92	— 0.227	035 9474		002 4883	— 97 — 97
).276	042 9200	— 1398	002 9525	— 93	0.226	035 8025	— 1449.	002 4786	— 97
ı		- 1399		92			1449		— 97
1.275	0.042 7801	1400	0.002 9433	— 93	- 0.225	0.035 6576	- 1451	0.002 4689	— 98
1.274	042 6401		002 9340		 0.224	035 5125	— 1452	002 4591	
).273	042 5001	— 1400 — 1400	002 9247	<u> </u>	0.223	035 3673		002 4494	— 97 — 98
).272	042 3599	- 1402	002 9155	— 92	- O.222	035 2220	- 1453	002 4396	— 98
).271	042 2196	— 1403	002 9062	— 93	- O.221	035 0766	- 1454	002 4299	— 97
- 1		- 1404		- 93	ļ.		1455		— 98
).270	0.042 0792	1405	0.002 8969		0.220	0.034 9311	1456	0.002 4201	— 98
).26g	041 9387		002 8876	—93	0.219	034 7855		002 4103	
).268	041 7982	— 1405 — 1405	002 8782	 94	- 0.218	034 6398	- 1457	002 400 5	— 98 07
3.267	041 6575	- 1407	002 8689	— 93	-0.217	034 4939	1459	002 3908	— 97
).266	041 5167	— 1408	002 8596	— 93	o.216	034 3480	 1459	002 3809	— 99
	, ,	— 1409 l		— 94	1		1461		98
0.265	0.041 3758	'— 1409	0.002 8502		— 0.21 5	0.034 2019	,,,,	0.002 3711	
).264	041 2349		002 8409	-93	- 0.214	034 0558	1461	002 3613	— 98
>.263	041 0938	— 1411	002 8315	— 94	-0.213	033 9095	- 1463	002 3515	— 98
0.262	040 9526	- 1412	002 8221	94	-0.212	033 7632	1463	002 3416	— 99
).26I	040 8113	- 1413	002 8128	— 93	- O.2II	033 6167	— 1465	002 3318	— 98
j		- 1413		94	Į į	1	- 1466		- 99
3.260	0.040 6700		0.002 8034		— 0.210	0.033 4701		0.002 3219	1
3.259	040 5285	- 1415	002 7940	— 94	0.209	033 3234	— 1467	002 31 20	— 99
2.258	040 3869	- 1416	002 7846	 94	- o.208	033 1766	1468	002 302 1	— 99
2.257	040 2452	- 1417	002 7751	— 95	-0.207	033 0297	— 1469	002 2922	— 99
3.256	040 1035	<u> — 1417 </u>	002 7657	 94	- 0.206	032 8827	1470	002 2823	— 99
	, , ,	- 1419	, - , - , - , - , - , - , - , - , -	94	[,,	1471		- 99
0.255	0.039 9616		0.002 7563		- 0.205	0.032 7356		0.002 2724	
2.254	039 8196	1420	002 7468	— 95	- 0.204	032 5884	1472	002 2625	 99
0.253	039 6775	- 1421	002 7374	 94	-0.203	032 4410	- 1474	002 2526	- 99
0.252	039 5353	- 1422	002 7279	— 9 5	-0.202	032 2936	- 1474	002 2426	- 100
0.251	039 3931	- 1422	002 7184	95	- 0.201	032 1460	— 1476	002 2327	99
,-	-37 373*	— 1424	/	— 94]	-34-3	1477		100
3.250	0.039 2507		0.002 7090	, ,	— 0.200	0.031 9983	1 1	0.002 2227	
			1	l				1	l

Tafel VIa.

8	$\log f$	Diff.	log E	Diff.	8	log f	Diff-	log E	Diff.
<u> </u>					<u> </u>	i 	1		
0.200	0.031 9983	- 1477	0.002 2227	— 100	o.150	0.024 4712	- 1535	0.001 7112	105
o.199	031 8506	- 1479	002 2127	- 100	— 0.149	024 3177	1536	001 7007	106
0.198	031 7027	- 1480	002 2027	- 100	o.148	024 1641	1538	001 6901	105
— 0.197	031 5547	1481	002 1927	100	-0.147	024 0103	- 1538	001 6796	105
<u> — 0.196 </u>	031 4066		002 1827		o.146	023 8565		001 6691	
	_	— 1482		100	1		<u> — 1540 </u>		106
0.195	0.031 2584	- 1484	0.002 1727	100	o.145	0.023 7025	- 1541	0.001 6585	105
— 0.194	031 1100	1484	002 1627	101	0.144	023 5484	-1542	001 6480	106
0.193	030 9616	1486	002 1526	100	- o.143	023 3942	-1543	001 6374	106
0.192	030 8130	1486	002 1426	101	- 0.142	023 2399	-1545	001 6268	— 106
-0.191	030 6 644		002 1325		0.141	023 0854		0016162	_
		1488		— 100			1546		106
0.190	0.030 5156	1489	0.002 1225	- 101	-0.140	0.022 9308	1546	0.001 6056	106
-0.189	030 3667	1490	002 1124	- 101	0.139	022 7762	1549	001 5950	— 106
0.188	030 2177	1491	002 1023	101	0.138	022 6213	- 1549	001 5844	107
-0.187	030 0686	<u> 1492</u>	002 0922	101	-0.137	022 4664	1551	001 5737	106
o.186	029 9194		002 0821		— o.136	022 3113		001 5631	
ا ء،،،	0.030.7700	— I494	0.000.000	- 101		0.000 1.56-	- 1551	0.001.5554	107
0.185	0.029 7700	1494	0.002 0720	101	-0.135	0.022 1562	- 1553	0.001 5524	— 10 6
0.184 0.183	029 62 06 029 4710	1496	002 0619	102	- 0.134 - 0.133	022 0009	1555	001 5418	107
-0.182		1496	002 0517	101		021 8454	1555	001 5311	107
0.181	029 3214	1498	002 0416	102	- 0.132 - 0.131	021 6899	- 1557	001 5204	107
- 0.181	0291710	1499	002 0314	102	-0.131	021 5342	1558	001 3097	— 107
o.18o '	0.029 0217	1 500	0.002 0212		0.130	0.021 3784	- 1559	0.001 4990	108
0.179	028 8717	_	002 0111	— 101 — 102	-0.129	021 2225	— 1560	001 4882	— 105 — 107
0.178	028 7215	— 1502	002 0009		0.128	021 0665	— 1562	001 4775	— 10 <i>7</i>
-0.177	028 5713	— 1502	001 9907	— 102 — 103	O.127	020 9103	- 1563	001 4 6 67	— 107
0.176 :	028 4209	<u> — 1504 </u>	001 9804	103	o.126	020 7540	- 1503	001 4560	_ 10,
;		1504		- 102			— 1564		108
-0.175	0.028 2705	1506	0.001 9702	— 102	- O.125	0.020 5976	1565	0.001 4452	108
-0.174	028 1199	- 1507	001 9600	— 103	— 0.124	020 4411	1567	001 4344	- 108
- 0.173	027 9692	1508	001 9497	102	- O.123	020 2844	1567	001 4236	— 10 8
0.172	027 8184	- 1509	001 9395	103	0.122	020 1277	1570	001 4128	108
0.171	027 6675		001 9292	-	0.121	019 9707		001 4020	
		- 1511		- 103			1570		— 10 8
- 0.170	0.027 5164	- 1511	0.001 9189	102	- 0.120	0.019 8137	1571	0.001 3912	109
— 0.169 — 0.168	027 3653	1513	001 9087	— 103	- 0.119	019 6566	1573	001 3803	108
- 0.167	027 2140	- 1514	001 8881	103	— 0.118 — 0.117	019 4993	- 1574	001 3695	109
— 0.166	026 9111	- 1515	001 8777	104	— 0.117 — 0.116	019 3419	1575	001 3586	— rog
l — 0.100 .	020 9111	- 1516		- 103	0.110	019 1844	1577	001 3477	109
o.165 ·	0.026 7595	-	0.001 8674		0.115	0.019 0267		0.001 3368	1 109
-0.164	026 6078	1517	0.001 8571	- 103	— 0.114	018 8689	— I 5 7 8	001 3259	109
-0.163	026 4559	1519	001 8467	104	-0.113	018 7110	1579	001 3150	— 109
-0.162	026 3039	1520	001 8364	103	-0.112	018 5530	1580	001 3041	109
0.161	026 1519	- 1520	001 8260	104	-0.111	018 3948	1582	001 2931	- 110
		- 1522		104		1749	1583		109
0.160	0.025 9997		0.001 8156	•	0.110	0.018 2365		0.001 2822	· ·
— o.159	025 8473	— 1524	001 8052	104	0.109	018 0781	1584	001 2712	110
o.158	025 6949	- 1524	001 7948	— 104	o.108		1585	001 260 3	- 109
- 0.157	025 5424	1525	001 7844	104	— o.107		1587	001 2493	110
— 0.156 .	025 3897	1527	001 7740	104	0.106	017 6021	1588	001 2383	— 110
		1528	1	- 105			1589		— 1 10
0.155	0.025 2369	- 1529	0.001 7635	104	o.1o5	0.017 4432	1590	0.001 2273	- 111
0.154	025 0840	- 1530	001 7531	105	0.104	017 2842	1592	001 2162	110
- o.153	024 9310	— I 532	001 7426	105	— o.103	017 1250	- 1593	001 2052	110
0.152	024 7778	- 1532	001 7321	- 104	— 0.102	016 9657	- 1595	001 1942	- 111
0.151	024 6246		001 7217		— 0.101	016 8062		001 1831	
0.150	0.024 4712	<u> — 1534 </u>	0.001 7112	105	0.100	0.016 6467	- 1595	0.001 1720	111
,5			!		300	3.3.3 0407		3.55. 1/25	

Tafel VIa.

	log f	Diff.	log <i>E</i>	Diff.	8	log f	Diff.	$\log E$	Diff.
- 0.100	0.016 6467		0.001 1720		0.050	0.008 4993		0.000 6027	
0.099	016 4870	- 1597	001 1609	111	- 0.049	008 3328	- 1665	000 5909	-118
- 0.098	016 3272	- 1598	001 1499	- 110	0.048	008 1663	- 1665	000 5792	-117
- 0.097	016 1672	— 1600	001 1387	I I 2	- 0.047	007 9995	1668	000 5675	- 117
- o.og6	016 0071	1601	001 1276	111	0.046	007 8327	1668	000 5557	-118
- 1		1602	•	111	•		1670		— 118
o.o95	0.015 8469	— 1603	0.001 1165		0.045	0.007 6657	.6	0.000 5439	.
- 0.094	0156866	— 1605	001 1054	— III — II2	0.044	007 4986	1671	000 5322	- 117 - 118
-0.093	015 5261	— 1606	001 0942	— II2 — II2	— o.o43	007 3313	— 1673 — 1675	000 5204	-118
- 0.092	015 3655	— 1607	001 0830	— 112 — 111	0.042	007 1638		000 5086	-119
0.091	015 2048	_ 1007	001 0719		- 0.041	006 9963	— 1675	000 4967	1 119
Ì		1609		— I I 2		ļ	1677		118
0.090	0.015 0439	1610	0.001 0607	112	— o.o.to	0.006 8286	- 1679	0.000 4849	- 119
o.o89	014 8829	1611	001 0495	113	0.039	006 6607	1680	000 4730	-118
o.o88	014 7218	1613	001 0382	— II2	— o.o38	006 4927	1681	000 4612	-119
-0.087	014 5605	- 1614	001 0270	112	— o.o37	006 3246	- 1683	000 4493	- 119
o.o86	014 3991		∞10158		— o.o36	006 1 563		000 4374	i 1
		- 1615		— 113	l i		1684	1	- 119
0.085	0.014 2376	1617	0.001 0045	112	— o.o35	0.005 9879	— 1686	0.000 4255	- 119
- 0.084	014 0759	— 1617	000 9933	— 113	— 0.034	005 8193	1687	000 4136	-119
- o.o83	0139142	1620	000 9820	113	0.033	005 6506	1689	000 4017	- 120 I
0.082	013 7522	1620	000 9707	- 113	- 0.032	005 4817	169ó	000 3897	— 120
0.081	013 5902		000 9594		— o.o31	005 3127		000 3777	
		- 1622	0.000.048*	- 113			1692	0 000 06 00	- 119
- o.o8o	0.013 4280	— 1623	0.000 9481	- 114	0.030	0.005 1435	- 1693	0.000 3658	120
- 0.079	013 2657	- 1625	000 9367	113	0.029 0.028	004 9742	1694	000 3538	— 120
- 0.078	013 1032	1626	000 9254	113	- 0.028 - 0.027	004 8048	1696	000 3418	— 120
— 0.077 — 0.076	012 9406	— 1627	000 9141	- 114	- 0.027 - 0.026		1697	000 3298	— I2I
- 0.070	012 7779	— 1628	000 9017	114	0,020	004 4655	- 1699	000 31//	- 120
0.075	0.012 6151		0.000 8913	•	0.025	0.004 2956		0.000 3057	
-0.074	012 4521	— 1630	000 8799	- 114	0,024	004 1256	1700	000 2936	- 121
0.073	012 2889	- 1632	000 8685	— 114	0.023	003 9554	1702	000 2816	— I 20
-0.072	012 1257	- 1632	000 8571	-114	0.022	003 7851	- 1703	000 2695	— 121
- 0.07i	011 9623	1634	000 8457	- 114	-0.021	003 6146	- 1705	000 2574	- 121
	, ,	- 1636	137	- 115			1706	3	- 121
0.070	0.011 7987	6 - 6	0.000 8342		0.020	0.003 4440	0	0.000 2453	
- 0.069	011 6351	— 1636 — 1638	000 8228	114	0.019	003 2732	1708	000 2331	— I 22
o.o68	011 4713	— 1638 — 1640	000 8113	- 115	810.0	003 1023	- 1709	000 2210	— 121 — 122
- o.o67 ¦	011 3073	- 1640	000 7998	- 115	— 0.01 <i>7</i>	002 9312	- 1711	000 2088	- 121
o.o66	011 1433	1040	000 7883	- 115	0.016	002 7600	- 1712	000 1967	'2'
!!		— 1643		115		1	1714		— 122
- 0.065	0.010 9790	1643	0.000 7768	-115	0.015	0.002 5886	1715	0.000 1845	-122
0.064	010 8147	- 1645	000 7653	— 115	— 0.014	002 4171	- 1717	000 1723	-122
- o.o63	010 6502	- 1646	000 7538	— 116	— o.o13	002 2454	— 1718.	coo 1601	- 122
- 0.062	010 4856	- 1648	000 7422	- 115	- 0.012	002 0736	1719	000 1479	-123
- o.o61	010 3208		000 7307		0.011	001 9017	·	000 1356	
		1649		116			1722		122
0.060	0.010 1559	- 1650	0.000 7191	116	0.010	0.001 7295	1722	0.000 1234	- 123
- 0.059	009 9909	- 1652	000 7075	116	0.009	001 5573	- 1725	000 1111	- 123
- 0.058	009 8257	- 1653	000 6959	— 116	0.008	001 3848	1725	000 0988	-123
-0.057	009 6604	- 1655	000 6843	<u> — 116</u>	0.007	001 2123	— 1728	000 0865	— 123
- o.o56	009 4949	— 1656	000 6727		0.006	001 0395		000 0742	
	0.000.000		0 000 6610	117		0 000 9665	1728	0 000 0610	— 123
- o.oss	0.009 3293	— 1657	0.000 6610	116	0.005	0.000 8667	1731	0.000 0619	— 124
- 0.054	009 1636	— 1659	000 6494	117	0.004	000 6936	- 1731	000 0495	— 123
- 0.053	008 9977	— 166o	000 6377 000 6260	117	- 0.003	000 5205	1734	000 0372	- 124
-0.052	008 8317	— 1661	000 6144	— 116	0.002 0.001	000 3471	- 1735	000 0248	124
-0.051	008 6656	1663	000 0144	117	-0.001	000 1736	— 1736	000 0124	- 124
- o.o50	0.008 4993	-003	0.000 6027	•••	0.000	0.000 0000	-/30	0.000 0000	
- 0.050	0.000 4993	1	0.000 002/		5.556	5.000 0000		000 0000	

Tafel VIa.

8	$\log f$	Diff.	log E	Diff.	8	log f	Diff.	log B	Diff.
0.000	0.000 0000	1738	0,000 0000	124	+ 0.050	9.991 1156	- 1818	9.999 3606	— 132
+ 0.001	9.999 8262		9.999 9876	— 124 — 124	+ 0.051	990 9338	- 1821	999 3474	— 132
+ 0.002	999 6523	— 1739 — 1741	999 9752	— 124 — 125	+ 0.052	. 990 7517	- 1822	999 3342	- 133
+0.003	999 4782	— 1741 — 1743	999 9627	- 125	+ 0.053	990 5695	1823	999 3209	- 132
+ 0.004	999 3039		999 9502	• • • • •	+ 0.054	990 3872		999 3077	- 3-
1		— 1744	_	— 124	1. 1		— 1826		- 133
+ 0.005	9.999 1295	- 1746	9.999 9378	125	+0.055	9.990 2046	1827	9.999 2944	— 132
+ 0.006	998 9549	1747	999 9253	- 125	+ 0.056	990 0219	1829	999 2812	- 133
+ 0.007	998 7802	1749	999 9128	- 125	+0.057	989 8390	183ī	999 2679	— 133
+ 0.008	998 6053	- 1750	999 9003	— 12 6	+ 0.058	989 6559	— 1832	999 2546	- 133
+ 0.009	998 4303	1	999 8877		+0.059	989 4727	1	999 2413	1
		— 1752		- 125			1834		- 134
+ 0.010	9.998 2551	- 1754	9.999 8752	126	+ 0.060	9.989 2893	1836	9.999 2279	— 133
+ 0.011	998 0797	- 1755	999 8626	126	+ 0.061	989 1057	- 1837	999 2146	— 134
+ 0.012 + 0.013	997 9042	1756	999 8500	126	+ 0.062 + 0.063	988 9220	1839	999 2012	- 134
+ 0.014	997 7286	- 1759	999 8374 999 8248	— I 26	+ 0.064	988 7381 988 5540	- 1841	999 1878 999 1744	134
0.014	997 5527	1759	999 0240	126	7 0.004	900 3340	1843	777 1/44	— 134
+0.015	9.997 3768		9.999 81 22	120	+0.065	9.988 3697		9.999 1610	*3*
+0.016	997 2006	1762	999 7996	126	+ 0.066	988 1852	1845	999 1475	135
+ 0.017	997 0243	- 1763	999 7869	127	+ 0.067	988 0006	— 1846	999 1341	- 134
+ 0.018	996 8479	- 1764	999 7742	127	+ 0.068	987 8158	1848	999 1206	- 135
+ 0.019	996 6713	— 1766	999 7616	— 126	+ 0.069	987 6309	1849	999 1071	- 135
		— 1768	,,,,,,,,,,,,,,,,,,,,,,,,,,,,,,,,,,,,,,,	127	,,	,,,,,,,,	1852	,,,,,,,,,,,,,,,,,,,,,,,,,,,,,,,,,,,,,,,	- 135
+ 0.020	9.996 4945	1769	9.999 7489	128	十 0.070	9.987 4457	— 1853	9.999 0936	— 135
+ 0.021	996 3176	- 1771	999 7361	- 127	十0.071	987 2604	1855	999 0801	— 136
+ 0.022	996 1405	- 1773	999 7234	- 127	十 0.072	987 0749	- 1857	999 0665	- 135
+ 0.023	995 9632	- 1774	999 7107	- 128	+ 0.073	986 8892	1858	999 0530	136
+ 0.024	995 7858		999 6979	_	+ 0.074	986 7034	_	999 0394	_
		1776		128		06	— 1861		136
+ 0.025	9.995 6082	- 1777	9.999 6851	128	+ 0.075	9.986 5173	1862	9.999 0258	— 1 36
+ 0.026	995 4305	1779	999 6723	I 28	+ 0.076	986 3311	1864	999 0122	136
十 0.027 十 0.028	995 2526	1781	999 6595	128	+ 0.077	986 1447 985 9582	1865	998 9986 998 9849	— 137
+ 0.029	995 0745 994 8963	— 1782	999 6467 999 6 3 39	— Ť128	+ 0.078 + 0.079	985 7714	— 1868	998 9713	— 136
1 0.029	994 6903	— 1784	999 0339	— 129	0.079	903 //14	1869	990 9/13	— I 37
+ 0.030	9.994 7179		9.999 6210	-	+ 0.080	9.985 5845		9.998 9576	_
+ 0.031	994 5394	- 1785	999 6081	- 129	+ 0.081	985 3974	1871 1873	998 9439	137
+ 0.032	994 3607	1787	999 5952	- 129	+ 0.082	985 2101	— 1874	998 9302	— 137
+ 0.033	994 1818	— 1789 	999 5823	— 129 — 129	+0.083	985 0227	— 1877	998 9164	— 138 — 137
十 0.034	994 0028	- 1790	999 5694	129	+ 0.084	984 8350		998 9027	- 137
1		<u> — 1792 </u>	•	129	i .		1878		138
+ 0.035	9.993 8236	- 1794	9.999 5565	- 130	+ 0.085		— 1880	9.998 8889	— 138
+ 0.036	993 6442	- 1795	999 5435	— 129	+0.086		1882	998 8751	- 138
+ 0.037	993 4647	- 1797	999 5306	- 130	+ 0.087	984 2710	1883	998 8613	- 138
+ 0.038	993 2850	- 1799	999 5176	- 130	+0.088	984 0827	1886	998 8475	- 138
+ 0.039	993 1051		999 5046		+ 0.089	983 8941		998 8337	
1 + 2 - 1 -	0.003.05	1800	0.000 :016	- 130	10000	0.000.000	1887	0.008.8108	- 139
+ 0.040	9.992 9251	1802	9.999 4916	- 130	+ 0.090	9.983 7054	1889	9.998 8198	— 138
+ 0.041 + 0.042	992 7449	— 1804	999 4786	- 131	+ 0.091	983 5165	1891	998 8060 998 7921	— 139
+ 0.042	992 5645	1805	999 4655	131	+ 0.092 + 0.093	983 3274 983 1381	- 1893	998 7782	- 139
+ 0.043	992 3033	- 1807	999 4524	— 130	+ 0.093	982 9486	- 1895	998 7642	140
	77- 4-33	1808	777 4374	131	0.094	, ,,,,,,,,,	1896	,,,,,,,,,	139
+ 0.045	9.992 0225	- 1811	9.999 4263	— 131	+0.095	9.982 7590	1898	9.998 7503	
+ 0.046		— 1811 — 1812	999 4132	— 131 — 132	+ 0.096	982 5692	- 1901	998 7363	— 140 — 140
+ 0.047	991 6602	- 1813	999 4000	— 131 — 131	+ 0.097	982 3791	- 1902	998 7223	— 140 — 140
+ 0.048	991 4789	- 1816	999 3869	— I 32	+ 0.098	982 1889	- 1904	998 7083	- 140
+ 0.049	991 2973	i	999 3737		+ 0.099	981 9985	i	998 6943	
+ 0.050	9.991 1156	- 1817	9.999 3606	-131	+ 0.100	. 9.981 8080	— 1905	9.998 6803	140
	7:77:39	!	1 7.77, 3000		1	1	<u> </u>	1 7.77	

Tafel VIa.

,	$\log f$	Diff.	$\log E$	Diff.	8	$\log f$	Diff.	$\log E$	Diff.
.100	9.981 8080	1908	9.998 6803	— 141	+ 0.150	9.972 0325	— 2 006	9.997 9545	- 151
.101	981 6172	1910	998 6662	— 140	+0.151	971 8319	2008	997 9394	— 150
.102	981 4262	- 1911	998 6522	- 141	+ 0.152	971 6311	2011	997 9244	— 151
.103	981 2351	- 1913	998 6381	141	+ 0.153	971 4300	- 2012	997 9093	- 150
.104	981 0438	1	998 6240		+ 0.154	971 2288		997 8943	1
	0.000.000	1915	9 6 9	142			<u> </u>		151
.105	9.980 8523	1917	9.998 6098	- 141	+0.155	9.971 0273	2016	9.997 8792	I 52
.107	980 6606	1919	998 5957	142	+ 0.156	970 8257	- 2019	997 8640	- 151
.108	980 4687	1921	998 5815	- 141	+0.157	970 6238	- 202 I	997 8489	- 152
.109	980 2766 980 0843	— 1923	998 5674 998 5532	- 142	+ 0.158 + 0.159	970 4217	- 2023	997 8337	- 151
,	900 0043	— 1925	990 333*	143	, 0.139	970 2194	- 2025	997 8186	— 153
.110	9.979 8918	i '	9.998 5389		+ 0.160	9.970 0169	2023	9.997 8033	
.111	979 6992	— 1926 <u> </u>	998 5247	— 142	+ 0.161	969 8142	— 2027	997 7881	<u> </u>
.112	979 5063	— 1929	998 5104	- 143	+ 0.162	969 6112	2030	997 7729	<u> </u>
.113	979 3133	— 1930	998 4962	142	+0.163	969 4081	2031	997 7576	153
.114	979 1201	— 1932	998 4819	- 143	+ 0.164	969 2047	— 2034	997 7423	— 153
		1935		143		' ' ''	2036	/// / - -3	153
.115	9.978 9266	— 1936	9.998 4676		+ 0.165	9.969 0011		9.997 7270	
.116	978 7330		998 4532	- 144	+0.166	968 7973	- 2038	997 7117	- 153
.117	978 5392	— 1938 — 1940	998 4389	— 143	+ 0.167	968 5933	— 2040	997 6963	154
.118	978 3452	- 1942 ·	998 4245	— 144 — 144	+ 0.168	968 3891	— 2042 — 2044	997 6810	- 153
.119	978 1510		9984101	144	+ 0.169	968 1847	- 2044	997 6656	154
Ì		1944	į	144			2047		155
.120	9.977 9566	- 1945	9.998 3957	— 144	+ 0.170	9.967 9800	2048	9.997 6501	- 154
.121	977 7621	- 1948	998 3813	145	+ 0.171	967 7752	- 2051	997 6347	- 154
.122	977 5673	- 1950	998 3668	- 144	+ 0.172	967 5701	- 2053	997 6193	- 155
.123	977 3723	- 1952	998 3524	- 145	+ 0.173	967 3648	- 2056	997 6038	- 155
.124	977 1771	'	998 3379		+ 0.174	967 1 592		997 5883	
		— 1953		- 145	4		— 20 57		<u> </u>
.125	9.976 9818	— 1956 ₋	9.998 3234	- 145	+ 0.175 + 0.176	9.966 9535	— 2 060	9.997 5727	- 155
.127	976 7862 976 5904	— 1958	998 3089 998 2943	— 146	+ 0.177	966 7475 966 5414	— 2061	997 5572	— 156
.128	976 3945	— 1959	998 2798	- 145	+ 0.178	966 3350	2064	997 5416	156
.129	976 1983	— 1962	998 2652	146	+ 0.179	966 1283	— 2067	997 5260	156
	9/0 - 903	- 1963	990 2032	- 146	' "/9	9001203	2068	997 5104	— 156
.130	9.976 0020		9.998 2506	· .	+ 0.180	9.965 9215		9.997 4948	
.131	975 8054	1966	998 2360	— 146	+ 0.181	965 7144	— 2071	997 4791	- 157
.132	975 6087	- 1967	998 2213	- 147	+ 0.182	965 5071	- 2073	997 4635	— 156
.133	975 4117	— 1970 — 1970	998 2067	146	+ 0.183	965 2996	2075	997 4478	157
.134	975 2146	- 1971	998 1920	- 147	+0.184	965 0919	- 2077	997 4321	— 157
- 1		— 1974		147			2080		— 158
.135	9.975 0172	— 1976	9.998 1773	— 147	+ 0.185	9.964 8839	— 2082	9.997 4163	158
.136	974 8196	- 1977	998 1626	— 147 — 147	+0.186	964 6757	- 2082 - 2084	997 4005	— 156 — 157
.137	974 6219	- 1980	998 1479	— 148	+ 0.187	964 4673	2086	997 3848	— 159
.138	974 4239	- 1981	998 1331	— 148	+ 0.188	964 2587	2088	997 3689	158
.139	974 2258		998 1183		+ 0.189	964 0499		997 3531	1
_	•	— 1984		148			2091	i	158
.140	9.974 0274	1986	9.998 1035	148	+ 0.190	9.963 8408	- 2093	9.997 3373	159
.141	973 8288	- 1987	998 0887	148	+ 0.191	963 6315	- 2096	997 3214	159
1.142	973 6301	1990	998 0739	- 149	+0.192	963 4219	2098	997 3055	- 159
.143	973 4311	- 1992	998 0590	- 149	+ 0.193	963 2121	2099	997 2896	160
-144	973 2319	''	998 0441		+ 0.194	963 0022		997 2736	
الممين	0 072 032	1994	0.008.0202	149	ا ــــــــــــــــــــــــــــــــــــ	0.062.2010	- 2103	0.007.255	- 159
.145	9.973 0325	1996	9.998 0292	149	+0.195	9.962 7919	- 2104	9.997 2577	— 160
.146	972 8329	1998	998 0143 997 9994	- 149	+ 0.196 + 0.197	962 5815	- 2107	997 2417	— 161
.148	972 6331	2000	997 9994	150	+ 0.197	962 3708 962 1599	2109	997 2256	16o
.149	972 4331 972 2329	2002	997 9695	— 149	+ 0.198 + 0.199	961 9487	2112	997 2096	— 160
יידיי	7/3-7	— 2004	נפטפ וככ	150	599	30. 340/	2113	997 1936	— 161
.150	9.972 0325	5004	9.997 9545	•,,-	+ 0.200	9.961 7374	3	9.997 1775	
,-	J-71 3-3		7:77: 7573		I ' ' ' '	7.7 1314	<u> </u>	7.771 -113	I

Tafel VIa.

+ 0.200 9.961 7374 -1116 9.997 1775 -161 +0.350 9.996 8611 -2120 9.996 3447 -173 9.996 3436 -1119 997 1644 -162 +0.213 3.906 371 -2144 9.996 3836 -1119 997 1644 -162 +0.213 3.906 4371 -2144 9.996 3906 -174 -0.201 9.906 895 -123 997 1391 -162 +0.213 3.906 1875 -2123 9.997 0567 -163 +0.215 9.996 3136 -124 9.996 3263 -174 -0.206 9.906 6424 -2130 9.997 0567 -163 +0.215 9.998 1385 -2135 9.996 2136 -1.206 -0.208 9.906 0380 -133 9.997 0543 -163 +0.215 9.998 1385 -2135 9.996 1385 -1.206 -0.208 9.906 0380 -133 9.997 0543 -163 +0.215 9.998 1385 -2.215 9.998 1385 -1.215 -1.215 9.998 1385 -1.215 -1.	8	$\log f$	Diff.	$\log E$	Diff.	8	$\log f$	Diff	log E	Diff.
+ 0.010 961 5318 -110 997 1614 -161 +0.351 996 4914 996 1364 -771 +0.020 961 1318 -1121 997 1391 +0.161 +0.151 990 1313 997 1391 +0.201 996 1360 996 1360 -774 996 1360 -774 996 1360 -774 996 1360 -774 996 1360 -774 -775 -7	+ 0.200	9.961 7374	6	9.997 1775	. ===	+ 0.250	9.950 8611		9.996 3427	
- 0.201	+ 0.201	961 5258		997 1614						
+ 0.203 961 1018 -1123 997 1391 -162 +0.253 99.98 87 -2148 996 273 -774 -775 -	+ 0.202	961 3139		997 1452						
	+ 0.203	961 1018		997 1291		+ 0.253		- 2244	996 2906	174
+0.205 9.960 6770 -2128 9.997 0967 -162 +0.256 9.949 7388 -225 9.966 318 -175 9.96	+ 0.204	960 8895	- 2123		- 102			- 2248		- 174
+0.206 960 4642 -2188 990 6805 162 +0.256 949 5135 -2255 990 2008 -175 949 2008 -2255 990 2008 -175 949 2008 -2255 990 2008 -175 949 2008 -2255 990 2008 -175 949 2008 -2255 990 2008 -175 949 2008 -2255 990 2008 -175 949 2008 -2255 990 2008 -175 949 2008 -2255 990 2008 -175 949 2008 -2255 949 2			- 2125		162			- 2249		174
	十 0.205	9.960 6770	2128	9.997 0967	_ 162	+0.255	9.949 7388		9.996 2558	
+ 0.208 950 0280	+ 0.206	960 4642		997 0805		+ 0.256				
+0.108 960 038 -133 997 0380 -193 +0.358 949 0522 -286 996 1837 -176	十0.207	960 2512			l .					
+0.10 9.959 6107 -133 9.997 0154 -163 -164 -0.161 9.948 6099 -164 -0.161 9.948 6099 -164 -0.161 9.948 6183 -2.261 9.996 1828 -176 9.996 1828 -178 9.996 1828 -178 9.996 1828 -178 9.996 1828 -178 9.996 1828 -178 9.996 1828 -178	十 0.208	960 0380								
+ 0.210	+ 0.209	959 8245	- 2135	997 0317	- 103		948 8362	2200		- 176
+ 0.210			- 2138		— 163			- 2263		175
+ 0.211	+ 0.210	9.959 6107	i	9.997 0154		+ 0.260	9.948 6099		9.996 1682	1
+ 0.212	+ 0.211	959 3968				+0.261				
+ 0.213	+ 0.212	959 1826				+ 0.262			1	
+ 0.214 998 7735	+ 0.213									
+ 0.215 9.958 5386	+ 0.214		- 2147		— 164			- 2274		- 177
+ 0.215 9.958 5386 -2154 996 9334 996 9170 -164 + 0.266 9.947 4746 -2288 996 0799 996 0799 996 0799 996 0799 996 0799 996 0799 996 0799 996 0799 996 0799 -178 996 0799 996 0799 996 0799 996 0799 996 0799 996 0799 996 0799 996 0799 996 0799 996 0799 996 0799 -178 996 0799 996 0799 996 0799 996 0799 996 0799 996 0799 996 0799 996 0799 996 0799 996 0799 996 0799 -178 996 0799 996 0799 996 0799 996 0799 996 0799 996 0799 996 0799 996 0799 996 0799 996 0799 996 0799 -179 996 0799 99			- 2149	,,,,,,	- 165)4/ //	- 2277	,,,,,,	- 177
+ 0.216	+ 0.215	9.958 5386		9.996 9334		+ 0.260	9.947 4742		9,996 0799	
+ 0.217	+ 0.216									
+ 0.218 957 8924 -2159 996 8870 -165 +0.269 946 7896 -2287 996 6068 -178 996 6068 -178 996 6068 -178 996 6068 -178 996 6068 -178 996 6068 -178 996 6068 -178 996 6068 -178 996 6068 -178 996 6068 -178 996 6068 -178 996 6068 -178 996 6068 -178 996 6068 -178 996 6068 -178 996 6068 -178 996 6068 -178 -170	+ 0.217		- :							
+ 0.219 957 6765 -2159 996 8675 -165 +0.269 946 5669 -2287 996 cos8 -178	+ 0.218									178
+ 0.220 9.957 4604 -2164 9.996 8509 -166 +0.270 9.946 3319 9.995 9909 -179 995 9909 -180 -180 -180 -180 -180 -180 -180 -180 -180 -180 -180 -180 -180 -180 -180 -180 -180 -180			- 2159		— 165			- 2287		— 17 8
+ 0.212 9.957 4604 -2164 996 8309 9.96 8309 9.96 8309 9.96 8309 9.96 8309 9.96 8309 9.96 8309 9.96 8309 9.96 8309 9.96 8309 9.96 8309 9.96 8309 9.96 8309 9.95 9551		33, , 3	- 2161		— 166	'	940 3009	- 2290	,,,,,,,,,,,,,,,,,,,,,,,,,,,,,,,,,,,,,,,	- 179
+ 0.221 957 2440 -2166 996 8143 -166 +0.271 946 1026 -22296 995 9571 -179 995 9571 -179 995 9571 -179 995 9571 -179 995 9571 -179 995 9571 -179 995 9571 -179 995 9571 -179 995 9571 -179 995 9571 -179 995 9571 -179 995 9571 -179 995 9571 -179 995 9571 -179 995 9571 -179 995 9571 -179 995 9571 -179 -170 -166 +0.273 945 6431 -2301 995 9572 -180 -167 +0.226 956 1585 -2178 996 7581 -167 +0.275 944 9519 -2309 995 8832 -180 -181 -167 +0.278 944 897 -2315 995 8471 -181	+ 0.220	9.957 4604		9.996 8509	l	+ 0.270	0.046 2210		0.005,0000	1
+ 0.222 957 0374 -2168 996 8177 -166 +0.272 945 8730 -2299 995 9531 -179 996 810 -166 +0.273 945 6431 -2301 995 9372 -180 -2206 956 1585 -2178 996 7845 -167 +0.276 944 9519 -2309 995 8832 -180 -2216 -2216 996 810 -168 +0.278 944 4807 -2315 995 8476 -181 -2216 996 6708 -168 +0.279 -2216 996 6708 -168 +0.281 996 7088 +0.281 996 7088 +0.281 996 7088 -168 +0.281 996 7088 +0.281 996	+0.221									
+ 0.223 956 8106 -2171 996 8011 -166 +0.273 945 6431 -2301 995 9372 -179 996 7845 -2174 -0.225 995 63761 -2174 -0.225 995 63761 -2176 996 7845 -167 996 7845 -2176 996 7845 -167 996 7845 -2303 995 9192 -180 996 7845 -2217 995 9477 -167 -0.276 944 9519 -2303 995 8832 -180 996 7176 -168 +0.277 944 7210 -2313 995 8652 -180 -2217 -2221 996 6072 -168 +0.278 944 4897 -2315 995 8470 -181 -2313 995 8652 -180 -2313 995 8652 -180 -2313 995 8652 -180 -2313 995 8478 -2193 996 6672 -168 -0.281 944 2582 -2315 995 7927 -181 -2313 995 7927 -181 -2313 995 8478 -2193 996 6672 -168 -0.281 943 393 -2323 995 7745 -183 -2313 995 7745 -183 -2313 995 7745 -183 -2313 995 7745 -183 -2313 995 7745 -183 -2313 995 7745 -183 -2313 995 7745 -183 -2314 -231										179
+ 0.224 956 5935 -2171 996 7845 -166 + 0.274 943 4130 -2301 995 9192 -186 + 0.225 9.956 3761 -2178 996 7878 -167 + 0.276 9.44 9519 -2309 995 8832 -180 -180 + 0.227 955 9407 -2181 996 7176 -168 + 0.279 944 4282 -2313 995 8652 -181 995 7126 + 0.229 955 5043 -2186 -2186 + 0.280 9.944 2582 -2315 995 8290 -181 + 0.230 9.955 0669 -2188 9.996 6870 -168 + 0.280 9.944 0264 -2311 995 8290 -181 -0.231 955 0669 -2196 996 6335 -169 + 0.283 943 3293 995 7745 -182 995 7745 -182 995 7845 -182 995 7845 -182 995 7845 -182 995 7845 -182 -18	1 1		I							
+ 0.225			- 2171		— 166		13	<u> </u>		180
$\begin{array}{c ccccccccccccccccccccccccccccccccccc$	' '	1 73 373	- 2174	77- 7-43	167	' ' ' ' '	743 4.30	- 2201	777 7-7-	180
+ 0.226	+ 0.225	9.956 2761		9.996 7678	1	+0.275	0.045 1826		0.000.0013	1
+ 0.227 955 9407 -2181 996 7344 -168 +0.278 944 7210 -2313 995 8652 -181					, ,					
+ 0.228 955 7226 -2183 996 7176 -168 + 0.278 944 2582 -2313 995 8471 -181 995 5043 -2186 + 0.230 9.955 5043 -2186 9.996 6840 9.995 6672 -168 + 0.281 9.095 6847 9.995 6847 9.995 8490 -181 -2211 9.996 6840 9.996 6840 -168 + 0.281 9.944 2682 9.944 2682 9.995 8490 -181 -2211 9.996 6840 -169 + 0.283 9.943 3620 -2327 9.995 7745 -182 -2333 9.954 4089 -2196 9.966 6504 -169 + 0.285 9.995 4089 -2196 9.996 6504 -169 + 0.285 9.995 7381 -1					i ,					
+ 0.229 955 5043 -2186 -168 +0.279 944 2582 -2315 995 8290 -181					1			- 2313		
+ 0.230			- 2183		— 168			- 2315		— 181
$\begin{array}{c ccccccccccccccccccccccccccccccccccc$		'	- 2186	,,,,,,,,,,,,,,,,,,,,,,,,,,,,,,,,,,,,,,,	168	0.2/9	744 -302	2218	993 0290	181
$\begin{array}{c ccccccccccccccccccccccccccccccccccc$	+ 0.230	9.955 2857		9.996 6840		± 0.280	0.044.0264		0.000 8100	
+ 0.232 954 8478 -2191 996 6504 -169 +0.282 943 3620 -2323 995 7745 -182 996 6335 -169 +0.283 +0.283 943 393 -2323 995 7765 -182 995 7765 -183 995 7765 -183 995 7765 -183 995 7765 -183 995 7765 -183 995 7765 -183 -183 -184 -1							11			
$\begin{array}{c ccccccccccccccccccccccccccccccccccc$					1			- 2323		
$\begin{array}{c ccccccccccccccccccccccccccccccccccc$	+ 0.233				1			- 2327		182
$\begin{array}{c ccccccccccccccccccccccccccccccccccc$	+ 0.234		2196		169			- 2329	1	182
$\begin{array}{c ccccccccccccccccccccccccccccccccccc$		237 7	- 2108	, ,,,,,,,,,,,,,,,,,,,,,,,,,,,,,,,,,,,,,	160	0.204	943 0904	- 2222	993 /301	
$\begin{array}{c ccccccccccccccccccccccccccccccccccc$	+ 0.23 5	9.954 1891	-	9.996 5997		+0286	0.042 8622	1	0.005 7102	1
$\begin{array}{c ccccccccccccccccccccccccccccccccccc$			1					— 2335		
$\begin{array}{c ccccccccccccccccccccccccccccccccccc$								- 2338		
$\begin{array}{c ccccccccccccccccccccccccccccccccccc$			1		170			- 2341		184
$\begin{array}{c ccccccccccccccccccccccccccccccccccc$	+ 0.230		- 2209		— I 70					184
$\begin{array}{c ccccccccccccccccccccccccccccccccccc$		755 3-7-	- 2211	1 330 33.7	- 170	7 0.209	941 92/3	- 2247	993 0404	
$\begin{array}{c ccccccccccccccccccccccccccccccccccc$	+ 0.240	0.052.0861		0.006 5117			0.047.6009	234/	0.005.6090	104
$\begin{array}{c ccccccccccccccccccccccccccccccccccc$			- 2213		- 171			2349		184
$\begin{array}{c ccccccccccccccccccccccccccccccccccc$					- 171			- 2353		185
$\begin{array}{c ccccccccccccccccccccccccccccccccccc$			- 2219		<u> </u>			- 2355		
$\begin{array}{c ccccccccccccccccccccccccccccccccccc$			- 2221		- 171			— 23 58		185
$\begin{array}{c ccccccccccccccccccccccccccccccccccc$	'	フン ~ * ブブ ^ 	- 2221	770 4402		T 0.294	940 7513		995 5541	· ·
$\begin{array}{c ccccccccccccccccccccccccccccccccccc$	+ 0.245	9.051.0768		0.006.4300	- 1/2	1	0.040 ****	- 2301	0.005.555	180
+ 0.247 951 5313 - 2229 996 3946 - 172 + 0.297 940 0421 - 2367 995 5169 - 186 + 0.248 951 3081 - 2232 996 3773 - 173 + 0.297 940 0421 - 2369 995 4983 - 187 + 0.249 951 0847 - 2234 996 3773 - 173 + 0.299 939 8052 - 2373 995 4796 - 187 - 236 - 2376 - 2376 - 2376 - 2376 - 2376 - 187 - 2376 - 2376 - 2376 - 2376 - 187 - 2376 - 2376 - 2376 - 2376 - 187 - 2376 - 2376 - 2376 - 2376 - 2376			- 2226		- 172			- 2364		— 186
$\begin{array}{c ccccccccccccccccccccccccccccccccccc$			- 2229		<u> </u>					ľ
$\begin{array}{c ccccccccccccccccccccccccccccccccccc$			- 2232							
$\begin{array}{c ccccccccccccccccccccccccccccccccccc$			- 2234							
	' ~.~49	931 0047	1	990 3000		+ 0.299	939 5079		995 4009	
9.995 4422	+0.250	0.050 8611	- 2250	0.006.2422	— 173	ا مومو		2370	0.005.445-	187
		7.750 0011	!	9.990 3447		T 0.300	9.939 3303		9.995 4422	

Tafel VIb.

vgl. p. 71.

7	log G	Diff.			1			1		1	
		27111	27	log G	Diff.	n	log G	Diff.	71	log G	Diff.
-0.10011	9.952 4667		- 0.350	9.959 8104		_ n 20n	9 967 3685		-0.150	9 975 1529	
- 0.299	952 6116	十 1449	- 0 249	959 9595	+ 1491	-0.199	967 5819	+ 1534	-0.149	975 3110	+ 1581
-0.298	952 7565	十1449	0 248	960 1086	+ 1491	- 0 19R		+ 1536	-0.148	975 4692	+ 1582
- 0.297	951 9015	+ 1450	- 0 247	960 2578	1492	0 197	967 8291	+ 1536	o t47		+ 1283
- 0.296	953 0466	+ 1451	- 0.246	960 4071	+ 1493	- 0.196	967 9818	+ 1537	-0.146		+ 1584
	273 -4	+ 1452		,,-	†- 1493	1	70, 3000	+ 1538	34.	7/3/039	+ 1584
0.295	9.953 1918		-0.245	9.960 5564		-0.195	9,968 1366		- 0.145	9-975 9443	
- 0.294	953 3370	+ 1452	- 0.244	960 7059	+ 1495	0.194	968 2904	+ 1538	- 0.144	976 1029	+ 1586
- 0.293	953 4814	+ 1454	-0.243	960 8554	+ 1495	- 0.193	968 4444	+ 1540	- 0.143	976 2615	+ 1586
0.191	953 6278	+ 1454	- 0.242	961 0050	+ 1496	-0,192	968 5985	+ 1541	-0.142	976 4203	15BB
0.291	953 7733	+ 1455	0.241	961 1547	+ 1497	0.191		+ 1541	-0,141	976 5792	+1589
-	300.00	+ 1456	1	, ,,,	+ 1498			+ 1543		7	+ 1589
- 0,290	9.953 9189		- 0.240	9,961 3045		0.190	9.968 9069		-0,140	9.976 7381	
- 0,189	954 0645	+ 1456	- 0.239	961 4544	+ 1499	- 0.1 8g	969 0612	+ 1543	-0139	976 B972	+ 1591
- 0,288	954 2103	+ 1458	- 0.238	961 6044	+ 1500	- 0.188		+ 1545	0 138	977 0563	+ 1291
- c.287	954 3561	+ 1458	- 0,237	961 7545	+ 1501	- 0.187	969 3702	十 1545	0 137	977 2155	+ 1592
- 0 286	954 5020	+ 1459	-0.236	961 9046	+ 1201	- o,186	969 5248	+ 1546	-0136	977 3749	+ 1594
	2212	+ 1460			+ 1502		7 7 3 4 .	+ 1547	1 1	,,,,,,,,,	+ 1594
- 0 285 I	9 954 6480		- 0.235	9 962 0548		- 0.185	9.969 6795		-0.135	9-977 5343	
- 0 284	954 7941	+ 1461	- 0.234	962 2051	+150;	- 0.1B4	969 8343	+ 1548	-0,134	977 6939	+ 1596
- 0.283	954 9403	+ 1462	- 0.233	962 3555	4- 1504	0.183	969 9892	+ 1549	-0133	977 8535	+ 1596
0,282	955 0865	+ 1462	-0.232	962 5060	+ 1505	-0.182	970 1442	+ 1550	- 0.132		± 1597
0,381	955 2318	+ 1463	- 0 231	962 6566	+ 1506	- 0,181	970 2992	+ 1550	- 0.131	978 1730	+ 1598
	753 3-1	+ 1464			+ 1507		1	+ 1552	5-	,,,,,,,,,,,,,,,,,,,,,,,,,,,,,,,,,,,,,,,	+ 1600
- 0.280	9 955 3792		- 0,230	9 962 8073		- 0.180	9.970 4544		0,130	9.978 3330	
0.279	955 5257	+ 1465	- 0,229	9619581	+ 1508	~ 0.179	970 6097	+ 1553	0,119	978 4930	+ 1600
- 0.278	955 6723	+ 1466	0,228	963 1089	+ 1508	0.178		+ 1553	-0,12A	978 6531	+ 1601
- 0.277	955 8190	+ 1467	- 0 227	963 2548	+1509	0.177	970 9205	+ 1555	-0.127	978 8133	+ 1602
0.276	955 9657	十 1467	0.226	963 4108	+ 1510	- 0.176		+ 1555	-0,126		4- 1603
	/// / //	+ 1468)		← 1512		,,,,,,,,,,,,,,,,,,,,,,,,,,,,,,,,,,,,,,,	+ 1556		,,,,,,,,,,,,,,,,,,,,,,,,,,,,,,,,,,,,,,,	+ 1605
- 0.275	9.956 1135	1	- 0 225	9 963 5620		- 0.175	9.971 2316		- 0.125	9.979 1341	1 -6-0
0.274	956 2594	+ 1469	- 0,224	963 7132	+ 1512	- 0.174	971 3874	+ 1558	- 0.114	979 2946	+ 1606
- 0.273	956 4064	+ 1470	- 0.223	963 8644	+ 1512	0.173	971 5432	+ 1558	-0.123	979 4552	
- 0 272	956 5535	+ 1471	- 0.222	964 01 58	+ 1514	-0.172	971 6991	+- 1559	-0.112	979 6159	+ 1607
- 0.271	956 7006	+ 1471	0.221	964 1673	+ 1515	-0.171	971 8551	+ 1560	0.121	979 7767	+ 1608
		+ 1473			+ 1515			+ 1561		,,,,,,,,,,,,,,,,,,,,,,,,,,,,,,,,,,,,,,,	+ 1609
0 270	9.956 8479	1	0.220	9,964 3188		- 0,170	9 972 0111		-0120	9 979 9376	1
- 0.269	956 9952	1473	- 0.219	964 4705	+ 1517	0.169	972 1674	+1562	-0.119	980 0986	+ 1610
0.268	957 1426	+ 1474	- 0,218	964 6222	+ 1517	- 0.168	972 3237	+1563	-0.118	980 2597	+ 1611
- 0.267	957 2901	+ 1475	- 0.217	964 7740	+ 1518	- 0.167	972 4801	+ 1564	-0.117	980 4209	+ 1612
- 0.266	957 4377	+ 1476	- 0.216	964 9259	+ 1519	- 0,166	972 6365	+ 1264	- 0.116	980 5822	T 1013
į		+ 1477	1		+1520	1		+ 1566			+ 1614
- 0.265	9 957 5854	+ 1477	0,215	9.965 0779	A 1531	- 0.165	9 972 7931	+ 1567	- 0,115	9.980 7436	+ 1615
— o.264	957 7331	1 1 1	0,214	965 2300	十 1521	0.164	972 9498	+ 1567	0 174	980 9051	+ 1616
- 0 263	957 8809	十 1478	- 0,213	965 3821	十 1521 十 1523	0.163	973 1065	+ 1569	- 0.113	981 0667	+ 1618
- 0,262	958 0188		- 0,212	965 5344		0.162	973 2634		o i tz	981 2285	+ 1618
- o.z61	958 1768	+- 1480	0.211	965 6867	十 1523	0.161	973 4703	+ 1569	-0.111	981 3903	
		+ 1481			+ 1525			+ 1570			+ 1619
	9.958 3249	+ 1482	0.210	9.965 8392	+ 1525	- 0 160	9-973 5773	+ 1572	0,110	9.981 5512	+ 1620
- 0.259	958 4731	+ 1482	0,209	965 9917	+ 1525	- a 159	973 7345		-0.109	981 7142	+ 1621
- o.z58	958 6213	+ 1484	— p 208	966 1443		- 0,158	973 8917	+ 1571	-0 108	981 8763	+ 1622
0.257	958 7697		- 0,107		+ 1527	- 0.157	974 0490		-0.107	982 0385	+ 1623
- 0.256	958 9181	+ 1484	o,zo6	966 4498	+ 1528	0,156	974 2064	+ 1574	- 0.106	982 2008	
		+ 1485			+1529			+ = 575			+ 2634
- 0 255	9.959 0666	1 1.96	- 0.105	9 966 6017	1.7540	- 0.155	9.974 3639		- 0.105	9.982 3632	+ 1625
- 0.254	959 2152	+ 1486	- 0.204	966 7557	+1530	- 0 154	974 5216	+ 1577	-0 104	982 5257	+ 1626
- 0.253	959 3639	+ 1487	- 0.203	966 9088	+ 1531	-0153	974 6793	十 1577	- 0,103	982 6883	+ 1627
-0152	959 5127	+ 1488	-0,202	967 0619	+ 1531	-0152	- 974 8371	十 1578	- 0,102	982 8510	+ 1628
- 0 251	959 6615	+ 1488	- 0 201	967 2152	+ 1533	0.151	974 9950	± 1579	0 101	983 0138	1020
1		+ 1489		1	+ 1533		1	十1579			+ 1629
- 0.250	9.959 8104		0.200	9.967 3685		0.150	9.975 1529		- 0.100	9.983 1767	
]						

Tafel VIb.

	83 1767 83 3397 83 5028 83 6661 83 8294 83 9928 84 1563 84 3199 84 4837 84 6475 85 1396 85 3038 85 3038 85 3038 85 9612 86 2914	3 3397 3 5028 4 1631 4 1633 4 1633 4 1563 4 1563 4 1563 4 1638 4 1644 4 1641 4 1644 5 1638 5 1682 6 7972 6 1644 6 1646 6 1648 6 1648		993 4799 993 6494	+ 1682 + 1683 + 1685 + 1685 + 1687 + 1688 + 1689 + 1691 + 1693 + 1694 + 1695	+ 0.006 + 0.007 + 0.008 + 0.009	000 1738 000 3477 000 5217 000 6958 0.000 8700 001 0414 001 2188 001 3934 001 5681	+ 1738 + 1739 + 1740 + 1741 + 1742 + 1744 + 1746 + 1747 + 1748 + 1749	+ 0.056 + 0.057 + 0.058 + 0.059	0.009 01 009 37 009 55 0.009 73 009 91 010 09	311 310 311 311 318 723 529
- 0.099 98 - 0.097 98 - 0.095 98 - 0.094 98 - 0.093 98 - 0.094 98 - 0.093 98 - 0.091 98 - 0.095 98 - 0.086 98 - 0.087 98 - 0.086 98 - 0.081 98 - 0.082 98 - 0.083 98 - 0.084 98 - 0.083 98 - 0.084 98 - 0.085 99 - 0.086 98 - 0.075 98 - 0.076 98 - 0.071 98 - 0.071 98 - 0.072 98 - 0.073 98 - 0.074 98 - 0.075 99 - 0.066 98 - 0.066 98 - 0.066 98 - 0.066 98 - 0.066 98 - 0.066 98 - 0.066 98 - 0.066 98 - 0.066 98 - 0.066 98 - 0.067 98 - 0.066 98 - 0.066 98 - 0.066 98 - 0.067 98 - 0.067 98 - 0.066 98 - 0.066 98 - 0.067 98 - 0.067 98 - 0.068 98 - 0.066 98 - 0.067 98 - 0.067 98	83 3397 83 5028 83 5028 83 5028 83 5028 83 5028 84 1563 84 4 1563 84 4 1563 84 4 8114 84 9755 84 8114 85 7958 85 3038 85 4682 85 6326 85 7972 85 9618 86 1266	3 3397 3 5028 4 1631 4 1633 4 1633 4 1563 4 1563 4 1563 4 1638 4 1644 4 1641 4 1644 5 1638 5 1682 6 7972 6 1644 6 1646 6 1648 6 1648		991 7905 991 9590 992 1275 9.992 2962 992 4650 992 6339 992 8028 992 9719 9.993 1412 993 3105 993 4799 993 6494	+ 1683 + 1685 + 1685 + 1687 + 1689 + 1689 + 1693 + 1693 + 1694 + 1695	+ 0.002 + 0.003 + 0.004 + 0.005 + 0.006 + 0.009 + 0.009 + 0.010	000 3477 000 5217 000 6958 0.000 8700 001 0414 001 2188 001 3934 001 5681	+ 1739 + 1740 + 1741 + 1742 + 1744 + 1746 + 1747 + 1748	+ 0.052 + 0.053 + 0.054 + 0.055 + 0.056 + 0.057 + 0.059 + 0.060	009 19 009 37 009 55 0.009 73 009 91 010 09 010 45	311 114 318 723 529
	83 5028 83 6661 83 8294 83 9928 84 1563 84 41837 84 6475 84 8114 84 9755 85 1303 85 1303 85 4682 85 6326 85 6326 85 6326 86 9618 86 1266	3 5028 + 1633 + 1633 + 1634 + 1635 + 1636 + 1638 + 1638 + 1638 + 1638 + 1638 + 1638 + 1641 + 1641 + 1641 + 1642 + 1644 + 1644 + 1646 + 1648 +		991 9590 992 1275 9.992 2962 992 4650 992 6339 992 8028 992 9719 9.993 1412 993 3105 993 4799 993 6494	+ 1685 + 1687 + 1688 + 1689 + 1689 + 1691 + 1693 + 1693 + 1694 + 1695	+ 0.003 + 0.004 + 0.005 + 0.006 + 0.008 + 0.009 + 0.010 + 0.011	000 5217 000 6958 0.000 8700 001 0444 001 2188 001 3934 001 5681	+ 1740 + 1741 + 1742 + 1744 + 1746 + 1747 + 1748	+ 0.053 + 0.054 + 0.055 + 0.056 + 0.057 + 0.059 + 0.060	0.009 73 0.009 73 009 91 010 09 010 27 010 45	709 510 811 114 918 723 529
- 0.096 98 - 0.095 99 8 0.093 98 - 0.093 98 - 0.093 98 - 0.093 98 - 0.085 98 - 0.085 98 - 0.085 98 - 0.081 98	83 8294 83 9928 84 1563 84 3199 84 4837 84 6475 84 8114 85 1396 85 3038 85 4682 85 6326 85 7972 85 9618 86 1266	+ 1633 + 1634 + 1634 + 1635 + 1636 + 1636 + 1638 + 1638 + 1638 + 1638 + 1639 + 1641 + 1641 + 1642 + 1644 + 1644 + 1644 + 1644 + 1646 + 1648 + 1648	- 0.046 - 0.045 - 0.044 - 0.043 - 0.040 - 0.039 - 0.038 - 0.037 - 0.035 - 0.034	992 1275 9.992 2962 992 4650 992 6339 992 8028 992 9719 9.993 1412 993 3105 993 4799 993 6494	+ 1685 + 1687 + 1688 + 1689 + 1691 + 1693 + 1693 + 1694 + 1695	+ 0.004 + 0.005 + 0.006 + 0.007 + 0.008 + 0.009 + 0.010 + 0.011	0.000 6958 0.000 8700 001 0414 001 2188 001 3934 001 5681	+ 1741 + 1742 + 1744 + 1744 + 1746 + 1747 + 1748	+ 0.054 + 0.055 + 0.056 + 0.057 + 0.059 + 0.060	0.009 55 0.009 73 009 91 010 09 010 27	311 114 918 723 529
- 0.095 9.98 - 0.093 98 98 - 0.091 98 98 - 0.085 98 - 0.085 98 - 0.085 - 0.081 98 - 0.085 - 0.081 98 - 0.072 - 0.073 - 0.074 - 0.073 - 0.074 - 0.073 - 0.074 - 0.073 - 0.074 - 0.073 - 0.074 - 0.073 - 0.074 - 0.075 - 0.066 98 - 0.065 98 - 0.065 - 0.066 98 - 0.065 - 0.066 98 - 0.065 - 0.066 98 - 0.065 - 0.066 98 - 0.066 99 98 99 99 99 99 99	83 9928 84 1563 84 3199 84 487 84 6475 88 5114 85 3038 85 3038 85 4682 85 6326 85 7972 85 9618 86 1266	+ 1634 + 1635 + 1563 + 1636 + 1638 + 1638 + 1638 + 1639 + 1641 + 1641 + 1642 + 1644 + 1644 + 1644 + 1646 + 1648 + 1648		9.992 2962 992 4650 992 6339 992 8028 992 9719 9.993 1412 993 3105 993 4799 993 6494	+ 1687 + 1688 + 1689 + 1691 + 1693 + 1694 + 1695	+ 0.005 + 0.006 + 0.007 + 0.008 + 0.009 + 0.010 + 0.011	0.000 8700 001 0444 001 2188 001 3934 001 5681	+ 1742 + 1744 + 1744 + 1746 + 1747 + 1748	+ 0.055 + 0.056 + 0.057 + 0.058 + 0.059	0.009 73 009 91 010 09 010 27	311 114 918 723 529
- 0.094 98 98 98 98 98 98 98	84 1563 84 3199 84 4837 84 6475 84 8114 84 9755 85 1396 85 3038 85 4682 85 6326 85 7972 85 9618 86 1266	3 9928 4 1563 4 3199 4 4837 4 6475 4 6475 5 1396 5 1396 5 1682 5 3038 5 4682 5 4682 6 5 7972 5 66326 6 5 7972 6 1646 6 1266 6 1266 6 1266 6 2914		992 4650 992 6339 992 8028 992 9719 9.993 1412 993 3105 993 4799 993 6494	+ 1688 + 1689 + 1691 + 1693 + 1693 + 1694 + 1695	+ 0.006 + 0.007 + 0.008 + 0.009 + 0.010 + 0.011	001 0444 001 2188 001 3934 001 5681	+ 1744 + 1744 + 1746 + 1747 + 1748	+ 0.056 + 0.057 + 0.058 + 0.059	009 91 010 09 010 27 010 45	114 918 723 529
- 0.094 98 98 98 98 98 98 98	84 1563 84 3199 84 4837 84 6475 84 8114 84 9755 85 1396 85 3038 85 4682 85 6326 85 7972 85 9618 86 1266	+ 1563 + 1638 + 1638 + 1638 + 1638 + 1639 + 1641 + 1641 + 1641 + 1642 + 1644 + 1644 + 1644 + 1644 + 1646 + 1646 + 1648 + 1648		992 4650 992 6339 992 8028 992 9719 9.993 1412 993 3105 993 4799 993 6494	+ 1689 + 1689 + 1691 + 1693 + 1693 + 1694 + 1695	+ 0.006 + 0.007 + 0.008 + 0.009 + 0.010 + 0.011	001 0444 001 2188 001 3934 001 5681	+ 1744 + 1746 + 1747 + 1748	+ 0.056 + 0.057 + 0.058 + 0.059	009 91 010 09 010 27 010 45	114 918 723 529
	84 3199 84 4837 84 6475 84 8114 84 9755 85 1396 85 3038 85 4682 85 6326 85 7972 85 9618 86 1266	+ 1636 + 1638 + 1638 + 1638 + 1639 + 1641 + 1641 + 1641 + 1642 + 1644 + 1644 + 1644 + 1644 + 1646 + 1646 + 1648 + 1648		992 6339 992 8028 992 9719 9.993 1412 993 3105 993 4799 993 6494	+ 1689 + 1689 + 1691 + 1693 + 1693 + 1694 + 1695	+ 0.007 + 0.008 + 0.009 + 0.010 + 0.011	001 2188 001 3934 001 5681	+ 1744 + 1746 + 1747 + 1748	+ 0.057 + 0.058 + 0.059 + 0.060	010 09	918 723 529
	84 4837 84 6475 884 8114 884 9755 885 1396 885 3038 885 4682 885 6326 885 7972 885 9618 886 1266	+ 1638 + 4837 + 1638 + 1639 + 1641 + 1641 + 1642 + 1644 + 1644 + 1644 + 1646 + 1646 + 1648 +		992 8028 992 9719 9.993 1412 993 3105 993 4799 993 6494	+ 1689 + 1691 + 1693 + 1694 + 1695	+ 0.008 + 0.009 + 0.010 + 0.011	001 3934 001 5681 0.001 7429	+ 1746 + 1747 + 1748	+ 0.058 + 0.059 + 0.060	010 27	723
- 0.091 98 - 0.090 99 - 0.089 98 - 0.087 98 - 0.085 98 - 0.081 98 - 0.082 98 - 0.081 98 - 0.082 98 - 0.070 98 - 0.071 98 - 0.071 98 - 0.072 98 - 0.073 98 - 0.071 98 - 0.076 98 - 0.076 98 - 0.076 98 - 0.066 98 - 0.066 98 - 0.066 98 - 0.066 98 - 0.066 98 - 0.066 98 - 0.066 98 - 0.066 98 - 0.066 98 - 0.066 98 - 0.066 98 - 0.066 98 - 0.066 98 - 0.067 98 - 0.068 98 - 0.066 98	84 6475 84 8114 84 9755 85 1396 85 3038 85 4682 85 7972 85 9618 86 1266	+ 1638 + 1639 + 8114 + 9755 5 1396 5 3038 5 4682 + 1644 + 1644 + 1646 + 1646 + 1648 + 1648 + 1648 + 1648 + 1648 + 1648 + 1648	0.041 0.040 0.039 0.037 0.036 0.035 0.034	9.993 1412 9.993 3105 993 4799 993 6494	+ 1693 + 1693 + 1694 + 1695	+ 0.009 + 0.010 + 0.011	0.001 7429	+ 1748	+ 0.059 + 0.060	010 45	529
- 0.090	84 8114 84 9755 85 1396 85 3038 85 4682 85 7972 85 9618 86 1266	+ 1639 + 8114 + 9755 5 1396 5 3038 5 4682 + 1644 + 1646 + 1646 + 1646 + 1646 + 1648 + 1648 + 1648 + 1648 + 1648 + 1648 + 1648 + 1648 + 1648 + 1648	0.040 0.039 0.037 0.036 0.035 0.034	9.993 1412 993 3105 993 4799 993 6494	+ 1693 + 1694 + 1695	+ 0.010 + 0.011	0.001 7429	i	+ 0.060		
	84 9755 85 1396 85 3038 85 4682 85 6326 85 7972 85 9618 86 1266	4 8114 4 9755 5 1396 5 3038 5 4682 4 1644 4 1644 5 6326 5 7972 5 9618 6 1266 6 1266 6 2914	0.039 0.038 0.037 0.035 0.034	993 3105 993 4799 993 6494	+ 1693 + 1694 + 1695	+ 0.011		i		0.010 63	271
	84 9755 85 1396 85 3038 85 4682 85 6326 85 7972 85 9618 86 1266	4 9755 5 1396 5 1396 5 3038 5 4682 1 1644 1 1644 1 1646 5 7972 5 9618 6 1266 6 1266 6 2914	0.039 0.038 0.037 0.035 0.034	993 3105 993 4799 993 6494	+ 1694 + 1695	+ 0.011		+ 1749			
	85 1396 85 3038 85 4682 85 6326 85 7972 85 9618 86 1266	5 1396 5 3038 5 4682 5 4682 6 5 7972 5 9618 6 1266 6 1266 6 2914	0.038 0.037 0.036 0.035 0.034	993 4799 993 6494	+ 1695	1 1			+ 0.061	010 81	
	985 3038 985 4682 985 6326 985 7972 985 9618 986 1266	5 3038 5 4682 + 1644 + 1644 + 1646 + 1646 + 1648 + 1648 + 1648 + 1648	- 0.037 - 0.036 - 0.035 - 0.034	993 6494				+ 1751	+0.062		
	985 4682 985 6326 985 7972 985 9618 986 1266	5 4682 + 1644 + 1646 5 7972 5 9618 6 1266 6 1266 + 1648 + 1648	0.036 0.035 0.034			+ 0.013		+ 1751	+ 0.063	011 17	1
- 0.085 9.98 - 0.081 98 98 - 0.082 98 - 0.081 98 - 0.075 98 - 0.075 98 - 0.075 98 - 0.066 98 - 0.066 9.98 - 0.062 98 - 0.062 99 99 - 0.062 98 - 0.062 98 - 0.062 98 - 0.062 99 99 - 0.062 98 - 0.062 99 99 - 0.062 99 99 - 0.062 99 99 - 0.062 99 99 - 0.062 99 99 - 0.062 99 99 - 0.062 99 99 - 0.062 99 99 - 0.062 99 99 - 0.062 99 99 - 0.062 99 99 - 0.057 99 99 - 0.058 99 99 - 0.058 99 - 0.057 99 99 99 99 99 90 90 9	85 6326 85 7972 85 9618 86 1266	+ 1644 + 1646 5 7972 5 9618 6 1266 6 2914 + 1648 + 1648	0.035 0.034	1 //3 /	+ 1697	+ 0.014	002 4433	+ 1753	+ 0.064	01139	80
	85 7972 85 9618 86 1266	5 6326 5 7972 5 9618 6 1266 6 2914 + 1648 + 1648	— 0.034		+ 1697		1	+ 1754		i	i
	85 7972 85 9618 86 1266	5 7972 5 9618 6 1266 6 2914 + 1648 + 1648	— 0.034	9.993 9888		+ 0.015	0.002 6187		+ 0.065	0.011 53	194 '
	85 9618 86 1266	7 9618 6 1266 6 2914 + 1648		994 1587	+ 1699	+ 0.016	002 7942	+1755 +1756	+ 0.066		109
- 0.081 98 - 0.080 9.98 - 0.079 98 - 0.077 98 - 0.076 98 - 0.073 98 - 0.073 98 - 0.072 98 - 0.071 98 - 0.060 9.98 - 0.064 98 - 0.065 9.98 - 0.064 98 - 0.065 9.98 - 0.066 98 - 0.066 98 - 0.061 98 - 0.062 98 - 0.065 998 - 0.065 998 - 0.065 998		$\begin{array}{c ccccccccccccccccccccccccccccccccccc$	0.033	994 3286	+ 1699	+ 0.017	002 9698		+ 0.067		
- 0.080 9.98 - 0.079 98 - 0.076 98 - 0.075 98 - 0.071 98 - 0.072 98 - 0.064 98 - 0.062 98 - 0.062 98 - 0.062 98 - 0.062 98 - 0.057 99 99 - 0.058 98 - 0.057 99 99 - 0.058 98 - 0.057 99 99 - 0.058 99 99 - 0.058 99 99 - 0.058 99 99 - 0.058 99 99 - 0.058 99 99 - 0.058 99 99 - 0.057 99 99 99 99 99 99 99	86 2914	0 2914	— 0.032	994 4987	十 1 70 1 十 1 70 2	十 0.018	003 1455	; 十 1757 十 1759	+ 0.068		
		1 -6	0.031	994 6689		+ 0.019	003 3214	l	+ 0.069	012 26)62
		+ 1650	l .		+ 1703	l .		+ 1760			
	86 4564	+ 1650	0.030	9.994 8392	+ 1704		0.003 4974	+ 1761	+ 0.070		
	86 6214	+ 1652	0.029	995 0096	+ 1705	+ 0.021	003 6735	+ 1762	+ 0.071	01263	
- 0.076 98 - 0.073 98 - 0.073 98 - 0.072 98 - 0.070 9.98 - 0.068 98 - 0.067 98 - 0.065 98 - 0.063 98 - 0.062 98 - 0.061 98 - 0.063 98 - 0.061 98 - 0.063 98 - 0.063 98 - 0.063 98 - 0.063 98 - 0.063 98 - 0.065 998 - 0.065 998 - 0.065 998	86 7866	+ 1653	0.028	995 1801	+ 1707	+ 0.022	003 8497	+ 1763	+ 0.072	01281	- 1
- 0.075 9.98 9.071 9.98 9.071 9.98 9.071 9.98 9.071 9.98 9.071 9.98 9.071 9.066 9.06	86 9519	9519 + 1654	0.027	995 3508	十 1707	+ 0.023	004 0260	+ 1764	十 0.073 十 0.074	01299 01317	
	87 1173	7 1173	0.026	995 5215	+ 1709	+ 0.024	004 2024	+ 1766	7 0.0 /4	0131/	74
	8= 282=	+ 1654	_ 0.025	9.995 6924		+ 0.025	0.004 3790		+ 0.075	0.013 36	100
	87 4483	7 4482 7 1030	0.024	995 8633	+ 1709	+ 0.026	004 5557	+ 1767	+ 0.076	013 54	
	87 6140	76140 7 1057	0.023	996 0344	+ 1711	+0.027		+ 1768	+ 0.077	013 72	
	87 7 7 9 8	7 7 708 7 1030	0.022	996 2056	+ 1712	+ 0.028		+ 1769	+ 0.078	01390	
	87 9457	- 1014	0.021	996 3769	+ 1713	+ 0.029		+ 1770	+ 0.079	014 09	8 1 (
	-, ,,,,,	+ 1660		,,,,,,	+ 1714			+ 1771		İ	!
	88 1117	9	- 0.020	9.996 5483		+ 0.030	0.005 2635	+ 1773	+ 0.080	0.014 27	751
	88 2778	$\begin{array}{c c} & 111/\\ 8 & 2778 \\ & + 1662 \end{array}$	0.019	996 7198	十 1715 十 1716	十 0.03 1	005 4408	+1774	+ 0.081		
- 0.066 98 - 0.065 9.98 - 0.064 98 - 0.062 98 - 0.061 98 - 0.060 9.98 - 0.059 99 - 0.057 99	88 4440	8 4440 + 1663	0.018	996 8914	+ 1718	+ 0.032		+ 1775	+ 0.082	01464	
- 0.065 - 0.064 98 - 0.063 98 - 0.061 98 - 0.060 9.98 - 0.059 - 0.058 99 - 0.057 99	88 6103	8 6103 + 1665	0.017	997 0632	+ 1718	+ 0.033		+ 1776	+ 0.083	01783	-
0.064 98 0.063 98 0.062 98 0.060 9.98 0.059 98 0.058 99 0.057 99	88 7768	8 7708	0.016	997 2350		+ 0.034	005 9733		+ 0.084	. 01500	94
0.064 98 0.063 98 0.062 98 0.060 9.98 0.059 98 0.058 99 0.057 99		+ 1665		1	十1720	١. ا		+ 1778			!
	88 9433		- 0.015	9.997 4070	+ 1721	+ 0.035		+ 1778		0.015 19	
	89 1099	9.1099 : + 1668	0.014		+ 1722	+ 0.036.		+ 1780	+ 0.086		
	89 2767	9 2707 1668	0.013	997 7513	+ 1723	十 o.o37 十 o.o38	006 5069 006 6850	+ 1781	+ 0.087 + 0.088	015 56	
0.060 9.98 0.059 98 0.058 99 0.057 99	89 4435		- 0.012	997 9236	+ 1724	+ 0.036	•	+ 1782	+ 0.089		
0.059 98 0.058 99 0.057 99	89 6105	+ 1670	- 0.011	998 0960	+ 1725	0.039		+ 1784	0.009	·J 73	,
0.059 98 0.058 99 0.057 99			_0010	9.998 2685		+ 0.040	0.007 0416		+ 0.000	0.016 11	146
- 0.058 99 - 0.057 99	80 7777	0 04.17 7 4072	- 0.000		+ 1726	+ 0.041		+ 1784	+ 0.091		
- 0.057 99	89 7775	0 1 1 20 7 10/3	— 0.009 — 0.008		+ 1728	+ 0.042	007 3986	+ 1786	+ 0.092	016 48	
	89 9447	2702 7 10/3	- 0.007	998 7868	+ 1729	+ 0.043		+ 1787	+ 0.093		
	89 9447 90 1120		0.006	998 9597	+ 1729	+ 0.044	007 7561	+ 1788	+ 0.094	01685	10
" " "	89 9447 90 1120 90 2793	+ 1676		** ***	+ 1731	'		+ 1789		_	
- 0.055 9.99	89 9447 90 1120	6744	0.005	9.999 1328		+ 0.045	0.007 9350	+ 1791	+ 0.095	0.017 03	92
	89 9447 90 1120 90 2793	2821 7 10//	0.004	999 3060	+ 1732	+ 0.046		+ 1791 + 1792	+ 0.096	017 22	:45
	89 9447 90 1120 90 2793 90 4468	20100 7 10/6	0.003	999 4794	十 1734	+ 0.047	008 2933	+1792	+ 0.097		
	89 9447 90 1120 90 2793 90 4468		- 0.002	999 6528	+ 1734	+ 0.048		+ 1794	+ 0.0981	:	
0.051 99	189 9447 190 1120 190 2793 190 4468 190 6144 190 7821	1 1178 + 1079	100.0	999 8263	+ 1735	+ 0.049	008 6520	_	+ 0.099	017 78	:11 ¦
	89 9447 90 1120 90 2793 90 4468 90 6144 90 7821 90 9499	+ 1680 1 2858 + 1680			十 1737			+ 1796			
0.050 9.99	89 9447 90 1120 90 2793 90 4468 90 6144 90 7821 90 9499 91 1178	1 1178 + 1680	0.000	0.000 0000		+ 0.050	0.008 8316		+ 0.100	0.017 96	109

Tafel VIb.

	log ('	D:#		lass (Y	D:a		1 C	T):e	ſ	1 ~	
n	log G	Diff.	n	log G	Diff.	n	log G	Diff.	n	log G	Diff.
+ 0.100	0.017 9669	+ 1860	+ 0.150	0.027 4261	+ 1926	+ 0.200	0.037 2311	19	+ 0.250	0.047 4061	
+ 0.101	018 1529	+ 1860	+ 0.151	027 6187	+ 1928	+ 0.201	037 4309	+ 1998	+ 0.251		+ 2075
+ 0.102	018 3389	+ 1862	+ 0.152	027 8115	+ 1929	+ 0.202	037 6308	+ 1999 + 2001	十0.252	047 8212	+ 2076
+ 0.103		+ 1864	+ 0.153	028 0044	+ 1931	+0.203	037 8309	+ 2002	+0.253	048 0289	+ 2077 + 2080
+ 0.104	018 7115		+ 0.154	028 1975		+ 0.204	038 0311	1	+ 0.254	048 2369	
		+ 1864		0	+ 1932	1		+ 2004			+ 2081
+ 0.105 + 0.106		+ 1866	+ 0.155		+ 1933	+ 0.205	• • •	+ 2005		0.048 4450	+ 2082
+ 0.107	019 0845	+ 1867	十 0.156 十 0.157	028 5840	+ 1934	十 0.206 十 0.207	038 4320	+ 2007	+ 0.256	048 6532	+ 2084
+ 0.108		+ 1869	+ 0.158		+ 1937	+ 0.208		+ 2009	+ 0.257 + 0.258		+ 2086
+ 0.109		+ 1870	+ 0.159		十 1937	+ 0.209	039 0345	+ 2009	+0.259		+ 2087
, /	' '	+ 1871	' ' '	,	+ 1939	,,	-37-345	+ 2012	1 0.233	049 2709	+ 2089
+ 0.110	0.0198322	+ 1872	+ 0.160	0.029 3587		+ 0.210	0.039 2357	· ·	+ 0.260	0.049 4878	
+ 0.111	020 0194	+ 1874	+ 0.161	029 5527	+ 1940	+ 0.211	039 4369	+ 2012	+ 0.261	049 6969	+ 2091
+ 0.112	020 2068	+ 1875	+ 0.162	029 7469	十 1942 十 1943	+ 0.212	039 6384	+ 2015 + 2016	+ 0.262	049 9061	+ 2092
+ 0.113	020 3943	+ 1876	+ 0.163		+ 1944	+ 0.213	039 8400	+ 2017	+ 0.263	050 1155	十 2094
+ 0.114	020 5819		+ 0.164	030 1356		+ 0.214	040 0417		+ 0.264	050 3250	+ 2095
ا ـ ـ ـ ـ ا		+ 1878			+ 1946			+ 2019		l .	+ 2097
+ 0.115	0.020 7697	+ 1879		0.030 3302	+ 1948	+ 0.215		+ 2020		0.050 5347	+ 2098
十 0.116 十 0.117	020 9576	+ 1880	+ 0.166 + 0.167	030 5250	+ 1948	+ 0.216	1	+ 2022	+ 0.266	050 7445	+ 2101
+ 0.118		+ 1882	+ 0.168		+ 1950	+ 0.217 + 0.218		+ 2023	十 0.267 十 0.268		+ 2102
+ 0.119		+ 1883	+ 0.169		+ 1952	+ 0.219	1 ' - 1	+ 2025	+ 0.269	051 1648	+ 2103
' ''''	J 522	+ 1884	1 31119	, 5,11100	+ 1953	1 0.20	4.0,20	+ 2026	1 0.209	03.3/3.	+ 2105
+ 0.120	0.021 7105		+ 0.170	0.031 3053		+ 0.220	0.041 2552		+ 0.270	0.051 5856	
+ 0.121	021 8991	+ 1886 + 1887	+ 0.171	031 5007	+ 1954	+ 0.221	041 4580	+ 2028	+ 0.271	051 7963	+ 2107
+ 0.122	022 0878	+ 1888	+ 0.172	031 6963	+ 1956 + 1957	+ 0.222	041 6610	+ 2030	+ 0.272	052 0071	+ 2108
+ 0.123		+ 1890	+ 0.173		十 1959	+ 0.223	041 8641	+2031 + 2032	+ 0.273	052 2181	十 2110
十 0.124	022 4656		+ 0.174	032 0879		十0.224	042 0673	T 2032	+ 0.274	052 4293	+ 2112
		+ 1891			+ 1960			+ 2034			+ 2113
	0.022 6547	+ 1892	+ 0.175		+ 1962	+ 0.225		+ 2036	+ 0.275	0.052 6406	+ 2115
十 0.126 十 0.127		+ 1894	十 0.176 十 0.177		+ 1963	+ 0.226	1 1 1 1 1 1	+ 2037	+ 0.276	052 8521	+ 2117
+ 0.128		+ 1895	+ 0.178		+ 1964	十 0.227 十 0.228		+ 2039	十 0.277 十 0.278	053 0638	+ 2118
+ 0.129		+ 1896	+ 0.179		+ 1966	+ 0.229		+ 2040	+ 0.279	053 4876	+ 2120
	' '	+ 1898	' ' '] 33 7.	+ 1967	' ' ' '	1	+ 2041	1 5.273	033 40/0	+ 2121
+ 0.130	0.023 6022	+ 1899	+ 0.180	0.033 2661	+ 1969	+ 0.230	0.043 2900		+ 0.280	0.053 6997	i i
十0.131	023 7921	+ 1901	+ 0.181	033 4630	+ 1970	+ 0.231	043 4944	+ 2014	+0.281	053 9121	+ 2124
+ 0.132	023 9822	+ 1901	+ 0.182	033 6600	+ 1971	十0.232	043 6988	十 2044 十 2047	+ 0.282	054 1245	+ 2124 + 2127
+ 0.133	024 1723	+ 1903	+ 0.183	033 8571	+ 1973	+ 0.233	043 9035	+ 2048	+ 0.283	054 3 372	+ 2128
+ 0.134	024 3626		+ 0.184	034 0544		+ 0.234	044 1083		+ 0.284	054 5500	
4.0.725	0 004 5501	+ 1905	10.700		+ 1975	1		+ 2049			+ 2130
+ 0.135 + 0.136	0.024 5531	+ 1906	+ 0.185 + 0.186	0.034 2519	+ 1976	+ 0.235 + 0.236	11	+ 2051	+ 0.285 + 0.286	0.054 7630	+ 2131
+ 0.137	024 7437	+ 1907	+ 0.187	034 4495	+ 1977	+ 0.237	044 5183	+ 2053	+ 0.287	054 9761	+ 2134
+ 0.138	025 1252	+ 1908	+ 0.188		+ 1979	+0.237		+ 2054	+ 0.288	055 4030	+ 2135
+ 0.139	025 3162	+ 1910	+0.189		+ 1980	+ 0.239	045 1345	+ 2055	+ 0.289	055 6166	+ 2136
		+ 1911			+ 1982			+ 2057		",""	+ 2138
+ 0.140		+ 1913	+ 0.190		+ 1983	+ 0.240	0.045 3402		+ 0.290	0.055 8304	
+ 0.141		+1913	+ 0.191		+ 1985	+ 0.241		+ 2059 + 2061	+ 0.291		+ 2140 + 2142
+0.142	025 8900	+ 1915	+ 0.192	035 6381	+ 1986	+ 0.242	045 7522	+ 2062	+ 0.292	056 2586	+ 2142 + 2143
+ 0.143	026 0815	+ 1917	T 0.193	035 8367	+ 1987	+ 0.243	045 9584	+ 2063	+ 0.293	056 4729	+ 2145
+0.144	026 2732		+ 0.194	036 0354		+ 0.244	046 1647		+ 0.294	056 6874	
+ 0.145	0.026 4650	+ 1918	اعمدمكا	0.036 2344	+ 1990	40345	0 046 2713	+ 2065		0.056.003-	+ 2147
+ 0.145	0.020 4050	+ 1919	+ 0.195		+ 1990	+ 0.245 + 0.246	0.046 3712	+ 2067	+ 0.295 + 0.296	0.056 9021	+ 2148
+ 0.147	026 8490	+ 1921	+ 0.197		+ 1992	十 0.247	046 7847	+ 2068	+ 0.297	057 1169	+ 2150
+ 0.148	027 0412	+ 1922	+ 0.198		+ 1993	+ 0.248	046 9917	+ 2070	+ 0.298	057 5471	+ 2152
+ 0.149	027 2336	+ 1924	+ 0.199	037 0314	+ 1995	+ 0.249	047 1988	十 2071	+ 0.299	057 7624	+ 2153
		+ 1925			+ 1997			+ 2073		,	+ 2155
+ 0.150	0.027 4261		+ 0.200	0.037 2311		+ 0.250	0.047 4061		十 0.300	0.057 9779	
L	! <u> </u>			L			L				

log H in Einheiten der 7. Decimale.

Tafel VIc (Hyperbel).

vergl. pag. 7

n	0.00 - 0.	0.0	2 0.03	- 0.04	— o.o5	o.o6	0.07	0.08	0.09	- 0.10	0.11	- 0.12	o. 1 3	- 0.14
													<u> </u>	<u> </u>
ε = 0.00	o	0	0	l 。	۰	0	۰	١ .		0	۰	،		, 0
- 0.01	0	0 0	0		. 0	+ 1	+ 1	+ 1	+ 1	+ 2	+ 2	+ 2	+ 3	+ 3
0.02	0	0 0	o o	+ 1	+ 1		+ 2	 2	+ 3	+ 3	+ 4	+ 5	+ 5	+ 6
— 0.03	0	1	. 0	+ 1	+ 1	+ 2	+ 2	+ 3	+ 4	+ 5	+ 6	l ! '	1 .	
0.01			1 + 1	+ 1	+ 2	; 	+ 3	+ 4	+ 5	+ 6				!
0.05	<u> </u>		+ 1	+ 1	+ 2		+ 4	+ 5	+ _ 7	+ 8	<u> </u>		+ 13	,
0.06	0	i	+ 1	+ 2	+ 3		+ 5 + 6	+ 6	+ 8	+ 10	+ 11		+ 16	1 1
0.07 0.08	0	1 -	1 + 1	 	+ 3 + 3	+ 4		+ 7 + 8	+ 9 + 10	•	+ 13 + 15		+ 18 + 21	+ 21 + 24
0.09	0	1 :	1 + 1	+ 2	+ 4	+ 5	+ 7	+ 9	+ 12	•	+ 17		1 .	+ 27
0.10	0		+ 2	+ 3	+ 4	+ 6	+ 8	+ 10	+ 13		+ 19	- :	+ 26	
-0.11	0	0 + 1	+ 2	+ 3	+ 4	+ 6	+ 9	+ 11	+ 14	+ 17	+ 21	+ 24	+ 28	+ 32
- O.I 2	0	1 :	1 + 2	+ 3	+ 5	+ 7	+ 9	+ 12	+ 15		+ 22		1 : -	+ 35
- 0.13	0	1 :	1 + 2	+ 3	+ 5	+ 7	+ 10	+ 13	+ 16		+ 24	1 :	+ 33	
-0.14				<u>‡ •</u>			+ 11	+ 14	+ 18		+ 26	<u> </u>		
-0.15	<u>°</u>	의 +1		+ 4	i	+ 9	+ 12	+ 15	+ 19		+ 27	+ 32	·	
— 0.16 — 0.17	0	0 + 1		+ 4			+ 12	+ 16	+ 20 + 21	: :	+ 29 + 21		+ 40	1
- 0.17 - 0.18	0	1 :	1 + 2	+ 4 + 5		+ 10	+ 13	+ 17 + 18	+ 21 + 22	+ 26 :+ 27	+ 31 + 32			
-0.19	o!		+ 3	+ 5	+ 7	+ 11	+ 14	+ 19	+ 23		+ 34		1 .	+ 54
- 0.20	0	0 + 1	- - <u></u> -	+ 5	+ 8	+ 11	+ 15	+ 19	+ 24		+ 36			
0.21	0		+ 3	+ 5	+ 8	+ 12	+ 16	+ 20	+ 25	+ 31	+ 37	+ 44	+ 51	
0.22	0	0 + 1	1 + 3	+ 6	+ 9	+ 12	+ 16	+ 21	+ 27	+ 32	+ 39	+ 46	+ 53	+ 61
- o.23	0	1 1	+ 3	+ 6		+ 13	+ 17	+ 22	+ 28	+ 34	+ 41	1		
-0.24			2 + 3	+ 6	<u> </u>	+ 13	+ 18	+ 23	+29	+ 35	+ 42			;-
- 0.25	0		2 + 3			+ 14	+ 18	+ 24	+ 30	+ 36	+ 44			
- 0.26 - 0.27	0	•	2 + 4	+ 6 + 7			+ 19 + 20	+ 25 + 25	+ 31 + 32	+ 38 + 39	+ 45	+ 53		
- 0.28	0		2 + 4	+ 7	•	+ 15 + 15	+ 20 + 20	+ 26	+ 3 ² + 3 ³	+ 39 + 40	+ 47 + 48			+ 76
-0.29	0	1 :	+ 4	+ 7		+ 16	+ 21	+ 27	+ 34	+ 41	+ 50			
— o.3o	0	0 + 2	+ 4	+ 7	+ 11	+ 16	+ 22	+ 28		+ 43	+ 51	+ 60	+ 70	+ 81
	<u> </u>	1	!											
1 :	I			·									<u> </u>	<u> </u>
n	o.15 o.	16 0.1	7 — 0.18	0.19	0.20	— O.2 I	- 0.22	— o.23	0.24	- o.25	— o.26	- 0.27	_ 0.28	_ O.29
n	o.15 o.	16 — 0.1	7 — 0.18	— o.19	— o.20	— 0.21	0.22	— o.23	0. 2 4	— o.25	— o.26	— 0.27	-0.28	— 0.29
n $\epsilon = 0.00$	0.15 0.		0.18	— 0.19 0	— 0. 2 0	— 0.21 0	0.22	_	— 0. 24 = 0	— 0.25 0			 	;== = <i>:</i>
00.0 = 3	o _j	0 0	0 0	• + 5	- + 6	- ° + 7	- - 0 + 7	+ 8	+ 8	• + 9	o 	 0 + 10) - 11	0 + 12
ε = 0.00 - 0.01 - 0.02	0 + 4 + + 7 +	0 0	0 1 + 5 9 + 10	0 + 5 + 11	0 + 6 + 12	0 + 7 + 13	0 + 7 + 14	o + 8 + 15	o + 8 + 17	0 + 9 + 18	- + 10 + 19		0 + 11 + 22	0 + 12 + 23
$ \begin{array}{c} $	0 + 4 + + 7 + + 10 +	0 0 4 + 4 8 + 9 12 + 13	0 1 + 5 9 + 10 3 + 15	0 + 5 + 11 + 16	0 + 6 + 12 + 18	0 + 7 + 13 + 19	0 + 7 + 14 + 21	0 + 8 + 15 + 23	0 + 8 + 17 + 25	0 + 9 + 18 + 27	- + 10 + 19 + 28	0 + 10 + 20 + 30	0 + 11 + 22 + 32	0 + 12 + 23 + 34
ε = 0.00 - 0.01 - 0.02 - 0.03 - 0.04	0 + 4 + 7 + 10 + 14	0 0 4 + 4 8 + 6 12 + 13 16 + 13	0 4 + 5 9 + 10 3 + 15 7 + 19	0 + 5 + 11 + 16 + 21	0 + 6 + 12 + 18 + 24	0 + 7 + 13 + 19 + 26	0 + 7 + 14 + 21 + 28	0 + 8 + 15 + 23 + 30	o + 8 + 17 + 25 + 33	0 + 9 + 18 + 27 + 35	0 + 10 + 19 + 28 + 38	0 + 10 + 20 + 30 + 40	+ 11 + 22 + 32 + 43	0 + 12 + 23 + 34 + 46
ε = 0.00 - 0.01 - 0.02 - 0.03 - 0.04 - 0.05	0 + 4 + + 7 + + 10 + + 14 + + 17 +	0 4 + 4 8 + 9 12 + 13 16 + 13 19 + 22	0 0 4 + 5 9 + 10 3 + 15 7 + 19 2 + 24	0 + 5 + 11 + 16 + 21 + 27	0 + 6 + 12 + 18 + 24 + 29	0 + 7 + 13 + 19 + 26 + 32	0 + 7 + 14 + 21 + 28 + 35	0 + 8 + 15 + 23 + 30 + 38	0 + 8 + 17 + 25 + 33 + 41	0 + 9 + 18 + 27 + 35 + 44		0 + 10 + 20 + 30 + 40	0 + 11 + 22 + 32 + 43 + 53	0 + 12 + 23 + 34 + 46 + 57
ε = 0.00 - 0.01 - 0.02 - 0.03 - 0.04	0 + 4 + + 7 + + 10 + + 14 + + 17 + + 21 +	0 0 4 + 4 8 + 6 12 + 13 16 + 13	$ \begin{array}{cccccccccccccccccccccccccccccccccccc$	0 + 5 + 11 + 16 + 21 + 27 + 32	0 + 6 + 12 + 18 + 24 + 29 + 35	0 + 7 + 13 + 19 + 26 + 32 + 38	0 + 7 + 14 + 21 + 28 + 35 + 42	0 + 8 + 15 + 23 + 30 + 38 + 45	o + 8 + 17 + 25 + 33	0 + 9 + 18 + 27 + 35 + 44 + 52	0 + 10 + 19 + 28 + 38	+ 10 + 20 + 30 + 40 + 50	0 + 11 + 22 + 32 + 43 + 53 + 64	0 + 12 + 23 + 34 + 46 + 57 + 68
	0 + 4 + 7 + 10 + 14 + 17 + 21 + 24 + 24	0	0 0 4 + 5 9 + 10 3 + 15 7 + 19 2 + 24 6 + 29 9 + 33 1 + 38	0 + 5 + 11 + 16 + 21 + 27	0 + 6 + 12 + 18 + 24 + 29 + 35	0 + 7 + 13 + 19 + 26 + 32 + 38 + 44 + 50	0 + 7 + 14 + 21 + 28 + 35 + 42 + 48 + 55	0 + 8 + 15 + 23 + 30 + 38 + 45 + 52 + 59	0 + 8 + 17 + 25 + 33 + 41 + 49	0 + 9 + 18 + 27 + 35 + 44 + 52	0 + 10 + 19 + 28 + 38 + 47 + 56	+ 10 + 20 + 30 + 40 + 50 + 69 + 79	+ 11 + 22 + 32 + 43 + 53 + 64	0 + 12 + 23 + 34 + 46 + 57 + 68 + 79
ε = 0.00 - 0.01 - 0.02 - 0.03 - 0.04 - 0.05 - 0.06 - 0.07 - 0.08 - 0.09	0 + 4 + + 7 + + 10 + + 14 + + 17 + + 21 + + 24 + + 27 + + 30 +	0 0 4 + 2 8 + 9 12 + 13 16 + 17 19 + 22 3 + 26 27 + 30 31 + 34 34 + 38	0 0 4 + 5 9 + 10 3 + 15 7 + 19 2 + 24 5 + 29 9 + 33 4 + 38 3 + 43	0 + 5 + 11 + 16 + 21 + 27 + 32 + 37 + 42 + 47	0 + 6 + 12 + 18 + 24 + 29 + 35 + 41 + 46 + 52	0 + 7 + 13 + 19 + 26 + 32 + 38 + 44 + 50 + 56	0 + 7 + 14 + 21 + 28 + 35 + 42 + 48 + 55 + 61	0 + 8 + 15 + 23 + 30 + 38 + 45 + 52 + 59 + 66	+ 8 + 17 + 25 + 33 + 41 + 49 + 56 + 64 + 72	0 + 9 + 18 + 27 + 35 + 44 + 52 + 61 + 69 + 77	0 + 10 + 19 + 28 + 38 + 47 + 56 + 65 + 74 + 83	+ 10 + 20 + 30 + 40 + 50 + 60 + 69 + 79 + 88	+ 11 + 22 + 32 + 43 + 53 + 64 + 74 + 84 + 94	0 + 12 + 23 + 34 + 46 + 57 + 68 + 79 + 100
ε = 0.00 - 0.01 - 0.02 - 0.03 - 0.04 - 0.05 - 0.06 - 0.07 - 0.08 - 0.09 - 0.10	0 + 4 + + 7 + + 10 + + 17 + + 17 + + 21 + + 27 + + 30 + + 34 +	0 6 4 + 2 8 + 6 12 + 13 16 + 17 19 + 22 23 + 26 27 + 36 31 + 34 34 + 38 38 + 42	0 0 4 + 5 9 + 10 3 + 15 7 + 19 2 + 24 5 + 29 9 + 33 4 + 38 3 + 43 2 + 47	0 + 5 + 11 + 16 + 21 + 27 + 32 + 37 + 42 + 47 + 52	0 + 6 + 12 + 18 + 24 + 29 + 35 + 41 + 46 + 52 + 57	0 + 7 + 13 + 19 + 26 + 3 ² + 38 + 44 + 50 + 56 + 62	0 + 7 + 14 + 21 + 28 + 35 + 42 + 48 + 55 + 61 + 68	0 + 8 + 15 + 23 + 30 + 38 + 45 + 52 + 59 + 66 + 73	0 + 8 + 17 + 25 + 33 + 41 + 49 + 56 + 64 + 72 + 79	0 + 9 + 18 + 27 + 35 + 44 + 52 + 61 + 69 + 77 + 85	0 + 10 + 19 + 28 + 38 + 47 + 56 + 65 + 74 + 83 + 91	+ 10 + 20 + 30 + 40 + 50 + 60 + 69 + 79 + 88 + 98	0 + 11 + 22 + 32 + 43 + 53 + 64 + 74 + 84 + 94 + 104	0 + 12 + 23 + 34 + 46 + 57 + 68 + 79 + 90 + 100
	0 + 4 + + 7 + + 10 + + 14 + + 17 + + 21 + + 24 + + 27 + + 30 + + 34 + + 37 +	0	0 0 0 4 + 5 9 + 10 3 + 15 7 + 19 2 + 24 5 + 29 9 + 33 4 + 38 8 + 43 2 + 47	0 + 5 + 11 + 16 + 21 + 27 + 32 + 37 + 42 + 47 + 52 + 57	0 + 6 + 12 + 18 + 24 + 29 + 35 + 41 + 46 + 52 + 57 + 62	0 + 7 + 13 + 19 + 26 + 32 + 38 + 44 + 50 + 56 + 62 + 68	0 + 7 + 14 + 21 + 28 + 35 + 42 + 48 + 55 + 61 + 68 + 74	0 + 8 + 15 + 23 + 30 + 38 + 45 + 52 + 59 + 66 + 73 + 80	0 + 8 + 17 + 25 + 33 + 41 + 49 + 56 + 64 + 72 + 79 + 87	0 + 9 + 18 + 27 + 35 + 44 + 52 + 61 + 69 + 77 + 85 + 93	0 + 10 + 19 + 28 + 38 + 47 + 56 + 65 + 74 + 83 + 91 + 100	+ 10 + 20 + 30 + 40 + 50 + 60 + 69 + 79 + 88 + 98	0 + 11 + 22 + 32 + 43 + 53 + 64 + 74 + 84 + 94 + 104	0 + 12 + 23 + 34 + 46 + 57 + 68 + 79 + 100 + 111 + 121
	0 + 4 + + 7 + + 10 + + 14 + + 17 + + 21 + + 24 + + 27 + + 30 + + 34 + + 37 + + 40 +	0	0 0 0 4 + 5 9 + 10 8 + 15 7 + 19 2 + 24 6 + 29 8 + 43 8 + 43 8 + 43 6 + 52 9 + 56	0 + 5 + 11 + 16 + 21 + 27 + 32 + 37 + 42 + 47 + 52 + 57 + 62	0 + 6 + 12 + 18 + 24 + 29 + 35 + 41 + 46 + 52 + 57 + 62 + 68	0 + 7 + 13 + 19 + 26 + 32 + 38 + 44 + 50 + 56 - 62 + 68 + 74	0 + 7 + 14 + 21 + 28 + 35 + 42 + 48 + 55 + 61 + 68 + 74 + 81	0 + 8 + 15 + 23 + 30 + 38 + 45 + 52 + 59 + 66 + 73 + 80 + 87	0 + 8 + 17 + 25 + 33 + 41 + 49 + 56 + 64 + 72 + 79 + 87 + 94	0 + 9 + 18 + 27 + 35 + 44 + 52 + 61 + 69 + 77 + 85 + 93 + 101	0 + 10 + 19 + 28 + 38 + 47 + 56 + 65 + 74 + 83 + 91 + 100 + 109	+ 10 + 20 + 40 + 50 + 60 + 79 + 88 + 107 + 116	0 + 11 + 22 + 32 + 43 + 53 + 64 + 74 + 84 + 94 + 104 + 114 + 124	0 + 12 + 23 + 34 + 46 + 57 + 68 + 79 + 100 + 111 + 121 + 132
	0 + 4 + + 7 + + 10 + + 14 + + 17 + + 21 + + 27 + + 30 + + 34 + + 40 + + 43 +	0	0 0 4 + 5 0 + 10 0 3 + 15 0 + 29 0 + 33 0 0 + 38 0 0 0 0 0 0 0 0 0 0 0 0 0 0 0 0 0 0	0 + 5 + 11 + 16 + 21 + 27 + 32 + 37 + 42 + 47 + 52 + 57 + 62 + 67	0 + 6 + 12 + 18 + 24 + 29 + 35 + 41 + 46 + 52 + 57 + 62 + 68 + 73	0 + 7 + 13 + 19 + 26 + 32 + 38 + 44 + 50 + 56 + 62 + 68 + 74 + 80	0 + 7 + 14 + 21 + 28 + 35 + 42 + 55 + 61 + 68 + 74 + 81 + 87	0 + 8 + 15 + 23 + 30 + 45 + 52 + 59 + 66 + 73 + 80 + 94	0 + 8 + 17 + 25 + 33 + 41 + 49 + 56 + 64 + 72 + 79 + 87 + 94 + 102	0 + 9 + 18 + 27 + 35 + 44 + 52 + 61 + 69 + 77 + 85 + 93 + 101 + 109	0 + 10 + 19 + 28 + 38 + 47 + 56 + 65 + 74 + 83 + 91 + 100 + 1109 + 117	0 + 10 + 20 + 30 + 40 + 50 + 60 + 79 + 88 + 107 + 116 + 125	0 + 11 + 22 + 32 + 43 + 53 + 64 + 74 + 104 + 114 + 114 + 113	0 + 12 + 23 + 34 + 46 + 57 + 68 + 79 + 100 + 111 + 121 + 132 + 142
	0 + 4 + 7 + 10 + 14 + 17 + 21 + 24 + 27 + 30 + 34 + 37 + 40 + 43 + 46	0	0 0 0 4 + 5 9 + 10 3 + 15 7 + 19 2 + 24 5 + 29 9 + 33 4 + 38 8 + 43 2 + 47 5 + 52 9 + 56 9 + 66	0 + 5 + 11 + 16 + 21 + 27 + 32 + 37 + 42 + 47 + 52 + 67 + 67 + 71	0 + 6 + 12 + 18 + 24 + 29 + 35 + 41 + 46 + 52 + 57 + 62 + 68 + 73	0 + 7 + 13 + 19 + 26 + 32 + 38 + 44 + 50 + 56 + 62 + 68 + 74 + 80 + 86	0 + 7 + 14 + 21 + 28 + 35 + 42 + 48 + 55 + 61 + 68 + 74 + 87 + 93	0 + 8 + 15 + 23 + 30 + 45 + 52 + 59 + 66 + 73 + 807 + 94 + 101	0 + 8 + 17 + 25 + 33 + 41 + 49 + 56 + 64 + 72 + 79 + 87 + 102 + 109	0 + 9 + 18 + 27 + 35 + 44 + 52 + 61 + 69 + 77 + 85 + 93 + 101 + 109	0 + 10 + 19 + 28 + 38 + 47 + 56 + 65 + 74 + 83 + 91 + 100 + 109 + 117 + 126	0 + 10 + 20 + 30 + 40 + 50 + 69 + 79 + 116 + 125 + 134	0 + 11 + 22 + 32 + 43 + 53 + 64 + 74 + 84 + 94 + 114 + 114 + 113 + 143	0 + 12 + 23 + 34 + 46 + 57 + 68 + 79 + 100 + 111 + 121 + 132 + 142
	0 + 4 + 7 + + 10 + + 14 + + 17 + + 21 + + 27 + + 30 + + 34 + + 37 + + 40 + + 43 + + 46 + + 49 +	0 6 8 + 9 12 + 13 16 + 17 19 + 22 3 + 26 27 + 30 31 + 33 4 + 33 4 + 44 15 + 50 48 + 50 55 + 62	0 0 0 4 + 5 9 + 10 3 + 15 7 + 19 2 + 24 5 + 29 9 + 33 8 + 43 8 + 47 6 + 52 9 + 56 9 + 66 8 + 65 8 + 65	0 + 5 + 11 + 16 + 21 + 27 + 32 + 37 + 42 + 47 + 52 + 67 + 67 + 71	0 + 6 + 12 + 18 + 24 + 29 + 35 + 41 + 46 + 52 + 57 + 62 + 68 + 73 + 78 + 84	0 + 7 + 13 + 19 + 26 + 32 + 38 + 44 + 50 + 66 + 68 + 74 + 80 + 86 + 91	0 + 7 + 14 + 21 + 28 + 35 + 42 + 48 + 55 + 61 + 68 + 74 + 81 + 87 + 93 + 99	0 + 8 + 15 + 23 + 30 + 45 + 52 + 59 + 66 + 73 + 80 + 87 + 94 + 101 + 108	0 + 8 + 17 + 25 + 33 + 41 + 49 + 56 + 64 + 72 + 79 + 87 + 94 + 102 + 109 + 116	0 + 9 + 18 + 27 + 35 + 44 + 52 + 61 + 69 + 77 + 85 + 93 + 101 + 109 + 117 + 125	0 + 10 + 19 + 28 + 38 + 47 + 56 + 74 + 83 + 91 + 100 + 109 + 117 + 126 + 134	0 + 10 + 20 + 30 + 40 + 50 + 60 + 79 + 88 + 98 + 107 + 116 + 125 + 134 + 143	0 + 11 + 22 + 32 + 43 + 53 + 64 + 74 + 84 + 94 + 114 + 114 + 113 + 143	0 + 12 + 23 + 34 + 46 + 57 + 68 + 79 + 190 + 111 + 121 + 132 + 142 + 152 + 162
$\begin{array}{c} \epsilon = 0.00 \\ -0.01 \\ -0.02 \\ -0.03 \\ -0.04 \\ -0.05 \\ -0.06 \\ -0.07 \\ -0.08 \\ -0.09 \\ -0.10 \\ -0.11 \\ -0.12 \\ -0.13 \\ -0.14 \\ -0.15 \\ -0.16 \\ -0.17 \end{array}$	0 + 4 + + 7 + + 10 + + 17 + + 21 + + 24 + + 27 + + 30 + + 34 + + 40 + + 43 + + 440 + + 440 + + 452 + + 552 + + 555 +	0	0 0 0 4 + 5 9 + 10 3 + 15 7 + 19 4 + 24 5 + 38 8 + 43 8 + 47 6 + 52 6 + 56 6 + 66 8 + 66 8 + 69 9 + 73 9 + 77	0 + 5 + 11 + 16 + 21 + 27 + 32 + 47 + 52 + 47 + 52 + 62 + 67 + 71 + 76 + 81 + 85	0 + 6 + 12 + 18 + 24 + 29 + 35 + 41 + 46 + 52 + 57 + 62 + 73 + 78 + 78 + 84 + 89 + 94	0 + 7 + 13 + 19 + 26 + 32 + 38 + 44 + 50 + 56 + 62 + 74 + 86 + 91 + 97 + 102	0 + 7 + 14 + 21 + 28 + 35 + 42 + 48 + 55 + 61 + 68 + 74 + 81 + 87 + 93 + 105 + 111	0 + 8 + 15 + 23 + 30 + 38 + 45 + 59 + 66 + 73 + 80 + 94 + 114 + 121	0 + 8 + 17 + 25 + 33 + 41 + 49 + 56 + 64 + 72 + 79 + 87 + 109 + 116 + 123 + 130	0 + 9 + 18 + 27 + 35 + 44 + 52 + 61 + 69 + 77 + 85 + 93 + 101 + 107 + 1125 + 132 + 140	0 + 10 + 19 + 28 + 38 + 47 + 56 + 65 + 74 + 83 + 91 + 100 + 109 + 117 + 126 + 134 + 142 + 150	0 + 10 + 20 + 30 + 40 + 50 + 60 + 79 + 88 + 107 + 116 + 125 + 134 + 143 + 152 + 161	0 + 11 + 22 + 32 + 43 + 53 + 64 + 74 + 194 + 104 + 114 + 124 + 133 + 143 + 152 + 171	0 + 12 + 23 + 34 + 46 + 57 + 68 + 79 + 100 + 111 + 121 + 142 + 152 + 162 + 162 + 172 + 182
	0	0	0 0 0 1 1 1 1 1 1 1 1 1 1 1 1 1 1 1 1 1	0 + 5 + 11 + 16 + 21 + 27 + 32 + 37 + 47 + 52 + 57 + 62 + 67 + 71 + 76 + 81 + 85 + 96	0 + 6 + 12 + 18 + 24 + 29 + 35 + 41 + 46 + 52 + 57 + 62 + 73 + 84 + 89 + 94 + 99	0 + 7 + 13 + 19 + 26 + 32 + 38 + 44 + 50 + 62 + 68 + 74 + 80 + 91 + 97 + 102 + 108	0 + 7 + 14 + 21 + 28 + 35 + 42 + 48 + 55 + 61 + 68 + 74 + 81 + 87 + 93 + 99 + 105 + 1117	0 + 8 + 15 + 23 + 30 + 45 + 59 + 66 + 73 + 80 + 101 + 108 + 114 + 121 + 127	0 + 8 + 17 + 25 + 33 + 41 + 49 + 56 + 64 + 72 + 79 + 102 + 109 + 116 + 137	0 + 9 + 18 + 27 + 35 + 44 + 52 + 61 + 69 + 77 + 85 + 101 + 109 + 117 + 125 + 132 + 140	0 + 10 + 28 + 38 + 47 + 56 + 65 + 74 + 83 + 91 + 100 + 109 + 117 + 126 + 134 + 142 + 158	0 + 10 + 20 + 30 + 40 + 50 + 60 + 79 + 88 + 107 + 116 + 125 + 134 + 143 + 152 + 161 + 169	0 + 11 + 22 + 32 + 43 + 53 + 64 + 74 + 104 + 114 + 124 + 133 + 163 + 162 + 171 + 180	0 + 12 + 23 + 34 + 46 + 57 + 68 + 790 + 100 + 111 + 132 + 142 + 152 + 162 + 172 + 162 + 192
$\begin{array}{c} \epsilon = 0.00 \\ -0.01 \\ -0.02 \\ -0.03 \\ -0.04 \\ -0.05 \\ -0.06 \\ -0.07 \\ -0.08 \\ -0.09 \\ -0.10 \\ -0.11 \\ -0.12 \\ -0.13 \\ -0.14 \\ -0.15 \\ -0.16 \\ -0.17 \\ -0.18 \\ -0.19 \end{array}$	0	0	0 0 0 1 4 + 5 5 1 1 1 1 1 1 1 1 1 1 1 1 1 1 1 1 1	0 + 5 + 11 + 16 + 21 + 27 + 32 + 37 + 42 + 47 + 52 + 67 + 76 + 76 + 81 + 81 + 90 + 94	0 + 6 + 12 + 18 + 24 + 29 + 35 + 41 + 46 + 52 + 57 + 62 + 68 + 73 + 78 + 84 + 89 + 99 + 104	0 + 7 + 13 + 19 + 26 + 32 + 38 + 44 + 50 + 62 + 68 + 74 + 80 + 86 + 91 + 97 + 108 + 113	0 + 7 + 14 + 21 + 28 + 35 + 42 + 48 + 55 + 61 + 68 + 74 + 81 + 87 + 93 + 105 + 1117 + 1123	0 + 8 + 15 + 23 + 30 + 45 + 559 + 66 + 73 + 80 + 108 + 114 + 127 + 134	0 + 8 + 17 + 25 + 33 + 41 + 49 + 56 + 64 + 72 + 79 + 102 + 102 + 103 + 133 + 137 + 144	0 + 9 + 18 + 27 + 35 + 44 + 52 + 61 + 69 + 77 + 85 + 101 + 109 + 119 + 125 + 132 + 148 + 155	0 + 10 + 28 + 38 + 47 + 56 + 65 + 74 + 83 + 91 + 100 + 109 + 117 + 126 + 134 + 142 + 158 + 166	0 + 10 + 20 + 30 + 40 + 50 + 60 + 79 + 88 + 107 + 116 + 125 + 134 + 143 + 152 + 169 + 178	0 + 11 + 22 + 32 + 43 + 53 + 64 + 74 + 104 + 114 + 124 + 133 + 163 + 162 + 171 + 180 + 189	0 + 12 + 23 + 34 + 46 + 57 + 68 + 790 + 100 + 111 + 132 + 142 + 152 + 162 + 1782 + 192 + 202
ε = 0.00 -0.01 -0.02 -0.03 -0.04 -0.05 -0.06 -0.07 -0.08 -0.09 -0.10 -0.11 -0.12 -0.13 -0.14 -0.15 -0.16 -0.17 -0.18 -0.19 -0.20	0 + 4 + + 7 + + 10 + + 17 + + 21 + + 27 + + 30 + + 34 + + 40 + + 43 + + 46 + + 49 + + 52 + + 58 + + 61 + + 64 +	0	0 0 0 4 + 5 5 9 + 10 8 1 + 15 7 + 19 9 1 + 24 4 7 7 1 + 19 1 + 10	0 + 5 + 11 + 16 + 21 + 27 + 32 + 37 + 42 + 47 + 52 + 67 + 76 + 76 + 76 + 81 + 85 + 90 + 94 + 99	0 + 6 + 12 + 18 + 24 + 29 + 35 + 41 + 46 + 52 + 57 + 62 + 68 + 73 + 78 + 84 + 89 + 99 + 104 + 109	0 + 7 + 13 + 19 + 26 + 32 + 38 + 44 + 50 + 62 + 68 + 74 + 80 + 86 + 91 + 91 + 108 + 113 + 119	0 + 7 + 14 + 21 + 28 + 35 + 42 + 48 + 55 + 61 + 68 + 74 + 81 + 93 + 105 + 1117 + 123 + 129	0 + 8 + 15 + 23 + 30 + 45 + 59 + 66 + 73 + 80 + 108 + 108 + 114 + 127 + 134 + 140	0 + 8 + 17 + 25 + 33 + 41 + 49 + 56 + 64 + 72 + 79 + 102 + 102 + 103 + 136 + 137 + 144 + 151	0 + 9 + 18 + 27 + 35 + 44 + 52 + 61 + 69 + 77 + 85 + 101 + 109 + 119 + 125 + 148 + 155 + 162	0 + 10 + 28 + 38 + 47 + 56 + 65 + 74 + 83 + 91 + 100 + 117 + 126 + 134 + 145 + 158 + 166 + 174	0 + 10 + 20 + 30 + 40 + 50 + 60 + 60 + 79 + 88 + 107 + 116 + 125 + 134 + 143 + 152 + 152 + 158 + 186	0 + 11 + 22 + 32 + 43 + 53 + 64 + 74 + 104 + 114 + 124 + 133 + 153 + 162 + 171 + 180 + 189 + 199	0 + 12 + 23 + 34 + 46 + 57 + 68 + 79 + 100 + 111 + 132 + 142 + 152 + 162 + 172 + 192 + 202 + 211
δ = 0.00 -0.01 -0.02 -0.03 -0.04 -0.05 -0.06 -0.07 -0.08 -0.09 -0.10 -0.11 -0.12 -0.13 -0.14 -0.15 -0.16 -0.17 -0.18 -0.19 -0.20 -0.21	0	0	0 0 0 1 1 1 1 1 1 1 1 1 1 1 1 1 1 1 1 1	0 + 5 + 11 + 16 + 21 + 27 + 32 + 37 + 47 + 52 + 57 + 62 + 67 + 71 + 81 + 85 + 94 + 99 + 103	0 + 6 + 12 + 18 + 24 + 29 + 35 + 41 + 46 + 52 + 57 + 62 + 88 + 73 + 84 + 89 + 104 + 109 + 114	0 + 7 + 13 + 19 + 26 + 32 + 38 + 44 + 56 - 62 + 68 + 74 + 80 + 91 + 108 + 113 + 119 + 124	0 + 7 + 14 + 21 + 28 + 35 + 42 + 48 + 55 + 61 + 68 + 74 + 81 + 87 + 93 + 105 + 117 + 123 + 129 + 135	0 + 8 + 15 + 23 + 30 + 38 + 45 + 52 + 59 + 66 + 73 + 80 + 87 + 94 + 101 + 108 + 114 + 127 + 134 + 140 + 146 + 146	0 + 8 + 17 + 25 + 33 + 41 + 49 + 56 + 72 + 79 + 102 + 109 + 116 + 123 + 137 + 144 + 151 + 158	0 + 9 + 18 + 27 + 35 + 44 + 61 + 69 + 77 + 85 + 101 + 109 + 117 + 132 + 148 + 155 + 162 + 170	0 + 10 + 19 + 28 + 38 + 47 + 56 + 65 + 74 + 83 + 91 + 100 + 109 + 117 + 126 + 134 + 142 + 158 + 166 + 174 + 182	0 0 + 10 + 20 + 30 + 40 + 50 + 60 + 79 + 88 + 107 + 116 + 125 + 134 + 143 + 152 + 161 + 169 + 178 + 186 + 195	0 + 11 + 22 + 32 + 43 + 53 + 64 + 74 + 104 + 114 + 124 + 133 + 162 + 171 + 189 + 199 + 207	0 + 12 + 23 + 34 + 46 + 57 + 68 + 79 + 100 + 111 + 132 + 142 + 152 + 162 + 172 + 202 + 211 + 221 + 221
δ = 0.00 -0.01 -0.02 -0.03 -0.04 -0.05 -0.06 -0.07 -0.08 -0.09 -0.10 -0.11 -0.12 -0.13 -0.14 -0.15: -0.16 -0.17 -0.18 -0.19 -0.20 -0.21 -0.22	0	0	0 0 0 1 4 + 5 5 9 + 10 10 10 10 10 10 10 10 10 10 10 10 10	0 + 5 + 11 + 16 + 21 + 27 + 32 + 37 + 42 + 47 + 52 + 67 + 71 + 76 + 81 + 85 + 90 + 94 + 103 + 108	0 + 6 + 12 + 18 + 24 + 29 + 35 + 41 + 46 + 52 + 57 + 62 + 84 + 89 + 94 + 104 + 118	0 + 7 + 13 + 19 + 26 + 32 + 38 + 44 + 50 + 66 + 62 + 74 + 80 + 86 + 91 + 102 + 108 + 113 + 119 + 124 + 129	0	0 + 8 + 15 + 23 + 30 + 38 + 45 + 52 + 59 + 66 + 73 + 80 + 87 + 94 + 101 + 108 + 114 + 121 + 127 + 134 + 146 + 153	0 + 8 + 17 + 25 + 33 + 41 + 49 + 56 + 64 + 72 + 79 + 102 + 109 + 116 + 123 + 130 + 137 + 144 + 151 + 158 + 165	0 + 9 + 18 + 27 + 35 + 44 + 5 ² + 61 + 69 + 77 + 85 + 101 + 109 + 117 + 125 + 132 + 140 + 148 + 155 + 162 + 170 + 177	0 + 10 + 19 + 28 + 38 + 47 + 56 + 74 + 83 + 91 + 100 + 117 + 126 + 134 + 142 + 150 + 158 + 166 + 174 + 182 + 190	0 0 + 10 + 20 + 30 + 40 + 50 + 60 + 79 + 88 + 107 + 116 + 125 + 134 + 143 + 152 + 161 + 169 + 178 + 186 + 195 + 203	0 + 11 + 22 + 32 + 43 + 53 + 64 + 74 + 104 + 114 + 124 + 133 + 143 + 162 + 171 + 189 + 199 + 207 + 216	0 + 12 + 23 + 34 + 46 + 57 + 68 + 79 + 100 + 111 + 132 + 142 + 152 + 162 + 192 + 202 + 211 + 221 + 230
δ = 0.00 -0.01 -0.02 -0.03 -0.04 -0.05 -0.06 -0.07 -0.08 -0.09 -0.10 -0.11 -0.12 -0.13 -0.14 -0.15 -0.16 -0.17 -0.18 -0.19 -0.20 -0.21	0	0	0 0 0 0 1 4 + 5 0 1 1 1 1 1 1 1 1 1 1 1 1 1 1 1 1 1 1	0 + 5 + 11 + 16 + 21 + 27 + 32 + 47 + 52 + 47 + 52 + 62 + 67 + 71 + 76 + 81 + 85 + 90 + 94 + 103 + 103 + 103	0 + 6 + 12 + 18 + 24 + 29 + 35 + 41 + 46 + 52 + 57 + 62 + 73 + 84 + 73 + 104 + 109 + 114 + 118 + 118	0 + 7 + 13 + 19 + 26 + 32 + 38 + 44 + 50 + 56 + 62 + 74 + 86 + 91 + 102 + 108 + 113 + 119 + 124 + 129 + 135	0 + 7 + 14 + 21 + 28 + 35 + 42 + 48 + 55 + 61 + 68 + 74 + 81 + 117 + 123 + 129 + 135 + 141 + 147	0 + 8 + 15 + 23 + 30 + 38 + 45 + 59 + 66 + 73 + 80 + 114 + 121 + 127 + 134 + 140 + 146 + 159	0 + 8 + 17 + 25 + 33 + 41 + 49 + 72 + 79 + 116 + 123 + 130 + 137 + 144 + 151 + 158 + 165 + 171	0 + 9 + 18 + 27 + 35 + 44 + 52 + 61 + 69 + 77 + 85 + 93 + 101 + 101 + 125 + 140 + 148 + 155 + 162 + 170 + 177 + 184	0 + 10 + 19 + 28 + 38 + 47 + 56 + 65 + 74 + 83 + 91 + 100 + 109 + 117 + 126 + 158 + 166 + 174 + 182 + 198	0 + 10 + 20 + 30 + 40 + 50 + 60 + 69 + 79 + 116 + 125 + 134 + 143 + 152 + 161 + 169 + 178 + 186 + 195 + 201	0 + 11 + 22 + 32 + 43 + 53 + 64 + 74 + 184 + 194 + 114 + 124 + 133 + 162 + 171 + 180 + 189 + 207 + 216 + 225	0 + 12 + 23 + 34 + 46 + 57 + 68 + 100 + 111 + 132 + 142 + 152 + 162 + 172 + 162 + 202 + 211 + 221 + 239
δ = 0.00 -0.01 -0.02 -0.03 -0.04 -0.05 -0.06 -0.07 -0.08 -0.09 -0.10 -0.11 -0.12 -0.13 -0.14 -0.15 -0.16 -0.17 -0.18 -0.19 -0.20 -0.21 -0.22 -0.23	0	0	0 0 0 0 0 0 0 0 0 0 0 0 0 0 0 0 0 0 0	0 + 5 + 11 + 16 + 21 + 32 + 37 + 42 + 47 + 52 + 57 + 62 + 67 + 71 + 76 + 81 + 85 + 90 + 94 + 103 + 103 + 1103 + 1103 + 1112 + 1117	0 + 6 + 12 + 18 + 24 + 29 + 35 + 46 + 52 + 57 + 62 + 73 + 84 + 89 + 94 + 104 + 109 + 114 + 118 + 123 + 128	0 + 7 + 13 + 19 + 26 + 32 + 38 + 44 + 50 + 66 + 62 + 74 + 80 + 86 + 91 + 97 + 102 + 108 + 113 + 119 + 124 + 129 + 135 + 140	0 + 7 + 14 + 21 + 28 + 35 + 42 + 48 + 55 + 61 + 68 + 74 + 81 + 87 + 93 + 105 + 1117 + 123 + 129 + 135 + 141 + 147 + 152	0 + 8 + 15 + 23 + 30 + 38 + 45 + 59 + 66 + 73 + 80 + 114 + 121 + 127 + 134 + 140 + 145 + 159 + 165		0 + 9 + 18 + 27 + 35 + 44 + 52 + 61 + 69 + 77 + 85 + 93 + 101 + 109 + 117 + 125 + 140 + 148 + 155 + 162 + 170 + 170 + 184 + 191	0 + 10 + 28 + 38 + 47 + 56 + 65 + 74 + 83 + 91 + 100 + 109 + 117 + 126 + 134 + 142 + 150 + 166 + 174 + 182 + 190 + 198 + 205	0 0 + 10 + 20 + 30 + 40 + 50 + 60 + 79 + 88 + 98 + 107 + 116 + 125 + 134 + 143 + 152 + 161 + 169 + 178 + 186 + 195 + 203 + 211 + 219	0 + 11 + 22 + 32 + 43 + 53 + 64 + 74 + 184 + 194 + 114 + 124 + 133 + 162 + 171 + 189 + 199 + 207 + 216 + 225 + 234	0 + 12 + 23 + 34 + 46 + 57 + 68 + 79 + 90 + 100 + 111 + 132 + 142 + 152 + 162 + 172 + 182 + 202 + 211 + 239 + 249
δ = 0.00 -0.01 -0.02 -0.03 -0.04 -0.05 -0.06 -0.07 -0.08 -0.09 -0.10 -0.11 -0.12 -0.13 -0.14 -0.15 -0.16 -0.17 -0.18 -0.19 -0.20 -0.21 -0.22 -0.23 -0.24	0 + 4 + 7 + 10 + 14 + 17 + 21 + 27 + 30 + 34 + 37 + 40 + 43 + 46 + 49 + 52 + 58 + 61 + 64 + 64 + 75 + 75	0	0 0 0 0 1 4 + 50 0 1 1 1 1 1 1 1 1 1 1 1 1 1 1 1 1 1	0 + 5 + 11 + 16 + 21 + 27 + 32 + 47 + 52 + 57 + 62 + 67 + 71 + 76 + 81 + 85 + 90 + 94 + 103 + 103 + 1112 + 1117 + 121.	0 + 6 + 12 + 18 + 24 + 29 + 35 + 46 + 52 + 57 + 62 + 68 + 73 + 84 + 89 + 94 + 104 + 109 + 114 + 118 + 1133 + 128 + 133	0 + 7 + 13 + 19 + 26 + 32 + 38 + 44 + 50 + 56 + 62 + 74 + 86 + 91 + 102 + 108 + 113 + 119 + 124 + 124 + 124 + 145	0 + 7 + 14 + 21 + 28 + 35 + 42 + 48 + 55 + 61 + 68 + 74 + 81 + 123 + 129 + 135 + 141 + 147 + 152 + 158	0 + 8 + 15 + 23 + 30 + 38 + 45 + 59 + 66 + 73 + 80 + 114 + 121 + 127 + 134 + 140 + 146 + 159 + 165 + 171	0 + 8 + 17 + 25 + 33 + 41 + 49 + 56 + 64 + 72 + 79 + 116 + 123 + 130 + 137 + 144 + 151 + 158 + 165 + 171 + 178 + 184	0 + 9 + 18 + 27 + 35 + 44 + 52 + 61 + 69 + 77 + 85 + 93 + 101 + 1197 + 125 + 140 + 148 + 155 + 162 + 170 + 170 + 170 + 170 + 170 + 184 + 191 + 198	0 + 10 + 19 + 28 + 38 + 47 + 56 + 65 + 74 + 83 + 91 + 100 + 117 + 126 + 158 + 166 + 174 + 182 + 198 +	0 + 10 + 20 + 30 + 40 + 50 + 60 + 69 + 79 + 116 + 125 + 134 + 143 + 152 + 161 + 169 + 178 + 1252 + 211 + 219 + 227	0 + 11 + 22 + 32 + 43 + 53 + 64 + 74 + 184 + 194 + 114 + 124 + 133 + 162 + 171 + 180 + 189 + 207 + 218 + 225 + 234 + 242	0 + 12 + 23 + 34 + 46 + 57 + 68 + 90 + 100 + 111 + 132 + 142 + 152 + 162 + 202 + 211 + 221 + 239 + 249 + 258
δ = 0.00 -0.01 -0.02 -0.03 -0.04 -0.05 -0.06 -0.07 -0.08 -0.09 -0.10 -0.11 -0.12 -0.13 -0.14 -0.15 -0.16 -0.17 -0.18 -0.19 -0.20 -0.21 -0.22 -0.23 -0.24 -0.25 -0.26 -0.27	0	0	0 0 1 + 50 1 1 1 1 1 1 1 1 1 1 1 1 1 1 1 1 1 1	0 + 5 + 11 + 16 + 21 + 27 + 32 + 37 + 47 + 52 + 57 + 62 + 67 + 71 + 76 + 81 + 90 + 94 + 103 + 108 + 112 + 125 + 129 + 121 + 125 + 129	0 + 6 + 12 + 18 + 24 + 29 + 35 + 41 + 46 + 52 + 57 + 62 + 84 + 78 + 109 + 114 + 118 + 123 + 133 + 137 + 142	0 + 7 + 13 + 19 + 26 + 32 + 38 + 44 + 50 + 62 + 68 + 74 + 80 + 91 + 108 + 113 + 119 + 124 + 129 + 135 + 145 + 145 + 155	0 + 7 + 14 + 21 + 28 + 35 + 42 + 48 + 561 + 68 + 74 + 81 + 123 + 129 + 135 + 141 + 147 + 158 + 163 + 169 + 163 + 169	0 + 8 + 15 + 23 + 30 + 45 + 52 + 56 + 73 + 80 + 101 + 114 + 127 + 134 + 140 + 146 + 153 + 159 + 161 + 177 + 183 +	0 + 8 + 17 + 25 + 33 + 41 + 49 + 56 + 4 + 72 + 79 + 116 + 123 + 137 + 144 + 151 + 158 + 165 + 171 + 158 + 165 + 171 + 158 + 165 + 171 + 158 + 165 + 171 + 158 + 165 + 171 + 158 + 165 + 171 + 158 + 165 + 171 + 158 + 165 + 171 + 158 + 165 + 171 + 158 + 165 + 171 + 158 + 165 + 171 + 197 + 19	0 + 9 + 18 + 27 + 35 + 44 + 52 + 61 + 170 + 117 + 125 + 148 + 155 + 162 + 170 + 198 + 191 + 191	0 + 10 + 28 + 38 + 47 + 56 + 65 + 74 + 100 + 109 + 117 + 126 + 134 + 142 + 158 + 166 + 174 + 182 + 190 + 205 + 213 + 220 + 228	0 + 10 + 20 + 30 + 40 + 50 + 60 + 60 + 79 + 88 + 107 + 116 + 125 + 169 + 178 + 186 + 195 + 203 + 211 + 219 + 227 + 235 + 243 +	0 + 11 + 22 + 32 + 43 + 53 + 64 + 74 + 104 + 114 + 124 + 133 + 162 + 171 + 180 + 189 + 207 + 216 + 225 + 225 + 225 + 225 + 225	0 + 12 + 23 + 34 + 46 + 57 + 68 + 790 + 100 + 111 + 132 + 142 + 152 + 162 + 202 + 211 + 221 + 230 + 249 + 258 + 276
δ = 0.00 -0.01 -0.02 -0.03 -0.04 -0.05 -0.06 -0.07 -0.08 -0.09 -0.10 -0.11 -0.12 -0.13 -0.14 -0.15 -0.16 -0.17 -0.18 -0.19 -0.20 -0.21 -0.22 -0.23 -0.24 -0.25 -0.26 -0.27 -0.28	0	0	0 0 1 + 50 1 1 1 1 1 1 1 1 1 1 1 1 1 1 1 1 1 1	0 + 5 + 11 + 16 + 21 + 27 + 32 + 37 + 42 + 47 + 52 + 67 + 71 + 76 + 81 + 76 + 94 + 108 + 112 + 125 + 129 + 134	0 + 6 + 12 + 18 + 24 + 29 + 35 + 41 + 46 + 52 + 57 + 62 + 84 + 78 + 109 + 114 + 118 + 123 + 137 + 142 + 147	0 + 7 + 13 + 19 + 26 + 32 + 38 + 44 + 50 + 66 + 62 + 74 + 80 + 91 + 108 + 113 + 119 + 124 + 129 + 135 + 145 + 145 + 155 + 160	0 + 7 + 14 + 21 + 28 + 35 + 42 + 48 + 561 + 68 + 74 + 81 + 123 + 129 + 135 + 141 + 147 + 158 + 163 + 169 + 174	0 + 8 + 15 + 23 + 30 + 45 + 59 + 66 + 73 + 80 + 101 + 114 + 127 + 134 + 140 + 146 + 153 + 159 + 171 + 171 + 183 + 189	0 + 8 + 17 + 25 + 33 + 41 + 49 + 56 + 4 + 72 + 79 + 116 + 123 + 137 + 144 + 151 + 158 + 165 + 171 + 158 + 165 + 171 + 197 + 204	0 + 9 + 18 + 27 + 35 + 44 + 52 + 61 + 170 + 125 + 132 + 148 + 155 + 162 + 170 + 184 + 191 + 198 + 191 + 198 + 191 + 198 + 191 + 198 + 191 + 198 + 191 + 198 + 191 + 198 + 191 + 198 + 191 + 198 + 191 + 191 + 198 + 191 + 191 + 198 + 191	0 + 10 + 28 + 38 + 47 + 56 + 65 + 74 + 100 + 109 + 117 + 126 + 158 + 166 + 174 + 182 + 190 + 198 + 205 + 213 + 228 + 235	0 + 10 + 20 + 30 + 40 + 50 + 60 + 60 + 79 + 88 + 107 + 116 + 125 + 152 + 169 + 178 + 186 + 195 + 203 + 211 + 219 + 223 + 251	0 + 11 + 22 + 32 + 43 + 53 + 64 + 74 + 104 + 114 + 124 + 133 + 162 + 171 + 180 + 189 + 207 + 216 + 225 + 234 + 242 + 251 + 268	0 + 12 + 23 + 34 + 46 + 57 + 790 + 1111 + 132 + 142 + 152 + 162 + 202 + 211 + 221 + 239 + 249 + 258 + 267 + 285
δ = 0.00 -0.01 -0.02 -0.03 -0.04 -0.05 -0.06 -0.07 -0.08 -0.09 -0.10 -0.11 -0.12 -0.13 -0.14 -0.15 -0.16 -0.17 -0.18 -0.19 -0.20 -0.21 -0.22 -0.23 -0.24 -0.25 -0.26 -0.27 -0.28 -0.29	0	0	0 0 1 + 50 1 1 1 1 1 1 1 1 1 1 1 1 1 1 1 1 1 1	0 + 5 + 11 + 16 + 21 + 27 + 32 + 37 + 47 + 52 + 67 + 71 + 81 + 85 + 90 + 94 + 108 + 112 + 117 + 125 + 134 + 138	0 + 6 + 12 + 18 + 24 + 29 + 35 + 41 + 46 + 52 + 57 + 62 + 84 + 89 + 104 + 118 + 123 + 123 + 133 + 137 + 147 + 151	0 + 7 + 13 + 19 + 26 + 32 + 38 + 44 + 56 - 62 + 68 + 74 + 80 + 91 + 108 + 113 + 119 + 124 + 129 + 135 + 140 + 145 + 150 + 165 + 165	0 + 7 + 14 + 21 + 28 + 35 + 42 + 48 + 561 + 68 + 74 + 81 + 87 + 93 + 105 + 117 + 123 + 129 + 135 + 141 + 147 + 152 + 158 + 163 + 169 + 174 + 180	0 + 8 + 15 + 23 + 30 + 45 + 52 + 56 + 73 + 80 + 87 + 101 + 1127 + 134 + 140 + 153 + 159 + 165 + 177 + 189 + 195	0 + 8 + 17 + 25 + 33 + 41 + 49 + 564 + 72 + 79 + 162 + 109 + 1165 + 171 + 158 + 165 + 171 + 184 + 191 + 191 + 204 + 210	0 + 9 + 18 + 27 + 35 + 44 + 52 + 61 + 77 + 85 + 101 + 109 + 117 + 125 + 148 + 155 + 162 + 170 + 184 + 191 + 198 + 205 + 212 + 219 + 226	0 + 10 + 19 + 28 + 38 + 47 + 56 + 65 + 74 + 182 + 158 + 166 + 174 + 182 + 190 + 198 + 205 + 213 + 225 + 242	0 + 10 + 20 + 30 + 40 + 50 + 60 + 69 + 79 + 88 + 107 + 116 + 125 + 134 + 143 + 152 + 161 + 169 + 178 + 1203 + 211 + 219 + 227 + 235 + 2431 + 259	0 + 11 + 22 + 32 + 43 + 53 + 64 + 74 + 104 + 114 + 124 + 133 + 162 + 171 + 189 + 207 + 216 + 225 + 234 + 242 + 251 + 268 + 276	0 + 12 + 23 + 34 + 46 + 57 + 790 + 1111 + 132 + 142 + 152 + 162 + 211 + 221 + 230 + 249 + 258 + 267 + 276 + 294
δ = 0.00 -0.01 -0.02 -0.03 -0.04 -0.05 -0.06 -0.07 -0.08 -0.09 -0.10 -0.11 -0.12 -0.13 -0.14 -0.15 -0.16 -0.17 -0.18 -0.19 -0.20 -0.21 -0.22 -0.23 -0.24 -0.25 -0.26 -0.27 -0.28 -0.29	0	0	0 0 1 + 50 1 1 1 1 1 1 1 1 1 1 1 1 1 1 1 1 1 1	0 + 5 + 11 + 16 + 21 + 27 + 32 + 37 + 47 + 52 + 67 + 71 + 81 + 85 + 90 + 94 + 108 + 112 + 117 + 125 + 134 + 138	0 + 6 + 12 + 18 + 24 + 29 + 35 + 41 + 46 + 52 + 57 + 62 + 84 + 89 + 104 + 118 + 123 + 123 + 133 + 137 + 147 + 151	0 + 7 + 13 + 19 + 26 + 32 + 38 + 44 + 56 - 62 + 68 + 74 + 80 + 91 + 108 + 113 + 119 + 124 + 129 + 135 + 140 + 145 + 150 + 165 + 165	0 + 7 + 14 + 21 + 28 + 35 + 42 + 48 + 561 + 68 + 74 + 81 + 87 + 93 + 105 + 117 + 123 + 129 + 135 + 141 + 147 + 152 + 158 + 163 + 169 + 174 + 180	0 + 8 + 15 + 23 + 30 + 45 + 52 + 56 + 73 + 80 + 87 + 101 + 1127 + 134 + 140 + 153 + 159 + 165 + 177 + 189 + 195	0 + 8 + 17 + 25 + 33 + 41 + 49 + 564 + 72 + 79 + 162 + 109 + 1165 + 171 + 158 + 165 + 171 + 184 + 191 + 191 + 204 + 210	0 + 9 + 18 + 27 + 35 + 44 + 52 + 61 + 77 + 85 + 101 + 109 + 117 + 125 + 148 + 155 + 162 + 170 + 184 + 191 + 198 + 205 + 212 + 219 + 226	0 + 10 + 19 + 28 + 38 + 47 + 56 + 65 + 74 + 182 + 158 + 166 + 174 + 182 + 190 + 198 + 205 + 213 + 225 + 242	0 0 + 100 + 200 + 400 + 500 + 600 + 600 + 790 + 880 + 1070 + 1160 + 1250 + 1780 + 1860 + 1950 + 2277 + 2350 + 2451 + 2590	0 + 11 + 22 + 32 + 43 + 53 + 64 + 74 + 104 + 114 + 124 + 133 + 162 + 171 + 189 + 207 + 216 + 225 + 234 + 242 + 251 + 268 + 276	0 + 12 + 23 + 34 + 46 + 57 + 790 + 1111 + 132 + 142 + 152 + 162 + 211 + 221 + 230 + 249 + 258 + 267 + 276 + 294

log H in Einheiten der 7. Decimale.

Tafel VIc. (Ellipse).

_	ï				۱		16	; 	٠			l		
A	0.00	+ 0.01	 0.02	+ 0.03	+ 0.04	+ 0.05	+ 0.00	+ 0.07	+ 0.08	+ 0.09	1 + 0.10	+ 0.11	+ 0.12 + 0.	13 + 0.14 + 0.15
	 	 	 		├	; =	 		¦	; 		 	} 	
= 0.00) 0	•	0	· c		0	0	ه ا		٥	0	0	0	ه ه
+ 0.01	0	0	0						_ 1	2		_ 2	i , _	4 - 4 - 5
+ 0.02	ا ا	٥	. 0	i	l _ i	i	- i	_ 2	<u> </u>	- 2	_ 4	- 5	6 -	7 - 8 - 10
+ 0.03	. 0	0		1	- i	_ i	_ 2	_ 3	I _ 4]_ ;	- 6	- 7	_ 9 _	11 - 12 - 14
+ 0.04		0		- 1	I _ i	2	- 2	- 1	I - 3	- 7	— 8	- 10	1 1	14 - 17 - 19
		0		i										18 - 21 - 24
+ 0.05				·		2		3			10	<u>-</u>	l <u>"</u> '	- :
+ 0.06	٥	•		_ ı	- 2	- 3	- 4	- 6	8	- 10	1	- 15	1	22 - 25 - 29
+ 0.07	°	0	— I	r	— 2	— 3	<u> </u> - 5	<u> </u> 7	- 9	— I2	1	i .		25 - 30 - 35
+ 0.08	°	•	— I	— I	 - 3	- +	- 0	R	I — 10			1	اذا	29 - 34 - 40
+ 0.09	°	0		2	3	4	!7	9	- 12	15	<u> </u>	23	28	33 - 39 - 45
+ 0.10	0	0	·- 1	2	- 3	— 5	- 7	- 10	— 13	- 17	<u> </u>	- 26	— 31 —	37! — 43 — 50
+ 0.11	0	0	- 1	2	- 4	- 6	- 8	- 11	- 15	- 19	23	_ 29	- 34 -	11 - 48 - 55
+ 0.12	0	•	<u> </u>	2	4	- 6	_	- 12	ı6		1 -	- 31		15 - 52 - 61
+ 0.13	0	0	— т	2	- 4	- 7	10	13	18	- 22	28		- 1	19 - 57 - 66
+ 0.14	0	0	- 1	3	l — 5	7	10	- 14	- 19	- 24	30		- 45 -	53' 62 72
+ 0.15	0			- 3	s	8	_ 11	- 16	_ 20	26		- 40		67 - 67 - 77
	l		·	- 3	· · <u>'</u>	- 3		· - ·	I		;— ° =			· · · · · · · · · · · · · · · · · · ·
十 0.16	0	0		_ 3	1 2	— 8 — 8		۱ :	_ 22 _ 24	1	1	- 43 - 46	1 1	$\begin{array}{cccccccccccccccccccccccccccccccccccc$
				_ 3	<u> </u>	— 9 — 0	— 13 — 14	- 18	— 24 — 25	,	1	— 46 — 10	1	
+ 0.18		0	_ 1	i _ 3	I _	_ 9	_ 14	19	1 ~			4	2 1	
+ 0.19	<u></u>		- 4	4		10	:	20	- 27	 :			I	
+ 0.20			2	4		_ 11	16	21	28		- 45	55	<u> </u>	78' — 92 — 106
+ 0.21	0	0	_ 2	- 4	7	- 11	- 16	_ 23	— 30	— 38	- 47	— 58	— 70 —	83 _. — 97 ₁ — 112
+ 0.22	0	0	2	- 4	8	- 12	- 17	— 24	— 31	- 40	- 50	— 61	— 74 —	87 — 102 — 119
+ 0.23	. 0	0	_ 2	- 4	- 8	- 13	— 18	- 25	— 33	- 42	- 53		1 1	92 - 108 - 125
+ 0.24	Lo	I	2	_ 5	- 8	- 13	. — 19	- 26	— 35	- 44	<u> </u>	68	- 81	96 — 113 — 131
+ 0.25	0	- 1	2	<u> </u>	— 9	- 14	- 20	- 28	36	- 46	58	71	— 85 — I	01 - 118 - 137
+ 0.26			_ 2			_ 14		_ 29	- 3 8	- 49	- 61	— 74	— 8g — r	06 - 124 - 144
+ 0.27	۰	1	2	· 5	_ 1ó	- 15	- 22		-	1			- 1	1 1 1
+ 0.28		1	. — 2	. — 6	- 10	- 16	1	,			1			7.1
+ 0.29	0	— I	- 3	- 6	- 10	- 16	•		- 43	1 11		ا ہا	· ·	7 7 7 7
+ 0.30					- 11		·	'						
7 0.30					l	- 17	- 25	_ 34	- 45	_ 50	/2	_ 88	- 100 - 1	25 - 147 - 170
74	+ 0.15	+ 0.16	+ 0.1.7	+ 0.18	+ 0.19	+ 0.20	+ 0.21	+ 0.22	+ 0.23	+ 0.24	十 0.25	十 0.26	十 0.27 十 0.	28 + 0.29 + 0.30
	ارد د د کا	-=	ļ <u></u>	<u> </u>	Ļ _		ļ	1	ļ	ļ	<u></u>	<u> </u>	<u> </u>	
= 0.00	۰	٥	! i o	١,	۱ .	١ .			١ .					
			·	_	8	ļ		!	-	ļ——	·!			- :
+ 0.01		- 5		l – .7						, -	-	1		19 - 21 - 23
+ 0.02	_ 10	_ 11	- 13	- 14		1	1					1		$\frac{39}{62} - \frac{42}{62} - \frac{45}{62}$
+ 0.03 + 0.04	- 10	— 17·	— 19 — 26	I			•				1 2			$\frac{58}{78} - \frac{63}{78} - \frac{68}{78} = \frac{68}{78}$
. :	; <u> </u>		25		ı —	i				· 		·		$\frac{78 -85 -92 }{8}$
+ 0.05	24	28	<u> </u>	<u> </u>	41	<u>- 46</u>	51	57	62	<u> </u>	<u> </u>	83	— 90 <u> —</u>	98 - 106 - 115
+ 0.06	- 29	- 34	- 39	- 44	- 49	- 55	— 62	68	— 75	- 83	· — 91	; — 100	<u> — 109 — 1</u>	18 — 128 — 139
+ 0.07	- 35	- 40	· — 45	- 51	- 58	' 6 <u>5</u>		- 80	88	¦— 97	- 107	- 117	127 1	39 — 150 — 163
+ 0.08	- 40	- 46	<u> </u>	1 5-		<u> </u>	83	— 92	- 102	- 112	- 123	134	— 146 — I	59 — 173 — 187
+ 0.09	45	<u> </u>	- 59	- 67	- 75	- 8 4	94	104	_ 115	- 127	- 139	152	— 166 — 1	195 — 195
+ 0.10	<u> </u>	58	— 66	- 75	- 84	- 94	_ 105	- 116	- 128	<u>— 141</u>	- 155	- 170	- 185 - 2º	-218 - 236
-	- 55		- 72			104	116	- 120	- I12	- 156	- 172	- 188		23 - 242 - 262
														14 - 265 - 287
+ 0.12	- 66	— 76	- 87	- 00	- 111	— I 2.1	- 130		- 170	- 187	- 205	- 22.1	- 245 - 2	66 - 289 - 313
+ 0.14	- 72	· 8 z	- 94	- 107	120	- 135	- 150	- 167	- 184	- 201	- 222	- 242	- 265 - 2	88 - 313 - 339
+ 0.15														$\frac{337}{11} - \frac{365}{365}$
														33 — 362 — 392
														56 - 387 - 418
				- 141	- 158		- 198	- 219	- 242	_ 207	293	- 320	3+9 - 3	80 — 412 — 446
+ 0.19														$\frac{-3}{-437} - 473$
+ 0.20	<u> — 106</u>	<u> 122</u>	- 140	- 158	178	200	222	- 247	273	300	— 329	360	<u> </u>	27 — 463, — 501
+ 0.21	I I 2	- 129	- 148	- 167	- 188	- 211	- 235	<u> — 261</u>	288	317	- 348	· - 380	415 4	51 - 489 - 530
+ 0.22	. — 119	- 136	- 156	- 176	198	- 222	- 248	- 275	- 304	- 334	367	— 401	437 4	75 - 516 - 558
+ 0.23	— I25	143	164	- 185	— 209	- 234	261	289	<u> — 319</u>	- 352	.¦ — 386	422	<u> </u>	00 — 543 — 587
														25 - 570 - 617
														51 - 597 - 646
+ 0.26														$\frac{3}{76} - \frac{3}{625} - \frac{3}{677}$
1		_												
+ 0.28														$\begin{array}{c ccccccccccccccccccccccccccccccccccc$
+ 0.29		- 190	200	233	203									$\frac{19}{100} - \frac{682}{100} - \frac{738}{100}$
!											<u> </u>	(
+ 0.30	170	- 196	- 223	253	285	319	— 356	 3 95	ı — 436	— 480	527	<u> </u>	<u> — 628 — 6</u>	33 — 741 — 802
								1				, ,	, ,	; I •
				!	·			<u></u>		1				

Tafel VII.

vergl. pag. 80.

7	log μ	Diff.	η	$\log \mu$	Diff.	η	$\log \mu$	Diff.	η	$\log \mu$	Diff.
0.000	0.000 0000		0.050	0.000 0453		0.100	0.000 1815	٠ ا	0.150	0.000 4099	
0.001	0.000 0000	. 0	0.051	0.000 0471	+18	0.101	0.000 1851	+ 36	0.151	0.000 4154	+ 55
0.002	0.000 0001	+ 1	0.052	0.000 0490	+ 19	0.102	0.000 1888	+ 37	0.152	0.000 1209	+ 55
0.003	0.000 0002	+ 1	0.053	0.000 0509	+ 19	0.103	0.000 1926	+ 38	0.153	0.000 4265	+ 56
0.004	0.000 0003	+ 1	0.054	0.000 0528	+ 19	0.104	0.000 1963	十 37	0.154	0.000 4322	十 57
		+ 2	,-	0.000 0,00	+ 20	*		+ 38	V54	1 21222	+ 56
0.005	0.000 0005		0.055	0.000 0548		0.105	.i ii 0.000 2001		0.155	0.000 4378	' '
0.006	0.000 0007	+ 2	0.056	0.000 0568	+ 20	0.106	0.000 2040	+ 39	0.156	0.000 4435	十 57
0.007	0.000 0009	+ 2	0.057	0.000 0588	+ 20	0.107	0.000 2079	十 39	_	0.000 4493	+ 58
0.008	0.000 0012	+ 3	0.058	0.000 0609	+ 21	0.108	0.000 2118	+ 39	0.157	0.000 4551	+ 58
0.009	0.000 0015	+ 3	-	i	+ 22	h	0.000 2116	+39	0.158	1:	+ 58
0.009	0.000 0013	+ 3	0.059	0.000 0631	4.31	0.109	0.000 2137	+40	0.159	0.000 4609	+ 58
0.010	0.000 0018	+ 3	0.060		+ 21	٠		T 40		0 000 4667	T)0
0.011	0.000 0012	+ 4	0.061	0.000 0652	+ 22	0.110	0.000 2197	+41	0.160	0.000 4667	+ 59
0.012		+ 4		0.000 0674	+ 22	0.111	0.000 2238	+40	0.161	0.000 4726	+ 60
	0.000 0026	+ 5	0.062	0.000 0696	+ 23	0.112	0.000 2278	+41	0.162	0.000 4786	+60
0.013	0.000 0031	+ 4	0.063	0.000 0719	+ 23	0.113	0.000 2319	+ 42	0.163	0.000 4846	+60
0.014	0.000 0035		0.064	0.000 0742	ĺ	0.114	0.000 2361		0.164	0.000 4906	1
		+ 6			+ 23	i	ll .	+41			+60
0.015	0.000 0041	+ 5	0.065	0.000 0765	+ 24	0.115	0.000 2402	+ 43	0.165	0.000 4966	+61
0.016	0.000 0046	+ 6	0.066	0.000 0789	+ 24	0.116	0.000 2445	+ 42	0.166	0.000 5027	+61
0.017	0.000 0052	+ 7	0.067	0.000 0813		0.117	0.000 2487		0.167	0.000 5088	+ 62
0.018	0.000 0059		0.068	0.000 0838	+ 25	0.118	0.000 2530	+ 43	0.168	0.000 5150	
0.019	0.000 0065	+ 6	0.069	0.000 0863	+ 25	0.119	0.000 2573	+ 43	0.169	0.000 5212	+ 62
		+ 7	1		+ 25			+ 44		_	+ 62
0.020	0.000 0072		0.070	0.000 0888		0.120	0.000 2617		0.170	0.000 5274	
0.021	0.000 0080	+ 8	0.071	0.000 0914	+ 26	0.121	0.000 2661	+ 44	0.171	0.000 5337	+ 63
0.022	0.000 0088	+ 8	0.072	0.000 0939	+ 25	0.122	0.000 2705	+ 44	0.172	0.000 5400	+ 63
0.023	0.000 0096	+ 8	0.073	0.000 0966	+ 27	0.123	0.000 2750	+ 45	0.173	0.000 5464	+64
0.024	0.000 0104	+ 8	0.074	0.000 0993	+ 27	0.124	0.000 2795	+ 45	0.174	0.000 5528	+ 64
	1,500	+ 9	0.074	0.000 0993	+ 27	V 	0.000 2/93	+ 45	0.1/4	0.000 3320	+64
0.025	0,000 0113		0.075	0.000 1020		0,125	0.000 2840		0.175	0.000 5592	
0.026	0.000 0122	+ 9	0.076	tı	十 27	0.126	0.000 2886	+ 46	0.176	0.000 5657	+65
0.027	0.000 0132	+ 10		0.000 1047	+ 28		II I	+ 46			+ 65
0.028	0.000 0142	+ 10	0.077	0.000 1075	+ 28	0.127	0.000 2932	+ 47	0.177	0.000 5722	+65
0.029		+ 10	0.078	0.000 1103	+ 28	0.128	0.000 2979	+ 47	0.178	0.000 5787	+ 66
0.029	0.000 0152		0.079	0.000 1131	1	0.129	0.000 3026		0.179	0.000 5853	1 44
0.010	0 000 0160	+11			+ 29		ļ	十 47		j	+ 66
0.030	0.000 0163	+ 11	0.080	0.000 1160	+ 30	0.130	0.000 3073	+ 48	0.180	0.000 5919	+ 67
0.031	0.000 0174	+ 11	0.081	0.000 1190	+ 29	0.131	0.000 3121	+ 48	0.181	0.000 5986	+ 67
0.032	0.000 0185	+ 12	0.082	0.000 1219	+ 3ó	0.132	0.000 3169	+ 49	0.182	0.000 6053	+ 67
0.033	0.000 0197	+ 12	0.083	0.000 1249	+ 30	0.133	0.000 3218	+ 48	0.183	0.000 6120	+ 68
0.034	0.000 0209		0.084	0.000 1279		0.134	0.000 3266	1 7"	0.184	0.000 6188	
	!	+ 13			+ 31	l		+ 50			+ 68
0.035	0.000 0222	+ 13	0.085	0.000 1310	∤-31	0.135	0.000 3316	+ 49	0.185	0.000 6256	+ 69
0.036	0.000 0235		0.086	0.000 1341	+ 32	0.136	0.000 3365	十 50	0.186	0.000 6325	+ 69
0.037	0.000 0248	+ 13	0.087	0.000 1373		0.137	0.000 3415		0.187	0.000 6394	
0.038	0.000 0261	+ 13	0.088	0.000 1404	+ 31	0.138	0.000 3465	+ 50	0.188	0.000 6463	+ 69
0.039	0.000 0275	+ 14	0.089	0.000 1437	+ 33	0.139	0.000 3516	+ 51	0.189	0.000 6532	+ 69
	d .	+ 15	· 1	i ₁	+ 32	'		+ 51	"	11	+ 71
0.040	0.000 0290		0.090	0.000 1469	:	0.140	0.000 3567		0,190	0.000 6603	
0.041	0.000 0304	+ 14	0.091	0.000 1 502	+ 33	0.141	0.000 3619	+ 52	0.191	0.000 6673	+ 70
0.042	0.000 0319	+ 15	0.092	0.000 1535	+ 33	0.142	0.000 3670	+ 51		0.000 6744	+ 71
0.043	0.000 0335	T 10	0.093	0.000 1569	+ 34	0.143	0.000 3723	+ 53		0.000 6815	+ 71
0.044	0.000 0351	+ 16	0.093	0.000 1509	+ 34	0.144	0.000 3723	+ 52	0.193		+ 72
	, 3.555 O j j i	- 16	J V. U.	3.000 1003		l ^{0.144}	3,000 3/75	:	0.194	0.000 0867	
0.045	0.000 0367	+ 16	0000	0.000 *6*-	+ 34		0.000.000	+ 53			+ 72
		+ 16	0.095	0.000 1637	+ 35	0.145	0.000 3828	+ 53	0.195	0.000 6959	十 72
0.046	0.000 0383	+ 17	0.096	0.000 1672	+ 35	0.146	0.000 3881	+ 54	0.196	0.000 7031	+ 73
0.047	0.000 0400	+ 17	0.097	0.000 1707	+ 36	0.147	0.000 3935	+ 54	0.197	0.000 7104	+ 73
0.048	0.000 0417	+ 18	0.098	0.000 1743	+ 36	0.148	0.000 3989	+ 55	0.198	0.000 7177	+ 73
0.049	0.000 0435		0.099	0.000 1779	_	0.149	0.000 4044		0.199	0.000 7250	
'		+ 18	l	1	+ 36			+ 55	1	!!	+ 74
0.050	0.000 0453		0.100	0.000 1815	!	0.150	0.000 4099		0.200	0.000 7324	
			<u> </u>	<u> </u>	<u> </u>	·	<u> </u>	·	<u> </u>	1)	

Tafel VII.

	log μ	Diff.	7	log μ	Diff.	η	log μ	Diff.	η	log μ	Diff.
0.200	0.000 7324		0.250	0.001 1522	1 00	0.300	0.001 6733		0.350	0.002 3010	+ 137
TI II	0.000 7399	+ 75	0.251	0.001 1617	+ 95	0.301	0.001 6848	十115	0.351	0.002 3147	+ 137
	0.000 7473	+ 74	0.252	0.001 1711	+ 94	0.302	0.001 6963	+ 115 + 116	0.352	0.002 3284	+ 138
	0.000 7548	+ 75	0.253	0.001 1806	+ 95	0.303	0.001 7079	+ 116	0.353	0.002 3422	+ 138
0.204	0.000 7624	+ 76	0.254	0.001 1901	+ 95	0.304	0.001 7195	1 110	0.354	0.002 3560	
1	ì	+ 76			+ 96		1	+ 117			+ 139
0.205	0.000 7700	+ 76	0.255	0.001 1997	+ 96	0.305	0.001 7312	+ 117	0.355	0.002 3699	+ 139
0.206	0.000 7776	+77	0.256	0.001 2093	+ 97	0.306	0.001 7429	+117	0.356	0.002 3838	+ 139
0.207	0.000 7853	+ 77	0.257	0.001 2190	+ 97	0.307	0.001 7546	+ 118	0.357	0.002 3977	+ 140
0.208	0.000 7930	+ 77	0.258	0.001 2287	+ 97	0.308	0.001 7664	+ 119	0.358	0.002 4117	+ 141
0.209	0.000 8007		0.259	0.001 2384		0.309	0.001 7783		0.359	0.002 4258	
1		+ 78			+ 98			+ 118			+ 141
	0.000 8085	+ 78	0.260	0.001 2482	+ 98	0.310	0.001 7901	+ 120	0.360	0.002 4399	+ 141
	0.000 8163	+ 79	0.261	0.001 2580	+ 99	0.311	0.001 8021	+119	0.361	0.002 4540	+ 142
11	0.000 8242	+ 79	0.262	0.001 2679	+ 99	0.312	0.001 8140	+ 120	0.362	0.002 4682	+ 142
- 11	0.000 8321	+ 79	0.263	0.001 2778	+ 99	0.313	0.001 8260	+ 121	0.363	0.002 4824	+ 143
0.214	0.000 8400		0.264	0.001 2877		0.314	0.001 8381		0.364	J.502 490/	+ 143
	0.000 8480	+ 80	0.265	0.001 2977	+ 100	0.315	0.001 8502	+ 121	0.365	0.002 5110	
2 11	0.000 8480	+ 80	0.266		+ 100	0.316	0.001 8623	+ 121	0.366	0.002 5254	+ 144
11	0.000 8560	+ 81	0.267	0.001 3077	+ 101	0.317	0.001 8745	+ 122	0.367	0.002 5398	+ 144
	0.000 8722	+ 81	0.268	0.001 3279	+ 101	0.318	0.001 8867	+ 122	0.368	0.002 5543	+ 145
17	0.000 8803	+ 81	0.269	0.001 3381	+ 102	0.319	0.001 8990	+ 123	0.369	0.002 5688	+ 145
0.219	0.000 0003	+ 82	•••••	,	+ 102			+ 123	• •		+ 146
0.220	0.000 8885		0.270	0.001 3483		0.320	0.001 9113		0.370	0.002 5834	
	0.000 8967	+82	0.271	0.001 3585	+ 102	0.321	0.001 9236	+ 123	0.371	0.002 5980	+ 146
	0.000 9050	+83	0.272	0.001 3688	+ 103	0.322	0.001 9360	+ 124	0.372	0.002 6126	+ 146 + 147
- 11	0.000 9133	+ 83	0.273	0.001 3791	+ 103	0.323	0.001 9484	+ 124	0.373	0.002 6273	+ 148
- 11	0.000 9216	+83	0.274	0.001 3894	+ 103	0.324	0.001 9609	+ 125	0.374	0.002 6421	
·		+ 84			+ 104			+ 126			+ 147
0.225	0.000 9300	+ 84	0.275	0.001 3998	+ 105	0.325	0.001 9735	+ 125	0.375	0.002 6568	+ 149
0.226	0.000 9384	+ 84	0.276	0.001 4103	+ 104	0.326	0.001 9860	+ 126	0.376	0.002 6717	+ 149
0.227	0.000 9468	+ 85	0.277	0.001 4207	+ 106	0.327	0.001 9986	+ 127	0.377	0.002 6866	+ 149
0.228	0.000 9553	+ 85	0.278	0.001 4313	+ 105	0.328	0.002 0113	+ 127	0.378	0.002 7015	+ 150
0.229	0.000 9638		0.279	0.001 4418		0.329	0.002 0240		0.379	0.002 7165	4.750
1		+ 86			+ 106			+ 127	0.000	0 000 5375	+ 150
- 11	0.000 9724	+ 86	0.280	0.001 4524	+ 107	0.330	0.002 0367	+ 128	0.380 0.381	0.002 7315	+ 151
	0.000 9810	÷ 87	0.281	0.001 4631	+ 107	0.331	0.002 0495	+ 129	0.382	0.002 7466	+ 151
	0.000 9897	+ 87	0.282	0.001 4738	+ 107	0.332	0.002 0624	+ 128	0.383	0.002 7769	+ 152
	0.000 9984	+ 87	0.283	0.001 4845	+ 108	0.333	0.002 0882	+ 130	0.384	0.002 7921	+ 152
0.234	0.001 0071		0.204	0.001 4953	+ 108	0.334	0.002 0002	+ 129	0.304	0.002 / 921	+ 152
0.225	0.001 0159	+ 88	0.285	0.001 5061		0.335	0.002 1011		0.385	0.002 8073	
1	0.001 0139	+ 88	0.286	0.001 5169	+ 108	0.336	0.002 1141	+ 130	0.386	0.002 8226	+ 153
	0.001 0335	+ 88	0.287	0.001 5278	+ 109	0.337	0.002 1272	+ 131	0.387	0.002 8380	+ 154
	0.001 0424	+ 89	0.288	0.001 5388	+ 110	0.338	0.002 1403	+ 131	0.388	0.002 8534	十154
	0.001 0514	+ 90	0.289	0.001 5497	+ 109	0.339	0.002 1534	+ 131	0.389	0.002 8689	+ 155
		+ 89	['`''	+ 111			+ 132			+ 155
0.240	0.001 0603		0.290	0.001 5608		0.340	0.002 1666		0.390	0.002 8844	+ 155
	0.001 0693	+ 90	0.291	0.001 5718	+ 110	0.341	0.002 1799	+ 133 + 132	0.391	0.002 8999	+ 156
	0.001 0784	+91	0.292	0.001 5829		0.342	0.002 1931	+ 134	0.392	0.002 9155	+ 156
- 1	0.001 0875	+ 91	0.293	0.001 5941	+ 112 + 112	0.343	0.002 2065	+ 133	0.393	0.002 9311	+ 157
	0.001 0966	+ 91	0.294	0.001 6053		0.344	0.002 2198		0.394	0.002 9468	
1		+ 92			+ 112			+ 134			+ 158
0.245	0.001 1058	+ 92	0.295	0.001 6165	+113	0.345	0.002 2332	+ 135	0.395	0.002 9626	+ 158
	0.001 1150	+ 92	0.296	0.001 6278	+ 113	0.346	0.002 2467	+ 135	0.396	0.002 9784	+ 158
11	0.001 1242	+ 93	0.297	0.001 6391	+114	0.347	0.002 2602	+ 136	0.397	0.002 9942	+ 159
	0.001 1335	+ 94	0.298	0.001 6505	+ 114	0.348	0.002 2738	+ 136	0.398	0.003 0101	+ 159
0.249	0.001 1429		0.299	0.001 6619		0.349	0.002 2874		0.399	0.003 0260	+ 160
		+ 93	0.200	0.001 6733	+ 114	0.350	0.002 3010	+ 136	0.400	0.003 0420	'
0.250	0.001 1522		0.300	0.001 0/33		V.330	3.002 30.0		7-0	3.55, 54.5	

Tafel VII.

	log μ	Diff.	7,	· log µ	Diff.	η	$\log \mu$	Diff.	η	log μ	Diff.
0.400	0.003 0420	J- 160	0.450	0.003 9050	+ 186	0.500	0.004 9010	+ 214	0.550	0.006 0441	4 244
0.401	0.003 0580	+ 160 + 161	0.451	0.003 9236	+ 186	0.501	0.004 9224	+ 214	0.551	0.006 0685	+ 244 + 246
0.402	0.003 0741	+ 162	0.452	0.003 9422	+ 187	0.502	0.004 9438	+ 215	0.552	0.006 0931	+ 246
0.403	0.003 0903	+ 161	0.453	0.003 9609	+ 188	0.503	0.004 9653	+ 215	0.553	0.006 1177	+ 247
0.404	0.003 1064		0.454	0.003 9797	1	0.504	0.004 9868		0.554	0.006 1424	
1	Î	+ 163	•	_	十 187			+ 216			+ 247
0.405	0.003 1227	+ 162	0.455	0.003 9984	+ 189	0.505	0.005 0084	+ 217	0.555	0.006 1671	+ 248
0.406	0.003 1389	+ 164	0.456	0.004 01 73	+ 189	0.506	0.005 0301	+ 217	0.556	0.006 1919	+ 249
0.407	0.003 1553	+ 163	0.457	0.004 0362	+ 189	0.507	0.005 0518	+ 218	0.557	0.006 2168	+ 250
0.408	0.003 1716	+ 165	0.458	0.004 0551	+ 190	0.508	0.005 0736	+ 218	0.558	0.006 2418	+ 250
0.409	0.003 1881		0.459	0.004 0741	l	0.509	0.005 0954	L 310	0.559	0.006 2668	
	0.000.0045	+ 164			+ 191		0 005 7783	+ 219	0.760	0 006 0018	+ 250
0.410	0.003 2045	+ 166	0.460	0.004 0932	+ 191	0.510	0.005 1173	+ 220	0.560 0.561	0.006 2918	+ 252
0.411	0.003 2211	+ 165	0.461	0.004 1123	+ 192	0.511	0.005 1393	+ 220	0.562	0.006 3422	· + 252
0.412	0.003 2376	+ 167	0.463	0.004 1315	+ 192	0.512	0.005 1613	+ 221	0.563	0.006 3675	+ 253
0.413	0.003 2543	+ 166	0.464	0.004 1700	+ 193	0.514	0.005 2056	+ 222	0.564	0.006 3928	+ 253
0.4.4	0.003 2709	+ 168	0.404	0.004 1700	+ 193	0.514	0.003 2030	+ 222	0.304	0.000 3920	+ 255
0.415	0.003 2877		0.465	0.004 1893	I	0.515	0.005 2278		0.565	0.006 4183	
0.416	0.003 3044	+ 167	0.466	0.004 2087	+ 194	0.516	0.005 2500	+ 222	0.566	0.006 4438	+ 255
0.417	0.003 3213	+ 169	0.467	0.004 2281	+ 194	0.517	0.005 2723	+ 223	0.567	0.006 4693	+ 255
0.418	0.003 3381	+ 168	0.468	0.004 2476	+ 195	0.518	0.005 2947	+ 224	0.568	0.006 4949	+ 256
0.419	0.003 3551	+ 170	0.469	0.004 2672	F 196	0.519	0.005 3172	+ 225	0.569	0.006 5206	+ 257
	3333	+ 169			+ 196	, ,	, ,	+ 225	, ,		+ 258
0.420	0.003 3720		0.470	0.004 2868		0.520	0.005 3397		0.570	0.006 5464	
0.421	0.003 3891	+ 171	0.471	0.004 3064	+ 196 + 197	0.521	0.005 3622	+ 225	0.571	0.006 5722	+ 258
0.422	0.003 4061	+ 170	0.472	0.004 3261	1	0.522	0.005 3849	+ 227	0.572	0.006 5981	+ 259
0.423	0.003 4233	+ 172	0.473	0.004 3459	+ 198 + 198	0.523	0.005 4076	+ 227	0.573	0.006 6241	+ 260
0.424	0.003 4404	+ 171	0.474	0.004 3657	1 196	0.524	0.005 4303	+ 227	0.574	0.006 6501	+ 260
		+ 173			+ 199			+ 228			+ 262
0.425	0.003 4577	+ 172	0.475	0.004 3856	+ 199	0.525	0.005 4531	+ 229	0.575	0.006 6763	+ 261
0.426	0.003 4749	+ 174	0.476	0.004 4055	+ 200	0.526	0.005 4760	+ 229	0.576	0.006 7024	+ 263
0.427	0.003 4923	+ 173	0.477	0.004 4255	+ 201	0.527	0.005 4989	+ 230	0.577	0.006 7287	+ 263
0.428	0.003 5096	+ 175	0.478	0.004 4456	+ 201	0.528	0.005 5219	+ 231	0.578	0.006 7550	+ 264
0.429	0.003 5271	l .	0.479	0.004 4657		0.529	0.005 5450		0.579	0.006 7814	
		+ 174			+ 201			+ 231	0-		+ 265
0.430	0.003 5445	+ 176	0.480	0.004 4858	+ 203	0.530	0.005 5681	+ 232	0.580	0.006 8079	+ 265
0.431	0.003 5621	+ 176	0.481	0.004 5061	+ 202	0.531	0.005 5913	+ 233	0.581	0.006 8344	+ 266
0.432	0.003 5797	+ 176	0.482	0.004 5263	+ 204	0.532	0.005 6146	+ 233	0.582	0.006 8610	+ 267
0.433	0.003 5973	+ 177	0.483	0.004 5467	, + 204	0.533	0.005 6379	+ 234	0.583 0.584	0.006 8877	+ 268
0.434	0.003 6150	+ 177	0.464	0.004 5671	+ 204	0.534	0.003 0013	+ 234	0.304	0.000 9145	+ 268
0.435	0.003 6327		0.485	0.004 5875		0.535	0.005 6847		0.585	0.006 9413	
0.436	0.003 6505	+ 178	0.486	0.004 6080	+ 205	0.536	0.005 7082	+ 235	0.586	0.006 9682	+ 269
0.437	0.003 6683	+ 178	0.487	0.004 6285	+ 205	0.537	0.005 7318	+ 236	0.587	0.006 9952	+ 270
0.438	0.003 6862	+ 179	0.488	0.004 6492	+ 207	0.538	0.005 7554	+ 236	0.588	0.007 0222	+ 2.70
0.439	0.003 7042	+ 180	0.489	0.004 6698	+ 206	0.539	0.005 7791	+ 237	0.589	0.007 0493	+ 271
.3/	· ·	+ 180	' ' !		+ 208]		+ 238	,		+ 2~2
0.440	0.003 7222		0.490	0.004 6906	i	0.540	0.005 8029		0.590	0.007 0765	
0.441	0.003 7402	+ 180	0.491	0.004 7113	+ 207	0.541	0.005 8267	+ 238	0.591	0.007 1038	+ 273
0.442	0.003 7583	+ 181 + 182	0.492	0.004 7322	+ 209 + 209	0.542	0.005 8506	+ 239	0.592	0.0071311	+ 273
0.443	0.003 7765	+182	0.493	0.004 7531	+ 209	0.543	0.005 8746	十 240	0.593	0.007 1 585	+ 274
0.444	0.003 7947	T 104	0.494	0.004 7740		0.544	0.005 8986	+ 240	0.594	0.007 1860	+ 275
ļ.		+ 182	· '	'[+211		ļ	+ 241		1	+ 276
0.445	0.003 8129	+ 184	0.495	0.004 7951	+ 210	0.545	0.005 9227	+ 241	0.595	0.007 2136	+ 2-6
0.446	0.003 8313	+ 183	0.496	0.004 8161	+ 212	0.546	0.005 9468	+ 242	0.596	0.007 2412	+ 277
0.447	0.003 8496	+ 184	0.497	0.004 8373	+212	0.547	0.005 9710	+ 243	0.597	0.007 2689	+ 278
0.448	0.003 8680	+ 185	0.498	0.004 8585	+ 212	0.548	0.005 9953	+ 244	0.598	0.007 2967	+ 279
0.449	0.003 8865		0.499	0.004 8797		0.549	0.006 0197		0.599	0.007 3246	-
_		+ 185	l i		+ 213			. + 244	- (十 279
0.450	0.003 9050		0.500	0.004 9010	1	0.550	0.006 0441		0.600	0.007 3525	

Tafel VII.

					1 4101						
η	log μ	Diff.	η	$\log \mu$	Diff.	7	log µ	Diff.	7	$\log \mu$	Diff.
0,600	0.007 3525		0.650	0.008 8508		0.700	0.010 5723		0.750	0.012 5652	
0,601	0.007 3805	+ 280	0.651	0,008 8829	+ 322	0 701	0,010 6093	+ 370	0.751	0.012 6083	+ 43 I
0.602	0.007 4086	+ 281	0 652	0,008 9151	+ 322	0 702	0.010 6464	+ 371	0.752	0.012 6515	+ 432
0 603	0.007 4368	1 282	0.653	0.008 9474	1 + 323	0.703	0,010 6836	+ 372	0.753	0.012 6948	+ 433
0.604	0,007 4650	+ 582	0.654	0.008 9797	+ 323	0.704	0,010 7210	+ 374	0.754	0.012 7383	+ 435
		283	,,		+ 325	'' '	1	+374	13.		十 437
0,605	0.007 4933	+ 284	0,655	0.009 0122	1 006	0.705	0.010 7584	+ 376	0.755	0 011 7820	L 422
0,606	0.007 5217		0 6 5 6	0.009 0448	+ 326	0.706	0.010 7960		0.756	0,012 8257	+ 437
0.607	0.007 5502	+ 285	0.657	0.009 0774	+ 326	0 707	0,010 8336	+ 376	0.757	0.0128696	+ 439
0 608	0 007 5787	+ 285	0.658	0,009 1102	+ 328	0.708	0.010 8714	+ 378	0.758	0.012 9137	+ 441
0 609	0,007 6074	+ 287	0.659	0.009 1430	+ 328	0.709	0,010 9093	+ 379	0 759	0.012 9579	T 444
		+ 287			+ 329			+ 380		1	+443
0.610	0.007 6361	+ 287	0.660	0.009 1759	+ 330	0.710	0.010 9473	+ 381	0.760	0.013 0022	+ 445
0,611	0.007 6648	+ 289	0,661	0,009 2089	+ 332	0 711	0.010 9854	+ 382	0.761	0.013 0467	+ 446
0.612	0.007 6937	+ 289	0,662	0.009 2421	+ 332	0.711	0,011 0236	+ 384	0.763	0.013 0913	+ 448
0.613	0.007 7226	+ 291	0.663	0.009 2753	+ 333	0.713	0,011 0620	+ 384	0.763	0.013 1361	+ 449
0.614	0.007 7517		0.664	0 009 3086		0.714	0 011 1004		0.764	0 013 1810	
		+ 290			十 333			+ 386			+450
0,615	0.007 7807	+ 292	0.665	0.009 3419	+ 335	0.715	0.011 1390	+ 387	0.765	0,013 2260	+453
0,616	0.007 8099	+ 293	0,666	0,009 3754	+ 336	0.716	0,011 1777	+ 387	0 766	0.013 2713	+ 453
0 617	0.007 8392	+ 293	0.667	0.009 4090	+ 337	0.717	0.011 2104	- 390	0.767	0.013 3166	+ 455
0.618	0.007 8685	+ 294	0.668	0.009 4427	+ 337	0.718	0.011 2554	+ 390	0.768	0.013 3621	+ 457
0.619	0.007 8979		0.669	0 009 4764		0.719	0.011 2944		0.769	0.013 4078	
0.620	0.000.000	+ 295	- 4		+ 339			+ 391	0.000	0.012.4526	+ 458
0.020	0.007 9274	+ 296	0,670	0.009 \$103	+ 340	0.720	0.011 3335	+ 393	0.770	0.013 4536	+ 460
0.621	0.007 9570	+ 296	0.571	0.009 5443	+ 340	0,721	0.011 3728	+ 394	0 771	0 013 4996	+ 461
0.623	0.007 9866	+ 298	0.672	0.009 5783	+ 342	0.722	0.011 4122	+ 395	0.772	0.013 5457	+ 462
0.624	0.008 0164	+ 298	0,673	0.009 6125	+ 342	0.723	0.0114517	+ 396	0 773	0.013 6384	+ 465
0,024	0,008 0402	+ 299	0.674	0.009 6467	ala da a	0.724	0.011 4913	十 397	0.774	0.013 0304	+ 466
0.625	0.008 0761	T 299	0,675	0,009 6811	17 344	0.725	0,011 5310		0.775	0,013 6850	
0.616	0 008 1061	300	0.676	0 009 7155	+ 344	0.726	0.011 5709	+ 399	0.776	0.013 7317	+ 467
0.627	0 008 1361	+ 300	0.677	0.009 7500	+ 345	0.727	0.011 6109	+ 400	0.777	0.013 7786	+ 469
0.618	0.008 1663	+ 302	0.678	0.009 7847	+ 347	0.728	0.011 6510	+ 401	0.778	0.013 8256	+ 470
0,629	0.008 1965	+ 302	0.679	0.009 8194	+ 347	0.729	0.011 6912	+ 402	0.779	0.013 8729	十473
		+ 303	0,073	0,100 0194	+ 348	-1,0,	0,011 -,10	+ 403	,,,,		十 473
0.630	0.008 2268		0.680	0.009 8542		0.730	0,011 7315		0.780	0.013 9202	
0.631	0.008 2572	+ 304	0.681	0.009 8892	+ 350	0.731	0,011 7720	+ 405	0.781	0.013 9678	+ 476
0.632	0.008 2877	+ 305	0.682	0.009 9242	+ 350	0.732	0.011 8126	+ 406	0.782	0.014 0155	+ 477
0.633	0.008 3182	+ 305	0,683	0 009 9593	+ 351	0.733	0.011 8533	+ 407	0.783	0.014 0634	· 479
0,634	0.008 3489	十 307	0.684	0,009 9946	十 353	0.734	0.011 8942	+ 409	0.784	0.014 1114	+ 480
		+ 307	.		十 3 5 3			+ 409			+ 482
0.635	0.008 3796	+ 308	0,685	0,010 0299	+ 354	0.735	0.011 9351	+411	0.785	0.014 1596	+ 4B3
0.636	0 008 4104	+ 309	0.686	0.010 0653	+ 356	0 736	0.011 9762	+ 413	0.786	0,014 2079	+ 486
0.637	0.0084413	+ 310	0.687	0 010 1009	+ 356	0 737	0.012 0175	+413	0.787	0,014 2565	+487
0.638	0.008 4723	+ 310	0.688	0.010 1365	+ 358	0.738	0.012 0588	+415	0.788	0,014 3052	+ 489
0.639	0.008 5033	3.0	0.685	0 010 1723		0.739	0.012 1003		0.789	0.014 3541	
	_	+ 312			十 328			+416			十 490
0.640	0.008 5345	+ 312	0.690	0.010 2081	+ 359	0.740	0.012 1419	+ 417	0.790	0 014 4031	+ 492
0.641	0.008 5657	+ 313	0.691	0.010 2440	→ 261	0.741	0,012 (836	+419	0.791	0.0144523	+ 494
0642	0.008 5970	+ 315	0.692	0.010 2801	+ 361	0.742	0,012 2255	+ 420	0.792	0 014 5017	+ 496
0.643	0.008 6285	+ 315	0.693	0.010 3163	+ 362	0.743	0.012 2675	+ 421	0.793	0.014 5513	+ 497
0,644	9.008 6690		0.694	0.010 3525		0.744	0.012 3096	: I	0.794	0 014 6010	
06	0.009 50	+ 315		0.010.000	+ 364	00.0	0.010.1116	+ 423	0.305	0.014.6400	+ 499
0 645	0.008 6915	+ 317	0.695	0.010 3889 ;	+ 365	0.745	0.012 3519	+ 424	0.795	0.014.6509	+ 501
0.646	0.008 7232	+ 318	0.696	0.010 4254	+ 365	0.746	0.012 3943	+ 425	0.796	0.014 7010	+ 503
0,647	0.008 7550	+318	0.698	0.010 4619	+ 367	0 747	0.012 4368	+ 427	0.797	0,014 7513	+ 505
0.649	0.008 7868	+ 319	0.699	0.010 4986	+ 368	0.748	0.012 4795	+ 428	0.799	0.014 8524	+ 506
2,049	0,000 010/	+ 321	0.099	0.010 5354	+ 369	/49	2.012 3443	+ 429	417.33	-1014 0314	+ 508
0.650	0.008 8508	, 3	0,700	0.010 5713	1 3-2	0.750	0,012 5652	1 7-7	008,0	0.014 9032	, ,
			3,,00	-,270 3/23		3.713	-, ,- ,-		,,,,,,		

Tafel VIII.

vgl. p. 87.

h	log ηη	Diff.	h	log ηη	Diff.	h	log ηη	Diff.
		⊹		} . <u></u>	!	!		!
0.0000	0.000 0000	+ 965	0,0060	0.005 7298	+ 945	0.0120	0.011 3417	
1000	000 0965	+ 965	0061	005 8243	+ 944	0121	011 4343	+ 926 + 026
0002	000 1930	+ 964	0062	005 9187	+ 944	0122	011 5268	' + 925 ! + 925
0003	000 2894	+ 964	0063	006 0131	+ 944	0123	011 6193	+ 925
0004	000 38 58	+ 963	0064	006 1075	+ 944	0124	011 7118	+ 925
0.0005	0.000 4821	1	0.0065	0.006 2019		0.0125	0.011 8043	
0006	000 5784	+ 963	0066	006 2962	+943	0126	011 8967	+ 924
0007	000 6747	+ 963	0067	006 3905	+ 943	0127	011 9890	+ 923
0008	000 7710	+ 963	0068	006 4847	+942	0128	012 0814	+ 924
0009	000 8672	+ 962	0069	006 5790	+ 943 + 942	0129	012 1737	+ 923
0.0010	0.000 9634	+ 962	0.0070	0.006 6732	T 942	0.01.10	0.012 2660	+ 923
0011	001 0595	+ 961	0071	006 7673	十 941	0.0130		+ 922
0012	001 1556	+ 961	0071	006 8614	+ 941	0131	012 3582	+ 923
0013	001 2517	+ 961	0073	006 9555	+ 941	0132	012 4505	+ 922
0014	001 3478	+ 961	0074	007 0496	十 941	0134	012 6348	+ 921
	_	+ 960		l	+ 940] 0.34	012 0348	+ 921
0.0015	0.001 4438	+ 960	0.0075	0.007 1436	+ 940	0.0135	0.012 7269	+ 921
0016	001 5398	+ 959	0076	007 2376	+ 940	0136	012 8190	+ 921
0017	001 6357	+ 959	9077	007 3316	+ 939	0137	012 9111	+ 921
0018	001 7316	- 959	0078	007 4255	+ 939	0138	013 0032	+ 920
0019	001 8275	+ 959	0079	007 5194	+ 939	0139	013 0952	+ 919
0.0020	0.001 9234	1	0,0080	0.007 6133		0.0140	0.013 1871	1
0021	002 0192	+ 958	0081	007 7071	+ 938	0141	013 2791	+ 920
0022	002 1150	+ 958	0082	007 8009	+938	0142	013 3710	+ 919
0023	002 2107	+ 957	0083	007 8947	+938	0143	013 4629	+ 919
0024	002 3064	+ 957	0084	007 9884	+ 937	0144	013 5547	+918
0.0025	0.002 (02)	+ 957	0.0005	· ·	+ 937	i .		+ 918
0.0025	0.002 4011	+956	0.0085 0086	0.008 0821	十 937	0.0145	0.013 6465	+918
0027	002 4977 002 5933	+ 956	0087	008 1758	+ 936	0146	013 7383	+918
0028	002 6889	+ 956	0088	008 3630	+ 936	0147	013 8301	+ 917
0029	002 7845	+ 956	0089	008 4566	+ 936	0148	013 9218	+917
		+ 955	0009	1	十936	0149	014 0135	+917
0.0030	0.002 8800	+955	0.0090	0.008 5502	+935	0.0150	0.014 1052	+916
0031	002 9755	+ 954	0091	008 6437	+ 935	0151	014 1968	+ 916
0032	003 0709	+ 954	0092	008 7372	+ 934	0152	014 2884	4 -916
0033	003 1663	+ 954	0093	008 8306	+ 934	0153	014 3800	+ 916
0034	003 2617	+ 953	0094	008 9240	+ 934	0154	014 4716	+ 915
0.0035	0.003 3570	1	0.0095	0.009 0174	Į.	0.0155	0.014 5631	Į.
0036	003 4523	+ 953	0096	009 1108	+934	0156	014 6546	+ 915
0037	003 5476	+ 953	0097	009 2041	+933	0157	014 7460	+914
0038	003 6428	+ 952	0098	009 2974	+ 933	0158	014 8374	+ 914
0039	003 7380	+ 952	0099	009 3906	+ 932	0159	014 9288	+ 914
0.0040	0.003 8332	+952	€0.0100	0.009 4838	+932	0.0160	0.015.000	+ 914
0041	003 9284	十952	0101		+932	0,0160	0.015 0202	+913
0042	004 0235	+951	0102	009 5770	+ 932	0161 0162	015 1115	+ 913
0043	004 1186	+ 951	0103	009 7633	+931	0163	015 2028	+ 913
0014	004 2136	- 	0104	009 8564	+931	0164	015 2941	+913
1		+ 950	Ī		+931			+912
0.0045	0.004 3086	+ 950	0.0105	0.009 9495	+ 930	0.0165	0.015 4766	4 012
0046	004 4036	+ 949	0106	010 0425	+ 931	0166	015 5678	+ 912
0047	004 4985	+ 949	0107	010 1356	+ 929	0167	015 6589	+ 911
0018	004 5934	+ 949	0108	010 2285	+ 930	0168	015 7500	+911
0049	004 6883	+ 949	0109	010 3215	+ 929	0169	015 8411	+911
0.0050	0.004 7832	1	0.0110	0.010 4144		0.0170	0.015 9322	•
0051	004 8780	+ 948	0111	010 5073	+929	0171	016 0232	+910
0052	00.1 9728	十 948 十 947	0112	010 6001	+928	0172	016 1142	+910
0053	005 0675	1 1 7 7 7 7	0113	010 6929	+ 928 + 928	0173	016 2052	+ 910
0054	005 1622	+ 947 + 947	0114	010 7857	+ 928 + 028	0174	016 2961	+ 909
0.0055	0.005 2569	+ 947	0,0115	0.010 8785	+ 928	0.0175	i .	+ 909
0056	005 3515	+ 946	0,0115	010 9712	十 927	0.0175	0.016 3870	+- 909
0057	005 4462	+ 947	0117	011 0639	+ 927		016 4779	+ 909
0058	005 5407	+ 945	0117	011 1565	+926	0177 0178	016 5688	+ 908
0059	005 6353	+ 946	0119	011 2491	+ 926	0178	016 6596	+ 908
0.0060	0.005 7298	+ 945	0,0120	0.011 3417	+926	0.0180	0.016 8412	+ 908
		<u> </u>		34.7		0.0100	0.010 0412	

Tafel VIII.

0.0160 0.016 0.017 0.019 0.014 0.012 1310	h	log ηη	Diff.	À	$\log \eta \eta$	Diff.	h	$\log \eta \eta$	Diff.
0.181	0.0180	0.016 8412		0.0240	0.022 2320		0.0300	0.027 5218	j = =
0.181		1 - '							
0.18	0182		1 1 1		_		_	1	
0.0185				0243	022 4998		0303	027 7836	
0.0185	0184	017 2039		0244	022 5887		0304	027 8708	
0.18	0.0185	0.017 2945		0.0245	0.022 6776	1	0.0305	0.027 9580	
0.18 017 4797 -905 0248 0218 2312 -888 0308 0318 2314 -871 0189 017 6567 -904 0248 0219 0248 0219 0308 038 0365 038 2365 0218 0218 0219 0217 0319 0217 0316 0218 0318 0318 0319 0318 0319 0318 0319 0318 0319 0318 0319 0318 0319 0318 0319 0318 0319 0318 0319 0318 0318 0319 0318 0318 0319 0318	_				022 7664		0306	028 0452	
0.189 0.77 6.567 + 90-5 0.499 0.29 0.32 0.32 0.38 0.58 1.87 1.87 1.000 0.32 0.35 1.87 1.87 1.000 0.31 0.31 1.01 1.000 0.31 0.31 1.01 1.0			1 : - 1		022 8552				
0.0190 0.017 0.017 0.025 0.0250 0.023 0.025 0.031 0.025 0.032 0.031 0.035 0.031 0.035 0.03		1 2 2					-		
0191 017 8376	0189	017 0507		0249	023 0328		0309	028 3065	
0.191 0.77 9.80 + 904 0.51 0.21 10.2 + 886 0.11 0.2	-		+ 905	0.0250	0.023 1215	+ 887	0.0310		870
0193 018 018 4 903 0253 023 3878 + 887 0313 028 5676 + 870 0194 018 1087 + 903 0253 021 3875 + 886 0314 018 7415 + 869 0195 018 1087 + 903 0255 021 34761 + 886 0314 018 7415 + 869 0196 018 2893 + 901 0256 021 5632 + 885 0316 028 3953 + 869 0197 018 3796 + 901 0257 021 7417 + 885 0317 021 022 7578 + 869 0198 018 4698 + 902 0257 021 9187 + 885 0316 028 9153 + 869 0199 018 5600 + 901 0257 0257 021 9187 + 885 0316 029 0715 + 868 021 018 7403 + 901 0256 021 021 021 021 021 021 021 021 021 021	-		1		•				
0.0194									
0.0195			+ 904			+ 886			+ 869
0196 018 2893		·	+ 903			+ 886			+ 869
0197 018 3796 + 902 0157 023 7417 + 885 0317 029 0212 + 866 0199 018 4698 + 902 0158 023 8302 + 885 0318 029 0800 + 868 0199 018 5600 + 901 0159 023 9187 + 884 0319 029 0158 + 868 0201 018 7402 + 902 0259 0261 + 885 0278 0202 0168 304 + 901 0262 0261 018 7402 + 901 0262 0261 018 7402 + 901 0262 0264 0202 018 9205 + 900 0263 024 2731 + 883 0312 029 3494 + 867 0202 018 9205 + 900 0263 024 2731 + 883 0312 029 3288 + 867 0202 019 0262 0266 024 0366 024 0360 024			+ 903			+ 885		•	+ 869
0198 018 4098 + 902 0258 023 8302 +885 0318 029 0802 +886 0199 018 5600 +901 0259 021 9187 +884 0319 029 1758 +886 0.0200 0.0200 0.018 5601 +902 0.0250 0.024 0955 +885 0318 0.03120 0.029 2626 0.0201 018 7403 +901 0.0250 0.024 0955 +885 0.03120 0.029 2626 0.0201 018 8304 +901 0.025 0.024 0.025	- 1			- 1		+ 885	-		+ 869
0.199 0.18 5600									
0.0200 0.018 6501 + 901 0.0260 0.024 0071 + 888 0.0320 0.029 2626 + 868 0.0202 018 8304 + 901 0.0261 0.024 00956 + 883 0.0321 0.029 3404 + 867 0.0203 018 9305 + 900 0.0263 0.024 1839 + 884 0.0322 0.029 4361 + 867 0.0204 019 0105 + 900 0.0263 0.024 18606 + 883 0.0324 0.029 5228 + 866 0.0207 019 1005 + 900 0.0265 0.024 4606 + 883 0.0324 0.029 5025 + 866 0.0207 019 2805 + 899 0.0266 0.024 3606 + 883 0.0324 0.029 6605 + 866 0.0207 019 2805 + 899 0.0266 0.024 3606 + 882 0.0327 0.029 6661 0.0207 019 2805 + 899 0.0266 0.024 8018 + 882 0.0327 0.029 8693 + 866 0.0207 019 2805 + 899 0.0266 0.024 8018 + 882 0.0328 0.039 919 4603 + 899 0.0266 0.024 8018 + 882 0.0330 0.030 1290 0.0211 019 6401 0.0212 019 7329 + 898 0.0273 0.024 9781 + 881 0.0312 0.030 0.030 1290 0.0213 019 8197 0.0209 0.0270 0.024 809 0.0209	-						-		•
0.201 0.18 7403 +901 0.261 0.24 0.956 +883 0.312 0.29 4.964 +866 0.202 0.18 8304 +901 0.263 0.24 2733 +883 0.312 0.29 6.956 +866 0.203 0.19 1005 +900 0.263 0.44 2733 +883 0.313 0.29 5.28 +867 0.204 0.19 1005 +900 0.266 0.24 4806 +883 0.314 0.29 6.956 +866 0.205 0.019 1095 +900 0.266 0.24 4808 +883 0.326 0.29 6.956 +866 0.207 0.19 1005 +900 0.266 0.24 4812 +882 0.326 0.29 809 0.208 0.19 3704 +899 0.267 0.24 6254 +882 0.327 0.29 8693 +866 0.208 0.19 3704 +899 0.266 0.24 8018 +882 0.328 0.29 9559 +866 0.201 0.019 502 +899 0.267 0.24 8000 +881 0.332 0.30 0.0444 +866 0.211 0.19 5021 +898 0.271 0.24 9781 +881 0.331 0.30 1290 +864 0.212 0.19 7299 +898 0.272 0.25 0662 +881 0.332 0.30 1290 +864 0.213 0.19 899 0.273 0.25 0662 +881 0.332 0.30 0.30 1290 +864 0.214 0.19 9.994 +898 0.274 0.25 143 +880 0.331 0.30 1883 +864 0.215 0.10 9.994 +898 0.277 0.25 3363 +880 0.335 0.30 511 +864 0.216 0.20 6889 +896 0.276 0.25 3363 +880 0.335 0.30 511 +864 0.217 0.20 1785 +897 0.277 0.25 3363 +880 0.336 0.30 5417 +864 0.217 0.20 1785 +897 0.277 0.25 3063 +879 0.338 0.38 301 886 0.219 0.20 3578 +896 0.276 0.25 700 +879 0.338 0.30 820 +862 0.221 0.20 0.20 4474 +895 0.28 0.25 700 +879 0.339 0.30 9064 +863 0.222 0.20 0.20 4474 +895 0.28 0.25 700 +879 0.339 0.30 9064 +863 0.223 0.20			+ 901			· · ·			
0202 018 8304 + 901 0263 024 1839 + 881 0322 029 4361 + 807 0204 019 0105 + 900 0264 024 3606 + 881 0323 029 5228 + 866 0204 019 0105 + 900 0264 024 3606 + 883 0324 029 6095 + 866 0205 0.019 1005 + 900 0266 024 4372 + 881 0324 029 6095 + 866 0207 019 1805 + 900 0266 024 5372 + 882 0320 029 7827 + 866 0207 019 2805 + 899 0268 024 715 + 882 0327 029 8693 + 866 0209 019 4603 + 899 0269 0248 8018 + 882 0329 030 029 9559 + 866 0211 019 6401 + 899 0269 0248 8018 + 881 0331 032 1154 + 864 0211 019 991 + 893 0272 025 0662 + 881 0331 <			+ 902			+ 885		•	
0203 018 3205 7901 0265 024 2733 +844 0333 029 528 +867 0204 019 0105 +900 0264 024 3606 +883 0324 029 6095 +866 0207 0207 019 1205 +900 0266 024 3606 029 019 1905 0266 0267 024 6824 883 0326 029 9827 8866 0207 019 1205 +900 0266 024 883 0326 029 9827 8866 0207 019 1205 +899 0268 024 7116 +882 0327 029 3693 +866 0208 019 3704 +899 0268 024 7116 +882 0329 030 0242 8866 0200 019 4603 +899 0268 024 7116 +882 0329 030 0242 8866 0211 019 6401 8899 0271 021 97819 +8881 0331 030 1290 021 019 7299 888 0272 021 021 021 019 7299 888 0272 021 025 0662 881 0331 030 1883 8864 0213 019 8197 8897 0273 025 1543 880 0333 030 1883 8864 0213 019 9094 8898 0274 025 2423 880 0334 030 4747 8864 0213 019 9094 8898 0277 025 0662 881 0331 030 1883 8864 0213 019 9094 8898 0277 025 0662 8810 0333 030 1883 8864 0213 019 9094 8898 0277 025 0662 8810 0333 030 1883 8864 0213 019 9094 8898 0277 025 0662 028 8810 0331 030 1883 8864 0213 019 9094 8898 0277 025 0662 8810 0333 030 1883 8864 0213 019 9094 8898 0277 025 0662 028 8810 0331 030 1883 8864 0211 019 9094 8898 0277 025 0662 8810 0333 030 1883 8864 0211 020 025 889 8866 0279 025 4183 880 0334 030 4747 8864 0211 020 03578 8896 0276 025 4183 880 0335 020 0356 118 020 02682 8866 0278 025 044 8879 0339 030 9064 8862 0219 020 03578 8896 0279 025 0682 025 902 025 8879 0339 030 9064 8862 0219 020 03578 8896 0279 025 6821 025 8579 879 0339 030 9064 8862 0219 020 0358 8895 0281 025 8579 879 0339 030 9064 8862 0224 020 0264 8895 0282 023 9457 878 0341 031 031 038 036 8201 8862 0224 020 0264 8894 0288 026 0279 025 8579 879 0349 031 7678 8862 0224 020 0264 8894 0288 026 0279 025 8579 879 0349 031 7678 8862 0224 020 0264 8894 0288 026 0279 027 028 029 027 027 027 028 029 027 024 029 021 025 024 8894 0288 026 027 024 877 024 877 0347 031 935 028 028 028 029 028 026 029 027 027 027 027 027 027 027 027 027 027				. 1			-		
0.0204							-		
0.0205	_								
cace6 019 1905 + 900 0266 024 5372 + 882 0327 029 7827 + 860 0207 019 2805 + 899 0267 024 6254 + 882 0327 029 8693 + 866 0208 019 3704 + 899 0268 024 7115 + 882 0329 0329 9559 + 866 0.0210 0.019 5502 + 899 0.0270 0.024 8900 + 881 03329 0.030 0.031 190 + 864 0211 019 6401 + 898 0271 024 9781 + 881 0331 030 1190 + 864 0212 019 7299 + 898 0273 025 1543 + 880 0331 030 3019 + 864 0211 019 9094 + 898 0274 025 2423 + 880 0334 030 1747 + 864 0.0215 0.019 9992 + 897 0276 025 3333 030 6475 + 864 0.0215 0.019 9992 + 897 0277 025 5063 + 880 0337 030 6	0.0205	0.019 1005		0.0265	0.024 4480		0.0325	0.029 6961	
0207 019 2605 + 9809 0268 024 6254 + 882 0327 029 8693 + 866 0209 019 4603 + 899 0268 024 7136 + 882 0328 029 9559 + 866 0209 019 4603 + 899 0269 024 8018 + 882 0329 030 0444 + 866 02012 019 5502 + 899 0.0270 0.024 8900 + 881 0.0330 0.030 1290 + 864 0211 019 6401 + 898 0271 024 9781 + 881 0331 030 2154 + 866 0212 019 7399 + 898 0272 025 0662 + 881 0331 030 2154 + 866 0213 019 8197 + 898 0273 025 1543 + 880 0333 030 3883 + 864 0214 019 9094 + 898 0273 025 1543 + 880 0333 030 3883 + 864 0214 019 9094 + 898 0273 025 1543 + 880 0334 030 4747 + 864 0216 020 0889 + 896 0276 025 4183 + 880 0336 030 6475 + 866 0217 020 1785 + 896 0276 025 4183 + 880 0336 030 6475 + 866 0217 020 1785 + 896 0276 025 4183 + 880 0336 030 6475 + 866 0218 020 2682 + 896 0278 025 5942 + 879 0337 030 7338 + 863 0218 020 2582 + 896 0278 025 5942 + 879 0339 030 9064 + 863 0219 020 3578 + 896 0279 025 6821 + 879 0339 030 9064 + 862 0221 020 3578 + 895 0281 0284 025 6821 + 879 0339 030 9064 + 862 0221 020 5369 + 895 0281 0284 025 6821 + 879 0340 031 2512 + 866 0221 020 5369 + 895 0281 0284 026 0335 + 878 0341 031 0788 + 862 0223 020 7159 + 895 0281 0284 026 0335 + 878 0343 031 2512 + 861 0224 020 8054 + 894 0284 026 0335 + 878 0343 031 2512 + 861 0224 020 8054 + 894 0284 026 021 020 3578 + 894 0284 026 021 020 3578 + 894 0284 026 021 020 3578 + 895 0281 026 027 027 035 6821 + 877 0346 031 5995 + 861 0224 020 8054 + 894 0284 026 0335 + 878 0343 031 2512 + 861 0224 020 8054 + 894 0284 026 0335 + 878 0343 031 2512 + 861 0224 020 8054 + 894 0284 026 026 029 020 021 2523 + 894 0288 026 5597 + 876 0349 031 7676 + 860 0231 021 4309 + 893 0289 026 5597 + 876 0349 031 7676 + 860 0231 021 4309 + 893 0289 026 5597 + 876 0355 023 237 031 396 + 869 0239 021 2523 + 891 0297 027 3471 + 874 0355 032 247 858 023 023 622 440 + 890 0299 027 3471 + 874 0355 032 2467 + 858 0239 022 5440 + 899 0299 027 3471 + 874 0356 032 52 5465 + 858 0239 022 5440 + 890 0299 027 3471 + 874 0358 032 5465 + 858 0239 022 5440 + 889 0299 027 3471 + 874 0358 032 5465 + 858 0239 022 5440 +									
0206 019 3704 + 899 0268 024 818 - 882 0329 030 0424 + 866 0201 019 4603 + 899 0271 024 8018 + 881 0330 030 1290 030 1424 818 0212 019 7499 + 898 0272 024 9781 881 0331 030 2154 865 0213 019 8197 + 898 0273 025 1543 + 880 0333 030 3883 + 864 0214 019 9094 + 898 0274 025 2423 + 880 0333 030 3883 + 864 0214 019 9094 + 898 0274 025 2423 + 880 0333 030 3883 + 864 0214 019 9094 + 898 0275 025 2423 + 880 0333 030 3883 + 864 0215 020 020 020 020 020 020 020 020 020 02	0207	1		0267			-		
0.0210	0208	019 3704	1	0268			0328	029 9559	
0.0210 0.019 5502 + 899 0.0270 0.024 8900 + 881 0331 0.030 1290 + 864 0211 019 6401 + 898 0271 024 9781 + 881 0332 030 3019 + 865 0213 019 8197 + 898 0273 025 1543 + 880 0333 030 3883 + 864 0214 019 9094 + 898 0274 025 2423 + 880 0334 030 4747 + 864 0.0215 0.019 9992 + 897 0277 025 3303 + 880 0336 030 6475 + 864 0.216 02018 020 689 + 896 0276 025 3103 + 880 0336 030 6475 + 863 0217 020 1785 + 896 0279 025 5063 + 879 0337 030 7338 + 863 0219 020 3578 + 896 0279 025 6821 + 879 0338 030 200 + 863 0.0220 0.020 4474 + 895 0281 025 57700 + 879 </td <td>0209</td> <td>019 4603</td> <td></td> <td>0269</td> <td>024 8018</td> <td></td> <td>0329</td> <td>030 0424</td> <td></td>	0209	019 4603		0269	024 8018		0329	030 0424	
0211 019 6401 T 898 0271 021 021 021 019 7299 898 0272 025 0662 + 881 0321 030 3019 + 864 0213 019 8197 + 898 0272 025 0662 + 881 0333 030 3883 - 864 0214 019 9094 + 898 0274 025 2423 + 880 0333 030 3883 + 864 0.0215 0.019 9992 + 896 0275 0.025 3303 + 880 0336 030 6475 + 864 0.0216 020 0889 + 896 0276 025 5063 + 880 0336 030 6475 + 863 0217 020 1785 + 896 0277 025 5063 + 879 0337 030 7338 + 863 0218 020 1785 + 896 0279 025 5063 + 879 0337 030 7338 + 863 0218 020 1785 + 896 0279 025 5063 + 879 0337 030 7338 + 863 0218 020 1789 + 896 0279 <td>0.0210</td> <td>0.019 5502</td> <td></td> <td>0.0270</td> <td>0.024 8900</td> <td></td> <td>0.0330</td> <td>0.030 1290</td> <td></td>	0.0210	0.019 5502		0.0270	0.024 8900		0.0330	0.030 1290	
0212 019 7399 + 898 0272 025 0002 + 881 0332 030 3883 + 864 0214 019 9094 + 898 0274 025 2423 + 880 0334 030 4747 + 864 03215 020 0889 + 896 0276 025 54183 + 880 0336 030 6475 + 863 0217 020 1785 + 897 0276 025 5063 + 879 0337 030 7338 030 7338 0218 020 2682 + 896 0279 025 5063 + 879 0337 030 7338 030 8201 + 863 0219 020 3578 + 896 0279 025 6821 + 879 0338 030 8201 + 863 0219 020 3578 + 896 0279 025 6821 + 879 0338 030 8201 + 863 0219 020 3578 + 895 0280 0.025 7700 + 879 0339 030 9064 + 862 0219 020 3578 + 895 0280 0.025 7700 + 879 0339 030 9064 + 862 0211 020 5369 + 895 0281 025 8579 + 878 0341 031 0788 + 862 0222 020 6264 + 895 0282 025 9457 878 0341 031 0788 + 862 0222 020 6264 + 895 0283 026 0335 + 878 0341 031 0788 + 862 0224 020 8654 + 894 0287 026 1213 + 877 0344 031 3373 + 861 0226 020 9842 + 894 0287 026 1284 + 877 0344 031 3373 + 861 0226 020 9842 + 894 0287 026 3844 + 877 0347 034 031 5956 0228 021 021 020 021 020 0285 0286 026 5597 876 0349 031 6816 860 0229 021 2523 + 893 0289 026 5597 + 876 0349 031 7676 + 860 0229 021 2523 + 893 0289 026 5597 + 876 0349 031 7676 + 860 0229 021 2523 + 893 0291 026 7349 + 876 0349 031 7676 + 860 0231 021 4309 032 809 026 5597 + 876 0351 031 9396 + 859 0231 021 4309 021 4309 0291 026 7349 875 0352 032 032 114 899 0231 021 6003 + 892 0293 026 9099 + 875 0352 032 032 114 899 0229 021 2521 + 893 0291 026 7349 875 0352 032 032 114 899 0293 026 9099 + 875 0352 032 032 114 899 0293 026 9099 + 875 0352 032 032 114 889 0293 026 9099 02	0211			0271		•			
0213				0272	025 0662		0332	030 3019	
0.0215	-								
0.0215 0216 0.019 9992 020 0889 0217 + 897 0276 0276 0.0275 025 4183 0277 0.025 5303 025 5942 0277 + 880 0336 0336 0336 030 6475 0337 0.030 5611 030 6475 0337 + 864 030 6475 0337 030 6475 0338 030 8201 030 9064 030 8201 030 8201 030 8201 030 8201 030 8201 030 8201 030 9064 031 031 0788 0342 031 1650 0316 031 031 1650 0317 0318 0318 0318 031 2512 0318 0318 031 2512 0318 0318 031 2512 0318 0318 031 2512 0318 031 3973 0318 031 3973 0318 031 3973 0318 031 5956 0318 031 7676 0316 031 031 1630 031 7676 0316 031 031 1630 031 7676 0316 031 031 1630 031 031 1630 0329 0328 0328 0328 0328 0328 0328 0328 0329 0326 5597 0328 0329 0326 6473 0329 0326 6473 0329 0326 6473 0329 0326 0321 8536 032 1973 0329 032 1698 0329 032 16999 0329 032 16999 032 16999 033 1693 033 1694 033	0214	019 9094		0274	025 2423		0334	030 4747	
0217 020 0289	0.0215	0.019 9992	± 807	0.0275	0.025 3303	J- 880	0.0335	0.0 30 5611	
0217 020 1785 + 897 0277 025 5903 + 879 0338 030 7338 + 863 0219 020 3578 + 896 0279 025 5942 + 879 0338 030 8201 + 863 0,0220 0,0220 0,020 4474 + 895 0281 025 8579 + 879 0341 031 0788 + 862 0221 020 5369 + 895 0281 025 8579 + 879 0341 031 0788 + 862 0222 020 6264 + 895 0282 025 9457 + 878 0342 031 1650 + 862 0223 020 7159 + 895 0283 026 0335 + 878 0343 031 1650 + 862 0224 020 854 + 894 0284 026 1213 + 878 0344 031 3373 + 861 0225 0.020 8948 + 894 0286 026 2967 + 877 0346 031 5095 + 861 0227 021 0736 + 894 0287 026 3844 + 877									
0218 020 2082 + 896 0279 025 5821 + 879 0338 030 9064 + 863 0,0220 0.022 4474 + 895 0.0280 0.025 7700 + 879 0.0340 0.0300 9926 + 862 0221 020 5369 + 895 0281 025 8579 + 878 0341 031 0788 + 862 0222 020 6264 + 895 0282 025 9457 + 878 0342 031 1650 + 862 0224 020 8054 + 895 0283 026 0335 + 878 0343 031 1371 + 861 0.0225 0.020 8054 + 894 0284 026 1213 + 877 0344 031 1373 + 861 0.0225 0.020 8948 + 894 0.0285 0.026 2090 + 877 0345 0.031 4234 931 5095 + 861 0227 021 0736 + 894 0.0285 0.026 2090 + 877 0347 031 5095 + 861 0228 021 1630 + 894 0.0287 026 3844	1					1 -			
0.0220									+ 863
0221 020 5369 +895 0281 025 8579 +878 0341 031 0788 +802 021 022 020 6264 +895 0282 025 9457 +878 0342 031 1650 +862 +862 023 020 021 1650 +862 +862 0284 026 0335 +878 0343 031 1650 +862 +861 -8862 -8861 -8862 -8861			+ 896		-	+ 879			+ 862
0221 020 5369 +895 0282 025 647 +878 0342 031 1650 +862 0223 020 7159 +895 0282 025 9457 +878 0342 031 1650 +862 0224 020 8054 +895 0284 026 1213 +878 0343 031 2512 +861 0.0225 0.020 8948 +894 0.0285 0.026 2090 +877 0346 031 5095 +861 0226 020 9842 +894 0286 026 2967 +877 0346 031 5095 +861 0227 021 0736 +894 0287 026 3844 +877 0346 031 5095 +861 0228 021 1630 +894 0288 026 4721 +876 0348 031 6816 +860 0229 021 2523 +893 0289 026 5597 +876 0349 031 7676 +860 0231 021 4309 +893 0290 0.026 6473 +876 0351 0351 <t< td=""><td></td><td></td><td>+ 895</td><td></td><td></td><td>+ 879</td><td></td><td>• • • • • • • • • • • • • • • • • • • •</td><td>+ 862</td></t<>			+ 895			+ 879		• • • • • • • • • • • • • • • • • • • •	+ 862
0223 020 7159 +895 0283 026 0335 +878 0343 031 2512 +861 0.0224 020 8054 +894 0284 026 1213 +878 0344 031 3373 +861 0.0225 0.020 8948 +894 0.286 026 2967 +877 0346 031 5095 +861 0227 021 0736 +894 0287 026 3844 +877 0347 031 5956 +861 0228 021 1630 +894 0288 026 4721 +876 0348 031 6816 +860 0229 021 2523 +893 0289 026 5597 +876 0349 031 7676 +860 0.0230 0.021 3416 +893 0290 0.026 6473 +876 0351 031 9396 +860 0231 021 4309 +892 0291 026 7349 +875 0351 031 9396 +860 0232 021 5201 +892 0293 026 9099 +875 0352 032 0255								-	
0224 020 8054 + 894 0284 026 1213 + 877 0344 031 3373 + 861 0.0225 0.020 8948 + 894 0.0285 0.026 2090 + 877 0345 0.031 4234 + 861 0226 020 9842 + 894 0286 026 2967 + 877 0346 031 5095 + 861 0227 021 0736 + 894 0287 026 3844 + 877 0347 031 5956 + 861 0228 021 1630 + 894 0288 026 4721 + 876 0348 031 6816 + 860 0229 021 2523 + 893 0289 026 5597 + 876 0348 031 7676 + 860 0.0230 0.021 3416 + 893 0290 0.026 6473 + 876 0351 0351 031 8536 + 860 0231 021 4309 + 892 0291 026 7349 + 875 0351 0351 031 9396 + 860 0232 021 5003 + 892 0293 026 9099									
0.0225	- 1								
0226 020 9842 + 894 0286 026 2967 + 877 0346 031 5095 + 861 + 861 + 877 0346 031 5095 + 861 + 861 + 877 0347 0347 031 5095 + 861 + 861 + 877 0348 031 5956 + 860 + 860 + 876 0348 031 6816 + 860 <td></td> <td></td> <td>,</td> <td>·</td> <td></td> <td>+ 877</td> <td>· ·</td> <td></td> <td>+ 891</td>			,	·		+ 877	· ·		+ 891
0227 021 0736 +894 0287 026 3844 +877 0347 031 5956 +861 0228 021 1630 +893 0288 026 4721 +876 0348 031 6816 +860 0229 021 2523 +893 0289 026 5597 +876 0349 031 7676 +860 0.0230 0.021 3416 +893 0.0290 0.026 6473 +876 0351 031 9396 +860 0231 021 4309 +892 0291 026 7349 +875 0351 031 9396 +859 0232 021 5201 +892 0292 026 8224 +875 0352 032 0255 +859 0234 021 6985 +892 0293 026 9974 +875 0353 032 1114 +859 0235 0.021 7876 0892 0294 026 9974 +875 0354 032 1973 +858 0236 021 8768 +891 0.0295 0.027 0849 +874 0355 0.032 2831	-	2.1	+ 894	ا ت					
0228 021 1630 +894 0288 026 4721 +877 0348 031 6816 +860 0229 021 2523 +893 0289 026 5597 +876 0349 031 7676 +860 0.0230 0.021 3416 +893 0.0290 0.026 6473 +876 0.0350 0.031 8536 +860 0231 021 4309 +892 0291 026 7349 +875 0351 031 9396 +859 0232 021 5201 +892 0292 026 8224 +875 0352 032 0255 +859 0233 021 6093 +892 0293 026 9099 +875 0353 032 1114 +859 0234 021 6985 +891 0294 026 9974 +875 0354 032 1973 +858 0.0235 0.021 7876 +892 0296 027 1723 +874 0356 032 2881 +858 0237 021 9659 +891 0296 027 1723 +874 0356 032 3689									
0229 021 2523 +893 0289 026 5597 +876 0349 031 7676 +800 0.0230 0.021 3416 +893 0.0290 0.026 6473 +876 0.0350 0.031 8536 +860 0231 021 4309 +892 0291 026 7349 +875 0351 031 9396 +860 0232 021 5201 +892 0292 026 8224 +875 0352 032 0255 +859 0234 021 6985 +892 0293 026 9099 +875 0353 032 1114 +859 0.0234 021 6985 +891 0294 026 9974 +875 0354 032 1973 +858 0.0235 0.021 7876 +892 0296 027 1723 +874 0355 0.032 2881 +858 0237 021 9659 +890 0296 027 1723 +874 0356 032 3689 +858 0238 022 0549 +890 0298 027 3471 +874 0356 032 3689<									
0.0230		-							
0231 021 4309 +893 0291 026 7349 +875 0351 031 9396 +869 +869 0292 026 8224 +875 0352 032 0255 +859 +859 0233 021 6093 +892 0293 026 9099 +875 0353 032 1114 +859 +859 0234 021 6985 +891 0294 026 9974 +875 0354 032 1973 +858 0.0235 0.021 7876 891 0.0295 0.027 0849 +874 0355 0.032 2831 +858 0237 021 9659 891 0296 027 1723 +874 0356 032 3689 +858 0238 022 0549 +891 0297 027 2597 +874 0356 032 3689 +858 0238 022 0549 +891 0298 027 3471 +874 0358 032 5405 +858 0239 022 1440 +891 0299 027 4345 +874 0359 032 6262 +858	0.0230			0.0200		· ·		0.021 8526	
0232 021 5201 +892 0292 026 8224 +875 0352 032 0255 +859 0233 021 6093 +892 0293 026 9099 +875 0353 032 1114 +859 0234 021 6985 +891 0294 026 9974 +875 0354 032 1973 +858 0.0235 0.021 7876 +892 0.0295 0.027 0849 +874 0355 0.032 2831 +858 0236 021 8768 +891 0296 027 1723 +874 0356 032 3689 +858 0237 021 9659 +890 0297 027 2597 +874 0357 032 4547 +858 0238 022 0549 +891 0298 027 3471 +874 0358 032 5405 +858 0239 022 1440 +890 0299 027 4345 +874 0359 032 6262 +858	_								
0233 021 6093 +892 0293 026 9099 +875 0353 032 1114 +859 +859 -892 0294 026 9974 +875 0354 032 1973 +859 +859 +859 +875 0354 032 1973 +859 +859 +875 0354 032 1973 +858									
0.0234 021 0985 + 891 0294 020 9974 + 875 0354 032 1973 + 858 0.0235 0.021 7876 + 892 0.0295 0.027 0849 + 874 0355 0.032 2831 + 858 0237 021 9659 + 891 0297 027 2597 + 874 0356 032 3689 + 858 0238 022 0549 + 891 0298 027 3471 + 874 0357 032 4547 + 858 0239 022 1440 + 891 0299 027 4345 + 874 0359 032 6262 + 857 + 858 + 859 0299 027 4345 + 874 0359 032 6262 + 858	-		1						
0.0235 0.021 7876 + 892 0.0295 0.027 0849 + 874 0.0355 0.032 2831 + 858 0237 021 9659 + 890 0297 027 2597 + 874 0356 032 3689 + 858 0238 022 0549 + 891 0298 027 3471 + 874 0358 032 5405 + 858 0239 022 1440 + 890 0299 027 4345 + 874 0359 032 5405 + 857 + 858 + 858 + 858 + 858 + 858 + 858 + 858	0234	021 6985		0294	026 9974		0354	032 1973	
0236 021 8768 +892 0296 027 1723 +874 0356 032 3689 +858 0237 021 9659 +890 0297 027 2597 +874 0357 032 4547 +858 0238 022 0549 +891 0298 027 3471 +874 0358 032 5405 +858 0239 022 1440 +890 0299 027 4345 +874 0359 032 6262 +858 +858 +858 +858 +858 +858 +858 +858	0.0235	0.021 7876		0.0295	0.027 0849		0.0355	0.032 2831	
0237 021 9659 +891 0297 027 2597 +874 0357 032 4547 +858 0238 022 0549 +891 0298 027 3471 +874 0358 032 5405 +858 0239 022 1440 +890 0299 027 4345 +874 0359 032 6262 +858								1	
$\begin{array}{c ccccccccccccccccccccccccccccccccccc$	0237	021 9659		-					
$\frac{0239}{1}$	_								
0.0300 0.0300 0.0300 0.032 7120						+ 873		-	
	0.0240	0.022 2330		0.0300	0.027 5218		0.0300	0.032 7120	

Tafel VIII.

h	log ηη	Diff.	h	log ηη	Diff.	À	log $\eta\eta$	Diff.
0.036	0.032 7120		0.096	0.079 9617		0.156	0.120 5735	+ 6318
037	033 5677	+ 8557	097	080 6868	+ 7251	157	121 2053	
038	034 4208	+ 8531	098	081 4101	+ 7233	158	121 8357	+ 6304
039	035 2713	+ 8505	099	082 1316	+ 7215	159	122 4649	+ 6292 + 6278
040	036 1192	+ 8479 + 8454	100	082 8513	十 7197 十 7180	160	123 0927	+ 6265
0.041	0.036 9646	+ 8429	0.101	0.083 5693	+ 7161	0.161	0.123 7192	+ 6252
042	037 8075		102	084 2854		162	124 3444	+ 6238
043	038 6478	+ 8403	103	084 9999	+ 7145	163	124 9682	+ 6226
044	039 4856	+ 8378	104	085 7125	十 7126 十 7110	164	125 5908	+ 6213
045	040 3209	十 8353 十 8328	105	086 4235	+ 7092	165	126 2121	+ 6200
0.046	0.041 1537	+8304	0.106	0.087 1327	+ 7074	0.166	0.126 8321	+6187
047	041 9841	+ 8280	107	087 8401	+ 7058	167	127 4508	+6175
048	042 8121	+ 8255	108	088 5459	+ 7041	168	128 0683	+ 6162
049	043 6376	+ 8231	109	089 2500	+ 7023	169	128 6845	+ 6149
050	044 4 60 7	+ 8207	110	089 9523	+ 7007	170	129 2994	+6137
0.051	0.045 2814	+ 8184	0.111	0.090 6530	+ 6990	0.171	0.129 9131	+6124
052	046 0998	+8159	112	091 3520	+ 6974	172	130 5255	+6112
053	046 9157	+ 8137	113	092 0494	+ 6957	173	131 1367	+ 6099
054	047 7294	+ 8113	114	092 7451	+ 6940	174	131 7466	+ 6087
055	048 5407	+ 8089	115	093 4391	+ 6924	175	132 3553	+ 6075
0.056	0.049 3496	+ 8067	0.116	0.094 1315	+ 6908	9.176	0.132 9628	+ 6062
057	050 1563	+ 8044	117	094 8223	+ 6891	177	133 5690	+ 6050
058	050 9607	+ 8021	118	095 5114	+ 6876	178	134 1740	+ 6038
059	051 7628	1 1	119	096 1990	+ 6859	179	134 7778	+ 6026
060	052 5626	+ 7998 + 7976	120	096 8849	+ 6843	180	135 3804	+6014
0.061	0.053 3602	+ 7954	0.121	0.097 5692	+ 6828	0.181	0.135 9818	+ 6003
062	054 1556		122	098 2520	+ 6811	182	136 5821	+ 5990
063	054 9488	十 7932 十 7909	123	098 9331	+ 6796	183	137 1811	+ 5978
064	055 7397	+ 7888	124	099 6127	+ 6780	184	137 7789	+ 5966
065	056 5285	+ 7865	125	100 2907	+ 6765	185	138 3755	+ 5955
0.066	0.057 3150	+ 7844	0.126	0.100 9672		0.186	0.138 9710	+ 5943
067	058 0994		127	101 6421	+ 6749	187	139 5653	+ 5932
o68	058 8817	十 7823 十 7801	128	102 3154	+6733 +6719	188	140 1585	+ 5919
069	059 6618	+ 7780	129	102 9873	+ 6703	189	140 7504	+ 5908
070	060 4398	+ 7759	130	103 6576	+ 6688	190	141 3412	+ 5897
0.071	0.061 2157		0.131	0.104 3264	•	0.191	0.141 9309	+ 5885
072	061 9895	+ 7738	132	104 9936	+ 6672	192	142 5194	+ 5874
073	062 7612	+ 7717 + 7606	133	105 6594	+6658 + 6643	193	143 1068	+ 5863
074	063 5308	+ 7696 + 7676	134	106 3237	+ 6628	194	143 6931	+ 5851
075	064 2984	+ 7655	135	106 9865	+ 6613	195	144 2782	+ 5840
0.076	0.065 0639	+ 7635	0.136	0.107 6478	+ 6598	0.196	0.144 8622	+ 5828
077	065 8274	+ 7614	137	108 3076	+ 6584	197	145 4450	+ 5818
078	066 5888	+ 7595	138	108 9660	+ 6569	198	146 0268	+ 5806
079	067 3483	+ 7574	139	109 6229	+ 6554	199	146 6074	+ 5795
080	068 1057	+ 7555	140	110 2783	+ 6540	200	147 1869	+ 5784
0.081	0.068 8612	+ 7534	0.141	0.110 9323	+6526	0.201	0.147 7653	+ 5774
082	069 6146	+ 7515	142	111 5849	+6511	202	148 3427	+ 5762
083	070 3661	+ 7496	143	112 2360	+ 6497	203	148 9189	+ 5751
084	071 1157	+ 7476	144	112 8857	+ 6483	204	149 4940	+ 5741
085	071 8633	+ 7457	145	113 5340	+ 6469	205	150 0681	+ 5730
0.086	0.07 2 60 90	+ 7437	0.146	0.114 1809	+ 6455	0.206	0.150 6411	+ 5719
087	073 3527	+ 7418	147	114 8264	+ 6440	207	151 2130	+ 5708
088	074 0945	+ 7400	148	115 4704	+ 6427	208	151 7838	+ 569-
089	074 8345	+ 7380	149	; 116 1131	+ 6413	209	152 3535	+ 5687
090	075 5725	+ 7362	150	116 7544	+ 6399	210	152 9222	+ 5677
0.091	0.076 3087	+ 7343	0.151	0.117 3943	+ 6386	0,211	0.153 4899	+ 5666
092	077 0430	+7324	152	118 0329	+ 6372	212	154 0565	+ 5655
093	077 7754	+ 7306	153	118 6701	+6358	213	154 6220	+ 5645
094	078 5060	+ 7288	154	119 3059	+ 6345	214	155 1865	+ 5634
095	079 2348		155	119 9404		215	155 7499	
0.096	079 9617	十 7269	156	0.120 5735	+ 6331	0.216	0.156 3123	+ 5624

Tafel VIII.

219 157 9931	h	log ηη	Diff.	h	log ηη	Diff.	h	log ηη	Diff.
117 150 177	0.216		+ 5614	0.276		± 5061	0.336	0.217 3085	± 4616
218				1.1					+ 4608
230 158 5316 + 5583 29 189 280 + 5037 340 219 105 + 45 0.211 0.159 1089 + 5563 0.281 0.190 8249 + 5020 0.341 2100 0.195 1089 222 159 6653 + 5552 283 191 8281 + 5012 342 120 0.075; 4-45 223 100 2204 + 5543 283 191 8281 + 5002 342 120 0.075; 4-45 224 160 7747 + 5532 284 191 2266 + 4996 344 220 9818 4-45 0.216 0.161 8802 286 191 8282 + 4980 345 221 4380 0.227 162 4315 + 5513 287 193 8281 + 4980 345 221 4380 227 162 4315 + 5513 287 193 8281 + 4980 345 221 4380 227 162 4315 + 5513 287 193 8281 + 4980 345 221 4380 227 162 4315 + 5513 287 193 8251 + 4980 347 222 14830 228 194 1234 + 4973 347 222 14830 229 163 5310 + 5483 289 194 8188 + 4954 348 222 525 149 282 289 194 224 249 29 29 29 29 29 29 29 29 29 29 29 29 29	1								+ 4602
0.121 0.159 1089	- 1							_	+ 4595
222 159 6652 + 5353	220		+ 5573	260	, ,	+ 5029	340		+ 4588
223	0,221		+ 5562			+ 5020	0.341		+ 4582
224 160 7147 +5543 284 191 3286 +5005 343 210 3839 +45 4996 345 221 4380 +45 4996 345 221 4380 +45 4996 345 221 4380 +45 4996 345 221 4380 +45 4996 345 221 4380 +45 4996 345 221 4380 +45 4996 345 221 4380 +45 4996 345 221 4380 +45 4996 345 221 4380 +45 4996 345 221 4380 +45 4996 345 221 4380 +45 4996 345 221 4380 +45 4996 345 221 4380 +45 4996 345 221 4380 +45 4996 345 221 4380 +45 4996 345 346 221 4380 +45 4996 345 346 221 4380 +45 4996 345 346 221 4380 +45 4996 345 346 221 4380 +45 4996 345 346 221 4380 +45 4996 345 346 221 4380 +45 4996 345 346 221 4380 +45 4996 345 346 221 4380 +45 346 221 4380		7.					_		+ 4575
2.25 100 174	- 1					1 : -		1	+ 4568
0.226									+ 4562
227 162 4315 5513 287 193 8251 4980 347 222 2483 451 239 165 9310 5493 288 194 324.4 4993 348 222 3055 458 230 164 0793 5483 290 195 3145 4997 350 223 7090 45 232 165 1730 5461 292 196 3015 4941 0.331 0.224 1613 45 233 165 1730 5454 292 196 3015 4931 332 225 0640 44 234 166 2628 5435 295 197 7811 4917 355 225 0640 44 237 167 8903 5445 296 197 7811 4901 335 225 0640 44 238 168 4309 5415 296 198 7624 4993 357 225 0640 44 238 168 4309 5396 298 199 3218 4894 358 227 3003 44	223	•	+ 5523	203	192 0202	+ 4989	343		+ 4555
2.86			+ 5513			+ 4980	0.346	1 7.5	+ 4548
105 310 5483 289 194 818 44964 349 223 3561 448 44964 349 223 3561 448 44964 349 350 223 3690 448 4491 352 224 6130 458 4491 352 224 6130 458 4491 352 224 6130 458 4491 352 224 6130 458 4491 352 224 6130 458 4491 352 224 6130 458 4491 352 224 6130 458 4491 4491 352 224 6130 458 4491 4	: 1								+ 4542
230 164 0753 + 5483 299 195 3145 + 4957 339 223 7090 + 45 0.331 0.164 6867 156 1750 + 5463 292 196 305 + 4941 352 223 7090 + 45 233 165 7184 55454 293 196 7968 + 4933 353 225 0640 + 45 234 166 2638 5444 294 197 2894 + 4941 352 225 0640 + 45 235 166 8063 54455 295 197 7811 + 4917 355 225 5143 1 + 45 235 166 8063 54455 295 197 7811 + 4917 355 225 5143 1 + 45 236 0.167 3488 + 5415 296 297 198 7624 + 4903 357 225 5143 1 + 45 237 167 8903 150 297 150 297 2811 + 4910 0.356 0.226 4131 1 + 44 236 127 227 228 228 228 228 228 228 228 228 2					1 1 1 1 1 1				+ 4536
0.331	- 1								+ 4529
232 165 1730 + 5403 292 196 3035 + 4941 352 224 6130 + 454 233 166 2628 + 5444 294 197 2894 + 4917 354 225 5142 + 436 233 166 8663 + 5435 295 197 7811 + 4917 353 225 5640 + 44 236 0.167 3488 + 5415 297 198 7624 + 4901 357 226 8615 + 44 237 167 8903 + 5415 297 198 7624 + 4903 357 226 8615 + 488 239 199 7406 + 4888 359 227 7565 + 444 169 5092 + 5387 300 200 2285 + 4879 350 228 2031 + 444 160 222 28 2031 + 444 171 6547 + 5360 301 201 757 + 4864 362 229 941 + 444 362 229 941 + 444 224 176 547 + 5350 202 1021 + 4867 360 2228 2631 + 444 171 6547 + 5350<	230		+ 5474	290		+ 4949	350	1	+ 4523
232 105, 7180 + 5454 292 196 3738 + 4933 332 224, 0130 + 434 234 166 2628 + 5443 194 197 7881 + 4917 154 225, 1443 134 166 2663 + 5435 195 197 7811 + 4910 155 225, 9640 + 44 0.236 0.167 3488 + 5415 296 198 7624 + 4901 3155 225, 9640 + 44 237 167 8903 + 5406 298 199 2518 + 4894 318 227 266 8615 + 44 240 169 5093 + 5306 298 199 2518 + 4894 318 227 7063 + 44 242 170 5838 239 199 7406 + 4877 350 228 8031 + 44 242 170 5838 336 239 199 7406 + 4877 350 228 8031 + 44 242 170 5838 368 302 201 2021 220 193 228 8031 + 44 242	- 1		+ 5462			+ 4941			+ 4517
243 166 2628 5.434 293 199 79894 4.917 33.5 22.5 5.143 4.44 235 166 8663 5.445 295 197 7811 +.910 355 22.5 5.143 4.44 237 1.66 8983 +.5445 296 1.98 7624 +.4903 3.56 2.22 5.66 4.41 238 1.68 4.1909 +.5366 2.98 1.99 7.164 +.4894 3.37 2.26 8615 +.44 240 1.69 5092 +.5388 2.99 1.99 7.164 +.4879 3.59 227 7.565 +.44 240 1.69 5092 +.5388 300 2.00 1.207 1.57 4.48 3.60 2.27 7.565 +.44 241 1.70 6.88 +.5368 302 2.01 2.02 1.44 3.62 2.29 9.943 +.44 242 1.71 1.6547 +.5330 3.01 6.878 +.4877 3.62 2.2	- 1			-					+ 4510
235 166 8663									+ 4503
0.36				• .		+ 4917			+ 4497
137 167 8903 157 4306 298 199 218 4894 358 227 3093 44 238 168 4309 +5406 298 199 218 48848 358 227 7565 44 239 168 9705 +5387 309 299 199 7406 +4884 358 227 7565 +44 240 169 5092 +5378 300 200 2285 +4879 360 228 2031 +44 0.241 0.170 0470 42 21 70 5838 +5368 302 201 2021 +4864 362 229 0943 +44 244 171 1197 +5350 303 201 2021 +4840 362 229 9831 +44 244 171 1647 +5340 304 202 1727 +4843 362 229 9831 +44 244 172 1887 +5331 307 203 6569 +4834 365 230 4265 +44 244 173 2540 +5313 307 203 6230 +4824 0.366 0.208 8694 +44 2448 173 7853 +503 3		_	+ 5425			+ 4910	1		+ 4491
237 107 8903			+ 5415	-		+ 4903			+ 4484
238 108 4309 + 5396 299 199 7406 + 4888 350 227 7595 440 169 5092 + 5387 299 199 7406 + 4872 360 228 231					1 - 2			1	+ 4478
169 5092									+ 4472
0.241 0.170 0470			+ 5387			+ 4879			+ 4466
242 170 5838 + 5308 302 201 201 4 4804 362 229 0943 + 44 243 171 1197 + 5350 303 201 6878 + 4849 363 229 5390 + 44 243 171 6547 + 5340 304 202 1727 + 8842 365 230 4465 + 44 247 173 2540 + 5331 305 202 6569 + 4842 365 230 4465 + 44 247 173 2540 + 5313 307 203 6230 + 4820 368 231 7532 + 44 249 174 3156 + 5295 310 205 6667 + 4805 369 232 1942 + 44 250 174 8451 + 5285 310 205 6667 + 4797 232 6346 + 44 250 21727 59013 + 5267 313 206 2054 + 4796 372 233 5135 + 32 235 176 4280 + 5258 314 206 9813 + 4768 374 234 3900 + 43 255 177 4788 + 5241 315 207 4581 + 4761 375 234 8274 + 43 250 179 5698 + 5241 319 209 3642 4 4739 379 236 5709 4 32 257 178 5261 5223 317 208 4096 + 4773 378 236 1359 4 32 257 178 5261 5223 317 208 4096 + 4773 378 236 1359 4 32 250 179 5698 + 5214 319 209 3815 + 4733 380 237 0053 + 43 265 181 6467 5197 322 209 8315 + 4733 239 237 5197 206 180 0903 + 5188 322 210 7759 4711 382 237 8723 186 6467 5171 334 211 2470 4704 384 238 3790 4 32 236 5709 4 31 266 182 6800 + 5188 322 210 7759 4711 382 237 8723 186 6467 5171 334 211 2470 4704 384 238 3790 4 32 236 5709 4 33 22 237 8723 4 43 236 3181 6467 5171 334 211 2470 4704 384 238 3790 5 43 265 182 6800 + 5183 322 210 7759 4711 382 237 8723 4 43 266 182 680 + 5153 325 212 1871 4697 385 239 1685 + 43 266 182 6800 + 5153 32 212 1871 4697 385 239 1685 + 43 266 184 2235 + 5123 326 212 1871 4697 385 239 1685 + 43 266 184 2235 + 5123 328 211 2470 4704 384 238 3700 244 1317 14 4704 268 184 2235 5133 0214 5253 4662 390 241 3171 4272 186 2696 + 5137 332 211 2470 4704 384 238 3700 241 3171 4272 186 2696 + 5153 32 211 2470 4704 384 238 3700 241 3171 4272 186 2696 + 5153 320 214 5253 4662 390 241 3171 4272 186 2696 + 5102 332 214 5253 4662 390 241 3171 4272 186 2696 + 5095 332 214 5253 4662 390 241 3171 4272 186 2696 + 5095 332 215 5200 4663 393 244 25994 42272 186 2696 + 5095 332 215 5200 4663 393 244 25994 42274 187 2877 4 5088 344 216 3835 4 4662 399 244 24725 4 4274 187 2877 4 5088 344 216 3835 4 4662 399 244 34514 4 4272 186 2696 + 5095 333 215 5200 4663 394 244 5994	240		+ 5378	300	200 2265	+ 4872	1 .	1	+ 4459
241 170 5818 + 5359 302 201 2021 + 487 363 229 5190 + 44 244 171 6547 + 5350 303 201 6878 + 4849 364 229 9831 + 44 245 172 1887 + 5340 305 202 6569 + 4849 364 229 9831 + 44 245 173 2540 + 5313 305 203 6630 + 4820 365 230 4265 + 44 247 173 2540 5313 308 204 1050 + 4812 368 231 7532 + 44 248 173 7853 + 5303 309 204 5862 + 4803 368 231 7532 + 44 249 174 3156 + 5295 310 205 6667 + 4795 370 232 6346 + 44 250 174 8451 + 5285 310 205 6667 + 4796 370 232 6346 + 44 251 175 9013 + 5267 312 206 0254 + 4796 370 233 6345 + 43 252 175 9013 + 5267 312 206 0254 + 4796 372 233 1315 + 43 253 176 4280 + 5258 314 206 9813 + 4768 372 233 3135 + 43 255 177 4788 + 5241 315 207 4581 + 4768 375 234 8274 + 43 256 0.178 0.29 + 5242 317 208 4.996 + 4774 377 235 7003 + 43 259 179 5698 + 5205 310 2.20 308 244 4794 377 235 7003 + 43 260 180 0.903 + 5205 310 2.03 3042 + 4776 379 236 5709 3 + 43 260 180 0.903 + 5205 320 209 8315 + 4725 379 236 5709 3 + 43 260 180 0.903 + 5197 32 210 7759 4711 382 237 305 32 34 540 4 32 260 181 1288 5179 323 211 2470 4704 384 238 3050 + 43 260 180 0.80 6100 5197 322 211 2470 4704 384 238 3050 + 43 260 180 0.903 + 5197 322 210 7759 4711 383 238 3050 + 43 260 180 180 993 + 5145 322 210 7759 4711 383 238 3050 + 43 260 181 1288 5179 332 211 2470 4704 384 238 7370 53 + 43 265 182 6800 + 5153 325 212 1871 4691 385 239 1685 + 43 260 184 2235 + 5113 324 211 7174 4 4691 384 238 7370 + 43 260 185 7594 + 5113 324 211 7174 4 4691 384 238 7370 + 43 260 185 7594 + 5113 329 214 5253 4662 390 241 3171 42 272 186 2696 + 5102 332 211 5759 4 4649 394 240 2296 44 273 186 7791 + 5086 333 215 559 4 4649 394 240 2296 44 274 187 2877 + 5086 333 215 5900 4 663 393 244 5994 4 42 275 187 7955 + 5086 333 215 5900 4 663 393 244 5994 4 42 277 187 2877 + 5088 334 216 3835 4 669 399 244 34514 4 227 278 186 2696 + 5093 332 215 5500 4 663 399 244 3451 4 42 279 187 2877 + 5088 334 216 3835 4 669 399 244 3451 4 42 271 187 2877 + 5088 334 216 3835 4 6692 399 244 3451 4 42 271 187 2877 + 5088 334 216 3835 4 6692 399 244 3451 4 42 271 187 2877 + 508			+ 5368			+ 4864			+ 4453
243 171 197 + 5350 303 201 6878 + 4849 363 229 9831 + 44 244 171 6547 + 5340 305 202 1727 + 4842 365 230 4465 + 444 245 172 1887 + 5331 305 202 6569 + 4842 365 230 4465 + 444 247 173 2540 + 5313 307 203 6230 + 4820 368 231 7532 + 44 248 173 7853 + 5303 309 204 1050 + 4810 368 231 7532 + 44 249 174 3156 + 5295 310 205 6667 + 4805 369 232 1942 + 44 250 174 8451 + 5285 310 205 6667 + 4790 370 232 6346 + 44 250 174 8451 + 5285 310 205 6667 + 4790 370 232 6346 + 44 251 175 9013 + 5267 312 206 0254 + 4790 372 233 5135 + 43 251 176 9538 + 5258 314 206 9813 + 4768 374 234 3900 + 43 255 177 4788 + 5241 315 207 4581 + 4761 375 234 8274 + 43 255 177 4788 + 5241 315 207 4581 + 4761 375 234 8274 + 43 250 178 5261 5223 317 208 4096 + 4747 377 235 7003 + 43 251 179 5698 + 5214 319 209 3682 + 4739 236 57509 + 43 259 179 5698 + 5214 319 209 3682 + 4739 236 57509 + 43 250 180 9093 + 5123 318 208 8843 + 4761 377 235 7003 + 43 260 180 9093 + 5120 320 209 8315 + 4733 380 237 0053 + 43 261 181 1288 + 5179 322 209 8315 + 4733 380 237 0053 + 43 263 181 6467 5171 334 211 7474 4704 384 238 7370 3 43 265 182 6800 + 5188 322 210 7759 + 4711 382 237 823 138 268 184 2235 5133 302 214 5253 + 4662 390 241 317 144 266 182 1638 + 5157 323 212 1871 4697 385 239 1685 + 43 260 183 7098 + 5145 327 213 1245 4662 390 241 317 1 42 260 184 2235 5128 328 213 5921 4660 389 240 2885 + 43 260 184 2235 5128 328 213 5921 4660 389 240 2886 + 42 260 184 7363 + 5120 330 214 5253 + 4662 390 241 3171 42 272 186 2696 + 5102 332 215 4558 4662 390 241 3171 42 273 186 7791 + 5086 333 215 4558 4662 390 241 3171 42 274 187 2877 4598 344 216 3835 4662 394 242 5994 + 42 275 187 7895 4 5102 333 215 4558 4662 390 241 3171 42 276 187 7895 4 5102 333 215 4568 4662 399 244 1741 472 277 188 2696 + 5095 333 215 4568 4662 390 241 3171 42 278 186 7891 + 5086 333 215 9200 4663 393 242 5994 + 42 279 185 2483 + 5102 330 214 5253 4664 393 424 28994 + 42 271 186 2696 + 5095 333 215 9200 4663 394 242 5994 + 42 271 186 2696 + 5095 333 215 9200 4663 394 242 5994 + 42 271 186 2696 + 5095			1 :	_					+ 4447
244									+ 4441
0.246					1	+ 4842			+ 4434
247	~43		+ 5331		1	+ 4834			+ 4429
247 173 2363 + 5313 307 203 624 195 + 4820 307 231 311 + 44 249 174 3156 + 5393 309 204 5862 + 4805 369 232 1942 + 44 250 174 8451 + 5285 310 205 0667 + 4797 370 232 6346 + 44 250 175 9013 + 5285 310 205 0667 + 4797 0.371 0.233 0743 + 43 252 175 9013 + 5277 312 206 0254 + 4790 0.371 0.233 0743 + 43 252 175 9013 + 5267 313 206 5037 + 4776 373 233 5135 + 43 253 176 4280 + 5250 314 206 9813 + 4768 374 234 3902 + 43 255 177 4788 + 5243 318 206 9813 + 4768 374 234			+ 5322	-		+ 4827		1 7 7 2	+ 4422
249 174 3156 + 5303 308 204 1862 + 4812 369 232 1942 + 44 250 174 8451 + 5295 310 205 2667 + 4797 370 232 6346 + 44 0.251 0.175 3736 + 5287 311 0.205 5464 + 4790 372 233 5733 + 43 252 175 9013 + 5267 313 206 0254 + 4783 372 233 5135 + 43 253 176 4280 + 5268 314 206 9813 + 4776 373 233 39521 + 43 254 176 9538 + 5258 314 206 9813 + 4768 375 234 8274 + 43 255 177 4788 + 5241 315 207 4581 + 4768 375 234 8274 + 43 0.256 0.178 0229 + 5222 317 208 4996 + 4754 377 235 7003 + 43 258 179 0484 + 5223 318 208 8843 + 4747 378 236 7003 <td></td> <td></td> <td></td> <td></td> <td></td> <td></td> <td></td> <td></td> <td>+ 4416</td>									+ 4416
250				-					+ 4410
0.251			+ 5295			+ 4805			+ 4404
252 175 9013 + 5277 312 206 0254 + 4790 372 233 5135 + 43 253 176 4280 + 5258 314 206 5037 + 4763 373 233 9521 + 43 254 176 9538 + 5250 314 206 9813 + 4766 374 234 3900 + 43 255 177 4788 + 5241 315 207 4581 + 4761 375 234 8274 + 43 0.256 0.178 0292 + 5232 317 208 4996 + 4754 377 235 7003 + 43 258 179 6484 + 5214 319 208 4843 + 4754 377 236 1359 + 43 236 1359 + 43 236 1359 + 43 236 1359 + 43 236 1359 + 43 236 1359 + 43 24 24754 473	· i	1	+ 5285			+ 4797	_		+ 4397
252 175 9613	- 1		+ 5277	-		+ 4790			+ 4393
254	-			_					+ 4386
255			+ 5258						+ + 43 79
0.256					1				+ 4374
257 178 5261 + 5223 317 208 4096 + 4754 377 235 7003 + 43 258 179 0484 + 5214 318 208 8843 + 4747 378 236 1359 + 43 259 179 5698 + 5214 319 209 3582 + 4733 379 236 5709 + 43 260 180 0903 + 5197 320 209 8315 + 4733 380 237 0053 + 43 262 181 1288 + 5188 322 210 7759 + 4711 382 237 8723 + 43 263 181 6467 + 5171 323 211 2470 + 4704 384 238 3050 + 43 264 182 1638 + 5162 325 212 1871 + 4697 385 239 1685 + 43 265 182 6800 + 5153 0.326 0.212 6562 + 4683 387 240 0296 + 43 266 0.183 1953 + 5145 327 213 1245 + 4697 388 240 4594 + 42 267 183 7098 + 5128 329 214 0591			+ 5241	1		+ 4761	1	1	+ 4368
258 179 0484 + 5223 318 208 8843 + 4747 378 236 1359 + 43 259 179 5698 + 5214 319 209 3582 + 4733 379 236 5709 + 43 260 180 0903 + 5197 320 209 8315 + 4733 380 237 0053 + 43 0.261 0.180 6100 + 5188 322 210 7759 + 4711 382 237 8723 + 43 262 181 1288 + 5179 323 211 2470 + 4711 382 238 3050 + 43 263 181 6467 + 5162 324 211 7174 + 4704 384 238 3350 + 43 265 182 6800 + 5162 324 211 7174 + 4697 385 239 1685 + 43 265 183 7098 + 5145 327 213 1245 + 4691 386 0.239 5993 + 43 266 0.183 1953 + 5145 327 213 1245 + 4676 388 240 0296 + 43 269 184 7363 + 5128 329 214 0591 + 4676 388 240 4594 + 42 270 185 2483 + 5102 332 214 5253 + 4656 390			+ 5232	_		+ 4754	_		+ 4361
259 179 5698 + 5214 319 209 3582 + 4739 379 236 5709 + 43 260 180 0903 + 5197 320 209 8315 + 4733 380 237 0053 + 43 0.261 0.180 6100 + 5188 322 210 7759 + 4711 382 237 8723 + 43 262 181 1288 + 5179 323 211 2470 + 4711 382 238 3050 + 43 264 182 1638 + 5162 324 211 7174 + 4704 384 238 7370 + 43 265 182 6800 + 5162 324 211 7174 + 4697 385 239 1685 + 43 266 0.183 1953 + 5145 325 212 1871 + 4691 385 239 1685 + 43 267 183 7098 + 5145 327 213 1245 + 4676 388 240 0296 + 43 268 184 7363 + 5128 329 214 0591 + 4676 388 240 4594 + 42 270 185 2483 + 5102 330 214 5253 + 4656 390 241 3171 + 42 0.271 0.185 7594 + 5102 332 215 4558 + 4649 3			+ 5223			+ 4747			+ 4356
260 180 0903 + 5205 320 209 8315 + 4733 380 237 0053 + 43 0.261 0.180 6100 + 5188 0.321 0.210 3040 + 4719 0.381 0.237 4391 + 43 262 181 1288 + 5179 323 211 2470 + 4711 382 237 8723 + 43 264 182 1638 + 5162 324 211 7174 + 4704 384 238 7370 + 43 265 182 6800 + 5153 325 212 1871 + 4697 385 239 1685 + 43 265 182 6800 + 5145 325 212 1871 + 4691 385 239 1685 + 43 265 183 7098 + 5145 327 213 1245 + 4683 0.386 0.239 5993 + 43 266 184 2235 + 5128 328 213 5921 + 4676 388 240 4594 + 42 269 184 7363 + 5128 329 214 0591 + 4676 389 240	-			-	1				+ 4350
0.261									+ 4344
262 181 1288 + 5179 322 210 7759 + 4711 382 237 8723 + 432 263 181 6467 + 5179 323 211 2470 + 4704 383 238 3050 + 43 264 182 1638 + 5162 324 211 7174 + 4697 384 238 7370 + 43 265 182 6800 + 5162 325 212 1871 + 4697 385 239 1685 + 43 0.266 0.183 1953 + 5145 327 213 1245 + 4676 388 240 0296 + 43 267 183 7098 + 5137 328 213 5921 + 4676 388 240 0296 + 42 269 184 7363 + 5128 329 214 0591 + 4670 389 240 8885 + 42 270 185 2483 + 5120 330 214 5253 + 4656 390 241 3171 + 42 0.271 0.185 7594 + 5102 332 215 4558 + 4649 392 242 1725 + 42 273 186 2696 + 5095 333 215 9200 + 4642 393 242 1725 + 42 274 187 2877 + 5078 334 216 3835 + 4629 39		,		_			-		+ +338
263			+ 5188			+ 4719		217 8727	+ 4332
264		1	+ 5179	-		+ 4711			+ 4327
265									+ 4320
0.266									+ 4315
267			+ 5153		!			1	+ 4308
268 184 2235 + 5137 328 213 5921 + 4670 388 240 4594 + 42 269 184 7363 + 5128 329 214 0591 + 4662 389 240 8885 + 42 270 185 2483 + 5111 330 214 5253 + 4656 390 241 3171 + 42 0.271 0.185 7594 + 5102 332 215 4558 + 4649 392 242 1725 + 42 272 186 2696 + 5095 332 215 4558 + 4649 392 242 1725 + 42 273 186 7791 + 5086 333 215 9200 + 4642 393 242 5994 + 42 274 187 2877 + 5078 334 216 3835 + 4629 394 243 0257 + 42 275 187 7955 + 5078 335 216 8464 + 629 395 243 4514 + 42 275 187 7955 + 5078 335 216 8464 + 629 395 243 4514 <td< td=""><td></td><td></td><td>+ 5145</td><td>-</td><td></td><td></td><td></td><td></td><td>+ 4303</td></td<>			+ 5145	-					+ 4303
$ \begin{array}{c ccccccccccccccccccccccccccccccccccc$				-				1	+ 4298
270	_			-			· -	1 1111	+ 4291
0.271					, , , , ,				+ 4286
272			+ 5111		ı	1	l	0.241 7451	T 4260
273			+ 5102						+ 4274
274 187 2877 + 5080 334 216 3835 + 4629 394 243 0257 + 42 275 187 7955 + 5078 335 216 8464 + 4629 395 243 4514 + 42								1	+ 4269
275 187 7955 + 5078 335 216 8464 + 4029 395 243 4514 + 42	-								+ 4263
					216 8464			243 4514	+ 4257 + 4253
0.276 0.188 3024 + 5009 0.336 0.217 3085 + 4021 0.396 0.243 8766 + 42			+ 5069		0.217 3085	T 4021		0.243 8766	+ 4252

Tafel VIII.

h	$\log\eta\eta$	Diff.	h	log ηη	Diff.	h	log ηη	Diff.
								
0.396	0.243 8766	+ 4246	0.456	0.268 4111	anar	0.516	0.291 2209	+ 3670
397	244 3012		457	268 8046	+ 3935	517	291 5879	
398	244 7252	+ 4240	458	269 1977	+ 3931	518	291 9545	+ 3666
399	245 1487	+ 4235	459	269 5903	+ 3926	519	292 3207	+ 3662
400	245 5716	+ 4229	46ó	269 9824	+ 3921	520	292 6864	+ 3657
		+ 4224	-		十 3917			+ 3654
0.401	0.245 9940	+ 4218	0.461	0.270 3741	+ 3911	0.521	0.293 0518	+ 3650
402	246 4158		462	270 7652		522	293 4168	+ 3645
403	246 8371	+ 4213	463	271 1559	+ 3907	523	293 7813	
404	247 2578	+ 4207	464	271 5462	+ 3903	524	294 1455	+ 3642
405	247 6779	+ 4201	465	271 9360	+ 3898	525	294 5092	+ 3637
		+ 4196			+ 3893			+ 3634
0.406	0.248 0975	+ 4191	0.466	0.272 3253	+ 3888	0.526	0.294 8726	+ 3629
407	248 5166	+ 4185	467	272 7141	+ 3884	527	295 2355	+ 3626
408	248 9351	+ 4180	468	273 1025	+ 3879	528	295 5981	+ 3621
409	249 3531	+ 4174	469	273 4904	+ 3874	529	295 9602	+ 3618
410	249 7705	+ 4169	470	273 8778	+ 3870	530	296 3220	+ 3613
1	0.250 1874	1 4.09	0.477	0.274 2648	1 30/0	0.533	0.296 6833	' 30.3
0.411		+ 4164	0.471		+ 3865	0.531		+ 3610
412	250 6038	+ 4158	472	274 6513	+ 3861	532	297 0443	+ 3606
413	251 0196	+ 4153	473	275 0374	+ 3856	533	297 4049	+ 3601
414	251 4349	+ 4147	474	275 4230	+ 3852	534	297 7650	+ 3598
415	251 8496	+ 4142	475	275 8082	+ 3847	535	298 1248	+ 3594
0.416	0.252 2638	l	0.476	0.276 1929	-	0.536	0.298 4842	
417	252 6775	十 41 37	477	276 5771	+ 3842	537	298 8432	+ 3590
418	253 0906	+ 4131	478	276 9609	+ 3838	538	299 2018	+ 3586
		+ 4126			十 3834			+ 3582
419	253 5032	+ 4121	479	277 3443	+ 3829	539	299 5600	+ 3578
420	253 9153	+ 4116	480	277 7272	+ 3824	540	299 9178	+ 3574
0.421	0.254 3269		0.481	0.278 1096		0.541	0.300 2752	
422	254 7379	+ 4110	482	278 4916	+ 3820	542	300 6323	+ 3571
423	255 1485	+ 4106	483	278 8732	+ 3816	543	300 9890	+ 3567
424	255 5584	+ 4099	484	279 2543	+ 3811	544	301 3452	+ 3562
425	255 9679	+ 4095	485	279 6349	+ 3806	545	301 7011	+ 3559
1 7-7		+ 4089		_	+ 3802		30. /0	+ 3555
0.426	0.256 3768	+ 4085	0.486	0.289 0151	+ 3798	0.546	0.302 0566	+ 3551
427	256 7853	1	487	280 3949		547	302 4117	
428	257 1932	+ 4079	488	280 7743	+ 3794	548	302 7664	+ 3547
429	257 6006	+ 4074	489	281 1532	+ 3789	549	303 1208	+ 3544
430	258 0075	+ 4069	490	281 5316	+ 3784	550	303 4748	+ 3540
1	-	+ 4064			+ 3780		!	+ 3536
0.431	0.258 4139	+ 4059	0.491	0.281 9096	+ 3776	0.551	0.303 8284	+ 3532
432	258 8198	+ 4054	492	282 2872	+ 3772	552	304 1816	+ 3528
433	259 2252	+ 4048	493	282 6644	+ 3767	553	304 5344	+ 3525
434	259 6300	+ 4044	494	283 0411	+ 3762	554	304 8869	+ 3521
435	260 0344	+ 4038	495	283 4173	+ 3759	555	305 2390	+ 3517
0.436	0.260 4382		0.496	0.283 7932		0.556	0.305 5907	
437	260 8415	+ 4033		284 1686	+ 3754			+ 3513
	261 2444	+ 4029	497	284 5436	+ 3750	557	305 9420	+ 3510
438	261 6467	+ 4023	498	284 9181	+ 3745	558	306 2930	+ 3506
439		+ 4019	499		+ 3742	559 560	306 6436	+ 3502
440	262 0486	+ 4013	500	285 2923	+ 3737	560	306 9938	+ 3499
0.441	0.262 4499		0.501	0.285 6660		0.561	0.307 3437	
442	262 8507	+ 4008	502	286 0392	+ 3732	562	307 6931	+ 3494
443	263 2511	+ 4004	503	286 4121	+ 3729	563	308 0422	+ 3491
444	263 6509	+ 3998	504	286 7845	+ 3724	564	308 3910	+ 3488
445	264 0503	+ 3994	505	287 1565	+ 3720	565	308 7394	+ 3484
1 1	-	+ 3989			+ 3716		_	+ 3480
0.446	0.264 4492	+ 3983	0.506	0.287 5281	+ 3711	0.566	0.309 0874	+ 3476
447	264 8475		507	287 8992		567	309 4350	
448	265 2454	十 3979	508	288 2700	+ 3708	568	309 7823	+ 3473
449	265 6428	+ 3974 + 3969	509	288 6403	+ 3703	569	310 1292	+ 3469
450	266 0397	+ 3969	Šīó	289 0102	+ 3699	570	310 4758	+ 3466
		+ 3965	-	-	+ 3695			+ 3462
0.451	0.266 4362	+ 3959	0.511	0.289 3797	+ 3690	0.571	0.310 8220	+ 3458
452	266 8321	+ 3955	512	289 7487	+ 3687	572	311 1678	+ 3455
453	267 2276	+ 3950	513	290 1174	+ 3682	573	311 5133	+ 3451
454	267 6226		514	290 4856	+ 3679	574	311 8584	+ 3447
455	268 0171	+ 3945 + 3940	515	290 8535		575	312 2031	
0.456	0.268 4111	1 3940	0.516	0.291 2209	+ 3674	0.576	0.312 5475	+ 3444

Tafel IX.

vgl. p. 88.

The color The										
	er.	107 5	••	107 E	40	707 E		707 E	l	72
-0.199 43615 -0.218 28713 -0.179 16604 -0.118 7274 -0.050 7918 -0.198 28487 -0.175 16428 -0.118 7451 -0.058 1886 -0.197 43095 -0.315 28263 -0.177 16512 -0.117 7329 -0.057 1736 -0.218 24326 -0.316 283039 -0.176 16077 -0.116 7238 -0.057 1736 -0.059 1736 -0.219 44350 -0.314 27593 -0.174 15790 -0.114 67696 -0.055 1677 -0.213 42790 -0.214 27571 -0.173 15518 -0.113 6651 -0.053 1550 -0.214 4757 -0.212 27151 -0.173 15518 -0.113 6651 -0.053 1550 -0.214 4197 -0.212 27151 -0.173 15518 -0.113 6651 -0.053 1550 -0.214 4197 -0.215 26931 -0.171 15216 -0.111 6618 -0.051 1444 -0.216 26734 -0.025 26493 -0.169 14878 -0.109 6389 -0.049 1389 -0.288 46275 -0.168 14710 -0.108 6575 -0.048 1381 -0.288 46275 -0.168 14710 -0.108 6575 -0.048 1381 -0.288 26275 -0.168 14710 -0.106 6527 -0.048 1381 -0.288 26275 -0.168 14710 -0.106 6527 -0.046 1178 -0.288 26275 -0.168 14710 -0.106 6527 -0.046 1178 -0.288 26275 -0.165 14211 -0.105 6528 -0.045 1178 -0.288 26275 -0.165 14211 -0.105 6528 -0.045 1178 -0.288 26275 -0.165 14211 -0.105 5041 -0.044 12810 -0.288 26275 -0.165 14211 -0.105 5041 -0.045 1178 -0.288 26275 -0.165 14211 -0.105 5041 -0.045 1178 -0.288 26275 -0.165 14211 -0.105 5041 -0.045 1178 -0.288 26275 -0.165 14211 -0.105 5052 -0.045 1178 -0.288 -0	u.	10.5	10	10.5	w	10.5	w	10.,5	w	10.15
-0.199 43615 -0.218 28713 -0.179 16604 -0.118 7274 -0.050 7918 -0.198 28487 -0.175 16428 -0.118 7451 -0.058 1886 -0.197 43095 -0.315 28263 -0.177 16512 -0.117 7329 -0.057 1736 -0.218 24326 -0.316 283039 -0.176 16077 -0.116 7238 -0.057 1736 -0.059 1736 -0.219 44350 -0.314 27593 -0.174 15790 -0.114 67696 -0.055 1677 -0.213 42790 -0.214 27571 -0.173 15518 -0.113 6651 -0.053 1550 -0.214 4757 -0.212 27151 -0.173 15518 -0.113 6651 -0.053 1550 -0.214 4197 -0.212 27151 -0.173 15518 -0.113 6651 -0.053 1550 -0.214 4197 -0.215 26931 -0.171 15216 -0.111 6618 -0.051 1444 -0.216 26734 -0.025 26493 -0.169 14878 -0.109 6389 -0.049 1389 -0.288 46275 -0.168 14710 -0.108 6575 -0.048 1381 -0.288 46275 -0.168 14710 -0.108 6575 -0.048 1381 -0.288 26275 -0.168 14710 -0.106 6527 -0.048 1381 -0.288 26275 -0.168 14710 -0.106 6527 -0.046 1178 -0.288 26275 -0.168 14710 -0.106 6527 -0.046 1178 -0.288 26275 -0.165 14211 -0.105 6528 -0.045 1178 -0.288 26275 -0.165 14211 -0.105 6528 -0.045 1178 -0.288 26275 -0.165 14211 -0.105 5041 -0.044 12810 -0.288 26275 -0.165 14211 -0.105 5041 -0.045 1178 -0.288 26275 -0.165 14211 -0.105 5041 -0.045 1178 -0.288 26275 -0.165 14211 -0.105 5041 -0.045 1178 -0.288 26275 -0.165 14211 -0.105 5052 -0.045 1178 -0.288 -0										
-0.199 43615 -0.218 28713 -0.179 16604 -0.118 7274 -0.050 7918 -0.198 28487 -0.175 16428 -0.118 7451 -0.058 1886 -0.197 43095 -0.315 28263 -0.177 16512 -0.117 7329 -0.057 1736 -0.218 24326 -0.316 283039 -0.176 16077 -0.116 7238 -0.057 1736 -0.059 1736 -0.219 44350 -0.314 27593 -0.174 15790 -0.114 67696 -0.055 1677 -0.213 42790 -0.214 27571 -0.173 15518 -0.113 6651 -0.053 1550 -0.214 4757 -0.212 27151 -0.173 15518 -0.113 6651 -0.053 1550 -0.214 4197 -0.212 27151 -0.173 15518 -0.113 6651 -0.053 1550 -0.214 4197 -0.215 26931 -0.171 15216 -0.111 6618 -0.051 1444 -0.216 26734 -0.025 26493 -0.169 14878 -0.109 6389 -0.049 1389 -0.288 46275 -0.168 14710 -0.108 6575 -0.048 1381 -0.288 46275 -0.168 14710 -0.108 6575 -0.048 1381 -0.288 26275 -0.168 14710 -0.106 6527 -0.048 1381 -0.288 26275 -0.168 14710 -0.106 6527 -0.046 1178 -0.288 26275 -0.168 14710 -0.106 6527 -0.046 1178 -0.288 26275 -0.165 14211 -0.105 6528 -0.045 1178 -0.288 26275 -0.165 14211 -0.105 6528 -0.045 1178 -0.288 26275 -0.165 14211 -0.105 5041 -0.044 12810 -0.288 26275 -0.165 14211 -0.105 5041 -0.045 1178 -0.288 26275 -0.165 14211 -0.105 5041 -0.045 1178 -0.288 26275 -0.165 14211 -0.105 5041 -0.045 1178 -0.288 26275 -0.165 14211 -0.105 5052 -0.045 1178 -0.288 -0	-0.200	42006	-0 210	28020	-0.180	16782	-0.120	7608	_ 0.060	7000
-0.198 43905 -0.172 28487 -0.178 16418 -0.118 7451 -0.078 1860 -0.197 18018 -0.117 7393 -0.076 1798 -0.196 43816 -0.177 16912 -0.116 7208 -0.066 1796 -0.196 43816 -0.175 18003 -0.116 7208 -0.066 1796 -0.194 44190 -0.215 27971 -0.174 15730 -0.114 6969 -0.044 1670 -0.293 47977 -0.233 27771 -0.173 15538 -0.113 6581 -0.073 1568 -0.073 1568 -0.073 1568 -0.074 15730 -0.114 6969 -0.044 1670 -0.294 44197 -0.231 26931 -0.171 15316 -0.111 6673 -0.052 1568 -0.072 15034 -0.111 6673 -0.052 1568 -0.072 15034 -0.112 6734 -0.052 15034 -0.189 40053 -0.299 45673 -0.168 14710 -0.108 6275 -0.088 40700 -0.227 26678 -0.168 14710 -0.108 6275 -0.08 1288 -0.187 40437 -0.215 25678 -0.168 14710 -0.108 6275 -0.08 1288 -0.187 39914 -0.215 25673 -0.165 14711 -0.105 6052 -0.046 1178 -0.283 39135 -0.221 24986 -0.164 14377 -0.104 5812 -0.044 1079 -0.283 39135 -0.221 24986 -0.162 13721 -0.105 5616 -0.041 3973 -0.283 39135 -0.221 24740 -0.161 13579 -0.105 5616 -0.041 3973 -0.283 39135 -0.221 24747 -0.161 13579 -0.105 5616 -0.041 3973 -0.283 39135 -0.221 24747 -0.161 13579 -0.105 5616 -0.041 3988 -0.107 3788 -0.077 3788 -0.217 23933 -0.157 12931 -0.095 4991 -0.096 8610 -0.277 38670 -0.217 23933 -0.157 12931 -0.095 4991 -0.096 8610 -0.077 8610 -0.077 8788 -0.217 23933 -0.157 12931 -0.095 4991 -0.096 8610 -0.077 8610 -0.077 8788 -0.077 3788 -0.157 3798 -0.157 3798 -0.157 3798 -0.157 3798 -0.157 3798 -0.157 3798 -0.157 3798 -0.157 3798 -0.157 3798 -0.157 3798 -0.157 3798 -0.157 3798 -0.157 3798 -0.157 3798 -0.157 3798 -0.157 3798 -0.157 3798 -0.157 3798 -0.157	-							-		-
-0.397 43995 -0.317 28863 -0.177 16322 -0.117 7329 -0.067 1736 -0.016 1736 -0.016 1736 -0.016 1736 -0.016 1736 -0.016 1736 -0.017 1730 -0.017 17	1 2 1		* * *		1					
-0.196									— o.o58	1860
				28263	-0.177		— 0.117	7329	— o.o57	1798
-0.0395	o.296	42826	o.236 j	28039	0.176	16077	0.116	7208	— o.o56	1736
-0.394 4790 -0.334 2793 -0.174 15790 -0.114 6969 -0.054 1616 -0.393 1737 -0.173 15558 -0.113 6881 -0.053 1558 -0.394 41757 -0.332 27151 -0.172 15387 -0.112 6734 -0.053 1558 -0.394 41757 -0.332 17931 -0.173 15558 -0.113 6734 -0.051 1500 -0.390 41237 -0.329 26033 -0.169 14878 -0.100 6618 -0.051 1444 -0.388 40700 -0.229 26033 -0.169 14878 -0.100 6503 -0.050 1389 -0.388 40700 -0.229 26033 -0.169 14878 -0.100 65189 -0.093 1334 -0.387 40437 -0.227 26058 -0.169 14878 -0.100 65189 -0.039 1334 -0.287 40437 -0.227 26058 -0.169 14878 -0.100 6519 -0.038 1381 -0.287 26058 -0.169 14877 -0.106 6052 -0.028 1381 -0.287 26058 -0.169 14877 -0.106 6052 -0.028 1381 -0.287 26058 -0.169 14877 -0.106 6052 -0.028 1381 -0.287 26058 -0.169 14877 -0.106 6052 -0.028 1381 -0.288 26058 -0.160 14877 -0.106 6052 -0.046 1178 -0.288 26058 -0.226 26058 -0.160 13839 -0.100 5941 -0.045 1128 -0.288 26058 -0.226 26058 -0.160 13839 -0.100 5941 -0.045 1128 -0.288 26058 -0.220 24562 -0.160 13358 -0.033 5615 -0.043 1938 -0.221 24774 -0.161 13759 -0.101 5509 -0.041 938 -0.288 26058 -0.220 24562 -0.160 13358 -0.009 5299 -0.039 870 -0.278 2775 -0.160 13759 -0.101 5509 -0.041 938 -0.278 2775 -0.160 13759 -0.101 5509 -0.038 870 -0.277 27755 -0.160 12763 -0.097 5092 -0.037 870 -0.277 27755 -0.160 12763 -0.097 5092 -0.037 870 -0.277 27755 -0.160 12763 -0.097 5092 -0.037 870 -0.277 27755 -0.160 12763 -0.097 5092 -0.037 870 -0.277 27755 -0.160 12763 -0.097 5092 -0.037 870 -0.277 27755 -0.160 12763 -0.097 5092 -0.037 870 -0.277 27755 -0.160 12763 -0.097 5092 -0.037 870 -0.277 27755 -0.160 12763 -0.097 5092 -0.037 870 -0.277 27755 -0.160 12763 -0.097 5092 -0.037 870 -0.277 27755 -0.160 12763 -0.097 5092 -0.037 870 -0.277 2775 -0.160 12775 -0.151 12763 -0.097 5092 -0.037 870 -0.277 2775 -0.160 12775 -0.151 12763 -0.097 5092 -0.037 870 -0.277 2775 -0.270 2775 -0.270 2775 -0.270 2775 -0.270 2775 -0.270 2775 -0.270 2775 -0.270 2775 -0.270 2775 -0.270 2775 -0.270 2775 -0.270 2775 -0.270 2775 -0.270 2775 -0.270 2775 -0.270 2775 -0.270 2775 -0.270 2775 -0.270 2775 -0.270				0-6				00	_	
-0.493					-		-			
-0.293			— o.234	27593	O.I 74	15730	0.114	6969	0.054	1616
-0.392 41757 -0.332 27151 -0.172 15387 -0.112 6734 -0.052 1500 -0.319 41491 -0.331 126931 -0.171 15316 -0.111 6618 -0.051 1360 -0.319 440963 -0.329 126931 -0.171 15316 -0.111 6503 -0.050 1389 -0.188 40700 -0.229 12693 -0.169 14878 -0.109 6189 -0.109 1324 -0.188 40700 -0.227 26038 -0.169 14878 -0.109 6189 -0.029 1324 -0.287 40437 -0.227 26038 -0.169 14878 -0.109 6189 -0.029 1324 -0.287 40437 -0.227 26038 -0.169 14878 -0.109 6193 -0.028 1281 -0.287 20086 40175 -0.226 2582 -0.166 14377 -0.106 6052 -0.028 1188 -0.227 20086 -0.228 25627 -0.165 14211 -0.105 5941 -0.045 1178 -0.283 39144 -0.223 25627 -0.165 14211 -0.105 5941 -0.045 1178 -0.283 39135 -0.223 24966 -0.162 13721 -0.103 5733 -0.044 1079 -0.283 39135 -0.221 24774 -0.161 13721 -0.103 5733 -0.044 1079 -0.281 38877 -0.221 24774 -0.161 13721 -0.103 5703 -0.041 3918 -0.283 38877 -0.221 24774 -0.161 13388 -0.100 5403 -0.043 918 -0.278 38103 -0.219 24372 -0.159 13288 -0.009 5299 -0.094 893 -0.278 38107 -0.218 24142 -0.158 13288 -0.009 5299 -0.039 870 -0.278 38107 -0.218 24142 -0.158 13288 -0.009 5299 -0.039 870 -0.278 37598 -0.116 23725 -0.156 12763 -0.096 4991 -0.036 726 -0.274 37598 -0.116 23725 -0.156 12763 -0.096 4991 -0.036 726 -0.274 37598 -0.214 23111 -0.154 12451 -0.094 4790 -0.036 726 -0.273 37852 -0.114 23111 -0.154 12451 -0.094 4790 -0.036 726 -0.273 36839 -0.213 23100 -0.153 13143 -0.099 4496 -0.031 5339 -0.213 32890 -0.112 23901 -0.152 13143 -0.099 4496 -0.031 539 -0.276 3588 -0.009 24991 -0.036 568 -0.272 36879 -0.212 23901 -0.152 13143 -0.099 4496 -0.031 539 -0.276 3588 -0.009 34991 -0.036 568 -0.272 36879 -0.213 23901 -0.152 13143 -0.099 4496 -0.031 539 -0.276 3687 -0.276 3588 -0.009 34991 -0.036 568 -0.272 375 568 -0.273 36839 -0.213 23100 -0.153 13143 -0.099 44901 -0.036 538 -0.009 538 -	o.293	42023	o.233	27371	— 0.173	15558	0.113	6851	0.053	1558
-0.191 41491 -0.291 16931 -0.171 1516 -0.111 6668 -0.051 1444 -0.290 41027 -0.210 56711 -0.170 15104 -0.110 6603 -0.050 1389 -0.289 40963 -0.229 26493 -0.168 14878 -0.100 6189 -0.049 1314 -0.287 40700 -0.228 26127 -0.168 14710 -0.108 61875 -0.048 1318 -0.287 40437 -0.227 26068 -0.167 14543 -0.107 61052 -0.048 1289 -0.288 39914 -0.225 25627 -0.166 14377 -0.106 6052 -0.046 1178 -0.283 39914 -0.225 25627 -0.166 14317 -0.105 5941 -0.045 1178 -0.283 39914 -0.224 25912 -0.166 14307 -0.105 5941 -0.045 1178 -0.283 39394 -0.223 24986 -0.163 13883 -0.103 5723 -0.044 1079 -0.283 39394 -0.223 24986 -0.163 13721 -0.102 5616 -0.042 984 -0.283 39393 -0.221 24774 -0.161 13559 -0.101 5509 -0.041 938 -0.280 38620 -0.221 24774 -0.161 13559 -0.101 5509 -0.041 938 -0.279 38163 -0.212 24774 -0.161 13559 -0.103 5616 -0.042 984 -0.279 38167 -0.212 24774 -0.161 13559 -0.103 5616 -0.042 984 -0.279 37852 -0.217 23912 -0.159 13238 -0.099 5299 -0.039 810 -0.276 3788 -0.217 23912 -0.157 13911 -0.097 5092 -0.038 807 -0.276 37898 -0.216 23725 -0.156 12763 -0.096 4991 -0.036 726 -0.276 37598 -0.216 23725 -0.156 12763 -0.096 4991 -0.036 726 -0.277 37637 -0.213 22901 -0.152 12763 -0.094 4790 -0.034 648 -0.271 36839 -0.213 23201 -0.152 12143 -0.094 4790 -0.034 648 -0.272 3687 -0.213 22901 -0.152 12143 -0.094 4490 -0.031 539 -0.270 3687 -0.211 22901 -0.152 12143 -0.094 4490 -0.031 539 -0.270 3639 -0.216 22291 -0.152 12143 -0.094 4490 -0.031 539 -0.270 3638 -0.200 22291 -0.152 12143 -0.095 4401 -0.030 566 -0.266 33838 -0.200 22291 -0.152 12143 -0.095 4401 -0.030 566 -0.266 33838 -0.200 22291 -0.152 12143 -0.095 4401 -0.030 566 -0.266 33838 -0.200 22291 -0.152 12143 -0.095 4401 -0.032 575 -0.270 3687 -0.211 22901 -0.152 12144 -0.084 3360 -0.023 575 -0.270 3687 -0.212 22901 -0.152 12143 -0.095 4401 -0.036 3384 -0.006 1389 -0.164 1138 -0.096 4401 -0.031 539 -0.270 3683 -0.066 2298 -0.070 22291 -0.071 2470 -0.064 3384 -0.006 33838 -0.006 33838 -0.006 33838 -0.006 33838 -0.006 33838 -0.006 33838 -0.006 33838 -0.006 33838 -0.006 33838 -0.006 33838 -0.006	0.292	41757	0.232	27151	- O. I 72	15387	0.112	6734	- 0.052	1500
	-0.291	41491			0.171		0.111		-	-
	•				,				•,-	- 777
	0.290	41227	— o.230	26711	0.170	15047	0,110	6503	— o.o5o	1389
-0.288	- o.289	40963	0.229	26493	o. 169	14878	0.109	6389	0.049	1334
-0.187 40437 -0.227 25058 -0.167 14543 -0.107 6163 -0.047 1229 -0.186 40175 -0.226 23842 -0.166 14377 -0.106 6052 -0.046 1178 -0.285 39914 -0.225 25627 -0.165 14211 -0.105 5941 -0.045 1128 -0.283 39584 -0.224 25412 -0.163 14047 -0.104 5832 -0.044 1079 -0.283 39394 -0.233 23199 -0.163 13883 -0.105 5763 -0.041 1079 -0.281 38857 -0.221 24774 -0.161 13555 -0.101 5509 -0.041 938 -0.283 38857 -0.221 24774 -0.161 13555 -0.101 5509 -0.041 938 -0.279 38167 -0.212 24562 -0.160 13398 -0.100 5403 -0.040 894 -0.279 38167 -0.218 24142 -0.158 13079 -0.099 5195 -0.038 807 -0.276 37598 -0.216 23725 -0.156 12763 -0.095 5195 -0.038 807 -0.276 37598 -0.216 23725 -0.156 12763 -0.096 4991 -0.036 726 -0.276 37598 -0.216 23725 -0.156 12763 -0.099 4790 -0.037 686 -0.274 37091 -0.214 23311 -0.154 12451 -0.094 4790 -0.035 686 -0.274 37091 -0.214 23311 -0.154 12451 -0.094 4790 -0.033 611 -0.272 36837 -0.212 23901 -0.152 12453 -0.094 4496 -0.033 611 -0.272 36838 -0.212 23901 -0.152 12453 -0.094 4496 -0.031 539 -0.266 35818 -0.206 23897 -0.156 13788 -0.088 4306 -0.029 473 -0.266 35818 -0.206 23898 -0.146 11238 -0.086 4306 -0.029 473 -0.266 35818 -0.206 23699 -0.148 11536 -0.088 3396 -0.029 473 -0.266 34848 -0.206 23699 -0.144 10944 -0.084 3846 -0.027 4400 -0.266 34848 -0.206 23699 -0.146 11238 -0.086 4027 -0.026 381 -0.267 33141 -0.207 2489 -0.141 10999 -0.081 3366 -0.029 375 -0.266 34848 -0.206 23699 -0.146 11238 -0.086 33669 -0.022 236 -0.266 34848 -0.206 34899 -0.147 11387 -0.081 3366 -0.020 23697 -0.141 10999 -0.098 3366 -0.022 2368 -0.026 33145 -0.0	o.288	40700	0.228	26275	o.168	14710	0,108	6275	1.1	
-0.286 40175 -0.226 25842 -0.166 14377 -0.106 6052 -0.046 1178 -0.287 39914 -0.225 25627 -0.165 14211 -0.105 5941 -0.045 1128 -0.284 39544 -0.224 2412 -0.164 14047 -0.104 5812 -0.044 1079 -0.283 39934 -0.223 2599 -0.163 13883 -0.103 5723 -0.043 1031 -0.281 38877 -0.221 24774 -0.161 13559 -0.101 5509 -0.041 984 -0.280 389135 -0.222 24774 -0.161 13559 -0.101 5509 -0.041 984 -0.280 38627 -0.221 24774 -0.161 13559 -0.105 5509 -0.041 938 -0.281 38677 -0.221 24774 -0.161 13559 -0.105 5509 -0.041 938 -0.279 18163 -0.219 24552 -0.159 13238 -0.099 5299 -0.039 8:0 -0.279 18163 -0.219 24552 -0.159 13238 -0.099 5299 -0.039 8:0 -0.277 37852 -0.216 23725 -0.156 13763 -0.096 5932 -0.037 766 -0.276 37598 -0.216 23725 -0.156 12763 -0.096 5932 -0.037 766 -0.276 37598 -0.216 23725 -0.155 12763 -0.096 4991 -0.036 726 -0.274 37091 -0.214 23311 -0.154 12451 -0.094 4790 -0.034 648 -0.272 36887 -0.212 22901 -0.152 12143 -0.094 4790 -0.034 648 -0.272 36887 -0.212 22901 -0.152 12143 -0.094 4790 -0.034 648 -0.271 36339 -0.210 22494 -0.150 11838 -0.090 4401 -0.030 566 -0.270 36087 -0.210 22494 -0.150 11838 -0.090 4401 -0.030 566 -0.268 35838 -0.090 22291 -0.149 11686 -0.088 4366 -0.029 473 -0.269 35838 -0.009 22291 -0.149 11686 -0.088 4366 -0.029 473 -0.267 35341 -0.207 21889 -0.145 11091 -0.085 3916 -0.021 410 -0.266 34848 -0.005 21490 -0.145 11091 -0.085 3916 -0.021 410 -0.266 34848 -0.005 21490 -0.145 11091 -0.085 3916 -0.022 1249 -0.267 34114 -0.002 2090 -0.148 11536 -0.088 4212 -0.028 4411 -0.002 2091 -0.049 10686 -0.081 3582 -0.021 2299 -0.148 11536 -0.081 3158 -0.020 12192 -0.149 11091 -0.085 3916 -0.022 1292 -0.046 1338 -0.020 1291 -0.149 10091 -0.085 3916 -0.022 1291 -0.049 10091 -0.085 3916 -0.022 1291 -0.049 10091 -0.085 3916 -0.022 1291 -0.049 10091 -0.085 3916 -0.022 1291 -0.049 10091 -0.085 3916 -0.022 1291 -0.049 10091 -0.085 3916 -0.022 1291 -0.049 10091 -0.085 3916 -0.022 1291 -0.049 10091 -0.085 3916 -0.020 1291 -0.039 10091 -0.039 10091 -0.099 10091 -0.099 10091 -0.099 10091 -0.099 10091 -0.099 10091 -0.099 10091 -0.099	o.287				0.167					
										1
	0.200	40-73		*304*		**3//	-0.100	0032	- 0.040	11/6
	o.285	39914	0.225	25627	<u> </u>	14211	0.105	5941	0.045	1128
	- O.284		-							
			-							
		-	-							= =
-0.280 38620 -0.220 14562 -0.160 13398 -0.100 5403 -0.040 894 -0.279 38363 -0.219 24352 -0.159 13238 -0.099 5299 -0.039 850 -0.278 38107 -0.218 24142 -0.158 13079 -0.098 5195 -0.038 807 -0.277 37852 -0.217 23932 -0.157 12921 -0.097 5092 -0.037 766 -0.276 37598 -0.216 23725 -0.156 12763 -0.096 4991 -0.036 726 -0.276 37598 -0.216 23725 -0.156 12763 -0.096 4991 -0.036 726 -0.274 37091 -0.214 23311 -0.154 12451 -0.094 4790 -0.034 648 -0.274 37091 -0.214 23311 -0.154 12451 -0.094 4790 -0.034 648 -0.273 36839 -0.212 22901 -0.152 12143 -0.093 4691 -0.033 611 -0.271 36587 -0.212 22901 -0.152 12143 -0.092 4593 -0.032 575 -0.271 36587 -0.212 22901 -0.152 12143 -0.092 4593 -0.032 575 -0.270 36087 -0.210 22494 -0.150 11838 -0.090 4491 -0.030 566 -0.266 33838 -0.209 22291 -0.149 11686 -0.089 4306 -0.029 473 -0.266 33838 -0.209 22291 -0.149 11686 -0.089 4306 -0.029 473 -0.266 35341 -0.207 21889 -0.147 11387 -0.084 421 -0.088 441 -0.266 35094 -0.206 21689 -0.146 11238 -0.086 4027 -0.026 3181 -0.266 34848 -0.205 21490 -0.145 11091 -0.085 3996 -0.025 381 -0.264 34603 -0.204 21292 -0.144 10944 -0.084 3846 -0.024 325 -0.264 34114 -0.202 20897 -0.142 1053 -0.083 3757 -0.026 31387 -0.204 21292 -0.144 10944 -0.084 3846 -0.024 325 -0.262 34114 -0.202 20897 -0.142 1053 -0.082 3699 -0.022 273 -0.262 31387 -0.204 21292 -0.144 10944 -0.084 3846 -0.024 325 -0.262 34114 -0.202 20897 -0.142 10553 -0.082 3699 -0.022 273 -0.262 31387 -0.204 21292 -0.144 10944 -0.084 3846 -0.024 229 -0.262 34114 -0.202 20897 -0.142 10553 -0.082 3699 -0.022 273 -0.263 31318 -0.203 21094 -0.143 10798 -0.083 3757 -0.023 298 -0.263 31387 -0.204 21292 -0.144 10944 -0.084 3846 -0.024 238 -0.263 31387 -0.204 21292 -0.144 10944 -0.084 3846 -0.024 238 -0.263 31387 -0.204 21292 -0.144 10944 -0.084 3846 -0.024 238 -0.263 31387 -0.204 21292 -0.144 10944 -0.082 3757 -0.023 298 -0.263 31387 -0.204 21292 -0.144 10944 -0.064 3846 -0.024 3846 -0.024 3189 -0.025 3189 -0.025 3189 -0.025 3189 -0.025 3189 -0.026 3189 -0.026 3189 -0.026 3189 -0.026 3189 -0.026 3189 -0.026 3189 -0.0						-		_		- 2
-0.279 38463 -0.218 24412 -0.159 13238 -0.099 5299 -0.039 850 -0.278 38107 -0.218 24412 -0.158 13079 -0.098 5195 -0.038 857 -0.277 37852 -0.216 23735 -0.157 13921 -0.097 5092 -0.037 766 -0.276 37598 -0.216 23735 -0.156 12763 -0.096 4991 -0.036 726 -0.276 37598 -0.216 23735 -0.156 12763 -0.096 4991 -0.036 726 -0.274 37091 -0.214 23311 -0.154 12451 -0.099 4890 -0.035 686 -0.274 37091 -0.214 23311 -0.154 12451 -0.094 4790 -0.034 648 -0.273 36839 -0.213 23906 -0.153 12296 -0.093 4691 -0.032 575 -0.271 36337 -0.211 22901 -0.152 12143 -0.094 4496 -0.032 575 -0.271 36337 -0.211 22901 -0.152 12143 -0.094 4496 -0.031 539 -0.269 33838 -0.209 22291 -0.150 11838 -0.099 4401 -0.030 506 -0.269 33589 -0.208 22290 -0.148 11536 -0.088 4212 -0.028 441 -0.268 33589 -0.208 22290 -0.148 11536 -0.088 4212 -0.028 441 -0.266 35094 -0.206 21689 -0.146 11238 -0.086 4027 -0.026 381 -0.266 34848 -0.205 21490 -0.145 11091 -0.085 3966 -0.022 373 -0.266 34848 -0.205 21490 -0.145 11091 -0.085 3966 -0.022 373 -0.263 34358 -0.203 21094 -0.145 11091 -0.085 3966 -0.022 273 -0.263 34358 -0.203 21094 -0.145 11091 -0.085 3966 -0.022 273 -0.263 34358 -0.203 21094 -0.145 11091 -0.085 3966 -0.022 273 -0.263 34358 -0.203 21094 -0.145 11091 -0.085 3966 -0.022 273 -0.263 34318 -0.203 21094 -0.145 11091 -0.085 3966 -0.022 273 -0.263 34318 -0.203 21094 -0.145 10944 -0.084 3846 -0.024 227 -0.265 34848 -0.205 21490 -0.145 10944 -0.084 3846 -0.024 227 -0.265 34848 -0.205 21490 -0.145 10944 -0.084 3846 -0.024 227 -0.265 34848 -0.205 21490 -0.145 10944 -0.084 3846 -0.024 227 -0.265 34848 -0.205 21490 -0.145 10944 -0.084 3846 -0.024 227 -0.265 34848 -0.205 21490 -0.145 10944 -0.084 3846 -0.024 227 -0.265 34848 -0.205 21490 -0.145 10944 -0.084 3846 -0.024 227 -0.265 34414 -0.022 20807 -0.144 10944 -0.084 3846 -0.024 227 -0.265 34414 -0.022 20807 -0.144 10944 -0.084 3846 -0.024 227 -0.025 218 2002 2002 2002 2002 2002 2002 2002	0.261	30077	0.221	24774	0.101	13559	- 0.101	5509	0.041	938
-0.279 38463 -0.218 24412 -0.159 13238 -0.099 5299 -0.039 850 -0.278 38107 -0.218 24412 -0.158 13079 -0.098 5195 -0.038 857 -0.277 37852 -0.216 23735 -0.157 13921 -0.097 5092 -0.037 766 -0.276 37598 -0.216 23735 -0.156 12763 -0.096 4991 -0.036 726 -0.276 37598 -0.216 23735 -0.156 12763 -0.096 4991 -0.036 726 -0.274 37091 -0.214 23311 -0.154 12451 -0.099 4890 -0.035 686 -0.274 37091 -0.214 23311 -0.154 12451 -0.094 4790 -0.034 648 -0.273 36839 -0.213 23906 -0.153 12296 -0.093 4691 -0.032 575 -0.271 36337 -0.211 22901 -0.152 12143 -0.094 4496 -0.032 575 -0.271 36337 -0.211 22901 -0.152 12143 -0.094 4496 -0.031 539 -0.269 33838 -0.209 22291 -0.150 11838 -0.099 4401 -0.030 506 -0.269 33589 -0.208 22290 -0.148 11536 -0.088 4212 -0.028 441 -0.268 33589 -0.208 22290 -0.148 11536 -0.088 4212 -0.028 441 -0.266 35094 -0.206 21689 -0.146 11238 -0.086 4027 -0.026 381 -0.266 34848 -0.205 21490 -0.145 11091 -0.085 3966 -0.022 373 -0.266 34848 -0.205 21490 -0.145 11091 -0.085 3966 -0.022 373 -0.263 34358 -0.203 21094 -0.145 11091 -0.085 3966 -0.022 273 -0.263 34358 -0.203 21094 -0.145 11091 -0.085 3966 -0.022 273 -0.263 34358 -0.203 21094 -0.145 11091 -0.085 3966 -0.022 273 -0.263 34358 -0.203 21094 -0.145 11091 -0.085 3966 -0.022 273 -0.263 34318 -0.203 21094 -0.145 11091 -0.085 3966 -0.022 273 -0.263 34318 -0.203 21094 -0.145 10944 -0.084 3846 -0.024 227 -0.265 34848 -0.205 21490 -0.145 10944 -0.084 3846 -0.024 227 -0.265 34848 -0.205 21490 -0.145 10944 -0.084 3846 -0.024 227 -0.265 34848 -0.205 21490 -0.145 10944 -0.084 3846 -0.024 227 -0.265 34848 -0.205 21490 -0.145 10944 -0.084 3846 -0.024 227 -0.265 34848 -0.205 21490 -0.145 10944 -0.084 3846 -0.024 227 -0.265 34848 -0.205 21490 -0.145 10944 -0.084 3846 -0.024 227 -0.265 34414 -0.022 20807 -0.144 10944 -0.084 3846 -0.024 227 -0.265 34414 -0.022 20807 -0.144 10944 -0.084 3846 -0.024 227 -0.025 218 2002 2002 2002 2002 2002 2002 2002	o.28o	38620	— 0.220	24562	— 0.160	13208	0.100	5403	0.040	80.1
-0.278 38107 -0.218 24142 -0.158 13079 -0.098 5195 -0.038 807 -0.277 37852 -0.217 23932 -0.157 12931 -0.097 5092 -0.037 766 -0.276 37598 -0.216 23725 -0.156 12763 -0.096 4991 -0.036 726 -0.275 37344 -0.215 23518 -0.155 12607 -0.095 4890 -0.035 686 -0.274 37091 -0.214 23311 -0.154 12451 -0.094 4790 -0.034 648 -0.273 36889 -0.213 23106 -0.153 12296 -0.093 4691 -0.033 611 -0.273 36887 -0.212 22901 -0.152 12143 -0.094 4496 -0.031 539 -0.270 36087 -0.211 22697 -0.151 11990 -0.094 4496 -0.031 539 -0.270 36087 -0.211 22691 -0.152 12143 -0.090 4491 -0.030 506 -0.269 35838 -0.209 2291 -0.149 11686 -0.089 4491 -0.030 506 -0.269 35838 -0.209 2291 -0.148 11536 -0.088 4412 -0.028 441 -0.265 35841 -0.207 21889 -0.147 11387 -0.088 4411 -0.027 410 -0.266 3594 -0.266 3594 -0.266 21689 -0.146 11238 -0.086 4027 -0.026 381 -0.265 34848 -0.209 12192 -0.144 10914 -0.085 33936 -0.025 38138 -0.209 22891 -0.149 11388 -0.086 4027 -0.026 381 -0.266 34693 -0.209 21392 -0.144 10914 -0.085 3358 -0.020 3289 -0.146 11238 -0.086 3358 -0.020 3289 -0.147 11387 -0.086 3936 -0.025 381 -0.266 33694 -0.202 21699 -0.145 11091 -0.085 3369 -0.022 273 -0.263 34158 -0.203 21094 -0.143 10798 -0.083 3757 -0.023 298 -0.263 34114 -0.202 20897 -0.141 10633 -0.081 3582 -0.022 273 -0.260 33688 -0.203 2070 -0.141 10693 -0.081 3582 -0.021 249 -0.257 33995 -0.197 19926 -0.137 9943 -0.078 3317 -0.018 183 -0.267 33995 -0.197 19926 -0.137 9943 -0.077 3344 -0.017 164 -0.257 33905 -0.197 19926 -0.137 9943 -0.077 3344 -0.017 164 -0.257 33905 -0.197 19926 -0.137 9943 -0.077 3244 -0.015 127 -0.253 3154 -0.199 1876 -0.133 9390 -0.073 3244 -0.015 127 -0.253 3154 -0.199 1876 -0.133 9390 -0.073 324 -0.016 125 -0.254 3256 -0.196 19735 -0.133 9390 -0.077 3244 -0.015 127 -0.254 3256 -0.196 19735 -0.133 9390 -0.077 3244 -0.015 127 -0.254 3258 -0.198 1831 -0.199 18789 -0.133 9390 -0.073 3244 -0.015 127 -0.006 325 3256 -0.197 19926 -0.137 9943 -0.077 3244 -0.015 126 -0.254 3258 -0.019 1876 -0.133 9390 -0.073 322 -0.016 125 -0.254 3257 -0.016 128 -0.254 32594 -0.188 1831 -0.128 8721		•								
-0.277 37852 -0.217 23932 -0.157 12931 -0.097 5092 -0.037 766 -0.276 37598 -0.216 23725 -0.156 12763 -0.096 4991 -0.036 726 -0.275 37544 -0.215 23518 -0.155 12607 -0.096 4991 -0.036 726 -0.273 376839 -0.214 23311 -0.154 12451 -0.094 4790 -0.034 648 -0.273 36839 -0.213 23106 -0.153 12296 -0.094 4790 -0.034 648 -0.273 36839 -0.212 22901 -0.152 12143 -0.092 4593 -0.032 575 -0.271 36337 -0.211 22697 -0.151 11990 -0.091 4496 -0.031 539 -0.272 36087 -0.212 22901 -0.152 12143 -0.092 4496 -0.031 539 -0.270 36087 -0.210 22494 -0.150 11838 -0.090 4496 -0.031 539 -0.260 35838 -0.209 22291 -0.149 11686 -0.089 4306 -0.029 473 -0.266 35589 -0.208 22090 -0.148 11536 -0.088 4212 -0.028 441 -0.266 35094 -0.200 21889 -0.146 11238 -0.086 4027 -0.026 381 -0.265 34848 -0.205 21490 -0.145 11091 -0.085 3936 -0.025 381 -0.263 34358 -0.203 21094 -0.143 10798 -0.083 3757 -0.023 298 -0.263 34358 -0.203 20994 -0.143 10798 -0.083 3757 -0.023 298 -0.263 34358 -0.203 20994 -0.143 10798 -0.083 3757 -0.023 298 -0.263 34358 -0.203 20994 -0.143 10798 -0.083 3757 -0.023 298 -0.263 34358 -0.203 20994 -0.143 10798 -0.083 3757 -0.023 298 -0.263 33458 -0.203 20994 -0.143 10798 -0.083 3757 -0.023 298 -0.263 33458 -0.203 20994 -0.143 10798 -0.083 3757 -0.023 298 -0.263 33458 -0.203 20997 -0.141 10509 -0.081 3582 -0.021 249 -0.260 33628 -0.200 20507 -0.140 10366 -0.080 3496 -0.022 273 -0.261 33871 -0.201 20702 -0.141 10509 -0.081 3582 -0.021 249 -0.253 33146 -0.198 20119 -0.138 10083 -0.078 3327 -0.018 183 -0.255 32427 -0.198 19154 -0.135 9865 -0.075 3081 -0.015 127 -0.255 32666 -0.196 19735 -0.136 9803 -0.076 3162 -0.016 145 -0.256 31466 -0.196 18784 -0.135 9865 -0.075 3081 -0.016 145 -0.256 31460 -0.198 18416 -0.128 8853 -0.066 2298 -0.016 145 -0.257 32955 -0.193 19165 -0.133 9390 -0.076 3162 -0.016 145 -0.258 31465 -0.198 18416 -0.128 8853 -0.066 2298 -0.066 2398 -0.066 2398 -0.066 2398 -0.066 2398 -0.066 2398 -0.066 2398 -0.066 2398 -0.066 2398 -0.066 2398 -0.066 2398 -0.066 23994 -0.061 21 100000000000000000000000000000000	2 1		1 1		7.1					
$\begin{array}{cccccccccccccccccccccccccccccccccccc$					-					
-0.275 37344 -0.215 23518 -0.155 12607 -0.095 4890 -0.035 686 -0.274 37091 -0.214 23311 -0.154 12451 -0.094 4790 -0.034 648 -0.273 36839 -0.213 23106 -0.153 12296 -0.093 4691 -0.033 611 -0.272 36587 -0.212 22901 -0.152 12143 -0.092 4593 -0.032 575 -0.271 36337 -0.211 22697 -0.151 11990 -0.091 4496 -0.031 539 -0.273 36087 -0.212 22901 -0.152 12143 -0.092 4593 -0.032 575 -0.271 36337 -0.211 22697 -0.151 11990 -0.091 4496 -0.031 539 -0.269 35838 -0.209 2291 -0.149 11686 -0.089 4306 -0.029 473 -0.268 35589 -0.208 22909 -0.149 11686 -0.089 4306 -0.029 473 -0.268 35589 -0.208 22909 -0.148 11536 -0.088 4212 -0.028 441 -0.260 35589 -0.208 22909 -0.146 11238 -0.086 4027 -0.026 381 -0.206 35094 -0.206 21689 -0.146 11238 -0.086 4027 -0.026 381 -0.263 34503 -0.204 21292 -0.144 10914 -0.085 3996 -0.025 3524 -0.264 34503 -0.204 21292 -0.144 10914 -0.085 3996 -0.025 352 -0.263 34588 -0.203 21094 -0.143 10798 -0.081 3757 -0.023 298 -0.263 34114 -0.202 20897 -0.141 10579 -0.081 3582 -0.022 273 -0.261 33871 -0.201 20702 -0.141 10599 -0.081 3582 -0.021 229 -0.260 33628 -0.203 2070 -0.141 10590 -0.081 3582 -0.021 229 -0.259 33387 -0.199 20312 -0.191 10533 -0.082 3669 -0.022 273 -0.251 33871 -0.201 20702 -0.141 10590 -0.081 3582 -0.021 229 -0.255 32965 -0.197 10926 -0.137 10024 -0.077 3244 -0.019 104 -0.053 3183 -0.021 249 -0.255 31466 -0.196 109735 -0.136 9803 -0.078 3327 -0.016 183 -0.255 31666 -0.196 109735 -0.136 9803 -0.077 3244 -0.017 164 -0.255 31666 -0.196 109735 -0.136 9803 -0.077 3244 -0.017 164 -0.255 31666 -0.196 109735 -0.136 9803 -0.077 3244 -0.017 164 -0.255 31666 -0.196 109735 -0.136 9803 -0.077 3244 -0.017 164 -0.255 31666 -0.196 109735 -0.136 9803 -0.077 3244 -0.017 164 -0.255 31666 -0.196 109735 -0.136 9803 -0.077 3244 -0.017 164 -0.255 31666 -0.196 109735 -0.136 9803 -0.077 3244 -0.017 164 -0.255 31666 -0.196 109735 -0.136 9803 -0.077 3244 -0.015 127 -0.254 3189 -0.194 10354 -0.135 9805 -0.006 2344 -0.016 109735 -0.188 1831 -0.129 8853 -0.066 2398 -0.006 20 -0.245 30083 -0.185 17864 -0.129 8853 -0.066 2398 -0.00										
-0.274 37091 -0.214 23311 -0.154 12451 -0.094 4790 -0.034 648 -0.273 36889 -0.213 23106 -0.153 12296 -0.093 4691 -0.033 611 -0.273 36587 -0.211 22697 -0.151 11990 -0.091 4496 -0.031 539 -0.270 36087 -0.211 22697 -0.151 11990 -0.091 4496 -0.031 539 -0.269 35818 -0.209 21291 -0.149 11686 -0.089 4306 -0.039 473 -0.268 35589 -0.209 21291 -0.149 11686 -0.088 4212 -0.028 4411 -0.266 35589 -0.208 22090 -0.148 11536 -0.088 4212 -0.028 441 -0.266 35094 -0.206 21689 -0.147 11138 -0.086 4027 -0.026 381 -0.266 35094 -0.206 21689 -0.146 11238 -0.086 4027 -0.026 381 -0.265 34848 -0.205 21490 -0.145 11091 -0.085 3936 -0.023 352 -0.263 34358 -0.203 21094 -0.143 10798 -0.081 3757 -0.021 2298 -0.263 34114 -0.202 20897 -0.141 10594 -0.081 3757 -0.021 2298 -0.263 34114 -0.202 20897 -0.141 10590 -0.081 3582 -0.022 273 -0.261 33871 -0.201 20702 -0.141 10590 -0.081 3582 -0.022 273 -0.265 33146 -0.199 20312 -0.138 10078 -0.081 3582 -0.021 2499 -0.256 33146 -0.199 20312 -0.138 10083 -0.082 3669 -0.022 273 -0.261 33871 -0.201 20702 -0.141 10590 -0.081 3582 -0.021 249 -0.256 33146 -0.199 20312 -0.138 10083 -0.082 3669 -0.022 273 -0.257 32905 -0.197 10926 -0.137 10024 -0.077 3441 -0.019 204 -0.256 31366 -0.197 10926 -0.137 10024 -0.077 3244 -0.017 164 -0.257 32905 -0.197 10926 -0.137 9943 -0.077 3244 -0.017 164 -0.251 31891 -0.191 10554 -0.135 9665 -0.075 3081 -0.015 127 -0.251 31952 -0.195 10544 -0.135 9665 -0.075 3081 -0.015 127 -0.251 31952 -0.195 10544 -0.135 9665 -0.075 3081 -0.015 127 -0.251 31952 -0.195 10544 -0.135 9655 -0.072 2844 -0.017 164 -0.252 31716 -0.195 18789 -0.137 9925 -0.077 3244 -0.017 164 -0.251 31952 -0.195 18789 -0.137 9925 -0.077 3244 -0.017 164 -0.251 31952 -0.195 18764 -0.135 9865 -0.077 3081 -0.015 127 -0.251 31952 -0.195 18764 -0.135 9865 -0.077 3081 -0.015 127 -0.251 31952 -0.195 18764 -0.135 9865 -0.077 3081 -0.015 127 -0.251 31952 -0.195 18764 -0.135 9865 -0.077 3081 -0.015 127 -0.251 31952 -0.195 18764 -0.132 9825 -0.077 3081 -0.015 127 -0.007 288 -0.006 3084 -0.088 1831 -0.018 1831 -0.019 18789 -0.066 239	- O.276	37598	0.216	23725	0.156	12763	— o.ogb	4991	— o.o36	726
-0.274 37091 -0.214 23311 -0.154 12451 -0.094 4790 -0.034 648 -0.273 36889 -0.213 23106 -0.153 12296 -0.093 4691 -0.033 611 -0.273 36587 -0.211 22697 -0.151 11990 -0.091 4496 -0.031 539 -0.270 36087 -0.211 22697 -0.151 11990 -0.091 4496 -0.031 539 -0.269 35818 -0.209 21291 -0.149 11686 -0.089 4306 -0.039 473 -0.268 35589 -0.209 21291 -0.149 11686 -0.088 4212 -0.028 4411 -0.266 35589 -0.208 22090 -0.148 11536 -0.088 4212 -0.028 441 -0.266 35094 -0.206 21689 -0.147 11138 -0.086 4027 -0.026 381 -0.266 35094 -0.206 21689 -0.146 11238 -0.086 4027 -0.026 381 -0.265 34848 -0.205 21490 -0.145 11091 -0.085 3936 -0.023 352 -0.263 34358 -0.203 21094 -0.143 10798 -0.081 3757 -0.021 2298 -0.263 34114 -0.202 20897 -0.141 10594 -0.081 3757 -0.021 2298 -0.263 34114 -0.202 20897 -0.141 10590 -0.081 3582 -0.022 273 -0.261 33871 -0.201 20702 -0.141 10590 -0.081 3582 -0.022 273 -0.265 33146 -0.199 20312 -0.138 10078 -0.081 3582 -0.021 2499 -0.256 33146 -0.199 20312 -0.138 10083 -0.082 3669 -0.022 273 -0.261 33871 -0.201 20702 -0.141 10590 -0.081 3582 -0.021 249 -0.256 33146 -0.199 20312 -0.138 10083 -0.082 3669 -0.022 273 -0.257 32905 -0.197 10926 -0.137 10024 -0.077 3441 -0.019 204 -0.256 31366 -0.197 10926 -0.137 10024 -0.077 3244 -0.017 164 -0.257 32905 -0.197 10926 -0.137 9943 -0.077 3244 -0.017 164 -0.251 31891 -0.191 10554 -0.135 9665 -0.075 3081 -0.015 127 -0.251 31952 -0.195 10544 -0.135 9665 -0.075 3081 -0.015 127 -0.251 31952 -0.195 10544 -0.135 9665 -0.075 3081 -0.015 127 -0.251 31952 -0.195 10544 -0.135 9655 -0.072 2844 -0.017 164 -0.252 31716 -0.195 18789 -0.137 9925 -0.077 3244 -0.017 164 -0.251 31952 -0.195 18789 -0.137 9925 -0.077 3244 -0.017 164 -0.251 31952 -0.195 18764 -0.135 9865 -0.077 3081 -0.015 127 -0.251 31952 -0.195 18764 -0.135 9865 -0.077 3081 -0.015 127 -0.251 31952 -0.195 18764 -0.135 9865 -0.077 3081 -0.015 127 -0.251 31952 -0.195 18764 -0.135 9865 -0.077 3081 -0.015 127 -0.251 31952 -0.195 18764 -0.132 9825 -0.077 3081 -0.015 127 -0.007 288 -0.006 3084 -0.088 1831 -0.018 1831 -0.019 18789 -0.066 239	-0.275	27244	0 215	22518	0.155	12607		4800		686
-0.273 36839 -0.213 2306 -0.153 12296 -0.093 4691 -0.033 611 -0.272 36587 -0.212 22901 -0.151 11990 -0.091 4496 -0.031 539 -0.273 36587 -0.211 22697 -0.151 11990 -0.091 4496 -0.031 539 -0.270 36087 -0.210 22494 -0.150 11838 -0.090 4401 -0.030 506 -0.269 35838 -0.208 22290 -0.148 11536 -0.088 4211 -0.028 441 -0.263 35589 -0.208 22090 -0.148 11536 -0.088 4211 -0.028 441 -0.265 35589 -0.206 21689 -0.147 11387 -0.086 4027 -0.026 381 -0.206 33694 -0.206 21689 -0.145 11091 -0.086 4027 -0.026 381 -0.206 33694 -0.206 21689 -0.145 11091 -0.085 3936 -0.025 352 -0.264 34603 -0.204 21292 -0.144 10944 -0.084 3846 -0.024 325 -0.263 34358 -0.203 21094 -0.145 11091 -0.084 3846 -0.024 325 -0.263 34358 -0.203 21094 -0.143 10798 -0.083 3757 -0.023 298 -0.261 33871 -0.201 20702 -0.141 10509 -0.081 3582 -0.022 273 -0.261 33871 -0.201 20702 -0.141 10509 -0.081 3582 -0.021 249 -0.256 33387 -0.199 20312 -0.139 10224 -0.079 3411 -0.019 204 -0.257 3295 -0.199 20312 -0.139 10224 -0.079 3411 -0.019 204 -0.257 3295 -0.199 20312 -0.139 10224 -0.079 3411 -0.019 204 -0.257 32905 -0.196 19735 -0.136 9803 -0.076 3162 -0.016 145 -0.255 31466 -0.196 19735 -0.135 9865 -0.075 3081 -0.015 127 -0.251 31480 -0.196 19735 -0.135 9803 -0.076 3162 -0.016 145 -0.255 31485 -0.196 19735 -0.135 9803 -0.076 3162 -0.016 145 -0.255 31485 -0.196 19735 -0.135 9803 -0.076 3162 -0.016 145 -0.255 31485 -0.196 18789 -0.133 9390 -0.075 3162 -0.016 145 -0.255 31465 -0.196 18789 -0.133 9390 -0.075 3162 -0.016 145 -0.255 31465 -0.196 18789 -0.133 9390 -0.075 3162 -0.016 145 -0.255 31465 -0.196 18789 -0.133 9390 -0.076 3162 -0.016 145 -0.256 31485 -0.196 18789 -0.133 9390 -0.076 3162 -0.016 145 -0.256 31445 -0.196 18789 -0.133 9390 -0.076 3162 -0.016 145 -0.256 31445 -0.196 18789 -0.133 9390 -0.076 3162 -0.016 145 -0.256 31445 -0.196 18789 -0.133 9390 -0.076 3162 -0.016 145 -0.256 31445 -0.196 18789 -0.133 9390 -0.076 3162 -0.016 145 -0.256 31445 -0.196 18789 -0.133 9390 -0.077 3244 -0.010 57 -0.016 145 -0.019 18789 -0.133 9390 -0.066 2398 -0.066 2398 -0.066 2398 -0.066 23										
-0.272 36587 -0.212 22901 -0.152 12143 -0.092 4593 -0.032 575 5397 -0.271 36337 -0.211 22697 -0.151 11990 -0.091 4496 -0.031 5399 -0.269 35838 -0.209 22291 -0.149 11686 -0.089 4306 -0.029 473 -0.268 35589 -0.208 22090 -0.148 11336 -0.088 4412 -0.028 441 -0.0267 35341 -0.207 21889 -0.147 11387 -0.087 4119 -0.027 410 -0.266 35094 -0.206 21689 -0.146 11238 -0.086 4027 -0.026 381 -0.207 21889 -0.146 11238 -0.086 4027 -0.026 381 -0.207 21889 -0.146 11238 -0.086 4027 -0.026 381 -0.206 21689 -0.146 11238 -0.086 3936 -0.025 381 -0.203 21490 -0.145 11091 -0.085 3936 -0.025 352 -0.264 34603 -0.204 21292 -0.144 10944 -0.084 3846 -0.024 325 -0.263 34358 -0.203 21094 -0.143 10798 -0.083 3757 -0.023 298 -0.261 33871 -0.201 20702 -0.141 10509 -0.081 3582 -0.021 249 -0.261 33871 -0.201 20702 -0.141 10509 -0.081 3582 -0.021 249 -0.259 33387 -0.201 20702 -0.141 10509 -0.081 3582 -0.021 249 -0.259 33387 -0.199 20312 -0.138 10024 -0.079 3411 -0.019 204 -0.257 32905 -0.198 20119 -0.138 10083 -0.078 3327 -0.018 183 -0.257 33295 -0.198 20119 -0.138 10083 -0.078 3327 -0.018 183 -0.256 33666 -0.196 19735 -0.135 9803 -0.076 3162 -0.016 145 -0.255 31666 -0.196 19735 -0.135 9803 -0.076 3162 -0.016 145 -0.255 31496 -0.191 18796 -0.133 9903 -0.077 3244 -0.017 164 -0.255 31496 -0.191 18796 -0.133 9903 -0.076 3162 -0.016 145 -0.255 31716 -0.192 18796 -0.133 9903 -0.076 3162 -0.016 145 -0.251 31480 -0.191 18796 -0.133 9930 -0.073 3222 -0.013 96 -0.252 31716 -0.192 18796 -0.133 9930 -0.077 3244 -0.011 82 -0.251 31480 -0.191 18799 -0.133 9255 -0.072 2844 -0.012 82 -0.254 31194 -0.192 18796 -0.132 9255 -0.072 2844 -0.012 82 -0.254 31011 -0.189 18416 -0.129 8853 -0.069 2617 -0.001 57 -0.243 30314 -0.186 17864 -0.126 8459 -0.066 2398 -0.006 20 -0.243 30314 -0.186 17864 -0.126 8459 -0.066 2398 -0.006 20 -0.244 30314 -0.186 17864 -0.126 8459 -0.066 2398 -0.006 20 -0.243 30314 -0.186 17864 -0.126 8459 -0.066 2398 -0.006 20 -0.243 30314 -0.186 17864 -0.126 8459 -0.066 2398 -0.006 20 -0.243 29394 -0.182 17750 -0.121 820 -0.061 12 570 -0.061 11										
-0.271 36337 -0.211 22697 -0.151 11990 -0.091 4496 -0.031 539 -0.270 36087 -0.210 22494 -0.150 11838 -0.090 4401 -0.030 506 -0.269 35838 -0.209 22291 -0.149 11686 -0.089 4306 -0.029 473 -0.268 35589 -0.208 22090 -0.148 11536 -0.088 4212 -0.028 441 -0.267 35341 -0.207 21889 -0.147 11387 -0.087 4119 -0.027 410 -0.266 35094 -0.206 21689 -0.146 11238 -0.086 4027 -0.026 381 -0.265 34848 -0.205 21490 -0.145 11091 -0.085 3936 -0.025 352 -0.264 34603 -0.204 21292 -0.144 10944 -0.084 3846 -0.024 325 -0.263 34318 -0.200 21094 -0.143 10798 -0.083 3757 -0.023 298 -0.262 34114 -0.202 20897 -0.142 10653 -0.082 3669 -0.022 273 -0.261 33871 -0.201 20702 -0.141 10509 -0.081 3582 -0.021 249 -0.260 33628 -0.200 20507 -0.140 10366 -0.080 3496 -0.020 226 -0.259 33387 -0.199 20312 -0.139 10224 -0.079 3411 -0.019 204 -0.256 32666 -0.196 19735 -0.137 9943 -0.077 3244 -0.016 183 -0.257 32905 -0.196 19735 -0.136 9803 -0.076 3162 -0.016 145 -0.256 32666 -0.196 19735 -0.136 9803 -0.076 3244 -0.017 164 -0.256 31480 -0.191 19354 -0.131 9527 -0.075 3081 -0.015 127 -0.251 31480 -0.191 18789 -0.132 9255 -0.072 2844 -0.015 -0.252 31716 -0.192 18976 -0.132 9255 -0.072 2844 -0.015 169 -0.250 31485 -0.190 18802 -0.131 9120 -0.071 2767 -0.011 69 -0.250 31485 -0.190 18802 -0.131 9120 -0.071 2767 -0.011 69 -0.250 31485 -0.190 18789 -0.132 9255 -0.072 2844 -0.012 82 -0.251 31480 -0.191 18789 -0.132 9255 -0.072 2844 -0.012 82 -0.254 3011 -0.189 18416 -0.129 8853 -0.066 2398 -0.006 20 -0.243 3078 -0.188 18231 -0.128 8721 -0.066 2398 -0.006 20 -0.243 3078 -0.186 17864 -0.126 8459 -0.066 2398 -0.006 20 -0.243 30983 -0.185 17681 -0.127 8590 -0.066 2398 -0.006 20 -0.243 29344 -0.186 17864 -0.127 8590 -0.066 2398 -0.006 20 -0.243 29394 -0.182 17139 -0.123 8074 -0.063 2189 -0.009 5	-		-	23106		12296	0.093	4691	— o.o33	611
-0.270 36087 -0.210 22494 -0.150 11838 -0.090 4401 -0.030 506 -0.269 3;838 -0.209 22291 -0.149 11686 -0.089 4306 -0.029 473 -0.268 35589 -0.208 22090 -0.148 11536 -0.088 4212 -0.028 441 -0.267 35341 -0.207 21889 -0.147 11387 -0.087 4119 -0.027 410 -0.266 35094 -0.206 21689 -0.145 11238 -0.086 4027 -0.026 381 -0.265 33694 -0.206 21689 -0.145 11091 -0.085 3936 -0.025 352 -0.264 34603 -0.204 21292 -0.144 10944 -0.084 3846 -0.024 325 -0.264 34603 -0.204 21292 -0.144 10944 -0.084 3846 -0.024 325 -0.263 34154 -0.202 20897 -0.142 10653 -0.082 369 -0.022 273 -0.261 33871 -0.201 20702 -0.141 10599 -0.081 3582 -0.021 249 -0.260 33628 -0.201 20702 -0.141 10599 -0.081 3582 -0.021 249 -0.258 33146 -0.198 20119 -0.138 10083 -0.073 3327 -0.018 183 -0.257 32905 -0.197 19926 -0.137 9943 -0.077 3244 -0.017 164 -0.256 33666 -0.196 19735 -0.135 9803 -0.076 3162 -0.016 145 -0.255 32427 -0.196 19735 -0.135 9803 -0.076 3162 -0.016 145 -0.253 31952 -0.194 19354 -0.135 9803 -0.076 3001 -0.014 111 -0.253 31952 -0.193 19165 -0.135 9803 -0.076 3001 -0.014 111 -0.253 31952 -0.193 18769 -0.132 9255 -0.072 2844 -0.017 164 -0.253 31952 -0.193 19165 -0.132 9255 -0.072 2844 -0.012 82 -0.254 31189 -0.191 18789 -0.131 9320 -0.071 2767 -0.011 69 -0.254 30118 -0.191 18789 -0.132 9255 -0.072 2844 -0.012 82 -0.254 30118 -0.189 18416 -0.129 8853 -0.068 2347 -0.009 46 -0.244 30758 -0.188 18321 -0.128 8721 -0.068 2343 -0.068 2343 -0.068 2343 -0.086 2398 -0.066 2398 -0.066 2398 -0.066 2398 -0.066 2398 -0.066 2398 -0.066 2398 -0.066 20 -0.244 29852 -0.184 17500 -0.12 82 20 -0.243 29633 -0.185 17864 -0.125 8330 -0.065 2327 -0.009 35 -0.242 29394 -0.182 17399 -0.122 7948 -0.063 2189 -0.009 35 -0.242 29394 -0.182 17399 -0.122 7948 -0.062 2121 -0.000 35 -0.242 29394 -0.182 17399 -0.122 7948 -0.063 2189 -0.000 35 -0.000 35 -0.000 35 -0.000 35 -0.000 35 -0.000 35 -0.000 35 -0.000 35 -0.000 35 -0.000 35 -0.000 35 -0.000 35 -0.000 35 -0.000 35 -0.000 35 -0.000 35 -0.000 35 -0.000 35 -0.0000 35 -0.0000 35 -0.000 35 -0.0000 35 -0.0000 35 -0.0000 35 -0.0000 35 -0.00	O.272	30587	0.212	22901	 0.152	12143	0.092	4593	0.032	575
-0.270 36087 -0.210 22494 -0.150 11838 -0.090 4401 -0.030 506 -0.269 31838 -0.209 22291 -0.149 11686 -0.089 4306 -0.029 473 -0.268 35589 -0.208 22090 -0.148 11536 -0.088 4212 -0.028 441 -0.267 35341 -0.207 21889 -0.147 11387 -0.087 4119 -0.027 410 -0.266 35994 -0.206 21689 -0.145 11091 -0.085 3936 -0.025 381 -0.263 34848 -0.205 21490 -0.145 11091 -0.085 3936 -0.025 382 -0.263 34358 -0.203 21094 -0.143 10994 -0.084 3846 -0.024 325 -0.263 34114 -0.202 20897 -0.142 10653 -0.082 3669 -0.022 273 -0.262 34114 -0.202 20897 -0.142 10653 -0.082 3669 -0.022 273 -0.261 33871 -0.201 20702 -0.141 10509 -0.081 3582 -0.021 249 -0.256 33387 -0.199 20312 -0.139 10224 -0.078 3327 -0.012 249 -0.259 33387 -0.199 20312 -0.139 10224 -0.079 3411 -0.019 204 -0.257 32905 -0.197 19926 -0.137 9943 -0.077 3244 -0.017 164 -0.256 32666 -0.196 19735 -0.136 9803 -0.076 3162 -0.016 145 -0.253 31952 -0.194 19354 -0.135 9665 -0.076 3001 -0.014 111 -0.025 3176 -0.194 19354 -0.134 9527 -0.074 3001 -0.014 111 -0.253 31952 -0.194 19354 -0.135 9665 -0.076 3001 -0.014 111 -0.253 31952 -0.194 19354 -0.135 9637 -0.076 3001 -0.014 111 -0.251 31952 -0.194 19354 -0.134 9527 -0.074 3001 -0.014 111 -0.251 31952 -0.193 19165 -0.132 9255 -0.072 2844 -0.012 82 -0.251 31480 -0.194 19354 -0.134 9527 -0.074 3001 -0.014 111 -0.253 31952 -0.193 19165 -0.132 9255 -0.072 2844 -0.012 82 -0.251 31480 -0.191 18789 -0.131 9120 -0.071 2767 -0.011 69 -0.253 31952 -0.193 19165 -0.132 9255 -0.072 2844 -0.012 82 -0.251 31480 -0.191 18789 -0.131 9120 -0.071 2767 -0.011 69 -0.243 3011 -0.189 18416 -0.129 8853 -0.066 2398 -0.066 2398 -0.066 20 -0.243 3014 -0.186 17864 -0.125 8330 -0.066 2377 -0.009 46 -0.244 30545 -0.186 17864 -0.125 8330 -0.066 2317 -0.009 46 -0.244 29852 -0.184 17500 -0.125 8330 -0.066 2317 -0.009 35 -0.244 29852 -0.184 17500 -0.127 8590 -0.066 2317 -0.009 35 -0.244 29852 -0.184 17500 -0.127 8200 -0.066 2317 -0.009 35 -0.244 29852 -0.184 17500 -0.127 7822 -0.061 2251 -0.001 1	0.271	36337	0.211	22697	0.151	11990	0.091	4496	— 0.031	539
-0.269 35838 -0.209 22291 -0.149 11686 -0.089 4306 -0.029 473 35589 -0.208 22090 -0.148 11536 -0.088 4212 -0.028 441 -0.0267 35341 -0.207 21889 -0.146 11238 -0.086 4027 -0.026 381 -0.266 35094 -0.206 21689 -0.146 11238 -0.086 4027 -0.026 381 -0.265 34848 -0.205 21490 -0.145 11091 -0.085 3936 -0.025 352 -0.264 34603 -0.204 21292 -0.144 10944 -0.084 3846 -0.024 325 -0.263 34358 -0.203 21094 -0.143 10798 -0.083 3757 -0.023 298 -0.262 34114 -0.202 20897 -0.141 10599 -0.081 3582 -0.021 273 -0.261 33871 -0.201 20702 -0.141 10509 -0.081 3582 -0.021 249 -0.260 33628 -0.200 20507 -0.140 10366 -0.080 3496 -0.022 273 -0.259 33387 -0.199 20312 -0.138 10083 -0.078 3327 -0.018 183 -0.257 32905 -0.197 19926 -0.137 9943 -0.079 3411 -0.019 204 -0.256 32666 -0.196 19735 -0.136 9803 -0.076 3162 -0.016 145 -0.255 32427 -0.196 19735 -0.136 9803 -0.076 3162 -0.016 145 -0.253 31952 -0.194 10354 -0.135 9665 -0.075 3081 -0.015 127 -0.253 31952 -0.194 10354 -0.133 9390 -0.075 3081 -0.015 127 -0.253 31952 -0.193 19165 -0.133 9390 -0.073 2922 -0.013 96 -0.252 31716 -0.192 18769 -0.138 9727 -0.074 3001 -0.014 111 -0.253 31952 -0.193 19165 -0.133 9390 -0.075 2691 -0.016 145 -0.253 31952 -0.193 19165 -0.133 9390 -0.075 2691 -0.016 127 -0.254 31180 -0.191 18789 -0.131 9120 -0.071 2767 -0.011 69 -0.253 31952 -0.193 19165 -0.133 9390 -0.073 2922 -0.013 96 -0.252 31716 -0.192 18769 -0.133 9390 -0.071 2767 -0.011 69 -0.248 30778 -0.188 1831 -0.128 8731 -0.068 2543 -0.009 46 -0.249 31011 -0.188 18416 -0.129 8853 -0.066 2398 -0.006 20 -0.244 30834 -0.188 17500 -0.125 8330 -0.065 2327 -0.005 14 -0.244 29852 -0.184 17500 -0.125 8330 -0.066 2398 -0.006 20 -0.244 29852 -0.184 17500 -0.125 8330 -0.066 2398 -0.006 20 -0.244 29852 -0.184 17500 -0.124 8202 -0.066 2398 -0.006 20 -0.244 2966 -0.181 16960 -0.121 7822 -0.061 2054 -0.001 1		-6-0-					-		_	
$\begin{array}{cccccccccccccccccccccccccccccccccccc$					-				— 0.030	
$\begin{array}{cccccccccccccccccccccccccccccccccccc$			— 0.209	22291	0.149	11686	0.089	4306	0.029	473
-0.266 35094 -0.206 21689 -0.146 11238 -0.086 4027 -0.026 381 -0.265 34848 -0.205 21490 -0.145 11091 -0.085 3936 -0.025 352 -0.264 34603 -0.204 21292 -0.144 10944 -0.084 3846 -0.024 325 -0.263 34358 -0.203 21094 -0.143 10798 -0.083 3757 -0.023 298 -0.262 34114 -0.202 20897 -0.142 10653 -0.082 3669 -0.022 273 -0.261 33871 -0.201 20702 -0.141 10509 -0.081 3582 -0.021 249 -0.260 33628 -0.200 20507 -0.140 10366 -0.080 3496 -0.022 273 -0.259 33387 -0.199 20312 -0.138 10083 -0.079 3411 -0.019 204 -0.259 33386 -0.198 20119 -0.138 10083 -0.078 3327 -0.018 183 -0.257 32905 -0.197 19926 -0.137 9943 -0.077 3244 -0.017 164 -0.256 33666 -0.196 19735 -0.136 9803 -0.076 3162 -0.016 145 -0.255 32427 -0.195 19544 -0.135 9665 -0.075 3081 -0.015 127 -0.254 32189 -0.194 19354 -0.134 9527 -0.074 3001 -0.014 111 -0.253 31952 -0.193 19165 -0.133 9390 -0.073 2922 -0.013 96 -0.252 31716 -0.192 18976 -0.132 9257 -0.074 3001 -0.014 111 -0.253 31480 -0.191 18789 -0.131 9120 -0.071 2767 -0.011 69 -0.249 31011 -0.189 18416 -0.129 8853 -0.066 2543 -0.009 46 -0.248 30778 -0.187 18047 -0.127 8590 -0.067 247 -0.248 30778 -0.187 18047 -0.127 8590 -0.066 2398 -0.006 20 -0.244 29852 -0.184 17500 -0.125 8330 -0.066 2398 -0.006 20 -0.245 3083 -0.185 17681 -0.125 8330 -0.066 2398 -0.000 5 -0.244 29852 -0.184 17500 -0.124 8202 -0.065 2327 -0.000 5 -0.244 29852 -0.184 17500 -0.124 8202 -0.066 2257 -0.000 9	0.268	35589	— o.2o8	22090	0.148	11536	0.088	4212	o.o28	44 I
-0.266 35094 -0.206 21689 -0.146 11238 -0.086 4027 -0.026 381 -0.265 34848 -0.205 21490 -0.145 11091 -0.085 3936 -0.025 352 -0.264 34603 -0.204 21292 -0.144 10944 -0.084 3846 -0.024 325 -0.263 34358 -0.203 21094 -0.143 10798 -0.083 3757 -0.023 298 -0.262 34114 -0.202 20897 -0.142 10653 -0.082 3669 -0.022 273 -0.261 33871 -0.201 20702 -0.141 10509 -0.081 3582 -0.021 249 -0.260 33628 -0.200 20507 -0.140 10366 -0.080 3496 -0.022 226 -0.259 33387 -0.199 20312 -0.139 10224 -0.079 3411 -0.019 204 -0.259 33146 -0.198 20119 -0.138 10083 -0.078 3327 -0.018 183 -0.257 32905 -0.197 19926 -0.137 9943 -0.077 3244 -0.017 164 -0.256 33666 -0.196 19735 -0.136 9803 -0.076 3162 -0.016 145 -0.255 32427 -0.195 19544 -0.135 9665 -0.075 3081 -0.015 127 -0.254 32189 -0.194 19354 -0.134 9527 -0.074 3001 -0.014 111 -0.253 31952 -0.193 19165 -0.133 9390 -0.073 2922 -0.013 96 -0.252 31716 -0.192 18976 -0.132 9255 -0.072 2844 -0.012 82 -0.251 31480 -0.191 18789 -0.131 9120 -0.071 2767 -0.011 69 -0.248 30778 -0.186 18416 -0.129 8853 -0.066 2543 -0.008 36 -0.248 30778 -0.187 18047 -0.128 8721 -0.068 2543 -0.008 36 -0.247 30545 -0.187 18047 -0.127 8590 -0.066 22398 -0.006 20 -0.244 29852 -0.184 17500 -0.125 8390 -0.066 2237 -0.006 14 -0.244 29852 -0.184 17500 -0.124 8202 -0.065 2327 -0.005 14 -0.244 29852 -0.184 17500 -0.124 8202 -0.066 2257 -0.006 14 -0.241 29166 -0.181 16960 -0.121 7822 -0.061 2054 -0.001 1	o.267	35341	0.207	21889	0.147	11387	o.o87	4119	— 0.027	410
$\begin{array}{cccccccccccccccccccccccccccccccccccc$	o.266	35094	 0.206				o.o86		1	
$\begin{array}{cccccccccccccccccccccccccccccccccccc$					·				-,	-
$\begin{array}{c ccccccccccccccccccccccccccccccccccc$		•	— 0.20 5	21490	0.145	11091	0.085	3936	0.025	352
$\begin{array}{cccccccccccccccccccccccccccccccccccc$	o.264	3460 3	0.204	21292	0.144	10944	0.084	3846	0.024	325
$\begin{array}{c ccccccccccccccccccccccccccccccccccc$	o.263	34358	— 0.203	21094	0.143	10798	0.083	3757	-0.023	298
$\begin{array}{c ccccccccccccccccccccccccccccccccccc$	0.262	34114								-
$\begin{array}{c ccccccccccccccccccccccccccccccccccc$										_
$\begin{array}{c ccccccccccccccccccccccccccccccccccc$			3.20.	20/02				۳.,۰۰۰	5.52.	
$\begin{array}{c ccccccccccccccccccccccccccccccccccc$	o.26o	33628	0.200	20507	— 0.140	10366	0.080	3496	— 0.020	226
$\begin{array}{c ccccccccccccccccccccccccccccccccccc$	0.259	33387	0.199		•		0.079			204
$\begin{array}{c ccccccccccccccccccccccccccccccccccc$										
$\begin{array}{c ccccccccccccccccccccccccccccccccccc$	-									
$\begin{array}{cccccccccccccccccccccccccccccccccccc$										-
$\begin{array}{c ccccccccccccccccccccccccccccccccccc$	0.230	32300	- 0.190	*9/33	5.130	7000	3.070	3.02	3.510	•+3
$\begin{array}{c ccccccccccccccccccccccccccccccccccc$	0.255	32427	0.195	19544	0.135	9665	0.075	3081	- 0.015	127
$\begin{array}{c ccccccccccccccccccccccccccccccccccc$									-	
$\begin{array}{c ccccccccccccccccccccccccccccccccccc$								-		
$\begin{array}{c ccccccccccccccccccccccccccccccccccc$							-			-
$\begin{array}{c ccccccccccccccccccccccccccccccccccc$	_								li .	
$\begin{array}{c ccccccccccccccccccccccccccccccccccc$	- 0.251	31480	- 0.191	16789	- 0.131	9120	- 0.071	<u> </u>	- 0.011	09
$\begin{array}{c ccccccccccccccccccccccccccccccccccc$	-0.250	31245	0.190	18602	0.130	8986	0.070	2691	— 0.010	57
-0.248 30778 -0.188 18231 -0.128 8721 -0.068 2543 -0.008 36 -0.247 30545 -0.187 18047 -0.127 8590 -0.067 2470 -0.007 28 -0.246 30314 -0.186 17864 -0.126 8459 -0.066 2398 -0.006 20 -0.245 30083 -0.185 17681 -0.125 8330 -0.065 2327 -0.005 14 -0.244 29852 -0.184 17500 -0.124 8202 -0.064 2257 -0.004 9 -0.243 29623 -0.183 17319 -0.123 8074 -0.063 2189 -0.003 5 -0.242 29394 -0.182 17139 -0.122 7948 -0.062 2121 -0.002 2 -0.241 29166 -0.181 16960 -0.121 7822 -0.061 2054 -0.001 1	-				_					
$\begin{array}{c ccccccccccccccccccccccccccccccccccc$	11		- 5							
$\begin{array}{c ccccccccccccccccccccccccccccccccccc$		- '	_							
$\begin{array}{c ccccccccccccccccccccccccccccccccccc$								_		
-0.244 29852 -0.184 17500 -0.124 8202 -0.064 2257 -0.004 9 -0.243 29623 -0.183 17319 -0.123 8074 -0.063 2189 -0.003 5 -0.242 29394 -0.182 17139 -0.122 7948 -0.062 2121 -0.002 2 -0.241 29166 -0.181 16960 -0.121 7822 -0.061 2054 -0.001 1	- O.24b	30314	0.186	17864	0.126	8459	o.o66	2398	— o.oo6	20
-0.244 29852 -0.184 17500 -0.124 8202 -0.064 2257 -0.004 9 -0.243 29623 -0.183 17319 -0.123 8074 -0.063 2189 -0.003 5 -0.242 29394 -0.182 17139 -0.122 7948 -0.062 2121 -0.002 2 -0.241 29166 -0.181 16960 -0.121 7822 -0.061 2054 -0.001 1	0 245	20082	0.95	1769.	_0.725	8220	0.06¢	2227	-000	.,
-0.243 29623 -0.183 17319 -0.123 8074 -0.063 2189 -0.003 5 -0.242 29394 -0.182 17139 -0.122 7948 -0.062 2121 -0.002 2 -0.241 29166 -0.181 16960 -0.121 7822 -0.061 2054 -0.001 1					-				-	
$\begin{array}{c ccccccccccccccccccccccccccccccccccc$									•	
			_ ~ .					-	_	
								2121	— 0.002	
-0.240 28939 -0.180 16782 -0.120 7698 -0.060 1988 0.000 0	0,241	29166	— o.181	16960	0.121	7822	 0.061	2054	o.oo1	1
	0.240	28939	0.180	16782	0.120	7698	0.060	1988	0.000	0
			L							

Tafel IX.

w	10 ⁷ .ξ	. 10	10 ⁷ .ξ	w	10 ⁷ .ξ	w	10 ⁷ .ξ	w	10 ⁷ .ξ
0,000	0	+ 0.060	2131	+ 0.120	8845	+ 0.180	20685	+ 0.240	38289
+ 0.001	1	+ 0.061	2204	+ 0.121	8999	+ 0.181	20929	+ 0.241	38635
+ 0.002	2	+ 0.062	2278	+ 0.122	9154	+ 0.182	21175	+ 0.242	38983
+ 0.003	5	+ 0.063	2354	+ 0.123	9311	+ 0.183	21422	+ 0.243	39333
+ 0.004	9	+ 0.064	243 I	+ 0.124	9469	+ 0.184	21671	+ 0.244	39685
+ 0.005	14	+ 0.065	2509	+ 0.125	9628	+ 0.185	21922	+ 0.245	40039
+ 0.006	21	+ 0.066	2588	+ 0.126	9789	+ 0.186	22174	+ 0.246	40394
+ 0.007	28	+ 0.067	2669	十 0.127	9951	+ 0.187	22428	+ 0.247	40752
+ 0.008	37	+ 0.068	2751	+0.128	10115	+ o.188	22683	+ 0.248	41111
+ 0.009	47	+ 0.069	2834	+ 0.129	10280	+ 0.189	22941	+ 0.249	41472
+ 0.010	57	+ 0.070	2918	+ 0.130	10447	+ 0.190	23199	+ 0.250	41835
+ 0.011	70	十 0.071	3004	+0.131	10615	+ 0.191	23460	+ 0.251	42199
+ 0.012	83	+ 0.072	3091	+0.132	10784	+ 0.192	23722	+ 0.252	42566
+ 0.013	97	+ 0.073	3180	+ 0.133	10955	+ 0.193	23985	+ 0.253	42934
+ 0.014	. 113	+ 0.074	3269	+ 0.134	11128	+ 0.194	24251	+ 0.254	43305
+ 0.015	130	+ 0.075	3360	+ 0.135	11301	+ 0.195	24518	+ 0.255	43677
+0.016	148	+ 0.076	3453	+ 0.136	11477	+ 0.196	24786	+ 0.256	44051
+ 0.017	167	+0.077	3546	+ 0.137	11654	+ 0.197	25056	+ 0.257	44427
+ 0.018	187	+ 0.078	3641	+ 0.138	11832	+ 0.198	25328	+ 0.258	44804
+ 0.019	209	+ 0.079	3738	+ 0.139	12012	+ 0.199	25602	+ 0.259	45184
+0.020	231	+ 0.080	3835	+ 0.140	12193	+ 0.200	25877	+ 0.260	45566
+ 0.021	255	+ 0.081	3934	+ 0.141	12376	+ 0.201	26154	+ 0.261	45949
+ 0.022	280	+ 0.082	4034	+ 0.142	12560	+ 0.202	26433	+ 0.262	46334
+ 0.023	306	+ 0.083	4136	+ 0.143	12745	+ 0.203	26713	+0.263	46721
+ 0.024	334	+ 0.084	4239	+ 0.144	12933	+ 0.204	26995	+ 0.264	47111
+ 0.025	362	+ 0.085	4343	+ 0.145	13121	+ 0.205	27278	+0.265	47502
+ 0.026	392	+ 0.086	4448	+ 0.146	13311	+ 0.206	27564	+0.266	47894
+ 0.027	423	+ 0.087 + 0.088	4555	+ 0.147	13503	+ 0.207	27851	+ 0.267	48289
+ 0.028 + 0.029	455 489	+ 0.089	4663	+ 0.148 + 0.149	13696	+ 0.208 + 0.209	28139 28429	+ 0.268 + 0.269	48686 49085
+ 0.030	523	+ 0.090	4884	+ 0.150	14087	+ 0.210	28722	+ 0.270	49485
+0.031	559	+ 0.091	4996	+0.151	14285	+ 0.211	29015	+ 0.271	49888
+ 0.032 + 0.033	596 634	+ 0.092 + 0.093	5109 5224	+ 0.152	14484	十0.212	29311	十 0.272	50292
十 0.033 十 0.034	674	+ 0.094	5341	+ 0.153 + 0.154	14886	+ 0.213 + 0.214	29608 29907	十 0.273 十 0.274	50699
+ 0.035	714	+ 0.095	5458	+ 0.155	15090	+ 0.215	30207	+ 0.275	51517
+ 0.036	756	+ 0.096	5577	+ 0.156	15295	+ 0.216	30509	+0.276	51930
十 0.037	799 844	+ 0.097	5697	十 0.157	15502	+ 0.217	30814	+ 0.277	52344
十 o.o38 十 o.o39	889	+ 0.098 + 0.099	5819 5942	+ 0.158 + 0.159	15710	+ 0.218 + 0.219	31119	十 0.278 十 0.279	52760 53178
+ 0.040	936	+ 0.100	6066	+ 0.160	16131	+ 0.220	31736	+ 0.280	53598
+ 0.041	984	+ 0.101	6192	+ 0.161	16344	+ 0.221	32047	+ 0.281	54020
+ 0.042	1033	+ 0.102	6319	+ 0.162	16559	+ 0.222	32359	+0.282	54444
+ 0.043	1084	+ 0.103	6448	+0.163	16775	+ 0.223	32674	+ 0.283	54870
+ 0.044	1135	+ 0.104	6578	+ 0.164	16992	+ 0.224	32990	+ 0.284	55298
+ 0.045	1188	+ 0.105	6709	+ 0.165	17211	+ 0.225	33308	+ 0.285	55728
+ 0.046	1242	+ 0.106	6842	+ 0.166	17432	+ 0.226	33627	+ 0.286	56160
+ 0.047	1298	+ 0.107	6976	+ 0.167	17654	+ 0.227	33949	+ 0.287	56594
+ 0.048	1354	+ 0.108	7111	+ 0.168	17878	+ 0.228	34272	+ 0.288	57030
+ 0.049	1412	+ 0.109	7248	+0.169	18103	+ 0.229	34597	+ 0.289	57468
+ 0.050	1471	+0.110	7386	+ 0.170	18330	+ 0.230	34924	+ 0.290	57908
+ 0.051	1532	+0.111	7526	+ 0.171	18558	+ 0.231	35252	+ 0.291	58350
+ 0.052	1593	+0.112	7667	+ 0.172	18788	+ 0.232	35582	+ 0.292	58795
十 0.053 十 0.054	1656	+- 0.113 +- 0.114	7809 795 3	十 0.173 十 0.174	19020	+ 0.233 + 0.234	35914 36248	十 0.293 十 0.294	59241 59689
+ 0.055	1785	+0.115	8098	+ 0.175	19487	+ 0.235	36584	+ 0.295	60139
+ 0.056	1852	+0.116	8245	+ 0.176	19724	+ 0.236	36921	+ 0.296	60591
+ 0.057	1920	+ 0.117	8393	+ 0.177	19961	+ 0.237	37260	+ 0.297	61045
+ 0.058	1989	+0.118	8542	+ 0.178	20201	+ 0.238	37601	+ 0.298	61502
+ 0.059	2060	+ 0.119	8693	+ 0.179	20442	+0.239	37944	+ 0.299	61960
+ 0.060	2131	+ 0.120	8845	+ 0.180	20685	+ 0.240	38289	+0.300	62421
		<u>'</u>	<u> </u>	<u> </u>	<u>. </u>	L			

Tafel XA.

vergl. pag. 119 u. 240.

Jahr	(s—to"5) _a	I _w	11,,	Jahr	,e-to"5) _e	1"	IIa	Jahr	(8—10"5) _R	I,	II.	Jahr	(ε—10″ς, _я	I,	ΙΙa
3 1600	23°20'20"192	77.875	83.744	1650	23"28'56"443	77 844	15 118	1700	23"28"32"681	77.814	46 493	1750	23°28' 8"go8	77 784	77,868
10	89 19.717	77 808	28.375	51	28 55,968	77 778	9-749	01	28 32 206	77-748	47,124	51	s8 8.432	77 718	72-499
0:2	29 19.243	77-742	73.006	8 52	28 55.492	77.986	4.366	02	28 31,731	77.682	35 755	8 50	26 7.956	77-925	67.115
03	ng 18.768	77.676	67.637	53	28 55 017	77 919	98.997	03	28 31.25fi	77.615	30,386	53	28 7.48:	77 859	61.746
S 04	29 18.292	77.883	62,253	54	28 54 543	77.853	93.628	S 04	28 30.780	77-823	25.002	54	25 7.905	77 793	56 377
							an.								
£605	29 17.818	77.817	56.884	1655	- 1	77-787	88,259	1705	28 30. 305	77-756	19.633	1755 8 56	#B 6,530	77.736	51,008
06	29 17.343	77.75T	51.513	8 56	28 53.591		89,875	06	a8 a9.830	77.690	14.264		28 5.578	77.934	45.625
9 o8	29 16 869	77.684	40.763	57 58	28 53 117 98 52,642		77 506	9 08	28 29 878	77.624	8 895	57 58	28 5.578	77.801 77.801	40.256 34.887
. og	29 16.393 29 15.918		35 394	59	28 52 167		72.137	. 00 . 00	25 28 403	77.765	98.143	59	ud 4,627	77 735	29.518
-9	2915.910	77 423	32 354	39	20 30 107	11.192	00. you	09	an an avg	771703	901143	39	20 41027	// //2	49.314
1610	29 15 444	77-759	30.025	H 1660	28 51,691	78.003	61,384	1710	28 27.928	77.699	92-774	8 1760	28 4.151	77-942	24.134
11	29 14 959	77 693	24.656	. őr	98 5t zt6	77.936	56.015	11	28 27 453	77.638	87 405	6 r	28 3 676	77.876	18.763
9 12	29 14 493	77 900	19 272	62	28 50.741	77.870	50.646	8 12	28 26.976	77 840	82,021	62	25 3 200	77.810	13.396
13	29 14 019	77 B34	13.903	63	28 50.266	77.804	45.277	13	28 26.501	77 773	76.652	63	28 2,725	77 743	8.027
14	29 13-544	77 768	8.534	R 64	28 49,790	78.011	39.894	14	28 26 026	77 707	71.283	8 64	28 2.248	77.951	w 644
	_			[:						_ i		
2615 B 16	29 I J 069	1	3.165	1665	28 49.315		34-525	1715	28 25 551		65.914	1765	98 1.773	77.884	97.275
	ag 17.594	77 999	97.781	66 69	28 46.841	77.879	29 156	8 16	28 25.075	77 848	60.531	66 67	28 1.298 28 0.842	77.818	91-906
17	29 12.644	1	99,419	s 68	28 48. 366 28 47 88g	77.81%	18,403	17 18	28 24,500	77.789	55.162	FI 68	28 0.346	77-75° 77 959	86.537
10	29 11.170		81 674	69	28 47.415	*	13.034	10	28 23,640	77.642	49-793	6g	27 59.870	77 893	75 784
-91	29111170	77.720	01 10/10	1 7	20 9/1413	77.953	13.034	.,9	20 731049	,,,uq,	*4.4.4	-7	27 39.070	77 273	/ / / - 1
d 1620	29 10,694	77 917	26,291	1670	28 46.940	77,887	7 (65	S 1720	28 23 173	77.857	39.040	1770	27 59-395	77 827	70.415
21	29 10.219	77.851	70.922	711	28 46 454	77 821	2 296	21	28 22.698	77.791	33 671	71	27 58.920	77.760	65.046
22	29 9-744	77 785	65 553	S 72	28 45 989	78.008	96.913	22	28 22,223	77 724	28,302	8 72	27 58.443	77.968	59 662
23	29 9.270	77-718	60,184	73	28 45 514	77.952	91-544	23	28 21 747	77.658	22 933	73	27 57 968	77-991	54-293
B 24	29 8 794	77.926	54,800	74	28 45 039	77 896	B6,175	8 24	28 21.271	77 865	17 549	24	27 57-492	77 835	48 044
												1			l
1625	39 g 319	1	40.431	1675	28 44.564	77 829	80.806	1725	28 20,796	77-799	12.180	1775 B 26	27 57.017	77.769	43-555 38 172
26	29 7.845		44.06s	B 76	28 44.088	78.037	75.422	26	28 20,321	77-733	6,811	B 76	27 56.540	77.976	39,803
97 B 28	29 7 370 29 6,894	77-727	33,309	78	28 43.613 28 43.138	77 970	70,053 64 684	27 8 28	28 19.846	77.666	96,050	77	27 55.590	77,910	97 434
#g	29 6,419	1 1 1 1 1 1	27.940	79	100	77.848	59-313	20	28 16,804	77.808	go. 600	79	27 55-114	77.777	22,065
-7	-3	///	-1.34-		0- 4-13	77.010	3913-3	-9	10,094	111040	gorege	"	-, ,,,,,,,,	77771	
гбзо	29 5-945	77.802	22.571	8 t68o	28 42.186	78.045	53-931	1730	28 18.419	77 741	85.321	H 1780	27 54,637	77.985	16.681
31	29 5 470		17.202	81	28 41 712	77-979	48.562	31	28 17 943	77.675	79.951	Bi	27 54.162	77.919	11 318
8 32	29 4:994	77-943	тт.8г9	fi2	28 41,237	77.913	43,193	B 32	28 17 467	77 882	74.568	82	27 53.687	77 852	5-943
33	29 4 519		6.450	83,	28 40,760	77.846	37.824	33	28 16,992	77.816	69,199	83	27 53.211	77 786	0.574
34	19 4 044	77.810	1.081	8 84	28 40.285	78.054	32:441	34	28 16,517	77 750	61,830	≱ B ₄	27 52 735	77:994	95 191
]			-9 6	en.			0 - 6		-6 2-				Bn.872
1635 S 26	29 1 570		95-712	1685 86	28 39.810	77.988	27,072	1735 S 36	28 16.041 (77.684	58.461 53.078	1785 86	37 52 259	77 927	84 453
S 36	29 3.094	77-052	84.050	87	28 39 335 28 38,850	77,921	21.703	S 36	28 15.564	77.891 77.825	47 70g	87	27 St.784	77 861 77 795	79.984
38	39 2:144		79-599	9 88	28 18 384		10.950	38	28 14.614	27 258	42,340	8 68	27 50.812	78,000	73.700
39			74.221	8g	28 37 909		5 581	39	28 14.139	77 642	36,971	89	27 50,356	27.936	68,331
		1,,,,,	. , ,	"		11 22				7,	3-127	1	.,,,,,,,,,,,,,,,,,,,,,,,,,,,,,,,,,,,,,,		
S 1640	29 1.193	77.960	68 838	1690	28 37-434	77 930	0,213	8 1740	28 13,561	77.900	31.587	1790	27 49.881	77 8hg	62.961
41	29 0.719	77.894	63 469	91	28 36,959	77 863	94,843	46	28 13.187	77.833	26,218	91	27 49-405	77.Bo3	57-593
42	ag 0.844		58 100	3 35	28 36.48 1		Bg 459	42	28 12 713	77 767	90,849	S 92	27 48 929	78,011	52 210
43	28 59 767	1 '	52.731	93	28 36,008	,	84 090	43	28 12,237	77 701	15.480	93	27 48.453	77-944	46 841
8 44	38 20: 203	77 969	47-347	94	28 35.533	77 938	78.731	8 44	28 11.750	77-908	10.09h	94	27 47 978	77.878	41 472
ef	28 58.818					an Day	A4 -42		.0	0				77.812	36,103
#645 46	28 58 344	77 902	36.600	1695 5 96	28 34 581		73-353 67-969	1745 46	28 st. 285 cr8,or 8c	77 842	4-727 00 358	1795 S 96	27 47 502 27 47 026	78,019	30.710
47	28 57 869	1	37 240	a 90 97	28 34 106	78,013	62.600	47	28 10,335	77 775	03 080	97	27 46,550	77 953	25 350
8 48		77 977	35.856	97 98	28 13.631		57 731	8 48	28 p.858	77.709	88,606	98	27 46.075	77.886	10.981
49	28 56.918		20.487	99	28 33,156		51,862	49	78 9 183	77 BSO	83 237	90	27 45 599	77 820	14 610
77	,,	77.7	4.7	77	3320	,,	,	79	7 7 7 3	1, =30	7 - 37	7.9	, 7, 7, 7,		

Paris 12	Greenwich	(12)	0.001	0.000	0,000	etle o o	. ii . o	₫ ⁷¹ 000¢	0.027 p.055	-0,001 -0,003
	Parie					성이				0,004 8,006
Washington 12 - 0.001 0 196 09.900 6 0.8 0.001 0.219 0.012	Berlin					₽	2 1			- 0.007 0.009
	Washington	15			99,990	.46	- 1		,	0,010 0,012 -0,013

Tafel XA.

			,												$\overline{}$
Jahr	(ε—10″5) _æ	I_a	II _a	IIIa	IV.	V _a	VI.	VIIa	VIIIa	IX.	X.	XI.	XIIa	XIII.	XIV.
1800	23027'45"124	77.754	9.243	86.5	30.6	~~ ~	17.2	1	46	56	3 I	40	79	16	87
1 00					, -	77.3		1						44	6
		77.688	3.874	58.4	55.3	54.5	13.7	95	52	3	3	59 78	49 19	72	25
0:		77.621	98.505	30.3	79.9	31.8	10.2	90	57	50	75			/2	
°		77-555	93.136	2.2	4.6	9.0	6.7	85	62	98	47	98	89	1	45
8 0	27 43.221	77.762	87.753	81.4	32.9	93.6	14.2	86	68	48	26	21	55	28	74
180	27 42 . 745	77.696	82.384	53.2	57.5	70.9	10.7	81	73	96	98	40	25	56	94
0		77.630	77.015	25.1	82.1	48.1	7.3	75	78	43	70	59	95	84	13
0		77.563	71.646	97.0	6.8	25.3	3.8	70	83	90	42	78	65	12	32
S			66.262		l.			71	89	41	21	/1	31	40	62
		77.771		76.2	35.1	9.9	11.3	66		88		21	3.	68	81
0	27 40.842	77.705	60.893	48.1	59.7	87.2	7.8	00	95		93	! **		00	١ ٠٠ ١
1810	27 40.366	6.0		20.0	٠	6		61		36	65	40	71	96	٥
		77.638	55.524	1	84.4	64.4	4.3		i	83	_	1 -		-	20
0 1		77.572	50.155	91.8	9.0	41.7	0.8	55	5	-	37	59	41	24	
S 13		77-779	44.771	71.0	37.3	26.3	8.3	56	11	34	15	82	7	52	49
1 1		77.713	39.403	42.9	61.9	3.5	4.8	51	16	81	87	1	77	80	68
1.	27 38.463	77.647	34.034	14.8	86.6	80.8	1.4	46	21	28	60	21	47	8	88
1		l	1										i		i <u> </u>
181		77.581	28.665	86.7	11.2	58.0	97.9	41	26	75	32	40	17	36	7
8 1		77.788	23.281	65.9	39.5	42.6	5.4	42	32	26	10	63	84	64	37
1		77.722	17.912	37.8	64.1	19.9	1.9	36	38	74	82	82	54	92	56
11		77.655	12.543	9.6	88.8	97.1	98.4	31	43	21	54	I	24	20	75
19	27 36.084	77.589	7.174	81.5	13.4	74-3	94.9	26	48	68	26	2 1	94	48	94
1		l											_	,	1 1
S 1820		77-797	1.790	60.7	41.7	58.9	2.4	27	54	19	5	43	60	76	24
2		77.730	96.421	32.6	66.3	36.2	98.9	22	59	66	77	63	30	4	43
2:	27 34.656	77.664	91.052	4.5	91.0	13.4	95.5	16	64	14	49	82	0	31	63
2		77.598	85.684	76.4	15.6	90.7	92.0	11	70	61	2 1	1	70	59	82
S 2.	27 33 . 704	77.805	80.300	55.6	43.9	75.3	99.5	12	75	I 2	0	24	36	87	12
i		1			}	l		l					Ì		1
182	27 33.229	77-739	74.931	27.4	68.5	52.5	96.0	7	81	59	72	43	6	15	31
20		77.672	69.562	99.3	93.2	29.8	92.5	2	86	6	44	63	76	43	50
1 2		77.606	64.193	71.2	17.8	7.0	89.0	96	91	53	16	82	46	71	69
S 2		77.814	58.809	50.4	46.1	91.6	96.5	97	97	4	95	5	13	99	99
20		77.747	53.440	22.3	70.8	68.8	93.0	92	2	52	67	2.4	83	27	18
1 -	/ -/ J	//-/-//	33.44-		/		"	'"					•		1
1830	27 30.850	77.681	48.071	94.2	95.4	46.1	89.6	87	7	99	39	43	53	55	38
3		77.615	42.702	66.0	20.0	23.3	86.1	82	13	46	11	63	23	83	57
8 3		77.822	37.319		48.3	7.9	93.6	83	18	97	90	86	89	11	8-
,		77.756		45.3		85.2	90.1		2.4	44	62	5	59	39	6
3			31.950	17.1	73.0	1	86.6	77	29	91		24	29	67	25
3-	1 2/20.940	77.689	26.581	89.0	97.6	62.4	1 0.0	72	2.9	9,	34	~4	-7	٠,	-',
183	27 28.470	77.623	21.212	60.9	22.3	20.7	83.1	67	34	39	6	43	99	95	44
						39.7		68	40	90	84	66	99 65	23	77
, ,		77.831	15.828	40.1	50.5	24.3	90.6		1 .	1 -	56	86	35	51	93
3		77.764	10.459	12.0	75.2	1.5	87.1	63	45	37	28	I			12
31		77.698	5.090	83.9	99.8	78.8	83.7	57	50	84	28	5	5	79 7	32
39	27 26.567	77.632	99.721	55.7	24.5	56.0	80.2	52	56	31		2.4	75	/	ا "د
S 1840	27 26.090	0.0	0			106	87.7		61	82	79	47	42	35	61
			94.338	34.9	52.7	40.6	1	53	67	29	79 51	66	12	63	81
41			88.969	6.8	77.4	17.8	84.2	48		1 1		86	82	91	"
4:			83.600	78.7	2.0	95.1	80.7	43	72	77	23	1			
S 43				50.6	26.7	72.3	77.3	3.7	77	2.4	95	1 -	52	19	19
8 4	27 24. 186	77.848	72.847	29.8	54.9	56.9	84.7	38	83	75	74	28	18	47	. 49
			60						0.0		16		88		68
184			67.478	1.7	79.6	34.2	81.3	33	88	22	46	47		75	
46				73.5	4.2	11.4	77.8	28	93	69	18	66	58	3	87
1 3 43			56.740	45-4	28.9	88.7	74.3	22	99	17	90	86	28	31	1
8 48				24.6	57.2	73.3	81.8	23	4	67	69	9	94	59	36
49	27 21 . 807	77.790	45.988	96.5	81.8	50.5	78.3	1 18	10	15	41	28	64	87	56
	· ·	•			<u> </u>	<u>' </u>	<u>' </u>								
	(-)1 -"	T		·	T -	F		ī -		1 -	Π_		1 2	, o	To
Green-	. } o¹¹ o″ooo	0.000	0.000	0.0	0.0	0.0	0.0	0	0	0	0	. 0	0	. 0	

Green-	∮ oh	0″000	0.000 0.000	0.0	0.0	0.0	0.0	0	0	0	0	0	0	0	0
wich	12	0.001	0.137 99.993	3.7	1.8	3.7	5.5	3	0	2	3	2	98_		5
Paris	10	0.000	99.998 0.000	0.0	0.0	0.0	99.9	0	. 0	0	. 0	0	0	0	1 0
	112	0.001	0.135 99.993	3.6	1.8	3.6	5.4	3	. 0	2	3_	i	98	_ 0	.1-5-
Berlin) 0	0.000	99.990 0.001	99.7	99.9	99.7	99.6	0	0	0	0	¦ o	0	0	0
	12	0.001	0.127 99.993	3.4	1.7	3.4	5.1	3	;o	2	3	2	.98	_ 0	5_
Wa-) 0	0.000	0.059 99.997	1.6	0.8	1.6	2.3	I	. 0	I	1	1	99	0	2
×hington	12	0.001	0.196 99.990	5.2 '	2.6	5.2	7.8	4	, 0	3	, 5	3	97	0	7_

Tafel XA.

Jahr	(ε—10″5) _e	I _a	IIa	1114	IV a	V _a	VIa	VIIa	VIII.	IXa	Xa	XIa	XIIa	XIIIa	XIVa
	23°27′21″331			(0)											
1850	27 20.856	77.724		68.4	6.4	27.8	74.8	13 8	15	62	13 85	47 66	34	15	75
51 5 52	27 20.379	77.657	35.250 29.866	40.3	31.1 59.4	5.0 89.6	71.4 78.8	9	20 26	9 60	64	89	70	43 71	94
-	27 19.903	77.799	24.497	91.3	84.0	66.8	75.4	3	31	7	36	9	40	99	24
53 54	27 19.428	77.732	19.128	63.2	8.7	44.I	71.9	98	36	55	8	28	10	27	43 62
34	27 19.420	/ / · / 3=	19.120	03.2	0.,	44	/ • • •	90	30	33	•	20		~/	٠. ا
1855	27 18.952	77.666	13.759	35.1	33-3	21.3	68.4	93	42	2	80	47	80	55	82
3 56	27 18.475	77.873	8.376	14.3	61.6	5.9	75.9	94	47	53	59	70	47	83	11
57	27 17.999	77.807	3.007	86.2	86.2	83.2	72.4	8 9	53	0	31	89	17	11	31
58	27 17.524	77.741	97.638	58.1	10.9	60.4	68.9	83	58	47	3	ģ	87	39	50
59	2717.048	77.674	92.269	29.9	35.5	37.7	65.5	78	63	94	75	28	57	67	69
							i								1
3 1860	27 16.571	77.882	86.885	9.1	63.8	22.2	72.9	79	69	45	53	51	23	95	99
61	27 16.095	77.816	81.516	81.0	88.4	99.5	69.5	74	74	93	25	70	93	23	18
62	27 15.620	77.749	76.147	52.9	13.1	76.8	66.0	69	79	40	97	89	63	51	37
63 3 64	27 15.144	77.683	70.778	24.8	37.7	54.0	62.5	63	85	87	69	9	33	79	56
3 64	27 14.667	77.890	65.395	4.0	6 6 .0	38.6	70.0	64	90	38	48	31	99	7	85
1865		nn 0a	60.00		00.4	,,,	66.5		96	ء و			69		
1865	27 14.192	77.824	60.026	75.9	90.6	15.8	63.0	59	96	85	20	51 70	_	35	5
67	27 13.716 27 13.240	77.758	54.657 49.288	47.7 19.6	15.3 39.9	93.1 70.3	59.6	54 40	6	32 80	92 64	89	39	63 90	2 5
3 68	27 13.240	77.892	43.904	98.8	39.9 68.2	70.3 54.9	67.0	49 50	12	31	43	12	76	19	44
69	27 12.288	77.833	38.535	70.7	92.9	34.9	63.6	44	17	78	15	31	46	46	74 93
"		,,	3~.333	//	7~.7	3	- 3.0	77	-/	, ,	- 3	٠,٠	~~	75	73
1870	27 11.812	77.766	33.166	42.6	17.5	9.4	60.1	39	22	25	87	51	16	74	12
71	27 11.336	77.700	27.797	14.5	42.I	86.7	56.6	34	28	72	59	70	86	2	31
3 72	27 10.859	77.908	22.413	93.7	70.4	71.3	64.1	35	33	23	38	93	52	30	61
73	27 10. 384	77.841	17.045	65.6	95.1	48.5	60.6	30	39	70	10	12	22	58	80
74	27 9.908	77-775	11.676	37.4	19.7	25.8	57.1	24	44	18	82	31	92	86	۰
		_					İ								
1875	27 9.432	77.709	6.307	9.3	44.4	3.0	53.7	19	49	65	54	51	62	14	19
3 76	27 8.955	77.916	0.923	88.5	72.6	87.6	61.1	20	55	16	33	74	28	42	49
77	27 8.480	77.850	95-554	60.4	97-3	64.8	57-7	15	60	63	5	93	98	70	68
78	27 8.004	77.783	90.185	32.3	21.9	42.1	54.2	10	65	10	77	12	68	98	87
79	27 7.528	77.717	84.816	4.2	46.6	19.3	50.7	4	71	58	49	31	38	26	6
3 - 00								_							. 1
31880	27 7.051	77.925	79.432	83.4	74.8	3.9	58.2	5	76	9 56	28	54	5	54	36
8 I 82	27 6.576	77.858	74.064	55.2	99.5	81.2	54.7	0	82		0	74	75	82	55
	27 6.100 27 5.624	77.792	68.695	27.1	24.1 48.8	58.4	51.2 47.8	95 90	87 92	3 50	72	93 12	45 15	10 38	75
83 3 84	27 5.147	77.726	63.326 57.942	99.0 78.2	77.0	35·7 20.3	55.2	91	98	30 I	44 22	35	81	66	94
7 04	2/ 3.14/	77.933	37.942	/0.2	//.0	20.5	33.2	9.	9 °	- 1		30	٠.	- 00	-4
1885	27 4.671	77.867	52.573	50.1	1.7	97.5	51.8	85	3	48	94	54	51	94	43
86	27 4.196	77.801	47.204	22.0	26.3	74.8	48.3	80	8	96	66	74	21	22	62
87	27 3.720	77.734	41.835	93.8	51.0	52.0	44.8	75	14	43	38	93	91	50	81
3 88	27 3.243	77.942	36.451	73.0	79.3	36.6	52.3	76	19	94	17	16	57	78	11
89	27 2.767	77.875	31.082	44.9	3.9	13.8	48.8	71	25	41	89	35	27	6	30
								_							
1890	27 2.292	77.809	25.714	16.8	28.5	91.1	45.3	65	30	88	61	54	97	34	49
, 91	27 1.816	77.743	20.345	88.7	53.2	68.3	41.9	60	35	35	33	74	67	62	69
5 92	27 1.339		14.961	67.9	81.5	52.9	49.3	61	41	86	12	96	33	90	98
93	27 0.863		9.592	39.8	6.1	30.2	45.9	56	46	34	84	16	3	18	18
94	27 0.387	77.818	4.223	11.6	30.8	7.4	42.4	51	51	81	56	35	73	46	37
	26 22 22-		000	90 -			28.0			28	28	. .	4.		ا ء
1895 3 96	26 59.912	77.751	98.854	83.5	55.4	84.7	38.9	45 46	57 62	79	26 7	54 77	43 10	74	56 86
- 1	26 59.435 26 58.959	77.959	93.470 88.101	62.7 34.6	83.7 8.3	69.3 46.5	46.4 42.9	40 41	68	26	7 79	96	80	30	5
97 98	26 58.483	77.826	82.733	6.5	33.0	23.8	39.5	36	73	74	79 51	16	50	58	24
99	26 58.007	77.760	77.364	78.4	57.6	1.0	36.0	30	78	21	_	35	20	86	44
- 33		,,.,,,,	//-3-4	, - • +	3,		• • • • • • • • • • • • • • • • • • • •	, -				• • •			, , , , , , , , , , , , , , , , , , ,
								· · · ·							
0.1	0″000	0.027	0.001	0.7	0.4	0.7	1.1	1	0	0	1	0	٥	0	1
စ္ 0.2	0.000	0.055	— o.oo 3	1.5	0.7	1.5	2.2	1	0	1	1	1	— ı	0	2
ē 0.3	0.000	0.082	- 0.004	2.2	1.1	2.2	3.3	2	0	. 1	2	1	1	0	3
를 0.4	0.001	0.110	o.oo6	- 1	1.5	2.9	4.4	3	0	I	3	1	-1	0	4
ž 0.5	-0.001	0.137	- 0.007		1.8	3.7	5.5	3	0	2	3	2	2	0	5
g 0.6	-0.001	• •	- 0.009		2.2	4.4	6.6	4	0	2	4	2	- 2	0	6
Tagesbruchtheile	-0.001	0.192	- 0.010		2.5	5.1	7.7	4	0	3	5	3	— 3 i	0	7
	-0.001	0.219	- 0,012	5.9	2.9	5.9	8.8	5	•	3	5	3	<u> </u>	0	8
0.9	-0.001	0.246	0.013	6,6	3.3	6.6	9.9	6	1	. 3 1	0 1	2	-3	0 !	9
	<u>'</u>			<u> </u>						•			_		

Tafel XA.

Jahr	(ε—10"5) _u	l _a	IIa	lll _a	1V,,	V _a	VIα	VIIa	VIIIa	IXa	Xa	XIa	XIIa	XIIIa	XIV.
1900	23°26′57″532	77.694	71.995	50.2	82.3	78.3	32.5	25	83	68	95	54	90	14	63
01	26 57.056	77.627		22.1	6.9	55.5	29.0	20	89	15	67	74	60	42	82
02	26 56.580	77.561	61.257	94.0	31.5	32.8	25.6	15	94	62	39	93	30	70	. 1
03	26 56.104	77.495	55.888	65.9	56.2	10.0	22.I	9	99	10	11	12	0	98	21
S 04	26 55.627	77.702	50.504	45.1	84.5	94.6	29.6	10	5	61	90	35	66	26	50
	26 55.152	6.6				0	26.1	_		8	62		-6	۱	ا ۔۔ ا
1905	26 54.676	77.636 77.570	45.135 39.766	17.0 88.9	9.1 33.8	71.8 49.1	22.6	5	10	55	34	54 74	36	54 82	70
07	26 54.200	77.503	34.397	60.7	58.4	26.3	19.1	95	21	2	34	93	76	10	8
S 08	26 53.723	77.711	29.014	39.9	86.7	10.9	26.6	96	26	53	85	16	42	38	1 38
09	26 53. 247	77.644	23.645	11.8	11.3	88.2	23.1	90	32	30	57	35	12	66	57
1 1						,						1			اما
1910	26 52.771	77.578	18.276	83.7	36.0	65.4	19.7	85	37	48	29	54	82	93	76
S 12	26 52 . 296 26 51 . 819	77.512	12.907	55.6	60.6 88.g	42.7	16.2	80 81	42 48	95 46	1	74 96	52 19	21	96
13	26 51 . 343	77.653	7.523 2.154	34.8 6.7	13.5	27.3 4.5	23.7	76	53	93	79 51	16	89	49 77	25 44
14	26 50.867	77.587	96.785	78.5	38.2	81.8	16.7	70	58	40	23	35	59	5	64
""	,0.00/	′ ′ ′ ′ ′	,,-3	, 5.5	, , , , ,	50	-3.,	'	, ,	"	~3	33	1 33	'	_ ~
1915	26 50. 391	77.520	91.416	50.4	62.8	59.0	13.2	65	64	88	95	54	29	33	83
S 16	26 49. 914	77.728	86.033	29.6	91.1	43.6	20.7	66	69	39	74	77	95	61	13
17	26 49 . 438	77.661	80.664	1.5	15.7	20.8	17.2	61	75	86	46	96	65	89	32
18	26 48 . 963	77.595	75.295	73-4	40.4	98.1	13.8	56	80	33	18	16	35	17	51
19	26 48 . 487	77.529	69.926	45.3	65.0	75.3	10.3	50	85	80	90	35	5	45	70
S 1920	26 48 . 010	77.736	64.542	24.5	93.3	59.9	17.8	51	91	3%	69	58	71	73	
21	26 47.534	77.670	59.173	96.3	17.9	37.2	14.3	46	96	78	41	77	41	1	19
22	26 47.058	77.604	53.804	68.2	42.6	14.4	10.8	41	1	26	13	96	11	29	39
23	26 46.582	77.537	48.435	40.1	67.2	91.7	7.3	36	7	73	85	16	81	57	58
S 24	26 46 . 105	77.745	43.052	19.3	95.5	76.2	14.8	37	12	24	64	39	48	85	88
1925	26 45.630	77.679	37.683	91.2	20,2	53.5	11.3	31	18	71	36	58	18	13	7
26	26 45 . 154	77.612	32.314	63.1	44.8	30.7	7.9	26	23	18	8	77	88	41	26
27	26 44 . 678	77.546	26.945	34.9	69.4	8.0	4.4	21	28	65	80	96	. 57	69	45
S 28	26 44.201	77-753	21.561	14.1	97.7	92.6	11.9	22	34	16	59	19	24	97	75
29	26 43 . 725	77.687	16.192	86.0	22.4	69.8	8.4	17	39	64	31	39	94	25	94
1	26 43 . 249	77.621	10.823	57.9	47.0	47.1		111		111	3	58	64	53	14
1930	26 42.773	77.554	5.454	29.8	71.7	24.3	4.9	6	44 50	58	75	77	34	81	33
S 32	26 42 . 296	77.762	0.071	9.0	99.9	8.9	8.9	7	. 55	9	53	16	, 0	9	63
33	26 41 . 821	77.696	94.702	80.9	24.6	86.2	5.4	2	61	56	25	. 19	70	37	82
34	26 41 . 345	77.629	89.333	52.7	49.2	63.4	2.0	97	66	4	97	39	40	65	j I
	-6 06-	(-	0(.)				-0-		i			-0	i	1	!
1935 S 36	26 40,869 26 40,392	77.563	83.964 78.580	24.6	73.9	40.7	98.5 6.0	91	71	51	70 48	58	76	93	20
S 36	26 39.916	77.704	73.211	3.8	26.8	25.2	1	92 87	77	49	20	. 01	1 46	49	69
38	26 39.440	77.638	67.842	75.7 47.6	51.4	79.7	99.0	82	87	96	92	19	16	77	88
39	26 38.964	77.572	62.473	19.5	76.1	57.0	95.5	76	93	43	64	. 39	86	5	: 8
1			"				, ,,,,					i	1		
S 1940	26 38.487		57.090	98.7	4.4	41.6	3.0	78	98	94	43	61	53	33	37
41	26 38.011			70.6	29.0	18.8	99.5	72	4	42	15	81	23	61	57
+2	26 37 536			42.4	53.6	96.1	96.1	67	. 9	89	87		93	89	76
S 43	26 37.060 26 36.583			14.3	78.3 6.6	73.3	92.6	62 63	14	36 87	59	19	. 63	17	95
15 44	20 30. 503	//./88	35.599	93.5	3.0	57.9	3.1	03	; 20	3/	30	12	29	45	25
1945	26 36.107		30.230	65.4	31.2	35.2	96.6	57	25	34	10	61	99	73	44
46	26 35.631			37.3	55.9	12.4	93.1	52	30	81	82	81	69	1	63
47	26 35.155		1	9.2	80.5	89.7	89.6	47	36	29	54	0	39	29	83
S 48	26 34.678				8.8	74.2	97.1	48	41	80	33	2 3	5	57	12
49	26 34.202	77.730	8.740	60.2	33-4	51.5	93.7	43	47	27	, 2	42	75	85	32
Green-) o ^h o″ooo		0.000	0.0	0.0	0.0	0.0	0	0	0	0	0	0	0	0
wich	12 -0.001	0.137	99.993	3.7	1.8	3.7	5.5	3	0	2	_3	2	98	. 0	5 _

	reen-) oh	0″000	0.000	0.000	0.0	0.0	0.0	0.0	0	0	0	0	0	0	0	0
١	rich	12	0.001	0.137	99.993	3.7	1.8	3.7	5.5	3	. 0	2	3_	2 _	98	0	5_
₹,	aris	10	0.000	99.998	0.000	0.0	0.0	0.0	99.9	0	0	0	0	0	, 0	0	0
1 *	W110	12	0.001	0.135	99.993	3.6	1.8	3.6	5.4	3	0	2	3	2	98	0	5
1.,	erlin	10	0.000	99.990	0.001	99.7	99.9	99.7	99.6	0	0	0	0	0	0	0	, 0
1 "	ernu	12	0.001	0.127	99.993	3.4	1.7	3.4	5.1	3	0	2	3	2	98	0	5
	Na-	50	0.000	0.059	99.997	1.6	0.8	1.6	2.3	I	0	1	1	1	99	0	2
shi	ngton	12	- 0.001	0.196	99.990	5.2	2.6	5.2	7.8	4	0	3	5	. 3	97	0	₁ 7

Tafel XA.

1950 12 966 17 766 1.377 3.1.1 5.8.1 2.8.7 0.0.2 37 5.2 74 77 6.1 6.5 13 13 15 13 15 13 14 15 15 15 15 15 15 15	Jahr	(ε—10"5) _a	I_a	II.	IIIa	IV"	V _a	VIa	VII _a	VIIIa	IX.	Xa	Xla	XIIa	Xilia	XIVa
\$\frac{3}{3}\$ \frac{1}{3}\$ \frac{1}{2}, \frac{7}{2}, \frac{7}{2}, \frac{5}{6} \frac{7}{2}, \frac{8}{1}\$ \frac{1}{3}\$ \frac					- 1								I			
\$ 36 31.398 77,778 87,149 55.1 36.6 57.8 69.7 28 68 19 0 23 53 37 19 \$ 42 53 13.346 77,606 76.511 98.8 84.9 22.3 83.8 17 79 14 44 61 92 52 58 \$ 59 16 30.890 77,813 71.128 78.0 13.2 69 91.8 18 84 65 22 84 85 81 87 \$ 59 16 30.890 77,813 71.128 78.0 13.2 69.9 11.8 84 65 22 84 85 81 87 \$ 59 16 30.441 77,614 55,021 93.7 87.1 38.7 80.8 3 0 7 38 42 68 64 45 \$ 1660 1618,448 77,755 44.688 44.400 0.5 64.4 89.4 81 5 89 84 4 60 4 60 61 61 61 61 61 61 61									-				I			
54 26 31.82a 77.67a 81.88a 27.0 60.3 45.1 87.a 23 73 67 72 42 22 23 38 1955 16 30.87o 77.813 71.128 78.0 91.2 18 84 65 22 84 58 81 87 57 16 30.393 77.747 65.759 49.9 37.8 84.2 87.8 13 90 11 94 4 48 8 7.7 7.7 76.759 49.957 72.9 15.2 81.8 8 7.7 73 8 4 48 8 9 9.6 23 98 8 8 8 26 26 26 26 26.8 28.4 88 1 6 57 77 65 34 99 75 4.4 4.20 8 4.2 89.3 3 3 7 73 8 4 20 99 75 4.4											1 .			1		
56														-		
\$\frac{5}{8}\$ \$\frac{1}{60}\$-9917\$ 77.661\$ \$\frac{6}{6.390}\$ \$\frac{1}{38.7}\$ \$\frac{8}{10}\$-9917\$ 77.661\$ \$\frac{6}{6.390}\$ \$\frac{1}{38.7}\$ \$\frac{8}{10}\$-1.3\$ \$\frac{8}{10}\$-1.3\$ \$\frac{1}{3}\$-1.3\$ \$\													l .			
\$\frac{5}{5}\$ \$\$ 16-9, 917 \cdot 77.681 \cdot 60.190 21.8 \cdot 60.25 51.9 51.9 52.6 52.6 52.6 52.6 52.6 52.4 52.6 52.7 52.6 52.6 52.6 52.6 52.6 52.7 52.6 52.6 52.6 52.6 52.7 52.6 52.6 52.6 52.7 52.6 \					I ' I											
1960 16.18, 1964 77.614 55.001 93.7 87.1 18.7 80.8 3 0 7 18 42 68 64 45						62.5				-						
61 26 28,488 77.755 44.68 44.8 40.0 0.5 84.8 98 11 5 8 89 84 4 20 94 43 62 15 15 15 15 87.755 44.68 44.8 41.8 40.0 0.5 84.8 98 11 5 8 89 84 4 42 0.9 44 81 13 64 15 15 15 15 15 15 15 15 15 15 15 15 15				• •	1 1							1	-			
63 26 27, 236 77, 689 38.899 16.6 64.7 77.7 81.3 93 8 16 52 61 4 7.4 74 8 13 63 26 1 4 67.8 77.8 18.1 89.3 55.0 77.9 88 22 99 33 23 44 476 32 24 16.8 18.1 81.1 81.1 81.1 81.1 81.1 81.1		26 28.964								6	57			34	-	
64							_		- 1			, -				
64 2617.059 77.830 28.147 67.7 17.6 39.6 85.3 89 28 50 12 46 11 4 62 1965 2626.583 77.764 22.778 39.6 42.3 16.8 81.9 84 33 37 84 65 81 32 81 66 26 66 26.108 77.689 17.409 11.5 66.9 94.1 78.4 78 38 45 56 85 71 65 50 1 68 265.154 77.831 12.040 83.4 91.5 71.3 74.9 73 43 92 18 4 20 88 20 88 20 86 26 24.679 77.773 1.287 34.4 44.5 33.2 78.9 69 54 90 79 46 57 44 69 1970 262.4.20 77.773 1.287 34.4 44.5 33.2 78.9 69 54 90 79 46 57 44 69 1970 262.4.20 77.847 85.166 57.4 22.0 72.2 79.4 59 71 35 2 7 63 28 49 70 0 7 7 28 88 27 71 26 23.2 75.7 75.8 74.488 1.2 71.3 26.7 72.5 49 81 30 46 46 3 84 76 26 21.345 77.786 63.6 63.0 63.0 63.0 63.0 63.0 63.0 63.					1			_				1				
66 26 36.108 77.698 17.409 11.5 66.9 94.1 78.4 78 38 45 56 84 51 60 1 67 265.592 77.20 12.000 28.20 26.24.679 77.773 12.000 26.26.26.26 19.8 26.25.154 77.839 6.65.6 62.6 19.8 55.9 82.4 74 49 43 7 26 87 16 50 69 26 24.679 77.773 1.287 83.4 44.4 44.5 33.2 78.9 69 54 90 79 46 57 44 69 1970 26 26 24.679 77.776 95.550 78.2 93.8 87.7 72.0 58 65 84 23 84 97 0 7 7 28 88 77 1 26 23.727 77.600 90.550 78.2 93.8 87.7 72.0 58 65 84 23 84 97 0 7 7 28 23 23 24 24 25 25 25 25 25 25 25 25 25 25 25 25 25															1 '	
66 26 26 3.6 108 7.7698 17.409 11.5 66.9 94.1 78.4 78 38 45 56 84 51 60 1 67 26 25.5 27 72 88 26 26 24.6 79 77.773 1.187 71.3 74.9 73 43 92 28 4 20 88 20 26 24.6 79 77.773 1.187 71.3 74.9 73 43 92 28 4 20 88 20 26 24.6 79 77.773 1.187 71.3 74.9 73 43 92 28 4 20 88 20 26 24.6 79 77.773 1.187 71.3 74.9 72 45 87 16 50 74 44 69 11970 26 24 1.2 20 26 26 24 1.2 20 26 24 1.2 20 26 24 1.2 20 26 24 1.2 20 26 24 1.2 20 26 26 26 26 26 26 26 26 26 26 26 26 26	1965	26 26. 583	77.764	22.778	39.6	42.3	16.8	81.9	84	33	97	84	65	81	32	81
68 26 34.679 77.733 1.287 34.4 44.5 33.2 78.9 69 54 90 79 46 87 16 50 1970 26 26 34.679 77.773 1.287 34.4 44.5 33.2 78.9 69 54 90 79 46 57 44 69 1970 27 77.766 27 77.606 95.958 63.6 10.4 75.4 6.4 59 37 9 46 87 72 28 88 23.727 77.640 90.550 78.2 91.8 87.7 72.0 58 65 84 23 84 97 0 7 7 7 22 63.2 3.2 57 78.4 86.16 57.4 22.0 72.2 79.4 59 71 35 2 7 63 3.8 37 73 26 32.724 77.781 79.797 29.3 46.7 49.5 76.0 54 76 83 74 26 33 56 56 74 22.0 72.2 79.4 59 71 35 2 7 63 3.8 37 74 26 33 56 56 74 22.0 72.2 79.4 59 71 35 2 7 63 3.8 37 76 26 21.345 77.856 63.675 52.3 24.2 88.6 76.5 45 99 81 30 46 46 33 84 76 76 26 21.345 77.856 63.675 52.3 24.2 88.6 76.5 45 92 28 97 88 39 40 25 77 26 20.869 77.790 83.306 24.1 48.9 65.8 73.0 39 97 75 69 7 9 68 44 26 20.393 77.783 53.958 90.0 73.5 43.1 69.5 73.3 39 97 75 69 7 9 68 44 28 20.393 77.783 53.958 90.0 73.5 43.1 69.5 34 3 22 41 26 79 96 63 84 20.3 66.1 29 18 68 63 88 86 80 31 19.0 51.1 82.2 70.1 25 19.9 17 77.677 47.569 67.9 98.2 20.3 66.1 29 8 70 13 46 49 24 82 19.80 26 19.440 77.865 42.185 47.1 26.4 4.9 73.5 30 14 21 91 69 16 52 12 88 26 18.488 77.732 36.9 44.9 90.9 75.7 59.4 66.6 19 24 15 35 7 56 8 51 83 26 18.012 77.669 50.70 36 52.7 0.4 36.6 76.3 67 14 21 91 69 16 52 12 88 26 11.5 157 77.740 99.95 85.7 79.7 57.7 75.7 76.7 60.2 62.0 78 88 26 11.5 157 77.740 99.95 85.7 79.7 75.7 75.7 60.3 60.2 99 51 55 2 7 26 26 36 70 99 19 88 26 15.154 77.845 89.3 88.8 615.630 77.842 89.20 44.9 88.7 67.1 14.2 19 16 69 16 52 12 88 26 15.154 77.845 89.3 89.2 61.5 154 77.845 89.3 89.2 61.5 154 77.845 89.3 89.2 61.5 154 77.845 89.3 89.2 61.5 154 77.845 89.3 89.2 89.2 89.2 89.2 89.2 89.2 89.2 89.2	66	26 26, 108	77.698	17.409	11.5	66.9		78.4	78		45	56	84		60	
69											-			l		
1970					1	- 1								'		
72							33.2	78.9	09		90	79	1	57		
72						-										1 .
73									-	_			1 .		t	
74				-												
76								l '			-		1			
76	1975	26 21 . 822	77.648	69.059	73.1	96.0	4.0	69.0	44	86	77	18	65	73	12	95
77								1 1		1		l			ł	
79			77.790	58.306	24.1	48.9	65.8	73.0		97	75				1	
1980		26 20.393			11 -											
81	79	26 19.917	77.657	47.569	67.9	98.2	20.3	66.1	29	8	70	13	46	49	24	82
82						,			30	14		1 -				
83					W -		ŀ		_	-	l	_		l .	l	
84	1				1 -											
86									1 '		i .		1	1		
86	1985	26 17.059	77.807	15.326	13.8	53.3	98.5	67.1	10	10	61	58	69	62	92	19
88											8			32		
89						2.6			99	51		ľ				
1990									l .		1	1				
91	89	20 15.154	77.815	93.835	8.7	55.5	14.8	64.2	95	62	53	j 53 - i	49	38	4	l ° l
92					,, -			i .	_				-			
93													l .			
94	-															
96									ł						1	
97						7.0						-	69			
98							-	1		i		1	-	Į.	1	
99 26 10. 393 77.700 40.116 42.1 9.2 2.0 51.3 55 15 33 87 49 31 84 20 0.1 0"000 0.027 -0.001 0.7 0.4 0.7 1.1 1 0 0 1 1 0 -0 0 1 0.2 0.000 0.055 -0.003 1.5 0.7 1.5 2.2 1 0 1 1 1 1 -1 0 2 0.3 0.000 0.082 -0.004 2.2 1.1 2.2 3.3 2 0 1 2 1 -1 0 3 0.4 -0.001 0.110 -0.006 2.9 1.5 2.9 4.4 3 0 1 3 1 -1 0 4 0.5 -0.001 0.137 -0.007 3.7 1.8 3.7 5.5 3 0 2 3 2 -2 0 5 0.6 -0.001 0.164 -0.009 4.4 2.2 4.4 6.6 4 0 2 4 2 -2 0 5 0.7 -0.001 0.192 -0.010 5.1 2.5 5.1 7.7 2 0 3 5 3 -3 0 7 0.8 -0.001 0.219 -0.012 5.9 2.9 5.9					14								1	1 -		
0.1 0"000 0.027 -0.001 0.7 0.4 0.7 1.1 1 0 0 1 1 0 -0 0 1 0 2 0.2 0.000 0.055 -0.003 1.5 0.7 1.5 2.2 1 0 1 1 1 1 -1 0 2 0.3 0.4 -0.001 0.110 -0.006 2.9 1.5 2.9 4.4 3 0 1 3 1 -1 0 4 0 0.5 -0.001 0.137 -0.007 3.7 1.8 3.7 5.5 3 0 2 3 2 -2 0 5 0.5 0.001 0.164 -0.009 4.4 2.2 4.4 6.6 4 0 2 4 2 -2 0 6 0.5 0.001 0.192 -0.010 5.1 2.5 5.1 7.7 2 0 3 5 3 -3 0 7 0.219 -0.001 5.1 2.5 5.1 7.7 2 0 3 5 3 -3 0 8	-		77.700		11 '			-					-	i .		
9 0.2 0.000 0.055 -0.003 1.5 0.7 1.5 2.2 1 0 1 1 1 -1 0 2 9 0.3 0.000 0.082 -0.004 2.2 1.1 2.2 3.3 2 0 1 2 1 -1 0 3 2 0.4 -0.001 0.110 -0.006 2.9 1.5 2.9 4.4 3 0 1 3 1 -1 0 4 2 0.5 -0.001 0.137 -0.007 3.7 1.8 3.7 5.5 3 0 2 3 2 -2 0 5 3 0.6 -0.001 0.164 -0.009 4.4 2.2 4.4 6.6 4 0 2 4 2 -2 0 6 3 0.7 -0.001 0.192 -0.010 5.1 2.5 5.1 7.7 2 3 5 3 -3 0 8			<u> </u>		<u> </u>		·		·		<u>' </u>				-	
0.3 0.000 0.082 -0.004 2.2 1.1 2.2 3.3 2 0 1 2 1 -1 0 3 0.4 -0.001 0.110 -0.006 2.9 1.5 2.9 4.4 3 0 1 3 1 -1 0 4 0.5 -0.001 0.137 -0.007 3.7 1.8 3.7 5.5 3 0 2 3 2 -2 0 5 0.6 -0.001 0.164 -0.009 4.4 2.2 4.4 6.6 4 0 2 4 2 -2 0 6 0.7 -0.001 0.192 -0.010 5.1 2.5 5.1 7.7 2 1 3 1 -1 0 4 0.8 0.7 -0.001 0.192 -0.012 5.9 2.9 5.9 5.9 5.9 5.9 5.9 5.9 5.9 5.9 5.9 5.9 5.9 5.9 5.9 5.9 5.9 5.9 5.9					II '			P .	ı	1	1	l	1		1	
	9 0.2							t	1	_	l	ì		1	ı	
	0.1				11		1		ı		!	l		!	1	
	e o.5							1		:	1			ı	ı	
	ē 0.6	0.001	0.164	- 0.009				6.6		0	2	4		i	i	6
	S 0.7			1	4 -	-		7.7	•	٠ - ١	1 3	5			ı	
5.9 - 5.001 0.240 - 0.013 0.0 3.3 0.0												4		— 3	1	
		1 - 0.001	0.240	- 0.013	0.0	3.2	L"						٦	- 3		

Tafel XA.

Jahr	(ε—10"5) _α	I,	II.	Jahr	(ε—10″5) _α	l _a	II.	Jahr	(ε—10″5) _a	Ia	Ila	Jahr	(ε—10"5) _a	I.	II.
S 2000	23°26′ 9″916	77.907	34-733	2050	23°25'46"104	77.877	66.110	2100	23°25'22"291	77.847	97.487	2150	23°24′58"478	77.818	28.864
OI	26 9.440	77.841	29.364	51	25 45.628	77.811	60.741	01	25 21.815	77.781	92.118	51	24 58.002	77.751	23-495
02	26 8.964	77.775	23.995	-	25 45.151	78.019	55-357	02	25 21.339	77.715	86.749	S 52	24 57.525	77.959	18.112
S 04	26 8.488	77.708	18.626	53	25 44.675	77.952	49.988 44.619	93 S 04	25 20.863	77.649	81.380	53	24 57.049	77.892	12.743
S 04	26 8.011	77.916	13.242	54	25 44.199	77.886	44.019	S 04	25 20.386	77.856	75.996	54	24 56.573	77.826	7-374
2005	26 7.535	77.849	7.873	2055	25 43.723	77.820	39.250	2105	25 19.910	77.790	70.627	2155	24 56.097	77.760	2.005
06	26 7.059		2.504		25 43.245	78.027	33.867	06	25 19.434	77.723	65.258	S 56	24 55.620	77.967	96.621
07	26 6.583		97.135	57	25 42.770	77.961	28.498	07	25 18.958	77.657	59.890	57	24 55.144	77.901	91.252
S 08	26 6.106	77.924	91.752	58	25 42.294	77.894	23.129		25 18.481	77.865	54.506	58	24 54.668	77.835	85.883
99	26 5.630	77.858	86.383	59	25 41.818	77.828	17.760	09	25 18.005	77.798	49.137	59	24 54.192	77.768	80.514
			i												li
2010	26 5.154	77.792	81.014		25 41.340	78.036	12.376	2110	25 17.529	77.732	43.768	S 2160	24 53.715	77.976	75.131
11	26 4.678	77.725	75.645	61	25 40.864	77.96 9	7.007	11	25 17.053	77.666	38.399	61	24 53-239	77.910	69.762
S 12	26 4.201	77.933	70.261	62	25 40.388	77.903	1.638	S 12	25 16.575	77.873	33.015	62	24 52.763	77.843	64.393
13	26 3.725	77.867	64.892	63	25 39.913	77.837	96.269	13	25 16.100	77.807	27.647	63	24 52.287	77.777	59.024
14	26 3.249	77.800	59.523	S 64	25 39-435	78.044	90.886	14	25 15.624	77.740	22.278	S 64	24 51.810	77.984	53.640
				6-		0	0				-4	2160	04.53.004	8	
2015 S 16	26 2.773	77.734	54-155	2065 66	25 38.959 25 38.483	77.978	85.517 80.148	2115 S 16	25 15.147	77.674	16.909	2165 66	24 51.334 24 50.858	77.918 77.852	48.272
17	26 2.296 26 1.820	77.942 77.875	48.771	67	25 38.007	77.912	74.779	17	25 14.670 25 14.194	77.882 77.815	6.156	67	24 50.383	77.786	42.903 37.534
18	26 1.344	77.809	38.033		25 37.530	78.053	69.395	18	25 13.719	77.749		S 68	24 49.905	77.993	32.150
19	26 0.868	77.743	32.664	69	25 37.054	77.986	64.026	19	25 13.243	77.683	95.418	69	24 49.429	77.927	26.781
1 ~	""	177.743	32.004	'	-5 5754	77.900		9	-5 -5 - 45	//.003	93.4.0		-11313		
S 2020	26 0.391	77.950	27.280	2070	25 36.578	77.920	58.657	S 2120	25 12.765	77.890	90.035	2170	24 48.954	77.860	21.412
21	25 59.915	77.884	21.911	71	25 36.102	77.854	53.288	21	25 12.289	77.824	84.666	71	24 48.478	77-794	16.043
22	25 59.439	77.817	16.543	8 72	25 35.625	78.061	47.905	22	25 11.813	77.758	79.297	S 72	24 48.000	78.002	10.660
23	25 58.962	77.751	11.174	73	25 35.149	77.995	42.536	23	25 11.338	77.691	73.928	73	24 47.525	77-935	5.291
S 24	25 58.486	77.959	5.790	74	25 34.673	77.929	37.167	S 24	25 10.862	77.899	68.544	74	24 47.049	77.869	99.922
1	1	İ									,	1			
2025	25 58.010	77.892	0.421	2075	25 34.197	77.862	31.798	2125	25 10.384	77.832	63.175	2175	24 46.573	77.803	94-553
. 26	25 57.534	77.826	,,,,,		25 33.720	78.070	26.414	26	25 9.908	77.766	57.806	B 76	24 46.096	78.010	89.169
S 28	25 57.058	77.760	89.683	77	25 33.244	78.004	21.045	27 S 28	25 9.432	77.700	52.438	77	24 45.620	77-944	83.800
20	25 56.581 25 56.105	77.967	84.300 78.931	78	25 32.768	77.937 77.871	15.677		25 8.955 25 8.479	77.907	47.054	78	24 45.144 24 44.668	77.878 77.811	78.432 73.063
-"	25 50.105	77.901	70.931	7 9	25 32.292	77.071	10.300	29	25 0.4/9	77.841	41.005	79	24 44.000	//.011	/3.003
2030	25 55.629	77.835	73.562	ნ 2080	25 31.815	78.078	4.924	2130	25 8.003	77.775	36.316	S 2180	24 44.191	78.019	67.679
31	25 55.153	77.768	68.193	81	25 31.339	78.012	99.555	31	25 7.527	77.708	30.947	81	24 43.715	77.952	62.310
S 32	25 54.676	77.976	62.809	82	25 30.863	77.946	94.186	S 32	25 7.050	77.916	25.564	82	24 43.239	77.886	56.941
33	25 54.200	77.909	57.440	83	25 30.387	77.880	88.817	33	25 6.574	77.850	20.195	83	24 42.763	77.820	51.572
34	25 53.724	77.843	52.071	S 84	25 29.910	78.087	83.434	34	25 6,098	77.783	14.826	8 84	24 42.286	78.027	46.1Sa
i			1	i											
2035	25 53.248	77.777	46.702	2085	25 29.434	78.021	78.065	2135	25 5.622	77.717	9.457	2185	24 41.810	77.961	40.820
S 36	25 52.771	77.984	41.319	86	25 28.958	77.954	72.696	S 36	25 5.145	77.924	4.073	86	24 41.334	77.895	35-451
37	25 52.295	77.918	35.950	87	25 28.482	77.888	67.327	37	25 4.669	77.858	98.704	87	24 40.858	77.828	30.082
38	25 51.819	77.852	30.581	88	25 28.005	78.096	61.943	38	25 4.193	77.792	,	S 88	24 40.381	7 8.036	24.6-93
39	25 51.343	77.785	25.212	80	25 27.529	78.029	56.574	39	25 3.717	77.726	87.966	89	24 39.905	77.970	19.329
S 2040	866		00			6:		e			0				
	25 50.866	77-993	19.828	2000	25 27.053		51.205	S 2140	25 3.240	77.933	82.583	2190	24 39.429	77.9°3	13.960
41 42	25 50.390		9.090	S 02	25 26.577 25 26.100		45.836 40.453	41 42	25 2.764 25 2.288	77.867 77.800	77.214	91 S 92	24 38.953 24 38.476	77.037	8.592
43	25 49.914 25 49.438		3.721	S 92	25 25.624	1	35.084	43	25 1.812	77.800	66.476	93	!	77.978	97.834
S 44	25 48.961	1	98.338	93	25 25.148	77.971	29.715		25 1.335	77.942	61.092	93	24 37.524	77.912	92.470
i ''	1 -3 4-1,5-1	,	,,	"	3 -340	,,.,,,	-9.4-3	"	=5555	77.94-		"	1 37.3-4	,,,,,.	""
2045	25 48.435	77-935	92.969	2005	25 24.672	77.905	24.346	2145	25 0.859	77.875	55.723	2195	24 37.048	77.845	87.101
46	25 48.000)	1	87.600	S 96	l .	78.113	18.962	46	25 0.383	77.800	1	S 96		78.053	81.718
47	-5 47-533	1	82.231	97	25 23.719	78.046	13.593	47	24 59.907	77.743	44.986	97	24 36.095	77.987	76.349
S 48	25 47.056		76.847	98	25 23.243	77.080	8.225		24 59.430	77.950	39.602	98	24 35.620	77.920	70.980
49	25 46.580	1	71.478	99	25 22.766	77.914	2.856	49	24 58.954	77.884	34.233	99	24 35.144	77.854	05.611
L	<u> </u>	1	<u> </u>	<u> </u>	<u> </u>			<u> </u>	l	<u> </u>	<u> </u>	I	!		

Greenwich	{ oh	0,001 100,0	0.000	0.000 99-993	o:1 0:2	0"000 0.000	0.027	- 0.001 - 0.003
Paris	0 12	0.000	99.998	0.000	6.0 th	0,000	0.082	0.004 0.006
Berlin	{ o 12	0,000	99.990	0.001 99 .9 93	n. o. 5	- 0.001 - 0.001	0.137	-0.007 -0.009
Washington	1 { 0	0.000	0.059	. 99-99 7 99-990	E 0.8	0.001 0.001	0.192	-0.010 -0.012
					0.9	0.001	0.246	' v.o13

Tafel XB.

vergl. pag. 119 u. 240.

Mon T	nats- ag	$ \varDelta \varepsilon_d $	I_d	IId	III_d	IV _d	V _d	VI _d	VIId	VIII _d	IX_d	X_d	XId	XII_d	XIII _d	XIV _d
Gem. Jahr	Schalt- Jahr						Janu	ıar								
•	1 1	0″500	0.000	0.000	0.0	0.0	0.0	0.0	0	0	0	0	0	0	0	0
I	2	0.499	0.274	99.985	7.3	3.6	7.3	10.9	6	1	4	7	4	96	0	10
3	3	0.497 0.496	0.548	99.971	14.6	7.3	14.7	21.9	13	1	7	14	7	93	0	21
3	4 5	0.495	1.095	99.956	29.3	10.9	29.3	32.8	19	2 2	11	20	11	85	0	31 42
1 5	6	0.493	1.369	99.926	36.6	18.1	36.7	54.7	31	3	18	34	18	82	0	52
6	7	0.492	1.642	99.912	43.9	21.8	44.0	65.7	38	3	22	41	22	78	0	63
7	8	0.491	1.917	99.897	51.2	25.4	51.3	76.6	44	4	26	47	25	74	t	73
8 9	10	0.490 0.488	2.190 2.464	99.882	58.6 65.9	29.0	58.7 66.0	87.6 98.5	50	4	30	54 61	29	71 67	1	84
10	11	0.487	2.738	99.853		36.3			$-\frac{57}{64}$	6	33	68	33	64	1	94
111	12	0.486	3.012	99.838	73.2 80.5	39.9	73·3 80.7	9.5	69	6	37 41	74	40	59	1	15
12	13	0.484	3.285	99.823	87.8	43.5	88.0	31.4	75	7	44	81	43	56	1	26
13	14	0.483	3.559	99.809	95.1	47.2	95.4	42.3	82	7	48	88	47	53	1	36
14	15	0.482	3.833	99-794	2.5	50.8	2.7	53.3	88	8	52	95	51	49	1	46
15	16	0.480	4.107	99.779	9.8	54.4	10.0	64.2	94	8	55	2	54	45	1	57
16	17	0.479	4.381	99.765	17.1	58.1 61.7	17.4	75.2 86.1	1 7	10	59	8	58	38	I	67
18	19	0.478	4.654 4.928	99.750	24.4 31.8	65.3	24.7 32.0	97.1	13	10	63 66	15	65	34	1 1	78 88
19	20	0.477	5.202	99.721	39.1	69.0	39.4	8.1	19	11	70	29	69	31	1	99
20	21	0.474	5.476	99.706	46.4	72.6	46.7	19.0	26	11	74	35	72	27	2	9
2 1	22	0.473	5.750	99.691	53.7	76.2	54.0	29.9	32	12	78	42	76	23	2	20
22	23	0.471	6.023	99.676	61.0	79.8	61.4	40.9	38	12	81	49	80	20	2	30
23	24	0.470	6.297	99.662	68.4	83.5	68.7	51.8	45	13	85	56	83	16	2	41
24	25 26	0.469 0.467	6.571	99.647	75.7	87.1	76.0	62.8	51	13	89	63	87	13	2 2	51 62
25	27	0.466	6.845 7.119	99.632	83.0 90.3	90.7 94.4	83.4	73.7 84.7	57 63	14	92 96	69 76	90 94	9	2	72
27	28	0.465	7.392	99.603	97.6	98.0	98.0	95.6	70	15	0	83	98	2	2	83
28	29	0.464	7.666	99.588	5.0	1.6	5.4	6.6	76	16	3	90	ī	98	2	93
29	_30_	0.462	7.940	99.573	12.3	5.2	12.7	17.5	82	16	7	96	5	94	2	3
30	31	0.461	8.214	99.559	19.6	8.9	20.0	28.5	89	17	11	3	8	91	2	14
31		0.460	8.488	99-544	26.9	12.5	27.4	39.4	95	17	14	10	12	87	2	24
Gem. Jahr	Schalt- Jahr						Febr	uar								
O	1 1	0.460	8.488	99-544	26.9	12.5	27.4	39.4	95	17	14	10	12	87	1 2	24
1	2	0.458	8.761	99.529	34.2	16.1	34.7	50.4	1	18	18	17	16	83	2	35
2	3	0.457	9.035	99.515	41.6	19.8	42.I	61.3	7	19	22	23	19	80	3	45
3	4	0.456	9.309	99.500	48.9	23.4	49.4	72.3	14	19	25	30	23	76	3	56
4	5	0.454	9.583	99.485	56.2	27.0	56.7	83.2	20	20	29	37	27	72	3	66
5	7	0.453 0.452	9.856 10.130	99.470	63.5 70.8	30.6 34.3	64.1 71.4	94.2 5.1	26 33	20 21	33 37	44 51	30 34	69 65	3	77 87
7	8	0.450	10.404	99.441	78.2	37.9	78.7	16.1	39	21	40	57	37	62	3	98
8	9	0.449	10.678	99.426	85.5	41.5	86.r	27.0	45	22	44	64	41	58	3	8
9	10	0.448	10.952	99.412	92.8	45.2	93.4	38.0	51	22	48	71	45	54	3	19
10	11	0.447	11.225	99.397	0.1	48.8	0.7	48.9	58	23	51	78	48	51	3	29
11	12	0 445	11.499	99.382	7.4	52.4	8.1	59.9	64	24	55	84	52	47	3	39
12	13	0.444	11.773	99.367	14.8	56.1	15.4	70.8 81.8	70	24	59 62	91 98	55	43	3	50 60
14	15	0.443	12.047	99.353	22.1 29.4	59.7 63.3	22.7 30.1	92.7	77 83	25 25	66	98	59 63	40 36	3	71
15	16	0.440	12.594	99.323	36.7	66.9	37.4	3.7	89	26	70	12	66	32	4	81
16	17	0.439	12.868	99.309	44.1	70.6	44.7	14.6	95	26	73	18	70	29	4	92
17	18	0.437	13.142	99.294	51.4	74.2	52.1	25.6	2	27	77	25	73	25	4	2
18	19	0.436	13.416	99.279	58.7	77.8	59-4	36.5	8	28	81	32		21	4	13
19	20	0.435	13.690	99.265	66.0	81.5	66.7	47.5	14	28	85	39	81	18	4	23
20 21	2 I 2 2	0.434	13.963	99.250	73.3	85.1 88.7	74.1	58.4	21	29	88	45	84 88	14 11	4	34
22	22	0.432 0 431	14.237	99.235	80.7 88.0	92.3	81.4 88.8	69.4 80.3	33	29 30	92 96	52 59	92	7	4	44 55
23	24	0.430	14.785	99.206	95.3	96.0	96.1	91.3	33	30	99	66	95	3	4	65
24	25	0.428	15.058	99.191	2.6	99.6	3.4	2.2	46	31	3	72	99	0	4	76
25	26	0.427	15.332	99.176	9.9	3.2	10.8	13.2	52	31	7	79	2	96	4	86
26	27	0.426	15.606	99.162	17.3	6.9	18.1	24.1	58	32	10	86	6	92	4	96
27	28	0.424	15.880	99.147	24.6	10.5	25.4	35.1	64	33	14	93	10	89	4	7
28	29	0 423	16.154	99.132	31.9	14.1	32.8	46.0	71	33	18	0	13	85	5	17

Tafel XB.

Monats- Tag	_1€d	I_d	Π_d	III_d	IV_d	V _d	VI_d	VIId	VIII _d	IX _d	X_d	XI_d	XII _d	XIII	XIV
						М	ärz								
1	0"422	16.427	99.117	39.2	17.7	40.1	57.0	77	34	21	6	17	81	5	28
2	0.420	16.701	99.103	46.5	21.4	47.4	67.9	83	34	25	13	20	78	5	38
3	0.419	16.975	99.089	53.9	25.0	54.8	78.9	90	35	29	20	24	74	5	49
4	0.418	17.249	99.073	61.2	28.6	62.1	89.8	96	35	33	27	28	70	5	59
5	0.417	17.523	99.059	68.5	32.3	69.4	0.8	2	36	36	33	31	67	5	70 80
7	0.415	17.796 18.070	99.044	75.8 83.1	35.9	76.8 84.1	22.7	9 15	37 37	40	40 47	35	63 60	5	91
] 8	0.413	18.344	99.029	90.5	39.5 43.2	91.4	33.6	21	3 / 38	44 47	54	39 42	56	5	9.
9	0.411	18.618	99.000	97.8	46.8	98.8	44.6	27	38	51	61	46	52	5	12
10	0.410	18.892	98.985	5.1	50.4	6.1	55.5	34	39	55	67	49	49	5	22
11	0.409	19.165	98.970	12.4	54.0	13.4	66.5	40	39	58	74	53	45	5	32
12	0.407	19.439	98.956	19.7	57.7	20.8	77.4	46	40	62	81	57	41	5	43
13	0.406	19.713	98.941	27.1	61.3	28.1	88.4	53	40	66	88	60	38		53
14	0.405	19.987	98.926	34.4	64.9	35.4	99.3	59	41	69	94	64	34	6	64
15	0.404	20,261	98.912	41.7	68.6	42.8	10.3	65	42	73	1	67	30	6	74
16 17	0.402	20.534 20.808	98.897 98.882	49.0	72.2	50.1	21.2	71	42	77 81	8	71	27	6	85
18	0.400	20.808	98.867	56.3 . 63.7	75.8 79.4	57.5 64.8	32.2 43.1	78 84	43 43	84	15 21	75	23	6	95.
19	0.398	21.356	98.852	71.0	83.1	72.1	54.1	90	44	88	28	82	16	6	16
2Ó	0.397	21.629	98.838	78.3	86.7	79.5	65.0	97	44	92	35	86	12	6	27
21	0.396	21.903	98.823	85.6	90.3	86.8	76.0	3	45	95	42	89	8	6	37
22	0.394	22.177	98.809	-	94.0	94.1	86.9	9	46	99	49	93	5	6	48
23	0.393	22.451	98.794	0.3	97.6	1.5	97.8	15	46	3	55	96	1	6	58
24	0.392	22.725	98.779	7.6	1.2	8.8	8.8	22	47	6	62	0	98	6	68
25	0.391	22.998	98.764	14.9	4.8	16.1	19.7	28	47	10	69	4	94	6	79
26 27	0.389 0.388	23.272	98.750	22.2	8.5	23.5	30.7	34	48	14	76 82	7	90 87	7	89
28	0.387	23.546 23.820	98.735 98.720	29.5 36.9	12.1	30.8 38.1	41.6 52.6	41	48 49	17 21	89	14	83	7 7	10
29	0.385	24.094	98.706	44.2	19.4	45.5	63.5	53	49	25	96	18	79	7	21
30	0.384	24.367	98.691	51.5	23.0	52.8	74.5	59	50	28	3	22	76	7	31
31	0.383	24.641	98.676	58.8	26.6	60.1	85.4	66	51	32	10	25	72	7	42
						A	pril								
1	0.381	24.915	98.661	66.1	30.3	67.5	- 96.4	72	51	36	16	29	68	7	52
2	0.380	25.189	98.647	73.5	33.9	74.8	7.3	78	52	40	23	33	65	7	63
3	0.379	25.463	98.632	80.8	37.5	82.1	18.3	85	52	43	30	36	61	7	73
4	0.378	25.736	98.617	88.1	41.1	89.5	29.2	91	53	47	37	40	57	7 1	84
5	0.376	26.010	98.603	95.4	44.8	96.8	40.2	97	53	51	43	43	54	7	94
6	0.375	26.284	98.588	2.7	48.4	4.2	51.1	4	54	54	50	47	50	7	5
7 8	0.374	26.558 26.832	98.57 3 98.558	10.1	52.0	11.5	62.1	16	55	58 62	57 64	51	47	7 8	15 25
9	0.371	27.105	98.544	17.4 24.7	55.7 59. 3	26.2	73.0 84.0	22	55 56	65	70	54 58	43 39	8	36
10	0.370	27.379	98.529	32.0	6 2 ,9	33.5	94.9	29	- 56	6 ₉	77	61	36	8	46
11	0.368	27.653	98.514	39.3	66.5	40.8	5.9	35	57	73	84	65	32	8	57
12	0.367	27.927	98.500	46.7	70.2	48.2	16.8	41	57	76	91	69	28	8	67
13	0.366	28.200	98.485		73.8	55.5	27.8	48	58	80	98	72	25	8	78
14	0.364	28.474	98.470	61.3	77.4	62.8	38.7	54	58	8.4	4	76	21	8	88
15	0.363	28.748	98.456	68.6	81.1	70.2	49.7	60	59	88	I I	80	17	8	99
16 17	0.362	29.022	98.441	75.9	84.7	77.5	60.6	66	60 60	91	18	83	14	8	9
17	0.361 0.359	29.296 29.569	98.426 98.411	83.3 90.6	88.3 91.9	84.8 92.2	71.6 82.5	73 79	60 61	95 99	25 31	87 90	10	8	20 30
19	0.358	29.843	98.397		95.6	99.5	93.5	85	61	2	38	94	3	8	41
20	0.357	30.117	98.382	5.2	99.2	6.8	4.4	92	62	6	- <u>3</u> " -	98	99	8	51
21	0.355	30.391	98.367		2.8	14.2	15.4	98	62	10	52	1	96	9	61
22	0.354	30.665	98.353	19.9	6.5	21.5	26.3	4	63	13	59	5	92	9	72
23 .	0.353	30.938	98.338	27.2	10.1	28.8	37-3	10	64	17	65	8	88	9	82
24	0.351	31.212	98.323	34.5	13.7	36.2	48.2	17	64	21	72	12	85	9	93
25	0.350	31.486	98.308	41.8	17.4	43.5	59.2	23	65	24	79	16	81	9	3
26 27	0.349	31.760 32.034	98.294 98.279	49.1 56.5	21.0 24.6	50.9 58.2	70.1 81.1	29 36	65 66	28	86	19	77	9	14
28	0.346	32.307	98.264	63.8	28.2	65.5	92.0	42	66	33 37	92 99	23 27	74 70	9	24 35
29	0.345	32.581	98.250	71.1	31.9	72.9	3.0	48	67	40	6	30	66	9	45
30	0.344	32.855	98.235	78.4	35.5	80.2	13.9		67	44	13	34	63	9	-56
		<u></u>								لــــــــــــــــــــــــــــــــــــــ					

Tafel XB.

Monats- Tag	⊿ted	I _d	II_d	III_d	IVa	V _d	VId	VIId	VIII	IX_d	X_d	XI_d	XIId	XIIId	XIV
Tag												<u> </u>	<u> </u>		<u> </u>
							f - :								- 1
						a	I ai								l
1	0"342	33.129	98.220	85.7	39.1	87.5	24.9	61-	68	47	19	37	59	9	66
3	0.341	33.402 33.676	98.205 98.191	93.1	42.8 46.4	94.9	35.8 46.8	67 73	69 69	50 55	26 33	41	55 52	9	77 87
4	0.338	33.950	98.176	7.7	50.0	9.5	57.7	80	70	59	40	45 48	48	9	97
5	0.337	34.224	98.161	15.0	53.6	16.9	68.7	86	70	62	47	52	45	10	8
6	0.336	34.498	98.147	22.3	57.3	24.2	79.6	92	71	66	53	55	41	10	18
7 8	0.335	34.771 35.045	98.132 98.117	29.7 37.0	60.9 64.5	31.5 38.9	90.6	98 5	71 72	70 73	60 67	59 63	37	10	29 39
9	0.332	35.319	98.102	44.3	68.2	46.2	12.5	11	73	77	74	66	30	10	50
10	0.331	35.593	98.087	51.6	71.8	53.5	23.4	17	73	81	80	70	26	10	60
11	0.329	35.867	98.073	58.9	75-4	60.9	34.4	24	74	84	87	73	23	10	71
12 13	0.328	36.140 36.414	98.058 98.044	66.3	79.0	68.2	45.3	30	74	87	94 I	77 81	19	10	81
14	0.327	36.688	98.044	73.6	82.7 86.3	75.5 82.9	56.3 67.2	36 42	75 75	91 95	8	84	15	10	92 2
15	0.324	36.962	98.014	88.2	89.9	90.2	78.2	49	76	98	14	88	8	10	13
16	0.323	37.236	98.000	95.5	93.6	,,	89.1	55	76	2	21	92	4	10	23
17	0.321	37.509 37.783	97.985 97.970	10.2	97. 2 0.8	4.9 12.2	0.1	61 68	77 78	6	28 35	95	97	11	34 44
19	0.319	38.057	97.970	17.5	4.5	19.6	22.0	74	78	13	33 41	2	93	11	54
20	0.318	38.331	97.941	24.8	8.1	26.9	32.9	80	79	17	48	6	90	11	65
21	0.316	38.605	97.926	32.2	11.7	34.2	43.9	86	79	20	-55	10	86	11	75
22	0.315	38.878	97.911	39.5	15.3	41.6	54.8	93	80 80	24 28	62 68	13	83	11	86 96
23 24	0.314	39.152 39.426	97.897	46.8 54.1	19.0 22.6	48.9 56.2	65.8	99 5	81	32	75	20	79 75	111	96
25	0.311	39.700	97.867	61.4	26.2	63.6	87.7	12	82	35	82	24	72	11	17
26	0.310	39-973	97.852	68.7	29.9	70.9	98.6	18	82	39	89	28	68	11	28
27 28	0.308	40.247	97.838	76.1	33.5	78.2	9.6	24	83 83	43 i	96	31	64 61	1 I 1 I	38
29	0.307	40.521	97.823		37.1 40.7	85.6 92.9	20.5 31.5	30 37	84	50	9	35 39	57	11	49 59
30	0.305	41.069	97.794	98.0	44.4	0.2	42.4	43	84	54	16	42	53	11	70
31	0.303	41.342	97.779		48.0	7.6	53.4	49	85	57	23	46	50	12	80
						_									
						Jı	uni								- 1
1	0.302	41.616	97.764	12.7	51.6	14.9	64.3	56	85	61	29	49	46	I 2	90
2	0.301	41.890	97-749		55.3	22.2	75.3	62	86	65	36	53	42	12	1
3 4	0.299	42.164	97.735 97.720	27.3 34.6	58.9 62.5	29.6 36.9	86.2 97.2	68 74	87 87	68 72	43 50	57 60	39 35	12 12	11 22
5	0.297	42.711	97.705	42.0	66.1	44.3	8.1	81	88	76	57	64	33	12	32
6	0.295	42.985	97.691	49.3	69.8	51.6	19.1	87	88	79	63	67	28	12	43
7 8	0.294	43.259	97.676	56.6	73.4	58.9	30.0	93	89	83	70	71	24	12	53
	0.293	43.533	97.646	63.9	77.0	66.3	41.0	6	89	87	-77 -	75	17	12	64
9	0.292	43.807	97.640	71.2	80.7 84.3	73.6 80.9	51.9 62.9	12	90 91	91 94	90	76 82	17	12	74 85
11	0.289	44.354	97.617	85.9	87.9	88.3	73.8	18	91	98	97	86	IQ	12	95
12	0.288	44.628	97.602	93.2	91.6	95.6	84.7	25	92	2	- 4	89	•	12	6
13 14	0.286	44.902 45.175	97.588 97.57 3	7.8	95.2 98.8	2.9 10.3	95.7 6.6	3 I 37	92 93	5	11	93 96	99	13	16 27
15	0.284	45.449	97.558	15.2	2.4	17.6	17.6	44	93	13	24	0	95	13	37
16	0.282	45.723	97.544	22.5	6.1	24.9	28.5	50	94	16	31	4	91	13	47
17	0.281	45.997	97.529	29.8	9.7	32.3	39.5	56	94	20	38	7	88	13	58 68
18	0.280	46.271	97.514	37.1	13.3	39.6 46.9	50.4	62	95	24	<u>45</u>	11	84 81	13	
19 20	0.278	46.544 46.818	97.499 97.485	44.4	17.0 20.6	40.9 54.3	61.4 72.3	75	96 96	27 31	51 58	14 18	77	13	79 89
21	0.276	47.092	97.470	59.1	24.2	61.6	83.3	81	97	35	65	22	73	13	0
22	0.275	47.366	97.455	66.4	27.8	69.0	94.2	88	97	39	72	25	70	13	10
23	0.273	47.640 47.913	97.441 97.426	73.7	31.5	76.3 83.6	5.2 16.1	94 0	98 i	46	78 85	29 33	66 62	13	2 I 3 I
24 25	0.272	47.913	97.420	88.4	35.1 38.7	91.0	27.1	6	99	50	92	35 36	59	13	42
26	0.269	48.461	97.396	95.7	42.4	98.3	38.0	13	0	53	99	40	55	14	52
27	0.268	48.735	97.382	3.0	46.0	5.6	49.0	19	0	57	6	43	51	14	63
	0.267	49.009	97.367	10.3	49.6	13.0	59.9	25		61	12	47	48	14	$-\frac{73}{82}$
29 30	0.265	49.282 49.556	97-352 97-338	17.6 25.0	53.2 56.9	20.3 27.6	70.9 81.8	32 38	2	64 68	19 26	51 54	44 40	14	83 94
	-, -, -,	T7.33	21.330		7-17							74	7-	- 7	
													_	3	

Tafel XB.

Monats- Tag	⊿ε _d	I_d	Π_d	III_d	IV _d	V_d	VI_d	VIId	VIIId	IX_d	\mathbf{X}_d	XI_d	XII	XIIId	XIV
						J	uli	·							
1 1	0"263	49.830	97.323	32.3	60.5	35.0	92.8	44	2	72	33	58	37	14	4
2	0.262	50.104	97.308		64.1	42.3	3.7	50	3	75	39	61	33	14	15
3	0.260	50.378	97.293	46.9	67.8	49.6	14.7	57	3	79	46	65	30	14	25
4	0.259	50.651	97.279	54.2	71.4	57.0	25.6 36.6	63 69	4	83 87	53 60	69 72	26	14	36 46
5 6	0.256	50.925 51.199	97.249	68.9	75.0 78.7	64.3 71.6	47.5	76	5	90	66	76	19	14	57
7	0.255	51.473	97.235	76.2	82.3	79.0	58.5	82	6	94	73	80	15	14	67
8	0.254	51.746	97.220	83.5	85.9	86.3	69.4	88	6	98	80	83	11	14	78
9	0.252	52.020	97.205	90.8	89.5	93.6	80.4	94	7	1	87	87	8	15	88
10	0 251	52.294	97.191	98.2	93.2	1.0	91.3	1	7	5	94	90	4	15	99
11	0.250	52.568	97.176	5.5	96.8	8.3	2.3	7	8	9	0	94	0	15	9
12	0.249	52.842 53.115	97.161 97.146	12.8 20.1	0.4	15.7 23.0	13.2 2.1.2	13	9	12 16	7 14	98	97	15	19 30
. 13	0.246	53.389	97.132	27.4	4.1 7.7	30.3	35.1	26	9	20	21	5	93 89	15	40
15	0 245	53.663	97.117	34.8	11.3	37.7	46.1	32	10	23	27	8	86	15	51
16	0.243	53.937	97.102	42.1	14.9	45.0	57.0	38	11	27	34	12	82	15	61
17	0.242	54.211	97.088	49.4	τ 8.6	52.3	68.0	45	11	31	41	16	79	15	72
18	0.241	54.484	97.073	56.7	22.2	59.7	78.9	5 I	12	35_	48	_19	_75_	15	82
19	0.239	54.758	97.058	64.0	25.8	67.0	89.9	57	12	38	55	23	71	15	93
20	0.238	55.032	97.043	71.4 78.7	29.5	74-3	0.8	64	13	42	61 68	27	68	15	3
21	0.237	55.306 55.580	97.029 97.014		33.1 36.7	81.7 89.0	11.8	70 76	14 14	46 49	75	30 34	64 60	15	14 24
23	0.234	55.853	96.999	93.3	40.3	96.3	33.7	82	15	53	82	37	57	16	35
24	0.233	56.127	96.985	0.6	44.0	3.7	44.6	89	15	57	88	41	53	16	45
25	0.232	56.401	96.970	8.0	47.6	11.0	55.6	95	16	60	95	45	49	16	56
26	0.230	56.675	96.955	15.3	51.2	18.3	66.5	1	16	64	2	48	46	16	66
27	0.229	56.949	96.940	22.6	54.9	25.7	77.5	8	17	68	9	52	42	16	76
28	0.228	57.222	96.926	29.9	58.5	33.0	88.4	14	18	71	15	55	_38_		87
29	0.226	57.496 57.770	96.911 '	37.2 44.6	62.1 65.8	40.3	99.4	20 26	18	75	22	59 63	35 31	16 16	97 8
30 31	0.225	58.044	96.882	51.9	69.4	47.7 55.0	10.3	33	19	79 82	36	66	27	16	18
' '		, J .	,	37		33		,,,			J - 1		-,		- 1
							gust								
! !	0.222	58.317	96.867	59.2	73.0	62.4	32.2	39	20	86	43	70	24	16 16	29
3	0.221	58.591 58.865	96.852 96.837	66.5 73.8	76.6 80.3	69.7 77.0	43.2 54.1	45 52	20 21	90 94	49 56	73 77	20 17	16	39 50
1 4	0.219	59.139	96.823	81.2	83.9	84.4	65.1	58	21	97	63	81	13	17	60
5	0 217	59.413	96.808	88.5	87.5	91.7	76.0	64	22	ı i	70	84	9	17	71
6	0.216	59.686	96.793	95.8	91.2	99.0	87.0	7 I	23	5 '	76	88	6	17	81
7	0.215	59.960	96.779	3.1	94.8	6.4	97.9	77	23	8	83	92	2		. 92
8	0.213	60,234	96.764	10.4	98.4	13.7	8.9	83	24	12	90	95	98	17	2
9	0.212	60.508	96.749	17.8	2.0	21.0	19.8	89	24	16	97	99	95	17	12
10	0.211	60.782	96.735 96.720	25.1	5.7	28.4	30.8	96	25	19	4 10	6	91 ; 87	17	23
1 I 1 2	0.209	61.055 61. 32 9	96.726	32.4 39.7	9. 3 12.9	35.7 43.0	41.7 52.7	2 8	25 26	23 27	17	10	84	17	33 44
13	0.207	61.603	96.690	47.0	16.6	50.4	63.6	14	27	30	24	13	80	17	54
14	0.206	61.877	96.676	54.4	20.2	5~.7	74.6	21	27	34	31	17	76	17	65
15	0.204	62,151	96.661	61.7	23.8	65.0	85.5	27	28	38	37	20	73	17	75
16	0.203	62.424	96.646	69.0	27.4	72.4	96.5	33	28	42 '	44	24 .	69	17	86
17	0.202	62,698	96.632	76.3	31.1	79.7	7.4	40	29	45	51	28	$-\frac{66}{60}$	18	<u>96</u>
18	0.200	62.972	96.617 96.602	83.7	34.7	87.0	18.4	46	29	49	58 64	31	62	18	
19 20	0.199	63.246 63.519	96.587	91.0 98.3	38.3 42.0	94·4 1.7	29.3 40.3	52 58	30 30	53	71	35 39	58 55	18	17 28
21	0.196	63.793	96.573	5.6	45.6	9.0	51.2	65	31	60	78	42	51	18	38
22	0.195	64.067	96.558	12.9	49.2	16.4	62.2	71	32	64	85	46	47	18	49
23	0.194	64.341	96.543	20.3	52.9	23.7	73.1	77	32	67	92	49	44	18	59
2.4	0.192	64.615	96.529	27.6	56.5	31.1	84.1	84	33	71	98	53	40	18	69
25	0.191	64.888	96.514		60.1	38.4	95.0	90	33	75	5	57	36	18	80
26 27	0.190	65.162 65.4 3 6	96.499 96.484	42.2 49.5	63.7 67.4	45.7 53.1	6.0 16.9	96 2	34	78 82	12	60 64	33	18	90 1
$-\frac{27}{28}$	0.187	65.710	96.470	56.9	71.0	60.4	27.9	 ·.	34	86 :	25	$-\frac{64}{67}$		18	
28	0.186	65.984	96.455	64.2	74.6	67.7	38.8	9	35 I 36 I	90	32	71	25 22	18	1 I 22
30	0.185	66.257	96.440	71.5	78.3	75.1	49.8	21	36	93 1	39	75	18	19	32
31	0.183	66.531	96.426		81.9		60.7	28	37	97	46	78	15	. 19	43
													!		

Tafel XB.

Monats- Tag	$\Delta \varepsilon_d$	I_d	II_d	III_d	IV _d	V_d	VId	VIIa	VIIId	IX_d	\mathbf{X}_d	XI_d	XIId	XIII _d	XIV_d
						Sept	ember								
1	0"182	66.805	96.411	86.1	85.5	89.7	71.6	34	37	1	53	82	11	19	53
2	0.181	67.079	96.396	93.5	89.1	97.1	82.6	40	38	4	59	86	7	19	64
3	0.179	67.353	96.381	0.8	92.8	4.4	93.5	46	38	8	66	89	4	19	74
4	0.178	67.626	96.367	8.1	96.4	11.7	4.5	53	39	I 2	73	93	0	19	85
5 6	0.177	67.900	96.352	15.4	0.0	19.1	15.4	59	39	15	80	96	96	19	95
	0.176	68.174	96.337	22.7	3.7	26.4	26.4	65	40	19	86	°_	93	19	5
7	0.174	68.448	96.323	30.1	7.3	33.7	37-3	72	41	23	93	4	89	19	16
8	0.173	68.722	96.308	37-4	10.9	41.1	48.3	78	41	26	0	7	85	19	26
9 10	0.172	68.995 69.269	96.293	44.7 52.0	14.5	48.4 55.7	59.2 70.2	90	42 42	30	7	11	82 78	19	37 47
11	0.169	69.543	96.264	59.3	21.8	63.1	81.1	97	43	34 38	13	18	74	19	58
12	0.168	69.817	96.249	66.7	25.4	70.4	92.1	3	43	41	27	22	71	20	68
13	0.166	70.090	96.234	74.0	29.1	77.8	3.0	9	44	45	34	25	67	20	79
14	0.165	70.364	96.220	81.3	32.7	85.1	14.0	16	45	49	41	29	64	20	89
15	0 164	70.638	96.205	88.6	36.3	92.4	24.9	22	45	52	47	33	60	20	٥
- 16 -	0.163	70.912	96.190	95.9	40.0	99.8	35.9	28	46	_ 56	_54_	36	56	20	10
17	0.161	71.186	96.176	3.3	43.6	7.1	46.8	34	46	60	61	40	53	20	21
18	0.160	71.459	96.161	10.6	47.2	14.4	57.8	41	47	63	68	43	49	20	31
19	0.159	71.733	96.146	17.9	50.8	21.8	68.7	47	47	67	74	47	45	20	41
20 2 I	0.157	72.007 72.281	96.131 96.117	25.2 32.5	·54.5 58.1	29.1 36.4	79.7 90.6	53 60	48 48	71	81 88	51	42 38	20 ·	52 62
22	0.155	72.555	96.102	39.9	61.7	43.8	1.6	66	49	7∔ 78	95	54 58	34	20	73
23	0.153	72.828	96.087	47.2	65.4	51.1	12.5	72	50	82	2	61	31	20	83
24	0.152	73.102	96.073	54.5	69.0	58.4	23.5	78	50	86	8	65	27	20	94
25	0.151	73.376	96.058	61.8	72.6	65.8	34.4	85	51	89	15	69	23	21	4
26	0.149	73.650	96.043	69.1	76.2	73.1	45.4	91	51	93	22	72	20	21	15
27	0.148	73.924	96.028	76.5	79.9	80.4	56.3	97	52	97	29	76	16	21	25
28	0.147	74.197	96.014	83.8	83.5	87.8	67.3	4	52	0	35	80	13	21	36
29	0.146	74.471	95.999	91.1	87.1	95.1	78.2	10	53	4	42	83	9	21	46
30	0.144	74-745	95.984	98.4	90.8	2.4	89.2	16	54	8	49	87	5	21	57
						Oct	ober								j
1	0.143	75.019	95.970	5.7	94.4	9.8	0.1	23	54	11	56	90	2	21	67
2	0.142	75.292	95.955	13.1	98.0	17.1	11.1	29	55	15	62	94	98	21	78
3	0.140	75.566	95.940	20.4	1.6	24.5	22.0	35	55	19	69	98	94	21	88
4	0.139	75.840	95.925	27.7	5.3	31.8	33.0	41	56	22	76	I	91	21	98
5	0.138	76.114	95.911	35.0	8.9	39.1	43.9	48	56	26	83	5 8	87	21 21	.9
	0.136	76.388	95.896	42.3	12.5	46.5	54.9	54	. 57	30	90		83		_ 19
7 8	0.135	76.661 76.935	95.881 95.867	49.7	16.2 19.8	53.8 61.1	65.8 76.8	60	57 58	33	96	12 16	80 76	21	30 40
9	0.134	77.209	95.852	57.0 64.3	23.4	68.5	87.7	73	59	37 41	3	19	72	22	51
10	0.131	77.483	95.837	71.6	27.1	75.8	98.7	79	59	45	17	23	69	22	6i
11	0.130	77.757	95.823	78.9	30.7	83.1	9.6	85	60	48	23	27	65	22	72
12	0.129	78.030	95.808	86.3	34.3	90.5	20.6	92	60	52	30	30	61	22	82
13	0.127	78.304	95.793	93.6	37.9	97.8	31.5	98	61	56	37	34	58	22	93
14	0.126	78.578	95.778	0.9	41.6	5.1	42.5	4	61	59	44	37	54	22	3
15 16	0.125 0.123	78.852	95.764	8.2	45.2	12.5	53.4	11	62 63	63	51	41	51	22 22	14
		79.126	95.749	15.5	48.8	19.8	64.4	17		67	57	45 -	47		24
17	0.122 0.121	79.399	95.734	22.9 30.2	52.5	27.1	75·3 86.3	23	63	70	64	48	43	22	34
19	0.121	79.673 79.947	95.720	37.5	56.1 59.7	34.5 41.8	97.2	29 36	64 64	74 78	71 78	52 55	40 36	22	45 55
20	0.118	80.221	95.690	44.8	63.3	49.1	8.1	42	65	81	84	59	32	22	66
21	0.117	80.495	95.675		67.0	56.5	19.1	48	65	85	91	63	29	23	76
23	0.115	80.768	95.661		70.6	63.8	30.1	55	66	89	98	66	25	23	87
23	0.114	81.042	95.646	66.8	74.2	71.1	41.0	61	66	93	5	70	21	23	97
24	0.113	81.316	95.631		77.9	78.5	52.0	67	67	96	11	73	18	23	8
25	0.112	81.590	95.617		81.5	85.8	62.9	73	68	0	18	77	14	23	18
	0.110	81.863	95.602	88.7	85.1	93.2	73.9	80	68	4	25	81	10	23	29
27	0.109	82.137	95.587		88.7	0.5	84.8	86	69	7	32	84	7	23	39
28	0.108	82.411 82.685	95.572		92.4 96.0	7.8	95.8 6.7	92	69	11	39	88 92	3	23	50 60
29 30	0.105	82.959	95.558 95.543	_ 1	99.6	15.2 22.5	17.7	99	70 70	18	45 52	95	96	23	71
31	0.104	83.232	95.528	25.3	3.3	29.8	28.6	11	71	22	59	99	92	23	81
		J J -	,,,,,	3.4	5.5	, ,		!			- /	"			

Tafel XB.

Monats- Tag	Δε _d	I_d	Π_d	III_d	$1V_d$	V _d	VI _d	VIId	VIII _d	IX_d	X _d	XId	XIId	XIIId	XIV
			-			Nov	ember								
1	0"103	83.506	95.514	32.7	6.9	37.2	39.6	17	72	26	66	2	89	23	91
2	0.101	83.780	95.499	40.0	10.5	44.5	50.5	24	72	29	72	6	85	23	2
3	0.100	84.054	95.484	47.3	14.2	51.8	61.5	30	73	33	79	10	81	24	12
4 5	0.099	84.328 84.601	95.470	54.6 61.9	17.8	59. 2 66.5	72.4	36	73 74	37	86	13	78 74	24	23 33
- 3	0.096	84.875	95.455	69.3	21.4		83.4	_43	'4 74	41	93	20	70	24	
1 7	0.095	85.149	95.440 95.425	76.6	25.0 28.7	73.8 81.2	94.3 5.3	49 55	75	44 48	6	24	67	24	44 54
l é	0.093	85.423	95.411	83.9	32.3	88.5	16.2	61	75	52	13	28	63	24	65
9	0.092	85.697	95.396	91.5	3 5.9	95.8	27.2	68	76	55	20	31	59	24	75
10	0.091	85.970	95.381	98.5	39.6	3.2	38.1	74	77	59	27	35	56	24	86
111	0.090	86.244	95.367	5.9	43.2	10.5	49.1	80	77	63	33	39	52	24	96
12	0.088	86.518 86.792	95.352 95.337	13.2	46.8 50.4	17.8 25.2	60.0 71.0	87 93	78 78	66 70	40	42 46	49 45	24	7
14	0.086	87.066	95.322	27.8	54.1	32.5	81.9	99	79	74	54	49	41	2.4	27
15	0.084	87.339	95.308	35.2	57.7	39.9	92.9	5	79	77	60	53	38	24	38
16	0.083	87.613	95.293	42.5	61.3	47.2	3.8	12	80	81	67	57	34	25	48
17	0.082	87.887	95.278	49.8	65.0	54.5	14.8	18	80	85	74	60	30	2.5	59
18	0.080	88.161	95.264	57.1	68.6	61.9	25.7	24	81	89	81	64	27	2.5	69
19 20 ·	0.079	88.434 88.708	95.249	71.8	72.2	69.2	36.7	31	82	92 96	88	67	19	25 25	80 90
21	0.076	88.982	95.234	79.1	79.5	76.5 83.9	47.6 58.6	37 43	83	90	94 1	75	16	25	90
22	0.075	89.256	95.205	86.4	83.1	91.2	69.5	49	83	3	8	78	12	25	11
23	0.074	89.530	95.190	93.7	86.7	98.5	80.4	56	84	7	15	82	8	25	22
24	0.073	89.803	95.175	1.0	90.4	5.9	91.4	62	84	11	21	86	5	25	32
= = 25	0.071	90.077	95.161	8.4	94.0	13.2	2.3	68	85	14	28	89	- 1	25	_ 43 _
26 27	0.070	90.351 90.625	95.146 95.131	15.7	97.6	20.5 27.9	13.3	75 81	86	18	35 42	93 96	98 94	25	53 64
28	0.067	90.899	95.116	30.3	4.9	35.2	35.2	87	87	25	49	, 90	90	25	74
29	0.066	91.172	95.102	37.6	8.5	42.5	46.1	93	87	29	55	4	87	26	84
30	0.065	91.446	95.087	45.0	12.1	49.9	57.1	0	88	33	62	7	83	26	95
						Dec	ember								
r	0.063	91.720	95.072	52.3	15.8	57.2	68.0	6	88	36	69	11	79	26	5
2	0.062	91.994	95.058	59.6	19.4	64.5	79.0	I 2	89	40	76	14	76	26	16
3	o. o 61 o.o60	92.268	95.043	66.9	23.0	71.8	89.9	19	89	44	82	18	72 68	26 26	26
4 5	0.058	92.541	95.028 95.014	74.2 81.6	26.7 30.3	79.2 86.6	0.9	25 31	90 91	48 51	89 96	22	65	26	37 47
6	0.057	93.089	94.999	88.9	33.9	93.9	22.8	37	91	55	3	29	61	26	- 58
7	0.056	93.363	94.984	96.2	37.5	1.2	33.7	44	92	59	9	33	57	26	68
8	0.054	93.636	94.969	3.5	41.2	8.6	44-7	50	92	62	16	36	54	26	79
9	0.053	93.910	94.955	10.8	44.8	15.9	55.6	56	93	66	23	40	50	26	89
10	0.052	94.184	94.940		48.4	23.2	66.6	63 69	93	70	30	43	46	26 26	10
12	0.050	94.458 94.732	94.925	25.5 32.8	52.1 55.7	30.6 37.9	77.5 88.5	75	94 95	73	· 37 - 43	47 51	43 39	27	20
13	0.048	95.005	94.896	40.1	59.3	45.2	99.4	81	95	81	50	54	36	27	31
14	0.047	95.279	94.881	47-4	62.9	52.6	10.4	88	96	84	57	58	32	27	41
15	0.045	<u>95</u> .553	94.866	54.8	66.6	59.9	21.3	94	96	88	64	61	28	27_	52
16	0.044	95.827	94.852	62.1	70.2	67.2	32.3	•	. 97	92	70	65	25	. 27	62
17 18	0.043	96.101 96.374	94.837	69.4	73.8	74.6	43.2	7	97	96	77	69	21	27	73
19	0.040	96.648	94.808	76.7 84.0	77.5 81.1	81.9 89 ⁻ 2	54.2 65.1	13	98 98	99 3	84 91	, 72 , 76	17	27 27	83 94
20	0.039	96.922	94.793	91.4	84.7	96.6	76.1	25	99	7 1	98	80	10	27	74
21	0.037	97,196	94.778	98.7	88.4	3.9	87.0	32	Ó	10	4	83	. 6	27	15
22	0.036	97.470	94.763	6.0	92.0	11.2	98.0	38		14	11	87	3	27	25
23	0.035	97.743	94.749	13.3	95.6	18.6	8.9	44	1	18	18	90	99	27	36
24 25	0.033	98.017 98.291	94.734	20.6 28.0	99.2 2.9	25.9 33.2	19.9 30.8	51 57	1 2	21 25	25 31	94 98	95 92	27 27	46 56
· - 26	0.031	98,565	94.705	35.3	6.5	40.6	41.8	63	· 2	29	38	90	88	28	$-\frac{30}{67}$
27	0.030	98.839	94.690	42.6	10.1	47.9	52.7	69	3	32 i	45	5 i	85	28	77
28	0.028	99.112	94.675	49.9	13.8	55.3	63.7	76 :	4	36	52	. 8	81	28	88
29	0.027	99.386	94.660	57.2	17.4	62.6	74.6	82	4	40	58	12	77	28	98
3° 31	0.026	99.660 99.9 3 4	94.646	64.6 71.9	21.0 24.6	69.9 77 .3	85.6 96.5	88 95	5 .	44	65 72	16	74 70	28 28	9
		77.734	77.03.	/9	-4.0	//.3	70.3	73	<u>, , , , , , , , , , , , , , , , , , , </u>	7/	,	ا و-	, ,		.,

Tafel Xa.

vergl. pag. 240, 241, 242.

_				_											vergi. pag	. 230, 23	1, 232.
ß.	ε _I		λ _I		Präces	s. 	Aberr.	Parall- axe	Reduction der Breite	Arg	13		λι	Prăcess.	Aberr.	Parall- axe	Reduction der Breite
0	1"151	ا	+ 0"054	٥	+ 11"16=	+ <	- 20"537 - 10	8'874 +	+ 0'016-2	5.0	1"024	٦	- 0"672 O	+ 12"677 + 6	- 20"429 - 10	8"828 4	+ 0"058 -
							- 20.535 - 10								- 20.427 - 10		
							- 20.532 - 10				1.015		- 0.607 0	+ 12 778 + 6	- 20.425 - 10	8 826 + 4	+ 0.000 -
							- 20.530 - 10								- 20.423 - IO		
4	1.148		- 0.010	0	+ 11.366	+ 5	- 20.528 - 10	8.871 +	+ 0.010 - 2	5.4					- 20.421 - 10		
	•				,,	• •	1	,.	1	3.4		٦	5.,25	1 13.0,0	20.42.	0.024	, 0.002
5	1.147	٥	- 0.025	0	+ 11.416	+ 5	— 20.526 — 10	8.870 +	+ 0.010 - 2	5.5	1.002	٥	- 0.733 0	+ 13.028 + 6	- 20.419 - 10	8.822 + 4	+ 0.062 -
5	1.146	0	- 0.041	0	+ 11.466	+ 5	- 20.524 - 10	8.860 +	+ 0.020 - 2	5.6					- 20.417 - 10		
							- 20.522 - 10								- 20.414; - 10		
							- 20.519 - 10								- 20.412 - 10		
							- 20.517 - 10								- 20.410 - 10		
lł								1 1	1 1			-	!				
	1.142		- 0.104	0	+ 11.667	+ 5	- 20.515 - 10	8.865 +	4 + 0.023 - 2	6.0	0.977	٥	- 0.780 O	+ 14.180 + 6	- 20.408 - 10	8.819 + 4	+ 0.068 -
H	1.140	0	- 0.119	0	+ 11.718	+ 5	- 20.513 - 10	8.864 +	+ 0.024 - 2						- 20.406 - 10		
							- 20.511 - 10								- 20.404 - 10		
	1.137	٥	— o.151	٥	+ 11.818	+ 5	- 20.509 - 10	8.862 +	+ 0.026 - 2	6.3					- 20.402 - 10		
	1.135	٥	0.166	0	+ 11.868	+ 5	- 20.506 - 10	8.861 +	+ 0.026 - 2	6.4					— 20.400 — 10		
					1		1	1		II!		J					
ı	1.134	٥	- o.182	٥	+ 11.919	+ 5	- 20.504 - 10	8.861 +	+ 0.027 - 2		0.952	٥	— 0.842 o	+ 14.431 + 6	— 20.398 — 10	8.814 + 4	+ 0.073 -
٠	1.132	٥	0.197	٥	+ 11.969	+ 5	— 20.502 — 10	8.860 +	+ 0.028 - 2	6.6	0.946	٥	- 0.852 o	+ 14.481 + 7	- 20.396 - 10	8.813 + 4	+ 0.074 -
	1.130	0	0.212	0	+ 12.019	+ 5	- 20.500 - 10	8.859 +	+ 0.029 - 2	6.7	0.941	٥	- 0.862 o	+ 14.531 + 7	- 20.394 - 10	8.813 + 4	+ 0.074 -
1	1.128	٥	- 0.228	0	+ 12.069	+ 5	— 20.498 — 10	8.858 +	+ 0.030 - 2	6.8					20.392 10		
•	1.126	٥	- 0.243	٥	+ 12.120	+ 5	— 20.496 — 10	8.857 +	+ 0.031 - 2	6.9	0.930	이	- o.881 o	+ 14.632 + 7	- 20.389 - 10	8.811 + 4	+ 0.076 -
	1				1			1	1 1	<u>'</u>		ı	1	1 1			
>	1.124	٥	— o.258	0	+ 12.170	+ 5	- 20.494 - 10	8.856 +	+ 0.031 - 2		0.925	۰	- 0.891 o	+ 14.682 + 7	- 20.387 - 10	8.810 + 4	+ 0.077 -
E	1.122	٩	- o.273	٥	+ 12.220	+ 5	- 20.491 - 10	8.855 +	+ 0.032 - 2						— 20.385 — 10		
2	1.119	٩	— o.288	ပ	+ 12.270	+ 6	- 20.489 - 10	8.854 +	+ 0.033 - 2	7.2	0.914	٩l	- 0.909 0	+ 14.783 + 7	- 20.383 - 10	8.808 + 4	+ 0.079 -
3	1.117	٩	— o.3o3	٥	+ 12.321	+ 6	— 20.487 — 10	8.853 +	+ 0.034 2		0.908	٥	- 0.918 o	+ 14.833 + 7	- 20.381 - 10	8.807 + 4	+ 0.080 -
4	1.115	°	— o.318	°	+ 12.371	+ 6	— 20.485 — 10	8.852 +	+ 0.035 - 2	7.4	0.902	٥	- 0.927 o	+ 14.883 + 7	- 20.379 - 10	8.806 + 4	+ 0.081
		- 1						l		K.		1					
							— 20.483 — 10								— 20.377 — 10		
							- 20.481 - 10			7.6	0.891	٩	- 0.944 o	+ 14.984 + 7	— 20.375 — 10	8.805 + 4	+ 0.083
							- 20.478 - 10			7.7	0.885	٩	- 0.953 o	+ 15.034 + 7	- 20.373 - 10	8.804 + 4	+ 0.084 -
8	1.104	ീ	— o.376	٥	+ 12.572	+ 0	- 20.476 - 10	8.848 +	+ 0.038 - 2	7.8	0.879	٩l	- 0.961 0	+ 15.084 + 7	- 20.371 - 10	8.803 + 4	+ 0.085 -
٩	1.101	°	- 0.391	٥	+ 12.022	+ 0	- 20.474 - 10	0.047 +	+ 0.039 - 2	7.9	0.873	٩l	- 0.969 0	+ 15.134 + 7	- 20.369 - 10	8.802 + 4	+ 0.086 -
							- 20.472 - 10				265	. 1					
											0.861	°I	- 0.977 o	+ 15.185 + 7	- 20.367 - 10	8.801 + 4	+ 0.087 -
							- 20.470 - 10 - 20.468 - 10			8.1	0.855	اړ	- 0.984 0	+ 15.235 + 7	- 20.365 - 10	0.500 + 4	+ 0.068 -
							- 20.466 - 10								- 20.363 - 10		
							- 20.464 - 10			8.4	0.842	ٳڒ	_ 0.999 0	T 15.335. + 7	- 20.361 - 10 - 20.359 - 10	8 708 ± 4	± 0.090
	500	_	0.402	-	1 22.0/3	, ,	10.404	[""]	1 5.543		'	۱-	1.500	1 13.300 7 7	20.559 - 10	5./9° T 1	0.091 -
IJ	1.082	ا،	0.476	ا	+ 12.024	+ 6	- 20.461 - 10	8.842 +	5 + 0.044 - 2	8.5	0.837	۰l	- 1.013	+ 15,426 + 2	- 20.357 - 10	8.707	+ 0.003
Į							- 20.459 - 10			8.6	0.811	۱	÷ 1.020 "	+ 15.486 + -	- 20.355 - 9	8.706. 4	+ 0.003
							- 20.457 - 10			8.7	0.825	ارَ	- 1.027 0	+ 15.536 - 7	- 20.3531 - 9	8.705 + 4	+ 0.004
							- 20.455 - 10			8.8	0.810	ا	- 1.023	+ 15.587 + 7	- 20.351 - 9	8.704 + 1	+ 0.005
							- 20.453 - 10			8.0	0.812	ا،	- I.Q4U n	+ 15.637 + 7	- 20.349 - 9	8.703 + 4	+ 0.006 -
		1								l	1 '	1		' '	379 9	773	,
	1.065	۰	- 0.545	٥	+ 13.175	+ 6	- 20.451, - 10	8.837 +	+ 0.040 - 2	9.0	o.8o6	۰l	- 1.046 0	+ 15.687 + 7	- 20.347 - 9	8.792 + 4	+ 0.008 -
							- 20.448 - 10			9.1	0.800	۰	- 1.052 0	+ 15.737 + 7	- 20.345 - 9	8.702 + 4	+ 0.000 -
ı							- 20.446 - 10								- 20.343 - 9		
ı	1.053	۰	- o.584	٥	+ 13.326	+ 6	- 20.444 - 10	8.834 +	+ 0.051 - 2	9.3	0.787	۱.	- 1.063 0	+ 15.838 + 7	- 20.341 - 9	8.790 + 4	+ 0.101 -
ı	1.049	٥	- 0.597	٥	+ 13.376	+ 6	- 20 442 - 10	8.833 +	+ 0.052 - 2	9.4	0.780	ا،	- 1.069 o	+ 15.888 + 7	- 20.339 - 9	8.789 + 4	+ 0.102 -
ı		1		- 1							l l	1	71-		"1 1		[]
IJ	1.045	اه	— 0.610	۰	+ 13.426	+ 6	20,440 10	8.833 +	+ 0.053 - 2	9.5	0.774	۰۱	- 1.074 0	+ 15.938 + 7	- 20.337 - 9	8 788 + 4	+ 0.103 -
	1.041	۰	- 0.623	۰	+ 13.476	+ 6	- 20.438 - 10	8.832 +	+ 0.054 - 2	9.6	o.768	ا،	- 1.079 o	+ 15.989 + 7	- 20.335 - 9	8.787 + 4	+ 0.104 -
H	1.037	۰	- o.636	۰	+ 13.527	 6	- 20.436 - 10	8.831 +	+ 0.055 - 2	9.7	0.761 c	٥	- 1.084,0	+ 16.039 + 7	- 20.3331- 9	8.787 + 4	+ 0.105 -
ы	z.033	۰	- o.648	۰	+ 13.577	+ 6	- 20.434 - IO	8.830 + .	+ 0.056 2	9.8	0.755	٥	- 1.089 0	+ 16.089 + 7	- 20.332 - 9	8.786 + 4	+ 0.106
							- 20.431 - 10			9.9	υ.748 · d	٥	- 1.093 0	+ 16.139 + 7	— 20.330 — 9	8.785 + 4	+ 0.107 - 1
1. 1		_1	- 0 603	۱,	+ 6	+ 6	10	18.8.8. +	ره د العوم بدار	110.0	0.742	[م لـ مُمر م بـ ا	o	ا بد یوه ه	_ افعد مـــ

Die Zahlen der zweiten Subcolumnen sind mit $t = \frac{t_n - 1900}{100}$ zu multipliciren, und sind in Einheiten der letzten Decimal essetzt.

Tafel Xa.

Arg.	εI		λ ₁	Präces	18.	Aber	r.	Para ax		Reduct der Bre		Arg.	ε		λι		Prä	ess.		Aber	r.	Para ax		ā
10.0	0"742	o — 1"	907	+ 16"190	+ 7	- 20"328	– 0	8"784	+ 4	+ 0"108	- 2	15.0	0"412	- 1	- I"078	+ 2	+ 18"70	2 +	8	- 20"242	- 8	8"747	+ 3	4
	0.735	o — 1.		+ 16.240																				
	0.729	0 — 1.	105	+ 16.290	+ 7	- 20,324	- á	8,782	+ 4	+ 0.110	- 2	15.2	0.400	— I	- r.o68	+ 2	+ 18.80	2 +	8	- 20.230	- 8	8.746	+ 3	1+
	0.722	0 - 1.		+ 16.340																				
•	0.715	o — 1.		+ 16.391																				
i '	1 1		1				-					ا ا		1			·	1	ı	•				
10.5	0.709	o — 1.	116	+ 16.441	+ 7	20.318	- 9	8.780	+ 4	+ 0.113	- 2	15.5	0.382	- z	- I.052	+ 2	+ 18.95	3 +	9	- 20.234	- 7	8.744	+ 3	+
10.6	0.702	0 - 1.	119 0	+ 16.491	+ 7	- 20.317	- 9	8.779	+ 4	+ 0.114	- 2	15.6	0.376	— I	1.046	+ 2	+ 19.00	3 +	9	- 20.233	— 7	8.743	+ 3	+
10.7	0.695	0 1.	123	+ 16.541	+ 7	- 20.315	- 9	8.778	+ 4	+ 0.115	- 2	15.7	0.369	— z	- 1.040	+ 2	+ 19.05	4 +	9	- 20.231	- 7	8.743	+ 3	+
10.8	0.689	0 1.	125 +	+ 16.592	+ 7	- 20.313	– 9	8.778	+ 4	+ 0.116	- 2	15.8	0.363	- 1	- 1.034	+ 2	+ 19.10	4 +	9	- 20.230	- 7	8.742	+ 3	+
10.9	0.682	o — 1.	128 +	+ 16.642	+ 7	- 20.311	- 9	8.777	+ 4	+ 0.117	- 2	15.9	0.358	- I	— 1.027	+ 2	+ 19.15	4 +	9	- 20.229	- 7	8.741	+ 3	+
l	. 1	-	1.	1		1				١						١. ا		1.					١. ا	l.
	0.675	ol – 1.	131 + 1	1 + 16.692	+ 8	- 20.309	- 9	8.776	+ 4	+ 0.118	- 2	16.0	0.352	- 1	- 1.021	+ 2	+ 19.20	4 +	9	- 20.227	- 7	8.741	+ 3	+
	0.669	o – 1.	133 +	+ 16.742	+ 8	- 20.307	- 9	8.775	+ 4	+ 0.119	- 2	16.1	0.346	- I	- 1.014	+ 3	+ 19.25	5 +	9	- 20.226	- 7	8.740	+ 3	+
	0.662			1 + 16.793																				
	۵.655			+ 16.843																				
11.4	0.649	9-1.	139 +	+ 16.893	+ 8	- 20.302	- 9	8.773	+ 4	+ 0.122	- 2	10.4	0.328	- 1	- 0.993	T 3	+ 19.40	5 -	9	- 20.222	- 7	8.738	۳ ۴	+
	0.642	d		1 + 16.943	١, ,					٠					06	احا	L	4 +				00	1	١.
	0.635			+ 16.993																				
	0.629			+ 17.044																				
	0.622			+ 17.094																				
	0.615	0 - 1.	145 +	+ 17.144	+ 8	- 20,203	-6	8 760	+ 4	+ 0.127	_ 2	16.0	0.300	_ ;	- 0.055	+ 3	+ 10.69	7 +	á	- 20.215	- 7	8.735	+ 3	į.
,		1 "	1,	1/		20.293	-	0.,09	' '	,,		10.9	0.300		•.,,,,,		1 .9.03	ή :	1	20.213		0.733		ľ
12.0	0.608	0 — 1.	145 +	+ 17.194	₊₈	- 20,201	- 9	8.768	+ 4	+ 0.128	_ 2	17.0	0.205	_ z	- 0.947	+ 3	+ 10.70	7 +	9	- 20.213	- 7	8.735	+ 3	+
12.1	0.602			+ 17.245																				
	0.595			+ 17.295																				
12.3	0.588			+ 17.345																				
12.4	0.582			+ 17.395																- 20.208				
1	l i			1				`		•								1	- 1					ı
12.5	0.575	0 - 1.	146 + :	+ 17.446	+ 8	- 20.282	– 9	8.765	+ 4	+ 0.133	- 2	17.5	0.268	0						- 20.207				
	0.568			+ 17.496																- 20.206				
	0.562			1 + 17.546																- 20.205				
	0.555	9 – 1.	144 +	1 + 17.596	+ 8	- 20.277	- 8	8.762	+ 4	+ 0.136	- 2	17.8	0.253	0						- 20.203				
12.9	0.548	o – 1.	143 +	+ 17.647	+ 8	— 20.276	- 8	8.761	+ 4	+ 0.137	- 2	17.9	0.248	9	o.868	+ 3	+ 20.15	9 +	9	- 20,202	- 6	8.730		+
		٦.,	. ــا		٠.					4 0						١. ا	J. 00. 00	ــــــــــــــــــــــــــــــــــــــ	ٳ؞	_ =====================================	_ 6		٠.	1
	0.542	9 - 1.	141 +	1 + 17.697	T 8	- 20.274	- 8	8.701	+ 4	+ 0.130	- 2	18.0	0.243	°						- 20.201 - 20.200				
e e	0.535		138 +	+ 17.747 + 17.797	T 8	- 20.272	- 6	8.700	T 4	+ 0.139	- 2	18.1	0.238	٥						- 20.199				
	0.522			+ 17.848									0.228	١	- 0.839	+ 2	+ 20.36	1	,	- 20.19 7	- 6	8 728	+ 2	1
	0.515			+ 17.898									0.234		- 0.810	+ 4	+ 20.41	1	ď	- 20.196	- 6	8.727	+ 2	+
- 3.4	0.3.3	1 "		17.090	`	20.207	_ 0	0.750	' "	, 0		10.4	0.234	Ĭ	0.0.9	'	, 20141	٦'	"	20,190		0.,1,		ľ
13.5	0.500	o — 1.	132 +	+ 17.948	+ 8	- 20.266	- 8	8.757	+ 3	+ 0.143		18.5	0.210		_ o.8on	+ 4	+ 20.46	ol +	٥	- 20.195	- 6	8.727	+ 2	+
	0.502			+ 17.998									0.214							- 20.194				
	0.495	o — 1.	127 + 1	+ 18.049	+ 8	- 20,262	- 8	8,756	+ 3	+ 0.145	- 2	18.7	0.210							- 20.193				
	0.489			+ 18.099									0.205							- 20.192				
13.9	0.482			+ 18.149									0.201							- 20.191				
			ļ	1						ŀ	l i				ļ .			1	ı			1	1	ı
14.0	0.476 -	1 - 1.	119 + :	+ 18.199	+ 8	- 20.257	- 8	8.754	+ 3	+ 0.148	- 2	19.0	0.196	6						20.189				
14.1	0.469 -	- 1 1.	116 + :	+ 18.250	+ 8	- 20.256	- 8	8.753	+ 3	+ 0.149	- 2	19.1	0.102	0	- 0.746	+ 4	+ 20.76	2 +	9	- 20.188	- 6	8.724	+ 2	+
14.2	0.463 -	- 1 1.	112 + :	18.300	+ 8	- 20.254	- 8	8.752	+ 3	+ 0.150	- 2	19.2	0.188	0	- o. 7 35	+ 4	+ 20.81	2 +	9	— 20.18 7	- 6	8.723	+ 2	+
				+ 18.350																20.186				
14.4	0.450 -	- 1 - 1.	105 + :	2 + 18.400	+ 8	- 20.251	- 8	8.751	+ 3	+ 0.152	- 2	19.4	0.179	0	0.712	+ 4	+ 20.91	3 +	9	- 20.18 ₅	- 6	8.722	+ 2	+
l					١.					Ι.				l			١.	١.	١					
14.5	0.444	1 - 1.	101 + 3	+ 18.451	+ 8	- 20.250	- 8	8.750	+ 3	+ 0.153	- 2	19.5	0.175	0						- 20.184				
14.6	0.437	1 1.	097 + :	18.501	+ 8	- 20.248	- 8	8.750	+ 3	+ 0.154	- 2	19.6	0.171	0	- 0.690	+ +	+ 21.01	3 +	9	- 20.18 ₃	- 6	8.722	+ 2	1+
14.7	0.431	- 1 - 1.	092 + :	+ 18.551	+8	- 20.246	- 8	8.740	+ 3	+ 0.154	- 2	19.7	0.167	0	- 0.678	+ 4	+ 21.06	3 +	9	- 20.182	- 6	8.721	+ 2	1+
14.8	0.425	- 1 - 1.	088 + :	+ 18.601	+ 8	- 20.245	8	8.748	+ 3	+ 0.155	- 2	19.8	0.164	0						- 20,181				
1.4.9	0.418	1 . 1.	083 + :	+ 18.652	+ 8	- 20.244	. 8	8.748	+ 3	+ 0.156	- 2	19.9	0.160	0						- 20.180				
15.0	0.412	- 1 1.	073;+:	18.702	+ 8	- 20.242	- 8	0.747	+ 3	+ 0.157	- 2	20.0	0.156	0	- 0.043	+ 4	+ 21.21	4' +	10	- 20.179	- 5	0.720	T 2	+
		<u> </u>								<u> </u>				<u> </u>	<u>. </u>	·								<u>-</u>

Die Zahlen der zweiten Subcolumnen sind mit $t = \frac{t_0 - 1900}{100}$ zu multipliciren, und sind in Einheiten der letzten angesetzt.

Tafel Xa.

εI		λι		Prāc	ess.	Aber	T.	Parall- axe	Reducti der Brei		Arg.	εĮ		λ		Präce	88.	Aberr	·.	Para ax		Reduct der Bre	
:56	0 - 0'	643	+ 4	+ 21"21	4 + 10	— 20"17g	_ 5	8"720 + 2	+ 0"199	- r	25.0	0"063		+ 0"037	+ 5	+ 23"726	+ 11	- 20"144	_ 3	8"705	+ 1	+ 0"225	0
:52	o o.	631 -	+ 4	+ 21.26	+ 10	- 20.178	— 5	8.719 + 2	+ 0.200	I	i T	0.063	٩				i	- 20.144	٠,				
									+ 0.200			0.063	٩					- 20.143					
45	•				- 1			8.719 + 1	+ 0.201	- 1		0.063 0.064	٩					- 20.143					
7-	ו"	334	١ ٦	4. 21.41	3 7 10] - 20.1/3] 3	0.710 7	T 0.202	_ ,	25.4	0.004	,	T 0:094	" "	+ 23.927	+ 11	- 20.143	- 3	8.704	۱' ۳	-t 0.220	
:38	1								+ 0.202		25.5	0.064		+ 0.109	+ 6	+ 23.978	+ t1	- 20.142	- 3	8.704	+ 1	+ 0.226	٥
									+ 0.203		, -	0.065	8	+ 0.123				- 20.142					
									+ 0.204			o.o65 o.o66	4					- 20.142 - 20.141				+ 0.227	
									+ 0.205		h ~	0.067	8					- 20.141 - 20.141				+ 0.227 + 0.227	
	1									- [1	l ' ''	•			, ,			
									+ 0.205			0.068	0		. 1			- 20.141				+ 0.227	
19									+ 0.206			0.068	4	+ 0.194				- 20.141				+ 0.227 + 0.228	
									+ 0.207			0.069 0.071	o	+ 0.223				20.140 20.140				+ 0.228	
									+ 0.208			0.072			•	1		- 20.140				+ 0.228	
					1.				I. j	il		l							ı				
:06	_ o.	454	+ 5 L =	+ 21.96	8 + 10	- 20.165 - 20.165	_ 5 	8.714 + 2 $8.714 + 2$	+ 0.208	<u>- "</u>		0.073 0.074	٥					- 20,140				+ 0.228	
									+ 0.210	- 1		0.074		+ 0.205				- 20,139 - 20 139				+ 0.228 + 0.229	
.01	o	414	+ 5	+ 22.11	+ 10	- 20.163	- 5	8.713 + 2	+ 0,210	0	26.8		0					- 20.139				+ 0.229	
×98	○	400	⊦ 5	+ 22.16	+ 10	- 20,162	- 5	8.713 + 2	+ 0.211	n	26.9	0.0 7 9		+ 0.307	+ 6	+ 24.681	+ 11	- 20.130	- 2	8.703	٥	+ 0.229	٥
196	۰۱_ ۰	287						8.712 + 2			27.0	9-			[.							+ 0.229	
94								8.712 + 2		0;	11 .	0.082		+ 0.321				- 20.139 - 20.139				+ 0.229	
192	o — o.	360 -	⊦ 5	+ 22.32	+ 10	- 20,160	- 4	8.712 + 2	+ 0.213	- 11	27.2	1	6					- 20.138				+ 0.229	
89	·- o.	346	⊢ 5	+ 22.37	1+ 10	- 20.159	- 4	8.711 + 2	+ 0.213	0		0.086	4	+ 0.362				- 20.138				+ 0.229	
257	° -°.	332	⊢ 5	+ 22.42	+ ™	- 20.158	-4	8.711 + 1	+ 0.214	0	27.4	0.088	ი	+ 0.376	+ 6	+ 24 932	+ 11	- 20.138	- 1	8.703	ា	+ 0.229	+ 1
x8 6	• — o.	318	⊢ 5	+ 22.47	+ 10	20.158	- 4	8.711 + 1	+ 0.214	٥	27.5	0,090		+ 0.300	+ 6	+ 24.983	+ 11	20.138	_ ,[8.702	0	+ 0.229	+ 1
84	o - o.	305	⊢ 5	+ 22.52	+ 10	- 20.157	- 4	8.710 + 1	+ 0.215	0								- 20.138				+ 0.229	
								8.710 + 1		0		0.094						— 20.138				+ 0.230	
×80								8.710 + 1 8.710 + 1		0								20.138				+ 0.230	
"		,	٠ ٦	1 22.07	Ί'	_ 20.133	- 1	.,	' "	°	27.9	u.u,u		T 0.444	Γ"	7 25.104	+ 11	20.138	_ '	0.702		+ 0.230	T '
								8.709 + 1		0	28.0	0.101	+ 1	+ 0.457	+ 6	+ 25.234	+ 11	- 20.138	— r	8.702	۰	+ 0.230	+ 1
								8.709 + 1		۰¦								20.138				+ 0.230	
								8.709 + 1 8.708 + 1		0				1				20.138 20.138				+ 0.230 + 0.230	
								8.708 + 1		o								- 20.138				+ 0.230	
		- 1						1	1 :	i									1				
								8.708 + 1		٥								- 20,138				+ 0.230	
								8.708 + 1 8.708 + 1		0								- 20.138				+ 0.230 + 0.230	
								8.707 + 1		0								- 20.138				+ 0.230	
							1 "	8.707 + 1		0								- 20.138		8.703		+ 0.229	I. B
أمدا					<u>.</u>								١		۱.,	ا ا			_[
x65				-				8.707 + 1 8.707 + 1										- 20.138 - 20.130		8.703 8.703		+ 0.229 + 0.229	
								8.706 + 1										- 20.139		8.703		+ 0.229	1.
×64	o o.	064	⊦ 5	+ 23.37	5 + 11	20,147	- 3	8.706 + 1	+ 0.222	0	29.3	0.138	+ 1	+ 0.623	+ 5	+ 25.887	+ 12	- 20.139	٥	8.703	۰	+ 0.229	+ 1
×64	• - •.	049	+ 5	+ 23.42	5 + 11	— 20.T47	- 3	8.706 + 1	+ 0.223	o	29.4	0.142	+ 1	+ 0.636	+ 5	+ 25.937	+ 12	- 20.139	٥	8. 7 03	٥	+ 0.229	+ 1
262	.	038	ا, ب	+ 22.47		20.146	,	8.706 + 1	+ 0.222		20.5	0,745	+,	+ 0 6/8	۱.,	+ 25 099	+ 10	- 20.139	ا	8.703		+ 0.229	₊ ,
								8.706 + 1		o	29.6	0.149	+ 1	+ 0.660	+ 5	+ 26.038	+ 12	20.139		8.703		+ 0.229	
x 63	o — o.	∞6 -	+ 5	+ 23.57	5 + 11	20.145	- 3	8.705 + 1	+ 0.224	٥	29.7	0.152	+ 1	+ 0.672	+ 5	+ 26.088	+ 12	20,140	•	8.703	٥	+ 0.228	+ 1
263								8.705 + 1		0								20,140		8.703		+ 0.228	
x63								8.705 + 1 8.705 + 1										- 20,140 - 20,140		8.703 8.703		+ 0.228	
	<u> </u>	3,		-3./2	1		1	3.7.3	3.2.3		,5.5	J,		1 3.707	Τ,	T 20.239	1 12	- 20,140		,03		, 0.270	
77		,	_	•	~ .				t _o	190	•					ļ	-						

Zahlen der zweiten Subcolumnen sind mit $t = \frac{t_0 - 1900}{100}$ zu multipliciren, und sind in Einheiten der letzten Decimale

Tafel Xa.

Azg	FJ	21	Práceas.	Aberr	Parall- ave	Redact on der Breste	Aeg	F[λ	Pracess.	Aberr.	Parail-
	u 11 + 1	+ : 767 + 5	4 2 220 + 12	- 20 146 6	5 707	+ "378 + 1	100	0 422 + 1	+ 1"119 + 4	+ 28"751 + 13	nr 1/18 + 2	RH 725 -0
			+ 36 8 , + 3		8 70 1	+0.729 +		_		+ 38 Fc +		815 -1
P 2			+ /+ **	7 141	874 1	+ 0 = 0 + 1				+ 29 843 + +7	_	× 714 -
			+ 28 4% + 3	20 141	Signia - 1	+077+1				+ 28 year + 3		8 717 -
	7 1	7 752 7 5	+ 16 443 + 33	1970	~ 7rd 1	+ 2 2 7 +	15.4	3.667 4- 1	7 7 7 4 4	+ 28 752 + 78	20 171 40 1	0 717 -1
5	. + .	+ ;/ - ;	+ 56 4 1 + 3	*0.141 O	5 year 1	+ < 227 + 1	35 5	0.458 + 1	+115,+4	+ 29 000 + 73	20 173 + 3	8 717 -1
		+ 374 + 5		2 141 6		+ 0.227 + 1	_			+ 20 051 + 11		_
			4 1 9 4 1	7 × 14 × 4 3		+0.51+1	,5 -			+ 20 01 + 13		
100			4 27 (41 + 17			+027 +1				+ 49.352 + 13		_
		+ 8.4.4.	+ 11 601 4 12	2 74" +		+ - 276 = 1	15	111 470 + F	T 14159 + 4	+ 20 203 + 13	20 170 4	0 712 -
	< + r	+ 1917 - 4	+ + 741 + 17	1.145+	975 1	+ 225 + 8	36-a	0.485 + 1	+ 1 1154 + 4	+ 29 253 + 13	- 30.277 + 4	8 710 - 1
_	+	+ 62* **	+ 7.,2 + 13.	207 44		+ = 25 + 1	_		+ 1 152 + 4			8-1
	-14 -1		+ 16 142 + 12	7 64 m		+ + 2 5 + 2	- 1	745,4	+ 1.759 + 4	+ 20104 + 13		R 7 to - 1
	* *			* *44 1 5		+125+1		0.505 +	+116 +1			6 72
	71	+ - 57 + 5	to 10 142 + 12	24 145 4 1	3 71 1	* 1 224 + 21	10 (1511 + 1	+ 2.254 + 1	+ 29 454 + 13	- 20 181 + 4	X 721 ~ 1
, =	2 + 1	+ . 967 + .	+ 18 1992 + 1	- 145 + 1	576 .	4- C-37g + 2	£ 5	0.518 +	+ 1 1/5 + 1	+ 2,505 + 11	30,180 + 4	8 72: -
			+ -7 -4 + 7	14 14h + 1		+ 121 +	ng d		+ 1.169 + 1	+ - 9 555 + 17	_	8 7+
17	. 2 t !	+ . 97 + 5	+ 17 04 , +	2 144 6- 1		+ 22 +	7		+ : 168 4	+ 24 (425 + 17)		8 700 -0
			+ 27 14 - 12	1 147 + (+ 111 + 2			+ 1.170 + 3			8 72 -=
	42 17 7	+ 2 36 5 + 3	+ 7 24. +	0 147 + 1	h your	+ 22 +-	31,	544 + 1	+ 1.171 + 3	+ 20 70/ + 1	an 186 + 4	8 7
	75 + 1	+ 1.1.1 + 5	+ 77 744 + 1	76 7 gh 4	R 706 - 1	+ 0 230 + 1	17) CEV 1	+ 1 172 4	+ 20 251 + 13	no sReigh A	8 7 2 -E
_			+ + + + + -	2 542 4 .		+0222 +2				+ 20 800 + 73		8 724 -1
_	f ± 1		+ 27 344 +			+ 321 + 2	1 37			+ 27 41 + 13		X774 - 1
	0.967 + 1		+ 37 364 + 1	11 14 1		+ 3 221 + 3	+7	4 570 + 1	+ 1 173 + 1	+ 70 po7 + 13		875 -
14	7 +,	* 1 TEL + 5	+ 27 435 + 1	\$5 4 9	9 7 7	+ 0.790 + 4	7 4	C 577 + 1	+ 1-74 + 3	+ 3-157 + 23	30 tul + 5	B 724 - 5
L.,	178 4 1	+	+ 7 405 + **	w it is also	9 200	4 3 50 + 2		0 181 4	4	d		874 -
			+ 7 515 + 12			+ 9 213 # 2	_			+ 7 - 0 7 + 11		974 -
			+ 27 505 + 1			# + 214 + 2				+ 30,108 + .4		727 -
-	1274 4-1	+	+ 17 (4 + 10	2 5. +	8.708 = 1	+ 1218 + 2				+ 30.158 + 14		
3.0		+	+ 17 6 1 + 12	A.157 +	8.909 ===================================	+ 0.918 + 2	3.7	n fee + 1	+ 1 272 + .	+ 20 20 9 + 14	30 2 14 4 6	87.9 -1
	N. 4 40 E		1	<i>1</i> 0 •	0		.0					0
			+ 17 74 + 1 -			+ 0.217 + 2				+ 30.738 + 14		8 7×E -
_	_		+ 7 47 + 13			+ 1 326 + .				+ 30.359 + 1		
-			+ 17 307 + 15			+ 0.916 + 2				+ 10 40 + 14		
1	***** + (+ 1018 + 5	+ 17 947 + 13	NU 151 +	S yr - 1	+ 0.024 + 2	₹R 4		+ 1 165 + 7	+ 30.459 + 14	20 705 + 5	8 vm _ 1
122	0.22: 4.8		4. 22 () 3	m 20 101	Han			. 60				9
			+ 27 947 + 12							+ 10 504 + 14		
			+ 2× 20× + 13							+ 3 61 + 24		
			+ 28 + 65 + 12							+ 30.660 + 14		
2	· 5/ + 1	+ 1 -6 + 4	+ 36 2 35 + 17	36 150 4 2	4 711 - 1	+ >>12 + 3	18 -7	0.676 + 1	+ 1 154 + 1	+ 30 710 + 14	- 30 ,00 + 6	8 71 - 1
		4 , 6 ,			2		ţ	Cu.				
24	* + 1	+1 7 +1	+ 38 24 + 11	24 1/4 4 2	2 712 - 2	4 (733 + 2	3 ,	203 +	+ 1.350 + >	4 1 B1 4 14	- 26 271 + 3	8 714 - 3
74	+:	P: 17: + 4	+ 19 4 + +	N (/ 1 + 3						+ 10.86 + 14		
-	_		+ 24 431/ + 24	28 · 16 2 + 3	B.713 2					- 3C 412 - 14		100
	· 385 + 1	+ 1 190 + 4	+ 38 44 + 17	=20. (€) +						+ 30 962 + 14		8.736 -
			+ 28 54 + 17							+ 31,052 + 14 + 31,052 + 14		
_	_		+ 28,600 + 11			+ > 207 + 2				+ 31,002 + 14		
44			+ 11/42 + 1	71.1th +		+ 34 + 2				+ 32 163 + 14		
4 .	1/+1		+ 34 731 + 11			+ 125 +				+ 31 213, + 14		
<	191 - 1	+ 1 119 + 4	+ 34 751 + +2	- m (Fill) + (R 714 - 2	+ > 201 + 1	400	C1748 + 1	+ 1 114 + 2	+ 31 263 + 14	- 20 224 + 6	874-1
_									1		1	

Die Zahlen der zweiten Subcolumnen sind mit $t = \frac{t_0 - 1900}{100}$ zu multiplieiren, und sind in Rinheiten der leiztenngesetzt.

Tafel Xa.

1	λ _I	Prācess.	Aberr.	Parall axe	Reduction dor Brate	Arg	Fj	-	λι		Prâcesa,	Aberr.	Parall- axe	Reduction der Breite
+:	+ 1"114 + 2	+ 31"263 + 54	20"224 + 6	8"730 - 1	+ ="152 + 4	450	1"023	0	+ 0 675	4-1	+ 33"776 + 15	2 3 5 + 8	8 774 4	+1 73 + 5
+ 1	+ t rng + z	+ 31 314 + 14	20 226 + 6	B 740 -3	+ 0.851 +4	45 1	1 028				+ 13 806 + 15		M 77% 4	+ 3.70 + 5
4 2		+ 11 364 + 14			+ 0 150 + 4	45-2	1 0 47				+ 12 870 + 15			+ 200, + 4
_		+ 31 414 + 14			+ 0.148 + 4		2 034				+ 33 926 + 15	20.311 + 8		+ 0. 48 + 4
0	+ 1 004 4 8	+ 11 464 + 14	- 20.230 + 6	8 742 7	+ 0 147 + 4	45.4	1 040	63	+ 0 625	+ 1	+ 33 077 + 15	- 20 312 + 8	B. 778 - 4	+ 0.006 + 5
. 0	+ 1 080 h 2	+ 31 515 + 14	20.231 + 6	B 747 4 7	+ 0 145 + 4	47.7	LDAI		h a 64n	A 7	+ 4 127 + 15		9 473	+00/4+5
_		+ 31 565 + 14			+ 0.145 + 4	_	1,041		_		+ 34 077 + 15	20. 314 + 9		
_		+ 32 €15 + 14			+0.143 +4		F C 52	_			+ 34 127 + 15			+ 0 1 + 5
0		+ 31 665 + 14			+ 1241 + 4	45.8		_			+ 14 178 + 15			+ 1 158 + 5
0	+ 1 065 + 2	+ 31.716 + 14	90.237 + 6	8 745 3	+ 0.140 + 4	45.7		_			+ 14 228 + 15			+ + + + 5
		+ 31 766 + 14			+ 0.138 + 4	450		_			+ 34 278 + 15			7 1.754 + 5
		+ 31 816 + 44			+ 0 117 + 4	451		_			+ 14 228 + 15			+ 0.000 + 5
		+ 31 866 + 14			+ 0 136 + 4	46					+ 34-379 + 15		N 784 4	+ 0.40 + 5
		+ 31 917 + 14	20.743 + 7		+ 0.234 + 4	46.4		_			+ 34 420 + 15		R 785 4	+ 0 049 + 5
	,	32.307 + 14	300.289 T /	1	1000	414	20/7	-5,8	L		1 14 4/0 T 10	20 (31 1)	700 4	
0	+ 1,025 + 2	+ 32 017 + 14	20.246 + 7	8 749 3	+ 0.131 + 4	46 5	ı oğo	0	+ 0.477	+ 1	+ 34 520 + 36	20 333 + 0	6 786 - 4	+ 0 045 + 5
		+ 32 067 + 14	20 248 + 7		+ 0 130 + 6	46.6					+ 34 580 + 14			+ + + + 5
0	+ 1.010 + 2	+ 32 118 + 14	- 20 24) + 7	8 750 3	+ 0.128 + 4	46.7	1 986	0	+ 0.449	+ 1	+ 34 690 + 26	- 20 337 + 4	8.788 - 4	+0-041+5
		+ 32 (68 + 14	- 20-251 + 2	8.751 3	+ 7,327 + 4	46.8		0	+ 1-115	+ t	+ 34 1/86 + 16			+ 139 + 5
D)	+ 0 994 + 2	+ 32 218 + 14	- 30.252 + 7	8 792 3	+ > 125 + 4	46.9	1.092	0	+ 0.420	+ 1	+ 14 7 10 + 16	20 341 + 9	8.7-1	+ 7 + 5
	see with the see	A		0 1									0	
		+ 32 268 + 15	20.254 + 7		+ 0 124 + 4	42.0					+ 14 8 1 + 16			+ 6 15 + 5
		+ 12 310 + 15	20 259 + 7		+ 0.122 + 4	47 1		_			+ 34.881 + 16			+0-1+5
		+ 12 419 + 15			+0119.+4	47 3		_			+ 34 031 + 16			+ 0. 20 + 5
_		+ 32 469 + 15			+0117+4	47-4		_			+ 34 082 + 16			+ 027 + 5
0	+ 1944 + 1	+ 42 519 + 15	20 162 + 7	9 756 - 7	+0.116+4	47.5	t ton	0	- 0.323	+ 1	+ 15 032 + 1/	20 352 + 3	R 7:75 1	+ 225 + 5
		+ 32 570 + 15			+0.114 4-4	47.5		_			+ 35 083 + 16			+ 1.023 + 5
		+ 32 fac + 15			+ 0.113 + 4	47.7					+ 38 153 + 16			+ 1 2 + 5
		+ 32 670 + 15			+0111+4	47 8		_			+ 15 183 + 16		5 708 4	+ > 010 + 4
Ĭ	T 10407 -	+ 32 720 + 15	20.268 + 7	0 759 1	+ (-10) + 4	47.9	1 110	17	7 0.73	T *	+ 35 233 + 16	20 100 + 9	8 798 4	1 7000 1 1
. 0	+ 0.807 + 1	+ 32 772 + 15	20 970 + 7	6 953 3	+0108+4	48.	1 120	-	+ 0 258	+ L	+ 15 -8, + 16	25 362 + 9	8 700 4	+ + 014 + 5
		+ 32 821 + 15			+ 0 106 + 4		1 172				+ 15 2 12 + 10			+ 3 12 + 5
		+ 32 871 + 15	20 273 + 8		+ 0 204 + 4		F 324	-			+ 15 -184 + 16			* 131 + 5
0	+ 2.868 + 1	+ 32 921 + 15	20.275 + 8	8 762 7	+ 0.103 + 4	48 3	1 126		+ 0.212	+ 1	+ 35 434 + 16	- 20.368 + 4	H 802 4	+0 ×8 + 5
0	+ 0.857 + 1	+ 32 972 + 15	20,277 + B	B 762]	+ o tot + 4	48:4	1 128	- 1	+ 0 197	+ 1,	+ 34 484 + 16	30 370 + 3	0 803 4	+
	1 - 0 - 1	4	n . p	10 -6-		.0					1		0 0	
		+ 33.022 + 15			+ 0.030 + 4			_	+ = 182		+ 35.534 + 16			+ + + 5
		+ 33.109 + 15	- 4		+ 0.096 + 4		1 232	_	+ 0 160		+ 25 584 + 16			+ 203 + 4
		+ 33 173 + 15			+ 0.000 + 4				+ 0.135		+ 35 485 + 16			0.012 + 5
		+ 33 723 + 15			+0093+4			_	+ 10 120		+ 35 7 5 + 76			
1			1									1		
		+ 33 271 + 15			+ 0 091 + 4	43.0	£ 237	- 1	+ 0 104		+ 35 785 + 16			0.007 4
		+ 31 327 + 15			+ 0.089 + 4		1 138		+ 0.088		+ 15 8 36 + 16			1,00 + 5
		+ 44 474 + 15			+ > 87 + \$				+ 0 07;		+ 15 880 + 16			0 11 4 5
		+ 32 424 + 25			+ c 086 + 5				+ 0.057		+ 15 ,36 + 16			11 t + 5
	4071041	+ 33 474 + 15	20.294	8.770 - 4	+ 0 084 + 5	49.4	1 149	- 1	+ 0.041	1	7 17 780 7 0	20 (9) 4 10	3.011	C 25 + 5
	+0.726 + 1	+ 13 524 + 15	20,206 + 8	8. 170	+ 0.082 + 5	47.5	1 142		4 0.025	n	+ 36 + 17 + 1	20. 713 + 10	881/ 4	0.17 + 5
		+ 33 975 + 15			+ 0.082 + 5				+ 6 010		+ 36.087 + 16			×310 + 5
		+ 13 625 + 15			+ 0.078 + 5	_	1 144				+ 36 137 + 10			
_		+ 33 675 + 1			+ 1077 + 5		T 145		_		+ 46 187 + 6			C 4 + 5
1		+ 31 725 + 1			+ 0.075 + 5		1 145		1		+1 738 + 16			1 + 5
3 9	+0.676+1	+ 33 770 + 1	20 305 +	B 774 4	+0 173 +5	\$1,5 P	1 146		0.254		+ 36 388 + 15	27-1-1 + 10	R.817 4	, ook + -
	1	1				1	,		1	1				

Zahlen der zweiten Subcolumnen sind mit $t=rac{t_n-1900}{100}$ zu multiplieiren und sind in Einheiten der letzten Decimale

Tafel Xa.

Arg	r ₁	21	Prácess	Abert.	Parali-	Reduction der Breite	Arg	FŢ	λι	Prācess.	Aberr	Parall-
50 1	1 746 1	, 454	+ ,/ 188 + 6	20"413 + 1	88"17 4	ono28 + 5	55.	E 18 3 1	C 812 O	+ 38' 8um + 17		
50.+	1.766 7	2 170 1	+ 32 32 + 16			0 0 10 + 5		1 157 1	0 876 0	+ 38 850 + 17		8 30 4 4 4 5
50.3	1 147 1	61.2	+ < 41) + 16			0.139 + 5	_	1 051, -1	0 852 0	+ 38 901 + 17	1 1	
	-17 -1	- φ ± + 7	+ 5 480 + 18			0.837 + 5		1 047 1	C 845 0	+ 39.001 + 18		
5000	(-147)	x= x 4 5	. 16-11. + 1	20 414 + 1/	0.000	0.534			0.878 0	- no ner - 18	26 52L + 10	8.868
_	1 147	3.149 (+ 1 50 + 10			0,039 + 5		1.043 1	6 89T C	+ 39 051 + 18		
	1.47)	i fit i	+ 31 641 + 11			C 1144 + 5	55.7	1 035 1	0.904 0	+ 39 152 + 18	N 725 + 6	
	2 F47 1	· 8. →	+ 3' 740 + 17			0.046 + 5	_	1.041 t	0 929 0	+ 39 202 + 18 + 39 252 + 18		
		- 12	,,, ,		0 000		23.7	020		1 37 252 1 1		
_	1 846 7	0 1, 1	+ 1 7 1 - + 17			0.050 + 5		t 035 t	0.94T O	+ 99 303 + 18	26 532 7 1 1	
51	(rq = 1	0.44	+ 10 841 + 17			0.059 + 5		1.013 - 1	- 0 953 0	+ 30 403 + 28	20 3 44 ± 10 20 5 10 ± 1	
51	141 1	gly ,	+ 2/1 945 + 17			0157 + 5		1 008 1	0 077 0	+ 39.453 + 18		
51.4	144 1	0.076	+ 1 1/1 + 7	- 2-3 434 ÷ 14	8 St 4	0 (5) + 1	56.4	1 304	0.989	+ 54, 444 + 18	70.54 1 + 10	8.876 4
51 5	41 1	. ,	+ 17 - 17 + 7	au \$35 + 70	8 8 3 1 4	c ob2 + 5	50.5	ז עופע ר	2 001 0	+ 10.554 + 18	MI,540 + 10	8.877
51.4	7.74	(was a	+ 17 6/2 + 17	× 437 + 1.	800 4	00/4 4 5	_	3.994	- 1412 0	+ +> 6.4 + 18	2: 544 + TO	8 S7H 4
51 *			+ 7 14 + 17			1-666 4 S		a yay		+ 49 654 + 18		
51		(355)	+ 17 451+ 17			0.068 + 5		0 984 0		+ 39.705 + 18 + 39.755 + 18		
53.7	4 L 3	70	4 47 793 4- 17			0 073 + 5			- 4.057 0	+ 34 34 + 18	- 20 553 + 17	
50	5	1-6-1-1	+ 37 44 + +7			0.075 + 5	57	2:3/14	1 oh8 o	+ 10 855 + 18	20 557 + 1	
5-		+ 3 7 x	+ -7 444 F 17	N1452 P 10	8 8 1 H 4	0.080 + 4			1 189 0	+ 19.956 + 18	2-550 + ()	884 4-
5-1	1,	1 417	+ 7 4 4 + 17	26-454 + 10	880 4	1.082 + 5	57.4	0.954 0	1.009 €	+ 40 000 + 18	20-361 + 11	8 89%
5=	t too	241	F 17 -44 + 17	0.456 + 10	8.840 4	0 084 + 5	147.5	6.948 0	1,109 0	+ 40 05% + 18	" 5" 4 + 13	8 5% , 4 -
	4 31811	the c	+ 17 411 + 17	211.458 + 1	8 8 g r - 4	0 87 + 5			1119 €	+ 40 107 + 18	20 966 4 10	8 887.
5a:7	1 4 3 1	+47 +	+ 7 * 45 + 17			E 411, + 4		_	1 12) 0	+ 40-157 + 18	2 57 + ea	
57 ,		H'p	+ 17 14 + 17			0 4/1 + 5			E 149 0	+ 4 = 257 + 18		
												2.0
E1 1	1 (-)	540	+ 37 795 + 17			- 0.098 + 4			- 1 158 (+ 40 358 + 18		
51	-	1 - 155 1	+ 781 + 7			(11) + 5	18 1			+ 40 408 + 18		
_		7	+ 7 41 - 2			C 1 3 + 5			1 185 0	+ 40 455 + 18		
51.4		3 33 6	+ 7 +1 + 17	496 + 11	8 8 18 4	6 104 + 5	58 4	cr Sight L	1 194 0	+ (450) + 18	V 78 ₹ 4- €*	A Strate of the
5	- (-	11	+ 18 . 47 + 7			6 108 + 5	53.5	e Saya in	1 202 0	+ 40 550 + 18	105.584 + 1 4	
53			+ <> 42 7 + 17		R.Rqu. 4	C 111 + 5	_	n Ban :	F 717 G	+ 40 600 + 18	7 587 + 1 -	
5		C46 .	+ 38 147 + 17			1 145 + 5		0 874	13110	+ 40 / 50 + 18	541 + 1.	
_	1 - No 1	٩,٠		- 20,486 + 1.		1117 + 4			1 215 1	+ 40.700 + 18		
Sa		1. 1.71	27 8 4 13		000			- 04			* 595 + 10	8
		107		- 3-450 + 10		0.17 + 5		-	1 242 0	+ 4 + 8(10) + 18		
51		. 7 .	+ + + 8 + 7	7 4 4 4 10	8,856	0.14 + 5	500	184 0	t 157 0	+ + 1 ,11 + 18	Sept + 111	***
	1 2 2	715 .	+ 34 40 + 17			0.136 + 5		843		+ 41.961 + 18		8 p. 4
24-4			1 1 4 7 7 1 /	1	,			0817 0	1 7, 3	7 41 011 7 10		
54		C7(4	+ 8 56. + 17			7 + 1 10		a Bar o	1 278 0	+ 42 061 + 18	23 fest + 10	
54	1 7	4 771 .	+ . Sep. + 17			133 + 5		c 8:8 c		+ 47 162 + 18		
51	. 7	**5	+ 30 700 + 17			-0.138 + 5		c 8 1 0	1 207 9	+ 41 211 + 10		
54.9	1 st it = 1	7 10>	+ ,8 75 + 17	7 5 4 1	R 865 4	=141+5	54	· 845 1	1 302 2	+41 (+1)	1617 + 10	4 gus, _0 -
55	1 1/2 1	- 31 ·	+ 34 Sec + 17	20 5 0 4 10	3 81 3 4	0 14" + 5	(m, 4	0718	1 308 c	+ 41 313 + 19	15.625 + 11	S
-							-					

The Zahlen der zweiten Subcolumnen and mit $t=\frac{t_0-1900}{100}$ gu multipliciren, und sind in Einheiten der letzten T

Tafel Xa.

1	λι	Präcess.	I A DOPP	arall- axe	Reduction der Breite	Arg.	εΙ	λ _I	Präcess.	Aberr.	Parall- axe	Reduction der Breite
, ,	— 1"308	+ 41"313 + 19	- 20"615 + 10 8"	908 — 4	-o"257 + 5	65.0	0"450 +	1 - 1"331 - 2	+ 43"825 + 20	- 20"708 + 8	8"948 — 3	- o''359 + 4
. 0			- 20.617 + 10 8.9									
· / I			- 20.619 + 10 8.6 - 20.621 + 10 8.6									
i l			- 20.623 + 10 8.0									
			, , ,						l			
			-20.625 + 10.86 -20.627 + 10.86									
1 1			- 20.629 + 10 8.0									
4 1	- 1.347 -	+ 41.715 + 19	- 20.631 + 10 8.6	915 - 4	- o.275 + 5	65.8	0.396 +	1 - 1.286 - 2	+ 44.227 + 20	- 20.721 + 8	8.954 — 3	— o.373 + 4
' °	- 1.351 -	+ 41.765 + 19	- 20.633 + 10 8.9	916 - 4	- 0.277 + 5	65.9	0.389 +	1 - 1.279 - 3	+ 44.277 + 20	- 20.722 + 8	8.955 - 3	-0.374 + 4
	- 1.355 -	+ 41.815 + 19	- 20.635 + 10 8.9	917 -4	- o.279 + 5	66.0	0.382 +	1 - 1.272 - 3	+ 44.327 + 20	- 20.724 + 8	8.955 — 3	- 0.376 + 4
. 0	- r.358 -	+ 41.865 + 19	— 20.637 + 10 8.c	918 – 4	- 0.281 + 5	66.1	0.376 +	1 - 1.265 - 3	+ 44.378 + 20	- 20.725 + 8	8.956 — 3	— o.378 + 4
	-		-20.639 + 10.86 -20.641 + 10.86						+ 44.428 + 20 + 44.478 + 20			
			- 20.643 + 10 8.6						+ 44.528 + 20			
	1	1 1	1 1 1					i	1 1 1			1 1
			- 20.645 + 10 8.9									
			- 20.647 + 10 8.9 - 20.649 + 10 8.9			66.7			+ 44.629 + 20 + 44.679 + 20			
			- 20.650 + 10 8.0			66.8	0.331 +	1 - 1.211 - 3	+ 44.729 + 20	- 20.736 + 8	8.961 — 3	— o.389 + 3
1 9	- r.379 -	+ 42.267 + 19	- 20.652 + 10 8.g	925 - 4	0.298 + 5	66.9	0.324 +	1 - 1.202 - 3	+ 44.780 + 20	- 20 737 + 8	8.961 — 3	- 0.390 + 3
	_ v 281 -	+ 42.317 + 10	- 20.654 + 9 8.9	025 - 4	-0.300 + 5	67.0	0.318 +	1 - 1.104 - 3	+ 44.820 + 20	- 20.730 + 8	8.662 - 3	- 0.302 + 3
			- 20.656 + 9 8.9						+ 44.880 + 20			
			- 20.658 + 9 8.9			67.2	0.306 +	1 - 1.176 - 3	+ 44.930 + 20	- 20.742 + 7	8.963 — 3	- 0.395 + 3
			-20.660 + 98.60 - 20.662 + 98.60			67.3	0.300	1 - 1.166 - 3	+ 44.980 + 20	- 20.743 + 7 - 20.745 + 7	8.964 - 3	- 0.396 + 3
	1	1				1		1	1 1		1 1	1 1
, 0	- 1.386 -	+ 42.569 + 19	— 20.664 + 9 8.9	929 - 4	- 0.311 + 5	67.5	0.288 +	1 - 1.147 - 3	+ 45.081 + 20	- 20.746 + 7	8.965 — 3	- o.399 + 3
, 0	- 1.386	+ 42.619 + 19	$\begin{array}{c ccccccccccccccccccccccccccccccccccc$	930 - 4	- 0.313 + 5	67.6	0.282 +	1 - 1.137 - 3	+ 45.131 + 20	- 20.747 + 7 - 20.740 + 7	8.966 — 3	- 0.401 + 3
			- 20.669 + 9 8.6									
1 0	- 1.386 -	+ 42.770 + 19	- 20.671 + 9 8.9	933 - 4	- 0.319 + 4	67.9	0.264 +	1 - 1.107 - 3	+ 45.282 + 20	- 20.752 + 7	8.967 — 3	0.405 + 3
		. + 40 820 + 10	- 20.673 + 98.9		-0.331 + 4	68.0	0 258 +	1 - 7 006 - 3	± 15 220 ± 20	- 20.753 + 7	8 068 3	-0.407 + 3
		+ 42.870 + 19							+ 45.382 + 20			
		+ 42.920 + 19	-20.676 + 98.6	935 - 4	- 0.325 + 4	68,2	0.247 +	1 — 1.074 — 4	+ 45.433 + 20	- 20.756 + 7	8.969 — 3	一 0.409 士 3
) + 1	- 1.383 -	+ 42.971 + 19	- 20.678 + 9 8.9 - 20.680 + 9 8.9	936 - 4	- 0.327 + 4	68.3	0.241 +	1 - 1.063 - 4	+ 45.483 + 20	- 20.757 + 7 - 20.758 + 7	8.970 - 3	- 0.411 + 3
"	- 1.361	1 4 43.02.	20.000 + 918.9	930	0.329 + 4	J	0.230	132	T 45.533 T 20	201,50	0.970	***************************************
		+ 43.071 + 19							+ 45.583 + 20			
+ 1		2 + 43.121 + 19 2 + 43.172 + 19							+ 45.634 + 21 + 45.684 + 21	20.761 + 7 20.762 + 7		
1+ 2		2 + 43.172 + 19	-20.687 + 98.6	939 — 4	- 0.336 + 4	68.8	0.214 +	I — 1.005 — 4	+ 45.734 + 21	- 20.763 + 7		
			- 20.689 + 9 8.0									
	_ , -6-		20.691 + 98.9		-0.340	60.0	0 201 -	1 - 0 08 - 1	± 45 8 15 ± 00	- 20 766 4 6	8 074 - 3	_ 0.420 _ 0
1 + 2	- 1.366	+ 43.373 + 20	- 20.692;+ 98.0	942 - 4	- 0.342 + 4i	69.1	0.199 +	1 — 0.968 — 4	+ 45.885 + 21	- 20.767 + 6	8.974 - 3	- 0.421 + 2
+ 1	- 1.363	+ 43.423 + 20	20.694 + 9 8.6 20.696 + 9 8.6	942 4	- 0.344 + 4	69.2	0.194 +	- o.956 4	+ 45.935 + 21	— 20.768 + 6	8.974 - 3	- 0.422 + 2
+ 1	- 1.360	+ 43.473 + 20	- 20.696 + 9 8.9	943 - 3	-0.346 + 4	69.3	0.180 +	1 - 0.943 - 4	+ 45.985 + 21	- 20.769 + 6	8.975 - 2	一 0.424 十 2
1 + 1	- 1.350	4 43.523 + 20	20.698 + 9 8.9	944 - 3	0.340 + 4	09.4	0.104 T	0.930 _ 4	T 40.030 T 21	- 20.771 T 0	0.9/0 2	0.425 7 2
; + 1	- 1.353	+ 43.574 + 20	- 20.699 + 9 8.9	945 - 3	- 0.350 + 4	69.5	0.179 +	1 - 0.917 - 4	+ 46.086 + 21	- 20.772 + 6	8.976 — 2	- 0.426 + 2
1 + 1	- 1.340 ·-	2 + 43.624 + 20	20.701 + 0 8.0	045 - 3	- 0.351 + 41	69.6	0.175 +	I - 0.004 - 4	+ 46.136 + 21	— 20.773 十 6	8.977 - 2	一 0.427 十 2
$\mathbf{t}' + \mathbf{z}'$	- 1.340	2 + 43.724 + 20	$\begin{array}{cccccccccccccccccccccccccccccccccccc$.047. — 3	- 0.355 + 4!	6a.8	0.165 +	1 0.877' 4	+ 46.237 + 21	一 20.775 十 6	8.978 2	- 0.420 + 2
+ 1	- 1.336	+ 43.775 + 20	20.708 + 9 8.6 0 20.708 + 8 8.6	948 3	- 0.357 + 4	69.9	0.161 +	1 - 0.863 - 4	+ 46.287 + 21	- 20.777 + 6	8.978 - 2	- 0.430 + 2
7 + 1	- 1.331 -	2 + 43.825 + 20	20.708 + 8 8.0	.948 — 3	- o.359 + 4	70.0	0.156 +	ı — o.850 — 4	+ 46.337 + 21	— 20.778 + 6	8.979 - 2	- 0.432 + 2
<u></u>		• 1	-	<u> </u>		<u> </u>						

Zahlen der zweiten Subcolumnen sind mit $t = \frac{t_o - 1900}{100}$ zu multipliciren, und sind in Einheiten der letzten Decimale

Tafel Xa.

	awaya aaw																						
Arg. I	εΙ		λ _I		Prä	cess.	Aber	r.	Para ax		Reducti der Bre		Arg. I	13		λ ₁		Präce	86.	Aber	r.	Parall axe	Red der
70.0	0"156	+ 1	— o"850	- 4	+ 46"3	37 + 2	- 20"778	+ 6	8"979	— 2	o"432	+ 2	75.0	o" o 39	0	— o"o39	- 6	+ 48"849	+ 22	— 20"81 <i>7</i>	+ 3	8"996 —	1 - 0"4
							- 20.779																
							— 20.78u																
							- 20.781																
70.4	0.139	+ 1	— 0.7 93	- 5	+ 46.5	38 + 2	- 20.782	+ °	8.980	2	- 0.430	+ 2	75.4	0.039	٥	T 0.031	- 0	+ 49.050	+ 22	- 20.819	+ 3	8.996 —	1 - 04
70.5	0.135	+ 1	_ o.770	_ 5	+ 46.5	88 + 2	20.783	+ 6	8.980	- 2	- 0.437	+ 2	75.5	0.030		+ 0.048	6	+ 40.101	+ 22	— 20.810	4 3	8.006 —	1 - 0.4
							- 20.784																
70.7	0.127	+ 1	— 0.750	— 5	+ 46.6	89 + 2	20.785	+ 6	8.981	- 2	0.439	+ 2	75.7	0.040	0	+ 0.083	6	+ 49.201	+ 22	— 20.82 0	+ 2	8.997 —	1 - 0.4
							20.786																
7 0.9	0.120	+ 1	- 0.720	— 5	+ 46.7	89 + 2	— 20.787	+ 5	8.982	— 2	- 0.441	+ 2	75-9	0.041	o	+ 0.118	- 6	+ 49.302	+ 22	20.821	+ 2	8.997 —	1 - 04
 .	0.716		- o 705		1 468	40 4 2	- 20.788	1 .	8 082	_ 2	-0.447	ᆠᆀ	76.0	0.042		+ 0 135	6	+ 49.352	٠, ١	20 821	4 2	8 007 —	ر _ ار
							— 20.78g											+ 49.402					
							- 20.790											+ 49.452					
							- 20.791											+ 49.503					
71 -4	0.102	+ 1	— o.644	— 5	+ 47.9	41 + 2	- 20.792	+ 5	8.985	— 2	0.445	+ 1	76.4	0.046				+ 49.553					
ll		١			l	1.		١. ۔											١. ا		1		1
							1 — 20.793 1 — 20.794											+ 49.603 + 49.653					
							20.794											+ 49.704					
71.8	0.089	+ 1	- o.581	— 5	+ 47.2	42 + 2	- 20.796	+ 5	8.986	- 2	- 0.448	+ 1	76.8	0.052	0								
							- 20.796											+ 49.804					0-0.4
			1					۱.				ı										l i	1
							- 20.797											+ 49.854					o — 0.4
							— 20.798 — 20.799																이 — 0.4 이 — 0.4
							20.799											+ 49.955 + 50.005					9-04
							- 20.801									+ 0.375	— 6	{+ 50.055} {- 0.191}	{+23}	 20.824		8.998	o {+ %
				l		- 1			I		1 1	ŀ							1 1		ļ		
72.5	0.070	+ 1	o.468	— 5	+ 47.5	93 + 2	- 20.802	+ 4	8.989	- 2	0.453	+ 1	77-5	0.065	0			{+ 50,106} - 0,140}	{+#}}	20.824		8.999	ol{∓‰
							- 20,802									+ 0.409		+ 50.156) - 0.000)	{+23}	20.824		8.999	o{∔
72.7	0.066	+ 1	- 0.435	- 5	+ 47.0	94 + 2	— 20.803 — 20.804	1	8.989	- 2 - 2	- 0.454	‡∭	77.7	0.070	0	+ 0.425	- 6	(十 50,206) (十 50,206) (十 50,256)	{+23} {+23}			8.999	이 (- i.i
72.0	0.061	+ 1	- 0.401	_ 5	+ 47.7	04 + 1	- 20.804	1 4	8.000	— 2	- 0.455 - 0.455	+ :	77.0	0.072	٥	+ 0.458	- 6	1+ 0.010) 1+ 50.307)+23)	20.824		8.000	O {- 0.4 + 0.0 O {+ 0.0 O {- 0.4 O {- 0.4 O {- 0.4 O {- 0.4
/	0.00.			۱	. "	71]	` `	"			•	"	1,5		1 3.435	Ĭ	(100.061)	(0)		i •		
73.0	0.059	+ 1	— o. 385	– 5	+ 47.8	45 + 21	20.805	+ 4	8.990	— 1	— o.456	+ 1	78.0	0.078	0	+ 0.475	6	{‡ 50.357}	{+23}	— 20.824	+ 1	8.999	o { - 0.6 o { - 0.6
73.1	0.057	+ :	— o.368	- 5	+ 47.8	95 + 25	20.806	+ 4	8.991	1	- 0.457	+ 1	78.1	0.080	0	+ 0.491	- 6	(士 50.107)	[+2]	- 20.824	+ 1		o {
73.2	0.056	+ 1	0.351	- 5	+ 47-9	45 + 2.	20.807	++	8.991	- 1	- 0.457	+ 1	78.2	0.083	O	+ 0.507	— ú	+ 0.211	0	20.824	1		o.o — o.o
73-3	0.054	+ 1	- 0.334	'	+ 47-9	75 + 23	2 20.80 7 2 20.808	1	8.001	- 1	- 0.458	<u> </u>	78.3	0,080	0	+ 0.524	- 6	+ 0.262	٥	— 20.824 — 20.824			0, 0,0
73.4	17,032	Τ.	0.317	"	T 40.00	13 7 3	20,000	١٠,	0.991		- 0.430	' -	/	0.009	١	+ 0.540		+ 0.412	''	- 20.024	١ ١	0.999	o — o.o
73-5	0.051	+ 1	— v. 300	6	+ 48.0	96 + 2:	20.809	+ +	8.992	— 1	- 0.459	+ 1	78.5	0.092	o	+ 0.556	. 6	+ 0.362	ی	20,824		8.999	ه.ه – ن
73.6	0.049	+ 1	- 0.283	- 6	+ 48.1	46 + 23	20,809	+ 4	8,992	1	0.459	+ 1	78.6	0.095	0	+ 0.572	6	+ 0.412	0	— 20,824			o.o
							20.810													- 20.824		8.990	0.0
							20.811													20.824	1		υ – ο.ο
73.9	0.045	+ 1	- 0.231	6	+ 48.2	97 + 2	2 - 20,811	+ 4	8.993	- 1	- 0.460	0	78.9	0.105	0	+ 0.619	- 6	+ 0.563	9	20.824	٥	8.998	o — o.c
74.0	0.044	٠.	- 0.214	6	L 48.1	17 1	20,812	۱,	8.00.2	- 1	- 0.461		70.0	0.100		منة مبدأ	_ 6	دين ما		20.823		8.008;	0.0
74.1	0.043	+ 1	- 0.106	- 6	+ 48.3	07 + 2	20.812	+ 3	8.993	1	- 0.461	, i	79.0	0.112	ő	+ 0.650	- 6	+ 0.664		20.823			0 - 0.0
74.2	0.042	+ 1	- 0.179	- 6	+ 48.4	47 + 2	20,813	+ 3	8.994	- 1	- 0.461							+ 0.714		20.823			0 0.0
74.3	0.042	+ 1	0.161	- 6	+ 48.4	98 + 2	20.814	+ 3	8.994	1	0.461							+ 0.764		— 20,823		8.908	o.o
							20.814						79-4	0.123	o	+ 0.695	- 6	+ 0.814	U	20.823	0	8.998	0.0
					١			١.				!				l. :	١.	l		_		.	
	0.040						2 - 20.815											+ 0.865		- 20.823	I	8.998	o n.c
	0.040 0.039						2 - 20.815 2 - 20.816											+ 0.915 + 0.965		- 20.822 20.822		8.908 8.998	o — o.c
	0.039		0.074				20.816									+ 0.754		+ 1.015		- 20,822		8.998	0 - 0.0
	0.039	ı	0.057				- 20.817					O.	79.9	0.143	U	+ 0.769	- 6	+ 1.066	o	20,822			0 - 0.0
	0,039		- 0.030				2 - 20.817					0	80,0	0.148	0	+ 0.783		+ 1.116		20.821			o,o o,o
L			ı	I	i	1	1	1		i	1	Į.	11	i i			!		1	ı		1)	

Die Zahlen der zweiten Subcolumnen sind mit $t = \frac{t_0 - 1900}{100}$ zu multipliciren, und sind in Einheiten der letzten De angesetzt.

Tafel Xa.

	=											
ı	λι	Präcess.	Aberr.	Parall- axe	Reduction der Breite	Arg.	ε _[λ ₁	Präcess.	Aberr.	Parall- axe	Reduction der Breit
0	+ 0"783 - 6	+ 1"116 + 1	— 20"821 — 1	8"gg8 o	— o"oto o	85.0	0"439 - 1	+ 1"201 4	+ 3"628 + 2	20"790 4	8"984 + 2	- o"025
			- 20.821 - I				0.446 - 1			- 20.789 - 4		
٥			- 20.821 - 1				0.453 - 1			20.788 4		
9	+ 0.825 - 5	+ 1.267 + 1	- 20.821 - 1	8.997 + 1	- 0,011 0	85.3	0.460 — 1	+ 1.307 - 4	+ 3.779 + 2	— 20.787 — 4	8.983 + 2	- 0.026
0	+ 0.839 - 5			8.997 + 1	- 0.011 0	85.4	0.467 - 1	+ 1.311 - 4	+ 3.829 + 2	— 20.786 — 4	8.982 + 2	0.026
	1			1 1		l	1 1			i i		
9	+ 0.853 5	+ 1.367 + 1	- 20.820 - I	8.997 + 1	- 0.012 0	85.5	0.474 — 1			— 20.785 — 4		
0			- 20.819 - I				0.481 — 1			20.784 4		
9			— 20.819 — T				0.489 — 1			— 20.783 — 4		
9			- 20.819 - 1				0.496 1			- 20.782 - 4		
٩	+ 0.906 - 5	+ 1.568 + 1	- 20.818 - I	8.996 + 1	- o.o13 o	85.9	0.503 — 1	+ 1.332 - 3	+ 4.080 + 2	- 20.781 - 4	8.980 + 2	0.027
1 1						٠.				20.780 4		
٩			- 20.818 - I				0.510 - 1			- 20.760 - 4 - 20.779 - 4		
1 9			- 20.818 - 1 - 20.817 - 1			B4 .				- 20.778 - 5		
,"	+ 0.944 - 5						0.524 — I 0.531 — I	+ 1.344 - 3	+ 4.281 + 2	- 20.777 - 5	8.078 + 2	-0.027
_ ;			-20.816 - 2				0.538 — 1			- 20.776 - 5		
1	. 4.949 3	' '''''	20.010		0.0,3	-5.4		'57' 3	1. 4.035 1.	,,,		
- 1	+ 0.981 - 5	+ 1.869 + 1	- 20.816 - 2	8.995 + 1	- o.o15 o	86.5	0.546 - 1	+ 1.349 - 3	+ 4.382 + 2	20.774 5	8.977 + 2	- 0.027 -
_ z	+ 0.993 - 5						0.553 — 1			— 20.773 — 5		
- I	+ 1.005 - 5				- o.o16 o		0.560 1			— 20.772 — 5		
x	+ 1.016 - 5			8.994 + 1	- o.o16 °	86.8	0.567 - 1	+ 1.354 - 3	+ 4.533 + 2	— 20.771 — 5	8.976 + 2	- o.o28 -
x	+ 1.028 - 5	+ 2.070 + 1	- 20.814 2	8.994 + 1	- 0.017 0	86.9	0.575 - 1	+ 1.356 - 3	+ 4.583 + 2	— 20. 770 — 5	8.975 + 2	— o.o28 —
1 1			1									
- 1	+ 1.039 - 5		1			11 .				— 20.769 — 5		
- 1	+ 1.050 - 5						0.589 1			— 20.767 — 5		
- 1	+ 1.061 - 5						0.596 — 1			— 20.766 — 5		
1 1	+ 1.072 - 5				- 0.018 0	11 .	0.603 — т			— 20.765 — 5		
- 1	+ 1.083 - 5	+ 2.321 + 1	- 20.811 - 2	8.993 + 1	- 0.018	°′.4	0.610 1	+ 1.300 - 3	T 4.034 + 2	— 20.764 — 5	0.973 + 3	- 0.026
	+ 1.093 - 5	-L 0 380 L V	- 20.810 - 2	8 002 4 7		87.5	0 618 1	± 7 260 - 3	+ 4.884 + 2	- 20.762 - 5	8.072 + 2	- 0.028 -
	+ 1.103 - 5					• •	0.625 - 1			- 20.761 - 5		
- 1	+ 1.113 - 5					B1 .	0.632 - 1			— 20.760 — 5		
	+ 1.123 - 5				- 0.020 0		0.639 — 1			- 20.758 - 6		
	+ 1.133 - 5						0.646 - 1			— 20.757 — 6		
						H						
- r	+ 1.142 - 5	+ 2.623 + 1			- 0.020 O		0.654 — 1			— 20.756 — 6		
	+ 1.152 - 5						0.661 1			— 20.755 — 6		
- 1	+ 1.161 - 5		— 20.805 — 3	8.991 + 1			0.668 — 1			- 20.753 - 6		
- 1	+ 1.170 - 5			8.990 + 1			0.675 1			- 20.752 - 6		
- 1	+ 1.178 - 4	+ 2.824 + 1	- 20.804 - 3	0.990 + 1	- 0.021 0	°°•4	0.682 — 1	+ 1.352 - 2	T 5.330 + 2	— 20.751 — 6	0.907 + 3	- 0.028
	+ 1.187 _ 4	4 2 874 4 7	- 20.803 - 3	8.000 + x	- 0.022 0	88.5	0 680 1	± 1.350 — 2	+ 5.387 + 2	— 20.749 — 6	8.066 + 3	- 0.028 -
							0.696 — 1			- 20.748 - 6		
- i	+ 1.204 - 4		-		-0.022 0		0.703 - 1			— 20.746 — 6		
_ ı	+ 1.212 - 4				- 0.023 0		0.710 — 1			— 20.745 — 6		
) .	+ 1.219 - 4				- 0.023 0		0.717 — 1			— 20.744 — 6		
		l	l i			1]					_
- 1	+ 1.227 - 4	+ 3.126 + 1	— 20.799 — 3	8.988 + 2	- 0.023 O					- 20.742 - 6		
- 1	+ 1.234 - 4	+ 3.176 + 1	— 20.798 — 3	8.988 + 2	— o.o23 o	89.1	0.731 - 1	+ 1.333 - 2	+ 5.688 + 3	- 20.74I - 6	8.963 + 3	- 0.028 -
	+ 1.241 - 4	+ 3.226 + 1	— 20.797 — 3	8.987 + 2	- 0.023 0	89.2	0.738 — 1	+ 1.329 - 2	T 5.738 + 3	- 20.739 - 6	0.902 + 3	- 0.028 -
- I	+ 1.248 - 4	+ 3.270 + 1	- 20.797 - 3	8 086 + -	- 0.024 0					- 20.738 - 6		
- 1	T 1.255 - 4	T 3.320 + 1	— 20.796 — 3	0.900 + 2	- 0.024 0	109.4	0.752 - 1	T 1.522 - 2	T 5.039 T 3	— 20.736 — 6	J ^{3.90} (+ 3	0.520
_ 1	+ 1.262 - 4	+ 3,377 + 2	- 20.795 - 4	8.986 + 2	- 0.024 0	8o.s	0,750	+ 1.318 - 2	+ 5.880 + 3	— 20.735 — 6	8.960 + 3	_ o.o28 _
_ ;	+ 1.268 - 4	+ 3.427 + 2	- 20.795 - 4 - 20.794 - 4	8.986 + 2	- 0.024 0					- 20.733 - 6		
- r	+ 1.274 - 4	+ 3.477 + 2	- 20.793 - 4	8.985 + 2	- 0.025 o	89.7	0.773 - 1	+ 1.309 - 2	+ 5.990 + 3	- 20.732 - 7	8.959 + 3	0,028
- 1			- 20.792 4				0.779 — 1	+ 1.304 - 2	+ 6.040 + 3	- 20.730 - 7	8.958 + 3	- o.o28 -
- 1			- 20.791 - 4				0.786 — 1		+ 6.090 + 3	— 20.729 — 7	8.958 + 3	— o.o28 —
— r	+ 1.291 - 4	+ 3.628 + 2	— 20.790 — 4	8.984 + 2	- 0.025 0	90.0	0.793 — 1	+ 1.294 2	+ 6.140 + 3	- 20.727 - 7	8.957 + 3	- o.o28
	I	II			1 1	<u> </u>	1					11

Cahlen der zweiten Subcolumnen sind mit $t = \frac{t_o - 1900}{100}$ zu multipliciren, und sind in Einheiten der letzten Decima

Tafel Xa.

$\begin{array}{c ccccccccccccccccccccccccccccccccccc$	4 — 20.638 — 4 — 20.636 — 4 — 20.632 — 4 — 20.632 — 4 — 20.628 — 4 — 20.624 — 20.624 — 20.624 — 20.624 — 20.624 — 4 — 20.624 — 4 — 20.622 — 4 — 20.624 — 4 — 20.622 — 2 — 2 — 2 — 2 — 2 — 2 — 2 — 2 — 2	9 8"919 + 4 9 8.918 + 4 9 8.917 + 4 9 8.917 + 4 9 8.916 + 4	- 0. - 0. - 0. - 0.
$ \begin{array}{cccccccccccccccccccccccccccccccccccc$	4 — 20.638 — 4 — 20.636 — 4 — 20.632 — 4 — 20.632 — 4 — 20.628 — 4 — 20.624 — 20.624 — 20.624 — 20.624 — 20.624 — 4 — 20.624 — 4 — 20.622 — 4 — 20.624 — 4 — 20.622 — 2 — 2 — 2 — 2 — 2 — 2 — 2 — 2 — 2	9 8.918 + 4 9 8.917 + 4 9 8.917 + 4 9 8.916 + 4	- 0. - 0. - 0. - 0.
$ \begin{array}{cccccccccccccccccccccccccccccccccccc$	4 — 20.636 — 4 — 20.634 — 4 — 20.632 — 4 — 20.638 — 4 — 20.628 — 4 — 20.624 — 4 — 20.622 —	9 8.917 + 4 9 8.917 + 4 9 8.916 + 4 9 8.915 + 4	- 0. - 0. - 0.
$ \begin{array}{cccccccccccccccccccccccccccccccccccc$	4 — 20.634 — 4 — 20.632 — 4 — 20.638 — 4 — 20.628 — 4 — 20.624 — 20.624 — 20.622 — 2 — 2 — 2 — 2 — 2 — 2 — 2 — 2 — 2	9 8.917 + 4 9 8.916 + 4 9 8.915 + 4	- o. - o.
$ \begin{array}{cccccccccccccccccccccccccccccccccccc$	4 — 20.632 — 4 4 — 20.630 — 4 4 — 20.628 — 4 4 — 20.626 — 4 4 — 20.622 — 4	9 8.916 + 4 9 8.915 + 4	, - o.
90.5 0.826 - 1 + 1.266 - 2 + 6.392 + 3 - 20.719 - 7 8.953 + 3 - 0.027 - 1 95.5 1.083 0 + 0.743 - 1 + 8.904 + 90.6 0.832 - 1 + 1.259 - 2 + 6.442 + 3 - 20.718 - 7 8.953 + 3 - 0.027 - 1 95.6 1.086 0 + 0.729 - 1 + 8.954 + 90.7 0.839 - 1 + 1.253 - 2 + 6.492 + 3 - 20.716 - 7 8.952 + 3 - 0.027 - 1 95.7 1.089 0 + 0.715 - 1 + 9.004 + 90.8 0.845 - 1 + 1.246 - 2 + 6.542 + 3 - 20.715 - 7 8.951 + 3 - 0.026 - 1 95.8 1.093 0 + 0.701 - 1 + 9.055 +	4 — 20.630 — 4 — 20.628 — 4 — 20.626 — 4 — 20.624 — 4 — 20.622 —	9 8.915 + 4	ļ.,
$ \begin{array}{cccccccccccccccccccccccccccccccccccc$	4 — 20.628 — 4 — 20.624 — 4 — 20.622 — 4		
$ \begin{array}{cccccccccccccccccccccccccccccccccccc$	4 — 20.628 — 4 — 20.624 — 4 — 20.622 — 4		
$ \begin{array}{c ccccccccccccccccccccccccccccccccccc$	4 — 20.626 — 4 — 20.624 — 4 — 20.622 —	911.0.9≀4 T 4	J- 0.
90.8 0.845 -1 + 1.246 -2 + 6.542 + 3 -20.715 -7 8.951 + 3 -0.026 -1 95.8 1.093 0 + 0.701 -1 + 9.055 + 9.	4 - 20.622 -	9 8.913 + 4	
	1 1	9 8.912 + 4	, - o
$ 9^{0.9} 0.85^2 -1 + 1.239 -1 + 6.593 +3 -20.713 -7 8.951 +3 -0.026 -1 95.9 1.096 0 +0.686 0 +9.105$	70 620	9 8.911 + 4	,
	4 20 6201	1. !.	
$ \begin{array}{c ccccccccccccccccccccccccccccccccccc$			
	4 - 20.618 -		
	4 - 20.616 -		
	4 - 20.614 -		
1	7	7	1 ~
$91.5 \cdot 0.889 - 1 + 1.194 - 1 + 6.894 + 3 - 20.703 - 7 \cdot 8.947 + 3 - 0.025 - 1 \cdot 96.5 \cdot 1.113 \cdot 0 + 0.599 \cdot 0 + 9.406 +$	4 20.610	9 8.906 + 4	↲╻。
		9 8.905 +	
91.7 0.901 - 1 + 1.177 - 1 + 6.995 + 3 - 20.700 - 8 8.945 + 3 - 0.025 - 1 96.7 1.118 0 + 0.570 0 + 9.507 +		9 8.904 +	- o
		9 8.903 +	
91.9 0.913 - 1 + 1.160 - 1 + 7.095 + 3 - 20.696 - 8 8.944 + 4 - 0.024 - 1 96.9 1.122 0 + 0.540 0 + 9.607 +	4 - 20.602 -	9 8.903 + 4	4-0
			1
	1	9 8.902 + 4	
		9 8.901 + 4	
		9 8.899 + 4	
		98.898:+	
		1 11	1
	4 - 20.589 -	9 8.897 + 4	4 - 0
		9 8 896 + 4	4 0
		9 8.895 + 4	4 0
	5 - 20.583 -		4+°
$\begin{bmatrix} 92.9 & 0.969 & 0 \\ 1.063 & 1 \\ 1.063 & 1 \end{bmatrix} + 7.598 + 3 = 20.679 = 8 = 8.936 + 4 = 0.022 = 1 = 97.9 = 1.141 = 0 + 0.386 = 0 + 10.110 + 10.110 = 1.141 = 0 = 1.041 = 0$	5 - 20.581 -	9 8.894 + 4	4+°
93.0 0.974 0 + 1.053 - 1 + 7.648 + 3 - 20.677 - 8 8.935 + 4 - 0.021 - 11 98.0 1.142 0 + 0.371 0 + 10.160 +		088	۔ ۔ا
1	5 - 20.579 - 10 5 - 20.577 - 10		
	5 - 20.575 - 1		
	5 20.573 - 1		
	5 - 20.571 1		
			1
	5 - 20.500 - 1	8.888 + 4	+ 0.
	5 - 20,566 - 1		
	5 - 20.564 - 10		
	5 - 20.562 - 1		
$ \begin{array}{ c c c c c c c c c c c c c c c c c c c$	5 - 20.560 - 1	0 8.885 + 4	1+ °
94.0 1.023 0 + 0.018 1 + 8.150 + 4 20.650 -8 8.027 + 4 0.018 -1 99.0 1.151 0 + 0.213 0 + 10.663 +	5 - 20.558 - 1	0 8 88 4	۽ ڇا،
	5 - 20.556 - 10		
	5 = 20.554 - 10		
	5 - 20.552 - 1		
	5 - 20.550 - 1		
	1	:	1
	5 = 20.547 1		
	5 20.545; - 1		
	5 - 20.543 - 10		
$\begin{array}{cccccccccccccccccccccccccccccccccccc$		8.876 + 4	
	5 - 20.539 - 10		
29	5 - 20.537 - 10	0.074 + 4	1" "

Die Zahlen der zweiten Subcolumnen sind mit $t = \frac{t_n - 1900}{100}$ zu multipliciren, und sind in Einheiten der letzten Ikangesetzt.

Tafel Xb.

vergl. pag. 241.

1	eII	λιι	Arg. II	εII	\lambda_{II}	Arg.	εΠ	λη	Arg.	εII	λιι	Arg. II	εII	λιι
3.0	18"546 + 1	0"000 0	5.0	18"111 + 1	-5"217 - 5	10.0	16"845 + 1	— 9"959 ₁ — 10	15.0	14"85al + -	- 13"782 - 14	-	10"25	
D. 1	18.546 + 1	- 0.106 o	5.r	18.004 + 1	-5.318 - 6	10.1	16.811 + 1	- 10.045 - 10	15.1	1 1	- 13 7e2 - 14 - 13.846 - 14		12"327 0	- 16"313 -
D.2	18.545 + 1	- 0.212 0	5.2	18.076 + 1	- 5.419 - 6	10.2	16.778 + 1	- 10.132 - 11	_			20.1	12.273 0	- 16.348 -
0.3	18.544 + 1	- 0.317 0	5.3	18.058 + 1	- 5.519 - 6	10.3	16.744 + 1	- 10.132 - 11 - 10.218 - 11		14.765 + 1	— 13.910 — 14	20.2	12.218 0	- 16.383
0.4	18.543 + 1	- 0.423 O	5.4	18.040 + 1	- 5.620 - 6	10.4	16.710 + 1	- 10.304 - 11		1 - 1.	- 13.974 - 14	20.3	12.163 0	- 16.417
	1.543		""		,		-5.7.5	11	15.4	14.0/2 7	- 14.036 - 15	20.4	12.108 0	- 16.450 -
0.5	18.542 + 1	- 0.529 - 1	5.5	18.021 + 1	- 5.720 - 6	10.5	16.676 + 1	- 10.389 - 11	15.5	14.625 0	_ ,, ,,,,,,,			
0.6	18.540 + 1	- 0.635 - I	5.6	18.002 + 1	- 5.820 - 6	10.5	16.641 + 1	- 10.369 - 11 - 10.474 - 11		1 ' '	- 14.098 - 15	20.5	12.053 0	- 16.48 ₃ -
0.7	18.537 + 1	- 0.741 - I	5.7	17.982 + 1	- 5.920 - 6	10.7	16.606 + 1	- 10.474 - 11 - 10.559 - 11	-		— 14.160 — 15	20.6	11.998 0	— 16.516 —
0.8	18.535 + 1	- 0.847 - I	5.8	17.962 + 1	- 6.020 - 6	10.8	16.571 + 1	- 10.559 - 11 - 10.643 - 11	15.8		- 14.221 - 15		11.943 O	- 16.547 -
0.9	18.532 + 1	- 0.953 - I	5.9	17.942 + 1	-6.110 - 6	10.9		- 10.043 - 11 - 10.726 - 11			- 14.282 - 15	20.8		- 16.578 -
	33-	'',],,,	7,-94-	ا ارتسا			.0.,20 - 11	١٠,,,	14.435	- 14.342 - 15	20.9	11.832 0	- 16.6o8 -
1.0	18.528 + 1	- 1.058 - 1	6.0	17.922 + 1	- 6.218 - 7	11.0	16.500 + 1	- 10.810 - 11	16.0	14.388 0	- 14.402 - 15			
2.1	18.525 + 1	- 1.164 - 1	6.1	17.901 + 1	- 6.317 - 7	11.1	16.464 + 1	- 10.893 - 11					11.776 0	16.638
1.2	18.521 + 1	- 1.270 - I	6.2	17.880 + 1	- 6.416 - 7	11.2	16.428 + 1	- 10.975 - 11		14.339	— 14.461 — 15		11.721 0	16.667
1.3	18.516 + 1	- 1.376 - 1	6.3	17.859 + 1	- 6.514 - 7	11.3	16.391 + 1	- 11.058 - 12			- 14.519 - 15		11.665 o	16.695
2.4	18.512 + 1	- 1.481 - 2	6.4	17.837 + 1	- 6.612 - 7	11.4	16.354 + 1	- 11.139 - 12		1 1	- 14.577 - 15	-	11.609 0	16.723
~]	'''''	-'' '	-131	""" '	*****	J J 4 T - 1	39 - 12	****	14.194 0	- 14.635 - 15	21.4	11.553 o	- 16.750 -
2.5	18.507 + 1	_ 1.587 _ 2	6.5	17.815 + 1	- 6.710 - 7	11.5	16.317 + 1	- 11.221 - 12	16.5	1,,,,,	60	ا	17 407	
2.6	18.501 + 1	- 1.692 - 2	6.6	17.793 + 1	- 6.8o8 - 7	11.6	16.280 + 1	- 11.302 - 12		14.145 0	- 14.691 - 15		11.497 0	- 16.776 -
1.7	18.496 + 1	- 1.798 - 2	6.7	17.770 + 1	- 6.906 - 7	11.7	16.242 + 1	- 11.382 - 12		14.096	— 14.748 — 15	21.6	11.441 0	16.802
1.8	18.489 + 1	- 1.903 - 2	6.8	17.747 + 1	7.003 7		16.204 + 1	- 11.462 - 12		1 ' '21	1 -4.5-45			- 16.827 -
1.0	18.483 + 1	- 2.008 - 2	6.9	17.723 + 1	- 7.100 - 7		16.166 + 1				1 -4391 -31		11.328 0	- 16.852 -
"		-	""	7.723	/ /	119		11.542 - 12	10.9	1.5.940	- 14.913 - 15	21.9	11.271 0	- 16.875
.0	18.476 + 1	- 2.114 - 2	7.0	17.700 + 1	- 7.197 - 8	12.0	16.127 + 1	- 11.621 - 12	,	77.80				1
.,	18.469 + 1	- 2.219 - 2	7.1	17.676 + 1	- 7.293 - 8	12.1	16.089 + 1	- 11.700 - 12		1 1	- 14.967 - 15		11.215 0	- 16.899
.2	18.461 + 1	- 2.324 - 2	7.2	17.652 + 1	- 7.293 - 8 - 7.389 - 8		16.050 + 1	- 11.700 - 12 - 11.778 - 12	•	1	- 15.021 - 16		11.158 0	- 16.921 -
.3	18.454 + 1	- 2.429 - 3	7.3	17.627 + 1	- 7.485 - 8	12.3	16.010 + 1	- 11.778 - 12 - 11.856 - 12		13.798 0	1 .3, 4:		11.101 0	16.943
.4	18.445 + 1	- 2.534 - 3	7.4	17.602 + 1	- 7.581 - 8	12.3	15.971 + 1	- 11.856 - 12 - 11.933 - 12			- 15.126 - 16		11.045 0	- 16.964 -
٦			′¨	-,	'.301 "	**.4	-3.37.	11.933 - 12	17.4	13.697 0	- 15.178 - 16	22.4	10.988 0	- 16.985
5	18.437 + 1	2.638 3	7.5	17.577 + 1	- 7.676 - 8	12.5	15.931 + 1	— 12.010 — 12	,	1264				[_
1.6	18.428 + 1	-2.743 - 3	7.6	17.551 + 1	- 7.771 - 8	12.5	15.891 + 1	- 12.010 - 12 - 12.087 - 13		1 -1	- 15.229 - 16		10.931 0	T7.005
1.7	18.419 + 1	- 2.848 - 3	7.7	17.525 + 1	- 7.866 - 8	12.7	15.851 + 1	- 12.067 - 13 - 12.163 - 13			- 15.279 - 16		10.874 0	17.024
1.8	18.409 + 1	- 2.952 - 3	7.8	17.499 + 1	- 7.960 - 8	12.7	-	- 12.103 - 13 - 12.239 - 13	17.8	l i	— 15.329 — 16		10.817 0	17.042
1.9	18.399 + 1	- 3.057 - 3	7.9	17.472 + I	- 8.054 - 8	12.0	1	- 12.239 - 13 - 12.314 - 13			- 15.379 - 16		10.760 0	17.060
	7.7	"""	′"	7.7,2	"""	••••	-3.7~3	13	17.9	13.442 0	- 15.427 - 16	22.9	10.703 0	- 17.077
3.0	18.389 + 1	- 3.161 - 3	8.0	17.446 + 1	- 8.148 - 9	13.0	15.728 + 1	- 12.389 13	18.0	13.390 0		22.	10 648	1
3.1	18.378 + 1	- 3.265 - 3	8.1	17.418 + 1	- 8.242 - 9	13.1		- 12.463 - 13		1 1	- 15.476 - 16		10.645 a	T7.094
3.2	18.367 + 1	- 3.369 - 4	8.2	17.391 + 1	- 8.335 - 9	13.2	15.646 + 1	- 12.537 - 13		1 .	- 15.523 - 16 - 15.523 - 16			- 17.109
3.3	18.356 + 1	- 3.473 4	8.3	17.363 + 1	- 8.428 - 9	13.3	15.604 + 1		18.3		- 15.570 - 16 - 15.617 - 16		10.531 0	17.124
3.4	18.344 + 1	- 3.577 - 4	8.4	17.335 + 1	- 8.521 - 9	13.4	15.562 + 1	- 12.683 - 13		!	- 15.662 - 16		10.473 0	17.139
		"" "	"	. 555	"""	- , -	' .	3		"	15.002 - 10	25.4	10.416 0	17.153
3-5	18.332 + 1	- 3.68o - 4	8.5	17.307 + 1	- 8.613 - 9	13.5	15.520 + 1	- 12.755 13	18 F	13.130 0	- 15.708 - 16	23.5	10.358 0	
3.6	18.320 + 1	- 3.784 - 4	8.6	17.278 + 1	- 8 705 - 9	13.6	15.477 + 1	- 12.827 - 13		1 -!	- 15.752 - 16		10.300 0	- 17.166 -
.7	18.307 + 1	- 3.887 - 4	8.7	17.249 + 1	- 8.797 - 9	13.7	15.434 + 1	- 12.899 - 13			- 15.796 - 16		10.243 0	- 17.178 -
8.8	18.294 + 1	- 3.991 4	8.8	17.220 + 1	8.888 9	13.8		- 12.970 - 13		1 4	- 15.840 - 16			17.190
9.9	18.280 + 1	- 4.094 - 4	8.9	17.190 + 1	- 8.979 - 9	13.9		- 13.040 14		1	- 15.883 - 16		10.185 0	17.201
					"1 1	"		"	1	"1"	13,553,	*,,,,,	.3,	- 17.212
6.0	18.267 + 1	- 4.197 - 4	9.0	17.160 + 1	- 9.070 - 9	14.0	15.305 + 1	- 13.110 - 14	10.0	12,866	- 15.925 - 16	24.0	10.070 0	- 17.222 -
į. r	18.253 + 1	- 4.299 - 4		17.130 + 1				- 13.170 - 14			- 15.966,- 16		10,012 0	
4.2	18.239 + 1	- 4.402 - 5	9.2	17.099 + 1			15.217 + 1			12.759 0	- 16.007 - 17			1,,.
4-3	18.224 + 1	- 4.505 - 5						- 13.317 14			- 16.048 - 17	24.2	9.954 n 9.896 n	17.239
4-4	18.208 + 1	4.607 5		17.037 + 1	- 9.430 - 10			- 13.385 - 14			- 16.087 - 17		9.838 n	
•			`		' " "	``		'''	,,,,	,-	', ',	[7.7]	y.v.39 1.	- 17.254
L.s	18.193 + 1	- 4.709 - 5	9.5	17.006 + 1	- 9.519 - 10	14.5	15.084 + 1	- 13.452 - 14	10.5	12,508	- 16,126 - 17	24.5	9.780 0	- 17,260 -
1.6	18.178 + 1	- 4.811 - 5	9.6	16.974 + 1	- 9.608 - 10	14.6		- 13.519 14			- 16.165 - 17			
L ,	18.161 + 1	- 4.913 - 5		16.942 + 1	- 9.696 - to	14.7		- 13.586 - 14			- 16.203 - 17		9.722 0	
L .8	18.145 + 1	- 5.014 - 5		16.910 + 1				- 13.652 - 14			-16.203 - 17 -16.240 - 17		9.664 0	- 17.271
1-5 1-6 1-7 1-8 1-9	18.128 + 1	- 5.116 - 5		16.877 + 1	- 9.871 - 10	14.9		- 13.717 - 14			- 16.277 - 17	24.0	9.607 0	- 17.275 -
.0	18.111 + 1	- 5.217 - 5		16.845 + 1	- 9.959 - 10			- 13.782 - 14		12.327 0	- 16.313 - 17	25.0	9.548 O	- 17.279'-
				., .	, ,,,,,		1	<u> </u>		,-/		25.0	9.490 0	- 17.282
								-					<u>-</u>	

Die Zahlen der zweiten Subcolumnen sind mit $t = \frac{t_o - 1900}{100}$ zu multipliciren, und sind in Einheiten der letzten Decir Lgesetzt.

Tafel Xb.

													L AO.			_							
Arg.	E11		111		AIT.	εĮ	1	λ 11		Arg.	ε	n .) a ₁	i	ATF.	5]	ır	λ 13		Arg.	81	T	,
25.0	9"490		17"482	- 18	30.5	6"619		- 16"559	- T7	25.0	3 ^H 999	- 1	- 14"181	T E	40.0	1 t ^M Spq	- т	- 20"358	- to	41.0	0"542	- 1	5"4
#5.1	9.432	a	- 17,284	18		6.563		10.527								1.864			L		0.524		- 5-3
#3.9	9-374	0	17 186	— т8	30.0	6.508	0	16.495	- 17	35 2	3 903	— г	- 14:054	- 14	40.0	1.830	1	- 10.179	TO	45.2	0.506	2	- 5.2
P5 3	9.316	ò	17.287	r8	30.3	6.452		- 16,462			3.856		- t3,989			1,795	1	- 20.089	- 10	45-3	0.468	— i	- 5.1
95.4	g.a5à	0	- 17 987	- 18	30.4	6.396	D	- 16.428	17	35 4	3 Bag	- 1	- 13-924	14	40.4	1.761	- 1	- 9.999	- 10	45-4	0.471	- :	- 40
25.5	9.300	D	17 287			6.341		- 16.394			3 761		13.858	,	4 1 1	1.727		9.900			0.454		- 4.9
#5.6 #5.7	9.142	0	17,285			6.931	0	16.359 - 16,323			3,715	L				t.661		- 9.818 - 9.797			0.437		- 4.8 - 4.7
25,8	9,000		17.004			6.176		- 16,287				I									0,405		- 4.6
95.9	8.968		- 17 278			6.191		- 16.230					- 13.590	-				_	1		0.389		- 4-9
96.a	8.910	ó	T 17.274	- 18	31.6	6.066	٥	16.213	- 76	36,0	3.590	- 1	- 13,522	14	41.0	1.563	_ 1	- 0.450	_ a	46.0	0.374	_ ,	- 43
95.T	8.852	0	~ 17.970		- ·	6.0IT	0	16.173			3.484	1	13-453					- 9.357					
26.1	8 794	Ð	17,264	18		5,937	0			36 2		1	13.383			£ 400		9.264			0.345		- 4.1
26.3	8.736		17 958	18	31.3	5-902	0	- 16.095	- 10	36.3	3,393	— т	- 13.313	17	41.3	1.468	τ	9.170	- 9	46.3	0.331	- 8	- 4.0
эб. ₄	8.6 ₇ B	0	17,234	- 19	31.4	5.848	-0	16.054	- 16	36.4	3-34B	1	- 13.943	-13	41.4	1437	- I	9,076	- 9	46.4	0.317	1	- 3-9
26.5	£.6so	-to	- 17:944	B1 —	31.5	5 794	o	£6.013	- т6			- 1	13.171	13	41.5	1,406	- t	- 8 981	g	46.5	0.304	E	- 3.8
26.6	8.569		- 17 236	i 1	31.6	5 740	-6	- 2 -	16		3-259		- 13 100			t-376					0.391	- T	
26.7			- 17.89E			5.686							- 13.027										- 3.6
26.0	8.446		17 218		31 B	5.633	0	- 15.886 15.843	- 16 16		3,170					1.316		8.695	1	468	0.266		- 3.5
20.0	4 304	•	17 200	- 10	31-0	3.578		15,043	10	30.0	3. 120	- '	~ 15 001	-13	41.9	1 287	I	— B.599	- 9	40.0	0,254	- [- 3-4
97.0 27 T	8.330	0	- 17 198 - 17.186		-	5.525	0	15.799			3.083		- 12.807 - 12.733					- 8.503 - 8.406			0.243	- 1	3-3
27.2	8 214		- 17 174		32 1 32 2	5-479	ó	15.754 15.708					- 12.658					- 8,309			0.431		— 3.a — 3.a
27.3	8,157		17.161		32 3	5.365	0				2.954	ľ			42.3	1.172			- В		0.211		
27.4	\$.099	a	- 17 148	— #B		\$.313	0	- 15.615	- 16									— 8.TE4	— в				1
27.5	8.041	0	17 134	- 17	32.5	5,260	0	~ 15.368	- 16	37 5	2 B6g	- 1	- 12 430	13	42-5	1 117	— г	- 8.016	- 8	47.5	0.191		- 2.7
27.6	7.983	ø	- 17.119	17	32,6	5 207	D	15 520	⊷ тб	37.6	2.827	- 1	- 12.353	12	42.6	1.090	- 1	7-917	- 8	47.6	0,182	~ I	- 2.6
37.7	1		- 17.104			5 155	1	- 15.471					- 12.275					7.828		47-7	0.173		- 2.5
27,8	7 868		17,071	- 17	32.8	5.TO3	0	15 429			2 743		12 107			1 1	1	- 7 719 - 7 600		47 8	0.104	I I	
27.9	7 011	a	- 17,071	- 17	3× 9	3 021	- 1	15.372	- 10				12 119	- 42	47-9	1.011	1	- 7 620	, в	47.9.	0.156	- 1	2.3
sil o	7 753	0	17.053	17	33.0	1 999		- 15 321			2.661	-	12,039		4.5-	0.985	1	7 520		'	0.140		
1 B¢	7.696	D	- 17.035		33.1	4-947		- 15 270			2 620	Į.	11.960			0.950	Т		^ 7		0.141		
28.7 68.1	7.639	0	- 17 016 16 006	- 17 77	33 2 33 3	4.895	0	15 218		-	2.580	1 1)			ordate	т	7 119	- 7		0.134		- 1.85 - 1.85
28 4	7 524		16.976				0			_	2 500	T	- 11.718			0.883	ı.	7.118				- 1	17
¥8 5	7 467	_	16.955	17	33.5	4 742	6	15 050		3K. 5	2 460	_ 7	- 11 637	- 12		0.861	1	2.015	- 7	⊿R e	0.116	, 1	166
28.6	7.410		- 16 933	- 17		4-601	1				2 421	- 1	TI 555	12		0,837		6.915		48.6			- 1 51
28 7			~ 46 gr1	17		4 640	1			_	2 382	- 1	- 11 472			a.8r4		680		48.7			- 14
28.8	7 296	0	16 888	\$ 7	33. A	4.590	1	14 894	15	38.8	2 343	1	13 184	1.1	43 8	0.751	1	6 711	7	48.8	a toc	E	1.3
28 9	7 770	0	r6.86 ₀	17	3149	1.540	1	14,838	- 15	3B.9	3-304	- 1	11 30f	T 1	47-0	n 768	I	6 658	- 7	48 9	0.096	1	1.7
	7 28a		±6 840		34.0	4 484		14 781										- 6 506				— г	- 1 1
		- 1	- 16 825			1.439		14 724					- 11 137										- 1.0
99.2	7.009	- 1	- 16.789			4 170		14 666			2.T)1	i	11.051			0.703		- 6.299			0.085		- o 9
29.4	7 017 6 956	- 1	- 16.763 16.736			4 340		- 14 6c7 14 548		39.4	2 176	- 1	- 10.967 10.881			a.66a	- 1	ნ 196 ნაიეთ		49.4	0.082 080,0	- 1	
!																							
29.5	6.900	- 1	- 16.708 - 16.68c					- 14 488				T 1	1 3.795					2 3 R g			0.078	l l	- 0.5
29.6	6.043		- 16 680'			4 744		- 14 428 14 367			2,007	1	- 10.709 - 10.622			a 626 e.660		- 5 770			10.0 7 6	- 1	-04
19 8	6.711		16.621	17				- 14 300			1 971	,	- 10 534	~ []		6 580		- 5 674	- 6		0.074	1	0 1
20.9	6 675		16 5ge			4 047		74.744	- 1	39	1.0.5	- 1	13.446	11		0.5(1		5 559	1	1	0.073	4 T	1. 8
30 0		- 4	T5.550			3 090 E	1	14 181		400		- 1	10.358	ļ.		0.542		5.454			o 074	- 1	0.0
							- 1	,								1							

Die Zahlen der zweiten Subcolumnen sind mit $t = \frac{t_o - 1900}{100}$ zu multiplieiren, und sind in Einheiten der letzten De angesetzt.

Tafel Xb.

							Talei	AU.						
ij.	εII	λ _{II}	Arg. II	εII	λ _{II}	Arg.	εII	λ _{II}	Arg. II	εΙΙ	λ _{II}	Arg. II	εII	λιι
90.2 90.3 90.4	o"073 — I 0.073 — I 0.074 — I 0.075 — I	+ 0.111 0 + 0.222 0 + 0.333 0	55.0 55.1 55.2 55.3 55.4	0.561 — 1 0.580 — 1 0.600 — 1	+ 5"463 + 5 + 5.568 + 6 + 5.674 + 6 + 5.778 + 6 + 5.883 + 6	60.0 60.1 60.2 60.3 60.4	1"899 — 1 1.935 — 1 1.971 — 1 2.007 — 1 2.043 — 1	+ 10"357 + 10 + 10.445 + 11 + 10.533 + 11 + 10.621 + 11 + 10.708 + 11	65.0 65.1 65.2 65.3 65.4	4.047 — I 4.095 — I 4.144 — I	+ 14"181 + 14 + 14.243 + 14 + 14.305 + 14 + 14.367 + 15 + 14.428 + 15	70.0 70.1 70.2 70.3 70.4	6"619 0 6.675 0 6.731 0 6.787 0 6.843 0	+ 16.590 + + 16.621 + + 16.650 +
50.5 50.6 50.7 50.8 50.9	0.078 — 1 0.080 — 1 0.082 — 1 0.085 — 1 0.088 — 1	1 1 1	55.5 55.6 55.7 55.8 55.9 56.0 56.1 56.2	0.660 — I 0.681 — I 0.703 — I 0.724 — I 0.746 — I 0.768 — I	+ 5.987 + 6 + 6.091 + 6 + 6.195 + 6 + 6.299 + 6 + 6.402 + 6 + 6.505 + 7 + 6.508 + 7	60.5 60.6 60.7 60.8 60.9 61.0 61.1 61.2		+ 10.795 + 11 + 10.881 + 11 + 10.967 + 11 + 11.052 + 11 + 11.137 + 11 + 11.221 + 11 + 11.365 + 11 + 11.389 + 11	65.5 65.6 65.7 65.8 65.9 66.0 66.1 66.2	4.291 — I 4.340 — I 4.390 — I 4.440 — I 4.489 — I 4.540 — I	+ 14.488 + 15 + 14.548 + 15 + 14.6607 + 15 + 14.666 + 15 + 14.723 + 15 + 14.781 + 15 + 14.838 + 15 + 14.894 + 15	70.5 70.6 70.7 70.8 70.9 71.0 71.1	7.126 O	+ 16.736 + + 16.763 + + 16.789 +
11.3 51.4 51.5 51.6 11.7 11.8 11.9	0.105 — I 0.111 — I 0.116 — I 0.121 — I 0.128 — I 0.134 — I 0.141 — I	+ 1.444 + 1	56.3 56.4 56.5 56.6 56.7 56.8 56.9	0.814 — I 0.837 — I 0.861 — I 0.885 — I 0.910 — I 0.934 — I	+ 6.812 + 7 + 6.914 + 7 + 7.016 + 7 + 7.117 + 7 + 7.218 + 7 + 7.319 + 7 + 7.419 + 7	61.3 61.4 61.5 61.6 61.7 61.8 61.9	2.382 — I 2.421 — I 2.460 — I 2.500 — I 2.540 — I 2.580 — I	+ 11.472 + 12 + 11.554 + 12	66.3 66.4 66.5 66.6 66.7 66.8 66.9	4.640 0 4.691 0 4.742 0 4.793 0 4.844 0 4.895 0	+ 14.949 + 15 + 15.004 + 15 + 15.059 + 15 + 15.112 + 15 + 15.166 + 15 + 15.218 + 15 + 15.270 + 15	71.3 71.4 71.5 71.6 71.7 71.8	7.467 0 7.467 0 7.524 0 7.639 0 7.696 0	+ 16.911 + 16.933 + 16.955 + 16.976 + 16.996 +
2.0 2.1 2.2 2.3 2.4	0.149 — I 0.156 — I 0.164 — I 0.173 — I 0.182 — I	+ 2.218 + 2 + 2.328 + 2 + 2.438 + 2 + 2.548 + 3 + 2.658 + 3 + 2.768 + 3	57.0 57.1 57.2 57.3 57.4	1.011 — 1 1.037 — 1 1.063 — 1 1.090 — 1	+ 7.519 + 8 + 7.619 + 8 + 7.719 + 8 + 7.818 + 8 + 7.916 + 8	62.0 62.1 62.2 62.3 62.4	2.785 — 1	+ 12.039 + 12 + 12.118 + 12 + 12.197 + 12 + 12.275 + 12 + 12.352 + 12 + 12.429 + 13	67.1 67.2 67.3 67.4	5.051 0 5.103 0 5.155 0 5.207 0	+ 15.321 + 16 + 15.372 + 16 + 15.422 + 16 + 15.471 + 16 + 15.520 + 16 + 15.568 + 16	72.0 72.1 72.2 72.3 72.4	7.983 0	+ 17.070 + + 17.087 + + 17.103 +
\$2.6 \$2.7 \$2.8 \$2.9	0.201 — 1 0.211 — 1 0.221 — 1 0.232 — 1	+ 2.878 + 3 + 2.987 + 3 + 3.097 + 3 + 3.206 + 3		1.200 - 1	+ 8.113 + 8 + 8.211 + 8 + 8.308 + 8 + 8.406 + 8	62.6 62.7 62.8 62.9	2.911 — I 2.954 — I 2.997 — I 3.040 — I	+ 12.506 + 13 + 12.582 + 13 + 12.657 + 13 + 12.732 + 13	67.6 67.7 67.8 67.9	5.365 o 5.418 o	+ 15.615 + 16 + 15.662 + 16 + 15.708 + 16 + 15.754 + 16	72.6 72.7 72.8 72.9	8.099 0 8.157 0 8.214 0 8.272 0	+ 17.186 +
\$3.0 \$3.1 \$3.2 \$3.3 \$3.4	0.243 — I 0.254 — I 0.266 — I 0.278 — I 0.291 — I	+ 3.315 + 3 + 3.424 + 3 + 3.533 + 4 + 3.642 + 4 + 3.750 + 4	58.0 58.1 58.2 58.3 58.4	1.287 — 1 1.316 — 1 1.346 — 1	+ 8.502 + 9 + 8.598 + 9 + 8.695 + 9 + 8.790 + 9 + 8.886 + 9	63.0 63.1 63.2 63.3 63.4	3.083 — I 3.127 — I 3.170 — I 3.214 — I 3.259 — I	+ 12.807 + 13 + 12.881 + 13 + 12.954 + 13 + 13.027 + 13 + 13.099 + 13	68.0 68.1 68.2 68.3 68.4	5.578 o 5.632 o 5.686 o	+ 15.798 + 16 + 15.843 + 16 + 15.886 + 16 + 15.929 + 16 + 15.971 + 16	73.1 73.2 73.3	8.330 0 8.388 0 8.446 0 8.504 0 8.562 0	+ 17.208 + + 17.218 + + 17.228 -
53.5 53.6 53.7 53.8 53.9	0.304 — I 0.317 — I 0.331 — I 0.345 — I 0.360 — I		58.7 58.8 58.9	1.437 — 1 1.468 — 1 1.499 — 1	+ 8.980 + 9 + 9.075 + 9 + 9.169 + 9 + 9.263 + 9 + 9.357 + 9	63.5 63.6 63.7 63.8 63.9	3.303 — I 3.348 — I 3.393 — I 3.438 — I 3.484 — I	+ 13.171 + 13 + 13.242 + 13 + 13.313 + 13 + 13.383 + 14 + 13.453 + 14		5.848 o 5.902 o 5.957 o	+ 16.013 + 16 + 16.054 + 16 + 16.095 + 16 + 16.134 + 16 + 16.173 + 16	73.6 73.7 73.8	8.620 0 8.678 0 8.736 0 8.794 0 8.852 0	+ 17.252 - + 17.258 - + 17.264 -
54.2 54.3 54.4	0.405 — I 0.405 — I 0.421 — I 0.437 — I	+ 4.398 + 4 + 4.506 + 5 + 4.614 + 5 + 4.720 + 5 + 4.827 + 5	59.1 59.2 59.3 59.4	1.595 — 1 1.628 — 1 1.661 — 1 1.694 — 1	+ 9.817 + 10	64.1 64.2 64.3 64.4	3.575 — I 3.621 — I 3.668 — I 3.715 — I	+ 13.590 + 14 + 13.658 + 14 + 13.725 + 14 + 13.792 + 14	69.1 69.2 69.3 69.4	6.121 0 6.176 0 6.231 0 6.286 0	+ 16.212 + 16 + 16.249 + 17 + 16.286 + 17 + 16.323 + 17 + 16.358 + 17	74.1 74.2 74.3 74.4	9.026 9.084 9.142	+ 17.284 - + 17.285 -
\$4.5 \$4.6 \$4.7 \$4.8 \$4.9 \$5.0	0.454 — I 0.47I — I 0.488 — I 0.506 — I 0.524 — I 0.542 — I	+ 5.252 + 5 + 5.358 + 5	59.6 59.7 59.8 59.9	1.830 — 1 1.865 — 1	+ 9,999 + 10 + 10.089 + 10	64.5 64.6 64.7 64.8 64.9 65.0	3.761 — I 3.809 — I 3.856 — I 3.903 — I 3.951 — I 3.999 — I	+ 13.858 + 14 + 13.924 + 14 + 13.989 + 14 + 14.053 + 14 + 14.117 + 14	69.6 69.7 69.8 69.9	6.396 o 6.452 o 6.508 o 6.563 o	+ 16.527 + 17	74.7 74.8 74.9	9.200 0 9.258 0 9.316 0 9.374 0 9.432 0 9.490 0	+ 17.287 - + 17.287 - + 17.286 - + 17.284 -

Die Zahlen der zweiten Subcolumnen sind mit $t = \frac{t_o - 1900}{100}$ zu multipliciren, und sind in Einheiten der letzten Decingesetzt.

Tafel Xb.

				,										_
Arg. II	εII	λ _{II}	Arg. II	εΠ	λιι	Arg.	εII	λ _{II}	Arg. II	εII	λ _{II}	Arg. II	εII	
75.0	9"490 0	+ 17"282 + 18	80.0	12"327	+ 16"313 + 17	85.0	14"857 + 1	+ 13"783 + 14	90.0	16"845 + 1	+9"959 + 10	-	18"111 + 1	
75.1	9.548 0	+ 17.279 + 18		- 1	+ 16.277 + 17		14.903 + 1	+ 13.717 + 14		1 1	+ 9.872 + 10		18.128 + 1	
75.2	9.607 0	+ 17.275 + 18	_		+ 16.240 + 17		14.948 + 1	+ 13.652 + 14			+ 9.784 + 10		18.145 + 1	
75.3	9.664 0	+ 17.271 + 18 + 17.266 + 18		12.494 0	+ 16.203 + 17	85.3 85.4	14.994 + 1	+ 13.586 + 14 + 13.520 + 14			+ 9.696 + 10 + 9.608 + 10		18.178 + 1	,
75.4	9.7,22	7 17.200 7 10	₩.4	-2.344	17	~3.4	-5.039 - 1	13.520 4-14	~~~		, ,,,,,,	' '		ľ
75.5	9.780 0	+ 17.260 + 18	80.5	12.598	+ 16.127 + 17	85.5	15.084 + 1	+ 13.453 + 14		17.006 + 1	+ 9.519 + 10		18.193 + 1	
75.6	9.838 o	+ 17.254 + 18		12.652			15.128 + 1	+ 13.385 + 14			+ 9.430 + 10		18.208 + 1	
75.7	9.896 o	+ 17.247 + 18			+ 16.048 + 17		15.173 + 1	+ 13.317 + 14			+ 9.341 + 10		18.224 + 1	
75.8	9.954 0	+ 17.239 + 18 + 17.231 + 18			+ 16.008 + 17		15.217 + 1	+ 13.249 + 14 + 13.180 + 14	I -		+ 9.251 + 10 + 9.161 + 10		18.239 + I 18.253 + I	
75.9	10.012 0	T 1/.231 T 10		5.3	13.90/ 7 10	3.9		1 13.100	J.,,	-,3	, ,, ,	<i>,</i>		ľ
76.0	10.070 0	+ 17.221 + 18	0.18	12.866 0	+ 15.925 + 16	86.0	15.305 + 1	+ 13.110 + 14	91.0	17.160 + 1	+ 9.071 + 9		18.267 + 1	
76.1	10.127 0	+ 17.212 + 18			+ 15.883 + 16	•	15.348 + 1	+ 13.040 + 14			+ 8.980 + 9	96.1	1 '	
76.2	10.185 0	+ 17.201 + 18			+ 15.840 + 16		15.391 + 1	+ 12.970 + 13			+ 8.889 + 9		18.294 + 1	
76.3	10.243 0	+ 17.190 + 18 + 17.178 + 18	-	1 . 1	+ 15.797 + 16	•	15.434 + 1 15.477 + 1	+ 12.899 + 13			+ 8.798 + 9 + 8.706 + 9		18.307 + 1 18.320 + 1	
76.4	10.300 0	7 -//0 7 10	J	-3.5,5	1 .3.733	~~.*	-3.7// 1 .	1 13	l ""	-//0	, 9	```		ļ .
76.5	10.358 0	+ 17.166 + 18	81.5	13.130 0	+ 15.708 + 16	86.5	15.520 + 1	+ 12.756 + 13			+ 8.614 + 9		18.332 + 1	
76.6	10.416 0	+ 17.153 + 18	81.6		+ 15.663 + 16	86.6	15.562 + 1	+ 12.683 + 13	91.6	17.335 + 1	+ 8.522 + 9		18.344 + 1	
76.7	10.473 0	+ 17.139 + 18		1 1	+ 15.617 + 16	86.7	15.604 + 1	+ 12.610 + 13			+8.429 + 9		18.356 + 1	
76.8	10.531 0	+ 17.124 + 18		1 1	+ 15.570 + 16		15.646 + 1	+ 12.537 + 13			+8.336 + 9 +8.243 + 9		18.367 + 1 18.378 + 1	
76.9	10.588	+ 17.109 + 18	81.9	13.339	+ 15.523 + 16	86.9	15.687 + 1	+ 12.463 + 13	91.9	17.410 7 1	T 0.245 T 9		1	
77.0	10.645 0	+ 17.094 + 18	82.0	13.390 0	+ 15.476 + 16	87.0	15.728 + 1	+ 12.389 + 13	92.0	17.446 + 1	+8.149 + 9	97.0	18.389 + 1	+
77.1	10.703 0	+ 17.077 + 18			+ 15.428 + 16		15.769 + 1	+ 12.314 + 13	92.1	17.472 + 1	+ 8.055 + 8	97.1	18.399 + 1	+
77.2	10.760 0	+ 17.060 + 18	82.2	13.493	+ 15.379 + 16	87.2	15.810 + 1	+ 12.239 + 13			+ 7.961 + 8		18.409 + 1	
77.3	10.817 0	+ 17.042 + 18		1 1	+ 15.329 + 16		15.851 + 1	1 1 1			+ 7.866 + 8		18.419 + 1 18.428 + 1	
77-4	10.874 0	+ 17.024 + 17	82.4	13.596	+ 15.279 + 16	87.4	15.891 + 1	+ 12.087 + 13	92.4	17.551 + 1	+ 7.772 + 8	97.4		
77.5	10.931 0	+ 17.005 + 17	82.5	13.646	+ 15.229 + 16	87.5	15.931 + 1	+ 12.011 + 12	92.5	17.577 + 1	+ 7.677 + 8	97.5	18.437 + 1	+
	10.988 0	+ 16.985 + 17	-		+ 15.178 + 16	87.6			92.6	17.602 + 1	+ 7.581 + 8		18.445 + 1	
77.7	11.045 0	+ 16.964 + 17			+ 15.126 + 16	87.7		+ 11.856 + 12			+ 7.486 + 8		18.454 + 1	
77.8	11.101 0	+ 16.943 + 17			+ 15.074 + 16	87.8		+ 11.779 + 12			+ 7.390 + 8 + 7.294 + 8		18.461 + 1 18.469 + 1	
77.9	11.158 0	+ 16.921 + 17	62.9	13.848 0	T 13.021 T 16	87.9	10.009	T, w T 12	92.9	1.7.070	7.294	7,.9	1 .	
78.0	11.215 0	+ 16.899 + 17	83.0	13.898	+ 14.967 + 15	88.o	16.127 + 1	+ 11.621 + 12	93.0	17.700 + 1	+ 7.197 + 8		18.476 + 1	
78.1	11.271 0	+ 16.876 + 17	83.1	13.948 0	+ 14.914 + 15	ı	16.166 + 1	1 1			+ 7.100 + 7		18.483 + 1	
78.2	11.328 0	+ 16.852 + 17		1 1	+ 14.859 + 15	88.2	16,204 + 1	+ 11.461 + 12	1 '		+ 7.003 + 7		18.480 + 1	
78.3	11,384 0	+ 16.827 + 17			+ 14.804 + 15	£8.3	16.242 + 1	+ 11.382 + 12 + 11.302 + 12	93.3		+ 6.906 + 7 + 6.809 + 7		18.496 + 1	
78.4	11.441 0	+ 16.802 + 17	03.4	14.096 0	+ 14.748 + 15	88.4	10.200	T 11.500 T 12	J 999.4	.,,,,,,,,,,,,,,,,,,,,,,,,,,,,,,,,,,,,,,	1 0.0.7)	9		•
78.5	11.497 0	+ 16.777 + 17	83.5	14.145	+ 14.602 + 15	88.5	16.317 + 1	+ 11.221 + 12	93.5	17.815 + 1	+ 6.711 + 7	98.5		
78.6	11.553 O	+ 16.750 + 17		14.194 0	+ 14.635 + 15	ı	16.354 + 1	+ 11.140 + 12		17.837 + 1	+ 6.613 + 7		18.512 + 1	
78.7		+ 16.723 + 17		. 1	+ 14.578 + 15		16.391 + 1	+ 11.058 + 12	93.7	17.859 + 1	+ 6.515 + 7		18.516 + 1	
78.8		+ 16.605 + 17			+ 14.520 + 15		16.428 + 1	+ 10.976 + 11		17.880 + 1	+ 6.416 + 7 + 6.318 + 7	98.8 98.9	18.521 + 1 18.525 + 1	
78.9	11.721 0	+ 16.667!+ 17	83.0	14.339	+ 14.461 + 15	03.9	10.404 T	7 10.093 7 11	93.9	1.7.9.7 - 1	, v.y., T /	90.0		1
79.0	11.776, 0	+ 16.638 + 17	84,0	14.388	+ 14.402 + 15	89.0	16.5∞ + 1	+ 10.810 + 11			+ 6.219 + 7		18.528 + 1	+
		+ 16.668 + 17		14.435	+ 14-343 + 15	8η. τ	16.536 + 1	+ 10.727 + 11	94.1	17.942,+ 1	+ 6.120 + 6	99.1	18.532 + 1	
79.2	11.887 0	+ 16.578 + 17		14.483	+ 14.283 + 15	89.2	16.571 + 1	+ 10.643 + 11	94.2	17.962 + 1	+ 6.020 + 6	99.2	18.535 + 1	
79.3	11.943 0	+ 16.547 + 17		1 1 1	+ 14.222, + 15		16.606 + 1	+ 10.550 + 11	1		+ 5.921 + 6		18.537 + 1	
79-4	11.008	+ 16.516 + 17	84.4	14.578	+ 14.161 + 15	89.4	16.641 + 1	+ 10.474 + 11	94-4	15,002 + 1	+ 5.821 + 6	99.4	10.540 7 1	T
79.5	12.053 0	+ 16.483 + 17	84.5	14.625 + 1	+ 14.099 + 15	80.5	16.676 + 1	+ 10.389 + 11	94.5	18,021 + 1	+ 5.721 + 6	99.5	18.542 + 1	+
79.5	12.108 0	+ 16.451 + 17			+ 14.037 + 15		16.710 + 1	+ 10.304 + 11			+ 5.621 + 6		18.543 + 1	
79.7	12.163 0	+ 16.417 + 17	84.7	14.718 + 1	+ 13-974 + 14	89.7	16.744 + 1	+ 10.218 + 11			+ 5.520 + 6		18.544 + 1	
79.8	12.218 0	+ 16.383 + 17	84.8		+ 13.911 + 14		16.778 + 1	+ 10.132 + 11			+ 5.419 + 6		18.545 + 1	
79.9	12.271 0	+ 16.348 + 17			+ 13.847 + 14		16.811 + 1	+ 10.046 + 10			+ 5.310 + 6		18.546 + 1	
8o.o	12.327 0	+ 16.313 + 17	85.o	14.857 + 1	+ 13.783 + 14	90.0	16.845 + 1	+ 9.950 + 10	95.0	18.111 + 1	+ 5.218 + 5	100.0	18.546 + 1	i '
		<u> </u>			1 1	<u>. </u>		<u>'</u>						

Die Zahlen der zweiten Subcolumnen sind mit $t = \frac{t_0 - 1900}{100}$ zu multipliciren, und sind in Einheiten der letzten I angesetzt.

Tafel Xc.

vergl. pag 248

	Arg	1'	E_{I}	$A_{\rm I}$	$\frac{B_1}{g\sin G_1}$	y cos (II	$f_{\rm I}$	C	D	log Å	Н	i
и	3	0 2=71	0,000	+ (22327 - 1	- 0"551 D	+ 4"476 - 2	+ 10 .87 + 6	18"840 11	~ o"339 + .	T 27510 + 25	268 58'1 + 0'5	8"17,5 0
	-,	u - 2 y 2	¢-0006	+ 0 32396 1	3.550 U	+ 4.490 -	+ 10-318 +	18.836 11			21.8 14 5 + 0.5	- 8 171 0
		1242	0.0000	+ 6 22464 1	0.54) 6	+ 4 5 6 3 1 12	+ 10 350 + 6	- 18 841 11 - 18 841 11	- 0.398 十 2		268 11 4 40 5	8 169 0
		0 2262	0.0000	+ 0 22533 1 + 0 22501 - 1	0.549 a - 0.548 a	+ 4 537 2	+ 10 383 + 6	18 819 - 12	- 0.727 + 2	1 2750£ + 25 1 27503 + 25	207 47.3 + 0.5	- 8.1(7 o - 8.164 o
		., 2202	U OOM	- D 22002	0,140 0	1 4334	, ,,,,,,	10.019	0.030	* ****** T *>	20/21/ +04	o.i.u.
1	-5	0 227=	0.0000	+ 0.22674 3	- 0 547 C	+ 4 545	+ 10 445 ± 6	18 811 = 11	6 985 4 2	1 27501 + 25	267 0.8 + 04	8 161 0
. c	erfs.	0 2282	0.0000	+ 0.32730 1	0.546, 0	+ 4 558 - 2	+ 10 476 +1	- 18.803 -11	- 1,264 + 2	1 27400 + 25	966 36.6 + 0.4	- 8.157 o
4	=7	. 2	U UNIVERD	+ (-22868 - 1	D 545 3	+ 4 57 ' '	+ 14.408 + 1	18 795 11	- 7 241 + 2	1 274 18 + 19	260 230 + 04	8 154 O
	×	2 131 2	0.0000	+ 0 22870 €	0.544 0	+ 4 586 7	+ 10 540 + (18 785 11	1 372 + 2	1 -74911 + 25	165 494 + 04	8 149 0
4	2003	u 13t.	0.000	-P 0.22945 1	· U 543 O	+ 4 600 - 3	+ 10 571 + 6	- 18 775 11	- t 500 + t	1 27495 + 26	265 25.8 + 0.4	8 145 0
Ш,		. 2.12	£ 00U)	or o 23014 ±	0542 0	+4614 =	+ 10 (103 + 6)	18.764 - 11	1 620 + 1	1 27495 + 26	26; 23 +04	-8 140 0
_		C 3572	0 (1000	+ 0 23083 - 1	1 540 0	+ 4 627 2	+ 10 615 + 6	18 752 - 11	1 757 + 1	1 27404 + 26	264 38 7 + 04	8 135 0
_	7	O 2382	07100	+ 0 23252 1	-0539 0	+ 4 641 2	+ 10 667 + 0	18 739 11	1 88/ + 1	1 27494 + 26	264 15 2 + 114	8 131 0
		0-2352	0.5000	+ 0 25222 1	C 537 O	+ 4 655 2	+ 16 648 + 6	18.720 11	- 2014 + 1	T ×7495 + 26	26 3 51 6 + 0.4	- 8 134 0
1		0.2,02	0=000L	4 0 13101 - I	- 0 535 D	+ 4.664) -	+ 10 730 + 6	- 18 712 21	- 2 14/+ 1	1 -741/5 + 15	263 28 5 + 0.4	- 8.118 0
ш						1 (5	. variation L. 6			1	-44	0
	F 6	0 237-	0.0000	+ 0 2,360 1	0.534 D	+ 4 683 2	+ 10.760 + 6 + 10.794 + 6	- 18 687 11	2 170 of t	1 27496 + 116	263 4.6 + 0.4	- 8.105 B
	7	0 10	0.000	+ 0 /3490 3	0.532 0	十 4 711 2	+ 10 876 + 6	18 66¢ 11	- 2.398 + 1	1 17100 + 26	207 17 6 + 0.4	- 8.008 a
		t 400	0 0000	+ 0 23560 1	0.5=8 0	+ + 725 2	+ 10 858 + 6	18 649 11	1 654 O	1 27501 + 26	201 541 +03	8 001 0
1	-,	0 7472	0.0000	+ 6.23634 - 1	- 0.526 0	+ 4730 - 4	+ 10 890 + 6	- 18.632 11	- 7 781 0	1 27503 + 26	761 368 403	- 8,083 o
1												
	_	0 2424	0.0000	十 9.23709 — 1	- 0 524 0	+ 4753 2	+ 20.923 +	- 18.613 - 11		1 27506 + 26	962 7.3 + 0.3	-8675 0
	2-1	D 2432	0.0000	+ 0 23779 - 1		+ 4 767 - 2	+ 10 955 + 6	18 504 11		1 27508 + 26	1604,6 + 03	- 8.067 o
	4	9-2443 1-1452	T00000	+ 0 23919 ±	0.319 0	+ 4 781 2	+ 11 020 + 7	18 574 ±1 - 18 553 11	- 3 163 0	1 -7511 + -6	259 76 7 + 0	8 049 0
	2 4	0 2462	D.0001	+ n. 33990 t	0.515 0	+ 4 735 12 + 4 800 =	+ 11.052 + 7	(8 5 3 2 1 2		1 27515 + 26	25, 33 2 + 03	- 8.040 0
п	-				. ,,,	, ,,			,,,,	,,	-,,,,,,,,,,,,,,,,,,,,,,,,,,,,,,,,,,,,,,	,
п	. 4	0 2472	0.0001	+ 0-24060 E	- 0 512 0	+ 4823 - 2	+ 11.085 + 7	- 18 S10 11	- 3 543 1	1 27522 + 26	259 9.9 + 0.3	8.031 0
ш	2-6	0.2481	~ 0 0003	+ 0.24131 1	0 5(N) 17	+ 4 8 38 2	+ 11 117 + 7	18 488 - 11	3 660 - 1	E27527 + 26	158 46 5 4 0.3	- B.021 0
	7	0 2497	0.0001	+ 0 24202 L	0 507 0	+ 4 852 2	+ 11 150 + 7	- 18,464 11	- 5735 1		258 23.1 + 6.7	8 017 0
	-2	0.2507	0.0001	+ 0.24273 - 1	0 304 C	+ 4 866 2	+ 11 (82 + 7	18 440 [1]	3-921 ^ 1	1-2751/0 + 46	257 5 7 + 0.2	8.000 0
ш	2->	0 2512	- 0 0001	+ 0.24344 1	- p 501 0	+ 4850 - 4	+ 11.215 + 7	18 415 - 11	4.047 T	1 27541 + 26	257 30 , + 0.2	7.481, 0
ш	0.2	0 2527	· 0 0002	+ 0.26435 1	- 0.498 u	+ 4 895 2	4-11-248 + 7	18 (80) 11	- 4 173 - 1	1 27547 + 30	157 329 + 02	7 978 0
	- 1	0 "553	0.0001	+ 0.24487 - 1	U 405 O	+ 4 909 - 4	+ 11 281 +7	- 18.363 11		T 27553 + 26	156 49.6 + 0.2	7 167 0
н	1	1 2562	- o ocot	+ 0 24559 r	0.493 0	+ 4943 - 2	+ 11 314 + 7	18 336 - 11	4 423 1	1.27559 + 16	256 26.3 + 0.2	7055 0
ш	1 7	0 2-54	0,0001	+ 0.24631 I	- 0.489 a	+ 49,8 2	+ 17 347 + 7	- 18 408 11		1 17565 4 16	256 29 + 0,2	2 243 a
и	1-4	7 3562	0.0001	+ 0 24703 1	0.486 0	+ 4 952 - 2	+ 11350 + 7	18 280 11	- 4.673 2	1-27572 + 26	355 30 6 + 0.2	- 7.931 D
ш	, 4	0.2572	0 00001	+ 0 24775 - 2	0.482 0	+4067 2	+ 11 413 - 7	18 251 11	4 797 2	L 27579 + 46	255 16 3 + 0.2	- 7.918 o
_	_	C 2582	- 0.0001	+ 0.24848	-0.479 U	+ 4.981 - 2	+ 12-447 + 7	- 18 221 22	4 732 - 2	1 47586 + 26	-54 53 0 + 0.8	795 0
	- 1	25)2	0.0001	4 0 24920 I	- 0.476 a	+ 4 946 - 3	+ 11 480 + 7	18 190 11	- 5 046 a		254 19.8 + 0.2	- 7.892 0
ш	1 8	9.2602	- 0 00001	+ 0,24993	= n 472 °	+ 5.010 3	+ 11 514 + 7	- 18.759 21	- 5.170 2		254 65 + 0.1	7 878 a
М	3 ->	0 2612	- 0.0001	+ 0.25066 - r	- 0469 01	+ 5.005 - 2	+ 11 547 + 7	- 18 127 - 18	- 5 293 - 2	t 47609 + 26	253 44 7 + 0.1	- 7.864 o
Ш						,					_	
		2602	0.0001	+ 0 25239 - 1	0 465 0	+ 5 040 0	+ 11.581 + 7	- 18 of 1 t		1 27617 + 26	750 56 0 4 0 1	7 550 0
		7 2642		+ 2-45287 1	- 0 457 U		+ 11 64, + 7			1.27026 + 26	252 56 9 + 0.1	7 821 0
		0.2052	1000 0 *	+ 0 35361 1		+ 5.084 4	+ 11 683 + 7	17.902 11			25: 13.5 + 0.8	7 805 G
		U 2662	0.0001	+ 0.25435 - 1		+ 5.099 2		17 956 - 11		1 .7653 + 26		- 7 790, 0
_		0.7472	- 0.600T	+ 0 25509 L		+ 5.414 2	+ 11 751 + 7			1 27663 + 26	251 24 2 + 0,1	7 774 0
		0 2683	1000.0	+ 0 25584 - 1		+ 5 129 2	+ 11 786 + 7	17 883 11	6 151 1		251 11 40.1	7 758 0
		n 260,2 2 2702	0.000t	+ 0 25050 - 1	- 0.433 O	+ 5 159 3	+ 11.855 + 7	17 845 11			250 38.0 + 0.1	7 742 0
		4912	- 0.0001	+ 0 15809 P	0.420 0	+ 5 174 2	+ 11 889 + 7	- 17.768 11		1 27793 T 25	247 51 9 + D.1	7 725 0
		0.2722	- 9,0001	+ o 25885 1	0.424 0	+ 5.189	+ 11 924 + 7			1.07714 + 25	249 28 8 0.0	7691 0
L												

Die Zahlen der zweiten Subcolumnen sind mit $t = \frac{t_0 - 1900}{100}$ zu multiplieiren, und sind in Einheiten der letzten Decimale angesetzt.

Tafel Xc.

5.8 0.3802 - 0.0001 + 0.64694 - 1												
5.1 0.7373	Arg.	τ΄	E_{I}	A_{I}	$B_{\rm I} = (g \sin G)_{\rm I}$	$(g\cos G)_{\mathrm{I}}$	$f_{ m I}$	С	D	log h	H	i
5.3 a.7779 — a.cocot + a.c.4526 — i — a.452 a + 5.378 a = 1.7994 P 7 — 77.647 — to — 6.875 — 4 — 1.7776 + 75 a 48.49 B 0.0 — 7.687 5.4 a.7776 — a.cocot + a.c.4526 a 1 — 0.417 a 1 — 0.411	5.0	0.2722	o#0001	+ 0.25885 - 1	- 0"424 O	+ 5"189 - 2	+ 11"924 + 7	17"728 10	- 6"635 - 4	1.27714 + 25	249°28'8 0'0	— 7'69z
5.5 0.3773	5.1	0.2732	0.0001	+ 0.25960 - 1	- 0.420 0	+ 5.204 2	+ 11.959 + 7		- 6.755 - 4	1.27725 + 25		— 7.674
5.5 0.3773	5.2	0.2742	- 0,0001	+ 0.26036 - 1	- 0.415 O					1.27736 + 25	1	
5. 6. 0.792				1							_ 1	
5.6 0.3892 - 0.0001 + 0.0564 - 1 - 0.397 0 + 5.381 - 2 + 172.734 + 7 - 172.432 - 10 - 7.353 - 1 + 13.7984 + 85 124.63.0 0 - 7.356 - 8.580 - 0.0001 + 0.05696 - 1 - 0.387 0 + 5.331 - 2 + 172.797 + 8 - 17.387 - 10 - 7.707 - 5 1.27808 + 85 126.63.0 0 - 7.356 - 8.580 - 0.0001 + 0.05696 - 1 - 0.387 0 + 5.331 - 2 + 172.797 + 8 - 17.387 - 10 - 7.707 - 5 1.27808 + 85 126.63.0 0 - 7.356 - 6.0 0.882 - 0.0001 + 0.05694 - 1 - 0.377 0 + 5.343 - 2 + 172.797 + 8 - 17.295 - 10 - 7.707 - 5 1.27808 + 85 126.63.0 0 - 7.358 - 6 - 0.0582 - 0.0001 + 0.05694 - 1 - 0.377 0 + 5.343 - 2 + 172.798 + 8 - 17.295 - 10 - 7.707 - 5 1.27828 + 85 124.63.0 0 - 7.354 - 6 - 0.05692 - 1 - 0.356 0 + 5.355 - 2 + 172.235 + 8 - 17.200 - 10 - 8.606 - 5 1.27828 + 85 124.53.0 - 10 - 7.466 - 0.3682 - 0.0001 + 0.05692 - 1 - 0.357 0 + 5.407 - 2 + 172.247 + 8 - 17.200 - 10 - 8.807 - 5 1.27828 + 85 124.53.0 - 10 - 7.466 - 0.3882 - 0.0001 + 0.05692 - 1 - 0.357 0 + 5.407 - 2 + 172.447 + 8 - 17.200 - 10 - 8.807 - 5 1.27828 + 85 124.53.0 - 10 - 7.449 - 6 - 0.3822 - 0.0001 + 0.05692 - 1 - 0.357 0 + 5.407 - 2 + 172.447 + 8 - 17.200 - 10 - 8.807 - 5 1.27828 + 85 124.53.0 - 10 - 7.449 - 6 - 0.3882 - 0.0001 + 0.05692 - 1 - 0.357 0 + 5.407 - 2 + 172.447 + 8 - 17.200 - 10 - 8.807 - 5 1.27828 + 85 124.53.0 - 10 - 7.449 - 0.000 - 0.000 - 0.000 - 0.000 - 0.000 - 0.0000	5.4	0.2762	0.0001	+ 0.26189 - 1	- 0.406 0	+ 5.250 - 2	+ 12.004 + 7	— 17.503 — 10	- 7.115 - 4	1.27760 + 25	247 50.9 0.0	— 7.019
5.6 0.3892 - 0.0001 + 0.0564 - 1 - 0.397 0 + 5.381 - 2 + 172.734 + 7 - 172.432 - 10 - 7.353 - 1 + 13.7984 + 85 124.63.0 0 - 7.356 - 8.580 - 0.0001 + 0.05696 - 1 - 0.387 0 + 5.331 - 2 + 172.797 + 8 - 17.387 - 10 - 7.707 - 5 1.27808 + 85 126.63.0 0 - 7.356 - 8.580 - 0.0001 + 0.05696 - 1 - 0.387 0 + 5.331 - 2 + 172.797 + 8 - 17.387 - 10 - 7.707 - 5 1.27808 + 85 126.63.0 0 - 7.356 - 6.0 0.882 - 0.0001 + 0.05694 - 1 - 0.377 0 + 5.343 - 2 + 172.797 + 8 - 17.295 - 10 - 7.707 - 5 1.27808 + 85 126.63.0 0 - 7.358 - 6 - 0.0582 - 0.0001 + 0.05694 - 1 - 0.377 0 + 5.343 - 2 + 172.798 + 8 - 17.295 - 10 - 7.707 - 5 1.27828 + 85 124.63.0 0 - 7.354 - 6 - 0.05692 - 1 - 0.356 0 + 5.355 - 2 + 172.235 + 8 - 17.200 - 10 - 8.606 - 5 1.27828 + 85 124.53.0 - 10 - 7.466 - 0.3682 - 0.0001 + 0.05692 - 1 - 0.357 0 + 5.407 - 2 + 172.247 + 8 - 17.200 - 10 - 8.807 - 5 1.27828 + 85 124.53.0 - 10 - 7.466 - 0.3882 - 0.0001 + 0.05692 - 1 - 0.357 0 + 5.407 - 2 + 172.447 + 8 - 17.200 - 10 - 8.807 - 5 1.27828 + 85 124.53.0 - 10 - 7.449 - 6 - 0.3822 - 0.0001 + 0.05692 - 1 - 0.357 0 + 5.407 - 2 + 172.447 + 8 - 17.200 - 10 - 8.807 - 5 1.27828 + 85 124.53.0 - 10 - 7.449 - 6 - 0.3882 - 0.0001 + 0.05692 - 1 - 0.357 0 + 5.407 - 2 + 172.447 + 8 - 17.200 - 10 - 8.807 - 5 1.27828 + 85 124.53.0 - 10 - 7.449 - 0.000 - 0.000 - 0.000 - 0.000 - 0.000 - 0.0000	ا ۽ ۽ ا		0 0001	± 0.06066 - 1	_ 0.402 0	± 5 265 — 2	+ 12.100 + 7	_ 12 520 _ 10	_ 7 224 _ 4	1 27772 - 25	247 23.0	- 7 600
5.7 0.392 — 0.0001 + 0.26216				1	1 1		l .					
5.8 0.3802 - 0.0001 + 0.0408 - 1				1								- 7.562 +
6.0 0.88xx - 0.0001 + 0.26654 - 1 - 0.377 0 + 5.340 - 2 + 112.78 + 8 - 17.205 - 10 - 7.8xx - 5 1.2783 + 25 245.305, 0.0 - 7.500			0.0001			• •						- 7·542 +
6.1 0.883	5.9	0.2812	0.0001	+ 0.26576 - 1	- o.382 o	+ 5.328 - 2	+ 12.242 + 8	— 17.341 — 10	— 7.707 — 5	1.27821 + 25	246 2.3 0.0	- 7.523 +
6.1 0.883	1			İ	1 !							1
6.2 0.384						- 1						- 7.502 +
6.3 0.3852 - 0.0002 0.0002					1 1							
6.4 0.8869 -0.0002 + 0.26700 -1 -0.337 0 + 5.407 - 2 + 12.424 + 8 -17.002 -10 -8.800 -5 1.27889 + 5 24.8 8.3 -0.1 -7.419 6.5 0.8869 -0.0002 + 0.27910 0 -0.336 0 + 5.433 -2 + 12.406 + 8 -17.053 -10 -8.605 -5 1.27917 + 75 6.7 0.2672 -0.0002 + 0.27910 0 -0.336 0 + 5.455 -2 + 12.534 + 8 -16.051 -9 -9 6.8 0.8090 -0.0002 + 0.27910 0 -0.336 0 + 5.455 -2 + 12.534 + 8 -16.051 -9 6.9 0.3911 -0.0002 + 0.27931 0 -0.336 0 + 5.457 -2 + 12.534 + 8 6.1 0.3090 -0.0002 + 0.27932 0 -0.336 0 + 5.457 -2 + 12.534 + 8 6.2 0.3092 -0.0002 + 0.27932 0 -0.336 0 + 5.530 -2 + 12.663 + 8 -16.741 -9 6.3 0.3092 -0.0002 + 0.27954 0 -0.336 0 + 5.530 -2 + 12.663 + 8 6.3 0.3092 -0.0002 + 0.27958 0 -0.336 0 + 5.530 -2 + 12.7917 + 8 6.4 0.3093 -0.0002 + 0.27958 0 -0.336 0 + 5.530 -2 + 12.663 + 8 6.4 0.3682 -0.0002 + 0.27958 0 -0.336 0 + 5.530 -2 + 12.7917 + 8 6.5 0.3093 -0.0002 + 0.27968 0 -0.3916 0 + 5.530 -2 + 12.7917 + 8 6.5 0.3093 -0.0002 + 0.27968 0 -0.3916 0 + 5.530 -2 + 12.7917 + 8 6.5 0.3093 -0.0002 + 0.27960 0 -0.3916 0 + 5.530 -2 + 12.7917 + 8 6.5 0.3093 -0.0002 + 0.27863 0 -0.3916 0 + 5.530 -2 + 12.7917 + 8 6.5 0.3093 -0.0002 + 0.27863 0 -0.3916 0 + 5.530 -2 + 12.7917 + 8 6.5 0.3002 -0.0002 + 0.28603 0 -0.3916 0 + 5.530 -2 + 12.893 + 8 6.5 0.3002 -0.0002 + 0.28603 0 -0.3916 0 + 5.650 -2 + 12.893 + 8 6.5 0.3002 -0.0002 + 0.28603 0 -0.3916 0 + 5.650 -2 + 12.893 + 8 6.5 0.3002 -0.0002 + 0.28603 0 -0.2916 0 -0.2916 0 + 5.650 -2 + 12.990 + 8 6.5 0.3004 -0.0002 + 0.28603 0 -0.266 0 + 5.650 -2 + 12.990 + 8 6.5 0.3004 -0.0002 + 0.28603 0 -0.266 0 + 5.796 -2 + 12.990 + 8 6.5 0.3004 -0.0002 + 0.28603 0 -0.266 0 + 5.796 -2 + 12.990 + 8 6.5 0.3004 -0.0002 + 0.28603 0 -0.266 0 + 5.796 -2 + 12.990 + 8 6.5 0.3004 -0.0002 + 0.28603 0 -0.266 0 + 5.796 -2 + 12.990 + 8 6.5 0.3004 -0.0002 + 0.28603 0 -0.266 0 + 5.796 -2 + 12.990 0 + 12.990 6.5 0.3104 -0.0002 + 0.28603 0 -0.2				i i	• :							
6.5 0.3872												
6.6. 0.288	"	0.2002	- 0.0002	4 0.209/0	0.33/	T 3.40/		10	- 0.290	1.1,009 -3	3 0	/
6.6 0.889	6.5	0.2872	— 0.0002	+ 0.27050 - 1	- 0.352 0	+ 5.423 - 2	+ 12.460 + 8	— 17.053 — 10	— 8.406 — 5	1.27903 + 25	243 45.6 - 0.1	- 7.398 +
6.7 0. 2892	- 1										4 1	- 7.376 +
6.9 0.2912	6.7	0.2892	- 0.0002			+ 5.455 - 2	+ 12.534 + 8		— 8.636 — 5	1.27932 + 25		- 7.354 +
7.0	6.8	0.2902	— 0.0002	+ 0.27290 0	- o.336 o	+ 5.471 - 2			— 8.751 — 6	1.27946 + 25	242 37.5 - 0.1	- 7.331 +
7.1 0.2932 - 0.0002 + 0.27516 0	6.9	0.2912	- 0.0002	+ 0.27371 0	- o.330 o	+ 5.487 - 2	+ 12.609 + 8	<u> — 16.848 — </u>	— 8.86 ₅ — 6	1.27961 + 25	242 14.9 - 0.1	7.3o8 +
7.1 0.2932 - 0.0002 + 0.27516 0										l .l		
7.2 0.2942 - 0.0002 + 0.2766												
1.33 0.3952 - 0.0002 + 0.37696 0				I i	3-7				1 1 .			
7.4 0.2962 -0.0002 + 0.27780												
7.5												
7.6 0.982								, ",	,,,,,		1 1	
7.7 0.992	7.5	0.2972	- 0.0002	+ 0.27863 0	- o.297 o	+ 5.586 - 2	+ 12.835 + 8	_ 16.521 _ 9	- 9.542 - 6	1.28054 + 25	239 59.4 - 0.2	- 7.167 +
7.8	7.6	0.2982	- 0.0002	+ 0.27946 0	- 0.291 O	+ 5.602 - 2		<u> </u>	— 9.6 ₅₃ — 6	1.28070 + 25	239 37.0 - 0.2	- 7.142 +
7.9 0.3012 - 0.0002 + 0.28197 0 - 0.273 0 + 5.653 - 2 + 12.989 + 8 - 16.290 - 8 - 9.985 - 7 1.28119 + 24 238 29.6 - 0.3 - 7.067 + 8 - 16.291 - 8 - 9.985 - 7 1.28119 + 24 238 29.6 - 0.3 - 7.067 + 8 - 16.291 - 8 - 10.095 - 7 1.28135 + 24 238 7.2 - 0.3 - 7.041 + 7 1.2816 + 24 237 0.2 - 0.3 - 7.041 + 7 1.28136 + 24 237 0.2 - 0.3 - 6.969 + 7 1.28136 + 24 237 0.2 - 0.3 - 6.969 + 7 1.28136 + 24 237 0.2 - 0.3 - 6.969 + 7 1.28136 + 24 237 0.2 - 0.3 - 6.969 + 7 1.28136 + 24 237 0.2 - 0.3 - 6.969 + 7 1.28136 + 24 236 3.9 - 0.3 - 6.969 + 7 1.28136 + 24 236 3.9 - 0.3 - 6.969 + 7 1.28136 + 24 236 3.9 - 0.3 - 6.969 + 7 1.28136 + 24 236 3.9 - 0.3 - 6.969 + 7 1.28136 + 24 236 3.9 - 0.3 - 6.969 + 7 1.28136 + 24 236 3.9 - 0.3 - 6.969 + 7 1.28136 + 24 236 3.9 - 0.3 - 6.969 + 7 1.28136 + 24 236 3.9 - 0.3 - 6.969 + 7 1.28136 + 24 236 3.9 - 0.3 - 6.969 + 7 1.28136 + 24 236 3.9 - 0.3 - 6.969 + 7 1.28136 + 24 236 3.9 - 0.0 - 0.2 + 0.28195		0.2992			- o.285 o						1 1	- 7.117 +
8.0 0.3022		-			'''							
8.1 0.3032 - 0.0002 + 0.28366	7.9	0.3012	- 0.0002	+ 0.20197 0	- 0.273 0	+ 5.053 - 2	+ 12.909 + 8	_ 10.290 _ 8	— 9.985 — 7	1.28119 + 24	238 29.0 - 0.3	- 7.067 +
8.1 0.3032 - 0.0002 + 0.28366	8.0	0.3033	0.0002	+ 0.28282	-0.267	± 5 670 - 2	+ 13.028 + 8	_ 16.231 8	- 10 cos - 7	1 28125 + 24	228 7.2 - 0.3	_ = 0.11+
8.2				1	,							- 7.015 +
8.7 0.3062 - 0.0002 + 0.28622 0 0 - 0.249 0 + 5.721 - 2 + 13.145 + 8 - 16.050 - 8 + 10.422 - 7 1.28186 + 24 237 0.2 - 0.3 -6.962 - 0.0002 -0.28602 0 - 0.243 0 + 5.738 - 2 + 13.185 + 9 -15.986 - 8 -10.530 - 7 1.28203 + 24 236 37.9 - 0.3 -6.906 - 0.3082 -0.0002 -0.28705 0 - 0.237 0 + 5.755 - 2 + 13.264 + 9 -15.863 - 8 -10.637 - 7 1.28221 + 24 236 15.6 - 0.3 -6.909 -0.3092 -0.0002 -0.28882 0 - 0.225 0 + 5.790 - 2 + 13.304 + 9 -15.863 - 8 -10.851 - 7 1.28238 + 24 235 53.4 -0.3 -6.881 - 0.3102 -0.0002 -0.29056 0 - 0.219 0 + 5.807 - 2 + 13.344 + 9 -15.736 - 8 -10.851 - 7 1.28273 + 24 235 31.2 - 0.3 -6.826 -0.3112 -0.0002 -0.29056 0 - 0.212 0 + 5.825 - 2 + 13.385 + 9 -15.606 - 7 -11.663 - 8 1.28291 + 24 234 46.8 -0.3 -6.796 -0.3112 -0.0002 -0.2932 0 - 0.200 0 + 5.860 - 2 + 13.466 + 9 -15.540 -7 -11.273 - 8 1.28237 + 24 234 24.6 -0.3 -6.796 -0.3112 -0.0002 -0.2932 0 - 0.200 0 + 5.866 - 2 + 13.466 + 9 -15.540 -7 -11.273 - 8 1.28297 + 24 234 24.6 -0.3 -6.796 -0.3112 -0.0002 -0.2932 0 - 0.200 0 + 5.866 -2 + 13.466 + 9 -15.540 -7 -11.273 - 8 1.28297 + 24 234 24.6 -0.3 -6.796 -0.3112 -0.0002 -0.2932 0 - 0.200 0 + 5.866 -2 + 13.566 + 9 -15.540 -7 -11.378 -8 1.28397 + 24 234 24.6 -0.3 -6.796 -0.3112 -0.0002 -0.2932 0 -0.000 -0.187 0 + 5.866 -2 + 13.548 + 9 -15.347 -7 -11.378 -8 1.28397 + 24 234 24.6 -0.3 -6.796 -0.3112 -0.0002 -0.29499 0 -0.180 0 + 5.968 -2 + 13.548 + 9 -15.307 -7 -7 -11.688 -8 1.28300 + 23 232 34.2 -0.4 -6.653 -0.3182 -0.0002 -0.29499 0 -0.180 0 + 5.968 -2 + 13.548 + 9 -15.207 -7 -7 -11.688 -8 1.28300 + 23 232 34.2 -0.4 -6.655 -9.6 -0.3182 -0.0002 -0.2960 + 1 -0.168 0 + 5.968 -2 + 13.754 9 -15.064 -7 -11.994 -8 1.28475 + 23 231 50.3 -0							- 1					- 6.989 +
8.4 0.3062 - 0.0002 + 0.286022 0 - 0.243 0 + 5.738 - 2 + 13.185 + 9 - 15.988 - 8 - 10.530 - 7 1.28203 + 24 236 37.9 - 0.3 - 6.936 - 8	8.3	0.3052	0.0002	+ 0.28537 0	1	1	+ 13.145 + 8	_ 16.050 _ 8	1			- 6.962 +
8.6	8.4	0.3062	- 0.0002	+ 0.28622 o	- 0.243 0	+ 5.7381-2	+ 13.185 + 9	15.988 8	— 10.530 — 7	1.28203 + 24	236 37.9 — 0.3	- 6.936 ₁ +
8.6	١. ا					'				1	1 1	
$\begin{array}{cccccccccccccccccccccccccccccccccccc$												
$\begin{array}{cccccccccccccccccccccccccccccccccccc$		-						1				
8.9 0.3112 -0.0002 $+0.29056$ 0 -0.212 0 $+5.825 - 2$ $+13.385$ $+9$ -15.671 -7 $-11.063 - 8$ 1.28291 $+24$ $234 46.8 -0.3 -6.795 -0.312 -0.0002 +0.29144 0 -0.206 0 +5.843 - 2 +13.425 +9 -15.606 -7 -11.169 - 8 1.28309 +24 234 24.6 -0.3 -6.795 -0.3132 -0.0002 +0.29232 0 -0.200 0 +5.860 2 +13.466 +9 -15.540 -7 -11.273 - 8 1.28327 +24 234 2.5 -0.4 -6.713 -0.3142 -0.0002 +0.29321 0 -0.193 0 +5.878 -2 +13.506 +9 -15.474 -7 -11.378 -8 1.28345 +24 233 40.4 -0.4 -6.635 -0.3162 -0.0002 +0.29499 0 -0.180 0 +5.896 -2 +13.547 +9 -15.407 -7 -11.382 -8 1.28364 +23 -233 18.3 -0.4 -6.683 -233 -3.162 -0.0002 +0.29499 0 -0.180 0 +5.932 -2 +13.630 +9 -15.271 -7 -11.688 -8 -7 -11.28300 -7 -11.2836 -7$												
9.0 0.3122 -0.0002 +0.29144 0 -0.206 0 +5.843 -2 +13.425 +9 -15.606 - 7 -11.169 -8 1.28309 + 24 234 24.6 -0.3 -6.770 - 0.3122 -0.0002 +0.2932 0 -0.200 0 +5.866 -2 +13.466 +9 -15.540 - 7 -11.273 -8 1.28327 +24 234 2.5 -0.4 -6.741 - 0.3142 -0.0002 +0.29321 0 -0.187 0 +5.878 -2 +13.507 +9 -15.474 - 7 -11.378 -8 1.28345 +24 233 40.4 -0.4 -6.713 - 0.3152 -0.0002 +0.29410 0 -0.187 0 +5.896 -2 +13.547 +9 -15.407 - 7 -11.482 -8 1.28364 +23 233 18.3 -0.4 -6.683 - 0.3162 -0.0002 +0.29499 0 -0.180 0 +5.914 -2 +13.588 +9 -15.339 -7 -11.585 -8 1.28382 +23 232 56.3 -0.4 -6.654 - 0.3182 -0.0002 +0.29589 +1 -0.174 0 +5.932 -2 +13.630 +9 -15.271 -7 -11.688 -8 1.28300 +23 232 34.2 -0.4 -6.654 - 0.3182 -0.0002 +0.29589 +1 -0.168 0 +5.956 -2 +13.671 +9 -15.203 -7 -11.791 -8 1.28419 +23 232 13.2 -0.4 -6.565 - 0.3182 -0.0002 +0.29600 +1 -0.161 0 +5.968 -2 +13.713 +9 -15.133 -7 -11.893 -8 1.28437 +23 231 50.2 -0.4 -6.565 - 0.3 32002 -0.0002 +0.29600 +1 -0.155 0 +5.968 -2 +13.754 +9 -15.004 -7 -11.994 -8 1.28456 +23 231 28.3 -0.4 -6.595 - 0.3 32002 -0.0002 +0.29600 +1 -0.161 0 +5.968 -2 +13.754 +9 -15.004 -7 -11.994 -8 1.28456 +23 231 28.3 -0.4 -6.595 - 0.3 32002 -0.0002 +0.29600 +1 -0.163 0 +5.968 -2 +13.754 +9 -15.004 -7 -11.994 -8 1.28456 +23 231 28.3 -0.4 -6.595 - 0.3 32002 -0.0002 +0.29600 +1 -0.165 0 +5.968 -2 +13.754 +9 -15.004 -7 -11.994 -8 1.28457 +23 231 6.4 -0.4 -6.595 - 0.3 32002 -0.0002 +0.29600 +1 -0.165 0 +5.968 -2 +13.754 +9 -15.004 -7 -11.994 -8 1.28457 +23 231 6.4 -0.4 -6.595 - 0.3 32002 -0.0002 +0.29600 +1 -0.148 0 +6.004 -2 +13.796 +9 -15.004 -7 -11.993 -6 -12.096 -8 1.28457 +23 231 6.4 -0.4 -6.595 - 0.595 -0.		-							1			
$\begin{array}{cccccccccccccccccccccccccccccccccccc$	3.9	0.31.2	0.000	1 0.29030	0.217	7 3.023	1 -3.5-5	137.	11.003	1.20291	234 4010	0.790
$\begin{array}{cccccccccccccccccccccccccccccccccccc$	9.0	0.3122	- 0.0002	+ 0.29144 0	- 0.206 o	+ 5.843 2	+ 13.425 + 9	_ 15.606 _ 7	- 11.169 8	1.28300 + 24	234 24.6 - 0.3	- 6.770 +
$ \begin{array}{cccccccccccccccccccccccccccccccccccc$				+ 0.29232 0	- 0.200 o	+ 5.860,-2	+ 13.466 + 9	- 15.540 - 7	- 11.273 — 8	1.28327 + 24	234 2.5 - 0.4	- 6.741 +
$\begin{array}{cccccccccccccccccccccccccccccccccccc$	9.2	0.3142	- 0.00U2	+ 0.29321 0	- 0.193 o	+ 5.878 - 2	+ 13.506 + 9	- 15.474 - 7	— 11.378 ₁ — 8	1.28345 + 24	233 40.4 - 0.4	- 6.713 ÷
$\begin{array}{cccccccccccccccccccccccccccccccccccc$				+ 0.29410 0	- o.187 o	+ 5.896 - 2	+ 13.547 + 9	- 15.407 - 7	- 11.482 - 8	1.28364 + 23	233 18.3 — 0.4	6.683:+
$ \begin{array}{cccccccccccccccccccccccccccccccccccc$	9.4	0.3162	0.0002	+ 0.29499 0	— o.18o o	+ 5.914 - 2	+ 13.588 + 9	— 15.339 — 7	- 11.585 - 8	1.28382 + 23	232 56.3 - 0.4	- 6.654 +
$ \begin{array}{cccccccccccccccccccccccccccccccccccc$	ا ا					[. (88			
$ \begin{array}{cccccccccccccccccccccccccccccccccccc$												
$ \begin{array}{c ccccccccccccccccccccccccccccccccccc$												
$ \begin{array}{c ccccccccccccccccccccccccccccccccccc$												
												- 6.473 +
											<u> </u>	<u>", </u>

Die Zahlen der zweiten Subcolumnen sind mit $t = \frac{t_o - 1900}{100}$ zu multipliciren, und sind in Einheiten der letzten Decima angesetzt.

Tafel Xc.

(in	_				-							
W.	Arg	Z'	E _I	A	$[g\sin G_{1}]$	y cos G /1	$f_{\rm I}$	С	D	log h	II	ı
ш	1->	+ 3222	250003	+ 0.30042 + 1	- 0"142 0	+ 6"022 2	+ 13"818 + 0	- 14"922 6	- 12"196 - 8	1 28474 + 23	101419-04	-6"473 + 1
	lu +	1 3233	= t_000.	+ 0 30114 + 1	0.135	+ 6.04T - z	+ 13.881 + 9	14 851 - 6	- L. 20f	1 3841. + 23	Mary et	
		0 / 42	0.0003	+ > Jusso + 1	0.129		+ 13 923 + 0			1.28531 + 23	The second second	
Ш	It 3	2 3252	0.0002				+ 11 966 + ,	- 14.706 6			229 38 , 65	
Ш	10-4	0-1462	— G100072	+ 0.30411 + 1	D. £15 G	+ 6.096 2	+ 14.009 + 10	- 11031 6	12,593	11.20500 + 1;	729 17 1 6 5	- 6,348 ÷ 3
Ш	10-5	J 3272	0.0002	+ > 30504 + t	0,109	+ (115 2	+ 14.051 + 10	14 553 6	- 12 frys 1	1 28588 + 13	228 35 3 - 5	6 456 4-2
	_	2 328z	0.0002	+ 0.30598 + 1			+ 14 095 + 10	14-185 7			. 8 13 6 - 05	
	7	u Rayz	0.0002	+ 0 30/02 + 1	0.005	+ f 134	+ 14 238 + 10	14.410 6	- 12 566 9	1 280-7 + 23	2 5 11 B C 5	0.251 + 2
		3 3300	- 0 0000	+ 0.30786 + 1			+ 14 181 + 16	14 335 - 6				
R	100	0 3311	0.0002	4 o 30891 + 1	c o82 o	-ф- Стg1 <u>1</u>	+ 14 225 + 10	~ 14 250 5	- 13 078 0	1.48662 11	727 26 5 13	6.180 + 2
1		0.3,97	Q 0002	+ 0 30976 + 1	· 0.075 0	46	+ 14,269 + to	- 14 151 5	No. 14 174 or 0	1 1R6R4 1	227 68 - 0.5	6.55 + 2
	_	0.45.5	0 0002	+ 0.31072 + 1	- 0,069		+ 14 414 + 10		200		20 45 0 - 0.5	
		U 1342	- 6-0002	+ 0.31167 + 1	- u-u6a .		+ 14 357 + 10	14 629 5			226 2 11 0-5	
	1 2 3	w 3352	Q 00032	+ 3.31203 + 2	- a a 59 u	+ 6 267 2	+ 14401 + 10	13.951 5	- 13.457, 9	1 38742 + 11	226 20 05	6.057 + 2
1	114	D 3362	- 0 0002	+ 2.31360 + 2	0.049 0	+ 6 287 - 3	+ 14 446 + 10	- 13.872 5	- 13 550'- g	1 28714 + 3:	239 40.4 - 6	6.0.5 + 2
L		U 3372		22450		4.6305	4 1 1 1 1 1 1 1 1				224 18 3 15	
		1 1182	- 0.0003 - 0.0003	+ 0.31457 + 2	- G 043 U		十 34 130 年 16	- 13.714 - 5			224 10 4 - 0 1	- 5.984 + 9
		1 3307	0,0000	+ 0.31051 + 2	0000 0		+ 14.580 + 10	13 034 4			724 5 , 0/	5 215 + 2
н	110	U 4402	9 0002	+ 431742 + 2	· (-025) 0		+ 14.625 + 10	33.554 4		1 28540 + 22		5 880 + 2
П	12 3	0.3437	-0.0002	+ 0.31848 + 2	- J 315 0	+ 6 385 2	+ 24 670 + 10	13 475 - 4	- 14.008 · 9	1 2865 + 1.	423 5, 1 - wil	5 845 + 2
ш		_										
и		3422	0.0003	+ 0 31947 + 3			+ 14 716 + 10	£ 1 301 - 11		1.2	223 17 7 - 0.6	5 8c4 + 2
и		0 3451 c 3442	> 0003	+ 0.32046 + 3			+ 14.762 + 21	t3 300 4		1 35895 +	222 48,9 (1	5 771 + 2
П		0 1452	20002	+ 0 32245 +			+ 14 553 + 11				222 271 15	
		0-3462	9,0002				+ 14 900 + 11	— 13.060 4			202 1 4 - 06	- 9 600 + s
		U 3472	0.0002				+ 14.946 + 11	12.977 4			221 450 7	400 mm
1	-	0 418.	0.0002				+ 14-392 + 11	— 12.892 3			211 - 4 B - 27	5 591 + 2
н		6 3472 0.3502	4.00003	+ 0.32750 + 1			+ 15.086. + 11	12 507 - 3		1 290 15 + 21	220 41 4 0 7	5 550 + 2
П		0 3514		+ 0.32892 + 3			+ 15 133 + 11	- 12.636 - 1			220 6 . 67	
ш												
1		0 4522	-0 0002				+ 15.180 + 11	12.550 - 3		1 200 7 5 4 21	21) 5, 4 - 07	- इनाम से व
		1. 32 3	- 6-00m2				+ 15 26 + 11	124/3 3		1 26pm + 21		5-407 + 9
ш		54×	- 4-1002	+ 0.33161 + 1			+ 15 175 + 11	17 376 3		1 20112 4 22 1 2013 1 4 I	71, 15 B C 7	() t - 3
Ш		0 1562	- 0.0002		The second second	+ 6.689	+ = 371 + 11	12 201 - 2			215 46 17	
Ш												
	= 4	0. ,493	~ 0.0007	+ 9.3347= + 3	+ 0.001 C		+ 15 429 + 12	13 112 2			218 13 6 2.7	5 254 + 2
		v. 1582	- 0 0002				+ == 467 + 11	12623 - 2		1 29189 4 40		
ш		0 35 2		+ 0.33680 + ,			+ 15 515 + 12	- 1L934 2			217,16 28	
		0.3012	0.0000		+0.118 0		+ 5 564 + 12	- II 844 = 2			316 4,7 - 48	
Ш	.,	C. 5	0.0001	4 0 10000 4 3	7 01110	1 -179	1	,	3.07		477	1307
Ш	14 0	1 3622	6 0000	+ > 31999 + 4	+ (12) + 1	+ 6.816 2	+ 15 1602 + 12	= 11.667 = 2	- 15 774	1 20254 + U	276 .88 08	3 050 + 9
		D. 16 32	0.0002	+ 0.34106 + 4			+ 15 717 + 12			1 20281 + 20		
		J 104=	0.0000		+ 0 137 + 1	+ F High	4 15 760 + 12	E1.480 — 1			215 47 > 0.8	
	_	1. 56 3/2	- 0 0009 - 0 0009		+ 5 44 + 1	+ 6 500 -	4 14 8cm, + 12	- 11 380 - 1 - 21.296 - 1			215 5 .08	
	4 4	20. 300-	0.000/2	+ 0.34427 + 4	+ 1-150 + 1	- 1. 1. 1. 1. 1. 1. 1. 1. 1. 1. 1. 1. 1.	+ 15 851 + 13	111490	Att Co(1)	· 29339 T 20	7, 74	4 1/AC T 3
	14.5	0 3672	0.0002	+ 0 34535 + 4	+ 0.156 + 1	+6,23 2	+ 15 108, + 12	21 304 I	- 16.155 10	1 21 158 4 19	214445 - 58	4.860 + 3
		ي 68ء			+ 0.163 + 1		+ 15 ,58 + 12	21 179 1	- 16 229 - 10	1 2,176 + 17	14 4.7 58	- 4.820 + 3
		4 46x12	* 1.0003		+ 160 + 1	+ 6 1617 2	+ 16005 + 12	11 917 1			14 2) 8	
		1 17597	- OCC	+ + 34861 + 4	+ 175 + +	+ 6.989	+ 16.059 + 12	1 2 4 1			277401 - 24	- 4.73 + 3
		1712	- 0 00000 - 0 00000	+ 134370 + 4	+ 52 + 1		+ 16,109 + 12 + 16 150 + 12	- 10 714 1			211 08 34	
		1/02	0.0002	+ 4597, + 4	1 0.100 7 1	1 10000 - 2	1 1 1 1 1 2	10 / 15	10 310 10		21, 00 3031	1 1

Die Zahlen der zweiten Subcolumnen sind mit $t = \frac{t_0}{100}$ zu multiplieiren, und sind in Einheiten der letzten Decimale ungesetzt.

Tafel $\mathbf{X} c$.

Arg.	τ΄	E_{I}	A_{I}	$\frac{B_{\mathrm{I}}}{(g\sin G)_{\mathrm{I}}}$	$(g\cos G)_{\mathrm{I}}$	f_{I}	c	D	log h	Н	i
15.0	0.3722	0 ⁸ 0002	+ 0.35079 + 4	+ 0"188 + 1	+7"032 - 2	+ 16"150 + 12	— 10"734 _i — 1	— 16"520 — 10	1.29449 + 19	213° 0'8 — 0'9	4"650
	0.3732	0.0002	+ 0.35189 + 4	+ 0.194 + 1		+ 16.210 + 12				212 40.1 - 0.9	- 4.61
	0.3742	- 0.0002	+ 0.35300 + 4	+ 0.200 + 1	+ 7.076 - 2	+ 16.261 + 13	- 10.543 o	— 16.662 — 10	1.29484 + 19	212 19.4 - 0.9	- 4.573
15.3	0.3752	0.0002	+ 0.35410 + 5	+ 0.206 + 1	+ 7.099 - 2	+ 16.312 + 13	— 10.447 o	— 16.731 — 10	1.29502 + 19	211 58.8 — 0.9	- 4.53
15.4	0.3762	- 0.0002	+ 0.35521 + 5	+ 0.212 + 1	+ 7.121 - 2	+ 16.363 + 13	— 10.351 o	- 16.8o ₁ - 10	1.29520 + 19	211 38.2 - 0.9	- 4.494
	0.3772	— o.ooo2	+ 0.35632 + 5	+ 0.218 + 1		+ 16.414 + 13		- 1		211 17.6 - 0.9	
	0.3782	- 0.0002	-	+ 0.224 + 1		+ 16.466 + 13				210 57.0 - 0.9	- 4.40
	0.3792	— 0.0002		+ 0.231 + 1		+ 16.517 + 13				210 36.5 - 0.9	
	0.3802	- 0.0002	+ 0.35968 + 5	+ 0.237 + 1		+ 16.569 + 13			1.29589 + 18	210 16.0 — 0.9 209 55.5 — 0.9	i e
13.9	0 3812	- 0.0002	+ 0.36081 + 5	+ 0.242 + 1	+ 7.233 - 2	+ 16.621 + 13	- 9.804 0	17.137 - 10	1.29000 + 10	209 55.5	4/
16.0	0.3822	- 0.0002	+ 0.36194 + 5	+ 0.248 + 1	+ 7.256 - 2	+ 16.673 + 13	- 9.765 + 1	- 17.202 - 10	1.20623 + 18	209 35.0 - 0.9	4.23
	0.3832	- 0.0002	+ 0.36307 + 5	+ 0.254 + 1		+ 16.725 + 13				209 14.5 - 0.9	
	0.3842	- 0.0002	+ 0.36420 + 5	+0.260 + 1		+ 16.777 + 13				208 54.1 - 0.9	- 4.150
	0.3852		+ 0.36534 + 5	+ 0.266 + 1		+ 16.830 + 13				208 33.7 — 0.9	- 4.10
16.4	0.3862	- o.0002	+ 0.36648 + 5	+ 0.272 + 1		+ 16.882 + 13				208 13.3 - 0.9	4.06
				1	!						
	0.3872	- 0.0002		+ 0.277 + 1	+ 7.370 - 2	+ 16.935 + 13				207 52.9 — 1.0	
	0.3882	- o.0002	+ 0.36878 + 6	+ 0.283 + 1		+ 16.988 + 13				207 32.5 - 1.0	
16.7		0.0002	+ 0.36993 + 6	+ 0.288 + 1		+ 17.041 + 14				207 12.2 — 1.0	- 3.933
	0.3902	- 0.0002	+ 0.37108 + 6	+ 0.294 + 1		+ 17.094 + 14				206 51.8 — 1.0	
10.9	0.3912	- o.0002	+ 0.37224 + 6	+ 0.300 + 1	+ 7.462 - 2	+ 17.148 + 14	- 8.864 + 2	- 17.758 - 10	1.29770 + 17	206 31.5 - 1.0	3.845
17.0	0.3922	_ 0 ~~	+ 0.37340 + 6	+ 0.305 + 1	8 2	L l - 14	- 8 760 ± a	_ , , 8, 6 _ 0	1 20285 ± 12	206 11.2 - 1.0	— 3.8or
	0.3932	- 0.0002								205 51.0 — 1.0	
	0.3942	- 0.0002		+ 0.316 + 1						205 30.7 — 1.0	
	0.3952		+ 0.37690 + 6	+ 0.321 + 1		+ 17.362 + 14				205 10.5 - 1.0	
	0.3962		+ 0.37807 + 6							204 50.3 - 1.0	— 3.623
1			i i								
	0.3972	0.0002	+ 0.37924 + 6	+ 0.332 0		+ 17.471 + 14				204 30.1 - 1.0	
	0.3982		+ 0.38042 + 6							204 9.9 - 1.0	
	0.3992	- 0.0002			1	+ 17.579 + 14				203 49.7 - 1.1	— 3.488
1 1	0.4002	- 0.0002				+ 17.634 + 14	- 1	- 18.259 - 9			— 3.443 — 3.207
1,7.9	0.4012	0,0002	+ 0.38397 + 7	+ 0.352 0	+ 7.097 - 2	+ 17.688 + 14	- 7.83 ² + 3	- 18.311 - 9	1.29919 + 10	203 9.5	— 3. 3 97
18.0	0.4022	- 0.0002	+ 0.38516 + 7	+ 0.357 o	+ 7.721 - 2	+ 17 743 + 14	- 7.727 + 2	- 18.362 - 0	1,20033 + 16	202 49.3 - 1.1	- 3.352
	0.4032		+ 0.38635 + 7	• •						202 29.2 — 1.1	
18.2	0.4042		+ 0.38754 + 7	+ 0.367 0		+ 17.853 + 15				202 9.2 - 1.1	- 3.261
18.3	0.4052		+ 0.38874 + 7			+ 17.908 + 15				201 49.1 - 1.1	- 3.215
18.4	0.4062	0.0001	+ 0.38994 + 7	+ 0.376 0	+ 7.817 - 2	+ 17.964 + 15	- 7.305 + 3	- 18.561 - 9	1.29988 + 15	201 29.0 — 1.1	- 3.169
	0.4072		+ 0.39114 + 7	;						201 9.0 - 1.1	- 3.123
	0.4082	1000,0		+ 0.386 o		+ 18.075 + 15				200 49.0 - 1.1	— 3.077
	0.4092		+ 0.39355 + 7							200 29.0 - 1.1	- 3.031
	0.4102		+ 0.39476 + 7	4 1						100 40 0 - 1.1	- 2.98
10.9	J. 4114	1000.0 —	+ 0.39597 + 8	+ 0.399	+ 7.938 - 2	T 10.242 + 15	- 0.772 + 4	- 10.794 - 9	1.30052 + 15	199 49.0 - 1.2	- 2.938
10.0	0.4122	0 (6101	+ 0.39718 + 8	+ 0.404 0	+ 7.060	+ 18,208 + 15	- 6.665 + 4	- 18.828 - 0	1.30064 + 14	199 29.1 - 1.2	- 280
			+ 0.39840 + 8							199 9.1 - 1.2	
			+ 0.39962 + 8		+ 8.011 - 2	+ 18.410 + 15	- 6.450 + 4	- 18.924 - 8	1.30088 + 14	198 49.2 1.2	- 2.708
	0.4152		+ 0.40084 + 8							198 29.3 - 1.2	
			+ 0.40206 + 8	+ 0.421 0	+ 8.060 - 2	+ 18.522 + 15	-6.233 + 5	- 19.008 - 8	1.30112 + 14	198 9.4 - 1.2	- 2.70
					.						
	0.4172		+ 0.40329 + 8	+ 0.425 0	+ 8.085 - 2	+ 18.579 + 15	- 6.125 + 5	- 19.049 - 8	1.30123 + 14	197 49.5 - 1.2	- 2.65
	0.4182		+ 0.40451 + 8							197 29.6 — 1.2	
	0.4192		+ 0.40574 + 8							197 9.8 - 1.2	
	0.4202		+ 0.40697 + 8							196 49.9 1.2	
	0.4212		+ 0.40821 + 8	+ 0.440 0						196 30.1 1.2	
20.0	0.4222	- 0.0001	+ 0.40944 + 8	+ 0.444	+ 8.208 2	+ 18.863 + 16	- 5.580 + 5	19.241 8	1.30177 + 13	196 10.3 — 1.2	- 2.421
			<u> </u>	<u> </u>	<u> </u>		·	<u> </u>			

Die Zahlen der zweiten Subcolumnen sind mit $t = \frac{t_o - 1900}{100}$ zu multiplieiren, und sind in Einheiten der letzten Decangesetzt.

Tafel Xc.

h												
	Arg	z'	E_1	A_1	$B_{\mathfrak{t}}$ $(g \sin G_{\mathfrak{t}})$	(g cos G,t	f_1	C	D	log h	И	
40	20.0	D. 4222	Iddollo	+ 0.40944 + 8	+ 0"444 0	+8'208 -2	+ 18"863 + 16	- 5"580 - 5	19 241 8	1 30177 + 13	196°10 3 - 1'2	- 2"421 + 4
	26 1	J:4232	1000 0	+ 0.41068 + 8	+0.448 0	- 8 243 ··· a	+ 18 920 + 16				135 56 5 - 1 3	2 471 4 4
-	2 7	0.4442	toop .	+041192+9	+0.451 0	+ 8 258 - 2	+ 18.977 + 16				195 30 7 1-2	2727 +4
-	70 7	0.4750	1000t	+ 0 41316 + 9	+ 0 455 0	+ 8.283 2	+ 19.034 + 16			1 30207 + 13		- 2 178 + 4
100	20-4	3.4262	10001.0	+ 0 41441 + 9	+ 0.458 0	+ 8 308 - 2	+ 19.092 + 16		- 19.382 7	1 10216 + 13	194 51.1 T 3	2 230 +4
200	30 4	0.4272	* 0.0002	+ 0.41565 + 9	+ 0 462 0	+ 8.333, 2	+ 19.149 + 16	- 5 029 + 6	- 19-416 7	1 30226 + 17	194 3E3 E1	2.182 + 4
Berli	20 6	3 4282	1000.0	+ 9.41690 + 9	+0465 0	+ 8 358, 2	+ 14 200 + 16	4 919 + 6	19 448 7	1.30235 + 12	194 11 6 13	2 154 + 4
211	20 7	2,4292	0.0003	+ 0 41815 + 9	+ 0.468 0	+ 8 383 2	+ 19.264, + 16	4 8r-8 + 6			193 51 9 1 3	_ osc + 4
pd	30.8	J-4300	- 0.0001	+041940+9	+0472 0	+ 8 408 - 1	+ 1, 122 + 16	7.7			1,3321 - 13	2,138 +4
14	20 9	0.4314	- 0 0001	+ 0.42065 + 9	4 0.475 0	+8-433 - 2	+ 19.379 + 10	* 4 58F + 6	19 542 7	1.30261 + 12	193 12 4 1 3	- 1 goo + 4
4	21 0	0.4320	0.0001	+ 3.42101 + 9	+ 0 478 a	+8458 - =	+ 19.437 + 16			- 10	193 52-7 1 3	1-41 + 4
10	21 1	0.4432	0.0003	+04216 + 9	+ 0,481	+ 8.483, 2	+ 19 495 + 16		_	1.30277 + 12		- r.893 + 4
П	21 2	0.4342	1000	+ D.42442 + 9	+0,484 0	+ 8.508 2	+ 19 552 + 16			1.30285 + 13		1 545 + 4
и	21 ,	0.4352	- 6.0001	+ 0 42568 + 9	+ 0.486 a	+ 8 534, - 1				1 30293 + 11		- 1 748 + 4
	21 4	0.4362	0.0003	+ 0 42694 + 9	+ 0.489 0	+8559 - 2	+ 19 669 + 17	- 4.028 + 6	19.683 7	1 30300 11	191 34.0 - 1 3	
	21 5	0 4372	0.0003	+ 0-43820 + 9	+ 0.492	+8584 - 2	+ 1) 727 + 17	3916 + h	19 709 - E	1.30307 + 11	191 24.3 13	1 091 + 4
1	21 6	3,4382	- 0 0001	+ 0.42946+ 9	+ 0.494 0	+ 8.610 - 2	+ 19.786 + 17	- 3.804 + 7		1 30314 + 11		- 1.650 + 4
	21.7	124193	100001	+ 0.43073 + 10	4 0.497	+ 8.635	+ 19.844 + 17	- 3 6 42 + 7		1 30311 + 11		- 1.602 T 4
П	2 x 8		* 0 UU03	+ 0.4,190 + 10	+ 0.499 0	+8 600 2	+ 19 902 + 17	3 579 + 7		1 30327 + 11		1.55 + 4
и	21 9	0.4412	0.0007	+ 0.43326 + 10	+ 0 502 0	+ 8 686 2	+ 19.961 + 17	3 467 + 7		1 30334 + 10		- 1.504 + 4
и											1	
н	270	0 4422	- 0.000z	+ 0.43453 + to	+ 0 504 0	+ 8 711 2	+ 40.019 + 17	- 3 354 + 7	19.828 6	1,30340 + 10	180 36 1 - 1 3	- 4 455 + 4
ш	271	0:4414	· 0 0001	+ 0.43580 + 10	+ 0 306 D	+8736 -2	+ 20 078 + 17	3 242 + 7	19.8491 6	1 30345 + 10	180 16 5 7 3	145 + 4
	22.3	-4442	6.00c Z	+ 0 41707 + 14	+ 0.508 o	+ 8.760 2	+ 25 137 + 17	1 120 + 9	19 870 6	1 10351 + 10	188 56.9 F 3	1 157 + 4
	33.	0.4463	* 0 000\$	+ 0.43834 + 10	+ 0.311 O	+ 8.787 - 2	+ 20 195 + 17	7.016 + 7			188 -7 1 1 3	1 30B + 4
	22 4	C4462	0,0007	+ 0.43,61 + 10	+ 0.5:3 0	+8819 2	+ 20,253 + 17	- 2 403 + 7	* rg 300 61	1 30362 + 10	688 177 13	1 259 +4
	1								,		a	
	22 3	D.4472	10001	+ 0 44088 + 1	+ 0 514 0	+ 8 8 38 - 3	+ 20 312 + 17				187 58.1 1 4	- 1 210 4
1	22 6	0.4482	0.0001	+ 0,44215 + 10	+ a \$16 0	+8864 2	+ 20 471 + 37				187 38,6 - 1.4	1 161 + 4
Į.	2.7	3: 4 \$0.5	C- COO1	+ 3 44344 + 10	t a 518 6	+ 8 894	+ 20 430 + 17				187 19 1 1.4	- 1 H2 + 4 - 1.063 + 4
ij.	228	0:4502 2:4512	0.0000	+ 0.44471 + 10	+0520 0	+ 8 925 2	+ 20 489 + 17				186 33 9 - 1 4	1.011 + 4
ì	1		010000	4. 0.4421/9 1 10	+ 5 581 0	# 8.94T	1 10 340 + 17	243100 7 10	19 994) 2	1,30304 7 3	100 1,1 9 1 4	
Ų.	23.0	4527	0.000	+ 0.44727 + 10	+ 0.523 0	+ 8.966 = 2	+ 00.606 + 18	2 392 + 8	20.660) 51	1,30388 + /	r86 ap. 3 1 4	> 964 + 4
Н	3.1	0.4532	0.0000	+ 0.44855 + 10	t 0.524 0	+ 8 992 2	+ 20,665 + 18	2 tog + 8			180 08 14	2015 44
	22.3	D 4542	C 0000	+ 744681 + 1	+ 0.526 0	+ 9 6 18 2	+ 20 725 + 18	1 205 + 8		1 30305 + 6	185 41 2 1 4	0.85r + 4
v	23 3	3.4557	0.0000	+ 0.45111 + 10	+ c 527 C	+ 9 043 = 2	+ 10 784 + 18			1 47948 + B	185 21.7 1 4	-0.8re + 4
4	23.4	0.4962	0.0000	+ 0 45249 + 17	+ a 528 a	+ 4.060 2	+ 20.843 + 18	1 768 + 8			r85 2 11 T 4	- 0.767 + 4
-	3,5	1-4574	0.0000	+ 0.45367 + 10	+ 0 529 0	± 9.005 = 3	+ 20 300 + 18	1 654 + 8	- 20 O71 - 4	1 304G + 8	184 42.6 - 1 4	1 717 + 4
-	-30	Q 4582	0.0000		+ 0 531 0	+ 9 120 - 7	+ 20, 961 + 18				184 27 3 1 4	0.068 + 4
E Par	23.7	0.4544	9 0000		+ 0 534 6	+ 9.146 2				1 30408 + 8		c 118 + 4
	218	0.4002	0.0000		+ 0 532 0	+ 9 172 - 1	+ 91,079 + 18			1 304101+ 8	18444 7 14	4 5/11) + 4
	23.9	0.4013	D ((000)	+ 0 45880 + II	+ 0 533 0	+ 9 198 2	+ 21 138 + 18	- 1 198 8	20.107 4	1 3年412 中 2	183 24 4 - 1 4.	0 520 + 4
	l	er than		de a characteristic	4		4-71-500) 10			I garres I	-92	
H.	24 0	14672		+ 0.46000 + 11	+ 0.534 0		+ 21 197 + 18 + 21 257 + 18				182455 74	0 441 + 4
N	24-2		D.0000	+ 0,46137 + 11		+ 9 34 7 - 2	+ 28.326 + 18				18, 200, - 14	
16	14 3	U 4652	0.0000		+ 0 535 0 + 0 536 0		+ 21 375 + 18			1 30416 + 7		
16	24 4	+4662	0.5000		+ 0.536 0		+ SE 434 + 18				181470 14	
	1			,		+ 9 126 3	1,000		,, .	,,,,,,,,,,,,,,,,,,,,,,,,,,,,,,,,,,,,,,,		
	24 5	0.4672	P 0000	+ 0.46651 + 11	+ 0.537 0	+ 9 352 - 2	+ 21 474 + 18	0.512 + 8	10.13.0	1 30417 + 7	181 27 5 - 1 5	9 223 十4
	24 6			+ 0 46780 + 11	+ 0 537 O		+ 2x 553 + 18				181 B.C 1 5	
	24.7	1. Aluga		+ 0.46908 + 11	+0 537 6	+ 9404 2					FRn 48 5 5 5	
	24.5			+ 0.47017 + 11	+ 0 537 0		+ 21 7 + 18				180 200 - 25	
	54-	-4712		+ 0 47165 + 11	+ 0 537 0		+ 21.731 + 15				180).5 15	
	25.3	0.4722		+ 3.47294 + 11	+ 0 537 , 0		+ 21 790 + 18				179 50.0 1.5	
L						,						
3												

Die Zahlen der zweiten Subcolumnen sind mit $t=rac{t_n-1900}{100}$ zu multipliciren, und sind in Einheiten der letzten Decimale angesetzt

Tafel Xc.

Arg.	τ'	E_{I}	AI	$g \sin G_{ m I}$	$(g\cos G)_{\rm I}$	$f_{ m I}$	C	D	log h	H	
25.0	0.4722	0 ⁸ 0000	+ 0.47294 + 11	+ 0"537 0	+ 9"481 - 2	+ 21"790 + 18	+ 0"059 + 9	- 20"144 - 3	1.30415 + 6	179°50'0 — 1'5	+ 0"
25.1	0.4732	0.0000	+ 0.47422 + 11	+ 0.537 0	+ 9.507 - 2	+ 21.849 + 19	+ 0.173 + 9		1.30414 + 6		+ 0.0
25.2	0.4742	0.0000	+ 0.47551 + 11	+ 0.537 0	+ 9.533 - 2	+ 21.909 + 19	+ 0.287 + 9	- 20.141 - 3	1.30412 + 6	179 11.0 — 1.5	+ 0.
25.3	0.4752	0.0000	+ 0.47679 + 11	+ 0.537 0		+ 21.968 + 19	+ 0.402 + 9	- 20.138 - 2	1.30411 + 6	178 51.5 - 1.5	+ 0.
25.4	0.4762	0,0000	+ 0.47808 + 11	+ o.536 o	+ 9.584 - 2	+ 22.027 + 19	+ 0.516 + 9	— 20.135 — 2	1.30409 + 5	178 32.0 - 1.5	+ 0.:
25.5	0.4772	0,0000	+ 0.47936 + 11	+ 0.536 0	+ 9.610 - 2	+ 22.086 + 19	+ 0.630 + 9	- 20.131 - 2	1,30407 + 5	178 12.5 — 1.5	+ 0.:
25.6	0.4782	0.0000	+ 0.48065 + 11			+ 22.145 + 19	+ 0.744 + 9	- 20.126 - 2	1.30405 + 5		
25.7	0.4792	0.0000	+ 0.48193 + 11			+ 22.205 + 19	+ 0.858 + 9	- 20.120 - 2	1.30402 + 5		+ 0.
25.8	0.4802	0.0000	+ 0.48322 + 11	+ 0.534 0	- 1	+ 22.264 + 19	+ 0.972 + 9	- 20.113 - 2	1.30399 + 5	177 14.0 — 1.5	+ 0.
25.9	0.4812	0,0000	+ 0.48450 + 11	+ 0.533 0	+ 9.713 - 2	+ 22.323 + 19	+ 1.086 + 9	- 20.106 - 2	1.30396 + 5	176 54.5 — 1.5	+ 0.
26.0	0.4822	0.0000	+ 0.48578 + 11	+ 0.532 0	+ 0.730 - 2	+ 22.382 + 19	+ 1.200 + 9	— 20.098 — 2	1.30393 + 5	176 35.0 — 1.5	+ 0.
26.1	0.4832	0,0000	+ 0.48707 + 11	+ 0.532 0		+ 22.441 + 19	+ 1.314 + 9	- 20.090 - 1	1.30390 + 5		
26.2	0.4842	0,0000	+ 0.48835 + 11			+ 22.500 + 19	+ 1.428 + 9	- 1	1.30386 + 4		
26.3	0.4852	0.0000	+ 0.48963 + 11	+ 0.529 0		+ 22.559 + 19	+ 1.542 + 9		1.30382 + 4		ı
26.4	0.4862	0,0000	+ 0.49091 + 11			+ 22.619 + 19	+ 1.655 + 9		1.30378 + 4		+ 0.
26.5	0.4872	0.0000	+ 0.49219 + 11	+ 0.527 0	+ 9.867 - 2	+ 22.678 + 19	+ 1.769 + 9	- 20.047 - 1	1.30374 + 4	174 57.4 1.5	+ 0.:
26 6	0.4882	0,0000	+ 0.49347 + 11	+ 0.526 0		+ 22.737 + 19	+ 1.883 + 9		1.30369 + 4		
26.7	0.4892	+ 0.0001	+ 0.49475 + 11	+ 0.524 0		+ 22.796 + 19	+ 1.996 + 9	- 20.021 - I			
26.8	0.4902	+0.0001	+ 0.49603 + 11	+ 0.523 0		+ 22.854 + 19	+ 2.110 + 9		1.30359 + 4		
26.9	0.4912	+ 0.0001	+ 0.49730 + 11	+ 0.521 0	1 1 1	+ 22.913 + 19	+ 2.224 + 9		1.30354 + 3		
27.0	0.4922	+ 0.0001	+ 0.49858 + 11	+ 0.520 0	t 0.005	+ 22.972 + 19	+ 2.337 + 9	— 19.977 O	. 20248 ± 2	173 19.7 — 1.6	+ 1.0
27.1	0.4932	+ 0.0001	+ 0.49985 + 11			+ 23.031 + 19	+ 2.450 + 9		1.30342 + 3		+ 14
27.2	0.4942	+ 0.0001	+ 0.50113 + 11	+ 0.516 0		+ 23.090 + 19	+ 2.563 + 9			172 40.6 — 1.6	+ 1.1
27.3	0'4952	+ 0.0001	+ 0.50240 + 11			+ 23.148 + 19	+ 2.676 + 9			172 21.1 — 1.6	+ 1.1
27.4	0.4962	+ 0.0001	+ 0.50367 + 11			+ 23.207 + 19				172 1.5 - 1.6	
27.5	0.4972	+ 0.0001	+ 0.50494 + 11	+ 0.510 O	+ 10.123 - 2	± 23 266 ± 10	+ 2.901 + 9	- 19.888 o	7 20277 1 3	171 42.0 — 1.6	+ 1.1
	0.4982	+ 0.0001	+ 0.50621 + 11			+ 23.324 + 19	+ 3.014 + 9	- 1	4	171 22.4 — 1.6	
27.7	0.4992	+ 0.0001	+ 0.50748 + 11	+ 0.506 — I		+ 23.383 + 19	+ 3.126 + 9			171 2.8 - 1.6	
27.8	0.5002	+ 0.0001	+ 0.50875 + 11	+ 0.504 - 1		+ 23.441 + 19	+ 3.239 + 9		1.30296 + 2		+ 1.4
27.9	0.5012	+ 0.0001	+ 0.51001 + 11	+ 0.502 - 1	+ 10.224 - 2	+ 23.499 + 19	+ 3.352 + 9	- 19.804 + I	1.30288 + 2	170 23.6 — 1.6	+ 1.4
28.0	0.5022	+ 0.0001	+ 0.51128 + 11	+ 0.499 - 1	± 10.250 — 2	+ 23.558 + 19	+ 3.464 + 9	- to 281 + I	T 20280 ± 2	170 4.0 — 1.6	+ 1.5
28.1	0.5032	+ 0,0001	+ 0.51254 + 11	+ 0.497 - 1		+ 23.616 + 19	+ 3.576 + 9	- 19.757 + I	1	1. 1 1	+ 1.5
28.2	0.5042	+ 0.0001	+ 0.51380 + 11	+ 0.494 - 1		+ 23.674 + 19	+ 3.688 + 9	-19.733 + 1	i i	169 24.8 - 1.6	+ 1.0
28.3		+ 0.0001	+ 0.51506 + 11	+ 0.492 - 1		+ 23.732 + 20	+ 3.800 + 9	- 19.707 + 1		169 5.2 - 1.6	+ 1.6
28.4	ი.5062	+ 0.0001	+ 0.51632 + 11	+ 0.489 - 1	+ 10.351 2	+ 23.790 + 20	+ 3.911 + 9			168 45.6 — 1.6	+ 1.0
28.5	0.5072	+ 0.0001	+ 0.51758 + 11	+ 0.486 - 1	± 10.376 = 2	+ 23.848 + 20	+ 4.023 + 9	- to 655 + 1	1 20228 ± 1	168 25.9 — 1.6	+ 1.
28.6	0.5082	+ 0.0001	+ 0.51884 + 11	+ 0.483 - 1	1 '	+ 23.906 + 20	+ 4.134 + 9			168 6.3 - 1.6	
28.7		+ 0.0001	+ 0.52009 + 11			+ 23.964 + 20	+ 4.216 + 9			167 46.7 - 1.6	
28.8	0.5102	+ 0.0001	+ 0.52135 + 11			+ 24.020 + 20	+ 4.357 + 9	- 19.570 + 2		167 27.0 - 1.6	
28.9	0.5112	+ 0.0001	+ 0.52260 + 11			+ 24.079 + 20	+ 4.467 + 9	- 19.541 + 2			
20.0	0 5100	+ 0 000	+ 0.52385 + 11	, , , , _ ,	± 10 502 = 2	+ 24.137 + 20	± 4 528 ± 0	- to 510 ± 3	1 30100	166 47.6 — 1.6	1.
		+ 0.0001		+ 0.468 - 1	+ 10.527 - 2	+ 24.137 + 20 + 24.194 + 20	+ 4.680 + 0	- 10.470 ± 2	1.30180	166 28.0 - 1.6	
1			+ 0.52634 + 11	+ 0.465 - 1	+ 10.552 - 2	+ 24.252 + 20	+ 4.7901 + 9	- 19,447 + 2	1,30170 n	166 8.3 - 1.7	
	0.5152			+0.462 - 1	+ 10.576 - 2	+ 24.309 + 20	+ 4.909 + 9	- 19.415 + 2	1,30150 0	165 48.5 - 1.7	
			+ 0.52883 + 11	+ 0.458 - 1	+ 10.601 - 2	+ 24.366 + 20	+ 5.019 + 9	- 19.381 + 2	1.30148 0	165 28.8 — 1.7	
20.5		ا ۔ ۔ ۔ ملد	1.0 52005		L 10 606		L	_ 10 3 3 4 5		165 01	۱
29.5 20.6			+ 0.53007 + 11 + 0.53130 + 11			+ 24.424 + 20 + 24.481 + 20				165 9.1 — 1.7 164 49.4 — 1.7	
29.7						+ 24.481 + 20 + 24.538 + 20				164 49.4 — 1.7 164 29.6 — 1.7	
29.8	0.5202	+ 0.0001								164 9.8 - 1.7	
29.9		+ 0.0001								163 50.1 - 1.7	
30.0			+ 0.53624 + 11							163 30.3 1.7	
					<u> </u>				- '/	1 " " " "	
_				-		t 1900			•		

Die Zahlen der zweiten Subcolumnen sind mit $t = \frac{t_o - 1900}{100}$ zu multipliciren, und sind in Einheiten der letzten D angesetzt.

Tafel Xc.

1	l.							14101 A	L-1				
		Arg	T'	E_{l}	A_{I}	$\frac{B_{\parallel}}{g \sin G_{\parallel}}$	$g\cos G)_{\mathbf{f}}$	f_1	С	D	log h	H	6
1		_	_										
1	a.	_	_										
mag mag	ei.	_											
10 10 10 10 10 10 10 10	die i	49.4											
10 10 10 10 10 10 10 10	п	_											
1988 9,36 0,0000 0,00,400 10 0,000 1 10,000 1 2,000 1 0,000 1 2,000 1 0,000 1 0,000 1 2,000 1 0,000 1													
10 10 10 10 10 10 10 10		_	_										
30 0 0 0 0 0 0 0 0 0 0 0 0 0 0 0 0 0 0		_	_										
31 1 0 1522 + 0.0001 + 0.6482 + to + 0.195 - 3 + 10.194 - 3 + 25.700 + so + 6.750 + to 18.525 + 4.20040 - 2 166.118													
3 1 1 0.532	W	40 1	0. 1112	1 030,0001	. 0.3471. T 10.	1.0.400	7 10 9/0 3	1. 23 214 T 30	T OWNTY	10 795 1 4	1 299013		1 2 200
3 1 1 0.532	4	31 0	D 5322	+ 0,0001	+ 0 54842 + 10	+ 0 305 ~ 2	+ 10 004 - 1	+ 25 270 + 20	+ 6752 + 0	18 750 + 4	1 20040 - 2	160 11 R 17	+ 2,020 + 8
1 1 2													
31.4 0 3262 + 0 0000 + 0 55374 + 10 + 0 177 - 1 + 11 10 1 3 + 25491 + 20 + 7 176 + 9 18 166 + 5 1 20 562 - 3 1 158 200 - 17 + 11 11 16 16 1 16 16 16 16 16 16 16 16 1	1	\$T 2	7 434=	+ 0.0002								159 11 Q T 7	+ 3 021 + 3
31.5 0.5172 + 0.0000 + 0.5242 + 10 + 0.108	ı	31 3	Q 5353	+ 2.0002	+ 0 5520/3'+ 10	+ 0.38s - 1	+ 11.062, - 3	+ 25 436 + 20	+ 7.070 + 9	18 612 + 5	t \$1/906 3	159 11 9 1 7	+ 3.667 + 2
1 1 6 0 5 8 9 7 + 0 0 0 0 2 + 0 0 5 5 0 7 + 10 + 0 1 8 1 + 17 1 1 1 1 1 1 1 1 1 1 1 1 1 1 1 1	1	31 4	0 5362	+ 9 1002	+ 0 55323 + to	+ 0.177 - 1	+ 11 091 3	+ 25.491 + 20	+ 7176+9	= x8 564 + 5	1 29893 3	158 520 17	+ 3 111 + 2
11.6	ı			,									
1 1 2 0 0.547 + 0.0002 + 0.5508 + 10 + 0.161 - 1 + 12.61 - 1 + 25.616 + 20 + 7.491 + 0 - 18.417 + 5 1.20846 - 3 1.57 1.0 - 1.7 + 1.350 - 1.7 +	н	_											
11	н	_											
31 y 0 5472 + 0 0000	н	_											
12 0 0.5472 + 0.0000 + 0.56056 + 10 + 0.348 - 1 + 11.234 - 3. + 25.850 + 20 + 7.804 + 8 18.204 + 5 1.2950 - 4 15.516 1.7 + 1.185	п												
12.2 0.5422 + 0.00002 + 0.6673; + 10	1												
12.2 0.5442 + 0.0002 + 0.5693 + 0 0.18 - 1 + 11.261 - 3 + -5.276 + 20 + 8.11 + 8 - 18.18 + 6 1.29.268 - 1	4	32.6	0.5422	÷ 0 0002	+ 0 56036 + to	+ 0.348 - t	fr 11,234 - 3	+ 25 B20 + 20	+ 7 804 + 8	18 364 + 5	r 29800 4	256 51 9 - 17	+ 1 784 + 0
32.3 0.6452 + 0.0002 + 0.56566 + 9 + 0.333	И	1,0:1	- 5432	+ 0.0007	+ 0 56154, + 10	+ 0.343 r	+ : 1 257 3	+ 25.875 + 20	+ 7.907 + 8	18 211 + 5	1 24784 - 4	156 11 8 - 17	+ 3 430 + 1.
2 4 0 5662 + 0 0002 + 0 56721 + 0 + 0 122 - 1 + 11 135 - 1 + 26.001 + 20 + 8.216 + 8 - 18.000 + 6 1 20720 4 155 11 3 - 1 7 + 1564 1 125 - 1 + 11 135 - 1 + 26.001 + 20 + 8.319 + 8 17.004 + 6 1 20720 4 155 11 3 - 1 7 + 1564 1 127 0 5402 + 0.0002 + 0.56730 + 0 + 0.317 1 + 11 1375 3 + 26.164 1 20 + 8.421 + 8 17.003 + 6 1 20720 - 4 155 11 3 - 1 7 + 1564 1 127 0 5402 + 0.0002 + 0.56730 + 0 + 0.017 1 - 1 + 11.375 3 + 26.164 1 20 + 8.421 + 8 17.003 + 6 1 20720 - 4 155 11 3 - 1 7 + 1564 1 127 0 5402 + 0.0002 + 0.56730 + 0 + 0.0002 + 0.5621 + 0 + 0.0002 + 0.5602 + 0.0002 + 0.5602 + 0.0002 + 0.57020 + 0 + 0.301 - 1 + 11.444 1 + 26.105 + 20 + 8.726 + 8 17.825 + 6 1 20570 5 154 10 6 - 1 7 17.11 1 0 5532 + 0.0002 + 0.57203 + 0 + 0.206 3 1 + 11.467 3 + 26.105 + 20 + 8.826 + 8 17.667 6 1 20615 5 153 10.6 1 7 + 1873 1 1 0 5532 + 0.0002 + 0.57203 + 0 + 0.206 3 1 + 11.467 3 + 26.105 2 20 4 8.726 + 8.227 + 8 17.667 6 1 20615 5 153 10.1 1 7 + 1873 1 1 0 5532 + 0.0002 + 0.57203 + 0 + 0.200 - 3 + 11.401 3 + 26.105 2 20 4 9.2.77 8 17.505 7 1 20615 5 153 10.1 1 7 + 1873 1 1 0 5532 + 0.0002 + 0.57247 9 + 0.207 - 3 + 11.836 3 + 26.516 + 20 + 9.127 + 8 17.505 7 1 1.505 1 1 1.7 + 1873 1 1 0 5537 + 0.0002 + 0.57257 + 0.0002 + 0.58251 + 0.0002 + 0.58251 + 0.0002 + 0.58251 + 0.0002 + 0.58251 + 0.0002 + 0.58251 + 0.0002 + 0.58251 + 0.0002 + 0.58251 + 0.0002 + 0.58251 + 0.0002 + 0.58251 + 0.0002 + 0.58251 + 0.0002 + 0.58251 + 0.0002 + 0.58251 + 0.0002 + 0.58251 + 0.0002 + 0.58251 + 0.0002 + 0.58251 + 0.0002 + 0.58251 + 0.0002 + 0.58251 + 0.0002 + 0.58251 + 0.0002 + 0.58251 + 0.0	п	32.2	0 5442	4 0.00ws ,	+ 3 56273 + 9						1 29768 - 4	156 127 17	
12 5 0.5477 + 0.0002 + 0.56673 + 0 + 0.122 - 1 + 11.153 - 1 + 26.091 + 20 + 8.319 + 8 17.094 + 6 1.20701 - 4 1.5511 3 - 1.7 + 3.609 + 1.20701 - 4.20701 - 4 1.50701 - 4 1													
1		32.4	0.5462	+ 0.0002	+ 0 50506 + 9	+ 0,328 - 1	+ 11.358 - 4	+ 26.037 + 20	+ 8 216 + 8	- 18.050 + 0	1 29736 4	155 31 5 - 17	+ 3 564 + 21
1		20.5	0.5122	. 0.0053	1 n ellens 2 n	1.0.200		.t a6 -aa - aa	-h 0 ac. 1 9		v modern a		£ 3 600 £ 8
110 0 5527 + 0.0000 + 0.5686 + 0 + 0.5747 + 0 + 0.305 - 1 + 11.452 - 3 + 26.198 + 20 + 8.521 + 8 17.882 + 6 1 20/50 5 154 10 - 17 + 16.07 + 32.05													
$\begin{array}{c} 18.8 \\ 39. \\ 0.5612 \\ + 0.0007 \\ + 0.57087 \\ + 0.0007 \\ + 0.5808 \\ + 0.0007 \\ + 0.5808 \\ + 0.0007 \\ + 0.5808 \\ + 0.0007 \\ + 0.58087 \\ + 0.0007 \\ + 0.5808$	1												
33 0 5512 + 0.0002 + 0.57087 + 9 + 0.301 - 7 + 11 444 1 + 26.305 + 20 + 8.706 + 8 - 17 767 + 6 1 29651 5 153 30.4 1 7 + 1879 + 11 0 5532 + 0.0002 + 0.57242 + 9 + 0.296 - 1 + 11.467 3 + 26.3158 + 20 + 8.826 + 8 12.708 + 6 1 29610 5 153 30.4 1 7 + 1879 + 11 0 5532 + 0.0002 + 0.57412 + 9 + 0.285 - 1 + 11.514 - 3 + 26.411 + 20 + 8.327 + 8 17.649 + 6 1 29610 5 153 10.1 1 7 + 1.873 + 17.89 + 1 1.5552 + 0.0002 + 0.57547 + 9 + 0.279 - 1 + 11.514 - 3 + 26.411 + 20 + 8.327 + 8 17.649 + 7 1 29560 5 153 30.4 1 7 + 1.873 + 17.89 + 1 1.5552 + 0.0002 + 0.57547 + 9 + 0.279 - 1 + 11.536 3 + 26.516 + 20 + 9.127 + 8 - 17.538 + 7 1 29560 5 153 30.4 1 7 + 1.873 + 17.89 + 1 1.5552 + 0.0002 + 0.57774 + 9 + 0.273 - 1 + 11.550 - 3 + 26.516 + 20 + 9.127 + 8 - 17.538 + 7 1 29560 5 153 30.3 - 1 7 + 4.006 + 1 1.5552 + 0.0002 + 0.57774 + 9 + 0.268 - 1 + 11.550 - 3 + 26.5674 + 20 + 9.425 + 7 1 29560 5 153 30.3 - 1 7 + 4.006 + 1 1.605 - 3 + 26.574 + 20 + 9.524 + 7 1 29548 5 15140 0 1 7 + 4.068 + 1 1.605 - 3 + 26.574 + 20 + 9.524 + 7 1 2.2548 5 15140 0 1 7 + 4.068 + 1 1.605 - 3 + 26.574 + 20 + 9.524 + 7 1 2.2548 5 15140 0 1 7 + 4.068 + 1 1.605 - 3 + 26.574 + 20 + 9.524 + 7 1 2.2548 5 150 20 1 1 1 1 1 1 1 1 1 1 1 1 1 1 1 1 1 1	ı												
311 0 5337 + 0.0002 + 0.57118 + 9 + 0.290 - 1 + 11 49t 3 + 26 411 + 20 + 8 327 + 8 17 649 + 6 1 206t) \$ 153 10 1 1 7 + 1873 + 1 2 0.5557 + 0.0002 + 0.57437 + 9 + 0.285 - 1 + 11 536 3 + 26.556 + 20 + 9.027 + 8 + 17 589 + 7 1 2058 +	u	30										153 50.6 - E 7	+ 3 785 + 1
311 0 5337 + 0.0002 + 0.57118 + 9 + 0.290 - 1 + 11 49t 3 + 26 411 + 20 + 8 327 + 8 17 649 + 6 1 206t) \$ 153 10 1 1 7 + 1873 + 1 2 0.5557 + 0.0002 + 0.57437 + 9 + 0.285 - 1 + 11 536 3 + 26.556 + 20 + 9.027 + 8 + 17 589 + 7 1 2058 +	1												
1 1 0 5557 + 0 00007 + 0 57470 + 7		_					+ 11 467 - 3	+ 26,358 + 20	+ 8,826 + 8				
1 1 0 5557 + 0 0007 + 0.57547 + 9 + 0.279 - 1 + 11 536 3 + 26.516 + 20 + 9.127 + 8 - 17 528 + 7 1 29584 5 152 20.6 1 7 + 3.960 + 1 4 0.5562 + 0 0002 + 0.57661 + 9 + 0.273 - 1 + 11 580 - 3 + 26.569 + 20 + 9.227 + 8 - 17 467 + 7 1 29586 - 5 732 9.3 - 1 7 + 4 001 + 1 1 1 1 1 1 1 1 1 1 1 1 1 1 1 1 1	ш												
$\begin{array}{cccccccccccccccccccccccccccccccccccc$	al.	_											
1. 5	Ш	_											
$\begin{array}{cccccccccccccccccccccccccccccccccccc$	d	, ,	O. gapa	4 0 000	7 0 1/001 7 0	+ 012131 - 1	T 14 559 - 3	70.3thy 1 2.3	7 9 22/ 1 =	17 407 1 2	1,9300 3	7,5	1 1 2 1
$\begin{array}{cccccccccccccccccccccccccccccccccccc$	ų,	1-5	1 5572	- 0 coos	+ 0 57775 + 0	+ 0. 268 1	+ 11 582 3	+ 26 621 + 20	+ 9.325 + 7	17 409 + 7	1 29548 5	151 40 6 T 7	+ 4 046 + 1
$\begin{array}{cccccccccccccccccccccccccccccccccccc$		_											+ 4 080 + 1
$\begin{array}{cccccccccccccccccccccccccccccccccccc$	4	33.7								17 279 + 7	t 30413 Q	151 8 7 17	+4137+1
$\begin{array}{cccccccccccccccccccccccccccccccccccc$		318	0 5502	+ 0.0002	+ 0.58114 + 0	+ 0 250 ~ 1							
$\begin{array}{cccccccccccccccccccccccccccccccccccc$	Ш	13.0	0 5612	+ 0:0002	+ 0.58227 + 8	+ 0 244 - 1	+ 11 673 3	+ 26.830 + 20	+ 9720 + 7	- 17 T50 + 7	1 29476 - 6	150 27 5 1 7	+ 4.217 0
$\begin{array}{cccccccccccccccccccccccccccccccccccc$	П			1	0			1 .00- 1	1 0 - 1 0	O			+ 4 259 0
$\begin{array}{cccccccccccccccccccccccccccccccccccc$	a l												
$\begin{array}{cccccccccccccccccccccccccccccccccccc$	Ш										1 20120 6	140 26.3 1.7	+ 4 143 0
$\begin{array}{cccccccccccccccccccccccccccccccccccc$	V.												
$\begin{array}{cccccccccccccccccccccccccccccccccccc$	Ш												
34 f 0 5682 + 0 0002 + 0 59005 + 8 + 0 203 1 + tr 8ag - 4 + 27 189 + 20 + 10.395 + 7 - 16 680 + 8 1 29345 - 7 148 4 7 17 + 4 509 34 7 0 56.2 + 0 0002 + 0 5915 + 8 + 0 196 1 + tr 8g1 4 + 27 189 + 20 + 10.490 + 7 16 610 + 8 1 29326 7 147 47 6 17 + 4 551 148 0 5702 + 0 0002 + 0 59224 + 8 + 0 190 1 + 11 893 4 + 27 140 + 20 + 10.584 + 7 - 16 540 + 8 1 29307 7 147 23 1 7 1 4 6 72 34 7 0 5712 + 0 0002 + 0 59334 + 8 + 0 184 1 + 11 895 4 + 27 140 + 20 + 10.678 + 6 - 16.460 + 8 1 29387 7 147 2 3 1 7 + 4 6 72													
34 7 0 5647 + 0.0002 + 0.59115 + 8 + 0.196													
148 0.5762 + 0.0002 + 0.59224 + 8. + 0.150 1 + 11.873 4 + 27.290 + 20 + 10.584 + 7 - 16.540 + 8 1.29307 7 147.23 1 - 1.7 + 4.592 4 + 27.340 + 20 + 10.678 + 6 - 16.464 + 8 1.29287 7 147.23 1.7 + 4.632												- 1	
34 1 0 5712 + 0 1002 + 0 59334 + 8 + 0.184 1 + 11895 4 + 27 340 + 20 + 10.678 + 6 - 16.464 + B 1 30287 7 147 3 3 17 + 4 632													
	1												
					1 1001110 1 0	1					الإرجار		الاستدر

Die Zahlen der sweiten Subcolumnen sind mit $t = \frac{t_o - r_{900}}{t_{900}}$ su multiplieiren, und sind in Einheiten der letsten Decimals angesetst.

Tafel Xc.

				,							
Arg.	τ'	<i>E</i> _I	Α _I	B_{I} $(g \sin G)_{\mathrm{I}}$	(g cos G) _I	f_{I}	c	D	log Å	H	1
35.0	0.5722	+ 0*0002	+ 0.59443 + 8	+ o"178 - 1	+ 11"917 4	+ 27"390 + 20	+ 10"772 + 6	- 16"397 + 8	1.29268 - 7	146°41'8 - 1'7	+ 4 6;
35.1		+ 0.0002	+ 0.59551 + 8		+ 11.938 - 4	+ 27.440 + 20	. 11.11.1			146 21.2 - 1.7	+ 4.71
35.2	0.5742	+ 0.0002	+ 0.59659 + 8	+ 0.165 - 1	+ 11.960 - 4	+ 27.490 + 20	+ 10.958 + 6			146 0.5 - 1.7	+ 4-7:
35.3		+ 0.0002	+ 0.59767 + 7			+ 27.540 + 20				145 39.9 — 1.7	
35-4	0.5762	+ 0.0002	+ 0.59875 + 7	+ 0.153 - 1	+ 12.003 - 4	+ 27.589 + 20	+ 11.143 + 6	- 16.104 + 8	1.29190 8	145 19.2 - 1.7	+ 4-8;
				l						ll	
I	0.5772 0.57 8 2	+ 0.0002	,			+ 27.639 + 20	+ 11.235 + 6		-		+48
1	0.5792	+ 0.0002	+ 0.60089 + 7 + 0.60195 + 7		+ 12.046 - 4 + 12.067 - 4	+ 27.688 + 20 + 27.737 + 20	+ 11.326 + 6			144 37.7 — 1.7 144 16.9 — 1.7	+ 4-9
_	0.5802	+ 0.0002	+ 0.60301 + 7			+ 27.786 + 20				143 56.1 — 1.7	
	0.5812	-	+ 0.60407 + 7			+ 27.835 + 20				143 35.3 — 1.7	
								1 1 1			' '
36.0	0.5822	+ 0.0002	+ 0.60513 + 7	+ 0.115 - 1	+ 12.131 - 4	+ 27.883 + 20	+ 11.687 + 6	- 15.647 + 9	1.29070 — 8	143 14.5 - 1.7	+ 5.0
36. z	0.5832	+ 0.0002	+ 0.60618 + 7	+ 0.108 1	+ 12.152 - 4	+ 27.932 + 20	+ 11.777 + 5	— 15.568 + 9	1.29049 — 8	142 53.6 - 1.7	+ 5.1
	0.5842	-	+ 0.60722 + 7		+ 12.173 - 4	+ 27.980 + 20	+ 11.865 + 5	- 15.489 + 9	1.29089 8	142 32.8 — 1.7	+ 5.z.
	0.5852	-	+ 0.60827 + 7	* 1	+ 12.194 - 4	+ 28.028 + 20	+ 11.954 + 5			142 11.9 - 1.7	+ 5.1
36.4	0.5802	+ 0.0002	+ 0.60931 + 7	+ 0.089 - 1	+ 12.915 - 4	+ 28.076 + 20	+ 12.042 + 5	- 15.329 + 9	1.28988 — 9	141 50.9 - 1.7	+ 5.2:
ا ا	0.5872	+ 0.0002					t <u></u>		0-60		4 - ~
	0.5882	+ 0.0002	+ 0.61034 + 7 + 0.61138 + 6		+ 12.236 - 4	+ 28.124 + 20 + 28.171 + 20	+ 12.129 + 5			141 30.0 - 1.7	十 5.sd 十 5.3×
	0.5892	+ 0.0002	+ 0.61240 + 6		+ 12.256 - 4 + 12.277 - 4	+ 28.219 + 20	+ 12.216 + 5 + 12.303 + 5		- 1	140 48.0 — 1.7	十 5·3:
	0.5902	+ 0.0002	+ 0.61343 + 6		+ 12.298 - 4	+ 28.266 + 20				140 27.0 - 1.7	+ 5.37
1	0.5912	+ 0.0002	+ 0.61445 + 6		+ 12.318 - 4	+ 28.313 + 20				140 6.0 — 1.7	+ 5-41
							!		[]		•
37.0	0.5922	+ 0.0002	+ 0.61547 + 6	+ 0.049 1	+ 12.338 - 4	+ 28.360 + 20	+ 12.560 + 5	- z4.836 + 9	1.28866 — 9	139 44.9 1.7	+ 5-44
37.1	0.5932	+ 0.0002	+ 0.61648 + 6		+ 12.359 - 4	+ 28.407 + 20	+ 12.645 + 4		1.28845 9	139 23.8 — 1.7	+ 5.4
	0.5942	+ 0.0002	+ 0.61750 + 6	1: -	+ 12.379 - 4	+ 28.453 + 20	+ 12.729 + 4			139 2.7 1.7	+ 5.51
	0.5952	+ 0.0002	+ 0.61850 + 6		+ 12.399 - 4	+ 28.500 + 20				138 41.6 - 1.7	+ 5.55
37.4	0.5962	+ 0.0002	+ 0.61951 + 6	+ 0.023 - 1	+ 12.419 - 4	+ 28.546 + 20	+ 12.896 + 4	— 14·495 + 9	1.28783 — 9	138 20.4 — 1.7	+ 5.59
37.5	0.5972	+ 0.0002	+ 0.62051 + 6	4006-	امدور بدا	+ 28.502 + 20	+ 12.979 + 4	- 14.408 + 9		137 59.2 — 1.7	+ 5.63
	0.5982	+ 0.0002	+ 0.62150 + 6		+ 12.439 - 4 + 12.459 - 4	+ 28.638 + 20					+ 5.66
	0.5992				+ 12.479 - 4	+ 28.684 + 20				137 16.8 — 1.7	+ 5.70
	0.6002	+ 0.0002	+ 0.62349 + 6		+ 12.499 - 4	+ 28.729 + 20				136 55.6 - 1.7	
37.9	0.6012	+ 0.0002	+ 0.62447 + 6					- 14.057 + 10			+ 5-71
					'	I i		!!	1		
·	0.6022		+ 0.62545 + 5		+ 12.539 - 4	+ 28.820 + 20				136 13.0 — 1.7	+ 5.80
38.1	0.6032	+ 0.0002	+ 0.62643 + 5			+ 28.865 + 20			1	135 51.7 - 1.7	+ 5.8,
38.2	0.6042	+ 0.0002	+ 0.62740 + 5		+ 12.578 4	+ 28.910 + 20				135 30.3 - 1.6	+ 5.8;
38.3	0.6052 0.6062	+ 0.0002	+ 0.62838 + 5		1 11 1	+ 28.955 + 20				135 9.0 - 1.6	+ 5.9
30.4	3.002	+ 0.0002	+ 0.62934 + 5	- 0.043 - I	+ 12.617 - 4	+ 28.999 + 20	T 13.703 T 3	- 13.005 + 10	1.20578 - 10	134 47.6 - 1.6	+ 5.9.
38.5	0.6072	+ 0.0002	+ 0.63031 + 5	- 0.050 - 1	+ 12.636 _ 4	+ 20.044 + 20	4 12 281 4 2	- 13.513 + 10	7 28552 - 10	134 26.2 - 1.6	+ 5.9
38.6		+ 0.0002	+ 0.63127 + 5			+ 29.088 + 20					+ 6.0
38.7	0.6092					+ 29.132 + 20			l l		+ 6.0
38.8	0.6102	+ 0.0002	+ 0.63317 + 5					- 13.233 + 10			
38.9	0.6112	+ 0.0002	+ 0.63412 + 5	- 0.076 - 1	+ 12.712 - 5	+ 29.219 + 20				133 0.2 - 1.6	+ 6.1
	1 . 1										Ī
			+ 0.63507 + 5					— 13.045 + 10			
			+ 0.63601 + 5	- 0.089 1	+ 12.750 - 5	+ 29.306 + 20	+ 14.238 + 2	- 12.950 + 10	1.28435 - 11	132 17.2 - 1.6	+ 6.1
		+ 0.0002	+ 0.63695 + 5	- 0.096 - 1	+ 12.769 - 5	+ 29.350 + 20	+ 14.312 + 2	- 12.854 + 10	1.28414 - 11	131 55.6 - 1.6	+ 6.2
39-3	0.0152	+ 0.0002	+ 0.03788 + 5	0.102 - 1	+ 12.788 5	+ 29.393 + 20	+ 14.386 + 2	- 12.758 + 10	1.28394 — 11	131 34.0 - 1.6	+ 6.2
39.4	0.0102	T 0.0002	T- 0.03881 T- 4	- 0.109 - 1	T 12.600 5	+ 29.430 + 20	+ 14.400 + 2	— 12.661 + 10	1.28374 - 11	131 12.3'— 1.6	+ 6.2
30.5	0,6172	+ 0.0002	+ 0.63074 +		± 12.825	+ 20 438 L 20	اء بروء ابرا	- 12.564 + 10	8354	120 50 7 - 1 6	+ 6.₃
		+ 0.0002	+ 0.64067 + 4	-0.122	+ 12.843	+ 20.521 + 20	+ 14.605 + 2	- 12.504 + 10 - 12.466 + 10	1.28334 - 21	130 20.0 — 1.6	+ 6.3
		+ 0.0002	+ 0.64150 + 4	-0.128 - 1	+ 12.862 - 5	+ 20.563 + 20	+ 14.676 + 2	- 12.368 + 10	1.28314 - 11	130 7.3 — 1.6	+ 6.34
	-	+ 0.0002						- 12.269 + 10			
39.9		+ 0.0002						- 12.170 + 10			+ 6.4:
40.0		+ 0.0002						- 12.070 + 10			
			L			1					

Die Zahlen der zweiten Subcolumnen sind mit $t = \frac{t_o - 1900}{100}$ su multipliciren, und sind in Einheiten der letzten Der angesetzt.

Tafel Xc.

) }	Taior At.												
	Arg	τ'	E_1	$A_{\rm I}$	B_1 $(g \sin G_{i,1})$	(g cos G)1	ft	C	D	log A	Н	i	
H	4-4	0.6222	+ 040003	+ 0 6443 x + 4	0"148 1	+ 12"917 - 5	+ 29"689 + 201	+ 14"888 + 1	- 12"070 + 10	ı 25354 - 39	129" 20 1'6	+ 6"459 - 3	
	4-1	0.6-17	+ 6.0002	+ c.64523 + 4	- D. £54 1	+ 12 935 5	+ 29,731 + 10	+ 14 ,58 + 1	- 1::976 + 10	1 28235 - 12	128 40.2 16	+ 6 48, - 4	
4	41. 2	u 0:43	+ 0.0003	+ 4.64613 + 4	0.160 1	+ 12 953 5	+ 29.773 + 20	+ 15 027 + 1	11.870 + 10	1 28015 12	128 18 3 16	+ 6.519 - 4	
1	4 3	0 6251	+ 0.0002	+ 0 64703 + 4	- 0.167 r	+ 12 972 5	+ 79 814 + 20	+ 15.095 + 1	- 11,769 + 10	1 28195, 12	127 56.5 - 1.6	+ 6.548 - 4	
1	40 4	4.6262	÷ 0:0000	+ 0.64793 + 4	0.173	+ 12 389 - 3	+ 29.855 + 20	+ 15 163 + 1	- 11 667 + 10	1 28176 12	127 34-6 - 1.6	+ 6 578 4	
										,			
J.	4=5	c 6272	+ 0.0002	+ 0 64882 + 4	- 0 179 C	4 13.007 5	+ 29,896 + 20	+ 15 230 + 1	— 11.565 + 1a	1 28157 12	127 12.7 1.6	+ 6.607 - 4	
Ш	40.6	J 6282	+ 0.0008	+ 0 64971 + 4	— a.186 a	+ 13 025 - 5	+ 23-937 + 20	+ 15 207 + 1	- 11,463 + 10	1 28137 12	126 50.8 - 15	+ 6.636 -4	
Ш	45-7	0 6191	4-0.0002	+ 0 65050 + 4	0.193 0	+ 13 042 ~ 5	+ 24 178 + 20	+ 15 363 + 1	11.360 + 10	r 38118 - 15	126 28 8 1 5	+ 6.665 4	
4	40 8	J. 6 502	+ 0.0002	+ 0.65147 + 4			+ 301018 + 20				126 6.8 - 1 5	+ 6.693 - 4	
ı	40.9	0 0317	+ 0.0000	+ 0.65235 + 3	- J.204 V	+ 13.078 3	+ 30,059 + 20	+ 15-493 + 1	- 11.153 + 10	1.28080 12	145 44 8 - 15	+ 5.721 - 4	
17				,		1	' '						
1	41.0	0 (355	+ 0 0000	+ 0.65302 + 3	- 0,311	+ 13.095 - 5	+ 30 0000 + 20		- 11,048 + 10		125 22,8 1 5	+ 749 4	
в			+ 0.0002	+ 0.65410 + 3	- 0:217 U		+ 30 130 + 20		- to 944 + 10		125 0.7 - 15	+ 6.777 -4	
ш	45,2	1634"	+ 0.00003	+ 0 65446 + 3	0:2/3 2	+ 11 11 5	+ 10-179 + 26	+ 15.685 0	to:838 10		t-4 38 7 1 5	+ 6 804 - 4	
н		3.6452	+ < 00003	+ 0.65583 + 3	- 0 530 o		+ 36 214 + 20				124 166 15	+ 6.8.2 4	
п	4T.4	1 6362	+ 0.0003	+ 0 65669 + 3	- 0.235 °	+ 13 165 5	+ 36 259 + 20	+ 15.809 0	— 10.627 + 10	1.17987 12	123 54-4 1 5	+ 6.858 - 4	
		0.6372	+ 0.0002	+ 0.65755 + 3	0 241 0		+ 30.xip8 + 20		10 520 + 10		123 32 31 1 5	+ 6.885 - 4	
		ဝ ဂ ဗိ ။	+ 0 0002	+ 0.65840 + 3	- 0.347 °		+ 30 337 + 20-				123 10.1 1.5	+ 6.919 4	
н		0 (3/2	+ 0 0002	+ 0 65425 + 3			+ 30 377 + 20		- 10,306 + 10		122 47 9 - 1 5	+ 6 738 5	
		0.6400	+ 0.0002	+ 0.66010 + 3	. c 520, n		+ 30.416 + 20		10 1 /8 + 10		132357 25	+ 6.964 - 5	
	45.9	0 6411	+ 0,0000	+ 0.66094 + 3	- 0.365	+ 13.250 - 5	+ 30.455 + 20	+ :6:31: 0	10.090 + 10	1.97595 13	140 35 13	+ 6 989 - 5	
									n	- 4400	1		
ı		b. 6442	+ 0.0002	+ 0.56178 + 3	1		+ 30 403 + 20		9 981 - 10		121 41 2 3 5	+ 7.015 5	
П	-	0.6432	+ 0,0002	+ 0.66262'+ 3			+ 30.532 + 20		- 9.872 + 10		121 189 - 14	+ 7 040 - 5	
		10 fug 42	-p 0,0002	+ 0.66345 + 3			+ 30.570 + 20		9 761 + 10		120 36.6 - 1 4	+ 7.003 - 5	
н		0.6452	+ 0.0002	4 0 66424 + 3				+ 16.342 2	9.653 + 10		120 34 3 1 4	+ 7 089 - 5	
	42.4	0,5462	+ 0 0002	+ 0.66511 + 3	~ 6 293 D	+ 13 354 5	+ 3 2.647 + 20	+ 16,397 - 1	- 9-543 + 10	1 27012 - 13	120 11 9 1.4	+ 7 114 5	
		,					.1 686	A 45 1		F 7770F		0	
		U-61472	+ 00002	+ 0.66594 + 3				+ 16,453 1	- 9.433 + 10		139 49 6 1 4	+7:38 -5	
		0.0183	+ 0.0002	+ 0.66676 + 3			+ 30 792 + 20		9-327 + 10			+ 7 161 3	
		0,6492	+ 0.0002	+ 0.66758 + 3			+ 30 760 + 20		9.009 + 10		115 4.7 - L4	+ 7.185 5	
·	1	n 6902	+ 0.0002	+ 0.66839 + 2			+ 30 8351+ 20		→ 8.986 + 9		118 42 3 E 4	+ 7.208 5	
	42.0	0 6512	+ 0 0002	+ 0.66921 + 2	0.391	T 13 410 - 3	T 30 033 T 20	T 10,009	- V.900 T 9	. 1//30 - 13	118 19.8 1.4	+7231 - 5	
		- 6000	4 - 0000	4 0 67002 + 2	- 0.246	+ 13 432 5	+ 30.872 + 20	₩ 16 701 = 2	- 8 874 + 0	1 27714 13	117 57 3 - 1 4	A 7 7 7 1 - 6	
		0 6522	+ 0.0002	+ 0.67082 + 2			+ 30.910 + 20		- 8.76s ± 9		117 34 8 - 1 3	+ 7 254 - 5 + 7 276 - 5	
	45.7	0 0532	+ 0,0002	+ 0.67163 + 2	**		+ 30-947, +		8.648 + 9	4		+ 7.298 - 5	
		0 6552	+ 0 0002	+ 0.67343 + 2	707		+ 30 983 + 20		8 535 + 7				
	43 3		+ 0.0002	+ 0.67322 + 2				+ 26.924 = 2	- B 421 + 9		116 27 2 - 1.3		
	43-1	0.0303	T-0.0002	T 0.0/320 T 2	0 340	1 .3 430				, ,,	1.3	1 77340	
	42 5	0 6472	4 0.0002	+ 0.67402 + 2	~ p. j51 o	+ 13 512 5	+ 31.057 + 20	+ 16.973 - 2	- 8.306 + o	1.27638 14	126 4,6 13	+ 7 363 6	
		0.6582	+ 0.0002	+ 0 67481 + 2	- 0.358 o		+ 31.093 + 20				(15 42 0) 1 3	+ 7.384 6	
		0.0592	+ 0 0001	+ 0,67560 + 2	- 0.363 0		+ 31.130, + 20				115 19 4 1 3	+7405 - 6	
		0 (9102	+ 2 0001	+ 0.67639 + 1			+ 34 166 + 20		7 962 + 9		114 50 7 1.3	+ 7.496 - 6	
ĸ		0.6612		+ 0.67717.+ 3			+ 31.202 + 20					+ 7 446, 6	
ı	13.7				5,0								
	44.0	0 6622	+ 0.0001	+ 0.67795 + 7	- 0.378 o	+ 13 591 - 5	+ 31 238 + 20	+ 17 209 - 3	7 730 + 9	1 27567 - 14	114 113 13	+ 7.466 6	
•			+ 0.0001	+ 0.61873 + 2	- 1 383 0		+ 32 274 + 20				113 48.6 - 13.	+7485 6	
ı				+ 0 07951 + 9			+ 32 309 + 20				113 25 9 1 3	+ 7 505 6	
				+ 0 680.28 + 2	0.392 0	+ 13.638, 6	+ 5 345 + 20	+ 17 343 3	- 7 380 + 0	1 27527 14	£13 31 ~12°	+ 7 524 6	
				+ 0.68105 + 2		+ 13 653 6	+ 31 380 + 20	+ 17 ,86 3	- 7,463 + 9	E-27514 14	112404 - 13	+ 7 362 - 6.	
	44.5	0 6672	+ 0.0001	+ - 68182 + 3	0.401	+ 13 660 - 6	+ 31 416 + 20	+ 17 429 3	- 7 146 + 9	1 27502 - 14	t10 17.6 F 2	+ 7.561 6	
			+ 0.0001	+ 0.68258 + 2	- b.406 o	+ 13 684 - 6	+ 31 451 + 20	+ 17 471 3	- 7.428 + 5	1 27489 14			
			+0,0001	+ 0 68314 + 2			+ 31.486 + 20				111319 12		
			+ - 000.1	+ 0.68411 + -			+ 31 528 + 20						
			1000 o +	+ 0 68486 + 9			+ 31 55" + 20						
	45 O	0.6727	100001	+ 0.68562 + 2	0.493 0	+ 13 745 - 6	+ 31,59T + ≥0	+ 17-633 - 4	- 6.554 + 8	t 27442 15	110 23 3 1 2	+ 7.649 6	
		1											
							f 1000						

Die Zahlen der sweiten Subcolumnen sind mit $t = \frac{t_0 - 1900}{100}$ zu multipliciren, und sind in Einheiten der letzten Decimale angesetzt.

Tafel Xc.

Arg. I	Ŧ'	E_{I}	A_{I}	$B_{\mathrm{I}} \ (g \sin G)_{\mathrm{I}}$	$(g\cos G)_{\mathrm{I}}$	fī	C	D	log h	H	L
15.0	0.6722	+ 0°0001	+ 0.68562 + 2	-0"423 o	+ 13"745 - 6	+ 31"591 + 20	+ 17"633 — 4	-6"554 + 8	1.27442 15	110°23'3 — 1'2	+
15.I	0.6732	+ 0.0001	+ 0.68637 + 2	- 0.4 28 0	+ 13.760 - 6	+ 31.625 + 20	+ 17.673 - 4	- 6.434 + 8	1.27431 15	110 0.4 - 1.8	+
45.2	0.6742	+ 0.0001	+ 0.68712 + 2	— 0.432 0	+ 13.775 - 6	+ 31.660 + 20	+ 17.710 - 4	— 6.3 15 + 8	1.27420 15	109 37.5 — 1.8	+
15-3	0.6752	+ 0.0001	+ 0.68787 + x	- 0.436 O	+ 13.790 - 6	+ 31.694 + 20	+ 17.747 - 4	— 6.z95 + 8	1.27409 15	109 14.5 — 1.1	+
15-4	0.6762	+ 0.0001	+ 0.68862 + I	- 0.440 0	+ 13.805 - 6	+ 31.729 + 20	+ 17.784 - 4	 6.075 + 8	1.27399 15	108 51.6 1.1	+
5.5	0.6772	+ 0.0001	+ 0.68936 + I		+ i3.820 6	+ 31.763 + 20			1.27389 — 15	108 28.6 1.1	+
5.6	0.6782	+ 0.0001	+ 0.69010 + 1		+ 13.835 - 6	+ 31.797 + 20		- 5.834 + 8	1.27379 - 15	108 5.6 — 1.1	
5.7	0.6792	+ 0.0001	+ 0.69084 + z			+ 31.831 + 20	+ 17.890 - 4		1.27369 - 15	107 42.6 1.1	1 .
5.8	0.6802	+ 0.0001	+ 0.69158 + 1		+ 13.864 - 6	+ 31.865 + 20			1.27360 - 15	107 19.6 - 1.1	
5-9	0.6819	+ 0.0001	+ 0.69231 + 1	- 0.459 °	+ 13.879 - 6	+ 31.899 + 20	+ 17.957 - 5	- 5.470 + 8	1.27351 - 15	106 56.5 — 1.1	ľ
6.0	0.6822	+ 0.0001	+ 0.69304 + 1	1 1	+ 13.894 6	+ 31.932 + 20			1.27342 — 15	106 33.4 — 1.1	1 7
6.1	0.6832	+ 0.0001	+ 0.69378 + I		+ 13.908 - 6	+ 31.966 + 20			1.27333 15	100 10.4 1.1	
6.2	0.6842	+ 0.0001	+ 0.69450 + I		+ 13.923 - 6	+ 32.000 + 20				105 47.3 - 1.0	
6.3	0.6852	+ 0.0001	+ 0.69523 + 1		+ 13.937 - 6	+ 32.033 + 20				105 24.2 1.0	
6.4	o.686a	+ 0.0001	+ 0.69596 + 1	- 0.477 °	+ 13.952 - 6	+ 32.066 + 20	+ 18.113 - 5	- 4.039 + 7	1.27309 15	105 1.0 — 1.0	+
6.5	0.6872	+ 0.0001	+ 0.69668 + x	- 0.480 O	+ 13.966 6	+ 32.100 + 20	+ 18.149 5	— 4·737 + 7	1.27302 - 15	104 37.9 1.0	+
6.6	0.6882	+ 0.0001	+ 0.69740 + 1	- o.483 o	+ 13.981 — 6	+ 32.133 + 20	+ 18.171 - 5	- 4.6×4 + 7	1.27295 - 15	104 14.8 — 1.0	+
6.7	0.6892	+ 0.0001	+ 0.69812 + 1	- o.486 o	+ 13.995 - 6	+ 32.166 + 20		— 4·490 + 7	1.27288 15	103 51.6 - 1.0	+
6.8	0.6902	+ 0.0001	+ 0.69884 + x	- 0.489 0	+ 14.010 - 6	+ 32.199 + 20	+ 18.226 5	4-367 + 7	1.27281 15	103 28.4 — 1.0	+
6.9	0.6912	+ 0.0001	+ 0.69955 + 1	-0.492 0	+ 14.024 - 6	+ 32.232 + 20	+ 18.252 - 5	- 4·243 + 7	1.27275 15	103 5.2 — 1.0	+
7.0	0.6922	+ 0.0001	+ 0.70027 + 1	- 0.495 °	+ 14.038 6	+ 32.265 + 20	+ 18.278 - 5	- 4.119 + 7	1.27269 - 15	102 42.0 — 0.9	4
7.I	0.6933	+ 0.0001	+ 0.70098 + 1	- o.498 o	+ 14.053 - 6	+ 32.298 + 20	+ 18.303 - 6	 3.995 + 6	1.27263 - 16	102 18.8 — 0.9	1+
7.2	0.6942	+ 0.0001	+ 0.70169 + 1	- 0.501 O	+ 14.067 - 6	+ 32.330 + 20		— 3.871 + 6	1.27258 — 16	101 55.6 - 0.9	+
7-3	0.6952	+ 0.0001	+ 0.70240 + I	- 0.504 O	+ 14.081 - 6	+ 32.363 + 20				101 32.3 0.9	+
7-4	0.6962	+ 0.0001	+ 0.70311 + 1	— o.506 o	+ 14.095 - 6	+ 32.396 + 20	+ 18.374 - 6	- 3.622 + 6	1.27248 — 16	101 9.1 - 0.9	۱÷
7-5	0.6972	100000 +	+ 0.70382 + 1	- 0.509 O	4 14.109 - 6	+ 32.428 + 20	+ 18.396 6	— 3.497 + 6	1.27243 — 16	100 45.8 0.9	+
7.6	_	+ 0.0001	+ 0.70452 + 1	- 0.511 O		+ 32.461 + 20			1.87239 16	100 22.5 - 0.9	H
7.7		+ 0.0001	+ 0.70523 + x	- 0.513 o	+ 14.138 - 6	+ 32.493 + 20			1.27235 - 16	99 59.2 — 0.8	1
7.8	0.7002	+ 0.0001	+ 0.70593 + I	- 0.516 o	+ 14.152 - 6	+ 32.525 + 20		- 3.122 + 6		99 35.9 — 0.8	
7.9	0.7012	0.0000	+ 0.70663 + 1	- 0.518 o	+ 14.166 - 6	+ 32.558 + 20	+ 18.478 - 6	— 2.996 + 6	1.27228 - 16	99 12.6 — 0.8	ľ
8.0		0.0000	+ 0.70733 + 1	- 0.520 o		+ 32.590 + 20				98 49.3 — 0.8	
8.1	0.7032	0.0000	+ 0.70803 + 1	- 0.522 O	+ 14.194 - 6	+ 32.622 + 20				98 26.0 - 0.8	
8.2	0.7042	0.0000	+ 0.70873 + 1	- 0.524 o	+ 14.208 - 6	+ 32.654 + 20		1 1 -	1.27220 16	98 2.6 - 0.8	
8. ₃	0.7052	0,0000	+ 0.70942 + 1 + 0.71012 + 1	- 0.526 + 1 - 0.528 + 1	+ 14.222 - 6 + 14.236 - 6	+ 32.686 + 21 + 32.718 + 21		-2.493 + 5 -2.367 + 5	1.27218 16	97 39.3 — 0.8 97 15.9 — 0.8	
		•				' ' '			11.2,21.,	37.3.3	ı
8.5	0.7072	0.0000	+ 0.71081 + 1	- o.530 + I	+ 14.250 - 6	+ 32.750 + 21	+ 18.579 - 6	- 2.240 + 5	1.27215 — 16	96 52.6 — 0.8	
_	0.7082	0.0000	+ 0.71151 + 1	- o.531 + 1	+ 14.264 - 6			1 1	1.27214 - 16	96 29.2 - 0.7	
8.7		0.0000	+ 0.71220 + 1	- 0.533 + 1	+ 14.277 - 6	+ 32.814 + 21		- 1.987 + 5		96 5.8 - 0.7	
8.8	0.7102	0.0000	+ 0.71289 + 1	- 0.534 + I	+ 14.291 - 6	+ 32.846 + 21	+ 18.619 - 6	- 1.861 + 5	1.27213 - 16	95 42.4 - 0.7	
8.9	0.7112	0.0000	+ 0.71358 + 1	- o.536 + 1	+ 14.305 - 6	+ 32.877 + 21	+ 18.632 - 7	— 1.734 + 5	1.27213 — 16	95 19.0 — 0.7	ľ
9.0		0,0000	+ 0.71427 + 1	- o.537 + I							
	0.7132	0.0000	+ 0.71496 + 1		+ 14.333 - 6						
	0.7142					+ 32.973 + 21					
	0.7152					+ 33.004 + 21					
9.4	0.7162	0.0000	T 0.71702 + 1	0.542	T 14.374 - 0	+ 33.036 + 21	T 10.002 - 7	- 1.099 + 4	1.27217 - 16	93 21.9 — 0.7	
	0.7172	0.0000	+ 0.71771 + 1			+ 33.067 + 21				92 58.5 — 0.7	
	0.7182	0.0000				+ 33.099 + 21					1-
	0.7192	0.0000	+ 0.71908 + 1		+ 14.416 - 6						
-	0.7202	0.0000	+ 0.71977 + 1		+ 14.429 - 6					91 48.2 — 0.6	
1	0.7312	0.0000	+ 0.72045 + 1	- 0.545 + 1	+ 14.443 6	1 + 33.194 + 21	1+ 18.714 - 7	- 0.461 + 3	1.27229 - 16	91 24.7 - 0.6	1-
9.9	0.7222	0.0000	+ 0.72114 + 1			+ 33.225 + 21				91 1.3 - 0.6	

Die Zahlen der zweiten Subcolumnen sind mit $t = \frac{t_o - 1900}{100}$ zu multipliciren, und sind in Einheiten der letzten I angesetzt.

Tafel Xc.

				R.							
T.	T'	E_{1}	A_{l}	$g \sin G_1$	ty coa GT	f_1	, C	D	log h	И	1
200.0	0 7222	ollonoio.	+ 0.72214 + 1	0"546 + 1	+ 14"457 - 6	+ 33"221 + 11	+ :8"7:8 7	0"114 + 3	1 27235 - 16	910 113 06	+8"110 8
pen, r	0.7232	0.0000	+ 0.72182 + 1	- 0 546 + I	+ 14.470 · 6	+ 33 257 + 41	+ 18,721 - 7	0.700 + 3	1 27237 17	90 37 8 - 0.6	+ 8.120 B
PID:2	0 7242	0:0000		- 0.546 + 1		+ 33 288 + 22					
FO.3	D 7253	0.0000	+ 0.72319 +1	0.547 + 1		+ 33 300 + 21				8, 50.9 - 0.6	
54.4	0 7262	9 0000	+ 0.72385 + 1	- 0.547 + 1	÷ 14 512 6	+ 33 451 + 21	+ 18.798 - 7	十 0/177 十 3	1 27250 17	89 27 4 - 0.5	+81.4 8
go.5	0 7272	0.0000	+ 0.72456 + 1	- 0.547 + 1	-j- 14-525 6	+ 33 381 + 25	+ 18 728 - 7	de 0.305 de 3	1 27255 17	89 39 05	+8 = 25 8
50.6	0 7282	0.0000		- 0.547 + 1		+ 33 414 + 22				88 40.5 0 5	
50.7	0 7297	J 0000		0.547 + 1		+ 33 446 + 28		+ 0 561 + 2	r 27206 · 17	68 17.0 0.5	
50,8	0 7302	0.0000		0.547 + 1	+ 14 567 6	+ 33-477 + 21		+ 0 689 + 2		87 53 5 - 0.5	+ B 124 8
50.9	0.7312	0.0000	+ 0.72730 + 1	0.546 + 1	+ :4 580 6	+ 33 509 + 21	+ 18.723 7	+ 0.817 + 2	1 27279 17	87 300 0.5	+8121 -8
11.0	0.7322	0.0000	+ 0.72790 + 1	- 0.546 + 1	+ 14 594 6	+ 33 540 + 21	+ :8.720 - 7	+ 0.945 + 2	t 27285 17	87 6.6 05	+ B 121 8
Jan.	0.733#	0.0000	+ 0.72867 + 1	0 546 + 1	+ 14.608 - 6	+ 13 972 + 23	+ 18.716 7	+ 1.073 + 2	t 27/392 - 27	26 43 r 0 5	+ 8 110 8
[1,2	C 7342	0.0000	+ 0.72036 +1	0.545 + 1		+ 31 604 + 21	g great	+ 1 201 + 2		86 19.6 - 04	+ 8 118 5
it.3	0 7353	D 0000		- 0.544 十 z		+ 33.635 + 22		+ 1 320 + 2		85 36-2 - 44	+ K 115 8
E1-4	u 7362	- 0,0001	+ 0.73073 + 1	0.544 + x	+ 14-049 - 0	+ 33 666 + 21	+ 18.700 - 7	+ 1 457 + 3	1 27316 17	85 37-7 0 4	+8113 8
51.5	0.7373	9,0001	+ 0.73141 + 1	P.543 + F	+ 14 663 - 6	+ 33 698 + 21	+ 18.693 7	+ 1 485 + 1	1 27324 - 17	89 92-0,4	+ 511, 8
5:.6	z 7382	- 0.000I	+ 0.73210 + 1	0 542 + T	+ 14 676 6	+ 33 730 + 21	+ 18 686 7	+ 1 72 1 + 1	1 27313 27	84 45 7 - 0.4	+ 8 ro6 b
	□ 7392	- 0.0001	+ 9.73279 + I	0 541 + 1		+ 33.761 + 21		+ 184. + 1		84 22 3 0 4	+ Bics B
31.8	3 740st	1000.0	+ 0.73348 + 1	D 540 + 1		+ 13 793 + 21		+ 1 960 + 1		B 58.8 4	+8 099 8
21.9	0.7412	0.0001	+ 0.73417 + 1	-0539 +1	+ 14.718 G	+ 33.825 + 21	+ 10 058 ~ 0	+ 2,090 + 1	1 27361 17	83 35 4 - 0 3	+ 8.005 8
31.0	0 7432	- 0.0001	+ 0.73485 + 1	0.538 + 1	+ 14 732 - 6	+ 33 856 + 21	+ 18.648 8	+ 2,324 + 1	1 2737. 17	83 11 9 - 0.3	+ 8.090 - 8
,59.1	0 7432	0.0001	+ 0.73554 + 1	- o 536 + 1		+ 33 888 + 21		+ = 352 + x	1.2738: - 17	Ba 48.4 3.3	+ 8.085 - 8
	7442	0.0003	+071621 +1	-0535 + 1		+ 13 920 + 22		+ 2.480 0	1 27391 17	82 25 0 0.5	+ 8.08c 8
	0 7452	0.0001		0 533 + 1		+ 33 952 + 22		+ 2.507 =0		82 16 - 3	
59.4	0.7469	- 0 0001	+ 0.73762 + 1	-0 432 + t	+ 14-787 - 0	+ 33.984 + 22	4 10,599	+ 2-735 0	£ 97413 17	gr 3g 1 - b. ì	+ 8.009 - 0
52.5	9 7472	* 0,0001	+ 0 73831 + 1	a 530 + 1	+ 14.801 6	+ 34.013 4. 22	+ 18 585 - 8	+ = 864 0	1.97475 - 17	Br 147 - 32	+ 8.063 8
52.6	0.7482	0.0001	+ 0 73900 + 1	- 0 529 + 1		+ 34-047 + 22		+ 2 990 0		80 51 2 0.4	
59.7	0.7492	~ 0.0001	+ 0.73970 + 1	-0 527 + 1	+ 14 829 6	+ 34 070 + 92	+ 18 554 8	+ 1 117 0	1 27449 - 17	90 27 8 0.2	+ 8.050 8
	0.7500	0.0001		0 525 + 1		+ 34.111 + 43		+ 3 244 0		80 4-4 - 0,2	+8041 8
50.9	0 7522	1000.0	+ 0.74109 + 1	-0523 + 1	+ 14 857 6	+ 34 143 + 22	+ 18.521 - 8	+ 3 371 0	T 37474 #7	79 43 0 0.2	+ 8.035 8
53.0	0.7522	* 0.000T		0.321 + 1		+ 34 176 + 22			1 27487 - 27	79 17 6 0 2	+8.027 8
53.1	0 7532	1000 0		-0519 +1		+ >4 208 + 22		+ 3 525 - 1		78 34 2 - D. 2	
53.2	0 7542	10001		-0.516 + 1		+ 34 240 + 23		+ 1 753, 1		78 30.8 - 0.2	
53-3	0.7552	- a.poat		0.514 + 1 - 0.512 + 1		+ 34 272 + 23 + 34 305 + 22		+ 3 879 1	1.27528 18		+8003 8
23.4			, -,,,,		4 9 . 7	3=2 1			,.,	1.5 district	7 193
53-5	0 7572	1000 t	+ 0.74530 + 1	- 0.300 + 1	+ 14 941 - 6	+ 34 337 + 22	+ 18 401 8	+ 4 132 - 1	1 27556 18	77 20.6 - 01	+ 7 984 - 8
53.6	v. 7582	- G.DOD1	+ 0.74601 + 1	-0 507 + 1		+ 34 370 + 32		+ 4 250 - 1	1 2757 18		+ 7 974 8
53 7	0.7592	1000.0		-0.504 + 8		+ 34 492 + 28		+ 4 385 2	1 27586 18		+7 14 -8
53 B	0.7602	0.0001		0.501 + 1		+ 34 435 + 22		+ 4 512 - 1		76 10 6 0 1	+ 7 -54 8
53-9	0 7012	0.0003	+ 0.74814 + 1	-0494 + 2	+ 14 998 6	+ 34 467 + 22	4 10.309 0	+ 4-537, 2	1,27617 18	75 47 2 0.0	+ 7 243 8
54.0	0 76-22	- 0,0001	+ 0 74885 + 3	0.496 + 1	+ 15.012 6	+ 34 500 + 22	+ 18.284 - 8	+ 4 763 2	1 27633 18	75 23 9 6,0	+ 7-931 - 8
	0 7641		+ 0.74956 + 1								+74 1 8
	0 76 43	4 0 .0001			+ 15 041 - 6						+ 7 970 B
0.0	0 7652	0.0002			+ 15.055 6						+ 7 81,6 8
\$4×4	ù 7662	- 0.000:	+ 0.75172 + 1	-0.483 + 1	+ 15 070 - 6	T 34 D32 十 20	+ 10.170 - 7	7 5 205 - 7	1 27000 18	71 50 7 30	+ 7 886 8
	0.7672	0.0001			+ 15 084 6				1 27716 18		
54.6	0.7682	0.000‡		0 477 + E		+ 34 600 + 22		+ 5 514 - 2		73 42 00	
54-7	0 7002	- 6 0001 - 6 0001	. ,	- 0 473 + t		+ 14 732 + 20			1 27752 - 18		+ 7847 8
	0 7713	4 0001		-0.470 + r		+ 4 700 + 22		+ 5 888 1	1.277788 — 18		+ 7820 8
	6.7722	0.0001		0 463 + 1		+ 34 813 + 22			1.27807 - 18		+ 7 806 8

Die Zahlen der zweiten Subcolumnen sind mit $=\frac{t_n-1900}{100}$ zu multiplieiren, und sind in Einheiten der letzten Decimale ngesetzt.

Tafel Xc.

						_			_					,	
Arg.	τ'	E_{I}	A _I		$egin{array}{c} B_{ m I} \ (g \sin G)_{ m I} \end{array}$		$(g\cos G)_{\rm I}$	f_{I}		C		D	log h	H	i
55.0	0.7722	o=coooz	+ 0.75608	+ 1	- o"463 +	1	+ 15"157 - 6	+ 34"833 +	22	+ 17"992 - 7	+	6"013 - 3	1.27807 18	71°31′3 + 0′1	+ 7*800
55.1	0.7732	o.ooo1	+ 0.75681	+ 1	- o.459 +	1	+ 15.172 - 6	+ 34.867 +	22	+ 17.959 - 7	+	6.136 - 3	1.27826 18	71 8.1 + 0.1	+ 7.791
55.2	0.7742	- 0.0002		+ 1	- 0.455 +	•				+ 17.925 - 7					+ 7.77
55.3	0.7752	0.0002	+ 0.75829		- 0.451 +					+ 17.890 - 7					+ 7.761
55-4	0.7762	0.0002	+ 0.75903	+ 1	0.447 +	1	+ 15.216 - 6	+ 34.909 +	22	+ 17.855 - 7	+	0.507 - 4	1.27884 18	09 58.0 + 0.1	+ 7.746
		0,0002	+ 0.75977	+ 7	- 0.443 +	,	+ 15.231 - 6	± 25 002 ±	22	± 17.810 - 7	_	6 620 - 4	T. 27004 18	69 35.4 + 0.2	+ 7.730
55.5 55.6	0.7772	- 0.0002	+ 0.76051		- 0.439 +		+ 15.246 - 6	1						69 12.3 + 0.2	+ 7.754
55.7	0.7792	0.0002	+ 0.76126		- 0.435 +		+ 15.261 - 6	1						68 49.2 + 0.2	+ 7.698
55.8	0.7802	- 0.0002	+ 0.76201		- 0.431 +		+ 15.276 - 6			+ 17.706 - 7				68 26.1 + 0.2	+ 7.681
55.9	0.7812	- 0.0002	+ 0.76277	+ 1	- 0.426 +	1	+ 15.291 - 6			+ 17.667 - 7	+	7.120 - 4	1.27986 — 18	68 3.0 + 0.2	+ 7.664
1						ł							. 1 .		_
56.0	0.7822	- 0.0002	+ 0.76352		- 0.422 +		+ 15.306 - 6							67 39.9 + 0.2	+ 7.647
56.1	0.7832	- 0.0002	+ 0.76428		- 0.417 +		+ 15.322 - 6			+ 17.587 - 7				67 16.8 + 0.3	+ 7.63
56.2	0.7842	- 0.0002 - 0.0002	+ 0.76504	+1	- 0.413 + - 0.408 +		+ 15.337 - 6			+ 17.546 - 7 + 17.505 - 7				66 53.8 + 0.3	+ 7.611 + 7.594
56.3 56.4	0.7852	- 0.0002	+ 0.76580 + 0.76657		- 0.404 +									66 7.7 + 0.3	+ 7.579
30.4	0.,002		1 3.,333,	• -		Ì	1 .3.307	1. 33.325		, ,,,,,,,,,,,,,,,,,,,,,,,,,,,,,,,,,,,,,	Ι΄.	///	7		. 7.37.
56.5	0.7872	0.0002	+ 0.76734	+ 1	- o.399 +		+ 15.383 - 6	+ 35.351 +	23	+ 17.419 - 7	+	7.848 5	1.28115 - 18	65 44.7 + 0.3	+ 7.557
56.6	0.7882	— 0.0002		+ 1	- 0.394	۰	+ 15.398 - 7			+ 17.375 - 7				65 21.8 + 0.3	+ 7.532
56.7	0.7892	0.0002	+ 0.76888	+ 1	— o.389	이	+ 15.414 - 7								+ 7.518
56.8		0,0002	+ 0.76966	+ 1	— o.384	이	+ 15.429 - 7	+ 35.458 +	23	+ 17.285 - 6	+	8.208 - 5	1.28183 - 19	64 35.8 + 0.3	+ 7.49
56.9	0.7912	- 0,0002	+ 0.77044	+ 1	— o.379	이	+ 15.445 - 7	+ 35-494 +	23	+ 17.239 6	+	8.328 - 5	1.28205 - 19	64 12.9 + 0.4	+ 7-47
			l. I			٦		l l.			١.			62 52 0	
57.0		- 0.0002	+ 0.77122		- 0.374		+ 15.461 - 7								十 7-45
57.1	0.7932	0.0002 0.0002	+ 0.77201 + 0.77280		- 0.369		+ 15.477 - 7 + 15.492 - 7			1				63 27.1 + 0.4 63 4.2 + 0.4	+ 7.43 + 7.41
57.2 57.3	0.7942 0.7952	- 0.0002	+ 0.77359		0.364 0.359	ا	+ 15.508 - 7							62 41.4 + 0.4	+ 7.39
57.4	0.7962	0.0002	+ 0.77438		- 0.354		+ 15.524 - 7								+ 7.37
	1		'''	•		- 1									
57.5	0.7972	- 0.0002	+ 0.77518	+ 1	— o.348	۰	+ 15.540 - 7	+ 35.712 +	23						+ 7.35
57.6	0.7982	0.0002	+ 0.77598	+ 1	- o.343		+ 15.556 - 7							61 32.9 + 0.4	+ 7.33
57.7	0.7992	0.0002		+ 1		이	+ 15.572 - 7			+ 16.845 - 6					+ 7.308
57.8	0.8002	0.0002	+ 0.77759		- 0.332	°	+ 15.589 - 7								+ 7.289
57.9	0.8012	0.0002	+ 0.77840	٥	- o.326	°	+ 15.605 - 7	+ 35.001 +	23	+ 10.740 - 6	+	9.500 - 0	1.20444 - 19	0.5	+ 7.262
58.o	0.8022	0,0002	+ 0.77922	0	- 0.321		+ 15.621 - 7	+ 35.808 +	23	+ 16.686 - 6	4	0.622 - 7	1.28460 - 19	60 1.8 + 0.5	+ 7.239
		0,0002	+ 0.78003	0	- o.315		+ 15.637 - 7								+ 7.215
58.2	0.8042	- 0.0002	+ 0.78085	o			+ 15.654 - 7								÷ 7.101
58.3	0.8052	0.0002	+ 0.78168	o	- 0.303	о	+ 15.670 - 7	+ 36.011 +	23	+ 16.521 6	+	9.968 - 7	1.28544 — 19	58 53.8 + 0.5	+ 7.167
58.4	0.8062	- 0.0002	+ 0.78251	U	- o.298	o	+ 15.687 - 7	+ 36.050 +	23	+ 16.464 - 5	+	10.082 - 7	1.28570 - 19	58 31.1 + 0.5	+ 7.143
						ł		1 06 .00			١,			E8 8 E 1 0 A	e
	0.8072	- 0.0002	+ 0.78334		- 0.292	٥	+ 15.704 - 7	+ 36.088 +	23	+ 10.407 - 5	+	10.190 - 7	1.28595 - 19	50 0.5 + 0.0	+ 7.118
58.6	0.8082 0.8092	- 0,0002	+ 0.78417 + 0.78501		— 0.286 — 0.280		+ 15.720 - 7 + 15.737 - 7								+ 7.068
58.8	0.8102		+ 0.78585		- 0.274	ő	+ 15.754 - 7								+ 7.042
58.9		- 0.0002	+ 0.78670		- 0.268		+ 15.771 - 7								+ 7.016
1 1						ı	l	1							
59.0	0.8122	0.0002	+ 0.78754	O	- o.262	o	+ 15.788 - 7	+ 36.282 +	23	+ 16.112 - 5	+	10.762 - 8	1.28725 - 19	56 15.6 + 0.6	+ 6.000
			+ 0.78840	ပ		0	+ 15.805 - 7	+ 36.321 +	23	+ 16.051 - 5	+	10.873 - 8	1.28751 - 19	55 53.1 + 0.6	+ 6.961
59.2	0.8142	- 0.0002	+ 0.78925		- 0.249	٥	+ 15.822 - 7	+ 36.366 +	23	+ 15.989 - 5	+	10.985 - 8	1.28777 - 10	55 30.6 + 0.6	+ 6.936
		- 0.0002 - 0.0002	+ 0.79011		- 0.243	٥	+ 15.839 - 7 + 15.857 - 7	+ 30.400 +	-31	+ 15.927 - 5	+	11.000 - 8	1.28804 - 19	55 0.1 + 0.7	+ 6.909
59-4	0.5102	- 0,0002	+ 0.79097	υ	- 0.237	°	+ 15.057 - 7	T 30.440 +	-3	T 15.004 - 5		11.200 - 8	1.20030 - 10	34 43./ - 0./	T 0.00.
59.5	0.8172	0.0002	+ 0.79184	0	- 0.230	ا	+ 15.874 - 7	+ 36.480 +	23	+ 15.800 - 5	+	11.317 - 8	1,28857 10	54 23.2 + 0.7	+ 6.854
59.6		0.0002	+ 0.79271		- 0.224	٥	+ 15.892 - 7	+ 36.520 +	23	+ 15.735 - 4	+	11.427 - 8	1.28884 - 19	54 0.8 + 0.7	+ 6.820
59.7		- 0,0002	+ 0.79359		0.218	0	+ 15.909 - 7	+ 36.560 +	23	+ 15.070 - 4	+	11.536 - 8	1.28011 - 10	53 38.5 + 0.7	+ 6.798
59.8	0.8202	- 0.0002	+ 0.79447		- 0.211	o	+ 15.927 - 7	+ 36.600 +	23	+ 15.605 - 4	+	11.645 - 8	1.28038 - 10	53 16.1 + 0.7	+ 6.77
59.9		- 0.0002	+ 0.79535	O	- 0.205	0	+ 15.944 - 7	+ 36.641 +	23	+ 15.538 - 4	+	11.753 - 8	1.28965 - 19	52 53.7 + 0.7	+ 6.741
60.0	0.8222	0.0002	+ 0.79623	U	- 0.198	٥	+ 15.962 - 7	+ 36.6821+	23	+ 15.471 - 4	+	11.861 - 8	1.28992'— 19	52 31.4 + 0.7	+ 6.713
Щ	<u>. </u>		<u> </u>		·			'			_		·		

Die Zahlen der zweiten Subcolumnen sind mit $t = \frac{t_o - 1900}{100}$ zu multipliciren, und sind in Einheiten der letzten Decangesetzt.

Tafel Xc.

$E_{\rm I}$ $A_{\rm I}$ $B_{\rm I}$ $g \cos G_{\rm I}$ $f_{\rm I}$ C $B_{\rm I}$ $G \cos G_{\rm I}$ $G \cos G \cos G_{\rm I}$ $G \cos G \cos G \cos G \cos G$	log h H
	8 1 18992 19 52 314 + 017 + 6712 6
BR38 - 0,0000 + 0 79712 0 0.191 0 + 15 980 7 + 36 723 + 23 + 15 403, - 4 + 11 16	
3242 0,0002 + 0 74802 - 1 0.185 0 + 15 998 7 + 16 764 + 22 4 15 335 4 + 12 07	6, 0 1 20040 - 29 51 46 8 + 0.7 + 6.053
1852 0.0002 + 0.79892 3 -0 178 0 + 16.016 - 7 + 36 805 + 23 + 15 267 - 4 + 12,28	
\$262 -0.0002 + 0.74982 1 0.172 0 + 16.034 - 7 + 16.847 + 23 + 15.197 4 + 13.28	9 - 9 1 2976: 19 51 23 + 08 + 6 503 6
3079 0.0002 + 0.80072 - 1 0.165 0 + 16.052 7 + 36.850 + 23 + 15.127 - 4 + 17.30	
1938 0 00002 + 0 80255 - 1 0.151 0 + 16.089 7 + 36.931 + 23 + 14.84 3 + 12.50	
1308 00002 + 280447 1 0.145 0 + 16,107 - 7 + 17 215 + 23 + 14,912 1 + 12,70	
1322 -0 0003 +0.80434 1 0 138 0 + 16,726 70+ 37 057 + 23 + 14 830 3 + 23.81	
1322 0 1000 + n 80511 : 0,131 0 + 16 144 - 7 + 17 100 + 21 + 14 766 - 3 + 12.92	6 9 1 20266 10 48 17 4 + 0.8 + 6.406 5
\$332 -0 0000 + 0 80624 - 1 0.124 0 + 16,16, 7 + 17 141 + 23 + 14 642 1 + 14 01	
342 00002 + 0 80718 - t - 0.117 0 + 16.18t - 7 + 17 186 + 23 + 14.6t8 1 + 13 12	
352 0 0002 + 0.80812 - 1 0.110 0 + 16 000 7 + 17 227 + 21 + 14 547 - 3 + 13 22 3362 0 0002 + 0.80800 - 1 0.103 0 + 16 219 7 + 37,272 + 23 + 24 667 3 + 21 32	Table to the second sec
1362 0 0002 + 0 80006 - 1 0.103 0 + 16 219 7 + 37,272 + 23 + 14 467 3 + 11 12	5 9 1 29377 19 47 21 3 + 0.0 + 6,276 5
3372 - 0 0002 + 0 82000 t - 0,006 0 + 16.238 - 7 + 37 316 + 23 + 14 190 - 4 + 23 42	6 - 9 5 20404 - 19 46 49 2 + 00 4 6 241 5
1382 0 0002 + 0 81095 1 0,089 0 + 16 257 7 + 17 360 + 23 + 14 313 - 3 + 13 52	
1392 2 00002 + 0 BIT AT 1 - 0.083 0 + 16 276 7 + 17 434 + 23 + 14 276 3 + 13 62	
1400 0.0002 + 0.81287 - 1 - 0.076 0 + 16 295 7 + 37 448 + 23 4 14 357 2 + 13 72	5 10 1 20487 19 45 53 3 + 0.9 + 6 147 5
1412 - 0 0001 + 0 81383 - 1 - 0, 160 0 + 16.315 - 7 + 17.492 + 23 + 14.07 , 2 + 13.80	4 10 1 20515 19 45 31 4 + 0.9 + 6 207 5
422 0 0001 + 0 81480 2 0,002 0 + 16 334 7 + 17 537 + 23 + 13 900 2 + 13 92	
1432 -0 0001 + 0 81577 - 2 0,655 0 + 16 354 7 + 17 581 + 25 + 13 01 2 + 14 02 3442 - 10003 + 0 81674 2 - 0.047 0 + 16 373 7 7 + 37,627 + 23 + 13 870, 2 + 14 13	
1442 - 10003 + 0 81074 2 - 0.047 0 + 16 373 7 + 37,627 + 23 + 13 876 2 + 14 15 1457 - 10003 + 0 81773 2 - 0.040 0 + 16 303 7 + 37 672 + 23 + 13 758 2 + 14 27	
1462 0 1003 + 0 81871 - 2 - 0.033 0 + 16.413 7 + 17 717 + 21 + 13 676 2 + 14 310	
1472 - 2 2007 + 0 81370 2 2,026 0 + 16 432 7 + 37 763 + 23 + 13 594 2 + 14 40	5 - 10 1 2068: 29 43 20.4 + 1 4 4 5 897 - 4
1482 00003 + 0 82060 2 0.014 0 + 16 652 8 + 37 868 + 23 + 13 517 2 + 14 500	o 10 1 29704 17 42 58 6 + 10 + 5 861 4
492 0 0003 + 3,83100 - 2 0 012 0 + 16,472 8 + 37 854 + 33 + 11 427 - 1 + 14 54	
\$02 0 0003 + 0 82260 1 0.005 0 + 16,492 8 + 37 900 + 23 + 13 343 1 + 14 68	
1517 - 0 0003 + 0.82360 - 2 + 0.007 0 + 16.513 - 8 + 37.947 + 27 + 13.254 1 + 14.78	2 10 1 20792 18 41 53 5 + 10 + 5 752 4
1577 0 0001 + 0.87470 7 + 0.000 0 + 16 533 - 8 + 37 903 + 23 + 13 174 1 + 14 87	4 10 1 29819 - 18 41 31 8 + 1.0 4 715 4
1532 0 0001 + 0 82571 2 + 0.016 0 + 16.553 - 8 + 38.040 + 27 + 13.088 1 + 14.06	
1548 - 0 0003 + 0 8267, 2 + 0.023 0 + 16 574 - 8 + 38.087 + 23 + 13 000 - 1 + 15.05	
1552 00003 + 1 82775 - 7 + 1 13 1 + 16 504 8 + 18 14 + 23 + 12 915 - 1 + 14 14	
\$562 0 0003 + 0 80878 - 3 + 0.038 - 1 + 16 615 6 + 38.181 + 22 + 12.827 - 1 + 15 23	10 1.29928 18 40 5 3 + 1,7 + 5 565 4
1572 0 000) + 0 32081 3 + 0 045 1 + 16 635 8 + 18 224 + 27 + 12 740 0 + 15 32	
1587 - c 0003 + 0 83085 3 + 0.052 1 + 16.656 8 + 18 276 + 23 + 12 651 0 + 15 421 1592 0.0002 + 2 83189 3 + 0.050 1 + 16.677 8 + 38 324 + 23 + 12 562 0 + 15 50	
1592 0.0002 + 383189 3 + 0.050 1 + 16.677 8 + 38 324 + 23 + 12 562 0 + 15 502 1602 0.0002 + 0.83203 3 + 0.066 1 + 16.698 - 8 + 18 377 + 23 + 12 473 0 + 15 502	
3612 0 0002 + 0.83708 - 1 + 0.073 - 1 + 16 719 8 + 38.421 + 23 + 12 383 0 + 15 68	
	77 . 3.0.1
1622 0.0002 + 0.83503 3 + 0.080 1 + 16 740 8 + 18 450 + 23 + 12 292 0 + 15 76	9-11 1 10089 18 37 56 2 + 7.1 + 5 237 - 3
1632 0,0002 + 0 R3609 3 + 0.087 - 1 + 16 761 - 8 + 38 518 + 23 + 10 201 0 + 15 85	5 - 51 \$.30136 18 37 34 8 + 2.1 + 5.793 3
1642 -0.0002 + 0 83715 3 + 1 01,4 -1 + 16.782 8 + 38.567 + 21 + 12,109 C + 15.340	
1652 -0.0002 +0 83821 3 +0.201 1 +10.804 8 + 38 616 + 23 + 12.017 0 + 16.02	
1662 0 0002 + 0.83928 - 1 + 0 108 1 + 16 875 8 + 18 665 + 27 + 11.925 0 + 16 100	9 tr t 30195, 18 36 10.6 + 1.2 + 5 173 3
1672 0.0002 + 0.84035 4 + 0.215 - 1 + 16.847 - 8 + 38.714 + 23 + 12.832 + 1 + 16.19	2 - 11 - 20000 - 12 - 1
1682 - 0 0002 + 0 84:43 4 + 0 123 1 + 16 868 8 + 38.764 + 23 + 12 738 + 1 + 16 276	
1692 0 0002 + 0.84251 - 4 + 0.129 - 1 + 16.890 - 8 + 38.814 + 23 + 11.644 + 1 + 16.351	
1702 0.0002 + 0 84360 4 + 0.136 1 + 16 912 8 + 38.864 + 23 + 18.549 + 1 + 16 444	
3722 0.1002 + 0 84469 4 + 0.143 1 + 16 934 8 + 38.924 + 23 + 12.454 + 1 + 16.52	
1722 - 0.0002 + 0.84578 - 4 + 0.150 - 1 + 16.055 - 8 + 38 065 + 23 + 11 358 + 1 + 16,60	

a Zahlen der zweiten Subcolumnen sind mit $t = \frac{t_0 - 1900}{100}$ zu multiplieiren, und sind in Einheiten der letzten Decimale tst.

Tafel Xc.

		Talot Ap.									
Arg.	τ'	$E_{ m I}$	A_{I}	$B_{ m I} \ (g \sin G)_{ m I}$	(g cos G) _I	f_{I}	С	D	log Å	H	
65.0	0.8722	04000s	+ 0.84578 - 4	+ 0"150 - 1	+ 16"955 8	+ 38"965 + 23	+ 11"358 + 1	+ 16"601 — 11	1.30351 — 18	34°22'8 + 1'2	+4"
			+ 0.84688 - 4				+ 11.262 + 1			34 1.6 + 1.2	+4
	0.8732	- 0.0003		+ 0.157 - 1		. 555					
	0.8742	- 0,0002	+ 0.84798 - 4			+ 39.066 + 23	+ 11.165 + 1	4		33 40.3 + 1.2	+4
	0.8752	0,0002	+ 0.84909 - 4	+ 0.171 - 1		+ 39.117 + 23	+ 11.069 + 1			33 19.2 + 1.2	++
65.4	0.8762	0,00008	+ o.850a0 - 4	+ 0.177 - 1	+ 17.044 - 8	+ 39.168 + 23	+ 10.971 + 2	+ 16.915 - 11	1.30453 - 17	32 58.0 + 1.2	++
١.					i _						
65.5	0.8772	0,0002	+ 0.85131 4	+ 0.184 - 1	+ 17.066 - 8	+ 39.219 + 23	+ 10.873 + 2	+ 16.992 - 11	1.30478 - 17	32 36.8 + 1.2	+4
65.6	0.8782	0.0002	+ 0.85243 - 4	+ 0.191 - 1	+ 17.089 - 8	+ 39.271 + 23	+ 10.774 + 1	+ 17.069 - 11	1.30502 - 17	3º 15.7 + 1.2	+4
65.7	0.8792	- 0.0002	+ 0.85355 5	+ o.198 - 1	+ 17.111 - 8	+ 39.323 + 23	+ 10.675 + 2	+ 17.144 - 11	1.30527 - 17	31 54.6 + 1.3	+4
65.8	0.8802	0,0002	+ 0.85468 - 5	+ 0.204 - I	+ 17.134 - 8	+ 39.375 + 23	+ 10.576 + 2	+ 17.219 - 11	1.30558 - 17	31 33·5 + 1·3	++
65.9	0.8812	0,0002	+ o.8558z - 5	+ 0.211 - 1	+ 17,157 - 8	+ 39.427 + 23	+ 10.476 + 2	+ 17.294 - II	1.30576 - 17	31 12.4 + 1.3	++
	l i									1 1	
66.0	0.8822	- o.0002	+ 0.85694 - 5	+ o.e18 - 1	+ 17.179 - 8	+ 39.479 + 23	+ 10.376 + 2	+ 17.367 - 11	1.30601 - 17	30 51.4 + 1.3	+4
66. z	0.8832	0.0002	+ 0.85808 - 5	+ 0.224 - I	+ 17.202 - 8	+ 39.531 + 23	+ 10.275 + 2	+ 17.440 - 11	1.30625 17	30 30.3 + 1.3	++
66.2	0.8842	0,0002	+ 0.85923 - 5	+ 0.231 1	+ 17.225 - 8		+ 10.174 + 3	+ 17.512 - 11	1.30649 - 17	30 9.3 + 1.3	++
66.3	0.8852	- 0,0002	+ 0.86037 5	+ 0.237 - 1	+ 17.248 - 8		+ 10.072 + 3	+ 17.584 11	1.30672 - 17	29 48.3 + 1.3	++
	0.8862	0.0002	+ 0.86152 5		+ 17.971 - 9				1.30696 - 17	29 27.3 + 1.3	+4
1					1 1	~ ~ ~ ~				1	
66.5	0.8872	0.0002	+ 0.86268 — 5	+ 0.250 — I	+ 17.294 - 9	+ 39.743 + 23	+ 9.868 + 3	+ 17.724 - 10	1.30790 17	29 6.3 + 1.3	+4
	0.8882	0.0002	+ 0.86383 - 5	+ 0.257 - 1	+ 17.317 - 9		+ 9.765 + 3			28 45.4 + I 3	++
	0.8892	0,0002	+ 0.86500 - 5	+ 0.263 1		+ 39.850 + 22	+ 9.661 + 3			28 24.5 + 1.3	++
	0.8902	0,0002	+ 0.86616 - 6	+ 0.269 - I	+ 17.364 - 9		+ 9.557 + 3			28 3.6 + 1.3	++
	0.8912	0,0002	+ 0.86733 - 6	+ 0.276 - 1		+ 39.958 + 22	+ 9.453 + 3				++
l '				1 1	1 -7.5						•
67.0	0.8922	0.0002	+ 0.86851 - 6	+ 0.282 - 1	+ 17.411 - 9	+ 40.012 + 22	+ 9.349 + 3	+ 18.064 - TO	1.30834 16	27 21.8 + 1.3	+4
	0.8932	0.0002	+ 0.86968 6	+ o.288 — I	+ 17.435 - 9		+ 9.244 + 4			27 0.9 + 1.3	+4
	0.8942	0.0002	+ 0.87086 - 6	+ 0.294 - I		+ 40.121 + 22	+ 9.138 + 4		- 1		+3
	0.8952	0,0002	+ 0.87205 - 6			+ 40.275 + 22	+ 9.032 + 4				+ 3-
	0.8962	- 0,0002	+ 0.87324 - 6			+ 40.230 + 22		+ 18,322 10			+ 3
"			4 0.073.4	1 0.300	T 17.300 9	7 40.230 7 22	. 0.920	. 101,320	1.3.4.5	-33-413	
67.5	0.8972	0,0002	+ 0.87443 - 6	+ 0.312 - 1	+ 17.530 - 9	+ 40.285 + 22	+ 8.820 + 4	+ 18.385 10	1.30945 - 16	25 37.7 + 1.3	+ 3.1
	0.8982	0,0002	+ 0.87563 - 6	+ 0.318 - 1	+ 17.554 - 9		+ 8.713 + 4	_			+ 3.
	0.8992	 0,0002	+ 0.87683 - 6	+ 0.324 - I	+ 17.578 - 9		+ 8.605 + 4	_			+ 3-
	0.9002	0,0002	+ 0.87803 - 6	+ 0.330 - 1		+ 40.451 + 22	+ 8 497 + 4				+ 3.
	0.9012	0.0002	+ 0.87924 - 7	+ 0.336 - 1		+ 40.506 + 22	+ 8.389 + 4				+ 3.
 '''	1		' " '		, ,,,,,,,,,,,,,,,,,,,,,,,,,,,,,,,,,,,,,	1 100		,,			• •
68.0	0.9022	0,0002	+ 0.88045 - 7	+ 0.342 - I	+ 17.650 - 9	+ 40.562 + 22	+ 8.281 + 5	+ 18.688 - 10	1.31050 15	23 53.9 + 1.4	+ 3.
68.1		0.0002	+ o.88166 — 7	+ 0.347 - 1	+ 17.675 - 9	2 2	+ 8.172 + 5	+ 18.746 - 10	1.31070 — 15	23 33.2 + 1.4	+ 3.
	0.9042	0,0002	+ 0.88288 - 7	+ 0.353 - 1		+ 40.674 + 22		+ 18.804 10	1 1	23 12.5 + 1.4	+ 3.
1 .	0.9052	0,0002	+ 0.88410 - 7	+ 0.359 - 1		+ 40.731 + 22	+ 7.953 + 5			22 51.9 + 1.4	+ 3.
68.4		0,0002	+ 0.88532 - 7	+ 0.364 - 1		+ 40.787 + 22	+ 7.843 + 5			22 31.2 + 1.4	+ 3.
	````		'		' '''	· · · · · /   T · 22	' '	"	"   "	*   *	. 3.
68.<	0.9072	0,0002	+ 0.88655 - 7	+ 0.370 - 1	+ 17.773 - 9	+ 40.844 + 22	+ 7.733 + 5	+ 18.972 — 10	1.31149 - 15	22 10.6 + 1.4	+ 3.
	0.9082	0,0002	+ 0.88778 - 7	+ 0.375 - 1		+ 40.900 + 22	+ 7.623 + 5		ا م	21 50.0 + 1.4	+ 3.
	0.9092	0.0002	+ 0.88901 - 7	+ 0.380 - 1		+ 40.957 + 22			1.31188 — 15	21 29.3 + 1.4	+ 3.
	0.9102	0.0002	+ 0.89025 - 7	+ 0.386 - 1		+ 41.014 + 22	+ 7.400 + 5		1.31206 — 15	21 8.7 + 1.4	+ 3.
	0.9112	0,0002	+ 0.89149 - 8	+ 0.300 - 1		+ 41.072 + 22	+ 7.289 + 5		1.31225 - 15	20 48.2 + 1.4	+ 3.
1	',		, 5,59,49	' 5.39.	[' -/.5/-]	' 7,   + 22	' /.209  [ 3	او اودود ا	3-2-3	'  '	
60.0	0.9122	0.0002	+ 0.89273 - 8	+ 0.306 - 1	+ 17.807 - 0	+ 41.129 + 22	+ 2,322 + 6	+ 10,237 - 0	1.31243 - 14	20 27.6 + 1.4	+ 3.
		- 0.0002		+ 0.401 - 1		+ 41.186 + 22					
						+ 41.244 + 22					
	0.9152		+ 0.89648 - 8			+ 41.302 + 22					+ 2.
	0.9162		+ 0.89774 - 8			+ 41.360 + 22					+ 2.
-,,,,		2,000	5.59//7	. 5.4.0 - 1	T .//9// = 9	' 43~   T 22	5./20 7 0	9 -   35-19		" "   "	
60.5	0.9172	0.0002	+ o.89900 — 8	+ 0.421	م حامم هر حا	+ 41.418 + 22	+ 6 5-3 + 6	10.482	1.21221	18 45.0 + 1.5	+ 2.
						+ 41.476 + 22					
	0.9192		+ 0.90153 - 8			+ 41.534 + 22					+ 2.
	0.9192	- 0.0002	+ 0.90279 - 8			+ 41.534 + 22 + 41.592 + 22				17 43.6 + 1.5	+ 2.
	0.9202	0,0002									+ 2. + 2.
	0.9212					+ 41.651 + 22				17 23.1 + 1.5	
l′""	J.y222	- 0,0002	+ 0.90533 - 9	T- 0.444 - 1	10.149 - 10	+ 41.710 + 22	T 0.042 T 7	T 19.707 - 9	1.31413 - 13	17 2.7 + 1.5	<b>+</b> 2.
	-		·	<del></del>	<u> </u>						

Die Zahlen der zweiten Subcolumnen sind mit  $t = \frac{t_0 - 1900}{100}$  zu multipliciren, und sind in Einheiten der letzten D angesetzt.

Tafel Xc.

L.	LOIDI AL.											
I	Arg.	1'	$E_{\parallel}$	$A_1$	$\frac{\mathcal{B}_1}{g\sin G_1}$	$(g\cos G)_{\rm I}$	ft	c	D	log A	H	i
Ш	70 0	0 9223	0 ⁸ 0003	+ 0 90533 . 9	+ 0"444 T	+ 18"149 - 20	+ 41"720 + 22	+ 6"042 + 7	+ 14"707 - 9	E 314E3 E3	27° 217 4- 15	+ 2"621 + 1
п	70 1	0.0232	0.0003	4- c 90661 9		+ 18 175 - 10						+ 2 571 + 1
в	75 Z	0.0242				+ 18 201 10						
и	70 3	x-9292	1000 0	+ 0 90017 9		+ 18 226 10						
п	70-4	0.0263	1000.0	+ 0 91045 - 9		+ 18 250 - 10						+ 2 420 + 3
ш										1	771	
ш	700 5	0 9272	0 0001	+ 0:91174 - 9	+ 0.465 1	+ 18 278 - 10	+ 42 005 + 22	+ 5 464 + 7	+ 10 012 8	1 37488 12	15 20 61+ 1 5	+ 2 370 + 2
и	71.5	9782	- 0 0001		+ 0 469 1		+ 42.064 + 23				15 03 + 15	
ш	70.7	c 3202	1000 C		+ 0 473 - 1		+ 42 124 + 22					
ш	708	D 4103	1000 0	+ 0.91961 9	+ 0 477 1		+ 42.284 + 22					
ш	70.9	0 931#	1000 0	+ 0.91601 - 9	+ 0.480, 1							
И										1		
Ш	71 6	0 9333	1000 0	+ 0 91820 - 9	+ 0.484 1	+ 18 407 - 10	4 42 307 + 27	+ 4.880 + 7	→ 20.007 - 8	1 31557 - 12	13 38 9 + 15	+ 9.227 + 21
М	71.1	0 0 112	= 0 000t	+ 6-31950 9	+ 0 488 1	+ 18 497 10	4 42.363 + 72	+ 4 762 + 7	+ 20.131 3:		13 18 5 + 1 5	+ 2 065 + 2
	71 2	0.9349	0 0001	+ o g208r 9	+ 0.491 1	+ 18 460 10	+ 42 423 + 22	+ 4.644 + 8	+ 20.165 - 7	T 215821 12	12 58.2 + 1.5	+ 2 015 + 2
C	71 3	0.9353	1000 0	+ o g2271 - to	+ 0.495 - 1	+ 18 486 - 10	+ 42 483 + 22	+ 4.527 + 8	+ 20 198 - 7	T 31594 TT	12 37 9 + 1.5	+ + 963 + 2
1	71 4	0.9362	tong a	+ 0 02342 - 10	+ 0.498 - 1	+ 18 512 - 10	+ 42 543 + 22	+ 4 408 + 8	+ 00 230 7	1 31606 11	12 176 + 15	+ 1 912 + 2
1	1											
	72 5	n 19372	- 0.0001	+ 0.02471 10			+ 42 604 + 22					+ r 86t + 2
	716	0.9382	* 0.0001	+ 0.92604 - 10			+ 42 664 + 23		+ so.sgt = 7	1 3:630 11	II 370 + 15	+ 1 809 + 2
	71.2	0.9392	3,0001	+ 0 92735 - 10			+ 42 725 + 22				11 16.8 + 1.5	+ 1758 + 2
	718	0 )402	a.0061	+ 0 92866 - 10					+ 20.349 7			+ 1 706 + 2
	71.0	0 9412	- 0.0001	+ 0.02008 10	+ 0.514 ~ T	+ 18.643 - to	+ 42 846 + 22	+ 3.815 + 8	+ 20.377, - 7	1 31662 - 11	10 36 2 + 1.5	+ 1.655 + 3
,	22.0	0.0455	1000.0	+ 0 93130 10			+ 42 907 + 22		+ 20.404 7		10 16,0 + 1 5	+ 1 603 + 3
	7 1	0.9433	0 0001	+ 0 03262 10			+ 4- 968 + 22		+ 20 430 6		12 1 1	+ 1.551 + 3
Ш	72 7	C-9442	0,0001	+ 0 93394 - 30		+ 18 723 - 10						+ 1 499 + 3
	72 1	0.9452	0.0001		+ 0 527 - 1		+ 43.090 + 22				9 15 3 + 1 5 8 55 0 + 2 5	+ 1 447 + 3 + 1.395 + 3
Ŋ	77.4	C 1940x	0.0001	4. 0 93059 20	1 0 3=7	1 10.770	1 43-135 1	1 3 227 1 2	1 20 30 5 - 0	11/11	0 55 0 7 - 3	7 1-393 1 3
1	72 5	C 3472	~ n 0001	+ 0 93792 - 10	+ 0.530 - 1	+ 18 803 - 10	+ 43 219 + 23	+ 3 007 + 8	+ 20.526 6	1 31710 10	8 34 8 + 15	+ 1 343 + 3
и	72 6	c 9482		+ 0 03974 - 10		+ 18.829 - 10					B 146 + 1.5	
Ш	72 7	1-9492		+ 0 94057 - 11		+ 18 856 - 10						
Ш	728	4 9503		+ 0.94190 11			+ 41 396 + 24			1 31744 - 10		
rel	719	0.6519	1.000.01				+ 43-457 + 22				7 14 1 + 7 5	
7												
E.	73.0	0 0522	0.0001	+ 0 94457 11	+ 0.541 T	+ 18.936 10	+ 43 519 + 22	+ 2.495 + 9	+ 20.627 - 5	1 31759 9	6 53 8 + 1.5	+ 1.080 + 3
E	73 1	0.6532	1000.0	+ 0 04591 11	+ 0 543 1	+ 18 963 TO	+ 43.580 + 23	+ 2 374 + 0	+ 20.645 - 5	r 31766 9	6 33 6 + 15	+ 1,030 + 3
	73 2	0.0542	- p. 0001	+ x34724 - IT	+ 0.544 t	+ t8.990 to	+ 43 642 + 27	+ 2 253 + 9	4 20 663 S	f 32773 g	6 2 4 4 + 2 5	+ 4 977 + 3
	713	0 9552	7 9 0001			+ 19 016 - 10			+ 20 677 - 5	r 31779 g	5 53 2 + I.5	+ 1.925, + 3
10	73.4	b 9362	- 0.000t	+ 0.04092 11	+ 0.548 - T	+ 19.043 1 to	+ 47 765 + 22	+ 2.011 + 9	+ 30.693 5	1 31786 9	5 33 0 + 1 5	+ 0.872 + 3
	1											
10	71.5	0 9572	0.0001			+ 19.070 - 10				t 3170t · 9	5 23 7 4 1 5	+ 0.820 + 3
4	740	0 3582		+ 0.95260 - 11			+ 43 880 + 22				4517 + 15	+ 0.767 + 4
1	7 . 7	0.9592		+ 0 95394			+ 43 950 + 20			1,31809 - 8		+0714 +4
	718	0.0610		+ 0 ,5528 11		+ 19.151 - 11					4 12 4 + 6 6	+ , 662 + 4
	719	0.3612	0 0000	+ 0 95662 11	7-0 555 - 1	7 19,176 - 11	T 44-074 + 22	A seine 4 9	7 20.7551 4	: 31613 g.	3 52,2 + 1 6	+ 0.609; + 4
		0 0652	0.000	+ 0 95797 - 11	de n.sr6.	mh to do	+ 44.126 + 22	A 1 989 4 0	de 20 260		3 32.0 + 1 6	+ 0 (56) +
	74.0					+ 10 231 11					3 32.0 + 1.6	
	74.7	0.7042				+ 19 258 11				1 31824 — B		
1	743	0 9653		11 00130 0 +		+ 19 285 - 11				1 31827 - 7	1	)
	74.4	0.9662		+ 0 96334 - 11		+ 10 312 - 11					2114+16	
	1			9-,54			, ,,,,,,,		17- 1	33-	1.7	
	74 5	0.9679	0,0000	+ 0.96469 11	+ 0.550 0	+ 19.339 - 11	+ 44 446 + 22	+ 0 674 + 0	+ 20.801 - 4	1 31833 - 7	1511+16	+ 0 209 + 4
1	74 6	0.9682				+ 19.366 11					1311+16	
	74.7	0 9692		+0.96738 11		+ 19.393 - 11					1110+16	
	74.8	0 0702	0,0000	+ 0.96873 - 12		+ tg.420 - tz				1 31819 - 7	0 50 8 + 1.6	+ 2 2 13 + 4
1	74 9	0 2712	0.0000			+ 19.447 T1				1 31841 - 6		
ij	750	0 9722		+ 0.97142 12	+ 0.561 0	+ 19:474 - 11	+ 44 757 + 22	+ 0.064 + 9	+ 20 817 - 3	1.31842 - 6	0 10.5 + 1 6	
1												
F							f roon					

Die Zahlen der zweiten Subcolumnen sind mit  $t=rac{t_n}{100}$  zu multipliciren, und sind in Einheiten der letzten Decimale angesetzt

Tafel Xc.

									_	7
Arg	τ'	$E_{\dagger}$	$A_{\rm I}$	$g\sin G_{)1}$	(g cos G) _I	$f_1$	С	D	log h	Н
75,4	0.9722	одооса	+ 0.97142 - 12	+0"561 0	+ 19 474 11	+ 44"757 + 22	+ 1064 + 9	+ 20"817 3	131842 6	0'10'5 + 1'0 + 0'11
75 /	€ 9732	0.0000	+ 0 97277 12	+ 0.561 0	+ 19 501 11	+ 44 Big + 22	- 0.058 + y	+ 20,817 3	_	359 50 4 + 1 0 QUE
75.2	0 9742	0,000	+ 0 97412 12		+ 19 528 - 11	+ 44 881 + 22				350 3 2 + 5.6 0.0
75 3	Day750	0,0000	+ - 97547 12	+ 0 561 0	+ 19 555 ET	+ 44 943 ++ 22		+ 20,816 3		159 20 + 2.0 0.0
75.4	0 9762	0 0000	+ 0 97681 - 11	+0561 0	+ 19 582 - 11	+ 45 005 + 22	- 0 454 + 10	+ 20,814 - 3	1 31844 - 0	358 44 9 + 1 6 O.1
75.5	0.9772	0.0000	+ 0 97816 - 12	+ 0.561 0	+ 19,609 - 11	+ 45 067 + 22	0.546 + 10	4 0811 3	131844 6	358 29.8 + 1 6 - 0.5
75 6	0 0782	6 400	+ 0-7951 12	+ 0 560 0	+ 19 616 - 11	+ 45 130 + 22	o 668 + to			358 96 + 16 0.0
75.7	0.7793	0.0000	+ 0 ,3085 12	+ 0.56e e		+ 45 1 92 + 29	0 790 + 10			357 49 5 + 1 6 03
75 B	0 9802	0.0000	+ 0.98220 12	+ 0 559 0	+ 19 690 21		- 0.912 + 10		_	157 29.3 4 1 6 0.3
75-9	o.ÿBzz	0,0000	+ 0 98355 - 12	+ 0 559 0	+ 19-717 == 11	+ 45.316 + 22	- 1.034 + 10	+ 20.790 3	1 11839 5	357 9.0 + 16 - 0.0
75.0	D. 9822	0.000.0		+ 0.55B D	十 79-744 - 11	+ 45 378 + 22	1 156 + 10			356 4y.0 + 16 0.
76 t	c 9832	0.0000		+ 0 557 0	+ 19 771 - 11	+ 45 440 + 78	- 1 278 + 10			156 28 8 + 1 5 0.3
76 2	0.9842	G.0600	+ 0 98758 - 12	+ 0.556	+ 13.798 11	+ 45 502 + 23	- r 400 + ra			356 B7 + 26 - 0.1
76.3	0.9852 D. 9862	0.0000	+ 0 96891 - 12	+ 0.555 0	+ 19 825 11	+ 45.554 + 23	r 521 + 20			355 48 5 + 1 6 - 0.6 355 28.3 + 1.6 0.1
76 4	D. 3002	0000	+ 0.4)9627 12	40.554 0	+ 19 853 - 11	1 45.020 7 23	- z.643 + 10	7 201745 1	31027 4	333 20.3
76.5	c 3872	0.00AA	+ 0,99161 12	+ 0 552 0	+ 19 879 11	+ 45.688 + 23	- 1.764 + 10	+ 20,711	1 31823 - 4	355 8.1 + 1 6 - 0.7
76 6	0 9882	0.0000	+ 0.99296 12	+ 0.551 0	+ 29.906 11	+ 45 750 + 23	- 1.886 + 10		1.31820 4	354 48 . + 1 6 0.1
76.7	0 9892	0.000	+ 4.49430 12	+ 0,550 0		+ 45.811 + 23	2 007 + 10			354 27 8 + 1.6 0.8
76.8	u gguzz	0.0000	+ 0.99564 - 12	+ = 548 0	+ 19.960 - 11	+ 45.873 + 23	2 129 + 10	+ 20.691 - 1	1 31811 3	354 76 + 16 04
76.9	C 9912	+ 9,0001	+ 1.99698, 12	+ 0 546 D	+ 19 987 21	+ 45 935 + 23	- 2,250 + 10	+ 20 678 1	1.31Bo7 3	353 47.4 + 1 6 - 04
77.9	0 9922	+ 0.0001	. //	+ 0.545 P					.1	353 27 2 + 1 6 1.4
77 T	0 9932	+ 5,0003	+ 0 99965 - 12	+ 0.543 0		+ 46.058 + 23	2 49217 10			353 7.4 + 1 0 44
77.2	o 3942 o 9952	++ G.000.1 ++ D.0001	+ 1 00009 = 12	10.541 0	+ 20,067 - 11	+ 46,120 + 23			1 31791 3	152408 + 1 6 1.8 152206 + 1 6 4.8
77-3	0 99424 1 9945	+ 0.0001	+ 1 00232 12 {1 1,0366 - 12	+ 0.539 0	+ 20 190 - 11 [+ 20 190]   111 [+ 0 073]   2	(本學)(本學)	2.859 + 10		1.31785 - 2 1.31779	352 26 6 + : 6] 4.0 352 6.3 + 1.6 2.4
11.4	1 10007		[40. 10.	. 0 137	(+ a atol 1 · 51		1.031	,,,	3-773	23
77-5	{ - 0 0029 }	+ 0 0001	{ 1.00499 17	+ 0.535 0	{# 20.167} { 12}		- 2.076 + 10	+ 20.570 0	1 31772 2	351 46 1/+ 1.6 0.0
77 6	O MINIS	+ e coet	11 0632 12	+ 0 533 0	1 20.17	{- 40,300 (4 20) - 0,300 (5 5)	- 3.096 + 9	+ 20.549 a	1.31766 2	351 25 9 + 1.6 4.
77.7	D SHIPE C	+ U. NOC E	1 6 765 Ta	+ 0.530 0	1 20 2011 4 15	- 40.437)  + CA - 6.354)   5)  - 40.490;  + 2.1	1 227 + 9	+ 20 527 a	1 31759 2	351 5.6 + 1.6 1.3
77-8	0.05.03	1000 0 1	{‡ 0.00848 = 12	+ 0.528 0	14 (11001) 24	1 1 + 0.413[ 1 5[				35" 45 1 + 16 - 24
77-9	\$ 9.00ER	+ 0.000t	{‡ 0.01031 - 71	+ 0 525 0	{ 20 254} } 11	(+ 46,550) (+ 23)	一 3 457 十 9	+ 20.480 + 1	1 31744 E	150 25.1 + 0.6 3.3
	1 1 nones	4 money	(+1		(+ 20 250) ( 113	1+ 150H (4-20)				
78,0	0.0032	+ 0.0001	11 11163 12	+ 0.523 0	20 290   11   2   1   1   1   1   1   1   1	{+ 48,411} {+ 20		+ 20 456 + 1		350 48 + 16 - 14 349 44 61 + 16 24
78 1	0.0043	+ 0,0001	+ C 01428 12	+ 0.520 0	(+ 4 200) ) 2f			+ 20 431 + 1		
78 2 78 3	0.0057	+ 0.0001	+ 0.01560 - 12	+ 0.517 0	+ 0.313 - 2	+ 0 657 5		+ 20,404'+ 1		349 24 3 + 1 6 = 10 349 4.0 + 1.6 - 10
78.4	0.0062	+ 0,0001	+ 0.01603 - 12	+0.511 0	+ 0 339 = 3	. 0		+ 20 149 + I		348 43.7 + 16 - 1.7
							, , , ,	7.7.7		
78.5	0.0072	4 G.0001	+0.01824 - 12	+ 0.508 0	+ 0 366 = 2	+ 0,842 5	4 175 + 9	+ 20,301 + 3	1.316ga u	348 23.4 + 1 6 - 1.5
78.6	0.0084	+ 0 3001	+ 0 01955 - 12	+ 0.505 0	+ 0.392 2	+ 0.902 - 5	- 1 204 + 9	+ 20/301 + 3	1.31680 0	348 71 + 16 - 11
78.7	o ouga	+ 0.0001	+ 0.02087 - 12	+ 2 503 0	+ 0.418 - 2	+ 0 963 5	4 413 + 9	+ 20 261 + 4	1 31672 0	347 44 7 + 2 6 44
78 8	0 1102	+ 0.000 t	+ 0.02218 12	+ 0.498 0	+ 0 445, 3			+ 20 329 + 2		347 22 4 + 3 6 - 84
78 9	0-6-113	+ 0.0001	+ 0 02349 - 12	+ 0.495 0	+ 0.47t 3	+ 1.084 - 5	- 4.650 + 9	+ 20.197 + 2	1.31651 0	347 2 1 + 1.6 - 1.6
	0.0000	.h.o.com	1		1	4	60			246
79.0	0.0132	+ 0.0001	+ 0.02480 - 12		+ 0.497 - 3					146 41 7 + 10 2.6
79-1	0.0142		+ 0.02810 - 10	+ 0.484 0		+ 1 264 - 5				346 21.4 + 1.6 8.1
79.3	0 0152		+ 0.02874 - 11							345 ± . + 1 6 9.1 345 ± 0.6 + 1 6 - 8.2
79.4	0.0162	+ 0.0001								345 20 2 + 1 4 - 84
				, ,,,			9			
79.5	0177	+ а.ооот	+0.03130 - 11	+ 0.473 0	+ 0.627 3	+ =444 - 5	- 5 357 + 9	+ 19 987 + 3	1 31582 + 1	344 Sq.8, + 1 6 - 9-3
79 6	0.0282	1000.0 +	+ 0 03260 - 11	+ 0 460 0	+ 0653 - 3	+ 1 504 - 5	5 474 + 9	+ 19 949 + 1	1 11569 + t	344 39 4, + 1 6 - 2.3
79.7	0.0193		+ 0.03389 11							
79.8	( (202		+ 0.03518 11			+ 1 623 4				
79.0	3 0232		+ 0.03647 - 11			+ 1.680 - 4				
80.0	0.0333	+ 0.0001	+ 0.03775 - 11	+ 0.459 0	+ 0 757 3	+ 1-741 4	- 5.939'+ 9	+ 19.789 + 4	1,31516 + 2	343 17 6 + 1 6 - 23
									, ,	

Die Zahlen der zweiten Subcolumnen sind mit  $t = \frac{t_o - i\,900}{i\,00}$  zu multipliciren, und sind in Einheiten der letzten Declargesetzt.

-	y a.R	τ'	$E_1$	$A_{\mathrm{I}}$	B _! (#sin G _[	·g cos G)1	$f_{l}$	C	D	log h	Н	4
1	80.0	U 0333	+ 040001	+ 0.03775 - 11	+045" 0	+ 6"757 3	+ 1"741 4	5"939 + 9	+ 19' 789 + 4	1 31516 + 7	3+3°176 + 1'6	- 2"577 +
5/11	801	0 0032	+ 0.0001	+ 41 73301 - 14	+0448 0	+ 0.782 3	+ 1,800	- 6055 +9		1 41502 + a	34- 57 1 + 1.6	- 2 627 +
		0.0242	+ 0.0001	+ 0,04031 - 11	+ 0.443 0	+ a.8o8 - 3	+ 1 859 4	6 171 + B	+ 19.704 + 4		342 46 7 + 1.6	- 2 677 +
	80.3	0.253	1	+0.04139 11	+ 0 439 0	+ 0.814 3	+ 1.918	- 6 286 + 8	+ 19.661 + 4		342 16 2 + 1.6	2 727 +
	804	0 0262	+ 0 0003	+ 0.04286 - 11	+ 0.434 0	+ 0.859 - 3	<b>←</b> 1=977 4	- 6401 + 8	+ 19.616 + 4	1 31459 + 3	341 55 6 十 1.6	2 777 +
-1	3	6-00Ea	+ 0 0002	1		1		- 6 - 6 I O	1		445 25 2 1. 4 6	- 2.837 +
			+ 0 0003	+ 0.04540 - 11		+ 0.985 3	+ 2 036 4	6 516 + 8	+ 19-571 + 4		341 35-1 + 1 6	- 2.876 +
-	B. 7		+ 0 0003	+ 0.04066 - 11		+ 0.935 - 3	+ 2 152 4	- 6744 + 8			340 54 0 + 1 5	J 926 +
No.			+ 0 3003	+ 0.04793 11		+ 0 961 - 3	** 2 gt1 4	- 6858 + 8			340 33 5 + 1 5	- 2 975 ±
Post III	8. ,		+ 0 0002	+ 0.04919 11		+ 0.986 - 3	+ 2,269 - 4	6.972 + 8			340 12-9 + 1 5	- 3 025 +
•												
100			+ 0.3002	+ 0.05044 12	+ 0.405 D	+ 1 011 3	+ 2 326 14	- 7.086 + 8	+ 19 332 + 5	1 31366 + 4	339 52-3 + 1-5	- 3 974 +
45			+ 0 0002	+ 0.05170 11	+ 0.400; 0	+ x.036 3	+ 2.364 4	- 7.198 + 8	+ 19.282 + 5	1 31349 + 4	339 TF 7 + 1-5	- 3 123 +
2			+ 0 0000	+ 0 03245 - 11	+ > 395 0	+ 1.061 - 3	T = 442 4	7311 + 8	+ 19,273 + 5	4 31332 ± 4	334 17 1 + 15	- 3 172 +
				+ 0.05420 - 11	+ 0.390 + 1	T t 586 3	+ 2.499 4	- 7474 + 8	+ 19.150 + 5		338 50-4 + 1 5	3 220 +
	OL 4	0 0362	- 0.0002	+ 0 05544 - 10	+ 0.385 + 1	+ 1.111 = 3	+ 2 557 4	7 336 + 8	+ 19-127 + 5	1 31998 + 4	338 40 g + t 2	- 5 269 +
	8: 5	0.0372	+ 0.0002	+ o.o3668 to	+ 0.379++ 1	+ 2,136 - 3	+12.614 - 4	- 7.647 + B	+ 19.074 + 5	2 31281 + 5	338 9.1 + 15	3 318 +
		t. 0380		+ 1.05792 10	+ 0.374 + 1	+ 1 161 - 3	+ 2 67: 3	- 7 759 + 7	+ 19.020 + 5		337 48.4 + 1 5	3. 366 +
D.	81.7	0 0392	+ 0.000/2	+ 0.05915 - 10	+ 0.369 + 1	+ 1.186 3	+ 2 708 3	7 870 40 7	+ 18.965 + 6		337 47 7 + 1 5	- 3 416 +
-	8:8	r n(33	+ 0,0002	+ 0.06038 - 10	+0763+1	+ 1 210 3	+ - 785 - 3	7 982 + 7	+ 18.909 + 6	1 31227 + 5	137 70 + 1 5	- 3 462 +
b	8: 4	0.0413	+ 010003	+ 0 00101 - 10	+ 0 357 + 1	+ 1 735 - 3	+ 2,841 - 3	8 092 + 7	+ 18 853 + 6	7 31209 ++ 5	336 46.3 + 1 5	4 ot2 t
						3						
F			+ 0,0003	+ 0.06281 10		+ 1 260 - 3	+ 2 898 3	- 8,201 4- 7	+ 18.796 + 6	1 31190 + 6	336 25 6 + 1 5	- 3 558 +
Ď.	82 1		+ 0.0002	+ 0.00406 10		+ 1 184 - 3	+ 2 954 - 3	- 83:1 + 7	+ 18.738 + 6		336 4.8 + 1 5	- 3 605 +
2	82.3	0.0452	+ 0 0002	+ 0.06547 30	+ 0.340 + 1	+ 1 309 3	+ 3 010 3	8 420 + 7	+ 18.079 + 6 + 18.019 + 6		335 44 0 + 5 5	3 053 + 3 700 +
E C	52.4	0.0462			+ .335 + 1	+ 1 333 3 + 1 357 - 1	+ 3.066 3 + 3.122 - 3	8 520 + 7 8 638 + 7	+ 18.559 + 6		335 +3 2 + 1 5	- 3 747 +
					, 0.3-9 1	1 1 337 - 1	1 3 3		1 111239	- ,	333	2,44
200	84.5	0.0473	+ 0.0003	+ 0.06890 - 10	+ 0.32, + 1	+ 1.381 3	+ + 178 3	8.746 + 7	+ 18.498 + 6	1 31094 + 6	334 41 61+ 1.5	- 3-794 +
g Stee	82 6	0 0482	+ 0.0003	+ 0.07011 10	+ 0.317 + 1	+ 1 405 - 3	+ 3 233 -3	- 8.854 + 7	+ 18.436 + 7	1 31074 + 7	334 20 8 + 1 5	-3.841 +
200	83 7		+ 5-0002	+ 0.07131 HO	+ 0.311 + 1	+ + 430 = 3	+ 3 288 3	8 962 + 7		1 31054 7	333 59 9 + 1.5	3 688 +
	82 8		+ 3,0003		+ 0,305 + 1	+ 1 454 31	+ 3-344 - 3	- 9.069 + 6		1 31034 + 7	333 19 0 + 1.5	3 934 +
	57 3	0.0512	+ 0 0003	+ 0.07370 9	+ 0.299 + 1	+ 1 477 - 3	+ 3 398 3	- 9.176 + 6	+ 88.246 + 7	1 31013 + 7	331 18.1 + 2.5	3981
p 20	B2 0	0.0512	+ 0.0002	A state Part of	+ 0.203 + 1	+ = 501 - 3	sh 2 452 - 2	- 9 282 + 6	+ 18 181 + 7	1 30993 + 7	332 57 2 + 1.5	- 4 027 ÷
-	83.1		+ 0.0002		+ 0.203 + 1	+ 1 575 3	+ 3 453 - 3	9 388 + 6		1 30994 + 7	332 36 3 + 1-5	+ 273 +
2-	87.2		+ 0 70013	+007725 - 9	+ 0 280. + 1	+ 1.549,	+ 3 562 - 3	9.494 + 6	+ 18.050 + 7	1 30951 + 8	532 15 , + 1.5	4 119 +
Day on	83 3		+ 0 0002		+ 0.2741+ 1	+ 1 572 3	+ 3.617 - 2	- 9 599 + 6			331 54 4 + 1.5	- 4.164 +
2.7	83.4	0.0562	+ 0.0002	+ 0.07960 9	+ 0.067 + 1	+ 1 596 3.	+ 3.672 2	9 704 + 6	+ 17 915 + 7	1 30908 + 8	331 74-4 + 1-5	- 4 210 +
								-				
-		_	+ 0 0002	+ 0 08077 - 9	+ 0 261 + 1	+ t 619 - 3	+ 3.725 2		+ 17 846 + 8	_	331 13 4 + 1-5	4 -55 +
20 1			+ 60009	+ 0,08194 - 9	+ 0 155 + 1	+ 1 643 3	+ 3 778 - 2		+ 17 777 + 8		530 5E 4 + 1 5	-4 300 +
- 4	8, 5		+ 1.0003	+ 0.08310 9		+ 1,666 2	+ 1 532 2		+ 17 630 + 8		330 30 3 + 4.5	4 145 +
102	_		+ 0.0003 + 0.0003	+ 0.08476 9 i	+0347+1	+ 1.689 ~ 2	+ 3.885 2	- 10 110 + 5 - 10 222 + 5	4 0		330 9 2 + 1.5 329 48.2 + 1.5	4-390 + - 4-434 +
		*	1 0.50	7 5.00341 9	7 0.233 1 2	T 2 /10 3	T 3-939 .	10 222 ( )	4 4,55	1130/90 1 9	349 4012 1 1 3	9 939 1
	840	0 0622	+ 0 0002	+ 0.08656 9	+ 0 128 + 1	+ 1.735 - 2	+3.992 -2	- 10,324 - 5	+ 17 494 + 8	1 30775 + D	329 27 1 + 1.5	- 4 479 +
2			4 a coos			+ 1.758 2			+ 17 420 + 8		329 59 + 1-5	
1.5	84 3	0.0042	+ 0003	щ · v888s 8			+ 4-097 - 2	· 10 547 + 5	+ 17 346 + 8	1 14730 + 9	328 44 B + 1.5	
			+ 0.0003				+4.149 2	10,628 + 5	+ 27.272 + 2	1.30706 + 9	328 23 6 + + 5	
-	84.4	0,0062	+ 0.0002	+ 0.06112 8	+ 0.202 + 1	+ 1.827 - 2	+ 4 505 3	to 729 + 5	+ 17 197 + 8	1 Jo683 + 10	328 2,4 + 1 5	- 4 654 +
	2	n of	10000		t-a-re-1				1 10 000 1 0		,,,,,,,,,,,,,,,,,,,,,,,,,,,,,,,,,,,,,,,	
EQ.			+ 0.0003	/ "		+ 1 849 2			+ 17.131 + 8		327 41 2 + 1.5	
1			+ 0.0002		+ 0.181 + 1						327 20. 7 + 1 5	- 4.74E + 4.784 +
			+ 0.0002		+ 0,101 + 1		+ 4.400 - 1		+ 16.890 + 9		326 37 5 4 2.5	4 826 +
		_	+ 0.0009	+ 0.00673 8	+ 0.167 + t		+ 4 450 8	- 11 224 + 4			396 16,0 + 1.5	- 4 859 +
			+ 0,0002		+ 0.161 + 1		+ 4 5 (1 )				325 54 9 + 1 51	
												ألحبب

Die Zahlen der zweiten Subsolumnen sind mit  $t = \frac{t_0 - 1900}{100}$  zu multiplisiren, und sind in Einheiten der letzten Decimangesetzt.

Tafel Xc.

										· · · · · · · · · · · · · · · · · · ·	
Arg.	t'	$E_{\rm I}$	AI	$B_{\rm I} = (g \sin G)_{\rm I}$	$(g\cos G)_{\rm I}$	fī	C	D	log h	H	i
85.0	0.0722	+ 040003	+ 0.09784 - 8	+ o"161 + 1	+ 1"961 - 2	+ 4"522 — 2	— II"322 + 4	+ 16"732 + 9	1.30541 + 11	325 54'9 + 1'5	— 4°911
85.z	0.0732	+ 0.0002	+ 0.09895 8	+ 0.154 + 1	+ z.984 - =	+ 4.562 - 1	- 11.419 + 4	+ 26.652 + 9	1.30516 + 11	395 33.6 + 1.4	4-953
.85.2	0.0742	+ 0.0002	+ 0.10005 - 8	+ 0.147 + 1	+ 2.006 - 2	+ 4.613 - 1	- zz.5z6 + 4	+ 16.572 + 9	1.30492 + 11	325 12.3 + 1.4	4- <del>995</del>
85.3	0.0752	+ 0.0002	+ 0.10115 - 8	+ 0.140 + 1	+ 2.028 - 2	+ 4.664 - 1	- 11.612 + 4	+ 16.490 + 9	1.30467 + 11	324 50-9 + 1.4	— 5.037 — 1.037
85.4	0.0762	+ 0.0002	+ 0.10224 7	+ 0.133 + 1	+ 2.050 - 2	+ 4.714 - 1	- 11.707 + 4	+ 16.409 + 9	1.30443 + 11	324 29-5 + 1-4 -	<b> 5.079</b>
85.5	0.0772	+ 0.0002	+ 0.10333 - 7	+ 0.126 + 1	+ 2.071 - 2	+ 4.764 - 1	- 11.803 + 4	+ 16.326 + 9	1.30418 + 11	324 8.1 + 1.4	5.120
	0.0782	+ 0.0003	+ 0.10441 - 7	+ 0.119 + 1	+ 2.093 2	+ 4.814 - 1	- 11.897 + 3	+ 16.243 + 9	1.30393 + 12	323 46.7 + 1.4	- 5.16t
85.7	0.0792	+ 0.0002	+ 0.10549 - 7	+ 0.111 + 1	+ 2.115 - 2	+ 4.864 - I	- 11.991 + 3	+ 16.159 + 9	1.30368 + 12	323 25.2 + 1.4	5.sce
85.8	0.0802	+ 0.0002	+ 0.10657 - 7	+ 0.104 + 1	+ 2.136 - 2	+ 4.914 - I	— 12.085 <b>+</b> 3	+ 16.075 + 9	1.30343 + 12	353 3.8 + 1.4	- 5.243
85.9	0.0812	+ o'ocós	+ 0.10764 - 7	+ 0.097 + I	+ 2.158 - 2	+ 4.963 - 1	12.178 + 3	+ 15.989 + 9	1.30318 + 19	382 42.3 + 1.4	5. <b>sl</b> ij
86.o	0.0822	+ 0.0002	+ 0.10871 - 7	+ 0.090 + 1	+ 2.179 - 2	+ 5.012 - 1	- 12.271 + 3	+ 15.904 + 10	1.30292 + 12	322 20.8 + 1.4	5.3 <del>2</del> 3
86.z	0.0832	+ 0.0002	+ 0.10977 - 7	+ 0.083 + 1	+ 2.201 - 2	+ 5.061 - 1	- 12.363 + 3	+ 15.817 + 10	1.30267 + 12	381 59.2 + 1.4	— 5. <b>36</b> 3
86.2	0.0842	+ 0.0002	+ 0.11083 - 7	+ 0.076 + 1	+ 2.222 - 2	+ 5.110 - 1	— <b>12.455</b> + 3	+ 15.730 + 10	1.30241 + 13	391 37-7 + 1-4	<b></b> 5-409
86.3		+ 0.0002	+ 0.11189 - 7	+ 0.069 + 1	+ 2.243 - 2	+ 5.159 0		+ 15.642 + 10	1.30216 + 13		5-443
86.4	0.0862	+ 0,0002	+ 0.11294 - 7	+ 0.061 + 1	+ 2.264 - 2	+ 5.207 0	- 12.636 + 2	+ 15.554 + 10	1.30190 + 13	390 54.5 + I.4	5.4 <b>8</b> a
86.5	0.0872	+ 0.0002	+ 0.11398 - 7	+ 0.054 + 1	+ 2.285 - 2	+ 5.255 0	- 12.726 + 2	+ 25.465 + 20	1.30164 + 13	320 32.9 + 1.4	— 5.5st
86.6	0.0882	+ 0.0002	+ 0.11502 - 6	+ 0.047 + 1	+ 2.306 - 2	+ 5.303 0	- 12.816 + 2	+ 15.375 + 10	1.30138 + 13	320 11.2 + 1.4	— 5 <b>.56</b> 0
86.7	0.0892	+ 0.0002	+ o.xx606 — 6	+ 0.040 + 1	+ 2.327 - 2	+ 5.351 0	— 18.905 + s	+ 15.285 + 10	1.30112 + 13	319 49.6 + 1.4	— 5.59 <b>8</b>
86.8	0.0903	+ 0.0002	+ 0.11710 - 6	+ 0.033 + 1	+ 2.347 - 2	+ 5.399	- 12.993 + 2	+ 15.194 + 10	1.30086 + 14	319 27.9 + 1.4	— 5.637
86.9	0.0912	+ 0.0002	+ 0.11812 - 6	+ 0.025 + 1	+ 2.368 - 2	+ 5.446 0	— 13.081 + 2	+ 15.103 + 10	1.30060 + 14	319 6.2 + 1.4	5. <del>67</del> 5
87.0	ბ.0922	+ 0.0002	+ 0.11915 6	+ 0.018 + 1	+ 2.388 - 2	+ 5.493 0	- 13.169 + 2	+ 15.011 + 10	1.30034 + 14	318 44.4 + 1.4	5.713
87.1	0.0932	+ 0.0002	+ 0.19017 - 6	+ 0.011 + 1	+ 2.409 - 2	+ 5.540 0	- 13.255 + 2	+ 14.918 + 10	1.30008 + 14	318 22.7 + I.3 -	5.7 <b>5</b> 0
87.2	0.0942	+ 0.0002	+ 0.12118 6	+ 0.004 + 1	+ 2.429 - 2	+ 5.587 0	- 13.341 + 1	+ 14.825 + 10	1.29982 + 14		5.7 <b>88</b>
87.3	0.0952	+ 0.0002	+ 0.12220 - 6	- 0.003 + 1	+ 2.450 - 2	+ 5.634 0 + 5.680 0	- 13.427 + 1	+ 14.731 + 10	1.29955 + 14	317 39.1 + 1.3	5.805 5.862
87.4	0.0962	T 0.0002	+ 0.12320 - 6	- 0.010 + 1	+ 2.470 - 2	+ 5.680 0	- 13.512 + I	+ 14.637 + 10	1.29929 + 14	317 17.3 + 1.3	2.401
87.5	0.0972	+ 0.0002	+ 0.12421 6	- o.oz8 + z	+ 2.490 - 2	+ 5.726 0	13.596 + 1	+ 14.542 + 10	1.29903 + 15	316 55.4 + 1.3	5.8gE
87.6		+ 0.0002	+ 0.19521 - 6	- 0.025 + 1	+ 2.510 - 2	+ 5.772 0	- 13.680 + I	+ 14.446 + 10	1.29876 + 15	316 33.6 + 1.3	— 5-93 <u>9</u>
87.7 87.8	0,0992	+ 0.0002	+ 0.12620 - 6 + 0.12719 - 5	- 0.032 + 1	+ 2.530 - 2 + 2.550 - 2	+ 5.818 0 + 5.864 + 1	- 13.764 + 1 - 13.846 + 1	+ 14.350 + 10 + 14.253 + 10	1.29850 + 15	316 11.7 + 1.3 - 315 49.8 + 1.3	5.971 6.00;
87.9	0.1012	+ 0.0002	+ 0.19818 - 5	- 0.046 + I	+ 2.569 - 2	+ 5.909 + I		+ 14.156 + 10	1.29796 + 15	315 27.8 + 1.3	6.04:
				1 1	1						
88.0	0.1022	+ 0,0002	+ 0.12916 - 5	- 0.054 + z	+ 2.589 - 2	+ 5.954 + 1		+ 14.058 + 10		315 5.9 + 1.3	6.07
88.1 88.2	0.1 <b>0</b> 32 0.1042	+ 0.0002	+ 0.13013 - 5 + 0.13111 - 5	- 0.061 + 1 - 0.068 + 1	+ 2.609 - 2 + 2.628 - 2	+ 5.999 + 1 + 6.044 + 1	14.091 0 14.171 0		1.29743 + 16		— 6.11 — 6.14
88.3	0,1052	+ 0.0002	+ 0.13207 - 5	- 0.005 + 1 - 0.075 + 1	+ 2.648 - 2	+ 6.080 + I		+ 13.761 + 10		313 59.8 + 1.3	<b>- 6.18</b>
-	0.1062	+ 0.0002	+ 0.13304 5	- 0.082 + 1	+ 2.667 - 2	+ 6.133 + 1		+ 13.661 + 10			- 6,21
											_
88.5	0.1072	+ 0.0002	+ 0.13400 - 5	- 0.089 + 1	+ 2.686 - 2	+ 6.177 + 1	— 14.400 O		1.29636 + 16	313 15.7 + 1.3	- 6.25
88.6	0.1082	+ 0.0002	+ 0.13495 - 5	- 0.096 + 1	+ 2.705 2 + 2.725 2	+ 6.221 + 1	— 14.487 O	+ 13.459 + 10		312 53.6 + 1.3	- 6 28 - 6.31
88. ₇ 88.8	0.1102	+ 0.0002	+ 0.13591 — 5 + 0.13685 — 5	- 0.110 + 1	+ 2.725 2 + 2.744 2	+ 6.300 + I	— 14.564 O — 14.641 — 1	+ 13.357 + 10		312 31.5 + 1.3 312 9.4 + 1.3	6.35
88.9	0.1112	+ 0.0002	+ 0.13780 - 5	-0.117 + 1	+ 2.762 - 2	+ 6.352 + 1	- 14.717 - I	+ 13.152 + 10		311 47.2 + 1.3	- 6. ₃ 8
					]	ا . ا					,
		+ 0,0002	+ 0.13874 4		+ 2.781 - 2	+ 6.396 + 1		+ 13.049 + 10			- 6.41
			+ 0.13967 - 4		+ 2.800 — 2 + 2.810 — 2	+ 6.439 + 1		+ 12.945 + 10		311 2.8 + 1.3 310 40.6 + 1.3	- 6.45 - 6.48
										310 18.3 + 1.3	
			+ 0.14245 - 4							309 56.0 + 1.2	
اا			I <u>.</u>			1.66					e .
			+ 0.14337 - 4 + 0.14428 - 4					+ 12.525 + 10		309 33.7 + 1.2 - 309 11.4 + 1.2 -	
			+ 0.14519 - 4							308 49.1 + 1.2	
			+ 0.14610 - 4							308 26.7 + 1.2	
	0.1212	+ 0.0002	+ 0.14700 4					+ 12.097 + 10		308 4.3 + 1.2	
90.0	0.1222	+ 0.0002	+ 0.14790 - 4	- 0.193 + 1	+ 2.965 - 2	+ 6.818 + 2	- 15.513 - 2	+ 11.989 + 10	1.29238 + 18	307 41.9 + 1.2	- 6 73
					<u> </u>						

Die Zahlen der zweiten Subcolumnen sind mit  $t = \frac{t_o - 1900}{100}$  zu multipliciren, und sind in Einheiten der letzten Decangesetzt.

Tafel X c.

_											
1	1,	E ₁	$A_1$	$g \sin G_{i1}$	g cos G [	ſī	С	D	log h	H	1
B 0.	1222	+ 040002	+ 0 14790 - 4	-0"11) s + 1	+ 2"g6s 2	+ 6"818 + z	15 ^N 513 2	+ 11 989 + 10	1 29238 4- 18	307°41' + 12	6"710 + 3
z (o.	1237	+ 0.0002	4 0 14877 - 4.	0.200 + 1	+ 20,084 2	+6851+	15 581 2	+ 11 881 + 10	£ 39233 + 18	307 11 5 4 1.0	6.760 + 3
2 0.	1242	+ 0.0002	40 0 14908 ₁ 4	- 0,206 + ;	+ 3 001 2	+ 6 900 + 1	15.649 - 2	+ 12 771 + to	1 29186 + 18	300 57 0 + 1.8	- 6.789 + 1
3 0.	1252	+ 0 0002	+ 0 15057 4	0.214 + 1	+ 3.018 :	+6 341 + 3	15 7865	+ 0.661 + 0	₹ 29160 + 18	706 34 5 + 2.2	6 818 4 1
4 0:	1262	+ 0 0003	+ 0,25145 4	10-219 + 1	470,6 2	+ 6 081 + 2	15 783 3	+ 11 551 + 30	1 29234 + 29	306 22 0 + 1.3	6 847 + 4
			-					, ,			,
	_	+ 0 0002	+ 0 15233 3	- 0.326 + 1	+ 3.054 - 2	+ 7.031 + 2	15 843	+ 11 441 + 10	1 19108 + 19	35 49 5 + 1 2	6 876 + 3
_	_		+ 0 15320 3	0.230 + t	+ 3 071 - 2	+ 7.002 + 3	- r5 914 3	+ 11 330 + 10	1 19082 + 19	105 27 0 + 1.2	6 104 + 3
		+ 0.0002	+ D. 15468 3	0.230 + 1	+ 1380 3	+7102+2		+ 11 127 + 10	1 20020 + 13	305 44 十 1 2 304 41 8 十 1 3	6 942 + 1 - 6 960 + 3
_		+ 0.0002	+ 0.15581 3 + 0.15581 3	0 245 + 1 - 0.252 + 2	+ 3.173 2	+ 7 182 + 2		+ 10.995 + 10	1 230 5 + 19	304 19 2 + 1.2	- 6.987 ± 3
	1 722	, ,,,,,,,,,,,,,,,,,,,,,,,,,,,,,,,,,,,,,	1 4.1.32	5.57.	1 34143	,,,			3- 3 , . 9	100 - 1 - 1 - 10	
D 0.	1324	+ 0.0003	+ 0 15666 3	0,.58 + 1	+ 3.141 - 2	+ 7.251 + 3	16 168 3	+ 10 882 + 10	1 2898 + 19	3 2, 56 6 + 1.3	2 114 4 3
		+ 0-0002	+ 0 15752 4	- p.264 + r	+ 1158 2	+ 7 261 + 1	. 16 230 A	+ 10 709 + 10	1.28391 + 19	303 33-9 + 1.7	7 941 1 1
F 0	2942	+ 0.0003	+ 0 15847 3	0.270 + 1	+ 3 175 2	+7304 + 3	. 16.291 4	+ 10.656 + 10	1 186,19 + 10	30 3 11 2 + 1.1	- 7 068 +
3 0.	: 352	+ 0,0002	+ 0 15922 3	3.377 + I	+ 3 102 3	+ 7 (39, + 3	16.35 - 4	+ 10.549 + 10	1 18904 + 20	3.02 48 5 + 2 2	- 7 494 + 3
§ 0.	1 362	+ 0 00003	+ 0.16006 1	7:383 ÷ 1	+ 3 200 2	+ 7 378 + 1	10:413 4	+ 10-427 + 10	1 28879 + 20	302 25 8 + 11	-7120+3
			1		1 2 2 2		26.02		. 90		
		+ 0 0002	+ 0.16090 3	0.280 + 1	+ 1 226 2	+ 7-417 + 1	- 16.523 4	+ 10 313 + 10		36-3 3 5 + 1 5	7 145 4 3
_		+ 0.00001	+ 0,16274 3 + 0 26258 3	- 0.301 + 1	+ 3 242 2	+ 7.455 + : + 7.494 + 3	16 587 - 4	+ 13.497 + 10		301 403 十 1 5	-7:7: + 3 -7:196 + 3
		+ 0 0000	+ 0 10447 - 3	U 307 + 1	+ 1 276 - 1	+7533+	10 644 4	+ 1966 + 10		300 54 8 + 1.2	7-21 + 2
_		+ 0 0000	+ 0.16423	- 0.313 + 1	+ 3 192 2	+ 7 579 + 3	- 16.700 - 5	+ 9850 + 10		100 32 + 1,2	- 7 - 45 + 2
9 a.	1432	+ 0.0003	+ 0 16506; - 3	0.319 + 1	+ 3 300) 2	+ 7 fol + 3	16.756 - 5	+ 9:733 + 10		300 941 + 442	7 209 + 2
E -0.	14,2	+ 0 00000	+ 0.16587 3	9 324 + r	+ 3 375 - 2	+7645+3	16811 3	+ 9.516 + 16		209 40 1 -) 1 1	- 7 203 + -
B 0:	1447	+ 0.0003	+016669 2	0430 + 1	+ 3 342 2	+ 7.683 + 1	- 16 BG5 - 4	+ 0.400 + 11	1 28683 + 21	209 3 4 + 13	-7 417 + 2
_		+ D. 9002		-0.336 + 1	+ 3 358 - 2	+7726+3	16 419 5	+ 9.381 + 10		217) 45+11	7 140 + 2
α,	, 3.46th	+ 0.0004	+ 0 10831 3	341 ← 1	+ 3 374 - 2	+ 7 738 + 3	16 972, 5	+ 9 261 + 10	1 28635 + 71	708 32 0 + 1.1	7 363 + 2
	1442	+ 0.0002	+ 0.16g12 - 2	0 347 + 1	+ 4 3907 2	+ 7-795 + 3	12 004 5	+ 9.145 + 10	1 38611 + 21	298 24.6 4.11	- 7 385 + 2
		+ 0.0007		- 0 353 0	+ 3 406 - 2	+ 7 832 + 1	- 17-375, - 5	+ 2006 + 10		297 51 7 + 1 1	- 7408 + 3
		<b>4</b> 0.0007		-0.358 o	+ 3.422, - 2	+ 7 869 + 3	17 100 6		1 18565 + 11	297 # 7 + 1 1	7 435 + 2
	1 500	+ 0.0002	+ 0.17152 - 3	o. 363 o		+795+3	17 176 6	+ 6 788 + 10	2 28541 + 21	997 5.7 + 11	7 45× + -
2 0,	1512	+ 0 9007	+ 0.172,11 2	- 0.36g o	* 3.454 2	+ 7 942 + 4	- 17 426 6	+ 8,668,+ to	1 28518 + 21	206 42 7 + 174	- 7 475 + 2
_		+ n 0002		- 0 374 G		+ 7 978 + 4	17 274 6			4/6 177 + 14	- 7 494 ÷ 2
_		+ 0.0002		0 179 0		+8014+4	17 322 6			235 56 6 + 2.0	
		+ 0 0000		0 184 6		+ B.056 + 4		+ 8117+ )	2 28451 + 27	295 10:5 + 1:0	75.5 + 2
		+ 0 0002	+ 0 17545 3	0.389 u - 0.394 u		+ 8 122 + 4	17 416 6			294 47 4 + 1.0	7 555 + 2
	13.11	+ 0 0002	1 0 1 1021		1 3 2 13	, , ,	.,,,,,,,,,,,,,,,,,,,,,,,,,,,,,,,,,,,,,,				7 722 7 -
5 0.	1572	+ 0 0002	+ 0.17700 = 2	0.199 0	+ 3 548 - 2	+ B + 58'+ +	- 17 507 - 6	+ 7 215 + 9	1 18385 + 12	24 14 + 10	7 595 + 1
		+ 0 00073	+ 0.17778 - 2	- p.404 o	+ 3 564 - 2	+ 8,193 + 4	- 17 551 - 6		1 28363 + 28	294 1.1 + 1 0	- 7.614 + 2
7 0.	. 2592	+->-0003	+ 0 17855 3	- 0.40G D	+ 3 579 2	+ 6,229 + ;	17 594 7	+ 7000+ 0		293 38 + 1 .	7 033 4 4
		<b>→</b> 3.000a	+ 0.17931 2	-0414, 0		+ 8.264 + 4	17 617 7	+ 7570 + 9		293 148 + 12	7 051 + 2
9 0.	1612	+ 0 0000	+ o 18008 2	· 0.418 0	+ 3.610 - 2	+ 8 290 + 4	17.670 - 7	+ 7-454 + 9	1 18200 + 35	392 21 6 4 10	7 570 + 2
	. 6		1 + *2.7.		4 , 6	L 8 2-1 .	_ 47 322 +	+ 7311 + g	r affaro de ca	1193 3B 4 4 1 c	- 7,688 + 2
			+ 0.18084 - 2		+ 3 640 2	+ 8 300 + 4	- 17 723, 7	+ 7337 + 9			
		+ 0.0002			+ 3 656 2	+ 5 4 4 + 4		+ 7 384 + 1			
		+ 0.0000		-04361 0		+ 8 430 + 4		+ 646.+ 9			
7		+ 0,0002	+ 0 18385 ~ 2	D,441 0		+ 8 477 + 4	17 879 7			290 55 5 + 1.0	
		+ 0.0003		0.445		+ 8 508 + 4		+ 6712 + 8			
		+1 0007		- 0.449 °		+8442+4		+ 6.588 + 8			
	100	4 0.0009		- c 453 0		+8576+4		+ 6 46 + B			
		+ 0 0002	+ 0 18083 I	0 437 0		+ 8 614 + 4		+ 6 338 + 8			
		+ 0 0001 + 0 0001		0.465	+ 3 775 2	+ 8 644 + 4		+ 6 087 + 8	1		
10	/	4.00001	4 17. 10031	0.405	. 1//2					, ,,,	

Die Zahlen der zweiten Subcolumnen sind mit  $t = \frac{t_n - 1900}{100}$  zu multipliciren, und sind in Einheiten der letzten Decimale esetzt.

Tafel Xc.

Arg.	₹'	E ₁	$A_{\mathrm{I}}$	$B_{ m I} \ (g \sin G)_{ m I}$	$(g\cos G)_{\rm I}$	fi	C	. D	log à	H	
95.0	0.1722	+ 0ª0001	+ 0.18831 - 1	-0"465 o	+ 3"775 - 2	+ 8"678 + 4	- 18"094 - 8	+ 6"087 + 8	1.28083 + 23	288°35'6 + 0'9 -	- 78
95.1	0.1732	+ 0.0001	+ 0.18904 - 1	— 0.469 O	+ 3.790 - 2	+ 8.712 + 4	- 18.128 - 8		1.28064 + 23	288 12.3 + 0.9 -	
	0.1748			— 0.472 O	+ 3.804 2	+ 8.745 + 4		+ 5.836 + 8	1.98046 + 23	287 48.9 + 0.9 -	- 7.8
	0.1752	,	+ 0.19050 — 1	- 0.476 0	+ 3.819 - 2	+ 8.779 + 5	- 18.192 - 8		1.28029 + 23	287 25.5 + 0.9 -	-
95-4	0.1768	+ 0.0001	+ 0.19123 1	- 0.479 O	+ 3.834 - 2	+ 8.812 + 5	— 18.223 —   8	+ 5.584 + 8	1.98011 + 23	287 2.1 + 0.9 -	- 7-9
95.5	0.1772	+	+ 0.19195 - 1		+ 3.848 2	+ 8.846 + 5			l		
95.6		+ 0.0001		- 0.483 0 - 0.486 0	+ 3.863 - 2	+ 8.846 + 5 + 8.879 + 5	- 18.254 - 9 - 18.283 - 9		1.27994 + 23 1.27977 + 23	286 38.7 + 0.9 -	_
95.7	-		+ 0.19340 1	- 0.489 O	+ 3.877 - 2	+ 8.912 + 5	- 18.312 - 9		1.27960 + 24	286 15.3 + 0.9 285 51.9 + 0.9	
	0,1802		+ 0.19412 - 1	- 0.493 0	+ 3.891 - 2	+ 8.946 + 5	- 18.340 - Q		1.27944 + 24	285 28.5 + 0.9 -	
	0.1812		+ 0.19483 1	- 0.496 o	+ 3.906 2	+ 8.979 + 5	- 18.367 - 9			285 5.0 + 0.0 -	
										1 1	
· .	0.1822		+ 0.19555 1	0.499 O	+ 3.990 - 2	+ 9.011 + 5	- 18.394 - 9	+ 4.823 + 7	1.27911 + 24	284 41.5 + 0.9 -	- 7.9
96.z	- 1		+ 0.19626 1	- 0.50a O	+ 3.934 - 2	+ 9.044 + 5	- 18.420 - 9		1.27896 + 24	284 18.1 + o.8 -	
	0,1842			- 0.505 O	+ 3.949 - 2	+ 9.077 + 5	- 18.445 - 9		1.27880 + 24	283 54-6 + 0.8 -	
96.3	0.1852 0.1862	+ 0.0001	+ 0.19769 - 1 + 0.19840 - 1	- 0.507 0 - 0.510 0	+ 3.963 - 2	+ 9.110 + 5	- 18.469 - 9			283 31.1 + 0.8	
y	0.1002	+ 0.000.	T 0.19040 - 1	- 0.510	+ 3.977 - 2	+ 9.142 + 5	- 18.493 - 9	T 4.312 T 7	1.27850 + 24	283 7.6 + o.8 -	- 6.0
96.5	0.1872	+ 0.0001	+ 0.19910 - 1	- 0.513 o	+ 3.991 - 2	+ 9.175 + 5	- 18.516 - o	+ 4.784 + 7	1.27836 + 24	282 44.1 + 0.8 -	- 8.0
	0,1882	+ 0,0001		- 0.515 O	+ 4.006 - 2	+ 9.207 + 5	- 18.538 - 0		1.27822 + 24	282 20.6 + 0.8 -	
96.7	0.1892	+ 0.0001	+ 0.20052 - 1	- o.518 o	+ 4,020 - 2	+ 9.240 + 5	- 18.559 - 9		1.27608 + 24	281 57.0 + o.8 -	
	0.1902		+ 0.20122 - 1	- 0.520 O	+ 4.034 2	+ 9.272 + 5	- 18.580 - 9		1.27794 + 24	281 33.5 + o.8 -	
96.9	0.1912	+ 0.0001	+ 0.20192 - 1	- 0.522 O	+ 4.048 - 2	+ 9.305 + 5	- 18.600 - 10	+ 3.671 + 6	1.27780 + 24	281 10.0 + 0.8 -	
											_
	0.1922		+ 0.20262 1 1 1	- 0.525 O	+ 4.062 - 2	+ 9.337 + 5	- 18.619 - 10		1.27767 + 24	280 46.4 + 0.8 -	
	0.1942		+ 0.90332 — 1 + 0.90402 — 1	- 0.527 0 - 0.529 0	+ 4.076 — 2 + 4.000 — 2	+ 9.401 + 5	— 18.637 — 10		1.27755 + 24		- 8.ci
	0.1952		+ 0.20471 - 1	- 0.531 O	+ 4.104 - 2	+ 9.433 + 5	— 18.655 — 10 — 18.671 — 10			279 59·3 + 0.7 - 279 35·7 + 0.7 -	-
	0,1962		+ 0 20541 - 1	- o.533 o	+ 4.118 - 2	+ 9.465 + 5	- 18.687 - 10			279 12.2 + 0.7	
1	- 1						13			', ', ',	
97-5	0.1972	+ 0.0001	+ 0.20610 1	- 0.534 o	+ 4.132 - 2	+ 9.497 + 5	— 18.703 — TO	+ 2.898 + 5	1.27706 + 25	278 48.6 + 0.7	8.22
	0.1982		+ 0.20680 — I	o.536 o	+ 4.146 - 2	+ 9.529 + 5	— 18.717 — 10			278 25.0 + 0.7 -	8.12
	0,1992		+ 0.20749 1	- o.538 o	+ 4.159 - 2	+ 9.561 + 5	- 18.731 - 10			278 1.4 + 0.7 -	
	0.2002		+ 0.20818;— 1 + 0.20887 — 1	- 0.539 0 - 0.541 0	+ 4.173 - 2	+ 9.593 + 5	— 18.744 — 10		1.27673 + 25	277 37.8 + 0.7 -	
9/-9	0.20.2	+ 0.0001	T 0.5000/ - 1	- 0.541 O	+ 4.187 - 2	+ 9.624 + 5	— 18.757 — 10	+ 2.302 + 5	1.27003 + 25	277 14.2 + 0.7 -	8.137
98.0	0.2022	+ 0.0001	+ 0.20956 - 1	- 0.542 0	+ 4.201 - 2	+ 9.656 + 5	- 18.768 - 10	+ 2.252 + 5	1.27652 + 25	276 50.6 + 0.7 -	<b>8</b> .141
98.1	0.2032	+ 0.0001	, ,	- 0.543 o	+ 4.215 - 2	+ 9.688 + 5	- 18.779 - 10		1.27643 + 25	276 27.0 + 0.7 -	
98.2	0.2042	+ 0.0001	+ 0.21094 1	- 0.544 o	+ 4.229 - 2	+ 9.720 + 5	— 18.789 — 10		1.27633 + 25	276 3.4 + 0.6 -	
98.3	0.2052	+ 0.0001		- o.546 o	+ 4.242 - 2	+ 9.751 + 5	- 18.798 - 10		1.27624 + 25	275 39.7 + 0.6 -	
98.4	0.2062	+ 0.0001	+ 0.21232 - 1	- 0.547 O	+ 4.256 - 2	+ 9.783 + 5	— 18.807 <u>— 11</u>	+ 1.734 + 4	1.27615 + 25	275 16.1 + 0.6 -	8.15
	0.2072	L				اء ا					
	0.2072		+ 0.21360 - 1 + 0.21369 - 1	5., [	+ 4.270 - 2 + 4.284 - 2	+ 9.815 + 6	- 18.814 - 11			274 52.5 + o.6 -	
98.7			+ 0.21438 - 1	- 0.548 0 - 0.549 0	+ 4.204 - 2	+ 9.846 + 6 + 9.878 + 6	- 18.821 - 11 - 18.828 - 11			274 28.9 + 0.6 - 274 5.3 + 0.6 -	
	0.2102		+ 0.21506 1	- 0.550 o	+ 4.311 - 2	+ 9.909 + 6	i i		1.27590 + 25	273 41.6 + 0.6 -	
98.9	0.2112		+ 0.21575 - 1	- 0.550 o	+ 4.325 - 2	+ 9.941+6		+ 1.086 + 4	1.275751+ 25	273 18.0, + 0.6 —	
1										, , ,	•
	0.2122		+ 0.21643 - 1					+ 0.956 + 4	1.27568 + 25	272 54.4 + 0.6 -	8.17
	0.2132	0,0000	+ 0.21712 - 1	- 0.551 o	+ 4.352 - 2	+ 10.004 + 6	- 18.845 - 11	+ 0.827 + 4	1.27561 + 25	272 30.8 + 0.6 -	8.17
	0.2142		+ 0.21780 - 1		+ 4.366 - 2	+ 10.035 + 6	- 18.847 - 11	+ 0.697 + 3	1.27555 + 25	272 7.1 + 0.5 -	8.17
	0.2152 0.2162		+ 0.21848 - 1		+ 4.380 - 2	+ 10.067 + 6	- 18.849 - 11	+ 0.508 + 3	1.27549 + 25	271 43.5 + 0.5 -	8.17
99-4	0.2102	0,0000	7 1.21917 - 1	- 0.552 O	+ 4.394 - 2	+ 10.098 + 6	- 18.850 11	+ 0.438:+ 3	1.27543 + 25	271 19.9 + 0.5 -	5.17
99.5	0.2172	0,0000	+ 0.21985 1	- 0,552 : o	+ 4.407 - 2	+ 10,130 + 6	- 18.850 - **	+ 0.308 + -	1.27528 1 25	270 56.2 + 0.5 -	8.17
	0.2182		+ 0.22054 1			+ 10,161 + 6	- 18.850 - 11	+ 0.170 + 3	1.27532 ± 25	270 32.6 + 0.5 —	8.17
99.7	0.2192		+ 0.22122 - 1		+ 4.435 - 2	+ 10.193 + 6	- 18.849 - II	+ 0.049 + 3	1.27528 + 25	270 9.0 + 0.5 -	8.17
99.8			+ 0.22191 - 1	- o.551 o	+ 4.448 - 2	+ 10.224 + 6				269 45.4 + 0.5 -	
99.9				— 0.551 O			- 18.844 - 11	- 0.210 + 3	1.27519 + 25	269 21.8 + 0.5 -	- 8.17
100.0	0.2222	0,0000	+ 0.22327 - 1	- 0.551 o	+ 4.476 2	+ 10.287 + 6	— 18.840 — 11	- 0.339 + 2	1.27516 + 25	268 58.1 + 0.5 —	8.17
			<del></del>								

Die Zahlen der zweiten Subcolumnen sind mit  $t = \frac{t_o - 1900}{100}$  zu multipliciren, und sind in Einheiten der letzten Der angesetzt.

Tafel Xd.

vergl. pag. 248.

$E_{11}$	Au	Bill g sin G il	(g cos G) _{II}	fii	Arg	$E_{IJ}$	Au	$B_{11}$ $g \sin \Theta_{11}$	$g\cos G)_{\rm H}$	fii
				1			1		-	
0,00000	+ 0.0000t 0	- 9"146 1	0,000 0	0,000 0	5:0	0,0000	o t0357 10	8"712 - 1	- 9"476 1	4"786 5
6-6000	0,00210 0	- g 146 - 1	0.047 0	3.097 6	5 1	1010	0,10557	8 694 t	- 2 116 1	4 879 6
0,000,0	- 0,00420 0 0.00630 E	- 9-145 1	- 0.196 o	- 0.291 O	5 3	0.0010	0.10957 - 10	8 676 I - 8,658 I	2 197 - 1	- 4.471 6
100000	0.00847 1	9.144 1	- 0.16g, o	- 0.388 o	5.4	0.0010	0.11157 11	- 8 6401 I	2 337 - 1	-5.156 - 6
	C,Caloqi L	9.745	Grog 5	0,300	2.4	· · · · · · ·				31130
0.0001	- 0.01051 - 1	~ 9.142 - 1	0.212. 0	- o 486 I	5 5	o,cata	-0.11356 - 11	8.621 - 1	- 2.276 1	5 248 6
- 0.0001	- 0.01361	9 140 1	0.253	- a.583 - t	5.6	-0,40t t	D. 11455 17	- 8,602 = 1	2 316 1	5 139 6
- 0 000T	0 0 1 4 7 1 3	9 137 1	- 0 295 0	v 680 ≀	5.7	- 450011	- 0.11753 11	8.582	2 356 7	5 441 6
0,0000	- 0,01681 - 2	- 9.135 1	0.347 0	-0 777 1	5.8	940021	3-11951 - 11	8 56a r	2 396 1	5 522 6
- 0.0000	- 0.01Bgt - 3	9.132 1	0.379	1 L48,4	5 9	0.0011	0,13148 13	- 8,542	2,435	- 5 613 6
— p.0009	- 0.02311 7	- g.148 1	- 0.49z 0	1 068 - 1	6,1	- 0.0011 b0611	- 0,19345 17	8 522 t	- 2.475 1	5 704 - 7
- 0.0009 - 0.0002	- 0.02311 7	9 125 L	- 0.463 0 - 0.505 0	- 1,865 L	6.9	0.0012	0.12541 12	8 50t L 8,480 F	2 5 7 3 1	5.795 - 7
- a noor	-0.02711 - 3	- 9 116 1	~ o. \$47 0	— 1.260 I	6.3	6,0012	- 0.12932 12	- 8.459	2,592 1	- 5.976 7
- 0,0003	- 0,02941 - 3	9 112 7	0.589 0	1 359 - 2	6.4	0.0612	D.13127 - 12	-8 447 1	2,632 1	- b.obb 7
								,,,		
0.0003	-0.03150 3	9.107 - 1	0 63: 0	- £.456 =2	6.5	- p.ocia	0.13322 13	8 415 - 1	- 2,671 - t	-6.256 - 7
- 0.0003	- 0.03360 3	-9 101 1	0.673 4	- 1 552 2	6,6	0.0012	- 0.13516 13	8 393 - 1	- 2 700) - E	- 6.241 7
0.0003	0.03569 — 3	- 9 096 - 1	0.715	— 2.64g z	67	- 0.0013	0 13709 14	8. 3713 - 1	- 2,748 1	- 6.135 7
- 0,0003	0 03778 4	9 089 1	~ U.757 P	1 746 - 2	6 B	0:0013	0.13902 - 13	8 147 - 1	2 787 1	6.434 7
- 0:0004	- 0.03987	- 9.083 - 1	0.799	2,841 2	6.9	< 0013	0.14095 13	8 331 ~ 1	2,8,6	6.533 7
		9.076 1	0.841	- T 030 2	7.0	0.0013	~ 0.14287 t4	8 100	- 2 864 E	(602 - 8
- 0.0004 - 0.0004	0.04405 4	9.069 z	0.841 0	- 1 939 2 2 2 2 2 2 2 2 2 2 2 2 2 2 2 2 2 2	7.1	0.0013	- 0.14478 - T4	- 8.276 I	- 2.902 · t	6 6gr 8
- 0.0004	- 0.046131 5	9.001	0 925 0	2 1 3 2 2	7 2	- 0.0013	0 14669 14	- 8 252 1	2 941 2	- ( 770 8
- 0.0004	0,04822 - 5	- 9 054 · I	-0.967 0	2.228 31	7 3	0.0014	O-T4800 14	- B, 209 - 1	2 979 2	6 867 8
- 0.0005	0,05030 5	9.045	1.008	- 2 324 3	7.4	0.0014	0 15050 14	8. 202 1	-3 617 2	- 6.955 8
- 0.0005	0.05238 5	- 9.037	- T.050 1	7,420 3	7.3	-0,0014	0.15239 - 14	- 8 177 1	1.055 - 3	- 7.042 B
- 0.0065	- 0.05446 5.	- 9.028 - 1	1-002 1	9 517 3	7.6	0.0014	n 45427 15	- 8 :51 - 1	3 09 11 2	- 7 129 8
0.0005	0.05653 - 6	9.013	1 133 T	2 61 7 3-	7.7	0.0014	v. 15616. 15	B #25 1	* 4 3 40 3	7 2 6 8
- 0.0005	0.05861 - 6	9.00) L	- r 175 t	- 2,708 3	7.8	0,0014	6 15803 - 15	8.099 1	- 3 168 - 3	- 7 403 8 4 480 8
— о.оооб	— o.o6o68 6	- 8 999 1	- 1 217 1	— 2 Berg 3	7.9	0.0015	- 6.15990 - 15	- 8.072 - 1	3,206 2	7 189 8
- o.goob	0.06275 - 6	9 g8g r	1,258 - 1	- 2.900 - 3	80	- C 0015	0.16177 - 15	- 8.046 - 1	3.243 - 2	- 7 475 - 9
0.0006	0.05482 - 6	8.978 T	1 299 1	a 995 3 1	8 1	0015	-0.16362 - 15	- 8.018	- 3.260 - 2	~ 7 56c 9
- 0.0006	- 0,06688 6	- 8.967 - T	1 341 1	3.091 4	8 7	JUNE 5	0.16548 - 16	7 991 1	3 317 3	- 7 647 9
- 0.0006	0.00895 - 7	- B 056 I	- 1,382 1	3,,86 4)	8 3	0.3015	0.16732 16	7 963 - 1	3 354 2	- 7 73- 9
- 0.0006	0.07tuz 7	8 944 - 1	£ 424 T	- 3,282 4	8.4	0,0075	-0.16916 16	- 7 935	3 391 2	- 7817 95
0.0007	0.07307 7	8.932 1	— 1.465 I	- 3.376	8.5	0100, >	0. £7099 16	- 7 907 - 1	- 3.428 2	7.000 - 9
- 0 0007	0 07512 7	8 920 1	- 1.506 t	3,471 4	8.6	- c ootb	- 0.17282 - 16	- 7 878 I	- 3.465 ¹	- 7.086 - 9
- 0.0007	0.07717 7	- 8 907. 1 - 8.894 1	- 1 547 I	- 3.566	87	€ 0016	0.17464 - 14	7.840	3.537 - 2	8.154 - 9
- 0.0007 - 0.0007	- 0.07922 - 7 - 0.08127 - 8	8,880 - 1	- 1,588 T	- 3.66r 4	8.9	- 1 5016	0.17646 - 17 0.17826 - 17	7,8,10, 1	3-537 - 2	8.154 - 9 _ 8.238 = 9
- 0.13007	0.00127	0,000	1,029	5.737 4			22,000	114	3,074	y
Bono.o	0.08331 - 8	8 867 r	- 1,670 - 1	- 3.850 - 4	90	0.5016	- 0.18007 17	- 7.760 · 1	- 3 bio 2	-8 (21 10)
0.0008	0.08535 8	-8853 1.	1 711 1	3-944 ~ 5	91	0.0017	0.18186 - 17	7.73	3 646 2	8 464 10
— o ooo8	- 0.08739 8	8.8317 - E	- 1.752 -1	4 3 48 5	9.2	5,0017	0 18305 17	7,699 - 1	3 682 2	8 487 = 1
8000,0 —	— J.08942 8	8 824 1	1 793 1	4 132 5	9 3	1,6431.7	- a.18543 18	- 7 (story I	3 717 2	8 564, 60
800000	0.00145 9	- g god . ı	r 833 2	- 4,225 5	9-4	- 0.0017	0 18770 18	- 7 6 17 L	3 753 2	- 8 65t to
		P							100	
- 0.0009	- 0.09348 - 9	- B.793	1,874	4.320 - 5	9-5	0.0017	- 0.28897 - 18	7.666	1 788 2	8 743 101
o.000g	0.09551 9	8 778 - 1	1.915	4-413 5	9.6	+ 0017	- 0 19073 · 18	7 574 1	- 3.824 2	- 8 814 10
— 0.000g	0.09757 9	8.745 t	- 1 996 1	- 4 507 = 5 4 60x 5	9.7	Broom	0.19249 - 18 5.19423 - 18	7 542 -1	- 3 859 2 3 844 2	8 8gs to
— a occay	- 0.10136 TO	8.745 I	- 1 990 1 - 1 1 1 1 1 1 1 1 1 1 1 1 1 1 1 1 1 1	~ 4 693 5	310	- C-0018	19597 - 18	7 51 ) -1	- 3.844 2	\$.976 IC
- 0.0000	- 0 10357 - 10	-8.711 1	- 8.076 r	4.786 - 5	10.0	- 0.0018		7 445	- 3 003 3	9 136 10
,	10337									

Die Zahlen der zweiten Subcolumnen sind mit  $t = \frac{t_o}{100}$  zu multiplieiren, und sind in Einheiten der letzten Decimale netzt

Tafel Xd.

					Tate	LA	u.				
Arg.	$E_{\mathrm{II}}$	$A_{\rm II}$	$B_{ m II} \ (g \sin G)_{ m II}$	$(g\cos G)_{II}$	$f_{ m II}$	Arg. II	$E_{\rm II}$	$A_{\rm II}$	$egin{aligned} oldsymbol{\mathcal{B}_{II}} \ (oldsymbol{g} & oldsymbol{\mathrm{sin}} & oldsymbol{G})_{oldsymbol{II}} \end{aligned}$	$(g\cos G)_{\Pi}$	fn
10.0	— osoo18	- o.19770 - 19	- 7"445 - I	- 3"963 - 2	— 9"136 — 10	15.0	— 0ª0025	— 0.27361 — 26	— 5"457 — I	— 5"485 — 3	— 12°643
10.1	0,0018	- o.19943 - 19	— 7.411 — 1	— 3.998 — 2	- 9.216 - 10	15.1	- o.0025	— o.27488 — 26	- 5.411 - 1	- 5.511 - 3	12.701
10.2	- o.co18	- 0.20114 - 19	— 7.378 — I	- 4.032 - 2	— 9.295 — II	15.2	- 0.0025	- 0.27615 - 26	- 5.365 - 1	- 5.536 - 3	12.761
10.3	- 0.0019	- 0.20285 - 19	— 7.344 — I	- 4.067 - 2	1	15.3	- 0.0025	- 0.27741 - 26	- 5.318 - T	- 5.561 - 3	- 12.81g
10.4	- 0.0019	- 0.20455 - 19	- 7.310 - 1	- 4.101 - 2	9.453 - 11	15.4	- o.oo25	— 0.27866 — 26	- 5.272 - I	— 5.586 — 3	12.877
10.5	- 0.0019	- 0.20625 - 19	- 7.276 - 1	- 4.135 - 2	- 9.531 - 11	15.5	0.0026	- 0.27989 - 26	- 5.225 °	- 5.61T - 3	— 12.93 ₄
10.6	- 0.0019	- 0.20793 - 20	- 7.241 - 1	- 4.168 - 2		15.6	o.co26		- 5.178 0	-5.636 - 3	— 12.99¢
10.7	— 0.0019	- 0.20961 - 20	— 7.206 — 1	- 4.202 - 2	ال امنا	15.7	0.00 <b>26</b>	0.28233 26	- 5.131 °	— 5.660 — 3	- 13.047
10.8	- 0.0019	- 0.21128 - 20	- 7.171 - 1	- 4.236 - 2		15.8	0.0026	— o.28353 — 27	— 5.o83 °	-5.684 - 3	- 13.100
10.9	- 0.0019	- 0.21294 - 20	— 7.136; — 1	- 4.269 - 2	— 9.840 — II	15.9	0.0026	— 0.28473 — 27	— 5.035 °	— 5.708 — 3	— 13.157
11.0	0.0020	- 0.21460 <del>- 2</del> 0	- 7.100 - I	- 4.302 - 2	- 9.917 - II	16.0	0.0026	- 0.28591 - 27	- 4.988 o	- 5.732 - 3	— 13. <b>2</b> 11
11.1	- 0.0020	- 0.21625 - 20	- 7.064 - I	- 4.302 - 2 - 4.335 - 2		16.1	- 0.0026	- 0.28708 - 27	- 4.939 °	-5.755 - 3	— 13.266
11.2	0,0020	- 0.21789 - 21	- 7.028 - I	- 4.368 - 2	1 1111	16.2	0.0026	- 0.28824 - 27	- 4.891 O	-5.778 - 3	<b>— 13.32</b> 0
11.3	- 0,0020	- 0.21952 - 21	- 6.991 - T	- 4.401 - 2		16.3	o.oo26	— 0.28939 — 27	- 4.843 °	— 5.8or — 3	— 13 <b>.</b> 373
11.4	~ 0.0020	- 0.22114 - 21	- 6.954 - I	- 4.433 - 2	- 10.219 - 12	16.4	0.0027	— 0.29053 — 27	- 4.794 °	— 5,824 — 3	— 13.4 <b>2</b> 6
											اما
11.5	0.0021	- 0.22276 - 21 - 0.22437 - 21	- 6.917 - 1 - 6.880 - 1	- 4.466 - 2 - 4.498 - 2	- 10.294 - 12 - 10.368 - 12	16.5	- 0.0027 - 0.0027	— 0.29166 — 27 — 0.29278 — 27	- 4.745 ° - 4.606 °	-5.847 - 3 -5.869 - 3	13.478 13.529
11.7	- 0.0021	- 0.22437 - 21 - 0.22596 - 21	-6.842 - 1	- 4.530 - 2		16.7	- 0.0027	- 0.29388 - 28	- 4.696 ° - 4.647 °	- 5.891 - 3	— 13.581
11.8	- 0.0021	- 0.22755 - 21	- 6.804 - I	- 4.562 - 2		16.8	- 0.002 <b>7</b>	- 0.29498 - 28	- 4.598 °	- 5.913 - 3	— 13.631
11.9	- 0.0021	- 0.22913 - 22	- 6.766 - I	- 4.593 - 2		16.9	- 0.0027	0.29606 28	- 4.548 °	- 5.935 - 3	— 13.681
					1 1					]	
12.0	- 0.0021	— 0.23071 — 22	- 6.727 - I	- 4.625 - 2		17.0	0.0027	- 0.29713 - 28	- 4.498 °	- 5.957 - 3	13.731
12,1	0.0021	- 0.23227 - 22	- 6.689 - I	- 4.656 - 2	1 700	17.1	0.0027	0.29819 28	- 4.448 ° - 4.308 °	- 5.978 - 3	— 13.780
12.2	0.0021	- 0.23382 - 22 - 0.23537 - 22	- 6.650 - 1 - 6.610 - 1	- 4.687 - 2 - 4.718 - 2	- 1	17.2	0.0027 0.0027	- 0.29924 - 28 - 0.30028 - 28	- 4.398 ° - 4.348 °	- 5.999 - 3 - 6.020 - 3	— 13.828 — 13.876
12.4	- 0,0022	- 0.23691 - 22	- 6.571 - I	- 4.749 - 2		17.3	0.0028	- 0.30131 - 28	- 4.297 °		— 13.924
				1		7.4					
12.5	0.0022	- 0.23844 - 22	- 6.531 - I	<b>— 4.780 — 2</b>	— 11.018 <del>—</del> 13	17.5	0,0028	- 0.30233 - 28	<b>−4.246</b> °		13.971
12.6	0.0022	- 0.23996 - 23	- 6.491 - I	- 4.810 2	- 1	17.6	0.0028	- 0.30333 - 28	- 4.196 °		- 14.017
12.7	0.0022 0.0022	- 0.24147 - 23	- 6.451 - 1		- 11.158 - 13	17.7	0,0028	- 0.30432 - 28	- 4.145 °	- 6.101 - 3	— 14.063 — 14.108
12.9	- 0,0022	- 0.24297 - 23 - 0.24446 - 23	-6.410 - 1 $-6.369 - 1$	- 4.871 - 2 - 4.901 - 2	- 11.228 - 13 - 11.297 - 13	17.8	0.0028 0.0028	- 0.30530 - 29 - 0.30627 - 29	- 4.093 ° - 4.042 °	-6.120 - 3 $-6.140 - 3$	— 14.153
,		0.14440 -3		1 ,,	129/	17.9	.,,,,,,,,,,,,,,,,,,,,,,,,,,,,,,,,,,,,,,	0.3002/	1.012	0	4. 33
13.0	0.0022	- o.24594 - 23	6.328 I	<b>-</b> 4.930 <b>-</b> 3	- 11.365 - 13	18.0	0.0028	- 0.30723 - 29	— 3.990	— 6.150 — 3	14.197
13.1	0,0023	- o.24742 - 23	— 6.287 — I	- 4.960 - 3	- 11.433 - 13	18.1	0,0028	0.30817 29	— 3.939	- 6.178 - 3	14.241
13.2	- 0.0023	- o.24888 - 23	- 6.246; - I		- 11.501 - 13	18.2	0.0028	- 0.30911 - 29	— 3.887 °	- 6.197 - 3	14.284
13.3	0.0023 0.0023	- 0.25034 - 24	- 6.204 - I	- 5.019 - 3	- (	18.3	0,0028	- 0.31003 - 29	- 3.835 °	-6.215 - 3	14.327
13.4	- 0,0023	- 0.25179 - 24	- 6.162 - 1	- 5.048 - 3	- 11.635 - 13	18.4	- 0,0028	0.31094 29	- 3. <b>7</b> 82 °	-6.233 - 3	14.369
13.5	0.0023	- 0.25322 - 24	- 6.120 1	- 5.076 3	11.702 13	18.5	- 0.0029	- 0.31184 - 29	- 3.730 0	-6.251 - 3	<b>— 14.41</b> 0
13.6	0.0023	0.25465 24	- 6.077' - 1		- II.768 - I3	18.6	- 0.0029	- 0.31272 - 29	- 3.678 °	-6.269 - 3	14.451
13.7	0.0023	- 0.25607 24	- 6.034 - 1	- 5.133 - 3		18.7	0.0029	- 0.31360 - 29	- 3.625 °	- 6.287 - 3	- 14.491
13.8	- 0.0024	- 0.25748 - 24	- 5.991 - 1	- 5.162 - 3		18.8	- 0.0029	- 0.31446 - 29	- 3.572 O	-6.304 - 3	- 14.531
13.9	- 0.0024	- 0.25888 - 24	— 5.948 — I	- 5.190 - 3	- 11.963 - 14	18.9	0.0029	- 0.31531 - 29	- 3.519 °	- 6.321 - 3	— 14.571
14.0	- 0.0024	-0,26026 - 24	_ 5.905 - 1	- 5.218 - 2	- 12.027 - 14	,,,,	0.0029	- o.31615 - 30	- 2 166 0	-6.338 - 3	14.600
14.1		- 0.26164 - 25	5.861 1		- 12.001 - 14	19.1		- 1		- 1	
14.2		- 0.26301 - 25			12.154 14			- 0.31778 - 30			
14.3	0,∞24	- o.26437 - 25	— 5.773 — I	- 5.300 3	- 12.217 - 14	19.3					
14.4	- 0.0024	- 0.26572 - 25	- 5.728 - I	-5.327 - 3	- 12.279 - 14	19.4	- 0.0029			- 6.403 - 3	— 14.758
1			. 68				_ 0 0000			6	_ *. *.
14.5	- 0.0024 - 0.0025	- 0.26706 - 25 - 0.26839 - 25			- 12.341 - 14 - 12.402 - 14	1 -	- 0.0029 - 0.0029	- 0.32015 - 30 - 0.32092 - 30		-6.418 - 3 $-6.433 - 3$	
14.7	- 0.0025	-0.26971 - 25	1		- 12.463 - 14	19.7		- 0.32167 - 30		-6.449 - 3	
14.8	- 0.0025	- 0.27102 - 25	- 5.548 - I		- 12.524 - 14	19.8	- 0.0029	- 0.32241 - 30	,		
14.9	- 0.0025	- 0,27232 - 26			12.584 14	19.9		- 0,32313 30	2.982 0	1	
15.0	- 0.0025	0.27361 - 26	- 5.457 - I	- 5.485 - 3	- 12.643 - 14	20.0	— 0.0030	- 0.32385 - 30	- 2.927 0	- 6.402 - 3	— 14.965
			<u> </u>	<u> </u>	·						

Die Zahlen der zweiten Subcolumnen sind mit  $t = \frac{t_o - 1900}{100}$  zu multipliciren, und sind in Einheiten der letzten Decangesetzt.

Tafel Xd.

$E_{\Pi}$	$A_{\rm II}$	$B_{11}$	gcos (7)	fit	Arg	$E_{11}$	An	Bit	g cos (7 11	fii
		gsin G 11	3000.11	211	11	22/1	**	g sin G _{II}	3,000.11	711
640030	0 32385 30	3"327 o	6 492 3	14"365 - 19	25 0	1 Foods	0,34309 32	-0"090 0	- 6 878 a	15 854 1R
- 0.003a	0.32453 30	- 2 B73 a	6 506 3	14 998 17	75 1	0.003t	0.34313 32	- 0 032 0	- 6 879 3	- 15.856 18
— o.coga:	0.32334 30	- 3 818 c	6 520 3	- 15.030 17	25 2	- 0.0031	- 0.34316 32	+ 0.036 0	- 6.879 - 3	- 15 85R 18
- 6 0030	- 0 32502 - 30	2 763 0	- 6 534 3	15,06T T7	25 3	- 0.0031	- 0.34318' 32	+ 0.084 0	- 6 880 - 3	— rs.859 18
— a. co3a;	n. 32658 30	- 1,708 0	- 6 547 3	** 15 098 17	₹5.4	6,0031	* 0.34310 38	+ 0.142 0	- 6.88o - 3	- 15 859 18
- 0 0010	0.12721 30	- 2.653 o	- 6,560 - 3	15 120 17	25.5	- 0 0031	- 0.34318 32	+0 200 0	6.880 3	- 15 850 - 18
9 0 0070	0.32797 31	2 508 0	- 6 573 - 3	- 15.151 - 17	15.6	0 0031	- 0.34316 30	+ 0.958 0	6.879 3	- 15 857 18
— a cono	c 32850 31	- 3.541 0	- 6.585 3	- 15 18a 17	25 7	1500 n	- 0.34312 32	+0316 0	— 6.B79 3	15 856 18
- 0,0030	- e 32911 31	- 2 487 0	- 6.598 3	- 25 208 - 27	25 B	a.003 t	- 0.34307 - 32	+0374 0	- 6.878 - 3	15 8547 18
QFQQ. Q	- D. 32971 - 31	- 2 432 0	- 6.6ro 3	15 236 17	25 9	- 0.003T	0.34301 32	+ 0 432 0	- 6.8 ₇ 6 1	r5.851 18
					١, ١					
- 0,0030	0.33030 33	- 2 376 0	- 6,622 3 - 6,633 3	- 15.263	26.0	1,000,0	0.34203 - 12	+ 0.490 p	6.875 3	15 847 - 18
- 0.0030 - 0.0030	0.33144 31	2 321 0	- 6.644 - 3	= 15 290 17 = 15 316 17	26. t	0.0031	0.34284 32	+ 0.548 0	- 6.873 3 - 6.871 3	r5 8431 - 18 - 15 818 - 18
0,000,0	- 0.33144 3t - 0.33199 - 3t	~ 2 209 b	6.655 - 3	#5 316 17 17 17 17 17 17 17 17 17 17 17 17 17	26.3	0.0031	0.34962 12	+ 0.664 0	- 6.868	19833 18
0,0030	- 0.33253 37	* 2 153 D	6,666 - 3	- 15.366 17	26.4	= 0.003T	0.34249 - 32	+ 0.722 0	- 6,866	.5 827'- 18
	.,, ,,			3.311						1
- 0 0030	- 0.33305 31	2 097 0	6.677 3	T 15 390 17	26. 5	= 0.003t	-0.14234 - 32	+ 0.780 0	<del>-</del> 6.863 − 3	- 15 820 - 18
— o oazo	- 0,33356 - 31	- 2,041 D	6.687 3	25 414 - 17	26.6	0.0031	0 34219 32	+ 0 838 0	— 6,85a - 3	14 814 - 1B
0.0031	0.33406 - 31	1 984 0	6.697 3	E5 437 - E7	26.7	0,0031	0,34201 32	+ 0 896 0	-6.856 3	15 805 18
- 6 0032	- 0.33455 - 3F	- r 928 o	- 6 707 3	15 460 17	26 8	- 0,0031	0 34183 32	+ 0.954 0	- 6.853 3	25 796 18
— p.op3#	0, 33502 31	1,871 0	6.716 - 3	15.481 17	26.9	- 0.0031	- 0 14163 - 32	+ 7 017 0	- 6.849 3	15 787 18
- 0.00\$T	- o.33548 31	- 1.8t5 p	- 6 725 - 3	- 15-503 - 17	27 0	0,0031	0 34142 - 31	+ 1.070 0	- 6.844	- 35 777 18
- 0.0031	- 0.33592 31	1.758 0	6.734 - 3	15 523 18	27.1	0.0031	0.34119 31	+ 1 128 0	- 6,B40 1	- 15 767 - 18
- 0 0032	0.33636 31	~ т 707 в	- 6.743 - 3	15.543 18	27.2	- 0 0031	0 34095 31	+ 1.186 0	6.835 3	- 15 756 18
— e co3t	- 0.33678 - 31	- r.645 p	- 6.751 - 3	- 15 563 18	27 3	- o,oo31	- 0.34069 - 31	+ 1.943 0	- 6,830 - 4	15 744 - 18
— 0.003 F	O. 337#8 31	- 1 588 o	-6.760 3	- 15.581 38	27.4	9.0031	- 0.14041 - 31	+ 1.301 0	- 6.825 - 3	15.732 18
								6 x 200 .	ć B	15.710 18
- 0.0031 - 0.0031	0.13796 31	1.531 0 - 1.474 0	6.767 - 3 - 6.774 - 3	- 15 600 18 15 617 18	27.5 27.6	0.0031	0 33985 31	+ 1.359 0 + 1.417 0	- 6.813 3	2 , 2
- 0.003t	0.13796 31	7.417 D	- 6.775 - 3 - 6.787 - 3	15 634 1B	27 7	- 0.0037	0.33985 31	+ 5474 0	- 6 807 3	75 705 18 - 15 691 18
- 0.0031	a 13868 31	1 360 p	- 6.790 - 3	- 15 651 - 18	27 B	-0.0031	0.33923 - 31	+ T.539 o	6 800 - 3	- 15 676 18
0 0031	- 0.33902 31	1 303 D	- 6.796 3	- 15.666 - 18	27 9	- 0.0031	- 0.13889 31	+ 1.589 0	6.794 - 3	15 660 EB
0.003 t	- 0. 13935 - 31	1,745 0	6,Bo3 - 3	- 15.681 - 18	28 0	1,00031	- 0.33854 3T	+ : 647 D	- 6.787 3	15 644 - 18
- 0.0031	- 0.339661 32	L 188 D	- 6.Bog 3	- 15 696 - 18	28 1	_ a.mog t	- 0.33818 31	+ 1 704 0	- 6.779 — 3	74 628 F7
- p.poqs	0. 33,996 32	- r 673 0	6.815 - 3 - 6,821 3	- 15 710 - 18 - 15 723 18	28.3	* 0-0031	- 0.33780 31	+ 2.961 0	6.772 3	15 610 17
- 0.0031	0 34025 32	- 1 073 0 - 1 016 0	6 8 26 3	- 15.723 18 - 15.736 18	28 4	- 0.0031	0.33741 31 0.33701 31	+ 1.876 o	- 6 764 3 - 6.756 - 3	15 592 T7 45 574 17
V144.32	0 34030 30		5 440 3	15 750		0.0031		( -10/0 0	01/30	15 3/4 -4
1 800 0	- 0.34078 - 32	0 958 0	5.832 3	- 15.748 - 18	28.5	1500 0	- o. 1366o 31	+1933 0	- 6.748 - 3	- 15 554 17
0 UD31	~ 0 34103 1 → 311	ם סטף מ	- 6.837 - 3	- 15 759 18	28,6	0.0031	- 0.33617 31	+ 1 990 0	- 6.739 T	- 15 534 17
0.0031	0.34127 32	0 847 0	6.841 3	19 770 28	28 7	1,500.0	0.4357a - 3t	+ 2:047 0	— 6.73a 3	15 514 - 17
0.0031	- 0 34149 - 31	0 785 0	- 6,846 3	- 15.780 - 18	28 8	_ p.0031	0.33527 - 31	+ 8'10'1 0	- 6 721 - 3	25 493 - 27
- 0.0031	- 0.34169 - 32	- 0 727 a	6 850 3	— 13 790 18	49.p	0,0031	o. 33480 — 31	+ 2.161 0	- 6.719 - 3	25 472 - 17
- 0.0031	- a. 3418g - 32	— o,буо o	6.854 - 3	— #5 799 TB	29.0	- 0,0033	-0.33431 31	+ 9.218 0	6.702 3	15 47 5
0.0031	10.34709 - 32	- 0.613 0	- 6.857 3	14 807 18	20.1	- 0.0031	0.33431 31	+ 2 174 0	- 6.602	15 449 T7 15 426 T7
-0.0031	0.34224 - 31	-0 554 0	- 6.86T 3	15 815 18		- 0.0030	0.39331 - 31		-6.682 - 3	- 15 400 t7
-0 0031	0 14239 - 32	-0.496 a	- 6.864 3	- 15.822 - 18	29.3	- 0.0030		+ 2 388 0	-6.671 3	- 15 378 - 17
- 0,0031	- 0,34253 - 31	- n. 43B o	- 6 867 - 3	- 15,828 - 18	29.4	~ 0,0030	- a. 33225 - 31	+ 2 444 0	- 6.66t - 3	
- 0.0031	- 0.34266 32	- 0.380 a	- 6 869 - 3	- 15.834 - 18	29.5	- 0.0030	- 0.33170 30	+ 2,500 0	6.650. 3	— 15.328 17
- 0.0031	- 0.34277 — 32	0.322 0	- 6 872 - 3	- TS,B40 18	29.6	- 0.0030	0 33113 30	+ 2.557 0	- 6.638 3	- 15 302 17
- 0.0031	0.34287 - 32	-0.207 0	- 6.874 - 3 6.875 - 3	- 15 848 18	29 7	0.0030	- 0.33055 30 0 32996 - 30	+ 2 669 0	- 6.627 3 - 6.615 3	15 275 17
- 0.0031	0.34303 - 32	0.207 0	6.877 - 3	- 15 852 18	30 0	0.0030	- 0.12936 30	+ 2.725 0	- 6.603 3	- 15 248 - 17 - 15 220 - 17
0.0031	- 0.34309 - 32	- 8.090 O	- 6 878 - 3	- 15.854 - 18	10.0	0.0030	0.32874 - 30	+ 2.781 0	- 6.590 3	15 191 17
								الاست	1	

Die Zahlen der zweiten Subcolumnen sind mit  $t = \frac{t_o - 1900}{100}$  zu multiplieiren, und sind in Einheiten der letzten Decimale setzt.

Tafel Kd.

					Toto		Ψ.				
47	<b>E</b> II	$A_{\Pi}$	$B_{ m II}$ Gain $G_{ m II}$	$(g\cos G)_{\Pi}$	f _{II}	Arg.	$E_{\mathrm{II}}$	A _{II}	$B_{ m II}$ (g sin $G_{ m II}$	(g cos G) _{II}	fn
30.0	— ofcogo	0.32874 30	+ 2"781 0	-6"590 - 3	— 15"191 — 17	35.0	ofcosó	— o.s8152 — a6	+ 5"401,+ 1	-54644 - 3	13°009
30.1	0.0030	— 0.39811 — 30	+ 2.837 0	— 6.578 — 3	- 15.162 - 17	35.1	— o.coz6	o.28026 26	+ 5-449 + 2	- 5.619 - 3	12.951
30.2	0.0030	- 0.32747 - 30	+ 2.892 0			35.9	— o.cosó	— 0.27900 — 25	+ 5-497 + z	- 5 <b>593</b> - 3	— zz <b>.l</b> 93
30.3	- 0,0030	— 0.3 <b>s68</b> z — 30	+ 2.948 0	-6.552 - 3	15.102 17	35.3	0,0025	- 0.27772 - 25.	+ 5.544 + 1	— <b>5 567</b> — 3	— 12 <b>.63</b> 4
30.4	0.0030	— 0.396х4 — 30	+ 3.004 0	— 6.538 — 3	— 15.071 — 17	35-4	0.0025	0.27643 25	+ 5.591 + 1	- 5.542 - 3	— <b>12.774</b>
30.5	<b>— 0.0030</b>	- 0.38546 - 30	+ 3.059 0	— 6.525 — 3	- 15.040 - 17	35.5	- 0.0025	- 0.27512 - 25.	+ 5.639 + z	- 5.515 - 3	12.7L4
30.6	- 0.0030	— 0.32476 — 30	+ 3.114 0	- 6.511 - 3	- 15.007 - 17	35.6	- o.cos5	- 0 27381 - 25	+ 5.685 + 1	- 5.489 - 3	12.6 <u>5</u> 3
30.7	0,0030	— o.32406 — 30	+ 3.169 0		— 14.975 — 17	35-7	0,0025	- 0.27248 - 25	+ 5.732 + 2	5.46e 3	I2 598
30 8	0.0030 0.0030	0.000	+ 3.224 0		— 14.941 — 17	35.8	- o.co25	- 0.27II5 - 25	+ 5.779 + z	— 5.436 — 3	— I 2.530
30.9	- 0.0039	0.32259 30	+ 3.279 0	— 6.467 — 3	— 14.907 — 17	35.9	- o.oo25	— 0. <b>2698</b> 0 — 25	+ 5.885 + 1	- 5·409 - 3	12.4 <b>6</b> 1
31.0	0.0029	- 0.32184 - sg	+ 3.334 0	- 6.452 - 3	- 14.873 - 17	36.0	— o.cos5	- 0.86844 - 24	+ 5.872 + 2	5.381 3	I2.405
31.1	- 0.0039	— 0.32108 — e9	+ 3.389 0		- 14.837 - 17	36.1	- 0.0024	- 0.26707 - 24	+ 5.916 + 1	- 5·354 - 3	12.3¢
31.2	0.0029	0.32031 29	+ 3.443 0	6.491 3	— 14.802 — 17	36.2	0.0024	— o.26569 — 24	+ 5.962 + 1	- 5.326 - 3	z <b>z.zyl</b>
31.3	- 0.0099	— 0.31952 — 29	+ 3.498 0	, , , ,	- 14.765 - 16	36.3	- 0.0024	— 0. <b>26430</b> — 24	+ 6.007 + 1	- 5 <b>298</b> - 3	I2.21)
31-4	— 0.00 <del>2</del> 9	— 0.3187s — s9	+ 3.552 0	— 6.389 — 3	— 14.728 — 16	36.4	0.0024	— 0. <b>2629</b> 0 — 24.	+ 6.052 + 1	- 5.27° - 3	13.IØ
31.5	— o.oo2g	- 0.31790 - sq	+ 3.606 o	- 6.373 - 3	— 14.691 — 16	36.5	- 0.0024	- 0.26z48 - 94	+6.997 + z	- 5-242 - 3	12.0f3
31.6	<b>—</b> 0.0029	- 0.31708 - sg	+ 3.660 a		— 14.65a — 16	36.6	- 0.0084	- o.a6006 s4	+ 6. 141 + 1	- 5.213 - a	I2,017
31.7	0.0039	- 0.32624 - 29	+ 3.714 0		- 14.614 - 16	36.7	- 0.0024	- a.a586a - a4.	+ 6.186 + 1	- 5.185 - a	II.951
31.8	— o.coso		+ 3.768 0		— 14.574 — 16	36.8	— o.cos4	— 0.25718 — #3	+ 6.230 + 1.	— 5.156 <u>— 2</u>	II. <b>#4</b>
31.9	— o.oosg	-0.31452 - 29 _.	+ 3.822 0	— 6.305 — 3	— 14.534 — 16	36.9	— 0,0023	— o.25572 — #3	+ 6.274 + I	- 5.126 2	II. <b>8</b> 17
39.0	o.co29	- 0.31364 - sg	+ 3.875 Q	- 6,288 _{- 3}	- 14.494 - 16	3.50	- 0.0023	- 0.25425 - 23	+ 6.317 + 1	- 5.097 - s	11.749
39.1	0.0099	- 0.31875 - 29	+ 3.998 0	. , ,	- 14.459 - 16	37.¤	- 0.00e3	- 0.25277 - 23	+ 6.360 + 1	- 5.067 - g	11.6A1
32.2	0.0029	- 0.31185 - sg	+ 3.982 0		- 14.411 - 16	37.2	- 0,0023	- 0.25129 - \$3	+ 6.403 + z	5.038 ₂	11,619
32.3	- 0.0028	- 0.31e93 - s8	+ 4.035 0	- 6.233 - 3	- 14.368 - 16	37-3	- 0.0023	- 0.24979 - 23	+ 6.446 + z	5.008 2	— I L.543
32.4	— o.oo28	- 0.3zeop - 28	+4.087 0	- 6.215 - 3	— 14.325 — 16	37-4	- 0.0023	— 0.24828 — 93	+ 6.489 + z	— 4-977  — s	— IL473
32.5	o.cos8										
32.6	— o.oos8	— o 30906 — 28 — o.30811 — 28	+ 4.140 0 + 4.193 0	1	- 14.238 - 16	37.5	- 0.0023 - 0.0022	— 0.24676 — 22 — 0.24523 — 22	+ 6.531 + 1 + 6.573 + 1	- 4.947 - 2 ²	— 11.403 — 11.338
39.7	0.0028	- 0.30714 - 28	+ 4.245 0	] ,,,,	- 14.193 - 16	37.6 37.7	- 0.0022	- 0.24369 - 22	+ 6.615 + 1	_ 4.88 ₅ _ e	11.351
39.8	0.0028	0.306z6 28	+ 4.997 0		- 14.148 - 16	37.8	0.0022	- 0.24214 22	+ 6.657 + 1	- 4.854 - z	11.1 <b>9</b> 0
32.9	o.cos8	— 0.30517 — 28	+ 4.349 0	- 6.118 - 3	- 14.102 - 16	37.9	0.0082	- o.24058 22	+ 6.698 + 1	- 4.823 2	11.118
33.0	- o.oos8	_ 0 -0.16 _ 08				۔ م			+ 6 220		
33.T	- 0.0028	— 0.30416 — 28 — 0.30315 — 28	+ 4.401 0 + 4.453 0	. , ,	- 14.056 - 16 - 14.009 - 16	36.0 36.1	0.0022 0.0022	- 0.93901 - 92 - 0.93743 - 92	+ 6.739 + 1 + 6.780 + 1	- 4-798 - 2 - 4-760 - 2	— 11.045 — 10.973
33.2	- 0.0028	9-9-0	+ 4.505 0		- 13.961 - 16	38.2	- 0.0022	- 0.23585 - 21	+ 6.820 + 1	- 4.728 - 2	10.899
33.3	0.0028		+ 4.556 0		- 13.913 - 15	38.3	- 0.0021	- 0.23425 21	+ 6.860 + 1	- 4.696 - 2	10.825
33-4	0.0027	— 0.30002 — 27	+4.607 0	— 6.o15 — 3	- 13.864 - 15	38.4	- 0.0031	- 0.23264 - 21	+ 6.900 + 1	_ 4.664 _ 2	10.75¢
۱	L		امرا			٠. ا					
33.5 33.6	- 0.0027 - 0.0027		+ 4.658 0 + 4.709 + 1	1 2 22 2	- 13.815 - 15	38.5	- 0.002I	- 0.23102 - 21	+ 6.940 + 1	- 4.631 - 2	- 10.67t
33.0	- 0.0027		+ 4.709 + 1 + 4.760 + 1	- 5.972 - 3 - 5.950 - 3	- 13.765 - 15 - 13.715 - 15	38.6 38.7	- 0.0021 - 0.0021	- 0.22939 - 21 - 0.22775 - 21	+ 6.979 + 1 + 7.018 + 1	- 4.599 - 2 - 4.566 - 2	— 10.600 — 10.52!
33.8	- 0.0027		+ 4.810 + 1	- 5.928 - 3	- 13.664 - 15	38.8	- 0.0021	- 0.22611 - 21	+ 7.057 + 1	-4.533 - 2	- 10.44
33.9	- 0.0027	, ,	+ 4.860 + 1	- 5.905 - 3		38.9	- 0.0021	- 0.22445 - 20	+ 7.096 + 1	- 4.500 - 2	<b>— 10.37</b> :
1	l .		1.			Ì					
34.0	- 0.0027		+ 4.911 + 1		1		- 0.0020	•		- 4.466 2	-
34.1	0.0027 0.0027	, , ,	+ 4.961 + 1			39.1	- 0,0030 - 0'0030		+ 7.172 + 1 + 7.209 + 1	- 4.432 - 2	- 10.21
34.3	0.0027	1 7 7 1		- 5.814 - 3		39.2 39·3	- 0.0030	- 0.21942 - 20 - 0.21773 - 20	+ 7.247 + 1	- 4.399 - 2 - 4.365 - 2	— 10.14 — 10.06
34-4	0.0026			- 5.790 - 3			0,0020	- 0.21603 - 20			_
ł	l	i		1							[
34.5		- 0.28763 - 26					- 0.0020	— 0.21431 — 19		- 4.296 - 2	9.90
34.6		- 0.28643 - 26					- 0.0019			-4.262 - 2	
34.7 34.8	— 0.0026 — 0.0026			- 5.718 - 3 - 5.693 - 3	— 13.180 — 15	11	- 0.0019	- 0.21087 - 19		- 4.227 - 2	9.74
34.9	- 0.0026	• • •		- 5.093 - 3 - 5.669 - 3	- 1 -	39.8 39.9	— 0.0019	— 0.20913!— 19 — 0.20738!— 19		- 4.192 - 2 - 4.157 - 2	— 9.66 — 9.58
35.0	- 0.0026					40.0	— 0.0019			-4.128 - 2	— 9.54 — 9.54
			1	1 ' " '		L	,				

Die Zahlen der zweiten Subcolumnen sind mit  $t = \frac{t_o - 1900}{100}$  zu multipliciren, und sind in Einheiten der letzten De angesetzt.

Tafel X d.

	E _{II}	An	B _{II} g sin G _{II}	y con G II	fit	Arg.	$E_{11}$	An	B ₁₁	g cos G. (1)	$f_{11}$
0.0	050010	- 0 20562 - 19	+7"501 +1	- 4 ^N 122 ₁ 2	-9"502 - 11	45-0	- 040010	- 0 10847 10	+ 8"858 + 1	- 2"174 - 1	- 5"a12 6
lo.r	- 0 0019	D 10386 - 18	+ 7 536 + 1	4 087 - 3	- 9 420 10	45 (	0.0010	- 0 10617 10	+ 8 876 + :	- 2132 1	- 4 916 - 5
0.4	0.0018	- 0.20209 18	+ 2 570 + 1	- 4 D5T 2	- 9 338 - 10	45.2	0.0010	0 10428 - 9	+ 8 894 + 1	- 7.09L - E	- 4 819 5
0.3	- U.0018		+ 7 605 + 1	-4015 2	- g.256 - 10	45.3	- 0.0000	0.10217 — 9	+ 8 922 + 1	1 - 840.t	4 721 5
DØ	- 0.0018	- 0.19851 - 18	+ 7 639 + 1	- 3 980 - 3	9 173 10	45-4	- 0 0000	- 0,10006' 9	+ 8.939 + 2	- 2 006 - 1	4 624 5
3.9	o ont8	o. 19671 — 18	+ 7 679 + 1	- 3 944 - 2	9 090 10	65.5	- 0 0009	- 0.09795 - 9	+8946+1	- t.964 L	- 4 526 - 5
1,6	- o.cer8	- 0 19491 18		- 3.907 - 2	- g opy so	45 6	0.0000	0.09583	+ 8 963 + 1	- r.ger 1	- 4 420 - 5
1.0	- 0.0018	- o tg300 17	+ 7 772 + 1	3,834 2	8 923 10	45.7	0.0008 n.0009	09371 8	+8979 +1	- 1 87Q1 1	4 332 5
1.9	0.0017	0. tq127 - 17 - 0 18948 17	+ 7 805 + 1	3,834 2	8.849 to	45.8	- p.coo8	- 0.08946 B	+ 9.011 + 1	- 1 836 I	4 134 - 5
					0.714						
.0	-0.0017	- 0.18760 - 17		3 761 - 2	- 8 669 - to	46.0	8000.0	- 0.08733 - 8	+9.006+1	2 75x r	4 036 4
.1	- 0 0017	- 0.18576 - 17	+ 7 869 + 1	- 3 724 2 - 3,687 2	8 584 9	46.1	8000 n ~~ 1	- 0.08300 - 8	+ 4 055 + 1	- 1.665 - 1	- 3 937 - 4 - 3 8 8 - 4
-3	1 0017	0 (8204 16	+ 7 039 + 1	3.649 - 2	8 498 3	46 3	- 0 anot	0.08091 7	+ 9.069 + 1	- 1 622 1	3 739 4
-0	0 0016	- p 18017 - 16	+ 7 963 + 1	3.612 2	-8 326 - 9	абла	0.0007	0.07877 - 7	+ 0 083 + :	1 570 - t	- 3.640) 4
-5	- o coró	0.17641 16	+ 7.994 + 1 + 8 024 + 1	3 536 - 3	8.152 9	46 5	0.0007	- 0.07662 7 - 0.07446 7	+ 9.006 + 1 + 9.109 + 1	- r 493 1	3.441 4
:.7	~ 0 0016		+ Biesa(+ I	- 3 498 - 2	8.152 9	16 7	- 0 0007	~ 0.07237 - 7	+ 9.122 + 1	1 450 1	3.347 4
8.1	0.0016		+ 8 084 + 1	- 3.460 - 2	- 7 977 - 9	46.8	0,0006	0 07015 6	+9 134 + r	- 1 406 - T	- 1 242 -4
E.9	- 0.0016	- 0.17072 - 15	+ 8 113 4 t	- 3 422 7	^ 7 88g g	46.9	C 0006	— a.a6799 6	+9 146 + 1	— r 363 1	- 1 747 3
3.0	0.0013	- p. 16880 - 15	+8143+1	- 3.384 - 2	- 7800 - 3	47.0	- 6 ana6	0.06589 6	+ 9.157 + r	- 1 320 - 1	7 047 3
B.2	0.0015	- 0.16689 - 15	+8 171 +1	- 1345 2	7 700 - 9	47 T	— c. cooô		+ 9.168 + 1	1 276 1	3 942 3
0.2	- 0 0015	- 0 16 496 15	+8 200 +1	- 3 307 - 2	7 623 R 1	47.2	0.0006	о сбтар — 6	+9 179 + 1	1 733 - 1	2.842 - 3
54.3	- 0.0013	0 16302 15	+ 8 228 + 1	1 268 2	7 533 8	47 3	0.0002	0.05931 - 5	+9 (89 + 1	— 1 189 I	- 2 742 3
HL.4	-0.0015	-0 16106 - 15	+ 8 256 + 1	3 229 3	7 444 8	47-4	0.0005	0.05714 5	+9.199 + 1	- 1 145 - 1	- 1.540 - 3
m.5	- 0.0015	- 0.15913 - 14	+8 283 +1	~ 3 190 - 2	7 754 - 8	47.5	- 0,0005	0.05496 - 5	+ 9.209 + 1	7 503 - 1	- 2 540 3
51.6	0.0014	- 0 15718 14	+8310+1	3 858 1	- 7 267 8 ·	47 6	0.0005	005278 - 5	+9228+1	1,05B 1	2 439 3
E.7 2.8	0.0014	0 15521 14	+8 337 +1	4 112 1	7 171 8	47.7	0.0005	7,09060 5	+ 9 227 + 1	- 1.014 0	2 3,48 2
2.0	0 0014 0 0014	- 0.15375 - 14 - 0.15127 - 14	+ 8 389 + 1	3.033 1	7 o8a - 8.	47 8	~ 0.0004	- 0.04642 4	+9244+1	-0927 0	2 237 2
					,,-	17.					
1-0	0.0014	- 0.14929 - 14		1 00J ~ 1	6 Bog 8	480	Q.0004	0 044041 - 4	+9251+1	a.883 o	196
1.8	0.0613	- 0.14730 - 13 - 0.14531 - 13	+8 441 + 1	- 2 953 - 1 2 913 1	- 6 807 - 8 - 6 715 - 7	48 t	0,0004	0.041851 ~ 4	+ 9.250 + 1	- 0.839 o	
-3	0 0013	-0.14331 - 13	+ 8.490]+1	2 8731 - 1	-6622 - 2	48 3	-0.0003	- 0.03746, - 3	+9 272 + 1	0.751 0	- 1 73T P
-4	- 0 0013	0.14130 - 13		2 833 - 1	- 6 530 7	48 4	0.0003	- 0 035 27 3	+9279+1	- 0.707 0	- 1 637 2
										- 44- 0	
-5	~ 0 0013	- 0.13929 13 - 0.13728 12	+ 8 550 + 1	- 2 792 - 1	6 417 - 7 -6.344 - 7	48.5	F000.0	0 03307 3	+ 9 284 + 1	- 0.663 O	1 528 - 2
-7	0 0012	- 0 71925 - 12	+ 8 486 + 1	2 711, - 1	6.290 - 7	48 7	0 0003	e co286B 3	+ 9 295 + 1	- 0.575 0	
8	- 0.0n13	0 13323 - 12	+8 000 +1	11.671 t	6 250 7	48.8	- 0.0002	0.02647 3	+ 9 300 + r	-0511 0	1 J23 - 1
-9	- 0.00tg	- 0.13119 - 12	+ 8:632 + T	- x 630, - 1	- 6 o62 · 7	48.9	0.0003	— 0 02427 s	+9.304 + 1	- 0.487 0	-1 153 -1
1.0	0 0011	-0.12915 - 12	+8654+1	- 2 3891 - 1	4 968 - 7	49 0	0.0002	0.02207 2	+ 9.308 + 1	0 442 0	- 1 020 = E
4.1		- 0.12711 11	+ 8 676 + 1	- 2 548 - 1	- 5.874 - 6	417 1	- 0.0002	- 0.010B7 2	+ 9.312 + 1	— 0.398 o	-0918 1
4.2	0 0011	- 0.12506 - 11		2 507 - 1	5 779 - 6	41)-2	- 0.0000	- 0.02766 2	+ 9 315 + 1	- 0.354 0	o-8s6 — s
4-4	- 0 0011	- 0.12004 11	+ 8,719 + 1	- 3 434 - 1	5 684 6 5 580, 6 1	49-3	0.0001	- 0.01346 - 1	+ 9 3:8 + 1	- 0.310 O	- 0.610 - 1
7	0.0011	0.12094 11	1 0 /40 4 1		3 300	44.4	0,000		1 1/ 3000 1 1	U. I. C.	0,0
4-5	0.0011	0 21887 - 11	+ 8 760 + 1	- 2 383 T	- 5 493 - 6	49.5	- 0 0001	- 0.01104, 1	+ 9 322 + 1	0,221	- 0.570 - t
4.6	- 0.0013	— a 1768a 11		7 342 - 1	- 5 398 - 6	19.6	1000,0	- 0,00884 - 1	+ 0 354 + 1	0 177 0	
4.7	- 0.0010		+ 8 800 + 1	2 300 1 - 3.358 - 1	5 705 6	49.7 49.8	0.0000	- 0.00663 - 1	+ 9 325 + 1	0.133 O	
4.9	- 0.0010		+ 8 830 + 1	- 2 216 - 1	5 200, 6	49.0	0.0000	0 00221 0	+ 9.327 + 1	-0.044 0	- 0 103 0
5.0	0 0010	- 0.10847 10	+ 8 858 + 1	-2174 - 1	-501- 6	50.0	0,0000	0.00001 0	+ 9.327 + 1	0.000 0	
		1				<u> </u>					

Die Zahlen der zweiten Subcolumnen sind mit  $t = \frac{t_u - 1900}{100}$  zu multipliciren, und sind in Einheiten der letzten Decimale gesetzt.

Tafel Xd.

					1 010	- —					
Arg.	$\mathcal{E}_{\Pi}$	A _{II}	$egin{array}{c} B_{\Pi} \ (g \sin G)_{\Pi} \end{array}$	$(g\cos G)_{\rm II}$	fп	Arg.	$E_{\Pi}$	$A_{\Pi}$	$B_{ m II}$ (g sin $G$ ) $_{ m II}$	$(g\cos G)_{\Pi}$	fп
50.0	040000	o 10000.0 —	+ 9"327 + 1	o"ooo o	o"ooo o	55.0	+ 0=0010	+ 0.10846 + 10	+ 8°858 + z	+ 8"174 + 1	+ 5°025 +
50.I	0,0000	+ 0.00330 0	+ 9.327 + I	+0.044 0	+ 0.102 0	55.1	+ 0.0010	+ 0.11055 + 10	+ 8.839 + r	+ 8.216 + 1	+ 5.208+
50.2	0.0000	+ 0.00441 0	+ 9.326 + 1	+ 0.088 0	+ 0.204 0	55.2	+ 0.0010	+ 0.11263 + 10	+ 8.820 + 1	+ 2.258 + 2	+ 5-205 +
50.3	+ 0.0001	+ 0.00662 + 1	+ 9·3°5 + =	+ 0.133 0	+ 0.306 0	55-3	+ 0.0010	+ 0.11471 + 10	+ 8.800 + z	+ 2.300 + 2	+ 5 301 +
50.4	+ 0.000z	+ 0.00882 + I	+ 9.324 + I	+ 0.177 0	+ 0.408 0	55-4	+ 0.0011	+ 0.11679 + 11	+ 8.780 + I	+ 2.341 + 1	+ 5-397 +
50.5	+ 0.0001	+ 0.01103 + 1	+ 9.322 + 1	+ 0.221 0	+ 0.510 + 1	55-5	+ 0.0011	+ 0.11886 + 11	+ 8.760 + 1	+ 2.383 + 1	+ 5-493 +
50.6	+ 0.0001	+ 0.01324 + 1	+ 9.320 + z	+ 0.265 0	+ 0.612 + 1	55.6	+ 0.0011	+ 0.19093 + 11	+ 8.740 + 1	+ 2.424 + 1	+ 5.588+
50.7	+ 0.0001	+0.01544 + 1	+ 9.318 + 1	+ 0.310 0	+ 0.714 + 1	55.7	+ 0.0011	+ 0.12299 + 11	+ 8.719 + 1	+ 2.466 + 1	+ 5.683 +
50.8	+ 0.0003	+0.01765 + 2	+ 9.315 + z	+ 0.354 0	+ 0.816 + 1	55.8	+ 0.0011	+ 0.12504 + 11	+ 8.697 + I	+ 2.507 + 1	+ 5-776+
50.9	+ 0.0002	+ 0.01985 + 2	+ 9.312 + 1	+ 0.398 0	+ 0.917 + 1	55.9	+ 0.0018	+ 0.12709 + 11	+ 8.676 + z	+ 2-548 + z	+ 5.873+
51.0	+ 0.0002	+ 0.02206 + 2	+ 9.308 + 1	+ 0.442	+ 1.019 + 1	56.0	+ 0.0012	+ 0.12914 + 12	+ 8.654 + I	+ 2.589 + 1	+ 5.968+
52.3	+ 0:0002	+ 0.02426 + 2	+ 9.304 + 1	+0.486 0	+ 1.121 + 1	56.1	+ 0.0018	+ 0.13118 + 12	+ 8.632 + 1	+ 2.630 + 1	+ 6.06e+
51.2	+ 0.0002	+ 0.02646 + 2	+ 9.300 + 1	+ 0.530 0	+ 1.223 + 1	56.2	+ 0.0012	+ 0.13321 + 12	+ 8.609 + z	+ 2.671 + 1	+ 6.156+
51.3	+ 0.0003	+ 0.02866 + 3	+ 9.295 + 1	+ c.575 o	+ 1.325 + 1	56.3	+ 0.0013	+ 0.13524 + 12	+ 8.586 + I	+ 2.722 + 2	+ 6.250+
51.4	+ 0.0003	+ 0.03086 + 3	+ 9.290 + 1	+ 0.619 0	+ 1.426 + 2	56.4	+ 0.0013	+ 0.13727 + 12	+ 8.563 + 1	+ 2.752 + z	+ 6.343+
51.5	+ 0.0003	+ 0.03306 + 3	+ 9.284 + 1	+ 0.663 a	+ 1.528 + 2	56.5	+ 0.0013	+ 0.13928 + 13	+ 8.539 + 1	+ 2.792 + z	+6436+
51.6	+ 0.0003	+ 0.03526 + 3	+ 9.279 + 1	+0.707 0	+ 1.629 + 2	56.6	+ 0.0013	+ 0.14129 + 13	+ 8.515 + 1	+ 2.832 + 1	+ 6.529 +
51.7	+ 0.0003	+ 0.03745 + 3	+ 9.272 + 1	+ 0.751 0	+ 1.731 + 2	56.7	+ 0.0013	+ 0.14330 + 13	+ 8.490 + 1	+ 2.873 + 2	+ 6.6es +
5x.8	+ 0.0004	+ 0.03965 + 4	+9.266 + I	+ 0.795 0	+ 1.832 + 2	56.8	+ 0.0013	+ 0.14530 + 13	+ 8.466 + z	+ 2-913 + 1	+ 6.74+
51.9	+ 0.0004	+0.04184 + 4	+ 9.259 + 1	+ 0.839 0	+ 1.933 + 2	56.9	+ 0.0013	+0.14729 + 13	+ 8.441 + 1	+ 2-953 + 1	+ 6.806 +
52.0	+ 0.0004	+ 0.04403 + 4	+ 9.251 + 1	+ 0.883	+ 2.035 + 2	57.0	+ 0.0014	+ 0.14928 + 14	+ 8.415 + 1	+ 2.993 + z	+6.898+
59.z	+ 0,0004	+ 0.04622 + 4	+ 9.244 + 1	+ 0.927 0	+ 2.136 + 2	57.1	+ 0.0014	+ 0.15126 + 14	+ 8.389 + 1	+ 3.032 + 2	+ 6.990+
52.2	+ 0.0004	+ 0.04840 + 4	+ 9.236 + 1	+ 0.970 0	+ 2.237 + 2	57.2	+ 0.0014	+ 0.15324 + 14	+ 8.363 + 1	+ 3.072 + z	+ 7.081 +
59.3	+ 0.0005	+ 0.05059 + 5	+ 9.227 + z	+ 1.014 0	+ 2.338 + 2	57-3	+ 0.0014	+ 0.15520 + 14	+ 8.337 + 1	+ 3-242 + 2	+7.172+
52.4	+ 0.0005	+ 0.05277 + 5	+ 9.228 + 1	+ 1.058 + 1	+ 2.438 + 3	57-4	+ 0.0014	+ 0.15717 + 14	+ 8.310 + 1	+ 3-151 + 1	+ 7-263 +
52.5	+ 0.0005	+ 0.05495 + 5	+ 9.209 + 1	+ 1.102 + 1	+ 2.539 + 3	57.5	+ 0.0015	+ 0.15912 + 14	+ 8.083 + z	+ 3.190 + 2	+ 7-353 +
52.6	+ 0.0005	+ 0.05713 + 5	+ 9.199 + 1	+ 1.145 + 1	+ 2.640 + 3	57.6	+ 0.0015	+ 0.16107 + 15	+ 8.256 + 1	+ 3.239 + 2	+ 7-443 +
52.7	+ 0.0005	+ 0.05930 + 5	+ 9.189 + 1	+ 1.189 + 1	+ 2.740 + 3	57.7	+ 0.0015	+ 0.16301 + 15	+ 8.228 + 1	+ 3.268 + 2	+ 7.533 +
52.8	+ 0.0006	+0.06147 + 6	+ 9.179 + 1	+ 1.232 + I	+ 2.841 + 3	57.8	+ 0.0015	+ 0.16495 + 15	+ 8.200 + I	+ 3.307 + 2	+ 7.6ea +
52.9	+ 0.0006	+ 0.06365 + 6	+ 9.168 + 1	+ 1.276 + 1	+ 2.941 + 3	57.9	+ 0.0015	+ 0.16687 + 15	+ 8.171 + 1	+ 3-345 + =	+ 7.711+
53.0	+ 0,0006	+0.06581 + 6	+ 9.157 + 1	+ 1.319 + 1	+ 3.041 + 3	58.0	+ 0.0015	+ 0.16879 + 15	+ 8.143 + 1	+ 3.384 + =	+ 7.800 +
53.1	+ 0.0006	+ 0.06798 + 6	+ 9.146 + 1	+ 1.363 + 1	+ 3.141 + 3	58.1	+ 0.0016	+ 0.17071 + 15	+ 8.113 + 1	+ 3.422 + 2	+ 7.888 +
53.2	+ 0.0006	+0.07014+ 6	+ 9.134 + 1	+ 1.406 + 1	+ 3.241 + 4	58.2	+ 0.0016	+ 0.17261 + 16	+ 8.084 + I	+ 3.460 + 2	+ 7.976+
53-3	+ 0.0007	+ 0.07230 + 7	+ 9.122 + 1	+ 1.449 + 1	+ 3.341 + 4	58.3	+ 0.0016	+ 0.17451 + 16 + 0.17640 + 16	+ 8.054 + 1 + 8.024 + 1	+ 3.498 + s + 3.536 + s	+ 8.152+
53.4	,,	+ 0.07445 + 7	+ 9.109 + 1	+ 1.493 + 1	+ 3.44z + 4	58.4	7 0.0010	T 0.17040 T 10	7 0.024	T 3.530 7 2	7 5.1.35
53.5	+ 0.0007	+ 0.07661 + 7	+ 9.096 + 1	+ 1.536 + 1	+ 3.540 + 4	58.5	+ 0.0016	+ 0.17829 + 16	+ 7.994 + 1	+ 3-574 + =	+ 8.239+
53.6	+ 0.0007	+ 0.07876 + 7	+ 9.083 + 1	+ 1.579 + 1	+ 3.639 + 4	58.6	+ 0.0016	+ 0.18016 + 16	+ 7.963 + 1	+ 3.612 + 2	+ 8.325 +
53.7	+ 0.0007	+ 0.08090 + 7	+ 9.069 + 1	+ 1.622 + 1	+ 3.738 + 4	58.7	+ 0.0017	+ 0.18203 + 16	+ 7.932 + 1	+ 3.649 + 2	+ 8.412+
53.8	+ 0.0008	+ 0.08304 + 8	+ 9.055 + 1	+ 1.665 + 1	+ 3.837 + 4	58.8	+ 0.0017	+ 0.18389 + 17	+ 7.901 + 1	+ 3.686 + 2	+ 8.498 + + 8.583 +
53.9	, 5.000	+ 0.08518 + 8	+ 9.040 + 1	+ 1.708 + 1	+ 3.936 + 4	58.9	+ 0.0017	+ 0.18575 + 17	+ 7.869 + 1	+ 3.724 + 2	T   C"C"
54.0	+ 0.0008	+ 0.08732 + 8	+ 9.026 + 1	+ 1.751 + 1	+ 4.035 + 4	59.0	+ 0.0017	+ 0.18759 + 17	+ 7.837 + 1	+ 3.761 + 2	+ 8.669+
54.7	+ 0.0008	+ 0.08945 + 8	+ 9.011 + 1	+ 1.793 + 1	+ 4.133 + 5	59.1		+ 0.18943 + 17	+ 7.805 + 1		
54.2	+ 0.0008	+ 0.09158 + 8	+ 8.995 + 1	+ 1.836 + 1	+ 4.232 + 5	59.2	+0.0017		+ 7.772 + I	+ 3.834 + 2	+ 8 838 +
54-3	+ 0.0009	+ 0.09370 + 8 + 0.09582 + 9	+ 8.979 + 1	+ 1.878 + 1	+ 4.330, + 5	59.3	+ 0.0018	+ 0.19308 + 17	+ 7.739 + 1	+ 3.871 + 2	+ 8.922+
54-4	7 5.0009	T 0.09502 T 9	+ 8.963 + 1	T 1.921 T 1	+ 4.428 + 5	59.4	+ 0,0018	+ 0.19490 + 18	+ 7.706 + 1	+ 3.907 + 2	T 9.000 T
54-5	+ 0.0009	+ 0.09794 + 9	+ 8.946 + 1	+ 1.963 + 1	+ 4.526 + 5	59-5	8100.0 +	+ 0.19670 + 18	+ 7.673 + 1	+ 3.943 + =	+ 9.090+
54.6	+ 0.0009	+ 0.10005 + 9	+ 8.929 + 1	+ 2.006 + 1	+ 4.623 + 5	59.6	+ 0.0018	+ 0.19850 + 18	+ 7.639 + 1	+ 3.980 + 2	+ 9.173+
54-7	+ 0.0009	+0.10216 + 9	+ 8.912 + 1	+ 2.048 + 1	+ 4.721 + 5	59.7	+ 0.0018	+ 0.20029 + 18	+ 7 605 + 1	+ 4.015 + 2	+ 9.256+
54.8	+ 0.0010	+ 0.10426 + 9	+ 8.894 + 1	+ 2.090 + 1	+ 4.818 + 5	59.8	+ 0.0018	+ 0.20208 + 18	+ 7.570 + I	+ 4.051 + 2	+ 9.338 +
54.9 55.0	+ 0.0010	+ 0.10636 + 10 + 0.10846 + 10	+ 8.876 + 1 + 8.858 + 1	+ 2.132 + 1 + 2.174 + 1	+ 4.915 + 5 + 5.012;+ 6	59.9 60.0	+ 0.0019	+ 0.20385 + 18 + 0.20561 + 19	+ 7.536 + 1 + 7.501 + 1	+ 4.087 + 8	+ 9.420+
	, , 5.50.0	, 5.1.5545	1 -1-30 = 1	/•	, 3.5.5	30.5	1	• 5,25302  + 19	1 7.301 7	, ,,,,,,,,,,,,,,,,,,,,,,,,,,,,,,,,,,,,,	T   3.300 T
-											

Die Zahlen der sweiten Subcolumnen sind mit  $t = \frac{t_0 - 1900}{100}$  su multipliciren, und sind in Einheiten der letsten Decimangesetzt.

Tafel Xd.

_						b .					
T.	$E_{11}$	$A_{\rm II}$	$g \sin G)_{\mathfrak{U}}$	$g\cos G^{\prime}_{\ \Pi}$	£11	Arg	$E_{11}$	A ₁₁	$g \sin G_{11}$	g cos O II	f _{II}
0.0	+ o*corg	+ 0.30561 + 19	+ 7 501 + 1	+4"112 + 2	+ 9"500 + 11	65.0	+ 040036	+ 0.28151 + 26	+ 5 401 + 1	+ 5"644 + 3	+ 13 000 + 14
Out	+ 0.0019		+ 7 465 + 1		+ 9.583 + 11	65.1	+ 0.0026		+ 5 353 + 1		+ 1,066 + 15
0.2	+ 9.0019		+ 7 429 + 1 + 7 393 + 1		+ 9 603 + 11	69.2	+ 0.0026	+ 0.28399 + 26	+ 5 305 + 1		+ 11 127 + 15
io.4	+ 0.0019	+ 0.21258 + 19	+ 7 357 + 1		+ 9.744 + 11	65.3	+ 0.0026		+ 5 207 + 1		+ 13 180 + 15
30.5	± 0 0030	+ 0,21430 + 19	+ 7.325 + 1		+ 9 903 + 11	65 5		+ 0.28763 + 26	+ 5 2 4 8 + 1		+ 13 291 + 15
lo.6	+ 0.0020	+ 6 21772 + 20	+ 7.184 + 1		+ 9 982 + 11	63.6		+ 0 28881 + 26	+ 5 000 + 1		+ 13 146 + 15
50.7 50.8	+ 0.0020		+ 7 200 + t		+ 10.139 + 11	65.8		+ 0 29115 + 97	+ 5010 + 1		+ 13 454 + 15
Bo.9	+ 0.0020	+ 0.27110 + 20	+ 7.172 + 1		+ 10.217 + 11	659		+ 0.29230 + 27	+ 4 960 + 1		+ 13 507 + 15
										4 . 70	1
61.0	+ 0 00x20	+ 0.22277 + 20	+ 7 134 + 1 + 7 006 + 1		+ 10.295 + 11	66.a	+ 0.0027		+ 4,860, + 1		+ 13 560 + 15
62.3	+ 0.0031	+ 0 22610 + 21	+ 7 057 + 1		+ 10.448 + 11	60 2	+ 0.0027	1.00	+ 4,810, + 1		+ 13 664 + 15
61.3	+ 0.0031	+ 0.22774 + 27	+ 7 318 + 1		+ 13 524 + 12	66 3	+ 0,0027		+ 4.760 0		+ 11 714 + 15
6E 4	+ 0 0051	+ 0,21938 + 21	+ 6 979 + 1	+ 4 398 + 2	+ 10.600 + 12	66 4	+ 0.0027	+-0.29787 + 27	+ 4 700 0	+ 5 971 + 3	+ 13 765 + 15
		+ 0.23101 + 21	<b>*</b> 6 ata <b>*</b> .	4 1 671 4 0	+ 10.675 + 12	1 44 .	± a meas	+ 0.29895, + 27	5 1 6 FR 0	1 E 007 + 5	+ 13.815 + 15
61 5 61.6	+ 0,0021 + 0,0021	+ 0.27263 + 31	+ 6.900 + 1		+ 10.750 + 12	66 5 66 6	+ 0,0027		+ 4.607 0		+ 13 864 + 15
61 7	+ 0.0021	+ 0.23424 + 21	+ 6.860 + 1		+ 10.834 + 12	66 7	+ 0.0028				+ 1) 741 + 15
6x.8	+ 0.0022		+ 6.820 + t		+ 10.898 + 12	66 8	+ 0 0028				+ 13.961 + 26
<b>6</b> 1.9	+ 0.0022	+ 0.23743 + 22	+ 6.780 + 1	+ 4.760 + 2	+ 10.972 + 13	66.9	+ 0.0028	+ 0.30314 + 28	+ 4 453 0	+ 0.077 + 3	t 14 008 + 16
600	+ 0 0077	+ 0.23901 + 22	+ 6.739 + 1	+ 4 701 + 2	+ 11 045 + 32	67.0	+ 0,0028	+ 0.30416 + 28	+ 4 402 D	+ 6.007 + 3	+ 14 055 + 16
6e. z	+ 0.0022		+ 6 698 + 1		+ 11 117 + 12	67.1	+ 0 0028		+ 4.340 0	+0128+3	+ 14 102 + 16
62.0	+ 0.0022	+ 0.24214 + 22	+ 6.657 + 1		+ 27 189 + 12	67 2	4. 0 005g		+ 4.297. 0	+ 0.137 + 3	+ 14 148 + 16
64.3	+ 0.0022	+ 0.24368 + 23	+ 6.615 + 1		+ 11 361 + 12	67 3	+ 0.0028		+ 4 245 0		+ 14 193 + 16
64.4	+ 0.0022	+ 0.24522 + 22	+ 6.573 + 1	+ 4.910 T =	+ 11.332 + 13	67.4	+ 0 0038	+ 0.30810 + 28	+ 4.193	T 0.170 T 3	+ 14 238 + 16
60.5	+ 0.0023	+ 0 24675 + 22	+6531+;	+ 4.947 + 2	+ :1.403 + 13	675	+ 0,0028	+ 0.30906 + 28	+ 4,140 0	+ 6.296 + 3	+ 14 282 + 16
62.6	+ 0 0003	± 0.24827 ± 23	+ 6 489 + 1	+ 4 977 + 2	+ 11 423 + 13	676	+ 0.0028	+ 0.31000 + 28			+ 14 325 + 16
62.7	+ 0 0023		+6446 +1		+ 11 543 + 13	67.7	+ 0.0028				+ 14 368 + 16
62.8	+ 0.0023	+ 0.25298 + 23	+ 6 403 + 1		+ 11.622 + 13	67.9	+ 0.0020				+ 14.413 + 16
62.9	T 0.00x3	. 0,230// 1 -3	, . 355 4 1	7 3,007 1 -	,,,,,,,,,,,,,,,,,,,,,,,,,,,,,,,,,,,,,,,	01.9	,	377 4 29	, 3,9	,,.	
63.0	+ 0 0023		+ 6.317 + 1		+ 11 749 - 13	68 p	+ 6.0029	+ 0.31364 + 29			+ 14 493 + 16
63.1	+ 0,0023		+ 6.274 + 1		+ 11 817 + 13	68 t	+ 0.0029				+ 14 534 + 16
63.2	♣ 0.0034	+ 0.25861 + 24	+ 6.230 + 1		+ 11 351 + 13	68 a	+ 0.0039				+ 14 574 + 16
63.4	+ 0.0024 + 6.0024		+ 6.141 + 1		+ 12,017 + 13	68 4	+ 0,0029				+ 14 652 + 16
63-5	+ 0.0034		+ 6.007 + 1		+ 12.083 + 13	68 3		+ 0.31790 + 29	+ 3 606 0		+ 14 690 + 16
63.6	+ 0.0024	+ 0 26289 + 24	+ 6.007 + 1		+ 12 148 + 13 + 14	68 6	+ 0.0029	+ 0.41871 + 29			+ 14 738 + 16
63 7 63 8	+ 0,0024	+ 0.26568 + 24	+ 5.962 + I		+ 12 277 + 14	68 8	+ 0.0039		+ 3 443 0		+ 14 801 + 17
63.9	+ 0.0024	+ 0.26706 + 24	+ 5 916 + 1		+ 12,341 + 14	68 g	+ 0.5079	+ 0.32108 + 29		+ 6.437, + 3	+ 44 8 57 + 17
			4 - 9 - 1	1 - "8" 1		6		- A 20191		16 (50)	1 - 1 8 - 1
		+ 0 26843 + 24			+ 12.404 + 14			+ 0,32250 + 30			+ 14 872 + 17
64.3		+ 0 26979 + 25			+ 12 536 + 14			+ 0 32,32 + 30			+ 14 941 + 17
64.3					+ 12 501 + 14		+ 0 0030	+ 0 32405 + 30	+ 3.16g 0	+ 6.496 + 3	+ 14 974 + 17
64.4	+ 0 0025	+ 0,27380 + 25	+ 5 685 + 1		+ 12.053 + 14		+ 0.0030	+ 0.32476 + 30	+3114 °	+ 6.510 + 3	+ 15 007 + 17
		+	+ = 60.	4	+ 13 233 + 14	69.5	± 0.0070	+ 0.38545 + 30	+ 3.059 0	+6524 + 2	+ 15 039 + 17
54.6	+ 0.0025	+ 0.27512 + 25			+ 14.723 + 14			+ 0.32545 + 30			+ 15 039 + 17
64.7	+ 0.0025				+ 12 833 + 14	6.4.7		+ 0,39681 + 30			+ 15 102 + 17
64.8	+ 0 0006	+ 0 27890 + 25	+ 5 497 + 1	+ 5 593 + 3	+ 12 892 + 14	69.8		+ 0.32746 + 30	, ,		+ 15 132 + 17
64.9	+ p ous6				+ 12 951 + 14	59.9		+ 0.32811 + 40			+ 15 162 + 17
65.0	+ 0.0026	+ 0 28151 + 26	+ 5 401 + 3	+ 5 04+ + 3	+ 13 009 + 141	700	4. 0,0030	+ 0.32874 + 30	+ 3.781 0	4 0 200 4 3	T 15 791 T 17
Bernard											

Die Zahlen der zweiten Subcolumnen sind mit  $t = \frac{t_a - 1900}{100}$  zu multipliciren, und sind in Einheiten der letzten Decimale agesetzt.

Tafel Xd.

Arg	$E_{\Pi}$	$A_{11}$	$g \sin G_{[1]}$	g costi 11	fii	Arg	E _{II}	An	$g\sin G_{11}$	g cos G II	
ye u	+ 04018	+ 0 19771 + 13	7"445 3	+ 3"064 + 2	+ 9"116, + 10 1	950	+ 0,000	+0 = 358 + 16	-8 713	+ s*oy6 + :	+ (1)
96 1	+ cours	+ 0 19598 + +8	7 477, ~ 1	+ 3 ,3, + 3	+ 9 05/ + 10	95 3	+ 0.0000	+ 0 10157 + 10	8 7 28 1	+ 2 016 +1	+ 4.69
guns	4	B1 + pappe 2+	7.510 1	+ 1894 + 0	+ 8 3761+ 10	-,5-2	+>-0000	+0000356 + 2	8 745 1	4 1 000 4 1	+ 6/8)
96.3	+ c oc+8	+ 0 19250 + 18	7 542 1	+ 3.854 + 2	+ 8 895 + 20	N5 3	+ 0.0009	+0.04754 + 9	8 761 - 1	+ 1 055 + 1	+ 430
902.4	+00017	+ 0 19074 + 18	- 7 574 1	+ 3 824 + 9	+ 8 814 + 10	45.4	4000009	+ 0 00552 + ,	8.778 1	+1245 +1	+ 4-00
100 -	4	÷ € 18898 ÷ ±8	- 5-6 1	+ 1.780 + 2	+ 8 733 + 10				0	1 . 9	
90 5 90 ¢	+ 0 0017	+ 0 18721 + 18	7 637 1	+ 1.751 + 2		y5 5	+ 0.0000 + 0.0008	+ c 09349 + 9 + c 09147 + 9	8 793 - 1	+ 184 + 1	+ 0.5%
yor ?	+0257	+ 0 18544 + 1B	- 7 669, 1	+ 1718 + 4		75 G	+ 5,00008	+008044 + 8	B 824 1	+ 1 7/3 + 1	+ 4.15
90.8	+ 6 8017	+ 0 18366 + 17	7 600 - 1	+ 3 682 + 2		95.8	+ 0.0008	+ 0 08740 + 8	88.9 1	+ 2 752 + 2	+ 4.63
90 9	P 0 0017	+ 0 18187 + 17	- 7 710 - 1	+ 3 646 + 1		95.4	o. 1008	+ 0.08536 + 8	8 851 1	+ = 7=1 + =	+ 346
910	+ 0.0016	+ 0 18008 + 17	7 760 1	+ 3,610 + 2	+ 8 321 + 10	96,0	8000 0 +	+ 2 08337 + 8	- 8 86 ₇ - 1	+ 1.6yo + 1	+ 3.55
91.1	+ 4.0010	+ 0 17827 + 17	7 790 - 1	+ 3 574 + 2		96 t	+ 10007	+0 08139 + 8	8 880 - 1	+ 1.629 + 1	7 3-99
31-2-	+ 36	+ 0 17047 + 17	7 820 - 1	+ 2 538 + 2		36.2	+ 91000-7	+ 0 07923 + 7	8 894 1	→ 1 488 + 1	T 3/1
9L 4	4 0 0010	+ 0 17405 + 16	7 840 - 1	+ 1 501 + 2		96.3	+ 0 0007	+007718+7	8 307 1	+ 1 54" + 1	+ 3.5
91.4	+ 0.0016	+ o 17283 + 16	7 878 - 1	+ 3 465 + 2	+ 7 987 + 9	96 4	+ 0.0007	+ 0.02513 + 7	8 g20 g	+ 1 506 + 3	+ 3-69
97.5	+ 0 0016	+ 0 17100 + 16	7 907	+ 3 428 + 2	+ 7 908 + 9	96.5	+ 3007	4 cons 8 t	- 8.932 - 1	4-1465 + 1	+ 3.3
91-6	+ 0 0015	+ 0.15917 + 16	7 907 T	+ 3 3021+2		90.5 96.6	+ 0 00007	+007107+7	8 944	m 1 424 + 2	+ 3.50
91.7	+ 0 0015	+ 0 16743 + 16	7 463 1	+ 3 354]+ 2		95.7	+ piroc6	+006806 + 7	B 95€ - t	+: 182 + 2	+ 3.50
91.8	+0.0015	+ 0.16549 + 16	- 7 gut I	+ 3.327 + 2		y6-8	+ < 0006	+ 0 00000 + (	- 8.967 - I	T 1 341 ft 1	+ 3.00
919	+ 0.0019	+ 0.16363 + 14	8 018 1	+ 3 180 + 2		95 9	# u acc6	+ 0 00483 + 6	- 8.978 ₁ r	+ 1 100 + 1	+ 0.0
90 c	+ 0 0015	+ 4.16178 + 15	8 cr46 E	+ 3 243 + 2	+ 7 476 + 9	470	+ 0.0006	+ 2 06276 + 6	R 084 1	+ 1 2 CR + 1	+ 1.98
921 r	+ 0 0015	+ 0 15991 + 15	8 072 1	+ 3 206 + 2	+ 7 3 40 + 8	97 L	+ 0.0006	+ 0.06060 + b	- 8 999 r	+1217 +1	+ 4,5%
92-2	+ + 0014	+ 0.15804 + FS	8 agg = t	+ 3 168 + 5	+ 7 303 + 8	97 4	+ r 00005	+ 0 0586= + 6	- y oug - 1	+ 1 175 + 1	+ 2,96
943	+ (-0014	+ 0 15617 + 15	- 8 125 - 1	+ 3 131 + 2	+7316+8	97-3	4 0.0005	+ 0.05655 + 6	9 01 ₉ t	+1134 +1	+ 2,60
99 4	+ 0.0014	+ 0 15428 + 15	-8151 - 1	+ 3 091 + =	+ 7 135 + 8	97-4	+ 0 10005	+ C-05447 + 5	— b.o2⊞ ≤	+ 1 003 + 1	+ 4.50
94.5	+ 0.0014		0	+ 3 045 + 2	+ = 0.01 + B	40.0		( ) -			
026	+ 0 .0014	+ 0 15351 + 14	- 8 177 - 1 8 207 - 1	+ 1017 + 2	+ 7 042 + 8	97.5	+ 0.0005	+ 0.05233 + 5	0.037	+ 1.050 + 1	十 9.50 + 3.50
97.7	+ + 0014	+ 4.14861 + 14	8 2 - 7 - T	+ / 070 + 2	+ 6:867 + B	97.7	+ n 0004	+ 0.04823 + 5	0.54 1	+ 1 000 + 1	+ 3,5
92.8	+ 0 00.13	+ 0 14670 + 14	8 252 - 1	+ 2 941 + 2	+ 6 779 + 8	97 8	+ 1004	+ 0 04614 + 5	— 9.061 E	+ 0 925 0	+ 2,11
929	+ 0 0013	+ 0.14479 + 14	8 276 - 1	+ 2 907 + 1	+ 6 691 + 8	97 9	+ 0.0004	+ 0 04400 + 4	9 000 1	4 0.883	* 2,00
93.0	+ 0.001)	+ 0.14288 + 14	- 8 300 - 1	+ 2 864 + 1	+ 6 603 + B	980	+ 0 0004	+004197 + 4	9 076 1	+ 0 841	P 1-00
93 t	+ c=c013	4-0 x4096 + 13	- S 123 I	1 + 678 5 + 1	+ 6.524 + 7	98 z	+ 0:0004	+ 0 03988 + 4	— 9.083 r	+0799 0	+ 1.5
93 2	+ C 0013	+ D 14001 + 13	8 347 1	+ 2.787 + 1	+6425 + 7	98 3	+ 0 0003	+ c 03779 + 4	— 9.08g ₁	+ 1758	+ 1.50
93-3	+ 0 0013	+ 9 13710 + 13	B 370 1	+ 4 748 + 1	+ 6.336 + 7	98 3	+ 0.0003	+ 0 01570 + 1	— 9.096 r	+0716 0	+ 1.6
33:4	4 0 00\$3	+ o 13527 + 13	8 191 1	+ 2 710 + 1	+ 6 246 + 7	98.4	+ 0.0003	+ 0.03361 + 3	4) r r	+ 4 691 0	F 1.5
93.5	+ 0 0012	<b>*</b> • • • • • • • • • • • • • • • • • • •	0	1 - 2 60-	45.00	.0	1.0000	4	_ = = = = = = = = = = = = = = = = = = =	1 - 6-	4.0
93.6	+ 0 D012	+ 0 13428' + 13	- 8 415 1	+ 3 677 + 1	+ 6.057 + 7	98 5	+ 0.0003 + 0.0003	+003151+ 3	- g.107 1	+ 0.632 0	± 14
93 7	+ 0.0012	+ + 12,13 + 12	8 450 I	+ 2 591 + 1	+ 6 007 + 7	18 7	+ 0.0003	+ 0.027+2 + 3	9 112 1	+ 0.548	+ 1.2
948	+ + OCT2	+ 3 12718 + 12	8 480 - F	+ 2 553 + 1	+ 5 886 + 7	988	+ 0 0003	+ 0.02522 + 2	9 121 1	+ 0.540	+ 1.2
93-9	+ 0 0011	+ 0 12547 + 12	8 507 4		+ 5 796]+ 7	98 9		+002333 + 2	9 3 7 5 - 1	+ 0.464 0	+ 2,00
94.0		+ 0 19746 + 12	8 520 - t	+ 2.475 + 1	+ 5 705 + 7	99.0	+ 0.0002	+ 0.02103 + 2	q. 128 - 1	+0.481 0	+ 0.07
94.1	4 0 0011	+ 0 52249 + F3	8 542 1	+ 7 435 + 1		120 2	+ 0.0003	40.01891 + 2	3.232 1	+ 1370 P	+ 0,00
74.2		4011352 + 11	- 8 5(10 · 1	+ 2336 4 1		99.2	+ 0.0003	+ 0 01681 + 2	1 9 135 - 1	<b>→</b> 337 )	+ 0.7
Q4-3	+ 0.6011	+ 0 11754 + 11	-8 582 1	+ 2 156 + 1		99-3	+ 0.0001	+ 6001473 + 1	9 1 17 1	+ 0 205	+ 4/1
94.4	+ 0 0611	+ 0 21556 + 1	- 8.602 r	+ 2 327 + 2	+ 5 340 + 6	94-4	+ 0.0001	+ 0:01363,+ 1	9.140 1	+0251 0	+0.5
04.7		4	9.6.		1 4 - 0 4 6						
94-5	+ (-0010	201	- 8 621 1	+ 3 377 + 3	+ 5 248 + 6	00 5	+ 0 0001	+ 0.00052 + 1	-9 147 - 1	+0311 0	+ 0.0
94-7	+ 0.0010	+ 0 13158 + 12	- 8 640 1 - 8 658 1	+ 2 237 + 1	+ 5 064 + 6	996	+ 0 0001 + 0 0001	+ 0 00848 + 1	- 3143 - 1	+016) 0	+ 4.3
94 8	+ 0 1016	+ 0 10750 + 10	- 8.676 1	+ 2.157 + 1	+ 4 972 + 6	99 7 99 8	0.0000	+ 1 20012 + 1	9,144 E 9,145 E	+ 0 127 0 + 1 054 0	+ 0.1
94.9	+ 0.0010		8 604 - 1	+ 2 117 + 1	+ 4 879 + 6	99.0	6.0000	+ 100211	- 9.145 - 1	4 0 047 a	+ 0.0
95 0	+ 0 0000	+ 0 10358 + 10		+ 2.076 + 1		tpoo	0.0000	+ 0 000011 0	9 146 - 1	9 000 0	0.4
					الخاصي						

Die Zahlen der zweiten Subcolumnen sind mit  $t = \frac{t_0 - 1900}{100}$  zu multiplieiren, und sind in Einheiten der letzten Dangesetzt.

Tafel Kd.

				1.816	ı A	a.				
$E_{\rm II}$	<i>4</i> _{II}	$B_{ m II} \ (g st { m in} \ G)_{ m II}$	$(g\cos G)_{\rm II}$	f _{II}	Arg.	$E_{\rm II}$	$A_{\rm II}$	$B_{ m II} \ (g \sin G)_{ m II}$	$\langle g\cos G  angle_{ m II}$	$f_{ m II}$
p#0030	+ 0.32385 + 30	- 2º927 0	+ 6"492 + 3	+ 14"965 + 17	85.o	+ 0º0025	+ 0.27361 + 26	5"457 1	+ 5"485 + 3	+ 12"644 + 14
0.0030	+ 0.32314 + 30	2.982 0	+ 6.478 + 3	+ 14.932 + 17	85.1	+ 0.0025	+ 0.27233 + 26	— 5.503 — I	+ 5.459 + 3	+ 12.584 + 14
0,0029	+ 0.32241 + 30	— 3. <b>0</b> 36 0	+ 6.463 + 3	+ 14.899 + 17	85.2	+ 0.0025	+ 0.27103 + 25	- 5.548 - I	+ 5.433 + 3	+ 12.524 + 14
0.0029	+ 0.32167 + 30	— 3. <b>09</b> 0 0	+ 6.449 + 3	+ 14.865 + 17	85.3	+ 0.0025	+ 0.26972 + 25	- 5 594 - I	+ 5.407 + 3	+ 12.464 + 14
0.0029	+ 0.32092 + 30	— 3.144 °	+ 6.433 + 3	+ 14.830 + 17	85.4	+ 0.0025	+ 0.26840 + 25	— 5.639 — I	+ 5.381 + 3	+ 12.403 + 14
0.0029	+ 0.32016 + 30	- 3.198 o	+ 6.418 + 3	+ 14.795 + 17	85.5	+ 0.0024	+ 0.26707 + 25	- 5.684 - 1	+ 5.354 + 3	+ 12.341 + 14
0.0029	+ 0.31938 + 30	- 3.252 0	+ 6.403 + 3	+ 14.759 + 17	85.6	+ 0.0024	+ 0.26573 + 25	- 5.728 - 1	+ 5.327 + 3	+ 12.280 + 14
0,0029	+ 0.31859 + 30	- 3.306 o	+ 6.387 + 3	+ 14.722 + 17	85.7	+ 0.0024	+ 0.26438 + 25	- 5.773 - I	+ 5.300 + 3	+ 12.217 + 14
0.0029	+ 0.31779 + 30	— 3.359 o	+ 6.371 + 3	+ 14.685 + 17	85.8	+ 0.0024	+ 0.26302 + 25	- 5.817 - I	+ 5.273 + 3	+ 12.154 + 14
0.0029	+ 0.31698 + 30	- 3.413 0	+ 6.354 + 3	+ 14.648 + 17	85.9	+ 0.0024	+ 0.26165 + 25	— 5.861 — 1	+ 5.245 + 3	+ 12.091 + 14
		1 1	1. 1							1 1
0,0029	+ 0.31615 + 30	- 3-466 °	+ 6.338 + 3	+ 14.609 + 17	86.0	+ 0.0024	+ 0.26027 + 24	- 5.905 - I	+ 5.218 + 3	+ 12.027 + 14
0.0029	+ 0.31531 + 29	— 3.519 °	+ 6.321 + 3	+ 14.571 + 17	86.1 86.2	+ 0.0024	+ 0.25888 + 24	- 5.948 - I	+ 5.190 + 3	+ 11.963 + 14
0.0029	+ 0.31446 1 29	- 3.572 °	+ 6.304 + 3	+ 14.531 + 16	86.2 86.3	+ 0.0024	+ 0.25748 + 24	- 5.991 - 1	+ 5.162 + 3	+ 11.899 + 14
0,0029	+ 0.31360 + 29	- 3.625 °	+ 6.287 + 3	+ 14.492 + 16 + 14.451 + 16	86.4	+ 0.0023	+ 0.25608 + 24	- 6.034 - I	+ 5.134 + 3	
0,0029	+ 0.31273 + 29	— 3.678 °	+ 6.269 + 3	T 14.431 1 10	1	+ 0.0023	+ 0.25466 + 24	- 6.077 - 1	+ 5.105 + 3	T,00 T 13
0.0029	+ 0.31184 + 29	- 3.730 0	+ 6.251 + 3	+ 14.410 + 16	86.5	+ 0.0023	+ 0.25323 + 24	6.120 1	+ 5.077 + 3	+ 11.702 + 13
0.0028	+ 0.31094 + 29	- 3.782 0	+ 6.233 + 3	+ 14.369 + 16	86.6	+ 0.0023		- 6.162 - 1	+ 5.048 + 3	+ 11.636 + 13
0.0088	+ 0.31003 + 29	- 3.8 ₃₅ •	+ 6.215 + 3	+ 14.327 + 16	86.7	+ 0.0023		6.204 I	+ 5.019 + 3	+ 11.569 + 13
8200,0	+ 0.30911 + 29	3.887 °	+ 6.197 + 3	+ 14.284 + 16	86.8	+ 0.0023	+ 0.24889 + 23	- 6.246 - 1	+ 4.990 + 3	+ 11.501 + 13
0,0028	+ 0.30818 + 29	— 3. <b>9</b> 39 °	+ 6.178 + 3	+ 14.241 + 16	86.9	+ 0.0023	+ 0.24743 + 23	- 6.287 - I	+ 4.960 + 3	+ 11.434 + 13
			المرابيا		87.0			ا اهمه	!	
0.0028	+ 0.30723 + 29	- 3.990 0 - 4.042 0	+ 6.159 + 3 + 6.140 + 3		87.0 87.1	+ 0.0022	+ 0.24595 + 23	- 6.328 - 1 - 6.369 - 1	+ 4.931 + 3	+ 11.366 + 13 + 11.297 + 13
0,0028	+ 0.30628 + 29 + 0.30531 + 29	- 4.042 0 - 4.093 0	+ 6.121 + 3		87.2	+ 0.0022	+ 0.24447 + 23 + 0.24298 + 23	- 6.410 - 1	+ 4.901 + 2 + 4.871 + 2	+ 11.228 + 13
0.0028	+ 0.30433 + 28	- 4.145 °	+ 6.101 + 3	+ 14.063 + 16	87.3	+ 0.0022	+ 0.24147 + 23	- 6.451 - 1	+ 4.841 + 2	+ 11.159 + 13
0,0028	+ 0.30334 + 28	- 4.196 °	+ 6.081 + 3		87.4	+ 0.0022	+ 0.23996 + 23	- 6.491 - I	+ 4.811 + 2	+ 11.089 + 13
		'	1 1							
0.0028	+ 0.30233 + 28	- 4.246 °	+ 6.061 + 3	+ 13.971 + 16	87.5	+ 0.0022	+ 0.23844 + 22	— 6.531 — 1	+ 4.780 + 2	+ 11.019 + 13
0.0028	+ 0.30132 + 28		+ 6.041 + 3		87.6	+ 0.0022		- 6.571 - 1	+ 4.749 + 2	+ 10.948 + 12
0.0027	+ 0.30029 + 28	- 4.348 °	+ 6.020 + 3		87.7	+ 0.0022	+ 0.23538 + 22	- 6.610 - I	+ 4.719 + 2	+ 10.877 + 12
0.0027	+ 0.29925 + 28	— 4.398 °	+ 5.999 + 3		87.8 87.9	+ 0.0021	+ 0.23383 + 22	— 6.650 — 1 — 6.689 — 1	+ 4.688 + 2	+ 10.806 + 12
0.0027	+ 0.29820 + 28	- 4.448 °	+ 5.978 + 3	+ 13.780 + 10	7/.9	+ 0.0021	+ 0.23228 + 22	_ 0.009 _ 1	+ 4.656 + 2	+ 10.734 + 12
0.0027	+ 0.29714 + 28	- 4.498 0	+ 5.957 + 3	+ 13.731 + 16	88.o	+ 0.0021	+ 0.23071 + 22	- 6.727 - I	+ 4.625 + 2	+ 10.661 + 12
0.0027	+ 0.29607 + 28	- 4.548 0	+ 5.935 + 3	امیلی ا	88. ı	+ 0.0021	+ 0.22914 + 22	- 6.766 - I	+ 4.594 + 2	+ 10.589 + 12
0.0027	+ 0.29498 + 28	- 4.598 °	+ 5.914 + 3	+ 13.631 + 15	88.2	+ 0.0021	+ 0.22756 + 21	- 6.804 - I	+ 4.562 + 2	+ 10.516 + 12
0.0027	+ 0.29389 + 28	- 4.647 0	+ 5.892 + 3	+ 13.581 + 15	88.3	+ 0.0021	+ 0.22597 + 21	- 6.842 - I	+ 4.530 + 2	+ 10.442 + 12
0.0027	+ 0.29278 + 27	— 4. <b>6</b> 96 °	+ 5.869 + 3	+ 13.530 + 15	88.4	+ 0.0021	+ 0.22437 + 21	- 6.88o - 1	+ 4.498 + 2	+ 10.368 + 12
		1 1.	l l		88.	<b>.</b>			ان ای ا	
0,0027	+ 0.29167 + 27	-4.745 °	+ 5.847 + 3		88.5 88.6	+ 0.0020	+ 0.22277 + 21	- 6.917 - 1	+ 4.466 + 2	
0.0027 0.0026	+ 0.29054 + 27	- 4.794 ° - 4.843 °	+ 5.824 + 3 + 5.802 + 3		88.7	+ 0.0020	+ 0.22115 + 21	- 6.954 - I	+ 4.433 + 2; + 4.401 + 2	+ 10.220 + 12 + 10.145 + 12
0.0026	+ 0.28940 + 27 + 0.28825 + 27	- 4.89I O	+ 5.779 + 3	+ 13.320 + 15	88.8	+ 0.0020	+ 0.21790 + 21	- 7.028 - I	+ 4.368 + 2	+ 10.069 + 11
0,0026	+ 0.28709 + 27	- 4.939 °	+ 5.755 + 3		88.9	+ 0.0020	+ 0 21626 + 20	- 7.064 - I	+ 4.335 + 2	+ 9.993 + 11
	,.,				li					
	+ 0.28592 + 27			+ 13.212 + 15			+ 0.21461 + 20			
	+ 0.28473 + 27			+ 13.158 + 15		-,	+ 0 21295 + 20			
0.0026	+ 0.28354 + 27			+ 13.103 + 15		+ 0.0019				+ 9.764 + 11
0.0086	+ 0.28234 + 26			+ 13.047 + 15 + 12.991 + 15		+ 0.0019			+ 4.202 + 2	
0.0026	+ 0.28112 + 26	- 5.178 o	7 5.030 7 3	T 12.991 T 15	""	T 0.0019	+ 0.20794 + 20	- 7.241 - I	+ 4.169 + 2	- y.wy + II
0,0036	+ 0.27990 + 26	- 5.225 0	+ 5.611 + 3	+ 12.934 + 15	89.5	+ 0.0019	+ 0.20626 + 19	- 7.276 - I	+ 4.135 + 2.	+ 9.531 + 11
0.0005	+ 0.27866 + 26			+ 12.877 + 15	89.6	+ 0.0019				+ 9.453 + 25
0.0025	+ 0.27741 + 26			+ 12.820 + 15	89.7	+ 0.0019		- 7.344 - I		+ 9.374 + 41
0.0025	+ 0.27616 + 26	- 5.365 o		+ 12.761 + 15	89.8	# o.co18	+ 0.20115 + 19	- 7.378 - I	+ 4.032 + 2	
0.0025	+ 0.27489 + 26			+ 12.703 + 14	89.9	+ 0.0018	+ 0.19944 + 19		+ 3.998 + 2	+ 9.216 + 10
0.0025	+ 0.27361 + 26	- 5.457 o	+ 5.485 + 3	+ 12.644 + 14	90.0	+ 0.0018	+ 0.19771 + 19	- 7.445 - I,	+ 3.964 + 2	+ 9.136 + 10
	· · · · · · · · · · · · · · · · · · ·	<u> </u>	·	t 1	000	·'		'	<u>'</u>	·

Zahlen der zweiten Subcolumnen sind mit  $t=\frac{t_o-1900}{100}$  zu multipliciren, und sind in Einheiten der letzten Decimal

Tafel Xd.

					1010						
Agr.	$\mathcal{E}_{\text{II}}$	$A_{\rm II}$	$B_{\Pi}$ $(g\sin G)_{\Pi}$	$(g\cos G)_{\mathrm{II}}$	<b>f</b> π.	Arg.	$E_{\rm II}$	$A_{\Pi}$	$B_{\Pi} \ (g \in G)_{\Pi}$	$(g \cos G)_{\Pi}$	fī
90.0	+ o*ooz8	+ 0.19771 + 19	- 7"445 - I	+ 3"964 + 2	+9"136 + 10	95.0	+ 0*00009	+ 0.20358 + 20	-8"711 - I	+ 2"076 + 1	+ 4"767
90.1	+ o.ooz8	+ 0.19598 + 18	- 7-477 - 1	+ 3.929 + 2	+ 9.056 + 10	95.z	+ 0.0009	+ 0.10157 + 10	— 8.728 — z	+ 2.036 + 1	+ 4.694
90.2	+ 0.0018	+ 0.19424 + 18	- 7.510 - 1	+ 3.894 + 2	+ 8.976 + 10	95.2	+ 0.0009	+0.09956 + 9	- 8.745 - I	+ z.996 + z	+ 4.601
90.3	+ 0.0018	+ 0.19250 + 18	7.542 I		+ 8.895 + 10	95.3	+ 0.0009	+ 0.09754 + 9	8.761 1	+ z.955 + z	+ 4.507
90.4	+ 0.0017	+ 0.19074 + 18	- 7.574 - z	+ 3.824 + 2	+ 8.814 + 10	-95-4	+ 0.0009	+ 0.09552 + 9	- 8.778 - I	+ 1.915 + 1	+ 4-414
		l . ! l					i. ]			l l	
90.5		+ 0.18898 + 18	- 7.606 - I	+ 3.789 + 2	+ 8.733 + 10	95.5	+ 0.0009	+ 0.09349 + 9	- 8.793 z	+ 1.874 + 1	+ 4.350
90.6	+ 0.0017	+ 0.18721 + 18	- 7.637 - 1	+ 3.753 + 2	+ 8.651 + 10 + 8.569 + 10	95.6	+ 0.0008	+ 0.09147 + . 9	8.808 1 8.824 1	+ 1.834 + 1 + 1.793 + 1	+ 4.237 + 4.133
90.7	+ 0.0017	+ 0.18544 + 18 + 0.18366 + 17	7.669 1 7.699 1		+ 8.487 + 10	95.7 95.8	+ o.ooo8 + o.ooo8	+ 0.08944 + 8 + 0.08740 + 8	- 8.839 - 1	+ 1.752 + 1	+ 4.039
90.9		+ 0.18187 + 17	- 7.730 - I		+ 8.404 + 10	95.9		+ o.p8536 + 8	- 8.853 - 1	+ 2.722 + 2	+ 3-945
1,23	. 0.00.7		[ ,.,se	3.040	, , ,,,,,	33.9	. 0.000	, 5,5535		, 31,32	. 3563
مءو	+ 0.0016	+ 0.18008 + 17	7.760 z	+ 3.610 + a	+ 8.391 + 10	96.0	+ 0.0008	+ 0.08332 + 8	- 8.867 - z	+ 1.670 + 1	+ 3.890
91.1	+ 0.0016	+ 0.17827 + 17	- 7.790 - I	+ 3.574 + 2	+8.238 + 9	96.z	+ 0.0007	+ 0.08128 + 8	8.88o 1	+ 1.629 + 1	+ 3.756
91.2	+ 0.0016	+ 0.17647 + 17	7.820 I	+ 3.538 + 4	+ 8.155 + 9	96.2	+ 0.0007	+ 0.07923 + 7	— 8.894 — т	+ r.588 + r	+ 3.661
91.3	+ 0.0016	+ 0.17465 + 16	— 7.849 — I	+ 3.501 + s	+8.071 + 9	96.3	+ 0.0007	+0.07718+ 7	8.907 I	+ 2.547 + 2	+ 3.567
91.4	+ 0,0016	+ 0.17283 + 16	7.878 1	+ 3.465 + 2	+ 7.987 + 9	96.4	+ 0.0007	+ 0.07513 + 7	- 8.920 - z	+ 1.506 + 1	+ 3-472
	l. 1		.		.  .						١.
91.5		+ 0.17100 + 16	- 7.907 - I	+ 3.428 + 2	+7.902 + 9	96.5		+ 0.07308 + 7	- 8.932 - I	+ 1.465 + 1	+ 3-377
91.6		+ 0.16917 + 16	— 7.935 — I	+ 3.391 + 2	+ 7.817 + 9	96.6	+ 0.0006	+0.07102 + 7	- 8.944 - I	+ 1.424 + 1 + 1.382 + 1	+ 3.282
91.7 91.8	+ 0.0015 + 0.0015	+ 0.16733 + 16	— 7.963 — I	+ 3.354 + 2	+ 7.732 + 9	96.7 96.8	+ 0.0006	+ 0.06896 + 7 + 0.06690 + 6	- 8.956 - 1 - 8.967 - 1	+ 1.341 + 1	+ 3.287 + 3.092
1 .	+ 0.0015	+ 0.16549 + 16 + 0.16363 + 15	7.991 1 8.018 1		+ 7.647 + 9 + 7.561 + 9	96.9	# 0.0006 # 0.0006	+ 0.06483 + 6	- 8.978 - I	+ 1.300 + 1	+ 8.996
7.3	, 5,55,5	1 4.20303 + 23	- 0.010	3.20	, ,,30.	90.9	0.0000	T 0.00403	! ""	1.300   1	,,,,
98.0	+ 0.0015	+ 0.16178 + 15	8.046 z	+.3.243 + 2	+ 7.476 + 9	97.0	+ 0.0006	+ 0.06276 + 6	- 8.989 - z	+ 1.958 + I	+ 2.900
98.1	+ 0.0015	+ 0.15991 + 15	- 8.072 - I		+ 7.390 + 8	97.1	+ 0.0006	+ 0.06069 + 6	— 8.999 — z	+ 1.917 + 1	+ 2.805
92.2	+ 0.0014	+ 0.15804 + 15	— 8.099 — 1	+ 3.168 + 2	+ 7.303 + 8	97.2	+ 0.0005	+ 0.05862 + 6	9.009 I	+ 2.275 + 2	+ 2.709
92.3	+ 0.0014	+ 0.15617 + 15	— 8.125 — 1	+ 3.131 + 2	+ 7.216 + 8	97.3	+ 0.0005	+ 0.05655 + 6	9.019 1	+ 2.134 + 2	+ 2.613
98-4	+ 0.0014	+ 0.15428 + 15	— 8.151 — 1	+ 3.093 + 2	+ 7.130 + 8	97-4	+ 0.0005	+ 0.05447 + 5	9.028 - 1	+ 1.092 + 1	+ 2.517
					اه ما ما						<b>.</b>
92.5 92.6	+ 0.0014	+ 0.15240 + 14	- 8.177 - 1	+ 3.055 + 2	+ 7.042 + 8	97.5		+0.05239 + 5	- 9.037 - I	+ 1.050 + 1	+ 2.427
98.7	+ 0.0014	+ 0.15051 + 14 + 0.14861 + 14	- 8.202 - 1 - 8.227 - 1	+ 3.017 + 2 + 2.979 + 2	+ 6.955 + 8 + 6.867 + 8	97.6 97.7	+ 0.0005	+ 0.05031 + 5	- 9.045 - 1 - 9.054 - 1	+ 1.009 + 1	+ 2.325
92.8	+ 0.0013	+ 0.14670 + 14	- 8.252 - I	+ 2.941 + 2	+ 6.779 + 8	97.8	+ 0.0004	+0.04614 + 5	- 9.061 - 1	+ 0.925	+ 2.133
92.9	+ 0.0013	+ 0.14479 + 14	- 8.276 - 1	+ 2.903 + I		97.9		+ 0.04406 + 4		+ 0.883 0	+ 2.036
93.0	+ 0.0013	+ 0.14288 + 14	- 8.300 - I	+ 2.864 + 1	+ 6.603 + 8	98.0	+ 0.0004	+0.04197 + 4	— 9.076 — I	+ 0.841 0	+ 1.940
93.1	+ 0.0013	+ 0.14096 + 13	- 8.323 - I	+ 2.826 + 1	+6.514 + 7	98.1	+ 0.0004	+ 0.03988 + 4	9.083 z	+ 0.799 0	+ 1.843
93.2	+ 0.0013	+ 0.13903 + 13	— 8.347 — I	+ 2.787 + 1	+ 6.425 + 7	98.2	+ 0.0003	+ 0.03779 + 4	- 9.089 - I	+ 0.758 0	+ 1.746
93.3	+ 0.0013	+ 0.13710 + 13	- 8.370 - I	+ 2.748 + 1	+ 6.336 + 7	98.3		+ 0.03570 + 3	— 9.096 — I	+ 0.716 0	+ 1.650
93.4	+ 0.0013	+ 0.13517 + 13	— 8.393 — I	+ 2.710 + 1	+ 6.246 + 7	98.4	+ 0.0003	+ 0.03361 + 3	- 9.101 - 1	+ 0.674 0	+ 1.553
93.5	+ 0,0012	+ 0.13323 + 13	- 8.415 - 1	+ 2.671 + 1	+ 6.157 + 7	98.5	+ 0.0003	+ 0.03151 + 3	- 9.107 - 1	+ 0.632 0	+ 1.456
93.6	+ 0.0012	+ 0.13128 + 12	- 8.437 - I	+ 2.632 + 1	+ 6.067 + 7	98.6	+ 0.0003	+ 0.02942 + 3	- 9.112 - 1	+ 0.590 0	+ 1.359
93.7	+ 0.0012	+ 0.12933 + 12	- 8.459 - I	+ 2.593 + 1	+ 5.977 + 7	98.7	+ 0.0002	+ 0.02732 + 3	- 9.116 - 1	+ 0.548 0	+ 1.263
93.8	+ 0.0012	+ 0.12738 + 12	- 8.480 - I	+ 2.553 + 1	+ 5.886 + 7	98.8	+ 0.0002	+ 0.02522 + 2	- 9.121 - 1	+ 0.506 0	+ 1.166
93.9	+ 0.0011	+ 0.12542 + 12	- 8.501 - I	+ 2.514 + 1	+ 5.796 + 7	98.9	+ 0.0002	+ 0.02313 + 2	- 9.125 - 1	+ 0.464 0	+ 1.069
						i l					
94.0	+ 0.0011	+ 0.12346 + 12	- 8.522 - I			99.0		+ 0.02103 + 2		+ 0.421 0	+ 0.972
	+ 0.0011			+ 2.435 + I			+ 0.0002	+ 0.01893 + 2		+ 0.379 0	+ 0.875
	+ 0.0011	+ 0.11952 + 11					+ 0.0002		9.135 1		+ 0.778
	+ 0.0011 + 0.0011	+ 0.11754 + 11			+ 5.432 + 6	,		+ 0.01473 + 1	- 9.137 - 1	+ 0.295 0 + 0.253 0	+ 0.680
94-4	T 0.0011	+ 0.11556 + 11	— 8.6o2 — I	T 2.317 + 1	+ 5.340 + 6	99.4	+ 0.0001	+ 0.01262 + 1	9.140 - 1	+ 0.253	+ 0.583
94.5	+ 0.0010	+ 0.11357 + 11	- 8.621 - I	+ 2.277 + 1	+ 5.248 + 6	99.5	+ 0.0001	+ 0.01052 + 1	- 9.142 - I	+ 0.211 0	+ 0.486
94.6	+ 0.0010	+ 0.11158 + 11	- 8.640 - I		+ 5.156 + 6	99.5	+ 0.0001	+0.00842 + 1		+ 0.169 0	+ 0.389
94.7	+ 0.0010		- 8.658 - I		+ 5.064 + 6		+ 0.0001	+0.00632 + 1	-	+ 0.127 0	+ 0.292
94.8	+ 0.0010	+ 0.10759 + 10	— 8.676 — I		+ 4.972 + 6		0.0000	-	- 9.145 - 1	+ 0.084 0	+ 0.195
94.9	+ 0.0010	+ 0.10559 + 10	— 8.694 — I		+ 4.879 + 6	99.9	0.0000		— 9.146 — 1	+ 0.042 0	+ 0.097
95.0	+ 0.0009	+ 0.10358 + 10	- 8.711 - 1	+ 2.076 + 1	+ 4.787 + 5	100.0	0.0000	+ 0.00001 0	9.146 1	0.000 0	0.000
<u> </u>						L.					

Die Zahlen der zweiten Subcolumnen sind mit  $t = \frac{t_o - 1900}{100}$  zu multipliciren, und sind in Einheiten der letzten Dec angesetzt.

Tafel Xe.

Tafel Xf.

Tafel Xg.

vergl. pag. 241 u. 243.

vergl. pag. 241 u. 243.

vergl. pag. 241 u. 243.

λιιι	$A_{\rm III}$	BIII	Arg. III	λιιι	AIII	$\boldsymbol{\mathcal{B}}_{\mathrm{III}}$		Arg. IV	λ _{IV}	$A_{IV}$	$B_{IV}$	Arg.	λιν	$A_{IV}$	BIV		Arg. V	λγ	Αv	By	Arg.	λv	Αy	By
o"204	0.00412	0"000	50	0"204	0.00412	o"186			68	135		50	68	135	•	ł		34	68	0	50	34	68	37
0,192	0.00387	0.000	51	0.217	0.00437	0.186		ľ	73	144		51	64	127	0		Ĭ	32	64		51	36	72	37
0.179	0.00361	0.009	52	0.230	0.00463	0.185		2	77	z53	0	52	60	119	0		2	30	59	٥	52	39	77	36
0.166	0.00336	0.010	53	0.243	0.00488	0.184		3	82	162	۰	53	56	112	0		3	28	55	٥	53	41	8 r	36
0.154	0.00311	0,011	54	0.255	0.00513	0.183		١ ٠	86	171	۰	54	52	104	٥		4	26	51	1	54	43	85	36
0.141	0.00287	0.013	55	0.268	0.00537	0.182	ŀ	5	91	180	0	55	49	96	0		5	24	47	1	55	45	89	36
0.129	0,00263	0.015	56	0.280	0.00561	0.180		6	95	189	٥	56	45	89	0		6	22	43	1	56	47	93	35
0.117	0.00239	0.017	57	0.292	0.00585	0.178	l	7	99	197	0	57	41	82	0		7	20	39	2	57	49	97	35
0.106	0.00216	0.019	58	0.303	0.00608	0.175	l	8	103	205	٥	58	38	74	٥		8	18	35	2	58	51	101	34
0.095	0.00195	0.023	59	0.314	0.00629	0.172		9	107	212	°	59	34	67	°		9	16	32	3	59	53	104	34
0.084	0.00174	0.025	60	0.325	0.00650	0.169	l	10	1111	220	0	60	31	6z	0		to	14	28	3	60	54	108	33
0.074	0,00153	0.029	61	0.335	0.00671	0.166	1	111	114	227	0	61	27	54	0	ŀ	71	12	25	4	61	56	111	32
0.064	0.00134	0.033	62	0.344	0.00690	0.162	l	12	117	233	0	62	24	48	0		12	11	21	5	62	58	115	32
0.055	0.00116	0.037	63	0.353	0.00708	0.158	l	13	130	239	0	63	21	42	٥		13	9	18	6	63	59	118	31
0.047	0.00099	0.041	64	0.362	0.00725	0.154		14	123	244	٥	64	18	37	0		14	8	16	7	64	61	120	30
0.039	0.00084	0.045	65	0.370	0.00740	0.149	1	15	126	249	0	65	16	31	٥		15	7	13	7	65	62	123	29
0.032	0.00069	0.050	66	0.377	0.00755	0.145		16	128	254	٥	66	13	26	0		16	5	10	8	66	63	126	28
0.025	0.00056	0.055	67	0.384	0.00768	0.140		17	130	258	0	67	11	22	0		17	4	8	9	67	64	128	27
0.020	0.00045	0.059	68	0.389	0.00779	0.135	ı	18	131	261	۰	68	9	18	0		18	3	6	10	68	65	130	26
0.014	0.00035	0.065	69	0.395	0.00789	0.130	ı	19	133	264	٥	69	7	14	٥		19	2	5	12	69	66	131	25
0.010	0.00026	0.070	70	0.399	0.00798	0.125		20 1	134	266	0	70	5	10	0		20	2	3	13	70	67	133	24
0.006	0.00019	0.075	71	0.402	0.00805	0.119	l	21	135	268	0	71	4	7	0		21	1	2	14	7 E	67	134	23
0.004	0.00013	0.081	72	0.405	0.00811	0.114	Į	22	135	269	0	72	3	5	0		22	1	1	15	72	68	135	22
0.002	0.00009	0.086	73	0.407	0.00815	0.108	l	23	136	270	۰	<b>7</b> 3	2	3	0		23	٥	0	16	73	68	136	21
0.000	0.00007	0.092	74	0.408	0.00817	0.103		24	136 	270	٥	74	1	2	°		24	٥	0	17	74	68	136	19
0.000	0.00006	0.097	75	0.409	81800.0	0.097	l	25	136	269	0	75	0	1	0		25	0	0	18	75	69	136	18
0.000	0.00007	0.103	76	0.408	0.00817	0.092		26	135	268	0	76	0	0	٥		26	0	0	19	76	68	136	37
0.002	0.00009	0.108	77	0.407	0.00815	0.086	l	27	134	267	0	77	•	٥	٥		27	0	٥	21	77	68	136	16
0,004	0.00013	0.114	78	0.405	0.00811	0.081	l	28	133	265	0	78	1	1	0		28	1	I	22	78	68	135	25
0.000	0.00019	0.119	79	0.402	0.00805	0.075	ĺ	29	132	263	٥	<b>7</b> 9	1	2	0		29	1	2	23	79	67	134	"
0.010	0,00026	0.125	80	0.399	0.00798	0.070		30	131	260	0	80	2	4	0		30	2	3	24	80	67	133	13
0.014	0.00035	0.130	81	0.395	0.00789	0.065		31	129	256	0	81 2	3	6	۰		31	2	5	25	8z	66	131	12
0,020	0.00045	0.135	82	0.389	0.00779	0.059	l	32	127	252	0	82	5	9	0		32	3	! 6 ; 8	26	8 ₂ 8 ₃	65	130	10
0.025	0.00056	0.140	8 ₃ 8 ₄	0.384	0.00768	0.055	ŀ	33	125	248 244	0	83 84	6 8	12	0		33 34	5	10	27	84	64 63	128	9
-1-3-	0.000	0.145	-	0.377	0.00733	J		34	3	-44		"	•				3,	3			-	0,5		Ĭ
0.039	0.00084	0.149	85	0.370	0.00740	0.045		35	120	239	0	85	10	21	0		35	7	13	29	85	62	123	7
0.047	0.00099	0.154	86	0.362	0.00725	0.041		36	118	233	0	86	13	26	٥		36	8	16	30	86	61	120	7
0.055	0.00116	0.158	87 88	0.353	0.00708	0.037		37	115	228	0	87 88	16	31	0		37 38	9	18   21	31	87 88	59	118	6
0.074	0.00134	0.162	89	0.344	0.00671	0.033	l	38 39	112	216	0	89	22	37 43	0		39	12	25	32 32	89	58 56	115	5 4
																			'   _					
0.084	0.00174	0.169	90	0.325	0.00650	0.025		40	105	209	0	90	25	50			40	14	28	33	90	54	108	3
0.095 0.106	0.00195	0.172	91	0.314	0.00629	0.023		41	102	196	0	91	29	58 65	0		41 42	16 18	32	34	91	53	104	3 2
0.117	0.00216	0.175	92 93	0.303	0.00585	0.019		42	98	188	0	92	33	1 -	0		43	20	35	34 35	92 93	51	97	2
0.129	0.00263	0.180	94	0.280	0.00561	0.015	l	43	95 91	181	0	93 94	37 41	73 81	0		44	22	39	35	94	49	93	
						ĺ						^	, ·				l ''		1					
0.141	0.00287	0.182	95	0.268	0.00537	0.013	ı	45	87	174	0	95	45	90	0		45	24	47	36	95	45	89	1
0.154	0.00311	0.183	96	0.255	0.00513	0.011	ı	46	84	166	٥	96	50	99	0	i	46	26 28	51	36 36	96	43	85 81	1
0.166	0.00336	0.184	97 98	0.243	0.00463	0.009		47 48	76	158	0	97 98	54 59	108	0	l	47 48	30	55	36	97 98	41 39	77	°
0.192	0.00387	0.186	99		0.00437	0.009	ì	49	72	143		99	63	126	0		49	32	64	37	99	36	72	
0.204	0.00412	0.186	100		0.00412	0.009		50	68	135	0	100	68	135	0		50	34	68	37	100	34	68	ò
		1					j		<u> </u>			<u> </u>			1	ļ	L		<del>' -</del>					
١		,,λ		A	<b>B</b>	α.				λ ″- ( 0	-	A		В	_			_	λ-"		A		<i>B</i> -" °	

| Constante | 0"204 | 0.00412 | 0"097 | | 0"204 | 0.00412 | 0"097 | 0"204 | 0.00412 | 0"097 | 0"097 | 0"097 | 0"097 | 0"097 | 0"097 | 0"097 | 0"097 | 0"097 | 0"097 | 0"097 | 0"097 | 0"097 | 0"097 | 0"097 | 0"097 | 0"097 | 0"097 | 0"097 | 0"097 | 0"097 | 0"097 | 0"097 | 0"097 | 0"097 | 0"097 | 0"097 | 0"097 | 0"097 | 0"097 | 0"097 | 0"097 | 0"097 | 0"097 | 0"097 | 0"097 | 0"097 | 0"097 | 0"097 | 0"097 | 0"097 | 0"097 | 0"097 | 0"097 | 0"097 | 0"097 | 0"097 | 0"097 | 0"097 | 0"097 | 0"097 | 0"097 | 0"097 | 0"097 | 0"097 | 0"097 | 0"097 | 0"097 | 0"097 | 0"097 | 0"097 | 0"097 | 0"097 | 0"097 | 0"097 | 0"097 | 0"097 | 0"097 | 0"097 | 0"097 | 0"097 | 0"097 | 0"097 | 0"097 | 0"097 | 0"097 | 0"097 | 0"097 | 0"097 | 0"097 | 0"097 | 0"097 | 0"097 | 0"097 | 0"097 | 0"097 | 0"097 | 0"097 | 0"097 | 0"097 | 0"097 | 0"097 | 0"097 | 0"097 | 0"097 | 0"097 | 0"097 | 0"097 | 0"097 | 0"097 | 0"097 | 0"097 | 0"097 | 0"097 | 0"097 | 0"097 | 0"097 | 0"097 | 0"097 | 0"097 | 0"097 | 0"097 | 0"097 | 0"097 | 0"097 | 0"097 | 0"097 | 0"097 | 0"097 | 0"097 | 0"097 | 0"097 | 0"097 | 0"097 | 0"097 | 0"097 | 0"097 | 0"097 | 0"097 | 0"097 | 0"097 | 0"097 | 0"097 | 0"097 | 0"097 | 0"097 | 0"097 | 0"097 | 0"097 | 0"097 | 0"097 | 0"097 | 0"097 | 0"097 | 0"097 | 0"097 | 0"097 | 0"097 | 0"097 | 0"097 | 0"097 | 0"097 | 0"097 | 0"097 | 0"097 | 0"097 | 0"097 | 0"097 | 0"097 | 0"097 | 0"097 | 0"097 | 0"097 | 0"097 | 0"097 | 0"097 | 0"097 | 0"097 | 0"097 | 0"097 | 0"097 | 0"097 | 0"097 | 0"097 | 0"097 | 0"097 | 0"097 | 0"097 | 0"097 | 0"097 | 0"097 | 0"097 | 0"097 | 0"097 | 0"097 | 0"097 | 0"097 | 0"097 | 0"097 | 0"097 | 0"097 | 0"097 | 0"097 | 0"097 | 0"097 | 0"097 | 0"097 | 0"097 | 0"097 | 0"097 | 0"097 | 0"097 | 0"097 | 0"097 | 0"097 | 0"097 | 0"097 | 0"097 | 0"097 | 0"097 | 0"097 | 0"097 | 0"097 | 0"097 | 0"097 | 0"097 | 0"097 | 0"097 | 0"097 | 0"097 | 0"097 | 0"097 | 0"097 | 0"097 | 0"097 | 0"097 | 0"097 | 0"097 | 0"097 | 0"097 | 0"097 | 0"097 | 0"097 | 0"097 | 0"097 | 0"097 | 0"097 | 0"097 | 0"097 | 0"097 | 0"097 | 0"097 | 0"097 | 0"097 | 0"097 |

Constante o''068 0.00135 0''000 Summe der Constanten 0''272 0.00547 0''097

Constante

0"034 0.00068 0"018 Summe der o"307 0.00615 0"116

Tafel XA.

## Tafel Xi.

## Tafel Xk.

vergl. pag. 241 u. 243.

vergi. pag. 241 u. 243.

vergl. pag. 241 u.

領	λγΙ	AVI	Byj	₩.	λvī	ATI	Byz		쓔	lyn	Avn	Byll	ÀTE.	λγπ	Ayıı	Bin		ATT.	Aviii	Aven	Bynn	Årii:	<b>A</b> VIII	ATE
19	115	50	01	.90	.56	gra	#3		0	35	30	0	50	15	30	0		a	22	75	13	ga	338	25
	45	49	ą,	51	26	53 59	23	H	2	15	34	0	51 52	14	28°	0		2 8	13	18	13	\$1 54	11	113
2	nia.	4.0	5	53	3.1	64	#3	ш	3	18	36	0	53	12	24	0		3	25	30	13	53	re	20
	90	39	ě1	54	33	65	100	Н	4	19	37	ø	54	22	113			4	26	18	13	54	7	19
8	28 27	∃6 33	1 1	55 56	34	68	100 100	Н	5	30 PI	39	0 0	35 56	to 0	10 10	0		5 6	17	33 34	73 13	55 56	9	17
	25	30	1	57	36	24	20	ll	7	92	43		57	9	27	0		7	18	36	13	57	7	Li
7	34	27	1	58	39	77	aft.	ı	-8	94	44	1.6	58	8	#6	10		8	χ0	37	13	58	6	13
°	772	24	100	59	40	Bo	skit	П	9	23	46	0	.59	7	114			9	19	38	E0	59	6	I#
20	71	#1 29	# 3	€a €x	44	83 85	affe :		16 21	45	48	9	60 61	6	13 71	0		10	90	39 41	128 2:8	6s 61	5 4	11 9
XIII	ā	16	3	бe	44	88	do	П	九出	25	5.0	0	60	5	50			11:0	9.5	49	131	6a	4	0
24 24	7 6	14	4	-63 -64	45 46	90	19	П	13 14	#6 #7	59	0	63 64	4	9 7	0		33 34	22 24	43	11	63 64	3	7 6
13	1.	20	5	65		34	185	Ш	25	27		-	ă _S		6			15	23		1:	65		5
96	5 4	*	1 15.	66	47 48	96	17	Н	16	Be	54 55	8	66	3	5			26	13	45 46	30	66		1 4
11	3	-6	6	67	49	98	27	Н	×7	98	56	٥	67	В	- 4			17	123	47	80	67		3
120		5 4	7 7	68 69	30	99	25	П	18	29	58	9	68 69	#	3	4		28	24	47 48	9	68 69	1 1	3 2
l l																								
100 617	1 2	8	8'	75	31	101	15	Н	Bo	29	59 59	-6	90 91	I o	11 1			50 91	24	49	9	70	0	1 1
100		1	9	71	5=	TO3	13		ská	30	\$9	0	72	10	- 1	0		2.0	0.5	49	В	72	-0	1
113	6	0	10	73	59	104	#8	H	=3	30	6a	0	73	0	0	0		13	52	50	1 2	)3 ]4	0	0
			21	74	5a	Xet	- apair		24	30		0	74			"		44	25	50	7			
45 46	9	0	Tr Tri	75 76	5:4	104	27	П	#\$ #6	30	60	0	75	4	0	o d		#.5 #6	25 45	50	7 6	75	0	0
37	6	6	13	77	59	104	ZID-	ы	02	30	-6ep	0	27	10	0	à	ŀ	87	25	50	6	77	0	0
at.	-6		13	7B	53	103	٥	П	вÜ	30	59	٥	78	ò	İ	à.		эß	25	49	5	78	0	1
29	1		74	79	5.2	109	9	1	99	319	59	0	79	0	2	9		29	25	49	5	79	0	1
30	3 2	3	15 16	8a 81	22	70£	6	Ш	30	29	\$B	0	8o	1	3	٥		30	44	49 48	3	80	0	t 2
35	3	- # - 5	16	Ba	50	99	7 7		31	29	57	0	81 9:2	1 1	3	0		31	24	47	4	8:1	2	3
33	3	6	17	83	49	98	-6	LΙ	33	Be	5-6	0	83	2	4	۵		33	23	47	3	83	3	3
34	4	B	17	84	48	96	5		34	2.8	5.5	0	-84	9	5	0		34	23	46	3	84	1	4
35	5	10	18	85	47	94	5		3.5	27	54	a	85	3	6	0		35	23	45	3	\$5 86	9	5 6
36 37	7	13	19	86 87	46	90	4		36 37	26	53	0	87	3	7 8	0		36 37	22	44	2 2	87	3	, 7
38	8	16	20	8-8	44	8.0	3		38	25	50	0	88	8	9	ō	ŀ	38	21	42	9	88	4	. 8
39	9	19	50	89	43	85	3	i	3-9	24	49		8-9	5	II	0		39	20	41		89	4	9
40	3.2	21.2	81	90	49	83	2		40	24	47	٥	90	6	12	0		40	20	39	2	96	5	2.0
42	14	24	21	91	39	77	,E		47	33	46	0	91 -9a	7 B	16	0		42	19	3B 37	1	91	6	, 19
43	15	30	23	93	37	74	1		43	żχ	43	0	93	9	17	٥	l	43	18	36	1	93	7	14
44	17	33	-922	94	36	71	1		44	20	41	0	94	10	t 9	9		44	17	34	0	94	8	16
45	1-9	36	0.0	95	34	68	I		45	19	39	٥	95	30	51	0		45	16	33		95	9	17
46	50	39	2/2	-96	33	65	0		46	19	37	0	96	11	23	0		46	26	31	0	96	9	1 19
48	23	45	03	97 98	31	59	0		46	18	36	0	97 98	13	26	0		47	15	30 aB	0	97 98	11	20
49	25	49	93	99	28	5.5	D		49	16	32	٥	99	14	28	0		49	13	27	0	99	12	23
50	#6	51	23	100	26	54	, 0		5-0	2.5	30	0	100	15	30	0		50	12	=5	0	100	12	25
	_			2		A	1	В					1		t	<b>B</b>					λ		A	B

Constante o"026 0.00052 0"011 Summe der o"333 0.00667 0"127

Constante 0"015 0.00030 0"000 Summe der 0"348 0 00697 0"127

Constante o''012 0.00025 o''0
Summe der constanten o''360 0.00722 o''1

Tafel X1.

#### Tafel Xm.

Tafel Xn.

vergl. pag. 241 u. 243.

0"011 0.00023 0"005

imme der | 0"372 0.00745 0"139

vergl. pag. 241 u. 243.

vergl. pag. 241 u. 243.

		ver	r. pa	g. 24	1 u. z	40.					Ver	Rr. ha	g			_				,,	5 pu	B · · · ·		
λιχ	$A_{IX}$	$B_{IX}$	Arg.	λ _{IX}	AIX	$B_{1X}$		Arg.	λ _X	$A_{\mathbf{X}}$	$B_{\mathbf{X}}$	Arg. X	λx	Ax	Bx		XI Arg.	λ _{XI}	Axi	BXI	Arg.	λxI	$A_{XI}$	BXI
11	23	10	50	11	23	0		۰	6	12	۰	50	6	12			0	6	12	6	50	6	12	0
12	24	10	51	111	22		i	1	6	13		5x	6	111	0	l	1	6	13	6	51	5	11	۰
13	26	to	52	10	20	۰	i	2	7	14	0	52	5	10	0	l	2	6	13	6	52	5	11	٥
14	27	10	53	9	19	۰		3	7	14	۰	53	5	10	0	ı	3	7	14	6	53	5	10	٥
14	29	10	54	9	17	٥	1	4	8	15	۰	54	5	9	۰	l	⁴	7	15	6	54	4	9	°
	i								١.					8	١.	ľ	5	8	16	6	55	4	8	
15	30	10	55	8	16	0		5	8	16 16	0	55 56	4	8	0	ł	6	8	16	6	56	4	8	0
16 16	31	10	56	7	15			7	9	17		57	3	7		ł	7	8	17	6	57	3	7	٥
17	33 34	9	57 58	7	12	1		8	9	18		58	3	6	0	i	8	9	18	6	58	3	6	٥
18	35	9	59	5	11			9	9	19	0	59	3	5	0	l	9	9	18	6	59	3	6	°
	"	1			ļ							Ī		[		i							ا ـ ا	
18	36	9	60	5	10	1	į	10	10	19	0	60	2	5	۰	-	10	9	19	6	60 61	2 2	5	0.
19	37	9	61	4	9	I	l	11	10	20	0	61 6-	2	1 4	0	l	11	9 10	19	5	62	2	4	1
19	39	9	62	4	7	1	l	12	10	20	0	62 63	2 2	3	0	İ	13	10	20	5	63	2	4	1
20	40	8	63	3	6	2 2		13	10	21		64	1	3		l	14	10	21	5	64	T	3	z
30	41X	ľ	64	3	5	1	1	l "	l		"	~	•			l	'	ł			<b>i</b> :			1
21	41	8	65	2	5	2	l	15	11	22	۰	65		2		l	15	10	21	5	65	1	3	1
21	42	8	66	2	4	2	i	16	11	22	۰	66	1	2	0	1	16	11	22	5	66	1	2	I 1
22	43	7	67	1	3	3	ŀ	17	111	23	٥	67	1	1	0	l	17	11	22	5	67	1	3	2
22	44	7	68	1	2	3	l	18	12	23	0	68	1	1	0	l	18	11	22	4	68	0	2 1	2
22	44	7	69	1	2	3	Ī	19	12	23	•	69	۰ ا	1	0	l	19	11	23	4	69	١	١ .	•
			l		ł		1	200		۱		70	١.			l	20	11	23	4	70	0		2
22	45	6	70	0	1	3	ı	21	12	24	°	71			"	ı	21	11	23	4	71	0		2
23 23	45	6	71 72	"	1	4	l	22	12	24	Ö	72				l	22	11	23	4	72	0	1	2
23	45 46	6	73			4	Į.	23	12	24		73	٥	0		1	23	12	24	3	73	٥	٥	3
23	46	5	74	0		5	l	24	12	24	۰	74	0	۰	0	1	24	12	24	3	74	٥	°	3
	'			l	1	ł			Ì	ŀ		1	•		ļ	l					ا ۔۔ ا	_	ا ا	١, ١
23	46	5	75	0	0	5		25	12	24	۰	75	0	°	۰	l	25 26	12	24	3	75 76	0	0	3
23	46	5	76	0	0	5		26	12	24	٥	76	0		0	l	27	12	24	3	77	0		3
23	46	4	77	0	0	6		27 28	12	24 24	0	77 78			0	i	28	11	23	2	78	0		4
23 23	45	4	78 79	0	1	6	l	29	12	24		79		0		1	29	11	23	2	79	٥	1	4
•3	45	'	′′′				1	7		'	-	''				l		ł						
22	45	3	80	1	1	6		30	12	24	۰	80	0	۰	۰	1	30	11	23	2	80	۰	1	4
22	44	3	8 <b>1</b>	1	2	7		31	12	23	•	81	0	1	0	i	31	11	23	2	81 82	•	1 2	4
22	44	3	82	1	2	7	1	32	12	23	٥	82	1	1	0	1	32	11	22	2 2	83	1	2	5
22	43	3	83	1	3	7		33	11	23	0	83 84	1	2	0	ł	33 34	11	22		84	i	2	5
21	42	2	84	2	4	8		34	11	22	٥	l °	1	-	"	ŀ	"						i	
21		2	85	2		8		35	111	22		85		2		1	35	10	21	1	85	1	3	5
20	41 41	2	86	3	5	8		36	11	21	0	86	1	3	0	l	36	10	21	1	86	I	3	5
20	40	2	87	3	6	8		37	10	21	•	87	2	3	0	l	37	10	20	1	87	2	4	5
19	39	1	88	4	7	9		38	10	20	۰	88	2	4	0	1	38	10	20	1	88	2	4	5
19	37	1	89	4	9	9		39	10	20	٥	89	2	4	0	1	39	9	19	1	89	2	5	ľ
_								١		١.,			2	5			40	9	19		90	2	5	6
18	36	I	90	5	10	9		40	10	19	ů	90 91	3	5		1	41	ģ	18	0	91	3	6	6
18	35	I	91 92	5 6	11	9	ł	41 42	9	18		92	3	6			42	ģ	18	0	92	3	6	6
17 16	34 33		93	7	13	9		43	9	17		93	3	7	0	•	43	8	17	٥	93	3	7	6
16	31	o	94	7	15	10		44	8	16	0	94	4	8	0	ı	44	8	16	۰	94	4	8	6
			•									1		_	1	1							8	6
15	30	۰	95	8	16	10		45	8	16	٥	95	4	8	0	·	45 46	8	16 15	0	95 96	4	9	6
14	29	0	96	9	17	10		46	8	15	0	96	5	10	0	ı	47	7	14		97	5	10	6
14	27	0	97	9	19	10		47 48	7	14	0	97 98	5	10			48	6	13		98	5	11	6
13	26	0	98 99	10	20	10		49	7 6	13		99	6	11	0		49	6	13	0	99	5	11	6
12 11	24	0	100	11	23	10		50	6	12	0	100	6	12	0		50	6	12	۰	100	6	12	6
			_				J				<u> </u>			<u> </u>		ŀ	Щ		<u> </u>		<u> </u>	<u> </u>		
			λ	4	1	$\boldsymbol{\mathit{B}}$					λ		A		B					λ	A		В	
								~			"	_	-	_"		Λ	onete		_''.	206	0.000		~"^^	

0"006 0.00012 0"000

Summe der Constanten o"378 0.00757 0"139

Constante

Constante o"oo6 o.ooo12 o"oo3 Summe der o"384 o.oo769 o"142

Tatol Xo.

# Tafel Xp.

## Tafel Xq.

vergl. peg. 241 u. 243,

vergl. pag. 241 u. 243.

vergl. pag. 241 1

世	à rei	A _{II}	BXII	摭	λ _{KII}	A _{XII}	Bri		Į,	XIII	A _{IIII}	Brill	部	) L	<b>A</b> ¥III	B _{KIII}		架	lity	4xIV	BXIV	ATT-	ARTY	4
۰	6	11		50	6	11	6	-	•	5	10	6	50	5	IO			0	5	10		50	5	
1	5	10	0	52	6	IS	6		2	5	£12	6	31					1	5	9	0	5×	5	
	5	10	0	50	6	12	6		•	6	12	6	50	4	2				4	9	0	510	6	
3 4	5 4	9	0	53 54	7	13 24	6	1	4	6	IS I	6 3	53	4	7	°		3	4		٥	53	6	
		`							۱,	٦	-3	,	*	4	l ′	ľ		1	4	7		54	6	
6	4	7	0	55 96	7	15	6	Н	5	7 7	13 24	5 5	35 56	4 3	7	0		5	4	7 6	6	55 56	7	
7	1	6	0	57		16	6		7	7	14	3	57	3	6	0		7	3	6		57	7	
	3	6		SÜ		16	6	11	•	8	25	5	50	3	3	0		8	3	5		şli	8	1
9	3	\$	•	59	9	17	6	Н	9	•	26	5	59	•	4	0		9	9	4	0	59	8	
10	•	4	0	60	9	18	6		•	8	26	5	60		4	۰		ю		4	۰	60	8	
32 32	*	3	2 2	6z 6a	9	18	6		z	8	17 27	5	61 6a	*	3	1		X.3		3	0	61		Ш
13	1	3	1	63	10	19	5		3	5	:8	5	63	•	3 ±	1 1	i	119	3	3 1	:	6a   63	9	
14	3	2	1	64	10	80	5		4	9	28	5	64	1	•			14	i	2	1	64	9	
15	1			65	10	100	5		5	,	18	4	65			,		15	,		,	65	g	
16	1	1	1	66	10	92	5	:	6	10	19	4	66	1	1			16	T	1	1	66	10	
17	II.	I		67	22	98	5		• 1	10	19	4	67	1	1	z		47	1	I	1	67	10	1
18 19		ı		69	111	20	4		- 1	10	19 20	4	68	. •	1			18	0	1	1	68	10	3
"	Ĭ	ľ		"	"	~	4	l l'	9	~	~	4	69	۰	°	*		19	0	0	2	69	10	"
20	0	0		70 71	11	20	4		- 1	10	90 90	4	70	•	•	*		90	٥.	0		70	10	2
22			- T	79	111	20	†			10	10	3	71 79	0	9			92	0	0	1	71 72	10	
23	•	•	3	73	22	99	3			10	20	3	73		0			23	0	0		73	10	-
24	•	۰	3	74	31	22	3	f	4	10	90	3	74	0	۰	3		24	0	۰	1	74	10	200
85		۰	3	75	112	223	3		- 1	20	90	3	75		۰	3		25		0		75	to	90
26 27	0 0	0	3	76	111	92	3		- 1	10	30	3	76	•	•	3		seti	0	0	1	76	10	24
#8			3 4	77	111	52	3		"	10	20	*	77 78	°		3		27	0	0	3	77 78	10	36
*9	•	•	4	79	111	92	•		- 1	to	30	•	79		•	3		199	0	0	3	79	10	=
30			4	80	11	202		l I,		10	20		Bo.			,		30	٥	۰	,	8a	to	21
31	•	٥	4	81	16	22	2		-	10	20	â	8x		۰	4		31	0	0	3	8x	10	34
38	0	1	4	82	3.6	91	2	1 1	- 1	10	19	9	80	٥	T	4		31	o	1	3	82	IO	It:
33 34	;		5	83 84	11	31	2 2		~ (	10	19	1 1	83	, r	T T	†		33	1	1	3	83	10	11
				ľ				ΙΙ'	`	.				1	-	1		34	1	т	3	84	10	
35 36	1	2	5	85 86	10	20	1 1		5	9	19	3	85		2	4		35	Ε	2	4	B ₅	9	1
37	1	3	5	87	10	19	T T		6	9	18 18	1	86 87	I	2	5		36	T	2	4	86 87	9	£2
38		3	5	88	to	19			8	í l	17	Ē	88	3	3	5		37 38	1	3	1	88	9	ľ
39	•	4	6	89	9	18	-		9	8	17	,	89	3	3	5		39	9	3	4	89	á	1
40	•	4	6	90	9	18	۰	,	۰	8	16		,	,	4	5		40		4		90	8	3
45	3	5	6	91	9	17	٥		.T		16		91	2	4	5		41	2	4	4	91	а	1
49	3	6	6	99	8	16			*	8	15	0	98	3	5	\$		43	3	5	4	92	B	I
43 44	3	7	6	93 94	8 8	16			3	7 7	E4 E4	0	93	3	6	3		43	3	6	4	93	?	1
						†		ш	*	1	-9		94	3	"	5		44	3	б	4	94	7	*
45	4	7	6	95	7	15	0		5	7	13	0	95	4	7	5		45	4	7	4	95	7	t
46 47	5	9	6	96 97	7	14	0		7	6	13		96	1.5	7 8	5		46	4	7	4.1	96	6	
48	5	10	6	98	6	19			8	6	11		97 98	4	9	6		47 48	4	9	5 5	97 98	6	1
49	5	10	6	99	6	12	•		9	5	11	0	99	5	9	6		49	5	9	5	99	5	i
50	6	8.8	6	100	6	11	•		0	5	10	•	100	5	10	6		50	5	10	5	100	3	1
_		_			•	_		, L	, I				•	•		70		_	1	l				

$a_3^a$	0"00613 0.00053 1 0.00053 1 0.00053 0.00053 0.00712 0.00734 1 0.00754 0.00754 0.00754 1 0.00754	0.00817 0.00839 0.00880 1.000927 0.00927 0.00972 1.000972 1.000972 1.000972 1.000972 1.000972 1.000972	0.01041 0.01065 11000 0.01136 0.01136 0.01136 0.01138 0.01233 0.01257	0.01282 0.01307 0.01336 0.01385 0.01385 0.01407 0.01463 0.01483 0.01588	0 0 0 1 3 3 4 4 4 4 4 4 4 4 4 4 4 4 4 4 4 4 4	0.01792 0.01818 0.01844 0.01894 0.01896 0.01948 0.01948 0.01944 0.02000 0.02000 0.02005 0.02005 0.02005 0.02005 0.02005 0.02005 0.02005 0.02005 0.02005 0.02005 0.02005 0.02005 0.02005 0.02005 0.02005 0.02005 0.02005 0.02005 0.02005 0.02005 0.02005 0.02005 0.02005 0.02005 0.02005 0.02005 0.02005 0.02005 0.02005 0.02005 0.02005 0.02005 0.02005 0.02005 0.02005 0.02005 0.02005 0.02005 0.02005 0.02005 0.02005 0.02005 0.02005 0.02005 0.02005 0.02005 0.02005 0.02005 0.02005 0.02005 0.02005 0.02005 0.02005 0.02005 0.02005 0.02005 0.02005 0.02005 0.02005 0.02005 0.02005 0.02005 0.02005 0.02005 0.02005 0.02005 0.02005 0.02005 0.02005 0.02005 0.02005 0.02005 0.02005 0.02005 0.02005 0.02005 0.02005 0.02005 0.02005 0.02005 0.02005 0.02005 0.02005 0.02005 0.02005 0.02005 0.02005 0.02005 0.02005 0.02005 0.02005 0.02005 0.02005 0.02005 0.02005 0.02005 0.02005 0.02005 0.02005 0.02005 0.02005 0.02005 0.02005 0.02005 0.02005 0.02005 0.02005 0.02005 0.02005 0.02005 0.02005 0.02005 0.02005 0.02005 0.02005 0.02005 0.02005 0.02005 0.02005 0.02005 0.02005 0.02005 0.02005 0.02005 0.02005 0.02005 0.02005 0.02005 0.02005 0.02005 0.02005 0.02005 0.02005 0.02005 0.02005 0.02005 0.02005 0.02005 0.02005 0.02005 0.02005 0.02005 0.02005 0.02005 0.02005 0.02005 0.02005 0.02005 0.02005 0.02005 0.02005 0.02005 0.02005 0.02005 0.02005 0.02005 0.02005 0.02005 0.02005 0.02005 0.02005 0.02005 0.02005 0.02005 0.02005 0.02005 0.02005 0.02005 0.02005 0.02005 0.02005 0.02005 0.02005 0.02005 0.02005 0.02005 0.02005 0.02005 0.02005 0.02005 0.02005 0.02005 0.02005 0.02005 0.02005 0.02005 0.02005 0.02005 0.02005 0.02005 0.02005 0.02005 0.02005 0.02005 0.02005 0.02005 0.02005 0.02005 0.02005 0.02005 0.02005 0.02005 0.02005 0.02005 0.02005 0.02005 0.02005 0.02005 0.02005 0.02005 0.02005 0.02005 0.02005 0.02005 0.02005 0.02005 0.02005 0.02005 0.02005 0.02005 0.02005 0.02005 0.02005 0.02005 0.02005 0.02005 0.02005 0.02005 0.02005 0.02005 0.02005 0.02005 0.02005 0.02005 0.02005 0.02005 0.02005 0.02005 0.02005 0.02005 0.02005 0.02005 0.02005 0.02005 0.02005 0.0200
	11111111	1111111111	111111111	1111111111	1111111111	1111111111
d³3	- 0.0547 - 0.0549 - 0.0557 - 0.05573 - 0.05873 - 0.05873 - 0.05605	0.0628   0.0628   0.0643   0.0643   0.0654   0.0658   0.0678	- 0.0695 - 0.0709 - 0.0716 - 0.0716 - 0.073 - 0.073 - 0.073 - 0.075	- 0.0763 - 0.0776 - 0.0776 - 0.0783 - 0.0789 - 0.0809 - 0.0808 - 0.0814	0.0832 0.0833 0.0833 0.0844 0.0844 0.0855 0.0855	0.0888 0.0893 0.0893 0.0903 0.0903 0.0903 0.0903
d ^o 3	0.162   0.163   0.164   0.162   0.162   0.163   0.163   0.163	\$ \$ \$ \$ \$ \$ \$ \$ \$ \$ \$ \$ \$ \$ \$ \$ \$ \$ \$		0 0 0 0 0 0 0 0 0 0 0 0 0 0 0 0 0 0 0 0		0 0 0 0 0 0 0 0 0 0 0 0 0 0 0 0 0 0 0
333	00000 9776 — 39 0.003 0163 — 39 0.003 0545 — 40 0.003 1933 — 41 0.003 1659 — 41 0.003 2750 — 42 0.003 2750 — 43 0.003 2750 — 43 0.003 2750 — 43 0.003 2750 — 43	0.003 3408	0.003 6468	0.003 8904   50 0.003 9112   51 0.003 9312   51 0.003 9694   51 0.003 9875   52 0.004 0218   52 0.004 0375   52 0.004 0375   52 0.004 0375   53	0.004 0674   53 0.004 0814   53 0.004 0946   53 0.004 1091   53 0.004 1189   54 0.004 1300   54 0.004 1501   54 0.004 1501   54 0.004 1501   54	0.004 1749   54 0.004 1817   54 0.004 1813   154 0.004 1933   154 0.004 1939   154 0.004 2037   155 0.004 2037   155 0.004 2037   155 0.004 2037   155 0.004 2037   155 0.004 2037   155
	+++++++++	++++++++	++++++++	+++++++++ 	4++++++++	++++++++++
	+ 0.0012 425 + 0.012 339 + 0.012 392 + 0.012 306 + 0.012 306 + 0.011 392 + 0.011 392 + 0.011 392	+ + + + + + + + + + + + + + + + + + +	+ + + + + + + + + + + + + + + + + + +	+ + + + + + + + + + + + + + + + + + +	+ + + + + + + + + + + + + + + + + + +	+ 0.008 002 + 0.007 987 + 0.007 784 + 0.007 667 + 0.007 559 + 0.007 342 + 0.007 332 + 0.007 332 + 0.007 332
$a_3^1$	0.00059 0.00054 0.00052 0.00053 0.00053 0.00054 0.00055 0.00059 0.00059 0.00059 0.00059 0.00059 0.00059	0.000064 0.000654 0.000654 0.000673 0.00073 0.00078 0.00078 0.00078 1   0.00078 1   0.00078	0.000084 1   0.00084 1   0.00084 1   0.00084 1   0.00089 1   0.00093 1   0.00093 1   0.00093 1   0.00093 1   0.00093	0.00105 0.00107 1 0.00107 1 0.00115 1 0.00115 1 0.00116 1 0.00116 1 0.00116 1 0.00116	0.00134 0.00134 0.00134 0.00137 1   0.00140 0.00146 1   0.00150 1   0.00150 1   0.00150	0.00163 0.00163 0.00163 0.00164 0.00164 0.00164 0.00164 0.00164 0.00164 0.00164 0.00164 0.00164 0.00164 0.00164 0.00164 0.00164 0.00164 0.00164 0.00164 0.00164 0.00164 0.00164 0.00164 0.00164 0.00164 0.00164 0.00164 0.00164 0.00164 0.00164 0.00164 0.00164 0.00164 0.00164 0.00164 0.00164 0.00164 0.00164 0.00164 0.00164 0.00164 0.00164 0.00164 0.00164 0.00164 0.00164 0.00164 0.00164 0.00164 0.00164 0.00164 0.00164 0.00164 0.00164 0.00164 0.00164 0.00164 0.00164 0.00164 0.00164 0.00164 0.00164 0.00164 0.00164 0.00164 0.00164 0.00164 0.00164 0.00164 0.00164 0.00164 0.00164 0.00164 0.00164 0.00164 0.00164 0.00164 0.00164 0.00164 0.00164 0.00164 0.00164 0.00164 0.00164 0.00164 0.00164 0.00164 0.00164 0.00164 0.00164 0.00164 0.00164 0.00164 0.00164 0.00164 0.00164 0.00164 0.00164 0.00164 0.00164 0.00164 0.00164 0.00164 0.00164 0.00164 0.00164 0.00164 0.00164 0.00164 0.00164 0.00164 0.00164 0.00164 0.00164 0.00164 0.00164 0.00164 0.00164 0.00164 0.00164 0.00164 0.00164 0.00164 0.00164 0.00164 0.00164 0.00164 0.00164 0.00164 0.00164 0.00164 0.00164 0.00164 0.00164 0.00164 0.00164 0.00164 0.00164 0.00164 0.00164 0.00164 0.00164 0.00164 0.00164 0.00164 0.00164 0.00164 0.00164 0.00164 0.00164 0.00164 0.00164 0.00164 0.00164 0.00164 0.00164 0.00164 0.00164 0.00164 0.00164 0.00164 0.00164 0.00164 0.00164 0.00164 0.00164 0.00164 0.00164 0.00164 0.00164 0.00164 0.00164 0.00164 0.00164 0.00164 0.00164 0.00164 0.00164 0.00164 0.00164 0.00164 0.00164 0.00164 0.00164 0.00164 0.00164 0.00164 0.00164 0.00164 0.00164 0.00164 0.00164 0.00164 0.00164 0.00164 0.00164 0.00164 0.00164 0.00164 0.00164 0.00164 0.00164 0.00164 0.00164 0.00164 0.00164 0.00164 0.00164 0.00164 0.00164 0.00164 0.00164 0.00164 0.00164 0.00164 0.00164 0.00164 0.00164 0.00164 0.00164 0.00164 0.00164 0.00164 0.00164 0.00164 0.00164 0.00164 0.00164 0.00164 0.00164 0.00164 0.00164 0.00164 0.00164 0.00164 0.00164 0.00164 0.00164 0.00164 0.00164 0.00164 0.00164 0.00164 0.00164 0.00164 0.00164 0.00164 0.00164 0.00164 0.00164 0.00164 0.00164 0.00164 0.00164 0.00164 0.0016
a ^o 3	++++++++++++++++++++++++++++++++++++++	++++++++++++++++++++++++++++++++++++++	+ 0.0079 + 0.0078 + 0.0078 + 0.0077 + 0.0077 + 0.0076 + 0.0076 + 0.0076	+ 0.0075 + 0.0074 + 0.0074 + 0.0073 + 0.0073 + 0.0071 + 0.0071 + 0.0071	+ + 0.0000 + 0.00069 + 0.00067 + 0.00067 + 0.00067 + 0.00066 + 0.00066	+ 0.0065 + 0.0064 + 0.0064 + 0.0063 + 0.0063 + 0.0061 + 0.0061 + 0.0061 + 0.0061
	+++++++++	++++++++	+++++++++	**********	**********	+++++++++
da a	- 0.01306 - 0.01349 - 0.013949 - 0.01436 - 0.01436 - 0.01572 - 0.01619 - 0.01619	- 0.01763 - 0.018103 - 0.01861 - 0.01963 - 0.01963 - 0.02066 - 0.02119 - 0.02172	- 0.02280 - 0.02335 - 0.02391 - 0.0247 - 0.02681 - 0.02681 - 0.02677 - 0.02735	- 0.02855 - 0.02915 - 0.03037 - 0.03039 - 0.03162 - 0.0328 - 0.0328 - 0.0328	- 0.03481 - 0.03547 - 0.03679 - 0.03746 - 0.03813 - 0.03813 - 0.03849 - 0.04018	0.04.156   0.04.256   0.04.296   0.04.367   0.04.581   0.04.581   0.04.581   0.04.581   0.04.581   0.04.726
200	11243 11260 11260 11360 11373 11373 11373	5554 5554 5554 5554 5554 5554 5554 555	0.1613 0 0.1631 0 0.1649 0 0.1686 0 0.1704 0 0.1740 0 0.1758 0	0.1734 0.1813 0.18829 0.18847 0.19883 0.1908 0.1918 0.1936	0.1971 0.1988 0.2006 0.2023 0.2041 0.2058 0.2075 0.2093 0.2110	0.2144 0.2164 0.2179 0.2213 0.2213 0.2263 0.2263 0.2263 0.2263 0.2263 0.2263 0.2263
. 8	- 0.1263 - 0.1260 - 0.1260 - 0.1360 - 0.1318 - 0.1353 - 0.1373 - 0.1373 - 0.1373	0.1428   0.1448   0.1485   0.1581   0.1521   0.1540   0.1576		0.1794   0.1811   0.1847   0.1865   0.1966   0.1918   0.1936	- 0.1971 - 0.1988 - 0.2006 - 0.2041 - 0.2058 - 0.2075 - 0.2075 - 0.2110	- 0.2144 - 0.2164 - 0.2179 - 0.223 - 0.2247 - 0.2247 - 0.2263 - 0.2263 - 0.2263 - 0.2263 - 0.2263
a ₂	4 - 0.006 4975 - 57 - 0.006 5934 - 57 - 0.006 5939 - 58 - 0.006 5930 - 58 - 0.006 5930 - 50 - 0.007 5000 - 50 - 0.007 5000 - 50 - 0.007 5000 - 50 - 0.007 5000 - 50 - 0.007 5000 - 50 - 0.007 5000 - 50 - 0.007 5000 - 50 - 0.007 5000 - 50 - 0.007 5000 - 50 - 0.007 5000 - 50 - 0.007 5000 - 50 - 0.007 5000 - 50 - 0.007 5000 - 50 - 0.007 5000 - 50 - 0.007 5000 - 50 - 0.007 5000 - 50 - 0.007 5000 - 50 - 0.007 5000 - 50 - 0.007 5000 - 50 - 0.007 5000 - 50 - 0.007 5000 - 50 - 0.007 5000 - 50 - 0.007 5000 - 50 - 0.007 5000 - 50 - 0.007 5000 - 50 - 0.007 5000 - 50 - 0.007 5000 - 50 - 0.007 5000 - 50 - 0.007 5000 - 50 - 0.007 5000 - 50 - 0.007 5000 - 50 - 0.007 5000 - 50 - 0.007 5000 - 50 - 0.007 5000 - 50 - 0.007 5000 - 50 - 0.007 5000 - 50 - 0.007 5000 - 50 - 0.007 5000 - 50 - 0.007 5000 - 50 - 0.007 5000 - 50 - 0.007 5000 - 50 - 0.007 5000 - 50 - 0.007 5000 - 50 - 0.007 5000 - 50 - 0.007 5000 - 50 - 0.007 5000 - 50 - 0.007 50 - 0.007 50 - 0.007 50 - 0.007 50 - 0.007 50 - 0.007 50 - 0.007 50 - 0.007 50 - 0.007 50 - 0.007 50 - 0.007 50 - 0.007 50 - 0.007 50 - 0.007 50 - 0.007 50 - 0.007 50 - 0.007 50 - 0.007 50 - 0.007 50 - 0.007 50 - 0.007 50 - 0.007 50 - 0.007 50 - 0.007 50 - 0.007 50 - 0.007 50 - 0.007 50 - 0.007 50 - 0.007 50 - 0.007 50 - 0.007 50 - 0.007 50 - 0.007 50 - 0.007 50 - 0.007 50 - 0.007 50 - 0.007 50 - 0.007 50 - 0.007 50 - 0.007 50 - 0.007 50 - 0.007 50 - 0.007 50 - 0.007 50 - 0.007 50 - 0.007 50 - 0.007 50 - 0.007 50 - 0.007 50 - 0.007 50 - 0.007 50 - 0.007 50 - 0.007 50 - 0.007 50 - 0.007 50 - 0.007 50 - 0.007 50 - 0.007 50 - 0.007 50 - 0.007 50 - 0.007 50 - 0.007 50 - 0.007 50 - 0.007 50 - 0.007 50 - 0.007 50 - 0.007 50 - 0.007 50 - 0.007 50 - 0.007 50 - 0.007 50 - 0.007 50 - 0.007 50 - 0.007 50 - 0.007 50 - 0.007 50 - 0.007 50 - 0.007 50 - 0.007 50 - 0.007 50 -	+ 0.007 4536 - 64 + 0.007 5462 - 65 + 0.007 7038 - 67 + 0.007 7038 - 67 + 0.007 7038 - 69 + 0.007 7038 - 69 + 0.008 0005 - 69 + 0.008 0005 - 70 + 0.008 2658 - 71	+ 0.008 3330	+ 0.009 1889 - 79 + 0.009 2687 - 80 + 0.009 3476 - 81 + 0.009 530 - 82 + 0.009 5802 - 83 + 0.009 5802 - 83 + 0.009 5872 - 83 + 0.009 8815 - 85	+ 0.009 9548 - 86 + 0.010 0273 - 87 + 0.010 1700 - 88 + 0.010 1400 - 88 + 0.010 1400 - 89 + 0.010 3793 - 90 + 0.010 440 - 90 + 0.010 1413 - 91 + 0.010 5794 - 91	+ 0.010 (449 - 92 + 0.010 7035 - 93 + 0.010 7035 - 93 + 0.010 8086 - 94 + 0.010 8080 - 95 + 0.011 8080 - 95 + 0.011 1990 - 96 + 0.011 1990 - 96 + 0.011 1990 - 97 + 0.011 1990 - 97
$a_2^{\mathrm{r}}$	+ 0.028 654 + 0.028 648 + 0.028 513 + 0.028 513 + 0.028 513 + 0.028 450 + 0.02	+ 0.028 295 + 0.028 295 + 0.028 231 + 5 + 0.028 231 + 5 + 0.028 135 + 5 + 0.028 135 + 5 + 0.027 991 + 5 + 0.027 990 + 5	+ 0.027 833 + 5 + 0.027 806 + 5 + 0.027 778 + 5 + 0.027 612 + 5 + 0.027 612 + 5 + 0.027 512 + 5 + 0.027 512 + 5 + 0.027 513 + 5 + 0.027 513 + 5 + 0.027 613 + 5	+ 0.027 357 + 5 + 0.027 395 + 5 + 0.027 395 + 5 + 0.027 144 + 5 + 0.027 044 + 5 + 0.027 035 + 5 + 0.026 939 + 5 + 0.026 933 + 5 + 0.026 987 + 5	+ 0.026 810   + 5	+ 0.026 211 + 0.026 148 + 0.026 023 + 0.026 023 + 0.025 938 + 0.025 938 + 0.025 938 + 0.025 968 + 0.025 960 + 0.02
a ₃	+ 0.00519 + 0.00519 + 0.00519 + 0.00539 + 0.00538 + 0.00538 + 0.00543 + 0.00543 + 0.00543 + 0.00543 + 0.00543	+ + 0.005567 0.00567 0.00567 0.00568 0.00568 0.00568 0.00568 0.00568 0.00568 0.00568 0.00568 0.00568 0.00568 0.00568 0.00568 0.00568 0.00568 0.00568 0.00568 0.00568 0.00568 0.00568 0.00568 0.00568 0.00568 0.00568 0.00568 0.00568 0.00568 0.00568 0.00568 0.00568 0.00568 0.00568 0.00568 0.00568 0.00568 0.00568 0.00568 0.00568 0.00568 0.00568 0.00568 0.00568 0.00568 0.00568 0.00568 0.00568 0.00568 0.00568 0.00568 0.00568 0.00568 0.00568 0.00568 0.00568 0.00568 0.00568 0.00568 0.00568 0.00568 0.00568 0.00568 0.00568 0.00568 0.00568 0.00568 0.00568 0.00568 0.00568 0.00568 0.00568 0.00568 0.00568 0.00568 0.00568 0.00568 0.00568 0.00568 0.00568 0.00568 0.00568 0.00568 0.00568 0.00568 0.00568 0.00568 0.00568 0.00568 0.00568 0.00568 0.00568 0.00568 0.00568 0.00568 0.00568 0.00568 0.00568 0.00568 0.00568 0.00568 0.00568 0.00568 0.00568 0.00568 0.00568 0.00568 0.00568 0.00568 0.00568 0.00568 0.00568 0.00568 0.00568 0.00568 0.00568 0.00568 0.00568 0.00568 0.00568 0.00568 0.00568 0.00568 0.00568 0.00568 0.00568 0.00568 0.00568 0.00568 0.00568 0.00568 0.00568 0.00568 0.00568 0.00568 0.00568 0.00568 0.00568 0.00568 0.00568 0.00568 0.00568 0.00568 0.00568 0.00568 0.00568 0.00568 0.00568 0.00568 0.00568 0.00568 0.00568 0.00568 0.00568 0.00568 0.00568 0.00568 0.00568 0.00568 0.00568 0.00568 0.00568 0.00568 0.00568 0.00568 0.00568 0.00568 0.00568 0.00568 0.00568 0.00568 0.00568 0.00568 0.00568 0.00568 0.00568 0.00568 0.00568 0.00568 0.00568 0.00568 0.00568 0.00568 0.00568 0.00568 0.00568 0.00568 0.00568 0.00568 0.00568 0.00568 0.00568 0.00568 0.00568 0.00568 0.00568 0.00568 0.00568 0.00568 0.00568 0.00568 0.00568 0.00568 0.00568 0.00568 0.00568 0.00568 0.00568 0.00568 0.00568 0.00568 0.00568 0.00568 0.00568 0.00568 0.00568 0.00568 0.00568 0.00568 0.005688 0.00568 0.00568 0.00568 0.00568 0.00568 0.00568 0.0056	+ 0.00607 0.00616 0.00616 0.00616 0.00618 0.00618 0.00618 0.00618 0.00618 0.00618 0.00618 0.00618 0.00618 0.00618 0.00618 0.00618 0.00618 0.00618 0.00618 0.00618 0.00618 0.00618 0.00618 0.00618 0.00618 0.00618 0.00618 0.00618 0.00618 0.00618 0.00618 0.00618 0.00618 0.00618 0.00618 0.00618 0.00618 0.00618 0.00618 0.00618 0.00618 0.00618 0.00618 0.00618 0.00618 0.00618 0.00618 0.00618 0.00618 0.00618 0.00618 0.00618 0.00618 0.00618 0.00618 0.00618 0.00618 0.00618 0.00618 0.00618 0.00618 0.00618 0.00618 0.00618 0.00618 0.00618 0.00618 0.00618 0.00618 0.00618 0.00618 0.00618 0.00618 0.00618 0.00618 0.00618 0.00618 0.00618 0.00618 0.00618 0.00618 0.00618 0.00618 0.00618 0.00618 0.00618 0.00618 0.00618 0.00618 0.00618 0.00618 0.00618 0.00618 0.00618 0.00618 0.00618 0.00618 0.00618 0.00618 0.00618 0.00618 0.00618 0.00618 0.00618 0.00618 0.00618 0.00618 0.00618 0.00618 0.00618 0.00618 0.00618 0.00618 0.00618 0.00618 0.00618 0.00618 0.00618 0.00618 0.00618 0.00618 0.00618 0.00618 0.00618 0.00618 0.00618 0.00618 0.00618 0.00618 0.00618 0.00618 0.00618 0.00618 0.00618 0.00618 0.00618 0.00618 0.00618 0.00618 0.00618 0.00618 0.00618 0.00618 0.00618 0.00618 0.00618 0.00618 0.00618 0.00618 0.00618 0.00618 0.00618 0.00618 0.00618 0.00618 0.00618 0.00618 0.00618 0.00618 0.00618 0.00618 0.00618 0.00618 0.00618 0.00618 0.00618 0.00618 0.00618 0.00618 0.00618 0.00618 0.00618 0.00618 0.00618 0.00618 0.00618 0.00618 0.00618 0.00618 0.00618 0.00618 0.00618 0.00618 0.00618 0.00618 0.00618 0.00618 0.00618 0.00618 0.00618 0.00618 0.00618 0.00618 0.00618 0.00618 0.00618 0.00618 0.00618 0.00618 0.00618 0.00618 0.00618 0.00618 0.00618 0.00618 0.00618 0.00618 0.00618 0.00618 0.00618 0.00618 0.00618 0.00618 0.00618 0.00618 0.00618 0.00618 0.00618 0.00618 0.00618 0.00618 0.00618 0.00618 0.00618 0.00618 0.00618 0.00618 0	0 0 0 0 0 0 0 0 0 0 0 0 0 0 0 0 0 0 0	+ 0.00687 0.00691 0.00691 0.00698 0.00698 0.00708 0.00708 0.00715 0.00715 0.00715 0.00715	+ 0.00722 + 0.00731 0.00731 + 0.00731 + 0.00734 + 0.00740 +
1.	0 + 4 w + 2 v v	011221110	0 1 2 2 3 3 2 4 9 9 9 9 9 9 9 9 9 9 9 9 9 9 9 9 9 9	33 4 4 3 3 4 3 3 4 4 3 3 4 4 3 3 4 4 3 3 4 4 3 4 4 4 4 4 4 4 4 4 4 4 4 4 4 4 4 4 4 4 4	0 1 4 5 4 5 9 7 8 6	000 000 000 000 000 000 000 000 000

Die Zahlen der zweiten Subcolumnen sind mit  $\tau = \frac{t_o - 1850}{100}$  zu multipliciren, und sind in Einheiten der letzten Decimale angesetzt.

		500 + - 0.000 00.000 00.000 00.000 00.000 00.000 00.000 00.000 00.000 00.000 00.000 00.000 00.000 00.000 00.000 00.000 00.000 00.000 00.000 00.000 00.000 00.000 00.000 00.000 00.000 00.000 00.000 00.000 00.000 00.000 00.000 00.000 00.000 00.000 00.000 00.000 00.000 00.000 00.000 00.000 00.000 00.000 00.000 00.000 00.000 00.000 00.000 00.000 00.000 00.000 00.000 00.000 00.000 00.000 00.000 00.000 00.000 00.000 00.000 00.000 00.000 00.000 00.000 00.000 00.000 00.000 00.000 00.000 00.000 00.000 00.000 00.000 00.000 00.000 00.000 00.000 00.000 00.000 00.000 00.000 00.000 00.000 00.000 00.000 00.000 00.000 00.000 00.000 00.000 00.000 00.000 00.000 00.000 00.000 00.000 00.000 00.000 00.000 00.000 00.000 00.000 00.000 00.000 00.000 00.000 00.000 00.000 00.000 00.000 00.000 00.000 00.000 00.000 00.000 00.000 00.000 00.000 00.000 00.000 00.000 00.000 00.000 00.000 00.000 00.000 00.000 00.000 00.000 00.000 00.000 00.000 00.000 00.000 00.000 00.000 00.000 00.000 00.000 00.000 00.000 00.000 00.000 00.000 00.000 00.0000 00.000 00.000 00.000 00.000 00.000 00.000 00.000 00.000 00.0000 00.000 00.000 00.000 00.000 00.000 00.000 00.000 00.000 00.0000 00.000 00.000 00.000 00.000 00.000 00.000 00.000 00.000 00.0000 00.000 00.000 00.000 00.000 00.000 00.000 00.000 00.000 00.000 00.000 00.000 00.000 00.000 00.000 00.000 00.000 00.000 00.000 00.000 00.000 00.000 00.000 00.000 00.000 00.000 00.000 00.000 00.000 00.000 00.000 00.000 00.000 00.000 00.000 00.000 00.000 00.000 00.000 00.000 00.000 00.000 00.000 00.000 00.000 00.000 00.000 00.000 00.000 00.000 00.000 00.000 00.000 00.000 00.000 00.000 00.000 00.000 00.000 00.000 00.000 00.000 00.000 00.000 00.000 00.000 00.000 00.000 00.000 00.000 00.000 00.000 00.000 00.000 00.000 00.000 00.000 00.000 00.000 00.000 00.000 00.000 00.000 00.000 00.000 00.000 00.000 00.000 00.000 00.000 00.000 00.000 00.000 00.000 00.000 00.000 00.000 00.000 00.000 00.000 00.000 00.000 00.000 00.000 00.000 00.000 00.000 00.000 00.000 00.000 00.000 00.000 00.000 00.000 00.000 00.000 00.000 00.000 00.000 00	430 — 4 0.000 \$496 446 — 4 0.000 \$404 440 — 4 0.000 \$74 384 — 4 0.000 \$73 345 — 4 0.000 \$73 370 — 4 0.000 \$75 370 — 4 0.000 \$75 370 — 4 0.000 \$75 370 — 4 0.000 \$75 370 — 4 0.000 \$75 370 — 4 0.000 \$75 370 — 4 0.000 \$75 370 — 4 0.000 \$75 370 — 4 0.000 \$75 370 — 4 0.000 \$75	215	942 + + 0.001 6114 907 + + 0.001 6523 870 + + 0.001 732 733 - + 0.001 818 733 - 3 + 0.001 818 712 - 3 + 0.001 8034 712 - 3 + 0.001 9037 657 - 3 + 0.002 9037 83 + 0.002 9037	536 - 3 + 0 003 1055 492 - 3 + 0 002 1430 347 - 3 + 0 002 3440 348 - 3 + 0 002 385 346 - 3 + 0 002 385 346 - 3 + 0 002 385 346 - 3 + 0 002 385 346 - 3 + 0 002 385 346 - 3 + 0 002 385 346 - 3 + 0 002 385	031 - 3 + 0.003 5035 918 - 3 + 0.003 6070 918 - 3 + 0.003 6070 800 - 3 + 0.003 6020 800 - 3 + 0.003 7348 800 - 3 + 0.003 7348
	E 23	1 + + + + + + + + + + + + + + + + + + +	111111111111111111111111111111111111111	++++++++++++++++++++++++++++++++++++++	+++++++++ 0 0 0 0 0 0 0 0 0 0 0 0 0 0 0	++++++++	++++++++++++++++++++++++++++++++++++++
el XII.	180 S	+ 0°0.097 - 0°0.0018 + 0.0937 - 0.00018 + 0.0097 - 0.00018 + 0.0097 - 0.00013 + 0.0097 - 0.00013 + 0.0097 - 0.00013 + 0.0097 - 0.00014 + 0.0097 - 0.00014 + 0.0097 - 0.00014	+ 0.0097 + 0.0097 + 0.0096 - 0.00015 + 0.0006 - 0.00015 + 0.0006 - 0.00017 - 0.00017 - 0.00017 - 0.00017 - 0.00017 - 0.00017 - 0.00017 - 0.00017	+ 0.0006  - 0.0005  - 0.0005  - 0.0005  - 0.0005  - 0.0005  - 0.0005  - 0.0005  - 0.0005  - 0.0005  - 0.0005  - 0.0005  - 0.0005  - 0.0005  - 0.0005  - 0.0005	+ 0.0094 + 0.0094 + 0.0003 +	+ 0.00030 - 0.00030 + 0.00037 - 0.00030 + 0.00031 - 0.00031 + 0.00031 - 0.00033 + 0.00031 - 0.00033 + 0.00030 - 0.00033 + 0.00030 - 0.00033 + 0.00030 - 0.00033	- 0.0009 - 0.0089 - 0.00
Tafel	G ₂	0,000000 0,00001 0,00001 0,00001 0,00001 0,00001 0,00001 0,00001 0,00001 0,00001	- 0.00033 - 0.00033 - 0.00033 - 0.00033 - 0.00033 - 0.00033 - 0.00033 - 0.00134	0 00148 0 0 00100 0 0 0 0 0 0 0 0 0 0 0 0 0 0	- 0 000332 - 0 000334 - 0 000431 - 0 000431 - 0 000531 - 0 000531	0.00588 + 1 0.00517 + 1 0.00518 + 1 0.00578 + 1 0.00778 + 1 0.0078 + 1 0.00843 + 1	- 0.00013 - 0.00013 - 0.00013 - 0.00013 - 0.00013 - 0.00013 - 0.00013 - 0.00013 - 0.00013 - 0.00013 - 0.00013 - 0.00013 - 0.00013 - 0.00013 - 0.00013 - 0.00013 - 0.00013 - 0.00013 - 0.00013 - 0.00013 - 0.00013 - 0.00013 - 0.00013 - 0.00013 - 0.00013 - 0.00013 - 0.00013 - 0.00013 - 0.00013 - 0.00013 - 0.00013 - 0.00013 - 0.00013 - 0.00013 - 0.00013 - 0.00013 - 0.00013 - 0.00013 - 0.00013 - 0.00013 - 0.00013 - 0.00013 - 0.00013 - 0.00013 - 0.00013 - 0.00013 - 0.00013 - 0.00013 - 0.00013 - 0.00013 - 0.00013 - 0.00013 - 0.00013 - 0.00013 - 0.00013 - 0.00013 - 0.00013 - 0.00013 - 0.00013 - 0.00013 - 0.00013 - 0.00013 - 0.00013 - 0.00013 - 0.00013 - 0.00013 - 0.00013 - 0.00013 - 0.00013 - 0.00013 - 0.00013 - 0.00013 - 0.00013 - 0.00013 - 0.00013 - 0.00013 - 0.00013 - 0.00013 - 0.00013 - 0.00013 - 0.00013 - 0.00013 - 0.00013 - 0.00013 - 0.00013 - 0.00013 - 0.00013 - 0.00013 - 0.00013 - 0.00013 - 0.00013 - 0.00013 - 0.00013 - 0.00013 - 0.00013 - 0.00013 - 0.00013 - 0.00013 - 0.00013 - 0.00013 - 0.00013 - 0.00013 - 0.00013 - 0.00013 - 0.00013 - 0.00013 - 0.00013 - 0.00013 - 0.00013 - 0.00013 - 0.00013 - 0.00013 - 0.00013 - 0.00013 - 0.00013 - 0.00013 - 0.00013 - 0.00013 - 0.00013 - 0.00013 - 0.00013 - 0.00013 - 0.00013 - 0.00013 - 0.00013 - 0.00013 - 0.00013 - 0.00013 - 0.00013 - 0.00013 - 0.00013 - 0.00013 - 0.00013 - 0.00013 - 0.00013 - 0.00013 - 0.00013 - 0.00013 - 0.00013 - 0.00013 - 0.00013 - 0.00013 - 0.00013 - 0.00013 - 0.00013 - 0.00013 - 0.00013 - 0.00013 - 0.00013 - 0.00013 - 0.00013 - 0.00013 - 0.00013 - 0.00013 - 0.00013 - 0.00013 - 0.00013 - 0.00013 - 0.00013 - 0.00013 - 0.00013 - 0.00013 - 0.00013 - 0.00013 - 0.00013 - 0.00013 - 0.00013 - 0.00013 - 0.00013 - 0.00013 - 0.00013 - 0.00013 - 0.00013 - 0.00013 - 0.00013 - 0.00013 - 0.00013 - 0.00013 - 0.00013 - 0.00013 - 0.00013 - 0.00013 - 0.00013 - 0.00013 - 0.00013 - 0.00013 - 0.00013 - 0.00013 - 0.00013 - 0.00013 - 0.00013 - 0.00013 - 0.00013 - 0.00013 - 0.00013 - 0.00013 - 0.00013 - 0.00013 - 0.00013 - 0.00013 - 0.00013 - 0.00013 - 0.00013 - 0.00013 - 0.00
	d2	0 0 0 0 0 0 0 0 0 0 0 0 0 0 0 0 0 0 0	2 1 1 2 2 2 2 2 3 2 3 3 3 3 3 3 3 3 3 3		3.2 0 0 0 0 0 0 0 0 0 0 0 0 0 0 0 0 0 0 0	13 0.864 c 112 0.864 c 113 0.864 c 114 0.84 0 1 114 0.84 0 1 114 0.84 0 1 114 0 1 114 0 1 114 0 1 114 0 1 114 0 1 114 0 1 114 0 1 114 0 1 114 0 1 114 0 1 114 0 1 114 0 1 114 0 1 114 0 1 114 0 1 114 0 1 114 0 1 114 0 1 114 0 1 114 0 1 114 0 1 114 0 1 114 0 1 114 0 1 114 0 1 114 0 1 114 0 1 114 0 1 114 0 1 114 0 1 114 0 1 114 0 1 114 0 1 114 0 1 114 0 1 114 0 1 114 0 1 114 0 1 114 0 1 114 0 1 114 0 1 114 0 1 114 0 1 114 0 1 114 0 1 114 0 1 114 0 1 114 0 1 114 0 1 114 0 1 114 0 1 114 0 1 114 0 1 114 0 1 114 0 1 114 0 1 114 0 1 114 0 1 114 0 1 114 0 1 114 0 1 114 0 1 114 0 1 114 0 1 114 0 1 114 0 1 114 0 1 114 0 1 114 0 1 114 0 1 114 0 1 114 0 1 114 0 1 114 0 1 114 0 1 114 0 1 114 0 1 114 0 1 114 0 1 114 0 1 114 0 1 114 0 1 114 0 1 114 0 1 114 0 1 114 0 1 114 0 1 114 0 1 114 0 1 114 0 1 114 0 1 114 0 1 114 0 1 114 0 1 114 0 1 114 0 1 114 0 1 114 0 1 114 0 1 114 0 1 114 0 1 114 0 1 114 0 1 114 0 1 114 0 1 114 0 1 114 0 1 114 0 1 114 0 1 114 0 1 114 0 1 114 0 1 114 0 1 114 0 1 114 0 1 114 0 1 114 0 1 114 0 1 114 0 1 114 0 1 114 0 1 114 0 1 114 0 1 114 0 1 114 0 1 114 0 1 114 0 1 114 0 1 114 0 1 114 0 1 114 0 1 114 0 1 114 0 1 114 0 1 114 0 1 114 0 1 114 0 1 114 0 1 114 0 1 114 0 1 114 0 1 114 0 1 114 0 1 114 0 1 114 0 1 114 0 1 114 0 1 114 0 1 114 0 1 114 0 1 114 0 1 114 0 1 114 0 1 114 0 1 114 0 1 114 0 1 114 0 1 114 0 1 114 0 1 114 0 1 114 0 1 114 0 1 114 0 1 114 0 1 114 0 1 114 0 1 114 0 1 114 0 1 114 0 1 114 0 1 114 0 1 114 0 1 114 0 1 114 0 1 114 0 1 114 0 1 114 0 1 114 0 1 114 0 1 114 0 1 114 0 1 114 0 1 114 0 1 114 0 1 114 0 1 114 0 1 114 0 1 114 0 1 114 0 1 114 0 1 114 0 1 114 0 1 114 0 1 114 0 1 114 0 1 114 0 1 114 0 1 114 0 1 114 0 1 114 0 1 114 0 1 114 0 1 114 0 1 114 0 1 114 0 1 114 0 1 114 0 1 114 0 1 114 0 1 114 0 1 114 0 1 114 0 1 114 0 1 114 0 1 114 0 1 114 0 1 114 0 1 114 0 1 114 0 1 114 0 1 114 0 1 114 0 1 114 0 1 114 0 1 114 0 1 114 0 1 114 0 1 114 0 1 114 0 1 114 0 1 114 0 1 114 0 1 114 0 1 114 0 1 114 0 1 114 0 1 114 0 1 114 0 1 114 0 1 114 0 1 114 0 1 114 0 1 114 0 1 114 0 1 114 0 1 114 0 1 114	448
	4 h	1 1 2 2 2 2 2 2 2 2 2 2 2 2 2 2 2 2 2 2	**************************************	++++++++++++++++++++++++++++++++++++++	1	+ + + + + + + + + + + + + + + + + + +	+ 1 000 5346 - + 1 000 5346 - + 1 000 5346 - + 1 000 5446 - + 1 000 5446 - + 1 000 5446 - + 1 000 5446 - + 1 000 5446 - + 1 000 5446 - + 1 000 5446 - + 1 000 5446 - + 1 000 5446 - + 1 000 5446 - + 1 000 5446 - + 1 000 5446 - + 1 000 5446 - + 1 000 5446 - + 1 000 5446 - + 1 000 5446 - + 1 000 5446 - + 1 000 5446 - + 1 000 5446 - + 1 000 5446 - + 1 000 5446 - + 1 000 5446 - + 1 000 5446 - + 1 000 5446 - + 1 000 5446 - + 1 000 5446 - + 1 000 5446 - + 1 000 5446 - + 1 000 5446 - + 1 000 5446 - + 1 000 5446 - + 1 000 5446 - + 1 000 5446 - + 1 000 5446 - + 1 000 5446 - + 1 000 5446 - + 1 000 5446 - + 1 000 5446 - + 1 000 5446 - + 1 000 5446 - + 1 000 5446 - + 1 000 5446 - + 1 000 5446 - + 1 000 5446 - + 1 000 5446 - + 1 000 5446 - + 1 000 5446 - + 1 000 5446 - + 1 000 5446 - + 1 000 5446 - + 1 000 5446 - + 1 000 5446 - + 1 000 5446 - + 1 000 5446 - + 1 000 5446 - + 1 000 5446 - + 1 000 5446 - + 1 000 5446 - + 1 000 5446 - + 1 000 5446 - + 1 000 5446 - + 1 000 5446 - + 1 000 5446 - + 1 000 5446 - + 1 000 5446 - + 1 000 5446 - + 1 000 5446 - + 1 000 5446 - + 1 000 5446 - + 1 000 5446 - + 1 000 5446 - + 1 000 5446 - + 1 000 5446 - + 1 000 5446 - + 1 000 5446 - + 1 000 5446 - + 1 000 5446 - + 1 000 5446 - + 1 000 5446 - + 1 000 5446 - + 1 000 5446 - + 1 000 5446 - + 1 000 5446 - + 1 000 5446 - + 1 000 5446 - + 1 000 5446 - + 1 000 5446 - + 1 000 5446 - + 1 000 5446 - + 1 000 5446 - + 1 000 5446 - + 1 000 5446 - + 1 000 5446 - + 1 000 5446 - + 1 000 5446 - + 1 000 5446 - + 1 000 5446 - + 1 000 5446 - + 1 000 5446 - + 1 000 5446 - + 1 000 5446 - + 1 000 5446 - + 1 000 5446 - + 1 000 5446 - + 1 000 5446 - + 1 000 5446 - + 1 000 5446 - + 1 000 5446 - + 1 000 5446 - + 1 000 5446 - + 1 000 5446 - + 1 000 5446 - + 1 000 5446 - + 1 000 5446 - + 1 000 5446 - + 1 000 5446 - + 1 000 5446 - + 1 000 5446 - + 1 000 5446 - + 1 000 5446 - + 1 000 5446 - + 1 000 5446 - + 1 000 5446 - + 1 000 5446 - + 1 000 5446 - + 1 000 5446 - + 1 000 5446 - + 1 000 5446 - + 1 000 5446 - + 1 000 5446 - + 1 000 5446 - + 1 000 5446 - + 1 000 5446 - + 1 00
	- 64.	++++++++++++++++++++++++++++++++++++++	+++++++++++++++++++++++++++++++++++++++	+ + + + + + + + + + + + + + + + + + +	+ + + + + + + + + + + + + + + + + + +	+ + + + + + + + + + + + + + + + + + +	
	(a°)	+ 0.0018, + 0.0018, + 0.00105, + 0.00201, + 0.0021, + 0.0023, + 0.0023, + 0.0023, + 0.0023,	+ 0.00245 + 0.00257 + 0.00257 + 0.00274 + 0.00274 + 0.00274 + 0.00274 + 0.00274	0.00341 0.00341 0.00341 0.00341 0.00341 0.00341	+ 0.003/13 + 0.003/13 + 0.003/13 + 0.003/13 + 0.003/13 + 0.003/13 + 0.003/13 + 0.003/13 + 0.003/13 + 0.003/13	+ 0.00411 + 0.00422 + 0.00422 + 0.00433 + 0.00448 + 0.00448 + 0.00448	+ 0.00464 + 0.00474 + 0.00474 + 0.00474 + 0.00474 + 0.00484 + 0.00484 + 0.00484
- 1		TTTTTTTTT	T T T T T T T T T T T T T T T T T T T	+++++++++	******	*****	********

	+++++++++	+++++++++	+++++++++	+++++++++	++++++++	+++++++++
G. 3	, oofta , ocfa , occa , occ	- 0.00813 - 0.00800 - 0.00800 - 0.00800 - 0.00000 - 0.00000 - 0.00000 - 0.00000 - 0.00000 - 0.00000	- 0.00541 - 0.11088 - 0.11088 - 0.1110 - 0.01104 - 0.01104 - 0.01104 - 0.01103	2000 J	0.07504 0.07504 0.07504 0.007604 0.007604	
d;	0.0554	0.0628 0.0644 0.0644 0.0644 0.0644 0.0644	20005 20005 20006 20075 20075 20075 20075 20075 20075	0.0763 0.776 0.776 0.789 0.0808 0.0808 0.0814	2 c c c 2 d 2 d 2 d 2 d 2 d 2 d 2 d 2 d	0.0982 0.0983 0.0983 0.0983 0.0983 0.0983 0.0983
6.0	500000000000000000000000000000000000000	300000000000000000000000000000000000000	3 % 2 % 2 % % % % % % % % % % % % % % %	100000000000000000000000000000000000000	20 - 20 - 17 - 2 8 8 8 8 8 8 8 8 8 8 8 8 8 8 8 8 8 8 8	6 1 1 1 1 1 1 1 1 1 1 1 1 1 1 1 1 1 1 1
43	+ + + + + + + + + + + + + + + + + + +	+ 0 003 3408 + 0 003 3740 + 0 003 3740 + 0 003 3740 + 0 003 5313 + 0 003 531 + 0	+ 0003 0408 + 0003 040 + 0003 040 + 0003 040 + 0003 050 + 000	+ (cs. 1870 + ) 50 + (cs. 1870 + ) 51 + (cs. 1870 + ) 51 + (cs. 1870 + ) 51 + (cs. 1870 + ) 51 + (cs. 1870 + ) 51 + (cs. 1870 + ) 51 + (cs. 1870 + ) 51 + (cs. 1870 + ) 51 + (cs. 1870 + ) 51 + (cs. 1870 + ) 51 + (cs. 1870 + ) 51 + (cs. 1870 + ) 51 + (cs. 1870 + ) 51 + (cs. 1870 + ) 51 + (cs. 1870 + ) 51 + (cs. 1870 + ) 51 + (cs. 1870 + ) 51 + (cs. 1870 + ) 51 + (cs. 1870 + ) 51 + (cs. 1870 + ) 51 + (cs. 1870 + ) 51 + (cs. 1870 + ) 51 + (cs. 1870 + ) 51 + (cs. 1870 + ) 51 + (cs. 1870 + ) 51 + (cs. 1870 + ) 51 + (cs. 1870 + ) 51 + (cs. 1870 + ) 51 + (cs. 1870 + ) 51 + (cs. 1870 + ) 51 + (cs. 1870 + ) 51 + (cs. 1870 + ) 51 + (cs. 1870 + ) 51 + (cs. 1870 + ) 51 + (cs. 1870 + ) 51 + (cs. 1870 + ) 51 + (cs. 1870 + ) 51 + (cs. 1870 + ) 51 + (cs. 1870 + ) 51 + (cs. 1870 + ) 51 + (cs. 1870 + ) 51 + (cs. 1870 + ) 51 + (cs. 1870 + ) 51 + (cs. 1870 + ) 51 + (cs. 1870 + ) 51 + (cs. 1870 + ) 51 + (cs. 1870 + ) 51 + (cs. 1870 + ) 51 + (cs. 1870 + ) 51 + (cs. 1870 + ) 51 + (cs. 1870 + ) 51 + (cs. 1870 + ) 51 + (cs. 1870 + ) 51 + (cs. 1870 + ) 51 + (cs. 1870 + ) 51 + (cs. 1870 + ) 51 + (cs. 1870 + ) 51 + (cs. 1870 + ) 51 + (cs. 1870 + ) 51 + (cs. 1870 + ) 51 + (cs. 1870 + ) 51 + (cs. 1870 + ) 51 + (cs. 1870 + ) 51 + (cs. 1870 + ) 51 + (cs. 1870 + ) 51 + (cs. 1870 + ) 51 + (cs. 1870 + ) 51 + (cs. 1870 + ) 51 + (cs. 1870 + ) 51 + (cs. 1870 + ) 51 + (cs. 1870 + ) 51 + (cs. 1870 + ) 51 + (cs. 1870 + ) 51 + (cs. 1870 + ) 51 + (cs. 1870 + ) 51 + (cs. 1870 + ) 51 + (cs. 1870 + ) 51 + (cs. 1870 + ) 51 + (cs. 1870 + ) 51 + (cs. 1870 + ) 51 + (cs. 1870 + ) 51 + (cs. 1870 + ) 51 + (cs. 1870 + ) 51 + (cs. 1870 + ) 51 + (cs. 1870 + ) 51 + (cs. 1870 + ) 51 + (cs. 1870 + ) 51 + (cs. 1870 + ) 51 + (cs. 1870 + ) 51 + (cs. 1870 + ) 51 + (cs. 1870 + ) 51 + (cs. 1870 + ) 51 + (cs. 1870 + ) 51 + (cs. 1870 + ) 51 + (cs. 1870 + ) 51 + (cs. 1870 + ) 51 + (cs. 1870 + ) 51 + (cs. 1870 + ) 51 + (cs. 1870 + ) 51 + (cs. 1870 + ) 51 + (cs. 1870 + ) 51 + (cs. 1870 + ) 51 + (cs. 1870 + ) 51 + (cs. 1870 + ) 51 + (cs. 1870 + ) 51 + (cs. 1870 + ) 51 + (cs. 1870 +	+ + + + + + + + + + + + + + + + + + +	+ + + + + + + + + + + + + + + + + + +
250	+ + + + + + + + + + + + + + + + + + +	+++++0011 20 1 20 1 20 1 20 1 20 1 20 1	+ + + + + + + + + + + + + + + + + + +	+ Ox 100 cts - 3 + Cox 40 cts - 3 + Cox 40 cts - 3 + Cox 40 cts - 3 + Cox 40 cts - 3 + Cox 40 cts - 3 + Cox 40 cts - 3 + Cox 40 cts - 3 + Cox 40 cts - 3 + Cox 40 cts - 3 + Cox 40 cts - 3 + Cox 40 cts - 3 + Cox 40 cts - 3 + Cox 40 cts - 3 + Cox 40 cts - 3 + Cox 40 cts - 3 + Cox 40 cts - 3 + Cox 40 cts - 3 + Cox 40 cts - 3 + Cox 40 cts - 3 + Cox 40 cts - 3 + Cox 40 cts - 3 + Cox 40 cts - 3 + Cox 40 cts - 3 + Cox 40 cts - 3 + Cox 40 cts - 3 + Cox 40 cts - 3 + Cox 40 cts - 3 + Cox 40 cts - 3 + Cox 40 cts - 3 + Cox 40 cts - 3 + Cox 40 cts - 3 + Cox 40 cts - 3 + Cox 40 cts - 3 + Cox 40 cts - 3 + Cox 40 cts - 3 + Cox 40 cts - 3 + Cox 40 cts - 3 + Cox 40 cts - 3 + Cox 40 cts - 3 + Cox 40 cts - 3 + Cox 40 cts - 3 + Cox 40 cts - 3 + Cox 40 cts - 3 + Cox 40 cts - 3 + Cox 40 cts - 3 + Cox 40 cts - 3 + Cox 40 cts - 3 + Cox 40 cts - 3 + Cox 40 cts - 3 + Cox 40 cts - 3 + Cox 40 cts - 3 + Cox 40 cts - 3 + Cox 40 cts - 3 + Cox 40 cts - 3 + Cox 40 cts - 3 + Cox 40 cts - 3 + Cox 40 cts - 3 + Cox 40 cts - 3 + Cox 40 cts - 3 + Cox 40 cts - 3 + Cox 40 cts - 3 + Cox 40 cts - 3 + Cox 40 cts - 3 + Cox 40 cts - 3 + Cox 40 cts - 3 + Cox 40 cts - 3 + Cox 40 cts - 3 + Cox 40 cts - 3 + Cox 40 cts - 3 + Cox 40 cts - 3 + Cox 40 cts - 3 + Cox 40 cts - 3 + Cox 40 cts - 3 + Cox 40 cts - 3 + Cox 40 cts - 3 + Cox 40 cts - 3 + Cox 40 cts - 3 + Cox 40 cts - 3 + Cox 40 cts - 3 + Cox 40 cts - 3 + Cox 40 cts - 3 + Cox 40 cts - 3 + Cox 40 cts - 3 + Cox 40 cts - 3 + Cox 40 cts - 3 + Cox 40 cts - 3 + Cox 40 cts - 3 + Cox 40 cts - 3 + Cox 40 cts - 3 + Cox 40 cts - 3 + Cox 40 cts - 3 + Cox 40 cts - 3 + Cox 40 cts - 3 + Cox 40 cts - 3 + Cox 40 cts - 3 + Cox 40 cts - 3 + Cox 40 cts - 3 + Cox 40 cts - 3 + Cox 40 cts - 3 + Cox 40 cts - 3 + Cox 40 cts - 3 + Cox 40 cts - 3 + Cox 40 cts - 3 + Cox 40 cts - 3 + Cox 40 cts - 3 + Cox 40 cts - 3 + Cox 40 cts - 3 + Cox 40 cts - 3 + Cox 40 cts - 3 + Cox 40 cts - 3 + Cox 40 cts - 3 + Cox 40 cts - 3 + Cox 40 cts	++++++++++++++++++++++++++++++++++++++	+ 0.000 Gaz 2 + 0.007 JA 2 + 0.007 JA 2 + 0.007 JA 2 + 0.007 JA 2 + 0.007 JA 2 + 0.007 JA 2 + 0.007 JA 2 + 0.007 JA 2 + 0.007 JA 2 + 0.007 JA 2 + 0.007 JA 2 + 0.007 JA 2 + 0.007 JA 2 + 0.007 JA 2 + 0.007 JA 2 + 0.007 JA 2 + 0.007 JA 2 + 0.007 JA 2 + 0.007 JA 2 + 0.007 JA 2 + 0.007 JA 2 + 0.007 JA 2 + 0.007 JA 2 + 0.007 JA 2 + 0.007 JA 2 + 0.007 JA 2 + 0.007 JA 2 + 0.007 JA 2 + 0.007 JA 2 + 0.007 JA 2 + 0.007 JA 2 + 0.007 JA 2 + 0.007 JA 2 + 0.007 JA 2 + 0.007 JA 2 + 0.007 JA 2 + 0.007 JA 2 + 0.007 JA 2 + 0.007 JA 2 + 0.007 JA 2 + 0.007 JA 2 + 0.007 JA 2 + 0.007 JA 2 + 0.007 JA 2 + 0.007 JA 2 + 0.007 JA 2 + 0.007 JA 2 + 0.007 JA 2 + 0.007 JA 2 + 0.007 JA 2 + 0.007 JA 2 + 0.007 JA 2 + 0.007 JA 2 + 0.007 JA 2 + 0.007 JA 2 + 0.007 JA 2 + 0.007 JA 2 + 0.007 JA 2 + 0.007 JA 2 + 0.007 JA 2 + 0.007 JA 2 + 0.007 JA 2 + 0.007 JA 2 + 0.007 JA 2 + 0.007 JA 2 + 0.007 JA 2 + 0.007 JA 2 + 0.007 JA 2 + 0.007 JA 2 + 0.007 JA 2 + 0.007 JA 2 + 0.007 JA 2 + 0.007 JA 2 + 0.007 JA 2 + 0.007 JA 2 + 0.007 JA 2 + 0.007 JA 2 + 0.007 JA 2 + 0.007 JA 2 + 0.007 JA 2 + 0.007 JA 2 + 0.007 JA 2 + 0.007 JA 2 + 0.007 JA 2 + 0.007 JA 2 + 0.007 JA 2 + 0.007 JA 2 + 0.007 JA 2 + 0.007 JA 2 + 0.007 JA 2 + 0.007 JA 2 + 0.007 JA 2 + 0.007 JA 2 + 0.007 JA 2 + 0.007 JA 2 + 0.007 JA 2 + 0.007 JA 2 + 0.007 JA 2 + 0.007 JA 2 + 0.007 JA 2 + 0.007 JA 2 + 0.007 JA 2 + 0.007 JA 2 + 0.007 JA 2 + 0.007 JA 2 + 0.007 JA 2 + 0.007 JA 2 + 0.007 JA 2 + 0.007 JA 2 + 0.007 JA 2 + 0.007 JA 2 + 0.007 JA 2 + 0.007 JA 2 + 0.007 JA 2 + 0.007 JA 2 + 0.007 JA 2 + 0.007 JA 2 + 0.007 JA 2 + 0.007 JA 2 + 0.007 JA 2 + 0.007 JA 2 + 0.007 JA 2 + 0.007 JA 2 + 0.007 JA 2 + 0.007 JA 2 + 0.007 JA 2 + 0.007 JA 2 + 0.007 JA 2 + 0.007 JA 2 + 0.007 JA 2 + 0.007 JA 2 + 0.007 JA 2 + 0.007 JA 2 + 0.007 JA 2 + 0.007 JA 2 + 0.007 JA 2 + 0.007 JA 2 + 0.007 JA 2 + 0.007 JA 2 + 0.007 JA 2 + 0.007 JA 2 + 0.007 JA 2 + 0.007 JA 2 + 0.007 JA 2 + 0.007 JA 2 +
2 2 2	1 - 0 toous 0 - 1 - 1 - 1 - 1 - 1 - 1 - 1 - 1 - 1 -	. 2,00064 . 2,00067 . 2,00067 . 2,0007 . 2,0007 . 2,0007 . 2,0007 . 2,00080	1 P8000 0	1 20 1 1 1 1 1 1 1 1 1 1 1 1 1 1 1 1 1 1	1 1 1 1 1 1 1 1 1 1 1 1 1 1 1 1 1 1 1	6 6 6 6 6 6 6 6 6 6 6 6 6 6 6 6 6 6 6
o e	+ + + + + + + + + + + + + + + + + + +	+ + + + + + + + + + + + + + + + + + +	+ 0.0079 + 0.0078 + 0.0078 + 0.0077 + 0.0070 + 0.0070 + 0.0070 + 0.0076	+ + 0.0075 + + + 0.0073 + + + 0.0073 + + 0.0072 + 0.0072 + 0.0072	990000 + 4	+ 0000 0 + 0000 0 + 0000 0 + 0000 0 + 0000 0 + 0000 0 + 0000 0 + 0000 0 + 0000 0 + 0000 0 + 0000 0 + 0000 0 + 0000 0 + 0000 0 + 0000 0 + 0000 0 + 0000 0 + 0000 0 + 0000 0 + 0000 0 + 0000 0 + 0000 0 + 0000 0 + 0000 0 + 0000 0 + 0000 0 + 0000 0 + 0000 0 + 0000 0 + 0000 0 + 0000 0 + 0000 0 + 0000 0 + 0000 0 + 0000 0 + 0000 0 + 0000 0 + 0000 0 + 0000 0 + 0000 0 + 0000 0 + 0000 0 + 0000 0 + 0000 0 + 0000 0 + 0000 0 + 0000 0 + 0000 0 + 0000 0 + 0000 0 + 0000 0 + 0000 0 + 0000 0 + 0000 0 + 0000 0 + 0000 0 + 0000 0 + 0000 0 + 0000 0 + 0000 0 + 0000 0 + 0000 0 + 0000 0 + 0000 0 + 0000 0 + 0000 0 + 0000 0 + 0000 0 + 0000 0 + 0000 0 + 0000 0 + 0000 0 + 0000 0 + 0000 0 + 0000 0 + 0000 0 + 0000 0 + 0000 0 + 0000 0 + 0000 0 + 0000 0 + 0000 0 + 0000 0 + 0000 0 + 0000 0 + 0000 0 + 0000 0 + 0000 0 + 0000 0 + 0000 0 + 0000 0 + 0000 0 + 0000 0 + 0000 0 + 0000 0 + 0000 0 + 0000 0 + 0000 0 + 0000 0 + 0000 0 + 0000 0 + 0000 0 + 0000 0 + 0000 0 + 0000 0 + 0000 0 + 0000 0 + 0000 0 + 0000 0 + 0000 0 + 0000 0 + 0000 0 + 0000 0 + 0000 0 + 0000 0 + 0000 0 + 0000 0 + 0000 0 + 0000 0 + 0000 0 + 0000 0 + 0000 0 + 0000 0 + 0000 0 + 0000 0 + 0000 0 + 0000 0 + 0000 0 + 0000 0 + 0000 0 + 0000 0 + 0000 0 + 0000 0 + 0000 0 + 0000 0 + 0000 0 + 0000 0 + 0000 0 + 0000 0 + 0000 0 + 0000 0 + 0000 0 + 0000 0 + 0000 0 + 0000 0 + 0000 0 + 0000 0 + 0000 0 + 0000 0 + 0000 0 + 0000 0 + 0000 0 + 0000 0 + 0000 0 + 0000 0 + 0000 0 + 0000 0 + 0000 0 + 0000 0 + 0000 0 + 0000 0 + 0000 0 + 0000 0 + 0000 0 + 0000 0 + 0000 0 + 0000 0 + 0000 0 + 0000 0 + 0000 0 + 0000 0 + 0000 0 + 0000 0 + 0000 0 + 0000 0 + 0000 0 + 0000 0 + 0000 0 + 0000 0 + 0000 0 + 0000 0 + 0000 0 + 0000 0 + 0000 0 + 0000 0 + 0000 0 + 0000 0 + 0000 0 + 0000 0 + 0000 0 + 0000 0 + 0000 0 + 0000 0 + 0000 0 + 0000 0 + 0000 0 + 0000 0 + 0000 0 + 0000 0 + 0000 0 + 0000 0 + 0000 0 + 0000 0 + 0000 0 + 0000 0 + 0000 0 + 0000 0 + 0000 0 + 0000 0 + 0000 0 + 0000 0 + 0000 0 + 0000 0 + 0000 0 + 0000 0 + 0000 0 + 0000 0 + 0000 0 + 0000 0 + 0000 0 + 0000 0 + 0000 0 + 0000 0 + 0000 0 + 0000 0 + 0000 0 + 0000 0 + 0
ed ^a	1 + 900000 - 900000 - 100000000000000000000	0.01763 0.01861 0.01881 0.01967 0.01967 0.01196 0.01196 0.01196	0.02280 0.0238 0.0238 0.0238 0.0238 0.0258 0.0258 0.0279 0.0279	2000 0 0 0 0 0 0 0 0 0 0 0 0 0 0 0 0 0	2 1 2 2 2 2 2 2 2 2 2 2 2 2 2 2 2 2 2 2	+ + + + + + + + + + + + + + + + + + +
250	0 0 1243 0 0 1246 0 0 1246 0 0 1355 0 0 1355 0 0 1355 0 0 1355	0 0 0 0 0 0 0 0 0 0 0 0 0 0 0 0 0 0 0 0	- 1613 1613 1614 0 0 0 1644 0 0 0 1649 0 0 0 1649 0 0 0 1775 0 0 0 1775 0 0 0 0 1775 0 0 0 0 1775 0 0 0 0 1775 0 0 0 0 1775 0 0 0 0 1775 0 0 0 0 1775 0 0 0 0 1775 0 0 0 0 1775 0 0 0 0 1775 0 0 0 0 1775 0 0 0 0 1775 0 0 0 0 1775 0 0 0 0 1775 0 0 0 0 1775 0 0 0 0 1775 0 0 0 0 1775 0 0 0 0 1775 0 0 0 0 1775 0 0 0 0 1775 0 0 0 0 1775 0 0 0 0 1775 0 0 0 0 1775 0 0 0 0 1775 0 0 0 0 1775 0 0 0 0 1775 0 0 0 0 1775 0 0 0 0 1775 0 0 0 0 1775 0 0 0 0 1775 0 0 0 0 1775 0 0 0 0 1775 0 0 0 0 0 1775 0 0 0 0 0 1775 0 0 0 0 0 1775 0 0 0 0 0 1775 0 0 0 0 0 0 0 0 0 0 0 0 0 0 0 0 0 0	1188 1 1 2 1 2 1 2 1 2 1 2 1 2 1 2 1 2 1	0 0 1971 0 0 1971 0 0 1973 0 0 1973 0 0 1777 0 0 1777	0 0 1144 0 0 1162 0 0 0 1162 0 0 0 1162 0 0 0 1162 0 0 0 1162 0 0 0 1162 0 0 0 1162 0 0 0 1162 0 0 0 1162 0 0 0 1162 0 0 0 1162 0 0 0 1162 0 0 0 1162 0 0 0 1162 0 0 0 1162 0 0 0 1 1 1 1 1 1 1 1 1 1 1 1 1 1 1 1 1
G 3	+ 1000 + 1375   55   1000 + 1375   55   1000 + 1375   55   1000 + 1375   55   1000 + 1375   55   1000 + 1375   55   1000 + 1375   55   1000 + 1375   55   1000 + 1375   55   1000 + 1375   55   1000 + 1375   55   1000 + 1375   55   1000 + 1375   55   1000 + 1375   55   1000 + 1375   55   1000 + 1375   55   1000 + 1375   55   1000 + 1375   55   1000 + 1375   55   1000 + 1375   55   1000 + 1375   55   1000 + 1375   55   1000 + 1375   55   1000 + 1375   55   1000 + 1375   55   1000 + 1375   55   1000 + 1375   55   1000 + 1375   55   1000 + 1375   55   1000 + 1375   55   1000 + 1375   55   1000 + 1375   55   1000 + 1375   55   1000 + 1375   55   1000 + 1375   55   1000 + 1375   55   1000 + 1375   55   1000 + 1375   55   1000 + 1375   55   1000 + 1375   55   1000 + 1375   55   1000 + 1375   55   1000 + 1375   55   1000 + 1375   55   1000 + 1375   55   1000 + 1375   55   1000 + 1375   55   1000 + 1375   55   1000 + 1375   55   1000 + 1375   55   1000 + 1375   55   1000 + 1375   55   1000 + 1375   55   1000 + 1375   55   1000 + 1375   55   1000 + 1375   55   1000 + 1375   55   1000 + 1375   55   1000 + 1375   55   1000 + 1375   55   1000 + 1375   55   1000 + 1375   55   1000 + 1375   55   1000 + 1375   55   1000 + 1375   55   1000 + 1375   55   1000 + 1375   55   1000 + 1375   55   1000 + 1375   55   1000 + 1375   55   1000 + 1375   55   1000 + 1375   55   1000 + 1375   55   1000 + 1375   55   1000 + 1375   55   1000 + 1375   55   1000 + 1375   55   1000 + 1375   55   1000 + 1375   55   1000 + 1375   55   1000 + 1375   55   1000 + 1375   55   1000 + 1375   55   1000 + 1375   55   1000 + 1375   55   1000 + 1375   55   1000 + 1375   55   1000 + 1375   55   1000 + 1375   55   1000 + 1375   55   1000 + 1375   55   1000 + 1375   55   1000 + 1375   55   1000 + 1375   55   1000 + 1375   55   1000 + 1375   55   1000 + 1375   55   1000 + 1375   55   1000 + 1375   55   1000 + 1375   55   1000 + 1375   55   1000 + 1375   55   1000 + 1375   55   1000 + 1375   55   1000 + 1375   55   1000 + 1375   55   1000 + 1375   55   1000 + 1375	+ 0.007 4(16 64 + 0.007 4(10 65 + 0.007 4(10 65 + 0.007 7(10 65 + 0.007 7(10 65 + 0.007 7(10 65 + 0.007 7(10 65 + 0.007 7(10 65 + 0.007 7(10 65 + 0.007 1(10 65 + 0.007 1(10 65 + 0.007 1(10 65 + 0.007 1(10 65 + 0.007 1(10 65 + 0.007 1(10 65 + 0.007 1(10 65 + 0.007 1(10 65 + 0.007 1(10 65 + 0.007 1(10 65 + 0.007 1(10 65 + 0.007 1(10 65 + 0.007 1(10 65 + 0.007 1(10 65 + 0.007 1(10 65 + 0.007 1(10 65 + 0.007 1(10 65 + 0.007 1(10 65 + 0.007 1(10 65 + 0.007 1(10 65 + 0.007 1(10 65 + 0.007 1(10 65 + 0.007 1(10 65 + 0.007 1(10 65 + 0.007 1(10 65 + 0.007 1(10 65 + 0.007 1(10 65 + 0.007 1(10 65 + 0.007 1(10 65 + 0.007 1(10 65 + 0.007 1(10 65 + 0.007 1(10 65 + 0.007 1(10 65 + 0.007 1(10 65 + 0.007 1(10 65 + 0.007 1(10 65 + 0.007 1(10 65 + 0.007 1(10 65 + 0.007 1(10 65 + 0.007 1(10 65 + 0.007 1(10 65 + 0.007 1(10 65 + 0.007 1(10 65 + 0.007 1(10 65 + 0.007 1(10 65 + 0.007 1(10 65 + 0.007 1(10 65 + 0.007 1(10 65 + 0.007 1(10 65 + 0.007 1(10 65 + 0.007 1(10 65 + 0.007 1(10 65 + 0.007 1(10 65 + 0.007 1(10 65 + 0.007 1(10 65 + 0.007 1(10 65 + 0.007 1(10 65 + 0.007 1(10 65 + 0.007 1(10 65 + 0.007 1(10 65 + 0.007 1(10 65 + 0.007 1(10 65 + 0.007 1(10 65 + 0.007 1(10 65 + 0.007 1(10 65 + 0.007 1(10 65 + 0.007 1(10 65 + 0.007 1(10 65 + 0.007 1(10 65 + 0.007 1(10 65 + 0.007 1(10 65 + 0.007 1(10 65 + 0.007 1(10 65 + 0.007 1(10 65 + 0.007 1(10 65 + 0.007 1(10 65 + 0.007 1(10 65 + 0.007 1(10 65 + 0.007 1(10 65 + 0.007 1(10 65 + 0.007 1(10 65 + 0.007 1(10 65 + 0.007 1(10 65 + 0.007 1(10 65 + 0.007 1(10 65 + 0.007 1(10 65 + 0.007 1(10 65 + 0.007 1(10 65 + 0.007 1(10 65 + 0.007 1(10 65 + 0.007 1(10 65 + 0.007 1(10 65 + 0.007 1(10 65 + 0.007 1(10 65 + 0.007 1(10 65 + 0.007 1(10 65 + 0.007 1(10 65 + 0.007 1(10 65 + 0.007 1(10 65 + 0.007 1(10 65 + 0.007 1(10 65 + 0.007 1(10 65 + 0.007 1(10 65 + 0.007 1(10 65 + 0.007 1(10 65 + 0.007 1(10 65 + 0.007 1(10 65 + 0.007 1(10 65 + 0.007 1(10 65 + 0.007 1(10 65 + 0.007 1(10 65 + 0.007 1(10 65 + 0.007 1(10 65 + 0.007 1(10 65 + 0.007 1(10 65 + 0.007 1(10 65 + 0.007 1(10 65 + 0.007 1(10 65 + 0.007 1(10 6	+ cook 3300 - 72 + cook 4330 - 73 + cook 534 - 73 + cook 544 - 73 + cook 544 - 73 + cook 544 - 73 + cook 1084 - 77 + cook 1084 - 77 + cook 1084 - 77 + cook 1084 - 77	+ 0.004 1884, 73 + 1.004, 2687, 86 + 0.004, 3478, 81 + 0.009, 1378, 81 + 0.009, 137, 88 + 0.004, 737, 88 + 1.004, 737, 88	+ 0 000, 9548 66 + 0 010 0774 67 + 0 110 1700 83 + 0 010 047 84 + 0 011 040 84 + 0 011 040 84 + 0 011 040 84 + 0 011 050 84 + 0 010 051 84 + 0 010 051 84 + 0 010 051 84 + 0 010 051 84 + 0 010 051 84 + 0 010 051 84 + 0 010 051 84 + 0 010 051 84 + 0 010 051 84 + 0 010 051 84 + 0 010 051 84 + 0 010 051 84 + 0 010 051 84 + 0 010 051 84 + 0 010 051 84 + 0 010 051 84 + 0 010 051 84 + 0 010 051 84 + 0 010 051 84 + 0 010 051 84 + 0 010 051 84 + 0 010 051 84 + 0 010 051 84 + 0 010 051 84 + 0 010 051 84 + 0 010 051 84 + 0 010 051 84 + 0 010 051 84 + 0 010 051 84 + 0 010 051 84 + 0 010 051 84 + 0 010 051 84 + 0 010 051 84 + 0 010 051 84 + 0 010 051 84 + 0 010 051 84 + 0 010 051 84 + 0 010 051 84 + 0 010 051 84 + 0 010 051 84 + 0 010 051 84 + 0 010 051 84 + 0 010 051 84 + 0 010 051 84 + 0 010 051 84 + 0 010 051 84 + 0 010 051 84 + 0 010 051 84 + 0 010 051 84 + 0 010 051 84 + 0 010 051 84 + 0 010 051 84 + 0 010 051 84 + 0 010 051 84 + 0 010 051 84 + 0 010 051 84 + 0 010 051 84 + 0 010 051 84 + 0 010 051 84 + 0 010 051 84 + 0 010 051 84 + 0 010 051 84 + 0 010 051 84 + 0 010 051 84 + 0 010 051 84 + 0 010 051 84 + 0 010 051 84 + 0 010 051 84 + 0 010 051 84 + 0 010 051 84 + 0 010 051 84 + 0 010 051 84 + 0 010 051 84 + 0 010 051 84 + 0 010 051 84 + 0 010 051 84 + 0 010 051 84 + 0 010 051 84 + 0 010 051 84 + 0 010 051 84 + 0 010 051 84 + 0 010 051 84 + 0 010 051 84 + 0 010 051 84 + 0 010 051 84 + 0 010 051 84 + 0 010 051 84 + 0 010 051 84 + 0 010 051 84 + 0 010 051 84 + 0 010 051 84 + 0 010 051 84 + 0 010 051 84 + 0 010 051 84 + 0 010 051 84 + 0 010 051 84 + 0 010 051 84 + 0 010 051 84 + 0 010 051 84 + 0 010 051 84 + 0 010 051 84 + 0 010 051 84 + 0 010 051 84 + 0 010 051 84 + 0 010 051 84 + 0 010 051 84 + 0 010 051 84 + 0 010 051 84 + 0 010 051 84 + 0 010 051 84 + 0 010 051 84 + 0 010 051 84 + 0 010 051 84 + 0 010 051 84 + 0 010 051 84 + 0 010 051 84 + 0 010 051 84 + 0 010 051 84 + 0 010 051 84 + 0 010 05	+ c = 5 7 9/6 (3) 19 19 19 19 19 19 19 19 19 19 19 19 19
O.t.	++++++++++++++++++++++++++++++++++++++	\$ + 000 £200 + 500 £200 + 500 £200 + 500 £200 + 500 £200 + 500 £200 + 500 £200 + 500 £200 + 500 £200 + 500 £200 + 500 £200 + 500 £200 + 500 £200 + 500 £200 + 500 £200 + 500 £200 + 500 £200 + 500 £200 + 500 £200 + 500 £200 + 500 £200 + 500 £200 + 500 £200 + 500 £200 + 500 £200 + 500 £200 £200 + 500 £200 £200 £200 £200 £200 £200 £200	+ (27) 883 + (27) 884 + (27) 786 + (27) 786 + (27) 786 + (27) 786 + (27) 786 + (27) 786 + (27) 786 + (27) 786 + (27) 786 + (27) 786 + (27) 786 + (27) 786 + (27) 786 + (27) 786 + (27) 786 + (27) 786 + (27) 786 + (27) 786 + (27) 786 + (27) 786 + (27) 786 + (27) 786 + (27) 786 + (27) 786 + (27) 786 + (27) 786 + (27) 786 + (27) 786 + (27) 786 + (27) 786 + (27) 786 + (27) 786 + (27) 786 + (27) 786 + (27) 786 + (27) 786 + (27) 786 + (27) 786 + (27) 786 + (27) 786 + (27) 786 + (27) 786 + (27) 786 + (27) 786 + (27) 786 + (27) 786 + (27) 786 + (27) 786 + (27) 786 + (27) 786 + (27) 786 + (27) 786 + (27) 786 + (27) 786 + (27) 786 + (27) 786 + (27) 786 + (27) 786 + (27) 786 + (27) 786 + (27) 786 + (27) 786 + (27) 786 + (27) 786 + (27) 786 + (27) 786 + (27) 786 + (27) 786 + (27) 786 + (27) 786 + (27) 786 + (27) 786 + (27) 786 + (27) 786 + (27) 786 + (27) 786 + (27) 786 + (27) 786 + (27) 786 + (27) 786 + (27) 786 + (27) 786 + (27) 786 + (27) 786 + (27) 786 + (27) 786 + (27) 786 + (27) 786 + (27) 786 + (27) 786 + (27) 786 + (27) 786 + (27) 786 + (27) 786 + (27) 786 + (27) 786 + (27) 786 + (27) 786 + (27) 786 + (27) 786 + (27) 786 + (27) 786 + (27) 786 + (27) 786 + (27) 786 + (27) 786 + (27) 786 + (27) 786 + (27) 786 + (27) 786 + (27) 786 + (27) 786 + (27) 786 + (27) 786 + (27) 786 + (27) 786 + (27) 786 + (27) 786 + (27) 786 + (27) 786 + (27) 786 + (27) 786 + (27) 786 + (27) 786 + (27) 786 + (27) 786 + (27) 786 + (27) 786 + (27) 786 + (27) 786 + (27) 786 + (27) 786 + (27) 786 + (27) 786 + (27) 786 + (27) 786 + (27) 786 + (27) 786 + (27) 786 + (27) 786 + (27) 786 + (27) 786 + (27) 786 + (27) 786 + (27) 786 + (27) 786 + (27) 786 + (27) 786 + (27) 786 + (27) 786 + (27) 786 + (27) 786 + (27) 786 + (27) 786 + (27) 786 + (27) 786 + (27) 786 + (27) 786 + (27) 786 + (27) 786 + (27) 786 + (27) 786 + (27) 786 + (27) 786 + (27) 786 + (27) 786 + (27) 786 + (27) 786 + (27) 786 + (27) 786 + (27) 786 + (27) 786 + (27) 786 + (27) 786 + (27) 786 + (27) 786 + (27) 786 + (27) 786 + (27) 786 + (27) 786 + (27) 786 + (27) 786 + (27) 786 + (27) 786	+ 0.027 25 + 5 + 0.027 25 + 5 + 0.027 106 + 5 + 0.027 104 + 5 + 0.027 104 + 5 + 0.027 007 + 5 + 0.027 007 + 5 + 0.027 007 + 5 + 0.027 007 + 5	+ 0 0 0 0 0 0 0 0 0 0 0 0 0 0 0 0 0 0 0	+++++++++++++++++++++++++++++++++++++++
080	0 0 0 0 0 0 0 0 0 0 0 0 0 0 0 0 0 0 0	0 (0)(0) 0 + (0)(0)(0) 0 + (0)(0)(0) 0 + (0)(0)(0) 0 + (0)(0)(0) 0 + (0)(0)(0) 0 + (0)(0)(0) 0 + (0)(0)(0) 0 + (0)(0)(0) 0 + (0)(0)(0) 0 + (0)(0)(0) 0 + (0)(0)(0) 0 + (0)(0)(0) 0 + (0)(0)(0) 0 + (0)(0)(0) 0 + (0)(0)(0) 0 + (0)(0)(0) 0 + (0)(0)(0) 0 + (0)(0)(0) 0 + (0)(0)(0) 0 + (0)(0)(0) 0 + (0)(0)(0) 0 + (0)(0)(0) 0 + (0)(0)(0) 0 + (0)(0)(0) 0 + (0)(0)(0) 0 + (0)(0)(0) 0 + (0)(0)(0) 0 + (0)(0)(0) 0 + (0)(0)(0) 0 + (0)(0)(0) 0 + (0)(0)(0) 0 + (0)(0)(0) 0 + (0)(0)(0) 0 + (0)(0)(0) 0 + (0)(0)(0) 0 + (0)(0)(0) 0 + (0)(0)(0) 0 + (0)(0)(0) 0 + (0)(0)(0) 0 + (0)(0)(0) 0 + (0)(0)(0) 0 + (0)(0)(0) 0 + (0)(0)(0) 0 + (0)(0)(0) 0 + (0)(0)(0) 0 + (0)(0)(0) 0 + (0)(0)(0) 0 + (0)(0)(0) 0 + (0)(0)(0) 0 + (0)(0)(0) 0 + (0)(0)(0) 0 + (0)(0)(0) 0 + (0)(0)(0) 0 + (0)(0)(0) 0 + (0)(0)(0) 0 + (0)(0)(0) 0 + (0)(0)(0) 0 + (0)(0)(0) 0 + (0)(0)(0) 0 + (0)(0)(0) 0 + (0)(0)(0) 0 + (0)(0)(0) 0 + (0)(0)(0) 0 + (0)(0)(0)(0) 0 + (0)(0)(0) 0 + (0)(0)(0)(0) 0 + (0)(0)(0)(0) 0 + (0)(0)(0)(0) 0 + (0)(0)(0)(0) 0 + (0)(0)(0)(0) 0 + (0)(0)(0)(0) 0 + (0)(0)(0)(0) 0 + (0)(0)(0)(0) 0 + (0)(0)(0)(0) 0 + (0)(0)(0)(0)(0) 0 + (0)(0)(0)(0)(0) 0 + (0)(0)(0)(0)(0)(0) 0 + (0)(0)(0)(0)(0)(0) 0 + (0)(0)(0)(0)(0)(0) 0 + (0)(0)(0)(0)(0)(0) 0 + (0)(0)(0)(0)(0)(0) 0 + (0)(0)(0)(0)(0)(0) 0 + (0)(0)(0)(0)(0)(0)(0)(0) 0 + (0)(0)(0)(0)(0)(0)(0)(0)(0)(0)(0)(0)(0)(	4 c cope; 5 c c c c c c c c c c c c c c c c c c	0 00000 0 00000 0 00000 0 0 00000 0 0 0	+ 0.00687 0 0.00687 0 0.00697 0 0.00697 0 0.00697 0 0.00697 0 0.00697 0 0.00697 0 0.00697 0 0.00697 0 0.00697 0 0.00697 0 0.00697 0 0.00697 0 0.00697 0 0.00697 0 0.00697 0 0.00697 0 0.00697 0 0.00697 0 0.00697 0 0.00697 0 0.00697 0 0.00697 0 0.00697 0 0.00697 0 0.00697 0 0.00697 0 0.00697 0 0.00697 0 0.00697 0 0.00697 0 0.00697 0 0.00697 0 0.00697 0 0.00697 0 0.00697 0 0.00697 0 0.00697 0 0.00697 0 0.00697 0 0.00697 0 0.00697 0 0.00697 0 0.00697 0 0.00697 0 0.00697 0 0.00697 0 0.00697 0 0.00697 0 0.00697 0 0.00697 0 0.00697 0 0.00697 0 0.00697 0 0.00697 0 0.00697 0 0.00697 0 0.00697 0 0.00697 0 0.00697 0 0.00697 0 0.00697 0 0.00697 0 0.00697 0 0.00697 0 0.00697 0 0.00697 0 0.00697 0 0.00697 0 0.00697 0 0.00697 0 0.00697 0 0.00697 0 0.00697 0 0.00697 0 0.00697 0 0.00697 0 0.00697 0 0.00697 0 0.00697 0 0.00697 0 0.00697 0 0.00697 0 0.00697 0 0.00697 0 0.00697 0 0.00697 0 0.00697 0 0.00697 0 0.00697 0 0.00697 0 0.00697 0 0.00697 0 0.00697 0 0.00697 0 0.00697 0 0.00697 0 0.00697 0 0.00697 0 0.00697 0 0.00697 0 0.00697 0 0.00697 0 0.00697 0 0.00697 0 0.00697 0 0.00697 0 0.00697 0 0.00697 0 0.00697 0 0.00697 0 0.00697 0 0.00697 0 0.00697 0 0.00697 0 0.00697 0 0.00697 0 0.00697 0 0.00697 0 0.00697 0 0.00697 0 0.00697 0 0.00697 0 0.00697 0 0.00697 0 0.00697 0 0.00697 0 0.00697 0 0.00697 0 0.00697 0 0.00697 0 0.00697 0 0.00697 0 0.00697 0 0.00697 0 0.00697 0 0.00697 0 0.00697 0 0.00697 0 0.00697 0 0.00697 0 0.00697 0 0.00697 0 0.00697 0 0.00697 0 0.00697 0 0.00697 0 0.00697 0 0.00697 0 0.00697 0 0.00697 0 0.00697 0 0.00697 0 0.00697 0 0.00697 0 0.00697 0 0.00697 0 0.00697 0 0.00697 0 0.00697 0 0.00697 0 0.00697 0 0.00697 0 0.00697 0 0.00697 0 0.00697 0 0.00697 0 0.00697 0 0.00697 0 0.00697 0 0.00697 0 0.00697 0 0.00697 0 0.00697 0 0.00697 0 0.00697 0 0.00697 0 0.00697 0 0.00697 0 0.00697 0 0.00697 0 0.00697 0 0.00697 0 0.00697 0 0.00697 0 0.00697 0 0.00697 0 0.00697 0 0.00697 0 0.00697 0 0.00697 0 0.00697 0 0.00697 0 0.00697 0 0.00697 0 0.00697 0 0.0067 0 0.0067 0 0.0067 0 0.0067 0 0.0067 0 0.0067 0 0.0067 0 0.0067 0 0.	0 0 0 0 0 0 0 0 0 0 0 0 0 0 0 0 0 0 0
4_	BH BH FMB NO D	0 - x - 7 - 5 - 5 - 5 - 5 - 5 - 5 - 5 - 5 - 5	2 + 2 5 + 5 5 5 6 5	211112222	6 # # # # # # # # # # # # # # # # # # #	858335555658

Die Zahlen der zweiten Subcolumnen sind mit 1 = 100 zu multipliciren, und sind in Einheiten der letzten Decimale angesetzt.

1
2 2
-
교
el
[e]
fel
[e]
afel
afel
[afe]
<b>Tafel</b>

	1++++++++	++++++++	+++++++++	+++++++++	+++++++++	+++++++++++
d3	0.09051 0.03037 0.03129 0.03129 0.03129 0.03129 0.03251	0.0000000000000000000000000000000000000	0.02553 0.02562 0.02563 0.02563 0.02563 0.02573 0.027718	0.000000000000000000000000000000000000	0.03019 0.03019 0.03019 0.03019 0.031319 0.031319	2000 0 0 0 0 0 0 0 0 0 0 0 0 0 0 0 0 0
d ₃	2 2 2 2 2 2 2 2 2 2 2 2 2 2 2 2 2 2 2	1 1 1 1 1 1 1 1 1 1 1 1 1 1 1 1 1 1 1	000000000000000000000000000000000000000	6 0 0 0 0 0 0 0 0 0 0 0 0 0 0 0 0 0 0 0	11 11 4650100000000000000000000000000000000000	1 1 1 1 1 1 1 1 1 1 1 1 1 1 1 1 1 1 1
633	00000000000000000000000000000000000000	000000000 1111111111111111111111111111	***************************************	111' [ ] 1 111' [ ] 1 111' [ ] 1 111' [ ] 1 111' [ ] 1 111' [ ] 1 111' [ ] 1 111' [ ] 1 111' [ ] 1 111' [ ] 1 111' [ ] 1 111' [ ] 1 111' [ ] 1 111' [ ] 1 111' [ ] 1 111' [ ] 1 111' [ ] 1 11' [ ] 1 11' [ ] 1 11' [ ] 1 11' [ ] 1 11' [ ] 1 11' [ ] 1 11' [ ] 1 11' [ ] 1 11' [ ] 1 11' [ ] 1 11' [ ] 1 11' [ ] 1 11' [ ] 1 11' [ ] 1 11' [ ] 1 11' [ ] 1 11' [ ] 1 11' [ ] 1 11' [ ] 1 11' [ ] 1 11' [ ] 1 11' [ ] 1 11' [ ] 1 11' [ ] 1 11' [ ] 1 11' [ ] 1 11' [ ] 1 11' [ ] 1 11' [ ] 1 11' [ ] 1 11' [ ] 1 11' [ ] 1 11' [ ] 1 11' [ ] 1 11' [ ] 1 11' [ ] 1 11' [ ] 1 11' [ ] 1 11' [ ] 1 11' [ ] 1 11' [ ] 1 11' [ ] 1 11' [ ] 1 11' [ ] 1 11' [ ] 1 11' [ ] 1 11' [ ] 1 11' [ ] 1 11' [ ] 1 11' [ ] 1 11' [ ] 1 11' [ ] 1 11' [ ] 1 11' [ ] 1 11' [ ] 1 11' [ ] 1 11' [ ] 1 11' [ ] 1 11' [ ] 1 11' [ ] 1 11' [ ] 1 11' [ ] 1 11' [ ] 1 11' [ ] 1 11' [ ] 1 11' [ ] 1 11' [ ] 1 11' [ ] 1 11' [ ] 1 11' [ ] 1 11' [ ] 1 11' [ ] 1 11' [ ] 1 11' [ ] 1 11' [ ] 1 11' [ ] 1 11' [ ] 1 11' [ ] 1 11' [ ] 1 11' [ ] 1 11' [ ] 1 11' [ ] 1 11' [ ] 1 11' [ ] 1 11' [ ] 1 11' [ ] 1 11' [ ] 1 11' [ ] 1 11' [ ] 1 11' [ ] 1 11' [ ] 1 11' [ ] 1 11' [ ] 1 11' [ ] 1 11' [ ] 1 11' [ ] 1 11' [ ] 1 11' [ ] 1 11' [ ] 1 11' [ ] 1 11' [ ] 1 11' [ ] 1 11' [ ] 1 11' [ ] 1 11' [ ] 1 11' [ ] 1 11' [ ] 1 11' [ ] 1 11' [ ] 1 11' [ ] 1 11' [ ] 1 11' [ ] 1 11' [ ] 1 11' [ ] 1 11' [ ] 1 11' [ ] 1 11' [ ] 1 11' [ ] 1 11' [ ] 1 11' [ ] 1 11' [ ] 1 11' [ ] 1 11' [ ] 1 11' [ ] 1 11' [ ] 1 11' [ ] 1 11' [ ] 1 11' [ ] 1 11' [ ] 1 11' [ ] 1 11' [ ] 1 11' [ ] 1 11' [ ] 1 11' [ ] 1 11' [ ] 1 11' [ ] 1 11' [ ] 1 11' [ ] 1 11' [ ] 1 11' [ ] 1 11' [ ] 1 11' [ ] 1 11' [ ] 1 11' [ ] 1 11' [ ] 1 11' [ ] 1 11' [ ] 1 11' [ ] 1 11' [ ] 1 11' [ ] 1 11' [ ] 1 11' [ ] 1 11' [ ] 1 11' [ ] 1 11' [ ] 1 11' [ ] 1 11' [ ] 1 11' [ ] 1 11' [ ] 1 11' [ ] 1 11' [ ] 1 11' [ ] 1 11' [ ] 1 11' [ ] 1 11' [ ] 1 11' [ ] 1 11' [ ] 1 11' [ ] 1 11' [ ] 1 11' [ ] 1 11' [ ] 1 11' [ ] 1 11' [ ] 1 11' [ ] 1 11' [ ] 1 11' [ ] 1 11' [ ] 1 11' [ ] 1 11' [ ] 1 11' [ ] 1 11' [ ] 1 11' [ ] 1 11' [ ] 1 11' [ ] 1 11' [ ] 1 11' [ ] 1	20000000000000000000000000000000000000	000000000000000000000000000000000000000
1833 1833	+ + + + + + + + + + + + + + + + + + +	+ 0 0004 1749 54 + 0 0004 1674 54 + 0 0004 1674 54 + 0 0004 1671 54 + 0 0004 1600 - 53 + 0 0004 1600	+ + + 0 0004 0574 53 53 54 55 55 55 55 55 55 55 55 55 55 55 55	+ 0003 8994 - 50 + 0013 8695 50 + 0013 8697 - 45 + 0013 8097 - 45 + 0013 7777 49 + 0013 7	+ 0.000 6468 - 47 + 0.000 5304 47 + 0.000 5304 47 + 0.000 5315 46 + 0.000 5315 45 + 0.000 3515 45 + 0.000 3515 45 + 0.000 3515 45 + 0.000 3515 45 + 0.000 3515 45 + 0.000 3515 45 + 0.000 3515 45 + 0.000 3515 45 + 0.000 3515 45 + 0.000 3515 45 + 0.000 3515 45 + 0.000 3515 45 + 0.000 3515 45 + 0.000 3515 45 + 0.000 3515 45 + 0.000 3515 45 + 0.000 3515 45 + 0.000 3515 45 + 0.000 3515 45 + 0.000 3515 45 + 0.000 3515 45 + 0.000 3515 45 + 0.000 3515 45 + 0.000 3515 45 + 0.000 3515 45 + 0.000 3515 45 + 0.000 3515 45 + 0.000 3515 45 + 0.000 3515 45 + 0.000 3515 45 + 0.000 3515 45 + 0.000 3515 45 + 0.000 3515 45 + 0.000 3515 45 + 0.000 3515 45 + 0.000 3515 45 + 0.000 3515 45 + 0.000 3515 45 + 0.000 3515 45 + 0.000 3515 45 + 0.000 3515 45 + 0.000 3515 45 + 0.000 3515 45 + 0.000 3515 45 + 0.000 3515 45 + 0.000 3515 45 + 0.000 3515 45 + 0.000 3515 45 + 0.000 3515 45 + 0.000 3515 45 + 0.000 3515 45 + 0.000 3515 45 + 0.000 3515 45 + 0.000 3515 45 + 0.000 3515 45 + 0.000 3515 45 + 0.000 3515 45 + 0.000 3515 45 + 0.000 3515 45 + 0.000 3515 45 + 0.000 3515 45 + 0.000 3515 45 + 0.000 3515 45 + 0.000 3515 45 + 0.000 3515 45 + 0.000 3515 45 + 0.000 3515 45 + 0.000 3515 45 + 0.000 3515 45 + 0.000 3515 45 + 0.000 3515 45 + 0.000 3515 45 + 0.000 3515 45 + 0.000 3515 45 + 0.000 3515 45 + 0.000 3515 45 + 0.000 3515 45 + 0.000 3515 45 + 0.000 3515 45 + 0.000 3515 45 + 0.000 3515 45 + 0.000 3515 45 + 0.000 3515 45 + 0.000 3515 45 + 0.000 3515 45 + 0.000 3515 45 + 0.000 3515 45 + 0.000 3515 45 + 0.000 3515 45 + 0.000 3515 45 + 0.000 3515 45 + 0.000 3515 45 + 0.000 3515 45 + 0.000 3515 45 + 0.000 3515 45 + 0.000 3515 45 + 0.000 3515 45 + 0.000 3515 45 + 0.000 3515 45 + 0.000 3515 45 + 0.000 3515 45 + 0.000 3515 45 + 0.000 3515 45 + 0.000 3515 45 + 0.000 3515 45 + 0.000 3515 45 + 0.000 3515 45 + 0.000 3515 45 + 0.000 3515 45 + 0.000 3515 45 + 0.000 3515 45 + 0.000 3515 45 + 0.000 3515 45 + 0.000 3515 45 + 0.000 3515 45 + 0.000 3515 45 + 0.000 3515 45 + 0.000 3515 45 + 0.000 3515 45 + 0.000 3515 45 + 0.000 3515 45 + 0.000 3515 + 0.000 3515 +	+ 0.003 3408 + 43 + 42 + 43 + 43 + 44 + 44 + 44 + 44
d 3	+ 0.000 000 000 000 000 000 000 000 000	+ 0 000 877 - 2 + 0 005 528 - 2 + 0 005 511 2 + 0 005 511 2 + 0 005 511 2 + 0 005 511 2 + 0 005 511 2 + 0 005 511 2 + 0 005 511 2 + 0 005 511 2 + 0 005 511 2 + 0 005 511 2 + 0 005 511 2 + 0 005 511 2 + 0 005 511 2 + 0 005 511 2 + 0 005 511 2 + 0 005 511 2 + 0 005 511 2 + 0 005 511 2 + 0 005 511 2 + 0 005 511 2 + 0 005 511 2 + 0 005 511 2 + 0 005 511 2 + 0 005 511 2 + 0 005 511 2 + 0 005 511 2 + 0 005 511 2 + 0 005 511 2 + 0 005 511 2 + 0 005 511 2 + 0 005 511 2 + 0 005 511 2 + 0 005 511 2 + 0 005 511 2 + 0 005 511 2 + 0 005 511 2 + 0 005 511 2 + 0 005 511 2 + 0 005 511 2 + 0 005 511 2 + 0 005 511 2 + 0 005 511 2 + 0 005 511 2 + 0 005 511 2 + 0 005 511 2 + 0 005 511 2 + 0 005 511 2 + 0 005 511 2 + 0 005 511 2 + 0 005 511 2 + 0 005 511 2 + 0 005 511 2 + 0 005 511 2 + 0 005 511 2 + 0 005 511 2 + 0 005 511 2 + 0 005 511 2 + 0 005 511 2 + 0 005 511 2 + 0 005 511 2 + 0 005 511 2 + 0 005 511 2 + 0 005 511 2 + 0 005 511 2 + 0 005 511 2 + 0 005 511 2 + 0 005 511 2 + 0 005 511 2 + 0 005 511 2 + 0 005 511 2 + 0 005 511 2 + 0 005 511 2 + 0 005 511 2 + 0 005 511 2 + 0 005 511 2 + 0 005 511 2 + 0 005 511 2 + 0 005 511 2 + 0 005 511 2 + 0 005 511 2 + 0 005 511 2 + 0 005 511 2 + 0 005 511 2 + 0 005 511 2 + 0 005 511 2 + 0 005 511 2 + 0 005 511 2 + 0 005 511 2 + 0 005 511 2 + 0 005 511 2 + 0 005 511 2 + 0 005 511 2 + 0 005 511 2 + 0 005 511 2 + 0 005 511 2 + 0 005 511 2 + 0 005 511 2 + 0 005 511 2 + 0 005 511 2 + 0 005 511 2 + 0 005 511 2 + 0 005 511 2 + 0 005 511 2 + 0 005 511 2 + 0 005 511 2 + 0 005 511 2 + 0 005 511 2 + 0 005 511 2 + 0 005 511 2 + 0 005 511 2 + 0 005 511 2 + 0 005 511 2 + 0 005 511 2 + 0 005 511 2 + 0 005 511 2 + 0 005 511 2 + 0 005 511 2 + 0 005 511 2 + 0 005 511 2 + 0 005 511 2 + 0 005 511 2 + 0 005 511 2 + 0 005 511 2 + 0 005 511 2 + 0 005 511 2 + 0 005 511 2 + 0 005 511 2 + 0 005 511 2 + 0 005 511 2 + 0 005 511 2 + 0 005 511 2 + 0 005 511 2 + 0 005 511 2 + 0 005 511 2 +	+ 0.004 590 1 + 0.004 379 1 + 0.004 338 1 + 0.004 375 1 + 0.003 871 1 + 0.003 871 1 + 0.003 871 1	+ 0.003 484 + 0.003 391 + 0.003 191 + 0.002 990 + 0.002 990 + 0.002 941 + 0.002 368 + 0.002 368	+ 0.002 343 + 0.003 118 + 0.001 863 + 0.001 743 + 0.001 483 + 0.001 353 + 0.00	0 25 000 0 0 0 0 0 0 0 0 0 0 0 0 0 0 0 0
$q_3^1$	0.00198 - 1 0.00702 - 1 0.002010 - 0.002014 - 0.002014 - 1 0.002010 - 0.002014 - 1 0.002010 - 1 0.002010 - 1	- 0.00348 - 0.00342 - 0.00341   1 0.00355 - 1 0.00356 - 1 0.00359 - 1 0.00359 - 1	0.00282 - 1 0.00387 - 1 0.00397 - 1 0.00397 - 1 0.00397 - 1 0.00391 - 1 0.00326 - 1	0,00331 0,00341 0,00341 0,00346 1,00356 1,00356 1,00357 1,00377 1,000377	0.00433	# 1 / £6600 0
a ₃	+ + 0.0058 + + 0.0058 + 0.0058 + 0.0058 + 0.0058 + 0.0058 + 0.0058	+ + + 0.0053 + + + 0.0053 + + 0.0050 + 0.0050 + 0.0050 + 0.0050 + 0.0050 + 0.0050 + 0.0050 + 0.0050 + 0.0050 + 0.0050 + 0.0050 + 0.0050 + 0.0050 + 0.0050 + 0.0050 + 0.0050 + 0.0050 + 0.0050 + 0.0050 + 0.0050 + 0.0050 + 0.0050 + 0.0050 + 0.0050 + 0.0050 + 0.0050 + 0.0050 + 0.0050 + 0.0050 + 0.0050 + 0.0050 + 0.0050 + 0.0050 + 0.0050 + 0.0050 + 0.0050 + 0.0050 + 0.0050 + 0.0050 + 0.0050 + 0.0050 + 0.0050 + 0.0050 + 0.0050 + 0.0050 + 0.0050 + 0.0050 + 0.0050 + 0.0050 + 0.0050 + 0.0050 + 0.0050 + 0.0050 + 0.0050 + 0.0050 + 0.0050 + 0.0050 + 0.0050 + 0.0050 + 0.0050 + 0.0050 + 0.0050 + 0.0050 + 0.0050 + 0.0050 + 0.0050 + 0.0050 + 0.0050 + 0.0050 + 0.0050 + 0.0050 + 0.0050 + 0.0050 + 0.0050 + 0.0050 + 0.0050 + 0.0050 + 0.0050 + 0.0050 + 0.0050 + 0.0050 + 0.0050 + 0.0050 + 0.0050 + 0.0050 + 0.0050 + 0.0050 + 0.0050 + 0.0050 + 0.0050 + 0.0050 + 0.0050 + 0.0050 + 0.0050 + 0.0050 + 0.0050 + 0.0050 + 0.0050 + 0.0050 + 0.0050 + 0.0050 + 0.0050 + 0.0050 + 0.0050 + 0.0050 + 0.0050 + 0.0050 + 0.0050 + 0.0050 + 0.0050 + 0.0050 + 0.0050 + 0.0050 + 0.0050 + 0.0050 + 0.0050 + 0.0050 + 0.0050 + 0.0050 + 0.0050 + 0.0050 + 0.0050 + 0.0050 + 0.0050 + 0.0050 + 0.0050 + 0.0050 + 0.0050 + 0.0050 + 0.0050 + 0.0050 + 0.0050 + 0.0050 + 0.0050 + 0.0050 + 0.0050 + 0.0050 + 0.0050 + 0.0050 + 0.0050 + 0.0050 + 0.0050 + 0.0050 + 0.0050 + 0.0050 + 0.0050 + 0.0050 + 0.0050 + 0.0050 + 0.0050 + 0.0050 + 0.0050 + 0.0050 + 0.0050 + 0.0050 + 0.0050 + 0.0050 + 0.0050 + 0.0050 + 0.0050 + 0.0050 + 0.0050 + 0.0050 + 0.0050 + 0.0050 + 0.0050 + 0.0050 + 0.0050 + 0.0050 + 0.0050 + 0.0050 + 0.0050 + 0.0050 + 0.0050 + 0.0050 + 0.0050 + 0.0050 + 0.0050 + 0.0050 + 0.0050 + 0.0050 + 0.0050 + 0.0050 + 0.0050 + 0.0050 + 0.0050 + 0.0050 + 0.0050 + 0.0050 + 0.0050 + 0.0050 + 0.0050 + 0.0050 + 0.0050 + 0.0050 + 0.0050 + 0.0050 + 0.0050 + 0.0050 + 0.0050 + 0.0050 + 0.0050 + 0.0050 + 0.0050 + 0.00	++++++++++++++++++++++++++++++++++++++	+ 0 004 + 0 004 + 0 003 + 0 00	+++ 0.0033 ++ 0.0033 ++ 0.0033 ++ 0.0033 ++ 0.0033 ++ 0.0033	++++++++++++++++++++++++++++++++++++++
d ¹ 2	0.054873 0.054873 0.054873 0.055874 0.055874 0.055874 0.055874 0.055874 0.055874 0.055874 0.055874 0.055874 0.055874 0.055874 0.055874 0.055874 0.055874 0.055874 0.055874 0.055874 0.055874 0.055874 0.055874 0.055874 0.055874 0.055874 0.055874 0.055874 0.055874 0.055874 0.055874 0.055874 0.055874 0.055874 0.055874 0.055874 0.055874 0.055874 0.055874 0.055874 0.055874 0.055874 0.055874 0.055874 0.055874 0.055874 0.055874 0.055874 0.055874 0.055874 0.055874 0.055874 0.055874 0.055874 0.055874 0.055874 0.055874 0.055874 0.055874 0.055874 0.055874 0.055874 0.055874 0.055874 0.055874 0.055874 0.055874 0.055874 0.055874 0.055874 0.055874 0.055874 0.055874 0.055874 0.055874 0.055874 0.055874 0.055874 0.055874 0.055874 0.055874 0.055874 0.055874 0.055874 0.055874 0.055874 0.055874 0.055874 0.055874 0.055874 0.055874 0.055874 0.055874 0.055874 0.055874 0.055874 0.055874 0.055874 0.055874 0.055874 0.055874 0.055874 0.055874 0.055874 0.055874 0.055874 0.055874 0.055874 0.055874 0.055874 0.055874 0.055874 0.055874 0.055874 0.055874 0.055874 0.055874 0.055874 0.055874 0.055874 0.055874 0.055874 0.055874 0.055874 0.055874 0.055874 0.055874 0.055874 0.055874 0.055874 0.055874 0.055874 0.055874 0.055874 0.055874 0.055874 0.055874 0.055874 0.055874 0.055874 0.055874 0.055874 0.055874 0.055874 0.055874 0.055874 0.055874 0.055874 0.055874 0.055874 0.055874 0.055874 0.055874 0.055874 0.055874 0.055874 0.055874 0.055874 0.055874 0.055874 0.055874 0.055874 0.055874 0.055874 0.055874 0.055874 0.055874 0.055874 0.055874 0.055874 0.055874 0.055874 0.055874 0.055874 0.055874 0.055874 0.055874 0.055874 0.055874 0.055874 0.055874 0.055874 0.055874 0.055874 0.055874 0.055874 0.055874 0.055874 0.055874 0.055874 0.055874 0.055874 0.055874 0.055874 0.055874 0.055874 0.055874 0.055874 0.055874 0.055874 0.055874 0.055874 0.055874 0.055874 0.055874 0.055874 0.055874 0.055874 0.055874 0.055874 0.055874 0.055874 0.055874 0.055874 0.055874 0.055874 0.055874 0.055874 0.055874 0.055874 0.055874 0.055874 0.055874 0.055874 0.055874 0.055874 0.055874 0.0	- 0.05527 - 0.05764 - 0.05786 - 0.05986 - 0.05987 - 0.05017 - 0.05		- c.orysu + 7	- 0.080.54 - 0.081.38 - 0.081.38 - 0.081.39 - 0.081.30 - 0.081.30 - 0.081.30 - 0.081.30 - 0.081.30 - 0.081.30 - 0.081.30 - 0.081.30	- 0.08897 + 8 - 0.08991 + 8 - 0.09101 + 8 - 0.09101 + 8 - 0.09101 + 8 - 0.09101 + 8 - 0.09101 + 8 - 0.09101 + 8 - 0.09101 + 8 - 0.09101 + 8 - 0.09101 + 8 - 0.09101 + 8 - 0.09101 + 8 - 0.09101 + 8 - 0.09101 + 8 - 0.09101 + 8 - 0.09101 + 8 - 0.09101 + 8 - 0.09101 + 8 - 0.09101 + 8 - 0.09101 + 8 - 0.09101 + 8 - 0.09101 + 8 - 0.09101 + 8 - 0.09101 + 8 - 0.09101 + 8 - 0.09101 + 8 - 0.09101 + 8 - 0.09101 + 8 - 0.09101 + 8 - 0.09101 + 8 - 0.09101 + 8 - 0.09101 + 8 - 0.09101 + 8 - 0.09101 + 8 - 0.09101 + 8 - 0.09101 + 8 - 0.09101 + 8 - 0.09101 + 8 - 0.09101 + 8 - 0.09101 + 8 - 0.09101 + 8 - 0.09101 + 8 - 0.09101 + 8 - 0.09101 + 8 - 0.09101 + 8 - 0.09101 + 8 - 0.09101 + 8 - 0.09101 + 8 - 0.09101 + 8 - 0.09101 + 8 - 0.09101 + 8 - 0.09101 + 8 - 0.09101 + 8 - 0.09101 + 8 - 0.09101 + 8 - 0.09101 + 8 - 0.09101 + 8 - 0.09101 + 8 - 0.09101 + 8 - 0.09101 + 8 - 0.09101 + 8 - 0.09101 + 8 - 0.09101 + 8 - 0.09101 + 8 - 0.09101 + 8 - 0.09101 + 8 - 0.09101 + 8 - 0.09101 + 8 - 0.09101 + 8 - 0.09101 + 8 - 0.09101 + 8 - 0.09101 + 8 - 0.09101 + 8 - 0.09101 + 8 - 0.09101 + 8 - 0.09101 + 8 - 0.09101 + 8 - 0.09101 + 8 - 0.09101 + 8 - 0.09101 + 8 - 0.09101 + 8 - 0.09101 + 8 - 0.09101 + 8 - 0.09101 + 8 - 0.09101 + 8 - 0.09101 + 8 - 0.09101 + 8 - 0.09101 + 8 - 0.09101 + 8 - 0.09101 + 8 - 0.09101 + 8 - 0.09101 + 8 - 0.09101 + 8 - 0.09101 + 8 - 0.09101 + 8 - 0.09101 + 8 - 0.09101 + 8 - 0.09101 + 8 - 0.09101 + 8 - 0.09101 + 8 - 0.09101 + 8 - 0.09101 + 8 - 0.09101 + 8 - 0.09101 + 8 - 0.09101 + 8 - 0.09101 + 8 - 0.09101 + 8 - 0.09101 + 8 - 0.09101 + 8 - 0.09101 + 8 - 0.09101 + 8 - 0.09101 + 8 - 0.09101 + 8 - 0.09101 + 8 - 0.09101 + 8 - 0.09101 + 8 - 0.09101 + 8 - 0.09101 + 8 - 0.09101 + 8 - 0.09101 + 8 - 0.09101 + 8 - 0.09101 + 8 - 0.09101 + 8 - 0.09101 + 8 - 0.09101 + 8 - 0.09101 + 8 - 0.09101 + 8 - 0.09101 + 8 - 0.09101 + 8 - 0.09101 + 8 - 0.09101 + 8 - 0.09101 + 8 - 0.09101 + 8 - 0.09101 + 8 - 0.09101 + 8 - 0.09101 + 8 - 0.09101 + 8 - 0.09101 + 8 - 0.09101 + 8 - 0.09101 + 8 - 0.09101 + 8 - 0.09101 + 8 - 0.09101 + 8 - 0.09101 + 8 - 0.09101 + 8 -
do 2	0 2337 0 0 2337 0 0 2337 0 0 0 2337 0 0 0 2337 0 0 0 0 0 0 0 0 0 0 0 0 0 0 0 0 0 0	1 1 5 3 5 5 5 5 5 5 5 5 5 5 5 5 5 5 5 5	0 2633 0 2633 0 2768 0 2778 0 2778 0 2779	1 (11) 111	2945 1 1 2 2 3 3 3 3 4 4 4 4 4 4 4 4 4 4 4 4 4 4	0 3088 0 3103 1 1 1 1 1 1 1 1 1 1 1 1 1 1 1 1 1 1 1
G st	+ 0011 3541 - 98 + 0011 3549 98 98 + 0011 3549 98 98 98 98 98 98 98 98 98 98 98 98 98	+ 0 041 7775 102 + 0.418 8550 103 + 0.011 8176 103 + 0.011 9173 103 + 0.011 9073 103 + 0.012 0059 - 103 + 0.012 0059 103 + 0.012 0059 103 + 0.012 1319 105 + 0.012 1319 105	+ 0.613 2113 - 706 + 0.612 2870 - 106 + 0.012 2870 - 106 + 0.012 2870 - 107 + 0.012 3850 - 107 + 0.012 4272 - 108 + 0.012 4070 - 108 + 0.012 4070 - 108	+ 0.012 5548 - 109 + 0.012 5810 - 109 + 0.012 6500 109 + 0.012 6500 109 + 0.012 6500 110 + 0.012 7113 110 + 0.012 7114 110 + 0.012 7774 110	+ 0 × 12 × 7975 1111 + 0 0 × 2 × 8 × 68 + 0 0 × 2 × 8 × 78 + 0 0 × 2 × 8 × 78 + 0 0 × 2 × 8 × 78 + 0 0 × 2 × 8 × 8 + 0 0 × 8 × 8 × 8 + 0 0 × 8 × 8 × 8 + 0 0 × 8 × 8 × 8 + 0 0 × 8 × 8 × 8 + 0 0 × 8 × 8 × 8 + 0 0 × 8 × 8 × 8 + 0 0 × 8 × 8 × 8 + 0 0 × 8 × 8 × 8 + 0 0 × 8 × 8 × 8 + 0 0 × 8 × 8 × 8 + 0 0 × 8 × 8 × 8 + 0 0 × 8 × 8 × 8 + 0 0 × 8 × 8 × 8 + 0 0 × 8 × 8 × 8 + 0 0 × 8 × 8 × 8 + 0 0 × 8 × 8 × 8 + 0 0 × 8 × 8 × 8 + 0 0 × 8 × 8 × 8 + 0 0 × 8 × 8 × 8 + 0 0 × 8 × 8 × 8 + 0 0	+ 0.022 9455 113 + 0.022 9459 112 + 0.022 9470 112 + 0.022 9470 112 + 0.022 9470 112 + 0.022 9470 112 + 0.022 9491 112 + 0.022 9491 112 + 0.022 9485 112 + 0.022 9485 112 + 0.022 9485 112 + 0.022 9485 112 + 0.022 9485 112 + 0.022 9485 112 + 0.022 9485 112 + 0.022 9485 112 + 0.022 9485 112 + 0.022 9485 112 + 0.022 9485 112 + 0.022 9485 112 + 0.022 9485 112 + 0.022 9485 112 + 0.022 9485 112 + 0.022 9485 112 + 0.022 9485 112 + 0.022 9485 112 + 0.022 9485 112 + 0.022 9485 112 + 0.022 9485 112 + 0.022 9485 112 + 0.022 9485 112 + 0.022 9485 112 + 0.022 9485 112 + 0.022 9485 112 + 0.022 9485 112 + 0.022 9485 112 + 0.022 9485 112 + 0.022 9485 112 + 0.022 9485 112 + 0.022 9485 112 + 0.022 9485 112 + 0.022 9485 112 + 0.022 9485 112 + 0.022 9485 112 + 0.022 9485 112 + 0.022 9485 112 + 0.022 9485 112 + 0.022 9485 112 + 0.022 9485 112 + 0.022 9485 112 + 0.022 9485 112 + 0.022 9485 112 + 0.022 9485 112 + 0.022 9485 112 + 0.022 9485 112 + 0.022 9485 112 + 0.022 9485 112 + 0.022 9485 112 + 0.022 9485 112 + 0.022 9485 112 + 0.022 9485 112 + 0.022 9485 112 + 0.022 9485 112 + 0.022 9485 112 + 0.022 9485 112 + 0.022 9485 112 + 0.022 9485 112 + 0.022 9485 112 + 0.022 9485 112 + 0.022 9485 112 + 0.022 9485 112 + 0.022 9485 112 + 0.022 9485 112 + 0.022 9485 112 + 0.022 9485 112 + 0.022 9485 112 + 0.022 9485 112 + 0.022 9485 112 + 0.022 9485 112 + 0.022 9485 112 + 0.022 9485 112 + 0.022 9485 112 + 0.022 9485 112 + 0.022 9485 112 + 0.022 9485 112 + 0.022 9485 112 + 0.022 9485 112 + 0.022 9485 112 + 0.022 9485 112 + 0.022 9485 112 + 0.022 9485 112 + 0.022 9485 112 + 0.022 9485 112 + 0.022 9485 112 + 0.022 9485 112 + 0.022 9485 112 + 0.022 9485 112 + 0.022 9485 112 + 0.022 9485 112 + 0.022 9485 112 + 0.022 9485 112 + 0.022 9485 112 + 0.022 9485 112 + 0.022 9485 112 + 0.022 9485 112 + 0.022 9485 112 + 0.022 9485 112 + 0.022 9485 112 + 0.022 9485 112 + 0.022 9485 112 + 0.022 9485 112 + 0.022 9485 112 + 0.022 9485 112 + 0.022 9
ρ ₂	+ 0.025 563 + 4 + 0.025 280 + 4 + 0.025 280 + 4 + 0.025 280 + 4 + 0.025 280 + 4 + 0.025 280 + 4 + 0.025 280 0 + 4 + 0.025 280 0 + 4 + 0.025 280 0 + 4 + 0.025 280 0 + 4 + 0.025 280 0 + 4 + 0.025 280 0 + 4 + 0.025 280 0 + 4 + 0.025 280 0 + 4 + 0.025 280 0 + 0.025 280 0 + 0.025 280 0 + 0.025 280 0 + 0.025 280 0 + 0.025 280 0 + 0.025 280 0 + 0.025 280 0 + 0.025 280 0 + 0.025 280 0 + 0.025 280 0 + 0.025 280 0 + 0.025 280 0 + 0.025 280 0 + 0.025 280 0 + 0.025 280 0 + 0.025 280 0 + 0.025 280 0 + 0.025 280 0 + 0.025 280 0 + 0.025 280 0 + 0.025 280 0 + 0.025 280 0 + 0.025 280 0 + 0.025 280 0 + 0.025 280 0 + 0.025 280 0 + 0.025 280 0 + 0.025 280 0 + 0.025 280 0 + 0.025 280 0 + 0.025 280 0 + 0.025 280 0 + 0.025 280 0 + 0.025 280 0 + 0.025 280 0 + 0.025 280 0 + 0.025 280 0 + 0.025 280 0 + 0.025 280 0 + 0.025 280 0 + 0.025 280 0 + 0.025 280 0 + 0.025 280 0 + 0.025 280 0 + 0.025 280 0 + 0.025 280 0 + 0.025 280 0 + 0.025 280 0 + 0.025 280 0 + 0.025 280 0 + 0.025 280 0 + 0.025 280 0 + 0.025 280 0 + 0.025 280 0 + 0.025 280 0 + 0.025 280 0 + 0.025 280 0 + 0.025 280 0 + 0.025 280 0 + 0.025 280 0 + 0.025 280 0 + 0.025 280 0 + 0.025 280 0 + 0.025 280 0 + 0.025 280 0 + 0.025 280 0 + 0.025 280 0 + 0.025 280 0 + 0.025 280 0 + 0.025 280 0 + 0.025 280 0 + 0.025 280 0 + 0.025 280 0 + 0.025 280 0 + 0.025 280 0 + 0.025 280 0 + 0.025 280 0 + 0.025 280 0 + 0.025 280 0 + 0.025 280 0 + 0.025 280 0 + 0.025 280 0 + 0.025 280 0 + 0.025 280 0 + 0.025 280 0 + 0.025 280 0 + 0.025 280 0 + 0.025 280 0 + 0.025 280 0 + 0.025 280 0 + 0.025 280 0 + 0.025 280 0 + 0.025 280 0 + 0.025 280 0 + 0.025 280 0 + 0.025 280 0 + 0.025 280 0 + 0.025 280 0 + 0.025 280 0 + 0.025 280 0 + 0.025 280 0 + 0.025 280 0 + 0.025 280 0 + 0.025 280 0 + 0.025 280 0 + 0.025 280 0 + 0.025 280 0 + 0.025 280 0 + 0.025 280 0 + 0.025 280 0 + 0.025 280 0 + 0.025 280 0 + 0.025 280 0 + 0.025 280 0 + 0.025 280 0 + 0.025 280 0 + 0.025 280 0 + 0.025 280 0 + 0.025 280 0 + 0.025 280 0 + 0.025 280 0 + 0.025 280 0 + 0.025 280 0 + 0.025 280 0 + 0.025 280 0 + 0.025 280 0 + 0.025 280 0 + 0.025 280 0	+ + + + + + + + + + + + + + + + + + +	+ + + + + + + + + + + + + + + + + + +	+ 0.023 330 + 1	+ 0.027 4:56 + 4	+ 0.022 6.8 + 4 + 0.021 37 + 4 + 0.021 47 + 4 + 0.021 47 + 4 + 0.021 17 + 4 + 0.021 17 + 4 + 0.021 17 + 4 + 0.021 17 + 4 + 0.021 17 + 4 + 0.021 17 + 4 + 0.021 17 + 4 + 0.021 17 + 4 + 0.021 17 + 4 + 0.021 17 + 4 + 0.021 17 + 4 + 0.021 17 + 4 + 0.021 17 + 4 + 0.021 17 + 4 + 0.021 17 + 4 + 0.021 17 + 4 + 0.021 17 + 4 + 0.021 17 + 4 + 0.021 17 + 4 + 0.021 17 + 4 + 0.021 17 + 4 + 0.021 17 + 4 + 0.021 17 + 4 + 0.021 17 + 4 + 0.021 17 + 4 + 0.021 17 + 4 + 0.021 17 + 4 + 0.021 17 + 4 + 0.021 17 + 4 + 0.021 17 + 4 + 0.021 17 + 0.021 17 + 0.021 17 + 0.021 17 + 0.021 17 + 0.021 17 + 0.021 17 + 0.021 17 + 0.021 17 + 0.021 17 + 0.021 17 + 0.021 17 + 0.021 17 + 0.021 17 + 0.021 17 + 0.021 17 + 0.021 17 + 0.021 17 + 0.021 17 + 0.021 17 + 0.021 17 + 0.021 17 + 0.021 17 + 0.021 17 + 0.021 17 + 0.021 17 + 0.021 17 + 0.021 17 + 0.021 17 + 0.021 17 + 0.021 17 + 0.021 17 + 0.021 17 + 0.021 17 + 0.021 17 + 0.021 17 + 0.021 17 + 0.021 17 + 0.021 17 + 0.021 17 + 0.021 17 + 0.021 17 + 0.021 17 + 0.021 17 + 0.021 17 + 0.021 17 + 0.021 17 + 0.021 17 + 0.021 17 + 0.021 17 + 0.021 17 + 0.021 17 + 0.021 17 + 0.021 17 + 0.021 17 + 0.021 17 + 0.021 17 + 0.021 17 + 0.021 17 + 0.021 17 + 0.021 17 + 0.021 17 + 0.021 17 + 0.021 17 + 0.021 17 + 0.021 17 + 0.021 17 + 0.021 17 + 0.021 17 + 0.021 17 + 0.021 17 + 0.021 17 + 0.021 17 + 0.021 17 + 0.021 17 + 0.021 17 + 0.021 17 + 0.021 17 + 0.021 17 + 0.021 17 + 0.021 17 + 0.021 17 + 0.021 17 + 0.021 17 + 0.021 17 + 0.021 17 + 0.021 17 + 0.021 17 + 0.021 17 + 0.021 17 + 0.021 17 + 0.021 17 + 0.021 17 + 0.021 17 + 0.021 17 + 0.021 17 + 0.021 17 + 0.021 17 + 0.021 17 + 0.021 17 + 0.021 17 + 0.021 17 + 0.021 17 + 0.021 17 + 0.021 17 + 0.021 17 + 0.021 17 + 0.021 17 + 0.021 17 + 0.021 17 + 0.021 17 + 0.021 17 + 0.021 17 + 0.021 17 + 0.021 17 + 0.021 17 + 0.021 17 + 0.021 17 + 0.021 17 + 0.021 17 + 0.021 17 + 0.021 17 + 0.021 17 + 0.021 17 + 0.021 17 + 0.021 17 + 0.021 17 + 0.021 17 + 0.021 17 + 0.021 17 + 0.021 17 + 0.021 17 + 0.021 17 + 0.021 17 + 0.021 17 + 0.021 17 + 0.021 17 + 0.021 17 + 0.021 17 + 0.02
0.4	+ c*00752 0 + c*00755 0 + c*00763 0 + c*00763 0 + c*00765 0 + c*00765 0 + c*00765 0 + c*00775 0	++++++++++++++++++++++++++++++++++++++	0 0 0 0 0 0 0 0 0 0 0 0 0 0 0 0 0 0 0		0.00833 0.00833 0.00833 0.00833 0.00833 0.00833 0.00833 0.00833 0.00833 0.00833 0.00833 0.00833 0.00833 0.00833	++++++++++++++++++++++++++++++++++++++
2p	8 0 = 0 = 0 = 0 0 0	0 * 4 * 5 * 5 * 5 * 5 * 5	0 # # # # # # # # # # # # # # # # # # #	D # 4 # 4 # 5 6 6 6	6 + 4 + 4 + 4 + 4 + 4 + 4 + 4 + 4 + 4 +	8222222222

	++++++++	++++++++	***	**	+++++++++	+++++++++++
6,50	1   1   1   1   1   1   1   1   1   1	- 0 03470 0 03400 0 03514 0 03584 0 03	0.03584 0.03584 0.03567 0.03567 0.03567 0.03567 0.03567	0.03630		1 1 2 2 2 2 2 2 2 2 2 2 2 2 2 2 2 2 2 2
(4) E	1 1 1 1 1 1 1 1 1 1 1 1 1 1 1 1 1 1 1		1 1 1 1 1 1 1 1 1 1 1 1 1 1 1 1 1 1 1 1	- 0 1025 - 0 1026 - 0 1010 0 1010 0 1010 0 1007 0 1007 0 1007 0 1007 0 1007	1 1 1 1 1 1 1 1 1 1 1 1 1 1 1 1 1 1 1	20000000000000000000000000000000000000
do 3	0 0 0 0 0 0 0 0 0 0 0 0 0 0 0 0 0 0 0	1 1 1 1 1 1 1 1 1 1 1 1 1 1 1 1 1 1 1 1	000000000000000000000000000000000000000	0 0 1110	11	001000000000000000000000000000000000000
a3	+ + + + + + + + + + + + + + + + + + +	+ 0.002 \$635 + 0.002 \$195 + 0.002 \$195 + 0.002 \$357 + 0.002 \$334 + 0.002 \$334 + 0.002 \$234 + 0.0	+ 0 002 1035 + 0 002 0355 + 0 002 0355 + 0 001 0007 + 0 001 0117 + 0 001 0117 + 0 001 178 +	+ 0.001 (5114 217 1 1 1 1 1 1 1 1 1 1 1 1 1 1 1 1 1 1	## 1	+ + + + + + + + + + + + + + + + + + +
63.2	0 0 0 0 0 0 0 0 0 0 0 0 0 0 0 0 0 0 0	0 0001 544 0 0 001 670 0 0 001 996 0 0 002 941 0 0 002 947 0 0 002 947 0 0 002 572 0 0 002 572	- 0.0002.796 - 0.003.204 - 0.003 -	- 0.004 624 4 4 4 4 4 4 4 4 4 4 4 4 4 4 4 4 4	0 000 5 344 0 000 5 344 0 000 5 344 0 000 5 344 0 000 5 300 0 000	- 0.006 534 + 1.000 538 + 1.000 538 + 1.000 538 + 1.000 538 + 1.000 538 + 1.000 538 + 1.000 538 + 1.000 538 + 1.000 538 + 1.000 538 + 1.000 538 + 1.000 538 + 1.000 538 + 1.000 538 + 1.000 538 + 1.000 538 + 1.000 538 + 1.000 538 + 1.000 538 + 1.000 538 + 1.000 538 + 1.000 538 + 1.000 538 + 1.000 538 + 1.000 538 + 1.000 538 + 1.000 538 + 1.000 538 + 1.000 538 + 1.000 538 + 1.000 538 + 1.000 538 + 1.000 538 + 1.000 538 + 1.000 538 + 1.000 538 + 1.000 538 + 1.000 538 + 1.000 538 + 1.000 538 + 1.000 538 + 1.000 538 + 1.000 538 + 1.000 538 + 1.000 538 + 1.000 538 + 1.000 538 + 1.000 538 + 1.000 538 + 1.000 538 + 1.000 538 + 1.000 538 + 1.000 538 + 1.000 538 + 1.000 538 + 1.000 538 + 1.000 538 + 1.000 538 + 1.000 538 + 1.000 538 + 1.000 538 + 1.000 538 + 1.000 538 + 1.000 538 + 1.000 538 + 1.000 538 + 1.000 538 + 1.000 538 + 1.000 538 + 1.000 538 + 1.000 538 + 1.000 538 + 1.000 538 + 1.000 538 + 1.000 538 + 1.000 538 + 1.000 538 + 1.000 538 + 1.000 538 + 1.000 538 + 1.000 538 + 1.000 538 + 1.000 538 + 1.000 538 + 1.000 538 + 1.000 538 + 1.000 538 + 1.000 538 + 1.000 538 + 1.000 538 + 1.000 538 + 1.000 538 + 1.000 538 + 1.000 538 + 1.000 538 + 1.000 538 + 1.000 538 + 1.000 538 + 1.000 538 + 1.000 538 + 1.000 538 + 1.000 538 + 1.000 538 + 1.000 538 + 1.000 538 + 1.000 538 + 1.000 538 + 1.000 538 + 1.000 538 + 1.000 538 + 1.000 538 + 1.000 538 + 1.000 538 + 1.000 538 + 1.000 538 + 1.000 538 + 1.000 538 + 1.000 538 + 1.000 538 + 1.000 538 + 1.000 538 + 1.000 538 + 1.000 538 + 1.000 538 + 1.000 538 + 1.000 538 + 1.000 538 + 1.000 538 + 1.000 538 + 1.000 538 + 1.000 538 + 1.000 538 + 1.000 538 + 1.000 538 + 1.000 538 + 1.000 538 + 1.000 538 + 1.000 538 + 1.000 538 + 1.000 538 + 1.000 538 + 1.000 538 + 1.000 538 + 1.000 538 + 1.000 538 + 1.000 538 + 1.000 538 + 1.000 538 + 1.000 538 + 1.000 538 + 1.000 538 + 1.000 538 + 1.000 538 + 1.000 538 + 1.000 538 + 1.000 538 + 1.000 538 + 1.000 538 + 1.000 538 + 1.000 538 + 1.000 538 + 1.000 538 + 1.000 538 + 1.000 538 + 1.000 538 + 1.000 538 + 1.000 538 + 1.000 538 + 1.000 538 + 1.00
# # B	0.00582 0.00593 0.00593 0.00583 0.00583 0.00583 0.00583 0.00583 0.00583 0.00583 0.00583 0.00583	1 1 1 2 5 5 5 5 5 5 5 5 5 5 5 5 5 5 5 5	- 0.00647 - 1.0.00647 - 1.0.00647 - 1.0.00647 - 1.0.00647 - 1.0.00657 - 1.0.00657 - 1.0.00657 - 1.0.00657 - 1.0.00657 - 1.0.00657 - 1.0.00657 - 1.0.00657 - 1.0.00657 - 1.0.00657 - 1.0.00657 - 1.0.00657 - 1.0.00657 - 1.0.00657 - 1.0.00657 - 1.0.00657 - 1.0.00657 - 1.0.00657 - 1.0.00657 - 1.0.00657 - 1.0.00657 - 1.0.00657 - 1.0.00657 - 1.0.00657 - 1.0.00657 - 1.0.00657 - 1.0.00657 - 1.0.00657 - 1.0.00657 - 1.0.00657 - 1.0.00657 - 1.0.00657 - 1.0.00657 - 1.0.00657 - 1.0.00657 - 1.0.00657 - 1.0.00657 - 1.0.00657 - 1.0.00657 - 1.0.00657 - 1.0.00657 - 1.0.00657 - 1.0.00657 - 1.0.00657 - 1.0.00657 - 1.0.00657 - 1.0.00657 - 1.0.00657 - 1.0.00657 - 1.0.00657 - 1.0.00657 - 1.0.00657 - 1.0.00657 - 1.0.00657 - 1.0.00657 - 1.0.00657 - 1.0.00657 - 1.0.00657 - 1.0.00657 - 1.0.00657 - 1.0.00657 - 1.0.00657 - 1.0.00657 - 1.0.00657 - 1.0.00657 - 1.0.00657 - 1.0.00657 - 1.0.00657 - 1.0.00657 - 1.0.00657 - 1.0.00657 - 1.0.00657 - 1.0.00657 - 1.0.00657 - 1.0.00657 - 1.0.00657 - 1.0.00657 - 1.0.00657 - 1.0.00657 - 1.0.00657 - 1.0.00657 - 1.0.00657 - 1.0.00657 - 1.0.00657 - 1.0.00657 - 1.0.00657 - 1.0.00657 - 1.0.00657 - 1.0.00657 - 1.0.00657 - 1.0.00657 - 1.0.00657 - 1.0.00657 - 1.0.00657 - 1.0.00657 - 1.0.00657 - 1.0.00657 - 1.0.00657 - 1.0.00657 - 1.0.00657 - 1.0.00657 - 1.0.00657 - 1.0.00657 - 1.0.00657 - 1.0.00657 - 1.0.00657 - 1.0.00657 - 1.0.00657 - 1.0.00657 - 1.0.00657 - 1.0.00657 - 1.0.00657 - 1.0.00657 - 1.0.00657 - 1.0.00657 - 1.0.00657 - 1.0.00657 - 1.0.00657 - 1.0.00657 - 1.0.00657 - 1.0.00657 - 1.0.00657 - 1.0.00657 - 1.0.00657 - 1.0.00657 - 1.0.00657 - 1.0.00657 - 1.0.00657 - 1.0.00657 - 1.0.00657 - 1.0.00657 - 1.0.00657 - 1.0.00657 - 1.0.00657 - 1.0.00657 - 1.0.00657 - 1.0.00657 - 1.0.00657 - 1.0.00657 - 1.0.00657 - 1.0.00657 - 1.0.00657 - 1.0.00657 - 1.0.00657 - 1.0.00657 - 1.0.00657 - 1.0.00657 - 1.0.00657 - 1.0.00657 - 1.0.00657 - 1.0.00657 - 1.0.00657 - 1.0.00657 - 1.0.00657 - 1.0.00657 - 1.0.00657 - 1.0.00657 - 1.0.00657 - 1.0.00657 - 1.0.00657 - 1.0.00657 - 1.0.00657 - 1.0.00657 - 1.0.00657 - 1.0.00657 - 1.0.00	0 00685 — 1 0 00695 — 1 0 00695 — 1 0 00695 — 1 0 00718 — 1 0 00731 — 1 0 00731 — 1 0 00731 — 1 0 00731 — 1	. 000750 . 000763 . 000763 . 000763 . 000764 . 000764 . 000764 . 000764	1 1 1 1 1 1 1 1 1 1 1 1 1 1 1 1 1 1 1
333	6100.0 6100.0 6100.0 6100.0 6100.0 6100.0 6100.0 6100.0 6100.0 6100.0 6100.0 6100.0 6100.0 6100.0 6100.0 6100.0 6100.0 6100.0 6100.0 6100.0 6100.0 6100.0 6100.0 6100.0 6100.0 6100.0 6100.0 6100.0 6100.0 6100.0 6100.0 6100.0 6100.0 6100.0 6100.0 6100.0 6100.0 6100.0 6100.0 6100.0 6100.0 6100.0 6100.0 6100.0 6100.0 6100.0 6100.0 6100.0 6100.0 6100.0 6100.0 6100.0 6100.0 6100.0 6100.0 6100.0 6100.0 6100.0 6100.0 6100.0 6100.0 6100.0 6100.0 6100.0 6100.0 6100.0 6100.0 6100.0 6100.0 6100.0 6100.0 6100.0 6100.0 6100.0 6100.0 6100.0 6100.0 6100.0 6100.0 6100.0 6100.0 6100.0 6100.0 6100.0 6100.0 6100.0 6100.0 6100.0 6100.0 6100.0 6100.0 6100.0 6100.0 6100.0 6100.0 6100.0 6100.0 6100.0 6100.0 6100.0 6100.0 6100.0 6100.0 6100.0 6100.0 6100.0 6100.0 6100.0 6100.0 6100.0 6100.0 6100.0 6100.0 6100.0 6100.0 6100.0 6100.0 6100.0 6100.0 6100.0 6100.0 6100.0 6100.0 6100.0 6100.0 6100.0 6100.0 6100.0 6100.0 6100.0 6100.0 6100.0 6100.0 6100.0 6100.0 6100.0 6100.0 6100.0 6100.0 6100.0 6100.0 6100.0 6100.0 6100.0 6100.0 6100.0 6100.0 6100.0 6100.0 6100.0 6100.0 6100.0 6100.0 6100.0 6100.0 6100.0 6100.0 6100.0 6100.0 6100.0 6100.0 6100.0 6100.0 6100.0 6100.0 6100.0 6100.0 6100.0 6100.0 6100.0 6100.0 6100.0 6100.0 6100.0 6100.0 6100.0 6100.0 6100.0 6100.0 6100.0 6100.0 6100.0 6100.0 6100.0 6100.0 6100.0 6100.0 6100.0 6100.0 6100.0 6100.0 6100.0 6100.0 6100.0 6100.0 6100.0 6100.0 6100.0 6100.0 6100.0 6100.0 6100.0 6100.0 6100.0 6100.0 6100.0 6100.0 6100.0 6100.0 6100.0 6100.0 6100.0 6100.0 6100.0 6100.0 6100.0 6100.0 6100.0 6100.0 6100.0 6100.0 6100.0 6100.0 6100.0 6100.0 6100.0 6100.0 6100.0 6100.0 6100.0 6100.0 6100.0 6100.0 6100.0 6100.0 6100.0 6100.0 6100.0 6100.0 6100.0 6100.0 6100.0 6100.0 6100.0 6100.0 6100.0 6100.0 6100.0 6100.0 6100.0 6100.0 6100.0 6100.0 6100.0 6100.0 6100.0	+ + 0 0015 + + 0 0015 + 0 0015 + 0 0015 + 0 0015 + 0 0015 + 0 0015 + 0 0015	++++++++++++++++++++++++++++++++++++++	+++++++++++++++++++++++++++++++++++++++	\$000.0 \$000.0 \$000.0 \$000.0 \$000.0 \$000.0 \$000.0 \$000.0 \$000.0 \$000.0 \$000.0 \$000.0 \$000.0 \$000.0 \$000.0 \$000.0 \$000.0 \$000.0 \$000.0 \$000.0 \$000.0 \$000.0 \$000.0 \$000.0 \$000.0 \$000.0 \$000.0 \$000.0 \$000.0 \$000.0 \$000.0 \$000.0 \$000.0 \$000.0 \$000.0 \$000.0 \$000.0 \$000.0 \$000.0 \$000.0 \$000.0 \$000.0 \$000.0 \$000.0 \$000.0 \$000.0 \$000.0 \$000.0 \$000.0 \$000.0 \$000.0 \$000.0 \$000.0 \$000.0 \$000.0 \$000.0 \$000.0 \$000.0 \$000.0 \$000.0 \$000.0 \$000.0 \$000.0 \$000.0 \$000.0 \$000.0 \$000.0 \$000.0 \$000.0 \$000.0 \$000.0 \$000.0 \$000.0 \$000.0 \$000.0 \$000.0 \$000.0 \$000.0 \$000.0 \$000.0 \$000.0 \$000.0 \$000.0 \$000.0 \$000.0 \$000.0 \$000.0 \$000.0 \$000.0 \$000.0 \$000.0 \$000.0 \$000.0 \$000.0 \$000.0 \$000.0 \$000.0 \$000.0 \$000.0 \$000.0 \$000.0 \$000.0 \$000.0 \$000.0 \$000.0 \$000.0 \$000.0 \$000.0 \$000.0 \$000.0 \$000.0 \$000.0 \$000.0 \$000.0 \$000.0 \$000.0 \$000.0 \$000.0 \$000.0 \$000.0 \$000.0 \$000.0 \$000.0 \$000.0 \$000.0 \$000.0 \$000.0 \$000.0 \$000.0 \$000.0 \$000.0 \$000.0 \$000.0 \$000.0 \$000.0 \$000.0 \$000.0 \$000.0 \$000.0 \$000.0 \$000.0 \$000.0 \$000.0 \$000.0 \$000.0 \$000.0 \$000.0 \$000.0 \$000.0 \$000.0 \$000.0 \$000.0 \$000.0 \$000.0 \$000.0 \$000.0 \$000.0 \$000.0 \$000.0 \$000.0 \$000.0 \$000.0 \$000.0 \$000.0 \$000.0 \$000.0 \$000.0 \$000.0 \$000.0 \$000.0 \$000.0 \$000.0 \$000.0 \$000.0 \$000.0 \$000.0 \$000.0 \$000.0 \$000.0 \$000.0 \$000.0 \$000.0 \$000.0 \$000.0 \$000.0 \$000.0 \$000.0 \$000.0 \$000.0 \$000.0 \$000.0 \$000.0 \$000.0 \$000.0 \$000.0 \$000.0 \$000.0 \$000.0 \$000.0 \$000.0 \$000.0 \$000.0 \$000.0 \$000.0 \$000.0 \$000.0 \$000.0 \$000.0 \$000.0 \$000.0 \$000.0 \$000.0 \$000.0 \$000.0 \$000.0 \$000.0 \$000.0 \$000.0 \$000.0 \$000.0 \$000.0 \$000.0 \$000.0 \$000.0 \$000.0 \$000.0 \$000.0 \$000.0 \$000.0 \$000.0 \$000.0 \$000.0 \$000.0 \$000.0 \$000.0 \$000.0 \$000.0 \$000.0 \$000.0 \$000.0 \$000.0 \$000.0 \$000.0 \$000.0 \$000.0 \$000.0 \$000.0 \$000.0 \$000.0 \$000.0 \$000.0 \$000.0 \$000.0 \$000.0 \$000.0 \$000.0 \$000.0 \$000.0 \$000.0 \$000.0 \$000.0 \$000.0 \$000.0 \$000.0 \$000.0 \$000.0 \$000.0 \$000.0 \$000.0 \$000.0 \$000.0 \$000.0 \$000.0 \$000.0 \$000.0 \$000.0 \$000.0 \$000.0 \$000.0 \$000.0 \$000.0 \$000.0 \$000.0 \$000.0 \$000.0 \$000.0 \$000.0 \$000.0 \$000.0 \$000.0 \$000	0.0008 0.0009 0.0009 0.0009 0.0009 0.0009 0.0009 0.0009 0.0009 0.0009 0.0009 0.0009 0.0009 0.0009 0.0009 0.0009 0.0009 0.0009 0.0009 0.0009 0.0009 0.0009 0.0009 0.0009 0.0009 0.0009 0.0009 0.0009 0.0009 0.0009 0.0009 0.0009 0.0009 0.0009 0.0009 0.0009 0.0009 0.0009 0.0009 0.0009 0.0009 0.0009 0.0009 0.0009 0.0009 0.0009 0.0009 0.0009 0.0009 0.0009 0.0009 0.0009 0.0009 0.0009 0.0009 0.0009 0.0009 0.0009 0.0009 0.0009 0.0009 0.0009 0.0009 0.0009 0.0009 0.0009 0.0009 0.0009 0.0009 0.0009 0.0009 0.0009 0.0009 0.0009 0.0009 0.0009 0.0009 0.0009 0.0009 0.0009 0.0009 0.0009 0.0009 0.0009 0.0009 0.0009 0.0009 0.0009 0.0009 0.0009 0.0009 0.0009 0.0009 0.0009 0.0009 0.0009 0.0009 0.0009 0.0009 0.0009 0.0009 0.0009 0.0009 0.0009 0.0009 0.0009 0.0009 0.0009 0.0009 0.0009 0.0009 0.0009 0.0009 0.0009 0.0009 0.0009 0.0009 0.0009 0.0009 0.0009 0.0009 0.0009 0.0009 0.0009 0.0009 0.0009 0.0009 0.0009 0.0009 0.0009 0.0009 0.0009 0.0009 0.0009 0.0009 0.0009 0.0009 0.0009 0.0009 0.0009 0.0009 0.0009 0.0009 0.0009 0.0009 0.0009 0.0009 0.0009 0.0009 0.0009 0.0009 0.0009 0.0009 0.0009 0.0009 0.0009 0.0009 0.0009 0.0009 0.0009 0.0009 0.0009 0.0009 0.0009 0.0009 0.0009 0.0009 0.0009 0.0009 0.0009 0.0009 0.0009 0.0009 0.0000 0.0000 0.0000 0.0000 0.0000 0.0000 0.0000 0.0000 0.0000 0.0000 0.0000 0.0000 0.0000 0.0000 0.0000 0.0000 0.0000 0.0000 0.0000 0.0000 0.0000 0.0000 0.0000 0.0000 0.0000 0.0000 0.0000 0.0000 0.0000 0.0000 0.0000 0.0000 0.0000 0.0000 0.0000 0.0000 0.0000 0.0000 0.0000 0.0000 0.0000 0.0000 0.0000 0.0000 0.0000 0.0000 0.0000 0.0000 0.0000 0.0000 0.0000 0.0000 0.0000 0.0000 0.0000 0.0000 0.0000 0.0000 0.0000 0.0000 0.0000 0.0000 0.0000 0.0000 0.0000 0.0000 0.0000 0.0000 0.0000 0.0000 0.0000 0.0000 0.0000 0.0000 0.0000 0.0000 0.0000 0.0000 0.0000 0.0000 0.0000 0.0000 0.0000 0.0000 0.0000 0.0000 0.0000 0.0000 0.0000 0.0000 0.0000 0.0000 0.0000 0.0000 0.0000 0.0000 0.0000 0.0000 0.0000 0.0000 0.0000 0.0000 0.0000 0.0000 0.0000 0.0000 0.0000 0.0000 0.0000 0.0000 0.0000 0.0000 0.0000 0.0000 0.0000 0.0000 0.0000 0.0000 0.0000 0.
n ¹¹	2000 0 0 0 0 0 0 0 0 0 0 0 0 0 0 0 0 0	0 100000 1 1 1 1 1 1 1 1 1 1 1 1 1 1 1	1 - 1 - 0 11439 - 0 11600 + 100 - 0 12001 + 100 - 0 12100 + 100 - 0 12100 + 100 - 0 12100 + 100 - 0 12100 + 100 - 0 12100 + 100 - 0 12100 + 100 - 0 12100 + 100 - 0 12100 + 100 - 0 12100 + 100 - 0 12100 + 100 - 0 12100 + 100 - 0 12100 + 100 - 0 12100 + 100 - 0 12100 + 100 - 0 12100 + 100 - 0 12100 + 100 - 0 12100 + 100 - 0 12100 + 100 - 0 12100 + 100 - 0 12100 + 100 - 0 12100 + 100 - 0 12100 + 100 - 0 12100 + 100 - 0 12100 + 100 - 0 12100 + 100 - 0 12100 + 100 - 0 12100 + 100 - 0 12100 + 100 - 0 12100 + 100 - 0 12100 + 100 - 0 12100 + 100 - 0 12100 + 100 - 0 12100 + 100 - 0 12100 + 100 - 0 12100 + 100 - 0 12100 + 100 - 0 12100 + 100 - 0 12100 + 100 - 0 12100 + 100 - 0 12100 + 100 - 0 12100 + 100 - 0 12100 + 100 - 0 12100 + 100 - 0 12100 + 100 - 0 12100 + 100 - 0 12100 + 100 - 0 12100 + 100 - 0 12100 + 100 - 0 12100 + 100 - 0 12100 + 100 - 0 12100 + 100 - 0 12100 + 100 - 0 12100 + 100 - 0 12100 + 100 - 0 12100 + 100 - 0 12100 + 100 - 0 12100 + 100 - 0 12100 + 100 - 0 12100 + 100 - 0 12100 + 100 - 0 12100 + 100 - 0 12100 + 100 - 0 12100 + 100 - 0 12100 + 100 - 0 12100 + 100 - 0 12100 + 100 - 0 12100 + 100 - 0 12100 + 100 - 0 12100 + 100 - 0 12100 + 100 - 0 12100 + 100 - 0 12100 + 100 - 0 12100 + 100 - 0 12100 + 100 - 0 12100 + 100 - 0 12100 + 100 - 0 12100 + 100 - 0 12100 + 100 - 0 12100 + 100 - 0 12100 + 100 - 0 12100 + 100 - 0 12100 + 100 - 0 12100 + 100 - 0 12100 + 100 - 0 12100 + 100 - 0 12100 + 100 - 0 12100 + 100 - 0 12100 + 100 - 0 12100 + 100 - 0 12100 + 100 - 0 12100 + 100 - 0 12100 + 100 - 0 12100 + 100 - 0 12100 + 100 - 0 12100 + 100 - 0 12100 + 100 - 0 12100 + 100 - 0 12100 + 100 - 0 12100 + 100 - 0 12100 + 100 - 0 12100 + 100 - 0 12100 + 100 - 0 12100 + 100 - 0 12100 + 100 - 0 12100 + 100 - 0 12100 + 100 - 0 12100 + 100 - 0 12100 + 100 - 0 12100 + 100 - 0 12100 + 100 - 0 12100 + 100 - 0 12100 + 100 - 0 12100 + 100 - 0 12	0 12269 + 111 0 12351 + 111 0 12514 + 111 0 12596 + 111 0 12558 + 111 0 12599 + 111	11 + 051610 11 + 051610 11 + 051610 11 + 051610 11 + 051610 11 + 051610 11 + 051610 11 + 051610 11 + 051610 11 + 051610 11 + 051610 11 + 051610 11 + 051610 11 + 051610 11 + 051610 11 + 051610 11 + 051610 11 + 051610 11 + 051610 11 + 051610 11 + 051610 11 + 051610 11 + 051610 11 + 051610 11 + 051610 11 + 051610 11 + 051610 11 + 051610 11 + 051610 11 + 051610 11 + 051610 11 + 051610 11 + 051610 11 + 051610 11 + 051610 11 + 051610 11 + 051610 11 + 051610 11 + 051610 11 + 051610 11 + 051610 11 + 051610 11 + 051610 11 + 051610 11 + 051610 11 + 051610 11 + 051610 11 + 051610 11 + 051610 11 + 051610 11 + 051610 11 + 051610 11 + 051610 11 + 051610 11 + 051610 11 + 051610 11 + 051610 11 + 051610 11 + 051610 11 + 051610 11 + 051610 11 + 051610 11 + 051610 11 + 051610 11 + 051610 11 + 051610 11 + 051610 11 + 051610 11 + 051610 11 + 051610 11 + 051610 11 + 051610 11 + 051610 11 + 051610 11 + 051610 11 + 051610 11 + 051610 11 + 051610 11 + 051610 11 + 051610 11 + 051610 11 + 051610 11 + 051610 11 + 051610 11 + 051610 11 + 051610 11 + 051610 11 + 051610 11 + 051610 11 + 051610 11 + 051610 11 + 051610 11 + 051610 11 + 051610 11 + 051610 11 + 051610 11 + 051610 11 + 051610 11 + 051610 11 + 051610 11 + 051610 11 + 051610 11 + 051610 11 + 051610 11 + 051610 11 + 051610 11 + 051610 11 + 051610 11 + 051610 11 + 051610 11 + 051610 11 + 051610 11 + 051610 11 + 051610 11 + 051610 11 + 051610 11 + 051610 11 + 051610 11 + 051610 11 + 051610 11 + 051610 11 + 051610 11 + 051610 11 + 051610 11 + 051610 11 + 051610 11 + 051610 11 + 051610 11 + 051610 11 + 051610 11 + 051610 11 + 051610 11 + 051610 11 + 051610 11 + 051610 11 + 051610 11 + 051610 11 + 051610 11 + 051610 11 + 051610 11 + 051610 11 + 051610 11 + 051610 11 + 051610 11 + 051610 11 + 051610 11 + 051610 11 + 051610 11 + 051610 11 + 051610 11 + 051610 11 + 051610 11 + 051610 11 + 051610 11 + 051610 11 + 051610 11 + 051610 11 +	0 13965 + 12 0 13944 + 12 0 14939 + 12 - 0 14495 + 12 0 14937 + 12 0 1483 + 13 0 14659 + 13
do,	0 0 3327 0 3347 0 3337 0 3347 0 3347 0 3347	1 1 1 1 1 1 1 1 1 1 1 1 1 1 1 1 1 1 1	1 1 1 1 1 1 1 1 1 1 1 1 1 1 1 1 1 1 1	1 1 1 1 1 1 1 1 1 1 1 1 1 1 1 1 1 1 1	0 3718 0 3779 0	1 1 1 1 1 1 1 1 1 1 1 1 1 1 1 1 1 1 1
e B	+ e ⁴ 602 9956 - 112 + 0.012 9945 - 112 + 0.012 9956 - 112 + 0.012 9957 - 112 + 0.012 9977 - 112 + 0.012 9977 - 112 + 0.012 9977 - 112 + 0.012 9977 - 112 + 0.012 9977 - 112 + 0.012 9977 - 112	+ consignation (12 + consignation (12 + consignation (13 + consignation (13 + consignation (13 + consignation (13 + consignation (13 + consignation (13 + consignation (13 + consignation (13 + consignation (13 + consignation (13 + consignation (13 + consignation (13 + consignation (13 + consignation (13 + consignation (13 + consignation (13 + consignation (13 + consignation (13 + consignation (13 + consignation (13 + consignation (13 + consignation (13 + consignation (13 + consignation (13 + consignation (13 + consignation (13 + consignation (13 + consignation (13 + consignation (13 + consignation (13 + consignation (13 + consignation (13 + consignation (13 + consignation (13 + consignation (13 + consignation (13 + consignation (13 + consignation (13 + consignation (13 + consignation (13 + consignation (13 + consignation (13 + consignation (13 + consignation (13 + consignation (13 + consignation (13 + consignation (13 + consignation (13 + consignation (13 + consignation (13 + consignation (13 + consignation (13 + consignation (13 + consignation (13 + consignation (13 + consignation (13 + consignation (13 + consignation (13 + consignation (13 + consignation (13 + consignation (13 + consignation (13 + consignation (13 + consignation (13 + consignation (13 + consignation (13 + consignation (13 + consignation (13 + consignation (13 + consignation (13 + consignation (13 + consignation (13 + consignation (13 + consignation (13 + consignation (13 + consignation (13 + consignation (13 + consignation (13 + consignation (13 + consignation (13 + consignation (13 + consignation (13 + consignation (13 + consignation (13 + consignation (13 + consignation (13 + consignation (13 + consignation (13 + consignation (13 + consignation (13 + consignation (13 + consignation (13 + consignation (13 + consignation (13 + consignation (13 + consignation (13 + consignation (13 + consignation (13 + consignation (13 + consignation (13 + consignation (13 + consignation (13 + consignation (13 + consignation (13 + consignation (13 + consignatio	+ coxia 7976 — 1111 + coxia 7774 — 110 + coxia 7734 — 110 + coxia 7734 — 110 + coxia 7710 — 110 + coxia 630 — 100 + coxia 630 — 100 + coxia 630 — 100 + coxia 630 — 100 + coxia 630 — 100	+ 0012 5592 109 + 0112 5924 108 + 012 4916 108 + 012 4959 108 + 012 4956 107 + 012 3956 107 + 017 3956 107 + 017 3956 107 + 017 3956 107 + 017 3956 107 + 017 3956 107 + 017 3956 107 + 017 3956 107 + 017 3956 107 + 017 3956 107 + 017 3956 107 + 017 3956 107 + 017 3956 107 + 017 3956 107 + 017 3956 107 + 017 3956 107 + 017 3956 107 + 017 3956 107 + 017 3956 107 + 017 3956 107 + 017 3956 107 + 017 3956 107 + 017 3956 107 + 017 3956 107 + 017 3956 107 + 017 3956 107 + 017 3956 107 + 017 3956 107 + 017 3956 107 + 017 3956 107 + 017 3956 107 + 017 3956 107 + 017 3956 107 + 017 3956 107 + 017 3956 107 + 017 3956 107 + 017 3956 107 + 017 3956 107 + 017 3956 107 + 017 3956 107 + 017 3956 107 + 017 3956 107 + 017 3956 107 + 017 3956 107 + 017 3956 107 + 017 3956 107 + 017 3956 107 + 017 3956 107 + 017 3956 107 + 017 3956 107 + 017 3956 107 + 017 3956 107 + 017 3956 107 + 017 3956 107 + 017 3956 107 + 017 3956 107 + 017 3956 107 + 017 3956 107 + 017 3956 107 + 017 3956 107 + 017 3956 107 + 017 3956 107 + 017 3956 107 + 017 3956 107 + 017 3956 107 + 017 3956 107 + 017 3956 107 + 017 3956 107 + 017 3956 107 + 017 3956 107 + 017 3956 107 + 017 3956 107 + 017 3956 107 + 017 3956 107 + 017 3956 107 + 017 3956 107 + 017 3956 107 + 017 3956 107 + 017 3956 107 + 017 3956 107 + 017 3956 107 + 017 3956 107 + 017 3956 107 + 017 3956 107 + 017 3956 107 + 017 3956 107 + 017 3956 107 + 017 3956 107 + 017 3956 107 + 017 3956 107 + 017 3956 107 + 017 3956 107 + 017 3956 107 + 017 3956 107 + 017 3956 107 + 017 3956 107 + 017 3956 107 + 017 3956 107 + 017 3956 107 + 017 3956 107 + 017 3956 107 + 017 3956 107 + 017 3956 107 + 017 3956 107 + 017 3956 107 + 017 3956 107 + 017 3956 107 + 017 3956 107 + 017 3956 107 + 017 3956 107 + 017 3956 107 + 017 3956 107 + 017 3956 107 + 017 3956 107 + 017 3956 107 + 017 3956 107 + 017 3956 107 + 017 3956 107 + 017 3956 107 + 017 3956 107 + 017 3956 107 + 017 3956 107 + 017 3956 1	+ 0.017 3111 + 106 + 0.017 1110 105 + 0.017 0100 105 + 0.017 0100 105 + 0.017 0100 105 + 0.017 0100 105 + 0.017 0100 105 + 0.017 0100 105 + 0.017 0100 105 + 0.017 0100 105 + 0.017 0100 105 + 0.017 0100 105 + 0.017 0100 105 + 0.017 0100 105 + 0.017 0100 105 + 0.017 0100 105 + 0.017 0100 105 + 0.017 0100 105 + 0.017 0100 105 + 0.017 0100 105 + 0.017 0100 105 + 0.017 0100 105 + 0.017 0100 105 + 0.017 0100 105 + 0.017 0100 105 + 0.017 0100 105 + 0.017 0100 105 + 0.017 0100 105 + 0.017 0100 105 + 0.017 0100 105 + 0.017 0100 105 + 0.017 0100 105 + 0.017 0100 105 + 0.017 0100 105 + 0.017 0100 105 + 0.017 0100 105 + 0.017 0100 105 + 0.017 0100 105 + 0.017 0100 105 + 0.017 0100 105 + 0.017 0100 105 + 0.017 0100 105 + 0.017 0100 105 + 0.017 0100 105 + 0.017 0100 105 + 0.017 0100 105 + 0.017 0100 105 + 0.017 0100 105 + 0.017 0100 105 + 0.017 0100 105 + 0.017 0100 105 + 0.017 0100 105 + 0.017 0100 105 + 0.017 0100 105 + 0.017 0100 105 + 0.017 0100 105 + 0.017 0100 105 + 0.017 0100 105 + 0.017 0100 105 + 0.017 0100 105 + 0.017 0100 105 + 0.017 0100 105 + 0.017 0100 105 + 0.017 0100 105 + 0.017 0100 105 + 0.017 0100 105 + 0.017 0100 105 + 0.017 0100 105 + 0.017 0100 105 + 0.017 0100 105 + 0.017 0100 105 + 0.017 0100 105 + 0.017 0100 105 + 0.017 0100 105 + 0.017 0100 105 + 0.017 0100 105 + 0.017 0100 105 + 0.017 0100 105 + 0.017 0100 105 + 0.017 0100 105 + 0.017 0100 105 + 0.017 0100 105 + 0.017 0100 105 + 0.017 0100 105 + 0.017 0100 105 + 0.017 0100 105 + 0.017 0100 105 + 0.017 0100 105 + 0.017 0100 105 + 0.017 0100 105 + 0.017 0100 105 + 0.017 0100 105 + 0.017 0100 105 + 0.017 0100 105 + 0.017 0100 105 + 0.017 0100 105 + 0.017 0100 105 + 0.017 0100 105 + 0.017 0100 105 + 0.017 0100 105 + 0.017 0100 105 + 0.017 0100 105 + 0.017 0100 105 + 0.017 0100 105 + 0.017 0100 105 + 0.017 0100 105 + 0.017 0100 105 + 0.017 0100 105 + 0.017 0100 105 + 0.017 0100 105 + 0.017 0100 105 + 0.017 0100 105 + 0.017 0100 105 + 0.017 0100 105 + 0.017 0100 105 + 0.017 0100 105 + 0.017 0100 105 + 0.017 0100 105 + 0.017 0100 105 + 0.017 0100 105 + 0.	+ 0 0 11 1775 103 104 104 105 105 105 105 105 105 105 105 105 105
1.5	+ 0.020 650 + 0.020 650 + 0.020 650 + 0.020 150 + 0.020 130 + 0.020 130 + 0.030 131 + 0.03	+ + + + + + + + + + + + + + + + + + +	+ + + + + + + + + + + + + + + + + + +	+ + + + + + + + + + + + + + + + + + +	1 0 0 0 0 0 0 0 0 0 0 0 0 0 0 0 0 0 0 0	+ + 0 0 0 0 0 0 0 0 0 0 0 0 0 0 0 0 0 0
(# C	0 0 0 0 0 0 0 0 0 0 0 0 0 0 0 0 0 0 0	++++ 0 00834 0 0 0 0 0 0 0 0 0 0 0 0 0 0 0 0 0 0 0	+ + + + + + + + + + + + + + + + + + +	+ 0.00815 0 + 0.00815 0 + 0.00811 0 + 0.00811 0 + 0.00800 0 + 0.00800 0 + 0.00800 0 + 0.00800 0 + 0.00800 0 + 0.00800 0	+ 0 co6500 0 + 0.00798 0 + 0.00799 0 + 0.00790 0 + 0.00790 0 + 0.00780 0 + 0.00780 0 + 0.00780 0	+ 0 00778 0 + 0 00771 0 + 0 00771 0 + 0 00771 0 + 0 00771 0 + 0 00771 0 + 0 00778 0 + 0 00778 0
E m	9	51221255755	8 2 2 2 2 2 2 2 2 2 2 2 2 2 2 2 2 2 2 2	984 884 884 884 884 884 884 884 884 884	0 = 4 = 4 = 4 + 6 + 6 + 6	0 4 4 4 4 4 4 6 6 6 6 6 6 6 6 6 6 6 6 6
_						

Die Zahlen der zweiten Subcolumnen sind mit r = to 1850 zu multipliciren, und sind in Einheiten der letzten Decimale angesetzt.

	5 50	09553 00553 00553 00553 00553 00553 00553 00553 00553 00553 00553 00553 00553 00553 00553 00553 00553 00553 00553 00553 00553 00553 00553 00553 00553 00553 00553 00553 00553 00553 00553 00553 00553 00553 00553 00553 00553 00553 00553 00553 00553 00553 00553 00553 00553 00553 00553 00553 00553 00553 00553 00553 00553 00553 00553 00553 00553 00553 00553 00553 00553 00553 00553 00553 00553 00553 00553 00553 00553 00553 00553 00553 00553 00553 00553 00553 00553 00553 00553 00553 00553 00553 00553 00553 00553 00553 00553 00553 00553 00553 00553 00553 00553 00553 00553 00553 00553 00553 00553 00553 00553 00553 00553 00553 00553 00553 00553 00553 00553 00553 00553 00553 00553 00553 00553 00553 00553 00553 00553 00553 00553 00553 00553 00553 00553 00553 00553 00553 00553 00553 00553 00553 00553 00553 00553 00553 00553 00553 00553 00553 00553 00553 00553 00553 00553 00553 00553 00553 00553 00553 00553 00553 00553 00553 00553 00553 00553 00553 00553 00553 00553 00553 00553 00553 00553 00553 00553 00553 00553 00553 00553 00553 00553 00553 00553 00553 00553 00553 00553 00553 00553 00553 00553 00553 00553 00553 00553 00553 00553 00553 00553 00553 00553 00553 00553 00553 00553 00553 00553 00553 00553 00553 00553 00553 00553 00553 00553 00553 00553 00553 00553 00553 00553 00553 00553 00553 00553 00553 00553 00553 00553 00553 00553 00553 00553 00553 00553 00553 00553 00553 00553 00553 00553 00553 00553 00553 00553 00553 00553 00553 00553 00553 00553 00553 00553 00553 00553 00553 00553 00553 00553 00553 00553 00553 00553 00553 00553 00553 00553 00553 00553 00553 00553 00553 00553 00553 00553 00553 00553 00553 00553 00553 00553 00553 00553 00553 00553 00553 00553 00553 00553 00553 00553 00553 00553 00553 00553 00553 00553 00553 00553 00553 00553 00553 00553 00553 00553 00553 00553 00553 00553 00553 00553 00553 00553 00553 00553 00553 00553 00553 00553 00553 00553 00553 00553 00553 00553 00553 00553 00553 00553 00553 00553 00553 00553 00553 00553 00553 00553 00553 00553 00553 00553 00553 00553 00553 00553 00553 00553 00553 00553	++++++++++++++++++++++++++++++++++++++	++++++++++++++++++++++++++++++++++++++	0.03036 0.03033 0.03033 0.03033 0.03033 0.03033 0.03033 0.03033 0.03033 0.03033 0.03033 0.03033 0.03033 0.03033 0.03033 0.03033 0.03033 0.03033 0.03033 0.03033 0.03033 0.03033 0.03033 0.03033 0.03033 0.03033 0.03033 0.03033 0.03033 0.03033 0.03033 0.03033 0.03033 0.03033 0.03033 0.03033 0.03033 0.03033 0.03033 0.0303 0.0303 0.0303 0.0303 0.0303 0.0303 0.0303 0.0303 0.0303 0.0303 0.0303 0.0303 0.0303 0.0303 0.0303 0.0303 0.0303 0.0303 0.0303 0.0303 0.0303 0.0303 0.0303 0.0303 0.0303 0.0303 0.0303 0.0303 0.0303 0.0303 0.0303 0.0303 0.0303 0.0303 0.0303 0.0303 0.0303 0.0303 0.0303 0.0303 0.0303 0.0303 0.0303 0.0303 0.0303 0.0303 0.0303 0.0303 0.0303 0.0303 0.0303 0.0303 0.0303 0.0303 0.0303 0.0303 0.0303 0.0303 0.0303 0.0303 0.0303 0.0303 0.0303 0.0303 0.0303 0.0303 0.0303 0.0303 0.0303 0.0303 0.0303 0.0303 0.0303 0.0303 0.0303 0.0303 0.0303 0.0303 0.0303 0.0303 0.0303 0.0303 0.0303 0.0303 0.0303 0.0303 0.0303 0.0303 0.0303 0.0303 0.0303 0.0303 0.0303 0.0303 0.0303 0.0303 0.0303 0.0303 0.0303 0.0303 0.0303 0.0303 0.0303 0.0303 0.0303 0.0303 0.0303 0.0303 0.0303 0.0303 0.0303 0.0303 0.0303 0.0303 0.0303 0.0303 0.0303 0.0303 0.0303 0.0303 0.0303 0.0303 0.0303 0.0303 0.0303 0.0303 0.0303 0.0303 0.0303 0.0303 0.0303 0.0303 0.0303 0.0303 0.0303 0.0303 0.0303 0.0303 0.0303 0.0303 0.0303 0.0303 0.0303 0.0303 0.0303 0.0303 0.0303 0.0303 0.0303 0.0303 0.0303 0.0303 0.0303 0.0303 0.0303 0.0303 0.0303 0.0303 0.0303 0.0303 0.0303 0.0303 0.0303 0.0303 0.0303 0.0303 0.0303 0.0303 0.0303 0.0303 0.0303 0.0303 0.0303 0.0303 0.0303 0.0303 0.0303 0.0303 0.0303 0.0303 0.0303 0.0303 0.0303 0.0303 0.0303 0.0303 0.0303 0.0303 0.0303 0.0303 0.0303 0.0303 0.0303 0.0303 0.0303 0.0303 0.0303 0.0303 0.0303 0.0303 0.0303 0.0303 0.0303 0.0303 0.0303 0.0303 0.0303 0.0303 0.0303 0.0303 0.0303 0.0303 0.0303 0.0303 0.0303 0.0303 0.0303 0.0303 0.0303 0.0303 0.0303 0.0303 0.0303 0.0303 0.0303 0.0303 0.0303 0.0303 0.0303 0.0303 0.0303 0.0303 0.0303 0.0303 0.0303 0.0303 0.0303 0.0303 0.0303 0.0303 0.0303 0.0303 0.0303 0.0303 0.0303 0.0303 0.0303 0.030	2787. 2781. 2781. 2782. 2782. 2782. 2783. 2783. 2783. 2783. 2783. 2783. 2783. 2783. 2783. 2783. 2783. 2783. 2783. 2783. 2783. 2783. 2783. 2783. 2783. 2783. 2783. 2783. 2783. 2783. 2783. 2783. 2783. 2783. 2783. 2783. 2783. 2783. 2783. 2783. 2783. 2783. 2783. 2783. 2783. 2783. 2783. 2783. 2783. 2783. 2783. 2783. 2783. 2783. 2783. 2783. 2783. 2783. 2783. 2783. 2783. 2783. 2783. 2783. 2783. 2783. 2783. 2783. 2783. 2783. 2783. 2783. 2783. 2783. 2783. 2783. 2783. 2783. 2783. 2783. 2783. 2783. 2783. 2783. 2783. 2783. 2783. 2783. 2783. 2783. 2783. 2783. 2783. 2783. 2783. 2783. 2783. 2783. 2783. 2783. 2783. 2783. 2783. 2783. 2783. 2783. 2783. 2783. 2783. 2783. 2783. 2783. 2783. 2783. 2783. 2783. 2783. 2783. 2783. 2783. 2783. 2783. 2783. 2783. 2783. 2783. 2783. 2783. 2783. 2783. 2783. 2783. 2783. 2783. 2783. 2783. 2783. 2783. 2783. 2783. 2783. 2783. 2783. 2783. 2783. 2783. 2783. 2783. 2783. 2783. 2783. 2783. 2783. 2783. 2783. 2783. 2783. 2783. 2783. 2783. 2783. 2783. 2783. 2783. 2783. 2783. 2783. 2783. 2783. 2783. 2783. 2783. 2783. 2783. 2783. 2783. 2783. 2783. 2783. 2783. 2783. 2783. 2783. 2783. 2783. 2783. 2783. 2783. 2783. 2783. 2783. 2783. 2783. 2783. 2783. 2783. 2783. 2783. 2783. 2783. 2783. 2783. 2783. 2783. 2783. 2783. 2783. 2783. 2783. 2783. 2783. 2783. 2783. 2783. 2783. 2783. 2783. 2783. 2783. 2783. 2783. 2783. 2783. 2783. 2783. 2783. 2783. 2783. 2783. 2783. 2783. 2783. 2783. 2783. 2783. 2783. 2783. 2783. 2783. 2783. 2783. 2783. 2783. 2783. 2783. 2783. 2783. 2783. 2783. 2783. 2783. 2783. 2783. 2783. 2783. 2783. 2783. 2783. 2783. 2783. 2783. 2783. 2783. 2783. 2783. 2783. 2783. 2783. 2783. 2783. 2783. 2783. 2783. 2783. 2783. 2783. 2783. 2783. 2783. 2783. 2783. 2783. 2783. 2783. 2783. 2783. 2783. 2783. 2783. 2783. 2783. 2783. 2783. 2783. 2783. 2783. 2783. 2783. 2783. 2783. 2783. 2783. 2783. 2783. 2783. 2783. 2783. 2783. 2783. 2783. 2783. 2783. 2783. 2783. 2783. 2783. 2783. 2783. 2783. 2783. 2783. 2783. 2783. 2783. 2783. 2783. 2783. 2783. 2783. 2783. 2783. 2783. 2783. 2783. 2783. 2783. 2783. 2783. 2783. 2783. 2783.	100 25 25 25 25 25 25 25 25 25 25 25 25 25
				STITLING.	11 - 111111		0, 11, 0
	200	1 1 1 1 1 1 1 1 1 1 1 1 1 1 1 1 1 1 1	2 2 2 2 2 2 2 2 2 2 2 2 2 2 2 2 2 2 2	20070000000000000000000000000000000000	0734 0737 0773 0773 0609 0 0609 0 0609	4 4 4 4 4 4 4 4 4 4 4 4 4 4 4 4 4 4 4	0 0 0 0 0 0 0 0 0 0 0 0 0 0 0 0 0 0 0
	do do	### ### ### ##########################		- 0 0 0 0 0 0 0 0 0 0 0 0 0 0 0 0 0 0 0	0 0 0 0 1 1 1 1 1 1 1 1 1 1 1 1 1 1 1 1	2000 C C C C C C C C C C C C C C C C C C	1
		+++++++	+++++++++	144444444	1222232222	**************************************	######################################
1	rd3	2551 2551 2554 2554 2554 2554 2554 2554	5496 6587 77131 77131 77131 77131 77131 77131 77131 77131 77131	0899 11430 11430 11430 11430 11430 11430 11430 11430 11430 11430 11430 11430 11430 11430 11430 11430 11430 11430 11430 11430 11430 11430 11430 11430 11430 11430 11430 11430 11430 11430 11430 11430 11430 11430 11430 11430 11430 11430 11430 11430 11430 11430 11430 11430 11430 11430 11430 11430 11430 11430 11430 11430 11430 11430 11430 11430 11430 11430 11430 11430 11430 11430 11430 11430 11430 11430 11430 11430 11430 11430 11430 11430 11430 11430 11430 11430 11430 11430 11430 11430 11430 11430 11430 11430 11430 11430 11430 11430 11430 11430 11430 11430 11430 11430 11430 11430 11430 11430 11430 11430 11430 11430 11430 11430 11430 11430 11430 11430 11430 11430 11430 11430 11430 11430 11430 11430 11430 11430 11430 11430 11430 11430 11430 11430 11430 11430 11430 11430 11430 11430 11430 11430 11430 11430 11430 11430 11430 11430 11430 11430 11430 11430 11430 11430 11430 11430 11430 11430 11430 11430 11430 11430 11430 11430 11430 11430 11430 11430 11430 11430 11430 11430 11430 11430 11430 11430 11430 11430 11430 11430 11430 11430 11430 11430 11430 11430 11430 11430 11430 11430 11430 11430 11430 11430 11430 11430 11430 11430 11430 11430 11430 11430 11430 11430 11430 11430 11430 11430 11430 11430 11430 11430 11430 11430 11430 11430 11430 11430 11430 11430 11430 11430 11430 11430 11430 11430 11430 11430 11430 11430 11430 11430 11430 11430 11430 11430 11430 11430 11430 11430 11430 11430 11430 11430 11430 11430 11430 11430 11430 11430 11430 11430 11430 11430 11430 11430 11430 11430 11430 11430 11430 11430 11430 11430 11430 11430 11430 11430 11430 11430 11430 11430 11430 11430 11430 11430 11430 11430 11430 11430 11430 11430 11430 11430 11430 11430 11430 11430 11430 11430 11430 11430 11430 11430 11430 11430 11430 11430 11430 11430 11430 11430 11430 11430 11430 11430 11430 11430 11430 11430 11430 11430 11430 11430 11430 11430 11430 11430 11430 11430 11430 11430 11430 11430 11430 11430 11430 11430 11430 11430 11430 11430 11430 11430 11430 11430 11430 11430 11430 11430 11430 11430 11430 11430 11430 11430 11430 11430 11430 11430 1	66527 7127 7127 7127 7127 7127 8128 8624 9117 9507 2575	1530 1530 1530 1530 1530 1530 1530 1530	26.55 55.55 55.55 55.55 55.55 55.55 55.55 55.55 55.55 55.55 55.55 55.55 55.55 55.55 55.55 55.55 55.55 55.55 55.55 55.55 55.55 55.55 55.55 55.55 55.55 55.55 55.55 55.55 55.55 55.55 55.55 55.55 55.55 55.55 55.55 55.55 55.55 55.55 55.55 55.55 55.55 55.55 55.55 55.55 55.55 55.55 55.55 55.55 55.55 55.55 55.55 55.55 55.55 55.55 55.55 55.55 55.55 55.55 55.55 55.55 55.55 55.55 55.55 55.55 55.55 55.55 55.55 55.55 55.55 55.55 55.55 55.55 55.55 55.55 55.55 55.55 55.55 55.55 55.55 55.55 55.55 55.55 55.55 55.55 55.55 55.55 55.55 55.55 55.55 55.55 55.55 55.55 55.55 55.55 55.55 55.55 55.55 55.55 55.55 55.55 55.55 55.55 55.55 55.55 55.55 55.55 55.55 55.55 55.55 55.55 55.55 55.55 55.55 55.55 55.55 55.55 55.55 55.55 55.55 55.55 55.55 55.55 55.55 55.55 55.55 55.55 55.55 55.55 55.55 55.55 55.55 55.55 55.55 55.55 55.55 55.55 55.55 55.55 55.55 55.55 55.55 55.55 55.55 55.55 55.55 55.55 55.55 55.55 55.55 55.55 55.55 55.55 55.55 55.55 55.55 55.55 55.55 55.55 55.55 55.55 55.55 55.55 55.55 55.55 55.55 55.55 55.55 55.55 55.55 55.55 55.55 55.55 55.55 55.55 55.55 55.55 55.55 55.55 55.55 55.55 55.55 55.55 55.55 55.55 55.55 55.55 55.55 55.55 55.55 55.55 55.55 55.55 55.55 55.55 55.55 55.55 55.55 55.55 55.55 55.55 55.55 55.55 55.55 55.55 55.55 55.55 55.55 55.55 55.55 55.55 55.55 55.55 55.55 55.55 55.55 55.55 55.55 55.55 55.55 55.55 55.55 55.55 55.55 55.55 55.55 55.55 55.55 55.55 55.55 55.55 55.55 55.55 55.55 55.55 55.55 55.55 55.55 55.55 55.55 55.55 55.55 55.55 55.55 55.55 55.55 55.55 55.55 55.55 55.55 55.55 55.55 55.55 55.55 55.55 55.55 55.55 55.55 55.55 55.55 55.55 55.55 55.55 55.55 55.55 55.55 55.55 55.55 55.55 55.55 55.55 55.55 55.55 55.55 55.55 55.55 55.55 55.55 55.55 55.55 55.55 55.55 55.55 55.55 55.55 55.55 55.55 55.55 55.55 55.55 55.55 55.55 55.55 55.55 55.55 55.55 55.55 55.55 55.55 55.55 55.55 55.55 55.55 55.55 55.55 55.55 55.55 55.55 55.55 55.55 55.55 55.55 55.55 55.55 55.55 55.55 55.55 55.55 55.55 55.55 55.55 55.55 55.55 55.55 55.55 55.55 55.55 55.55 55.55 55.55 55.55 55.55 55.55 55.55 55.55 55.55 55.55 55.55 55.55 55.55 55.55 55.55
		00000000000000000000000000000000000000	000000000000000000000000000000000000000	11 1 1 1 1 1	10000	20022	20,000 20,000 20,000 20,000 20,000 20,000 20,000 20,000 20,000 20,000 20,000 20,000 20,000 20,000 20,000 20,000 20,000 20,000 20,000 20,000 20,000 20,000 20,000 20,000 20,000 20,000 20,000 20,000 20,000 20,000 20,000 20,000 20,000 20,000 20,000 20,000 20,000 20,000 20,000 20,000 20,000 20,000 20,000 20,000 20,000 20,000 20,000 20,000 20,000 20,000 20,000 20,000 20,000 20,000 20,000 20,000 20,000 20,000 20,000 20,000 20,000 20,000 20,000 20,000 20,000 20,000 20,000 20,000 20,000 20,000 20,000 20,000 20,000 20,000 20,000 20,000 20,000 20,000 20,000 20,000 20,000 20,000 20,000 20,000 20,000 20,000 20,000 20,000 20,000 20,000 20,000 20,000 20,000 20,000 20,000 20,000 20,000 20,000 20,000 20,000 20,000 20,000 20,000 20,000 20,000 20,000 20,000 20,000 20,000 20,000 20,000 20,000 20,000 20,000 20,000 20,000 20,000 20,000 20,000 20,000 20,000 20,000 20,000 20,000 20,000 20,000 20,000 20,000 20,000 20,000 20,000 20,000 20,000 20,000 20,000 20,000 20,000 20,000 20,000 20,000 20,000 20,000 20,000 20,000 20,000 20,000 20,000 20,000 20,000 20,000 20,000 20,000 20,000 20,000 20,000 20,000 20,000 20,000 20,000 20,000 20,000 20,000 20,000 20,000 20,000 20,000 20,000 20,000 20,000 20,000 20,000 20,000 20,000 20,000 20,000 20,000 20,000 20,000 20,000 20,000 20,000 20,000 20,000 20,000 20,000 20,000 20,000 20,000 20,000 20,000 20,000 20,000 20,000 20,000 20,000 20,000 20,000 20,000 20,000 20,000 20,000 20,000 20,000 20,000 20,000 20,000 20,000 20,000 20,000 20,000 20,000 20,000 20,000 20,000 20,000 20,000 20,000 20,000 20,000 20,000 20,000 20,000 20,000 20,000 20,000 20,000 20,000 20,000 20,000 20,000 20,000 20,000 20,000 20,000 20,000 20,000 20,000 20,000 20,000 20,000 20,000 20,000 20,000 20,000 20,000 20,000 20,000 20,000 20,000 20,000 20,000 20,000 20,000 20,000 20,000 20,000 20,000 20,000 20,000 20,000 20,000 20,000 20,000 20,000 20,000 20,000 20,000 20,000 20,000 20,000 20,000 20,000 20,000 20,000 20,000 20,000 20,000 20,000 20,000 20,000 20,000 20,000 20,000 20,000 20,000 20,000 20,000 20,000 20,000 20,000 20,000 20,000 20
Ì		++++++++	++++++++	++++++++	++++++++	++++++++	+++++++++
	63	44444444444444444444444444444444444444	\$ 5 5 5 5 5 5 5 5 5 5 5 5 5 5 5 5 5 5 5	9 9 9 9 9 9 9 9 9 9 9 9 9 9 9 9 9 9 9	0000000HH 0000000HH 0000000HH 0000000HH	1 295 1 374 1 374 1 530 1 580 1 580 1 757 1 958	2 4 4 5 4 5 4 5 4 5 5 5 5 5 5 5 5 5 5 5
۱		10000 10000 10000 10000 10000 10000 10000 10000 10000 10000 10000 10000 10000 10000 10000 10000 10000 10000 10000 10000 10000 10000 10000 10000 10000 10000 10000 10000 10000 10000 10000 10000 10000 10000 10000 10000 10000 10000 10000 10000 10000 10000 10000 10000 10000 10000 10000 10000 10000 10000 10000 10000 10000 10000 10000 10000 10000 10000 10000 10000 10000 10000 10000 10000 10000 10000 10000 10000 10000 10000 10000 10000 10000 10000 10000 10000 10000 10000 10000 10000 10000 10000 10000 10000 10000 10000 10000 10000 10000 10000 10000 10000 10000 10000 10000 10000 10000 10000 10000 10000 10000 10000 10000 10000 10000 10000 10000 10000 10000 10000 10000 10000 10000 10000 10000 10000 10000 10000 10000 10000 10000 10000 10000 10000 10000 10000 10000 10000 10000 10000 10000 10000 10000 10000 10000 10000 10000 10000 10000 10000 10000 10000 10000 10000 10000 10000 10000 10000 10000 10000 10000 10000 10000 10000 10000 10000 10000 10000 10000 10000 10000 10000 10000 10000 10000 10000 10000 10000 10000 10000 10000 10000 10000 10000 10000 10000 10000 10000 10000 10000 10000 10000 10000 10000 10000 10000 10000 10000 10000 10000 10000 10000 10000 10000 10000 10000 10000 10000 10000 10000 10000 10000 10000 10000 10000 10000 10000 10000 10000 10000 10000 10000 10000 10000 10000 10000 10000 10000 10000 10000 10000 10000 10000 10000 10000 10000 10000 10000 10000 10000 10000 10000 10000 10000 10000 10000 10000 10000 10000 10000 10000 10000 10000 10000 10000 10000 10000 10000 10000 10000 10000 10000 10000 10000 10000 10000 10000 10000 10000 10000 10000 10000 10000 10000 10000 10000 10000 10000 10000 10000 10000 10000 10000 10000 10000 10000 10000 10000 10000 10000 10000 10000 10000 10000 10000 10000 10000 10000 10000 10000 10000 10000 10000 10000 10000 10000 10000 10000 10000 10000 10000 10000 10000 10000 10000 10000 10000 10000 10000 10000 10000 10000 10000 10000 10000 10000 10000 10000 10000 10000 10000 10000 10000 10000 10000 10000 10000 10000 10000 10000 10000 10000 10000 10000 10000 10000 10000 10000 10000 10000 10000	8 8 9 9 9 9 9 9 9 9 9 9 9 9 9 9 9 9 9 9	660000000000000000000000000000000000000		11000	
ľ			11111			11	
	18 2 3	C4CC6978 0 008884 0 008897 0 008997 0 000909 0 000915	0.00946 0.00946 0.00958 0.00958 0.00988 0.00988	0.000999 0.01017 0.01017 0.01018 0.01018 0.01018 0.01018 0.01018	1 0.01061 0.01066 0.01066 0.01066 0.01066 0.01066	01108	0.01136 (1174) (1174) (1174) (1174) (1174) (1174) (1174) (1174) (1174) (1174) (1174) (1174) (1174) (1174) (1174) (1174) (1174) (1174) (1174) (1174) (1174) (1174) (1174) (1174) (1174) (1174) (1174) (1174) (1174) (1174) (1174) (1174) (1174) (1174) (1174) (1174) (1174) (1174) (1174) (1174) (1174) (1174) (1174) (1174) (1174) (1174) (1174) (1174) (1174) (1174) (1174) (1174) (1174) (1174) (1174) (1174) (1174) (1174) (1174) (1174) (1174) (1174) (1174) (1174) (1174) (1174) (1174) (1174) (1174) (1174) (1174) (1174) (1174) (1174) (1174) (1174) (1174) (1174) (1174) (1174) (1174) (1174) (1174) (1174) (1174) (1174) (1174) (1174) (1174) (1174) (1174) (1174) (1174) (1174) (1174) (1174) (1174) (1174) (1174) (1174) (1174) (1174) (1174) (1174) (1174) (1174) (1174) (1174) (1174) (1174) (1174) (1174) (1174) (1174) (1174) (1174) (1174) (1174) (1174) (1174) (1174) (1174) (1174) (1174) (1174) (1174) (1174) (1174) (1174) (1174) (1174) (1174) (1174) (1174) (1174) (1174) (1174) (1174) (1174) (1174) (1174) (1174) (1174) (1174) (1174) (1174) (1174) (1174) (1174) (1174) (1174) (1174) (1174) (1174) (1174) (1174) (1174) (1174) (1174) (1174) (1174) (1174) (1174) (1174) (1174) (1174) (1174) (1174) (1174) (1174) (1174) (1174) (1174) (1174) (1174) (1174) (1174) (1174) (1174) (1174) (1174) (1174) (1174) (1174) (1174) (1174) (1174) (1174) (1174) (1174) (1174) (1174) (1174) (1174) (1174) (1174) (1174) (1174) (1174) (1174) (1174) (1174) (1174) (1174) (1174) (1174) (1174) (1174) (1174) (1174) (1174) (1174) (1174) (1174) (1174) (1174) (1174) (1174) (1174) (1174) (1174) (1174) (1174) (1174) (1174) (1174) (1174) (1174) (1174) (1174) (1174) (1174) (1174) (1174) (1174) (1174) (1174) (1174) (1174) (1174) (1174) (1174) (1174) (1174) (1174) (1174) (1174) (1174) (1174) (1174) (1174) (1174) (1174) (1174) (1174) (1174) (1174) (1174) (1174) (1174) (1174) (1174) (1174) (1174) (1174) (1174) (1174) (1174) (1174) (1174) (1174) (1174) (1174) (1174) (1174) (1174) (1174) (1174) (1174) (1174) (1174) (1174) (1174) (1174) (1174) (1174) (1174) (1174) (1174) (1174) (1174) (
		0.0013 0.0014 0.0017 0.0017 0.0017 0.0017	0.0018 0.0019 0.0019 0.0020 0.0021 0.0021	0.0023 0.0023 0.0025 0.0025 0.0025 0.0027	000000000000000000000000000000000000000		4 5 5 5 5 5 5 5 5 5 5 5 5 5 5 5 5 5 5 5
	33	111	1 111 ,	1 11	1 11	000000000000000000000000000000000000000	111
		******	********		*********	******	++++++++++ \$855556
-	## E	14663 14663 14663 14683 14683 14683 15126 15126 15126 15126	25,547,547,547,547,547,547,547,547,547,54	16011 16076 16140 16140 16331 16393 16393 16393 16393 16393	0.15638 0.15698 0.16814 0.16814 0.16989 0.17646 0.1767	17251 17350 17530 17530 17530 17530	7777 7787 7787 7787 7789 7789 789 789 78
		111 , 111	1 , 11 1	0000000000	11:111111	11	1
					0 2 2 4 2 5 5 6 6 7 8		
	0.50	0 3940 0 3940 0 3940 0 3940 0 3940 0 3994 0 3994	0 4010 0 4010 0 4010 0 4010 0 4010 0 4010 0 4010	000000000000000000000000000000000000000	000000000000000000000000000000000000000	42366 42366 42366 42366 42366 42366 42366 42366 42366 42366	000000000000000000000000000000000000000
1		225828222	32288888	20 00 00 00 00 00 00 00 00 00 00 00 00 0	222222222	ERRESESSES	22121780 a 22
1	202	2541 17970 18986 17734 17734	5132 5132 4462 4462 3781 3781 1700 1700	84884 84864 84864 84864 84864 84864 84864 84864 84864 84864 84864 84864 84864 84864 84864 84864 84864 84864 84864 84864 84864 84864 84864 84864 84864 84864 84864 84864 84864 84864 84864 84864 84864 84864 84864 84864 84864 84864 84864 84864 84864 84864 84864 84864 84864 84864 84864 84864 84864 84864 84864 84864 84864 84864 84864 84864 84864 84864 84864 84864 84864 84864 84864 84864 84864 84864 84864 84864 84864 84864 84864 84864 84864 84864 84864 84864 84864 84864 84864 84864 84864 84864 84864 84864 84864 84864 84864 84864 84864 84864 84864 84864 84864 84864 84864 84864 84864 84864 84864 84864 84864 84864 84864 84864 84864 84864 84864 84864 84864 84864 84864 84864 84864 84864 84864 84864 84864 84864 84864 84864 84864 84864 84864 84864 84864 84864 84864 84864 84864 84864 84864 84864 84864 84864 84864 84864 84864 84864 84864 84864 84864 84864 84864 84864 84864 84864 84864 84864 84864 84864 84864 84864 84864 84864 84964 84964 84964 84964 84964 84964 84964 84964 84964 84964 84964 84964 84964 84964 84964 84964 84964 84964 84964 84964 84964 84964 84964 84964 84964 84964 84964 84964 84964 84964 84964 84964 84964 84964 84964 84964 84964 84964 84964 84964 84964 84964 84964 84964 84964 84964 84964 84964 84964 84964 84964 84964 84964 84964 84964 84964 84964 84964 84964 84964 84964 84964 84964 84964 84964 84964 84964 84964 84964 84964 84964 84964 84964 84964 84964 84964 84964 84964 84964 84964 84964 84964 84964 84964 84964 84964 84964 84964 84964 84964 84964 84964 84964 84964 84964 84964 84964 84964 84964 84964 84964 84964 84964 84964 84964 84964 84964 84964 84964 84964 84964 84964 84964 84964 84964 84964 84964 84964 84964 84964 84964 84964 84964 84964 84964 84964 84964 84964 84964 84964 84964 84964 84964 84964 84964 84964 84964 84964 84964 84964 84964 84964 84964 84964 84964 84964 84964 84964 84964 84964 84964 84964 84964 84964 84964 84964 84964 84964 84964 84964 84964 84964 84964 84964 84964 84964 84964 84964 84964 84964 84964 84964 84964 84964 84964 84964 84964 84964 84964 84964 84964 84964 84964 84964 84964 84964 84964	1880 1784 0045 8600 7793 6053 6053 4395	24.53.00 00 00 00 00 00 00 00 00 00 00 00 00	2667 2667 2667 2867 2867 2867 2867
	В	0.011 0.011 0.011 0.010 0.010 0.010 0.010	000000000000000000000000000000000000000		000000000000000000000000000000000000000	80000 80000 80000 80000 80000 80000	0000
		********	********	+++++++++	****	+++++++++	++++++++++
		14+++++++	++++++++	**********	**************************************	4++++++++	######################################
	# ²	00014	013	000000000000000000000000000000000000000	0.0000	00000000000000000000000000000000000000	0 0 0 0 0 0 0 0 0 0 0 0 0 0 0 0 0 0 0
		+++++++++	++++++++	++++++++	+++++++++	+++++++++	+++++++++++
	0.44	234000000000000000000000000000000000000	000000000000000000000000000000000000000	00083 0 00088 0 00088 0 00088 0 00088 0 00087 0 00087 0 00088 0 00085 0 00085 0 00085 0 00085 0 00085 0 00085 0 00085 0 00085 0 00085 0 00085 0 00085 0 00085 0 00085 0 00085 0 00085 0 00085 0 00085 0 00085 0 00085 0 00085 0 00085 0 00085 0 00085 0 00085 0 00085 0 00085 0 00085 0 00085 0 00085 0 00085 0 00085 0 00085 0 00085 0 00085 0 00085 0 00085 0 00085 0 00085 0 00085 0 00085 0 00085 0 00085 0 00085 0 00085 0 00085 0 00085 0 00085 0 00085 0 00085 0 00085 0 00085 0 00085 0 00085 0 00085 0 00085 0 00085 0 00085 0 00085 0 00085 0 00085 0 00085 0 00085 0 00085 0 00085 0 00085 0 00085 0 00085 0 00085 0 00085 0 00085 0 00085 0 00085 0 00085 0 00085 0 00085 0 00085 0 00085 0 00085 0 00085 0 00085 0 00085 0 00085 0 00085 0 00085 0 00085 0 00085 0 00085 0 00085 0 00085 0 00085 0 00085 0 00085 0 00085 0 00085 0 00085 0 00085 0 00085 0 00085 0 00085 0 00085 0 00085 0 00085 0 00085 0 00085 0 00085 0 00085 0 00085 0 00085 0 00085 0 00085 0 00085 0 00085 0 00085 0 00085 0 00085 0 00085 0 00085 0 00085 0 00085 0 00085 0 00085 0 00085 0 00085 0 00085 0 00085 0 00085 0 00085 0 00085 0 00085 0 00085 0 00085 0 00085 0 00085 0 00085 0 00085 0 00085 0 00085 0 00085 0 00085 0 00085 0 00085 0 00085 0 00085 0 00085 0 00085 0 00085 0 00085 0 00085 0 00085 0 00085 0 00085 0 00085 0 00085 0 00085 0 00085 0 00085 0 00085 0 00085 0 00085 0 00085 0 00085 0 00085 0 00085 0 00085 0 00085 0 00085 0 00085 0 00085 0 00085 0 00085 0 00085 0 00085 0 00085 0 00085 0 00085 0 00085 0 00085 0 00085 0 00085 0 00085 0 00085 0 00085 0 00085 0 00085 0 00085 0 00085 0 00085 0 00085 0 00085 0 00085 0 00085 0 00085 0 00085 0 00085 0 00085 0 00085 0 00085 0 00085 0 00085 0 00085 0 00085 0 00085 0 00085 0 00085 0 00085 0 00085 0 00085 0 00085 0 00085 0 00085 0 00085 0 00085 0 00085 0 00085 0 00085 0 00085 0 00085 0 00085 0 00085 0 00085 0 00085 0 00085 0 00085 0 00085 0 00085 0 00085 0 00085 0 00085 0 00085 0 00085 0 00085 0 00085 0 00085 0 00085 0 00085 0 00085 0 00085 0 00085 0 00085 0 00085 0 00085 0 00085 0 00085 0 00085 0 00085 0 00085 0 00085 0 00085	00044) 000044) 000044) 000044) 000044	6607 5988 5988 5885 5875 5875 5875 5975 597	988888888888888888888888888888888888888
	9	+ 0.00743 + 0.00743 + 0.00743 + 0.0073 + 0.0073 + 0.0073	+ 0.00713 + 0.00715 + 0.00713 + 0.00703 + 0.00698 + 0.00698 + 0.00698	++++++++	+++ 0.00044 0.00044 0.00044 0.00044 0.00044 0.00044 0.00044 0.00044 0.00044	+ 0.000607 + 0.00598 + 0.00594 + 0.00594 + 0.00598 + 0.00597 + 0.00597	10000000000000000000000000000000000000
1	E+	E HWAND MO O	2 - 4 - + × × × × × × ×	0 11 11 11 11 11 11 11 11 11 11 11 11 11	0 + 8 # + 10 0 10 0	0 + 4 + 4 + 4 + 4 + 4 + 4	822222222
L							

Tafel XII.

		_				
1)2	00000000000000000000000000000000000000	0.01955 + 2 0.11920 + 2 0.11849 + 2 0.01885 + 2 0.01889 + 2 0.01778 + 2 0.01778 + 2 0.01778 + 2 0.01778 + 2 0.01778 + 2 0.01778 + 2 0.01778 + 2 0.01778 + 2 0.01778 + 2 0.01778 + 2 0.01778 + 2 0.01778 + 2 0.01778 + 2 0.01778 + 2 0.01778 + 2 0.01778 + 2 0.01778 + 2 0.01778 + 2 0.01778 + 2 0.01778 + 2 0.01778 + 2 0.01778 + 2 0.01778 + 2 0.01778 + 2 0.01778 + 2 0.01778 + 2 0.01778 + 2 0.01778 + 2 0.01778 + 2 0.01778 + 2 0.01778 + 2 0.01778 + 2 0.01778 + 2 0.01778 + 2 0.01778 + 2 0.01778 + 2 0.01778 + 2 0.01778 + 2 0.01778 + 2 0.01778 + 2 0.01778 + 2 0.01778 + 2 0.01778 + 2 0.01778 + 2 0.01778 + 2 0.01778 + 2 0.01778 + 2 0.01778 + 2 0.01778 + 2 0.01778 + 2 0.01778 + 2 0.01778 + 2 0.01778 + 2 0.01778 + 2 0.01778 + 2 0.01778 + 2 0.01778 + 2 0.01778 + 2 0.01778 + 2 0.01778 + 2 0.01778 + 2 0.01778 + 2 0.01778 + 2 0.01778 + 2 0.01778 + 2 0.01778 + 2 0.01778 + 2 0.01778 + 2 0.01778 + 2 0.01778 + 2 0.01778 + 2 0.01778 + 2 0.01778 + 2 0.01778 + 2 0.01778 + 2 0.01778 + 2 0.01778 + 2 0.01778 + 2 0.01778 + 2 0.01778 + 2 0.01778 + 2 0.01778 + 2 0.01778 + 2 0.01778 + 2 0.01778 + 2 0.01778 + 2 0.01778 + 2 0.01778 + 2 0.01778 + 2 0.01778 + 2 0.01778 + 2 0.01778 + 2 0.01778 + 2 0.01778 + 2 0.01778 + 2 0.01778 + 2 0.01778 + 2 0.01778 + 2 0.01778 + 2 0.01778 + 2 0.01778 + 2 0.0178 + 2 0.0178 + 2 0.0178 + 2 0.0178 + 2 0.0178 + 2 0.0178 + 2 0.0178 + 2 0.0178 + 2 0.0178 + 2 0.0178 + 2 0.0178 + 2 0.0178 + 2 0.0178 + 2 0.0178 + 2 0.0178 + 2 0.0178 + 2 0.0178 + 2 0.0178 + 2 0.0178 + 2 0.0178 + 2 0.0178 + 2 0.0178 + 2 0.0178 + 2 0.0178 + 2 0.0178 + 2 0.0178 + 2 0.0178 + 2 0.0178 + 2 0.0178 + 2 0.0178 + 2 0.0178 + 2 0.0178 + 2 0.0178 + 2 0.0178 + 2 0.0178 + 2 0.0178 + 2 0.0178 + 2 0.0178 + 2 0.0178 + 2 0.0178 + 2 0.0178 + 2 0.0178 + 2 0.0178 + 2 0.0178 + 2 0.0178 + 2 0.0178 + 2 0.0178 + 2 0.0178 + 2 0.0178 + 2 0.0178 + 2 0.0178 + 2 0.0178 + 2 0.0178 + 2 0.0178 + 2 0.0178 + 2 0.0178 + 2 0.0178 + 2 0.0178 + 2 0.0178 + 2 0.0178 + 2 0.0178 + 2 0.0178 + 2 0.0178 + 2 0.0178 + 2 0.0178 + 2 0.0178 + 2 0.0178 + 2 0.0178 + 2 0.0178 + 2 0.0178 + 2 0.01	0.01556 + 2	- 0 01177 + 2 0 01177 + 2 0 01177 + 2 0 01177 + 2 0 01177 + 2 0 01177 + 2 0 0177 + 2 0 0177 + 2 0 0177 + 2 0 0177 + 2 0 0177 + 2 0 0177 + 2 0 0177 + 2 0 0177 + 2 0 0177 + 2 0 0177 + 2 0 0177 + 2 0 0177 + 2 0 0177 + 2 0 0177 + 2 0 0177 + 2 0 0177 + 2 0 0177 + 2 0 0177 + 2 0 0177 + 2 0 0177 + 2 0 0177 + 2 0 0177 + 2 0 0177 + 2 0 0177 + 2 0 0177 + 2 0 0177 + 2 0 0177 + 2 0 0177 + 2 0 0177 + 2 0 0177 + 2 0 0177 + 2 0 0177 + 2 0 0177 + 2 0 0177 + 2 0 0177 + 2 0 0177 + 2 0 0177 + 2 0 0177 + 2 0 0177 + 2 0 0177 + 2 0 0177 + 2 0 0177 + 2 0 0177 + 2 0 0177 + 2 0 0177 + 2 0 0177 + 2 0 0177 + 2 0 0177 + 2 0 0177 + 2 0 0177 + 2 0 0177 + 2 0 0177 + 2 0 0177 + 2 0 0177 + 2 0 0177 + 2 0 0177 + 2 0 0177 + 2 0 0177 + 2 0 0177 + 2 0 0177 + 2 0 0177 + 2 0 0177 + 2 0 0177 + 2 0 0177 + 2 0 0177 + 2 0 0177 + 2 0 0177 + 2 0 0177 + 2 0 0177 + 2 0 0177 + 2 0 0177 + 2 0 0177 + 2 0 0177 + 2 0 0177 + 2 0 0177 + 2 0 0177 + 2 0 0177 + 2 0 0177 + 2 0 0177 + 2 0 0177 + 2 0 0177 + 2 0 0177 + 2 0 0177 + 2 0 0177 + 2 0 0177 + 2 0 0177 + 2 0 0177 + 2 0 0177 + 2 0 0177 + 2 0 0177 + 2 0 0177 + 2 0 0177 + 2 0 0177 + 2 0 0177 + 2 0 0177 + 2 0 0177 + 2 0 0177 + 2 0 0177 + 2 0 0177 + 2 0 0177 + 2 0 0177 + 2 0 0177 + 2 0 0177 + 2 0 0177 + 2 0 0177 + 2 0 0177 + 2 0 0177 + 2 0 0177 + 2 0 0177 + 2 0 0177 + 2 0 0177 + 2 0 0177 + 2 0 0177 + 2 0 0177 + 2 0 0177 + 2 0 0177 + 2 0 0177 + 2 0 0177 + 2 0 0177 + 2 0 0177 + 2 0 0177 + 2 0 0177 + 2 0 0177 + 2 0 0177 + 2 0 0177 + 2 0 0177 + 2 0 0177 + 2 0 0177 + 2 0 0177 + 2 0 0177 + 2 0 0177 + 2 0 0177 + 2 0 0177 + 2 0 0177 + 2 0 0177 + 2 0 0177 + 2 0 0177 + 2 0 0177 + 2 0 0177 + 2 0 0177 + 2 0 0177 + 2 0 0177 + 2 0 0177 + 2 0 0177 + 2 0 0177 + 2 0 0177 + 2 0 0177 + 2 0 0177 + 2 0 0177 + 2 0 0177 + 2 0 0177 + 2 0 0177 + 2 0 0177 + 2 0 0177 + 2 0 0177 + 2 0 0177 + 2 0 0177 + 2 0 0177 + 2 0 0177 + 2 0 0177 + 2 0 0177 + 2 0 0177 + 2 0 0177 + 2 0 0177 + 2 0 0177 + 2 0 0177 + 2 0 0177 + 2 0 0177 + 2 0 0177 + 2 0 0177 + 2 0 0177 + 2 0 0177 + 2 0 0177 + 2 0 0177 + 2 0 0177 + 2 0 0177 + 2 0 0177 + 2 0 0177 + 2 0 0177 + 2 0 0	1 + 600000 - 1 + 600000 - 1 + 600000 - 1 + 6000000 - 1 + 60000000000000000000000000000000000	+ 1 1 1 1 1 1 1 1 1 1 1 1 1 1 1 1 1 1 1
d1 1	1 1 1 1 1 1 1 1 1 1 1 1 1 1 1 1 1 1 1	0.0490 0.0490 0.0490 0.0460 0.0460 0.0460 0.0460 0.0460 0.0460 0.0460 0.0460 0.0460 0.0460 0.0460 0.0460 0.0460 0.0460 0.0460 0.0460 0.0460 0.0460 0.0460 0.0460 0.0460 0.0460 0.0460 0.0460 0.0460 0.0460 0.0460 0.0460 0.0460 0.0460 0.0460 0.0460 0.0460 0.0460 0.0460 0.0460 0.0460 0.0460 0.0460 0.0460 0.0460 0.0460 0.0460 0.0460 0.0460 0.0460 0.0460 0.0460 0.0460 0.0460 0.0460 0.0460 0.0460 0.0460 0.0460 0.0460 0.0460 0.0460 0.0460 0.0460 0.0460 0.0460 0.0460 0.0460 0.0460 0.0460 0.0460 0.0460 0.0460 0.0460 0.0460 0.0460 0.0460 0.0460 0.0460 0.0460 0.0460 0.0460 0.0460 0.0460 0.0460 0.0460 0.0460 0.0460 0.0460 0.0460 0.0460 0.0460 0.0460 0.0460 0.0460 0.0460 0.0460 0.0460 0.0460 0.0460 0.0460 0.0460 0.0460 0.0460 0.0460 0.0460 0.0460 0.0460 0.0460 0.0460 0.0460 0.0460 0.0460 0.0460 0.0460 0.0460 0.0460 0.0460 0.0460 0.0460 0.0460 0.0460 0.0460 0.0460 0.0460 0.0460 0.0460 0.0460 0.0460 0.0460 0.0460 0.0460 0.0460 0.0460 0.0460 0.0460 0.0460 0.0460 0.0460 0.0460 0.0460 0.0460 0.0460 0.0460 0.0460 0.0460 0.0460 0.0460 0.0460 0.0460 0.0460 0.0460 0.0460 0.0460 0.0460 0.0460 0.0460 0.0460 0.0460 0.0460 0.0460 0.0460 0.0460 0.0460 0.0460 0.0460 0.0460 0.0460 0.0460 0.0460 0.0460 0.0460 0.0460 0.0460 0.0460 0.0460 0.0460 0.0460 0.0460 0.0460 0.0460 0.0460 0.0460 0.0460 0.0460 0.0460 0.0460 0.0460 0.0460 0.0460 0.0460 0.0460 0.0460 0.0460 0.0460 0.0460 0.0460 0.0460 0.0460 0.0460 0.0460 0.0460 0.0460 0.0460 0.0460 0.0460 0.0460 0.0460 0.0460 0.0460 0.0460 0.0460 0.0460 0.0460 0.0460 0.0460 0.0460 0.0460 0.0460 0.0460 0.0460 0.0460 0.0460 0.0460 0.0460 0.0460 0.0460 0.0460 0.0460 0.0460 0.0460 0.0460 0.0460 0.0460 0.0460 0.0460 0.0460 0.0460 0.0460 0.0460 0.0460 0.0460 0.0460 0.0460 0.0460 0.0460 0.0460 0.0460 0.0460 0.0460 0.0460 0.0460 0.0460 0.0460 0.0460 0.0460 0.0460 0.0460 0.0460 0.0460 0.0460 0.0460 0.0460 0.0460 0.0460 0.0460 0.0460 0.0460 0.0460 0.0460 0.0460 0.0460 0.0460 0.0460 0.0460 0.0460 0.0460 0.0460 0.0460 0.0460 0.0460 0.0460 0.0460 0.0460 0.0460 0.0460 0.0460 0.0460 0.0460 0.0460 0.0460 0.0460 0.0460 0.	2000	6 0240 0 0231 0 0212 0 0203 0 0194 0 0185 0 0175	0.01438 0.0138 0.0119 0.0110 0.0110 0.0100 1 0.0001 1 0.0001	0.0084 0.0034 0.0034 0.0034 0.0004 0.0004 0.0003 0.0003 0.0003 0.0003 0.0003 0.0003 0.0003 0.0003 0.0003 0.0003 0.0003 0.0003 0.0003 0.0003 0.0003 0.0003 0.0003 0.0003 0.0003 0.0003 0.0003 0.0003 0.0003 0.0003 0.0003 0.0003 0.0003 0.0003 0.0003 0.0003 0.0003 0.0003 0.0003 0.0003 0.0003 0.0003 0.0003 0.0003 0.0003 0.0003 0.0003 0.0003 0.0003 0.0003 0.0003 0.0003 0.0003 0.0003 0.0003 0.0003 0.0003 0.0003 0.0003 0.0003 0.0003 0.0003 0.0003 0.0003 0.0003 0.0003 0.0003 0.0003 0.0003 0.0003 0.0003 0.0003 0.0003 0.0003 0.0003 0.0003 0.0003 0.0003 0.0003 0.0003 0.0003 0.0003 0.0003 0.0003 0.0003 0.0003 0.0003 0.0003 0.0003 0.0003 0.0003 0.0003 0.0003 0.0003 0.0003 0.0003 0.0003 0.0003 0.0003 0.0003 0.0003 0.0003 0.0003 0.0003 0.0003 0.0003 0.0003 0.0003 0.0003 0.0003 0.0003 0.0003 0.0003 0.0003 0.0003 0.0003 0.0003 0.0003 0.0003 0.0003 0.0003 0.0003 0.0003 0.0003 0.0003 0.0003 0.0003 0.0003 0.0003 0.0003 0.0003 0.0003 0.0003 0.0003 0.0003 0.0003 0.0003 0.0003 0.0003 0.0003 0.0003 0.0003 0.0003 0.0003 0.0003 0.0003 0.0003 0.0003 0.0003 0.0003 0.0003 0.0003 0.0003 0.0003 0.0003 0.0003 0.0003 0.0003 0.0003 0.0003 0.0003 0.0003 0.0003 0.0003 0.0003 0.0003 0.0003 0.0003 0.0003 0.0003 0.0003 0.0003 0.0003 0.0003 0.0003 0.0003 0.0003 0.0003 0.0003 0.0003 0.0003 0.0003 0.0003 0.0003 0.0003 0.0003 0.0003 0.0003 0.0003 0.0003 0.0003 0.0003 0.0003 0.0003 0.0003 0.0003 0.0003 0.0003 0.0003 0.0003 0.0003 0.0003 0.0003 0.0003 0.0003 0.0003 0.0003 0.0003 0.0003 0.0003 0.0003 0.0003 0.0003 0.0003 0.0003 0.0003 0.0003 0.0003 0.0003 0.0003 0.0003 0.0003 0.0003 0.0003 0.0003 0.0003 0.0003 0.0003 0.0003 0.0003 0.0003 0.0003 0.0003 0.0003 0.0003 0.0003 0.0003 0.0003 0.0003 0.0003 0.0003 0.0003 0.0003 0.0003 0.0003 0.0003 0.0003 0.0003 0.0003 0.0003 0.0003 0.0003 0.0003 0.0003 0.0003 0.0003 0.0003 0.0003 0.0003 0.0003 0.0003 0.0003 0.0003 0.0003 0.0003 0.0003 0.0003 0.0003 0.0003 0.0003 0.0003 0.0003 0.0003 0.0003 0.0003 0.0003 0.0003 0.0003 0.0003 0.0003 0.0003 0.0003 0.0003 0.0003 0.0003 0.0003 0.0003 0.0003 0.0003 0.0003 0.0003 0.0003 0.
G.m	2000 - 2000 - 2000 - 2000 - 2000 - 2000 - 2000 - 2000 - 2000 - 2000 - 2000 - 2000 - 2000 - 2000 - 2000 - 2000 - 2000 - 2000 - 2000 - 2000 - 2000 - 2000 - 2000 - 2000 - 2000 - 2000 - 2000 - 2000 - 2000 - 2000 - 2000 - 2000 - 2000 - 2000 - 2000 - 2000 - 2000 - 2000 - 2000 - 2000 - 2000 - 2000 - 2000 - 2000 - 2000 - 2000 - 2000 - 2000 - 2000 - 2000 - 2000 - 2000 - 2000 - 2000 - 2000 - 2000 - 2000 - 2000 - 2000 - 2000 - 2000 - 2000 - 2000 - 2000 - 2000 - 2000 - 2000 - 2000 - 2000 - 2000 - 2000 - 2000 - 2000 - 2000 - 2000 - 2000 - 2000 - 2000 - 2000 - 2000 - 2000 - 2000 - 2000 - 2000 - 2000 - 2000 - 2000 - 2000 - 2000 - 2000 - 2000 - 2000 - 2000 - 2000 - 2000 - 2000 - 2000 - 2000 - 2000 - 2000 - 2000 - 2000 - 2000 - 2000 - 2000 - 2000 - 2000 - 2000 - 2000 - 2000 - 2000 - 2000 - 2000 - 2000 - 2000 - 2000 - 2000 - 2000 - 2000 - 2000 - 2000 - 2000 - 2000 - 2000 - 2000 - 2000 - 2000 - 2000 - 2000 - 2000 - 2000 - 2000 - 2000 - 2000 - 2000 - 2000 - 2000 - 2000 - 2000 - 2000 - 2000 - 2000 - 2000 - 2000 - 2000 - 2000 - 2000 - 2000 - 2000 - 2000 - 2000 - 2000 - 2000 - 2000 - 2000 - 2000 - 2000 - 2000 - 2000 - 2000 - 2000 - 2000 - 2000 - 2000 - 2000 - 2000 - 2000 - 2000 - 2000 - 2000 - 2000 - 2000 - 2000 - 2000 - 2000 - 2000 - 2000 - 2000 - 2000 - 2000 - 2000 - 2000 - 2000 - 2000 - 2000 - 2000 - 2000 - 2000 - 2000 - 2000 - 2000 - 2000 - 2000 - 2000 - 2000 - 2000 - 2000 - 2000 - 2000 - 2000 - 2000 - 2000 - 2000 - 2000 - 2000 - 2000 - 2000 - 2000 - 2000 - 2000 - 2000 - 2000 - 2000 - 2000 - 2000 - 2000 - 2000 - 2000 - 2000 - 2000 - 2000 - 2000 - 2000 - 2000 - 2000 - 2000 - 2000 - 2000 - 2000 - 2000 - 2000 - 2000 - 2000 - 2000 - 2000 - 2000 - 2000 - 2000 - 2000 - 2000 - 2000 - 2000 - 2000 - 2000 - 2000 - 2000 - 2000 - 2000 - 2000 - 2000 - 2000 - 2000 - 2000 - 2000 - 2000 - 2000 - 2000 - 2000 - 2000 - 2000 - 2000 - 2000 - 2000 - 2000 - 2000 - 2000 - 2000 - 2000 - 2000 - 2000 - 2000 - 2000 - 2000 - 2000 - 2000 - 2000 - 2000 - 2000 - 2000 - 2000 - 2000 - 2000 - 2000 - 2000 - 2000 - 2000 - 2000 - 2000 - 2000 - 2000 - 2000 - 2000 - 20	00000000000000000000000000000000000000	111:	400.00 1 1 1 00.00 1 1 1 1 1 1 1 1 1 1 1	20000000000000000000000000000000000000	0.003 0.004 0.003 0.004 0.003 0.003 0.003 0.003 0.003 0.003 0.003 0.003 0.003 0.003 0.003 0.003 0.003 0.003 0.003 0.003 0.003 0.003 0.003 0.003 0.003 0.003 0.003 0.003 0.003 0.003 0.003 0.003 0.003 0.003 0.003 0.003 0.003 0.003 0.003 0.003 0.003 0.003 0.003 0.003 0.003 0.003 0.003 0.003 0.003 0.003 0.003 0.003 0.003 0.003 0.003 0.003 0.003 0.003 0.003 0.003 0.003 0.003 0.003 0.003 0.003 0.003 0.003 0.003 0.003 0.003 0.003 0.003 0.003 0.003 0.003 0.003 0.003 0.003 0.003 0.003 0.003 0.003 0.003 0.003 0.003 0.003 0.003 0.003 0.003 0.003 0.003 0.003 0.003 0.003 0.003 0.003 0.003 0.003 0.003 0.003 0.003 0.003 0.003 0.003 0.003 0.003 0.003 0.003 0.003 0.003 0.003 0.003 0.003 0.003 0.003 0.003 0.003 0.003 0.003 0.003 0.003 0.003 0.003 0.003 0.003 0.003 0.003 0.003 0.003 0.003 0.003 0.003 0.003 0.003 0.003 0.003 0.003 0.003 0.003 0.003 0.003 0.003 0.003 0.003 0.003 0.003 0.003 0.003 0.003 0.003 0.003 0.003 0.003 0.003 0.003 0.003 0.003 0.003 0.003 0.003 0.003 0.003 0.003 0.003 0.003 0.003 0.003 0.003 0.003 0.003 0.003 0.003 0.003 0.003 0.003 0.003 0.003 0.003 0.003 0.003 0.003 0.003 0.003 0.003 0.003 0.003 0.003 0.003 0.003 0.003 0.003 0.003 0.003 0.003 0.003 0.003 0.003 0.003 0.003 0.003 0.003 0.003 0.003 0.003 0.003 0.003 0.003 0.003 0.003 0.003 0.003 0.003 0.003 0.003 0.003 0.003 0.003 0.003 0.003 0.003 0.003 0.003 0.003 0.003 0.003 0.003 0.003 0.003 0.003 0.003 0.003 0.003 0.003 0.003 0.003 0.003 0.003 0.003 0.003 0.003 0.003 0.003 0.003 0.003 0.003 0.003 0.003 0.003 0.003 0.003 0.003 0.003 0.003 0.003 0.003 0.003 0.003 0.003 0.003 0.003 0.003 0.003 0.003 0.003 0.003 0.003 0.003 0.003 0.003 0.003 0.003 0.003 0.003 0.003 0.003 0.003 0.003 0.003 0.003 0.003 0.003 0.003 0.003 0.003 0.003 0.003 0.003 0.003 0.003 0.003 0.003 0.003 0.003 0.003 0.003 0.003 0.003 0.003 0.003 0.003 0.003 0.003 0.003 0.003 0.003 0.003 0.003 0.003 0.003 0.003 0.003 0.003 0.003 0.003 0.003 0.003 0.003 0.003 0.003 0.003 0.003 0.003 0.003 0.003 0.003 0.003 0.003 0.003 0.003 0.003 003
£ 3 8	- 2 000 017 017 017 017 017 017 017 017 017	- 0 003 3463 + 44 - 0 003 4587 + 44 - 0 003 4587 + 45 - 0 003 4587 + 45 - 0 003 4597 + 45 - 0 003 5494 + 47 - 0 003 5494 + 47	- 0 003 5468 + 48 - 0 003 7066 + 48 - 0 003 7066 + 48 - 0 003 7066 + 48 - 0 003 7067 + 49 - 0 003 8760 + 49 - 0 003 8760 + 50 - 0 003 8690 + 50		# + # # # # # # # # # # # # # # # # # #	0 004 1749 + 54 0 004 1847 + 54 0 004 1833 + 54 1 0 004 1989 + 54 1 0 004 1989 + 54 0 004 2019 + 54 0 004 2019 + 55 0 004 2016 + 55 0 004 2016 + 55
603	0 0 0 0 1 1 1 1 1 1 1 1 1 1 1 1 1 1 1 1	000131999 000131999 0001319999 00013199999 0001319999999999	0 0 0 0 0 0 0 0 0 0 0 0 0 0 0 0 0 0 0	0 0 0 14 177 + 3 0 0 14 177 + 3 0 0 14 174 + 3 0 0 0 14 174 + 3 0 0 0 14 174 + 3 0 0 0 14 174 + 3 0 0 0 14 174 + 3 0 0 0 14 174 + 3 0 0 0 14 174 + 3 0 0 0 14 174 + 3 0 0 0 14 174 + 3 0 0 0 14 174 + 3 0 0 0 14 174 + 3 0 0 0 14 174 + 3 0 0 0 14 174 + 3 0 0 0 14 174 + 3 0 0 0 14 174 + 3 0 0 0 14 174 + 3 0 0 0 14 174 + 3 0 0 0 14 174 + 3 0 0 0 14 174 + 3 0 0 0 14 174 + 3 0 0 0 14 174 + 3 0 0 0 14 174 + 3 0 0 0 14 174 + 3 0 0 0 14 174 + 3 0 0 0 14 174 + 3 0 0 0 14 174 + 3 0 0 0 14 174 + 3 0 0 0 14 174 + 3 0 0 0 14 174 + 3 0 0 0 14 174 + 3 0 0 0 14 174 + 3 0 0 0 14 174 + 3 0 0 0 14 174 + 3 0 0 0 14 174 + 3 0 0 0 14 174 + 3 0 0 0 14 174 + 3 0 0 0 14 174 + 3 0 0 0 14 174 + 3 0 0 0 14 174 + 3 0 0 0 14 174 + 3 0 0 0 14 174 + 3 0 0 0 14 174 + 3 0 0 0 14 174 + 3 0 0 0 14 174 + 3 0 0 0 14 174 + 3 0 0 0 14 174 + 3 0 0 0 14 174 + 3 0 0 0 14 174 + 3 0 0 0 14 174 + 3 0 0 0 14 174 + 3 0 0 0 14 174 + 3 0 0 0 14 174 + 3 0 0 0 14 174 + 3 0 0 0 14 174 + 3 0 0 0 14 174 + 3 0 0 0 0 14 174 + 3 0 0 0 0 14 174 + 3 0 0 0 0 14 174 + 3 0 0 0 0 0 0 0 0 0 0 0 0 0 0 0 0 0 0 0	0 0 0 1 4 4 4 4 4 4 4 4 4 4 4 4 4 4 4 4	0 0 0 0 0 0 0 0 0 0 0 0 0 0 0 0 0 0 0
200	- 0.01199 - 0.01231 - 0.01233	- 0.01236 - 0.01235 0.01252 0.01253 0.01254 0.01264	- 0,01267 0,01270 0,01271 0,01271 0,01280 - 0,01283 - 0,01283 - 0,01283	0.01391 0.01394 0.01395 0.01393 0.01393 0.01393 0.01393 0.01393	1   1   1   1   1   1   1   1   1   1	0.01319 0.01311 0.01311 0.01312 0.01312 0.01313 0.01313
2 2	27000	- 0.004 - 0.004 - 0.004 - 0.004 - 0.004 - 0.004 - 0.004 - 0.004 - 0.004 - 0.004	9h000 1 1 9h000 1 1 9h000 1 1 1 1 1 1 1 1 1 1 1 1 1 1 1 1 1 1	\$ 100.00 - 0.0046	6 boo o o o o o o o o o o o o o o o o o	
dz	0.1846 0.1837 0.1846 0.1846 0.1856 0.1856 0.1856 0.1856 0.1856	1 18579 + 16 1 18679 + 16 1 18674 + 16 1 18674 + 16 1 18674 + 16 1 18674 + 16 1 18674 + 16 1 18674 + 16 1 18674 + 16 1 18674 + 16 1 18674 + 16 1 18674 + 16 1 18674 + 16 1 18674 + 16 1 18674 + 16 1 18674 + 16 1 18674 + 16 1 18674 + 16 1 18674 + 16 1 18674 + 16 1 18674 + 16 1 18674 + 16 1 18674 + 16 1 18674 + 16 1 18674 + 16 1 18674 + 16 1 18674 + 16 1 18674 + 16 1 18674 + 16 1 18674 + 16 1 18674 + 16 1 18674 + 16 1 18674 + 16 1 18674 + 16 1 18674 + 16 1 18674 + 16 1 18674 + 16 1 18674 + 16 1 18674 + 16 1 18674 + 16 1 18674 + 16 1 18674 + 16 1 18674 + 16 1 18674 + 16 1 18674 + 16 1 18674 + 16 1 18674 + 16 1 18674 + 16 1 18674 + 16 1 18674 + 16 1 18674 + 16 1 18674 + 16 1 18674 + 16 1 18674 + 16 1 18674 + 16 1 18674 + 16 1 18674 + 16 1 18674 + 16 1 18674 + 16 1 18674 + 16 1 18674 + 16 1 18674 + 16 1 18674 + 16 1 18674 + 16 1 18674 + 16 1 18674 + 16 1 18674 + 16 1 18674 + 16 1 18674 + 16 1 18674 + 16 1 18674 + 16 1 18674 + 16 1 18674 + 16 1 18674 + 16 1 18674 + 16 1 18674 + 16 1 18674 + 16 1 18674 + 16 1 18674 + 16 1 18674 + 16 1 18674 + 16 1 18674 + 16 1 18674 + 16 1 18674 + 16 1 18674 + 16 1 18674 + 16 1 18674 + 16 1 18674 + 16 1 18674 + 16 1 18674 + 16 1 18674 + 16 1 18674 + 16 1 18674 + 16 1 18674 + 16 1 18674 + 16 1 18674 + 16 1 18674 + 16 1 18674 + 16 1 18674 + 16 1 18674 + 16 1 18674 + 16 1 18674 + 16 1 18674 + 16 1 18674 + 16 1 18674 + 16 1 18674 + 16 1 18674 + 16 1 18674 + 16 1 18674 + 16 1 18674 + 16 1 18674 + 16 1 18674 + 16 1 18674 + 16 1 18674 + 16 1 18674 + 16 1 18674 + 16 1 18674 + 16 1 18674 + 16 1 18674 + 16 1 18674 + 16 1 18674 + 16 1 18674 + 16 1 18674 + 16 1 18674 + 16 1 18674 + 16 1 18674 + 16 1 18674 + 16 1 18674 + 16 1 18674 + 16 1 18674 + 16 1 18674 + 16 1 18674 + 16 1 18674 + 16 1 18674 + 16 1 18674 + 16 1 18674 + 16 1 18674 + 16 1 18674 + 16 1 18674 + 16 1 18674 + 16 1 18674 + 16 1 18674 + 16 1 18674 + 16 1 18674 + 16 1 18674 + 16 1 18674 + 16 1	- 0.18935 + 16 - 0.18933 + 16 - 0.18931 + 16 - 0.18941 + 16 - 0.19941 + 16 - 0.19115 + 17 - 0.19115 + 17	- 0 19160 + 17 - 0 19181 + 17 - 0 19181 + 17 - 0 19181 + 17 - 0 19181 + 17 - 0 19181 + 17 - 0 19181 + 17 - 0 19181 + 17 - 0 19181 + 17 - 0 19181 + 17	- 0 19344 - 0 19354 - 0 19357 - 0 19358 - 177 - 0 19420 - 0 19420 - 0 19430 - 0 19430 - 0 19430 - 0 19430 - 0 19430 - 177 -	- 0.19455 - 0.19476 - 0.19474 - 0.19477 - 0.19477 - 0.19477 - 0.19487 -
G ₁ O	0.4376 1 1 0.4376 1 1 0.4376 1 1 0.4376 1 1 0.4376 1 1 0.4376 1 1 0.4376 1 1 0.4376 1 1 0.4376 1 1 0.4376 1 1 0.4376 1 1 0.4376 1 1 0.4376 1 1 0.4376 1 1 0.4376 1 1 0.4376 1 1 0.4376 1 1 0.4376 1 1 0.4376 1 1 0.4376 1 1 0.4376 1 1 0.4376 1 1 0.4376 1 1 0.4376 1 1 0.4376 1 1 0.4376 1 1 0.4376 1 1 0.4376 1 1 0.4376 1 1 0.4376 1 1 0.4376 1 1 0.4376 1 1 0.4376 1 1 0.4376 1 1 0.4376 1 1 0.4376 1 1 0.4376 1 1 0.4376 1 1 0.4376 1 1 0.4376 1 1 0.4376 1 1 0.4376 1 1 0.4376 1 1 0.4376 1 1 0.4376 1 1 0.4376 1 1 0.4376 1 1 0.4376 1 1 0.4376 1 1 0.4376 1 1 0.4376 1 1 0.4376 1 1 0.4376 1 1 0.4376 1 1 0.4376 1 1 0.4376 1 1 0.4376 1 1 0.4376 1 1 0.4376 1 1 0.4376 1 1 0.4376 1 1 0.4376 1 1 0.4376 1 1 0.4376 1 0.4376 1 1 0.4376 1 1 0.4376 1 1 0.4376 1 1 0.4376 1 1 0.4376 1 0.4376 1 1 0.4376 1 1 0.4376 1 1 0.4376 1 1 0.4376 1 1 0.4376 1 0.4376 1 1 0.4376 1 1 0.4376 1 1 0.4376 1 1 0.4376 1 1 0.4376 1 0.4376 1 0.4376 1 0.4376 1 0.4376 1 0.4376 1 0.4376 1 0.4376 1 0.4376 1 0.4376 1 0.4376 1 0.4376 1 0.4376 1 0.4376 1 0.4376 1 0.4376 1 0.4376 1 0.4376 1 0.4376 1 0.4376 1 0.4376 1 0.4376 1 0.4376 1 0.4376 1 0.4376 1 0.4376 1 0.4376 1 0.4376 1 0.4376 1 0.4376 1 0.4376 1 0.4376 1 0.4376 1 0.4376 1 0.4376 1 0.4376 1 0.4376 1 0.4376 1 0.4376 1 0.4376 1 0.4376 1 0.4376 1 0.4376 1 0.4376 1 0.4376 1 0.4376 1 0.4376 1 0.4376 1 0.4376 1 0.4376 1 0.4376 1 0.4376 1 0.4376 1 0.4376 1 0.4376 1 0.4376 1 0.4376 1 0.4376 1 0.4376 1 0.4376 1 0.4376 1 0.4376 1 0.4376 1 0.4376 1 0.4376 1 0.4376 1 0.4376 1 0.4376 1 0.4376 1 0.4376 1 0.4376 1 0.4376 1 0.4376 1 0.4376 1 0.4376 1 0.4376 1 0.4376 1 0.4376 1 0.4376 1 0.4376 1 0.4376 1 0.4376 1 0.4376 1 0.4376 1 0.4376 1 0.4376 1 0.4376 1 0.4376 1 0.4376 1 0.4376 1 0.4376 1 0.4376 1 0.4376 1 0.4376 1 0.4376 1 0.4376 1 0.4376 1 0.4376 1 0.4376 1 0.4376 1 0.4376 1 0.4376 1 0.4376 1 0.4376 1 0.4376 1 0.4376 1 0.4376 1 0.4376 1 0.4376 1 0.4376 1 0.4376 1 0.4376 1 0.4376 1 0.4376 1 0.4376 1 0.4376 1 0.4376 1 0.4376 1 0.4376 1 0.4376 1 0.4376 1 0.4376 1 0.4376 1 0.4376 1 0.4376 1 0.4376 1 0.4376 1 0.4376 1 0.4376 1	0.44395	0 0 0 0 0 0 0 0 0 0 0 0 0 0 0 0 0 0 0 0	1 1 1 1 1 1 1 1 1 1 1 1 1 1 1 1 1 1 1		1 1 1 1 1 1 1 1 1 1 1 1 1 1 1 1 1 1 1
# 5 5 5 5 5 5 5 5 5 5 5 5 5 5 5 5 5 5 5	+ + + + + + + + + + + + + + + + + + +	+ 0.005 4920 47 + 0.005 8930 17 + 0.005 8186 45 + 0.005 9776 45 + 0.004 9581 43 + 0.004 9581 43 + 0.004 9581 43 + 0.004 9581 43 + 0.004 9581 43	4 - 0.00 138 - 0.00 138 - 0.00 139 - 0.00 139 - 0.00 139 - 0.00 139 - 0.00 139 - 0.00 139 - 0.00 139 - 0.00 139 - 0.00 139 - 0.00 139 - 0.00 139 - 0.00 139 - 0.00 139 - 0.00 139 - 0.00 139 - 0.00 139 - 0.00 139 - 0.00 139 - 0.00 139 - 0.00 139 - 0.00 139 - 0.00 139 - 0.00 139 - 0.00 139 - 0.00 139 - 0.00 139 - 0.00 139 - 0.00 139 - 0.00 139 - 0.00 139 - 0.00 139 - 0.00 139 - 0.00 139 - 0.00 139 - 0.00 139 - 0.00 139 - 0.00 139 - 0.00 139 - 0.00 139 - 0.00 139 - 0.00 139 - 0.00 139 - 0.00 139 - 0.00 139 - 0.00 139 - 0.00 139 - 0.00 139 - 0.00 139 - 0.00 139 - 0.00 139 - 0.00 139 - 0.00 139 - 0.00 139 - 0.00 139 - 0.00 139 - 0.00 139 - 0.00 139 - 0.00 139 - 0.00 139 - 0.00 139 - 0.00 139 - 0.00 139 - 0.00 139 - 0.00 139 - 0.00 139 - 0.00 139 - 0.00 139 - 0.00 139 - 0.00 139 - 0.00 139 - 0.00 139 - 0.00 139 - 0.00 139 - 0.00 139 - 0.00 139 - 0.00 139 - 0.00 139 - 0.00 139 - 0.00 139 - 0.00 139 - 0.00 139 - 0.00 139 - 0.00 139 - 0.00 139 - 0.00 139 - 0.00 139 - 0.00 139 - 0.00 139 - 0.00 139 - 0.00 139 - 0.00 139 - 0.00 139 - 0.00 139 - 0.00 139 - 0.00 139 - 0.00 139 - 0.00 139 - 0.00 139 - 0.00 139 - 0.00 139 - 0.00 139 - 0.00 139 - 0.00 139 - 0.00 139 - 0.00 139 - 0.00 139 - 0.00 139 - 0.00 139 - 0.00 139 - 0.00 139 - 0.00 139 - 0.00 139 - 0.00 139 - 0.00 139 - 0.00 139 - 0.00 139 - 0.00 139 - 0.00 139 - 0.00 139 - 0.00 139 - 0.00 139 - 0.00 139 - 0.00 139 - 0.00 139 - 0.00 139 - 0.00 139 - 0.00 139 - 0.00 139 - 0.00 139 - 0.00 139 - 0.00 139 - 0.00 139 - 0.00 139 - 0.00 139 - 0.00 139 - 0.00 139 - 0.00 139 - 0.00 139 - 0.00 139 - 0.00 139 - 0.00 139 - 0.00 139 - 0.00 139 - 0.00 139 - 0.00 139 - 0.00 139 - 0.00 139 - 0.00 139 - 0.00 139 - 0.00 139 - 0.00 139 - 0.00 139 - 0.00 139 - 0.00 139 - 0.00 139 - 0.00 139 - 0.00 139 - 0.00 139 - 0.00 139 - 0.00 139 - 0.00 139 - 0.00 139 - 0.00 139 - 0.00 139 - 0.00 139 - 0.00 139 - 0.00 139 - 0.00 139 - 0.00 139 - 0.00 139 - 0.00 139 - 0.00 139 - 0.00 139 - 0.00 139 - 0.00 139 - 0.00 139 - 0.00 139 - 0.00 139 - 0.00 139 - 0.00 139 - 0.00 139 - 0.00 139 - 0.00 139 - 0.00 13	+ 0.003 4634 - 29 + 0.003 4436 - 26 + 0.003 2436 - 26 + 0.003 2436 - 26 + 0.003 2436 - 26 + 0.003 2436 - 25 + 0.003 2436 - 23 + 0.003 2508 - 23 + 0.003 2508 - 23 + 0.003 2508 - 23 + 0.003 2508 - 23 + 0.003 2508 - 23 + 0.003 2508 - 23	+ 0.002 1448 - 19 + 0.002 1448 - 19 + 0.002 1448 - 19 + 0.002 1938 - 15 + 0.002 1938 - 14 + 0.002 1938 - 14 + 0.002 1938 - 14 + 0.002 1938 - 14 + 0.002 1938 - 14	
A.	+ 6/60/71BB + 1	+ 0.0003 897 + 1 + 0.0005 709 + 1 + 0.0005 531 0 + 0.0005 531 0 + 0.0005 520 0 + 0.0005 500 0 + 0.0005 500 0 + 0.0005 500 0 + 0.0004 743 0	+ 0.004 614 + 0.004 486 + 0.004 287 + 0.004 287 + 0.004 387 + 0.003 841 + 0.003 842 + 0.003 453	+ 0.003 323 + 0.003 194 + 0.003 104 + 0.002 805 + 0.002 466 + 0.002 466 + 0.002 186 + 0.002 186	+ 0.001 026 0 1 + 0.001 806 0 1 + 0.001 806 0 1 + 0.001 806 0 1 + 0.001 806 0 1 + 0.001 806 0 1 + 0.001 806 0 1 + 0.000 806 0 1 + 0.000 806 0 1 + 0.000 806 0 1 + 0.000 806 0 1 + 0.000 806 0 1 + 0.000 806 0 1 + 0.000 806 0 1 + 0.000 806 0 1 + 0.000 806 0 1 + 0.000 806 0 1 + 0.000 806 0 1 + 0.000 806 0 1 + 0.000 806 0 1 + 0.000 806 0 1 + 0.000 806 0 1 + 0.000 806 0 1 + 0.000 806 0 1 + 0.000 806 0 1 + 0.000 806 0 1 + 0.000 806 0 1 + 0.000 806 0 1 + 0.000 806 0 1 + 0.000 806 0 1 + 0.000 806 0 1 + 0.000 806 0 1 + 0.000 806 0 1 + 0.000 806 0 1 + 0.000 806 0 1 + 0.000 806 0 1 + 0.000 806 0 1 + 0.000 806 0 1 + 0.000 806 0 1 + 0.000 806 0 1 + 0.000 806 0 1 + 0.000 806 0 1 + 0.000 806 0 1 + 0.000 806 0 1 + 0.000 806 0 1 + 0.000 806 0 1 + 0.000 806 0 1 + 0.000 806 0 1 + 0.000 806 0 1 + 0.000 806 0 1 + 0.000 806 0 1 + 0.000 806 0 1 + 0.000 806 0 1 + 0.000 806 0 1 + 0.000 806 0 1 + 0.000 806 0 1 + 0.000 806 0 1 + 0.000 806 0 1 + 0.000 806 0 1 + 0.000 806 0 1 + 0.000 806 0 1 + 0.000 806 0 1 + 0.000 806 0 1 + 0.000 806 0 1 + 0.000 806 0 1 + 0.000 806 0 1 + 0.000 806 0 1 + 0.000 806 0 1 + 0.000 806 0 1 + 0.000 806 0 1 + 0.000 806 0 1 + 0.000 806 0 1 + 0.000 806 0 1 + 0.000 806 0 1 + 0.000 806 0 1 + 0.000 806 0 1 + 0.000 806 0 1 + 0.000 806 0 1 + 0.000 806 0 1 + 0.000 806 0 1 + 0.000 806 0 1 + 0.000 806 0 1 + 0.000 806 0 1 + 0.000 806 0 1 + 0.000 806 0 1 + 0.000 806 0 1 + 0.000 806 0 1 + 0.000 806 0 1 + 0.000 806 0 1 + 0.000 806 0 1 + 0.000 806 0 1 + 0.000 806 0 1 + 0.000 806 0 1 + 0.000 806 0 1 + 0.000 806 0 1 + 0.000 806 0 1 + 0.000 806 0 1 + 0.000 806 0 1 + 0.000 806 0 1 + 0.000 806 0 1 + 0.000 806 0 1 + 0.000 806 0 1 + 0.000 806 0 1 + 0.000 806 0 1 + 0.000 806 0 1 + 0.000 806 0 1 + 0.000 806 0 1 + 0.000 806 0 1 + 0.000 806 0 1 + 0.000 806 0 1 + 0.000 806 0 1 + 0.000 806 0 1 + 0.000 806 0 1 + 0.000 806 0 1 + 0.000 806 0 1 + 0.000 806 0 1 + 0.000 806 0 1 + 0.000 806 0 1 + 0.000 806 0 1 + 0.000 806 0 1 + 0.000 806 0 1 + 0.000 806 0 1 + 0.000 806 0 1 + 0.000 806 0 1 + 0.000 806 0 1 + 0.000 806 0 1 + 0.000 806 0 1 + 0.000 806 0	+ 0.000 725 + 0.000 334 + 0.000 334 + 0.000 334 + 0.000 337 + 0.000 48 - 0.000 48 - 0.000 48 - 0.000 48 - 0.000 48 - 0.000 48 - 0.000 48 - 0.000 48 - 0.000 48 - 0.000 48 - 0.000 48 - 0.000 48 - 0.000 48 - 0.000 48 - 0.000 48 - 0.000 48 - 0.000 48 - 0.000 48 - 0.000 48 - 0.000 48 - 0.000 48 - 0.000 48 - 0.000 48 - 0.000 48 - 0.000 48 - 0.000 48 - 0.000 48 - 0.000 48 - 0.000 48 - 0.000 48 - 0.000 48 - 0.000 48 - 0.000 48 - 0.000 48 - 0.000 48 - 0.000 48 - 0.000 48 - 0.000 48 - 0.000 48 - 0.000 48 - 0.000 48 - 0.000 48 - 0.000 48 - 0.000 48 - 0.000 48 - 0.000 48 - 0.000 48 - 0.000 48 - 0.000 48 - 0.000 48 - 0.000 48 - 0.000 48 - 0.000 48 - 0.000 48 - 0.000 48 - 0.000 48 - 0.000 48 - 0.000 48 - 0.000 48 - 0.000 48 - 0.000 48 - 0.000 48 - 0.000 48 - 0.000 48 - 0.000 48 - 0.000 48 - 0.000 48 - 0.000 48 - 0.000 48 - 0.000 48 - 0.000 48 - 0.000 48 - 0.000 48 - 0.000 48 - 0.000 48 - 0.000 48 - 0.000 48 - 0.000 48 - 0.000 48 - 0.000 48 - 0.000 48 - 0.000 48 - 0.000 48 - 0.000 48 - 0.000 48 - 0.000 48 - 0.000 48 - 0.000 48 - 0.000 48 - 0.000 48 - 0.000 48 - 0.000 48 - 0.000 48 - 0.000 48 - 0.000 48 - 0.000 48 - 0.000 48 - 0.000 48 - 0.000 48 - 0.000 48 - 0.000 48 - 0.000 48 - 0.000 48 - 0.000 48 - 0.000 48 - 0.000 48 - 0.000 48 - 0.000 48 - 0.000 48 - 0.000 48 - 0.000 48 - 0.000 48 - 0.000 48 - 0.000 48 - 0.000 48 - 0.000 48 - 0.000 48 - 0.000 48 - 0.000 48 - 0.000 48 - 0.000 48 - 0.000 48 - 0.000 48 - 0.000 48 - 0.000 48 - 0.000 48 - 0.000 48 - 0.000 48 - 0.000 48 - 0.000 48 - 0.000 48 - 0.000 48 - 0.000 48 - 0.000 48 - 0.000 48 - 0.000 48 - 0.000 48 - 0.000 48 - 0.0000 48 - 0.0000 48 - 0.0000 48 - 0.0000 48 - 0.0000 48 - 0.0000 48 - 0.0000 48 - 0.0000 48 - 0.0000 48 - 0.0000 48 - 0.0000 48 - 0.0000 48 - 0.0000 48 - 0.0000 48 - 0.0000 48 - 0.0000 48 - 0.0000 48 - 0.0000 48 - 0.0000 48 - 0.0000 48 - 0.0000 48 - 0.0000 48 - 0.0000 48 - 0.0000 48 - 0.0000 48
do		- 0 00464 - 0 00464 - 0 00464 - 0 00464 - 0 00464 - 0 00464 - 0 00464 - 0 00464 - 0 00464 - 0 00464 - 0 00464 - 0 00464 - 0 00464 - 0 00464 - 0 00464 - 0 00464 - 0 00464 - 0 00464 - 0 00464 - 0 00464 - 0 00464 - 0 00464 - 0 00464 - 0 00464 - 0 00464 - 0 00464 - 0 00464 - 0 00464 - 0 00464 - 0 00464 - 0 00464 - 0 00464 - 0 00464 - 0 00464 - 0 00464 - 0 00464 - 0 00464 - 0 00464 - 0 00464 - 0 00464 - 0 00464 - 0 00464 - 0 00464 - 0 00464 - 0 00464 - 0 00464 - 0 00464 - 0 00464 - 0 00464 - 0 00464 - 0 00464 - 0 00464 - 0 00464 - 0 00464 - 0 00464 - 0 00464 - 0 00464 - 0 00464 - 0 00464 - 0 00464 - 0 00464 - 0 00464 - 0 00464 - 0 00464 - 0 00464 - 0 00464 - 0 00464 - 0 00464 - 0 00464 - 0 00464 - 0 00464 - 0 00464 - 0 00464 - 0 00464 - 0 00464 - 0 00464 - 0 00464 - 0 00464 - 0 00464 - 0 00464 - 0 00464 - 0 00464 - 0 00464 - 0 00464 - 0 00464 - 0 00464 - 0 00464 - 0 00464 - 0 00464 - 0 00464 - 0 00464 - 0 00464 - 0 00464 - 0 00464 - 0 00464 - 0 00464 - 0 00464 - 0 00464 - 0 00464 - 0 00464 - 0 00464 - 0 00464 - 0 00464 - 0 00464 - 0 00464 - 0 00464 - 0 00464 - 0 00464 - 0 00464 - 0 00464 - 0 00464 - 0 00464 - 0 00464 - 0 00464 - 0 00464 - 0 00464 - 0 00464 - 0 00464 - 0 00464 - 0 00464 - 0 00464 - 0 00464 - 0 00464 - 0 00464 - 0 00464 - 0 00464 - 0 00464 - 0 00464 - 0 00464 - 0 00464 - 0 00464 - 0 00464 - 0 00464 - 0 00464 - 0 00464 - 0 00464 - 0 00464 - 0 00464 - 0 00464 - 0 00464 - 0 00464 - 0 00464 - 0 00464 - 0 00464 - 0 00464 - 0 00464 - 0 00464 - 0 00464 - 0 00464 - 0 00464 - 0 00464 - 0 00464 - 0 00464 - 0 00464 - 0 00464 - 0 00464 - 0 00464 - 0 00464 - 0 00464 - 0 00464 - 0 00464 - 0 00464 - 0 00464 - 0 00464 - 0 00464 - 0 00464 - 0 00464 - 0 00464 - 0 00464 - 0 00464 - 0 00464 - 0 00464 - 0 00464 - 0 00464 - 0 00464 - 0 00464 - 0 00464 - 0 00464 - 0 00464 - 0 00464 - 0 00464 - 0 00464 - 0 00464 - 0 00464 - 0 00464 - 0 00464 - 0 00464 - 0 00464 - 0 00464 - 0 00464 - 0 00464 - 0 00464 - 0 00464 - 0 00464 - 0 00464 - 0 00464 - 0 00464 - 0 00464 - 0 00464 - 0 00464 - 0 00464 - 0 00464 - 0 00464 - 0 00464 - 0 00	+ + + + + + + + + + + + + + + + + + +		+ 0.00392 0 + 0.00397 0 + 0.00397 0 + 0.00394 0 + 0.00394 0 + 0.00393 0 + 0.00393 0 + 0.00393 0	+ + + + + + + + + + + + + + + + + + +
s lı	6 - 0 m + N 2 h a a	0 + 5 5 7 5 6 6 6 6	0 - 6 5 6 6 6 6 6 6 6 6 6 6 6 6 6 6 6 6 6		\$=2025\$\$\$\$\$	0 = 4 7 4 10 0 4 10 0 0 0

Die Zahlen der sweiten Subcolumnen sind mit r = to - 1850 zu multipliciren, und sind in Einheiten der letzten Decimale angesetzt.

			0000000000		1   1	**************************************	***********	
		90	*++++++	000011 000	++++++++++++++++++++++++++++++++++++++	+++++++++++++++++++++++++++++++++++++++		+++++++++
		d,			000 00000000000000000000000000000000000	+++++++	0 - 0 - 0 - 0 - 0	
		Port.		0000000000	5055000000	400000000		+++++++++++
Company   Company   Company   Company   Company   Company   Company   Company   Company   Company   Company   Company   Company   Company   Company   Company   Company   Company   Company   Company   Company   Company   Company   Company   Company   Company   Company   Company   Company   Company   Company   Company   Company   Company   Company   Company   Company   Company   Company   Company   Company   Company   Company   Company   Company   Company   Company   Company   Company   Company   Company   Company   Company   Company   Company   Company   Company   Company   Company   Company   Company   Company   Company   Company   Company   Company   Company   Company   Company   Company   Company   Company   Company   Company   Company   Company   Company   Company   Company   Company   Company   Company   Company   Company   Company   Company   Company   Company   Company   Company   Company   Company   Company   Company   Company   Company   Company   Company   Company   Company   Company   Company   Company   Company   Company   Company   Company   Company   Company   Company   Company   Company   Company   Company   Company   Company   Company   Company   Company   Company   Company   Company   Company   Company   Company   Company   Company   Company   Company   Company   Company   Company   Company   Company   Company   Company   Company   Company   Company   Company   Company   Company   Company   Company   Company   Company   Company   Company   Company   Company   Company   Company   Company   Company   Company   Company   Company   Company   Company   Company   Company   Company   Company   Company   Company   Company   Company   Company   Company   Company   Company   Company   Company   Company   Company   Company   Company   Company   Company   Company   Company   Company   Company   Company   Company   Company   Company   Company   Company   Company   Company   Company   Company   Company   Company   Company   Company   Company   Company   Company   Company   Company   Company   Company   Comp		2000	44444444444444444444444444444444444444		0.004.005.84 0.004.004.005.84 0.003.9694 0.003.9694 0.003.9694 0.003.9694	0.003 8004 0.003 8400 0.003 8410 0.003 7752 0.003 7752 0.003 7752 0.003 7752 0.003 7752	0.003 6468 +	++++++
Colored State	Colored Book   Colored Book   Colored Book   Colored Book   Colored Book   Colored Book   Colored Book   Colored Book   Colored Book   Colored Book   Colored Book   Colored Book   Colored Book   Colored Book   Colored Book   Colored Book   Colored Book   Colored Book   Colored Book   Colored Book   Colored Book   Colored Book   Colored Book   Colored Book   Colored Book   Colored Book   Colored Book   Colored Book   Colored Book   Colored Book   Colored Book   Colored Book   Colored Book   Colored Book   Colored Book   Colored Book   Colored Book   Colored Book   Colored Book   Colored Book   Colored Book   Colored Book   Colored Book   Colored Book   Colored Book   Colored Book   Colored Book   Colored Book   Colored Book   Colored Book   Colored Book   Colored Book   Colored Book   Colored Book   Colored Book   Colored Book   Colored Book   Colored Book   Colored Book   Colored Book   Colored Book   Colored Book   Colored Book   Colored Book   Colored Book   Colored Book   Colored Book   Colored Book   Colored Book   Colored Book   Colored Book   Colored Book   Colored Book   Colored Book   Colored Book   Colored Book   Colored Book   Colored Book   Colored Book   Colored Book   Colored Book   Colored Book   Colored Book   Colored Book   Colored Book   Colored Book   Colored Book   Colored Book   Colored Book   Colored Book   Colored Book   Colored Book   Colored Book   Colored Book   Colored Book   Colored Book   Colored Book   Colored Book   Colored Book   Colored Book   Colored Book   Colored Book   Colored Book   Colored Book   Colored Book   Colored Book   Colored Book   Colored Book   Colored Book   Colored Book   Colored Book   Colored Book   Colored Book   Colored Book   Colored Book   Colored Book   Colored Book   Colored Book   Colored Book   Colored Book   Colored Book   Colored Book   Colored Book   Colored Book   Colored Book   Colored Book   Colored Book   Colored Book   Colored Book   Colored Book   Colored Book   Colored Book   Colored Book   Colored Book   Colored Book   Colored Book   Colo	a co	\$ 0 0 0 0 0 0 0 0 0 0 0 0 0 0 0 0 0 0 0	1 1 1 1 1 1 1 1 1 1 1 1 1 1 1 1 1 1 1	1 1 1 1 1 1 1 1 1 1 1 1 1 1 1 1 1 1 1 1	0 0 0 0 0 0 0 0 0 0 0 0 0 0 0 0 0 0 0	######################################	
Company   Company   Company   Company   Company   Company   Company   Company   Company   Company   Company   Company   Company   Company   Company   Company   Company   Company   Company   Company   Company   Company   Company   Company   Company   Company   Company   Company   Company   Company   Company   Company   Company   Company   Company   Company   Company   Company   Company   Company   Company   Company   Company   Company   Company   Company   Company   Company   Company   Company   Company   Company   Company   Company   Company   Company   Company   Company   Company   Company   Company   Company   Company   Company   Company   Company   Company   Company   Company   Company   Company   Company   Company   Company   Company   Company   Company   Company   Company   Company   Company   Company   Company   Company   Company   Company   Company   Company   Company   Company   Company   Company   Company   Company   Company   Company   Company   Company   Company   Company   Company   Company   Company   Company   Company   Company   Company   Company   Company   Company   Company   Company   Company   Company   Company   Company   Company   Company   Company   Company   Company   Company   Company   Company   Company   Company   Company   Company   Company   Company   Company   Company   Company   Company   Company   Company   Company   Company   Company   Company   Company   Company   Company   Company   Company   Company   Company   Company   Company   Company   Company   Company   Company   Company   Company   Company   Company   Company   Company   Company   Company   Company   Company   Company   Company   Company   Company   Company   Company   Company   Company   Company   Company   Company   Company   Company   Company   Company   Company   Company   Company   Company   Company   Company   Company   Company   Company   Company   Company   Company   Company   Company   Company   Company   Company   Company   Company   Company   Company   Company   Company   Company   Company   Company   Comp	1	(r)	C 01322 0 01322 0 01322 0 01322 0 01321 0 01321 0 01320 0 01320	0.01318 0.01318 0.01317 0.01317 0.01317 0.01317 0.01318 0.01318	0.01307 0.01308 0.01308 0.01308 0.01298 0.01298 0.012995		0 01263 0 01260 0 01354 0 01254 0 01244 0 01244 0 01244	0 01231 0 0124 0 01224 0 01224 0 01225 0 01275 0 01275 0 01275
Company   Company   Company   Company   Company   Company   Company   Company   Company   Company   Company   Company   Company   Company   Company   Company   Company   Company   Company   Company   Company   Company   Company   Company   Company   Company   Company   Company   Company   Company   Company   Company   Company   Company   Company   Company   Company   Company   Company   Company   Company   Company   Company   Company   Company   Company   Company   Company   Company   Company   Company   Company   Company   Company   Company   Company   Company   Company   Company   Company   Company   Company   Company   Company   Company   Company   Company   Company   Company   Company   Company   Company   Company   Company   Company   Company   Company   Company   Company   Company   Company   Company   Company   Company   Company   Company   Company   Company   Company   Company   Company   Company   Company   Company   Company   Company   Company   Company   Company   Company   Company   Company   Company   Company   Company   Company   Company   Company   Company   Company   Company   Company   Company   Company   Company   Company   Company   Company   Company   Company   Company   Company   Company   Company   Company   Company   Company   Company   Company   Company   Company   Company   Company   Company   Company   Company   Company   Company   Company   Company   Company   Company   Company   Company   Company   Company   Company   Company   Company   Company   Company   Company   Company   Company   Company   Company   Company   Company   Company   Company   Company   Company   Company   Company   Company   Company   Company   Company   Company   Company   Company   Company   Company   Company   Company   Company   Company   Company   Company   Company   Company   Company   Company   Company   Company   Company   Company   Company   Company   Company   Company   Company   Company   Company   Company   Company   Company   Company   Company   Company   Company   Company   Company   Company   Comp	Control   Control   Control   Control   Control   Control   Control   Control   Control   Control   Control   Control   Control   Control   Control   Control   Control   Control   Control   Control   Control   Control   Control   Control   Control   Control   Control   Control   Control   Control   Control   Control   Control   Control   Control   Control   Control   Control   Control   Control   Control   Control   Control   Control   Control   Control   Control   Control   Control   Control   Control   Control   Control   Control   Control   Control   Control   Control   Control   Control   Control   Control   Control   Control   Control   Control   Control   Control   Control   Control   Control   Control   Control   Control   Control   Control   Control   Control   Control   Control   Control   Control   Control   Control   Control   Control   Control   Control   Control   Control   Control   Control   Control   Control   Control   Control   Control   Control   Control   Control   Control   Control   Control   Control   Control   Control   Control   Control   Control   Control   Control   Control   Control   Control   Control   Control   Control   Control   Control   Control   Control   Control   Control   Control   Control   Control   Control   Control   Control   Control   Control   Control   Control   Control   Control   Control   Control   Control   Control   Control   Control   Control   Control   Control   Control   Control   Control   Control   Control   Control   Control   Control   Control   Control   Control   Control   Control   Control   Control   Control   Control   Control   Control   Control   Control   Control   Control   Control   Control   Control   Control   Control   Control   Control   Control   Control   Control   Control   Control   Control   Control   Control   Control   Control   Control   Control   Control   Control   Control   Control   Control   Control   Control   Control   Control   Control   Control   Control   Control   Control   Control   Control   Control   Control   Cont	000	000000000000000000000000000000000000000	0000000000				300300.0.0
Control   Control   Control   Control   Control   Control   Control   Control   Control   Control   Control   Control   Control   Control   Control   Control   Control   Control   Control   Control   Control   Control   Control   Control   Control   Control   Control   Control   Control   Control   Control   Control   Control   Control   Control   Control   Control   Control   Control   Control   Control   Control   Control   Control   Control   Control   Control   Control   Control   Control   Control   Control   Control   Control   Control   Control   Control   Control   Control   Control   Control   Control   Control   Control   Control   Control   Control   Control   Control   Control   Control   Control   Control   Control   Control   Control   Control   Control   Control   Control   Control   Control   Control   Control   Control   Control   Control   Control   Control   Control   Control   Control   Control   Control   Control   Control   Control   Control   Control   Control   Control   Control   Control   Control   Control   Control   Control   Control   Control   Control   Control   Control   Control   Control   Control   Control   Control   Control   Control   Control   Control   Control   Control   Control   Control   Control   Control   Control   Control   Control   Control   Control   Control   Control   Control   Control   Control   Control   Control   Control   Control   Control   Control   Control   Control   Control   Control   Control   Control   Control   Control   Control   Control   Control   Control   Control   Control   Control   Control   Control   Control   Control   Control   Control   Control   Control   Control   Control   Control   Control   Control   Control   Control   Control   Control   Control   Control   Control   Control   Control   Control   Control   Control   Control   Control   Control   Control   Control   Control   Control   Control   Control   Control   Control   Control   Control   Control   Control   Control   Control   Control   Control   Control   Control   Cont	## 0 001 30	(g) 5	+++++++++++++++++++++++++++++++++++++++	19455 1946 1940 1940 1940 1940 1940 1940 1940 1940	++++++++++++++++++++++++++++++++++++++	4+++++++++++++++++++++++++++++++++++++	4+++++++++++++++++++++++++++++++++++++	+++++++++
Control   Control   Control   Control   Control   Control   Control   Control   Control   Control   Control   Control   Control   Control   Control   Control   Control   Control   Control   Control   Control   Control   Control   Control   Control   Control   Control   Control   Control   Control   Control   Control   Control   Control   Control   Control   Control   Control   Control   Control   Control   Control   Control   Control   Control   Control   Control   Control   Control   Control   Control   Control   Control   Control   Control   Control   Control   Control   Control   Control   Control   Control   Control   Control   Control   Control   Control   Control   Control   Control   Control   Control   Control   Control   Control   Control   Control   Control   Control   Control   Control   Control   Control   Control   Control   Control   Control   Control   Control   Control   Control   Control   Control   Control   Control   Control   Control   Control   Control   Control   Control   Control   Control   Control   Control   Control   Control   Control   Control   Control   Control   Control   Control   Control   Control   Control   Control   Control   Control   Control   Control   Control   Control   Control   Control   Control   Control   Control   Control   Control   Control   Control   Control   Control   Control   Control   Control   Control   Control   Control   Control   Control   Control   Control   Control   Control   Control   Control   Control   Control   Control   Control   Control   Control   Control   Control   Control   Control   Control   Control   Control   Control   Control   Control   Control   Control   Control   Control   Control   Control   Control   Control   Control   Control   Control   Control   Control   Control   Control   Control   Control   Control   Control   Control   Control   Control   Control   Control   Control   Control   Control   Control   Control   Control   Control   Control   Control   Control   Control   Control   Control   Control   Control   Control   Cont	+ 0 000136	(1,0	0 0 0 0 0 0 0 0 0 0 0 0 0 0 0 0 0 0 0 0	11	000000000000000000000000000000000000000	1 1 1 1 1 1 1 1 1 1 1 1 1 1 1 1 1 1 1 1	20000000000000000000000000000000000000	1 1 1 1 1 1 1 1 1 1 1 1 1 1 1 1 1 1 1
Company   Company   Company   Company   Company   Company   Company   Company   Company   Company   Company   Company   Company   Company   Company   Company   Company   Company   Company   Company   Company   Company   Company   Company   Company   Company   Company   Company   Company   Company   Company   Company   Company   Company   Company   Company   Company   Company   Company   Company   Company   Company   Company   Company   Company   Company   Company   Company   Company   Company   Company   Company   Company   Company   Company   Company   Company   Company   Company   Company   Company   Company   Company   Company   Company   Company   Company   Company   Company   Company   Company   Company   Company   Company   Company   Company   Company   Company   Company   Company   Company   Company   Company   Company   Company   Company   Company   Company   Company   Company   Company   Company   Company   Company   Company   Company   Company   Company   Company   Company   Company   Company   Company   Company   Company   Company   Company   Company   Company   Company   Company   Company   Company   Company   Company   Company   Company   Company   Company   Company   Company   Company   Company   Company   Company   Company   Company   Company   Company   Company   Company   Company   Company   Company   Company   Company   Company   Company   Company   Company   Company   Company   Company   Company   Company   Company   Company   Company   Company   Company   Company   Company   Company   Company   Company   Company   Company   Company   Company   Company   Company   Company   Company   Company   Company   Company   Company   Company   Company   Company   Company   Company   Company   Company   Company   Company   Company   Company   Company   Company   Company   Company   Company   Company   Company   Company   Company   Company   Company   Company   Company   Company   Company   Company   Company   Company   Company   Company   Company   Company   Company   Company   Company   Company   Comp	1	200		- 0.001 1326 - 0.001 1326 - 0.001 1326 - 0.001 1326 - 0.001 1326 - 0.001 1326 - 0.001 1326 - 0.001 1326 - 0.001 1326 - 0.001 1326 - 0.001 1326 - 0.001 1326 - 0.001 1326 - 0.001 1326 - 0.001 1326 - 0.001 1326 - 0.001 1326 - 0.001 1326 - 0.001 1326 - 0.001 1326 - 0.001 1326 - 0.001 1326 - 0.001 1326 - 0.001 1326 - 0.001 1326 - 0.001 1326 - 0.001 1326 - 0.001 1326 - 0.001 1326 - 0.001 1326 - 0.001 1326 - 0.001 1326 - 0.001 1326 - 0.001 1326 - 0.001 1326 - 0.001 1326 - 0.001 1326 - 0.001 1326 - 0.001 1326 - 0.001 1326 - 0.001 1326 - 0.001 1326 - 0.001 1326 - 0.001 1326 - 0.001 1326 - 0.001 1326 - 0.001 1326 - 0.001 1326 - 0.001 1326 - 0.001 1326 - 0.001 1326 - 0.001 1326 - 0.001 1326 - 0.001 1326 - 0.001 1326 - 0.001 1326 - 0.001 1326 - 0.001 1326 - 0.001 1326 - 0.001 1326 - 0.001 1326 - 0.001 1326 - 0.001 1326 - 0.001 1326 - 0.001 1326 - 0.001 1326 - 0.001 1326 - 0.001 1326 - 0.001 1326 - 0.001 1326 - 0.001 1326 - 0.001 1326 - 0.001 1326 - 0.001 1326 - 0.001 1326 - 0.001 1326 - 0.001 1326 - 0.001 1326 - 0.001 1326 - 0.001 1326 - 0.001 1326 - 0.001 1326 - 0.001 1326 - 0.001 1326 - 0.001 1326 - 0.001 1326 - 0.001 1326 - 0.001 1326 - 0.001 1326 - 0.001 1326 - 0.001 1326 - 0.001 1326 - 0.001 1326 - 0.001 1326 - 0.001 1326 - 0.001 1326 - 0.001 1326 - 0.001 1326 - 0.001 1326 - 0.001 1326 - 0.001 1326 - 0.001 1326 - 0.001 1326 - 0.001 1326 - 0.001 1326 - 0.001 1326 - 0.001 1326 - 0.001 1326 - 0.001 1326 - 0.001 1326 - 0.001 1326 - 0.001 1326 - 0.001 1326 - 0.001 1326 - 0.001 1326 - 0.001 1326 - 0.001 1326 - 0.001 1326 - 0.001 1326 - 0.001 1326 - 0.001 1326 - 0.001 1326 - 0.001 1326 - 0.001 1326 - 0.001 1326 - 0.001 1326 - 0.001 1326 - 0.001 1326 - 0.001 1326 - 0.001 1326 - 0.001 1326 - 0.001 1326 - 0.001 1326 - 0.001 1326 - 0.001 1326 - 0.001 1326 - 0.001 1326 - 0.001 1326 - 0.001 1326 - 0.001 1326 - 0.001 1326 - 0.001 1326 - 0.001 1326 - 0.001 1326 - 0.001 1326 - 0.001 1326 - 0.001 1326 - 0.001 1326 - 0.001 1326 - 0.001 1326 - 0.001 1326 - 0.001 1326 - 0.001 1326 - 0.001 1326 - 0.001 1326 - 0.001 1326 - 0.001 1326 - 0.0	- 0 000 3 568 + 0 000 3 568 + 0 000 3 598 + 0 000 3 598 + 0 000 3 598 + 0 0 000 3 537 + 0 0 000 3 537 + 0 0 000 3 537 + 0 0 000 3 537 + 0 0 000 3 537 + 0 0 000 3 537 + 0 0 000 3 537 + 0 0 000 3 537 + 0 0 000 3 537 + 0 0 000 3 537 + 0 0 0 0 0 0 0 0 0 0 0 0 0 0 0 0 0 0	- 0 003 3534 - 0 003 4728 - 0 003 5984 - 0 004 0357 - 0 004 0377 - 0 004 3379 - 0 004 3379	0 004 4446 0 004 5510 0 004 5510 0 004 5631 0 004 5631 0 005 5070 0 005 5076 0 005 5076	1000 4 4970
000189 0001918 0001918 0001918 0001918 0001918 0001918 0001918 0001918 0001918 0001918 0001918 0001918 0001918 0001918 0001918 0001918 0001918 0001918 0001918 0001918 0001918 0001918 0001918 0001918 0001918 0001918 0001918 0001918 0001918 0001918 0001918 0001918 0001918 0001918 0001918 0001918 0001918 00001918 00001918 00001918 00001918 00001918 00001918 00001918 00001918 00001918 00001918 00001918 00001918 00001918 00001918 00001918 00001918 00001918 00001918 00001918 00001918 00001918 00001918 00001918 00001918 00001918 00001918 00001918 00001918 00001918 00001918 00001918 00001918 00001918 00001918 00001918 00001918 00001918 00001918 00001918 00001918 00001918 00001918 00001918 00001918 00001918 00001918 00001918 00001918 00001918 00001918 00001918 00001918 00001918 00001918 00001918 00001918 00001918 00001918 00001918 00001918 00001918 00001918 00001918 00001918 00001918 00001918 00001918 00001918 00001918 00001918 00001918 00001918 00001918 00001918 00001918 00001918 00001918 00001918 00001918 00001918 00001918 00001918 00001918 00001918 00001918 00001918 00001918 00001918 00001918 00001918 00001918 00001918 00001918 00001918 00001918 00001918 00001918 00001918 00001918 00001918 00001918 00001918 00001918 00001918 00001918 00001918 00001918 00001918 00001918 00001918 00001918 00001918 00001918 00001918 00001918 00001918 00001918 00001918 00001918 00001918 00001918 00001918 00001918 00001918 00001918 00001918 00001918 00001918 00001918 00001918 00001918 00001918 00001918 00001918 00001918 00001918 00001918 00001918 00001918 00001918 00001918 00001918 00001918 00001918 00001918 00001918 00001918 00001918 00001918 00001918 00001918 00001918 00001918 00001918 00001918 00001918 00001918 00001918 00001918 00001918 00001918 00001918 00001918 00001918 00001918 00001918 00001918 00001918 00001918 00001918 00001918 00001918 00001918 00001918 00001918 00001918 00001918 00001918 00001918 00001918 00001918 00001918 00001918 00001918 00001918 00001918 00001918 000001918 000001918 000001918 000001918 000001918 000001918	### ### ### ### ### ### ### ### ### ##	d!		1   2   2   2   2   2   2   2   2   2	1   0 0 0 0 0 0 0 0 0 0 0 0 0 0 0 0 0 0	0.004 469 0.004 727 1 0.004 727 1 0.005 727 1 0.005 740 0.005 740 0.005 740 0.005 740	1 1 ,	1 18 18 18 18 18 18 18 18 18 18 18 18 18
	To the the two two of the the two two of the the two two of the the two two of the the two two of the the two two of the two two of the two two of the two two of the two two of the two two of the two two of the two two of the two two of the two two of the two two of the two two of the two two of the two two of the two two of the two two of the two two of the two two of the two two of the two two of the two two of the two two of the two two of the two two of the two two of the two two of the two two of the two two of the two two of the two two of the two two of the two two of the two two of the two two of the two two of the two two of the two two of the two two of the two two of the two two of the two two of the two two of the two two of the two two of the two two of the two two of the two two of the two two of the two two of the two two of the two two of the two two of the two two of the two two of the two two of the two two of the two two of the two two of two of two of two of two of two of two of two of two of two of two of two of two of two of two of two of two of two of two of two of two of two of two of two of two of two of two of two of two of two of two of two of two of two of two of two of two of two of two of two of two of two of two of two of two of two of two of two of two of two of two of two of two of two of two of two of two of two of two of two of two of two of two of two of two of two of two of two of two of two of two of two of two of two of two of two of two of two of two of two of two of two of two of two of two of two of two of two of two of two of two of two of two of two of two of two of two of two of two of two of two of two of two of two of two of two of two of two of two of two of two of two of two of two of two of two of two of two of two of two of two of two of two of two of two of two of two of two of two of two of two of two of two of two of two of two of two of two of two of two of two of two of two of two of two of two of two of two of two of two of two of two of two of two of two	000	0.00189 0.00178 0.00178 0.00177 0.00178 0.00155 0.00155	0.00133 0.00133 0.00123 0.00124 0.00134 0.00033 0.00038	0.00076 0.00060 0.00060 0.00044 0.00043 0.00043 0.00063	0.00021 0.00016 0.00016 0.000016 0.00017 0.00017	0.00035 0.00035 0.00034 0.00035 0.00035 0.00035 0.00035 0.00035	
20 1 2 - + w + w 0 c m 0 5   1 4 4 4 4 4 5 5 5 5 5 5 5 5 5 5 5 5 5 5	A A A A A A A A A A A A A A A A A A A	613	0 - 4 4 4 4 6 6 0 0	0 1 2 2 4 5 5 5 5 5 5	0 1 2 2 2 2 2 2 2 2 2 2 2 2 2 2 2 2 2 2	0 1 2 2 2 2 2 2 2 2 2 2 2	0 H R M + 950 1-00 C	82282222822

Tafel XII.

Column   Column   Column   Column   Column   Column   Column   Column   Column   Column   Column   Column   Column   Column   Column   Column   Column   Column   Column   Column   Column   Column   Column   Column   Column   Column   Column   Column   Column   Column   Column   Column   Column   Column   Column   Column   Column   Column   Column   Column   Column   Column   Column   Column   Column   Column   Column   Column   Column   Column   Column   Column   Column   Column   Column   Column   Column   Column   Column   Column   Column   Column   Column   Column   Column   Column   Column   Column   Column   Column   Column   Column   Column   Column   Column   Column   Column   Column   Column   Column   Column   Column   Column   Column   Column   Column   Column   Column   Column   Column   Column   Column   Column   Column   Column   Column   Column   Column   Column   Column   Column   Column   Column   Column   Column   Column   Column   Column   Column   Column   Column   Column   Column   Column   Column   Column   Column   Column   Column   Column   Column   Column   Column   Column   Column   Column   Column   Column   Column   Column   Column   Column   Column   Column   Column   Column   Column   Column   Column   Column   Column   Column   Column   Column   Column   Column   Column   Column   Column   Column   Column   Column   Column   Column   Column   Column   Column   Column   Column   Column   Column   Column   Column   Column   Column   Column   Column   Column   Column   Column   Column   Column   Column   Column   Column   Column   Column   Column   Column   Column   Column   Column   Column   Column   Column   Column   Column   Column   Column   Column   Column   Column   Column   Column   Column   Column   Column   Column   Column   Column   Column   Column   Column   Column   Column   Column   Column   Column   Column   Column   Column   Column   Column   Column   Column   Column   Column   Column   Column   Column   Column   Column   Column   Column   Column   Column   Column   C
Column
A
Comparison   Comparison   Comparison   Comparison   Comparison   Comparison   Comparison   Comparison   Comparison   Comparison   Comparison   Comparison   Comparison   Comparison   Comparison   Comparison   Comparison   Comparison   Comparison   Comparison   Comparison   Comparison   Comparison   Comparison   Comparison   Comparison   Comparison   Comparison   Comparison   Comparison   Comparison   Comparison   Comparison   Comparison   Comparison   Comparison   Comparison   Comparison   Comparison   Comparison   Comparison   Comparison   Comparison   Comparison   Comparison   Comparison   Comparison   Comparison   Comparison   Comparison   Comparison   Comparison   Comparison   Comparison   Comparison   Comparison   Comparison   Comparison   Comparison   Comparison   Comparison   Comparison   Comparison   Comparison   Comparison   Comparison   Comparison   Comparison   Comparison   Comparison   Comparison   Comparison   Comparison   Comparison   Comparison   Comparison   Comparison   Comparison   Comparison   Comparison   Comparison   Comparison   Comparison   Comparison   Comparison   Comparison   Comparison   Comparison   Comparison   Comparison   Comparison   Comparison   Comparison   Comparison   Comparison   Comparison   Comparison   Comparison   Comparison   Comparison   Comparison   Comparison   Comparison   Comparison   Comparison   Comparison   Comparison   Comparison   Comparison   Comparison   Comparison   Comparison   Comparison   Comparison   Comparison   Comparison   Comparison   Comparison   Comparison   Comparison   Comparison   Comparison   Comparison   Comparison   Comparison   Comparison   Comparison   Comparison   Comparison   Comparison   Comparison   Comparison   Comparison   Comparison   Comparison   Comparison   Comparison   Comparison   Comparison   Comparison   Comparison   Comparison   Comparison   Comparison   Comparison   Comparison   Comparison   Comparison   Comparison   Comparison   Comparison   Comparison   Comparison   Comparison   Comparison   Comparison   Comparison   Com
0.000185
Control   Control   Control   Control   Control   Control   Control   Control   Control   Control   Control   Control   Control   Control   Control   Control   Control   Control   Control   Control   Control   Control   Control   Control   Control   Control   Control   Control   Control   Control   Control   Control   Control   Control   Control   Control   Control   Control   Control   Control   Control   Control   Control   Control   Control   Control   Control   Control   Control   Control   Control   Control   Control   Control   Control   Control   Control   Control   Control   Control   Control   Control   Control   Control   Control   Control   Control   Control   Control   Control   Control   Control   Control   Control   Control   Control   Control   Control   Control   Control   Control   Control   Control   Control   Control   Control   Control   Control   Control   Control   Control   Control   Control   Control   Control   Control   Control   Control   Control   Control   Control   Control   Control   Control   Control   Control   Control   Control   Control   Control   Control   Control   Control   Control   Control   Control   Control   Control   Control   Control   Control   Control   Control   Control   Control   Control   Control   Control   Control   Control   Control   Control   Control   Control   Control   Control   Control   Control   Control   Control   Control   Control   Control   Control   Control   Control   Control   Control   Control   Control   Control   Control   Control   Control   Control   Control   Control   Control   Control   Control   Control   Control   Control   Control   Control   Control   Control   Control   Control   Control   Control   Control   Control   Control   Control   Control   Control   Control   Control   Control   Control   Control   Control   Control   Control   Control   Control   Control   Control   Control   Control   Control   Control   Control   Control   Control   Control   Control   Control   Control   Control   Control   Control   Control   Cont
Control   Control   Control   Control   Control   Control   Control   Control   Control   Control   Control   Control   Control   Control   Control   Control   Control   Control   Control   Control   Control   Control   Control   Control   Control   Control   Control   Control   Control   Control   Control   Control   Control   Control   Control   Control   Control   Control   Control   Control   Control   Control   Control   Control   Control   Control   Control   Control   Control   Control   Control   Control   Control   Control   Control   Control   Control   Control   Control   Control   Control   Control   Control   Control   Control   Control   Control   Control   Control   Control   Control   Control   Control   Control   Control   Control   Control   Control   Control   Control   Control   Control   Control   Control   Control   Control   Control   Control   Control   Control   Control   Control   Control   Control   Control   Control   Control   Control   Control   Control   Control   Control   Control   Control   Control   Control   Control   Control   Control   Control   Control   Control   Control   Control   Control   Control   Control   Control   Control   Control   Control   Control   Control   Control   Control   Control   Control   Control   Control   Control   Control   Control   Control   Control   Control   Control   Control   Control   Control   Control   Control   Control   Control   Control   Control   Control   Control   Control   Control   Control   Control   Control   Control   Control   Control   Control   Control   Control   Control   Control   Control   Control   Control   Control   Control   Control   Control   Control   Control   Control   Control   Control   Control   Control   Control   Control   Control   Control   Control   Control   Control   Control   Control   Control   Control   Control   Control   Control   Control   Control   Control   Control   Control   Control   Control   Control   Control   Control   Control   Control   Control   Control   Control   Control   Cont
Control   Control   Control   Control   Control   Control   Control   Control   Control   Control   Control   Control   Control   Control   Control   Control   Control   Control   Control   Control   Control   Control   Control   Control   Control   Control   Control   Control   Control   Control   Control   Control   Control   Control   Control   Control   Control   Control   Control   Control   Control   Control   Control   Control   Control   Control   Control   Control   Control   Control   Control   Control   Control   Control   Control   Control   Control   Control   Control   Control   Control   Control   Control   Control   Control   Control   Control   Control   Control   Control   Control   Control   Control   Control   Control   Control   Control   Control   Control   Control   Control   Control   Control   Control   Control   Control   Control   Control   Control   Control   Control   Control   Control   Control   Control   Control   Control   Control   Control   Control   Control   Control   Control   Control   Control   Control   Control   Control   Control   Control   Control   Control   Control   Control   Control   Control   Control   Control   Control   Control   Control   Control   Control   Control   Control   Control   Control   Control   Control   Control   Control   Control   Control   Control   Control   Control   Control   Control   Control   Control   Control   Control   Control   Control   Control   Control   Control   Control   Control   Control   Control   Control   Control   Control   Control   Control   Control   Control   Control   Control   Control   Control   Control   Control   Control   Control   Control   Control   Control   Control   Control   Control   Control   Control   Control   Control   Control   Control   Control   Control   Control   Control   Control   Control   Control   Control   Control   Control   Control   Control   Control   Control   Control   Control   Control   Control   Control   Control   Control   Control   Control   Control   Control   Control   Cont
######################################
Termanners or Standand Standard Standard Standard Standard Standard Standard

Die Zahlen der zweiten Subcolumnen sind mit r = \frac{t_n - 1850}{100} zu multipliciren, und sind in Einheiten der letzten Decimale angesetzt.

-3	
P	
æ	
-	
P .	
Ħ	

d ²	+ "33454 5 5 5 5 5 5 5 5 5 5 5 5 5 5 5 5 5	444-44-44-44-44-44-44-44-44-44-44-44-44		+ + + + + + + + + + + + + + + + + + +	11), 11), 11), 11), 11), 11), 11), 11),	
113	+++++++++++++++++++++++++++++++++++++++	++++++++++++++++++++++++++++++++++++++	+++++++++	++++++++++++++++++++++++++++++++++++++	++++++++++	++++++++
راع	++++++++	++++++++	3 0 1 1 2 2 2 2 2 2 2 2 2 2 2 2 2 2 2 2 2	111111111111111111111111111111111111111	++++++++	++++++++
d3	960-00 CORO 960-00 CORO 900-00 CORO 900-00 CORO 900-00 CORO 900-00 CORO 900-00 CORO 900-00 CORO 900-00 CORO 900-00 CORO 900-00 CORO 900-00 CORO 900-00 CORO 900-00 CORO 900-00 CORO 900-00 CORO 900-00 CORO 900-00 CORO 900-00 CORO 900-00 CORO 900-00 CORO 900-00 CORO 900-00 CORO 900-00 CORO 900-00 CORO 900-00 CORO 900-00 CORO 900-00 CORO 900-00 CORO 900-00 CORO 900-00 CORO 900-00 CORO 900-00 CORO 900-00 CORO 900-00 CORO 900-00 CORO 900-00 CORO 900-00 CORO 900-00 CORO 900-00 CORO 900-00 CORO 900-00 CORO 900-00 CORO 900-00 CORO 900-00 CORO 900-00 CORO 900-00 CORO 900-00 CORO 900-00 CORO 900-00 CORO 900-00 CORO 900-00 CORO 900-00 CORO 900-00 CORO 900-00 CORO 900-00 CORO 900-00 CORO 900-00 CORO 900-00 CORO 900-00 CORO 900-00 CORO 900-00 CORO 900-00 CORO 900-00 CORO 900-00 CORO 900-00 CORO 900-00 CORO 900-00 CORO 900-00 CORO 900-00 CORO 900-00 CORO 900-00 CORO 900-00 CORO 900-00 CORO 900-00 CORO 900-00 CORO 900-00 CORO 900-00 CORO 900-00 CORO 900-00 CORO 900-00 CORO 900-00 CORO 900-00 CORO 900-00 CORO 900-00 CORO 900-00 CORO 900-00 CORO 900-00 CORO 900-00 CORO 900-00 CORO 900-00 CORO 900-00 CORO 900-00 CORO 900-00 CORO 900-00 CORO 900-00 CORO 900-00 CORO 900-00 CORO 900-00 CORO 900-00 CORO 900-00 CORO 900-00 CORO 900-00 CORO 900-00 CORO 900-00 CORO 900-00 CORO 900-00 CORO 900-00 CORO 900-00 CORO 900-00 CORO 900-00 CORO 900-00 CORO 900-00 CORO 900-00 CORO 900-00 CORO 900-00 CORO 900-00 CORO 900-00 CORO 900-00 CORO 900-00 CORO 900-00 CORO 900-00 CORO 900-00 CORO 900-00 CORO 900-00 CORO 900-00 CORO 900-00 CORO 900-00 CORO 900-00 CORO 900-00 CORO 900-00 CORO 900-00 CORO 900-00 CORO 900-00 CORO 900-00 CORO 900-00 CORO 900-00 CORO 900-00 CORO 900-00 CORO 900-00 CORO 900-00 CORO 900-00 CORO 900-00 CORO 900-00 CORO 900-00 CORO 900-00 CORO 900-00 CORO 900-00 CORO 900-00 CORO 900-00 CORO 900-00 CORO 900-00 CORO 900-00 CORO 900-00 CORO 900-00 CORO 900-00 CORO 900-00 CORO 900-0		+ = eco 1 08/07   14 + 0 co 1 24/07   15 + 0 co 1 24/07   16 + 0 co 1	+ 0.001 (5114 21	+ 0 002 1055 27 + 0 002 1570 28 + 0 002 1570 28 + 0 002 1570 4 0 002 1570 4 0 002 1570 1 1 1 1 1 1 1 1 1 1 1 1 1 1 1 1 1 1 1	+ 0.00 (675 13) + 1000 (677 13) + 1000 (677 13) + 1000 (677 13) + 1000 (677 13) + 1000 (677 13) + 1000 (677 13) + 1000 (677 13) + 1000 (677 13) + 1000 (677 13)
18.5		0.005,877 0.005,261 0.005,261 0.005,428 0.005,428 0.005,428 0.005,428 0.005,428 0.005,428 0.005,428 0.005,428 0.005,428 0.005,428 0.005,428 0.005,428 0.005,428 0.005,428 0.005,428 0.005,428 0.005,428 0.005,428 0.005,428 0.005,428 0.005,428 0.005,428 0.005,428 0.005,428 0.005,428 0.005,428 0.005,428 0.005,428 0.005,428 0.005,428 0.005,428 0.005,428 0.005,428 0.005,428 0.005,428 0.005,428 0.005,428 0.005,428 0.005,428 0.005,428 0.005,428 0.005,428 0.005,428 0.005,428 0.005,428 0.005,428 0.005,428 0.005,428 0.005,428 0.005,428 0.005,428 0.005,428 0.005,428 0.005,428 0.005,428 0.005,428 0.005,428 0.005,428 0.005,428 0.005,428 0.005,428 0.005,428 0.005,428 0.005,428 0.005,428 0.005,428 0.005,428 0.005,428 0.005,428 0.005,428 0.005,428 0.005,428 0.005,428 0.005,428 0.005,428 0.005,428 0.005,428 0.005,428 0.005,428 0.005,428 0.005,428 0.005,428 0.005,428 0.005,428 0.005,428 0.005,428 0.005,428 0.005,428 0.005,428 0.005,428 0.005,428 0.005,428 0.005,428 0.005,428 0.005,428 0.005,428 0.005,428 0.005,428 0.005,428 0.005,428 0.005,428 0.005,428 0.005,428 0.005,428 0.005,428 0.005,428 0.005,428 0.005,428 0.005,428 0.005,428 0.005,428 0.005,428 0.005,428 0.005,428 0.005,428 0.005,428 0.005,428 0.005,428 0.005,428 0.005,428 0.005,428 0.005,428 0.005,428 0.005,428 0.005,428 0.005,428 0.005,428 0.005,428 0.005,428 0.005,428 0.005,428 0.005,428 0.005,428 0.005,428 0.005,428 0.005,428 0.005,428 0.005,428 0.005,428 0.005,428 0.005,428 0.005,428 0.005,428 0.005,428 0.005,428 0.005,428 0.005,428 0.005,428 0.005,428 0.005,428 0.005,428 0.005,428 0.005,428 0.005,428 0.005,428 0.005,428 0.005,428 0.005,428 0.005,428 0.005,428 0.005,428 0.005,428 0.005,428 0.005,428 0.005,428 0.005,428 0.005,428 0.005,428 0.005,428 0.005,428 0.005,428 0.005,428 0.005,428 0.005,428 0.005,428 0.005,428 0.005,428 0.005,428 0.005,428 0.005,428 0.005,428 0.005,428 0.005,428 0.005,428 0.005,428 0.005,428 0.005,428 0.005,428 0.005,428 0.005,428 0.005,428 0.005,428 0.005,428 0.005,428 0.005,428 0.005,428 0.005,428 0.005,428 0.005,428 0.005,428 0.005,428 0.005,	699 4690 6990 6990 6990 6990 6990 6990 6	- 0.0003 484 4 4 4 4 4 4 4 4 4 4 4 4 4 4 4 4 4	- 0.003 243 + 1 - 0.003 115 + 1 - 0.003 115 + 1 0.001 741 + 1 0.001 741 + 1 0.001 113 + 1	x + 26 co co co co co co co co co co co co co
1013	1 1 1 1 1 1 1 1 1 1 1 1 1 1 1 1 1 1 1	0.00700 0.00788 0.00788 0.00788 0.00749 0.00749	0.00736 0.00737 0.00737 0.00737 0.00737 0.00737 0.00737 0.00737 0.00737 0.00737	0.00670 0.00657 0.00654 0.00654 0.00654 0.00654 0.00654 0.00654 0.00654	1 1 1 1 1 5 5 5 5 5 5 5 5 5 5 5 5 5 5 5	20 (100 cm) (100 cm) (100 cm) (100 cm) (100 cm) (100 cm) (100 cm) (100 cm) (100 cm) (100 cm) (100 cm) (100 cm) (100 cm) (100 cm) (100 cm) (100 cm) (100 cm) (100 cm) (100 cm) (100 cm) (100 cm) (100 cm) (100 cm) (100 cm) (100 cm) (100 cm) (100 cm) (100 cm) (100 cm) (100 cm) (100 cm) (100 cm) (100 cm) (100 cm) (100 cm) (100 cm) (100 cm) (100 cm) (100 cm) (100 cm) (100 cm) (100 cm) (100 cm) (100 cm) (100 cm) (100 cm) (100 cm) (100 cm) (100 cm) (100 cm) (100 cm) (100 cm) (100 cm) (100 cm) (100 cm) (100 cm) (100 cm) (100 cm) (100 cm) (100 cm) (100 cm) (100 cm) (100 cm) (100 cm) (100 cm) (100 cm) (100 cm) (100 cm) (100 cm) (100 cm) (100 cm) (100 cm) (100 cm) (100 cm) (100 cm) (100 cm) (100 cm) (100 cm) (100 cm) (100 cm) (100 cm) (100 cm) (100 cm) (100 cm) (100 cm) (100 cm) (100 cm) (100 cm) (100 cm) (100 cm) (100 cm) (100 cm) (100 cm) (100 cm) (100 cm) (100 cm) (100 cm) (100 cm) (100 cm) (100 cm) (100 cm) (100 cm) (100 cm) (100 cm) (100 cm) (100 cm) (100 cm) (100 cm) (100 cm) (100 cm) (100 cm) (100 cm) (100 cm) (100 cm) (100 cm) (100 cm) (100 cm) (100 cm) (100 cm) (100 cm) (100 cm) (100 cm) (100 cm) (100 cm) (100 cm) (100 cm) (100 cm) (100 cm) (100 cm) (100 cm) (100 cm) (100 cm) (100 cm) (100 cm) (100 cm) (100 cm) (100 cm) (100 cm) (100 cm) (100 cm) (100 cm) (100 cm) (100 cm) (100 cm) (100 cm) (100 cm) (100 cm) (100 cm) (100 cm) (100 cm) (100 cm) (100 cm) (100 cm) (100 cm) (100 cm) (100 cm) (100 cm) (100 cm) (100 cm) (100 cm) (100 cm) (100 cm) (100 cm) (100 cm) (100 cm) (100 cm) (100 cm) (100 cm) (100 cm) (100 cm) (100 cm) (100 cm) (100 cm) (100 cm) (100 cm) (100 cm) (100 cm) (100 cm) (100 cm) (100 cm) (100 cm) (100 cm) (100 cm) (100 cm) (100 cm) (100 cm) (100 cm) (100 cm) (100 cm) (100 cm) (100 cm) (100 cm) (100 cm) (100 cm) (100 cm) (100 cm) (100 cm) (100 cm) (100 cm) (100 cm) (100 cm) (100 cm) (100 cm) (100 cm) (100 cm) (100 cm) (100 cm) (100 cm) (100 cm) (100 cm) (100 cm) (100 cm) (100 cm) (100 cm) (100 cm) (100 cm) (100 cm) (100 cm) (100 cm) (100 cm) (100 cm) (100 cm) (100 cm) (100 cm) (100 cm) (100 cm) (100 cm)
a ^o	111000 0 10000 0 10000 0 10000 0 10000 0 10000 0 10000 0 10000 0 10000 0	6000.0 1000.0 1000.0 1000.0 1000.0 1000.0 1000.0 1000.0	+ 00001 + 00003 + 00003 + 00004 +	+ 0 0000 + 0 0000 + 0 0000 + 0 0000 + 0 0001 + 0 0011 + 0 0011 + 0 0011	+ 0,0014 + 0.0014 + 0.0014 + 0.0015 + 0.0016 + 0	+ + + + + + + + + + + + + + + + + + +
(S) 2 2 2 2 2 2 2 2 2 2 2 2 2 2 2 2 2 2 2	14659 + 13 14545 + 13 14447 + 13 14447 + 13 14447 + 13 14447 + 13 14447 + 13 14447 + 13 14447 + 13 14447 + 13 14447 + 13 14447 + 13 14447 + 13 14447 + 13 14447 + 13 14447 + 13 14447 + 13 14447 + 13 14447 + 13 14447 + 13 14447 + 13 14447 + 13 14447 + 13 14447 + 13 14447 + 13 14447 + 13 14447 + 13 14447 + 13 14447 + 13 14447 + 13 14447 + 13 14447 + 13 14447 + 13 14447 + 13 14447 + 13 14447 + 13 14447 + 13 14447 + 13 14447 + 13 14447 + 13 14447 + 13 14447 + 13 14447 + 13 14447 + 13 14447 + 13 14447 + 13 14447 + 13 14447 + 13 14447 + 13 14447 + 13 14447 + 13 14447 + 13 14447 + 13 14447 + 13 14447 + 13 14447 + 13 14447 + 13 14447 + 13 14447 + 13 14447 + 13 14447 + 13 14447 + 13 14447 + 13 14447 + 13 14447 + 13 14447 + 13 14447 + 13 14447 + 13 14447 + 13 14447 + 13 14447 + 13 14447 + 13 14447 + 13 14447 + 13 14447 + 13 14447 + 13 14447 + 13 14447 + 13 14447 + 13 14447 + 13 14447 + 13 14447 + 13 14447 + 13 14447 + 13 14447 + 13 14447 + 13 14447 + 13 14447 + 13 14447 + 13 14447 + 13 14447 + 13 14447 + 13 14447 + 13 14447 + 13 14447 + 13 14447 + 13 14447 + 13 14447 + 13 14447 + 13 14447 + 13 14447 + 13 14447 + 13 14447 + 13 14447 + 13 14447 + 13 14447 + 13 14447 + 13 14447 + 13 14447 + 13 14447 + 13 14447 + 13 14447 + 13 14447 + 13 14447 + 13 14447 + 13 14447 + 13 14447 + 13 14447 + 13 14447 + 13 14447 + 13 14447 + 13 14447 + 13 14447 + 13 14447 + 13 14447 + 13 14447 + 13 14447 + 13 14447 + 13 14447 + 13 14447 + 13 14447 + 13 14447 + 13 14447 + 13 14447 + 13 14447 + 13 14447 + 13 14447 + 13 14447 + 13 14447 + 13 14447 + 13 14447 + 13 14447 + 13 14447 + 13 14447 + 13 14447 + 13 14447 + 13 14447 + 13 14447 + 13 14447 + 13 14447 + 13 14447 + 13 14447 + 13 14447 + 13 14447 + 13 14447 + 13 14447 + 13 14447 + 13 14447 + 13 14447 + 13 14447 + 13 14447 + 13 14447 + 13 14447 + 13 14447 + 13 14447 + 13 14447 + 13 14447 + 13 14447 + 13 14447 + 13 14447 + 13 14447	013865 - 01372 - 01372 - 01372 - 1374 - 1	0.1308 + 11 - 0.1308 + 11 - 0.1309 + 11 - 0.1753 + 11 - 0.1259 + 11 - 0.1259 + 11 - 0.1259 + 11 - 0.1259 + 11	0.11269 0.11286 0.11286 0.11289 0.11289 0.11289 0.11289 0.11289 0.11569 0.11569 0.11569 0.11569 0.11569 0.11569 0.11569	01449 101101 101101 101101 101101 101101 101101	0 105,55 101911 + 9 - 101911 + 9 - 101911 + 9 - 9 - 101911 + 9 - 9 - 9 - 9 - 9 - 9 - 9 - 9 - 9 - 9
O _B	1 1 1 1 1 1 1 1 1 1 1 1 1 1 1 1 1 1 1	0 0 37 0 0 0 37 0 0 0 37 0 0 0 0 37 0 0 0 0	# 1 1 1 1 1 1 1 1 1 1 1 1 1 1 1 1 1 1 1	2348 2348 2348 2348 2348 2348 2348 2348	1   1   1   1   1   1   1   1   1   1	33.5 C
42	(** 1 2541 + 97 2011 2104 + 98 (** 2011 2104 + 98 (** 2011 2104 + 98 (** 2011 2104 + 104 (** 2011 2104 + 104 (** 2011 2104 + 104 (** 2011 2104 + 104 (** 2011 2104 + 104 (** 2011 2104 + 104 (** 2011 2104 + 104 (** 2011 2104 + 104 (** 2011 2104 + 104 (** 2011 2104 + 104 (** 2011 2104 + 104 (** 2011 2104 + 104 (** 2011 2104 + 104 (** 2011 2104 + 104 (** 2011 2104 + 104 (** 2011 2104 + 104 (** 2011 2104 + 104 (** 2011 2104 + 104 (** 2011 2104 + 104 (** 2011 2104 + 104 (** 2011 2104 + 104 (** 2011 2104 + 104 (** 2011 2104 + 104 (** 2011 2104 + 104 (** 2011 2104 + 104 (** 2011 2104 + 104 (** 2011 2104 + 104 (** 2011 2104 + 104 (** 2011 2104 + 104 (** 2011 2104 + 104 (** 2011 2104 + 104 (** 2011 2104 + 104 (** 2011 2104 + 104 (** 2011 2104 + 104 (** 2011 2104 + 104 (** 2011 2104 + 104 (** 2011 2104 + 104 (** 2011 2104 + 104 (** 2011 2104 + 104 (** 2011 2104 + 104 (** 2011 2104 + 104 (** 2011 2104 + 104 (** 2011 2104 + 104 (** 2011 2104 + 104 (** 2011 2104 + 104 (** 2011 2104 + 104 (** 2011 2104 + 104 (** 2011 2104 + 104 (** 2011 2104 + 104 (** 2011 2104 + 104 (** 2011 2104 + 104 (** 2011 2104 + 104 (** 2011 2104 + 104 (** 2011 2104 + 104 (** 2011 2104 + 104 (** 2011 2104 + 104 (** 2011 2104 + 104 (** 2011 2104 + 104 (** 2011 2104 + 104 (** 2011 2104 + 104 (** 2011 2104 + 104 (** 2011 2104 + 104 (** 2011 2104 + 104 (** 2011 2104 + 104 (** 2011 2104 + 104 (** 2011 2104 + 104 (** 2011 2104 + 104 (** 2011 2104 + 104 (** 2011 2104 + 104 (** 2011 2104 + 104 (** 2011 2104 + 104 (** 2011 2104 + 104 (** 2011 2104 + 104 (** 2011 2104 + 104 (** 2011 2104 + 104 (** 2011 2104 + 104 (** 2011 2104 + 104 (** 2011 2104 + 104 (** 2011 2104 + 104 (** 2011 2104 + 104 (** 2011 2104 + 104 (** 2011 2104 + 104 (** 2011 2104 + 104 (** 2011 2104 + 104 (** 2011 2104 + 104 (** 2011 2104 + 104 (** 2011 2104 + 104 (** 2011 2104 + 104 (** 2011 2104 + 104 (** 2011 2104 + 104 (** 2011 2104 + 104 (** 2011 2104 + 104 (** 2011 2104 + 104 (** 2011 2104 + 104 (** 2011 2104 + 104 (** 2011 2104 + 104 (** 2011 2104 + 104 (** 2011 2104 + 104 (** 2011 2104 + 1	- cris 3755 + 123 - cris 3755 + 123 - cris 2756 + 123 - cris 262c + 123 - cris 262c + 123 - cris 262c + 123 - cris 262c + 123 - cris 262c + 123 - cris 2721 373 + 125	0.019 3133 + 106  0.019 3496 + 106  0.019 3495 + 107  0.019 3496 + 107  0.019 3496 + 107  0.019 3496 + 108  0.019 3496 + 108	0.012 5513 + 109 0.612 5621 + 109 0.012 6021 + 109 0.012 6139 + 109 0.012 6139 + 109 0.012 6139 + 110 0.012 774 + 110 0.013 765 + 110 0.013 765 + 110	0.012 97976 + 1111 - 0.012 97976 + 1111 - 0.012 978 + 1111 - 0.012 978 + 1111 - 0.012 978 + 1111 - 0.012 978 + 1111 - 0.012 978 + 1111 - 0.012 978 + 1111 - 0.012 978 + 1111 - 0.012 978 + 1111 - 0.012 978 + 1111 - 0.012 978 + 1111 - 0.012 978 + 1111 - 0.012 978 + 1111 - 0.012 978 + 1111 - 0.012 978 + 1111 - 0.012 978 + 1111 - 0.012 978 + 1111 - 0.012 978 + 1111 - 0.012 978 + 1111 - 0.012 978 + 1111 - 0.012 978 + 1111 - 0.012 978 + 1111 - 0.012 978 + 1111 - 0.012 978 + 1111 - 0.012 978 + 1111 - 0.012 978 + 1111 - 0.012 978 + 1111 - 0.012 978 + 1111 - 0.012 978 + 1111 - 0.012 978 + 1111 - 0.012 978 + 1111 - 0.012 978 + 1111 - 0.012 978 + 1111 - 0.012 978 + 1111 - 0.012 978 + 1111 - 0.012 978 + 1111 - 0.012 978 + 1111 - 0.012 978 + 1111 - 0.012 978 + 1111 - 0.012 978 + 1111 - 0.012 978 + 1111 - 0.012 978 + 1111 - 0.012 978 + 1111 - 0.012 978 + 1111 - 0.012 978 + 1111 - 0.012 978 + 1111 - 0.012 978 + 1111 - 0.012 978 + 1111 - 0.012 978 + 1111 - 0.012 978 + 1111 - 0.012 978 + 1111 - 0.012 978 + 1111 - 0.012 978 + 1111 - 0.012 978 + 1111 - 0.012 978 + 1111 - 0.012 978 + 1111 - 0.012 978 + 1111 - 0.012 978 + 1111 - 0.012 978 + 1111 - 0.012 978 + 1111 - 0.012 978 + 1111 - 0.012 978 + 1111 - 0.012 978 + 0.012 978 + 0.012 978 + 0.012 978 + 0.012 978 + 0.012 978 + 0.012 978 + 0.012 978 + 0.012 978 + 0.012 978 + 0.012 978 + 0.012 978 + 0.012 978 + 0.012 978 + 0.012 978 + 0.012 978 + 0.012 978 + 0.012 978 + 0.012 978 + 0.012 978 + 0.012 978 + 0.012 978 + 0.012 978 + 0.012 978 + 0.012 978 + 0.012 978 + 0.012 978 + 0.012 978 + 0.012 978 + 0.012 978 + 0.012 978 + 0.012 978 + 0.012 978 + 0.012 978 + 0.012 978 + 0.012 978 + 0.012 978 + 0.012 978 + 0.012 978 + 0.012 978 + 0.012 978 + 0.012 978 + 0.012 978 + 0.012 978 + 0.012 978 + 0.012 978 + 0.012 978 + 0.012 978 + 0.012 978 + 0.012 978 + 0.012 978 + 0.012 978 + 0.012 978 + 0.012 978 + 0.012 978 + 0.012 978 + 0.012 978 + 0.012 978 + 0.012 978 + 0.012 978 + 0.012 978 + 0.012 978 + 0.012 978 + 0.012 978 + 0.012 978 + 0.012 978 + 0.012 978 + 0.012 978 + 0.012 978 + 0.012 978 + 0.012	0 0 0 1 2 4 5 5 4 5 1 5 1 5 1 5 1 5 1 5 1 5 1 5 1
-5	1 115 577 - 1 2 115 577 - 1 2 115 577 - 1 2 115 570 - 1 2 115 570 - 1 2 115 570 - 1 2 115 570 - 1 2 115 570 - 1 2 115 570 - 1 2 115 570 - 1 2 115 570 - 1 2 115 570 - 1 2 115 570 - 1 2 115 570 - 1 2 115 570 - 1 2 115 570 - 1 2 115 570 - 1 2 115 570 - 1 2 115 570 - 1 2 115 570 - 1 2 115 570 - 1 2 115 570 - 1 2 115 570 - 1 2 115 570 - 1 2 115 570 - 1 2 115 570 - 1 2 115 570 - 1 2 115 570 - 1 2 115 570 - 1 2 115 570 - 1 2 115 570 - 1 2 115 570 - 1 2 115 570 - 1 2 115 570 - 1 2 115 570 - 1 2 115 570 - 1 2 115 570 - 1 2 115 570 - 1 2 115 570 - 1 2 115 570 - 1 2 115 570 - 1 2 115 570 - 1 2 115 570 - 1 2 115 570 - 1 2 115 570 - 1 2 115 570 - 1 2 115 570 - 1 2 115 570 - 1 2 115 570 - 1 2 115 570 - 1 2 115 570 - 1 2 115 570 - 1 2 115 570 - 1 2 115 570 - 1 2 115 570 - 1 2 115 570 - 1 2 115 570 - 1 2 115 570 - 1 2 115 570 - 1 2 115 570 - 1 2 115 570 - 1 2 115 570 - 1 2 115 570 - 1 2 115 570 - 1 2 115 570 - 1 2 115 570 - 1 2 115 570 - 1 2 115 570 - 1 2 115 570 - 1 2 115 570 - 1 2 115 570 - 1 2 115 570 - 1 2 115 570 - 1 2 115 570 - 1 2 115 570 - 1 2 115 570 - 1 2 115 570 - 1 2 115 570 - 1 2 115 570 - 1 2 115 570 - 1 2 115 570 - 1 2 115 570 - 1 2 115 570 - 1 2 115 570 - 1 2 115 570 - 1 2 115 570 - 1 2 115 570 - 1 2 115 570 - 1 2 115 570 - 1 2 115 570 - 1 2 115 570 - 1 2 115 570 - 1 2 115 570 - 1 2 115 570 - 1 2 115 570 - 1 2 115 570 - 1 2 115 570 - 1 2 115 570 - 1 2 115 570 - 1 2 115 570 - 1 2 115 570 - 1 2 115 570 - 1 2 115 570 - 1 2 115 570 - 1 2 115 570 - 1 2 115 570 - 1 2 115 570 - 1 2 115 570 - 1 2 115 570 - 1 2 115 570 - 1 2 115 570 - 1 2 115 570 - 1 2 115 570 - 1 2 115 570 - 1 2 115 570 - 1 2 115 570 - 1 2 115 570 - 1 2 115 570 - 1 2 115 570 - 1 2 115 570 - 1 2 115 570 - 1 2 115 570 - 1 2 115 570 - 1 2 115 570 - 1 2 115 570 - 1 2 115 570 - 1 2 115 570 - 1 2 115 570 - 1 2 115 570 - 1 2 115 570 - 1 2 115 570 - 1 2 115 570 - 1 2 115 570 - 1 2 115 570 - 1 2 115 570 - 1 2 115 570 - 1 2 115	- 0.000 628 - 1 - 0.000 635 - 1 - 0.000 635 - 1 - 0.000 635 - 1 - 0.000 635 - 1 - 0.000 635 - 1 - 0.000 635 - 1 - 0.000 635 - 1 - 0.000 635 - 1 - 0.000 635 - 1 - 0.000 635 - 1 - 0.000 635 - 1 - 0.000 635 - 1 - 0.000 635 - 1 - 0.000 635 - 1 - 0.000 635 - 0.000 635 - 1 - 0.000 635 - 0.000 635 - 0.000 635 - 0.000 635 - 0.000 635 - 0.000 635 - 0.000 635 - 0.000 635 - 0.000 635 - 0.000 635 - 0.000 635 - 0.000 635 - 0.000 635 - 0.000 635 - 0.000 635 - 0.000 635 - 0.000 635 - 0.000 635 - 0.000 635 - 0.000 635 - 0.000 635 - 0.000 635 - 0.000 635 - 0.000 635 - 0.000 635 - 0.000 635 - 0.000 635 - 0.000 635 - 0.000 635 - 0.000 635 - 0.000 635 - 0.000 635 - 0.000 635 - 0.000 635 - 0.000 635 - 0.000 635 - 0.000 635 - 0.000 635 - 0.000 635 - 0.000 635 - 0.000 635 - 0.000 635 - 0.000 635 - 0.000 635 - 0.000 635 - 0.000 635 - 0.000 635 - 0.000 635 - 0.000 635 - 0.000 635 - 0.000 635 - 0.000 635 - 0.000 635 - 0.000 635 - 0.000 635 - 0.000 635 - 0.000 635 - 0.000 635 - 0.000 635 - 0.000 635 - 0.000 635 - 0.000 635 - 0.000 635 - 0.000 635 - 0.000 635 - 0.000 635 - 0.000 635 - 0.000 635 - 0.000 635 - 0.000 635 - 0.000 635 - 0.000 635 - 0.000 635 - 0.000 635 - 0.000 635 - 0.000 635 - 0.000 635 - 0.000 635 - 0.000 635 - 0.000 635 - 0.000 635 - 0.000 635 - 0.000 635 - 0.000 635 - 0.000 635 - 0.000 635 - 0.000 635 - 0.000 635 - 0.000 635 - 0.000 635 - 0.000 635 - 0.000 635 - 0.000 635 - 0.000 635 - 0.000 635 - 0.000 635 - 0.000 635 - 0.000 635 - 0.000 635 - 0.000 635 - 0.000 635 - 0.000 635 - 0.000 635 - 0.000 635 - 0.000 635 - 0.000 635 - 0.000 635 - 0.000 635 - 0.000 635 - 0.000 635 - 0.000 635 - 0.000 635 - 0.000 635 - 0.000 635 - 0.000 635 - 0.000 635 - 0.000 635 - 0.000 635 - 0.000 635 - 0.000 635 - 0.000 635 - 0.000 635 - 0.000 635 - 0.000 635 - 0.000 635 - 0.000 635 - 0.000 635 - 0.000 635 - 0.000 635 - 0.000 635 - 0.000 635 - 0.000 635 - 0.000 635 - 0.000 635 - 0.000 635 - 0.000 635 - 0.000 635 - 0.000 635 - 0.000 635 - 0.000 635 - 0.000 635 - 0.000 635 - 0.000 635 - 0.000 635 - 0.000 635 - 0.000 635 - 0.000 635 - 0.000 635 -	0.017 595 0.017 700 0.017 700 0.017 700 0.018 0.11 1.7 1.4 0.018 0.11 1.7 1.4 0.018 0.11 1.7 1.4 0.018 0.11 1.7 1.4 0.018 0.11 1.7 1.4 1.4 1.4 1.4 1.4 1.4 1.4 1.4 1.4 1.4	0.0 8 7 0 0 0 0 0 0 0 0 0 0 0 0 0 0 0 0 0	0 0 1 7 7 8 0 0 0 1 7 8 8 2 1 0 0 0 1 1 1 8 8 2 1 0 0 0 0 1 1 1 8 1 0 0 0 0 0 1 1 0 0 0 0	0 0 0 0 0 0 0 0 0 0 0 0 0 0 0 0 0 0 0
r r	Can 17, + + + + + + + + + + + + + + + + + + +	11 to 0 0 1 to 10 0 0 1 to 10 0 0 0 0 0 0 0 0 0 0 0 0 0 0 0 0 0 0	0.00421 - 0.00425 - 0.00425 - 0.00437 - 0.00437 - 0.00437 - 0.00433 - 0.00433	1 1 1	1 5 00 00 00 00 00 00 00 00 00 00 00 00 0	000458 000458 000458 000458 000458 000458 000458 000458
118	0 + 1 m + 10 0 0 0	011111111111111111111111111111111111111	0 ** 6 ** 4 ** 6 ** 6 *	0 H E E E E E E E E E E E E E E E E E E	5 # 4 # 4 # 4 5 5 5 5	374 27 27 27 27 27 27 27 27 27 27 27 27 27

_							
	111111	*****	11   ; )	********	1 1 1 1 www.w.w.w.w.w.w.	(0.40 (0.40 H) H) H) H) H) H) H) H) H)	
els series	+ + + + + + + + + + + + + + + + + + +	######################################	0.02857 0.02857 0.02857 0.02857 0.02857 0.02857	+ 0.02786 + 0.02741 + 0.02741 + 0.02645 + 0.02672 + 0.02672 + 0.06673 + 0.06673 + 0.06673	++++++++++++++++++++++++++++++++++++++	+ 0 00307 + 0 02382 + 0 02235 + 0 02235 + 0 02235 + 0 0225 + 0 022	
#g"	* + + + + + + + + + + + + + + + + + + +	++++++++++++++++++++++++++++++++++++++	++++++++++++++++++++++++++++++++++++++	+++++++++++++++++++++++++++++++++++++++	+ + + + + + + + + + + + + + + + + + +	+ 0.0098 + 0.0099 + 0.0090 + 0.000 +	
50	**************************************	**************************************	0.00000000	**************************************	1+++++++	+++++++++	
	566444444	11 1,1	1,1	1	1111	32242533888	
63	+ + + + + + + + + + + + + + + + + + +	+ 0.003 3408 + 0.003 3740 + 0.003 4783 + 0.003 5013 + 0.003 5013 + 0.003 5014 + 0.003 5014 + 0.003 5014	+ 0.003 5468 + 0.003 7006 + 0.003 7266 + 0.003 7266 + 0.003 8241 + 0.003 8241 + 0.003 8241 + 0.003 8241 + 0.003 8241	4 4 4 4 4 4 4 4 4 4 4 4 4 4 4 4 4 4 4	+ 0 004 0614 + 0 004 0814 + 0 004 0946 + 0 004 1780 + 0 004 1780 + 0 004 1501 + 0 004 1501 + 0 004 1501 + 0 004 1501	+ 0 cot (749) + 0 cot (817) + 0 cot (187) + 0 cot (188) + 0 cot (188) + 0 cot (188) + 0 cot (189) + 0 cot (189) + 0 cot (189)	
	0000000000	0 2 0 0 7 0 8 0 2 0	000000000	H H H H H H H H H	1 , 1 1 1 1 1	1 , 111	
2,2	+ 0°000 38 + 0°000 38 + 0°000 36 + 0°00	+ 0.001 544 + 0.001 670 + 0.001 796 + 0.002 047 + 0.002 172 + 0.002 472 + 0.002 5472 + 0.002 5472	+ 0.002 920 + 0.002 920 + 0.003 94 + 0.003 196 + 0.003 415 + 0.003 415 + 0.003 95 + 0.003 96 + 0.003 96 + 0.003 96 + 0.003 96 + 0.003 96	+ 0.004 005 + 0.004 1148 + 0.004 1110 + 0.004 1110 + 0.004 1110 + 0.004 1110 + 0.004 1110 + 0.004 1110	+ + + + + + + + + + + + + + + + + + +	+ + + + + + + + + + + + + + + + + + +	
	1 10 10 10 10 10 10 10 10 10 10 10 10 10		1111			11 []	
- B	92 POOL 400 POOL 400 POOL 400 POOL 400 POOL 400 POOL 400 POOL 400 POOL 400 POOL 400 POOL 400 POOL 400 POOL 400 POOL 400 POOL 400 POOL 400 POOL 400 POOL 400 POOL 400 POOL 400 POOL 400 POOL 400 POOL 400 POOL 400 POOL 400 POOL 400 POOL 400 POOL 400 POOL 400 POOL 400 POOL 400 POOL 400 POOL 400 POOL 400 POOL 400 POOL 400 POOL 400 POOL 400 POOL 400 POOL 400 POOL 400 POOL 400 POOL 400 POOL 400 POOL 400 POOL 400 POOL 400 POOL 400 POOL 400 POOL 400 POOL 400 POOL 400 POOL 400 POOL 400 POOL 400 POOL 400 POOL 400 POOL 400 POOL 400 POOL 400 POOL 400 POOL 400 POOL 400 POOL 400 POOL 400 POOL 400 POOL 400 POOL 400 POOL 400 POOL 400 POOL 400 POOL 400 POOL 400 POOL 400 POOL 400 POOL 400 POOL 400 POOL 400 POOL 400 POOL 400 POOL 400 POOL 400 POOL 400 POOL 400 POOL 400 POOL 400 POOL 400 POOL 400 POOL 400 POOL 400 POOL 400 POOL 400 POOL 400 POOL 400 POOL 400 POOL 400 POOL 400 POOL 400 POOL 400 POOL 400 POOL 400 POOL 400 POOL 400 POOL 400 POOL 400 POOL 400 POOL 400 POOL 400 POOL 400 POOL 400 POOL 400 POOL 400 POOL 400 POOL 400 POOL 400 POOL 400 POOL 400 POOL 400 POOL 400 POOL 400 POOL 400 POOL 400 POOL 400 POOL 400 POOL 400 POOL 400 POOL 400 POOL 400 POOL 400 POOL 400 POOL 400 POOL 400 POOL 400 POOL 400 POOL 400 POOL 400 POOL 400 POOL 400 POOL 400 POOL 400 POOL 400 POOL 400 POOL 400 POOL 400 POOL 400 POOL 400 POOL 400 POOL 400 POOL 400 POOL 400 POOL 400 POOL 400 POOL 400 POOL 400 POOL 400 POOL 400 POOL 400 POOL 400 POOL 400 POOL 400 POOL 400 POOL 400 POOL 400 POOL 400 POOL 400 POOL 400 POOL 400 POOL 400 POOL 400 POOL 400 POOL 400 POOL 400 POOL 400 POOL 400 POOL 400 POOL 400 POOL 400 POOL 400 POOL 400 POOL 400 POOL 400 POOL 400 POOL 400 POOL 400 POOL 400 POOL 400 POOL 400 POOL 400 POOL 400 POOL 400 POOL 400 POOL 400 POOL 400 POOL 400 POOL 400 POOL 400 POOL 400 POOL 400 POOL 400 POOL 400 POOL 400 POOL 400 POOL 400 POOL 400 POOL 400 POOL 400 POOL 400 POOL 400 POOL 400 POOL 400 POOL 400 POOL 400 POOL 400 POOL 400 POOL 400 POOL 400 POOL 400 POOL 400 POOL 400 POOL 400 POOL 400 POOL 400 POOL 400 POOL 400 POOL 400 POOL 400 POOL 400 POOL 400	0.00421 0.00425 0.00409 0.00392 0.00337 0.003375	1 0 0 0 0 0 0 0 0 0 0 0 0 0 0 0 0 0 0 0	0,00311 0,00306 0,00301 0,00304 0,00304 0,00304 0,00307 0,00327	0.00962 0.00963 0.00363 0.0033 0.0033 0.0033 0.0033 0.00236	- 0 00213 0 00200 1 00220 1 00220 1 00201 1 00019 0 00181 0 00181	
n 3	+ + + + 0 0 0 0 0 0 0 0 0 0 0 0 0 0 0 0	++++++++	++++++++	\$ \$ \$ \$ \$ \$ \$ \$ \$ \$ \$ \$ \$ \$ \$ \$ \$ \$ \$	+++++++++++++	00000 1 + + + + + + + + + + + + + + + + + + +	
	0 00 00 00 00 00 00 00 00 00 00 00 00 0	*++++++	+++++++++	**********	++++++++	++++++++	
17.1	0.09466 0.09466 0.09446 0.09446 0.09446 0.09446 0.09446 0.09446 0.09151	0.0889777 0.0887277 0.0857277 0.085543 0.085543 0.085543 0.085543 0.085543 0.085543 0.085543 0.085543 0.085543 0.085543 0.085543 0.085543 0.085543 0.085543 0.085543 0.085543 0.085543 0.085543 0.085543 0.085543 0.085543 0.085543 0.085543 0.085543 0.085543 0.085543 0.085543 0.085543 0.085543 0.085543 0.085543 0.085543 0.085543 0.085543 0.085543 0.085543 0.085543 0.085543 0.085543 0.085543 0.085543 0.085543 0.085543 0.085543 0.085543 0.085543 0.085543 0.085543 0.085543 0.085543 0.085543 0.085543 0.085543 0.085543 0.085543 0.085543 0.085543 0.085543 0.085543 0.085543 0.085543 0.085543 0.085543 0.085543 0.085543 0.085543 0.085543 0.085543 0.085543 0.085543 0.085543 0.085543 0.085543 0.085543 0.085543 0.085543 0.085543 0.085543 0.085543 0.085543 0.085543 0.085543 0.085543 0.085543 0.085543 0.085543 0.085543 0.085543 0.085543 0.085543 0.085543 0.085543 0.085543 0.085543 0.085543 0.085543 0.085543 0.085543 0.085543 0.085543 0.085543 0.085543 0.085543 0.085543 0.085543 0.085543 0.085543 0.085543 0.085543 0.085543 0.085543 0.085543 0.085543 0.085543 0.085543 0.085543 0.085543 0.085543 0.085543 0.085543 0.085543 0.085543 0.085543 0.085543 0.085543 0.085543 0.085543 0.085543 0.085543 0.085543 0.085543 0.085543 0.085543 0.085543 0.085543 0.085543 0.085543 0.085543 0.085543 0.085543 0.085543 0.085543 0.085543 0.085543 0.085543 0.085543 0.085543 0.085543 0.085543 0.085543 0.085543 0.085543 0.085543 0.085543 0.085543 0.085543 0.085543 0.085543 0.085543 0.085543 0.085543 0.085543 0.085543 0.085543 0.085543 0.085543 0.085543 0.085543 0.085543 0.085543 0.085543 0.085543 0.085543 0.085543 0.085543 0.085543 0.085543 0.085543 0.085543 0.085543 0.085543 0.085543 0.085543 0.085543 0.085543 0.085543 0.085543 0.085543 0.085543 0.085543 0.085543 0.085543 0.085543 0.085543 0.085543 0.085544 0.085543 0.085543 0.085543 0.085543 0.085543 0.085543 0.085544 0.085543 0.085543 0.085543 0.085543 0.085543 0.085543 0.085544 0.085543 0.085543 0.085544 0.085544 0.085544 0.085544 0.085544 0.085544 0.085544 0.085544 0.085544 0.085544 0.085544 0.085544	0 08054 0 07307 0 07770 0 07770 0 07751 0 07751 0 07750	0.07224 0.07342 0.07342 0.05978 0.05978 0.05534 0.05534	0.06413 0.06333 0.06034 0.06034 0.06034 0.063938 0.0659863	0.05527	
		00.0000000	00000.0000	000000000	000000000	0000000000	1
253	30477	100000000000000000000000000000000000000	1. 1. 2. 2. 2. 2. 2. 2. 2. 2. 2. 2. 2. 2. 2.	2000 0 0 0 0 0 0 0 0 0 0 0 0 0 0 0 0 0	2 4 4 4 4 4 4 4 4 4 4 4 4 4 4 4 4 4 4 4	6 6 6 7 6 7 6 7 6 7 6 7 6 7 6 7 6 7 6 7	
	+++++++++	4444+++++	+++++++++	58888555555	++++++++++++++++++++++++++++++++++++++	1111111111	
F # #	2450 2450 2450 2450 2450 2450 2450 2450	4 to 4 to 6 to 6 to 6 to 6 to 6 to 6 to	7976 7774 7562 7341 7341 6889 6889 6889 6889 6889 6889 8889	55525 5525 5525 5525 5525 5525 5525 55	121 172 172 172 172 173 173 173 173 173 173 173 173 173 173	7777 7290 5290 5290 5290 7400 7400 7400 7400 7400 7400 7400 74	
	000000000000000000000000000000000000000		0 0 0 0 0 0 0 0 0 0 0 0 0 0 0 0 0 0 0 0		0.001	11.	
	************	11111	1111 11	***************		to the first of the first of the	١
9,2	GBC21 516 C C C C C C C C C C C C C C C C C C C	0.022 459 0.022 450 0.022 555 0.022 555 1 0 022 901 1 0 023 901 1 0 023 974	0 023 338 0 023 462 0 023 462 0 023 462 0 023 724 0 023 878	0.034 + 34 0.024 + 88 0.024 + 88 0.024 + 88 0.024 + 15 0.024 + 15 0.024 + 15 0.024 + 15 0.024 + 15	0 024 856 0 024 999 0 025 927 0 025 827 0 025 817 0 025 850 0 025 850	0.025 486 0.025 554 0.025	
	++++++++	++++++++	+++++++++	++++++++	++++++++	++++++++++	
900	1   1   1   1   1   1   1   1   1   1	0.00457 0.00457 0.00457 0.00455 0.00455 0.00455 0.00455	1 1 1 1 1 1 1 1 1 1 1 1 1 1 1 1 1 1 1	0.00438 0.00437 0.00437 0.00437 0.00437 0.00423	0.00417 0.00417 0.00417 0.00417 0.00418 0.00407 0.00407	20000000000000000000000000000000000000	
46	E-04400000	0 H D W + 440 F-80 O	0 - 4 - 4 - 5 - 6 - 6 - 6 - 6 - 6 - 6 - 6 - 6 - 6	9 H 4 M 7 M 0 N M 5	0 + 4 + 4 + 4 + 4 + 4 + 4	0 H H W 4 W 0 W 0 W 0 W 0 W 0 W 0 W 0 W 0 W 0	

Die Zahlen der zweiten Subcolumnen sind mit r = \frac{t_o - 1850}{100} zu multipliciren, und sind in Einheiten der letzten Decimale angesetzt.

XII.
Pafel
-

	mmmmmmmmmmmmmmmmmmmmmmmmmmmmmmmmmmmmmm		0000000000	0000000		
d ²	++++++++++++++++++++++++++++++++++++++	7 7 7 7 7 7 7 7 7 7 7 7 7 7 7 7 7 7 7	1 0 0 0 0 0 0 0 0 0 0 0 0 0 0 0 0 0 0 0	++++++++++++++++++++++++++++++++++++++	+ + + + + + + + + + + + + + + + + + +	1 !
nd ^x	+ + 0 00 0 0 0 0 0 0 0 0 0 0 0 0 0 0 0	++++++++++++++++++++++++++++++++++++++	++++++++++++++++++++++++++++++++++++++	+ 0 0 7 6 4 + 0 0 7 7 6 4 + 0 0 7 7 8 4 + 0 0 7 3 4 + 0 0 7 3 4 + 0 0 7 3 4 + 0 0 7 3 4 + 0 0 7 3 4 + 0 0 7 3 4 + 0 0 7 3 4 + 0 0 7 3 4 + 0 0 7 3 4 + 0 0 7 3 4 + 0 0 7 3 4 + 0 0 7 3 4 + 0 0 7 3 4 + 0 0 7 3 4 + 0 0 7 3 4 + 0 0 7 3 4 + 0 0 7 3 4 + 0 0 7 3 4 + 0 0 7 3 4 + 0 0 7 3 4 + 0 0 7 3 4 + 0 0 7 3 4 + 0 0 7 3 4 + 0 0 7 3 4 + 0 0 7 3 4 + 0 0 7 3 4 + 0 0 7 3 4 + 0 0 7 3 4 + 0 0 7 3 4 + 0 0 7 3 4 + 0 0 7 3 4 + 0 0 7 3 4 + 0 0 7 3 4 + 0 0 7 3 4 + 0 0 7 3 4 + 0 0 7 3 4 + 0 0 7 3 4 + 0 0 7 3 4 + 0 0 7 3 4 + 0 0 7 3 4 + 0 0 7 3 4 + 0 0 7 3 4 + 0 0 7 3 4 + 0 0 7 3 4 + 0 0 7 3 4 + 0 0 7 3 4 + 0 0 7 3 4 + 0 0 7 3 4 + 0 0 7 3 4 + 0 0 7 3 4 + 0 0 7 3 4 + 0 0 7 3 4 + 0 0 7 3 4 + 0 0 7 3 4 + 0 0 7 3 4 + 0 0 7 3 4 + 0 0 7 3 4 + 0 0 7 3 4 + 0 0 7 3 4 + 0 0 7 3 4 + 0 0 7 3 4 + 0 0 7 3 4 + 0 0 7 3 4 + 0 0 7 3 4 + 0 0 7 3 4 + 0 0 7 3 4 + 0 0 7 3 4 + 0 0 7 3 4 + 0 0 7 3 4 + 0 0 7 3 4 + 0 0 7 3 4 + 0 0 7 3 4 + 0 0 7 3 4 + 0 0 7 3 4 + 0 0 7 3 4 + 0 0 7 3 4 + 0 0 7 3 4 + 0 0 7 3 4 + 0 0 7 3 4 + 0 0 7 3 4 + 0 0 7 3 4 + 0 0 7 3 4 + 0 0 7 3 4 + 0 0 7 3 4 + 0 0 7 3 4 + 0 0 7 3 4 + 0 0 7 3 4 + 0 0 7 3 4 + 0 0 7 3 4 + 0 0 7 3 4 + 0 0 7 3 4 + 0 0 7 3 4 + 0 0 7 3 4 + 0 0 7 3 4 + 0 0 7 3 4 + 0 0 7 3 4 + 0 0 7 3 4 + 0 0 7 3 4 + 0 0 7 3 4 + 0 0 7 3 4 + 0 0 7 3 4 + 0 0 7 3 4 + 0 0 7 3 4 + 0 0 7 3 4 + 0 0 7 3 4 + 0 0 7 3 4 + 0 0 7 3 4 + 0 0 7 3 4 + 0 0 7 3 4 + 0 0 7 3 4 + 0 0 7 3 4 + 0 0 7 3 4 + 0 0 7 3 4 + 0 0 7 3 4 + 0 0 7 3 4 + 0 0 7 3 4 + 0 0 7 3 4 + 0 0 7 3 4 + 0 0 7 3 4 + 0 0 7 3 4 + 0 0 7 3 4 + 0 0 7 3 4 + 0 0 7 3 4 + 0 0 7 3 4 + 0 0 7 3 4 + 0 0 7 3 4 + 0 0 7 3 4 + 0 0 7 3 4 + 0 0 7 3 4 + 0 0 7 3 4 + 0 0 7 3 4 + 0 0 7 3 4 + 0 0 7 3 4 + 0 0 7 3 4 + 0 0 7 3 4 + 0 0 7 3 4 + 0 0 7 3 4 + 0 0 7 3 4 + 0 0 7 3 4 + 0 0 7 3 4 + 0 0 7 3 4 + 0 0 7 3 4 + 0 0 7 3 4 + 0 0 7 3 4 + 0 0 7 3 4 + 0 0 7 3 4 + 0 0 7 3 4 + 0 0 7 3 4 + 0 0 7 3 4 + 0 0 7 3 4 + 0 0 7 3 4 + 0 0 7 3 4 + 0 0 7 3 4 + 0 0 7 3 4 + 0 0 7 3 4 + 0 0 7 3 4 + 0 0 7 3 4 + 0 0 7 3 4 + 0 0 7 3 4 + 0 0 7 3 4 + 0 0 7 3 4 + 0 0 7 3 4 + 0 0 7 3 4 + 0 0 7 3 4 + 0 0 7 3 4 + 0 0 7 3 4 + 0 0 7 3 4 +	7.000 0 0 0 0 0 0 0 0 0 0 0 0 0 0 0 0 0	100000 100000 100000 100000 100000 100000 100000 100000 100000
8.00	***************************************	+++++++	++++++++	+++++++	++++++++	++++++++
d ³	0.00 + 3.1.0 - 4.5.0 + 4.5.0 + 4.5.0 + 4.5.0 + 4.5.0 + 4.5.0 + 4.5.0 + 4.5.0 + 4.5.0 + 4.5.0 + 4.5.0 + 4.5.0 + 4.5.0 + 4.5.0 + 4.5.0 + 4.5.0 + 4.5.0 + 4.5.0 + 4.5.0 + 4.5.0 + 4.5.0 + 4.5.0 + 4.5.0 + 4.5.0 + 4.5.0 + 4.5.0 + 4.5.0 + 4.5.0 + 4.5.0 + 4.5.0 + 4.5.0 + 4.5.0 + 4.5.0 + 4.5.0 + 4.5.0 + 4.5.0 + 4.5.0 + 4.5.0 + 4.5.0 + 4.5.0 + 4.5.0 + 4.5.0 + 4.5.0 + 4.5.0 + 4.5.0 + 4.5.0 + 4.5.0 + 4.5.0 + 4.5.0 + 4.5.0 + 4.5.0 + 4.5.0 + 4.5.0 + 4.5.0 + 4.5.0 + 4.5.0 + 4.5.0 + 4.5.0 + 4.5.0 + 4.5.0 + 4.5.0 + 4.5.0 + 4.5.0 + 4.5.0 + 4.5.0 + 4.5.0 + 4.5.0 + 4.5.0 + 4.5.0 + 4.5.0 + 4.5.0 + 4.5.0 + 4.5.0 + 4.5.0 + 4.5.0 + 4.5.0 + 4.5.0 + 4.5.0 + 4.5.0 + 4.5.0 + 4.5.0 + 4.5.0 + 4.5.0 + 4.5.0 + 4.5.0 + 4.5.0 + 4.5.0 + 4.5.0 + 4.5.0 + 4.5.0 + 4.5.0 + 4.5.0 + 4.5.0 + 4.5.0 + 4.5.0 + 4.5.0 + 4.5.0 + 4.5.0 + 4.5.0 + 4.5.0 + 4.5.0 + 4.5.0 + 4.5.0 + 4.5.0 + 4.5.0 + 4.5.0 + 4.5.0 + 4.5.0 + 4.5.0 + 4.5.0 + 4.5.0 + 4.5.0 + 4.5.0 + 4.5.0 + 4.5.0 + 4.5.0 + 4.5.0 + 4.5.0 + 4.5.0 + 4.5.0 + 4.5.0 + 4.5.0 + 4.5.0 + 4.5.0 + 4.5.0 + 4.5.0 + 4.5.0 + 4.5.0 + 4.5.0 + 4.5.0 + 4.5.0 + 4.5.0 + 4.5.0 + 4.5.0 + 4.5.0 + 4.5.0 + 4.5.0 + 4.5.0 + 4.5.0 + 4.5.0 + 4.5.0 + 4.5.0 + 4.5.0 + 4.5.0 + 4.5.0 + 4.5.0 + 4.5.0 + 4.5.0 + 4.5.0 + 4.5.0 + 4.5.0 + 4.5.0 + 4.5.0 + 4.5.0 + 4.5.0 + 4.5.0 + 4.5.0 + 4.5.0 + 4.5.0 + 4.5.0 + 4.5.0 + 4.5.0 + 4.5.0 + 4.5.0 + 4.5.0 + 4.5.0 + 4.5.0 + 4.5.0 + 4.5.0 + 4.5.0 + 4.5.0 + 4.5.0 + 4.5.0 + 4.5.0 + 4.5.0 + 4.5.0 + 4.5.0 + 4.5.0 + 4.5.0 + 4.5.0 + 4.5.0 + 4.5.0 + 4.5.0 + 4.5.0 + 4.5.0 + 4.5.0 + 4.5.0 + 4.5.0 + 4.5.0 + 4.5.0 + 4.5.0 + 4.5.0 + 4.5.0 + 4.5.0 + 4.5.0 + 4.5.0 + 4.5.0 + 4.5.0 + 4.5.0 + 4.5.0 + 4.5.0 + 4.5.0 + 4.5.0 + 4.5.0 + 4.5.0 + 4.5.0 + 4.5.0 + 4.5.0 + 4.5.0 + 4.5.0 + 4.5.0 + 4.5.0 + 4.5.0 + 4.5.0 + 4.5.0 + 4.5.0 + 4.5.0 + 4.5.0 + 4.5.0 + 4.5.0 + 4.5.0 + 4.5.0 + 4.5.0 + 4.5.0 + 4.5.0 + 4.5.0 + 4.5.0 + 4.5.0 + 4.5.0 + 4.5.0 + 4.5.0 + 4.5.0 + 4.5.0 + 4.5.0 + 4.5.0 + 4.5.0 + 4.5.0 + 4.5.0 + 4.5.0 + 4.5.0 + 4.5.0 + 4.5.0 + 4.5.0 + 4.5.0 + 4.5.0 + 4.5.0 + 4.5.0 + 4.5.0 + 4.5.0 + 4.5.0 + 4.5.0 + 4.5.0 + 4.5.0 + 4.5.0 +	2 0 0 0 0 0 0 0 0 0 0 0 0 0 0 0 0 0 0 0	0.001 9112 - 51	+ 0 003 8004 + 0.003 800 + 0.003 840 + 0.003 800 + 0.003 800 + 0.003 700 + 0.	0.003 6468 0.003 6189 0.003 6189 0.003 516 0.003 516 0.003 516 0.003 618 0.003 61	1 1 1 1 1 1 1 1 1 1 1 1 1 1 1 1 1 1 1
8 8	+ + + + + + + + + + + + + + + + + + +	100 00 00 00 00 00 00 00 00 00 00 00 00	0.000 534 0.000 534	+ + + + + + + + + + + + + + + + + + +	++++++++++++++++++++++++++++++++++++++	1 1 1 1 1 1 1 1 1 1 1 1 1 1 1 1 1 1 1 1
d ^I	- (***) (***) (***) (***) (***) (***) (***) (***) (***) (***) (***) (***) (***) (***) (***) (***) (***) (***) (***) (***) (***) (***) (***) (***) (***) (***) (***) (***) (***) (***) (***) (***) (***) (***) (***) (***) (***) (***) (***) (***) (***) (***) (***) (***) (***) (***) (***) (***) (***) (***) (***) (***) (***) (***) (***) (***) (***) (***) (***) (***) (***) (***) (***) (***) (***) (***) (***) (***) (***) (***) (***) (***) (***) (***) (***) (***) (***) (***) (***) (***) (***) (***) (***) (***) (***) (***) (***) (***) (***) (***) (***) (***) (***) (***) (***) (***) (***) (***) (***) (***) (***) (***) (***) (***) (***) (***) (***) (***) (***) (***) (***) (***) (***) (***) (***) (***) (***) (***) (***) (***) (***) (***) (***) (***) (***) (***) (***) (***) (***) (***) (***) (***) (***) (***) (***) (***) (***) (***) (***) (***) (***) (***) (***) (***) (***) (***) (***) (***) (***) (***) (***) (***) (***) (***) (***) (***) (***) (***) (***) (***) (***) (***) (***) (***) (***) (***) (***) (***) (***) (***) (***) (***) (***) (***) (***) (***) (***) (***) (***) (***) (***) (***) (***) (***) (***) (***) (***) (***) (***) (***) (***) (***) (***) (***) (***) (***) (***) (***) (***) (***) (***) (***) (***) (***) (***) (***) (***) (***) (***) (***) (***) (***) (***) (***) (***) (***) (***) (***) (***) (***) (***) (***) (***) (***) (***) (***) (***) (***) (***) (***) (***) (***) (***) (***) (***) (***) (***) (***) (***) (***) (***) (***) (***) (***) (***) (***) (***) (***) (***) (***) (***) (***) (***) (***) (***) (***) (***) (***) (***) (***) (***) (***) (***) (***) (***) (***) (***) (***) (***) (***) (***) (***) (***) (***) (***) (***) (***) (***) (***) (***) (***) (***) (***) (***) (***) (***) (***) (***) (***) (***) (***) (***) (***) (***) (***) (***) (***) (***) (***) (***) (***) (***) (***) (***) (***) (***) (***) (***) (***) (***) (***) (***) (***) (***) (***) (***) (***) (***) (***) (***) (***) (***) (***) (***) (***) (***) (***) (***) (***) (***) (***) (***) (***) (***) (***) (***) (***) (***) (***) (***) (***		1 0,000109 1 0,000106 1 0,000104 1 0,000098 1 0,000000 1 0,000087 1 0,000087	- 0.000.82 - 1 - 0.000.77 - 1 0.000.77 - 1 0.000.73 - 1 0.000.73 - 1 0.000.73 - 1 0.000.73 - 1 0.000.73 - 1 0.000.73 - 1 0.000.73 - 1 0.000.73 - 1 0.000.73 - 1 0.000.73 - 1 0.000.73 - 1 0.000.73 - 1 0.000.73 - 1 0.000.73 - 1 0.000.73 - 1 0.000.73 - 1 0.000.73 - 1 0.000.73 - 1 0.000.73 - 1 0.000.73 - 1 0.000.73 - 1 0.000.73 - 1 0.000.73 - 1 0.000.73 - 1 0.000.73 - 1 0.000.73 - 1 0.000.73 - 1 0.000.73 - 1 0.000.73 - 1 0.000.73 - 1 0.000.73 - 1 0.000.73 - 1 0.000.73 - 1 0.000.73 - 1 0.000.73 - 1 0.000.73 - 1 0.000.73 - 1 0.000.73 - 1 0.000.73 - 1 0.000.73 - 1 0.000.73 - 1 0.000.73 - 1 0.000.73 - 1 0.000.73 - 1 0.000.73 - 1 0.000.73 - 1 0.000.73 - 1 0.000.73 - 1 0.000.73 - 1 0.000.73 - 1 0.000.73 - 1 0.000.73 - 1 0.000.73 - 1 0.000.73 - 1 0.000.73 - 1 0.000.73 - 1 0.000.73 - 1 0.000.73 - 1 0.000.73 - 1 0.000.73 - 1 0.000.73 - 1 0.000.73 - 1 0.000.73 - 1 0.000.73 - 1 0.000.73 - 1 0.000.73 - 1 0.000.73 - 1 0.000.73 - 1 0.000.73 - 1 0.000.73 - 1 0.000.73 - 1 0.000.73 - 1 0.000.73 - 1 0.000.73 - 1 0.000.73 - 1 0.000.73 - 1 0.000.73 - 1 0.000.73 - 1 0.000.73 - 1 0.000.73 - 1 0.000.73 - 1 0.000.73 - 1 0.000.73 - 1 0.000.73 - 1 0.000.73 - 1 0.000.73 - 1 0.000.73 - 1 0.000.73 - 1 0.000.73 - 1 0.000.73 - 1 0.000.73 - 1 0.000.73 - 1 0.000.73 - 1 0.000.73 - 1 0.000.73 - 1 0.000.73 - 1 0.000.73 - 1 0.000.73 - 1 0.000.73 - 1 0.000.73 - 1 0.000.73 - 1 0.000.73 - 1 0.000.73 - 1 0.000.73 - 1 0.000.73 - 1 0.000.73 - 1 0.000.73 - 1 0.000.73 - 1 0.000.73 - 1 0.000.73 - 1 0.000.73 - 1 0.000.73 - 1 0.000.73 - 1 0.000.73 - 1 0.000.73 - 1 0.000.73 - 1 0.000.73 - 1 0.000.73 - 1 0.000.73 - 1 0.000.73 - 1 0.000.73 - 1 0.000.73 - 1 0.000.73 - 1 0.000.73 - 1 0.000.73 - 1 0.000.73 - 1 0.000.73 - 1 0.000.73 - 1 0.000.73 - 1 0.000.73 - 1 0.000.73 - 1 0.000.73 - 1 0.000.73 - 1 0.000.73 - 1 0.000.73 - 1 0.000.73 - 1 0.000.73 - 1 0.000.73 - 1 0.000.73 - 1 0.000.73 - 1 0.000.73 - 1 0.000.73 - 1 0.000.73 - 1	1 1 0.000050 1 1 1 1 1 1 1 1 1 1 1 1 1 1 1 1 1 1 1	G Strong of the Strong of the Strong of the Strong of the Strong of the Strong of the Strong of the Strong of the Strong of the Strong of the Strong of the Strong of the Strong of the Strong of the Strong of the Strong of the Strong of the Strong of the Strong of the Strong of the Strong of the Strong of the Strong of the Strong of the Strong of the Strong of the Strong of the Strong of the Strong of the Strong of the Strong of the Strong of the Strong of the Strong of the Strong of the Strong of the Strong of the Strong of the Strong of the Strong of the Strong of the Strong of the Strong of the Strong of the Strong of the Strong of the Strong of the Strong of the Strong of the Strong of the Strong of the Strong of the Strong of the Strong of the Strong of the Strong of the Strong of the Strong of the Strong of the Strong of the Strong of the Strong of the Strong of the Strong of the Strong of the Strong of the Strong of the Strong of the Strong of the Strong of the Strong of the Strong of the Strong of the Strong of the Strong of the Strong of the Strong of the Strong of the Strong of the Strong of the Strong of the Strong of the Strong of the Strong of the Strong of the Strong of the Strong of the Strong of the Strong of the Strong of the Strong of the Strong of the Strong of the Strong of the Strong of the Strong of the Strong of the Strong of the Strong of the Strong of the Strong of the Strong of the Strong of the Strong of the Strong of the Strong of the Strong of the Strong of the Strong of the Strong of the Strong of the Strong of the Strong of the Strong of the Strong of the Strong of the Strong of the Strong of the Strong of the Strong of the Strong of the Strong of the Strong of the Strong of the Strong of the Strong of the Strong of the Strong of the Strong of the Strong of the Strong of the Strong of the Strong of the Strong of the Strong of the Strong of the Strong of the Strong of the Strong of the Strong of the Strong of the Strong of the Strong of the Strong of the Strong of the Strong of the
A,	++++++++++++++++++++++++++++++++++++++	### ### ##############################	+ + + + + + + + + + + + + + + + + + +	++++++++++++++++++++++++++++++++++++++	++++++++++++++++++++++++++++++++++++++	++++++++++++++++++++++++++++++++++++++
O ₂	0 0 0 0 0 0 0 0 0 0 0 0 0 0 0 0 0 0 0	4 + + + + + + + + + + + + + + + + + + +	00000000000000000000000000000000000000	2 2 2 2 2 2 2 2 2 2 2 2 2 2 2 2 2 2 2	0.02726 0.02772 0.02772 0.02772 0.02772 0.02765 0.02767 0.02767 0.02767 0.02767 0.02767 0.02767 0.02767 0.02767 0.02767 0.02767 0.02767 0.02767 0.02767 0.02767 0.02767 0.02767 0.02767 0.02767 0.02767 0.02767 0.02767 0.02767 0.02767 0.02767 0.02767 0.02767 0.02767 0.02767 0.02767 0.02767 0.02767 0.02767 0.02767 0.02767 0.02767 0.02767 0.02767 0.02767 0.02767 0.02767 0.02767 0.02767 0.02767 0.02767 0.02767 0.02767 0.02767 0.02767 0.02767 0.02767 0.02767 0.02767 0.02767 0.02767 0.02767 0.02767 0.02767 0.02767 0.02767 0.02767 0.02767 0.02767 0.02767 0.02767 0.02767 0.02767 0.02767 0.02767 0.02767 0.02767 0.02767 0.02767 0.02767 0.02767 0.02767 0.02767 0.02767 0.02767 0.02767 0.02767 0.02767 0.02767 0.02767 0.02767 0.02767 0.02767 0.02767 0.02767 0.02767 0.02767 0.02767 0.02767 0.02767 0.02767 0.02767 0.02767 0.02767 0.02767 0.02767 0.02767 0.02767 0.02767 0.02767 0.02767 0.02767 0.02767 0.02767 0.02767 0.02767 0.02767 0.02767 0.02767 0.02767 0.02767 0.02767 0.02767 0.02767 0.02767 0.02767 0.02767 0.02767 0.02767 0.02767 0.02767 0.02767 0.02767 0.02767 0.02767 0.02767 0.02767 0.02767 0.02767 0.02767 0.02767 0.02767 0.02767 0.02767 0.02767 0.02767 0.02767 0.02767 0.02767 0.02767 0.02767 0.02767 0.02767 0.02767 0.02767 0.02767 0.02767 0.02767 0.02767 0.02767 0.02767 0.02767 0.02767 0.02767 0.02767 0.02767 0.02767 0.02767 0.02767 0.02767 0.02767 0.02767 0.02767 0.02767 0.02767 0.02767 0.02767 0.02767 0.02767 0.02767 0.02767 0.02767 0.02767 0.02767 0.02767 0.02767 0.02767 0.02767 0.02767 0.02767 0.02767 0.02767 0.02767 0.02767 0.02767 0.02767 0.02767 0.02767 0.02767 0.02767 0.02767 0.02767 0.02767 0.02767 0.02767 0.02767 0.02767 0.02767 0.02767 0.02767 0.02767 0.02767 0.02767 0.02767 0.02767 0.02767 0.02767 0.02767 0.02767 0.02767 0.02767 0.02767 0.02767 0.02767 0.02767 0.02767 0.02767 0.02767 0.02767 0.02767 0.02767 0.02767 0.02767 0.02767 0.02767 0.02767 0.02767 0.02767 0.02767 0.02767 0.02767 0.02767 0.02767 0.02767 0.02767 0.02767 0.02767 0.02767 0.027677 0.02767 0.02767 0.02767 0.02767 0.02767 0.02767 0.02767 0.027	00176
5° c	6 0 0 0 0 0 0 0 0 0 0 0 0 0 0 0 0 0 0 0	0 0 0 0 0 0 0 0 0 0 0 0 0 0 0 0 0 0 0 0	0 1778 0 0 1778 0 0 1778 0 0 1779 0 0 0 1779 0 0 0 1779 0 0 0 1779 0 0 0 1779 0 0 0 1779 0 0 0 1779 0 0 0 1779 0 0 0 1779 0 0 0 1779 0 0 0 1779 0 0 0 1779 0 0 0 1779 0 0 0 1779 0 0 0 1779 0 0 0 1779 0 0 0 0 1779 0 0 0 0 1779 0 0 0 0 1779 0 0 0 0 1779 0 0 0 0 1779 0 0 0 0 0 1779 0 0 0 0 0 0 0 0 0 0 0 0 0 0 0 0 0 0	0 1555 0 0 1579 0 0 1579 0 0 1579 0 0 1579 0 0 1574 0 0 1574 0 0 1574 0 0 1574 0 0 1574 0 0 1575 0 0 0 1575 0 0 0 1575 0 0 0 1575 0 0 0 1575 0 0 0 1575 0 0 0 1575 0 0 0 1575 0 0 0 1575 0 0 0 1575 0 0 0 1575 0 0 0 1575 0 0 0 1575 0 0 0 1575 0 0 0 1575 0 0 0 1575 0 0 0 1575 0 0 0 1575 0 0 0 1575 0 0 0 0 1575 0 0 0 0 1575 0 0 0 0 1575 0 0 0 0 0 0 0 0 0 0 0 0 0 0 0 0 0 0	0 0 0 0 0 0 0 0 0 0 0 0 0 0 0 0 0 0 0 0	20 20 20 20 20 20 20 20 20 20 20 20 20 2
a,	100 100 100 100 100 100 100 100 100 100	0.010 6445 0.010 6445 0.010 6445 0.010 6445 0.010 6445 0.010 6445 0.010 6445 0.010 6465 0.010	345 (4 mg s) 95 (4 mg s) 95 (4 mg s) 95 (4 mg s) 95 (4 mg s) 95 (4 mg s) 95 (4 mg s) 95 (4 mg s) 95 (4 mg s) 95 (4 mg s) 95 (4 mg s) 95 (4 mg s) 95 (4 mg s) 95 (4 mg s) 95 (4 mg s) 95 (4 mg s) 95 (4 mg s) 95 (4 mg s) 95 (4 mg s) 95 (4 mg s) 95 (4 mg s) 95 (4 mg s) 95 (4 mg s) 95 (4 mg s) 95 (4 mg s) 95 (4 mg s) 95 (4 mg s) 95 (4 mg s) 95 (4 mg s) 95 (4 mg s) 95 (4 mg s) 95 (4 mg s) 95 (4 mg s) 95 (4 mg s) 95 (4 mg s) 95 (4 mg s) 95 (4 mg s) 95 (4 mg s) 95 (4 mg s) 95 (4 mg s) 95 (4 mg s) 95 (4 mg s) 95 (4 mg s) 95 (4 mg s) 95 (4 mg s) 95 (4 mg s) 95 (4 mg s) 95 (4 mg s) 95 (4 mg s) 95 (4 mg s) 95 (4 mg s) 95 (4 mg s) 95 (4 mg s) 95 (4 mg s) 95 (4 mg s) 95 (4 mg s) 95 (4 mg s) 95 (4 mg s) 95 (4 mg s) 95 (4 mg s) 95 (4 mg s) 95 (4 mg s) 95 (4 mg s) 95 (4 mg s) 95 (4 mg s) 95 (4 mg s) 95 (4 mg s) 95 (4 mg s) 95 (4 mg s) 95 (4 mg s) 95 (4 mg s) 95 (4 mg s) 95 (4 mg s) 95 (4 mg s) 95 (4 mg s) 95 (4 mg s) 95 (4 mg s) 95 (4 mg s) 95 (4 mg s) 95 (4 mg s) 95 (4 mg s) 95 (4 mg s) 95 (4 mg s) 95 (4 mg s) 95 (4 mg s) 95 (4 mg s) 95 (4 mg s) 95 (4 mg s) 95 (4 mg s) 95 (4 mg s) 95 (4 mg s) 95 (4 mg s) 95 (4 mg s) 95 (4 mg s) 95 (4 mg s) 95 (4 mg s) 95 (4 mg s) 95 (4 mg s) 95 (4 mg s) 95 (4 mg s) 95 (4 mg s) 95 (4 mg s) 95 (4 mg s) 95 (4 mg s) 95 (4 mg s) 95 (4 mg s) 95 (4 mg s) 95 (4 mg s) 95 (4 mg s) 95 (4 mg s) 95 (4 mg s) 95 (4 mg s) 95 (4 mg s) 95 (4 mg s) 95 (4 mg s) 95 (4 mg s) 95 (4 mg s) 95 (4 mg s) 95 (4 mg s) 95 (4 mg s) 95 (4 mg s) 95 (4 mg s) 95 (4 mg s) 95 (4 mg s) 95 (4 mg s) 95 (4 mg s) 95 (4 mg s) 95 (4 mg s) 95 (4 mg s) 95 (4 mg s) 95 (4 mg s) 95 (4 mg s) 95 (4 mg s) 95 (4 mg s) 95 (4 mg s) 95 (4 mg s) 95 (4 mg s) 95 (4 mg s) 95 (4 mg s) 95 (4 mg s) 95 (4 mg s) 95 (4 mg s) 95 (4 mg s) 95 (4 mg s) 95 (4 mg s) 95 (4 mg s) 95 (4 mg s) 95 (4 mg s) 95 (4 mg s) 95 (4 mg s) 95 (4 mg s) 95 (4 mg s) 95 (4 mg s) 95 (4 mg s) 95 (4 mg s) 95 (4 mg s) 95 (4 mg s) 95 (4 mg s) 95 (4 mg s) 95 (4 mg s) 95 (4 mg s) 95 (4 mg s) 95 (4 mg s) 95 (4 mg s) 95 (4 mg s) 95 (4 mg s) 95 (4 mg s) 95 (4 mg s) 95 (4 mg s) 95 (4 mg s) 95 (4		0.008 3530 + 77 0.008 3658 + 77 0.008 6858 + 77 0.008 6858 + 77 0.008 6858 + 77 0.008 6858 + 77 0.008 6858 + 77 0.008 6858 + 77 0.008 6858 + 77 0.008 6858 + 77 0.008 6858 + 77 0.008 6858 + 77 0.008 6858 + 77 0.008 6858 + 77 0.008 6858 + 77 0.008 6858 + 77 0.008 6858 + 77 0.008 6858 + 77 0.008 6858 + 77 0.008 6858 + 77 0.008 6858 + 77 0.008 6858 + 77 0.008 6858 + 77 0.008 6858 + 77 0.008 6858 + 77 0.008 6858 + 77 0.008 6858 + 77 0.008 6858 + 77 0.008 6858 + 77 0.008 6858 + 77 0.008 6858 + 77 0.008 6858 + 77 0.008 6858 + 77 0.008 6858 + 77 0.008 6858 + 77 0.008 6858 + 77 0.008 6858 + 77 0.008 6858 + 77 0.008 6858 + 77 0.008 6858 + 77 0.008 6858 + 77 0.008 6858 + 77 0.008 6858 + 77 0.008 6858 + 77 0.008 6858 + 77 0.008 6858 + 77 0.008 6858 + 77 0.008 6858 + 77 0.008 6858 + 77 0.008 6858 + 77 0.008 6858 + 77 0.008 6858 + 77 0.008 6858 + 77 0.008 6858 + 77 0.008 6858 + 77 0.008 6858 + 77 0.008 6858 + 77 0.008 6858 + 77 0.008 6858 + 77 0.008 6858 + 77 0.008 6858 + 77 0.008 6858 + 77 0.008 6858 + 77 0.008 6858 + 77 0.008 6858 + 77 0.008 6858 + 77 0.008 6858 + 77 0.008 6858 + 77 0.008 6858 + 77 0.008 6858 + 77 0.008 6858 + 77 0.008 6858 + 77 0.008 6858 + 77 0.008 6858 + 77 0.008 6858 + 77 0.008 6858 + 77 0.008 6858 + 77 0.008 6858 + 77 0.008 6858 + 77 0.008 6858 + 77 0.008 6858 + 77 0.008 6858 + 77 0.008 6858 + 77 0.008 6858 + 77 0.008 6858 + 77 0.008 6858 + 77 0.008 6858 + 77 0.008 6858 + 77 0.008 6858 + 77 0.008 6858 + 77 0.008 6858 + 77 0.008 6858 + 77 0.008 6858 + 77 0.008 6858 + 77 0.008 6858 + 77 0.008 6858 + 77 0.008 6858 + 77 0.008 6858 + 77 0.008 6858 + 77 0.008 6858 + 77 0.008 6858 + 77 0.008 6858 + 77 0.008 6858 + 77 0.008 6858 + 77 0.008 6858 + 77 0.008 6858 + 77 0.008 6858 + 77 0.008 6858 + 77 0.008 6858 + 77 0.008 6858 + 77 0.008 6858 + 77 0.008 6858 + 77 0.008 6858 + 77 0.008 6858 + 77 0.008 6858 + 77 0.008 6858 + 77 0.008 6858 + 77 0.008 6858 + 77 0.008 6858 + 77 0.008 6858 + 77 0.008	- 0 007 4536 + 64 - 0 007 3504 + 64 - 0 007 3704 + 65 - 0 007 770 + 65 - 0 007 770 + 65 - 0 007 770 + 65 - 0 007 770 + 65 - 0 007 770 + 65 - 0 007 770 + 65 - 0 007 770 + 65 - 0 007 770 + 65 - 0 007 770 + 65 - 0 007 770 + 65 - 0 007 770 + 65 - 0 007 770 + 65 - 0 007 770 + 65 - 0 007 770 + 65 - 0 007 770 + 65 - 0 007 770 + 65 - 0 007 770 + 65 - 0 007 770 + 65 - 0 007 770 + 65 - 0 007 770 + 65 - 0 007 770 + 65 - 0 007 770 + 65 - 0 007 770 + 65 - 0 007 770 + 65 - 0 007 770 + 65 - 0 007 770 + 65 - 0 007 770 + 65 - 0 007 770 + 65 - 0 007 770 + 65 - 0 007 770 + 65 - 0 007 770 + 65 - 0 007 770 + 65 - 0 007 770 + 65 - 0 007 770 + 65 - 0 007 770 + 65 - 0 007 770 + 65 - 0 007 770 + 65 - 0 007 770 + 65 - 0 007 770 + 65 - 0 007 770 + 65 - 0 007 770 + 65 - 0 007 770 + 65 - 0 007 770 + 65 - 0 007 770 + 65 - 0 007 770 + 65 - 0 007 770 + 65 - 0 007 770 + 65 - 0 007 770 + 65 - 0 007 770 + 65 - 0 007 770 + 65 - 0 007 770 + 65 - 0 007 770 + 65 - 0 007 770 + 65 - 0 007 770 + 65 - 0 007 770 + 65 - 0 007 770 + 65 - 0 007 770 + 65 - 0 007 770 + 65 - 0 007 770 + 65 - 0 007 770 + 65 - 0 007 770 + 65 - 0 007 770 + 65 - 0 007 770 + 65 - 0 007 770 + 65 - 0 007 770 + 65 - 0 007 770 + 65 - 0 007 770 + 65 - 0 007 770 + 65 - 0 007 770 + 65 - 0 007 770 + 65 - 0 007 770 + 65 - 0 007 770 + 65 - 0 007 770 + 65 - 0 007 770 + 65 - 0 007 770 + 65 - 0 007 770 + 65 - 0 007 770 + 65 - 0 007 770 + 65 - 0 007 770 + 65 - 0 007 770 + 65 - 0 007 770 + 65 - 0 007 770 + 65 - 0 007 770 + 65 - 0 007 770 + 65 - 0 007 770 + 65 - 0 007 770 + 65 - 0 007 770 + 65 - 0 007 770 + 65 - 0 007 770 + 65 - 0 007 770 + 65 - 0 007 770 + 65 - 0 007 770 + 65 - 0 007 770 + 65 - 0 007 770 + 65 - 0 007 770 + 65 - 0 007 770 + 65 - 0 007 770 + 65 - 0 007 770 + 65 - 0 007 770 + 65 - 0 007 770 + 65 - 0 007 770 + 65 - 0 007 770 + 65 - 0 007 770 + 65 - 0 007 770 + 65 - 0 007 770 + 65 - 0 007 770 + 65 - 0 007 770 + 65 - 0 007 770 + 65 - 0 007 770 + 65 - 0 007 770 + 65 - 0 007 7
a ₂		0.026745 0.02780 0.02780 0.0270 0.0270 0.0270 0.0270 0.0270 0.0270 0.0270 0.0270 0.0270 0.0270 0.0270 0.0270 0.0270 0.0270 0.0270 0.0270 0.0270 0.0270 0.0270 0.0270 0.0270 0.0270 0.0270 0.0270 0.0270 0.0270 0.0270 0.0270 0.0270 0.0270 0.0270 0.0270 0.0270 0.0270 0.0270 0.0270 0.0270 0.0270 0.0270 0.0270 0.0270 0.0270 0.0270 0.0270 0.0270 0.0270 0.0270 0.0270 0.0270 0.0270 0.0270 0.0270 0.0270 0.0270 0.0270 0.0270 0.0270 0.0270 0.0270 0.0270 0.0270 0.0270 0.0270 0.0270 0.0270 0.0270 0.0270 0.0270 0.0270 0.0270 0.0270 0.0270 0.0270 0.0270 0.0270 0.0270 0.0270 0.0270 0.0270 0.0270 0.0270 0.0270 0.0270 0.0270 0.0270 0.0270 0.0270 0.0270 0.0270 0.0270 0.0270 0.0270 0.0270 0.0270 0.0270 0.0270 0.0270 0.0270 0.0270 0.0270 0.0270 0.0270 0.0270 0.0270 0.0270 0.0270 0.0270 0.0270 0.0270 0.0270 0.0270 0.0270 0.0270 0.0270 0.0270 0.0270 0.0270 0.0270 0.0270 0.0270 0.0270 0.0270 0.0270 0.0270 0.0270 0.0270 0.0270 0.0270 0.0270 0.0270 0.0270 0.0270 0.0270 0.0270 0.0270 0.0270 0.0270 0.0270 0.0270 0.0270 0.0270 0.0270 0.0270 0.0270 0.0270 0.0270 0.0270 0.0270 0.0270 0.0270 0.0270 0.0270 0.0270 0.0270 0.0270 0.0270 0.0270 0.0270 0.0270 0.0270 0.0270 0.0270 0.0270 0.0270 0.0270 0.0270 0.0270 0.0270 0.0270 0.0270 0.0270 0.0270 0.0270 0.0270 0.0270 0.0270 0.0270 0.0270 0.0270 0.0270 0.0270 0.0270 0.0270 0.0270 0.0270 0.0270 0.0270 0.0270 0.0270 0.0270 0.0270 0.0270 0.0270 0.0270 0.0270 0.0270 0.0270 0.0270 0.0270 0.0270 0.0270 0.0270 0.0270 0.0270 0.0270 0.0270 0.0270 0.0270 0.0270 0.0270 0.0270 0.0270 0.0270 0.0270 0.0270 0.0270 0.0270 0.0270 0.0270 0.0270 0.0270 0.0270 0.0270 0.0270 0.0270 0.0270 0.0270 0.0270 0.0270 0.0270 0.0270 0.0270 0.0270 0.0270 0.0270 0.0270 0.0270 0.0270 0.0270 0.0270 0.0270 0.0270 0.0270 0.0270 0.0270 0.0270 0.0270 0.0270 0.0270 0.0270 0.0270 0.0270 0.0270 0.0270 0.0270 0.0270 0.0270 0.0270 0.0270 0.0270 0.0270 0.0270 0.0270 0.0270 0.0270 0.0270 0.0270 0.0270 0.0270 0.0270 0.0270 0.0270 0.0270 0.0270 0.0270 0.0270 0.0270 0.0270 0.0270 0.0270 0.0270 0.0270 0.0270 0.0270 0.0270 0.0270 0.0270 0.0270 0.027	0 0 0 7 7 3 0 8 1 0 0 0 0 1 1 1 1 1 1 1 1 1 1 1 1 1	0.027 80.0 0.027 84.7 0.027 94.0 0.027 98.0 0.028 07.0 0.028 11.0 0.028 11.0 0.028 11.0 0.028 11.0 0.028 11.0 0.028 11.0 0.028 10.0 0.028 11.0	2 0 0 0 0 0 0 0 0 0 0 0 0 0 0 0 0 0 0 0	0 0 0 0 0 0 0 0 0 0 0 0 0 0 0 0 0 0 0
et s	++++++++++++++++++++++++++++++++++++++	++++++++++++++++++++++++++++++++++++++	+ + + + + + + + + + + + + + + + + + +		810000 110000 110000 110000 110000 110000 110000 110000 110000 110000 110000 110000 110000 110000 110000 110000 110000 110000 110000 110000 110000 110000 110000 110000 110000 110000 110000 110000 110000 110000 110000 110000 110000 110000 110000 110000 110000 110000 110000 110000 110000 110000 110000 110000 110000 110000 110000 110000 110000 110000 110000 110000 110000 110000 110000 110000 110000 110000 110000 110000 110000 110000 110000 110000 110000 110000 110000 110000 110000 110000 110000 110000 110000 110000 110000 110000 110000 110000 110000 11000 110000 110000 110000 110000 110000 110000 110000 110000 110000 110000 110000 110000 110000 110000 110000 110000 110000 110000 110000 110000 110000 110000 110000 110000 110000 110000 110000 110000 110000 110000 110000 110000 110000 110000 110000 110000 110000 110000 110000 110000 110000 110000 110000 110000 110000 110000 110000 110000 110000 110000 110000 110000 110000 110000 110000 110000 110000 110000 110000 110000 110000 110000 110000 110000 110000 110000 110000 110000 110000 110000 110000 110000 110000 110000 110000 110000 110000 110000 110000 110000 110000 110000 110000 110000 110000 110000 110000 110000 110000 110000 110000 110000 110000 110000 110000 110000 110000 110000 110000 110000 110000 110000 110000 110000 110000 110000 110000 110000 110000 110000 110000 110000 110000 110000 110000 110000 110000 110000 110000 110000 110000 110000 110000 110000 110000 110000 110000 110000 110000 110000 110000 110000 110000 110000 110000 110000 110000 110000 110000 110000 110000 110000 110000 110000 110000 110000 110000 110000 110000 110000 110000 110000 110000 110000 110000 110000 110000 110000 110000 110000 110000 110000 110000 110000 110000 110000 110000 110000 110000 110000 110000 110000 110000 110000 110000 110000	\$ \$ \$ \$ \$ \$ \$ \$ \$ \$ \$ \$ \$ \$ \$ \$ \$ \$ \$
101	0-4440 PBD	8 # 12 2 # 12 6 12 6	2 2 2 2 2 2 2 2 2 2 2 2 2 2 2 2 2 2 2 2		51421250566	8 5 5 5 5 5 5 5 5 5 5 5 5 5 5 5 5 5 5 5

	111111111	H H H O O O O O O O	000000000	000000000	000000000	0000000000	1
$d_3^2$	+ + 0.00594 + 0.00575 + 0.00575 + 0.00530 + 0.00404 + 0.00404 + 0.00404 + 0.00404	+ 0.00433 + 0.00474 + 0.00369 + 0.00339 + 0.00334 + 0.003924 + 0.00399	+ 0.00281 + 0.00268 + 0.00242 + 0.00219 + 0.00219 + 0.00183 + 0.00183	+ 0.00160 + 0.00130 + 0.00131 + 0.00131 + 0.00131 + 0.00035 + 0.00035	+ 0.00072 + 0.00058 + 0.00058 + 0.00059 + 0.00046 + 0.00035 + 0.00035 + 0.00036	0.0000 0.0000 0.0000 0.0000 0.0000 0.0000 0.0000 0.0000 0.0000 0.0000 0.0000 0.0000 0.0000 0.0000 0.0000 0.0000 0.0000 0.0000 0.0000 0.0000 0.0000 0.0000 0.0000 0.0000 0.0000 0.0000 0.0000 0.0000 0.0000 0.0000 0.0000 0.0000 0.0000 0.0000 0.0000 0.0000 0.0000 0.0000 0.0000 0.0000 0.0000 0.0000 0.0000 0.0000 0.0000 0.0000 0.0000 0.0000 0.0000 0.0000 0.0000 0.0000 0.0000 0.0000 0.0000 0.0000 0.0000 0.0000 0.0000 0.0000 0.0000 0.0000 0.0000 0.0000 0.0000 0.0000 0.0000 0.0000 0.0000 0.0000 0.0000 0.0000 0.0000 0.0000 0.0000 0.0000 0.0000 0.0000 0.0000 0.0000 0.0000 0.0000 0.0000 0.0000 0.0000 0.0000 0.0000 0.0000 0.0000 0.0000 0.0000 0.0000 0.0000 0.0000 0.0000 0.0000 0.0000 0.0000 0.0000 0.0000 0.0000 0.0000 0.0000 0.0000 0.0000 0.0000 0.0000 0.0000 0.0000 0.0000 0.0000 0.0000 0.0000 0.0000 0.0000 0.0000 0.0000 0.0000 0.0000 0.0000 0.0000 0.0000 0.0000 0.0000 0.0000 0.0000 0.0000 0.0000 0.0000 0.0000 0.0000 0.0000 0.0000 0.0000 0.0000 0.0000 0.0000 0.0000 0.0000 0.0000 0.0000 0.0000 0.0000 0.0000 0.0000 0.0000 0.0000 0.0000 0.0000 0.0000 0.0000 0.0000 0.0000 0.0000 0.0000 0.0000 0.0000 0.0000 0.0000 0.0000 0.0000 0.0000 0.0000 0.0000 0.0000 0.0000 0.0000 0.0000 0.0000 0.0000 0.0000 0.0000 0.0000 0.0000 0.0000 0.0000 0.0000 0.0000 0.0000 0.0000 0.0000 0.0000 0.0000 0.0000 0.0000 0.0000 0.0000 0.0000 0.0000 0.0000 0.0000 0.0000 0.0000 0.0000 0.0000 0.0000 0.0000 0.0000 0.0000 0.0000 0.0000 0.0000 0.0000 0.0000 0.0000 0.0000 0.0000 0.0000 0.0000 0.0000 0.0000 0.0000 0.0000 0.0000 0.0000 0.0000 0.0000 0.0000 0.0000 0.0000 0.0000 0.0000 0.0000 0.0000 0.0000 0.0000 0.0000 0.0000 0.0000 0.0000 0.0000 0.0000 0.0000 0.0000 0.0000 0.0000 0.0000 0.0000 0.0000 0.0000 0.0000 0.0000 0.0000 0.0000 0.0000 0.0000 0.0000 0.0000 0.0000 0.0000 0.0000 0.0000 0.0000 0.0000 0.0000 0.0000	
$d_3^{\rm r}$	+ 0.0547 + 0.0539 + 0.0532 + 0.0533 + 0.0513 + 0.0496 + 0.0479 + 0.0471	+ 0.0463 + 0.0453 + 0.0436 + 0.0437 + 0.0437 + 0.0409 + 0.0409 + 0.0391	+ 0.0373 + 0.0354 + 0.0355 + 0.0337 + 0.0328 + 0.0328 + 0.0329 + 0.0329	+ 0.0282 + 0.0273 + 0.0255 + 0.0245 + 0.0236 + 0.0237 + 0.0208 + 0.0208	+ 0.0189 + 0.0180 + 0.0170 + 0.0152 + 0.0133 + 0.0133 + 0.0124 + 0.0124	+ + + 0.00035 + 0.00036 + 0.00036 + 0.00038 + 0.00038 + 0.00038 + 0.00039 + 0.00039	
a ^b 3	\$\$\$\$\$\$\$\$\$\$\$\$\$\$\$\$\$\$\$\$\$\$\$\$\$\$\$\$\$\$\$\$\$\$\$\$\$\$	++++++++	\$888888888 6666666666666666666666666666	++++++++	++++++++++	++++++++++++++++++++++++++++++++++++++	
" ³	+ o ⁶ cos 3776 - 39 + c.cos 9383 - 38 + c.cos 9386 - 38 + c.cos 8846 - 38 + c.cos 8877 - 37 + c.cos 7765 - 36 + c.cos 7765 - 35 + c.cos 7956 - 35 + c.cos 6950 - 34	+ 0.002 5635 - 33 + 0.002 1195 - 33 + 0.002 4751 - 32 + 0.002 4751 - 31 + 0.002 4751 - 31 + 0.002 3395 - 30 + 0.002 2395 - 30 + 0.002 2470 - 29 + 0.002 2470 - 29 + 0.002 1530 - 28	+ 0.002 1055 - 27 + 0.002 0575 - 27 + 0.002 0577 - 25 + 0.001 1017 - 25 + 0.001 1828 - 23 + 0.001 1828 - 23 + 0.001 1828 - 23 + 0.001 1829 - 23 + 0.001 1827 - 22	+ 0.001 6114   21 + 0.001 5604   20 + 0.001 4575   19 + 0.001 4576   18 + 0.001 3135   11 + 0.001 3135   17 + 0.001 3136   17 + 0.001 3136   13 +	+ 0.001 0899   -14 + 0.001 0899   -13 + 0.000 9839   13 + 0.000 8755   11 + 0.000 8755   11 + 0.000 8757   10 + 0.000 9781   9 + 0.000 9781   9 + 0.000 6942   -8	+ 0.000 5496   7 + 0.000 5496   6 + 0.000 5497   6 + 0.000 533   6 + 0.000 2344   1 + 0.000 2345   1 + 0.000 103   1 + 0.000 113   1 + 0.000 113   1 + 0.000 113   1 + 0.000 0000   1	
u33	+ 0.012 706   - 3 + 0.012 706   - 3 + 0.012 826   - 3 + 0.012 83   - 3 + 0.013 93   - 3 + 0.013 110   - 3 + 0.013 110   - 3 + 0.013 110   - 3 + 0.013 110   - 3 + 0.013 110   - 3	+ + + 0.013 509 + 0.013 319 + 0.013 406 + 0.013 503 + 0.013 503 + 0.013 603 +	+ 0.013 730   1.3   1.3   1.3   1.3   1.3   1.3   1.3   1.3   1.3   1.3   1.3   1.3   1.3   1.3   1.3   1.3   1.3   1.3   1.3   1.3   1.3   1.3   1.3   1.3   1.3   1.3   1.3   1.3   1.3   1.3   1.3   1.3   1.3   1.3   1.3   1.3   1.3   1.3   1.3   1.3   1.3   1.3   1.3   1.3   1.3   1.3   1.3   1.3   1.3   1.3   1.3   1.3   1.3   1.3   1.3   1.3   1.3   1.3   1.3   1.3   1.3   1.3   1.3   1.3   1.3   1.3   1.3   1.3   1.3   1.3   1.3   1.3   1.3   1.3   1.3   1.3   1.3   1.3   1.3   1.3   1.3   1.3   1.3   1.3   1.3   1.3   1.3   1.3   1.3   1.3   1.3   1.3   1.3   1.3   1.3   1.3   1.3   1.3   1.3   1.3   1.3   1.3   1.3   1.3   1.3   1.3   1.3   1.3   1.3   1.3   1.3   1.3   1.3   1.3   1.3   1.3   1.3   1.3   1.3   1.3   1.3   1.3   1.3   1.3   1.3   1.3   1.3   1.3   1.3   1.3   1.3   1.3   1.3   1.3   1.3   1.3   1.3   1.3   1.3   1.3   1.3   1.3   1.3   1.3   1.3   1.3   1.3   1.3   1.3   1.3   1.3   1.3   1.3   1.3   1.3   1.3   1.3   1.3   1.3   1.3   1.3   1.3   1.3   1.3   1.3   1.3   1.3   1.3   1.3   1.3   1.3   1.3   1.3   1.3   1.3   1.3   1.3   1.3   1.3   1.3   1.3   1.3   1.3   1.3   1.3   1.3   1.3   1.3   1.3   1.3   1.3   1.3   1.3   1.3   1.3   1.3   1.3   1.3   1.3   1.3   1.3   1.3   1.3   1.3   1.3   1.3   1.3   1.3   1.3   1.3   1.3   1.3   1.3   1.3   1.3   1.3   1.3   1.3   1.3   1.3   1.3   1.3   1.3   1.3   1.3   1.3   1.3   1.3   1.3   1.3   1.3   1.3   1.3   1.3   1.3   1.3   1.3   1.3   1.3   1.3   1.3   1.3   1.3   1.3   1.3   1.3   1.3   1.3   1.3   1.3   1.3   1.3   1.3   1.3   1.3   1.3   1.3   1.3   1.3   1.3   1.3   1.3   1.3   1.3   1.3   1.3   1.3   1.3   1.3   1.3   1.3   1.3   1.3   1.3   1.3   1.3   1.3   1.3   1.3   1.3   1.3   1.3   1.3   1.3   1.3   1.3   1.3   1.3   1.3   1.3   1.3   1.3   1.3   1.3   1.3   1.3   1.3   1.3   1.3   1.3   1.3   1.3   1.3   1.3   1.3   1.3   1.3   1.3   1.3   1.3   1.3   1.3   1.3   1.3   1.3   1.3   1.3   1.3   1.3   1.3   1.3   1.3   1.3   1.3   1.3   1.3   1.3   1.3   1.3   1.3   1.3   1.3   1.3   1.3   1.3   1.3   1.3   1.3   1.3	+ 0.014 088   - 3 + 0.014 117   3 + 0.014 201   3 + 0.014 201   3 + 0.014 201   3 + 0.014 201   3 + 0.014 201   3 + 0.014 201   3 + 0.014 201   3 + 0.014 201   3 + 0.014 201   3 + 0.014 201   3 + 0.014 201   3 + 0.014 201   3 + 0.014 201   3 + 0.014 201   3 + 0.014 201   3 + 0.014 201   3 + 0.014 201   3 + 0.014 201   3 + 0.014 201   3 + 0.014 201   3 + 0.014 201   3 + 0.014 201   3 + 0.014 201   3 + 0.014 201   3 + 0.014 201   3 + 0.014 201   3 + 0.014 201   3 + 0.014 201   3 + 0.014 201   3 + 0.014 201   3 + 0.014 201   3 + 0.014 201   3 + 0.014 201   3 + 0.014 201   3 + 0.014 201   3 + 0.014 201   3 + 0.014 201   3 + 0.014 201   3 + 0.014 201   3 + 0.014 201   3 + 0.014 201   3 + 0.014 201   3 + 0.014 201   3 + 0.014 201   3 + 0.014 201   3 + 0.014 201   3 + 0.014 201   3 + 0.014 201   3 + 0.014 201   3 + 0.014 201   3 + 0.014 201   3 + 0.014 201   3 + 0.014 201   3 + 0.014 201   3 + 0.014 201   3 + 0.014 201   3 + 0.014 201   3 + 0.014 201   3 + 0.014 201   3 + 0.014 201   3 + 0.014 201   3 + 0.014 201   3 + 0.014 201   3 + 0.014 201   3 + 0.014 201   3 + 0.014 201   3 + 0.014 201   3 + 0.014 201   3 + 0.014 201   3 + 0.014 201   3 + 0.014 201   3 + 0.014 201   3 + 0.014 201   3 + 0.014 201   3 + 0.014 201   3 + 0.014 201   3 + 0.014 201   3 + 0.014 201   3 + 0.014 201   3 + 0.014 201   3 + 0.014 201   3 + 0.014 201   3 + 0.014 201   3 + 0.014 201   3 + 0.014 201   3 + 0.014 201   3 + 0.014 201   3 + 0.014 201   3 + 0.014 201   3 + 0.014 201   3 + 0.014 201   3 + 0.014 201   3 + 0.014 201   3 + 0.014 201   3 + 0.014 201   3 + 0.014 201   3 + 0.014 201   3 + 0.014 201   3 + 0.014 201   3 + 0.014 201   3 + 0.014 201   3 + 0.014 201   3 + 0.014 201   3 + 0.014 201   3 + 0.014 201   3 + 0.014 201   3 + 0.014 201   3 + 0.014 201   3 + 0.014 201   3 + 0.014 201   3 + 0.014 201   3 + 0.014 201   3 + 0.014 201   3 + 0.014 201   3 + 0.014 201   3 + 0.014 201   3 + 0.014 201   3 + 0.014 201   3 + 0.	+ 0.014 338   + 0.014 338   + 0.014 337   + 0.014 337   + 0.014 337   + 0.014 437   + 0.014 438   + 0.014 448   + 0.014 448   + 0.014 448   + 0.014 448   + 0.014 448   + 0.014 448   + 0.014 448   + 0.014 448   + 0.014 448   + 0.014 448   + 0.014 448   + 0.014 448   + 0.014 448   + 0.014 448   + 0.014 448   + 0.014 448   + 0.014 448   + 0.014 448   + 0.014 448   + 0.014 448   + 0.014 448   + 0.014 448   + 0.014 448   + 0.014 448   + 0.014 448   + 0.014 448   + 0.014 448   + 0.014 448   + 0.014 448   + 0.014 448   + 0.014 448   + 0.014 448   + 0.014 448   + 0.014 448   + 0.014 448   + 0.014 448   + 0.014 448   + 0.014 448   + 0.014 448   + 0.014 448   + 0.014 448   + 0.014 448   + 0.014 448   + 0.014 448   + 0.014 448   + 0.014 448   + 0.014 448   + 0.014 448   + 0.014 448   + 0.014 448   + 0.014 448   + 0.014 448   + 0.014 448   + 0.014 448   + 0.014 448   + 0.014 448   + 0.014 448   + 0.014 448   + 0.014 448   + 0.014 448   + 0.014 448   + 0.014 448   + 0.014 448   + 0.014 448   + 0.014 448   + 0.014 448   + 0.014 448   + 0.014 448   + 0.014 448   + 0.014 448   + 0.014 448   + 0.014 448   + 0.014 448   + 0.014 448   + 0.014 448   + 0.014 448   + 0.014 448   + 0.014 448   + 0.014 448   + 0.014 448   + 0.014 448   + 0.014 448   + 0.014 448   + 0.014 448   + 0.014 448   + 0.014 448   + 0.014 448   + 0.014 448   + 0.014 448   + 0.014 448   + 0.014 448   + 0.014 448   + 0.014 448   + 0.014 448   + 0.014 448   + 0.014 448   + 0.014 448   + 0.014 448   + 0.014 448   + 0.014 448   + 0.014 448   + 0.014 448   + 0.014 448   + 0.014 448   + 0.014 448   + 0.014 448   + 0.014 448   + 0.014 448   + 0.014 448   + 0.014 448   + 0.014 448   + 0.014 448   + 0.014 448   + 0.014 448   + 0.014 448   + 0.014 448   + 0.014 448   + 0.014 448   + 0.014 448   + 0.014 448   + 0.014 448   + 0.014 448   + 0.014 448   + 0.014 448   + 0.014 448   + 0.014 448   + 0.014 448   + 0.014 448   + 0.014 448   + 0.014 448   + 0.014 448   + 0.014 448   + 0.014 448   + 0.014 448   + 0.014 448   + 0.014 448   + 0.014 448   + 0.014 448   + 0.014 448   +	+ 0.014 439   + 0.014 439   + 0.014 439   + 0.014 639   + 0.014 639   + 0.014 639   + 0.014 639   + 0.014 639   + 0.014 639   + 0.014 639   + 0.014 639   + 0.014 639   + 0.014 639   + 0.014 639   + 0.014 639   + 0.014 639   + 0.014 639   + 0.014 639   + 0.014 639   + 0.014 639   + 0.014 639   + 0.014 639   + 0.014 639   + 0.014 639   + 0.014 639   + 0.014 639   + 0.014 639   + 0.014 639   + 0.014 639   + 0.014 639   + 0.014 639   + 0.014 639   + 0.014 639   + 0.014 639   + 0.014 639   + 0.014 639   + 0.014 639   + 0.014 639   + 0.014 639   + 0.014 639   + 0.014 639   + 0.014 639   + 0.014 639   + 0.014 639   + 0.014 639   + 0.014 639   + 0.014 639   + 0.014 639   + 0.014 639   + 0.014 639   + 0.014 639   + 0.014 639   + 0.014 639   + 0.014 639   + 0.014 639   + 0.014 639   + 0.014 639   + 0.014 639   + 0.014 639   + 0.014 639   + 0.014 639   + 0.014 639   + 0.014 639   + 0.014 639   + 0.014 639   + 0.014 639   + 0.014 639   + 0.014 639   + 0.014 639   + 0.014 639   + 0.014 639   + 0.014 639   + 0.014 639   + 0.014 639   + 0.014 639   + 0.014 639   + 0.014 639   + 0.014 639   + 0.014 639   + 0.014 639   + 0.014 639   + 0.014 639   + 0.014 639   + 0.014 639   + 0.014 639   + 0.014 639   + 0.014 639   + 0.014 639   + 0.014 639   + 0.014 639   + 0.014 639   + 0.014 639   + 0.014 639   + 0.014 639   + 0.014 639   + 0.014 639   + 0.014 639   + 0.014 639   + 0.014 639   + 0.014 639   + 0.014 639   + 0.014 639   + 0.014 639   + 0.014 639   + 0.014 639   + 0.014 639   + 0.014 639   + 0.014 639   + 0.014 639   + 0.014 639   + 0.014 639   + 0.014 639   + 0.014 639   + 0.014 639   + 0.014 639   + 0.014 639   + 0.014 639   + 0.014 639   + 0.014 639   + 0.014 639   + 0.014 639   + 0.014 639   + 0.014 639   + 0.014 639   + 0.014 639   + 0.014 639   + 0.014 639   + 0.014 639   + 0.014 639   + 0.014 639   + 0.014 639   + 0.014 639   + 0.014 639   + 0.014 639   + 0.014 639   + 0.014 639   + 0.014 639   + 0.014 639   + 0.014 639   + 0.014 639   + 0.014 639   + 0.014 639   + 0.014 639   + 0.014 639   + 0.014 639   + 0.014 639   +	
$a_3^{\scriptscriptstyle \rm I}$	- 0.00024 - 0.00024 - 0.00024 - 0.00023 - 0.00019 - 0.00019 - 0.00016 - 0.00016	0.000013	0 0 00000000000000000000000000000000000	0 0 0 0 0 0 0 0 0 0 0 0 0 0 0 0 0 0 0	0 0 0 0 0 0 0 0 0 0 0 0 0 0 0 0 0 0 0	+ + + + + + + + + + + + + + + + + + +	
g°	++++++++++++++++++++++++++++++++++++++	+ + + + + + + + + + + + + + + + + + +	+ + + + + + + + + + + + + + + + + + +	+++++++++++++++++++++++++++++++++++++++	++++++++++++++++++++++++++++++++++++++	+ + + + + + + + + + + + + + + + + + +	
$d_2^1$	0.01306 1 - 0.01364 1 - 0.01323 1 - 0.01181 1 - 0.01014 1 - 0.01034 1 - 0.00366 1 - 0.0036	0.00913 + 1		0.00333 0.00330 0.00330 0.00330 0.00350 0.00330 0.00333 0.00333 0.00333 0.00333 0.00333	0.00146 0.00134 0.00134 0.00039 0.00093 0.00093 0.00093 0.00093	0 0 0 0 0 0 0 0 0 0 0 0 0 0 0 0 0 0 0	1850
G ²	0.0999 0.0999 0.0999 0.0999 0.0999 0.0999 0.0999	0.0884 0.0865 0.0846 0.0989 0.0769 0.0769	0.0692 0.0673 0.0673 0.0673 0.0615 0.0595 0.0537 0.0537	0.0498 0.0479 0.0479 0.04410 0.0382 0.0382 0.0383	0.00364 0.00364 0.00365 0.00366 0.00367 0.00367 0.00367 0.00367 0.00367 0.00367	0 0 0 0 0 0 0 0 0 0 0 0 0 0 0 0 0 0 0	
a ₂	- 0.000 4975 + 56 - 0.000 3990 + 55 - 0.000 3091 + 54 - 0.000 3091 + 54 - 0.000 3091 + 52 - 0.000 5094 + 52 - 0.000 8996 + 51 - 0.000 8996 + 51 - 0.000 8996 + 51 - 0.000 8996 + 54 - 0.000 8996 + 54	- 0.005 4920 + 47 - 0.005 3890 + 47 - 0.005 3890 + 47 - 0.005 3890 + 47 - 0.005 3876 + 44 - 0.004 9770 + 44 - 0.004 8631 + 43 - 0.004 6531 + 40 - 0.004 6531 + 40	- 0.004 4446 + 38 - 0.004 3379 + 38 - 0.004 1234 + 36 - 0.004 1234 + 35 - 0.009 1234 + 34 - 0.003 9977 + 34 - 0.003 9987 + 34 - 0.003 698 + 33 - 0.003 478 + 31	- 0.003 3634 + 29 - 0.003 2537 + 28 - 0.003 1438 + 27 - 0.003 03361 + 26 - 0.002 2933 + 25 - 0.002 2018 + 23 - 0.002 1768 + 23 - 0.002 1768 + 23 - 0.002 1768 + 23 - 0.002 1768 + 23	- 0.002 2566 + 20 - 0.002 1448 + 19 - 0.001 9208 + 17 - 0.001 808 + 15 - 0.001 808 + 15 - 0.001 808 + 15 - 0.001 808 + 15 - 0.001 388 + 14 - 0.001 358 + 12 - 0.001 358 + 12	- 0.001 1326 + 10 - 0.001 0106 + 9 - 0.000 0065 + 8 - 0.000 0063 + 6 - 0.000 5681 + 6 - 0.000 5681 + 6 - 0.000 5681 + 6 - 0.000 2681 + 6 - 0.000 2681 + 6 - 0.000 2681 + 6 - 0.000 2681 + 1 - 0.000 2681 + 1 - 0.000 2681 + 1 - 0.000 1134 + 1	
$a_2^{\scriptscriptstyle \mathrm{I}}$		200 200 200 200 200 200 200 200 200 200	0.039 547   6 0.039 537   6 0.039 537   6 0.039 537   6 0.039 537   6 0.039 537   6 0.039 537   6 0.039 538   6 0.039 538   6 0.039 538   6 0.039 538   6 0.039 538   6 0.039 538   6 0.039 538   6 0.039 538   6 0.039 538   6 0.039 538   6 0.039 538   6 0.039 538   6 0.039 538   6 0.039 538   6 0.039 538   6 0.039 538   6 0.039 538   6 0.039 538   6 0.039 538   6 0.039 538   6 0.039 538   6 0.039 538   6 0.039 538   6 0.039 538   6 0.039 538   6 0.039 538   6 0.039 538   6 0.039 538   6 0.039 538   6 0.039 538   6 0.039 538   6 0.039 538   6 0.039 538   6 0.039 538   6 0.039 538   6 0.039 538   6 0.039 538   6 0.039 538   6 0.039 538   6 0.039 538   6 0.039 538   6 0.039 538   6 0.039 538   6 0.039 538   6 0.039 538   6 0.039 538   6 0.039 538   6 0.039 538   6 0.039 538   6 0.039 538   6 0.039 538   6 0.039 538   6 0.039 538   6 0.039 538   6 0.039 538   6 0.039 538   6 0.039 538   6 0.039 538   6 0.039 538   6 0.039 538   6 0.039 538   6 0.039 538   6 0.039 538   6 0.039 538   6 0.039 538   6 0.039 538   6 0.039 538   6 0.039 538   6 0.039 538   6 0.039 538   6 0.039 538   6 0.039 538   6 0.039 538   6 0.039 538   6 0.039 538   6 0.039 538   6 0.039 538   6 0.039 538   6 0.039 538   6 0.039 538   6 0.039 538   6 0.039 538   6 0.039 538   6 0.039 538   6 0.039 538   6 0.039 538   6 0.039 538   6 0.039 538   6 0.039 538   6 0.039 538   6 0.039 538   6 0.039 538   6 0.039 538   6 0.039 538   6 0.039 538   6 0.039 538   6 0.039 538   6 0.039 538   6 0.039 538   6 0.039 538   6 0.039 538   6 0.039 538   6 0.039 538   6 0.039 538   6 0.039 538   6 0.039 538   6 0.039 538   6 0.039 538   6 0.039 538   6 0.039 538   6 0.039 538   6 0.039 538   6 0.039 538   6 0.039 538   6 0.039 538   6 0.039 538   6 0.039 538   6 0.039 538   6 0.039 538   6 0.039 538   6 0.039 538   6 0.039 538   6 0.039 538   6 0.039 538   6 0.039 538   6 0.039 538   6 0.039 538   6 0.039 538   6 0.039 538   6 0.039 538   6 0.039 538   6 0.039 538   6 0.039 538   6 0.039 538   6 0.039 538   6 0.039 538   6 0.039 538   6 0.039 538   6 0.039 538   6 0.	- 0.039 671 - 6 - 0.039 687 - 6 - 0.039 712 - 6 - 0.039 714 - 6 - 0.039 746 - 6 - 0.039 746 - 6 - 0.039 746 - 6 - 0.039 746 - 6	- 0.029 787 - 6 - 0.029 786 - 6 - 0.029 811 - 6 - 0.029 818 - 6 - 0.029 835 - 6 - 0.029 835 - 6 - 0.029 835 - 6 - 0.029 836 - 6	847   600 00 00 00 00 00 00 00 00 00 00 00 00	
a2 ·	0 0 0 0 0 0 0 0 0 0 0 0 0 0 0 0 0 0 0	0.00008 0.00008 0.00008 0.00008 0.00008 0.00008 0.0008 0.0008 0.0008 0.0008 0.0008 0.0008 0.0008 0.0008 0.0008 0.0008 0.0008 0.0008 0.0008 0.0008 0.0008 0.0008 0.0008 0.0008 0.0008 0.0008 0.0008 0.0008 0.0008 0.0008 0.0008 0.0008 0.0008 0.0008 0.0008 0.0008 0.0008 0.0008 0.0008 0.0008 0.0008 0.0008 0.0008 0.0008 0.0008 0.0008 0.0008 0.0008 0.0008 0.0008 0.0008 0.0008 0.0008 0.0008 0.0008 0.0008 0.0008 0.0008 0.0008 0.0008 0.0008 0.0008 0.0008 0.0008 0.0008 0.0008 0.0008 0.0008 0.0008 0.0008 0.0008 0.0008 0.0008 0.0008 0.0008 0.0008 0.0008 0.0008 0.0008 0.0008 0.0008 0.0008 0.0008 0.0008 0.0008 0.0008 0.0008 0.0008 0.0008 0.0008 0.0008 0.0008 0.0008 0.0008 0.0008 0.0008 0.0008 0.0008 0.0008 0.0008 0.0008 0.0008 0.0008 0.0008 0.0008 0.0008 0.0008 0.0008 0.0008 0.0008 0.0008 0.0008 0.0008 0.0008 0.0008 0.0008 0.0008 0.0008 0.0008 0.0008 0.0008 0.0008 0.0008 0.0008 0.0008 0.0008 0.0008 0.0008 0.0008 0.0008 0.0008 0.0008 0.0008 0.0008 0.0008 0.0008 0.0008 0.0008 0.0008 0.0008 0.0008 0.0008 0.0008 0.0008 0.0008 0.0008 0.0008 0.0008 0.0008 0.0008 0.0008 0.0008 0.0008 0.0008 0.0008 0.0008 0.0008 0.0008 0.0008 0.0008 0.0008 0.0008 0.0008 0.0008 0.0008 0.0008 0.0008 0.0008 0.0008 0.0008 0.0008 0.0008 0.0008 0.0008 0.0008 0.0008 0.0008 0.0008 0.0008 0.0008 0.0008 0.0008 0.0008 0.0008 0.0008 0.0008 0.0008 0.0008 0.0008 0.0008 0.0008 0.0008 0.0008 0.0008 0.0008 0.0008 0.0008 0.0008 0.0008 0.0008 0.0008 0.0008 0.0008 0.0008 0.0008 0.0008 0.0008 0.0008 0.0008 0.0008 0.0008 0.0008 0.0008 0.0008 0.0008 0.0008 0.0008 0.0008 0.0008 0.0008 0.0008 0.0008 0.0008 0.0008 0.0008 0.0008 0.0008 0.0008 0.0008 0.0008 0.0008 0.0008 0.0008 0.0008 0.0008 0.0008 0.0008 0.0008 0.0008 0.0008 0.0008 0.0008 0.0008 0.0008 0.0008 0.0008 0.0008 0.0008 0.0008 0.0008 0.0008 0.0008 0.0008 0.0008 0.0008 0.0008 0.0008 0.0008 0.0008 0.0008 0.0008 0.0008 0.0008 0.0008 0.0008 0.0008 0.0008 0.0008 0.0008 0.0008 0.0008 0.0008 0.0008 0.0008 0.0008 0.0008 0.0008 0.0008 0.0008 0.0008 0.0008 0.0008 0.0008 0.0008 0.0008 0.0008 0.0008 0.0008 0.0008 0.0008 0.0008 0.0	- 0.00033 - 0.00028 - 0.00022 - 0.00012 - 0.00012 - 0.00016 - 0.00016 - 0.00016 - 0.00016 - 0.00016	+ 0.00021 0.00027 + 0.00033 0.00033 + 0.00049 0.00054 0.00054 0.00054 0.00054 0.00054 0.00054	+ 0.00076 + 0.00088 + 0.00088 + 0.00093 + 0.00104 + 0.00110 + 0.00110 + 0.00121 + 0.00121	+ 0.00133 0 + 0.00138 0 + 0.00138 0 + 0.00154 0 + 0.00157 0 + 0.00157 0 + 0.00158 0 + 0.00158 0 + 0.00158 0 + 0.00158 0 + 0.00158 0 + 0.00158 0 + 0.00158 0 + 0.00158 0 + 0.00158 0 + 0.00158 0 + 0.00158 0 + 0.00158 0 + 0.00158 0 + 0.00158 0 + 0.00158 0 + 0.00158 0 + 0.00158 0 + 0.00158 0 + 0.00158 0 + 0.00158 0 + 0.00158 0 + 0.00158 0 + 0.00158 0 + 0.00158 0 + 0.00158 0 + 0.00158 0 + 0.00158 0 + 0.00158 0 + 0.00158 0 + 0.00158 0 + 0.00158 0 + 0.00158 0 + 0.00158 0 + 0.00158 0 + 0.00158 0 + 0.00158 0 + 0.00158 0 + 0.00158 0 + 0.00158 0 + 0.00158 0 + 0.00158 0 + 0.00158 0 + 0.00158 0 + 0.00158 0 + 0.00158 0 + 0.00158 0 + 0.00158 0 + 0.00158 0 + 0.00158 0 + 0.00158 0 + 0.00158 0 + 0.00158 0 + 0.00158 0 + 0.00158 0 + 0.00158 0 + 0.00158 0 + 0.00158 0 + 0.00158 0 + 0.00158 0 + 0.00158 0 + 0.00158 0 + 0.00158 0 + 0.00158 0 + 0.00158 0 + 0.00158 0 + 0.00158 0 + 0.00158 0 + 0.00158 0 + 0.00158 0 + 0.00158 0 + 0.00158 0 + 0.00158 0 + 0.00158 0 + 0.00158 0 + 0.00158 0 + 0.00158 0 + 0.00158 0 + 0.00158 0 + 0.00158 0 + 0.00158 0 + 0.00158 0 + 0.00158 0 + 0.00158 0 + 0.00158 0 + 0.00158 0 + 0.00158 0 + 0.00158 0 + 0.00158 0 + 0.00158 0 + 0.00158 0 + 0.00158 0 + 0.00158 0 + 0.00158 0 + 0.00158 0 + 0.00158 0 + 0.00158 0 + 0.00158 0 + 0.00158 0 + 0.00158 0 + 0.00158 0 + 0.00158 0 + 0.00158 0 + 0.00158 0 + 0.00158 0 + 0.00158 0 + 0.00158 0 + 0.00158 0 + 0.00158 0 + 0.00158 0 + 0.00158 0 + 0.00158 0 + 0.00158 0 + 0.00158 0 + 0.00158 0 + 0.00158 0 + 0.00158 0 + 0.00158 0 + 0.00158 0 + 0.00158 0 + 0.00158 0 + 0.00158 0 + 0.00158 0 + 0.00158 0 + 0.00158 0 + 0.00158 0 + 0.00158 0 + 0.00158 0 + 0.00158 0 + 0.00158 0 + 0.00158 0 + 0.00158 0 + 0.00158 0 + 0.00158 0 + 0.00158 0 + 0.00158 0 + 0.00158 0 + 0.00158 0 + 0.00158 0 + 0.00158 0 + 0.00158 0 + 0.00158 0 + 0.00158 0 + 0.00158 0 + 0.00158 0 + 0.00158 0 + 0.00158 0 + 0.00158 0 + 0.00158 0 + 0.00158 0 + 0.00158 0 + 0.00158 0 + 0.00158 0 + 0.00158 0 + 0.00158 0 + 0.00158 0 + 0.00158 0 + 0.00158 0 + 0.00158 0 + 0.00158 0 + 0.00158 0 + 0.00158 0 + 0.00158 0 + 0.00158 0 + 0.00158 0 + 0.00	
11h	0 × 4 W + N Ø V Ø Q	5:12:17:57:85	0 4 4 4 4 4 4 4 4 4 4 4 4 4 4 4 4 4 4 4	0 m m m m m m m m m m m m m m m m m m m	\$ # <b>\$ \$ \$ \$ \$ \$ \$</b>	55 53 55 55 55 56 56 56 56	

	000000000	000000000	0000000000	000000000	00000000	
$d_3^2$	0.000000000000000000000000000000000000	+ 0.00018 + 0.00020 + 0.00030 + 0.00030 + 0.00040 + 0.00040 + 0.00048 + 0.00048	+ 0.00072 + 0.00079 + 0.00035 + 0.00113 + 0.00113 + 0.0130 + 0.0140	+ 0.00160 + 0.00171 + 0.00181 + 0.00181 + 0.00205 + 0.00217 + 0.00217 + 0.002181	+ 0.00281 + 0.00305 + 0.00304 + 0.00334 + 0.00334 + 0.00364 + 0.00364	0.00433 0.00484 0.00484 0.00502 0.00502 0.00538 0.00538 0.00554
$a_3^{\rm r}$	0.000   0.000   0.000   0.000   0.000   0.000   0.000   0.000   0.000   0.000   0.000   0.000   0.000   0.000   0.000   0.000   0.000   0.000   0.000   0.000   0.000   0.000   0.000   0.000   0.000   0.000   0.000   0.000   0.000   0.000   0.000   0.000   0.000   0.000   0.000   0.000   0.000   0.000   0.000   0.000   0.000   0.000   0.000   0.000   0.000   0.000   0.000   0.000   0.000   0.000   0.000   0.000   0.000   0.000   0.000   0.000   0.000   0.000   0.000   0.000   0.000   0.000   0.000   0.000   0.000   0.000   0.000   0.000   0.000   0.000   0.000   0.000   0.000   0.000   0.000   0.000   0.000   0.000   0.000   0.000   0.000   0.000   0.000   0.000   0.000   0.000   0.000   0.000   0.000   0.000   0.000   0.000   0.000   0.000   0.000   0.000   0.000   0.000   0.000   0.000   0.000   0.000   0.000   0.000   0.000   0.000   0.000   0.000   0.000   0.000   0.000   0.000   0.000   0.000   0.000   0.000   0.000   0.000   0.000   0.000   0.000   0.000   0.000   0.000   0.000   0.000   0.000   0.000   0.000   0.000   0.000   0.000   0.000   0.000   0.000   0.000   0.000   0.000   0.000   0.000   0.000   0.000   0.000   0.000   0.000   0.000   0.000   0.000   0.000   0.000   0.000   0.000   0.000   0.000   0.000   0.000   0.000   0.000   0.000   0.000   0.000   0.000   0.000   0.000   0.000   0.000   0.000   0.000   0.000   0.000   0.000   0.000   0.000   0.000   0.000   0.000   0.000   0.000   0.000   0.000   0.000   0.000   0.000   0.000   0.000   0.000   0.000   0.000   0.000   0.000   0.000   0.000   0.000   0.000   0.000   0.000   0.000   0.000   0.000   0.000   0.000   0.000   0.000   0.000   0.000   0.000   0.000   0.000   0.000   0.000   0.000   0.000   0.000   0.000   0.000   0.000   0.000   0.000   0.000   0.000   0.000   0.000   0.000   0.000   0.000   0.000   0.000   0.000   0.000   0.000   0.000   0.000   0.000   0.000   0.000   0.000   0.000   0.000   0.000   0.000   0.000   0.000   0.000   0.000   0.000   0.000   0.000   0.000   0.000   0.000   0.000   0.000   0.000   0.000   0.000   0.00	0.0095   0.0104   0.0123   0.0132   0.0132   0.0142   0.0161   0.0170	- 0.0189 - 0.0198 - 0.0207 - 0.0217 - 0.0235 - 0.0234 - 0.0253 - 0.0253	0.0281   0.0290   0.0398   0.0317   0.0316   0.0316   0.0335	0.0371   0.0380   0.0380   0.0406   0.0415   0.0415   0.0414	0.0458   0.0468   0.0475   0.0475   0.0402   0.0508   0.0517   0.0533
86.	++++++++++++++++++++++++++++++++++++++	+++++++++++++++++++++++++++++++++++++++	\$ \$ \$ \$ \$ \$ \$ \$ \$ \$ \$ \$ \$ \$ \$ \$ \$ \$ \$	+++++++	++++++++	+++++++++
a3 3	0.000 0551 0.000 0551 0.000 1102 0.000 1102 0.000 1103 0.000	0.000 \$496   1   1   1   1   1   1   1   1   1	-0.001 0899 -0.001 1430 -0.001 2487 -0.001 3336 -0.001 3356 -0.001 4956 -0.001 4956 -0.001 4956 -0.001 4956 -0.001 5991 -0.001	0.001 6114 + 23 0.001 6622 + 23 0.001 7137 + 23 0.001 8624 + 23 0.001 8624 + 24 0.001 9117 + 25 0.002 0507 + 25 0.002 0507 + 25 0.002 0507 + 25	0.002 1055 + 28 0.002 1330 + 28 0.002 1470 + 30 0.002 1470 + 30 0.002 1470 + 30 0.002 1471 + 30 0.002 1431 + 31 0.002 1431 + 31 0.002 1431 + 31	0.002 \$635 0.002 \$670 134 0.002 \$670 134 0.002 \$748 135 0.002 \$746 135 0.002 \$844 1376 136 0.002 \$844 1376 136 0.002 \$848 0.002 \$848
$a_3^2$	++++++++++++++++++++++++++++++++++++++	+ + 0.01 + 430 + 0.01 + 430 + 0.01 + 340 + .014 240 + 0.014 240 + 0.014 240 + 0.014 189 + 0.014 189 + 0.014 194 + 0.014 044 + 0.014 044 + 0.013 977 + 1.004 + 0.013 977 + 1.004 + 0.013 977 + 1.004 + 0.013 977 + 1.004 + 0.013 977 + 1.004 + 0.013 977 + 1.004 + 0.013 977 + 1.004 + 0.013 977 + 1.004 + 0.013 977 + 1.004 + 0.013 977 + 1.004 + 0.013 977 + 1.004 + 0.013 977 + 1.004 + 0.013 977 + 1.004 + 0.013 977 + 1.004 + 0.013 977 + 0.013 977 + 0.013 977 + 0.013 977 + 0.013 977 + 0.013 977 + 0.013 977 + 0.013 977 + 0.013 977 + 0.013 977 + 0.013 977 + 0.013 977 + 0.013 977 + 0.013 977 + 0.013 977 + 0.013 977 + 0.013 977 + 0.013 977 + 0.013 977 + 0.013 977 + 0.013 977 + 0.013 977 + 0.013 977 + 0.013 977 + 0.013 977 + 0.013 977 + 0.013 977 + 0.013 977 + 0.013 977 + 0.013 977 + 0.013 977 + 0.013 977 + 0.013 977 + 0.013 977 + 0.013 977 + 0.013 977 + 0.013 977 + 0.013 977 + 0.013 977 + 0.013 977 + 0.013 977 + 0.013 977 + 0.013 977 + 0.013 977 + 0.013 977 + 0.013 977 + 0.013 977 + 0.013 977 + 0.013 977 + 0.013 977 + 0.013 977 + 0.013 977 + 0.013 977 + 0.013 977 + 0.013 977 + 0.013 977 + 0.013 977 + 0.013 977 + 0.013 977 + 0.013 977 + 0.013 977 + 0.013 977 + 0.013 977 + 0.013 977 + 0.013 977 + 0.013 977 + 0.013 977 + 0.013 977 + 0.013 977 + 0.013 977 + 0.013 977 + 0.013 977 + 0.013 977 + 0.013 977 + 0.013 977 + 0.013 977 + 0.013 977 + 0.013 977 + 0.013 977 + 0.013 977 + 0.013 977 + 0.013 977 + 0.013 977 + 0.013 977 + 0.013 977 + 0.013 977 + 0.013 977 + 0.013 977 + 0.013 977 + 0.013 977 + 0.013 977 + 0.013 977 + 0.013 977 + 0.013 977 + 0.013 977 + 0.013 977 + 0.013 977 + 0.013 977 + 0.013 977 + 0.013 977 + 0.013 977 + 0.013 977 + 0.013 977 + 0.013 977 + 0.013 977 + 0.013 977 + 0.013 977 + 0.013 977 + 0.013 977 + 0.013 977 + 0.013 977 + 0.013 977 + 0.013 977 + 0.013 977 + 0.013 977 + 0.013 977 + 0.013 977 + 0.013 977 + 0.013 977 + 0.013 977 + 0.013 977 + 0.013 977 + 0.013 977 + 0.013 977 + 0.013 977 + 0.013 977 + 0.013 977 + 0.013 977 + 0.013 977 + 0.013 977 + 0.013 977 + 0.013 977 + 0.013 977 + 0.013 977 + 0.013 977 + 0.013 977 + 0.013 977 + 0.013 977 + 0.013 977 +	+ 0.013 942 - 4 0.013 907 - 4 0.013 830 - 4 0.013 703 - 3 0.013 703 - 3 0.013 703 - 3 0.013 703 - 3 0.013 670 - 3 0.013 670 - 3 0.013 637 - 3 0.013 637 - 3 0.013 637 - 3 0.013 637 - 3 0.013 637 - 3 0.013 637 - 3 0.013 637 - 3 0.013 637 - 3 0.013 637 - 3 0.013 637 - 3 0.013 637 - 3 0.013 637 - 3 0.013 637 - 3 0.013 637 - 3 0.013 637 - 3 0.013 637 - 3 0.013 637 - 3 0.013 637 - 3 0.013 637 - 3 0.013 637 - 3 0.013 637 - 3 0.013 637 - 3 0.013 637 - 3 0.013 637 - 3 0.013 637 - 3 0.013 637 - 3 0.013 637 - 3 0.013 637 - 3 0.013 637 - 3 0.013 637 - 3 0.013 637 - 3 0.013 637 - 3 0.013 637 - 3 0.013 637 - 3 0.013 637 - 3 0.013 637 - 3 0.013 637 - 3 0.013 637 - 3 0.013 637 - 3 0.013 637 - 3 0.013 637 - 3 0.013 637 - 3 0.013 637 - 3 0.013 637 - 3 0.013 637 - 3 0.013 637 - 3 0.013 637 - 3 0.013 637 - 3 0.013 637 - 3 0.013 637 - 3 0.013 637 - 3 0.013 637 - 3 0.013 637 - 3 0.013 637 - 3 0.013 637 - 3 0.013 637 - 3 0.013 637 - 3 0.013 637 - 3 0.013 637 - 3 0.013 637 - 3 0.013 637 - 3 0.013 637 - 3 0.013 637 - 3 0.013 637 - 3 0.013 637 - 3 0.013 637 - 3 0.013 637 - 3 0.013 637 - 3 0.013 637 - 3 0.013 637 - 3 0.013 637 - 3 0.013 637 - 3 0.013 637 - 3 0.013 637 - 3 0.013 637 - 3 0.013 637 - 3 0.013 637 - 3 0.013 637 - 3 0.013 637 - 3 0.013 637 - 3 0.013 637 - 3 0.013 637 - 3 0.013 637 - 3 0.013 637 - 3 0.013 637 - 3 0.013 637 - 3 0.013 637 - 3 0.013 637 - 3 0.013 637 - 3 0.013 637 - 3 0.013 637 - 3 0.013 637 - 3 0.013 637 - 3 0.013 637 - 3 0.013 637 - 3 0.013 637 - 3 0.013 637 - 3 0.013 637 - 3 0.013 637 - 3 0.013 637 - 3 0.013 637 - 3 0.013 637 - 3 0.013 637 - 3 0.013 637 - 3 0.013 637 - 3 0.013 637 - 3 0.013 637 - 3 0.013 637 - 3 0.013 637 - 3 0.013 637 - 3 0.013 637 - 3 0.013 637 - 3 0.013 637 - 3 0.013 637 - 3 0.013 637 - 3 0.013 637 - 3 0.013 637 - 3 0.013 637 - 3 0.013 637 - 3 0.013 637 - 3 0.013 637 - 3 0.013 637 - 3 0.013 637 - 3 0.013 637 - 3 0.013 637 - 3 0.013 637 - 3 0.013 637 - 3 0.01	++++++++++++++++++++++++++++++++++++++	++++++++++++++++++++++++++++++++++++++	
$a_3^{\rm r}$	+ coco13 + coco13 + coco13 + coco13 + coco13 + coco14 + coco14 + coco14 + coco14 + coco14 + coco14 + coco14 + coco15	0 0 0 0 0 0 0 0 0 0 0 0 0 0 0 0 0 0 0	+ 0.00018 + 0.00019 + 0.00019 + 0.00019 + 0.00019 + 0.0001 + 0.0001 + 0.0001 + 0.0001	+ 0.00023 + 0.00023 + 0.00025 + 0.00025 + 0.00025 + 0.00027 + 0.00027 + 0.00027	+ 0.00039 + 0.00039 + 0.00031 + 0.00031 + 0.00033 + 0.00033 + 0.00033 + 0.00033 + 0.00033 + 0.00033	### ##################################
a ^o ₃	+ + + 0.0097 + + 0.0097 + + 0.0097 + 0.0097 + 0.0097	++++++++++++++++++++++++++++++++++++++	+++++++++++++++++++++++++++++++++++++++	++++++++++++++++++++++++++++++++++++++	++++++++++++++++++++++++++++++++++++++	+ + + 0.0089 + 0.0089 + 0.0088 + 0.0088 + 0.0088 + 0.0087 + 0.0087
$d_2^i$	0.00000 0.00000 0.00000 0.000000 0.000000	- 0.00037 0 - 0.00045 0 - 0.00053 0 - 0.00053 0 - 0.00053 0 - 0.00053 0 - 0.00107 0		0.00333   0.00354   0.00378   0.00426   0.00451   0.00531   0.00531   0.00531	- 0.00588 + 1 - 0.00517 + 1 - 0.00517 + 1 - 0.00517 + 1 - 0.00712 + 1 - 0.00508 + 1 - 0.00808 + 1 - 0.00808 + 1 - 0.00808 + 1 - 0.00808 + 1 - 0.00808 + 1 - 0.00808 + 1 - 0.00808 + 1 - 0.00808 + 1 - 0.00808 + 1 - 0.00808 + 1 - 0.00808 + 1 - 0.00808 + 1 - 0.00808 + 1 - 0.00808 + 1 - 0.00808 + 1 - 0.00808 + 1 - 0.00808 + 1 - 0.00808 + 1 - 0.00808 + 1 - 0.00808 + 1 - 0.00808 + 1 - 0.00808 + 1 - 0.00808 + 1 - 0.00808 + 1 - 0.00808 + 1 - 0.00808 + 1 - 0.00808 + 1 - 0.00808 + 1 - 0.00808 + 1 - 0.00808 + 1 - 0.00808 + 1 - 0.00808 + 1 - 0.00808 + 1 - 0.00808 + 1 - 0.00808 + 1 - 0.00808 + 1 - 0.00808 + 1 - 0.00808 + 1 - 0.00808 + 1 - 0.00808 + 1 - 0.00808 + 1 - 0.00808 + 1 - 0.00808 + 1 - 0.00808 + 1 - 0.00808 + 1 - 0.00808 + 1 - 0.00808 + 1 - 0.00808 + 1 - 0.00808 + 1 - 0.00808 + 1 - 0.00808 + 1 - 0.00808 + 1 - 0.00808 + 1 - 0.00808 + 1 - 0.00808 + 1 - 0.00808 + 1 - 0.00808 + 1 - 0.00808 + 1 - 0.00808 + 1 - 0.00808 + 1 - 0.00808 + 1 - 0.00808 + 1 - 0.00808 + 1 - 0.00808 + 1 - 0.00808 + 1 - 0.00808 + 1 - 0.00808 + 1 - 0.00808 + 1 - 0.00808 + 1 - 0.00808 + 1 - 0.00808 + 1 - 0.00808 + 1 - 0.00808 + 1 - 0.00808 + 1 - 0.00808 + 1 - 0.00808 + 1 - 0.00808 + 1 - 0.00808 + 1 - 0.00808 + 1 - 0.00808 + 1 - 0.00808 + 1 - 0.00808 + 1 - 0.00808 + 1 - 0.00808 + 1 - 0.00808 + 1 - 0.00808 + 1 - 0.00808 + 1 - 0.00808 + 1 - 0.00808 + 1 - 0.00808 + 1 - 0.00808 + 1 - 0.00808 + 1 - 0.00808 + 1 - 0.00808 + 1 - 0.00808 + 1 - 0.00808 + 1 - 0.00808 + 1 - 0.00808 + 1 - 0.00808 + 1 - 0.00808 + 1 - 0.00808 + 1 - 0.00808 + 1 - 0.00808 + 1 - 0.00808 + 1 - 0.00808 + 1 - 0.00808 + 1 - 0.00808 + 1 - 0.00808 + 1 - 0.00808 + 1 - 0.00808 + 1 - 0.00808 + 1 - 0.00808 + 1 - 0.00808 + 1 - 0.00808 + 1 - 0.00808 + 1 - 0.00808 + 1 - 0.00808 + 1 - 0.00808 + 1 - 0.00808 + 1 - 0.00808 + 1 - 0.00808 + 1 - 0.00808 + 1 - 0.00808 + 1 - 0.00808 + 1 - 0.00808 + 1 - 0.00808 + 1 - 0.00808 + 1 - 0.00808 + 1 - 0.00808 + 1 - 0.00808 + 1 - 0.00808 + 1 - 0.00808 + 1 - 0.00808 + 1 - 0.00808 + 1 - 0.00808 + 1 - 0.00808 + 1 - 0.00808 + 1 - 0.00808 + 1 - 0.00808 + 1 - 0.00808 + 1 -	- 0.00913 + 1 - 0.00940 + 1 - 0.00940 + 1 - 0.00940 + 1 - 0.01101 + 1 - 0.01101 + 1 - 0.01101 + 1 - 0.01101 + 1 - 0.01101 + 1 - 0.01101 + 1 - 0.01101 + 1 - 0.01101 + 1 - 0.01101 + 1 - 0.01101 + 1 - 0.01101 + 1 - 0.01101 + 1 - 0.01101 + 1 - 0.01101 + 1 - 0.01101 + 1 - 0.01101 + 1 - 0.01101 + 1 - 0.01101 + 1 - 0.01101 + 1 - 0.01101 + 1 - 0.01101 + 1 - 0.01101 + 1 - 0.01101 + 1 - 0.01101 + 1 - 0.01101 + 1 - 0.01101 + 1 - 0.01101 + 1 - 0.01101 + 1 - 0.01101 + 1 - 0.01101 + 1 - 0.01101 + 1 - 0.01101 + 1 - 0.01101 + 1 - 0.01101 + 1 - 0.01101 + 1 - 0.01101 + 1 - 0.01101 + 1 - 0.01101 + 1 - 0.01101 + 1 - 0.01101 + 1 - 0.01101 + 1 - 0.01101 + 1 - 0.01101 + 1 - 0.01101 + 1 - 0.01101 + 1 - 0.01101 + 1 - 0.01101 + 1 - 0.01101 + 1 - 0.01101 + 1 - 0.01101 + 1 - 0.01101 + 1 - 0.01101 + 1 - 0.01101 + 1 - 0.01101 + 1 - 0.01101 + 1 - 0.01101 + 1 - 0.01101 + 1 - 0.01101 + 1 - 0.01101 + 1 - 0.01101 + 1 - 0.01101 + 1 - 0.01101 + 1 - 0.01101 + 1 - 0.01101 + 1 - 0.01101 + 1 - 0.01101 + 1 - 0.01101 + 1 - 0.01101 + 1 - 0.01101 + 1 - 0.01101 + 1 - 0.01101 + 1 - 0.01101 + 1 - 0.01101 + 1 - 0.01101 + 1 - 0.01101 + 1 - 0.01101 + 1 - 0.01101 + 1 - 0.01101 + 1 - 0.01101 + 1 - 0.01101 + 1 - 0.01101 + 1 - 0.01101 + 1 - 0.01101 + 1 - 0.01101 + 1 - 0.01101 + 1 - 0.01101 + 1 - 0.01101 + 1 - 0.01101 + 1 - 0.01101 + 1 - 0.01101 + 1 - 0.01101 + 1 - 0.01101 + 1 - 0.01101 + 1 - 0.01101 + 1 - 0.01101 + 1 - 0.01101 + 1 - 0.01101 + 1 - 0.01101 + 1 - 0.01101 + 1 - 0.01101 + 1 - 0.01101 + 1 - 0.01101 + 1 - 0.01101 + 1 - 0.01101 + 1 - 0.01101 + 1 - 0.01101 + 1 - 0.01101 + 1 - 0.01101 + 1 - 0.01101 + 1 - 0.01101 + 1 - 0.01101 + 1 - 0.01101 + 1 - 0.01101 + 1 - 0.01101 + 1 - 0.01101 + 1 - 0.01101 + 1 - 0.01101 + 1 - 0.01101 + 1 - 0.01101 + 1 - 0.01101 + 1 - 0.01101 + 1 - 0.01101 + 1 - 0.01101 + 1 - 0.01101 + 1 - 0.01101 + 1 - 0.01101 + 1 - 0.01101 + 1 - 0.01101 + 1 - 0.01101 + 1 - 0.01101 + 1 - 0.01101 + 1 - 0.01101 + 1 - 0.01101 + 1 - 0.01101 + 1 - 0.01101 + 1 - 0.01101 + 1 - 0.01101 + 1 - 0.01101 + 1 - 0.01101 + 1 - 0.01101 + 1 - 0.01101 + 1 - 0.01101 + 1 -
$d_2^5$	+ 0.0087 + 0.0106 + 0.0126 + 0.0145 + 0.0145 + 0.0184 + 0.0284 + 0.023 + 0.023 + 0.023 + 0.023 + 0.023	+ 0.0282 0 + 0.0281 0 0 + 0.0311 0 0 + 0.0311 0 0 + 0.0379 0 0 + 0.0438 0 0 + 0.0438 0 0 + 0.0438 0 0 + 0.0438 0 0 + 0.0457 0 0	+ 0.0477 0.0496 0.0515 0.0515 0.0534 0.0574 0.0573 0.0503 0.0631 0.0651	+ 0.0670 0 0.0700 0 0.0700 0 0.0700 0 0 0.0700 0 0 0.0700 0 0 0.0700 0 0 0.0700 0 0 0	+ + 0.0863 0.0882 0.0882 0.0882 0.0823 0.0937 0.0937 0.0937 0.0937 0.0935 0.0935 0.0935 0.0935 0.0935 0.0935	+ 0.1054 + 0.1073 + 0.1073 + 0.1130 + 0.1148 + 0.1167 + 0.1167 + 0.1224 + 0.1224 + 0.1224
2,2	C4CC 0000000000000000000000000000000000	+ 0.001 1326   100 + 0.001 335   111 + 0.001 335   111 + 0.001 353   14 + 0.001 353   14 + 0.001 363   14 + 0.001 563   14 + 0.001 2036   15 + 0.002 0320   15 + 0.002 0320   15 + 0.002 0320   15	+ 0.002 2566 - 20 + 0.002 3882 - 20 + 0.002 388 - 22 + 0.002 398 - 22 + 0.002 393 - 22 + 0.002 393 - 23 + 0.003 393 - 25 + 0.003 393 - 25 + 0.003 393 - 26	+ 0.003 3634   20 + 0.003 810   30 + 0.003 808   31 + 0.003 809   32 + 0.003 909   33 + 0.004 0157   33 + 0.004 1037   33 + 0.004 1034   33 + 0.004 1039   33 + 0.004 1039   33 + 0.004 1039   33 + 0.004 1039   33 + 0.004 1039   33 + 0.004 1039   33 + 0.004 1039   33 + 0.004 1039   33 + 0.004 1039   33 + 0.004 1039   33 + 0.004 1039   33 + 0.004 1039   33 + 0.004 1039   33 + 0.004 1039   33 + 0.004 1039   33 + 0.004 1039   33 + 0.004 1039   33 + 0.004 1039   33 + 0.004 1039   33 + 0.004 1039   33 + 0.004 1039   33 + 0.004 1039   33 + 0.004 1039   33 + 0.004 1039   33 + 0.004 1039   33 + 0.004 1039   33 + 0.004 1039   33 + 0.004 1039   33 + 0.004 1039   33 + 0.004 1039   33 + 0.004 1039   33 + 0.004 1039   33 + 0.004 1039   33 + 0.004 1039   33 + 0.004 1039   33 + 0.004 1039   33 + 0.004 1039   33 + 0.004 1039   33 + 0.004 1039   33 + 0.004 1039   33 + 0.004 1039   33 + 0.004 1039   33 + 0.004 1039   33 + 0.004 1039   33 + 0.004 1039   33 + 0.004 1039   33 + 0.004 1039   33 + 0.004 1039   33 + 0.004 1039   33 + 0.004 1039   33 + 0.004 1039   33 + 0.004 1039   33 + 0.004 1039   33 + 0.004 1039   33 + 0.004 1039   33 + 0.004 1039   33 + 0.004 1039   33 + 0.004 1039   33 + 0.004 1039   33 + 0.004 1039   33 + 0.004 1039   33 + 0.004 1039   33 + 0.004 1039   33 + 0.004 1039   33 + 0.004 1039   33 + 0.004 1039   33 + 0.004 1039   33 + 0.004 1039   33 + 0.004 1039   33 + 0.004 1039   33 + 0.004 1039   33 + 0.004 1039   33 + 0.004 1039   33 + 0.004 1039   33 + 0.004 1039   33 + 0.004 1039   33 + 0.004 1039   33 + 0.004 1039   33 + 0.004 1039   33 + 0.004 1039   33 + 0.004 1039   33 + 0.004 1039   33 + 0.004 1039   33 + 0.004 1039   33 + 0.004 1039   33 + 0.004 1039   33 + 0.004 1039   33 + 0.004 1039   33 + 0.004 1039   33 + 0.004 1039   33 + 0.004 1039   33 + 0.004 1039   33 + 0.004 1039   33 + 0.004 1039   33 + 0.004 1039   33 + 0.004 1039   33 + 0.004 1039   33 + 0.004 1039   33 + 0.004 1039   33 + 0.004 1039   33	+ 0.004 4446   - 36 + 0.004 5310   - 39 + 0.004 5310   - 40 + 0.004 7531   + 40 + 0.004 7730   + 41 + 0.005 0776   + 41 + 0.005 3896   - 45 + 0.005 3896   - 45 + 0.005 3896   - 47	+ 0.005 4020 - 47 + 0.005 3946 - 48 + 0.005 3984 - 50 + 0.005 8946 - 51 + 0.005 8946 - 51 + 0.006 8906 - 51 + 0.006 3007 - 53 +
a ₂	2000 0 0 0 0 0 0 0 0 0 0 0 0 0 0 0 0 0	- 0.029 707 - 5 - 0.029 788 - 5 - 0.029 770 - 15 - 0.029 740 - 5 - 0.029 740 - 5 - 0.029 78 - 5 - 0.029 73 - 5 - 0.029 73 - 5	0.029 677 5 0.029 677 5 0.029 673 64 0.029 673 64 0.029 674 6 0.029 674 6 0.020 674 6 0.020 674 6 0.020 674 6 0.020 674 6 0.020 674 6 0.020 674 6 0.020 674 6 0.020 674 6 0.020 674 6 0.020 674 6 0.020 6 0.020 6 0.020 6 0.020 6 0.020 6 0.020 6 0.020 6 0.020 6 0.020 6 0.020 6 0.020 6 0.020 6 0.020 6 0.020 6 0.020 6 0.020 6 0.020 6 0.020 6 0.020 6 0.020 6 0.020 6 0.020 6 0.020 6 0.020 6 0.020 6 0.020 6 0.020 6 0.020 6 0.020 6 0.020 6 0.020 6 0.020 6 0.020 6 0.020 6 0.020 6 0.020 6 0.020 6 0.020 6 0.020 6 0.020 6 0.020 6 0.020 6 0.020 6 0.020 6 0.020 6 0.020 6 0.020 6 0.020 6 0.020 6 0.020 6 0.020 6 0.020 6 0.020 6 0.020 6 0.020 6 0.020 6 0.020 6 0.020 6 0.020 6 0.020 6 0.020 6 0.020 6 0.020 6 0.020 6 0.020 6 0.020 6 0.020 6 0.020 6 0.020 6 0.020 6 0.020 6 0.020 6 0.020 6 0.020 6 0.020 6 0.020 6 0.020 6 0.020 6 0.020 6 0.020 6 0.020 6 0.020 6 0.020 6 0.020 6 0.020 6 0.020 6 0.020 6 0.020 6 0.020 6 0.020 6 0.020 6 0.020 6 0.020 6 0.020 6 0.020 6 0.020 6 0.020 6 0.020 6 0.020 6 0.020 6 0.020 6 0.020 6 0.020 6 0.020 6 0.020 6 0.020 6 0.020 6 0.020 6 0.020 6 0.020 6 0.020 6 0.020 6 0.020 6 0.020 6 0.020 6 0.020 6 0.020 6 0.02	0.029 520   5   0.029 480   5   0.029 480   5   0.029 481   5   0.029 481   5   0.029 481   5   0.029 480   5   0.029 322   5	0.039 297   5   0.039 211   5   5   5   5   5   5   5   5   5	0.039 oz8   55   6   6   6   6   6   6   6   6
a° 2	+ 0.00189 + 0.00201 + 0.00201 + 0.00202 + 0.00218 + 0.00218 + 0.00223 + 0.00223 + 0.00223 + 0.00223 + 0.00223	+ 0.00252 + 0.00253 + 0.00253 + 0.00268 + 0.00274 + 0.00274 + 0.00286 + 0.00286 + 0.00274 + 0.00274	+ 0.003(22 + 0.00310 + 0.00310 + 0.00310 + 0.00312 + 0.00332 + 0.003341 + 0.00341 + 0.00341 + 0.00341 + 0.00341 + 0.00341 + 0.00341 + 0.00341	+ 0.00357 + 0.00363 + 0.00374 + 0.00374 + 0.00374 + 0.00375 + 0.00375 + 0.00375 + 0.00375 + 0.00375 + 0.00375 + 0.00375	+ 0.00411 + 0.00422 + 0.00433 + 0.00438 + 0.00438 + 0.00448 + 0.00454 0.00454	+ 0.00464 + 0.00479 + 0.00479 + 0.00479 + 0.00489 + 0.00489 + 0.00499 +
2 h	0 + 0 E + 0 0 C C	9 8 7 9 9 1 1 9	9881986186	33 33 33 33 33 33 33 33 33 33 33 33 33	0 + 4 + 4 + 4 + 4 + 4	555 557 559 559 559 559

							1
				1111111111	!		
d3	+ 0.00613 + 0.00632 + 0.00632 + 0.00692 + 0.00731 + 0.00731 + 0.00754	+ 0.00817 + 0.00830 + 0.00882 + 0.00882 + 0.00935 + 0.00955 + 0.00935 + 0.00935 + 0.00935	+ 0.01041 + 0.01065 + 0.01088 + 0.01112 + 0.01160 + 0.012084 + 0.012084 + 0.012084 + 0.012033	+ 0.01282 + 0.01301 + 0.01356 + 0.01356 + 0.01382 + 0.01457 + 0.01453 + 0.01483	+ 0.01534 + 0.01553 + 0.01585 + 0.01611 + 0.01662 + 0.01688 + 0.0174 + 0.0174	+ 0.01793 + 0.01818 + 0.01870 + 0.01870 + 0.01928 + 0.01928 + 0.02020 + 0.02025 + 0.02025	
<b>4</b> 3	0.0541   0.0544   0.05549   0.0553   0.0589   0.0589   0.0599   0.0593	- 0.0628 - 0.0628 - 0.0636 - 0.0631 - 0.0631 - 0.0631 - 0.0631 - 0.0631 - 0.0631 - 0.0631 - 0.0631	- 0.0695 - 0.0709 - 0.0716 - 0.0716 - 0.073 - 0.073 - 0.0750	- 0.0763 - 0.0776 - 0.0776 - 0.0783 - 0.0803 - 0.0803 - 0.0814 - 0.0814	- 0.0822 - 0.0832 - 0.0833 - 0.0844 - 0.0849 - 0.0855 - 0.0866 - 0.0877	0.0088   0.0088   0.00893   0.00913   0.00913   0.00913	
a ^b 3	++++++++++++++++++++++++++++++++++++++	90000000000000000000000000000000000000	++++++++++++++++++++++++++++++++++++++	++++++++++++++++++++++++++++++++++++++	++++0.156 0.155 ++++0.155 ++0.155 +0.154 0.154	+++++0.153 ++++++0.152 +++++++++0.151 +++0.151	
3	- 0.003 2776 + 130 - 0.003 0163 + 130 - 0.003 0245 + 10 - 0.003 0245 + 10 - 0.003 0245 + 11 - 0.003 0245 + 11 - 0.003 1295 + 11 - 0.003 2775 + 12 - 0.003 2775 + 13	100003 33408 + 44 4 4 4 4 4 4 4 4 4 4 4 4 4 4 4 4 4	1000 1000 1000 1000 1000 1000 1000 100	0.003 8904 + 55 0.003 993 + 55 0.003 993 + 55 0.003 993 + 55 0.003 993 + 55 0.003 993 + 55 0.003 993 + 55 0.003 993 + 55 0.003 993 + 55 0.003 993 + 55 0.003 993 + 55 0.003 993 + 55 0.004 0.004 + 55 0.004 0.004 + 55 0.004 0.004 + 55 0.004 0.004 + 55 0.004 0.004 + 55 0.004 0.004 + 55 0.004 0.004 + 55 0.004 0.004 + 55 0.004 0.004 + 55 0.004 0.004 + 55 0.004 0.004 + 55 0.004 0.004 + 55 0.004 0.004 + 55 0.004 0.004 + 55 0.004 0.004 + 55 0.004 0.004 + 55 0.004 0.004 + 55 0.004 0.004 + 55 0.004 0.004 + 55 0.004 0.004 + 55 0.004 0.004 + 55 0.004 0.004 + 55 0.004 0.004 + 55 0.004 0.004 + 55 0.004 0.004 + 55 0.004 0.004 + 55 0.004 0.004 + 55 0.004 0.004 + 55 0.004 0.004 + 55 0.004 0.004 + 55 0.004 0.004 + 55 0.004 0.004 + 55 0.004 0.004 + 55 0.004 0.004 + 55 0.004 0.004 + 55 0.004 0.004 + 55 0.004 0.004 + 55 0.004 0.004 + 55 0.004 0.004 + 55 0.004 0.004 + 55 0.004 0.004 + 55 0.004 0.004 + 55 0.004 0.004 + 55 0.004 0.004 + 55 0.004 0.004 + 55 0.004 0.004 + 55 0.004 0.004 + 55 0.004 0.004 + 55 0.004 0.004 + 55 0.004 0.004 + 55 0.004 0.004 + 55 0.004 0.004 + 55 0.004 0.004 + 55 0.004 0.004 + 55 0.004 0.004 + 55 0.004 0.004 + 55 0.004 0.004 + 55 0.004 0.004 + 55 0.004 0.004 + 55 0.004 0.004 + 55 0.004 0.004 + 55 0.004 0.004 + 55 0.004 0.004 + 55 0.004 0.004 + 55 0.004 0.004 + 55 0.004 0.004 + 55 0.004 0.004 + 55 0.004 0.004 + 55 0.004 0.004 + 55 0.004 0.004 + 55 0.004 0.004 + 55 0.004 0.004 + 55 0.004 0.004 + 55 0.004 0.004 + 55 0.004 0.004 + 55 0.004 0.004 + 55 0.004 0.004 + 55 0.004 0.004 + 55 0.004 0.004 + 55 0.004 0.004 + 55 0.004 0.004 + 55 0.004 0.004 + 55 0.004 0.004 + 55 0.004 0.004 + 55 0.004 0.004 + 55 0.004 0.004 + 55 0.004 0.004 + 55 0.004 0.004 + 55 0.004 0.004 + 55 0.004 0.004 + 55 0.004 0.004 + 55 0.004 0.004 + 55 0.004 0.004 + 55 0.004 0.004 + 55 0.004 0.004 + 55 0.004 0.004 + 55 0.004 0.004 + 55 0.004 0.004 + 55 0.004 0.004 + 55 0.004 0.004 + 55 0.004 0.004 + 55 0.004 0.004 + 55 0.004 0.004 + 55	0.004 674 + 53 0.004 684 + 53 0.004 1091 + 53 0.004 130 + 53 0.004 130 + 54 0.004 130 + 54		
a3 3	++++++++++++++++++++++++++++++++++++++	+ + + + + + + + + + + + + + + + + + +	+ + + + + + + + + + + + + + + + + + +	+ 0.010 of1; - 3 + 0.000 of2; - 3 + 0.000 pf0 - 3 + 0.000 pf0 - 3 + 0.000 pf0 - 3 + 0.000 pf0 - 3 + 0.000 pf0 - 3 + 0.000 pf0 - 3 + 0.000 pf0 - 3 + 0.000 pf0 - 3 + 0.000 pf0 - 3 + 0.000 pf0 - 3 + 0.000 pf0 - 3 + 0.000 pf0 - 3 + 0.000 pf0 - 3 + 0.000 pf0 - 3 + 0.000 pf0 - 3 + 0.000 pf0 - 3 + 0.000 pf0 - 3 + 0.000 pf0 - 3 + 0.000 pf0 - 3 + 0.000 pf0 - 3 + 0.000 pf0 - 3 + 0.000 pf0 - 3 + 0.000 pf0 - 3 + 0.000 pf0 - 3 + 0.000 pf0 - 3 + 0.000 pf0 - 3 + 0.000 pf0 - 3 + 0.000 pf0 - 3 + 0.000 pf0 - 3 + 0.000 pf0 - 3 + 0.000 pf0 - 3 + 0.000 pf0 - 3 + 0.000 pf0 - 3 + 0.000 pf0 - 3 + 0.000 pf0 - 3 + 0.000 pf0 - 3 + 0.000 pf0 - 3 + 0.000 pf0 - 3 + 0.000 pf0 - 3 + 0.000 pf0 - 3 + 0.000 pf0 - 3 + 0.000 pf0 - 3 + 0.000 pf0 - 3 + 0.000 pf0 - 3 + 0.000 pf0 - 3 + 0.000 pf0 - 3 + 0.000 pf0 - 3 + 0.000 pf0 - 3 + 0.000 pf0 - 3 + 0.000 pf0 - 3 + 0.000 pf0 - 3 + 0.000 pf0 - 3 + 0.000 pf0 - 3 + 0.000 pf0 - 3 + 0.000 pf0 - 3 + 0.000 pf0 - 3 + 0.000 pf0 - 3 + 0.000 pf0 - 3 + 0.000 pf0 - 3 + 0.000 pf0 - 3 + 0.000 pf0 - 3 + 0.000 pf0 - 3 + 0.000 pf0 - 3 + 0.000 pf0 - 3 + 0.000 pf0 - 3 + 0.000 pf0 - 3 + 0.000 pf0 - 3 + 0.000 pf0 - 3 + 0.000 pf0 - 3 + 0.000 pf0 - 3 + 0.000 pf0 - 3 + 0.000 pf0 - 3 + 0.000 pf0 - 3 + 0.000 pf0 - 3 + 0.000 pf0 - 3 + 0.000 pf0 - 3 + 0.000 pf0 - 3 + 0.000 pf0 - 3 + 0.000 pf0 - 3 + 0.000 pf0 - 3 + 0.000 pf0 - 3 + 0.000 pf0 - 3 + 0.000 pf0 - 3 + 0.000 pf0 - 3 + 0.000 pf0 - 3 + 0.000 pf0 - 3 + 0.000 pf0 - 3 + 0.000 pf0 - 3 + 0.000 pf0 - 3 + 0.000 pf0 - 3 + 0.000 pf0 - 3 + 0.000 pf0 - 3 + 0.000 pf0 - 3 + 0.000 pf0 - 3 + 0.000 pf0 - 3 + 0.000 pf0 - 3 + 0.000 pf0 - 3 + 0.000 pf0 - 3 + 0.000 pf0 - 3 + 0.000 pf0 - 3 + 0.000 pf0 - 3 + 0.000 pf0 - 3 + 0.000 pf0 - 3 + 0.000 pf0 - 3 + 0.000 pf0 - 3 + 0.000 pf0 - 3 + 0.000 pf0 - 3 + 0.000 pf0 - 3 + 0.000 pf0 - 3 + 0.000 pf0 - 3 + 0.000 pf0 - 3 + 0.000 pf0 - 3 + 0.000 pf0 - 3 + 0.000 pf0 - 3 + 0.000 pf0 - 3 + 0.000 pf0 - 3 + 0.000 pf0 - 3 + 0.000 pf0 - 3 + 0.000 pf0 - 3 + 0.000 pf0 - 3 + 0.000 pf0 - 3 + 0.000 pf0 - 3 + 0.000 pf0 - 3 + 0.000 pf0 - 3 + 0.000 pf0 - 3 + 0.000 pf0	+ + + + 0.009 0111   2   + + + 0.008 0111   2   + + 0.008 0111   2   + + 0.008 0111   2   + + 0.008 011   2   + + 0.008 011   2   + + 0.008 011   2   + 0.008 011   2   + 0.008 011   2   + 0.008 011   2   + 0.008 011   2   + 0.008 011   2   + 0.008 011   2   + 0.008 011   2   + 0.008 011   2   + 0.008 011   2   + 0.008 011   2   + 0.008 011   2   + 0.008 011   2   + 0.008 011   2   + 0.008 011   2   + 0.008 011   2   + 0.008 011   2   + 0.008 011   2   + 0.008 011   2   + 0.008 011   2   + 0.008 011   2   + 0.008 011   2   + 0.008 011   2   + 0.008 011   2   + 0.008 011   2   + 0.008 011   2   + 0.008 011   2   + 0.008 011   2   + 0.008 011   2   + 0.008 011   2   + 0.008 011   2   + 0.008 011   2   + 0.008 011   2   + 0.008 011   2   + 0.008 011   2   + 0.008 011   2   + 0.008 011   2   + 0.008 011   2   + 0.008 011   2   + 0.008 011   2   + 0.008 011   2   + 0.008 011   2   + 0.008 011   2   + 0.008 011   2   + 0.008 011   2   + 0.008 011   2   + 0.008 011   2   + 0.008 011   2   + 0.008 011   2   + 0.008 011   2   + 0.008 011   2   + 0.008 011   2   + 0.008 011   2   + 0.008 011   2   + 0.008 011   2   + 0.008 011   2   + 0.008 011   2   + 0.008 011   2   + 0.008 011   2   + 0.008 011   2   + 0.008 011   2   + 0.008 011   2   + 0.008 011   2   + 0.008 011   2   + 0.008 011   2   + 0.008 011   2   + 0.008 011   2   + 0.008 011   2   + 0.008 011   2   + 0.008 011   2   + 0.008 011   2   + 0.008 011   2   + 0.008 011   2   + 0.008 011   2   + 0.008 011   2   + 0.008 011   2   + 0.008 011   2   + 0.008 011   2   + 0.008 011   2   + 0.008 011   2   + 0.008 011   2   + 0.008 011   2   + 0.008 011   2   + 0.008 011   2   + 0.008 011   2   + 0.008 011   2   + 0.008 011   2   + 0.008 011   2   + 0.008 011   2   + 0.008 011   2   + 0.008 011   2   + 0.008 011   2   + 0.008 011   2   + 0.008 011   2   + 0.008 011   2   + 0.008 011   2   + 0.008 011   2   + 0.008 011   2   + 0.008 011   2   + 0.008 011   2   + 0.008 011   2   + 0.008 011   2   + 0.008 011   2   + 0.008 011   2   + 0.008 011   2   + 0.008 011   2   + 0.00	+ 0.008 002 + 0.007 087 - 2 + 0.007 181 - 2 + 0.007 181 - 2 + 0.007 559 - 2 + 0.007 334 - 2 + 0.007 332 - 2 + 0.007 332 - 2 + 0.007 332 - 2 + 0.007 332 - 2	
<b>a</b> ₃	+ 0.00049 + 0.00030 + 0.00033 + 0.00053 + 0.00054 + 0.00054 + 0.00056 + 0.00051 + 0.00	+ 0.00064 + 0.00065 + 0.00065 + 0.00067 + 0.00073 + 0.00073 + 0.00078 + 0.00	+ 0.00082 + 0.00084 + 0.00086 + 0.00093 + 0.00093 + 0.00098 + 0.00102 + 0.00102 + 0.00102 + 0.00102	+ 0.00105 + 0.00110 + 0.00113 + 0.00113 + 0.00113 + 0.00129 + 0.00	+ + 0.00131 + 0.00134 + 0.00134 + 0.00146 + 0.00146 + 0.00159 + 0.00159 + 0.00159 + 0.00159 + 0.00159 + 0.00159 + 0.00159 + 0.00159	1 + 6.00163 1 + 6.00163 1 + 6.00164 1 + 6.00164 1 + 6.00163 1 + 6.00164 1 + 6	
<b>g</b> ₃	+++0.0085 ++++0.0086 ++0.0085 ++0.0085 ++0.0084 +0.0084	+++++0.0083 0.0082 ++++++0.0083 0.0082 ++++++0.0080 0.0080 0.0080	+ + 0.0079 + + 0.0078 + 0.0078 + 0.0077 + 0.0076 + 0.0076	+ + + + 0.0075 + + + 0.0074 + 0.0073 + 0.0073 + 0.0071 + 0.0071	++++++++++++++++++++++++++++++++++++++	++++++++++++++++++++++++++++++++++++++	
d'i	252 24 25 25 25 25 25 25 25 25 25 25 25 25 25	.01763 + 1 .01861 + 2 .01963 + 2 .01963 + 2 .02066 + 2 .02179 + 2 .02179 + 2 .02179 + 2	0238 + 2 0233 + 2 02347 + 2 02547 + 2 02561 + 2 02677 + 2 02735 + 2	.02855 + 2 .02915 + 3 .02976 + 3 .03037 + 3 .03162 + 3 .03182 + 3 .03182 + 3 .03157 + 3	61481 6147 6147 6146 6147 6147 6147 6147 614	04136 ++ 04387 ++ 04438 ++ 04581 ++ 04581 ++ 04581 ++ 04581 ++ 04581 ++ 04883 ++ 04883 ++ 04883 ++ 04883 ++ 04883 ++ 04883 ++ 04883 ++ 04883 ++ 04883 ++ 04883 ++ 04883 ++ 04883 ++ 04883 ++ 04883 ++ 04883 ++ 04883 ++ 04883 ++ 04883 ++ 04883 ++ 04883 ++ 04883 ++ 04883 ++ 04883 ++ 04883 ++ 04883 ++ 04883 ++ 04883 ++ 04883 ++ 04883 ++ 04883 ++ 04883 ++ 04883 ++ 04883 ++ 04883 ++ 04883 ++ 04883 ++ 04883 ++ 04883 ++ 04883 ++ 04883 ++ 04883 ++ 04883 ++ 04883 ++ 04883 ++ 04883 ++ 04883 ++ 04883 ++ 04883 ++ 04883 ++ 04883 ++ 04883 ++ 04883 ++ 04883 ++ 04883 ++ 04883 ++ 04883 ++ 04883 ++ 04883 ++ 04883 ++ 04883 ++ 04883 ++ 04883 ++ 04883 ++ 04883 ++ 04883 ++ 04883 ++ 04883 ++ 04883 ++ 04883 ++ 04883 ++ 04883 ++ 04883 ++ 04883 ++ 04883 ++ 04883 ++ 04883 ++ 04883 ++ 04883 ++ 04883 ++ 04883 ++ 04883 ++ 04883 ++ 04883 ++ 04883 ++ 04883 ++ 04883 ++ 04883 ++ 04883 ++ 04883 ++ 04883 ++ 04883 ++ 04883 ++ 04883 ++ 04883 ++ 04883 ++ 04883 ++ 04883 ++ 04883 ++ 04883 ++ 04883 ++ 04883 ++ 04883 ++ 04883 ++ 04883 ++ 04883 ++ 04883 ++ 04883 ++ 04883 ++ 04883 ++ 04883 ++ 04883 ++ 04883 ++ 04883 ++ 04883 ++ 04883 ++ 04883 ++ 04883 ++ 04883 ++ 04883 ++ 04883 ++ 04883 ++ 04883 ++ 04883 ++ 04883 ++ 04883 ++ 04883 ++ 04883 ++ 04883 ++ 04883 ++ 04883 ++ 04883 ++ 04883 ++ 04883 ++ 04883 ++ 04883 ++ 04883 ++ 04883 ++ 04883 ++ 04883 ++ 04883 ++ 04883 ++ 04883 ++ 04883 ++ 04883 ++ 04883 ++ 04883 ++ 04883 ++ 04883 ++ 04883 ++ 04883 ++ 04883 ++ 04883 ++ 04883 ++ 04883 ++ 04883 ++ 04883 ++ 04883 ++ 04883 ++ 04883 ++ 04883 ++ 04883 ++ 04883 ++ 04883 ++ 04883 ++ 04883 ++ 04883 ++ 04883 ++ 04883 ++ 04883 ++ 04883 ++ 04883 ++ 04883 ++ 04883 ++ 04883 ++ 04883 ++ 04883 ++ 04883 ++ 04883 ++ 04883 ++ 04883 ++ 04883 ++ 04883 ++ 04883 ++ 04883 ++ 04883 ++ 04883 ++ 04883 ++ 04883 ++ 04883 ++ 04883 ++ 04883 ++ 04883 ++ 04883 ++ 04883 ++ 04883 ++ 04883 ++ 04883 ++ 04883 ++ 04883 ++ 04883 ++ 04883 ++ 04883 ++ 04883 ++ 04883 ++ 04883 ++ 04883 ++ 04883 ++ 04883 ++ 04883 ++ 04883 ++ 04883 ++ 04883 ++ 04883 ++ 04883 ++ 04883 ++ 04883 ++ 04883 ++ 04883 ++ 04883 ++ 048	
	- 0"01306 - 0.01349 - 0.01349 - 0.01436 - 0.01526 - 0.01572 - 0.01572 - 0.01666			0 0 0 0 0 0 0 0 0 0 0 0 0 0 0 0 0 0 0		0004156 0004266 0004266 0004269 0004269 0004581 000480	18.
80,0	++++++++++++++++++++++++++++++++++++++	++++++++++++++++++++++++++++++++++++++	++++0.16631 0.16649 0.16649 0.16649 0.16649 0.16649 0.16649 0.16649 0.17649 0.17649 0.17649 0.17649 0.17649 0.17649	++++++++++++++++++++++++++++++++++++++	+ 0.1938 + 0.1938 + 0.2036 + 0.2033 + 0.2038 + 0.2038 + 0.2033 + 0.2033 + 0.2033	++++++++++++++++++++++++++++++++++++++	
66	+ + + + + + + + + + + + + + + + + + +	+ 0.007 4536 — 64 + 0.007 5462 — 65 + 0.007 538 — 67 + 0.007 7398 — 67 + 0.007 8006 — 68 + 0.008 0003 — 69 + 0.008 0003 — 69 + 0.008 1960 — 71	+ 0.008 3330 - 73 + 0.008 4395 - 73 + 0.008 6195 - 74 + 0.008 605 - 74 + 0.008 6053 - 75 + 0.008 6053 - 75 + 0.009 6945 - 77 + 0.009 6945 - 77 + 0.009 6945 - 77	+ 0.009 1889,   - 79 + 0.000 1887,   - 80 + 0.000 1867,   - 81 + 0.000 1807,   - 82 + 0.000 1807,   - 83 + 0.000 1807,   - 83 + 0.000 1807,   - 84 +	+ 0.000 954.8 - 87 + 0.000 0273 - 87 + 0.000 0273 - 87 + 0.000 0270 - 89 + 0.000 3400 - 89 + 0.000 3400 - 89 + 0.000 3400 - 90 + 0.000 5430 - 90 + 0.000 5430 - 90 + 0.000 5430 - 90	+ 0.010 6449   93 + 0.010 7095   93 + 0.010 8704   19 + 0.010 8986   94 + 0.011 960   95 + 0.011 1390   95 + 0.011 1390   95 + 0.011 1390   95 + 0.011 1390   95 + 0.011 1390   95	
0.1		- 0.028 205 - 0.028 205 - 0.028 205 - 0.028 205 - 0.028 205 - 0.028 205 - 0.027 201 - 0.027 201 - 0.027 200 - 0.027 200 - 0.027 200 - 0.027 200 - 0.027 200 - 0.027 200 - 0.027 200 - 0.027 200 - 0.027 200 - 0.027 200 - 0.027 200 - 0.027 200 - 0.027 200 - 0.027 200 - 0.027 200 - 0.027 200 - 0.027 200 - 0.027 200 - 0.027 200 - 0.027 200 - 0.027 200 - 0.027 200 - 0.027 200 - 0.027 200 - 0.027 200 - 0.027 200 - 0.027 200 - 0.027 200 - 0.027 200 - 0.027 200 - 0.027 200 - 0.027 200 - 0.027 200 - 0.027 200 - 0.027 200 - 0.027 200 - 0.027 200 - 0.027 200 - 0.027 200 - 0.027 200 - 0.027 200 - 0.027 200 - 0.027 200 - 0.027 200 - 0.027 200 - 0.027 200 - 0.027 200 - 0.027 200 - 0.027 200 - 0.027 200 - 0.027 200 - 0.027 200 - 0.027 200 - 0.027 200 - 0.027 200 - 0.027 200 - 0.027 200 - 0.027 200 - 0.027 200 - 0.027 200 - 0.027 200 - 0.027 200 - 0.027 200 - 0.027 200 - 0.027 200 - 0.027 200 - 0.027 200 - 0.027 200 - 0.027 200 - 0.027 200 - 0.027 200 - 0.027 200 - 0.027 200 - 0.027 200 - 0.027 200 - 0.027 200 - 0.027 200 - 0.027 200 - 0.027 200 - 0.027 200 - 0.027 200 - 0.027 200 - 0.027 200 - 0.027 200 - 0.027 200 - 0.027 200 - 0.027 200 - 0.027 200 - 0.027 200 - 0.027 200 - 0.027 200 - 0.027 200 - 0.027 200 - 0.027 200 - 0.027 200 - 0.027 200 - 0.027 200 - 0.027 200 - 0.027 200 - 0.027 200 - 0.027 200 - 0.027 200 - 0.027 200 - 0.027 200 - 0.027 200 - 0.027 200 - 0.027 200 - 0.027 200 - 0.027 200 - 0.027 200 - 0.027 200 - 0.027 200 - 0.027 200 - 0.027 200 - 0.027 200 - 0.027 200 - 0.027 200 - 0.027 200 - 0.027 200 - 0.027 200 - 0.027 200 - 0.027 200 - 0.027 200 - 0.027 200 - 0.027 200 - 0.027 200 - 0.027 200 - 0.027 200 - 0.027 200 - 0.027 200 - 0.027 200 - 0.027 200 - 0.027 200 - 0.027 200 - 0.027 200 - 0.027 200 - 0.027 200 - 0.027 200 - 0.027 200 - 0.027 200 - 0.027 200 - 0.027 200 - 0.027 200 - 0.027 200 - 0.027 200 - 0.027 200 - 0.027 200 - 0.027 200 - 0.027 200 - 0.027 200 - 0.027 200 - 0.027 200 - 0.027 200 - 0.027 200 - 0.027 200 - 0.027 200 - 0.027 200 - 0.027 200 - 0.027 200 - 0.027 200 - 0.027 200 - 0.027 200 - 0.02	- 0.027 833 - 5 - 0.027 866 - 5 - 0.027 736 - 5 - 0.027 710 - 5 - 0.027 661 - 5 - 0.027 661 - 5 - 0.027 611 - 5 - 0.027 511 - 5 - 0.027 511 - 5 - 0.027 511 - 5 - 0.027 511 - 5 - 0.027 511 - 5 - 0.027 511 - 5 - 0.027 511 - 5 - 0.027 511 - 5 - 0.027 511 - 5 - 0.027 511 - 5 - 0.027 511 - 5 - 0.027 511 - 5 - 0.027 511 - 5 - 0.027 511 - 5 - 0.027 511 - 5 - 0.027 511 - 5 - 0.027 511 - 5 - 0.027 511 - 5 - 0.027 511 - 5 - 0.027 511 - 5 - 0.027 511 - 5 - 0.027 511 - 5 - 0.027 511 - 5 - 0.027 511 - 5 - 0.027 511 - 5 - 0.027 511 - 5 - 0.027 511 - 5 - 0.027 511 - 5 - 0.027 511 - 5 - 0.027 511 - 5 - 0.027 511 - 5 - 0.027 511 - 5 - 0.027 511 - 5 - 0.027 511 - 5 - 0.027 511 - 5 - 0.027 511 - 5 - 0.027 511 - 5 - 0.027 511 - 5 - 0.027 511 - 5 - 0.027 511 - 5 - 0.027 511 - 5 - 0.027 511 - 5 - 0.027 511 - 5 - 0.027 511 - 5 - 0.027 511 - 5 - 0.027 511 - 5 - 0.027 511 - 5 - 0.027 511 - 5 - 0.027 511 - 5 - 0.027 511 - 5 - 0.027 511 - 5 - 0.027 511 - 5 - 0.027 511 - 5 - 0.027 511 - 5 - 0.027 511 - 5 - 0.027 511 - 5 - 0.027 511 - 5 - 0.027 511 - 5 - 0.027 511 - 5 - 0.027 511 - 5 - 0.027 511 - 5 - 0.027 511 - 5 - 0.027 511 - 5 - 0.027 511 - 5 - 0.027 511 - 5 - 0.027 511 - 5 - 0.027 511 - 5 - 0.027 511 - 5 - 0.027 511 - 5 - 0.027 511 - 5 - 0.027 511 - 5 - 0.027 511 - 5 - 0.027 511 - 5 - 0.027 511 - 5 - 0.027 511 - 5 - 0.027 511 - 5 - 0.027 511 - 5 - 0.027 511 - 5 - 0.027 511 - 5 - 0.027 511 - 5 - 0.027 511 - 5 - 0.027 511 - 5 - 0.027 511 - 5 - 0.027 511 - 5 - 0.027 511 - 5 - 0.027 511 - 5 - 0.027 511 - 5 - 0.027 511 - 5 - 0.027 511 - 5 - 0.027 511 - 5 - 0.027 511 - 5 - 0.027 511 - 5 - 0.027 511 - 5 - 0.027 511 - 5 - 0.027 511 - 5 - 0.027 511 - 5 - 0.027 511 - 5 - 0.027 511 - 5 - 0.027 511 - 5 - 0.027 511 - 5 - 0.027 511 - 5 - 0.027 511 - 5 - 0.027 511 - 5 - 0.027 511 - 5 - 0.027 511 - 5 - 0.027 511 - 5 - 0.027 511 - 5 - 0.027 511 - 5 - 0.027 511 - 5 - 0.027 511 - 5 - 0.027 511 - 5 - 0.027 511 - 5 - 0.027 511 - 5 - 0.02	-0.027 387   -5 -0.027 395   -5 -0.027 395   -5 -0.027 396   -5 -0.027 996   -5 -0.026 970   -5 -0.026 970   -5 -0.026 970   -5 -0.026 970   -5 -0.026 970   -5	-0.026 810 -5 -0.026 732 -5 -0.026 634 -5 -0.026 537 -5 -0.026 537 -5 -0.026 537 -5 -0.026 537 -5 -0.026 537 -5 -0.026 333 -5 -0.026 333 -5	- 0.026 211 - 0.026 148 - 5 - 0.026 032   5 - 0.025 938 - 5 - 0.025 938 - 1 - 0.025 948 - 1 - 0.025 949 - 1 - 0.025 949 - 1 - 0.025 949 - 1 - 0.025 949 - 1	
°°°	0 0 0 0 0 0 0 0 0 0 0 0 0 0 0 0 0 0 0	+ + + + 0.00567 0 0 0 0 0 0 0 0 0 0 0 0 0 0 0 0 0 0 0	- 0.00607 - 0.00611 - 0.00611 - 0.00620 - 0.00628 - 0.00638 - 0.00638 - 0.00638 - 0.00638 - 0.00638 - 0.00638 - 0.00641 - 0.00641	0 (2007) 0 (2007) 0 (2007) 0 (2007) 0 (2007) 0 (2007) 0 (2007) 0 (2007) 0 (2007) 0 (2007) 0 (2007) 0 (2007) 0 (2007) 0 (2007) 0 (2007) 0 (2007) 0 (2007) 0 (2007) 0 (2007) 0 (2007) 0 (2007) 0 (2007) 0 (2007) 0 (2007) 0 (2007) 0 (2007) 0 (2007) 0 (2007) 0 (2007) 0 (2007) 0 (2007) 0 (2007) 0 (2007) 0 (2007) 0 (2007) 0 (2007) 0 (2007) 0 (2007) 0 (2007) 0 (2007) 0 (2007) 0 (2007) 0 (2007) 0 (2007) 0 (2007) 0 (2007) 0 (2007) 0 (2007) 0 (2007) 0 (2007) 0 (2007) 0 (2007) 0 (2007) 0 (2007) 0 (2007) 0 (2007) 0 (2007) 0 (2007) 0 (2007) 0 (2007) 0 (2007) 0 (2007) 0 (2007) 0 (2007) 0 (2007) 0 (2007) 0 (2007) 0 (2007) 0 (2007) 0 (2007) 0 (2007) 0 (2007) 0 (2007) 0 (2007) 0 (2007) 0 (2007) 0 (2007) 0 (2007) 0 (2007) 0 (2007) 0 (2007) 0 (2007) 0 (2007) 0 (2007) 0 (2007) 0 (2007) 0 (2007) 0 (2007) 0 (2007) 0 (2007) 0 (2007) 0 (2007) 0 (2007) 0 (2007) 0 (2007) 0 (2007) 0 (2007) 0 (2007) 0 (2007) 0 (2007) 0 (2007) 0 (2007) 0 (2007) 0 (2007) 0 (2007) 0 (2007) 0 (2007) 0 (2007) 0 (2007) 0 (2007) 0 (2007) 0 (2007) 0 (2007) 0 (2007) 0 (2007) 0 (2007) 0 (2007) 0 (2007) 0 (2007) 0 (2007) 0 (2007) 0 (2007) 0 (2007) 0 (2007) 0 (2007) 0 (2007) 0 (2007) 0 (2007) 0 (2007) 0 (2007) 0 (2007) 0 (2007) 0 (2007) 0 (2007) 0 (2007) 0 (2007) 0 (2007) 0 (2007) 0 (2007) 0 (2007) 0 (2007) 0 (2007) 0 (2007) 0 (2007) 0 (2007) 0 (2007) 0 (2007) 0 (2007) 0 (2007) 0 (2007) 0 (2007) 0 (2007) 0 (2007) 0 (2007) 0 (2007) 0 (2007) 0 (2007) 0 (2007) 0 (2007) 0 (2007) 0 (2007) 0 (2007) 0 (2007) 0 (2007) 0 (2007) 0 (2007) 0 (2007) 0 (2007) 0 (2007) 0 (2007) 0 (2007) 0 (2007) 0 (2007) 0 (2007) 0 (2007) 0 (2007) 0 (2007) 0 (2007) 0 (2007) 0 (2007) 0 (2007) 0 (2007) 0 (2007) 0 (2007) 0 (2007) 0 (2007) 0 (2007) 0 (2007) 0 (2007) 0 (2007) 0 (2007) 0 (2007) 0 (2007) 0 (2007) 0 (2007) 0 (2007) 0 (2007) 0 (2007) 0 (2007) 0 (2007) 0 (2007) 0 (2007) 0 (2007) 0 (2007) 0 (2007) 0 (2007) 0 (2007) 0 (2007) 0 (2007) 0 (2007) 0 (2007) 0 (2007) 0 (2007) 0 (2007) 0 (2007) 0 (2007) 0 (2007) 0 (2007) 0 (2007) 0 (2007) 0 (2007) 0 (2007) 0 (2007) 0 (2007) 0 (2007) 0 (2007) 0 (2007) 0 (	+ 0.00637 + 0.00591 + 0.00594 0 + 0.00593 0 + 0.00795 0 + 0.00795 0 + 0.00715 0 + 0.00715 0 + 0.00715	+ 0.00722 + 0.00733 + 0.00734 + 0.00734 + 0.00747 + 0.00740 + 0.00740 + 0.00745 + 0.00745 + 0.00745 + 0.00745	
13h	0 = 4 W + N C F C	011224507286	0 2 2 2 2 2 2 2 2 2 2 2 2 2 2 2 2 2 2 2	33 33 33 33 33 33 33 33 33 33 33 33 33	01454464	55.5 55.5 55.5 55.5 55.5 55.5 55.5 55.	

Г				~~~~~~~~~~~~~~~~~~~~~~~~~~~~~~~~~~~~~~	*****	++++++++	*****
1.		1111111111		W P A NOW W NOW H D	6 8 0 4 w 20 6 4 8 8	0.0000000000000	
٦	a.	0.02051 0.02037 0.02129 0.02139 0.02180 0.02205 0.02235	0.02397 0.023357 0.02382 0.02497 0.02432 0.02456 0.02456	0.02553 0.02577 0.02601 0.02648 0.02672 0.02695 0.02741	0.02786 0.02830 0.02832 0.02853 0.02873 0.02895 0.02916 0.02978	0.02999 0.03019 0.03039 0.03058 0.03037 0.03116 0.03115	0.03188 0.03200 0.03220 0.03240 0.03273 0.03373 0.03330 0.03330
_	_	++++++++	++++++++	++++++++	++++++++	+++++++++	+++++++++
٦	g ³	o"ogga o.ogga o.ogga o.ogga o.ogga o.ogga o.ogga o.ogga	0.0974 0.0978 0.0985 0.0985 0.0999 0.0999 0.1002	0.1009 0.1015 0.1016 0.1020 0.1026 0.1028 0.1028	0.1036 0.1038 0.1042 0.1044 0.1046 0.1049 0.1049	0.1054 0.1056 0.1057 0.1058 0.1061 0.1063 0.1063	0.1065 0.1065 0.1066 0.1067 0.1067 0.1067 0.1067 0.1067
L		1111111111	1111111111	111111111	111111111	111111111	111111111
۱۶	$a_3$	0,150 0,150 0,150 0,149 0,149 0,148 0,148	0.147	00143	0.141 0.140 0.139 0.138 0.138 0.137 0.137	0.137 0.136 0.135 0.135 0.135 0.134 0.133	0.132 0.133 0.131 0.131 0.130 0.130 0.128 0.128
-	- =	25555555555555555555555555555555555555	+++++++++	++++++++++	\$ 5 5 5 5 5 5 5 5 5 5 5 5 5 5 5 5 5 5 5	++++++++++	**********
		++++++++	+++++++++	++++++++	+++++++++	+++++++++	+++++++++
"	a ³	4 2005 4 2005 4 2005 4 1980 4 1879	7.0 2.2 4.2 1.0 0.0	4 0674 4 0375 4 0375 4 0375 4 0215 4 0048 3 9875 3 9507 3 9112	3 8904 3 8690 3 824 3 7767 3 7266 3 6740	.003 6468 .003 5904, .003 5904, .003 513 .003 513 .003 4703 .003 4703 .003 4067	3 3408 3 3 3069 3 3 3 3 3 3 3 3 3 3 3 3 3 3 3 3 3 3 3
		30000000000000000000000000000000000000	7 7 7 7 7 7 7 7 7 7 7 7 7 7 7 7 7 7 7	333337660000000000000000000000000000000	000000000000000000000000000000000000000	000000000000000000000000000000000000000	8 3 3 3 3 3 3 3 3 3 3 3 3 3 3 3 3 3 3 3
H		*************	папапапны	***			H 0 0 0 0 0 0 0 0 0
		993 993 993 993 993 993 993 993	877 645 645 777 775 818 818	6599 23,4559 22,659 23,739 20,739 20,739 20,739 20,739 20,739 20,739 20,739 20,739 20,739 20,739 20,739 20,739 20,739 20,739 20,739 20,739 20,739 20,739 20,739 20,739 20,739 20,739 20,739 20,739 20,739 20,739 20,739 20,739 20,739 20,739 20,739 20,739 20,739 20,739 20,739 20,739 20,739 20,739 20,739 20,739 20,739 20,739 20,739 20,739 20,739 20,739 20,739 20,739 20,739 20,739 20,739 20,739 20,739 20,739 20,739 20,739 20,739 20,739 20,739 20,739 20,739 20,739 20,739 20,739 20,739 20,739 20,739 20,739 20,739 20,739 20,739 20,739 20,739 20,739 20,739 20,739 20,739 20,739 20,739 20,739 20,739 20,739 20,739 20,739 20,739 20,739 20,739 20,739 20,739 20,739 20,739 20,739 20,739 20,739 20,739 20,739 20,739 20,739 20,739 20,739 20,739 20,739 20,739 20,739 20,739 20,739 20,739 20,739 20,739 20,739 20,739 20,739 20,739 20,739 20,739 20,739 20,739 20,739 20,739 20,739 20,739 20,739 20,739 20,739 20,739 20,739 20,739 20,739 20,739 20,739 20,739 20,739 20,739 20,739 20,739 20,739 20,739 20,739 20,739 20,739 20,739 20,739 20,739 20,739 20,739 20,739 20,739 20,739 20,739 20,739 20,739 20,739 20,739 20,739 20,739 20,739 20,739 20,739 20,739 20,739 20,739 20,739 20,739 20,739 20,739 20,739 20,739 20,739 20,739 20,739 20,739 20,739 20,739 20,739 20,739 20,739 20,739 20,739 20,739 20,739 20,739 20,739 20,739 20,739 20,739 20,739 20,739 20,739 20,739 20,739 20,739 20,739 20,739 20,739 20,739 20,739 20,739 20,739 20,739 20,739 20,739 20,739 20,739 20,739 20,739 20,739 20,739 20,739 20,739 20,739 20,739 20,739 20,739 20,739 20,739 20,739 20,739 20,739 20,739 20,739 20,739 20,739 20,739 20,739 20,739 20,739 20,739 20,739 20,739 20,739 20,739 20,739 20,739 20,739 20,739 20,739 20,739 20,739 20,739 20,739 20,739 20,739 20,739 20,739 20,739 20,739 20,739 20,739 20,739 20,739 20,739 20,739 20,739 20,739 20,739 20,739 20,739 20,739 20,739 20,739 20,739 20,739 20,739 20,739 20,739 20,739 20,739 20,739 20,739 20,739 20,739 20,739 20,739 20,739 20,739 20,739 20,739 20,739 20,739 20,739 20,739 20,739 20,739 20,739 20,739 20,739 20,739 20,739 20,	45 8 8 1 3 3 5 4 8 8 8 1 3 8 8 8 9 1 3 3 6 8 8 8 9 1 9 9 8 8 9 9 9 9 9 9 9 9 9 9 9	24.1 26.2 26.2 27.1 23.3 23.3 23.3 23.3 23.3 23.3 23.3 23	808 7.70 8.00 8.00 8.00 8.00 8.00 8.00 8
	a ₃	\$ 0.00000000000000000000000000000000000	0.0000000000000000000000000000000000000	44444466666	0.0000000000000000000000000000000000000	0.000.000000000000000000000000000000000	000000000000000000000000000000000000000
L		+++++++++	++++++++	+++++++++	+++++++++	+++++++++	+++++++111
		+++++++++	+++++++++	++++++++	++++++++	++++++++	++++++++++
-	"e.	0.00230 0.00200 0.00200 0.00210 0.00218 0.00222 0.00220 0.00230	.00242 .00247 .00255 .00255 .00264 .00264 .00269	.00282 .00292 .00292 .00290 .00391 .00316	.00331 .00346 .00346 .00351 .00356 .00367 .00367 .00378	0.00388 0.00388 0.00394 0.00410 0.00410 0.00410 0.00433	00439 00444 00456 00456 00456 00473 00473 00491
		++++++++	66666666666666666666666666666666666666	+++++++++	66666666666666666666666666666666666666	+++++++++	00000000000000000000000000000000000000
١,	<b>.</b>	0.0059 0.0058 0.0058 0.0058 0.0057 0.0057 0.0055	0.0054 0.0053 0.0053 0.0051 0.0051 0.0050 0.0050	0.0047 0.0047 0.0045 0.0045 0.0045 0.0044 0.0044	.0041 .0041 .0041 .0041 .0039 .0039 .0037	0.0036 0.0034 0.0034 0.0033 0.0032 0.0031 0.0031	0.0029 0.0029 0.0027 0.0027 0.0026 0.0025 0.0025 0.0023
	•	++++++++	+++++++++	++++++++	+++++++++	++++++++	+++++++++
Γ		++++++++	**************************************	++++++++	++++++++	+++++++++	~~~~~~~~~~~~~~~~~~~~~~~~~~~~~~~~~~~~~~
;	ď.	0.04873. 0.04947. 0.05090 0.05171. 0.05171. 0.05324. 0.05332. 0.05474.	0.05627, 0.05784 0.05782 0.05880 0.05938 0.06017 0.06055 0.06174	0.06413 0.06573 0.06573 0.06574 0.06815 0.06897 0.06978 0.07060	0.07224 0.07306 0.07381 0.07471 0.07534 0.07720 0.07720 0.07803	0.08054 0.08138 0.08222 0.08390 0.08474 0.08558 0.08643 0.08643	0.08897 0.08982 0.09066 0.09151 0.09330 0.09406 0.09406 0.09406 0.09446
		++++++	+++++++++	+++++++++	+++++++++	+++++++++	+++++++++
١	$d_2^{\circ}$	0"2314 0.2331 0.2347 0.2364 0.2360 0.2397 0.2413 0.2413 0.2446	0.2479 0.2495 0.2511 0.2524 0.2556 0.2576 0.2592 0.2608	0.2639 0.2655 0.2686 0.2702 0.2718 0.2764 0.2764	0.2795 0.2810 0.2825 0.2840 0.2855 0.2855 0.2885 0.2885 0.2915	2945 2959 2974 2988 3003 3017 3046 3046	0.3089 0.3103 0.3117 0.3131 0.3145 0.3159 0.3159 0.3187 0.3204 0.3204
		**************************************	+++++++++	+++++++++	+++++++++	1++++++++	000000000000
=		999999999999999999999999999999999999999	102	0011000	66666666666	2222	2222222222
,	n_n	2541	7775	2870	5522 - 5811 - 6000 - 6000 - 6000 - 6000 - 6000 - 6000 - 6000 - 6000 - 6000 - 6000 - 6000 - 6000 - 6000 - 6000 - 6000 - 6000 - 6000 - 6000 - 6000 - 6000 - 6000 - 6000 - 6000 - 6000 - 6000 - 6000 - 6000 - 6000 - 6000 - 6000 - 6000 - 6000 - 6000 - 6000 - 6000 - 6000 - 6000 - 6000 - 6000 - 6000 - 6000 - 6000 - 6000 - 6000 - 6000 - 6000 - 6000 - 6000 - 6000 - 6000 - 6000 - 6000 - 6000 - 6000 - 6000 - 6000 - 6000 - 6000 - 6000 - 6000 - 6000 - 6000 - 6000 - 6000 - 6000 - 6000 - 6000 - 6000 - 6000 - 6000 - 6000 - 6000 - 6000 - 6000 - 6000 - 6000 - 6000 - 6000 - 6000 - 6000 - 6000 - 6000 - 6000 - 6000 - 6000 - 6000 - 6000 - 6000 - 6000 - 6000 - 6000 - 6000 - 6000 - 6000 - 6000 - 6000 - 6000 - 6000 - 6000 - 6000 - 6000 - 6000 - 6000 - 6000 - 6000 - 6000 - 6000 - 6000 - 6000 - 6000 - 6000 - 6000 - 6000 - 6000 - 6000 - 6000 - 6000 - 6000 - 6000 - 6000 - 6000 - 6000 - 6000 - 6000 - 6000 - 6000 - 6000 - 6000 - 6000 - 6000 - 6000 - 6000 - 6000 - 6000 - 6000 - 6000 - 6000 - 6000 - 6000 - 6000 - 6000 - 6000 - 6000 - 6000 - 6000 - 6000 - 6000 - 6000 - 6000 - 6000 - 6000 - 6000 - 6000 - 6000 - 6000 - 6000 - 6000 - 6000 - 6000 - 6000 - 6000 - 6000 - 6000 - 6000 - 6000 - 6000 - 6000 - 6000 - 6000 - 6000 - 6000 - 6000 - 6000 - 6000 - 6000 - 6000 - 6000 - 6000 - 6000 - 6000 - 6000 - 6000 - 6000 - 6000 - 6000 - 6000 - 6000 - 6000 - 6000 - 6000 - 6000 - 6000 - 6000 - 6000 - 6000 - 6000 - 6000 - 6000 - 6000 - 6000 - 6000 - 6000 - 6000 - 6000 - 6000 - 6000 - 6000 - 6000 - 6000 - 6000 - 6000 - 6000 - 6000 - 6000 - 6000 - 6000 - 6000 - 6000 - 6000 - 6000 - 6000 - 6000 - 6000 - 6000 - 6000 - 6000 - 6000 - 6000 - 6000 - 6000 - 6000 - 6000 - 6000 - 6000 - 6000 - 6000 - 6000 - 6000 - 6000 - 6000 - 6000 - 6000 - 6000 - 6000 - 6000 - 6000 - 6000 - 6000 - 6000 - 6000 - 6000 - 6000 - 6000 - 6000 - 6000 - 6000 - 6000 - 6000 - 6000 - 6000 - 6000 - 6000 - 6000 - 6000 - 6000 - 6000 - 6000 - 6000 - 6000 - 6000 - 6000 - 6000 - 6000 - 6000 - 6000 - 6000 - 6000 - 6000 - 6000 - 6000 - 6000 - 6000 - 6000 - 6000 - 6000 - 6000 - 6000 - 6000 - 6000 - 6000 - 60	7976 - 8350 - 8522 - 8522 - 8522 - 8522 - 95238 - 95238 - 9523 - 95351 - 95351 - 95351 - 95351 - 95351 - 95351 - 95351 - 95351 - 95351 - 95351 - 95351 - 95351 - 95351 - 95351 - 95351 - 95351 - 95351 - 95351 - 95351 - 95351 - 95351 - 95351 - 95351 - 95351 - 95351 - 95351 - 95351 - 95351 - 95351 - 95351 - 95351 - 95351 - 95351 - 95351 - 95351 - 95351 - 95351 - 95351 - 95351 - 95351 - 95351 - 95351 - 95351 - 95351 - 95351 - 95351 - 95351 - 95351 - 95351 - 95351 - 95351 - 95351 - 95351 - 95351 - 95351 - 95351 - 95351 - 95351 - 95351 - 95351 - 95351 - 95351 - 95351 - 95351 - 95351 - 95351 - 95351 - 95351 - 95351 - 95351 - 95351 - 95351 - 95351 - 95351 - 95351 - 95351 - 95351 - 95351 - 95351 - 95351 - 95351 - 95351 - 95351 - 95351 - 95351 - 95351 - 95351 - 95351 - 95351 - 95351 - 95351 - 95351 - 95351 - 95351 - 95351 - 95351 - 95351 - 95351 - 95351 - 95351 - 95351 - 95351 - 95351 - 95351 - 95351 - 95351 - 95351 - 95351 - 95351 - 95351 - 95351 - 95351 - 95351 - 95351 - 95351 - 95351 - 95351 - 95351 - 95351 - 95351 - 95351 - 95351 - 95351 - 95351 - 95351 - 95351 - 95351 - 95351 - 95351 - 95351 - 95351 - 95351 - 95351 - 95351 - 95351 - 95351 - 95351 - 95351 - 95351 - 95351 - 95351 - 95351 - 95351 - 95351 - 95351 - 95351 - 95351 - 95351 - 95351 - 95351 - 95351 - 95351 - 95351 - 95351 - 95351 - 95351 - 95351 - 95351 - 95351 - 95351 - 95351 - 95351 - 95351 - 95351 - 95351 - 95351 - 95351 - 95351 - 95351 - 95351 - 95351 - 95351 - 95351 - 95351 - 95351 - 95351 - 95351 - 95351 - 95351 - 95351 - 95351 - 95351 - 95351 - 95351 - 95351 - 95351 - 95351 - 95351 - 95351 - 95351 - 95351 - 95351 - 95351 - 95351 - 95351 - 95351 - 95351 - 95351 - 95351 - 95351 - 95351 - 95351 - 95351 - 95351 - 95351 - 95351 - 95351 - 95351 - 95351 - 95351 - 95351 - 95351 - 95351 - 95351 - 95351 - 95351 - 95351 - 95351 - 95351 - 95351 - 95351 - 95351 - 95351 - 95351 - 95351 - 95351 - 95351 - 95351 - 95351 - 95351 - 95351 - 95351 - 95351 - 95351 - 95351 - 95351 - 95351 - 95351 - 95351 - 95351 - 95351 - 95351 - 95351 - 95351 - 95351 - 95351 - 95351 - 95351	9455 - 9549 - 9549 - 9549 - 9549 - 9549 - 9549 - 9549 - 9549 - 9549 - 9549 - 9549 - 9549 - 9549 - 9549 - 9549 - 9549 - 9549 - 9549 - 9549 - 9549 - 9549 - 9549 - 9549 - 9549 - 9549 - 9549 - 9549 - 9549 - 9549 - 9549 - 9549 - 9549 - 9549 - 9549 - 9549 - 9549 - 9549 - 9549 - 9549 - 9549 - 9549 - 9549 - 9549 - 9549 - 9549 - 9549 - 9549 - 9549 - 9549 - 9549 - 9549 - 9549 - 9549 - 9549 - 9549 - 9549 - 9549 - 9549 - 9549 - 9549 - 9549 - 9549 - 9549 - 9549 - 9549 - 9549 - 9549 - 9549 - 9549 - 9549 - 9549 - 9549 - 9549 - 9549 - 9549 - 9549 - 9549 - 9549 - 9549 - 9549 - 9549 - 9549 - 9549 - 9549 - 9549 - 9549 - 9549 - 9549 - 9549 - 9549 - 9549 - 9549 - 9549 - 9549 - 9549 - 9549 - 9549 - 9549 - 9549 - 9549 - 9549 - 9549 - 9549 - 9549 - 9549 - 9549 - 9549 - 9549 - 9549 - 9549 - 9549 - 9549 - 9549 - 9549 - 9549 - 9549 - 9549 - 9549 - 9549 - 9549 - 9549 - 9549 - 9549 - 9549 - 9549 - 9549 - 9549 - 9549 - 9549 - 9549 - 9549 - 9549 - 9549 - 9549 - 9549 - 9549 - 9549 - 9549 - 9549 - 9549 - 9549 - 9549 - 9549 - 9549 - 9549 - 9549 - 9549 - 9549 - 9549 - 9549 - 9549 - 9549 - 9549 - 9549 - 9549 - 9549 - 9549 - 9549 - 9549 - 9549 - 9549 - 9549 - 9549 - 9549 - 9549 - 9549 - 9549 - 9549 - 9549 - 9549 - 9549 - 9549 - 9549 - 9549 - 9549 - 9549 - 9549 - 9549 - 9549 - 9549 - 9549 - 9549 - 9549 - 9549 - 9549 - 9549 - 9549 - 9549 - 9549 - 9549 - 9549 - 9549 - 9549 - 9549 - 9549 - 9549 - 9549 - 9549 - 9549 - 9549 - 9549 - 9549 - 9549 - 9549 - 9540 - 9540 - 9540 - 9540 - 9540 - 9540 - 9540 - 9540 - 9540 - 9540 - 9540 - 9540 - 9540 - 9540 - 9540 - 9540 - 9540 - 9540 - 9540 - 9540 - 9540 - 9540 - 9540 - 9540 - 9540 - 9540 - 9540 - 9540 - 9540 - 9540 - 9540 - 9540 - 9540 - 9540 - 9540 - 9540 - 9540 - 9540 - 9540 - 9540 - 9540 - 9540 - 9540 - 9540 - 9540 - 9540 - 9540 - 9540 - 9540 - 9540 - 9540 - 9540 - 9540 - 9540 - 9540 - 9540 - 9540 - 9540 - 9540 - 9540 - 9540 - 9540 - 9540 - 9540 - 9540 - 9540 - 9540 - 9540 - 9540 - 9540 - 9540 - 9540 - 9540 - 9540 - 9540 - 9540 - 9540 - 9540 - 9540 - 9540 - 9540 - 9540 - 9540 - 9540 - 9540 - 9540 - 9540 - 95
	a					0 0 0 0 0 0 0 0 0 0 0 0 0 0 0 0 0 0 0 0	
		\$ 6 5 6 6 6 6 6 6 6 6 6 6 6 6 6 6 6 6 6	+++++++++	**************************************	+++++++++	+++++++++	+++++++++++
Γ		1	111111111	111111111	11111111	11111111	1111111:::
		263 4427 4427 4427 4427 4427 4226 9338 937 937	865 793 720 647 573 499 424 349 273	044 966 888 888 810 731 652 492 411	.023 330 .023 167 .023 167 .023 084 .022 918 .022 918 .022 835 .022 835	022 496 022 323 022 237 022 149 022 062 021 974 021 797	021 618 021 528 021 528 021 346 021 346 021 163 022 071 022 086 022 087
1	ີະ	រសស់សសសល់សស <i>ស</i>	222222222				1 1 1 1 1 1 1 1 1 1 1 1 1 1 1 1 1 1 1
	E,	0.025 0.025 0.025 0.025 0.025 0.025 0.025	0.024 0.024 0.024 0.024 0.024 0.034 0.034	0.023 0.023 0.023 0.023 0.023 0.023	• • • • • • • • • •		00000000000000
-	g ₂	0 0 0 0 0 0 0 0 0 0 0 0 0 0 0 0 0 0 0 0	0.00 420.00 0.00 420.00 420.00 0.00 420.00 0.00	!     '		000000000	111111111
-		0 0 0 0 0 0 0 0 0 0 0 0 0 0 0 0 0 0 0 0	0 0 0 0 0 0 0 0 0 0 0 0 0 0 0 0 0 0 0	!     '		300000000	111111111
-	1,0	0 0 0 0 0 0 0 0 0 0 0 0 0 0 0 0 0 0 0 0	0.024	!     '   1		3000000000	111111111
		0.0075.0 0.005 0.0075.0 0.005 0.0075.0 0.005 0.0076.0 0.005 0.0076.0 0.005 0.0077.0 0.005 0.0077.1 0 0.005 0.0077.1 0 0.005	0.00778 0 0.0074 0.0079 0 0.0079 0.0079 0.0079 0.0079 0.0079 0.0079 0.0079 0.0079 0.0079 0.0079 0.0079 0.0079 0.0079 0.0079 0.0079 0.0079 0.0079 0.0079 0.0079 0.0079 0.0079 0.0079 0.0079 0.0079 0.0079 0.0079 0.0079 0.0079 0.0079 0.0079 0.0079 0.0079 0.0079 0.0079 0.0079 0.0079 0.0079 0.0079 0.0079 0.0079 0.0079 0.0079 0.0079 0.0079 0.0079 0.0079 0.0079 0.0079 0.0079 0.0079 0.0079 0.0079 0.0079 0.0079 0.0079 0.0079 0.0079 0.0079 0.0079 0.0079 0.0079 0.0079 0.0079 0.0079 0.0079 0.0079 0.0079 0.0079 0.0079 0.0079 0.0079 0.0079 0.0079 0.0079 0.0079 0.0079 0.0079 0.0079 0.0079 0.0079 0.0079 0.0079 0.0079 0.0079 0.0079 0.0079 0.0079 0.0079 0.0079 0.0079 0.0079 0.0079 0.0079 0.0079 0.0079 0.0079 0.0079 0.0079 0.0079 0.0079 0.0079 0.0079 0.0079 0.0079 0.0079 0.0079 0.0079 0.0079 0.0079 0.0079 0.0079 0.0079 0.0079 0.0079 0.0079 0.0079 0.0079 0.0079 0.0079 0.0079 0.0079 0.0079 0.0079 0.0079 0.0079 0.0079 0.0079 0.0079 0.0079 0.0079 0.0079 0.0079 0.0079 0.0079 0.0079 0.0079 0.0079 0.0079 0.0079 0.0079 0.0079 0.0079 0.0079 0.0079 0.0079 0.0079 0.0079 0.0079 0.0079 0.0079 0.0079 0.0079 0.0079 0.0079 0.0079 0.0079 0.0079 0.0079 0.0079 0.0079 0.0079 0.0079 0.0079 0.0079 0.0079 0.0079 0.0079 0.0079 0.0079 0.0079 0.0079 0.0079 0.0079 0.0079 0.0079 0.0079 0.0079 0.0079 0.0079 0.0079 0.0079 0.0079 0.0079 0.0079 0.0079 0.0079 0.0079 0.0079 0.0079 0.0079 0.0079 0.0079 0.0079 0.0079 0.0079 0.0079 0.0079 0.0079 0.0079 0.0079 0.0079 0.0079 0.0079 0.0079 0.0079 0.0079 0.0079 0.0079 0.0079 0.0079 0.0079 0.0079 0.0079 0.0079 0.0079 0.0079 0.0079 0.0079 0.0079 0.0079 0.0079 0.0079 0.0079 0.0079 0.0079 0.0079 0.0079 0.0079 0.0079 0.0079 0.0079 0.0079 0.0079 0.0079 0.0079 0.0079 0.0079 0.0079 0.0079 0.0079 0.0079 0.0079 0.0079 0.0079 0.0079 0.0079 0.0079 0.0079 0.0079 0.0079 0.0079 0.0079 0.0079 0.0079 0.0079 0.0079 0.0079 0.0079 0.0079 0.0079 0.0079 0.0079 0.0079 0.0079 0.0079 0.0079 0.0079 0.0079 0.0079 0.0079 0.0079 0.0079 0.0079 0.0079 0.0079 0.0079 0.0079 0.0079 0.0079 0.0079 0.0079 0.0079 0.0079 0.0079 0.0079 0.0079 0.0079 0.0079 0.00	0.00800 0.00802 0.00802 0.00803 0.00803 0.00803 0.00812 0.00811 0.00813	0.00817 0.00818 0.00818 0.00821 0.00821 0.00824 0.00826 0.00828 0.00827 0.00828 0.00828	0.00833 0.00833 0.00833 0.00833 0.00833 0.00833 0.00833 0.00833	0.00837 0.00837 0.00838 0.00838 0.00838 0.00839 0.00839 0.00839 0.00839 0.00839 0.00839

g. 33	o"03330   + + + + + + + + + + + + + + + + + +	0.03479   5 0.03490   5 0.03512   5 0.03512   5 0.03531   5 0.03540   5 0.03549   5 0.03566   5	0.01574	0.03630 0.03634 0.03634 0.03642 0.03642 0.03645 0.03646 0.03646 0.03647 0.03647 0.03647 0.03647	0.01647   5 0.01545   5 0.01545   5 0.01543   5 0.01541   7 0.01541   5 0.01541   5 0.01541   5 0.01541   5 0.01541   5 0.01541   5 0.01541   5 0.01541   5 0.01554   5 0.01554   5	0.03631 5 0.03616 5 0.03631 5 0.03592 5 0.03592 5 0.03576 5 0.03576 5 0.03573 5
$d_3^t$	10000000000000000000000000000000000000	1 0 0 0 0 0 0 0 0 0 0 0 0 0 0 0 0 0 0 0		- 0.1022 - 0.1022 - 0.1022 - 0.1022 - 0.1022 - 0.1022 - 0.1022 - 0.1022 - 0.1022 - 0.1022 - 0.1022 - 0.1022 - 0.1022 - 0.1022 - 0.1022 - 0.1022 - 0.1022 - 0.1022 - 0.1022 - 0.1022 - 0.1022 - 0.1022 - 0.1022 - 0.1022 - 0.1022 - 0.1022 - 0.1022 - 0.1022 - 0.1022 - 0.1022 - 0.1022 - 0.1022 - 0.1022 - 0.1022 - 0.1022 - 0.1022 - 0.1022 - 0.1022 - 0.1022 - 0.1022 - 0.1022 - 0.1022 - 0.1022 - 0.1022 - 0.1022 - 0.1022 - 0.1022 - 0.1022 - 0.1022 - 0.1022 - 0.1022 - 0.1022 - 0.1022 - 0.1022 - 0.1022 - 0.1022 - 0.1022 - 0.1022 - 0.1022 - 0.1022 - 0.1022 - 0.1022 - 0.1022 - 0.1022 - 0.1022 - 0.1022 - 0.1022 - 0.1022 - 0.1022 - 0.1022 - 0.1022 - 0.1022 - 0.1022 - 0.1022 - 0.1022 - 0.1022 - 0.1022 - 0.1022 - 0.1022 - 0.1022 - 0.1022 - 0.1022 - 0.1022 - 0.1022 - 0.1022 - 0.1022 - 0.1022 - 0.1022 - 0.1022 - 0.1022 - 0.1022 - 0.1022 - 0.1022 - 0.1022 - 0.1022 - 0.1022 - 0.1022 - 0.1022 - 0.1022 - 0.1022 - 0.1022 - 0.1022 - 0.1022 - 0.1022 - 0.1022 - 0.1022 - 0.1022 - 0.1022 - 0.1022 - 0.1022 - 0.1022 - 0.1022 - 0.1022 - 0.1022 - 0.1022 - 0.1022 - 0.1022 - 0.1022 - 0.1022 - 0.1022 - 0.1022 - 0.1022 - 0.1022 - 0.1022 - 0.1022 - 0.1022 - 0.1022 - 0.1022 - 0.1022 - 0.1022 - 0.1022 - 0.1022 - 0.1022 - 0.1022 - 0.1022 - 0.1022 - 0.1022 - 0.1022 - 0.1022 - 0.1022 - 0.1022 - 0.1022 - 0.1022 - 0.1022 - 0.1022 - 0.1022 - 0.1022 - 0.1022 - 0.1022 - 0.1022 - 0.1022 - 0.1022 - 0.1022 - 0.1022 - 0.1022 - 0.1022 - 0.1022 - 0.1022 - 0.1022 - 0.1022 - 0.1022 - 0.1022 - 0.1022 - 0.1022 - 0.1022 - 0.1022 - 0.1022 - 0.1022 - 0.1022 - 0.1022 - 0.1022 - 0.1022 - 0.1022 - 0.1022 - 0.1022 - 0.1022 - 0.1022 - 0.1022 - 0.1022 - 0.1022 - 0.1022 - 0.1022 - 0.1022 - 0.1022 - 0.1022 - 0.1022 - 0.1022 - 0.1022 - 0.1022 - 0.1022 - 0.1022 - 0.1022 - 0.1022 - 0.1022 - 0.1022 - 0.1022 - 0.1022 - 0.1022 - 0.1022 - 0.1022 - 0.1022 - 0.1022 - 0.1022 - 0.1022 - 0.1022 - 0.1022 - 0.1022 - 0.1022 - 0.1022 - 0.1022 - 0.1022 - 0.1022 - 0.1022 - 0.1022 - 0.1022 - 0.1022 - 0.1022 - 0.1022 - 0.1022 - 0.1022 - 0.1022 - 0.1022 - 0.1022 - 0.1022 - 0.1022 - 0.1022 - 0.1022 - 0	++++++++ ++++++++++++++++++++++++++++	0.0056 0.0056 0.0056 0.0056 0.0056 0.0056 0.0056 0.0056 0.0056 0.0056 0.0056 0.0056 0.0056 0.0056 0.0056 0.0056 0.0056 0.0056 0.0056 0.0056 0.0056 0.0056 0.0056 0.0056 0.0056 0.0056 0.0056 0.0056 0.0056 0.0056 0.0056 0.0056 0.0056 0.0056 0.0056 0.0056 0.0056 0.0056 0.0056 0.0056 0.0056 0.0056 0.0056 0.0056 0.0056 0.0056 0.0056 0.0056 0.0056 0.0056 0.0056 0.0056 0.0056 0.0056 0.0056 0.0056 0.0056 0.0056 0.0056 0.0056 0.0056 0.0056 0.0056 0.0056 0.0056 0.0056 0.0056 0.0056 0.0056 0.0056 0.0056 0.0056 0.0056 0.0056 0.0056 0.0056 0.0056 0.0056 0.0056 0.0056 0.0056 0.0056 0.0056 0.0056 0.0056 0.0056 0.0056 0.0056 0.0056 0.0056 0.0056 0.0056 0.0056 0.0056 0.0056 0.0056 0.0056 0.0056 0.0056 0.0056 0.0056 0.0056 0.0056 0.0056 0.0056 0.0056 0.0056 0.0056 0.0056 0.0056 0.0056 0.0056 0.0056 0.0056 0.0056 0.0056 0.0056 0.0056 0.0056 0.0056 0.0056 0.0056 0.0056 0.0056 0.0056 0.0056 0.0056 0.0056 0.0056 0.0056 0.0056 0.0056 0.0056 0.0056 0.0056 0.0056 0.0056 0.0056 0.0056 0.0056 0.0056 0.0056 0.0056 0.0056 0.0056 0.0056 0.0056 0.0056 0.0056 0.0056 0.0056 0.0056 0.0056 0.0056 0.0056 0.0056 0.0056 0.0056 0.0056 0.0056 0.0056 0.0056 0.0056 0.0056 0.0056 0.0056 0.0056 0.0056 0.0056 0.0056 0.0056 0.0056 0.0056 0.0056 0.0056 0.0056 0.0056 0.0056 0.0056 0.0056 0.0056 0.0056 0.0056 0.0056 0.0056 0.0056 0.0056 0.0056 0.0056 0.0056 0.0056 0.0056 0.0056 0.0056 0.0056 0.0056 0.0056 0.0056 0.0056 0.0056 0.0056 0.0056 0.0056 0.0056 0.0056 0.0056 0.0056 0.0056 0.0056 0.0056 0.0056 0.0056 0.0056 0.0056 0.0056 0.0056 0.0056 0.0056 0.0056 0.0056 0.0056 0.0056 0.0056 0.0056 0.0056 0.0056 0.0056 0.0056 0.0056 0.0056 0.0056 0.0056 0.0056 0.0056 0.0056 0.0056 0.0056 0.0056 0.0056 0.0056 0.0056 0.0056 0.0056 0.0056 0.0056 0.0056 0.0056 0.0056 0.0056 0.0056 0.0056 0.0056 0.0056 0.0056 0.0056 0.0056 0.0056 0.0056 0.0056 0.0056 0.0056 0.0056 0.0056 0.0056 0.0056 0.0056 0.0056 0.0056 0.0056 0.0056 0.0056 0.0056 0.0056 0.0056 0.0056 0.0056 0.0056 0.0056 0.0056 0.0056 0.0056 0.0056 0.0056 0.0056 0.0056 0.0056 0.0056 0.0056 0.0056 0.0056 0.0056 0.0056 0.
a ^o 3	++++++++++++++++++++++++++++++++++++++	++++++++++++++++++++++++++++++++++++++	++++++++	0 0 0 0 0 0 0 0 0 0 0 0 0 0 0 0 0 0 0	++++++++	++++++++++++++++++++++++++++++++++++++
Ø3	- 04002 9776 - 0.002 9383 + 38 - 0.002 8584 + 33 - 0.002 8775 + 37 - 0.002 7765 + 36 - 0.002 7765 + 36 - 0.002 6906 + 34 - 0.002 6906 + 34	0.002 \$635 + 33 0.002 \$195 + 33 0.002 \$195 + 33 0.002 \$195 + 34 0.002 \$185 + 41 0.002 \$185 + 41 0.002 \$185 + 41 0.002 \$185 + 41 0.002 \$185 + 42 0.002	0.002 1055 + 37 0.002 0575 + 37 0.002 0573 + 35 0.001 017 + 35 0.001 812 + 34 0.001 812 + 34 0.001 762 + 33 0.001 762 + 33 0.001 762 + 33	0.001 6114 + 21 0.001 5604 + 20 0.001 5501 + 20 0.001 4575 + 10 0.001 3376 + 18 0.001 3376 + 18 0.001 348 + 16 0.001 1480 + 15	0.001 0899 + 14 0.000 0839 + 13 0.000 0839 + 13 0.000 0835 + 13 0.000 875 + 11 0.000 875 + 11 0.000 7674 + 10 0.000 7674 + 10 0.000 7674 + 10 0.000 698 + 8	- 0.000 5496 + 6 - 0.000 5496 + 6 - 0.000 3833 + 6 - 0.000 3834 + 4 - 0.000 3734 + 4 - 0.000 2734 + 4 - 0.000 2734 + 4 - 0.000 2734 + 4 - 0.000 2734 + 4 - 0.000 2734 + 4 - 0.000 2734 + 4 - 0.000 2734 + 4 - 0.000 2734 + 4 - 0.000 2734 + 4 - 0.000 2734 + 4 - 0.000 2734 + 4 - 0.000 2734 + 4 - 0.000 2734 + 4 - 0.000 2734 + 4 - 0.000 2734 + 4 - 0.000 2734 + 4 - 0.000 2734 + 4 - 0.000 2734 + 4 - 0.000 2734 + 4 - 0.000 2734 + 4 - 0.000 2734 + 4 - 0.000 2734 + 4 - 0.000 2734 + 4 - 0.000 2734 + 4 - 0.000 2734 + 4 - 0.000 2734 + 4 - 0.000 2734 + 4 - 0.000 2734 + 4 - 0.000 2734 + 4 - 0.000 2734 + 4 - 0.000 2734 + 4 - 0.000 2734 + 4 - 0.000 2734 + 4 - 0.000 2734 + 4 - 0.000 2734 + 4 - 0.000 2734 + 4 - 0.000 2734 + 4 - 0.000 2734 + 4 - 0.000 2734 + 4 - 0.000 2734 + 4 - 0.000 2734 + 4 - 0.000 2734 + 4 - 0.000 2734 + 4 - 0.000 2734 + 4 - 0.000 2734 + 4 - 0.000 2734 + 4 - 0.000 2734 + 4 - 0.000 2734 + 4 - 0.000 2734 + 4 - 0.000 2734 + 4 - 0.000 2734 + 4 - 0.000 2734 + 4 - 0.000 2734 + 4 - 0.000 2734 + 4 - 0.000 2734 + 4 - 0.000 2734 + 4 - 0.000 2734 + 4 - 0.000 2734 + 4 - 0.000 2734 + 4 - 0.000 2734 + 4 - 0.000 2734 + 4 - 0.000 2734 + 4 - 0.000 2734 + 4 - 0.000 2734 + 4 - 0.000 2734 + 4 - 0.000 2734 + 4 - 0.000 2734 + 4 - 0.000 2734 + 4 - 0.000 2734 + 4 - 0.000 2734 + 4 - 0.000 2734 + 4 - 0.000 2734 + 4 - 0.000 2734 + 4 - 0.000 2734 + 4 - 0.000 2734 + 4 - 0.000 2734 + 4 - 0.000 2734 + 4 - 0.000 2734 + 4 - 0.000 2734 + 4 - 0.000 2734 + 4 - 0.000 2734 + 4 - 0.000 2734 + 4 - 0.000 2734 + 4 - 0.000 2734 + 4 - 0.000 2734 + 4 - 0.000 2734 + 4 - 0.000 2734 + 4 - 0.000 2734 + 4 - 0.000 2734 + 4 - 0.000 2734 + 4 - 0.000 2734 + 4 - 0.000 2734 + 4 - 0.000 2734 + 4 - 0.000 2734 + 4 - 0.000 2734 + 4 - 0.000 2734 + 4 - 0.000 2734 + 4 - 0.000 2734 + 4 - 0.000 2734 + 4 - 0.000 2734 + 4 - 0.000 2734 + 4 - 0.000 2734 + 4 - 0.000 2734 + 4 - 0.000 2734 + 4 - 0.000 2734 + 4 - 0.000 2734 + 4 - 0.000 2734 + 4 - 0.000 2734 + 4 - 0.000 2734 + 4 - 0.000 2734 + 4 - 0.000 2734 + 4 - 0.000 2734 + 4 - 0.000 2734 + 4 - 0.000 2734 + 4 - 0.000 2734 + 4 - 0.00
er ^a	- 0.000 138   0   0   0   0   0   0   0   0   0	0.0001 544 0.0001 670 0.0001 790 0.0001 790 0.0001 772 0.0001 772	0.0023 920 0.002 796 0.002 1996 0.002 1996 0.002 1996 0.002 1996 0.002 1996 0.002 1996 0.002 1996 0.002 1996 0.002 1996 0.002 1996 0.002 1996 0.002 1996 0.002 1996 0.002 1996 0.002 1996 0.002 1996 0.002 1996 0.002 1996 0.002 1996 0.002 1996 0.002 1996 0.002 1996 0.002 1996 0.002 1996 0.002 1996 0.002 1996 0.002 1996 0.002 1996 0.002 1996 0.002 1996 0.002 1996 0.002 1996 0.002 1996 0.002 1996 0.002 1996 0.002 1996 0.002 1996 0.002 1996 0.002 1996 0.002 1996 0.002 1996 0.002 1996 0.002 1996 0.002 1996 0.002 1996 0.002 1996 0.002 1996 0.002 1996 0.002 1996 0.002 1996 0.002 1996 0.002 1996 0.002 1996 0.002 1996 0.002 1996 0.002 1996 0.002 1996 0.002 1996 0.002 1996 0.002 1996 0.002 1996 0.002 1996 0.002 1996 0.002 1996 0.002 1996 0.002 1996 0.002 1996 0.002 1996 0.002 1996 0.002 1996 0.002 1996 0.002 1996 0.002 1996 0.002 1996 0.002 1996 0.002 1996 0.002 1996 0.002 1996 0.002 1996 0.002 1996 0.002 1996 0.002 1996 0.002 1996 0.002 1996 0.002 1996 0.002 1996 0.002 1996 0.002 1996 0.002 1996 0.002 1996 0.002 1996 0.002 1996 0.002 1996 0.002 1996 0.002 1996 0.002 1996 0.002 1996 0.002 1996 0.002 1996 0.002 1996 0.002 1996 0.002 1996 0.002 1996 0.002 1996 0.002 1996 0.002 1996 0.002 1996 0.002 1996 0.002 1996 0.002 1996 0.002 1996 0.002 1996 0.002 1996 0.002 1996 0.002 1996 0.002 1996 0.002 1996 0.002 1996 0.002 1996 0.002 1996 0.002 1996 0.002 1996 0.002 1996 0.002 1996 0.002 1996 0.002 1996 0.002 1996 0.002 1996 0.002 1996 0.002 1996 0.002 1996 0.002 1996 0.002 1996 0.002 1996 0.002 1996 0.002 1996 0.002 1996 0.002 1996 0.002 1996 0.002 1996 0.002 1996 0.002 1996 0.002 1996 0.002 1996 0.002 1996 0.002 1996 0.002 1996 0.002 1996 0.002 1996 0.002 1996 0.002 1996 0.002 1996 0.002 1996 0.002 1996 0.002 1996 0.002 1996 0.002 1996 0.002 1996 0.002 1996 0.002 1996 0.002 1996 0.002 1996 0.002 1996 0.002 1996 0.002 1996 0.002 1996 0.002 1996 0.002 1996 0.002 1996 0.002 1996 0.002 1996 0.002 1996 0.002 1996 0.002 1996 0.002 1996 0.002 1996 0.002 1996 0.002 1996 0.002 1996 0.002 1996 0.002 1996 0.002 1996 0.002 1996 0.002 1996 0	+ + + + + + + + + + + + + + + + + + +	20000 226 20000 236 20000 246 20000 >246 246 246 246 246 246 246 246	0.006 386 + 1 - 1 - 0.006 386 + 1 - 1 - 0.006 510 + 1 - 1 - 0.006 510 + 1 - 1 - 0.006 510 + 1 - 1 - 0.006 510 + 1 - 1 - 0.006 510 + 1 - 1 - 0.007 510 + 1 - 1 - 0.007 510 + 1 - 1 - 0.007 510 + 1 - 1 - 0.007 510 + 1 - 1 - 0.007 510 + 1 - 1 - 0.007 510 + 1 - 1 - 0.007 510 + 1 - 1 - 0.007 510 + 1 - 1 - 0.007 510 + 1 - 1 - 0.007 510 + 1 - 1 - 0.007 510 + 1 - 1 - 0.007 510 + 1 - 1 - 0.007 510 + 1 - 1 - 0.007 510 + 1 - 1 - 0.007 510 + 1 - 1 - 0.007 510 + 1 - 0.007 510 + 1 - 0.007 510 + 1 - 0.007 510 + 1 - 0.007 510 + 1 - 0.007 510 + 1 - 0.007 510 + 1 - 0.007 510 + 1 - 0.007 510 + 1 - 0.007 510 + 1 - 0.007 510 + 1 - 0.007 510 + 1 - 0.007 510 + 1 - 0.007 510 + 1 - 0.007 510 + 1 - 0.007 510 + 1 - 0.007 510 + 1 - 0.007 510 + 1 - 0.007 510 + 1 - 0.007 510 + 1 - 0.007 510 + 1 - 0.007 510 + 1 - 0.007 510 + 1 - 0.007 510 + 1 - 0.007 510 + 1 - 0.007 510 + 1 - 0.007 510 + 1 - 0.007 510 + 1 - 0.007 510 + 1 - 0.007 510 + 1 - 0.007 510 + 1 - 0.007 510 + 1 - 0.007 510 + 1 - 0.007 510 + 1 - 0.007 510 + 1 - 0.007 510 + 1 - 0.007 510 + 1 - 0.007 510 + 1 - 0.007 510 + 1 - 0.007 510 + 1 - 0.007 510 + 1 - 0.007 510 + 1 - 0.007 510 + 1 - 0.007 510 + 1 - 0.007 510 + 1 - 0.007 510 + 1 - 0.007 510 + 1 - 0.007 510 + 1 - 0.007 510 + 1 - 0.007 510 + 1 - 0.007 510 + 1 - 0.007 510 + 1 - 0.007 510 + 1 - 0.007 510 + 1 - 0.007 510 + 1 - 0.007 510 + 1 - 0.007 510 + 1 - 0.007 510 + 1 - 0.007 510 + 1 - 0.007 510 + 1 - 0.007 510 + 1 - 0.007 510 + 1 - 0.007 510 + 1 - 0.007 510 + 1 - 0.007 510 + 1 - 0.007 510 + 1 - 0.007 510 + 1 - 0.007 510 + 1 - 0.007 510 + 1 - 0.007 510 + 1 - 0.007 510 + 1 - 0.007 510 + 1 - 0.007 510 + 1 - 0.007 510 + 1 - 0.007 510 + 1 - 0.007 510 + 1 - 0.007 510 + 1 - 0.007 510 + 1 - 0.007 510 + 1 - 0.007 510 + 1 - 0.007 510 + 1 - 0.007 510 + 1 - 0.007 510 + 1 - 0.007 510 + 1 - 0.007 510 + 1 - 0.007 510 + 1 - 0.007 510 + 1 - 0.007 510 + 1 - 0.007 510 + 1 - 0.007 510 + 1 - 0.007 510 + 1 - 0.007 510 + 1 - 0.007 510 + 1 - 0.007 510 + 1 - 0.007 510 + 1 - 0.007 510 + 1 - 0.007 510 + 1 - 0.007 510 + 1 - 0.007 510 + 1 - 0.007 510 + 1 - 0.007
$a_3^{\scriptscriptstyle \mathrm{T}}$	+ 0.00497 + 1 + 0.00393 + 1 + 0.00313 + 1 + 0.00313 + 1 + 0.00314 + 1 + 0.00340 + 1 + 0.00340 + 1	+ + 0.000554 0.00554 0.00557 0.00557 0.00557 0.00556 0.00556 0.00556 0.00556 0.00556 0.00556 0.00556 0.00556 0.00556 0.00556 0.00556 0.00556 0.00556 0.00556 0.00556 0.00556 0.00556 0.00556 0.00556 0.00556 0.00556 0.00556 0.00556 0.00556 0.00556 0.00556 0.00556 0.00556 0.00556 0.00556 0.00556 0.00556 0.00556 0.00556 0.00556 0.00556 0.00556 0.00556 0.00556 0.00556 0.00556 0.00556 0.00556 0.00556 0.00556 0.00556 0.00556 0.00556 0.00556 0.00556 0.00556 0.00556 0.00556 0.00556 0.00556 0.00556 0.00556 0.00556 0.00556 0.00556 0.00556 0.00556 0.00556 0.00556 0.00556 0.00556 0.00556 0.00556 0.00556 0.00556 0.00556 0.00556 0.00556 0.00556 0.00566 0.00566 0.00566 0.00566 0.00566 0.00566 0.00566 0.00566 0.00566 0.00566 0.00566 0.00566 0.00566 0.00566 0.00566 0.00566 0.00566 0.00566 0.00566 0.00566 0.00566 0.00566 0.00566 0.00566 0.00566 0.00566 0.00566 0.00566 0.00566 0.00566 0.00566 0.00566 0.00566 0.00566 0.00566 0.00566 0.00566 0.00566 0.00566 0.00566 0.00566 0.00566 0.00566 0.00566 0.00566 0.00566 0.00566 0.00566 0.00566 0.00566 0.00566 0.00566 0.00566 0.00566 0.00566 0.00566 0.00566 0.00566 0.00566 0.00566 0.00566 0.00566 0.00566 0.00566 0.00566 0.00566 0.00566 0.00566 0.00566 0.00566 0.00566 0.00566 0.00566 0.00566 0.00566 0.00566 0.005666 0.00566 0.00566 0.00566 0.00566 0.00566 0.00566 0.005666 0.00566 0.00566 0.00566 0.00566 0.00566 0.00566 0.005666 0.00566 0.00566 0.00566 0.00566 0.00566 0.00566 0.005666 0.00566 0.00566 0.00566 0.00566 0.00566 0.00566 0.005666 0.00566 0.00566 0.00566 0.00566 0.00566 0.00566 0.005666 0.00566 0.00566 0.00566 0.00566 0.00566 0.00566 0.005666 0.00566 0.00566 0.00566 0.00566 0.00566 0.00566 0.005666 0.00566 0.00566 0.00566 0.00566 0.00566 0.00566 0.005666 0.00566 0.00566 0.00566 0.00566 0.00566 0.00566 0.005666 0.00566 0.00566 0.00566 0.00566 0.00566 0.00566 0.0056	+ 0.00621 + 0.00634 + 0.00634 + 0.00634 + 0.00653 + 0.00	+ 0.00685 + 1 + 0.00692 + 1 + 0.00693 + 1 + 0.00711 + 1 + 0.00711 + 1 + 0.00724 + 1 + 0.00731 + 1 + 0.00731 + 1	+ 0.00750 + 1 + 0.00756 + 1 + 0.00763 + 1 + 0.00776 + 1 + 0.00789 + 1 + 0.00798 + 1 + 0.00308 + 1	+ 0.00811 + 1.00821 + 1.00821 + 1.00821 + 1.00831 + 1.00831 + 1.00835 + 1.00835 + 1.00835 + 1.00837 + 1.00837 + 1.00837 + 1.00837 + 1.00837 + 1.00837 + 1.00837 + 1.00837 + 1.00837 + 1.00837 + 1.00837 + 1.00837 + 1.00837 + 1.00837 + 1.00837 + 1.00837 + 1.00837 + 1.00837 + 1.00837 + 1.00837 + 1.00837 + 1.00837 + 1.00837 + 1.00837 + 1.00837 + 1.00837 + 1.00837 + 1.00837 + 1.00837 + 1.00837 + 1.00837 + 1.00837 + 1.00837 + 1.00837 + 1.00837 + 1.00837 + 1.00837 + 1.00837 + 1.00837 + 1.00837 + 1.00837 + 1.00837 + 1.00837 + 1.00837 + 1.00837 + 1.00837 + 1.00837 + 1.00837 + 1.00837 + 1.00837 + 1.00837 + 1.00837 + 1.00837 + 1.00837 + 1.00837 + 1.00837 + 1.00837 + 1.00837 + 1.00837 + 1.00837 + 1.00837 + 1.00837 + 1.00837 + 1.00837 + 1.00837 + 1.00837 + 1.00837 + 1.00837 + 1.00837 + 1.00837 + 1.00837 + 1.00837 + 1.00837 + 1.00837 + 1.00837 + 1.00837 + 1.00837 + 1.00837 + 1.00837 + 1.00837 + 1.00837 + 1.00837 + 1.00837 + 1.00837 + 1.00837 + 1.00837 + 1.00837 + 1.00837 + 1.00837 + 1.00837 + 1.00837 + 1.00837 + 1.00837 + 1.00837 + 1.00837 + 1.00837 + 1.00837 + 1.00837 + 1.00837 + 1.00837 + 1.00837 + 1.00837 + 1.00837 + 1.00837 + 1.00837 + 1.00837 + 1.00837 + 1.00837 + 1.00837 + 1.00837 + 1.00837 + 1.00837 + 1.00837 + 1.00837 + 1.00837 + 1.00837 + 1.00837 + 1.00837 + 1.00837 + 1.00837 + 1.00837 + 1.00837 + 1.00837 + 1.00837 + 1.00837 + 1.00837 + 1.00837 + 1.00837 + 1.00837 + 1.00837 + 1.00837 + 1.00837 + 1.00837 + 1.00837 + 1.00837 + 1.00837 + 1.00837 + 1.00837 + 1.00837 + 1.00837 + 1.00837 + 1.00837 + 1.00837 + 1.00837 + 1.00837 + 1.00837 + 1.00837 + 1.00837 + 1.00837 + 1.00837 + 1.00837 + 1.00837 + 1.00837 + 1.00837 + 1.00837 + 1.00837 + 1.00837 + 1.00837 + 1.00837 + 1.00837 + 1.00837 + 1.00837 + 1.00837 + 1.00837 + 1.00837 + 1.00837 + 1.00837 + 1.00837 + 1.00837 + 1.00837 + 1.00837 + 1.00837 + 1.00837 + 1.00837 + 1.00837 + 1.00837 + 1.00837 + 1.00837 + 1.00837 + 1.00837 + 1.00837 + 1.00837 + 1.00837 + 1.00837 + 1.00837 + 1.00837 + 1.00837 + 1.00837 + 1.00837 + 1.00837 + 1.00837 + 1.00837 + 1.00837 + 1.00837 + 1.00837 + 1.00
a°c	+ 0.0023 + 0.0023 + 0.0023 + 0.0023 + 0.0019 + 0.0019 + 0.0018		+ + 0.0010 + 0.0003 + 0.0003 + 0.0003 + 0.0003 + 0.0003 + 0.0003 + 0.0003	++++++	0.0002   0.0003   0.0004   0.0004   0.0005   0.0005   0.0006	60000000000000000000000000000000000000
d;	0.0146 0.009146 0.00916 0.00001 0.00001 0.00001 0.00017 0.00017 0.00017 0.00017 0.00017 0.00017 0.00017 0.00017 0.00017 0.00017 0.00017 0.00017 0.00017 0.00017 0.00017 0.00017 0.00017 0.00017 0.00017 0.00017 0.00017 0.00017 0.00017 0.00017 0.00017 0.00017 0.00017 0.00017 0.00017 0.00017 0.00017 0.00017 0.00017 0.00017 0.00017 0.00017 0.00017 0.00017 0.00017 0.00017 0.00017 0.00017 0.00017 0.00017 0.00017 0.00017 0.00017 0.00017 0.00017 0.00017 0.00017 0.00017 0.00017 0.00017 0.00017 0.00017 0.00017 0.00017 0.00017 0.00017 0.00017 0.00017 0.00017 0.00017 0.00017 0.00017 0.00017 0.00017 0.00017 0.00017 0.00017 0.00017 0.00017 0.00017 0.00017 0.00017 0.00017 0.00017 0.00017 0.00017 0.00017 0.00017 0.00017 0.00017 0.00017 0.00017 0.00017 0.00017 0.00017 0.00017 0.00017 0.00017 0.00017 0.00017 0.00017 0.00017 0.00017 0.00017 0.00017 0.00017 0.00017 0.00017 0.00017 0.00017 0.00017 0.00017 0.00017 0.00017 0.00017 0.00017 0.00017 0.00017 0.00017 0.00017 0.00017 0.00017 0.00017 0.00017 0.00017 0.00017 0.00017 0.00017 0.00017 0.00017 0.00017 0.00017 0.00017 0.00017 0.00017 0.00017 0.00017 0.00017 0.00017 0.00017 0.00017 0.00017 0.00017 0.00017 0.00017 0.00017 0.00017 0.00017 0.00017 0.00017 0.00017 0.00017 0.00017 0.00017 0.00017 0.00017 0.00017 0.00017 0.00017 0.00017 0.00017 0.00017 0.00017 0.00017 0.00017 0.00017 0.00017 0.00017 0.00017 0.00017 0.00017 0.00017 0.00017 0.00017 0.00017 0.00017 0.00017 0.00017 0.00017 0.00017 0.00017 0.00017 0.00017 0.00017 0.00017 0.00017 0.00017 0.00017 0.00017 0.00017 0.00017 0.00017 0.00017 0.00017 0.00017 0.00017 0.00017 0.00017 0.00017 0.00017 0.00017 0.00017 0.00017 0.00017 0.00017 0.00017 0.00017 0.00017 0.00017 0.00017 0.00017 0.00017 0.00017 0.00017 0.00017 0.00017 0.00017 0.00017 0.00017 0.00017 0.00017 0.00017 0.00017 0.00017 0.00017 0.00017 0.00017 0.00017 0.00017 0.00017 0.00017 0.00017 0.00017 0.00017 0.00017 0.00017 0.00017 0.00017 0.00017 0.00017 0.00017 0.00017 0.00017 0.00017 0.00017 0.00017 0.00017 0.0000017 0.00017 0.00017 0.00017 0.00017 0.00017 0.00017 0.00017 0.00	0.10596 + 9 0.10580 + 9 0.10580 + 9 0.10580 + 9 0.10581 + 10 0.11103 + 10 0.11371 + 10		0.12269 + 111 0.1331 + 111 0.1331 + 111 0.13596 + 111 0.12677 + 111 0.12758 + 111 0.12758 + 111 0.12758 + 111 0.12759 + 111 0.13000 + 111	0.13080 + 111 - 0.13159 + 111 - 0.13318 + 121 - 0.13377 + 121 - 0.13574 + 121 - 0.135710 + 121 - 0.13710 + 121 - 0.13710 + 121	0.13865 + 12 - 0.13042 + 12 - 0.14050 + 12 - 0.1477 + 12 - 0.1437 + 12 - 0.1437 + 13 - 0.1447 + 13 - 0.1447 + 13 - 0.14545 + 13
d ₂	+ + + + + + + + + + + + + + + + + + +	++++++++++++++++++++++++++++++++++++++	++++0.35322++++0.353822++++0.353824++++0.35382+++++0.35382++++0.35382++1	++++++++++++++++++++++++++++++++++++++	+ + + 0.3718 + 0.3728 + 1.0.3739 + 1.0.3750 + 0.3771 + 0.3792 + 0.3803 + 0.	++++++++++++++++++++++++++++++++++++++
u22	+ 0.012 9950   112 + 0.012 9945   112 + 0.012 9945   112 + 0.012 9957   112 + 0.012 977   112 + 0.012 977   112 + 0.012 977   112 + 0.012 979   112 + 0.012 979   112 + 0.012 979   112	+ 0.012 9455 + 0.012 9351 + 0.012 9338 + 0.012 9144 + 0.012 9681 + 0.012 8685 + 0.012 8635 + 0.0	+ 0.012 7976 - 111 + 0.012 7774 - 110 + 0.012 7741 - 110 + 0.012 7710 - 110 + 0.012 7710 - 110 + 0.012 686 - 110 + 0.012 690 - 100 + 0.012 690 - 100 + 0.012 690 - 100	+ 0.012 5522 - 100 + 0.012 5724 - 100 + 0.012 4590 - 103 + 0.012 4590 - 103 + 0.012 4730 - 107 + 0.012 3936 - 107 + 0.012 3936 - 107 + 0.012 2870 - 107 + 0.012 2870 - 107 + 0.012 2870 - 106	+ 0.012 1113   106 + 0.012 1721   106 + 0.012 0348   105 + 0.012 0348   105 + 0.012 035   104 + 0.011 0550   104 + 0.011 0773   103 + 0.011 0773   103 + 0.011 0773   103 + 0.011 0773   103	+ 0.011775 - 102 + 0.011729 - 101 + 0.011739 - 101 + 0.0113787 - 100 + 0.0113787 - 99 + 0.011358 - 98 + 0.011358 - 98
a ¹ 2		0.0019 544	0.018 745 0.018 745 0.018 549 0.018 337 0.018 337 0.018 337 0.018 337 0.018 337 0.018 337 0.018 337 0.017 338 0.017 338	- 0.017 713 - 3 - 0.017 608 - 3 - 0.017 393 - 3 - 0.017 391 - 3 - 0.017 291 - 3 - 0.017 185 - 3 - 0.016 994 - 3 - 0.016 894 - 3 - 0.016 894 - 3	- 0.015 648 - 0.015 648 - 0.015 312   3 - 0.015 312   3 - 0.015 312   3 - 0.015 312   3 - 0.015 312   2 - 0.015 772   2 - 0.015 772   2 - 0.015 772   2 - 0.015 772   2 - 0.015 772   2 - 0.015 772   2 - 0.015 772   2 - 0.015 772   2 - 0.015 772   2 - 0.015 772   2 - 0.015 772   2 - 0.015 772   2 - 0.015 772   2 - 0.015 772   2 - 0.015 772   2 - 0.015 772   2 - 0.015 772   2 - 0.015 772   2 - 0.015 772   2 - 0.015 772   2 - 0.015 772   2 - 0.015 772   2 - 0.015 772   2 - 0.015 772   2 - 0.015 772   2 - 0.015 772   2 - 0.015 772   2 - 0.015 772   2 - 0.015 772   2 - 0.015 772   2 - 0.015 772   2 - 0.015 772   2 - 0.015 772   2 - 0.015 772   2 - 0.015 772   2 - 0.015 772   2 - 0.015 772   2 - 0.015 772   2 - 0.015 772   2 - 0.015 772   2 - 0.015 772   2 - 0.015 772   2 - 0.015 772   2 - 0.015 772   2 - 0.015 772   2 - 0.015 772   2 - 0.015 772   2 - 0.015 772   2 - 0.015 772   2 - 0.015 772   2 - 0.015 772   2 - 0.015 772   2 - 0.015 772   2 - 0.015 772   2 - 0.015 772   2 - 0.015 772   2 - 0.015 772   2 - 0.015 772   2 - 0.015 772   2 - 0.015 772   2 - 0.015 772   2 - 0.015 772   2 - 0.015 772   2 - 0.015 772   2 - 0.015 772   2 - 0.015 772   2 - 0.015 772   2 - 0.015 772   2 - 0.015 772   2 - 0.015 772   2 - 0.015 772   2 - 0.015 772   2 - 0.015 772   2 - 0.015 772   2 - 0.015 772   2 - 0.015 772   2 - 0.015 772   2 - 0.015 772   2 - 0.015 772   2 - 0.015 772   2 - 0.015 772   2 - 0.015 772   2 - 0.015 772   2 - 0.015 772   2 - 0.015 772   2 - 0.015 772   2 - 0.015 772   2 - 0.015 772   2 - 0.015 772   2 - 0.015 772   2 - 0.015 772   2 - 0.015 772   2 - 0.015 772   2 - 0.015 772   2 - 0.015 772   2 - 0.015 772   2 - 0.015 772   2 - 0.015 772   2 - 0.015 772   2 - 0.015 772   2 - 0.015 772   2 - 0.015 772   2 - 0.015 772   2 - 0.015 772   2 - 0.015 772   2 - 0.015 772   2 - 0.015 772   2 - 0.015 772   2 - 0.015 772   2 - 0.015 772   2 - 0.015 772   2 - 0.015 772   2 - 0.015 772   2 - 0.015 772   2 - 0.015 772   2 - 0.015 772   2 - 0.015 772   2 - 0.015 772   2 - 0.015 772   2 - 0.015 772   2 - 0.015 772   2 - 0.01	0.015 \$51 0.015 \$10 0.015
a ^o ₂		+ + + + + + + + + + + + + + + + + + +	+ + + + + + + + + + + + + + + + + + +	+ 0.00817 0.00815 0.00817 0.00811 0.00807 0.00809 0.00809 0.00804 0.00804 0.00804 0.00804 0.00804 0.00804 0.00804 0.00804 0.00804 0.00804 0.00804 0.00804 0.00804 0.00804 0.00804 0.00804 0.00804 0.00804 0.00804 0.00804 0.00804 0.00804 0.00804 0.00804 0.00804 0.00804 0.00804 0.00804 0.00804 0.00804 0.00804 0.00804 0.00804 0.00804 0.00804 0.00804 0.00804 0.00804 0.00804 0.00804 0.00804 0.00804 0.00804 0.00804 0.00804 0.00804 0.00804 0.00804 0.00804 0.00804 0.00804 0.00804 0.00804 0.00804 0.00804 0.00804 0.00804 0.00804 0.00804 0.00804 0.00804 0.00804 0.00804 0.00804 0.00804 0.00804 0.00804 0.00804 0.00804 0.00804 0.00804 0.00804 0.00804 0.00804 0.00804 0.00804 0.00804 0.00804 0.00804 0.00804 0.00804 0.00804 0.00804 0.00804 0.00804 0.00804 0.00804 0.00804 0.00804 0.00804 0.00804 0.00804 0.00804 0.00804 0.00804 0.00804 0.00804 0.00804 0.00804 0.00804 0.00804 0.00804 0.00804 0.00804 0.00804 0.00804 0.00804 0.00804 0.00804 0.00804 0.00804 0.00804 0.00804 0.00804 0.00804 0.00804 0.00804 0.00804 0.00804 0.00804 0.00804 0.00804 0.00804 0.00804 0.00804 0.00804 0.00804 0.00804 0.00804 0.00804 0.00804 0.00804 0.00804 0.00804 0.00804 0.00804 0.00804 0.00804 0.00804 0.00804 0.00804 0.00804 0.00804 0.00804 0.00804 0.00804 0.00804 0.00804 0.00804 0.00804 0.00804 0.00804 0.00804 0.00804 0.00804 0.00804 0.00804 0.00804 0.00804 0.00804 0.00804 0.00804 0.00804 0.00804 0.00804 0.00804 0.00804 0.00804 0.00804 0.00804 0.00804 0.00804 0.00804 0.00804 0.00804 0.00804 0.00804 0.00804 0.00804 0.00804 0.00804 0.00804 0.00804 0.00804 0.00804 0.00804 0.00804 0.00804 0.00804 0.00804 0.00804 0.00804 0.00804 0.00804 0.00804 0.00804 0.00804 0.00804 0.00804 0.00804 0.00804 0.00804 0.00804 0.00804 0.00804 0.00804 0.00804 0.00804 0.00804 0.00804 0.00804 0.00804 0.00804 0.00804 0.00804 0.00804 0.00804 0.00804 0.00804 0.00804 0	+ + 0.00800 + 0.00796 + 0.00796 + 0.00792 + 0.00792 + 0.00793 + 0.00783 + 0.00783 + 0.00783	+ 0.00778 0 + 0.00776 0 + 0.00771 0 + 0.00771 0 + 0.00768 0 + 0.00768 0 + 0.00768 0 + 0.00768 0 + 0.00768 0 + 0.00768 0
15 p	0 + 4 W + NO V @ O	111111111111111111111111111111111111111	0 1 2 2 2 2 2 2 2 2 2 2 2 2 2 2 2 2 2 2	3 3 3 4 5 5 5 5 5 6 5 6 6 6 6 6 6 6 6 6 6 6 6	5 # 4 # 4 # 4 # 4	55 5 5 5 5 5 5 5 5 5 5 5 5 5 5 5 5 5 5

Die Zahlen der zweiten Subcolumnen sind mit  $\tau = \frac{t_o - 1850}{100}$  zu multipliciren, und sind in Einheiten der letzten Decimale angesetzt.

.00
, w
벁
£,
Lfe.
afe
afe
afe
afe
l'afe

_							
	ه.	1 1 2 2 2 2 2 2 2 2 2 2 2 2 2 2 2 2 2 2	\$55085x838		4 1 1 1 1 1 1 1 1 1 1 1 1 1 1 1 1 1 1 1	(28 c) (28 c) (38 c) (48 c) (48 c) (48 c) (48 c) (48 c) (48 c) (48 c) (48 c) (48 c) (48 c) (48 c) (48 c) (48 c) (48 c) (48 c) (48 c) (48 c) (48 c) (48 c) (48 c) (48 c) (48 c) (48 c) (48 c) (48 c) (48 c) (48 c) (48 c) (48 c) (48 c) (48 c) (48 c) (48 c) (48 c) (48 c) (48 c) (48 c) (48 c) (48 c) (48 c) (48 c) (48 c) (48 c) (48 c) (48 c) (48 c) (48 c) (48 c) (48 c) (48 c) (48 c) (48 c) (48 c) (48 c) (48 c) (48 c) (48 c) (48 c) (48 c) (48 c) (48 c) (48 c) (48 c) (48 c) (48 c) (48 c) (48 c) (48 c) (48 c) (48 c) (48 c) (48 c) (48 c) (48 c) (48 c) (48 c) (48 c) (48 c) (48 c) (48 c) (48 c) (48 c) (48 c) (48 c) (48 c) (48 c) (48 c) (48 c) (48 c) (48 c) (48 c) (48 c) (48 c) (48 c) (48 c) (48 c) (48 c) (48 c) (48 c) (48 c) (48 c) (48 c) (48 c) (48 c) (48 c) (48 c) (48 c) (48 c) (48 c) (48 c) (48 c) (48 c) (48 c) (48 c) (48 c) (48 c) (48 c) (48 c) (48 c) (48 c) (48 c) (48 c) (48 c) (48 c) (48 c) (48 c) (48 c) (48 c) (48 c) (48 c) (48 c) (48 c) (48 c) (48 c) (48 c) (48 c) (48 c) (48 c) (48 c) (48 c) (48 c) (48 c) (48 c) (48 c) (48 c) (48 c) (48 c) (48 c) (48 c) (48 c) (48 c) (48 c) (48 c) (48 c) (48 c) (48 c) (48 c) (48 c) (48 c) (48 c) (48 c) (48 c) (48 c) (48 c) (48 c) (48 c) (48 c) (48 c) (48 c) (48 c) (48 c) (48 c) (48 c) (48 c) (48 c) (48 c) (48 c) (48 c) (48 c) (48 c) (48 c) (48 c) (48 c) (48 c) (48 c) (48 c) (48 c) (48 c) (48 c) (48 c) (48 c) (48 c) (48 c) (48 c) (48 c) (48 c) (48 c) (48 c) (48 c) (48 c) (48 c) (48 c) (48 c) (48 c) (48 c) (48 c) (48 c) (48 c) (48 c) (48 c) (48 c) (48 c) (48 c) (48 c) (48 c) (48 c) (48 c) (48 c) (48 c) (48 c) (48 c) (48 c) (48 c) (48 c) (48 c) (48 c) (48 c) (48 c) (48 c) (48 c) (48 c) (48 c) (48 c) (48 c) (48 c) (48 c) (48 c) (48 c) (48 c) (48 c) (48 c) (48 c) (48 c) (48 c) (48 c) (48 c) (48 c) (48 c) (48 c) (48 c) (48 c) (48 c) (48 c) (48 c) (48 c) (48 c) (48 c) (48 c) (48 c) (48 c) (48 c) (48 c) (48 c) (48 c) (48 c) (48 c) (48 c) (48 c) (48 c) (48 c) (48 c) (48 c) (48 c) (48 c) (48 c) (48 c) (48 c) (48 c) (48 c) (48 c) (48 c) (48 c) (48 c) (48 c) (48 c) (48 c) (48 c) (48 c) (48 c) (4	The state of
_		*****	++++++++	+++++++++	++++++++	+++++++++	+++++++++
L	d, r	1 1 1 1 1 1 1 1 1 1 1 1 1 1 1 1 1 1 1	685 C C C C C C C C C C C C C C C C C C C	0.078 0.078 0.078 0.077 0.077 0.077 0.074 0.074	1100 1100 1100 1100 1100 1100 1100 110	\$10000 \$10000 \$10000 \$10000 \$10000 \$10000 \$10000 \$10000 \$10000 \$10000 \$10000 \$10000 \$10000 \$10000 \$10000 \$10000 \$10000 \$10000 \$10000 \$10000 \$10000 \$10000 \$10000 \$10000 \$10000 \$10000 \$10000 \$10000 \$10000 \$10000 \$10000 \$10000 \$10000 \$10000 \$10000 \$10000 \$10000 \$10000 \$10000 \$10000 \$10000 \$10000 \$10000 \$10000 \$10000 \$10000 \$10000 \$10000 \$10000 \$10000 \$10000 \$10000 \$10000 \$10000 \$10000 \$10000 \$10000 \$10000 \$10000 \$10000 \$10000 \$10000 \$10000 \$10000 \$10000 \$10000 \$10000 \$10000 \$10000 \$10000 \$10000 \$10000 \$10000 \$10000 \$10000 \$10000 \$10000 \$10000 \$10000 \$10000 \$10000 \$10000 \$10000 \$10000 \$10000 \$10000 \$10000 \$10000 \$10000 \$10000 \$10000 \$10000 \$10000 \$10000 \$10000 \$10000 \$10000 \$10000 \$10000 \$10000 \$10000 \$10000 \$10000 \$10000 \$10000 \$10000 \$10000 \$10000 \$10000 \$10000 \$10000 \$10000 \$10000 \$10000 \$10000 \$10000 \$10000 \$10000 \$10000 \$10000 \$10000 \$10000 \$10000 \$10000 \$10000 \$10000 \$10000 \$10000 \$10000 \$10000 \$10000 \$10000 \$10000 \$10000 \$10000 \$10000 \$10000 \$10000 \$10000 \$10000 \$10000 \$10000 \$10000 \$10000 \$10000 \$10000 \$10000 \$10000 \$10000 \$10000 \$10000 \$10000 \$10000 \$10000 \$10000 \$10000 \$10000 \$10000 \$10000 \$10000 \$10000 \$10000 \$10000 \$10000 \$10000 \$10000 \$10000 \$10000 \$10000 \$10000 \$10000 \$10000 \$10000 \$10000 \$10000 \$10000 \$10000 \$10000 \$10000 \$10000 \$10000 \$10000 \$10000 \$10000 \$10000 \$10000 \$10000 \$10000 \$10000 \$10000 \$10000 \$10000 \$10000 \$10000 \$10000 \$10000 \$10000 \$10000 \$10000 \$10000 \$10000 \$10000 \$10000 \$10000 \$10000 \$10000 \$10000 \$10000 \$10000 \$10000 \$10000 \$10000 \$10000 \$10000 \$10000 \$10000 \$10000 \$10000 \$10000 \$10000 \$10000 \$10000 \$10000 \$10000 \$10000 \$10000 \$10000 \$10000 \$10000 \$10000 \$10000 \$10000 \$10000 \$10000 \$10000 \$10000 \$10000 \$10000 \$10000 \$10000 \$10000 \$10000 \$10000 \$10000 \$10000 \$10000 \$10000 \$10000 \$10000 \$10000 \$10000 \$10000 \$10000 \$10000 \$10000 \$10000 \$10000 \$10000 \$10000 \$10000 \$10000 \$10000 \$10000 \$10000 \$10000 \$10000 \$10000 \$10000 \$10000 \$10000 \$10000 \$10000 \$10000 \$10000 \$10000 \$10000 \$10000 \$10000 \$10000 \$10000 \$10000 \$10000 \$10000 \$100000 \$100000 \$100000 \$100000 \$10000 \$10000 \$10000 \$10000 \$1000	45.00 45.00 45.00 45.00 46.00 46.00 46.00 46.00 46.00 46.00 46.00 46.00 46.00 46.00 46.00 46.00 46.00 46.00 46.00 46.00 46.00 46.00 46.00 46.00 46.00 46.00 46.00 46.00 46.00 46.00 46.00 46.00 46.00 46.00 46.00 46.00 46.00 46.00 46.00 46.00 46.00 46.00 46.00 46.00 46.00 46.00 46.00 46.00 46.00 46.00 46.00 46.00 46.00 46.00 46.00 46.00 46.00 46.00 46.00 46.00 46.00 46.00 46.00 46.00 46.00 46.00 46.00 46.00 46.00 46.00 46.00 46.00 46.00 46.00 46.00 46.00 46.00 46.00 46.00 46.00 46.00 46.00 46.00 46.00 46.00 46.00 46.00 46.00 46.00 46.00 46.00 46.00 46.00 46.00 46.00 46.00 46.00 46.00 46.00 46.00 46.00 46.00 46.00 46.00 46.00 46.00 46.00 46.00 46.00 46.00 46.00 46.00 46.00 46.00 46.00 46.00 46.00 46.00 46.00 46.00 46.00 46.00 46.00 46.00 46.00 46.00 46.00 46.00 46.00 46.00 46.00 46.00 46.00 46.00 46.00 46.00 46.00 46.00 46.00 46.00 46.00 46.00 46.00 46.00 46.00 46.00 46.00 46.00 46.00 46.00 46.00 46.00 46.00 46.00 46.00 46.00 46.00 46.00 46.00 46.00 46.00 46.00 46.00 46.00 46.00 46.00 46.00 46.00 46.00 46.00 46.00 46.00 46.00 46.00 46.00 46.00 46.00 46.00 46.00 46.00 46.00 46.00 46.00 46.00 46.00 46.00 46.00 46.00 46.00 46.00 46.00 46.00 46.00 46.00 46.00 46.00 46.00 46.00 46.00 46.00 46.00 46.00 46.00 46.00 46.00 46.00 46.00 46.00 46.00 46.00 46.00 46.00 46.00 46.00 46.00 46.00 46.00 46.00 46.00 46.00 46.00 46.00 46.00 46.00 46.00 46.00 46.00 46.00 46.00 46.00 46.00 46.00 46.00 46.00 46.00 46.00 46.00 46.00 46.00 46.00 46.00 46.00 46.00 46.00 46.00 46.00 46.00 46.00 46.00 46.00 46.00 46.00 46.00 46.00 46.00 46.00 46.00 46.00 46.00 46.00 46.00 46.00 46.00 46.00 46.00 46.00 46.00 46.00 46.00 46.00 46.00 46.00 46.00 46.00 46.00 46.00 46.00 46.00 46.00 46.00 46.00 46.00 46.00 46.00 46.00 46.00 46.00 46.00 46.00 46.00 46.00 46.00 46
ı	d's	++++++++++	***********	++++++++++++++++++++++++++++++++++++++	+++++++++	++++++++	++++++++
l			246 2 2 2 2 2 2 2 2 2 2 2 2 2 2 2 2 2 2	11	1211111111	520000000000000000000000000000000000000	1 11
	8,	60 - 551 60 - 551 60 - 551 60 - 165 60 - 1	4 + + + + + + + + + + + + + + + + + + +	++++++++++++++++++++++++++++++++++++++	4 100.7 (6114 1 1 1 1 1 1 1 1 1 1 1 1 1 1 1 1 1 1 1	100 200 200 200 200 200 200 200 200 200	A 1 1 1 1 1 1 1 1 1 1 1 1 1 1 1 1 1 1 1
ľ		+++++++++	++++++++	++++++++	1000000000	++++++++	+++++++++
	2 %	2 4 4 4 4 4 4 4 4 4 4 4 4 4 4 4 4 4 4 4	0 008 654 0 008 654 0 008 756 0	C C C C C C C C C C C C C C C C C C C	0 0 0 0 0 0 0 0 0 0 0 0 0 0 0 0 0 0 0	0 011 395 0 011 174 0 011 174 0 011 600 0 011 757 0 011 233 0 011 233	000 100 000 100 000 100 000 100 000 100 000 100 000 100 000 100 000 100 000 100 000 100 000 100 000 100 000 100 000 100 000 100 000 100 000 100 000 100 000 100 000 100 000 100 000 100 000 100 000 100 000 100 000 100 000 100 000 100 000 100 000 100 000 100 000 100 000 100 000 100 000 100 000 100 000 100 000 100 000 100 000 100 000 100 000 100 000 100 000 100 000 100 000 100 000 100 000 100 000 100 000 100 000 100 000 100 000 100 000 100 000 100 000 100 000 100 000 100 000 100 000 100 000 100 000 100 000 100 000 100 000 100 000 100 000 100 000 100 000 100 000 100 000 100 000 100 000 100 000 100 000 100 000 100 000 100 000 100 000 100 000 100 000 100 000 100 000 100 000 100 000 100 000 100 000 100 000 100 000 100 000 100 000 100 000 100 000 100 000 100 000 100 000 100 000 100 000 100 000 100 000 100 000 100 000 100 000 100 000 100 000 100 000 100 000 100 000 100 000 100 000 100 000 100 000 100 000 100 000 100 000 100 000 100 000 100 000 100 000 100 000 100 000 100 000 100 000 100 000 100 000 100 000 100 000 100 000 100 000 100 000 100 000 100 000 100 000 100 000 100 000 100 000 100 000 100 000 100 000 100 000 100 000 100 000 100 000 100 000 100 000 100 000 100 000 100 000 100 000 100 000 100 000 100 000 100 000 100 000 100 000 100 000 100 000 100 000 100 000 100 000 100 000 100 000 100 000 100 000 100 000 100 000 100 000 100 000 100 000 100 000 100 000 100 000 100 000 100 000 100 000 100 000 100 000 100 000 100 000 100 000 100 000 100 000 100 000 100 000 100 000 100 000 100 000 100 000 100 000 100 000 100 000 100 000 100 000 100 000 100 000 100 000 100 000 100 000 100 000 100 000 100 000 100 000 100 000 100 000 100 000 100 000 100 000 100 000 100 000 100 000 100 000 100 000 100 000 100 000 100 000 100 000 100 000 100 000 100 000 100 000 100 000 100 000 100 000 100 000 100 000 100 000 100 000 100 000 100 000 100 000 100 000 100 000 100 000 100 000 100 000 100 000 100 000 100 000 100 000 100 000 100 000 100 000 100 000 100 000 100 000 100 000 100 000 100 000 100 000 100 000 100 000 100 000 100 000 100 000 100 000 10
ŀ		*******	++++++++	+++++++++	+++++++++	*++++++++	+++++++++
	a ,	2000 0 0 0 0 0 0 0 0 0 0 0 0 0 0 0 0 0	+ + + + + + + + + + + + + + + + + + +	+ + + + + + + + + + + + + + + + + + +	++++++ 0.010 66 1 1 1 1 1 1 1 1 1 1 1 1 1 1 1 1 1	201108 201108 2011108 2011108 2011108 2011108 2011108 2011108 2011108 2011108 2011108 2011108 2011108 2011108 2011108 2011108 2011108 2011108 2011108 2011108 2011108 2011108 2011108 2011108 2011108 2011108 2011108 2011108 2011108 2011108 2011108 2011108 2011108 2011108 2011108 2011108 2011108 2011108 2011108 2011108 2011108 2011108 2011108 2011108 2011108 2011108 2011108 2011108 2011108 2011108 2011108 2011108 2011108 2011108 2011108 2011108 2011108 2011108 2011108 2011108 2011108 2011108 2011108 2011108 2011108 2011108 2011108 2011108 2011108 2011108 2011108 2011108 2011108 2011108 2011108 2011108 2011108 2011108 2011108 2011108 2011108 2011108 2011108 2011108 2011108 2011108 2011108 2011108 2011108 2011108 2011108 2011108 2011108 2011108 2011108 2011108 2011108 2011108 2011108 2011108 2011108 2011108 2011108 2011108 2011108 2011108 2011108 2011108 2011108 2011108 2011108 2011108 2011108 2011108 2011108 2011108 2011108 2011108 2011108 2011108 2011108 2011108 2011108 2011108 2011108 2011108 2011108 2011108 2011108 2011108 2011108 2011108 2011108 2011108 2011108 2011108 2011108 2011108 2011108 2011108 2011108 2011108 2011108 2011108 2011108 2011108 2011108 2011108 2011108 2011108 2011108 2011108 2011108 2011108 2011108 2011108 2011108 2011108 2011108 2011108 2011108 2011108 2011108 2011108 2011108 2011108 2011108 2011108 2011108 2011108 2011108 2011108 2011108 2011108 2011108 2011108 2011108 2011108 2011108 2011108 2011108 2011108 2011108 2011108 2011108 2011108 2011108 2011108 2011108 2011108 2011108 2011108 2011108 2011108 2011108 2011108 2011108 2011108 2011108 2011108 2011108 2011108 2011108 2011108 2011108 2011108 2011108 2011108 2011108 2011108 2011108 2011108 2011108 2011108 2011108 2011108 2011108 2011108 2011108 2011108 2011108 2011108 2011108 2011108 2011108 2011108 2011108 2011108 2011108 2011108 2011108 2011108 2011108 2011108 2011108 2011108 2011108 2011108 2011108 2011108 2011108 2011108 2011108 2011108 2011108 2011108 2011108 2011108 2011108 2011108 2011108 2011108 2011108 2011108 2011108 2011108	++++++++
	9	00000 1 1 0000 1 1 0000 1 1 0000 1 1 0000 1 1 0000 1 1 0000 1 1 0000 1 1 0000 1 1 0000 1 1 0000 1 1 0000 1 1 0000 1 1 0000 1 1 0000 1 1 0000 1 1 0000 1 1 0000 1 1 0000 1 1 0000 1 1 0000 1 1 0000 1 1 0000 1 1 0000 1 1 0000 1 1 0000 1 1 0000 1 1 0000 1 1 0000 1 1 0000 1 1 0000 1 1 0000 1 1 0000 1 1 0000 1 1 0000 1 1 0000 1 1 0000 1 1 0000 1 1 0000 1 1 0000 1 1 0000 1 1 0000 1 1 0000 1 1 0000 1 1 0000 1 1 0000 1 1 0000 1 1 0000 1 1 0000 1 1 0000 1 1 0000 1 1 0000 1 1 0000 1 1 0000 1 1 0000 1 1 0000 1 1 0000 1 1 0000 1 1 0000 1 1 0000 1 1 0000 1 1 0000 1 1 0000 1 1 0000 1 1 0000 1 1 0000 1 1 0000 1 1 0000 1 1 0000 1 1 0000 1 1 0000 1 1 0000 1 1 0000 1 1 0000 1 1 0000 1 1 0000 1 1 0000 1 1 0000 1 1 0000 1 1 0000 1 1 0000 1 1 0000 1 1 0000 1 1 0000 1 1 0000 1 1 0000 1 1 0000 1 1 0000 1 1 0000 1 1 0000 1 1 0000 1 1 0000 1 1 0000 1 1 0000 1 1 0000 1 1 0000 1 1 0000 1 1 0000 1 1 0000 1 1 0000 1 1 0000 1 1 0000 1 1 0000 1 1 0000 1 1 0000 1 1 0000 1 1 0000 1 1 0000 1 1 0000 1 1 0000 1 1 0000 1 1 0000 1 1 0000 1 1 0000 1 1 0000 1 1 0000 1 1 0000 1 1 0000 1 1 0000 1 1 0000 1 1 0000 1 1 0000 1 1 0000 1 1 0000 1 1 0000 1 1 0000 1 1 0000 1 1 0000 1 1 0000 1 1 0000 1 1 0000 1 1 0000 1 1 0000 1 1 0000 1 1 0000 1 1 0000 1 1 0000 1 1 0000 1 1 0000 1 1 0000 1 1 0000 1 1 0000 1 1 0000 1 1 0000 1 1 0000 1 1 0000 1 1 0000 1 1 0000 1 1 0000 1 1 0000 1 1 0000 1 1 0000 1 1 0000 1 1 0000 1 1 0000 1 1 0000 1 1 0000 1 1 0000 1 1 0000 1 1 0000 1 1 0000 1 1 0000 1 1 0000 1 1 0000 1 1 0000 1 1 0000 1 1 0000 1 1 0000 1 1 0000 1 1 0000 1 1 0000 1 1 0000 1 1 0000 1 1 0000 1 1 0000 1 1 0000 1 1 0000 1 1 0000 1 1 0000 1 1 0000 1 1 0000 1 1 0000 1 1 0000 1 1 0000 1 1 0000 1 1 0000 1 1 0000 1 1 0000 1 1 0000 1 1 0000 1 1 0000 1 1 0000 1 1 0000 1 1 0000 1 1 0000 1 1 0000 1 1 0000 1 1 0000 1 1 0000 1 1 0000 1 1 0000 1 1 0000 1 1 0000 1 1 0000 1 1 0000 1 1 0000 1 1 0000 1 1 0000 1 1 0000 1 1 0000 1 1 0000 1 1 0000 1 1 0000 1 1 0000 1 1 0000 1 1 0000 1 1 0000 1 1 0000 1 1 0000 1 1 0000 1 1 0000 1 1 0000 1 1 0000 1 1 0000 1 1 0000 1 1 0000 1 1 0000 1 1 00	0.0014 0.0019 0.0019 0.0019 0.0011 0.0011 0.0011 0.0011 0.0011 0.0011	4 2000.0	9 2000 0 0 1 1 1 1 1 1 1 1 1 1 1 1 1 1 1	C.0093 C.0093 C.0093 C.0093 C.0093 C.0093 C.0093 C.0093 C.0093 C.0093 C.0093 C.0093 C.0093 C.0093 C.0093 C.0093 C.0093 C.0093 C.0093 C.0093 C.0093 C.0093 C.0093 C.0093 C.0093 C.0093 C.0093 C.0093 C.0093 C.0093 C.0093 C.0093 C.0093 C.0093 C.0093 C.0093 C.0093 C.0093 C.0093 C.0093 C.0093 C.0093 C.0093 C.0093 C.0093 C.0093 C.0093 C.0093 C.0093 C.0093 C.0093 C.0093 C.0093 C.0093 C.0093 C.0093 C.0093 C.0093 C.0093 C.0093 C.0093 C.0093 C.0093 C.0093 C.0093 C.0093 C.0093 C.0093 C.0093 C.0093 C.0093 C.0093 C.0093 C.0093 C.0093 C.0093 C.0093 C.0093 C.0093 C.0093 C.0093 C.0093 C.0093 C.0093 C.0093 C.0093 C.0093 C.0093 C.0093 C.0093 C.0093 C.0093 C.0093 C.0093 C.0093 C.0093 C.0093 C.0093 C.0093 C.0093 C.0093 C.0093 C.0093 C.0093 C.0093 C.0093 C.0093 C.0093 C.0093 C.0093 C.0093 C.0093 C.0093 C.0093 C.0093 C.0093 C.0093 C.0093 C.0093 C.0093 C.0093 C.0093 C.0093 C.0093 C.0093 C.0093 C.0093 C.0093 C.0093 C.0093 C.0093 C.0093 C.0093 C.0093 C.0093 C.0093 C.0093 C.0093 C.0093 C.0093 C.0093 C.0093 C.0093 C.0093 C.0093 C.0093 C.0093 C.0093 C.0093 C.0093 C.0093 C.0093 C.0093 C.0093 C.0093 C.0093 C.0093 C.0093 C.0093 C.0093 C.0093 C.0093 C.0093 C.0093 C.0093 C.0093 C.0093 C.0093 C.0093 C.0093 C.0093 C.0093 C.0093 C.0093 C.0093 C.0093 C.0093 C.0093 C.0093 C.0093 C.0093 C.0093 C.0093 C.0093 C.0093 C.0093 C.0093 C.0093 C.0093 C.0093 C.0093 C.0093 C.0093 C.0093 C.0093 C.0093 C.0093 C.0093 C.0093 C.0093 C.0093 C.0093 C.0093 C.0093 C.0093 C.0093 C.0093 C.0093 C.0093 C.0093 C.0093 C.0093 C.0093 C.0093 C.0093 C.0093 C.0093 C.0093 C.0093 C.0093 C.0093 C.0093 C.0093 C.0093 C.0093 C.0093 C.0093 C.0093 C.0093 C.0093 C.0093 C.0093 C.0093 C.0093 C.0093 C.0093 C.0093 C.0093 C.0093 C.0093 C.0093 C.0093 C.0093 C.0093 C.0093 C.0093 C.0093 C.0093 C.0093 C.0093 C.0093 C.0093 C.0093 C.0093 C.0093 C.0093 C.0093 C.0093 C.0093 C.0093 C.0093 C.0093 C.0093 C.0093 C.0093 C.0093 C.0093 C.0093 C.0093 C.0093 C.0093 C.0093 C.0093 C.0093 C.0093 C.0093 C.0093 C.0093 C.0093 C.0093 C.0093 C.0093 C.0093 C.0093 C.0093 C.0093 C.0093 C.0093 C.0093 C.0093 C.0093 C.0093 C.	4 1 1 1 1 1 1 1 1 1 1 1 1 1 1 1 1 1 1 1
П		**********	2000222222	22222222	17111111111	*********	1+1+1+1+1+1+1 NUNCY 6 6 6 6 6 6
	787	44614 44601 744640 744640 744640 74641 74641 74641 74641 74641 74641 74641 74641 74641 74641 74641 74641 74641 74641 74641 74641 74641 74641 74641 74641 74641 74641 74641 74641 74641 74641 74641 74641 74641 74641 74641 74641 74641 74641 74641 74641 74641 74641 74641 74641 74641 74641 74641 74641 74641 74641 74641 74641 74641 74641 74641 74641 74641 74641 74641 74641 74641 74641 74641 74641 74641 74641 74641 74641 74641 74641 74641 74641 74641 74641 74641 74641 74641 74641 74641 74641 74641 74641 74641 74641 74641 74641 74641 74641 74641 74641 74641 74641 74641 74641 74641 74641 74641 74641 74641 74641 74641 74641 74641 74641 74641 74641 74641 74641 74641 74641 74641 74641 74641 74641 74641 74641 74641 74641 74641 74641 74641 74641 74641 74641 74641 74641 74641 74641 74641 74641 74641 74641 74641 74641 74641 74641 74641 74641 74641 74641 74641 74641 74641 74641 74641 74641 74641 74641 74641 74641 74641 74641 74641 74641 74641 74641 74641 74641 74641 74641 74641 74641 74641 74641 74641 74641 74641 74641 74641 74641 74641 74641 74641 74641 74641 74641 74641 74641 74641 74641 74641 74641 74641 74641 74641 74641 74641 74641 74641 74641 74641 74641 74641 74641 74641 74641 74641 74641 74641 74641 74641 74641 74641 74641 74641 74641 74641 74641 74641 74641 74641 74641 74641 74641 74641 74641 74641 74641 74641 74641 74641 74641 74641 74641 74641 74641 74641 74641 74641 74641 74641 74641 74641 74641 74641 74641 74641 74641 74641 74641 74641 74641 74641 74641 74641 74641 74641 74641 74641 74641 74641 74641 74641 74641 74641 74641 74641 74641 74641 74641 74641 74641 74641 74641 74641 74641 74641 74641 74641 74641 74641 74641 74641 74641 74641 74641 74641 74641 74641 74641 74641 74641 74641 74641 74641 74641 74641 74641 74641 74641 74641 74641 74641 74641 74641 74641 74641 74641 74641 74641 74641 74641 74641 74641 74641 74641 74641 74641 74641 74641 74641 74641 74641 74641 74641 74641 74641 74641 74641 74641 74641 74641 74641 74641 74641 74641 74641 74641 74641 74641 74641 74641 74641 74641 74641 74641 74641 74641 74641 746	1 1 1 1 1 1 1 1 1 1 1 1 1 1 1 1 1 1 1	1,15010 1,15010 1,15010 1,15010 1,15010 1,15010 1,15010 1,15010 1,15010 1,15010 1,15010 1,15010 1,15010 1,15010 1,15010 1,15010 1,15010 1,15010 1,15010 1,15010 1,15010 1,15010 1,15010 1,15010 1,15010 1,15010 1,15010 1,15010 1,15010 1,15010 1,15010 1,15010 1,15010 1,15010 1,15010 1,15010 1,15010 1,15010 1,15010 1,15010 1,15010 1,15010 1,15010 1,15010 1,15010 1,15010 1,15010 1,15010 1,15010 1,15010 1,15010 1,15010 1,15010 1,15010 1,15010 1,15010 1,15010 1,15010 1,15010 1,15010 1,15010 1,15010 1,15010 1,15010 1,15010 1,15010 1,15010 1,15010 1,15010 1,15010 1,15010 1,15010 1,15010 1,15010 1,15010 1,15010 1,15010 1,15010 1,15010 1,15010 1,15010 1,15010 1,15010 1,15010 1,15010 1,15010 1,15010 1,15010 1,15010 1,15010 1,15010 1,15010 1,15010 1,15010 1,15010 1,15010 1,15010 1,15010 1,15010 1,15010 1,15010 1,15010 1,15010 1,15010 1,15010 1,15010 1,15010 1,15010 1,15010 1,15010 1,15010 1,15010 1,15010 1,15010 1,15010 1,15010 1,15010 1,15010 1,15010 1,15010 1,15010 1,15010 1,15010 1,15010 1,15010 1,15010 1,15010 1,15010 1,15010 1,15010 1,15010 1,15010 1,15010 1,15010 1,15010 1,15010 1,15010 1,15010 1,15010 1,15010 1,15010 1,15010 1,15010 1,15010 1,15010 1,15010 1,15010 1,15010 1,15010 1,15010 1,15010 1,15010 1,15010 1,15010 1,15010 1,15010 1,15010 1,15010 1,15010 1,15010 1,15010 1,15010 1,15010 1,15010 1,15010 1,15010 1,15010 1,15010 1,15010 1,15010 1,15010 1,15010 1,15010 1,15010 1,15010 1,15010 1,15010 1,15010 1,15010 1,15010 1,15010 1,15010 1,15010 1,15010 1,15010 1,15010 1,15010 1,15010 1,15010 1,15010 1,15010 1,15010 1,15010 1,15010 1,15010 1,15010 1,15010 1,15010 1,15010 1,15010 1,15010 1,15010 1,15010 1,15010 1,15010 1,15010 1,15010 1,15010 1,15010 1,15010 1,15010 1,15010 1,15010 1,15010 1,15010 1,15010 1,15010 1,15010 1,15010 1,15010 1,15010 1,15010 1,15010 1,15010 1,15010 1,15010 1,15010 1,15010 1,15010 1,15010 1,15010 1,15010 1,15010 1,15010 1,15010 1,15010 1,15010 1,15010 1,15010 1,15010 1,15010 1,15010 1,15010 1,15010 1,15010 1,15010 1,15010 1,15010 1,15010 1,15010 1,15010 1,15010 1,15010 1,15010 1,15010 1,1501	0.000000000000000000000000000000000000	1000 0 0 0 0 0 0 0 0 0 0 0 0 0 0 0 0 0	0.1774 0.17778 0.17778 0.17778 0.17778 0.17778 0.17778 0.17778
H		++++++++	++++++++	++++++++	+++++++++	++++++++	+++++++++
	CP.	**************************************	######################################	++++++++	++++++++	++++++++	+++++++++
1	1	\$\$#888345B	222988888	\$ 50 \$ 50 \$ 50 \$ 50 \$ 50 \$ 50 \$ 50 \$ 50	2281787425	2-17588655	3378233 338
ı	u,	2547 1390 1390 1390 1773 1773 1005 1005 1005 1005 1005 1005 1005 100	5445 5744 5746 5746 5746 5746 5746 5746	9548 8885 8805 7337 7327 7369 4262 4262 4262 4263 4263 4263 4263	1889 1084 0171 9452 8616 7793 6953 6107 5254	3530 2558 2558 3780 3780 5483 5462	A SECTION ASSESSMENT
		+ 0 011 130 + 0 011 130 + 0 011 130 + 0 011 130 + 0 011 010 + 0 011 010 + 0 011 010 + 0 011 010	++++++++++++++++++++++++++++++++++++++	++++++++	\$ \$ \$ \$ \$ \$ \$ \$ \$ \$ \$ \$ \$ \$ \$ \$ \$ \$ \$	++++++++	+ 0 000 + 0 000 + 0 000 + 0 000 + 0 000 + 0 000 + 0 000 + 0 000 + 0 000 + 0 000 + 0 000 + 0 000 + 0 000 + 0 000 + 0 000 + 0 000 + 0 000 + 0 000 + 0 000 + 0 000 + 0 000 + 0 000 + 0 000 + 0 000 + 0 000 + 0 000 + 0 000 + 0 000 + 0 000 + 0 000 + 0 000 + 0 000 + 0 000 + 0 000 + 0 000 + 0 000 + 0 000 + 0 000 + 0 000 + 0 000 + 0 000 + 0 000 + 0 000 + 0 000 + 0 000 + 0 000 + 0 000 + 0 000 + 0 000 + 0 000 + 0 000 + 0 000 + 0 000 + 0 000 + 0 000 + 0 000 + 0 000 + 0 000 + 0 000 + 0 000 + 0 000 + 0 000 + 0 000 + 0 000 + 0 000 + 0 000 + 0 000 + 0 000 + 0 000 + 0 000 + 0 000 + 0 000 + 0 000 + 0 000 + 0 000 + 0 000 + 0 000 + 0 000 + 0 000 + 0 000 + 0 000 + 0 000 + 0 000 + 0 000 + 0 000 + 0 000 + 0 000 + 0 000 + 0 000 + 0 000 + 0 000 + 0 000 + 0 000 + 0 000 + 0 000 + 0 000 + 0 000 + 0 000 + 0 000 + 0 000 + 0 000 + 0 000 + 0 000 + 0 000 + 0 000 + 0 000 + 0 000 + 0 000 + 0 000 + 0 000 + 0 000 + 0 000 + 0 000 + 0 000 + 0 000 + 0 000 + 0 000 + 0 000 + 0 000 + 0 000 + 0 000 + 0 000 + 0 000 + 0 000 + 0 000 + 0 000 + 0 000 + 0 000 + 0 000 + 0 000 + 0 000 + 0 000 + 0 000 + 0 000 + 0 000 + 0 000 + 0 000 + 0 000 + 0 000 + 0 000 + 0 000 + 0 000 + 0 000 + 0 000 + 0 000 + 0 000 + 0 000 + 0 000 + 0 000 + 0 000 + 0 000 + 0 000 + 0 000 + 0 000 + 0 000 + 0 000 + 0 000 + 0 000 + 0 000 + 0 000 + 0 000 + 0 000 + 0 000 + 0 000 + 0 000 + 0 000 + 0 000 + 0 000 + 0 000 + 0 000 + 0 000 + 0 000 + 0 000 + 0 000 + 0 000 + 0 000 + 0 000 + 0 000 + 0 000 + 0 000 + 0 000 + 0 000 + 0 000 + 0 000 + 0 000 + 0 000 + 0 000 + 0 000 + 0 000 + 0 000 + 0 000 + 0 000 + 0 000 + 0 000 + 0 000 + 0 000 + 0 000 + 0 000 + 0 000 + 0 000 + 0 000 + 0 000 + 0 000 + 0 000 + 0 000 + 0 000 + 0 000 + 0 000 + 0 000 + 0 000 + 0 000 + 0 000 + 0 000 + 0 000 + 0 000 + 0 000 + 0 000 + 0 000 + 0 000 + 0 000 + 0 000 + 0 000 + 0 000 + 0 000 + 0 000 + 0 000 + 0 000 + 0 000 + 0 000 + 0 000 + 0 000 + 0 000 + 0 000 + 0 000 + 0 000 + 0 000 + 0 000 + 0 000 + 0 000 + 0 000 + 0 000 + 0 000 + 0 000 + 0 000 + 0 000 + 0 000 + 0 000 + 0 000 + 0 000 + 0 000 + 0 000 + 0 000 + 0 000 + 0 000 + 0 000 + 0 00
		1 (	# # # # # # # # # # # # # # # # # # #	20000000000	0-00 F R W C 00 - 00 L 0	P. 22 - 200 + 0 v C	#3# 9 1% 2 9 13 <b>9</b>
	- 40		- 6.011.97. - 0.017.037 - 0.017.92. - 0.017.86. - 0.017.86. - 0.017.86. - 0.017.94. - 0.017.11.94.	0.011.02	- 0.010 B80 - 0.010 768 - 0.010 768 - 0.010 46 - 0.010 188 - 0.010 188 - 0.010 188 - 0.000 700 - 0.000 700	7 0 0 0 0 0 0 0 0 0 0 0 0 0 0 0 0 0 0 0	2000 2000 2000 2000 2000 2000 2000 200
		, cococos 10	171600000000000000000000000000000000000	0000000000	000 000000	0000000000	101 010 100
	(B,	+ *** 152 + *** 152 + *** 00740 + *** 00740 + *** 00740 + *** 00740 + *** 00740	+ 1.000.918 + 2.000.118 + 3.000.118 + 0.000.01 + 0.000.01 + 0.000.01 + 0.000.01 + 0.000.01 + 0.000.01 + 0.000.01	10000000000000000000000000000000000000	44++++++++++++++++++++++++++++++++++++	+ + + + + + + + + + + + + + + + + + +	11111111111111111111111111111111111111
	191		2 + 1 1 1 1 1 1 1 1 1 1 1 1 1 1 1 1 1 1	0 4 5 5 4 5 5 5 5 5 5 5 5 5 5 5 5 5 5 5	A 11 A A A A A A A A A A A A A A A A A	3 + 4 + 4 + 4 + 4 + 5 + 5 + 5 + 5 + 5 + 5	222222222
-							

d ² 3	+ 0.02236   13 + 0.02236   13 + 0.02236   13 + 0.02235   13 + 0.02037   13 + 0.02037   13 + 0.02037   13 + 0.02037   13 + 0.02037   13 + 0.02037   13 + 0.02037   13 + 0.02037   13 + 0.02037   13 + 0.02037   13 + 0.02037   13 + 0.02037   13 + 0.02037   13 + 0.02037   13 + 0.02037   13 + 0.02037   13 + 0.02037   13 + 0.02037   13 + 0.02037   13 + 0.02037   13 + 0.02037   13 + 0.02037   13 + 0.02037   13 + 0.02037   13 + 0.02037   13 + 0.02037   13 + 0.02037   13 + 0.02037   13 + 0.02037   13 + 0.02037   13 + 0.02037   13 + 0.02037   13 + 0.02037   13 + 0.02037   13 + 0.02037   13 + 0.02037   13 + 0.02037   13 + 0.02037   13 + 0.02037   13 + 0.02037   13 + 0.02037   13 + 0.02037   13 + 0.02037   13 + 0.02037   13 + 0.02037   13 + 0.02037   13 + 0.02037   13 + 0.02037   13 + 0.02037   13 + 0.02037   13 + 0.02037   13 + 0.02037   13 + 0.02037   13 + 0.02037   13 + 0.02037   13 + 0.02037   13 + 0.02037   13 + 0.02037   13 + 0.02037   13 + 0.02037   13 + 0.02037   13 + 0.02037   13 + 0.02037   13 + 0.02037   13 + 0.02037   13 + 0.02037   13 + 0.02037   13 + 0.02037   13 + 0.02037   13 + 0.02037   13 + 0.02037   13 + 0.02037   13 + 0.02037   13 + 0.02037   13 + 0.02037   13 + 0.02037   13 + 0.02037   13 + 0.02037   13 + 0.02037   13 + 0.02037   13 + 0.02037   13 + 0.02037   13 + 0.02037   13 + 0.02037   13 + 0.02037   13 + 0.02037   13 + 0.02037   13 + 0.02037   13 + 0.02037   13 + 0.02037   13 + 0.02037   13 + 0.02037   13 + 0.02037   13 + 0.02037   13 + 0.02037   13 + 0.02037   13 + 0.02037   13 + 0.02037   13 + 0.02037   13 + 0.02037   13 + 0.02037   13 + 0.02037   13 + 0.02037   13 + 0.02037   13 + 0.02037   13 + 0.02037   13 + 0.02037   13 + 0.02037   13 + 0.02037   13 + 0.02037   13 + 0.02037   13 + 0.02037   13 + 0.02037   13 + 0.02037   13 + 0.02037   13 + 0.02037   13 + 0.02037   13 + 0.02037   13 + 0.02037   13 + 0.02037   13 + 0.02037   13 + 0.02037   13 + 0.02037   13 + 0.02037   13 + 0.02037   13 + 0.02037   13 + 0.02037   13 + 0.02037   13 + 0.02037   13 + 0.02037   13 + 0.02037   13 + 0.02037   13 + 0.02	+ + + + 0.01935 0.01936 0.01835 0.01836 0.01738 0.01748 0.01748 0.01766 0.01669 0.01669 0.01669	+ + + + 0.01536 0.01538 0.01538 0.01538 0.01408 0.01408 0.01293 0.01293 0.01254	+ 0.01216 - 2 + 0.01177 - 2 + 0.01038 - 1 + 0.01039 - 1 + 0.01039 - 1 + 0.00090 - 1 + 0.00090 - 1 + 0.00000 - 1	+ 0.00819 - 1 + 0.00779 - 1 + 0.00739 - 1 + 0.00518 - 1 + 0.00517 - 1 + 0.00517 - 1 + 0.00518 - 1 + 0.00518 - 1	+ + 0.00412 - 1 + 0.00371 0 + 0.00371 0 + 0.00348 0 + 0.00348 0 + 0.00348 0 + 0.00348 0 + 0.0034 0 + 0.0034 0 + 0.0034 0 + 0.0034 0
d³		0.00420   0.00401   0.00394   0.00367   0.00368   0.00368	- 0.0331 - 0.0323 - 0.0313 - 0.0304 - 0.0286 - 0.0286 - 0.0268	0.0240   0.0223   0.0223   0.0223   0.0223   0.0135   0.0175	- 0.0143 - 0.0138 - 0.0128 - 0.0119 - 0.0110 - 0.0011 - 0.00312 - 0.0032	++++++++++++++++++++++++++++++++++++++
a ^b 3	+++++++++ 200.0000000000000000000000000000000000	+ + + + + + + + + + + + + + + + + + +	+ + + + + + + + + + + + + + + + + + +	+++++++++++++++++++++++++++++++++++++++	++++++++++++++++++++++++++++++++++++++	0.000 0.000 0.000 0.000 0.000 0.000 0.000 0.000 0.000 0.000 0.000 0.000 0.000 0.000 0.000 0.000 0.000 0.000 0.000 0.000 0.000 0.000 0.000 0.000 0.000 0.000 0.000 0.000 0.000 0.000 0.000 0.000 0.000 0.000 0.000 0.000 0.000 0.000 0.000 0.000 0.000 0.000 0.000 0.000 0.000 0.000 0.000 0.000 0.000 0.000 0.000 0.000 0.000 0.000 0.000 0.000 0.000 0.000 0.000 0.000 0.000 0.000 0.000 0.000 0.000 0.000 0.000 0.000 0.000 0.000 0.000 0.000 0.000 0.000 0.000 0.000 0.000 0.000 0.000 0.000 0.000 0.000 0.000 0.000 0.000 0.000 0.000 0.000 0.000 0.000 0.000 0.000 0.000 0.000 0.000 0.000 0.000 0.000 0.000 0.000 0.000 0.000 0.000 0.000 0.000 0.000 0.000 0.000 0.000 0.000 0.000 0.000 0.000 0.000 0.000 0.000 0.000 0.000 0.000 0.000 0.000 0.000 0.000 0.000 0.000 0.000 0.000 0.000 0.000 0.000 0.000 0.000 0.000 0.000 0.000 0.000 0.000 0.000 0.000 0.000 0.000 0.000 0.000 0.000 0.000 0.000 0.000 0.000 0.000 0.000 0.000 0.000 0.000 0.000 0.000 0.000 0.000 0.000 0.000 0.000 0.000 0.000 0.000 0.000 0.000 0.000 0.000 0.000 0.000 0.000 0.000 0.000 0.000 0.000 0.000 0.000 0.000 0.000 0.000 0.000 0.000 0.000 0.000 0.000 0.000 0.000 0.000 0.000 0.000 0.000 0.000 0.000 0.000 0.000 0.000 0.000 0.000 0.000 0.000 0.000 0.000 0.000 0.000 0.000 0.000 0.000 0.000 0.000 0.000 0.000 0.000 0.000 0.000 0.000 0.000 0.000 0.000 0.000 0.000 0.000 0.000 0.000 0.000 0.000 0.000 0.000 0.000 0.000 0.000 0.000 0.000 0.000 0.000 0.000 0.000 0.000 0.000 0.000 0.000 0.000 0.000 0.000 0.000 0.000 0.000 0.000 0.000 0.000 0.000 0.000 0.000 0.000 0.000 0.000 0.000 0.000 0.000 0.000 0.000 0.000 0.000 0.000 0.000 0.000 0.000 0.000 0.000 0.000 0.000 0.000 0.000 0.000 0.000 0.000 0.000 0.000 0.000 0.000 0.000 0.000 0.000 0.000 0.000 0.000 0.000 0.000 0.000 0.000 0.000 0.000 0.000 0.000 0.000 0.000 0.000 0.000 0.000 0.000 0.000 0.000 0.000 0.000 0.000 0.000 0.000 0.000 0.000 0.000 0.000 0.000 0.000 0.000 0.000 0.000 0.000 0.000 0.000 0.000 0.000 0.000 0.000 0.000 0.000 0.000 0.000 0.000 0.000 0.000 0.000 0.000 0.000 0.000 0.000 0.000 0.000 0.000 0.000 0.000 0.000 0.000 0.000
<i>u</i> ³	+ occa 9776 - 39 + occa 103 - 39 + occa 103 - 39 + occa 123 - 41 +	+ 0.003 31408   - 43 + 0.003 33740   - 44 + 0.003 33740   - 44 + 0.003 33740   - 45 + 0.003 3374   - 45 + 0.003 5016   - 46 + 0.003 5016   - 47 + 0.003 5016   - 47	+ 0.cc3 6468	+ 0.003 8904	+ 0.004 o674	+ 0.004 1749   54 + 0.004 1877   54 + 0.004 1873   54 + 0.004 1980   54 + 0.004 1980   54 + 0.004 1980   54 + 0.004 2027   54 + 0.004 2027   55 + 0.004 2027   55 + 0.004 2106   55 + 0.004 2106   55 + 0.004 2106   55
a33	1	0.013 569 0.013 569 0.013 568 0.013	0 0.013 730 0 0.013 740 0 0.013 849 0 0.013 886 0 0.013 886 0 0.013 987 0 0.014 987 0 0.014 987 0 0.014 987 0 0.014 987 0 0.014 987 0 0.014 987 0 0.014 987 0 0.014 987 0 0.014 987 0 0.014 987 0 0.014 987 0 0.014 987 0 0.014 987 0 0.014 987 0 0.014 987 0 0.014 987 0 0.014 987 0 0.014 987 0 0.014 987 0 0.014 987 0 0.014 987 0 0.014 987 0 0.014 987 0 0.014 987 0 0.014 987 0 0.014 987 0 0.014 987 0 0.014 987 0 0.014 987 0 0.014 987 0 0.014 987 0 0.014 987 0 0.014 987 0 0.014 987 0 0.014 987 0 0.014 987 0 0.014 987 0 0.014 987 0 0.014 987 0 0.014 987 0 0.014 987 0 0.014 987 0 0.014 987 0 0.014 987 0 0.014 987 0 0.014 987 0 0.014 987 0 0.014 987 0 0.014 987 0 0.014 987 0 0.014 987 0 0.014 987 0 0.014 987 0 0.014 987 0 0.014 987 0 0.014 987 0 0.014 987 0 0.014 987 0 0.014 987 0 0.014 987 0 0.014 987 0 0.014 987 0 0.014 987 0 0.014 987 0 0.014 987 0 0.014 987 0 0.014 987 0 0.014 987 0 0.014 987 0 0.014 987 0 0.014 987 0 0.014 987 0 0.014 987 0 0.014 987 0 0.014 987 0 0.014 987 0 0.014 987 0 0.014 987 0 0.014 987 0 0.014 987 0 0.014 987 0 0.014 987 0 0.014 987 0 0.014 987 0 0.014 987 0 0.014 987 0 0.014 987 0 0.014 987 0 0.014 987 0 0.014 987 0 0.014 987 0 0.014 987 0 0.014 987 0 0.014 987 0 0.014 987 0 0.014 987 0 0.014 987 0 0.014 987 0 0.014 987 0 0.014 987 0 0.014 987 0 0.014 987 0 0.014 987 0 0.014 987 0 0.014 987 0 0.014 987 0 0.014 987 0 0.014 987 0 0.014 987 0 0.014 987 0 0.014 987 0 0.014 987 0 0.014 987 0 0.014 987 0 0.014 987 0 0.014 987 0 0.014 987 0 0.014 987 0 0.014 987 0 0.014 987 0 0.014 987 0 0.014 987 0 0.014 987 0 0.014 987 0 0.014 987 0 0.014 987 0 0.014 987 0 0.014 987 0 0.014 987 0 0.014 987 0 0.014 987 0 0.014 987 0 0.014 987 0 0.014 987 0 0.014 987 0 0.014 987 0 0.014 987 0 0.014 987 0 0.014 987 0 0.014 987 0 0.0	0 0 0 0 0 0 0 0 0 0 0 0 0 0 0 0 0 0 0	0 0 0 0 0 0 0 0 0 0 0 0 0 0 0 0 0 0 0	0 0 0 0 0 0 0 0 0 0 0 0 0 0 0 0 0 0 0
$a_3^1$	++ 0.01203 + 0.01203 + 0.01211 + 0.01211 + 0.01223 + 0.01229 + 0.01239 + 0.01239	+ 0.01236 + 0.01245 + 0.01245 + 0.01245 + 0.01255 + 0.01255 + 0.01261 + 0.01261	+ 0.01267 + 0.01270 + 0.01273 + 0.01273 + 0.01280 + 0.01283 + 0.01283 + 0.01283	+ 0.01291 + 0.01295 + 0.01397 + 0.01303 + 0.01303 + 0.01308 + 0.01308	+ + + + + + + + + + + + + + + + + + +	+ + + + + + + + + + + + + + + + + + +
a ₃		0.0042 0.0043 0.0043 0.0043 0.0043 0.0043 0.0043 0.0043	+ + + + + + + + + + + + + + + + + + +	0.0044 0.0044 0.0044 0.0044 0.0044 0.0044		
$d_2^{t}$		- 0.18579 - 0.18654 - 0.18654 - 0.18654 - 0.18654 - 0.18718 - 0.1873 - 0.1873 - 0.1873 - 0.1873 - 0.1874 - 0.18	- 0.1895.5 + 16 - 0.18033.1 + 16 - 0.18939.1 + 16 - 0.18949.1 + 16 - 0.19941.2 + 16 - 0.19941.1 + 16 - 0.19941.1 + 17 - 0.1913.1 + 17 - 0.1913.8 + 17	- 0.19166 + 17 - 0.19182 + 17 - 0.19233 + 17 - 0.19343 + 17 - 0.19343 + 17 - 0.19343 + 17 - 0.19379 + 17 - 0.19379 + 17 - 0.19379 + 17	0.1934 0.19359 17. 0.19383 17. 0.19388 17. 0.19429 17. 0.19420 17. 0.19430 17. 0.19430 17. 0.19430 17. 0.19430 17. 0.19430 17. 0.19430 17. 0.19430 17. 0.19430 17. 0.19430 17. 0.19430 17. 0.19430 17. 0.19430 17. 0.19430 17. 0.19430 17. 0.19430 17. 0.19430 17. 0.19430 17. 0.19430 17. 0.19430 17. 0.19430 17. 0.19430 17. 0.19430 17. 0.19430 17. 0.19430 17. 0.19430 17. 0.19430 17. 0.19430 17. 0.19430 17. 0.19430 17. 0.19430 17. 0.19430 17. 0.19430 17. 0.19430 17. 0.19430 17. 0.19430 17. 0.19430 17. 0.19430 17. 0.19430 17. 0.19430 17. 0.19430 17. 0.19430 17. 0.19430 17. 0.19430 17. 0.19430 17. 0.19430 17. 0.19430 17. 0.19430 17. 0.19430 17. 0.19430 17. 0.19430 17. 0.19430 17. 0.19430 17. 0.19430 17. 0.19430 17. 0.19430 17. 0.19430 17. 0.19430 17. 0.19430 17. 0.19430 17. 0.19430 17. 0.19430 17. 0.19430 17. 0.19430 17. 0.19430 17. 0.19430 17. 0.19430 17. 0.19430 17. 0.19430 17. 0.19430 17. 0.19430 17. 0.19430 17. 0.19430 17. 0.19430 17. 0.19430 17. 0.19430 17. 0.19430 17. 0.19430 17. 0.19430 17. 0.19430 17. 0.19430 17. 0.19430 17. 0.19430 17. 0.19430 17. 0.19430 17. 0.19430 17. 0.19430 17. 0.19430 17. 0.19430 17. 0.19430 17. 0.19430 17. 0.19430 17. 0.19430 17. 0.19430 17. 0.19430 17. 0.19430 17. 0.19430 17. 0.19430 17. 0.19430 17. 0.19430 17. 0.19430 17. 0.19430 17. 0.19430 17. 0.19430 17. 0.19430 17. 0.19430 17. 0.19430 17. 0.19430 17. 0.19430 17. 0.19430 17. 0.19430 17. 0.19430 17. 0.19430 17. 0.19430 17. 0.19430 17. 0.19430 17. 0.19430 17. 0.19430 17. 0.19430 17. 0.19430 17. 0.19430 17. 0.19430 17. 0.19430 17. 0.19430 17. 0.19430 17. 0.19430 17. 0.19430 17. 0.19430 17. 0.19430 17. 0.19430 17. 0.19430 17. 0.19430 17. 0.19430 17. 0.19430 17. 0.19430 17. 0.19430 17. 0.19430 17. 0.194300 17. 0.194300 17. 0.194300 17. 0.194300 17. 0.19	0.19455 + 17 0.19465 + 17 0.19479 + 17 0.19489 + 17 0.19489 + 17 0.19489 + 17 0.19491 + 17 0.19491 + 17
G ² O	+ + + + + + + + + + + + + + + + + + +	++++++++++++++++++++++++++++++++++++++	++++++++++	+++++++++++++++++++++++++++++++++++++++	++++++++++++++++++++++++++++++++++++++	++++++++++++++++++++++++++++++++++++++
a ₂ ²	+ 0.000 3001   54   54   54   54   54   54   54   5	+ 0.005 4300   47 + 0.005 3800   47 + 0.005 3880   47 + 0.005 076   44 + 0.005 076   44 + 0.004 9730   47 + 0.004 4781   41 + 0.004 4781   41 + 0.004 481   43 + 0.00	+ 0.004 4446   38 + 0.004 3379   38 + 0.004 3379   38 + 0.004 1377   37 + 0.003 9077   34 + 0.003 9077   35 + 0.003 9077	+ 0.co3 3634, — 29 + 0.co3 2537 — 28 + 0.co3 1336 — 27 + 0.co3 0336 — 28 + 0.co2 933 — 28 + 0.co2 7018 — 23 + 0.co2 598 — 23 + 0.co2 598 — 23 + 0.co2 368 — 23 + 0.co2 368 — 23	+ 0.002 2566   20 + 0.002 1448   10 + 0.002 1448   11 + 0.001 9268   11 + 0.001 8368   11 + 0.001 838   11 + 0.001 471   13 + 0.001 3544   11 + 0.001 3544   11	0.000 1336   1.00   1.00   1.00   1.00   1.00   1.00   1.00   1.00   1.00   1.00   1.00   1.00   1.00   1.00   1.00   1.00   1.00   1.00   1.00   1.00   1.00   1.00   1.00   1.00   1.00   1.00   1.00   1.00   1.00   1.00   1.00   1.00   1.00   1.00   1.00   1.00   1.00   1.00   1.00   1.00   1.00   1.00   1.00   1.00   1.00   1.00   1.00   1.00   1.00   1.00   1.00   1.00   1.00   1.00   1.00   1.00   1.00   1.00   1.00   1.00   1.00   1.00   1.00   1.00   1.00   1.00   1.00   1.00   1.00   1.00   1.00   1.00   1.00   1.00   1.00   1.00   1.00   1.00   1.00   1.00   1.00   1.00   1.00   1.00   1.00   1.00   1.00   1.00   1.00   1.00   1.00   1.00   1.00   1.00   1.00   1.00   1.00   1.00   1.00   1.00   1.00   1.00   1.00   1.00   1.00   1.00   1.00   1.00   1.00   1.00   1.00   1.00   1.00   1.00   1.00   1.00   1.00   1.00   1.00   1.00   1.00   1.00   1.00   1.00   1.00   1.00   1.00   1.00   1.00   1.00   1.00   1.00   1.00   1.00   1.00   1.00   1.00   1.00   1.00   1.00   1.00   1.00   1.00   1.00   1.00   1.00   1.00   1.00   1.00   1.00   1.00   1.00   1.00   1.00   1.00   1.00   1.00   1.00   1.00   1.00   1.00   1.00   1.00   1.00   1.00   1.00   1.00   1.00   1.00   1.00   1.00   1.00   1.00   1.00   1.00   1.00   1.00   1.00   1.00   1.00   1.00   1.00   1.00   1.00   1.00   1.00   1.00   1.00   1.00   1.00   1.00   1.00   1.00   1.00   1.00   1.00   1.00   1.00   1.00   1.00   1.00   1.00   1.00   1.00   1.00   1.00   1.00   1.00   1.00   1.00   1.00   1.00   1.00   1.00   1.00   1.00   1.00   1.00   1.00   1.00   1.00   1.00   1.00   1.00   1.00   1.00   1.00   1.00   1.00   1.00   1.00   1.00   1.00   1.00   1.00   1.00   1.00   1.00   1.00   1.00   1.00   1.00   1.00   1.00   1.00   1.00   1.00   1.00   1.00   1.00   1.00   1.00   1.00   1.00   1.00   1.00   1.00   1.00   1.00   1.00   1.00   1.00   1.00   1.00   1.00   1.00   1.00   1.00   1.00   1.00   1.00   1.00   1.00   1.00   1.00   1.00   1.00   1.00   1.00   1.00   1.00   1.00   1.00   1.00   1.00   1.00   1.00   1.00   1.00   1.00   1.0
ď ₂	100007 168   1   1   1   1   1   1   1   1   1	- 0.005 897 - 1 - 0.005 847 - 1 - 0.005 841 - 1 - 0.005 848 - 0 - 0.005 848 - 0 - 0.005 878 - 0 - 0.005 878 - 0 - 0.005 878 - 0 - 0.005 878 - 0 - 0.005 878 - 0 - 0.005 878 - 0	0.004 614   0.004 486   0.004 486   0.004 486   0.004 486   0.004 099   0.009 384   0.009 384   0.009 384   0.009 384   0.009 384   0.009 384   0.009 384   0.009 384   0.009 384   0.009 384   0.009 384   0.009 384   0.009 384   0.009 384   0.009 384   0.009 384   0.009 384   0.009 384   0.009 384   0.009 384   0.009 384   0.009 384   0.009 384   0.009 384   0.009 384   0.009 384   0.009 384   0.009 384   0.009 384   0.009 384   0.009 384   0.009 384   0.009 384   0.009 384   0.009 384   0.009 384   0.009 384   0.009 384   0.009 384   0.009 384   0.009 384   0.009 384   0.009 384   0.009 384   0.009 384   0.009 384   0.009 384   0.009 384   0.009 384   0.009 384   0.009 384   0.009 384   0.009 384   0.009 384   0.009 384   0.009 384   0.009 384   0.009 384   0.009 384   0.009 384   0.009 384   0.009 384   0.009 384   0.009 384   0.009 384   0.009 384   0.009 384   0.009 384   0.009 384   0.009 384   0.009 384   0.009 384   0.009 384   0.009 384   0.009 384   0.009 384   0.009 384   0.009 384   0.009 384   0.009 384   0.009 384   0.009 384   0.009 384   0.009 384   0.009 384   0.009 384   0.009 384   0.009 384   0.009 384   0.009 384   0.009 384   0.009 384   0.009 384   0.009 384   0.009 384   0.009 384   0.009 384   0.009 384   0.009 384   0.009 384   0.009 384   0.009 384   0.009 384   0.009 384   0.009 384   0.009 384   0.009 384   0.009 384   0.009 384   0.009 384   0.009 384   0.009 384   0.009 384   0.009 384   0.009 384   0.009 384   0.009 384   0.009 384   0.009 384   0.009 384   0.009 384   0.009 384   0.009 384   0.009 384   0.009 384   0.009 384   0.009 384   0.009 384   0.009 384   0.009 384   0.009 384   0.009 384   0.009 384   0.009 384   0.009 384   0.009 384   0.009 384   0.009 384   0.009 384   0.009 384   0.009 384   0.009 384   0.009 384   0.009 384   0.009 384   0.009 384   0.009 384   0.009 384   0.009 384   0.009 384   0.009 384   0.009 384   0.009 384   0.009 384   0.009 384   0.009 384   0.009 384   0.009 384   0.009 384   0.009 384   0.009 384   0.009 384   0.009 384   0.009 384   0.00	1 0.003 333   0.003 154   0.003 164   0.003 164   0.003 164   0.003 164   0.003 164   0.003 166   0.003 166   0.003 166   0.003 166   0.003 166   0.003 166   0.003 166   0.003 166   0.003 166   0.003 166   0.003 166   0.003 166   0.003 166   0.003 166   0.003 166   0.003 166   0.003 166   0.003 166   0.003 166   0.003 166   0.003 166   0.003 166   0.003 166   0.003 166   0.003 166   0.003 166   0.003 166   0.003 166   0.003 166   0.003 166   0.003 166   0.003 166   0.003 166   0.003 166   0.003 166   0.003 166   0.003 166   0.003 166   0.003 166   0.003 166   0.003 166   0.003 166   0.003 166   0.003 166   0.003 166   0.003 166   0.003 166   0.003 166   0.003 166   0.003 166   0.003 166   0.003 166   0.003 166   0.003 166   0.003 166   0.003 166   0.003 166   0.003 166   0.003 166   0.003 166   0.003 166   0.003 166   0.003 166   0.003 166   0.003 166   0.003 166   0.003 166   0.003 166   0.003 166   0.003 166   0.003 166   0.003 166   0.003 166   0.003 166   0.003 166   0.003 166   0.003 166   0.003 166   0.003 166   0.003 166   0.003 166   0.003 166   0.003 166   0.003 166   0.003 166   0.003 166   0.003 166   0.003 166   0.003 166   0.003 166   0.003 166   0.003 166   0.003 166   0.003 166   0.003 166   0.003 166   0.003 166   0.003 166   0.003 166   0.003 166   0.003 166   0.003 166   0.003 166   0.003 166   0.003 166   0.003 166   0.003 166   0.003 166   0.003 166   0.003 166   0.003 166   0.003 166   0.003 166   0.003 166   0.003 166   0.003 166   0.003 166   0.003 166   0.003 166   0.003 166   0.003 166   0.003 166   0.003 166   0.003 166   0.003 166   0.003 166   0.003 166   0.003 166   0.003 166   0.003 166   0.003 166   0.003 166   0.003 166   0.003 166   0.003 166   0.003 166   0.003 166   0.003 166   0.003 166   0.003 166   0.003 166   0.003 166   0.003 166   0.003 166   0.003 166   0.003 166   0.003 166   0.003 166   0.003 166   0.003 166   0.003 166   0.003 166   0.003 166   0.003 166   0.003 166   0.003 166   0.003 166   0.003 166   0.003 166   0.003 166   0.003 166   0.003 166   0.003 166   0.	0.002 0.002 0.002 0.002 0.002 0.002 0.002 0.002 0.002 0.002 0.002 0.002 0.002 0.002 0.002 0.002 0.002 0.002 0.002 0.002 0.002 0.002 0.002 0.002 0.002 0.002 0.002 0.002 0.002 0.002 0.002 0.002 0.002 0.002 0.002 0.002 0.002 0.002 0.002 0.002 0.002 0.002 0.002 0.002 0.002 0.002 0.002 0.002 0.002 0.002 0.002 0.002 0.002 0.002 0.002 0.002 0.002 0.002 0.002 0.002 0.002 0.002 0.002 0.002 0.002 0.002 0.002 0.002 0.002 0.002 0.002 0.002 0.002 0.002 0.002 0.002 0.002 0.002 0.002 0.002 0.002 0.002 0.002 0.002 0.002 0.002 0.002 0.002 0.002 0.002 0.002 0.002 0.002 0.002 0.002 0.002 0.002 0.002 0.002 0.002 0.002 0.002 0.002 0.002 0.002 0.002 0.002 0.002 0.002 0.002 0.002 0.002 0.002 0.002 0.002 0.002 0.002 0.002 0.002 0.002 0.002 0.002 0.002 0.002 0.002 0.002 0.002 0.002 0.002 0.002 0.002 0.002 0.002 0.002 0.002 0.002 0.002 0.002 0.002 0.002 0.002 0.002 0.002 0.002 0.002 0.002 0.002 0.002 0.002 0.002 0.002 0.002 0.002 0.002 0.002 0.002 0.002 0.002 0.002 0.002 0.002 0.002 0.002 0.002 0.002 0.002 0.002 0.002 0.002 0.002 0.002 0.002 0.002 0.002 0.002 0.002 0.002 0.002 0.002 0.002 0.002 0.002 0.002 0.002 0.002 0.002 0.002 0.002 0.002 0.002 0.002 0.002 0.002 0.002 0.002 0.002 0.002 0.002 0.002 0.002 0.002 0.002 0.002 0.002 0.002 0.002 0.002 0.002 0.002 0.002 0.002 0.002 0.002 0.002 0.002 0.002 0.002 0.002 0.002 0.002 0.002 0.002 0.002 0.002 0.002 0.002 0.002 0.002 0.002 0.002 0.002 0.002 0.002 0.002 0.002 0.002 0.002 0.002 0.002 0.002 0.002 0.002 0.002 0.002 0.002 0.002 0.002 0.002 0.002 0.002 0.002 0.002 0.002 0.002 0.002 0.002 0.002 0.002 0.002 0.002 0.002 0.002 0.002 0.002 0.002 0.002 0.002 0.002 0.002 0.002 0.002 0.002 0.002 0.002 0.002 0.002 0.002 0.002 0.002 0.002 0.002 0.002 0.002 0.002 0.002 0.002 0.002 0.002 0.002 0.002 0.002 0.002 0.002 0.002 0.002 0.002 0.002 0.002 0.002 0.002 0.002 0.002 0.002 0.002 0.002 0.002 0.002 0.002 0.002 0.002 0.002 0.002 0.002 0.002 0.002 0.002 0.002 0.002 0.002 0.002 0.002 0.002 0.002 0.002 0.002 0.002 0.002 0.002 0.002 0.002 0.002 0.002 0.002 0.002 0.002 0.002 0.002 0.002 0.002 0.002 0.002	1 0.000 725   1 0.000 725   1 0.000 725   1 0.000 725   1 0.000 725   1 0.000 725   1 0.000 725   1 0.000 725   1 0.000 725   1 0.000 725   1 0.000 725   1 0.000 725   1 0.000 725   1 0.000 725   1 0.000 725   1 0.000 725   1 0.000 725   1 0.000 725   1 0.000 725   1 0.000 725   1 0.000 725   1 0.000 725   1 0.000 725   1 0.000 725   1 0.000 725   1 0.000 725   1 0.000 725   1 0.000 725   1 0.000 725   1 0.000 725   1 0.000 725   1 0.000 725   1 0.000 725   1 0.000 725   1 0.000 725   1 0.000 725   1 0.000 725   1 0.000 725   1 0.000 725   1 0.000 725   1 0.000 725   1 0.000 725   1 0.000 725   1 0.000 725   1 0.000 725   1 0.000 725   1 0.000 725   1 0.000 725   1 0.000 725   1 0.000 725   1 0.000 725   1 0.000 725   1 0.000 725   1 0.000 725   1 0.000 725   1 0.000 725   1 0.000 725   1 0.000 725   1 0.000 725   1 0.000 725   1 0.000 725   1 0.000 725   1 0.000 725   1 0.000 725   1 0.000 725   1 0.000 725   1 0.000 725   1 0.000 725   1 0.000 725   1 0.000 725   1 0.000 725   1 0.000 725   1 0.000 725   1 0.000 725   1 0.000 725   1 0.000 725   1 0.000 725   1 0.000 725   1 0.000 725   1 0.000 725   1 0.000 725   1 0.000 725   1 0.000 725   1 0.000 725   1 0.000 725   1 0.000 725   1 0.000 725   1 0.000 725   1 0.000 725   1 0.000 725   1 0.000 725   1 0.000 725   1 0.000 725   1 0.000 725   1 0.000 725   1 0.000 725   1 0.000 725   1 0.000 725   1 0.000 725   1 0.000 725   1 0.000 725   1 0.000 725   1 0.000 725   1 0.000 725   1 0.000 725   1 0.000 725   1 0.000 725   1 0.000 725   1 0.000 725   1 0.000 725   1 0.000 725   1 0.000 725   1 0.000 725   1 0.000 725   1 0.000 725   1 0.000 725   1 0.000 725   1 0.000 725   1 0.000 725   1 0.000 725   1 0.000 725   1 0.000 725   1 0.000 725   1 0.000 725   1 0.000 725   1 0.000 725   1 0.000 725   1 0.000 725   1 0.000 725   1 0.000 725   1 0.000 725   1 0.000 725   1 0.000 725   1 0.000 725   1 0.000 725   1 0.000 725   1 0.000 725   1 0.000 725   1 0.000 725   1 0.000 725   1 0.000 725   1 0.000 725   1 0.000 725   1 0.000 725   1 0.000 725   1 0.000 725
200	++++++++++++++++++++++++++++++++++++++	+ 0.00454 0.00459 + 0.00459 + 0.00459 + 0.00438 + 0.00437 + 0.00427 + 0.00427	+ 0.00411 0.00406 + 0.00401 0.00309 + 0.00385 + 0.00387 + 0.003388 0.003388	+ 0.00357 + 0.00352 0 + 0.00346 0 + 0.00335 + 0.00335 + 0.00335 + 0.00333 + 0.00333 + 0.00333 0	+ 0.00302 + 0.00397 + 0.00397 + 0.00374 + 0.00374 + 0.00353	+ 0.00246 + 0.00235 + 0.00233 + 0.00233 + 0.00233 + 0.002018 + 0.002018 + 0.002018 + 0.002018
17b	8 - « » + » » - » »	5 1 2 2 1 2 2 2 2 2	0 1 2 2 3 2 4 5 6 6	39 88 4 4 3 4 3 4 3 4 3 4 3 4 3 4 3 4 3 4	8 1 4 4 1 2 2 4 2 4	8 # 2 2 4 2 8 5 5 5 8 8 8 8 8

Die Zahlen der zweiten Subcolumnen sind mit  $\tau = \frac{t_0 - 1850}{100}$  su multipliciren, und sind in Einheiten der letzten Decimale angesetzt.

		+++++++++	+++++++++	++++++++	++++++++	+++++++++
$d_3^2$	0,00000 0,00001 0,000124 0,000124 0,000165 0,000169 0,000180 0,000180	- 0.004124 - 0.00454 - 0.00454 - 0.005335 - 0.00517 - 0.00517 - 0.00739 - 0.00739	0.00810   0.00860   0.00960   0.00940   0.00980   0.01019   0.01059	- 0.01216 - 0.01234 - 0.01332 - 0.01332 - 0.01484 - 0.01484 - 0.01484 - 0.01484	- 0.01596 - 0.01633 - 0.01633 - 0.01742 - 0.01814 - 0.01818 - 0.01889	- 0.01988 - 0.02033 - 0.02033 - 0.02138 - 0.02138 - 0.02224 - 0.02224 - 0.02224
$d_3^1$	+ + + + 0.00 6 6 6 6 6 6 6 6 6 6 6 6 6 6 6 6 6	++++ 0.0135 0.0135 0.0135 0.0135 0.0135 0.0135 0.0135 0.0135 0.0135 0.0135 0.0135 0.0135	++++++++++++++++++++++++++++++++++++++	++++++++++++++++++++++++++++++++++++++	++++++++++++++++++++++++++++++++++++++	+ 0.0500 + 0.0500 + 0.0517 + 0.0534 + 0.0534 + 0.0534 + 0.0539 + 0.0539 + 0.0539 + 0.0539
a ^b		000000000000000000000000000000000000000				
$a_3^3$	+ + + + + + + + + + + + + + + + + + +	+ 0.004 1749 - 54 + 0.004 1674 - 54 + 0.004 1601 - 54 + 0.004 1601 - 54 + 0.004 1601 - 54 + 0.004 160 - 53 + 0.004 160 - 53 + 0.004 160 - 53 + 0.004 160 - 53 + 0.004 161 - 53	+ 0.004 0674 - 53 + 0.004 0588 - 53 + 0.004 0375 - 52 + 0.004 0375 - 52 + 0.004 0375 - 52 + 0.003 9694 - 51 + 0.003 9597 - 51 + 0.003 9312 - 51 + 0.003 9312 - 51	+ 0.003 8904 - 50 + 0.003 8600 - 50 + 0.003 844 - 50 + 0.003 847 - 50 + 0.003 877 - 49 + 0.003 7750 - 49 + 0.003 7750 - 49 + 0.003 7750 - 49 + 0.003 7750 - 48 + 0.003 7760 - 48	+ 0.003 6468   - 47 + 0.003 6189   - 47 + 0.003 5594   - 46 + 0.003 5315   - 46 + 0.003 5315   - 45 + 0.003 4703   - 45 + 0.003 4305   - 45 + 0.003 4305   - 44 + 0.003 3740   - 44	+ 0.003 3408 - 4.3 + 0.003 3709 - 4.3 + 0.003 2775 - 4.2 + 0.003 2775 - 4.2 + 0.003 2775 - 4.2 + 0.003 2775 - 4.2 + 0.003 2775 - 4.1 + 0.003 1639 - 4.1 + 0.003 053 - 4.1 + 0.003 053 - 4.1 + 0.003 053 - 4.1 + 0.003 053 - 4.1 + 0.003 053 - 4.1 + 0.003 053 - 4.1 + 0.003 053 - 4.1 + 0.003 053 - 4.1 + 0.003 053 - 4.1 + 0.003 053 - 4.1 + 0.003 053 - 4.1 + 0.003 053 - 4.1 + 0.003 053 - 4.1 + 0.003 053 - 4.1 + 0.003 053 - 4.1 + 0.003 053 - 4.1 + 0.003 053 - 4.1 + 0.003 053 - 4.1 + 0.003 053 - 4.1 + 0.003 053 - 4.1 + 0.003 053 - 4.1 + 0.003 053 - 4.1 + 0.003 053 - 4.1 + 0.003 053 - 4.1 + 0.003 053 - 4.1 + 0.003 053 - 4.1 + 0.003 053 - 4.1 + 0.003 053 - 4.1 + 0.003 053 - 4.1 + 0.003 053 - 4.1 + 0.003 053 - 4.1 + 0.003 053 - 4.1 + 0.003 053 - 4.1 + 0.003 053 - 4.1 + 0.003 053 - 4.1 + 0.003 053 - 4.1 + 0.003 053 - 4.1 + 0.003 053 - 4.1 + 0.003 053 - 4.1 + 0.003 053 - 4.1 + 0.003 053 - 4.1 + 0.003 053 - 4.1 + 0.003 053 - 4.1 + 0.003 053 - 4.1 + 0.003 053 - 4.1 + 0.003 053 - 4.1 + 0.003 053 - 4.1 + 0.003 053 - 4.1 + 0.003 053 - 4.1 + 0.003 053 - 4.1 + 0.003 053 - 4.1 + 0.003 053 - 4.1 + 0.003 053 - 4.1 + 0.003 053 - 4.1 + 0.003 053 - 4.1 + 0.003 053 - 4.1 + 0.003 053 - 4.1 + 0.003 053 - 4.1 + 0.003 053 - 4.1 + 0.003 053 - 4.1 + 0.003 053 - 4.1 + 0.003 053 - 4.1 + 0.003 053 - 4.1 + 0.003 053 - 4.1 + 0.003 053 - 4.1 + 0.003 053 - 4.1 + 0.003 053 - 4.1 + 0.003 053 - 4.1 + 0.003 053 - 4.1 + 0.003 053 - 4.1 + 0.003 053 - 4.1 + 0.003 053 - 4.1 + 0.003 053 - 4.1 + 0.003 053 - 4.1 + 0.003 053 - 4.1 + 0.003 053 - 4.1 + 0.003 053 - 4.1 + 0.003 053 - 4.1 + 0.003 053 - 4.1 + 0.003 053 - 4.1 + 0.003 053 - 4.1 + 0.003 053 - 4.1 + 0.003 053 - 4.1 + 0.003 053 - 4.1 + 0.003 053 - 4.1 + 0.003 053 - 4.1 + 0.003 053 - 4.1 + 0.003 053 - 4.1 + 0.003 053 - 4.1 + 0.003 053 - 4.1 + 0.003 053 - 4.1 + 0.003 053 - 4.1 + 0.003 053 - 4.1 + 0.003 053 - 4.1 + 0.003 053 - 4.1 + 0.003 053 - 4.1 + 0.003 053 - 4.1 + 0.003 053 - 4.1 + 0.003 053 - 4.1 + 0.0
$u_3^2$	- C-C-C-C-C-C-C-C-C-C-C-C-C-C-C-C-C-C-C	+ + + + + + + + + + + + + + + + + + +	- 0.014 240 - 0.014 240 - 0.014 230 - 0.014 230 - 0.014 230 - 0.014 230 - 0.014 230 - 0.014 230 - 0.014 230 - 0.014 230 - 0.014 230 - 0.014 230 - 0.014 230 - 0.014 230 - 0.014 230 - 0.014 230 - 0.014 230 - 0.014 230 - 0.014 230 - 0.014 230 - 0.014 230 - 0.014 230 - 0.014 230 - 0.014 230 - 0.014 230 - 0.014 230 - 0.014 230 - 0.014 230 - 0.014 230 - 0.014 230 - 0.014 230 - 0.014 230 - 0.014 230 - 0.014 230 - 0.014 230 - 0.014 230 - 0.014 230 - 0.014 230 - 0.014 230 - 0.014 230 - 0.014 230 - 0.014 230 - 0.014 230 - 0.014 230 - 0.014 230 - 0.014 230 - 0.014 230 - 0.014 230 - 0.014 230 - 0.014 230 - 0.014 230 - 0.014 230 - 0.014 230 - 0.014 230 - 0.014 230 - 0.014 230 - 0.014 230 - 0.014 230 - 0.014 230 - 0.014 230 - 0.014 230 - 0.014 230 - 0.014 230 - 0.014 230 - 0.014 230 - 0.014 230 - 0.014 230 - 0.014 230 - 0.014 230 - 0.014 230 - 0.014 230 - 0.014 230 - 0.014 230 - 0.014 230 - 0.014 230 - 0.014 230 - 0.014 230 - 0.014 230 - 0.014 230 - 0.014 230 - 0.014 230 - 0.014 230 - 0.014 230 - 0.014 230 - 0.014 230 - 0.014 230 - 0.014 230 - 0.014 230 - 0.014 230 - 0.014 230 - 0.014 230 - 0.014 230 - 0.014 230 - 0.014 230 - 0.014 230 - 0.014 230 - 0.014 230 - 0.014 230 - 0.014 230 - 0.014 230 - 0.014 230 - 0.014 230 - 0.014 230 - 0.014 230 - 0.014 230 - 0.014 230 - 0.014 230 - 0.014 230 - 0.014 230 - 0.014 230 - 0.014 230 - 0.014 230 - 0.014 230 - 0.014 230 - 0.014 230 - 0.014 230 - 0.014 230 - 0.014 230 - 0.014 230 - 0.014 230 - 0.014 230 - 0.014 230 - 0.014 230 - 0.014 230 - 0.014 230 - 0.014 230 - 0.014 230 - 0.014 230 - 0.014 230 - 0.014 230 - 0.014 230 - 0.014 230 - 0.014 230 - 0.014 230 - 0.014 230 - 0.014 230 - 0.014 230 - 0.014 230 - 0.014 230 - 0.014 230 - 0.014 230 - 0.014 230 - 0.014 230 - 0.014 230 - 0.014 230 - 0.014 230 - 0.014 230 - 0.014 230 - 0.014 230 - 0.014 230 - 0.014 230 - 0.014 230 - 0.014 230 - 0.014 230 - 0.014 230 - 0.014 230 - 0.014 230 - 0.014 230 - 0.014 230 - 0.014 230 - 0.014 230 - 0.014 230 - 0.014 230 - 0.014 230 - 0.014 230 - 0.014 230 - 0.014 230 - 0.014 230 - 0.014 230 - 0.014 230 - 0.01	- 0.013 942 + 4 - 0.013 947 + 4 - 0.013 879 + 4 - 0.013 773 + 3 - 0.013 772 + 3 - 0.013 679 + 3 - 0.013 679 + 3 - 0.013 679 + 3 - 0.013 679 + 3 - 0.013 679 + 3 - 0.013 679 + 3 - 0.013 679 + 3 - 0.013 679 + 3 - 0.013 679 + 3 - 0.013 679 + 3 - 0.013 679 + 3 - 0.013 679 + 3 - 0.013 679 + 3 - 0.013 679 + 3 - 0.013 679 + 3 - 0.013 679 + 3 - 0.013 679 + 3 - 0.013 679 + 3 - 0.013 679 + 3 - 0.013 679 + 3 - 0.013 679 + 3 - 0.013 679 + 3 - 0.013 679 + 3 - 0.013 679 + 3 - 0.013 679 + 3 - 0.013 679 + 3 - 0.013 679 + 3 - 0.013 679 + 3 - 0.013 679 + 3 - 0.013 679 + 3 - 0.013 679 + 3 - 0.013 679 + 3 - 0.013 679 + 3 - 0.013 679 + 3 - 0.013 679 + 3 - 0.013 679 + 3 - 0.013 679 + 3 - 0.013 679 + 3 - 0.013 679 + 3 - 0.013 679 + 3 - 0.013 679 + 3 - 0.013 679 + 3 - 0.013 679 + 3 - 0.013 679 + 3 - 0.013 679 + 3 - 0.013 679 + 3 - 0.013 679 + 3 - 0.013 679 + 3 - 0.013 679 + 3 - 0.013 679 + 3 - 0.013 679 + 3 - 0.013 679 + 3 - 0.013 679 + 3 - 0.013 679 + 3 - 0.013 679 + 3 - 0.013 679 + 3 - 0.013 679 + 3 - 0.013 679 + 3 - 0.013 679 + 3 - 0.013 679 + 3 - 0.013 679 + 3 - 0.013 679 + 3 - 0.013 679 + 3 - 0.013 679 + 3 - 0.013 679 + 3 - 0.013 679 + 3 - 0.013 679 + 3 - 0.013 679 + 3 - 0.013 679 + 3 - 0.013 679 + 3 - 0.013 679 + 3 - 0.013 679 + 3 - 0.013 679 + 3 - 0.013 679 + 3 - 0.013 679 + 3 - 0.013 679 + 3 - 0.013 679 + 3 - 0.013 679 + 3 - 0.013 679 + 3 - 0.013 679 + 3 - 0.013 679 + 3 - 0.013 679 + 3 - 0.013 679 + 3 - 0.013 679 + 3 - 0.013 679 + 3 - 0.013 679 + 3 - 0.013 679 + 3 - 0.013 679 + 3 - 0.013 679 + 3 - 0.013 679 + 3 - 0.013 679 + 3 - 0.013 679 + 3 - 0.013 679 + 3 - 0.013 679 + 3 - 0.013 679 + 3 - 0.013 679 + 3 - 0.013 679 + 3 - 0.013 679 + 3 - 0.013 679 + 3 - 0.013 679 + 3 - 0.013 679 + 3 - 0.013 679 + 3 - 0.013 679 + 3 - 0.013 679 + 3 - 0.013 679 + 3 - 0.013 679 + 3 - 0.013 679 + 3 - 0.013 679 + 3 - 0.013 679 + 3 - 0.013 679 + 3 - 0.013 679 + 3 - 0.013 679 + 3 - 0.013 679 + 3 - 0.013 679 + 3 - 0.013 679 + 3 - 0.013 679 + 3 - 0.013 679 + 3 - 0.013 679 + 3 - 0.013 679 + 3 - 0.013 679 + 3 - 0.013 679 + 3 - 0.013 679 + 3 - 0.013 679 +		
$a_3^1$	+ 0.01323 0 0 0.01322 0 0 0.01322 0 0 0.01322 0 0 0.01322 0 0 0.01322 0 0 0 0.01322 0 0 0 0.01320 0 0 0 0.01320 0 0 0 0.01319 0 0 0 0.01319 0 0 0 0.01319 0 0 0 0.01319 0 0 0 0.01319 0 0 0 0.01319 0 0 0 0.01319 0 0 0 0.01319 0 0 0 0.01319 0 0 0 0.01319 0 0 0 0.01319 0 0 0 0 0.01319 0 0 0 0 0.01319 0 0 0 0 0.01319 0 0 0 0 0.01319 0 0 0 0 0.01319 0 0 0 0 0 0 0 0 0 0 0 0 0 0 0 0 0 0 0	+ 0.01318 0 0 0 0 0 0 0 0 0 0 0 0 0 0 0 0 0 0 0	+ 0.01307 0.01305 + 0.01304 0.01304 + 0.01308 + 0.01209 + 0.01209 + 0.01209	+ 0.01288 - 0.01286 - 0.01284 - 0.01284 - 0.01275 - 0.01277 - 0.01277 - 0.01277 - 0.01277 - 0.01277	+ + + + + + + + + + + + + + + + + + +	+ 0.01231 0.01237 0.01230 0.01230 0.01230 0.01230 0.01203 0.01203 0.01103
a ₃	2.000000000000000000000000000000000000		0.0047		0.0043	0.000000000000000000000000000000000000
$d_2^1$	- 0"19493 + 17 - 0.19492 + 17 - 0.19492 + 17 - 0.19489 + 17 - 0.19489 + 17 - 0.19479 + 17 - 0.19479 + 17 - 0.19479 + 17 - 0.19479 + 17	- 0.19455   + 17 - 0.1948 + 17 - 0.1949 + 17 - 0.1942 + 17 - 0.1942 + 17 - 0.1942 + 17 - 0.1938 + 17 - 0.1938 + 17 - 0.1938 + 17	- 0.1934 + 17 - 0.1932 + 17 - 0.1937 + 17 - 0.1937 + 17 - 0.1923 + 17 - 0.1923 + 17 - 0.1923 + 17 - 0.1923 + 17 - 0.1923 + 17	- 0.19160 + 17 - 0.19138 + 17 - 0.190115 + 17 - 0.19041 + 17 - 0.19041 + 16 - 0.19041 + 16 - 0.19041 + 16 - 0.18981 + 16 - 0.18981 + 16	- 0.18955 + 16 - 0.18875 + 16 - 0.18874 + 16 - 0.18874 + 16 - 0.1873 + 16 - 0.1873 + 16 - 0.1873 + 16 - 0.1873 + 16 - 0.1873 + 16 - 0.1864 + 16 - 0.18654 + 16 - 0.18654 + 16	- 0.18579 + 16 - 0.8546 + 16 - 0.18436 + 16 - 0.18439 + 16 - 0.18337 + 16 - 0.18337 + 16 - 0.18339 + 16 - 0.18339 + 16 - 0.18339 + 16 - 0.18339 + 16
ھ2	+++++++++++++++++++++++++++++++++++++++	++++++++++++++++++++++++++++++++++++++	++++++++++++++++++++++++++++++++++++++	++++++++++++++++++++++++++++++++++++++	++++++++++++++++++++++++++++++++++++++	0.4353 0.4348 0.43348 0.4324 0.4324 0.4328 0.4328 0.4328 0.4328 0.4328 0.4328 0.4328 0.4328 0.4328 0.4328 0.4328 0.4328 0.4328 0.4328 0.4328 0.4328 0.4328 0.4328 0.4328 0.4328 0.4328 0.4328 0.4328 0.4328 0.4328 0.4328 0.4328 0.4328 0.4328 0.4328 0.4328 0.4328 0.4328 0.4328 0.4328 0.4328 0.4328 0.4328 0.4328 0.4328 0.4328 0.4328 0.4328 0.4328 0.4328 0.4328 0.4328 0.4328 0.4328 0.4328 0.4328 0.4328 0.4328 0.4328 0.4328 0.4328 0.4328 0.4328 0.4328 0.4328 0.4328 0.4328 0.4328 0.4328 0.4328 0.4328 0.4328 0.4328 0.4328 0.4328 0.4328 0.4328 0.4328 0.4328 0.4328 0.4328 0.4328 0.4328 0.4328 0.4328 0.4328 0.4328 0.4328 0.4328 0.4328 0.4328 0.4328 0.4328 0.4328 0.4328 0.4328 0.4328 0.4328 0.4328 0.4328 0.4328 0.4328 0.4328 0.4328 0.4328 0.4328 0.4328 0.4328 0.4328 0.4328 0.4328 0.4328 0.4328 0.4328 0.4328 0.4328 0.4328 0.4328 0.4328 0.4328 0.4328 0.4328 0.4328 0.4328 0.4328 0.4328 0.4328 0.4328 0.4328 0.4328 0.4328 0.4328 0.4328 0.4328 0.4328 0.4328 0.4328 0.4328 0.4328 0.4328 0.4328 0.4328 0.4328 0.4328 0.4328 0.4328 0.4328 0.4328 0.4328 0.4328 0.4328 0.4328 0.4328 0.4328 0.4328 0.4328 0.4328 0.4328 0.4328 0.4328 0.4328 0.4328 0.4328 0.4328 0.4328 0.4328 0.4328 0.4328 0.4328 0.4328 0.4328 0.4328 0.4328 0.4328 0.4328 0.4328 0.4328 0.4328 0.4328 0.4328 0.4328 0.4328 0.4328 0.4328 0.4328 0.4328 0.4328 0.4328 0.4328 0.4328 0.4328 0.4328 0.4328 0.4328 0.4328 0.4328 0.4328 0.4328 0.4328 0.4328 0.4328 0.4328 0.4328 0.4328 0.4328 0.4328 0.4328 0.4328 0.4328 0.4328 0.4328 0.4328 0.4328 0.4328 0.4328 0.4328 0.4328 0.4328 0.4328 0.4328 0.4328 0.4328 0.4328 0.4328 0.4328 0.4328 0.4328 0.4328 0.4328 0.4328 0.4328 0.4328 0.4328 0.4328 0.4328 0.4328 0.4328 0.4328 0.4328 0.4328 0.4328 0.4328 0.4328 0.4328 0.4328 0.4328 0.4328 0.4328 0.4328 0.4328 0.4328 0.4328 0.4328 0.4328 0.4328 0.432
$a_2^2$	6 + 600 0000 0000 0000 0000 0000 0000 0	0,001 1326 + 10   0,001 1356 + 11   0,001 2455 + 11   0,001 372 + 13   0,001 472 + 13   0,001 473 + 14   0,001 603 + 14   0,000 0326 + 17   0,000 0326 + 17   0,000 0326 + 17	6.002 2566 + 20 - 0.002 368 + 22 - 0.002 5968 + 22 - 0.002 5968 + 22 - 0.002 5978 + 23 - 0.002 5932 + 23 - 0.002 9332 + 23 - 0.003 1436 + 26 - 0.003 1436 + 26 - 0.003 1437 + 28	- 0.003 3634 + 29 - 0.003 4788 + 30 - 0.003 5879 + 31 - 0.003 5877 + 34 - 0.004 1234 + 35 - 0.004 1339 + 38	0.004 4446 + 4466 + 4466 + 4466 + 4466 + 4466 + 4466 + 4466 + 4466 + 4466 + 4466 + 4466 + 4466 + 4466 + 4466 + 4466 + 4466 + 4466 + 4466 + 4466 + 4466 + 4466 + 4466 + 4466 + 4466 + 4466 + 4466 + 4466 + 4466 + 4466 + 4466 + 4466 + 4466 + 4466 + 4466 + 4466 + 4466 + 4466 + 4466 + 4466 + 4466 + 4466 + 4466 + 4466 + 4466 + 4466 + 4466 + 4466 + 4466 + 4466 + 4466 + 4466 + 4466 + 4466 + 4466 + 4466 + 4466 + 4466 + 4466 + 4466 + 4466 + 4466 + 4466 + 4466 + 4466 + 4466 + 4466 + 4466 + 4466 + 4466 + 4466 + 4466 + 4466 + 4466 + 4466 + 4466 + 4466 + 4466 + 4466 + 4466 + 4466 + 4466 + 4466 + 4466 + 4466 + 4466 + 4466 + 4466 + 4466 + 4466 + 4466 + 4466 + 4466 + 4466 + 4466 + 4466 + 4466 + 4466 + 4466 + 4466 + 4466 + 4466 + 4466 + 4466 + 4466 + 4466 + 4466 + 4466 + 4466 + 4466 + 4466 + 4466 + 4466 + 4466 + 4466 + 4466 + 4466 + 4466 + 4466 + 4466 + 4466 + 4466 + 4466 + 4466 + 4466 + 4466 + 4466 + 4466 + 4466 + 4466 + 4466 + 4466 + 4466 + 4466 + 4466 + 4466 + 4466 + 4466 + 4466 + 4466 + 4466 + 4466 + 4466 + 4466 + 4466 + 4466 + 4466 + 4466 + 4466 + 4466 + 4466 + 4466 + 4466 + 4466 + 4466 + 4466 + 4466 + 4466 + 4466 + 4466 + 4466 + 4466 + 4466 + 4466 + 4466 + 4466 + 4466 + 4466 + 4466 + 4466 + 4466 + 4466 + 4466 + 4466 + 4466 + 4466 + 4466 + 4466 + 4466 + 4466 + 4466 + 4466 + 4466 + 4466 + 4466 + 4466 + 4466 + 4466 + 4466 + 4466 + 4466 + 4466 + 4466 + 4466 + 4466 + 4466 + 4466 + 4466 + 4466 + 4466 + 4466 + 4466 + 4466 + 4466 + 4466 + 4466 + 4466 + 4466 + 4466 + 4466 + 4466 + 4466 + 4466 + 4466 + 4466 + 4466 + 4466 + 4466 + 4466 + 4466 + 4466 + 4466 + 4466 + 4466 + 4466 + 4466 + 4466 + 4466 + 4466 + 4466 + 4466 + 4466 + 4466 + 4466 + 4466 + 4466 + 4466 + 4466 + 4466 + 4466 + 4466 + 4466 + 4466 + 4466 + 4466 + 4466 + 4466 + 4466 + 4466 + 4466 + 4466 + 4466 + 4466 + 4466 + 4466 + 4466 + 4466 + 4466 + 4466 + 4466 + 4466 + 4466 + 4466 + 4466 + 4466 + 4466 + 4466 + 4466 + 4466 + 4466 + 4466 + 4466 + 4466 + 4466 + 4466 + 4466 + 4466 + 4466 + 4466 + 4466 + 4466 + 4466 + 4466 + 4466 + 4466 + 4466 + 4466 + 4466 + 4466 + 4466 + 4466 + 446	- 0.005 4920 + 47 - 0.005 5946 + 48 - 0.005 5046 + 50 - 0.005 8966 + 51 - 0.005 8966
$a_2^1$	+ 4 COCO 578 + 1 COCO 678 + 1 COCO 678 + 1 COCO 678 + 1 COCO 678 + 1 COCO 678 + 1 COCO 678 + 1 COCO 678 + 1 COCO 678 + 1 COCO 678 + 1 COCO 678 + 1 COCO 678 + 1 COCO 678 + 1 COCO 678 + 1 COCO 678 + 1 COCO 678 + 1 COCO 678 + 1 COCO 678 + 1 COCO 678 + 1 COCO 678 + 1 COCO 678 + 1 COCO 678 + 1 COCO 678 + 1 COCO 678 + 1 COCO 678 + 1 COCO 678 + 1 COCO 678 + 1 COCO 678 + 1 COCO 678 + 1 COCO 678 + 1 COCO 678 + 1 COCO 678 + 1 COCO 678 + 1 COCO 678 + 1 COCO 678 + 1 COCO 678 + 1 COCO 678 + 1 COCO 678 + 1 COCO 678 + 1 COCO 678 + 1 COCO 678 + 1 COCO 678 + 1 COCO 678 + 1 COCO 678 + 1 COCO 678 + 1 COCO 678 + 1 COCO 678 + 1 COCO 678 + 1 COCO 678 + 1 COCO 678 + 1 COCO 678 + 1 COCO 678 + 1 COCO 678 + 1 COCO 678 + 1 COCO 678 + 1 COCO 678 + 1 COCO 678 + 1 COCO 678 + 1 COCO 678 + 1 COCO 678 + 1 COCO 678 + 1 COCO 678 + 1 COCO 678 + 1 COCO 678 + 1 COCO 678 + 1 COCO 678 + 1 COCO 678 + 1 COCO 678 + 1 COCO 678 + 1 COCO 678 + 1 COCO 678 + 1 COCO 678 + 1 COCO 678 + 1 COCO 678 + 1 COCO 678 + 1 COCO 678 + 1 COCO 678 + 1 COCO 678 + 1 COCO 678 + 1 COCO 678 + 1 COCO 678 + 1 COCO 678 + 1 COCO 678 + 1 COCO 678 + 1 COCO 678 + 1 COCO 678 + 1 COCO 678 + 1 COCO 678 + 1 COCO 678 + 1 COCO 678 + 1 COCO 678 + 1 COCO 678 + 1 COCO 678 + 1 COCO 678 + 1 COCO 678 + 1 COCO 678 + 1 COCO 678 + 1 COCO 678 + 1 COCO 678 + 1 COCO 678 + 1 COCO 678 + 1 COCO 678 + 1 COCO 678 + 1 COCO 678 + 1 COCO 678 + 1 COCO 678 + 1 COCO 678 + 1 COCO 678 + 1 COCO 678 + 1 COCO 678 + 1 COCO 678 + 1 COCO 678 + 1 COCO 678 + 1 COCO 678 + 1 COCO 678 + 1 COCO 678 + 1 COCO 678 + 1 COCO 678 + 1 COCO 678 + 1 COCO 678 + 1 COCO 678 + 1 COCO 678 + 1 COCO 678 + 1 COCO 678 + 1 COCO 678 + 1 COCO 678 + 1 COCO 678 + 1 COCO 678 + 1 COCO 678 + 1 COCO 678 + 1 COCO 678 + 1 COCO 678 + 1 COCO 678 + 1 COCO 678 + 1 COCO 678 + 1 COCO 678 + 1 COCO 678 + 1 COCO 678 + 1 COCO 678 + 1 COCO 678 + 1 COCO 678 + 1 COCO 678 + 1 COCO 678 + 1 COCO 678 + 1 COCO 678 + 1 COCO 678 + 1 COCO 678 + 1 COCO 678 + 1 COCO 678 + 1 COCO 678 + 1 COCO 678 + 1 COCO 678 + 1 COCO 678 + 1 COCO 678 + 1 COCO 678 + 1 COCO 678 + 1 COCO 678 + 1 C	+ 0.001 879 + 1 0.002 009 + 1 0.002 209 + 1 0.002 209 + 1 0.002 209 + 1 0.002 209 + 1 0.002 209 + 1 0.002 209 + 1 0.002 209 + 1 0.002 209 + 1 0.002 209 + 1 0.002 209 + 1 0.002 209 + 1 0.002 209 + 1 0.002 209 + 1 0.002 209 + 1 0.002 209 + 1 0.002 209 + 1 0.002 209 + 1 0.002 209 + 1 0.002 209 + 1 0.002 209 + 1 0.002 209 + 1 0.002 209 + 1 0.002 209 + 1 0.002 209 + 1 0.002 209 + 1 0.002 209 + 1 0.002 209 + 1 0.002 209 + 1 0.002 209 + 1 0.002 209 + 1 0.002 209 + 1 0.002 209 + 1 0.002 209 + 1 0.002 209 + 1 0.002 209 + 1 0.002 209 + 1 0.002 209 + 1 0.002 209 + 1 0.002 209 + 1 0.002 209 + 1 0.002 209 + 1 0.002 209 + 1 0.002 209 + 1 0.002 209 + 1 0.002 209 + 1 0.002 209 + 1 0.002 209 + 1 0.002 209 + 1 0.002 209 + 1 0.002 209 + 1 0.002 209 + 1 0.002 209 + 1 0.002 209 + 1 0.002 209 + 1 0.002 209 + 1 0.002 209 + 1 0.002 209 + 1 0.002 209 + 1 0.002 209 + 1 0.002 209 + 1 0.002 209 + 1 0.002 209 + 1 0.002 209 + 1 0.002 209 + 1 0.002 209 + 1 0.002 209 + 1 0.002 209 + 1 0.002 209 + 1 0.002 209 + 1 0.002 209 + 1 0.002 209 + 1 0.002 209 + 1 0.002 209 + 1 0.002 209 + 1 0.002 209 + 1 0.002 209 + 1 0.002 209 + 1 0.002 209 + 1 0.002 209 + 1 0.002 209 + 1 0.002 209 + 1 0.002 209 + 1 0.002 209 + 1 0.002 209 + 1 0.002 209 + 1 0.002 209 + 1 0.002 209 + 1 0.002 209 + 1 0.002 209 + 1 0.002 209 + 1 0.002 209 + 1 0.002 209 + 1 0.002 209 + 1 0.002 209 + 1 0.002 209 + 1 0.002 209 + 1 0.002 209 + 1 0.002 209 + 1 0.002 209 + 1 0.002 209 + 1 0.002 209 + 1 0.002 209 + 1 0.002 209 + 1 0.002 209 + 1 0.002 209 + 1 0.002 209 + 1 0.002 209 + 1 0.002 209 + 1 0.002 209 + 1 0.002 209 + 1 0.002 209 + 1 0.002 209 + 1 0.002 209 + 1 0.002 209 + 1 0.002 209 + 1 0.002 209 + 1 0.002 209 + 1 0.002 209 + 1 0.002 209 + 1 0.002 209 + 1 0.002 209 + 1 0.002 209 + 1 0.002 209 + 1 0.002 209 + 1 0.002 209 + 1 0.002 209 + 1 0.002 209 + 1 0.002 209 + 1 0.002 209 + 1 0.002 209 + 1 0.002 209 + 1 0.002 209 + 1 0.002 209 + 1 0.002 209 + 1 0.002 209 + 1 0.002 209 + 1 0.002 209 + 1 0.002 209 + 1 0.002 209 + 1 0.002 209 + 1 0.002 209 + 1 0.002 209 + 1 0.002 209 + 1 0.002 209 + 1	+ 0.003 177 + 0.003 307 + 1 0.003 307 + 1 0.003 307 + 1 0.003 307 + 1 0.003 307 + 1 0.003 307 + 1 0.004 307 + 1 0.004 340 + 1 0.004 340 + 1 0.004 340 + 1 0.004 340 + 1 0.004 340 + 1 0.004 340 + 1 0.004 340 + 1 0.004 340 + 1 0.004 340 + 1 0.004 340 + 1 0.004 340 + 1 0.004 340 + 1 0.004 340 + 1 0.004 340 + 1 0.004 340 + 1 0.004 340 + 1 0.004 340 + 1 0.004 340 + 1 0.004 340 + 1 0.004 340 + 1 0.004 340 + 1 0.004 340 + 1 0.004 340 + 1 0.004 340 + 1 0.004 340 + 1 0.004 340 + 1 0.004 340 + 1 0.004 340 + 1 0.004 340 + 1 0.004 340 + 1 0.004 340 + 1 0.004 340 + 1 0.004 340 + 1 0.004 340 + 1 0.004 340 + 1 0.004 340 + 1 0.004 340 + 1 0.004 340 + 1 0.004 340 + 1 0.004 340 + 1 0.004 340 + 1 0.004 340 + 1 0.004 340 + 1 0.004 340 + 1 0.004 340 + 1 0.004 340 + 1 0.004 340 + 1 0.004 340 + 1 0.004 340 + 1 0.004 340 + 1 0.004 340 + 1 0.004 340 + 1 0.004 340 + 1 0.004 340 + 1 0.004 340 + 1 0.004 340 + 1 0.004 340 + 1 0.004 340 + 1 0.004 340 + 1 0.004 340 + 1 0.004 340 + 1 0.004 340 + 1 0.004 340 + 1 0.004 340 + 1 0.004 340 + 1 0.004 340 + 1 0.004 340 + 1 0.004 340 + 1 0.004 340 + 1 0.004 340 + 1 0.004 340 + 1 0.004 340 + 1 0.004 340 + 1 0.004 340 + 1 0.004 340 + 1 0.004 340 + 1 0.004 340 + 1 0.004 340 + 1 0.004 340 + 1 0.004 340 + 1 0.004 340 + 1 0.004 340 + 1 0.004 340 + 1 0.004 340 + 1 0.004 340 + 1 0.004 340 + 1 0.004 340 + 1 0.004 340 + 1 0.004 340 + 1 0.004 340 + 1 0.004 340 + 1 0.004 340 + 1 0.004 340 + 1 0.004 340 + 1 0.004 340 + 1 0.004 340 + 1 0.004 340 + 1 0.004 340 + 1 0.004 340 + 1 0.004 340 + 1 0.004 340 + 1 0.004 340 + 1 0.004 340 + 1 0.004 340 + 1 0.004 340 + 1 0.004 340 + 1 0.004 340 + 1 0.004 340 + 1 0.004 340 + 1 0.004 340 + 1 0.004 340 + 1 0.004 340 + 1 0.004 340 + 1 0.004 340 + 1 0.004 340 + 1 0.004 340 + 1 0.004 340 + 1 0.004 340 + 1 0.004 340 + 1 0.004 340 + 1 0.004 340 + 1 0.004 340 + 1 0.004 340 + 1 0.004 340 + 1 0.004 340 + 1 0.004 340 + 1 0.004 340 + 1 0.004 340 + 1 0.004 340 + 1 0.004 340 + 1 0.004 340 + 1 0.004 340 + 1 0.004 340 + 1 0.004 340 + 1 0.004 340 + 1 0.004 340 + 1 0.004 340 + 1 0.004 340 + 1 0.	+ 0.004 460 + 0.004 830 + 0.004 835 + 0.005 835 + 0.005 240 + 0.005 240 + 0.005 340 + 0.00	+ 0.005 753 + 2.005 880 + 2.005 880 + 2.005 880 + 2.005 880 + 2.005 880 + 2.005 890 + 2.005 890 + 2.005 890 + 2.005 890 + 2.005 890 + 2.005 890 + 2.005 890 + 2.005 890 + 2.005 890 + 2.005 890 + 2.005 890 + 2.005 890 + 2.005 890 + 2.005 890 + 2.005 890 + 2.005 890 + 2.005 890 + 2.005 890 + 2.005 890 + 2.005 890 + 2.005 890 + 2.005 890 + 2.005 890 + 2.005 890 + 2.005 890 + 2.005 890 + 2.005 890 + 2.005 890 + 2.005 890 + 2.005 890 + 2.005 890 + 2.005 890 + 2.005 890 + 2.005 890 + 2.005 890 + 2.005 890 + 2.005 890 + 2.005 890 + 2.005 890 + 2.005 890 + 2.005 890 + 2.005 890 + 2.005 890 + 2.005 890 + 2.005 890 + 2.005 890 + 2.005 890 + 2.005 890 + 2.005 890 + 2.005 890 + 2.005 890 + 2.005 890 + 2.005 890 + 2.005 890 + 2.005 890 + 2.005 890 + 2.005 890 + 2.005 890 + 2.005 890 + 2.005 890 + 2.005 890 + 2.005 890 + 2.005 890 + 2.005 890 + 2.005 890 + 2.005 890 + 2.005 890 + 2.005 890 + 2.005 890 + 2.005 890 + 2.005 890 + 2.005 890 + 2.005 890 + 2.005 890 + 2.005 890 + 2.005 890 + 2.005 890 + 2.005 890 + 2.005 890 + 2.005 890 + 2.005 890 + 2.005 890 + 2.005 890 + 2.005 890 + 2.005 890 + 2.005 890 + 2.005 890 + 2.005 890 + 2.005 890 + 2.005 890 + 2.005 890 + 2.005 890 + 2.005 890 + 2.005 890 + 2.005 890 + 2.005 890 + 2.005 890 + 2.005 890 + 2.005 890 + 2.005 890 + 2.005 890 + 2.005 890 + 2.005 890 + 2.005 890 + 2.005 890 + 2.005 890 + 2.005 890 + 2.005 890 + 2.005 890 + 2.005 890 + 2.005 890 + 2.005 890 + 2.005 890 + 2.005 890 + 2.005 890 + 2.005 890 + 2.005 890 + 2.005 890 + 2.005 890 + 2.005 890 + 2.005 890 + 2.005 890 + 2.005 890 + 2.005 890 + 2.005 890 + 2.005 890 + 2.005 890 + 2.005 890 + 2.005 890 + 2.005 890 + 2.005 890 + 2.005 890 + 2.005 890 + 2.005 890 + 2.005 890 + 2.005 890 + 2.005 890 + 2.005 890 + 2.005 890 + 2.005 890 + 2.005 890 + 2.005 890 + 2.005 890 + 2.005 890 + 2.005 890 + 2.005 890 + 2.005 890 + 2.005 890 + 2.005 890 + 2.005 890 + 2.005 890 + 2.005 890 + 2.005 890 + 2.005 890 + 2.005 890 + 2.005 890 + 2.005 890 + 2.005 890 + 2.005 890 + 2.005 890 + 2.005 890 + 2.005 890 + 2.005 890 + 2.005 890 + 2.00	+ 0.007 c25 + 2.007 c25 + 2.007 35 + 2.007 35 + 2.007 35 + 2.007 35 + 2.007 35 + 2.007 35 + 2.007 35 + 2.007 35 + 2.007 35 + 2.007 35 + 2.007 35 + 2.007 35 + 2.007 35 + 2.007 35 + 2.007 35 + 2.007 35 + 2.007 35 + 2.007 35 + 2.007 35 + 2.007 35 + 2.007 35 + 2.007 35 + 2.007 35 + 2.007 35 + 2.007 35 + 2.007 35 + 2.007 35 + 2.007 35 + 2.007 35 + 2.007 35 + 2.007 35 + 2.007 35 + 2.007 35 + 2.007 35 + 2.007 35 + 2.007 35 + 2.007 35 + 2.007 35 + 2.007 35 + 2.007 35 + 2.007 35 + 2.007 35 + 2.007 35 + 2.007 35 + 2.007 35 + 2.007 35 + 2.007 35 + 2.007 35 + 2.007 35 + 2.007 35 + 2.007 35 + 2.007 35 + 2.007 35 + 2.007 35 + 2.007 35 + 2.007 35 + 2.007 35 + 2.007 35 + 2.007 35 + 2.007 35 + 2.007 35 + 2.007 35 + 2.007 35 + 2.007 35 + 2.007 35 + 2.007 35 + 2.007 35 + 2.007 35 + 2.007 35 + 2.007 35 + 2.007 35 + 2.007 35 + 2.007 35 + 2.007 35 + 2.007 35 + 2.007 35 + 2.007 35 + 2.007 35 + 2.007 35 + 2.007 35 + 2.007 35 + 2.007 35 + 2.007 35 + 2.007 35 + 2.007 35 + 2.007 35 + 2.007 35 + 2.007 35 + 2.007 35 + 2.007 35 + 2.007 35 + 2.007 35 + 2.007 35 + 2.007 35 + 2.007 35 + 2.007 35 + 2.007 35 + 2.007 35 + 2.007 35 + 2.007 35 + 2.007 35 + 2.007 35 + 2.007 35 + 2.007 35 + 2.007 35 + 2.007 35 + 2.007 35 + 2.007 35 + 2.007 35 + 2.007 35 + 2.007 35 + 2.007 35 + 2.007 35 + 2.007 35 + 2.007 35 + 2.007 35 + 2.007 35 + 2.007 35 + 2.007 35 + 2.007 35 + 2.007 35 + 2.007 35 + 2.007 35 + 2.007 35 + 2.007 35 + 2.007 35 + 2.007 35 + 2.007 35 + 2.007 35 + 2.007 35 + 2.007 35 + 2.007 35 + 2.007 35 + 2.007 35 + 2.007 35 + 2.007 35 + 2.007 35 + 2.007 35 + 2.007 35 + 2.007 35 + 2.007 35 + 2.007 35 + 2.007 35 + 2.007 35 + 2.007 35 + 2.007 35 + 2.007 35 + 2.007 35 + 2.007 35 + 2.007 35 + 2.007 35 + 2.007 35 + 2.007 35 + 2.007 35 + 2.007 35 + 2.007 35 + 2.007 35 + 2.007 35 + 2.007 35 + 2.007 35 + 2.007 35 + 2.007 35 + 2.007 35 + 2.007 35 + 2.007 35 + 2.007 35 + 2.007 35 + 2.007 35 + 2.007 35 + 2.007 35 + 2.007 35 + 2.007 35 + 2.007 35 + 2.007 35 + 2.007 35 + 2.007 35 + 2.007 35 + 2.007 35 + 2.007 35 + 2.007 35 + 2.007 35 + 2.007 35 + 2.007 35 + 2.007 3
$a_2^{\circ}$		+ 0.00133 0 + 0.00127 0 0 + 0.00127 0 0 + 0.00110 0 0 + 0.00110 0 0 + 0.00104 0 0 + 0.00099 0 0 + 0.00088 0 0 + 0.00088 0 0 + 0.00088 0 0 0 0 0 0 0 0 0 0 0 0 0 0 0 0	+ 0.00076 0 + 0.00071 0 + 0.00055 0 + 0.00054 0 + 0.00054 0 + 0.00038 0 + 0.00038 0 + 0.00037 0	+ + + + 0.00021 + 0.00021 + 0.00010 - 0.00001 - 0.00001 - 0.00012 - 0.00012 - 0.00012 - 0.00012 - 0.00012 - 0.00028	0.00033 0.00038 0.00038 0.00034 0.00034 0.00035 0.00035 0.00035 0.00035 0.00035	0.00085
18h	g = a w + w c r w c	0118433110	22 2 2 2 2 2 2 2 2 2 2 2 2 2 2 2 2 2 2 2	3 3 3 3 3 3 4 3 3 4 3 5 6 6 6 6 6 6 6 6 6 6 6 6 6 6 6 6 6 6	0 #4 # # # # # # # # # # # # # #	55 85 55 55 55 55 55 55 55 55 55 55 55 5

	++++++++	++++++++	+++++++++	+++++++++	+++++++++	++++++++++
g ₃	002288 002331 002351 002351 00244 002474 002504	0.02591 0.02620 0.02648 0.02704 0.02731 0.02758 0.02784 0.02784	02861 02886 02911 02935 02959 03029 03029	0.03095 0.03116 0.03137 0.03197 0.03197 0.03235 0.03235	0.03389 0.03330 0.03339 0.03351 0.03371 0.03401 0.03415	0.03442 0.03468 0.03468 0.03492 0.03593 0.03514 0.03534 0.03544
3 .	0"0583 0.0502 0.0503 0.05016 0.0514 0.0531 0.0547	0.0662 0.0678 0.0685 0.0683 0.0700 0.0708 0.0715	.0737 .0744 .0751 .0765 .0772 .0772 .0779	0865 0812 0812 0813 0856 0856	0.0868 0.0880 0.0886 0.0892 0.0897 0.0903 0.0908 0.0914	0.0925 0.0930 0.0933 0.0945 0.0955 0.0955 0.0955 0.0955 0.0955 0.0955
d³	++++++++++	++++++++	+++++++++	+++++++++	+++++++++	++++++++++
a ^{ro}	0"053 0.053 0.055 0.055 0.057 0.058 0.058	0.061 0.063 0.065 0.066 0.067 0.068	0.068 0.069 0.071 0.071 0.073 0.073	0.076 0.077 0.078 0.079 0.080 0.081 0.081	0.083 0.085 0.087 0.087 0.088 0.088	0.000 0.000 0.000 0.000 0.000 0.000 0.000 0.000 0.000
g	111111111	1111111111	111111111	111111111	111111111	11111111111
		8 8 8 8 8 8 8 8 8 8 8 8 8 8 8 8 8 8 8	111111111	1	1	
	9776 8888 8738 7776 7776 6026 6026	5635 5195 44351 4303 3395 2934 2470 1530	1055 0575 0093 9607 9117 8624 8624 7629 7727	6114 5604 5604 5604 4656 3336 3312 2487 1960	0899 0365 0365 0365 0365 0365 0587 0587 0587	5496 4949 4402 4402 3304 2754 2204 1102 1102 0000
	00000000000000000000000000000000000000	0.0002	0.002 0.002 0.002 0.001 0.001 0.001 0.001	000000000000000000000000000000000000000	100000000000000000000000000000000000000	
	*****	+++++++++	++++++++	+++++++++	+++++++++	+++++++++
	+++++++++	+++++++++	444444444 +++++++++	+++++++++	++++++++++++++++++++++++++++++++++++++	4+++++++++++++++++++++++++++++++++++++
 	0.012 428 0.012 339 0.012 234 0.012 136 0.012 036 0.011 944 0.011 873	0.011 724 0.011 5749 0.011 5749 0.011 496 0.011 496 0.011 261 0.010 099 0.011 001	000000000	0.010 061 0.009 969 0.009 877 0.009 784 0.009 690 0.009 500 0.009 404 0.009 307 0.009 307	\$ \$2,88,88,888,88	0.000 0.000 0.000 0.000 0.000 0.000 0.000 0.000 0.000 0.000
	000000000	++++++	+++++++++	++++++++	+++++++++	++++++++++
a ₃	0.01193 0.01184 0.01184 0.01176 0.01177 0.01162 0.01158	01139	001100 0010095 0010084 001074 01068	0.01046 0.01041 0.01035 0.01034 0.01012 0.01012 0.01012 0.01001	00000000000000000000000000000000000000	00022 00022 00015 00001 00001 00001 00001 00001 00001 00001 00001
	<b>%</b>	++++++++	+++++++++	+++++++++	++++++++	++++++++++
	0.0038 0.0037 0.0037 0.0036 0.0036 0.0035 0.0035	0034 0033 0033 0033 0033 0033	0030 0030 0029 0029 0028 0028 0027	0025 0025 0025 0024 0024 0023	0001 00020 00020 00010 00010 00018	2016 2016 2014 2014 2013 2013 2013
a°	1111111111					
	999999999	**********	**************************************	*****	**************************************	+++++++++++
200	88888 88184 88184 7920 77920 77930 7777 7778	17730 17681 17681 17581 17783 17742 17374 17370 17370	177212 17757 17704 17046 16689 16893 16893 16757 16757 16759	16653 16653 16653 16653 16653 16653 16653 16653 16653 16653 16653 16653 16653 16653 16653 16653 16653 16653 16653 16653 16653 16653 16653 16653 16653 16653 16653 16653 16653 16653 16653 16653 16653 16653 16653 16653 16653 16653 16653 16653 16653 16653 16653 16653 16653 16653 16653 16653 16653 16653 16653 16653 16653 16653 16653 16653 16653 16653 16653 16653 16653 16653 16653 16653 16653 16653 16653 16653 16653 16653 16653 16653 16653 16653 16653 16653 16653 16653 16653 16653 16653 16653 16653 16653 16653 16653 16653 16653 16653 16653 16653 16653 16653 16653 16653 16653 16653 16653 16653 16653 16653 16653 16653 16653 16653 16653 16653 16653 16653 16653 16653 16653 16653 16653 16653 16653 16653 16653 16653 16653 16653 16653 16653 16653 16653 16653 16653 16653 16653 16653 16653 16653 16653 16653 16653 16653 16653 16653 16653 16653 16653 16653 16653 16653 16653 16653 16653 16653 16653 16653 16653 16653 16653 16653 16653 16653 16653 16653 16653 16653 16653 16653 16653 16653 16653 16653 16653 16653 16653 16653 16653 16653 16653 16653 16653 16653 16653 16653 16653 16653 16653 16653 16653 16653 16653 16653 16653 16653 16653 16653 16653 16653 16653 16653 16653 16653 16653 16653 16653 16653 16653 16653 16653 16653 16653 16653 16653 16653 16653 16653 16653 16653 16653 16653 16653 16653 16653 16653 16653 16653 16653 16653 16653 16653 16653 16653 16653 16653 16653 16653 16653 16653 16653 16653 16653 16653 16653 16653 16653 16653 16653 16653 16653 16653 16653 16653 16653 16653 16653 16653 16653 16653 16653 16653 16653 16653 16653 16653 16653 16653 16653 16653 16653 16653 16653 16653 16653 16653 16653 16653 16653 16653 16653 16653 16653 16653 16653 16653 16653 16653 16653 16653 16653 16653 16653 16653 16653 16653 16653 16653 16653 16653 16653 16653 16653 16653 16653 16653 16653 16653 16653 16653 16653 16653 16653 16653 16653 16653 16653 16653 16653 16653 16653 16653 16653 16653 16653 16653 16653 16653 16653 16653 16653 16653 16653 16653 16653 16653 16653 16653 16653 16653 16653 16653 16653 16653 16653 16653 16653 16653 16653	16011 153461 153461 15347 15475 15475 15475 15475 15475 15475 15475 15475 15475 15475 15475 15475 15475 15475 15475 15475 15475 15475 15475 15475 15475 15475 15475 15475 15475 15475 15475 15475 15475 15475 15475 15475 15475 15475 15475 15475 15475 15475 15475 15475 15475 15475 15475 15475 15475 15475 15475 15475 15475 15475 15475 15475 15475 15475 15475 15475 15475 15475 15475 15475 15475 15475 15475 15475 15475 15475 15475 15475 15475 15475 15475 15475 15475 15475 15475 15475 15475 15475 15475 15475 15475 15475 15475 15475 15475 15475 15475 15475 15475 15475 15475 15475 15475 15475 15475 15475 15475 15475 15475 15475 15475 15475 15475 15475 15475 15475 15475 15475 15475 15475 15475 15475 15475 15475 15475 15475 15475 15475 15475 15475 15475 15475 15475 15475 15475 15475 15475 15475 15475 15475 15475 15475 15475 15475 15475 15475 15475 15475 15475 15475 15475 15475 15475 15475 15475 15475 15475 15475 15475 15475 15475 15475 15475 15475 15475 15475 15475 15475 15475 15475 15475 15475 15475 15475 15475 15475 15475 15475 15475 15475 15475 15475 15475 15475 15475 15475 15475 15475 15475 15475 15475 15475 15475 15475 15475 15475 15475 15475 15475 15475 15475 15475 15475 15475 15475 15475 15475 15475 15475 15475 15475 15475 15475 15475 15475 15475 15475 15475 15475 15475 15475 15475 15475 15475 15475 15475 15475 15475 15475 15475 15475 15475 15475 15475 15475 15475 15475 15475 15475 15475 15475 15475 15475 15475 15475 15475 15475 15475 15475 15475 15475 15475 15475 15475 15475 15475 15475 15475 15475 15475 15475 15475 15475 15475 15475 15475 15475 15475 15475 15475 15475 15475 15475 15475 15475 15475 15475 15475 15475 15475 15475 15475 15475 15475 15475 15475 15475 15475 15475 15475 15475 15475 15475 15475 15475 15475 15475 15475 15475 15475 15475 15475 15475 15475 15475 15475 15475 15475 15475 15475 15475 15475 15475 15475 15475 15475 15475 15475 15475 15475 15475 15475 15475 15475 15475 15475 15475 15475 15475 15475 15475 15475 15475 15475 15475 15475 15475 15475 15475 15475 15475 15475 15475 15475 15475 15475 1547	0.15336 0.15266 0.15266 0.15364 0.144913 0.144913 0.14493 0.14693 0.14693
	###			111111111		
-	нинининин	нининини	ннининни	нининини	нининини	нинининин
80	25 2 2 2 2 2 2 2 2 2 2 2 2 2 2 2 2 2 2	4	+++++++++	3325332	++++++++++++++++++++++++++++++++++++++	**************************************
	+++++++++	**************************************	<b>777777777</b>	<b>7777777777777777777777777777777777777</b>	**************************************	+++++++++++
	8 2 8 8 8 8 8 8 8 8 8 8 8 8 8 8 8 8 8 8	22828885555	2844867588	200 H H 20 C E 20 S S S S S S S S S S S S S S S S S S	22888832	22244228882
	4975 7889 7889 8883 9822 776 776 74 74 74 74 74 74 74 74 74	25453 25453 25453 25453 25453 25453 25453 25453 25453 25453 25453 25453 25453 25453 25453 25453 25453 25453 25453 25453 25453 25453 25453 25453 25453 25453 25453 25453 25453 25453 25453 25453 25453 25453 25453 25453 25453 25453 25453 25453 25453 25453 25453 25453 25453 25453 25453 25453 25453 25453 25453 25453 25453 25453 25453 25453 25453 25453 25453 25453 25453 25453 25453 25453 25453 25453 25453 25453 25453 25453 25453 25453 25453 25453 25453 25453 25453 25453 25453 25453 25453 25453 25453 25453 25453 25453 25453 25453 25453 25453 25453 25453 25453 25453 25453 25453 25453 25453 25453 25453 25453 25453 25453 25453 25453 25453 25453 25453 25453 25453 25453 25453 25453 25453 25453 25453 25453 25453 25453 25453 25453 25453 25453 25453 25453 25453 25453 25453 25453 25453 25453 25453 25453 25453 25453 25453 25453 25453 25453 25453 25453 25453 25453 25453 25453 25453 25453 25453 25453 25453 25453 25453 25453 25453 25453 25453 25453 25453 25453 25453 25453 25453 25453 25453 25453 25453 25453 25453 25453 25453 25453 25453 25453 25453 25453 25453 25453 25453 25453 25453 25453 25453 25453 25453 25453 25453 25453 25453 25453 25453 25453 25453 25453 25453 25453 25453 25453 25453 25453 25453 25453 25453 25453 25453 25453 25453 25453 25453 25453 25453 25453 25453 25453 25453 25453 25453 25453 25453 25453 25453 25453 25453 25453 25453 25453 25453 25453 25453 25453 25453 25453 25453 25453 25453 25453 25453 25453 25453 25453 25453 25453 25453 25453 25453 25453 25453 25453 25453 25453 25453 25453 25453 25453 25453 25453 25453 25453 25453 25453 25453 25453 25453 25453 25453 25453 25453 25453 25453 25453 25453 25453 25453 25453 25453 25453 25453 25453 25453 25453 25453 25453 25453 25453 25453 25453 25453 25453 25453 25453 25453 25453 25453 25453 25453 25453 25453 25453 25453 25453 25453 25453 25453 25453 25453 25453 25453 25453 25453 25453 25453 25453 25453 25453 25453 25453 25453 25453 25453 25453 25453 25453 25453 25453 25453 25453 25453 25453 25453 25453 25453 25453 25453 25453 25453 25453 25453 25453 25453 25453 25453 25453	3530 4353 52545 6107 7793 7793 7793 7793 7793 7793 7793 77	1889 44089 44089 5809 5809 6572 444 6572 444 8818 8818	95548 97799933 978999933 978783 973783 973783 973783 973783 973783 973783 973783 973783 973783 973783 973783 973783 973783 973783 973783 973783 973783 973783 973783 973783 973783 973783 973783 973783 973783 973783 973783 973783 973783 973783 973783 973783 973783 973783 973783 973783 973783 973783 973783 973783 973783 973783 973783 973783 973783 973783 973783 973783 973783 973783 973783 973783 973783 973783 973783 973783 973783 973783 973783 973783 973783 973783 973783 973783 973783 973783 973783 973783 973783 973783 973783 973783 973783 973783 973783 973783 973783 973783 973783 973783 973783 973783 973783 973783 973783 973783 973783 973783 973783 973783 973783 973783 973783 973783 973783 973783 973783 973783 973783 973783 973783 973783 973783 973783 973783 973783 973783 973783 973783 973783 973783 973783 973783 973783 973783 973783 973783 973783 973783 973783 973783 973783 973783 973783 973783 973783 973783 973783 973783 973783 973783 973783 973783 973783 973783 973783 973783 973783 973783 973783 973783 973783 973783 973783 973783 973783 973783 973783 973783 973783 973783 973783 973783 973783 973783 973783 973783 973783 973783 973783 973783 973783 973783 973783 973783 973783 973783 973783 973783 973783 973783 973783 973783 973783 973783 973783 973783 973783 973783 973783 973783 973783 973783 973783 973783 973783 973783 973783 973783 973783 973783 973783 973783 973783 973783 973783 973783 973783 973783 973783 973783 973783 973783 973783 973783 973783 973783 973783 973783 973783 973783 973783 973783 973783 973783 973783 973783 973783 973783 973783 973783 973783 973783 97378783 973783 973783 973783 973783 973783 973783 973783 973783 97378783 973783 973783 973783 973783 973783 973783 973783 973783 973783 973783 973783 973783 973783 973783 973783 973783 973783 973783 973783 973783 973783 973783 973783 973783 973783 973783 973783 973783 973783 973783 973783 973783 973783 973783 973783 973783 973783 973783 973783 973783 973783 973783 973783 97378 973783 973783 973783 973783 973783 973783 973783 973783 973783 973783 97	64 7094 7094 7094 8886 8886 71 72 73 74 74 74 74 74 74 74 74 74 74 74 74 74
8	0.005 5 0.005 5 0.005 6 0.005 9 0.007 0 0.007 0	4 (00.00) 00.000 00.000 00.000 00.000 00.000 00.000 00.000 00.000 00.000 00.000 00.000 00.000 00.000 00.000 00.000 00.000 00.000 00.000 00.000 00.000 00.000 00.000 00.000 00.000 00.000 00.000 00.000 00.000 00.000 00.000 00.000 00.000 00.000 00.000 00.000 00.000 00.000 00.000 00.000 00.000 00.000 00.000 00.000 00.000 00.000 00.000 00.000 00.000 00.000 00.000 00.000 00.000 00.000 00.000 00.000 00.000 00.000 00.000 00.000 00.000 00.000 00.000 00.000 00.000 00.000 00.000 00.000 00.000 00.000 00.000 00.000 00.000 00.000 00.000 00.000 00.000 00.000 00.000 00.000 00.000 00.000 00.000 00.000 00.000 00.000 00.000 00.000 00.000 00.000 00.000 00.000 00.000 00.000 00.000 00.000 00.000 00.000 00.000 00.000 00.000 00.000 00.000 00.000 00.000 00.000 00.000 00.000 00.000 00.000 00.000 00.000 00.000 00.000 00.000 00.000 00.000 00.000 00.000 00.000 00.000 00.000 00.000 00.000 00.000 00.000 00.000 00.000 00.000 00.000 00.000 00.000 00.000 00.000 00.000 00.000 00.000 00.000 00.000 00.000 00.000 00.000 00.000 00.000 00.000 00.000 00.000 00.000 00.000 00.000 00.000 00.000 00.000 00.000 00.000 00.000 00.000 00.000 00.000 00.000 00.000 00.000 00.000 00.000 00.000 00.000 00.000 00.000 00.000 00.000 00.000 00.000 00.000 00.000 00.000 00.000 00.000 00.000 00.000 00.000 00.000 00.000 00.000 00.000 00.000 00.000 00.000 00.000 00.000 00.000 00.000 00.000 00.000 00.000 00.000 00.000 00.000 00.000 00.000 00.000 00.000 00.000 00.000 00.000 00.000 00.000 00.000 00.000 00.000 00.000 00.000 00.000 00.000 00.000 00.000 00.000 00.000 00.000 00.000 00.000 00.000 00.000 00.000 00.000 00.000 00.000 00.000 00.000 00.000 00.000 00.000 00.000 00.000 00.000 00.000 00.000 00.000 00.000 00.000 00.000 00.000 00.000 00.000 00.000 00.000 00.000 00.000 00.000 00.000 00.000 00.000 00.000 00.000 00.000 00.000 00.	80000 80000 90000 90000 90000 90000 10000	2 00000 2 00000 3 00000 4 00000 5 00000 6 00000 8 00000	0.0000000000000000000000000000000000000	0.000 0.000 0.000 0.000 0.000 0.000 0.000 0.000 0.000 0.000 0.000 0.000
	111111111	111111111				
	+++++++++	++++++++	+++++++++	+++++++++	++++++++	+++++++++
, a	8 8 8 8 8 8 8 8 8 8 8 8 8 8 8 8 8 8 8	000 537 000 651 000 057 000 050 010 050 010 265 010 500 010 500	0 0 0 0 0 0 0 0 0 0 0 0 0 0 0 0 0 0 0	011 957 012 1967 012 314 012 551 012 569 012 905	13 8 3 3 3 3 3 3 3 3 3 3 3 3 3 3 3 3 3 3	014 296 014 410 014 410 014 438 014 438 014 977 015 990 015 314
	**************************************	++++++++++	+++++++	000000000000000000000000000000000000000	+++++++++	++++++++++
	000000000	000000000	000000	+++++++++	нинининин	ннининнин
000	0.00136 0.00141 0.00150 0.00150 0.00160 0.00160 0.00174	00183 00188 00193 00197 00200 00200 00215	0.00228 0.00233 0.00237 0.00245 0.00245 0.00256 0.00256 0.00256	0.00270 0.00274 0.00286 0.00286 0.00290 0.00297 0.00297	0.000310 0.000310 0.000313 0.000313 0.000313 0.000313 0.000313 0.000313 0.000313 0.000313 0.000313 0.000313 0.000313 0.000313 0.000313 0.000313 0.000313 0.000313 0.000313 0.000313 0.000313 0.000313 0.000313 0.000313 0.000313 0.000313 0.000313 0.000313 0.000313 0.000313 0.000313 0.000313 0.000313 0.000313 0.000313 0.000313 0.000313 0.000313 0.000313 0.000313 0.000313 0.000313 0.000313 0.000313 0.000313 0.000313 0.000313 0.000313 0.000313 0.000313 0.000313 0.000313 0.000313 0.000313 0.000313 0.000313 0.000313 0.000313 0.000313 0.000313 0.000313 0.000313 0.000313 0.000313 0.000313 0.000313 0.000313 0.000313 0.000313 0.000313 0.000313 0.000313 0.000313 0.000313 0.000313 0.000313 0.000313 0.000313 0.000313 0.000313 0.000313 0.000313 0.000313 0.000313 0.000313 0.000313 0.000313 0.000313 0.000313 0.000313 0.000313 0.000313 0.000313 0.000313 0.000313 0.000313 0.000313 0.000313 0.000313 0.000313 0.000313 0.000313 0.000313 0.000313 0.000313 0.000313 0.000313 0.000313 0.000313 0.000313 0.000313 0.000313 0.000313 0.000313 0.000313 0.000313 0.000313 0.000313 0.000313 0.000313 0.0003 0.000313 0.000313 0.000313 0.000313 0.000313 0.000313 0.000313 0.000313 0.000313 0.000313 0.000313 0.000313 0.000313 0.000313 0.000313 0.000313 0.000313 0.000313 0.000313 0.000313 0.000313 0.000313 0.000313 0.000313 0.000313 0.000313 0.000313 0.000313 0.000313 0.000313 0.000313 0.000313 0.000313 0.000313 0.000313 0.000313 0.000313 0.000313 0.000313 0.000313 0.000313 0.000313 0.000313 0.000313 0.000313 0.000313 0.000313 0.000313 0.000313 0.0003 0.000313 0.000313 0.000313 0.000313 0.000313 0.000313 0.000313 0.000313 0.000313 0.000313 0.000313 0.000313 0.000313 0.000313 0.000313 0.000313 0.000313 0.000313 0.000313 0.000313 0.000313 0.000313 0.000313 0.000313 0.000313 0.000313 0.000313 0.000313 0.000313 0.000313 0.000313 0.000313 0.000313 0.000313 0.000313 0.000313 0.000313 0.000313 0.000313 0.000313 0.000313 0.000313 0.000313 0.000313 0.000313 0.000313 0.000313 0.000313 0.000313 0.000313 0.000313 0.000313 0.000313 0.000313 0.000313 0.000313 0.00031	++++++++++++++++++++++++++++++++++++++
	<b>8 8 8 8 8 8 8 8 8 8</b> 8 8 8 8 8 8 8 8 8	88888888888	11111111111	1	888888888	88888888888
19h	0 H 4 W 4 W 0 V 8 Q	01884867686	9 8 8 8 8 8 8 8 8 8 8 8 8 8 8 8 8 8 8 8	9 8 3 4 8 3 3 1 0 0 0 0 0 0 0 0 0 0 0 0 0 0 0 0 0	6 1 4 6 1 2 2 2 2	0 H 4 W 4 N N V V 8 Q 0
	<u> </u>					**************************************

	++++++++	+++++++++	++++++++	+++++++++	++++++++	+++++++++
333	03553 03552 03552 03553 03553 03553 03553	0.03621 0.03620 0.03630 0.03633 0.03641 0.03641 0.03643	0.03647 0.03647 0.03646 0.03646 0.03648 0.03648 0.03639 0.03633	0.03595 0.03522 0.03523 0.03503 0.03595 0.03595 0.03595 0.03585	0.03574 0.03566 0.03549 0.03540 0.03540 0.03522 0.03522 0.03522	0.03476 0.03468 0.03468 0.03469 0.03368 0.03378
		111111111		111111111	<u> </u>	1111111111
a,	0"0974 0.0979 0.0987 0.0987 0.0996 0.1004 0.1008	0.1016 0.1020 0.1021 0.1031 0.1038 0.1038	0.1051 0.1057 0.1060 0.1063 0.1063 0.1070 0.1070	0.1078 0.1082 0.1084 0.1084 0.1090 0.1093	0.1096 0.1099 0.1109 0.1109 0.1109 0.1106	000000000000000000000000000000000000000
	++++++++	######################################	++++++++	++++++++	++++++++	++++++++++
8g.			1	0000000000	1 1 1 1 1 1 1 1 1 1 1 1 1 1 1 1 1 1 1 1	
*****	0 = = 0 = + + + + + + + + + + + + + + +	++++++++++++++++++++++++++++++++++++++	75505825005	++++++++	**************************************	+++++++++++ 300000000000000000000000000
a33	0000 0551 1102 11653 2204 3304 4402 4402	5496 6042 6587 7731 7674 8215 8755 9293 9395	0899 1430 1960 3012 3012 4656 4656 5604	6622 7127 7629 8624 9607 9607	1055 1530 2002 2470 2934 3395 4303 4303 4303	2635 6600 6600 6600 6600 6600 6600 6600 6
	000000000000000000000000000000000000000	0 0 0 0 0 0 0 0 0 0 0 0 0 0 0 0 0 0 0		0.0000000000000000000000000000000000000	0.0000000000000000000000000000000000000	0.0000000000000000000000000000000000000
	*******		111111111	111111111		
	++++++++ 2337145467801	83.56.73.1.28.5.5.7.3 83.3.56.7.3.1.28.5.5.7.3 83.3.56.7.3.1.28.5.5.7.3 83.3.56.7.3.1.28.5.5.3.5.3.5.3.5.3.5.3.5.3.5.3.5.3.5.3.	++++++++++++++++++++++++++++++++++++++	+++++++++ 3637286648368 8837486648	######################################	9 9 9 9 9 9 9 9 9 9 9 9 9 9 9 9 9 9 9
$a_3^2$	288888888888888	8888888888	\$ \$ \$ \$ \$ \$ \$ \$ \$ 8 8 8 8	8 8 8 8 8 8 8 8 8 8 8 8 8 8 8 8 8 8 8	888888888888888888888888888888888888888	88888888888
	111111111	1111111111	111111111	1111111111		1111111+++
	++++++++	+++++++++	++++++++	++++++++	++++++++	++++++++++
$a_3^{\rm r}$	0.00866 0.00859 0.00847 0.00847 0.00837 0.00831 0.00814	0.00801 0.00788 0.00782 0.00767 0.00762 0.00764	0.00736 0.00723 0.00723 0.00716 0.00697 0.00690 0.00694	0.00670 0.00664 0.00651 0.00651 0.00631 0.00631 0.00618	0.00605 0.00593 0.00586 0.00573 0.00573 0.00567	0.00542 0.00533 0.00533 0.00531 0.00511 0.00504 0.00498 0.00498
	+++++++++	++++++++	++++++++	+++++++++	+++++++++	+++++++++
a°	0.000 0.000 0.000 0.000 0.000 0.000 0.000 0.000 0.000 0.000 0.000 0.000	0.000 0.000 0.000 0.000 0.000 0.000 0.000	0.0000 0.0000 0.0000 0.0000 0.0000 0.0000 0.0000	0.0004 0.0008 0.0009 0.0009 0.0019 0.0011 0.0013	0.00 0.00 0.00 0.00 0.00 0.00 0.00 0.0	0.0019 0.0021 0.0021 0.0023 0.0023 0.0023 0.0023 0.0023
			+++++++++	++++++++	+++++++++	00000000000
	++++++++	+++++++++	+++++++++	++++++++	+++++++++	+++++++++
d ₂	0"14619 0.14545 0.14471 0.14397 0.14346 0.14171 0.14095 0.14099	0.13865 0.1378 0.13510 0.13534 0.1354 0.13397 0.13239 0.13239	13080 113080 112919 112839 112575 112514 112514	0.12269 0.12186 0.12021 0.11937 0.11856 0.11689 0.11606	0.11439 0.11355 0.11271 0.11018 0.1018 0.10249 0.10269 0.10269	0.10596 0.10511 0.10511 0.10341 0.10236 0.10236 0.10001 0.00001 0.00031
	11111111	111111111	1	111111111	111111111	111111111
	+++++++++	++++++++	+++++++++	++++++++	++++++++	+++++++++
8"	0,3834 0,3834 0,3804 0,373 0,377 0,375 0,375	0.373 0.373 0.3687 0.3686 0.3652 0.3652 0.3652	0.3618 0.3595 0.3583 0.3583 0.3560 0.3548 0.3548 0.3548	0.3500 0.3463 0.3463 0.3455 0.3425 0.3425 0.3425 0.3425 0.3425	0.3374 0.3374 0.3335 0.3329 0.3296 0.3296 0.3256	0.3243 0.3223 0.3223 0.3138 0.3175 0.3174 0.3133 0.3133
	+++++++++ 5%%6688555	++++++++	**++++++++	*++++++++	++++++++	+++++++++
	+++++++++++	+++++++++	+++++++++	++++++++++	++++++++	++++++++++
a22	1 2541 1 3104 1 3658 1 4203 1 4740 1 5268 1 5787 1 6797 1 7291	1 7775 1 8250 1 8716 1 9173 1 9620 2 0059 2 0488 2 0908 2 1319	2 2113 2 2496 2 2870 2 3235 2 3590 2 4272 2 4599 2 4599	2 5522 2 5811 2 6690 2 6559 2 6619 2 7 7 1 1 0 2 7 3 4 1	2 2 2 2 2 2 2 2 2 2 2 2 2 2 2 2 2 2 2	2 9455 2 9549 2 9549 2 9777 2 9877 2 9878 2 9936 2 9936
	0 0 0 0 0 0 0 0 0 0 0 0 0 0 0 0 0 0 0			000000000000000000000000000000000000000	0.0000000000000000000000000000000000000	0 0 0 0 0 0 0 0 0 0 0 0 0 0 0 0 0 0 0 0
		*+++++++++	+++++++++	++++++++	++++++++++	+++++++
ar ar	6537 668 7759 8870 8870 870 870 870 870 870	5226 743 743 743 771 771 771 771	8 6 3 6 7 3 6 6 6 8	523 533 533 533 533 533 533 533 533 533	630 826 826 923 923 923 308 403	5593 687 781 7781 7781 152 153 153 153 153 153 153 153 153 153 153
	000000000000000000000000000000000000000	000000000000000000000000000000000000000	2 7 7 7 7 7 7 7 7 7 7 7 7 7 7 7 7 7 7 7		000000000000000000000000000000000000000	0.020 0.020 0.020 0.020 0.021 0.021 0.021
<b> </b>	++++++++++	+++++++++++++++++++++++++++++++++++++++	+++++++++++++++++++++++++++++++++++++++	*++++++++  ++++++++	+++++++++++++++++++++++++++++++++++++++	+++++++++++++++++++++++++++++++++++++++
g°	0.00373 0.00374 0.00378 0.0038 0.0038 0.00390 0.00390	0 0 0 0 0 0 0 0 0 0 0 0 0 0 0 0 0 0 0	00 0423 00 0423 00 0423 00 0433 00 0433 00 0433	0.0004438 0.0004411 0.0004411 0.0004411 0.0004414 0.0004414 0.0004414 0.0004414 0.0004414 0.0004414 0.0004414 0.0004414 0.0004414 0.0004414 0.0004414 0.0004414 0.0004414 0.0004414 0.0004414 0.0004414 0.0004414 0.0004414 0.0004414 0.0004414 0.0004414 0.0004414 0.0004414 0.0004414 0.0004414 0.0004414 0.0004414 0.0004414 0.0004414 0.0004414 0.0004414 0.0004414 0.0004414 0.0004414 0.0004414 0.0004414 0.0004414 0.0004414 0.0004414 0.0004414 0.0004414 0.0004414 0.0004414 0.0004414 0.0004414 0.0004414 0.0004414 0.0004414 0.0004414 0.0004414 0.0004414 0.0004414 0.0004414 0.0004414 0.0004414 0.0004414 0.0004414 0.0004414 0.0004414 0.0004414 0.0004414 0.0004414 0.0004414 0.0004414 0.0004414 0.0004414 0.0004414 0.0004414 0.0004414 0.0004414 0.0004414 0.0004414 0.000444 0.000444 0.000444 0.00044 0.00044 0.00044 0.00044 0.00044 0.00044 0.00044 0.00044 0.00044 0.00044 0.00044 0.00044 0.00044 0.00044 0.00044 0.00044 0.00044 0.00044 0.00044 0.00044 0.00044 0.00044 0.00044 0.00044 0.00044 0.00044 0.00044 0.00044 0.00044 0.00044 0.00044 0.00044 0.00044 0.00044 0.00044 0.00044 0.00044 0.00044 0.00044 0.00044 0.00044 0.00044 0.00044 0.00044 0.00044 0.00044 0.00044 0.00044 0.00044 0.00044 0.00044 0.00044 0.00044 0.00044 0.00044 0.00044 0.00044 0.00044 0.00044 0.00044 0.00044 0.00044 0.00044 0.00044 0.00044 0.00044 0.00044 0.00044 0.00044 0.00044 0.00044 0.00044 0.00044 0.00044 0.00044 0.00044 0.00044 0.00044 0.00044 0.00044 0.00044 0.00044 0.00044 0.00044 0.00044 0.00044 0.00044 0.00044 0.00044 0.00044 0.00044 0.00044 0.00044 0.00044 0.00044 0.00044 0.00044 0.00044 0.00044 0.00044 0.00044 0.00044 0.00044 0.00044 0.00044 0.00044 0.00044 0.00044 0.00044 0.00044 0.00044 0.00044 0.00044 0.00044 0.00044 0.00044 0.00044 0.00044 0.00044 0.00044 0.00044 0.00044 0.00044 0.00044 0.00044 0.00044 0.00044 0.00044 0.00044 0.00044 0.00044 0.00044 0.00044 0.00044 0.00044 0.00044 0.00044 0.00044 0.00044 0.00044 0.00044 0.00044 0.00044 0.00044 0.00044 0.00044 0.00044 0.00044 0.00044 0.00044 0.00044 0.00044 0.0004 0.00044 0.00044 0.00044 0.0004 0.000	0.0457 0.0455 0.0455 0.0455 0.0455 0.0455 0.0455 0.0455 0.0455 0.0455 0.0455 0.0455 0.0455 0.0455 0.0455 0.0455 0.0455 0.0455 0.0455 0.0455 0.0455 0.0455 0.0455 0.0455 0.0455 0.0455 0.0455 0.0455 0.0455 0.0455 0.0455 0.0455 0.0455 0.0455 0.0455 0.0455 0.0455 0.0455 0.0455 0.0455 0.0455 0.0455 0.0455 0.0455 0.0455 0.0455 0.0455 0.0455 0.0455 0.0455 0.0455 0.0455 0.0455 0.0455 0.0455 0.0455 0.0455 0.0455 0.0455 0.0455 0.0455 0.0455 0.0455 0.0455 0.0455 0.0455 0.0455 0.0455 0.0455 0.0455 0.0455 0.0455 0.0455 0.0455 0.0455 0.0455 0.0455 0.0455 0.0455 0.0455 0.0455 0.0455 0.0455 0.0455 0.0455 0.0455 0.0455 0.0455 0.0455 0.0455 0.0455 0.0455 0.0455 0.0455 0.0455 0.0455 0.0455 0.0455 0.0455 0.0455 0.0455 0.0455 0.0455 0.0455 0.0455 0.0455 0.0455 0.0455 0.0455 0.0455 0.0455 0.0455 0.0455 0.0455 0.0455 0.0455 0.0455 0.0455 0.0455 0.0455 0.0455 0.0455 0.0455 0.0455 0.0455 0.0455 0.0455 0.0455 0.0455 0.0455 0.0455 0.0455 0.0455 0.0455 0.0455 0.0455 0.0455 0.0455 0.0455 0.0455 0.0455 0.0455 0.0455 0.0455 0.0455 0.0455 0.0455 0.0455 0.0455 0.0455 0.0455 0.0455 0.0455 0.0455 0.0455 0.0455 0.0455 0.0455 0.0455 0.0455 0.0455 0.0455 0.0455 0.0455 0.0455 0.0455 0.0455 0.0455 0.0455 0.0455 0.0455 0.0455 0.0455 0.0455 0.0455 0.0455 0.0455 0.0455 0.0455 0.0455 0.0455 0.0455 0.0455 0.0455 0.0455 0.0455 0.0455 0.0455 0.0455 0.0455 0.0455 0.0455 0.0455 0.0455 0.0455 0.0455 0.0455 0.0455 0.0455 0.0455 0.0455 0.0455 0.0455 0.0455 0.0455 0.0455 0.0455 0.0455 0.0455 0.0455 0.0455 0.0455 0.0455 0.0455 0.0455 0.0455 0.0455 0.0455 0.0455 0.0455 0.0455 0.0455 0.0455 0.0455 0.0455 0.0455 0.0455 0.0455 0.0455 0.0455 0.0455 0.0455 0.0455 0.0455 0.0455 0.0455 0.0455 0.0455 0.0455 0.0455 0.0455 0.0455 0.0455 0.0455 0.0455 0.0455 0.0455 0.0455 0.0455 0.0455 0.0455 0.0455 0.0455 0.0455 0.0455 0.0455 0.0455 0.0455 0.0455 0.0455 0.0455 0.0455 0.0455 0.0455 0.0455 0.0455 0.0455 0.0455 0.0455 0.0455 0.0455 0.0455 0.0455 0.0455 0.0455 0.0455 0.0455 0.0455 0.0455 0.0455 0.0455 0.0455 0.0455 0.0455 0.0455 0.0455 0.0455 0.0455 0.0455 0.0455 0.0455 0.0455 0.	200458 + 200458 + 200458 + 200459 + 200459 + 200459 + 200459 + 200459 + 200459 + 200459 + 200459 + 200459 + 200459 + 200459 + 200459 + 200459 + 200459 + 200459 + 200459 + 200459 + 200459 + 200459 + 200459 + 200459 + 200459 + 200459 + 200459 + 200459 + 200459 + 200459 + 200459 + 200459 + 200459 + 200459 + 200459 + 200459 + 200459 + 200459 + 200459 + 200459 + 200459 + 200459 + 200459 + 200459 + 200459 + 200459 + 200459 + 200459 + 200459 + 200459 + 200459 + 200459 + 200459 + 200459 + 200459 + 200459 + 200459 + 200459 + 200459 + 200459 + 200459 + 200459 + 200459 + 200459 + 200459 + 200459 + 200459 + 200459 + 200459 + 200459 + 200459 + 200459 + 200459 + 200459 + 200459 + 200459 + 200459 + 200459 + 200459 + 200459 + 200459 + 200459 + 200459 + 200459 + 200459 + 200459 + 200459 + 200459 + 200459 + 200459 + 200459 + 200459 + 200459 + 200459 + 200459 + 200459 + 200459 + 200459 + 200459 + 200459 + 200459 + 200459 + 200459 + 200459 + 200459 + 200459 + 200459 + 200459 + 200459 + 200459 + 200459 + 200459 + 200459 + 200459 + 200459 + 200459 + 200459 + 200459 + 200459 + 200459 + 200459 + 200459 + 200459 + 200459 + 200459 + 200459 + 200459 + 200459 + 200459 + 200459 + 200459 + 200459 + 200459 + 200459 + 200459 + 200459 + 200459 + 200459 + 200459 + 200459 + 200459 + 200459 + 200459 + 200459 + 200459 + 200459 + 200459 + 200459 + 200459 + 200459 + 200459 + 200459 + 200459 + 200459 + 200459 + 200459 + 200459 + 200459 + 200459 + 200459 + 200459 + 200459 + 200459 + 200459 + 200459 + 200459 + 200459 + 200459 + 200459 + 200459 + 200459 + 200459 + 200459 + 200459 + 200459 + 200459 + 200459 + 200459 + 200459 + 200459 + 200459 + 200459 + 200459 + 200459 + 200459 + 200459 + 200459 + 200459 + 200459 + 200459 + 200459 + 200459 + 200459 + 200459 + 200459 + 200459 + 200459 + 200459 + 200459 + 200459 + 200459 + 200459 + 200459 + 200459 + 200459 + 200459 + 200459 + 200459 + 200459 + 200459 + 200459 + 200459 + 200459 + 200459 + 200459 + 200459 + 200459 + 200459 + 200459 + 200459 + 200459 + 200459 + 200459 + 200459 + 200459 + 200459 + 200459 + 200
		0000000000			0000000000	11111111111
20h	6 1 4 E 4 20 7 8 9	011211111111111111111111111111111111111	012224222	3884333 33433 33433 33433 3343 3343 334	0 1 4 4 4 4 4 4 6 6 6 6 6 6 6 6 6 6 6 6 6	8 2 2 2 2 2 2 2 2 2 2 2 2 2 2 2 2 2 2 2

	+++++++++	++++++++	+++++++++	++++++++		+++++++++
6 3 3 E	- 0.03389 - 0.03389 - 0.03389 - 0.03389 - 0.03389 - 0.03389 - 0.03389 - 0.03389	- 0.03188 - 0.03151 - 0.03116 - 0.03116 - 0.03036 - 0.03036 - 0.03036	- 0.02999 - 0.02978 - 0.02937 - 0.02937 - 0.02895 - 0.02839	- 0.02763, - 0.02743, - 0.02743, - 0.02648, - 0.02601, - 0.02601,	- 0.02553 - 0.02529 - 0.02481 - 0.02487 - 0.02487 - 0.02382	- 0.03369 - 0.03369 - 0.03366 - 0.03366 - 0.03169 - 0.03169 - 0.03169
d ¹¹	+++++++++++++++++++++++++++++++++++++++	++ 0.1103 ++ 0.1103 ++ 0.10103 ++ 0.10103 ++ 0.1096 ++ 0	+++ 0 1089 +++ 0 1081 ++ 0 1081 ++ 0 1079 ++ 0 1079 ++ 0 1079 ++ 0 1079	++++++++++++++++++++++++++++++++++++++	++++++++++++++++++++++++++++++++++++++	+ 0.0994 + 0.0994 + 0.0996 + 0.0986 + 0.0977 + 0.0977 + 0.0957 + 0.0953 + 0.0953 + 0.0953
	00133	1 1 1 1	0 0 0 0 0 0 0 0 0 0 0 0 0 0 0 0 0 0 0	1 1 1 1 1 1 1 1 1 1 1 1 1 1 1 1 1 1 1	0 0 0 0 0 0 0 0 0 0 0 0 0 0 0 0 0 0 0	0,140 0,150 0,150 1 0,151 1 0,151 1 0,153 1 0,153
	********	+++++++++	+++++++++	+++++++++	********	*********
E 63	- 0-003 0153 - 0-003 0153 - 0-003 0545 - 0-003 1293 - 0-003 1293 - 0-003 2375 - 0-003 375	80 t 100 a  100 t 100 a  100 t 100 a  100 t 100 a  100 t 100 a  100 t 100 a  100 t 100 a  100 t 100 a  100 t 100 a  100 t 100 a  100 t 100 a  100 t 100 a  100 t 100 a  100 t 100 a  100 t 100 a  100 t 100 a  100 t 100 a  100 t 100 a  100 t 100 a  100 t 100 a  100 t 100 a  100 t 100 a  100 t 100 a  100 t 100 a  100 t 100 a  100 t 100 a  100 t 100 a  100 t 100 a  100 t 100 a  100 t 100 a  100 t 100 a  100 t 100 a  100 t 100 a  100 t 100 a  100 t 100 a  100 t 100 a  100 t 100 a  100 t 100 a  100 t 100 a  100 t 100 a  100 t 100 a  100 t 100 a  100 t 100 a  100 t 100 a  100 t 100 a  100 t 100 a  100 t 100 a  100 t 100 a  100 t 100 a  100 t 100 a  100 t 100 a  100 t 100 a  100 t 100 a  100 t 100 a  100 t 100 a  100 t 100 a  100 t 100 a  100 t 100 a  100 t 100 a  100 t 100 a  100 t 100 a  100 t 100 a  100 t 100 a  100 t 100 a  100 t 100 a  100 t 100 a  100 t 100 a  100 t 100 a  100 t 100 a  100 t 100 a  100 t 100 a  100 t 100 a  100 t 100 a  100 t 100 a  100 t 100 a  100 t 100 a  100 t 100 a  100 t 100 a  100 t 100 a  100 t 100 a  100 t 100 a  100 t 100 a  100 t 100 a  100 t 100 a  100 t 100 a  100 t 100 a  100 t 100 a  100 t 100 a  100 t 100 a  100 t 100 a  100 t 100 a  100 t 100 a  100 t 100 a  100 t 100 a  100 t 100 a  100 t 100 a  100 t 100 a  100 t 100 a  100 t 100 a  100 t 100 a  100 t 100 a  100 t 100 a  100 t 100 a  100 t 100 a  100 t 100 a  100 t 100 a  100 t 100 a  100 t 100 a  100 t 100 a  100 t 100 a  100 t 100 a  100 t 100 a  100 t 100 a  100 t 100 a  100 t 100 a  100 t 100 a  100 t 100 a  100 t 100 a  100 t 100 a  100 t 100 a  100 t 100 a  100 t 100 a  100 t 100 a  100 t 100 a  100 t 100 a  100 t 100 a  100 t 100 a  100 t 100 a	0.007 6468	- 0.001 8904	- 0.004.0574 - 0.004.0514 - 0.004.0514 - 0.004.11807 - 0.004.11807 - 0.004.11807 - 0.004.11807	- 0.004 1749 - 0.004 1817 - 0.004 1989 - 0.004 1989 - 0.004 1080 - 0.004 2017 - 0.004 2097
	0000000000	000000000	11 1 1		1111111	1111 1111
E CO	+ 0.000 494 + 0.000 494 + 0.000 494 + 0.000 991 + 0.001 091 + 0.001 091 + 0.001 298 + 0.001 298	+ + 0.001 570 + + 0.001 570 + 0.001 921 + 0.002 547 + 0.002 547 + 0.002 547 + 0.002 547 + 0.002 547	+ 0.0001 796 + 0.0003 990 + 0.0003 391 + 0.0003 391 + 0.0003 391 + 0.0003 590 + 0.0	+ 0.004 909 + 0.004 309 + 0.004 309 + 0.004 314 + 0.004 314 + 0.004 314 + 0.004 314 + 0.004 314 + 0.004 304 + 0.00	+ 0.005 344 + 0.005 344 + 0.005 576 + 0.005 576 + 0.005 978 + 0.006 043 + 0.006 158	+ 0.005 300 + 0.005 300 + 0.005 513 + 0.005 613 + 0.005 649 + 0.005 649 + 0.007 170 + 0.007 189 + 0.007 389
	++++++++++	+++++++++	++++++++	+++++++++	++++++++++	+++++++++
3.60	+ 0400466 + 0.00476 + 0.00463 + 0.00463 + 0.00434 + 0.00433	+ 0.00413 + 0.00413 + 0.00403 + 0.00393 + 0.00393 + 0.00381 + 0.00381 + 0.00381	+ 0.00354 + 0.00353 + 0.00343 + 0.00337 + 0.00337 + 0.00337 + 0.00337 + 0.00337	+ 0 00311 + 0 00306 + 0 00301 + 0 00301 + 0 00373 + 0 00373 + 0 00373	+ 0.002562 + 0.00253 + 0.00244 + 0.00244 + 0.00236 + 0.00335 + 0.00335 + 0.00335 + 0.00335	+ 0.00213 + 0.00303 + 0.00303 + 0.00303 + 0.00193 + 0.00183 + 0.00183 + 0.00183 + 0.00183
E 20	+ 0.0028 + 0.0028 + 0.0028 + 0.0028 + 0.0030 + 0.0030 + 0.0030 + 0.0031	+ + + + + + + + + + + + + + + + + + +	+ 0.0039 + 0.0040 + 0.0040 + 0.0041 + 0.0041 + 0.0043 + 0.0043 + 0.0043	++++++++++++++++++++++++++++++++++++++	+ 0.0051 + 0.0051 + 0.0053 + 0.0053 + 0.0053 + 0.0053 + 0.0053 + 0.0053	
	++++++++++	++++++++	++++++++	++++++++	++++++++	4++++++++
6,2	- 0.09746 - 0.09576 - 0.09491 - 0.09491 - 0.097381 - 0.097381 - 0.097381	- 0.088127 - 0.088127 - 0.08727 - 0.08727 - 0.0843 - 0.08438 - 0.08422	- 0.09054 - 0.07970 - 0.07970 - 0.07720 - 0.07554 - 0.07471	0.07224 0.07142 0.07142 0.07142 0.06978 0.06973 0.06573	- 0.06413 - 0.06334 - 0.06354 - 0.06174 - 0.06017 - 0.05938 - 0.05782	- 0.05627 - 0.05474 - 0.05474 - 0.05474 - 0.05397 - 0.05397 - 0.05094 - 0.05094 - 0.05094
	++++	000000000	0000000000	0000000000	0000000000	0000000000
Ches c	++++++++ 200000000000000000000000000000	+++++++ ++++++++	+ + + + + + + + + + + + + + + + + + +	+++++++++++++++++++++++++++++++++++++++	+++++++++ 	4+++++++++++++++++++++++++++++++++++++
	2522222222 ++++++++++++++++++++++++++++	*********	++++++++++	+++++++++	######################################	**************************************
a3	0.012 9950 0.012 9940 0.012 9930 0.012 9871 0.012 9871 0.012 9777 0.012 9533		- 0.012 7974 0.012 7774 0.012 7341 0.012 6869 0.012 6869 0.013 6869 - 0.012 6869	0.012 5524 0.012 5224 0.012 4599 0.012 4772 0.012 3590 0.012 3590 0.012 3590	- 6,012 2113 - 6,012 1721 - 6,012 1731 - 6,012 0459 - 6,012 0459 - 6,011 6716 - 6,011 8250	- 0.011 7775 - 0.011 7791 - 0.011 7797 - 0.011 5787 - 0.011 5787 - 0.011 4740 - 0.011 4740 - 0.011 4740 - 0.011 4740 - 0.011 4740
	******	++++++++	+++++++++	**********	****	+++++++++
H #	+ 0.031 535 + 0.031 606 + 0.031 785 + 0.031 874 + 0.031 874 + 0.032 631 + 0.037 233	+ 0.022 399 + 0.022 485 + 0.022 550 + 0.022 555 + 0.023 324 + 0.023 991 + 0.023 991 + 0.023 991	+ + + + + + + + + + + + + + + + + + +	+ 0.024 034 + 0.024 188 + 0.024 188 + 0.024 189 + 0.024 189 + 0.024 189 + 0.034 689 + 0.034 689 + 0.034 689	++++++++++++++++++++++++++++++++++++++	+ 0.035 486 + 0.035 534 + 0.035 684 + 0.035 734 + 0.035 734 + 0.035 819 + 0.035 819 + 0.035 813 + 0.035 813 + 0.036 913 + 0.036 913
	++++++++	++++++++	+++++++++	+++++++++	+++++++++	+++++++++
o g	0 0 0 0 0 0 0 0 0 0 0 0 0 0 0 0 0 0 0	- 0.00458 - 0.00457 - 0.00457 - 0.00457 - 0.00457 - 0.00452 - 0.00452 - 0.00452	00000000000000000000000000000000000000	0 00433	######################################	- 0.00400 - 0.00397 - 0.00395 - 0.00394 - 0.00384 - 0.00384 - 0.00384 - 0.00384
2 I h	0 H R M # NO NO O	0 H R M + M O - NO O	0 = a a a a a a a a a a a a a a a a a a	200 H H H H H H H H H H H H H H H H H H	644542656	87224887E88
-						

Die Zahlen der sweiten Subcolumnen sind mit r = to 1850 ru multplieiren, und sind in Einheiten der letzten Decimale angesetzt.

	**************************************	+++++++++	++++++++	++++++++	+++++++++	++++++++++++
200	0.02031 0.02033 0.02033 0.01974 0.01922 0.01922 0.01870 0.01870	0.01796 0.01746 0.01714 0.01688 0.01662 0.01663 0.01611 0.01585	0.01534 0.01508 0.01453 0.01437 0.01437 0.01382 0.01382 0.01356	0.01282 0.01257 0.01233 0.01238 0.01184 0.01186 0.01136 0.01136	0.01041 0.01018 0.00093 0.00097 0.0093 0.0093 0.00882 0.00882 0.00883	0.00817 0.00736 0.00733 0.00733 0.00733 0.00572 0.00572 0.00532 0.00533
			# \$2 \$2 \$ 5 5 5 5 5 5 5 5 5 5 5 5 5 5 5 5			
39.	0.0953 0.0953 0.0953 0.0933 0.0933 0.0933	0.0883 0.0883 0.0883 0.0877 0.0872 0.0866	0.084r 0.0823 0.0822 0.0805 0.0803 0.0782	0.0776 0.0769 0.0755 0.0741 0.0734 0.0739	2,000,000,000,000,000,000,000,000,000,0	00000000000
-	***************************************	222222222	+++++++++	**********	2222222	22222222 +++++++++++
36	0 0 1 2 2 2 2 2 2 2 2 2 2 2 2 2 2 2 2 2	0.0156		000000000000000000000000000000000000000	\$2525555555555555555555555555555555555	
	2552544444	**************************************	35 5 5 5 5 5 5 5 5 5 5 5 5 5 5 5 5 5 5	888884	\$\$\$\$\$ \$\$\$\$\$	36444446688
	+++++++++	++++++++++	++++++++	+++++++++	++++++++++++++++++++++++++++++++++++++	+++++++++++
3	2 2 2 2 2 2 2 2 2 2 2 2 2	1749 1591 1591 1300 1300 1300 1400 1400 1400 1400 140	4 0674 4 0528 4 0375 4 0215 3 9875 3 9875 3 9597 3 9122	3 8904 3 8690 3 8469 3 7767 3 7780 3 7780 3 7780 3 7780 3 7780 3 7780 3 7780	2 2 2 2 2 2 2 2 2 2 2 2 2 2 2 2 2 2 2	3 3408 3 3069 3 3 3069 3 2 3 3 2 3 3 3 3 3 3 3 3 3 3 3 3 3 3 3
	7 7 7 7 7 7 7 7 7 7 7 7 7 7 7 7 7 7 7 7	9 9 9 9 9 9 9 9 9	4000 0.000 0.000 0.000 0.000 0.000 0.000		0.003	0.003
-			1111111111			
	04988446698 0333711666	4 4 2 2 2 2 2 2 2 2 2 2 2 2 2 2 2 2 2 2	3 8 8 8 8 8 8 8 8 8 8 8 8 8 8 8 8 8 8 8	25 5 5 5 5 5 5 5 5 5 5 5 5 5 5 5 5 5 5	9 8 8 8 8 8 8 8 8 8 8 8 8 8 8 8 8 8 8 8	7 1 1 1 1 1 1 1 1 1 1 1 1 1 1 1 1 1 1 1
a33	4 700 0 0 0 0 0 0 0 0 0 0 0 0 0 0 0 0 0	88888888888888888888888888888888888888	90000000000000000000000000000000000000	4.00.0000000000000000000000000000000000	9 E 4 2 0 0 0 0 0 0 0 0 0 0 0 0 0 0 0 0 0 0	
	<b>1.</b>	+++++++++	+++++++++	1+++++++++++++++++++++++++++++++++++++	0 0 0 0 0 0 0 0 0 0 0 0 0 0 0 0 0 0 0	**************************************
	++++++++	+++++++++	+++++++++	+++++++++	+++++++++	+++
<b>8</b> 1	7 E 6 6 6 3 7 4 4 8 1 8 1 8 1 8 4 4	00113 00113 00113 00113 00113 00113		0.00082 0.00080 0.00077 0.00073 0.00073 0.00066 0.00066 0.00064		0.00041 0.00039 0.00034 0.00031 0.00031 0.00030 0.00030 0.00030
		0000000000	000000000		+ 0.00055 + 0.00055 + 0.00055 + 0.00051 + 0.0004 + 0.0004 + 0.0004 + 0.0004	++++++++++++
$\vdash$	######################################	+++++++++	++++++++	<del></del>		
9°°	0.0062 0.0063 0.0063 0.0063 0.0063 0.0063 0.0063 0.0063	0.0067 0.0068 0.0069 0.0070 0.0070 0.0070 0.0070	2000 2000 2000 2000 2000 2000 2000 200	0.0077 0.0078 0.0078 0.0079 0.0079 0.0080 0.0080	12 12 12 12 12 12 12 12 12 12 12 12 12 1	0.0085 0.0085 0.0086 0.0086 0.0087 0.0087 0.0088
	+++++++++	+++++++++	<del>+++++++++</del>	++++++++	+++++++++	++++++++++
	++++++++	**mmmmmmm ++++++++	mmmmmmmm +++++++	+++++++++	+++++++++	+++++++++++
$d_2^{\pi}$	0,04873 0.0454 0.0454 0.0458 0.0458 0.0438 0.0438	0.04156 0.04087 0.03949 0.03881 0.03813 0.03746 0.03679		0.02855 0.02795 0.02673 0.02618 0.02561 0.02503 0.02447	0.02280 0.02270 0.02172 0.02172 0.02016 0.02014 0.01963 0.01963	0.01763 0.01714 0.01666 0.01572 0.01572 0.01572 0.01573 0.01573 0.01573 0.01573 0.01573
-	000000000	000000000	000000000	000000000	000000000	00000000000
26.	0"2164 0.2147 0.2129 0.2129 0.2095 0.2060 0.2060 0.20643	0.1991 0.1933 0.1933 0.1933 0.1885 0.1885 0.1885 0.1849	0.1814 0.1778 0.1778 0.1778 0.1724 0.1726 0.1668	0.1633 0.1515 0.1579 0.1579 0.1576 0.1576 0.1577 0.1578	0.1455 0.1357 0.1339 0.1339 0.1339 0.1339	0.1264 0.1245 0.1226 0.1207 0.1189 0.1132 0.1132 0.1133
	+++++++++	++++++++++++++++++++++++++++++++++++++	00000000000 ++++++++	6 6 6 6 6 6 6 6 6 6 6 6 6 6 6 6 6 6 6	++++++++	+++++++++++
	4+++++++ 228888488	4++++++++	888888888888888888888888888888888888888	+++++++++ 258787874 2747874 27878	**************************************	27.83.68.52.54.4 +++++++++++
	354 934 934 934 934 934 934 934	273 273 273 273 273	85 8 8 8 8 8 8 8 8 8 8 8 8 8 8 8 8 8 8	889 271 271 271 273 526 526 526 793 107	553 200 200 4383 4383 4383 4383 4383 4383 4383 43	536 564 724 776 776 776 776 776 779 779 779
a	2 110 0.00 1 110 0.01 0.01 0.01 0.01 0.00 0.01 0.01	6 6 6 6 6 6 6 6 6 6 6 6 6 6 6 6 6 6 6	99999	9 9 9 9 9 9 9 9 9 9 9 9 9 9 9 9 9 9 9 9	000 000 000 000 000 000 000 000 000 00	0.007 4 0.007 3 0.007 1 0.007 1 0.006 9 0.006 9 0.006 7 0.006 6 0.006 6 0.006 6 0.006 6
	800000000000	11111111				
	44444444	+++++++++ ~~~~~~~~~~~~~~~~~~~~~~~~~~~~	**********	********	**********	4++++++++
a,	0 0 0 0 0 0 0 0 0 0 0 0 0 0 0 0 0 0 0	74 88 8 8 8 8 8 8 8 8 8 8 8 8 8 8 8 8 8	23 2 2 3 3 3 4 4 5 4 4 5 4 4 5 4 4 5 4 4 5 4 5	88 847 8847 9940 930 930 930 930 930 930	248 3331 372 4452 453 606 606	85.5 85.5 85.5 85.5 85.5 85.5 85.5 85.5
"	0.026	0.026 0.026 0.026 0.027 0.027 0.027 0.027	0.027 0.027 0.027 0.027 0.027 0.027 0.027 0.027	0.027 0.027 0.027 0.027 0.028 0.028	000000000000000000000000000000000000000	0.028 0.028 0.028 0.028 0.028 0.028 0.028 0.028 0.028 0.028
<u> </u>	+++++++++	++++++++	+++++++++	+++++++++	++++++++	+++++++++
	+++++++++	+++++++++	<u>++++++++++</u>	++++		
a ₂	0.00373 0.00373 0.00365 0.00365 0.00359 0.00349 0.00349	2 0 0 0 0 0 0 0 0 0 0 0 0 0 0 0 0 0 0 0	.00308 .00305 .00301 .00294 .00296 .00286 .00282 .00282	00270 00262 00255 00255 00237 00237	.00228 .00220 .00215 .00215 .00201 .00202 .00197	0.00183 0.00174 0.00174 0.00169 0.00165 0.00155 0.00150 0.00145
	1	1				
22h	0 = 4 w + 20 0 - 20 0	011211111111111111111111111111111111111	2 2 2 2 2 2 2 2 2 2 2 2 2 2 2 2 2 2 2 2	33 33 4 4 33 3 3 3 3 3 3 3 3 3 3 3 3 3	0 1 2 4 3 4 4 4 6 6 6 6 6 6 6 6 6 6 6 6 6 6 6	649 884 655 4 33 12 15 0

	++++++++	+++	000000000	000000000	000000000	
$d_3^2$	0"00613 0.00554 0.00555 0.00550 0.00520 0.00520 0.00484	0.00433 0.00417 0.00417 0.00385 0.00386 0.00334 0.00334 0.00339	0.00281 0.00258 0.00253 0.00242 0.00227 0.00217 0.00193	0.00160 0.00130 0.00131 0.00131 0.00103 0.00003	0.00072 0.00053 0.00053 0.00054 0.00054 0.0003 0.0003 0.00026	0.00018 0.00015 0.00012 0.00009 0.00009 0.00001 0.00001 0.00000
		1111111111	1111111111	111111111	1111111111	11111111
di 3	0.0547 0.0539 0.0539 0.0522 0.0513 0.0505 0.0496	0.00462 0.00444 0.00427 0.00418 0.00391 0.00391	0.0373 0.0354 0.0334 0.0337 0.0310 0.0310 0.0310	0.0282 0.0273 0.0254 0.0255 0.0236 0.0237 0.0227	0.0189 0.0180 0.0170 0.0152 0.0153 0.0123	0.00055 0.00056 0.00056 0.00057 0.00038 0.00038 0.0009
	++++++++	++++++++	++++++++	+++++++++	++++++++	++++++++
8°E	44444444444444444444444444444444444444		999999999999999999999999999999999999999	111111111	0.067 0.007 0.007 0.007 0.007 0.007 0.007 0.007	0.167 0.167 0.167 0.167 0.167 0.167 0.167 0.167
	888 779 888 44 888 779 888 44	8880 0 0 1 1 5 3 3 3 3 3 3 3 3 3 3 3 3 3 3 3 3 3	223222222	12 5 1 1 1 1 1 1 1 1 1 1 1 1 1 1 1 1 1 1	15551150000	F00044W4H0
3	997979 9888839 97777 97679 97679 97679 97679 97679 97679 97679	\$633 4475 3339 530 530 530 530 530 530 530 530 530 530	1055 00533 00533 00533 0053 0053 0053 00	55004 4557 4557 4557 4557 4557 4560 430 430 430 430 430 430 430 430 430 43	0899 03659 03659 03659 7674 7737 7737 7737 7737 7737 7737 7737	5496 44949 44949 44949 33353 2734 11053 11105 11105 11105 11105 11105 11105 11105 11105 11105 11105 11105 11105 11105 11105 11105 11105 11105 11105 11105 11105 11105 11105 11105 11105 11105 11105 11105 11105 11105 11105 11105 11105 11105 11105 11105 11105 11105 11105 11105 11105 11105 11105 11105 11105 11105 11105 11105 11105 11105 11105 11105 11105 11105 11105 11105 11105 11105 11105 11105 11105 11105 11105 11105 11105 11105 11105 11105 11105 11105 11105 11105 11105 11105 11105 11105 11105 11105 11105 11105 11105 11105 11105 11105 11105 11105 11105 11105 11105 11105 11105 11105 11105 11105 11105 11105 11105 11105 11105 11105 11105 11105 11105 11105 11105 11105 11105 11105 11105 11105 11105 11105 11105 11105 11105 11105 11105 11105 11105 11105 11105 11105 11105 11105 11105 11105 11105 11105 11105 11105 11105 11105 11105 11105 11105 11105 11105 11105 11105 11105 11105 11105 11105 11105 11105 11105 11105 11105 11105 11105 11105 11105 11105 11105 11105 11105 11105 11105 11105 11105 11105 11105 11105 11105 11105 11105 11105 11105 11105 11105 11105 11105 11105 11105 11105 11105 11105 11105 11105 11105 11105 11105 11105 11105 11105 11105 11105 11105 11105 11105 11105 11105 11105 11105 11105 11105 11105 11105 11105 11105 11105 11105 11105 11105 11105 11105 11105 11105 11105 11105 11105 11105 11105 11105 11105 11105 11105 11105 11105 11105 11105 11105 11105 11105 11105 11105 11105 11105 11105 1105 1105 1105 1105 1105 1105 1105 1105 1105 1105 1105 1105 1105 1105 1105 1105 1105 1105 1105 1105 1105 1105 1105 1105 1105 1105 1105 1105 1105 1105 1105 1105 1105 1105 1105 1105 1105 1105 1105 1105 1105 1105 1105 1105 1105 1105 1105 1105 1105 1105 1105 1105 1105 1105 1105 1105 1105 1105 1105 1105 1105 1105 1105 1105 1105 1105 1105 1105 1105 1105 1105 1105 1105 1105 1105 1105 1105 1105 1105 1105 1105 1105 1105 1105 1105 1105 1105 1105 1105 1105 1105 1105 1105 1105 1105 1105 1105 1105 1105 1105 1105 1105 1105 1105 1105 1105 1105 1105 1105 1105 1105 1105 1105 1105 1105 1105 1105 1105 1105 1105 1105 1105 1105 1105 1105 1105 1105 110
,	0 0 0 0 0 0 0 0 0 0 0 0 0 0 0 0 0 0 0	0.0022222220000000000000000000000000000	0.0000000000000000000000000000000000000	000000000000000000000000000000000000000	100000000000000000000000000000000000000	000000000000000000000000000000000000000
					++++++++	+++++++++
	0577888826 050888826 050843 05084 05084 05084 05084 05084 05084 05084 05084 05084 05084 05084 05084 05084 05084 05084 05084 05084 05084 05084 05084 05084 05084 05084 05084 05084 05084 05084 05084 05084 05084 05084 05084 05084 05084 05084 05084 05084 05084 05084 05084 05084 05084 05084 05084 05084 05084 05084 05084 05084 05084 05084 05084 05084 05084 05084 05084 05084 05084 05084 05084 05084 05084 05084 05084 05084 05084 05084 05084 05084 05084 05084 05084 05084 05084 05084 05084 05084 05084 05084 05084 05084 05084 05084 05084 05084 05084 05084 05084 05084 05084 05084 05084 05084 05084 05084 05084 05084 05084 05084 05084 05084 05084 05084 05084 05084 05084 05084 05084 05084 05084 05084 05084 05084 05084 05084 05084 05084 05084 05084 05084 05084 05084 05084 05084 05084 05084 05084 05084 05084 05084 05084 05084 05084 05084 05084 05084 05084 05084 05084 05084 05084 05084 05084 05084 05084 05084 05084 05084 05084 05084 05084 05084 05084 05084 05084 05084 05084 05084 05084 05084 05084 05084 05084 05084 05084 05084 05084 05084 05084 05084 05084 05084 05084 05084 05084 05084 05084 05084 05084 05084 05084 05084 05084 05084 05084 05084 05084 05084 05084 05084 05084 05084 05084 05084 05084 05084 05084 05084 05084 05084 05084 05084 05084 05084 05084 05084 05084 05084 05084 05084 05084 05084 05084 05084 05084 05084 05084 05084 05084 05084 05084 05084 05084 05084 05084 05084 05084 05084 05084 05084 05084 05084 05084 05084 05084 05084 05084 05084 05084 05084 05084 05084 05084 05084 05084 05084 05084 05084 05084 05084 05084 05084 05084 05084 05084 05084 05084 05084 05084 05084 05084 05084 05084 05084 05084 05084 05084 05084 05084 05084 05084 05084 05084 05084 05084 05084 05084 05084 05084 05084 05084 05084 05084 05084 05084 05084 05084 05084 05084 05084 05084 05084 05084 05084 05084 05084 05084 05084 05084 05084 05084 05084 05084 05084 05084 05084 05084 05084 05084 05084 05084 05084 05084 05084 05084 05084 05084 05084 05084 05084 05084 05084 05084 05084 05084 05084 05084 05084 05084 05084 05084 05084 05084 05084 05084 05084 05	0 0 0 0 0 0 0 0 0 0 0 0 0 0 0 0 0 0 0	730 8840 952 952 953 953 953	088 1146 1146 1146 1146 1146 1146 1146 11	3333 3333 3333 4422 4534 4534 1	90 1 2 2 2 2 2 2 2 2 2 2 2 2 2 2 2 2 2 2
g ₃	0.0000 0.0000 0.0000 0.0000 0.0000 0.0000	0.000000000000000000000000000000000000	0.0013 0.0013 0.0013 0.0013 0.0013 0.0013 0.0013	0.000 0.000 0.000 0.000 0.000 0.000 0.000 0.000 0.000 0.000 0.000 0.000 0.000 0.000 0.000 0.000 0.000 0.000 0.000 0.000 0.000 0.000 0.000 0.000 0.000 0.000 0.000 0.000 0.000 0.000 0.000 0.000 0.000 0.000 0.000 0.000 0.000 0.000 0.000 0.000 0.000 0.000 0.000 0.000 0.000 0.000 0.000 0.000 0.000 0.000 0.000 0.000 0.000 0.000 0.000 0.000 0.000 0.000 0.000 0.000 0.000 0.000 0.000 0.000 0.000 0.000 0.000 0.000 0.000 0.000 0.000 0.000 0.000 0.000 0.000 0.000 0.000 0.000 0.000 0.000 0.000 0.000 0.000 0.000 0.000 0.000 0.000 0.000 0.000 0.000 0.000 0.000 0.000 0.000 0.000 0.000 0.000 0.000 0.000 0.000 0.000 0.000 0.000 0.000 0.000 0.000 0.000 0.000 0.000 0.000 0.000 0.000 0.000 0.000 0.000 0.000 0.000 0.000 0.000 0.000 0.000 0.000 0.000 0.000 0.000 0.000 0.000 0.000 0.000 0.000 0.000 0.000 0.000 0.000 0.000 0.000 0.000 0.000 0.000 0.000 0.000 0.000 0.000 0.000 0.000 0.000 0.000 0.000 0.000 0.000 0.000 0.000 0.000 0.000 0.000 0.000 0.000 0.000 0.000 0.000 0.000 0.000 0.000 0.000 0.000 0.000 0.000 0.000 0.000 0.000 0.000 0.000 0.000 0.000 0.000 0.000 0.000 0.000 0.000 0.000 0.000 0.000 0.000 0.000 0.000 0.000 0.000 0.000 0.000 0.000 0.000 0.000 0.000 0.000 0.000 0.000 0.000 0.000 0.000 0.000 0.000 0.000 0.000 0.000 0.000 0.000 0.000 0.000 0.000 0.000 0.000 0.000 0.000 0.000 0.000 0.000 0.000 0.000 0.000 0.000 0.000 0.000 0.000 0.000 0.000 0.000 0.000 0.000 0.000 0.000 0.000 0.000 0.000 0.000 0.000 0.000 0.000 0.000 0.000 0.000 0.000 0.000 0.000 0.000 0.000 0.000 0.000 0.000 0.000 0.000 0.000 0.000 0.000 0.000 0.000 0.000 0.000 0.000 0.000 0.000 0.000 0.000 0.000 0.000 0.000 0.000 0.000 0.000 0.000 0.000 0.000 0.000 0.000 0.000 0.000 0.000 0.000 0.000 0.000 0.000 0.000 0.000 0.000 0.000 0.000 0.000 0.000 0.000 0.000 0.000 0.000 0.000 0.000 0.000 0.000 0.000 0.000 0.000 0.000 0.000 0.000 0.000 0.000 0.000 0.000 0.000 0.000 0.000 0.000 0.000 0.000 0.000 0.000 0.000 0.000 0.000 0.000 0.000 0.000 0.000 0.000 0.000 0.000 0.000 0.000 0.000 0.000 0.000 0.000 0.000 000 0.000 0.000 0.000 0.000 0.000 0.000 0.000 0.000 0.000 0.000 0.	0.0000000000000000000000000000000000000	44444444444444444444444444444444444444
	+++++++++	+++++++++	++++++++	++++++++	+++++++++	++++++++++
3. I	0.00019 0.00021 0.00020 0.00020 0.00019 0.00019 0.00019 0.00019	\$1000.0 \$1000.0 \$1000.0 \$1000.0 \$1000.0 \$1000.0 \$1000.0 \$1000.0 \$1000.0 \$1000.0 \$1000.0 \$1000.0 \$1000.0 \$1000.0 \$1000.0 \$1000.0 \$1000.0 \$1000.0 \$1000.0 \$1000.0 \$1000.0 \$1000.0 \$1000.0 \$1000.0 \$1000.0 \$1000.0 \$1000.0 \$1000.0 \$1000.0 \$1000.0 \$1000.0 \$1000.0 \$1000.0 \$1000.0 \$1000.0 \$1000.0 \$1000.0 \$1000.0 \$1000.0 \$1000.0 \$1000.0 \$1000.0 \$1000.0 \$1000.0 \$1000.0 \$1000.0 \$1000.0 \$1000.0 \$1000.0 \$1000.0 \$1000.0 \$1000.0 \$1000.0 \$1000.0 \$1000.0 \$1000.0 \$1000.0 \$1000.0 \$1000.0 \$1000.0 \$1000.0 \$1000.0 \$1000.0 \$1000.0 \$1000.0 \$1000.0 \$1000.0 \$1000.0 \$1000.0 \$1000.0 \$1000.0 \$1000.0 \$1000.0 \$1000.0 \$1000.0 \$1000.0 \$1000.0 \$1000.0 \$1000.0 \$1000.0 \$1000.0 \$1000.0 \$1000.0 \$1000.0 \$1000.0 \$1000.0 \$1000.0 \$1000.0 \$1000.0 \$1000.0 \$1000.0 \$1000.0 \$1000.0 \$1000.0 \$1000.0 \$1000.0 \$1000.0 \$1000.0 \$1000.0 \$1000.0 \$1000.0 \$1000.0 \$1000.0 \$1000.0 \$1000.0 \$1000.0 \$1000.0 \$1000.0 \$1000.0 \$1000.0 \$1000.0 \$1000.0 \$1000.0 \$1000.0 \$1000.0 \$1000.0 \$1000.0 \$1000.0 \$1000.0 \$1000.0 \$1000.0 \$1000.0 \$1000.0 \$1000.0 \$1000.0 \$1000.0 \$1000.0 \$1000.0 \$1000.0 \$1000.0 \$1000.0 \$1000.0 \$1000.0 \$1000.0 \$1000.0 \$1000.0 \$1000.0 \$1000.0 \$1000.0 \$1000.0 \$1000.0 \$1000.0 \$1000.0 \$1000.0 \$1000.0 \$1000.0 \$1000.0 \$1000.0 \$1000.0 \$1000.0 \$1000.0 \$1000.0 \$1000.0 \$1000.0 \$1000.0 \$1000.0 \$1000.0 \$1000.0 \$1000.0 \$1000.0 \$1000.0 \$1000.0 \$1000.0 \$1000.0 \$1000.0 \$1000.0 \$1000.0 \$1000.0 \$1000.0 \$1000.0 \$1000.0 \$1000.0 \$1000.0 \$1000.0 \$1000.0 \$1000.0 \$1000.0 \$1000.0 \$1000.0 \$1000.0 \$1000.0 \$1000.0 \$1000.0 \$1000.0 \$1000.0 \$1000.0 \$1000.0 \$1000.0 \$1000.0 \$1000.0 \$1000.0 \$1000.0 \$1000.0 \$1000.0 \$1000.0 \$1000.0 \$1000.0 \$1000.0 \$1000.0 \$1000.0 \$1000.0 \$1000.0 \$1000.0 \$1000.0 \$1000.0 \$1000.0 \$1000.0 \$1000.0 \$1000.0 \$1000.0 \$1000.0 \$1000.0 \$1000.0 \$1000.0 \$1000.0 \$1000.0 \$1000.0 \$1000.0 \$1000.0 \$1000.0 \$1000.0 \$1000.0 \$1000.0 \$1000.0 \$1000.0 \$1000.0 \$1000.0 \$1000.0 \$1000.0 \$1000.0 \$1000.0 \$1000.0 \$1000.0 \$1000.0 \$1000.0 \$1000.0 \$1000.0 \$1000.0 \$1000.0 \$1000.0 \$1000.0 \$1000.0 \$1000.0 \$1000.0 \$1000.0 \$1000.0 \$1000.0 \$1000.0 \$1000.0 \$1000.0 \$1000.0 \$1000.0 \$1000.0 \$1000.0 \$1000.0 \$1000.			3000000 300000000000000000000000000000	0.00000 0.00010 0.00010 0.00010 0.00011 0.00011 0.00012 0.00012 0.00012
В	\$ 8 8 8 8 8 8 8 8 8 8 8 8 8 8 8 8 8 8	* * * * * * * * * * * * * * * * * * *	\$ 0000000 \$ 0000000 \$ 0000000 \$ 0000000 \$ 0000000 \$ 0000000 \$ 0000000 \$ 0000000 \$ 0000000 \$ 0000000 \$ 000000 \$ 000000 \$ 000000 \$ 000000 \$ 00000 \$ 000000 \$ 00000 \$ 00000 \$ 00000 \$ 00000 \$ 00000 \$ 00000 \$ 0000000 \$ 000000 \$ 000000 \$ 000000 \$ 00000000 \$ 0000000000	0.00000 0.00000 0.00000 0.00000 0.00000 0.00000 0.00000 0.000000	888888888888888888888888888888888888888	1
	88 88 88 88 88 88 88 88 88 88 88 88 88	0.0091 0.0091 0.0092 0.0092 0.0092 0.0093 0.0093	0.00033 0.00033 0.00034 0.00034 0.00034 0.00034 0.00034 0.00034	0.0005 0.0005 0.0005 0.0005 0.0005 0.0005 0.0005 0.0005 0.0005 0.0005 0.0005	90000 90000 90000 90000 90000 90000 90000 90000 90000 90000	0.0097 0.0097 0.0097 0.0097 0.0097 0.0097 0.0097 0.0097
g ₃	+++++++++	+++++++++	++++++++++++++++++++++++++++++++++++++	+++++++++	+++++++++	++++++++++
	++++++++	+++++++		000000000	000000000	0000000000
$d_3^1$	0,01306 0,01204 0,01203 0,01141 0,01101 0,01002 0,01002 0,000086	0.00878 0.00878 0.00843 0.00873 0.00775 0.00710 0.00678	0.00588 0.00559 0.00531 0.00534 0.00477 0.00426 0.00426 0.004378	.00332 .00310 .00289 .00289 .00289 .00289 .00213 .00213	0.00148 0.00134 0.00130 0.000107 0.00003 0.00073 0.00073 0.00053	0.00037 0.00036 0.00034 0.00013 0.00013 0.00003 0.00003 0.000001
	0000000000	0000000000	000000000	0000000000	00000000	00000000000
g.	+ + + 0.1075 + 0.1037 + 0.1018 + 0.0909 + 0.0901 + 0.0942 + 0.0923	+ + 0.0884 + 0.0865 + + 0.0846 + 0.0789 + 0.0750 + 0.0731	+ + + + 0.0692 0.0673 0.0673 0.0635 0.0537 0.0537 0.0537	++++++++++++++++++++++++++++++++++++++	+ + + + + + + + + + + + + + + + + + +	+++++0.0109
	800000000000000000000000000000000000000	774474446 644444466	88 79 8 8 8 8 8 8 8 8 8 8 8 8 8 8 8 8 8	0.88 6.48 8.48 8.88 8.88	82%25%24%21	0 000 P/O N 4 W U H O
0,0	4975 33990 33990 10008 10008 10008 10008 10008 10008 10008 10008 10008 10008 10008 10008 10008 10008 10008 10008 10008 10008 10008 10008 10008 10008 10008 10008 10008 10008 10008 10008 10008 10008 10008 10008 10008 10008 10008 10008 10008 10008 10008 10008 10008 10008 10008 10008 10008 10008 10008 10008 10008 10008 10008 10008 10008 10008 10008 10008 10008 10008 10008 10008 10008 10008 10008 10008 10008 10008 10008 10008 10008 10008 10008 10008 10008 10008 10008 10008 10008 10008 10008 10008 10008 10008 10008 10008 10008 10008 10008 10008 10008 10008 10008 10008 10008 10008 10008 10008 10008 10008 10008 10008 10008 10008 10008 10008 10008 10008 10008 10008 10008 10008 10008 10008 10008 10008 10008 10008 10008 10008 10008 10008 10008 10008 10008 10008 10008 10008 10008 10008 10008 10008 10008 10008 10008 10008 10008 10008 10008 10008 10008 10008 10008 10008 10008 10008 10008 10008 10008 10008 10008 10008 10008 10008 10008 10008 10008 10008 10008 10008 10008 10008 10008 10008 10008 10008 10008 10008 10008 10008 10008 10008 10008 10008 10008 10008 10008 10008 10008 10008 10008 10008 10008 10008 10008 10008 10008 10008 10008 10008 10008 10008 10008 10008 10008 10008 10008 10008 10008 10008 10008 10008 10008 10008 10008 10008 10008 10008 10008 10008 10008 10008 10008 10008 10008 10008 10008 10008 10008 10008 10008 10008 10008 10008 10008 10008 10008 10008 10008 10008 10008 10008 10008 10008 10008 10008 10008 10008 10008 10008 10008 10008 10008 10008 10008 10008 10008 10008 10008 10008 10008 10008 10008 10008 10008 10008 10008 10008 10008 10008 10008 10008 10008 10008 10008 10008 10008 10008 10008 10008 10008 10008 10008 10008 10008 10008 10008 10008 10008 10008 10008 10008 10008 10008 10008 10008 10008 10008 10008 10008 10008 10008 10008 10008 10008 10008 10008 10008 10008 10008 10008 10008 10008 10008 10008 10008 10008 10008 10008 10008 10008 10008 10008 10008 10008 10008 10008 10008 10008 10008 10008 10008 10008 10008 10008 10008 10008 10008 10008 1008 10008 10008 10008 10008 10008 10008 10008 10008 10008 10008 10	28500 28500 28500 2770 2770 2510 2510 2510	45 6 6 6 6 7 7 7 8 8 8 9 9 9 9 9 9 9 9 9 9 9 9 9 9	3634 44334 4536 3136 3682 4796 3682 4796 3682 4796 3682	25 6 6 6 6 6 6 6 6 6 6 6 6 6 6 6 6 6 6 6	1326 01965 01966 1793 1793 1793 173 173 173 173 173 173 173 173 173 17
8	\$ 0.0000 \$ 0.0000 \$ 0.0000 \$ 0.0000 \$ 0.0000 \$ 0.0000 \$ 0.0000 \$ 0.0000 \$ 0.0000 \$ 0.0000 \$ 0.0000 \$ 0.0000 \$ 0.0000 \$ 0.0000 \$ 0.0000 \$ 0.0000 \$ 0.0000 \$ 0.0000 \$ 0.0000 \$ 0.0000 \$ 0.0000 \$ 0.0000 \$ 0.0000 \$ 0.0000 \$ 0.0000 \$ 0.0000 \$ 0.0000 \$ 0.0000 \$ 0.0000 \$ 0.0000 \$ 0.0000 \$ 0.0000 \$ 0.0000 \$ 0.0000 \$ 0.0000 \$ 0.0000 \$ 0.0000 \$ 0.0000 \$ 0.0000 \$ 0.0000 \$ 0.0000 \$ 0.0000 \$ 0.0000 \$ 0.0000 \$ 0.0000 \$ 0.0000 \$ 0.0000 \$ 0.0000 \$ 0.0000 \$ 0.0000 \$ 0.0000 \$ 0.0000 \$ 0.0000 \$ 0.0000 \$ 0.0000 \$ 0.0000 \$ 0.0000 \$ 0.0000 \$ 0.0000 \$ 0.0000 \$ 0.0000 \$ 0.0000 \$ 0.0000 \$ 0.0000 \$ 0.0000 \$ 0.0000 \$ 0.0000 \$ 0.0000 \$ 0.0000 \$ 0.0000 \$ 0.0000 \$ 0.0000 \$ 0.0000 \$ 0.0000 \$ 0.0000 \$ 0.0000 \$ 0.0000 \$ 0.0000 \$ 0.0000 \$ 0.0000 \$ 0.0000 \$ 0.0000 \$ 0.0000 \$ 0.0000 \$ 0.0000 \$ 0.0000 \$ 0.0000 \$ 0.0000 \$ 0.0000 \$ 0.0000 \$ 0.0000 \$ 0.0000 \$ 0.0000 \$ 0.0000 \$ 0.0000 \$ 0.0000 \$ 0.0000 \$ 0.0000 \$ 0.0000 \$ 0.0000 \$ 0.0000 \$ 0.0000 \$ 0.0000 \$ 0.0000 \$ 0.0000 \$ 0.0000 \$ 0.0000 \$ 0.0000 \$ 0.0000 \$ 0.0000 \$ 0.0000 \$ 0.0000 \$ 0.0000 \$ 0.0000 \$ 0.0000 \$ 0.0000 \$ 0.0000 \$ 0.0000 \$ 0.0000 \$ 0.0000 \$ 0.0000 \$ 0.0000 \$ 0.0000 \$ 0.0000 \$ 0.0000 \$ 0.0000 \$ 0.0000 \$ 0.00000 \$ 0.0000 \$ 0.00000 \$ 0.0000 \$ 0.0000 \$ 0.0000 \$ 0.0000 \$ 0.0000 \$ 0.0000 \$ 0.00000 \$ 0.0000 \$ 0.0000 \$ 0.0000 \$ 0.0000 \$ 0.0000 \$ 0.0000 \$ 0.00000 \$ 0.0000 \$ 0.0000	000000000000000000000000000000000000000	900000000000000000000000000000000000000	000000000000000000000000000000000000000	0.0000000000000000000000000000000000000	100000000000000000000000000000000000000
			1111111111	111111111		111111111
	22 18 18 18 18 18 18 18 18 18 18 18 18 18	2 2 2 2 2 2 2 2 2 2 2 2 2 2 2 2 2 2 2	524 6 6 6 6 6 6 6 6 6 6 6 6 6 6 6 6 6 6 6	7.88 8.78 7.78 8.88 7.79 8.88 8.88 7.88 8.88 8	28 8 8 8 8 8 8 8 8 8 8 8 8 8 8 8 8 8 8	28888888888888888888888888888888888888
a,	9 6028 9 00029 9 00029 9 00029 9 00029 1 1 1 1 1 1 1 1 1 1 1 1 1 1 1 1 1 1 1	2 0.029 3 3 2 2 2 2 2 2 2 2 2 2 2 2 2 2 2 2 2	000000000000000000000000000000000000000	0.000 0.000 0.000 0.000 0.000 0.000 0.000 0.000 0.000	000000000000000000000000000000000000000	0.0000000000000000000000000000000000000
	++++++++	++++++++	+++++++++	++++++++	++++++++	+++++++++
°e"	\$0136 0 0 0 0 0 0 0 0 0 0 0 0 0 0 0 0 0 0 0		.00033 .00028 .00028 .00017 .00017 .00005 .00005 .00005 .00005 .00005 .00005 .00005	.00021 .00037 .00033 .00043 .00043 .00054 .00054 .00056 .00054 .00056 .00056 .00056	.00076 0 0 0 0 0 0 0 0 0 0 0 0 0 0 0 0 0	00133 00150 00150 00150 00172 00173 00173 00173 00173 00173 00173
a		888888888	8888888888	8 8 8 8 8 8 8 8 8 8 8 8 8 8 8 8 8 8 8	888888888888888888888888888888888888888	888888888888888888888888888888888888888
23h	9 = a w + n n r m o		0 4 8 8 4 8 8 8 8	9 8 8 4 8 8 8 8 8 8 8 8 8 8 8 8 8 8 8 8	\$# <b>\$</b> # <b>\$</b> # <b>\$</b>	0 1 2 2 2 3 2 3 5 5 5 5 5 5 5 5 5 5 5 5 5 5
<u> </u>	<u> </u>					

Die Zahlen der zweiten Subcolumnen sind mit  $\tau = \frac{t_o - 185^o}{100}$  zu multipliciren, und sind in Einheiten der letzten Decimale angesetzt.

## Tafel XIIIa.

vgl. pag.

ψ"	100	200	30°	40°	50°	60°	70°	80º	90°	100 ⁰	1100	1200	130°	140°	1500	160°	170°
z									i m								
0.0 0.1 0.2 0.3 0.4 0.5 0.6	- 8.512 - 12.645 - 20.484	- 3.417 - 4.238 - 5.400 - 7.084 - 9.570 - 13.213	— 3.064 — 3.656 — 4.405 — 5.329 — 6.406 — 7.507	2.958 3.327 3.677 3.940 4.029	- 2.084 - 2.218 - 2.306 - 2.318 - 2.227 - 2.024	- 1.520 - 1.495 - 1.414 - 1.273 - 1.079 - 0.849	- 0.945 - 0.825 - 0.672 - 0.496 - 0.312 - 0.134	- 0.383 - 0.229 - 0.072 + 0.077 + 0.209 + 0.318	+ 0.148 + 0.286 + 0.404 + 0.499 + 0.569 + 0.616	+ 0.721 + 0.779 + 0.811 + 0.823 + 0.818	+ 1.070 + 1.083 + 1.072 + 1.044 + 1.004 + 0.959	+ 1.449 + 1.379 + 1.299 + 1.217 + 1.136 + 1.059	+ 1.769 + 1.615 + 1.474 + 1.346 + 1.232 + 1.131	+ 2.029 + 1.800 + 1.605 + 1.441 + 1.301 + 1.182	+ 2.229 + 1.937 + 1.701 + 1.509 + 1.350 + 1.218	+ 2.373 + 2.032 + 1.766 + 1.554 + 1.383 + 1.242	+ 2.49 + 2.06 + 1.80 + 1.56 + 1.40
0.7	- 75.407		- 8.494 - 7.717	- 3.437 - 2.814	1.364 0.995	— 0.374 — 0.169	+ 0.156 + 0.260	+ 0.464 + 0.505	+ 0.655 + 0.655	+ 0.779 + 0.752	+ 0.864 + 0.817	+ 0.922 + 0.862	+ 0.963 + 0.894	+ 0.992 + 0.916	+ 1.012 + 0.931	+ 1.026 + 0.941	+ 0.94
1.1 1.2 1.3 1.4 1.5 1.6 1.7	- 99.555 - 38.581 - 15.737 - 7.122 - 3.482 - 1.768 - 0.887 - 0.404	15.960 9.662 5.505 3.073 1.690 0.895 0.427 0.145	4.495 3.000 1.881 1.110 0.600 0.267 0.052 +- 0.088	- 1.483 - 0.953 - 0.549 - 0.256 - 0.051 + 0.090 + 0.185 + 0.248	- 0.371 - 0.147 + 0.021 + 0.143 + 0.228 + 0.286 + 0.324 + 0.348	+ 0.132 + 0.230 + 0.300 + 0.348 + 0.379 + 0.407 + 0.410	+ 0.392 + 0.429 + 0.451 + 0.462 + 0.466 + 0.463 + 0.458	+ 0.541 + 0.544 + 0.540 + 0.531 + 0.519 + 0.505 + 0.490 + 0.475	+ 0.632 + 0.615 + 0.595 + 0.574 + 0.553 + 0.532 + 0.512 + 0.492	+ 0.691 + 0.661 + 0.631 + 0.603 + 0.576 + 0.550 + 0.526 + 0.504	+ 0.731 + 0.692 + 0.656 + 0.591 + 0.563 + 0.536 + 0.512	+ 0.758 + 0.713 + 0.673 + 0.636 + 0.602 + 0.572 + 0.544 + 0.518	+ 0.777 + 0.728 + 0.685 + 0.645 + 0.610 + 0.578 + 0.549 + 0.522	+ 0.791 + 0.739 + 0.652 + 0.616 + 0.583 + 0.553 + 0.525	+ 0.800 + 0.747 + 0.699 + 0.657 + 0.586 + 0.555 + 0.528	+ 0.806 + 0.751 + 0.703 + 0.660 + 0.622 + 0.588 + 0.557 + 0.529	+ 0.81 + 0.75 + 0.76 + 0.66 + 0.58 + 0.58 + 0.55
2.6 2.7 2.8	+ 0.042 + 0.145 + 0.209 + 0.249 + 0.273 + 0.287 + 0.295 + 0.298 + 0.298	+ 0.138 + 0.207 + 0.250 + 0.277 + 0.293 + 0.302 + 0.306 + 0.306	+ 0.237 + 0.274 + 0.297 + 0.311 + 0.317 + 0.320 + 0.316 + 0.316	+ 0.329 + 0.337 + 0.340 + 0.337 + 0.332 + 0.327 + 0.320	+ 0.368 + 0.369 + 0.368 + 0.363 + 0.351 + 0.343 + 0.335	+ 0.404 + 0.397 + 0.389 + 0.380 + 0.371 + 0.361 + 0.352 + 0.342 + 0.333	+ 0.428 + 0.416 + 0.404 + 0.392 + 0.381 + 0.359 + 0.358 + 0.337	+ 0.444 + 0.429 + 0.415 + 0.401 + 0.388 + 0.375 + 0.363 + 0.352 + 0.341	+ 0.455 + 0.438 + 0.422 + 0.407 + 0.393 + 0.379 + 0.367 + 0.355 + 0.343	+ 0.463 + 0.445 + 0.428 + 0.412 + 0.397 + 0.369 + 0.357 + 0.345	+ 0.469 + 0.450 + 0.432 + 0.415 + 0.400 + 0.385 + 0.372 + 0.359 + 0.347	+ 0.473 + 0.453 + 0.435 + 0.417 + 0.402 + 0.387 + 0.373 + 0.360 + 0.348	+ 0.476 + 0.456 + 0.437 + 0.419 + 0.403 + 0.388 + 0.374 + 0.361 + 0.349	+ 0.478 + 0.457 + 0.438 + 0.421 + 0.404 + 0.389 + 0.375 + 0.362 + 0.350	+ 0.480 + 0.459 + 0.439 + 0.422 + 0.405 + 0.390 + 0.376 + 0.362	+ 0.481 + 0.459 + 0.440 + 0.422 + 0.406 + 0.390 + 0.376 + 0.363	+ 0.44 + 0.44 + 0.44 + 0.45 + 0.35 + 0.35 + 0.35
3.0 3.1 3.2 3.3 3.4 3.5 3.6 3.7 3.8	+ 0.293 + 0.289 + 0.284 + 0.273 + 0.268 + 0.262 + 0.257 + 0.257	+ 0.297 + 0.292 + 0.286 + 0.281 + 0.275 + 0.269 + 0.263 + 0.258	+ 0.307 + 0.296 + 0.289 + 0.283 + 0.271 + 0.271 + 0.265 + 0.259 + 0.253	+ 0.314 + 0.307 + 0.300 + 0.293 + 0.279 + 0.273 + 0.266 + 0.254	+ 0.319 + 0.311 + 0.304 + 0.296 + 0.282 + 0.275 + 0.268 + 0.262 + 0.262	+ 0.324 + 0.315 + 0.307 + 0.299 + 0.284 + 0.276 + 0.263 + 0.263	+ 0.328 + 0.310 + 0.310 + 0.201 + 0.285 + 0.278 + 0.271 + 0.264 + 0.257	+ 0.331 + 0.321 + 0.312 + 0.303 + 0.286 + 0.279 + 0.272 + 0.265 + 0.258	+ 0.333 + 0.323 + 0.314 + 0.304 + 0.287 + 0.280 + 0.272 + 0.265 + 0.259	+ 0.335 + 0.324 + 0.314 + 0.305 + 0.280 + 0.280 + 0.273 + 0.266 + 0.259	+ 0.336 + 0.325 + 0.315 + 0.306 + 0.289 + 0.281 + 0.274 + 0.266	+ 0.337 + 0.326 + 0.316 + 0.307 + 0.289 + 0.281 + 0.274 + 0.267 + 0.260	+ 0.338 + 0.327 + 0.317 + 0.307 + 0.298 + 0.282 + 0.274 + 0.267 + 0.260	+ 0.338 + 0.327 + 0.317 + 0.308 + 0.299 + 0.282 + 0.275 + 0.267	+ 0.338 + 0.317 + 0.308 + 0.290 + 0.290 + 0.275 + 0.267 + 0.261	+ 0.339 + 0.318 + 0.308 + 0.290 + 0.292 + 0.275 + 0.268 + 0.261	+ 0.3 + 0.3 + 0.3 + 0.2 + 0.2 + 0.2 + 0.2 + 0.2

## Tafel XIIIb.

Grenzen für m. vgl. pag. 365.

$\psi_{\prime\prime}$ keine l	Lösung	eine Lösung	, zwei Lösungen					
0° 0.0000 10 -0.0052 20 0 -0.0383 30 -0.1171 40 -0.4303 60 -0.6581 70 -0.9746 80 -1.9196 90 - ∞ 110 - ∞ 120 - ∞ 130 - ∞ 140 - ∞ 150 - ∞ 150 - ∞ 160 - ∞ 170 - ∞	+ 3.3791 + 3.3504 + 3.2650 + 3.1259 + 2.9376 + 2.7064 + 2.4400 + 2.1475 + 1.8386 + 1.5242 + 1.2153 + 0.9230 + 0.6667 + 0.5186 + 0.4351 + 0.33849 + 0.33849 + 0.33849 + 0.33833	- 0.3333 - \infty - 0.3385 - \infty - 0.3547 - \infty - 0.3547 - \infty - 0.3547 - \infty - 0.3547 - \infty - 0.3547 - \infty - 0.5186 - \infty - 0.5746 - \infty - 0.5746 - \infty - 0.5746 - \infty - 0.5746 + \infty - 0.5186 + \infty - 0.3547 + \infty - 0.3385 + \infty + 0.3385 + \infty + 0.3385 + \infty + 0.3385 + \infty + 0.3385 + \infty - 0.3385 + \infty - 0.3385 + \infty - 0.3385 + \infty - 0.3385 + \infty - 0.3385 + \infty - 0.3385 + \infty - 0.3385 + \infty - 0.3385 + \infty - 0.3385 + \infty - 0.3385 + \infty - 0.3385 + \infty - 0.3385 + \infty - 0.3385 + \infty - 0.3385 + \infty - 0.3385 + \infty - 0.3385 + \infty - 0.3385 + \infty - 0.3385 + \infty - 0.3385 + \infty - 0.3385 + \infty - 0.3385 + \infty - 0.3385 + \infty - 0.3385 + \infty - 0.3385 + \infty - 0.3385 + \infty - 0.3385 + \infty - 0.3385 + \infty - 0.3385 + \infty - 0.3385 + \infty - 0.3385 + \infty - 0.3385 + \infty - 0.3385 + \infty - 0.3385 + \infty - 0.3385 + \infty - 0.3385 + \infty - 0.3385 + \infty - 0.3385 + \infty - 0.3385 + \infty - 0.3385 + \infty - 0.3385 + \infty - 0.3385 + \infty - 0.3385 + \infty - 0.3385 + \infty - 0.3385 + \infty - 0.3385 + \infty - 0.3385 + \infty - 0.3385 + \infty - 0.3385 + \infty - 0.3385 + \infty - 0.3385 + \infty - 0.3385 + \infty - 0.3385 + \infty - 0.3385 + \infty - 0.3385 + \infty - 0.3385 + \infty - 0.3385 + \infty - 0.3385 + \infty - 0.3385 + \infty - 0.3385 + \infty - 0.3385 + \infty - 0.3385 + \infty - 0.3385 + \infty - 0.3385 + \infty - 0.3385 + \infty - 0.3385 + \infty - 0.3385 + \infty - 0.3385 + \infty - 0.3385 + \infty - 0.3385 + \infty - 0.3385 + \infty - 0.3385 + \infty - 0.3385 + \infty - 0.3385 + \infty - 0.3385 + \infty - 0.3385 + \infty - 0.3385 + \infty - 0.3385 + \infty - 0.3385 + \infty - 0.3385 + \infty - 0.3385 + \infty - 0.3385 + \infty - 0.3385 + \infty - 0.3385 + \infty - 0.3385 + \infty - 0.3385 + \infty - 0.3385 + \infty - 0.3385 + \infty - 0.3385 + \infty - 0.3385 + \infty - 0.3385 + \infty - 0.3385 + \infty - 0.3385 + \infty - 0.3385 + \infty - 0.3385 + \infty - 0.3385 + \	- 0.3333 0.0000 - 0.3385 - 0.0052 - 0.3547 - 0.0383 - 0.3849 - 0.1171 - 0.4351 - 0.2481 - 0.5186 - 0.4303 - 0.6667 - 0.6581	+ 3.3791 + \omega + 3.3504 + \omega + 3.2650 + \omega + 3.1259 + \omega + 2.9064 + \omega + 2.400 + \omega + 2.1475 + \omega + 1.5242 + \omega + 1.2153 + 1.9196 + 0.9230 + 0.9746				

Zwei Lösungen bei negativen m werden unmöglich, sobald  $\psi_n > 63^{\circ}26'1$ . Ist aber m positiv, so sind zwei Lösungen erst möglich, sobald  $\psi_n < 116'33'9$ .

Tafel XIIIc.

vgl. pag. 365 und 370.

-	0 F-0												
間(元) 3	7.3	7.3	7-4	7-5	7.6	7-7	7.8	7-9	8,0	8.T	8.1	8.3	8.4
ψ						log	971.						
180*	0.593	0.480	0.437	0.393	0.347	0.301	0.254	0.206	0.157	0.107	0.055	0.009	0.045
178	0.523	0.480	0.437	0.393	0.348	0.302	0.255	9.206	0.157	0.107	0.055	0.009	9-947
276	0.523	0,480	0.437	0.393	0.348	0.302	0.955	0.207	0.157	0.107	0,055	0.002	9.947 g.948
274	0.523	0.481	0.437	0,393	0,348	0.302	0.255	0.207	0.158	0.108	0.056	0.003	g.p48
272	0.524	0.482	0.43B	0.394	0.349	0.303	0.156	0.208	0.159	0.109	0.057	0.004	9-949
170	0.524	0.482	0.438	0.394	0.350	0.304	0.257	0.200	0.160	0.110	0,058	0,005	9.951
168	0.525	0.482	0.439	0.395	0.350	0.305	0.258	0.210	D,16r	0.111	0.060	0.007	9-951
x66	0.526	0.483	6.440	0.396	0.352	0.306	0.259	0.211	0.163	0.213	0.061	0.000	9.955
x64	0.526	0.484	0.447	0.397	0.353	0.307	0.961	0.213	0.164	0.114	0.063	0.011	9-957
16a	0.527	0.485	0.443	0.399	0.354	0.309	0.262	0.715	0.166	0.116	2,065	0.013	9.960
160	0.519	0.487	0.444	0.400	0.356	0.310	0.264	0.217	o. 168		0,068	0.016	
258	0.530	0,488	0.445	0.402	0,358	0.319	0.266	0.219		0.719			9.963
256	0.531	0.489	0.447	0.404	0.359	0.314	0.268	0.319	0,171	0,121	0.071	0.029	9.966
154	0-533	0.491	0.449	0.405	0.361	0.317	0.971	0.224	0.175	0.177	0.074	0.026	9.909
252	0.534	0.493	0.451	0.407	0,364	0.319	0,273	0.227	0.170	0.130	0.081	0.030	9-977
150	0.536	0.725	0.150	n	0.756	0.740	0.006	0.555					
148	0.536 0.538	0.495	0.453	0.410	0.366	0.322	0.276	0,130	0.182	0.134	0.084	0.034	9.982
146		0.497	0-455		0,369	0,324	0.979 0.282	0,333	0.186	0,138	0,089	0.038	9.987
144	0.540	0.499 0.501	0.457	0-417	0.371	0.327	0.285	0.236	0.190	0.148	0,093	0.043	9.992
142	0.544	0,503	0.462	0.420	0.374	0.330	0.289	0.240	0.193	0.146	0.097 0,108	0.053	9.997
1									, ,		-,		
140	0.546	0.506	0.465	0.433	0,360	0.337	D.293	0.348	0.202	0.155	0,107	0.059	0.009
136	0.549	o. so8	0.407	0,426	0.383	0.340	0.196	0,952	0.306	0,160	0.113	9.064	0.015
136	0.551	0,521	0.470	0.429	0.387	0.344	0.300	0.256	0.211	0.165	0.118	0.070	0.012
134 139	0.554	0.514	0.473	0.432	0.390	0.348	0.304	0,260	0.716	0.170	0.t24	0.077	0.030
*34	0.556	0.517	0.476	0-435	0.394	0.352	0.309	0.265	0,331	0.176	0.130	0.083	0.036
130	0.559	0.519	0.479	0.439	0.397	0.356	0.313	0.270	0.226	0.181	0.136	0.090	0.043
Bet	0.562	0.528	0.483	0.442	0.401	o 360	0.318	0.275	0.231	0,187	0.148	0.097	0.051
126	0.565	0.526	0.486	0.446	0.405	0.364	0.322	v. 280	0.237	0.193	0.149	0.104	0.059
IS4	0.568	0. \$119	0.489	0.450	0.409	0.368	0.327	o. 285	0.943	0,700	0.156	0.113	0.067
192	0.571	0.532	0.493	0.453	0.414	9.373	9.331	0.391	0,248	0.906	6,163	0.120	0.076
120	0.574	0.535	0.497	0.457	0,418	0.378	0.337	0.196	0.955	0.913	0.170	0.118	0.085
128	0.577	0.539	0.500	0.461	0.412	0.382	0.342	0,302	0,261	0.219	0.178	0.136	0.094
216	0.580	0.548	0.504	0.466	0,417	0.387	0.348	0,307	0.267	0.226	0.185	0.144	0.103
314	0.583	0.546	0.508	0.470	0.431	0.392	0.353	0.313	0.273	0,233	0.193	0.153	0.113
113	0.587	0 549	0.514	0.474	0.435	0.397	0.358	0.319	a.28o	0,240	0.201	0-161	0,192
110	0.590	0.553	0.516	0.478	0.440	0.408	0.364	0.325	0.287	0.246	0.200	0.170	D. T 3 s
108	0.594	0.557	0.520	0.463	0.445	0.408	0.370	0.332	0.293	0.255	0.217	0.170	0,143
106	0.597	0.561	0.524	0.487	0.450	0.413	0.375	0.338	0.300	0.263	0,725	0.169	0.153
104	0.601	0.564	0.528	0.497	0.455	0.418	0.381	0.344	0.307	0.270	0.734	801.0	0.163
102	0.604	0.568	0.532	0.496	0.460	0.423	0.387	0.351	0.314	0.978	0.242	0.207	0.173
001	0.608	0.572	0.536	0.501	0.465	0.420	6.393	0.357	0.321	0,286	0.251	0,217	0.184
98	0.611	0.576	0.541	0.505	0.470	0.434	0.393	0.357	0.321	0.200	0.251	0,217	0.195
96	0.615	0.580	0.545	0 510	0.475	0.440	0.405	0.370	a. 336	0.302	0.368	0.336	0.306
94	0.618	0.584	0.549	0.515	0.480	0.445	0.411	0.377	0.343	0,310	0.277	0.246	0.227
92	0.622	0,588	0.553	0.519	0.485	0.451	0.417	0.383	0.350	0.317	0.286	0.256	0.128
	- 6-6												
88	0.626	0,592	0.558	0.524	0.490	0.456	0.423	0.390	0.357	0.325	0.295	0.266	0.238
	0.629 0.633	0.596 0 600	0.562	0,529	0.495	0.462	0.429	0.396	0.364	0.333	0.304	0.375	0.749
B4	0.637	0.604	0.571	0.533 0.538	0.500 0.505	0.467 0.473	0.435	0.403	0.372	0.341	0,312	0.283	0.260
82	0.640	0.607	0.575	0.542	0.510	0.473	0.447	0.416	0.379 0.386	0.349	0.330	0.305	0.271
		,											
80	0.644	0,611	0.579	0.347	0.515	0,484	0.453	0,423	0,393	0,365	0.338	0.314	0.093
78	0.651	0.615 0.619	0.583	o. 559 o. 556	0.520	0.489 0.495	0.459 0,465	0.435	0.400	0.373 0.380	0.347	0.344	0.304
76												0.333	0.314

# ANHANG.

ZUSAMMENSTELLUNG DER FÜR BAHNBESTIMMUNGEN NÖTHIGEN FORMELN.



## I. Vorbereitung der Beobachtungen für die Bahnbestimmung.

Bei der Auswahl der Beobachtungen für eine erste Bahnbestimmung wird man Andang I. zwar möglichste Gleichheit der Zwischenzeiten erstreben, doch wird man von dieser Bedingung lieber Abstand nehmen als unsichere Beobachtungen in Rechnung ziehen, denn Ungleichheit der Zwischenzeiten vermindert wohl die Convergenz der Hypothesen und die Sicherheit des Resultates, stellt dieselben jedoch nicht in Frage; bietet sich die Gelegenheit, die Beobachtungen in irgend einer Weise zu controliren, so mache man davon Gebrauch, um nicht durch Fehler in denselben die Genauigkeit der Bahnbestimmung zu gefährden. Gerade bei ersten Bahnbestimmungen liegen meist nur Beobachtungen vor, die mehr oder minder hastig reducirt und nicht selten durch mangelhafte Sternpositionen und Rechnungsfehler von Seite der Beobachter entstellt erscheinen, so dass bei ihrer Auswahl und Benützung die möglichste Vorsicht empfohlen werden muss.

Die Vorbereitung der Beobachtungen für die Bahnbestimmung kann in verschiedener Weise vorgenommen werden, je nachdem genähert richtige Bahnelemente vorhanden sind oder nicht, und soll dem entsprechend unter doppeltem Gesichtspunkte betrachtet werden.

#### A. Es sind keine Näherungen vorhanden.

Dieser Fall wird stets bei ersten Bahnbestimmungen eintreten. Die Ortszeit Anders I.A. der Beobachtung wird durch Anbringen der Längendifferenz auf den Normalmeridian, für welchen hier Berlin gewählt werden soll, reducirt und die in Stunden, Minuten, Sekunden und deren Bruchtheilen erhaltene Berliner Zeit mit Hilfe der Tafel XIX des II. Bandes (II, pag. 633) vorliegenden Werkes auf fünf bis sechs Stellen genau in Decimaltheile des Tages verwandelt. Zu den so gefundenen Berliner Zeiten werden die Sonnenlängen, Radienvectoren und Sonnenbreiten dem Berliner Jahrbuche durch Interpolation mit Rücksicht auf zweite Differenzen entlehnt; man belässt bei der Breite die Hunderttheile der Bogensekunde, während man die Sonnenlänge auf Zehntheile der Bogensekunde und den Logarithmus des Radiusvectors auf die sechste Decimale abgekürzt ansetzt, weil bei ersten Bahnbestimmungen wohl eine sechsstellige Rechnung ausreicht.

Anhang I.A. Im Berliner Jahrbuche sind vom Jahrgang 1868 ab die Sonnen-Längen und -Breiten auf das mittlere Aequinoctium des zugehörigen tropischen Jahresanfangs bezogen; fallen etwa, wie dies bei ersten Bahnbestimmungen wohl eintreten kann, die Beobachtungen in verschiedene Jahre, so wird man die entlehnten Sonnencoordinaten durch Anbringen der jährlichen Präcession auf das gewählte mittlere Aequinoctium reduciren; dieselbe

in Länge = { 
$$50''235 + 0''000 226 (t_0 - 1850)$$
}  
in Breite = { $-0''479 + 0''000 006 (t_0 - 1850)$ } sin  $(L - II)$ }  
 $II = 173''0' + 0'548 (t_0 - 1850)$ ,

ist additiv an die Sonnencoordinaten anzubringen, wenn der Übergang auf den folgenden, subtractiv, wenn derselbe auf den vorangehenden Jahresanfang ausgeführt werden soll.

Da die Beobachtungen auf dasselbe mittlere Aequinoctium bezogen werden müssen, so wird man, nachdem die Rectascension aus dem Zeitmass in Bogenmass umgesetzt ist, die beobachteten Coordinaten zunächst auf das mittlere Aequinoctium des betreffenden tropischen Jahresanfanges reduciren und hierzu die Formeln verwenden, welche die vollständige Fixstern-Aberration enthalten, nämlich:

$$\begin{aligned} \alpha &= \text{scheinb.} \ \alpha - \{f + g \sin(G + \alpha) \log \delta + h \sin(H + \alpha) \sec \delta + h_0 \sin(H_0 + \alpha) \sec \delta \} \\ \delta &= \text{scheinb.} \ \delta - \{g \cos(G + \alpha) + h \cos(H + \alpha) \sin \delta + h_0 \cos(H_0 + \alpha) \sin \delta + (i + i_0) \cos \delta \} \\ \log h_0 &= 9.534, \ H_0 &= 350^{\circ}5 - 0^{\circ}016(t_0 - 1850), \ i_0 = -0''\circ24 - 0''\circ000 \ 04(t_0 - 1850); \end{aligned} \right\} \ \text{pag. 251}$$

die Grössen f, g, G, h, H und i sind dem Berliner astronomischen Jahrbuche zu entlehnen. Würde man die in diesem Werke aufgenommenen Aberrationstafeln für die Ermittlung jener Grössen benützen, so hätte man  $h_o$  und  $i_o$  der Null gleich zu setzen.

Begnügt man sich mit einer geringeren Genauigkeit, so können die von  $h_o$  und  $i_o$  abhängigen Glieder ganz übergangen, und zur Reduction auf das mittlere Acquinoctium die für einen benachbarten Fixstern geltenden, anderweitigen Rechnungen zu entlehnenden Werthe benützt werden.

Wenn die Beobachtungen in verschiedenen Jahren liegen, so hat man die auf das mittlere Aequinoctium des zugehörigen tropischen Jahresanfanges reducirten Coordinaten durch Anbringen der jährlichen Präcession auf jenes mittlere Aequinoctium, welches für die Sonnencoordinaten gewählt wurde, zu übertragen; die diesbezüglichen Formeln sind:

diese Correctionen sind an die mittleren Rectascensionen und Declinationen additiv anzubringen, wenn die Übertragung auf den folgenden, subtractiv, wenn dieselbe auf den vorhergehenden Jahresanfang ausgeführt werden soll.

Die auf das mittlere Acquinoctium bezogenen Rectascensionen und Declinationen werden mit Hilfe der für dieselbe Epoche geltenden mittleren Schiefe der Ekliptik ε in Länge und Breite umgesetzt nach den Formeln:

$$n \sin N = \sin \delta$$

$$n \cos N = \sin \alpha \cos \delta$$

$$\sin \lambda \cos \beta = n \cos (N - \varepsilon)$$

$$\cos \lambda \cos \beta = \cos \alpha \cos \delta$$

$$\sin \beta = n \sin (N - \varepsilon),$$
Probe: 
$$\sin (\lambda - \alpha) = 2 \cos \alpha \sec \beta \cdot n \sin \frac{1}{2} \varepsilon \sin (N - \frac{1}{2} \varepsilon)$$

$$\sin \frac{1}{2} (\delta - \beta) = \sec \frac{1}{2} (\delta + \beta) \cdot n \sin \frac{1}{2} \varepsilon \cos (N - \frac{1}{2} \varepsilon).$$

Um die Parallaxe und die Sonnenbreiten aus dem Probleme zu eliminiren, ist der Übergang auf den locus fictus zu machen. Zu diesem Ende leitet man aus der mittleren Ortszeit der Beobachtung die Ortssternzeit  $\theta$  ab nach [vergl. pag. 25 ff]:  $\theta$  = Ortszeit + Acceleration für Berliner Zeit + Sternzeit im Berliner Mittag, 5) zur Ermittlung der Acceleration für Berliner Zeit wird die Tafel I (pag. 454) des vorliegenden Bandes gute Dienste leisten; hierauf bestimmt man  $\varphi'$ , die geocentrische Polhöhe und h, den geocentrischen Abstand des Beobachtungsortes in Einheiten des Aequatorhalbmessers nach den Formeln (vergl. pag. 31 und 32):

$$\varphi' = \varphi - 11'5 \sin 2\varphi \log h = 9.999 27 + 0.000 73 \cos 2\varphi,$$

in welchen Formeln  $\varphi$  die geographische Breite des Beobachtungsortes darstellt; das Berliner Jahrbuch gibt in dem Verzeichnisse der geographischen Lage verschiedener Sternwarten für alle in demselben aufgenommenen Orte die Grössen  $\varphi'$  und  $\log h$ .

Dann wird bestimmt:

$$n' \sin N' = \sin \varphi'$$

$$n' \cos N' = \sin \theta \cos \varphi'$$

$$\sin (l) \cos b = n' \cos (N' - \epsilon)$$

$$\cos (l) \cos b = \cos \theta \cos \varphi'$$

$$\sin b = n' \sin (N' - \epsilon);$$

$$6a) \text{ [vergl. 32) pag. 37]}$$

für l wird man zu setzen haben:

$$l = (l)$$
 — (Präcession + Nutation in Länge), 6b)

um die Reduction auf das gewählte mittlere Aequinoctium mit hinreichender Genauigkeit zu bewirken.

Sind die geocentrischen Breiten des Himmelskörpers nicht allzu klein ( $\beta > 1^{\circ}$ ), so wird man sich mit Vortheil der folgenden Formeln bedienen:

hierbei wird die Correction der Sonnenlänge in Bogensekunden, die Correction von  $\log R_0$  in Einheiten der siebenten Decimale, die Correction der Beobachtungszeit in Einheiten des mittleren Sonnentages erhalten. Bringt man die letsterwähnte.

Anhang I. A. meist verschwindend kleine Correction an die früher ermittelten, für den Berliner Meridian geltenden Zeitangaben an, so ergeben sich jene Werthe von  $t_r$ ,  $t_m$ ,  $t_m$ , welche der ersten Bahnbestimmung zu Grunde zu legen sind; die oben nach 4) ermittelten Längen  $\lambda_r$ ,  $\lambda_m$ ,  $\lambda_m$ , und Breiten  $\beta_r$ ,  $\beta_m$ ,  $\beta_m$  werden unverändert beibehalten, während die aus dem Berliner Jahrbuch entlehnten Sonnenlängen  $L_o$  und die Logarithmen der Radienvectoren um die nach 7) erhaltenen Correctionen zu verbessern sind; die Sonnenbreiten, durch Einführung des locus fictus eliminirt, sind der Null gleich zu setzen.

Sind aber die geocentrischen Breiten klein ( $\beta < 1^{\circ}$ ), so wird die Einführung des locus fictus misslich und es empfiehlt sich, statt desselben die parallaktisch veränderten Sonnenorte einzuführen, man wird also setzen:

Die Correctionen von  $L_0$  und  $B_0$  werden in Bogensekunden, die von  $\log R_0$  in Einheiten der siebenten Decimale erhalten. Von diesen Formeln wird man wohl nur bei Planetenbahnen Gebrauch zu machen haben, da der Fall von so ausserordentlich kleinen Breiten bei Kometen selten genug eintreten wird; in der folgenden Zusammenstellung wird deshalb für die Bestimmung von Kometenbahnen stets B=0 angenommen. Wird die Berücksichtigung der Breite B nothwendig, so sind auch die aus derselben entstehenden Correctionsglieder, welche in den diesbezüglichen Formeln immer in relativ kleinem Format erscheinen, in Rechnung zu ziehen.

#### B. Es sind Näherungen vorhanden.

Anhang I.B. Wenn durch vorausgehende Rechnungen genäherte Elemente bekannt sind, so wird man aus denselben zunächst die für die Beobachtungszeiten geltenden geocentrischen Distanzen  $\varrho_{i}$ ,  $\varrho_{in}$ ,  $\varrho_{in}$ , ableiten; die um die Beträge:

$$\left. \frac{498^{5}65 \, \varrho}{\log \, 498^{5}65 = 2 \cdot 6978} \right\} \, 1)$$

verminderten Beobachtungszeiten werden durch Anbringen der Längendifferenz auf den Normalmeridian, für welchen hier Berlin gewählt werden soll, bezogen, dann mit Hilfe der Tafel XIX des II. Bandes vorliegenden Werkes auf fünf bis sechs Stellen genau in Decimaltheile des Tages umgesetzt und als  $t_i$ ,  $t_m$ ,  $t_m$  den weiteren Rechnungen zu Grunde gelegt. Für die so erhaltenen Zeitmomente werden die Sonnenlängen. Radienvectoren und Sonnenbreiten dem Berliner Jahrbuche durch Interpolation mit Rücksicht auf zweite Differenzen entlehnt; man belässt bei der Breite die Hunderttheile der Bogensekunde, während man die Sonnenlänge auf Zehntheile der Bogensekunde und den Logarithmus des Radiusvectors auf die sechste Decimale abgekürzt ansetzt, weil bei ersten Bahnbestimmungen wohl eine sechsstellige Rechnung ausreicht. Im Berliner Jahrbuche sind vom Jahrgang 1868 ab die Sonnen-Längen und -Breiten auf das mittlere Acquinoctium des zugehörigen tropischen Jahresanfangs bezogen; fallen etwa, wie dies bei ersten Bahnbestimmungen wohl eintreten kann, die Beobachtungen in verschiedene Jahre, so wird

man die entlehnten Sonnencoordinaten durch Anbringung der jährlichen Präcession Anbang I.B. auf das gewählte mittlere Aequinoctium reduciren; dieselbe

in Länge={ 
$$50''235 + 0''000 \ 226 \ (t_0 - 1850)$$
}
in Breite={ $-0''479 + 0''000 \ 006 \ (t_0 - 1850)$ } sin( $L-\Pi$ )}
$$\Pi = 173''0' + 0'548 \ (t_0 - 1850)$$
} [vergl. 58) pag. 230)

ist an die Sonnencoordinaten additiv anzubringen, wenn der Übergang auf den folgenden, subtractiv, wenn dieser auf den vorangehenden Jahresanfang ausgeführt werden soll. Die so erhaltenen Sonnenlängen L und die aus den Ephemeriden entlehnten Logarithmen der Radienvectoren sind unmittelbar der Rechnung zu Grunde zu legen.

Die Beobachtungen selbst werden zunächst von dem Einflusse der Parallaxe zu befreien sein; zu diesem Ende leitet man aus der mittleren Ortszeit der Beobachtung die Ortssternzeit  $\theta$  ab nach (vergl. pag. 25 ff.):

 $\theta = \text{Ortszeit} + \text{Acceleration für Berliner Zeit} + \text{Sternzeit im Berliner Mittag}$ 

zur Ermittlung der Acceleration für Berliner Zeit wird die Tafel I (pag. 454) des vorliegenden Bandes gute Dienste leisten; hierauf berechnet man die Parallaxe mit Benützung der Tafel III (pag. 456 ff.) nach:

und erhält Correctionen, welche die Variationen von  $\alpha$  in Zeitsekunden, von  $\delta$  in Bogensekunden geben und additiv an die Beobachtungen anzubringen sind; die in Zeitmass angesetzten Rectascensionen sind dann in Bogenmass zu verwandeln.

Die so verbesserten geocentrischen Coordinaten, welche durch die nach Formel 1) (pag. 662) ermittelte Aberrationscorrection auf das wahre Aequinoctium bezogen erscheinen, müssen mit Hilfe der Formeln:

$$\alpha = \text{wahres } \alpha - \{f + g \sin(G + \alpha) \text{ tg } \delta\}$$

$$\delta = \text{wahres } \delta - g \cos(G + \alpha),$$

$$\} \text{ (vergl. pag. 251)}$$

auf das mittlere Aequinoctium des tropischen Jahresanfanges reducirt werden; die Grössen f, g und G sind dem Berliner Jahrbuche zu entlehnen. Liegen die Beobachtungen in verschiedenen Jahren, so hat man die auf das mittlere Aequinoctium des zugehörigen tropischen Jahresanfangs reducirten Coordinaten durch Anbringen der jährlichen Präcession auf das mittlere Aequinoctium, welches für die
Sonnencoordinaten gewählt wurde, zu übertragen; die diesbezüglichen Formeln sind:

$$\frac{d\alpha}{dt} = \{46''\circ 59 + \circ''\circ\circ\circ 284(t_0 - 185\circ)\} + \{20''\circ 51 - \circ''\circ\circ\circ \circ 87(t_0 - 185\circ)\} \sin \alpha \text{ tg } \delta$$

$$\frac{d\delta}{dt} = \{20''\circ 51 - \circ''\circ\circ\circ \circ 87(t_0 - 185\circ)\} \cos \alpha.$$

$$\{20''\circ 51 - \circ''\circ\circ\circ \circ 87(t_0 - 185\circ)\} \cos \alpha.$$

Diese Correctionen sind an die mittleren Rectascensionen und Declinationen additiv anzubringen, wenn der Uebergang auf den folgenden, subtractiv, wenn derselbe auf den vorangehenden Jahresanfang ausgeführt werden soll.

Nach der Reduction auf das mittlere Aequinoctium werden die geocentrischen

Anhang I.B. Rectascensionen und Declinationen mit Hilfe der für dieselbe Epoche geltenden mittleren Schiefe der Ekliptik & in Länge und Breite umgesetzt gemäss den Formeln:

$$n \sin N = \sin \delta$$

$$n \cos N = \sin \alpha \cos \delta$$

$$\sin \lambda \cos \beta' = n \cos (N - \epsilon)$$

$$\cos \lambda \cos \beta' = \cos \alpha \cos \delta$$

$$\sin \beta' = n \sin (N - \epsilon),$$

$$Probe: \sin (\lambda - \alpha) = 2 \cos \alpha \sec \beta' \cdot n \sin \frac{1}{2} \epsilon \sin (N - \frac{1}{2} \epsilon)$$

$$\sin \frac{1}{2} (\delta - \beta') = \sec \frac{1}{2} (\delta + \beta') \cdot n \sin \frac{1}{2} \epsilon \cos (N - \frac{1}{2} \epsilon).$$

Die so erhaltenen Längen sind unverändert der Bahnbestimmung zu Grunde zu legen, die Breiten aber bedürfen wegen der Elimination der Sonnenbreite *B* noch einer Correction und zwar:

$$\beta = \beta' - \frac{\cos \beta'}{\varrho} B$$
. 7) [vergl. 2) pag. 41]

Die so corrigirten Breiten sind für die weiteren Rechnungen zu verwenden.

### II. Ermittlung parabolischer Bahnelemente aus drei Beobachtungen.

### A. Grundlagen der Rechnung und Entscheidung über die einzuschlagende Methode.

Anhang II.A. Die Grundlagen der Rechnung sind:

Beobachtung:	mittl. Berl. Zeit:	Länge des Kometen:	Breite des Kometen:	Sonnenlänge :	log (Sonnendistanz):
I	t,	λ,	β,	L,	$\log R$ ,
2	t,,	λ,,	β"	$oldsymbol{L}_{\prime\prime}$	$\log R_{"}$ ) 1)
3	<i>t,,,</i>	λ,,,	β,,,	$L_{\prime\prime\prime}$	$\log R_{m}$ .

Zur Ermittlung der geocentrischen Entfernungen  $\varrho$ , und  $\varrho_m$ , in welchen der Komet zur Zeit der ersten und letzten Beobachtung steht, wird man sich zweier verschiedener Methoden bedienen können, die erste ist die bequemere, die zweite die genauere. Die Anwendung der letzteren erfordert jedoch eine so bedeutende Mehrarbeit, dass dieselbe nur in dem Fall (Ausnahmsfall) Vortheil bringt, wenn sie durch die Umstände selbst geboten erscheint; man wird deshalb vor Beginn der eigentlichen Bahnbestimmung über die dem vorgelegten Fall entsprechende Methode sich entscheiden müssen. Zu diesem Zwecke bestimmt man durch eine drei- oder vierstellige Rechnung:

$$\operatorname{tg} W_{i} = -\frac{\beta_{ii} - \beta_{i}}{\lambda_{ii} - \lambda_{i}} \sec \beta_{ii}, \quad \operatorname{tg} W_{0} = \operatorname{tg} (\lambda_{ii} - L_{ii}) \csc \beta_{ii}, \quad 2) \text{ [vgl. 14), 16) pag. 287]}$$

in welchen Formeln die Winkel W, und  $W_o$  stets kleiner als 180° angenommen werden dürfen; der absolute Werth von  $\cos(W, -W_o)$  ist unmittelbar ein Mass der Genauigkeit der ersten Methode, wenn jene der zweiten Methode der Einheit

gleichgesetzt wird. Im Allgemeinen wird es sich empfehlen, die Wahl der Methode Arhang II.A. unter die folgenden Bedingungen zu stellen, d. h.:

wenn 
$$\cos{(W, -W_o)} > \frac{1}{2}$$
, die erste Methode (pag. 665 ff.) wenn  $\cos{(W, -W_o)} < \frac{1}{2}$ , die zweite Methode (pag. 667 ff.), } 3) [vgl. 18) pag. 287]

anzuwenden. Jede derselben führt zur Kenntnis von  $\varrho$ , und  $\varrho_m$ , aus welchen Grössen nach den Formeln des Abschnittes C (pag. 670) die Elemente bestimmt werden können.

### B. Bestimmung von $\varrho$ , und $\varrho_{m}$ .

α. 1. Methode.

Anh. II. B. a.

$$\cot \mathbf{J} = \frac{\sin(\lambda_{n} - L_{n})}{\operatorname{tg} \beta_{n}}$$

$$Z = \sin \beta_{n} \cot \mathbf{J} - \sin(\lambda_{n} - L_{n}) \cos \beta_{n}$$

$$N = \sin(\lambda_{m} - L_{n}) \cos \beta_{m} - \sin \beta_{m} \cot \mathbf{J}$$

$$M = \frac{t_{m} - t_{n}}{t_{n} - t_{n}} \cdot \frac{Z}{N} *).$$

$$[vgl. 3) \text{ und 4} \text{ pag. 283}$$

$$\cos \psi_{r} = \cos \beta_{r} \cos (\lambda_{r} - L_{r}), \qquad \cos \psi_{m} = \cos \beta_{m} \cos (\lambda_{m} - L_{m}) 
\sin \psi_{r} \cos P_{r} = \cos \beta_{r} \sin (\lambda_{r} - L_{r}), \qquad \sin \psi_{m} \cos P_{m} = \cos \beta_{m} \sin (\lambda_{m} - L_{m}) 
\sin \psi_{r} \sin P_{r} = \sin \beta_{r}, \qquad \sin \psi_{m} \sin P_{m} = \sin \beta_{m}.$$

$$2) \quad [vgl. 3] 
pag. 291]$$

Die Bogen P, und  $P_m$  werden in der weiteren Rechnung nicht gebraucht, sin  $\psi$ , und sin  $\psi_m$  sind stets positiv anzusetzen und müssen den Cosinuswerthen entsprechen.

$$\begin{array}{l} g \, \cos \left( G \, - \, L_{\rm l} \right) = R_{\rm m} \, \cos (L_{\rm m} \, - \, L_{\rm l}) - R_{\rm l} \\ g \, \sin \left( G \, - \, L_{\rm l} \right) = R_{\rm m} \, \sin \left( L_{\rm m} \, - \, L_{\rm l} \right). \end{array} \right\} \, \, {\rm [vgl. \,\, I \,\, I) \,\, \, pag. \,\, 292]}$$

g, die Schne zwischen dem ersten und dritten Sonnenorte, kann stets positiv gewählt werden, welcher Bedingung entsprechend der Quadrant für (G-L) bestimmt werden muss.

$$h \cos \zeta \cos (H - \lambda_m) = M \cos \beta_m - \cos (\lambda_m - \lambda_n) \cos \beta,$$

$$h \cos \zeta \sin (H - \lambda_m) = \sin (\lambda_m - \lambda_n) \cos \beta,$$

$$h \sin \zeta = M \sin \beta_m - \sin \beta,;$$

$$4) \text{ [vgl. 9) pag. 292]}$$

h und cos  $\zeta$  sind stets positiv zu nehmen und danach ist der Quadrant für  $(H - \lambda_m)$  zu bestimmen.

$$\cos \varphi = \cos \zeta \cos (G - H) \\ \sin \varphi \cos Q = \cos \zeta \sin (G - H) \\ \sin \varphi \sin Q = \sin \zeta.$$
 5) [vgl. 7) pag. 292]

Der Bogen Q wird in der weiteren Rechnung nicht gebraucht, sin  $\varphi$  ist stets positiv anzusetzen und muss dem Cosinuswerth entsprechen, welche Bedingung das Mittel zu einer sehr beschränkten Prüfung der Rechnung bildet.

Die bei den Versuchen auftretenden constanten Hilfsgrössen berechnet man nach:

^{*)} Falls genäherte Elemente bekannt wären, berechnet man (M) nach 21) pag. 289 und 22) pag. 290.

Oppolzer, Bahnbestimmungen. I. 2. Auflage.

Anh. II. B. 
$$\alpha$$
.  $\tau = 2k (t_m - t_i)$  ,  $\log 2k = 8.536 611 - 10$ 

$$\Gamma = \frac{g}{h} \sin \varphi$$
 ,  $A = \frac{g \sin \varphi}{\tau}$ 

$$B_i = R_i \sin \psi_i$$
 ,  $B_m = \frac{R_m \sin \psi_m}{M}$ 

$$C_m = R_m \sin \psi_m$$

$$f_i = R_i \cos \psi_i - \frac{g}{h} \cos \varphi$$
 ,  $f_m = \frac{R_m \cos \psi_m}{M} - \frac{g}{h} \cos \varphi$ .  $\left. \begin{array}{c} 6a \end{array} \right.$  [vgl. 16) pag. 294]

Sind die Beobachtungszeiten nicht bereits für Aberration corrigirt, und will man diese in der folgenden Rechnung berücksichtigen, so hat man zu bestimmen:

$$\begin{array}{l}
\alpha = \alpha \frac{M-1}{t_{m}-t_{r}} \\
\log \alpha = 7.3991 - 10.
\end{array}$$
| 6b) [vgl. 28) pag. 297]

Bei den weiteren Versuchen wählt man als Unbekannte:

$$x = \log (r_1 + r_{m})_a,$$

und wird, wenn sonst keine Näherungen bekannt sind, beim ersten derselben  $x = 0.301\ 0.30$  setzen können; mit jeder Annahme über x hat man das folgende Formelsystem durchzurechnen, um schliesslich zur Kenntnis jener Werthe von r, und  $r_m$  zu gelangen, die dem angenommenen Werthe von x entsprechen:

$$\eta = \frac{\tau}{(r_{i} + r_{m})_{a}^{\frac{1}{2}}} , \eta \text{ als Argument für } \mu \text{ nach Tafel VII.}$$

$$\cos \theta = \frac{A}{\mu} V(\overline{r_{i} + r_{m}})_{a}, \theta \text{ stets im ersten Quadranten.}$$

$$\tan \theta = \frac{\Gamma \tan \theta - f_{i}}{B_{i}}, \quad \tan \theta = \frac{\Gamma \tan \theta - f_{m}}{B_{m}}$$

$$\cos \theta, \text{ und } \cos \theta_{m} \text{ stets positiv.}$$

$$r_{i} = B_{i} \sec \theta_{i}, \quad r_{m} = C_{m} \sec \theta_{m}$$

$$y = \log (r_{i} + r_{m})_{e};$$

$$7a) \text{ [vgl. 17) pag. 294]}$$

y muss mit x identisch sein (x = y), wenn über x die richtige Annahme gemacht wurde: im Allgemeinen wird aber eine Differenz auftreten, welche man zur genaueren Bestimmung des Werthes der Unbekannten verwenden kann, indem man rechnet:

$$\sin \gamma = \eta \mu, \quad \gamma < 90^{\circ}, \quad \text{tg } \frac{1}{2}\gamma = \frac{\sin \gamma}{2\cos \frac{1}{2}\gamma^{2}}$$

$$n = 1 + (\sin \theta, + M \sin \theta_{m}) \frac{\text{tg } \frac{1}{2}\gamma}{h \sin \theta} \frac{10^{x}}{10^{y}}, \quad \log \frac{10^{x}}{10^{y}} = x - y$$

$$x' = x - \frac{x - y}{x};$$

$$7b) \text{ [vgl. 21) und 26)}$$

$$\text{pag. 295]}$$

x' ist der für den folgenden Versuch anzuwendende verbesserte Werth. Die Durchrechnung der Formeln 7a) und 7b) ist so lange fortzusetzen, bis y=x gefunden wird; unter strenger Befolgung der hier gegebenen Ausdrücke wird meist der dritte Versuch dieser Bedingung genügen. Sind die Beobachtungen, wie dies bei ersten Bahnbestimmungen der Fall ist, noch mit der Planetenaberration behaftet, so wird man, um deren Einfluss zu berücksichtigen, nach jedem Versuch noch rechnen müssen:

$$d \log \varrho_{r} = \frac{\operatorname{tg} \frac{1}{2} \gamma}{h \sin \vartheta} \cdot \frac{(r_{r} + r_{m})_{s}}{\Gamma \operatorname{tg} \vartheta + \frac{g}{h} \cos \varphi} \cdot \frac{x - y}{n}$$

$$\log \varrho'_{r} = \log (\Gamma \operatorname{tg} \vartheta + \frac{g}{h} \cos \varphi) + d \log \varrho_{r}$$

$$d \log \tau = - \times \varrho'_{r}, \quad d \log A = \times \varrho'_{r};$$

$$7c) \quad \begin{bmatrix} \operatorname{vgl. 23} & \operatorname{pag. 295} \\ \operatorname{vgl. 29} & \operatorname{pag. 297} \end{bmatrix}$$

d log τ und d log A sind die Verbesserungen, welche man an die bezüglichen in 6a) ermittelten Constanten anzubringen hat, um der Aberration Rechnung zu tragen, und auf welche auch in der Formel 7a) Rücksicht genommen werden muss; sie sind meist so klein, dass die aus dem ersten Versuch erhaltenen Werthe derselben auch für die späteren beibehalten werden dürfen. Die Berechnung der Formeln 7c) und der daraus resultirenden Correctionen hat zu unterbleiben, wenn die Aberration bei der Vorbereitung der Beobachtungen für die Rechnung auf Grund anderer Näherungswerthe vollständig berücksichtigt wurde, oder wenn man sich bei einer ersten Bahnbestimmung mit einer geringeren Genauigkeit begnügt.

Ist die Bedingung x = y erfüllt, so berechnet man mit Hilfe der Zahlen des letzten Versuchs die beiden geocentrischen Distanzen:

$$e_{\prime\prime} = \Gamma \operatorname{tg} \vartheta + \frac{g}{h} \cos \varphi$$

$$e_{\prime\prime\prime} = M e_{\prime\prime};$$

$$\left. \left\{ \operatorname{vgl. 27} \right\} \operatorname{pag. 296} \right\}$$

hat die Planetenaberration noch keine Berücksichtigung erfahren, und soll dieselbe nicht völlig übergangen werden, so sind die Beobachtungszeiten beziehungsweise

$$-\alpha' \varrho_{,}, -\alpha' \varrho_{,} \left\{ 1 + (M-1) \frac{t_{,''} - t_{,}}{t_{,'''} - t_{,}} \right\}, -\alpha' \varrho_{,'''}$$

$$\log \alpha' = 7.7613 - 10,$$
8b) [vgl. pag. 296]

zu verbessern und die so erhaltenen Werthe in den weiteren Rechnungen statt t,,  $t_n$ ,  $t_m$  zu verwenden. Aus  $\varrho$ , und  $\varrho_m$  werden nach den Formeln des Abschnittes C (pag. 670) die Elemente bestimmt.

Anh. 11. H. M.

$$\begin{array}{l} \operatorname{tg} J \sin \left( \lambda_{n} - \Pi \right) = \operatorname{tg} \beta_{n} \\ \operatorname{tg} J \cos \left( \lambda_{n} - \Pi \right) = -\frac{\lambda_{m} - \lambda_{r}}{\beta_{m} - \beta_{r}}, \quad J < 90^{\circ} \\ Z = \sin \beta_{r} \cot \beta_{r} - \sin \left( \lambda_{r} - \Pi \right) \cos \beta_{r}, \\ N = \sin^{2} \left( \lambda_{m} - \Pi \right) \cos \beta_{m} - \sin \beta_{m} \cot \beta_{r} \\ \tau''' = 2k \left( t_{n} - t_{r} \right) \\ \tau'' = 2k \left( t_{m} - t_{r} \right), \quad \log 2k = 8.536 \text{ 611} - 10 \\ \tau' = 2k^{2} \left( t_{m} - t_{m} \right), \quad \log 2k = 8.536 \text{ 611} - 10 \\ M = \frac{Z}{N} \cdot \frac{\tau'}{\tau''}, \quad F = \tau' \tau'' \frac{R_{m} \sin^{2} L_{n} - H_{r}}{N}, \quad C = -\frac{F}{(R_{r} + R_{m})^{2}}, \\ \cos \psi_{r} = \cos \beta_{r} \cos^{2} \lambda_{r} - L_{r}, \quad \cos \psi_{m} = \cos \beta_{m} \cos^{2} \lambda_{m} - L_{m} \\ \sin \psi_{r} \cos P_{r} = \cos \beta_{r} \sin \lambda_{r} - L_{r}, \quad \sin \psi_{m} \cos P_{m} = \cos \beta_{m} \sin \left( \lambda_{m} - L_{m} \right) \\ \sin \psi_{r} \sin P_{r} = \sin \beta_{r}, \quad \sin \psi_{m} \sin P_{m} = \sin \beta_{m}; \end{array} \right\}$$

$$\begin{array}{c} \operatorname{Falls} \operatorname{genāherte} \operatorname{Elemente} \operatorname{bekannt} \sin d_{r} \operatorname{berechnst} \operatorname{man} M_{r}, \operatorname{nach} 23, \operatorname{pag}, 290. \end{array}$$

^{*} Falls genäherte Elemente bekannt sind, berechnet man 'M, nach 22, pag. 200.

Anh. II. B.  $\beta$ . die Bogen P, und  $P_m$  werden in der weiteren Rechnung nicht gebraucht; sin  $\psi$ , und sin  $\psi_m$  sind stets positiv anzusetzen und müssen den Cosinuswerthen entsprechen.

$$\begin{array}{l} g \, \cos \left( G \, - \, L_{\rm c} \right) = R_{\rm m} \, \cos \left( L_{\rm m} \, - \, L_{\rm c} \right) - R_{\rm c} \\ g \, \sin \left( G \, - \, L_{\rm c} \right) = R_{\rm m} \, \sin \left( L_{\rm m} \, - \, L_{\rm c} \right). \end{array} \right\} \, {\rm [vgl. \,\, 11) \,\, pag. \,\, 292] }$$

g, die Sehne zwischen dem ersten und dritten Sonnenorte, kann stets positiv gewählt werden, welcher Bedingung entsprechend der Quadrant für (G - L) bestimmt werden muss.

$$h \cos \zeta \cos (H - \lambda_m) = M \cos \beta_m - \cos (\lambda_m - \lambda_m) \cos \beta,$$

$$h \cos \zeta \sin (H - \lambda_m) = \sin (\lambda_m - \lambda_m) \cos \beta,$$

$$h \sin \zeta = M \sin \beta_m - \sin \beta,$$

$$(vgl. 9) \text{ pag. 292}$$

 $h\cos\zeta$  ist stets positiv zu nehmen und danach ist der Quadrant für  $(H-\lambda_m)$  zu bestimmen.

$$\left. \begin{array}{l} \cos \varphi = \cos \zeta \, \cos \left( G - H \right) \\ \sin \varphi \, \cos Q = \cos \zeta \, \sin \left( G - H \right) \\ \sin \varphi \, \sin Q = \sin \zeta \, . \end{array} \right\} \, 5) \, \, \left[ \text{vgl. 7) pag. 292} \right]$$

Der Bogen Q wird in der weiteren Rechnung nicht gebraucht, sin  $\varphi$  ist stets positiv anzusetzen und muss dem Cosinuswerth entsprechen, welche Bedingung das Mittel zu einer sehr beschränkten Prüfung der Rechnung bildet.

$$\nu = \cos\beta_{m} \cos\zeta \cos(H - \lambda_{m}) + \sin\beta_{m} \sin\zeta, \quad \xi = 2g\{\nu \cos\varphi - \cos\beta_{m} \cos(G - \lambda_{m})\}$$

$$\gamma_{1} = \frac{g}{h} \cos\varphi, \quad f_{1} = R_{1} \cos\psi,$$

$$\gamma_{2} = -\frac{\nu}{h} \quad , \quad f_{m} = R_{m} \cos\psi_{m}$$

$$A = g \sin\varphi, \quad B_{1} = R_{1} \sin\psi,$$

$$\Phi = \frac{\xi}{A^{2}} \quad , \quad B_{m} = R_{m} \sin\psi_{m}$$

$$\Psi = \frac{1 - \nu^{2}}{\xi}.$$

In den folgenden Versuchen wählt man als Unbekannte:

$$x = \log (r_1 + r_{11})_a,$$

und setzt beim ersten, wenn sonst keine Näherungen bekannt sind,  $x = \log (R_r + R_m)$ , wodurch die Grösse m in diesem ersten Versuche der Null gleich wird; mit jeder Annahme über x hat man das folgende Formelsystem durchzurechnen, um schliesslich zur Kenntnis jener Werthe von r, und  $r_m$  zu gelangen, die dem angenommenen Werthe von x entsprechen.

werthe von 
$$x$$
 entspreenen.

$$\eta = \frac{\tau''}{(r, + r_m)_a^{\frac{3}{2}}} , \quad \eta \text{ als Argument für } \mu \text{ nach Tafel VII}$$

$$s = \frac{\tau''\mu}{V(r, + r_m)_a} , \quad m = C + \frac{F}{(r, + r_m)_a^{\frac{3}{2}}}$$

$$\chi = m \Phi \langle 1 + m \Psi \rangle, \quad \cos \vartheta = \frac{A}{s} V \overline{1 + \chi}, \quad \vartheta < 90^{\circ}$$

$$\varrho_{,} = \frac{s}{h} \sin \vartheta + \gamma_1 + \gamma_2 m , \quad \varrho_{,m} = m + M \varrho_{,}$$

$$tg \theta_{,} = \frac{\varrho_{,} - f_{,}}{B_{,}} , \quad tg \theta_{,m} = \frac{\varrho_{,m} - f_{,m}}{B_{,m}}$$

$$\cos \theta_{,} \text{ und } \cos \theta_{,m} \text{ stets positiv.}$$

$$r_{,} = B_{,} \sec \theta_{,} , \quad r_{,m} = B_{,m} \sec \theta_{,m}$$

$$y = \log (r_{,} + r_{,m})_{\varrho_{,}}$$

y muss mit x identisch sein (x = y), wenn über x die richtige Annahme gemacht Anh. II. B.  $\beta$ . wurde; im Allgemeinen wird jedoch eine Differenz auftreten, welche man zur genaueren Bestimmung des Werthes der Unbekannten für die weiteren Versuche verwenden kann, indem man rechnet:

$$\sin \gamma = \eta \mu, \quad \gamma < 90^{\circ}, \quad \lg \frac{1}{4} \gamma = \frac{\sin \gamma}{2 \cos \frac{1}{2} \gamma^{2}}$$

$$\sigma = \frac{3F}{(r_{1} + r_{m})s^{2}(r_{1} + r_{m})s^{2}} \cdot \frac{10^{\frac{1}{4}y}}{10^{\frac{1}{4}x}}, \quad \log \frac{10^{\frac{1}{4}y}}{10^{\frac{1}{4}x}} = \frac{1}{4}(y - x)$$

$$Q = \frac{1}{h} \left\{ \frac{\lg \frac{1}{4} \gamma}{\sin \vartheta} - \sigma \left[ \frac{\xi(1 + 2m\Psi)}{2s \sin \vartheta} + \nu \right] \right\}$$

$$P = \left\{ \sin \theta, + M \sin \theta_{w} \right\} Q + \sigma \sin \theta_{w}$$

$$n = 1 + P \frac{10^{x}}{10^{y}}, \quad \log \frac{10^{x}}{10^{y}} = x - y$$

$$x' = x - \frac{x - y}{n}.$$

x' ist der für den folgenden Versuch anzuwendende verbesserte Werth. Die Durchrechnung der Formeln 7a) und 7b) ist so lange fortzusetzen, bis y=x gefunden wird; unter strenger Befolgung der hier gegebenen Ausdrücke wird meist der dritte Versuch dieser Bedingung genügen. Sind die Beobachtungen, wie dies bei ersten Bahnbestimmungen der Fall ist, noch mit der Planetenaberration behaftet, so wird man, um deren Einfluss zu berücksichtigen, nach jedem Versuch noch rechnen müssen:

$$d\varrho_{m} = Q\left(\frac{10^{x}}{\text{Mod.}} \cdot \frac{x-y}{n}\right)$$

$$d\varrho_{m} = Md\varrho_{r} + \sigma\left(\frac{10^{x}}{\text{Mod.}} \cdot \frac{x-y}{n}\right)$$

$$d \log \tau'' = \alpha \frac{(\varrho_{r} - \varrho_{m}) + (d\varrho_{r} - d\varrho_{m})}{t_{m} - t_{r}}$$

$$\log \alpha = 7.3991 - 10;$$

$$| \text{Vgl. 12} | \text{ und 13} | \text{ pag. 307} |$$

 $d \log \tau''$  ist jene Correction, welche man an den früher gefundenen Werth von  $\log \tau''$  anbringen muss, um der Planetenaberration Rechnung zu tragen; dieselbe ist meist so klein, dass ihr aus dem ersten Versuch erhaltener Werth auch für die späteren beibehalten werden darf. Die Berechnung der Formeln 7c) und der daraus resultirenden Correctionen hat zu unterbleiben, wenn die Aberration bei der Vorbereitung der Beobachtungen für die Rechnung auf Grund anderweitiger Näherungswerthe vollständig berücksichtigt wurde, oder wenn man sich bei einer ersten Bahnbestimmung mit einer geringeren Genauigkeit begnügt.

Ist die Bedingung x=y erfüllt, so liefern die Zahlen des letzten Versuches die beiden geocentrischen Distanzen  $\varrho$ , und  $\varrho_m$ , aus welchen nach den Vorschriften des Abschnittes C (pag. 670) die Elemente abgeleitet werden. Hat die Planetenaberration noch keine Berücksichtigung erfahren, und soll dieselbe nicht völlig übergangen werden, so sind die Beobachtungszeiten beziehungsweise um die Beträge:

$$-\alpha' \varrho_{1}, \quad -\alpha' \left\{ \varrho_{1} + (\varrho_{11} - \varrho_{2}) \frac{\tau'''}{\tau''} \right\}, \quad -\alpha' \varrho_{11}$$

$$\log \alpha' = 7.7613 - 10,$$
8) [vgl. 14) pag. 307]

zu verbessern und die so erhaltenen Werthe in den weiteren Rechnungen statt  $t_r$ ,  $t_m$ ,  $t_m$  zu verwenden.

### C. Bestimmung der Elemente aus $\varrho$ , und $\varrho_{m}$ .

Bestimmung der heliocentrischen Längen l und Breiten b. -

Anhang II.C. 
$$r$$
,  $\cos b$ ,  $\cos(l_r - L_r) = \varrho$ ,  $\cos \beta$ ,  $\cos(\lambda_r - L_r) - R$ ,  $r_m \cos b_m \cos(l_m - L_m) = \varrho_m \cos \beta_m \cos(\lambda_m - L_m) - R_m$   $r$ ,  $\cos b$ ,  $\sin(l_r - L_r) = \varrho$ ,  $\cos \beta$ ,  $\sin(\lambda_r - L_r)$  ,  $r_m \cos b_m \sin(l_m - L_m) = \varrho_m \cos \beta_m \sin(\lambda_m - L_m)$   $r$ ,  $\sin b_r = \varrho_r \sin \beta_m$ ;

r, und  $r_m$  müssen mit den im letzten Versuche für diese Grössen gefundenen Werthen identisch sein; in den folgenden Rechnungen bedarf man nur der Werthetg b, und tg  $b_m$ .

Bestimmung der Neigung i und des Knotens  $\Omega$ . — Es ist i zwischen den Grenzen o° und 180° eingeschlossen, tgi erhält das Vorzeichen von  $\sin(l_m - l_i)$ , wonach der Quadrant für  $(l_i - \Omega)$  zu bestimmen ist.

$$\operatorname{tg} i \sin (l, -\Omega) = \operatorname{tg} b, 
\operatorname{tg} i \cos (l, -\Omega) = \frac{\operatorname{tg} b_{m} - \operatorname{tg} b_{m} \cos (l_{m} - l_{n})}{\sin (l_{m} - l_{n})}.$$

$$\begin{array}{c}
2) \text{ [vgl. 1) pag. 102]}
\end{array}$$

Bestimmung der Argumente der Breite u. -

$$tg u_{i} = \frac{\sin(l_{i} - \Omega)\cos i + tg b_{i} \sin i}{\cos(l_{i} - \Omega)}, \quad tg u_{m} = \frac{\sin(l_{m} - \Omega)\cos i + tg b_{m} \sin i}{\cos(l_{m} - \Omega)}. \quad \begin{cases} 3a \\ pag. \quad 103 \end{cases}$$

Zur Quadrantenbestimmung gilt die Regel, dass sin u das Vorzeichen des Zählers, cos u jenes des Nenners erhält; als Probe dient:

$$\tau = 2k (t_{m} - t_{i}), \quad \log 2k = 8.536 \text{ fi } i - 10$$

$$s = \frac{i\mu}{\sqrt{r_{i} + r_{m}}}, \qquad \Sigma = \frac{1}{2} (r_{i} + r_{m} + s)$$

$$\sin \frac{1}{2} (u_{m} - u_{i}) = \sqrt{\frac{(\Sigma - r_{i})(\Sigma - r_{m})}{r_{i} r_{m}}} \text{ oder tg } \frac{1}{2} (u_{m} - u_{i}) = \sqrt{\frac{(1 - \frac{r_{i}}{\Sigma})(1 - \frac{r_{m}}{\Sigma})}{1 - \frac{s}{\Sigma}}}, \qquad \text{pag. 103}$$

die aus den obigen Bestimmungen von u, und  $u_m$  resultirende Differenz der Argumente der Breite muss mit diesen Probewerthen innerhalb der Unsicherheit der logarithmischen Rechnung stimmen; die auftretenden kleinen Unterschiede können, wenn mit  $(u_m - u_i)_d$  der aus den Argumenten der Breite abgeleitete, mit  $(u_m - u_i)_p$  der aus der Probe sich ergebende Werth bezeichnet wird, in folgender Weise vertheilt werden:

Bestimmung der wahren Anomalie v, des Perihelabstandes Anhang II.C. q und der Länge des Perihels π. -

$$\frac{1}{\sqrt{q}} \cos \frac{1}{2} v_{i} = \frac{1}{\sqrt{r_{i}}}$$

$$\frac{1}{\sqrt{q}} \sin \frac{1}{2} v_{i} = \frac{\cot \frac{1}{2} (u_{m} - u_{i})}{\sqrt{r_{i}}} - \frac{\csc \frac{1}{2} (u_{m} - u_{i})}{\sqrt{r_{m}}}$$

$$\sqrt{q} \text{ stets positiv.}$$

$$v_{m} = v_{i} + (u_{m} - u_{i})$$

$$\omega = u_{i} - v_{i} = u_{m} - v_{m}$$

$$\pi = \omega + \Omega.$$

$$4) [vgl. 42] pag. 109]$$

Bestimmung der Perihelzeit. - Mit den Argumenten v, und v,, entlehnt man der Tafel IV die Werthe von  $M_{i}$ , und  $M_{ii}$ , welche beziehungsweise das Vorzeichen von v, und  $v_m$  erhalten und findet so:

$$T = t_{m} - M_{m} q^{\frac{3}{2}}.$$

$$T = t_{m} - M_{m} q^{\frac{3}{2}}.$$
5) [vgl. 41) pag. 109]

Die Übereinstimmung beider Werthe ist eine gute Prüfung für die Richtigkeit der Rechnung, etwaige kleine Differenzen werden gleichmässig auf beide Resultate vertheilt.

### D. Darstellung des mittleren Ortes.

 $M_n = \frac{t_n - T}{a!} \left\{ 1 \right\}$ 

AnhangII.D.

mit  $M_n$  aus Tafel IV die wahre Anomalie  $v_n$ .  $r_{n} = q \sec \frac{1}{2} v_{n}^{2}$   $u_{n} = v_{n} + \pi - \Omega = v_{n} + \omega$   $\varrho_{n} \cos \beta_{n}^{0} \cos (\lambda_{n}^{0} - \Omega) = r_{n} \cos u_{n} + R_{n} \cos (L_{n} - \Omega)$   $\varrho_{n} \cos \beta_{n}^{0} \sin (\lambda_{n}^{0} - \Omega) = r_{n} \sin u_{n} \cos i + R_{n} \sin (L_{n} - \Omega)$ 

 $\rho_u \sin \beta_u^o = r_u \sin u_u \sin i$ .

Hierdurch erscheinen die Länge und Breite des mittleren Ortes den Elementen gemäss bestimmt; der Unterschied im Sinne: Beobachtung — Rechnung gibt die Darstellung des mittleren Ortes, wobei die in der Länge auftretende Differenz durch Multiplication mit  $\cos \beta_n$  auf den grössten Kreis zu reduciren ist. Sind die Fehler klein, so können sowohl die Beobachtungen, als auch die Rechnung und die für die Verhältnisse der Dreiecksflächen eingeführten Näherungen als hinreichend richtig bezeichnet werden, und es müssen, wenn die letztere Bedingung erfüllt ist, die je nach der befolgten Methode zu berechnenden Werthe:

$$\cot J^{O} = \frac{\sin (\lambda_{n}^{O} - L_{n})}{\operatorname{tg} \beta_{n}^{O}}, \ \cot J^{O} = \frac{\sin (\lambda_{n}^{O} - II)}{\operatorname{tg} \beta_{n}^{O}}, \ \left\{ \ 3 \right\}$$

mit dem früher ermittelten Werthe von cotg J völlig übereinstimmen; etwaige Unterschiede werden auf eine in dieser Richtung mögliche Verbesserung hinweisen und können nach einem der auf pag. 299 ff. zusammengestellten Verfahren weggeschafft werden.

# III. Ermittlung der Bahnelemente ohne bestimmte Voraussetzung über die Excentricität aus drei vollständigen Beobachtungen.

Anhang III.

Die Grundlagen der Rechnung sind:

Beobachtung:	mittl. Berl. Zeit:	beobacht. Länge:	beobacht. Breite:	Sonnen- länge :	Sonnenbreite:	${\bf log}~(Sonnendistanz):$
I	t,	λ,	β,	L,	В,	$\log R$ ,
2	t"	λ,,	β"	$L_{"}$	$B_{"}$	$\log R_{"}$
3	t _m	λ,,,	ß,,,	$L_{"}$	$B_{\prime\prime\prime}$	$\log R_{m}$ .

In der Regel wird man  $B_n = B_m = 0$  annehmen dürfen; sollte dies bei einer oder der anderen Beobachtung nicht möglich sein (wenn die geocentrische Breite sehr klein ist, etwa  $\beta < 1^{\circ}$ ), so wird man die entsprechenden parallaktisch veränderten Breiten der Sonne einführen: die aus diesen Grössen entstehenden Correctionen sind in der Folge mit relativ kleineren Lettern gedruckt. Die hier gegebene Zusammenstellung der Formeln ist nur dem Fall angepasst, dass die erste Hypothese zur Ermittlung der Elemente ausreicht.

$$K = -\sin \beta, \cos \beta_{m} \cos \beta_{m} \sin (\lambda_{m} - \lambda_{n}) + + \cos \beta, \sin \beta_{n} \cos \beta_{m} \sin (\lambda_{m} - \lambda_{n}) - - \cos \beta, \cos \beta_{n} \sin \beta_{m} \sin (\lambda_{n} - \lambda_{n}).$$
 1a) [vgl. 1) pag. 352]

Ist K sehr klein, so ist eine sichere Bahnbestimmung aus drei Orten nicht zu erwarten; bezeichnet man mit  $\Delta$  den Abstand der äusseren Orte, für welche Grösse es genügt eine Schätzung einzuführen, so wird die relative Unsicherheit in K bestimmt sein durch:

$$\frac{dK}{K} = \frac{\sin 5''}{K} \sin \Delta.$$
 (1b) [vgl. 17) pag. 368]

$$\cos \psi_{\prime} = \cos \beta_{\prime} \cos (\lambda_{\prime} - L_{\prime}) \quad , \qquad \cos \psi_{\prime\prime\prime} = \cos \beta_{\prime\prime\prime} \cos (\lambda_{\prime\prime\prime} - L_{\prime\prime\prime})$$

$$\sin \psi_{\prime} \cos P_{\prime} - \cos \beta_{\prime} \sin (\lambda_{\prime\prime} - L_{\prime\prime}) \quad , \qquad \sin \psi_{\prime\prime\prime} \cos P_{\prime\prime\prime} = \cos \beta_{\prime\prime\prime} \sin (\lambda_{\prime\prime\prime} - L_{\prime\prime\prime})$$

$$\sin \psi_{\prime\prime} \sin P_{\prime\prime} = \sin \beta_{\prime\prime} - \cos \psi_{\prime\prime} B_{\prime\prime\prime} \arcsin P_{\prime\prime\prime} = \sin \beta_{\prime\prime\prime} - \cos \psi_{\prime\prime\prime} B_{\prime\prime\prime} \arcsin P_{\prime\prime\prime}$$

$$\sin \psi_{\prime\prime} \sin P_{\prime\prime} = \sin \beta_{\prime\prime\prime} - \cos \psi_{\prime\prime\prime} B_{\prime\prime\prime} \arcsin P_{\prime\prime\prime} = \sin \beta_{\prime\prime\prime} - \cos \psi_{\prime\prime\prime} B_{\prime\prime\prime} \arcsin P_{\prime\prime\prime}$$

$$\sin \psi_{\prime\prime} \sin P_{\prime\prime} = \sin \beta_{\prime\prime\prime} - \cos \psi_{\prime\prime\prime} B_{\prime\prime\prime} \arcsin P_{\prime\prime\prime} = \sin \beta_{\prime\prime\prime} - \cos \psi_{\prime\prime\prime} B_{\prime\prime\prime} \arcsin P_{\prime\prime\prime} = \cos \beta_{\prime\prime\prime} \sin \rho_{\prime\prime\prime} \cos \rho_{\prime\prime\prime} \cos \rho_{\prime\prime\prime} \cos \rho_{\prime\prime\prime} \cos \rho_{\prime\prime\prime} \cos \rho_{\prime\prime\prime} \cos \rho_{\prime\prime\prime} \cos \rho_{\prime\prime\prime} \cos \rho_{\prime\prime\prime} \cos \rho_{\prime\prime\prime} \cos \rho_{\prime\prime\prime} \cos \rho_{\prime\prime\prime} \cos \rho_{\prime\prime\prime} \cos \rho_{\prime\prime\prime} \cos \rho_{\prime\prime\prime} \cos \rho_{\prime\prime\prime} \cos \rho_{\prime\prime\prime} \cos \rho_{\prime\prime\prime} \cos \rho_{\prime\prime\prime} \cos \rho_{\prime\prime\prime} \cos \rho_{\prime\prime\prime} \cos \rho_{\prime\prime\prime} \cos \rho_{\prime\prime\prime} \cos \rho_{\prime\prime\prime} \cos \rho_{\prime\prime\prime} \cos \rho_{\prime\prime\prime} \cos \rho_{\prime\prime\prime} \cos \rho_{\prime\prime\prime} \cos \rho_{\prime\prime\prime} \cos \rho_{\prime\prime\prime} \cos \rho_{\prime\prime\prime} \cos \rho_{\prime\prime\prime} \cos \rho_{\prime\prime\prime} \cos \rho_{\prime\prime\prime} \cos \rho_{\prime\prime\prime} \cos \rho_{\prime\prime\prime} \cos \rho_{\prime\prime\prime} \cos \rho_{\prime\prime\prime} \cos \rho_{\prime\prime\prime} \cos \rho_{\prime\prime\prime} \cos \rho_{\prime\prime\prime} \cos \rho_{\prime\prime\prime} \cos \rho_{\prime\prime\prime} \cos \rho_{\prime\prime\prime} \cos \rho_{\prime\prime\prime} \cos \rho_{\prime\prime\prime} \cos \rho_{\prime\prime\prime} \cos \rho_{\prime\prime\prime} \cos \rho_{\prime\prime\prime} \cos \rho_{\prime\prime\prime} \cos \rho_{\prime\prime\prime} \cos \rho_{\prime\prime\prime} \cos \rho_{\prime\prime\prime} \cos \rho_{\prime\prime\prime} \cos \rho_{\prime\prime\prime} \cos \rho_{\prime\prime\prime} \cos \rho_{\prime\prime\prime} \cos \rho_{\prime\prime\prime} \cos \rho_{\prime\prime\prime} \cos \rho_{\prime\prime\prime} \cos \rho_{\prime\prime\prime} \cos \rho_{\prime\prime\prime} \cos \rho_{\prime\prime\prime} \cos \rho_{\prime\prime\prime} \cos \rho_{\prime\prime\prime} \cos \rho_{\prime\prime\prime} \cos \rho_{\prime\prime\prime} \cos \rho_{\prime\prime\prime} \cos \rho_{\prime\prime\prime} \cos \rho_{\prime\prime\prime} \cos \rho_{\prime\prime\prime} \cos \rho_{\prime\prime\prime} \cos \rho_{\prime\prime\prime} \cos \rho_{\prime\prime\prime} \cos \rho_{\prime\prime\prime} \cos \rho_{\prime\prime\prime} \cos \rho_{\prime\prime\prime} \cos \rho_{\prime\prime\prime} \cos \rho_{\prime\prime\prime} \cos \rho_{\prime\prime\prime} \cos \rho_{\prime\prime\prime} \cos \rho_{\prime\prime\prime} \cos \rho_{\prime\prime\prime} \cos \rho_{\prime\prime\prime} \cos \rho_{\prime\prime\prime} \cos \rho_{\prime\prime\prime} \cos \rho_{\prime\prime\prime} \cos \rho_{\prime\prime\prime} \cos \rho_{\prime\prime\prime} \cos \rho_{\prime\prime\prime} \cos \rho_{\prime\prime\prime} \cos \rho_{\prime\prime\prime} \cos \rho_{\prime\prime\prime} \cos \rho_{\prime\prime\prime} \cos \rho_{\prime\prime\prime} \cos \rho_{\prime\prime\prime} \cos \rho_{\prime\prime\prime} \cos \rho_{\prime\prime\prime} \cos \rho_{\prime\prime\prime} \cos \rho_{\prime\prime\prime} \cos \rho_{\prime\prime\prime} \cos \rho_{\prime\prime\prime} \cos \rho_{\prime\prime\prime} \cos \rho_{\prime\prime\prime} \cos \rho_{\prime\prime\prime} \cos \rho_{\prime\prime\prime} \cos \rho_{\prime\prime\prime} \cos \rho_{\prime\prime\prime} \cos \rho_{\prime\prime\prime} \cos \rho_{\prime\prime\prime} \cos \rho_{\prime\prime\prime} \cos \rho_{\prime\prime\prime} \cos \rho_{\prime\prime\prime} \cos \rho_{\prime\prime\prime} \cos \rho_{\prime\prime\prime} \cos \rho_{\prime\prime\prime} \cos \rho_{\prime\prime\prime} \cos \rho_{\prime\prime\prime} \cos \rho_{\prime\prime\prime} \cos \rho_{\prime\prime\prime} \cos \rho_{\prime\prime\prime} \cos \rho_{\prime\prime\prime} \cos \rho_{\prime\prime\prime} \cos \rho_{\prime\prime\prime} \cos \rho_{\prime\prime\prime} \cos \rho_{\prime\prime\prime} \cos \rho_{\prime\prime\prime} \cos \rho_{\prime\prime\prime} \cos \rho_{\prime\prime\prime} \cos \rho_{\prime\prime\prime} \cos \rho_{\prime\prime\prime} \cos \rho_{\prime\prime\prime} \cos \rho_{\prime\prime\prime} \cos \rho_{\prime\prime\prime} \cos \rho_{\prime\prime\prime} \cos \rho_{\prime\prime\prime} \cos \rho_{\prime\prime\prime} \cos \rho_{\prime\prime\prime} \cos \rho_{\prime\prime\prime} \cos \rho_{\prime\prime\prime} \cos \rho_{\prime\prime\prime} \cos \rho_{\prime\prime\prime} \cos \rho_{\prime\prime\prime} \cos \rho_{\prime\prime\prime} \cos \rho_{\prime\prime\prime} \cos \rho_{\prime\prime\prime} \cos \rho_{\prime\prime\prime} \cos \rho_{\prime\prime\prime} \cos \rho_{\prime\prime\prime} \cos \rho_{\prime\prime\prime} \cos \rho_{\prime\prime\prime} \cos \rho_{\prime\prime\prime} \cos \rho_$$

$$l'''_{n} = \frac{1}{2} (\lambda_{m} - \lambda_{n}) , \qquad l''_{n} = \frac{1}{2} (\lambda_{n} - \lambda_{n})$$

$$f_{n} \sin F_{n} = \sin (\beta_{m} + \beta_{n}) \sin l''_{n} , \qquad f_{m} \sin F_{m} = \sin (\beta_{n} + \beta_{n}) \sin l''_{n}$$

$$f_{n} \cos F_{n} = \sin (\beta_{m} - \beta_{n}) \cos l''_{n} , \qquad f_{m} \cos F_{m} = \sin (\beta_{n} - \beta_{n}) \cos l''_{n}$$

$$G_{n} = F_{n} - (\lambda_{n} + l''_{n}) , \qquad G_{m} = F_{m} - (\lambda_{n} + l''_{n}) .$$

$$| l''_{n} = \frac{1}{2} (\lambda_{n} - \lambda_{n})$$

$$f_{m} \cos F_{m} = \sin (\beta_{n} - \beta_{n}) \cos l''_{n}$$

$$| pag. 354 | pag. 354 | pag. 354 | pag. 354 | pag. 354 | pag. 354 | pag. 354 | pag. 354 | pag. 354 | pag. 354 | pag. 354 | pag. 354 | pag. 354 | pag. 354 | pag. 354 | pag. 354 | pag. 354 | pag. 354 | pag. 354 | pag. 354 | pag. 354 | pag. 354 | pag. 354 | pag. 354 | pag. 354 | pag. 354 | pag. 354 | pag. 354 | pag. 354 | pag. 354 | pag. 354 | pag. 354 | pag. 354 | pag. 354 | pag. 354 | pag. 354 | pag. 354 | pag. 354 | pag. 354 | pag. 354 | pag. 354 | pag. 354 | pag. 354 | pag. 354 | pag. 354 | pag. 354 | pag. 354 | pag. 354 | pag. 354 | pag. 354 | pag. 354 | pag. 354 | pag. 354 | pag. 354 | pag. 354 | pag. 354 | pag. 354 | pag. 354 | pag. 354 | pag. 354 | pag. 354 | pag. 354 | pag. 354 | pag. 354 | pag. 354 | pag. 354 | pag. 354 | pag. 354 | pag. 354 | pag. 354 | pag. 354 | pag. 354 | pag. 354 | pag. 354 | pag. 354 | pag. 354 | pag. 354 | pag. 354 | pag. 354 | pag. 354 | pag. 354 | pag. 354 | pag. 354 | pag. 354 | pag. 354 | pag. 354 | pag. 354 | pag. 354 | pag. 354 | pag. 354 | pag. 354 | pag. 354 | pag. 354 | pag. 354 | pag. 354 | pag. 354 | pag. 354 | pag. 354 | pag. 354 | pag. 354 | pag. 354 | pag. 354 | pag. 354 | pag. 354 | pag. 354 | pag. 354 | pag. 354 | pag. 354 | pag. 354 | pag. 354 | pag. 354 | pag. 354 | pag. 354 | pag. 354 | pag. 354 | pag. 354 | pag. 354 | pag. 354 | pag. 354 | pag. 354 | pag. 354 | pag. 354 | pag. 354 | pag. 354 | pag. 354 | pag. 354 | pag. 354 | pag. 354 | pag. 354 | pag. 354 | pag. 354 | pag. 354 | pag. 354 | pag. 354 | pag. 354 | pag. 354 | pag. 354 | pag. 354 | pag. 354 | pag. 354 | pag. 354 | pag. 354 | pag. 354 | pag. 354 | pag. 354 | pag. 354 | pag.$$

Die Klammerausdrücke in G, und  $G_m$  sind beziehungsweise  $\frac{1}{2}(\lambda_n + \lambda_m)$  und  $\frac{1}{2}(\lambda_n + \lambda_m)$ ; durch die denselben hier ertheilte Form soll nur leicht zu begehenden Zeichenfehlern vorgebeugt werden.

$$A_{n} = R_{n} f_{n} \sin (G_{n} + L_{n}) - \sin (\lambda_{m} - \lambda_{n}) \cos \beta_{n} \cos \beta_{m} R_{n} B_{n} \text{ arc } 1''$$

$$-B_{n} = R_{n} f_{n} \sin (G_{n} + L_{m}) - \sin (\lambda_{m} - \lambda_{n}) \cos \beta_{n} \cos \beta_{m} R_{n} B_{n} \text{ arc } 1''$$

$$C_{n} = R_{m} f_{n} \sin (G_{n} + L_{m}) - \sin (\lambda_{m} - \lambda_{n}) \cos \beta_{n} \cos \beta_{m} R_{m} B_{m} \text{ arc } 1''$$

$$-B_{m} = R_{n} f_{m} \sin (G_{m} + L_{n}) - \sin (\lambda_{n} - \lambda_{n}) \cos \beta_{n} \cos \beta_{n} R_{n} B_{n} \text{ arc } 1''$$

$$C_{m} = R_{m} f_{m} \sin (G_{m} + L_{m}) - \sin (\lambda_{n} - \lambda_{n}) \cos \beta_{n} \cos \beta_{n} R_{m} B_{m} \text{ arc } 1''$$

$$C_{m} = R_{m} f_{m} \sin (G_{m} + L_{m}) - \sin (\lambda_{n} - \lambda_{n}) \cos \beta_{n} \cos \beta_{n} R_{m} B_{m} \text{ arc } 1''$$

Die von den Zwischenzeiten abhängigen Grössen werden gefunden nach:

Die auftretende höhere Gleichung wird, wenn sonst keine Näherungen bekannt sind, in der Weise aufzulösen sein, dass man für die Tafel XIIIc. die Argumente:

$$(\{I\}_{i} + N_{i}) : R_{i} = m, \qquad (\{I\}_{m} + N_{m}) : R_{m} = m,$$

bildet, für welche sich zwei Werthe von  $\log (2\lambda)^{-3}$  ergeben, deren arithmetisches Mittel mit  $\log M$  bezeichnet auf einen Näherungswerth für x führt:

 $\log x = \log M - 3 \log R_n \quad [\text{vgl. pag. 366}];$ 

dann ist:

$$\{ e_i - N_i = \{I\}_i + (II_i + III_i, y_a)x_a \} \{ e_m - N_m = \{I\}_m + (II_m + III_m y_a)x_a \} \} \{ e_m + (II_m + III_m y_a)x_a \} \}$$

Im ersten Versuche wird man  $y_a = 0$  setzen;  $x_a$  stellt den für den vorliegenden Versuch gewählten Anfangswerth dar, welcher mit x identisch ist.

$$\varrho, -N, = \{I\}, +(II, +III, y + \Gamma, )x$$
 $\varrho_m - N_m = \{I\}_m +(II_m + III_m y + \Gamma_m)x$ 

ertheilen und hierzu  $\Gamma$ , und  $\Gamma_m$  aus den Näherungswerthen von r,  $r_m$ ,  $r_m$ , v,  $v_m$ ,  $v_m$ , nach den Formeln 35), 36) und 37) (pag. 377) berechnen.

^{*)} Sind genäherte Elemente bekannt, so wird man den Gleichungen 6) die Form

Anhang III. 
$$\operatorname{tg} \theta_{i} = \frac{\varrho_{i} - N_{i}}{D_{i}}$$
,  $\operatorname{tg} \theta_{ii} = \frac{\varrho_{iii} - N_{iii}}{D_{iii}}$ 
 $\operatorname{cos} \theta_{i}$  und  $\operatorname{cos} \theta_{iii}$  stets positiv.
$$r_{i} = (\varrho_{i} - N_{i}) \operatorname{cosec} \theta_{i}, \quad r_{iii} = (\varrho_{iii} - N_{iii}) \operatorname{cosec} \theta_{iii}$$

$$x_{e} = (r_{i} + r_{iii})^{-3}$$

$$\Delta_{1} = \log x_{e} - \log x_{a}$$

$$y_{e} = \frac{r_{iii} - r_{i}}{r_{iii} + r_{i}}$$

$$(\operatorname{vgl. 3}) \operatorname{pag. 369}$$

$$y_{e} = \frac{r_{iii} - r_{i}}{r_{iii} + r_{i}}$$

Ist  $y_a$  der Werth, der in 6) benützt wurde, so wird:

$$\Delta_{2} = -\frac{3 \text{ Mod.}}{(r_{r} + r_{m})_{e}^{4}} \{ \sin \theta, III_{r} + \sin \theta_{m} III_{m} \} (y_{e} - y_{a}) \}$$

$$\log (-3 \text{ Mod.}) = o_{n} 114 91.$$
8) [vgl. 12) pag. 371]

Bezeichnet man mit  $x_a'$  den Werth, welchen man dem folgenden Versuche zu Grunde zu legen hat, so findet sich derselbe nach:

$$\log x_a' = \log x_a + \frac{\Delta_1 + \Delta_2}{1 + \frac{3}{(r_* + r_m)_*^4} \{\sin \theta_* II_* + \sin \theta_m II_m\}}; \}$$
 9) [vgl. 12) pag. 371]

mit diesem Werthe wird nun die Berechnung der Formeln 6) begonnen, nachdem in dieselben das in 7) gefundene  $y_e$  statt  $y_a$  eingesetzt wurde; die Durchrechnung der Formeln 6)—9) ist so lange fortzusetzen, bis

$$x_a = x_e$$

wird, wozu meist der zweite Versuch ausreicht*). Sind die wahren Werthe von x und y ermittelt, so geben die Zahlen des letzten Versuches die geocentrischen Distanzen  $\varrho$ , und  $\varrho_m$  nach:

$$egin{aligned} m{arrho}_{,} &= & (m{arrho}_{,} - m{N}_{,}) + m{N}_{,} \ m{arrho}_{,,} &= & (m{arrho}_{,,} - m{N}_{,,}) + m{N}_{,,} \ \end{pmatrix}$$
 (o)

aus welchen die Elemente abgeleitet werden. Hierzu wird man sich, da die vorstehenden Formeln einer Planetenbahnbestimmung angepasst sind, der folgenden Relationen zu bedienen haben:

tg i hat das Zeichen von  $\sin(l_m - l_i)$ , also für Planetenbahnen stets das positive.

$$tg u_i = tg(l_i - \Omega) \sec i tg u_m = tg(l_m - \Omega) \sec i$$
 13) [vgl. 3) pag. 102]

 $\sin u$ , und  $\sin u_m$  sind beziehungsweise mit  $\sin b$ , und  $\sin b_m$  gleich bezeichnet. Die für Aberration verbesserten Zeiten sind:

^{*)} Für den Fall, dass weitere Hypothesen gebildet werden müssen, vergleiche pag. 376.

T, = 
$$t_n - \alpha' \varrho$$
, ,  $T_m = t_m - \alpha' \varrho_m$  Anhang III.

T_n =  $t_n - \alpha' \left\{ \varrho, + (\varrho_m - \varrho_i) \frac{t_n - t_i}{t_m - t_i} \right\}$ ,  $\log \alpha' = 7.7613 - 10$ ; die Correctionen werden in Einheiten des Tages erhalten.

14) [vgl. 14) pag. 307]

$$f_n = \frac{1}{2} (u_m - u_i) , \quad \tau'' = (T_m - T_i)k , \quad \log k = 8.235 5814 - 10$$

$$tg(45^0 + \omega_m) = \sqrt[4]{\frac{r_m}{r_i}}, \qquad m_n = \frac{\tau''^2}{(2\cos f_n \sqrt{r_i r_m})^3}$$

$$l_n = \frac{\sin \frac{1}{2} f_n^2 + tg 2 \omega_n^2}{\cos f_n}, \quad h_n = \frac{m_n}{\frac{1}{8} + l_n + \xi_n}, \quad \log \frac{5}{8} = 9.920 8188 - 10,$$

$$\xi_m \text{ mit dem Argumente } w \text{ aus Tafel IX}; \text{ für } w \text{ wird bei Planetenbahnen mit genügender Genauigkeit zu setzen sein:}$$

$$w \stackrel{\text{...}}{=} \sin \frac{1}{2} f_n^2.$$

$$\log \eta_n^2 \text{ mit dem Argumente } h_n \text{ aus 'Tafel VIII.}$$

Eine Wiederholung der Versuche zur Auflösung dieser Gleichungen ist in den hier vorausgesetzten Fällen nicht nöthig, es wird sogar meist genügen  $\xi_n = 0$  zu setzen.

 $w = \frac{m_{"}}{r^{2}} - l_{"} = \sin \frac{1}{2}g_{"}^{2}.$ 

$$\sin \frac{1}{3} (F_{n} - G_{n}) \cos \frac{1}{2} \varphi \gamma^{2} = \cos \frac{1}{3} (f_{n} + g_{n}) \operatorname{tg} 2\omega_{n}$$

$$\cos \frac{1}{4} (F_{n} - G_{n}) \cos \frac{1}{2} \varphi \gamma^{2} = \sin \frac{1}{2} (f_{n} + g_{n}) \operatorname{sec} 2\omega_{n}$$

$$\sin \frac{1}{4} (F_{n} + G_{n}) \sin \frac{1}{2} \varphi \gamma^{2} = \cos \frac{1}{2} (f_{n} - g_{n}) \operatorname{tg} 2\omega_{n}$$

$$\cos \frac{1}{4} (F_{n} + G_{n}) \sin \frac{1}{4} \varphi \gamma^{2} = \sin \frac{1}{4} (f_{n} - g_{n}) \operatorname{tg} 2\omega_{n}$$

$$\cos \frac{1}{4} (F_{n} + G_{n}) \sin \frac{1}{4} \varphi \gamma^{2} = \sin \frac{1}{4} (f_{n} - g_{n}) \operatorname{tg} 2\omega_{n}$$

$$\operatorname{Probe} : \gamma^{2} = \frac{\sqrt{2 m_{n} \cos f_{n}}}{\eta_{n}}$$

$$v_{n} = F_{n} - f_{n}, \quad E_{n} = G_{n} - g_{n}$$

$$v_{m} = F_{n} + f_{n}, \quad E_{m} = G_{n} + g_{n}.$$

$$p = \left(\frac{\eta_{n} r_{n} r_{n} \sin 2 f_{n}}{r^{n}}\right)^{2}, \qquad e^{n} = \frac{\sin \varphi}{\operatorname{arc} r^{n}}$$

$$a = p \sec \varphi^{2}, \qquad M_{n} = E_{n} - e^{n} \sin E_{n}$$

$$\mu = \frac{k^{n}}{a^{\frac{3}{4}}}, \qquad M_{m} = E_{m} - e^{n} \sin E_{m}$$

$$\log k^{n} = 3.550 \cos 66 \qquad \operatorname{Probe} : \mu = \frac{M_{m} - M_{n}}{T_{m} - T_{n}}.$$

 $\pi = u_1 + \Omega - v_2 = u_{11} + \Omega - v_{11}$ . \ 18) [vgl. 23) pag. 106]

Zur Darstellung der mittleren Beobachtung wird man zu rechnen haben:

$$M_{n} = M_{r} + (T_{r} - T_{r})\mu = M_{r} - (T_{r} - T_{r})\mu$$

$$E_{n} = M_{n} + e^{r} \sin E_{n}$$

$$r_{n} \sin v_{n} = a \cos \varphi \sin E_{n}$$

$$r_{n} \cos v_{n} = a (\cos E_{n} - \sin \varphi)$$

$$u_{n} = v_{n} + (\pi - \Omega)$$

$$\varrho_{n} \cos \beta_{n} \cos (\lambda_{n} - \Omega) = r_{n} \cos u_{n} + R_{n} \cos (L_{n} - \Omega)$$

$$\varrho_{n} \cos \beta_{n} \sin (\lambda_{n} - \Omega) = r_{n} \sin u_{n} \cos i + R_{n} \sin (L_{n} - \Omega)$$

$$\varrho_{n} \sin \beta_{n} = r_{n} \sin u_{n} \sin i + R_{n} B_{n} \operatorname{arc} i^{n}.$$

# IV. Ermittlung der Bahnelemente ohne bestimmte Voraussetzung über die Excentricität aus vier Beobachtungen, von denen nur die äusseren vollständig dargestellt werden sollen.

A. Planetenbahn (die mittleren Breiten werden nicht berücksichtigt).

Anhangiv.a. Die Grundlagen der Rechnung sind:

Beobachtung:	mittl. Berl. Zeit:	beobacht. Länge :	beobacht. Breite:	Sonnen- länge:	Sonnenbreite:	log(Sonnendistanz):
1	t,	λ,	β,	L,	${m B_{r}}^{*}$ )	$\log R$ ,
2	<i>t</i> ,,	λ,,	( <b>β</b> ,,)	$L_{"}$	$B_{\prime\prime}$	$\logR_{\prime\prime}$
3	$t_{\prime\prime}^{\scriptscriptstyle { m O}}$	λ,,,	$(oldsymbol{eta_n^o})$	$L_{"}^{o}$	$B_{"}^{ m o}$	$\logR_{\prime\prime}^{ m o}$
4	$t_{\prime\prime\prime}$	λ,,,	$oldsymbol{eta_m}$ ,	$L_{"}$	$oldsymbol{B_{\prime\prime\prime}}$	$\log R_{\prime\prime\prime}$ .

Die folgenden Formeln beschränken sich auf solche Bahnbestimmungen, bei welchen man mit der ersten Hypothese ausreicht:

$$\begin{cases}
\mathcal{N}_{\cdot} = \sin (\lambda_{n} - \lambda_{i}) \cos \beta_{i}, & \mathcal{N}_{\cdot}^{\circ} = \sin (\lambda_{n}^{\circ} - \lambda_{i}) \cos \beta_{i}, \\
\mathcal{N}_{m} = \sin (\lambda_{m} - \lambda_{n}) \cos \beta_{m}, & \mathcal{N}_{0}^{\circ} = \sin (\lambda_{m} - \lambda_{n}^{\circ}) \cos \beta_{m}, \\
\mathcal{O}_{\cdot} = R_{\cdot} \sin (L_{\cdot} - \lambda_{n}), & \mathcal{O}_{\cdot}^{\circ} = R_{\cdot} \sin (L_{\cdot} - \lambda_{n}^{\circ}), \\
\mathcal{O}_{m} = R_{m} \sin (L_{m} - \lambda_{n}), & \mathcal{O}_{0}^{\circ} = R_{n}^{\circ} \sin (L_{n}^{\circ} - \lambda_{n}^{\circ}), \\
\mathcal{O}_{m} = R_{m} \sin (L_{m} - \lambda_{n}), & \mathcal{O}_{m}^{\circ} = R_{m}^{\circ} \sin (L_{m}^{\circ} - \lambda_{n}^{\circ}), \\
\mathcal{O}_{m} = R_{m} \sin (L_{m} - \lambda_{n}), & \mathcal{O}_{m}^{\circ} = R_{m}^{\circ} \sin (L_{m}^{\circ} - \lambda_{n}^{\circ}), \\
\mathcal{O}_{m} = R_{m} \sin (L_{m} - \lambda_{n}), & \mathcal{O}_{m}^{\circ} = R_{m}^{\circ} \sin (L_{m}^{\circ} - \lambda_{n}^{\circ}), \\
\mathcal{O}_{m} = R_{m} \sin (L_{m} - \lambda_{n}), & \mathcal{O}_{m}^{\circ} = R_{m}^{\circ} \sin (L_{m}^{\circ} - \lambda_{n}^{\circ}), \\
\mathcal{O}_{m} = R_{m} \sin (L_{m} - \lambda_{n}), & \mathcal{O}_{m}^{\circ} = R_{m}^{\circ} \sin (L_{m}^{\circ} - \lambda_{n}^{\circ}), \\
\mathcal{O}_{m} = R_{m} \sin (L_{m} - \lambda_{n}^{\circ}), & \mathcal{O}_{m}^{\circ} = R_{m}^{\circ} \sin (L_{m}^{\circ} - \lambda_{n}^{\circ}), \\
\mathcal{O}_{m} = R_{m} \sin (L_{m} - \lambda_{n}^{\circ}), & \mathcal{O}_{m}^{\circ} = R_{m}^{\circ} \sin (L_{m}^{\circ} - \lambda_{n}^{\circ}), \\
\mathcal{O}_{m} = R_{m} \sin (L_{m} - \lambda_{n}^{\circ}), & \mathcal{O}_{m}^{\circ} = R_{m}^{\circ} \sin (L_{m}^{\circ} - \lambda_{n}^{\circ}), \\
\mathcal{O}_{m} = \mathcal{O}_{m}^{\circ} + \mathcal{O}_{m}^{\circ} + \mathcal{O}_{m}^{\circ} + \mathcal{O}_{m}^{\circ}, & \mathcal{O}_{m}^{\circ} + \mathcal{O}_{m}^{\circ}, \\
\mathcal{O}_{m} = \mathcal{O}_{m}^{\circ} + \mathcal{O}_{m}^{\circ} + \mathcal{O}_{m}^{\circ} + \mathcal{O}_{m}^{\circ}, \\
\mathcal{O}_{m} = \mathcal{O}_{m}^{\circ} + \mathcal{O}_{m}^{\circ} + \mathcal{O}_{m}^{\circ}, & \mathcal{O}_{m}^{\circ} + \mathcal{O}_{m}^{\circ}, \\
\mathcal{O}_{m} = \mathcal{O}_{m}^{\circ} + \mathcal{O}_{m}^{\circ} + \mathcal{O}_{m}^{\circ}, & \mathcal{O}_{m}^{\circ} + \mathcal{O}_{m}^{\circ}, \\
\mathcal{O}_{m} = \mathcal{O}_{m}^{\circ} + \mathcal{O}_{m}^{\circ} + \mathcal{O}_{m}^{\circ}, & \mathcal{O}_{m}^{\circ} + \mathcal{O}_{m}^{\circ}, \\
\mathcal{O}_{m} = \mathcal{O}_{m}^{\circ} + \mathcal{O}_{m}^{\circ} + \mathcal{O}_{m}^{\circ}, & \mathcal{O}_{m}^{\circ} + \mathcal{O}_{m}^{\circ}, \\
\mathcal{O}_{m} = \mathcal{O}_{m}^{\circ} + \mathcal{O}_{m}^{\circ} + \mathcal{O}_{m}^{\circ}, & \mathcal{O}_{m}^{\circ}, \\
\mathcal{O}_{m} = \mathcal{O}_{m}^{\circ} + \mathcal{O}_{m}^{\circ}, & \mathcal{O}_{m}^{\circ} + \mathcal{O}_{m}^{\circ}, \\
\mathcal{O}_{m} = \mathcal{O}_{m}^{\circ} + \mathcal{O}_{m}^{\circ} + \mathcal{O}_{m}^{\circ}, & \mathcal{O}_{m}^{\circ} + \mathcal{O}_{m}^{\circ}, \\
\mathcal{O}_{m} = \mathcal{O}_{m}^{\circ} + \mathcal{O}_{m}^{\circ}, & \mathcal{O}_{m}^{\circ} + \mathcal{O}_{m}^{\circ}, \\
\mathcal{O}_{m} = \mathcal{O}_{m}^{\circ} + \mathcal{O}_{m}^{\circ}, & \mathcal{O}_{m}^{\circ} + \mathcal{O}_{m}^{\circ}, \\
\mathcal{O}_{m} = \mathcal{O}_{m}^{\circ} + \mathcal{O}_{m}$$

^{*)} In jenen Fällen, bei denen wegen der Kleinheit der geocentrischen Breite  $\beta < 1^{\circ}$ , die Einführung des locus fictus unmöglich und die Anwendung der parallaktisch veränderten Sonnenbreiten nothwendig wird, werden die B-Grössen nicht der Null gleich, und es sind die mit relativ kleineren Lettern gedruckten Zusatzglieder in Rechnung zu ziehen.

$$\alpha = \frac{\tau_{t}}{\tau_{m}} \frac{\circ}{\sigma_{m}} - \frac{\tau_{n}}{\tau_{m}} \frac{\circ}{\sigma_{m}} + \frac{\circ}{\sigma_{m}}, \quad \alpha_{0} = \frac{\tau_{0}^{2}}{\tau_{m}^{0}} \frac{\circ}{\sigma_{n}}^{0} - \frac{\tau_{n}}{\tau_{m}^{0}} \frac{\circ}{\sigma_{n}}^{0} + \frac{\circ}{\sigma_{n}^{0}}^{0}$$

$$z_{t} = \frac{\tau_{t}}{\tau_{m}} \frac{\circ}{\sigma_{m}} \mu_{m}' - \frac{\tau_{n}}{\tau_{m}} \frac{\circ}{\sigma_{m}} \mu_{m}'', \quad x_{t}^{0} = \frac{\tau_{0}^{2}}{\tau_{m}^{0}} \frac{\circ}{\sigma_{n}^{0}} \mu_{m}'' - \frac{\tau_{n}}{\tau_{m}^{0}} \frac{\circ}{\sigma_{n}^{0}} \mu_{m}''$$

$$v_{t} = 4\tau_{t}^{2} \frac{\circ}{\sigma_{m}}^{0} - 4\tau_{t} \tau_{m} \frac{\circ}{\sigma_{m}} \quad v_{t}^{0} = 4\tau_{t}^{2} \frac{\circ}{\sigma_{n}^{0}}^{0} - 4\tau_{t}^{0} \tau_{m}^{0} \frac{\circ}{\sigma_{n}^{0}} H_{m}''$$

$$\pi_{t} = \frac{\tau_{t}}{\tau_{m}} \frac{\circ}{\sigma_{m}} H_{m}' - \frac{\tau_{n}}{\tau_{m}} \frac{\circ}{\sigma_{m}} H_{m}'', \quad \pi_{t}^{0} = \frac{\tau_{t}^{0}}{\tau_{m}^{0}} \frac{\circ}{\sigma_{n}^{0}} H_{m}^{0'} - \frac{\tau_{n}}{\tau_{n}^{0}} \frac{\circ}{\sigma_{n}^{0}} H_{m}''$$

$$\delta = \frac{\tau_{t}}{\tau_{m}} \frac{\circ}{\sigma_{m}} \quad \delta_{0} = \frac{\tau_{t}^{0}}{\tau_{m}^{0}} \frac{\circ}{\sigma_{n}^{0}} \mu_{m}^{0'}$$

$$\sigma_{t} = \frac{\tau_{t}}{\tau_{m}} \frac{\circ}{\sigma_{m}} \quad h_{m}' \quad \sigma_{t}^{0} = \frac{\tau_{t}^{0}}{\tau_{m}^{0}} \frac{\circ}{\sigma_{n}^{0}} H_{m}^{0'}$$

$$v_{t} = 4\tau_{t}^{2} \frac{\circ}{\sigma_{m}} \quad v_{t}^{0} = 4\tau_{t}^{2} \frac{\circ}{\sigma_{n}^{0}} H_{m}^{0'}$$

$$v_{t} = 4\tau_{t}^{2} \frac{\circ}{\sigma_{m}} \quad v_{t}^{0} \quad \sigma_{t}^{0} = \frac{\tau_{t}^{0}}{\tau_{m}^{0}} \frac{\circ}{\sigma_{m}^{0}} H_{m}^{0'}$$

$$\sigma_{t} = \frac{\tau_{t}}{\tau_{m}} \frac{\circ}{\sigma_{m}} \quad h_{m}' \quad \sigma_{t}^{0} = \frac{\tau_{t}^{0}}{\tau_{m}^{0}} \frac{\circ}{\sigma_{m}^{0}} H_{m}^{0'}$$

$$v_{t} = 4\tau_{t}^{2} \frac{\circ}{\sigma_{m}} \quad v_{t}^{0} \quad \sigma_{t}^{0} = \frac{\tau_{t}^{0}}{\tau_{m}^{0}} \frac{\circ}{\sigma_{m}^{0}} H_{m}^{0'}$$

$$v_{t} = 4\tau_{t}^{2} \frac{\circ}{\sigma_{m}} \quad v_{t}^{0} \quad v_{t}^{0} = \frac{\tau_{t}^{0}}{\tau_{m}^{0}} \frac{\circ}{\sigma_{m}^{0}} H_{m}^{0'}$$

$$v_{t} = 4\tau_{t}^{2} \frac{\circ}{\sigma_{m}} \quad v_{t}^{0} \quad v_{t}^{0} = \frac{\tau_{t}^{0}}{\tau_{m}^{0}} \frac{\circ}{\sigma_{m}^{0}} H_{m}^{0'}$$

$$v_{t} = 4\tau_{t}^{2} \frac{\circ}{\sigma_{m}} \quad H_{m}' \quad v_{t}^{0} = \frac{\tau_{t}^{0}}{\tau_{m}^{0}} \frac{\circ}{\sigma_{m}^{0}} H_{m}^{0'}$$

$$I = \alpha - \alpha_{0} \quad V \quad = \frac{1}{2} (\alpha + \alpha_{0}) \quad v_{t}^{0} = \frac{1}{2} (\alpha + \alpha_{0}) \quad v_{t}^{0} = \frac{1}{2} (\alpha + \alpha_{0}) \quad v_{t}^{0} = \frac{1}{2} (\alpha + \alpha_{0}) \quad v_{t}^{0} = \frac{1}{2} (\alpha + \alpha_{0}) \quad v_{t}^{0} = \frac{1}{2} (\alpha + \alpha_{0}) \quad v_{t}^{0} = \frac{1}{2} (\alpha + \alpha_{0}) \quad v_{t}^{0} = \frac{1}{2} (\alpha + \alpha_{0}) \quad v_{t}^{0} = \frac{1}{2} (\alpha + \alpha_{0}) \quad v_{t}^{0} = \frac{1}{2} (\alpha + \alpha_{0}) \quad v_{t}^{0} =$$

Die Unbekannten:

$$x = \frac{1}{(r_m + r_i)^3}$$
 ,  $y = \frac{r_m - r_i}{r_m + r_i}$ 

sind, wenn sonst keine Näherungen bekannt sind, im ersten Versuch: x = 0.01, y = 0.0 zu setzen; die für den betreffenden Versuch geltenden Anfangswerthe dieser Unbekannten erhalten den Index a.

$$III = \beta^{(1)} + \beta^{(2)}y_a + \beta^{(3)}x_a^*) , VI = B^{(1)} + B^{(2)}y_a + B^{(3)}x_a$$

$$IV = \varepsilon^{(1)} + \varepsilon^{(2)}y_a + \varepsilon^{(3)}x_a , VIII = E^{(1)} + E^{(2)}y_a + E^{(3)}x_a$$

$$e_t = \frac{I + IIIx_a}{II + IVx_a} , e_m = V + VIx_a + (VII + VIIIx_a)e_t$$

$$tg \theta_t = \frac{e_t - N_t}{D_t} , tg \theta_m = \frac{e_m - N_m}{D_m}$$

$$r_t = (e_t - N_t) \operatorname{cosec} \theta_t , r_m = (e_m - N_m) \operatorname{cosec} \theta_m$$

$$r_t = \frac{1}{(r_m + r_t)^3} , y_e = \frac{r_m - r_t}{r_m + r_t}.$$

Um für den folgenden Versuch verbesserte Werthe der Unbekannten x und y, welche durch  $(x_a + \Delta x)$  und  $(y_a + \Delta y)$  bezeichnet werden sollen, zu erhalten, rechne man:

^{*)} Sind genäherte Elemente bekannt, so wird man den Ausdrücken III, IV, VI und VIII die in 16) pag. 419 aufgestellten Formen ertheilen und hierbei die Formeln 11) pag. 424 zur Berechnung der  $\eta$ -Werthe in den Ausdrücken 15) pag. 419 verwenden, welch letztere die verschiedenen  $\gamma$ -Werthe ergeben; mit diesen berechnet man nach 18b) pag. 420 zunächst  $\varphi$ ,  $\varphi$ ,  $\varphi$ ,  $\omega$ , und  $\omega$ , und daraus nach 18a) pag. 420  $\beta$ ⁽⁴⁾, s⁽⁴⁾, s⁽⁴⁾, s⁽⁴⁾, s⁽⁴⁾.

AnhangIV.A. 
$$\alpha_{i} = \frac{III - IV\varrho_{i}}{II + IVx_{a}}$$
 ,  $\alpha_{im} = VI + VIII\varrho_{i} + (VII + VIIIx_{a})\alpha_{i}$  ,  $\beta_{im} = \frac{\beta^{(2)} - \delta^{(2)}\varrho_{i}}{II + IVx_{a}}x_{a}$  ,  $\beta_{im} = (B^{(2)} + E^{(2)}\varrho_{i})x_{a} + (VII + VIIIx_{a})\beta_{i}$  ,  $\beta_{im} = \frac{\beta^{(2)} - \delta^{(2)}\varrho_{i}}{II + IVx_{a}}x_{a}$  ,  $\beta_{im} = (B^{(2)} + E^{(2)}\varrho_{i})x_{a} + (VII + VIIIx_{a})\beta_{i}$  ,  $\beta_{im} = \frac{\beta^{(2)} - \delta^{(2)}\varrho_{i}}{II + IVx_{a}}(\beta_{i}, \sin\theta_{i} + \beta_{im}\sin\theta_{im})$  ,  $\beta_{im} = \frac{\beta^{(2)} - \delta^{(2)}\varrho_{i}}{II + IVx_{a}}(\beta_{i}, \sin\theta_{i} + \beta_{im}\sin\theta_{im})$  ,  $\beta_{im} = \frac{\beta^{(2)} - \delta^{(2)}\varrho_{i}}{II + IVx_{a}}(\beta_{i}, \sin\theta_{i} + \beta_{im}\sin\theta_{im})$  ,  $\beta_{im} = \frac{\beta^{(2)} - \delta^{(2)}\varrho_{i}}{II + IVx_{a}}(\beta_{i}, \sin\theta_{i} + \beta_{im}\sin\theta_{im})$  ,  $\beta_{im} = \frac{\beta^{(2)} - \delta^{(2)}\varrho_{i}}{II + IVx_{a}}(\beta_{i}, \sin\theta_{i} + \beta_{im}\sin\theta_{im})$  ,  $\beta_{im} = \frac{\beta^{(2)} - \delta^{(2)}\varrho_{i}}{II + IVx_{a}}(\beta_{i}, \sin\theta_{i} + \beta_{im}\sin\theta_{im})$  ,  $\beta_{im} = \frac{\beta^{(2)} - \delta^{(2)}\varrho_{i}}{II + IVx_{a}}(\beta_{i}, \sin\theta_{i} + \beta_{im}\sin\theta_{im})$  ,  $\beta_{im} = \frac{\beta^{(2)} - \delta^{(2)}\varrho_{i}}{II + IVx_{a}}(\beta_{i}, \sin\theta_{i} + \beta_{im}\sin\theta_{im})$  ,  $\beta_{im} = \frac{\beta^{(2)} - \delta^{(2)}\varrho_{i}}{II + IVx_{a}}(\beta_{i}, \sin\theta_{i} + \beta_{im}\sin\theta_{im})$  ,  $\beta_{im} = \frac{\beta^{(2)} - \delta^{(2)}\varrho_{i}}{II + IVx_{a}}(\beta_{i}, \sin\theta_{i} + \beta_{im}\sin\theta_{im})$  ,  $\beta_{im} = \frac{\beta^{(2)} - \delta^{(2)}\varrho_{i}}{II + IVx_{a}}(\beta_{i}, \sin\theta_{i} + \beta_{im}\sin\theta_{im})$  ,  $\beta_{im} = \frac{\beta^{(2)} - \delta^{(2)}\varrho_{i}}{II + IVx_{a}}(\beta_{i}, \sin\theta_{i} + \beta_{im}\sin\theta_{im})$  ,  $\beta_{im} = \frac{\beta^{(2)} - \delta^{(2)}\varrho_{i}}{II + IVx_{a}}(\beta_{i}, \sin\theta_{i} + \beta_{im}\sin\theta_{im})$  ,  $\beta_{im} = \frac{\beta^{(2)} - \delta^{(2)}\varrho_{i}}{II + IVx_{a}}(\beta_{i}, \sin\theta_{i} + \beta_{im}\sin\theta_{im})$  ,  $\beta_{im} = \frac{\beta^{(2)} - \delta^{(2)}\varrho_{i}}{II + IVx_{a}}(\beta_{i}, \sin\theta_{i} + \beta_{im}\sin\theta_{im})$  ,  $\beta_{im} = \frac{\beta^{(2)} - \delta^{(2)}\varrho_{i}}{II + IVx_{a}}(\beta_{i}, \sin\theta_{i} + \beta_{im}\sin\theta_{im})$  ,  $\beta_{im} = \frac{\beta^{(2)} - \delta^{(2)}\varrho_{i}}{II + IVx_{a}}(\beta_{i}, \sin\theta_{i} + \beta_{im}\sin\theta_{im})$  ,  $\beta_{im} = \frac{\beta^{(2)} - \delta^{(2)}\varrho_{i}}{II + IVx_{a}}(\beta_{i}, \sin\theta_{i} + \beta_{im}\sin\theta_{im})$  ,  $\beta_{im} = \frac{\beta^{(2)} - \delta^{(2)}\varrho_{i}}{II + IVx_{a}}(\beta_{i}, \sin\theta_{i} + \beta_{im}\sin\theta_{im})$  ,  $\beta_{im} = \frac{\beta^{(2)} - \delta^{(2)}\varrho_{i}}{II + IVx_{a}}(\beta_{i}, \sin\theta_{i} + \beta_{im}\sin\theta_{im})$  ,  $\beta_{i$ 

Die Versuche sind so lange fortzusetzen, bis  $x_a$  und  $y_a$  mit  $x_e$  und  $y_e$  identisch gefunden werden; dann berechnet man aus den im letzten Versuch erhaltenen Werthen von  $\varrho$ , und  $\varrho_m$  die Elemente und die Darstellung der mittleren Orte nach Anhang III, 11)—19) (pag. 674, 675); die Beobachtungszeiten sind, falls nicht die Aberration durch vorhandene Näherungen Berücksichtigung gefunden hat, zu verbessern nach:

$$T_{n} = t_{n} - \alpha' \left\{ e_{n} + \left( e_{m} - e_{n} \right) \frac{\tau_{m}}{\tau_{n}} \right\}$$

$$T_{n}^{o} = t_{n}^{o} - \alpha' \left\{ e_{n} + \left( e_{m} - e_{n} \right) \frac{\tau_{m}^{o}}{\tau_{n}} \right\}$$

$$T_{m} = t_{m} - \alpha' e_{m}$$

$$\log \alpha' = 7.7613 - 10.$$

$$100 \quad \text{[vgl. 14] pag. 307]}$$

Die Darstellung der mittleren Orte nach Anhang III. 19) (pag. 675) muss den beiden Orten entsprechend durchgeführt werden; reichen die der Rechnung zu Grunde gelegten Annäherungen aus, so muss den geocentrischen Längen der mittleren Orte völlig genügt werden, wie auch unter der Bedingung richtiger Führung der Rechnung und nicht zu fehlerhafter Beobachtungen die mittleren Breiten innerhalb der Unsicherheitsgrenzen der Beobachtungen dargestellt werden müssen.

#### B. Kometenbahn (die mittleren Beobachtungen werden durch grösste Kreise ersetzt).

Anhangiv.B. Die Grundlagen der Rechnung sind:

Beobachtung: mittl. Berl. Zeit: beob. Länge: beob. Breite: Sonnenlänge: log (Sonnendistanz): L,  $\log R$ , t, λ, ß, 1  $\log R_{"}$ 2 t,, λ,, ß,,  $L_{"}$ λº  $L_{"}^{o}$  $t_{"}^{0}$  $\log R_n^{\rm o}$ Bo. 3  $L_{m}$  $\log R_{m}$ 

In den meisten Fällen wird eine genügende Annäherung nur nach mehren Versuchen erreicht; die folgenden Formeln sind diesem Bedürfnis angepasst.

$$\begin{array}{ll} \operatorname{tg} J \sin \left( \lambda_{n} - H \right) = \operatorname{tg} \beta_{n}, & \operatorname{tg} J^{o} \sin \left( \lambda_{n}^{o} - H^{o} \right) = \operatorname{tg} \beta_{n}^{o} \\ \operatorname{tg} J \cos \left( \lambda_{n} - H \right) = \frac{\lambda_{m} - \lambda_{r}}{\beta_{r} - \beta_{m}}, & \operatorname{tg} J^{o} \cos \left( \lambda_{n}^{o} - H^{o} \right) = \frac{\lambda_{m} - \lambda_{r}}{\beta_{r} - \beta_{m}}, \\ \operatorname{tg} J \text{ und tg } J^{o} \text{ k\"{o}nnen stets positiv angenommen werden.} \end{array} \right\} \ ^{1)} \ ^{[\text{vgl. 18})} \ ^{\text{pag. 426}}$$

$$\begin{aligned} & \mathcal{F}_{m} & = \sin(\lambda_{m} - D)\cos(\lambda_{m} \sin J - \mathcal{F}_{m}^{o}) = \sin(\lambda_{m} - P)\cos(\lambda_{m} \sin J) \\ & \mathcal{F}_{m} & = \sin(\lambda_{m} - D)\cos(\lambda_{m} \sin J - \sin(\lambda_{m} \cos J) \\ & \mathcal{F}_{m} & = \sin(\lambda_{m} - P)\cos(\lambda_{m} \sin J) \\ & \mathcal{F}_{m} & = \sin(\lambda_{m} - P)\cos(\lambda_{m} \sin J) \\ & \mathcal{F}_{m} & = \sin(\lambda_{m} - P)\cos(\lambda_{m} \cos J) \\ & \mathcal{F}_{m} & = \sin(\lambda_{m} - P)\cos(\lambda_{m} \cos J) \\ & \mathcal{F}_{m} & = \sin(\lambda_{m} - P)\cos(\lambda_{m} \cos J) \\ & \mathcal{F}_{m} & = \sin(\lambda_{m} - P)\cos(\lambda_{m} \cos J) \\ & \mathcal{F}_{m} & = \sin(\lambda_{m} - P)\cos(\lambda_{m} \cos J) \\ & \mathcal{F}_{m} & = \sin(\lambda_{m} - P)\cos(\lambda_{m} \cos J) \\ & \mathcal{F}_{m} & = \sin(\lambda_{m} - P)\cos(\lambda_{m} - L_{m}) \\ & \mathcal{F}_{m} & = \sin(\lambda_{m} - P)\cos(\lambda_{m} - L_{m}) \\ & \sin(\lambda_{m} - L_{m}) \\ & \cos(\lambda_{m} - L_{m}) \\ & \cos$$

Sind nur parabolische Elemente als Näherungen gegeben, so rechnet man die fünf  $\eta$ -Werthe nach:

AnhangIV.B.

sind aber anderweitige Näherungen bekannt, nach:

$$m = \frac{z^2}{(2\cos f \sqrt[3]{rr'})^3}, \quad \operatorname{tg}(45^0 + \omega) = \sqrt[3]{\frac{4}{r'}}, \quad r = \frac{m}{\eta^2}, \quad r = \frac{h}{\eta^2}, \quad r = \frac{h}{\eta^2}, \quad r = \frac{m}{\eta^2} - l.$$

$$\xi \text{ mit dem Argumente } h \text{ aus Tafel IX.}$$

Mit den so erhaltenen Werthen von  $(\eta - 1)$  findet sich:

Sind keine Näherungen bekannt, so hat man in den folgenden Ausdrücken die  $\gamma$ -Werthe der Null gleichzusetzen:

$$\Gamma_{m} = \frac{\tau_{i}}{\tau_{m}} \frac{\mathcal{O}_{i}}{\mathcal{I}_{m}} \gamma_{m'} - \frac{\tau_{n}}{\tau_{m}} \frac{\mathcal{O}_{m}}{\mathcal{I}_{m}} \gamma_{m''}, \quad \Gamma_{m}^{0} = \frac{\tau_{i}^{0}}{\tau_{m}^{0}} \frac{\mathcal{O}_{i}^{0}}{\gamma_{m'}^{0}} \gamma_{m'}^{0''} - \frac{\tau_{n}}{\tau_{m}^{0}} \frac{\mathcal{O}_{i}^{0}}{\gamma_{m'}^{0}} \gamma_{m'}^{0''} \\
\Gamma_{i} = \frac{\tau_{i}}{\tau_{m}} \frac{\mathcal{O}_{i}}{\mathcal{I}_{m}} \gamma_{m'} \qquad , \quad \Gamma_{i}^{0} = \frac{\tau_{i}^{0}}{\tau_{m}^{0}} \frac{\mathcal{O}_{i}^{0}}{\gamma_{m}^{0}} \gamma_{m'}^{0'} \\
\beta^{(3)} = \Gamma_{m} - \Gamma_{m}^{0} \qquad , \quad B^{(3)} = \frac{1}{2} (\Gamma_{m} + \Gamma_{m}^{0}) \\
\epsilon^{(3)} = \Gamma_{i}^{0} - \Gamma_{i}, \qquad , \quad E^{3)} = \frac{1}{2} (\Gamma_{i}^{0} + \Gamma_{i}).$$

Betrachtet man  $\varrho$ , und  $y_a$  als Unbekannte, so hat man die folgenden Gleichungen durch Versuche aufzulösen:

$$III = \{\beta^{(1)} + \beta^{(3)}\} + \beta^{(2)}y_a , VI = \{B^{(1)} + B^{(3)}\} + B^{(2)}y_a$$

$$IV = \{\varepsilon^{(1)} + \varepsilon^{(3)}\} + \varepsilon^{(2)}y_a , VIII = \{E^{(1)} + E^{(3)}\} + E^{(2)}y_a$$

$$x_a = \frac{II\varrho, -I}{III - IV\varrho}, , \varrho_m = V + VIx_a + (VII + VIIIx_a)\varrho,$$

$$tg\theta, = \frac{\varrho, -N_c}{D_c}, , tg\theta_m = \frac{\varrho_m - N_m}{D_m}$$

$$r_c = \frac{\varrho, -N_c}{\sin\theta_c} = \frac{D_c}{\cos\theta_c}, , r_m = \frac{\varrho_m - N_m}{\sin\theta_m} = \frac{D_m}{\cos\theta_m}$$

$$r_e = \frac{1}{(r_m + r_c)^3}, v_e = \frac{r_m - r_c}{r_m + r_c},$$

$$r_e = \frac{r_m - r_c}{r_m + r_c},$$

Die Lösung ist so vorzunehmen, dass:

Anhangiv.B.

$$x_e = x_a, \quad y_e = y_a,$$

gefunden wird; über die Art, wie die Lösung durchzuführen ist, vgl. pag. 442 ff.

Sind die Versuche beendet, so rechnet man mit den Werthen x und y des letzten Versuches, und jenen Werthen von  $\gamma$ , die zur Berechnung der Werthe von  $\Gamma$  [vgl. 11) pag. 680] gedient haben:

$$\begin{split} \Psi_{m'} &= \mu_{m'} + 4\tau_{n}\tau_{m}y + \gamma_{m'}, \ \Psi_{m'}^{o'} = \mu_{m'}^{o'} + 4\tau_{n}^{o}\tau_{m}^{o}y + \gamma_{m'}^{o'}, \\ \Psi_{m''} &= \mu_{m''} + \frac{4\tau_{n}\tau_{m}^{o}}{\tau_{n}}y + \gamma_{m''}, \ \Psi_{m''}^{o''} = \mu_{m''}^{o''} + \frac{4\tau_{n}^{o}\tau_{m}^{o}}{\tau_{n}}y + \gamma_{m''}^{o''}, \end{split}$$
 [vg. 8) pag. 423]

und erhält:

Die Hypothesenbildung kann als abgeschlossen betrachtet werden, wenn die verschiedenen n-Werthe in zwei auf einander folgenden Hypothesen keine Aenderung erfahren. Sind noch weitere Hypothesen zu bilden, so rechnet man:

$$\sin f_{n}^{2} = w^{2} \cos \{W' + \frac{1}{2}(\theta_{n} + \theta_{m})\}^{2} + h^{2} \sin \{H' + \frac{1}{2}(\theta_{n} - \theta_{m})\}^{2}$$
Die  $\theta$ -Werthe sind dem letzten Versuche zu entlehnen.
$$r_{m} \sin 2f_{m} = r_{m}n_{n} \sin 2f_{n} , \quad r_{n}^{0} \sin 2f_{m}^{0} = r_{m}n_{n}^{0} \sin 2f_{n}$$

$$r_{m} \cos 2f_{m} = r_{n}n + r_{m}n_{n} \cos 2f_{n} , \quad r_{n}^{0} \cos 2f_{m}^{0} = r_{n}n^{0} + r_{m}n_{n}^{0} \cos 2f_{n}$$

$$r_{m} \sin 2f_{n} = r_{n}n \sin 2f_{n} , \quad r_{n}^{0} \sin 2f_{n}^{0} = r_{n}n^{0} + r_{n}n^{0} \cos 2f_{n}$$

$$r_{m} \cos 2f_{n} = r_{m}n_{n} + r_{n}n \cos 2f_{n} , \quad r_{n}^{0} \cos 2f_{n}^{0} = r_{m}n_{n}^{0} + r_{n}n^{0} \cos 2f_{n}$$
Probe:  $2f_{n} = 2f_{n} + 2f_{m} = 2f_{n}^{0} + 2f_{m}^{0}$ .

$$\begin{array}{l} r,\cos b,\cos (l,-L_{l})=\varrho,\cos \beta,\cos (\lambda,-L_{l})-R,\;\; r_{m}\cos b_{m}\cos (l_{m}-L_{m})=\varrho_{m}\cos \beta_{m}\cos (\lambda_{m}-L_{m})-R_{m}\\ r,\cos b,\sin (l,-L_{l})=\varrho,\cos \beta,\sin (\lambda,-L_{l}) \qquad , \quad r_{m}\cos b_{m}\sin (l_{m}-L_{m})=\varrho_{m}\cos \beta_{m}\sin (\lambda_{m}-L_{m})\\ r,\sin b,=\varrho,\sin \beta, \qquad , \qquad r_{m}\sin b_{m}=\varrho_{m}\sin \beta_{m}\;; \end{array} \right\} \stackrel{\stackrel{\bullet}{\downarrow}}{\underset{=}{\downarrow}} \stackrel{\circ}{\underset{=}{\downarrow}} \stackrel{\circ}{\underset{=$$

r, und  $r_m$  müssen identisch mit den im letzten Versuche für diese Grössen erschienenen Werthen gefunden werden; man bedarf in den folgenden Rechnungen nicht der Bogen b, und  $b_m$  selbst, sondern nur deren Tangenten.

Anhangly.B. Bestimmung der Neigung i und des Knotens  $\mathcal{Q}$ . Es ist i zwischen den Grenzen o° und 180°. eingeschlossen. tg i erhält, so lange die heliocentrische Bewegung nicht grösser ist als 180°, das Vorzeichen von sin  $l_m - l_i$ , wonach der Quadrant für  $l_i - \mathcal{Q}_i$  zu bestimmen ist.

$$\begin{array}{l} \operatorname{tg} \, i \, \sin \left( l, - \, \mathcal{Q} \right) = \operatorname{tg} \, b, \\ \operatorname{tg} \, i \, \cos \left( l, - \, \mathcal{Q} \right) = \frac{\operatorname{tg} \, b_m - \operatorname{tg} \, b, \, \cos \left( l_m - \, l_r \right)}{\sin \left( l_m - \, l_r \right)} \, . \end{array} \right\} \, 17) \, \left[ \operatorname{vgl.} \, 1 \right] \, \operatorname{pag.} \, 102 \right]$$

Bestimmung der Argumente der Breite u. -

$$\operatorname{tg} u_{i} = \frac{\sin(l_{i}-2)\cos i + \operatorname{tg} b_{i}\sin i}{\cos(l_{i}-2)}, \quad \operatorname{tg} u_{m} = \frac{\sin(l_{m}-2)\cos i + \operatorname{tg} b_{m}\sin i}{\cos(l_{m}-2)}. \quad \begin{cases} 18 & [\text{vgl. 4}] \\ \text{pag. 103} \end{cases}$$

Zur Quadrantenbestimmung gilt die Regel, dass sin u das Vorzeichen des Zählers,  $\cos u$  das des Nenners erhält. Als Probe rechnet man mit den Zahlen des letzten Versuches  $f_n$  nach der ersten Formel in 15) und hat dann:

$$2f_{"}=u_{"}-u_{r}$$

Bestimmung von  $\eta_n$  und z (vgl. pag. 89 und 410). —

$$m_{n} = \frac{\tau_{n}^{2}}{(2 \cos f_{n} \sqrt{r_{n} r_{m}})^{3}}, \ \text{tg}(45^{\circ} + \omega_{n}) = \sqrt[4]{\frac{r_{m}}{r_{n}}}, \quad l_{n} = \frac{\sin \frac{1}{2} f_{n}^{2} + \text{tg } 2 \omega_{n}^{2}}{\cos f_{n}}$$

$$h = \frac{m_{n}}{\frac{1}{6} + l_{n} + \xi_{n}}, \qquad w = \frac{m_{n}}{\tau_{n}^{2}} - l_{n}, \quad z = \left(\frac{\tau_{n}}{\eta_{n}^{2} \cos f_{n} \sqrt{r_{n} r_{m}}}\right)^{2}$$

$$\xi_{n} \text{ mit dem Argumente } w \text{ aus Tafel IX.}$$

$$\log \eta_{n}^{2} \text{ mit dem Argumente } h_{n} \text{ aus Tafel VIII.}$$

Berechnung der Excentricität, der wahren Anomalie [vgl. pag. 410], des Perihelabstandes und der Länge des Perihels. —

$$2ez \sin F_{n} = (r_{m} - r_{n}) \sin f_{n}$$

$$2ez \cos F_{n} = \frac{(r_{m} + r_{n}) \sin f_{n}^{2} - 2z}{\cos f_{n}}$$

$$2ez \text{ stets positiv.}$$

$$v_{n} = F_{n} - f_{n}, \quad v_{m} = F_{n} + f_{n}$$

$$q = \frac{r_{n}r_{m} \sin f_{n}^{2}}{z(1 + e)}$$

$$\pi = u_{n} - v_{n} + \Omega = u_{m} - v_{m} + \Omega.$$
20) [vgl. pag. 107 ff. und 410]

Berechnung der Perihelzeit [vgl. pag. 410]. -

$$(\theta)_{,} = \frac{1-e}{1+e} \operatorname{tg} \frac{1}{2} v_{,}^{2}, \quad (\theta)_{,m} = \frac{1-e}{1+e} \operatorname{tg} \frac{1}{2} v_{,m}^{2},$$

$$(\theta)_{,m} \operatorname{als Argumente für die Tafel XVIII des II. Bandes}$$

$$T = t_{,} - \frac{q^{\frac{3}{2}}}{\sqrt{1+e}} \{P_{1}' \operatorname{tg} \frac{1}{2} v_{,} + P_{3}' \operatorname{tg} \frac{1}{2} v_{,}^{3}\}$$

$$T = t_{,m} - \frac{q^{\frac{3}{2}}}{\sqrt{1+e}} \{P_{1}'' \operatorname{tg} \frac{1}{2} v_{,m} + P_{3}''' \operatorname{tg} \frac{1}{2} v_{,m}^{3}\}.$$

Beide Werthe müssen innerhalb der Unsicherheit der logarithmischen Rechnung stimmen.

Darstellung der mittleren Orte. - Zunächst berechne man:

Anhang IV.B.

$$\epsilon = \frac{1-\epsilon}{1+\epsilon}, \quad \alpha = \frac{f}{q_1^2} \sqrt{\frac{1+\epsilon}{2}}, \quad \beta = \epsilon E;$$
 [vgl. 18) pag. 73]

mit dem Argumente  $\epsilon$  entlehnt man der Tafel VI a die Logarithmen von f und E.

$$M_{n} = \alpha (t_{n} - T), \qquad M_{n}^{o} = \alpha (t_{n}^{o} - T).$$
Mit den Argumenten  $M_{n}$  und  $M_{n}^{o}$  aus Tafel IV  $w_{n}$  und  $w_{n}^{o}$ 

$$x_{n} = \frac{\operatorname{tg} \frac{1}{2} w_{n}}{f}, \qquad x_{n}^{o} = \frac{\operatorname{tg} \frac{1}{2} w_{n}^{o}}{f}$$

$$n_{n} = \beta x_{n}^{2}, \qquad n_{n}^{o} = \beta x_{n}^{o2},$$

$$n_{n} u. n_{n}^{o} \text{ als Argumente für } G \text{ aus Taf. VI b } \begin{cases} n_{n} u. n_{n}^{o} \text{ sind offenbar nicht identisch} \end{cases}$$

$$n_{n} u. n_{n}^{o} \text{ und } \epsilon \text{ als } , \qquad H, \qquad NI c \text{ mit d. Verhältnissen d. Dreiecksflächen} \end{cases}$$

$$\operatorname{tg} \frac{1}{2} v_{n} = x_{n} G_{n} H_{n} \qquad \operatorname{tg} \frac{1}{2} v_{n}^{o} = x_{n}^{o} G_{n}^{o} H_{n}^{o}$$

$$(\theta)_{n} = \epsilon \operatorname{tg} \frac{1}{2} v_{n}^{2} \qquad (\theta)_{n}^{o} = \epsilon \operatorname{tg} \frac{1}{2} v_{n}^{o2}$$

$$r_{n} = \frac{q (1 + \operatorname{tg} \frac{1}{2} v_{n}^{2})}{1 + (\theta)_{n}} \qquad r_{n}^{o} = \frac{q (1 + \operatorname{tg} \frac{1}{2} v_{n}^{o2})}{1 + (\theta)_{n}^{o}} \cdot u_{n}^{o} = v_{n}^{o} + \pi - \Omega.$$

$$\begin{array}{l} \varrho_n \cos\beta_n \cos\lambda_n - Q = r_n \cos u_n + R_n \cos(L_n - \Omega) \quad , \quad \varrho_n^o \cos\beta_n^o \cos(\lambda_n^o - Q) = r_n^o \cos u_n^o + R_n^o \cos(L_n^o - \Omega) \\ \varrho_n \cos\beta_n \sin\lambda_n - Q = r_n \sin u_n \cos i + R_n \sin(L_n - Q) \quad , \quad \varrho_n^o \cos\beta_n^o \sin(\lambda_n^o - Q) = r_n^o \sin u_n^o \cos i + R_n^o \sin(L_n^o - Q) \\ \varrho_n \sin\beta_n = r_n \sin u_n \sin i \quad , \qquad \qquad \varrho_n^o \sin\beta_n^o = r_n^o \sin u_n^o \sin i. \end{array}$$

Die so berechneten Werthe von  $\lambda_n$ ,  $\beta_n$  und  $\lambda_n^0$ ,  $\beta_n^0$  müssen, falls die Näherungen hinreichend weit durchgeführt wurden, innerhalb der Unsicherheit der Rechnung in den durch 1) [pag. 678] bestimmten grössten Kreisen liegen. Es wird also, wenn man die durch die Rechnung gefundenen Werthe mit  $(\lambda_n)$ ,  $(\beta_n)$ ,  $(\lambda_n^0)$ ,  $(\beta_n^0)$ , die beobachteten mit  $\lambda_n$ ,  $\beta_n$ ,  $\lambda_n^0$ ,  $\beta_n^0$  bezeichnet, sich ergeben müssen:

$$\frac{\operatorname{tg}\beta_{n}}{\sin\left\{\lambda_{n}-II\right\}} = \frac{\operatorname{tg}\left(\beta_{n}^{0}\right)}{\sin\left\{\left(\lambda_{n}\right)-II\right\}}, \qquad \frac{\operatorname{tg}\beta_{n}^{0}}{\sin\left\{\lambda_{n}^{0}-II\right\}} = \frac{\operatorname{tg}\left(\beta_{n}^{0}\right)}{\sin\left\{\left(\lambda_{n}^{0}\right)-II^{0}\right\}} \cdot \left.\right\} 25\right).$$

### Berichtigungen und Zusätze.

```
pag. 24, Zeile 17 von oben nach 8"8 einzuschalten »verschieden«.
 ., 34, Zeile 8 von unten wäre der Zusatz zu machen, dass auf pag. 153 der Kreutz'schen Inaugu-
 raldissertation die Aufschriften Arg für a und Arg für d vertauscht sind.
 ., 89, 5. Zeile der Formel 26) statt \eta^2 lies \log \eta^2.
 ,, 101, Zeile 16, 17, 18 von oben sind die Indices von \eta statt oben unten anzusetzen.
 106, Formel 17) statt \frac{\gamma^4}{\sin g^2} \sqrt{r, r_m}. lies \frac{\gamma^4}{\sin g_n^2} \sqrt{r, r_m},
 106, Zeile 11 von oben statt 14) lies 4).
 ., 107. Zeile 2 von unten ist der Formel die Bezeichnung 31) hinzuzufügen.
 ,, 108, Zeile 3 von oben ist die Bezeichnung 31) zu tilgen.
 ,, 108, Zeile 4 von oben ist nach 8) einzuschalten (pag. 82).
 ,, 130, Zeile 3 von oben im ersten Zähler statt cos a lies cos a.
 ,, 152, Zeile 4 von unten statt Peter's lies Peters.
 ,, 209, Zeile I von unten statt \pi_1 lies [\pi]_1.
 ,, 210, Zeile 13 von oben statt \pi_1' lies [\pi]_1'.
 217, Zeile 18 von oben ist hinzuzufügen: hierbei ist Ae das Increment der lunisolaren Schiefe
 \varepsilon_i^o in der Zeit (t_1 - t_0)
,, 243, Zeile 16 von unten statt \lambda, lies \lambda_I.
 ,, 243, Zeile 15 von unten statt \lambda_n lies \lambda_{11}.
,, 249, Zeile 8 von oben statt Tafel IA lies XA.
,, 259, Zeile 8 von oben ist der Factor arc 1" zu streichen.
,, 309, Zeile 7 von oben statt »der Coëfficienten« lies »von x6«.
,, 363, Zeile 8, 18 und 19 von oben überall statt x zu setzen z.
,, 374, Zeile 2 von unten fehlt der Factor sin Pm.
,, 374, Zeile 1 von unten fehlt der Fact z sin P.
,, 410, Zeile 2 von unten statt P_i lies P_1.
,, 410, Zeile 1 von unten statt P," lies P1".
,, 419. Im Zähler des ersten Gliedes von \gamma_n^{\alpha n} in der Formel 15) statt \tau_n^{\alpha} lies \iota_m.
., 423. Im letzten Gliede der zweiten Zeile der Formel 10) statt rin lies rin.
,. 432. Zeile 14 von unten statt x lies xu.
., 457, Zeile 11 rechts von oben statt "Parallaxe" lies "mittlere Sonnenparallaxe".
```

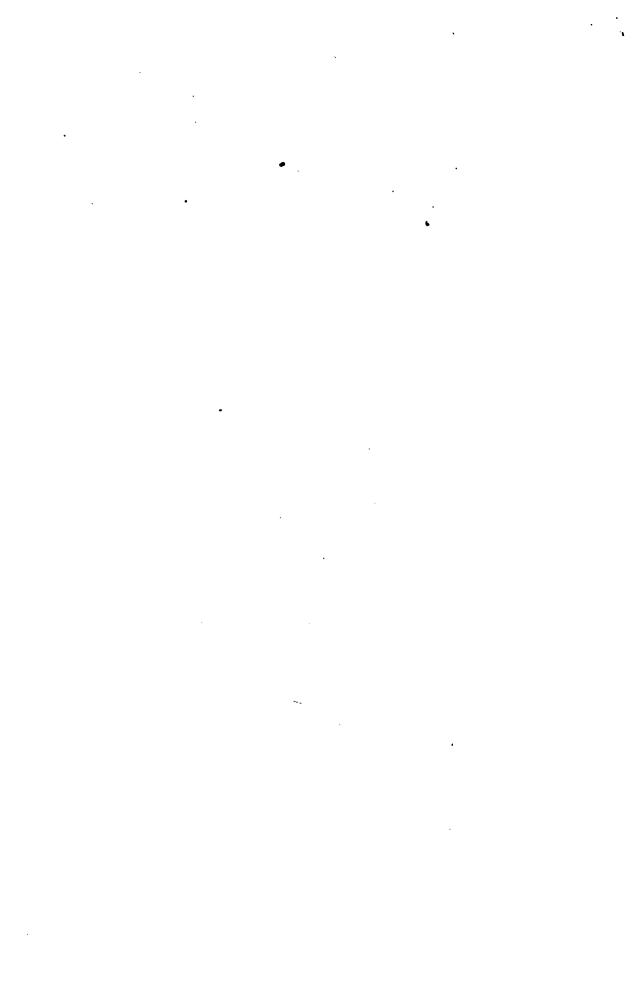
., 567. Im Kopf der letzten Columne statt 10.75 lies 107.5.

·

.

.









## THE NEW YORK PUBLIC LIBRARY REFERENCE DEPARTMENT

This book is under no circumstances to be taken from the Building

	Name and Address of the Owner, where the Owner, where the Owner, where the Owner, where the Owner, where the Owner, where the Owner, where the Owner, where the Owner, where the Owner, where the Owner, where the Owner, where the Owner, where the Owner, where the Owner, where the Owner, where the Owner, where the Owner, where the Owner, where the Owner, where the Owner, where the Owner, where the Owner, where the Owner, where the Owner, where the Owner, where the Owner, where the Owner, which is the Owner, which is the Owner, where the Owner, which is the Owner, which is the Owner, which is the Owner, which is the Owner, which is the Owner, which is the Owner, which is the Owner, which is the Owner, which is the Owner, which is the Owner, which is the Owner, which is the Owner, which is the Owner, which is the Owner, which is the Owner, which is the Owner, which is the Owner, which is the Owner, which is the Owner, which is the Owner, which is the Owner, which is the Owner, which is the Owner, which is the Owner, which is the Owner, which is the Owner, which is the Owner, which is the Owner, which is the Owner, which is the Owner, which is the Owner, which is the Owner, which is the Owner, which is the Owner, which is the Owner, which is the Owner, which is the Owner, which is the Owner, which is the Owner, which is the Owner, which is the Owner, which is the Owner, which is the Owner, which is the Owner, which is the Owner, which is the Owner, which is the Owner, which is the Owner, which is the Owner, which is the Owner, which is the Owner, which is the Owner, which is the Owner, which is the Owner, which is the Owner, which is the Owner, which is the Owner, which is the Owner, which is the Owner, which is the Owner, which is the Owner, which is the Owner, which is the Owner, which is the Owner, which is the Owner, which is the Owner, which is the Owner, which is the Owner, which is the Owner, which is the Owner, which is the Owner, which is the Owner, which is the Owner, which is the Owner, which is the Owner,	
94	In some	
100		100
-		13
- 6		
		277.5
Land of		- 1 - 1 - 4
		4 2 1
	0.00	-
		× = 14194
Kuppa 218		



